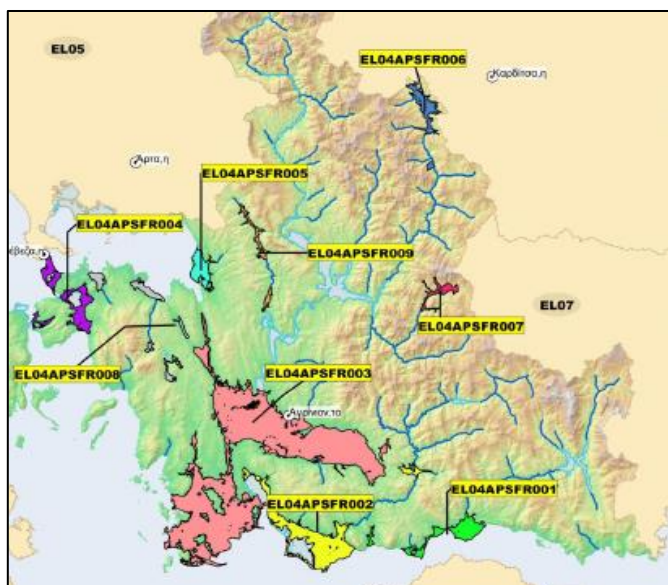




ΕΛΛΗΝΙΚΗ ΔΗΜΟΚΡΑΤΙΑ



**ΓΕΝΙΚΗ ΓΡΑΜΜΑΤΕΙΑ ΦΥΣΙΚΟΥ ΠΕΡΙΒΑΛΛΟΝΤΟΣ
ΚΑΙ ΥΔΑΤΩΝ
ΓΕΝΙΚΗ ΔΙΕΥΘΥΝΣΗ ΥΔΑΤΩΝ**



**1^η ΑΝΑΘΕΩΡΗΣΗ
ΣΧΕΔΙΟΥ ΔΙΑΧΕΙΡΙΣΗΣ ΚΙΝΔΥΝΩΝ ΠΛΗΜΜΥΡΑΣ
των Λεκανών Απορροής Ποταμών του
Υδατικού Διαμερίσματος Δυτικής Στερεάς Ελλάδας (EL04)**

Στάδιο 1 – Παραδοτέο 4

ΠΛΗΜΜΥΡΙΚΑ ΥΔΡΟΓΡΑΦΗΜΑΤΑ

**Παράρτημα Π4.6:
Υδρολογική Ανάλυση λεκάνης ποταμού Αχελώου**



Ευρωπαϊκή Ένωση
Ταμείο Συνοχής



Με τη συγχρηματοδότηση της Ελλάδας και της Ευρωπαϊκής Ένωσης

Περιεχόμενα

<u>1</u>	<u>ΜΟΝΤΕΛΟ ΥΔΡΟΛΟΓΙΚΗΣ ΠΡΟΣΟΜΟΙΩΣΗΣ ΔΕΚΑΝΗΣ ΑΠΟΡΡΟΗΣ</u>	<u>4</u>
<u>2</u>	<u>ΔΕΔΟΜΕΝΑ ΕΙΣΟΔΟΥ ΚΑΙ ΑΠΟΤΕΛΕΣΜΑΤΑ ΥΔΡΟΛΟΓΙΚΟΥ ΣΕΝΑΡΙΟΥ T=50</u>	<u>14</u>
2.1	ΑΠΟΤΕΛΕΣΜΑΤΑ, ΥΕΤΟΓΡΑΦΗΜΑΤΑ ΚΑΙ ΥΔΡΟΓΡΑΦΗΜΑΤΑ ΣΧΕΔΙΑΣΜΟΥ ΥΠΟΛΕΚΑΝΩΝ	15
2.2	ΔΕΔΟΜΕΝΑ ΚΑΙ ΥΔΡΟΓΡΑΦΗΜΑΤΑ ΣΧΕΔΙΑΣΜΟΥ ΚΛΑΔΩΝ ΥΔΡΟΓΡΑΦΙΚΟΥ ΔΙΚΤΥΟΥ	113
2.3	ΔΕΔΟΜΕΝΑ ΚΑΙ ΥΔΡΟΓΡΑΦΗΜΑΤΑ ΣΧΕΔΙΑΣΜΟΥ ΚΟΜΒΩΝ ΥΔΡΟΓΡΑΦΙΚΟΥ ΔΙΚΤΥΟΥ	171
<u>3</u>	<u>ΔΕΔΟΜΕΝΑ ΕΙΣΟΔΟΥ ΚΑΙ ΑΠΟΤΕΛΕΣΜΑΤΑ ΥΔΡΟΛΟΓΙΚΟΥ ΣΕΝΑΡΙΟΥ T=50 L</u>	<u>231</u>
<u>4</u>	<u>ΔΕΔΟΜΕΝΑ ΕΙΣΟΔΟΥ ΚΑΙ ΑΠΟΤΕΛΕΣΜΑΤΑ ΥΔΡΟΛΟΓΙΚΟΥ ΣΕΝΑΡΙΟΥ T=50 U</u>	<u>447</u>
<u>5</u>	<u>ΔΕΔΟΜΕΝΑ ΕΙΣΟΔΟΥ ΚΑΙ ΑΠΟΤΕΛΕΣΜΑΤΑ ΥΔΡΟΛΟΓΙΚΟΥ ΣΕΝΑΡΙΟΥ T=100</u>	<u>663</u>
5.1	ΑΠΟΤΕΛΕΣΜΑΤΑ, ΥΕΤΟΓΡΑΦΗΜΑΤΑ ΚΑΙ ΥΔΡΟΓΡΑΦΗΜΑΤΑ ΣΧΕΔΙΑΣΜΟΥ ΥΠΟΛΕΚΑΝΩΝ	664
5.2	ΔΕΔΟΜΕΝΑ ΚΑΙ ΥΔΡΟΓΡΑΦΗΜΑΤΑ ΣΧΕΔΙΑΣΜΟΥ ΚΛΑΔΩΝ ΥΔΡΟΓΡΑΦΙΚΟΥ ΔΙΚΤΥΟΥ	763
5.3	ΔΕΔΟΜΕΝΑ ΚΑΙ ΥΔΡΟΓΡΑΦΗΜΑΤΑ ΣΧΕΔΙΑΣΜΟΥ ΚΟΜΒΩΝ ΥΔΡΟΓΡΑΦΙΚΟΥ ΔΙΚΤΥΟΥ	821
<u>6</u>	<u>ΔΕΔΟΜΕΝΑ ΕΙΣΟΔΟΥ ΚΑΙ ΑΠΟΤΕΛΕΣΜΑΤΑ ΥΔΡΟΛΟΓΙΚΟΥ ΣΕΝΑΡΙΟΥ T=100 L</u>	<u>880</u>
6.1	ΑΠΟΤΕΛΕΣΜΑΤΑ, ΥΕΤΟΓΡΑΦΗΜΑΤΑ ΚΑΙ ΥΔΡΟΓΡΑΦΗΜΑΤΑ ΣΧΕΔΙΑΣΜΟΥ ΥΠΟΛΕΚΑΝΩΝ	881
6.2	ΔΕΔΟΜΕΝΑ ΚΑΙ ΥΔΡΟΓΡΑΦΗΜΑΤΑ ΣΧΕΔΙΑΣΜΟΥ ΚΛΑΔΩΝ ΥΔΡΟΓΡΑΦΙΚΟΥ ΔΙΚΤΥΟΥ	986
6.3	ΔΕΔΟΜΕΝΑ ΚΑΙ ΥΔΡΟΓΡΑΦΗΜΑΤΑ ΣΧΕΔΙΑΣΜΟΥ ΚΟΜΒΩΝ ΥΔΡΟΓΡΑΦΙΚΟΥ ΔΙΚΤΥΟΥ	1044
<u>7</u>	<u>ΔΕΔΟΜΕΝΑ ΕΙΣΟΔΟΥ ΚΑΙ ΑΠΟΤΕΛΕΣΜΑΤΑ ΥΔΡΟΛΟΓΙΚΟΥ ΣΕΝΑΡΙΟΥ T=100 U</u>	<u>1103</u>
7.1	ΑΠΟΤΕΛΕΣΜΑΤΑ, ΥΕΤΟΓΡΑΦΗΜΑΤΑ ΚΑΙ ΥΔΡΟΓΡΑΦΗΜΑΤΑ ΣΧΕΔΙΑΣΜΟΥ ΥΠΟΛΕΚΑΝΩΝ	1104
7.2	ΔΕΔΟΜΕΝΑ ΚΑΙ ΥΔΡΟΓΡΑΦΗΜΑΤΑ ΣΧΕΔΙΑΣΜΟΥ ΚΛΑΔΩΝ ΥΔΡΟΓΡΑΦΙΚΟΥ ΔΙΚΤΥΟΥ	1203
7.3	ΔΕΔΟΜΕΝΑ ΚΑΙ ΥΔΡΟΓΡΑΦΗΜΑΤΑ ΣΧΕΔΙΑΣΜΟΥ ΚΛΑΔΩΝ ΥΔΡΟΓΡΑΦΙΚΟΥ ΔΙΚΤΥΟΥ	1261
<u>8</u>	<u>ΔΕΔΟΜΕΝΑ ΕΙΣΟΔΟΥ ΚΑΙ ΑΠΟΤΕΛΕΣΜΑΤΑ ΥΔΡΟΛΟΓΙΚΟΥ ΣΕΝΑΡΙΟΥ T=1000</u>	<u>1320</u>
8.1	ΑΠΟΤΕΛΕΣΜΑΤΑ, ΥΕΤΟΓΡΑΦΗΜΑΤΑ ΚΑΙ ΥΔΡΟΓΡΑΦΗΜΑΤΑ ΣΧΕΔΙΑΣΜΟΥ ΥΠΟΛΕΚΑΝΩΝ	1321
8.2	ΔΕΔΟΜΕΝΑ ΚΑΙ ΥΔΡΟΓΡΑΦΗΜΑΤΑ ΣΧΕΔΙΑΣΜΟΥ ΚΛΑΔΩΝ ΥΔΡΟΓΡΑΦΙΚΟΥ ΔΙΚΤΥΟΥ	1420
8.3	ΔΕΔΟΜΕΝΑ ΚΑΙ ΥΔΡΟΓΡΑΦΗΜΑΤΑ ΣΧΕΔΙΑΣΜΟΥ ΚΛΑΔΩΝ ΥΔΡΟΓΡΑΦΙΚΟΥ ΔΙΚΤΥΟΥ	1478
<u>9</u>	<u>ΔΕΔΟΜΕΝΑ ΕΙΣΟΔΟΥ ΚΑΙ ΑΠΟΤΕΛΕΣΜΑΤΑ ΥΔΡΟΛΟΓΙΚΟΥ ΣΕΝΑΡΙΟΥ T=1000 L</u>	<u>1537</u>
9.1	ΑΠΟΤΕΛΕΣΜΑΤΑ, ΥΕΤΟΓΡΑΦΗΜΑΤΑ ΚΑΙ ΥΔΡΟΓΡΑΦΗΜΑΤΑ ΣΧΕΔΙΑΣΜΟΥ ΥΠΟΛΕΚΑΝΩΝ	1538

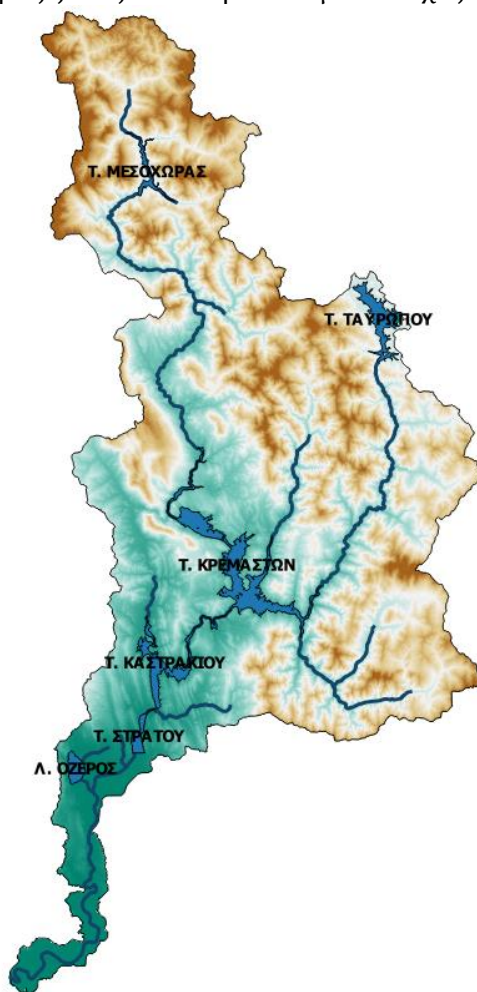
9.2	ΔΕΔΟΜΕΝΑ ΚΑΙ ΥΔΡΟΓΡΑΦΗΜΑΤΑ ΣΧΕΔΙΑΣΜΟΥ ΚΛΑΔΩΝ ΥΔΡΟΓΡΑΦΙΚΟΥ ΔΙΚΤΥΟΥ	1637
9.3	ΔΕΔΟΜΕΝΑ ΚΑΙ ΥΔΡΟΓΡΑΦΗΜΑΤΑ ΣΧΕΔΙΑΣΜΟΥ ΚΛΑΔΩΝ ΥΔΡΟΓΡΑΦΙΚΟΥ ΔΙΚΤΥΟΥ	1695

10 ΔΕΔΟΜΕΝΑ ΕΙΣΟΔΟΥ ΚΑΙ ΑΠΟΤΕΛΕΣΜΑΤΑ ΥΔΡΟΛΟΓΙΚΟΥ ΣΕΝΑΡΙΟΥ T=1000 U1754

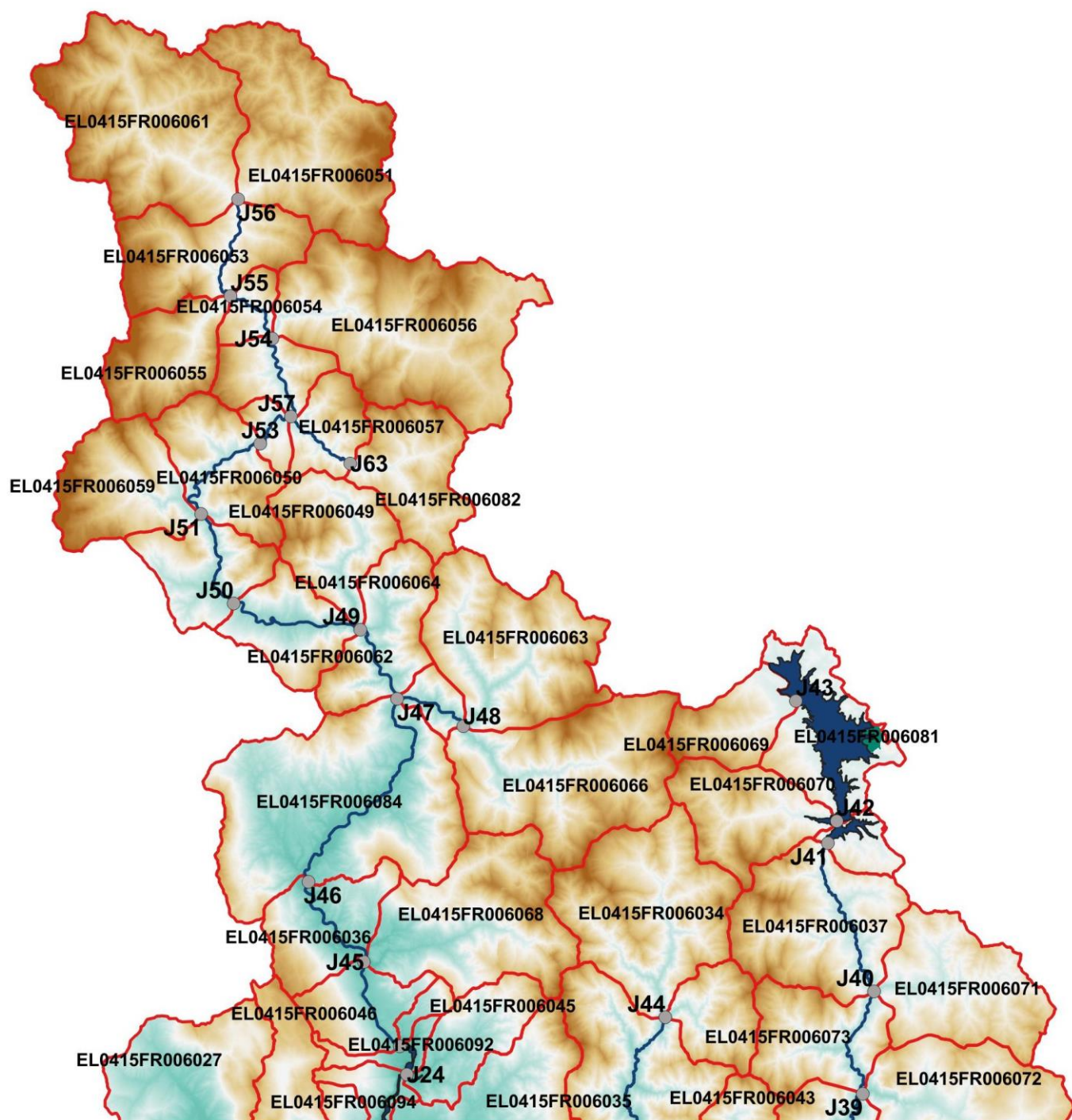
10.1	ΑΠΟΤΕΛΕΣΜΑΤΑ, ΥΕΤΟΓΡΑΦΗΜΑΤΑ ΚΑΙ ΥΔΡΟΓΡΑΦΗΜΑΤΑ ΣΧΕΔΙΑΣΜΟΥ ΥΠΟΛΕΚΑΝΩΝ	1755
10.2	ΔΕΔΟΜΕΝΑ ΚΑΙ ΥΔΡΟΓΡΑΦΗΜΑΤΑ ΣΧΕΔΙΑΣΜΟΥ ΚΛΑΔΩΝ ΥΔΡΟΓΡΑΦΙΚΟΥ ΔΙΚΤΥΟΥ	1854
10.3	ΔΕΔΟΜΕΝΑ ΚΑΙ ΥΔΡΟΓΡΑΦΗΜΑΤΑ ΣΧΕΔΙΑΣΜΟΥ ΚΛΑΔΩΝ ΥΔΡΟΓΡΑΦΙΚΟΥ ΔΙΚΤΥΟΥ	1912

1 Μοντέλο Υδρολογικής Προσομοίωσης Λεκάνης Απορροής

Το μοντέλο υδρολογικής προσομοίωσης της λεκάνης απορροής του ποταμού Αχελώου (Εικόνα 6-1) περιλαμβάνει 97 υπολεκάνες, 59 κόμβους και 58 κλάδους του υδρογραφικού δικτύου. Στον άνω και μέσο ρου του ποταμού αναπτύσσονται τέσσερις υδροηλεκτρικοί ταμιευτήρες σε σειρά (Μεσοχώρα, Κρεμαστά, Καστράκι, Στράτος), ενώ ο ταμιευτήρας Πλαστήρα, στην ανάντη λεκάνη του Ταυρωπού, είναι έργο πλήρους εκτροπής. Κατά συνέπεια, οι πλημμυρικές απορροές της λεκάνης είναι σε μεγάλο βαθμό ρυθμιζόμενες, κυρίως μέσω του ταμιευτήρα Κρεμαστών, που είναι ο μεγαλύτερος της Ελλάδας. Στο μεγαλύτερο τμήμα του κάτω ρου του Αχελώου, από το φράγμα του Στράτου μέχρι τις εκβολές, αναπτύσσονται ζώνες δυνητικά υψηλού πλημμυρικού κινδύνου. Στην υπόλοιπη λεκάνη, λόγω του αναγλύφου, δεν αναπτύσσονται ΖΔΥΚΠ, με εξαίρεση τα ΒΔ παρόχθια τμήματα της λίμνης Πλαστήρα, καθώς και τις χαμηλές ζώνες των παραπόταμων Ίναχος και Καρπενησιώτης.



Εικόνα Error! No text of specified style in document.-1 Χάρτης υδρολογικού συστήματος Αχελώου, στον οποίο απεικονίζονται το υδρογραφικό δίκτυο, η λίμνη Οζερός, και οι υδροηλεκτρικοί ταμιευτήρες της ΔΕΗ

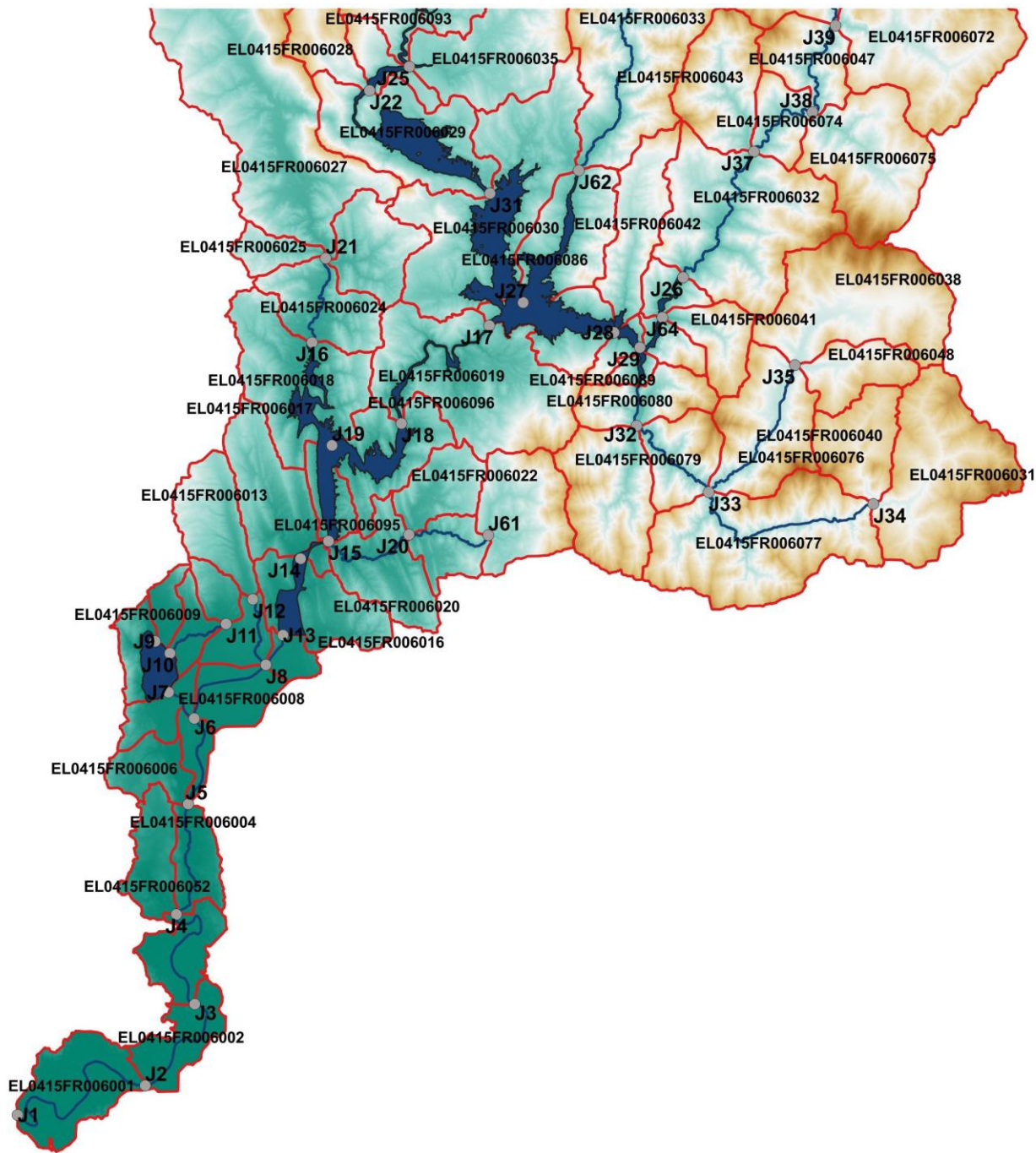


Εικόνα Error! No text of specified style in document.-2 Σχηματοποίηση ανάντη λεκάνης απορροής

Η σχηματοποίηση του υδρολογικού συστήματος (κόμβοι, κλάδοι, υπολεκάνες), απεικονίζεται στους χάρτες των Εικόνων 6-2 (άνω ρους Αχελώου, μέχρι την είσοδο του ταμιευτήρα Κρεμαστών) και 6-3 (μέσος και κάτω ρους Αχελώου). Στο μοντέλο προσομοιώνεται ο κύριος κλάδος του Αχελώου, που ξεκινά από τον κόμβο J56 (θέση Τρία Ποτάμια), καθώς και οι σημαντικότεροι παραπόταμοί του, που από ανάντη προς κατάντη είναι:

- το ρέμα Κουμπουργιανίτικο (κλάδος R4847), που συμβάλλει στον κόμβο J47 του Αχελώου, ακριβώς ανάντη του φράγματος της Συκιάς·
- ο ποταμός Αγραφιώτης (κλάδοι R4462 και R6227), που απορρέει στα Κρεμαστά, στον κόμβο J27 (ο κατάντη κλάδος καταλαμβάνεται από τον ταμιευτήρα)·

- ο ποταμός Ταυρωπός ή Μέγδοβας, το ανάντη τμήμα του οποίου (κλάδοι R4342 και R4241) καταλαμβάνεται από τον ταμιευτήρα Πλαστήρα, ενώ το κατάντη τμήμα του (κλάδοι R4140, R4039, R3938, R3837, R3726, R2664 και R6429) απορρέει στον ταμιευτήρα των Κρεμαστών, στον κόμβο J29, όπου συμβάλλει και ο Κρικελιώτης·
- ο ποταμός Καρπενησιώτης (κλάδος R3533), που συμβάλει στον Κρικελιώτη, στον κόμβο J33·
- ο ποταμός Κρικελιώτης (κλάδοι R3433, R3332, R3230 και R3029), που αρχικά συναντά τον τον Καρπενησιώτη, στον κόμβο J33, και ακολούθως τον Ταυρωπό, στον κόμβο J29, ενώ οι κλάδοι R2928 και R2827 που δημιουργούνται στη συνέχεια, και συμβάλλουν στον κόμβο J27 του Αχελώου, καταλαμβάνονται από τον ταμιευτήρα των Κρεμαστών·
- ο ποταμός Ίναχος (κλάδοι R32 και R219), που απορρέει στον ταμιευτήρα Καστρακίου, στον κόμβο J19 (ο κατάντη κλάδος καταλαμβάνεται από τον ταμιευτήρα)·
- το ρέμα Ζέρβα (κλάδοι R6120 και R2015), που συμβάλλει αμέσως κατάντη του φράγματος Καστρακίου, (στο μοντέλο, ο κλάδος R2015 εμφανίζεται ότι συμβάλει απευθείας στον κόμβο J14, δηλαδή εντός του ταμιευτήρα Στράτου).



Εικόνα Error! No text of specified style in document.-3 Σχηματοποίηση κατάντη λεκάνης απορροής (από την ανάντη είσοδο του ταμιευτήρα Κρεμαστών έως τις εκβολές του Αχελώου)

Στο μοντέλο υδρολογικής προσομοίωσης του Αχελώου εντάσσεται και η λίμνη Οζερός, με την αντίστοιχη λεκάνη απορροής της, δεδομένου ότι τα πλεονάζοντα νερά της λίμνης εκτρέπονται στον ποταμό, μέσω κατάλληλου τεχνικού έργου, που αναπαρίσταται μέσω του κλάδου R76 (τάφρος υπερχειλίσης Οζερού). Το υποσύστημα του Οζερού περιλαμβάνει τρεις υπολεκάνες (EL0415FR6009, EL0415FR6010, και EL0415FR6011), οι απορροές των οποίων συγκεντρώνονται στον εννοιολογικό κόμβο J7, μέσω των εικονικών κλάδων R97 και R107.

Στον Αχελώο καταλήγουν και οι πλεονάζουσες πλημμυρικές παροχές του συστήματος Τριχωνίδας-Λυσιμαχίας, μέσω της τάφρου Διμήκου. Ωστόσο, η προσομοίωση του εν λόγω συστήματος γίνεται χωριστά από τη λεκάνη του Αχελώου, αφού οι ποσότητες που μεταφέρονται μέσω της τάφρου Διμήκου δεν είναι γνωστές (αποτελούν δεδομένο εξόδου του μοντέλου υδραυλικής ανάλυσης).

Τα χαρακτηριστικά μεγέθη της συνολικής λεκάνης είναι:

- Έκταση $A = 4844.5 \text{ km}^2$

- Μέσο υψόμετρο $z_m = 897 \text{ m}$
- Υψόμετρο κόμβου εξόδου $z_k = 0.0 \text{ m}$
- Μέγιστο μήκος ροής $L_{\max} = 259.7 \text{ km}$
- Χρόνος συγκέντρωσης $t_c = 27.9 \text{ h}$

Για την υδρολογική προσομοίωση επιλέγεται διάρκεια βροχής $D = 48 \text{ h}$ και χρονικό βήμα $\Delta t = 30 \text{ min}$.

Για την παραπάνω έκταση και διάρκεια προκύπτει συντελεστής επιφανειακής αναγωγής $\varphi = 0.872$.

Τα χαρακτηριστικά γεωμετρικά μεγέθη των κλάδων και υπολεκανών του υδρογραφικού δικτύου δίνονται στους Πίνακες 6-1 και 6-2, αντίστοιχα.

Πίνακας Error! No text of specified style in document. -1 Χαρακτηριστικά μεγέθη κλάδων υδρογραφικού δικτύου (υδατορεύματα)

Κωδικός	Ονομασία	Ανάκτη	Κατάκτη	Μήκος (km)	Μέση κλίση
R21	ΑΧΕΛΩΟΣ 1	J2	J1	17.042	0.0004
R32	ΑΧΕΛΩΟΣ 3	J3	J2	9.164	0.0002
R43	ΑΧΕΛΩΟΣ 3	J4	J3	11.035	0.0004
R54	ΑΧΕΛΩΟΣ 3	J5	J4	9.783	0.0002
R65	ΑΧΕΛΩΟΣ 4	J6	J5	7.443	0.0011
R86	ΑΧΕΛΩΟΣ 5	J8	J6	7.499	0.0028
R138	ΑΧΕΛΩΟΣ 5	J13	J8	3.985	0.0023
R1413	ΕΙΚΟΝΙΚΟΣ (ΤΑΜ. ΣΤΡΑΤΟΥ)	J14	J13	5.953	0.0007
R1514	ΕΙΚΟΝΙΚΟΣ (ΤΑΜ. ΣΤΡΑΤΟΥ)	J15	J14	2.510	0.0016
R1915	ΕΙΚΟΝΙΚΟΣ (ΤΑΜ. ΚΑΣΤΡΑΚΙΟΥ)	J19	J15	7.343	0.0117
R1819	ΕΙΚΟΝΙΚΟΣ (ΤΑΜ. ΚΑΣΤΡΑΚΙΟΥ)	J18	J19	8.270	0.0002
R1718	ΑΧΕΛΩΟΣ (ΚΡΕΜΑΣΤΑ-ΚΑΣΤΡΑΚΙ)	J17	J18	14.870	0.0001
R2717	ΕΙΚΟΝΙΚΟΣ (ΤΑΜ. ΚΡΕΜΑΣΤΩΝ)	J27	J17	3.014	0.0033
R3127	ΕΙΚΟΝΙΚΟΣ (ΤΑΜ. ΚΡΕΜΑΣΤΩΝ)	J31	J27	9.374	0.0043
R2231	ΕΙΚΟΝΙΚΟΣ (ΤΑΜ. ΚΡΕΜΑΣΤΩΝ)	J22	J31	14.304	0.0028
R2522	ΕΙΚΟΝΙΚΟΣ (ΤΑΜ. ΚΡΕΜΑΣΤΩΝ)	J25	J22	3.897	0.0026
R2425	ΕΙΚΟΝΙΚΟΣ (ΤΑΜ. ΚΡΕΜΑΣΤΩΝ)	J24	J25	5.999	0.0025
R2324	ΕΙΚΟΝΙΚΟΣ (ΤΑΜ. ΚΡΕΜΑΣΤΩΝ)	J23	J24	2.584	0.0019
R4523	ΑΧΕΛΩΟΣ 6	J45	J23	6.910	0.0029
R4645	ΑΧΕΛΩΟΣ 6	J46	J45	8.942	0.0032
R4746	ΑΧΕΛΩΟΣ 7	J47	J46	18.876	0.0053
R4947	ΑΧΕΛΩΟΣ 8	J49	J47	6.260	0.0037
R5049	ΑΧΕΛΩΟΣ 8	J50	J49	10.724	0.0068
R5150	ΑΧΕΛΩΟΣ 9	J51	J50	7.873	0.0074
R5351	ΑΧΕΛΩΟΣ 9	J53	J51	9.148	0.0029
R5753	ΕΙΚΟΝΙΚΟΣ (ΤΑΜ. ΜΕΣΟΧΩΡΑΣ)	J57	J53	3.647	0.0027
R5457	ΕΙΚΟΝΙΚΟΣ (ΤΑΜ. ΜΕΣΟΧΩΡΑΣ)	J54	J57	6.827	0.0015
R5554	ΕΙΚΟΝΙΚΟΣ (ΤΑΜ. ΜΕΣΟΧΩΡΑΣ)	J55	J54	4.869	0.0041
R5655	ΑΧΕΛΩΟΣ 11	J56	J55	8.068	0.0264
R6357	ΕΙΚΟΝΙΚΟΣ (ΤΑΜ. ΜΕΣΟΧΩΡΑΣ)	J63	J57	5.668	0.0018
R4847	ΚΟΥΜΠΟΥΡΓΙΑΝΙΤΙΚΟ	J48	J47	5.762	0.0116
R4462	ΑΓΡΑΦΙΩΤΗΣ	J44	J62	22.063	0.0134
R6227	ΕΙΚΟΝΙΚΟΣ (ΤΑΜ. ΚΡΕΜΑΣΤΩΝ)	J62	J27	10.900	0.0100
R4342	ΕΙΚΟΝΙΚΟΣ (ΤΑΜ. ΠΛΑΣΤΗΡΑ)	J43	J42	9.719	0.0000

Κωδικός	Ονομασία	Ανάπτυξη	Κατάκτηση	Μήκος (km)	Μέση κλίση
R4241	ΕΙΚΟΝΙΚΟΣ (ΤΑΜ. ΠΛΑΣΤΗΡΑ)	J42	J41	1.690	0.0249
R4140	ΤΑΥΡΩΠΟΣ 2	J41	J40	12.942	0.0124
R4039	ΤΑΥΡΩΠΟΣ 1	J40	J39	8.761	0.0135
R3938	ΤΑΥΡΩΠΟΣ 1	J39	J38	10.026	0.0074
R3837	ΤΑΥΡΩΠΟΣ 1	J38	J37	8.147	0.0057
R3726	ΤΑΥΡΩΠΟΣ 1	J37	J26	15.575	0.0058
R2664	ΕΙΚΟΝΙΚΟΣ (ΤΑΜ. ΚΡΕΜΑΣΤΩΝ)	J26	J64	4.217	0.0024
R6429	ΕΙΚΟΝΙΚΟΣ (ΤΑΜ. ΚΡΕΜΑΣΤΩΝ)	J64	J29	3.096	0.0032
R3533	ΚΑΡΠΕΝΗΣΙΩΤΗΣ	J35	J33	13.199	0.0218
R3433	ΚΡΙΚΕΛΙΩΤΗΣ	J34	J33	17.196	0.0193
R3332	ΚΡΙΚΕΛΙΩΤΗΣ	J33	J32	9.811	0.0113
R3230	ΚΡΙΚΕΛΙΩΤΗΣ	J32	J30	3.233	0.0144
R3029	ΕΙΚΟΝΙΚΟΣ (ΤΑΜ. ΚΡΕΜΑΣΤΩΝ)	J30	J29	3.119	0.0032
R2928	ΕΙΚΟΝΙΚΟΣ (ΤΑΜ. ΚΡΕΜΑΣΤΩΝ)	J29	J28	2.346	0.0043
R2827	ΕΙΚΟΝΙΚΟΣ (ΤΑΜ. ΚΡΕΜΑΣΤΩΝ)	J28	J27	7.206	0.0097
R32	ΙΝΑΧΟΣ	J3	J2	8.336	0.0061
R219	ΕΙΚΟΝΙΚΟΣ (ΤΑΜ. ΚΑΣΤΡΑΚΙΟΥ)	J2	J19	11.493	0.0002
R6120	ΖΕΡΒΑΣ	J61	J20	7.910	0.0262
R2014	ΖΕΡΒΑΣ	J20	J14	9.838	0.0080
R128	ΡΕΜΑ ΣΤΡΑΤΟΥ	J12	J8	6.125	0.0089
R1110	ΡΕΜΑ ΟΖΕΡΟΥ	J11	J10	5.574	0.0047
R107	ΕΙΚΟΝΙΚΟΣ (ΛΙΜΝΗ ΟΖΕΡΟΣ)	J10	J7	10.000	0.0000
R97	ΕΙΚΟΝΙΚΟΣ (ΛΙΜΝΗ ΟΖΕΡΟΣ)	J9	J7	10.000	0.0000
R76	ΤΑΦΡΟΣ ΥΠΕΡΧΕΙΛΙΣΗΣ ΟΖΕΡΟΥ	J7	J6	3.025	0.0003

Πίνακας Error! No text of specified style in document.-2 Χαρακτηριστικά μεγέθη υπολεκανών

Κωδικός	Λεκάνη απορροής	Κλάδος	Κόμβος εξόδου	Έκταση (km ²)	Μέσο υψόμετρο (m)	Υψόμετρο εξόδου (m)	Μέγιστο μήκος ροής (km)
EL0415FR006001	EL0415FR00006	R21	J1	48.186	8.3	0.0	10.384
EL0415FR006002	EL0415FR00006	R32	J2	27.727	7.1	6.0	5.862
EL0415FR006003	EL0415FR00006	R43	J3	27.917	19.4	8.0	10.309
EL0415FR006004	EL0415FR00006	R54	J4	22.759	45.2	12.0	10.230
EL0415FR006005	EL0415FR00006	R65	J5	10.787	24.6	13.8	7.298
EL0415FR006006	EL0415FR00006		J5	20.958	111.0	13.8	8.611
EL0415FR006007	EL0415FR00006	R76	J6	16.962	83.2	22.0	6.606
EL0415FR006008	EL0415FR00006	R86	J6	24.489	31.7	22.0	10.416
EL0415FR006009	EL0415FR00006		J7	22.047	126.2	23.0	5.103
EL0415FR006010	EL0415FR00006		J9	10.425	101.3	23.0	8.550
EL0415FR006011	EL0415FR00006	R1110	J10	13.237	85.8	23.0	10.371
EL0415FR006012	EL0415FR00006		J11	11.825	207.2	49.4	8.166
EL0415FR006013	EL0415FR00006		J12	37.645	467.1	97.6	15.919
EL0415FR006014	EL0415FR00006	R128	J8	17.429	63.8	42.8	7.101
EL0415FR006015	EL0415FR00006	R138	J8	9.939	54.5	42.8	7.935
EL0415FR006016	EL0415FR00006	R1413	J13	45.086	180.1	52.0	9.603

Κωδικός	Λεκάνη απορροής	Κλάδος	Κόμβος εξόδου	Έκταση (km ²)	Μέσο υψόμετρο (m)	Υψόμετρο εξόδου (m)	Μέγιστο μήκος ροής (km)
EL0415FR006017	EL0415FR00006		J14	48.358	325.4	56.0	16.535
EL0415FR006018	EL0415FR00006	R219	J19	76.581	342.2	146.0	19.940
EL0415FR006019	EL0415FR00006	R1718	J18	114.281	520.6	148.0	27.512
EL0415FR006020	EL0415FR00006	R2014	J14	41.905	276.8	56.0	15.980
EL0415FR006021	EL0415FR00006	R6120	J20	21.436	365.1	135.0	8.701
EL0415FR006022	EL0415FR00006		J20	28.155	409.7	135.0	13.522
EL0415FR006023	EL0415FR00006		J61	48.620	833.6	341.9	10.842
EL0415FR006024	EL0415FR00006	R32	J2	39.414	388.7	148.0	12.408
EL0415FR006025	EL0415FR00006		J3	14.184	568.1	199.1	8.733
EL0415FR006026	EL0415FR00006		J3	38.037	521.7	199.1	10.535
EL0415FR006027	EL0415FR00006		J3	185.560	657.4	199.1	35.528
EL0415FR006028	EL0415FR00006		J22	39.667	1183.6	240.0	15.962
EL0415FR006029	EL0415FR00006	R2231	J31	74.555	495.7	200.0	12.095
EL0415FR006030	EL0415FR00006	R3127	J27	127.360	469.0	160.0	13.230
EL0415FR006031	EL0415FR00006		J34	92.158	1283.8	740.0	18.752
EL0415FR006032	EL0415FR00006	R3726	J26	115.897	855.0	260.0	23.680
EL0415FR006033	EL0415FR00006	R4462	J62	126.392	966.8	269.1	28.552
EL0415FR006034	EL0415FR00006		J44	105.642	1262.8	565.2	18.317
EL0415FR006035	EL0415FR00006		J25	82.383	709.7	250.0	20.002
EL0415FR006036	EL0415FR00006	R4645	J45	47.251	796.5	290.3	11.505
EL0415FR006037	EL0415FR00006	R4140	J40	88.315	1165.8	589.4	16.641
EL0415FR006038	EL0415FR00006		J35	94.779	1175.4	694.9	21.038
EL0415FR006039	EL0415FR00006		J23	6.929	712.7	270.0	6.717
EL0415FR006040	EL0415FR00006		J34	39.054	1253.0	740.0	12.412
EL0415FR006041	EL0415FR00006		J64	25.720	1025.5	250.0	11.235
EL0415FR006042	EL0415FR00006		J28	44.433	775.4	230.0	20.830
EL0415FR006043	EL0415FR00006		J37	50.160	1033.0	350.0	15.163
EL0415FR006044	EL0415FR00006		J44	32.293	1236.5	565.2	10.434
EL0415FR006045	EL0415FR00006		J24	39.321	762.3	265.0	16.077
EL0415FR006046	EL0415FR00006	R4523	J23	33.732	802.6	270.0	12.566
EL0415FR006047	EL0415FR00006	R3938	J38	33.118	948.3	396.7	12.813
EL0415FR006048	EL0415FR00006		J35	29.318	1131.2	694.9	12.016
EL0415FR006049	EL0415FR00006		J49	52.225	1156.3	442.0	19.451
EL0415FR006050	EL0415FR00006	R5351	J51	51.028	1188.3	573.2	11.388
EL0415FR006051	EL0415FR00006		J56	113.822	1492.2	852.8	23.825
EL0415FR006052	EL0415FR00006		J4	27.120	89.6	12.0	13.997
EL0415FR006053	EL0415FR00006	R5655	J55	64.066	1433.3	640.0	13.202
EL0415FR006054	EL0415FR00006	R5554	J54	14.213	1124.9	620.0	4.607
EL0415FR006055	EL0415FR00006		J55	46.672	1523.9	640.0	13.606
EL0415FR006056	EL0415FR00006		J54	143.966	1393.4	620.0	27.079
EL0415FR006057	EL0415FR00006	R6357	J57	27.509	1197.4	610.0	6.964
EL0415FR006058	EL0415FR00006	R5753	J53	10.790	1017.9	600.0	4.675
EL0415FR006059	EL0415FR00006		J51	57.548	1406.9	573.2	14.369
EL0415FR006060	EL0415FR00006	R5150	J50	43.142	956.3	514.9	10.771

Κωδικός	Λεκάνη απορροής	Κλάδος	Κόμβος εξόδου	Έκταση (km ²)	Μέσο υψόμετρο (m)	Υψόμετρο εξόδου (m)	Μέγιστο μήκος ροής (km)
EL0415FR006061	EL0415FR00006		J56	129.173	1465.5	852.8	23.501
EL0415FR006062	EL0415FR00006	R5049	J49	41.661	917.7	442.0	10.507
EL0415FR006063	EL0415FR00006		J48	99.421	1200.4	485.9	16.597
EL0415FR006064	EL0415FR00006	R4947	J47	51.475	1035.8	418.8	9.616
EL0415FR006065	EL0415FR00006	R4847	J47	12.036	802.0	418.8	6.440
EL0415FR006066	EL0415FR00006		J48	116.838	1296.2	485.9	22.278
EL0415FR006067	EL0415FR00006	R5457	J57	29.404	845.8	610.0	7.489
EL0415FR006068	EL0415FR00006		J45	101.273	1092.5	290.3	19.835
EL0415FR006069	EL0415FR00006		J43	35.000	1232.7	792.0	9.964
EL0415FR006070	EL0415FR00006		J42	53.710	1311.0	792.0	11.805
EL0415FR006071	EL0415FR00006		J40	75.639	1060.4	589.4	20.536
EL0415FR006072	EL0415FR00006		J39	105.535	1083.8	470.9	20.213
EL0415FR006073	EL0415FR00006	R4039	J39	53.330	1144.0	470.9	14.607
EL0415FR006074	EL0415FR00006	R3837	J37	21.937	774.8	350.0	9.424
EL0415FR006075	EL0415FR00006		J38	74.196	1082.7	396.7	16.303
EL0415FR006076	EL0415FR00006	R3533	J33	61.378	1082.7	407.8	14.525
EL0415FR006077	EL0415FR00006	R3433	J33	115.346	1090.5	407.8	19.955
EL0415FR006078	EL0415FR00006	R3332	J32	32.204	929.2	296.7	10.939
EL0415FR006079	EL0415FR00006		J32	61.001	1045.3	296.7	14.894
EL0415FR006080	EL0415FR00006	R3230	J30	31.994	944.9	250.0	8.291
EL0415FR006081	EL0415FR00006	R4342	J42	61.707	821.2	792.0	11.130
EL0415FR006082	EL0415FR00006		J63	53.318	1301.3	620.0	12.616
EL0415FR006083	EL0415FR00006	R4241	J41	14.886	906.1	750.0	8.221
EL0415FR006084	EL0415FR00006	R4746	J46	167.697	845.8	318.7	22.404
EL0415FR006085	EL0415FR00006	R2717	J17	5.181	284.5	150.0	3.202
EL0415FR006086	EL0415FR00006	R6227	J27	51.056	517.2	160.0	13.974
EL0415FR006087	EL0415FR00006	R2664	J64	13.665	589.0	250.0	8.461
EL0415FR006088	EL0415FR00006	R2827	J27	31.276	437.6	160.0	6.519
EL0415FR006089	EL0415FR00006	R2928	J28	9.780	624.2	230.0	5.594
EL0415FR006090	EL0415FR00006	R3029	J29	6.355	543.0	240.0	4.743
EL0415FR006091	EL0415FR00006	R6429	J29	12.786	768.9	240.0	27.605
EL0415FR006092	EL0415FR00006	R2324	J24	11.028	683.2	265.0	7.843
EL0415FR006093	EL0415FR00006	R2425	J25	14.354	695.3	250.0	10.409
EL0415FR006094	EL0415FR00006	R2522	J22	17.584	677.7	240.0	6.696
EL0415FR006095	EL0415FR00006	R1915	J15	18.127	196.9	60.0	8.240
EL0415FR006096	EL0415FR00006	R1819	J19	45.104	285.7	146.0	32.940
EL0415FR006097	EL0415FR00006	R1514	J14	3.475	121.6	56.0	3.521

Τα συγκεντρωτικά αποτελέσματα του συνολικού υδρολογικού συστήματος δίνονται στον Πίνακα 6-3, ενώ στο Παράρτημα Π6 δίνονται τα πλήρη δεδομένα εισόδου και εξόδου του μοντέλου προσομοίωσης για όλες τις

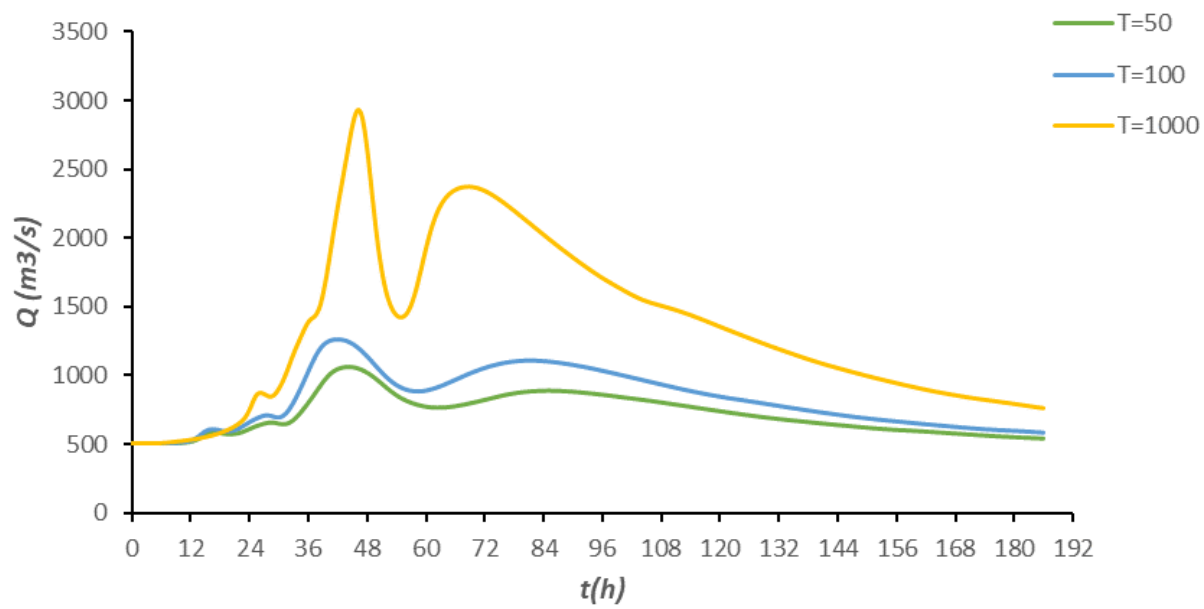
συνιστώσες του δικτύου (υπολεκάνες, κόμβοι, κλάδοι, ταμιευτήρες), και τα αντίστοιχα γραφήματα. Σημειώνεται ότι το υδρογράφημα εξόδου περιλαμβάνει, εκτός από τη βασική ροή, τα 500 m³/s που διέρχονται από τους στροβίλους του Στράτου.

Πίνακας Error! No text of specified style in document.-3 Συγκεντρωτικά αποτελέσματα υδρολογικής προσομοίωσης περιοχής μελέτης

Χαρακτηριστικά μεγέθη λεκάνης απορροής Αχελώου			
Έκταση (km ²)	4844.50	Υψόμετρο εξόδου (m)	0.0
Αδιαπέρατη επιφάνεια (%)	1.32	Χρόνος συγκέντρωσης (h)	27.88
Μέγιστο μήκος ροής (km)	259.71	Διάρκεια βροχόπτωσης σχεδιασμού (h)	48.00
Μέσο υψόμετρο (m)	896.7	Χρονικό βήμα (h)	0.50
Συγκεντρωτικά αποτελέσματα υδρολογικής προσομοίωσης λεκάνης			
	Ευμενείς συνθήκες	Μέσες συνθήκες	Δυσμενείς συνθήκες
	Ολικό ύψος επιφανειακής βροχής (mm)		
T = 50	227.8	227.8	227.8
T = 100	266.9	266.9	266.9
T = 1000	438.2	438.2	438.2
	Ολικό ύψος πλημμυρικής απορροής (mm)		
T = 50	56.2	97.3	126.4
T = 100	75.1	121.7	152.8
T = 1000	169.1	233.3	270.1
	Συντελεστής απορροής		
T = 50	0.247	0.427	0.555
T = 100	0.281	0.456	0.573
T = 1000	0.386	0.532	0.616
	Πλημμυρική παροχή αιχμής (m³/s)		
T = 50	557.1	825.8	1004.8
T = 100	689.2	1002	1201
T = 1000	1818.4	2600.8	2960.5
	Πλημμυρικός όγκος (hm³)		
T = 50	272.426	471.518	612.122
T = 100	363.659	589.511	740.278
T = 1000	819.395	1130.003	1308.613
	Συνολική παροχή αιχμής (m³/s)		
T = 50	790.9	1059.5	1238.5
T = 100	946.5	1259.3	1458.3
T = 1000	2145.6	2928	3287.7
	Συνολικός όγκος υδρογραφήματος (hm³)		
T = 50	773.443	965.166	1121.848
T = 100	865.907	1110.151	1287.709

T = 1000	1418.965	1806.814	2035.848
----------	----------	----------	----------

Υδρογραφήματα σχεδιασμού στον κόμβο εξόδου(μέσες συνθήκες)



2 Δεδομένα εισόδου και αποτελέσματα υδρολογικού σεναρίου T=50

2.1 Αποτελέσματα, υετογραφήματα και υδρογραφήματα σχεδιασμού υπολεκανών

Υπολεκάνη: EL0415FR6001

Έκταση (KM2) : 48.19

Κατάνη : J1

Μέθοδος Απωλειών: SCS

Ποσοστό αδιαπέρατης επιφάνειας	0
Αριθμός Καμπύλης Απορροής-CN	79.72
Αρχικές Απώλειες	12.92

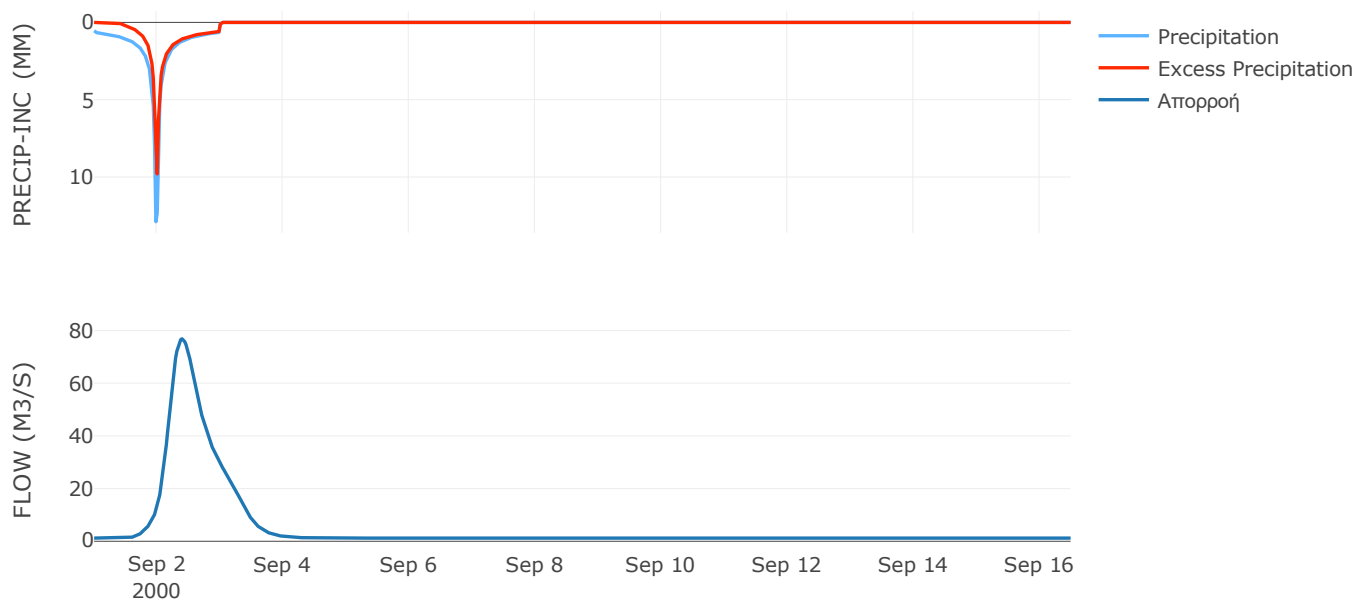
Μέθοδος
Μετασχηματισμού: SCS

Χρόνος Υστέρησης	506.97
------------------	--------

Αποτελέσματα:
EL0415FR6001

Παροχή αιχμής (M3/S)	76.87
Χρονική στιγμή αιχμής	02Sep2000, 09:30
Όγκος (MM)	142.67
Όγκος βροχόπτωσης (M3)	8.08E6
Όγκος απωλειών (M3)	2.82E6
Ενεργός Όγκος (M3)	5.26E6
Όγκος άμεσης απορροής (M3)	5.26E6
Όγκος βασικής απορροής (M3)	1.61E6

Βροχόπτωση και Απορροή



Υπολεκάνη: EL0415FR6002

Έκταση (KM2) : 27.73

Κατάντη : J2

Μέθοδος Απωλειών: SCS

Ποσοστό αδιαπέρατης επιφάνειας	0
Αριθμός Καμπύλης Απορροής-CN	80.05
Αρχικές Απώλειες	12.66

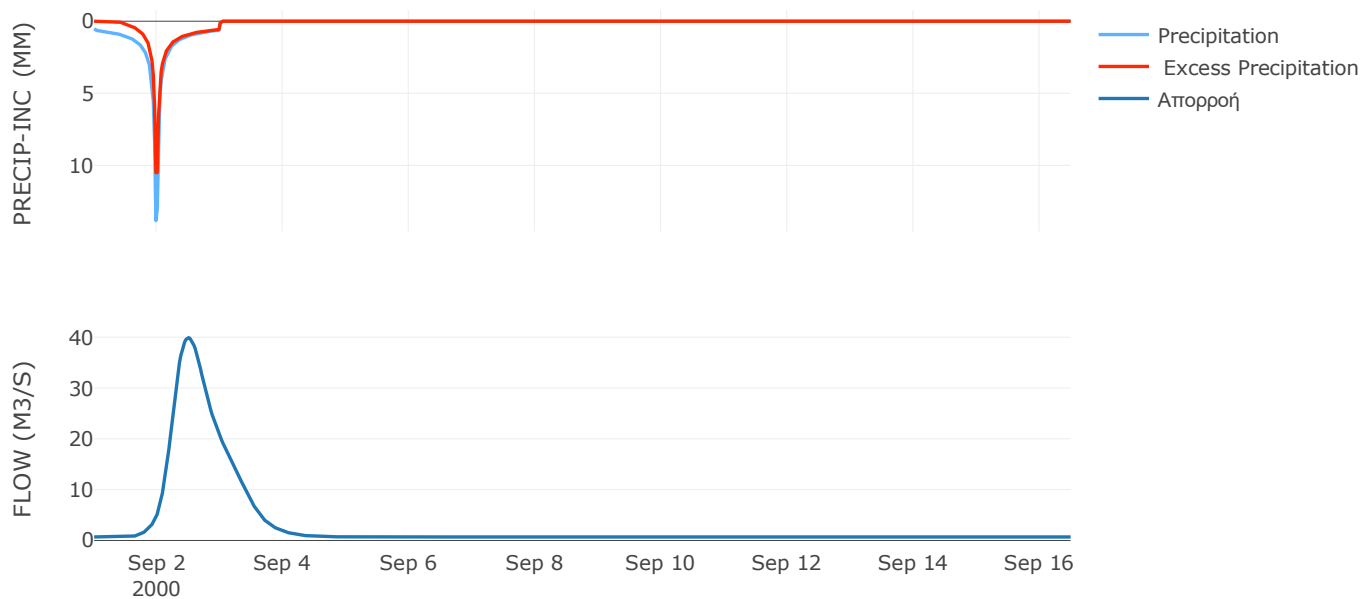
Μέθοδος
Μετασχηματισμού: SCS

Χρόνος Υστέρησης	635.67
------------------	--------

Αποτελέσματα:
EL0415FR6002

Παροχή αιχμής (M3/S)	39.91
Χρονική στιγμή αιχμής	02Sep2000, 12:00
Όγκος (MM)	144.76
Όγκος βροχόπτωσης (M3)	4.69E6
Όγκος απωλειών (M3)	1.6E6
Ενεργός Όγκος (M3)	3.09E6
Όγκος άμεσης απορροής (M3)	3.09E6
Όγκος βασικής απορροής (M3)	9.28E5

Βροχόπτωση και Απορροή



Υπολεκάνη: EL0415FR6003

Έκταση (KM2) : 27.92

Κατάντη : J3

Μέθοδος Απωλειών: SCS

Ποσοστό αδιαπέρατης επιφάνειας	0
Αριθμός Καμπύλης Απορροής-CN	77.23
Αρχικές Απώλειες	14.97

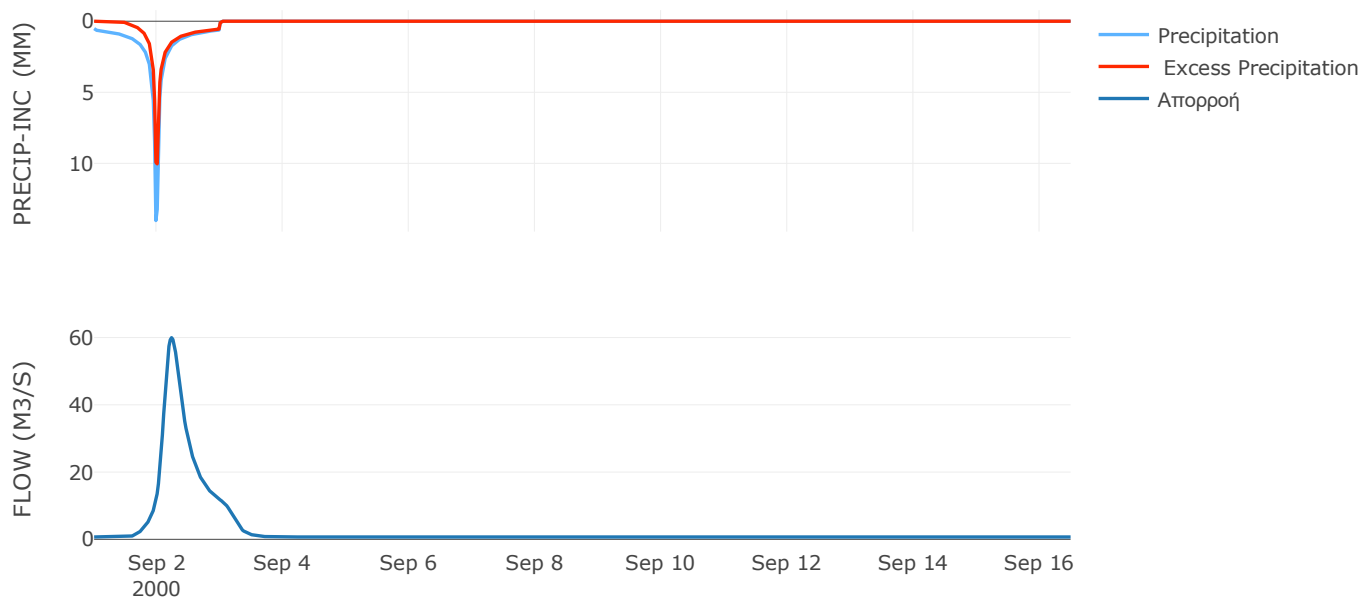
Μέθοδος
Μετασχηματισμού: SCS

Χρόνος Υστέρησης	294.33
------------------	--------

Αποτελέσματα:
EL0415FR6003

Παροχή αιχμής (M3/S)	59.96
Χρονική στιγμή αιχμής	02Sep2000, 05:30
Όγκος (MM)	137.63
Όγκος βροχόπτωσης (M3)	4.73E6
Όγκος απωλειών (M3)	1.83E6
Ενεργός Όγκος (M3)	2.91E6
Όγκος άμεσης απορροής (M3)	2.91E6
Όγκος βασικής απορροής (M3)	9.35E5

Βροχόπτωση και Απορροή



Υπολεκάνη: EL0415FR6004

Έκταση (KM2) : 22.76

Κατάντη : J4

Μέθοδος Απωλειών: SCS

Ποσοστό αδιαπέρατης επιφάνειας	0
Αριθμός Καμπύλης Απορροής-CN	72.77
Αρχικές Απώλειες	19.01

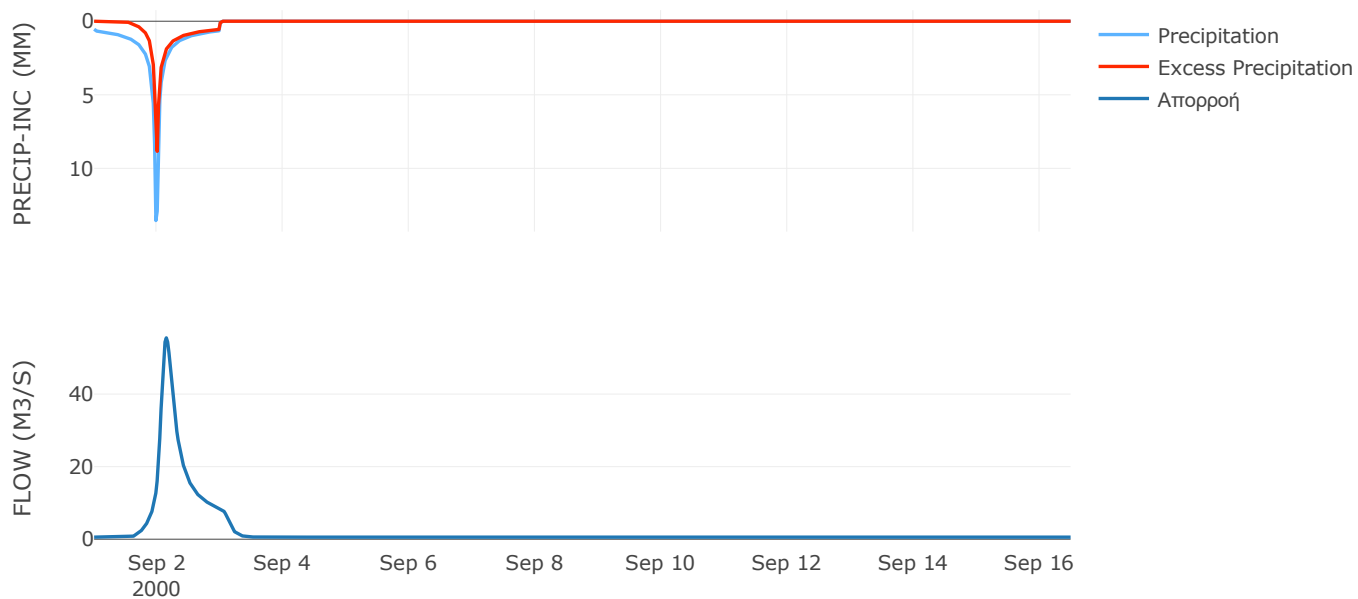
Μέθοδος
Μετασχηματισμού: SCS

Χρόνος Υστέρησης	182.16
------------------	--------

Αποτελέσματα:
EL0415FR6004

Παροχή αιχμής (M3/S)	55.51
Χρονική στιγμή αιχμής	02Sep2000, 03:30
Όγκος (MM)	127.94
Όγκος βροχόπτωσης (M3)	3.92E6
Όγκος απωλειών (M3)	1.77E6
Ενεργός Όγκος (M3)	2.15E6
Όγκος άμεσης απορροής (M3)	2.15E6
Όγκος βασικής απορροής (M3)	7.62E5

Βροχόπτωση και Απορροή



Υπολεκάνη: EL0415FR6005

Έκταση (KM2) : 10.79

Κατάντη : J5

Μέθοδος Απωλειών: SCS

Ποσοστό αδιαπέρατης επιφάνειας	0
Αριθμός Καμπύλης Απορροής-CN	81.52
Αρχικές Απώλειες	11.52

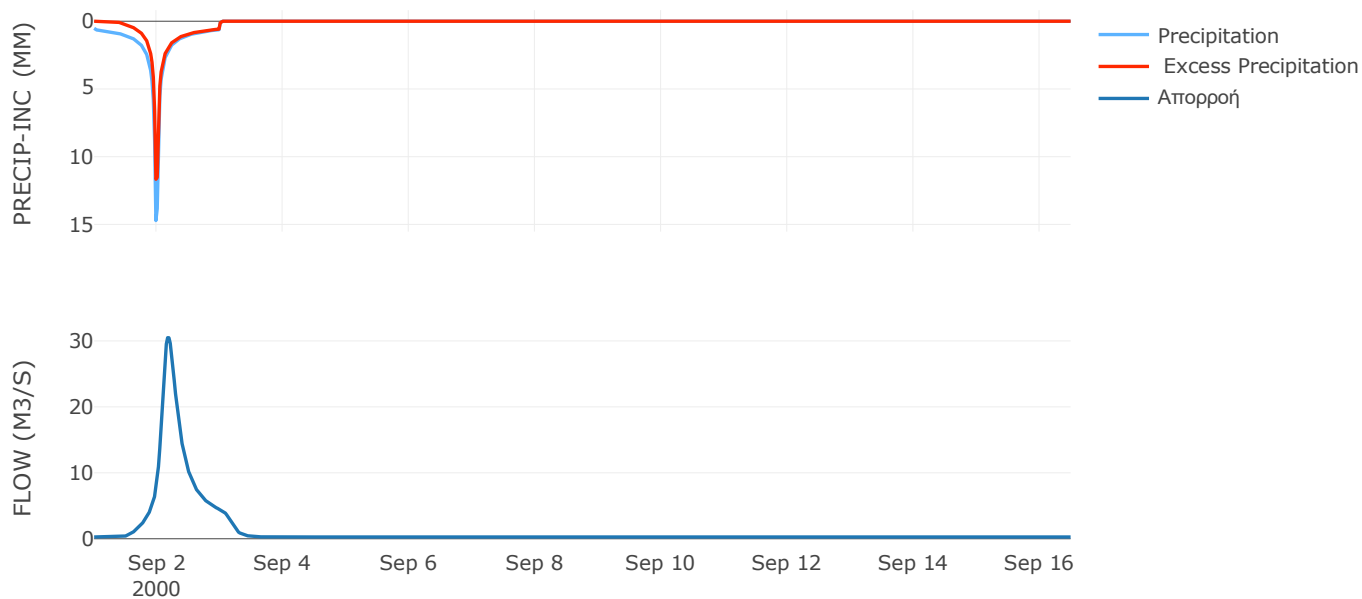
Μέθοδος
Μετασχηματισμού: SCS

Χρόνος Υστέρησης	231.44
------------------	--------

Αποτελέσματα:
EL0415FR6005

Παροχή αιχμής (M3/S)	30.49
Χρονική στιγμή αιχμής	02Sep2000, 04:00
Όγκος (MM)	153.45
Όγκος βροχόπτωσης (M3)	1.88E6
Όγκος απωλειών (M3)	5.83E5
Ενεργός Όγκος (M3)	1.29E6
Όγκος άμεσης απορροής (M3)	1.29E6
Όγκος βασικής απορροής (M3)	3.61E5

Βροχόπτωση και Απορροή



Υπολεκάνη: EL0415FR6006

Έκταση (KM2) : 20.96

Κατάντη : J5

Μέθοδος Απωλειών: SCS

Ποσοστό αδιαπέρατης επιφάνειας	0
Αριθμός Καμπύλης Απορροής-CN	67.85
Αρχικές Απώλειες	24.07

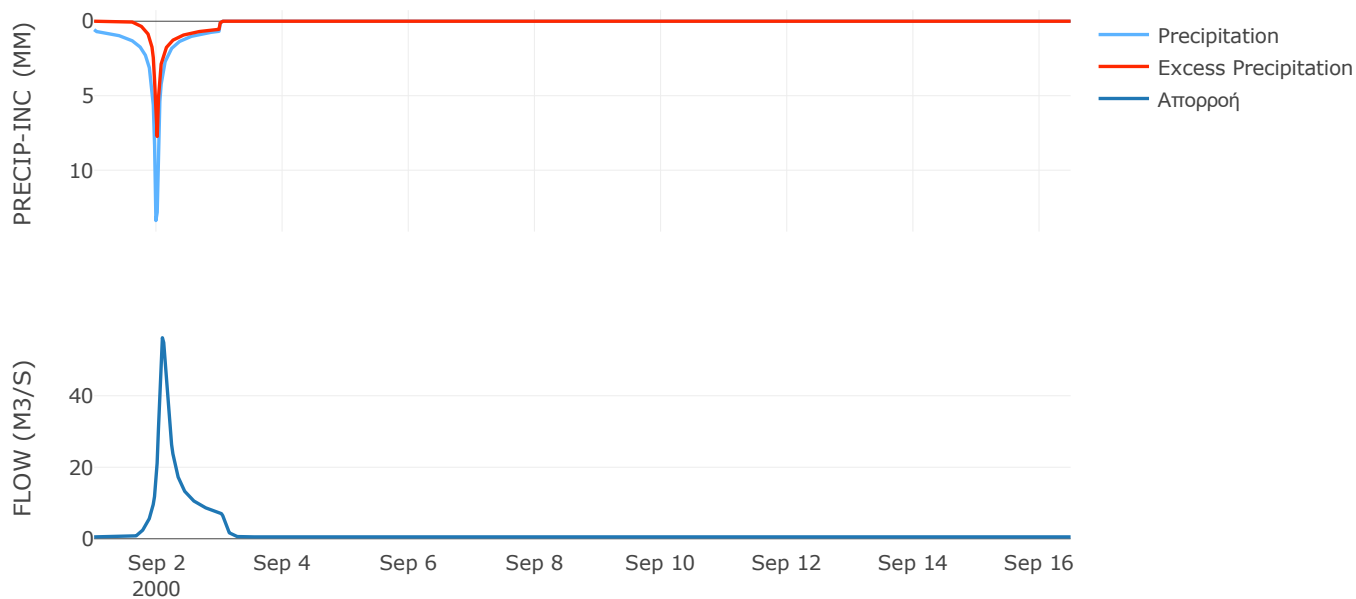
Μέθοδος
Μετασχηματισμού: SCS

Χρόνος Υστέρησης	106.09
------------------	--------

Αποτελέσματα:
EL0415FR6006

Παροχή αιχμής (M3/S)	56.22
Χρονική στιγμή αιχμής	02Sep2000, 02:00
Όγκος (MM)	117.67
Όγκος βροχόπτωσης (M3)	3.67E6
Όγκος απωλειών (M3)	1.91E6
Ενεργός Όγκος (M3)	1.76E6
Όγκος άμεσης απορροής (M3)	1.76E6
Όγκος βασικής απορροής (M3)	7.02E5

Βροχόπτωση και Απορροή



Υπολεκάνη: EL0415FR6007

Έκταση (KM2) : 16.96

Κατάντη : J6

Μέθοδος Απωλειών: SCS

Ποσοστό αδιαπέρατης επιφάνειας	0
Αριθμός Καμπύλης Απορροής-CN	75.12
Αρχικές Απώλειες	16.83

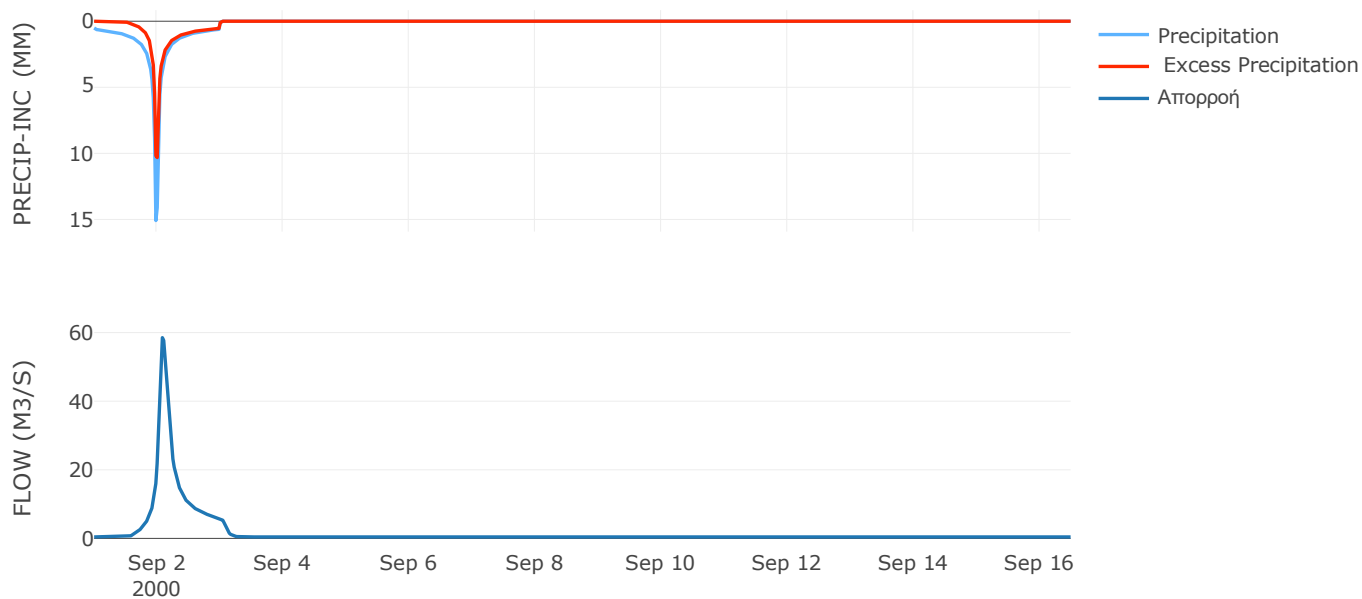
Μέθοδος
Μετασχηματισμού: SCS

Χρόνος Υστέρησης	113.8
------------------	-------

Αποτελέσματα:
EL0415FR6007

Παροχή αιχμής (M3/S)	58.52
Χρονική στιγμή αιχμής	02Sep2000, 02:00
Όγκος (MM)	135.58
Όγκος βροχόπτωσης (M3)	2.95E6
Όγκος απωλειών (M3)	1.21E6
Ενεργός Όγκος (M3)	1.73E6
Όγκος άμεσης απορροής (M3)	1.73E6
Όγκος βασικής απορροής (M3)	5.68E5

Βροχόπτωση και Απορροή



Υπολεκάνη: EL0415FR6008

Έκταση (KM2) : 24.49

Κατάντη : J6

Μέθοδος Απωλειών: SCS

Ποσοστό αδιαπέρατης επιφάνειας	0
Αριθμός Καμπύλης Απορροής-CN	82.14
Αρχικές Απώλειες	11.04

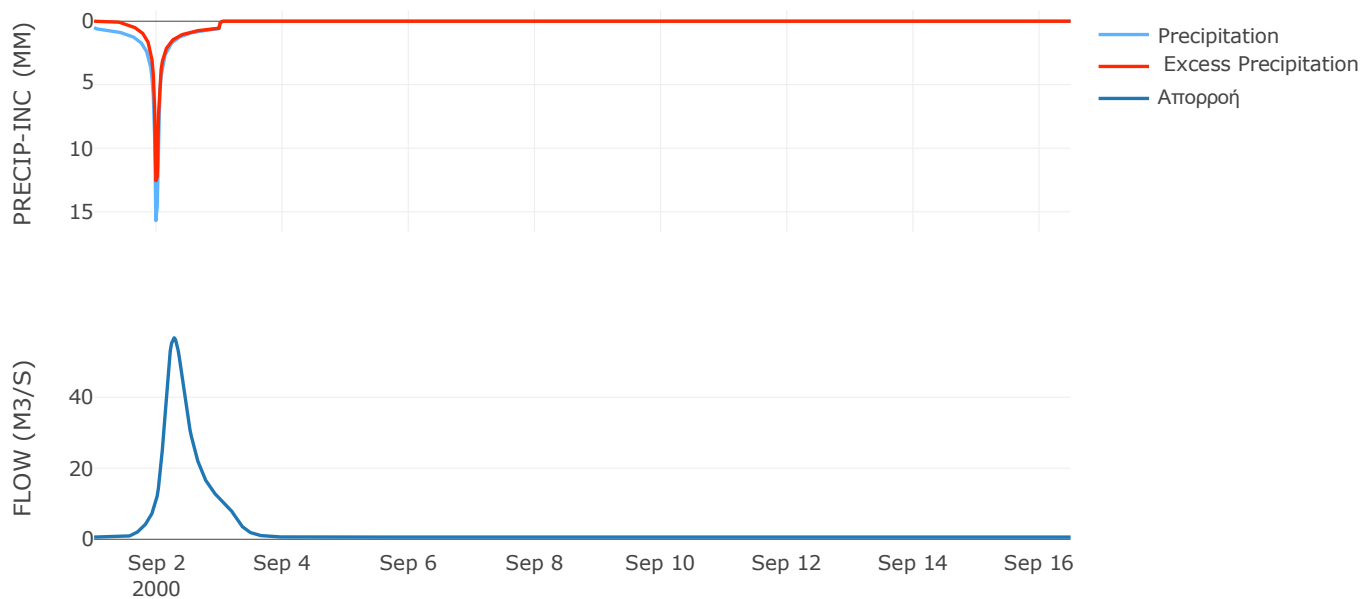
Μέθοδος
Μετασχηματισμού: SCS

Χρόνος Υστέρησης	352.19
------------------	--------

Αποτελέσματα:
EL0415FR6008

Παροχή αιχμής (M3/S)	56.75
Χρονική στιγμή αιχμής	02Sep2000, 06:30
Όγκος (MM)	153.63
Όγκος βροχόπτωσης (M3)	4.22E6
Όγκος απωλειών (M3)	1.28E6
Ενεργός Όγκος (M3)	2.94E6
Όγκος άμεσης απορροής (M3)	2.94E6
Όγκος βασικής απορροής (M3)	8.2E5

Βροχόπτωση και Απορροή



Υπολεκάνη: EL0415FR6009

Έκταση (KM2) : 22.05

Κατάντη : J7

Μέθοδος Απωλειών: SCS

Ποσοστό αδιαπέρατης επιφάνειας	41
Αριθμός Καμπύλης Απορροής-CN	79.49
Αρχικές Απώλειες	13.11

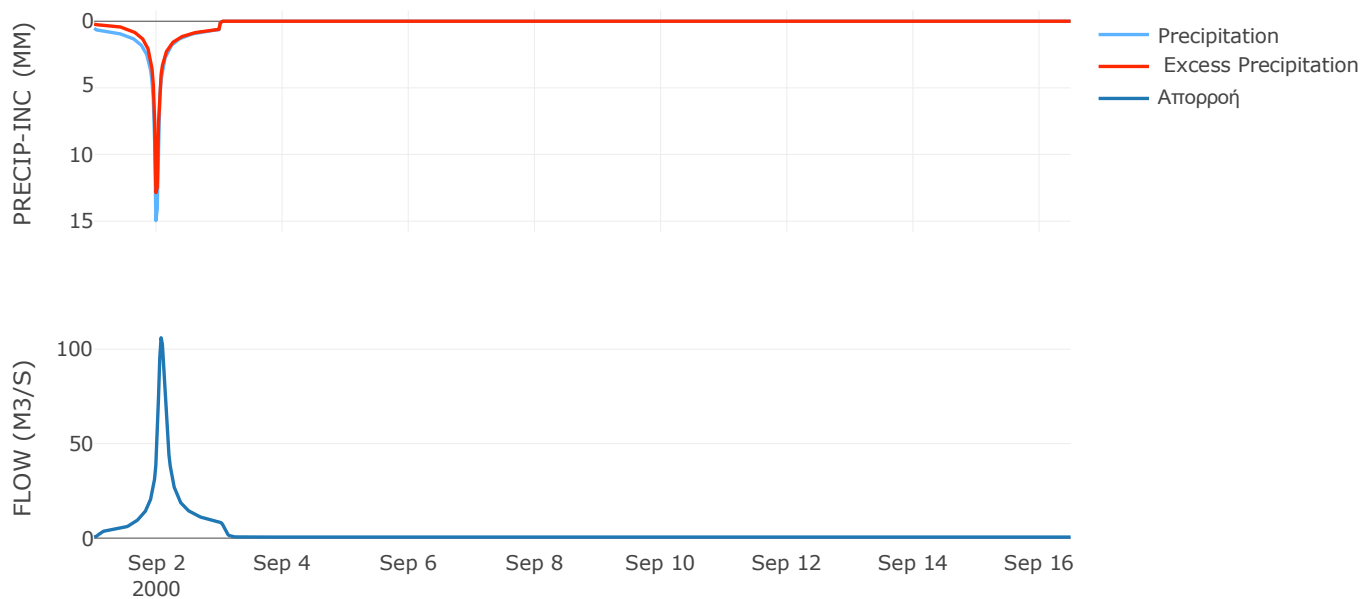
Μέθοδος
Μετασχηματισμού: SCS

Χρόνος Υστέρησης	88.01
------------------	-------

Αποτελέσματα:
EL0415FR6009

Παροχή αιχμής (M3/S)	106.01
Χρονική στιγμή αιχμής	02Sep2000, 01:30
Όγκος (MM)	175.25
Όγκος βροχόπτωσης (M3)	3.9E6
Όγκος απωλειών (M3)	7.79E5
Ενεργός Όγκος (M3)	3.13E6
Όγκος άμεσης απορροής (M3)	3.13E6
Όγκος βασικής απορροής (M3)	7.38E5

Βροχόπτωση και Απορροή



Υπολεκάνη: EL0415FR6010

Έκταση (KM2) : 10.43

Κατάντη : J9

Μέθοδος Απωλειών: SCS

Ποσοστό αδιαπέρατης επιφάνειας	0
Αριθμός Καμπύλης Απορροής-CN	70.38
Αρχικές Απώλειες	21.38

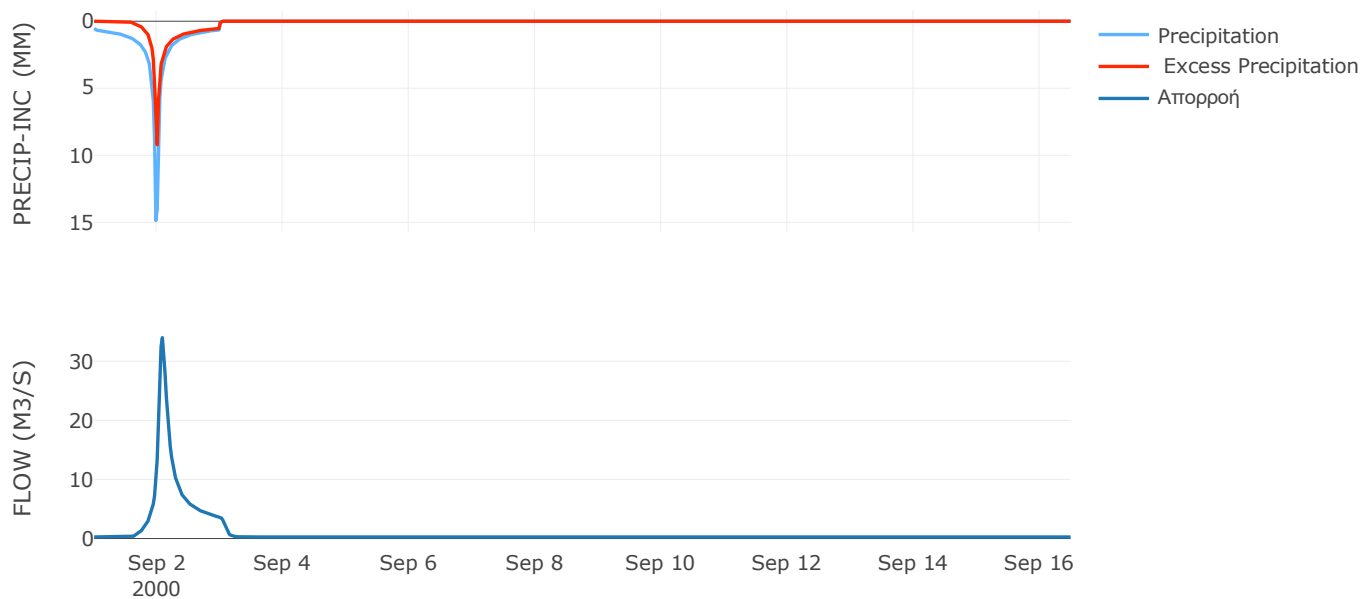
Μέθοδος
Μετασχηματισμού: SCS

Χρόνος Υστέρησης	98.93
------------------	-------

Αποτελέσματα:
EL0415FR6010

Παροχή αιχμής (M3/S)	34.01
Χρονική στιγμή αιχμής	02Sep2000, 02:00
Όγκος (MM)	126.9
Όγκος βροχόπτωσης (M3)	1.86E6
Όγκος απωλειών (M3)	8.86E5
Ενεργός Όγκος (M3)	9.74E5
Όγκος άμεσης απορροής (M3)	9.74E5
Όγκος βασικής απορροής (M3)	3.49E5

Βροχόπτωση και Απορροή



Υπολεκάνη: EL0415FR6011

Έκταση (KM2) : 13.24

Κατάντη : J10

Μέθοδος Απωλειών: SCS

Ποσοστό αδιαπέρατης επιφάνειας	0
Αριθμός Καμπύλης Απορροής-CN	71.3
Αρχικές Απώλειες	20.45

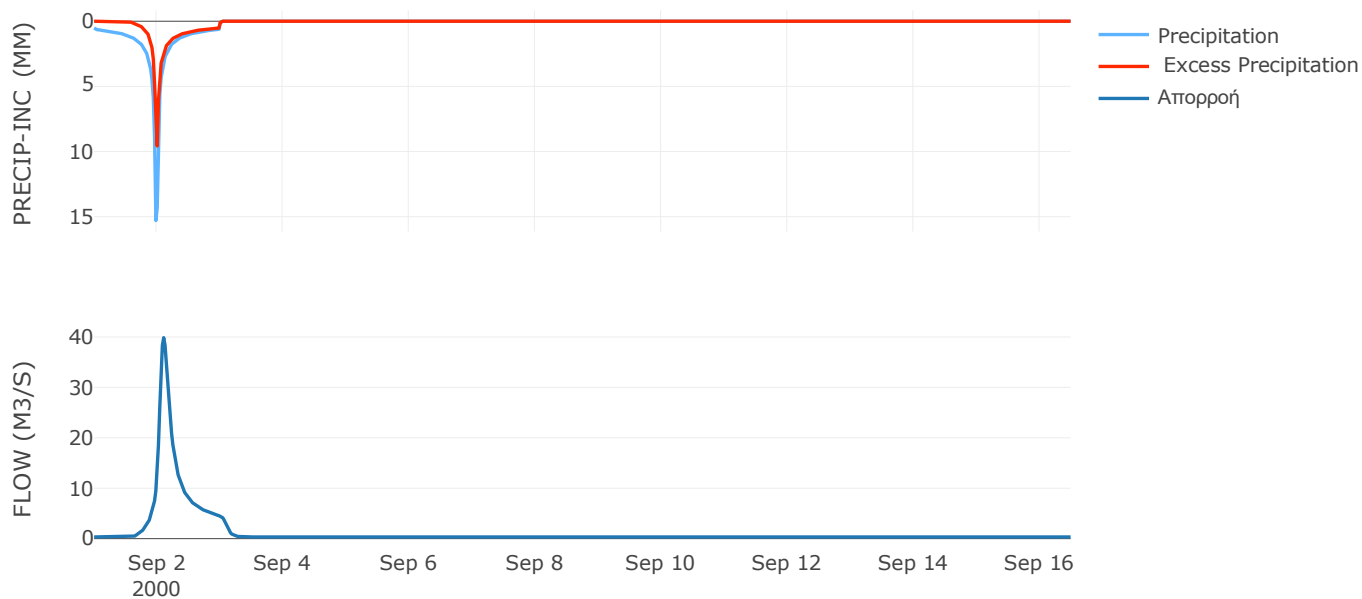
Μέθοδος
Μετασχηματισμού: SCS

Χρόνος Υστέρησης	128.64
------------------	--------

Αποτελέσματα:
EL0415FR6011

Παροχή αιχμής (M3/S)	39.86
Χρονική στιγμή αιχμής	02Sep2000, 02:30
Όγκος (MM)	127.05
Όγκος βροχόπτωσης (M3)	2.33E6
Όγκος απωλειών (M3)	1.09E6
Ενεργός Όγκος (M3)	1.24E6
Όγκος άμεσης απορροής (M3)	1.24E6
Όγκος βασικής απορροής (M3)	4.43E5

Βροχόπτωση και Απορροή



Υπολεκάνη: EL0415FR6012

Έκταση (KM2) : 11.82

Κατάντη : J11

Μέθοδος Απωλειών: SCS

Ποσοστό αδιαπέρατης επιφάνειας	0
Αριθμός Καμπύλης Απορροής-CN	55.64
Αρχικές Απώλειες	40.5

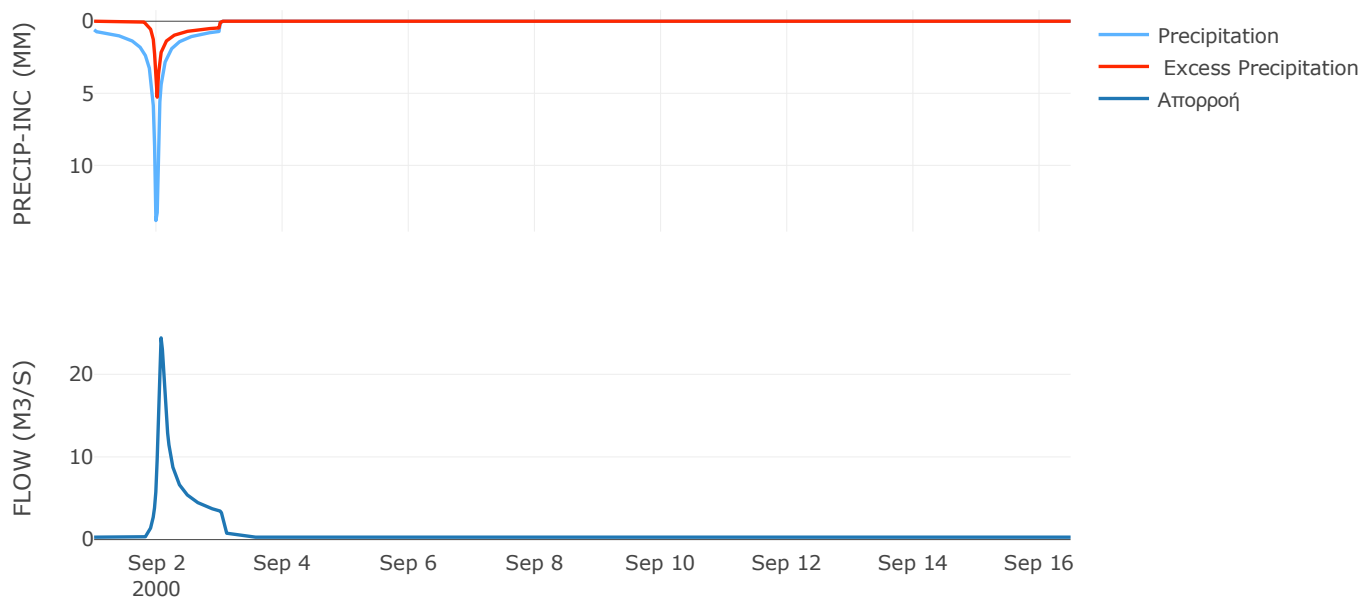
Μέθοδος
Μετασχηματισμού: SCS

Χρόνος Υστέρησης	69.35
------------------	-------

Αποτελέσματα:
EL0415FR6012

Παροχή αιχμής (M3/S)	24.41
Χρονική στιγμή αιχμής	02Sep2000, 01:30
Όγκος (MM)	92.15
Όγκος βροχόπτωσης (M3)	2.16E6
Όγκος απωλειών (M3)	1.47E6
Ενεργός Όγκος (M3)	6.94E5
Όγκος άμεσης απορροής (M3)	6.94E5
Όγκος βασικής απορροής (M3)	3.96E5

Βροχόπτωση και Απορροή



Υπολεκάνη: EL0415FR6013

Έκταση (KM2) : 37.65

Κατάντη : J12

Μέθοδος Απωλειών: SCS

Ποσοστό αδιαπέρατης επιφάνειας	0
Αριθμός Καμπύλης Απορροής-CN	56.41
Αρχικές Απώλειες	39.26

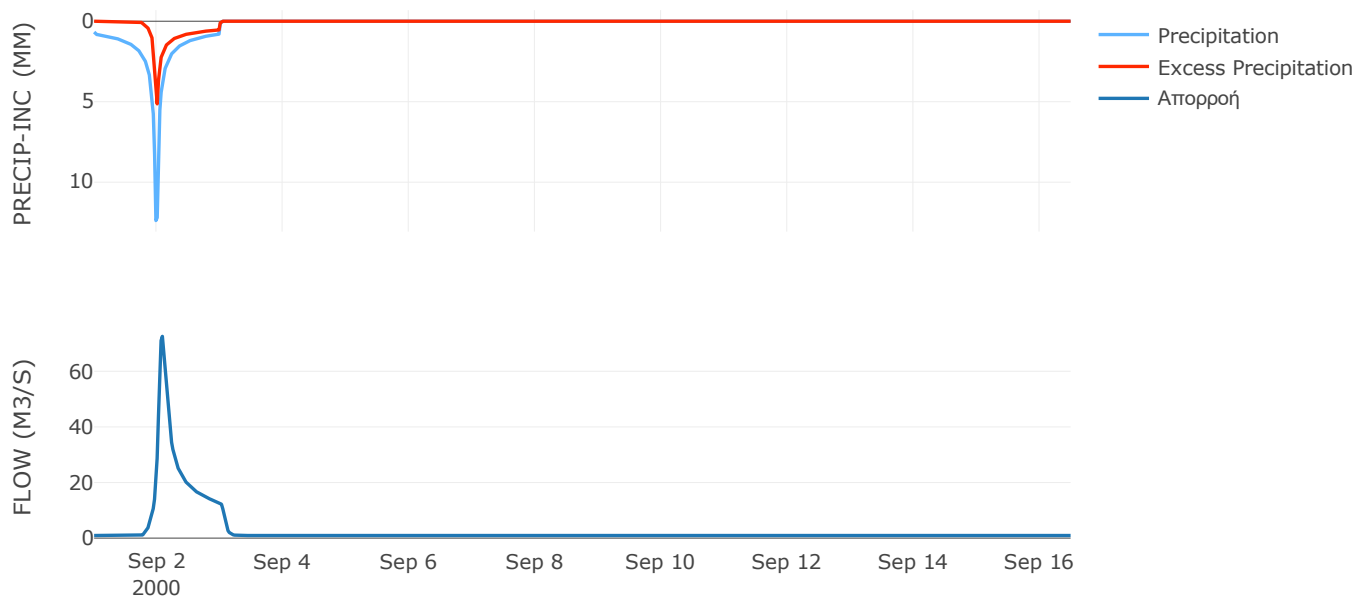
Μέθοδος
Μετασχηματισμού: SCS

Χρόνος Υστέρησης	84.8
------------------	------

Αποτελέσματα:
EL0415FR6013

Παροχή αιχμής (M3/S)	72.57
Χρονική στιγμή αιχμής	02Sep2000, 02:00
Όγκος (MM)	97.96
Όγκος βροχόπτωσης (M3)	7.1E6
Όγκος απωλειών (M3)	4.67E6
Ενεργός Όγκος (M3)	2.43E6
Όγκος άμεσης απορροής (M3)	2.43E6
Όγκος βασικής απορροής (M3)	1.26E6

Βροχόπτωση και Απορροή



Υπολεκάνη: EL0415FR6014

Έκταση (KM2) : 17.43

Κατάντη : J8

Μέθοδος Απωλειών: SCS

Ποσοστό αδιαπέρατης επιφάνειας	0
Αριθμός Καμπύλης Απορροής-CN	81.44
Αρχικές Απώλειες	11.58

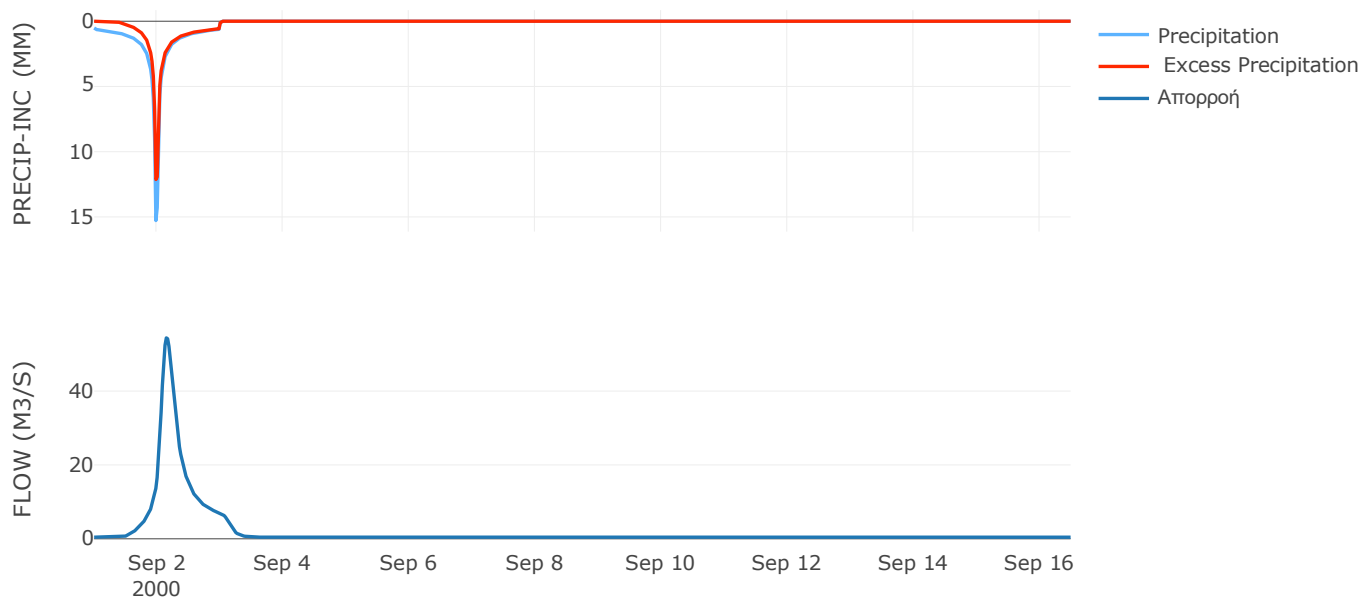
Μέθοδος
Μετασχηματισμού: SCS

Χρόνος Υστέρησης	201.59
------------------	--------

Αποτελέσματα:
EL0415FR6014

Παροχή αιχμής (M3/S)	54.4
Χρονική στιγμή αιχμής	02Sep2000, 03:30
Όγκος (MM)	155.02
Όγκος βροχόπτωσης (M3)	3.07E6
Όγκος απωλειών (M3)	9.48E5
Ενεργός Όγκος (M3)	2.12E6
Όγκος άμεσης απορροής (M3)	2.12E6
Όγκος βασικής απορροής (M3)	5.84E5

Βροχόπτωση και Απορροή



Υπολεκάνη: EL0415FR6015

Έκταση (KM2) : 9.94

Κατάντη : J8

Μέθοδος Απωλειών: SCS

Ποσοστό αδιαπέρατης επιφάνειας	0
Αριθμός Καμπύλης Απορροής-CN	84.53
Αρχικές Απώλειες	9.3

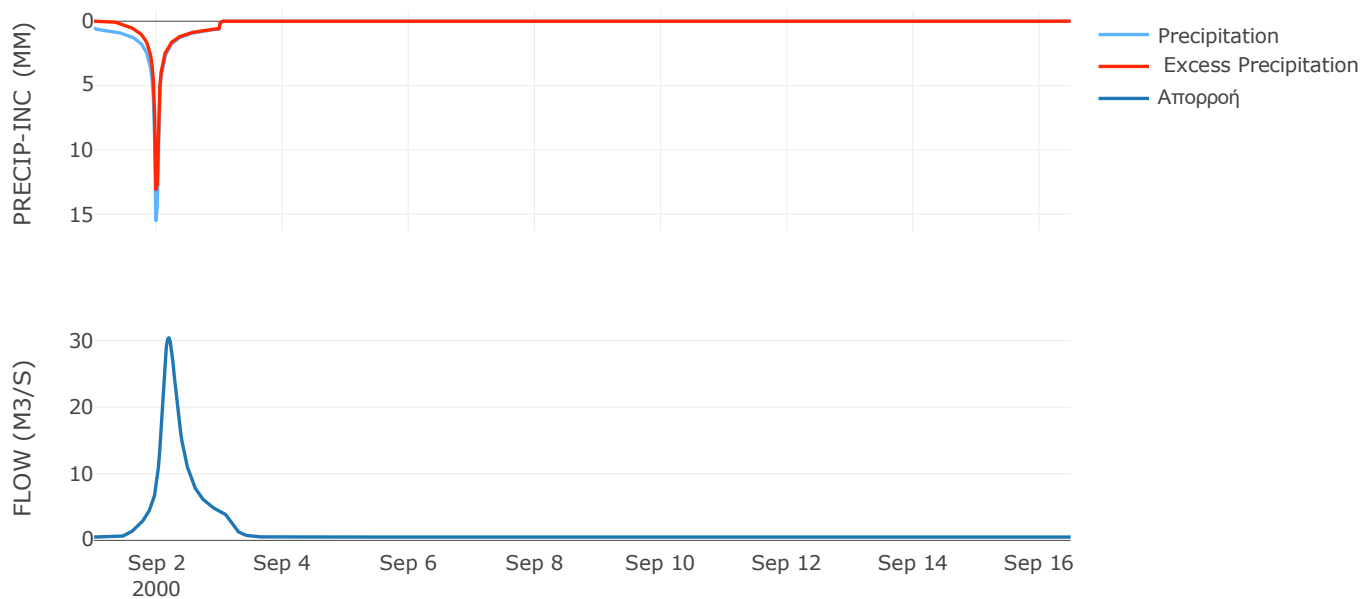
Μέθοδος
Μετασχηματισμού: SCS

Χρόνος Υστέρησης	242.05
------------------	--------

Αποτελέσματα:
EL0415FR6015

Παροχή αιχμής (M3/S)	30.42
Χρονική στιγμή αιχμής	02Sep2000, 04:30
Όγκος (MM)	196.65
Όγκος βροχόπτωσης (M3)	1.74E6
Όγκος απωλειών (M3)	4.53E5
Ενεργός Όγκος (M3)	1.29E6
Όγκος άμεσης απορροής (M3)	1.29E6
Όγκος βασικής απορροής (M3)	6.66E5

Βροχόπτωση και Απορροή



Υπολεκάνη: EL0415FR6016

Έκταση (KM2) : 45.09

Κατάνη : J13 Res1

Μέθοδος Απωλειών: SCS

Ποσοστό αδιαπέρατης επιφάνειας	14
Αριθμός Καμπύλης Απορροής-CN	84.08
Αρχικές Απώλειες	9.62

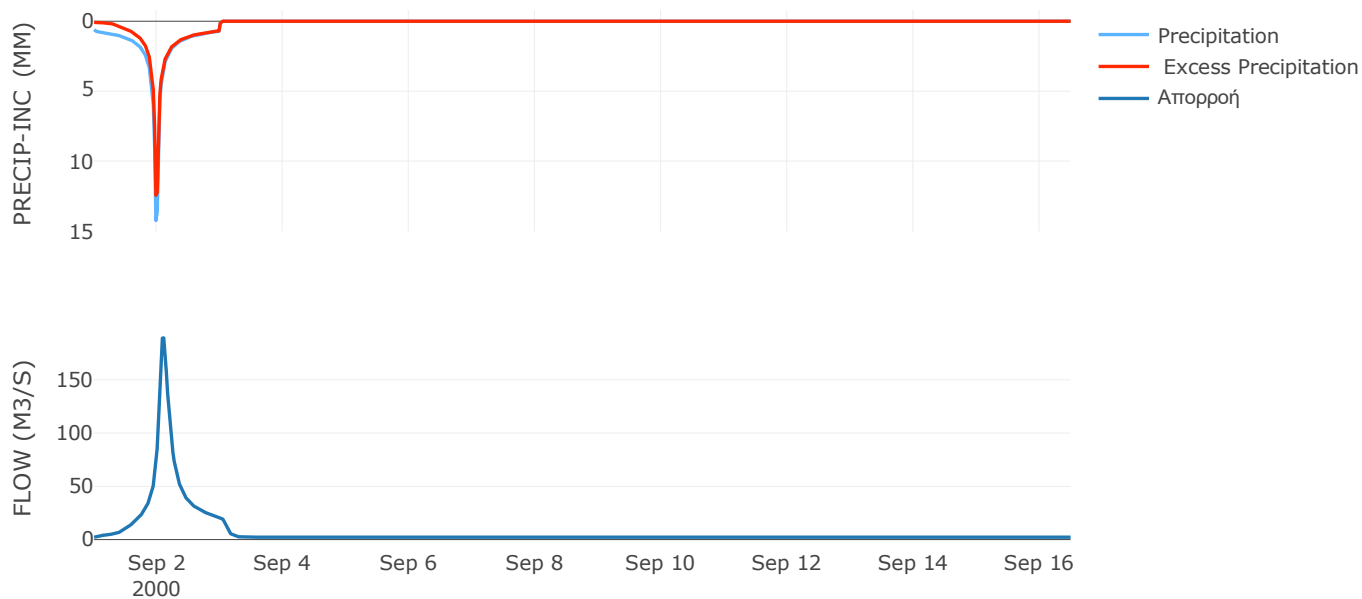
Μέθοδος
Μετασχηματισμού: SCS

Χρόνος Υστέρησης	124.16
------------------	--------

Αποτελέσματα:
EL0415FR6016

Παροχή αιχμής (M3/S)	189.41
Χρονική στιγμή αιχμής	02Sep2000, 02:30
Όγκος (MM)	212.58
Όγκος βροχόπτωσης (M3)	8.4E6
Όγκος απωλειών (M3)	1.84E6
Ενεργός Όγκος (M3)	6.57E6
Όγκος άμεσης απορροής (M3)	6.57E6
Όγκος βασικής απορροής (M3)	3.02E6

Βροχόπτωση και Απορροή



Υπολεκάνη: EL0415FR6017

Έκταση (KM2) : 48.36

Κατάντη : J14

Μέθοδος Απωλειών: SCS

Ποσοστό αδιαπέρατης επιφάνειας	0
Αριθμός Καμπύλης Απορροής-CN	80.45
Αρχικές Απώλειες	12.34

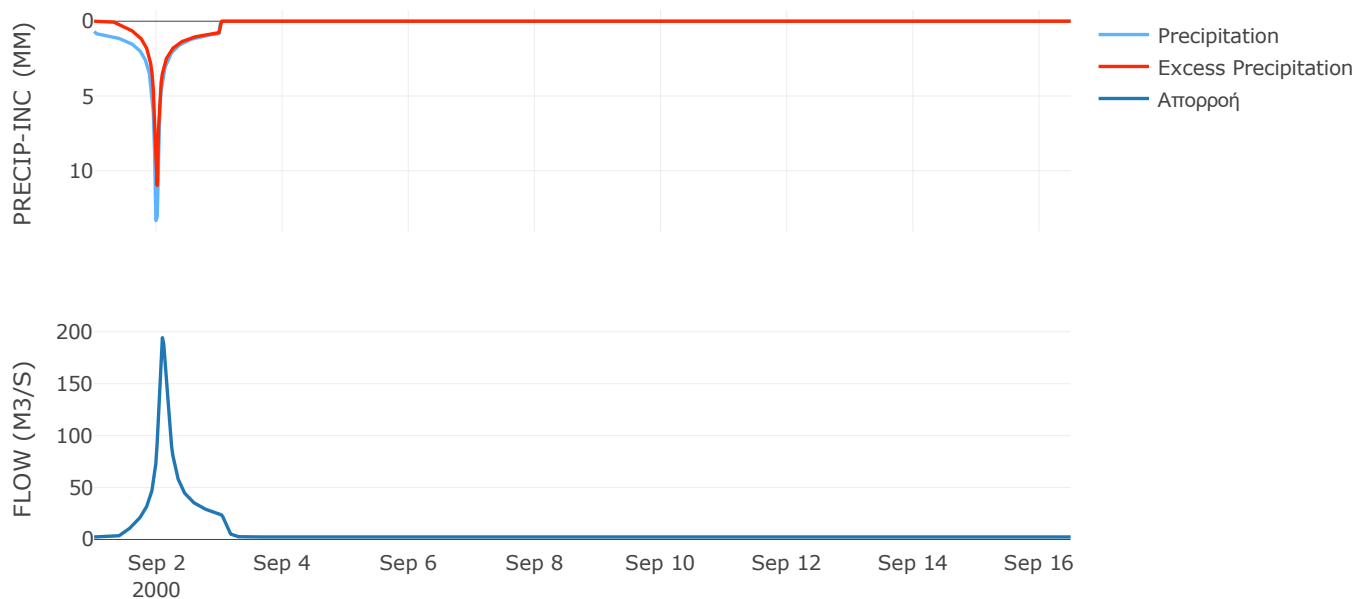
Μέθοδος
Μετασχηματισμού: SCS

Χρόνος Υστέρησης	110.19
------------------	--------

Αποτελέσματα:
EL0415FR6017

Παροχή αιχμής (M3/S)	194.33
Χρονική στιγμή αιχμής	02Sep2000, 02:00
Όγκος (MM)	205.08
Όγκος βροχόπτωσης (M3)	9.51E6
Όγκος απωλειών (M3)	2.83E6
Ενεργός Όγκος (M3)	6.68E6
Όγκος άμεσης απορροής (M3)	6.68E6
Όγκος βασικής απορροής (M3)	3.24E6

Βροχόπτωση και Απορροή



Υπολεκάνη: EL0415FR6018

Έκταση (KM2) : 76.58

Κατάντη : J19

Μέθοδος Απωλειών: SCS

Ποσοστό αδιαπέρατης επιφάνειας	8
Αριθμός Καμπύλης Απορροής-CN	82.85
Αρχικές Απώλειες	10.52

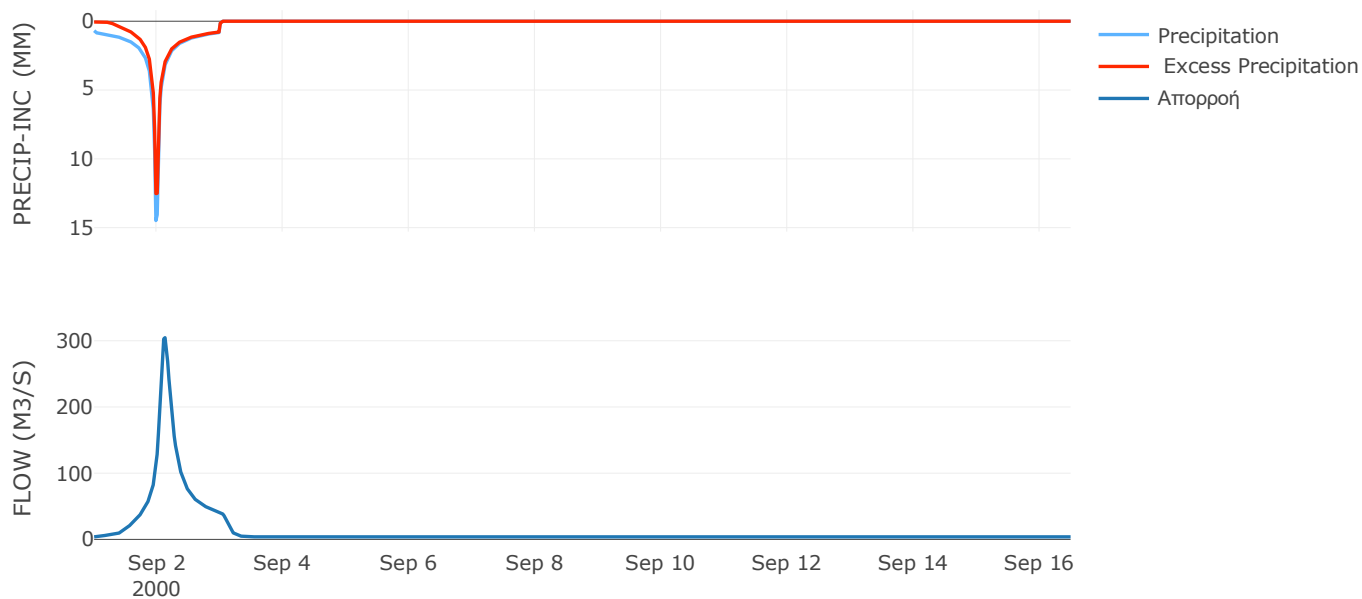
Μέθοδος
Μετασχηματισμού: SCS

Χρόνος Υστέρησης	154.62
------------------	--------

Αποτελέσματα:
EL0415FR6018

Παροχή αιχμής (M3/S)	304.65
Χρονική στιγμή αιχμής	02Sep2000, 03:00
Όγκος (MM)	222.59
Όγκος βροχόπτωσης (M3)	1.56E7
Όγκος απωλειών (M3)	3.65E6
Ενεργός Όγκος (M3)	1.19E7
Όγκος άμεσης απορροής (M3)	1.19E7
Όγκος βασικής απορροής (M3)	5.13E6

Βροχόπτωση και Απορροή



Υπολεκάνη: EL0415FR6019

Έκταση (KM2) : 114.28

Κατάντη : J18

Μέθοδος Απωλειών: SCS

Ποσοστό αδιαπέρατης επιφάνειας	4
Αριθμός Καμπύλης Απορροής-CN	78.93
Αρχικές Απώλειες	13.56

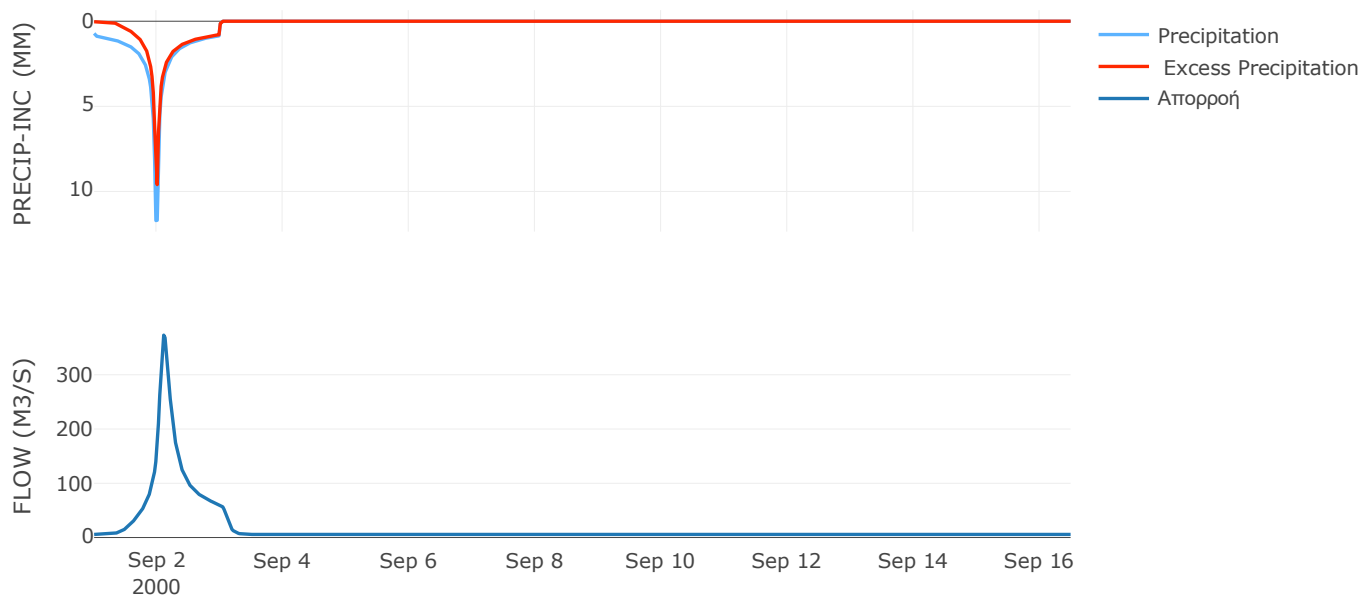
Μέθοδος
Μετασχηματισμού: SCS

Χρόνος Υστέρησης	140.93
------------------	--------

Αποτελέσματα:
EL0415FR6019

Παροχή αιχμής (M3/S)	373.1
Χρονική στιγμή αιχμής	02Sep2000, 02:30
Όγκος (MM)	199.46
Όγκος βροχόπτωσης (M3)	2.2E7
Όγκος απωλειών (M3)	6.88E6
Ενεργός Όγκος (M3)	1.51E7
Όγκος άμεσης απορροής (M3)	1.51E7
Όγκος βασικής απορροής (M3)	7.65E6

Βροχόπτωση και Απορροή



Υπολεκάνη: EL0415FR6020

Έκταση (KM2) : 41.91

Κατάντη : J14

Μέθοδος Απωλειών: SCS

Ποσοστό αδιαπέρατης επιφάνειας	0
Αριθμός Καμπύλης Απορροής-CN	80.83
Αρχικές Απώλειες	12.05

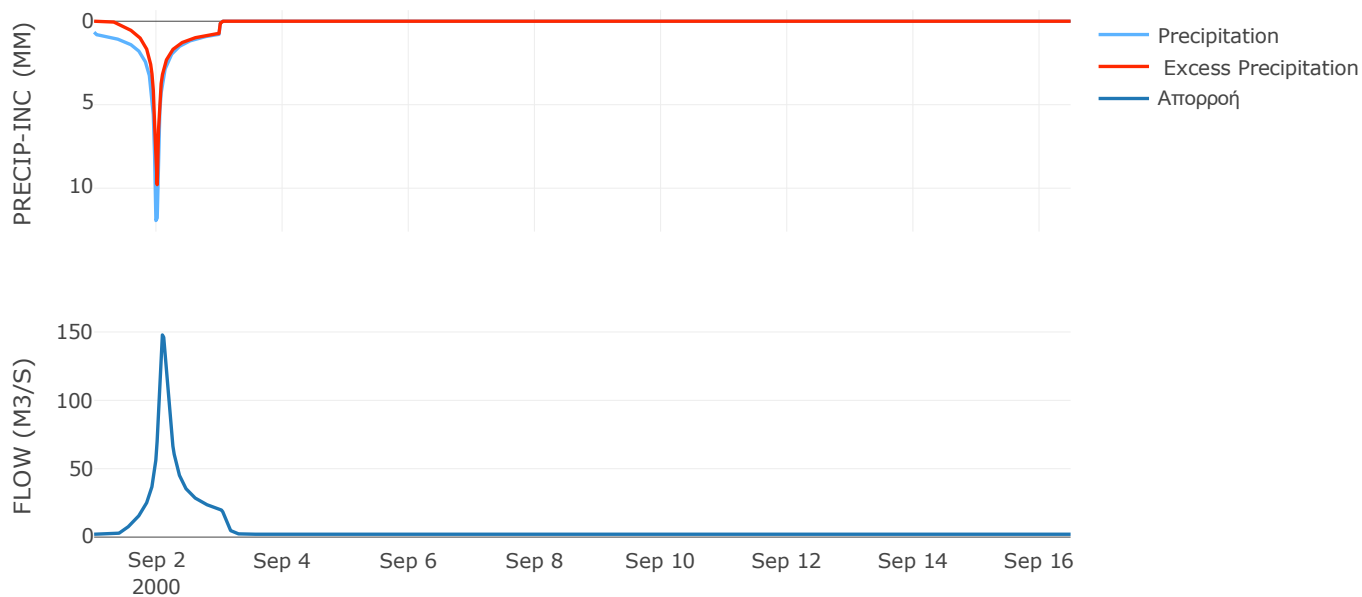
Μέθοδος
Μετασχηματισμού: SCS

Χρόνος Υστέρησης	116.08
------------------	--------

Αποτελέσματα:
EL0415FR6020

Παροχή αιχμής (M3/S)	147.84
Χρονική στιγμή αιχμής	02Sep2000, 02:00
Όγκος (MM)	194.06
Όγκος βροχόπτωσης (M3)	7.7E6
Όγκος απωλειών (M3)	2.37E6
Ενεργός Όγκος (M3)	5.33E6
Όγκος άμεσης απορροής (M3)	5.33E6
Όγκος βασικής απορροής (M3)	2.81E6

Βροχόπτωση και Απορροή



Υπολεκάνη: EL0415FR6021

Έκταση (KM2) : 21.44

Κατάντη : J20

Μέθοδος Απωλειών: SCS

Ποσοστό αδιαπέρατης επιφάνειας	0
Αριθμός Καμπύλης Απορροής-CN	80.76
Αρχικές Απώλειες	12.1

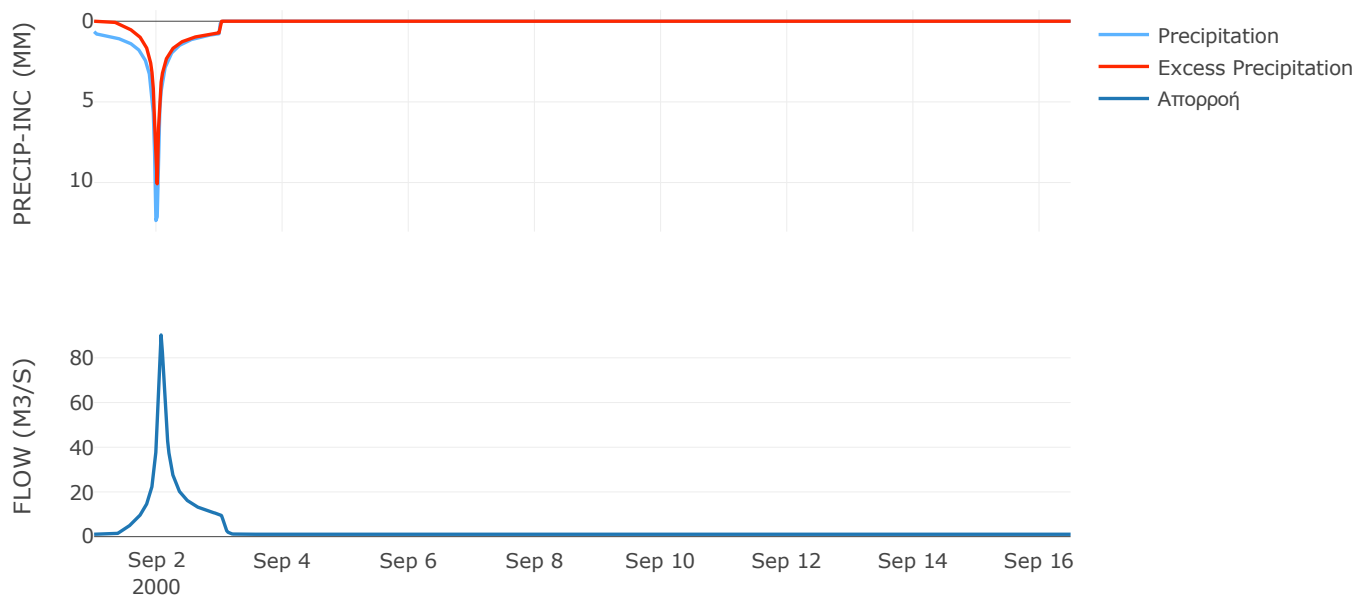
Μέθοδος
Μετασχηματισμού: SCS

Χρόνος Υστέρησης	73.66
------------------	-------

Αποτελέσματα:
EL0415FR6021

Παροχή αιχμής (M3/S)	90.22
Χρονική στιγμή αιχμής	02Sep2000, 01:30
Όγκος (MM)	194.45
Όγκος βροχόπτωσης (M3)	3.95E6
Όγκος απωλειών (M3)	1.22E6
Ενεργός Όγκος (M3)	2.73E6
Όγκος άμεσης απορροής (M3)	2.73E6
Όγκος βασικής απορροής (M3)	1.44E6

Βροχόπτωση και Απορροή



Υπολεκάνη: EL0415FR6022

Έκταση (KM2) : 28.16

Κατάντη : J20

Μέθοδος Απωλειών: SCS

Ποσοστό αδιαπέρατης επιφάνειας	0
Αριθμός Καμπύλης Απορροής-CN	81.41
Αρχικές Απώλειες	11.6

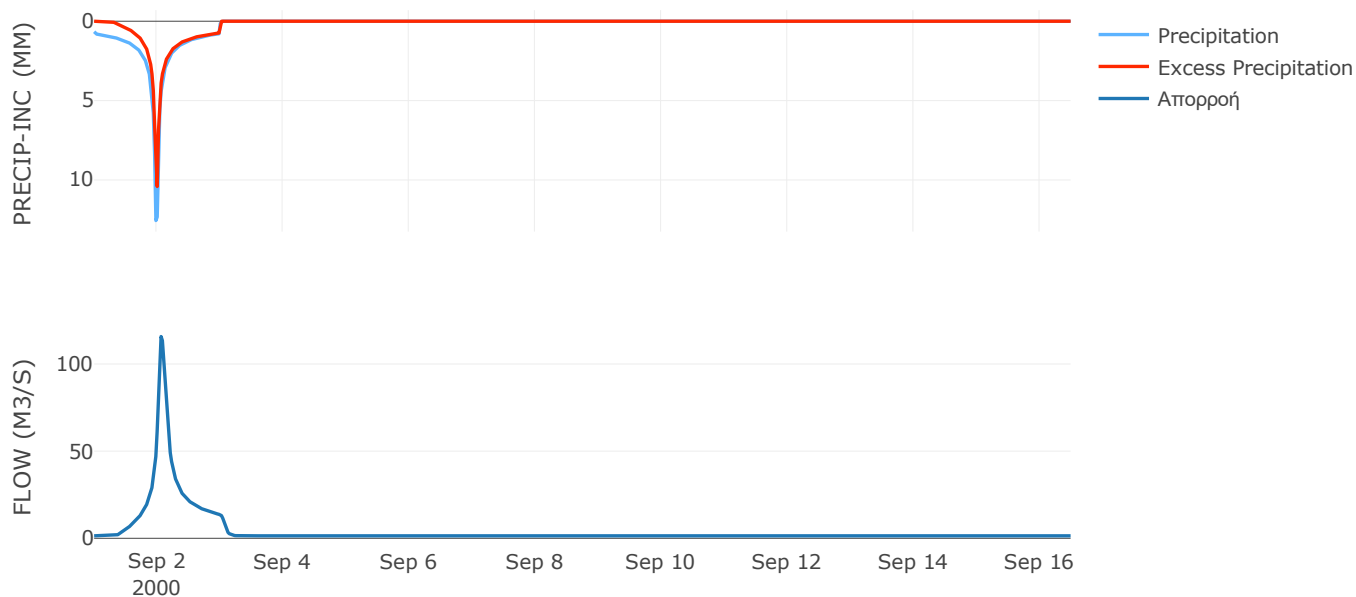
Μέθοδος
Μετασχηματισμού: SCS

Χρόνος Υστέρησης	87.91
------------------	-------

Αποτελέσματα:
EL0415FR6022

Παροχή αιχμής (M3/S)	115.76
Χρονική στιγμή αιχμής	02Sep2000, 01:30
Όγκος (MM)	199.55
Όγκος βροχόπτωσης (M3)	5.29E6
Όγκος απωλειών (M3)	1.56E6
Ενεργός Όγκος (M3)	3.73E6
Όγκος άμεσης απορροής (M3)	3.73E6
Όγκος βασικής απορροής (M3)	1.89E6

Βροχόπτωση και Απορροή



Υπολεκάνη: EL0415FR6023

Έκταση (KM2) : 48.62

Κατάντη : J61

Μέθοδος Απωλειών: SCS

Ποσοστό αδιαπέρατης επιφάνειας	0
Αριθμός Καμπύλης Απορροής-CN	75.06
Αρχικές Απώλειες	16.88

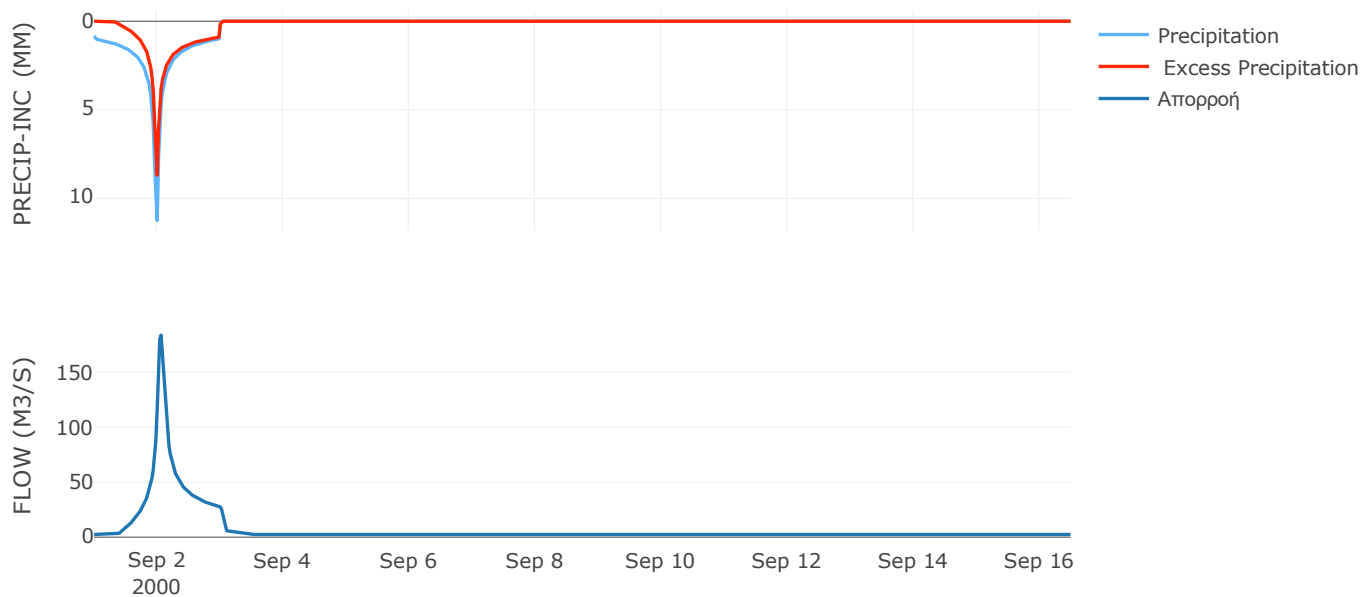
Μέθοδος
Μετασχηματισμού: SCS

Χρόνος Υστέρησης	66.05
------------------	-------

Αποτελέσματα:
EL0415FR6023

Παροχή αιχμής (M3/S)	183.74
Χρονική στιγμή αιχμής	02Sep2000, 01:30
Όγκος (MM)	198.86
Όγκος βροχόπτωσης (M3)	1.01E7
Όγκος απωλειών (M3)	3.66E6
Ενεργός Όγκος (M3)	6.41E6
Όγκος άμεσης απορροής (M3)	6.41E6
Όγκος βασικής απορροής (M3)	3.26E6

Βροχόπτωση και Απορροή



Υπολεκάνη: EL0415FR6024

Έκταση (KM2) : 39.41

Κατάντη : J16

Μέθοδος Απωλειών: SCS

Ποσοστό αδιαπέρατης επιφάνειας	0
Αριθμός Καμπύλης Απορροής-CN	80.98
Αρχικές Απώλειες	11.93

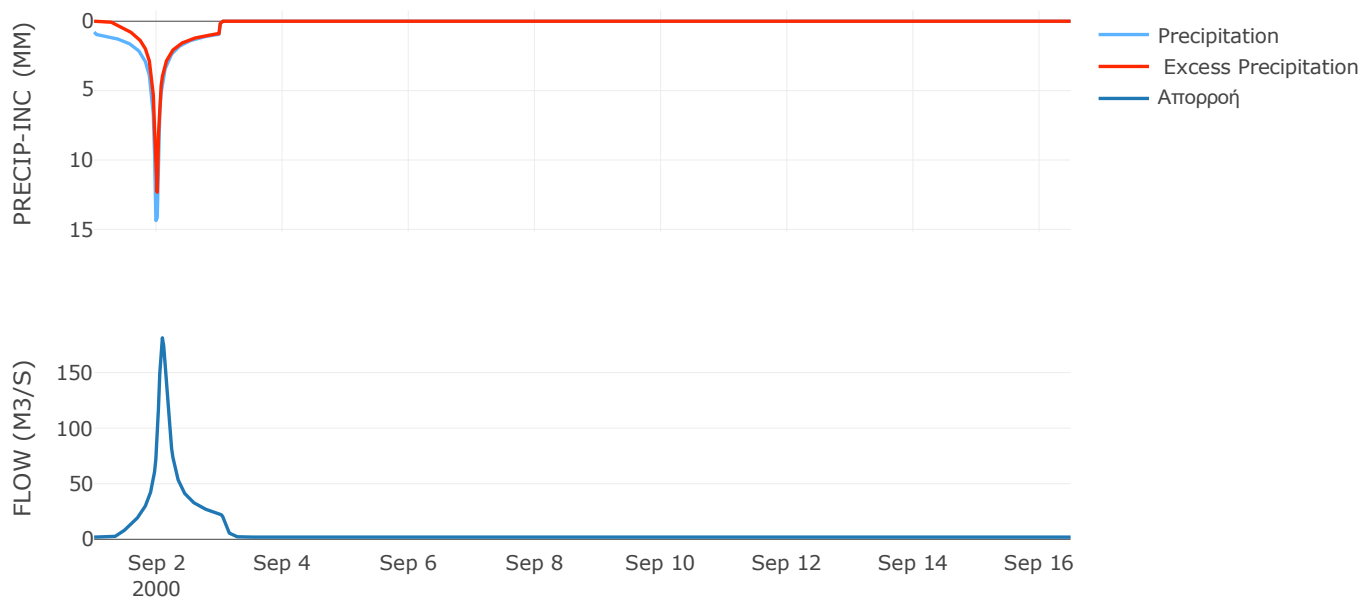
Μέθοδος
Μετασχηματισμού: SCS

Χρόνος Υστέρησης	107.23
------------------	--------

Αποτελέσματα:
EL0415FR6024

Παροχή αιχμής (M3/S)	181.28
Χρονική στιγμή αιχμής	02Sep2000, 02:00
Όγκος (MM)	228.73
Όγκος βροχόπτωσης (M3)	8.67E6
Όγκος απωλειών (M3)	2.3E6
Ενεργός Όγκος (M3)	6.38E6
Όγκος άμεσης απορροής (M3)	6.38E6
Όγκος βασικής απορροής (M3)	2.64E6

Βροχόπτωση και Απορροή



Υπολεκάνη: EL0415FR6025

Έκταση (KM2) : 14.18

Κατάντη : J21

Μέθοδος Απωλειών: SCS

Ποσοστό αδιαπέρατης επιφάνειας	0
Αριθμός Καμπύλης Απορροής-CN	80.02
Αρχικές Απώλειες	12.68

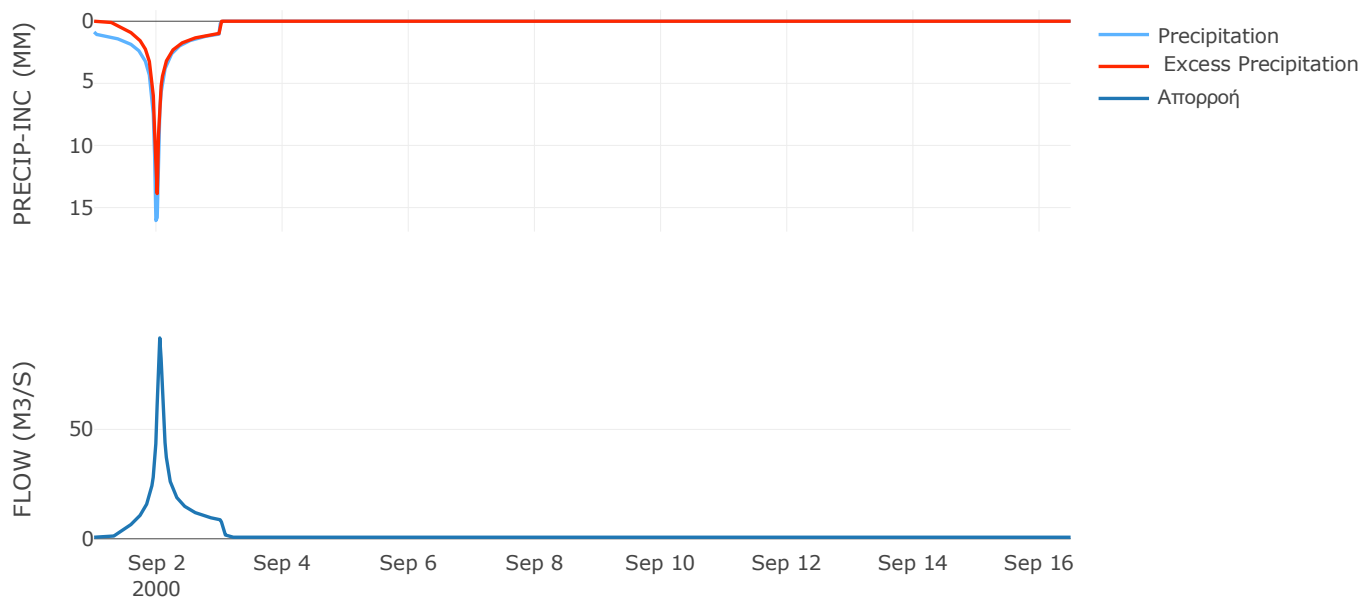
Μέθοδος
Μετασχηματισμού: SCS

Χρόνος Υστέρησης	49.51
------------------	-------

Αποτελέσματα:
EL0415FR6025

Παροχή αιχμής (M3/S)	91.82
Χρονική στιγμή αιχμής	02Sep2000, 01:00
Όγκος (MM)	248.7
Όγκος βροχόπτωσης (M3)	3.46E6
Όγκος απωλειών (M3)	8.86E5
Ενεργός Όγκος (M3)	2.58E6
Όγκος άμεσης απορροής (M3)	2.58E6
Όγκος βασικής απορροής (M3)	9.5E5

Βροχόπτωση και Απορροή



Υπολεκάνη: EL0415FR6026

Έκταση (KM2) : 38.04

Κατάντη : J21

Μέθοδος Απωλειών: SCS

Ποσοστό αδιαπέρατης επιφάνειας	0
Αριθμός Καμπύλης Απορροής-CN	75.6
Αρχικές Απώλειες	16.39

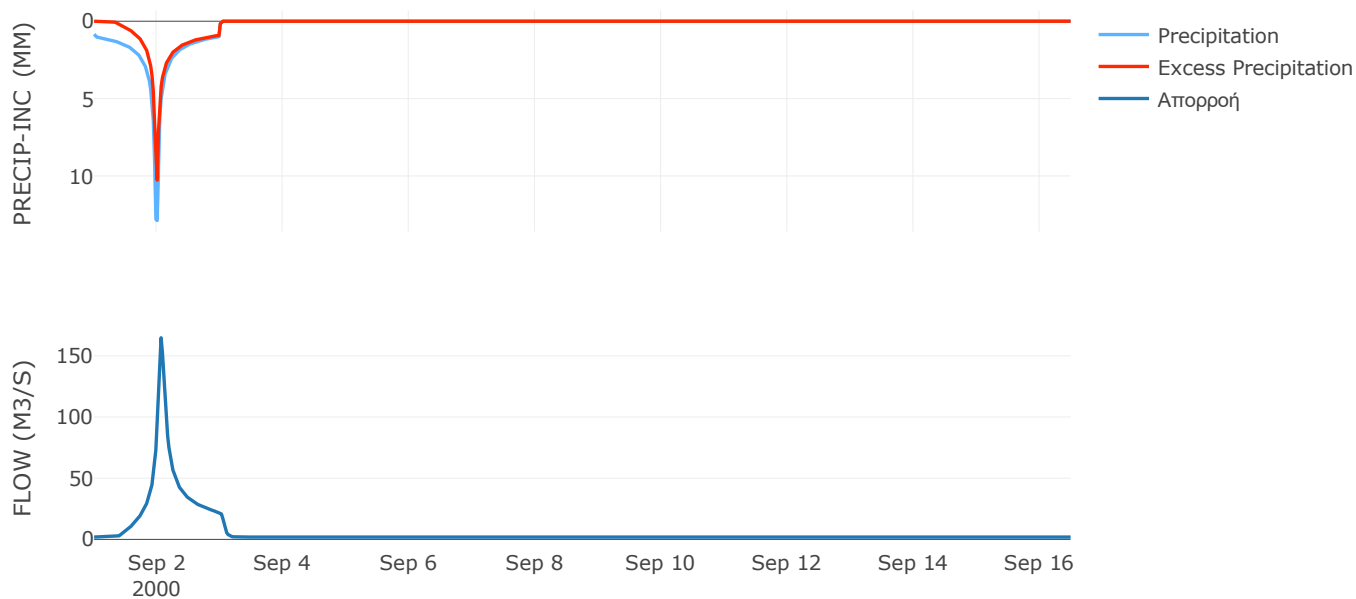
Μέθοδος
Μετασχηματισμού: SCS

Χρόνος Υστέρησης	74.34
------------------	-------

Αποτελέσματα:
EL0415FR6026

Παροχή αιχμής (M3/S)	164.71
Χρονική στιγμή αιχμής	02Sep2000, 01:30
Όγκος (MM)	211.55
Όγκος βροχόπτωσης (M3)	8.34E6
Όγκος απωλειών (M3)	2.84E6
Ενεργός Όγκος (M3)	5.5E6
Όγκος άμεσης απορροής (M3)	5.5E6
Όγκος βασικής απορροής (M3)	2.55E6

Βροχόπτωση και Απορροή



Υπολεκάνη: EL0415FR6027

Έκταση (KM2) : 185.56

Κατάντη : J21

Μέθοδος Απωλειών: SCS

Ποσοστό αδιαπέρατης επιφάνειας	0
Αριθμός Καμπύλης Απορροής-CN	73.25
Αρχικές Απώλειες	18.55

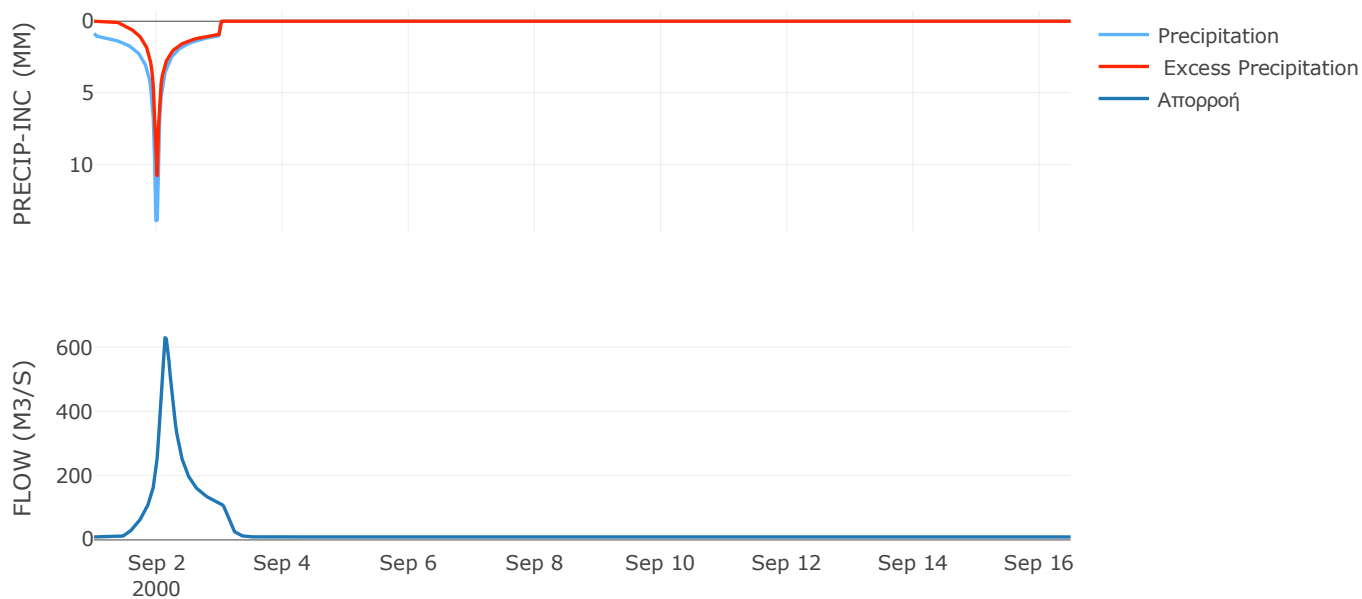
Μέθοδος
Μετασχηματισμού: SCS

Χρόνος Υστέρησης	168.12
------------------	--------

Αποτελέσματα:
EL0415FR6027

Παροχή αιχμής (M3/S)	629.19
Χρονική στιγμή αιχμής	02Sep2000, 03:00
Όγκος (MM)	213.12
Όγκος βροχόπτωσης (M3)	4.25E7
Όγκος απωλειών (M3)	1.54E7
Ενεργός Όγκος (M3)	2.71E7
Όγκος άμεσης απορροής (M3)	2.71E7
Όγκος βασικής απορροής (M3)	1.24E7

Βροχόπτωση και Απορροή



Υπολεκάνη: EL0415FR6028

Έκταση (KM2) : 39.67

Κατάντη : J22

Μέθοδος Απωλειών: SCS

Ποσοστό αδιαπέρατης επιφάνειας	0
Αριθμός Καμπύλης Απορροής-CN	47.2
Αρχικές Απώλειες	56.82

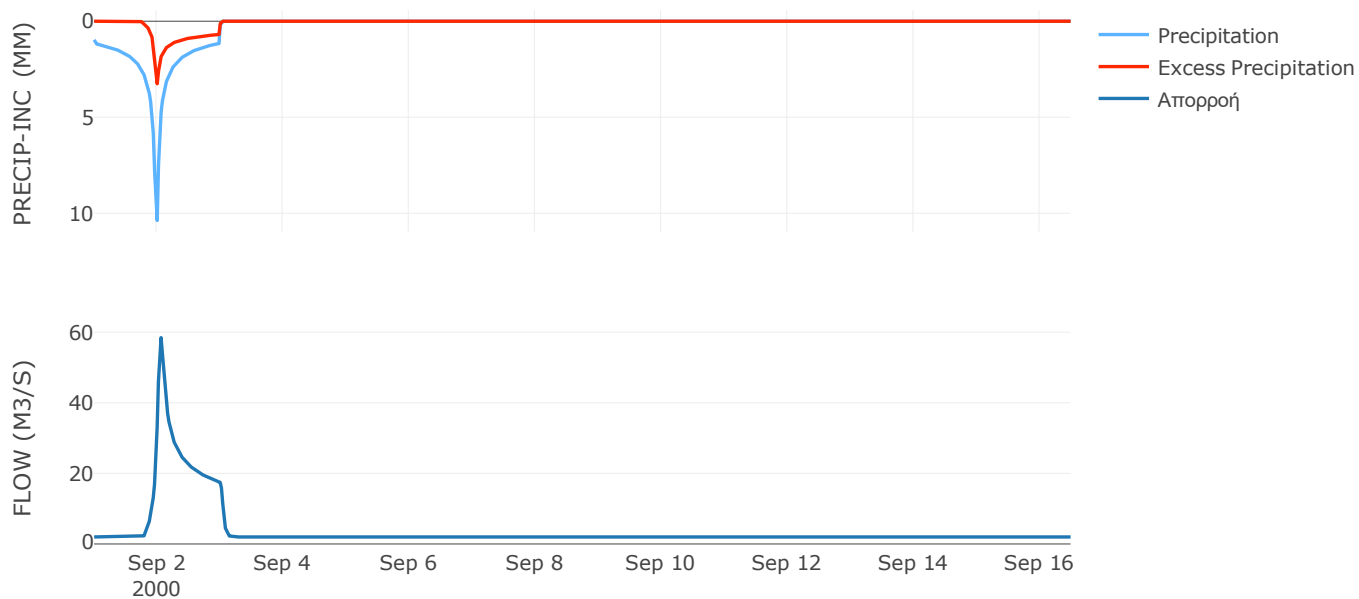
Μέθοδος
Μετασχηματισμού: SCS

Χρόνος Υστέρησης	54.17
------------------	-------

Αποτελέσματα:
EL0415FR6028

Παροχή αιχμής (M3/S)	58.47
Χρονική στιγμή αιχμής	02Sep2000, 01:30
Όγκος (MM)	126.96
Όγκος βροχόπτωσης (M3)	8.76E6
Όγκος απωλειών (M3)	6.38E6
Ενεργός Όγκος (M3)	2.38E6
Όγκος άμεσης απορροής (M3)	2.38E6
Όγκος βασικής απορροής (M3)	2.66E6

Βροχόπτωση και Απορροή



Υπολεκάνη: EL0415FR6029

Έκταση (KM2) : 74.56

Κατάντη : J31

Μέθοδος Απωλειών: SCS

Ποσοστό αδιαπέρατης επιφάνειας	22
Αριθμός Καμπύλης Απορροής-CN	68.74
Αρχικές Απώλειες	23.1

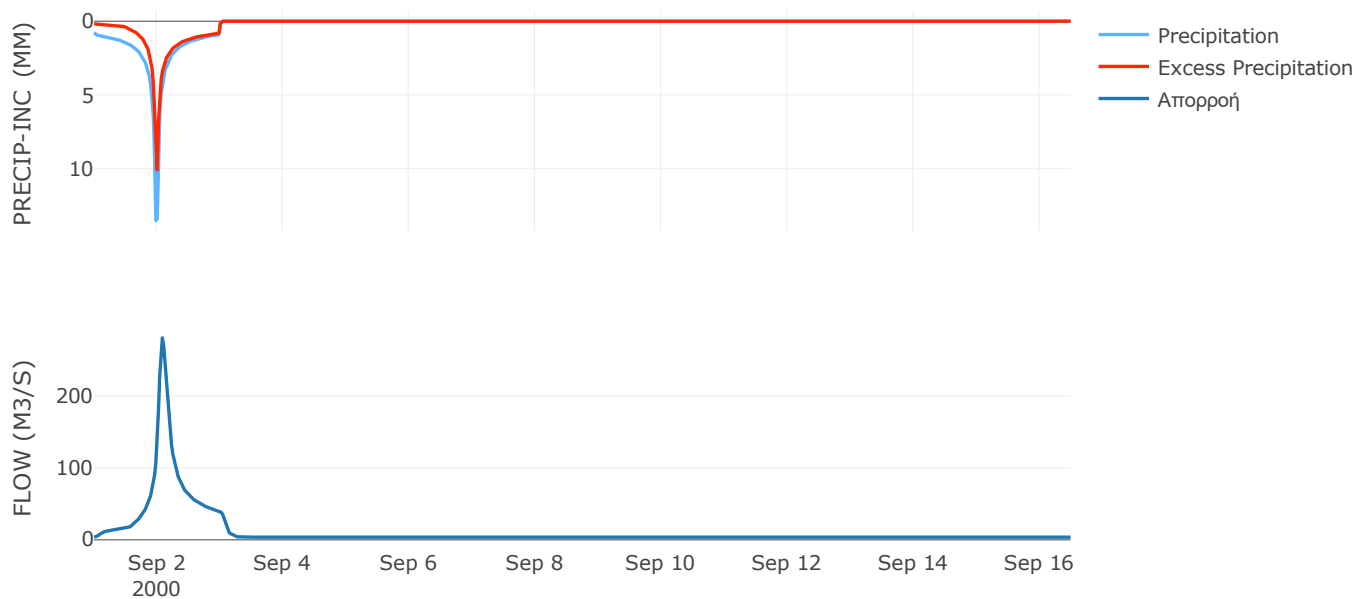
Μέθοδος
Μετασχηματισμού: SCS

Χρόνος Υστέρησης	104.8
------------------	-------

Αποτελέσματα:
EL0415FR6029

Παροχή αιχμής (M3/S)	280.83
Χρονική στιγμή αιχμής	02Sep2000, 02:00
Όγκος (MM)	204.76
Όγκος βροχόπτωσης (M3)	1.58E7
Όγκος απωλειών (M3)	5.51E6
Ενεργός Όγκος (M3)	1.03E7
Όγκος άμεσης απορροής (M3)	1.03E7
Όγκος βασικής απορροής (M3)	4.99E6

Βροχόπτωση και Απορροή



Υπολεκάνη: EL0415FR6030

Έκταση (KM2) : 127.36

Κατάντη : J27

Μέθοδος Απωλειών: SCS

Ποσοστό αδιαπέρατης επιφάνειας	17
Αριθμός Καμπύλης Απορροής-CN	81.14
Αρχικές Απώλειες	11.81

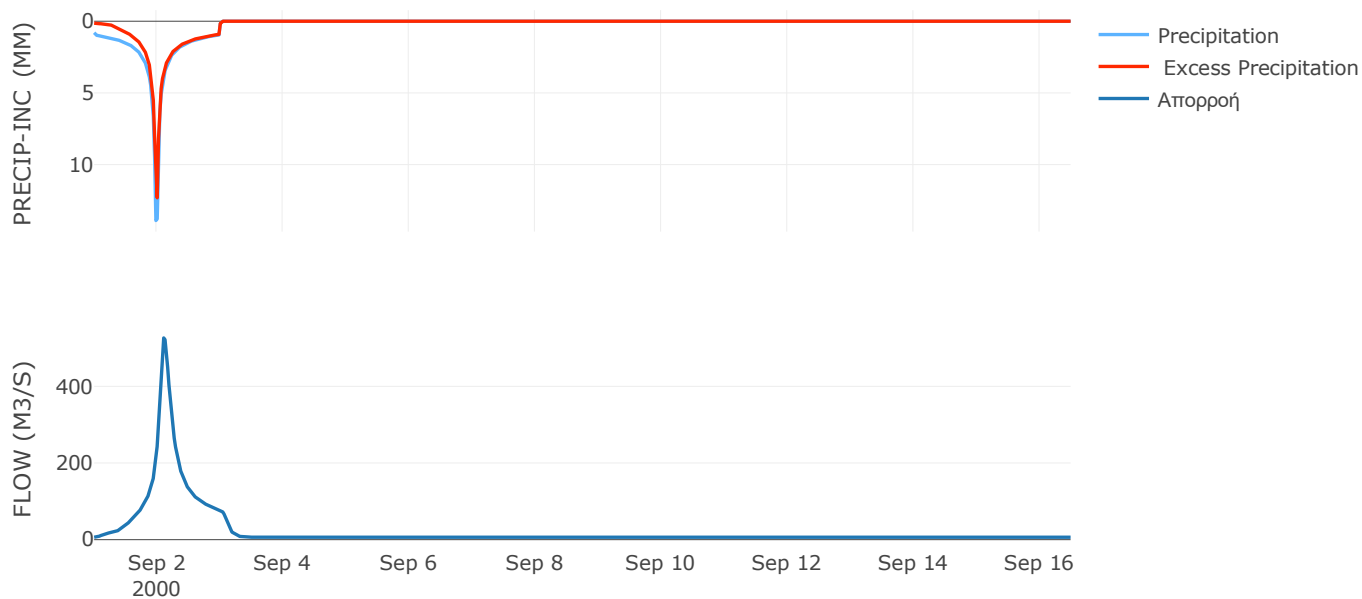
Μέθοδος
Μετασχηματισμού: SCS

Χρόνος Υστέρησης	146.28
------------------	--------

Αποτελέσματα:
EL0415FR6030

Παροχή αιχμής (M3/S)	526.3
Χρονική στιγμή αιχμής	02Sep2000, 02:30
Όγκος (MM)	238.86
Όγκος βροχόπτωσης (M3)	2.8E7
Όγκος απωλειών (M3)	6.11E6
Ενεργός Όγκος (M3)	2.19E7
Όγκος άμεσης απορροής (M3)	2.19E7
Όγκος βασικής απορροής (M3)	8.53E6

Βροχόπτωση και Απορροή



Υπολεκάνη: EL0415FR6031

Έκταση (KM2) : 92.16

Κατάντη : J34

Μέθοδος Απωλειών: SCS

Ποσοστό αδιαπέρατης επιφάνειας	0
Αριθμός Καμπύλης Απορροής-CN	79.75
Αρχικές Απώλειες	12.9

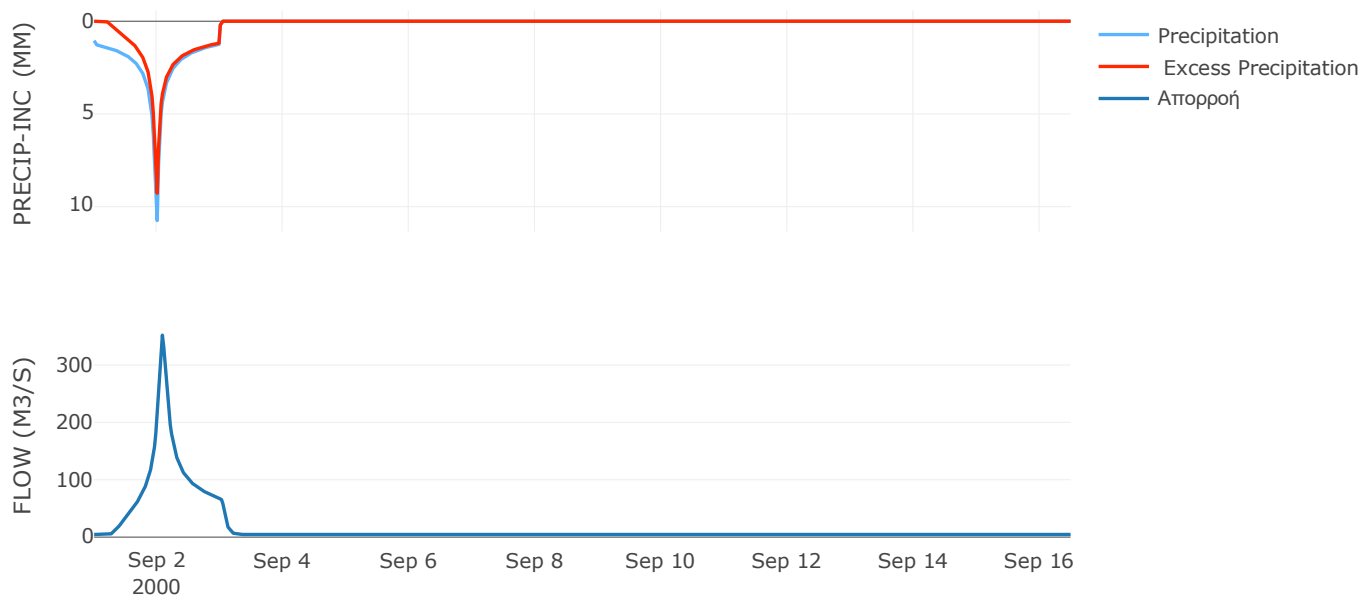
Μέθοδος
Μετασχηματισμού: SCS

Χρόνος Υστέρησης	96.1
------------------	------

Αποτελέσματα:
EL0415FR6031

Παροχή αιχμής (M3/S)	352.05
Χρονική στιγμή αιχμής	02Sep2000, 02:00
Όγκος (MM)	238.58
Όγκος βροχόπτωσης (M3)	2.16E7
Όγκος απωλειών (M3)	5.79E6
Ενεργός Όγκος (M3)	1.58E7
Όγκος άμεσης απορροής (M3)	1.58E7
Όγκος βασικής απορροής (M3)	6.17E6

Βροχόπτωση και Απορροή



Υπολεκάνη: EL0415FR6032

Έκταση (KM2) : 115.9

Κατάντη : J26

Μέθοδος Απωλειών: SCS

Ποσοστό αδιαπέρατης επιφάνειας	0
Αριθμός Καμπύλης Απορροής-CN	60.48
Αρχικές Απώλειες	29.07

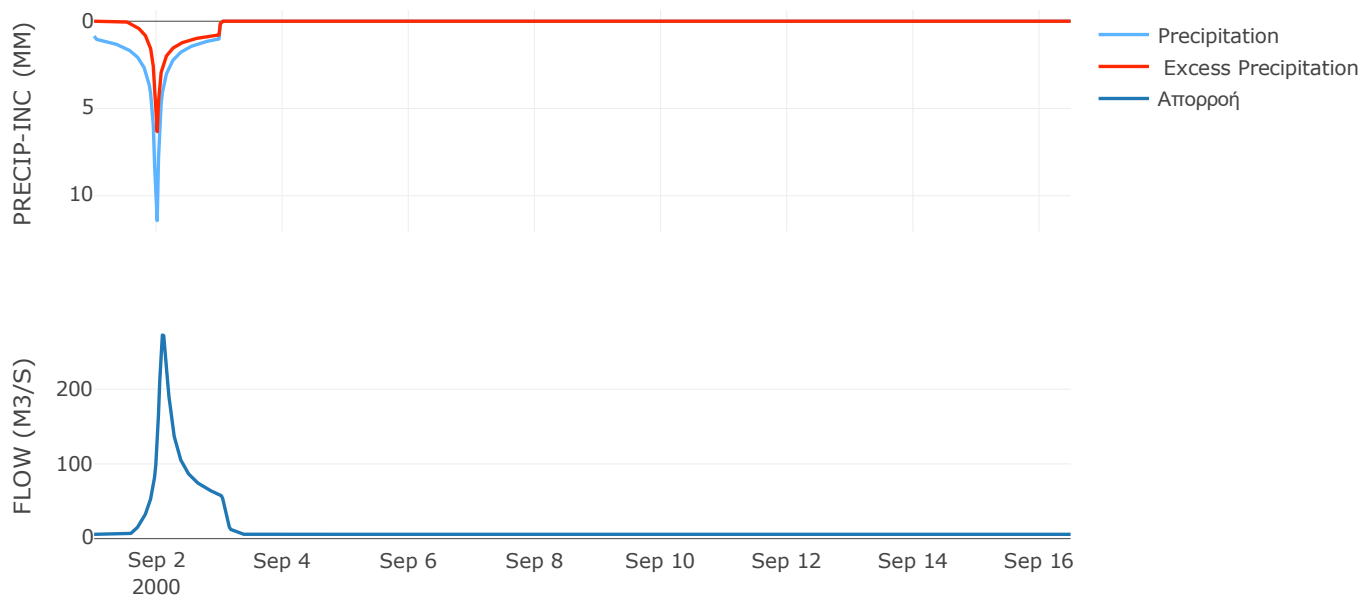
Μέθοδος
Μετασχηματισμού: SCS

Χρόνος Υστέρησης	109.22
------------------	--------

Αποτελέσματα:
EL0415FR6032

Παροχή αιχμής (M3/S)	272.51
Χρονική στιγμή αιχμής	02Sep2000, 02:00
Όγκος (MM)	162.32
Όγκος βροχόπτωσης (M3)	2.45E7
Όγκος απωλειών (M3)	1.34E7
Ενεργός Όγκος (M3)	1.11E7
Όγκος άμεσης απορροής (M3)	1.11E7
Όγκος βασικής απορροής (M3)	7.76E6

Βροχόπτωση και Απορροή



Υπολεκάνη: EL0415FR6033

Έκταση (KM2) : 126.39

Κατάντη : J62

Μέθοδος Απωλειών: SCS

Ποσοστό αδιαπέρατης επιφάνειας	0
Αριθμός Καμπύλης Απορροής-CN	66.2
Αρχικές Απώλειες	28.57

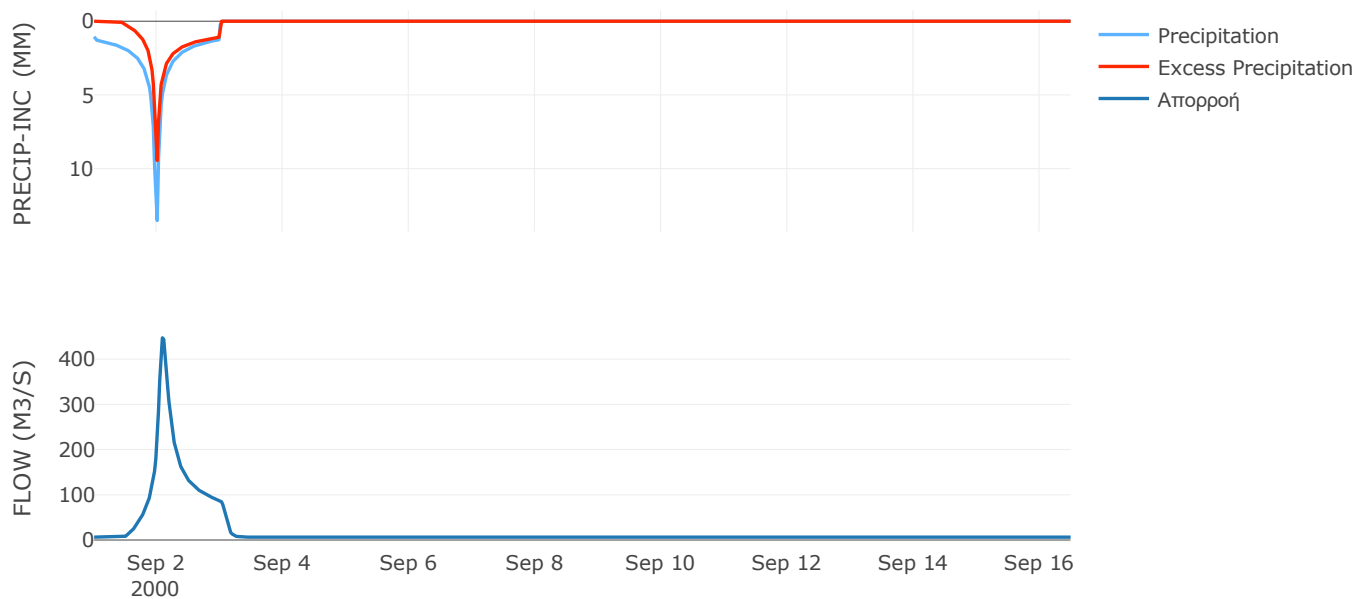
Μέθοδος
Μετασχηματισμού: SCS

Χρόνος Υστέρησης	111.99
------------------	--------

Αποτελέσματα:
EL0415FR6033

Παροχή αιχμής (M3/S)	447.06
Χρονική στιγμή αιχμής	02Sep2000, 02:00
Όγκος (MM)	212.21
Όγκος βροχόπτωσης (M3)	3.24E7
Όγκος απωλειών (M3)	1.41E7
Ενεργός Όγκος (M3)	1.84E7
Όγκος άμεσης απορροής (M3)	1.84E7
Όγκος βασικής απορροής (M3)	8.46E6

Βροχόπτωση και Απορροή



Υπολεκάνη: EL0415FR6034

Έκταση (KM2) : 105.64

Κατάντη : J44

Μέθοδος Απωλειών: SCS

Ποσοστό αδιαπέρατης επιφάνειας	0
Αριθμός Καμπύλης Απορροής-CN	66.03
Αρχικές Απώλειες	26.13

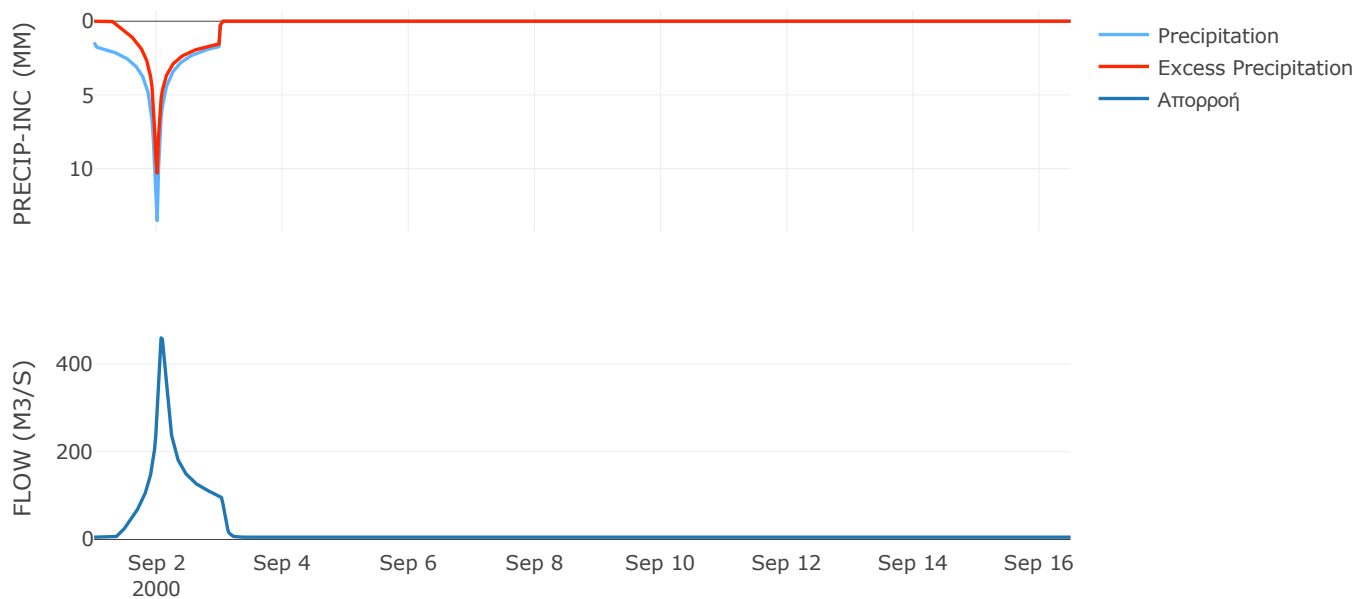
Μέθοδος
Μετασχηματισμού: SCS

Χρόνος Υστέρησης	86.01
------------------	-------

Αποτελέσματα:
EL0415FR6034

Παροχή αιχμής (M3/S)	459.25
Χρονική στιγμή αιχμής	02Sep2000, 01:30
Όγκος (MM)	264.09
Όγκος βροχόπτωσης (M3)	3.31E7
Όγκος απωλειών (M3)	1.22E7
Ενεργός Όγκος (M3)	2.08E7
Όγκος άμεσης απορροής (M3)	2.08E7
Όγκος βασικής απορροής (M3)	7.07E6

Βροχόπτωση και Απορροή



Υπολεκάνη: EL0415FR6035

Έκταση (KM2) : 82.38

Κατάντη : J25

Μέθοδος Απωλειών: SCS

Ποσοστό αδιαπέρατης επιφάνειας	0
Αριθμός Καμπύλης Απορροής-CN	77.06
Αρχικές Απώλειες	15.12

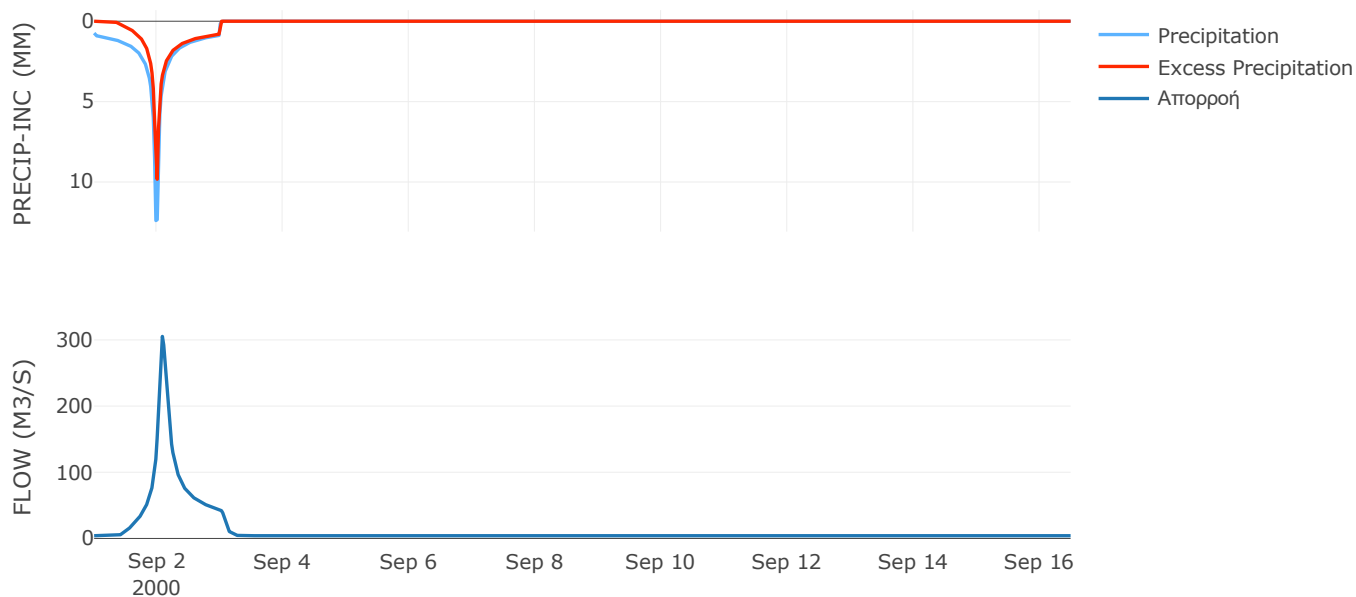
Μέθοδος
Μετασχηματισμού: SCS

Χρόνος Υστέρησης	104.23
------------------	--------

Αποτελέσματα:
EL0415FR6035

Παροχή αιχμής (M3/S)	305.28
Χρονική στιγμή αιχμής	02Sep2000, 02:00
Όγκος (MM)	198.81
Όγκος βροχόπτωσης (M3)	1.65E7
Όγκος απωλειών (M3)	5.67E6
Ενεργός Όγκος (M3)	1.09E7
Όγκος άμεσης απορροής (M3)	1.09E7
Όγκος βασικής απορροής (M3)	5.52E6

Βροχόπτωση και Απορροή



Υπολεκάνη: EL0415FR6036

Έκταση (KM2) : 47.25

Κατάντη : J45

Μέθοδος Απωλειών: SCS

Ποσοστό αδιαπέρατης επιφάνειας	0
Αριθμός Καμπύλης Απορροής-CN	66.01
Αρχικές Απώλειες	26.16

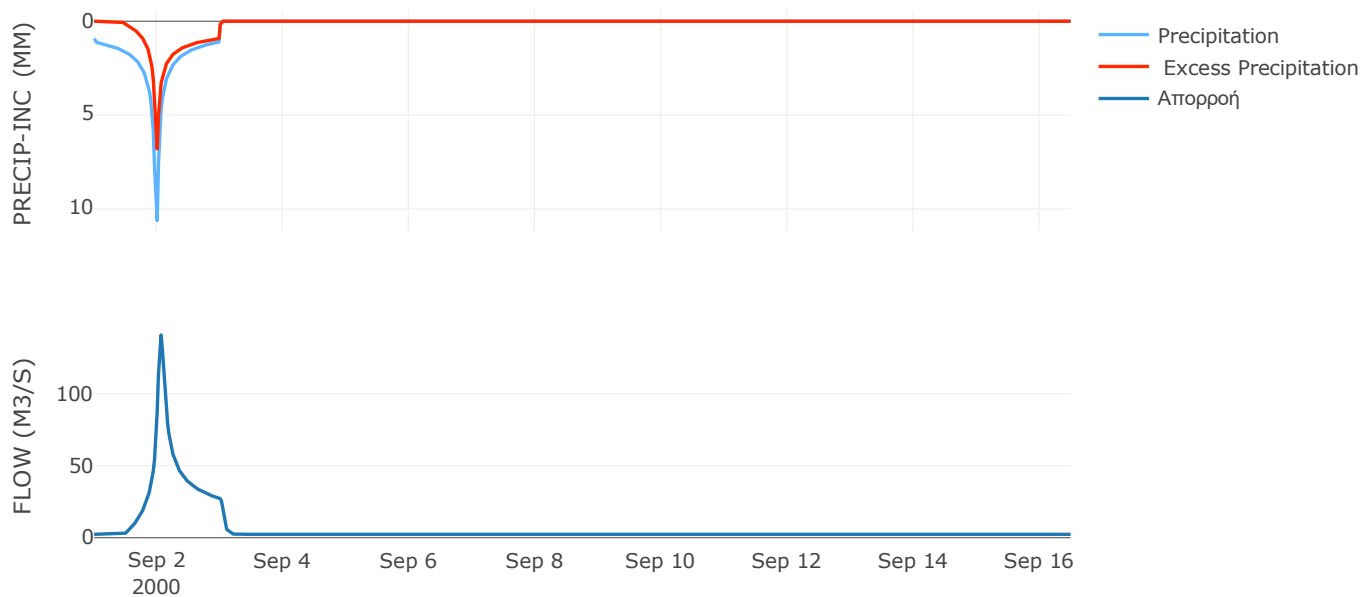
Μέθοδος
Μετασχηματισμού: SCS

Χρόνος Υστέρησης	66.9
------------------	------

Αποτελέσματα:
EL0415FR6036

Παροχή αιχμής (M3/S)	140.79
Χρονική στιγμή αιχμής	02Sep2000, 01:30
Όγκος (MM)	179.48
Όγκος βροχόπτωσης (M3)	1.02E7
Όγκος απωλειών (M3)	4.9E6
Ενεργός Όγκος (M3)	5.32E6
Όγκος άμεσης απορροής (M3)	5.32E6
Όγκος βασικής απορροής (M3)	3.16E6

Βροχόπτωση και Απορροή



Υπολεκάνη: EL0415FR6037

Έκταση (KM2) : 88.31

Κατάντη : J40

Μέθοδος Απωλειών: SCS

Ποσοστό αδιαπέρατης επιφάνειας	0
Αριθμός Καμπύλης Απορροής-CN	68
Αρχικές Απώλειες	23.91

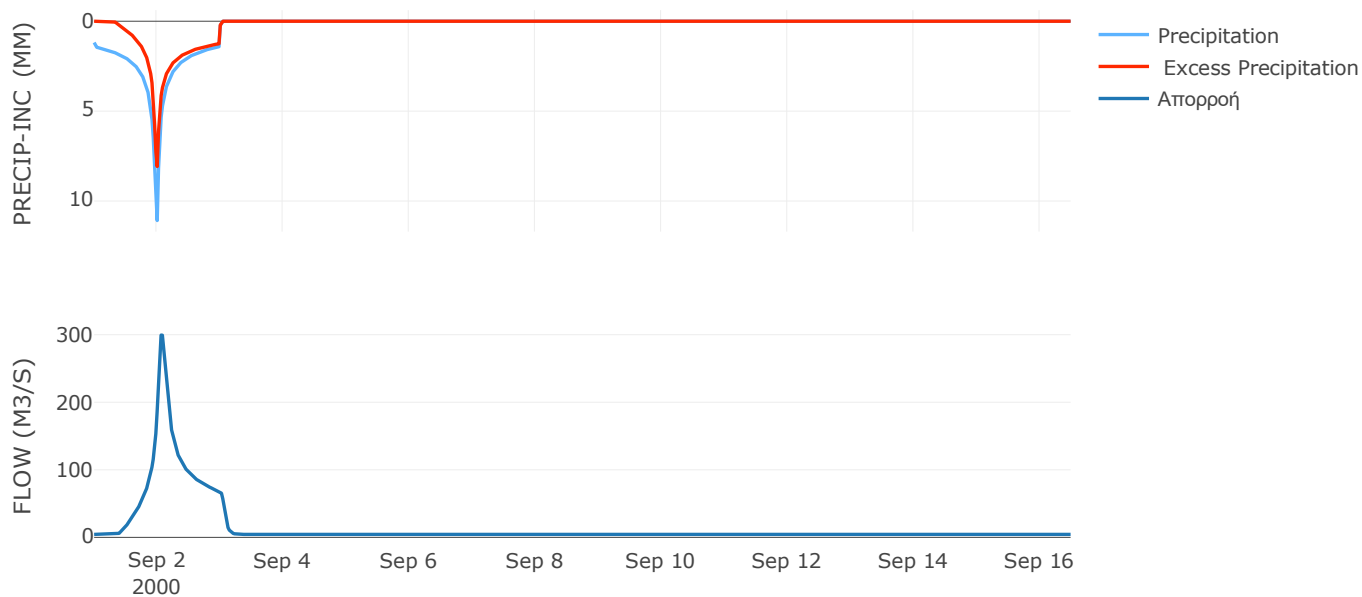
Μέθοδος
Μετασχηματισμού: SCS

Χρόνος Υστέρησης	87.27
------------------	-------

Αποτελέσματα:
EL0415FR6037

Παροχή αιχμής (M3/S)	299.43
Χρονική στιγμή αιχμής	02Sep2000, 01:30
Όγκος (MM)	220.99
Όγκος βροχόπτωσης (M3)	2.27E7
Όγκος απωλειών (M3)	9.09E6
Ενεργός Όγκος (M3)	1.36E7
Όγκος άμεσης απορροής (M3)	1.36E7
Όγκος βασικής απορροής (M3)	5.91E6

Βροχόπτωση και Απορροή



Υπολεκάνη: EL0415FR6038

Έκταση (KM2) : 94.78

Κατάντη : J35

Μέθοδος Απωλειών: SCS

Ποσοστό αδιαπέρατης επιφάνειας	0
Αριθμός Καμπύλης Απορροής-CN	68.71
Αρχικές Απώλειες	23.14

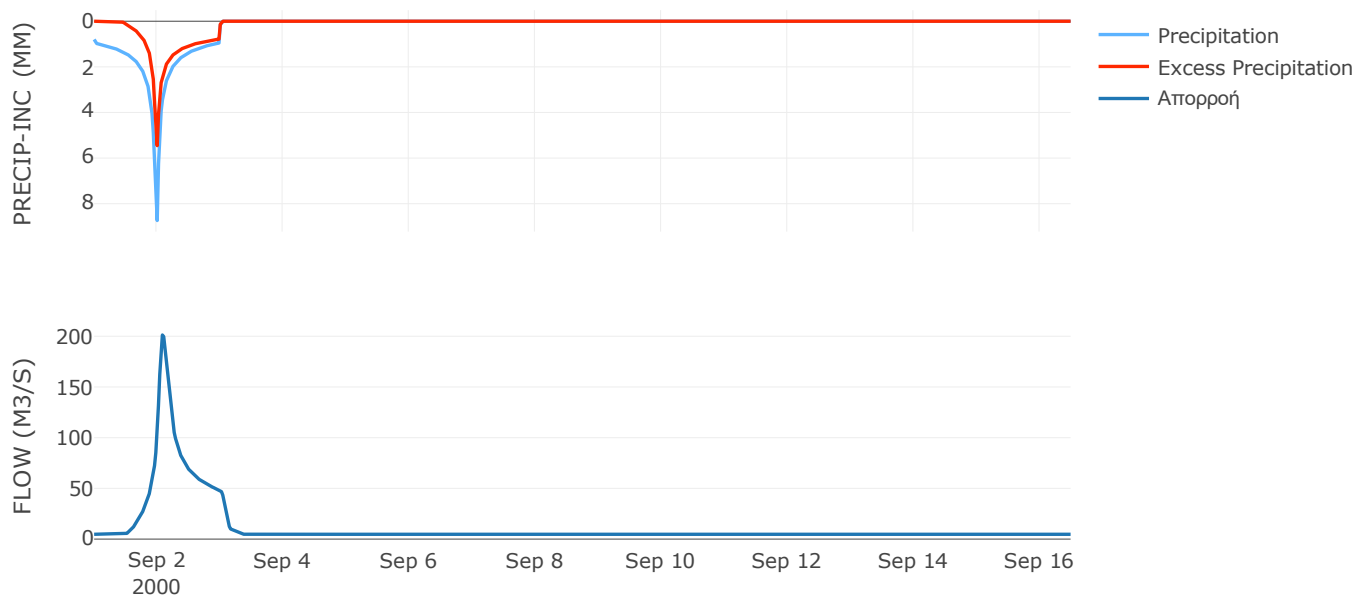
Μέθοδος
Μετασχηματισμού: SCS

Χρόνος Υστέρησης	108.03
------------------	--------

Αποτελέσματα:
EL0415FR6038

Παροχή αιχμής (M3/S)	201.26
Χρονική στιγμή αιχμής	02Sep2000, 02:00
Όγκος (MM)	160.09
Όγκος βροχόπτωσης (M3)	1.74E7
Όγκος απωλειών (M3)	8.56E6
Ενεργός Όγκος (M3)	8.83E6
Όγκος άμεσης απορροής (M3)	8.83E6
Όγκος βασικής απορροής (M3)	6.35E6

Βροχόπτωση και Απορροή



Υπολεκάνη: EL0415FR6039

Έκταση (KM2) : 6.93

Κατάντη : J23

Μέθοδος Απωλειών: SCS

Ποσοστό αδιαπέρατης επιφάνειας	0
Αριθμός Καμπύλης Απορροής-CN	78.67
Αρχικές Απώλειες	13.77

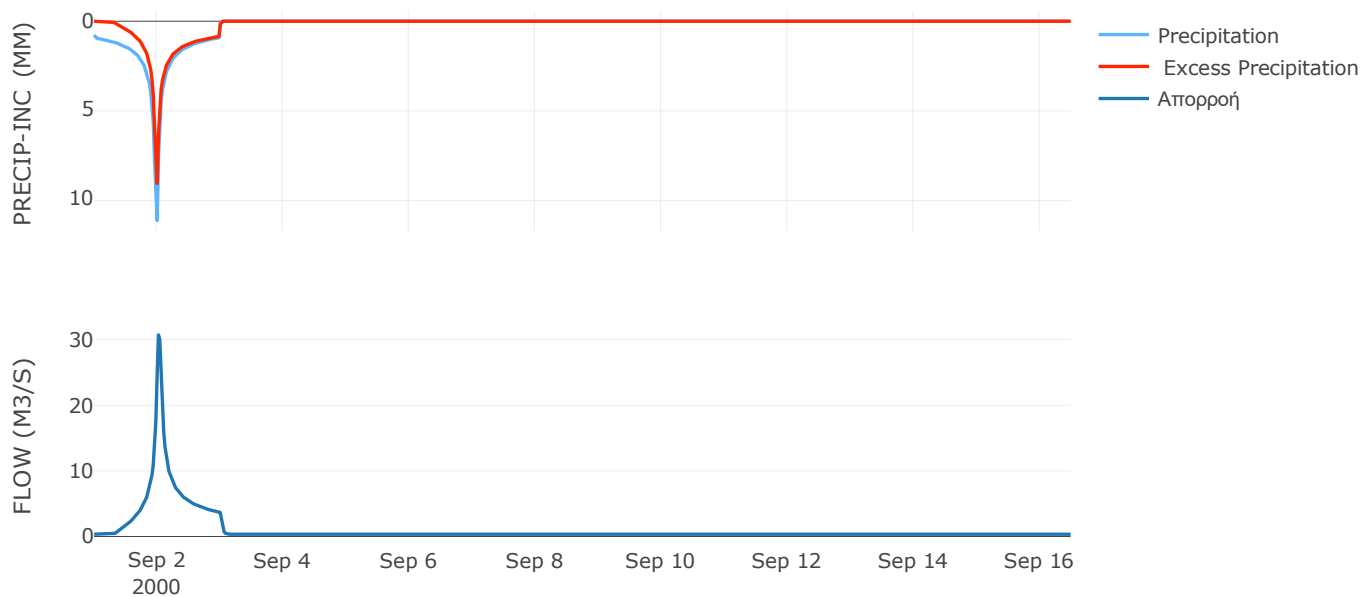
Μέθοδος
Μετασχηματισμού: SCS

Χρόνος Υστέρησης	32.83
------------------	-------

Αποτελέσματα:
EL0415FR6039

Παροχή αιχμής (M3/S)	30.72
Χρονική στιγμή αιχμής	02Sep2000, 00:30
Όγκος (MM)	200.15
Όγκος βροχόπτωσης (M3)	1.37E6
Όγκος απωλειών (M3)	4.42E5
Ενεργός Όγκος (M3)	9.23E5
Όγκος άμεσης απορροής (M3)	9.23E5
Όγκος βασικής απορροής (M3)	4.64E5

Βροχόπτωση και Απορροή



Υπολεκάνη: EL0415FR6040

Έκταση (KM2) : 39.05

Κατάντη : J34

Μέθοδος Απωλειών: SCS

Ποσοστό αδιαπέρατης επιφάνειας	0
Αριθμός Καμπύλης Απορροής-CN	62.72
Αρχικές Απώλειες	30.19

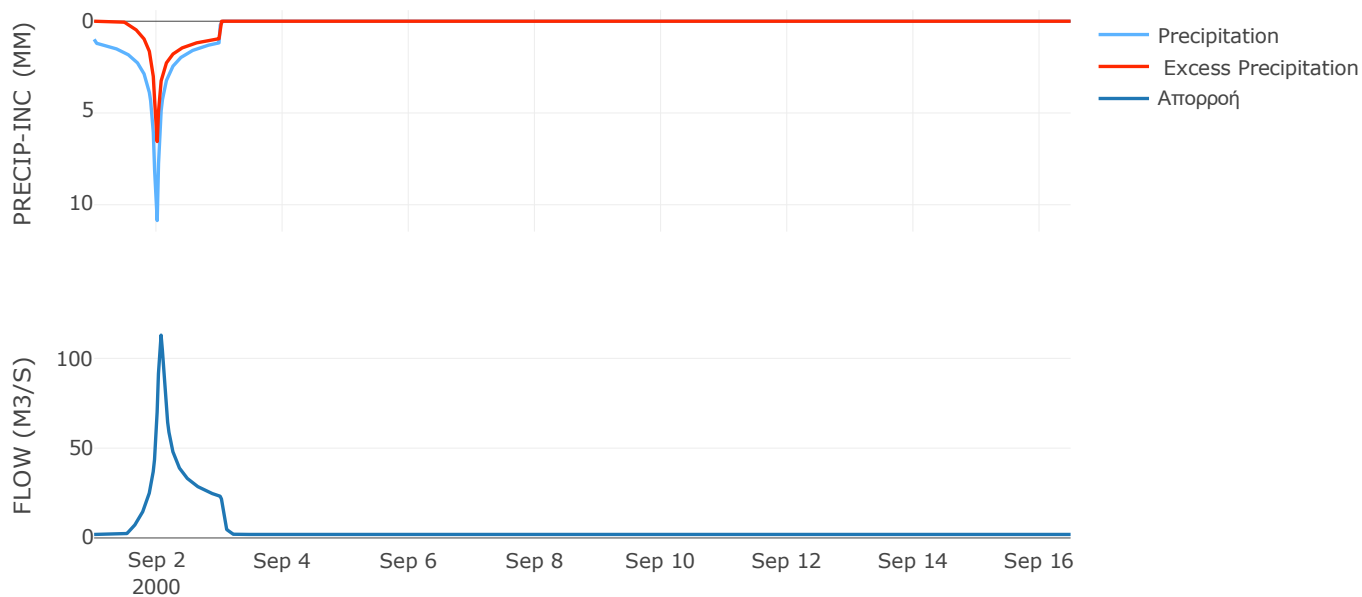
Μέθοδος
Μετασχηματισμού: SCS

Χρόνος Υστέρησης	64.9
------------------	------

Αποτελέσματα:
EL0415FR6040

Παροχή αιχμής (M3/S)	112.94
Χρονική στιγμή αιχμής	02Sep2000, 01:30
Όγκος (MM)	178.37
Όγκος βροχόπτωσης (M3)	8.87E6
Όγκος απωλειών (M3)	4.52E6
Ενεργός Όγκος (M3)	4.35E6
Όγκος άμεσης απορροής (M3)	4.35E6
Όγκος βασικής απορροής (M3)	2.62E6

Βροχόπτωση και Απορροή



Υπολεκάνη: EL0415FR6041

Έκταση (KM2) : 25.72

Κατάντη : J64

Μέθοδος Απωλειών: SCS

Ποσοστό αδιαπέρατης επιφάνειας	0
Αριθμός Καμπύλης Απορροής-CN	59.19
Αρχικές Απώλειες	35.02

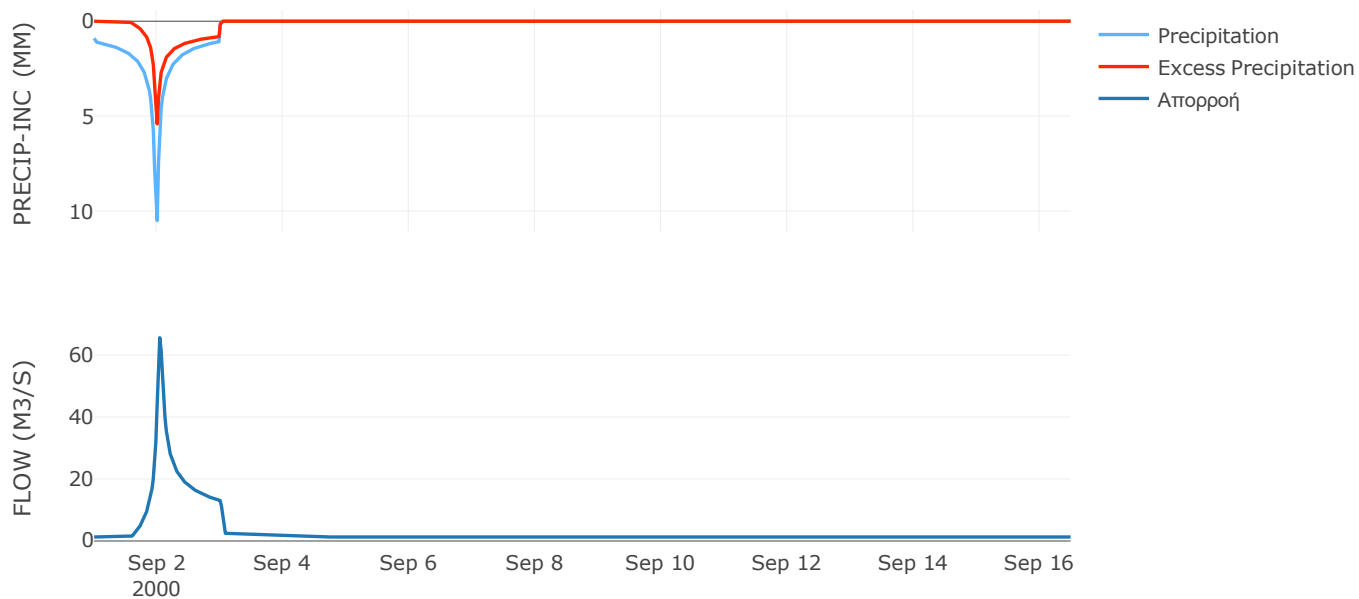
Μέθοδος
Μετασχηματισμού: SCS

Χρόνος Υστέρησης	45.22
------------------	-------

Αποτελέσματα:
EL0415FR6041

Παροχή αιχμής (M3/S)	65.58
Χρονική στιγμή αιχμής	02Sep2000, 01:00
Όγκος (MM)	155.97
Όγκος βροχόπτωσης (M3)	5.45E6
Όγκος απωλειών (M3)	3.17E6
Ενεργός Όγκος (M3)	2.29E6
Όγκος άμεσης απορροής (M3)	2.29E6
Όγκος βασικής απορροής (M3)	1.72E6

Βροχόπτωση και Απορροή



Υπολεκάνη: EL0415FR6042

Έκταση (KM2) : 44.43

Κατάντη : J28

Μέθοδος Απωλειών: SCS

Ποσοστό αδιαπέρατης επιφάνειας	0
Αριθμός Καμπύλης Απορροής-CN	66.59
Αρχικές Απώλειες	25.48

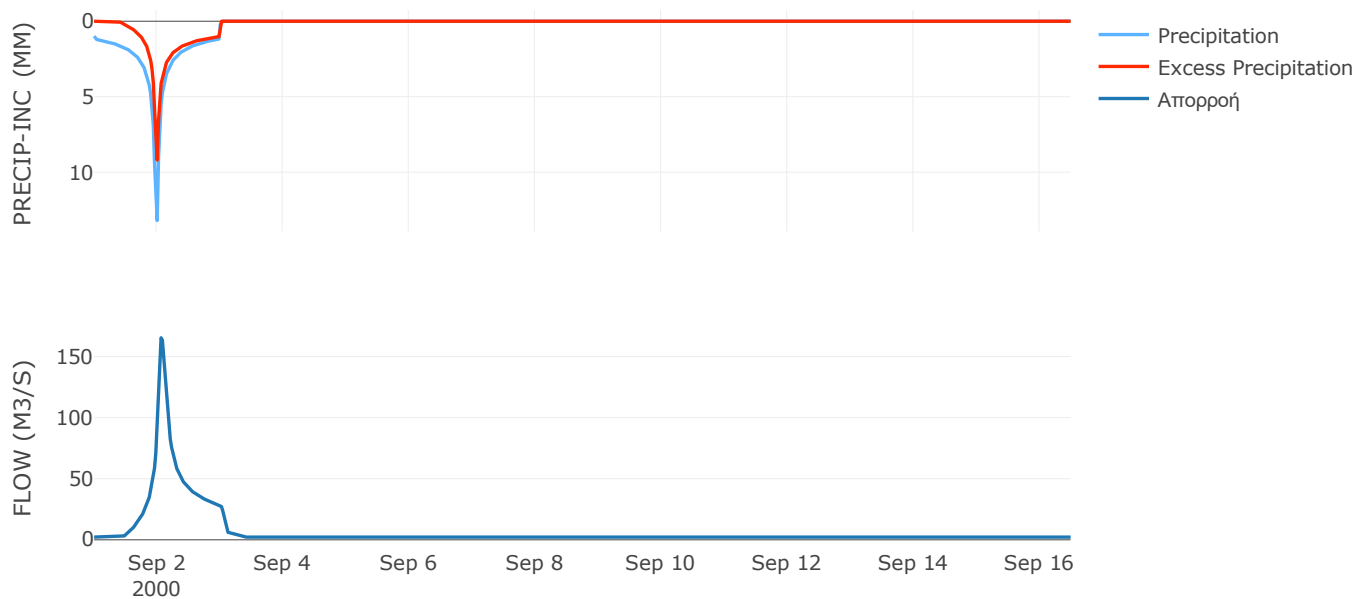
Μέθοδος
Μετασχηματισμού: SCS

Χρόνος Υστέρησης	84.96
------------------	-------

Αποτελέσματα:
EL0415FR6042

Παροχή αιχμής (M3/S)	165.33
Χρονική στιγμή αιχμής	02Sep2000, 01:30
Όγκος (MM)	205.83
Όγκος βροχόπτωσης (M3)	1.09E7
Όγκος απωλειών (M3)	4.71E6
Ενεργός Όγκος (M3)	6.17E6
Όγκος άμεσης απορροής (M3)	6.17E6
Όγκος βασικής απορροής (M3)	2.98E6

Βροχόπτωση και Απορροή



Υπολεκάνη: EL0415FR6043

Έκταση (KM2) : 50.16

Κατάντη : J37

Μέθοδος Απωλειών: SCS

Ποσοστό αδιαπέρατης επιφάνειας	0
Αριθμός Καμπύλης Απορροής-CN	59.02
Αρχικές Απώλειες	35.27

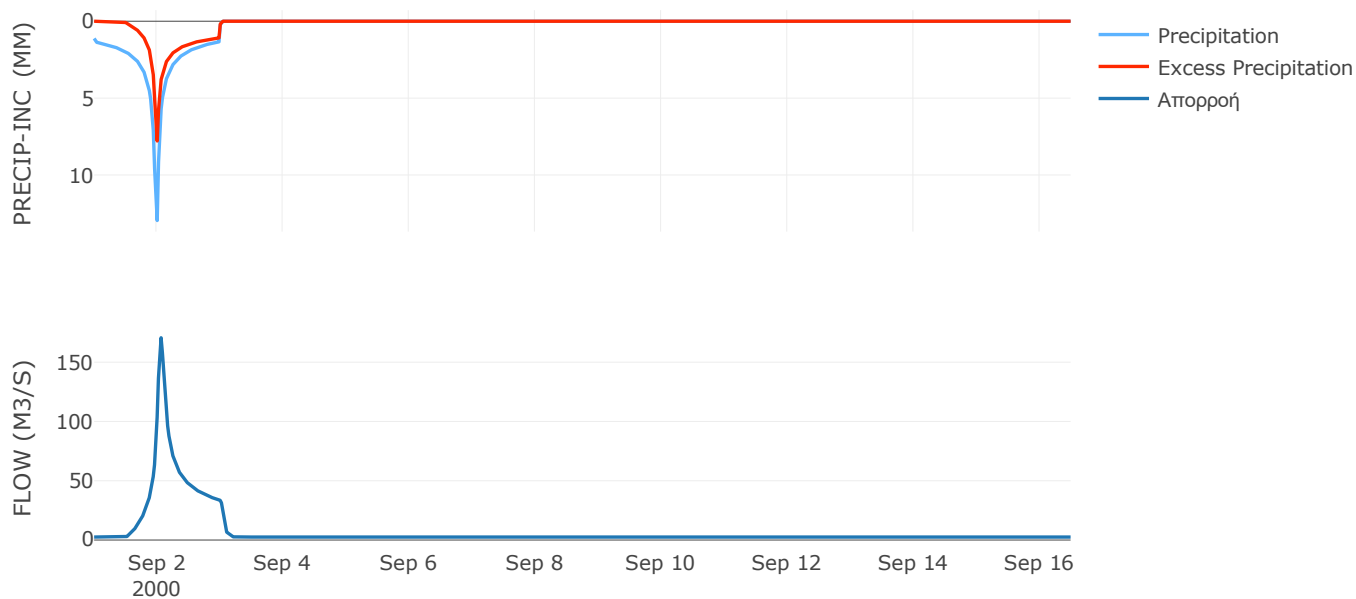
Μέθοδος
Μετασχηματισμού: SCS

Χρόνος Υστέρησης	65.84
------------------	-------

Αποτελέσματα:
EL0415FR6043

Παροχή αιχμής (M3/S)	170.64
Χρονική στιγμή αιχμής	02Sep2000, 01:30
Όγκος (MM)	195.14
Όγκος βροχόπτωσης (M3)	1.32E7
Όγκος απωλειών (M3)	6.75E6
Ενεργός Όγκος (M3)	6.43E6
Όγκος άμεσης απορροής (M3)	6.43E6
Όγκος βασικής απορροής (M3)	3.36E6

Βροχόπτωση και Απορροή



Υπολεκάνη: EL0415FR6044

Έκταση (KM2) : 32.29

Κατάντη : J44

Μέθοδος Απωλειών: SCS

Ποσοστό αδιαπέρατης επιφάνειας	0
Αριθμός Καμπύλης Απορροής-CN	61.48
Αρχικές Απώλειες	31.83

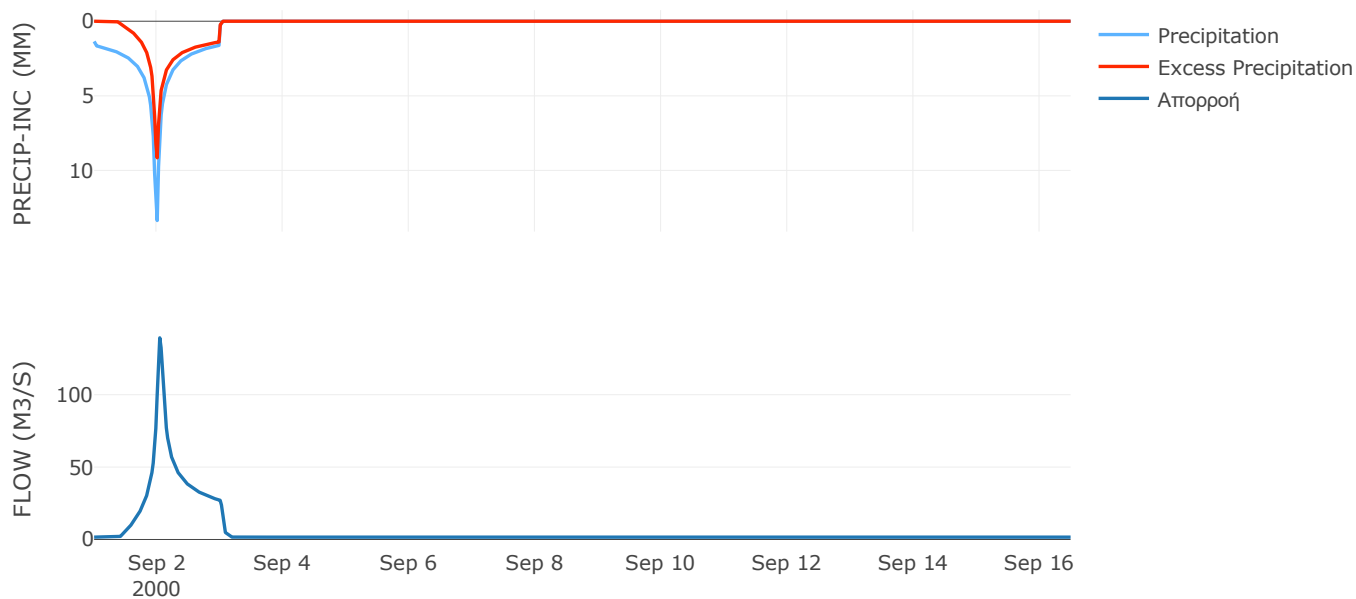
Μέθοδος
Μετασχηματισμού: SCS

Χρόνος Υστέρησης	49.24
------------------	-------

Αποτελέσματα:
EL0415FR6044

Παροχή αιχμής (M3/S)	139.28
Χρονική στιγμή αιχμής	02Sep2000, 01:00
Όγκος (MM)	234.67
Όγκος βροχόπτωσης (M3)	9.67E6
Όγκος απωλειών (M3)	4.25E6
Ενεργός Όγκος (M3)	5.42E6
Όγκος άμεσης απορροής (M3)	5.42E6
Όγκος βασικής απορροής (M3)	2.16E6

Βροχόπτωση και Απορροή



Υπολεκάνη: EL0415FR6045

Έκταση (KM2) : 39.32

Κατάντη : J24

Μέθοδος Απωλειών: SCS

Ποσοστό αδιαπέρατης επιφάνειας	0
Αριθμός Καμπύλης Απορροής-CN	80.27
Αρχικές Απώλειες	12.49

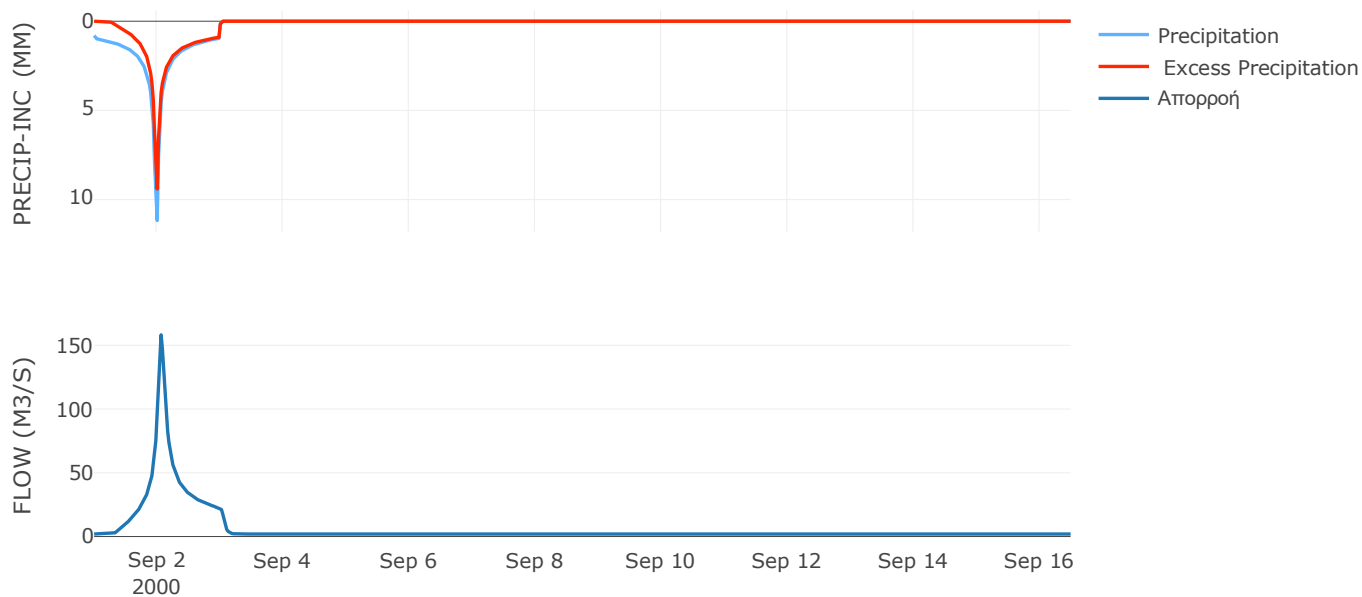
Μέθοδος
Μετασχηματισμού: SCS

Χρόνος Υστέρησης	74.46
------------------	-------

Αποτελέσματα:
EL0415FR6045

Παροχή αιχμής (M3/S)	158.18
Χρονική στιγμή αιχμής	02Sep2000, 01:30
Όγκος (MM)	209.9
Όγκος βροχόπτωσης (M3)	7.96E6
Όγκος απωλειών (M3)	2.34E6
Ενεργός Όγκος (M3)	5.62E6
Όγκος άμεσης απορροής (M3)	5.62E6
Όγκος βασικής απορροής (M3)	2.63E6

Βροχόπτωση και Απορροή



Υπολεκάνη: EL0415FR6046

Έκταση (KM2) : 33.73

Κατάντη : J23

Μέθοδος Απωλειών: SCS

Ποσοστό αδιαπέρατης επιφάνειας	0
Αριθμός Καμπύλης Απορροής-CN	54.47
Αρχικές Απώλειες	42.47

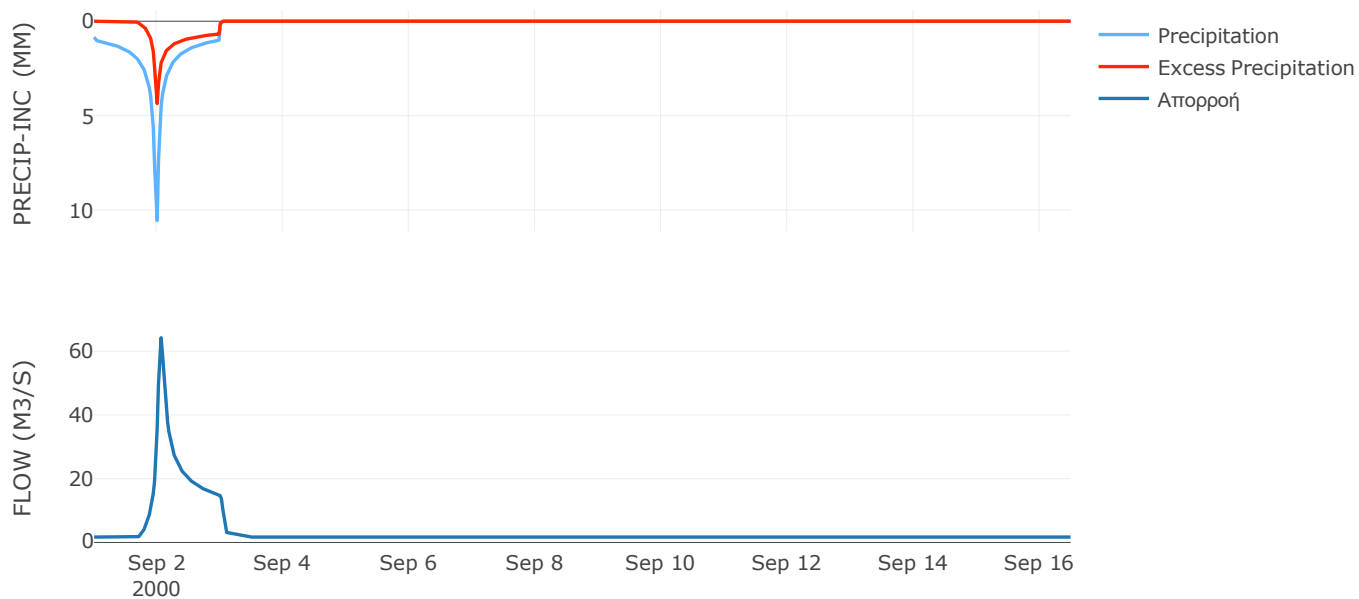
Μέθοδος
Μετασχηματισμού: SCS

Χρόνος Υστέρησης	61.39
------------------	-------

Αποτελέσματα:
EL0415FR6046

Παροχή αιχμής (M3/S)	64.19
Χρονική στιγμή αιχμής	02Sep2000, 01:30
Όγκος (MM)	136.41
Όγκος βροχόπτωσης (M3)	6.86E6
Όγκος απωλειών (M3)	4.52E6
Ενεργός Όγκος (M3)	2.34E6
Όγκος άμεσης απορροής (M3)	2.34E6
Όγκος βασικής απορροής (M3)	2.26E6

Βροχόπτωση και Απορροή



Υπολεκάνη: EL0415FR6047

Έκταση (KM2) : 33.12

Κατάντη : J38

Μέθοδος Απωλειών: SCS

Ποσοστό αδιαπέρατης επιφάνειας	0
Αριθμός Καμπύλης Απορροής-CN	63.03
Αρχικές Απώλειες	29.79

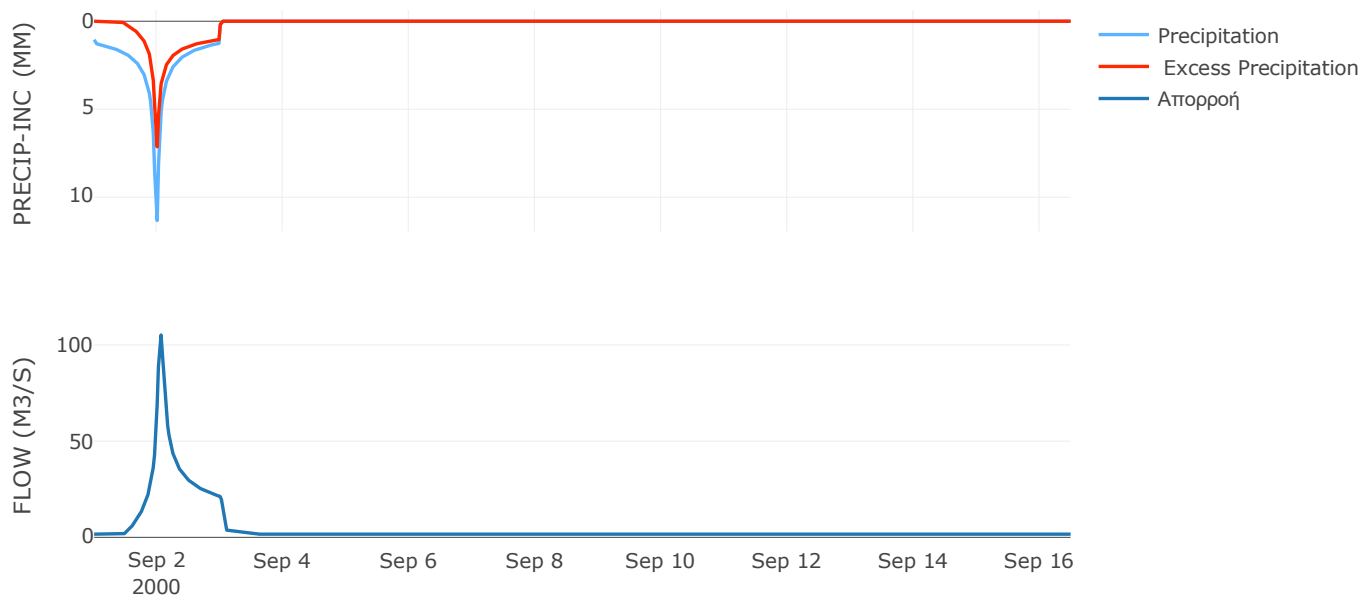
Μέθοδος
Μετασχηματισμού: SCS

Χρόνος Υστέρησης	60.54
------------------	-------

Αποτελέσματα:
EL0415FR6047

Παροχή αιχμής (M3/S)	105.18
Χρονική στιγμή αιχμής	02Sep2000, 01:30
Όγκος (MM)	190.04
Όγκος βροχόπτωσης (M3)	7.95E6
Όγκος απωλειών (M3)	3.87E6
Ενεργός Όγκος (M3)	4.08E6
Όγκος άμεσης απορροής (M3)	4.08E6
Όγκος βασικής απορροής (M3)	2.22E6

Βροχόπτωση και Απορροή



Υπολεκάνη: EL0415FR6048

Έκταση (KM2) : 29.32

Κατάντη : J35

Μέθοδος Απωλειών: SCS

Ποσοστό αδιαπέρατης επιφάνειας	0
Αριθμός Καμπύλης Απορροής-CN	65.35
Αρχικές Απώλειες	26.94

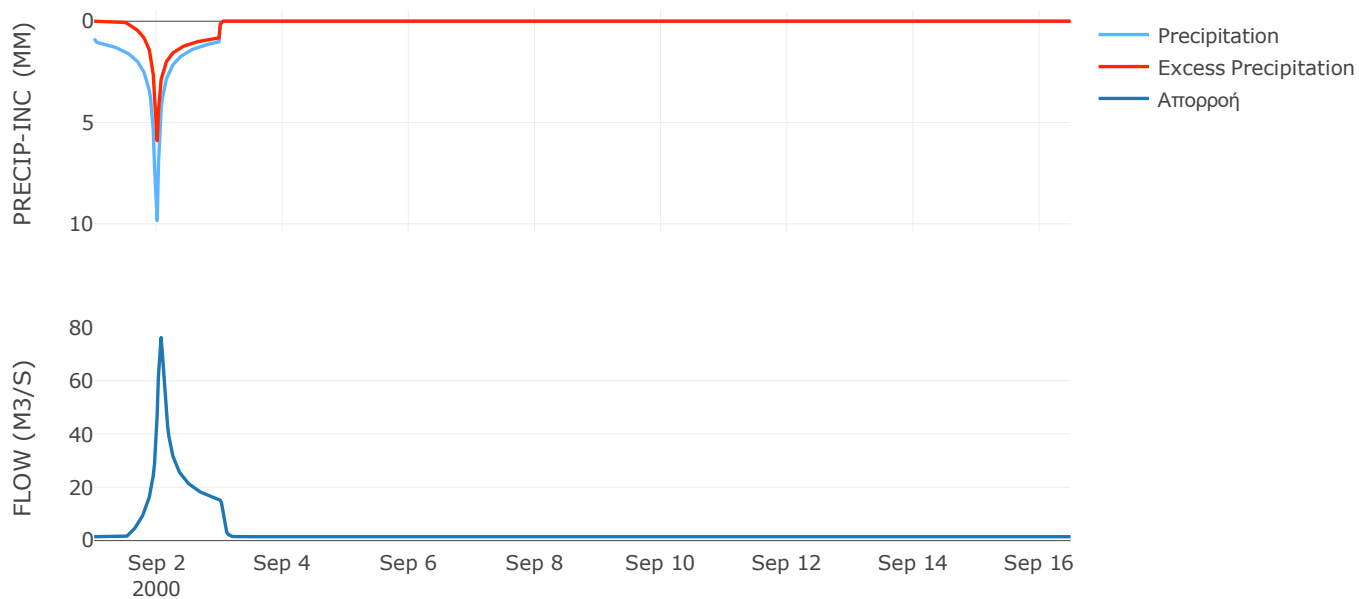
Μέθοδος
Μετασχηματισμού: SCS

Χρόνος Υστέρησης	64.1
------------------	------

Αποτελέσματα:
EL0415FR6048

Παροχή αιχμής (M3/S)	76.18
Χρονική στιγμή αιχμής	02Sep2000, 01:30
Όγκος (MM)	164.28
Όγκος βροχόπτωσης (M3)	5.86E6
Όγκος απωλειών (M3)	3.01E6
Ενεργός Όγκος (M3)	2.85E6
Όγκος άμεσης απορροής (M3)	2.85E6
Όγκος βασικής απορροής (M3)	1.96E6

Βροχόπτωση και Απορροή



Υπολεκάνη: EL0415FR6049

Έκταση (KM2) : 52.23

Κατάντη : J49

Μέθοδος Απωλειών: SCS

Ποσοστό αδιαπέρατης επιφάνειας	0
Αριθμός Καμπύλης Απορροής-CN	65.85
Αρχικές Απώλειες	26.35

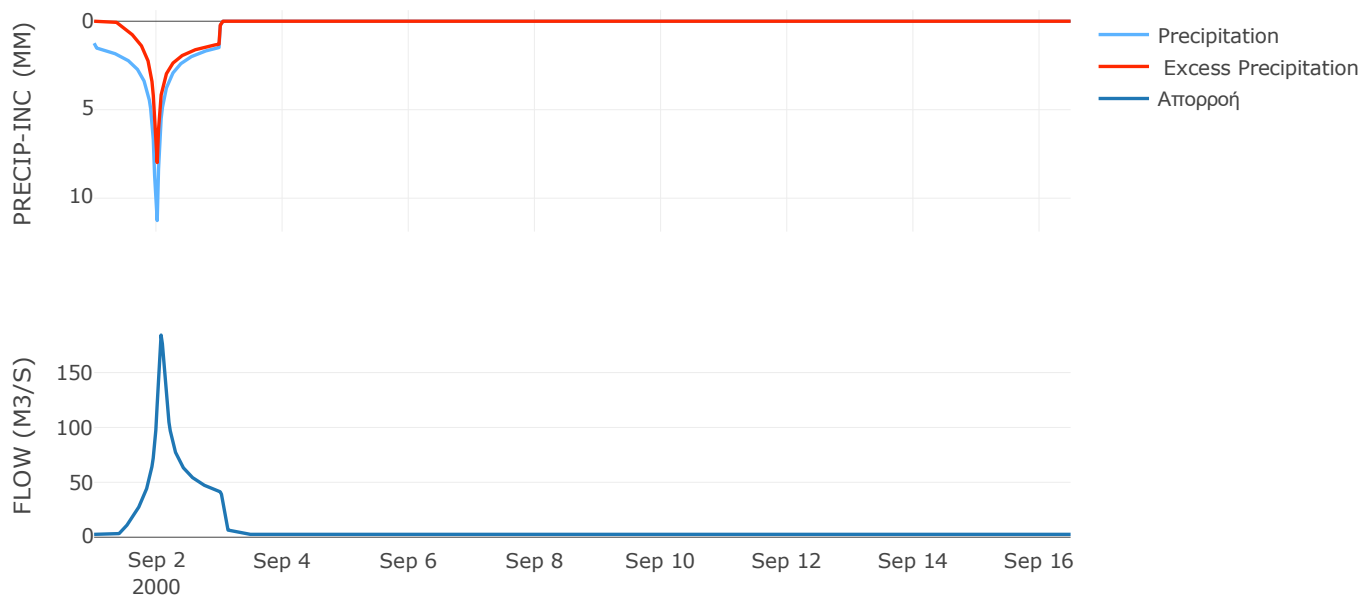
Μέθοδος
Μετασχηματισμού: SCS

Χρόνος Υστέρησης	73.38
------------------	-------

Αποτελέσματα:
EL0415FR6049

Παροχή αιχμής (M3/S)	184.17
Χρονική στιγμή αιχμής	02Sep2000, 01:30
Όγκος (MM)	222.11
Όγκος βροχόπτωσης (M3)	1.39E7
Όγκος απωλειών (M3)	5.82E6
Ενεργός Όγκος (M3)	8.1E6
Όγκος άμεσης απορροής (M3)	8.1E6
Όγκος βασικής απορροής (M3)	3.5E6

Βροχόπτωση και Απορροή



Υπολεκάνη: EL0415FR6050

Έκταση (KM2) : 51.03

Κατάντη : J51

Μέθοδος Απωλειών: SCS

Ποσοστό αδιαπέρατης επιφάνειας	0
Αριθμός Καμπύλης Απορροής-CN	62.73
Αρχικές Απώλειες	30.19

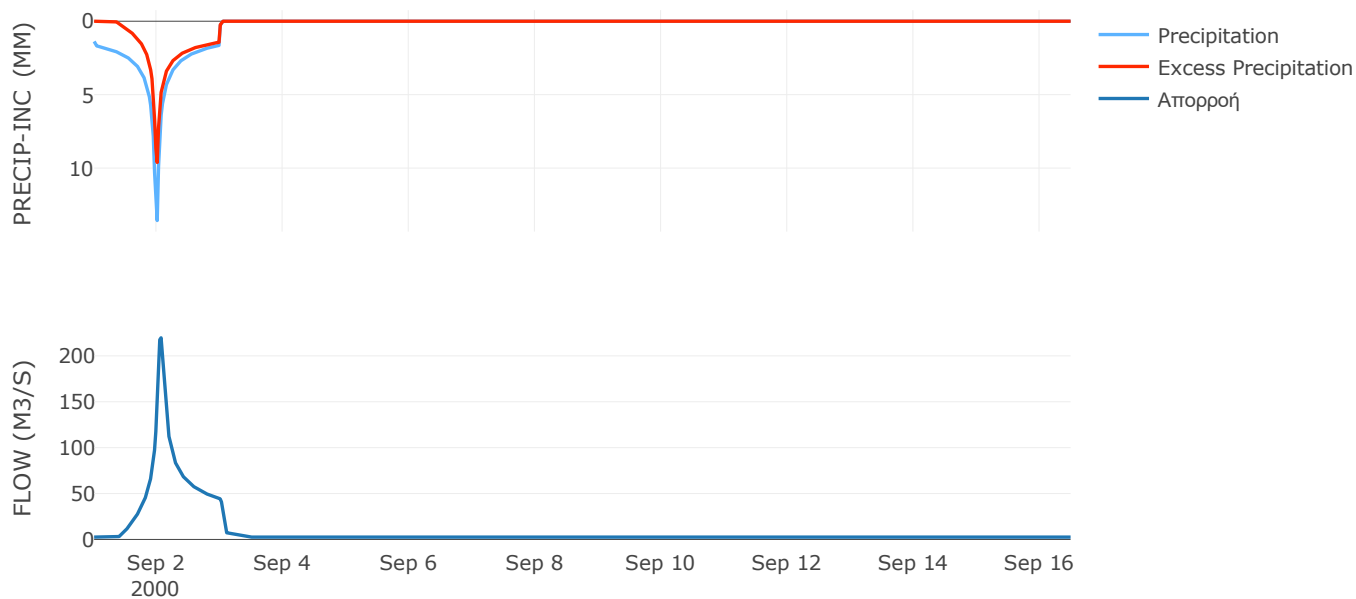
Μέθοδος
Μετασχηματισμού: SCS

Χρόνος Υστέρησης	61.92
------------------	-------

Αποτελέσματα:
EL0415FR6050

Παροχή αιχμής (M3/S)	219.68
Χρονική στιγμή αιχμής	02Sep2000, 01:30
Όγκος (MM)	243.54
Όγκος βροχόπτωσης (M3)	1.55E7
Όγκος απωλειών (M3)	6.51E6
Ενεργός Όγκος (M3)	9.01E6
Όγκος άμεσης απορροής (M3)	9.01E6
Όγκος βασικής απορροής (M3)	3.42E6

Βροχόπτωση και Απορροή



Υπολεκάνη: EL0415FR6051

Έκταση (KM2) : 113.82

Κατάντη : J56

Μέθοδος Απωλειών: SCS

Ποσοστό αδιαπέρατης επιφάνειας	0
Αριθμός Καμπύλης Απορροής-CN	79.1
Αρχικές Απώλειες	13.42

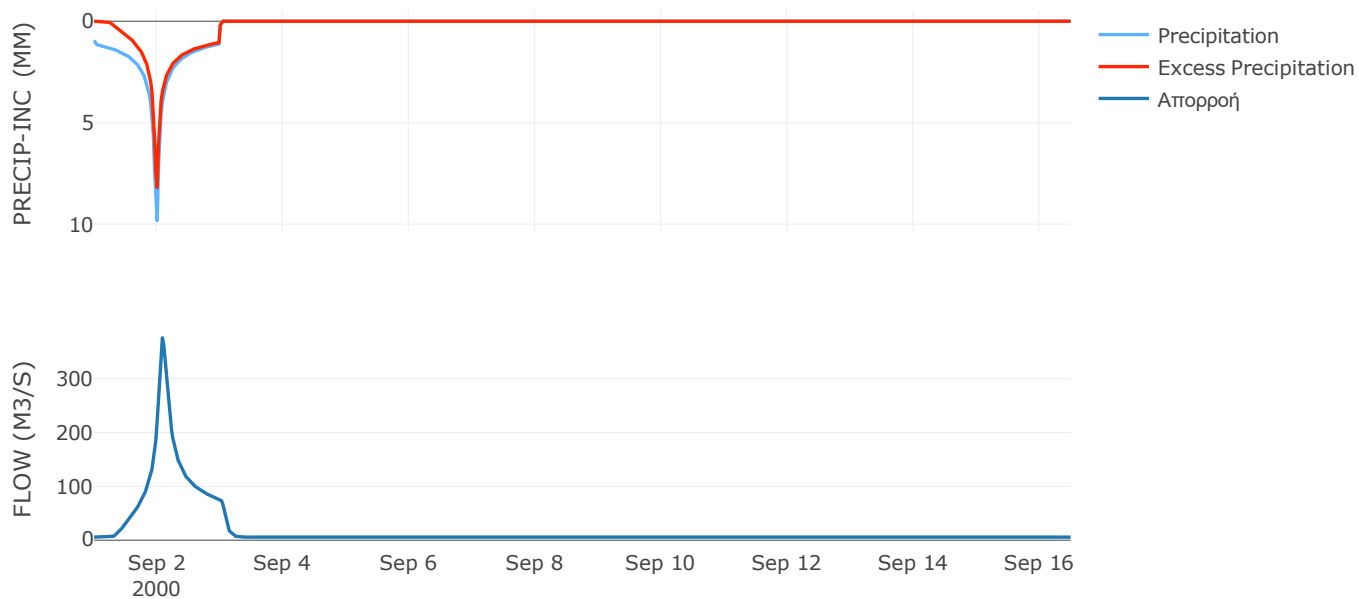
Μέθοδος
Μετασχηματισμού: SCS

Χρόνος Υστέρησης	104.61
------------------	--------

Αποτελέσματα:
EL0415FR6051

Παροχή αιχμής (M3/S)	375.86
Χρονική στιγμή αιχμής	02Sep2000, 02:00
Όγκος (MM)	215.85
Όγκος βροχόπτωσης (M3)	2.42E7
Όγκος απωλειών (M3)	7.24E6
Ενεργός Όγκος (M3)	1.69E7
Όγκος άμεσης απορροής (M3)	1.69E7
Όγκος βασικής απορροής (M3)	7.62E6

Βροχόπτωση και Απορροή



Υπολεκάνη: EL0415FR6052

Έκταση (KM2) : 27.12

Κατάντη : J4

Μέθοδος Απωλειών: SCS

Ποσοστό αδιαπέρατης επιφάνειας	0
Αριθμός Καμπύλης Απορροής-CN	66.78
Αρχικές Απώλειες	25.27

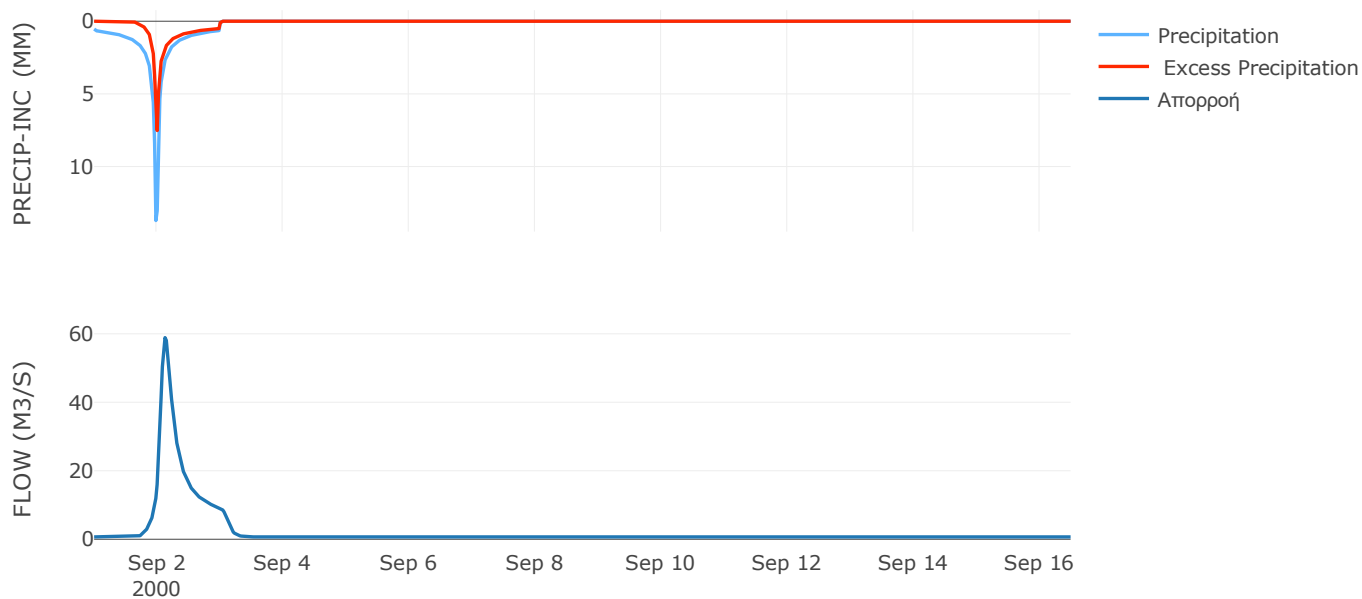
Μέθοδος
Μετασχηματισμού: SCS

Χρόνος Υστέρησης	157.23
------------------	--------

Αποτελέσματα:
EL0415FR6052

Παροχή αιχμής (M3/S)	58.88
Χρονική στιγμή αιχμής	02Sep2000, 03:00
Όγκος (MM)	112.09
Όγκος βροχόπτωσης (M3)	4.66E6
Όγκος απωλειών (M3)	2.52E6
Ενεργός Όγκος (M3)	2.13E6
Όγκος άμεσης απορροής (M3)	2.13E6
Όγκος βασικής απορροής (M3)	9.08E5

Βροχόπτωση και Απορροή



Υπολεκάνη: EL0415FR6053

Έκταση (KM2) : 64.07

Κατάντη : J55

Μέθοδος Απωλειών: SCS

Ποσοστό αδιαπέρατης επιφάνειας	0
Αριθμός Καμπύλης Απορροής-CN	64.15
Αρχικές Απώλειες	28.39

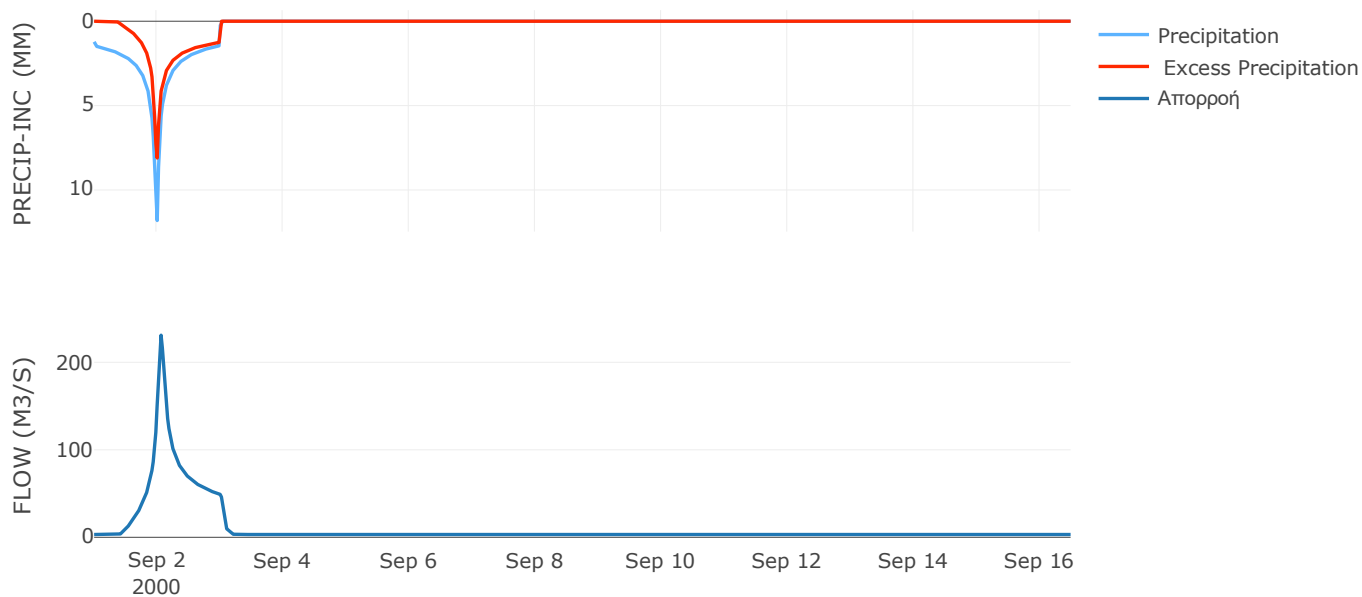
Μέθοδος
Μετασχηματισμού: SCS

Χρόνος Υστέρησης	67.59
------------------	-------

Αποτελέσματα:
EL0415FR6053

Παροχή αιχμής (M3/S)	230.97
Χρονική στιγμή αιχμής	02Sep2000, 01:30
Όγκος (MM)	217.34
Όγκος βροχόπτωσης (M3)	1.72E7
Όγκος απωλειών (M3)	7.53E6
Ενεργός Όγκος (M3)	9.63E6
Όγκος άμεσης απορροής (M3)	9.63E6
Όγκος βασικής απορροής (M3)	4.29E6

Βροχόπτωση και Απορροή



Υπολεκάνη: EL0415FR6054

Έκταση (KM2) : 14.21

Κατάντη : J54

Μέθοδος Απωλειών: SCS

Ποσοστό αδιαπέρατης επιφάνειας	6
Αριθμός Καμπύλης Απορροής-CN	70.78
Αρχικές Απώλειες	20.98

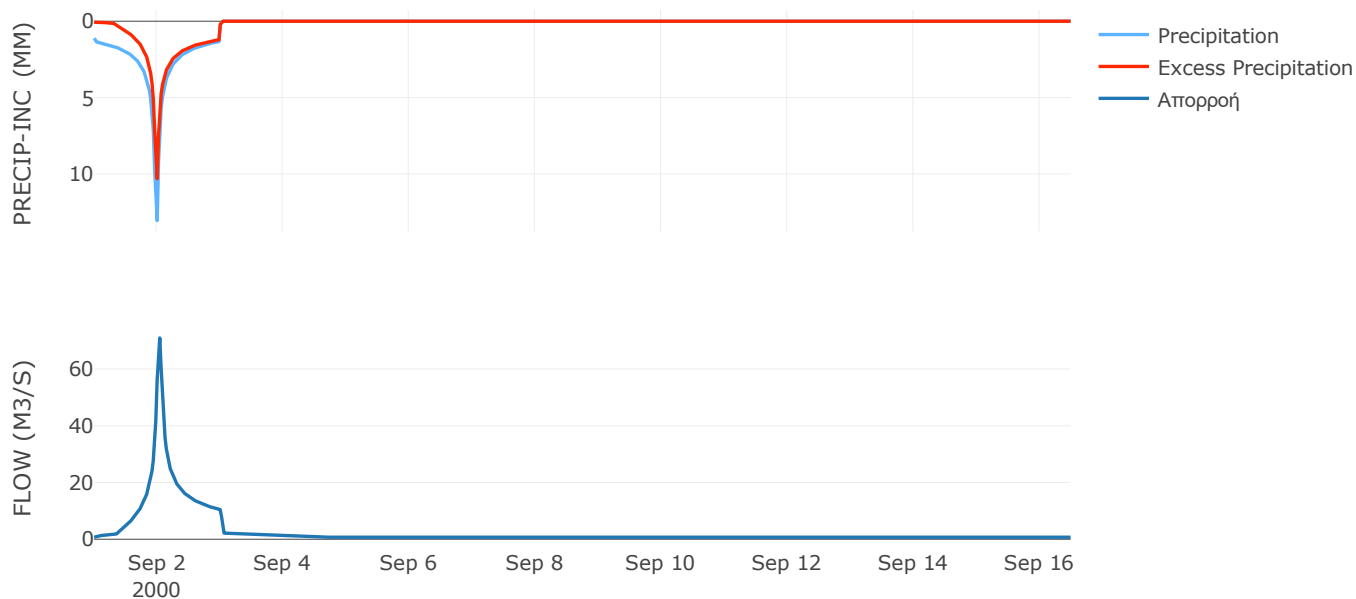
Μέθοδος
Μετασχηματισμού: SCS

Χρόνος Υστέρησης	36.53
------------------	-------

Αποτελέσματα:
EL0415FR6054

Παροχή αιχμής (M3/S)	70.94
Χρονική στιγμή αιχμής	02Sep2000, 01:00
Όγκος (MM)	241.1
Όγκος βροχόπτωσης (M3)	3.73E6
Όγκος απωλειών (M3)	1.26E6
Ενεργός Όγκος (M3)	2.48E6
Όγκος άμεσης απορροής (M3)	2.48E6
Όγκος βασικής απορροής (M3)	9.52E5

Βροχόπτωση και Απορροή



Υπολεκάνη: EL0415FR6055

Έκταση (KM2) : 46.67

Κατάντη : J55

Μέθοδος Απωλειών: SCS

Ποσοστό αδιαπέρατης επιφάνειας	0
Αριθμός Καμπύλης Απορροής-CN	59.03
Αρχικές Απώλειες	35.26

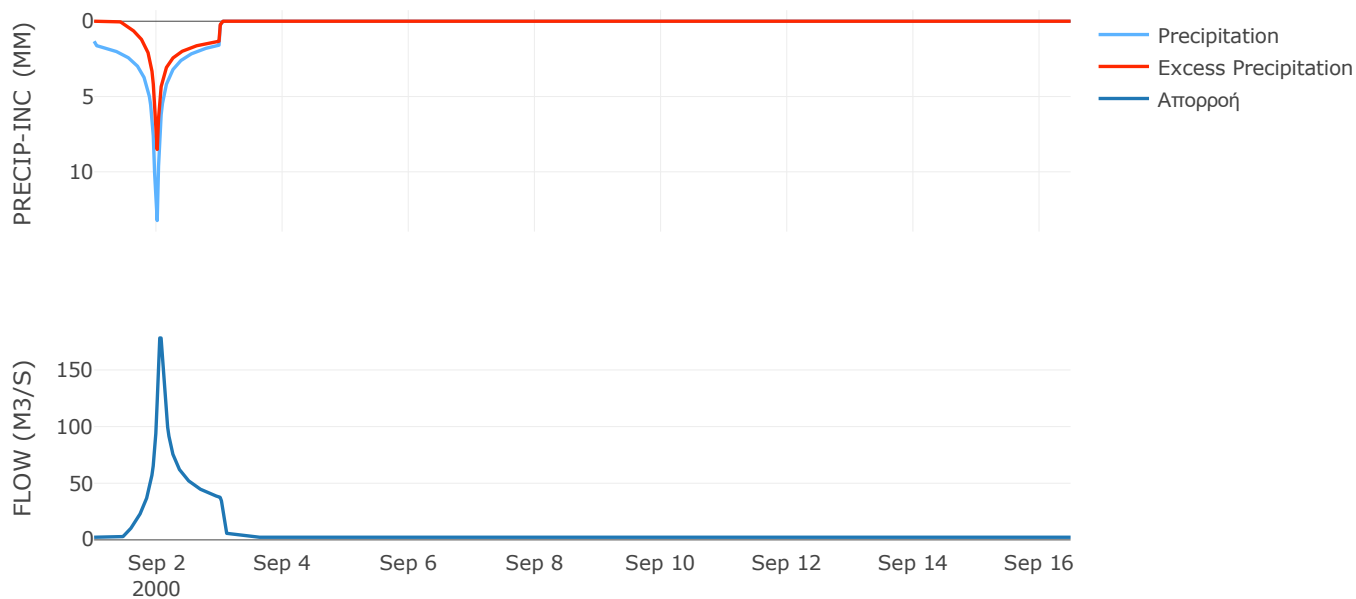
Μέθοδος
Μετασχηματισμού: SCS

Χρόνος Υστέρησης	58.5
------------------	------

Αποτελέσματα:
EL0415FR6055

Παροχή αιχμής (M3/S)	178.24
Χρονική στιγμή αιχμής	02Sep2000, 01:00
Όγκος (MM)	221.72
Όγκος βροχόπτωσης (M3)	1.38E7
Όγκος απωλειών (M3)	6.55E6
Ενεργός Όγκος (M3)	7.22E6
Όγκος άμεσης απορροής (M3)	7.22E6
Όγκος βασικής απορροής (M3)	3.13E6

Βροχόπτωση και Απορροή



Υπολεκάνη: EL0415FR6056

Έκταση (KM2) : 143.97

Κατάντη : J54

Μέθοδος Απωλειών: SCS

Ποσοστό αδιαπέρατης επιφάνειας	0
Αριθμός Καμπύλης Απορροής-CN	67.72
Αρχικές Απώλειες	24.21

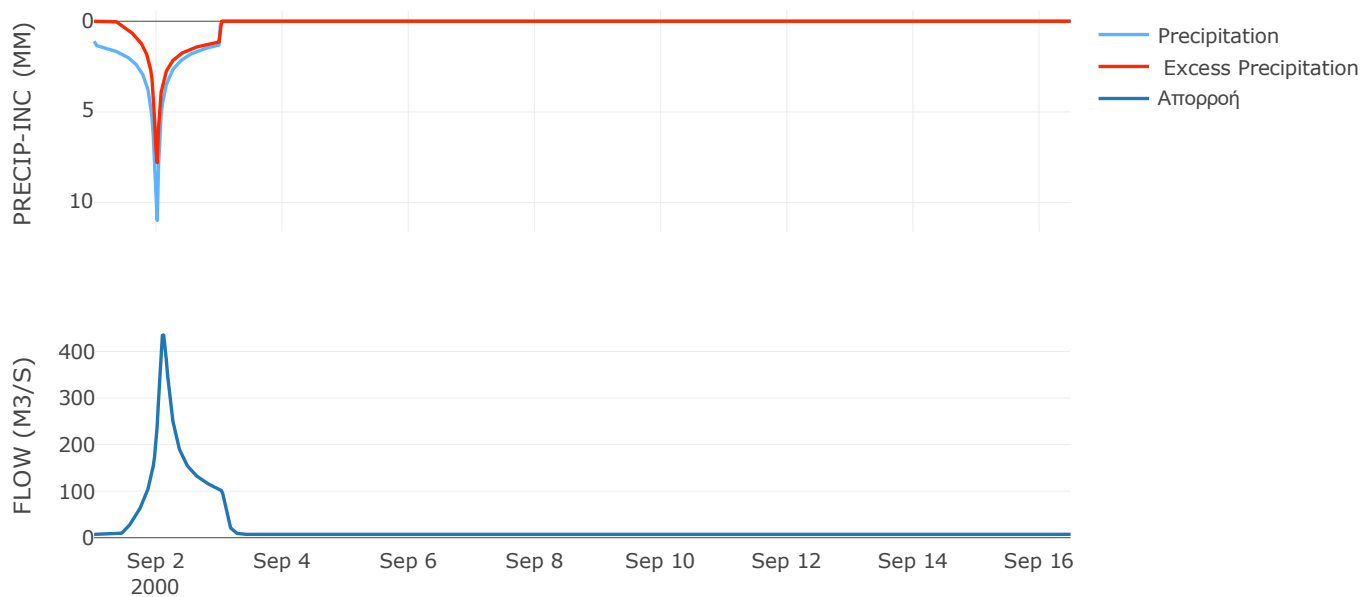
Μέθοδος
Μετασχηματισμού: SCS

Χρόνος Υστέρησης	114.48
------------------	--------

Αποτελέσματα:
EL0415FR6056

Παροχή αιχμής (M3/S)	435.38
Χρονική στιγμή αιχμής	02Sep2000, 02:30
Όγκος (MM)	209.17
Όγκος βροχόπτωσης (M3)	3.52E7
Όγκος απωλειών (M3)	1.47E7
Ενεργός Όγκος (M3)	2.05E7
Όγκος άμεσης απορροής (M3)	2.05E7
Όγκος βασικής απορροής (M3)	9.64E6

Βροχόπτωση και Απορροή



Υπολεκάνη: EL0415FR6057

Έκταση (KM2) : 27.51

Κατάντη : J57

Μέθοδος Απωλειών: SCS

Ποσοστό αδιαπέρατης επιφάνειας	13
Αριθμός Καμπύλης Απορροής-CN	68.48
Αρχικές Απώλειες	23.38

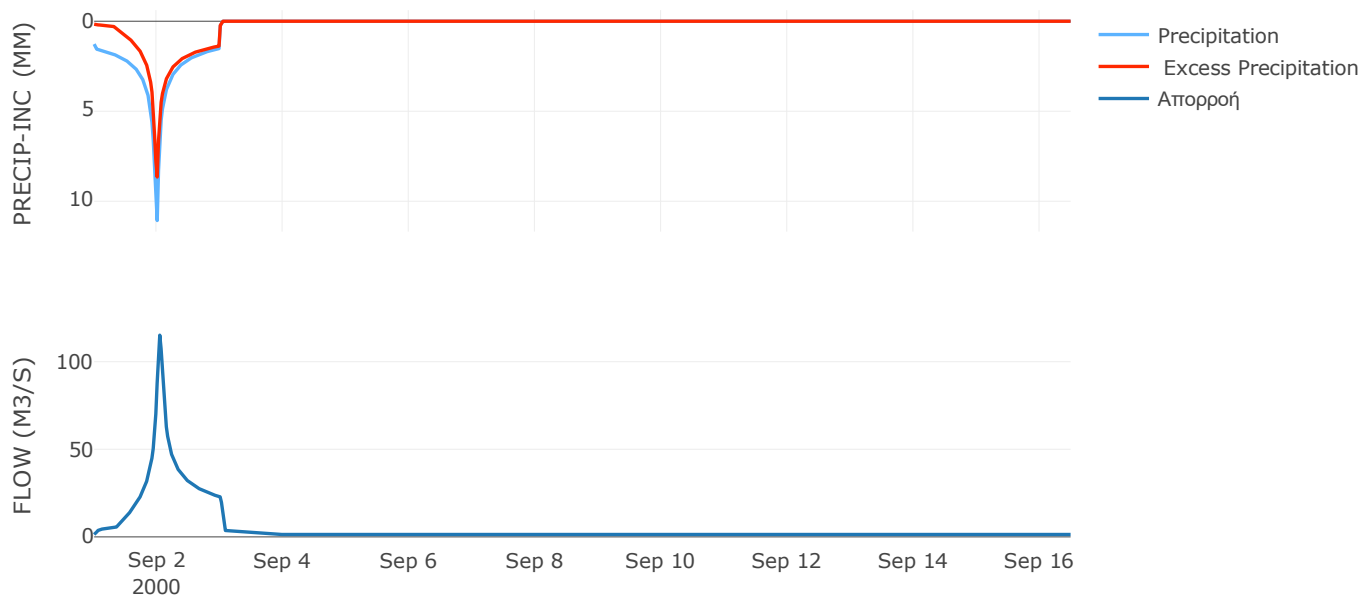
Μέθοδος
Μετασχηματισμού: SCS

Χρόνος Υστέρησης	46.01
------------------	-------

Αποτελέσματα:
EL0415FR6057

Παροχή αιχμής (M3/S)	115.14
Χρονική στιγμή αιχμής	02Sep2000, 01:00
Όγκος (MM)	246.5
Όγκος βροχόπτωσης (M3)	7.39E6
Όγκος απωλειών (M3)	2.45E6
Ενεργός Όγκος (M3)	4.94E6
Όγκος άμεσης απορροής (M3)	4.94E6
Όγκος βασικής απορροής (M3)	1.84E6

Βροχόπτωση και Απορροή



Υπολεκάνη: EL0415FR6058

Έκταση (KM2) : 10.79

Κατάνη : J53 Res5

Μέθοδος Απωλειών: SCS

Ποσοστό αδιαπέρατης επιφάνειας	16
Αριθμός Καμπύλης Απορροής-CN	74.11
Αρχικές Απώλειες	17.75

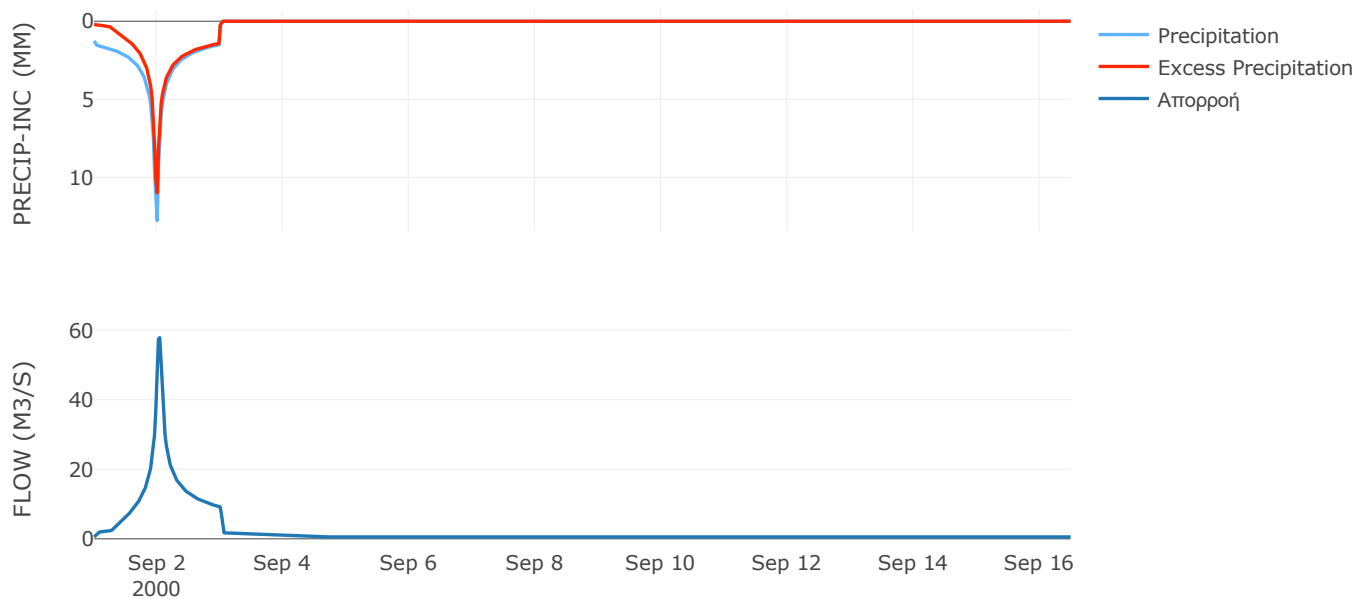
Μέθοδος
Μετασχηματισμού: SCS

Χρόνος Υστέρησης	35.26
------------------	-------

Αποτελέσματα:
EL0415FR6058

Παροχή αιχμής (M3/S)	57.82
Χρονική στιγμή αιχμής	02Sep2000, 01:00
Όγκος (MM)	277.42
Όγκος βροχόπτωσης (M3)	3.03E6
Όγκος απωλειών (M3)	7.62E5
Ενεργός Όγκος (M3)	2.27E6
Όγκος άμεσης απορροής (M3)	2.27E6
Όγκος βασικής απορροής (M3)	7.22E5

Βροχόπτωση και Απορροή



Υπολεκάνη: EL0415FR6059

Έκταση (KM2) : 57.55

Κατάντη : J51

Μέθοδος Απωλειών: SCS

Ποσοστό αδιαπέρατης επιφάνειας	0
Αριθμός Καμπύλης Απορροής-CN	72.96
Αρχικές Απώλειες	18.83

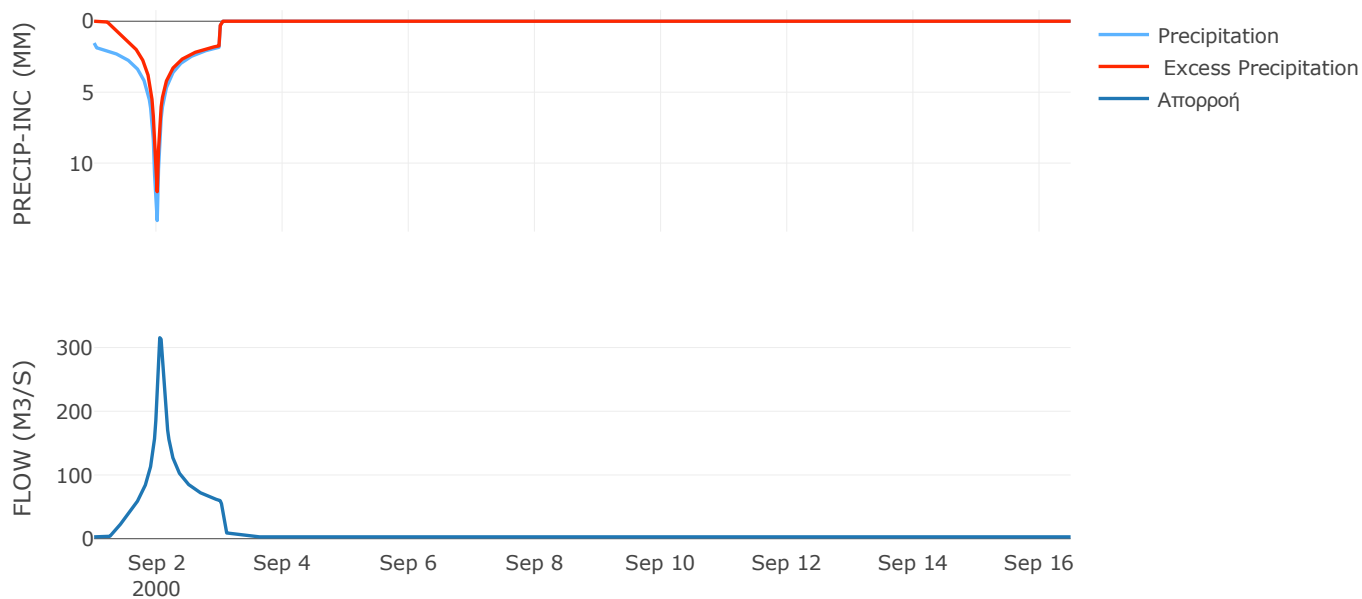
Μέθοδος
Μετασχηματισμού: SCS

Χρόνος Υστέρησης	60.7
------------------	------

Αποτελέσματα:
EL0415FR6059

Παροχή αιχμής (M3/S)	315.44
Χρονική στιγμή αιχμής	02Sep2000, 01:00
Όγκος (MM)	306.29
Όγκος βροχόπτωσης (M3)	1.9E7
Όγκος απωλειών (M3)	5.24E6
Ενεργός Όγκος (M3)	1.38E7
Όγκος άμεσης απορροής (M3)	1.38E7
Όγκος βασικής απορροής (M3)	3.85E6

Βροχόπτωση και Απορροή



Υπολεκάνη: EL0415FR6060

Έκταση (KM2) : 43.14

Κατάντη : J50

Μέθοδος Απωλειών: SCS

Ποσοστό αδιαπέρατης επιφάνειας	0
Αριθμός Καμπύλης Απορροής-CN	74.84
Αρχικές Απώλειες	17.08

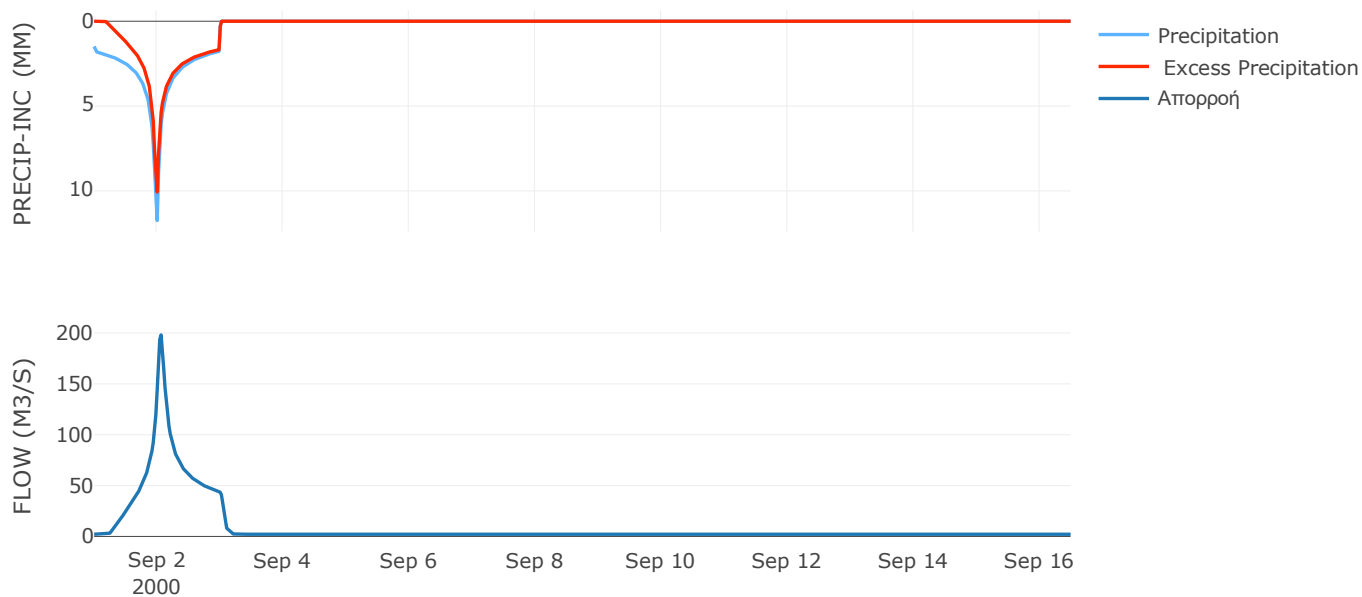
Μέθοδος
Μετασχηματισμού: SCS

Χρόνος Υστέρησης	67.85
------------------	-------

Αποτελέσματα:
EL0415FR6060

Παροχή αιχμής (M3/S)	198.12
Χρονική στιγμή αιχμής	02Sep2000, 01:30
Όγκος (MM)	287.62
Όγκος βροχόπτωσης (M3)	1.31E7
Όγκος απωλειών (M3)	3.57E6
Ενεργός Όγκος (M3)	9.52E6
Όγκος άμεσης απορροής (M3)	9.52E6
Όγκος βασικής απορροής (M3)	2.89E6

Βροχόπτωση και Απορροή



Υπολεκάνη: EL0415FR6061

Έκταση (KM2) : 129.17

Κατάντη : J56

Μέθοδος Απωλειών: SCS

Ποσοστό αδιαπέρατης επιφάνειας	0
Αριθμός Καμπύλης Απορροής-CN	67.58
Αρχικές Απώλειες	24.37

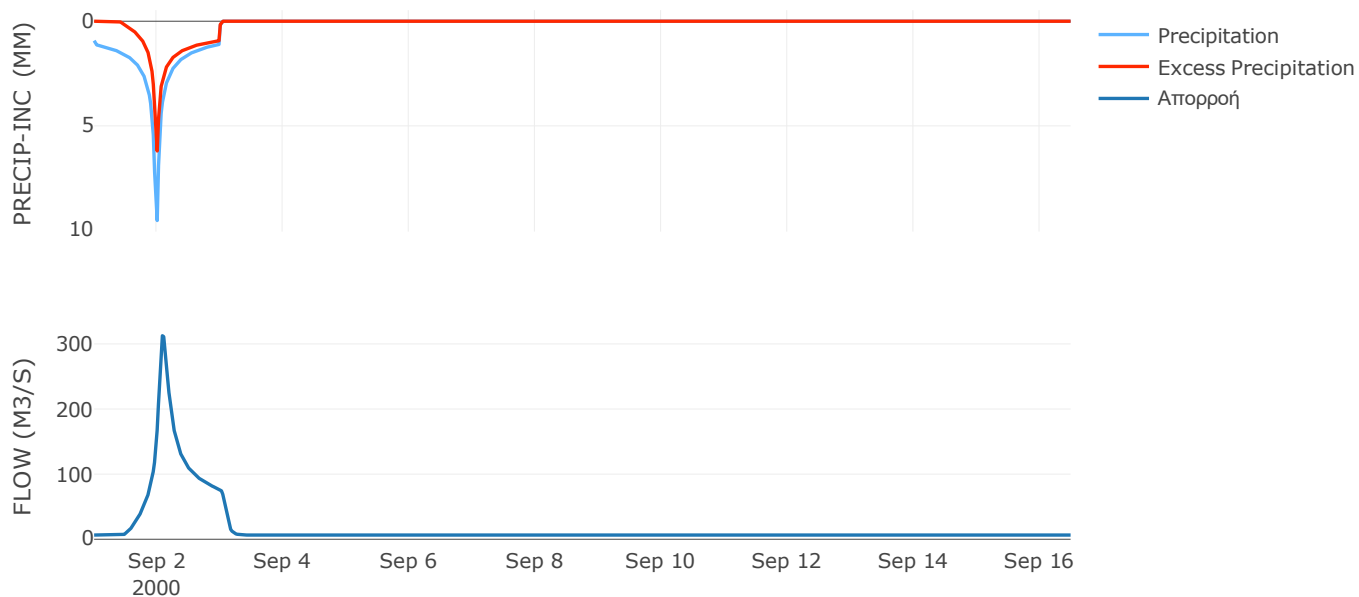
Μέθοδος
Μετασχηματισμού: SCS

Χρόνος Υστέρησης	110.15
------------------	--------

Αποτελέσματα:
EL0415FR6061

Παροχή αιχμής (M3/S)	312.55
Χρονική στιγμή αιχμής	02Sep2000, 02:00
Όγκος (MM)	177.31
Όγκος βροχόπτωσης (M3)	2.69E7
Όγκος απωλειών (M3)	1.26E7
Ενεργός Όγκος (M3)	1.43E7
Όγκος άμεσης απορροής (M3)	1.43E7
Όγκος βασικής απορροής (M3)	8.65E6

Βροχόπτωση και Απορροή



Υπολεκάνη: EL0415FR6062

Έκταση (KM2) : 41.66

Κατάντη : J49

Μέθοδος Απωλειών: SCS

Ποσοστό αδιαπέρατης επιφάνειας	0
Αριθμός Καμπύλης Απορροής-CN	74.55
Αρχικές Απώλειες	17.34

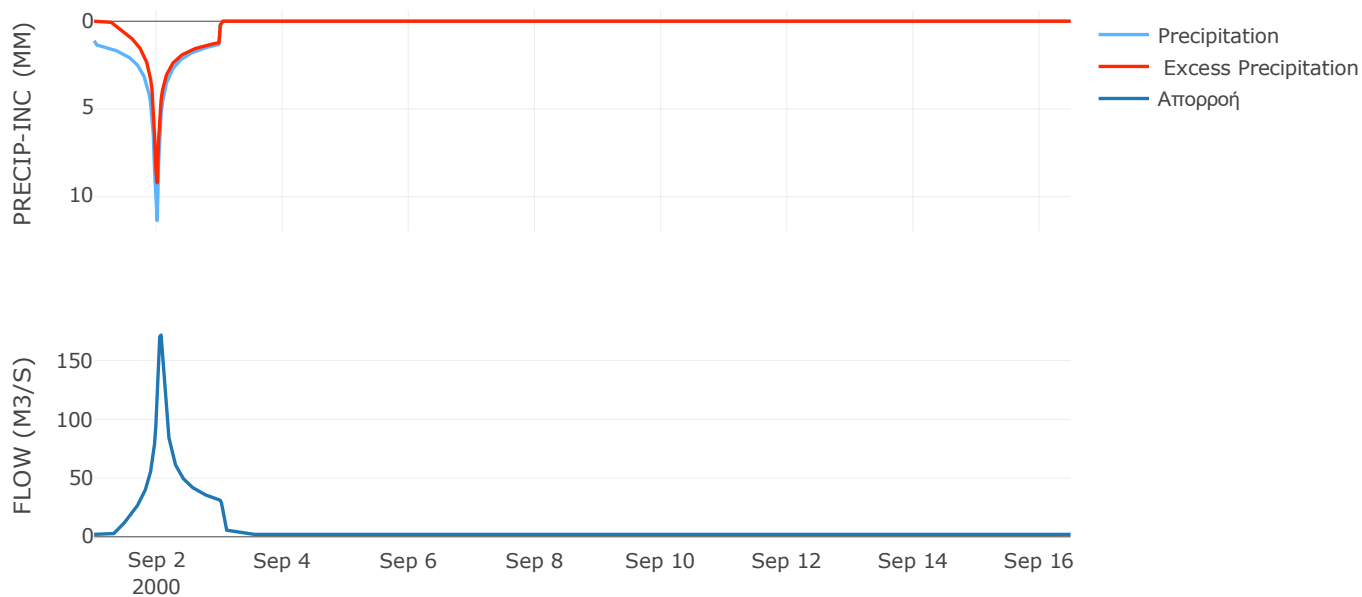
Μέθοδος
Μετασχηματισμού: SCS

Χρόνος Υστέρησης	63.59
------------------	-------

Αποτελέσματα:
EL0415FR6062

Παροχή αιχμής (M3/S)	171.74
Χρονική στιγμή αιχμής	02Sep2000, 01:30
Όγκος (MM)	234.91
Όγκος βροχόπτωσης (M3)	1.03E7
Όγκος απωλειών (M3)	3.35E6
Ενεργός Όγκος (M3)	7E6
Όγκος άμεσης απορροής (M3)	7E6
Όγκος βασικής απορροής (M3)	2.79E6

Βροχόπτωση και Απορροή



Υπολεκάνη: EL0415FR6063

Έκταση (KM2) : 99.42

Κατάντη : J48

Μέθοδος Απωλειών: SCS

Ποσοστό αδιαπέρατης επιφάνειας	0
Αριθμός Καμπύλης Απορροής-CN	63.55
Αρχικές Απώλειες	29.13

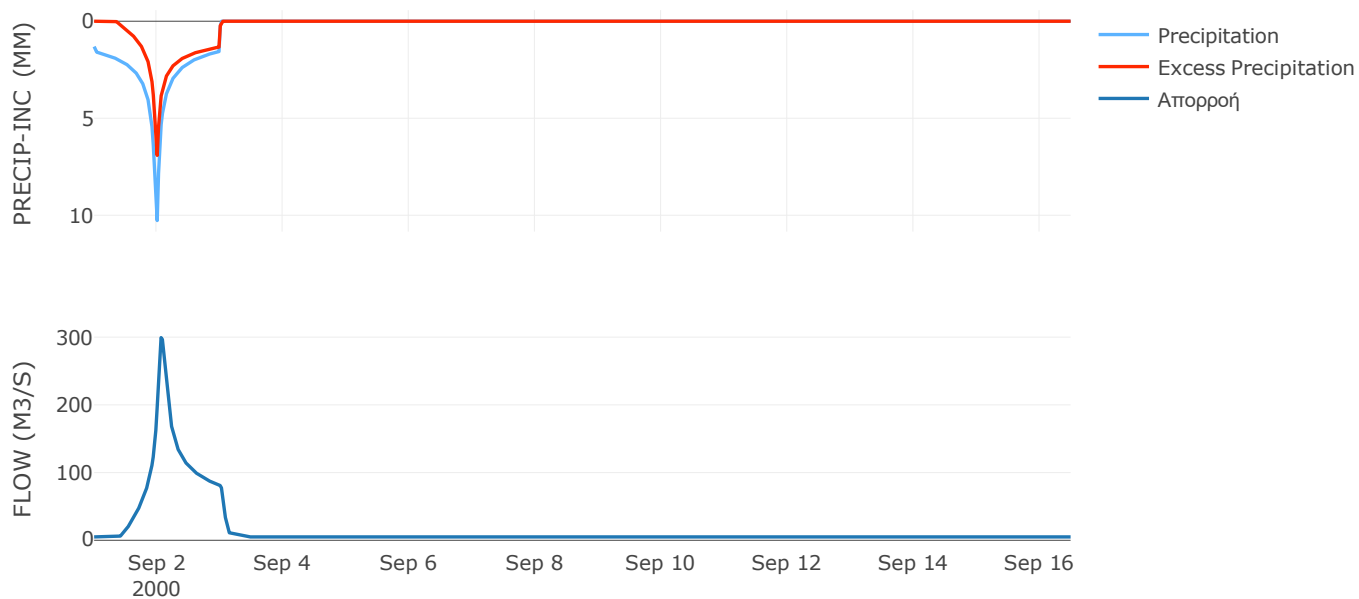
Μέθοδος
Μετασχηματισμού: SCS

Χρόνος Υστέρησης	81.6
------------------	------

Αποτελέσματα:
EL0415FR6063

Παροχή αιχμής (M3/S)	299.32
Χρονική στιγμή αιχμής	02Sep2000, 01:30
Όγκος (MM)	214.08
Όγκος βροχόπτωσης (M3)	2.65E7
Όγκος απωλειών (M3)	1.19E7
Ενεργός Όγκος (M3)	1.46E7
Όγκος άμεσης απορροής (M3)	1.46E7
Όγκος βασικής απορροής (M3)	6.66E6

Βροχόπτωση και Απορροή



Υπολεκάνη: EL0415FR6064

Έκταση (KM2) : 51.48

Κατάντη : J47

Μέθοδος Απωλειών: SCS

Ποσοστό αδιαπέρατης επιφάνειας	0
Αριθμός Καμπύλης Απορροής-CN	60.98
Αρχικές Απώλειες	32.51

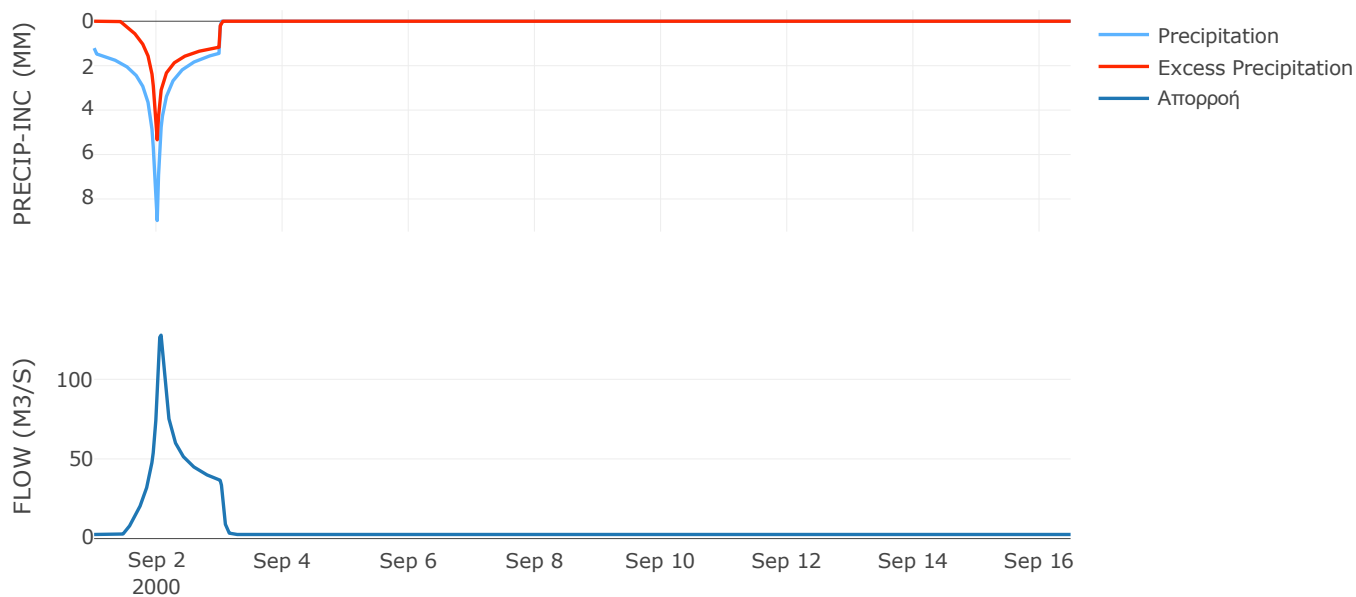
Μέθοδος
Μετασχηματισμού: SCS

Χρόνος Υστέρησης	58.01
------------------	-------

Αποτελέσματα:
EL0415FR6064

Παροχή αιχμής (M3/S)	127.71
Χρονική στιγμή αιχμής	02Sep2000, 01:30
Όγκος (MM)	184.94
Όγκος βροχόπτωσης (M3)	1.25E7
Όγκος απωλειών (M3)	6.38E6
Ενεργός Όγκος (M3)	6.07E6
Όγκος άμεσης απορροής (M3)	6.07E6
Όγκος βασικής απορροής (M3)	3.45E6

Βροχόπτωση και Απορροή



Υπολεκάνη: EL0415FR6065

Έκταση (KM2) : 12.04

Κατάντη : J47

Μέθοδος Απωλειών: SCS

Ποσοστό αδιαπέρατης επιφάνειας	0
Αριθμός Καμπύλης Απορροής-CN	63.29
Αρχικές Απώλειες	29.46

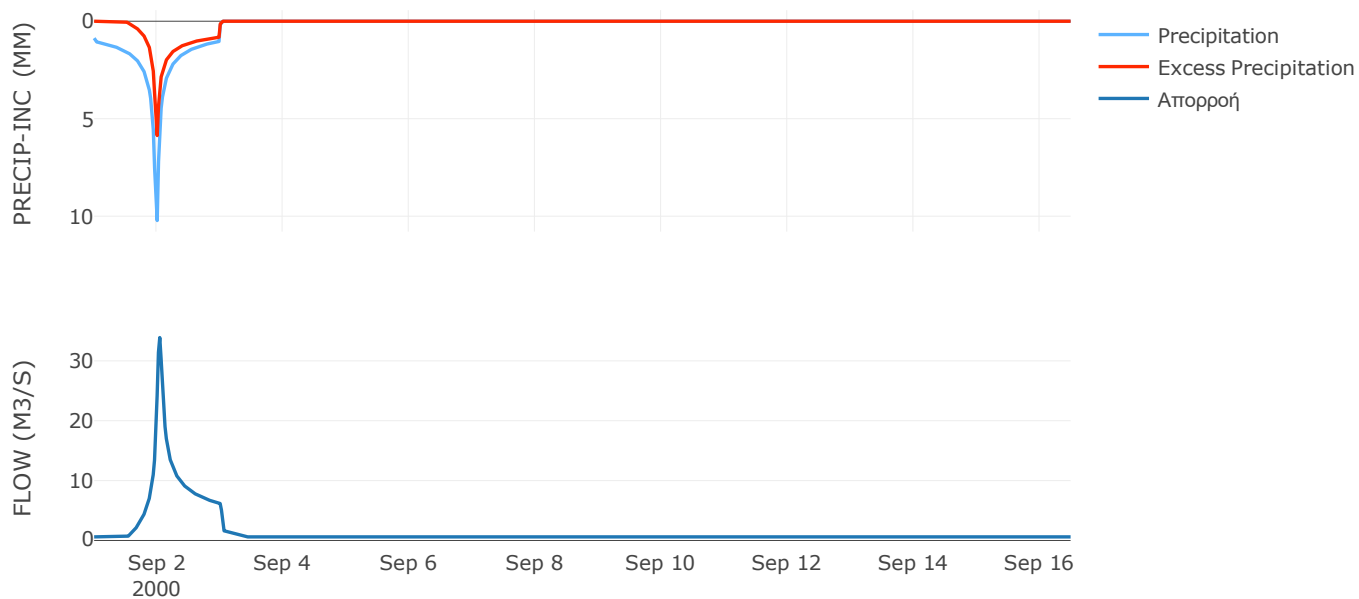
Μέθοδος
Μετασχηματισμού: SCS

Χρόνος Υστέρησης	40.1
------------------	------

Αποτελέσματα:
EL0415FR6065

Παροχή αιχμής (M3/S)	33.88
Χρονική στιγμή αιχμής	02Sep2000, 01:00
Όγκος (MM)	162.39
Όγκος βροχόπτωσης (M3)	2.47E6
Όγκος απωλειών (M3)	1.32E6
Ενεργός Όγκος (M3)	1.15E6
Όγκος άμεσης απορροής (M3)	1.15E6
Όγκος βασικής απορροής (M3)	8.06E5

Βροχόπτωση και Απορροή



Υπολεκάνη: EL0415FR6066

Έκταση (KM2) : 116.84

Κατάντη : J48

Μέθοδος Απωλειών: SCS

Ποσοστό αδιαπέρατης επιφάνειας	0
Αριθμός Καμπύλης Απορροής-CN	68.04
Αρχικές Απώλειες	23.86

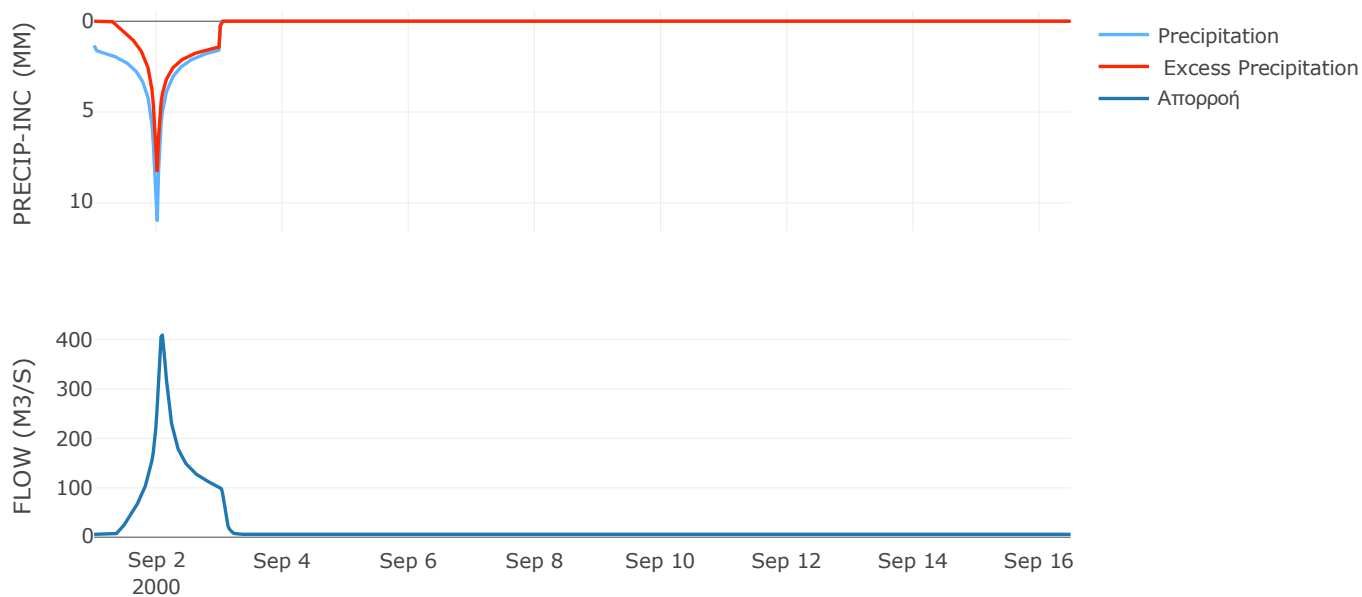
Μέθοδος
Μετασχηματισμού: SCS

Χρόνος Υστέρησης	90.42
------------------	-------

Αποτελέσματα:
EL0415FR6066

Παροχή αιχμής (M3/S)	409.45
Χρονική στιγμή αιχμής	02Sep2000, 02:00
Όγκος (MM)	238.57
Όγκος βροχόπτωσης (M3)	3.23E7
Όγκος απωλειών (M3)	1.23E7
Ενεργός Όγκος (M3)	2.01E7
Όγκος άμεσης απορροής (M3)	2.01E7
Όγκος βασικής απορροής (M3)	7.82E6

Βροχόπτωση και Απορροή



Υπολεκάνη: EL0415FR6067

Έκταση (KM2) : 29.4

Κατάντη : J57

Μέθοδος Απωλειών: SCS

Ποσοστό αδιαπέρατης επιφάνειας	9
Αριθμός Καμπύλης Απορροής-CN	69.88
Αρχικές Απώλειες	21.9

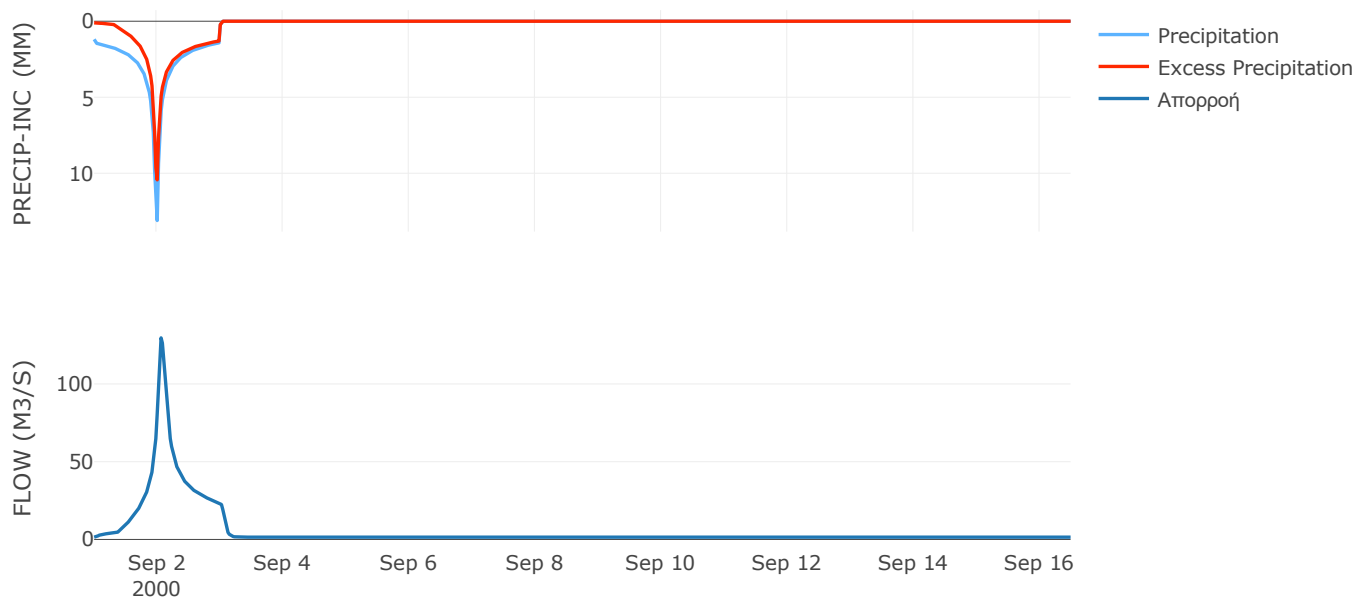
Μέθοδος
Μετασχηματισμού: SCS

Χρόνος Υστέρησης	82.42
------------------	-------

Αποτελέσματα:
EL0415FR6067

Παροχή αιχμής (M3/S)	129.65
Χρονική στιγμή αιχμής	02Sep2000, 01:30
Όγκος (MM)	251.5
Όγκος βροχόπτωσης (M3)	8.05E6
Όγκος απωλειών (M3)	2.63E6
Ενεργός Όγκος (M3)	5.43E6
Όγκος άμεσης απορροής (M3)	5.43E6
Όγκος βασικής απορροής (M3)	1.97E6

Βροχόπτωση και Απορροή



Υπολεκάνη: EL0415FR6068

Έκταση (KM2) : 101.27

Κατάντη : J45

Μέθοδος Απωλειών: SCS

Ποσοστό αδιαπέρατης επιφάνειας	0
Αριθμός Καμπύλης Απορροής-CN	77.74
Αρχικές Απώλειες	14.54

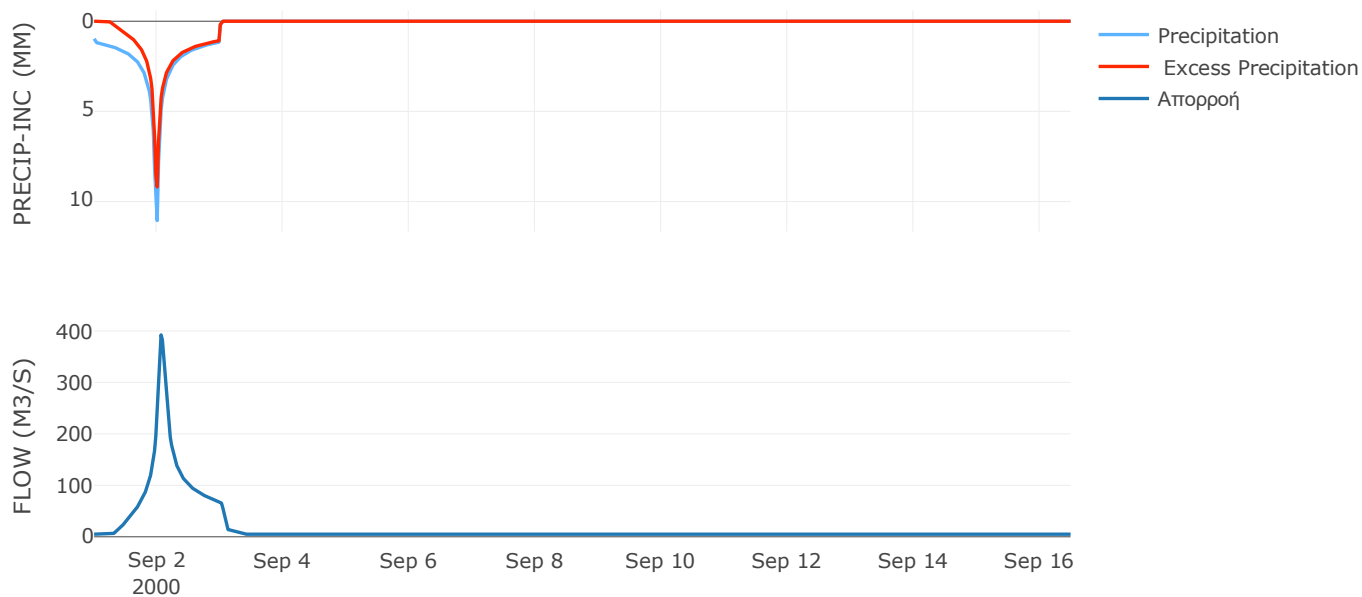
Μέθοδος
Μετασχηματισμού: SCS

Χρόνος Υστέρησης	83.52
------------------	-------

Αποτελέσματα:
EL0415FR6068

Παροχή αιχμής (M3/S)	392.4
Χρονική στιγμή αιχμής	02Sep2000, 01:30
Όγκος (MM)	224.82
Όγκος βροχόπτωσης (M3)	2.29E7
Όγκος απωλειών (M3)	6.96E6
Ενεργός Όγκος (M3)	1.6E7
Όγκος άμεσης απορροής (M3)	1.6E7
Όγκος βασικής απορροής (M3)	6.78E6

Βροχόπτωση και Απορροή



Υπολεκάνη: EL0415FR6069

Έκταση (KM2) : 35

Κατάντη : J43

Μέθοδος Απωλειών: SCS

Ποσοστό αδιαπέρατης επιφάνειας	0
Αριθμός Καμπύλης Απορροής-CN	76.68
Αρχικές Απώλειες	15.45

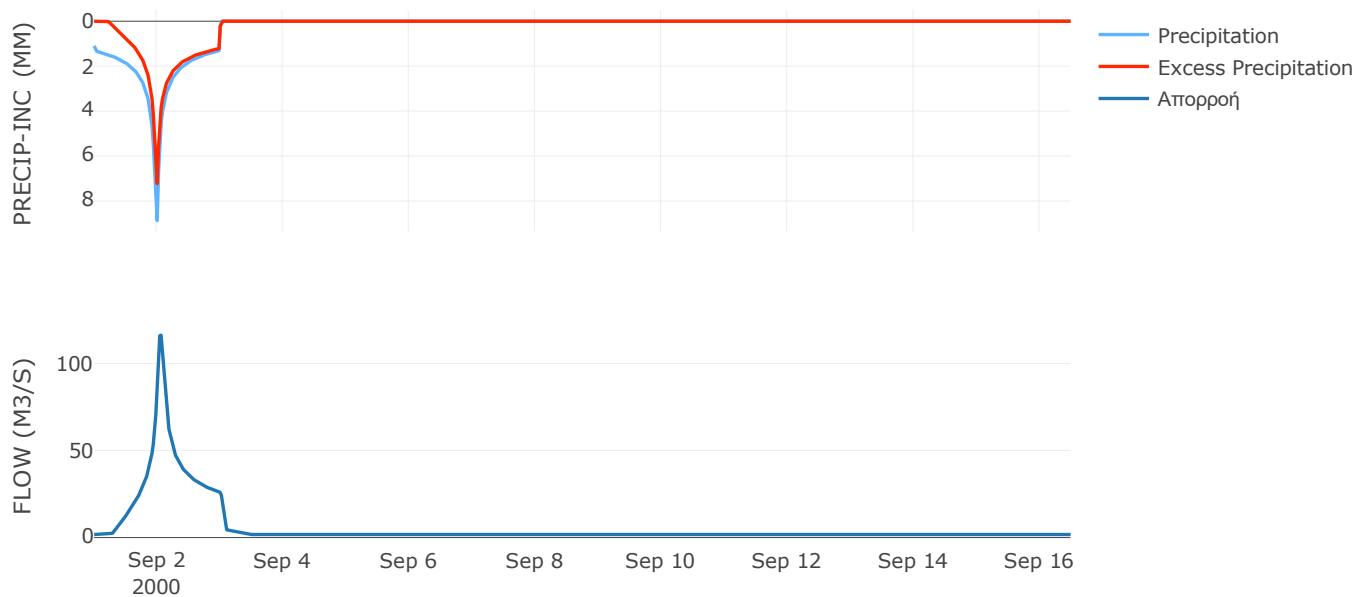
Μέθοδος
Μετασχηματισμού: SCS

Χρόνος Υστέρησης	61.41
------------------	-------

Αποτελέσματα:
EL0415FR6069

Παροχή αιχμής (M3/S)	116.24
Χρονική στιγμή αιχμής	02Sep2000, 01:30
Όγκος (MM)	221.19
Όγκος βροχόπτωσης (M3)	7.92E6
Όγκος απωλειών (M3)	2.52E6
Ενεργός Όγκος (M3)	5.4E6
Όγκος άμεσης απορροής (M3)	5.4E6
Όγκος βασικής απορροής (M3)	2.34E6

Βροχόπτωση και Απορροή



Υπολεκάνη: EL0415FR6070

Έκταση (KM2) : 53.71

Κατάντη : J42

Μέθοδος Απωλειών: SCS

Ποσοστό αδιαπέρατης επιφάνειας	1
Αριθμός Καμπύλης Απορροής-CN	67.67
Αρχικές Απώλειες	24.27

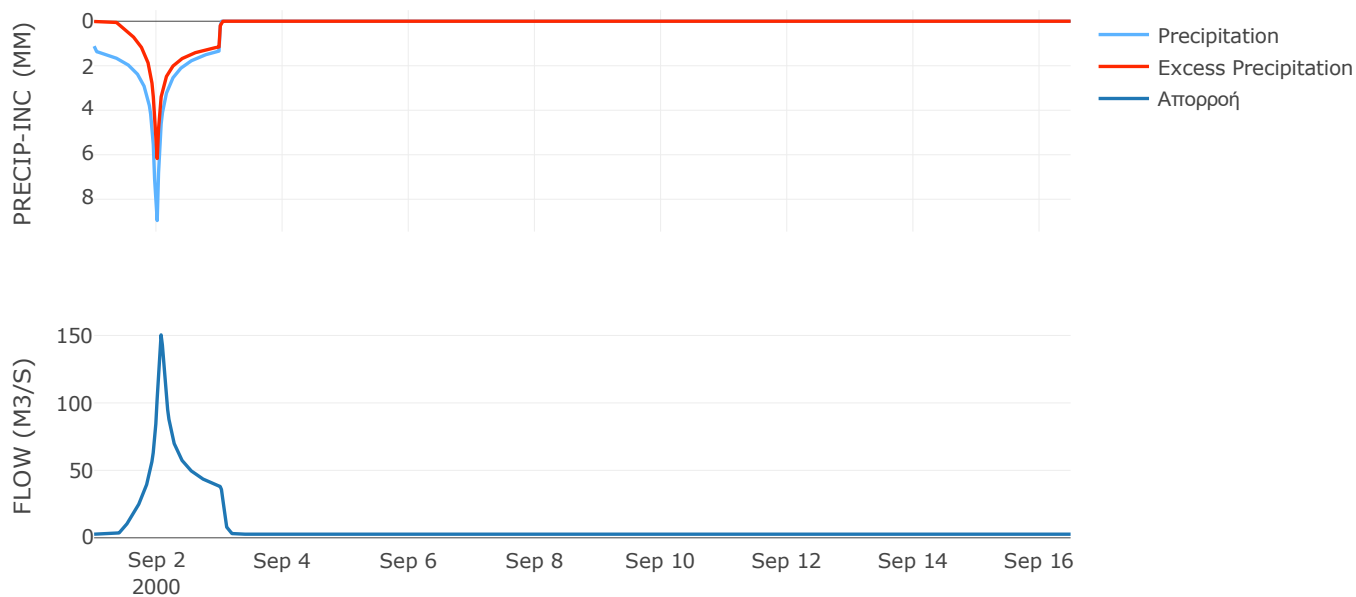
Μέθοδος
Μετασχηματισμού: SCS

Χρόνος Υστέρησης	68.77
------------------	-------

Αποτελέσματα:
EL0415FR6070

Παροχή αιχμής (M3/S)	150.43
Χρονική στιγμή αιχμής	02Sep2000, 01:30
Όγκος (MM)	197.47
Όγκος βροχόπτωσης (M3)	1.24E7
Όγκος απωλειών (M3)	5.35E6
Ενεργός Όγκος (M3)	7.01E6
Όγκος άμεσης απορροής (M3)	7.01E6
Όγκος βασικής απορροής (M3)	3.6E6

Βροχόπτωση και Απορροή



Υπολεκάνη: EL0415FR6071

Έκταση (KM2) : 75.64

Κατάντη : J40

Μέθοδος Απωλειών: SCS

Ποσοστό αδιαπέρατης επιφάνειας	0
Αριθμός Καμπύλης Απορροής-CN	80.28
Αρχικές Απώλειες	12.48

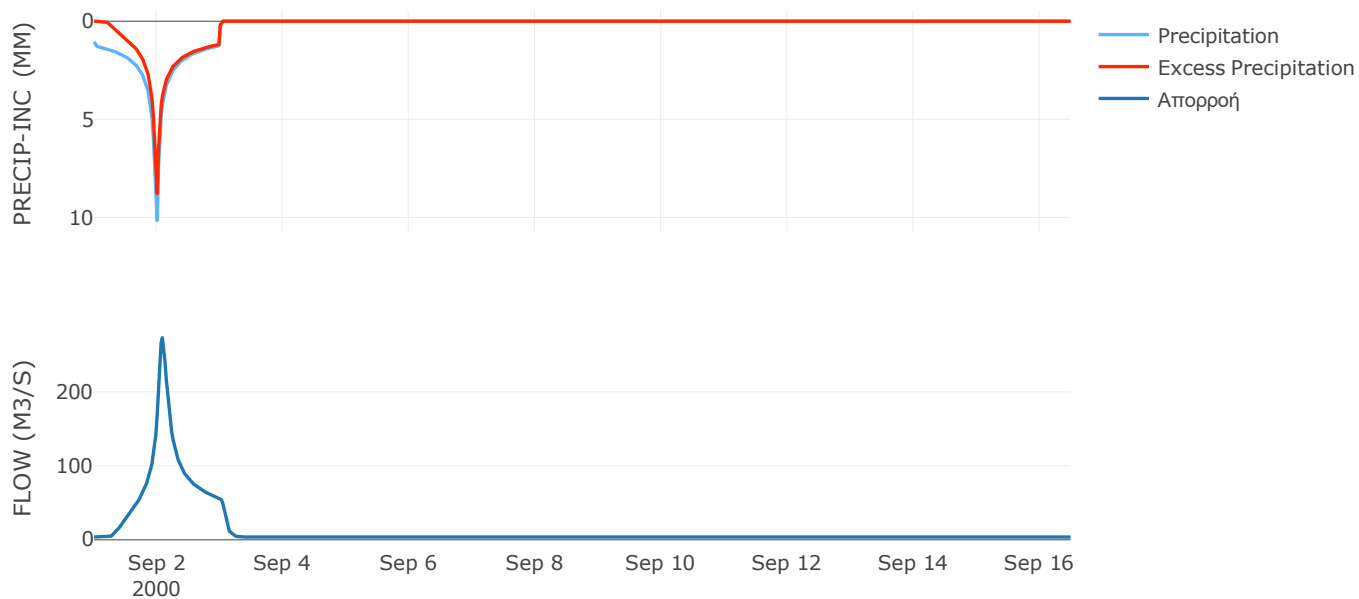
Μέθοδος
Μετασχηματισμού: SCS

Χρόνος Υστέρησης	101.35
------------------	--------

Αποτελέσματα:
EL0415FR6071

Παροχή αιχμής (M3/S)	273.08
Χρονική στιγμή αιχμής	02Sep2000, 02:00
Όγκος (MM)	235.87
Όγκος βροχόπτωσης (M3)	1.74E7
Όγκος απωλειών (M3)	4.61E6
Ενεργός Όγκος (M3)	1.28E7
Όγκος άμεσης απορροής (M3)	1.28E7
Όγκος βασικής απορροής (M3)	5.06E6

Βροχόπτωση και Απορροή



Υπολεκάνη: EL0415FR6072

Έκταση (KM2) : 105.53

Κατάντη : J39

Μέθοδος Απωλειών: SCS

Ποσοστό αδιαπέρατης επιφάνειας	0
Αριθμός Καμπύλης Απορροής-CN	77.74
Αρχικές Απώλειες	14.55

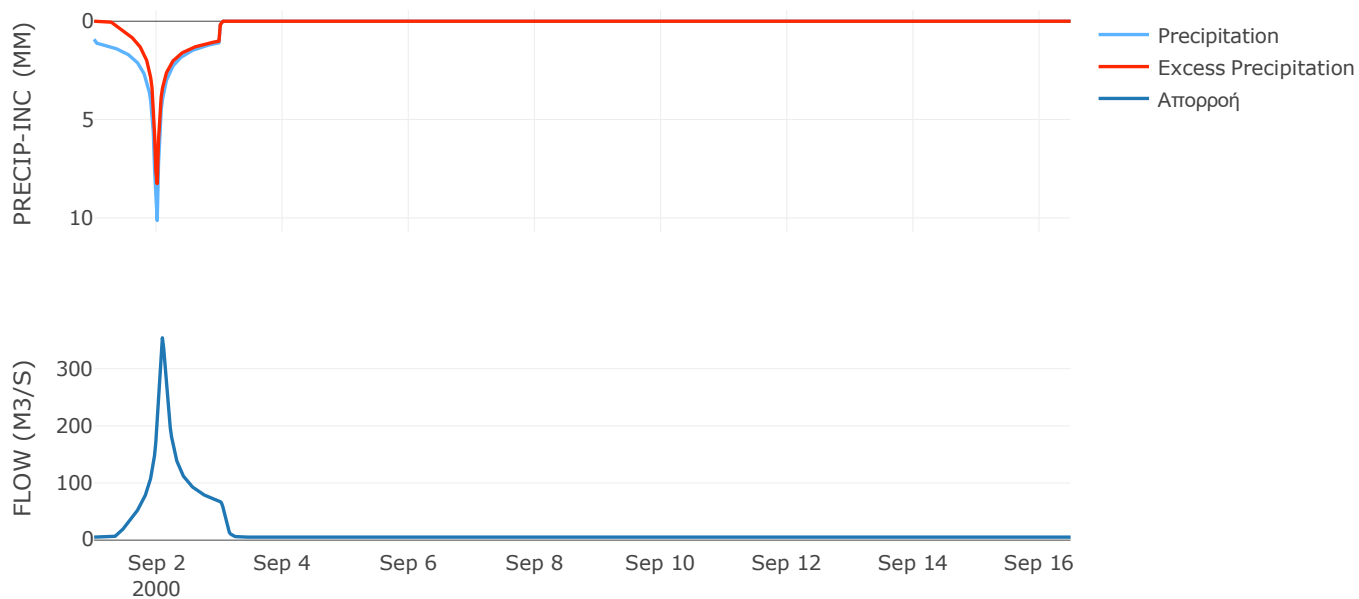
Μέθοδος
Μετασχηματισμού: SCS

Χρόνος Υστέρησης	96.95
------------------	-------

Αποτελέσματα:
EL0415FR6072

Παροχή αιχμής (M3/S)	354.11
Χρονική στιγμή αιχμής	02Sep2000, 02:00
Όγκος (MM)	210.55
Όγκος βροχόπτωσης (M3)	2.23E7
Όγκος απωλειών (M3)	7.14E6
Ενεργός Όγκος (M3)	1.52E7
Όγκος άμεσης απορροής (M3)	1.52E7
Όγκος βασικής απορροής (M3)	7.07E6

Βροχόπτωση και Απορροή



Υπολεκάνη: EL0415FR6073

Έκταση (KM2) : 53.33

Κατάντη : J39

Μέθοδος Απωλειών: SCS

Ποσοστό αδιαπέρατης επιφάνειας	0
Αριθμός Καμπύλης Απορροής-CN	66.99
Αρχικές Απώλειες	25.03

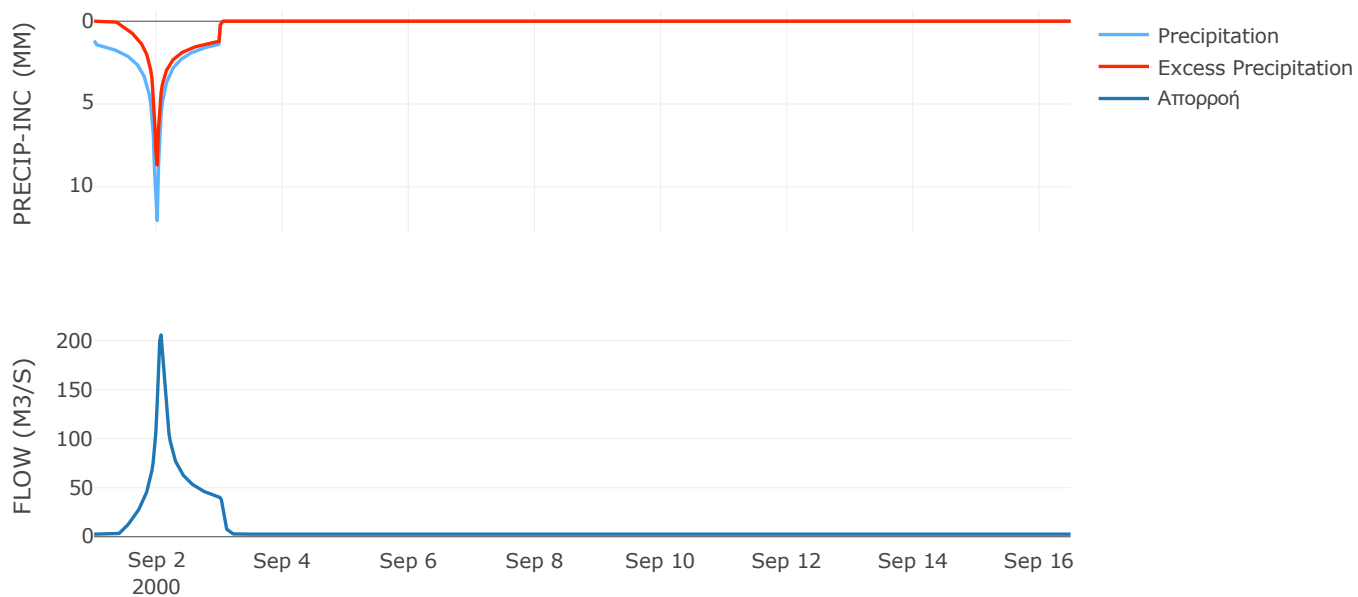
Μέθοδος
Μετασχηματισμού: SCS

Χρόνος Υστέρησης	66.15
------------------	-------

Αποτελέσματα:
EL0415FR6073

Παροχή αιχμής (M3/S)	205.69
Χρονική στιγμή αιχμής	02Sep2000, 01:30
Όγκος (MM)	222.05
Όγκος βροχόπτωσης (M3)	1.4E7
Όγκος απωλειών (M3)	5.7E6
Ενεργός Όγκος (M3)	8.27E6
Όγκος άμεσης απορροής (M3)	8.27E6
Όγκος βασικής απορροής (M3)	3.57E6

Βροχόπτωση και Απορροή



Υπολεκάνη: EL0415FR6074

Έκταση (KM2) : 21.94

Κατάντη : J37

Μέθοδος Απωλειών: SCS

Ποσοστό αδιαπέρατης επιφάνειας	0
Αριθμός Καμπύλης Απορροής-CN	68.03
Αρχικές Απώλειες	23.88

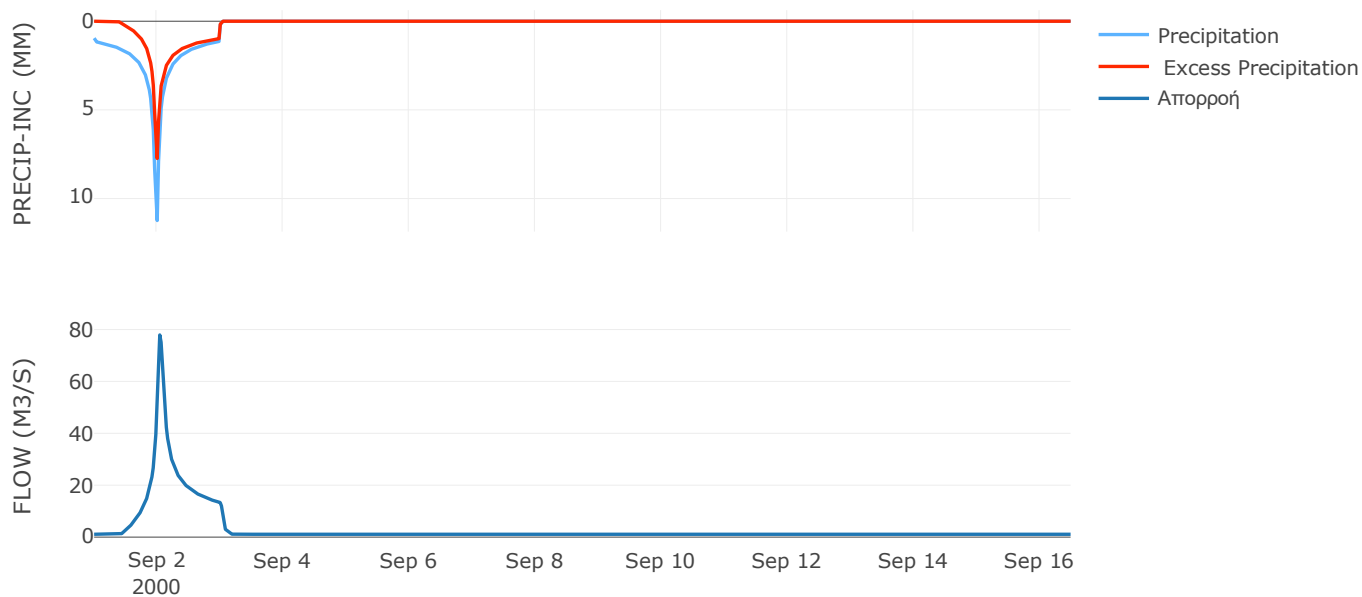
Μέθοδος
Μετασχηματισμού: SCS

Χρόνος Υστέρησης	53.65
------------------	-------

Αποτελέσματα:
EL0415FR6074

Παροχή αιχμής (M3/S)	77.9
Χρονική στιγμή αιχμής	02Sep2000, 01:00
Όγκος (MM)	193.49
Όγκος βροχόπτωσης (M3)	4.94E6
Όγκος απωλειών (M3)	2.17E6
Ενεργός Όγκος (M3)	2.78E6
Όγκος άμεσης απορροής (M3)	2.78E6
Όγκος βασικής απορροής (M3)	1.47E6

Βροχόπτωση και Απορροή



Υπολεκάνη: EL0415FR6075

Έκταση (KM2) : 74.2

Κατάντη : J38

Μέθοδος Απωλειών: SCS

Ποσοστό αδιαπέρατης επιφάνειας	0
Αριθμός Καμπύλης Απορροής-CN	73.35
Αρχικές Απώλειες	18.46

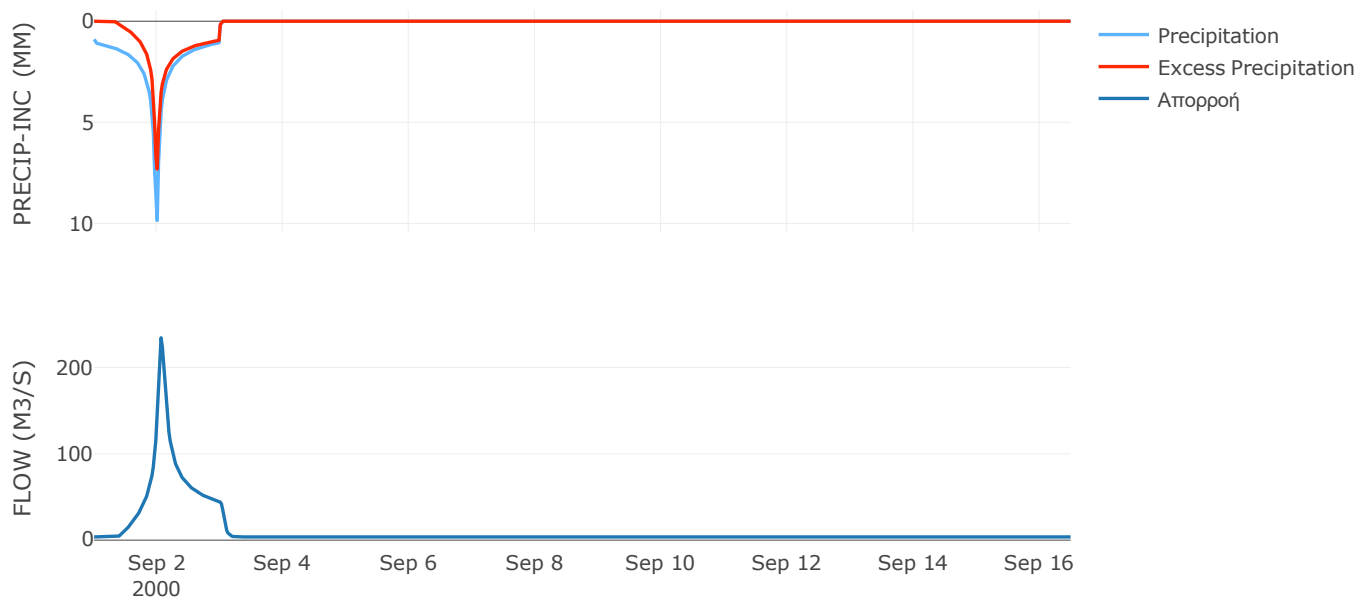
Μέθοδος
Μετασχηματισμού: SCS

Χρόνος Υστέρησης	75.67
------------------	-------

Αποτελέσματα:
EL0415FR6075

Παροχή αιχμής (M3/S)	234.31
Χρονική στιγμή αιχμής	02Sep2000, 01:30
Όγκος (MM)	192.31
Όγκος βροχόπτωσης (M3)	1.53E7
Όγκος απωλειών (M3)	5.95E6
Ενεργός Όγκος (M3)	9.3E6
Όγκος άμεσης απορροής (M3)	9.3E6
Όγκος βασικής απορροής (M3)	4.97E6

Βροχόπτωση και Απορροή



Υπολεκάνη: EL0415FR6076

Έκταση (KM2) : 61.38

Κατάντη : J33

Μέθοδος Απωλειών: SCS

Ποσοστό αδιαπέρατης επιφάνειας	0
Αριθμός Καμπύλης Απορροής-CN	59.92
Αρχικές Απώλειες	33.98

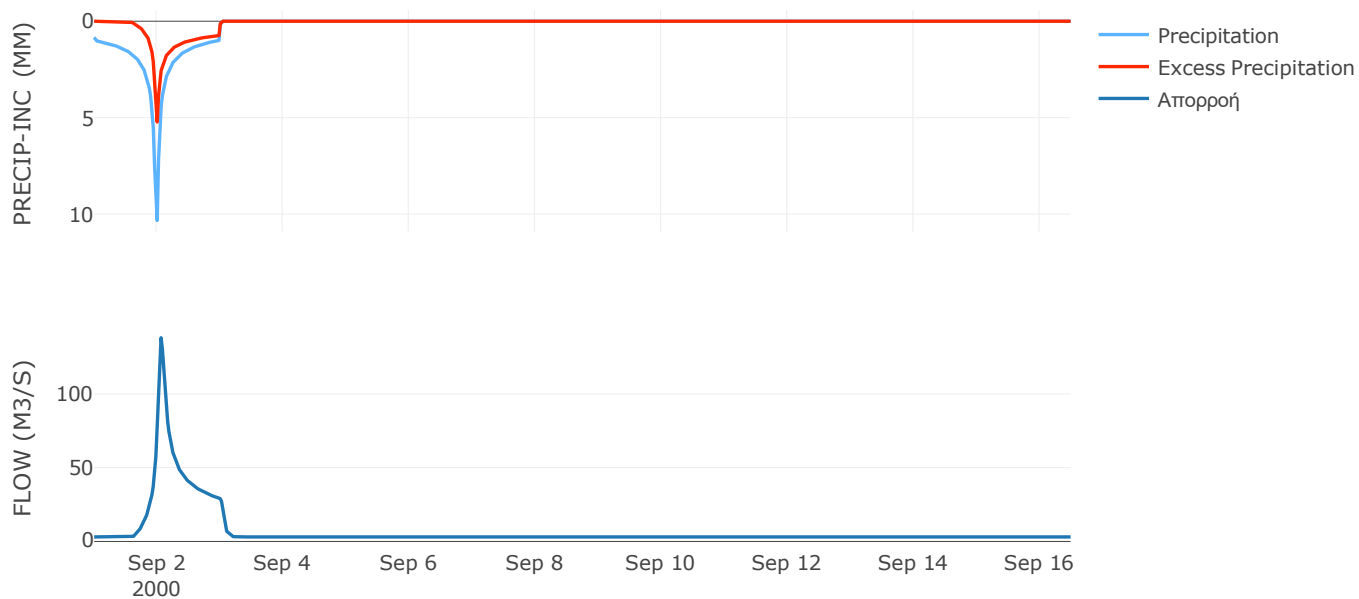
Μέθοδος
Μετασχηματισμού: SCS

Χρόνος Υστέρησης	68.59
------------------	-------

Αποτελέσματα:
EL0415FR6076

Παροχή αιχμής (M3/S)	138
Χρονική στιγμή αιχμής	02Sep2000, 01:30
Όγκος (MM)	149.59
Όγκος βροχόπτωσης (M3)	1.23E7
Όγκος απωλειών (M3)	7.25E6
Ενεργός Όγκος (M3)	5.07E6
Όγκος άμεσης απορροής (M3)	5.07E6
Όγκος βασικής απορροής (M3)	4.11E6

Βροχόπτωση και Απορροή



Υπολεκάνη: EL0415FR6077

Έκταση (KM2) : 115.35

Κατάντη : J33

Μέθοδος Απωλειών: SCS

Ποσοστό αδιαπέρατης επιφάνειας	0
Αριθμός Καμπύλης Απορροής-CN	59.36
Αρχικές Απώλειες	34.78

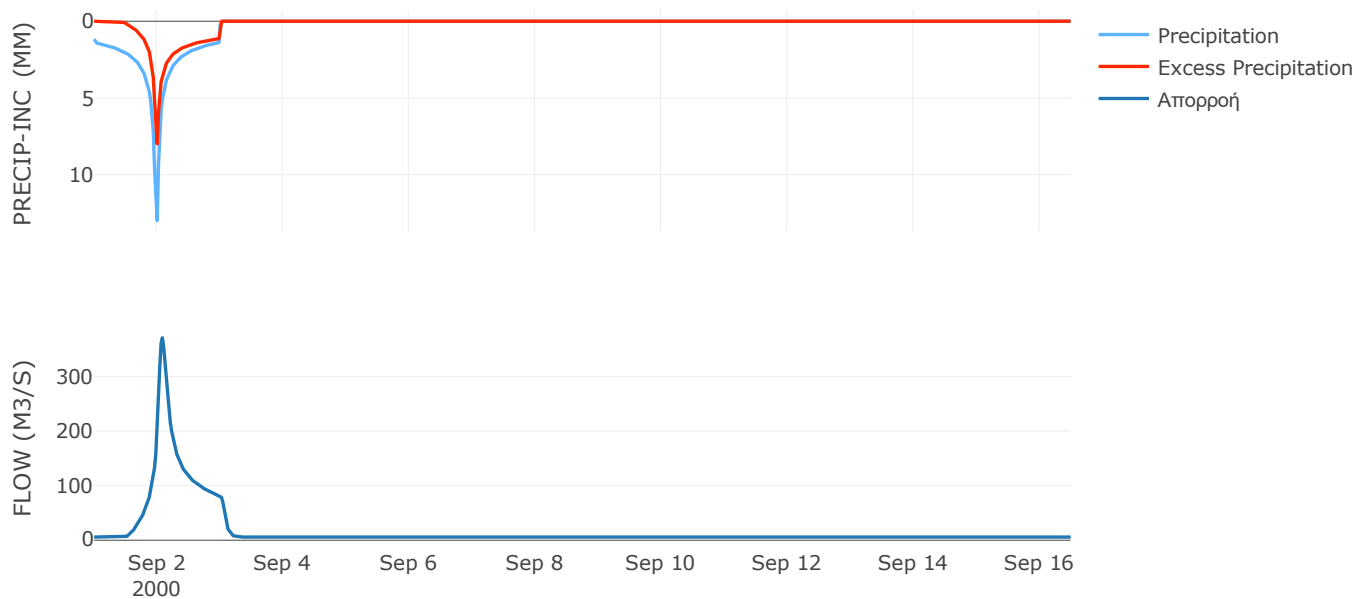
Μέθοδος
Μετασχηματισμού: SCS

Χρόνος Υστέρησης	93.8
------------------	------

Αποτελέσματα:
EL0415FR6077

Παροχή αιχμής (M3/S)	370.94
Χρονική στιγμή αιχμής	02Sep2000, 02:00
Όγκος (MM)	201.59
Όγκος βροχόπτωσης (M3)	3.11E7
Όγκος απωλειών (M3)	1.55E7
Ενεργός Όγκος (M3)	1.55E7
Όγκος άμεσης απορροής (M3)	1.55E7
Όγκος βασικής απορροής (M3)	7.72E6

Βροχόπτωση και Απορροή



Υπολεκάνη: EL0415FR6078

Έκταση (KM2) : 32.2

Κατάντη : J32

Μέθοδος Απωλειών: SCS

Ποσοστό αδιαπέρατης επιφάνειας	0
Αριθμός Καμπύλης Απορροής-CN	63.99
Αρχικές Απώλειες	28.58

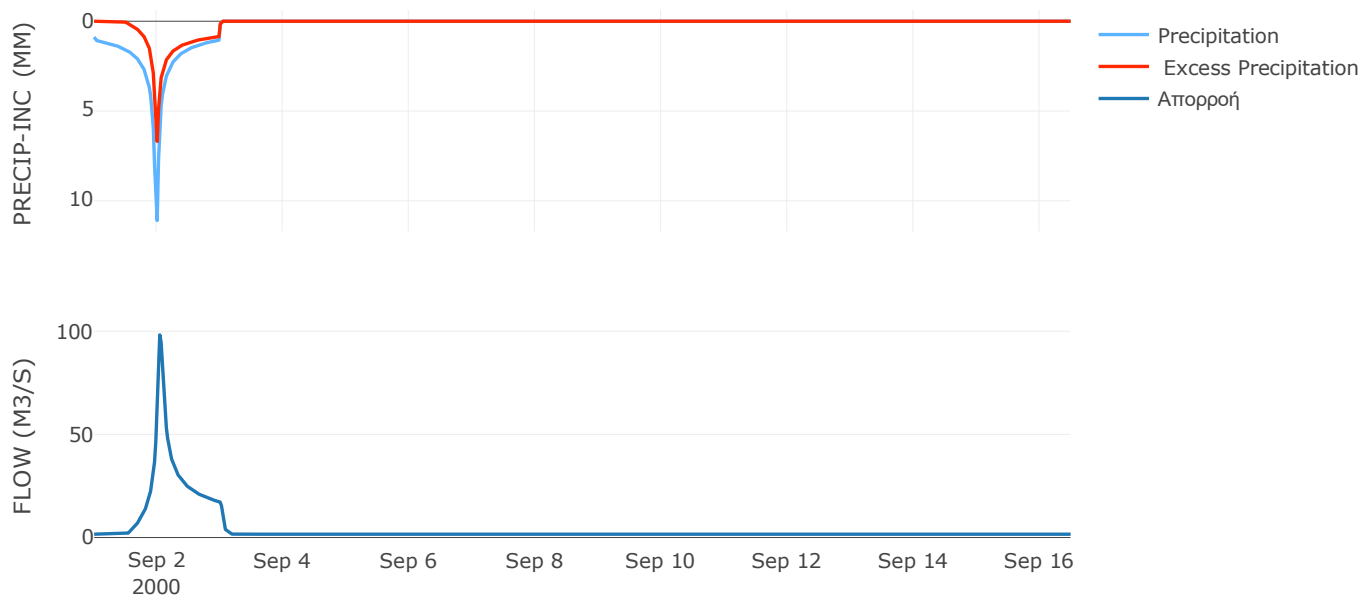
Μέθοδος
Μετασχηματισμού: SCS

Χρόνος Υστέρησης	52.45
------------------	-------

Αποτελέσματα:
EL0415FR6078

Παροχή αιχμής (M3/S)	98.23
Χρονική στιγμή αιχμής	02Sep2000, 01:00
Όγκος (MM)	171.25
Όγκος βροχόπτωσης (M3)	6.87E6
Όγκος απωλειών (M3)	3.52E6
Ενεργός Όγκος (M3)	3.36E6
Όγκος άμεσης απορροής (M3)	3.36E6
Όγκος βασικής απορροής (M3)	2.16E6

Βροχόπτωση και Απορροή



Υπολεκάνη: EL0415FR6079

Έκταση (KM2) : 61

Κατάντη : J32

Μέθοδος Απωλειών: SCS

Ποσοστό αδιαπέρατης επιφάνειας	0
Αριθμός Καμπύλης Απορροής-CN	60.52
Αρχικές Απώλειες	33.14

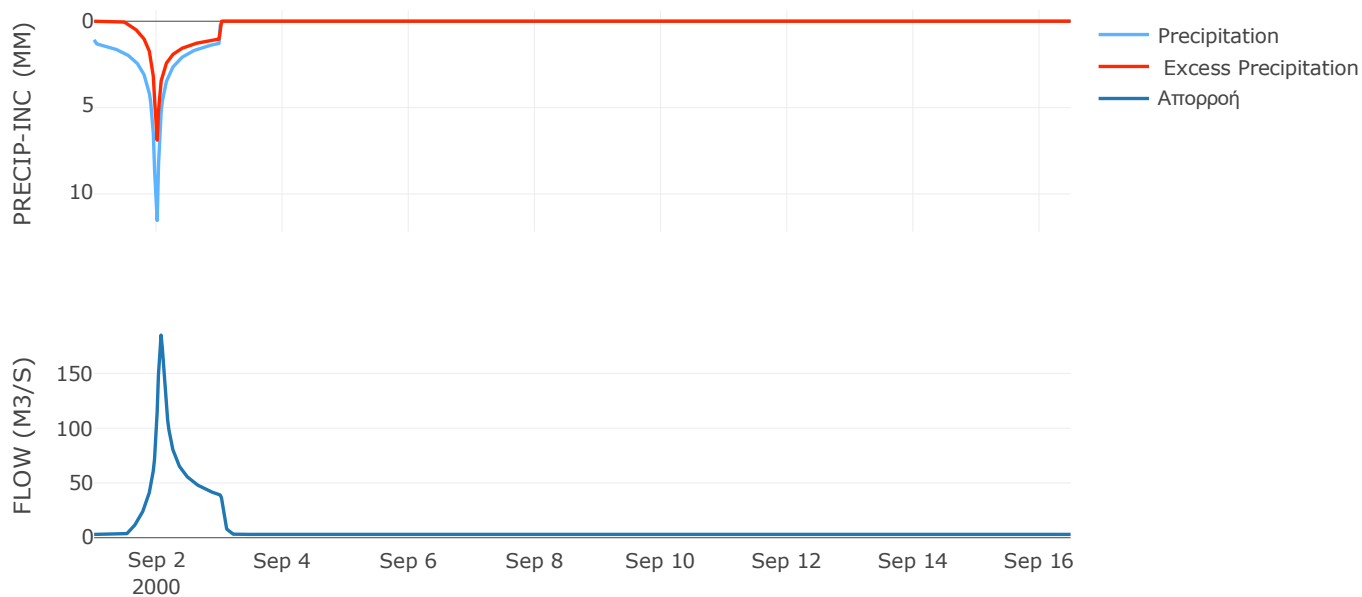
Μέθοδος
Μετασχηματισμού: SCS

Χρόνος Υστέρησης	66.08
------------------	-------

Αποτελέσματα:
EL0415FR6079

Παροχή αιχμής (M3/S)	185
Χρονική στιγμή αιχμής	02Sep2000, 01:30
Όγκος (MM)	185.87
Όγκος βροχόπτωσης (M3)	1.49E7
Όγκος απωλειών (M3)	7.69E6
Ενεργός Όγκος (M3)	7.25E6
Όγκος άμεσης απορροής (M3)	7.25E6
Όγκος βασικής απορροής (M3)	4.08E6

Βροχόπτωση και Απορροή



Υπολεκάνη: EL0415FR6080

Έκταση (KM2) : 31.99

Κατάντη : J30

Μέθοδος Απωλειών: SCS

Ποσοστό αδιαπέρατης επιφάνειας	0
Αριθμός Καμπύλης Απορροής-CN	59.88
Αρχικές Απώλειες	34.04

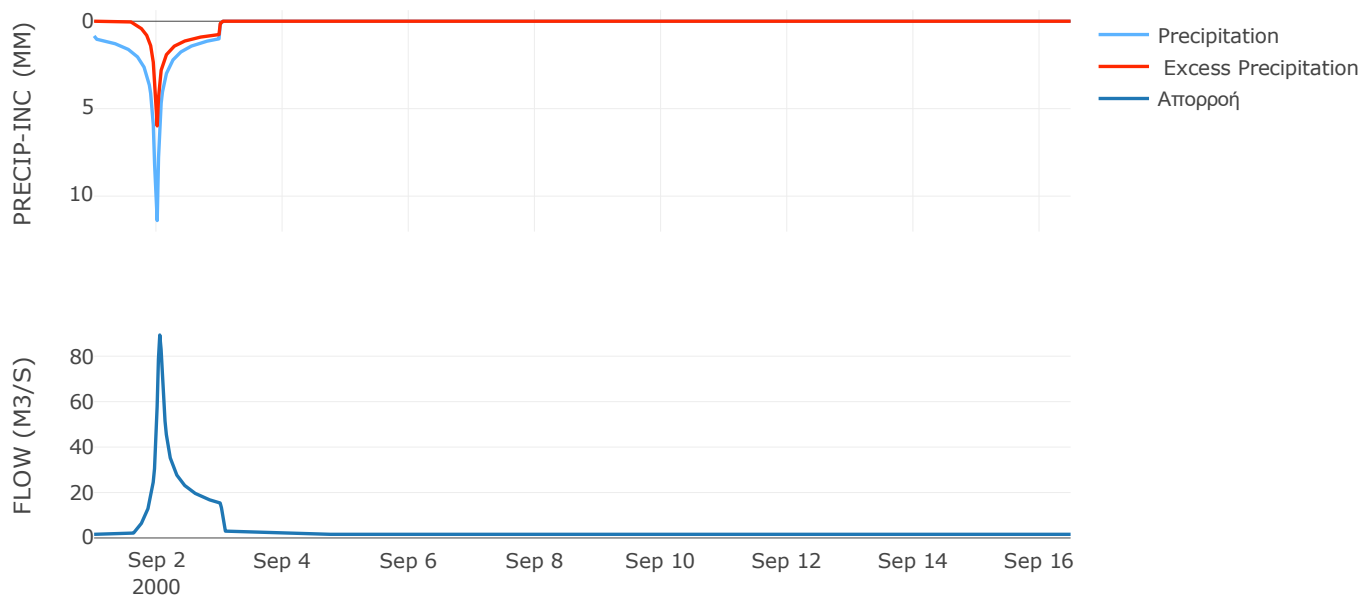
Μέθοδος
Μετασχηματισμού: SCS

Χρόνος Υστέρησης	45.4
------------------	------

Αποτελέσματα:
EL0415FR6080

Παροχή αιχμής (M3/S)	89.32
Χρονική στιγμή αιχμής	02Sep2000, 01:00
Όγκος (MM)	156.23
Όγκος βροχόπτωσης (M3)	6.71E6
Όγκος απωλειών (M3)	3.86E6
Ενεργός Όγκος (M3)	2.86E6
Όγκος άμεσης απορροής (M3)	2.86E6
Όγκος βασικής απορροής (M3)	2.14E6

Βροχόπτωση και Απορροή



Υπολεκάνη: EL0415FR6081

Έκταση (KM2) : 61.71

Κατάντη : J42

Μέθοδος Απωλειών: SCS

Ποσοστό αδιαπέρατης επιφάνειας	35
Αριθμός Καμπύλης Απορροής-CN	87.13
Αρχικές Απώλειες	7.5

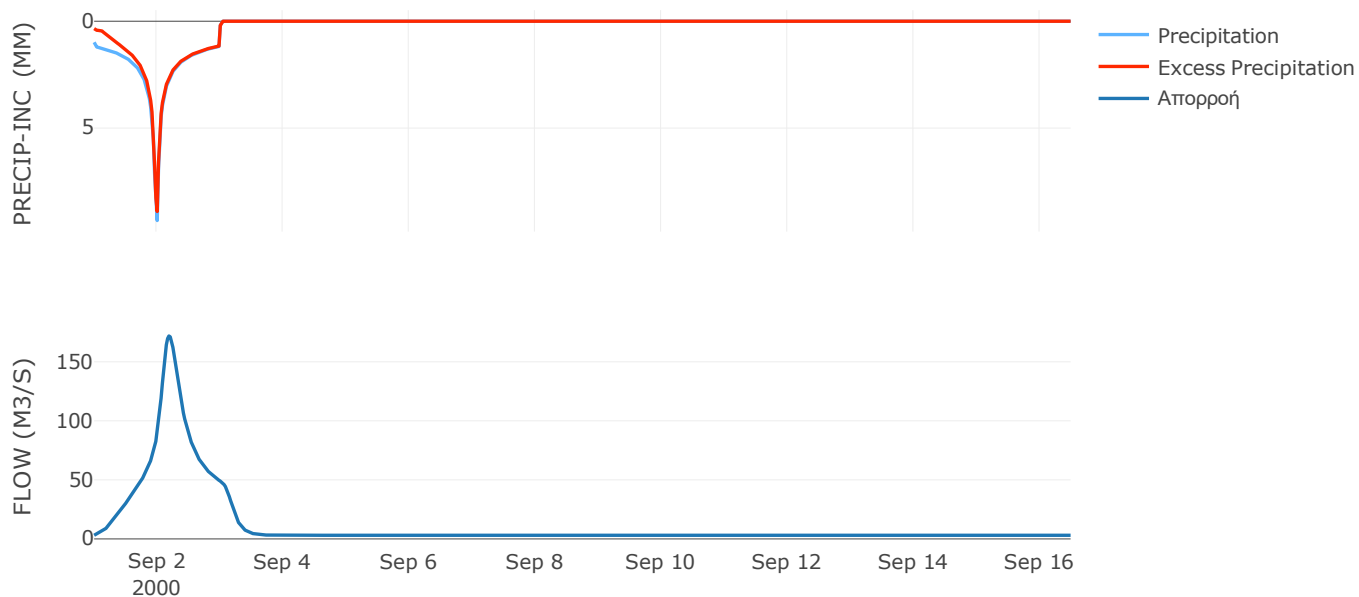
Μέθοδος
Μετασχηματισμού: SCS

Χρόνος Υστέρησης	256.45
------------------	--------

Αποτελέσματα:
EL0415FR6081

Παροχή αιχμής (M3/S)	171.86
Χρονική στιγμή αιχμής	02Sep2000, 04:30
Όγκος (MM)	256.09
Όγκος βροχόπτωσης (M3)	1.32E7
Όγκος απωλειών (M3)	1.57E6
Ενεργός Όγκος (M3)	1.17E7
Όγκος άμεσης απορροής (M3)	1.17E7
Όγκος βασικής απορροής (M3)	4.13E6

Βροχόπτωση και Απορροή



Υπολεκάνη: EL0415FR6082

Έκταση (KM2) : 53.32

Κατάντη : J63

Μέθοδος Απωλειών: SCS

Ποσοστό αδιαπέρατης επιφάνειας	0
Αριθμός Καμπύλης Απορροής-CN	64.85
Αρχικές Απώλειες	27.54

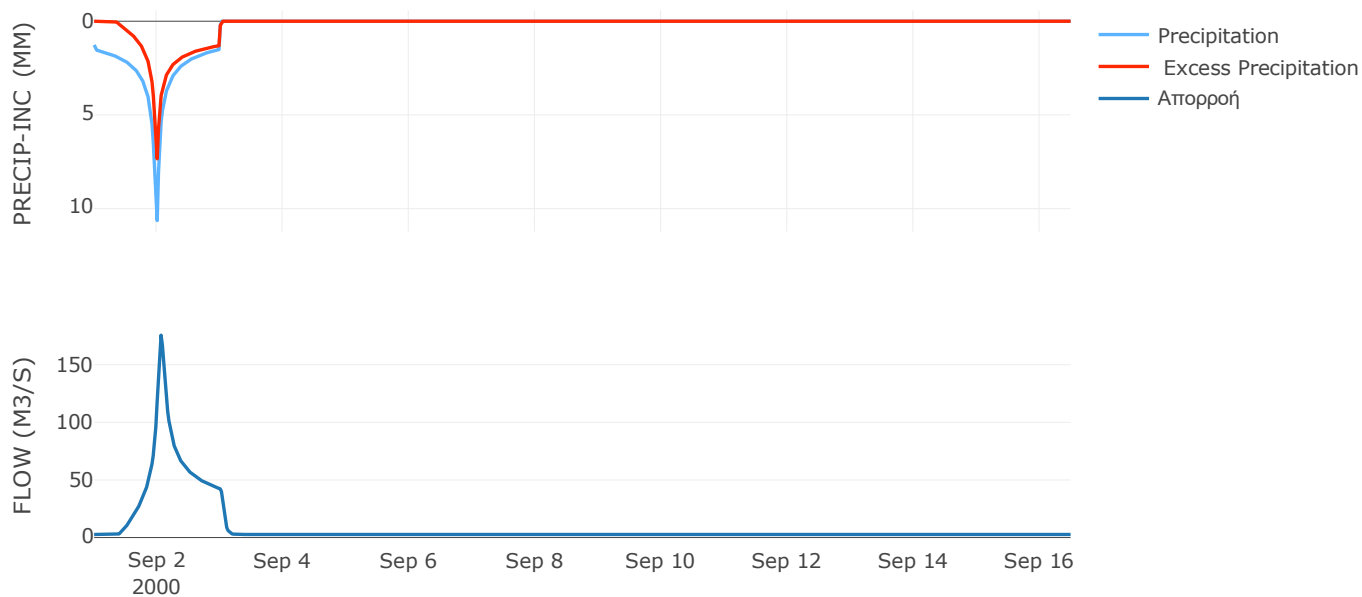
Μέθοδος
Μετασχηματισμού: SCS

Χρόνος Υστέρησης	70
------------------	----

Αποτελέσματα:
EL0415FR6082

Παροχή αιχμής (M3/S)	175.71
Χρονική στιγμή αιχμής	02Sep2000, 01:30
Όγκος (MM)	216.5
Όγκος βροχόπτωσης (M3)	1.41E7
Όγκος απωλειών (M3)	6.11E6
Ενεργός Όγκος (M3)	7.97E6
Όγκος άμεσης απορροής (M3)	7.97E6
Όγκος βασικής απορροής (M3)	3.57E6

Βροχόπτωση και Απορροή



Υπολεκάνη: EL0415FR6083

Έκταση (KM2) : 14.89

Κατάνη : J41 Res4

Μέθοδος Απωλειών: SCS

Ποσοστό αδιαπέρατης επιφάνειας	9
Αριθμός Καμπύλης Απορροής-CN	83.07
Αρχικές Απώλειες	10.36

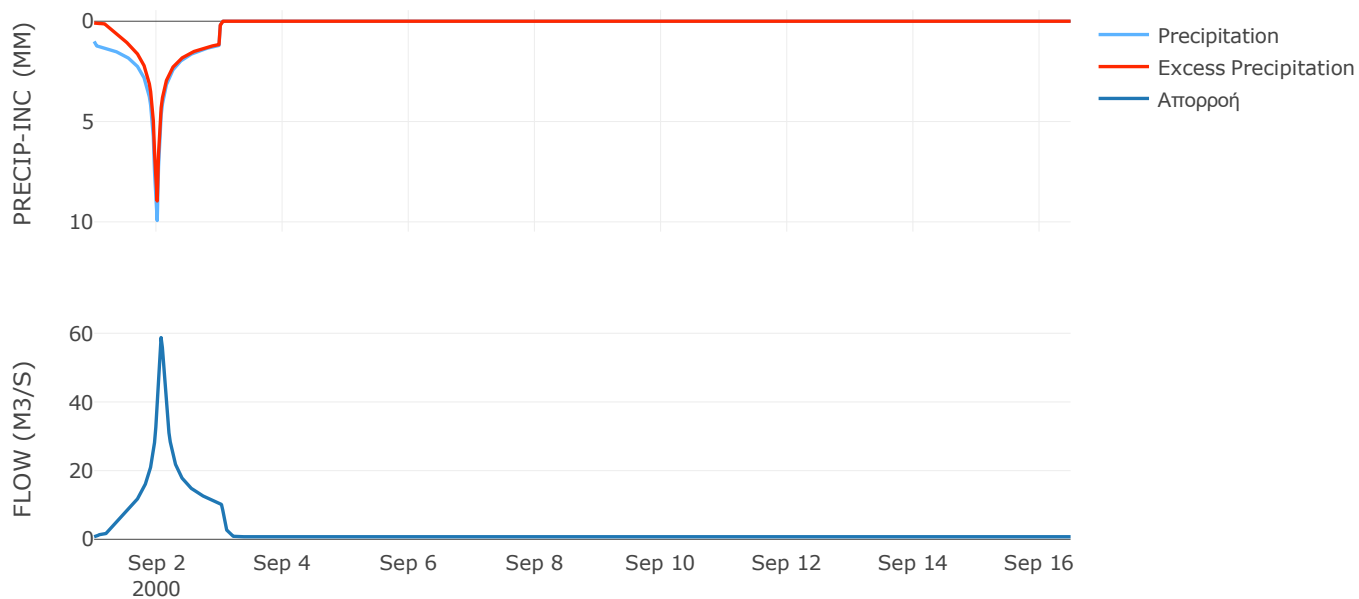
Μέθοδος
Μετασχηματισμού: SCS

Χρόνος Υστέρησης	76.89
------------------	-------

Αποτελέσματα:
EL0415FR6083

Παροχή αιχμής (M3/S)	58.75
Χρονική στιγμή αιχμής	02Sep2000, 01:30
Όγκος (MM)	242.43
Όγκος βροχόπτωσης (M3)	3.32E6
Όγκος απωλειών (M3)	7.04E5
Ενεργός Όγκος (M3)	2.61E6
Όγκος άμεσης απορροής (M3)	2.61E6
Όγκος βασικής απορροής (M3)	9.97E5

Βροχόπτωση και Απορροή



Υπολεκάνη: EL0415FR6084

Έκταση (KM2) : 167.7

Κατάντη : J46

Μέθοδος Απωλειών: SCS

Ποσοστό αδιαπέρατης επιφάνειας	0
Αριθμός Καμπύλης Απορροής-CN	75.65
Αρχικές Απώλειες	16.35

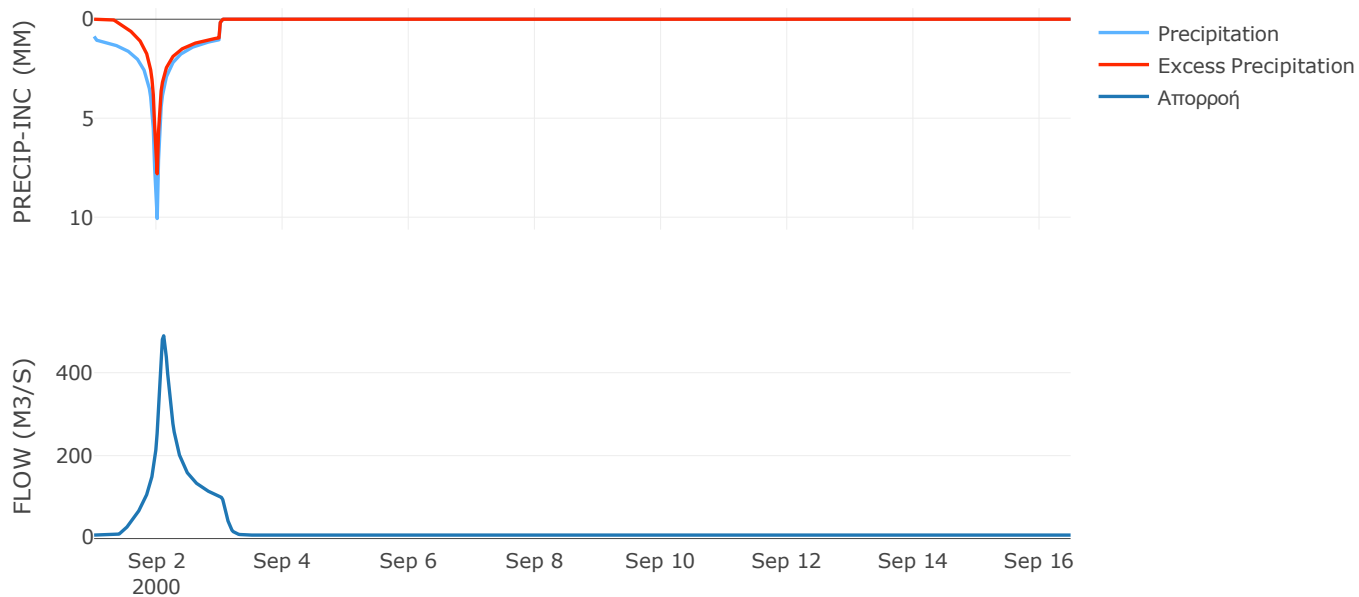
Μέθοδος
Μετασχηματισμού: SCS

Χρόνος Υστέρησης	125.36
------------------	--------

Αποτελέσματα:
EL0415FR6084

Παροχή αιχμής (M3/S)	489.02
Χρονική στιγμή αιχμής	02Sep2000, 02:30
Όγκος (MM)	197.55
Όγκος βροχόπτωσης (M3)	3.42E7
Όγκος απωλειών (M3)	1.23E7
Ενεργός Όγκος (M3)	2.19E7
Όγκος άμεσης απορροής (M3)	2.19E7
Όγκος βασικής απορροής (M3)	1.12E7

Βροχόπτωση και Απορροή



Υπολεκάνη: EL0415FR6085

Έκταση (KM2) : 5.18

Κατάνη : J17 Res3

Μέθοδος Απωλειών: SCS

Ποσοστό αδιαπέρατης επιφάνειας	20
Αριθμός Καμπύλης Απορροής-CN	93.75
Αρχικές Απώλειες	3.39

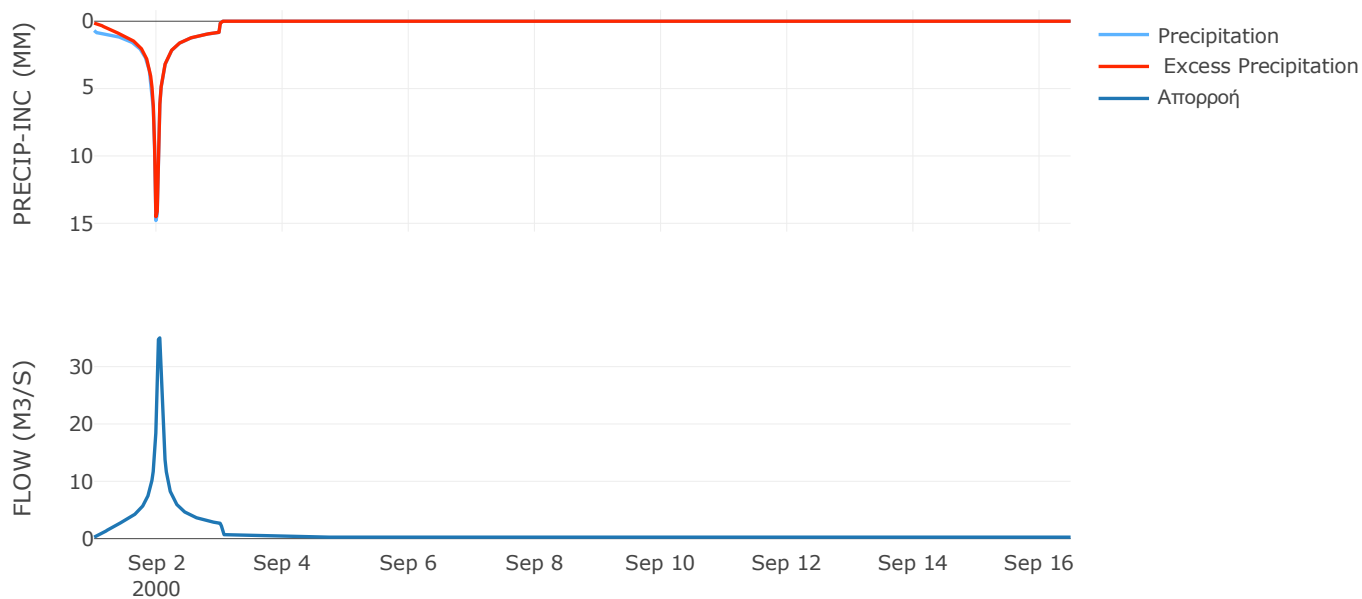
Μέθοδος
Μετασχηματισμού: SCS

Χρόνος Υστέρησης	39.98
------------------	-------

Αποτελέσματα:
EL0415FR6085

Παροχή αιχμής (M3/S)	35.02
Χρονική στιγμή αιχμής	02Sep2000, 01:00
Όγκος (MM)	257.68
Όγκος βροχόπτωσης (M3)	1.07E6
Όγκος απωλειών (M3)	78794.66
Ενεργός Όγκος (M3)	9.88E5
Όγκος άμεσης απορροής (M3)	9.88E5
Όγκος βασικής απορροής (M3)	3.47E5

Βροχόπτωση και Απορροή



Υπολεκάνη: EL0415FR6086

Έκταση (KM2) : 51.06

Κατάντη : J27

Μέθοδος Απωλειών: SCS

Ποσοστό αδιαπέρατης επιφάνειας	17
Αριθμός Καμπύλης Απορροής-CN	69.67
Αρχικές Απώλειες	22.12

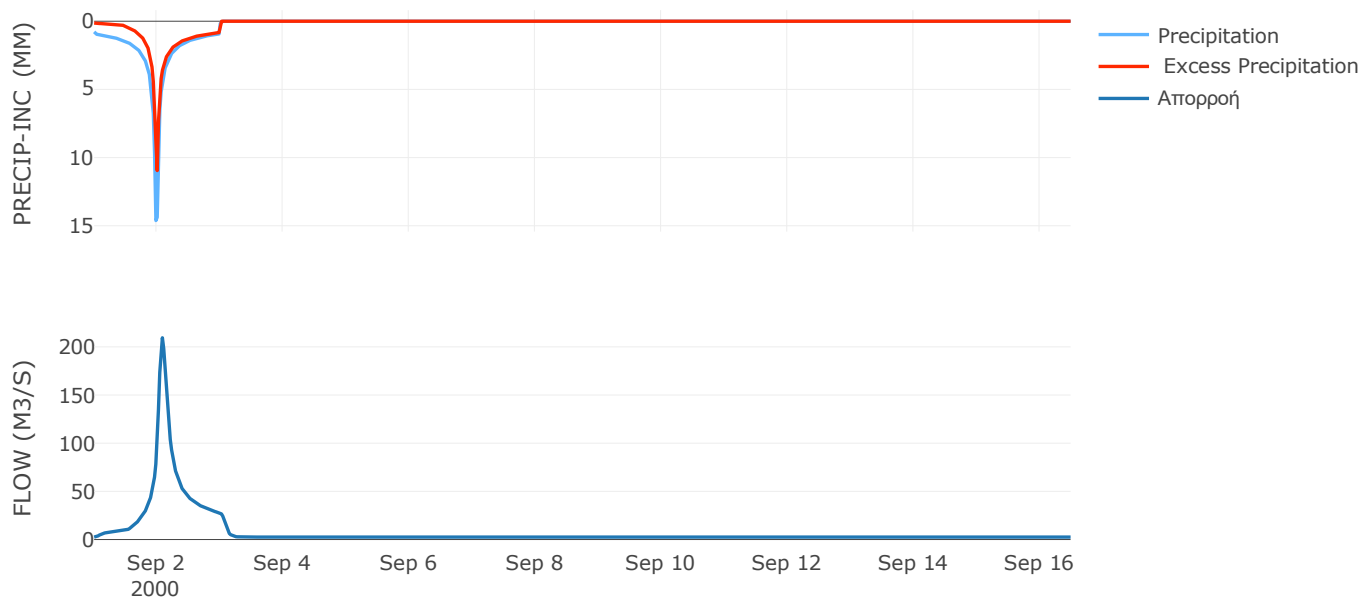
Μέθοδος
Μετασχηματισμού: SCS

Χρόνος Υστέρησης	101.47
------------------	--------

Αποτελέσματα:
EL0415FR6086

Παροχή αιχμής (M3/S)	209.43
Χρονική στιγμή αιχμής	02Sep2000, 02:00
Όγκος (MM)	210.1
Όγκος βροχόπτωσης (M3)	1.13E7
Όγκος απωλειών (M3)	3.95E6
Ενεργός Όγκος (M3)	7.31E6
Όγκος άμεσης απορροής (M3)	7.31E6
Όγκος βασικής απορροής (M3)	3.42E6

Βροχόπτωση και Απορροή



Υπολεκάνη: EL0415FR6087

Έκταση (KM2) : 13.66

Κατάντη : J64

Μέθοδος Απωλειών: SCS

Ποσοστό αδιαπέρατης επιφάνειας	20
Αριθμός Καμπύλης Απορροής-CN	56.47
Αρχικές Απώλειες	39.17

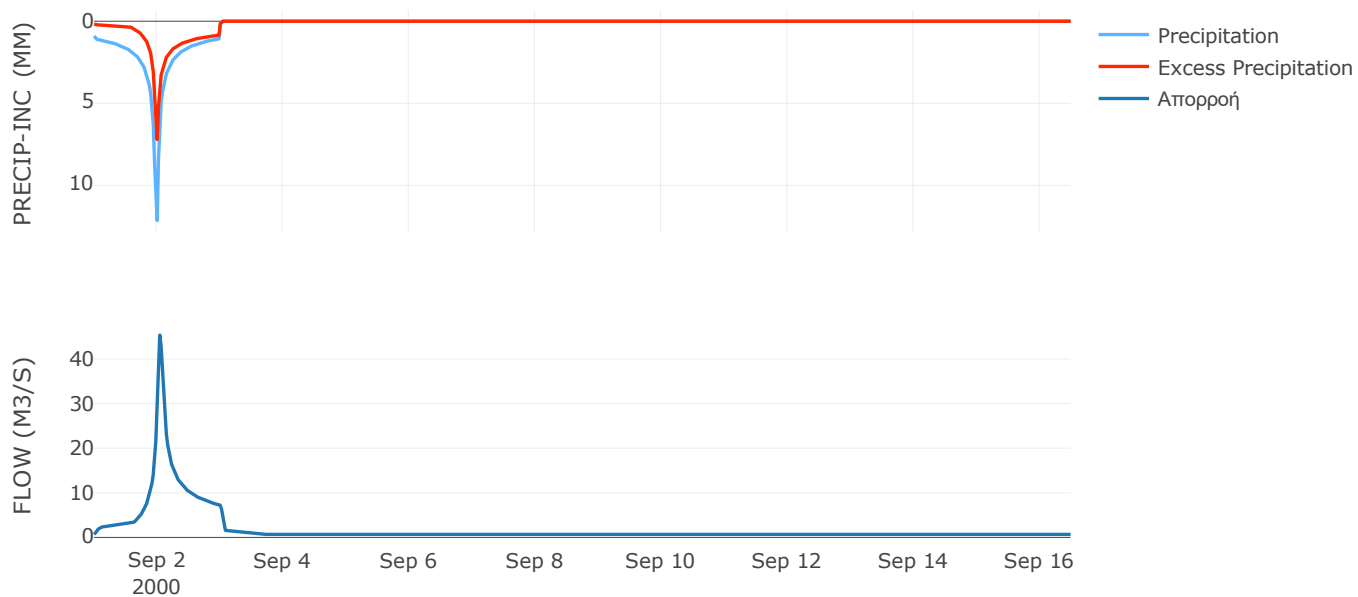
Μέθοδος
Μετασχηματισμού: SCS

Χρόνος Υστέρησης	50.69
------------------	-------

Αποτελέσματα:
EL0415FR6087

Παροχή αιχμής (M3/S)	45.35
Χρονική στιγμή αιχμής	02Sep2000, 01:00
Όγκος (MM)	183.18
Όγκος βροχόπτωσης (M3)	3.05E6
Όγκος απωλειών (M3)	1.47E6
Ενεργός Όγκος (M3)	1.59E6
Όγκος άμεσης απορροής (M3)	1.59E6
Όγκος βασικής απορροής (M3)	9.15E5

Βροχόπτωση και Απορροή



Υπολεκάνη: EL0415FR6088

Έκταση (KM2) : 31.28

Κατάντη : J27

Μέθοδος Απωλειών: SCS

Ποσοστό αδιαπέρατης επιφάνειας	37
Αριθμός Καμπύλης Απορροής-CN	85.31
Αρχικές Απώλειες	8.75

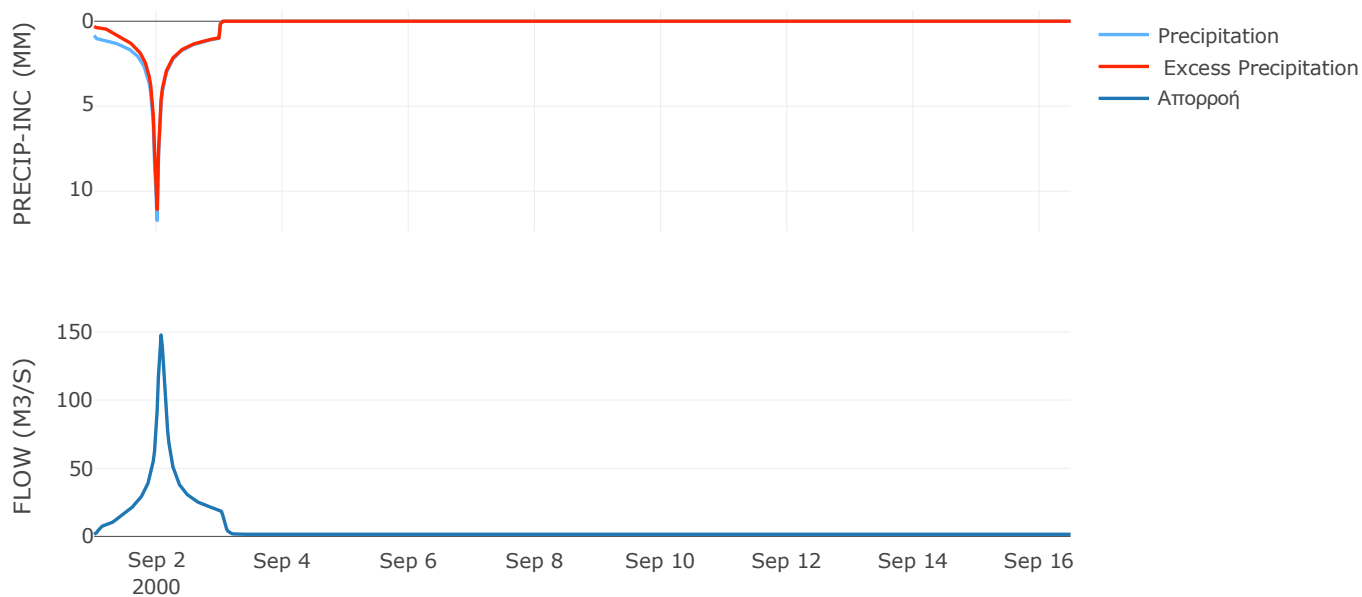
Μέθοδος
Μετασχηματισμού: SCS

Χρόνος Υστέρησης	78.64
------------------	-------

Αποτελέσματα:
EL0415FR6088

Παροχή αιχμής (M3/S)	147.79
Χρονική στιγμή αιχμής	02Sep2000, 01:30
Όγκος (MM)	250.52
Όγκος βροχόπτωσης (M3)	6.62E6
Όγκος απωλειών (M3)	8.81E5
Ενεργός Όγκος (M3)	5.74E6
Όγκος άμεσης απορροής (M3)	5.74E6
Όγκος βασικής απορροής (M3)	2.09E6

Βροχόπτωση και Απορροή



Υπολεκάνη: EL0415FR6089

Έκταση (KM2) : 9.78

Κατάντη : J28

Μέθοδος Απωλειών: SCS

Ποσοστό αδιαπέρατης επιφάνειας	11
Αριθμός Καμπύλης Απορροής-CN	76.26
Αρχικές Απώλειες	15.81

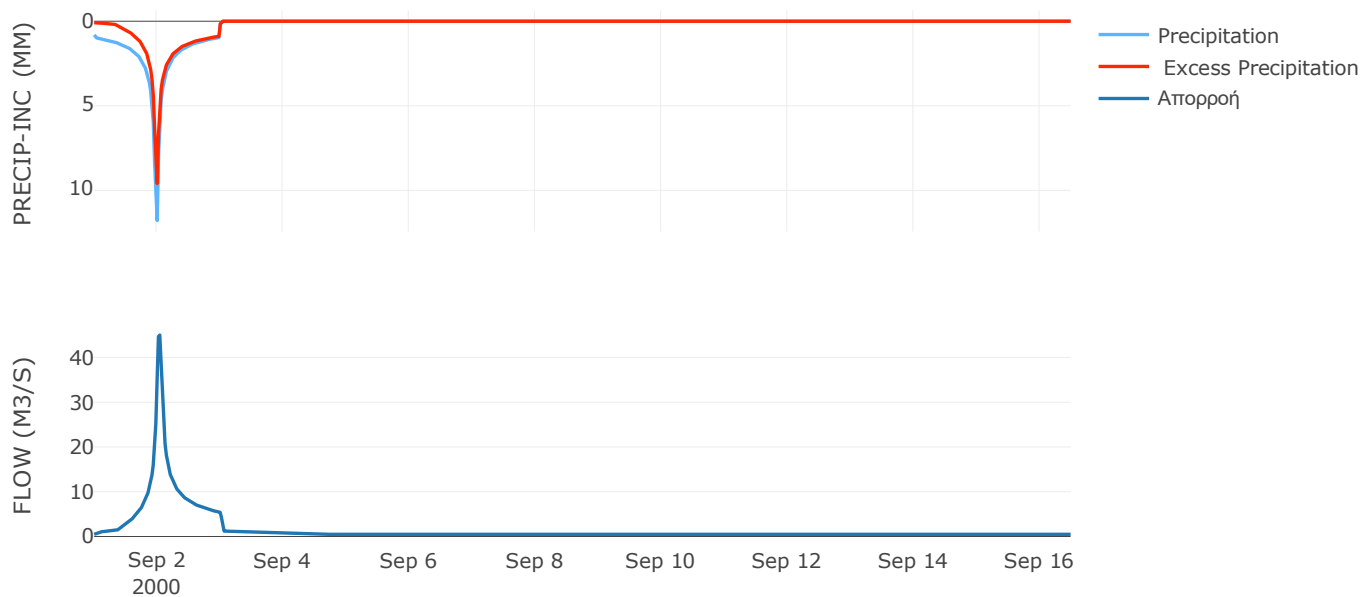
Μέθοδος
Μετασχηματισμού: SCS

Χρόνος Υστέρησης	36.41
------------------	-------

Αποτελέσματα:
EL0415FR6089

Παροχή αιχμής (M3/S)	45.03
Χρονική στιγμή αιχμής	02Sep2000, 01:00
Όγκος (MM)	210.38
Όγκος βροχόπτωσης (M3)	2.03E6
Όγκος απωλειών (M3)	6.25E5
Ενεργός Όγκος (M3)	1.4E6
Όγκος άμεσης απορροής (M3)	1.4E6
Όγκος βασικής απορροής (M3)	6.55E5

Βροχόπτωση και Απορροή



Υπολεκάνη: EL0415FR6090

Έκταση (KM2) : 6.36

Κατάντη : J29

Μέθοδος Απωλειών: SCS

Ποσοστό αδιαπέρατης επιφάνειας	20
Αριθμός Καμπύλης Απορροής-CN	69.04
Αρχικές Απώλειες	22.79

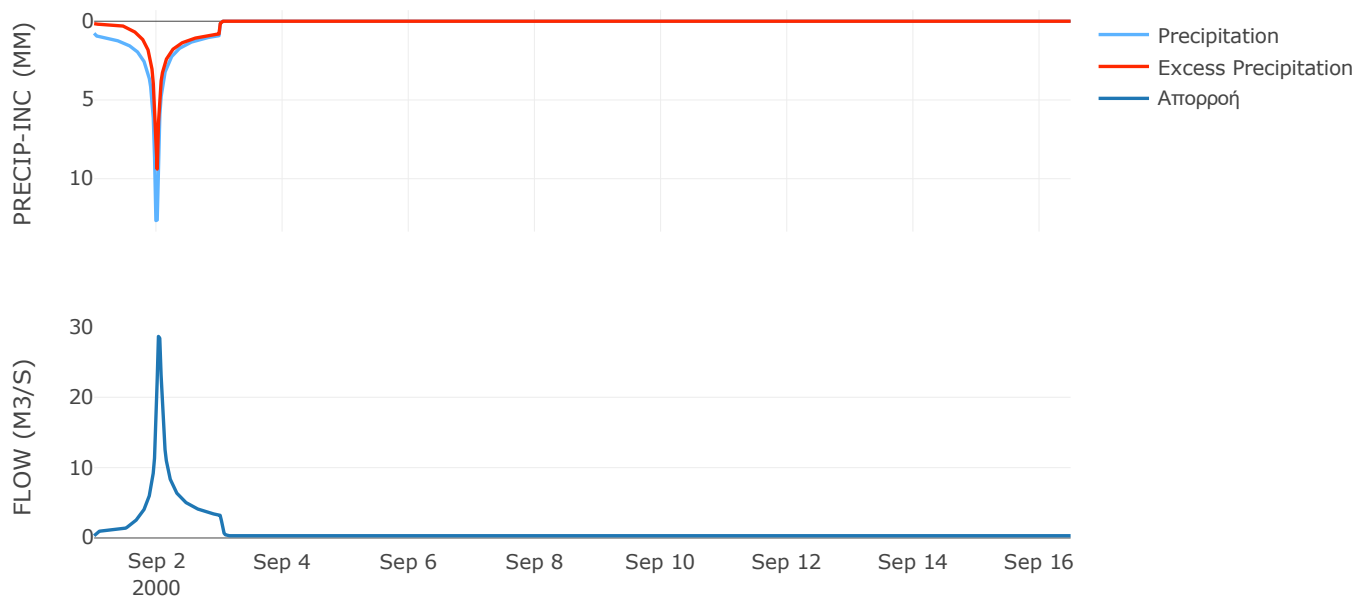
Μέθοδος
Μετασχηματισμού: SCS

Χρόνος Υστέρησης	34.28
------------------	-------

Αποτελέσματα:
EL0415FR6090

Παροχή αιχμής (M3/S)	28.65
Χρονική στιγμή αιχμής	02Sep2000, 00:30
Όγκος (MM)	199.24
Όγκος βροχόπτωσης (M3)	1.31E6
Όγκος απωλειών (M3)	4.74E5
Ενεργός Όγκος (M3)	8.41E5
Όγκος άμεσης απορροής (M3)	8.41E5
Όγκος βασικής απορροής (M3)	4.26E5

Βροχόπτωση και Απορροή



Υπολεκάνη: EL0415FR6091

Έκταση (KM2) : 12.79

Κατάντη : J29

Μέθοδος Απωλειών: SCS

Ποσοστό αδιαπέρατης επιφάνειας	20
Αριθμός Καμπύλης Απορροής-CN	67.22
Αρχικές Απώλειες	24.77

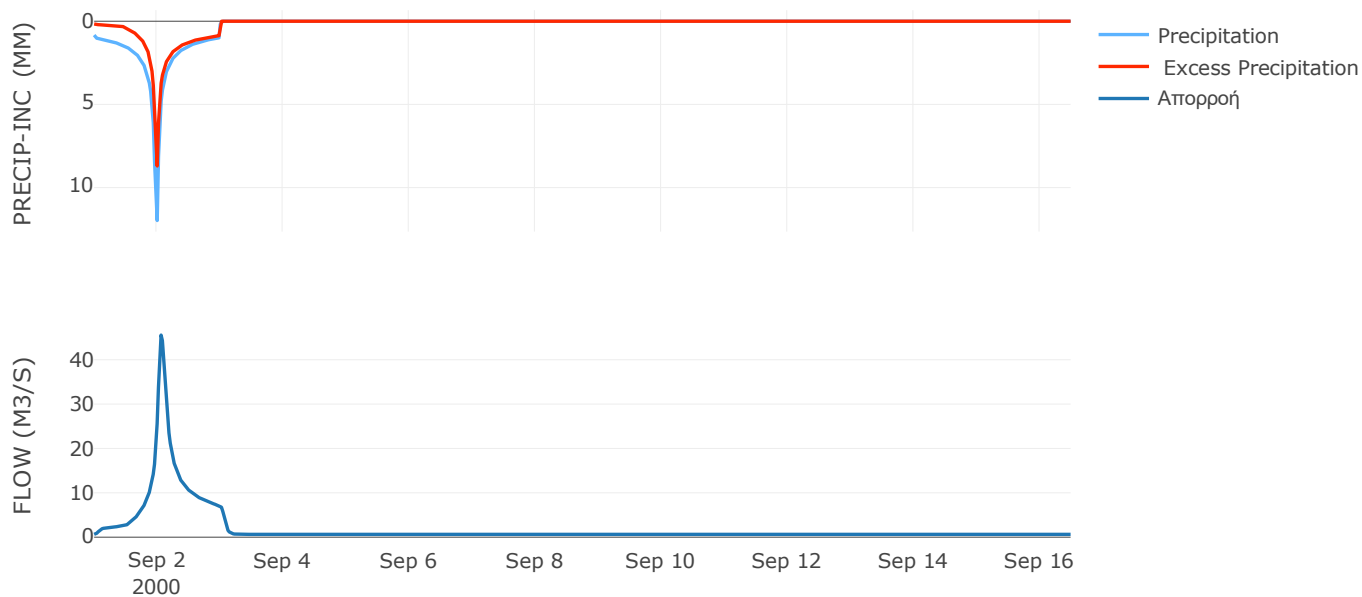
Μέθοδος
Μετασχηματισμού: SCS

Χρόνος Υστέρησης	82.7
------------------	------

Αποτελέσματα:
EL0415FR6091

Παροχή αιχμής (M3/S)	45.56
Χρονική στιγμή αιχμής	02Sep2000, 01:30
Όγκος (MM)	200.13
Όγκος βροχόπτωσης (M3)	2.72E6
Όγκος απωλειών (M3)	1.02E6
Ενεργός Όγκος (M3)	1.7E6
Όγκος άμεσης απορροής (M3)	1.7E6
Όγκος βασικής απορροής (M3)	8.56E5

Βροχόπτωση και Απορροή



Υπολεκάνη: EL0415FR6092

Έκταση (KM2) : 11.03

Κατάντη : J24

Μέθοδος Απωλειών: SCS

Ποσοστό αδιαπέρατης επιφάνειας	5
Αριθμός Καμπύλης Απορροής-CN	68.91
Αρχικές Απώλειες	22.92

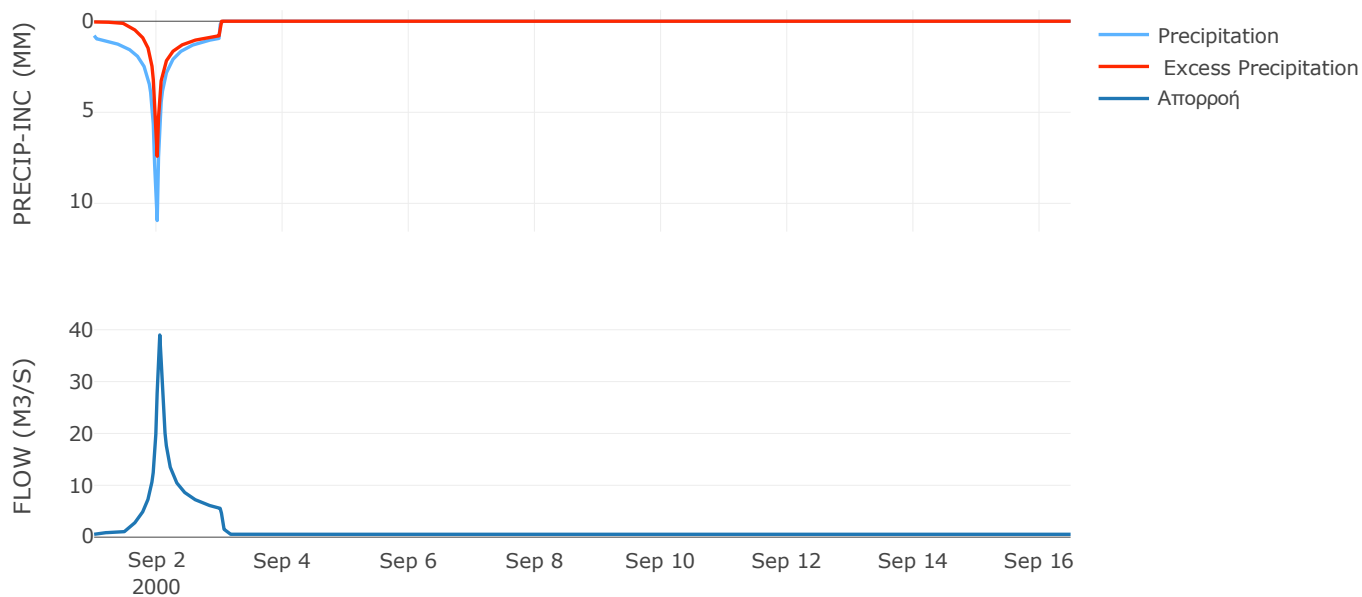
Μέθοδος
Μετασχηματισμού: SCS

Χρόνος Υστέρησης	41.17
------------------	-------

Αποτελέσματα:
EL0415FR6092

Παροχή αιχμής (M3/S)	38.99
Χρονική στιγμή αιχμής	02Sep2000, 01:00
Όγκος (MM)	177.84
Όγκος βροχόπτωσης (M3)	2.19E6
Όγκος απωλειών (M3)	9.67E5
Ενεργός Όγκος (M3)	1.22E6
Όγκος άμεσης απορροής (M3)	1.22E6
Όγκος βασικής απορροής (M3)	7.38E5

Βροχόπτωση και Απορροή



Υπολεκάνη: EL0415FR6093

Έκταση (KM2) : 14.35

Κατάντη : J25

Μέθοδος Απωλειών: SCS

Ποσοστό αδιαπέρατης επιφάνειας	6
Αριθμός Καμπύλης Απορροής-CN	52.13
Αρχικές Απώλειες	46.65

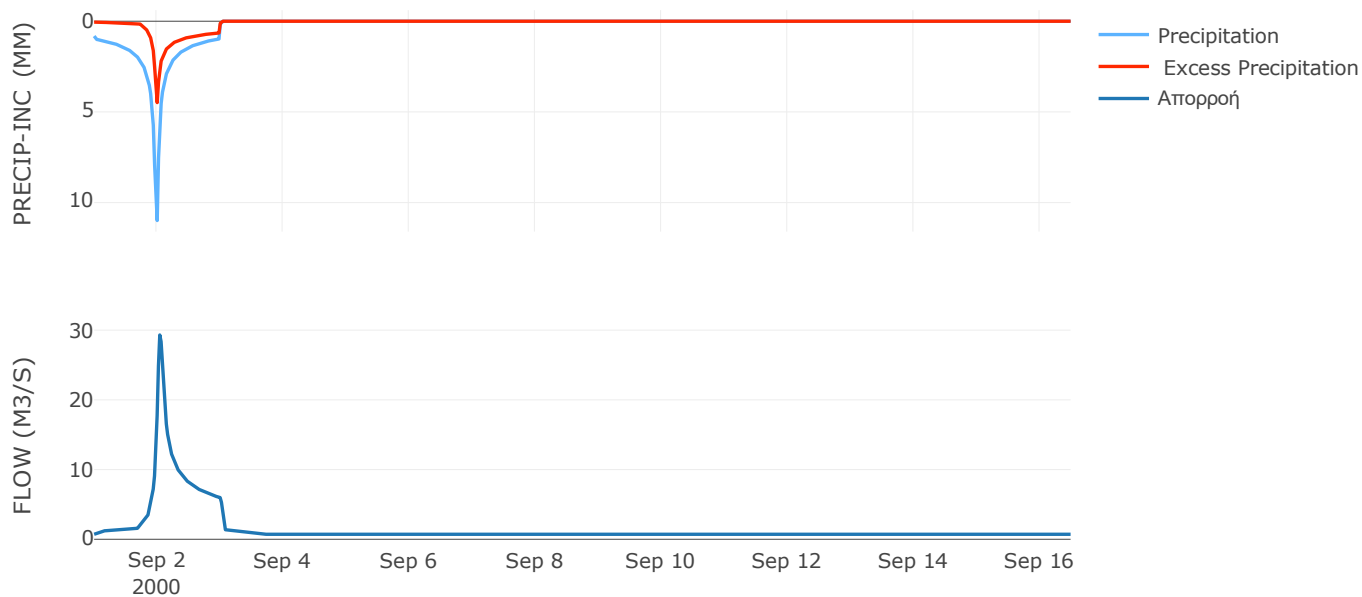
Μέθοδος
Μετασχηματισμού: SCS

Χρόνος Υστέρησης	48.88
------------------	-------

Αποτελέσματα:
EL0415FR6093

Παροχή αιχμής (M3/S)	29.31
Χρονική στιγμή αιχμής	02Sep2000, 01:00
Όγκος (MM)	138.29
Όγκος βροχόπτωσης (M3)	2.92E6
Όγκος απωλειών (M3)	1.89E6
Ενεργός Όγκος (M3)	1.02E6
Όγκος άμεσης απορροής (M3)	1.02E6
Όγκος βασικής απορροής (M3)	9.61E5

Βροχόπτωση και Απορροή



Υπολεκάνη: EL0415FR6094

Έκταση (KM2) : 17.58

Κατάντη : J22

Μέθοδος Απωλειών: SCS

Ποσοστό αδιαπέρατης επιφάνειας	8
Αριθμός Καμπύλης Απορροής-CN	51.14
Αρχικές Απώλειες	48.53

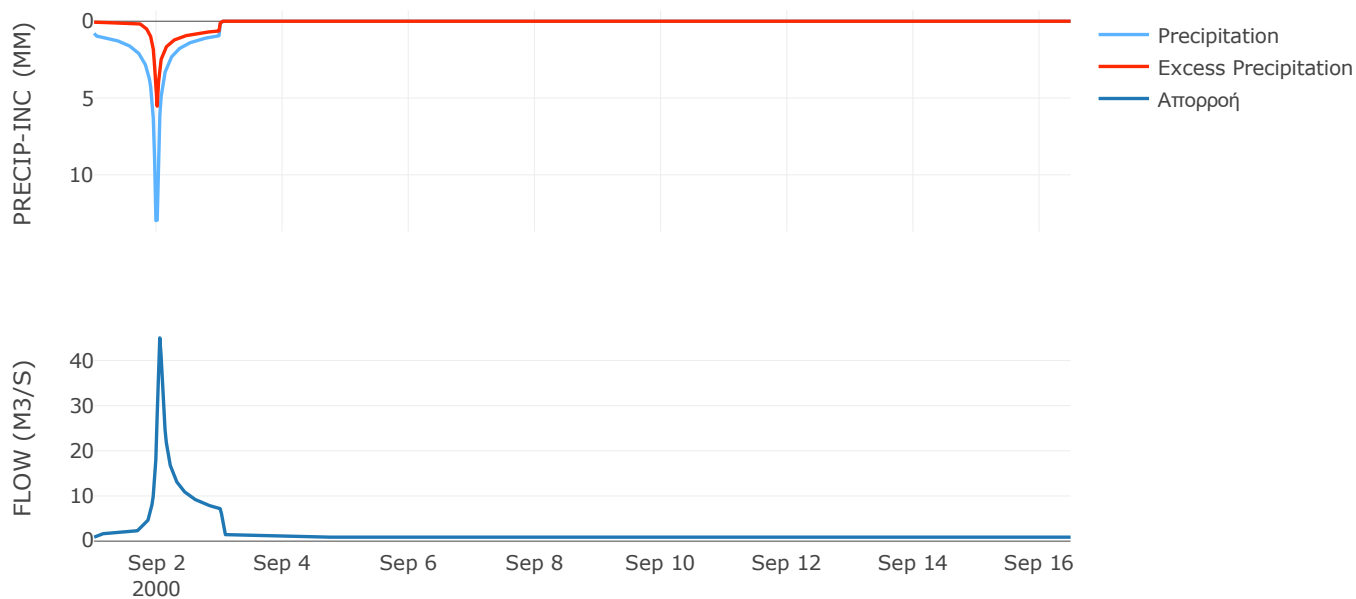
Μέθοδος
Μετασχηματισμού: SCS

Χρόνος Υστέρησης	42.95
------------------	-------

Αποτελέσματα:
EL0415FR6094

Παροχή αιχμής (M3/S)	45.01
Χρονική στιγμή αιχμής	02Sep2000, 01:00
Όγκος (MM)	145.01
Όγκος βροχόπτωσης (M3)	3.74E6
Όγκος απωλειών (M3)	2.37E6
Ενεργός Όγκος (M3)	1.37E6
Όγκος άμεσης απορροής (M3)	1.37E6
Όγκος βασικής απορροής (M3)	1.18E6

Βροχόπτωση και Απορροή



Υπολεκάνη: EL0415FR6095

Έκταση (KM2) : 18.13

Κατάνη : J15 Res2

Μέθοδος Απωλειών: SCS

Ποσοστό αδιαπέρατης επιφάνειας	17
Αριθμός Καμπύλης Απορροής-CN	88.26
Αρχικές Απώλειες	6.75

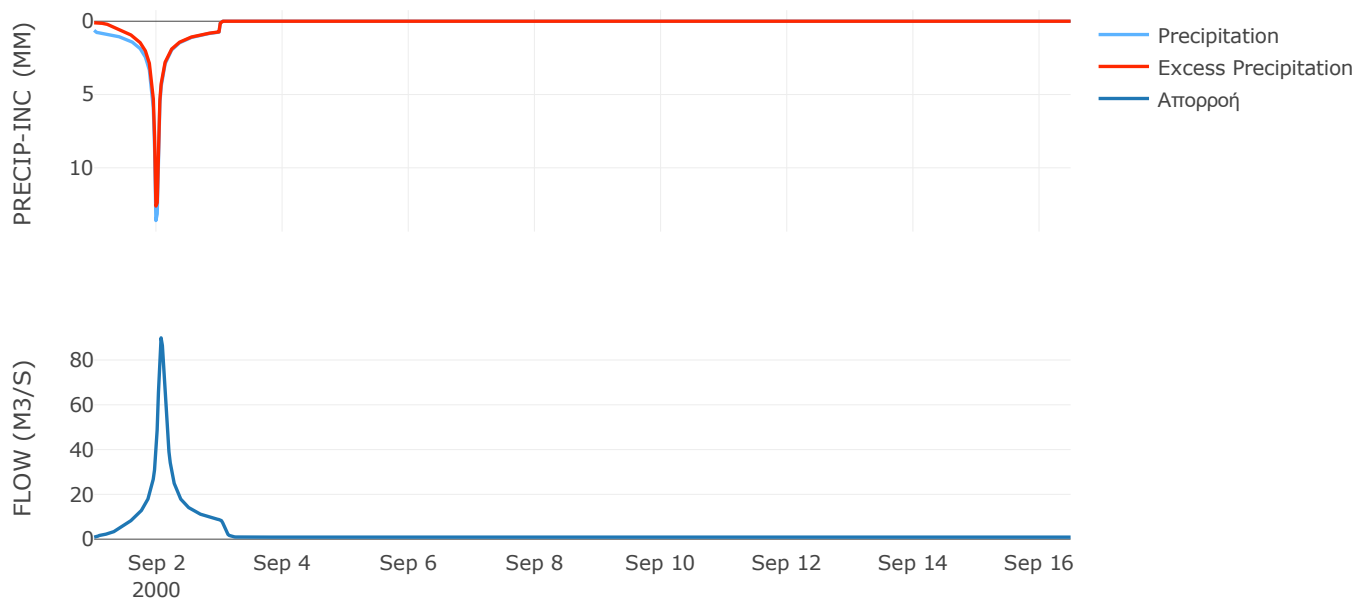
Μέθοδος
Μετασχηματισμού: SCS

Χρόνος Υστέρησης	86.69
------------------	-------

Αποτελέσματα:
EL0415FR6095

Παροχή αιχμής (M3/S)	89.89
Χρονική στιγμή αιχμής	02Sep2000, 01:30
Όγκος (MM)	224.5
Όγκος βροχόπτωσης (M3)	3.39E6
Όγκος απωλειών (M3)	5.3E5
Ενεργός Όγκος (M3)	2.86E6
Όγκος άμεσης απορροής (M3)	2.86E6
Όγκος βασικής απορροής (M3)	1.21E6

Βροχόπτωση και Απορροή



Υπολεκάνη: EL0415FR6096

Έκταση (KM2) : 45.1

Κατάντη : J19

Μέθοδος Απωλειών: SCS

Ποσοστό αδιαπέρατης επιφάνειας	16
Αριθμός Καμπύλης Απορροής-CN	83.35
Αρχικές Απώλειες	10.15

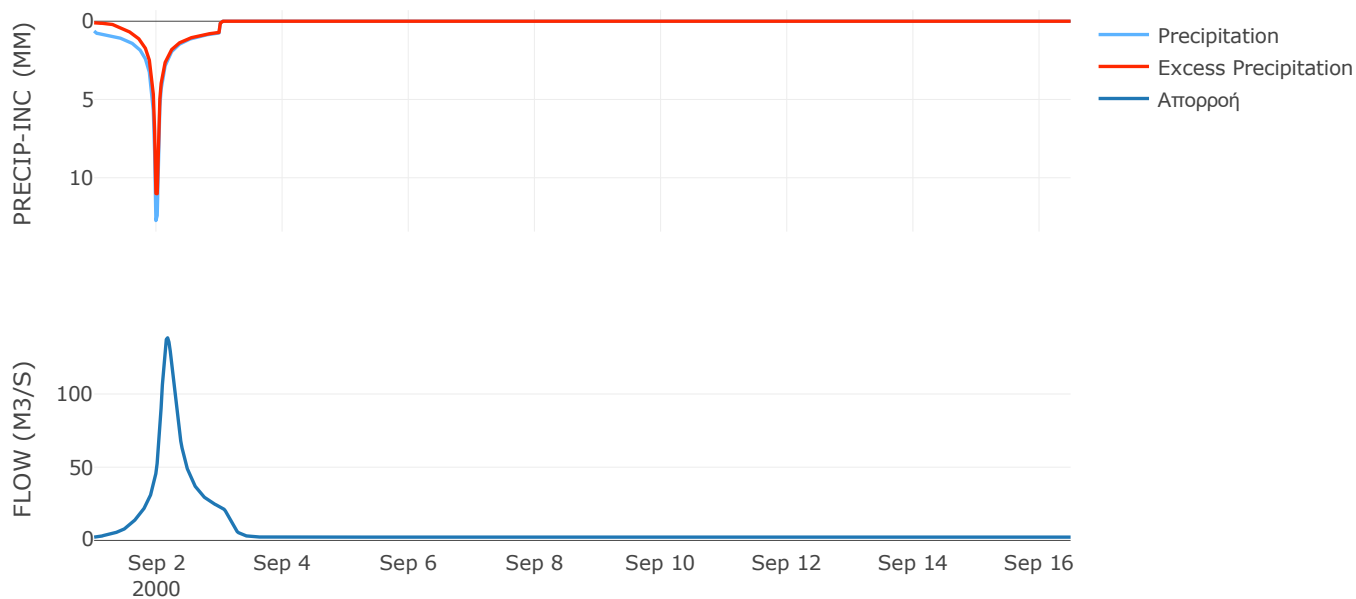
Μέθοδος
Μετασχηματισμού: SCS

Χρόνος Υστέρησης	214.22
------------------	--------

Αποτελέσματα:
EL0415FR6096

Παροχή αιχμής (M3/S)	138.35
Χρονική στιγμή αιχμής	02Sep2000, 04:00
Όγκος (MM)	208.42
Όγκος βροχόπτωσης (M3)	8.25E6
Όγκος απωλειών (M3)	1.87E6
Ενεργός Όγκος (M3)	6.38E6
Όγκος άμεσης απορροής (M3)	6.38E6
Όγκος βασικής απορροής (M3)	3.02E6

Βροχόπτωση και Απορροή



Υπολεκάνη: EL0415FR6097

Έκταση (KM2) : 3.48

Κατάντη : J14

Μέθοδος Απωλειών: SCS

Ποσοστό αδιαπέρατης επιφάνειας	17
Αριθμός Καμπύλης Απορροής-CN	83.19
Αρχικές Απώλειες	10.27

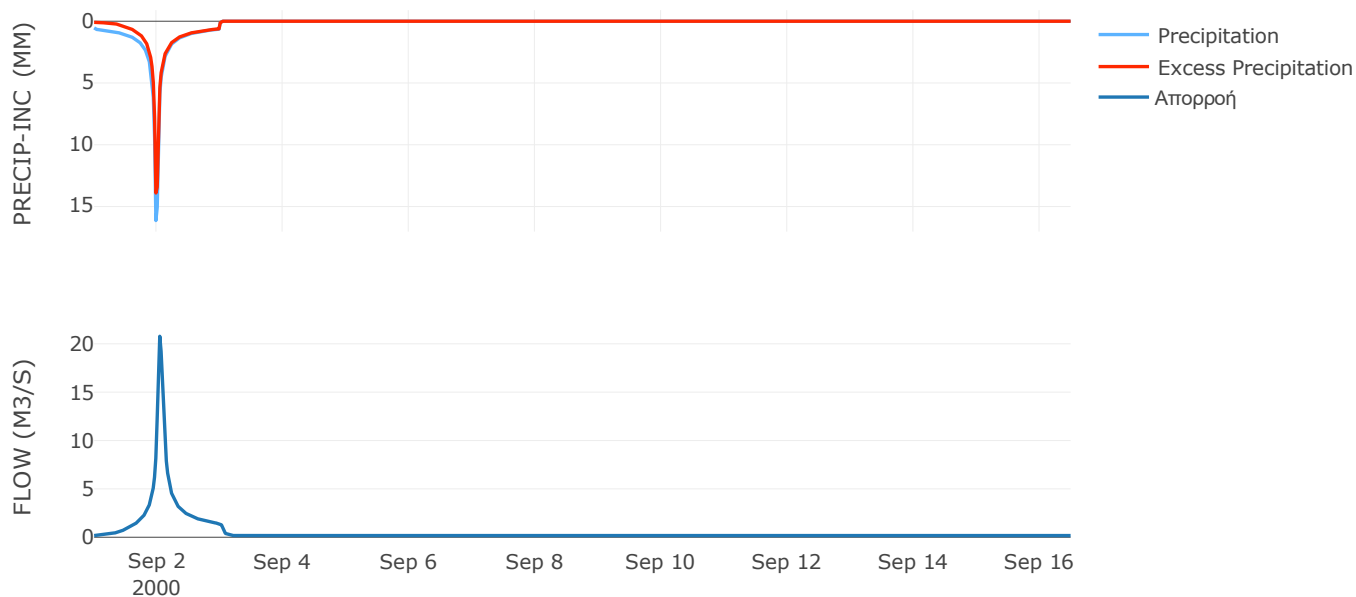
Μέθοδος
Μετασχηματισμού: SCS

Χρόνος Υστέρησης	56.87
------------------	-------

Αποτελέσματα:
EL0415FR6097

Παροχή αιχμής (M3/S)	20.78
Χρονική στιγμή αιχμής	02Sep2000, 01:00
Όγκος (MM)	209.35
Όγκος βροχόπτωσης (M3)	6.39E5
Όγκος απωλειών (M3)	1.44E5
Ενεργός Όγκος (M3)	4.95E5
Όγκος άμεσης απορροής (M3)	4.95E5
Όγκος βασικής απορροής (M3)	2.33E5

Βροχόπτωση και Απορροή



2.2 Δεδομένα και Υδρογραφήματα σχεδιασμού Κλάδων υδρογραφικού δικτύου

Κλάδος: R21

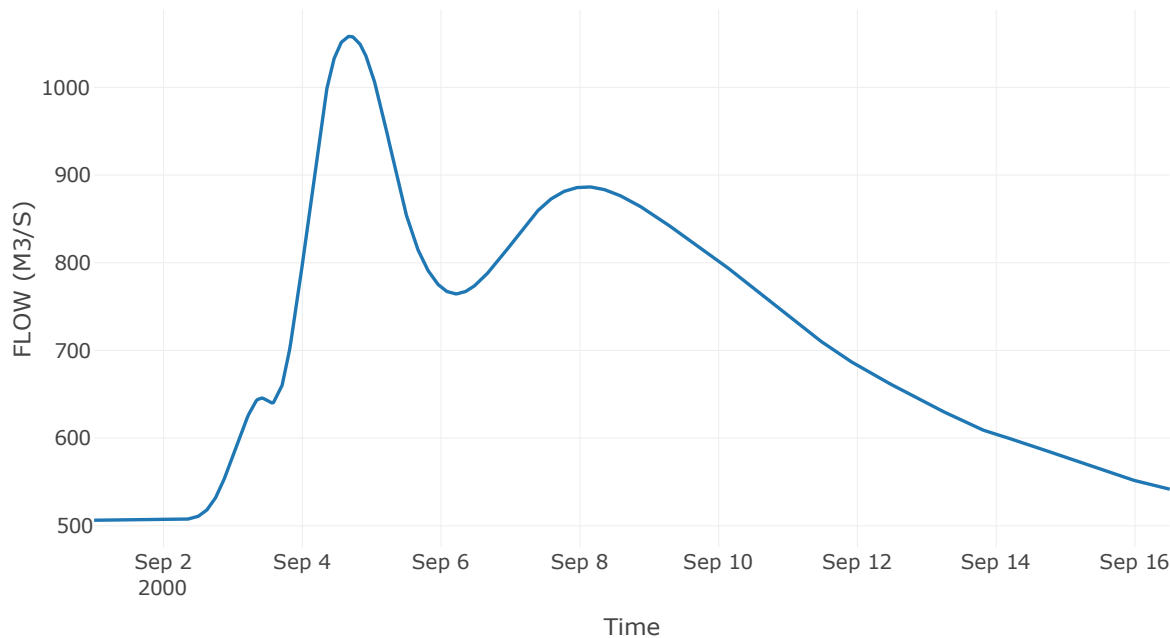
Κατάντη : J1

Μέθοδος Διόδευσης	Muskingum
Αρχική Μεταβλητή	Combined Inflow
Muskingum K	12.98
Συντελεστής βάρους x	0.2
Muskingum Steps	26

Αποτελέσματα: R21

Παροχή Αιχμής (M3/S)	1058.32
Χρονική στιγμή αιχμής	04Sep2000, 16:30
Όγκος(MM)	209.53
Παροχή Αιχμής Εισόδου (M3/S)	1061.19
Όγκος Εισροής(M3)	9.6E8

Απορροή



Κλάδος: R32

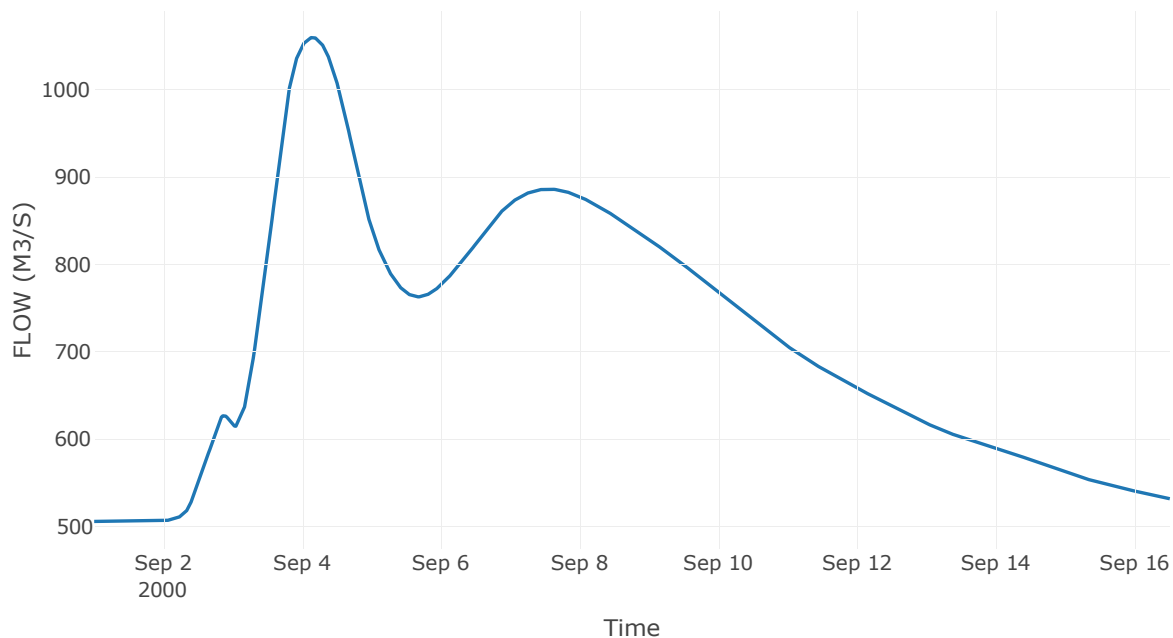
Κατάντη : J2

Μέθοδος Διόδευσης	Muskingum
Αρχική Μεταβλητή	Combined Inflow
Muskingum K	8.87
Συντελεστής βάρους α	0.2
Muskingum Steps	18

Αποτελέσματα: R32

Παροχή Αιχμής (M3/S)	1059.85
Χρονική στιγμή αιχμής	04Sep2000, 03:30
Όγκος(MM)	210.25
Παροχή Αιχμής Εισόδου (M3/S)	1061.73
Όγκος Εισροής(M3)	9.56E8

Απορροή



Κλάδος: R43

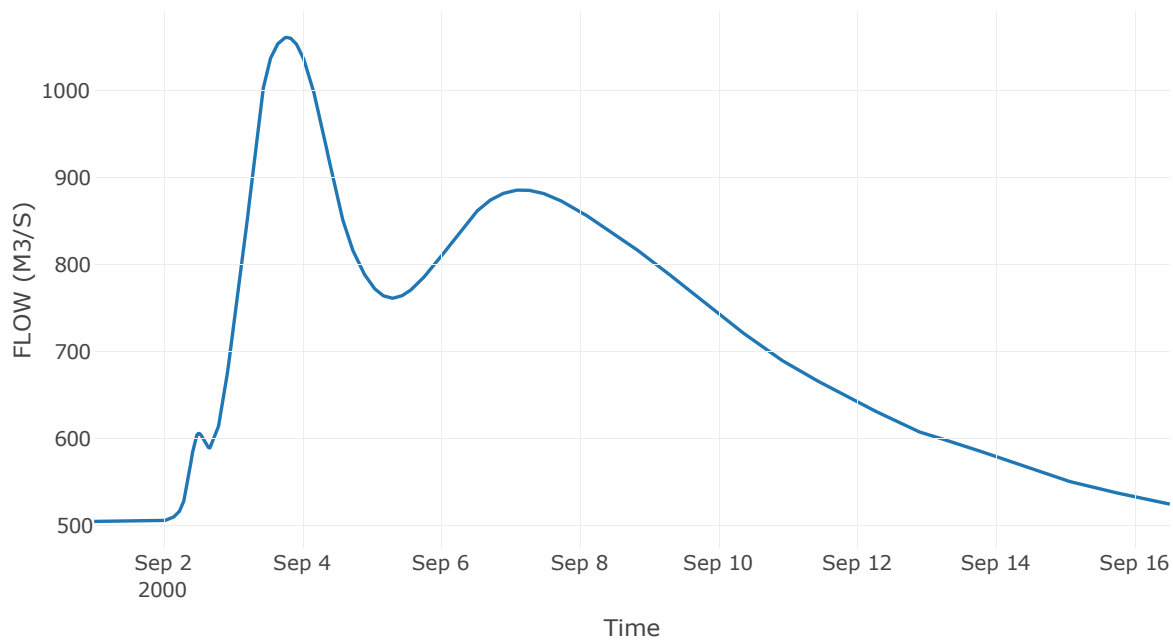
Κατάντη : J3

Μέθοδος Διόδευσης	Muskingum
Αρχική Μεταβλητή	Combined Inflow
Muskingum K	8.29
Συντελεστής βάρους α	0.2
Muskingum Steps	17

Αποτελέσματα: R43

Παροχή Αιχμής (M3/S)	1060.96
Χρονική στιγμή αιχμής	03Sep2000, 19:00
Όγκος(MM)	210.86
Παροχή Αιχμής Εισόδου (M3/S)	1062.88
Όγκος Εισροής(M3)	9.53E8

Απορροή



Κλάδος: R54

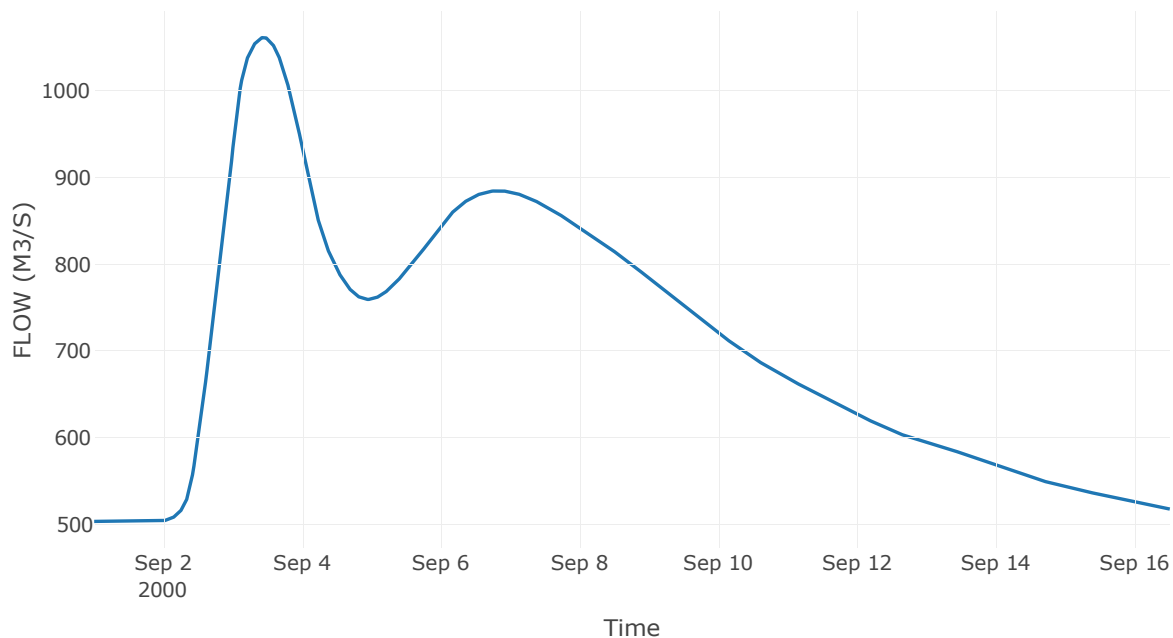
Κατάντη : J4

Μέθοδος Διόδευσης	Muskingum
Αρχική Μεταβλητή	Combined Inflow
Muskingum K	10.31
Συντελεστής βάρους x	0.2
Muskingum Steps	21

Αποτελέσματα: R54

Παροχή Αιχμής (M3/S)	1061.46
Χρονική στιγμή αιχμής	03Sep2000, 10:30
Όγκος(MM)	211.99
Παροχή Αιχμής Εισόδου (M3/S)	1064.47
Όγκος Εισροής(M3)	9.48E8

Απορροή



Κλάδος: R65

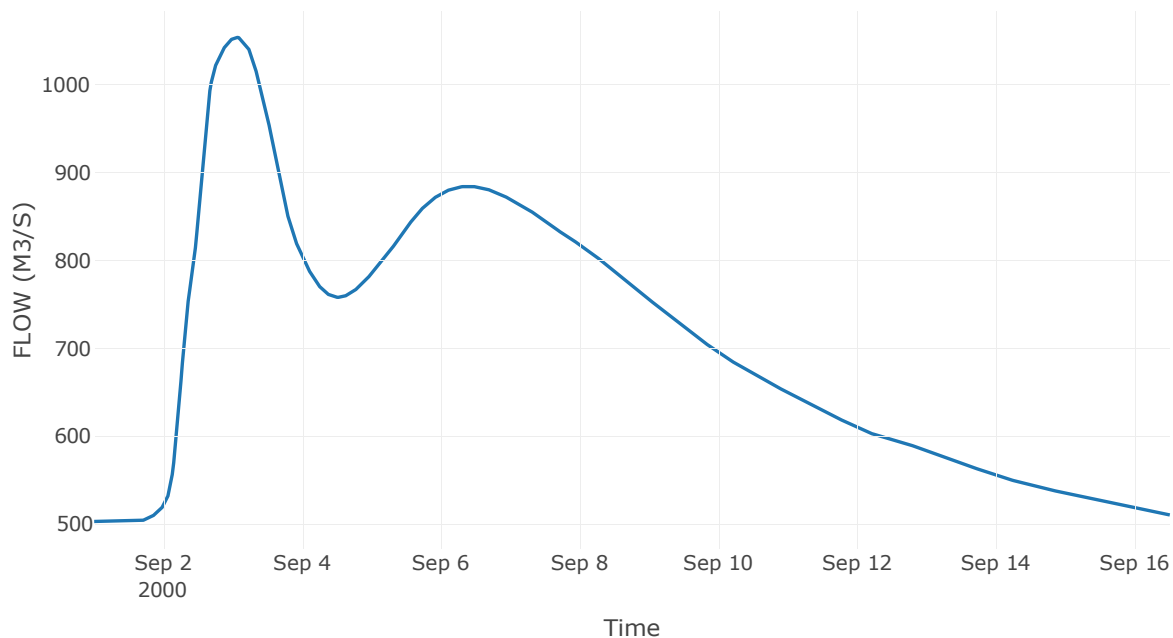
Κατάντη : J5

Μέθοδος Διόδευσης	Muskingum
Αρχική Μεταβλητή	Combined Inflow
Muskingum K	3.21
Συντελεστής βάρους α	0.2
Muskingum Steps	6

Αποτελέσματα: R65

Παροχή Αιχμής (M3/S)	1053.56
Χρονική στιγμή αιχμής	03Sep2000, 01:30
Όγκος(MM)	212.67
Παροχή Αιχμής Εισόδου (M3/S)	1054.22
Όγκος Εισροής(M3)	9.44E8

Απορροή



Κλάδος: R76

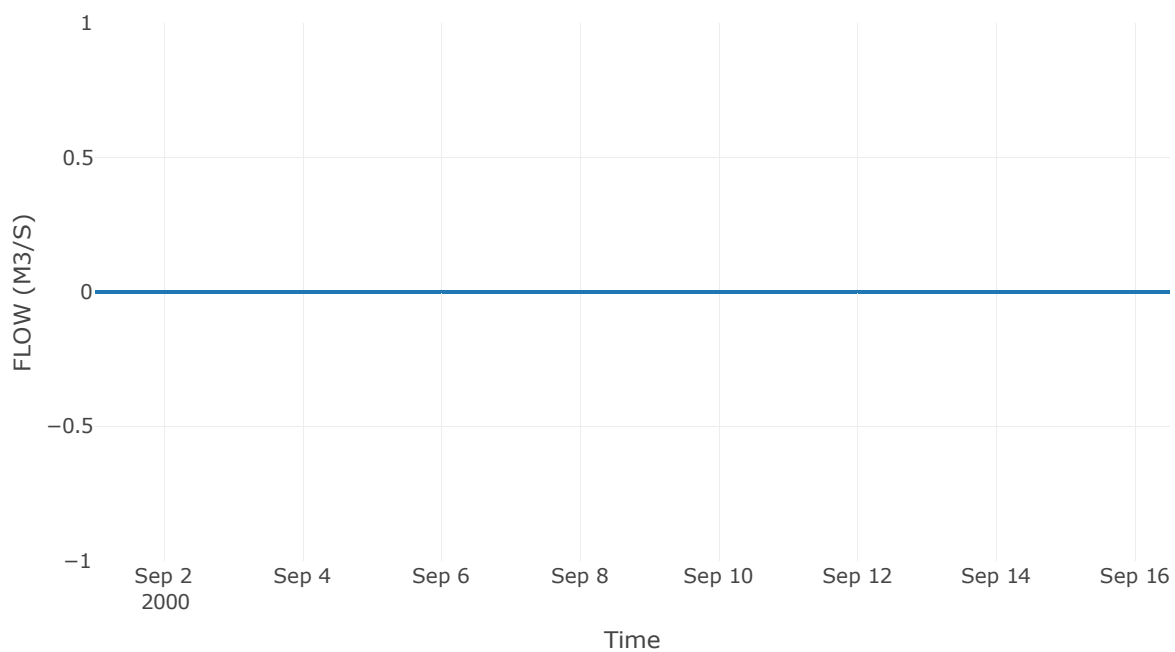
Κατάντη : J6

Μέθοδος Διόδευσης	Muskingum
Αρχική Μεταβλητή	Combined Inflow
Muskingum K	2.38
Συντελεστής βάρους x	0.2
Muskingum Steps	5

Αποτελέσματα: R76

Παροχή Αιχμής (M3/S)	0
Χρονική στιγμή αιχμής	31Aug2000, 24:00
Peak Inflow (M3/S)	0
Όγκος Εισροής (M3)	0

Απορροή



Κλάδος: R86

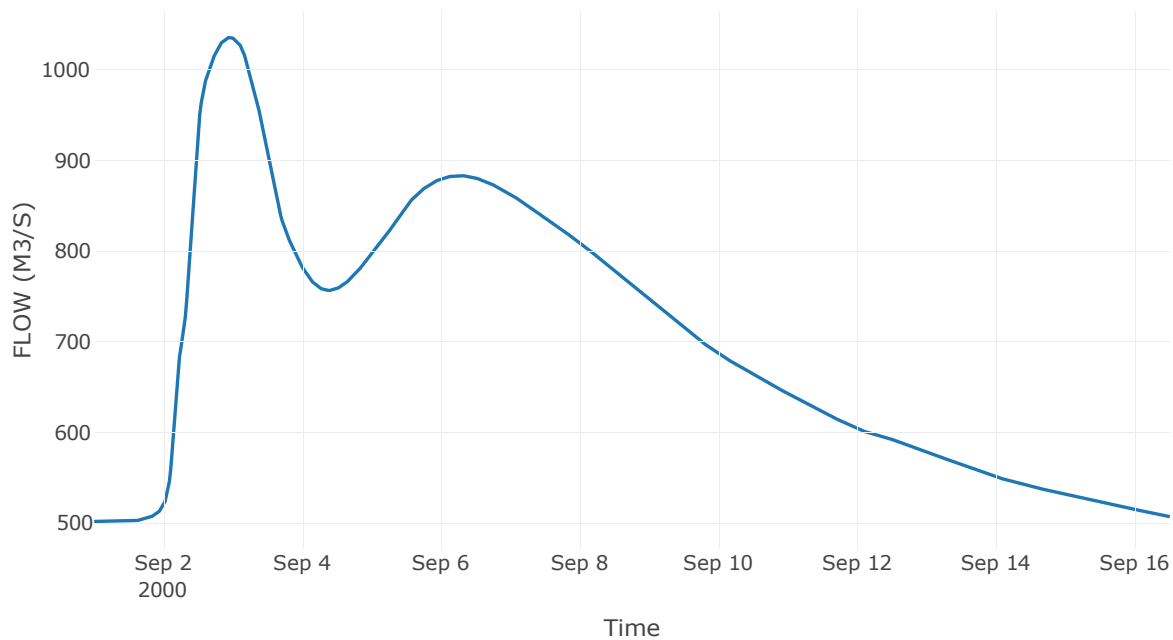
Κατάντη : J6

Μέθοδος Διόδευσης	Muskingum
Αρχική Μεταβλητή	Combined Inflow
Muskingum K	2.04
Συντελεστής βάρους α	0.2
Muskingum Steps	4

Αποτελέσματα: R86

Παροχή Αιχμής (M3/S)	1035.61
Χρονική στιγμή αιχμής	02Sep2000, 23:00
Όγκος(MM)	213.32
Παροχή Αιχμής Εισόδου (M3/S)	1036.03
Όγκος Εισροής(M3)	9.37E8

Απορροή



Κλάδος: R97

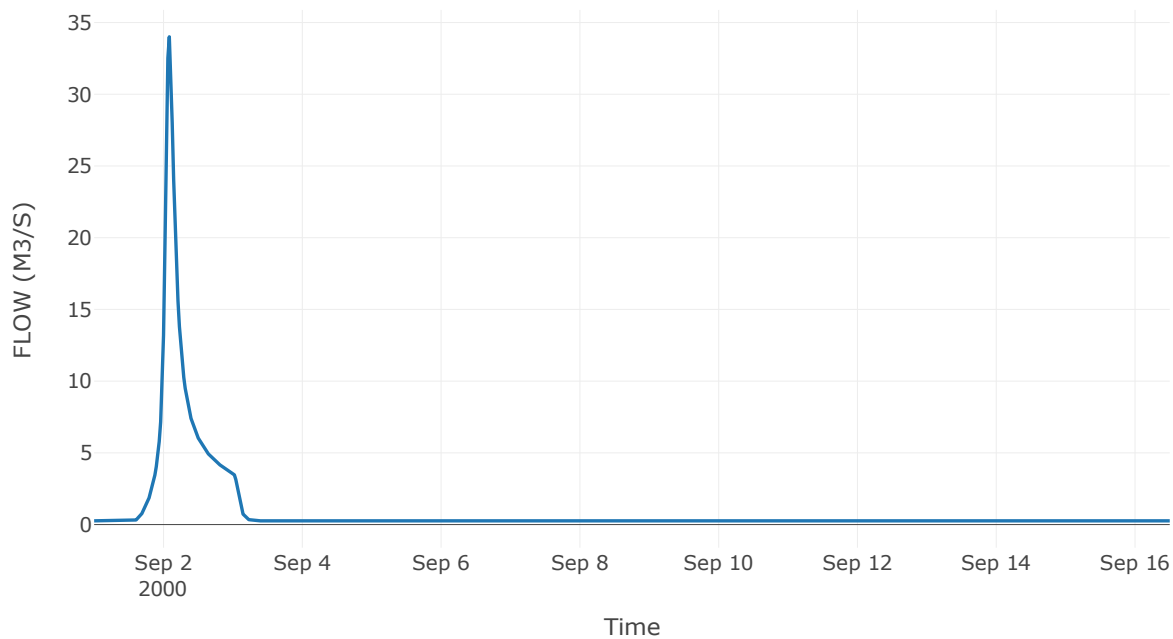
Κατάντη : J7

Μέθοδος Διόδευσης	Χρόνος Υστέρησης
Αρχική Μεταβλητή	Combined Inflow
Χρόνος Υστέρησης	0

Αποτελέσματα: R97

Παροχή Αιχμής (M3/S)	34.01
Χρονική στιγμή αιχμής	02Sep2000, 02:00
Όγκος(MM)	126.9
Παροχή Αιχμής Εισόδου (M3/S)	34.01
Όγκος Εισροής(M3)	1.32E6

Απορροή



Κλάδος: R107

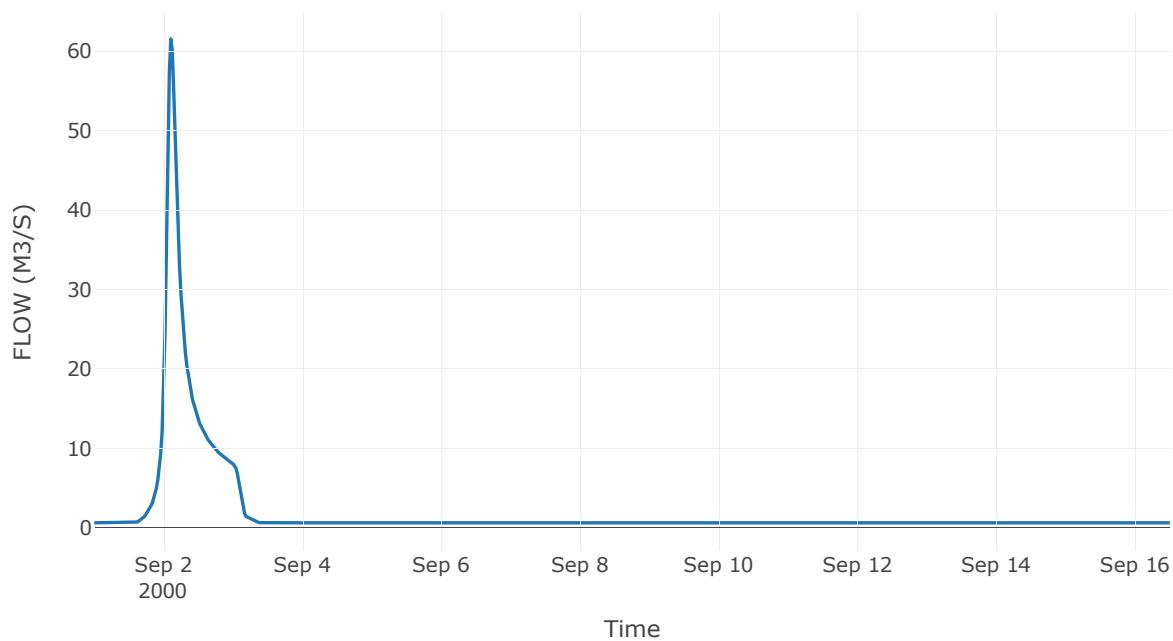
Κατάντη : J7

Μέθοδος Διόδευσης	Χρόνος Υστέρησης
Αρχική Μεταβλητή	Combined Inflow
Χρόνος Υστέρησης	0

Αποτελέσματα: R107

Παροχή Αιχμής (M3/S)	61.56
Χρονική στιγμή αιχμής	02Sep2000, 02:30
Όγκος(MM)	110.58
Παροχή Αιχμής Εισόδου (M3/S)	61.56
Όγκος Εισροής(M3)	2.77E6

Απορροή



Κλάδος: R1110

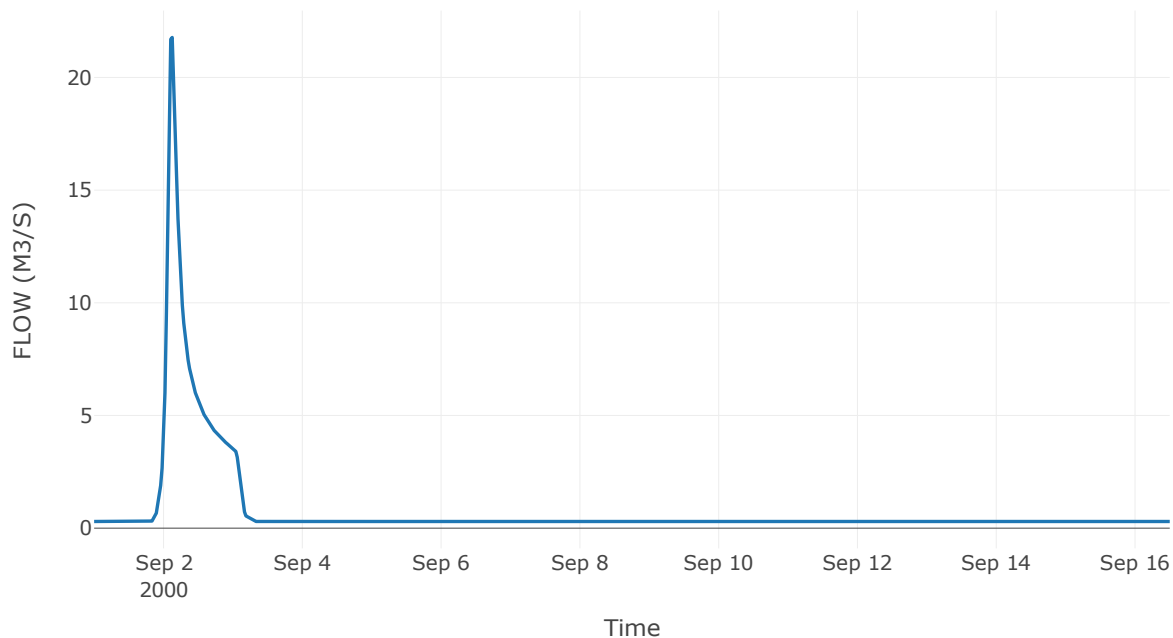
Κατάντη : J10

Μέθοδος Διόδευσης	Muskingum
Αρχική Μεταβλητή	Combined Inflow
Muskingum K	1.16
Συντελεστής βάρους α	0.2
Muskingum Steps	2

Αποτελέσματα: R1110

Παροχή Αιχμής (M3/S)	21.78
Χρονική στιγμή αιχμής	02Sep2000, 03:00
Όγκος(MM)	92.15
Παροχή Αιχμής Εισόδου (M3/S)	24.41
Όγκος Εισροής(M3)	1.09E6

Απορροή



Κλάδος: R128

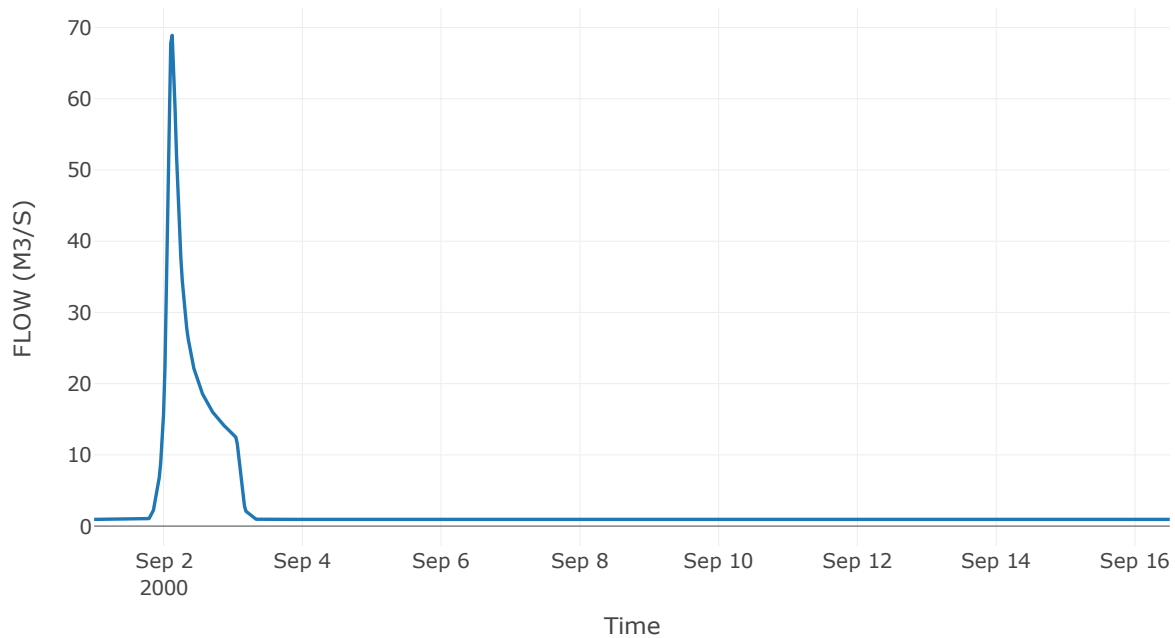
Κατάντη : J8

Μέθοδος Διόδευσης	Muskingum
Αρχική Μεταβλητή	Combined Inflow
Muskingum K	0.93
Συντελεστής βάρους x	0.2
Muskingum Steps	2

Αποτελέσματα: R128

Παροχή Αιχμής (M3/S)	68.89
Χρονική στιγμή αιχμής	02Sep2000, 03:00
Όγκος(MM)	97.96
Παροχή Αιχμής Εισόδου (M3/S)	72.57
Όγκος Εισροής(M3)	3.69E6

Απορροή



Κλάδος: R138

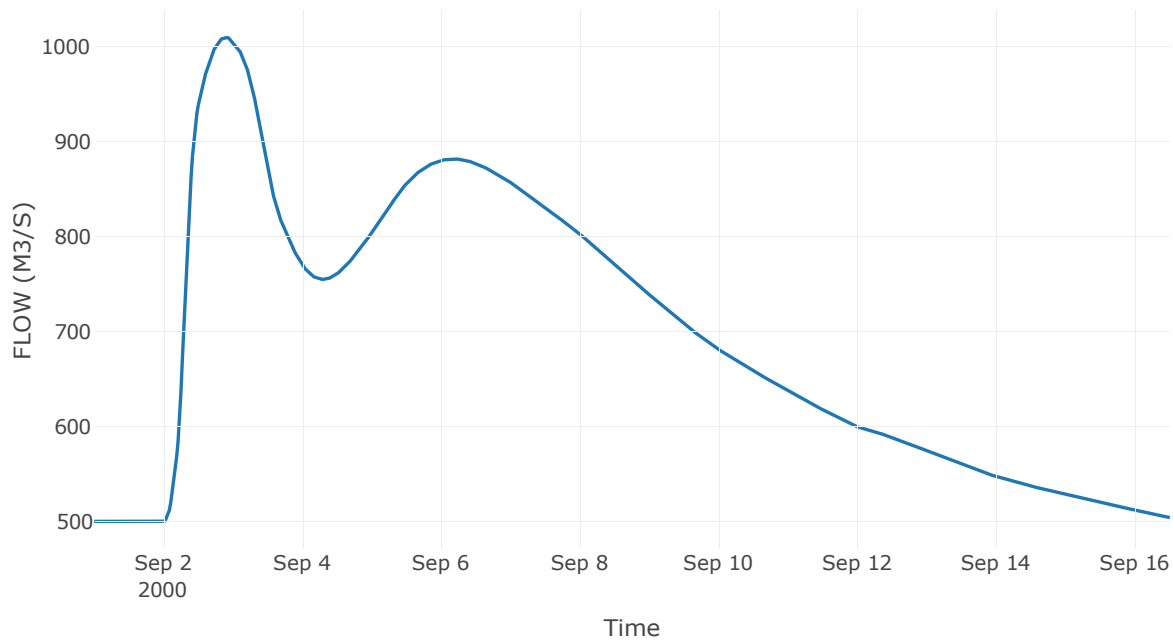
Κατάντη : J8

Μέθοδος Διόδευσης	Muskingum
Αρχική Μεταβλητή	Combined Inflow
Muskingum K	1.19
Συντελεστής βάρους x	0.2
Muskingum Steps	2

Αποτελέσματα: R138

Παροχή Αιχμής (M3/S)	1009.34
Χρονική στιγμή αιχμής	02Sep2000, 21:30
Όγκος(MM)	214.6
Παροχή Αιχμής Εισόδου (M3/S)	1009.62
Όγκος Εισροής(M3)	9.29E8

Απορροή



Κλάδος: R1413

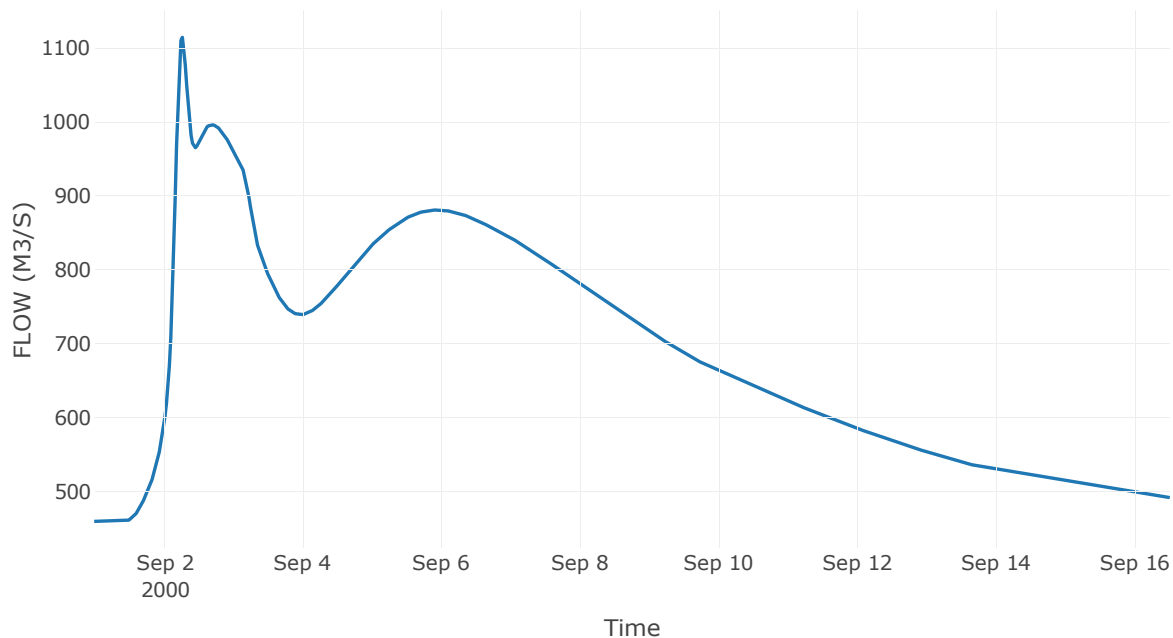
Κατάντη : J13 Res1

Μέθοδος Διόδευσης	Muskingum
Αρχική Μεταβλητή	Combined Inflow
Muskingum K	3.28
Συντελεστής βάρους α	0.2
Muskingum Steps	7

Αποτελέσματα: R1413

Παροχή Αιχμής (M3/S)	1114.31
Χρονική στιγμή αιχμής	02Sep2000, 06:30
Όγκος(MM)	214.66
Παροχή Αιχμής Εισόδου (M3/S)	1163.13
Όγκος Εισροής(M3)	9.2E8

Απορροή



Κλάδος: R1514

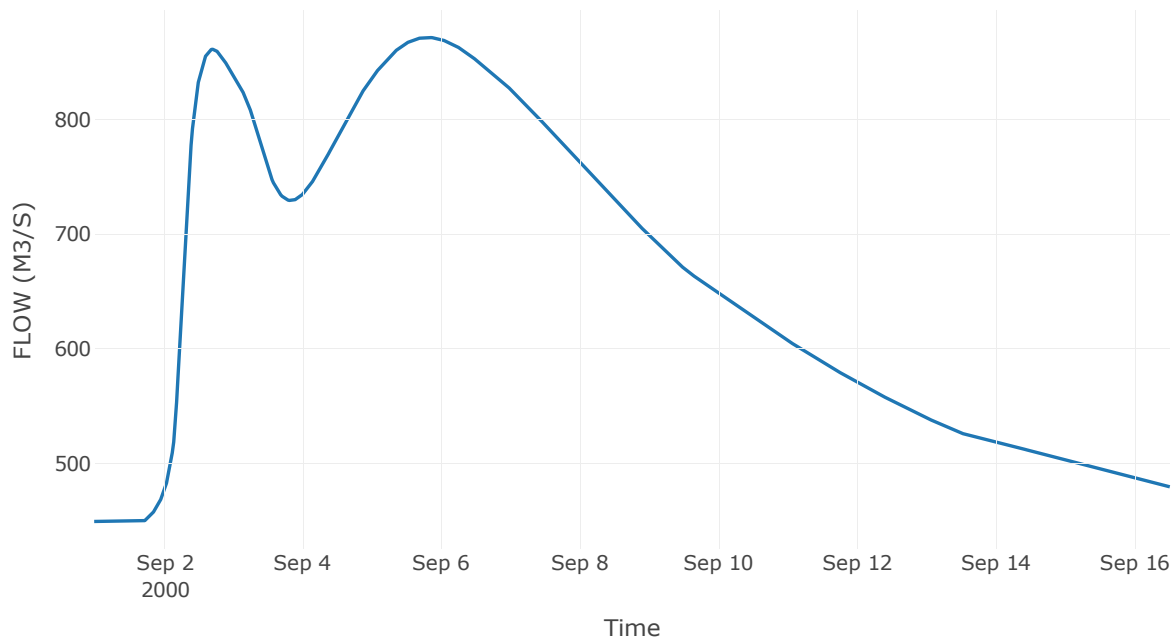
Κατάντη : J14

Μέθοδος Διόδευσης	Muskingum
Αρχική Μεταβλητή	Combined Inflow
Muskingum K	0.36
Συντελεστής βάρους x	0.2
Muskingum Steps	1

Αποτελέσματα: R1514

Παροχή Αιχμής (M3/S)	871.23
Χρονική στιγμή αιχμής	05Sep2000, 19:30
Όγκος(MM)	215.48
Παροχή Αιχμής Εισόδου (M3/S)	871.24
Όγκος Εισροής(M3)	8.82E8

Απορροή



Κλάδος: R1619

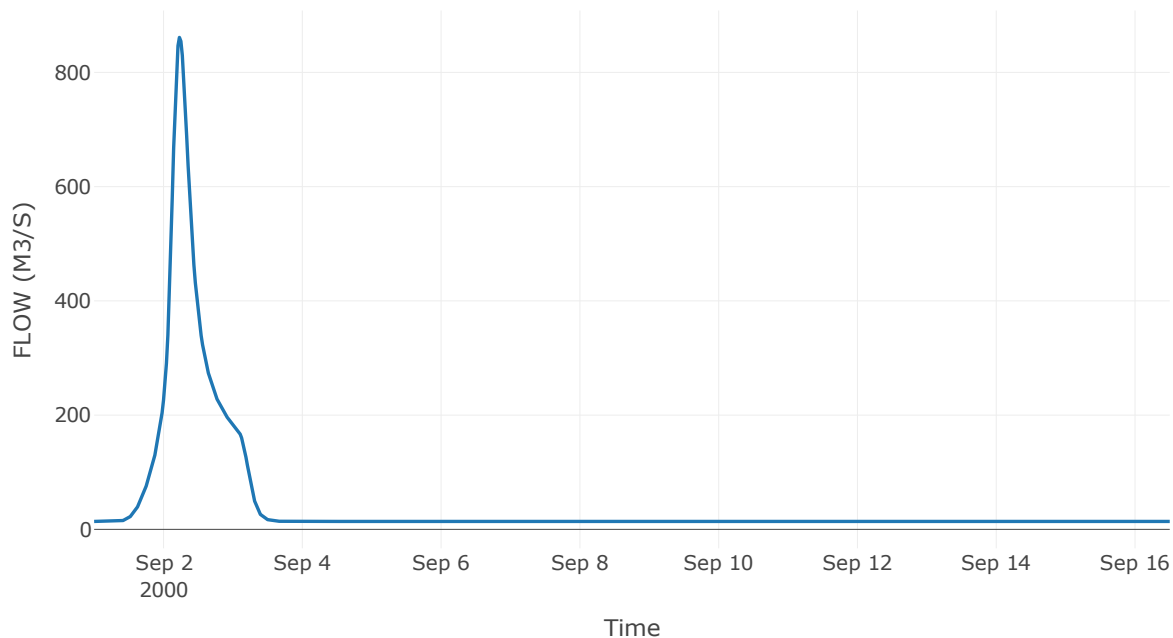
Κατάντη : J19

Μέθοδος Διόδευσης	Muskingum
Αρχική Μεταβλητή	Combined Inflow
Muskingum K	1.64
Συντελεστής βάρους α	0.2
Muskingum Steps	3

Αποτελέσματα: R1619

Παροχή Αιχμής (M3/S)	861.25
Χρονική στιγμή αιχμής	02Sep2000, 05:30
Όγκος(MM)	216.95
Παροχή Αιχμής Εισόδου (M3/S)	885.42
Όγκος Εισροής(M3)	6.01E7

Απορροή



Κλάδος: R1718

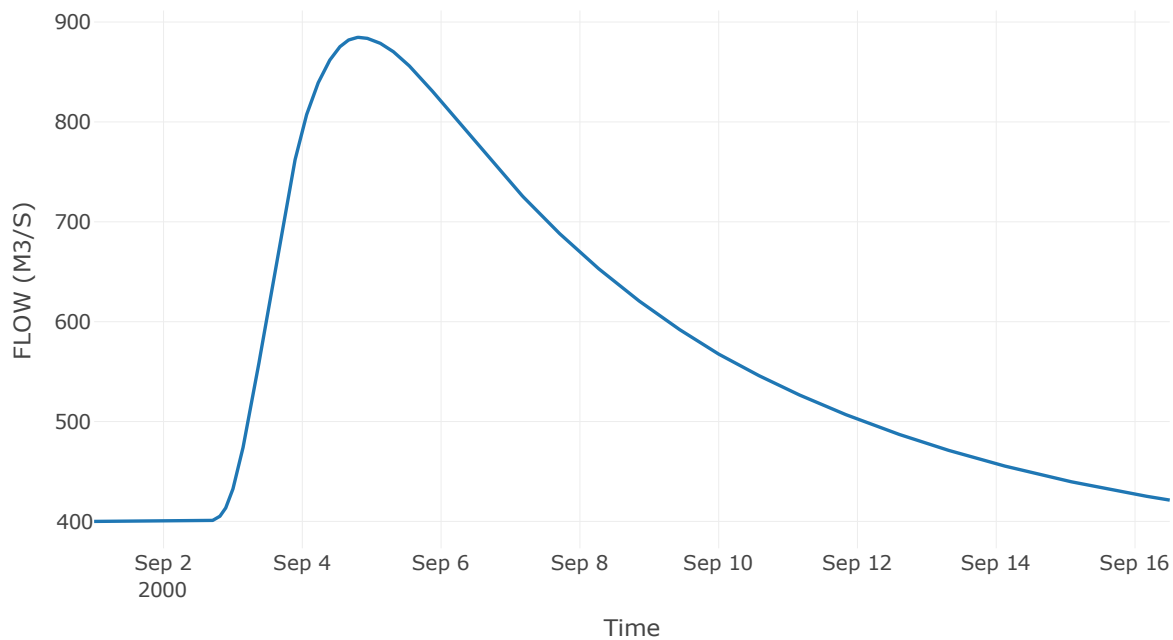
Κατάντη : J18

Μέθοδος Διόδευσης	Muskingum
Αρχική Μεταβλητή	Combined Inflow
Muskingum K	18.33
Συντελεστής βάρους x	0.2
Muskingum Steps	37

Αποτελέσματα: R1718

Παροχή Αιχμής (M3/S)	884.62
Χρονική στιγμή αιχμής	04Sep2000, 20:00
Όγκος(MM)	217.38
Παροχή Αιχμής Εισόδου (M3/S)	885.51
Όγκος Εισροής(M3)	7.75E8

Απορροή



Κλάδος: R1819

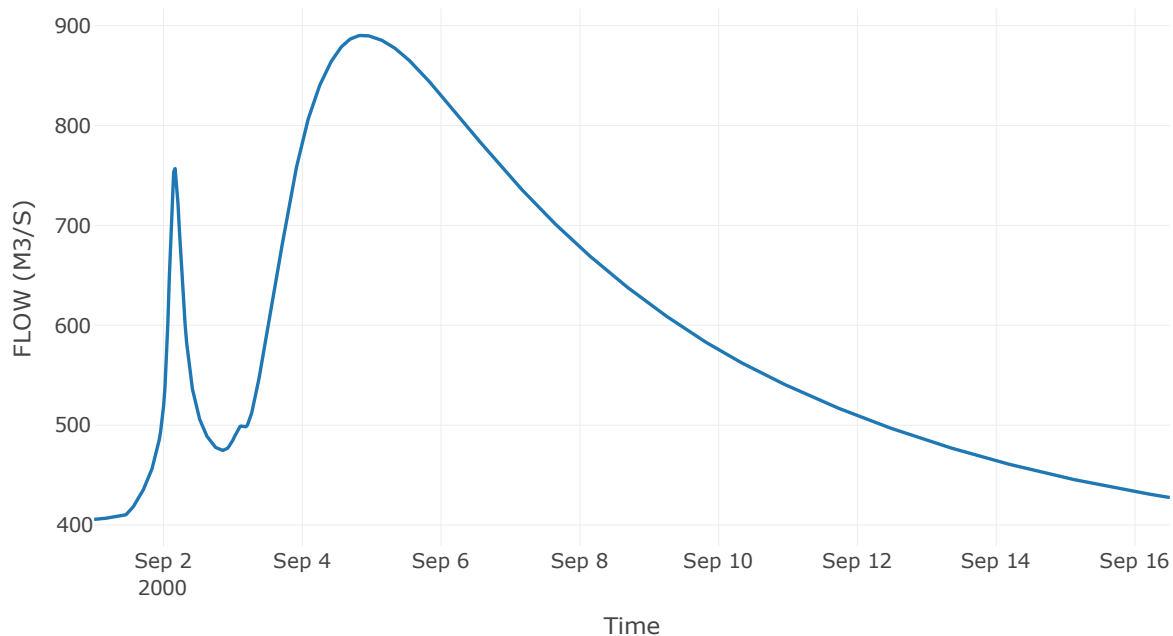
Κατάντη : J19

Μέθοδος Διόδευσης	Muskingum
Αρχική Μεταβλητή	Combined Inflow
Muskingum K	1.18
Συντελεστής βάρους x	0.2
Muskingum Steps	2

Αποτελέσματα: R1819

Παροχή Αιχμής (M3/S)	890.28
Χρονική στιγμή αιχμής	04Sep2000, 21:00
Όγκος(MM)	216.8
Παροχή Αιχμής Εισόδου (M3/S)	890.34
Όγκος Εισροής(M3)	7.97E8

Απορροή



Κλάδος: R1915

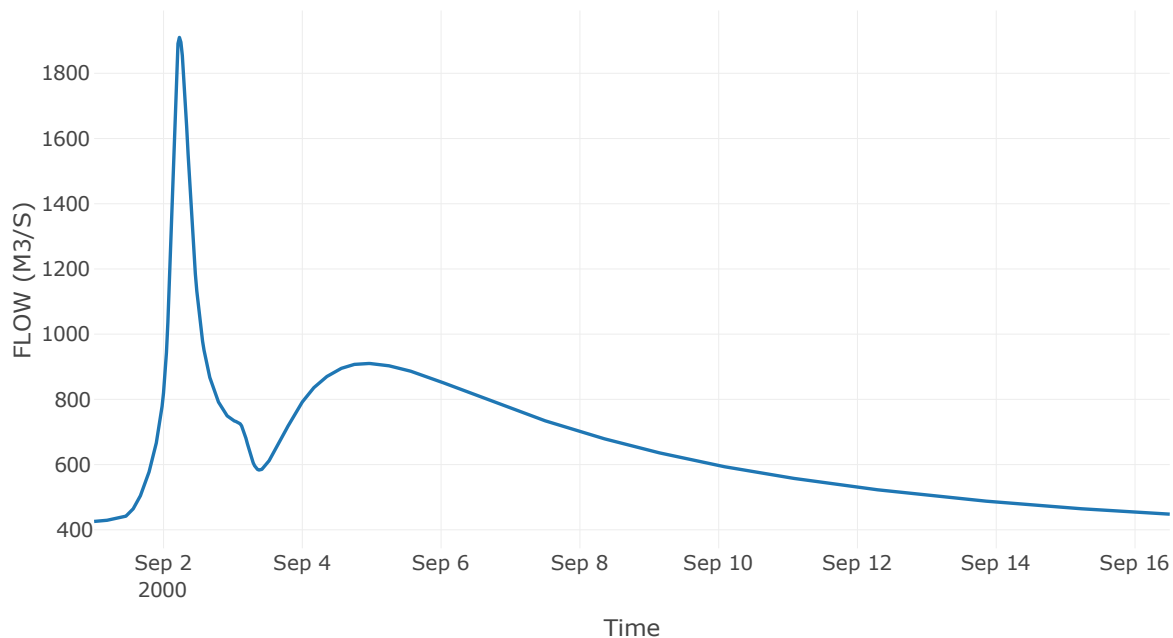
Κατάντη : J15 Res2

Μέθοδος Διόδευσης	Muskingum
Αρχική Μεταβλητή	Combined Inflow
Muskingum K	0.97
Συντελεστής βάρους x	0.2
Muskingum Steps	2

Αποτελέσματα: R1915

Παροχή Αιχμής (M3/S)	1910.11
Χρονική στιγμή αιχμής	02Sep2000, 05:30
Όγκος(MM)	216.81
Παροχή Αιχμής Εισόδου (M3/S)	1930.61
Όγκος Εισροής(M3)	8.83E8

Απορροή



Κλάδος: R2014

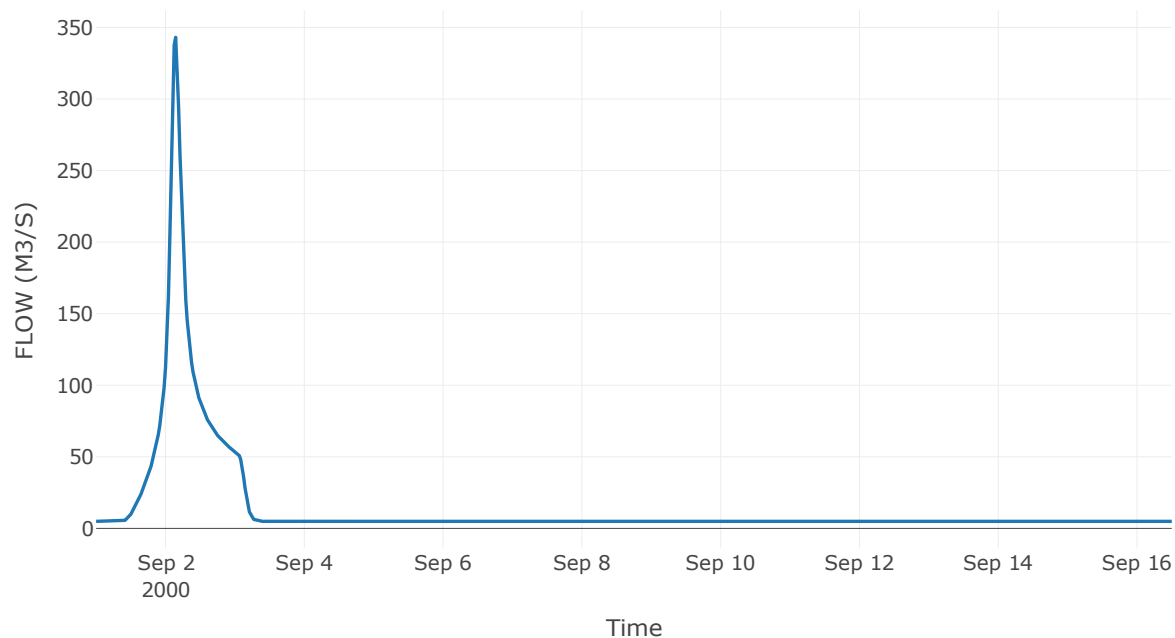
Κατάντη : J14

Μέθοδος Διόδευσης	Muskingum
Αρχική Μεταβλητή	Combined Inflow
Muskingum K	1.57
Συντελεστής βάρους x	0.2
Muskingum Steps	3

Αποτελέσματα: R2014

Παροχή Αιχμής (M3/S)	343.09
Χρονική στιγμή αιχμής	02Sep2000, 03:30
Όγκος(MM)	198.1
Παροχή Αιχμής Εισόδου (M3/S)	370.86
Όγκος Εισροής(M3)	1.95E7

Απορροή



Κλάδος: R2116

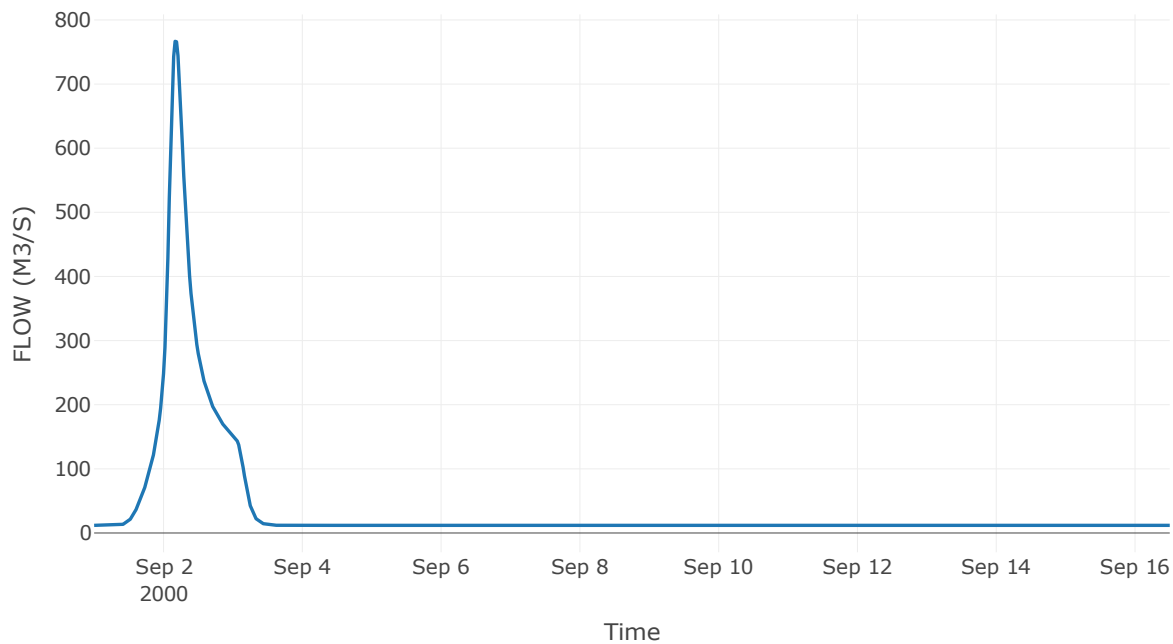
Κατάντη : J16

Μέθοδος Διόδευσης	Muskingum
Αρχική Μεταβλητή	Combined Inflow
Muskingum K	1.52
Συντελεστής βάρους α	0.2
Muskingum Steps	3

Αποτελέσματα: R2116

Παροχή Αιχμής (M3/S)	766.63
Χρονική στιγμή αιχμής	02Sep2000, 04:00
Όγκος(MM)	214.99
Παροχή Αιχμής Εισόδου (M3/S)	791.31
Όγκος Εισροής(M3)	5.11E7

Απορροή



Κλάδος: R2231

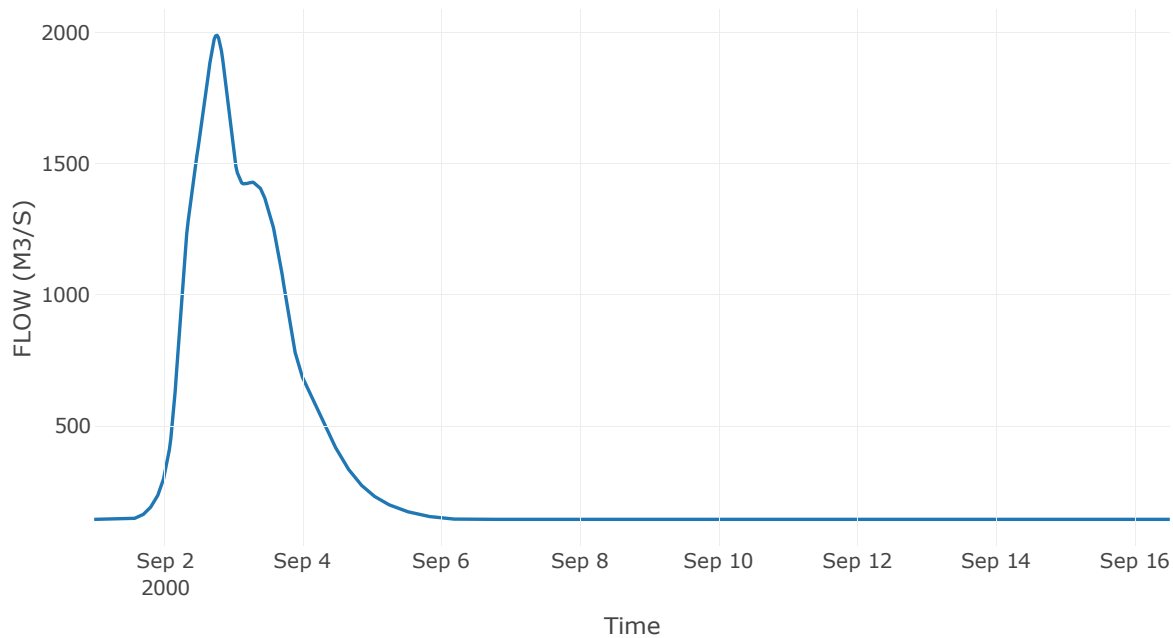
Κατάντη : J31

Μέθοδος Διόδευσης	Muskingum
Αρχική Μεταβλητή	Combined Inflow
Muskingum K	3.87
Συντελεστής βάρους α	0.2
Muskingum Steps	8

Αποτελέσματα: R2231

Παροχή Αιχμής (M3/S)	1989.48
Χρονική στιγμή αιχμής	02Sep2000, 18:30
Όγκος(MM)	245.12
Παροχή Αιχμής Εισόδου (M3/S)	2016.99
Όγκος Εισροής(M3)	4.21E8

Απορροή



Κλάδος: R2324

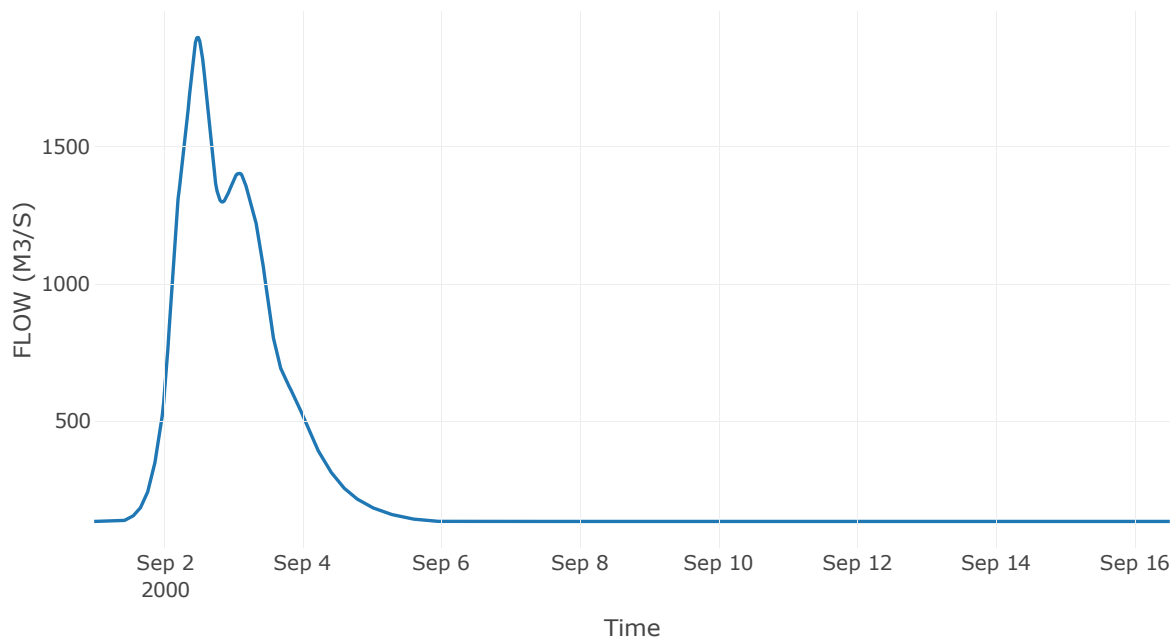
Κατάντη : J24

Μέθοδος Διόδευσης	Muskingum
Αρχική Μεταβλητή	Combined Inflow
Muskingum K	0.84
Συντελεστής βάρους x	0.2
Muskingum Steps	2

Αποτελέσματα: R2324

Παροχή Αιχμής (M3/S)	1899.39
Χρονική στιγμή αιχμής	02Sep2000, 12:00
Όγκος(MM)	254.31
Παροχή Αιχμής Εισόδου (M3/S)	1907.31
Όγκος Εισροής(M3)	3.85E8

Απορροή



Κλάδος: R2425

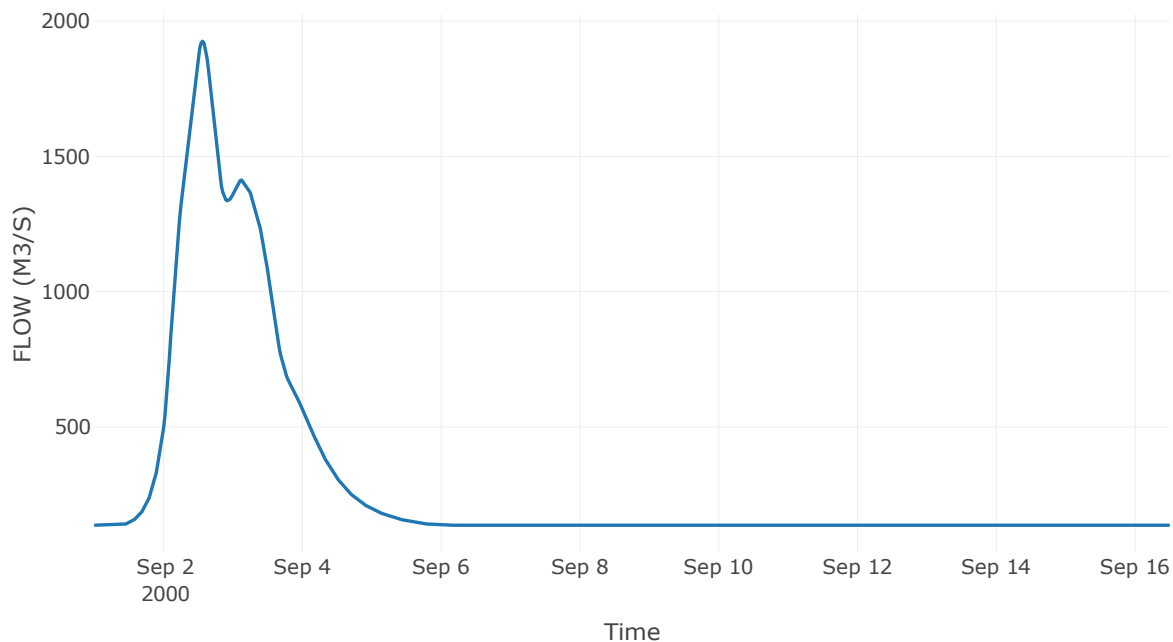
Κατάντη : J25

Μέθοδος Διόδευσης	Muskingum
Αρχική Μεταβλητή	Combined Inflow
Muskingum K	1.72
Συντελεστής βάρους x	0.2
Muskingum Steps	3

Αποτελέσματα: R2425

Παροχή Αιχμής (M3/S)	1925.68
Χρονική στιγμή αιχμής	02Sep2000, 13:30
Όγκος(MM)	252.65
Παροχή Αιχμής Εισόδου (M3/S)	1941.19
Όγκος Εισροής(M3)	3.96E8

Απορροή



Κλάδος: R2522

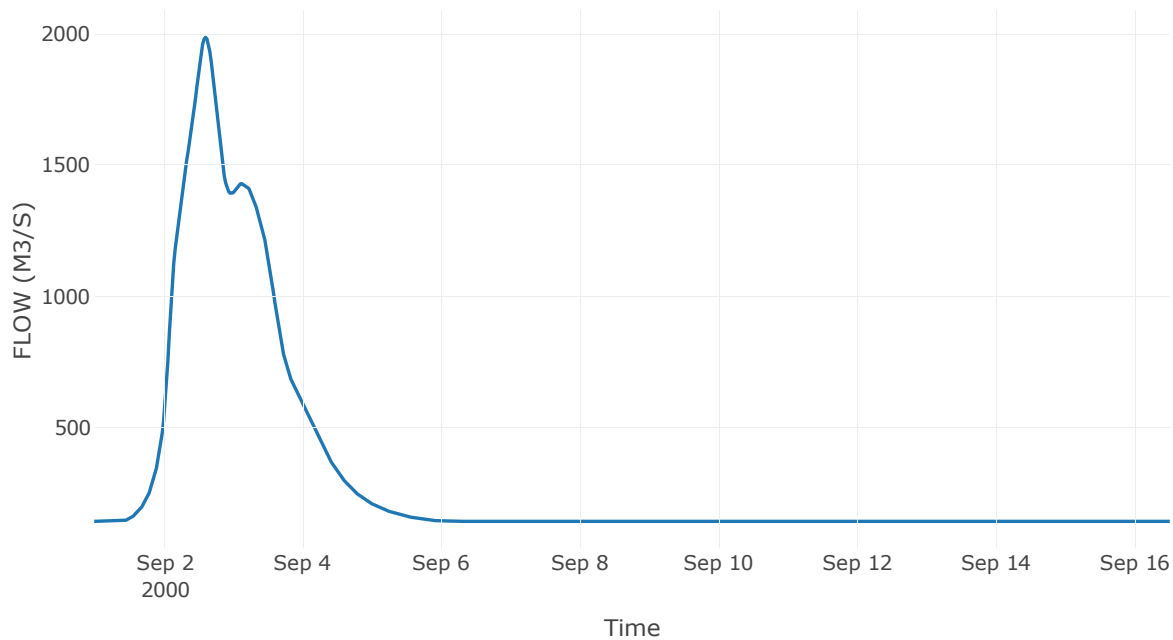
Κατάντη : J22

Μέθοδος Διόδευσης	Muskingum
Αρχική Μεταβλητή	Combined Inflow
Muskingum K	1.1
Συντελεστής βάρους x	0.2
Muskingum Steps	2

Αποτελέσματα: R2522

Παροχή Αιχμής (M3/S)	1986.85
Χρονική στιγμή αιχμής	02Sep2000, 14:30
Όγκος(MM)	249
Παροχή Αιχμής Εισόδου (M3/S)	1996.36
Όγκος Εισροής(M3)	4.14E8

Απορροή



Κλάδος: R2664

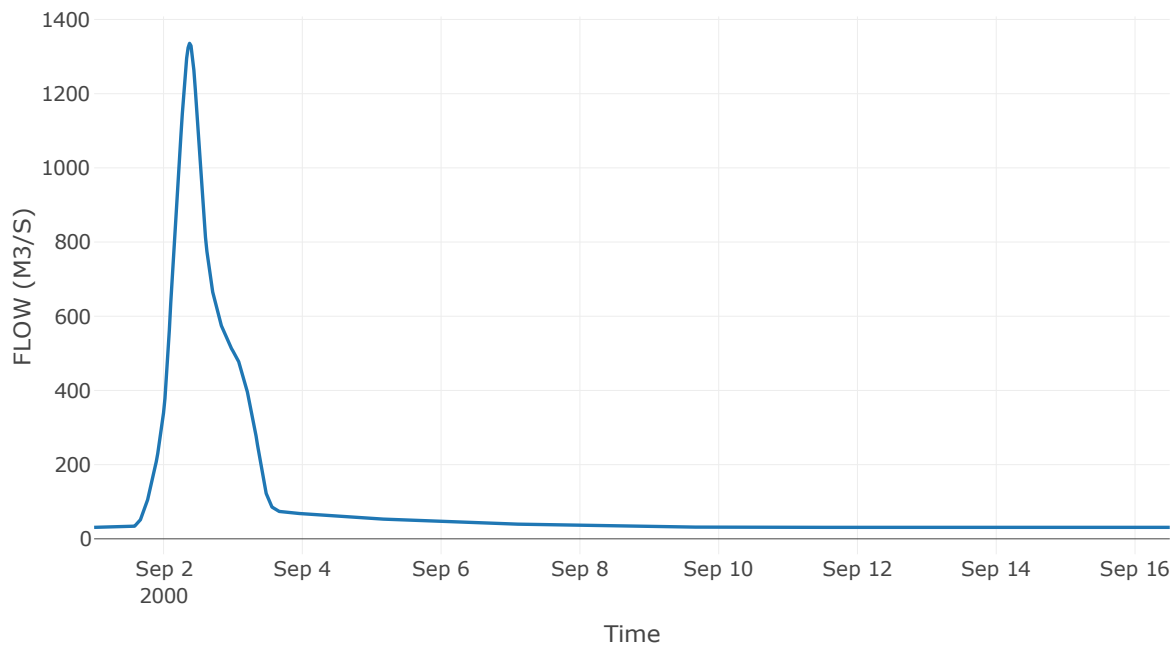
Κατάντη : J64

Μέθοδος Διόδευσης	Muskingum
Αρχική Μεταβλητή	Combined Inflow
Muskingum K	1.24
Συντελεστής βάρους α	0.2
Muskingum Steps	2

Αποτελέσματα: R2664

Παροχή Αιχμής (M3/S)	1335.67
Χρονική στιγμή αιχμής	02Sep2000, 09:00
Όγκος(MM)	219.23
Παροχή Αιχμής Εισόδου (M3/S)	1352.31
Όγκος Εισροής(M3)	1.36E8

Απορροή



Κλάδος: R2717

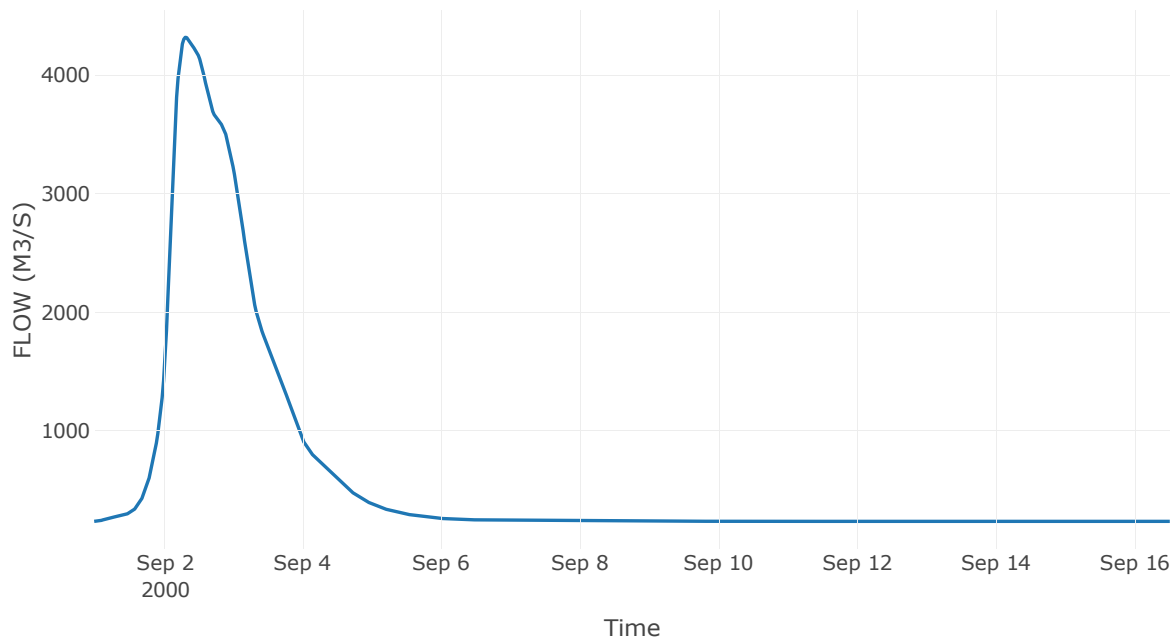
Κατάντη : J17 Res3

Μέθοδος Διόδευσης	Muskingum
Αρχική Μεταβλητή	Combined Inflow
Muskingum K	0.75
Συντελεστής βάρους x	0.2
Muskingum Steps	1

Αποτελέσματα: R2717

Παροχή Αιχμής (M3/S)	4316.94
Χρονική στιγμή αιχμής	02Sep2000, 07:30
Όγκος(MM)	227.3
Παροχή Αιχμής Εισόδου (M3/S)	4330.55
Όγκος Εισροής(M3)	8.08E8

Απορροή



Κλάδος: R2827

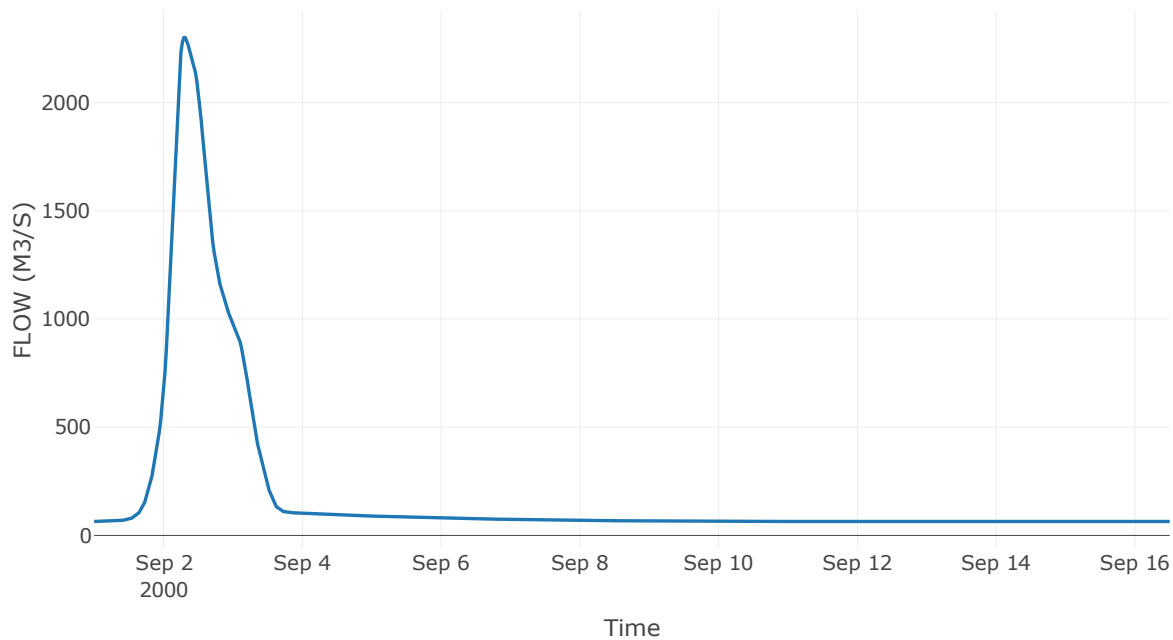
Κατάντη : J27

Μέθοδος Διόδευσης	Muskingum
Αρχική Μεταβλητή	Combined Inflow
Muskingum K	1.05
Συντελεστής βάρους x	0.2
Muskingum Steps	2

Αποτελέσματα: R2827

Παροχή Αιχμής (M3/S)	2300.46
Χρονική στιγμή αιχμής	02Sep2000, 07:30
Όγκος(MM)	202.07
Παροχή Αιχμής Εισόδου (M3/S)	2315.9
Όγκος Εισροής(M3)	2.6E8

Απορροή



Κλάδος: R2928

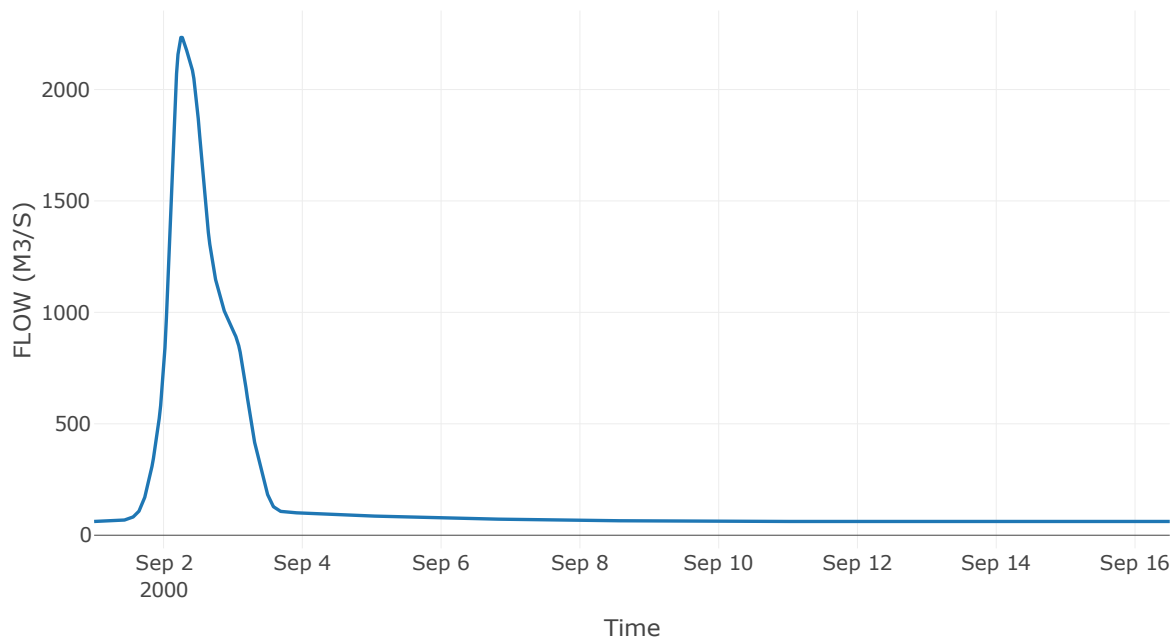
Κατάντη : J28

Μέθοδος Διόδευσης	Muskingum
Αρχική Μεταβλητή	Combined Inflow
Muskingum K	0.51
Συντελεστής βάρους x	0.2
Muskingum Steps	1

Αποτελέσματα: R2928

Παροχή Αιχμής (M3/S)	2233.62
Χρονική στιγμή αιχμής	02Sep2000, 06:00
Όγκος(MM)	201.87
Παροχή Αιχμής Εισόδου (M3/S)	2242.09
Όγκος Εισροής(M3)	2.49E8

Απορροή



Κλάδος: R3029

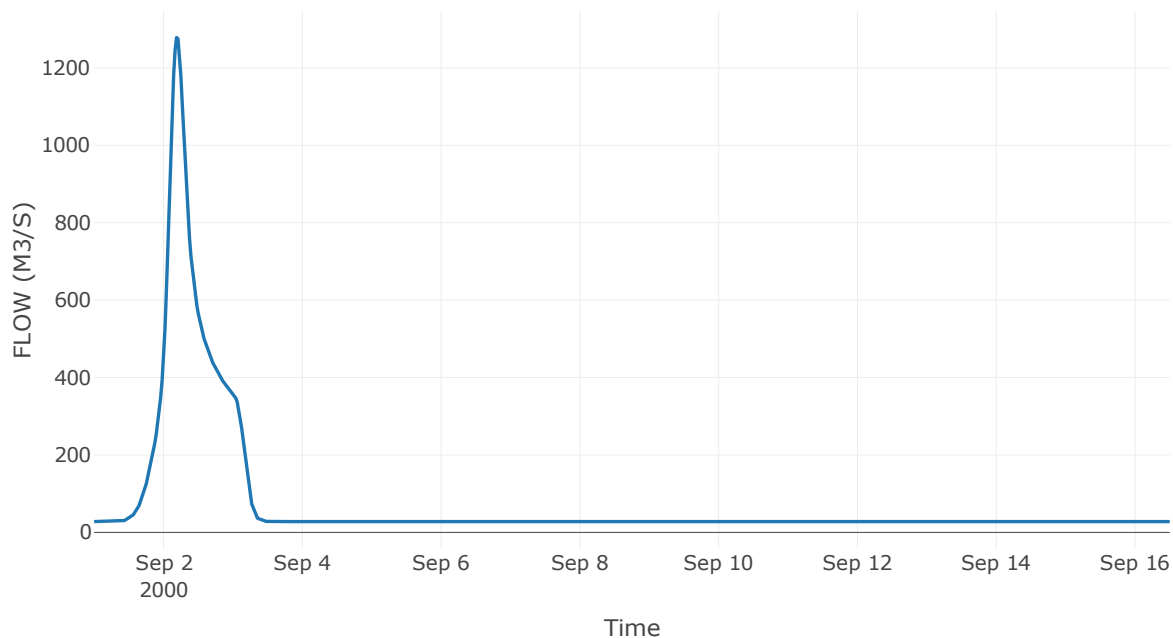
Κατάντη : J29

Μέθοδος Διόδευσης	Muskingum
Αρχική Μεταβλητή	Combined Inflow
Muskingum K	0.79
Συντελεστής βάρους α	0.2
Muskingum Steps	2

Αποτελέσματα: R3029

Παροχή Αιχμής (M3/S)	1278.22
Χρονική στιγμή αιχμής	02Sep2000, 04:30
Όγκος(MM)	185.25
Παροχή Αιχμής Εισόδου (M3/S)	1294.47
Όγκος Εισροής(M3)	1.03E8

Απορροή



Κλάδος: R3127

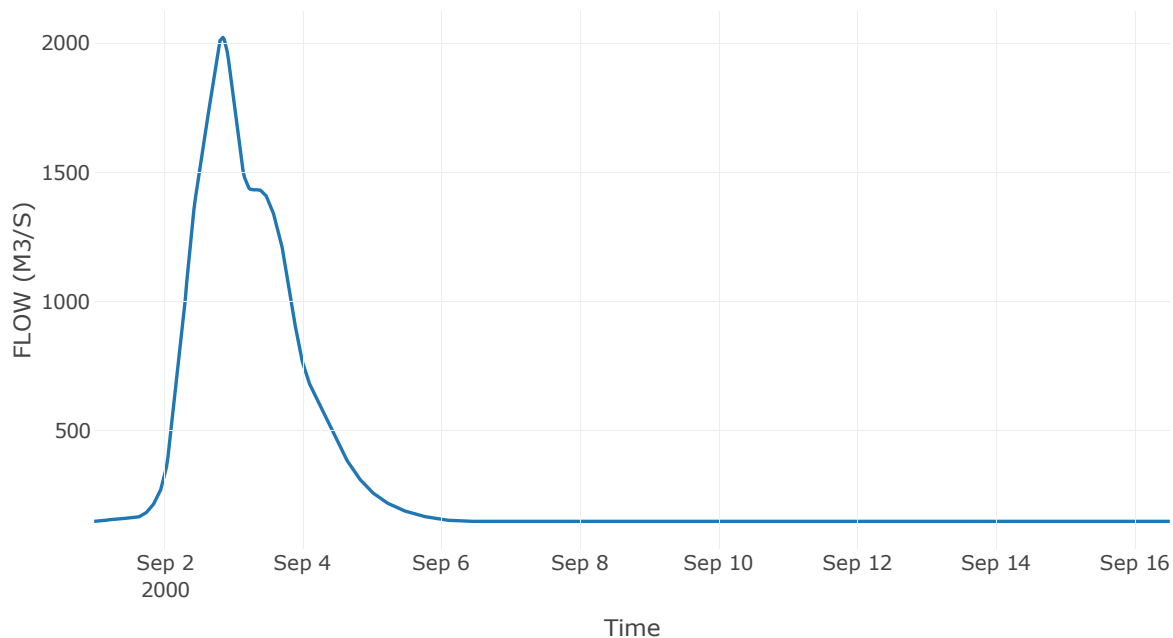
Κατάντη : J27

Μέθοδος Διόδευσης	Muskingum
Αρχική Μεταβλητή	Combined Inflow
Muskingum K	2.05
Συντελεστής βάρους x	0.2
Muskingum Steps	4

Αποτελέσματα: R3127

Παροχή Αιχμής (M3/S)	2022.76
Χρονική στιγμή αιχμής	02Sep2000, 20:30
Όγκος(MM)	243.44
Παροχή Αιχμής Εισόδου (M3/S)	2035.8
Όγκος Εισροής(M3)	4.37E8

Απορροή



Κλάδος: R3230

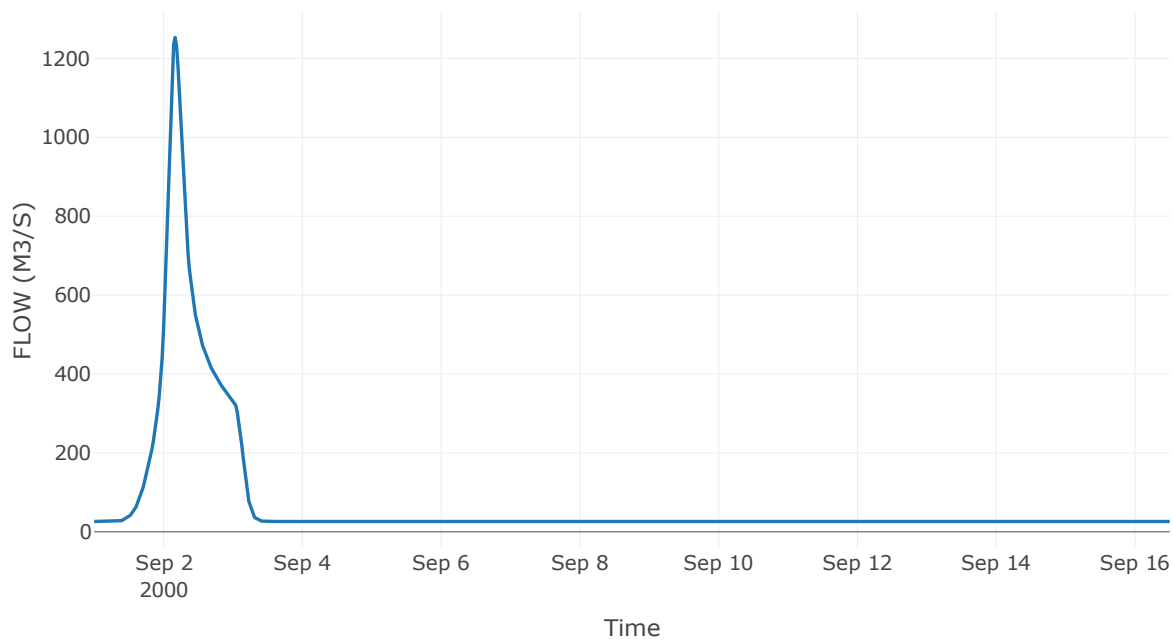
Κατάντη : J30

Μέθοδος Διόδευσης	Muskingum
Αρχική Μεταβλητή	Combined Inflow
Muskingum K	0.38
Συντελεστής βάρους α	0.2
Muskingum Steps	1

Αποτελέσματα: R3230

Παροχή Αιχμής (M3/S)	1253.28
Χρονική στιγμή αιχμής	02Sep2000, 04:00
Όγκος(MM)	187.02
Παροχή Αιχμής Εισόδου (M3/S)	1260.02
Όγκος Εισροής(M3)	9.82E7

Απορροή



Κλάδος: R3332

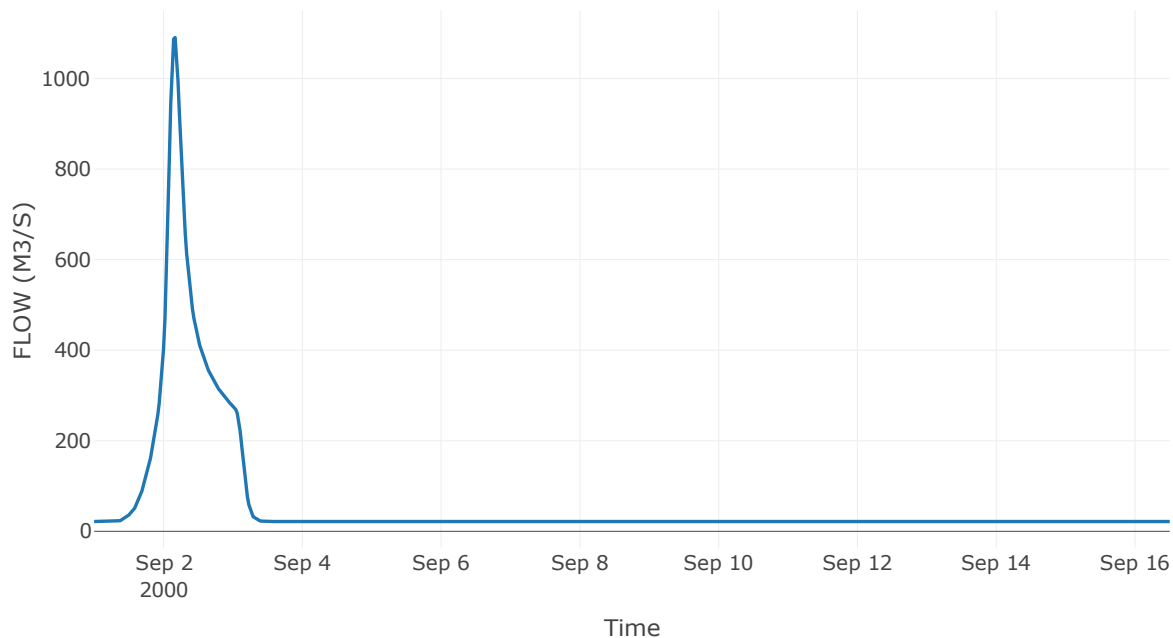
Κατάντη : J32

Μέθοδος Διόδευσης	Muskingum
Αρχική Μεταβλητή	Combined Inflow
Muskingum K	1.1
Συντελεστής βάρους x	0.2
Muskingum Steps	2

Αποτελέσματα: R3332

Παροχή Αιχμής (M3/S)	1090.66
Χρονική στιγμή αιχμής	02Sep2000, 04:00
Όγκος(MM)	188.36
Παροχή Αιχμής Εισόδου (M3/S)	1126.63
Όγκος Εισροής(M3)	8.14E7

Απορροή



Κλάδος: R3433

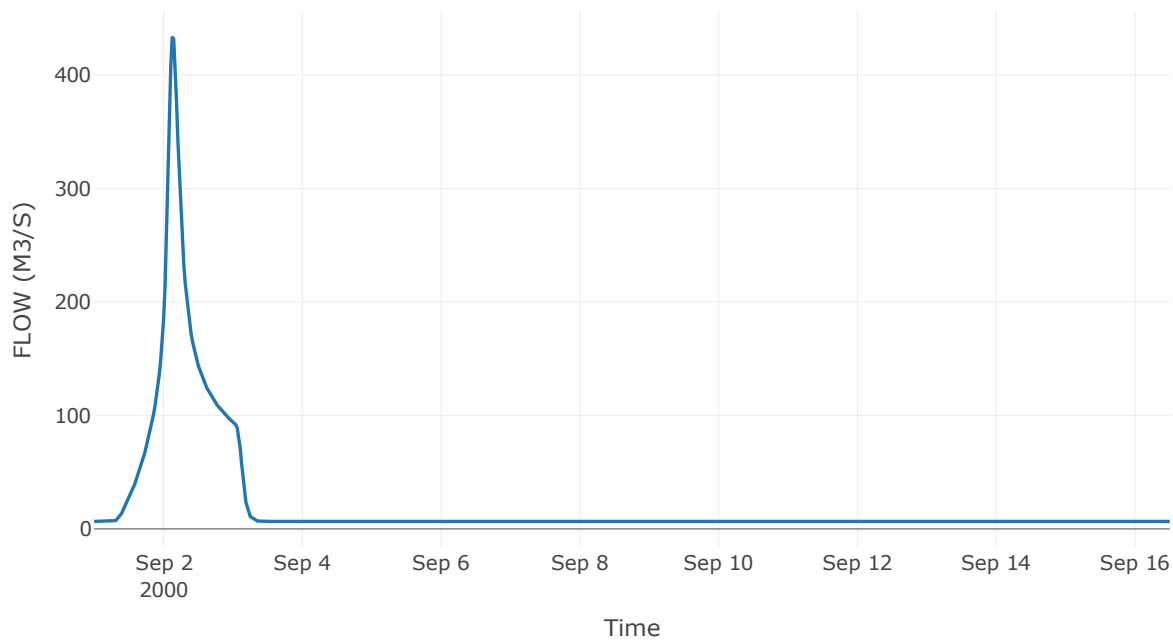
Κατάντη : J33

Μέθοδος Διόδευσης	Muskingum
Αρχική Μεταβλητή	Combined Inflow
Muskingum K	1.47
Συντελεστής βάρους α	0.2
Muskingum Steps	3

Αποτελέσματα: R3433

Παροχή Αιχμής (M3/S)	432.98
Χρονική στιγμή αιχμής	02Sep2000, 03:00
Όγκος(MM)	220.66
Παροχή Αιχμής Εισόδου (M3/S)	460.56
Όγκος Εισροής(M3)	2.9E7

Απορροή



Κλάδος: R3533

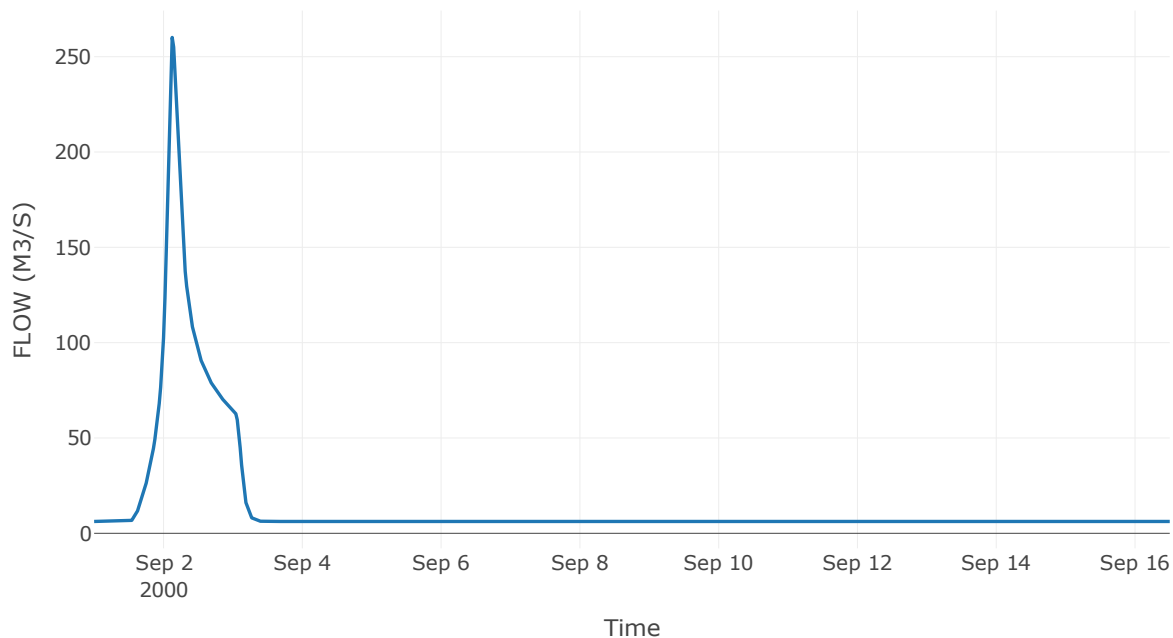
Κατάντη : J33

Μέθοδος Διόδευσης	Muskingum
Αρχική Μεταβλητή	Combined Inflow
Muskingum K	1.07
Συντελεστής βάρους α	0.2
Muskingum Steps	2

Αποτελέσματα: R3533

Παροχή Αιχμής (M3/S)	260.1
Χρονική στιγμή αιχμής	02Sep2000, 03:00
Όγκος(MM)	161.08
Παροχή Αιχμής Εισόδου (M3/S)	271.4
Όγκος Εισροής(M3)	2E7

Απορροή



Κλάδος: R3726

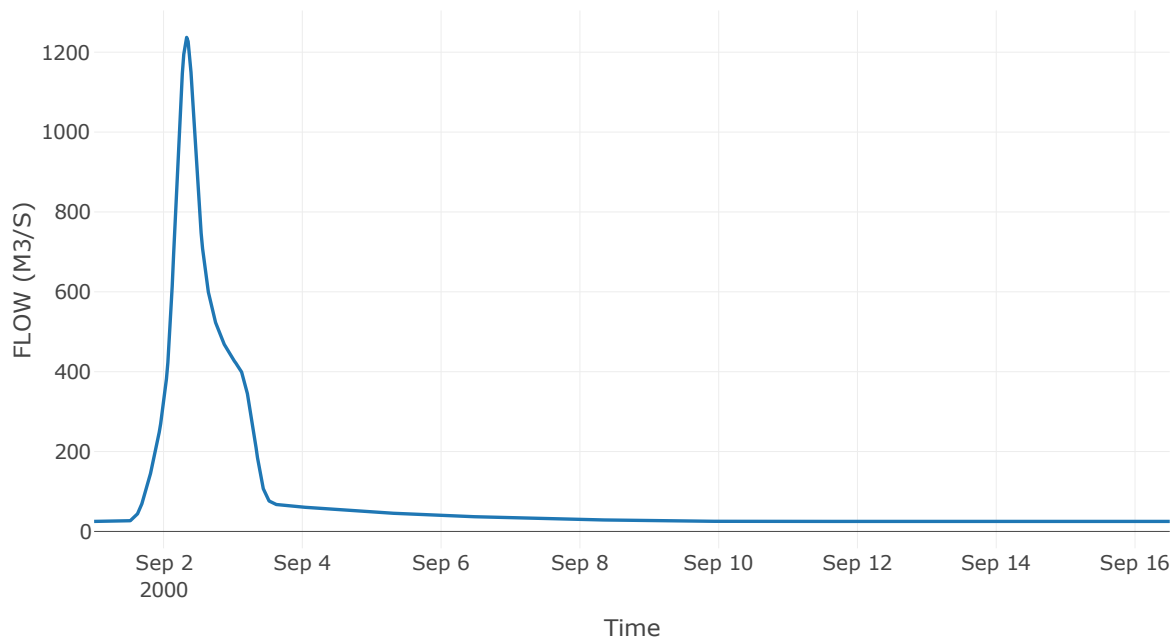
Κατάντη : J26

Μέθοδος Διόδευσης	Muskingum
Αρχική Μεταβλητή	Combined Inflow
Muskingum K	2.93
Συντελεστής βάρους x	0.2
Muskingum Steps	6

Αποτελέσματα: R3726

Παροχή Αιχμής (M3/S)	1237.12
Χρονική στιγμή αιχμής	02Sep2000, 08:00
Όγκος(MM)	232.36
Παροχή Αιχμής Εισόδου (M3/S)	1277.26
Όγκος Εισροής(M3)	1.17E8

Απορροή



Κλάδος: R3837

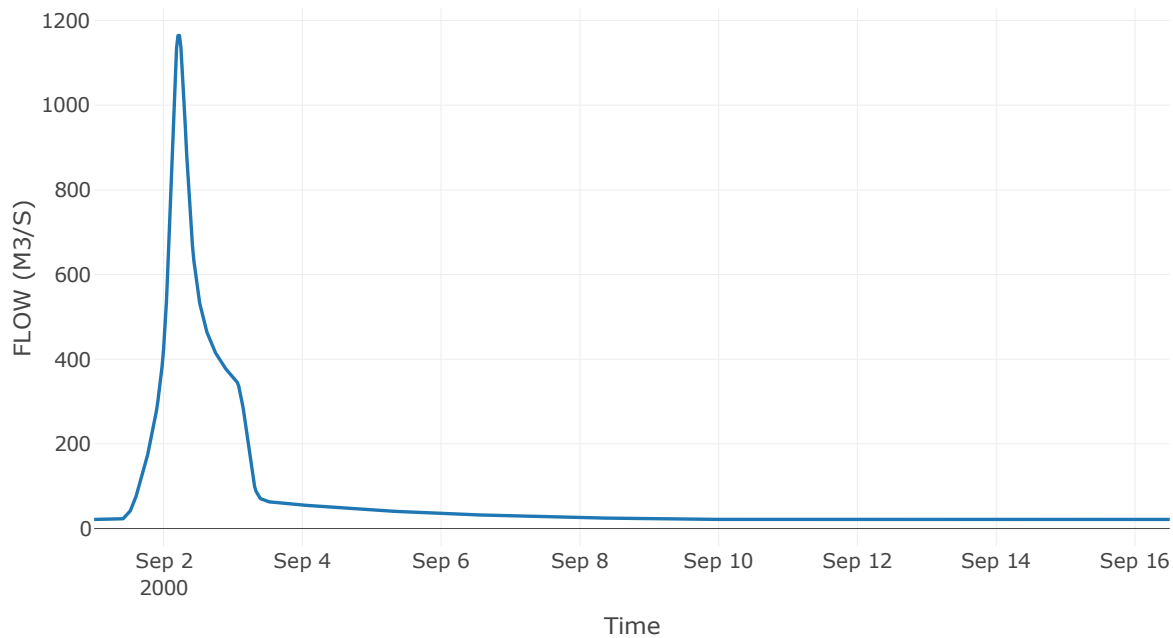
Κατάντη : J37

Μέθοδος Διόδευσης	Muskingum
Αρχική Μεταβλητή	Combined Inflow
Muskingum K	1.54
Συντελεστής βάρους α	0.2
Muskingum Steps	3

Αποτελέσματα: R3837

Παροχή Αιχμής (M3/S)	1164.75
Χρονική στιγμή αιχμής	02Sep2000, 05:30
Όγκος(MM)	238.68
Παροχή Αιχμής Εισόδου (M3/S)	1194.44
Όγκος Εισροής(M3)	1.03E8

Απορροή



Κλάδος: R3938

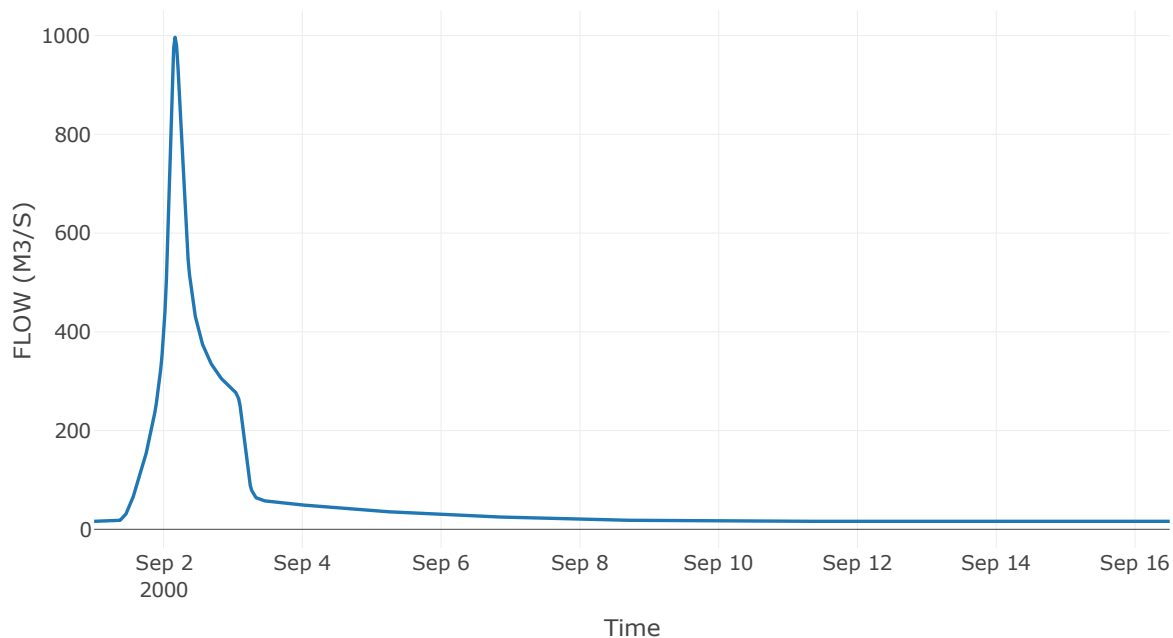
Κατάντη : J38

Μέθοδος Διόδευσης	Muskingum
Αρχική Μεταβλητή	Combined Inflow
Muskingum K	1.67
Συντελεστής βάρους α	0.2
Muskingum Steps	3

Αποτελέσματα: R3938

Παροχή Αιχμής (M3/S)	996.55
Χρονική στιγμή αιχμής	02Sep2000, 04:00
Όγκος(MM)	254.33
Παροχή Αιχμής Εισόδου (M3/S)	1041.85
Όγκος Εισροής(M3)	8.21E7

Απορροή



Κλάδος: R4039

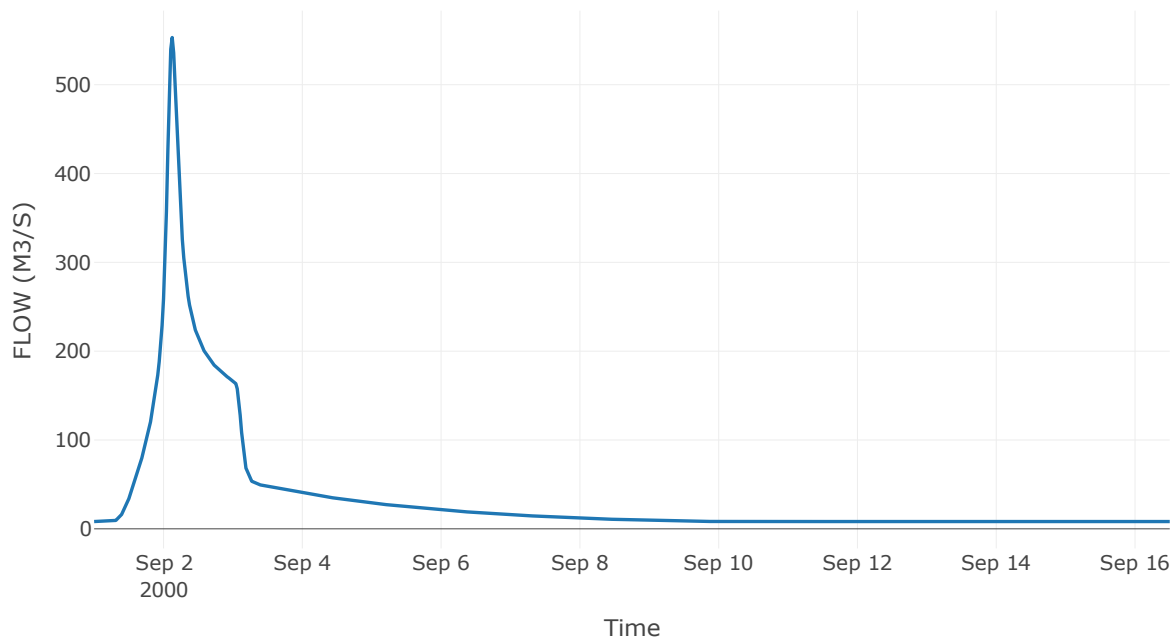
Κατάντη : J39

Μέθοδος Διόδευσης	Muskingum
Αρχική Μεταβλητή	Combined Inflow
Muskingum K	1.08
Συντελεστής βάρους α	0.2
Muskingum Steps	2

Αποτελέσματα: R4039

Παροχή Αιχμής (M3/S)	553.11
Χρονική στιγμή αιχμής	02Sep2000, 03:00
Όγκος(MM)	293.02
Παροχή Αιχμής Εισόδου (M3/S)	576.81
Όγκος Εισροής(M3)	4.8E7

Απορροή



Κλάδος: R4140

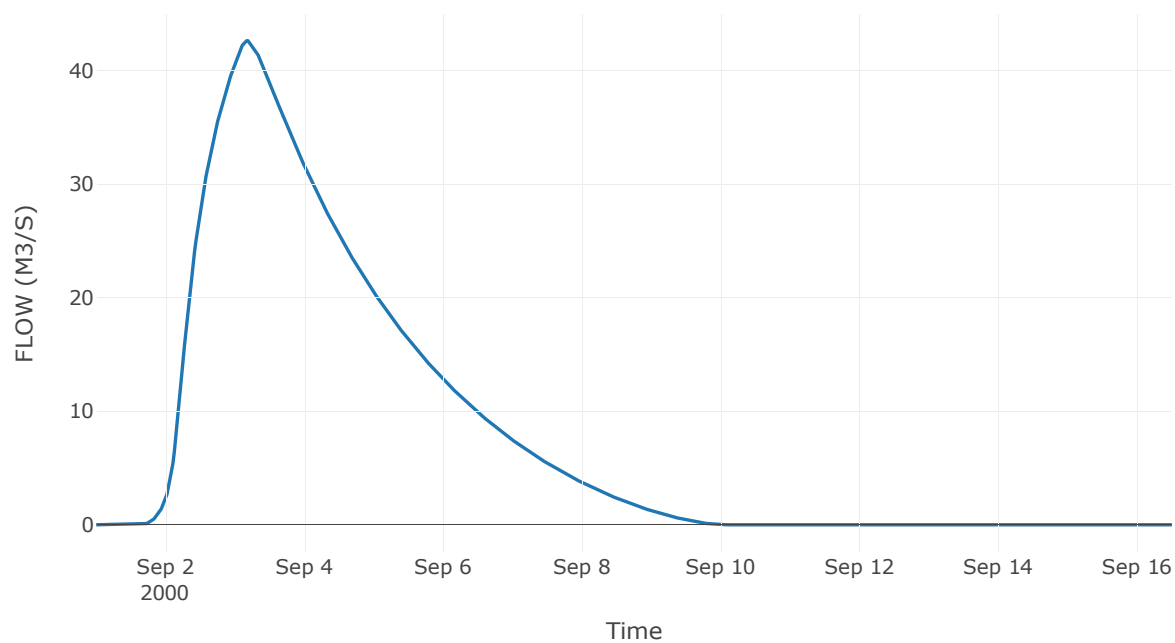
Κατάντη : J40

Μέθοδος Διόδευσης	Muskingum
Αρχική Μεταβλητή	Combined Inflow
Muskingum K	1.66
Συντελεστής βάρους x	0.2
Muskingum Steps	3

Αποτελέσματα: R4140

Παροχή Αιχμής (M3/S)	42.62
Χρονική στιγμή αιχμής	03Sep2000, 04:30
Peak Inflow (M3/S)	42.71
Όγκος Εισροής (M3)	1.07E7

Απορροή



Κλάδος: R4241

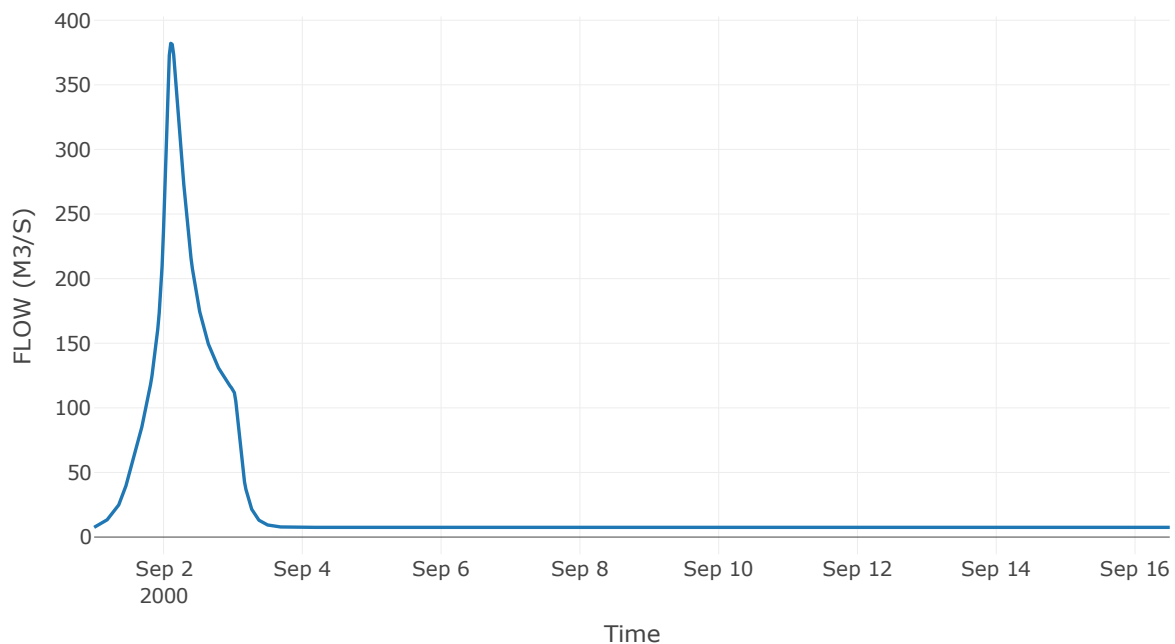
Καπάνη : J41 Res4

Μέθοδος Διόδευσης	Muskingum
Αρχική Μεταβλητή	Combined Inflow
Muskingum K	0.15
Συντελεστής βάρους x	0.2
Muskingum Steps	1

Αποτελέσματα: R4241

Παροχή Αιχμής (M3/S)	382.12
Χρονική στιγμή αιχμής	02Sep2000, 02:30
Όγκος(MM)	227.04
Παροχή Αιχμής Εισόδου (M3/S)	382.97
Όγκος Εισροής(M3)	3.42E7

Απορροή



Κλάδος: R4342

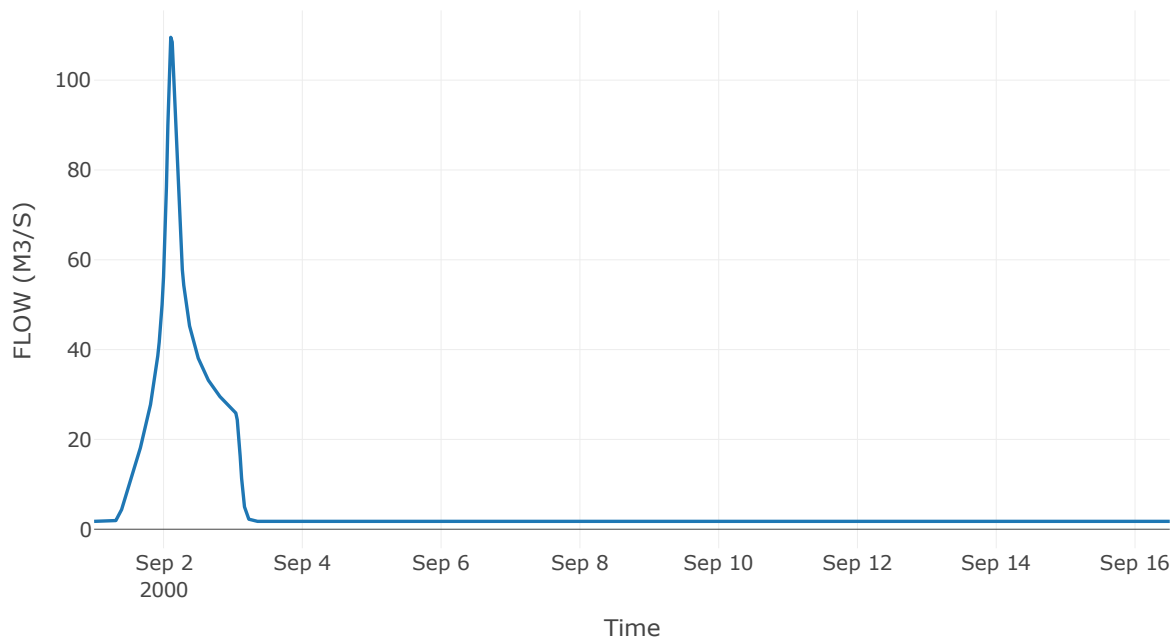
Κατάντη : J42

Μέθοδος Διόδευσης	Muskingum
Αρχική Μεταβλητή	Combined Inflow
Muskingum K	1.39
Συντελεστής βάρους α	0.2
Muskingum Steps	3

Αποτελέσματα: R4342

Παροχή Αιχμής (M3/S)	109.54
Χρονική στιγμή αιχμής	02Sep2000, 02:30
Όγκος(MM)	221.19
Παροχή Αιχμής Εισόδου (M3/S)	116.24
Όγκος Εισροής(M3)	7.74E6

Απορροή



Κλάδος: R4462

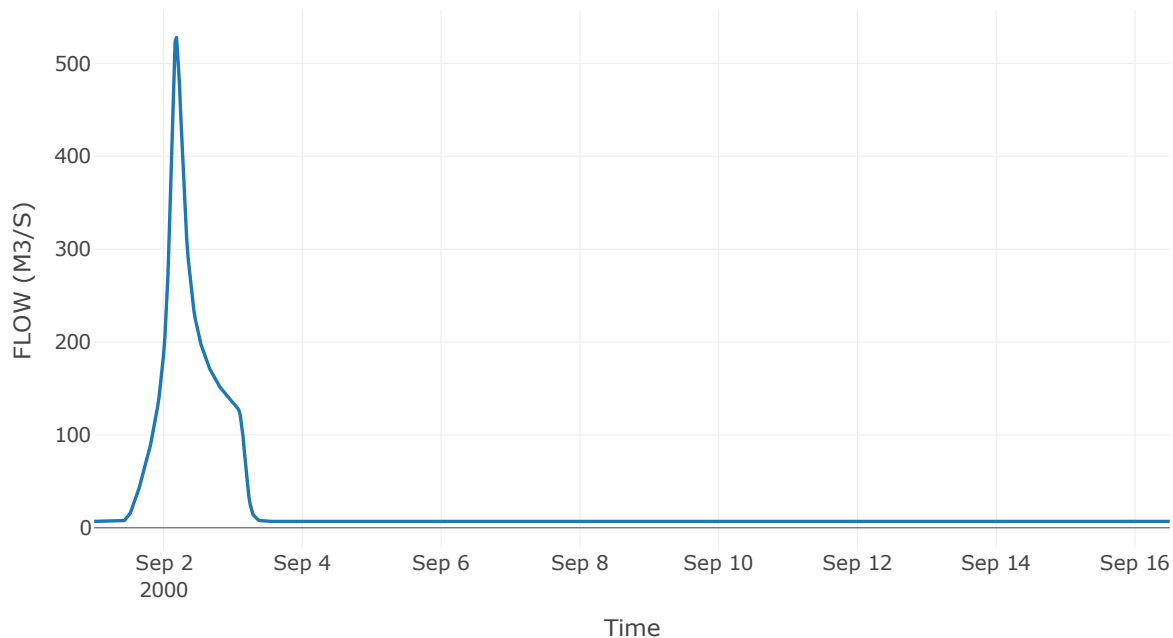
Κατάντη : J62

Μέθοδος Διόδευσης	Muskingum
Αρχική Μεταβλητή	Combined Inflow
Muskingum K	2.72
Συντελεστής βάρους α	0.2
Muskingum Steps	5

Αποτελέσματα: R4462

Παροχή Αιχμής (M3/S)	527.91
Χρονική στιγμή αιχμής	02Sep2000, 04:30
Όγκος(MM)	257.2
Παροχή Αιχμής Εισόδου (M3/S)	591.71
Όγκος Εισροής(M3)	3.55E7

Απορροή



Κλάδος: R4523

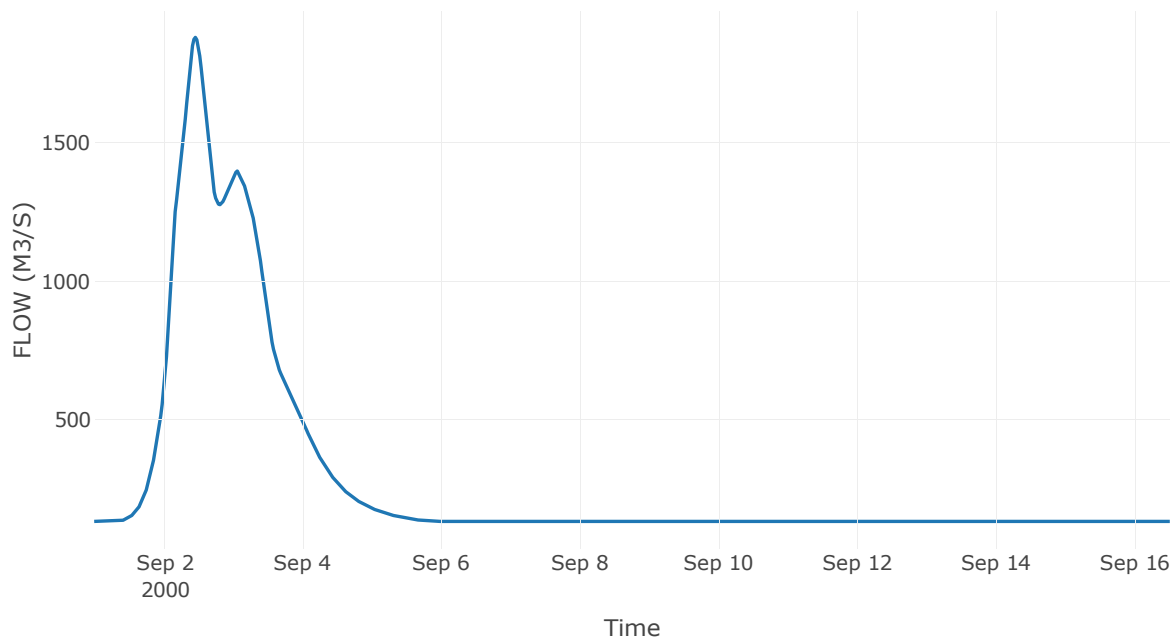
Κατάντη : J23

Μέθοδος Διόδευσης	Muskingum
Αρχική Μεταβλητή	Combined Inflow
Muskingum K	1.82
Συντελεστής βάρους x	0.2
Muskingum Steps	4

Αποτελέσματα: R4523

Παροχή Αιχμής (M3/S)	1880.79
Χρονική στιγμή αιχμής	02Sep2000, 11:00
Όγκος(MM)	257.26
Παροχή Αιχμής Εισόδου (M3/S)	1897.59
Όγκος Εισροής(M3)	3.79E8

Απορροή



Κλάδος: R4645

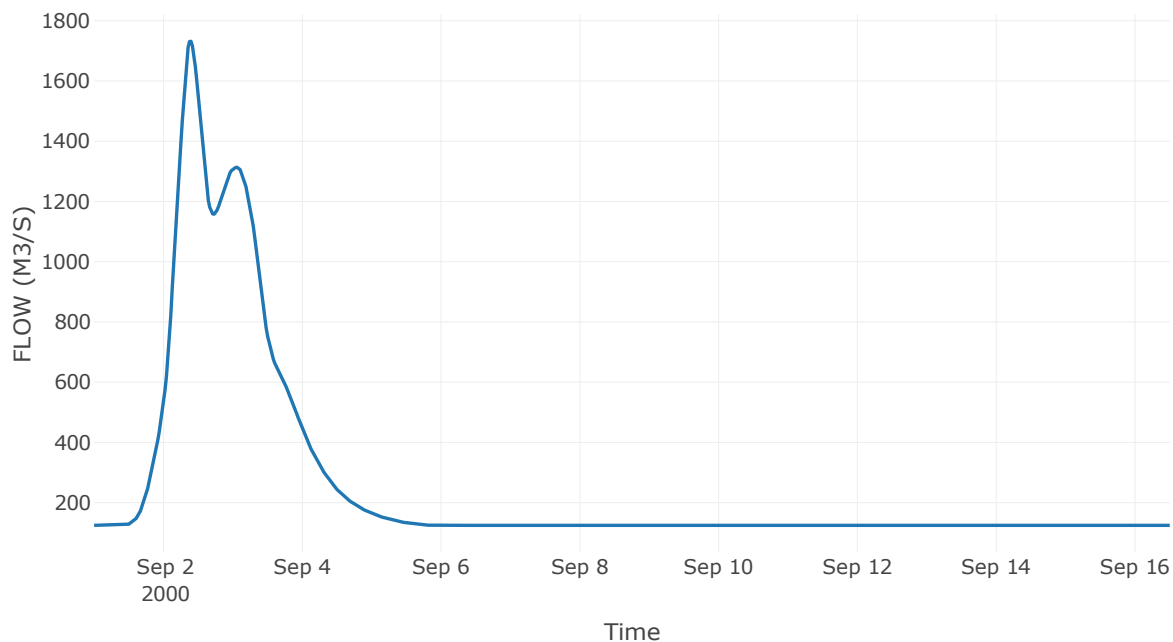
Κατάντη : J45

Μέθοδος Διόδευσης	Muskingum
Αρχική Μεταβλητή	Combined Inflow
Muskingum K	2.27
Συντελεστής βάρους α	0.2
Muskingum Steps	5

Αποτελέσματα: R4645

Παροχή Αιχμής (M3/S)	1731.66
Χρονική στιγμή αιχμής	02Sep2000, 09:30
Όγκος(MM)	262.51
Παροχή Αιχμής Εισόδου (M3/S)	1757.18
Όγκος Εισροής(M3)	3.48E8

Απορροή



Κλάδος: R4746

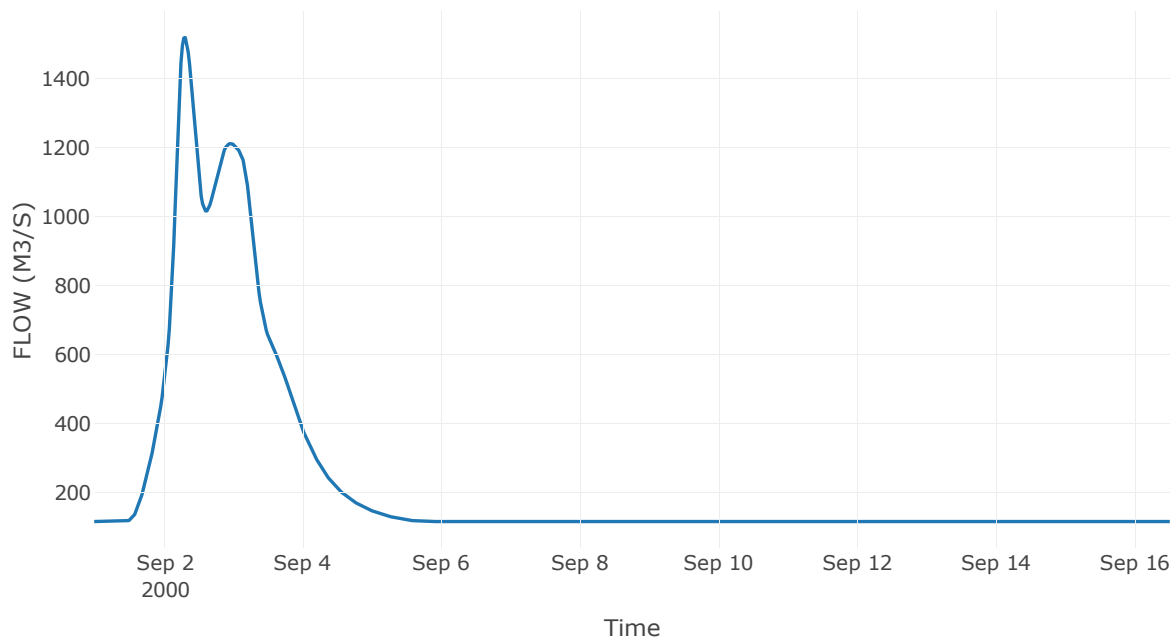
Κατάντη : J46

Μέθοδος Διόδευσης	Muskingum
Αρχική Μεταβλητή	Combined Inflow
Muskingum K	3.71
Συντελεστής βάρους α	0.2
Muskingum Steps	7

Αποτελέσματα: R4746

Παροχή Αιχμής (M3/S)	1518.85
Χρονική στιγμή αιχμής	02Sep2000, 07:30
Όγκος(MM)	271.91
Παροχή Αιχμής Εισόδου (M3/S)	1584.94
Όγκος Εισροής(M3)	3.15E8

Απορροή



Κλάδος: R4847

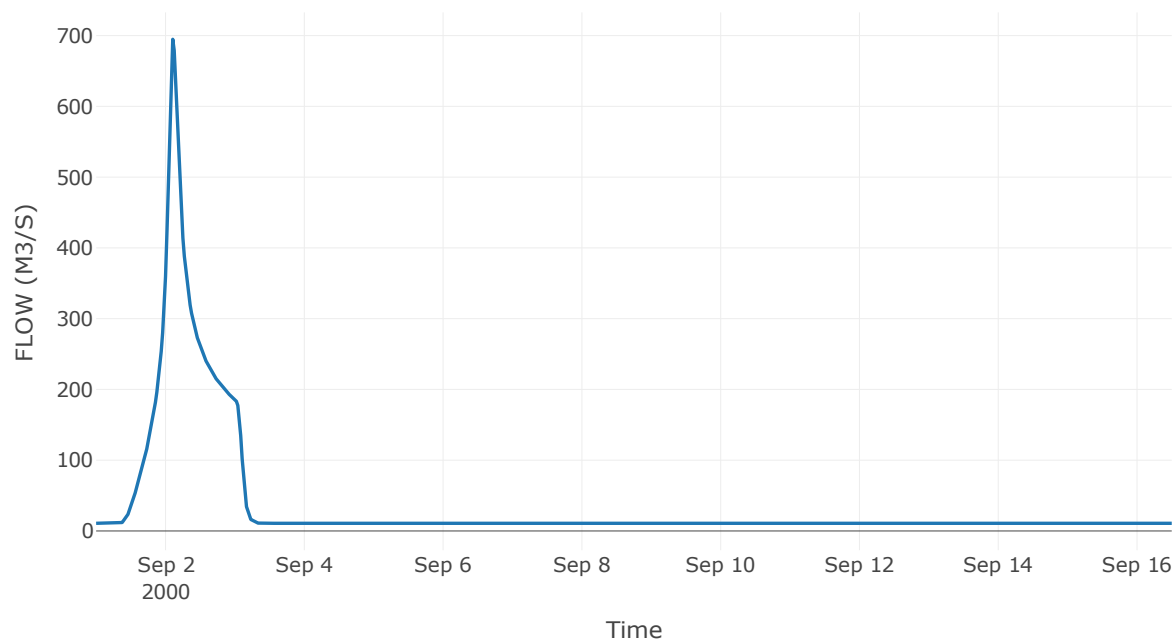
Κατάντη : J47

Μέθοδος Διόδευσης	Muskingum
Αρχική Μεταβλητή	Combined Inflow
Muskingum K	0.76
Συντελεστής βάρους α	0.2
Muskingum Steps	2

Αποτελέσματα: R4847

Παροχή Αιχμής (M3/S)	694.78
Χρονική στιγμή αιχμής	02Sep2000, 02:30
Όγκος(MM)	227.31
Παροχή Αιχμής Εισόδου (M3/S)	705.99
Όγκος Εισροής(M3)	4.92E7

Απορροή



Κλάδος: R4947

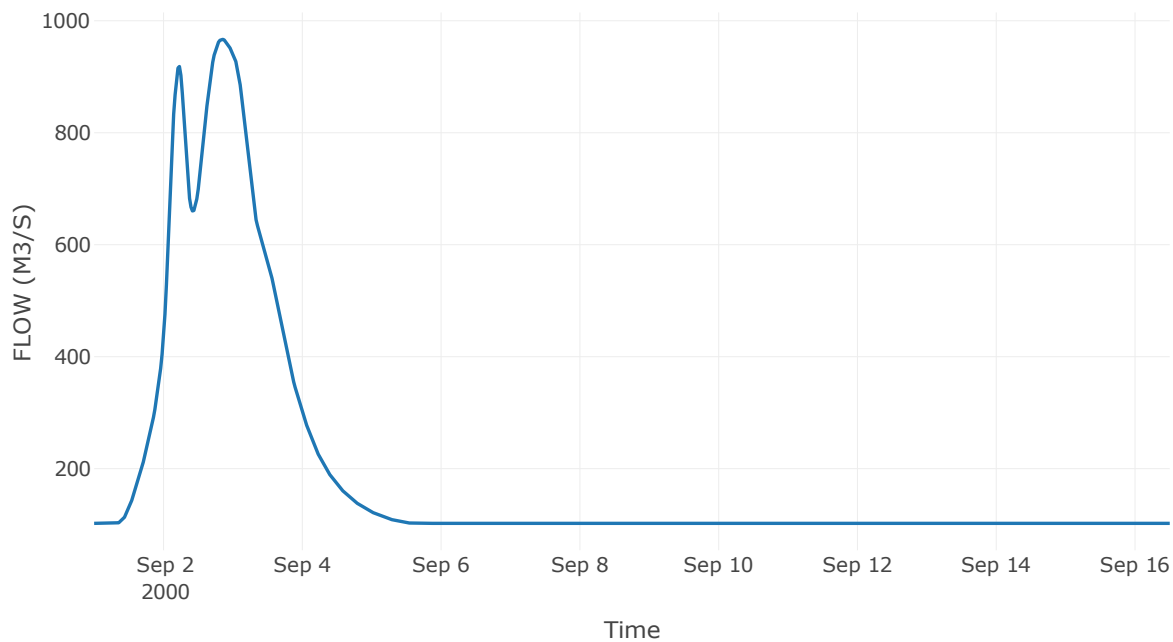
Κατάντη : J47

Μέθοδος Διόδευσης	Muskingum
Αρχική Μεταβλητή	Combined Inflow
Muskingum K	1.47
Συντελεστής βάρους α	0.2
Muskingum Steps	3

Αποτελέσματα: R4947

Παροχή Αιχμής (M3/S)	966.8
Χρονική στιγμή αιχμής	02Sep2000, 20:30
Όγκος(MM)	289.49
Παροχή Αιχμής Εισόδου (M3/S)	968.01
Όγκος Εισροής(M3)	2.54E8

Απορροή



Κλάδος: R5049

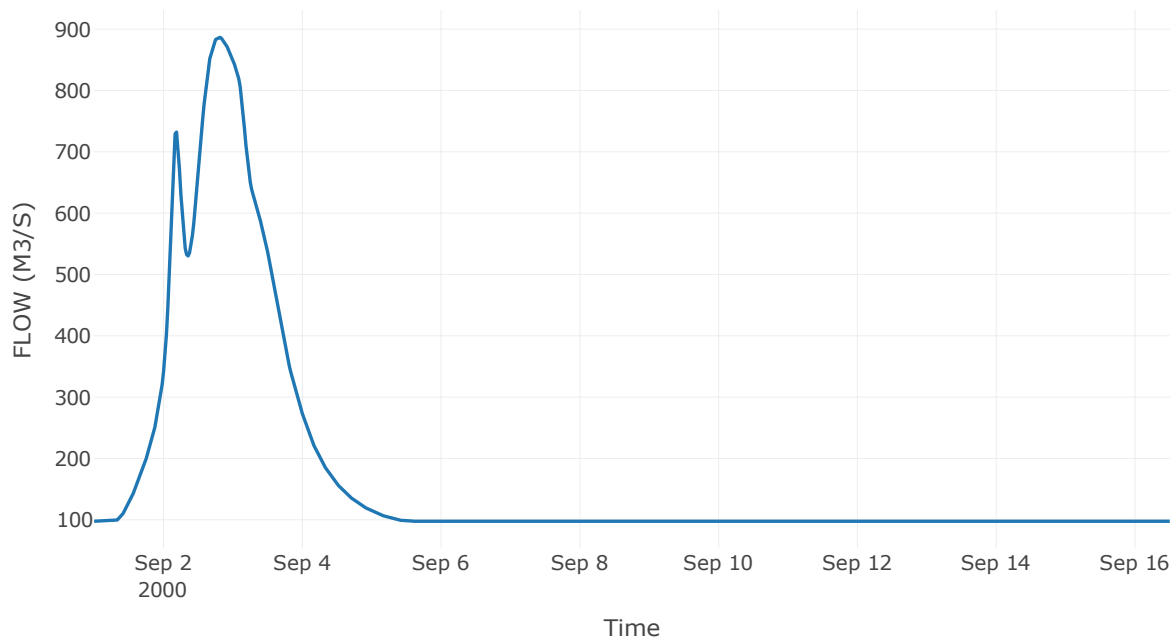
Κατάντη : J49

Μέθοδος Διόδευσης	Muskingum
Αρχική Μεταβλητή	Combined Inflow
Muskingum K	1.86
Συντελεστής βάρους α	0.2
Muskingum Steps	4

Αποτελέσματα: R5049

Παροχή Αιχμής (M3/S)	886.81
Χρονική στιγμή αιχμής	02Sep2000, 19:00
Όγκος(MM)	296.87
Παροχή Αιχμής Εισόδου (M3/S)	888.14
Όγκος Εισροής(M3)	2.33E8

Απορροή



Κλάδος: R5150

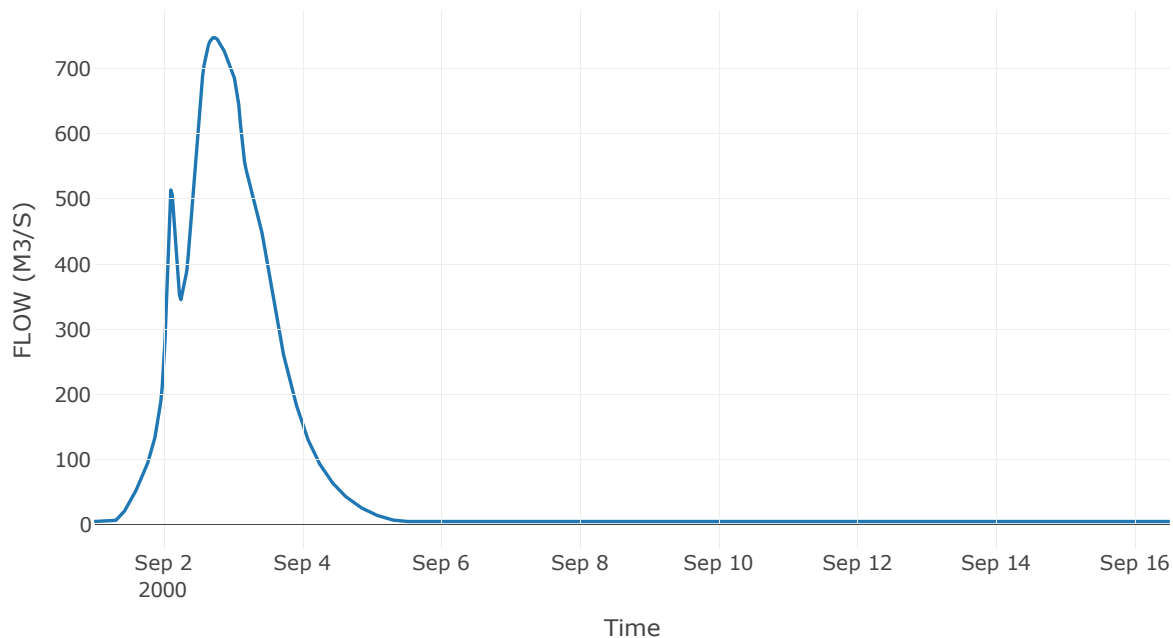
Κατάντη : J50

Μέθοδος Διόδευσης	Muskingum
Αρχική Μεταβλητή	Combined Inflow
Muskingum K	1.31
Συντελεστής βάρους x	0.2
Muskingum Steps	3

Αποτελέσματα: R5150

Παροχή Αιχμής (M3/S)	747.57
Χρονική στιγμή αιχμής	02Sep2000, 17:30
Όγκος(MM)	921.03
Παροχή Αιχμής Εισόδου (M3/S)	748.39
Όγκος Εισροής(M3)	1E8

Απορροή



Κλάδος: R5351

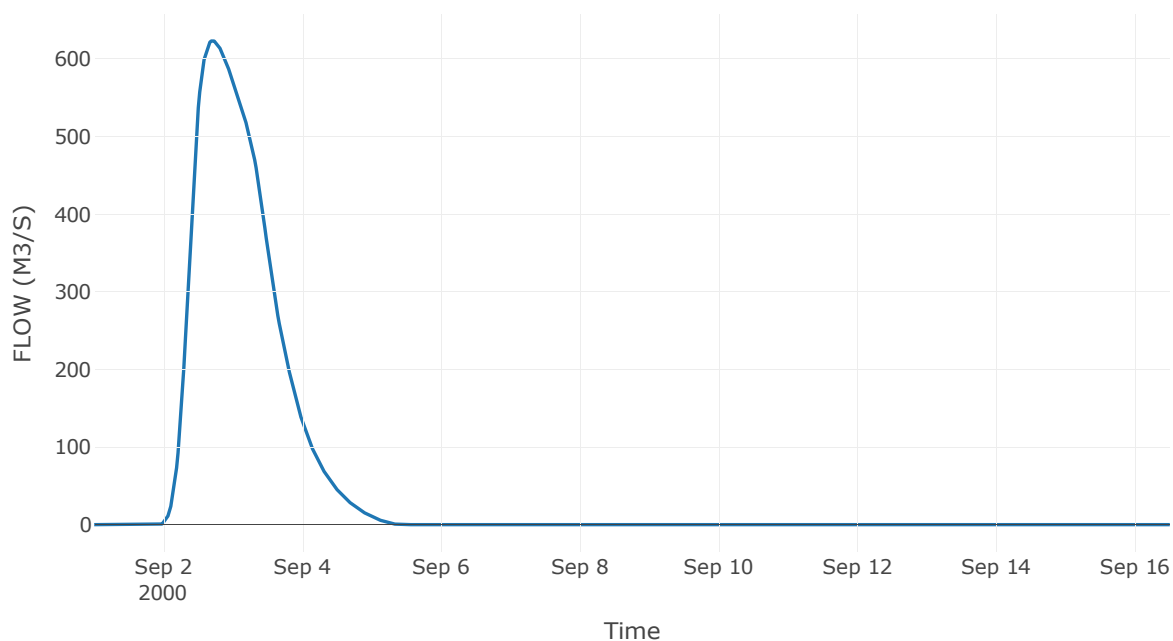
Κατάντη : J51

Μέθοδος Διόδευσης	Muskingum
Αρχική Μεταβλητή	Combined Inflow
Muskingum K	2.42
Συντελεστής βάρους x	0.2
Muskingum Steps	5

Αποτελέσματα: R5351

Παροχή Αιχμής (M3/S)	623.49
Χρονική στιγμή αιχμής	02Sep2000, 17:00
Peak Inflow (M3/S)	624.94
Όγκος Εισροής (M3)	6.99E7

Απορροή



Κλάδος: R5457

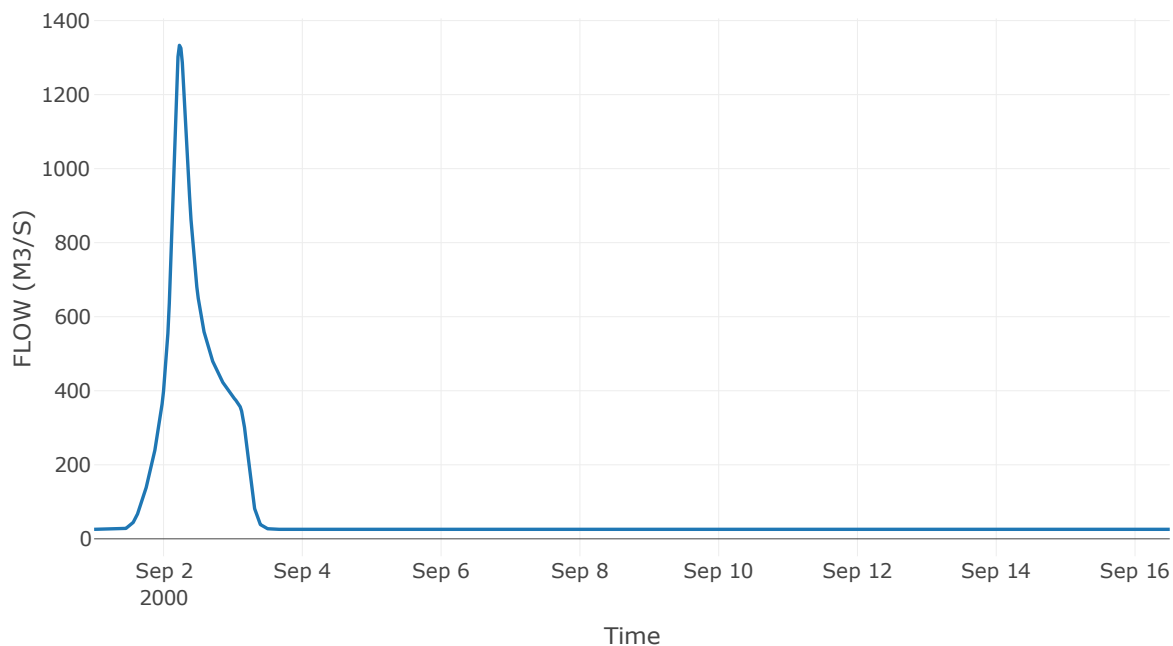
Κατάντη : J57

Μέθοδος Διόδευσης	Muskingum
Αρχική Μεταβλητή	Combined Inflow
Muskingum K	2.55
Συντελεστής βάρους α	0.2
Muskingum Steps	5

Αποτελέσματα: R5457

Παροχή Αιχμής (M3/S)	1333.17
Χρονική στιγμή αιχμής	02Sep2000, 05:30
Όγκος(MM)	205.67
Παροχή Αιχμής Εισόδου (M3/S)	1404.65
Όγκος Εισροής(M3)	1.05E8

Απορροή



Κλάδος: R5554

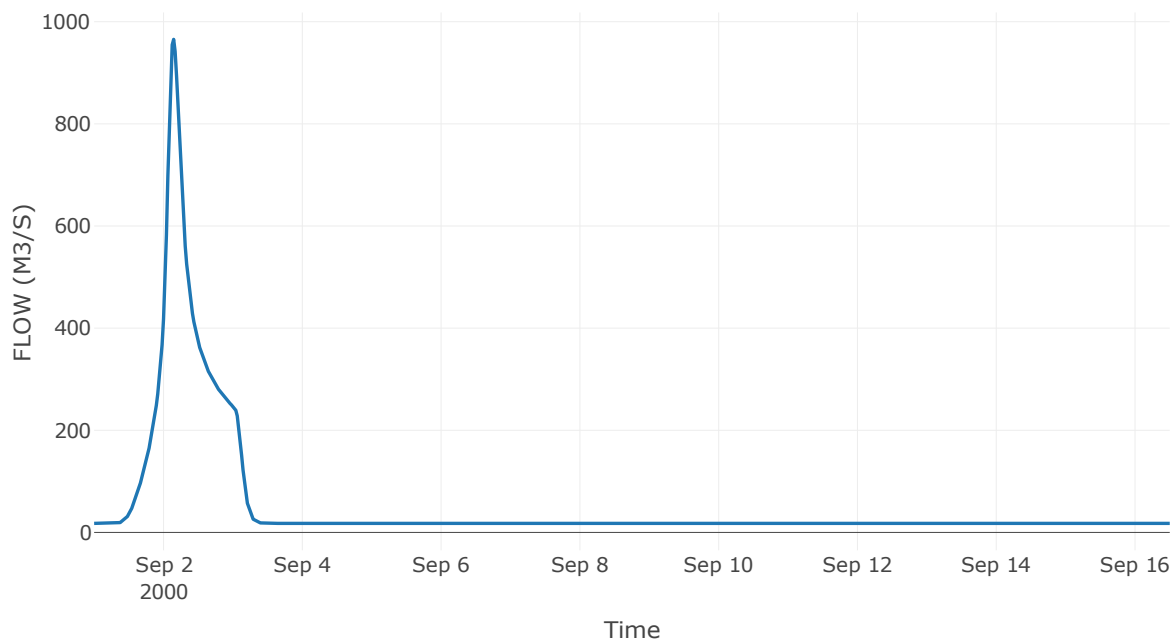
Κατάντη : J54

Μέθοδος Διόδευσης	Muskingum
Αρχική Μεταβλητή	Combined Inflow
Muskingum K	1.09
Συντελεστής βάρους α	0.2
Muskingum Steps	2

Αποτελέσματα: R5554

Παροχή Αιχμής (M3/S)	965.42
Χρονική στιγμή αιχμής	02Sep2000, 03:30
Όγκος(MM)	202.82
Παροχή Αιχμής Εισόδου (M3/S)	989.89
Όγκος Εισροής(M3)	7.18E7

Απορροή



Κλάδος: R5655

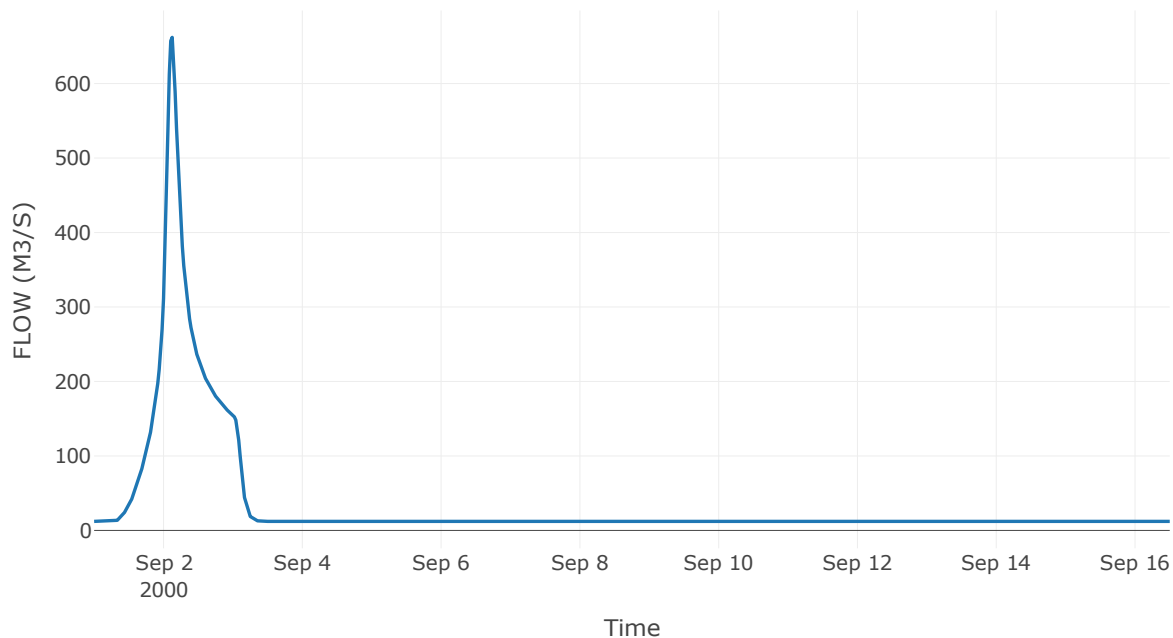
Κατάντη : J55

Μέθοδος Διόδευσης	Muskingum
Αρχική Μεταβλητή	Combined Inflow
Muskingum K	0.71
Συντελεστής βάρους x	0.2
Muskingum Steps	1

Αποτελέσματα: R5655

Παροχή Αιχμής (M3/S)	662.01
Χρονική στιγμή αιχμής	02Sep2000, 03:00
Όγκος(MM)	195.36
Παροχή Αιχμής Εισόδου (M3/S)	688.41
Όγκος Εισροής(M3)	4.75E7

Απορροή



Κλάδος: R5753

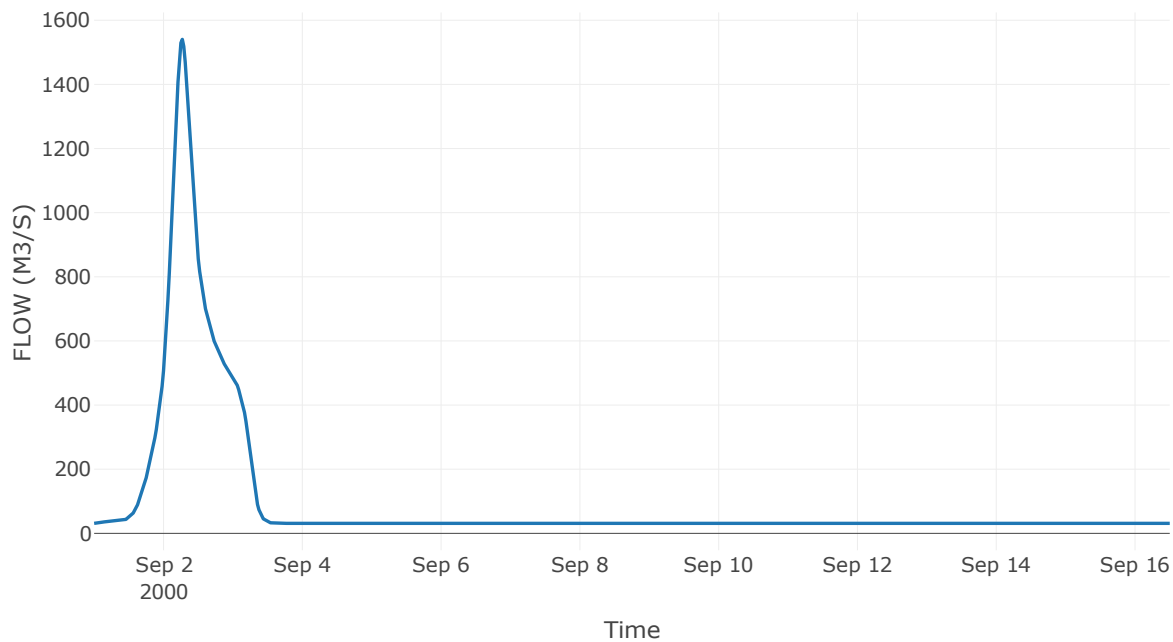
Κατάντη : J53 Res5

Μέθοδος Διόδευσης	Muskingum
Αρχική Μεταβλητή	Combined Inflow
Muskingum K	1
Συντελεστής βάρους α	0.2
Muskingum Steps	2

Αποτελέσματα: R5753

Παροχή Αιχμής (M3/S)	1540.43
Χρονική στιγμή αιχμής	02Sep2000, 06:30
Όγκος(MM)	210.57
Παροχή Αιχμής Εισόδου (M3/S)	1561.42
Όγκος Εισροής(M3)	1.31E8

Απορροή



Κλάδος: R6120

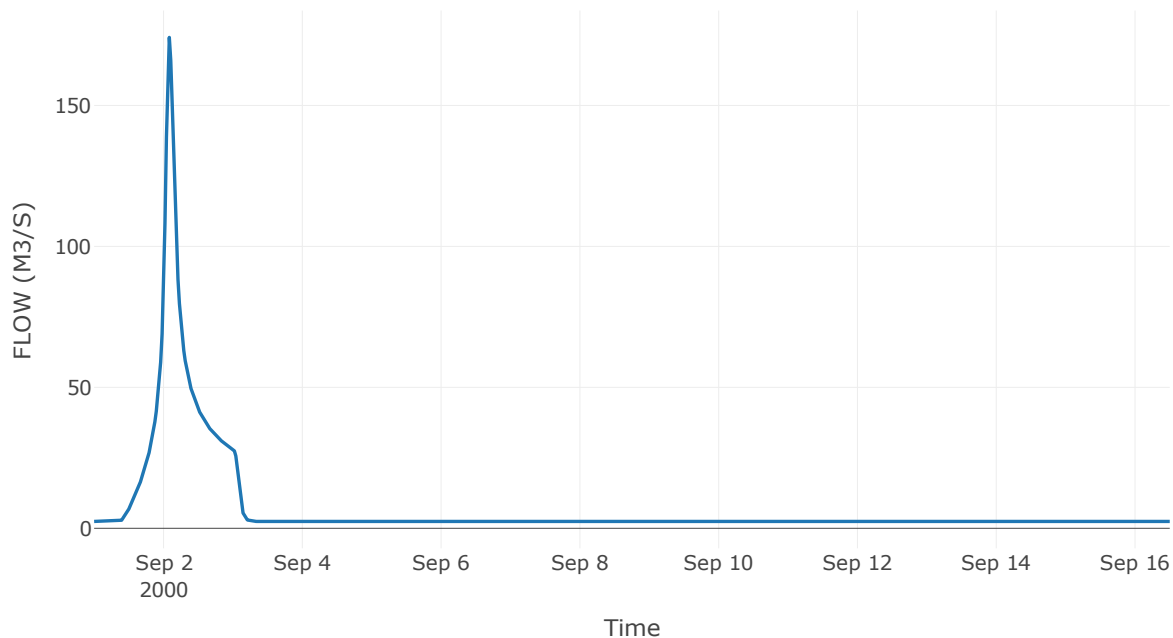
Κατάντη : J20

Μέθοδος Διόδευσης	Muskingum
Αρχική Μεταβλητή	Combined Inflow
Muskingum K	0.7
Συντελεστής βάρους x	0.2
Muskingum Steps	1

Αποτελέσματα: R6120

Παροχή Αιχμής (M3/S)	174.14
Χρονική στιγμή αιχμής	02Sep2000, 02:00
Όγκος(MM)	198.86
Παροχή Αιχμής Εισόδου (M3/S)	183.74
Όγκος Εισροής(M3)	9.67E6

Απορροή



Κλάδος: R6227

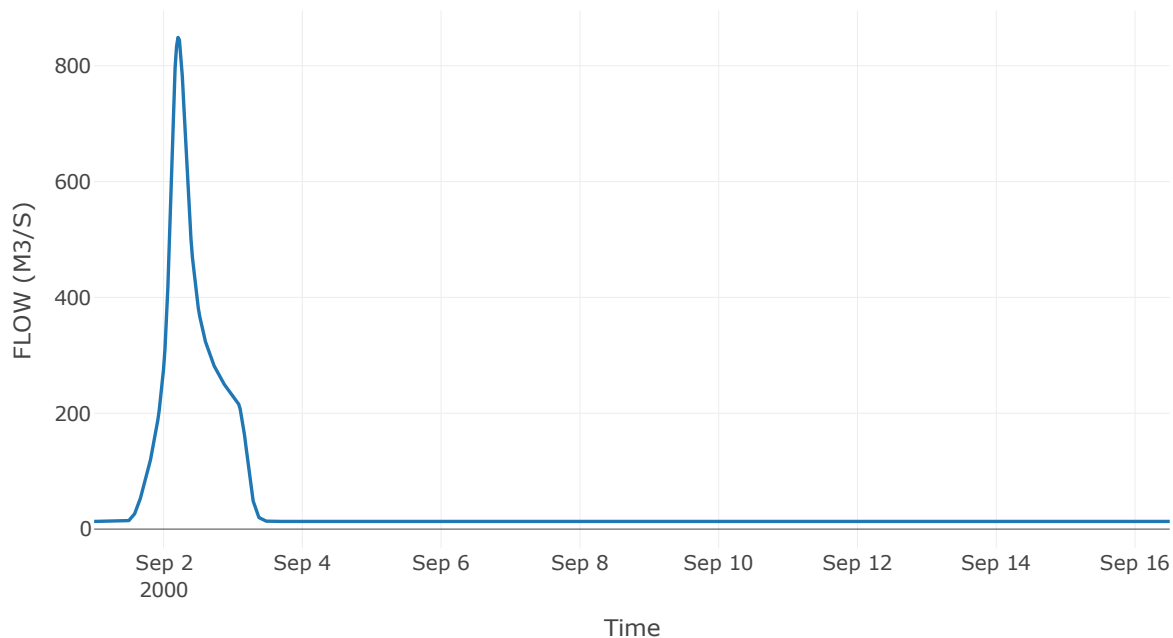
Κατάντη : J27

Μέθοδος Διόδευσης	Muskingum
Αρχική Μεταβλητή	Combined Inflow
Muskingum K	1.56
Συντελεστής βάρους α	0.2
Muskingum Steps	3

Αποτελέσματα: R6227

Παροχή Αιχμής (M3/S)	848.85
Χρονική στιγμή αιχμής	02Sep2000, 05:00
Όγκος(MM)	235.69
Παροχή Αιχμής Εισόδου (M3/S)	869.51
Όγκος Εισροής(M3)	6.23E7

Απορροή



Κλάδος: R6357

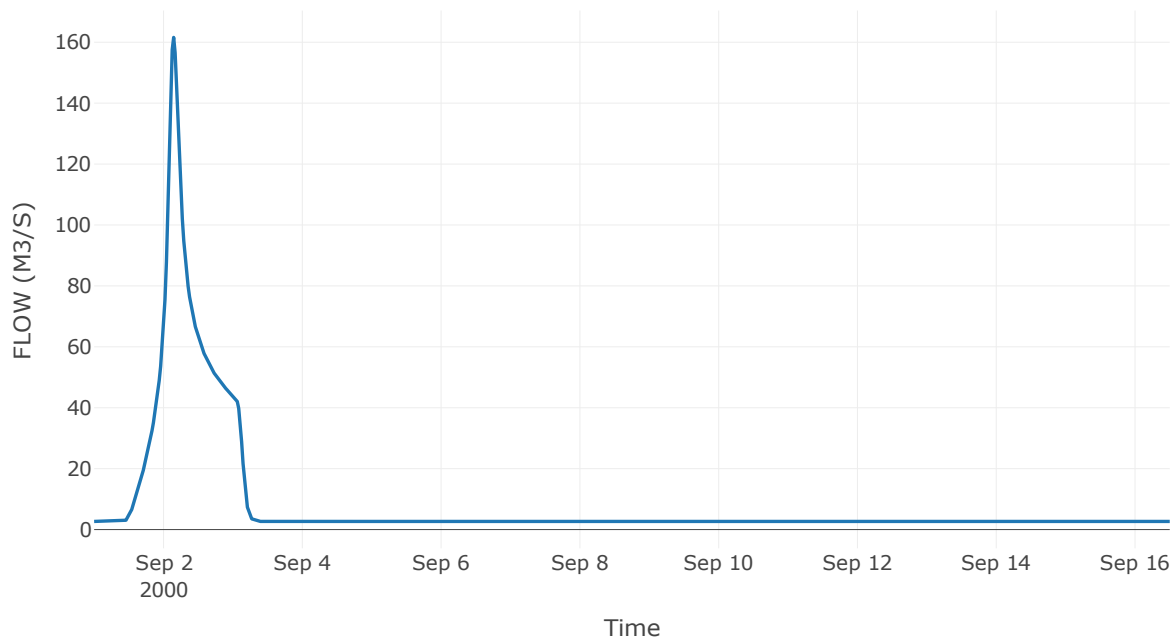
Κατάντη : J57

Μέθοδος Διόδευσης	Muskingum
Αρχική Μεταβλητή	Combined Inflow
Muskingum K	1.93
Συντελεστής βάρους x	0.2
Muskingum Steps	4

Αποτελέσματα: R6357

Παροχή Αιχμής (M3/S)	161.58
Χρονική στιγμή αιχμής	02Sep2000, 03:30
Όγκος(MM)	216.5
Παροχή Αιχμής Εισόδου (M3/S)	175.71
Όγκος Εισροής(M3)	1.15E7

Απορροή



Κλάδος: R6429

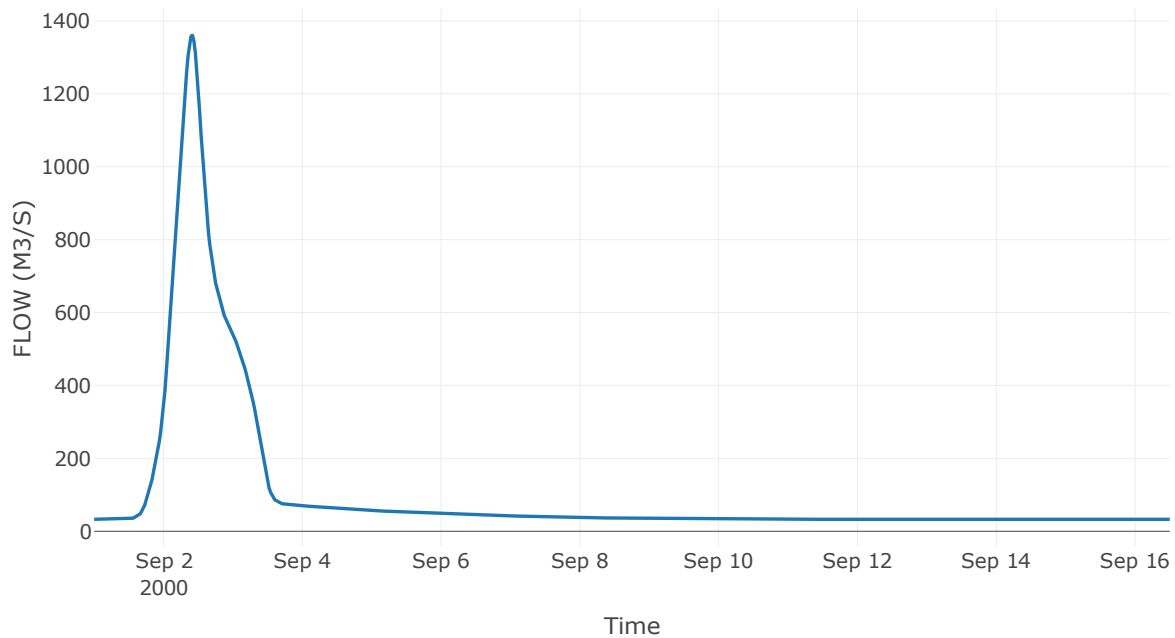
Κατάντη : J29

Μέθοδος Διόδευσης	Muskingum
Αρχική Μεταβλητή	Combined Inflow
Muskingum K	0.78
Συντελεστής βάρους x	0.2
Muskingum Steps	2

Αποτελέσματα: R6429

Παροχή Αιχμής (M3/S)	1360.58
Χρονική στιγμή αιχμής	02Sep2000, 10:00
Όγκος(MM)	216.01
Παροχή Αιχμής Εισόδου (M3/S)	1368.25
Όγκος Εισροής(M3)	1.42E8

Απορροή



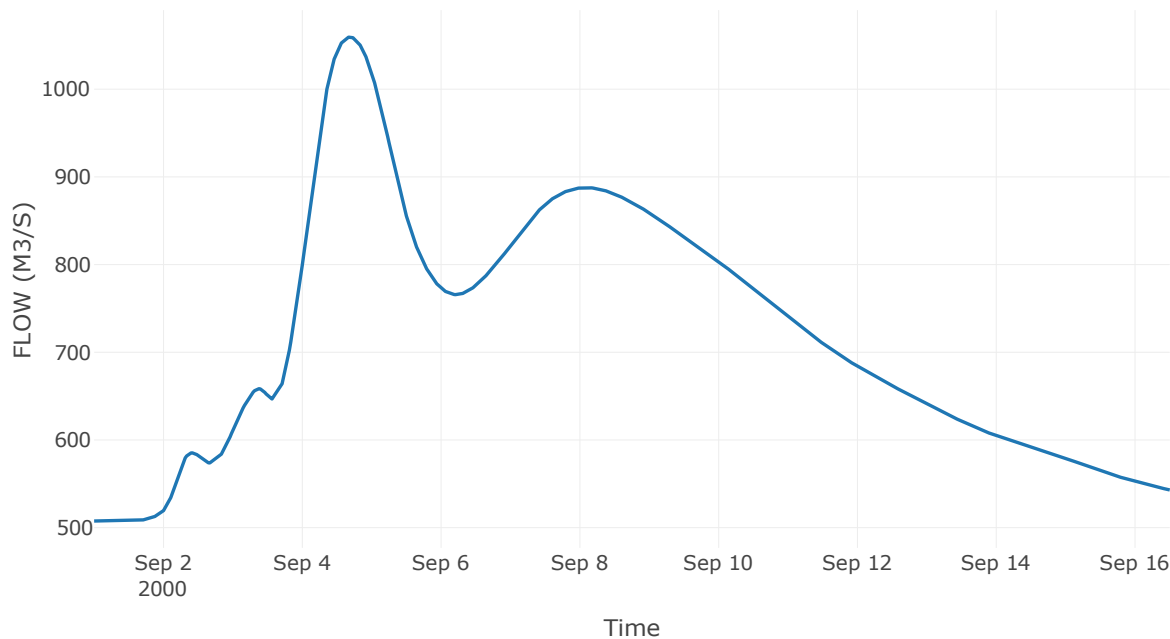
2.3 Δεδομένα και Υδρογραφήματα σχεδιασμού Κόμβων υδρογραφικού δικτύου

Κόμβος εξόδου: J1

Αποτελέσμα
τα: J1

Παροχή αιχμής (M3/S)	1059.53
Χρονική στιγμή αιχμής	04Sep2000, 16:30
Όγκος (MM)	208.84

Απορροή



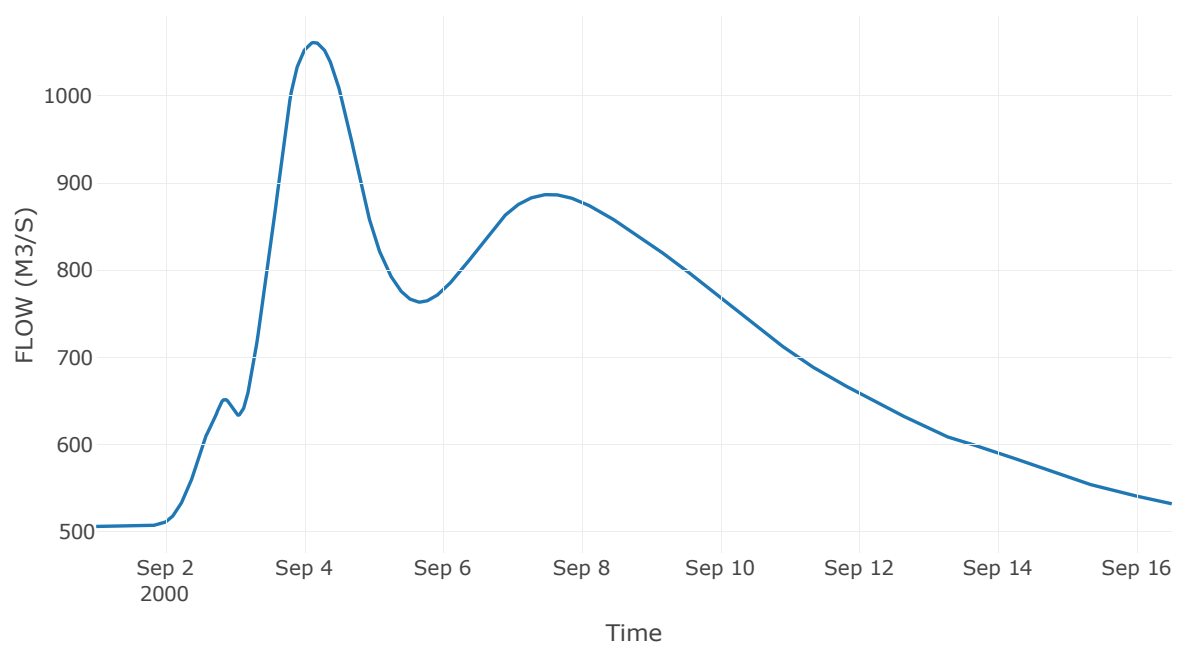
Κόμβος: J2

Κατάντη : R21

Αποτελέσματα: J2

Παροχή Αιχμής (M3/S)	1061.19
Χρονική στιγμή αιχμής	04Sep2000, 03:30
Όγκος(MM)	209.85

Απορροή



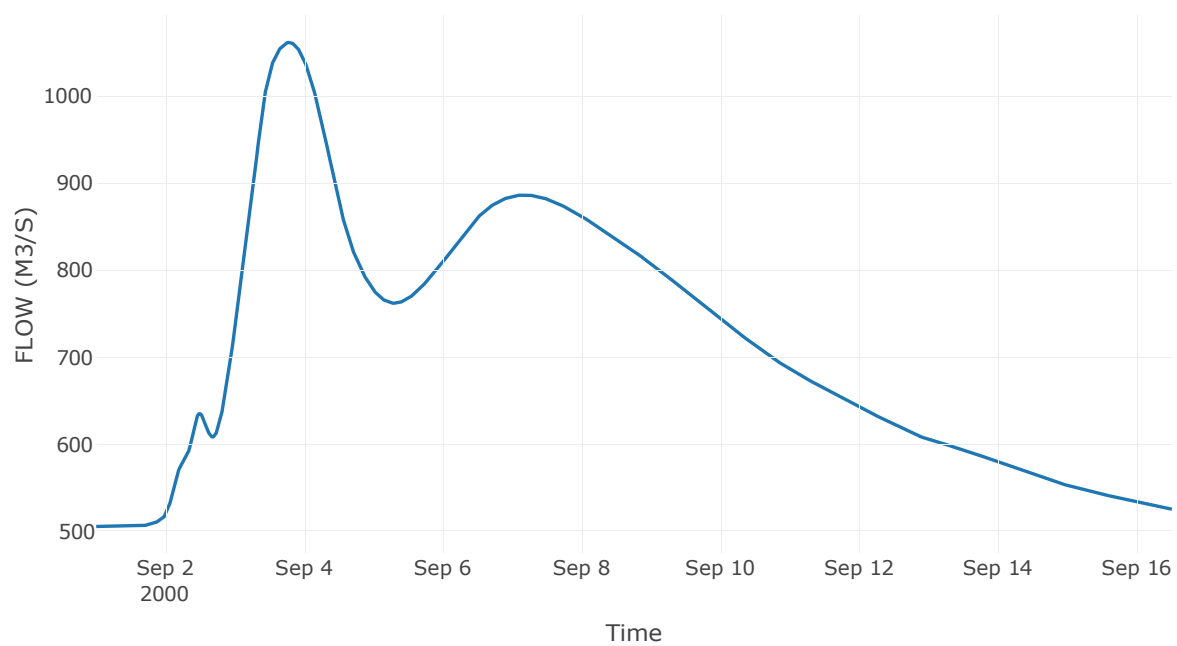
Κόμβος: J3

Κατάντη : R32

Αποτελέσματα: J3

Παροχή Αιχμής (M3/S)	1061.73
Χρονική στιγμή αιχμής	03Sep2000, 18:30
Όγκος(MM)	210.41

Απορροή



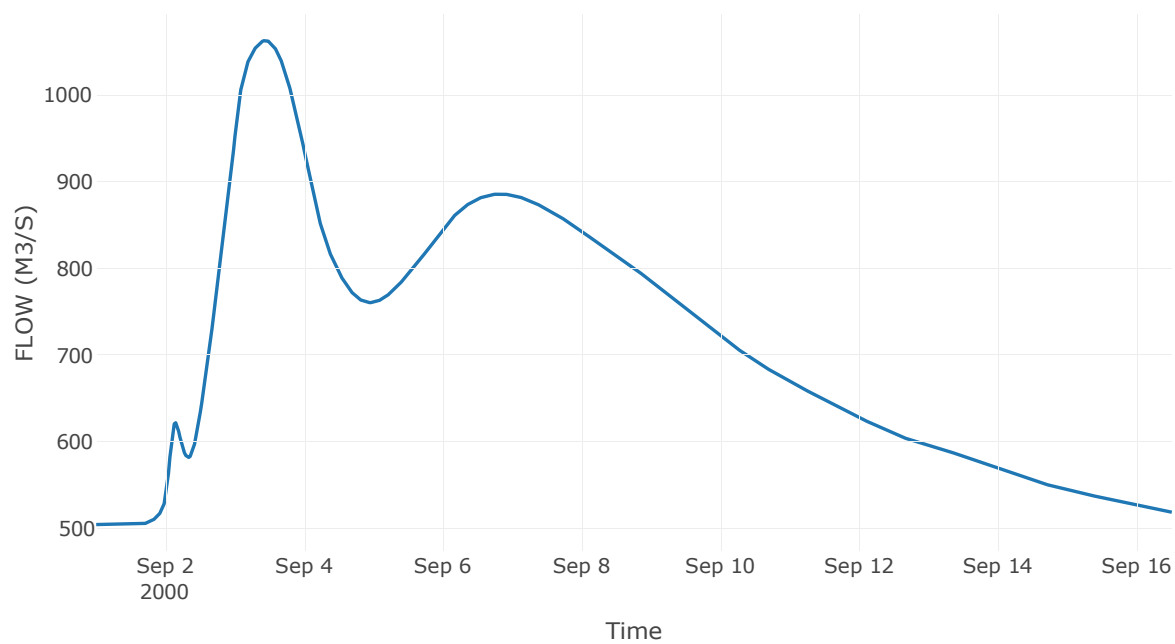
Κόμβος: J4

Κατάντη : R43

Αποτελέσματα: J4

Παροχή Αιχμής (M3/S)	1062.88
Χρονική στιγμή αιχμής	03Sep2000, 10:30
Όγκος(MM)	210.97

Απορροή



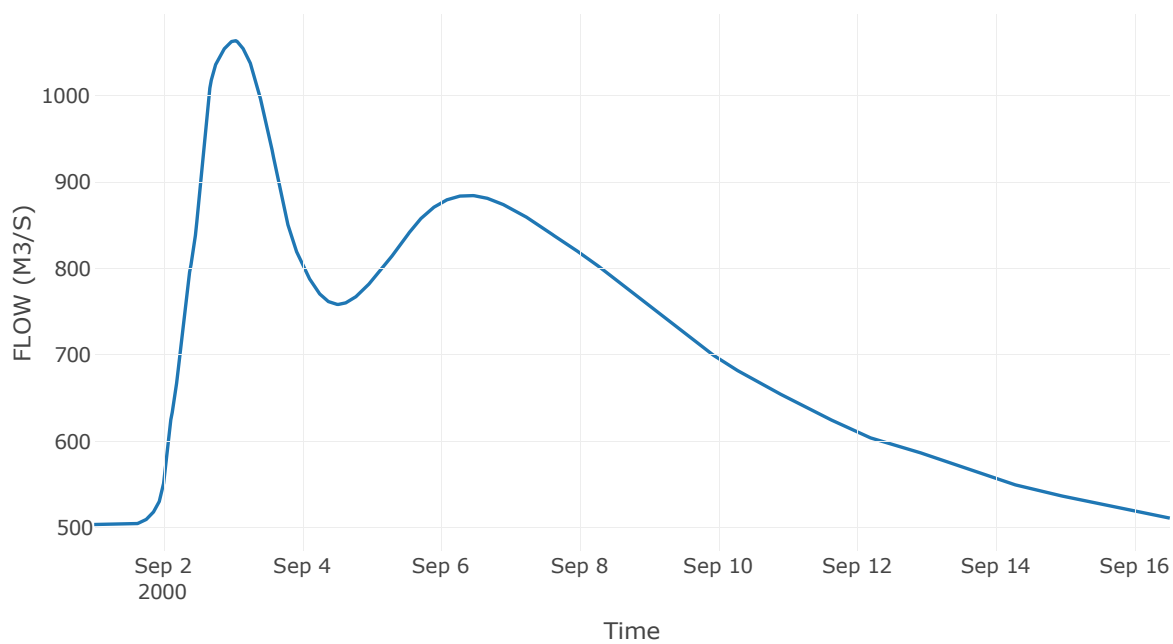
Κόμβος: J5

Κατάντη : R54

Αποτελέσματα: J5

Παροχή Αιχμής (M3/S)	1064.47
Χρονική στιγμή αιχμής	03Sep2000, 00:30
Όγκος(MM)	212.08

Απορροή



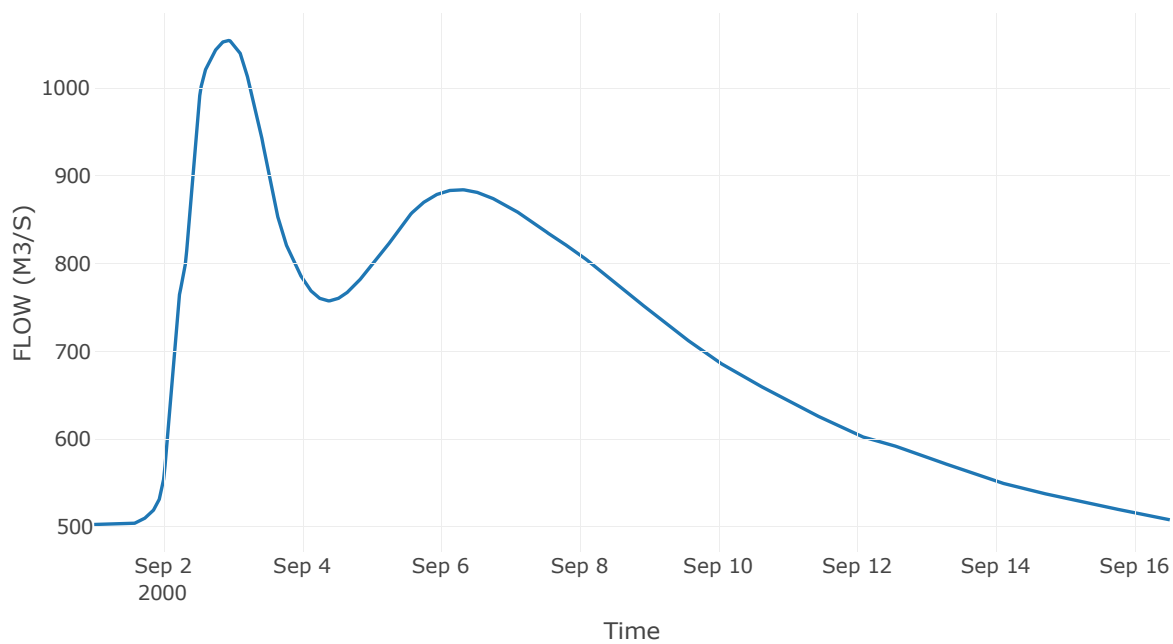
Κόμβος: J6

Κατάντη : R65

Αποτελέσματα: J6

Παροχή Αιχμής (M3/S)	1054.22
Χρονική στιγμή αιχμής	02Sep2000, 22:00
Όγκος(MM)	212.69

Απορροή

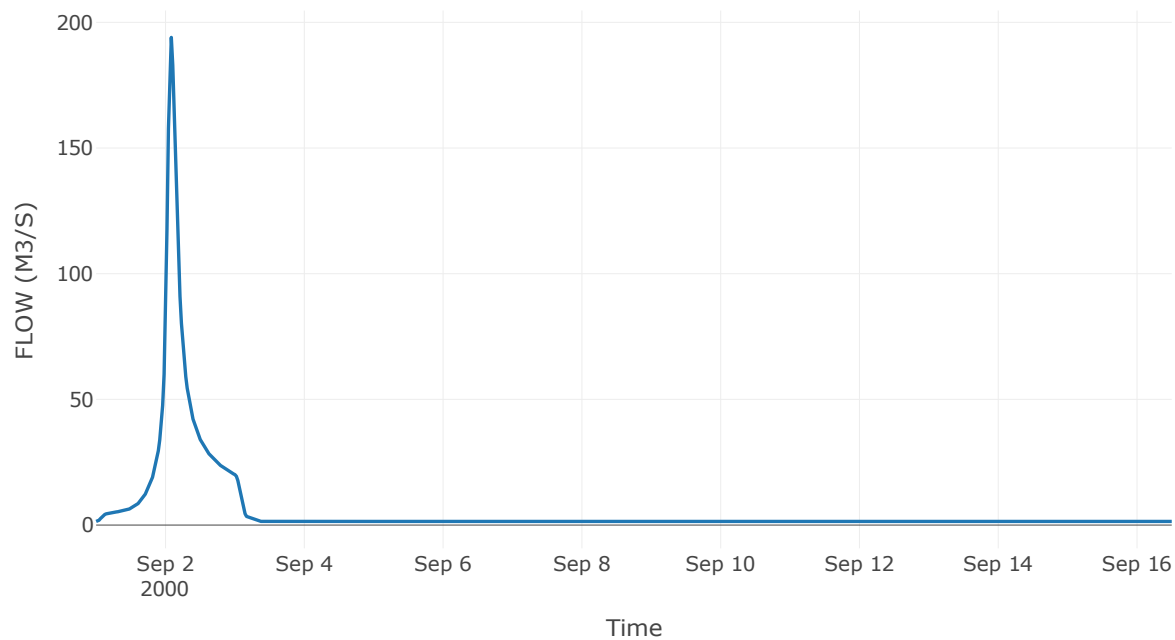


Κόμβος εξόδου: J7

Αποτέλεσμα
τα: J7

Παροχή αιχμής (M3/S)	194
Χρονική στιγμή αιχμής	02Sep2000, 02:00
Όγκος (MM)	138.32

Απορροή



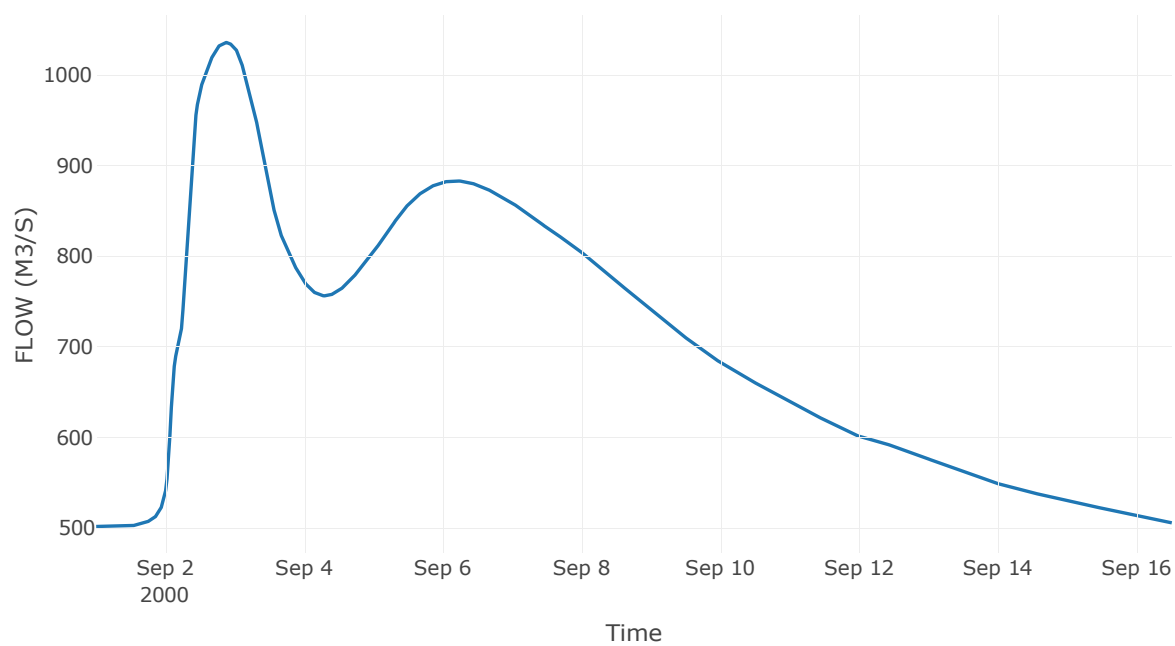
Κόμβος: J8

Κατάντη : R86

Αποτελέσματα: J8

Παροχή Αιχμής (M3/S)	1036.03
Χρονική στιγμή αιχμής	02Sep2000, 21:00
Όγκος(MM)	213.32

Απορροή



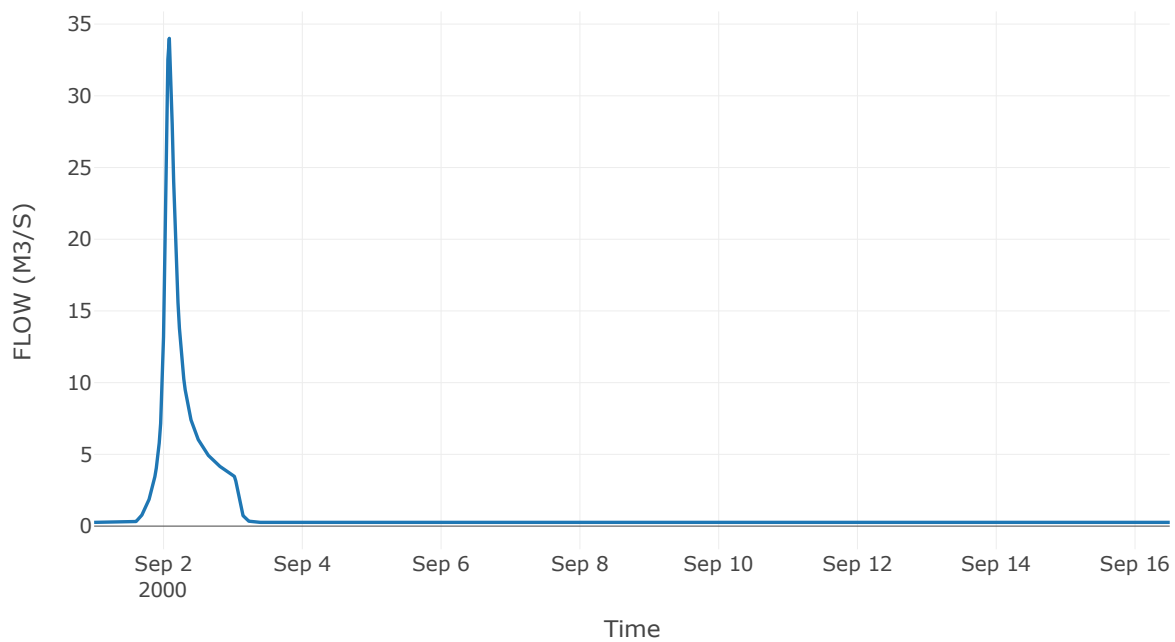
Κόμβος: J9

Κατάντη : R97

Αποτελέσματα: J9

Παροχή Αιχμής (M3/S)	34.01
Χρονική στιγμή αιχμής	02Sep2000, 02:00
Όγκος(MM)	126.9

Απορροή



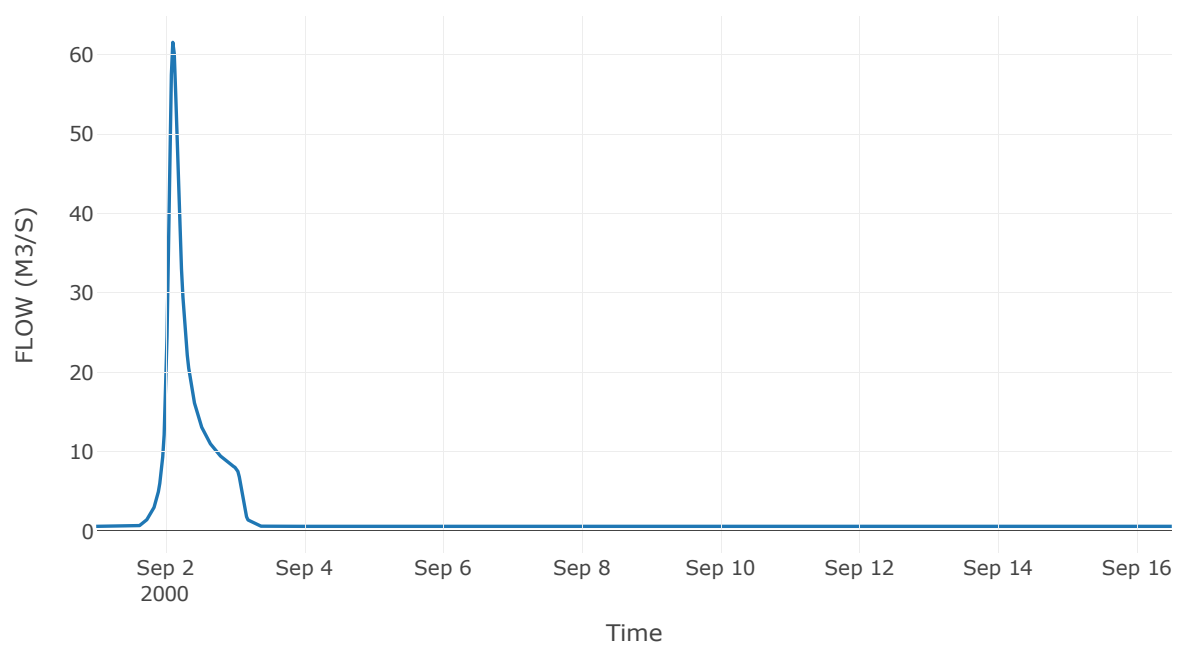
Κόμβος: J10

Κατάντη : R107

Αποτελέσματα: J10

Παροχή Αιχμής (M3/S)	61.56
Χρονική στιγμή αιχμής	02Sep2000, 02:30
Όγκος(MM)	110.58

Απορροή



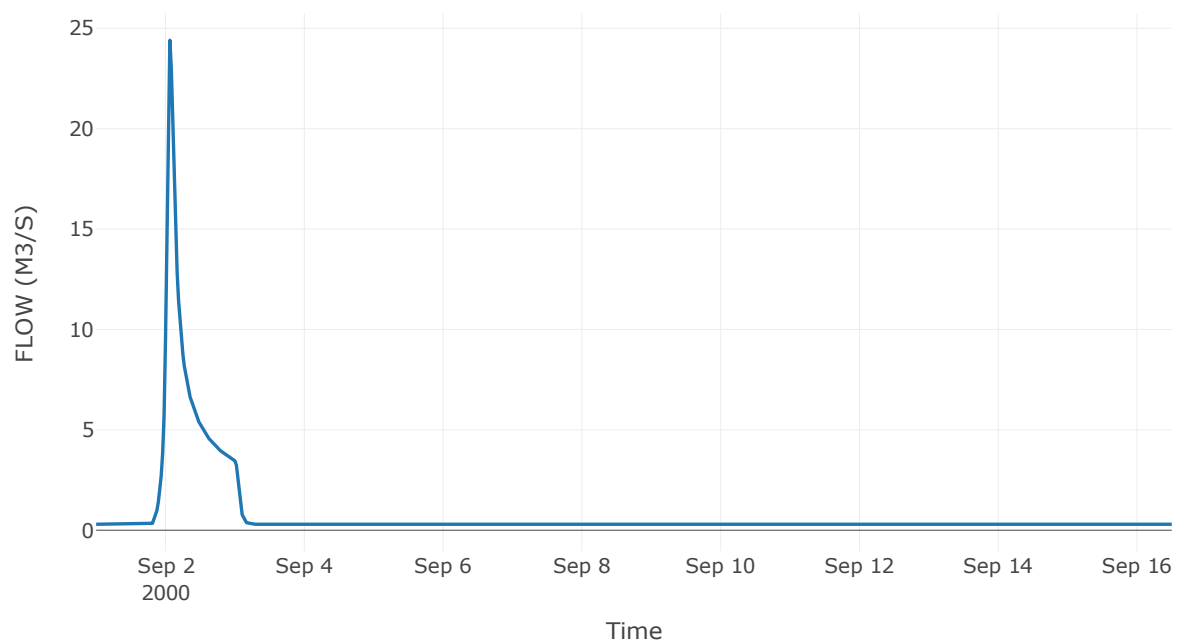
Κόμβος: J11

Κατάντη : R1110

Αποτελέσματα: J11

Παροχή Αιχμής (M3/S)	24.41
Χρονική στιγμή αιχμής	02Sep2000, 01:30
Όγκος(MM)	92.15

Απορροή



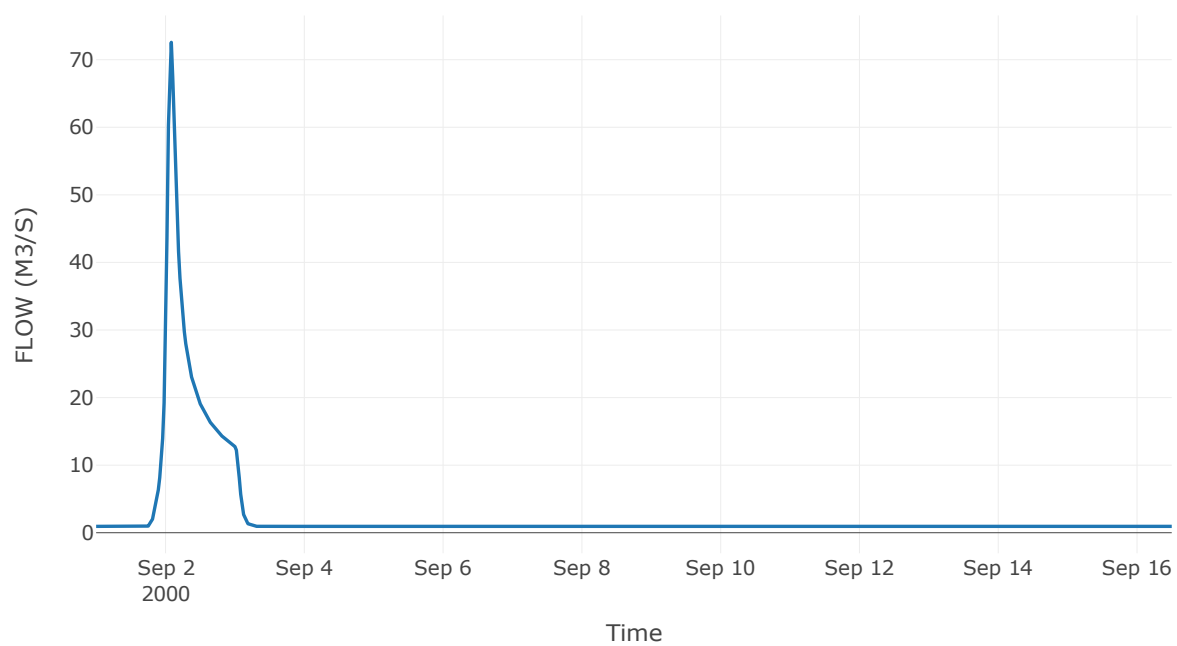
Κόμβος: J12

Κατάντη : R128

Αποτελέσματα: J12

Παροχή Αιχμής (M3/S)	72.57
Χρονική στιγμή αιχμής	02Sep2000, 02:00
Όγκος(MM)	97.96

Απορροή



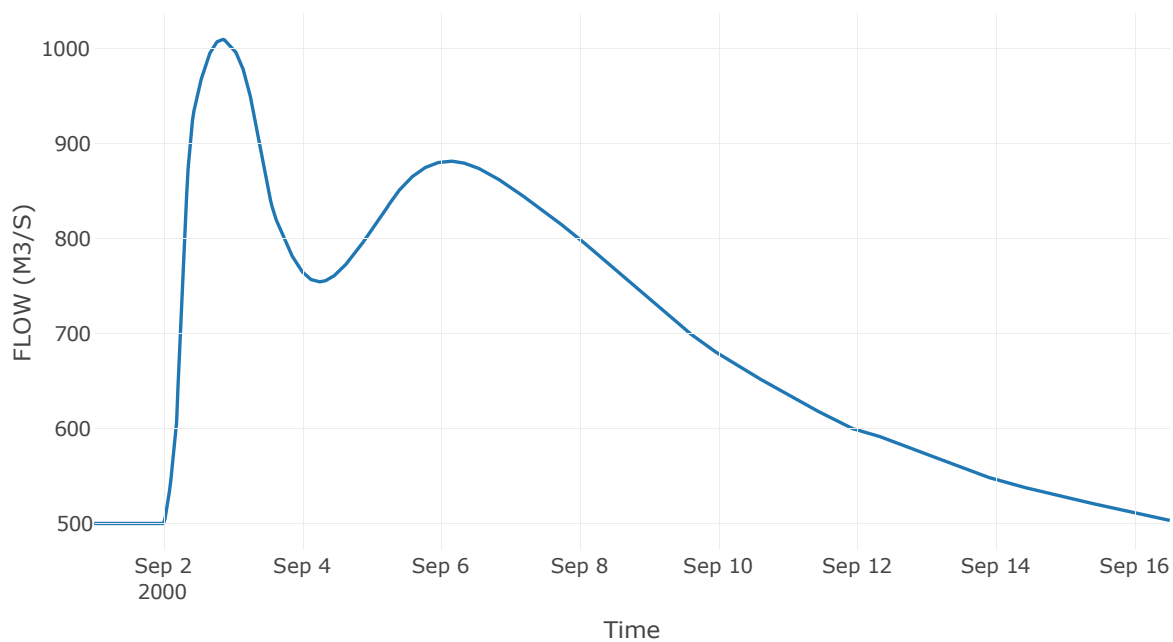
Ταμιευτήρας: J13_RES1

Κατάντη : R138

Αποτελέσματα: J13_RES1

Παροχή Αιχμής (M3/S)	1009.62
Χρονική στιγμή αιχμής	02Sep2000, 20:30
Όγκος(MM)	214.6
Παροχή Αιχμής Εισόδου (M3/S)	1191.99
Time of Peak Inflow	02Sep2000, 06:00
Όγκος Εισροής (M3)	9.29E8
Maximum Storage (M3)	3.63E7
Peak Elevation (M)	62.49
Discharge Όγκος(M3)	9.29E8

Απορροή



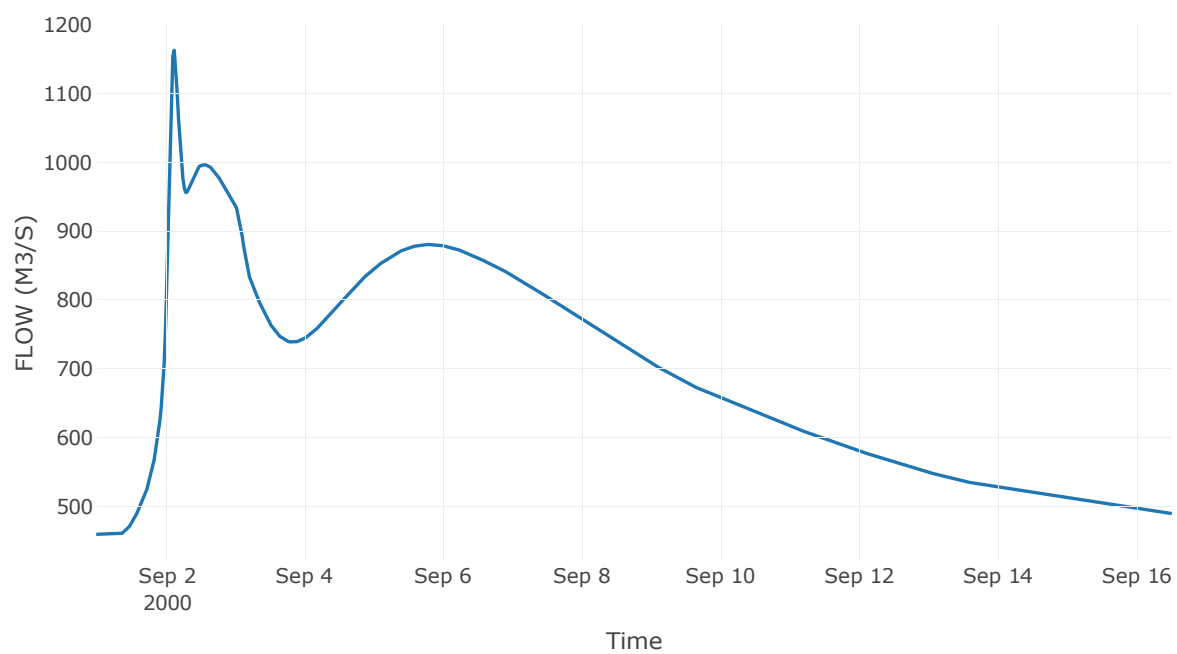
Κόμβος: J14

Κατάντη : R1413

Αποτελέσματα: J14

Παροχή Αιχμής (M3/S)	1163.13
Χρονική στιγμή αιχμής	02Sep2000, 03:00
Όγκος(MM)	214.75

Απορροή



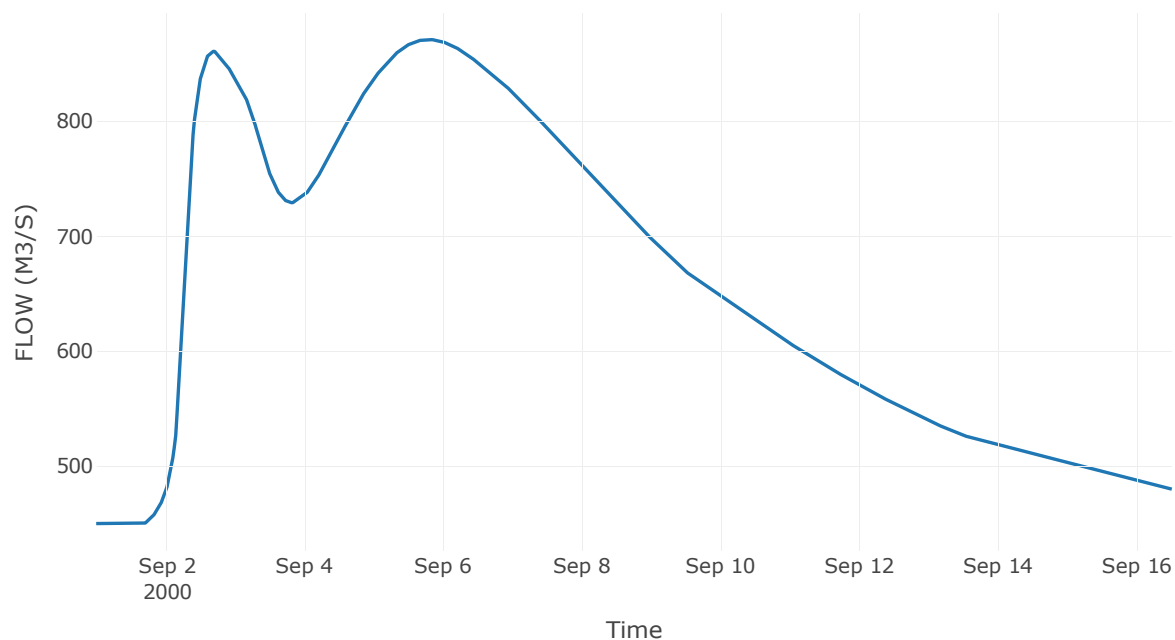
Ταμιευτήρας: J15_RES2

Κατάντη : R1514

Αποτελέσματα: J15_RES2

Παροχή Αιχμής (M3/S)	871.24
Χρονική στιγμή αιχμής	05Sep2000, 19:00
Όγκος(MM)	215.49
Παροχή Αιχμής Εισόδου (M3/S)	1940.42
Time of Peak Inflow	02Sep2000, 05:30
Όγκος Εισροής (M3)	8.87E8
Maximum Storage (M3)	8.8E8
Peak Elevation (M)	147.55
Discharge Όγκος(M3)	8.82E8

Απορροή



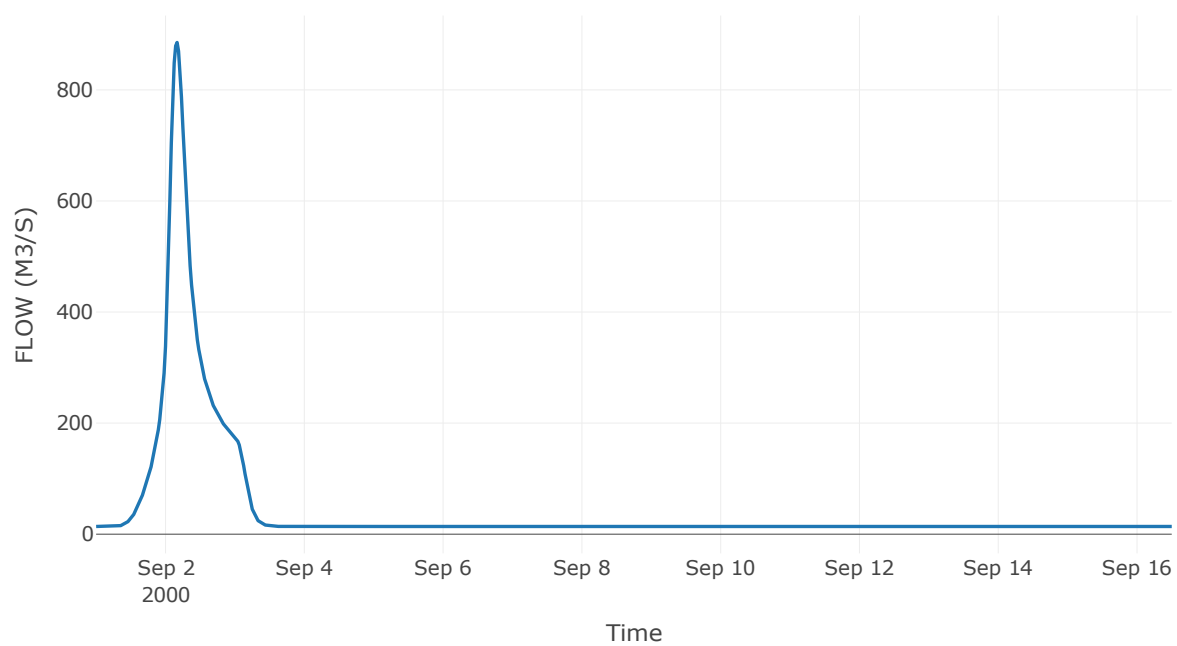
Κόμβος: J16

Κατάντη : R1619

Αποτελέσματα: J16

Παροχή Αιχμής (M3/S)	885.42
Χρονική στιγμή αιχμής	02Sep2000, 04:00
Όγκος(MM)	216.95

Απορροή



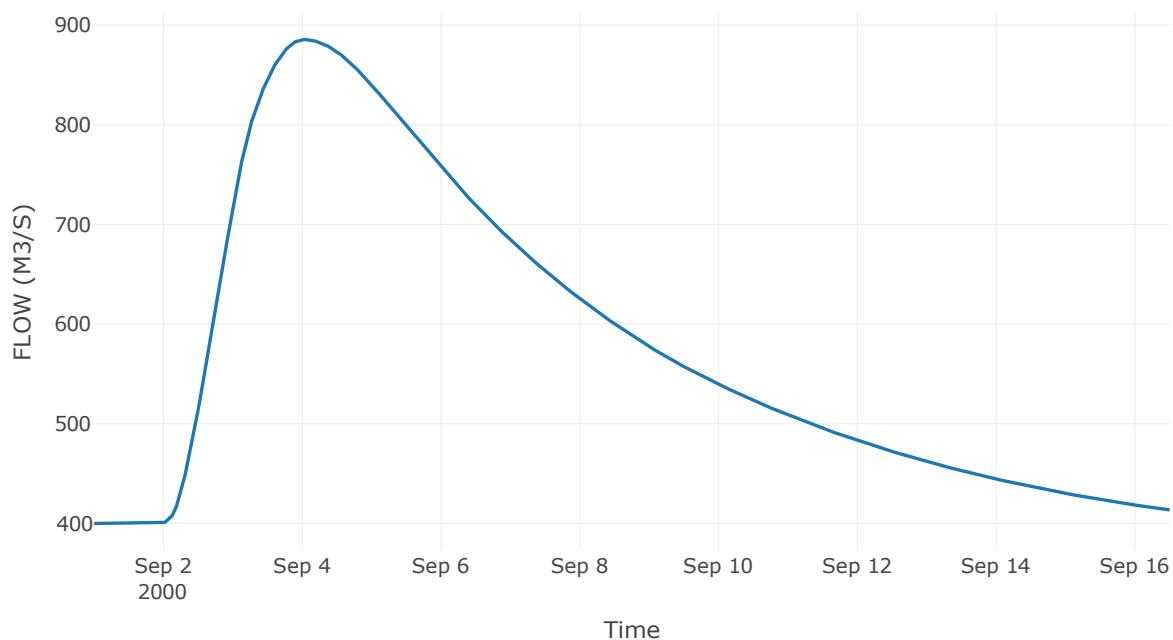
Ταμιευτήρας: J17_RES3

Κατάντη : R1718

Αποτελέσματα: J17_RES3

Παροχή Αιχμής (M3/S)	885.51
Χρονική στιγμή αιχμής	04Sep2000, 01:00
Όγκος(MM)	217.7
Παροχή Αιχμής Εισόδου (M3/S)	4322.88
Time of Peak Inflow	02Sep2000, 07:30
Όγκος Εισροής (M3)	8.1E8
Maximum Storage (M3)	3.82E9
Peak Elevation (M)	272.49
Discharge Όγκος(M3)	7.75E8

Απορροή



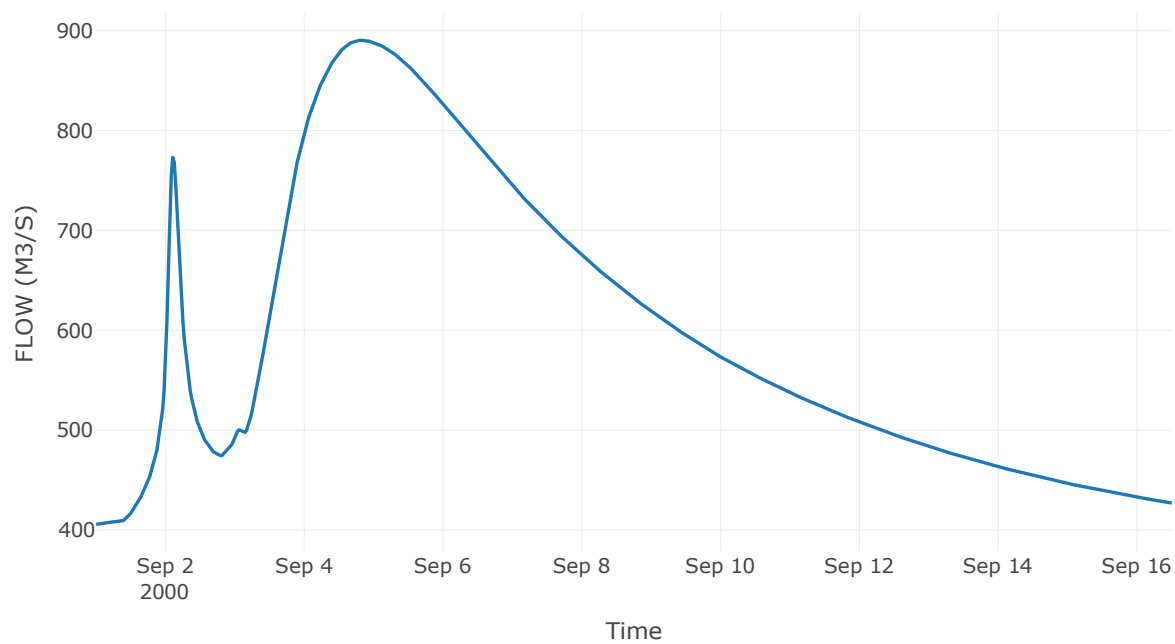
Κόμβος: J18

Κατάντη : R1819

Αποτελέσματα: J18

Παροχή Αιχμής (M3/S)	890.34
Χρονική στιγμή αιχμής	04Sep2000, 20:00
Όγκος(MM)	216.83

Απορροή



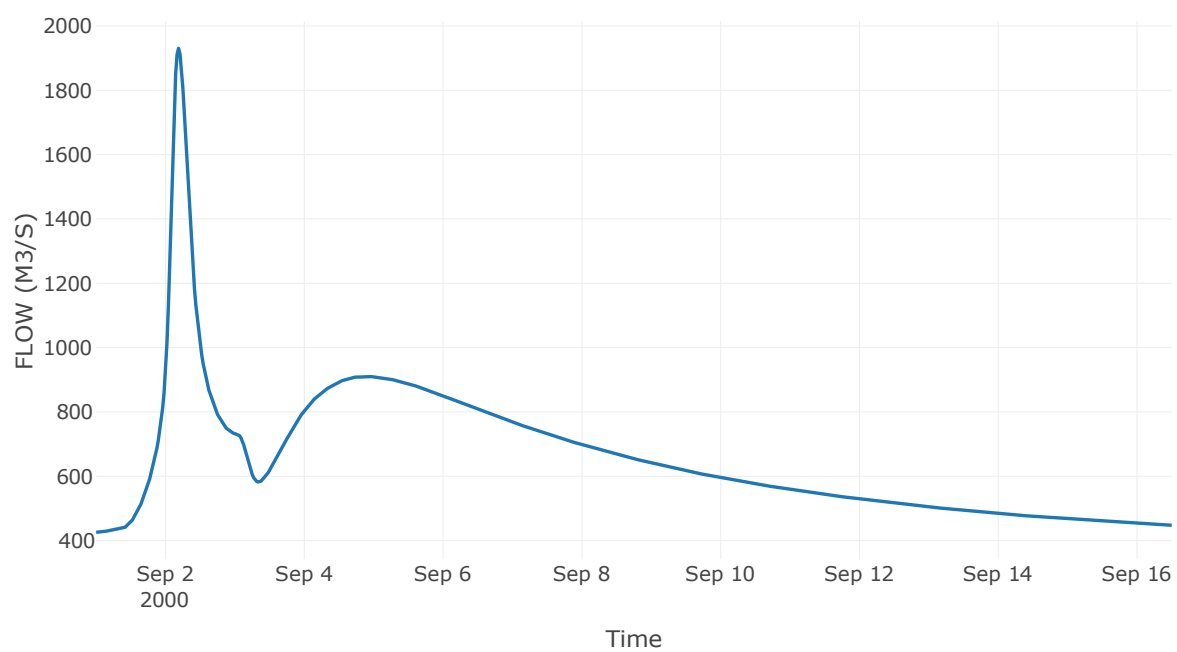
Κόμβος: J19

Κατάντη : R1915

Αποτελέσματα: J19

Παροχή Αιχμής (M3/S)	1930.61
Χρονική στιγμή αιχμής	02Sep2000, 04:30
Όγκος(MM)	216.83

Απορροή



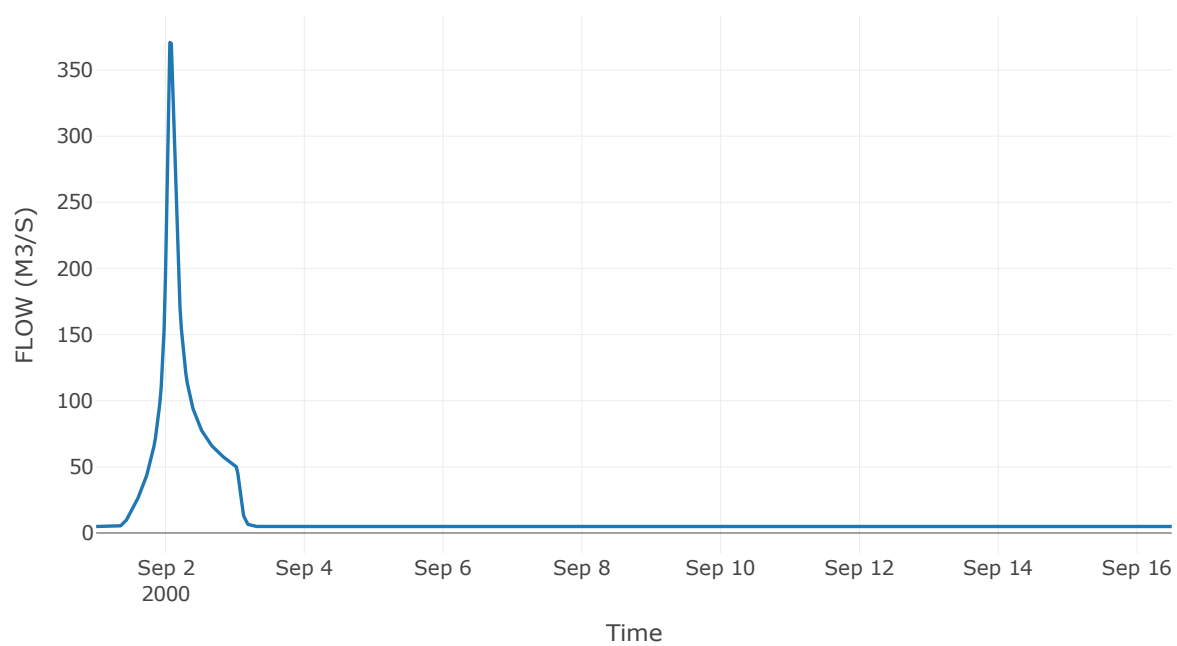
Κόμβος: J20

Κατάντη : R2014

Αποτελέσματα: J20

Παροχή Αιχμής (M3/S)	370.86
Χρονική στιγμή αιχμής	02Sep2000, 01:30
Όγκος(MM)	198.1

Απορροή



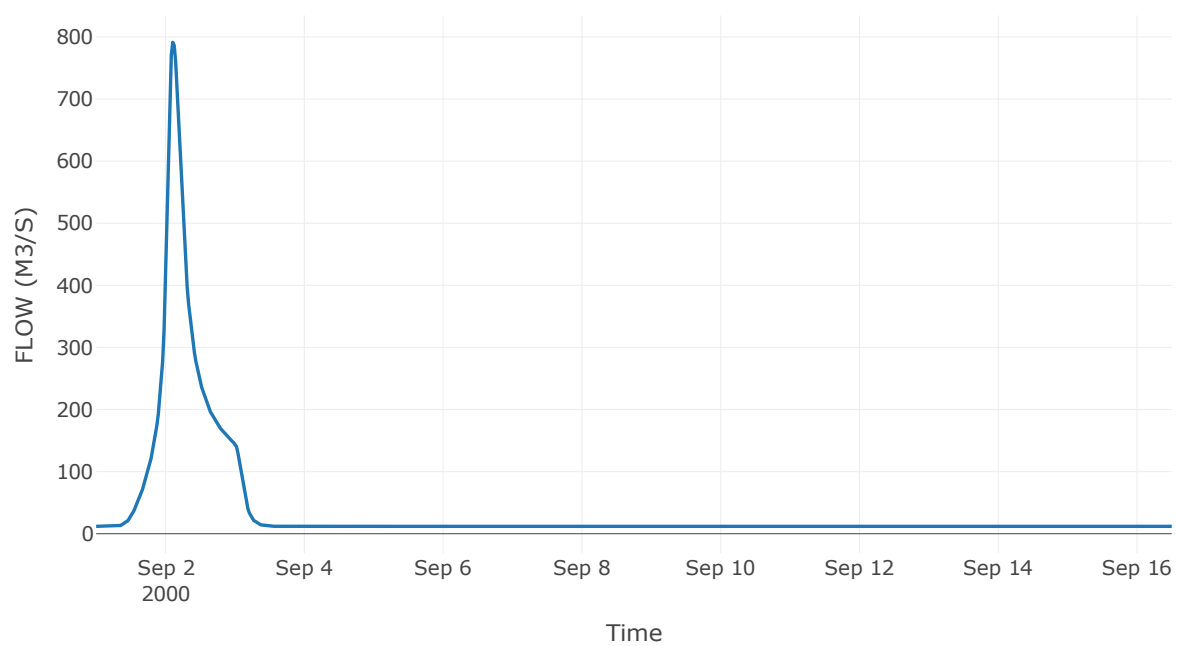
Κόμβος: J21

Κατάντη : R2116

Αποτελέσματα: J21

Παροχή Αιχμής (M3/S)	791.31
Χρονική στιγμή αιχμής	02Sep2000, 02:30
Όγκος(MM)	214.99

Απορροή



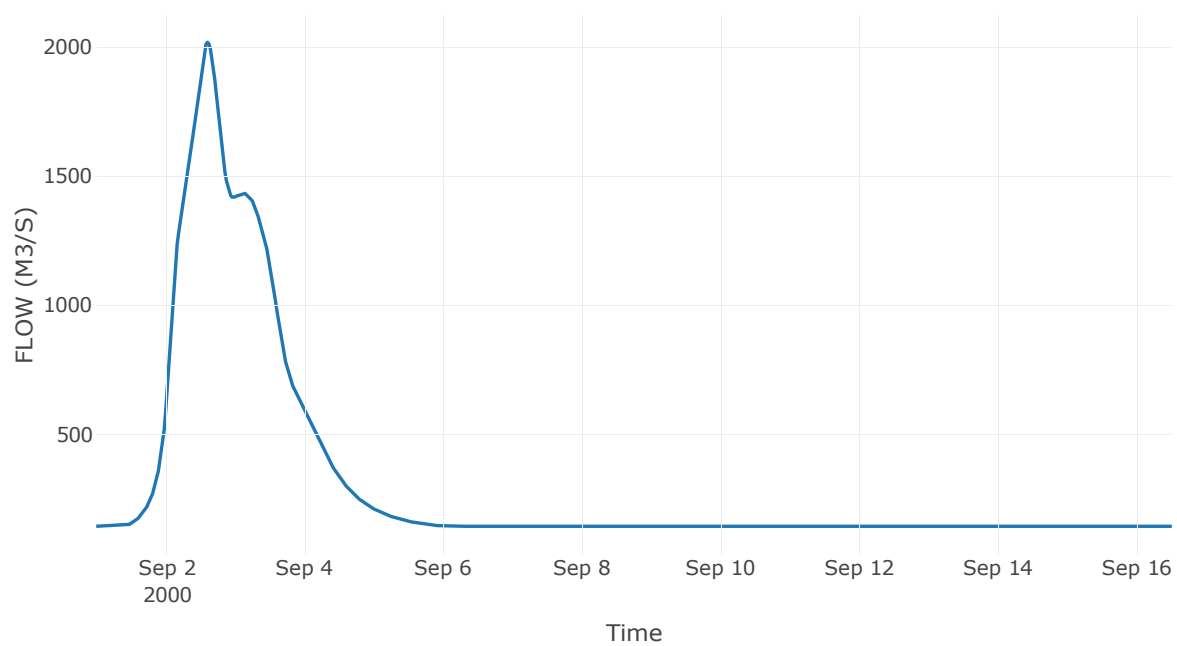
Κόμβος: J22

Κατάντη : R2231

Αποτελέσματα: J22

Παροχή Αιχμής (M3/S)	2016.99
Χρονική στιγμή αιχμής	02Sep2000, 14:30
Όγκος(MM)	245.12

Απορροή



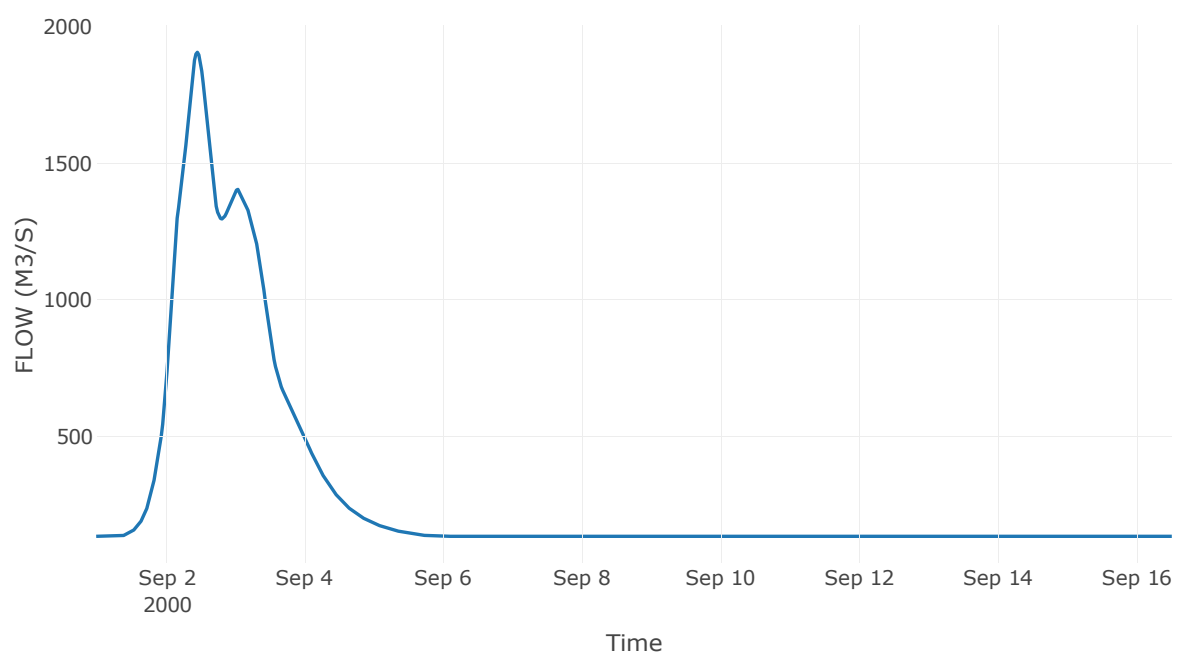
Κόμβος: J23

Κατάντη : R2324

Αποτελέσματα: J23

Παροχή Αιχμής (M3/S)	1907.31
Χρονική στιγμή αιχμής	02Sep2000, 11:00
Όγκος(MM)	254.31

Απορροή



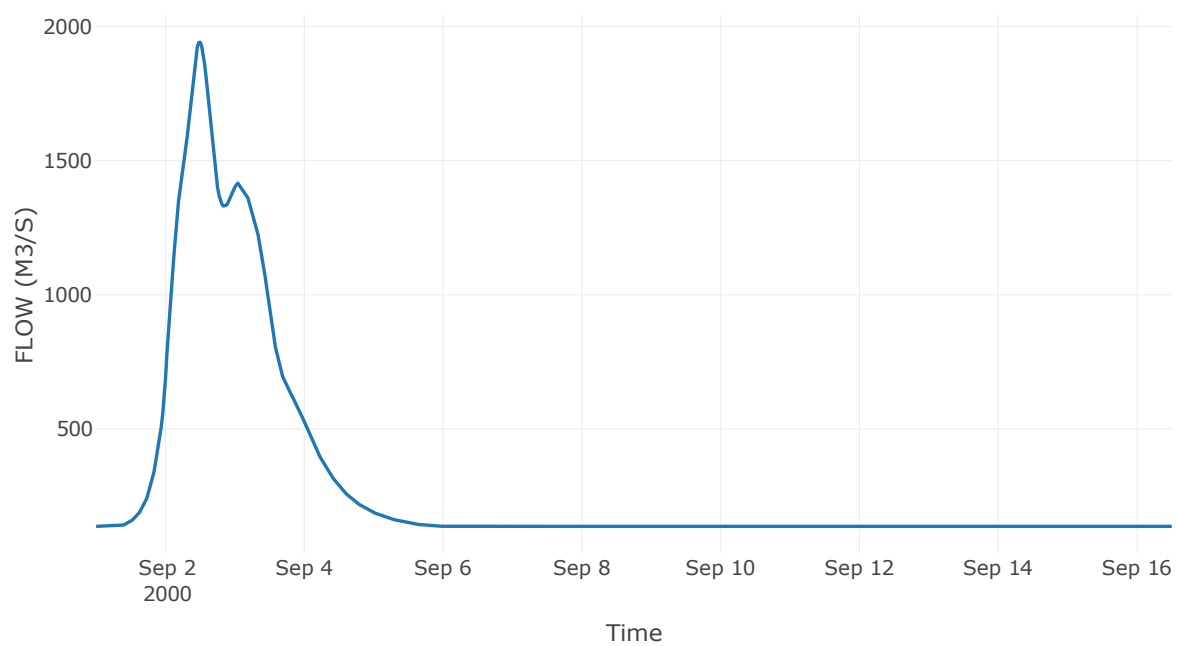
Κόμβος: J24

Κατάντη : R2425

Αποτελέσματα: J24

Παροχή Αιχμής (M3/S)	1941.19
Χρονική στιγμή αιχμής	02Sep2000, 12:00
Όγκος(MM)	252.65

Απορροή



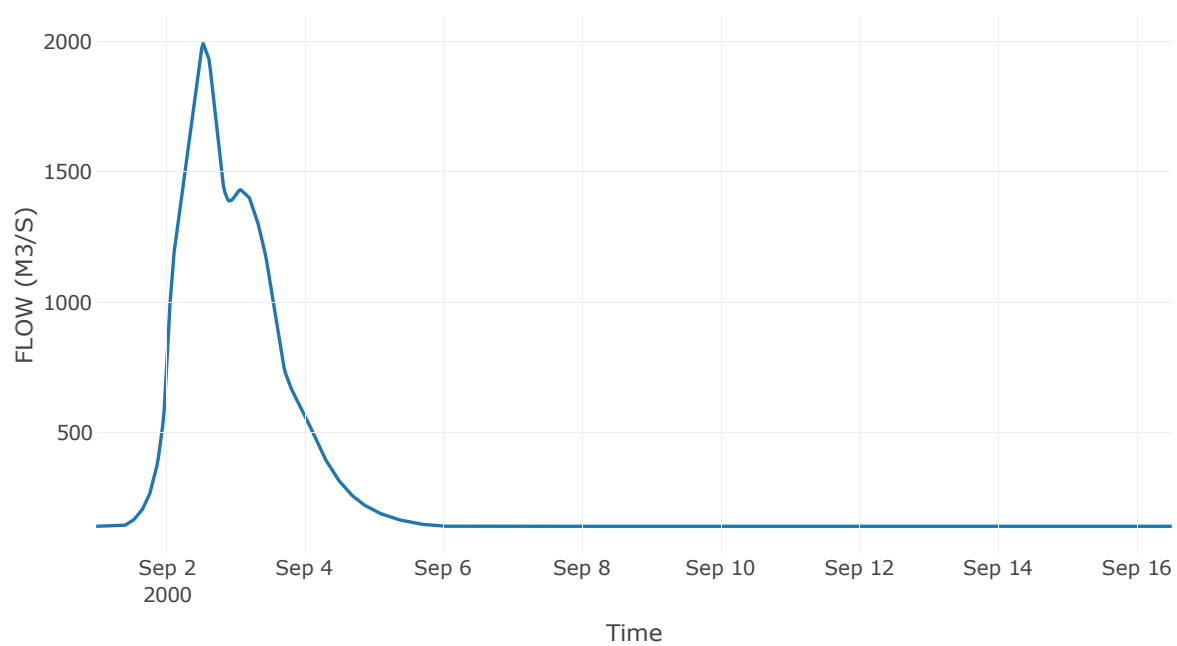
Κόμβος: J25

Κατάντη : R2522

Αποτελέσματα: J25

Παροχή Αιχμής (M3/S)	1996.36
Χρονική στιγμή αιχμής	02Sep2000, 13:30
Όγκος(MM)	249

Απορροή



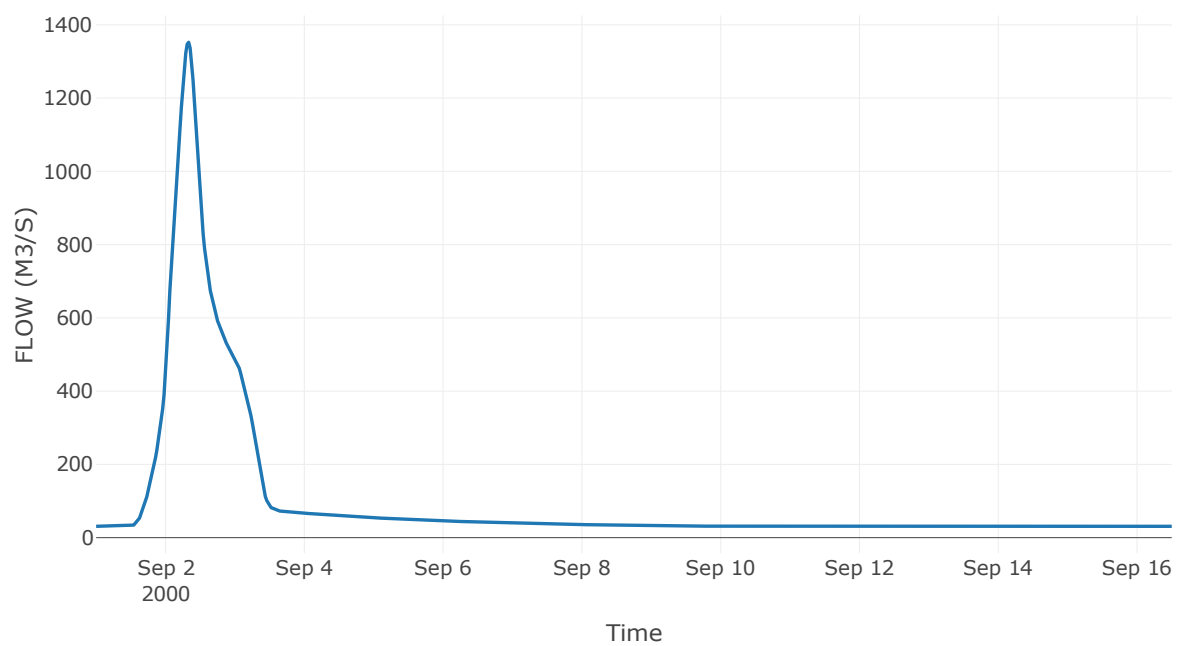
Κόμβος: J26

Κατάντη : R2664

Αποτελέσματα: J26

Παροχή Αιχμής (M3/S)	1352.31
Χρονική στιγμή αιχμής	02Sep2000, 08:00
Όγκος(MM)	219.23

Απορροή



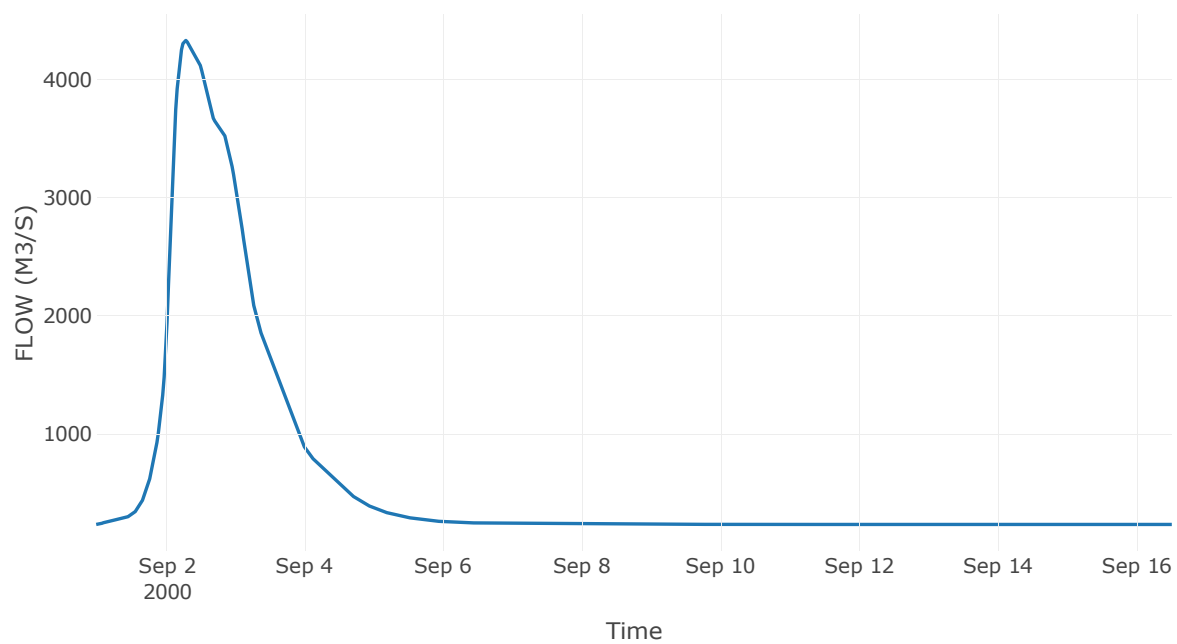
Κόμβος: J27

Κατάντη : R2717

Αποτελέσματα: J27

Παροχή Αιχμής (M3/S)	4330.55
Χρονική στιγμή αιχμής	02Sep2000, 07:00
Όγκος(MM)	227.3

Απορροή



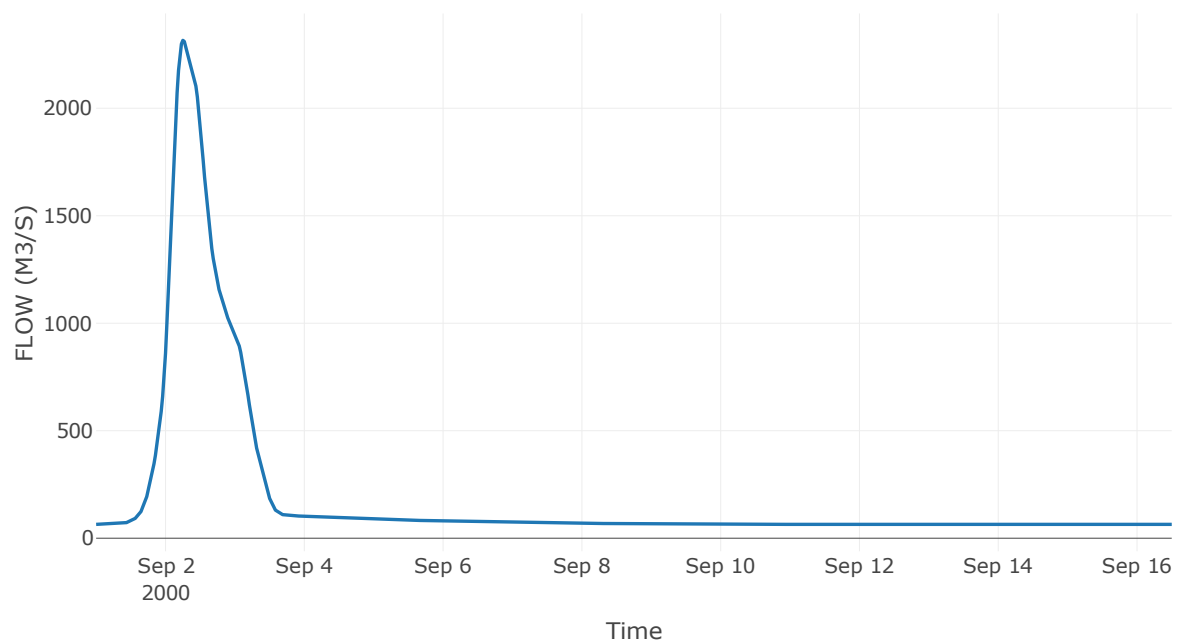
Κόμβος: J28

Κατάντη : R2827

Αποτελέσματα: J28

Παροχή Αιχμής (M3/S)	2315.9
Χρονική στιγμή αιχμής	02Sep2000, 06:00
Όγκος(MM)	202.07

Απορροή



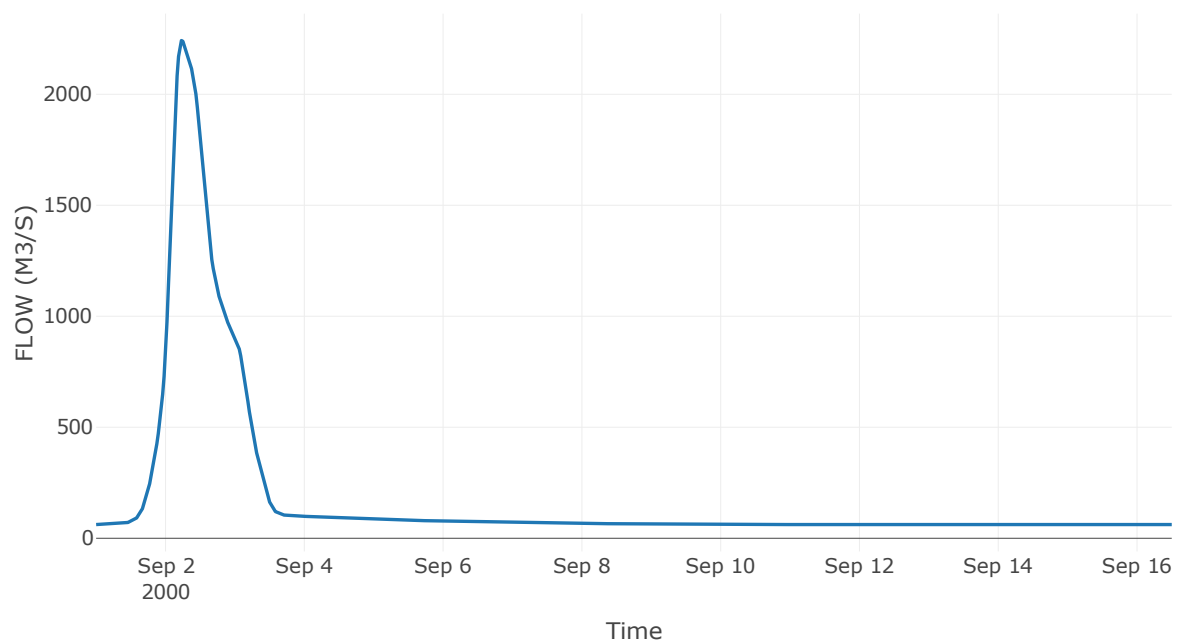
Κόμβος: J29

Κατάντη : R2928

Αποτελέσματα: J29

Παροχή Αιχμής (M3/S)	2242.09
Χρονική στιγμή αιχμής	02Sep2000, 05:30
Όγκος(MM)	201.87

Απορροή



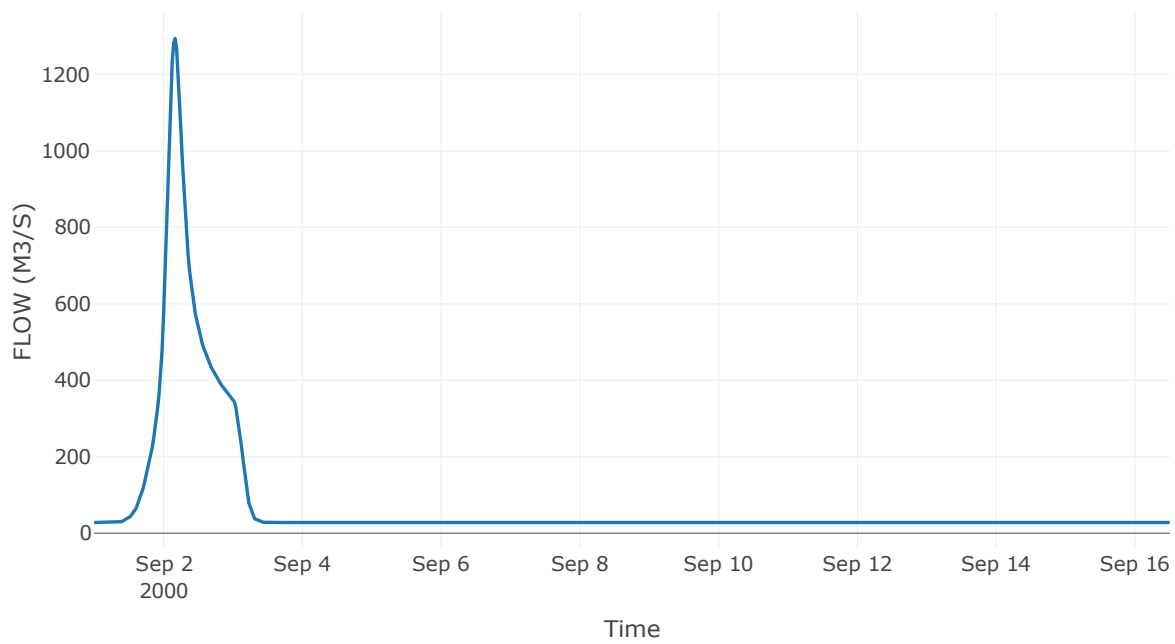
Κόμβος: J30

Κατάντη : R3029

Αποτελέσματα: J30

Παροχή Αιχμής (M3/S)	1294.47
Χρονική στιγμή αιχμής	02Sep2000, 04:00
Όγκος(MM)	185.25

Απορροή



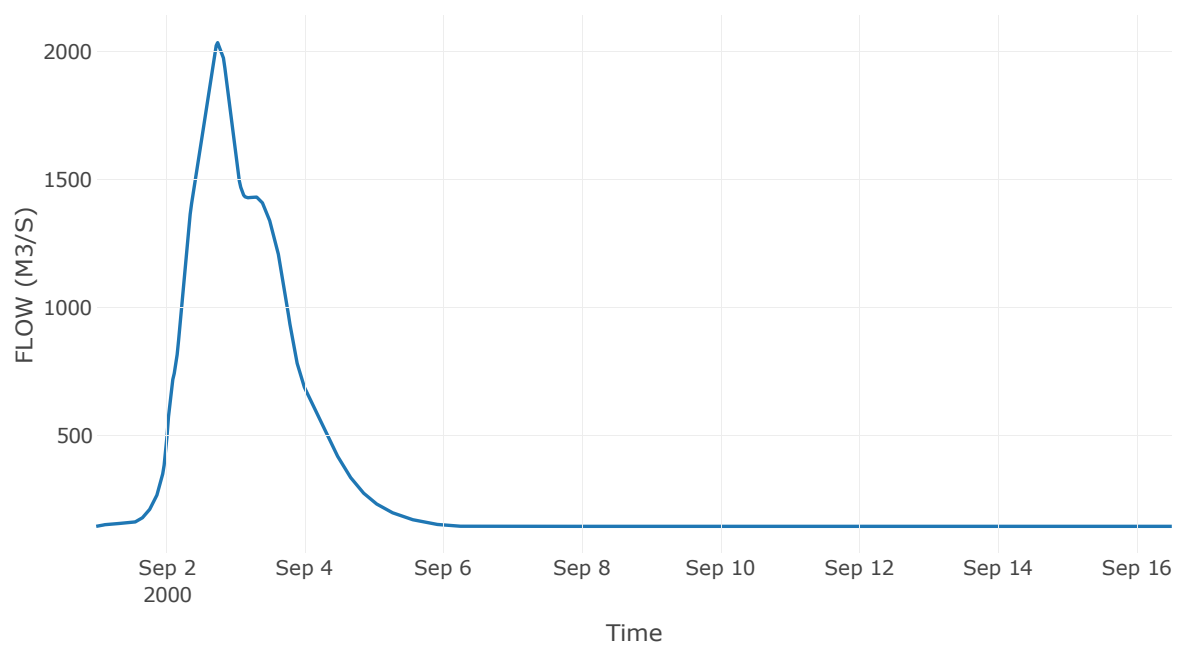
Κόμβος: J31

Κατάντη : R3127

Αποτελέσματα: J31

Παροχή Αιχμής (M3/S)	2035.8
Χρονική στιγμή αιχμής	02Sep2000, 18:30
Όγκος(MM)	243.44

Απορροή



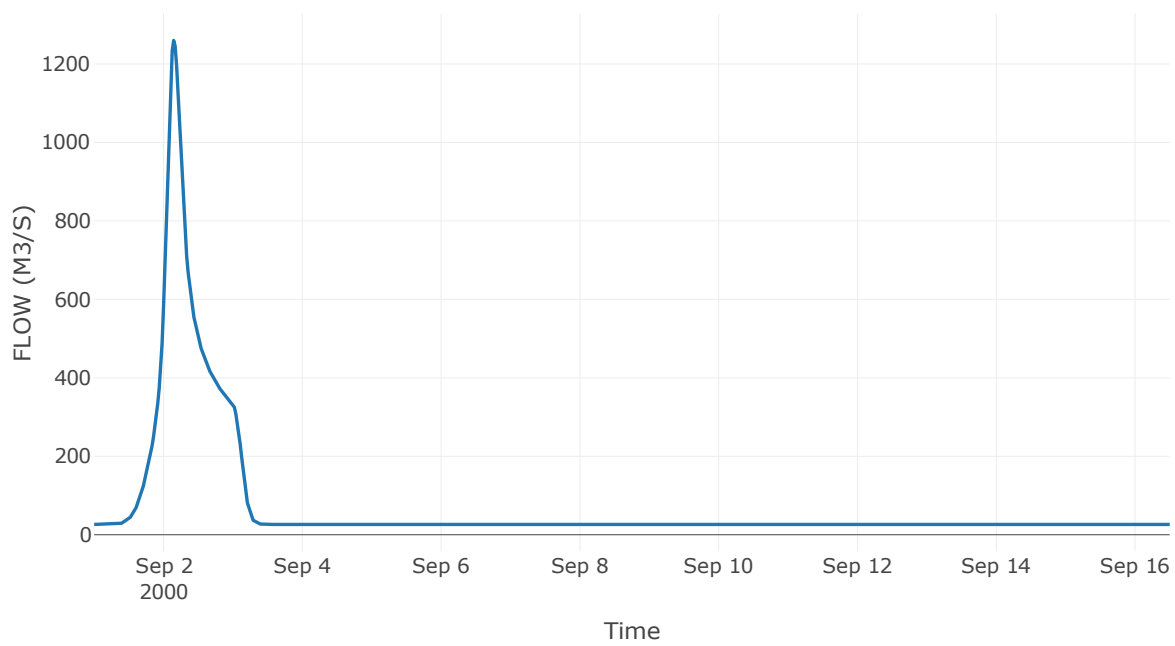
Κόμβος: J32

Κατάντη : R3230

Αποτελέσματα: J32

Παροχή Αιχμής (M3/S)	1260.02
Χρονική στιγμή αιχμής	02Sep2000, 03:30
Όγκος(MM)	187.02

Απορροή



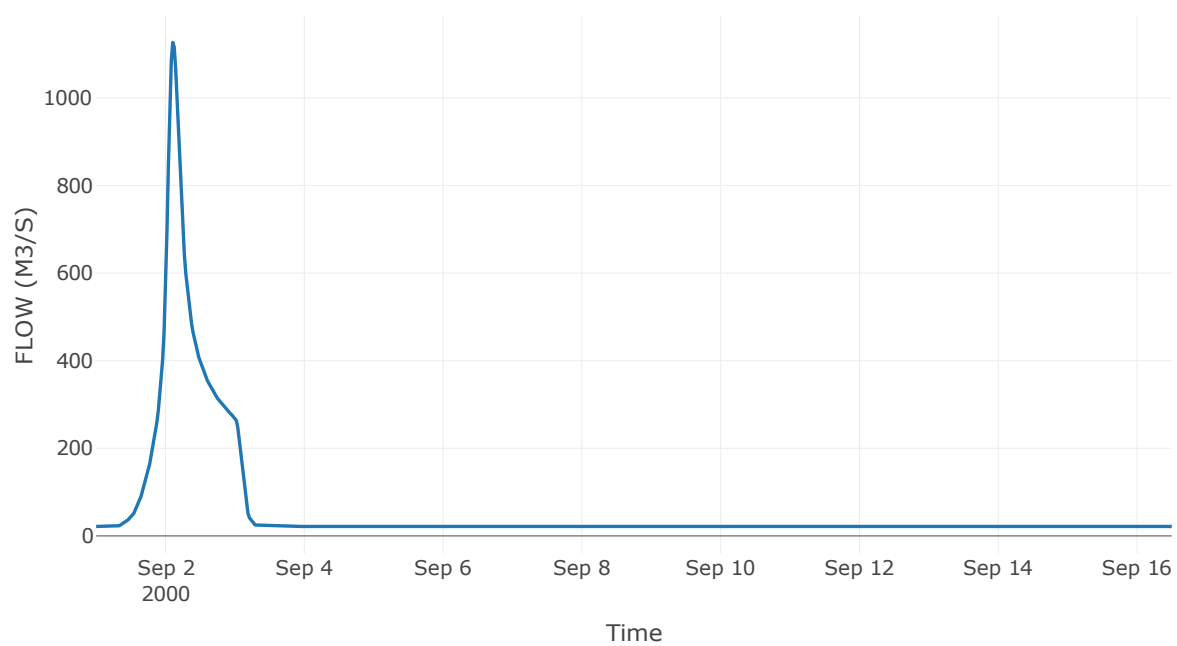
Κόμβος: J33

Κατάντη : R3332

Αποτελέσματα: J33

Παροχή Αιχμής (M3/S)	1126.63
Χρονική στιγμή αιχμής	02Sep2000, 02:30
Όγκος(MM)	188.36

Απορροή



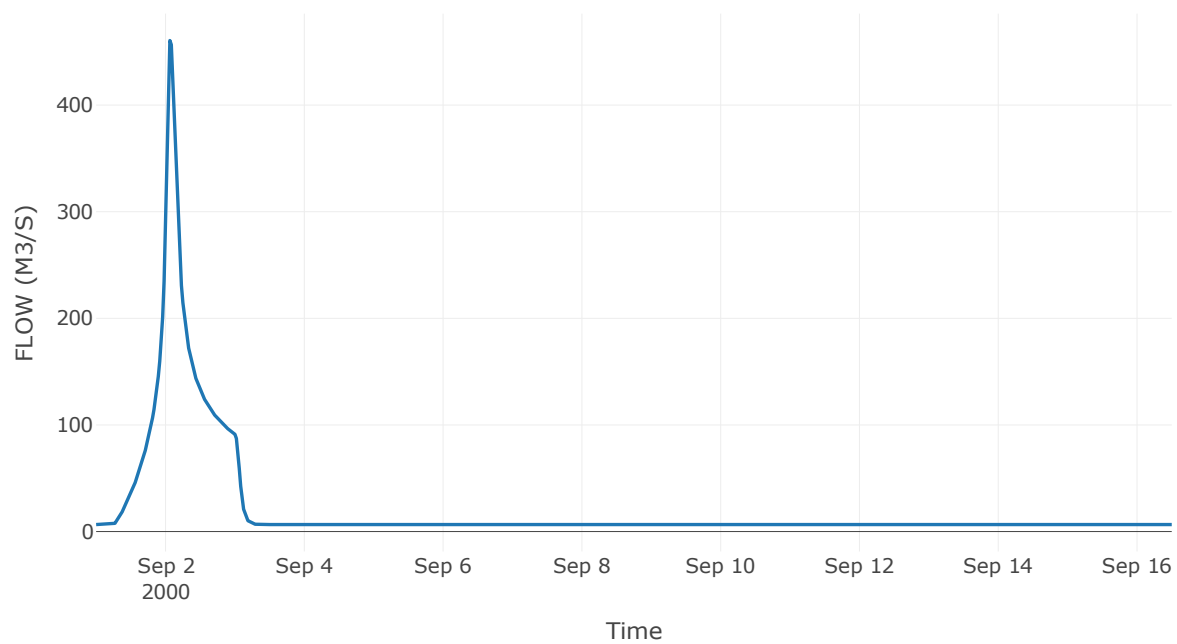
Κόμβος: J34

Κατάντη : R3433

Αποτελέσματα: J34

Παροχή Αιχμής (M3/S)	460.56
Χρονική στιγμή αιχμής	02Sep2000, 01:30
Όγκος(MM)	220.66

Απορροή



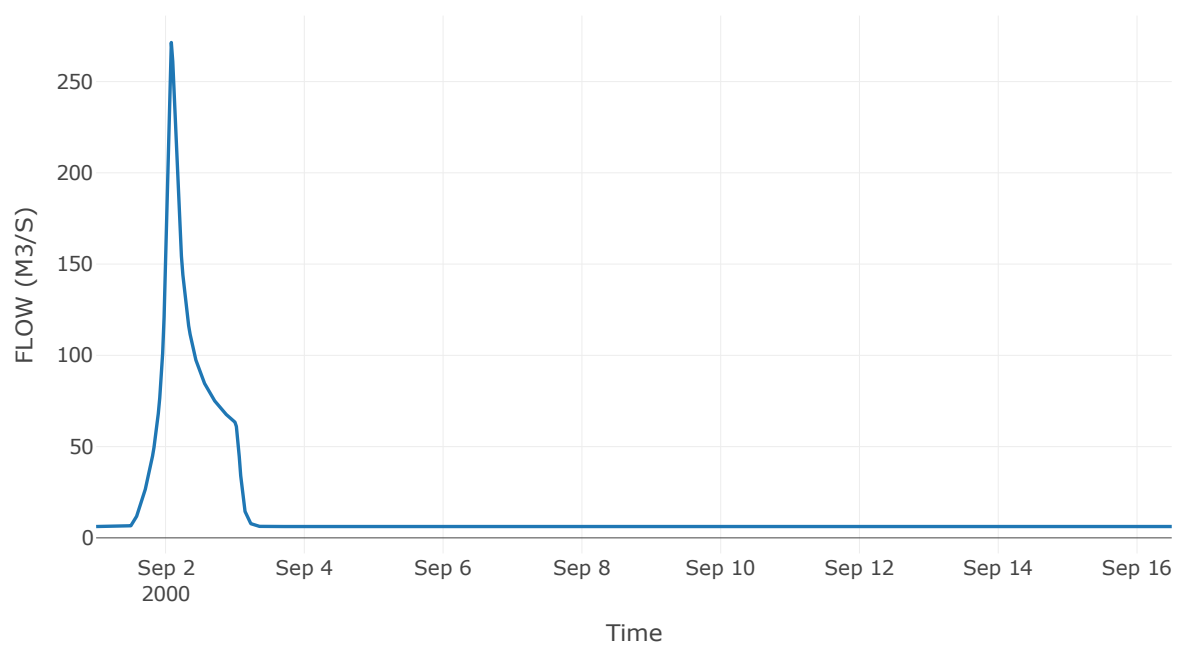
Κόμβος: J35

Κατάντη : R3533

Αποτελέσματα: J35

Παροχή Αιχμής (M3/S)	271.4
Χρονική στιγμή αιχμής	02Sep2000, 02:00
Όγκος(MM)	161.08

Απορροή



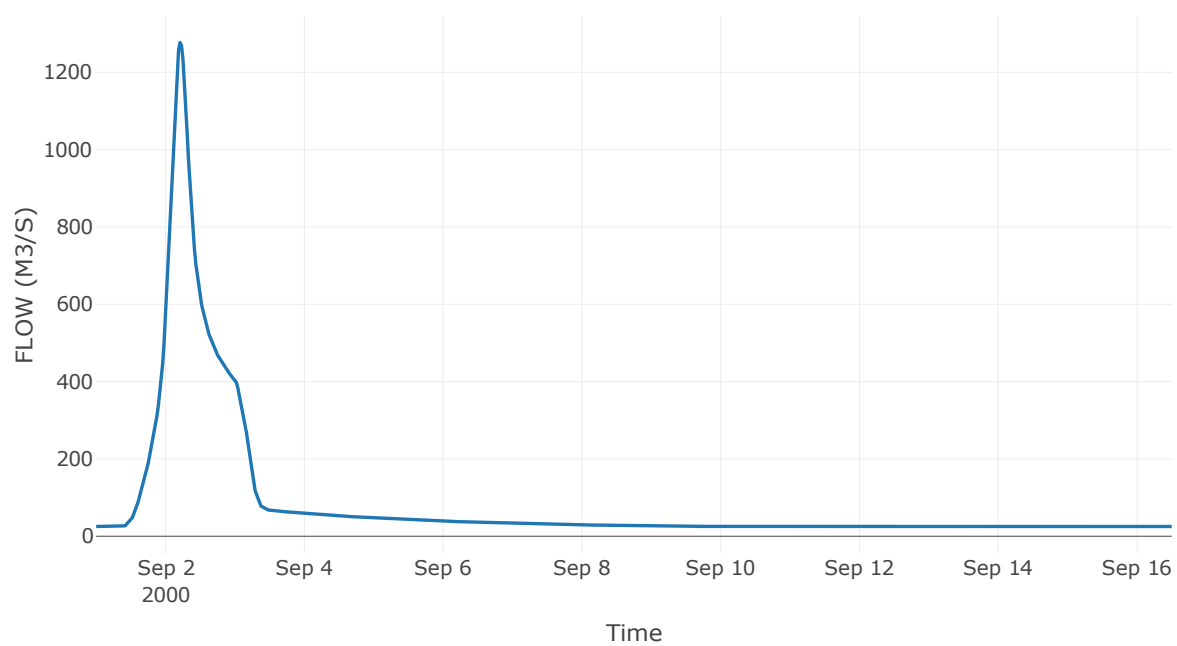
Κόμβος: J37

Κατάντη : R3726

Αποτελέσματα: J37

Παροχή Αιχμής (M3/S)	1277.26
Χρονική στιγμή αιχμής	02Sep2000, 05:00
Όγκος(MM)	232.36

Απορροή



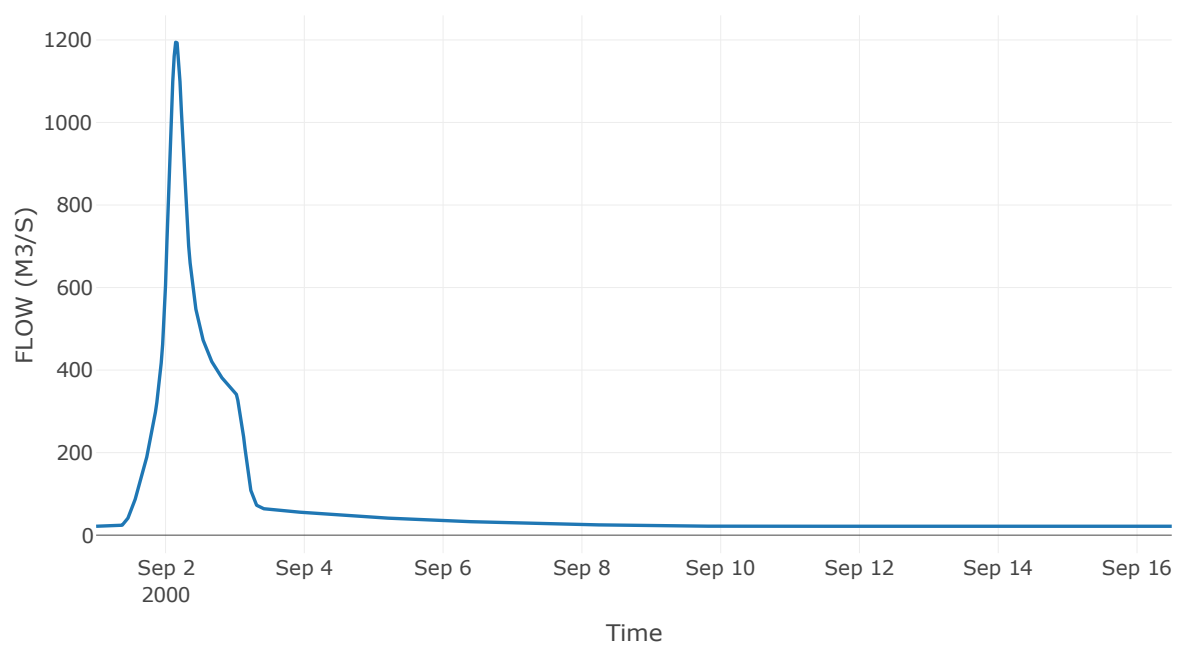
Κόμβος: J38

Κατάντη : R3837

Αποτελέσματα: J38

Παροχή Αιχμής (M3/S)	1194.44
Χρονική στιγμή αιχμής	02Sep2000, 03:30
Όγκος(MM)	238.68

Απορροή



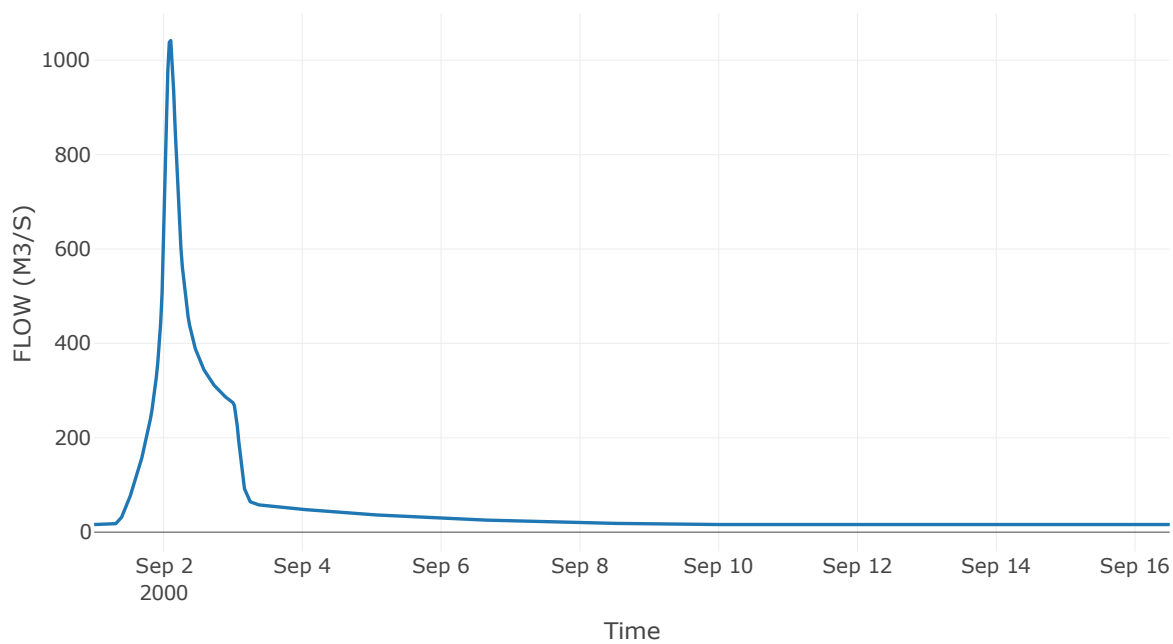
Κόμβος: J39

Κατάντη : R3938

Αποτελέσματα: J39

Παροχή Αιχμής (M3/S)	1041.85
Χρονική στιγμή αιχμής	02Sep2000, 02:30
Όγκος(MM)	254.33

Απορροή



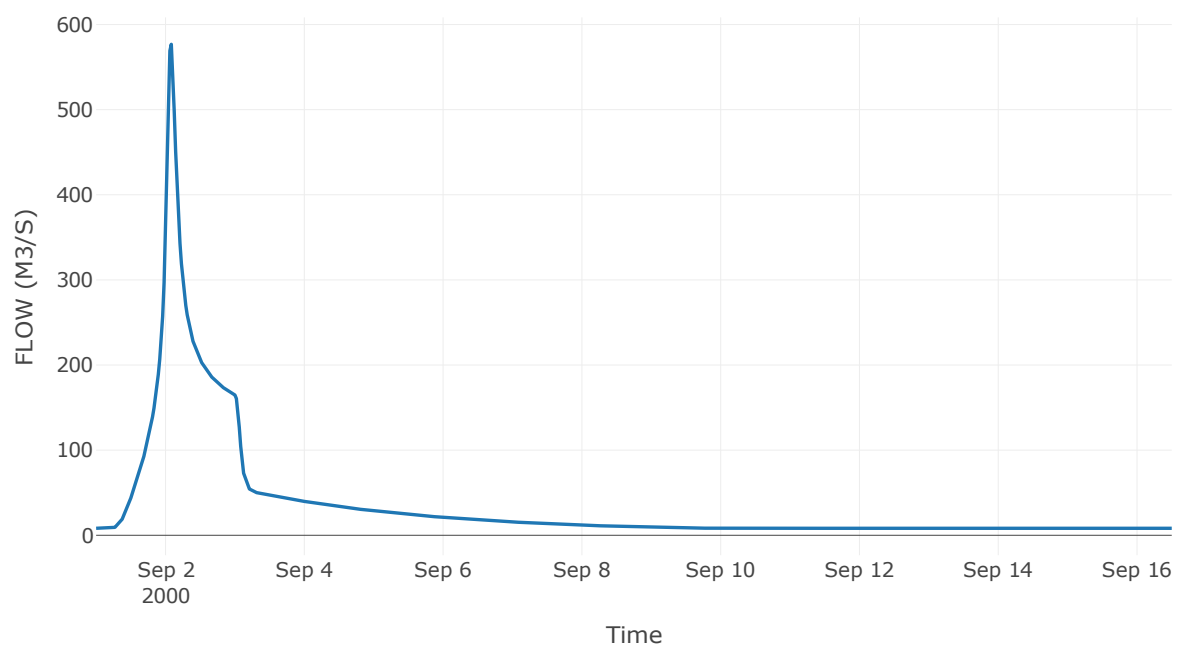
Κόμβος: J40

Κατάντη : R4039

Αποτελέσματα: J40

Παροχή Αιχμής (M3/S)	576.81
Χρονική στιγμή αιχμής	02Sep2000, 02:00
Όγκος(MM)	293.02

Απορροή



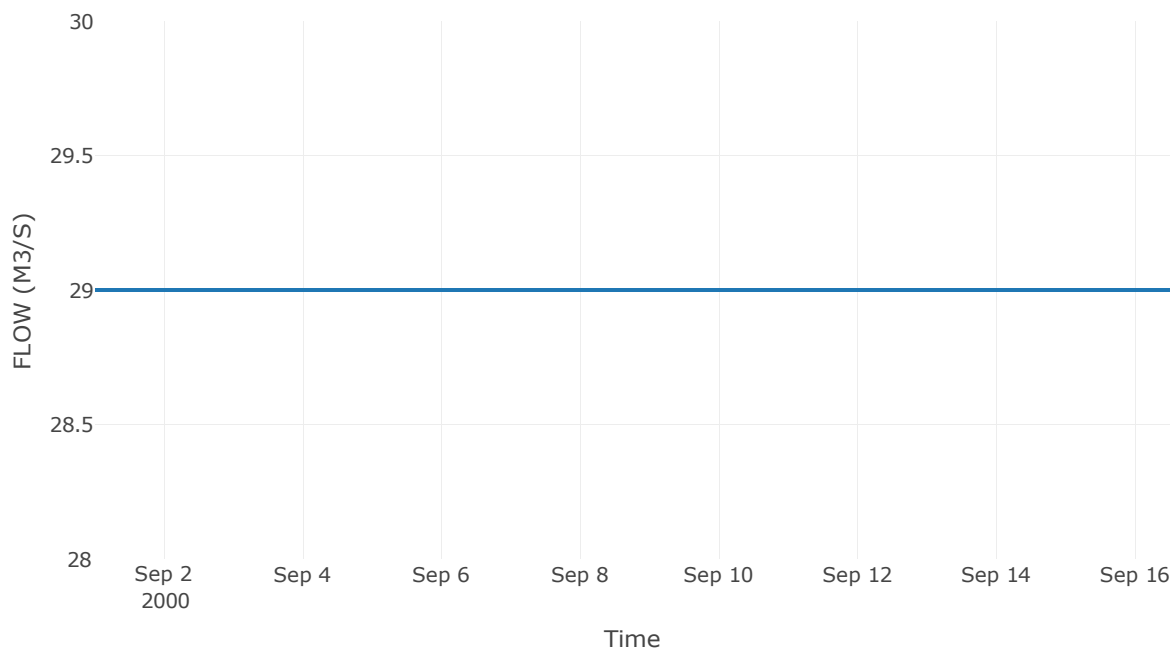
Ταμιευτήρας: J41_RES4

Κατάντη : Κόμβος εξόδου - RES4

Αποτελέσματα: J41_RES4

Παροχή Αιχμής (M3/S)	29
Χρονική στιγμή αιχμής	31Aug2000, 24:00
Όγκος(MM)	234.94
Παροχή Αιχμής Εισόδου (M3/S)	432.01
Time of Peak Inflow	02Sep2000, 03:00
Όγκος Εισροής (M3)	3.78E7
Maximum Storage (M3)	3.81E8
Peak Elevation (M)	792.77
Discharge Όγκος(M3)	3.88E7

Απορροή



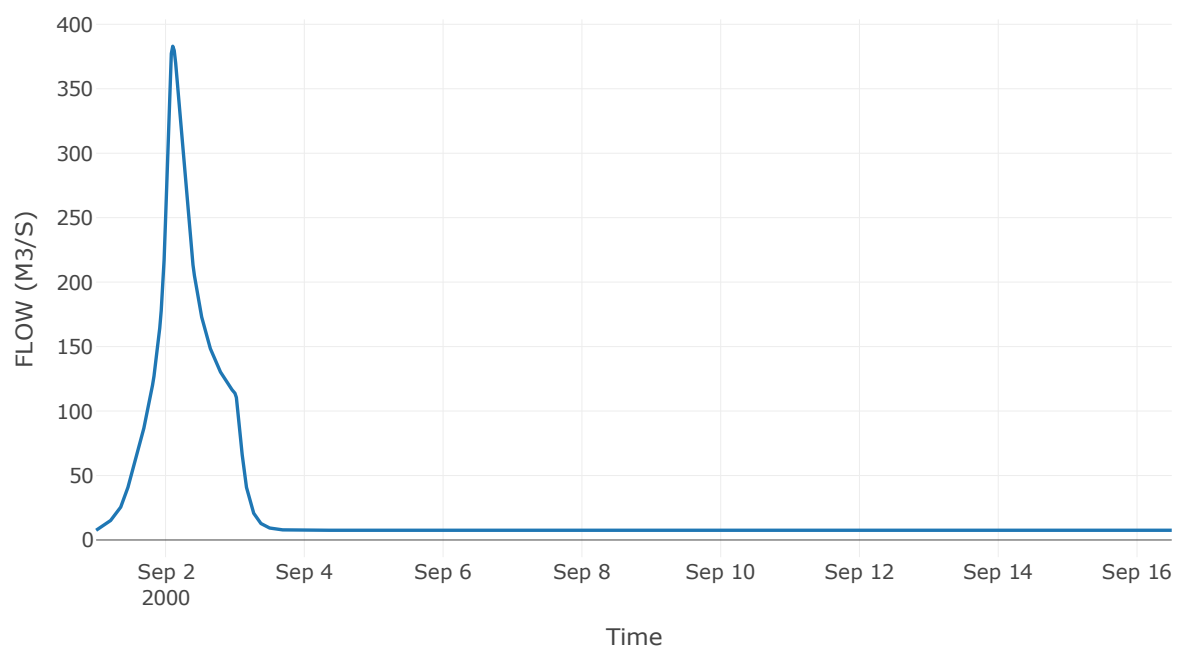
Κόμβος: J42

Κατάντη : R4241

Αποτελέσματα: J42

Παροχή Αιχμής (M3/S)	382.97
Χρονική στιγμή αιχμής	02Sep2000, 02:30
Όγκος(MM)	227.04

Απορροή



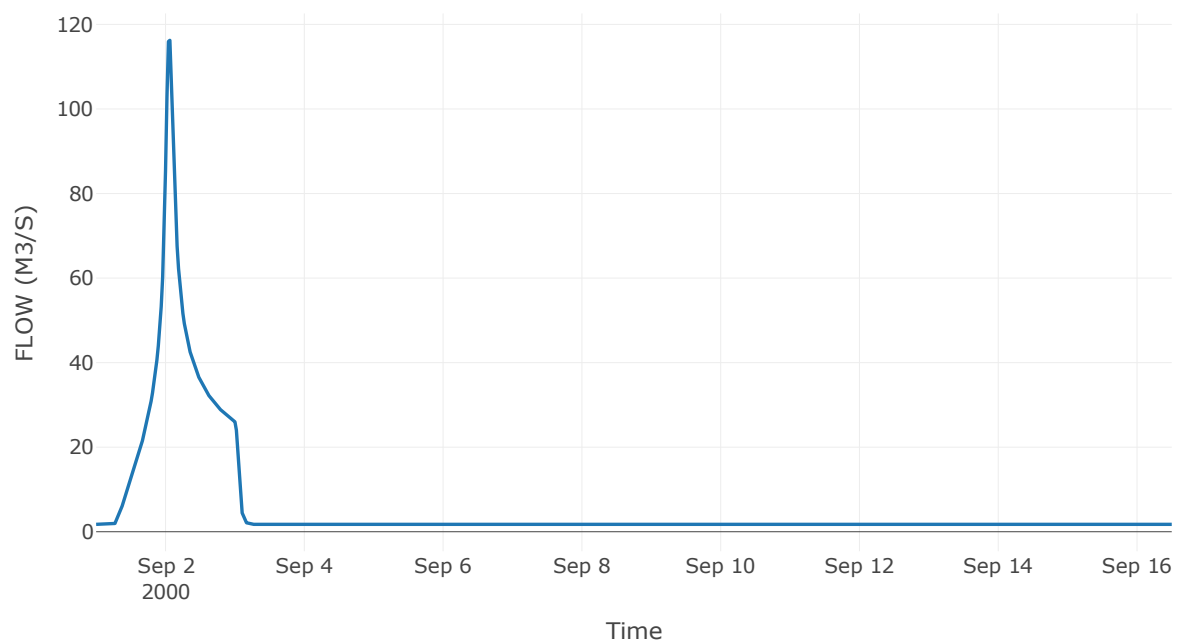
Κόμβος: J43

Κατάντη : R4342

Αποτελέσματα: J43

Παροχή Αιχμής (M3/S)	116.24
Χρονική στιγμή αιχμής	02Sep2000, 01:30
Όγκος(MM)	221.19

Απορροή



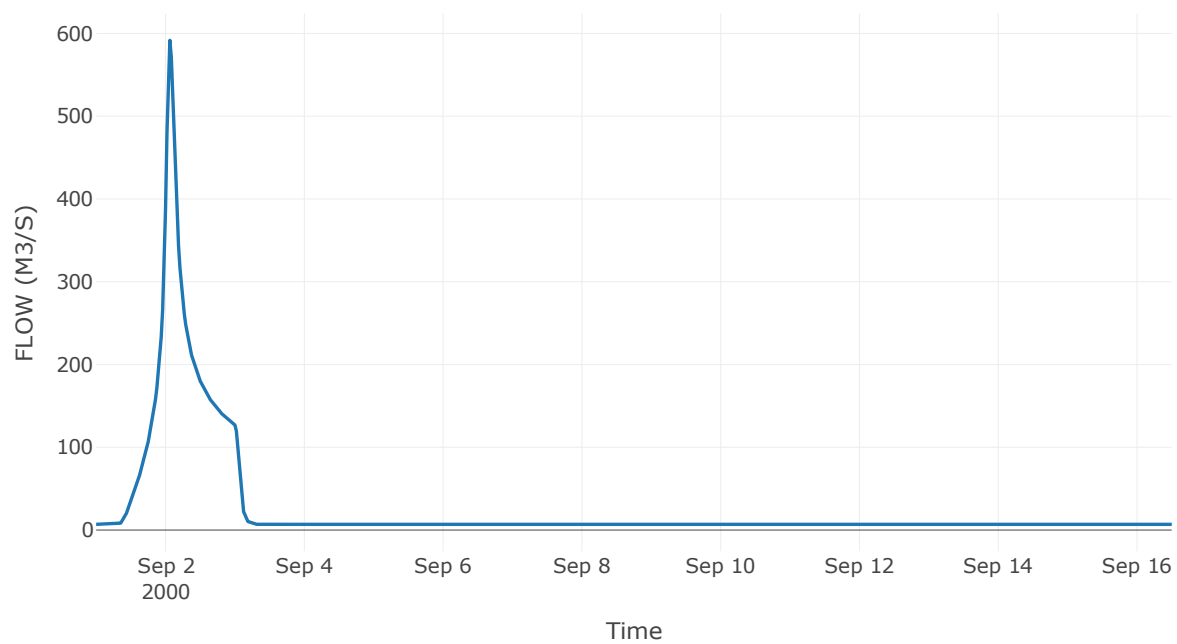
Κόμβος: J44

Κατάντη : R4462

Αποτελέσματα: J44

Παροχή Αιχμής (M3/S)	591.71
Χρονική στιγμή αιχμής	02Sep2000, 01:30
Όγκος(MM)	257.2

Απορροή



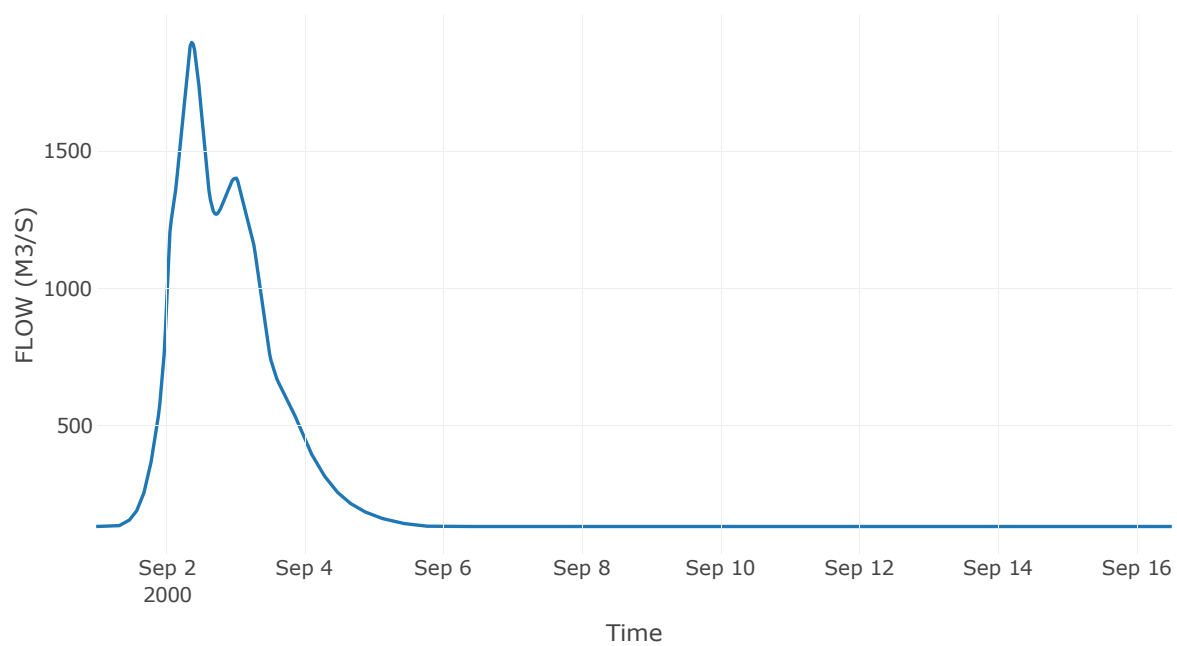
Κόμβος: J45

Κατάντη : R4523

Αποτελέσματα: J45

Παροχή Αιχμής (M3/S)	1897.59
Χρονική στιγμή αιχμής	02Sep2000, 09:00
Όγκος(MM)	257.26

Απορροή



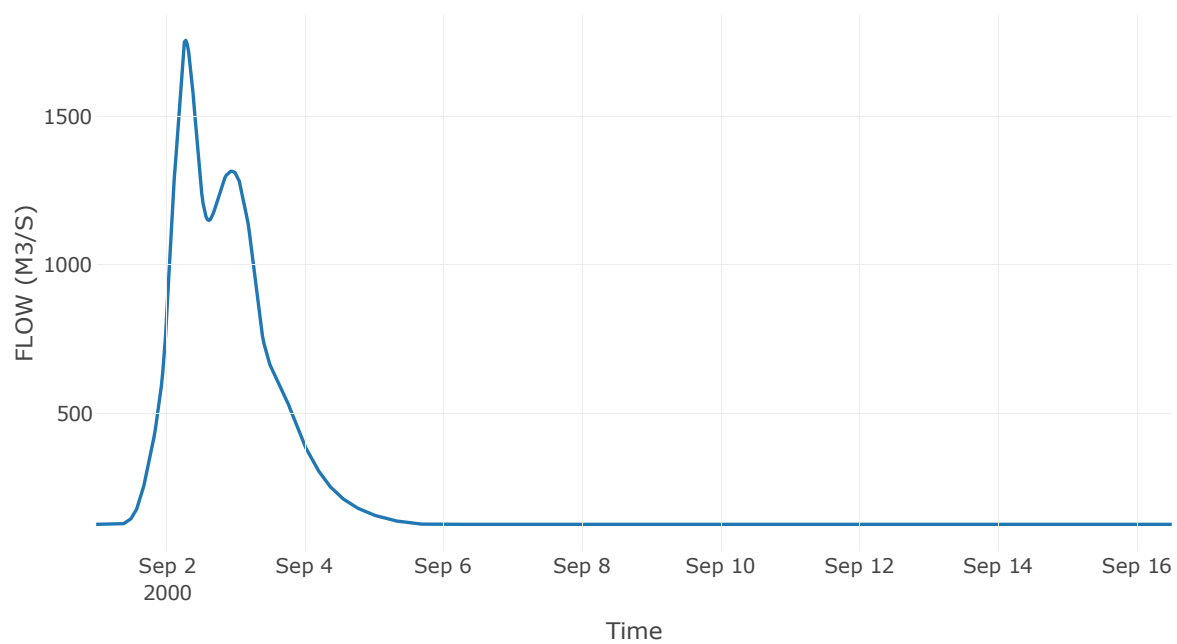
Κόμβος: J46

Κατάντη : R4645

Αποτελέσματα: J46

Παροχή Αιχμής (M3/S)	1757.18
Χρονική στιγμή αιχμής	02Sep2000, 07:00
Όγκος(MM)	262.51

Απορροή



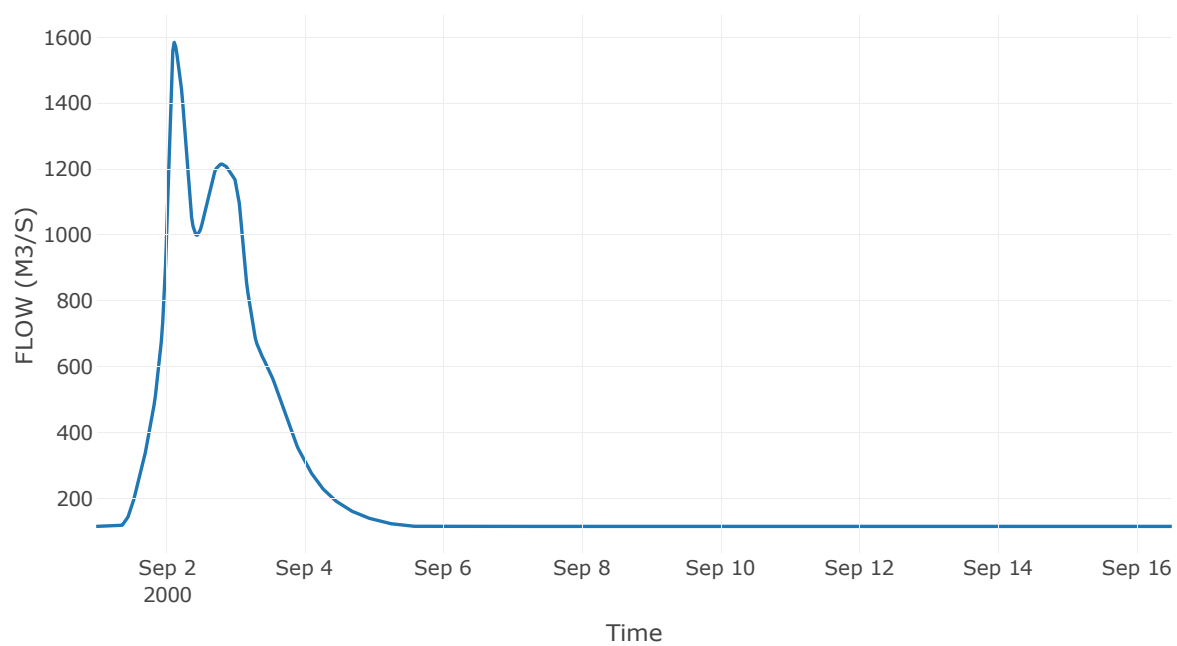
Κόμβος: J47

Κατάντη : R4746

Αποτελέσματα: J47

Παροχή Αιχμής (M3/S)	1584.94
Χρονική στιγμή αιχμής	02Sep2000, 03:00
Όγκος(MM)	271.91

Απορροή



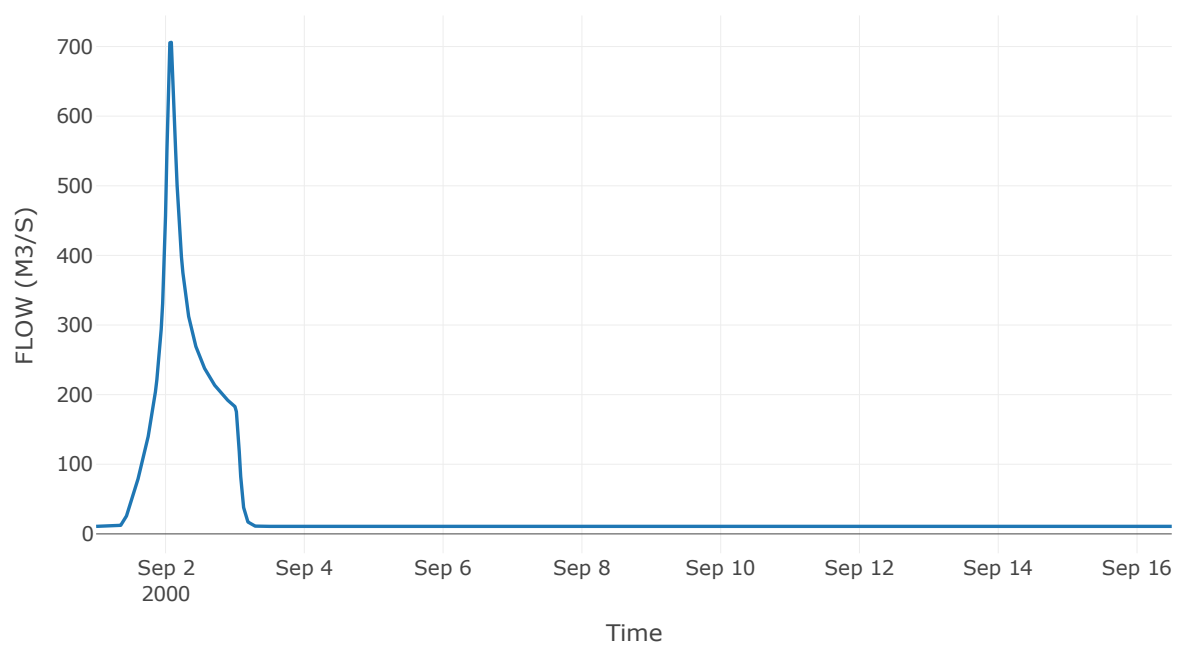
Κόμβος: J48

Κατάντη : R4847

Αποτελέσματα: J48

Παροχή Αιχμής (M3/S)	705.99
Χρονική στιγμή αιχμής	02Sep2000, 02:00
Όγκος(MM)	227.31

Απορροή



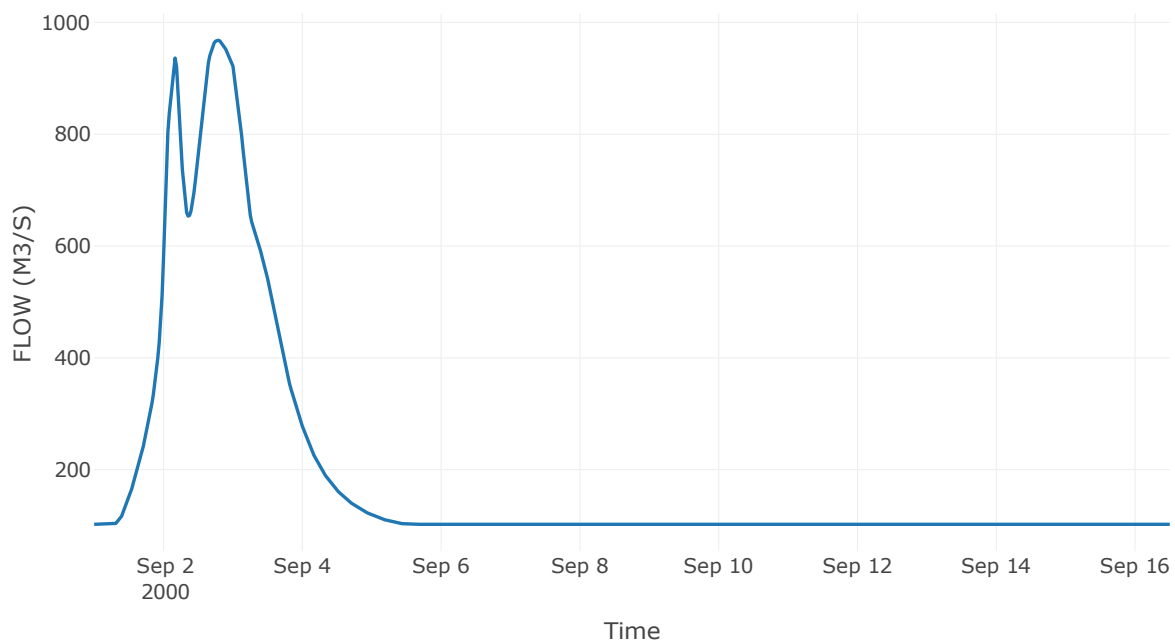
Κόμβος: J49

Κατάντη : R4947

Αποτελέσματα: J49

Παροχή Αιχμής (M3/S)	968.01
Χρονική στιγμή αιχμής	02Sep2000, 19:00
Όγκος(MM)	289.49

Απορροή



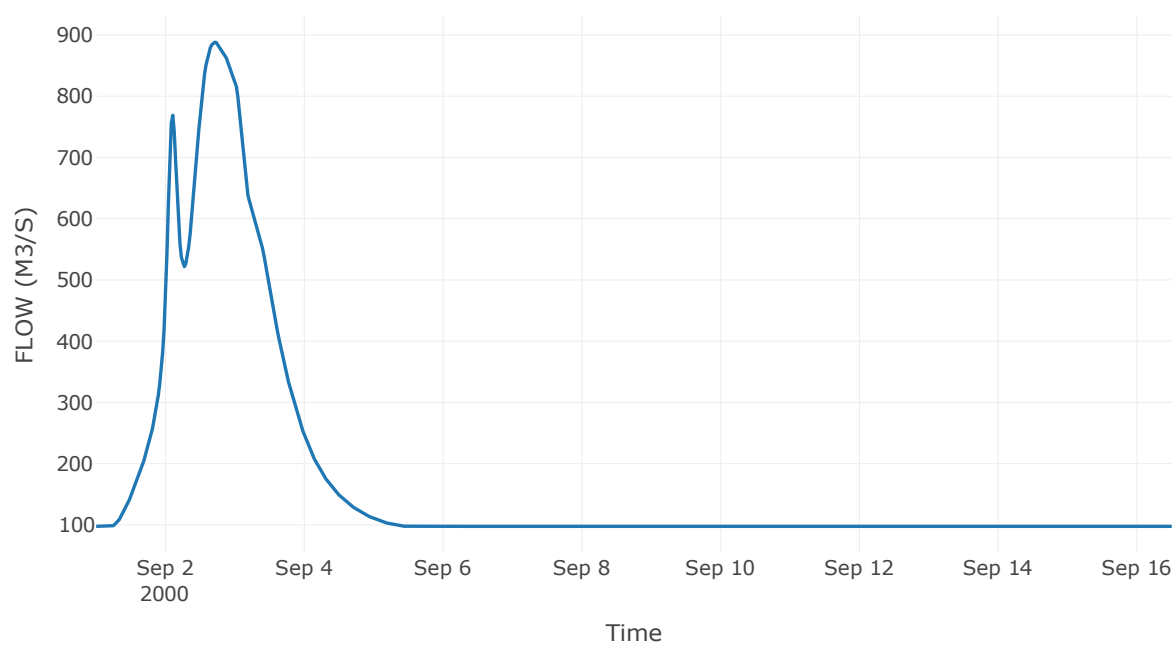
Κόμβος: J50

Κατάντη : R5049

Αποτελέσματα: J50

Παροχή Αιχμής (M3/S)	888.14
Χρονική στιγμή αιχμής	02Sep2000, 17:00
Όγκος(MM)	296.87

Απορροή



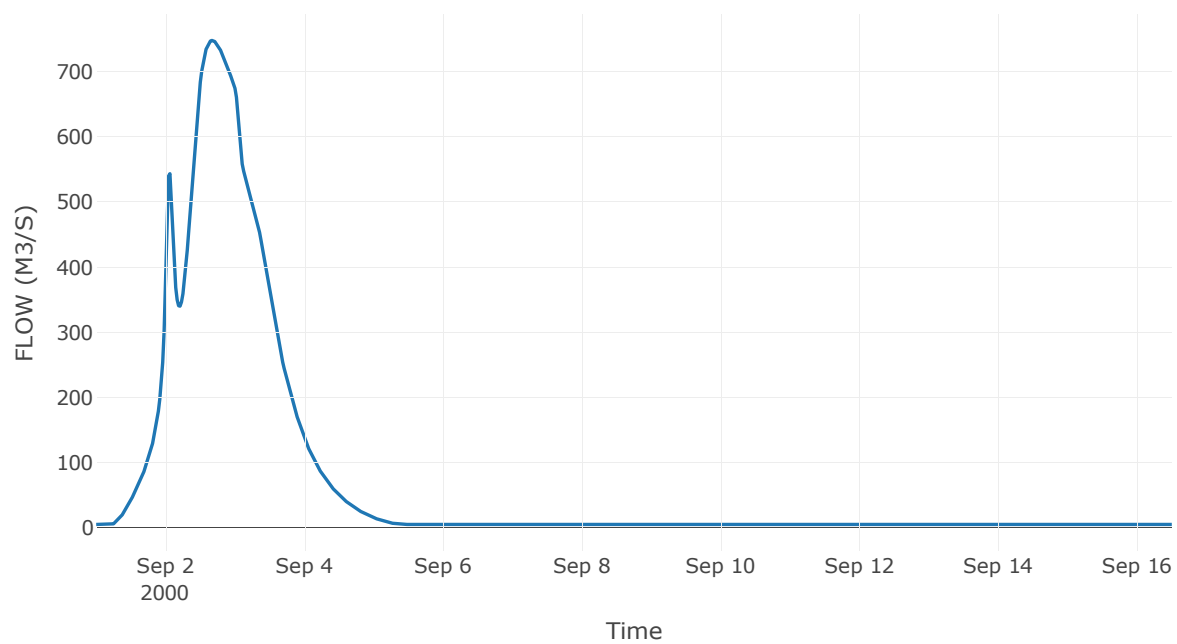
Κόμβος: J51

Κατάντη : R5150

Αποτελέσματα: J51

Παροχή Αιχμής (M3/S)	748.39
Χρονική στιγμή αιχμής	02Sep2000, 16:00
Όγκος(MM)	921.03

Απορροή



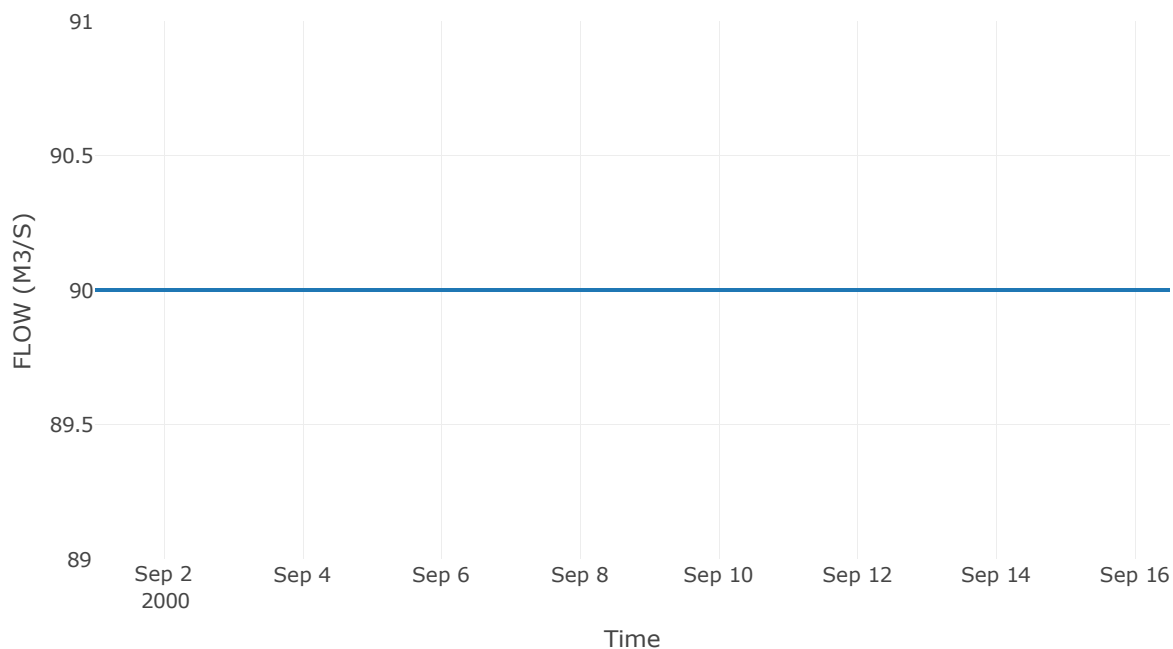
Ταμιευτήρας: J53_RES5

Κατάντη : J50

Αποτελέσματα: J53_RES5

Παροχή Αιχμής (M3/S)	90
Χρονική στιγμή αιχμής	31Aug2000, 24:00
Όγκος(MM)	190.43
Παροχή Αιχμής Εισόδου (M3/S)	1558.63
Time of Peak Inflow	02Sep2000, 07:00
Όγκος Εισροής (M3)	1.34E8
Maximum Storage (M3)	3.06E8
Peak Elevation (M)	762.86
Discharge Όγκος(M3)	1.21E8

Απορροή



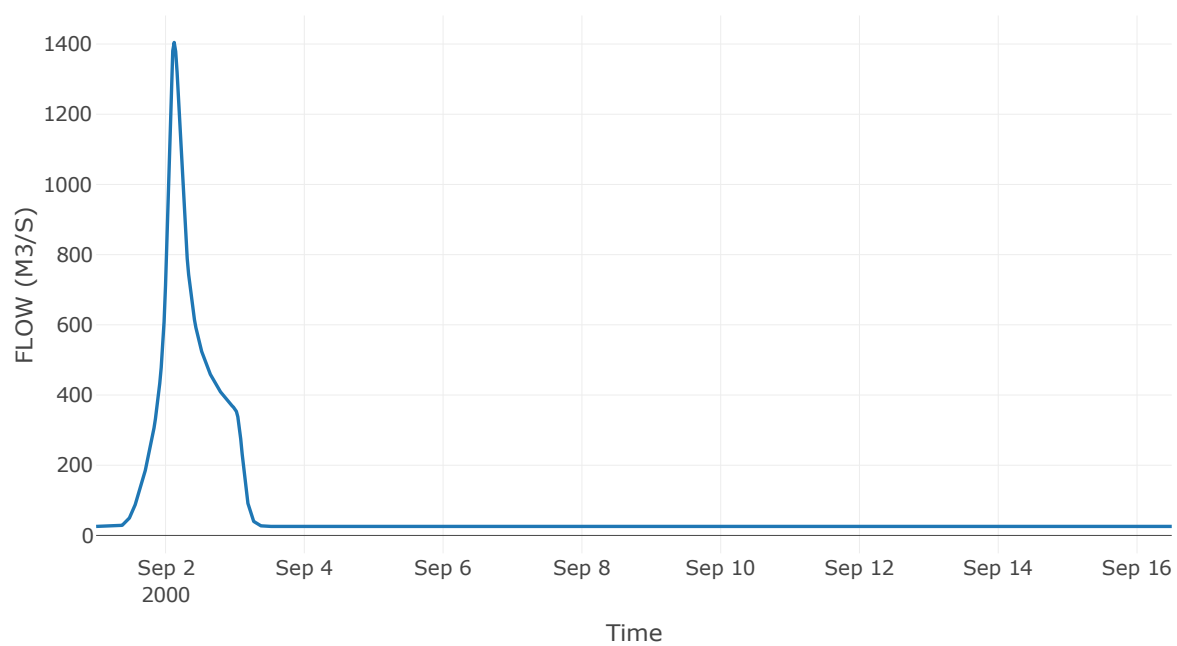
Κόμβος: J54

Κατάντη : R5457

Αποτελέσματα: J54

Παροχή Αιχμής (M3/S)	1404.65
Χρονική στιγμή αιχμής	02Sep2000, 03:00
Όγκος(MM)	205.67

Απορροή



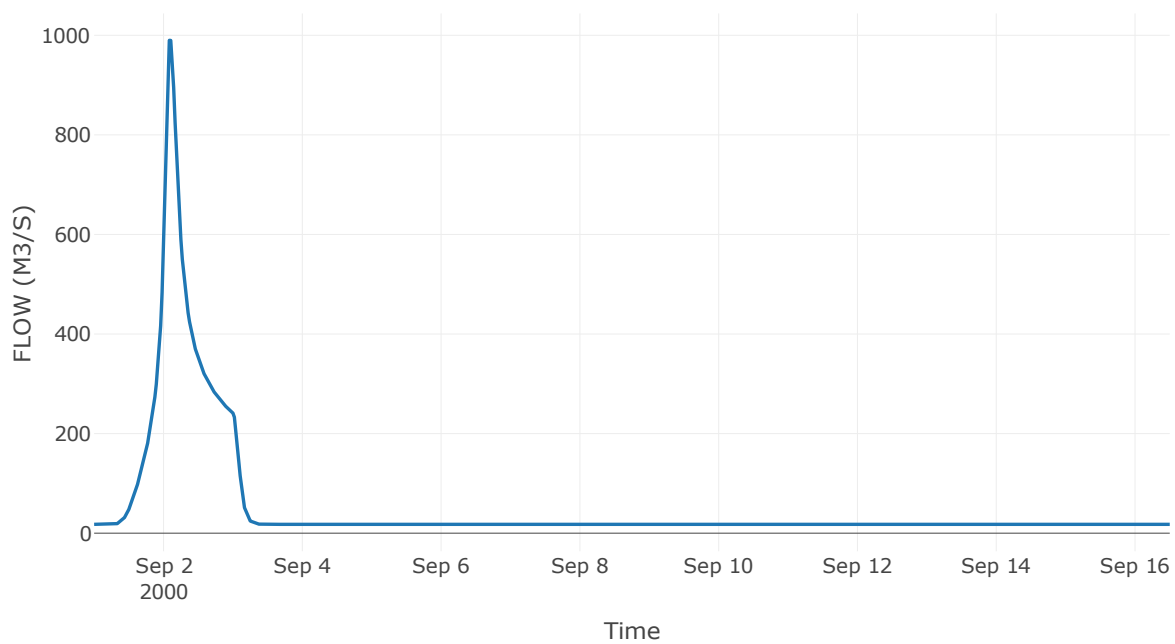
Κόμβος: J55

Κατάντη : R5554

Αποτελέσματα: J55

Παροχή Αιχμής (M3/S)	989.89
Χρονική στιγμή αιχμής	02Sep2000, 02:00
Όγκος(MM)	202.82

Απορροή



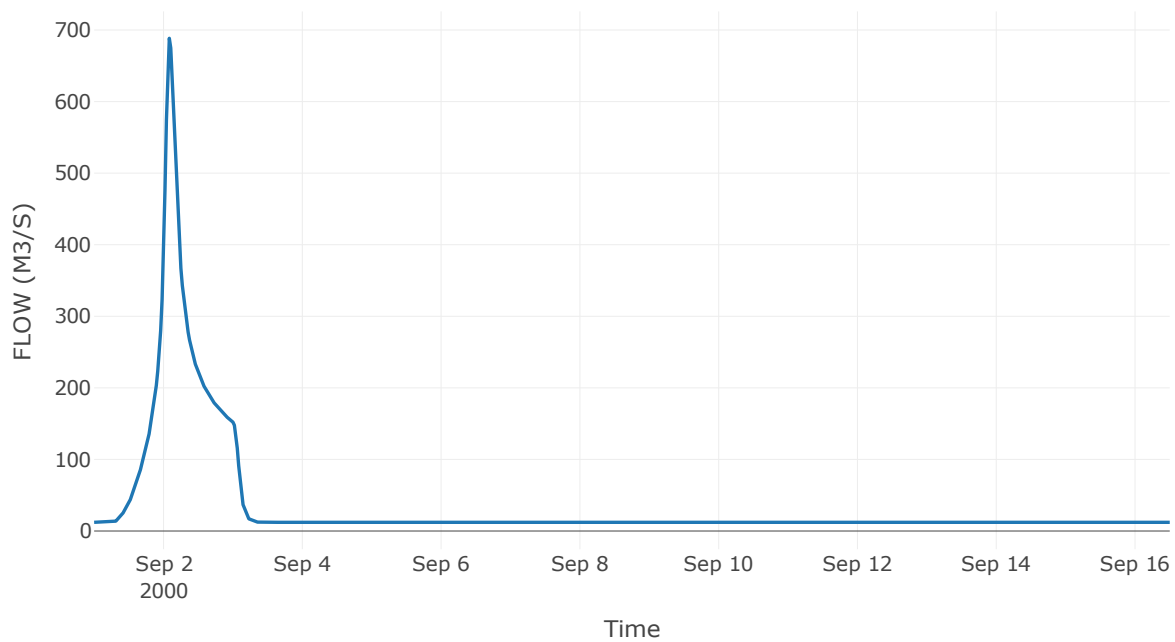
Κόμβος: J56

Κατάντη : R5655

Αποτελέσματα: J56

Παροχή Αιχμής (M3/S)	688.41
Χρονική στιγμή αιχμής	02Sep2000, 02:00
Όγκος(MM)	195.36

Απορροή



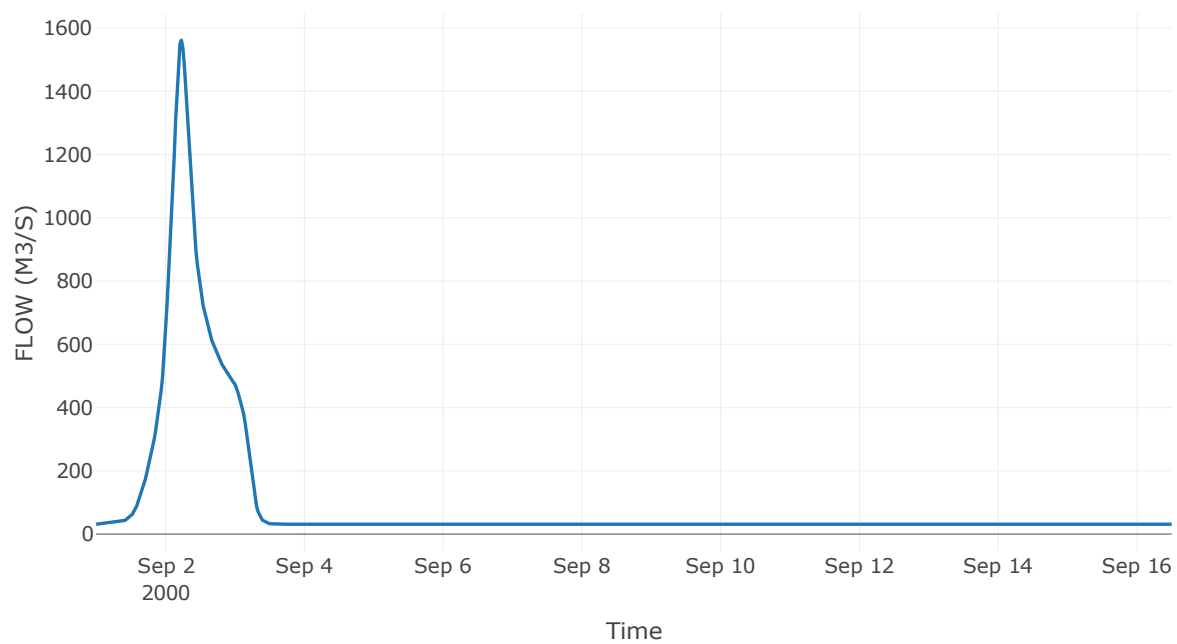
Κόμβος: J57

Κατάντη : R5753

Αποτελέσματα: J57

Παροχή Αιχμής (M3/S)	1561.42
Χρονική στιγμή αιχμής	02Sep2000, 05:30
Όγκος(MM)	210.57

Απορροή



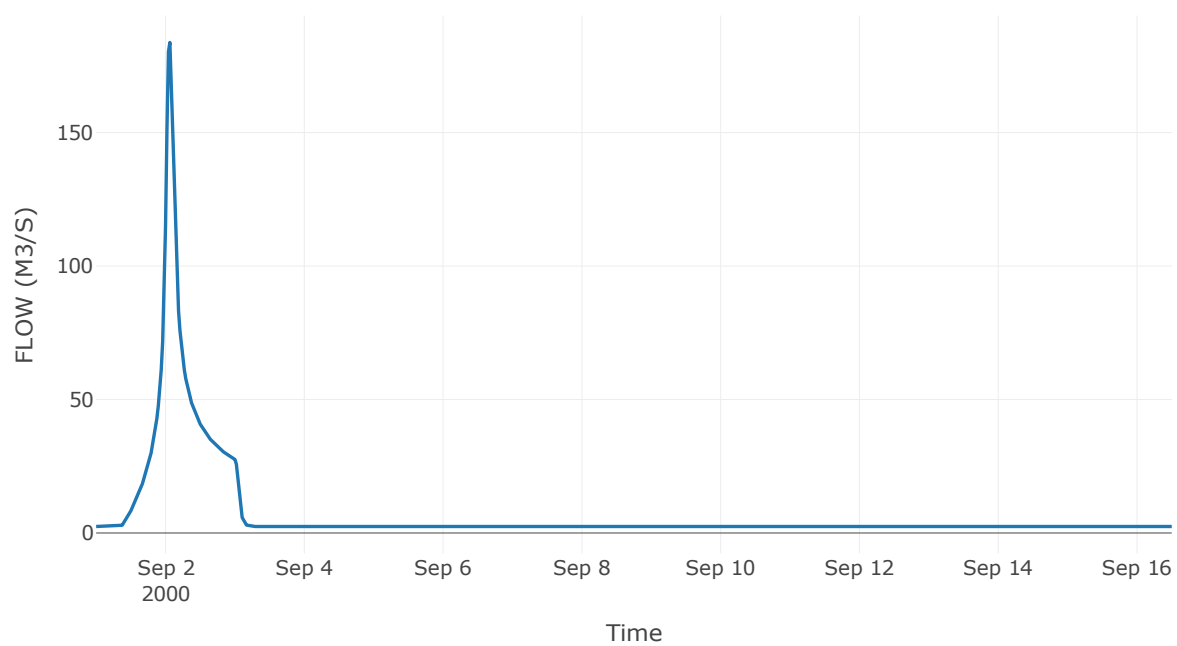
Κόμβος: J61

Κατάντη : R6120

Αποτελέσματα: J61

Παροχή Αιχμής (M3/S)	183.74
Χρονική στιγμή αιχμής	02Sep2000, 01:30
Όγκος(MM)	198.86

Απορροή



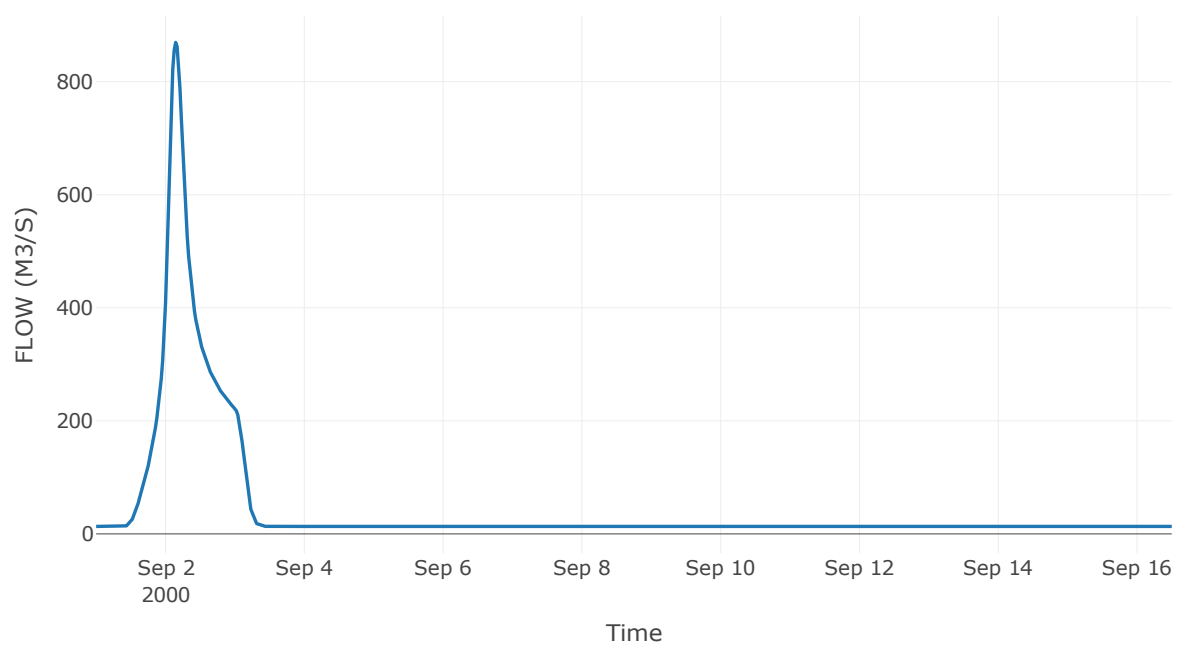
Κόμβος: J62

Κατάντη : R6227

Αποτελέσματα: J62

Παροχή Αιχμής (M3/S)	869.51
Χρονική στιγμή αιχμής	02Sep2000, 03:30
Όγκος(MM)	235.69

Απορροή



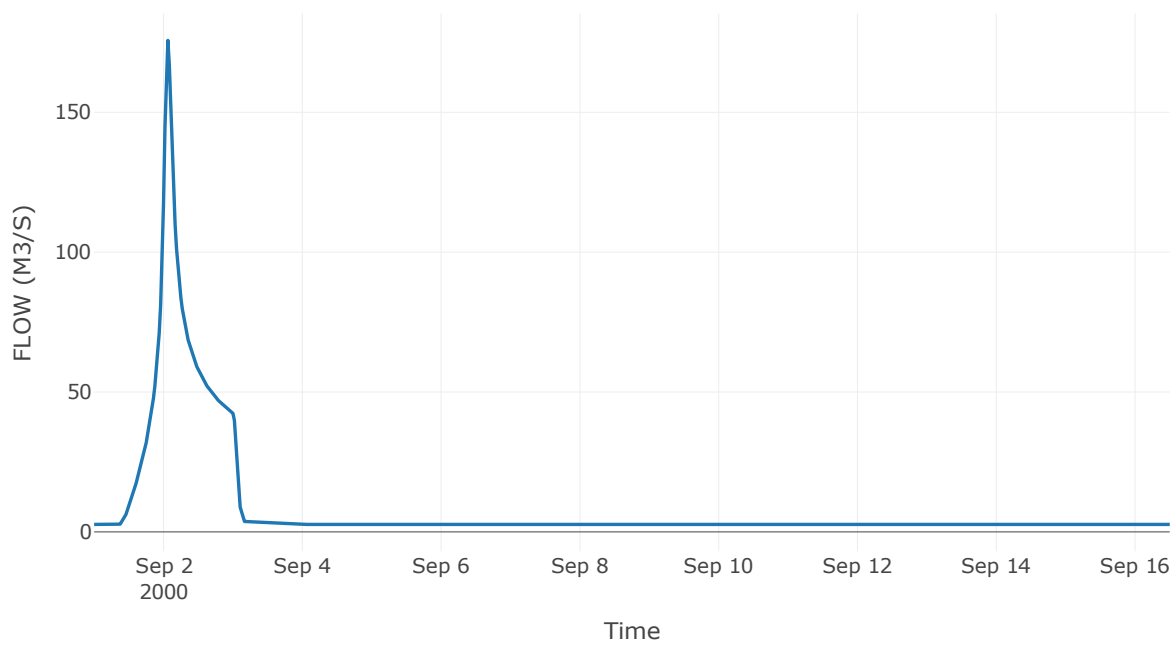
Κόμβος: J63

Κατάντη : R6357

Αποτελέσματα: J63

Παροχή Αιχμής (M3/S)	175.71
Χρονική στιγμή αιχμής	02Sep2000, 01:30
Όγκος(MM)	216.5

Απορροή



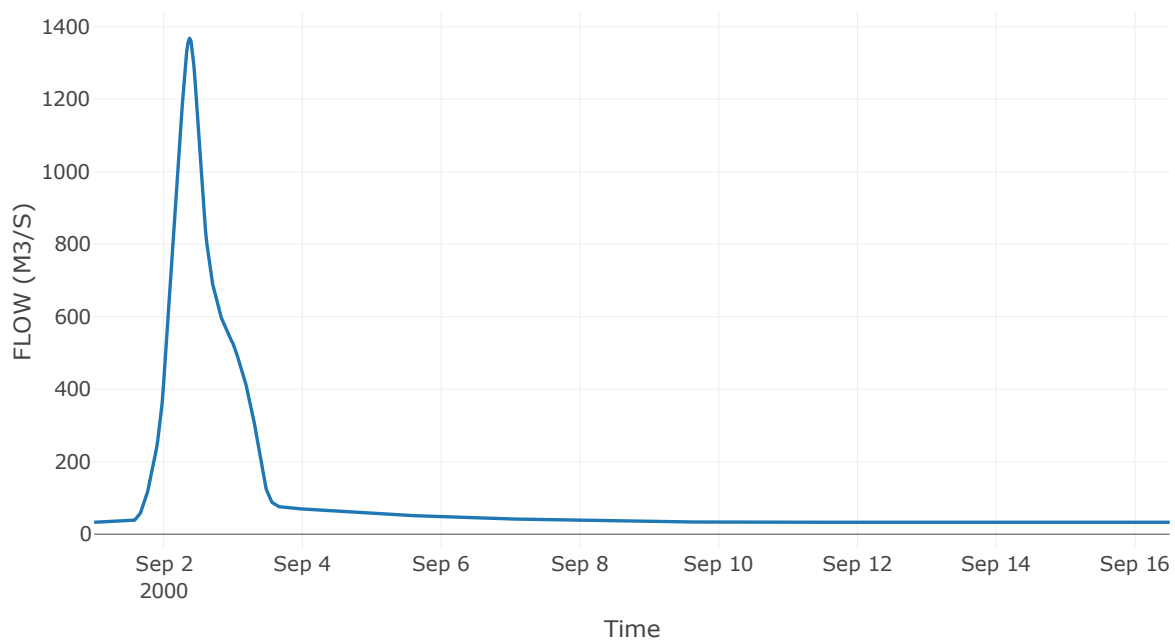
Κόμβος: J64

Κατάντη : R6429

Αποτελέσματα: J64

Παροχή Αιχμής (M3/S)	1368.25
Χρονική στιγμή αιχμής	02Sep2000, 09:00
Όγκος(MM)	216.01

Απορροή

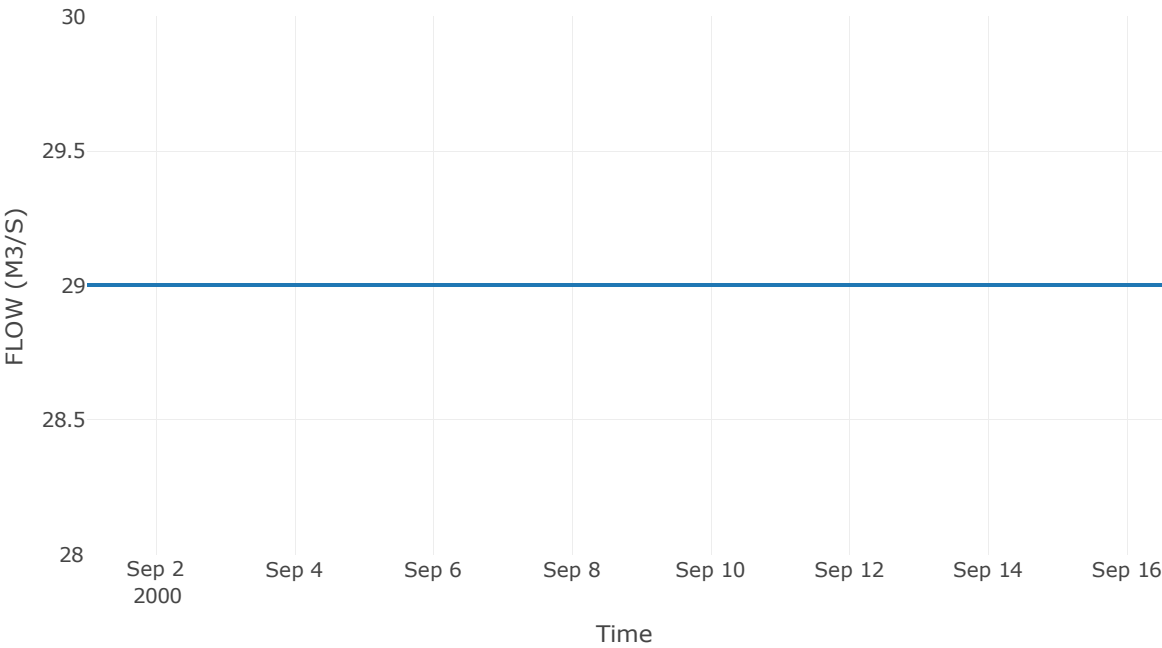


Κόμβος εξόδου: Κόμβος εξόδου-RES4

Αποτελέσματα: Κόμβος εξόδου-RES4

Παροχή Αιχμής (M3/S)	29
Χρονική στιγμή αιχμής	31Aug2000, 24:00
Όγκος(MM)	234.94

Απορροή



3 Δεδομένα εισόδου και αποτελέσματα υδρολογικού σεναρίου T=50L

Υπολεκάνη: EL0415FR6061

Έκταση (KM2) : 129.17

Κατάντη : J56

Μέθοδος Απωλειών: SCS

Ποσοστό αδιαπέρατης επιφάνειας	0
Αριθμός Καμπύλης Απορροής-CN	46.68
Αρχικές Απώλειες	58.03

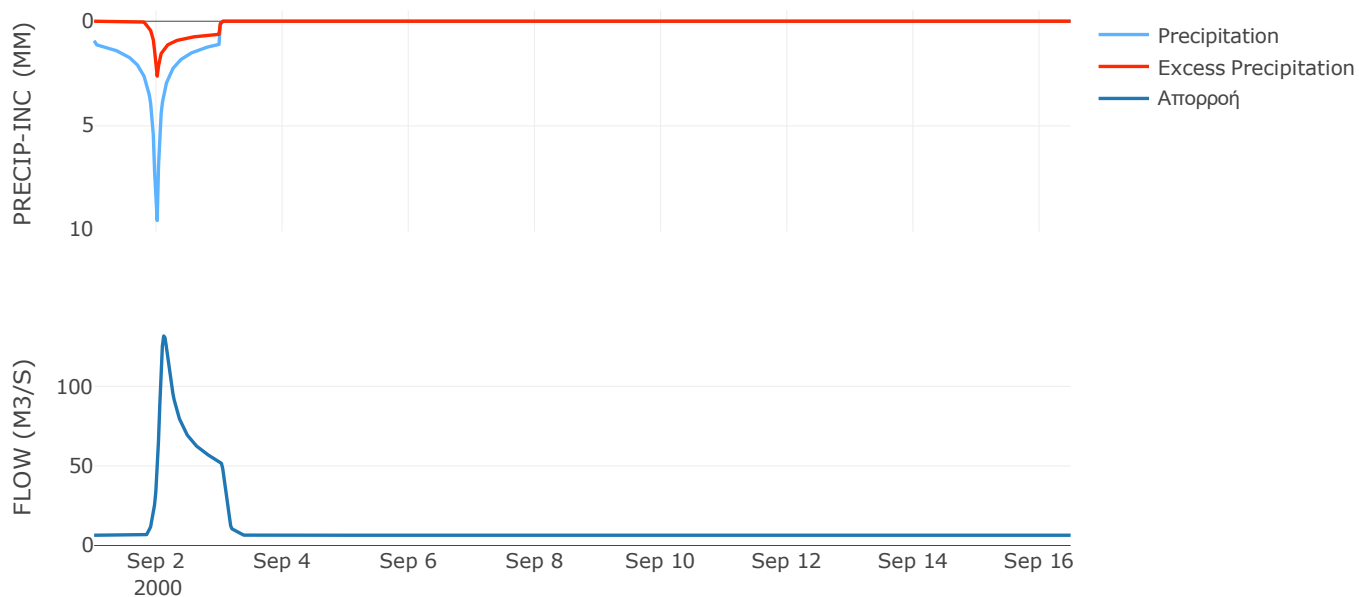
Μέθοδος
Μετασχηματισμού: SCS

Χρόνος Υστέρησης	110.15
------------------	--------

Αποτελέσματα:
EL0415FR6061

Παροχή αιχμής (M3/S)	131.69
Χρονική στιγμή αιχμής	02Sep2000, 02:30
Όγκος (MM)	118.04
Όγκος βροχόπτωσης (M3)	2.69E7
Όγκος απωλειών (M3)	2.03E7
Ενεργός Όγκος (M3)	6.6E6
Όγκος άμεσης απορροής (M3)	6.6E6
Όγκος βασικής απορροής (M3)	8.65E6

Βροχόπτωση και Απορροή



Υπολεκάνη: EL0415FR6051

Έκταση (KM2) : 113.82

Κατάντη : J56

Μέθοδος Απωλειών: SCS

Ποσοστό αδιαπέρατης επιφάνειας	0
Αριθμός Καμπύλης Απορροής-CN	61.39
Αρχικές Απώλειες	31.95

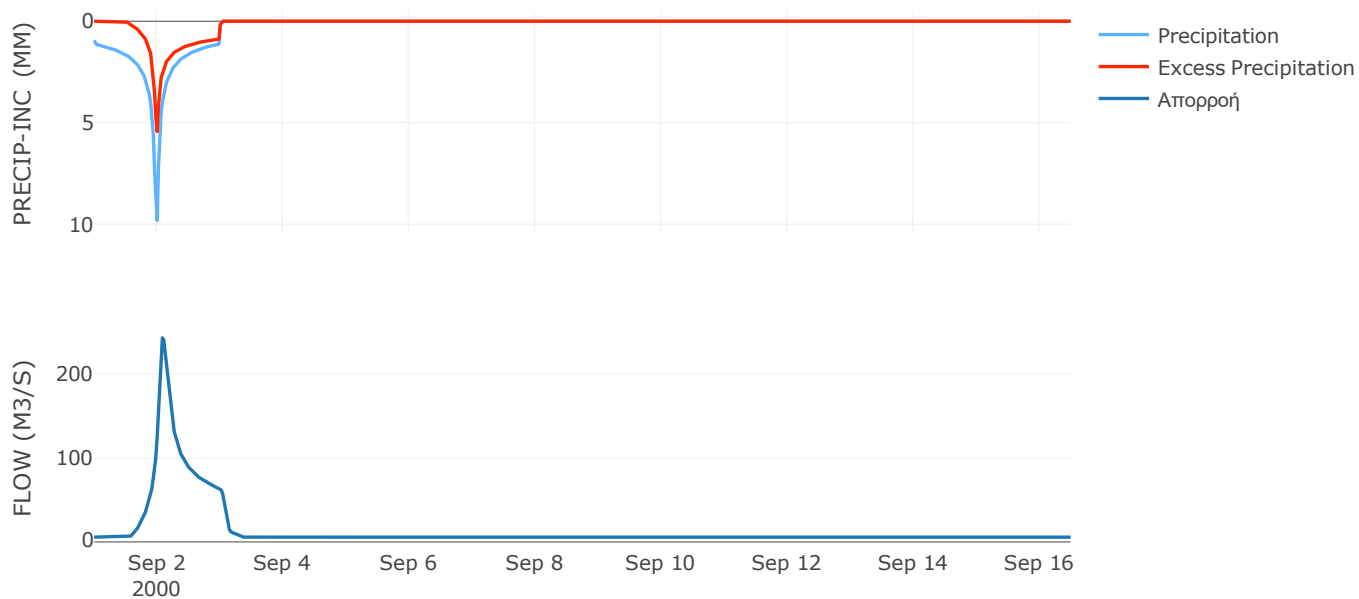
Μέθοδος
Μετασχηματισμού: SCS

Χρόνος Υστέρησης	104.61
------------------	--------

Αποτελέσματα:
EL0415FR6051

Παροχή αιχμής (M3/S)	243.14
Χρονική στιγμή αιχμής	02Sep2000, 02:00
Όγκος (MM)	162.75
Όγκος βροχόπτωσης (M3)	2.42E7
Όγκος απωλειών (M3)	1.33E7
Ενεργός Όγκος (M3)	1.09E7
Όγκος άμεσης απορροής (M3)	1.09E7
Όγκος βασικής απορροής (M3)	7.62E6

Βροχόπτωση και Απορροή



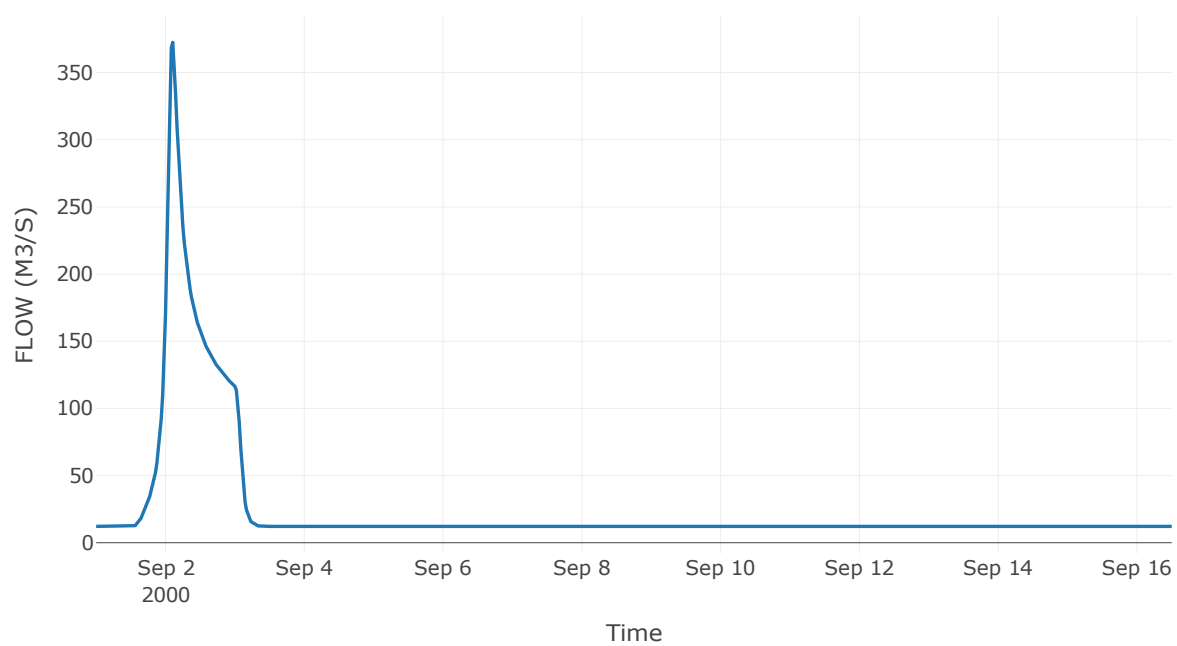
Κόμβος: J56

Κατάντη : R5655

Αποτελέσματα: J56

Παροχή Αιχμής (M3/S)	372.48
Χρονική στιγμή αιχμής	02Sep2000, 02:30
Όγκος(MM)	138.98

Απορροή



Κλάδος: R5655

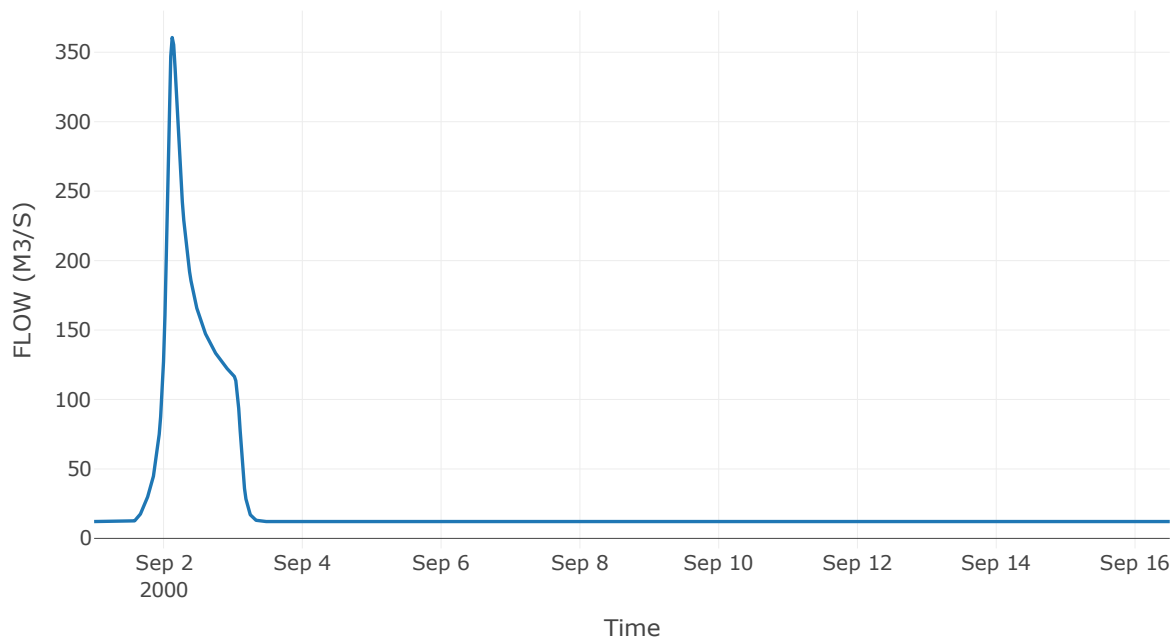
Κατάντη : J55

Μέθοδος Διόδευσης	Muskingum
Αρχική Μεταβλητή	Combined Inflow
Muskingum K	0.71
Συντελεστής βάρους x	0.2
Muskingum Steps	1

Αποτελέσματα: R5655

Παροχή Αιχμής (M3/S)	360.62
Χρονική στιγμή αιχμής	02Sep2000, 03:00
Όγκος(MM)	138.98
Παροχή Αιχμής Εισόδου (M3/S)	372.48
Όγκος Εισροής(M3)	3.38E7

Απορροή



Υπολεκάνη: EL0415FR6053

Έκταση (KM2) : 64.07

Κατάντη : J55

Μέθοδος Απωλειών: SCS

Ποσοστό αδιαπέρατης επιφάνειας	0
Αριθμός Καμπύλης Απορροής-CN	42.9
Αρχικές Απώλειες	67.6

Μέθοδος
Μετασχηματισμού: SCS

Χρόνος Υστέρησης	67.59
------------------	-------

Αποτελέσματα:
EL0415FR6053

Παροχή αιχμής (M3/S)	106.25
Χρονική στιγμή αιχμής	02Sep2000, 01:30
Όγκος (MM)	141.49
Όγκος βροχόπτωσης (M3)	1.72E7
Όγκος απωλειών (M3)	1.24E7
Ενεργός Όγκος (M3)	4.77E6
Όγκος άμεσης απορροής (M3)	4.77E6
Όγκος βασικής απορροής (M3)	4.29E6

Βροχόπτωση και Απορροή



Υπολεκάνη: EL0415FR6055

Έκταση (KM2) : 46.67

Κατάντη : J55

Μέθοδος Απωλειών: SCS

Ποσοστό αδιαπέρατης επιφάνειας	0
Αριθμός Καμπύλης Απορροής-CN	37.7
Αρχικές Απώλειες	83.94

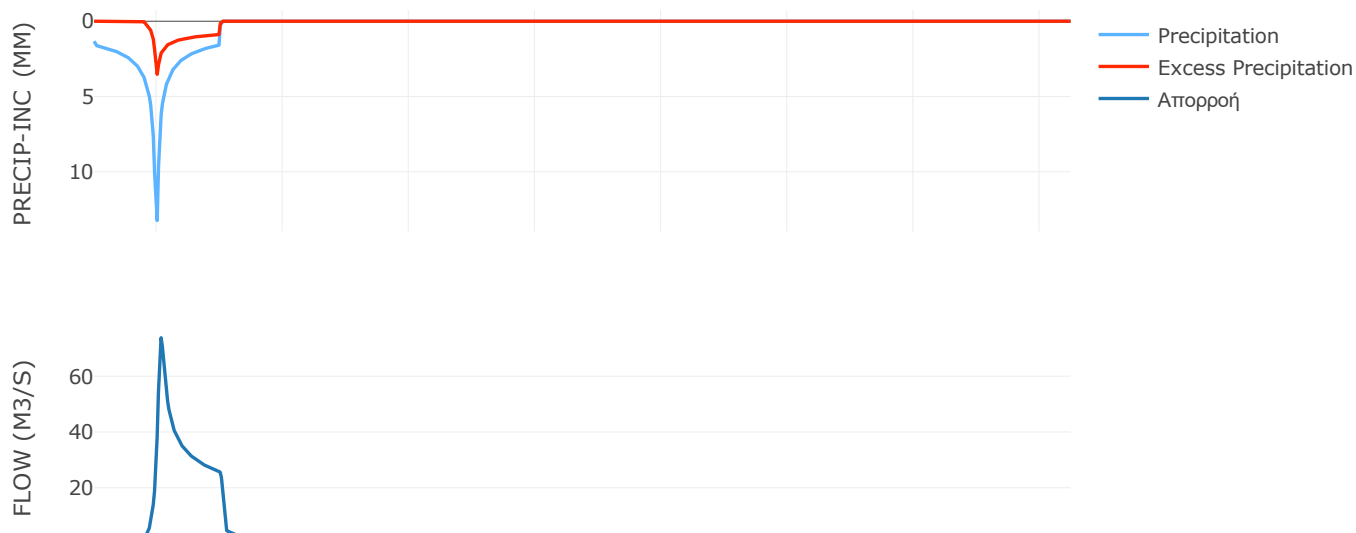
Μέθοδος
Μετασχηματισμού: SCS

Χρόνος Υστέρησης	58.5
------------------	------

Αποτελέσματα:
EL0415FR6055

Παροχή αιχμής (M3/S)	73.78
Χρονική στιγμή αιχμής	02Sep2000, 01:30
Όγκος (MM)	137.6
Όγκος βροχόπτωσης (M3)	1.38E7
Όγκος απωλειών (M3)	1.05E7
Ενεργός Όγκος (M3)	3.3E6
Όγκος άμεσης απορροής (M3)	3.3E6
Όγκος βασικής απορροής (M3)	3.13E6

Βροχόπτωση και Απορροή



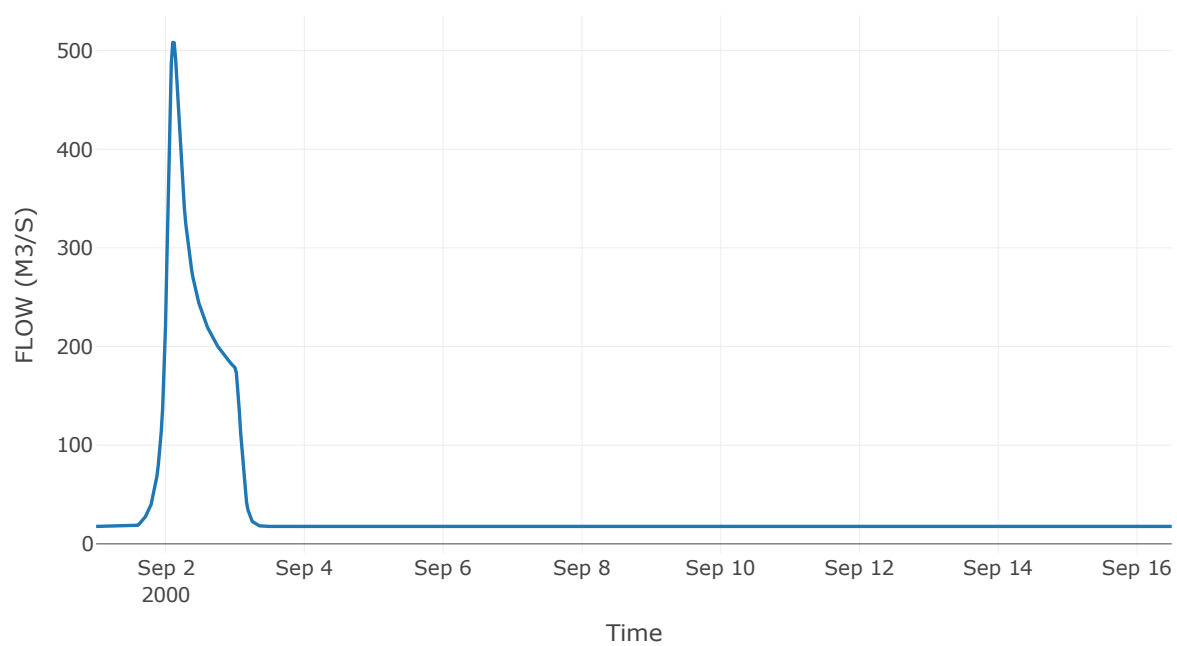
Κόμβος: J55

Κατάντη : R5554

Αποτελέσματα: J55

Παροχή Αιχμής (M3/S)	508.33
Χρονική στιγμή αιχμής	02Sep2000, 02:30
Όγκος(MM)	139.25

Απορροή



Κλάδος: R5554

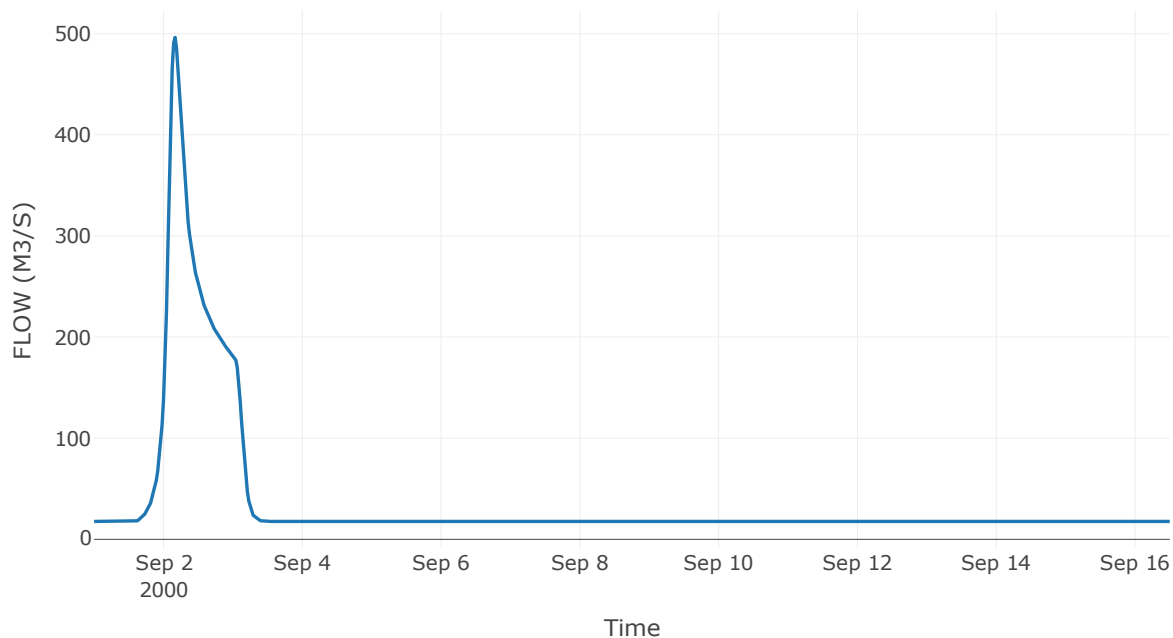
Κατάντη : J54

Μέθοδος Διόδευσης	Muskingum
Αρχική Μεταβλητή	Combined Inflow
Muskingum K	1.09
Συντελεστής βάρους α	0.2
Muskingum Steps	2

Αποτελέσματα: R5554

Παροχή Αιχμής (M3/S)	496.33
Χρονική στιγμή αιχμής	02Sep2000, 04:00
Όγκος(MM)	139.25
Παροχή Αιχμής Εισόδου (M3/S)	508.33
Όγκος Εισροής(M3)	4.93E7

Απορροή



Υπολεκάνη: EL0415FR6056

Έκταση (KM2) : 143.97

Κατάντη : J54

Μέθοδος Απωλειών: SCS

Ποσοστό αδιαπέρατης επιφάνειας	0
Αριθμός Καμπύλης Απορροής-CN	46.84
Αρχικές Απώλειες	57.65

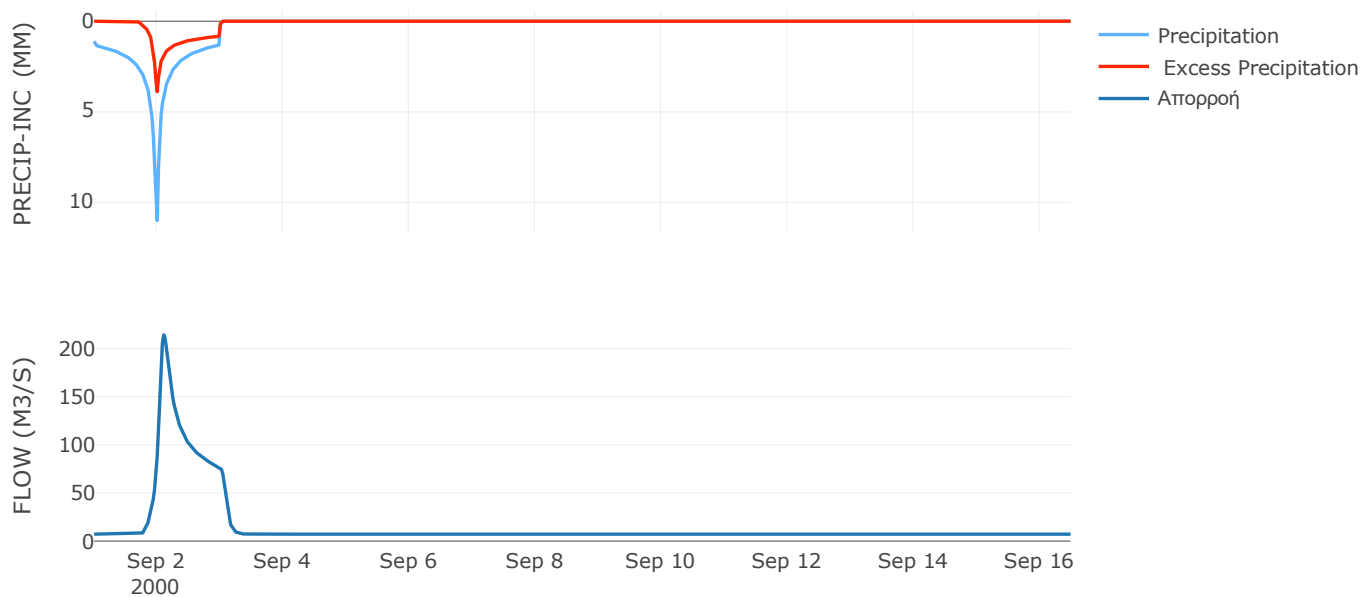
Μέθοδος
Μετασχηματισμού: SCS

Χρόνος Υστέρησης	114.48
------------------	--------

Αποτελέσματα:
EL0415FR6056

Παροχή αιχμής (M3/S)	214.16
Χρονική στιγμή αιχμής	02Sep2000, 02:30
Όγκος (MM)	140.48
Όγκος βροχόπτωσης (M3)	3.52E7
Όγκος απωλειών (M3)	2.46E7
Ενεργός Όγκος (M3)	1.06E7
Όγκος άμεσης απορροής (M3)	1.06E7
Όγκος βασικής απορροής (M3)	9.64E6

Βροχόπτωση και Απορροή



Υπολεκάνη: EL0415FR6054

Έκταση (KM2) : 14.21

Κατάντη : J54

Μέθοδος Απωλειών: SCS

Ποσοστό αδιαπέρατης επιφάνειας	6
Αριθμός Καμπύλης Απορροής-CN	50.43
Αρχικές Απώλειες	49.94

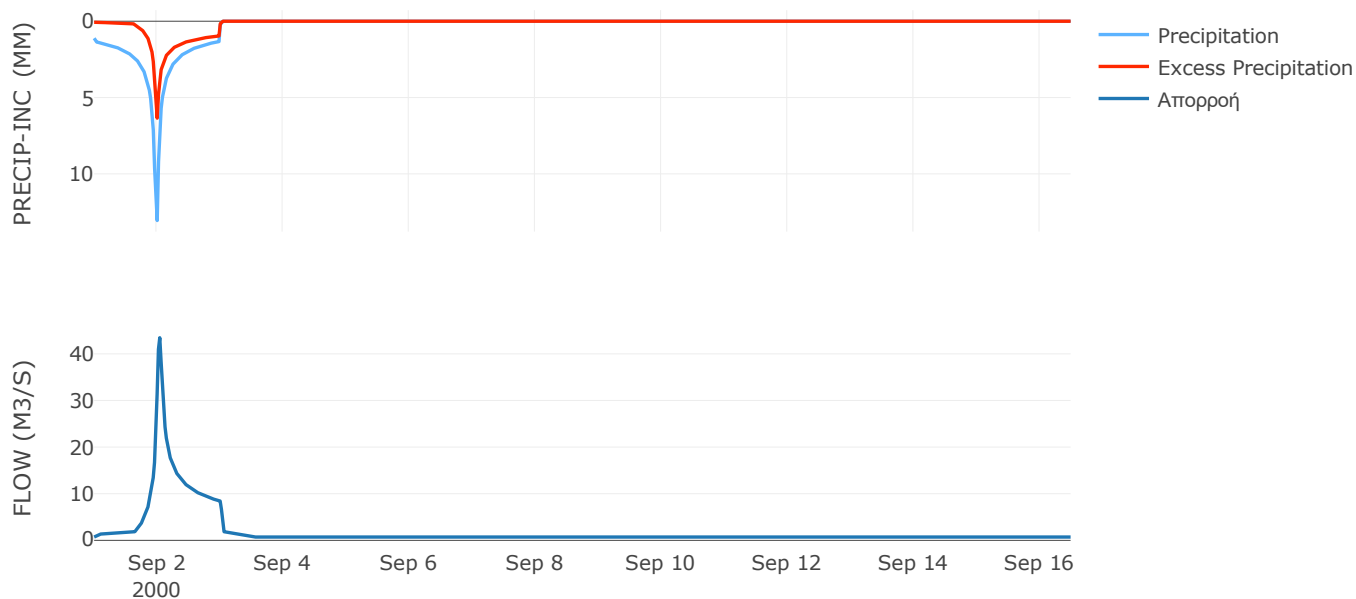
Μέθοδος
Μετασχηματισμού: SCS

Χρόνος Υστέρησης	36.53
------------------	-------

Αποτελέσματα:
EL0415FR6054

Παροχή αιχμής (M3/S)	43.45
Χρονική στιγμή αιχμής	02Sep2000, 01:00
Όγκος (MM)	174.66
Όγκος βροχόπτωσης (M3)	3.73E6
Όγκος απωλειών (M3)	2.2E6
Ενεργός Όγκος (M3)	1.53E6
Όγκος άμεσης απορροής (M3)	1.53E6
Όγκος βασικής απορροής (M3)	9.52E5

Βροχόπτωση και Απορροή



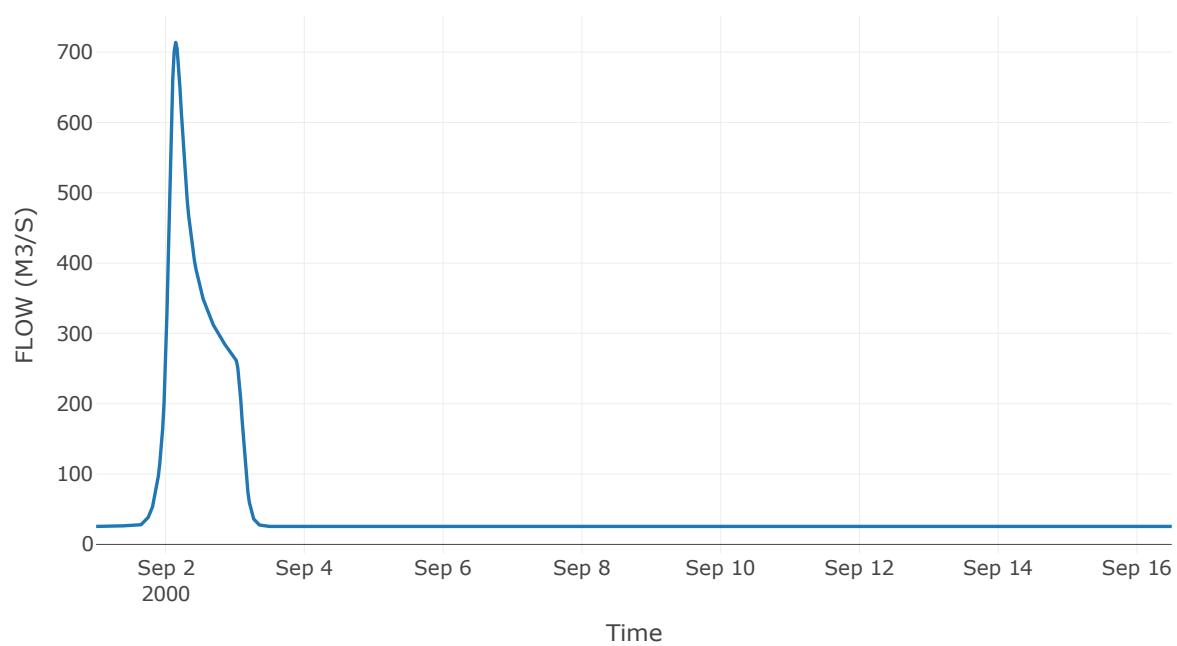
Κόμβος: J54

Κατάντη : R5457

Αποτελέσματα: J54

Παροχή Αιχμής (M3/S)	713.84
Χρονική στιγμή αιχμής	02Sep2000, 03:30
Όγκος(MM)	140.58

Απορροή



Κλάδος: R5457

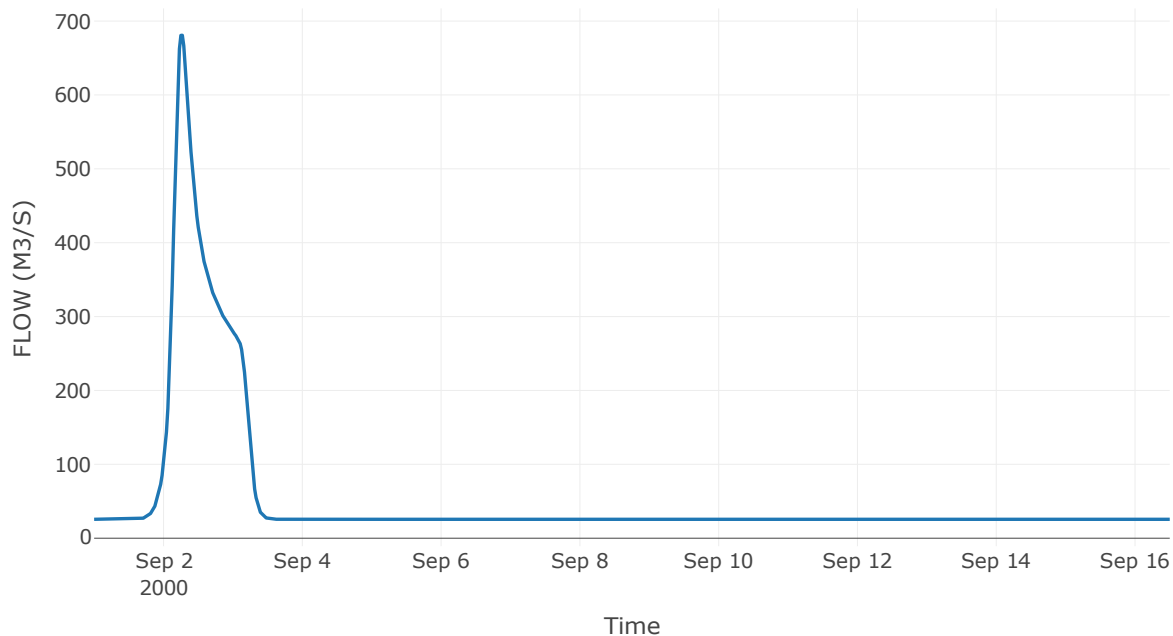
Κατάντη : J57

Μέθοδος Διόδευσης	Muskingum
Αρχική Μεταβλητή	Combined Inflow
Muskingum K	2.55
Συντελεστής βάρους α	0.2
Muskingum Steps	5

Αποτελέσματα: R5457

Παροχή Αιχμής (M3/S)	680.75
Χρονική στιγμή αιχμής	02Sep2000, 06:30
Όγκος(MM)	140.58
Παροχή Αιχμής Εισόδου (M3/S)	713.84
Όγκος Εισροής(M3)	7.2E7

Απορροή



Υπολεκάνη: EL0415FR6082

Έκταση (KM2) : 53.32

Κατάντη : J63

Μέθοδος Απωλειών: SCS

Ποσοστό αδιαπέρατης επιφάνειας	0
Αριθμός Καμπύλης Απορροής-CN	43.65
Αρχικές Απώλειες	65.57

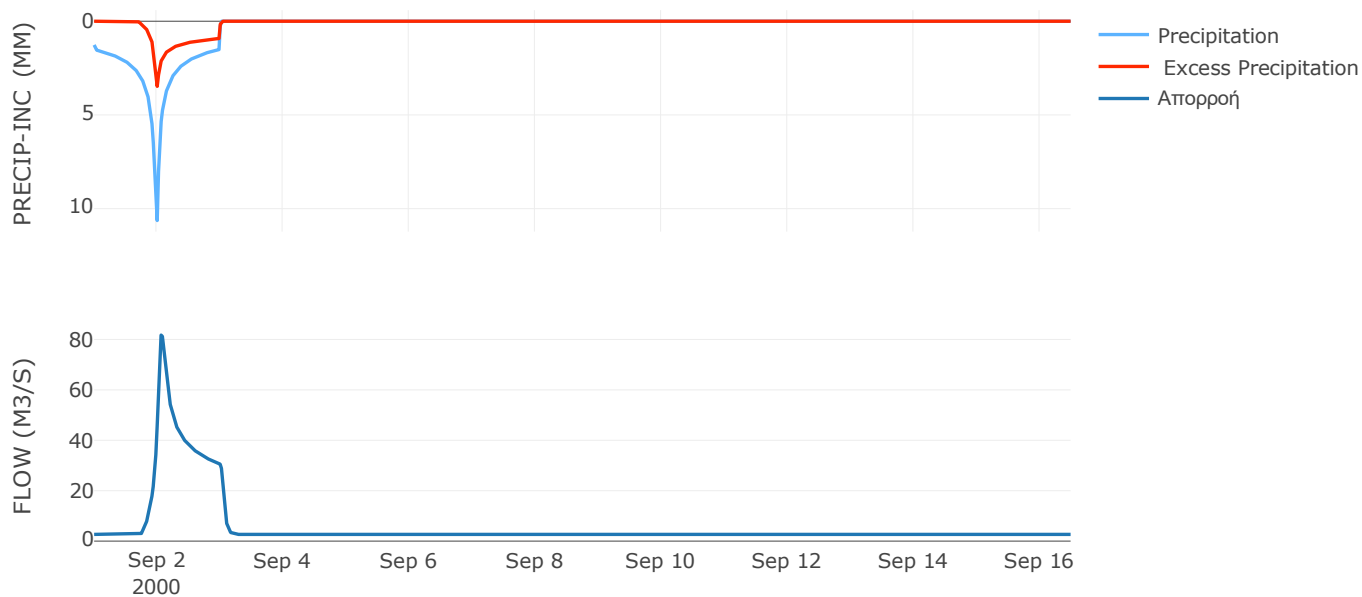
Μέθοδος
Μετασχηματισμού: SCS

Χρόνος Υστέρησης	70
------------------	----

Αποτελέσματα:
EL0415FR6082

Παροχή αιχμής (M3/S)	81.75
Χρονική στιγμή αιχμής	02Sep2000, 01:30
Όγκος (MM)	141.85
Όγκος βροχόπτωσης (M3)	1.41E7
Όγκος απωλειών (M3)	1.01E7
Ενεργός Όγκος (M3)	3.99E6
Όγκος άμεσης απορροής (M3)	3.99E6
Όγκος βασικής απορροής (M3)	3.57E6

Βροχόπτωση και Απορροή



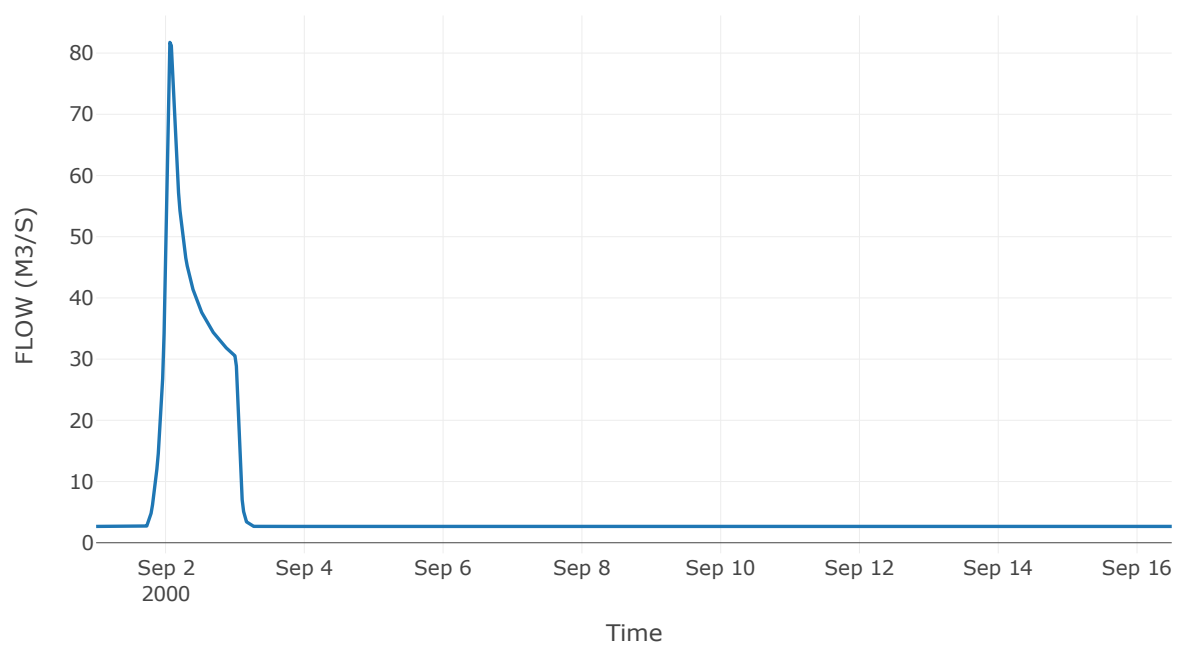
Κόμβος: J63

Κατάντη : R6357

Αποτελέσματα: J63

Παροχή Αιχμής (M3/S)	81.75
Χρονική στιγμή αιχμής	02Sep2000, 01:30
Όγκος(MM)	141.85

Απορροή



Κλάδος: R6357

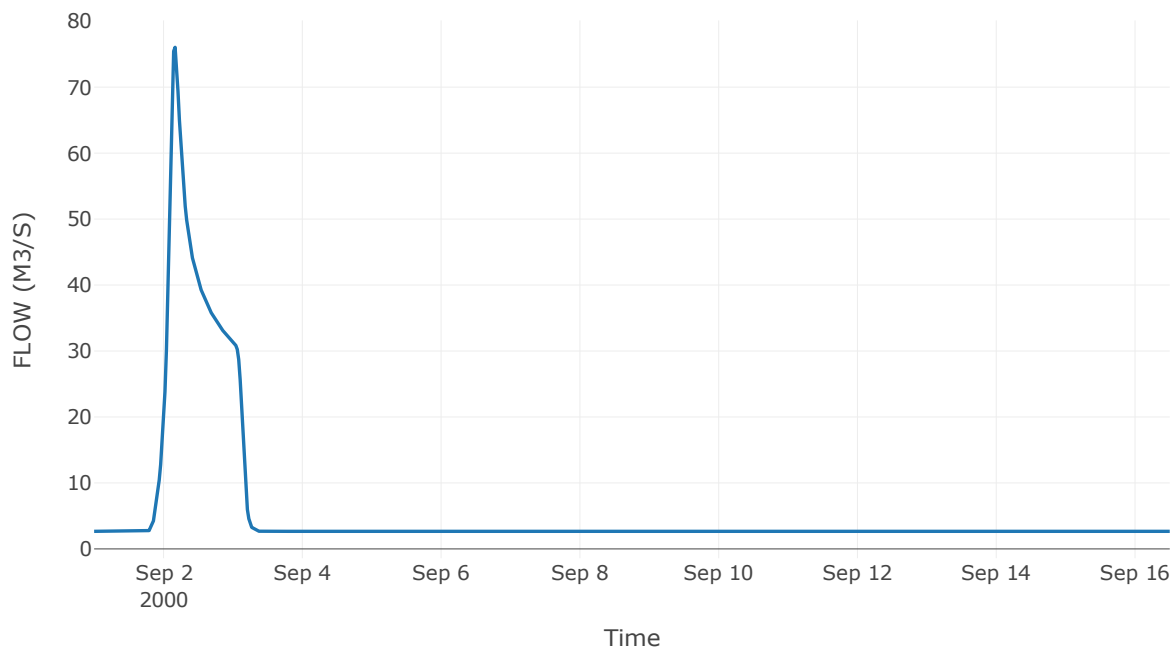
Κατάντη : J57

Μέθοδος Διόδευσης	Muskingum
Αρχική Μεταβλητή	Combined Inflow
Muskingum K	1.93
Συντελεστής βάρους α	0.2
Muskingum Steps	4

Αποτελέσματα: R6357

Παροχή Αιχμής (M3/S)	76.04
Χρονική στιγμή αιχμής	02Sep2000, 04:00
Όγκος(MM)	141.85
Παροχή Αιχμής Εισόδου (M3/S)	81.75
Όγκος Εισροής(M3)	7.57E6

Απορροή



Υπολεκάνη: EL0415FR6067

Έκταση (KM2) : 29.4

Κατάντη : J57

Μέθοδος Απωλειών: SCS

Ποσοστό αδιαπέρατης επιφάνειας	9
Αριθμός Καμπύλης Απορροής-CN	49.35
Αρχικές Απώλειες	52.14

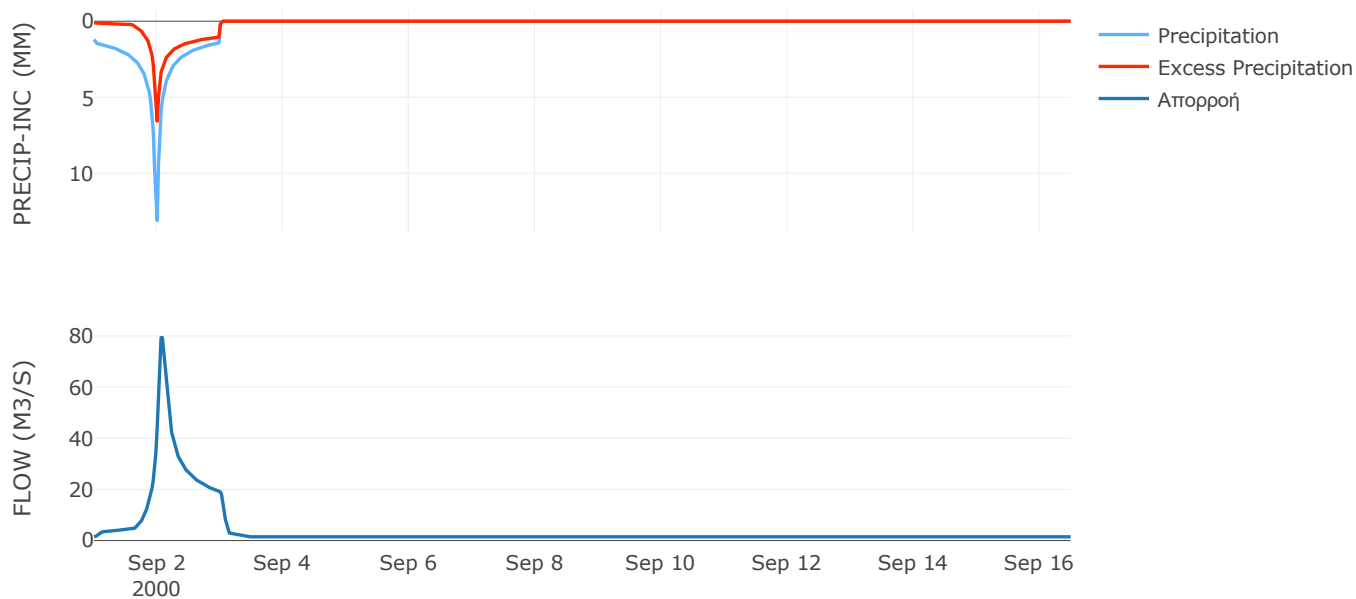
Μέθοδος
Μετασχηματισμού: SCS

Χρόνος Υστέρησης	82.42
------------------	-------

Αποτελέσματα:
EL0415FR6067

Παροχή αιχμής (M3/S)	79.3
Χρονική στιγμή αιχμής	02Sep2000, 02:00
Όγκος (MM)	184.39
Όγκος βροχόπτωσης (M3)	8.05E6
Όγκος απωλειών (M3)	4.6E6
Ενεργός Όγκος (M3)	3.45E6
Όγκος άμεσης απορροής (M3)	3.45E6
Όγκος βασικής απορροής (M3)	1.97E6

Βροχόπτωση και Απορροή



Υπολεκάνη: EL0415FR6057

Έκταση (KM2) : 27.51

Κατάντη : J57

Μέθοδος Απωλειών: SCS

Ποσοστό αδιαπέρατης επιφάνειας	13
Αριθμός Καμπύλης Απορροής-CN	47.72
Αρχικές Απώλειες	55.66

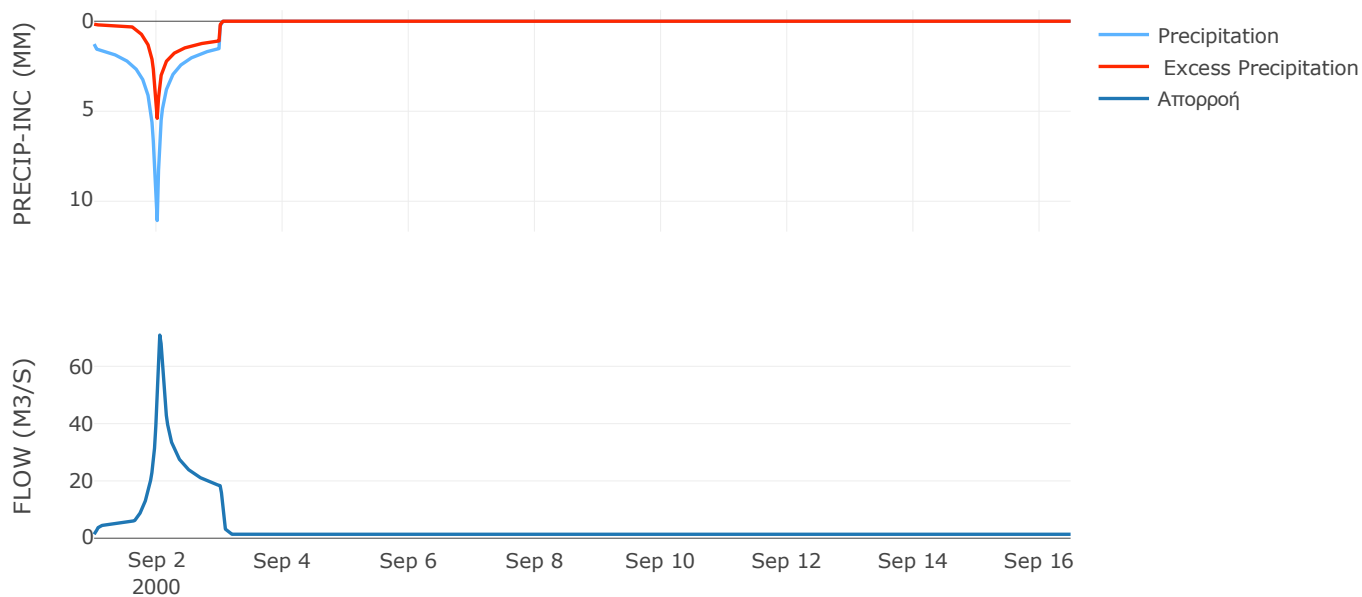
Μέθοδος
Μετασχηματισμού: SCS

Χρόνος Υστέρησης	46.01
------------------	-------

Αποτελέσματα:
EL0415FR6057

Παροχή αιχμής (M3/S)	70.9
Χρονική στιγμή αιχμής	02Sep2000, 01:00
Όγκος (MM)	182.29
Όγκος βροχόπτωσης (M3)	7.39E6
Όγκος απωλειών (M3)	4.22E6
Ενεργός Όγκος (M3)	3.17E6
Όγκος άμεσης απορροής (M3)	3.17E6
Όγκος βασικής απορροής (M3)	1.84E6

Βροχόπτωση και Απορροή



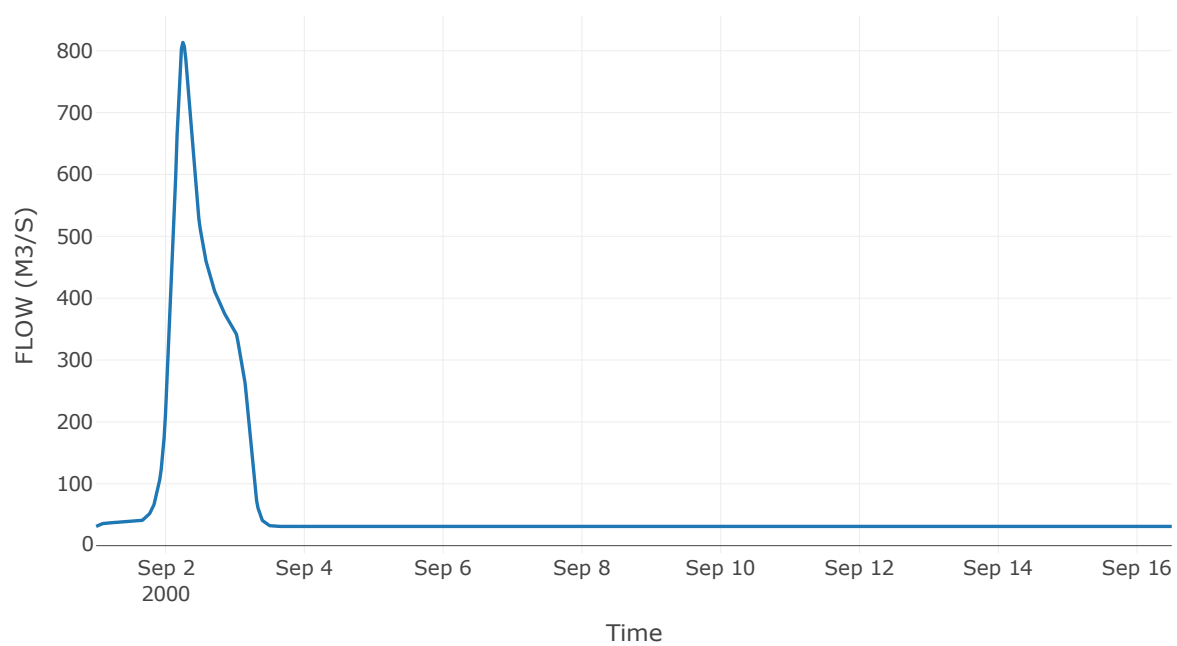
Κόμβος: J57

Κατάντη : R5753

Αποτελέσματα: J57

Παροχή Αιχμής (M3/S)	813.47
Χρονική στιγμή αιχμής	02Sep2000, 06:00
Όγκος(MM)	144.61

Απορροή



Κλάδος: R5753

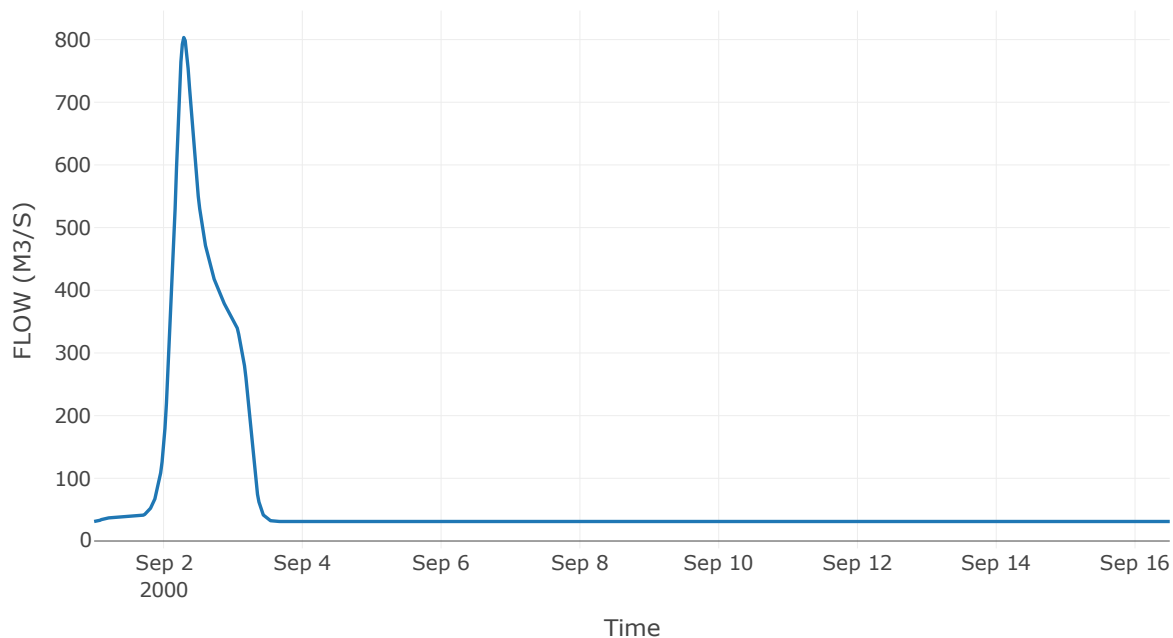
Κατάντη : J53 Res5

Μέθοδος Διόδευσης	Muskingum
Αρχική Μεταβλητή	Combined Inflow
Muskingum K	1
Συντελεστής βάρους α	0.2
Muskingum Steps	2

Αποτελέσματα: R5753

Παροχή Αιχμής (M3/S)	803.34
Χρονική στιγμή αιχμής	02Sep2000, 07:00
Όγκος(MM)	144.61
Παροχή Αιχμής Εισόδου (M3/S)	813.47
Όγκος Εισροής(M3)	9E7

Απορροή



Υπολεκάνη: EL0415FR6058

Έκταση (KM2) : 10.79

Κατάνη : J53 Res5

Μέθοδος Απωλειών: SCS

Ποσοστό αδιαπέρατης επιφάνειας	16
Αριθμός Καμπύλης Απορροής-CN	54.59
Αρχικές Απώλειες	42.25

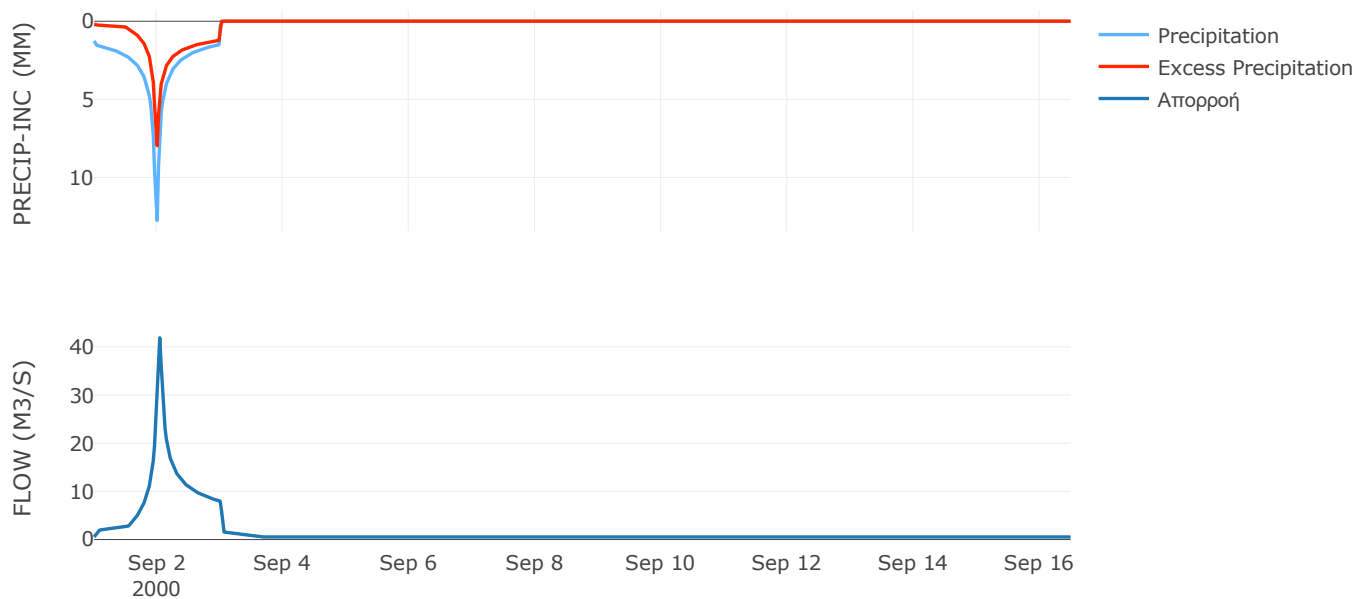
Μέθοδος
Μετασχηματισμού: SCS

Χρόνος Υστέρησης	35.26
------------------	-------

Αποτελέσματα:
EL0415FR6058

Παροχή αιχμής (M3/S)	41.88
Χρονική στιγμή αιχμής	02Sep2000, 01:00
Όγκος (MM)	218.41
Όγκος βροχόπτωσης (M3)	3.03E6
Όγκος απωλειών (M3)	1.4E6
Ενεργός Όγκος (M3)	1.63E6
Όγκος άμεσης απορροής (M3)	1.63E6
Όγκος βασικής απορροής (M3)	7.22E5

Βροχόπτωση και Απορροή



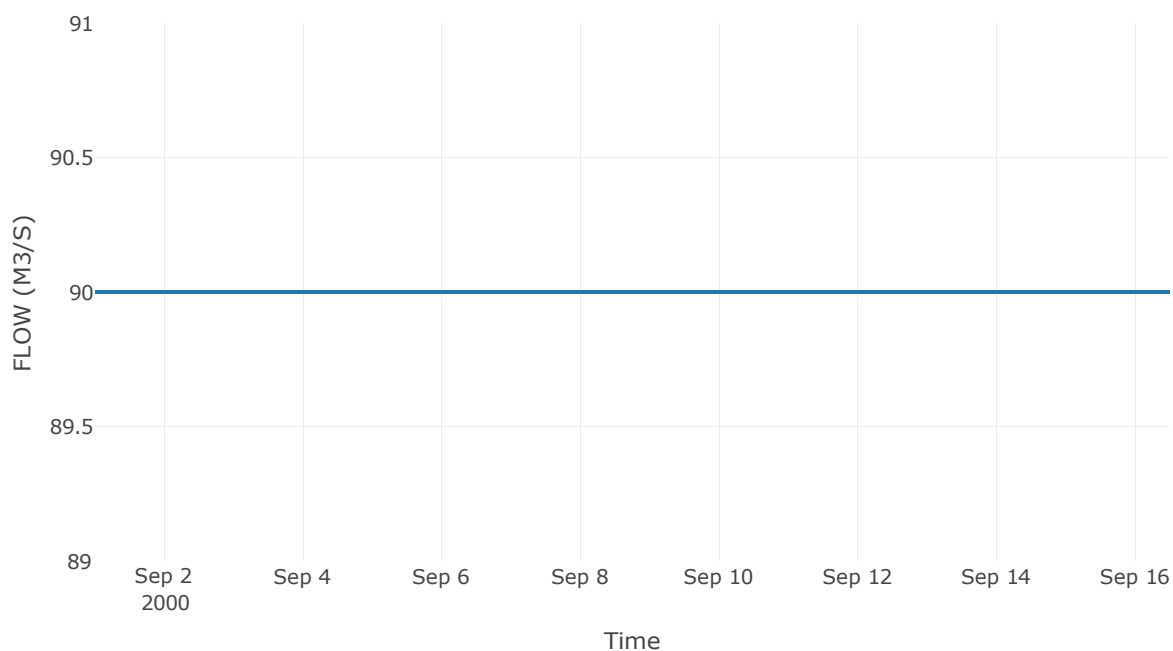
Ταμιευτήρας: J53_RES5

Κατάντη : J50

Αποτελέσματα: J53_RES5

Παροχή Αιχμής (M3/S)	90
Χρονική στιγμή αιχμής	31Aug2000, 24:00
Όγκος(MM)	190.43
Παροχή Αιχμής Εισόδου (M3/S)	817.5
Time of Peak Inflow	02Sep2000, 07:30
Όγκος Εισροής (M3)	9.24E7
Maximum Storage (M3)	2.89E8
Peak Elevation (M)	760.56
Discharge Όγκος(M3)	1.21E8

Απορροή



Κλάδος: R5351

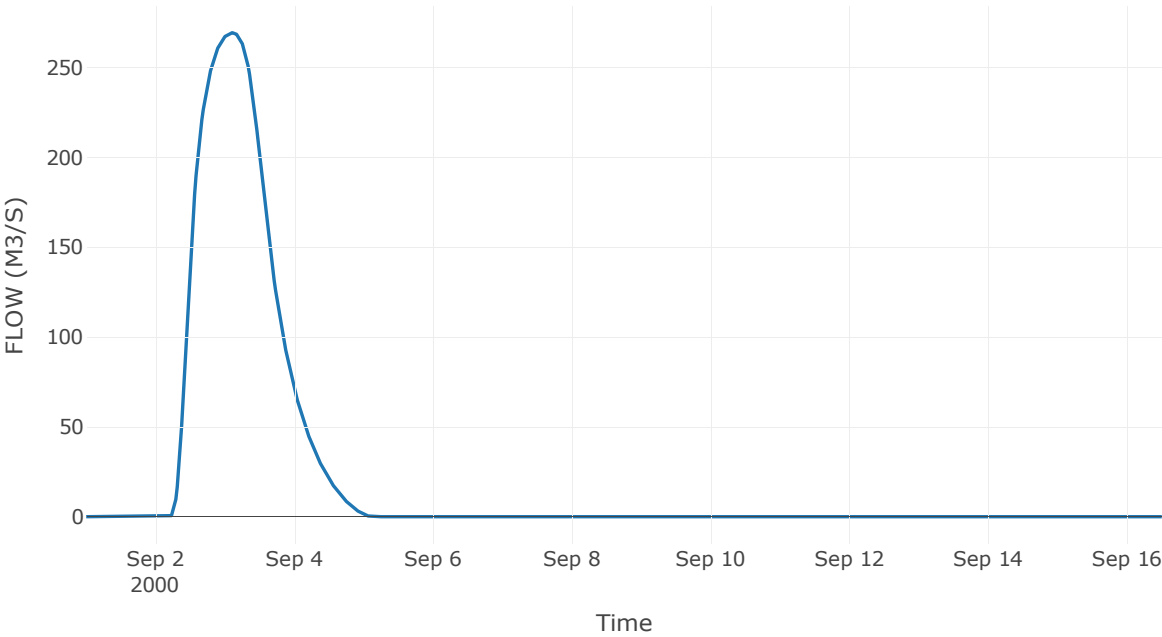
Κατάντη : J51

Μέθοδος Διόδευσης	Muskingum
Αρχική Μεταβλητή	Combined Inflow
Muskingum K	2.42
Συντελεστής βάρους x	0.2
Muskingum Steps	5

Αποτελέσματα: R5351

Παροχή Αιχμής (M3/S)	269.29
Χρονική στιγμή αιχμής	03Sep2000, 02:30
Peak Inflow (M3/S)	269.53
Όγκος Εισροής (M3)	2.98E7

Απορροή



Υπολεκάνη: EL0415FR6059

Έκταση (KM2) : 57.55

Κατάντη : J51

Μέθοδος Απωλειών: SCS

Ποσοστό αδιαπέρατης επιφάνειας	0
Αριθμός Καμπύλης Απορροής-CN	53.12
Αρχικές Απώλειες	44.83

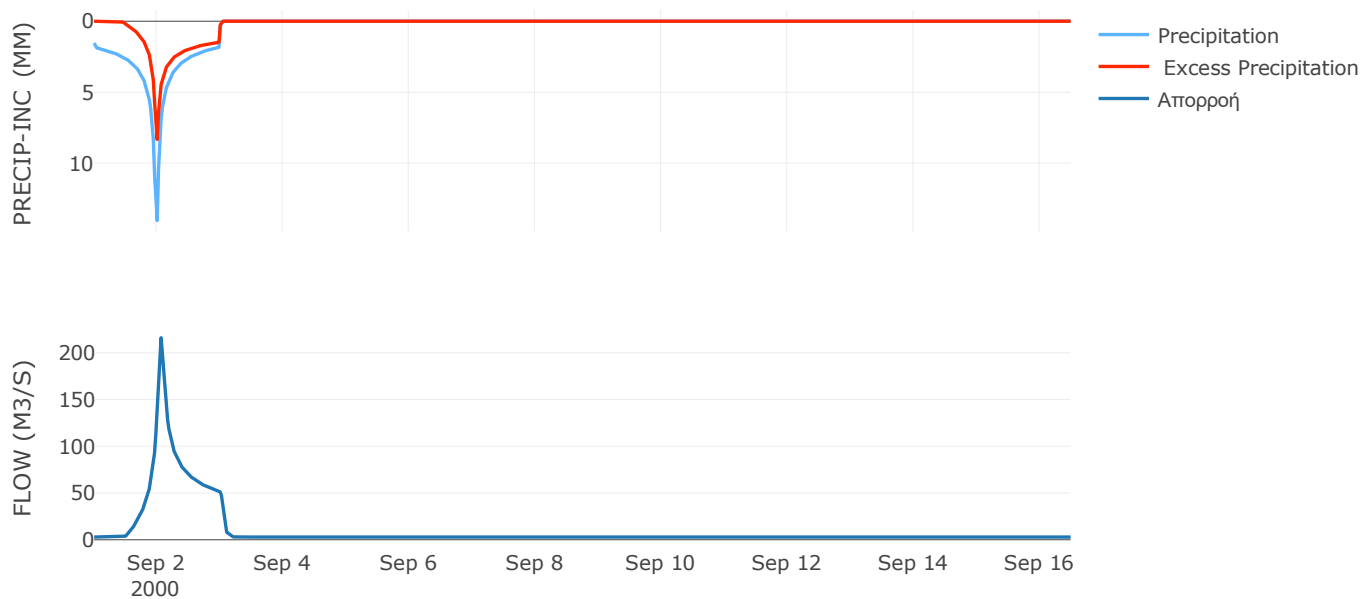
Μέθοδος
Μετασχηματισμού: SCS

Χρόνος Υστέρησης	60.7
------------------	------

Αποτελέσματα:
EL0415FR6059

Παροχή αιχμής (M3/S)	216.05
Χρονική στιγμή αιχμής	02Sep2000, 01:30
Όγκος (MM)	227
Όγκος βροχόπτωσης (M3)	1.9E7
Όγκος απωλειών (M3)	9.81E6
Ενεργός Όγκος (M3)	9.21E6
Όγκος άμεσης απορροής (M3)	9.21E6
Όγκος βασικής απορροής (M3)	3.85E6

Βροχόπτωση και Απορροή



Υπολεκάνη: EL0415FR6050

Έκταση (KM2) : 51.03

Κατάντη : J51

Μέθοδος Απωλειών: SCS

Ποσοστό αδιαπέρατης επιφάνειας	0
Αριθμός Καμπύλης Απορροής-CN	41.41
Αρχικές Απώλειες	71.88

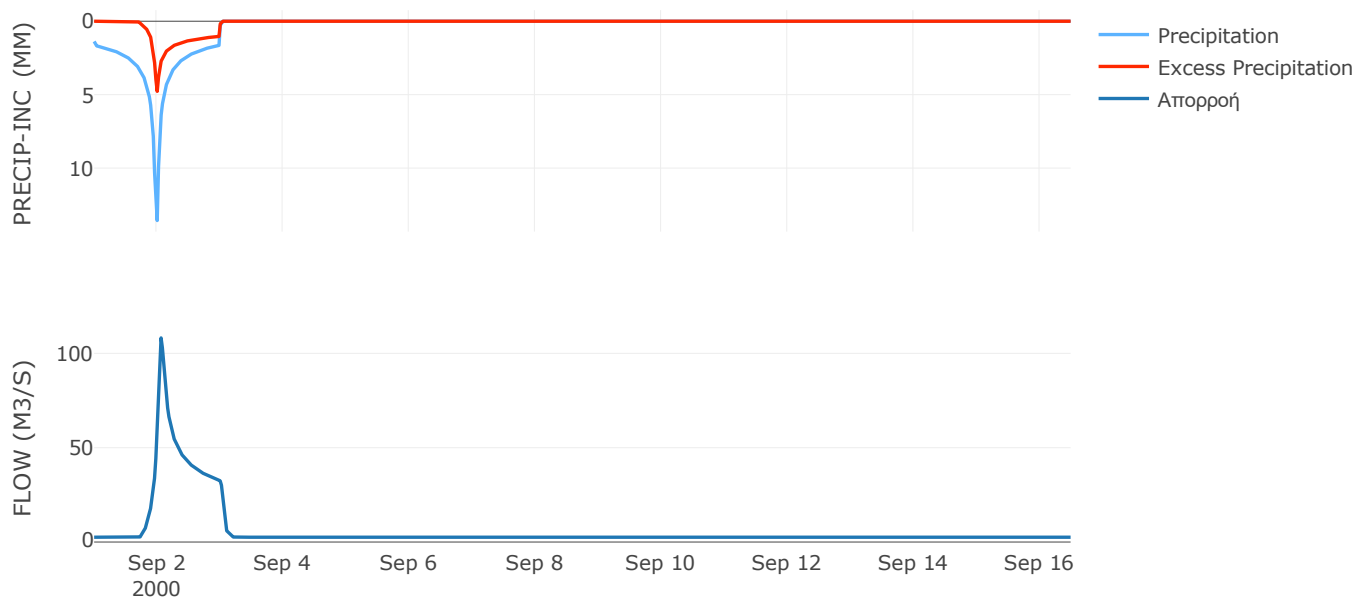
Μέθοδος
Μετασχηματισμού: SCS

Χρόνος Υστέρησης	61.92
------------------	-------

Αποτελέσματα:
EL0415FR6050

Παροχή αιχμής (M3/S)	108.19
Χρονική στιγμή αιχμής	02Sep2000, 01:30
Όγκος (MM)	158.1
Όγκος βροχόπτωσης (M3)	1.55E7
Όγκος απωλειών (M3)	1.09E7
Ενεργός Όγκος (M3)	4.65E6
Όγκος άμεσης απορροής (M3)	4.65E6
Όγκος βασικής απορροής (M3)	3.42E6

Βροχόπτωση και Απορροή



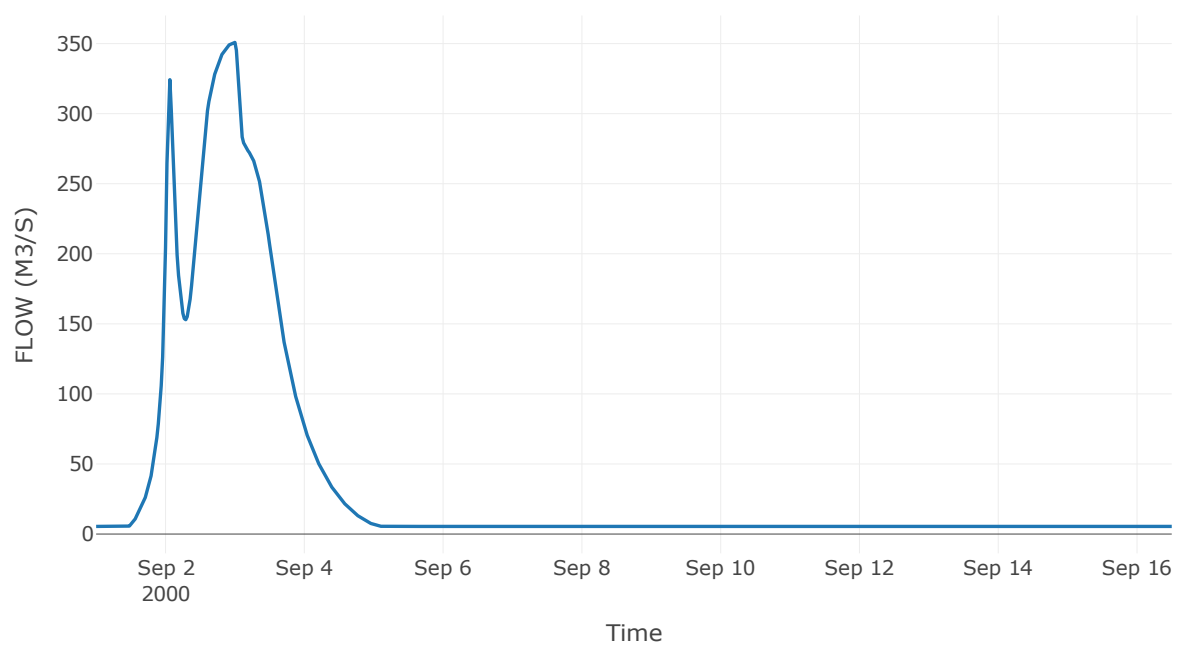
Κόμβος: J51

Κατάντη : R5150

Αποτελέσματα: J51

Παροχή Αιχμής (M3/S)	350.83
Χρονική στιγμή αιχμής	02Sep2000, 24:00
Όγκος(MM)	468.73

Απορροή



Κλάδος: R5150

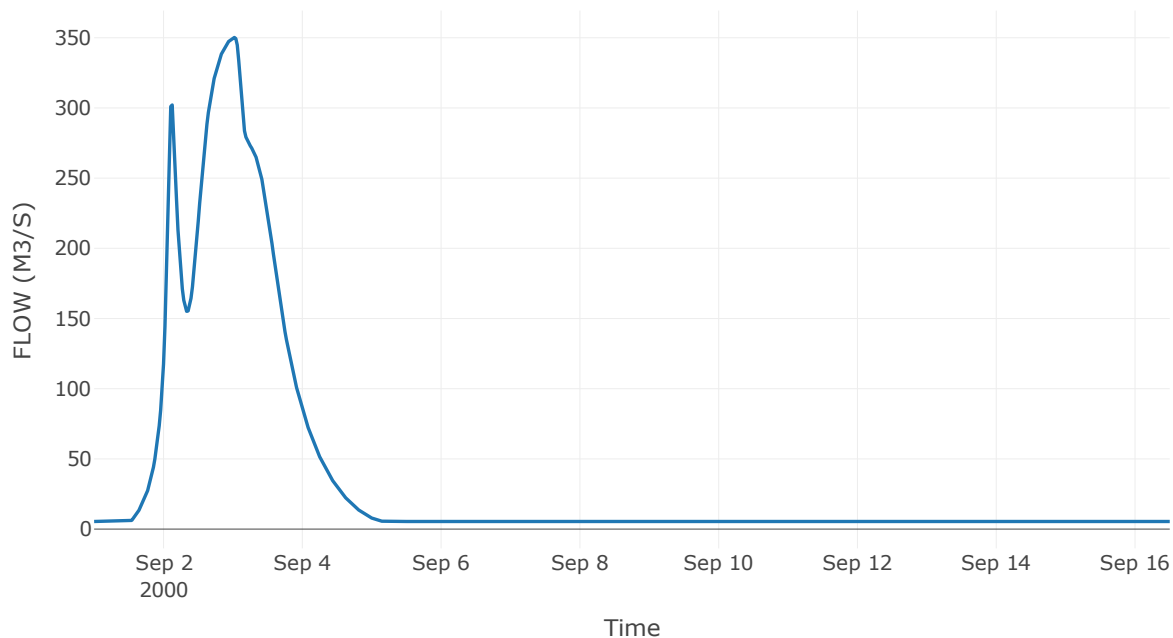
Κατάντη : J50

Μέθοδος Διόδευσης	Muskingum
Αρχική Μεταβλητή	Combined Inflow
Muskingum K	1.31
Συντελεστής βάρους α	0.2
Muskingum Steps	3

Αποτελέσματα: R5150

Παροχή Αιχμής (M3/S)	350.21
Χρονική στιγμή αιχμής	03Sep2000, 00:30
Όγκος(MM)	468.73
Παροχή Αιχμής Εισόδου (M3/S)	350.83
Όγκος Εισροής(M3)	5.09E7

Απορροή



Υπολεκάνη: EL0415FR6060

Έκταση (KM2) : 43.14

Κατάντη : J50

Μέθοδος Απωλειών: SCS

Ποσοστό αδιαπέρατης επιφάνειας	0
Αριθμός Καμπύλης Απορροής-CN	55.54
Αρχικές Απώλειες	40.66

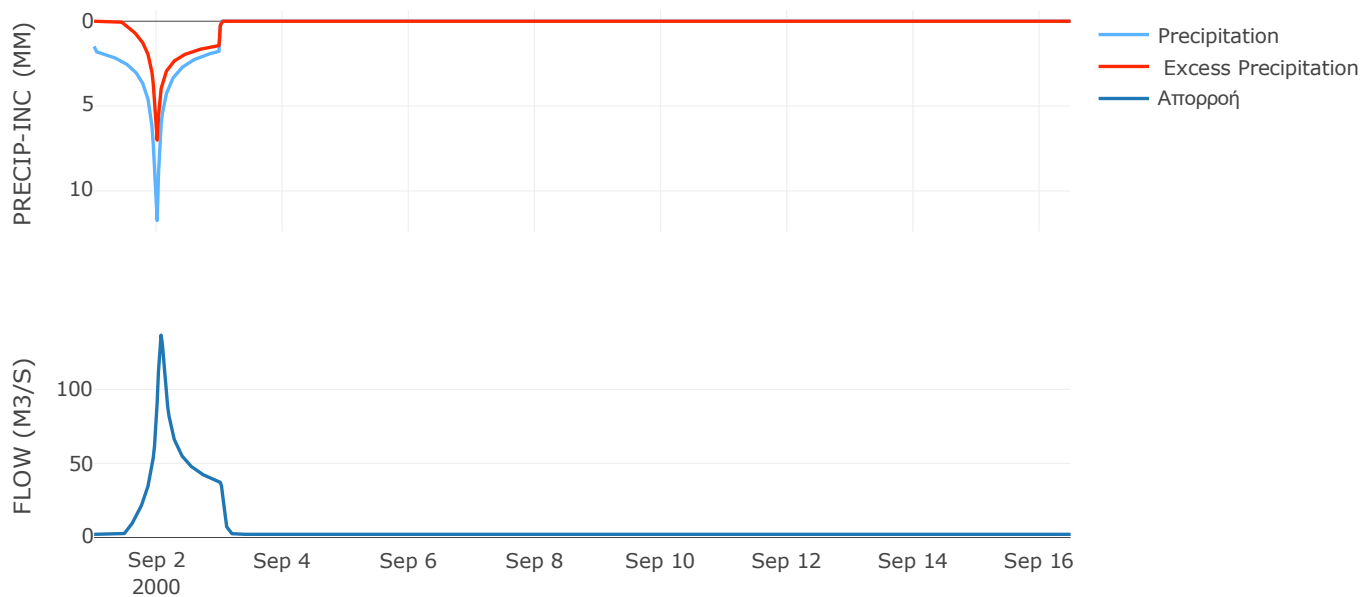
Μέθοδος
Μετασχηματισμού: SCS

Χρόνος Υστέρησης	67.85
------------------	-------

Αποτελέσματα:
EL0415FR6060

Παροχή αιχμής (M3/S)	136.58
Χρονική στιγμή αιχμής	02Sep2000, 01:30
Όγκος (MM)	215.17
Όγκος βροχόπτωσης (M3)	1.31E7
Όγκος απωλειών (M3)	6.7E6
Ενεργός Όγκος (M3)	6.39E6
Όγκος άμεσης απορροής (M3)	6.39E6
Όγκος βασικής απορροής (M3)	2.89E6

Βροχόπτωση και Απορροή



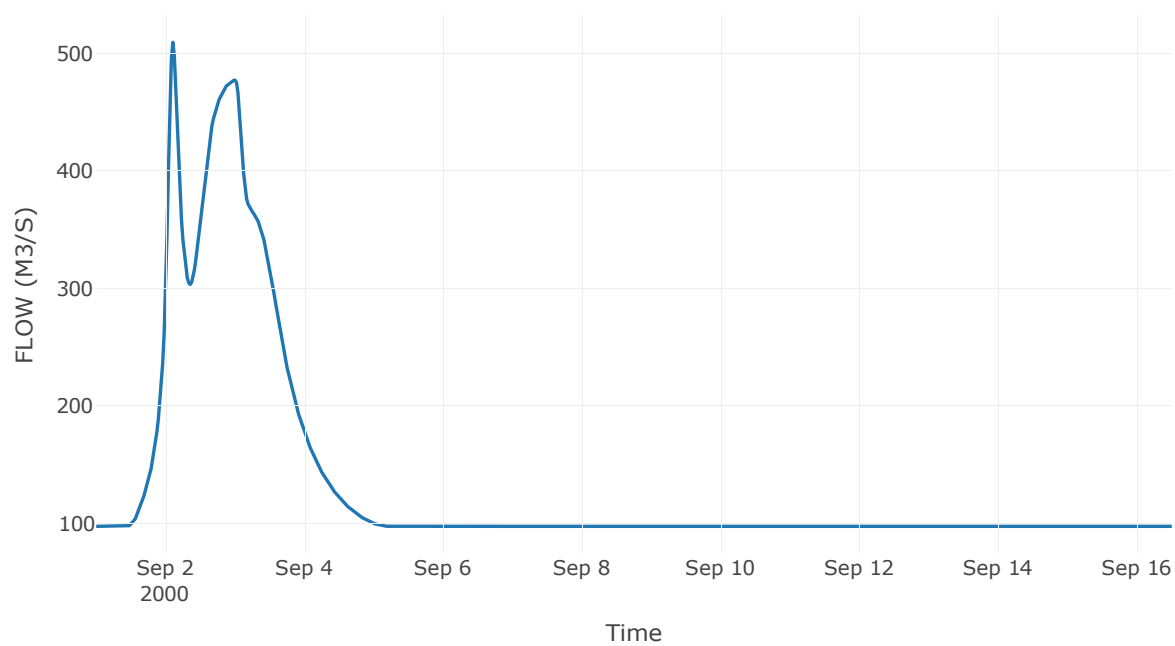
Κόμβος: J50

Κατάντη : R5049

Αποτελέσματα: J50

Παροχή Αιχμής (M3/S)	509.35
Χρονική στιγμή αιχμής	02Sep2000, 02:30
Όγκος(MM)	230.3

Απορροή



Κλάδος: R5049

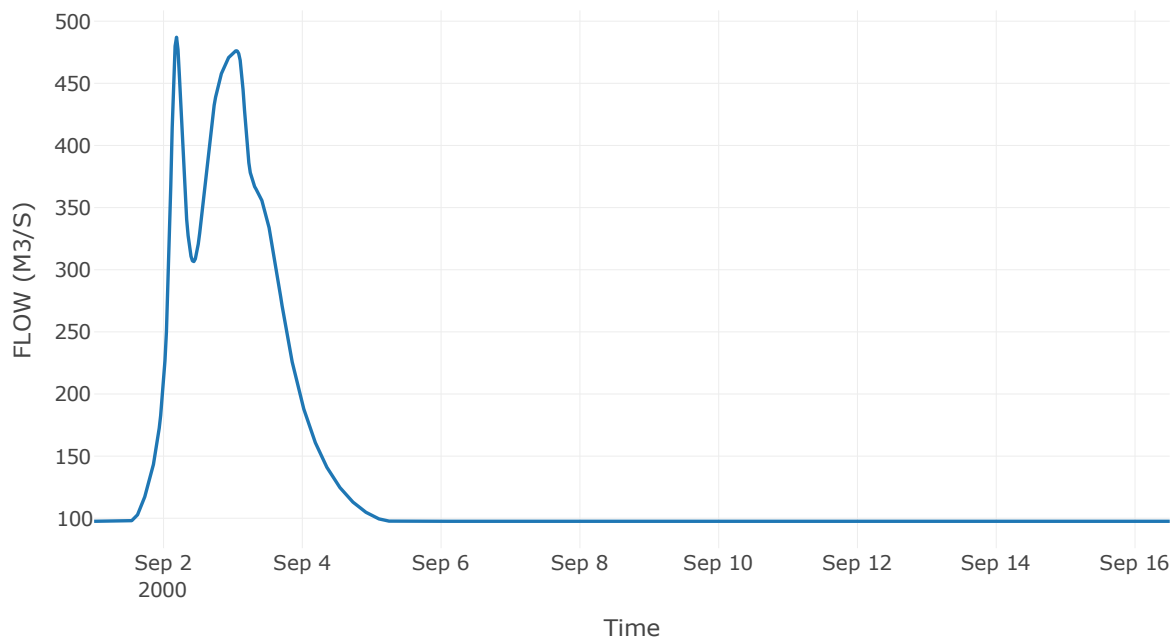
Κατάντη : J49

Μέθοδος Διόδευσης	Muskingum
Αρχική Μεταβλητή	Combined Inflow
Muskingum K	1.86
Συντελεστής βάρους x	0.2
Muskingum Steps	4

Αποτελέσματα: R5049

Παροχή Αιχμής (M3/S)	487.06
Χρονική στιγμή αιχμής	02Sep2000, 04:30
Όγκος(MM)	230.3
Παροχή Αιχμής Εισόδου (M3/S)	509.35
Όγκος Εισροής(M3)	1.81E8

Απορροή



Υπολεκάνη: EL0415FR6049

Έκταση (KM2) : 52.23

Κατάντη : J49

Μέθοδος Απωλειών: SCS

Ποσοστό αδιαπέρατης επιφάνειας	0
Αριθμός Καμπύλης Απορροής-CN	44.74
Αρχικές Απώλειες	62.73

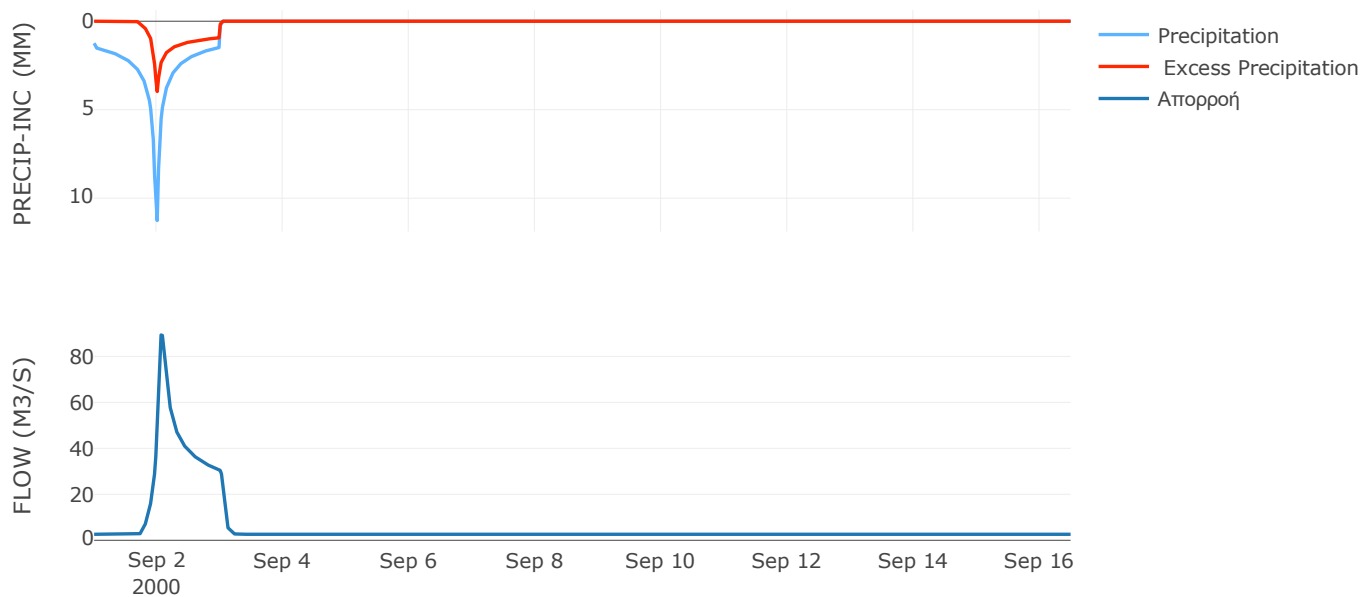
Μέθοδος
Μετασχηματισμού: SCS

Χρόνος Υστέρησης	73.38
------------------	-------

Αποτελέσματα:
EL0415FR6049

Παροχή αιχμής (M3/S)	89.33
Χρονική στιγμή αιχμής	02Sep2000, 01:30
Όγκος (MM)	147.26
Όγκος βροχόπτωσης (M3)	1.39E7
Όγκος απωλειών (M3)	9.73E6
Ενεργός Όγκος (M3)	4.19E6
Όγκος άμεσης απορροής (M3)	4.19E6
Όγκος βασικής απορροής (M3)	3.5E6

Βροχόπτωση και Απορροή



Υπολεκάνη: EL0415FR6062

Έκταση (KM2) : 41.66

Κατάντη : J49

Μέθοδος Απωλειών: SCS

Ποσοστό αδιαπέρατης επιφάνειας	0
Αριθμός Καμπύλης Απορροής-CN	55.16
Αρχικές Απώλειες	41.3

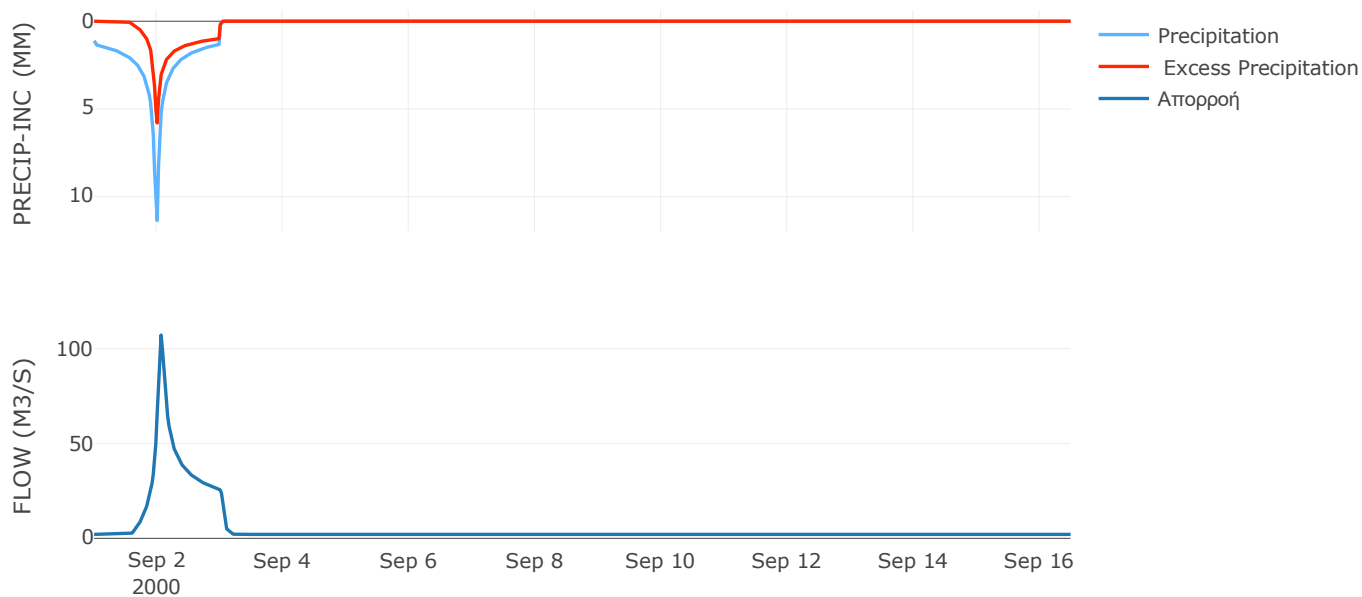
Μέθοδος
Μετασχηματισμού: SCS

Χρόνος Υστέρησης	63.59
------------------	-------

Αποτελέσματα:
EL0415FR6062

Παροχή αιχμής (M3/S)	107.19
Χρονική στιγμή αιχμής	02Sep2000, 01:30
Όγκος (MM)	170.63
Όγκος βροχόπτωσης (M3)	1.03E7
Όγκος απωλειών (M3)	6.03E6
Ενεργός Όγκος (M3)	4.32E6
Όγκος άμεσης απορροής (M3)	4.32E6
Όγκος βασικής απορροής (M3)	2.79E6

Βροχόπτωση και Απορροή



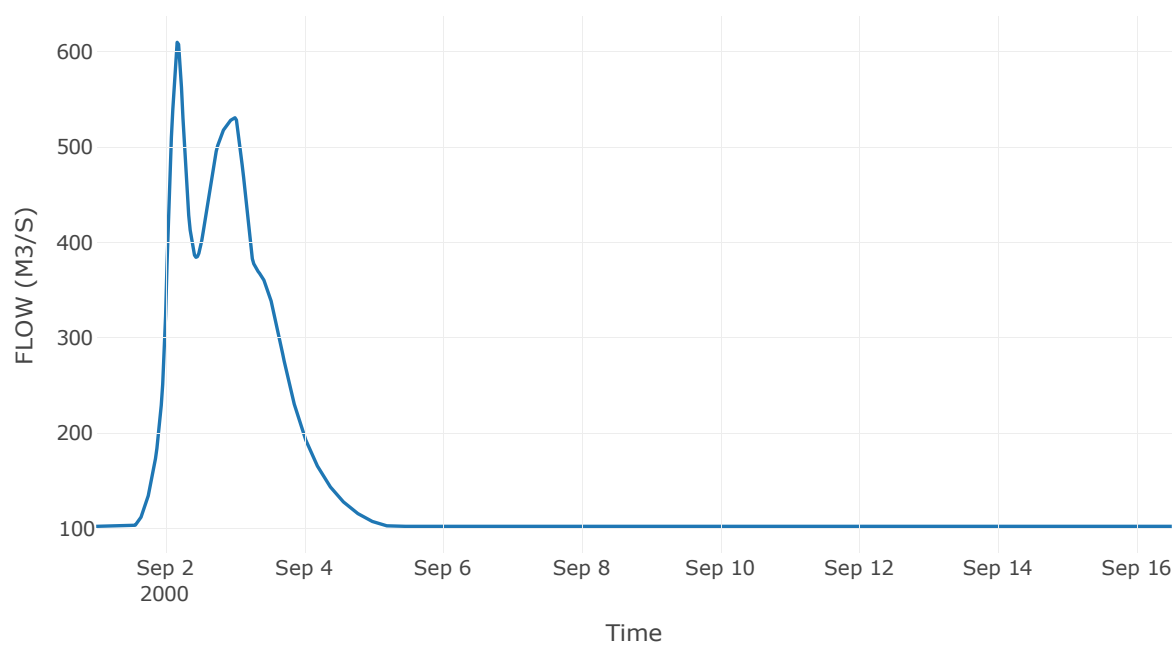
Κόμβος: J49

Κατάντη : R4947

Αποτελέσματα: J49

Παροχή Αιχμής (M3/S)	609.87
Χρονική στιγμή αιχμής	02Sep2000, 04:00
Όγκος(MM)	222.53

Απορροή



Κλάδος: R4947

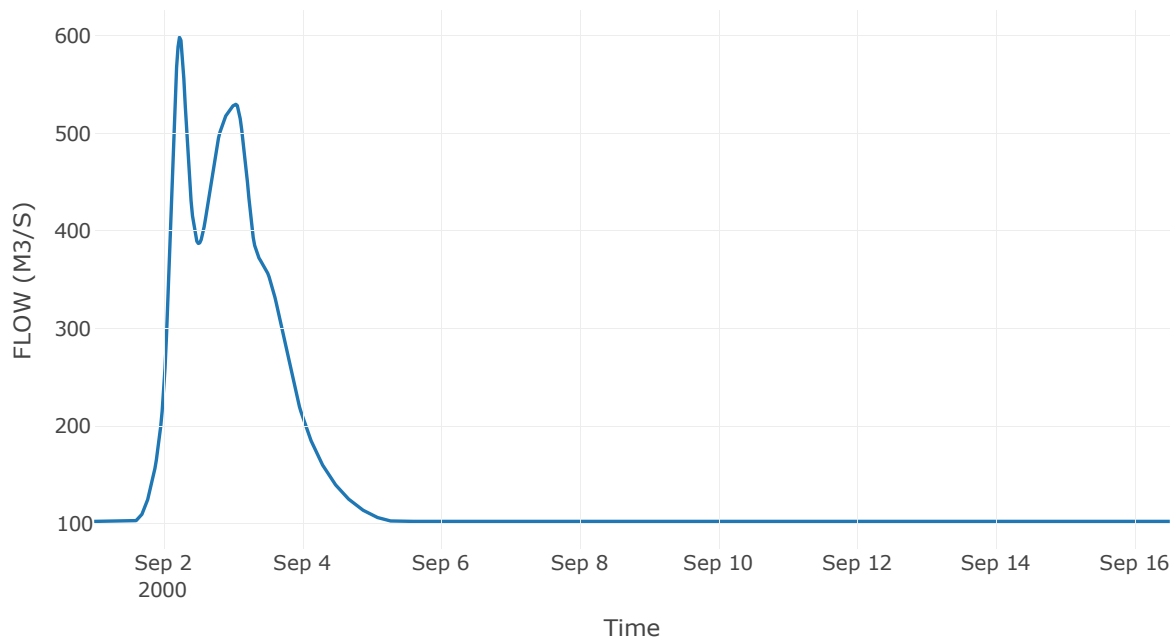
Κατάντη : J47

Μέθοδος Διόδευσης	Muskingum
Αρχική Μεταβλητή	Combined Inflow
Muskingum K	1.47
Συντελεστής βάρους α	0.2
Muskingum Steps	3

Αποτελέσματα: R4947

Παροχή Αιχμής (M3/S)	598.12
Χρονική στιγμή αιχμής	02Sep2000, 05:30
Όγκος(MM)	222.53
Παροχή Αιχμής Εισόδου (M3/S)	609.87
Όγκος Εισροής(M3)	1.96E8

Απορροή



Υπολεκάνη: EL0415FR6066

Έκταση (KM2) : 116.84

Κατάντη : J48

Μέθοδος Απωλειών: SCS

Ποσοστό αδιαπέρατης επιφάνειας	0
Αριθμός Καμπύλης Απορροής-CN	47.21
Αρχικές Απώλειες	56.81

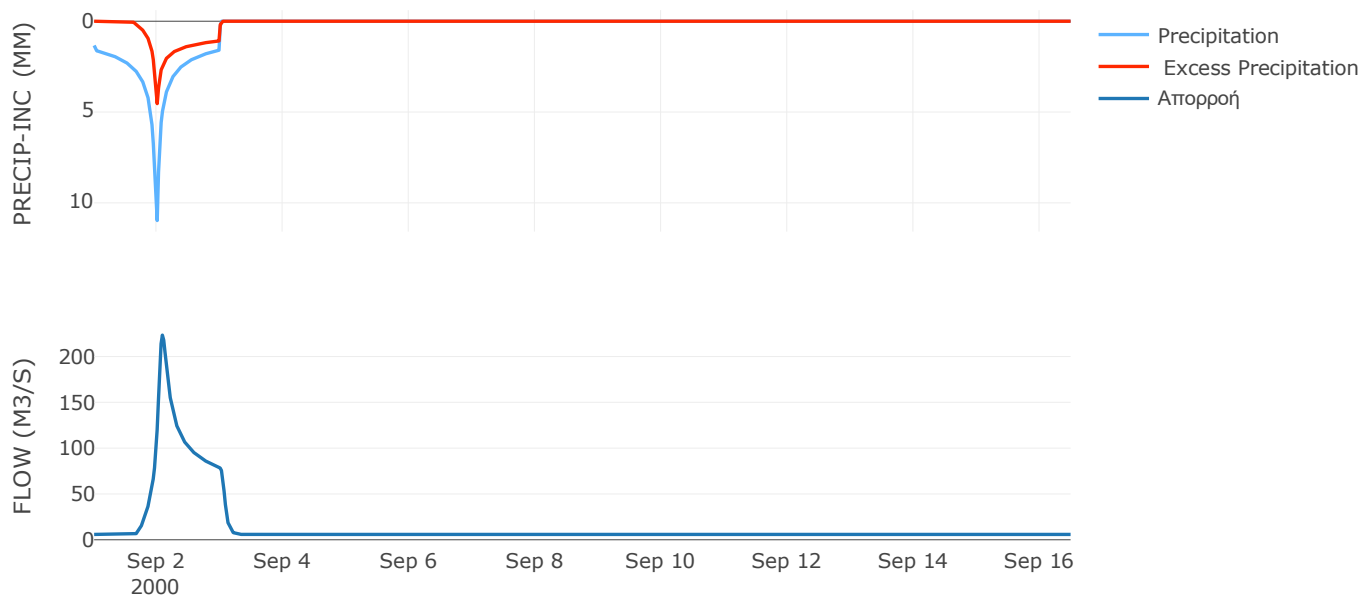
Μέθοδος
Μετασχηματισμού: SCS

Χρόνος Υστέρησης	90.42
------------------	-------

Αποτελέσματα:
EL0415FR6066

Παροχή αιχμής (M3/S)	223.34
Χρονική στιγμή αιχμής	02Sep2000, 02:00
Όγκος (MM)	162.78
Όγκος βροχόπτωσης (M3)	3.23E7
Όγκος απωλειών (M3)	2.11E7
Ενεργός Όγκος (M3)	1.12E7
Όγκος άμεσης απορροής (M3)	1.12E7
Όγκος βασικής απορροής (M3)	7.82E6

Βροχόπτωση και Απορροή



Υπολεκάνη: EL0415FR6063

Έκταση (KM2) : 99.42

Κατάντη : J48

Μέθοδος Απωλειών: SCS

Ποσοστό αδιαπέρατης επιφάνειας	0
Αριθμός Καμπύλης Απορροής-CN	42.28
Αρχικές Απώλειες	69.36

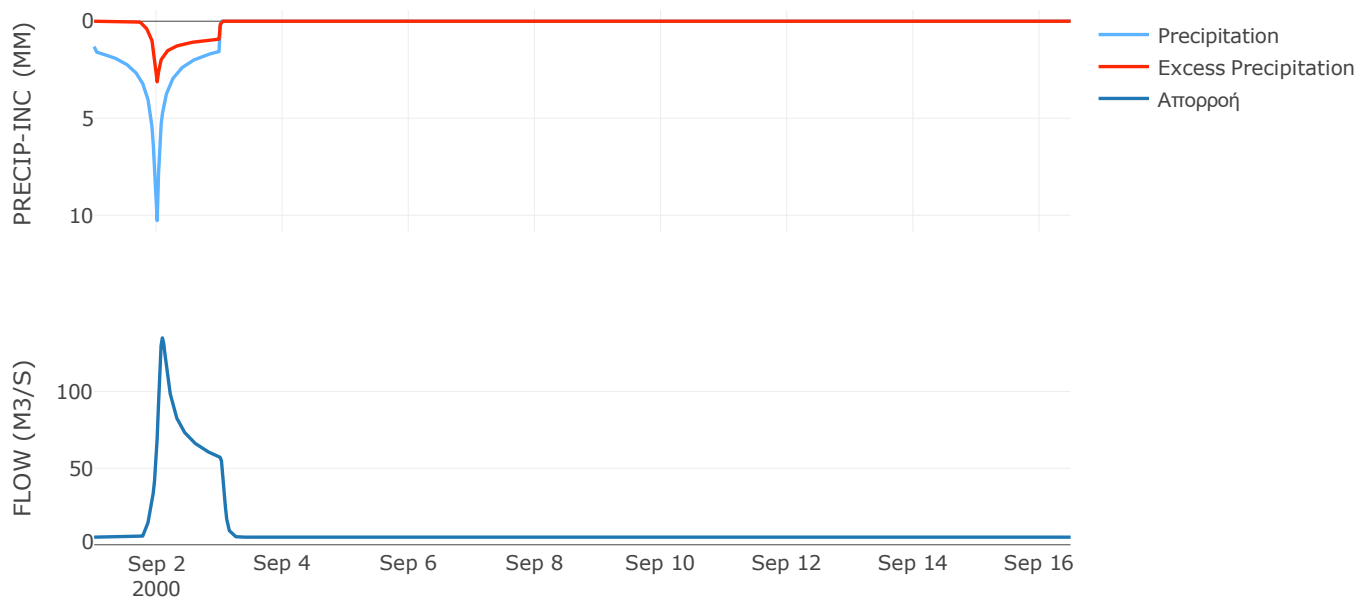
Μέθοδος
Μετασχηματισμού: SCS

Χρόνος Υστέρησης	81.6
------------------	------

Αποτελέσματα:
EL0415FR6063

Παροχή αιχμής (M3/S)	135.1
Χρονική στιγμή αιχμής	02Sep2000, 02:00
Όγκος (MM)	138.42
Όγκος βροχόπτωσης (M3)	2.65E7
Όγκος απωλειών (M3)	1.94E7
Ενεργός Όγκος (M3)	7.1E6
Όγκος άμεσης απορροής (M3)	7.1E6
Όγκος βασικής απορροής (M3)	6.66E6

Βροχόπτωση και Απορροή



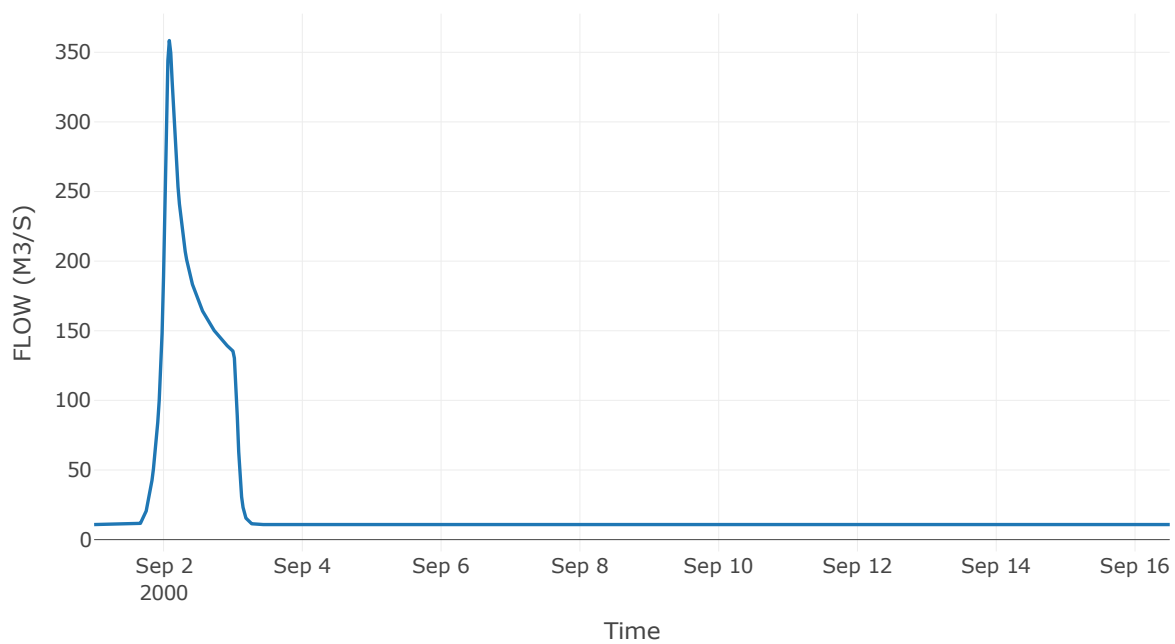
Κόμβος: J48

Κατάντη : R4847

Αποτελέσματα: J48

Παροχή Αιχμής (M3/S)	358.43
Χρονική στιγμή αιχμής	02Sep2000, 02:00
Όγκος(MM)	151.58

Απορροή



Κλάδος: R4847

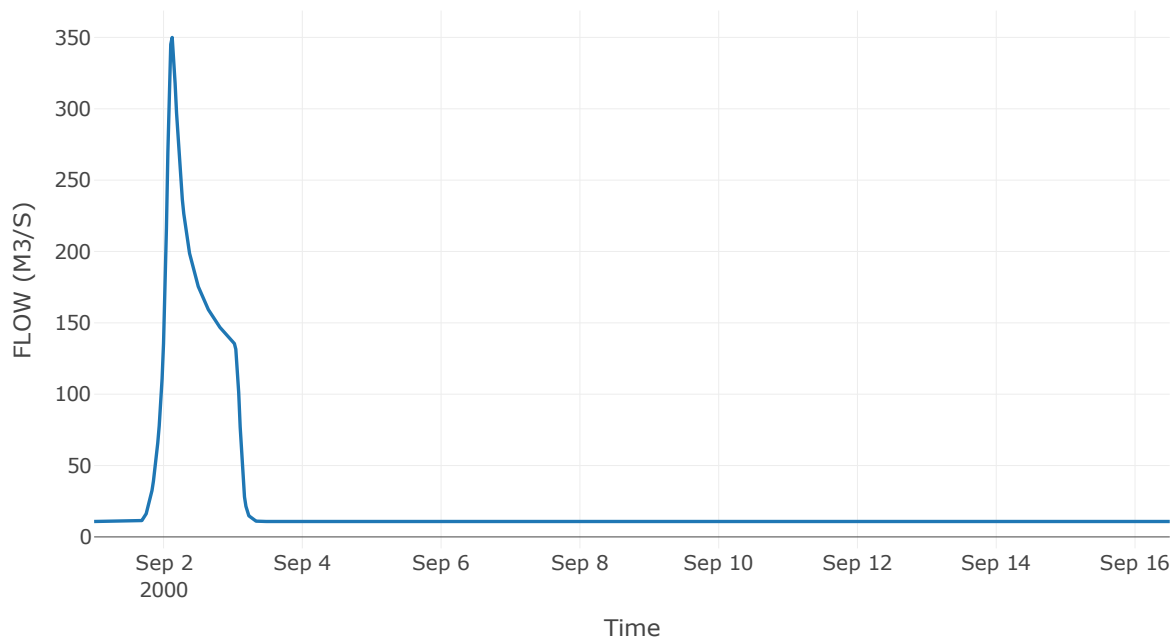
Κατάντη : J47

Μέθοδος Διόδευσης	Muskingum
Αρχική Μεταβλητή	Combined Inflow
Muskingum K	0.76
Συντελεστής βάρους x	0.2
Muskingum Steps	2

Αποτελέσματα: R4847

Παροχή Αιχμής (M3/S)	349.98
Χρονική στιγμή αιχμής	02Sep2000, 03:00
Όγκος(MM)	151.58
Παροχή Αιχμής Εισόδου (M3/S)	358.43
Όγκος Εισροής(M3)	3.28E7

Απορροή



Υπολεκάνη: EL0415FR6064

Έκταση (KM2) : 51.48

Κατάντη : J47

Μέθοδος Απωλειών: SCS

Ποσοστό αδιαπέρατης επιφάνειας	0
Αριθμός Καμπύλης Απορροής-CN	39.63
Αρχικές Απώλειες	77.4

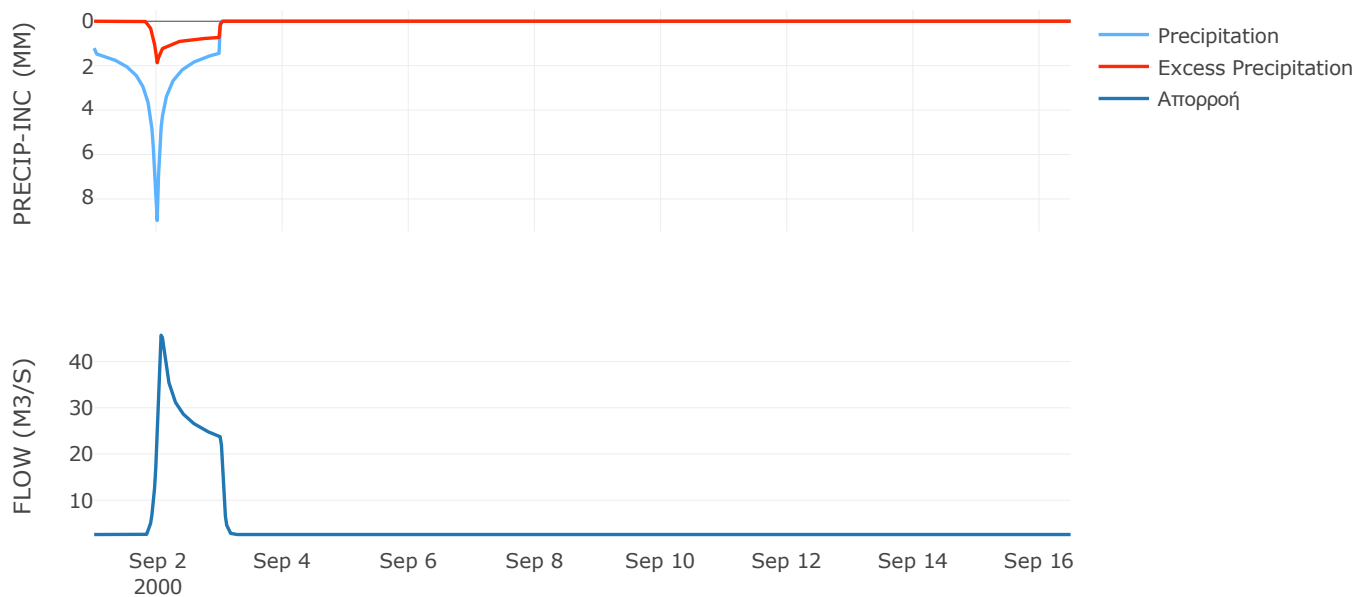
Μέθοδος
Μετασχηματισμού: SCS

Χρόνος Υστέρησης	58.01
------------------	-------

Αποτελέσματα:
EL0415FR6064

Παροχή αιχμής (M3/S)	45.72
Χρονική στιγμή αιχμής	02Sep2000, 01:30
Όγκος (MM)	116.09
Όγκος βροχόπτωσης (M3)	1.25E7
Όγκος απωλειών (M3)	9.93E6
Ενεργός Όγκος (M3)	2.53E6
Όγκος άμεσης απορροής (M3)	2.53E6
Όγκος βασικής απορροής (M3)	3.45E6

Βροχόπτωση και Απορροή



Υπολεκάνη: EL0415FR6065

Έκταση (KM2) : 12.04

Κατάντη : J47

Μέθοδος Απωλειών: SCS

Ποσοστό αδιαπέρατης επιφάνειας	0
Αριθμός Καμπύλης Απορροής-CN	42
Αρχικές Απώλειες	70.15

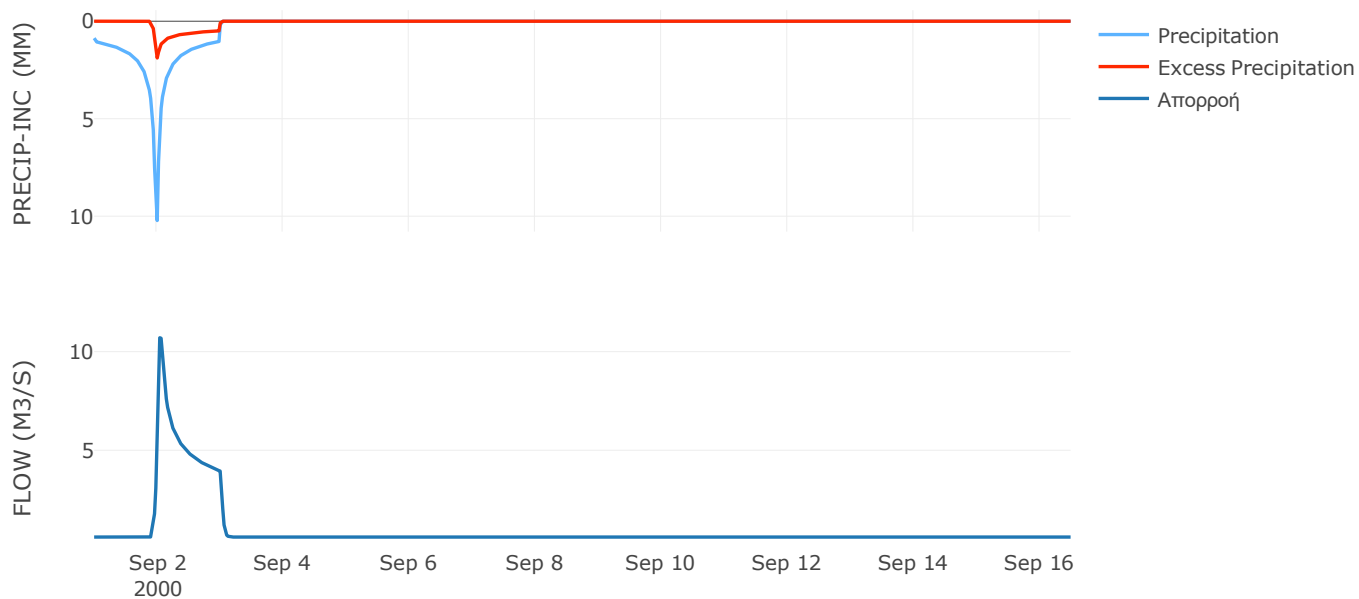
Μέθοδος
Μετασχηματισμού: SCS

Χρόνος Υστέρησης	40.1
------------------	------

Αποτελέσματα:
EL0415FR6065

Παροχή αιχμής (M3/S)	10.7
Χρονική στιγμή αιχμής	02Sep2000, 01:00
Όγκος (MM)	104.4
Όγκος βροχόπτωσης (M3)	2.47E6
Όγκος απωλειών (M3)	2.02E6
Ενεργός Όγκος (M3)	4.51E5
Όγκος άμεσης απορροής (M3)	4.51E5
Όγκος βασικής απορροής (M3)	8.06E5

Βροχόπτωση και Απορροή



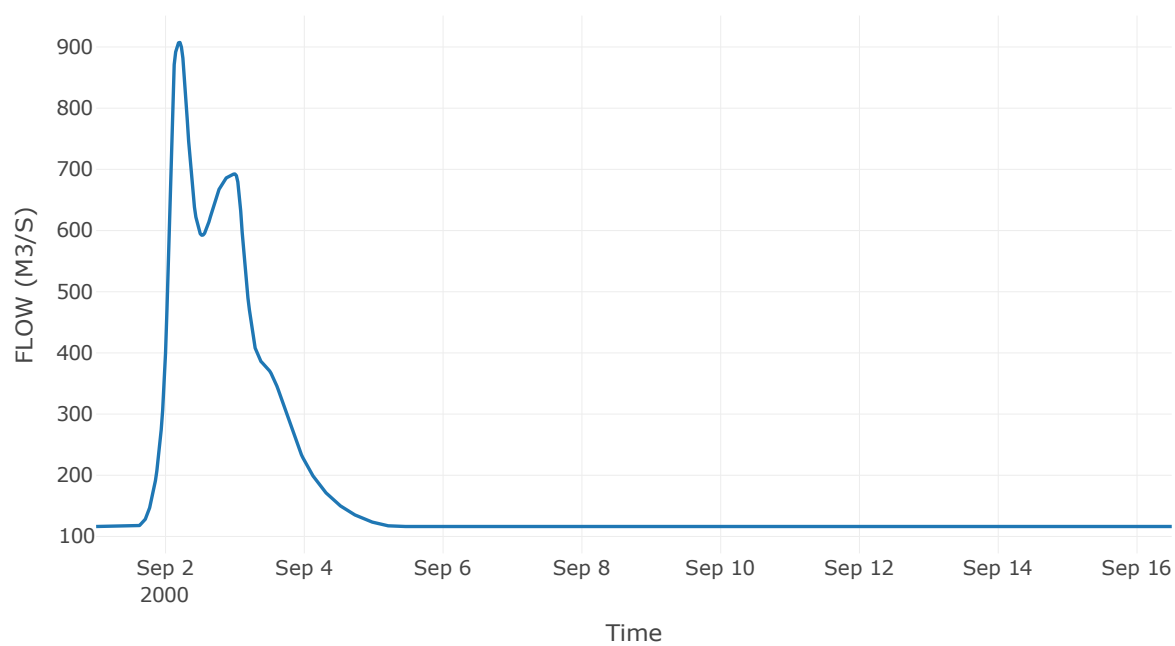
Κόμβος: J47

Κατάντη : R4746

Αποτελέσματα: J47

Παροχή Αιχμής (M3/S)	907.37
Χρονική στιγμή αιχμής	02Sep2000, 05:00
Όγκος(MM)	203.33

Απορροή



Κλάδος: R4746

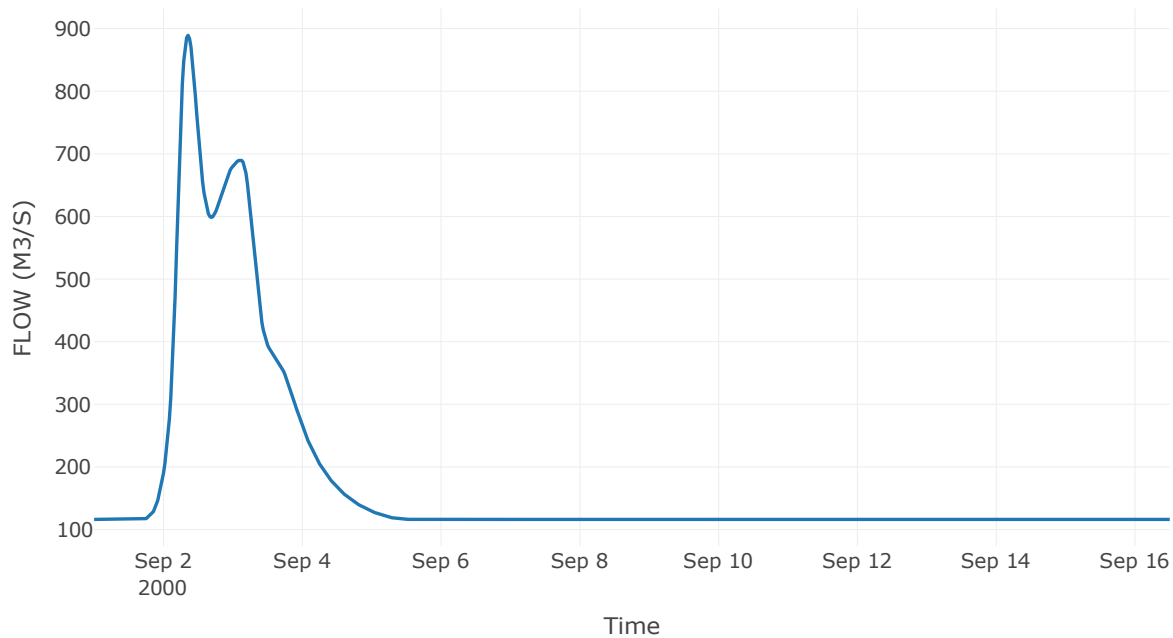
Κατάντη : J46

Μέθοδος Διόδευσης	Muskingum
Αρχική Μεταβλητή	Combined Inflow
Muskingum K	3.71
Συντελεστής βάρους x	0.2
Muskingum Steps	7

Αποτελέσματα: R4746

Παροχή Αιχμής (M3/S)	889.14
Χρονική στιγμή αιχμής	02Sep2000, 08:30
Όγκος(MM)	203.33
Παροχή Αιχμής Εισόδου (M3/S)	907.37
Όγκος Εισροής(M3)	2.36E8

Απορροή



Υπολεκάνη: EL0415FR6084

Έκταση (KM2) : 167.7

Κατάντη : J46

Μέθοδος Απωλειών: SCS

Ποσοστό αδιαπέρατης επιφάνειας	0
Αριθμός Καμπύλης Απορροής-CN	56.62
Αρχικές Απώλειες	38.92

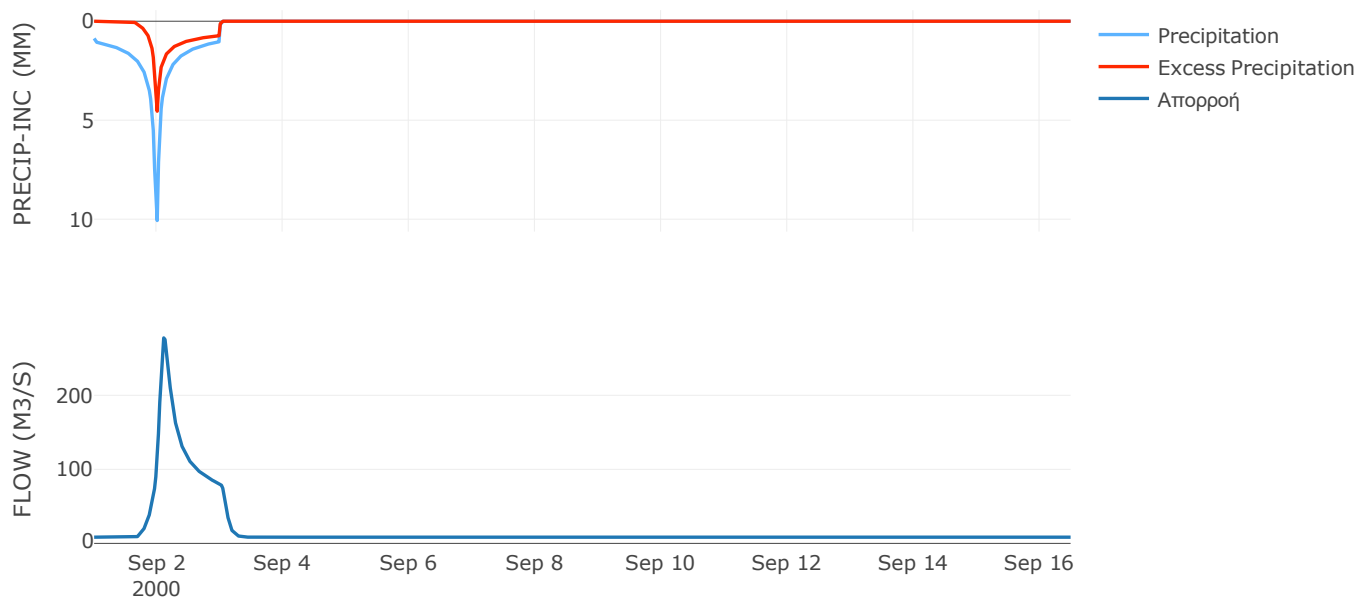
Μέθοδος
Μετασχηματισμού: SCS

Χρόνος Υστέρησης	125.36
------------------	--------

Αποτελέσματα:
EL0415FR6084

Παροχή αιχμής (M3/S)	277.57
Χρονική στιγμή αιχμής	02Sep2000, 02:30
Όγκος (MM)	142.63
Όγκος βροχόπτωσης (M3)	3.42E7
Όγκος απωλειών (M3)	2.15E7
Ενεργός Όγκος (M3)	1.27E7
Όγκος άμεσης απορροής (M3)	1.27E7
Όγκος βασικής απορροής (M3)	1.12E7

Βροχόπτωση και Απορροή



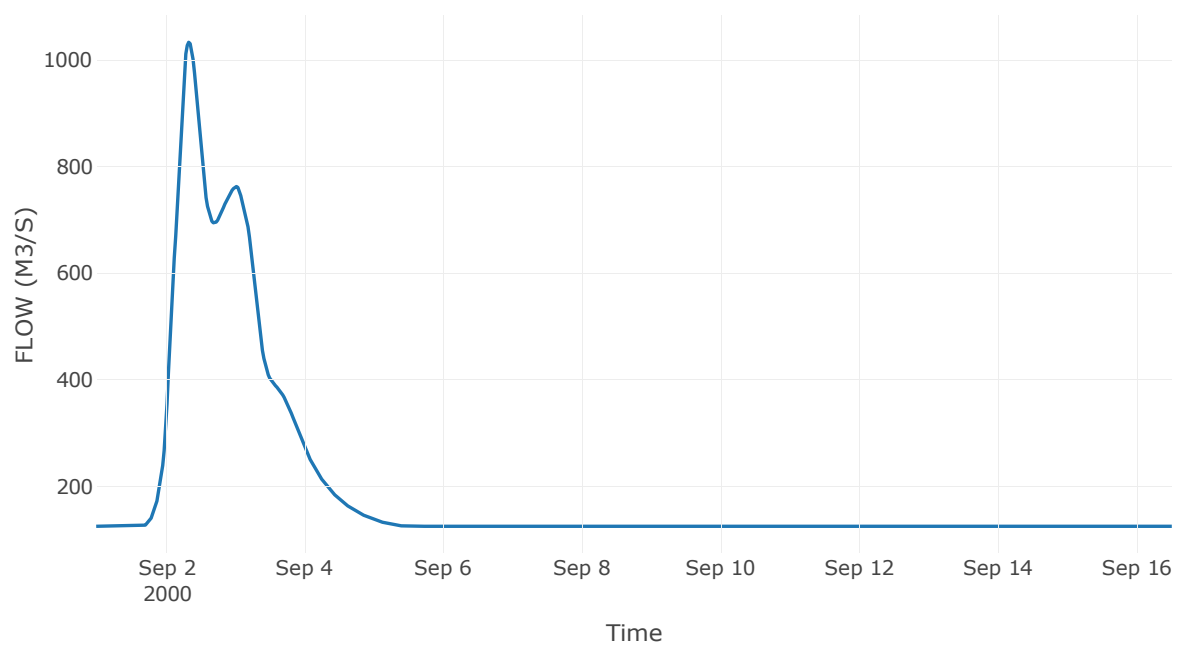
Κόμβος: J46

Κατάντη : R4645

Αποτελέσματα: J46

Παροχή Αιχμής (M3/S)	1033.13
Χρονική στιγμή αιχμής	02Sep2000, 08:00
Όγκος(MM)	195.65

Απορροή



Κλάδος: R4645

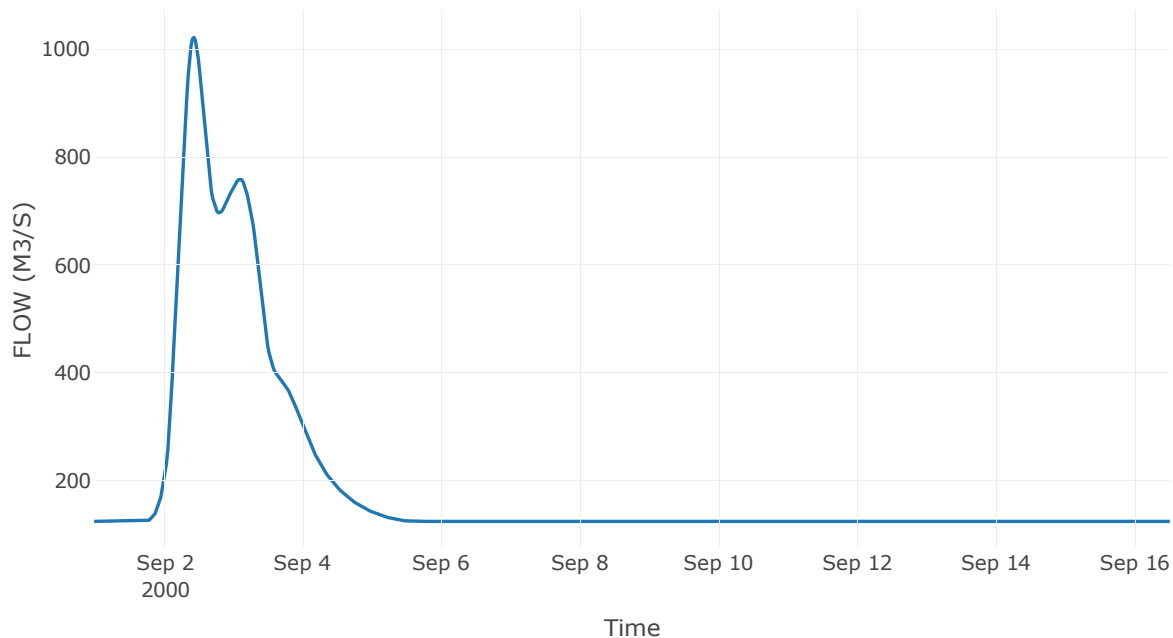
Κατάντη : J45

Μέθοδος Διόδευσης	Muskingum
Αρχική Μεταβλητή	Combined Inflow
Muskingum K	2.27
Συντελεστής βάρους x	0.2
Muskingum Steps	5

Αποτελέσματα: R4645

Παροχή Αιχμής (M3/S)	1022.12
Χρονική στιγμή αιχμής	02Sep2000, 10:30
Όγκος(MM)	195.65
Παροχή Αιχμής Εισόδου (M3/S)	1033.13
Όγκος Εισροής(M3)	2.59E8

Απορροή



Υπολεκάνη: EL0415FR6068

Έκταση (KM2) : 101.27

Κατάντη : J45

Μέθοδος Απωλειών: SCS

Ποσοστό αδιαπέρατης επιφάνειας	0
Αριθμός Καμπύλης Απορροής-CN	59.47
Αρχικές Απώλειες	34.63

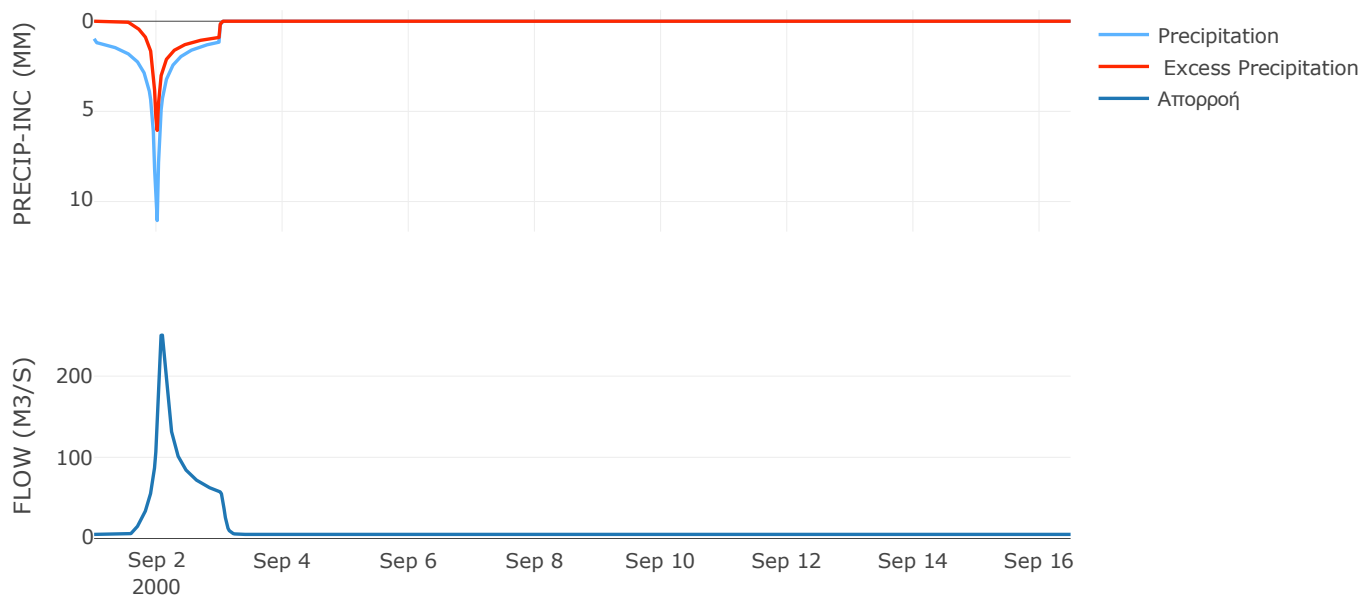
Μέθοδος
Μετασχηματισμού: SCS

Χρόνος Υστέρησης	83.52
------------------	-------

Αποτελέσματα:
EL0415FR6068

Παροχή αιχμής (M3/S)	250.62
Χρονική στιγμή αιχμής	02Sep2000, 02:00
Όγκος (MM)	167.86
Όγκος βροχόπτωσης (M3)	2.29E7
Όγκος απωλειών (M3)	1.27E7
Ενεργός Όγκος (M3)	1.02E7
Όγκος άμεσης απορροής (M3)	1.02E7
Όγκος βασικής απορροής (M3)	6.78E6

Βροχόπτωση και Απορροή



Υπολεκάνη: EL0415FR6036

Έκταση (KM2) : 47.25

Κατάντη : J45

Μέθοδος Απωλειών: SCS

Ποσοστό αδιαπέρατης επιφάνειας	0
Αριθμός Καμπύλης Απορροής-CN	44.92
Αρχικές Απώλειες	62.29

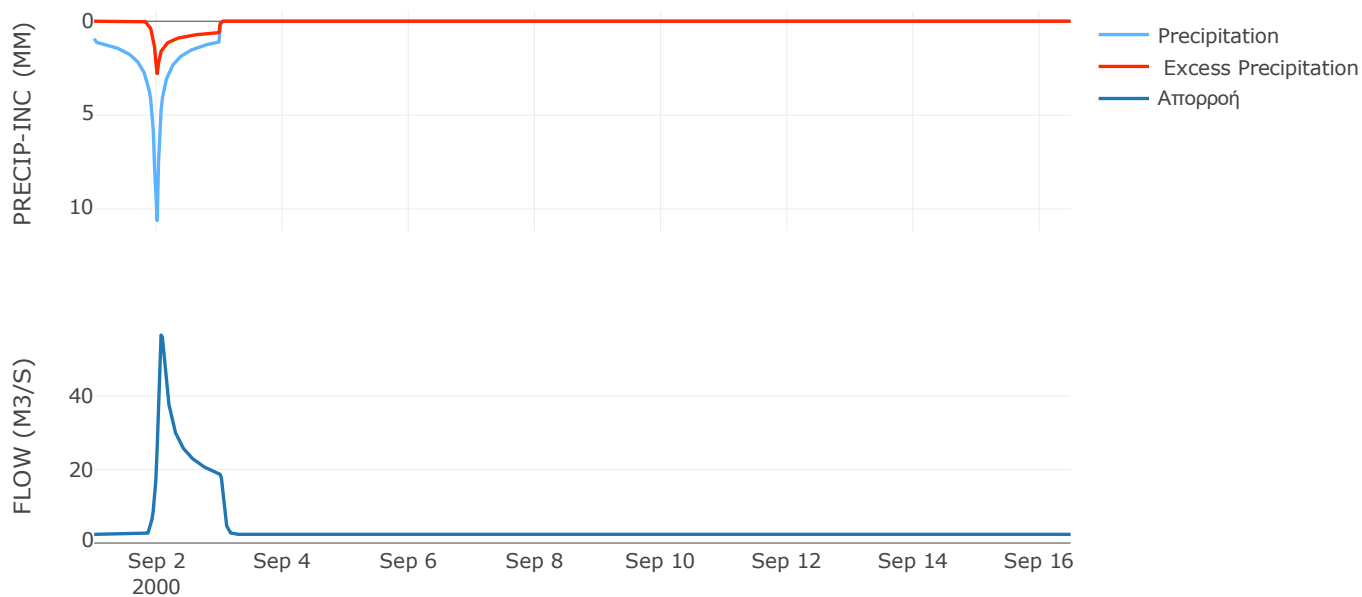
Μέθοδος
Μετασχηματισμού: SCS

Χρόνος Υστέρησης	66.9
------------------	------

Αποτελέσματα:
EL0415FR6036

Παροχή αιχμής (M3/S)	56.55
Χρονική στιγμή αιχμής	02Sep2000, 01:30
Όγκος (MM)	117.84
Όγκος βροχόπτωσης (M3)	1.02E7
Όγκος απωλειών (M3)	7.81E6
Ενεργός Όγκος (M3)	2.4E6
Όγκος άμεσης απορροής (M3)	2.4E6
Όγκος βασικής απορροής (M3)	3.16E6

Βροχόπτωση και Απορροή



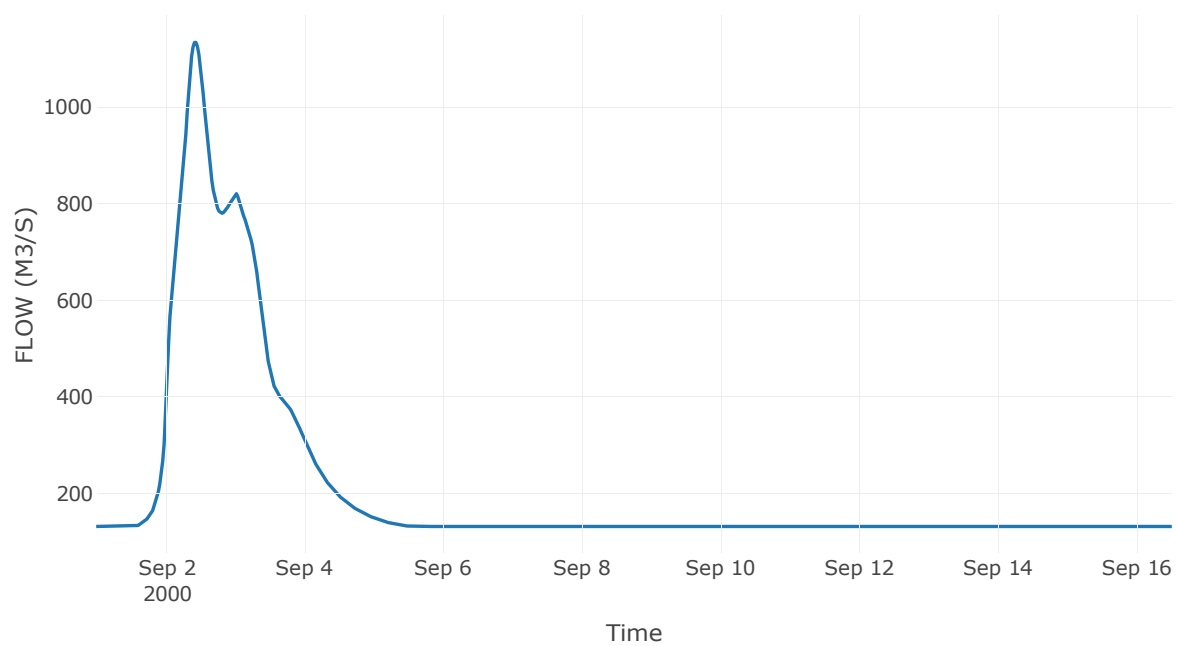
Κόμβος: J45

Κατάντη : R4523

Αποτελέσματα: J45

Παροχή Αιχμής (M3/S)	1133.86
Χρονική στιγμή αιχμής	02Sep2000, 10:30
Όγκος(MM)	191.25

Απορροή



Κλάδος: R4523

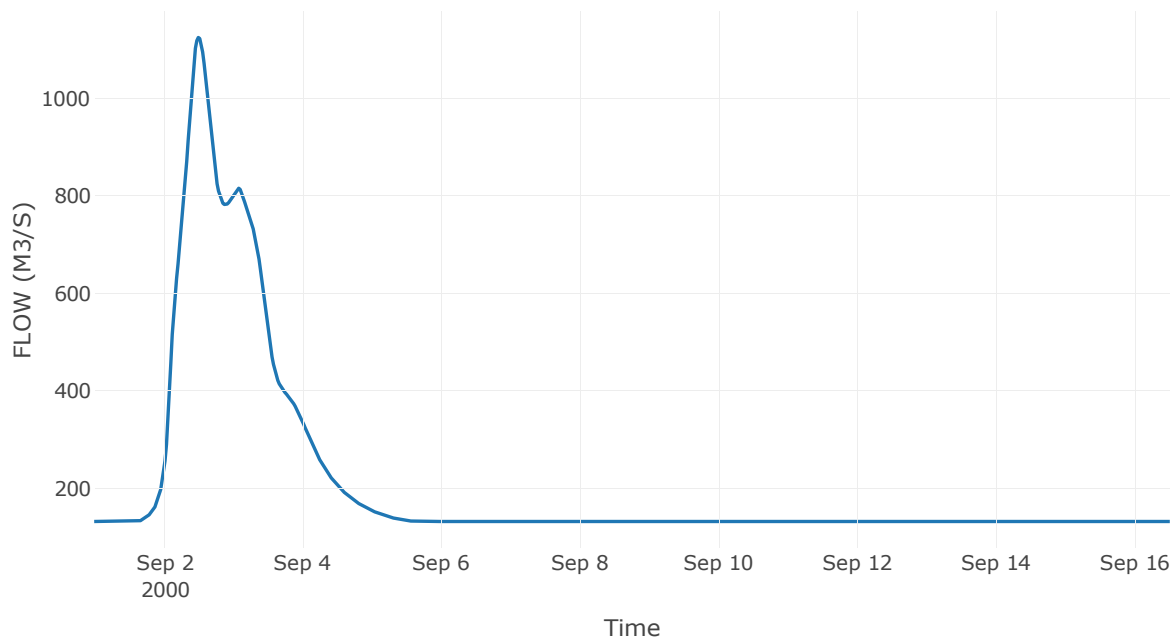
Κατάντη : J23

Μέθοδος Διόδευσης	Muskingum
Αρχική Μεταβλητή	Combined Inflow
Muskingum K	1.82
Συντελεστής βάρους x	0.2
Muskingum Steps	4

Αποτελέσματα: R4523

Παροχή Αιχμής (M3/S)	1125.85
Χρονική στιγμή αιχμής	02Sep2000, 12:00
Όγκος(MM)	191.25
Παροχή Αιχμής Εισόδου (M3/S)	1133.86
Όγκος Εισροής(M3)	2.82E8

Απορροή



Υπολεκάνη: EL0415FR6046

Έκταση (KM2) : 33.73

Κατάντη : J23

Μέθοδος Απωλειών: SCS

Ποσοστό αδιαπέρατης επιφάνειας	0
Αριθμός Καμπύλης Απορροής-CN	33.44
Αρχικές Απώλειες	101.11

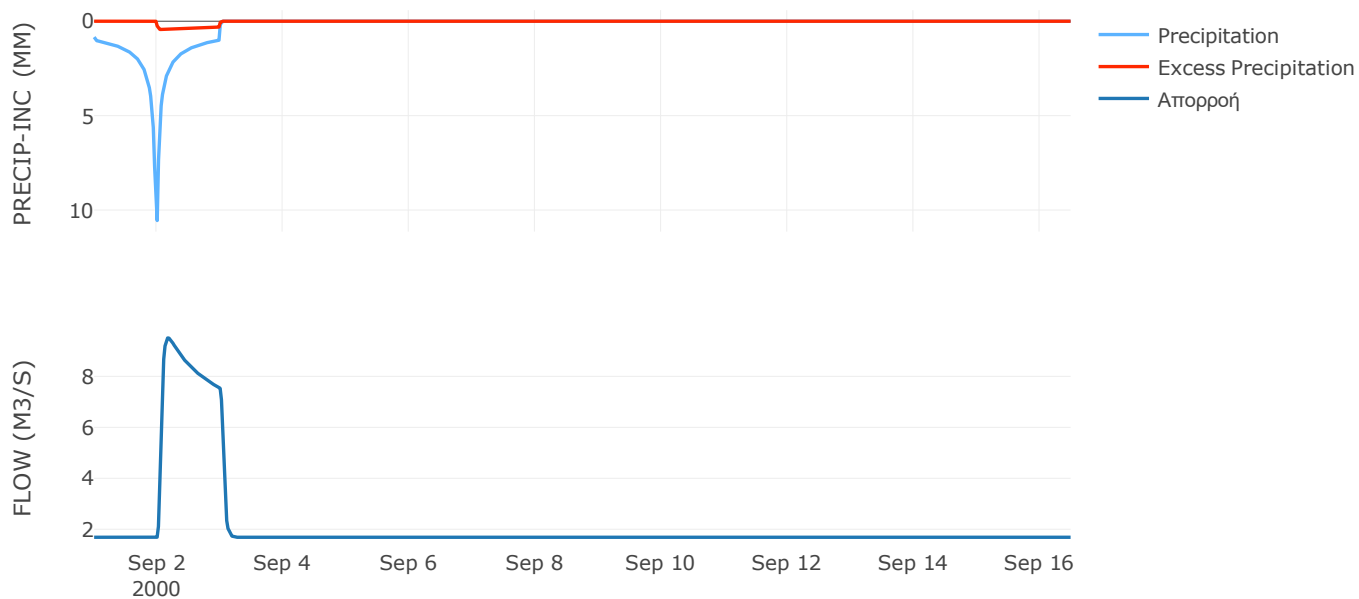
Μέθοδος
Μετασχηματισμού: SCS

Χρόνος Υστέρησης	61.39
------------------	-------

Αποτελέσματα:
EL0415FR6046

Παροχή αιχμής (M3/S)	9.51
Χρονική στιγμή αιχμής	02Sep2000, 04:00
Όγκος (MM)	84.2
Όγκος βροχόπτωσης (M3)	6.86E6
Όγκος απωλειών (M3)	6.28E6
Ενεργός Όγκος (M3)	5.82E5
Όγκος άμεσης απορροής (M3)	5.82E5
Όγκος βασικής απορροής (M3)	2.26E6

Βροχόπτωση και Απορροή



Υπολεκάνη: EL0415FR6039

Έκταση (KM2) : 6.93

Κατάντη : J23

Μέθοδος Απωλειών: SCS

Ποσοστό αδιαπέρατης επιφάνειας	0
Αριθμός Καμπύλης Απορροής-CN	60.78
Αρχικές Απώλειες	32.78

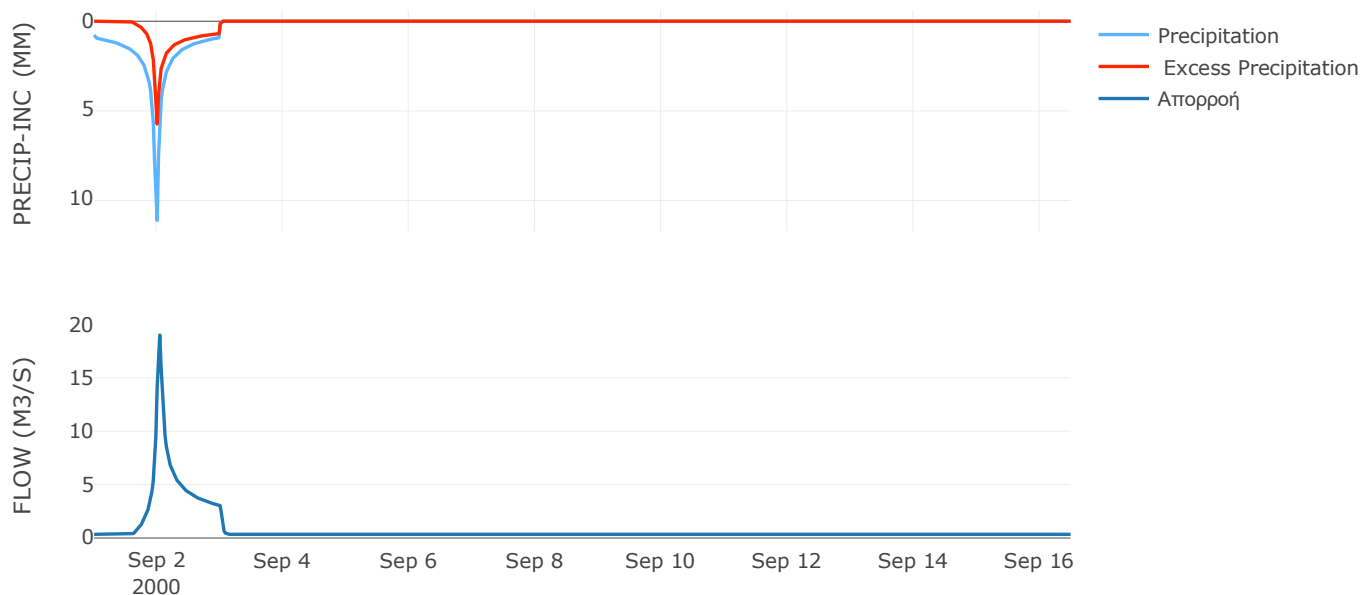
Μέθοδος
Μετασχηματισμού: SCS

Χρόνος Υστέρησης	32.83
------------------	-------

Αποτελέσματα:
EL0415FR6039

Παροχή αιχμής (M3/S)	19
Χρονική στιγμή αιχμής	02Sep2000, 01:00
Όγκος (MM)	149.14
Όγκος βροχόπτωσης (M3)	1.37E6
Όγκος απωλειών (M3)	7.96E5
Ενεργός Όγκος (M3)	5.69E5
Όγκος άμεσης απορροής (M3)	5.69E5
Όγκος βασικής απορροής (M3)	4.64E5

Βροχόπτωση και Απορροή



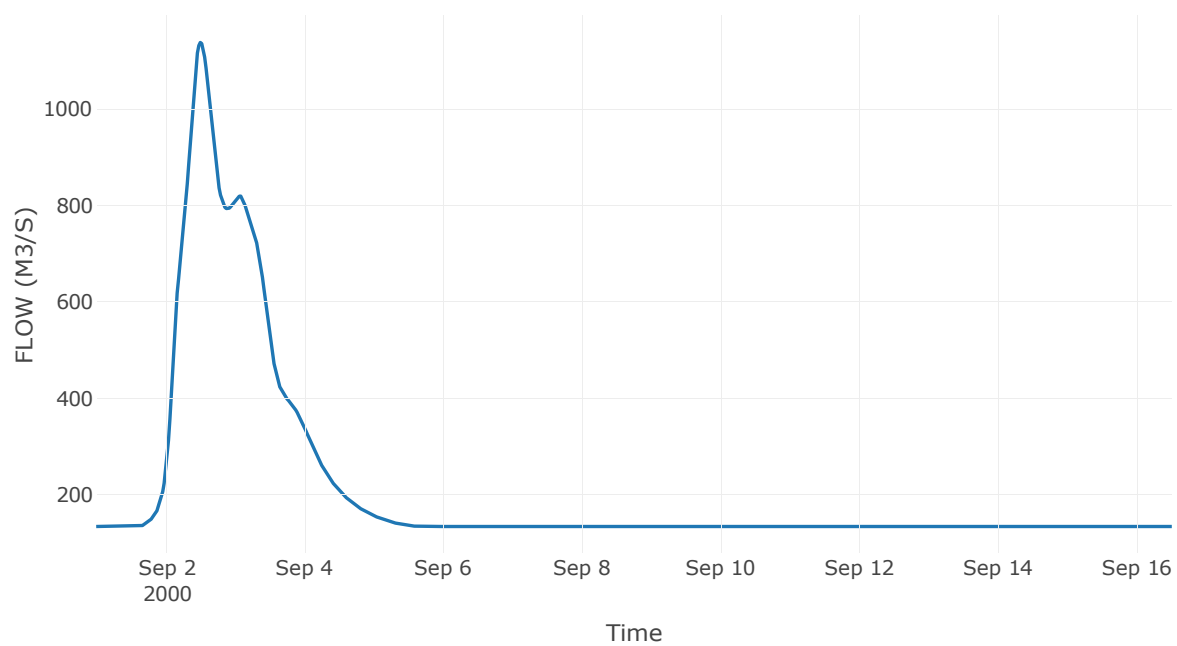
Κόμβος: J23

Κατάντη : R2324

Αποτελέσματα: J23

Παροχή Αιχμής (M3/S)	1138.56
Χρονική στιγμή αιχμής	02Sep2000, 12:00
Όγκος(MM)	188.67

Απορροή



Κλάδος: R2324

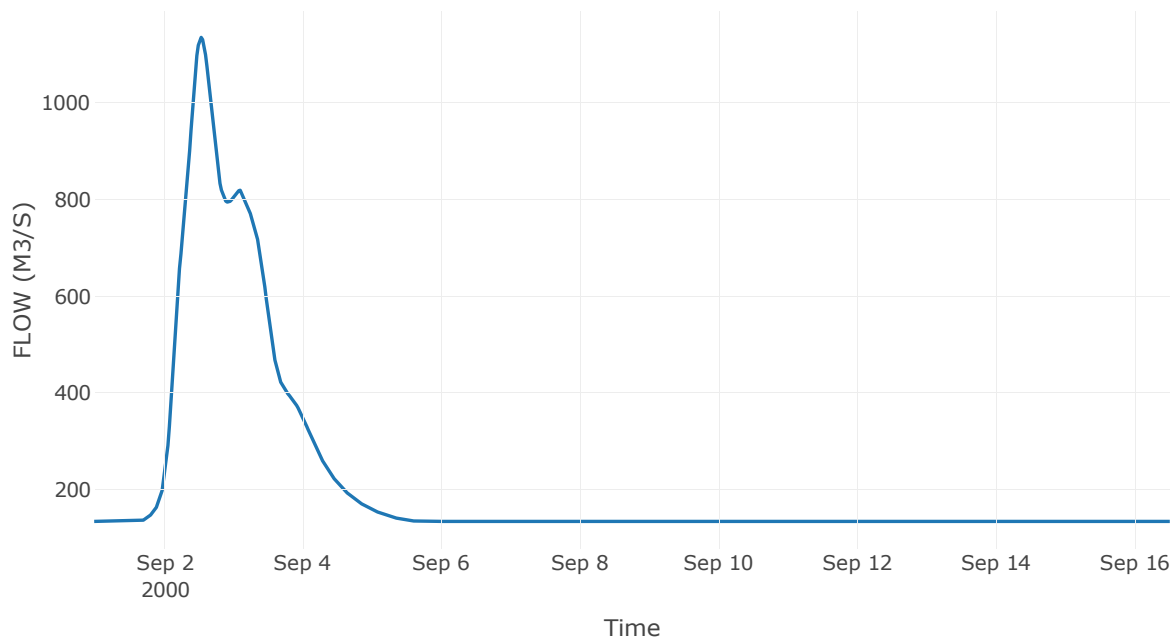
Κατάντη : J24

Μέθοδος Διόδευσης	Muskingum
Αρχική Μεταβλητή	Combined Inflow
Muskingum K	0.84
Συντελεστής βάρους x	0.2
Muskingum Steps	2

Αποτελέσματα: R2324

Παροχή Αιχμής (M3/S)	1135.11
Χρονική στιγμή αιχμής	02Sep2000, 13:00
Όγκος(MM)	188.67
Παροχή Αιχμής Εισόδου (M3/S)	1138.56
Όγκος Εισροής(M3)	2.86E8

Απορροή



Υπολεκάνη: EL0415FR6045

Έκταση (KM2) : 39.32

Κατάντη : J24

Μέθοδος Απωλειών: SCS

Ποσοστό αδιαπέρατης επιφάνειας	0
Αριθμός Καμπύλης Απορροής-CN	63.08
Αρχικές Απώλειες	29.73

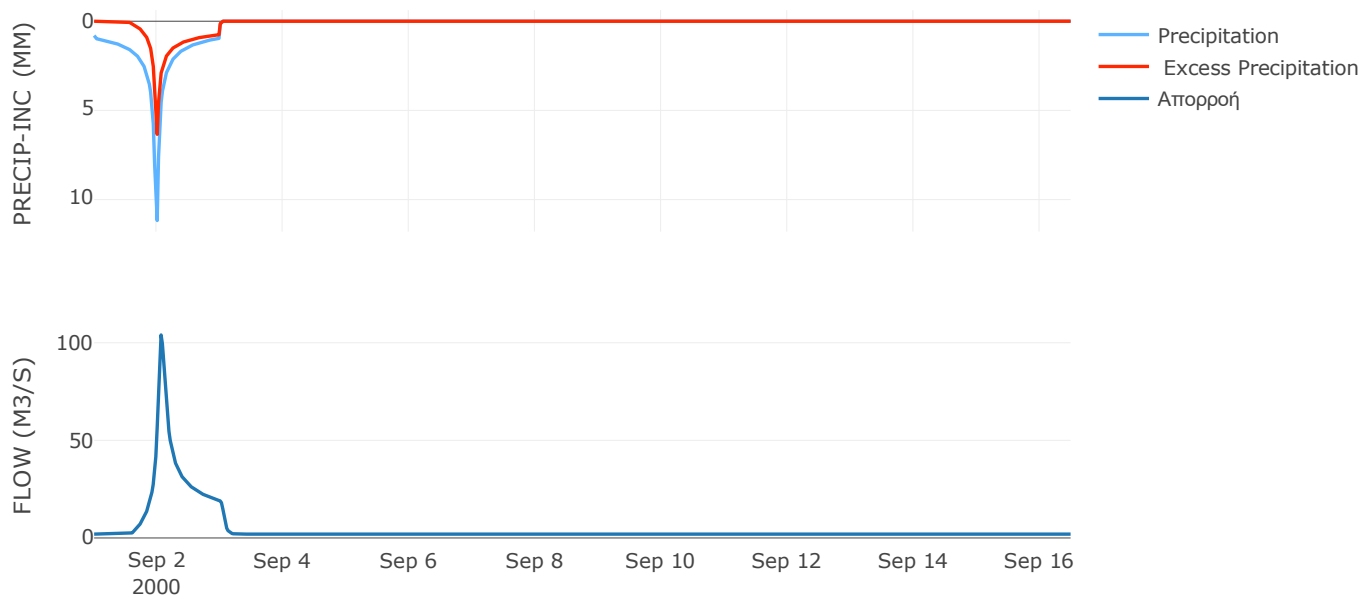
Μέθοδος
Μετασχηματισμού: SCS

Χρόνος Υστέρησης	74.46
------------------	-------

Αποτελέσματα:
EL0415FR6045

Παροχή αιχμής (M3/S)	104.01
Χρονική στιγμή αιχμής	02Sep2000, 01:30
Όγκος (MM)	159.76
Όγκος βροχόπτωσης (M3)	7.96E6
Όγκος απωλειών (M3)	4.31E6
Ενεργός Όγκος (M3)	3.65E6
Όγκος άμεσης απορροής (M3)	3.65E6
Όγκος βασικής απορροής (M3)	2.63E6

Βροχόπτωση και Απορροή



Υπολεκάνη: EL0415FR6092

Έκταση (KM2) : 11.03

Κατάντη : J24

Μέθοδος Απωλειών: SCS

Ποσοστό αδιαπέρατης επιφάνειας	5
Αριθμός Καμπύλης Απορροής-CN	48.21
Αρχικές Απώλειες	54.58

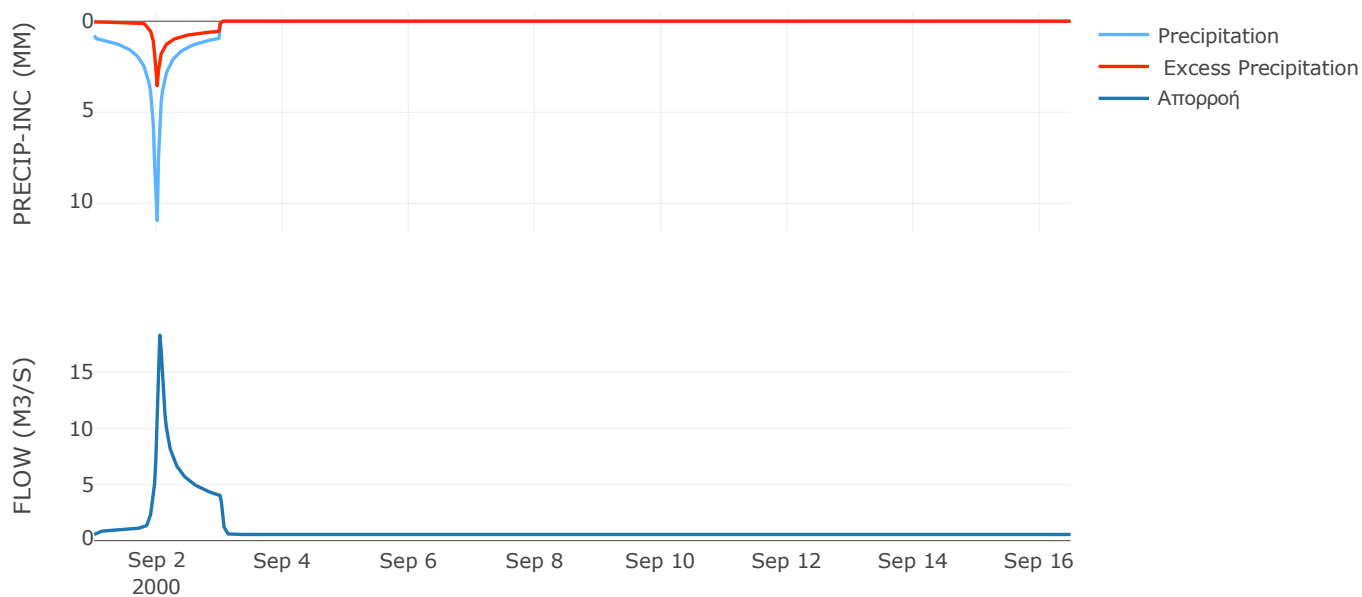
Μέθοδος
Μετασχηματισμού: SCS

Χρόνος Υστέρησης	41.17
------------------	-------

Αποτελέσματα:
EL0415FR6092

Παροχή αιχμής (M3/S)	18.29
Χρονική στιγμή αιχμής	02Sep2000, 01:00
Όγκος (MM)	124.12
Όγκος βροχόπτωσης (M3)	2.19E6
Όγκος απωλειών (M3)	1.56E6
Ενεργός Όγκος (M3)	6.3E5
Όγκος άμεσης απορροής (M3)	6.3E5
Όγκος βασικής απορροής (M3)	7.38E5

Βροχόπτωση και Απορροή



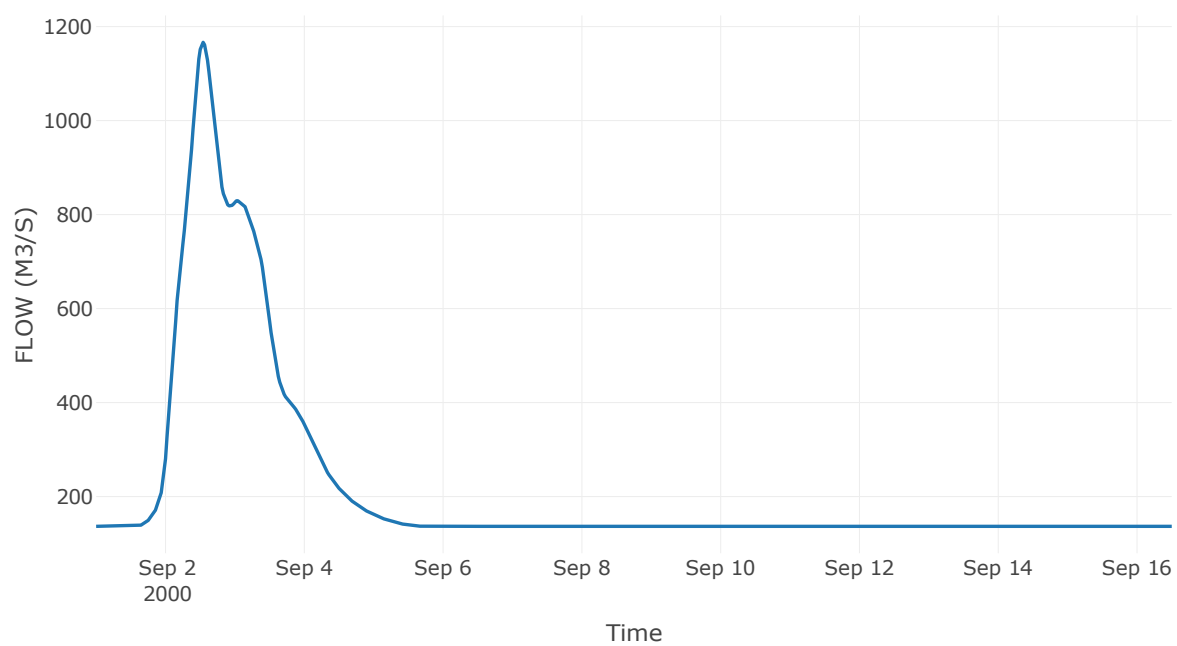
Κόμβος: J24

Κατάντη : R2425

Αποτελέσματα: J24

Παροχή Αιχμής (M3/S)	1166.48
Χρονική στιγμή αιχμής	02Sep2000, 13:00
Όγκος(MM)	187.49

Απορροή



Κλάδος: R2425

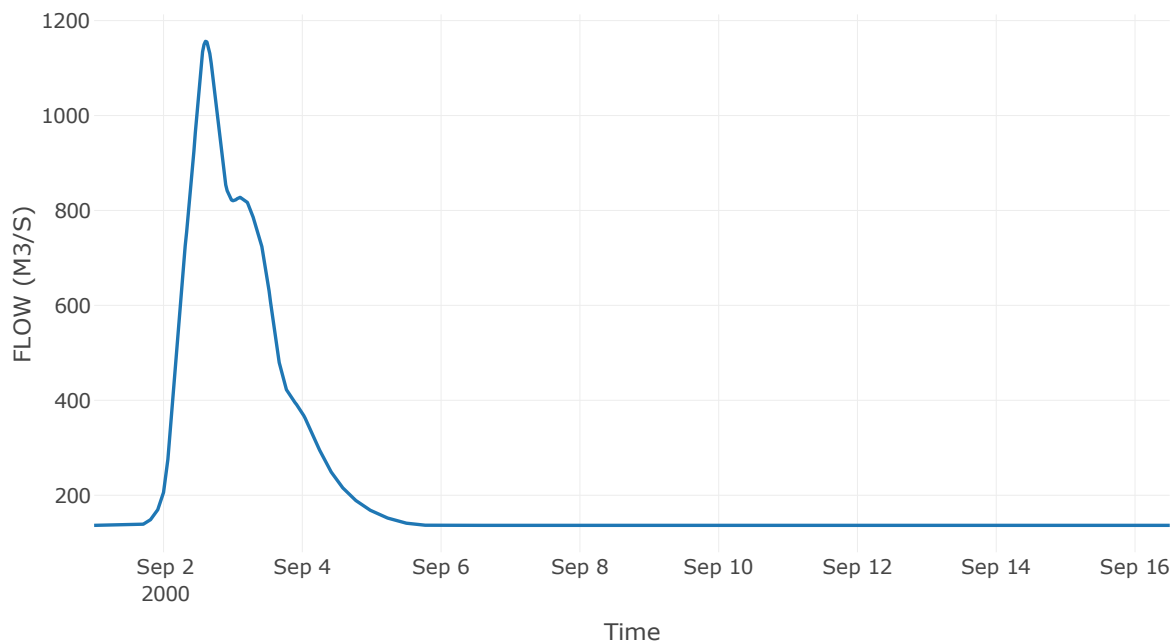
Κατάντη : J25

Μέθοδος Διόδευσης	Muskingum
Αρχική Μεταβλητή	Combined Inflow
Muskingum K	1.72
Συντελεστής βάρους x	0.2
Muskingum Steps	3

Αποτελέσματα: R2425

Παροχή Αιχμής (M3/S)	1156.27
Χρονική στιγμή αιχμής	02Sep2000, 14:30
Όγκος(MM)	187.49
Παροχή Αιχμής Εισόδου (M3/S)	1166.48
Όγκος Εισροής(M3)	2.94E8

Απορροή



Υπολεκάνη: EL0415FR6035

Έκταση (KM2) : 82.38

Κατάντη : J25

Μέθοδος Απωλειών: SCS

Ποσοστό αδιαπέρατης επιφάνειας	0
Αριθμός Καμπύλης Απορροής-CN	58.52
Αρχικές Απώλειες	36

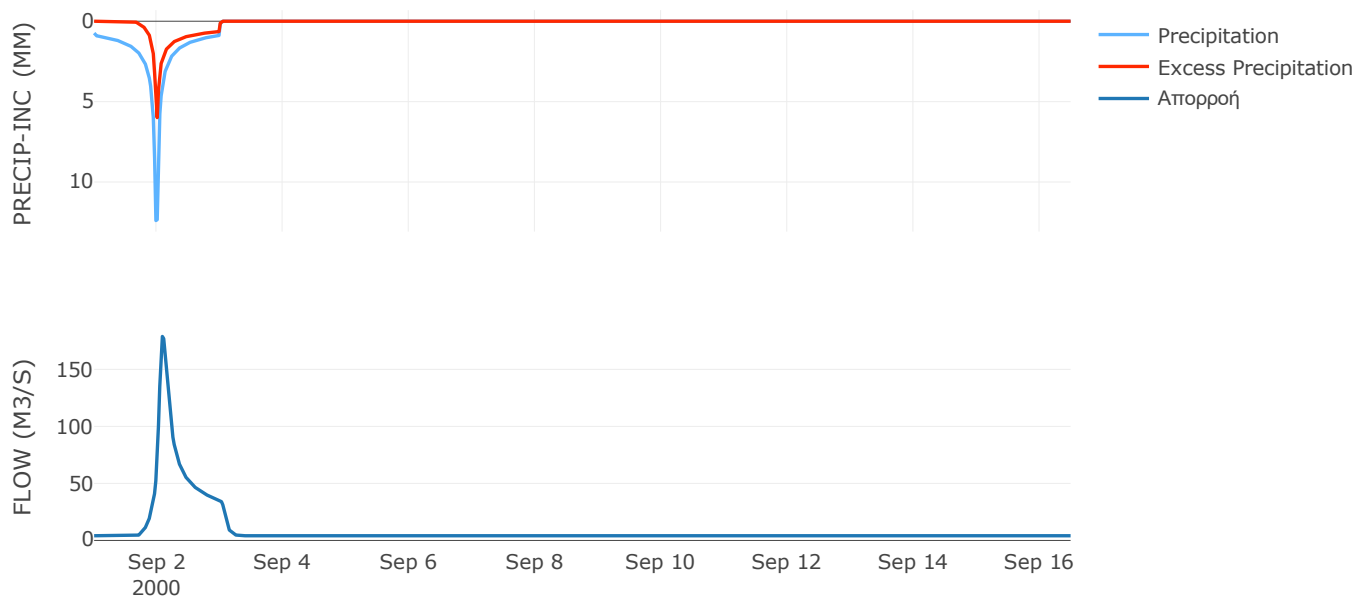
Μέθοδος
Μετασχηματισμού: SCS

Χρόνος Υστέρησης	104.23
------------------	--------

Αποτελέσματα:
EL0415FR6035

Παροχή αιχμής (M3/S)	178.89
Χρονική στιγμή αιχμής	02Sep2000, 02:00
Όγκος (MM)	145.64
Όγκος βροχόπτωσης (M3)	1.65E7
Όγκος απωλειών (M3)	1.01E7
Ενεργός Όγκος (M3)	6.48E6
Όγκος άμεσης απορροής (M3)	6.48E6
Όγκος βασικής απορροής (M3)	5.52E6

Βροχόπτωση και Απορροή



Υπολεκάνη: EL0415FR6093

Έκταση (KM2) : 14.35

Κατάντη : J25

Μέθοδος Απωλειών: SCS

Ποσοστό αδιαπέρατης επιφάνειας	6
Αριθμός Καμπύλης Απορροής-CN	31.38
Αρχικές Απώλειες	111.07

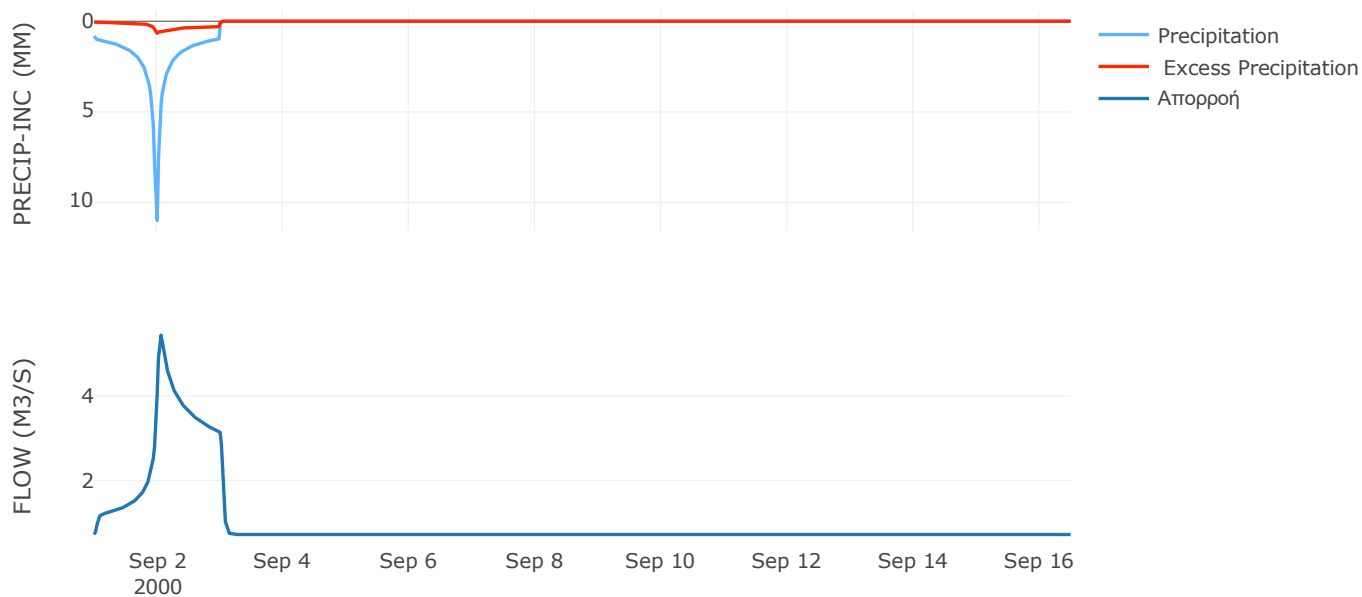
Μέθοδος
Μετασχηματισμού: SCS

Χρόνος Υστέρησης	48.88
------------------	-------

Αποτελέσματα:
EL0415FR6093

Παροχή αιχμής (M3/S)	5.44
Χρονική στιγμή αιχμής	02Sep2000, 01:30
Όγκος (MM)	91.49
Όγκος βροχόπτωσης (M3)	2.92E6
Όγκος απωλειών (M3)	2.57E6
Ενεργός Όγκος (M3)	3.52E5
Όγκος άμεσης απορροής (M3)	3.52E5
Όγκος βασικής απορροής (M3)	9.61E5

Βροχόπτωση και Απορροή



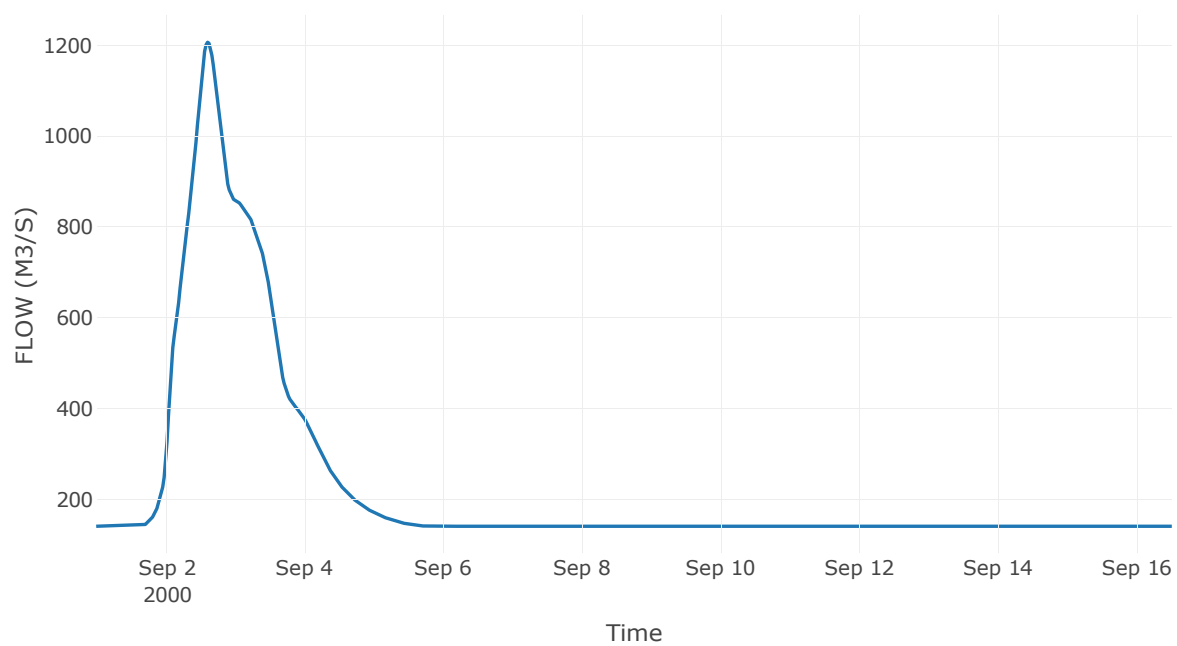
Κόμβος: J25

Κατάντη : R2522

Αποτελέσματα: J25

Παροχή Αιχμής (M3/S)	1206.26
Χρονική στιγμή αιχμής	02Sep2000, 14:30
Όγκος(MM)	184.59

Απορροή



Κλάδος: R2522

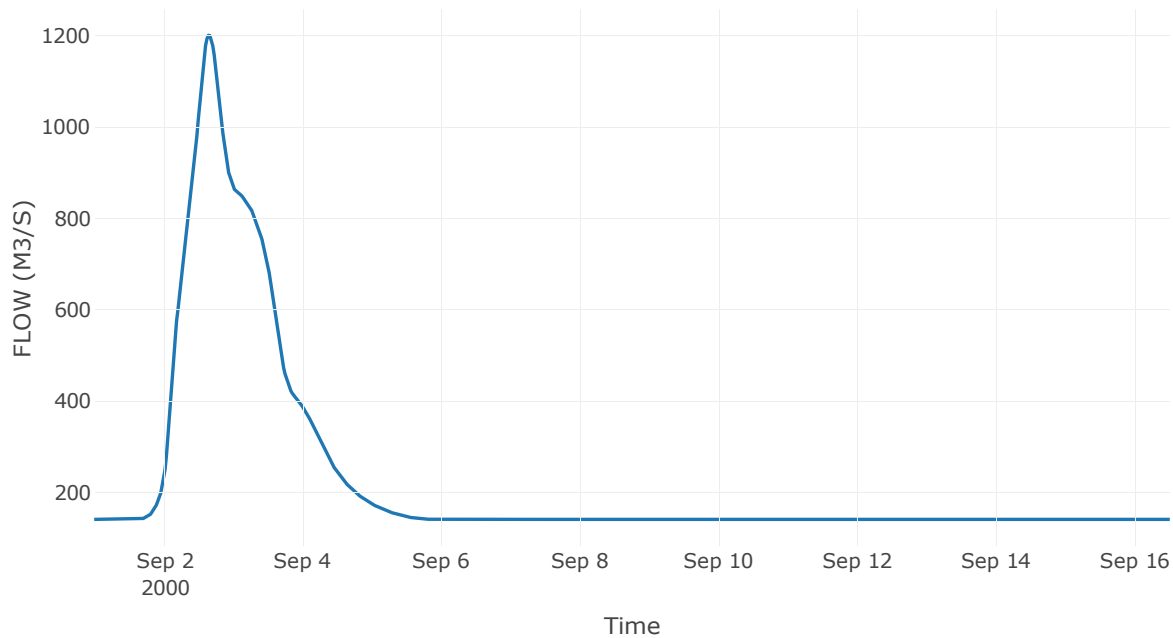
Κατάντη : J22

Μέθοδος Διόδευσης	Muskingum
Αρχική Μεταβλητή	Combined Inflow
Muskingum K	1.1
Συντελεστής βάρους x	0.2
Muskingum Steps	2

Αποτελέσματα: R2522

Παροχή Αιχμής (M3/S)	1199.94
Χρονική στιγμή αιχμής	02Sep2000, 15:30
Όγκος(MM)	184.59
Παροχή Αιχμής Εισόδου (M3/S)	1206.26
Όγκος Εισροής(M3)	3.07E8

Απορροή



Υπολεκάνη: EL0415FR6028

Έκταση (KM2) : 39.67

Κατάντη : J22

Μέθοδος Απωλειών: SCS

Ποσοστό αδιαπέρατης επιφάνειας	0
Αριθμός Καμπύλης Απορροής-CN	27.3
Αρχικές Απώλειες	135.28

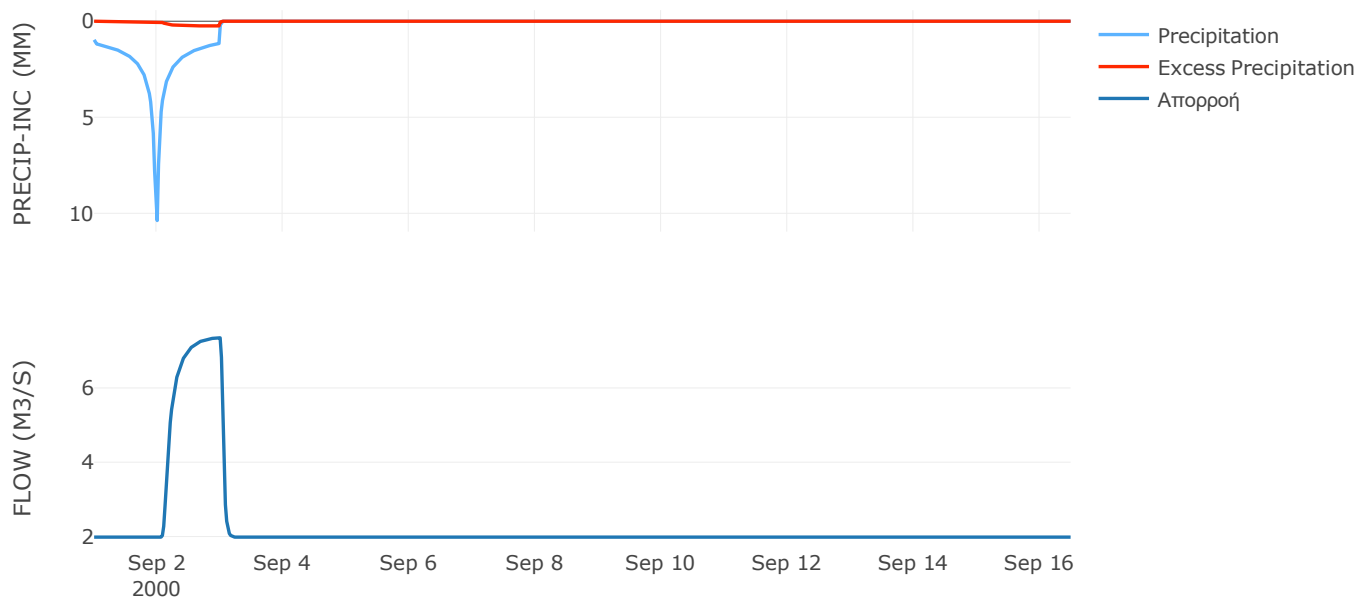
Μέθοδος
Μετασχηματισμού: SCS

Χρόνος Υστέρησης	54.17
------------------	-------

Αποτελέσματα:
EL0415FR6028

Παροχή αιχμής (M3/S)	7.35
Χρονική στιγμή αιχμής	02Sep2000, 24:00
Όγκος (MM)	76.56
Όγκος βροχόπτωσης (M3)	8.76E6
Όγκος απωλειών (M3)	8.38E6
Ενεργός Όγκος (M3)	3.81E5
Όγκος άμεσης απορροής (M3)	3.81E5
Όγκος βασικής απορροής (M3)	2.66E6

Βροχόπτωση και Απορροή



Υπολεκάνη: EL0415FR6094

Έκταση (KM2) : 17.58

Κατάντη : J22

Μέθοδος Απωλειών: SCS

Ποσοστό αδιαπέρατης επιφάνειας	8
Αριθμός Καμπύλης Απορροής-CN	30.54
Αρχικές Απώλειες	115.56

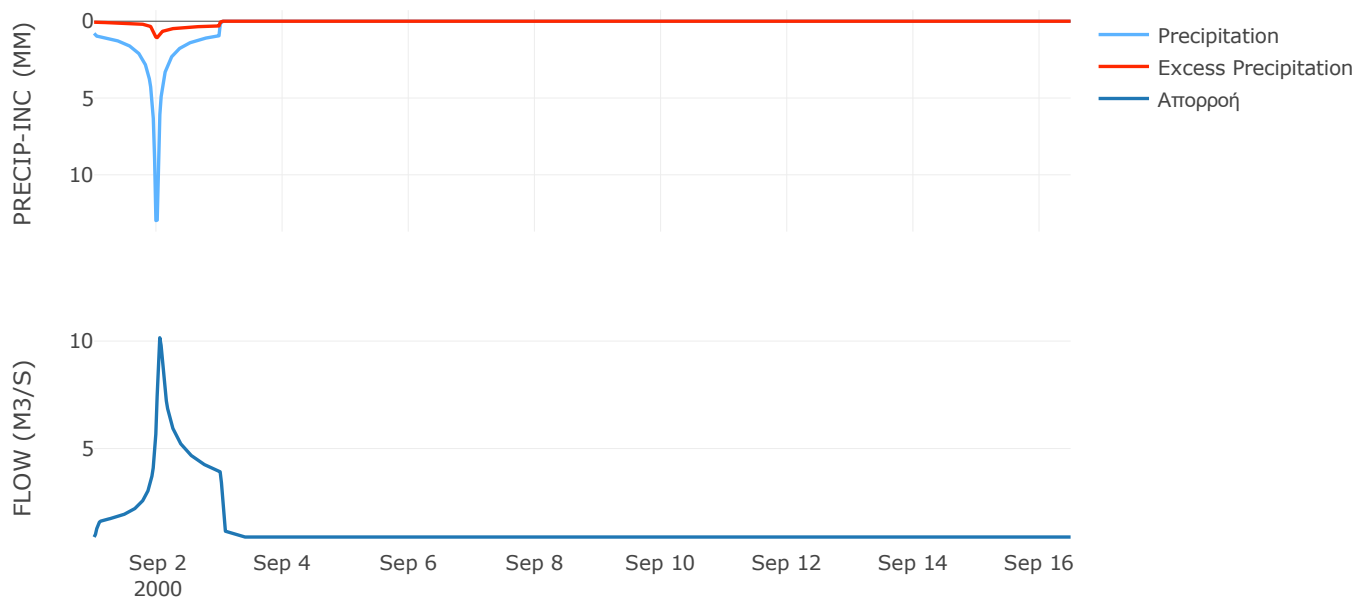
Μέθοδος
Μετασχηματισμού: SCS

Χρόνος Υστέρησης	42.95
------------------	-------

Αποτελέσματα:
EL0415FR6094

Παροχή αιχμής (M3/S)	10.16
Χρονική στιγμή αιχμής	02Sep2000, 01:00
Όγκος (MM)	96.88
Όγκος βροχόπτωσης (M3)	3.74E6
Όγκος απωλειών (M3)	3.22E6
Ενεργός Όγκος (M3)	5.26E5
Όγκος άμεσης απορροής (M3)	5.26E5
Όγκος βασικής απορροής (M3)	1.18E6

Βροχόπτωση και Απορροή



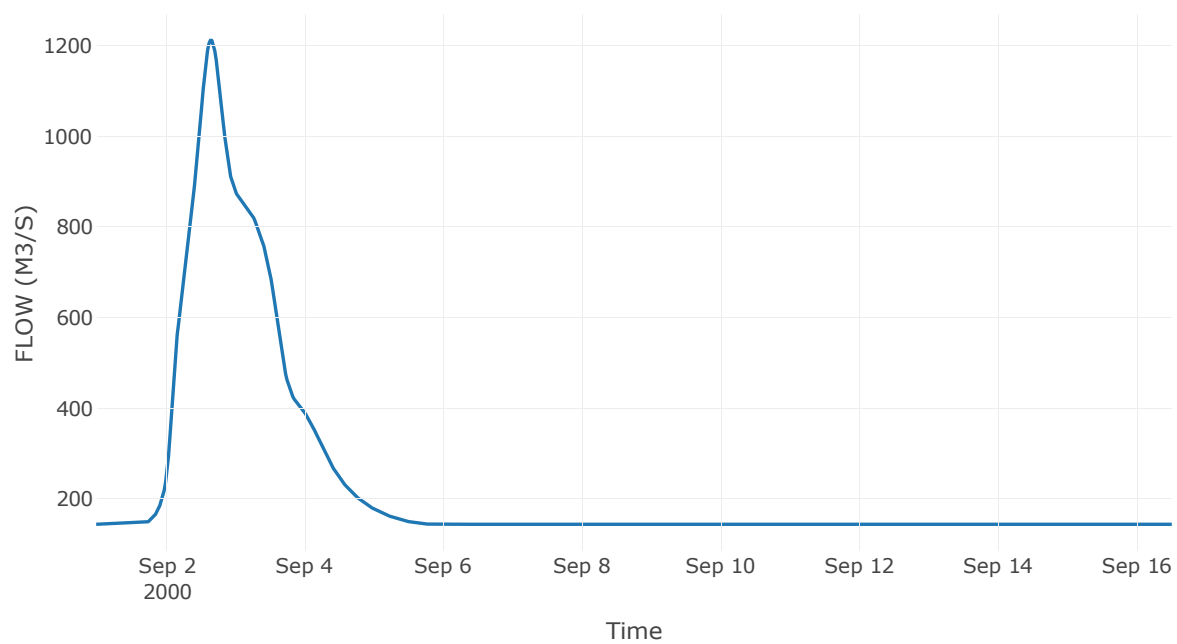
Κόμβος: J22

Κατάντη : R2231

Αποτελέσματα: J22

Παροχή Αιχμής (M3/S)	1211.59
Χρονική στιγμή αιχμής	02Sep2000, 15:30
Όγκος(MM)	181.2

Απορροή



Κλάδος: R2231

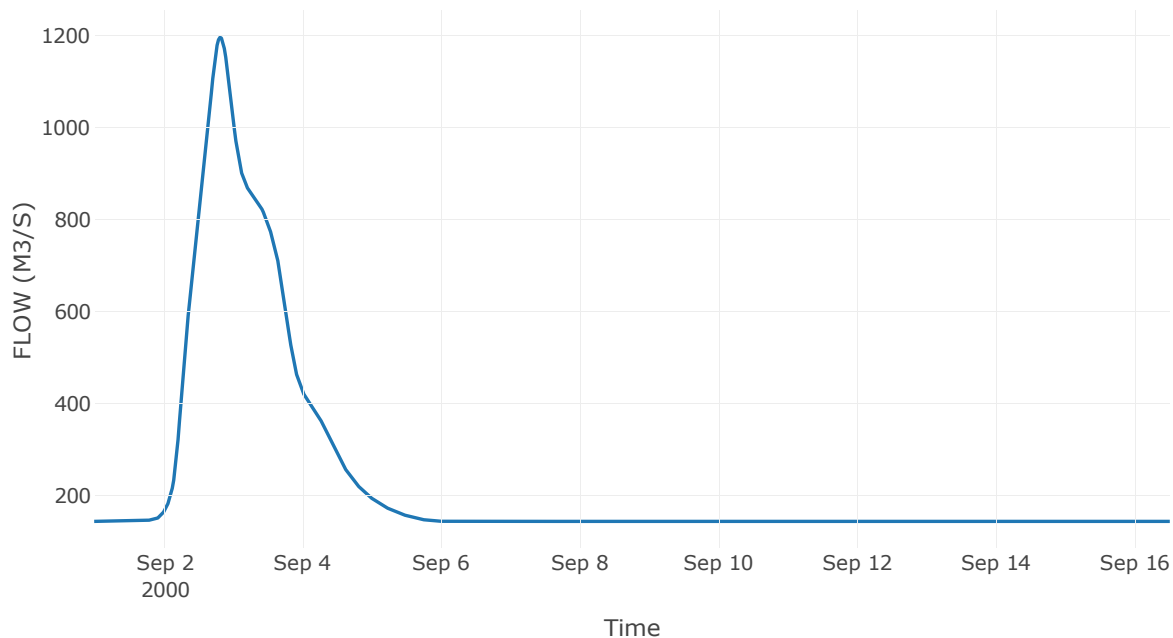
Κατάντη : J31

Μέθοδος Διόδευσης	Muskingum
Αρχική Μεταβλητή	Combined Inflow
Muskingum K	3.87
Συντελεστής βάρους x	0.2
Muskingum Steps	8

Αποτελέσματα: R2231

Παροχή Αιχμής (M3/S)	1195.72
Χρονική στιγμή αιχμής	02Sep2000, 19:30
Όγκος(MM)	181.2
Παροχή Αιχμής Εισόδου (M3/S)	1211.59
Όγκος Εισροής(M3)	3.12E8

Απορροή



Υπολεκάνη: EL0415FR6029

Έκταση (KM2) : 74.56

Κατάντη : J31

Μέθοδος Απωλειών: SCS

Ποσοστό αδιαπέρατης επιφάνειας	22
Αριθμός Καμπύλης Απορροής-CN	48.02
Αρχικές Απώλειες	55

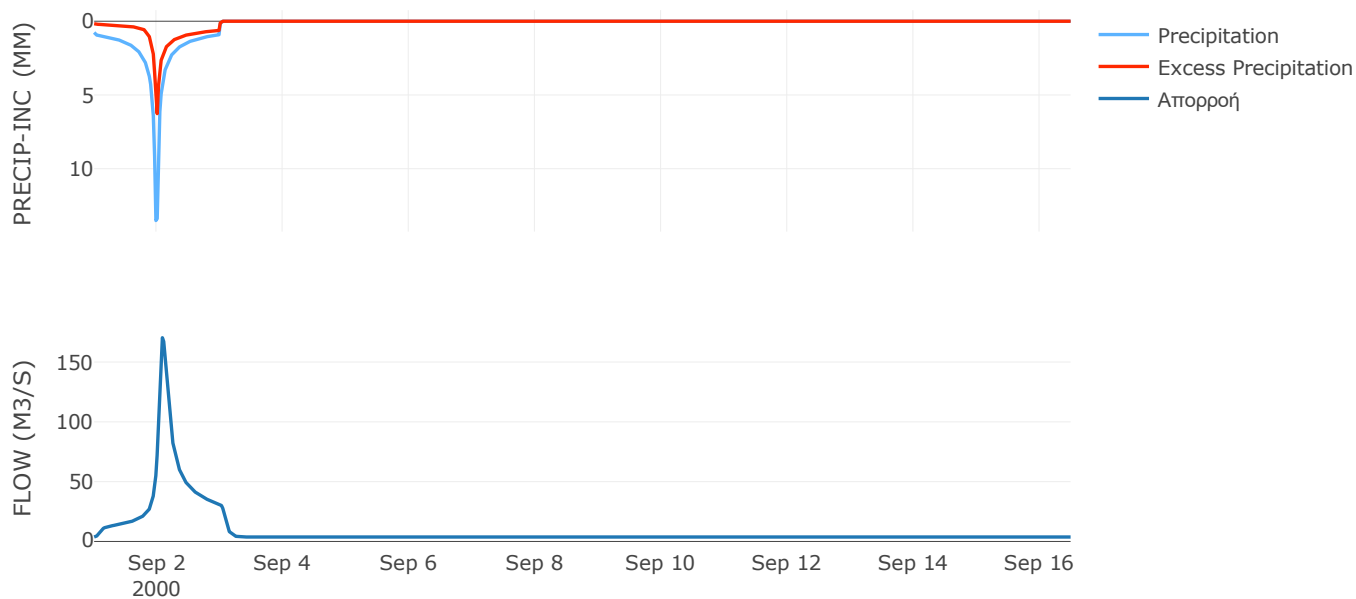
Μέθοδος
Μετασχηματισμού: SCS

Χρόνος Υστέρησης	104.8
------------------	-------

Αποτελέσματα:
EL0415FR6029

Παροχή αιχμής (M3/S)	170.36
Χρονική στιγμή αιχμής	02Sep2000, 02:00
Όγκος (MM)	157.9
Όγκος βροχόπτωσης (M3)	1.58E7
Όγκος απωλειών (M3)	9E6
Ενεργός Όγκος (M3)	6.78E6
Όγκος άμεσης απορροής (M3)	6.78E6
Όγκος βασικής απορροής (M3)	4.99E6

Βροχόπτωση και Απορροή



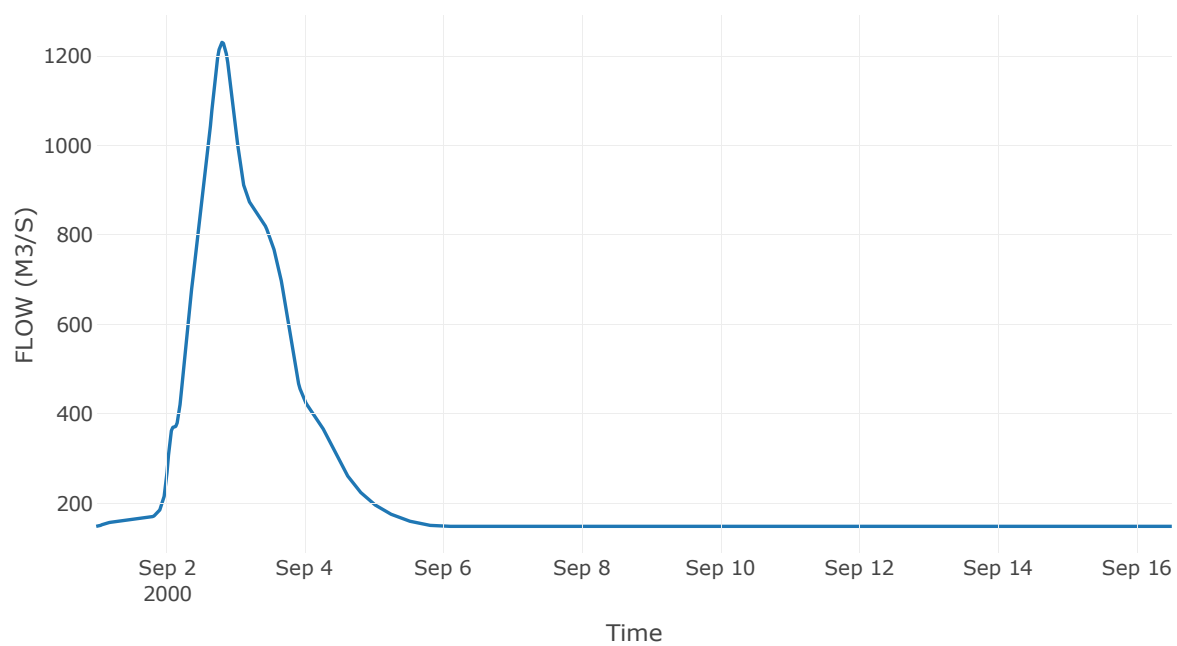
Κόμβος: J31

Κατάντη : R3127

Αποτελέσματα: J31

Παροχή Αιχμής (M3/S)	1230.45
Χρονική στιγμή αιχμής	02Sep2000, 19:30
Όγκος(MM)	180.23

Απορροή



Κλάδος: R3127

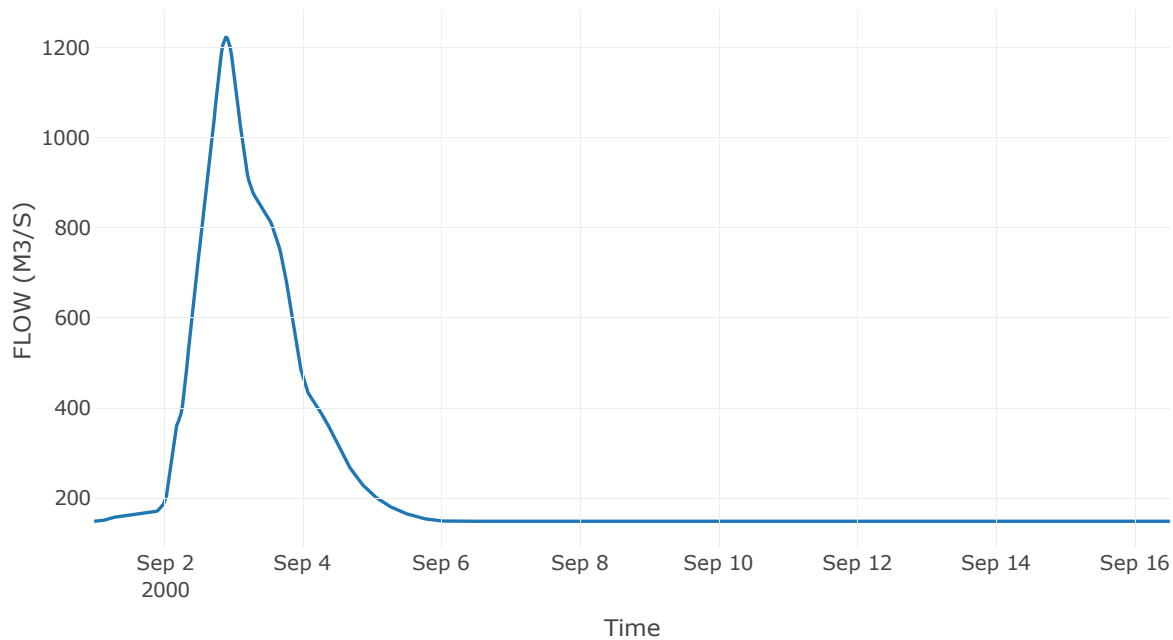
Κατάντη : J27

Μέθοδος Διόδευσης	Muskingum
Αρχική Μεταβλητή	Combined Inflow
Muskingum K	2.05
Συντελεστής βάρους x	0.2
Muskingum Steps	4

Αποτελέσματα: R3127

Παροχή Αιχμής (M3/S)	1221.85
Χρονική στιγμή αιχμής	02Sep2000, 21:30
Όγκος(MM)	180.23
Παροχή Αιχμής Εισόδου (M3/S)	1230.45
Όγκος Εισροής(M3)	3.23E8

Απορροή



Κλάδος: R4140

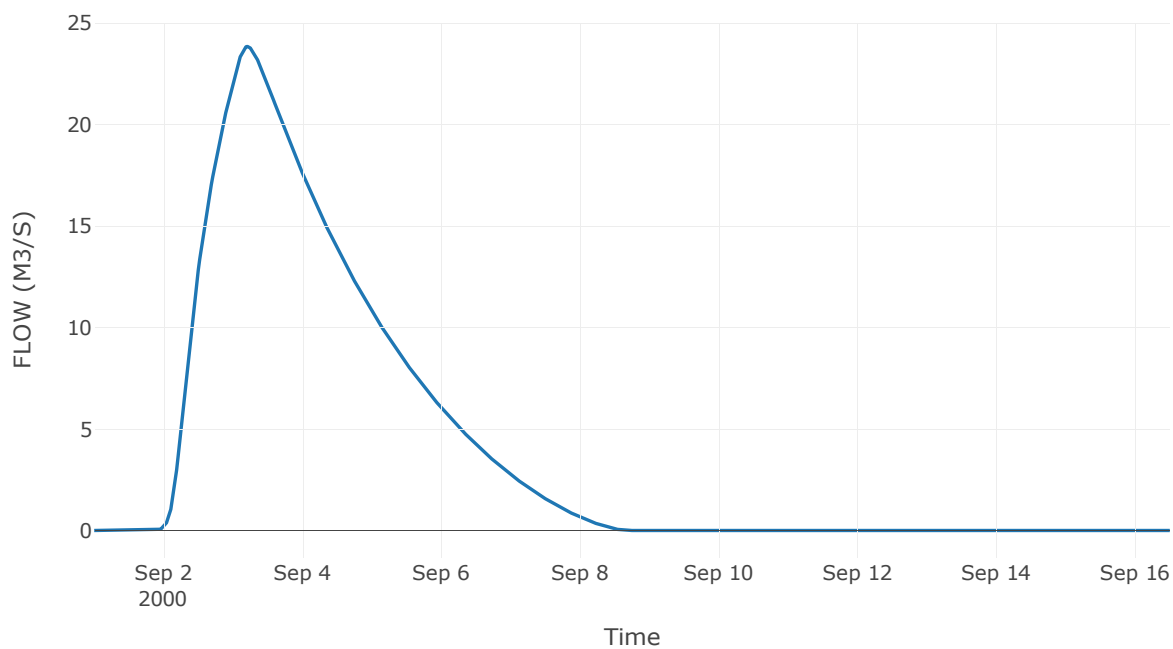
Κατάντη : J40

Μέθοδος Διόδευσης	Muskingum
Αρχική Μεταβλητή	Combined Inflow
Muskingum K	1.66
Συντελεστής βάρους x	0.2
Muskingum Steps	3

Αποτελέσματα: R4140

Παροχή Αιχμής (M3/S)	23.83
Χρονική στιγμή αιχμής	03Sep2000, 05:00
Peak Inflow (M3/S)	23.87
Όγκος Εισροής (M3)	5.31E6

Απορροή



Υπολεκάνη: EL0415FR6037

Έκταση (KM2) : 88.31

Κατάντη : J40

Μέθοδος Απωλειών: SCS

Ποσοστό αδιαπέρατης επιφάνειας	0
Αριθμός Καμπύλης Απορροής-CN	47.16
Αρχικές Απώλειες	56.93

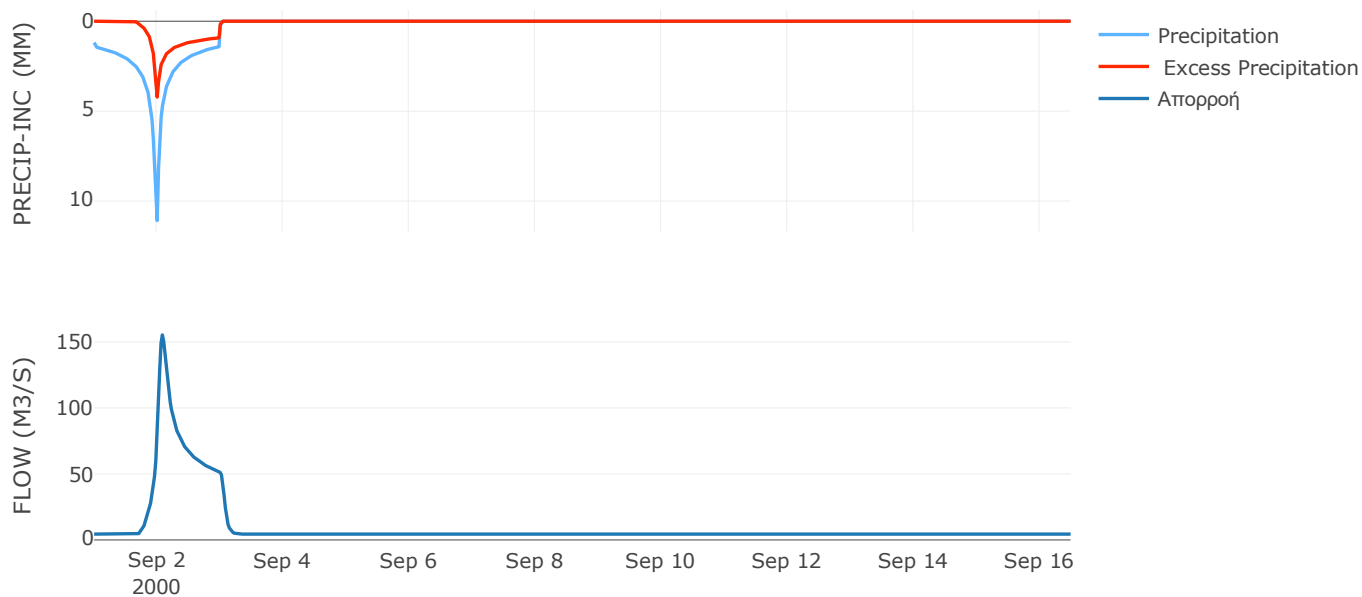
Μέθοδος
Μετασχηματισμού: SCS

Χρόνος Υστέρησης	87.27
------------------	-------

Αποτελέσματα:
EL0415FR6037

Παροχή αιχμής (M3/S)	155.29
Χρονική στιγμή αιχμής	02Sep2000, 02:00
Όγκος (MM)	149.51
Όγκος βροχόπτωσης (M3)	2.27E7
Όγκος απωλειών (M3)	1.54E7
Ενεργός Όγκος (M3)	7.29E6
Όγκος άμεσης απορροής (M3)	7.29E6
Όγκος βασικής απορροής (M3)	5.91E6

Βροχόπτωση και Απορροή



Υπολεκάνη: EL0415FR6071

Έκταση (KM2) : 75.64

Κατάντη : J40

Μέθοδος Απωλειών: SCS

Ποσοστό αδιαπέρατης επιφάνειας	0
Αριθμός Καμπύλης Απορροής-CN	63.1
Αρχικές Απώλειες	29.71

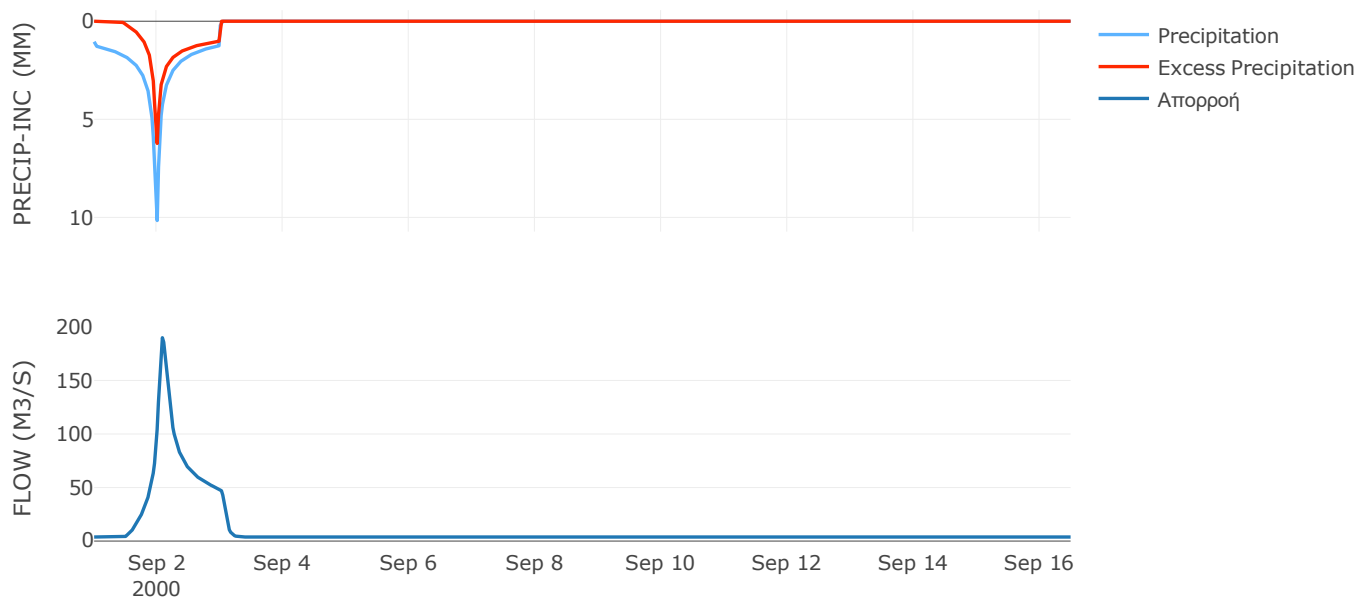
Μέθοδος
Μετασχηματισμού: SCS

Χρόνος Υστέρησης	101.35
------------------	--------

Αποτελέσματα:
EL0415FR6071

Παροχή αιχμής (M3/S)	189.95
Χρονική στιγμή αιχμής	02Sep2000, 02:00
Όγκος (MM)	181.84
Όγκος βροχόπτωσης (M3)	1.74E7
Όγκος απωλειών (M3)	8.7E6
Ενεργός Όγκος (M3)	8.69E6
Όγκος άμεσης απορροής (M3)	8.69E6
Όγκος βασικής απορροής (M3)	5.06E6

Βροχόπτωση και Απορροή



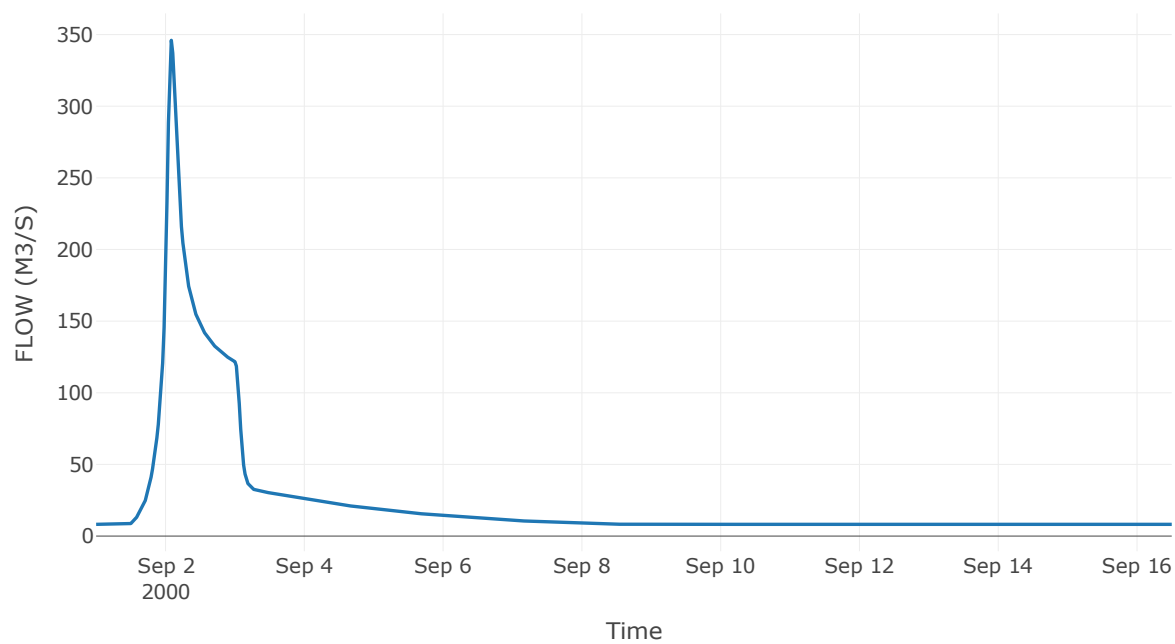
Κόμβος: J40

Κατάντη : R4039

Αποτελέσματα: J40

Παροχή Αιχμής (M3/S)	345.99
Χρονική στιγμή αιχμής	02Sep2000, 02:00
Όγκος(MM)	196.85

Απορροή



Κλάδος: R4039

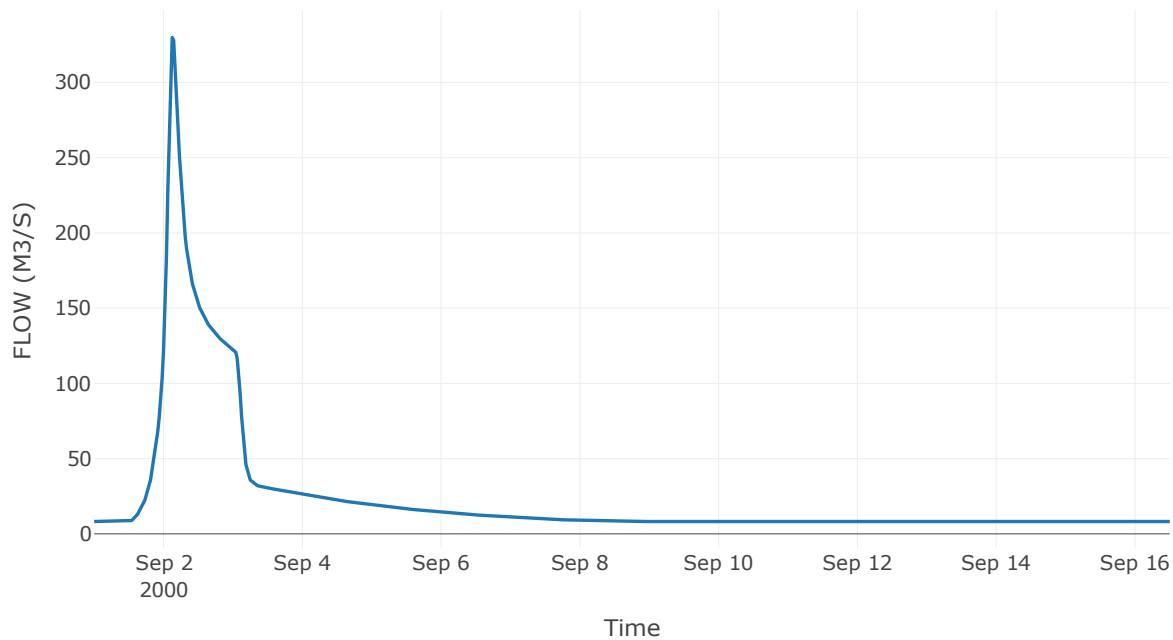
Κατάντη : J39

Μέθοδος Διόδευσης	Muskingum
Αρχική Μεταβλητή	Combined Inflow
Muskingum K	1.08
Συντελεστής βάρους α	0.2
Muskingum Steps	2

Αποτελέσματα: R4039

Παροχή Αιχμής (M3/S)	329.85
Χρονική στιγμή αιχμής	02Sep2000, 03:00
Όγκος(MM)	196.85
Παροχή Αιχμής Εισόδου (M3/S)	345.99
Όγκος Εισροής(M3)	3.23E7

Απορροή



Υπολεκάνη: EL0415FR6072

Έκταση (KM2) : 105.53

Κατάντη : J39

Μέθοδος Απωλειών: SCS

Ποσοστό αδιαπέρατης επιφάνειας	0
Αριθμός Καμπύλης Απορροής-CN	59.46
Αρχικές Απώλειες	34.64

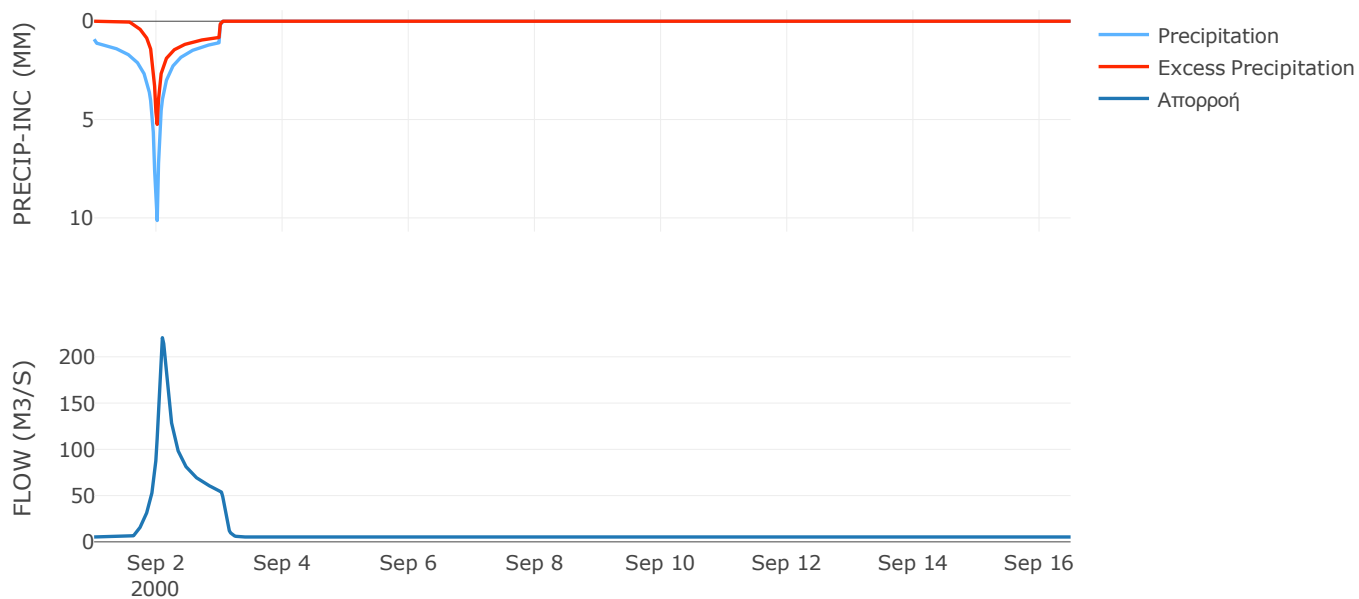
Μέθοδος
Μετασχηματισμού: SCS

Χρόνος Υστέρησης	96.95
------------------	-------

Αποτελέσματα:
EL0415FR6072

Παροχή αιχμής (M3/S)	220.72
Χρονική στιγμή αιχμής	02Sep2000, 02:00
Όγκος (MM)	156.12
Όγκος βροχόπτωσης (M3)	2.23E7
Όγκος απωλειών (M3)	1.29E7
Ενεργός Όγκος (M3)	9.41E6
Όγκος άμεσης απορροής (M3)	9.41E6
Όγκος βασικής απορροής (M3)	7.07E6

Βροχόπτωση και Απορροή



Υπολεκάνη: EL0415FR6073

Έκταση (KM2) : 53.33

Κατάντη : J39

Μέθοδος Απωλειών: SCS

Ποσοστό αδιαπέρατης επιφάνειας	0
Αριθμός Καμπύλης Απορροής-CN	46.02
Αρχικές Απώλειες	59.6

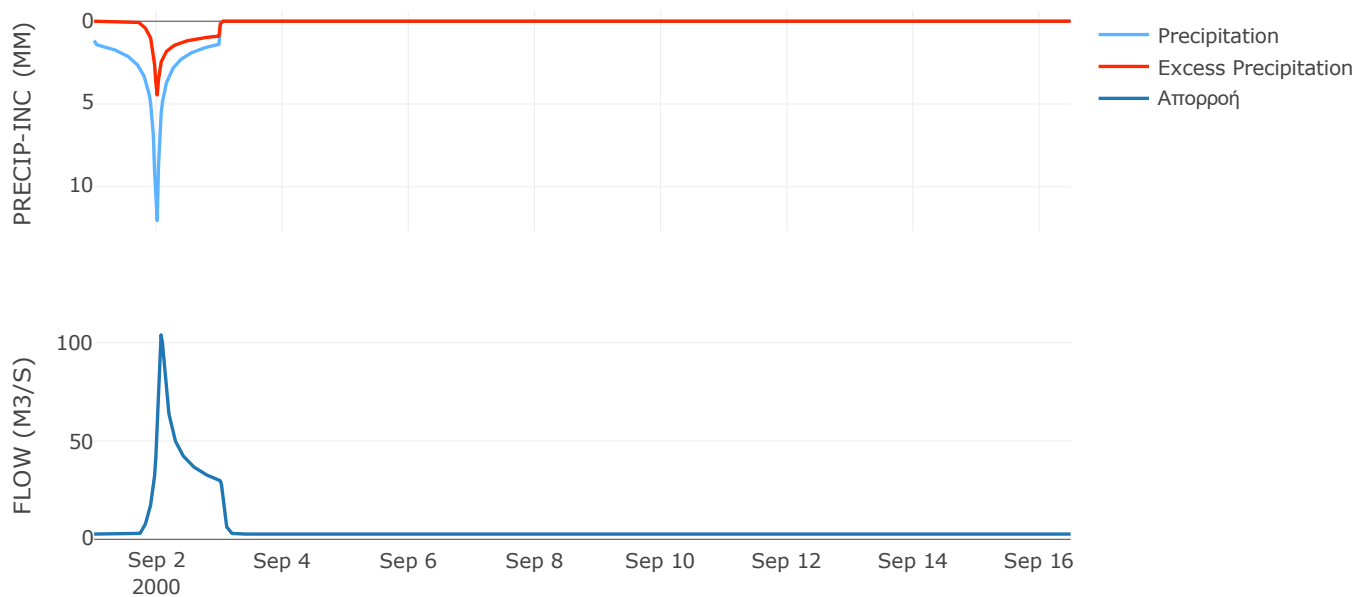
Μέθοδος
Μετασχηματισμού: SCS

Χρόνος Υστέρησης	66.15
------------------	-------

Αποτελέσματα:
EL0415FR6073

Παροχή αιχμής (M3/S)	103.95
Χρονική στιγμή αιχμής	02Sep2000, 01:30
Όγκος (MM)	148.84
Όγκος βροχόπτωσης (M3)	1.4E7
Όγκος απωλειών (M3)	9.61E6
Ενεργός Όγκος (M3)	4.37E6
Όγκος άμεσης απορροής (M3)	4.37E6
Όγκος βασικής απορροής (M3)	3.57E6

Βροχόπτωση και Απορροή



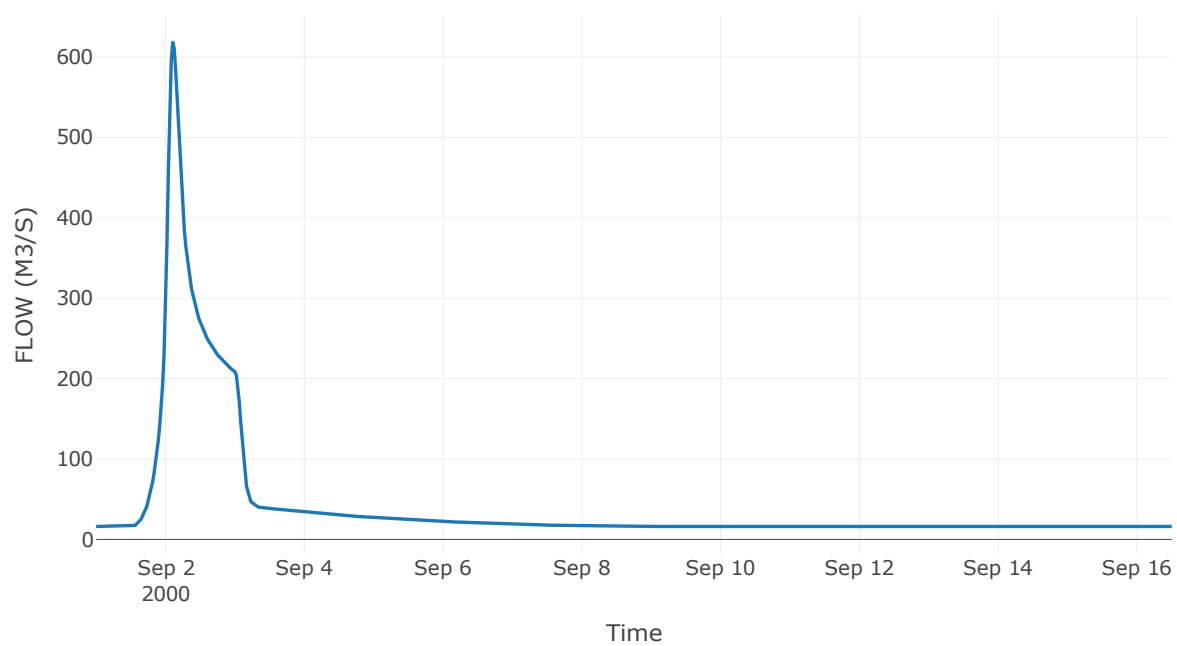
Κόμβος: J39

Κατάντη : R3938

Αποτελέσματα: J39

Παροχή Αιχμής (M3/S)	618.02
Χρονική στιγμή αιχμής	02Sep2000, 02:30
Όγκος(MM)	175.6

Απορροή



Κλάδος: R3938

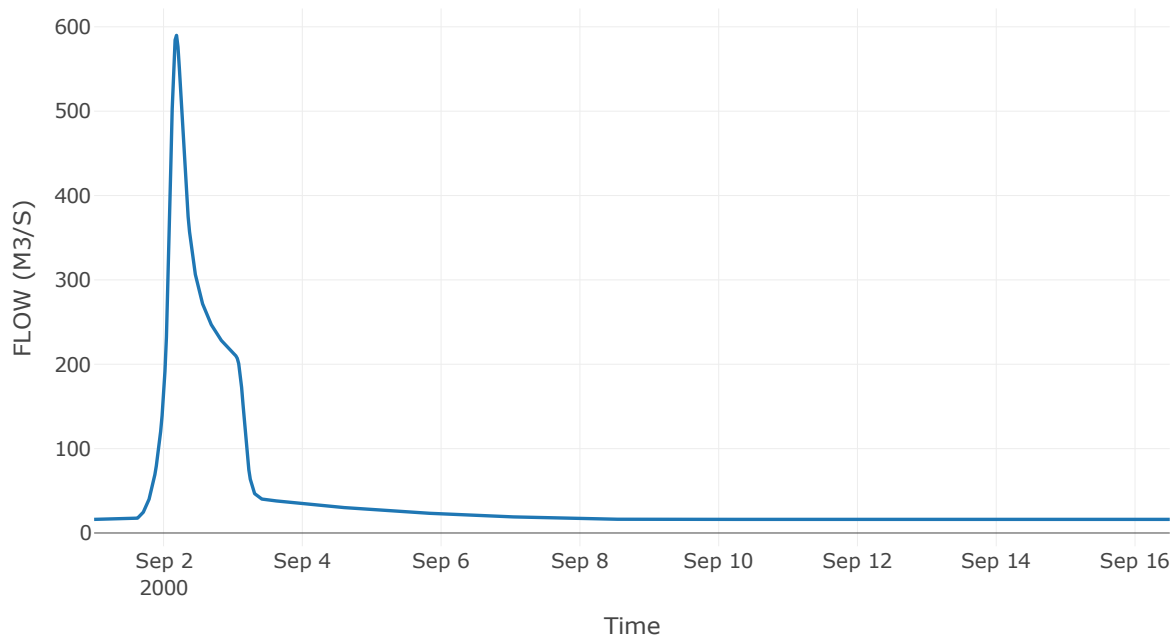
Κατάντη : J38

Μέθοδος Διόδευσης	Muskingum
Αρχική Μεταβλητή	Combined Inflow
Muskingum K	1.67
Συντελεστής βάρους α	0.2
Muskingum Steps	3

Αποτελέσματα: R3938

Παροχή Αιχμής (M3/S)	589.85
Χρονική στιγμή αιχμής	02Sep2000, 04:30
Όγκος(MM)	175.6
Παροχή Αιχμής Εισόδου (M3/S)	618.02
Όγκος Εισροής(M3)	5.67E7

Απορροή



Υπολεκάνη: EL0415FR6075

Έκταση (KM2) : 74.2

Κατάντη : J38

Μέθοδος Απωλειών: SCS

Ποσοστό αδιαπέρατης επιφάνειας	0
Αριθμός Καμπύλης Απορροής-CN	53.62
Αρχικές Απώλειες	43.94

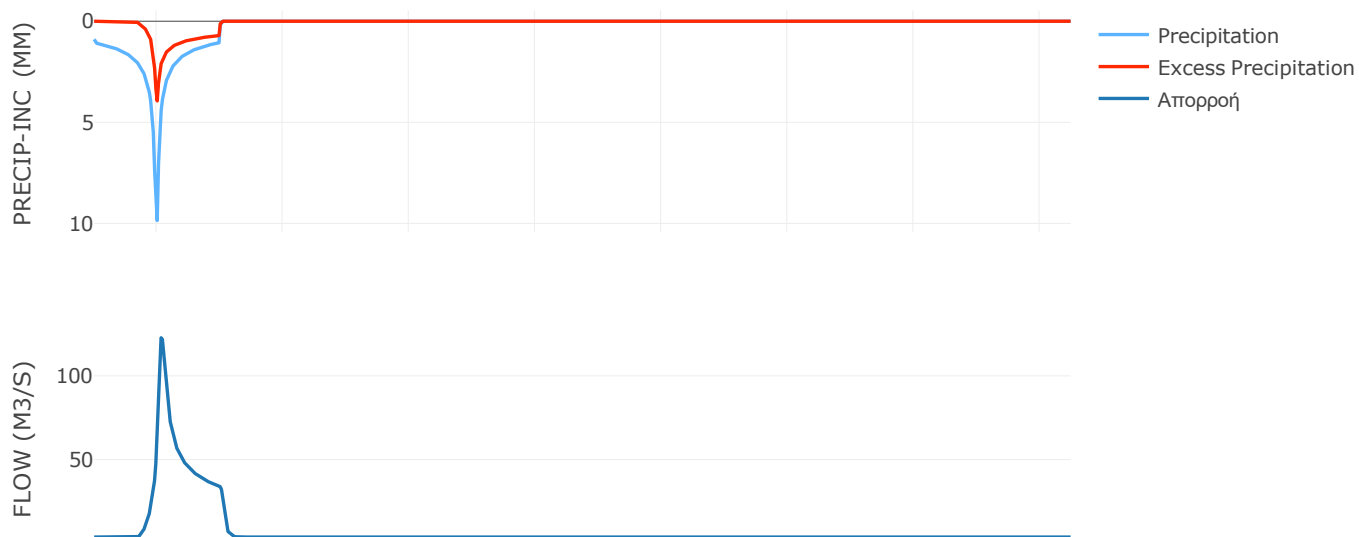
Μέθοδος
Μετασχηματισμού: SCS

Χρόνος Υστέρησης	75.67
------------------	-------

Αποτελέσματα:
EL0415FR6075

Παροχή αιχμής (M3/S)	122.72
Χρονική στιγμή αιχμής	02Sep2000, 01:30
Όγκος (MM)	135.49
Όγκος βροχόπτωσης (M3)	1.53E7
Όγκος απωλειών (M3)	1.02E7
Ενεργός Όγκος (M3)	5.09E6
Όγκος άμεσης απορροής (M3)	5.09E6
Όγκος βασικής απορροής (M3)	4.97E6

Βροχόπτωση και Απορροή



Υπολεκάνη: EL0415FR6047

Έκταση (KM2) : 33.12

Κατάντη : J38

Μέθοδος Απωλειών: SCS

Ποσοστό αδιαπέρατης επιφάνειας	0
Αριθμός Καμπύλης Απορροής-CN	41.73
Αρχικές Απώλειες	70.93

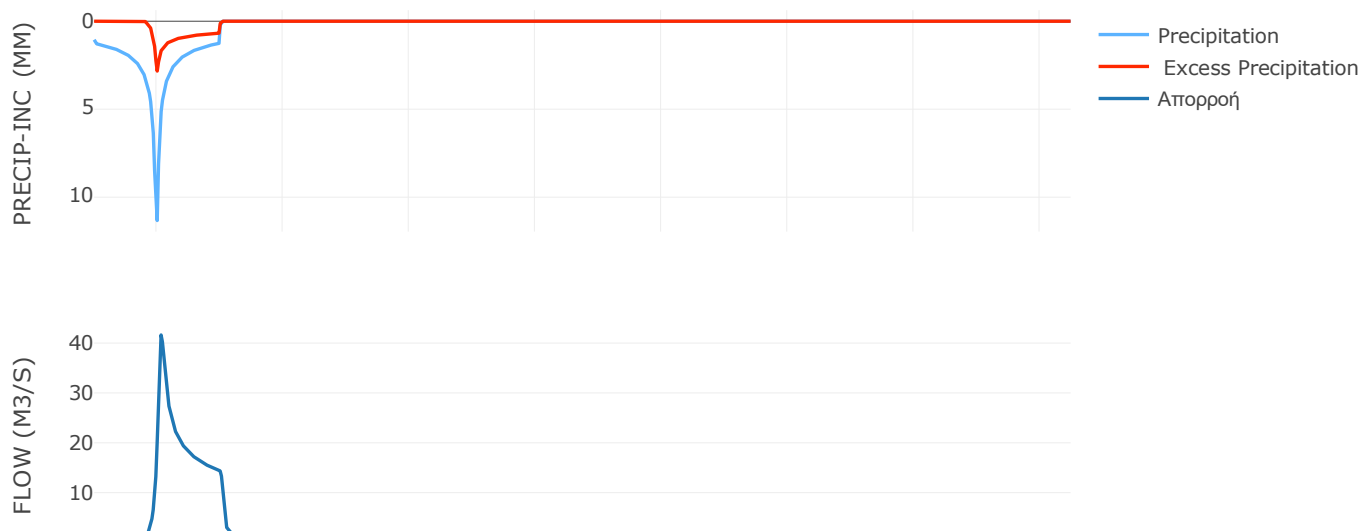
Μέθοδος
Μετασχηματισμού: SCS

Χρόνος Υστέρησης	60.54
------------------	-------

Αποτελέσματα:
EL0415FR6047

Παροχή αιχμής (M3/S)	41.63
Χρονική στιγμή αιχμής	02Sep2000, 01:30
Όγκος (MM)	121.57
Όγκος βροχόπτωσης (M3)	7.95E6
Όγκος απωλειών (M3)	6.14E6
Ενεργός Όγκος (M3)	1.81E6
Όγκος άμεσης απορροής (M3)	1.81E6
Όγκος βασικής απορροής (M3)	2.22E6

Βροχόπτωση και Απορροή



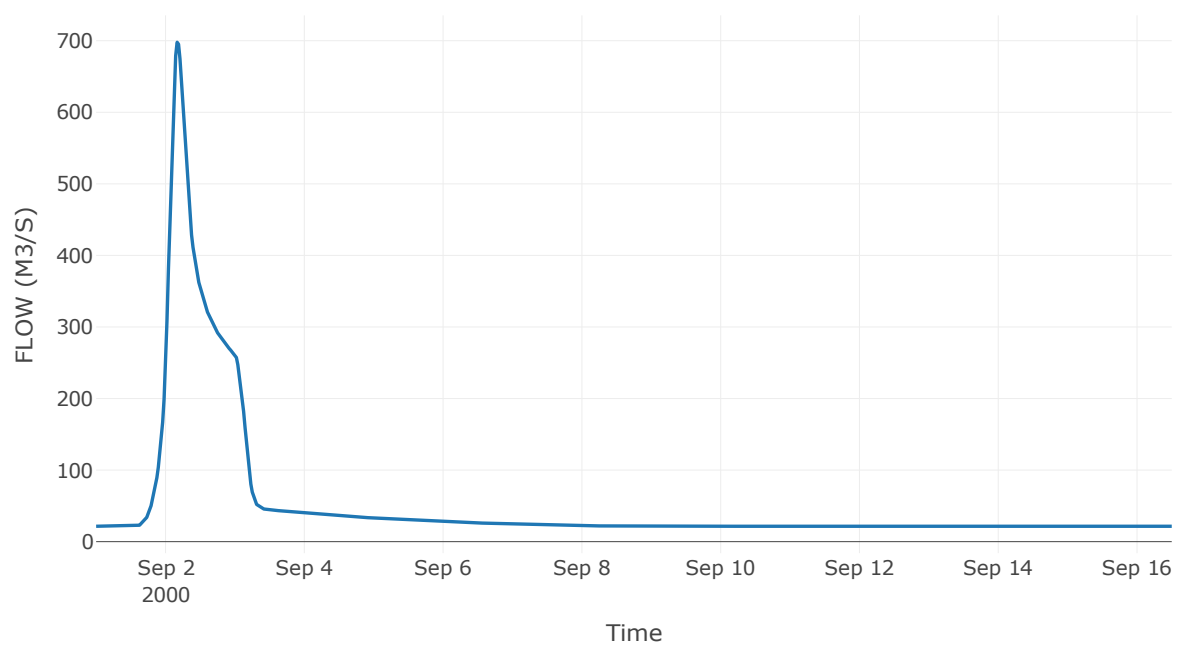
Κόμβος: J38

Κατάντη : R3837

Αποτελέσματα: J38

Παροχή Αιχμής (M3/S)	697.89
Χρονική στιγμή αιχμής	02Sep2000, 04:00
Όγκος(MM)	164.52

Απορροή



Κλάδος: R3837

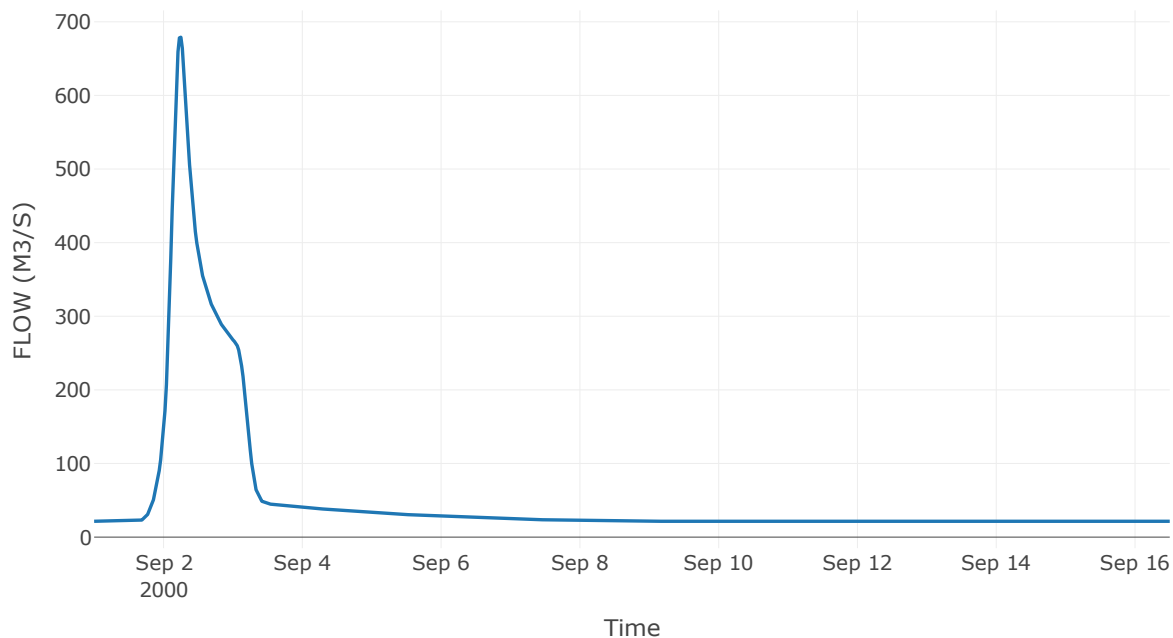
Κατάντη : J37

Μέθοδος Διόδευσης	Muskingum
Αρχική Μεταβλητή	Combined Inflow
Muskingum K	1.54
Συντελεστής βάρους α	0.2
Muskingum Steps	3

Αποτελέσματα: R3837

Παροχή Αιχμής (M3/S)	679.02
Χρονική στιγμή αιχμής	02Sep2000, 06:00
Όγκος(MM)	164.52
Παροχή Αιχμής Εισόδου (M3/S)	697.89
Όγκος Εισροής(M3)	7.08E7

Απορροή



Υπολεκάνη: EL0415FR6043

Έκταση (KM2) : 50.16

Κατάντη : J37

Μέθοδος Απωλειών: SCS

Ποσοστό αδιαπέρατης επιφάνειας	0
Αριθμός Καμπύλης Απορροής-CN	37.69
Αρχικές Απώλειες	83.98

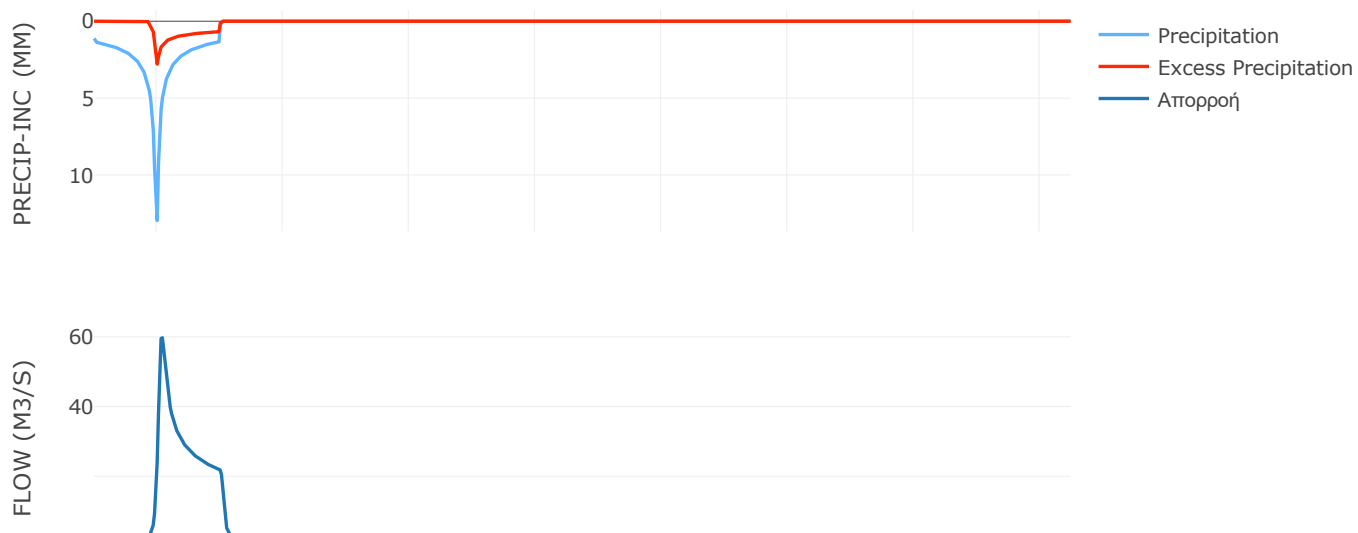
Μέθοδος
Μετασχηματισμού: SCS

Χρόνος Υστέρησης	65.84
------------------	-------

Αποτελέσματα:
EL0415FR6043

Παροχή αιχμής (M3/S)	59.74
Χρονική στιγμή αιχμής	02Sep2000, 02:00
Όγκος (MM)	120.37
Όγκος βροχόπτωσης (M3)	1.32E7
Όγκος απωλειών (M3)	1.05E7
Ενεργός Όγκος (M3)	2.68E6
Όγκος άμεσης απορροής (M3)	2.68E6
Όγκος βασικής απορροής (M3)	3.36E6

Βροχόπτωση και Απορροή



Υπολεκάνη: EL0415FR6074

Έκταση (KM2) : 21.94

Κατάντη : J37

Μέθοδος Απωλειών: SCS

Ποσοστό αδιαπέρατης επιφάνειας	0
Αριθμός Καμπύλης Απορροής-CN	47.19
Αρχικές Απώλειες	56.85

Μέθοδος
Μετασχηματισμού: SCS

Χρόνος Υστέρησης	53.65
------------------	-------

Αποτελέσματα:
EL0415FR6074

Παροχή αιχμής (M3/S)	35.78
Χρονική στιγμή αιχμής	02Sep2000, 01:30
Όγκος (MM)	129.69
Όγκος βροχόπτωσης (M3)	4.94E6
Όγκος απωλειών (M3)	3.57E6
Ενεργός Όγκος (M3)	1.38E6
Όγκος άμεσης απορροής (M3)	1.38E6
Όγκος βασικής απορροής (M3)	1.47E6

Βροχόπτωση και Απορροή



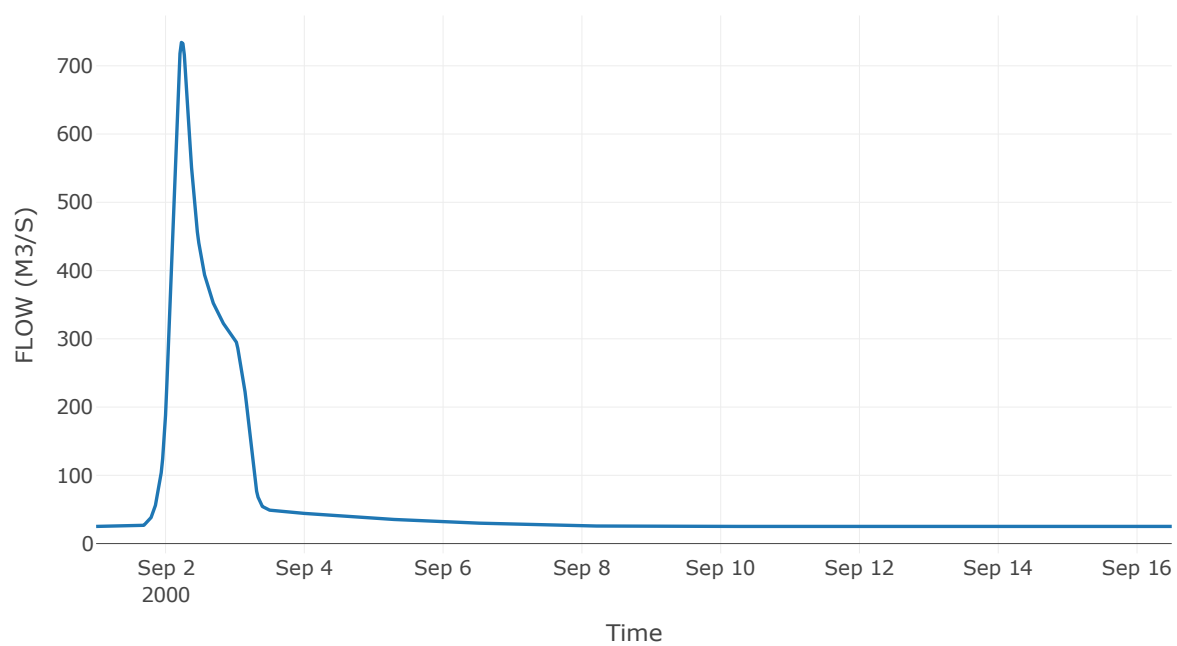
Κόμβος: J37

Κατάντη : R3726

Αποτελέσματα: J37

Παροχή Αιχμής (M3/S)	734.28
Χρονική στιγμή αιχμής	02Sep2000, 05:30
Όγκος(MM)	158.59

Απορροή



Κλάδος: R3726

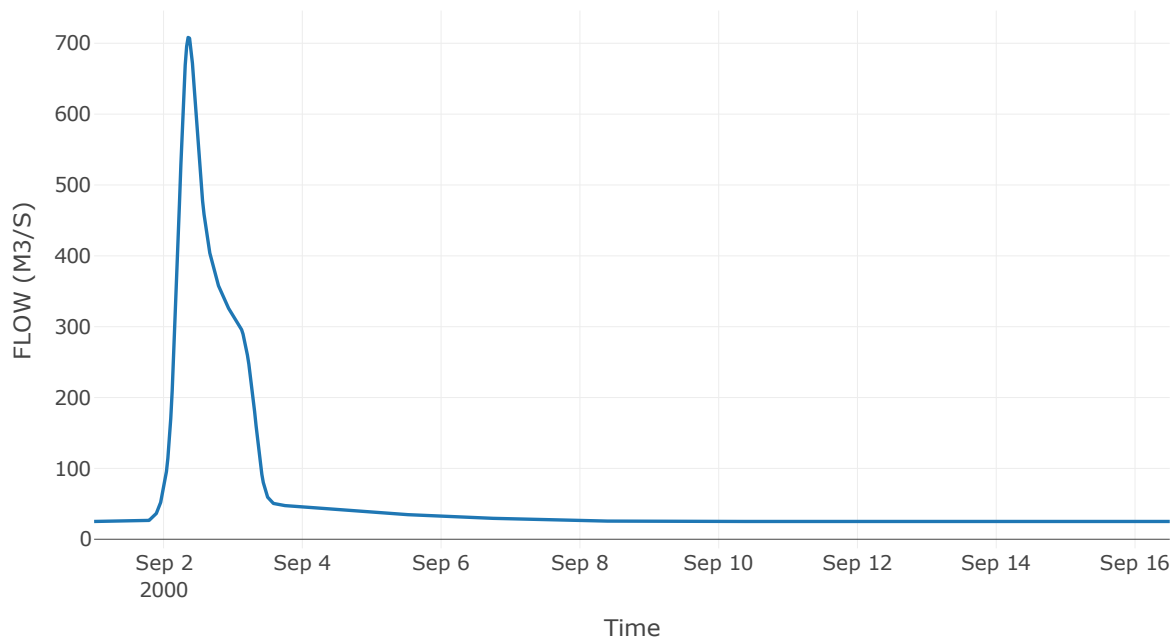
Κατάντη : J26

Μέθοδος Διόδευσης	Muskingum
Αρχική Μεταβλητή	Combined Inflow
Muskingum K	2.93
Συντελεστής βάρους α	0.2
Muskingum Steps	6

Αποτελέσματα: R3726

Παροχή Αιχμής (M3/S)	708.24
Χρονική στιγμή αιχμής	02Sep2000, 08:30
Όγκος(MM)	158.59
Παροχή Αιχμής Εισόδου (M3/S)	734.28
Όγκος Εισροής(M3)	7.96E7

Απορροή



Υπολεκάνη: EL0415FR6032

Έκταση (KM2) : 115.9

Κατάντη : J26

Μέθοδος Απωλειών: SCS

Ποσοστό αδιαπέρατης επιφάνειας	0
Αριθμός Καμπύλης Απορροής-CN	39.12
Αρχικές Απώλειες	79.05

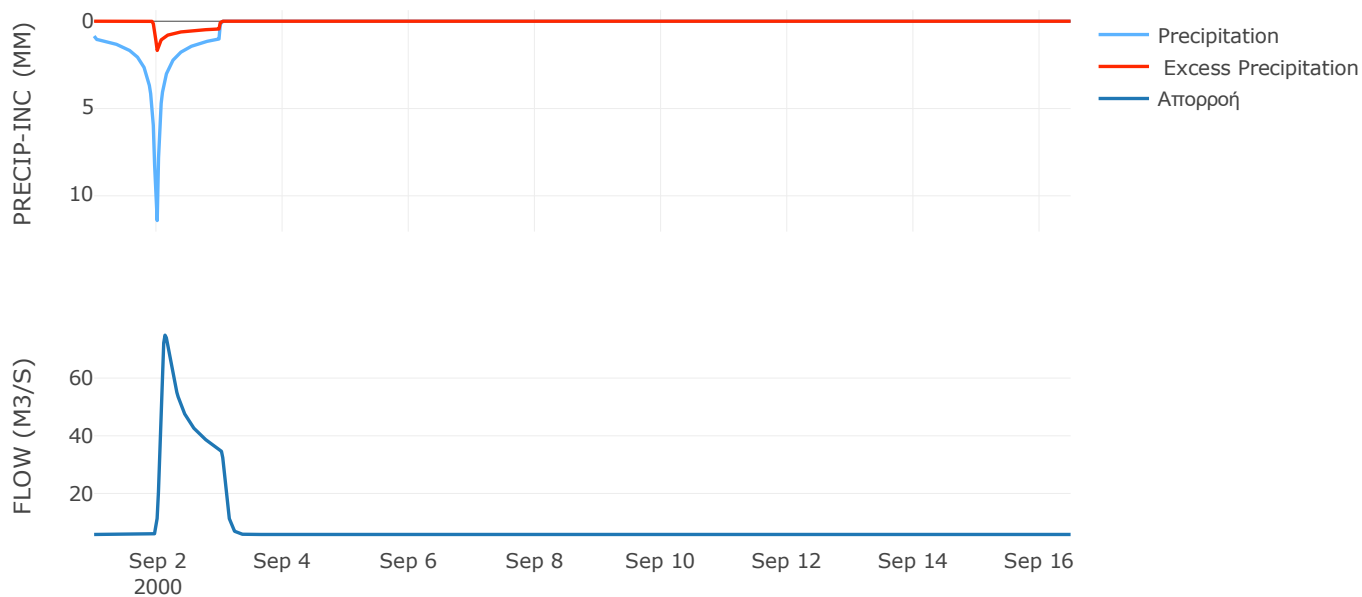
Μέθοδος
Μετασχηματισμού: SCS

Χρόνος Υστέρησης	109.22
------------------	--------

Αποτελέσματα:
EL0415FR6032

Παροχή αιχμής (M3/S)	74.87
Χρονική στιγμή αιχμής	02Sep2000, 03:00
Όγκος (MM)	100.12
Όγκος βροχόπτωσης (M3)	2.45E7
Όγκος απωλειών (M3)	2.06E7
Ενεργός Όγκος (M3)	3.84E6
Όγκος άμεσης απορροής (M3)	3.84E6
Όγκος βασικής απορροής (M3)	7.76E6

Βροχόπτωση και Απορροή



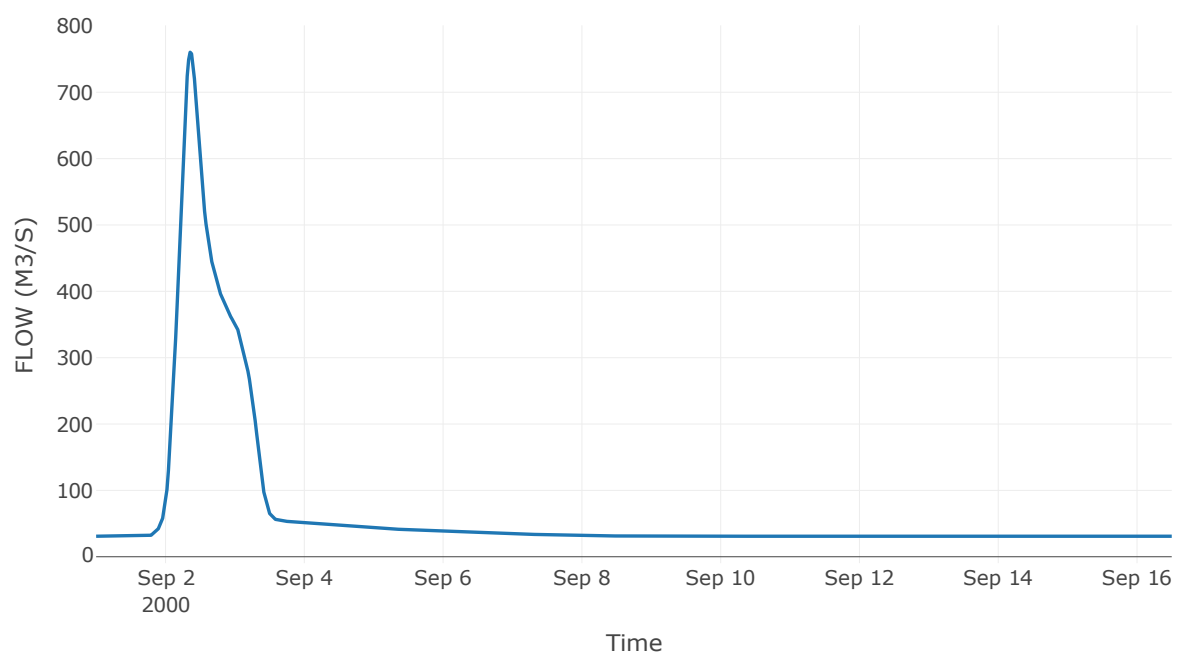
Κόμβος: J26

Κατάντη : R2664

Αποτελέσματα: J26

Παροχή Αιχμής (M3/S)	760.32
Χρονική στιγμή αιχμής	02Sep2000, 08:30
Όγκος(MM)	147.63

Απορροή



Κλάδος: R2664

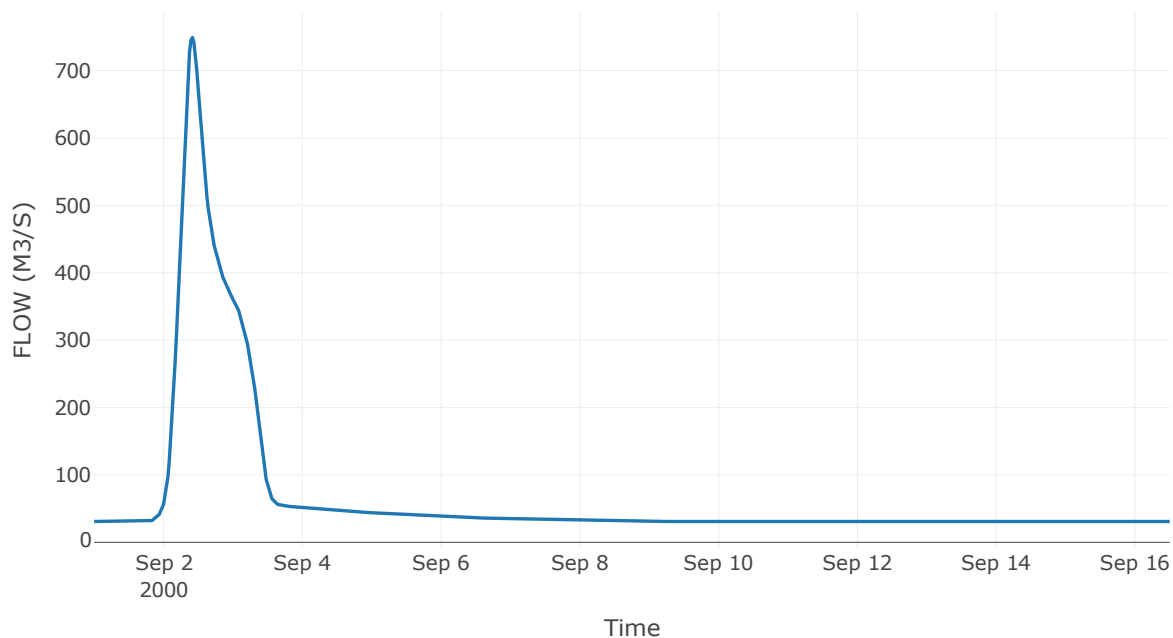
Κατάντη : J64

Μέθοδος Διόδευσης	Muskingum
Αρχική Μεταβλητή	Combined Inflow
Muskingum K	1.24
Συντελεστής βάρους x	0.2
Muskingum Steps	2

Αποτελέσματα: R2664

Παροχή Αιχμής (M3/S)	749.07
Χρονική στιγμή αιχμής	02Sep2000, 10:00
Όγκος(MM)	147.63
Παροχή Αιχμής Εισόδου (M3/S)	760.32
Όγκος Εισροής(M3)	9.13E7

Απορροή



Υπολεκάνη: EL0415FR6041

Έκταση (KM2) : 25.72

Κατάντη : J64

Μέθοδος Απωλειών: SCS

Ποσοστό αδιαπέρατης επιφάνειας	0
Αριθμός Καμπύλης Απορροής-CN	37.85
Αρχικές Απώλειες	83.39

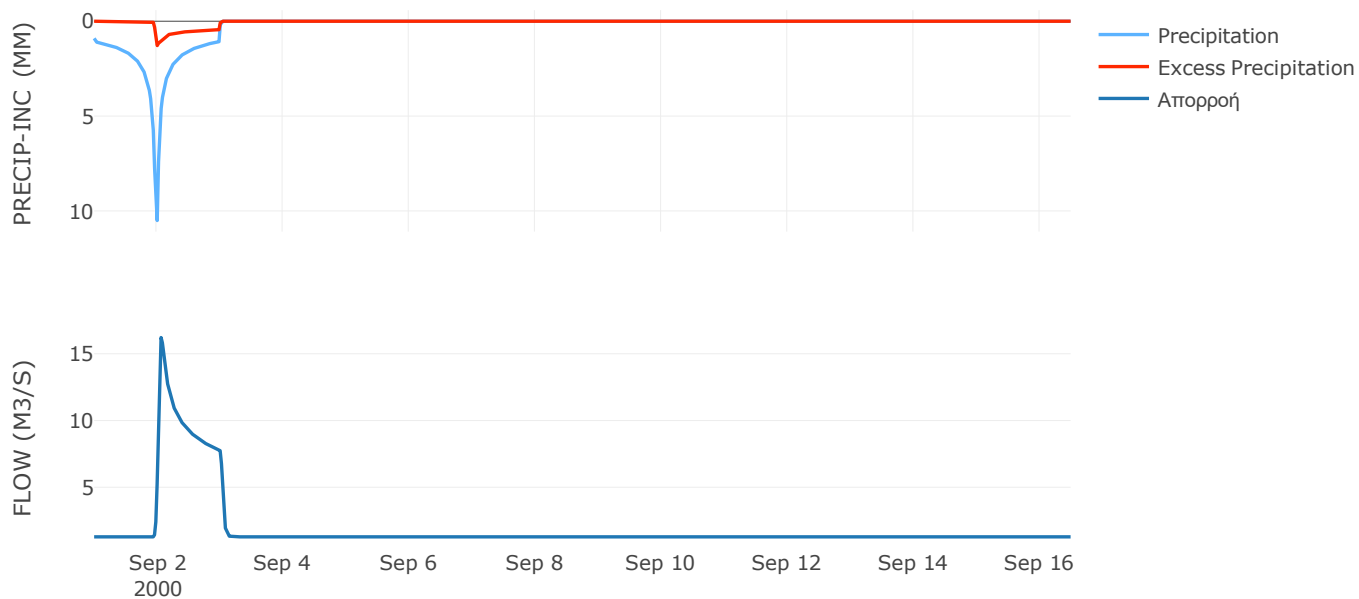
Μέθοδος
Μετασχηματισμού: SCS

Χρόνος Υστέρησης	45.22
------------------	-------

Αποτελέσματα:
EL0415FR6041

Παροχή αιχμής (M3/S)	16.21
Χρονική στιγμή αιχμής	02Sep2000, 01:30
Όγκος (MM)	97.31
Όγκος βροχόπτωσης (M3)	5.45E6
Όγκος απωλειών (M3)	4.67E6
Ενεργός Όγκος (M3)	7.81E5
Όγκος άμεσης απορροής (M3)	7.81E5
Όγκος βασικής απορροής (M3)	1.72E6

Βροχόπτωση και Απορροή



Υπολεκάνη: EL0415FR6087

Έκταση (KM2) : 13.66

Κατάντη : J64

Μέθοδος Απωλειών: SCS

Ποσοστό αδιαπέρατης επιφάνειας	20
Αριθμός Καμπύλης Απορροής-CN	35.27
Αρχικές Απώλειες	93.25

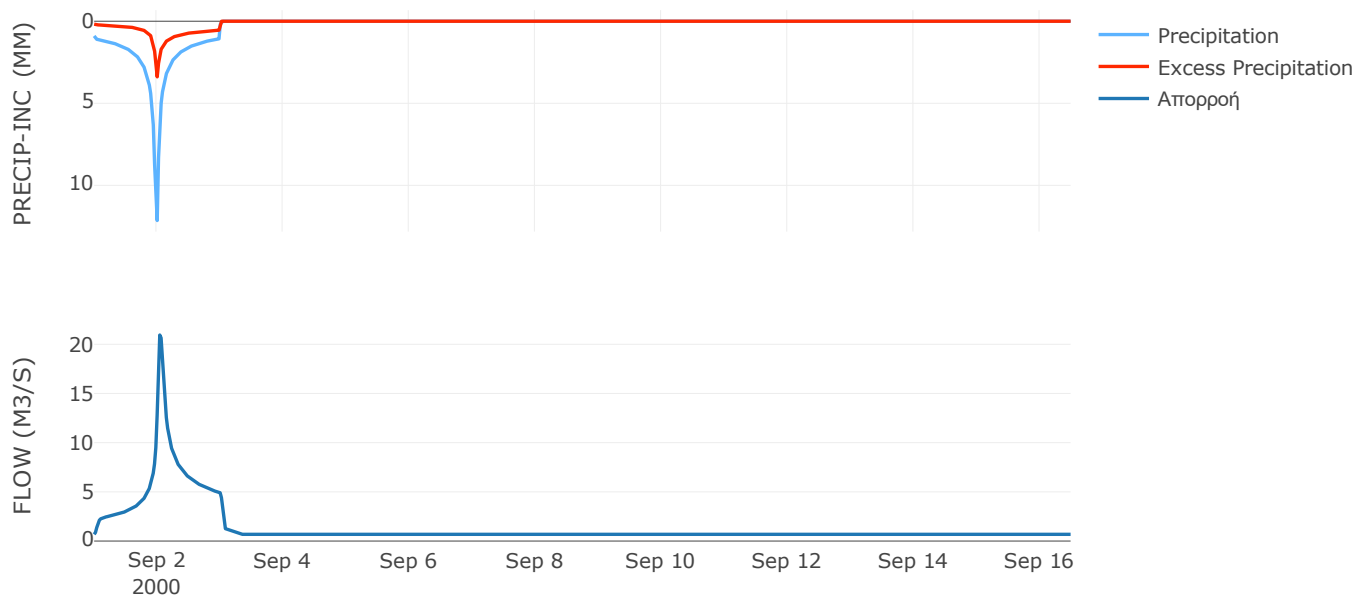
Μέθοδος
Μετασχηματισμού: SCS

Χρόνος Υστέρησης	50.69
------------------	-------

Αποτελέσματα:
EL0415FR6087

Παροχή αιχμής (M3/S)	20.94
Χρονική στιγμή αιχμής	02Sep2000, 01:00
Όγκος (MM)	134.42
Όγκος βροχόπτωσης (M3)	3.05E6
Όγκος απωλειών (M3)	2.13E6
Ενεργός Όγκος (M3)	9.22E5
Όγκος άμεσης απορροής (M3)	9.22E5
Όγκος βασικής απορροής (M3)	9.15E5

Βροχόπτωση και Απορροή



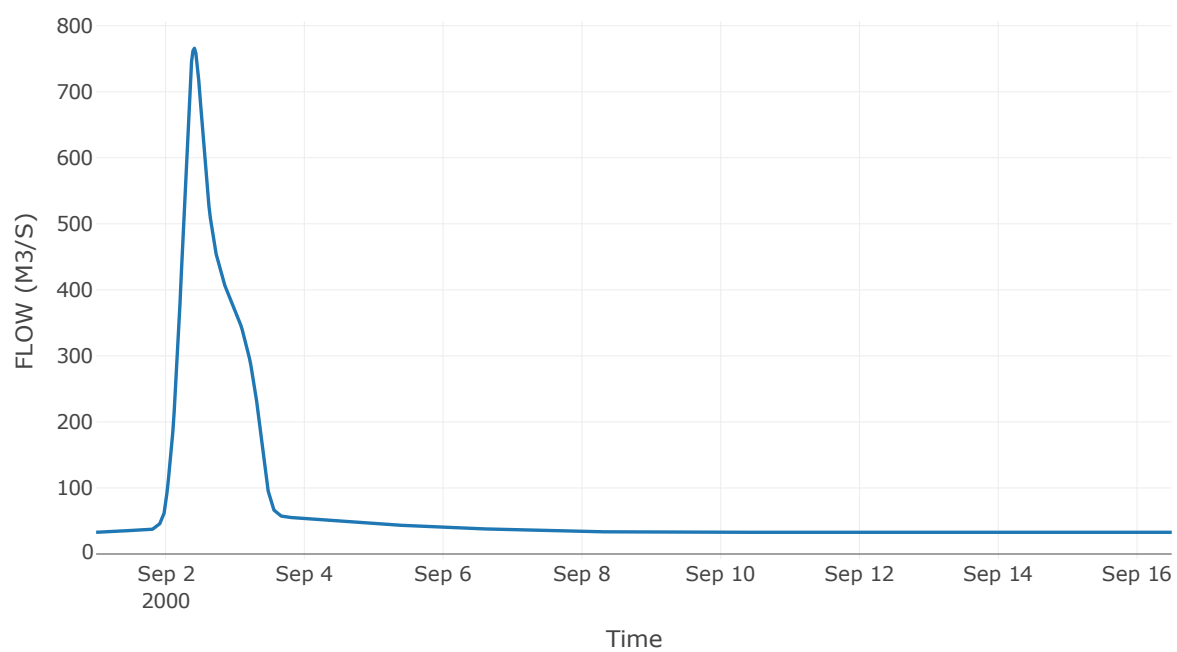
Κόμβος: J64

Κατάντη : R6429

Αποτελέσματα: J64

Παροχή Αιχμής (M3/S)	765.81
Χρονική στιγμή αιχμής	02Sep2000, 10:00
Όγκος(MM)	145.39

Απορροή



Κλάδος: R6429

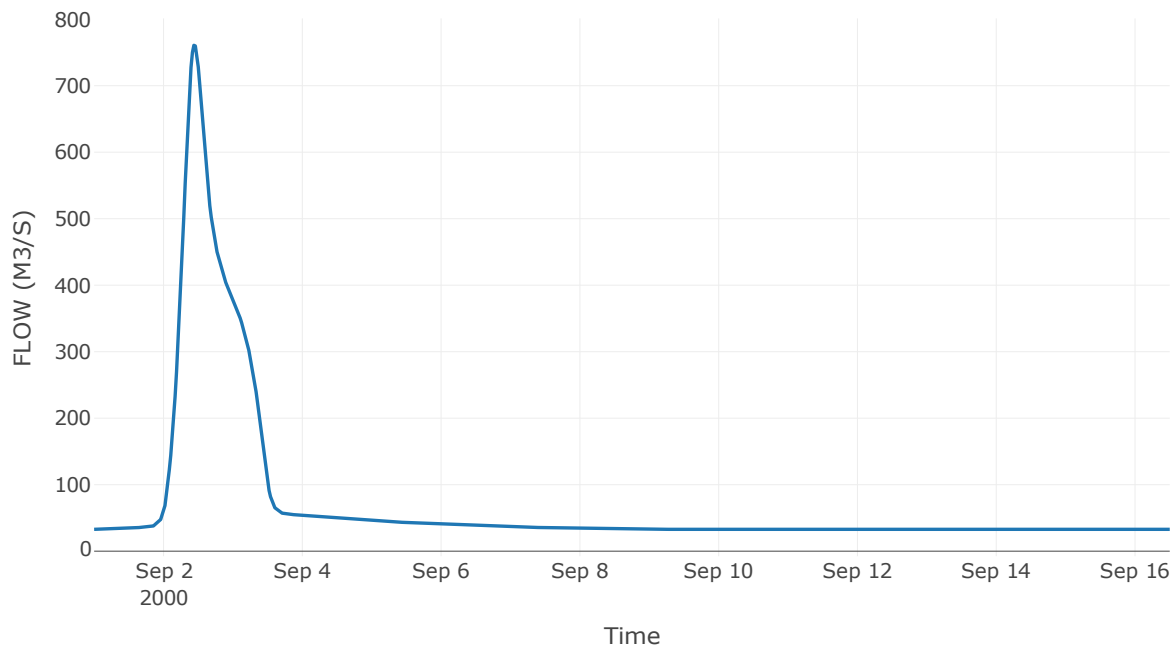
Κατάντη : J29

Μέθοδος Διόδευσης	Muskingum
Αρχική Μεταβλητή	Combined Inflow
Muskingum K	0.78
Συντελεστής βάρους x	0.2
Muskingum Steps	2

Αποτελέσματα: R6429

Παροχή Αιχμής (M3/S)	760.78
Χρονική στιγμή αιχμής	02Sep2000, 10:30
Όγκος(MM)	145.39
Παροχή Αιχμής Εισόδου (M3/S)	765.81
Όγκος Εισροής(M3)	9.56E7

Απορροή



Υπολεκάνη: EL0415FR6031

Έκταση (KM2) : 92.16

Κατάντη : J34

Μέθοδος Απωλειών: SCS

Ποσοστό αδιαπέρατης επιφάνειας	0
Αριθμός Καμπύλης Απορροής-CN	62.32
Αρχικές Απώλειες	30.71

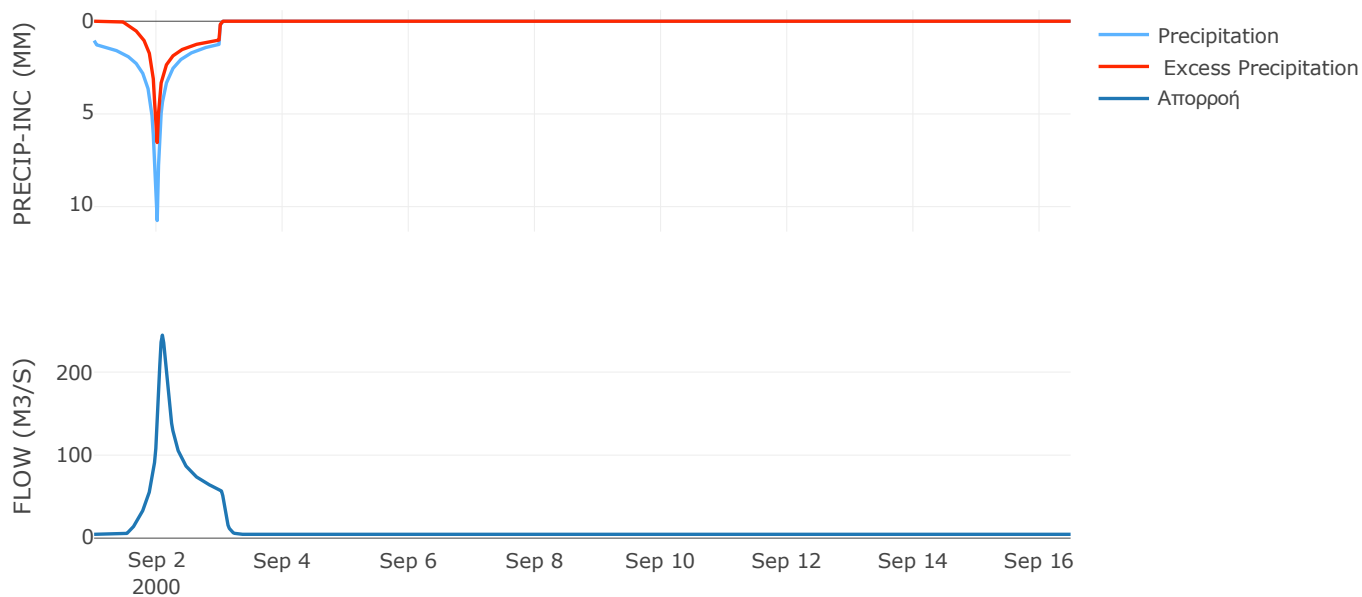
Μέθοδος
Μετασχηματισμού: SCS

Χρόνος Υστέρησης	96.1
------------------	------

Αποτελέσματα:
EL0415FR6031

Παροχή αιχμής (M3/S)	244.54
Χρονική στιγμή αιχμής	02Sep2000, 02:00
Όγκος (MM)	183.16
Όγκος βροχόπτωσης (M3)	2.16E7
Όγκος απωλειών (M3)	1.09E7
Ενεργός Όγκος (M3)	1.07E7
Όγκος άμεσης απορροής (M3)	1.07E7
Όγκος βασικής απορροής (M3)	6.17E6

Βροχόπτωση και Απορροή



Υπολεκάνη: EL0415FR6040

Έκταση (KM2) : 39.05

Κατάντη : J34

Μέθοδος Απωλειών: SCS

Ποσοστό αδιαπέρατης επιφάνειας	0
Αριθμός Καμπύλης Απορροής-CN	41.41
Αρχικές Απώλειες	71.89

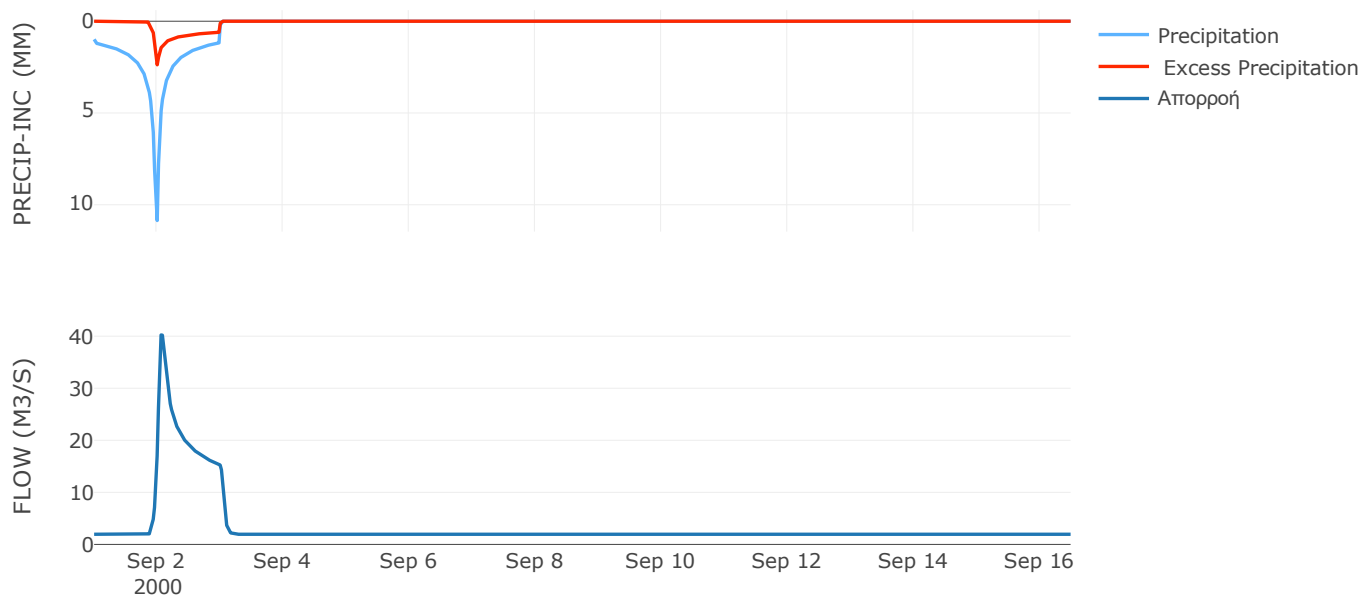
Μέθοδος
Μετασχηματισμού: SCS

Χρόνος Υστέρησης	64.9
------------------	------

Αποτελέσματα:
EL0415FR6040

Παροχή αιχμής (M3/S)	40.24
Χρονική στιγμή αιχμής	02Sep2000, 01:30
Όγκος (MM)	113.74
Όγκος βροχόπτωσης (M3)	8.87E6
Όγκος απωλειών (M3)	7.04E6
Ενεργός Όγκος (M3)	1.83E6
Όγκος άμεσης απορροής (M3)	1.83E6
Όγκος βασικής απορροής (M3)	2.62E6

Βροχόπτωση και Απορροή



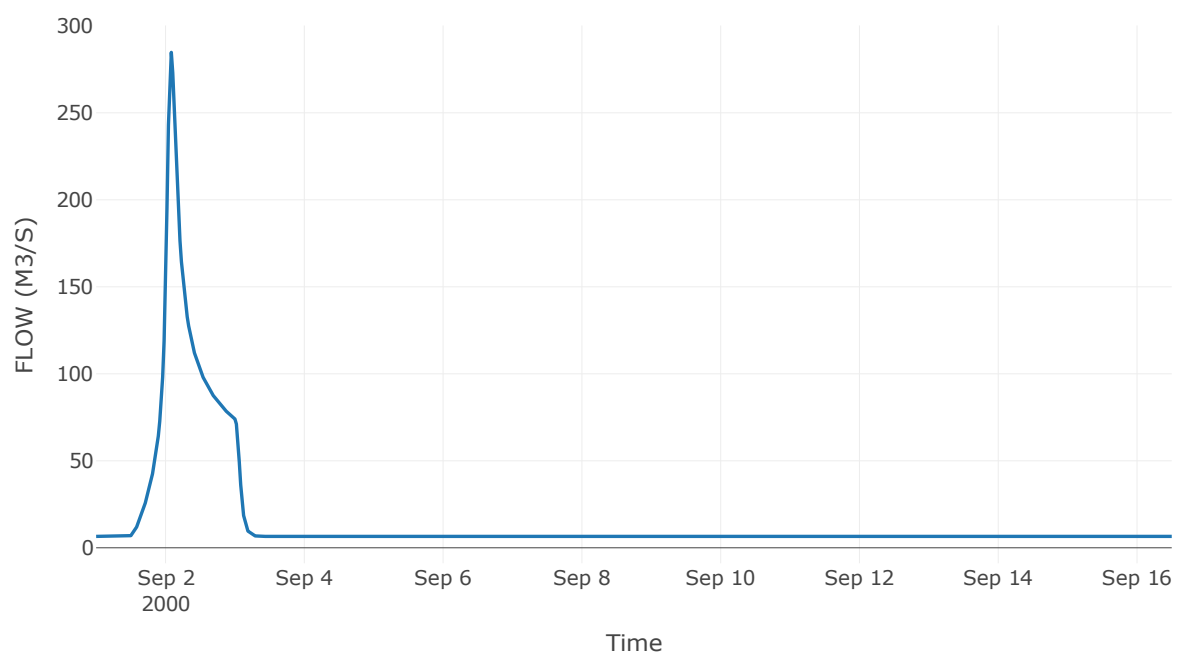
Κόμβος: J34

Κατάντη : R3433

Αποτελέσματα: J34

Παροχή Αιχμής (M3/S)	284.74
Χρονική στιγμή αιχμής	02Sep2000, 02:00
Όγκος(MM)	162.5

Απορροή



Κλάδος: R3433

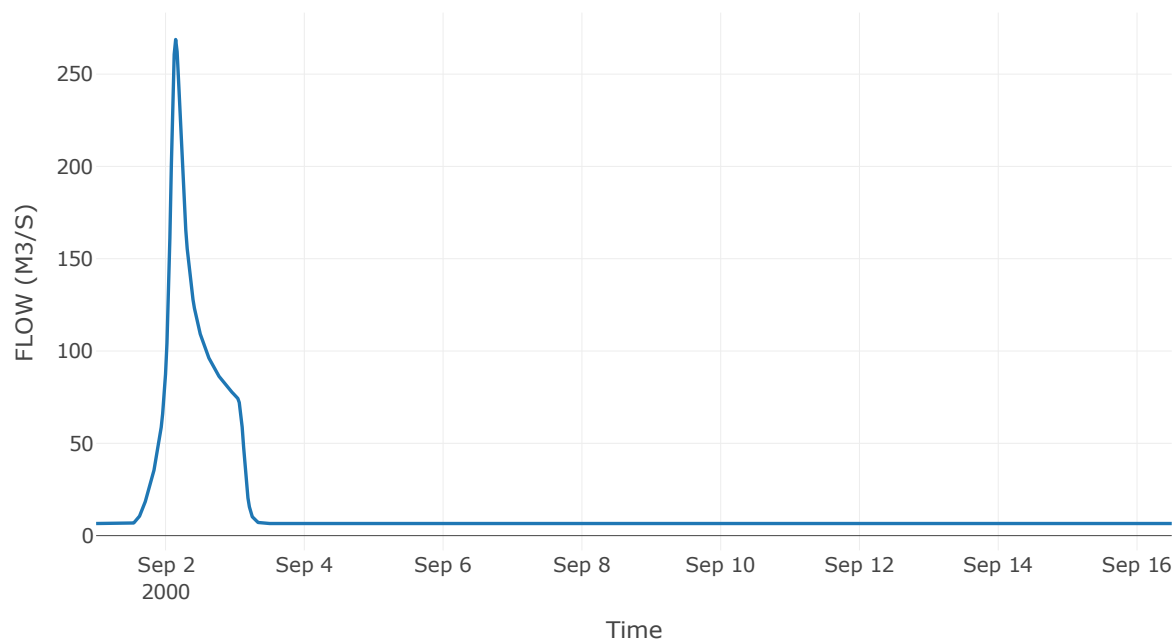
Κατάντη : J33

Μέθοδος Διόδευσης	Muskingum
Αρχική Μεταβλητή	Combined Inflow
Muskingum K	1.47
Συντελεστής βάρους x	0.2
Muskingum Steps	3

Αποτελέσματα: R3433

Παροχή Αιχμής (M3/S)	268.77
Χρονική στιγμή αιχμής	02Sep2000, 03:30
Όγκος(MM)	162.5
Παροχή Αιχμής Εισόδου (M3/S)	284.74
Όγκος Εισροής(M3)	2.13E7

Απορροή



Υπολεκάνη: EL0415FR6038

Έκταση (KM2) : 94.78

Κατάντη : J35

Μέθοδος Απωλειών: SCS

Ποσοστό αδιαπέρατης επιφάνειας	0
Αριθμός Καμπύλης Απορροής-CN	47.98
Αρχικές Απώλειες	55.09

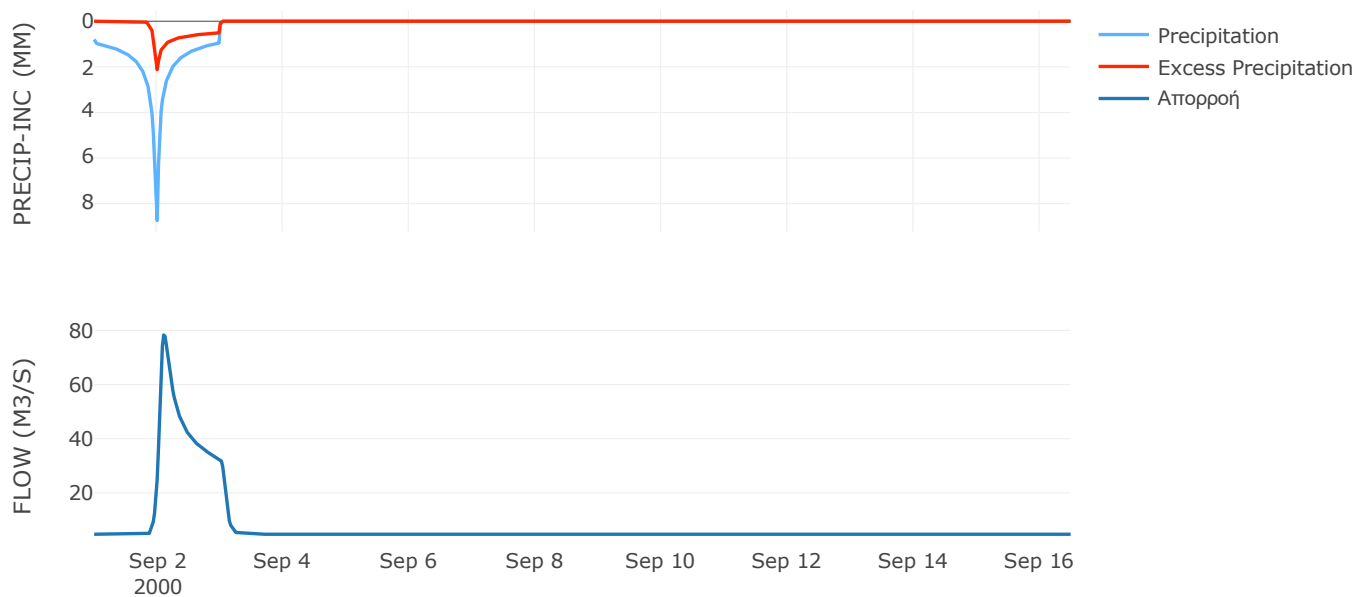
Μέθοδος
Μετασχηματισμού: SCS

Χρόνος Υστέρησης	108.03
------------------	--------

Αποτελέσματα:
EL0415FR6038

Παροχή αιχμής (M3/S)	78.29
Χρονική στιγμή αιχμής	02Sep2000, 02:30
Όγκος (MM)	107.78
Όγκος βροχόπτωσης (M3)	1.74E7
Όγκος απωλειών (M3)	1.35E7
Ενεργός Όγκος (M3)	3.87E6
Όγκος άμεσης απορροής (M3)	3.87E6
Όγκος βασικής απορροής (M3)	6.35E6

Βροχόπτωση και Απορροή



Υπολεκάνη: EL0415FR6048

Έκταση (KM2) : 29.32

Κατάντη : J35

Μέθοδος Απωλειών: SCS

Ποσοστό αδιαπέρατης επιφάνειας	0
Αριθμός Καμπύλης Απορροής-CN	44.2
Αρχικές Απώλειες	64.14

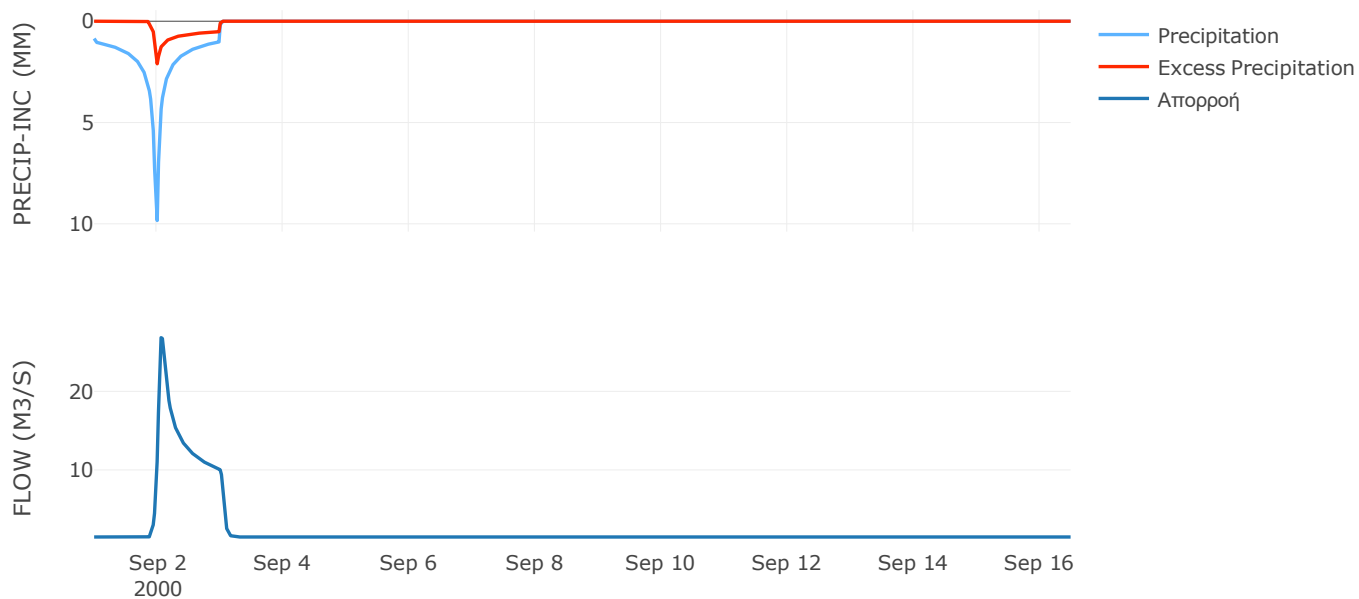
Μέθοδος
Μετασχηματισμού: SCS

Χρόνος Υστέρησης	64.1
------------------	------

Αποτελέσματα:
EL0415FR6048

Παροχή αιχμής (M3/S)	26.83
Χρονική στιγμή αιχμής	02Sep2000, 01:30
Όγκος (MM)	107.39
Όγκος βροχόπτωσης (M3)	5.86E6
Όγκος απωλειών (M3)	4.68E6
Ενεργός Όγκος (M3)	1.19E6
Όγκος άμεσης απορροής (M3)	1.19E6
Όγκος βασικής απορροής (M3)	1.96E6

Βροχόπτωση και Απορροή



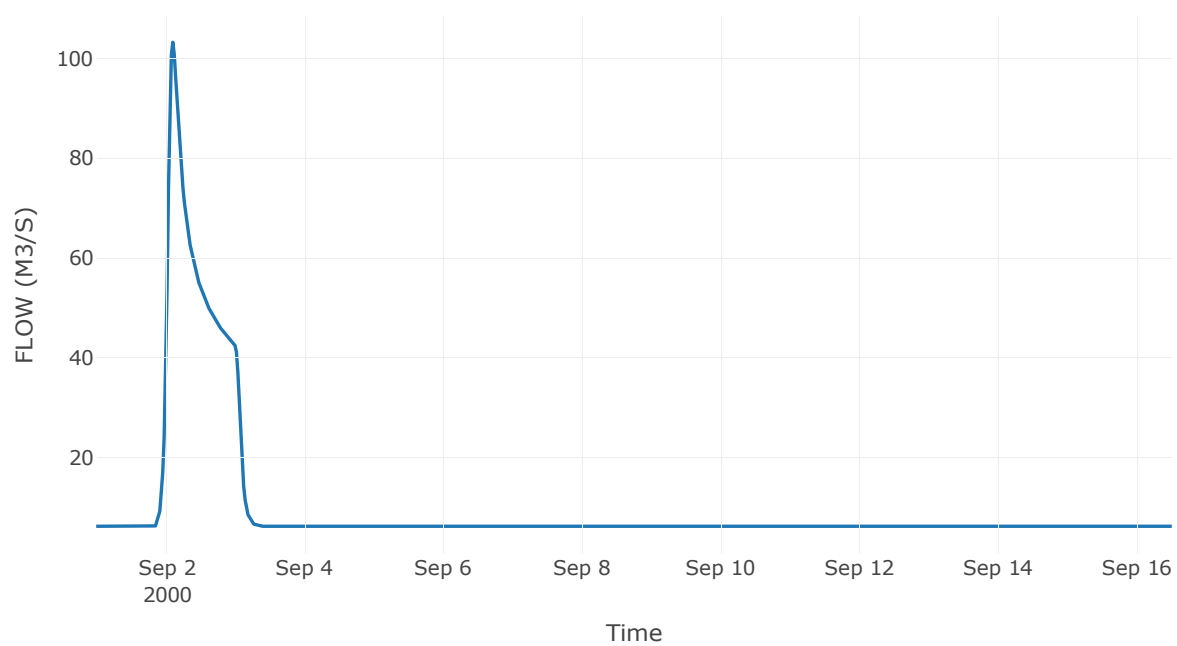
Κόμβος: J35

Κατάντη : R3533

Αποτελέσματα: J35

Παροχή Αιχμής (M3/S)	103.29
Χρονική στιγμή αιχμής	02Sep2000, 02:30
Όγκος(MM)	107.68

Απορροή



Κλάδος: R3533

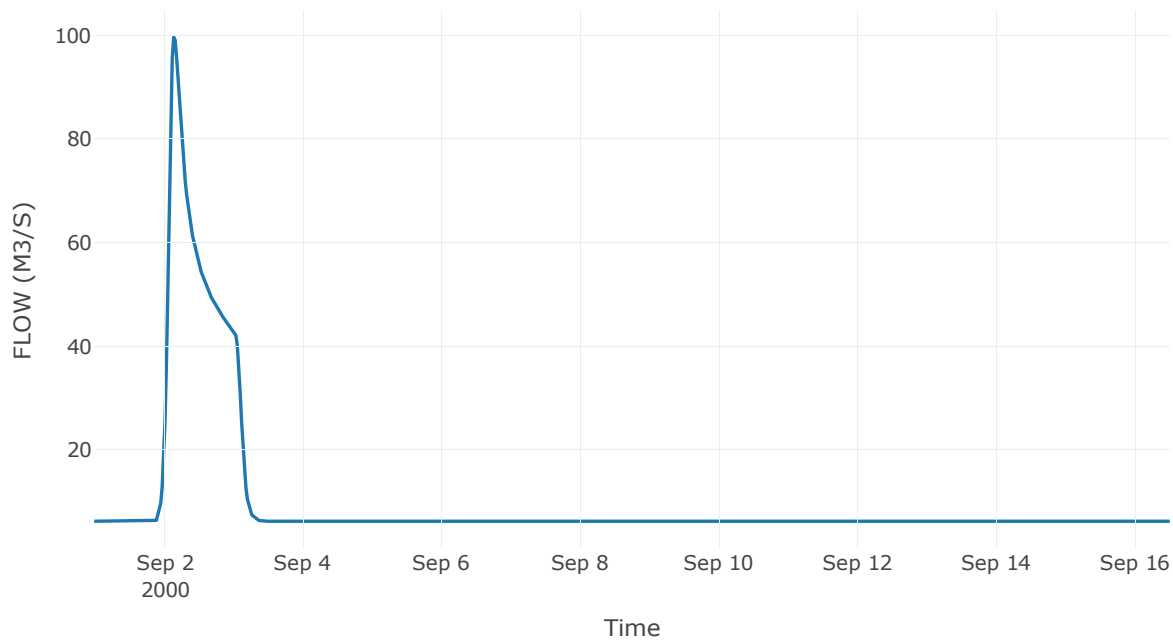
Κατάντη : J33

Μέθοδος Διόδευσης	Muskingum
Αρχική Μεταβλητή	Combined Inflow
Muskingum K	1.07
Συντελεστής βάρους α	0.2
Muskingum Steps	2

Αποτελέσματα: R3533

Παροχή Αιχμής (M3/S)	99.61
Χρονική στιγμή αιχμής	02Sep2000, 03:30
Όγκος(MM)	107.68
Παροχή Αιχμής Εισόδου (M3/S)	103.29
Όγκος Εισροής(M3)	1.34E7

Απορροή



Υπολεκάνη: EL0415FR6077

Έκταση (KM2) : 115.35

Κατάντη : J33

Μέθοδος Απωλειών: SCS

Ποσοστό αδιαπέρατης επιφάνειας	0
Αριθμός Καμπύλης Απορροής-CN	38.02
Αρχικές Απώλειες	82.8

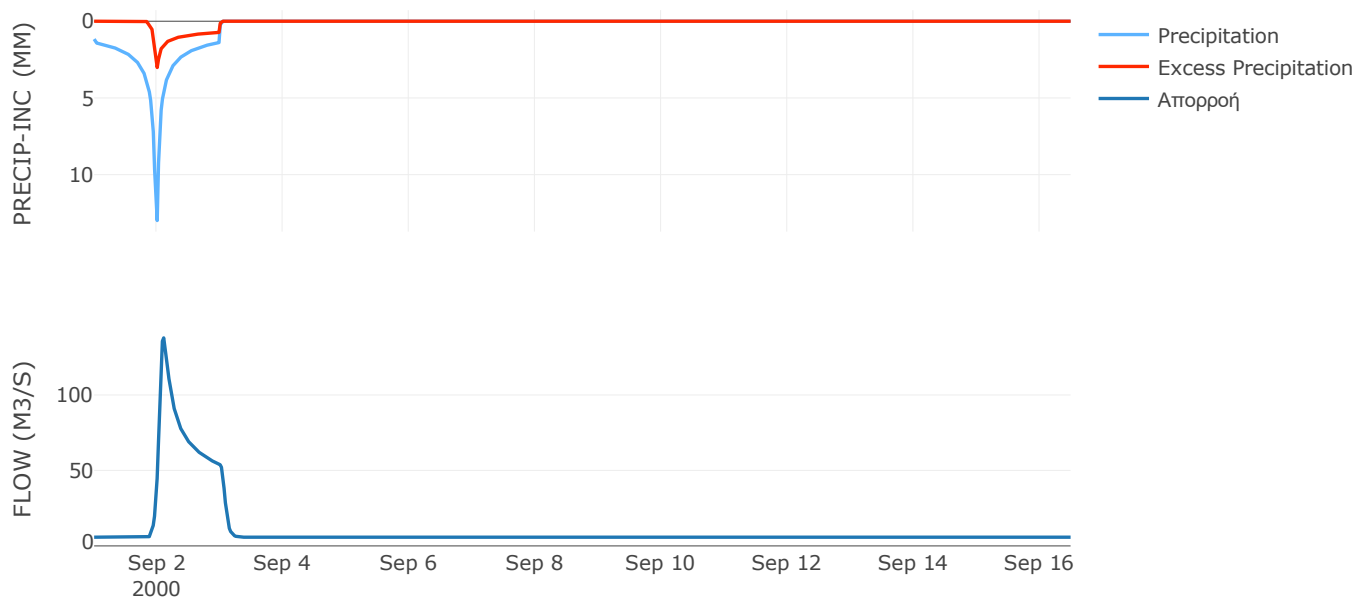
Μέθοδος
Μετασχηματισμού: SCS

Χρόνος Υστέρησης	93.8
------------------	------

Αποτελέσματα:
EL0415FR6077

Παροχή αιχμής (M3/S)	137.8
Χρονική στιγμή αιχμής	02Sep2000, 02:30
Όγκος (MM)	124.85
Όγκος βροχόπτωσης (M3)	3.11E7
Όγκος απωλειών (M3)	2.44E7
Ενεργός Όγκος (M3)	6.68E6
Όγκος άμεσης απορροής (M3)	6.68E6
Όγκος βασικής απορροής (M3)	7.72E6

Βροχόπτωση και Απορροή



Υπολεκάνη: EL0415FR6076

Έκταση (KM2) : 61.38

Κατάντη : J33

Μέθοδος Απωλειών: SCS

Ποσοστό αδιαπέρατης επιφάνειας	0
Αριθμός Καμπύλης Απορροής-CN	38.57
Αρχικές Απώλειες	80.91

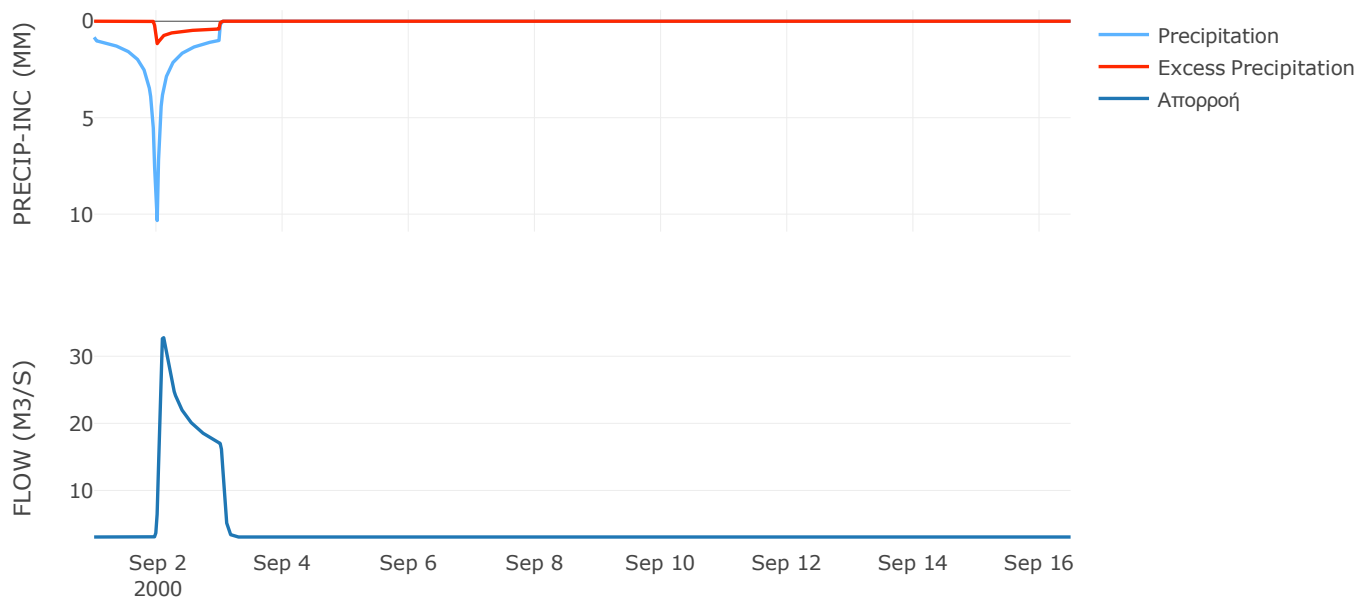
Μέθοδος
Μετασχηματισμού: SCS

Χρόνος Υστέρησης	68.59
------------------	-------

Αποτελέσματα:
EL0415FR6076

Παροχή αιχμής (M3/S)	32.76
Χρονική στιγμή αιχμής	02Sep2000, 02:30
Όγκος (MM)	94.36
Όγκος βροχόπτωσης (M3)	1.23E7
Όγκος απωλειών (M3)	1.06E7
Ενεργός Όγκος (M3)	1.68E6
Όγκος άμεσης απορροής (M3)	1.68E6
Όγκος βασικής απορροής (M3)	4.11E6

Βροχόπτωση και Απορροή



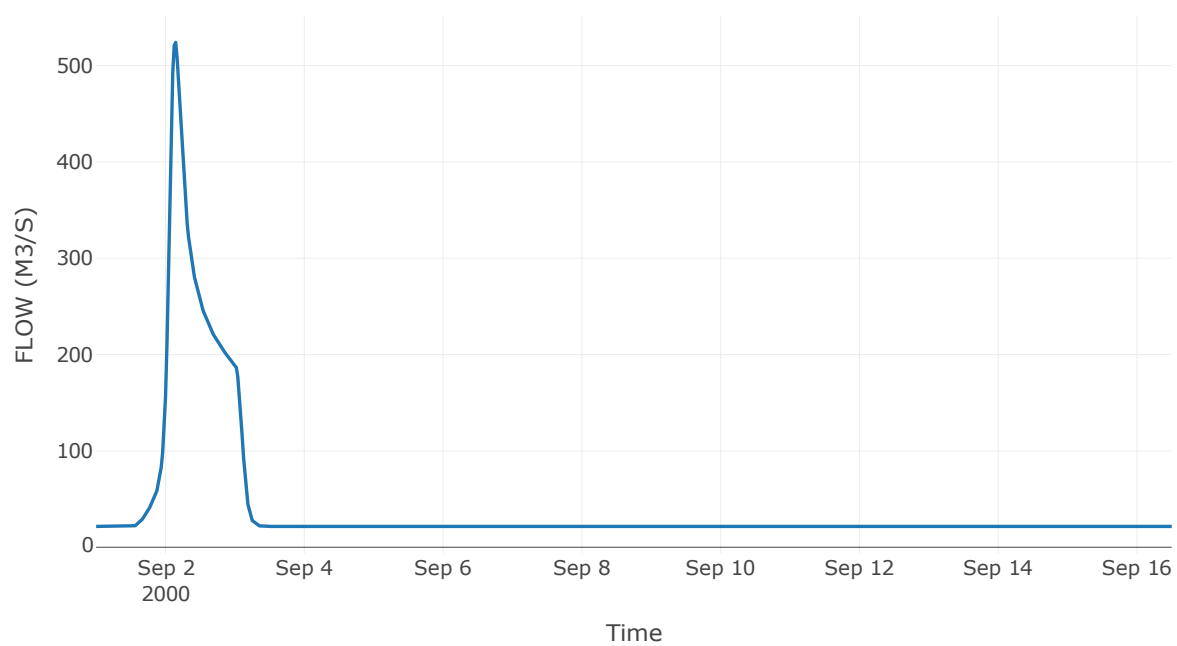
Κόμβος: J33

Κατάντη : R3332

Αποτελέσματα: J33

Παροχή Αιχμής (M3/S)	523.99
Χρονική στιγμή αιχμής	02Sep2000, 03:30
Όγκος(MM)	127.02

Απορροή



Κλάδος: R3332

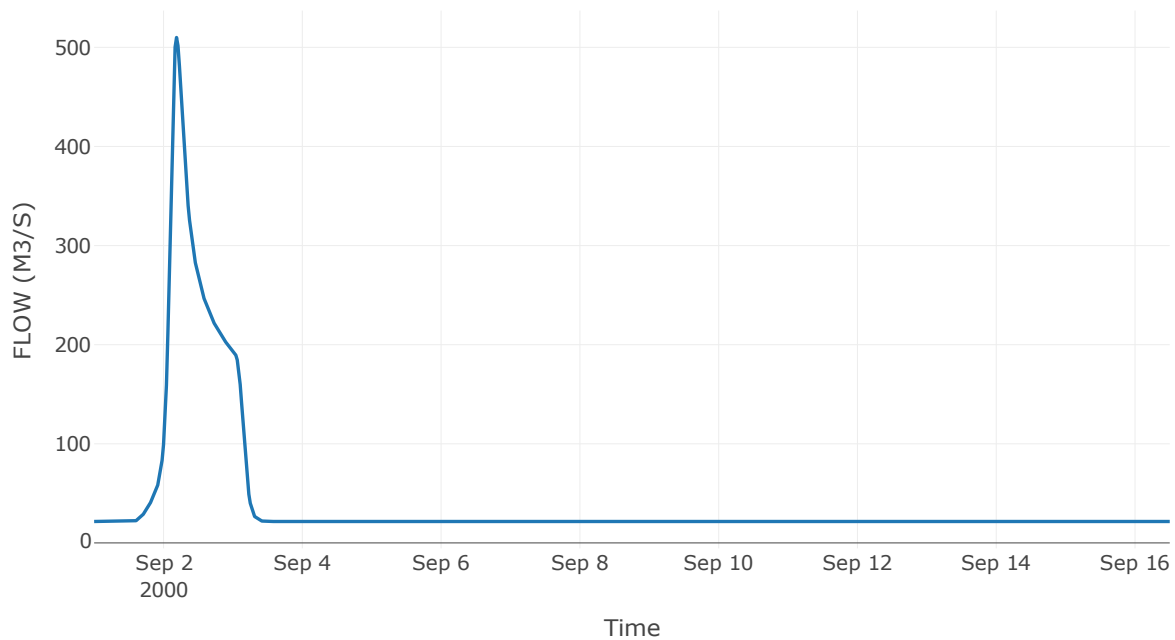
Κατάντη : J32

Μέθοδος Διόδευσης	Muskingum
Αρχική Μεταβλητή	Combined Inflow
Muskingum K	1.1
Συντελεστής βάρους x	0.2
Muskingum Steps	2

Αποτελέσματα: R3332

Παροχή Αιχμής (M3/S)	509.97
Χρονική στιγμή αιχμής	02Sep2000, 04:30
Όγκος(MM)	127.02
Παροχή Αιχμής Εισόδου (M3/S)	523.99
Όγκος Εισροής(M3)	5.49E7

Απορροή



Υπολεκάνη: EL0415FR6079

Έκταση (KM2) : 61

Κατάντη : J32

Μέθοδος Απωλειών: SCS

Ποσοστό αδιαπέρατης επιφάνειας	0
Αριθμός Καμπύλης Απορροής-CN	39.17
Αρχικές Απώλειες	78.91

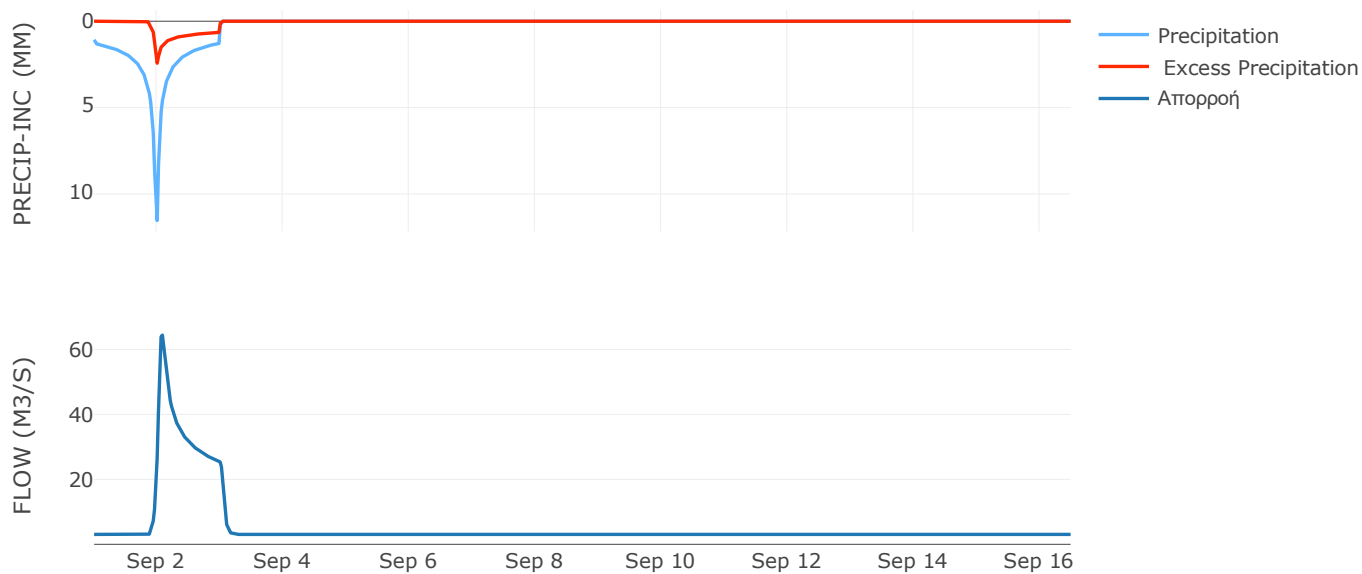
Μέθοδος
Μετασχηματισμού: SCS

Χρόνος Υστέρησης	66.08
------------------	-------

Αποτελέσματα:
EL0415FR6079

Παροχή αιχμής (M3/S)	64.42
Χρονική στιγμή αιχμής	02Sep2000, 02:00
Όγκος (MM)	116.19
Όγκος βροχόπτωσης (M3)	1.49E7
Όγκος απωλειών (M3)	1.19E7
Ενεργός Όγκος (M3)	3E6
Όγκος άμεσης απορροής (M3)	3E6
Όγκος βασικής απορροής (M3)	4.08E6

Βροχόπτωση και Απορροή



Υπολεκάνη: EL0415FR6078

Έκταση (KM2) : 32.2

Κατάντη : J32

Μέθοδος Απωλειών: SCS

Ποσοστό αδιαπέρατης επιφάνειας	0
Αριθμός Καμπύλης Απορροής-CN	42.74
Αρχικές Απώλειες	68.06

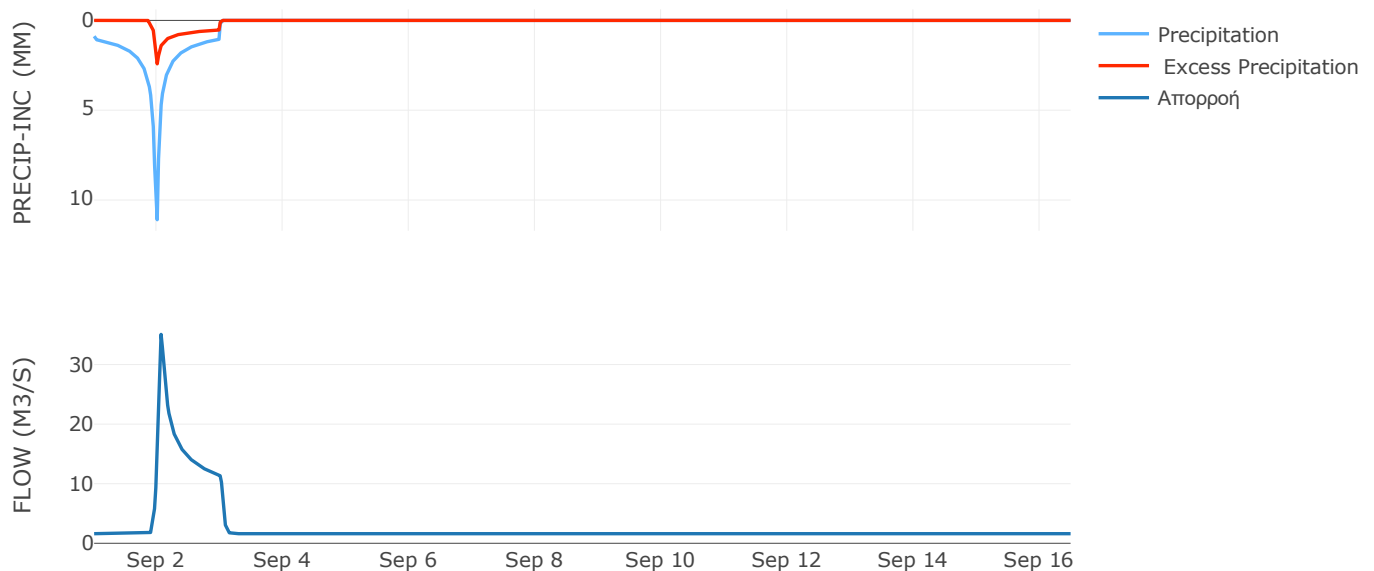
Μέθοδος
Μετασχηματισμού: SCS

Χρόνος Υστέρησης	52.45
------------------	-------

Αποτελέσματα:
EL0415FR6078

Παροχή αιχμής (M3/S)	35.06
Χρονική στιγμή αιχμής	02Sep2000, 01:30
Όγκος (MM)	110.5
Όγκος βροχόπτωσης (M3)	6.87E6
Όγκος απωλειών (M3)	5.47E6
Ενεργός Όγκος (M3)	1.4E6
Όγκος άμεσης απορροής (M3)	1.4E6
Όγκος βασικής απορροής (M3)	2.16E6

Βροχόπτωση και Απορροή



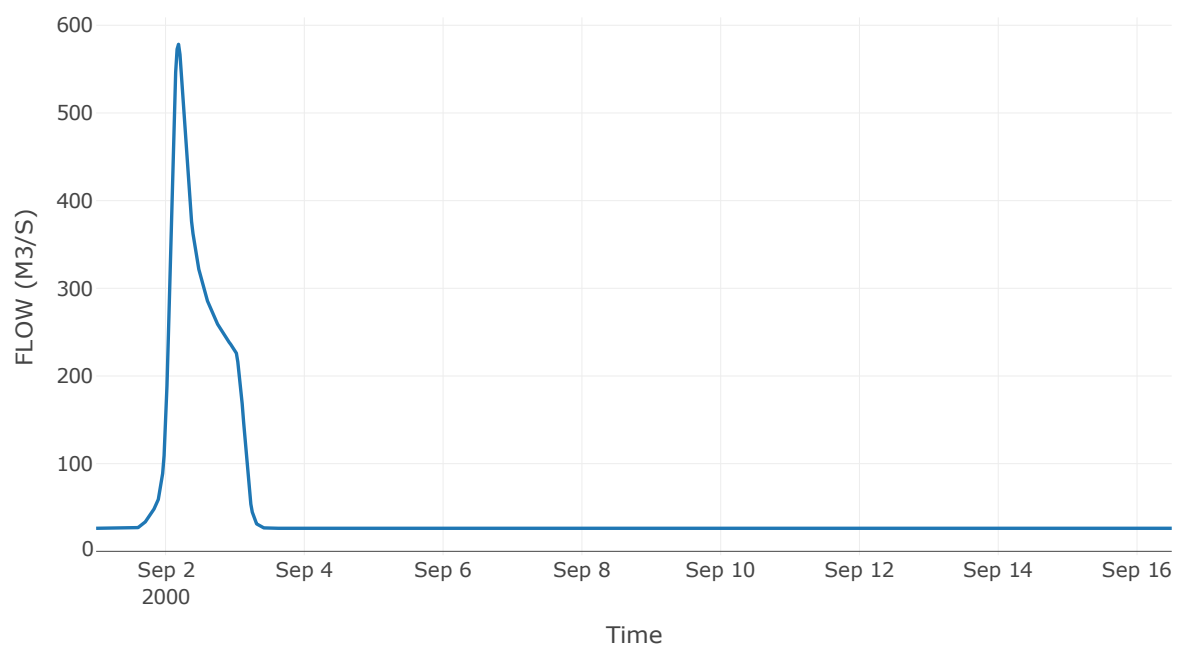
Κόμβος: J32

Κατάντη : R3230

Αποτελέσματα: J32

Παροχή Αιχμής (M3/S)	578.34
Χρονική στιγμή αιχμής	02Sep2000, 04:30
Όγκος(MM)	124.75

Απορροή



Κλάδος: R3230

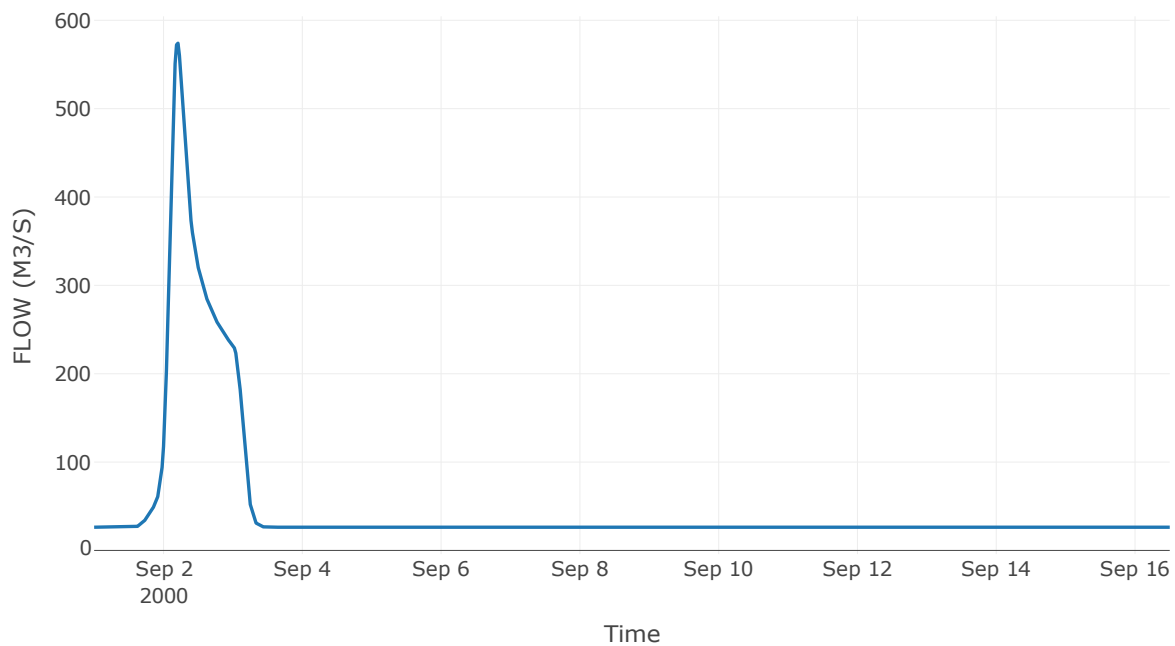
Κατάντη : J30

Μέθοδος Διόδευσης	Muskingum
Αρχική Μεταβλητή	Combined Inflow
Muskingum K	0.38
Συντελεστής βάρους x	0.2
Muskingum Steps	1

Αποτελέσματα: R3230

Παροχή Αιχμής (M3/S)	574.07
Χρονική στιγμή αιχμής	02Sep2000, 05:00
Όγκος(MM)	124.75
Παροχή Αιχμής Εισόδου (M3/S)	578.34
Όγκος Εισροής(M3)	6.55E7

Απορροή



Υπολεκάνη: EL0415FR6080

Έκταση (KM2) : 31.99

Κατάντη : J30

Μέθοδος Απωλειών: SCS

Ποσοστό αδιαπέρατης επιφάνειας	0
Αριθμός Καμπύλης Απορροής-CN	38.53
Αρχικές Απώλειες	81.04

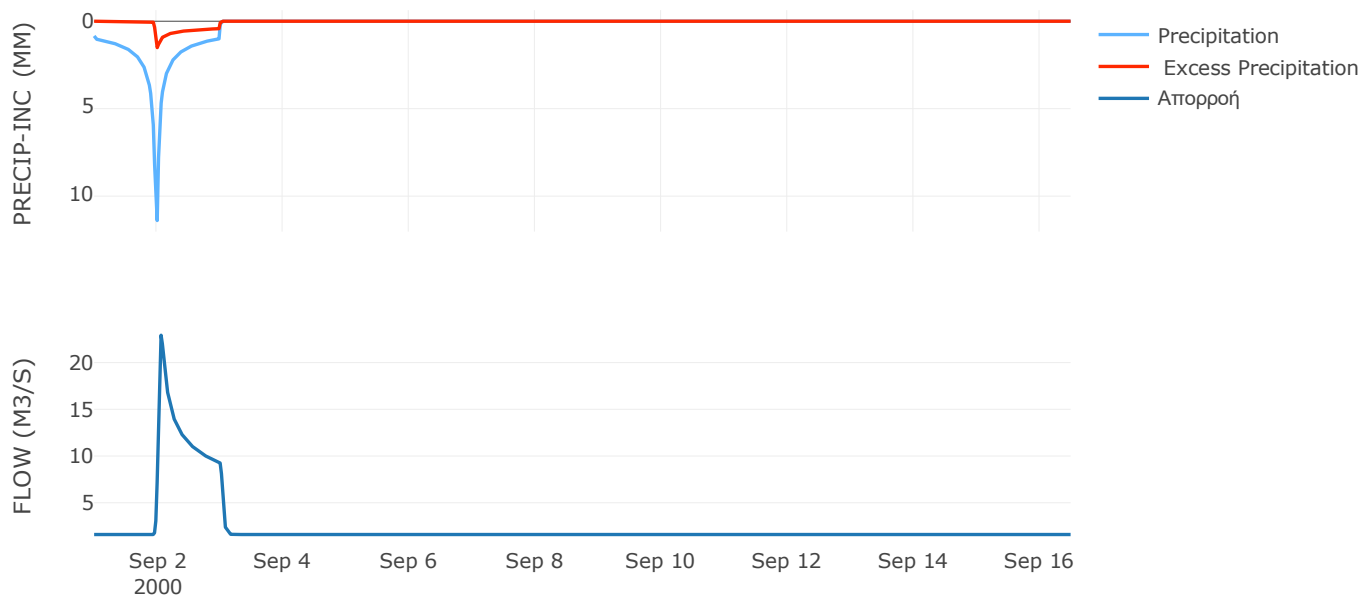
Μέθοδος
Μετασχηματισμού: SCS

Χρόνος Υστέρησης	45.4
------------------	------

Αποτελέσματα:
EL0415FR6080

Παροχή αιχμής (M3/S)	22.93
Χρονική στιγμή αιχμής	02Sep2000, 01:30
Όγκος (MM)	97.99
Όγκος βροχόπτωσης (M3)	6.71E6
Όγκος απωλειών (M3)	5.72E6
Ενεργός Όγκος (M3)	9.93E5
Όγκος άμεσης απορροής (M3)	9.93E5
Όγκος βασικής απορροής (M3)	2.14E6

Βροχόπτωση και Απορροή



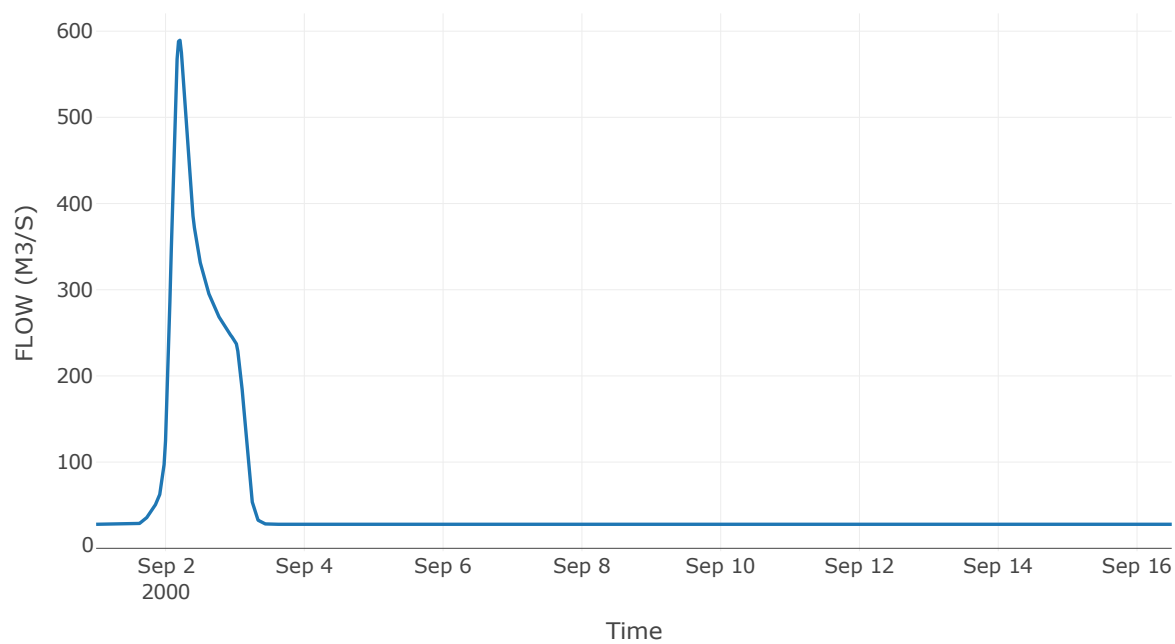
Κόμβος: J30

Κατάντη : R3029

Αποτελέσματα: J30

Παροχή Αιχμής (M3/S)	589.42
Χρονική στιγμή αιχμής	02Sep2000, 05:00
Όγκος(MM)	123.21

Απορροή



Κλάδος: R3029

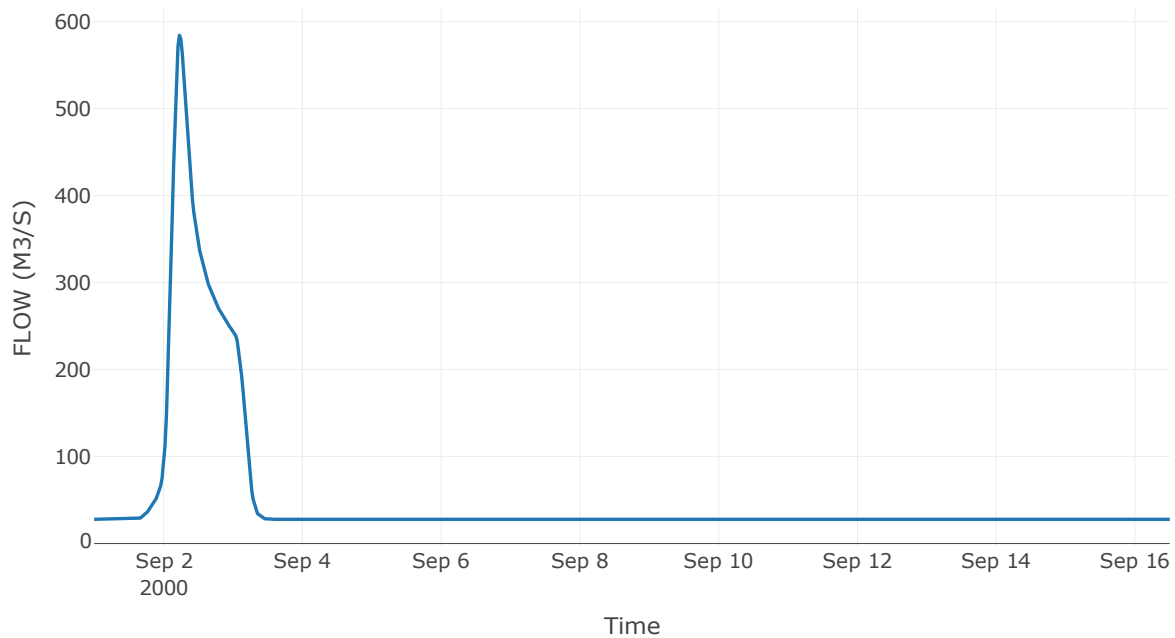
Κατάντη : J29

Μέθοδος Διόδευσης	Muskingum
Αρχική Μεταβλητή	Combined Inflow
Muskingum K	0.79
Συντελεστής βάρους α	0.2
Muskingum Steps	2

Αποτελέσματα: R3029

Παροχή Αιχμής (M3/S)	584.27
Χρονική στιγμή αιχμής	02Sep2000, 05:30
Όγκος(MM)	123.21
Παροχή Αιχμής Εισόδου (M3/S)	589.42
Όγκος Εισροής(M3)	6.87E7

Απορροή



Υπολεκάνη: EL0415FR6091

Έκταση (KM2) : 12.79

Κατάντη : J29

Μέθοδος Απωλειών: SCS

Ποσοστό αδιαπέρατης επιφάνειας	20
Αριθμός Καμπύλης Απορροής-CN	46.27
Αρχικές Απώλειες	58.99

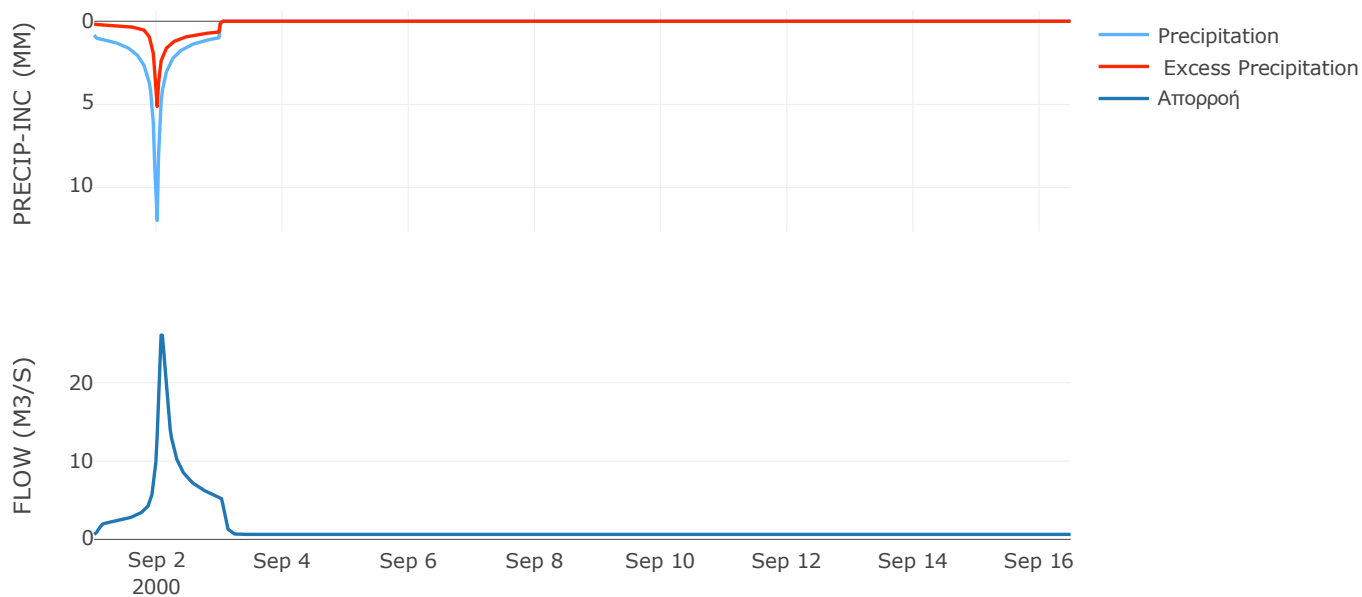
Μέθοδος
Μετασχηματισμού: SCS

Χρόνος Υστέρησης	82.7
------------------	------

Αποτελέσματα:
EL0415FR6091

Παροχή αιχμής (M3/S)	26.09
Χρονική στιγμή αιχμής	02Sep2000, 01:30
Όγκος (MM)	151.64
Όγκος βροχόπτωσης (M3)	2.72E6
Όγκος απωλειών (M3)	1.64E6
Ενεργός Όγκος (M3)	1.08E6
Όγκος άμεσης απορροής (M3)	1.08E6
Όγκος βασικής απορροής (M3)	8.56E5

Βροχόπτωση και Απορροή



Υπολεκάνη: EL0415FR6090

Έκταση (KM2) : 6.36

Κατάντη : J29

Μέθοδος Απωλειών: SCS

Ποσοστό αδιαπέρατης επιφάνειας	20
Αριθμός Καμπύλης Απορροής-CN	48.36
Αρχικές Απώλειες	54.25

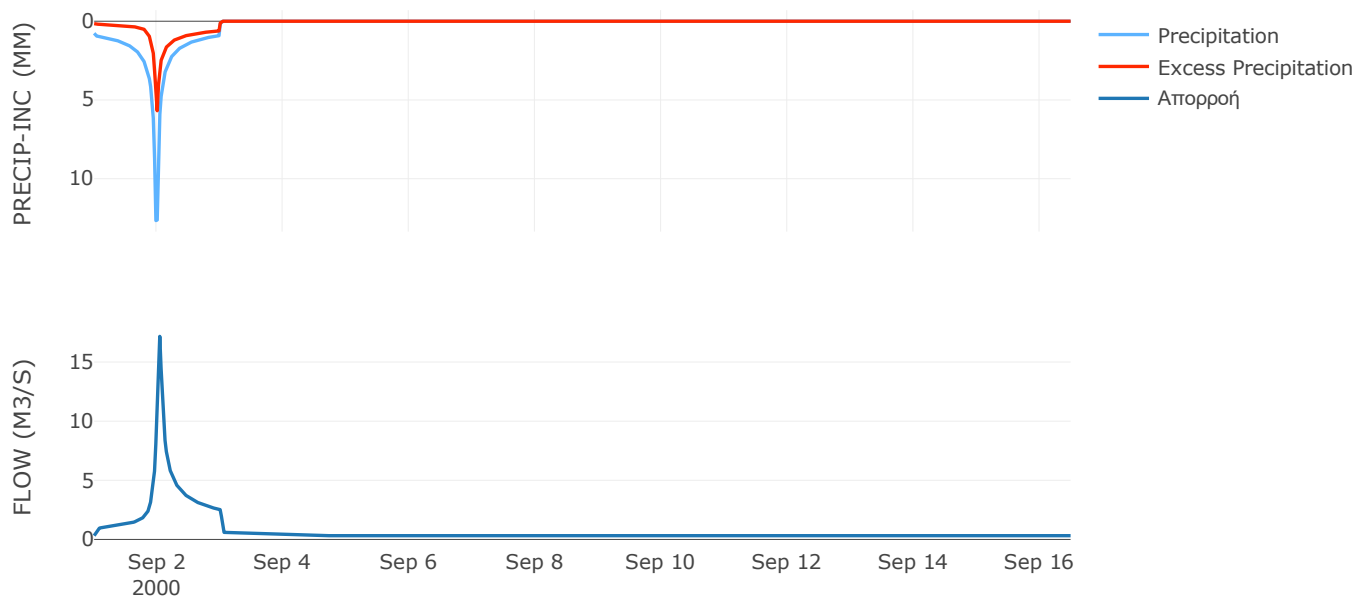
Μέθοδος
Μετασχηματισμού: SCS

Χρόνος Υστέρησης	34.28
------------------	-------

Αποτελέσματα:
EL0415FR6090

Παροχή αιχμής (M3/S)	17.17
Χρονική στιγμή αιχμής	02Sep2000, 01:00
Όγκος (MM)	152.25
Όγκος βροχόπτωσης (M3)	1.31E6
Όγκος απωλειών (M3)	7.72E5
Ενεργός Όγκος (M3)	5.42E5
Όγκος άμεσης απορροής (M3)	5.42E5
Όγκος βασικής απορροής (M3)	4.26E5

Βροχόπτωση και Απορροή



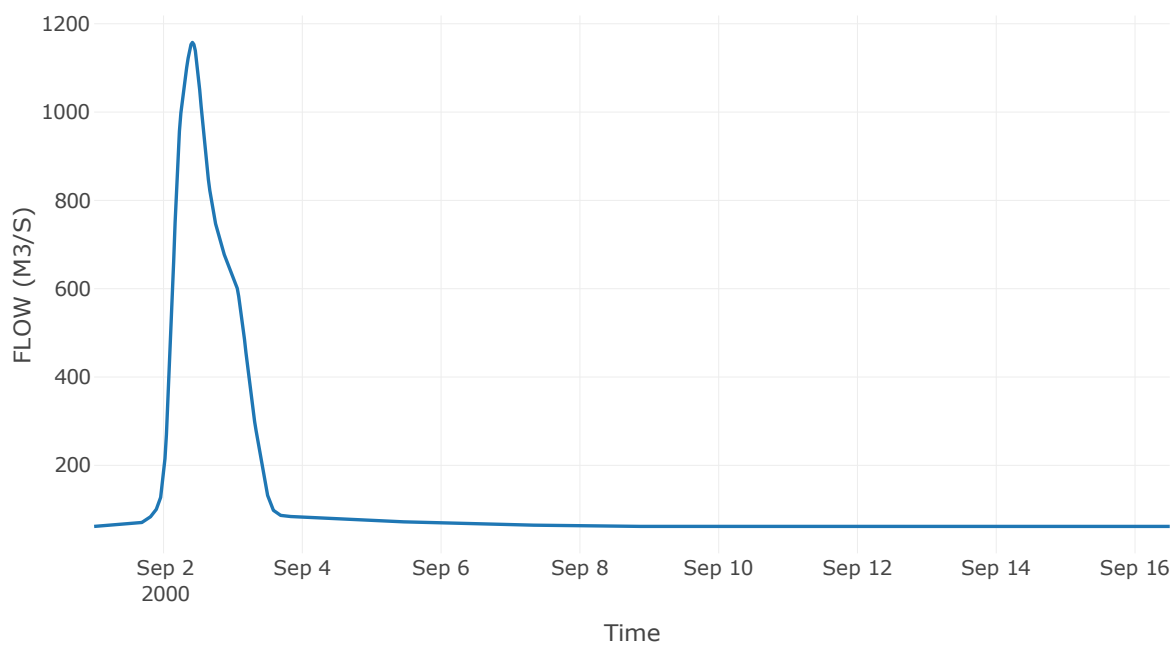
Κόμβος: J29

Κατάντη : R2928

Αποτελέσματα: J29

Παροχή Αιχμής (M3/S)	1157.77
Χρονική στιγμή αιχμής	02Sep2000, 10:00
Όγκος(MM)	135.47

Απορροή



Κλάδος: R2928

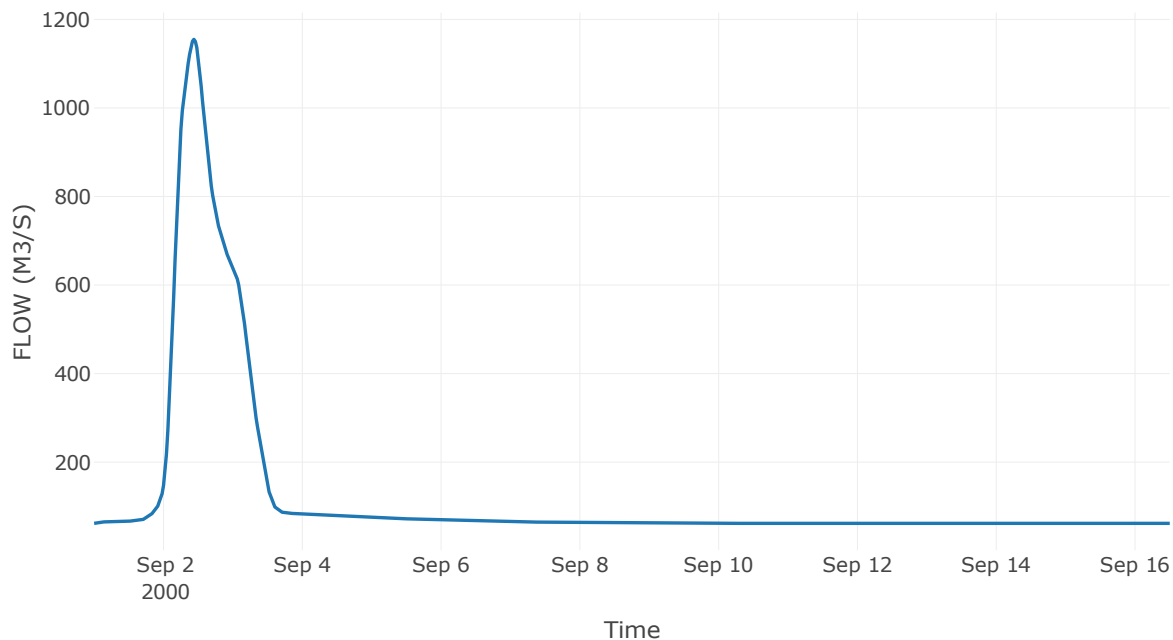
Κατάντη : J28

Μέθοδος Διόδευσης	Muskingum
Αρχική Μεταβλητή	Combined Inflow
Muskingum K	0.51
Συντελεστής βάρους x	0.2
Muskingum Steps	1

Αποτελέσματα: R2928

Παροχή Αιχμής (M3/S)	1154.94
Χρονική στιγμή αιχμής	02Sep2000, 10:30
Όγκος(MM)	135.47
Παροχή Αιχμής Εισόδου (M3/S)	1157.77
Όγκος Εισροής(M3)	1.67E8

Απορροή



Υπολεκάνη: EL0415FR6042

Έκταση (KM2) : 44.43

Κατάντη : J28

Μέθοδος Απωλειών: SCS

Ποσοστό αδιαπέρατης επιφάνειας	0
Αριθμός Καμπύλης Απορροής-CN	45.57
Αρχικές Απώλειες	60.67

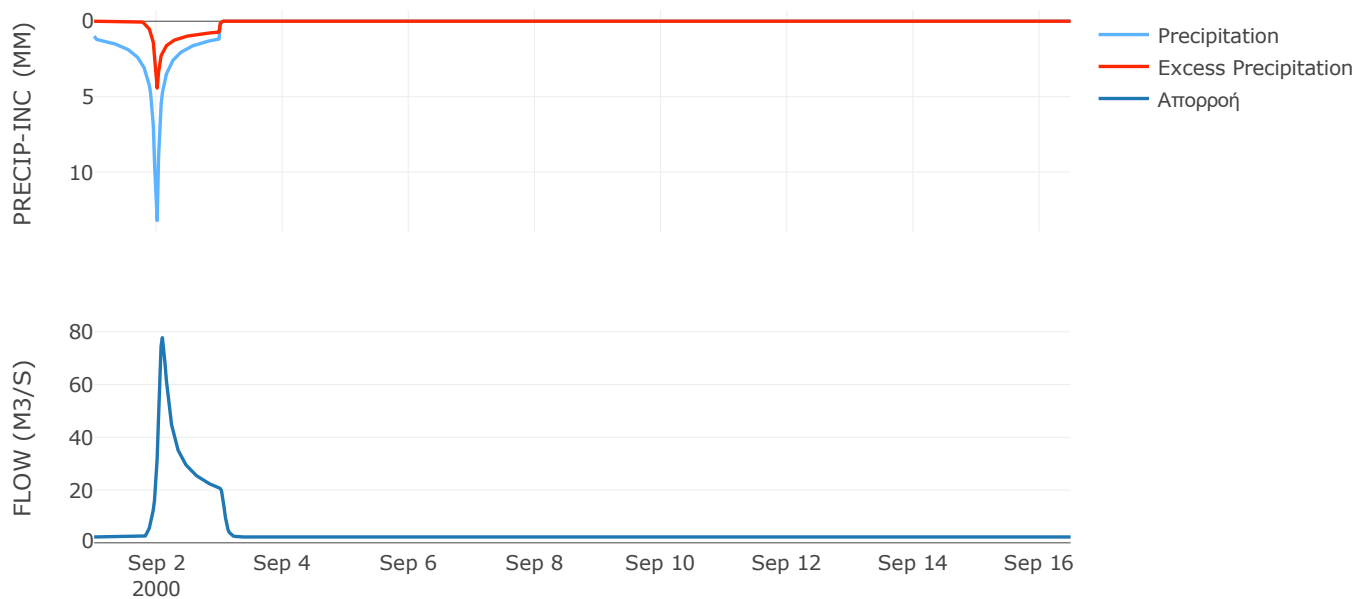
Μέθοδος
Μετασχηματισμού: SCS

Χρόνος Υστέρησης	84.96
------------------	-------

Αποτελέσματα:
EL0415FR6042

Παροχή αιχμής (M3/S)	77.77
Χρονική στιγμή αιχμής	02Sep2000, 02:00
Όγκος (MM)	136.61
Όγκος βροχόπτωσης (M3)	1.09E7
Όγκος απωλειών (M3)	7.79E6
Ενεργός Όγκος (M3)	3.09E6
Όγκος άμεσης απορροής (M3)	3.09E6
Όγκος βασικής απορροής (M3)	2.98E6

Βροχόπτωση και Απορροή



Υπολεκάνη: EL0415FR6089

Έκταση (KM2) : 9.78

Κατάντη : J28

Μέθοδος Απωλειών: SCS

Ποσοστό αδιαπέρατης επιφάνειας	11
Αριθμός Καμπύλης Απορροής-CN	57.43
Αρχικές Απώλειες	37.65

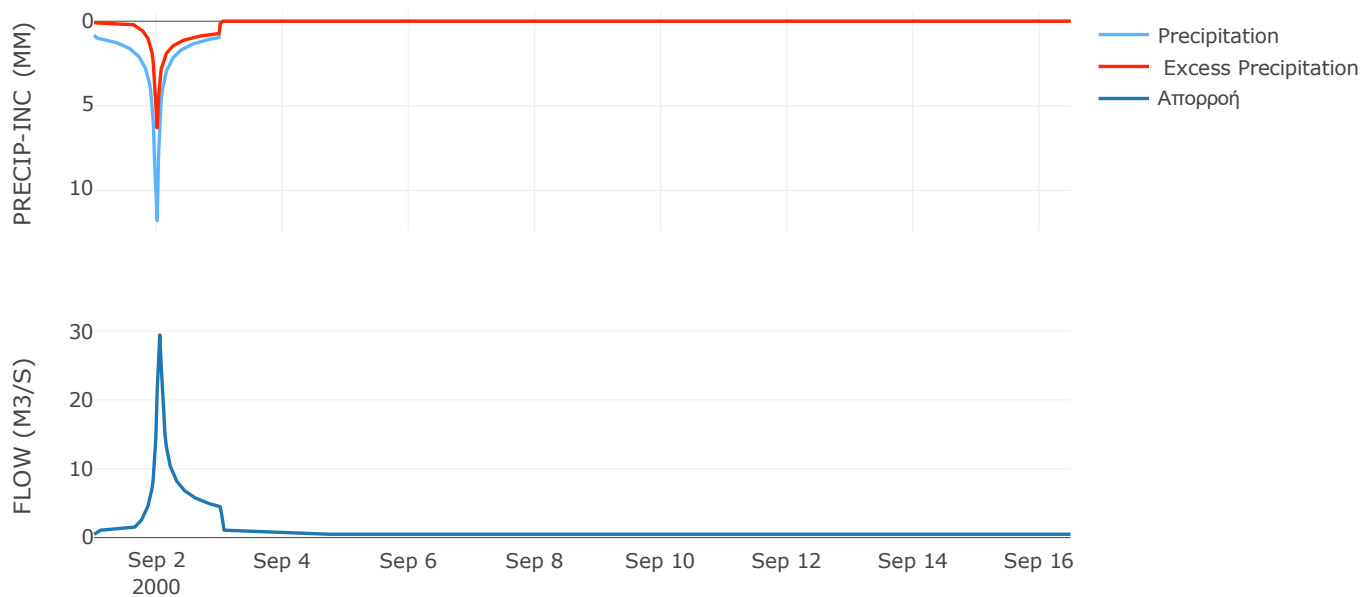
Μέθοδος
Μετασχηματισμού: SCS

Χρόνος Υστέρησης	36.41
------------------	-------

Αποτελέσματα:
EL0415FR6089

Παροχή αιχμής (M3/S)	29.43
Χρονική στιγμή αιχμής	02Sep2000, 01:00
Όγκος (MM)	161.34
Όγκος βροχόπτωσης (M3)	2.03E6
Όγκος απωλειών (M3)	1.1E6
Ενεργός Όγκος (M3)	9.23E5
Όγκος άμεσης απορροής (M3)	9.23E5
Όγκος βασικής απορροής (M3)	6.55E5

Βροχόπτωση και Απορροή



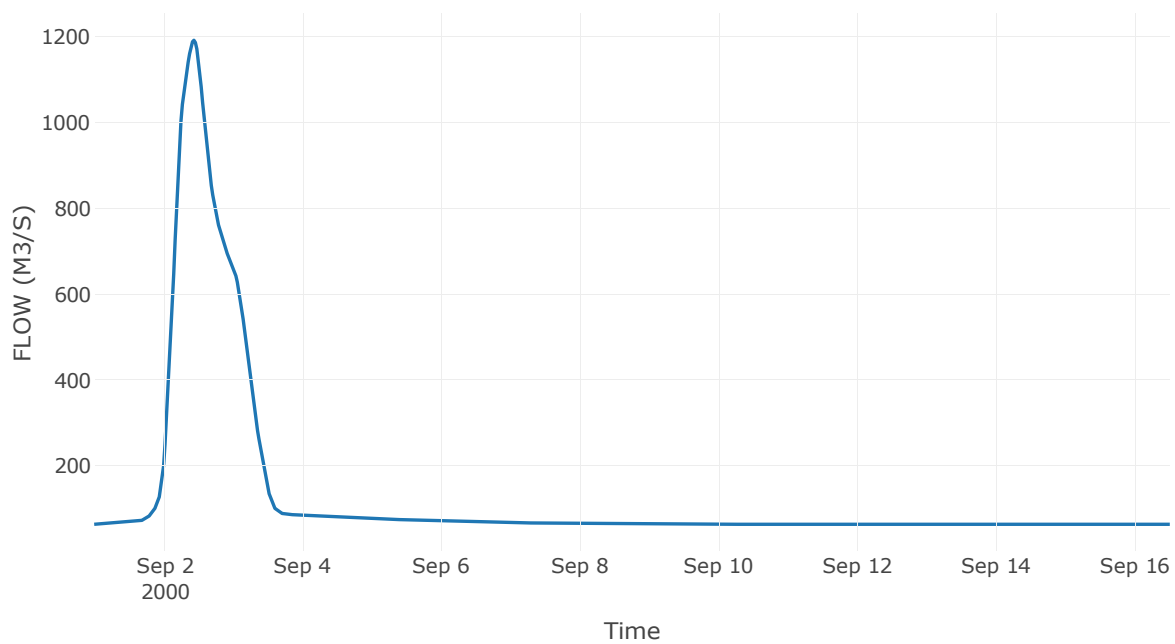
Κόμβος: J28

Κατάντη : R2827

Αποτελέσματα: J28

Παροχή Αιχμής (M3/S)	1191.97
Χρονική στιγμή αιχμής	02Sep2000, 10:30
Όγκος(MM)	135.71

Απορροή



Κλάδος: R2827

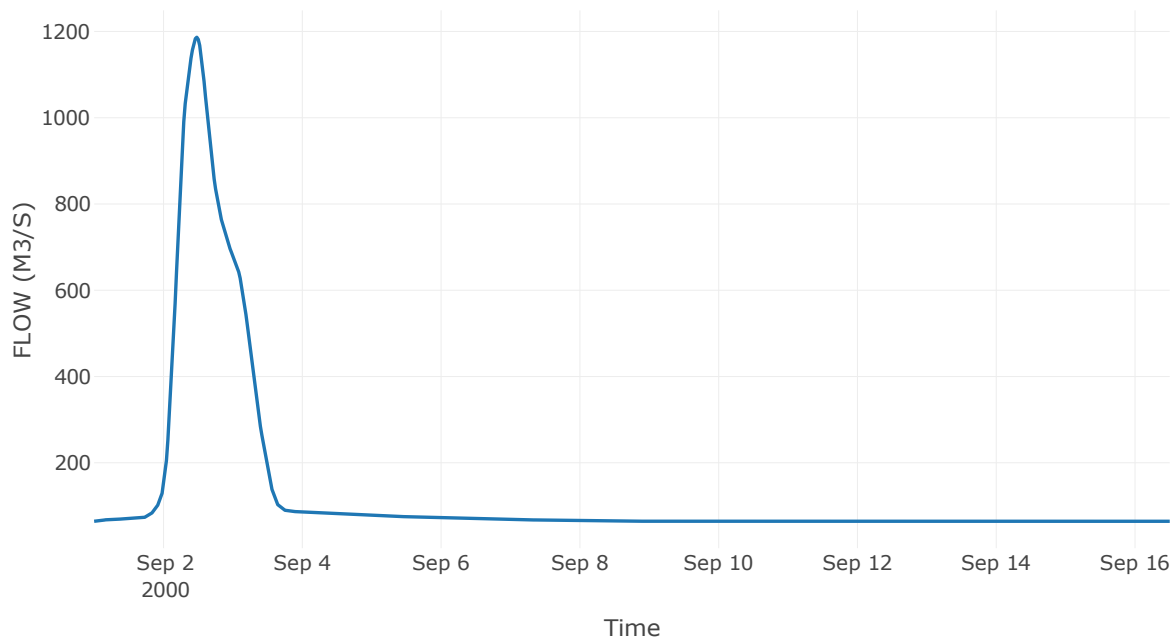
Κατάντη : J27

Μέθοδος Διόδευσης	Muskingum
Αρχική Μεταβλητή	Combined Inflow
Muskingum K	1.05
Συντελεστής βάρους x	0.2
Muskingum Steps	2

Αποτελέσματα: R2827

Παροχή Αιχμής (M3/S)	1186.59
Χρονική στιγμή αιχμής	02Sep2000, 11:30
Όγκος(MM)	135.71
Παροχή Αιχμής Εισόδου (M3/S)	1191.97
Όγκος Εισροής(M3)	1.75E8

Απορροή



Υπολεκάνη: EL0415FR6034

Έκταση (KM2) : 105.64

Κατάντη : J44

Μέθοδος Απωλειών: SCS

Ποσοστό αδιαπέρατης επιφάνειας	0
Αριθμός Καμπύλης Απορροής-CN	44.95
Αρχικές Απώλειες	62.22

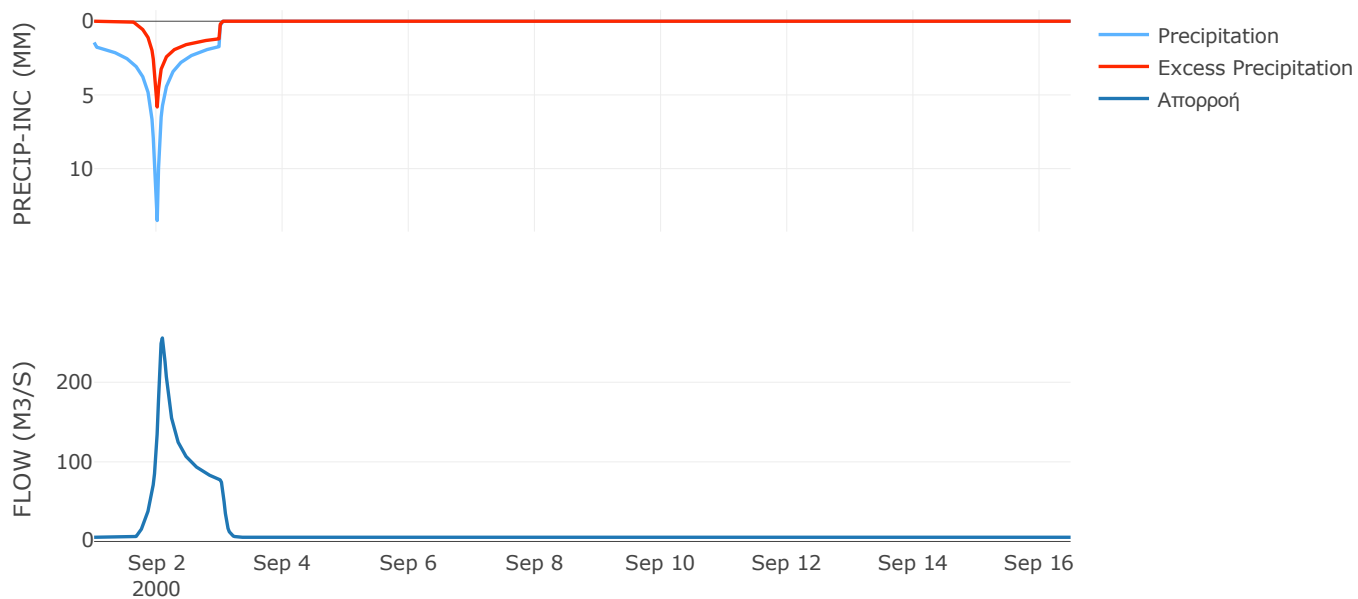
Μέθοδος
Μετασχηματισμού: SCS

Χρόνος Υστέρησης	86.01
------------------	-------

Αποτελέσματα:
EL0415FR6034

Παροχή αιχμής (M3/S)	255.62
Χρονική στιγμή αιχμής	02Sep2000, 02:00
Όγκος (MM)	178.92
Όγκος βροχόπτωσης (M3)	3.31E7
Όγκος απωλειών (M3)	2.12E7
Ενεργός Όγκος (M3)	1.18E7
Όγκος άμεσης απορροής (M3)	1.18E7
Όγκος βασικής απορροής (M3)	7.07E6

Βροχόπτωση και Απορροή



Υπολεκάνη: EL0415FR6044

Έκταση (KM2) : 32.29

Κατάντη : J44

Μέθοδος Απωλειών: SCS

Ποσοστό αδιαπέρατης επιφάνειας	0
Αριθμός Καμπύλης Απορροής-CN	40.13
Αρχικές Απώλειες	75.8

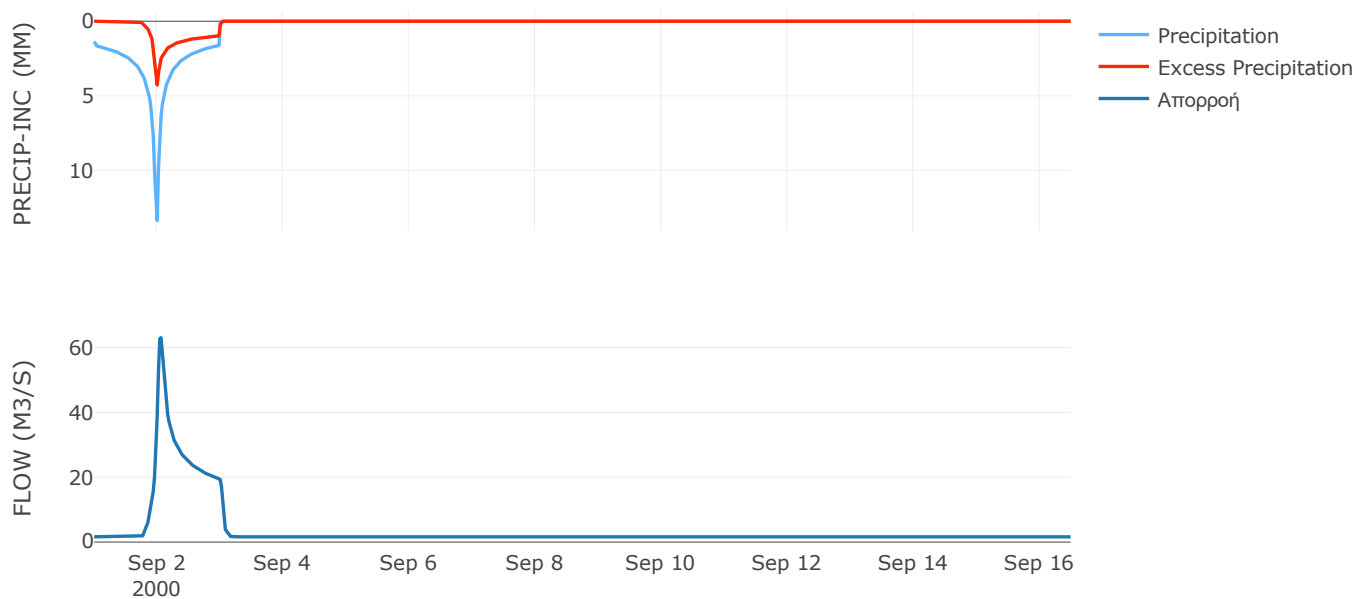
Μέθοδος
Μετασχηματισμού: SCS

Χρόνος Υστέρησης	49.24
------------------	-------

Αποτελέσματα:
EL0415FR6044

Παροχή αιχμής (M3/S)	63.06
Χρονική στιγμή αιχμής	02Sep2000, 01:30
Όγκος (MM)	149.9
Όγκος βροχόπτωσης (M3)	9.67E6
Όγκος απωλειών (M3)	6.99E6
Ενεργός Όγκος (M3)	2.68E6
Όγκος άμεσης απορροής (M3)	2.68E6
Όγκος βασικής απορροής (M3)	2.16E6

Βροχόπτωση και Απορροή



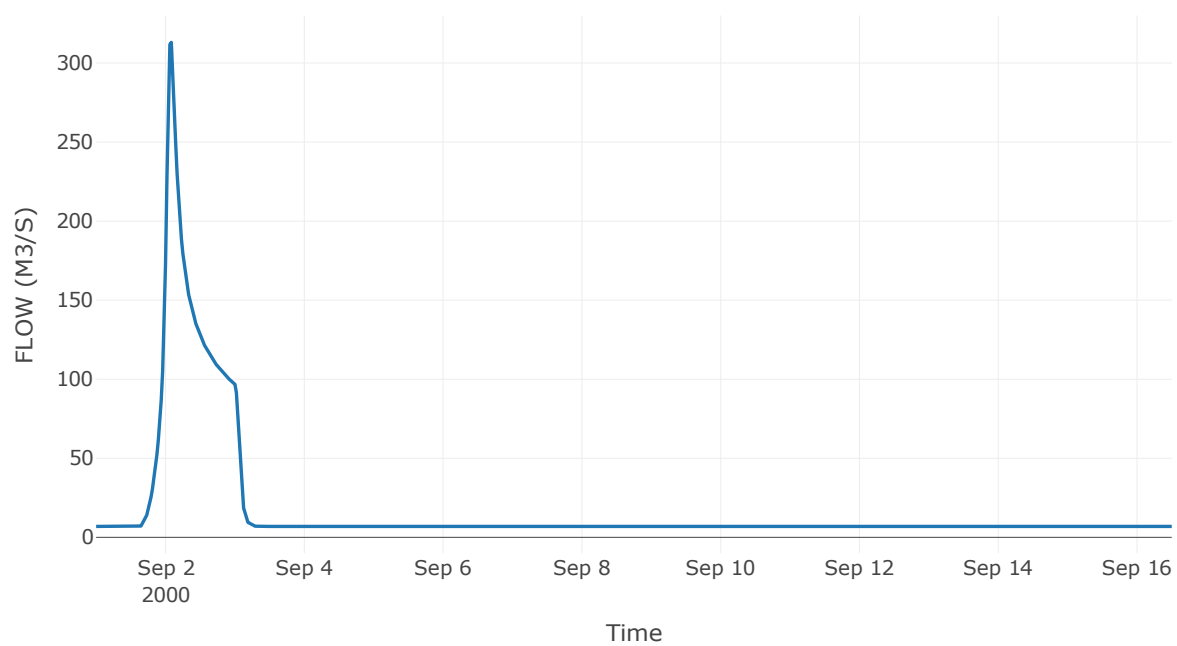
Κόμβος: J44

Κατάντη : R4462

Αποτελέσματα: J44

Παροχή Αιχμής (M3/S)	313.05
Χρονική στιγμή αιχμής	02Sep2000, 02:00
Όγκος(MM)	172.12

Απορροή



Κλάδος: R4462

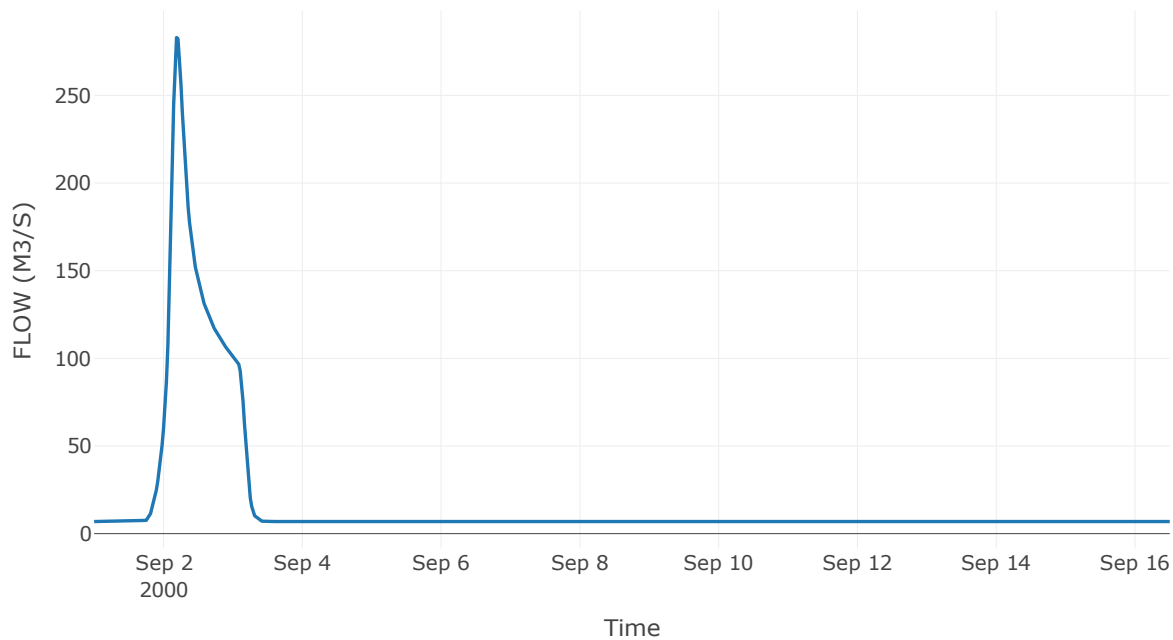
Κατάντη : J62

Μέθοδος Διόδευσης	Muskingum
Αρχική Μεταβλητή	Combined Inflow
Muskingum K	2.72
Συντελεστής βάρους x	0.2
Muskingum Steps	5

Αποτελέσματα: R4462

Παροχή Αιχμής (M3/S)	283.01
Χρονική στιγμή αιχμής	02Sep2000, 04:30
Όγκος(MM)	172.12
Παροχή Αιχμής Εισόδου (M3/S)	313.05
Όγκος Εισροής(M3)	2.37E7

Απορροή



Υπολεκάνη: EL0415FR6033

Έκταση (KM2) : 126.39

Κατάντη : J62

Μέθοδος Απωλειών: SCS

Ποσοστό αδιαπέρατης επιφάνειας	0
Αριθμός Καμπύλης Απορροής-CN	45.13
Αρχικές Απώλειες	61.76

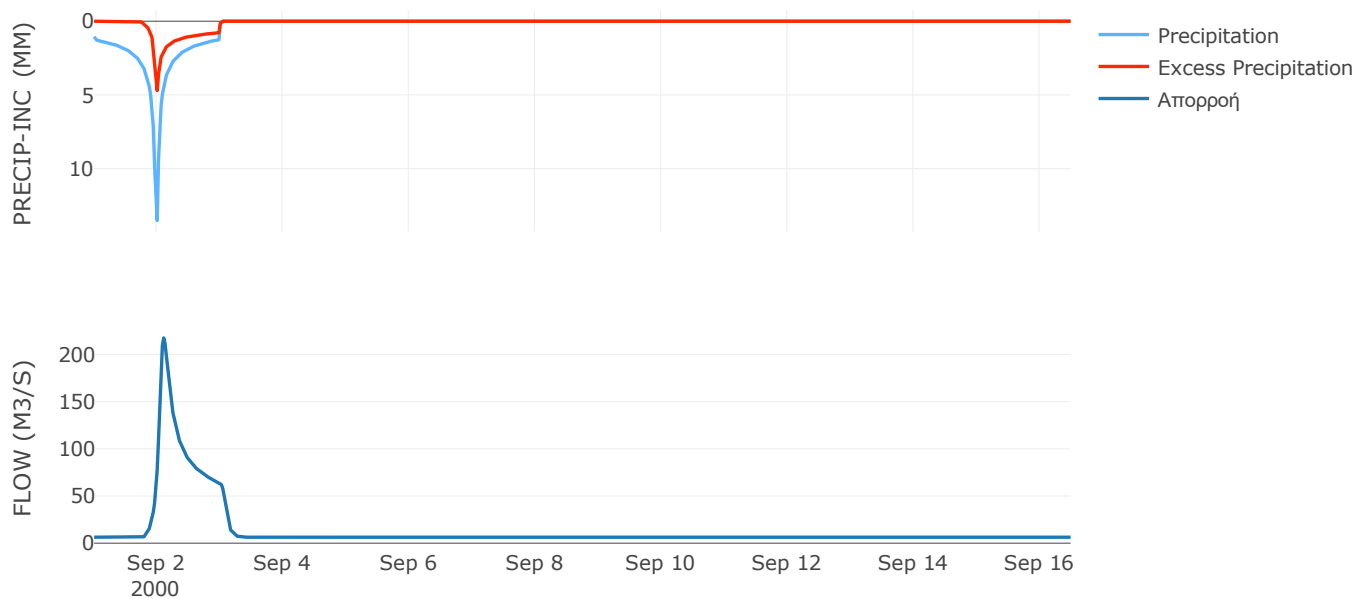
Μέθοδος
Μετασχηματισμού: SCS

Χρόνος Υστέρησης	111.99
------------------	--------

Αποτελέσματα:
EL0415FR6033

Παροχή αιχμής (M3/S)	217.52
Χρονική στιγμή αιχμής	02Sep2000, 02:30
Όγκος (MM)	142.27
Όγκος βροχόπτωσης (M3)	3.24E7
Όγκος απωλειών (M3)	2.29E7
Ενεργός Όγκος (M3)	9.52E6
Όγκος άμεσης απορροής (M3)	9.52E6
Όγκος βασικής απορροής (M3)	8.46E6

Βροχόπτωση και Απορροή



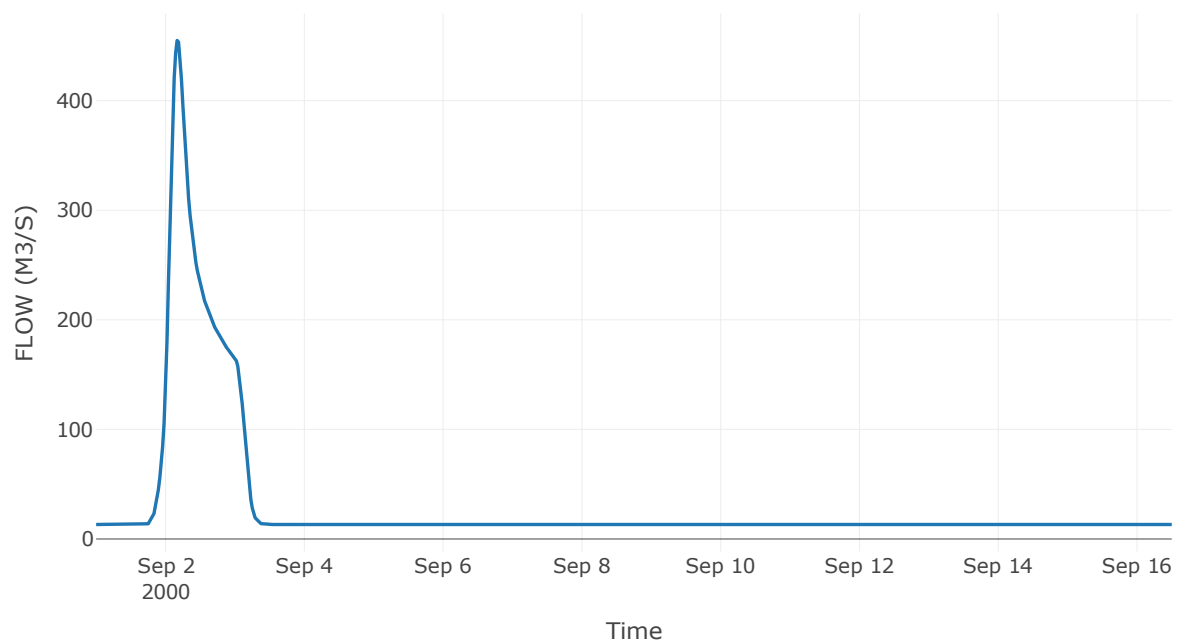
Κόμβος: J62

Κατάντη : R6227

Αποτελέσματα: J62

Παροχή Αιχμής (M3/S)	454.88
Χρονική στιγμή αιχμής	02Sep2000, 04:00
Όγκος(MM)	157.85

Απορροή



Κλάδος: R6227

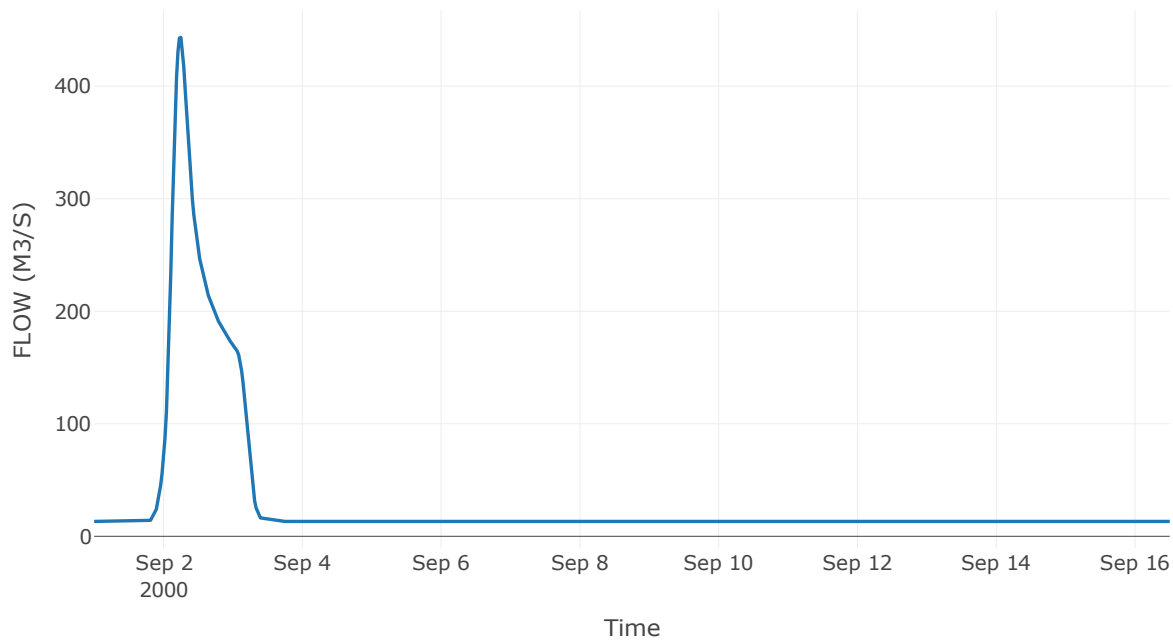
Κατάντη : J27

Μέθοδος Διόδευσης	Muskingum
Αρχική Μεταβλητή	Combined Inflow
Muskingum K	1.56
Συντελεστής βάρους α	0.2
Muskingum Steps	3

Αποτελέσματα: R6227

Παροχή Αιχμής (M3/S)	443.3
Χρονική στιγμή αιχμής	02Sep2000, 06:00
Όγκος(MM)	157.85
Παροχή Αιχμής Εισόδου (M3/S)	454.88
Όγκος Εισροής(M3)	4.17E7

Απορροή



Υπολεκάνη: EL0415FR6030

Έκταση (KM2) : 127.36

Κατάντη : J27

Μέθοδος Απωλειών: SCS

Ποσοστό αδιαπέρατης επιφάνειας	17
Αριθμός Καμπύλης Απορροής-CN	64.38
Αρχικές Απώλειες	28.11

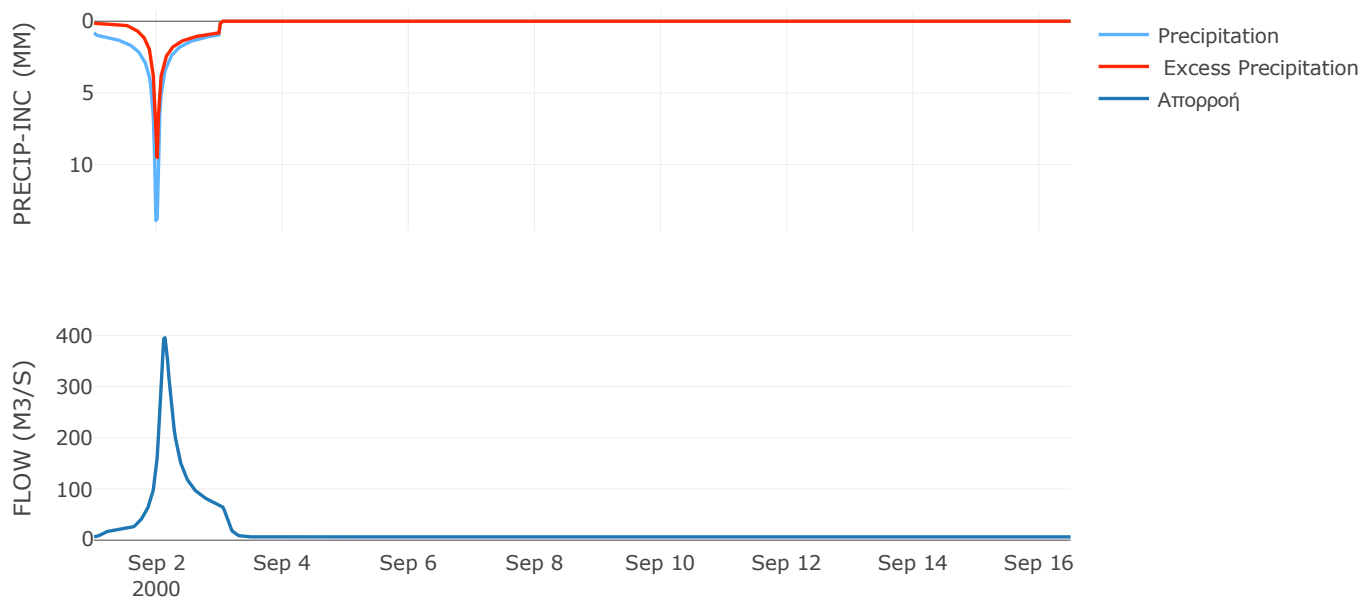
Μέθοδος
Μετασχηματισμού: SCS

Χρόνος Υστέρησης	146.28
------------------	--------

Αποτελέσματα:
EL0415FR6030

Παροχή αιχμής (M3/S)	395.55
Χρονική στιγμή αιχμής	02Sep2000, 03:00
Όγκος (MM)	196.18
Όγκος βροχόπτωσης (M3)	2.8E7
Όγκος απωλειών (M3)	1.15E7
Ενεργός Όγκος (M3)	1.65E7
Όγκος άμεσης απορροής (M3)	1.65E7
Όγκος βασικής απορροής (M3)	8.53E6

Βροχόπτωση και Απορροή



Υπολεκάνη: EL0415FR6086

Έκταση (KM2) : 51.06

Κατάντη : J27

Μέθοδος Απωλειών: SCS

Ποσοστό αδιαπέρατης επιφάνειας	17
Αριθμός Καμπύλης Απορροής-CN	49.1
Αρχικές Απώλειες	52.66

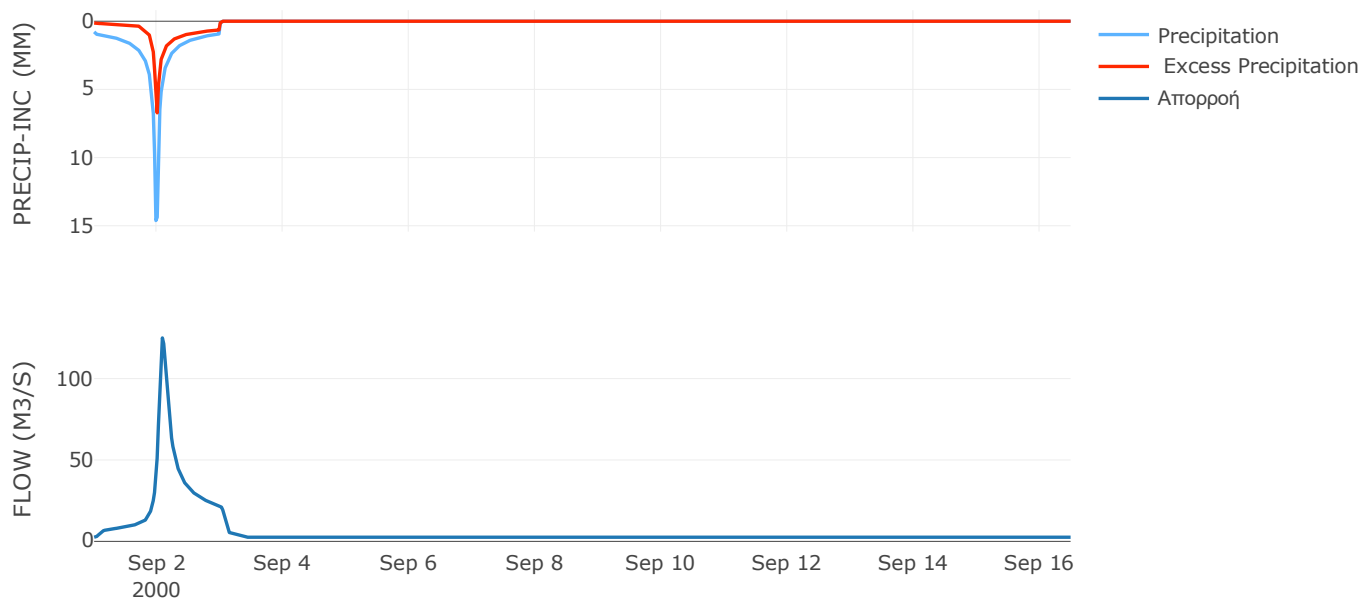
Μέθοδος
Μετασχηματισμού: SCS

Χρόνος Υστέρησης	101.47
------------------	--------

Αποτελέσματα:
EL0415FR6086

Παροχή αιχμής (M3/S)	124.99
Χρονική στιγμή αιχμής	02Sep2000, 02:00
Όγκος (MM)	158.62
Όγκος βροχόπτωσης (M3)	1.13E7
Όγκος απωλειών (M3)	6.57E6
Ενεργός Όγκος (M3)	4.68E6
Όγκος άμεσης απορροής (M3)	4.68E6
Όγκος βασικής απορροής (M3)	3.42E6

Βροχόπτωση και Απορροή



Υπολεκάνη: EL0415FR6088

Έκταση (KM2) : 31.28

Κατάντη : J27

Μέθοδος Απωλειών: SCS

Ποσοστό αδιαπέρατης επιφάνειας	37
Αριθμός Καμπύλης Απορροής-CN	70.92
Αρχικές Απώλειες	20.83

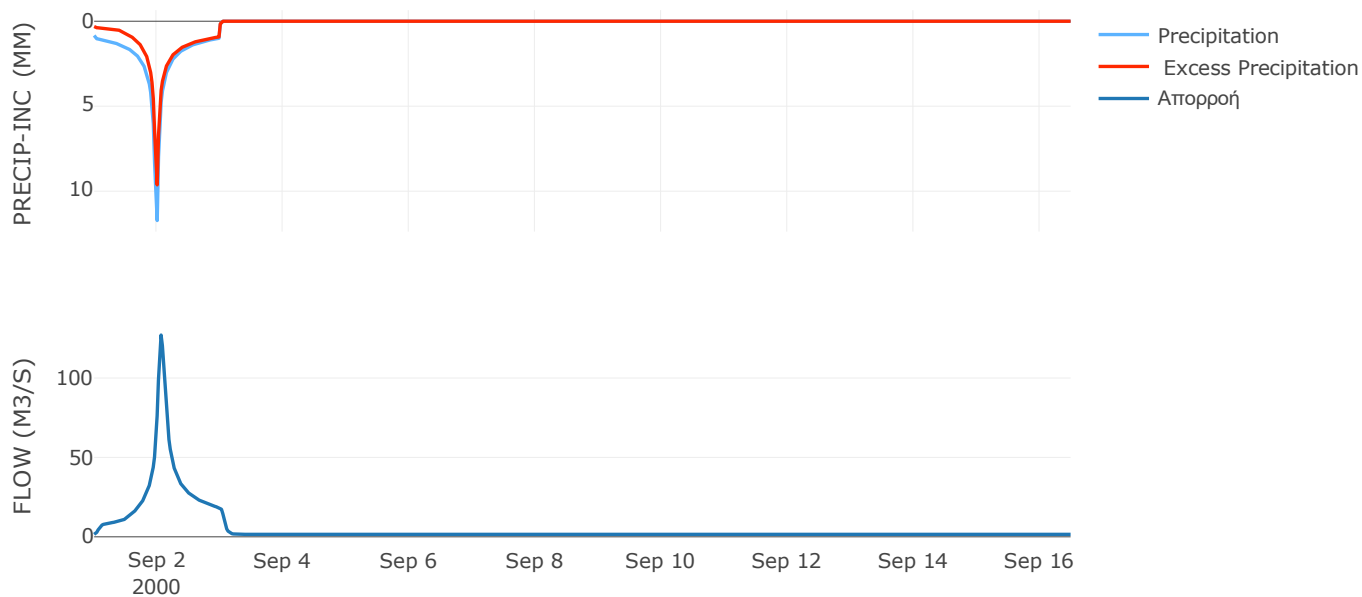
Μέθοδος
Μετασχηματισμού: SCS

Χρόνος Υστέρησης	78.64
------------------	-------

Αποτελέσματα:
EL0415FR6088

Παροχή αιχμής (M3/S)	127.07
Χρονική στιγμή αιχμής	02Sep2000, 01:30
Όγκος (MM)	223.13
Όγκος βροχόπτωσης (M3)	6.62E6
Όγκος απωλειών (M3)	1.74E6
Ενεργός Όγκος (M3)	4.88E6
Όγκος άμεσης απορροής (M3)	4.88E6
Όγκος βασικής απορροής (M3)	2.09E6

Βροχόπτωση και Απορροή



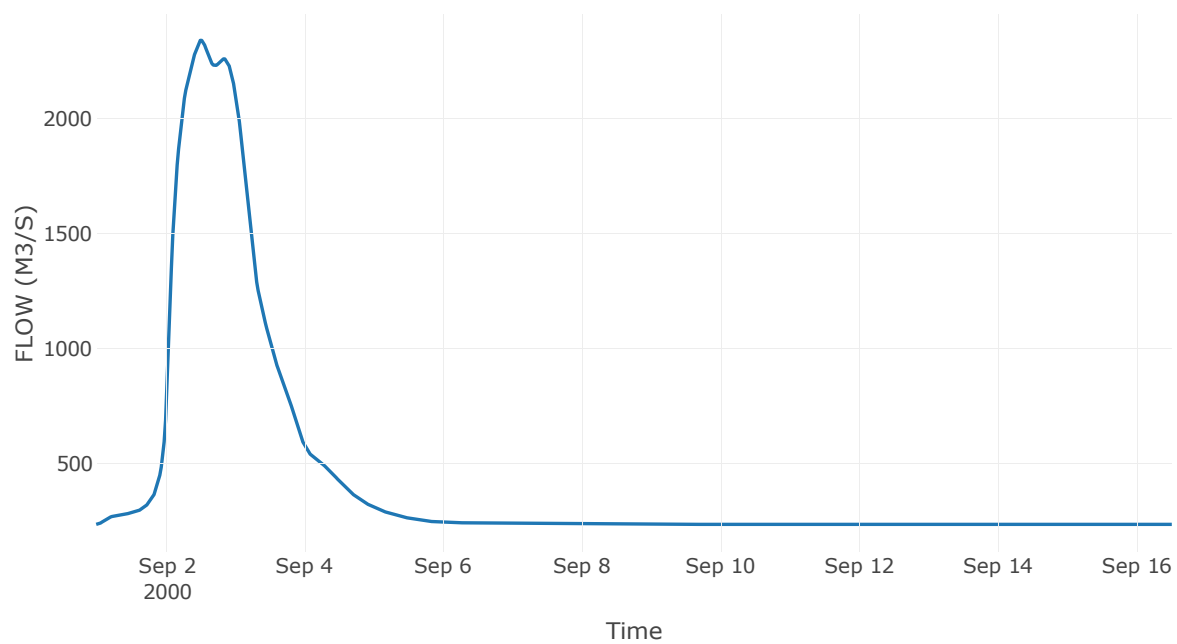
Κόμβος: J27

Κατάντη : R2717

Αποτελέσματα: J27

Παροχή Αιχμής (M3/S)	2339.6
Χρονική στιγμή αιχμής	02Sep2000, 12:00
Όγκος(MM)	163.08

Απορροή



Κλάδος: R2717

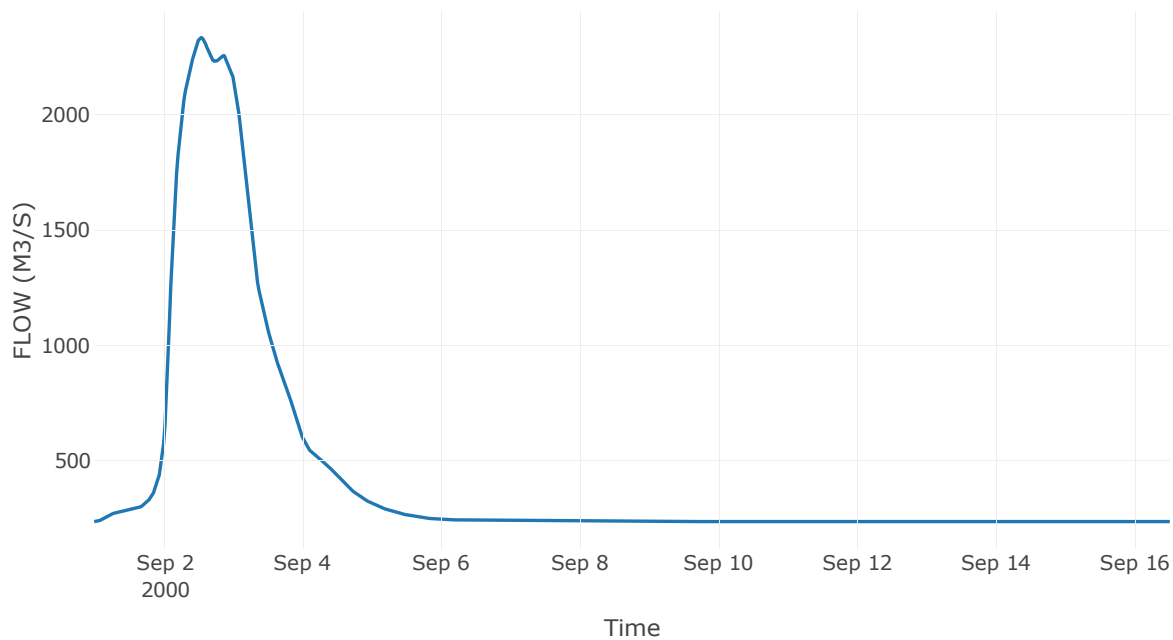
Κατάντη : J17 Res3

Μέθοδος Διόδευσης	Muskingum
Αρχική Μεταβλητή	Combined Inflow
Muskingum K	0.75
Συντελεστής βάρους x	0.2
Muskingum Steps	1

Αποτελέσματα: R2717

Παροχή Αιχμής (M3/S)	2335.75
Χρονική στιγμή αιχμής	02Sep2000, 13:00
Όγκος(MM)	163.08
Παροχή Αιχμής Εισόδου (M3/S)	2339.6
Όγκος Εισροής(M3)	5.8E8

Απορροή



Υπολεκάνη: EL0415FR6085

Έκταση (KM2) : 5.18

Κατάνη : J17 Res3

Μέθοδος Απωλειών: SCS

Ποσοστό αδιαπέρατης επιφάνειας	20
Αριθμός Καμπύλης Απορροής-CN	86.3
Αρχικές Απώλειες	8.06

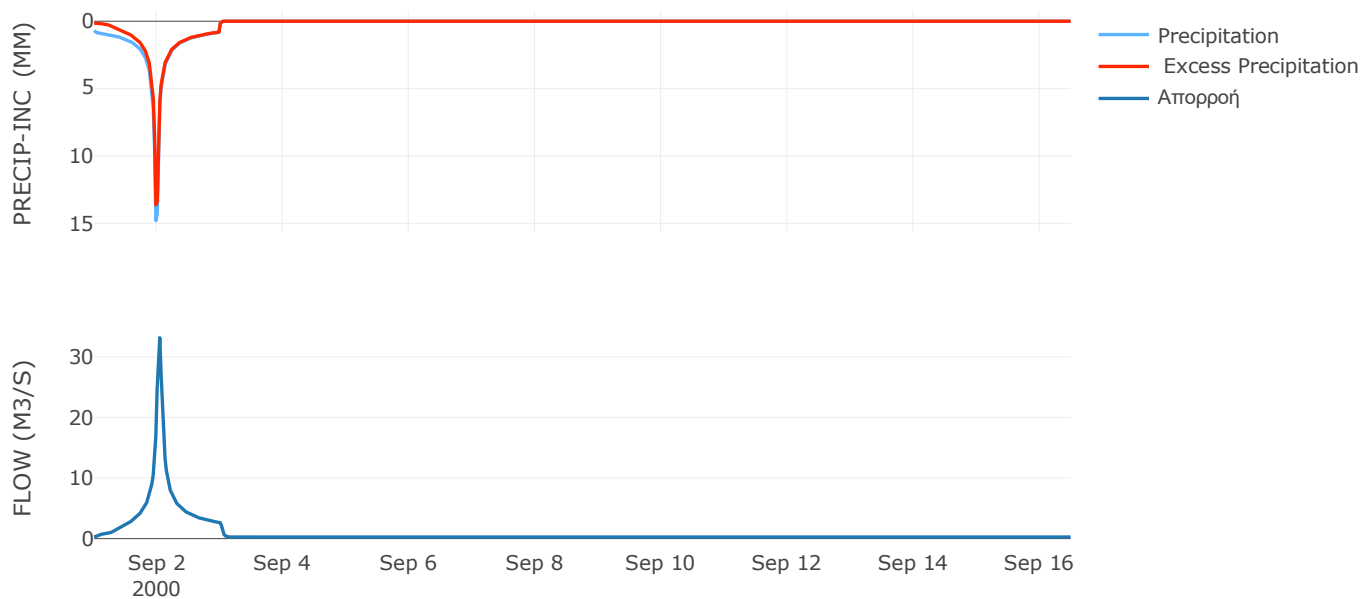
Μέθοδος
Μετασχηματισμού: SCS

Χρόνος Υστέρησης	39.98
------------------	-------

Αποτελέσματα:
EL0415FR6085

Παροχή αιχμής (M3/S)	33.15
Χρονική στιγμή αιχμής	02Sep2000, 01:00
Όγκος (MM)	239.64
Όγκος βροχόπτωσης (M3)	1.07E6
Όγκος απωλειών (M3)	1.72E5
Ενεργός Όγκος (M3)	8.95E5
Όγκος άμεσης απορροής (M3)	8.95E5
Όγκος βασικής απορροής (M3)	3.47E5

Βροχόπτωση και Απορροή



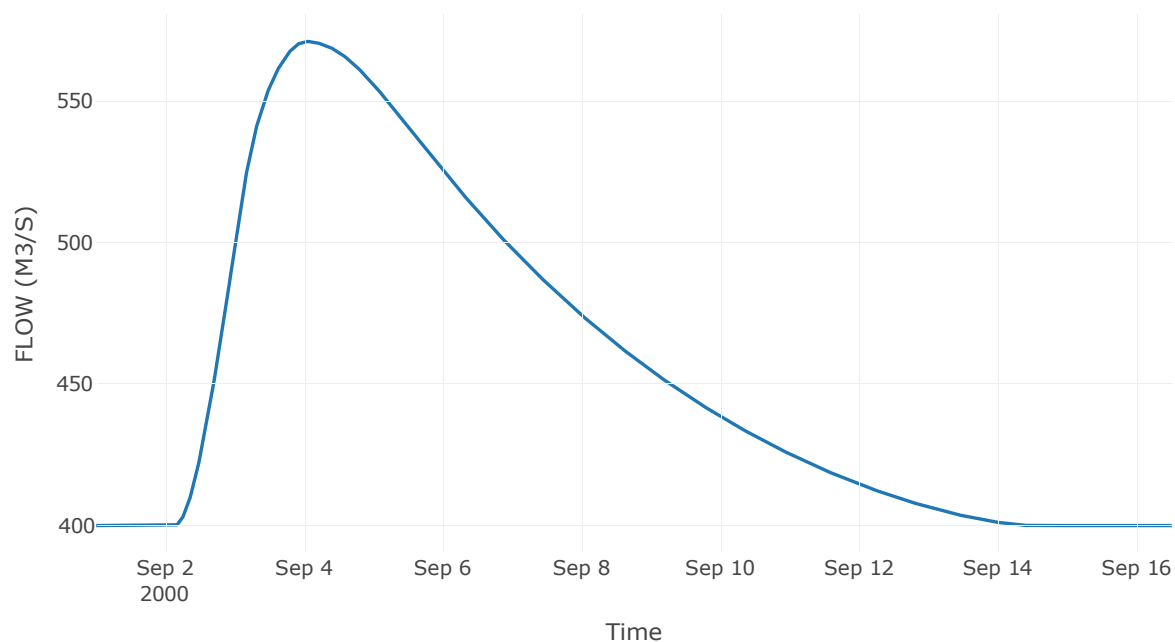
Ταμιευτήρας: J17_RES3

Κατάντη : R1718

Αποτελέσματα: J17_RES3

Παροχή Αιχμής (M3/S)	571.08
Χρονική στιγμή αιχμής	04Sep2000, 01:00
Όγκος(MM)	171.31
Παροχή Αιχμής Εισόδου (M3/S)	2339.68
Time of Peak Inflow	02Sep2000, 13:00
Όγκος Εισροής (M3)	5.81E8
Maximum Storage (M3)	3.64E9
Peak Elevation (M)	270.04
Discharge Όγκος(M3)	6.1E8

Απορροή



Κλάδος: R1718

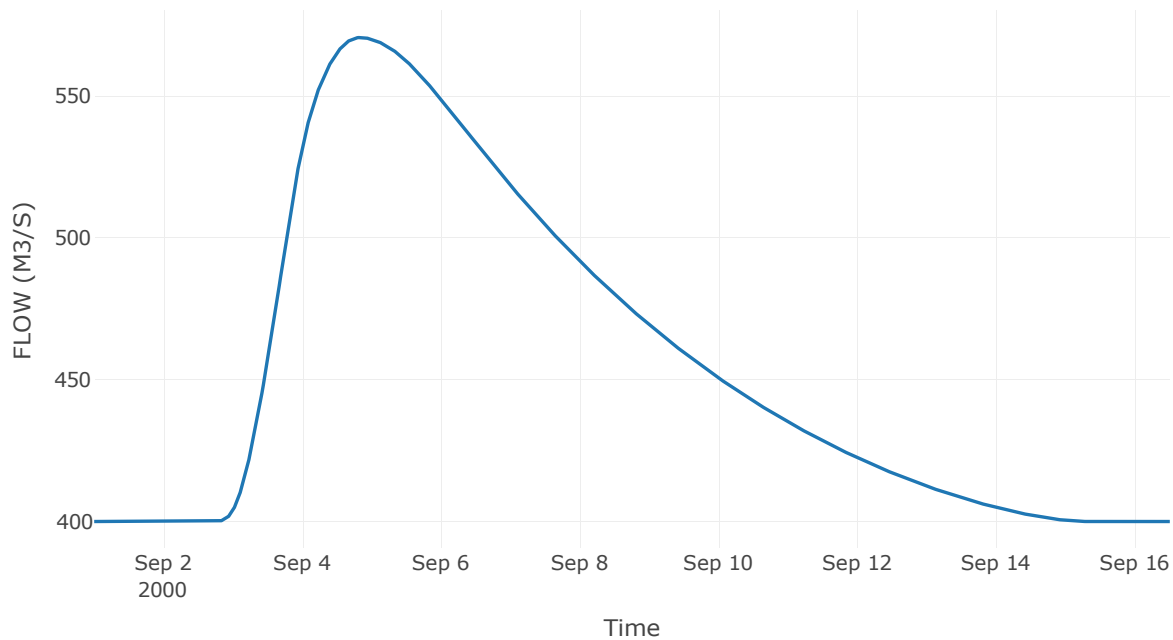
Κατάντη : J18

Μέθοδος Διόδευσης	Muskingum
Αρχική Μεταβλητή	Combined Inflow
Muskingum K	18.33
Συντελεστής βάρους x	0.2
Muskingum Steps	37

Αποτελέσματα: R1718

Παροχή Αιχμής (M3/S)	570.76
Χρονική στιγμή αιχμής	04Sep2000, 20:00
Όγκος(MM)	171.31
Παροχή Αιχμής Εισόδου (M3/S)	571.08
Όγκος Εισροής(M3)	6.1E8

Απορροή



Υπολεκάνη: EL0415FR6019

Έκταση (KM2) : 114.28

Κατάντη : J18

Μέθοδος Απωλειών: SCS

Ποσοστό αδιαπέρατης επιφάνειας	4
Αριθμός Καμπύλης Απορροής-CN	61.14
Αρχικές Απώλειες	32.28

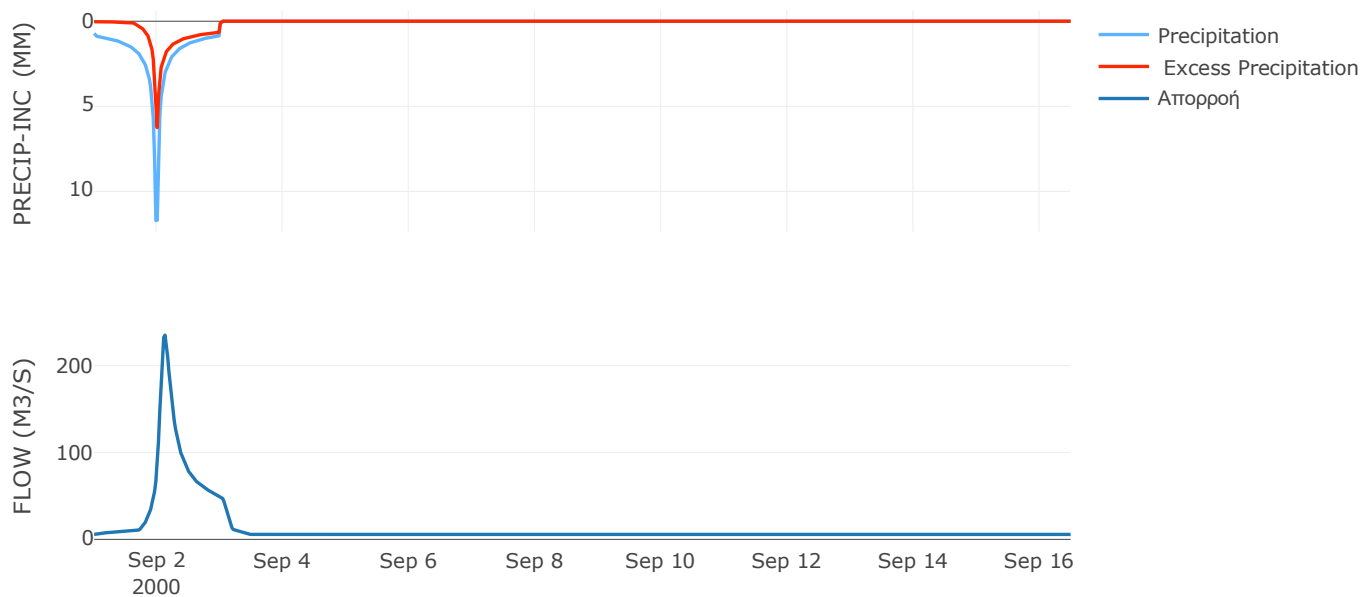
Μέθοδος
Μετασχηματισμού: SCS

Χρόνος Υστέρησης	140.93
------------------	--------

Αποτελέσματα:
EL0415FR6019

Παροχή αιχμής (M3/S)	235.2
Χρονική στιγμή αιχμής	02Sep2000, 03:00
Όγκος (MM)	151.45
Όγκος βροχόπτωσης (M3)	2.2E7
Όγκος απωλειών (M3)	1.24E7
Ενεργός Όγκος (M3)	9.66E6
Όγκος άμεσης απορροής (M3)	9.66E6
Όγκος βασικής απορροής (M3)	7.65E6

Βροχόπτωση και Απορροή



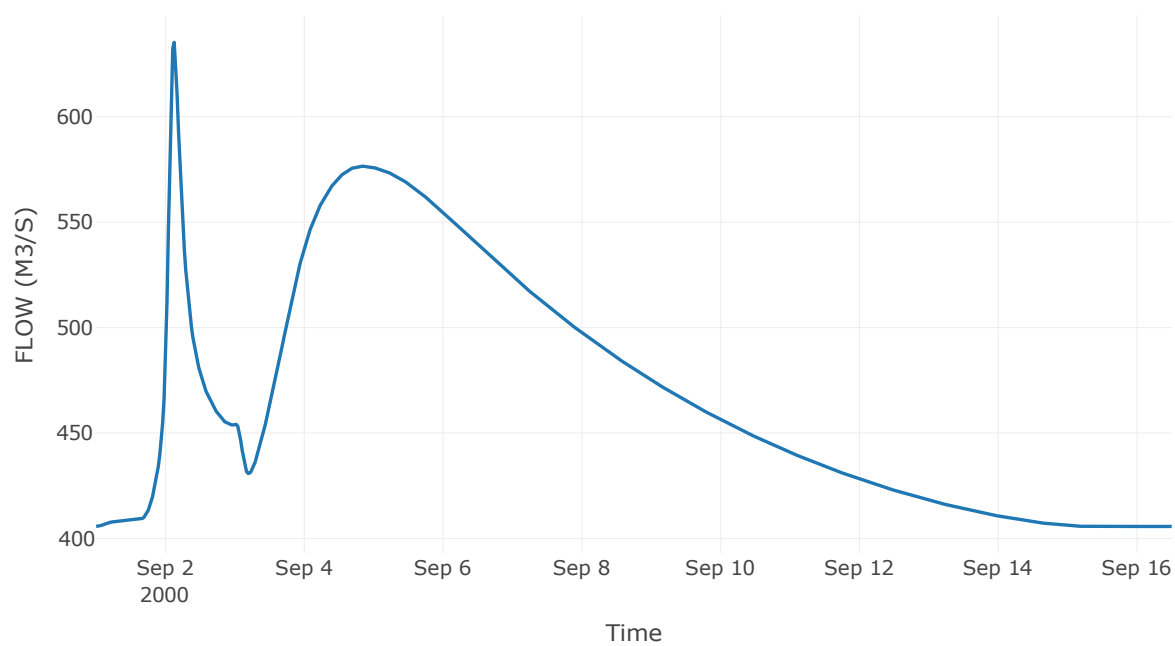
Κόμβος: J18

Κατάντη : R1819

Αποτελέσματα: J18

Παροχή Αιχμής (M3/S)	635.2
Χρονική στιγμή αιχμής	02Sep2000, 03:00
Όγκος(MM)	170.69

Απορροή



Κλάδος: R1819

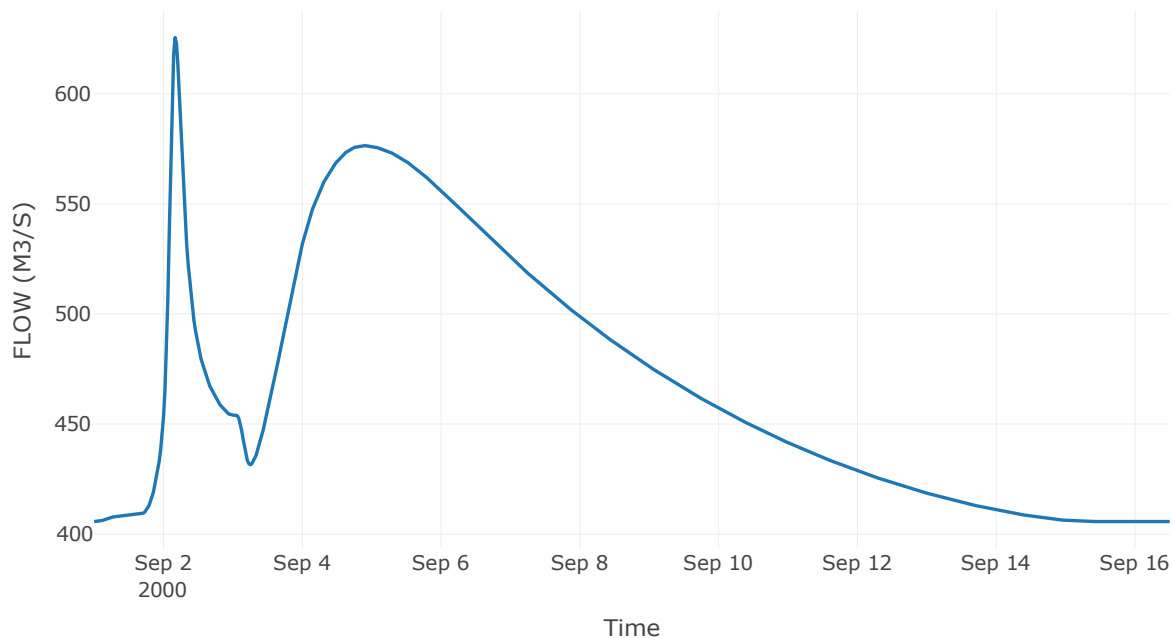
Κατάντη : J19

Μέθοδος Διόδευσης	Muskingum
Αρχική Μεταβλητή	Combined Inflow
Muskingum K	1.18
Συντελεστής βάρους x	0.2
Muskingum Steps	2

Αποτελέσματα: R1819

Παροχή Αιχμής (M3/S)	625.61
Χρονική στιγμή αιχμής	02Sep2000, 04:00
Όγκος(MM)	170.69
Παροχή Αιχμής Εισόδου (M3/S)	635.2
Όγκος Εισροής(M3)	6.27E8

Απορροή



Υπολεκάνη: EL0415FR6027

Έκταση (KM2) : 185.56

Κατάντη : J21

Μέθοδος Απωλειών: SCS

Ποσοστό αδιαπέρατης επιφάνειας	0
Αριθμός Καμπύλης Απορροής-CN	53.49
Αρχικές Απώλειες	44.17

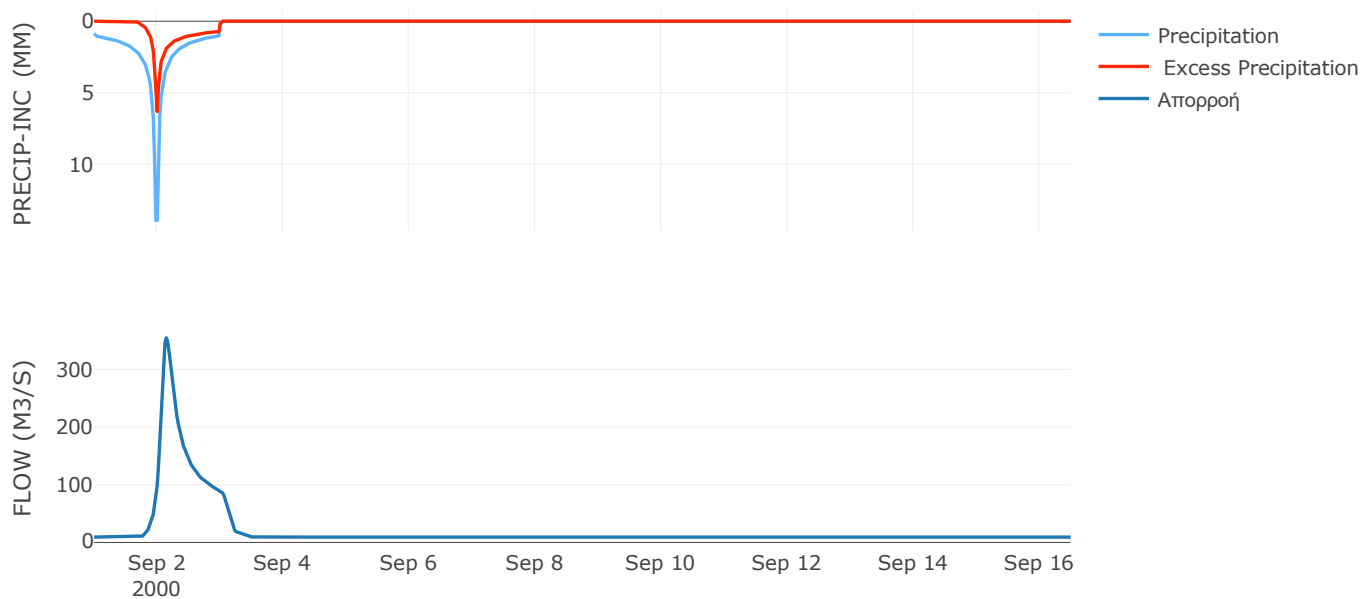
Μέθοδος
Μετασχηματισμού: SCS

Χρόνος Υστέρησης	168.12
------------------	--------

Αποτελέσματα:
EL0415FR6027

Παροχή αιχμής (M3/S)	354.63
Χρονική στιγμή αιχμής	02Sep2000, 03:30
Όγκος (MM)	151.25
Όγκος βροχόπτωσης (M3)	4.25E7
Όγκος απωλειών (M3)	2.69E7
Ενεργός Όγκος (M3)	1.56E7
Όγκος άμεσης απορροής (M3)	1.56E7
Όγκος βασικής απορροής (M3)	1.24E7

Βροχόπτωση και Απορροή



Υπολεκάνη: EL0415FR6026

Έκταση (KM2) : 38.04

Κατάντη : J21

Μέθοδος Απωλειών: SCS

Ποσοστό αδιαπέρατης επιφάνειας	0
Αριθμός Καμπύλης Απορροής-CN	56.55
Αρχικές Απώλειες	39.03

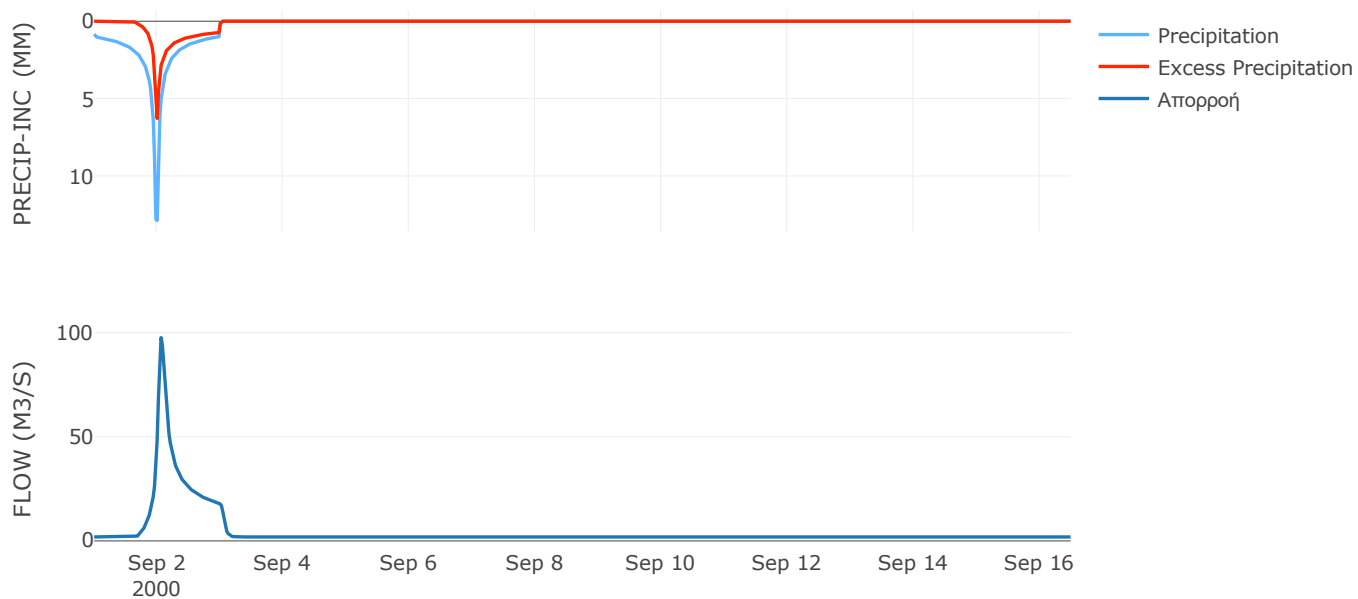
Μέθοδος
Μετασχηματισμού: SCS

Χρόνος Υστέρησης	74.34
------------------	-------

Αποτελέσματα:
EL0415FR6026

Παροχή αιχμής (M3/S)	97.59
Χρονική στιγμή αιχμής	02Sep2000, 01:30
Όγκος (MM)	153.57
Όγκος βροχόπτωσης (M3)	8.34E6
Όγκος απωλειών (M3)	5.05E6
Ενεργός Όγκος (M3)	3.29E6
Όγκος άμεσης απορροής (M3)	3.29E6
Όγκος βασικής απορροής (M3)	2.55E6

Βροχόπτωση και Απορροή



Υπολεκάνη: EL0415FR6025

Έκταση (KM2) : 14.18

Κατάντη : J21

Μέθοδος Απωλειών: SCS

Ποσοστό αδιαπέρατης επιφάνειας	0
Αριθμός Καμπύλης Απορροής-CN	62.72
Αρχικές Απώλειες	30.19

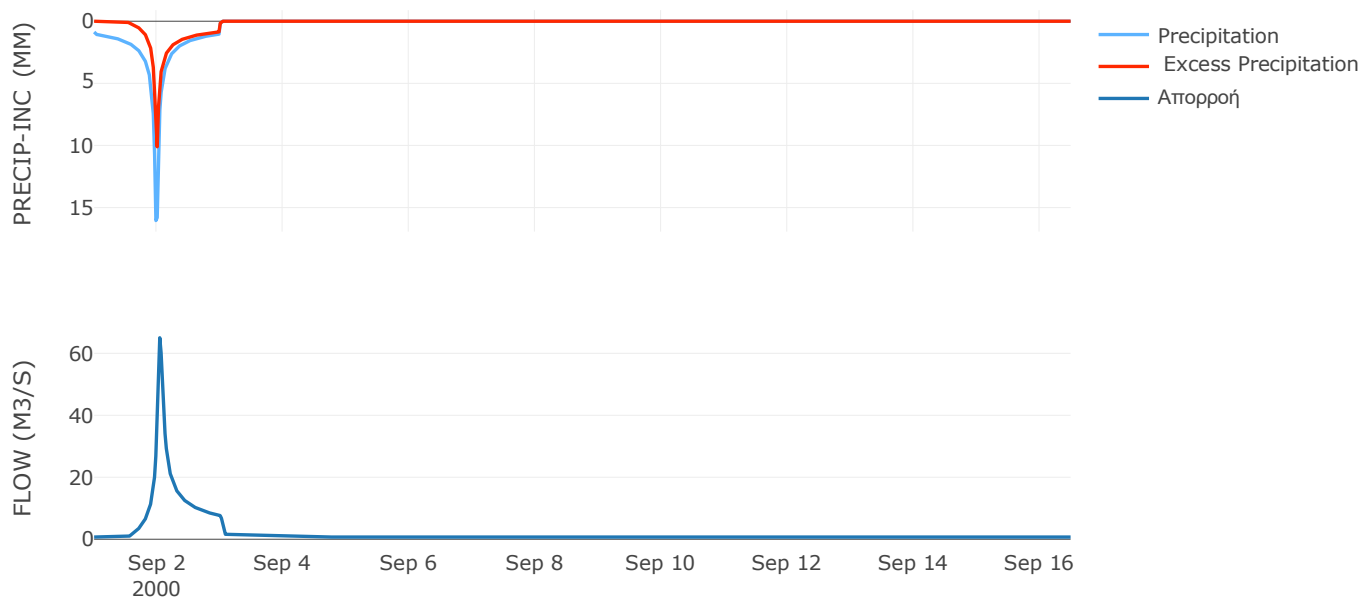
Μέθοδος
Μετασχηματισμού: SCS

Χρόνος Υστέρησης	49.51
------------------	-------

Αποτελέσματα:
EL0415FR6025

Παροχή αιχμής (M3/S)	65.03
Χρονική στιγμή αιχμής	02Sep2000, 01:00
Όγκος (MM)	192.45
Όγκος βροχόπτωσης (M3)	3.46E6
Όγκος απωλειών (M3)	1.68E6
Ενεργός Όγκος (M3)	1.78E6
Όγκος άμεσης απορροής (M3)	1.78E6
Όγκος βασικής απορροής (M3)	9.5E5

Βροχόπτωση και Απορροή



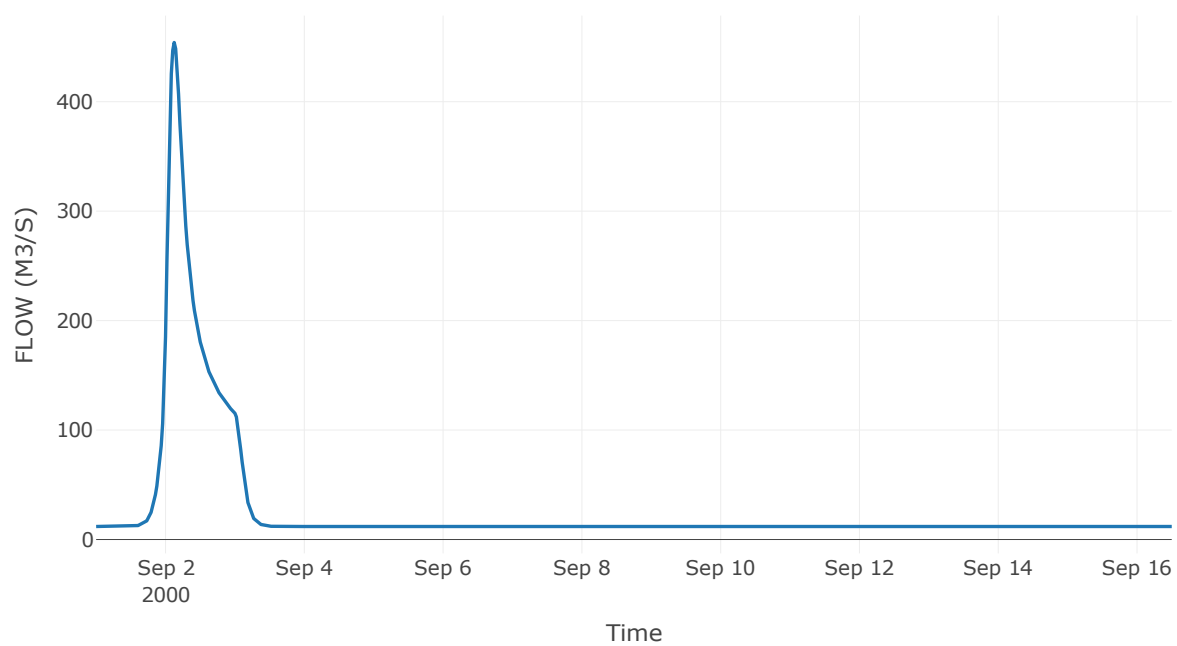
Κόμβος: J21

Κατάντη : R2116

Αποτελέσματα: J21

Παροχή Αιχμής (M3/S)	454.09
Χρονική στιγμή αιχμής	02Sep2000, 03:00
Όγκος(MM)	154.07

Απορροή



Κλάδος: R2116

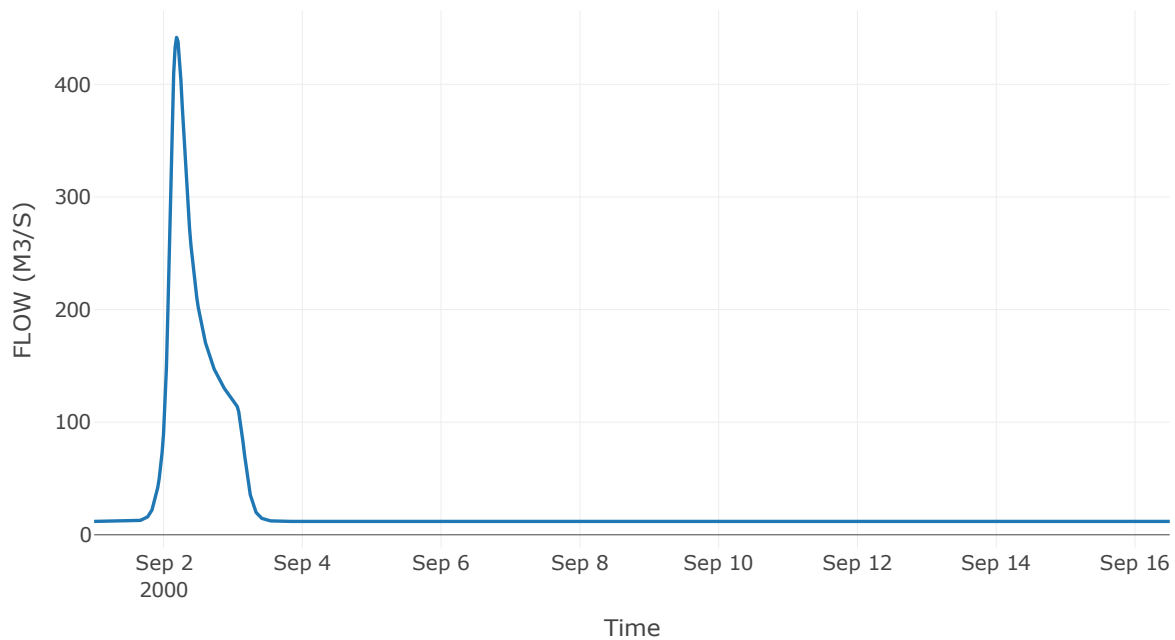
Κατάντη : J16

Μέθοδος Διόδευσης	Muskingum
Αρχική Μεταβλητή	Combined Inflow
Muskingum K	1.52
Συντελεστής βάρους α	0.2
Muskingum Steps	3

Αποτελέσματα: R2116

Παροχή Αιχμής (M3/S)	441.71
Χρονική στιγμή αιχμής	02Sep2000, 04:30
Όγκος(MM)	154.07
Παροχή Αιχμής Εισόδου (M3/S)	454.09
Όγκος Εισροής(M3)	3.66E7

Απορροή



Υπολεκάνη: EL0415FR6024

Έκταση (KM2) : 39.41

Κατάντη : J16

Μέθοδος Απωλειών: SCS

Ποσοστό αδιαπέρατης επιφάνειας	0
Αριθμός Καμπύλης Απορροής-CN	64.14
Αρχικές Απώλειες	28.4

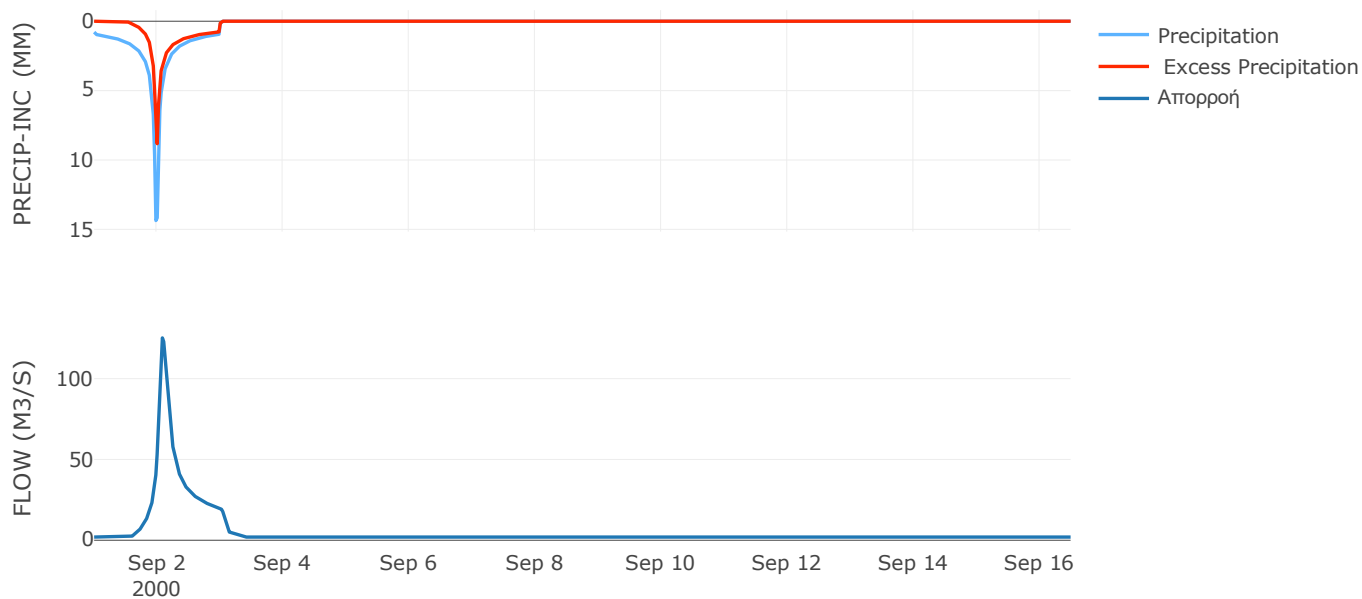
Μέθοδος
Μετασχηματισμού: SCS

Χρόνος Υστέρησης	107.23
------------------	--------

Αποτελέσματα:
EL0415FR6024

Παροχή αιχμής (M3/S)	125.23
Χρονική στιγμή αιχμής	02Sep2000, 02:00
Όγκος (MM)	177.05
Όγκος βροχόπτωσης (M3)	8.67E6
Όγκος απωλειών (M3)	4.33E6
Ενεργός Όγκος (M3)	4.34E6
Όγκος άμεσης απορροής (M3)	4.34E6
Όγκος βασικής απορροής (M3)	2.64E6

Βροχόπτωση και Απορροή



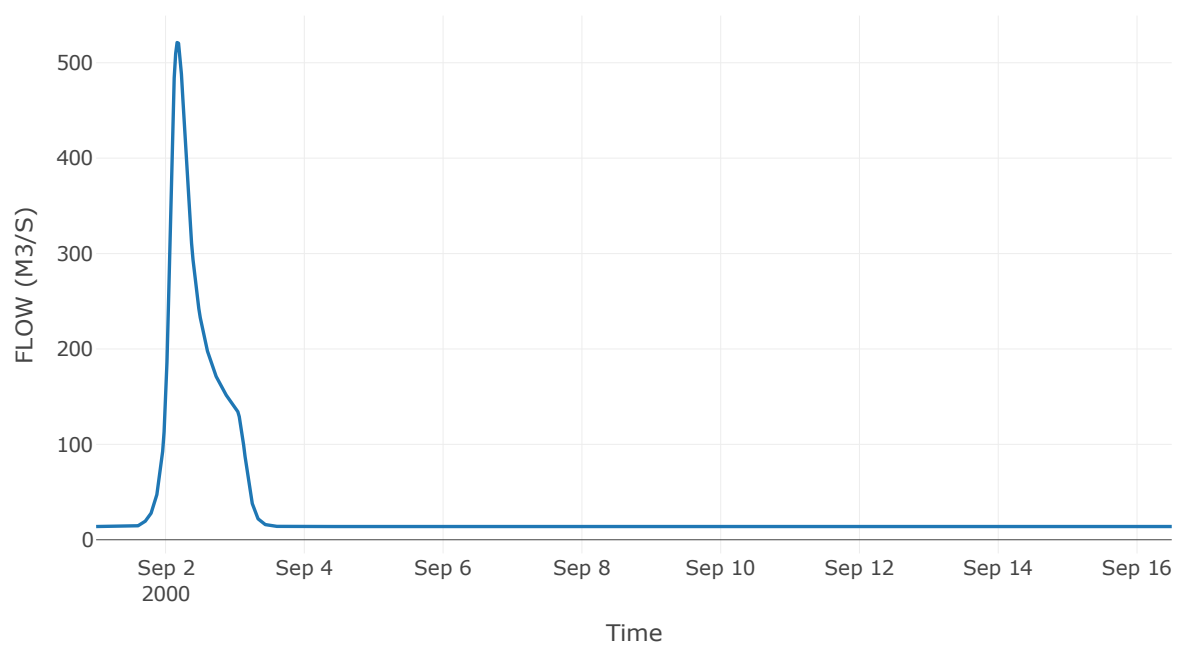
Κόμβος: J16

Κατάντη : R1619

Αποτελέσματα: J16

Παροχή Αιχμής (M3/S)	521.24
Χρονική στιγμή αιχμής	02Sep2000, 04:00
Όγκος(MM)	157.34

Απορροή



Κλάδος: R1619

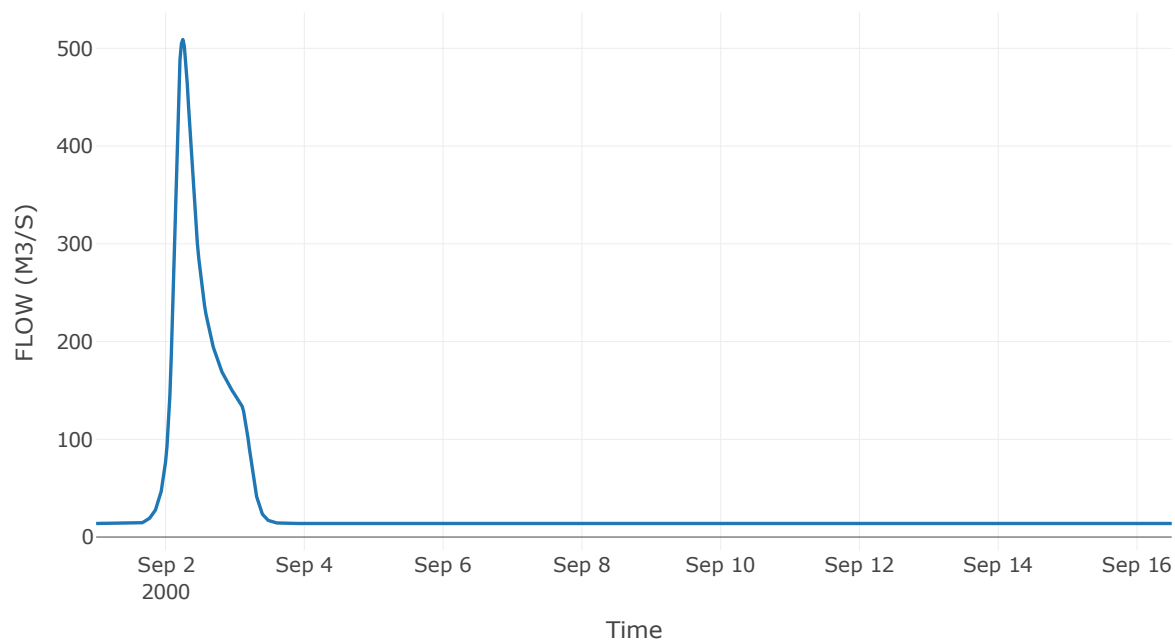
Κατάντη : J19

Μέθοδος Διόδευσης	Muskingum
Αρχική Μεταβλητή	Combined Inflow
Muskingum K	1.64
Συντελεστής βάρους α	0.2
Muskingum Steps	3

Αποτελέσματα: R1619

Παροχή Αιχμής (M3/S)	509.1
Χρονική στιγμή αιχμής	02Sep2000, 06:00
Όγκος(MM)	157.34
Παροχή Αιχμής Εισόδου (M3/S)	521.24
Όγκος Εισροής(M3)	4.36E7

Απορροή



Υπολεκάνη: EL0415FR6018

Έκταση (KM2) : 76.58

Κατάντη : J19

Μέθοδος Απωλειών: SCS

Ποσοστό αδιαπέρατης επιφάνειας	8
Αριθμός Καμπύλης Απορροής-CN	66.98
Αρχικές Απώλειες	25.05

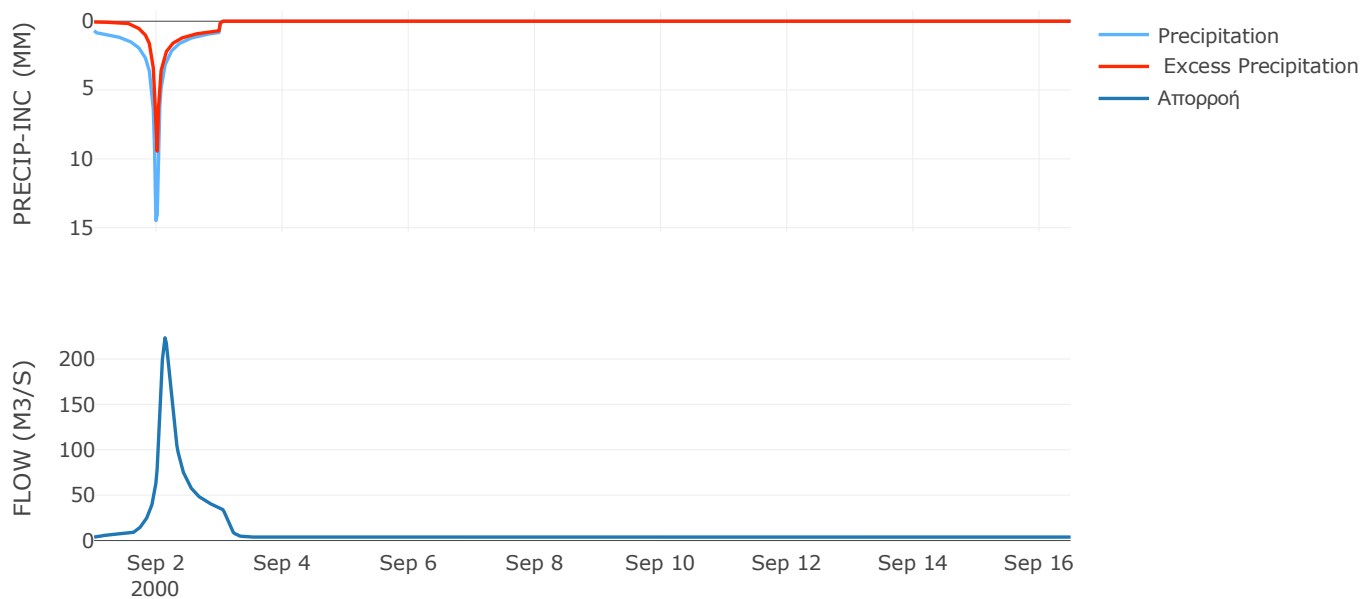
Μέθοδος
Μετασχηματισμού: SCS

Χρόνος Υστέρησης	154.62
------------------	--------

Αποτελέσματα:
EL0415FR6018

Παροχή αιχμής (M3/S)	223.35
Χρονική στιγμή αιχμής	02Sep2000, 03:00
Όγκος (MM)	179.57
Όγκος βροχόπτωσης (M3)	1.56E7
Όγκος απωλειών (M3)	6.95E6
Ενεργός Όγκος (M3)	8.62E6
Όγκος άμεσης απορροής (M3)	8.62E6
Όγκος βασικής απορροής (M3)	5.13E6

Βροχόπτωση και Απορροή



Υπολεκάνη: EL0415FR6096

Έκταση (KM2) : 45.1

Κατάντη : J19

Μέθοδος Απωλειών: SCS

Ποσοστό αδιαπέρατης επιφάνειας	16
Αριθμός Καμπύλης Απορροής-CN	67.77
Αρχικές Απώλειες	24.16

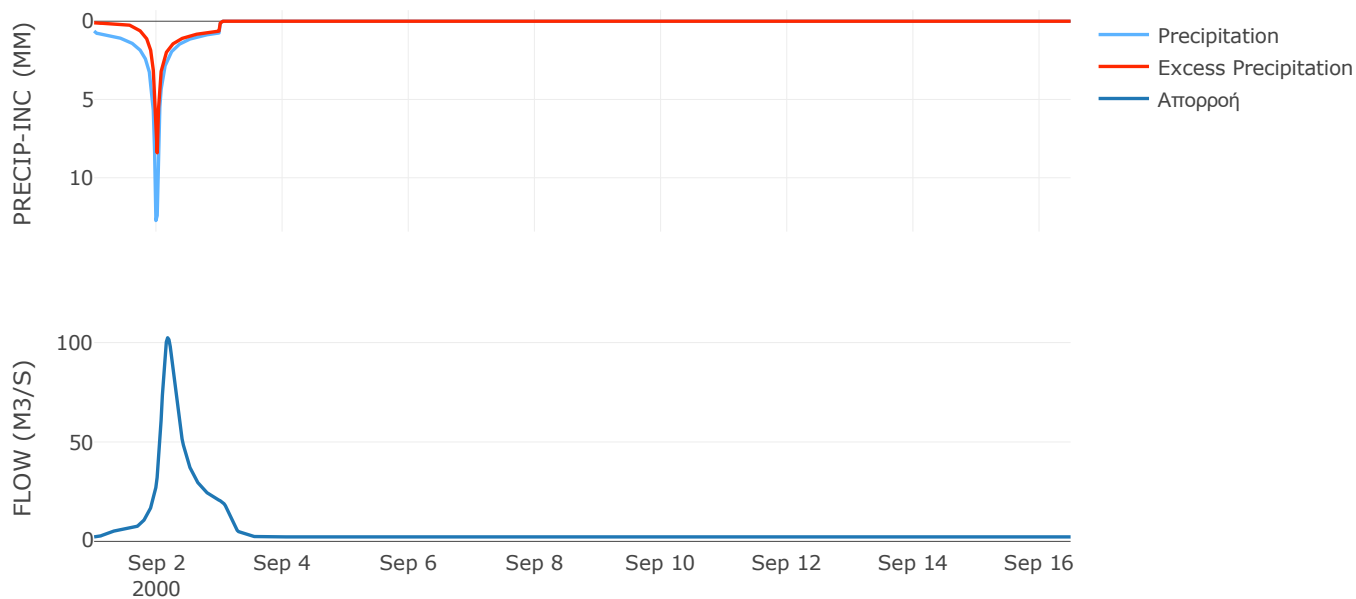
Μέθοδος
Μετασχηματισμού: SCS

Χρόνος Υστέρησης	214.22
------------------	--------

Αποτελέσματα:
EL0415FR6096

Παροχή αιχμής (M3/S)	102.43
Χρονική στιγμή αιχμής	02Sep2000, 04:00
Όγκος (MM)	171.97
Όγκος βροχόπτωσης (M3)	8.25E6
Όγκος απωλειών (M3)	3.51E6
Ενεργός Όγκος (M3)	4.74E6
Όγκος άμεσης απορροής (M3)	4.74E6
Όγκος βασικής απορροής (M3)	3.02E6

Βροχόπτωση και Απορροή



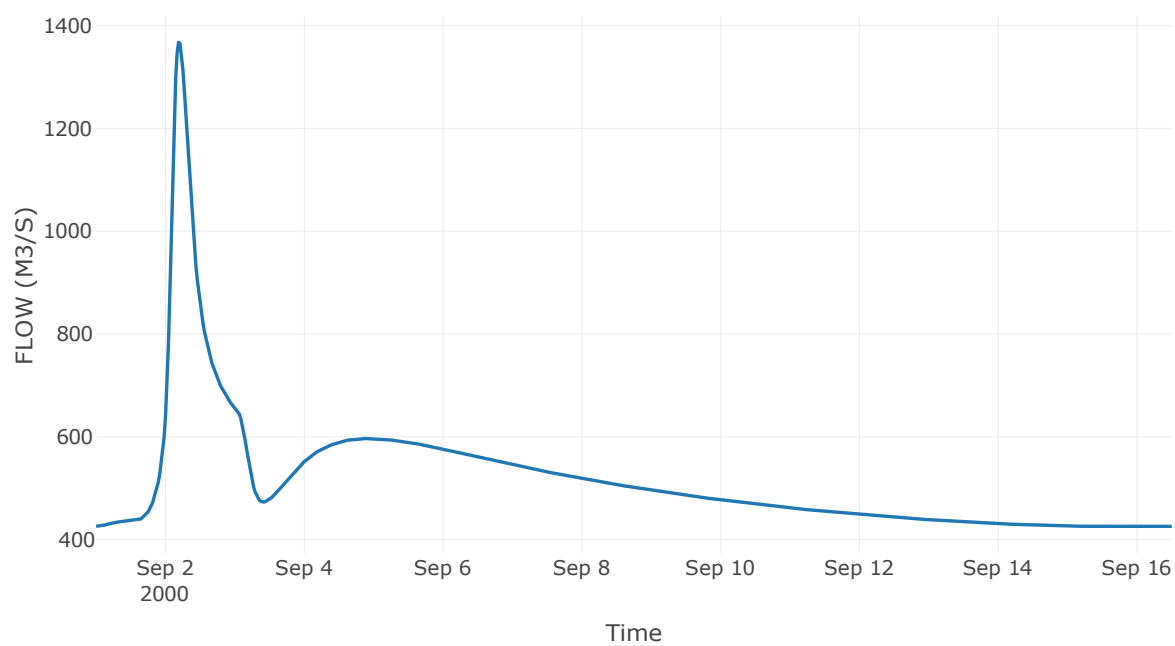
Κόμβος: J19

Κατάντη : R1915

Αποτελέσματα: J19

Παροχή Αιχμής (M3/S)	1367.56
Χρονική στιγμή αιχμής	02Sep2000, 04:30
Όγκος(MM)	169.96

Απορροή



Κλάδος: R1915

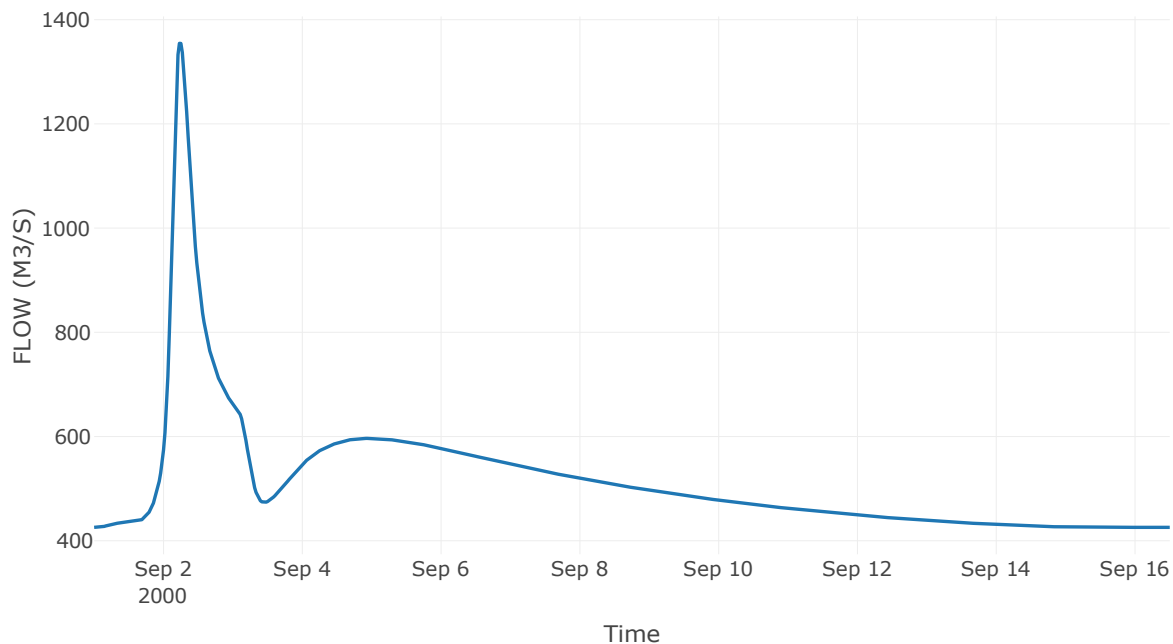
Κατάντη : J15 Res2

Μέθοδος Διόδευσης	Muskingum
Αρχική Μεταβλητή	Combined Inflow
Muskingum K	0.97
Συντελεστής βάρους x	0.2
Muskingum Steps	2

Αποτελέσματα: R1915

Παροχή Αιχμής (M3/S)	1354.57
Χρονική στιγμή αιχμής	02Sep2000, 05:30
Όγκος(MM)	169.96
Παροχή Αιχμής Εισόδου (M3/S)	1367.56
Όγκος Εισροής(M3)	6.93E8

Απορροή



Υπολεκάνη: EL0415FR6095

Έκταση (KM2) : 18.13

Κατάνη : J15 Res2

Μέθοδος Απωλειών: SCS

Ποσοστό αδιαπέρατης επιφάνειας	17
Αριθμός Καμπύλης Απορροής-CN	75.95
Αρχικές Απώλειες	16.08

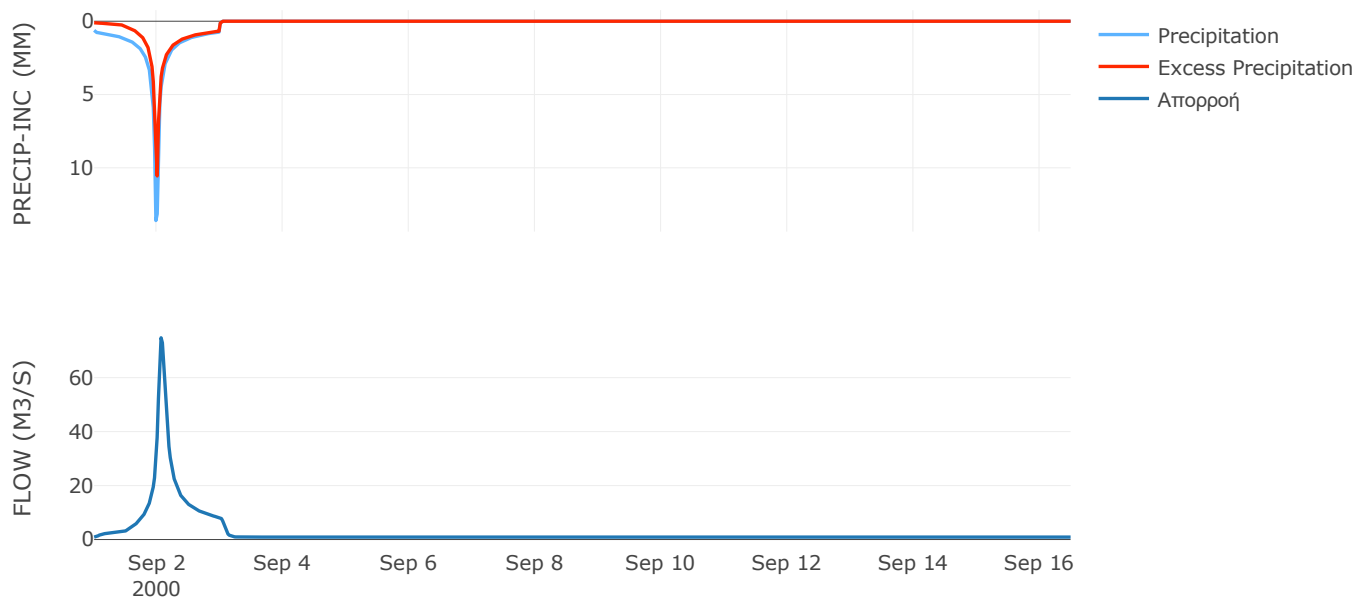
Μέθοδος
Μετασχηματισμού: SCS

Χρόνος Υστέρησης	86.69
------------------	-------

Αποτελέσματα:
EL0415FR6095

Παροχή αιχμής (M3/S)	74.76
Χρονική στιγμή αιχμής	02Sep2000, 01:30
Όγκος (MM)	195
Όγκος βροχόπτωσης (M3)	3.39E6
Όγκος απωλειών (M3)	1.06E6
Ενεργός Όγκος (M3)	2.32E6
Όγκος άμεσης απορροής (M3)	2.32E6
Όγκος βασικής απορροής (M3)	1.21E6

Βροχόπτωση και Απορροή



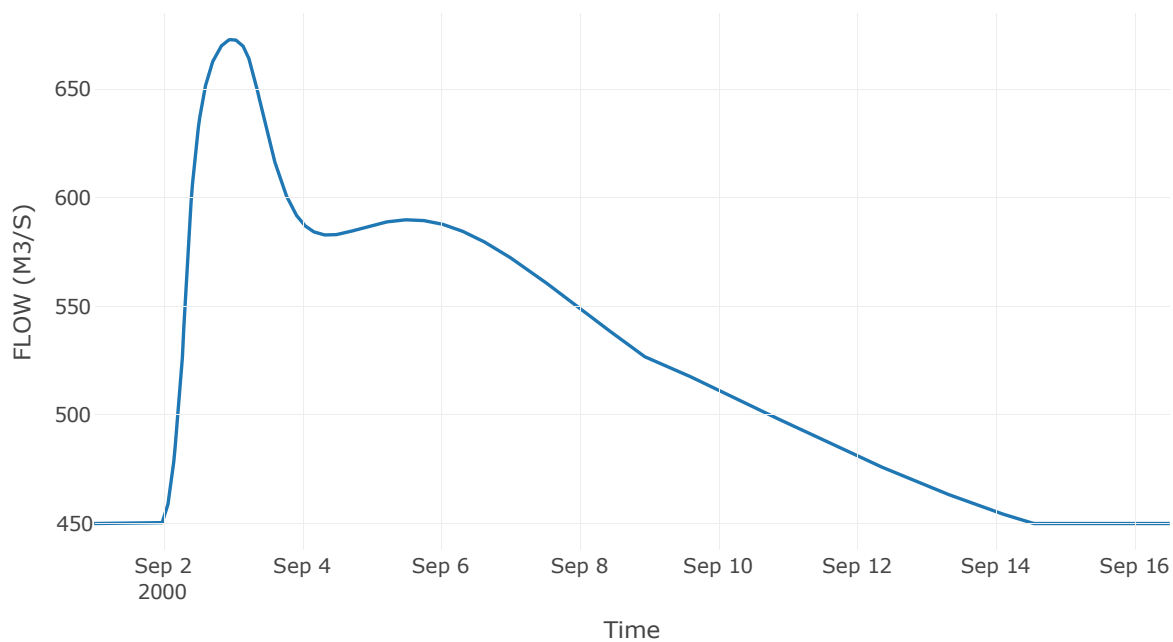
Ταμιευτήρας: J15_RES2

Κατάντη : R1514

Αποτελέσματα: J15_RES2

Παροχή Αιχμής (M3/S)	672.8
Χρονική στιγμή αιχμής	02Sep2000, 23:30
Όγκος(MM)	171.04
Παροχή Αιχμής Εισόδου (M3/S)	1381.67
Time of Peak Inflow	02Sep2000, 05:30
Όγκος Εισροής (M3)	6.96E8
Maximum Storage (M3)	8.65E8
Peak Elevation (M)	147.01
Discharge Όγκος(M3)	7E8

Απορροή



Κλάδος: R1514

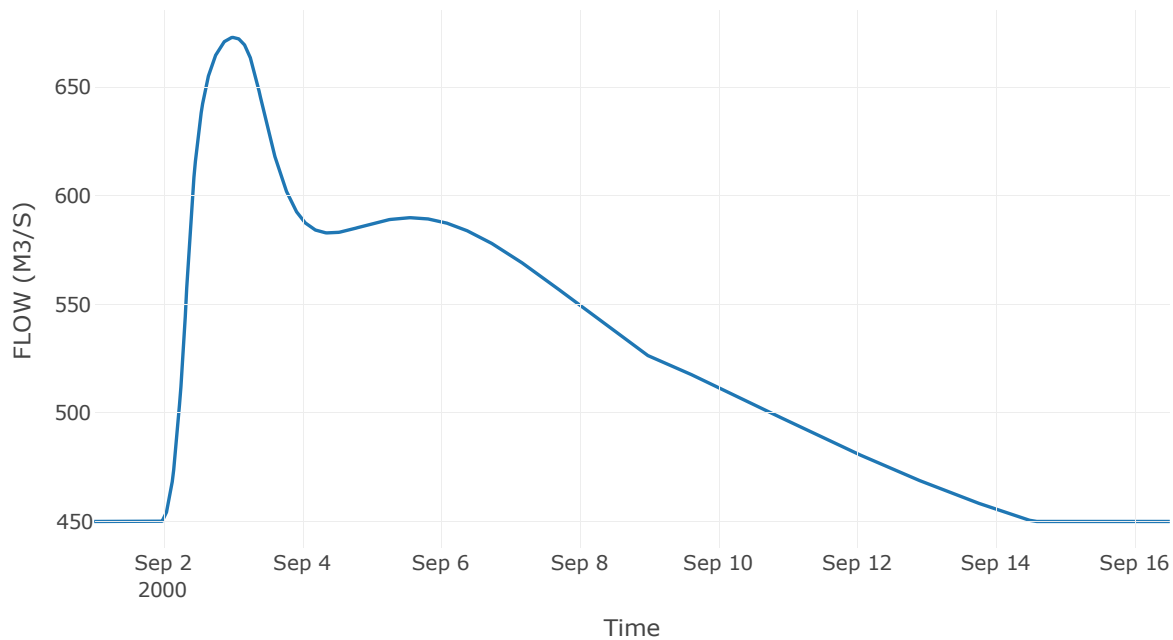
Κατάντη : J14

Μέθοδος Διόδευσης	Muskingum
Αρχική Μεταβλητή	Combined Inflow
Muskingum K	0.36
Συντελεστής βάρους x	0.2
Muskingum Steps	1

Αποτελέσματα: R1514

Παροχή Αιχμής (M3/S)	672.79
Χρονική στιγμή αιχμής	02Sep2000, 24:00
Όγκος(MM)	171.04
Παροχή Αιχμής Εισόδου (M3/S)	672.8
Όγκος Εισροής(M3)	7E8

Απορροή



Υπολεκάνη: EL0415FR6023

Έκταση (KM2) : 48.62

Κατάντη : J61

Μέθοδος Απωλειών: SCS

Ποσοστό αδιαπέρατης επιφάνειας	0
Αριθμός Καμπύλης Απορροής-CN	55.83
Αρχικές Απώλειες	40.19

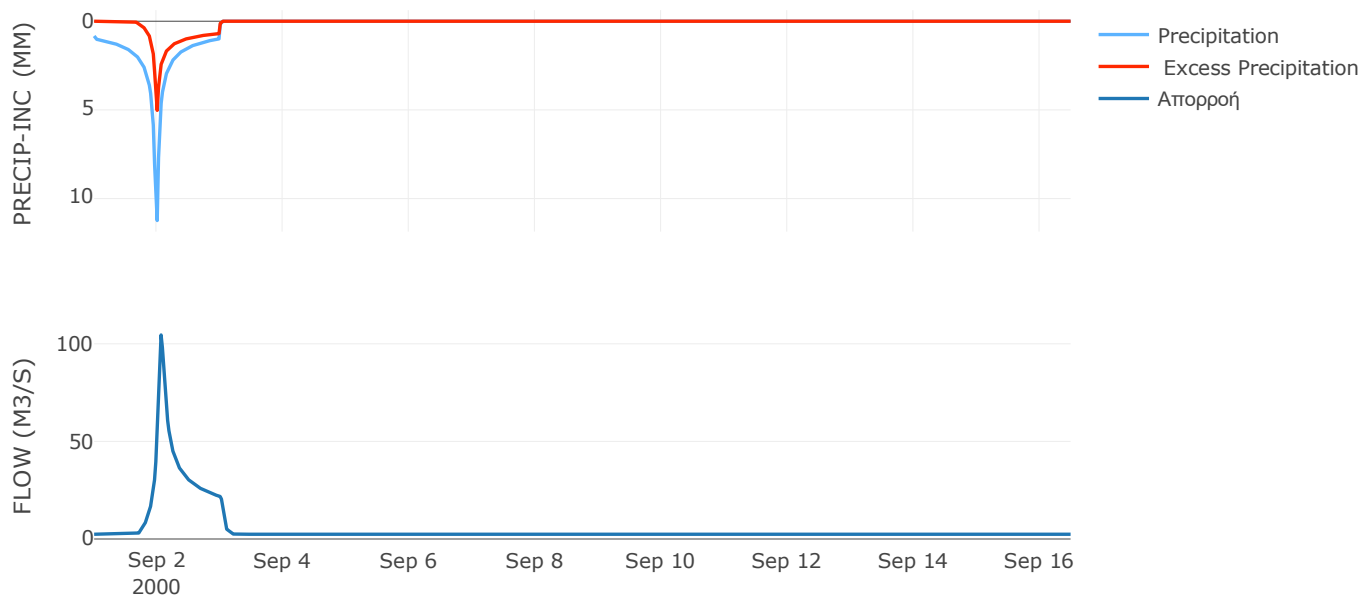
Μέθοδος
Μετασχηματισμού: SCS

Χρόνος Υστέρησης	66.05
------------------	-------

Αποτελέσματα:
EL0415FR6023

Παροχή αιχμής (M3/S)	104.54
Χρονική στιγμή αιχμής	02Sep2000, 01:30
Όγκος (MM)	142.8
Όγκος βροχόπτωσης (M3)	1.01E7
Όγκος απωλειών (M3)	6.39E6
Ενεργός Όγκος (M3)	3.69E6
Όγκος άμεσης απορροής (M3)	3.69E6
Όγκος βασικής απορροής (M3)	3.26E6

Βροχόπτωση και Απορροή



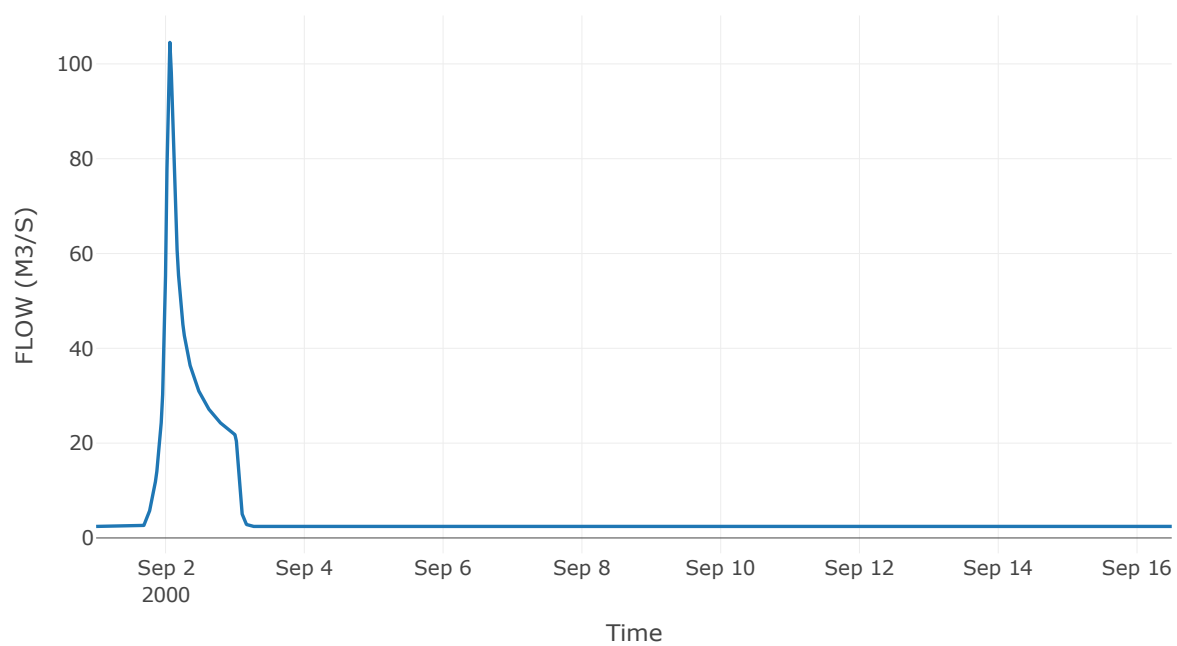
Κόμβος: J61

Κατάντη : R6120

Αποτελέσματα: J61

Παροχή Αιχμής (M3/S)	104.54
Χρονική στιγμή αιχμής	02Sep2000, 01:30
Όγκος(MM)	142.8

Απορροή



Κλάδος: R6120

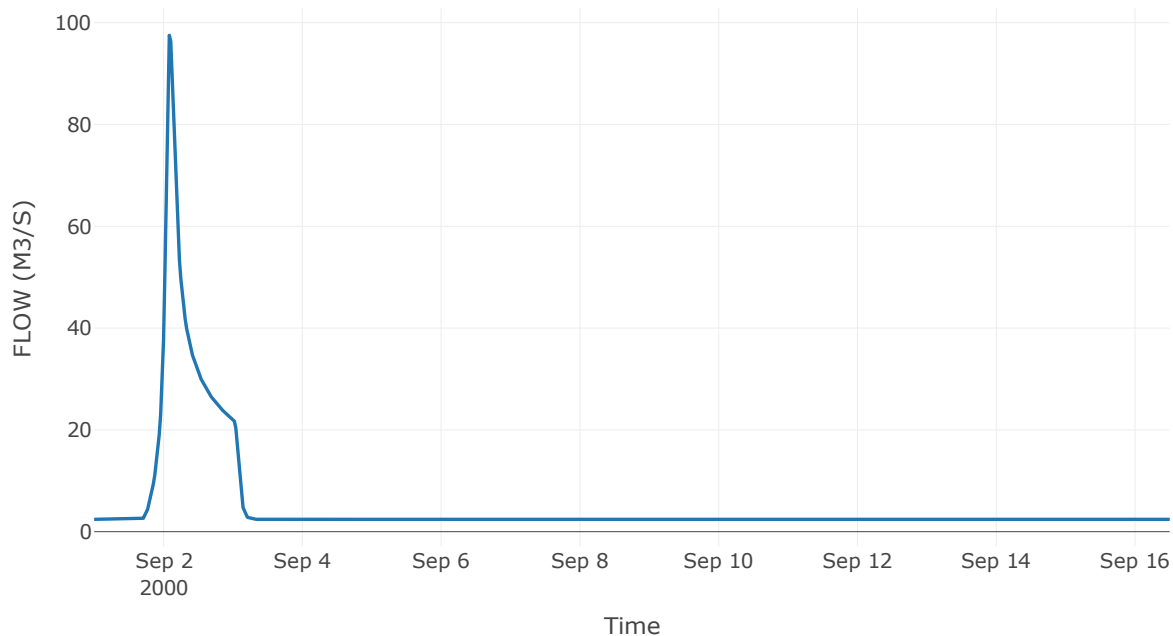
Κατάντη : J20

Μέθοδος Διόδευσης	Muskingum
Αρχική Μεταβλητή	Combined Inflow
Muskingum K	0.7
Συντελεστής βάρους x	0.2
Muskingum Steps	1

Αποτελέσματα: R6120

Παροχή Αιχμής (M3/S)	97.52
Χρονική στιγμή αιχμής	02Sep2000, 02:00
Όγκος(MM)	142.8
Παροχή Αιχμής Εισόδου (M3/S)	104.54
Όγκος Εισροής(M3)	6.94E6

Απορροή



Υπολεκάνη: EL0415FR6022

Έκταση (KM2) : 28.16

Κατάνη : J20

Μέθοδος Απωλειών: SCS

Ποσοστό αδιαπέρατης επιφάνειας	0
Αριθμός Καμπύλης Απορροής-CN	64.77
Αρχικές Απώλειες	27.63

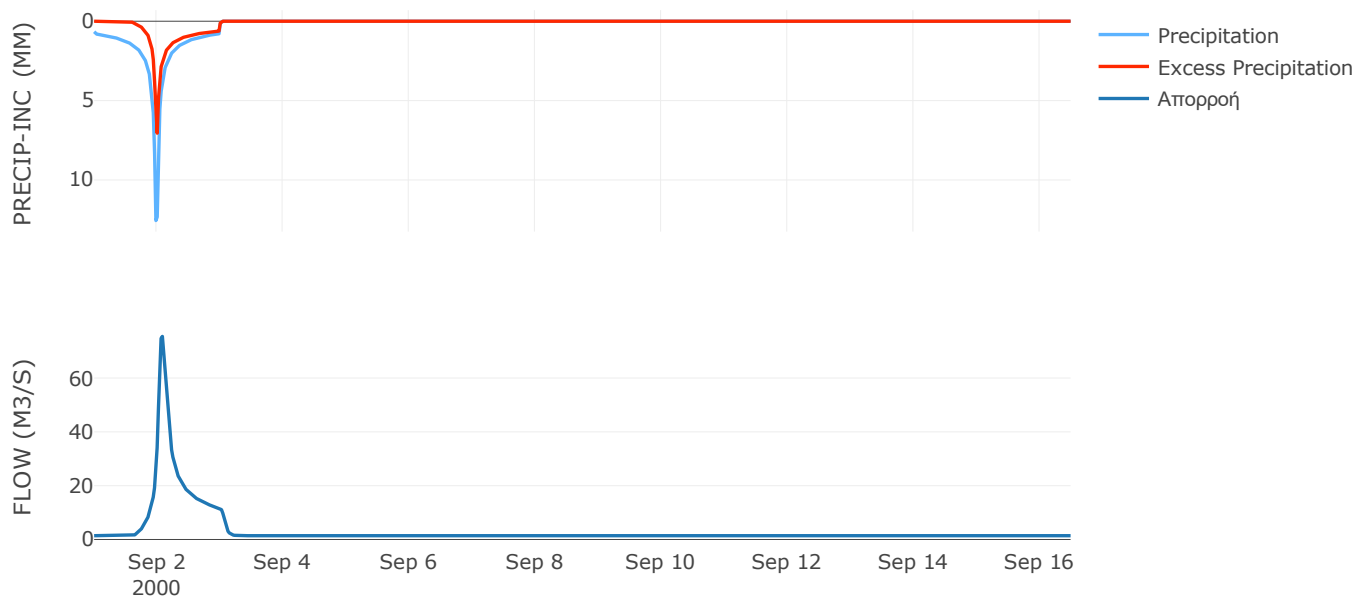
Μέθοδος
Μετασχηματισμού: SCS

Χρόνος Υστέρησης	87.91
------------------	-------

Αποτελέσματα:
EL0415FR6022

Παροχή αιχμής (M3/S)	75.48
Χρονική στιγμή αιχμής	02Sep2000, 02:00
Όγκος (MM)	152.99
Όγκος βροχόπτωσης (M3)	5.29E6
Όγκος απωλειών (M3)	2.87E6
Ενεργός Όγκος (M3)	2.42E6
Όγκος άμεσης απορροής (M3)	2.42E6
Όγκος βασικής απορροής (M3)	1.89E6

Βροχόπτωση και Απορροή



Υπολεκάνη: EL0415FR6021

Έκταση (KM2) : 21.44

Κατάνη : J20

Μέθοδος Απωλειών: SCS

Ποσοστό αδιαπέρατης επιφάνειας	0
Αριθμός Καμπύλης Απορροής-CN	63.81
Αρχικές Απώλειες	28.82

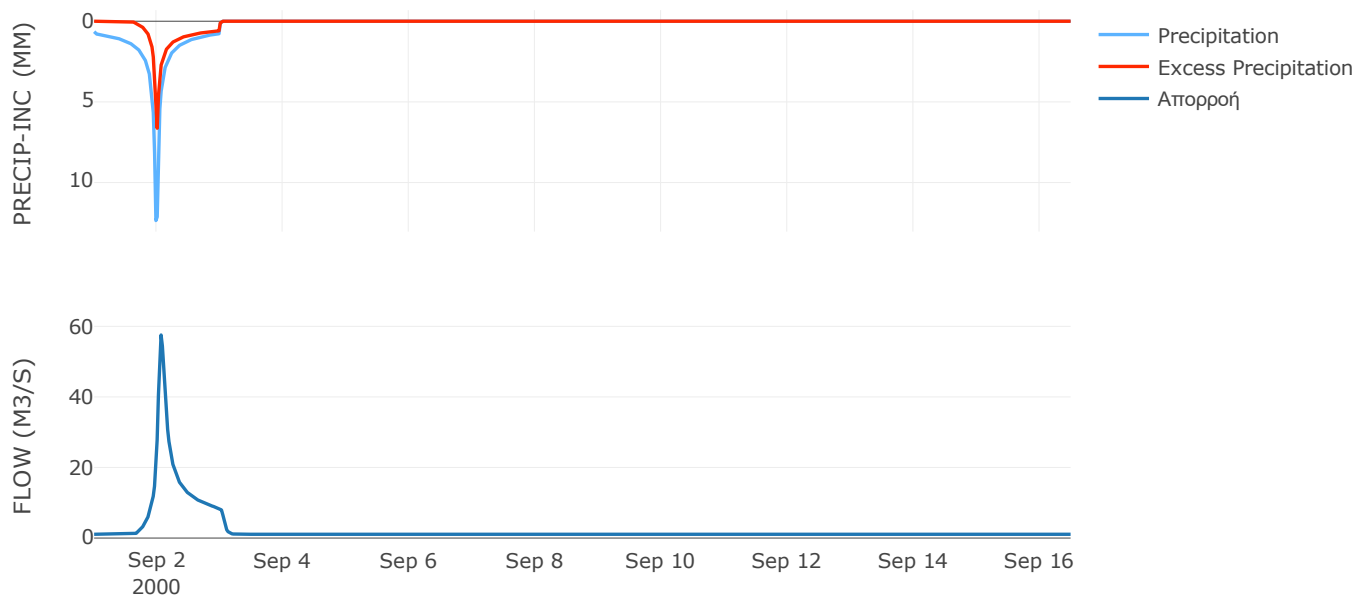
Μέθοδος
Μετασχηματισμού: SCS

Χρόνος Υστέρησης	73.66
------------------	-------

Αποτελέσματα:
EL0415FR6021

Παροχή αιχμής (M3/S)	57.56
Χρονική στιγμή αιχμής	02Sep2000, 01:30
Όγκος (MM)	147.72
Όγκος βροχόπτωσης (M3)	3.95E6
Όγκος απωλειών (M3)	2.22E6
Ενεργός Όγκος (M3)	1.73E6
Όγκος άμεσης απορροής (M3)	1.73E6
Όγκος βασικής απορροής (M3)	1.44E6

Βροχόπτωση και Απορροή



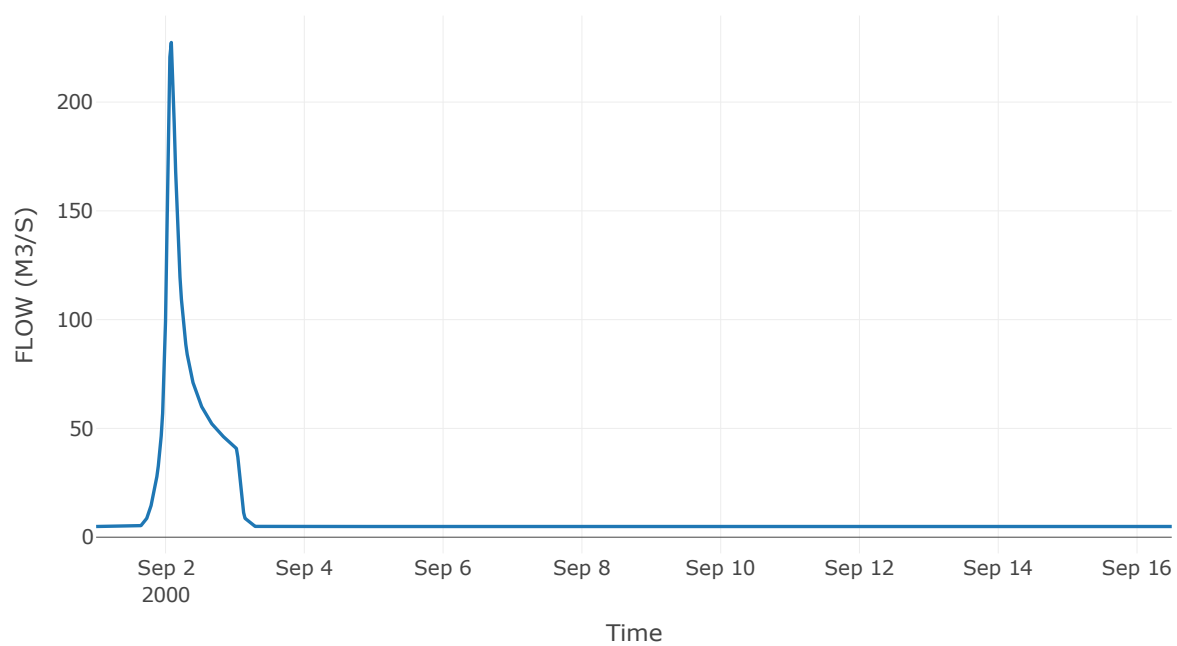
Κόμβος: J20

Κατάντη : R2014

Αποτελέσματα: J20

Παροχή Αιχμής (M3/S)	227.4
Χρονική στιγμή αιχμής	02Sep2000, 02:00
Όγκος(MM)	146.8

Απορροή



Κλάδος: R2014

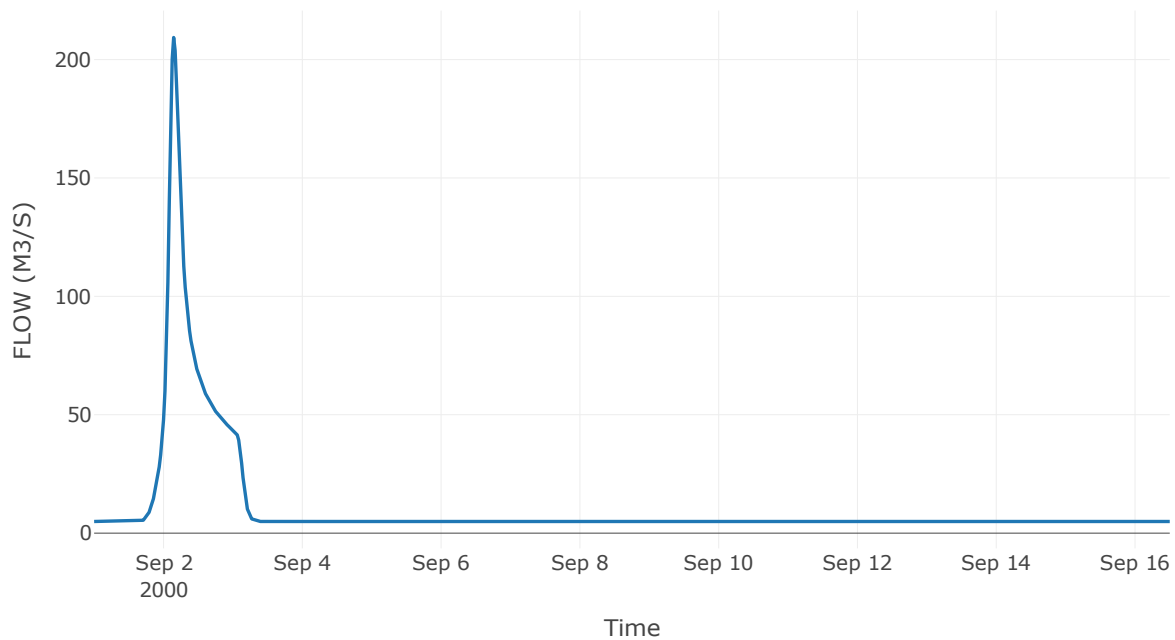
Κατάντη : J14

Μέθοδος Διόδευσης	Muskingum
Αρχική Μεταβλητή	Combined Inflow
Muskingum K	1.57
Συντελεστής βάρους x	0.2
Muskingum Steps	3

Αποτελέσματα: R2014

Παροχή Αιχμής (M3/S)	209.33
Χρονική στιγμή αιχμής	02Sep2000, 03:30
Όγκος(MM)	146.8
Παροχή Αιχμής Εισόδου (M3/S)	227.4
Όγκος Εισροής(M3)	1.44E7

Απορροή



Υπολεκάνη: EL0415FR6017

Έκταση (KM2) : 48.36

Κατάντη : J14

Μέθοδος Απωλειών: SCS

Ποσοστό αδιαπέρατης επιφάνειας	0
Αριθμός Καμπύλης Απορροής-CN	63.35
Αρχικές Απώλειες	29.38

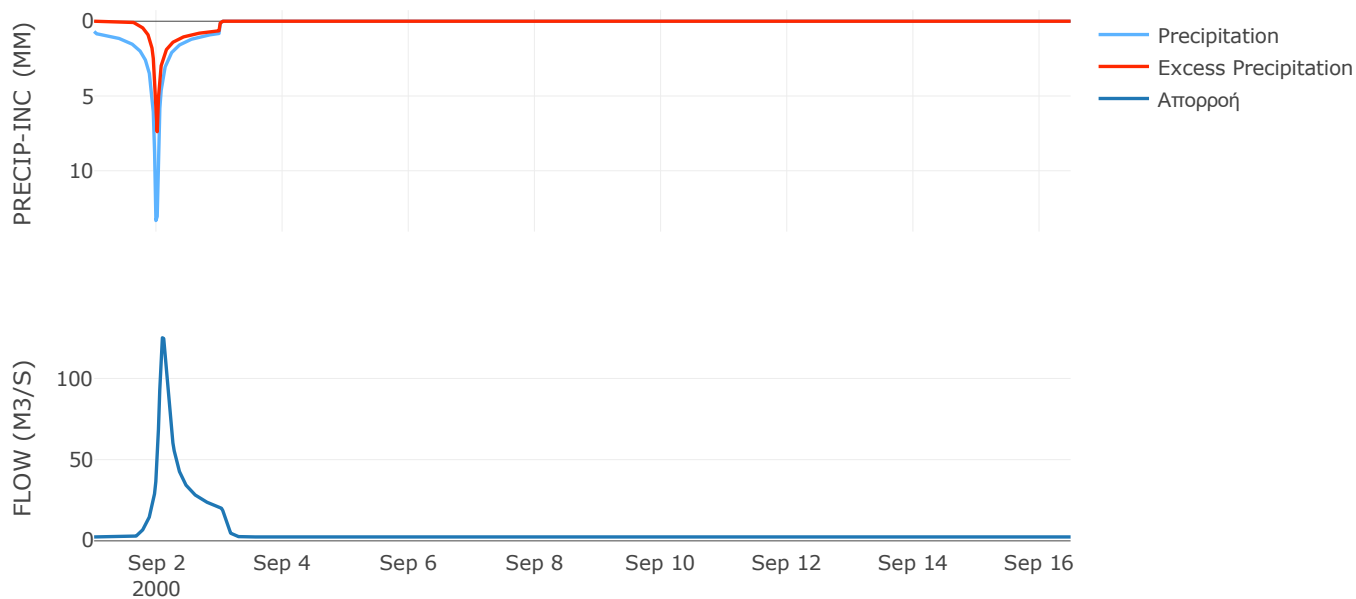
Μέθοδος
Μετασχηματισμού: SCS

Χρόνος Υστέρησης	110.19
------------------	--------

Αποτελέσματα:
EL0415FR6017

Παροχή αιχμής (M3/S)	125.05
Χρονική στιγμή αιχμής	02Sep2000, 02:00
Όγκος (MM)	156.04
Όγκος βροχόπτωσης (M3)	9.51E6
Όγκος απωλειών (M3)	5.2E6
Ενεργός Όγκος (M3)	4.31E6
Όγκος άμεσης απορροής (M3)	4.31E6
Όγκος βασικής απορροής (M3)	3.24E6

Βροχόπτωση και Απορροή



Υπολεκάνη: EL0415FR6020

Έκταση (KM2) : 41.91

Κατάντη : J14

Μέθοδος Απωλειών: SCS

Ποσοστό αδιαπέρατης επιφάνειας	0
Αριθμός Καμπύλης Απορροής-CN	63.91
Αρχικές Απώλειες	28.69

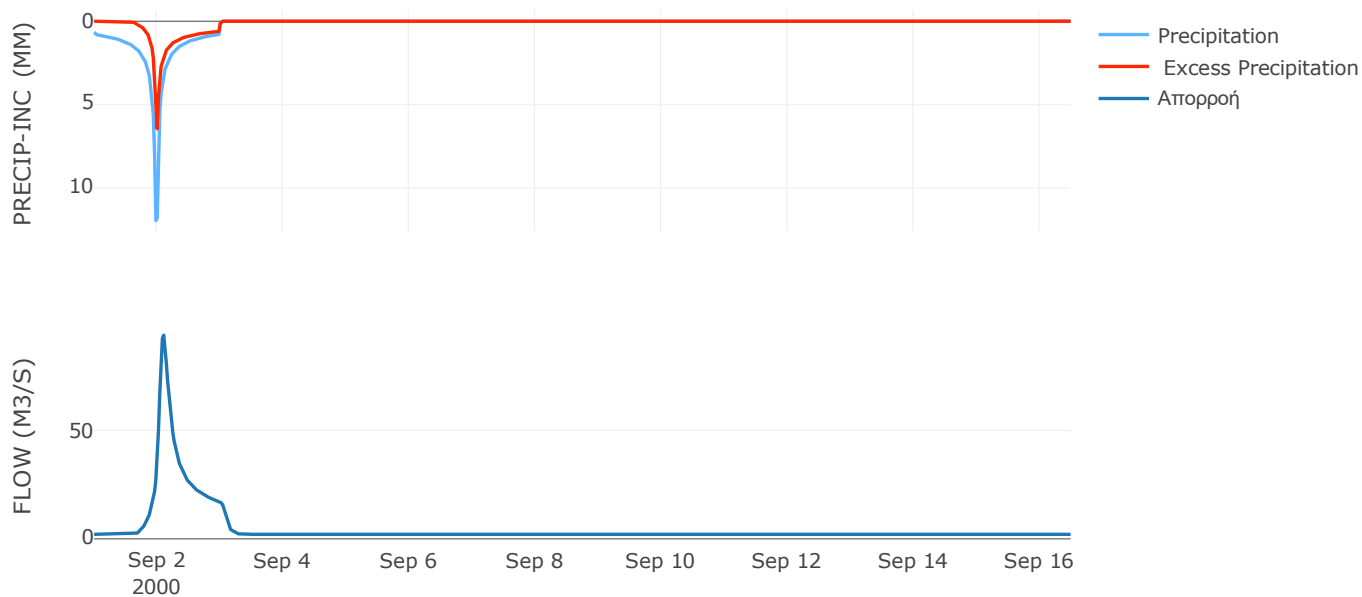
Μέθοδος
Μετασχηματισμού: SCS

Χρόνος Υστέρησης	116.08
------------------	--------

Αποτελέσματα:
EL0415FR6020

Παροχή αιχμής (M3/S)	93.98
Χρονική στιγμή αιχμής	02Sep2000, 02:30
Όγκος (MM)	147.5
Όγκος βροχόπτωσης (M3)	7.7E6
Όγκος απωλειών (M3)	4.32E6
Ενεργός Όγκος (M3)	3.38E6
Όγκος άμεσης απορροής (M3)	3.38E6
Όγκος βασικής απορροής (M3)	2.81E6

Βροχόπτωση και Απορροή



Υπολεκάνη: EL0415FR6097

Έκταση (KM2) : 3.48

Κατάντη : J14

Μέθοδος Απωλειών: SCS

Ποσοστό αδιαπέρατης επιφάνειας	17
Αριθμός Καμπύλης Απορροής-CN	67.51
Αρχικές Απώλειες	24.45

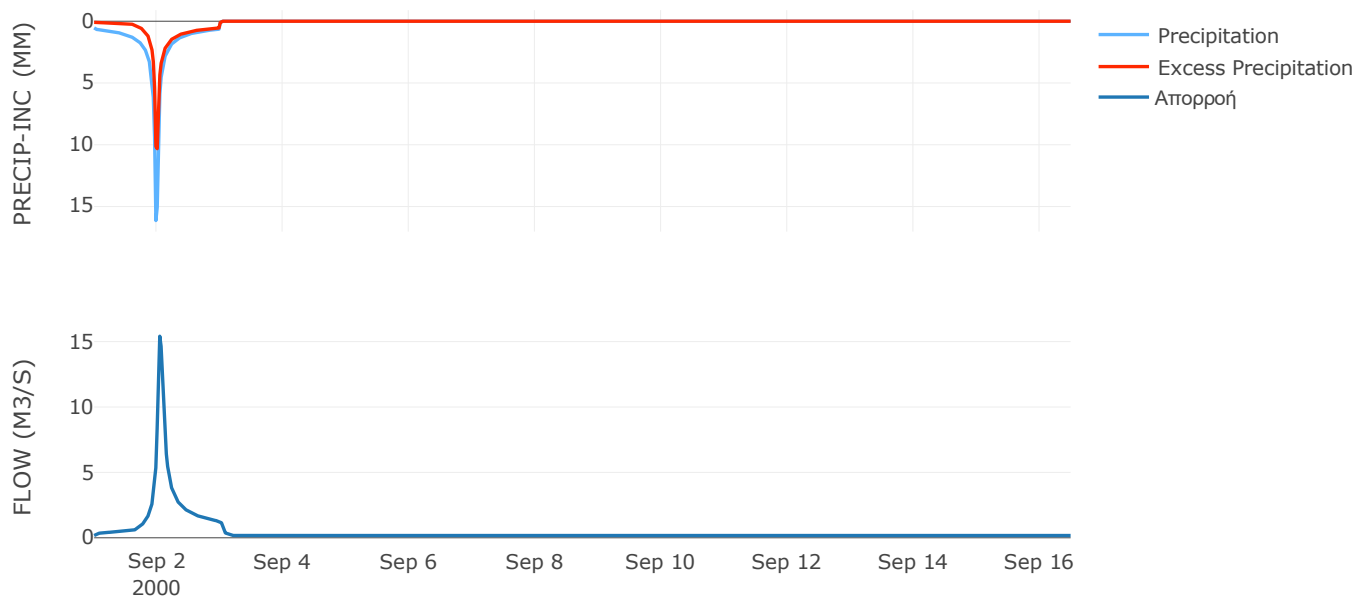
Μέθοδος
Μετασχηματισμού: SCS

Χρόνος Υστέρησης	56.87
------------------	-------

Αποτελέσματα:
EL0415FR6097

Παροχή αιχμής (M3/S)	15.41
Χρονική στιγμή αιχμής	02Sep2000, 01:00
Όγκος (MM)	173.05
Όγκος βροχόπτωσης (M3)	6.39E5
Όγκος απωλειών (M3)	2.7E5
Ενεργός Όγκος (M3)	3.69E5
Όγκος άμεσης απορροής (M3)	3.69E5
Όγκος βασικής απορροής (M3)	2.33E5

Βροχόπτωση και Απορροή



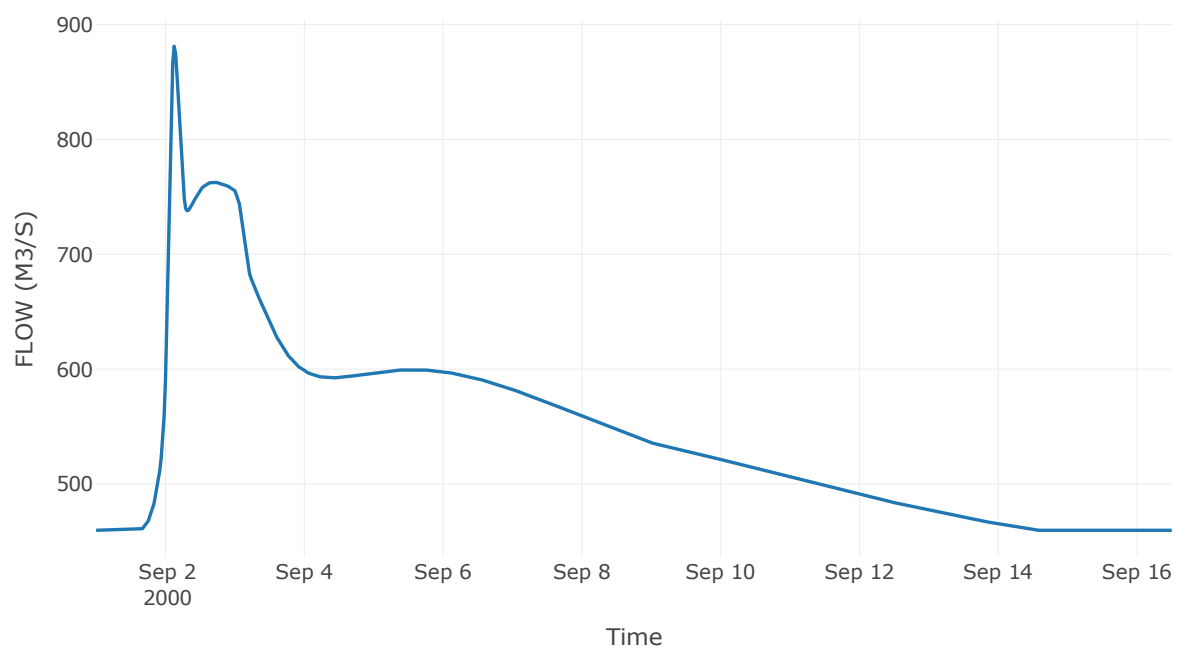
Κόμβος: J14

Κατάντη : R1413

Αποτελέσματα: J14

Παροχή Αιχμής (M3/S)	881.12
Χρονική στιγμή αιχμής	02Sep2000, 03:00
Όγκος(MM)	170.08

Απορροή



Κλάδος: R1413

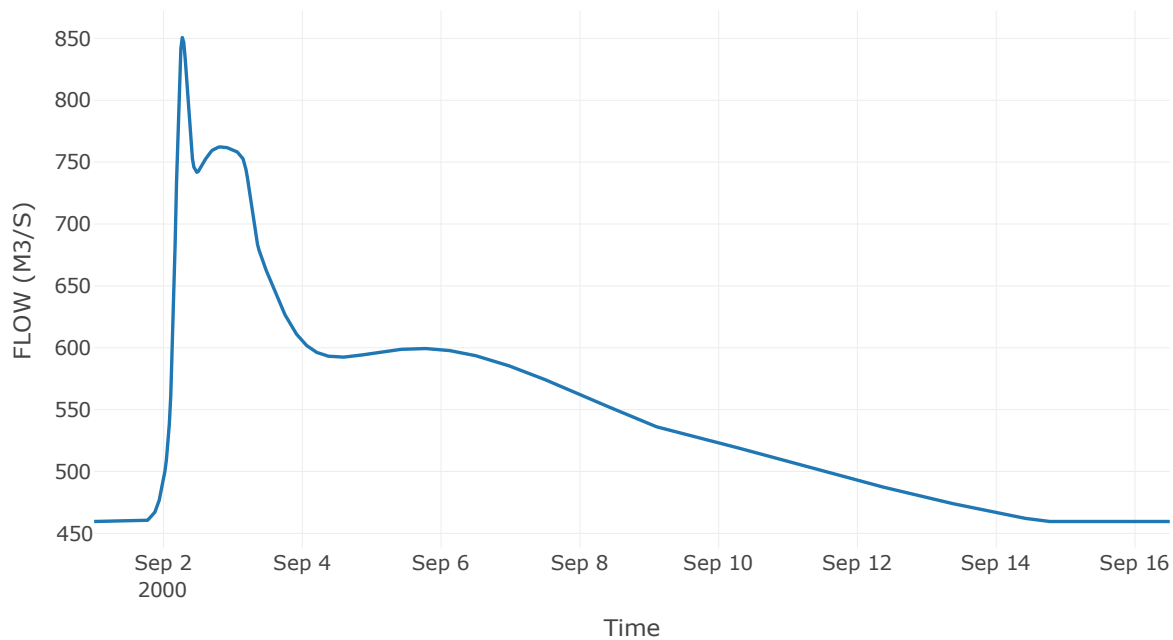
Κατάντη : J13 Res1

Μέθοδος Διόδευσης	Muskingum
Αρχική Μεταβλητή	Combined Inflow
Muskingum K	3.28
Συντελεστής βάρους α	0.2
Muskingum Steps	7

Αποτελέσματα: R1413

Παροχή Αιχμής (M3/S)	850.76
Χρονική στιγμή αιχμής	02Sep2000, 06:30
Όγκος(MM)	170.08
Παροχή Αιχμής Εισόδου (M3/S)	881.12
Όγκος Εισροής(M3)	7.29E8

Απορροή



Υπολεκάνη: EL0415FR6016

Έκταση (KM2) : 45.09

Κατάνη : J13 Res1

Μέθοδος Απωλειών: SCS

Ποσοστό αδιαπέρατης επιφάνειας	14
Αριθμός Καμπύλης Απορροής-CN	68.93
Αρχικές Απώλειες	22.9

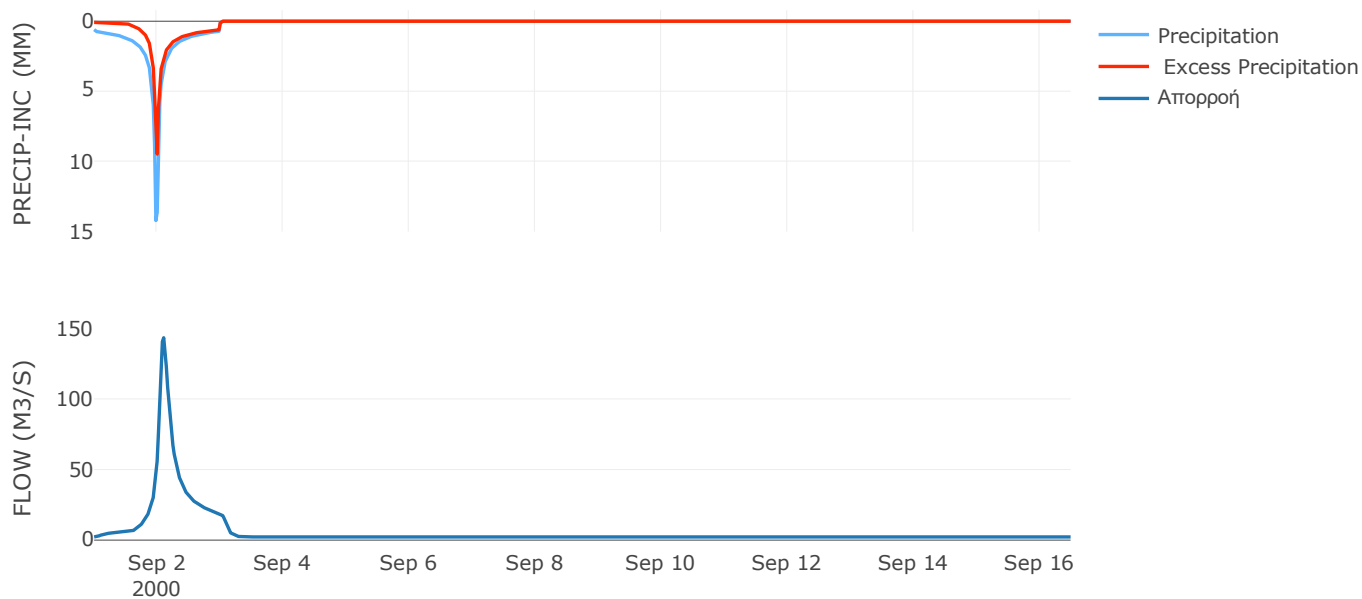
Μέθοδος
Μετασχηματισμού: SCS

Χρόνος Υστέρησης	124.16
------------------	--------

Αποτελέσματα:
EL0415FR6016

Παροχή αιχμής (M3/S)	143.29
Χρονική στιγμή αιχμής	02Sep2000, 02:30
Όγκος (MM)	175.76
Όγκος βροχόπτωσης (M3)	8.4E6
Όγκος απωλειών (M3)	3.5E6
Ενεργός Όγκος (M3)	4.91E6
Όγκος άμεσης απορροής (M3)	4.91E6
Όγκος βασικής απορροής (M3)	3.02E6

Βροχόπτωση και Απορροή



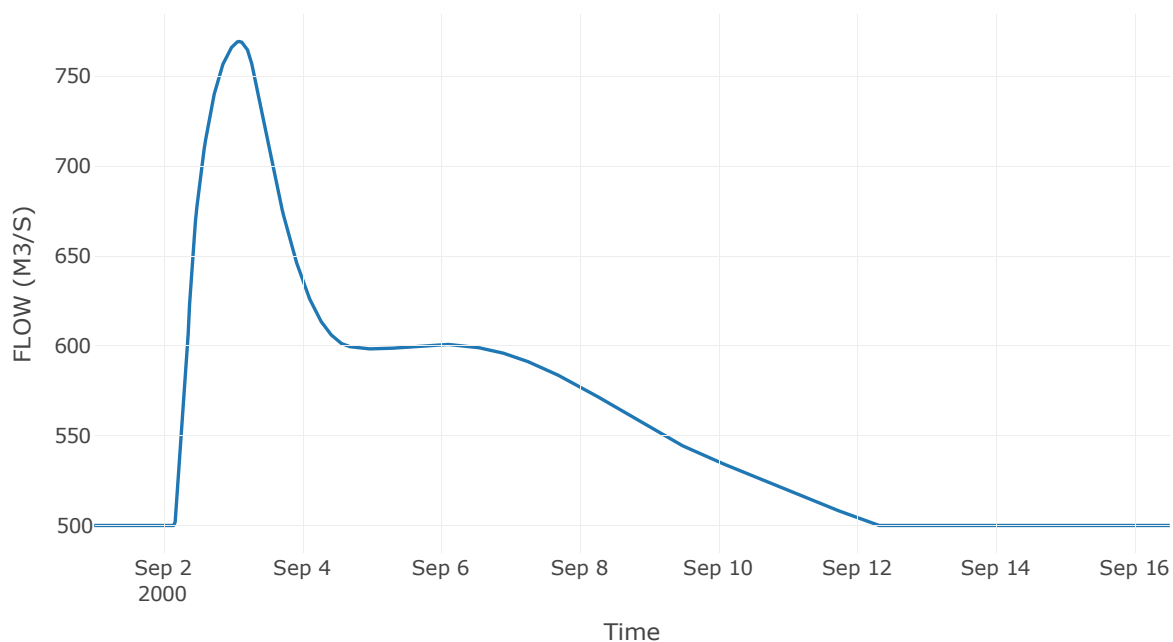
Ταμιευτήρας: J13_RES1

Κατάντη : R138

Αποτελέσματα: J13_RES1

Παροχή Αιχμής (M3/S)	769.2
Χρονική στιγμή αιχμής	03Sep2000, 02:00
Όγκος(MM)	172.71
Παροχή Αιχμής Εισόδου (M3/S)	911.64
Time of Peak Inflow	02Sep2000, 06:30
Όγκος Εισροής (M3)	7.37E8
Maximum Storage (M3)	3.23E7
Peak Elevation (M)	61.75
Discharge Όγκος(M3)	7.48E8

Απορροή



Κλάδος: R138

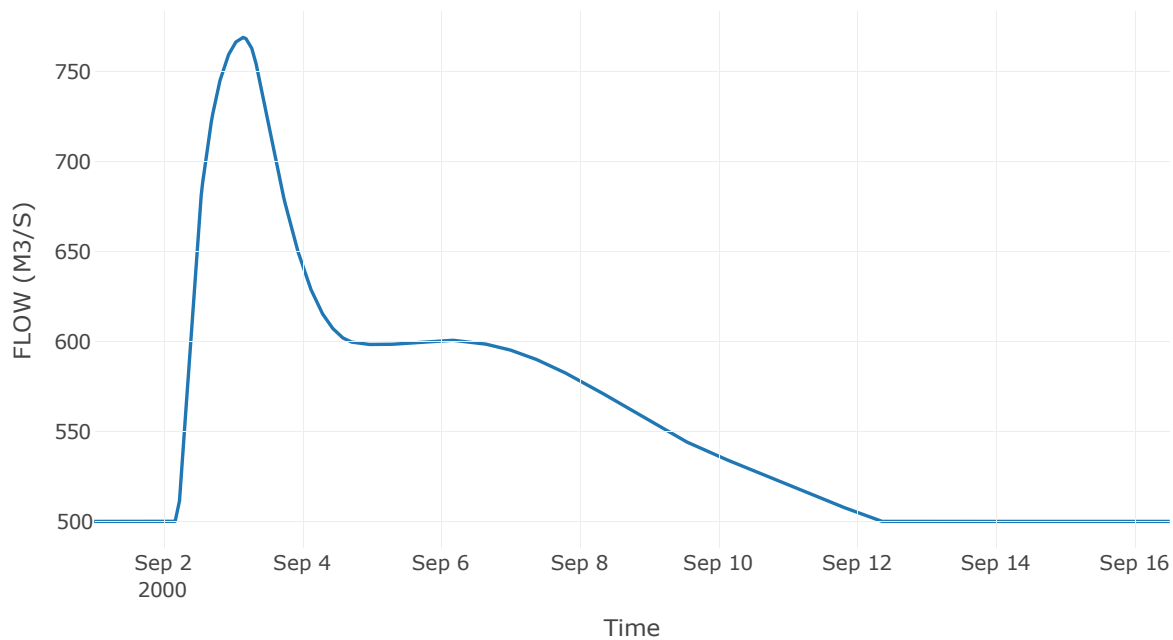
Κατάντη : J8

Μέθοδος Διόδευσης	Muskingum
Αρχική Μεταβλητή	Combined Inflow
Muskingum K	1.19
Συντελεστής βάρους x	0.2
Muskingum Steps	2

Αποτελέσματα: R138

Παροχή Αιχμής (M3/S)	768.98
Χρονική στιγμή αιχμής	03Sep2000, 03:30
Όγκος(MM)	172.71
Παροχή Αιχμής Εισόδου (M3/S)	769.2
Όγκος Εισροής(M3)	7.48E8

Απορροή



Υπολεκάνη: EL0415FR6013

Έκταση (KM2) : 37.65

Κατάντη : J12

Μέθοδος Απωλειών: SCS

Ποσοστό αδιαπέρατης επιφάνειας	0
Αριθμός Καμπύλης Απορροής-CN	35.21
Αρχικές Απώλειες	93.47

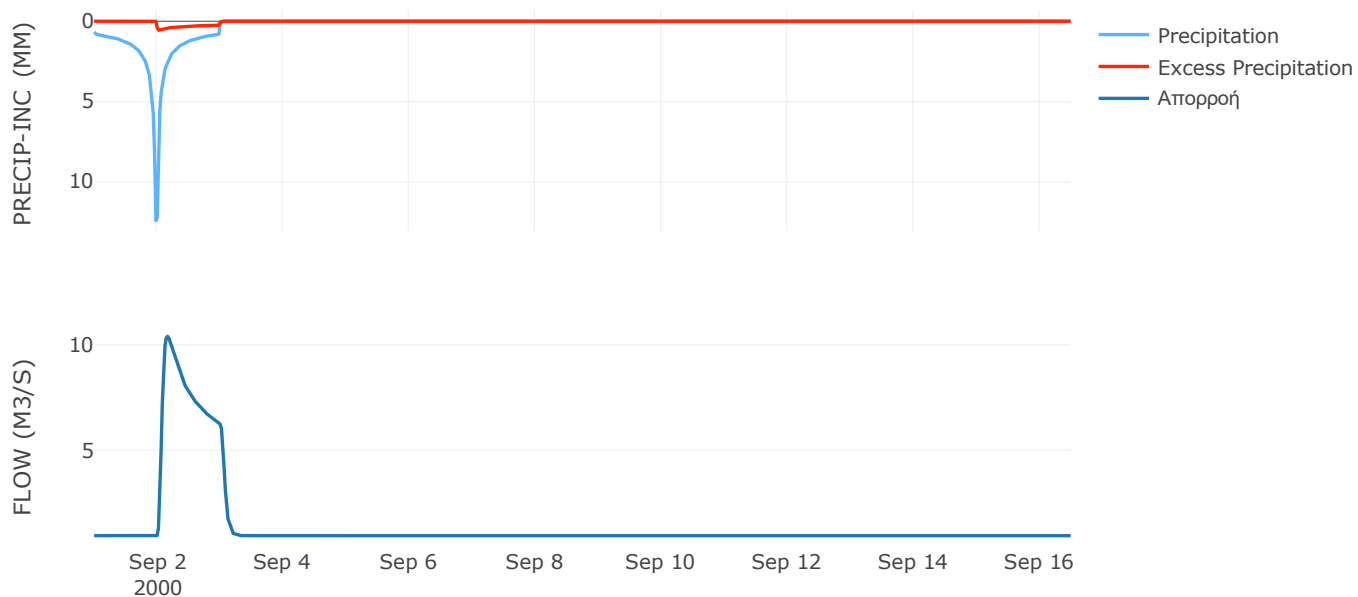
Μέθοδος
Μετασχηματισμού: SCS

Χρόνος Υστέρησης	84.8
------------------	------

Αποτελέσματα:
EL0415FR6013

Παροχή αιχμής (M3/S)	10.41
Χρονική στιγμή αιχμής	02Sep2000, 04:00
Όγκος (MM)	49.55
Όγκος βροχόπτωσης (M3)	7.1E6
Όγκος απωλειών (M3)	6.49E6
Ενεργός Όγκος (M3)	6.05E5
Όγκος άμεσης απορροής (M3)	6.05E5
Όγκος βασικής απορροής (M3)	1.26E6

Βροχόπτωση και Απορροή



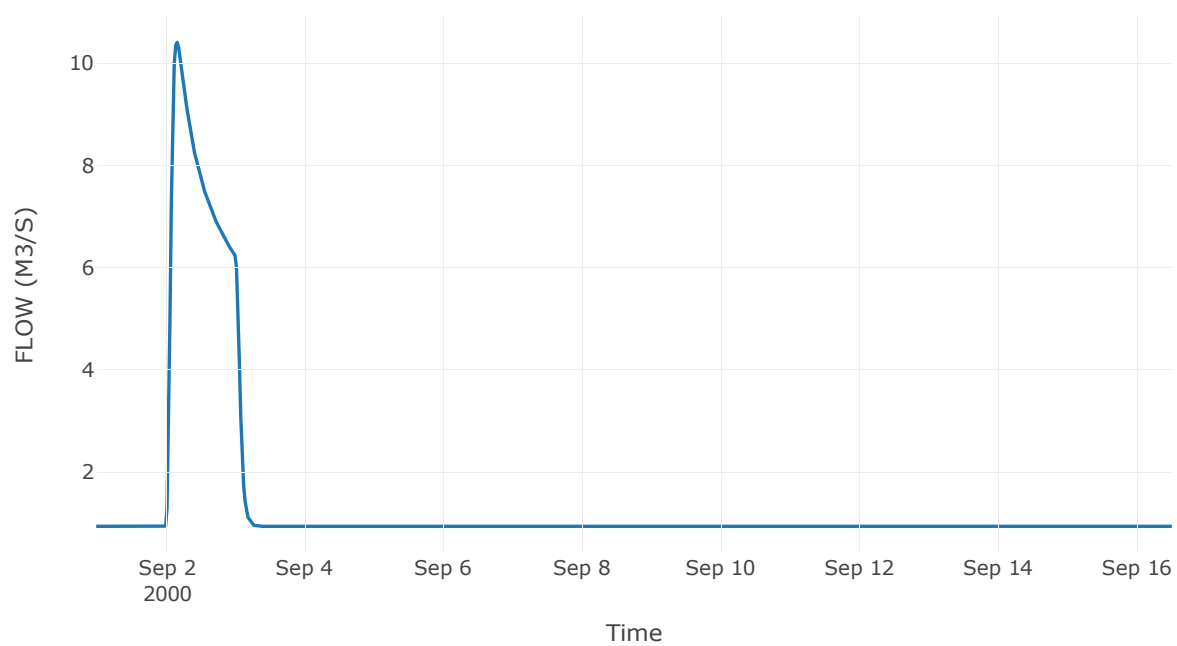
Κόμβος: J12

Κατάντη : R128

Αποτελέσματα: J12

Παροχή Αιχμής (M3/S)	10.41
Χρονική στιγμή αιχμής	02Sep2000, 04:00
Όγκος(MM)	49.55

Απορροή



Κλάδος: R128

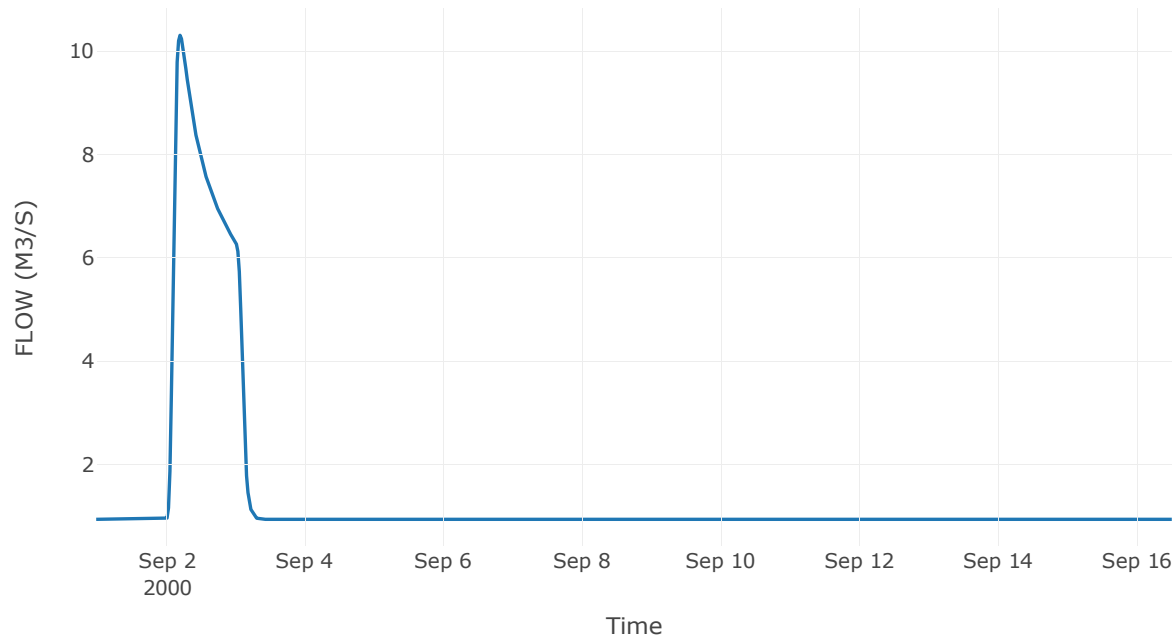
Κατάντη : J8

Μέθοδος Διόδευσης	Muskingum
Αρχική Μεταβλητή	Combined Inflow
Muskingum K	0.93
Συντελεστής βάρους x	0.2
Muskingum Steps	2

Αποτελέσματα: R128

Παροχή Αιχμής (M3/S)	10.3
Χρονική στιγμή αιχμής	02Sep2000, 05:00
Όγκος(MM)	49.55
Παροχή Αιχμής Εισόδου (M3/S)	10.41
Όγκος Εισροής(M3)	1.87E6

Απορροή



Υπολεκάνη: EL0415FR6014

Έκταση (KM2) : 17.43

Κατάντη : J8

Μέθοδος Απωλειών: SCS

Ποσοστό αδιαπέρατης επιφάνειας	0
Αριθμός Καμπύλης Απορροής-CN	64.82
Αρχικές Απώλειες	27.57

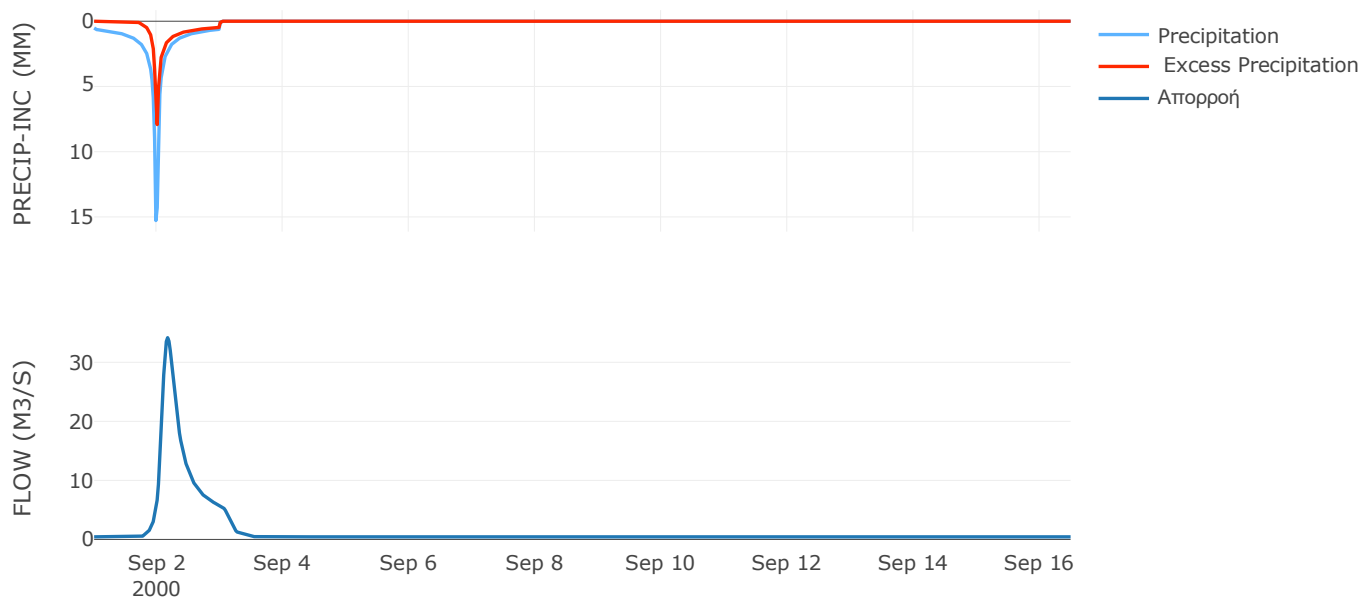
Μέθοδος
Μετασχηματισμού: SCS

Χρόνος Υστέρησης	201.59
------------------	--------

Αποτελέσματα:
EL0415FR6014

Παροχή αιχμής (M3/S)	34.17
Χρονική στιγμή αιχμής	02Sep2000, 04:00
Όγκος (MM)	110.39
Όγκος βροχόπτωσης (M3)	3.07E6
Όγκος απωλειών (M3)	1.73E6
Ενεργός Όγκος (M3)	1.34E6
Όγκος άμεσης απορροής (M3)	1.34E6
Όγκος βασικής απορροής (M3)	5.84E5

Βροχόπτωση και Απορροή



Υπολεκάνη: EL0415FR6015

Έκταση (KM2) : 9.94

Κατάντη : J8

Μέθοδος Απωλειών: SCS

Ποσοστό αδιαπέρατης επιφάνειας	0
Αριθμός Καμπύλης Απορροής-CN	69.64
Αρχικές Απώλειες	22.14

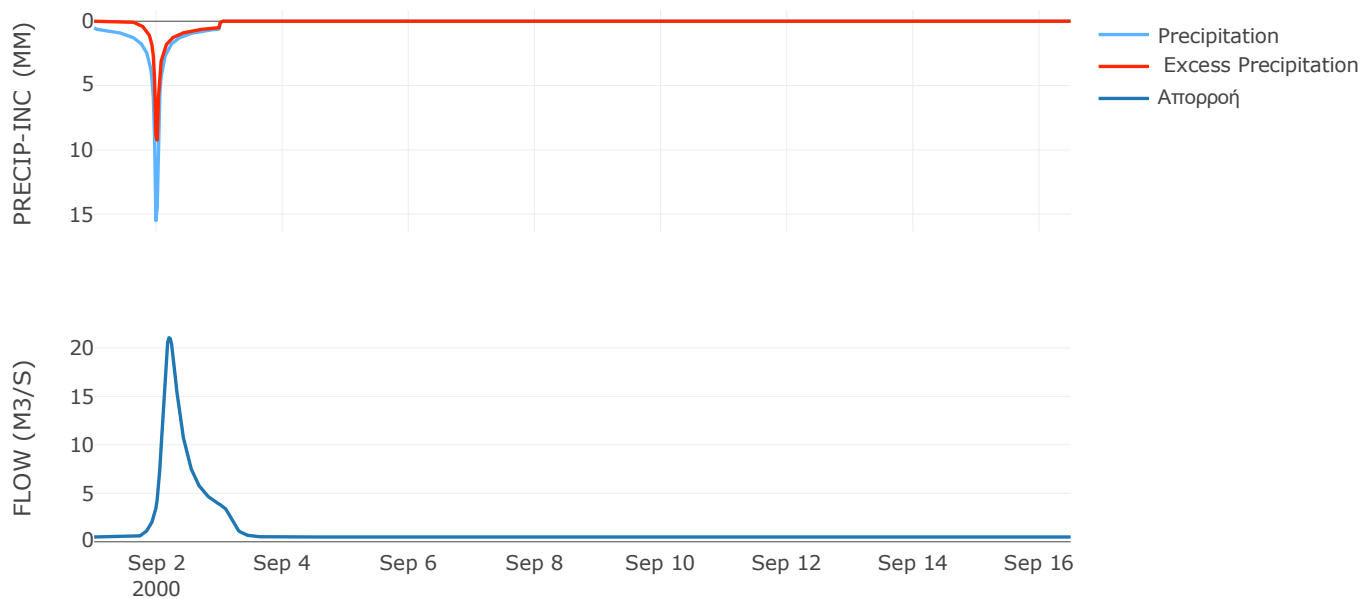
Μέθοδος
Μετασχηματισμού: SCS

Χρόνος Υστέρησης	242.05
------------------	--------

Αποτελέσματα:
EL0415FR6015

Παροχή αιχμής (M3/S)	21.05
Χρονική στιγμή αιχμής	02Sep2000, 04:30
Όγκος (MM)	155.86
Όγκος βροχόπτωσης (M3)	1.74E6
Όγκος απωλειών (M3)	8.59E5
Ενεργός Όγκος (M3)	8.84E5
Όγκος άμεσης απορροής (M3)	8.84E5
Όγκος βασικής απορροής (M3)	6.66E5

Βροχόπτωση και Απορροή



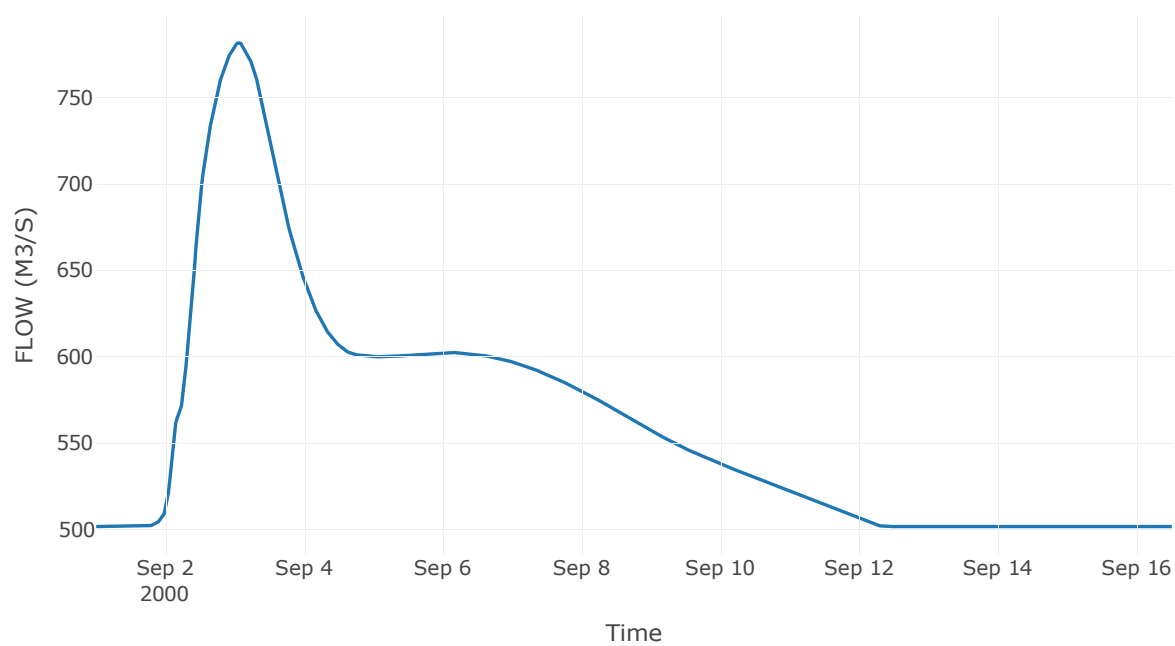
Κόμβος: J8

Κατάντη : R86

Αποτελέσματα: J8

Παροχή Αιχμής (M3/S)	781.87
Χρονική στιγμή αιχμής	03Sep2000, 01:30
Όγκος(MM)	171.37

Απορροή



Κλάδος: R86

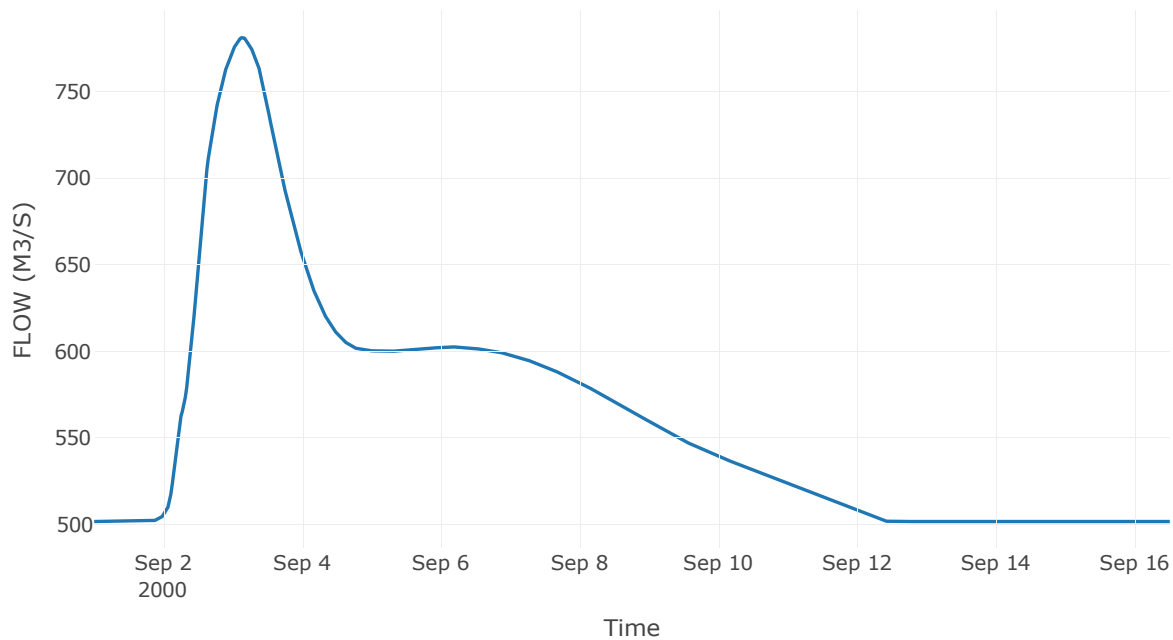
Κατάντη : J6

Μέθοδος Διόδευσης	Muskingum
Αρχική Μεταβλητή	Combined Inflow
Muskingum K	2.04
Συντελεστής βάρους α	0.2
Muskingum Steps	4

Αποτελέσματα: R86

Παροχή Αιχμής (M3/S)	781.2
Χρονική στιγμή αιχμής	03Sep2000, 03:30
Όγκος(MM)	171.37
Παροχή Αιχμής Εισόδου (M3/S)	781.87
Όγκος Εισροής(M3)	7.53E8

Απορροή



Κλάδος: R76

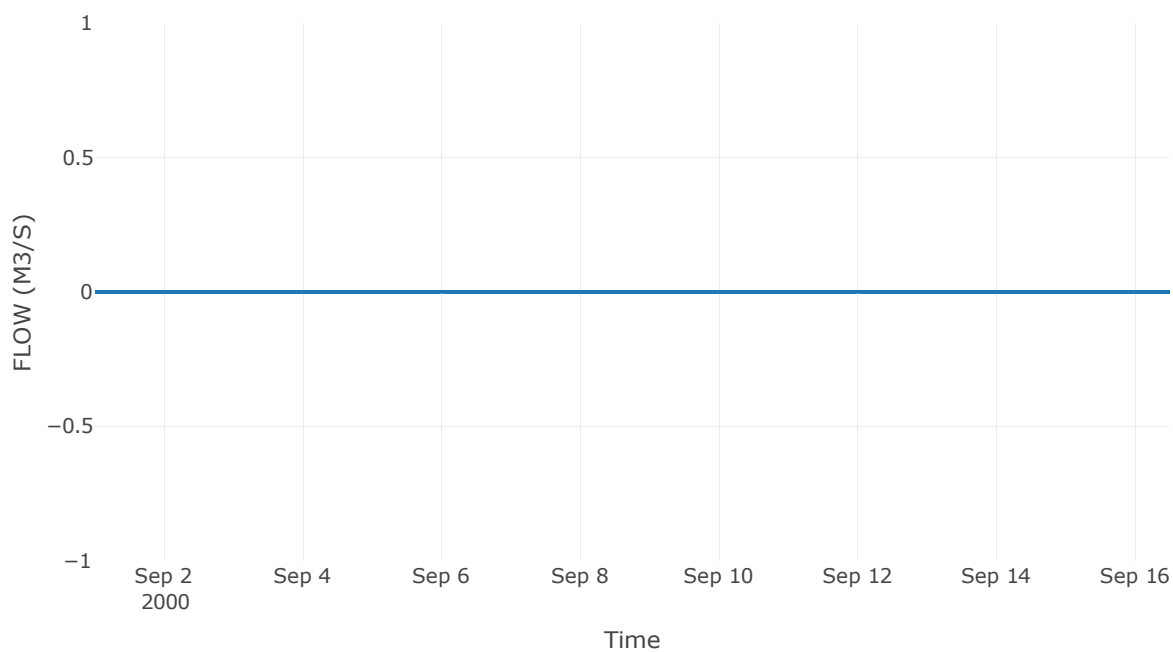
Κατάντη : J6

Μέθοδος Διόδευσης	Muskingum
Αρχική Μεταβλητή	Combined Inflow
Muskingum K	2.38
Συντελεστής βάρους x	0.2
Muskingum Steps	5

Αποτελέσματα: R76

Παροχή Αιχμής (M3/S)	0
Χρονική στιγμή αιχμής	31Aug2000, 24:00
Peak Inflow (M3/S)	0
Όγκος Εισροής (M3)	0

Απορροή



Υπολεκάνη: EL0415FR6008

Έκταση (KM2) : 24.49

Κατάντη : J6

Μέθοδος Απωλειών: SCS

Ποσοστό αδιαπέρατης επιφάνειας	0
Αριθμός Καμπύλης Απορροής-CN	65.89
Αρχικές Απώλειες	26.29

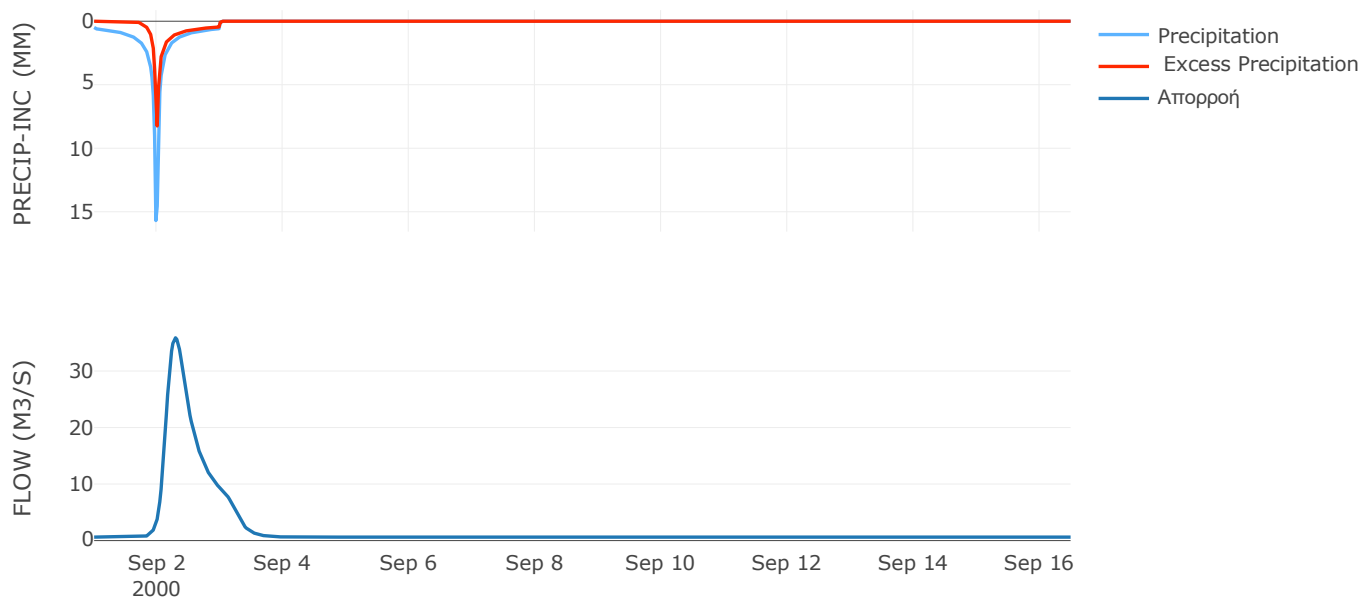
Μέθοδος
Μετασχηματισμού: SCS

Χρόνος Υστέρησης	352.19
------------------	--------

Αποτελέσματα:
EL0415FR6008

Παροχή αιχμής (M3/S)	35.87
Χρονική στιγμή αιχμής	02Sep2000, 07:00
Όγκος (MM)	110.33
Όγκος βροχόπτωσης (M3)	4.22E6
Όγκος απωλειών (M3)	2.34E6
Ενεργός Όγκος (M3)	1.88E6
Όγκος άμεσης απορροής (M3)	1.88E6
Όγκος βασικής απορροής (M3)	8.2E5

Βροχόπτωση και Απορροή



Υπολεκάνη: EL0415FR6007

Έκταση (KM2) : 16.96

Κατάντη : J6

Μέθοδος Απωλειών: SCS

Ποσοστό αδιαπέρατης επιφάνειας	0
Αριθμός Καμπύλης Απορροής-CN	55.91
Αρχικές Απώλειες	40.07

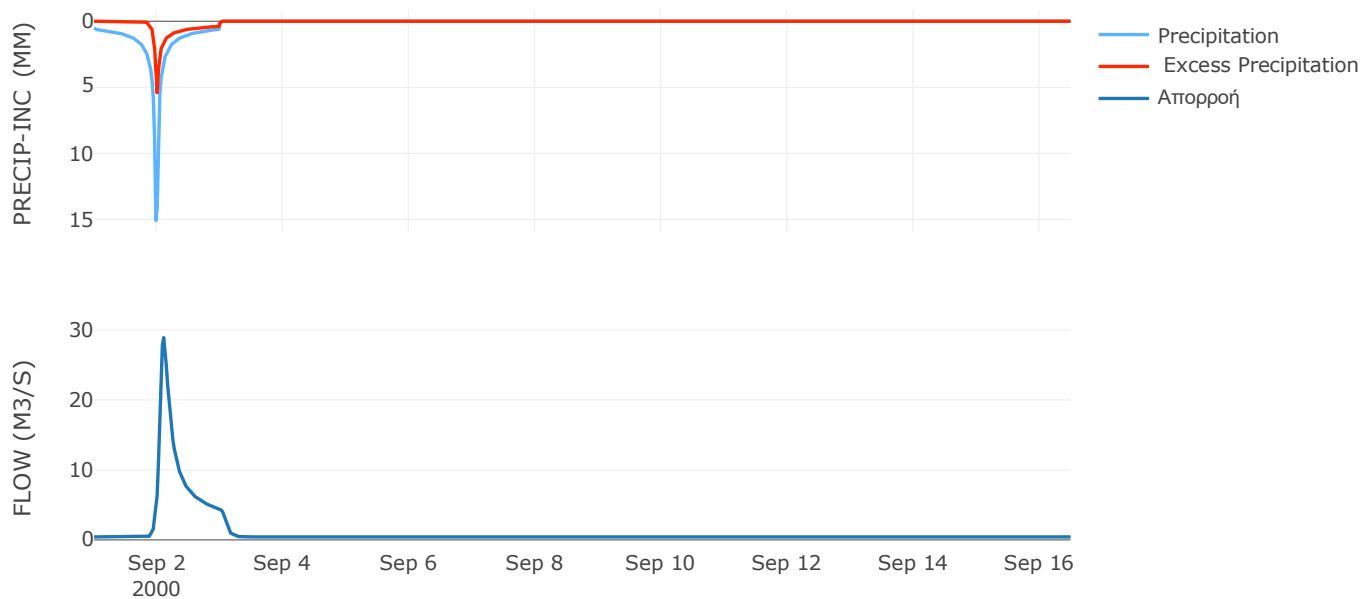
Μέθοδος
Μετασχηματισμού: SCS

Χρόνος Υστέρησης	113.8
------------------	-------

Αποτελέσματα:
EL0415FR6007

Παροχή αιχμής (M3/S)	28.89
Χρονική στιγμή αιχμής	02Sep2000, 02:30
Όγκος (MM)	86.95
Όγκος βροχόπτωσης (M3)	2.95E6
Όγκος απωλειών (M3)	2.04E6
Ενεργός Όγκος (M3)	9.07E5
Όγκος άμεσης απορροής (M3)	9.07E5
Όγκος βασικής απορροής (M3)	5.68E5

Βροχόπτωση και Απορροή



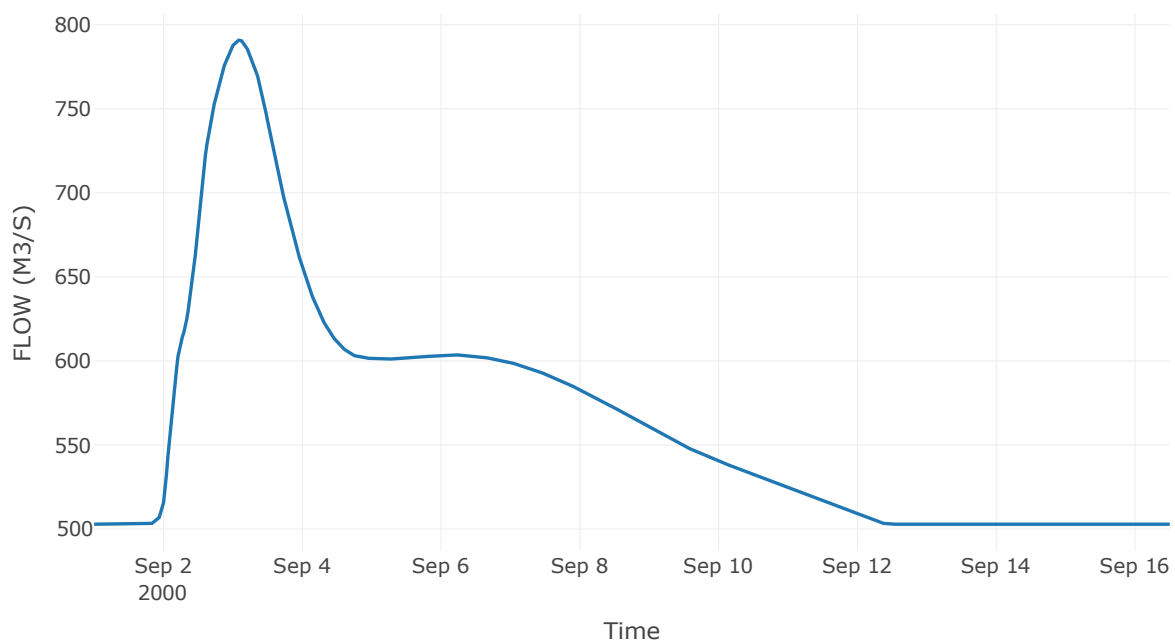
Κόμβος: J6

Κατάντη : R65

Αποτελέσματα: J6

Παροχή Αιχμής (M3/S)	790.81
Χρονική στιγμή αιχμής	03Sep2000, 02:00
Όγκος(MM)	170.71

Απορροή



Κλάδος: R65

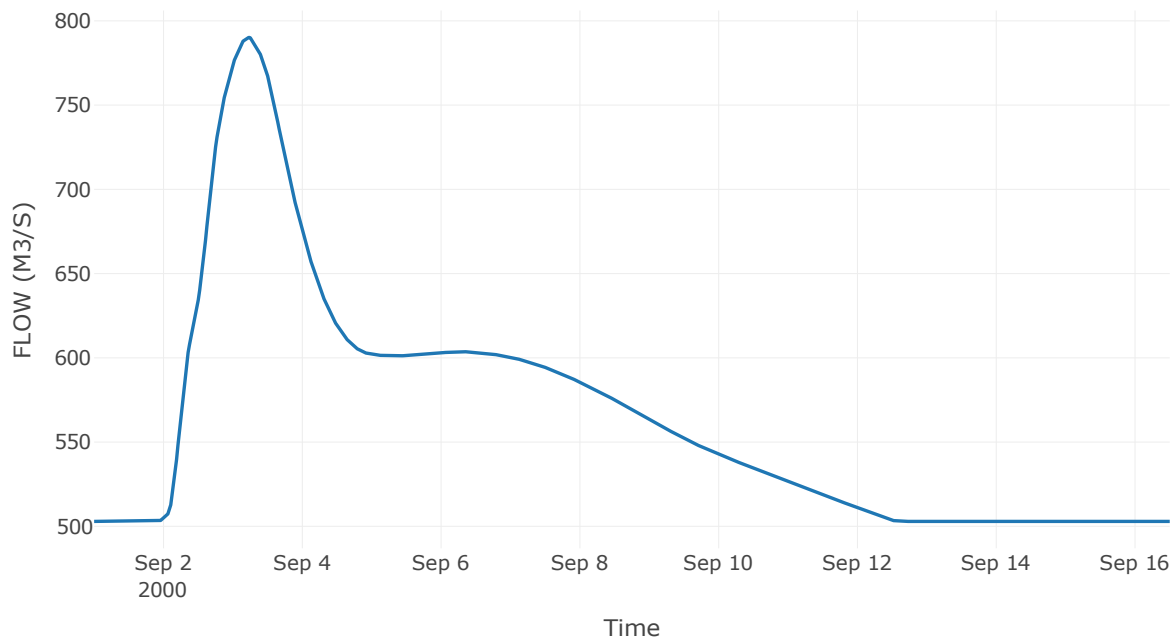
Κατάντη : J5

Μέθοδος Διόδευσης	Muskingum
Αρχική Μεταβλητή	Combined Inflow
Muskingum K	3.21
Συντελεστής βάρους x	0.2
Muskingum Steps	6

Αποτελέσματα: R65

Παροχή Αιχμής (M3/S)	790.19
Χρονική στιγμή αιχμής	03Sep2000, 05:30
Όγκος(MM)	170.71
Παροχή Αιχμής Εισόδου (M3/S)	790.81
Όγκος Εισροής(M3)	7.57E8

Απορροή



Υπολεκάνη: EL0415FR6006

Έκταση (KM2) : 20.96

Κατάντη : J5

Μέθοδος Απωλειών: SCS

Ποσοστό αδιαπέρατης επιφάνειας	0
Αριθμός Καμπύλης Απορροής-CN	46.99
Αρχικές Απώλειες	57.31

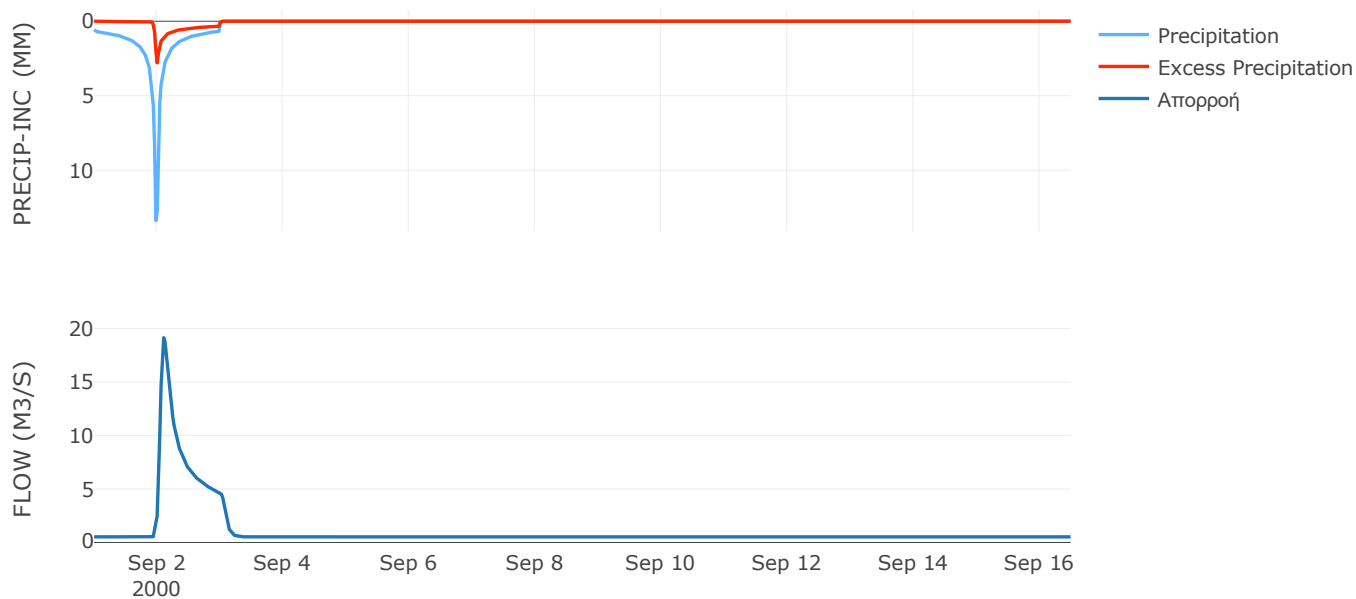
Μέθοδος
Μετασχηματισμού: SCS

Χρόνος Υστέρησης	106.09
------------------	--------

Αποτελέσματα:
EL0415FR6006

Παροχή αιχμής (M3/S)	19.14
Χρονική στιγμή αιχμής	02Sep2000, 02:30
Όγκος (MM)	67.88
Όγκος βροχόπτωσης (M3)	3.67E6
Όγκος απωλειών (M3)	2.95E6
Ενεργός Όγκος (M3)	7.21E5
Όγκος άμεσης απορροής (M3)	7.21E5
Όγκος βασικής απορροής (M3)	7.02E5

Βροχόπτωση και Απορροή



Υπολεκάνη: EL0415FR6005

Έκταση (KM2) : 10.79

Κατάντη : J5

Μέθοδος Απωλειών: SCS

Ποσοστό αδιαπέρατης επιφάνειας	0
Αριθμός Καμπύλης Απορροής-CN	64.94
Αρχικές Απώλειες	27.42

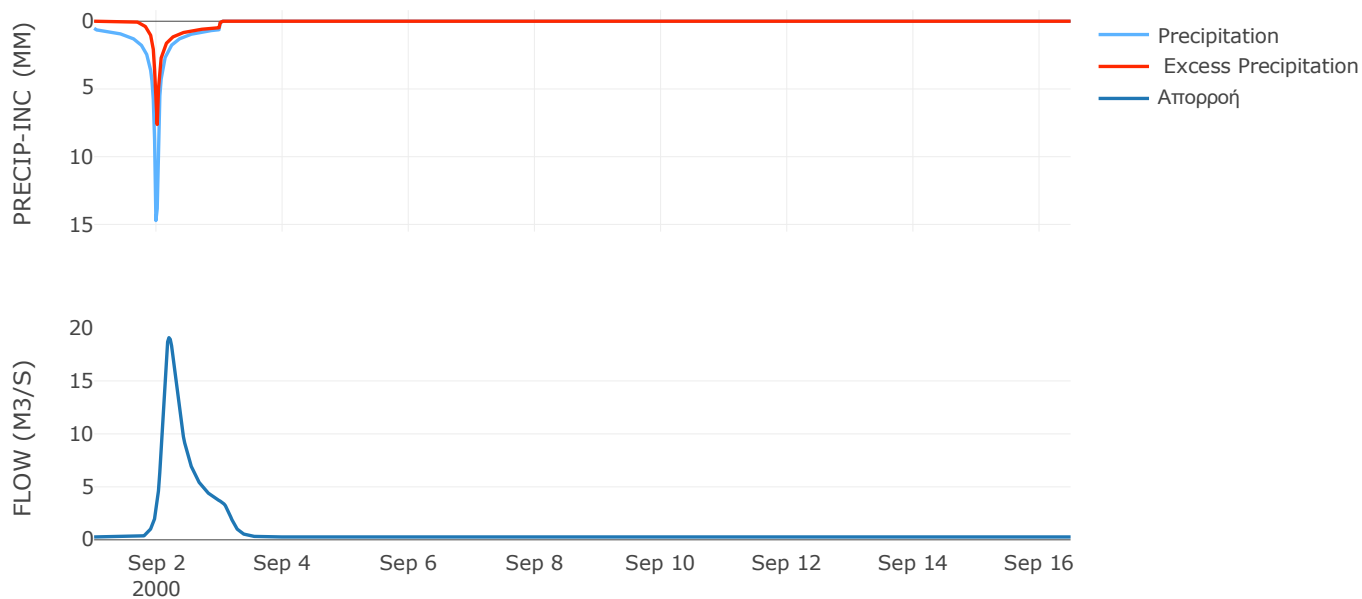
Μέθοδος
Μετασχηματισμού: SCS

Χρόνος Υστέρησης	231.44
------------------	--------

Αποτελέσματα:
EL0415FR6005

Παροχή αιχμής (M3/S)	19.09
Χρονική στιγμή αιχμής	02Sep2000, 04:30
Όγκος (MM)	109.21
Όγκος βροχόπτωσης (M3)	1.88E6
Όγκος απωλειών (M3)	1.06E6
Ενεργός Όγκος (M3)	8.17E5
Όγκος άμεσης απορροής (M3)	8.17E5
Όγκος βασικής απορροής (M3)	3.61E5

Βροχόπτωση και Απορροή



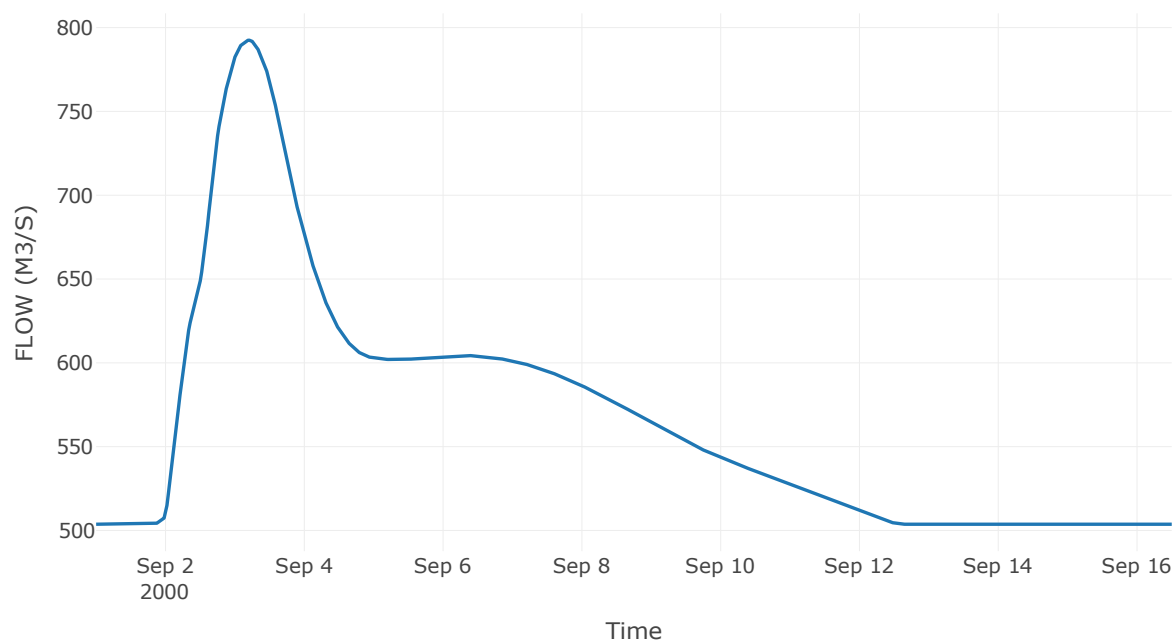
Κόμβος: J5

Κατάντη : R54

Αποτελέσματα: J5

Παροχή Αιχμής (M3/S)	792.46
Χρονική στιγμή αιχμής	03Sep2000, 05:00
Όγκος(MM)	170.08

Απορροή



Κλάδος: R54

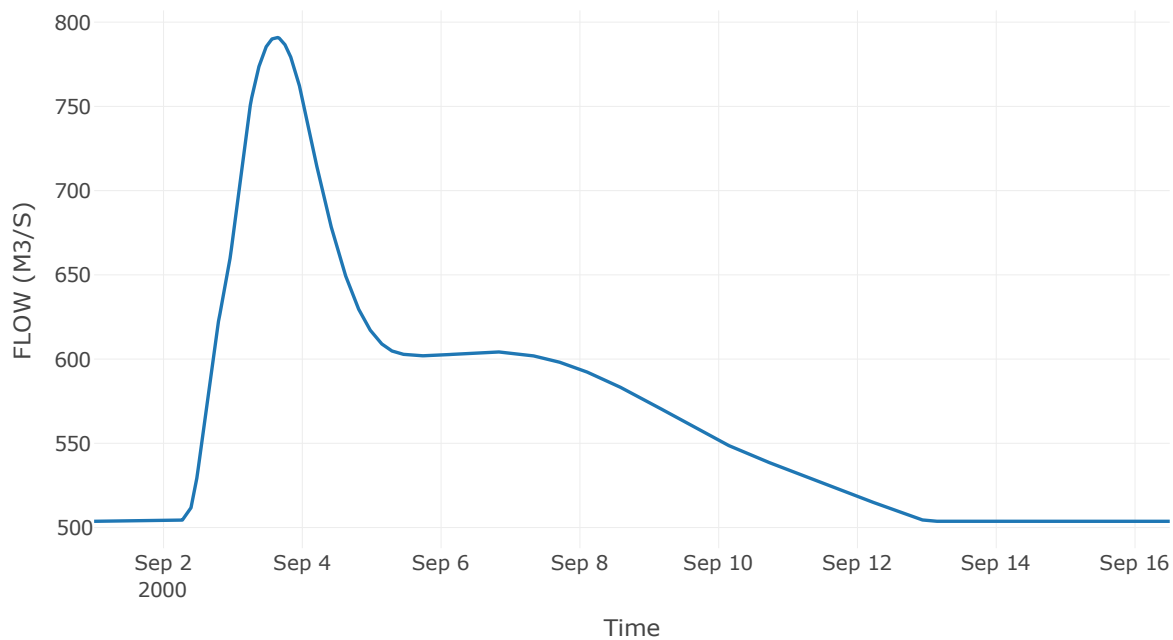
Κατάντη : J4

Μέθοδος Διόδευσης	Muskingum
Αρχική Μεταβλητή	Combined Inflow
Muskingum K	10.31
Συντελεστής βάρους x	0.2
Muskingum Steps	21

Αποτελέσματα: R54

Παροχή Αιχμής (M3/S)	791.03
Χρονική στιγμή αιχμής	03Sep2000, 15:00
Όγκος(MM)	170.08
Παροχή Αιχμής Εισόδου (M3/S)	792.46
Όγκος Εισροής(M3)	7.6E8

Απορροή



Υπολεκάνη: EL0415FR6052

Έκταση (KM2) : 27.12

Κατάντη : J4

Μέθοδος Απωλειών: SCS

Ποσοστό αδιαπέρατης επιφάνειας	0
Αριθμός Καμπύλης Απορροής-CN	45.78
Αρχικές Απώλειες	60.17

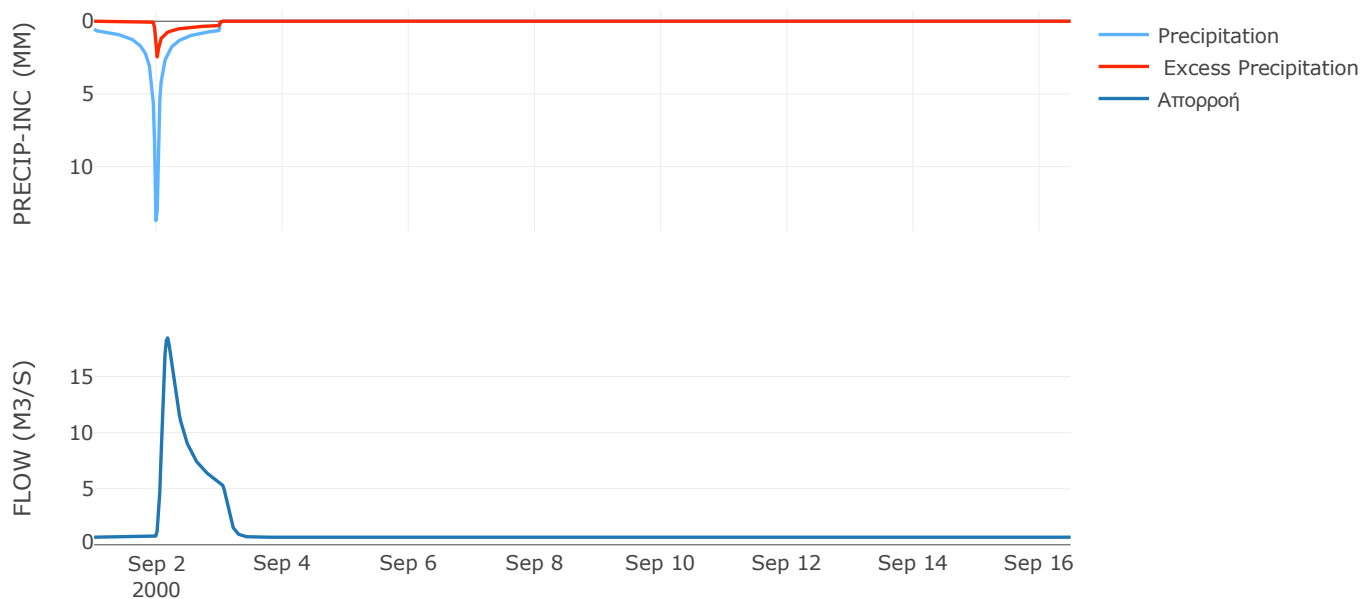
Μέθοδος
Μετασχηματισμού: SCS

Χρόνος Υστέρησης	157.23
------------------	--------

Αποτελέσματα:
EL0415FR6052

Παροχή αιχμής (M3/S)	18.45
Χρονική στιγμή αιχμής	02Sep2000, 04:00
Όγκος (MM)	63.65
Όγκος βροχόπτωσης (M3)	4.66E6
Όγκος απωλειών (M3)	3.84E6
Ενεργός Όγκος (M3)	8.18E5
Όγκος άμεσης απορροής (M3)	8.18E5
Όγκος βασικής απορροής (M3)	9.08E5

Βροχόπτωση και Απορροή



Υπολεκάνη: EL0415FR6004

Έκταση (KM2) : 22.76

Κατάντη : J4

Μέθοδος Απωλειών: SCS

Ποσοστό αδιαπέρατης επιφάνειας	0
Αριθμός Καμπύλης Απορροής-CN	52.88
Αρχικές Απώλειες	45.27

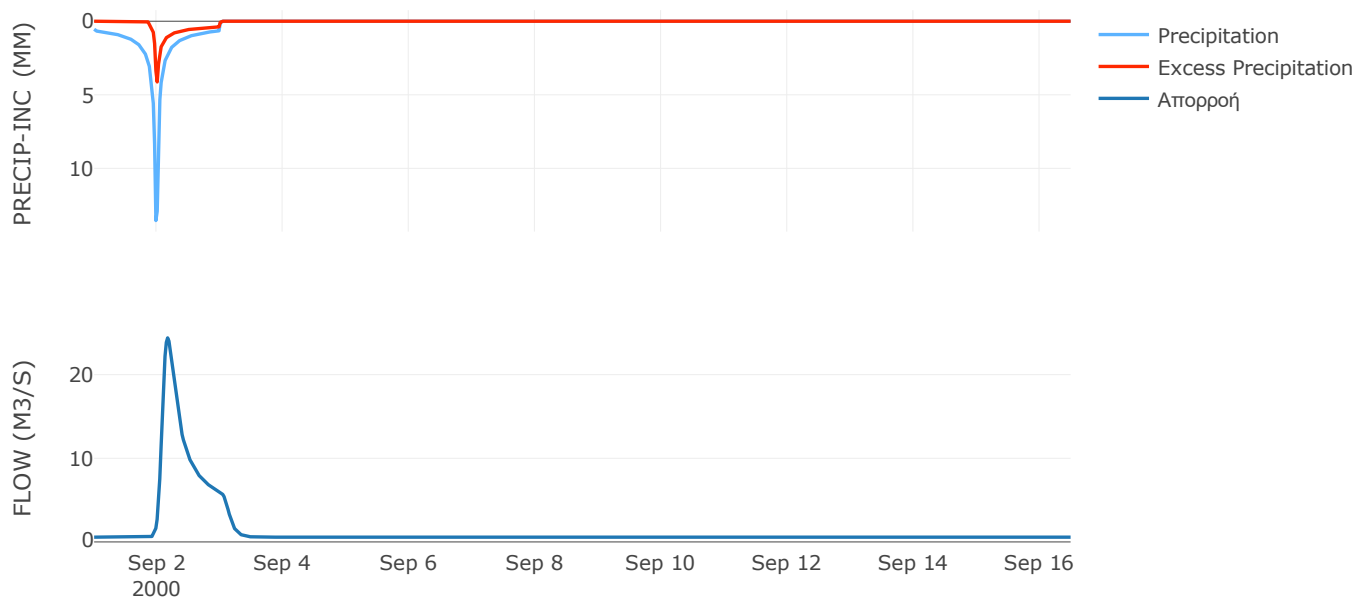
Μέθοδος
Μετασχηματισμού: SCS

Χρόνος Υστέρησης	182.16
------------------	--------

Αποτελέσματα:
EL0415FR6004

Παροχή αιχμής (M3/S)	24.4
Χρονική στιγμή αιχμής	02Sep2000, 04:00
Όγκος (MM)	79.04
Όγκος βροχόπτωσης (M3)	3.92E6
Όγκος απωλειών (M3)	2.88E6
Ενεργός Όγκος (M3)	1.04E6
Όγκος άμεσης απορροής (M3)	1.04E6
Όγκος βασικής απορροής (M3)	7.62E5

Βροχόπτωση και Απορροή



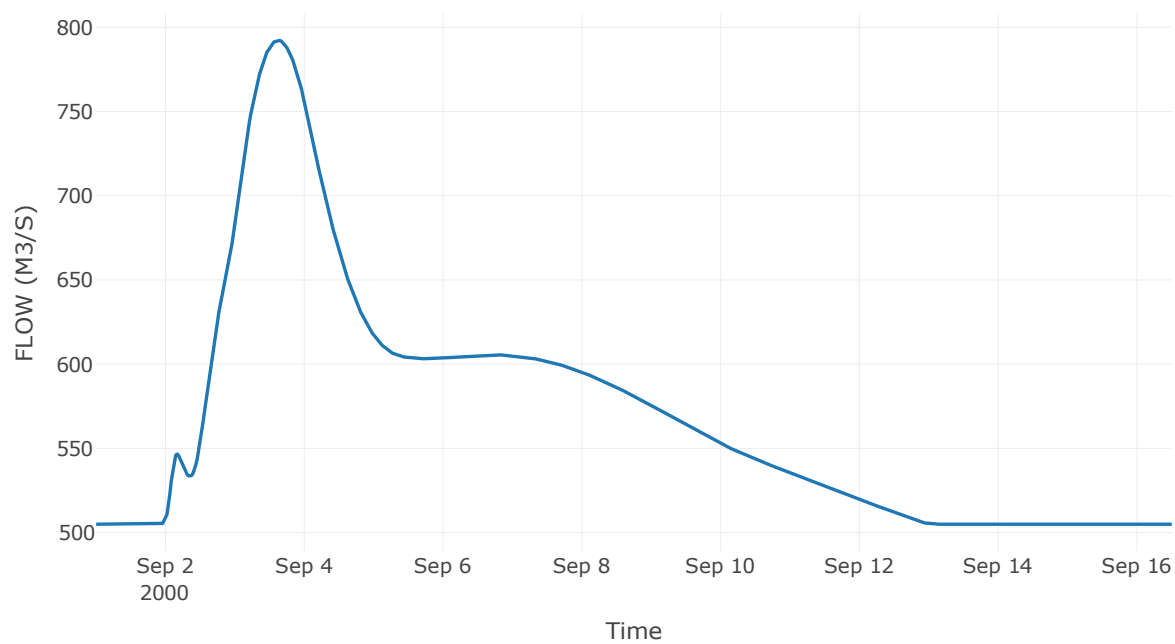
Κόμβος: J4

Κατάντη : R43

Αποτελέσματα: J4

Παροχή Αιχμής (M3/S)	792.28
Χρονική στιγμή αιχμής	03Sep2000, 15:00
Όγκος(MM)	168.98

Απορροή



Κλάδος: R43

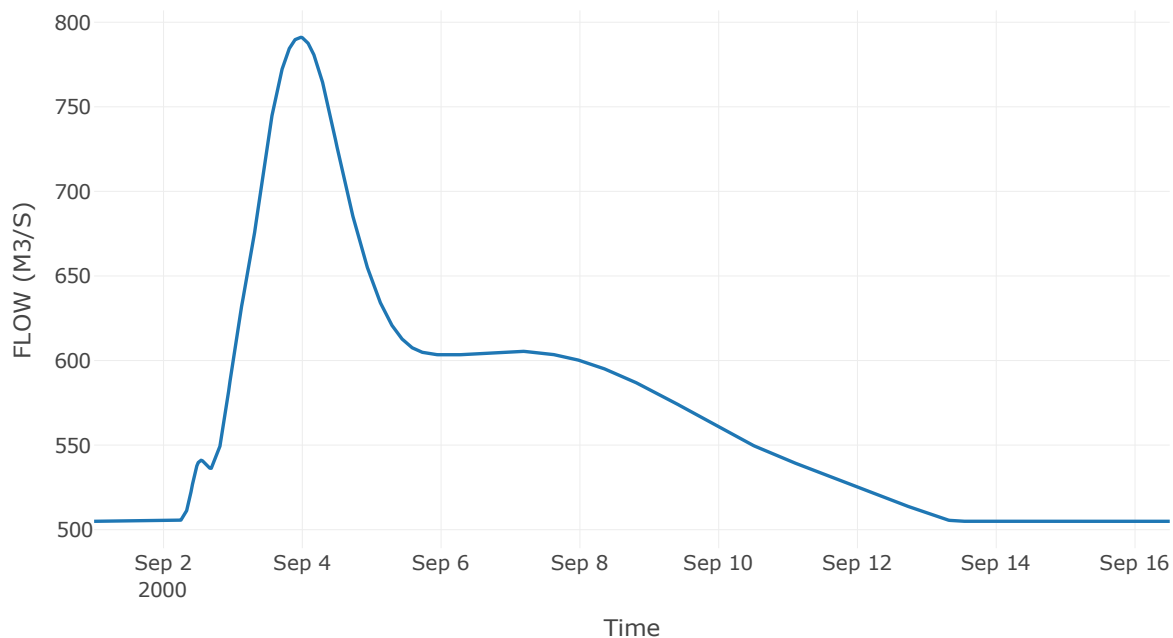
Κατάντη : J3

Μέθοδος Διόδευσης	Muskingum
Αρχική Μεταβλητή	Combined Inflow
Muskingum K	8.29
Συντελεστής βάρους α	0.2
Muskingum Steps	17

Αποτελέσματα: R43

Παροχή Αιχμής (M3/S)	791.11
Χρονική στιγμή αιχμής	03Sep2000, 23:00
Όγκος(MM)	168.98
Παροχή Αιχμής Εισόδου (M3/S)	792.28
Όγκος Εισροής(M3)	7.63E8

Απορροή



Υπολεκάνη: EL0415FR6003

Έκταση (KM2) : 27.92

Κατάντη : J3

Μέθοδος Απωλειών: SCS

Ποσοστό αδιαπέρατης επιφάνειας	0
Αριθμός Καμπύλης Απορροής-CN	58.76
Αρχικές Απώλειες	35.65

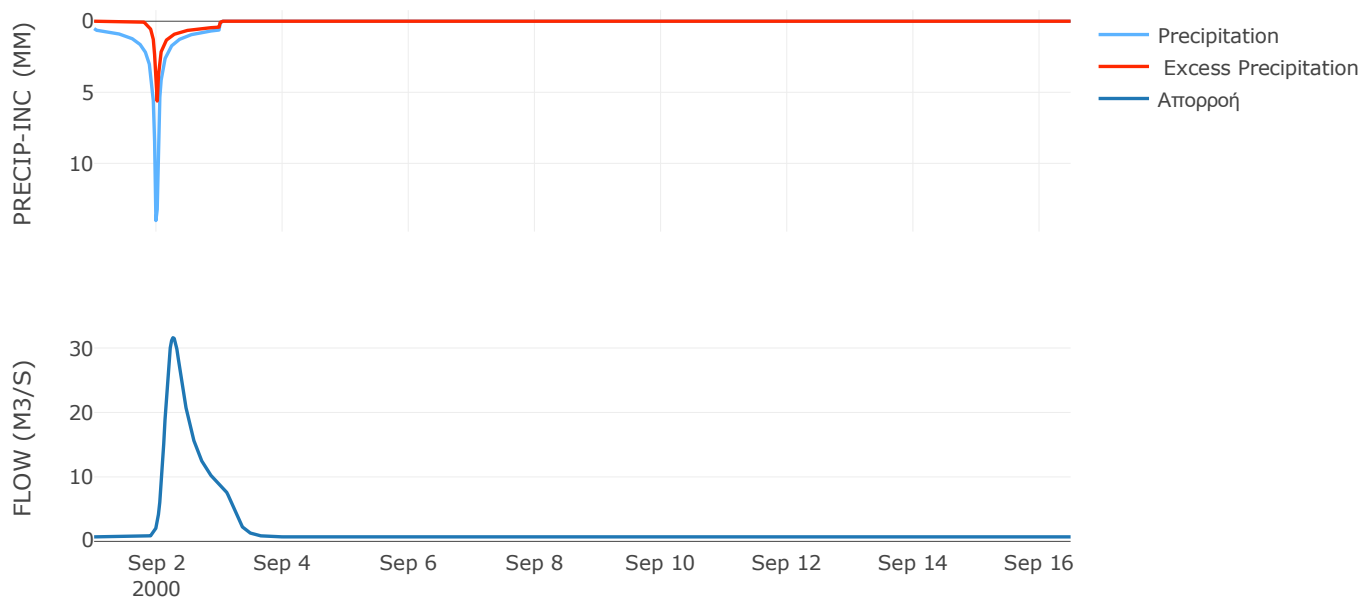
Μέθοδος
Μετασχηματισμού: SCS

Χρόνος Υστέρησης	294.33
------------------	--------

Αποτελέσματα:
EL0415FR6003

Παροχή αιχμής (M3/S)	31.6
Χρονική στιγμή αιχμής	02Sep2000, 06:00
Όγκος (MM)	90.92
Όγκος βροχόπτωσης (M3)	4.73E6
Όγκος απωλειών (M3)	3.13E6
Ενεργός Όγκος (M3)	1.6E6
Όγκος άμεσης απορροής (M3)	1.6E6
Όγκος βασικής απορροής (M3)	9.35E5

Βροχόπτωση και Απορροή



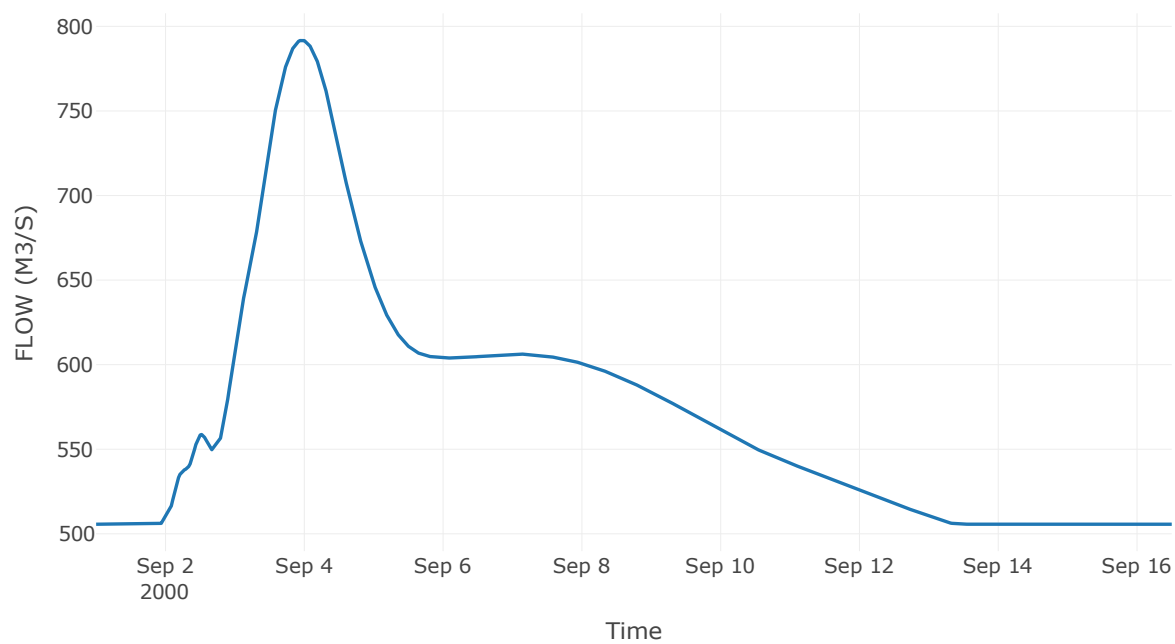
Κόμβος: J3

Κατάντη : R32

Αποτελέσματα: J3

Παροχή Αιχμής (M3/S)	791.82
Χρονική στιγμή αιχμής	03Sep2000, 23:00
Όγκος(MM)	168.5

Απορροή



Κλάδος: R32

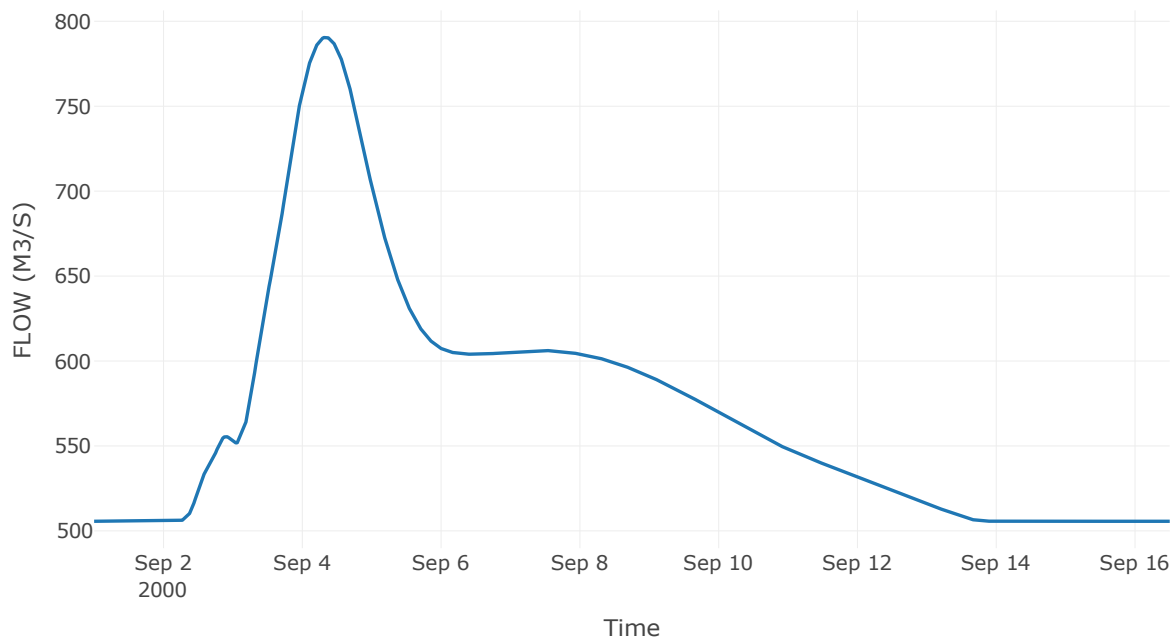
Κατάντη : J2

Μέθοδος Διόδευσης	Muskingum
Αρχική Μεταβλητή	Combined Inflow
Muskingum K	8.87
Συντελεστής βάρους x	0.2
Muskingum Steps	18

Αποτελέσματα: R32

Παροχή Αιχμής (M3/S)	790.6
Χρονική στιγμή αιχμής	04Sep2000, 08:00
Όγκος(MM)	168.5
Παροχή Αιχμής Εισόδου (M3/S)	791.82
Όγκος Εισροής(M3)	7.66E8

Απορροή



Υπολεκάνη: EL0415FR6002

Έκταση (KM2) : 27.73

Κατάντη : J2

Μέθοδος Απωλειών: SCS

Ποσοστό αδιαπέρατης επιφάνειας	0
Αριθμός Καμπύλης Απορροής-CN	62.76
Αρχικές Απώλειες	30.14

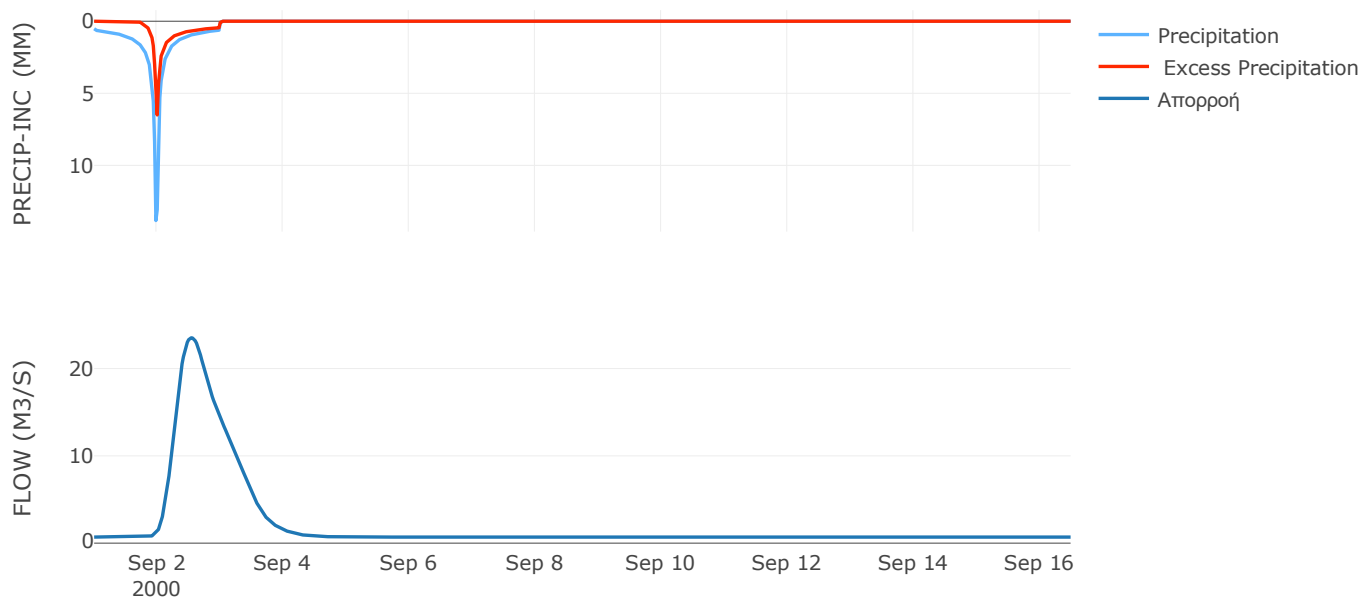
Μέθοδος
Μετασχηματισμού: SCS

Χρόνος Υστέρησης	635.67
------------------	--------

Αποτελέσματα:
EL0415FR6002

Παροχή αιχμής (M3/S)	23.52
Χρονική στιγμή αιχμής	02Sep2000, 13:00
Όγκος (MM)	100.06
Όγκος βροχόπτωσης (M3)	4.69E6
Όγκος απωλειών (M3)	2.84E6
Ενεργός Όγκος (M3)	1.85E6
Όγκος άμεσης απορροής (M3)	1.85E6
Όγκος βασικής απορροής (M3)	9.28E5

Βροχόπτωση και Απορροή



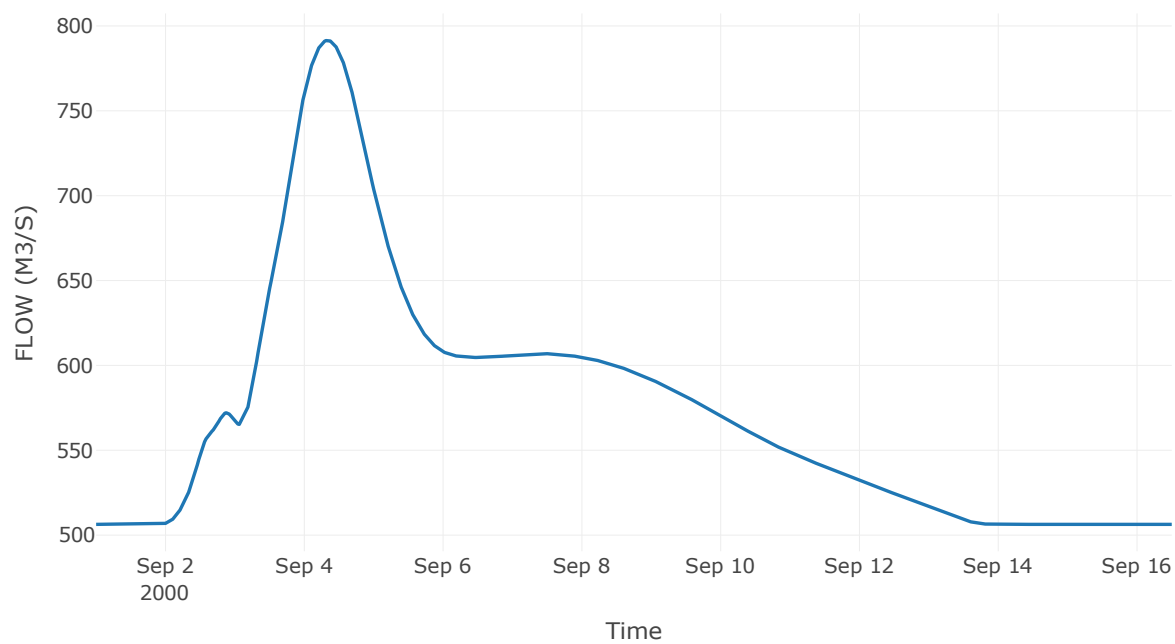
Κόμβος: J2

Κατάντη : R21

Αποτελέσματα: J2

Παροχή Αιχμής (M3/S)	791.52
Χρονική στιγμή αιχμής	04Sep2000, 08:00
Όγκος(MM)	168.08

Απορροή



Κλάδος: R21

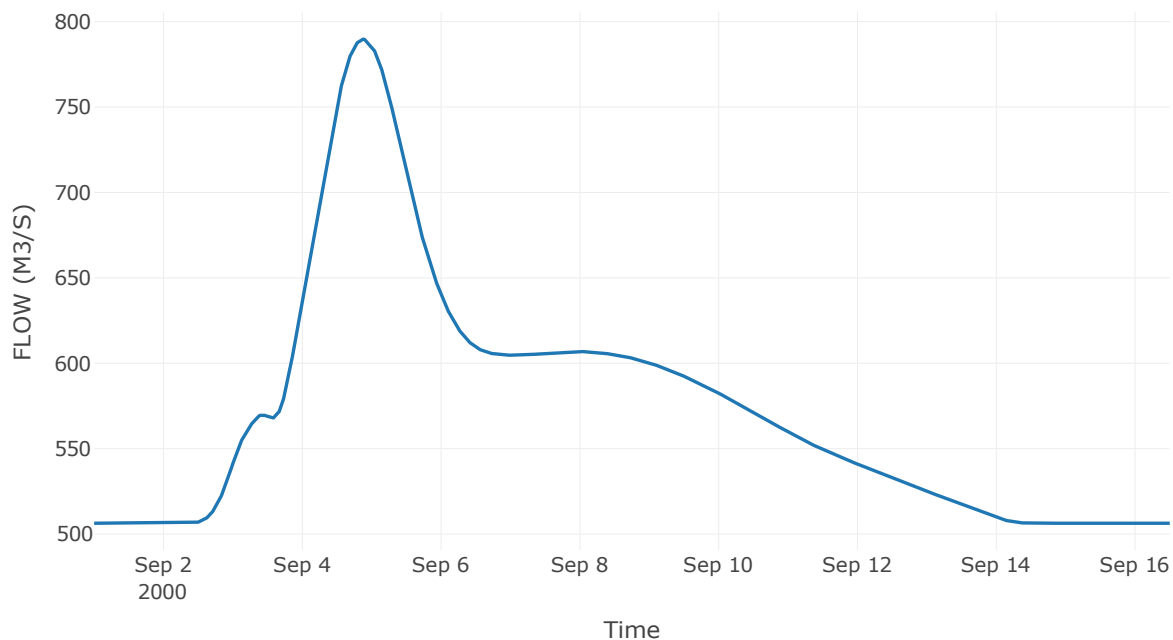
Κατάντη : J1

Μέθοδος Διόδευσης	Muskingum
Αρχική Μεταβλητή	Combined Inflow
Muskingum K	12.98
Συντελεστής βάρους x	0.2
Muskingum Steps	26

Αποτελέσματα: R21

Παροχή Αιχμής (M3/S)	789.71
Χρονική στιγμή αιχμής	04Sep2000, 21:00
Όγκος(MM)	168.08
Παροχή Αιχμής Εισόδου (M3/S)	791.52
Όγκος Εισροής(M3)	7.69E8

Απορροή



Υπολεκάνη: EL0415FR6001

Έκταση (KM2) : 48.19

Κατάντη : J1

Μέθοδος Απωλειών: SCS

Ποσοστό αδιαπέρατης επιφάνειας	0
Αριθμός Καμπύλης Απορροής-CN	62.28
Αρχικές Απώλειες	30.77

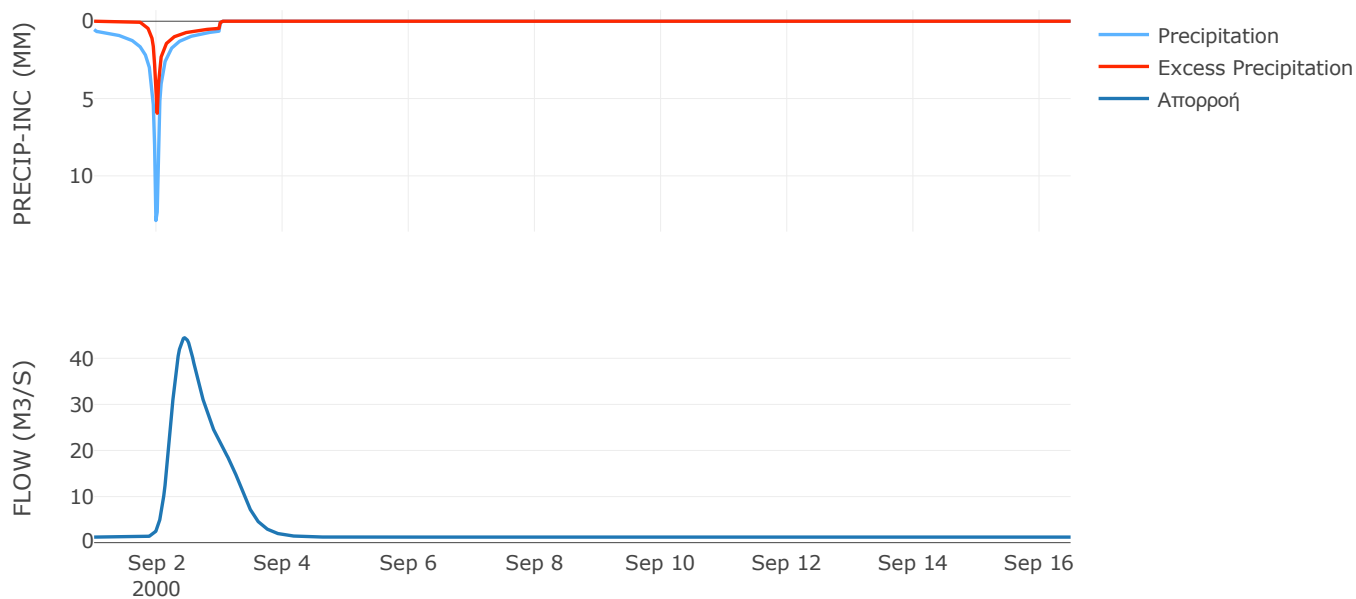
Μέθοδος
Μετασχηματισμού: SCS

Χρόνος Υστέρησης	506.97
------------------	--------

Αποτελέσματα:
EL0415FR6001

Παροχή αιχμής (M3/S)	44.45
Χρονική στιγμή αιχμής	02Sep2000, 10:30
Όγκος (MM)	97.96
Όγκος βροχόπτωσης (M3)	8.08E6
Όγκος απωλειών (M3)	4.97E6
Ενεργός Όγκος (M3)	3.11E6
Όγκος άμεσης απορροής (M3)	3.11E6
Όγκος βασικής απορροής (M3)	1.61E6

Βροχόπτωση και Απορροή

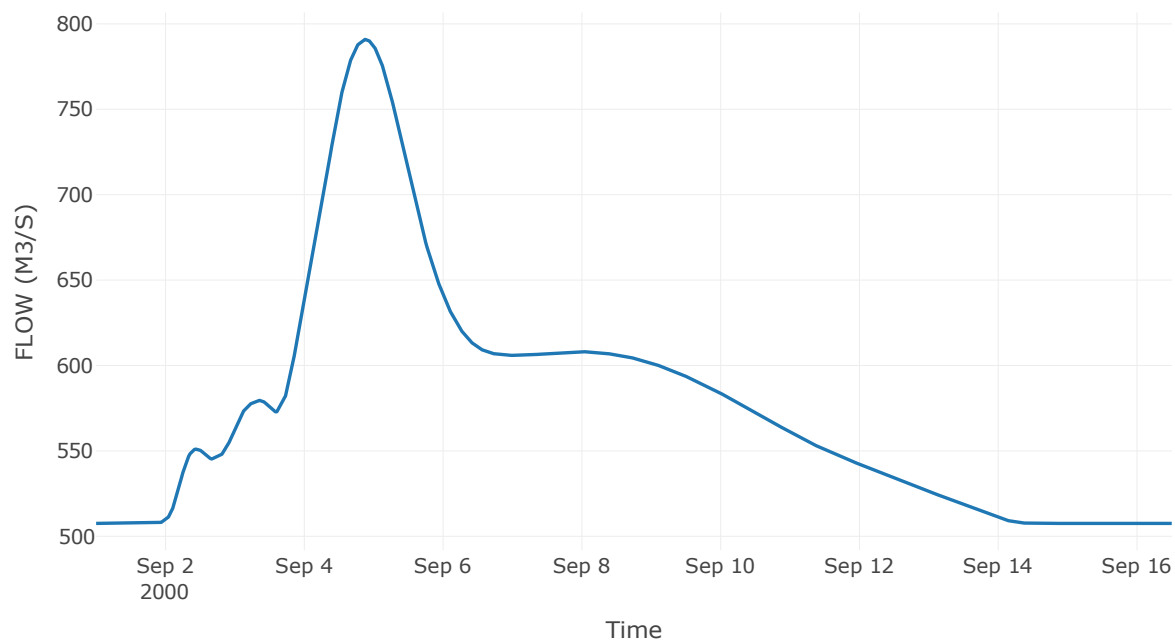


Κόμβος εξόδου: J1

Αποτέλεσμα
τα: J1

Παροχή αιχμής (M3/S)	790.91
Χρονική στιγμή αιχμής	04Sep2000, 21:00
Όγκος (MM)	167.35

Απορροή



Υπολεκάνη: EL0415FR6069

Έκταση (KM2) : 35

Κατάντη : J43

Μέθοδος Απωλειών: SCS

Ποσοστό αδιαπέρατης επιφάνειας	0
Αριθμός Καμπύλης Απορροής-CN	58
Αρχικές Απώλειες	36.78

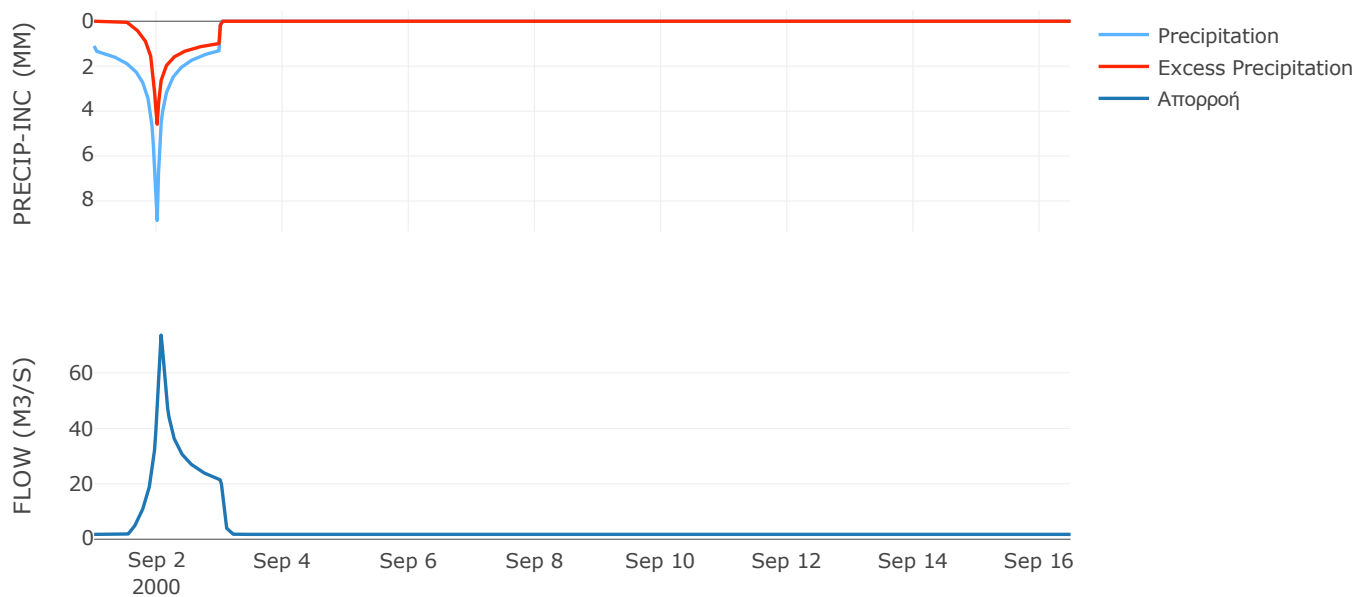
Μέθοδος
Μετασχηματισμού: SCS

Χρόνος Υστέρησης	61.41
------------------	-------

Αποτελέσματα:
EL0415FR6069

Παροχή αιχμής (M3/S)	73.64
Χρονική στιγμή αιχμής	02Sep2000, 01:30
Όγκος (MM)	163.07
Όγκος βροχόπτωσης (M3)	7.92E6
Όγκος απωλειών (M3)	4.55E6
Ενεργός Όγκος (M3)	3.36E6
Όγκος άμεσης απορροής (M3)	3.36E6
Όγκος βασικής απορροής (M3)	2.34E6

Βροχόπτωση και Απορροή



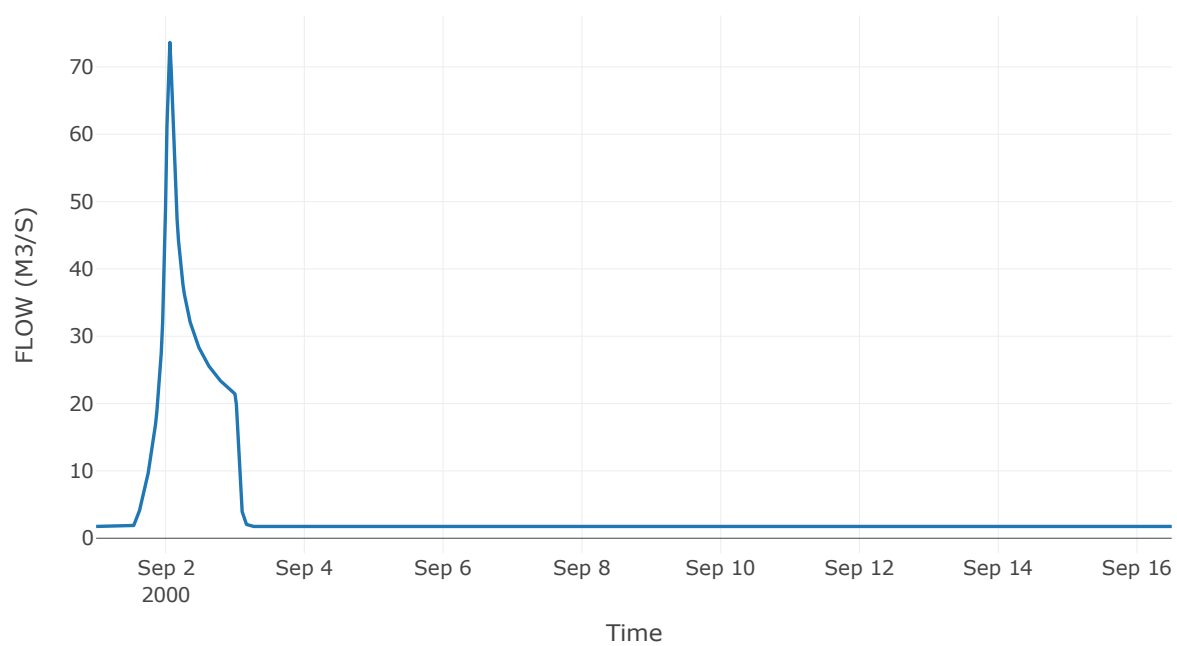
Κόμβος: J43

Κατάντη : R4342

Αποτελέσματα: J43

Παροχή Αιχμής (M3/S)	73.64
Χρονική στιγμή αιχμής	02Sep2000, 01:30
Όγκος(MM)	163.07

Απορροή



Κλάδος: R4342

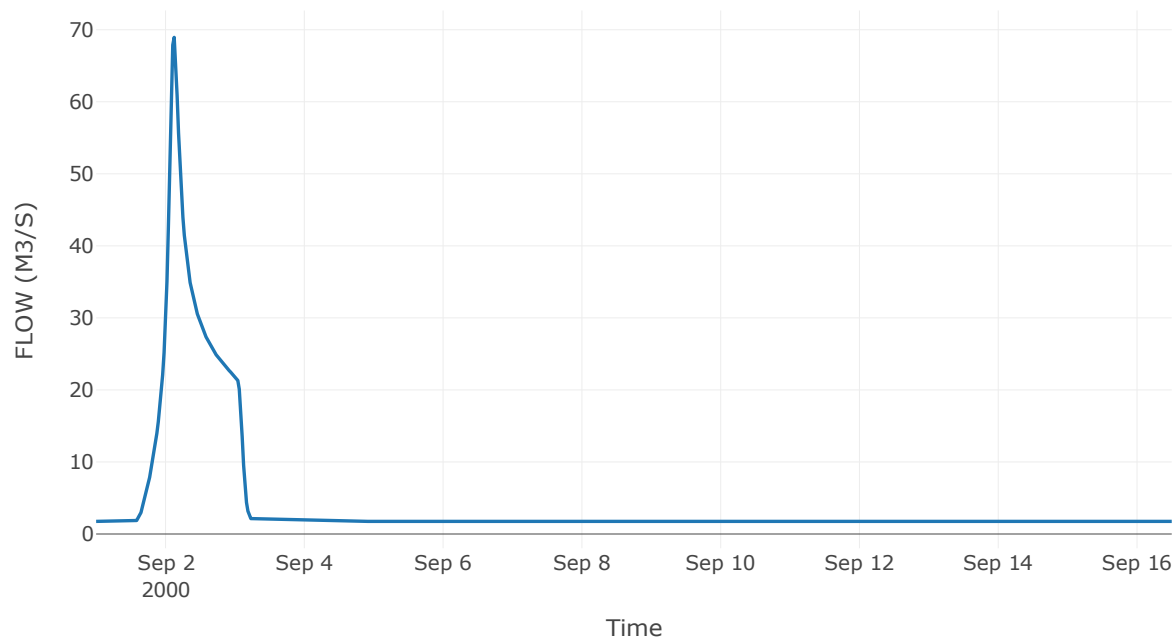
Κατάντη : J42

Μέθοδος Διόδευσης	Muskingum
Αρχική Μεταβλητή	Combined Inflow
Muskingum K	1.39
Συντελεστής βάρους x	0.2
Muskingum Steps	3

Αποτελέσματα: R4342

Παροχή Αιχμής (M3/S)	68.94
Χρονική στιγμή αιχμής	02Sep2000, 03:00
Όγκος(MM)	163.07
Παροχή Αιχμής Εισόδου (M3/S)	73.64
Όγκος Εισροής(M3)	5.71E6

Απορροή



Υπολεκάνη: EL0415FR6081

Έκταση (KM2) : 61.71

Κατάντη : J42

Μέθοδος Απωλειών: SCS

Ποσοστό αδιαπέρατης επιφάνειας	35
Αριθμός Καμπύλης Απορροής-CN	73.99
Αρχικές Απώλειες	17.86

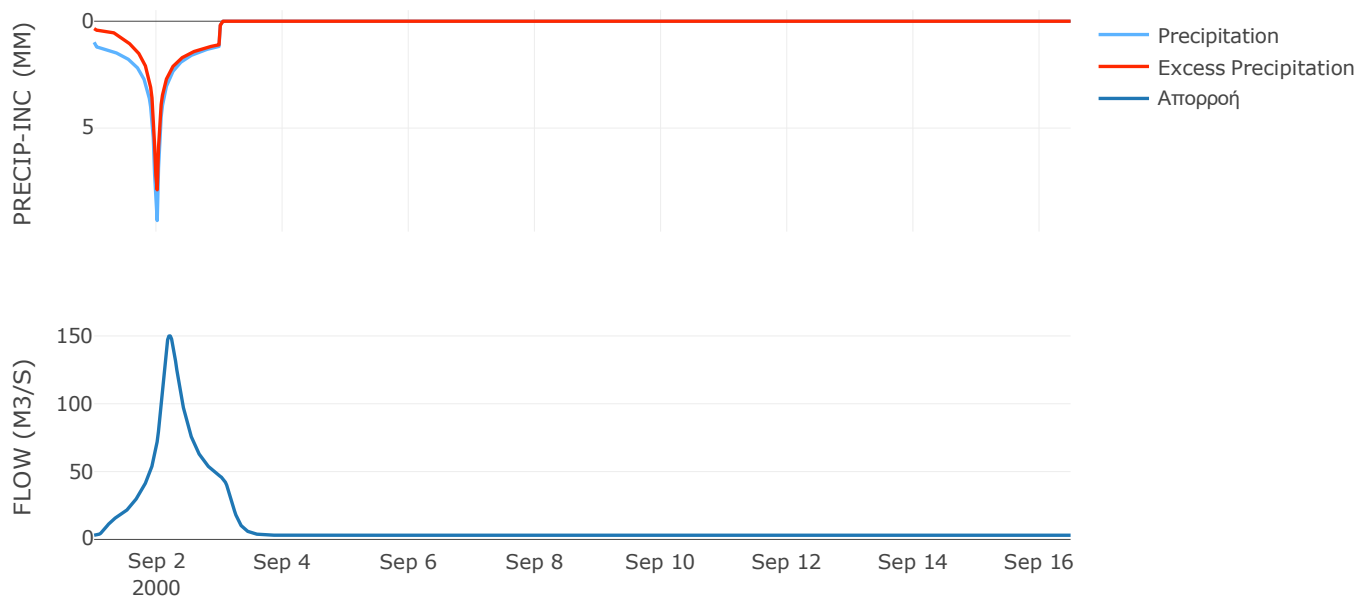
Μέθοδος
Μετασχηματισμού: SCS

Χρόνος Υστέρησης	256.45
------------------	--------

Αποτελέσματα:
EL0415FR6081

Παροχή αιχμής (M3/S)	150
Χρονική στιγμή αιχμής	02Sep2000, 05:00
Όγκος (MM)	230.07
Όγκος βροχόπτωσης (M3)	1.32E7
Όγκος απωλειών (M3)	3.18E6
Ενεργός Όγκος (M3)	1.01E7
Όγκος άμεσης απορροής (M3)	1.01E7
Όγκος βασικής απορροής (M3)	4.13E6

Βροχόπτωση και Απορροή



Υπολεκάνη: EL0415FR6070

Έκταση (KM2) : 53.71

Κατάντη : J42

Μέθοδος Απωλειών: SCS

Ποσοστό αδιαπέρατης επιφάνειας	1
Αριθμός Καμπύλης Απορροής-CN	46.79
Αρχικές Απώλειες	57.78

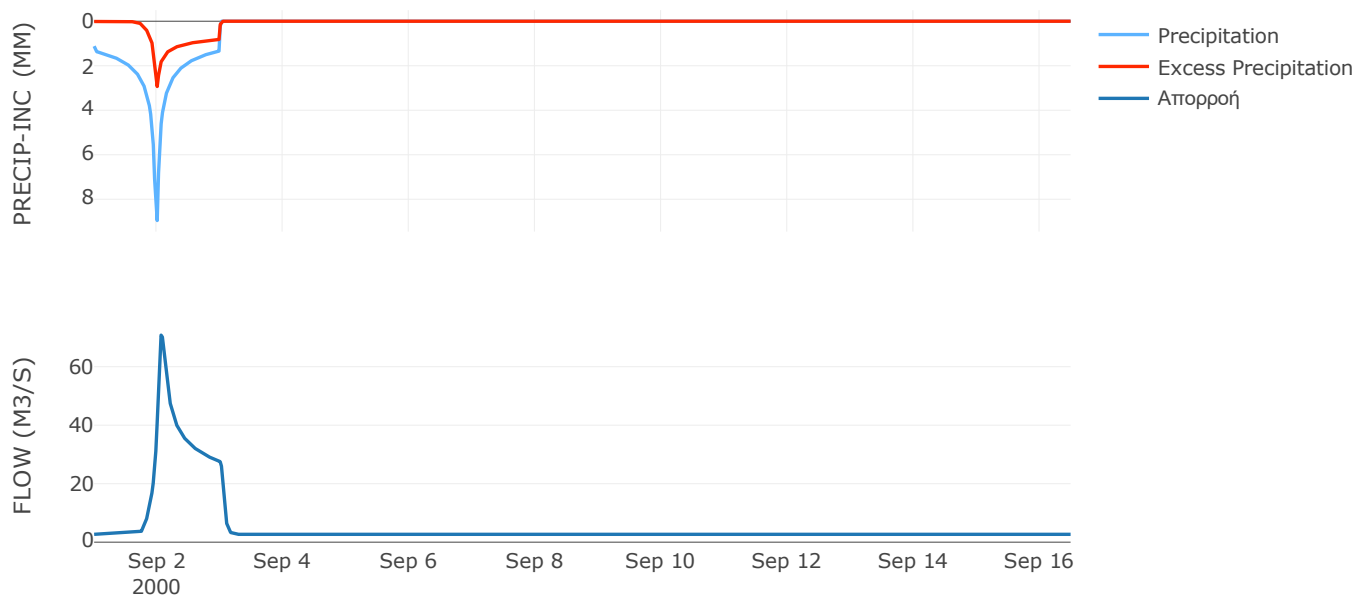
Μέθοδος
Μετασχηματισμού: SCS

Χρόνος Υστέρησης	68.77
------------------	-------

Αποτελέσματα:
EL0415FR6070

Παροχή αιχμής (M3/S)	70.78
Χρονική στιγμή αιχμής	02Sep2000, 01:30
Όγκος (MM)	133
Όγκος βροχόπτωσης (M3)	1.24E7
Όγκος απωλειών (M3)	8.81E6
Ενεργός Όγκος (M3)	3.55E6
Όγκος άμεσης απορροής (M3)	3.55E6
Όγκος βασικής απορροής (M3)	3.6E6

Βροχόπτωση και Απορροή



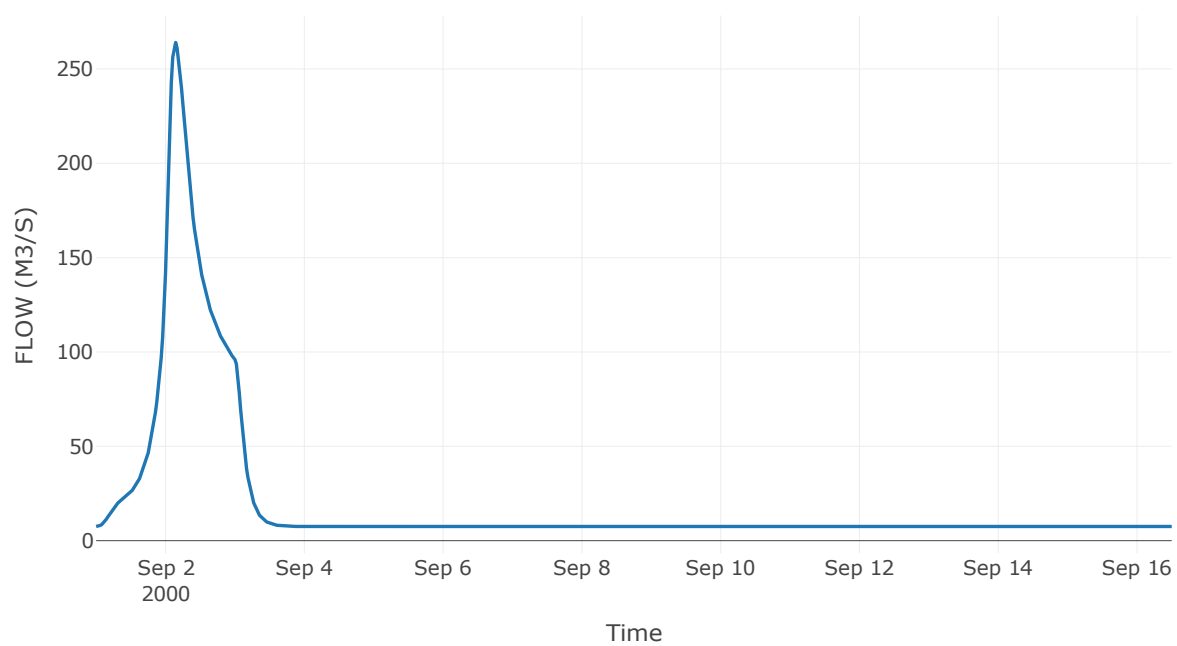
Κόμβος: J42

Κατάντη : R4241

Αποτελέσματα: J42

Παροχή Αιχμής (M3/S)	264.04
Χρονική στιγμή αιχμής	02Sep2000, 03:30
Όγκος(MM)	179.82

Απορροή



Κλάδος: R4241

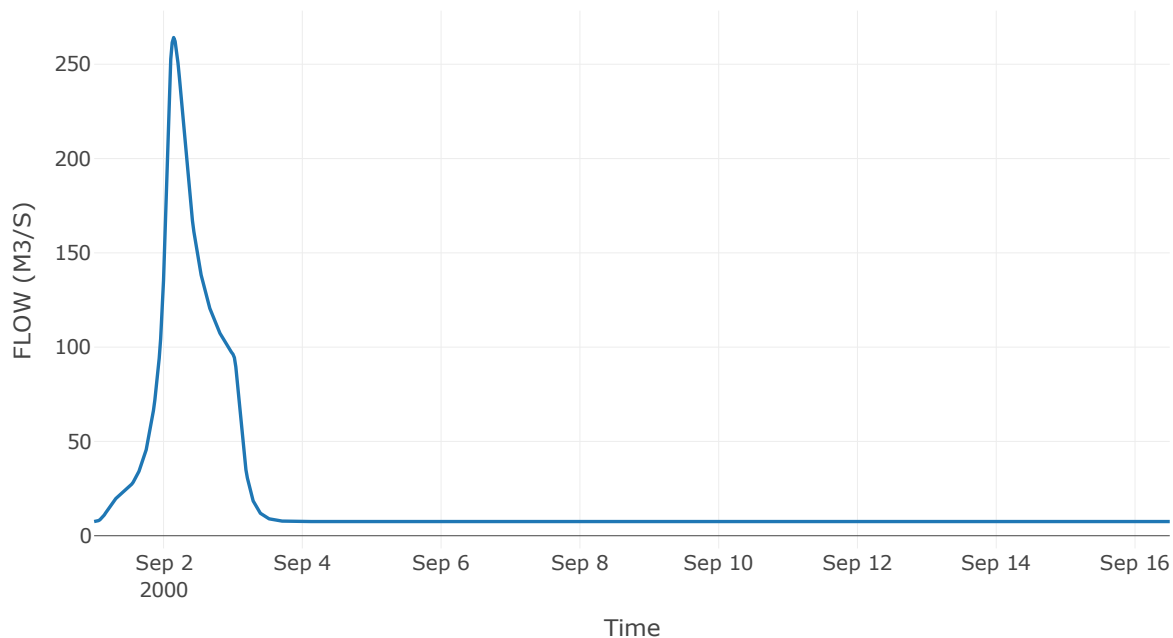
Κατάντη : J41 Res4

Μέθοδος Διόδευσης	Muskingum
Αρχική Μεταβλητή	Combined Inflow
Muskingum K	0.15
Συντελεστής βάρους x	0.2
Muskingum Steps	1

Αποτελέσματα: R4241

Παροχή Αιχμής (M3/S)	264.19
Χρονική στιγμή αιχμής	02Sep2000, 03:30
Όγκος(MM)	179.82
Παροχή Αιχμής Εισόδου (M3/S)	264.04
Όγκος Εισροής(M3)	2.71E7

Απορροή



Υπολεκάνη: EL0415FR6083

Έκταση (KM2) : 14.89

Κατάνη : J41 Res4

Μέθοδος Απωλειών: SCS

Ποσοστό αδιαπέρατης επιφάνειας	9
Αριθμός Καμπύλης Απορροής-CN	67.32
Αρχικές Απώλειες	24.66

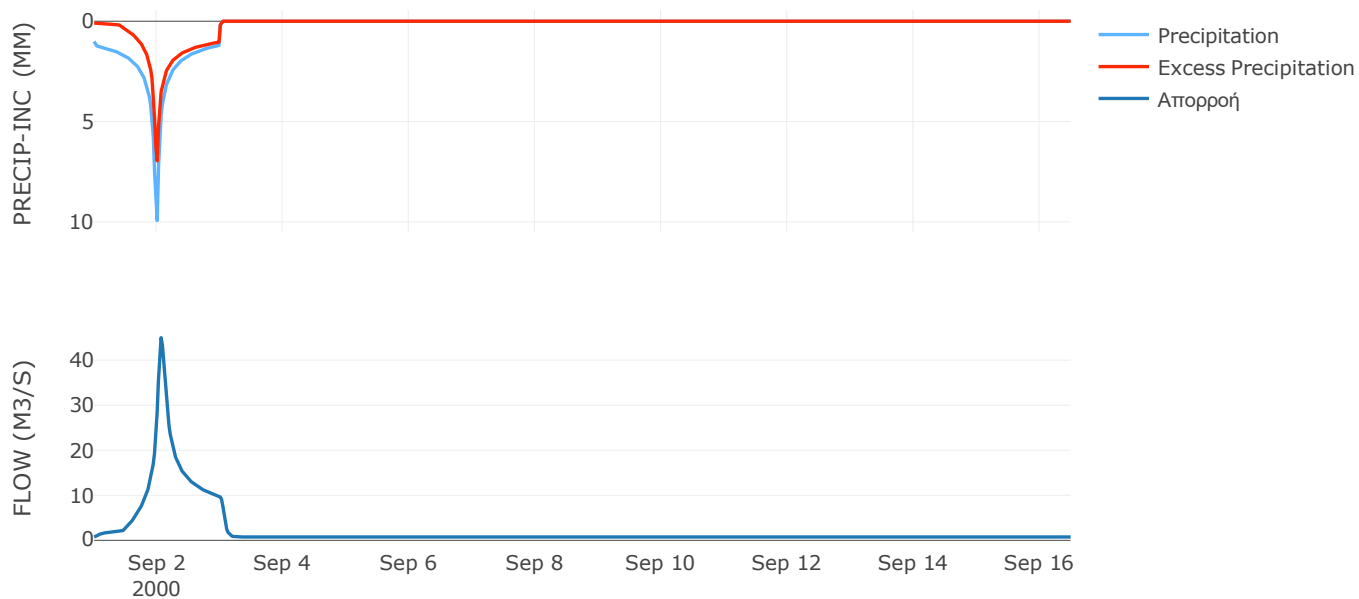
Μέθοδος
Μετασχηματισμού: SCS

Χρόνος Υστέρησης	76.89
------------------	-------

Αποτελέσματα:
EL0415FR6083

Παροχή αιχμής (M3/S)	44.98
Χρονική στιγμή αιχμής	02Sep2000, 01:30
Όγκος (MM)	198.15
Όγκος βροχόπτωσης (M3)	3.32E6
Όγκος απωλειών (M3)	1.36E6
Ενεργός Όγκος (M3)	1.95E6
Όγκος άμεσης απορροής (M3)	1.95E6
Όγκος βασικής απορροής (M3)	9.97E5

Βροχόπτωση και Απορροή



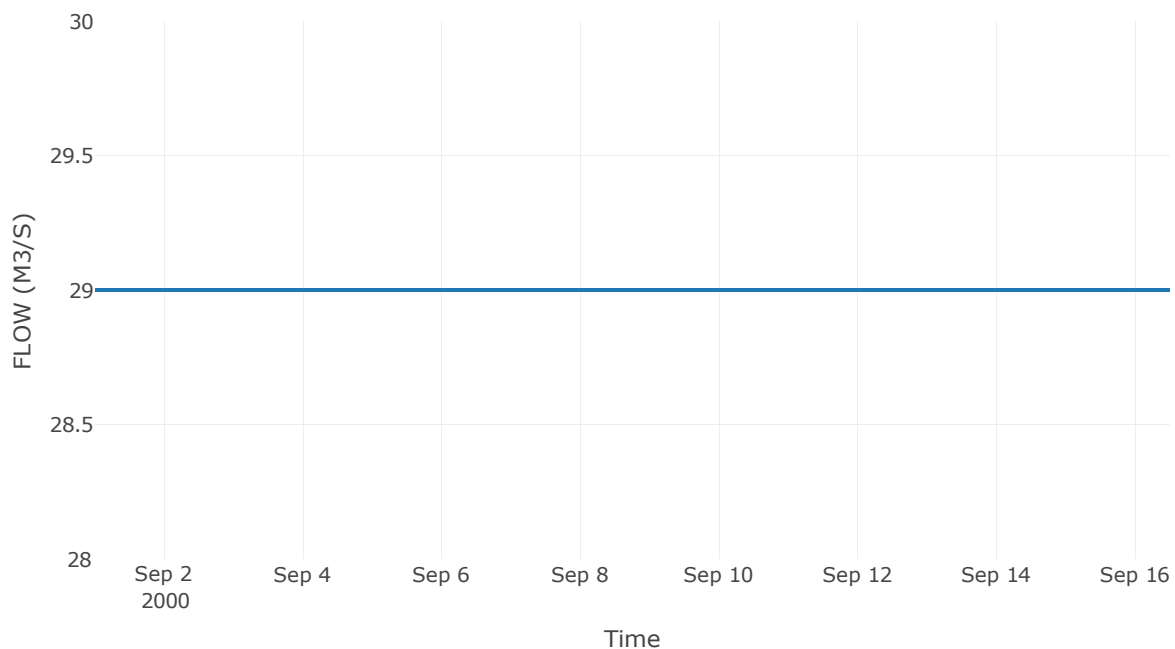
Ταμιευτήρας: J41_RES4

Κατάντη : Κόμβος εξόδου - RES4

Αποτελέσματα: J41_RES4

Παροχή Αιχμής (M3/S)	29
Χρονική στιγμή αιχμής	31Aug2000, 24:00
Όγκος(MM)	234.94
Παροχή Αιχμής Εισόδου (M3/S)	296.48
Time of Peak Inflow	02Sep2000, 03:30
Όγκος Εισροής (M3)	3E7
Maximum Storage (M3)	3.75E8
Peak Elevation (M)	792.52
Discharge Όγκος(M3)	3.88E7

Απορροή

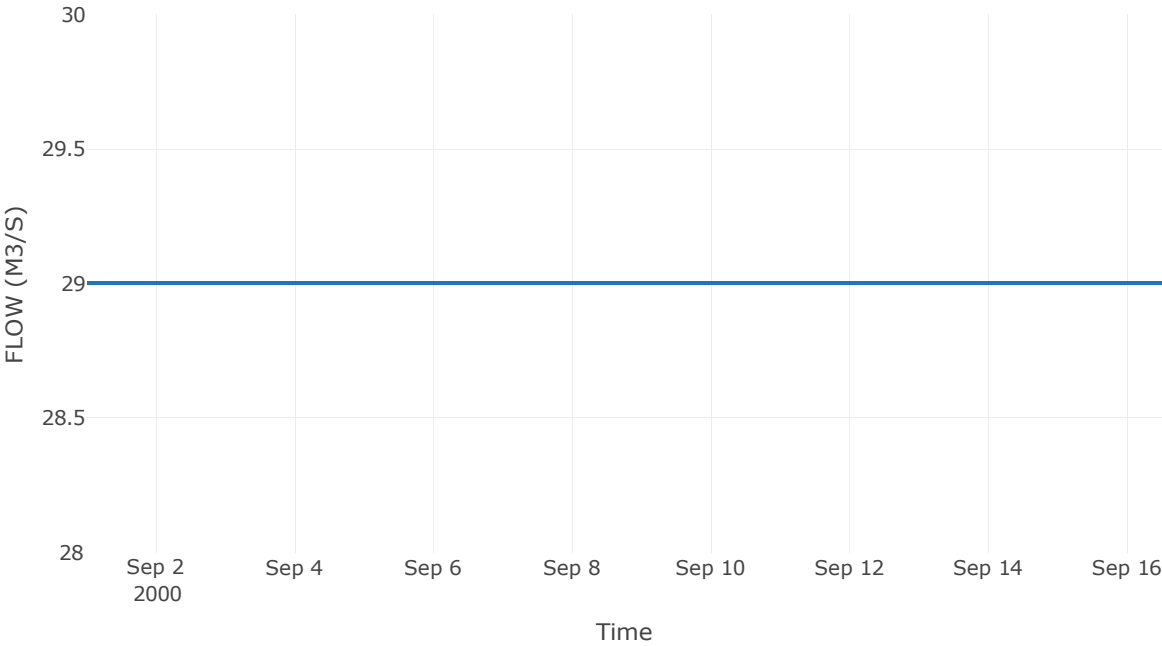


Κόμβος εξόδου: Κόμβος εξόδου-RES4

Αποτελέσματα: Κόμβος εξόδου-RES4

Παροχή Αιχμής (M3/S)	29
Χρονική στιγμή αιχμής	31Aug2000, 24:00
Όγκος(MM)	234.94

Απορροή



Υπολεκάνη: EL0415FR6012

Έκταση (KM2) : 11.82

Κατάνη : J11

Μέθοδος Απωλειών: SCS

Ποσοστό αδιαπέρατης επιφάνειας	0
Αριθμός Καμπύλης Απορροής-CN	34.51
Αρχικές Απώλειες	96.43

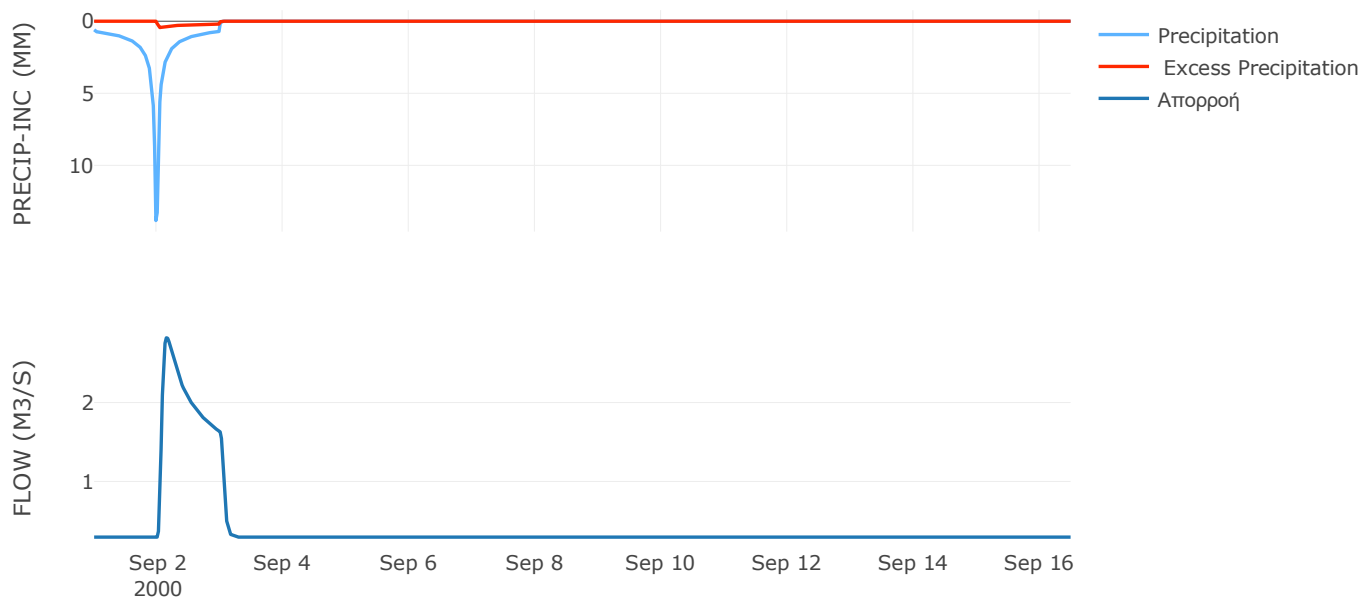
Μέθοδος
Μετασχηματισμού: SCS

Χρόνος Υστέρησης	69.35
------------------	-------

Αποτελέσματα:
EL0415FR6012

Παροχή αιχμής (M3/S)	2.82
Χρονική στιγμή αιχμής	02Sep2000, 03:30
Όγκος (MM)	46.58
Όγκος βροχόπτωσης (M3)	2.16E6
Όγκος απωλειών (M3)	2.01E6
Ενεργός Όγκος (M3)	1.55E5
Όγκος άμεσης απορροής (M3)	1.55E5
Όγκος βασικής απορροής (M3)	3.96E5

Βροχόπτωση και Απορροή



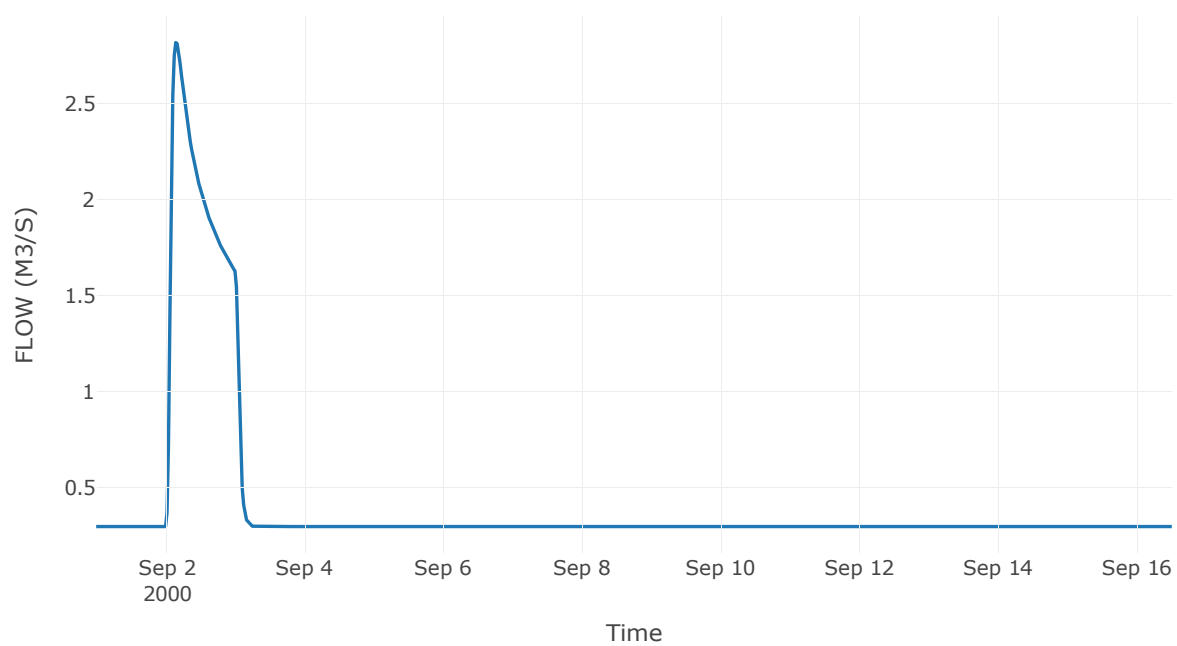
Κόμβος: J11

Κατάντη : R1110

Αποτελέσματα: J11

Παροχή Αιχμής (M3/S)	2.82
Χρονική στιγμή αιχμής	02Sep2000, 03:30
Όγκος(MM)	46.58

Απορροή



Κλάδος: R1110

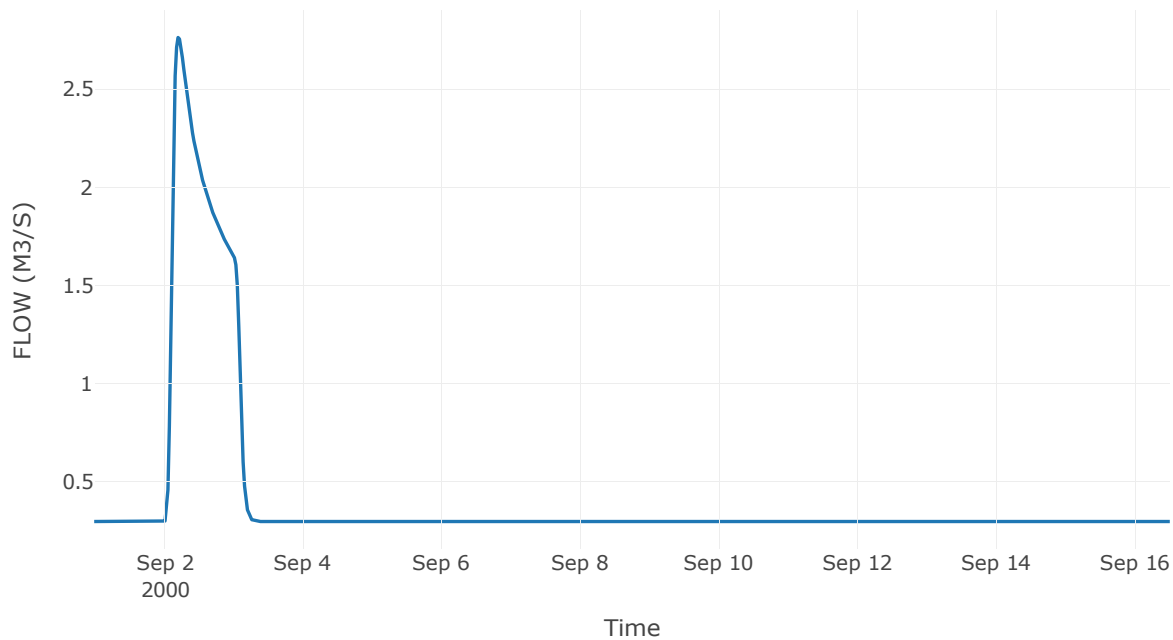
Κατάντη : J10

Μέθοδος Διόδευσης	Muskingum
Αρχική Μεταβλητή	Combined Inflow
Muskingum K	1.16
Συντελεστής βάρους α	0.2
Muskingum Steps	2

Αποτελέσματα: R1110

Παροχή Αιχμής (M3/S)	2.76
Χρονική στιγμή αιχμής	02Sep2000, 05:00
Όγκος(MM)	46.58
Παροχή Αιχμής Εισόδου (M3/S)	2.82
Όγκος Εισροής(M3)	5.51E5

Απορροή



Υπολεκάνη: EL0415FR6011

Έκταση (KM2) : 13.24

Κατάντη : J10

Μέθοδος Απωλειών: SCS

Ποσοστό αδιαπέρατης επιφάνειας	0
Αριθμός Καμπύλης Απορροής-CN	51.06
Αρχικές Απώλειες	48.69

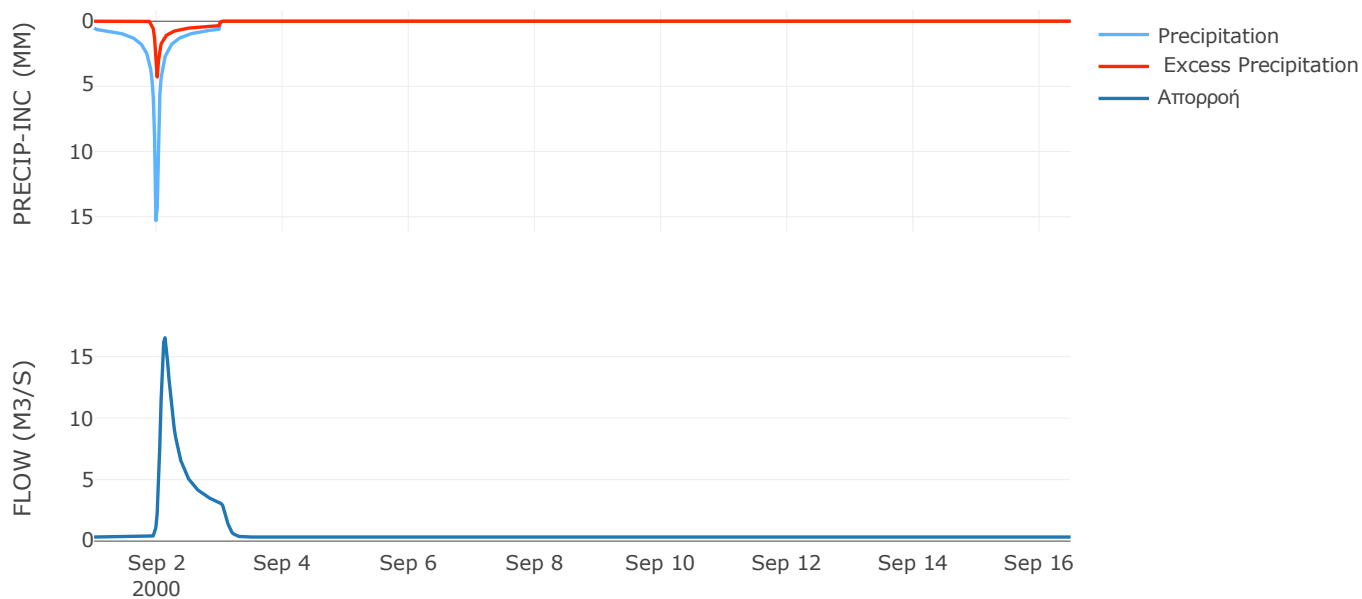
Μέθοδος
Μετασχηματισμού: SCS

Χρόνος Υστέρησης	128.64
------------------	--------

Αποτελέσματα:
EL0415FR6011

Παροχή αιχμής (M3/S)	16.54
Χρονική στιγμή αιχμής	02Sep2000, 03:00
Όγκος (MM)	77
Όγκος βροχόπτωσης (M3)	2.33E6
Όγκος απωλειών (M3)	1.75E6
Ενεργός Όγκος (M3)	5.76E5
Όγκος άμεσης απορροής (M3)	5.76E5
Όγκος βασικής απορροής (M3)	4.43E5

Βροχόπτωση και Απορροή



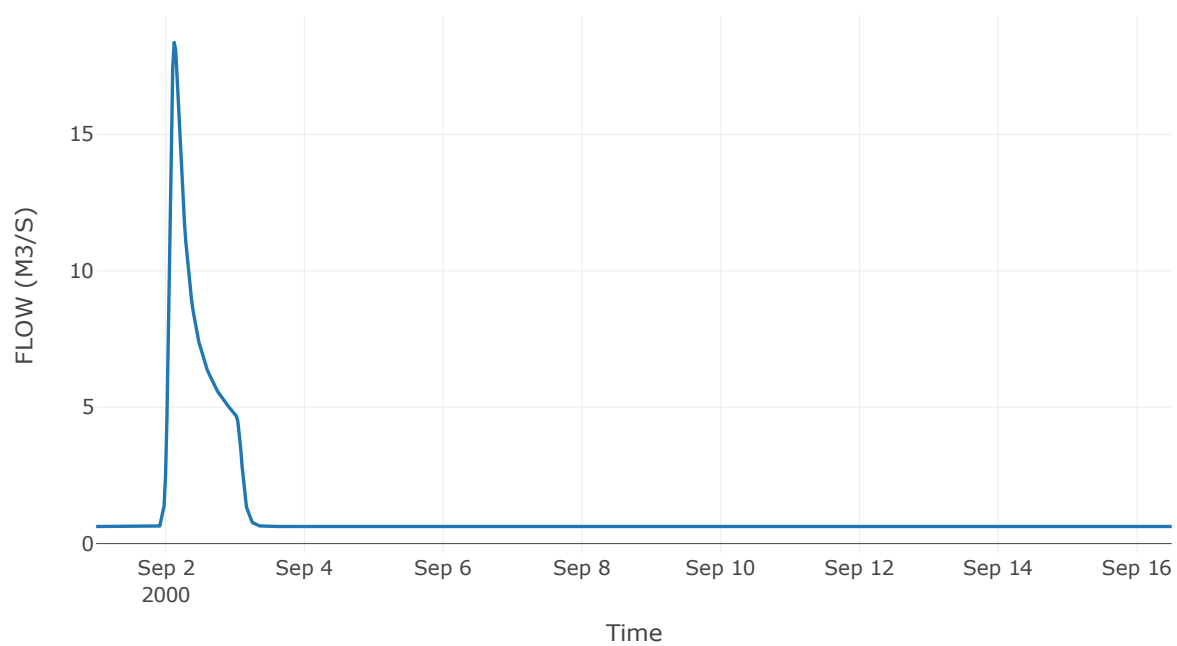
Κόμβος: J10

Κατάντη : R107

Αποτελέσματα: J10

Παροχή Αιχμής (M3/S)	18.38
Χρονική στιγμή αιχμής	02Sep2000, 03:00
Όγκος(MM)	62.64

Απορροή



Κλάδος: R107

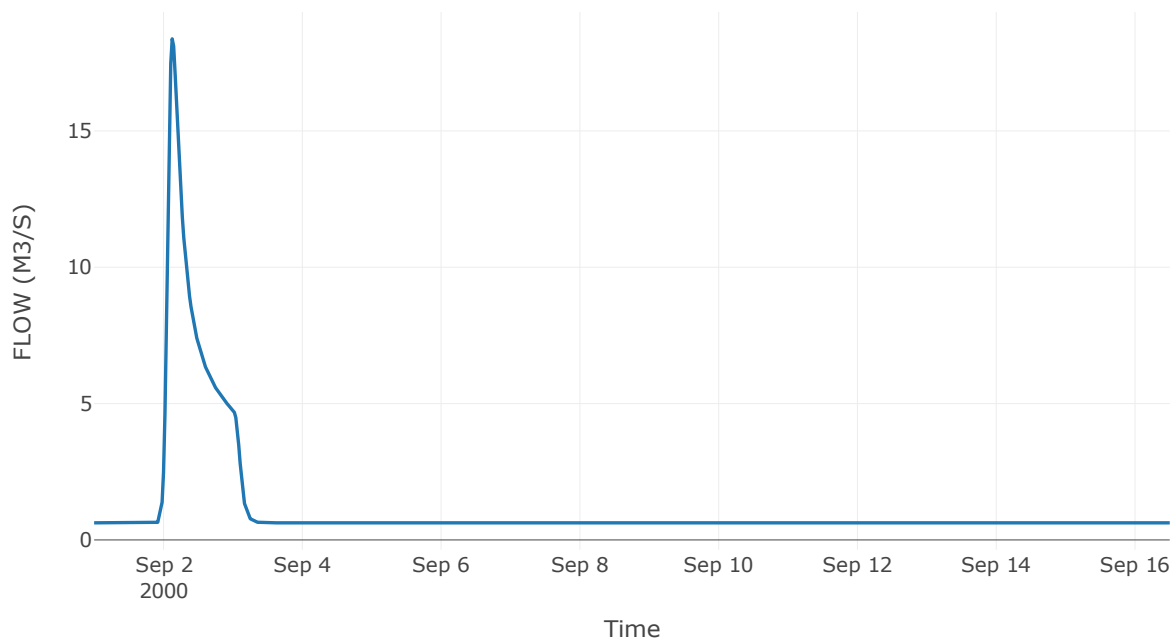
Κατάντη : J7

Μέθοδος Διόδευσης	Χρόνος Υστέρησης
Αρχική Μεταβλητή	Combined Inflow
Χρόνος Υστέρησης	0

Αποτελέσματα: R107

Παροχή Αιχμής (M3/S)	18.38
Χρονική στιγμή αιχμής	02Sep2000, 03:00
Όγκος(MM)	62.64
Παροχή Αιχμής Εισόδου (M3/S)	18.38
Όγκος Εισροής(M3)	1.57E6

Απορροή



Υπολεκάνη: EL0415FR6010

Έκταση (KM2) : 10.43

Κατάντη : J9

Μέθοδος Απωλειών: SCS

Ποσοστό αδιαπέρατης επιφάνειας	0
Αριθμός Καμπύλης Απορροής-CN	49.95
Αρχικές Απώλειες	50.89

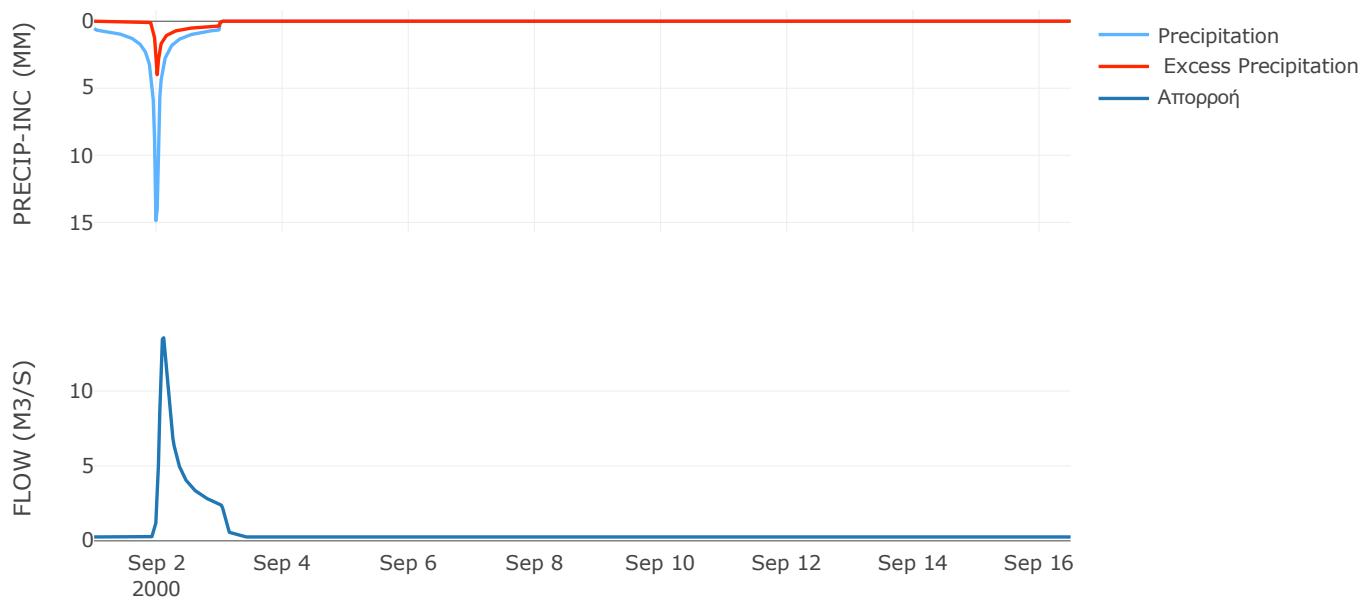
Μέθοδος
Μετασχηματισμού: SCS

Χρόνος Υστέρησης	98.93
------------------	-------

Αποτελέσματα:
EL0415FR6010

Παροχή αιχμής (M3/S)	13.55
Χρονική στιγμή αιχμής	02Sep2000, 02:30
Όγκος (MM)	76.04
Όγκος βροχόπτωσης (M3)	1.86E6
Όγκος απωλειών (M3)	1.42E6
Ενεργός Όγκος (M3)	4.44E5
Όγκος άμεσης απορροής (M3)	4.44E5
Όγκος βασικής απορροής (M3)	3.49E5

Βροχόπτωση και Απορροή



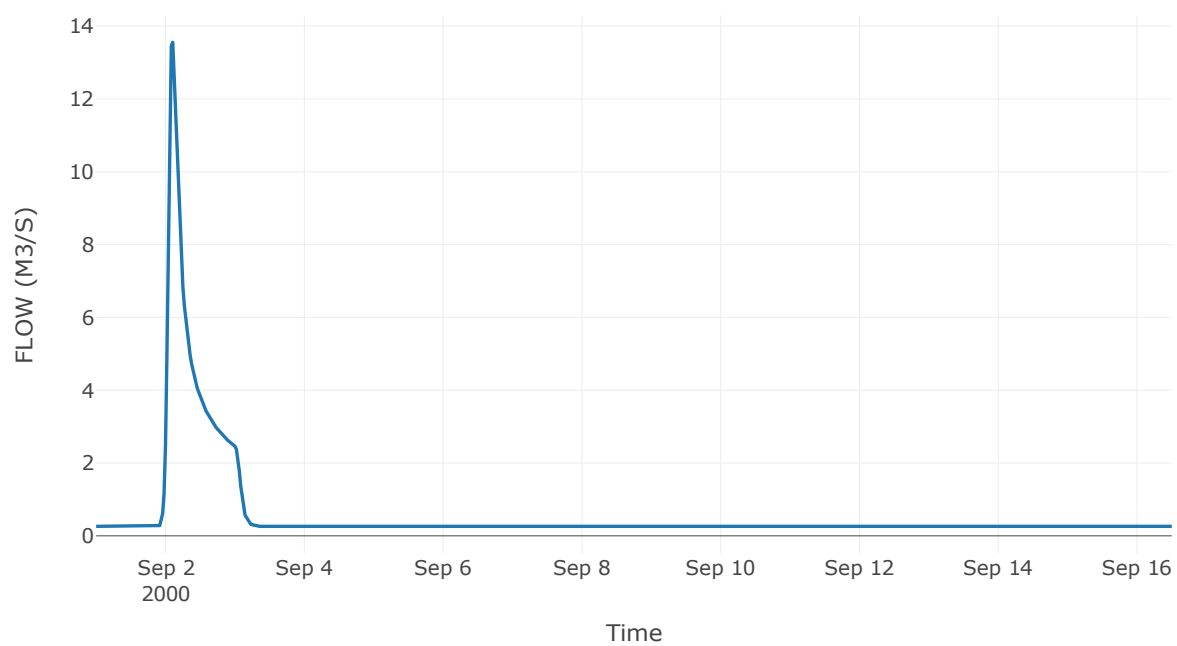
Κόμβος: J9

Κατάντη : R97

Αποτελέσματα: J9

Παροχή Αιχμής (M3/S)	13.55
Χρονική στιγμή αιχμής	02Sep2000, 02:30
Όγκος(MM)	76.04

Απορροή



Κλάδος: R97

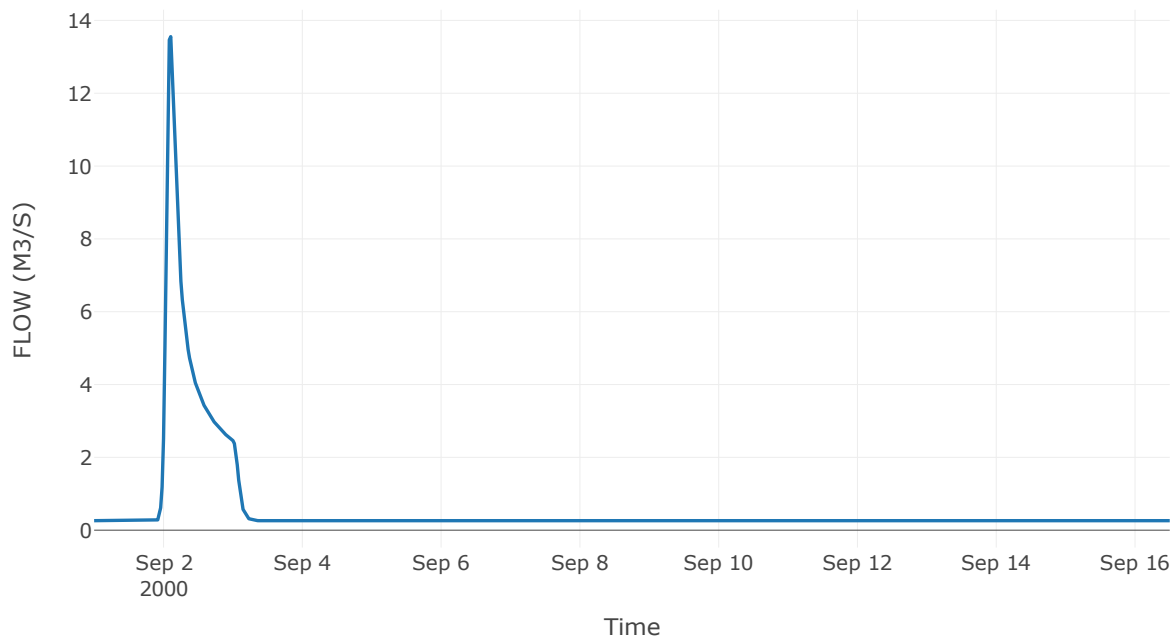
Κατάντη : J7

Μέθοδος Διόδευσης	Χρόνος Υστέρησης
Αρχική Μεταβλητή	Combined Inflow
Χρόνος Υστέρησης	0

Αποτελέσματα: R97

Παροχή Αιχμής (M3/S)	13.55
Χρονική στιγμή αιχμής	02Sep2000, 02:30
Όγκος(MM)	76.04
Παροχή Αιχμής Εισόδου (M3/S)	13.55
Όγκος Εισροής(M3)	7.93E5

Απορροή



Υπολεκάνη: EL0415FR6009

Έκταση (KM2) : 22.05

Κατάντη : J7

Μέθοδος Απωλειών: SCS

Ποσοστό αδιαπέρατης επιφάνειας	41
Αριθμός Καμπύλης Απορροής-CN	61.95
Αρχικές Απώλειες	31.2

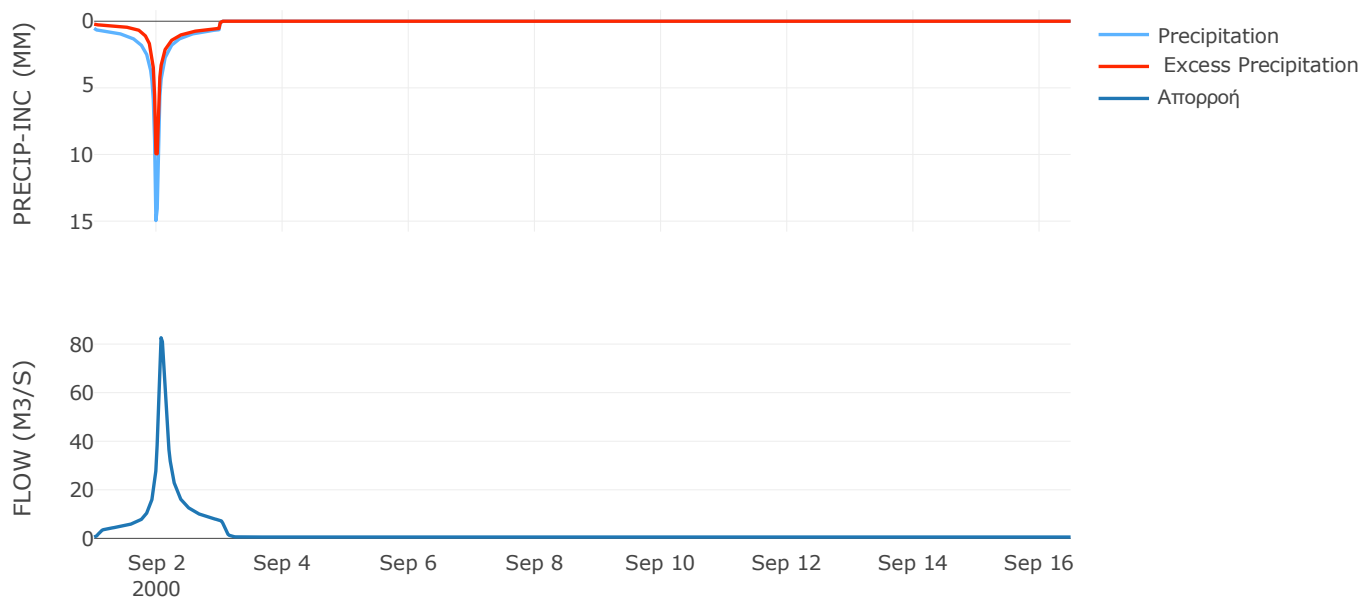
Μέθοδος
Μετασχηματισμού: SCS

Χρόνος Υστέρησης	88.01
------------------	-------

Αποτελέσματα:
EL0415FR6009

Παροχή αιχμής (M3/S)	82.63
Χρονική στιγμή αιχμής	02Sep2000, 01:30
Όγκος (MM)	147.71
Όγκος βροχόπτωσης (M3)	3.9E6
Όγκος απωλειών (M3)	1.39E6
Ενεργός Όγκος (M3)	2.52E6
Όγκος άμεσης απορροής (M3)	2.52E6
Όγκος βασικής απορροής (M3)	7.38E5

Βροχόπτωση και Απορροή

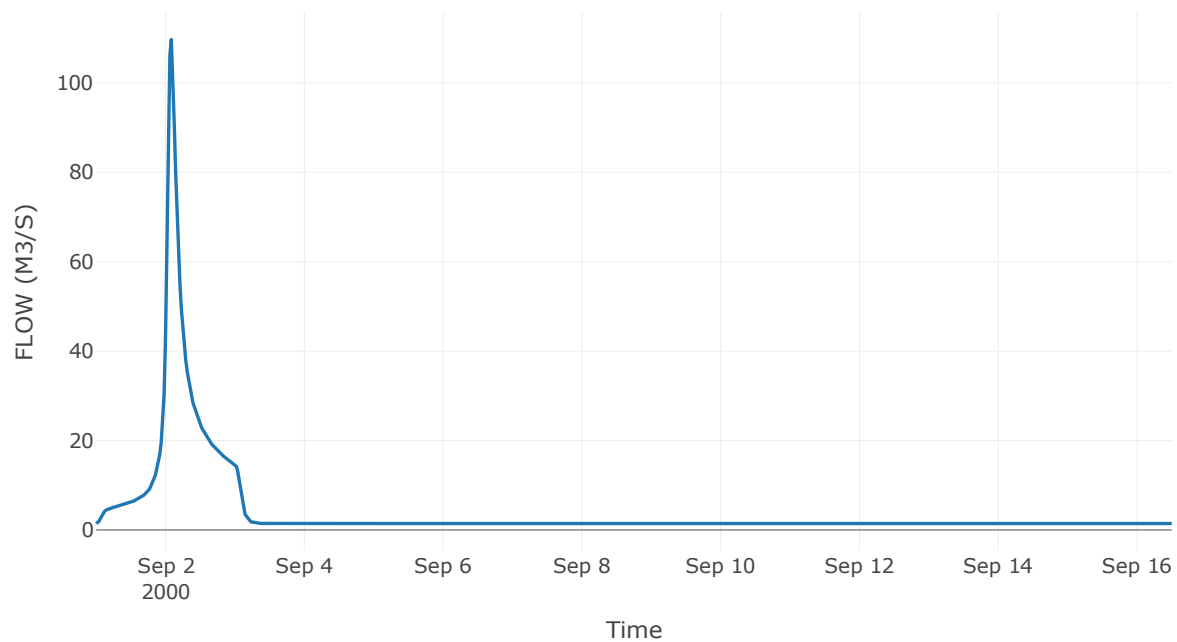


Κόμβος εξόδου: J7

Αποτέλεσμα
τα: J7

Παροχή αιχμής (M3/S)	109.71
Χρονική στιγμή αιχμής	02Sep2000, 02:00
Όγκος (MM)	97.67

Απορροή



4 Δεδομένα εισόδου και αποτελέσματα υδρολογικού σεναρίου T=50U

Υπολεκάνη: EL0415FR6061

Έκταση (KM2) : 129.17

Κατάντη : J56

Μέθοδος Απωλειών: SCS

Ποσοστό αδιαπέρατης επιφάνειας	0
Αριθμός Καμπύλης Απορροής-CN	82.74
Αρχικές Απώλειες	10.6

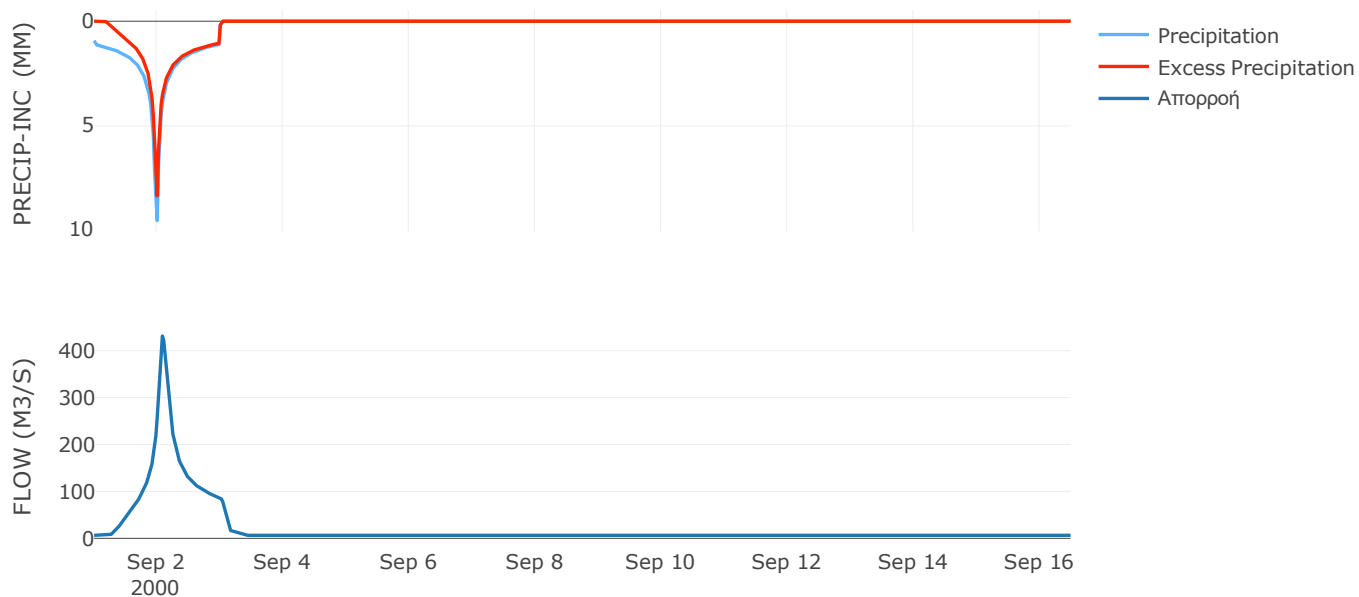
Μέθοδος
Μετασχηματισμού: SCS

Χρόνος Υστέρησης	110.15
------------------	--------

Αποτελέσματα:
EL0415FR6061

Παροχή αιχμής (M3/S)	431.32
Χρονική στιγμή αιχμής	02Sep2000, 02:00
Όγκος (MM)	222.56
Όγκος βροχόπτωσης (M3)	2.69E7
Όγκος απωλειών (M3)	6.76E6
Ενεργός Όγκος (M3)	2.01E7
Όγκος άμεσης απορροής (M3)	2.01E7
Όγκος βασικής απορροής (M3)	8.65E6

Βροχόπτωση και Απορροή



Υπολεκάνη: EL0415FR6051

Έκταση (KM2) : 113.82

Κατάντη : J56

Μέθοδος Απωλειών: SCS

Ποσοστό αδιαπέρατης επιφάνειας	0
Αριθμός Καμπύλης Απορροής-CN	89.7
Αρχικές Απώλειες	5.83

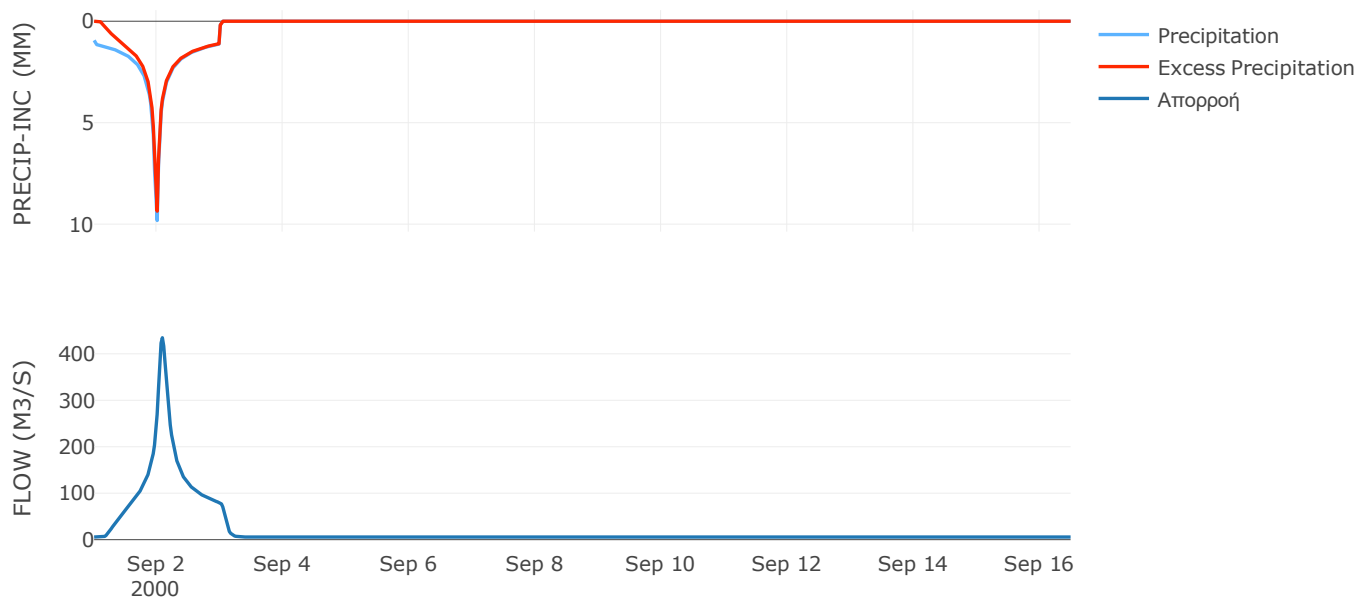
Μέθοδος
Μετασχηματισμού: SCS

Χρόνος Υστέρησης	104.61
------------------	--------

Αποτελέσματα:
EL0415FR6051

Παροχή αιχμής (M3/S)	434.62
Χρονική στιγμή αιχμής	02Sep2000, 02:00
Όγκος (MM)	248.06
Όγκος βροχόπτωσης (M3)	2.42E7
Όγκος απωλειών (M3)	3.57E6
Ενεργός Όγκος (M3)	2.06E7
Όγκος άμεσης απορροής (M3)	2.06E7
Όγκος βασικής απορροής (M3)	7.62E6

Βροχόπτωση και Απορροή



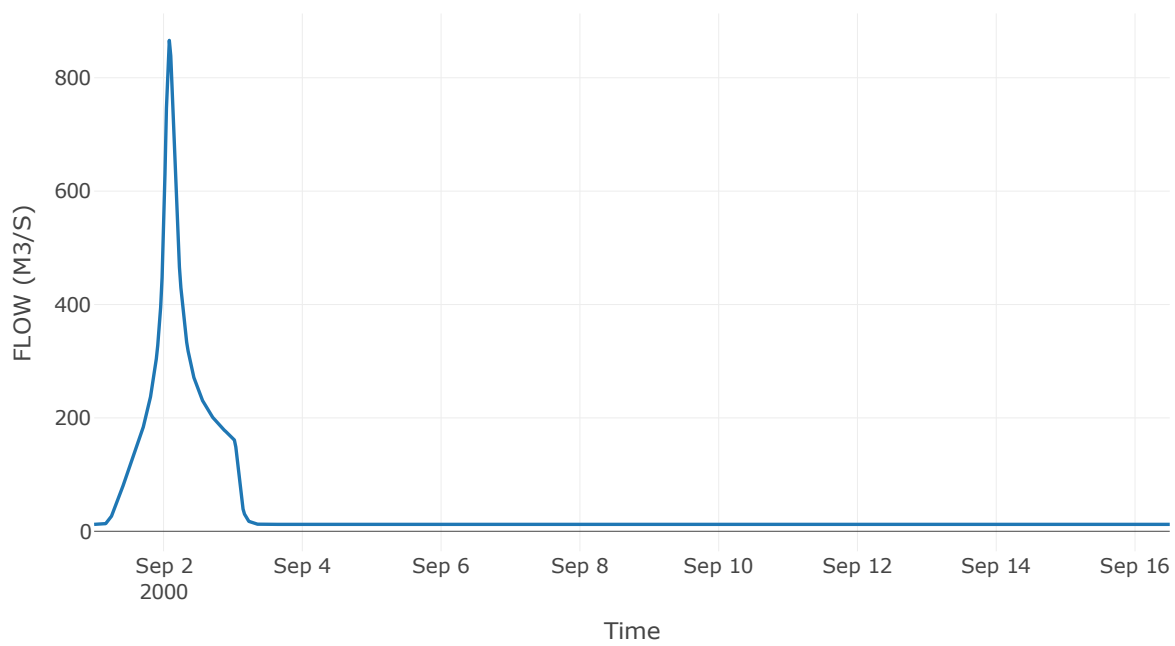
Κόμβος: J56

Κατάντη : R5655

Αποτελέσματα: J56

Παροχή Αιχμής (M3/S)	865.94
Χρονική στιγμή αιχμής	02Sep2000, 02:00
Όγκος(MM)	234.51

Απορροή



Κλάδος: R5655

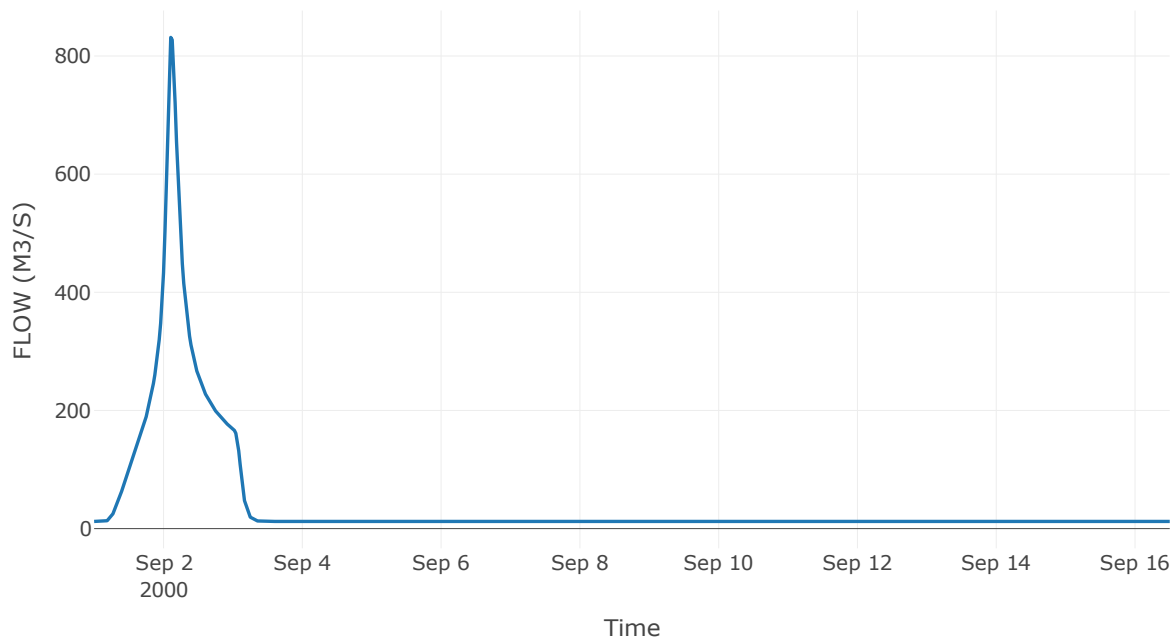
Κατάντη : J55

Μέθοδος Διόδευσης	Muskingum
Αρχική Μεταβλητή	Combined Inflow
Muskingum K	0.71
Συντελεστής βάρους α	0.2
Muskingum Steps	1

Αποτελέσματα: R5655

Παροχή Αιχμής (M3/S)	831.44
Χρονική στιγμή αιχμής	02Sep2000, 02:30
Όγκος(MM)	234.51
Παροχή Αιχμής Εισόδου (M3/S)	865.94
Όγκος Εισροής(M3)	5.7E7

Απορροή



Υπολεκάνη: EL0415FR6053

Έκταση (KM2) : 64.07

Κατάντη : J55

Μέθοδος Απωλειών: SCS

Ποσοστό αδιαπέρατης επιφάνειας	0
Αριθμός Καμπύλης Απορροής-CN	80.45
Αρχικές Απώλειες	12.35

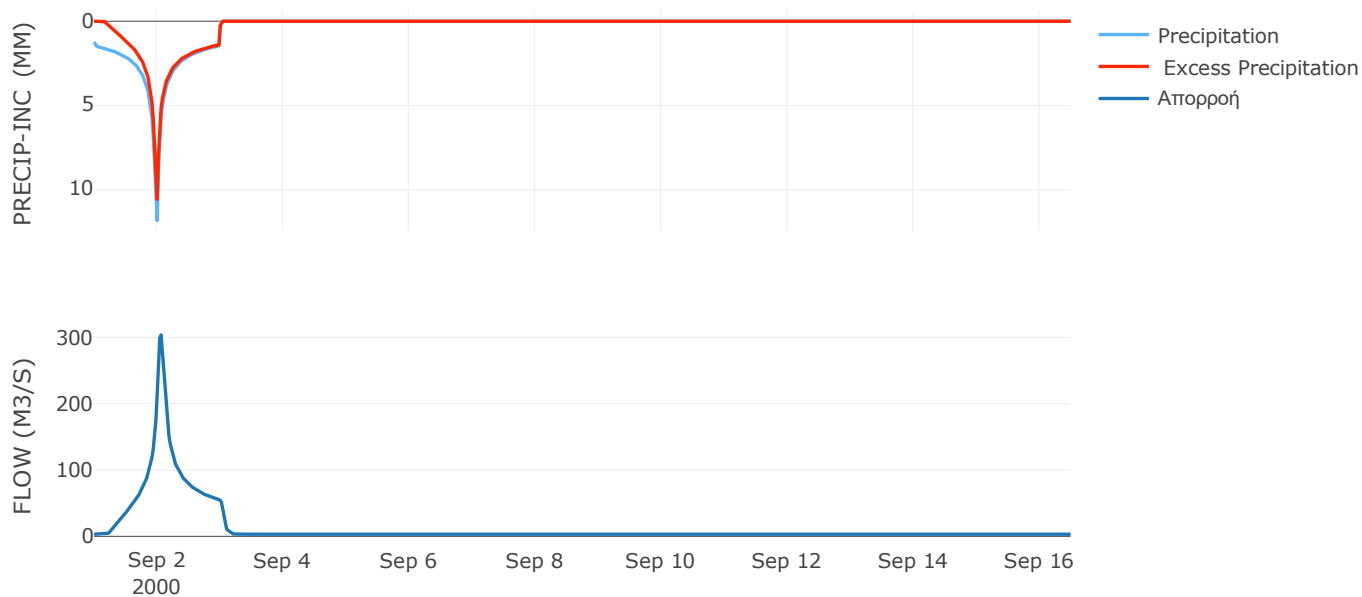
Μέθοδος
Μετασχηματισμού: SCS

Χρόνος Υστέρησης	67.59
------------------	-------

Αποτελέσματα:
EL0415FR6053

Παροχή αιχμής (M3/S)	303.74
Χρονική στιγμή αιχμής	02Sep2000, 01:30
Όγκος (MM)	272.81
Όγκος βροχόπτωσης (M3)	1.72E7
Όγκος απωλειών (M3)	3.98E6
Ενεργός Όγκος (M3)	1.32E7
Όγκος άμεσης απορροής (M3)	1.32E7
Όγκος βασικής απορροής (M3)	4.29E6

Βροχόπτωση και Απορροή



Υπολεκάνη: EL0415FR6055

Έκταση (KM2) : 46.67

Κατάντη : J55

Μέθοδος Απωλειών: SCS

Ποσοστό αδιαπέρατης επιφάνειας	0
Αριθμός Καμπύλης Απορροής-CN	76.82
Αρχικές Απώλειες	15.33

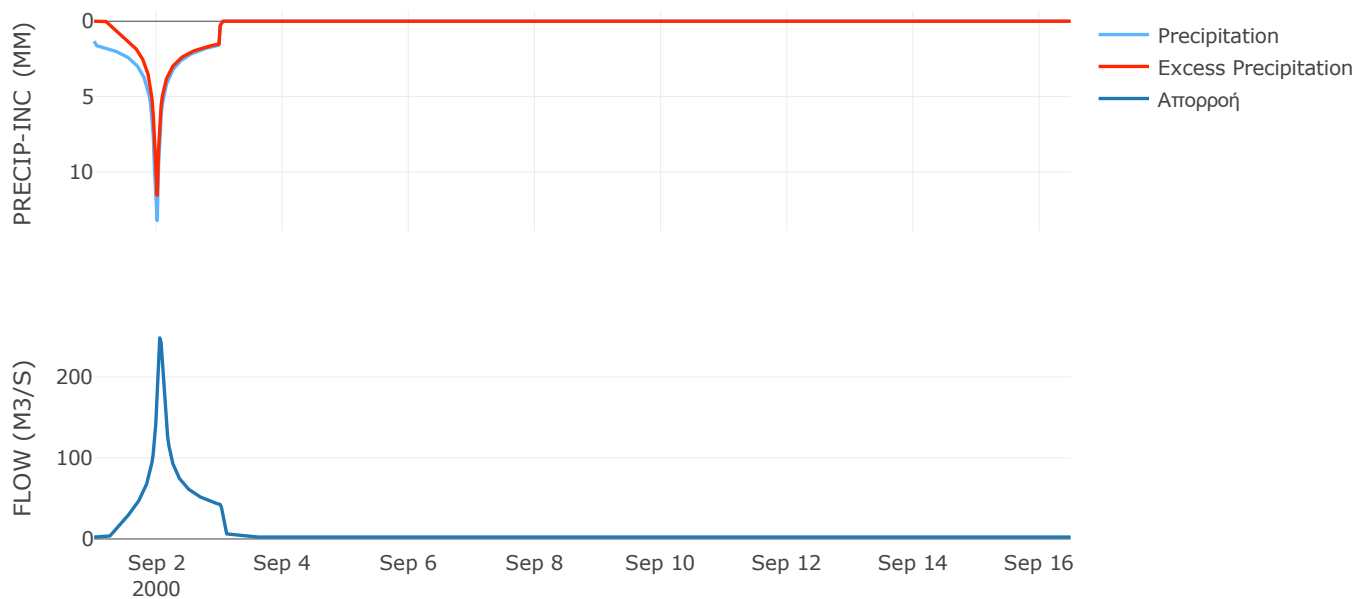
Μέθοδος
Μετασχηματισμού: SCS

Χρόνος Υστέρησης	58.5
------------------	------

Αποτελέσματα:
EL0415FR6055

Παροχή αιχμής (M3/S)	248.23
Χρονική στιγμή αιχμής	02Sep2000, 01:00
Όγκος (MM)	286.51
Όγκος βροχόπτωσης (M3)	1.38E7
Όγκος απωλειών (M3)	3.52E6
Ενεργός Όγκος (M3)	1.02E7
Όγκος άμεσης απορροής (M3)	1.02E7
Όγκος βασικής απορροής (M3)	3.13E6

Βροχόπτωση και Απορροή



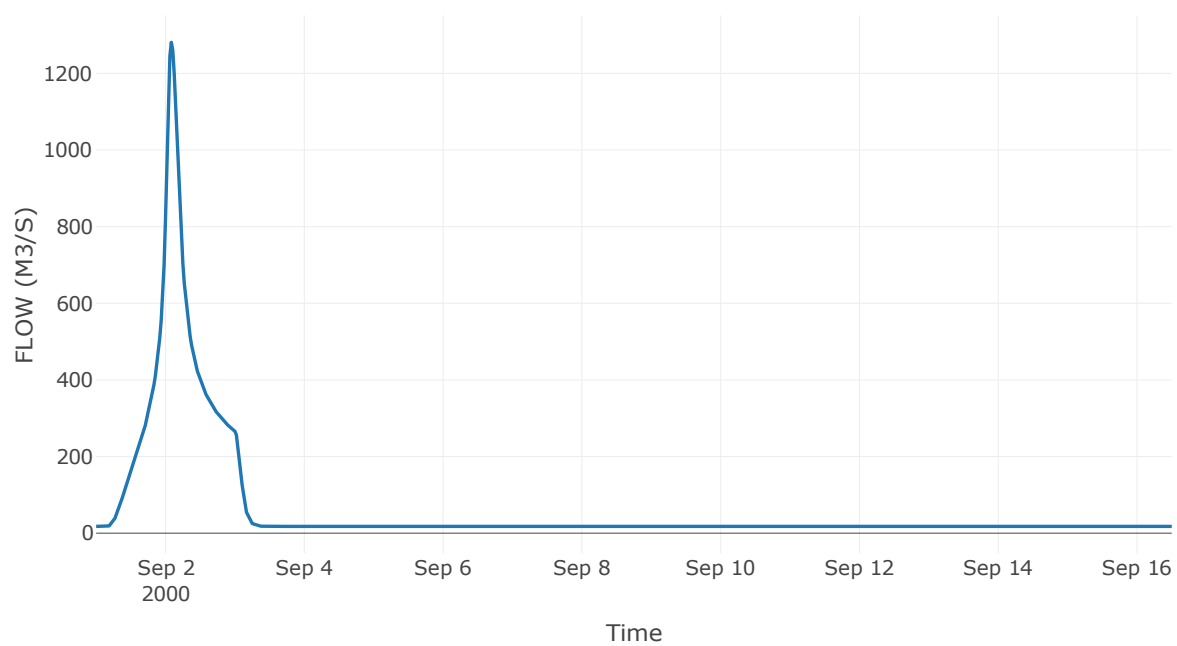
Κόμβος: J55

Κατάντη : R5554

Αποτελέσματα: J55

Παροχή Αιχμής (M3/S)	1280.92
Χρονική στιγμή αιχμής	02Sep2000, 02:00
Όγκος(MM)	248.3

Απορροή



Κλάδος: R5554

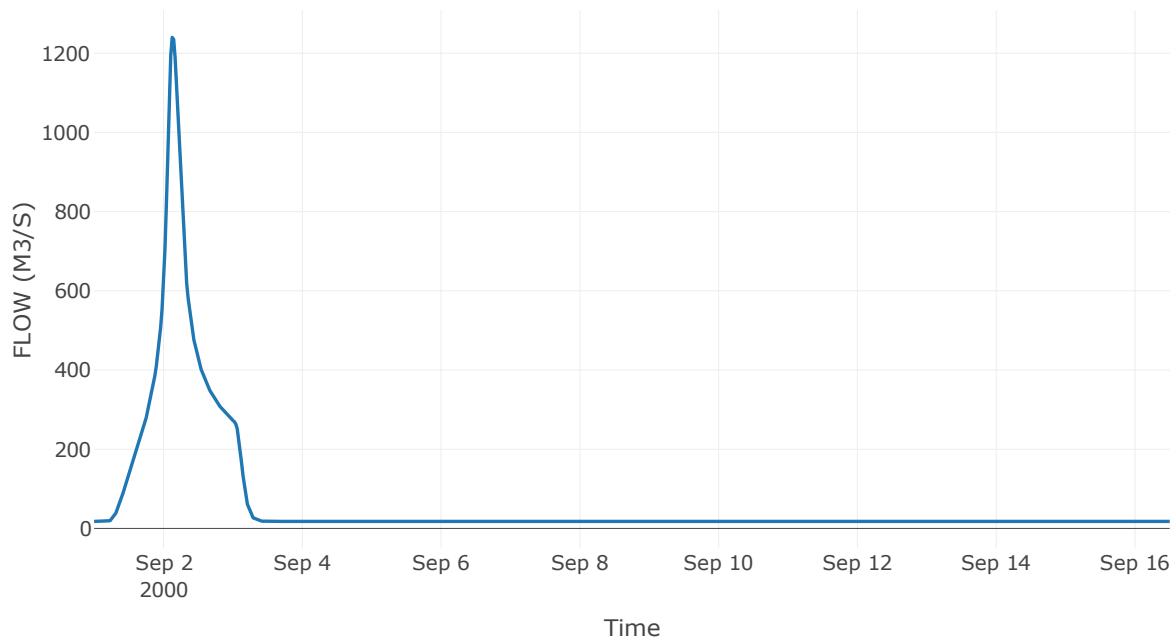
Κατάντη : J54

Μέθοδος Διόδευσης	Muskingum
Αρχική Μεταβλητή	Combined Inflow
Muskingum K	1.09
Συντελεστής βάρους α	0.2
Muskingum Steps	2

Αποτελέσματα: R5554

Παροχή Αιχμής (M3/S)	1239.84
Χρονική στιγμή αιχμής	02Sep2000, 03:00
Όγκος(MM)	248.3
Παροχή Αιχμής Εισόδου (M3/S)	1280.92
Όγκος Εισροής(M3)	8.79E7

Απορροή



Υπολεκάνη: EL0415FR6056

Έκταση (KM2) : 143.97

Κατάντη : J54

Μέθοδος Απωλειών: SCS

Ποσοστό αδιαπέρατης επιφάνειας	0
Αριθμός Καμπύλης Απορροής-CN	82.83
Αρχικές Απώλειες	10.53

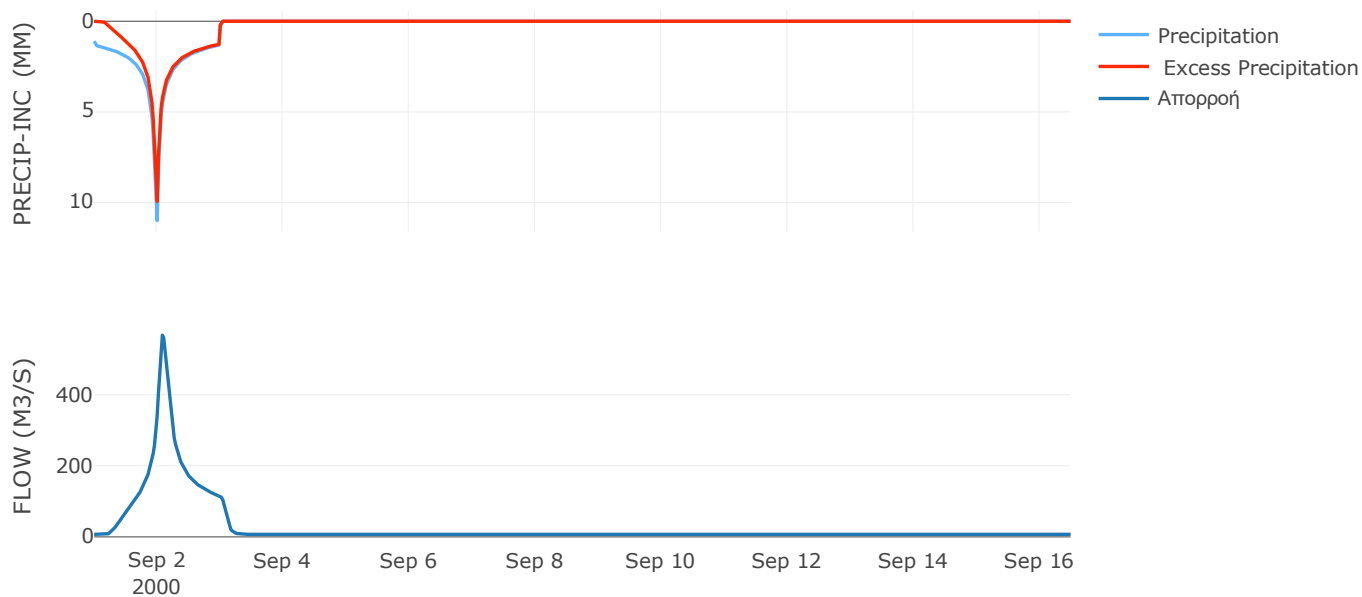
Μέθοδος
Μετασχηματισμού: SCS

Χρόνος Υστέρησης	114.48
------------------	--------

Αποτελέσματα:
EL0415FR6056

Παροχή αιχμής (M3/S)	567.61
Χρονική στιγμή αιχμής	02Sep2000, 02:00
Όγκος (MM)	258.01
Όγκος βροχόπτωσης (M3)	3.52E7
Όγκος απωλειών (M3)	7.7E6
Ενεργός Όγκος (M3)	2.75E7
Όγκος άμεσης απορροής (M3)	2.75E7
Όγκος βασικής απορροής (M3)	9.64E6

Βροχόπτωση και Απορροή



Υπολεκάνη: EL0415FR6054

Έκταση (KM2) : 14.21

Κατάντη : J54

Μέθοδος Απωλειών: SCS

Ποσοστό αδιαπέρατης επιφάνειας	6
Αριθμός Καμπύλης Απορροής-CN	84.78
Αρχικές Απώλειες	9.12

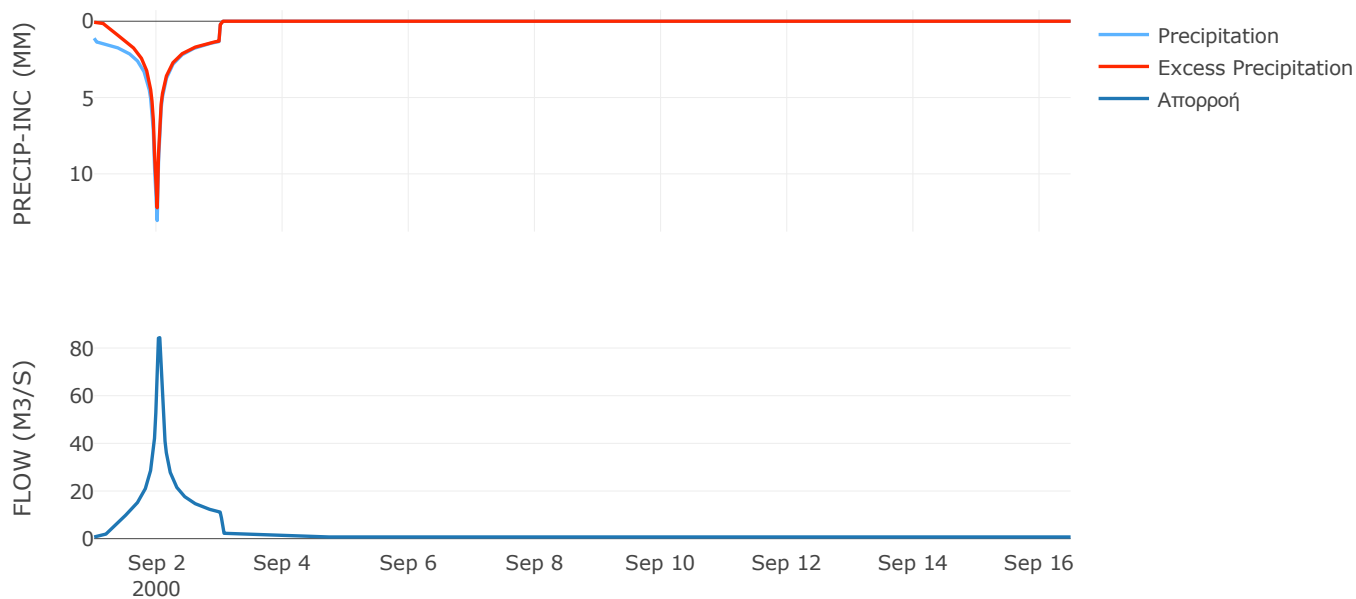
Μέθοδος
Μετασχηματισμού: SCS

Χρόνος Υστέρησης	36.53
------------------	-------

Αποτελέσματα:
EL0415FR6054

Παροχή αιχμής (M3/S)	84.35
Χρονική στιγμή αιχμής	02Sep2000, 01:00
Όγκος (MM)	284.67
Όγκος βροχόπτωσης (M3)	3.73E6
Όγκος απωλειών (M3)	6.38E5
Ενεργός Όγκος (M3)	3.09E6
Όγκος άμεσης απορροής (M3)	3.09E6
Όγκος βασικής απορροής (M3)	9.52E5

Βροχόπτωση και Απορροή



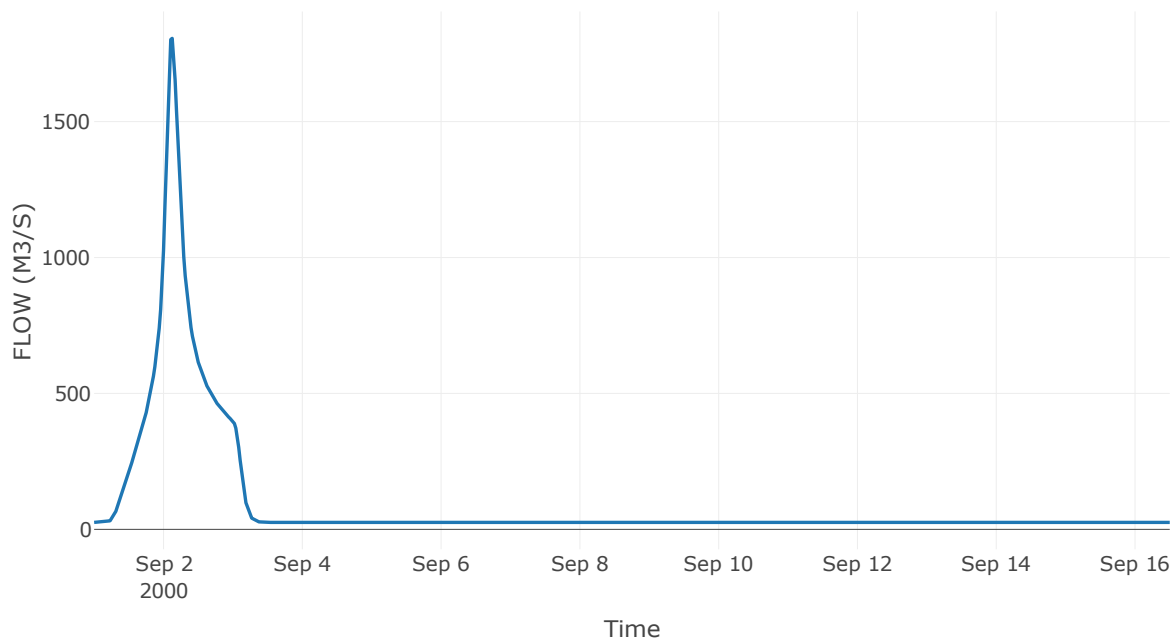
Κόμβος: J54

Κατάντη : R5457

Αποτελέσματα: J54

Παροχή Αιχμής (M3/S)	1806.18
Χρονική στιγμή αιχμής	02Sep2000, 03:00
Όγκος(MM)	252.04

Απορροή



Κλάδος: R5457

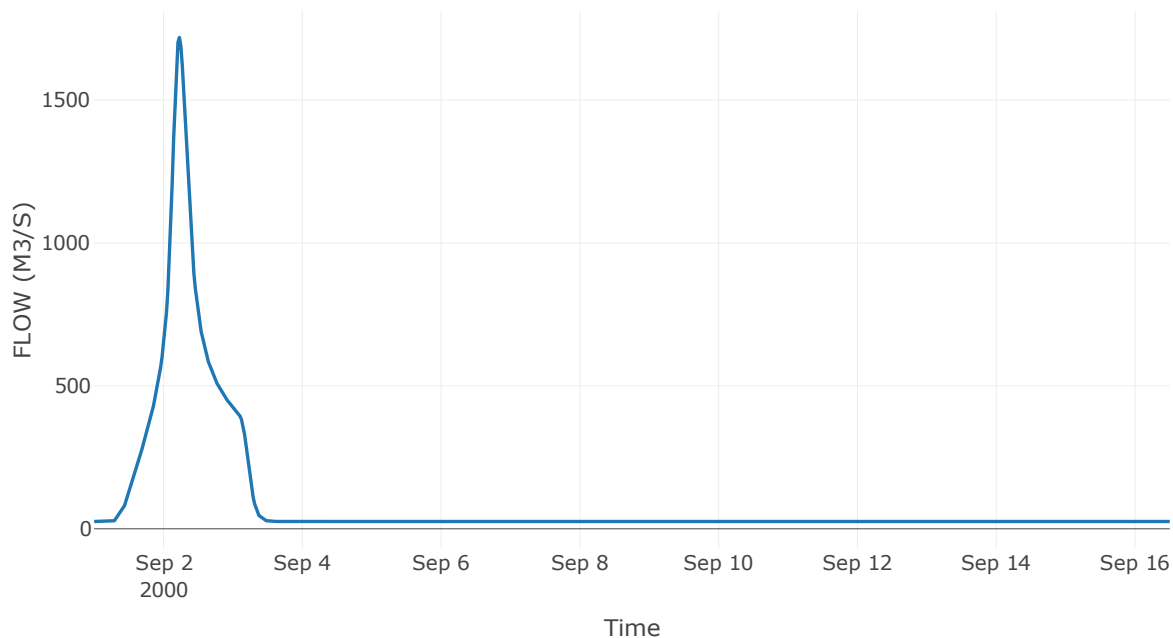
Κατάντη : J57

Μέθοδος Διόδευσης	Muskingum
Αρχική Μεταβλητή	Combined Inflow
Muskingum K	2.55
Συντελεστής βάρους x	0.2
Muskingum Steps	5

Αποτελέσματα: R5457

Παροχή Αιχμής (M3/S)	1718.83
Χρονική στιγμή αιχμής	02Sep2000, 05:30
Όγκος(MM)	252.04
Παροχή Αιχμής Εισόδου (M3/S)	1806.18
Όγκος Εισροής(M3)	1.29E8

Απορροή



Υπολεκάνη: EL0415FR6082

Έκταση (KM2) : 53.32

Κατάντη : J63

Μέθοδος Απωλειών: SCS

Ποσοστό αδιαπέρατης επιφάνειας	0
Αριθμός Καμπύλης Απορροής-CN	80.93
Αρχικές Απώλειες	11.97

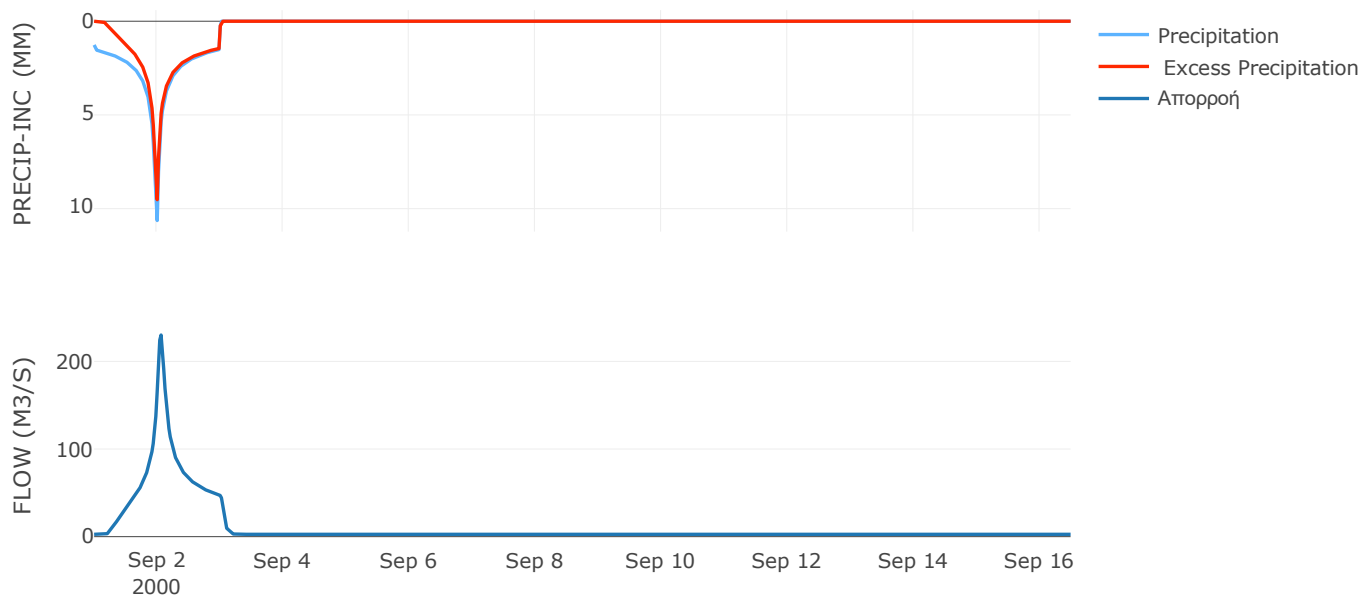
Μέθοδος
Μετασχηματισμού: SCS

Χρόνος Υστέρησης	70
------------------	----

Αποτελέσματα:
EL0415FR6082

Παροχή αιχμής (M3/S)	230.17
Χρονική στιγμή αιχμής	02Sep2000, 01:30
Όγκος (MM)	270.72
Όγκος βροχόπτωσης (M3)	1.41E7
Όγκος απωλειών (M3)	3.22E6
Ενεργός Όγκος (M3)	1.09E7
Όγκος άμεσης απορροής (M3)	1.09E7
Όγκος βασικής απορροής (M3)	3.57E6

Βροχόπτωση και Απορροή



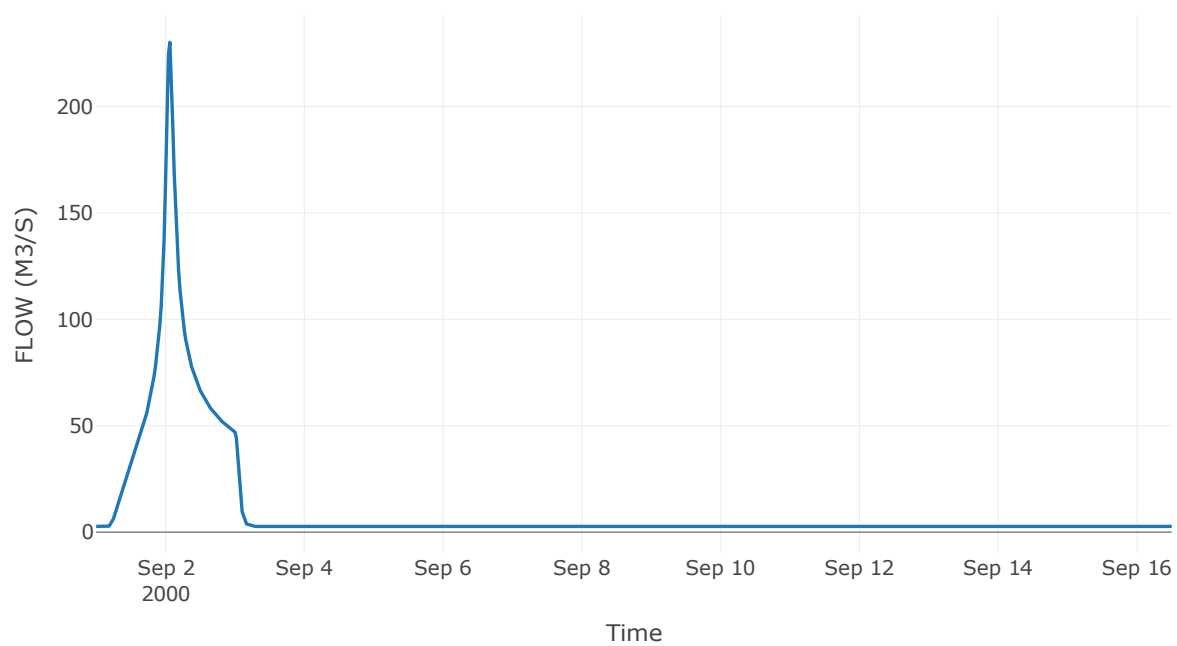
Κόμβος: J63

Κατάντη : R6357

Αποτελέσματα: J63

Παροχή Αιχμής (M3/S)	230.17
Χρονική στιγμή αιχμής	02Sep2000, 01:30
Όγκος(MM)	270.72

Απορροή



Κλάδος: R6357

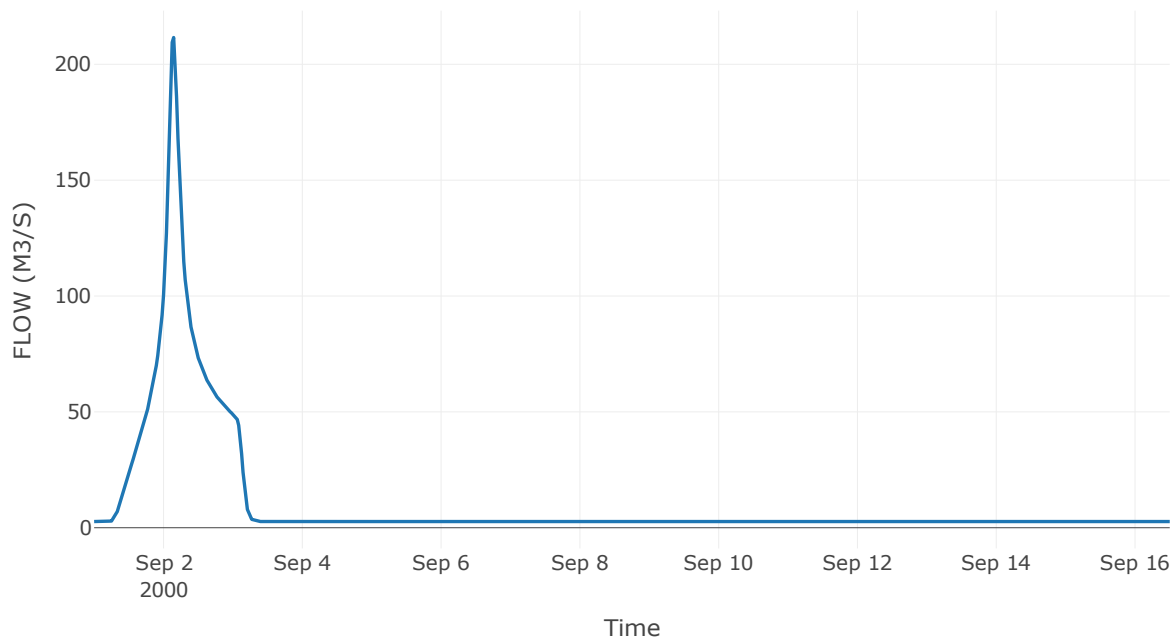
Κατάντη : J57

Μέθοδος Διόδευσης	Muskingum
Αρχική Μεταβλητή	Combined Inflow
Muskingum K	1.93
Συντελεστής βάρους α	0.2
Muskingum Steps	4

Αποτελέσματα: R6357

Παροχή Αιχμής (M3/S)	211.57
Χρονική στιγμή αιχμής	02Sep2000, 03:30
Όγκος(MM)	270.72
Παροχή Αιχμής Εισόδου (M3/S)	230.17
Όγκος Εισροής(M3)	1.44E7

Απορροή



Υπολεκάνη: EL0415FR6067

Έκταση (KM2) : 29.4

Κατάντη : J57

Μέθοδος Απωλειών: SCS

Ποσοστό αδιαπέρατης επιφάνειας	9
Αριθμός Καμπύλης Απορροής-CN	84.22
Αρχικές Απώλειες	9.52

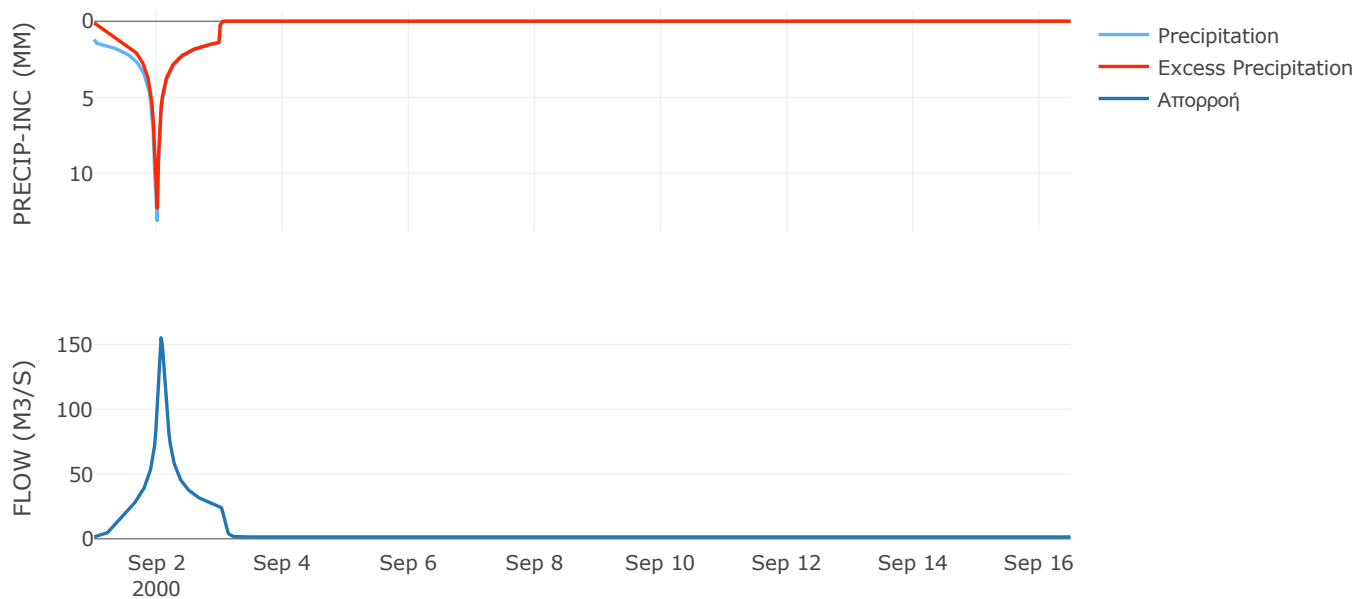
Μέθοδος
Μετασχηματισμού: SCS

Χρόνος Υστέρησης	82.42
------------------	-------

Αποτελέσματα:
EL0415FR6067

Παροχή αιχμής (M3/S)	155.11
Χρονική στιγμή αιχμής	02Sep2000, 01:30
Όγκος (MM)	295.52
Όγκος βροχόπτωσης (M3)	8.05E6
Όγκος απωλειών (M3)	1.33E6
Ενεργός Όγκος (M3)	6.72E6
Όγκος άμεσης απορροής (M3)	6.72E6
Όγκος βασικής απορροής (M3)	1.97E6

Βροχόπτωση και Απορροή



Υπολεκάνη: EL0415FR6057

Έκταση (KM2) : 27.51

Κατάντη : J57

Μέθοδος Απωλειών: SCS

Ποσοστό αδιαπέρατης επιφάνειας	13
Αριθμός Καμπύλης Απορροής-CN	83.33
Αρχικές Απώλειες	10.16

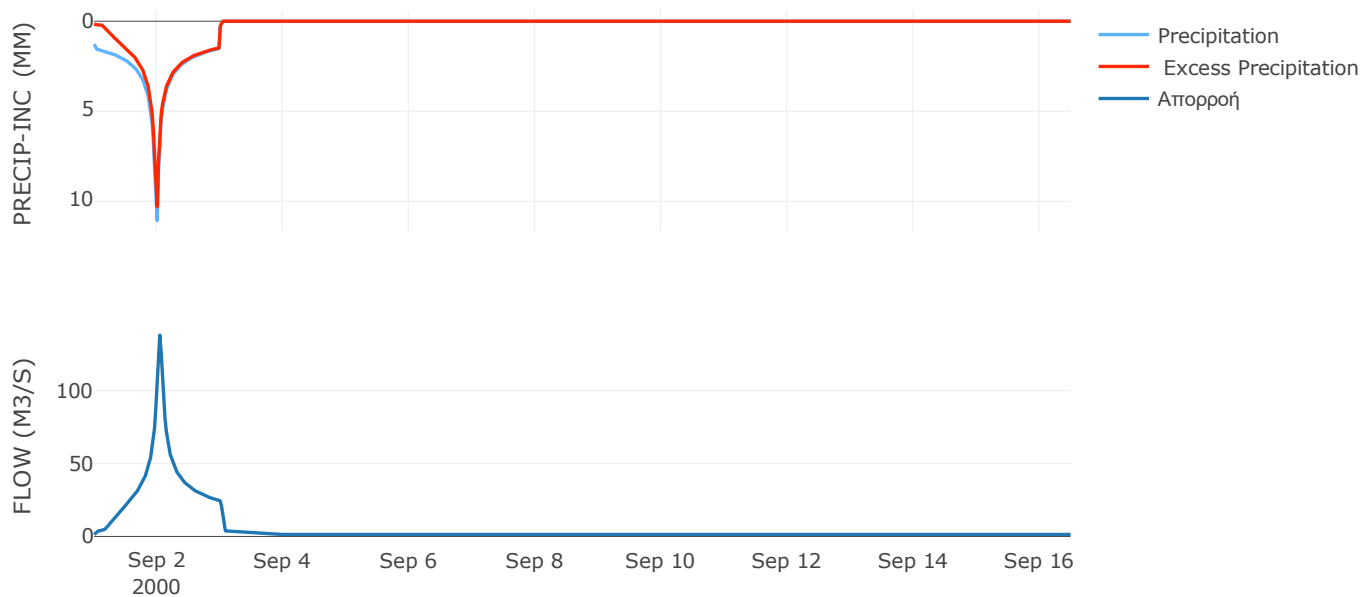
Μέθοδος
Μετασχηματισμού: SCS

Χρόνος Υστέρησης	46.01
------------------	-------

Αποτελέσματα:
EL0415FR6057

Παροχή αιχμής (M3/S)	138.19
Χρονική στιγμή αιχμής	02Sep2000, 01:00
Όγκος (MM)	289.92
Όγκος βροχόπτωσης (M3)	7.39E6
Όγκος απωλειών (M3)	1.26E6
Ενεργός Όγκος (M3)	6.13E6
Όγκος άμεσης απορροής (M3)	6.13E6
Όγκος βασικής απορροής (M3)	1.84E6

Βροχόπτωση και Απορροή



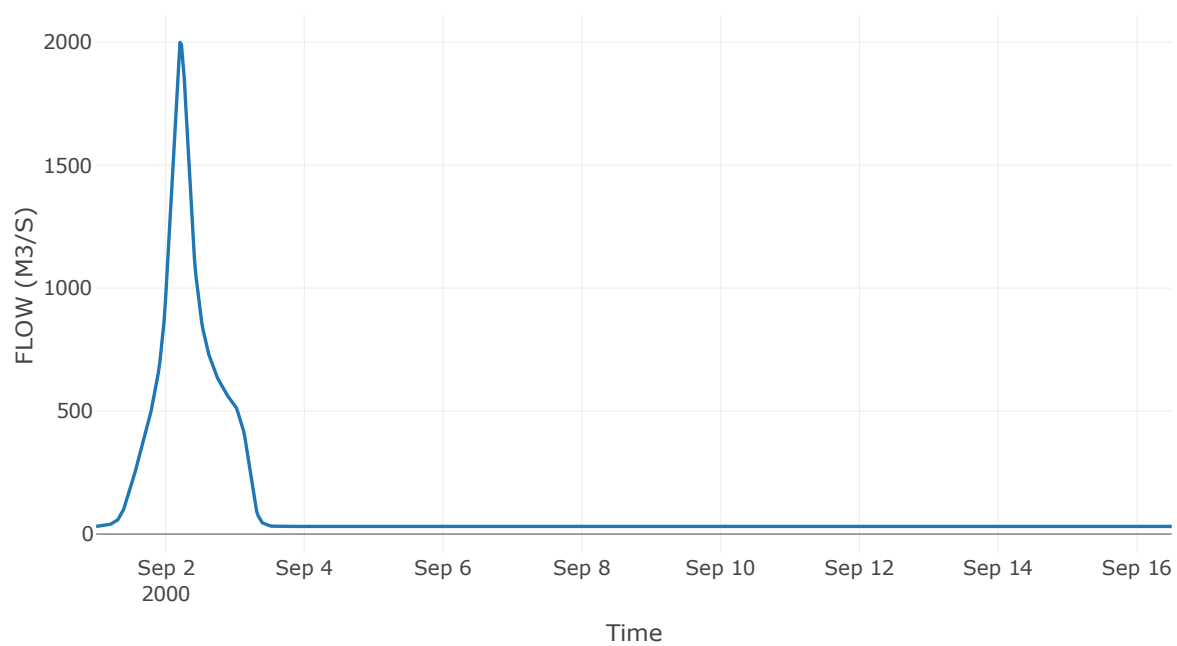
Κόμβος: J57

Κατάντη : R5753

Αποτελέσματα: J57

Παροχή Αιχμής (M3/S)	1999.21
Χρονική στιγμή αιχμής	02Sep2000, 05:00
Όγκος(MM)	257.37

Απορροή



Κλάδος: R5753

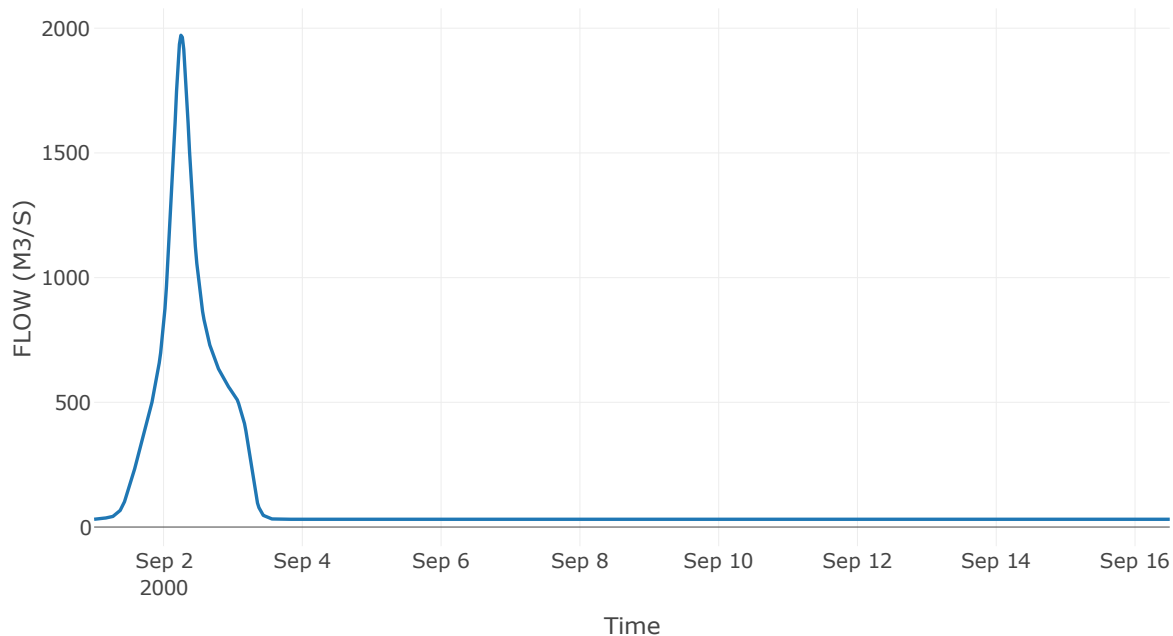
Κατάντη : J53 Res5

Μέθοδος Διόδευσης	Muskingum
Αρχική Μεταβλητή	Combined Inflow
Muskingum K	1
Συντελεστής βάρους α	0.2
Muskingum Steps	2

Αποτελέσματα: R5753

Παροχή Αιχμής (M3/S)	1971.82
Χρονική στιγμή αιχμής	02Sep2000, 06:00
Όγκος(MM)	257.37
Παροχή Αιχμής Εισόδου (M3/S)	1999.21
Όγκος Εισροής(M3)	1.6E8

Απορροή



Υπολεκάνη: EL0415FR6058

Έκταση (KM2) : 10.79

Κατάνη : J53 Res5

Μέθοδος Απωλειών: SCS

Ποσοστό αδιαπέρατης επιφάνειας	16
Αριθμός Καμπύλης Απορροής-CN	86.81
Αρχικές Απώλειες	7.72

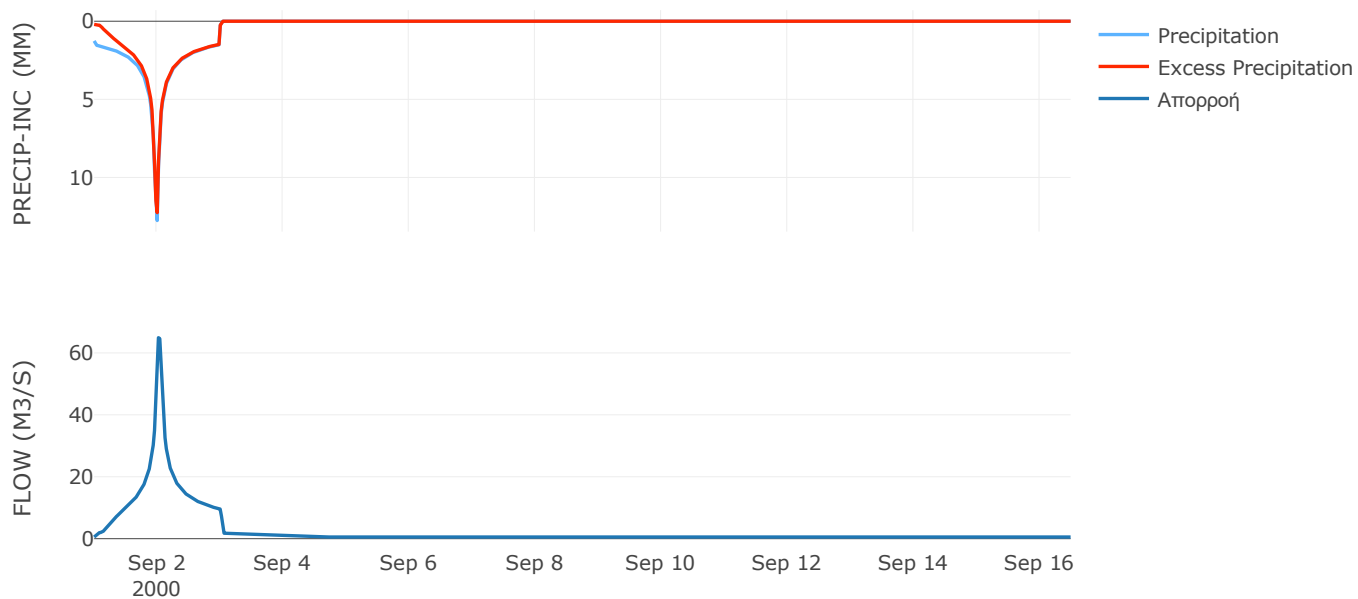
Μέθοδος
Μετασχηματισμού: SCS

Χρόνος Υστέρησης	35.26
------------------	-------

Αποτελέσματα:
EL0415FR6058

Παροχή αιχμής (M3/S)	64.91
Χρονική στιγμή αιχμής	02Sep2000, 00:30
Όγκος (MM)	313.2
Όγκος βροχόπτωσης (M3)	3.03E6
Όγκος απωλειών (M3)	3.76E5
Ενεργός Όγκος (M3)	2.66E6
Όγκος άμεσης απορροής (M3)	2.66E6
Όγκος βασικής απορροής (M3)	7.22E5

Βροχόπτωση και Απορροή



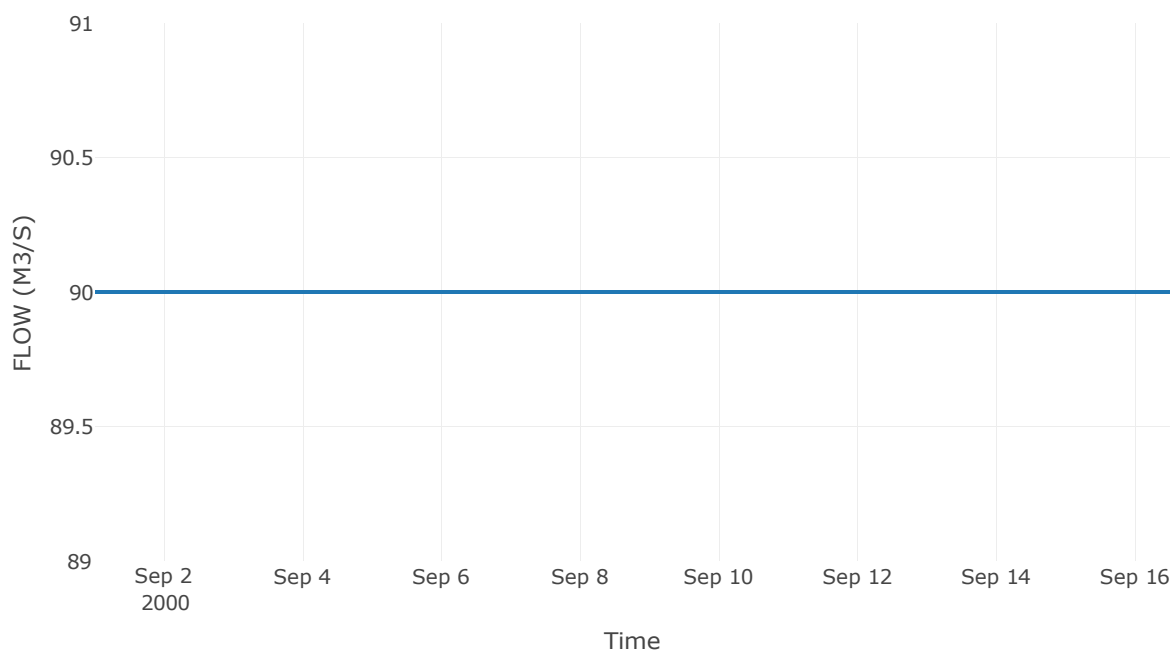
Ταμιευτήρας: J53_RES5

Κατάντη : J50

Αποτελέσματα: J53_RES5

Παροχή Αιχμής (M3/S)	90
Χρονική στιγμή αιχμής	31Aug2000, 24:00
Όγκος(MM)	190.43
Παροχή Αιχμής Εισόδου (M3/S)	1992.2
Time of Peak Inflow	02Sep2000, 06:30
Όγκος Εισροής (M3)	1.64E8
Maximum Storage (M3)	3.18E8
Peak Elevation (M)	764.45
Discharge Όγκος(M3)	1.21E8

Απορροή



Κλάδος: R5351

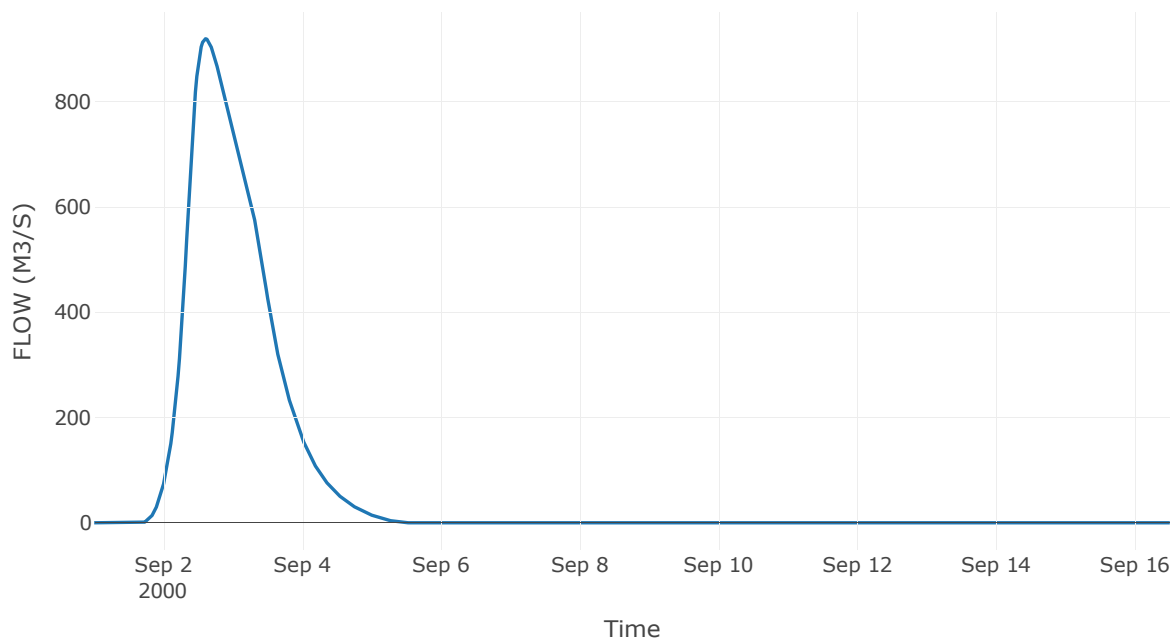
Κατάντη : J51

Μέθοδος Διόδευσης	Muskingum
Αρχική Μεταβλητή	Combined Inflow
Muskingum K	2.42
Συντελεστής βάρους x	0.2
Muskingum Steps	5

Αποτελέσματα: R5351

Παροχή Αιχμής (M3/S)	919.74
Χρονική στιγμή αιχμής	02Sep2000, 14:30
Peak Inflow (M3/S)	923.75
Όγκος Εισροής (M3)	9.9E7

Απορροή



Υπολεκάνη: EL0415FR6059

Έκταση (KM2) : 57.55

Κατάνη : J51

Μέθοδος Απωλειών: SCS

Ποσοστό αδιαπέρατης επιφάνειας	0
Αριθμός Καμπύλης Απορροής-CN	86.12
Αρχικές Απώλειες	8.19

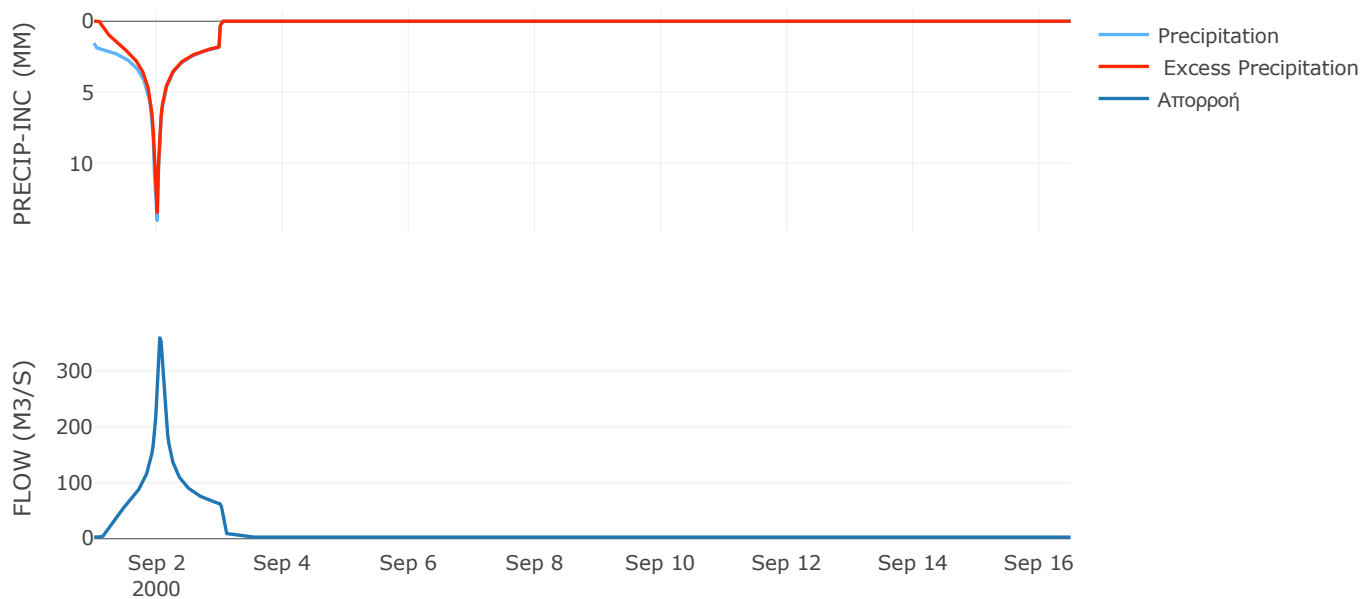
Μέθοδος
Μετασχηματισμού: SCS

Χρόνος Υστέρησης	60.7
------------------	------

Αποτελέσματα:
EL0415FR6059

Παροχή αιχμής (M3/S)	358.68
Χρονική στιγμή αιχμής	02Sep2000, 01:00
Όγκος (MM)	352.91
Όγκος βροχόπτωσης (M3)	1.9E7
Όγκος απωλειών (M3)	2.56E6
Ενεργός Όγκος (M3)	1.65E7
Όγκος άμεσης απορροής (M3)	1.65E7
Όγκος βασικής απορροής (M3)	3.85E6

Βροχόπτωση και Απορροή



Υπολεκάνη: EL0415FR6050

Έκταση (KM2) : 51.03

Κατάνη : J51

Μέθοδος Απωλειών: SCS

Ποσοστό αδιαπέρατης επιφάνειας	0
Αριθμός Καμπύλης Απορροής-CN	79.47
Αρχικές Απώλειες	13.12

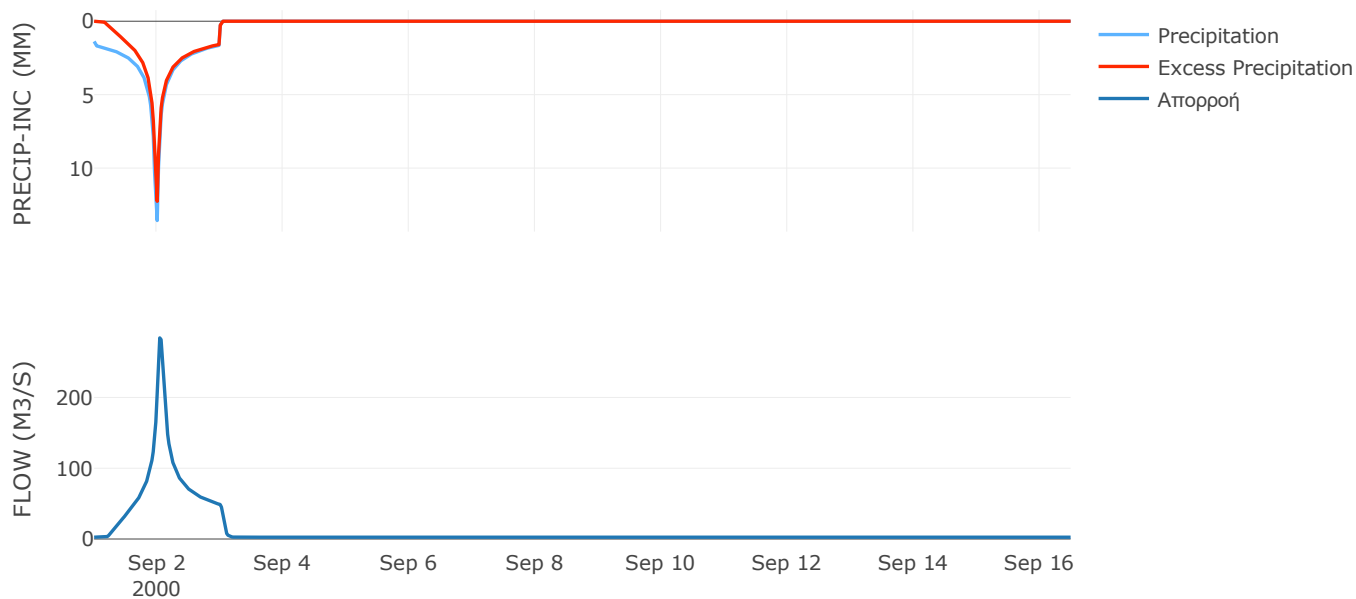
Μέθοδος
Μετασχηματισμού: SCS

Χρόνος Υστέρησης	61.92
------------------	-------

Αποτελέσματα:
EL0415FR6050

Παροχή αιχμής (M3/S)	284.21
Χρονική στιγμή αιχμής	02Sep2000, 01:00
Όγκος (MM)	304.37
Όγκος βροχόπτωσης (M3)	1.55E7
Όγκος απωλειών (M3)	3.4E6
Ενεργός Όγκος (M3)	1.21E7
Όγκος άμεσης απορροής (M3)	1.21E7
Όγκος βασικής απορροής (M3)	3.42E6

Βροχόπτωση και Απορροή



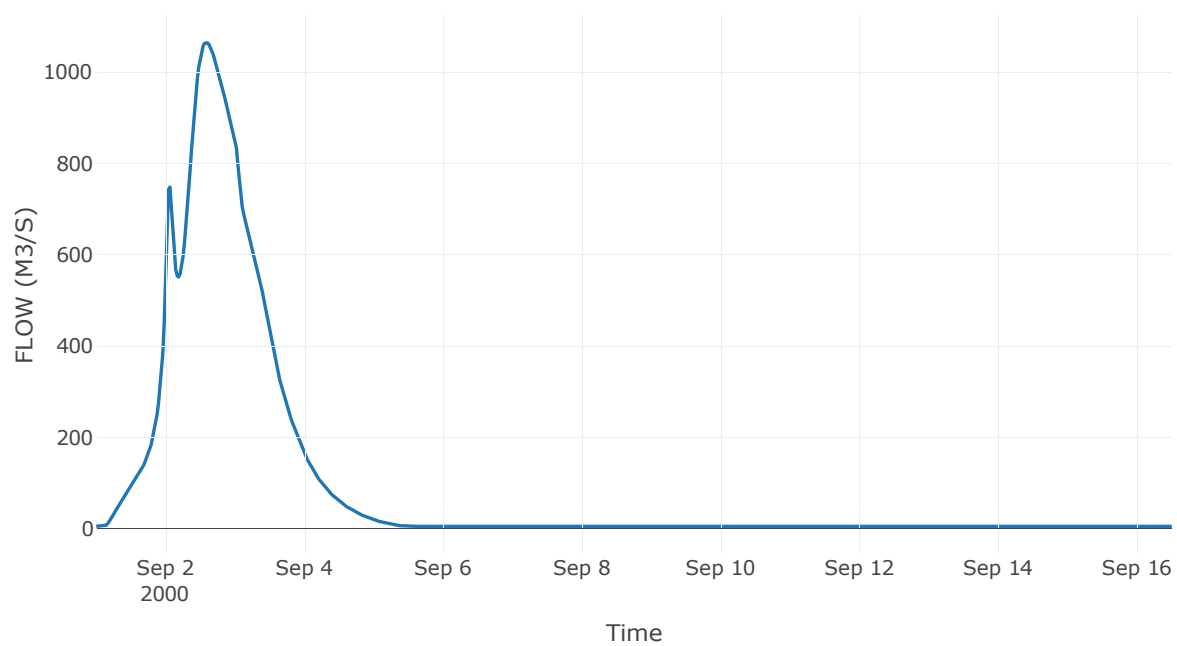
Κόμβος: J51

Κατάντη : R5150

Αποτελέσματα: J51

Παροχή Αιχμής (M3/S)	1065.57
Χρονική στιγμή αιχμής	02Sep2000, 14:00
Όγκος(MM)	1241.94

Απορροή



Κλάδος: R5150

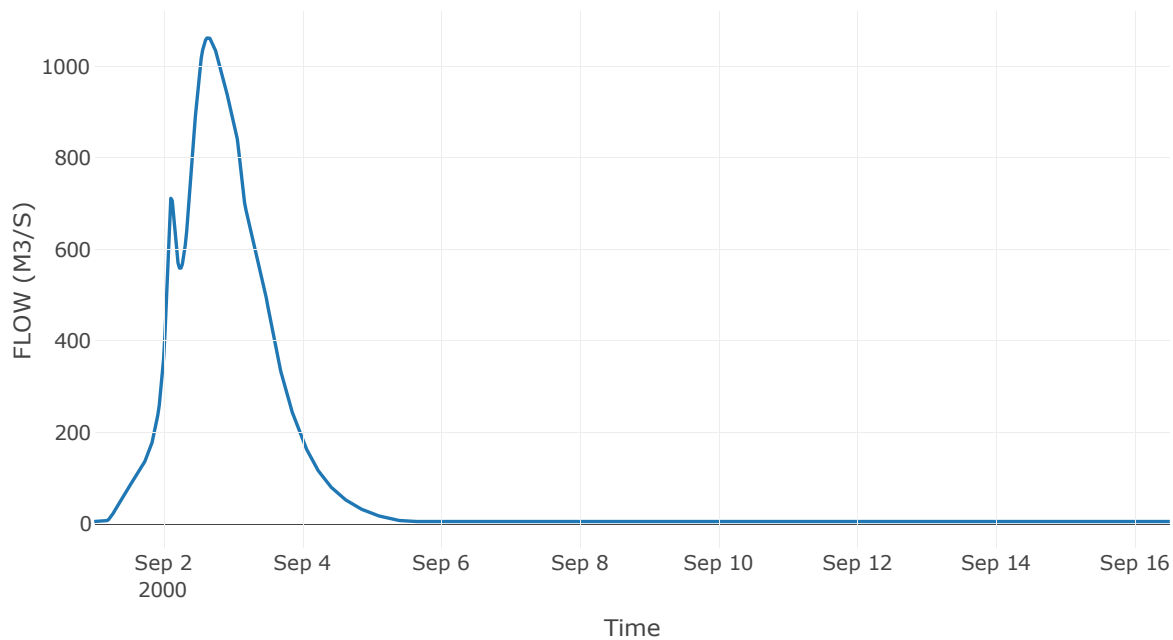
Κατάντη : J50

Μέθοδος Διόδευσης	Muskingum
Αρχική Μεταβλητή	Combined Inflow
Muskingum K	1.31
Συντελεστής βάρους α	0.2
Muskingum Steps	3

Αποτελέσματα: R5150

Παροχή Αιχμής (M3/S)	1063.43
Χρονική στιγμή αιχμής	02Sep2000, 15:30
Όγκος(MM)	1241.94
Παροχή Αιχμής Εισόδου (M3/S)	1065.57
Όγκος Εισροής(M3)	1.35E8

Απορροή



Υπολεκάνη: EL0415FR6060

Έκταση (KM2) : 43.14

Κατάντη : J50

Μέθοδος Απωλειών: SCS

Ποσοστό αδιαπέρατης επιφάνειας	0
Αριθμός Καμπύλης Απορροής-CN	87.25
Αρχικές Απώλειες	7.42

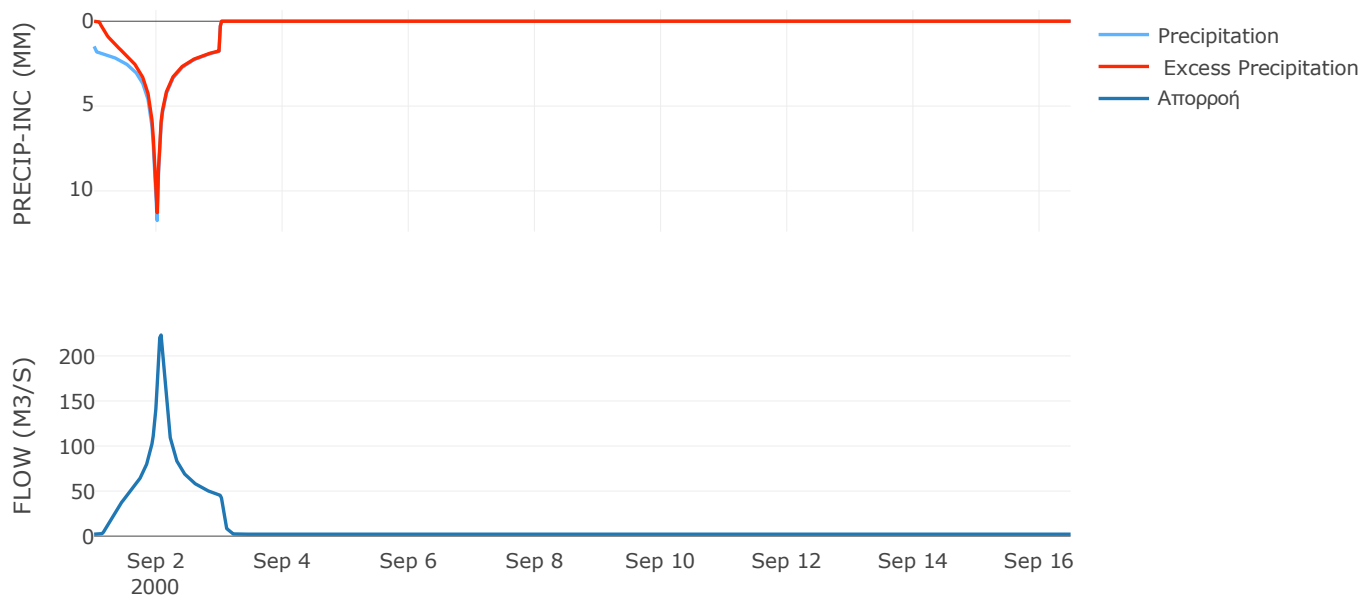
Μέθοδος
Μετασχηματισμού: SCS

Χρόνος Υστέρησης	67.85
------------------	-------

Αποτελέσματα:
EL0415FR6060

Παροχή αιχμής (M3/S)	223.22
Χρονική στιγμή αιχμής	02Sep2000, 01:30
Όγκος (MM)	330.06
Όγκος βροχόπτωσης (M3)	1.31E7
Όγκος απωλειών (M3)	1.74E6
Ενεργός Όγκος (M3)	1.14E7
Όγκος άμεσης απορροής (M3)	1.14E7
Όγκος βασικής απορροής (M3)	2.89E6

Βροχόπτωση και Απορροή



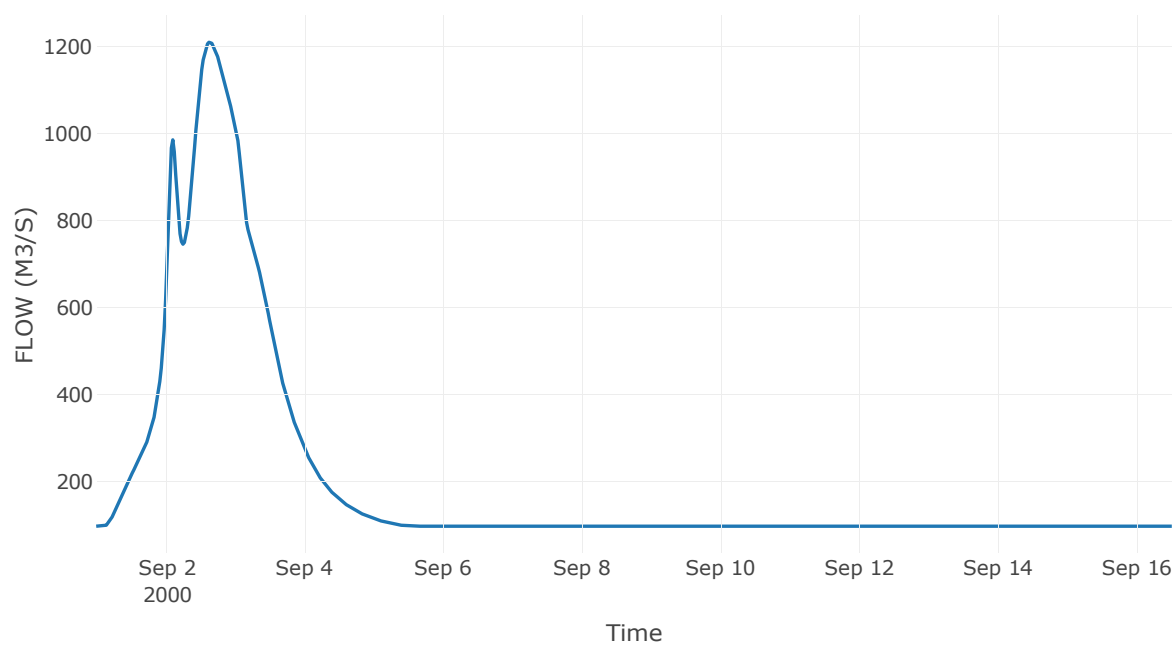
Κόμβος: J50

Κατάντη : R5049

Αποτελέσματα: J50

Παροχή Αιχμής (M3/S)	1209.65
Χρονική στιγμή αιχμής	02Sep2000, 15:30
Όγκος(MM)	343.61

Απορροή



Κλάδος: R5049

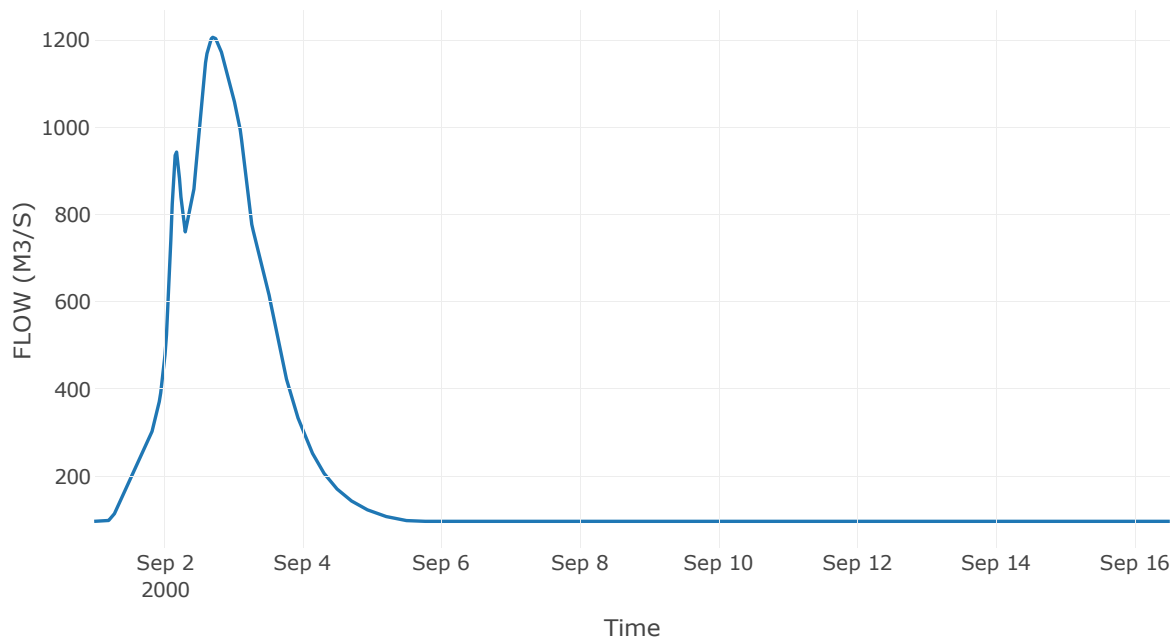
Κατάντη : J49

Μέθοδος Διόδευσης	Muskingum
Αρχική Μεταβλητή	Combined Inflow
Muskingum K	1.86
Συντελεστής βάρους x	0.2
Muskingum Steps	4

Αποτελέσματα: R5049

Παροχή Αιχμής (M3/S)	1206.29
Χρονική στιγμή αιχμής	02Sep2000, 17:00
Όγκος(MM)	343.61
Παροχή Αιχμής Εισόδου (M3/S)	1209.65
Όγκος Εισροής(M3)	2.7E8

Απορροή



Υπολεκάνη: EL0415FR6049

Έκταση (KM2) : 52.23

Κατάντη : J49

Μέθοδος Απωλειών: SCS

Ποσοστό αδιαπέρατης επιφάνειας	0
Αριθμός Καμπύλης Απορροής-CN	81.6
Αρχικές Απώλειες	11.46

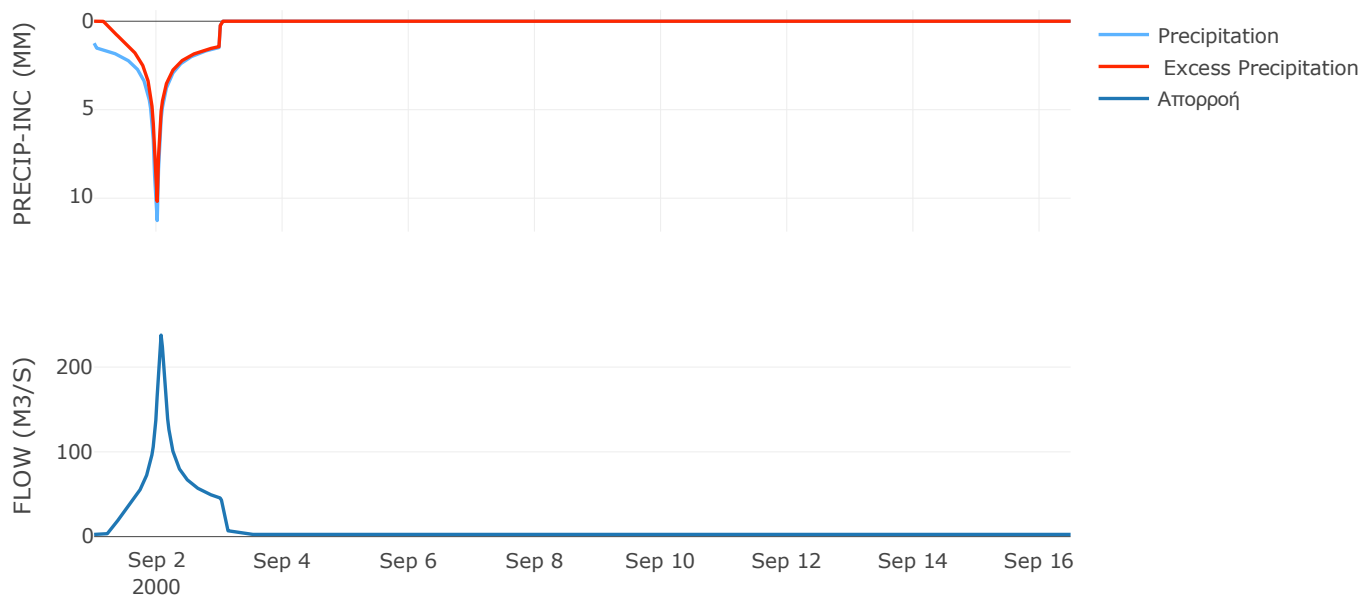
Μέθοδος
Μετασχηματισμού: SCS

Χρόνος Υστέρησης	73.38
------------------	-------

Αποτελέσματα:
EL0415FR6049

Παροχή αιχμής (M3/S)	237.69
Χρονική στιγμή αιχμής	02Sep2000, 01:30
Όγκος (MM)	275.31
Όγκος βροχόπτωσης (M3)	1.39E7
Όγκος απωλειών (M3)	3.04E6
Ενεργός Όγκος (M3)	1.09E7
Όγκος άμεσης απορροής (M3)	1.09E7
Όγκος βασικής απορροής (M3)	3.5E6

Βροχόπτωση και Απορροή



Υπολεκάνη: EL0415FR6062

Έκταση (KM2) : 41.66

Κατάντη : J49

Μέθοδος Απωλειών: SCS

Ποσοστό αδιαπέρατης επιφάνειας	0
Αριθμός Καμπύλης Απορροής-CN	87.07
Αρχικές Απώλειες	7.54

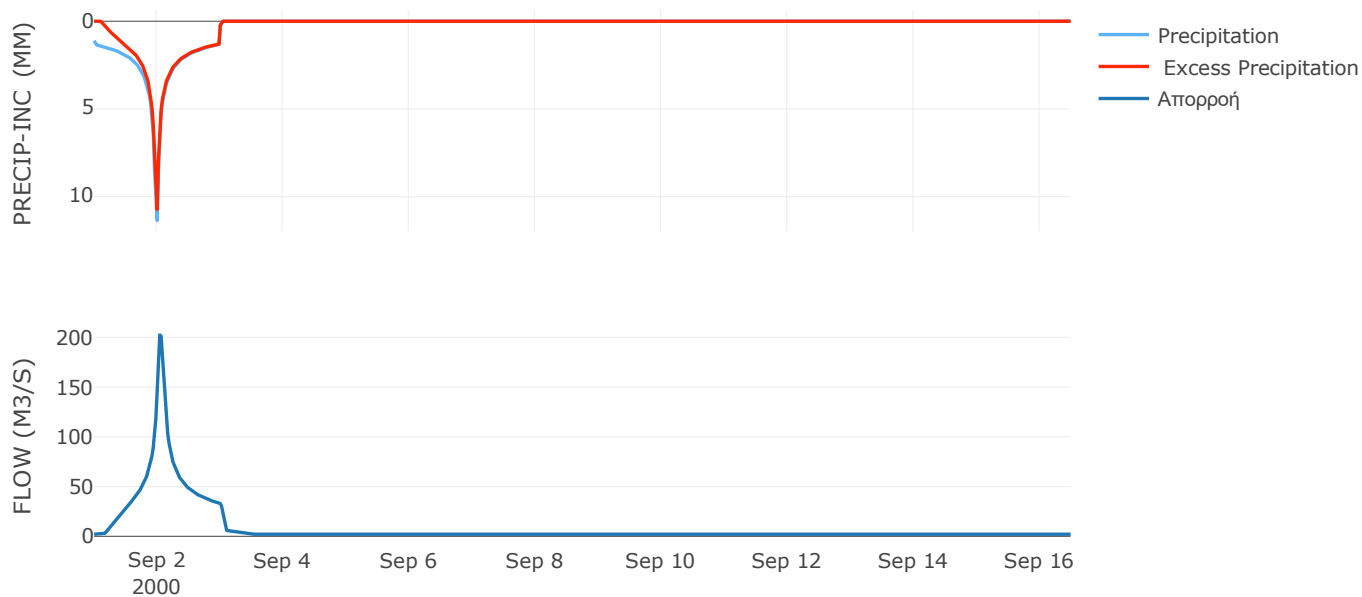
Μέθοδος
Μετασχηματισμού: SCS

Χρόνος Υστέρησης	63.59
------------------	-------

Αποτελέσματα:
EL0415FR6062

Παροχή αιχμής (M3/S)	202.35
Χρονική στιγμή αιχμής	02Sep2000, 01:00
Όγκος (MM)	275.17
Όγκος βροχόπτωσης (M3)	1.03E7
Όγκος απωλειών (M3)	1.67E6
Ενεργός Όγκος (M3)	8.67E6
Όγκος άμεσης απορροής (M3)	8.67E6
Όγκος βασικής απορροής (M3)	2.79E6

Βροχόπτωση και Απορροή



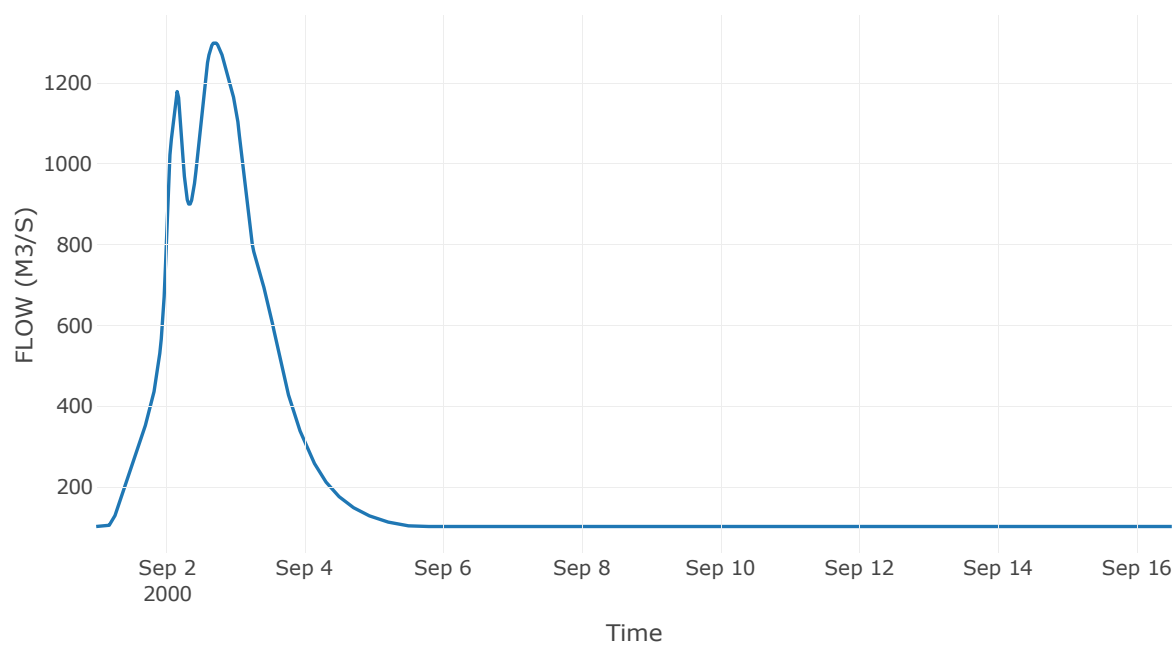
Κόμβος: J49

Κατάντη : R4947

Αποτελέσματα: J49

Παροχή Αιχμής (M3/S)	1300.32
Χρονική στιγμή αιχμής	02Sep2000, 17:00
Όγκος(MM)	336.3

Απορροή



Κλάδος: R4947

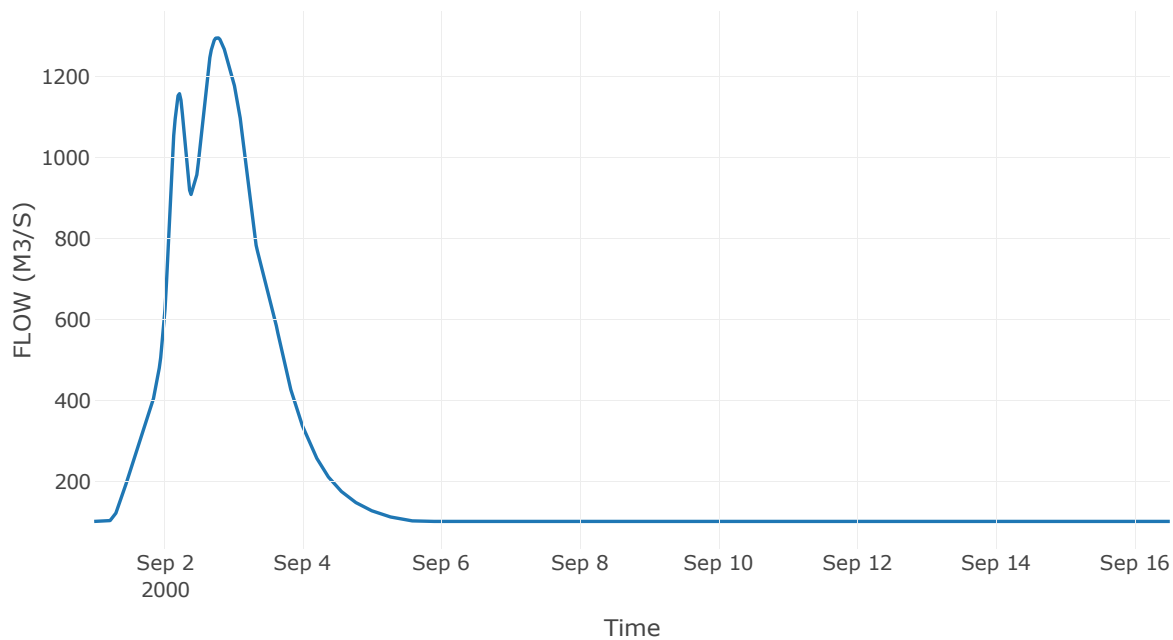
Κατάντη : J47

Μέθοδος Διόδευσης	Muskingum
Αρχική Μεταβλητή	Combined Inflow
Muskingum K	1.47
Συντελεστής βάρους α	0.2
Muskingum Steps	3

Αποτελέσματα: R4947

Παροχή Αιχμής (M3/S)	1297.45
Χρονική στιγμή αιχμής	02Sep2000, 18:30
Όγκος(MM)	336.3
Παροχή Αιχμής Εισόδου (M3/S)	1300.32
Όγκος Εισροής(M3)	2.95E8

Απορροή



Υπολεκάνη: EL0415FR6066

Έκταση (KM2) : 116.84

Κατάντη : J48

Μέθοδος Απωλειών: SCS

Ποσοστό αδιαπέρατης επιφάνειας	0
Αριθμός Καμπύλης Απορροής-CN	83.04
Αρχικές Απώλειες	10.37

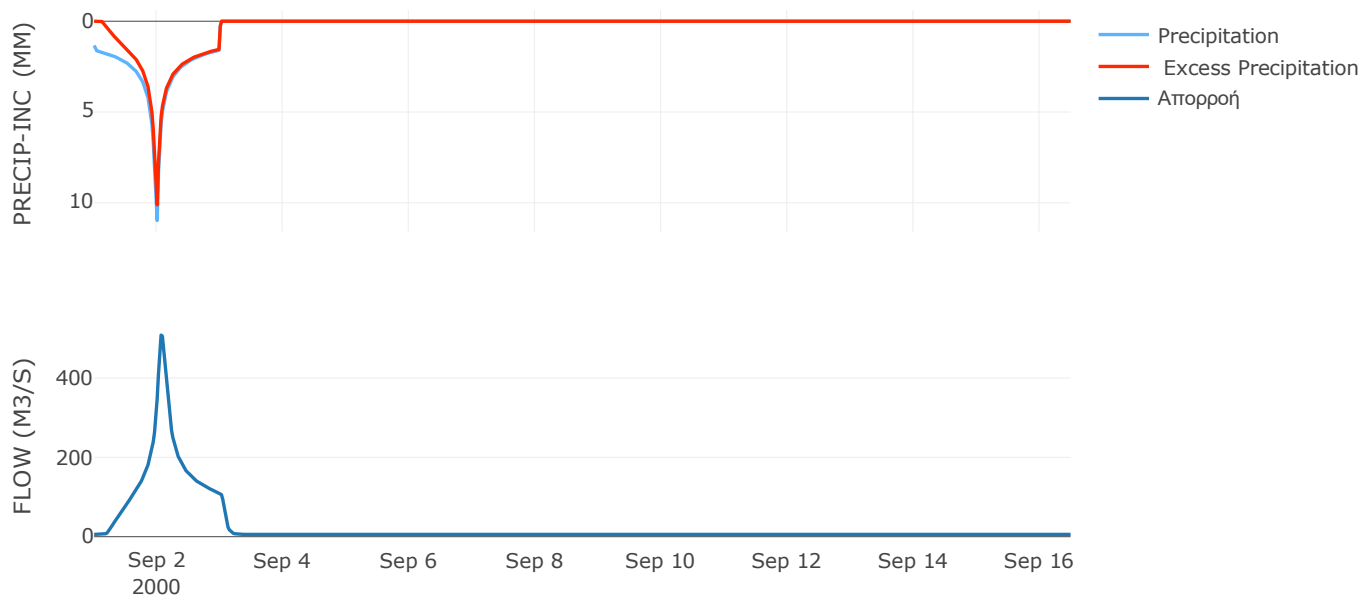
Μέθοδος
Μετασχηματισμού: SCS

Χρόνος Υστέρησης	90.42
------------------	-------

Αποτελέσματα:
EL0415FR6066

Παροχή αιχμής (M3/S)	508.39
Χρονική στιγμή αιχμής	02Sep2000, 01:30
Όγκος (MM)	289.69
Όγκος βροχόπτωσης (M3)	3.23E7
Όγκος απωλειών (M3)	6.28E6
Ενεργός Όγκος (M3)	2.6E7
Όγκος άμεσης απορροής (M3)	2.6E7
Όγκος βασικής απορροής (M3)	7.82E6

Βροχόπτωση και Απορροή



Υπολεκάνη: EL0415FR6063

Έκταση (KM2) : 99.42

Κατάντη : J48

Μέθοδος Απωλειών: SCS

Ποσοστό αδιαπέρατης επιφάνειας	0
Αριθμός Καμπύλης Απορροής-CN	80.04
Αρχικές Απώλειες	12.67

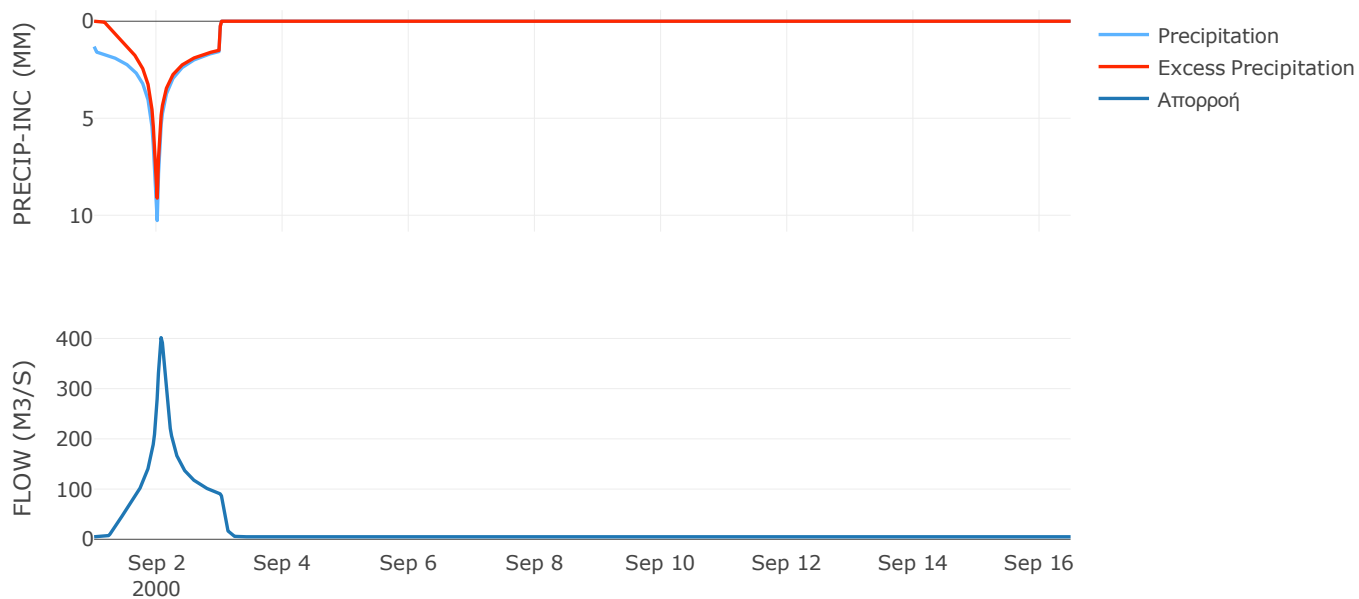
Μέθοδος
Μετασχηματισμού: SCS

Χρόνος Υστέρησης	81.6
------------------	------

Αποτελέσματα:
EL0415FR6063

Παροχή αιχμής (M3/S)	401.68
Χρονική στιγμή αιχμής	02Sep2000, 01:30
Όγκος (MM)	270.13
Όγκος βροχόπτωσης (M3)	2.65E7
Όγκος απωλειών (M3)	6.3E6
Ενεργός Όγκος (M3)	2.02E7
Όγκος άμεσης απορροής (M3)	2.02E7
Όγκος βασικής απορροής (M3)	6.66E6

Βροχόπτωση και Απορροή



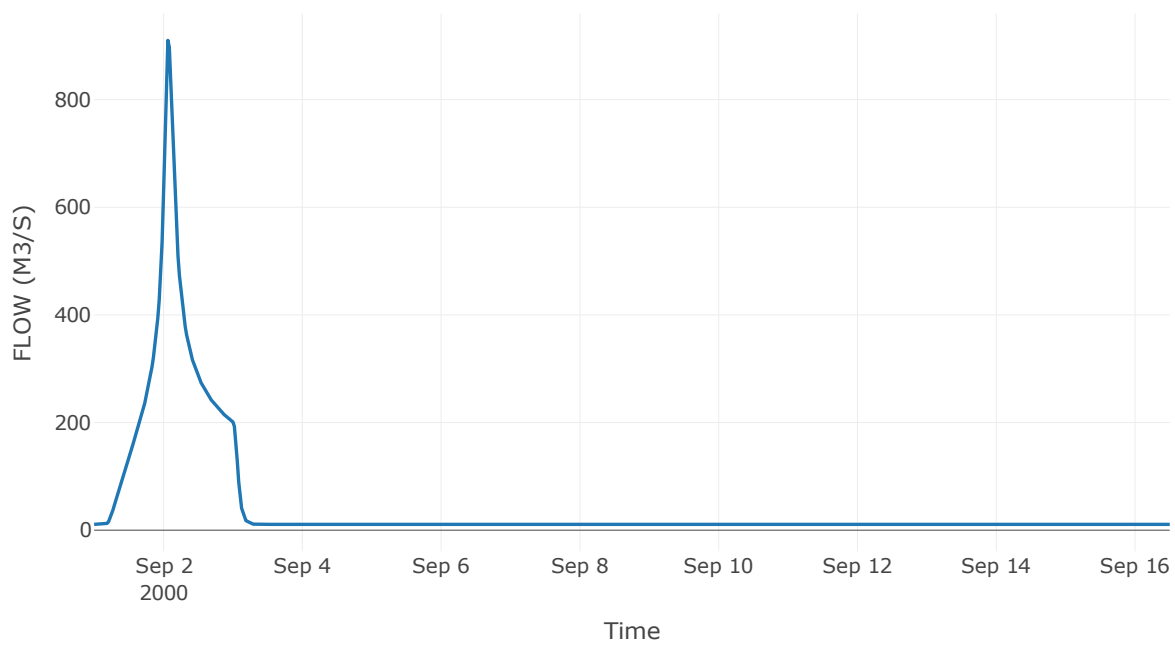
Κόμβος: J48

Κατάντη : R4847

Αποτελέσματα: J48

Παροχή Αιχμής (M3/S)	910.08
Χρονική στιγμή αιχμής	02Sep2000, 01:30
Όγκος(MM)	280.7

Απορροή



Κλάδος: R4847

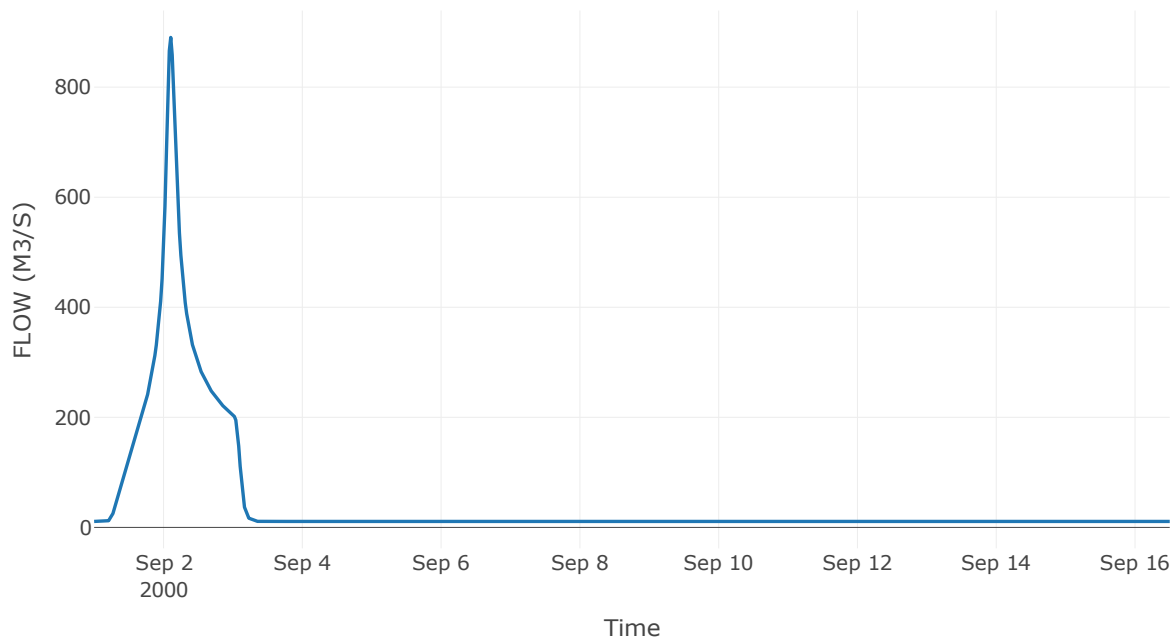
Κατάντη : J47

Μέθοδος Διόδευσης	Muskingum
Αρχική Μεταβλητή	Combined Inflow
Muskingum K	0.76
Συντελεστής βάρους α	0.2
Muskingum Steps	2

Αποτελέσματα: R4847

Παροχή Αιχμής (M3/S)	890.37
Χρονική στιγμή αιχμής	02Sep2000, 02:30
Όγκος(MM)	280.7
Παροχή Αιχμής Εισόδου (M3/S)	910.08
Όγκος Εισροής(M3)	6.07E7

Απορροή



Υπολεκάνη: EL0415FR6064

Έκταση (KM2) : 51.48

Κατάντη : J47

Μέθοδος Απωλειών: SCS

Ποσοστό αδιαπέρατης επιφάνειας	0
Αριθμός Καμπύλης Απορροής-CN	78.23
Αρχικές Απώλειες	14.13

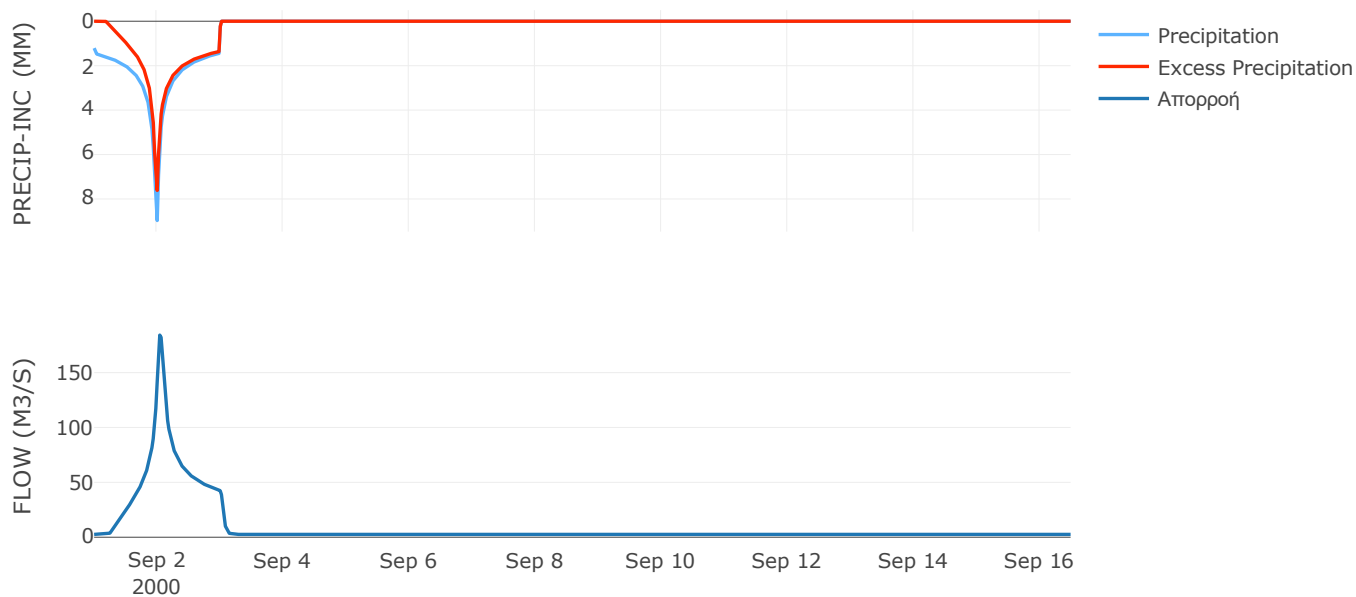
Μέθοδος
Μετασχηματισμού: SCS

Χρόνος Υστέρησης	58.01
------------------	-------

Αποτελέσματα:
EL0415FR6064

Παροχή αιχμής (M3/S)	184.19
Χρονική στιγμή αιχμής	02Sep2000, 01:00
Όγκος (MM)	240.9
Όγκος βροχόπτωσης (M3)	1.25E7
Όγκος απωλειών (M3)	3.5E6
Ενεργός Όγκος (M3)	8.95E6
Όγκος άμεσης απορροής (M3)	8.95E6
Όγκος βασικής απορροής (M3)	3.45E6

Βροχόπτωση και Απορροή



Υπολεκάνη: EL0415FR6065

Έκταση (KM2) : 12.04

Κατάντη : J47

Μέθοδος Απωλειών: SCS

Ποσοστό αδιαπέρατης επιφάνειας	0
Αριθμός Καμπύλης Απορροής-CN	79.86
Αρχικές Απώλειες	12.81

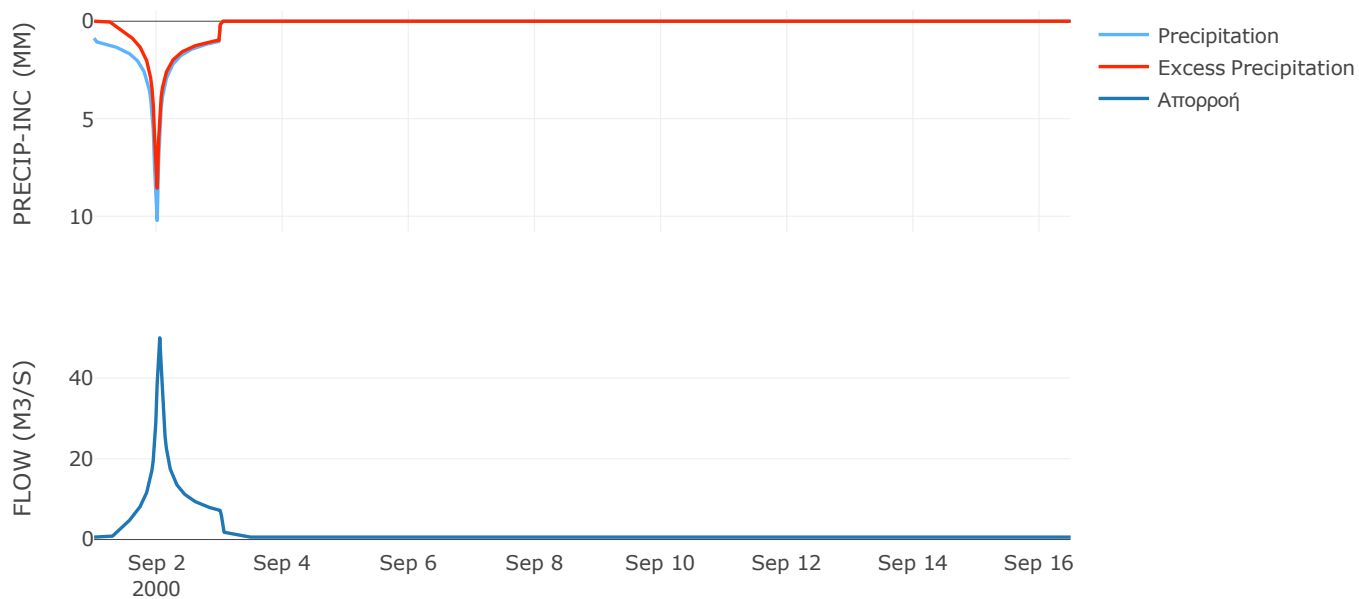
Μέθοδος
Μετασχηματισμού: SCS

Χρόνος Υστέρησης	40.1
------------------	------

Αποτελέσματα:
EL0415FR6065

Παροχή αιχμής (M3/S)	49.94
Χρονική στιγμή αιχμής	02Sep2000, 01:00
Όγκος (MM)	211.1
Όγκος βροχόπτωσης (M3)	2.47E6
Όγκος απωλειών (M3)	7.32E5
Ενεργός Όγκος (M3)	1.73E6
Όγκος άμεσης απορροής (M3)	1.73E6
Όγκος βασικής απορροής (M3)	8.06E5

Βροχόπτωση και Απορροή



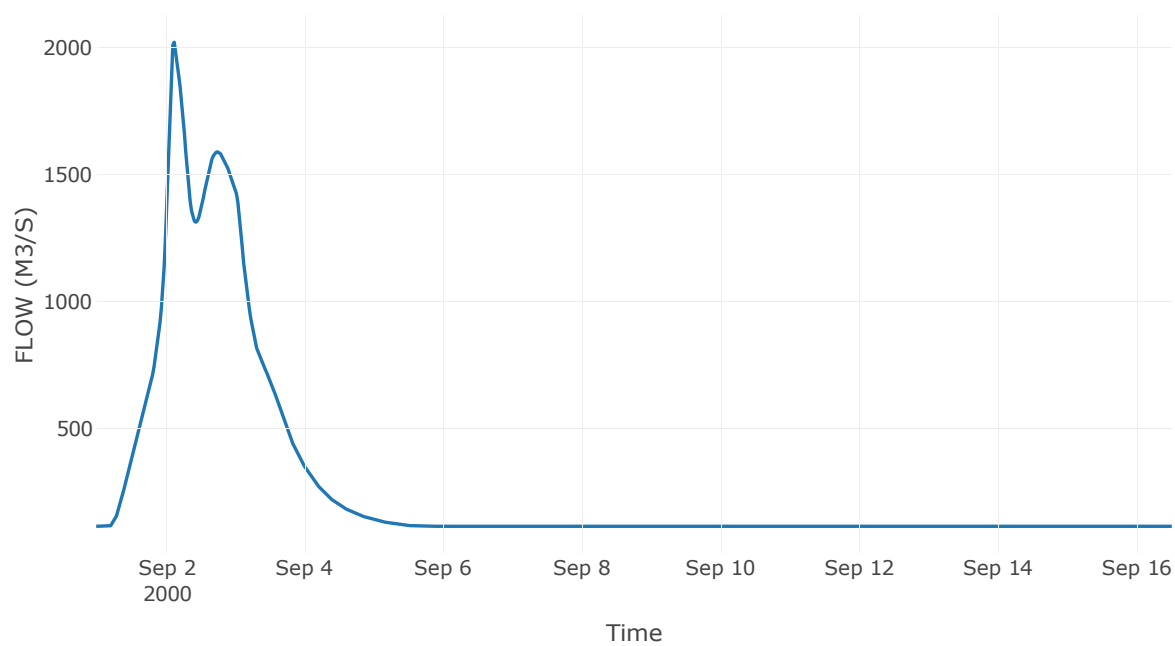
Κόμβος: J47

Κατάντη : R4746

Αποτελέσματα: J47

Παροχή Αιχμής (M3/S)	2020.07
Χρονική στιγμή αιχμής	02Sep2000, 03:00
Όγκος(MM)	320.38

Απορροή



Κλάδος: R4746

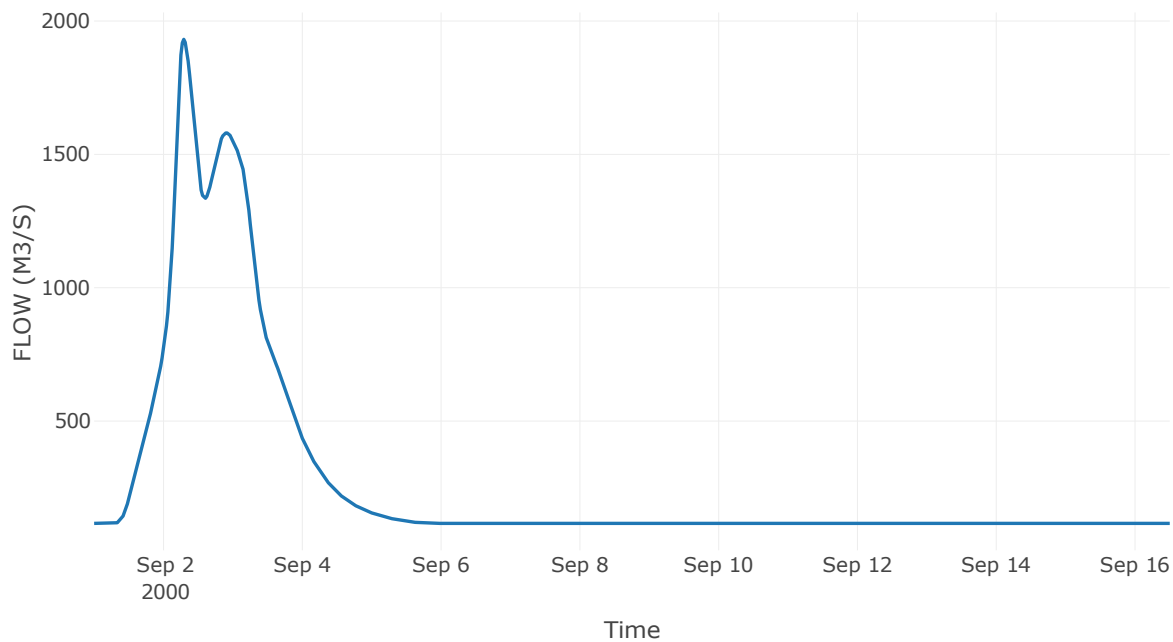
Κατάντη : J46

Μέθοδος Διόδευσης	Muskingum
Αρχική Μεταβλητή	Combined Inflow
Muskingum K	3.71
Συντελεστής βάρους α	0.2
Muskingum Steps	7

Αποτελέσματα: R4746

Παροχή Αιχμής (M3/S)	1931.3
Χρονική στιγμή αιχμής	02Sep2000, 07:00
Όγκος(MM)	320.38
Παροχή Αιχμής Εισόδου (M3/S)	2020.07
Όγκος Εισροής(M3)	3.71E8

Απορροή



Υπολεκάνη: EL0415FR6084

Έκταση (KM2) : 167.7

Κατάντη : J46

Μέθοδος Απωλειών: SCS

Ποσοστό αδιαπέρατης επιφάνειας	0
Αριθμός Καμπύλης Απορροής-CN	87.73
Αρχικές Απώλειες	7.11

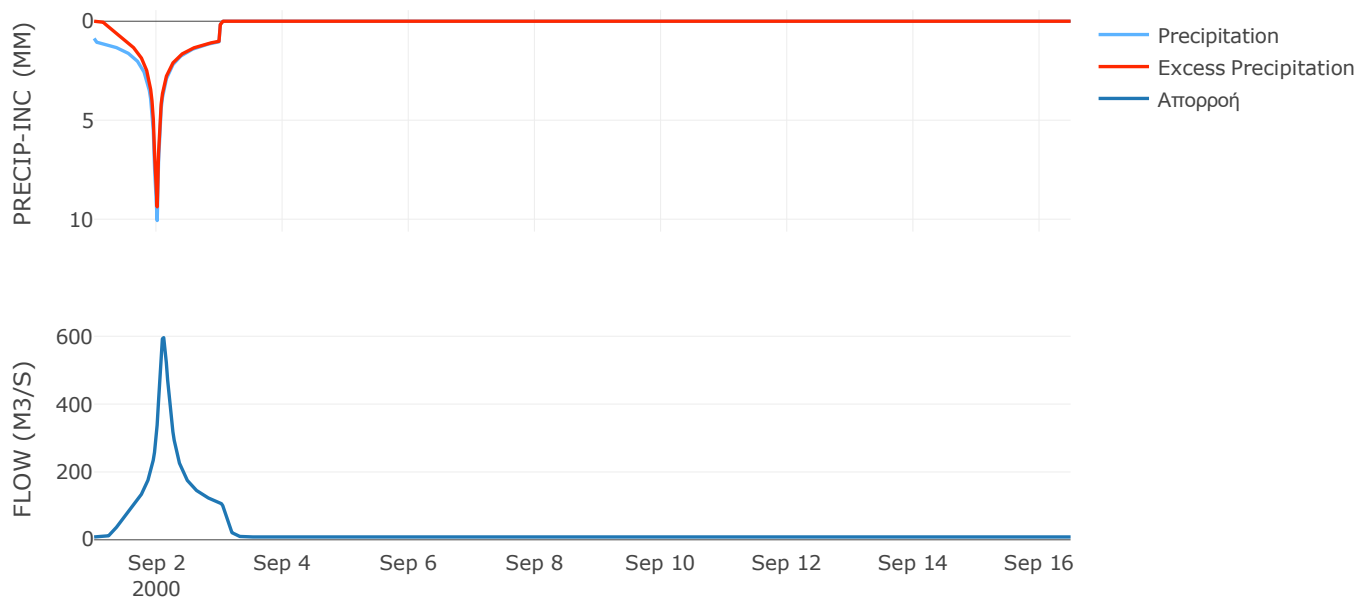
Μέθοδος
Μετασχηματισμού: SCS

Χρόνος Υστέρησης	125.36
------------------	--------

Αποτελέσματα:
EL0415FR6084

Παροχή αιχμής (M3/S)	595.88
Χρονική στιγμή αιχμής	02Sep2000, 02:30
Όγκος (MM)	233.62
Όγκος βροχόπτωσης (M3)	3.42E7
Όγκος απωλειών (M3)	6.24E6
Ενεργός Όγκος (M3)	2.79E7
Όγκος άμεσης απορροής (M3)	2.79E7
Όγκος βασικής απορροής (M3)	1.12E7

Βροχόπτωση και Απορροή



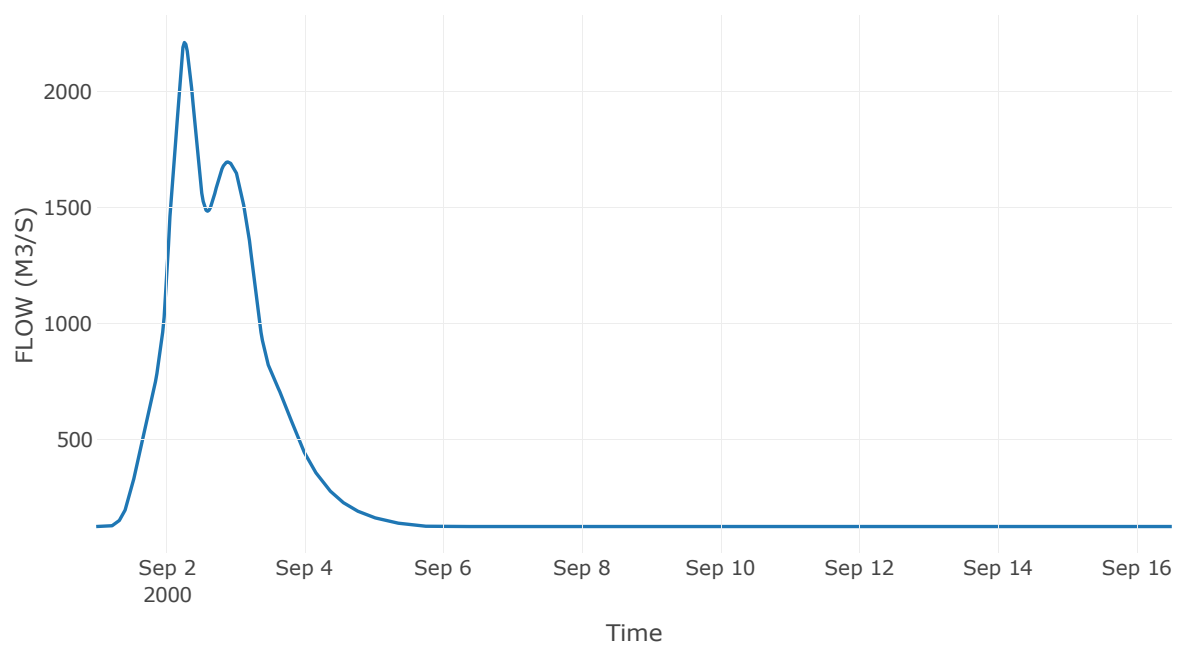
Κόμβος: J46

Κατάντη : R4645

Αποτελέσματα: J46

Παροχή Αιχμής (M3/S)	2211.35
Χρονική στιγμή αιχμής	02Sep2000, 06:30
Όγκος(MM)	309.41

Απορροή



Κλάδος: R4645

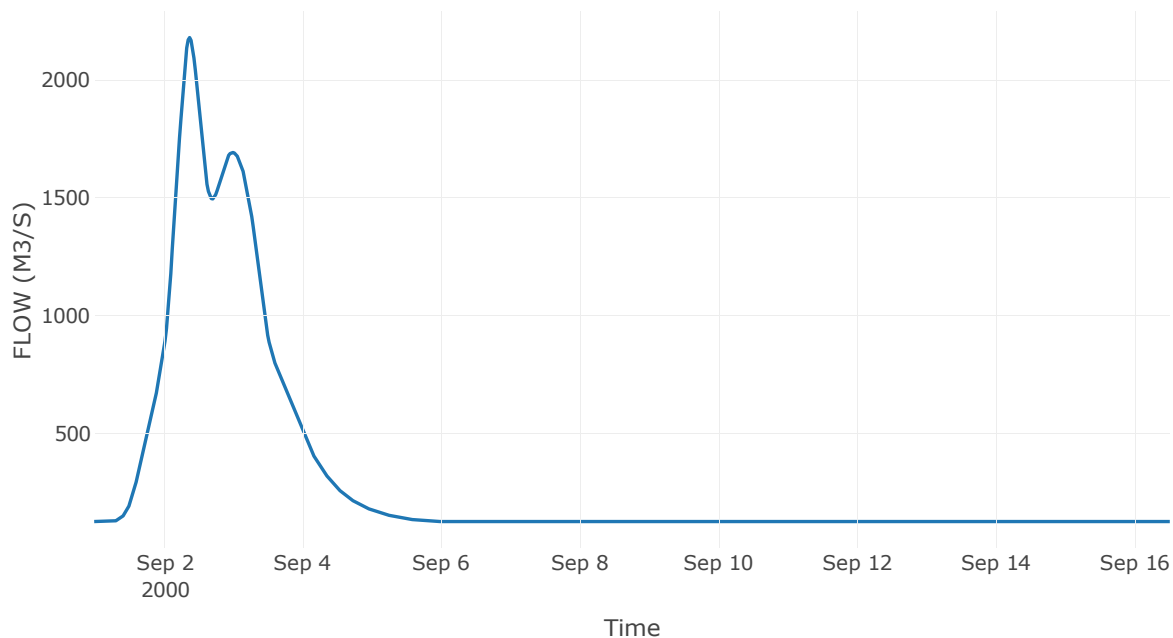
Κατάντη : J45

Μέθοδος Διόδευσης	Muskingum
Αρχική Μεταβλητή	Combined Inflow
Muskingum K	2.27
Συντελεστής βάρους α	0.2
Muskingum Steps	5

Αποτελέσματα: R4645

Παροχή Αιχμής (M3/S)	2180.43
Χρονική στιγμή αιχμής	02Sep2000, 09:00
Όγκος(MM)	309.41
Παροχή Αιχμής Εισόδου (M3/S)	2211.35
Όγκος Εισροής(M3)	4.1E8

Απορροή



Υπολεκάνη: EL0415FR6068

Έκταση (KM2) : 101.27

Κατάντη : J45

Μέθοδος Απωλειών: SCS

Ποσοστό αδιαπέρατης επιφάνειας	0
Αριθμός Καμπύλης Απορροής-CN	88.93
Αρχικές Απώλειες	6.32

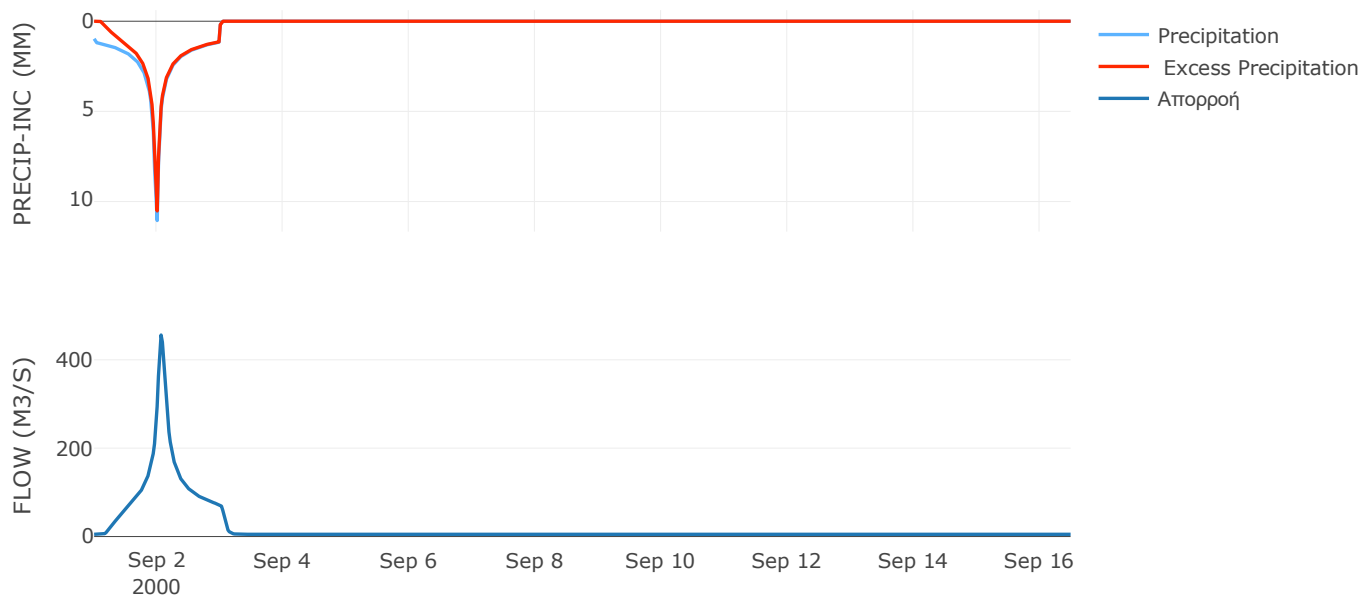
Μέθοδος
Μετασχηματισμού: SCS

Χρόνος Υστέρησης	83.52
------------------	-------

Αποτελέσματα:
EL0415FR6068

Παροχή αιχμής (M3/S)	456.08
Χρονική στιγμή αιχμής	02Sep2000, 01:30
Όγκος (MM)	259.54
Όγκος βροχόπτωσης (M3)	2.29E7
Όγκος απωλειών (M3)	3.44E6
Ενεργός Όγκος (M3)	1.95E7
Όγκος άμεσης απορροής (M3)	1.95E7
Όγκος βασικής απορροής (M3)	6.78E6

Βροχόπτωση και Απορροή



Υπολεκάνη: EL0415FR6036

Έκταση (KM2) : 47.25

Κατάντη : J45

Μέθοδος Απωλειών: SCS

Ποσοστό αδιαπέρατης επιφάνειας	0
Αριθμός Καμπύλης Απορροής-CN	81.7
Αρχικές Απώλειες	11.38

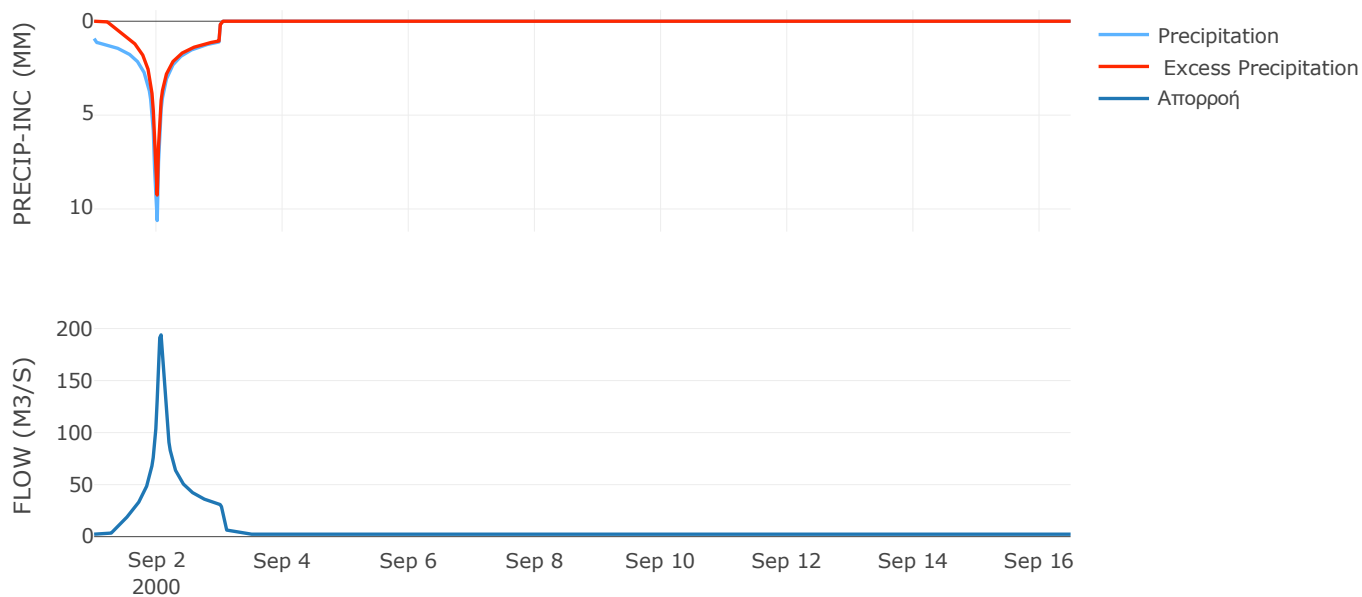
Μέθοδος
Μετασχηματισμού: SCS

Χρόνος Υστέρησης	66.9
------------------	------

Αποτελέσματα:
EL0415FR6036

Παροχή αιχμής (M3/S)	193.88
Χρονική στιγμή αιχμής	02Sep2000, 01:30
Όγκος (MM)	227.23
Όγκος βροχόπτωσης (M3)	1.02E7
Όγκος απωλειών (M3)	2.64E6
Ενεργός Όγκος (M3)	7.57E6
Όγκος άμεσης απορροής (M3)	7.57E6
Όγκος βασικής απορροής (M3)	3.16E6

Βροχόπτωση και Απορροή



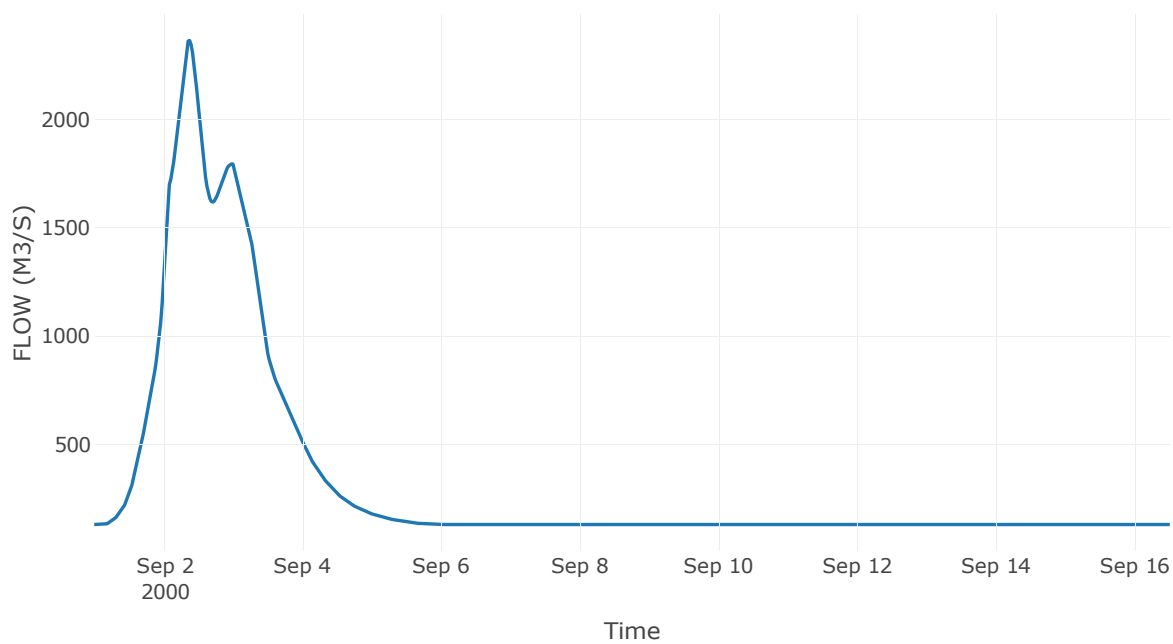
Κόμβος: J45

Κατάντη : R4523

Αποτελέσματα: J45

Παροχή Αιχμής (M3/S)	2365.2
Χρονική στιγμή αιχμής	02Sep2000, 09:00
Όγκος(MM)	303.35

Απορροή



Κλάδος: R4523

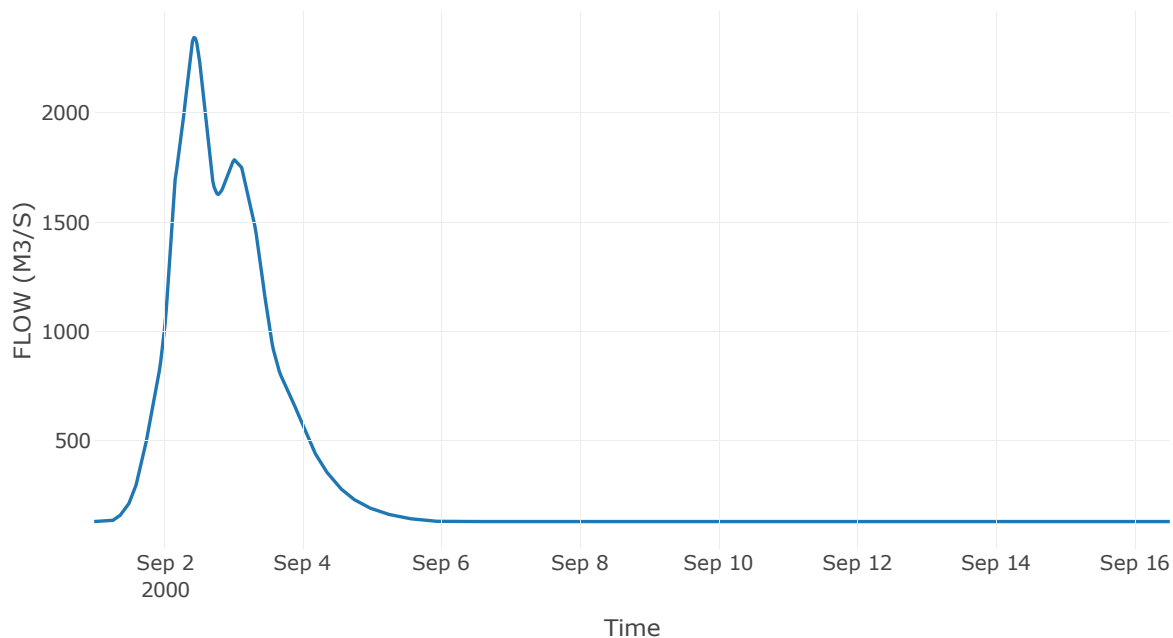
Κατάντη : J23

Μέθοδος Διόδευσης	Muskingum
Αρχική Μεταβλητή	Combined Inflow
Muskingum K	1.82
Συντελεστής βάρους x	0.2
Muskingum Steps	4

Αποτελέσματα: R4523

Παροχή Αιχμής (M3/S)	2344.7
Χρονική στιγμή αιχμής	02Sep2000, 10:30
Όγκος(MM)	303.35
Παροχή Αιχμής Εισόδου (M3/S)	2365.2
Όγκος Εισροής(M3)	4.47E8

Απορροή



Υπολεκάνη: EL0415FR6046

Έκταση (KM2) : 33.73

Κατάντη : J23

Μέθοδος Απωλειών: SCS

Ποσοστό αδιαπέρατης επιφάνειας	0
Αριθμός Καμπύλης Απορροής-CN	73.34
Αρχικές Απώλειες	18.46

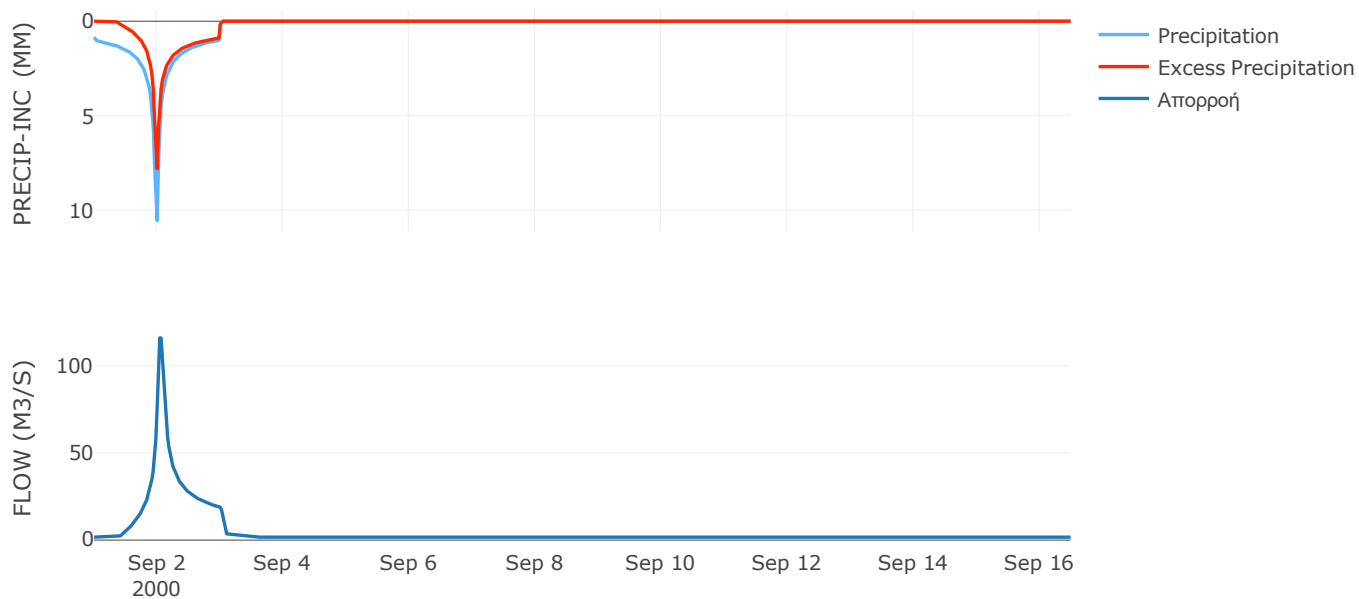
Μέθοδος
Μετασχηματισμού: SCS

Χρόνος Υστέρησης	61.39
------------------	-------

Αποτελέσματα:
EL0415FR6046

Παροχή αιχμής (M3/S)	116.03
Χρονική στιγμή αιχμής	02Sep2000, 01:00
Όγκος (MM)	190.39
Όγκος βροχόπτωσης (M3)	6.86E6
Όγκος απωλειών (M3)	2.7E6
Ενεργός Όγκος (M3)	4.16E6
Όγκος άμεσης απορροής (M3)	4.16E6
Όγκος βασικής απορροής (M3)	2.26E6

Βροχόπτωση και Απορροή



Υπολεκάνη: EL0415FR6039

Έκταση (KM2) : 6.93

Κατάντη : J23

Μέθοδος Απωλειών: SCS

Ποσοστό αδιαπέρατης επιφάνειας	0
Αριθμός Καμπύλης Απορροής-CN	89.46
Αρχικές Απώλειες	5.99

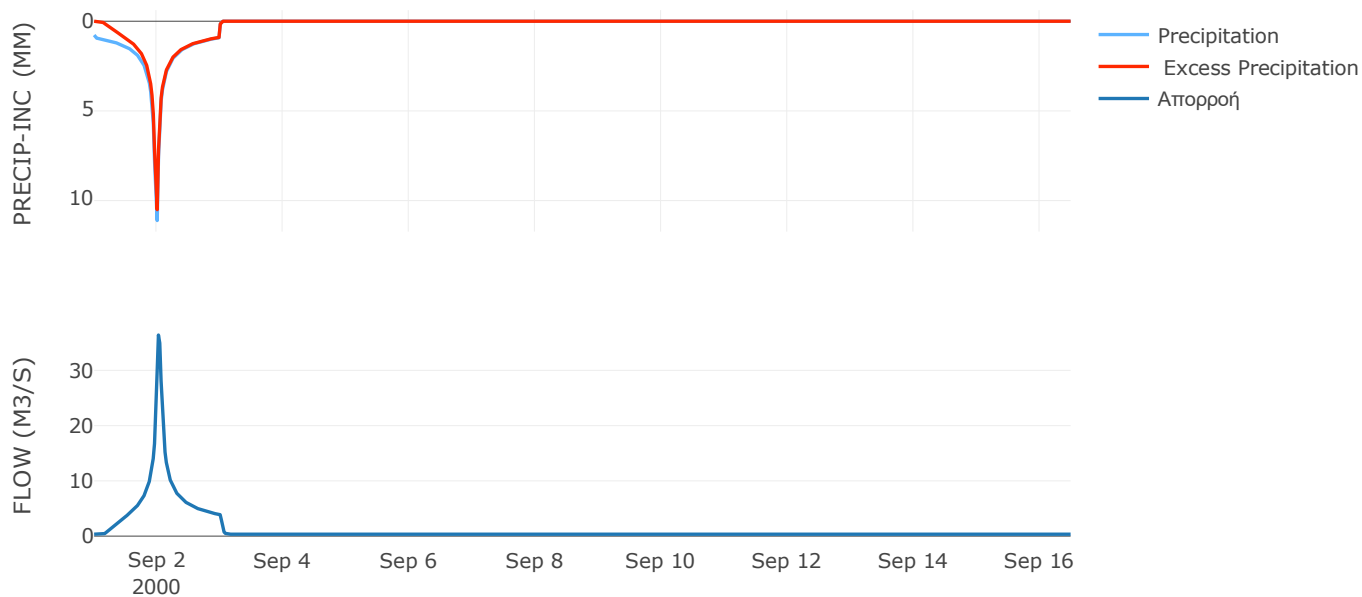
Μέθοδος
Μετασχηματισμού: SCS

Χρόνος Υστέρησης	32.83
------------------	-------

Αποτελέσματα:
EL0415FR6039

Παροχή αιχμής (M3/S)	36.4
Χρονική στιγμή αιχμής	02Sep2000, 00:30
Όγκος (MM)	232.1
Όγκος βροχόπτωσης (M3)	1.37E6
Όγκος απωλειών (M3)	2.21E5
Ενεργός Όγκος (M3)	1.14E6
Όγκος άμεσης απορροής (M3)	1.14E6
Όγκος βασικής απορροής (M3)	4.64E5

Βροχόπτωση και Απορροή



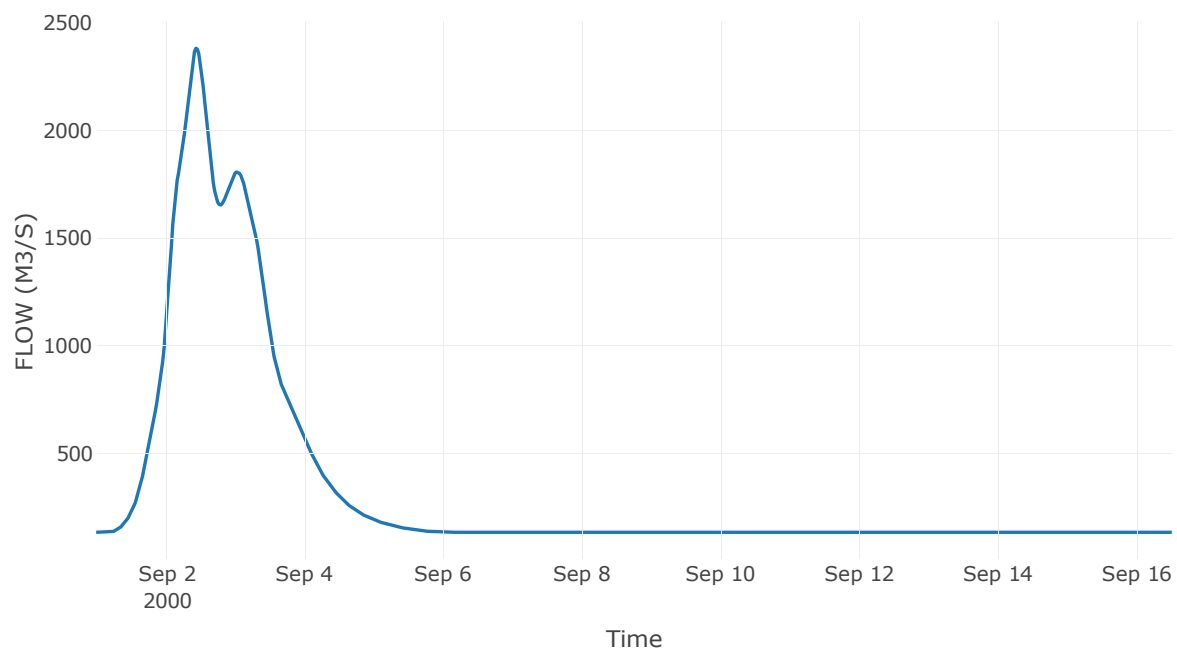
Κόμβος: J23

Κατάντη : R2324

Αποτελέσματα: J23

Παροχή Αιχμής (M3/S)	2380.59
Χρονική στιγμή αιχμής	02Sep2000, 10:30
Όγκος(MM)	300.51

Απορροή



Κλάδος: R2324

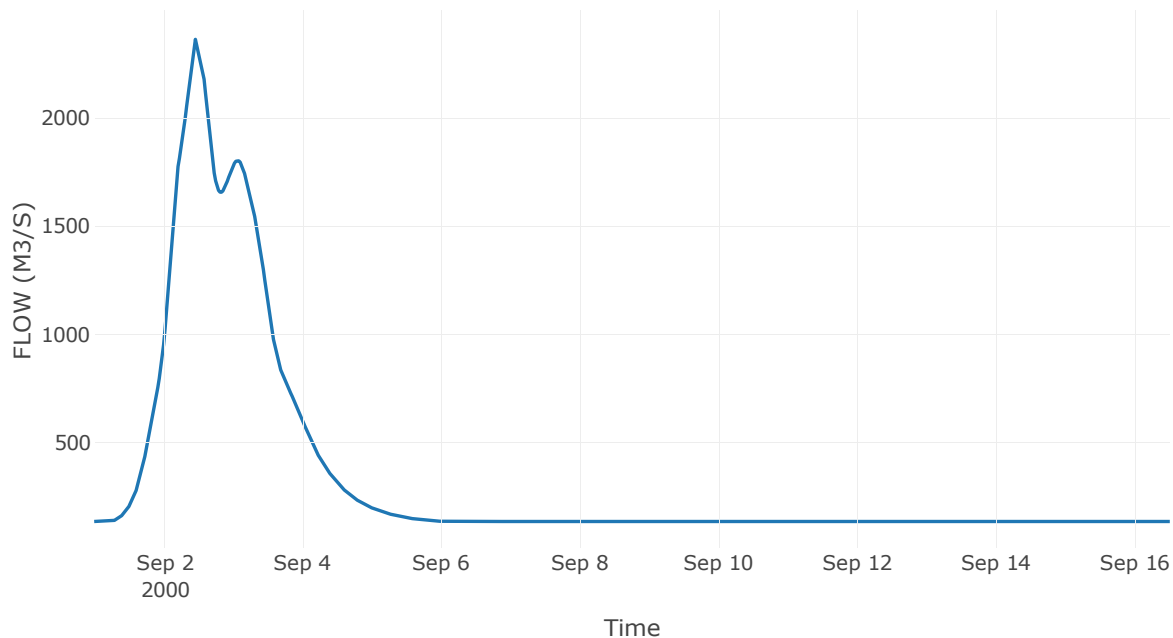
Κατάντη : J24

Μέθοδος Διόδευσης	Muskingum
Αρχική Μεταβλητή	Combined Inflow
Muskingum K	0.84
Συντελεστής βάρους x	0.2
Muskingum Steps	2

Αποτελέσματα: R2324

Παροχή Αιχμής (M3/S)	2373.03
Χρονική στιγμή αιχμής	02Sep2000, 11:30
Όγκος(MM)	300.51
Παροχή Αιχμής Εισόδου (M3/S)	2380.59
Όγκος Εισροής(M3)	4.55E8

Απορροή



Υπολεκάνη: EL0415FR6045

Έκταση (KM2) : 39.32

Κατάντη : J24

Μέθοδος Απωλειών: SCS

Ποσοστό αδιαπέρατης επιφάνειας	0
Αριθμός Καμπύλης Απορροής-CN	90.34
Αρχικές Απώλειες	5.43

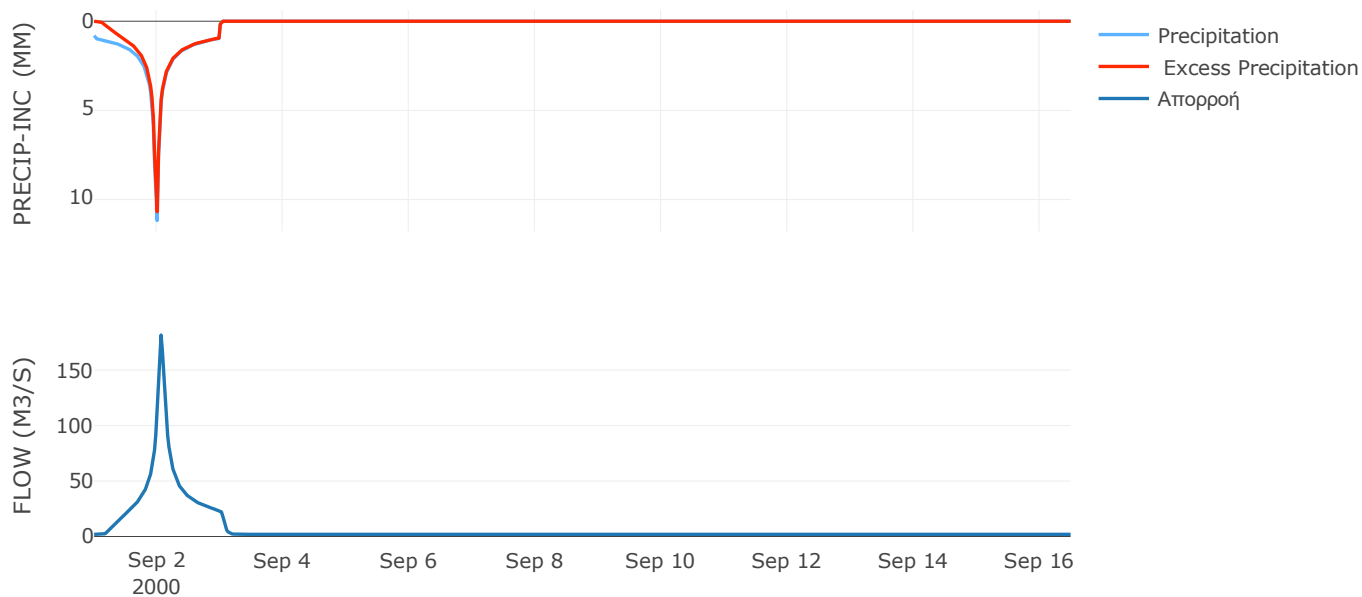
Μέθοδος
Μετασχηματισμού: SCS

Χρόνος Υστέρησης	74.46
------------------	-------

Αποτελέσματα:
EL0415FR6045

Παροχή αιχμής (M3/S)	181.67
Χρονική στιγμή αιχμής	02Sep2000, 01:30
Όγκος (MM)	240.09
Όγκος βροχόπτωσης (M3)	7.96E6
Όγκος απωλειών (M3)	1.15E6
Ενεργός Όγκος (M3)	6.81E6
Όγκος άμεσης απορροής (M3)	6.81E6
Όγκος βασικής απορροής (M3)	2.63E6

Βροχόπτωση και Απορροή



Υπολεκάνη: EL0415FR6092

Έκταση (KM2) : 11.03

Κατάντη : J24

Μέθοδος Απωλειών: SCS

Ποσοστό αδιαπέρατης επιφάνειας	5
Αριθμός Καμπύλης Απορροής-CN	83.6
Αρχικές Απώλειες	9.97

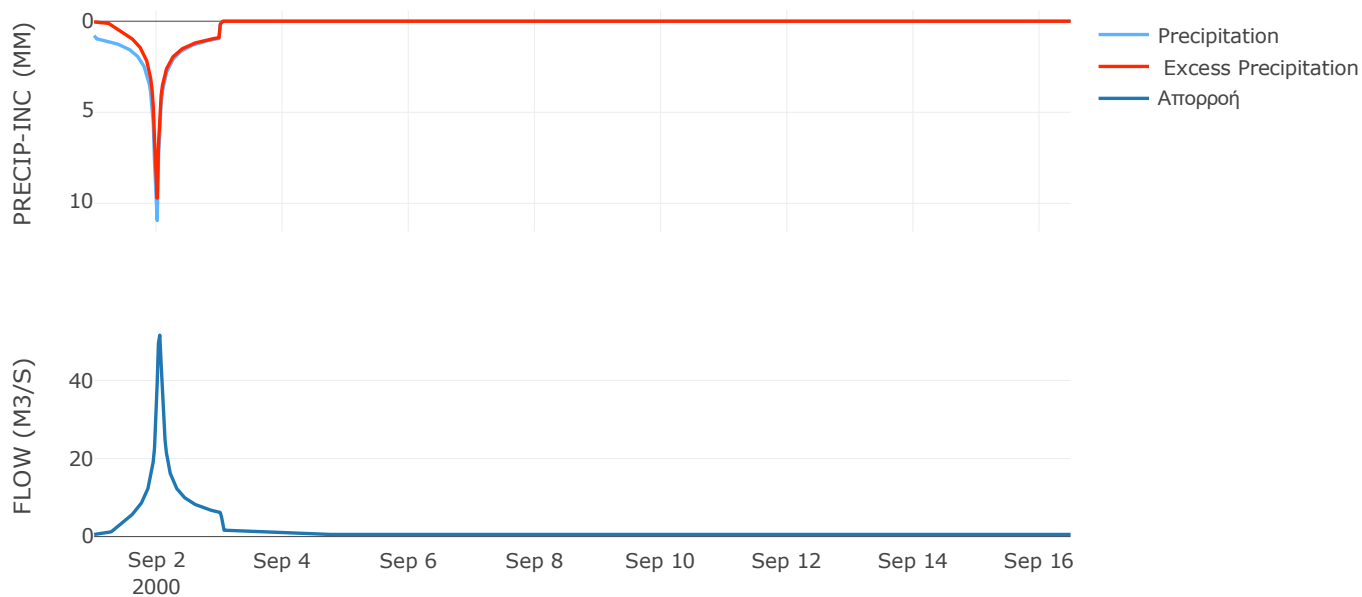
Μέθοδος
Μετασχηματισμού: SCS

Χρόνος Υστέρησης	41.17
------------------	-------

Αποτελέσματα:
EL0415FR6092

Παροχή αιχμής (M3/S)	51.62
Χρονική στιγμή αιχμής	02Sep2000, 01:00
Όγκος (MM)	218.59
Όγκος βροχόπτωσης (M3)	2.19E6
Όγκος απωλειών (M3)	5.17E5
Ενεργός Όγκος (M3)	1.67E6
Όγκος άμεσης απορροής (M3)	1.67E6
Όγκος βασικής απορροής (M3)	7.38E5

Βροχόπτωση και Απορροή



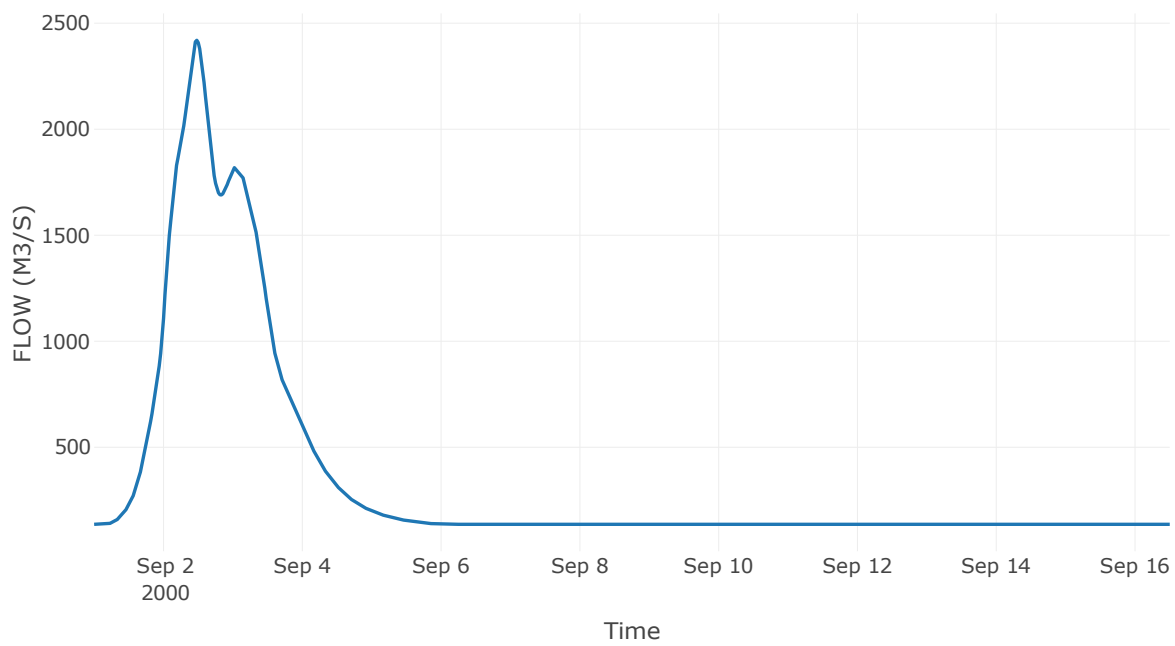
Κόμβος: J24

Κατάντη : R2425

Αποτελέσματα: J24

Παροχή Αιχμής (M3/S)	2419.39
Χρονική στιγμή αιχμής	02Sep2000, 11:30
Όγκος(MM)	298.41

Απορροή



Κλάδος: R2425

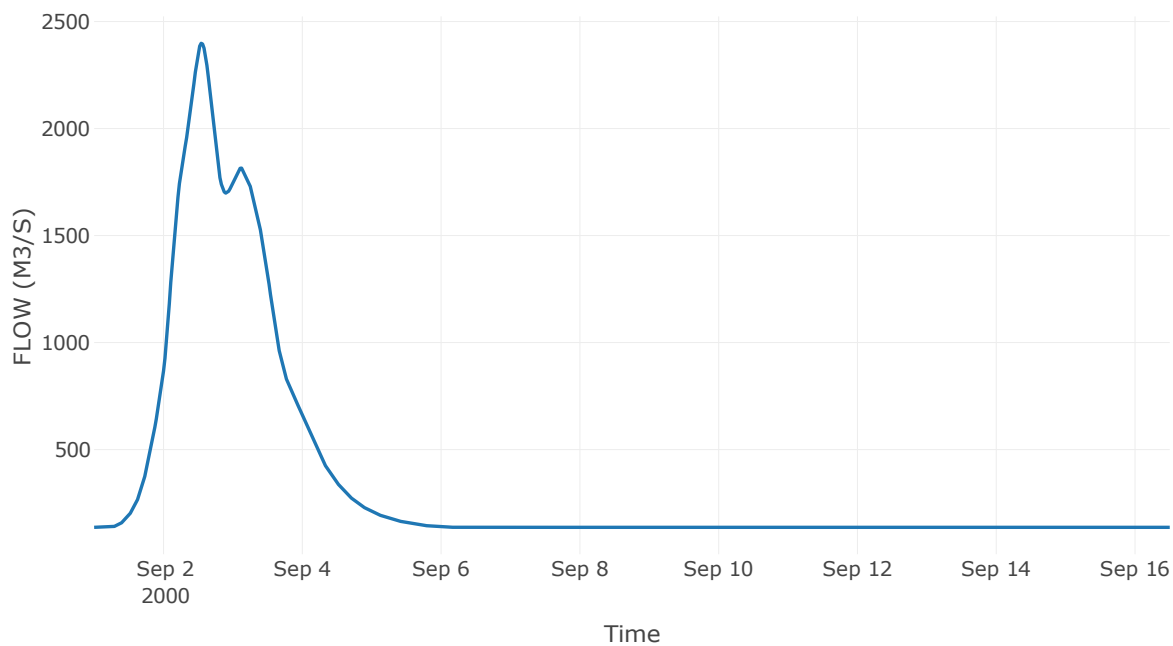
Κατάντη : J25

Μέθοδος Διόδευσης	Muskingum
Αρχική Μεταβλητή	Combined Inflow
Muskingum K	1.72
Συντελεστής βάρους x	0.2
Muskingum Steps	3

Αποτελέσματα: R2425

Παροχή Αιχμής (M3/S)	2398.21
Χρονική στιγμή αιχμής	02Sep2000, 13:00
Όγκος(MM)	298.41
Παροχή Αιχμής Εισόδου (M3/S)	2419.39
Όγκος Εισροής(M3)	4.67E8

Απορροή



Υπολεκάνη: EL0415FR6035

Έκταση (KM2) : 82.38

Κατάντη : J25

Μέθοδος Απωλειών: SCS

Ποσοστό αδιαπέρατης επιφάνειας	0
Αριθμός Καμπύλης Απορροής-CN	88.54
Αρχικές Απώλειες	6.57

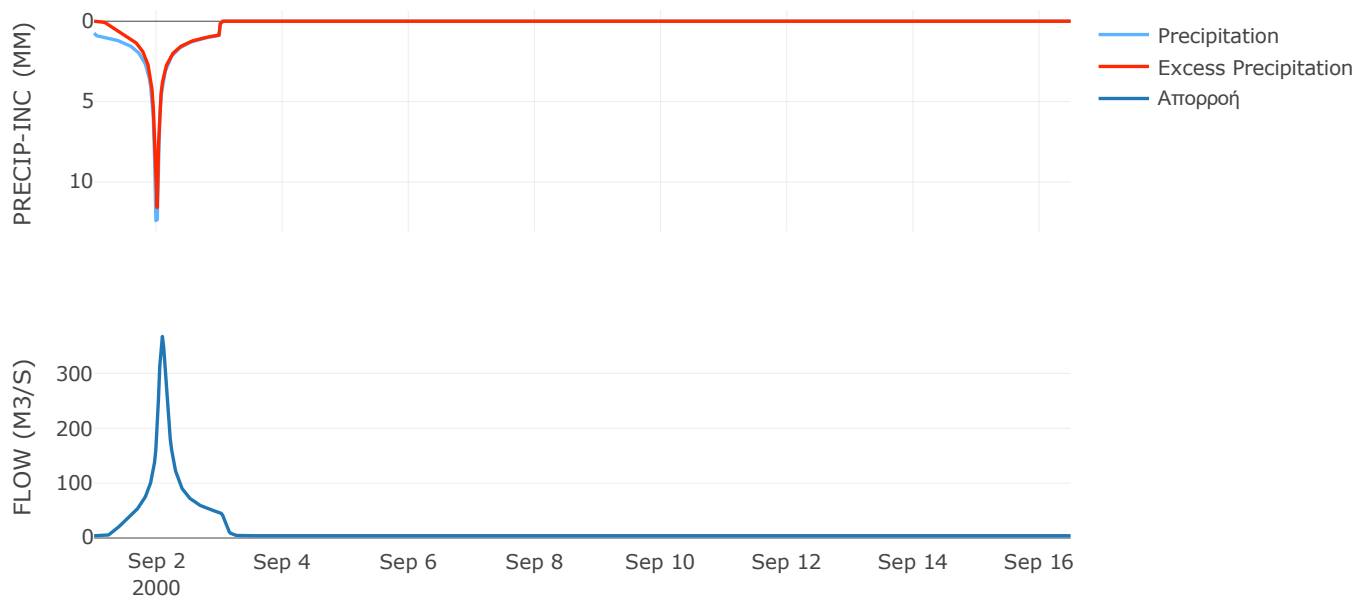
Μέθοδος
Μετασχηματισμού: SCS

Χρόνος Υστέρησης	104.23
------------------	--------

Αποτελέσματα:
EL0415FR6035

Παροχή αιχμής (M3/S)	367.3
Χρονική στιγμή αιχμής	02Sep2000, 02:00
Όγκος (MM)	232.96
Όγκος βροχόπτωσης (M3)	1.65E7
Όγκος απωλειών (M3)	2.86E6
Ενεργός Όγκος (M3)	1.37E7
Όγκος άμεσης απορροής (M3)	1.37E7
Όγκος βασικής απορροής (M3)	5.52E6

Βροχόπτωση και Απορροή



Υπολεκάνη: EL0415FR6093

Έκταση (KM2) : 14.35

Κατάντη : J25

Μέθοδος Απωλειών: SCS

Ποσοστό αδιαπέρατης επιφάνειας	6
Αριθμός Καμπύλης Απορροής-CN	71.47
Αρχικές Απώλειες	20.28

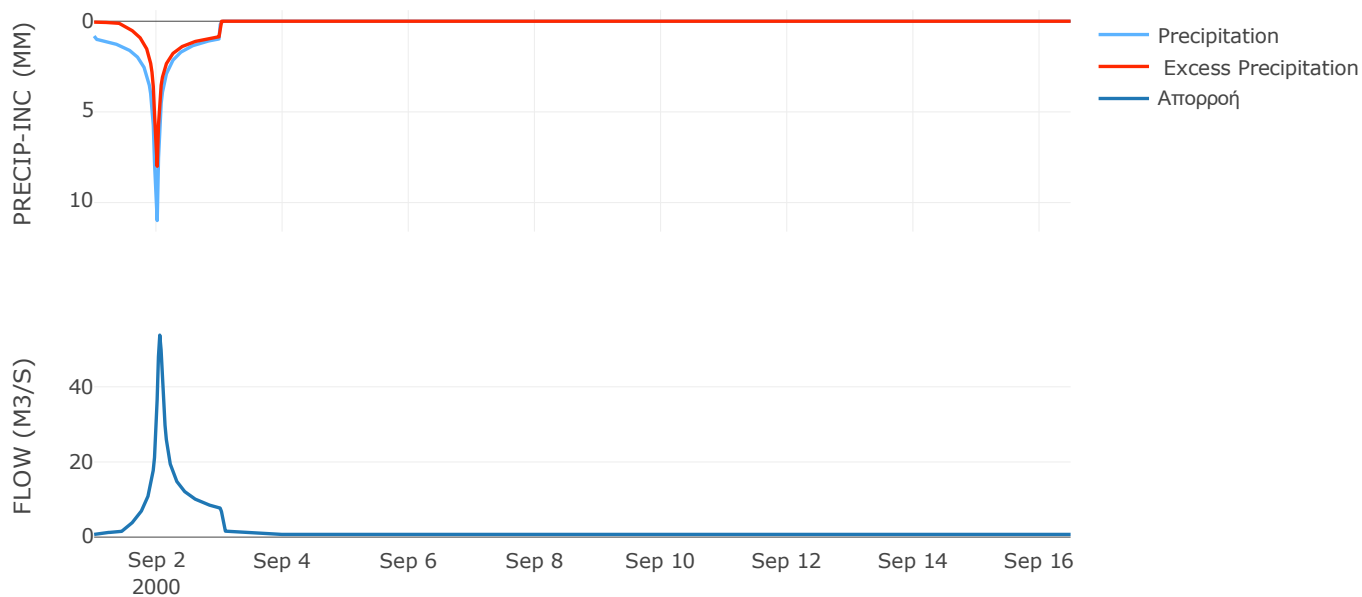
Μέθοδος
Μετασχηματισμού: SCS

Χρόνος Υστέρησης	48.88
------------------	-------

Αποτελέσματα:
EL0415FR6093

Παροχή αιχμής (M3/S)	53.76
Χρονική στιγμή αιχμής	02Sep2000, 01:00
Όγκος (MM)	189.82
Όγκος βροχόπτωσης (M3)	2.92E6
Όγκος απωλειών (M3)	1.15E6
Ενεργός Όγκος (M3)	1.76E6
Όγκος άμεσης απορροής (M3)	1.76E6
Όγκος βασικής απορροής (M3)	9.61E5

Βροχόπτωση και Απορροή



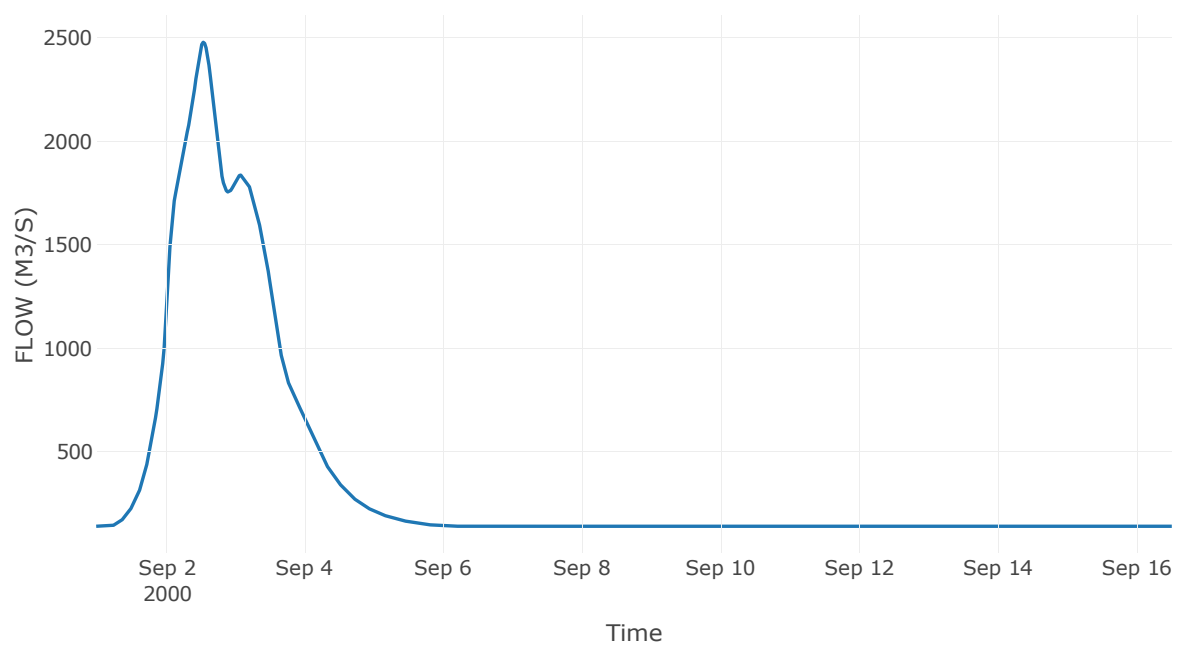
Κόμβος: J25

Κατάντη : R2522

Αποτελέσματα: J25

Παροχή Αιχμής (M3/S)	2478.98
Χρονική στιγμή αιχμής	02Sep2000, 13:00
Όγκος(MM)	294.23

Απορροή



Κλάδος: R2522

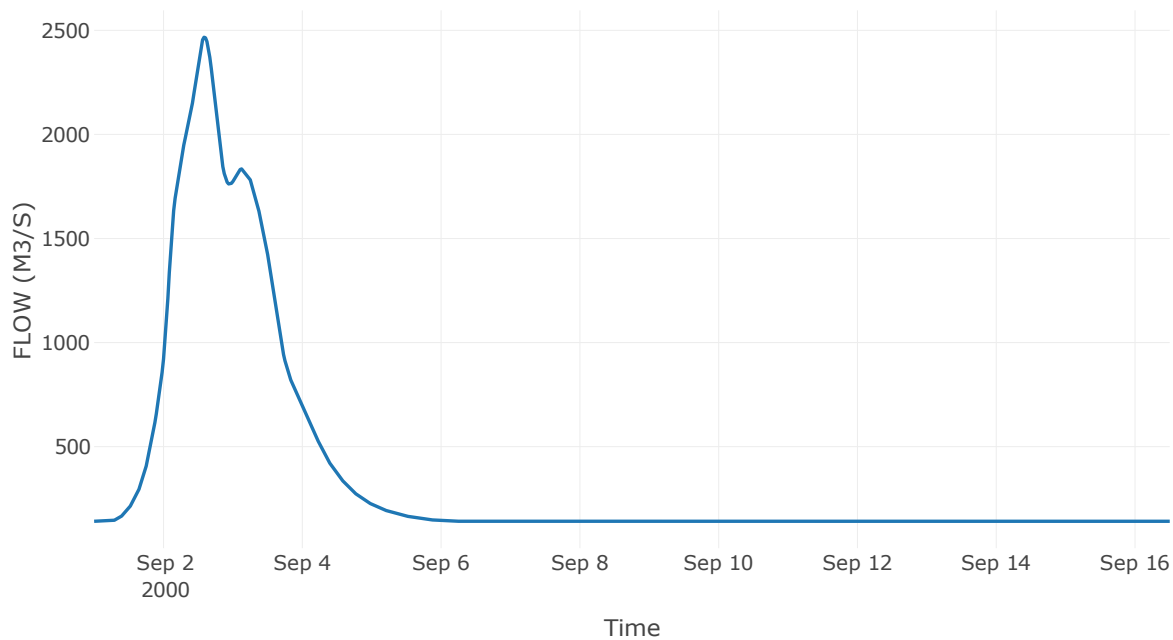
Κατάντη : J22

Μέθοδος Διόδευσης	Muskingum
Αρχική Μεταβλητή	Combined Inflow
Muskingum K	1.1
Συντελεστής βάρους α	0.2
Muskingum Steps	2

Αποτελέσματα: R2522

Παροχή Αιχμής (M3/S)	2466.93
Χρονική στιγμή αιχμής	02Sep2000, 14:00
Όγκος(MM)	294.23
Παροχή Αιχμής Εισόδου (M3/S)	2478.98
Όγκος Εισροής(M3)	4.89E8

Απορροή



Υπολεκάνη: EL0415FR6028

Έκταση (KM2) : 39.67

Κατάντη : J22

Μέθοδος Απωλειών: SCS

Ποσοστό αδιαπέρατης επιφάνειας	0
Αριθμός Καμπύλης Απορροής-CN	67.28
Αρχικές Απώλειες	24.7

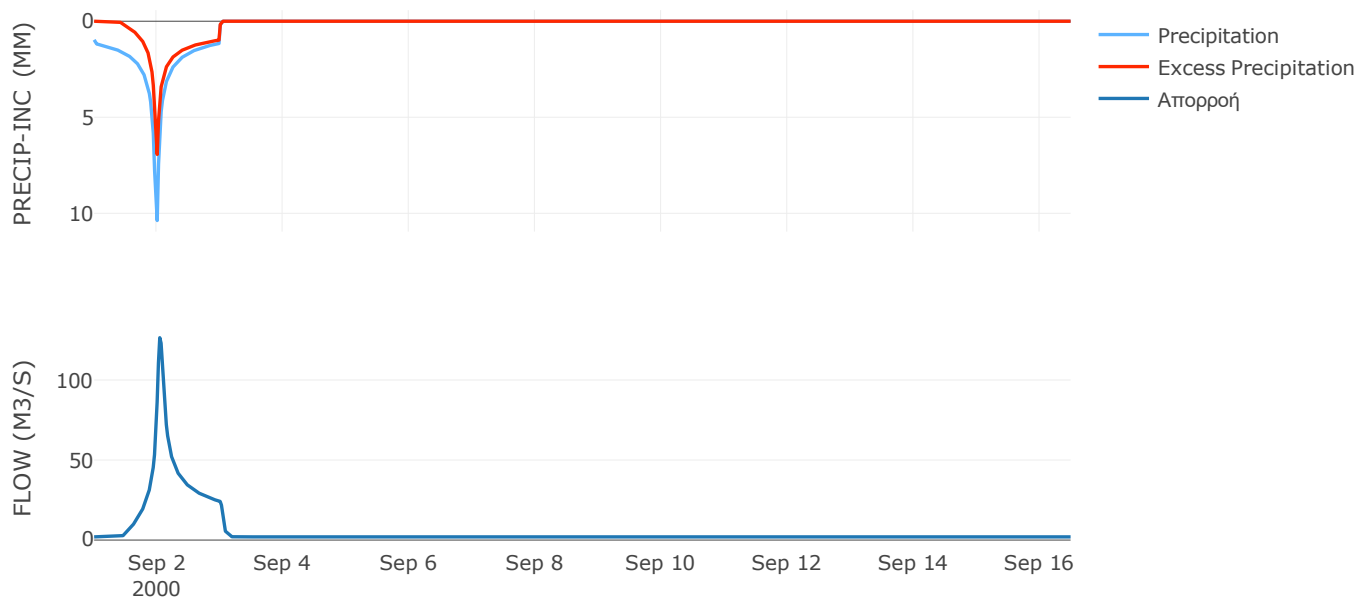
Μέθοδος
Μετασχηματισμού: SCS

Χρόνος Υστέρησης	54.17
------------------	-------

Αποτελέσματα:
EL0415FR6028

Παροχή αιχμής (M3/S)	126.42
Χρονική στιγμή αιχμής	02Sep2000, 01:00
Όγκος (MM)	187.25
Όγκος βροχόπτωσης (M3)	8.76E6
Όγκος απωλειών (M3)	3.99E6
Ενεργός Όγκος (M3)	4.77E6
Όγκος άμεσης απορροής (M3)	4.77E6
Όγκος βασικής απορροής (M3)	2.66E6

Βροχόπτωση και Απορροή



Υπολεκάνη: EL0415FR6094

Έκταση (KM2) : 17.58

Κατάντη : J22

Μέθοδος Απωλειών: SCS

Ποσοστό αδιαπέρατης επιφάνειας	8
Αριθμός Καμπύλης Απορροής-CN	70.65
Αρχικές Απώλειες	21.1

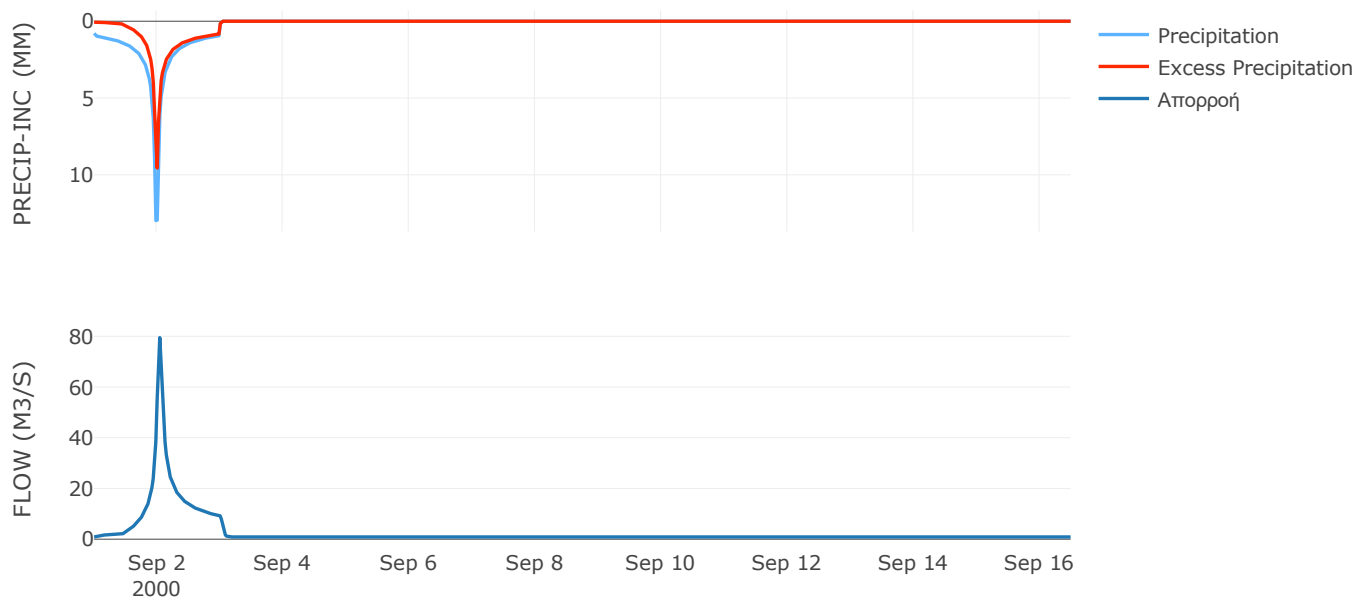
Μέθοδος
Μετασχηματισμού: SCS

Χρόνος Υστέρησης	42.95
------------------	-------

Αποτελέσματα:
EL0415FR6094

Παροχή αιχμής (M3/S)	79.47
Χρονική στιγμή αιχμής	02Sep2000, 01:00
Όγκος (MM)	197.77
Όγκος βροχόπτωσης (M3)	3.74E6
Όγκος απωλειών (M3)	1.44E6
Ενεργός Όγκος (M3)	2.3E6
Όγκος άμεσης απορροής (M3)	2.3E6
Όγκος βασικής απορροής (M3)	1.18E6

Βροχόπτωση και Απορροή



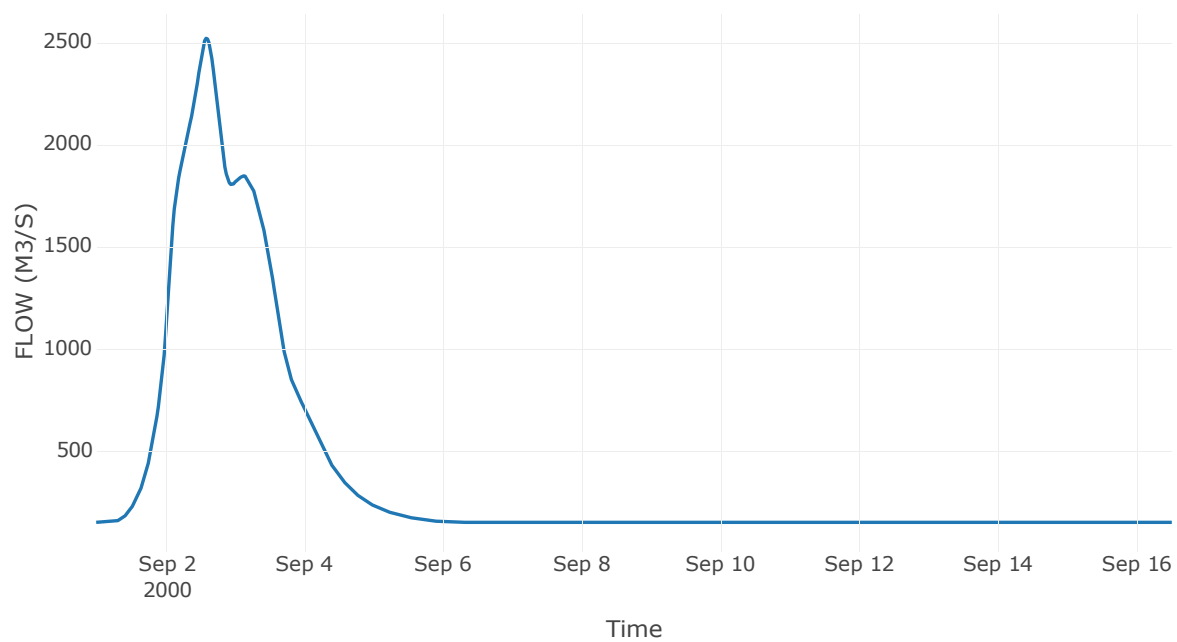
Κόμβος: J22

Κατάντη : R2231

Αποτελέσματα: J22

Παροχή Αιχμής (M3/S)	2510.71
Χρονική στιγμή αιχμής	02Sep2000, 14:00
Όγκος(MM)	290.78

Απορροή



Κλάδος: R2231

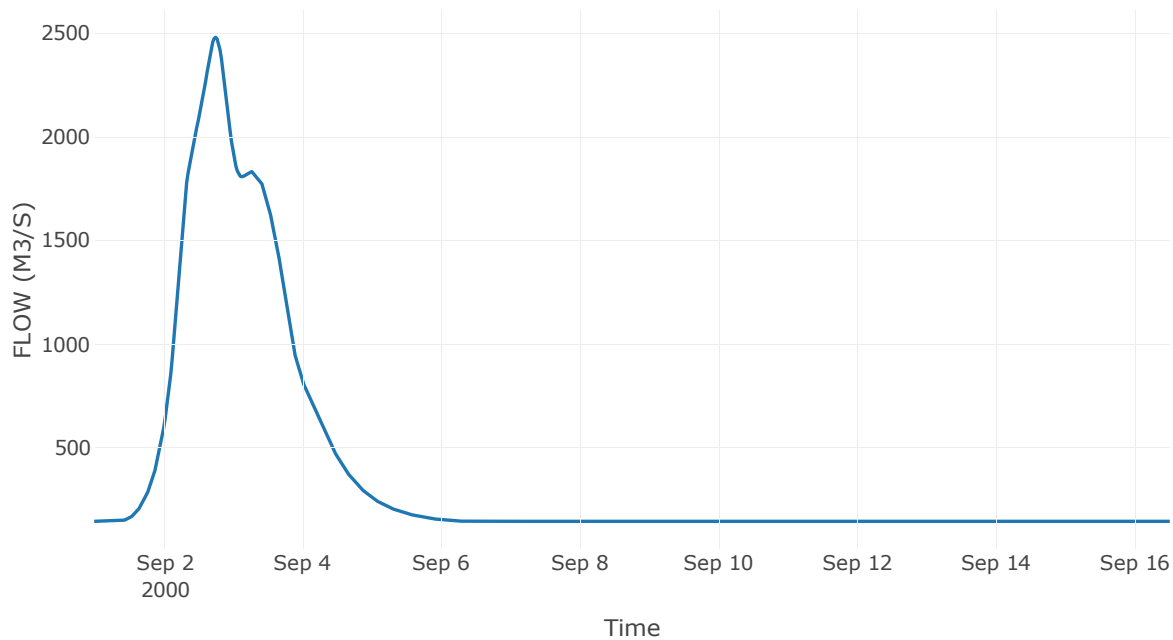
Κατάντη : J31

Μέθοδος Διόδευσης	Muskingum
Αρχική Μεταβλητή	Combined Inflow
Muskingum K	3.87
Συντελεστής βάρους x	0.2
Muskingum Steps	8

Αποτελέσματα: R2231

Παροχή Αιχμής (M3/S)	2480.14
Χρονική στιγμή αιχμής	02Sep2000, 18:00
Όγκος(MM)	290.78
Παροχή Αιχμής Εισόδου (M3/S)	2510.71
Όγκος Εισροής(M3)	5E8

Απορροή



Υπολεκάνη: EL0415FR6029

Έκταση (KM2) : 74.56

Κατάντη : J31

Μέθοδος Απωλειών: SCS

Ποσοστό αδιαπέρατης επιφάνειας	22
Αριθμός Καμπύλης Απορροής-CN	83.49
Αρχικές Απώλειες	10.04

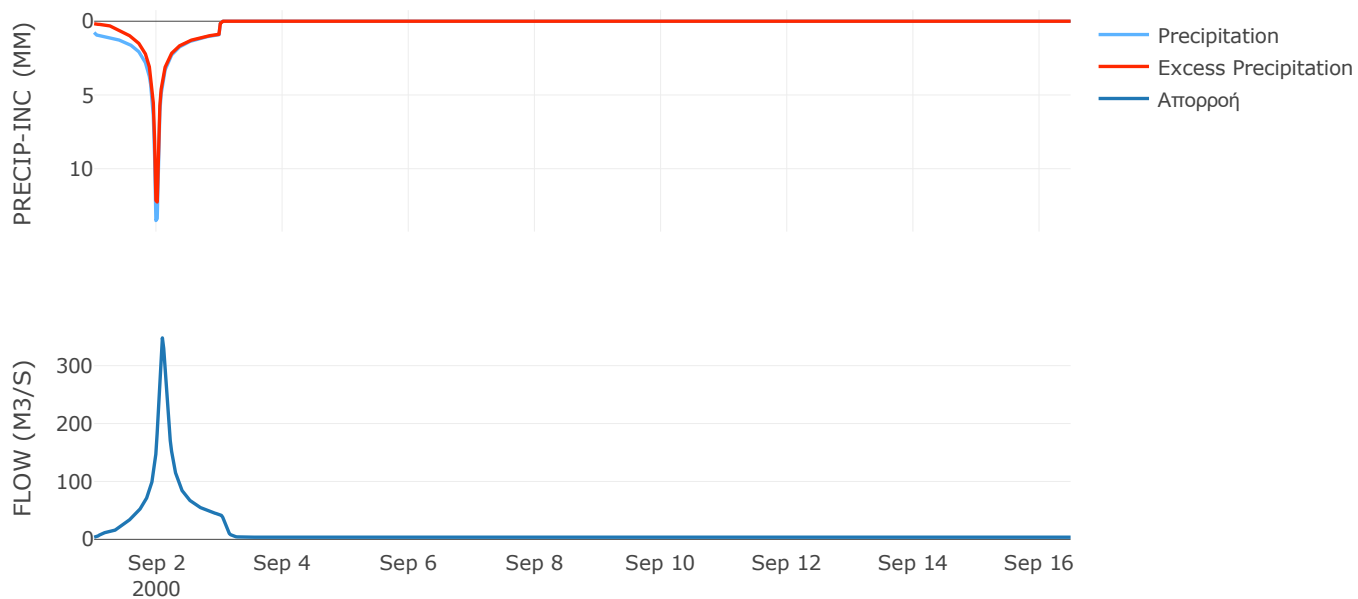
Μέθοδος
Μετασχηματισμού: SCS

Χρόνος Υστέρησης	104.8
------------------	-------

Αποτελέσματα:
EL0415FR6029

Παροχή αιχμής (M3/S)	347.92
Χρονική στιγμή αιχμής	02Sep2000, 02:00
Όγκος (MM)	239.46
Όγκος βροχόπτωσης (M3)	1.58E7
Όγκος απωλειών (M3)	2.92E6
Ενεργός Όγκος (M3)	1.29E7
Όγκος άμεσης απορροής (M3)	1.29E7
Όγκος βασικής απορροής (M3)	4.99E6

Βροχόπτωση και Απορροή



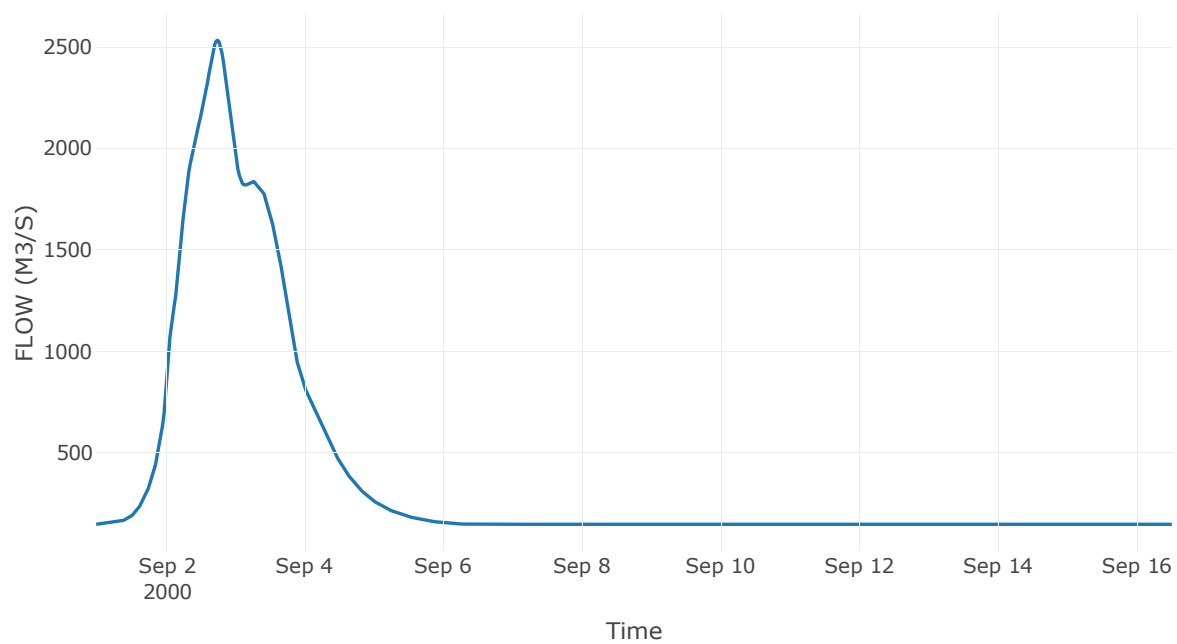
Κόμβος: J31

Κατάντη : R3127

Αποτελέσματα: J31

Παροχή Αιχμής (M3/S)	2531.82
Χρονική στιγμή αιχμής	02Sep2000, 18:00
Όγκος(MM)	288.65

Απορροή



Κλάδος: R3127

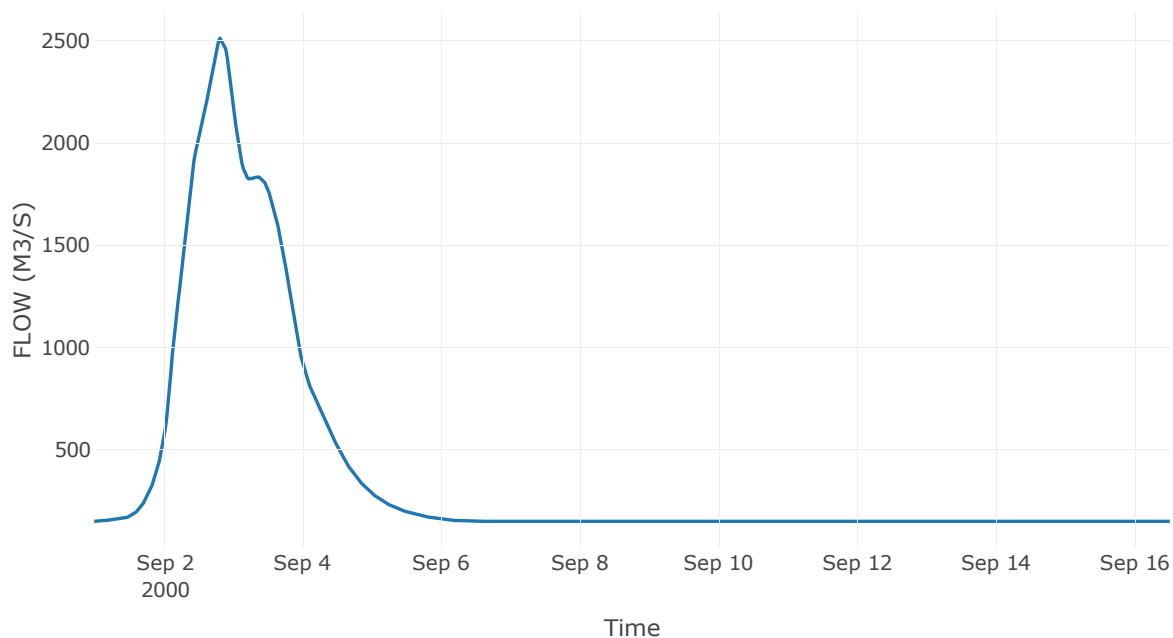
Κατάντη : J27

Μέθοδος Διόδευσης	Muskingum
Αρχική Μεταβλητή	Combined Inflow
Muskingum K	2.05
Συντελεστής βάρους α	0.2
Muskingum Steps	4

Αποτελέσματα: R3127

Παροχή Αιχμής (M3/S)	2516.73
Χρονική στιγμή αιχμής	02Sep2000, 20:00
Όγκος(MM)	288.65
Παροχή Αιχμής Εισόδου (M3/S)	2531.82
Όγκος Εισροής(M3)	5.18E8

Απορροή



Κλάδος: R4140

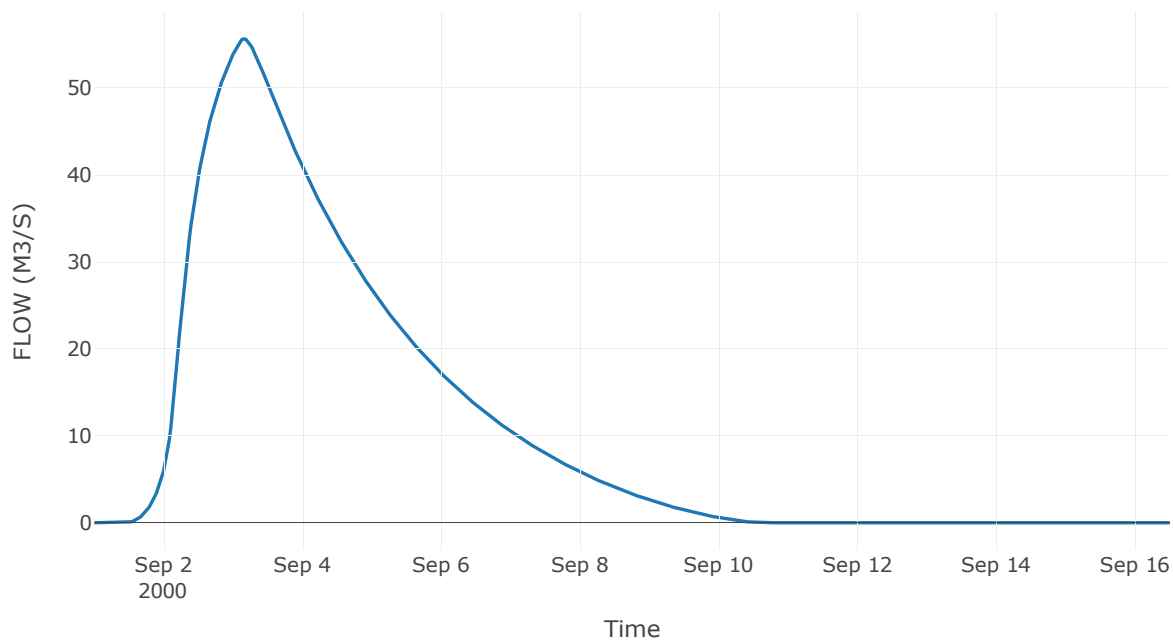
Κατάντη : J40

Μέθοδος Διόδευσης	Muskingum
Αρχική Μεταβλητή	Combined Inflow
Muskingum K	1.66
Συντελεστής βάρους x	0.2
Muskingum Steps	3

Αποτελέσματα: R4140

Παροχή Αιχμής (M3/S)	55.66
Χρονική στιγμή αιχμής	03Sep2000, 04:00
Peak Inflow (M3/S)	55.76
Όγκος Εισροής (M3)	1.46E7

Απορροή



Υπολεκάνη: EL0415FR6037

Έκταση (KM2) : 88.31

Κατάντη : J40

Μέθοδος Απωλειών: SCS

Ποσοστό αδιαπέρατης επιφάνειας	0
Αριθμός Καμπύλης Απορροής-CN	83.01
Αρχικές Απώλειες	10.39

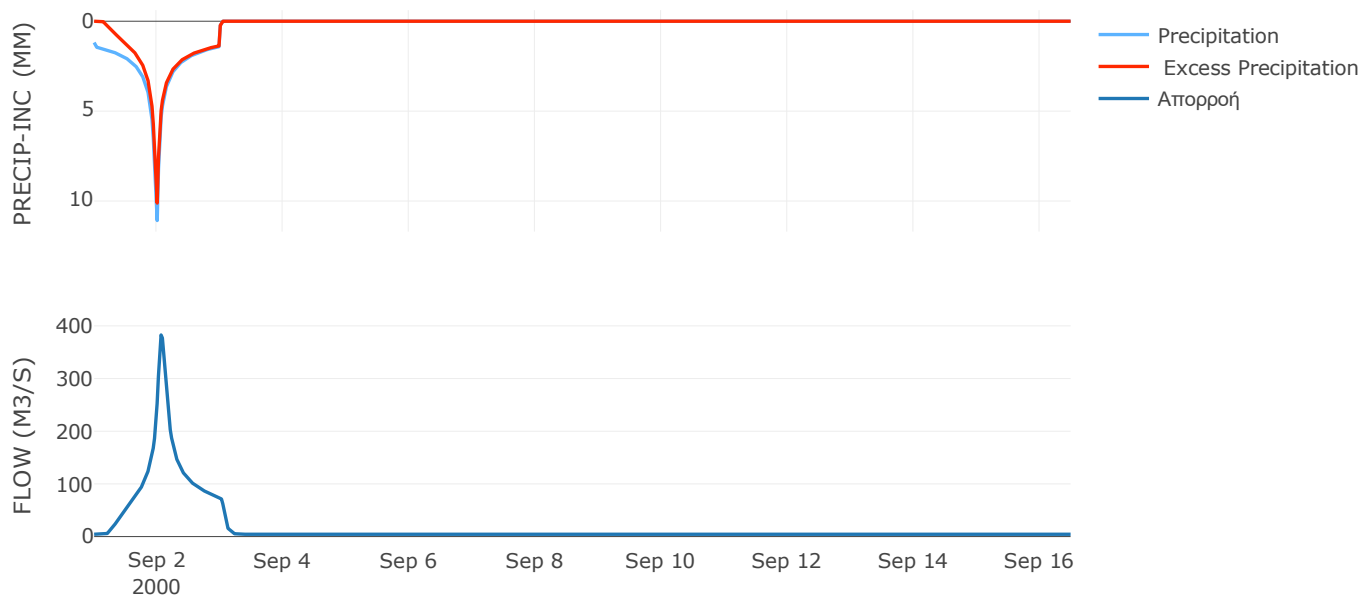
Μέθοδος
Μετασχηματισμού: SCS

Χρόνος Υστέρησης	87.27
------------------	-------

Αποτελέσματα:
EL0415FR6037

Παροχή αιχμής (M3/S)	382.72
Χρονική στιγμή αιχμής	02Sep2000, 01:30
Όγκος (MM)	270.59
Όγκος βροχόπτωσης (M3)	2.27E7
Όγκος απωλειών (M3)	4.71E6
Ενεργός Όγκος (M3)	1.8E7
Όγκος άμεσης απορροής (M3)	1.8E7
Όγκος βασικής απορροής (M3)	5.91E6

Βροχόπτωση και Απορροή



Υπολεκάνη: EL0415FR6071

Έκταση (KM2) : 75.64

Κατάντη : J40

Μέθοδος Απωλειών: SCS

Ποσοστό αδιαπέρατης επιφάνειας	0
Αριθμός Καμπύλης Απορροής-CN	90.35
Αρχικές Απώλειες	5.43

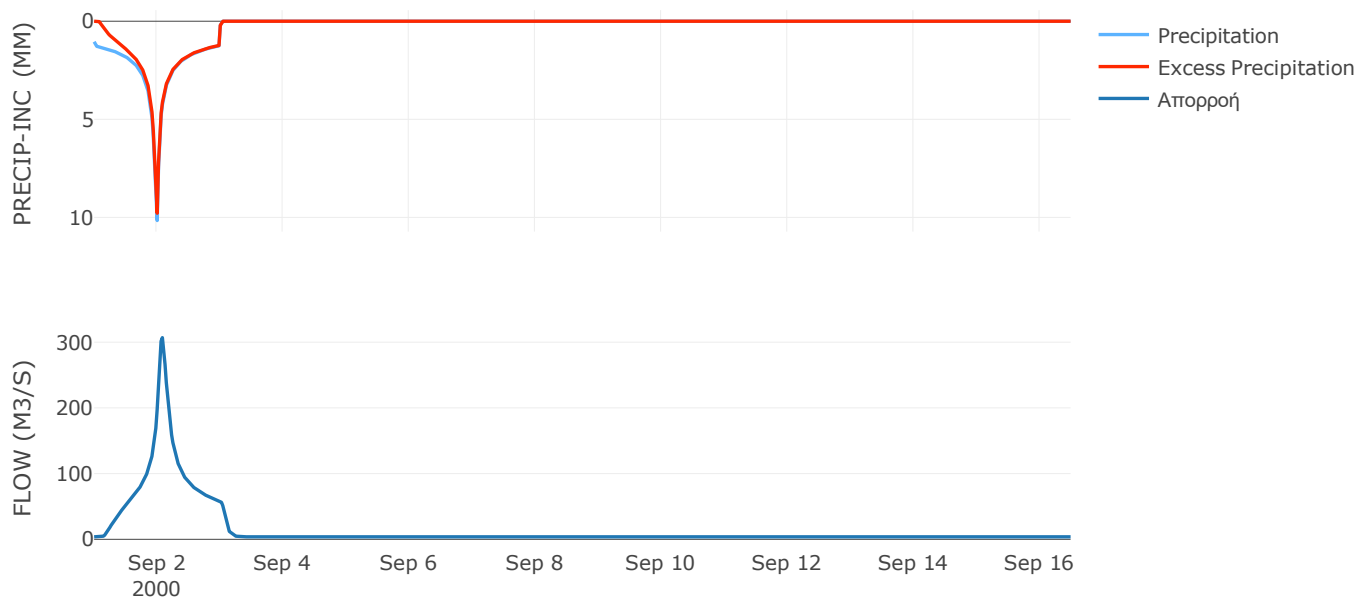
Μέθοδος
Μετασχηματισμού: SCS

Χρόνος Υστέρησης	101.35
------------------	--------

Αποτελέσματα:
EL0415FR6071

Παροχή αιχμής (M3/S)	306.87
Χρονική στιγμή αιχμής	02Sep2000, 02:00
Όγκος (MM)	267.2
Όγκος βροχόπτωσης (M3)	1.74E7
Όγκος απωλειών (M3)	2.24E6
Ενεργός Όγκος (M3)	1.51E7
Όγκος άμεσης απορροής (M3)	1.51E7
Όγκος βασικής απορροής (M3)	5.06E6

Βροχόπτωση και Απορροή



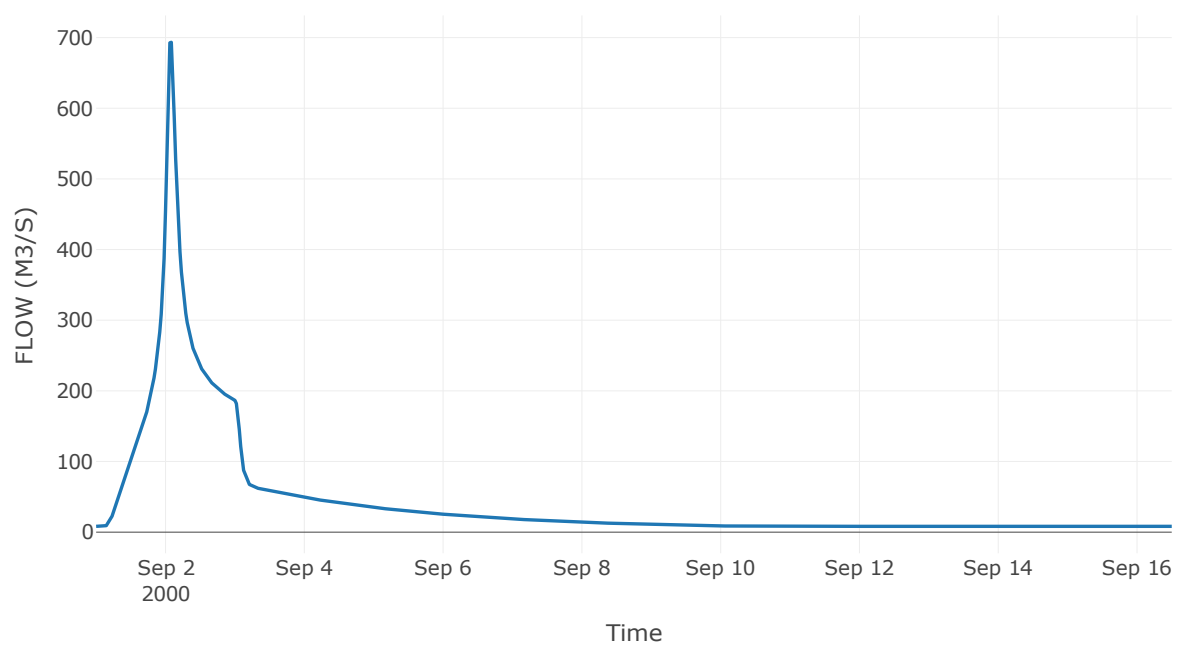
Κόμβος: J40

Κατάντη : R4039

Αποτελέσματα: J40

Παροχή Αιχμής (M3/S)	693.29
Χρονική στιγμή αιχμής	02Sep2000, 02:00
Όγκος(MM)	357.95

Απορροή



Κλάδος: R4039

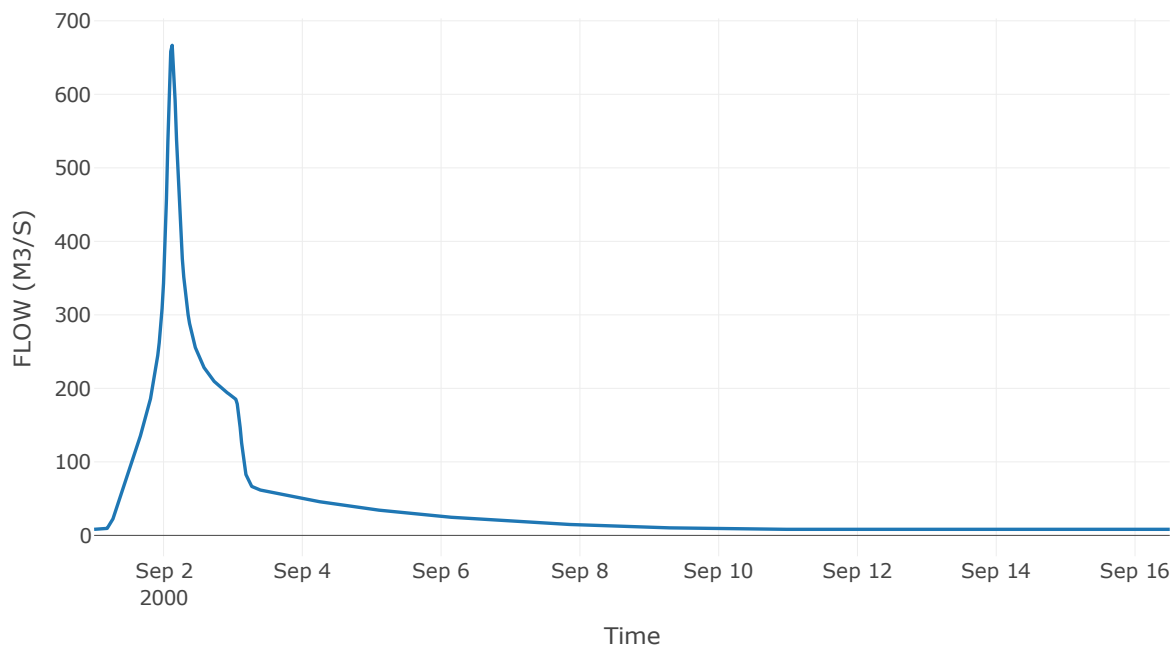
Κατάντη : J39

Μέθοδος Διόδευσης	Muskingum
Αρχική Μεταβλητή	Combined Inflow
Muskingum K	1.08
Συντελεστής βάρους α	0.2
Muskingum Steps	2

Αποτελέσματα: R4039

Παροχή Αιχμής (M3/S)	666.68
Χρονική στιγμή αιχμής	02Sep2000, 03:00
Όγκος(MM)	357.95
Παροχή Αιχμής Εισόδου (M3/S)	693.29
Όγκος Εισροής(M3)	5.87E7

Απορροή



Υπολεκάνη: EL0415FR6072

Έκταση (KM2) : 105.53

Κατάνη : J39

Μέθοδος Απωλειών: SCS

Ποσοστό αδιαπέρατης επιφάνειας	0
Αριθμός Καμπύλης Απορροής-CN	88.93
Αρχικές Απώλειες	6.32

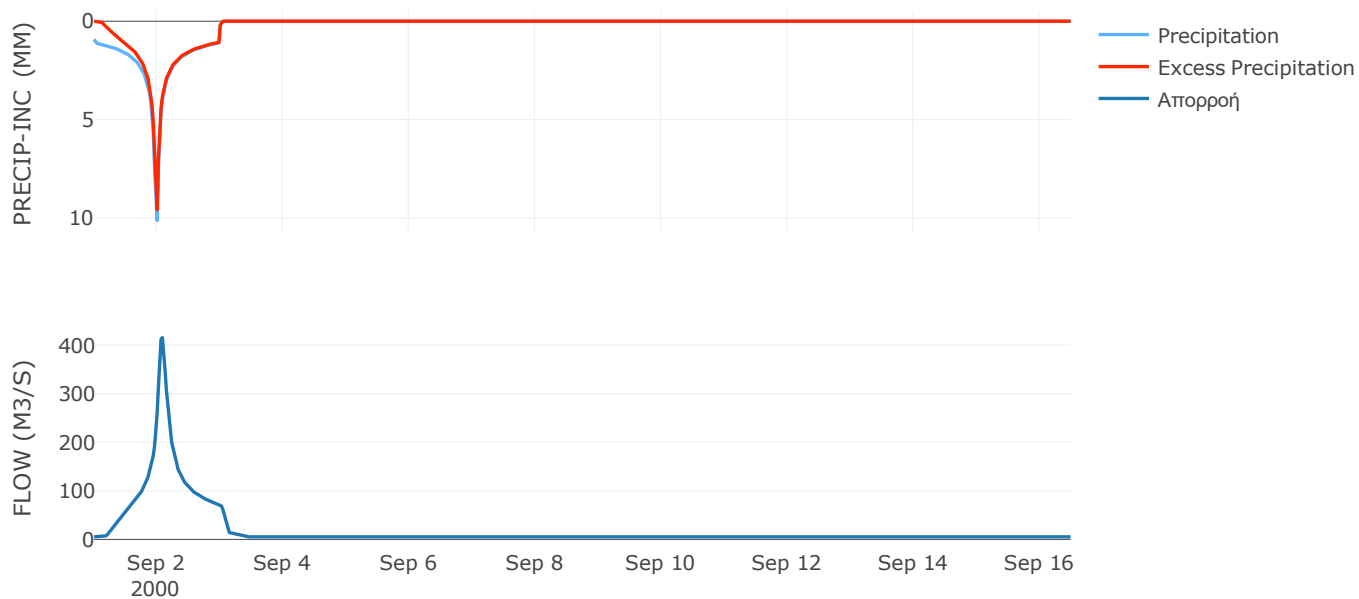
Μέθοδος
Μετασχηματισμού: SCS

Χρόνος Υστέρησης	96.95
------------------	-------

Αποτελέσματα:
EL0415FR6072

Παροχή αιχμής (M3/S)	415.48
Χρονική στιγμή αιχμής	02Sep2000, 02:00
Όγκος (MM)	244.47
Όγκος βροχόπτωσης (M3)	2.23E7
Όγκος απωλειών (M3)	3.56E6
Ενεργός Όγκος (M3)	1.87E7
Όγκος άμεσης απορροής (M3)	1.87E7
Όγκος βασικής απορροής (M3)	7.07E6

Βροχόπτωση και Απορροή



Υπολεκάνη: EL0415FR6073

Έκταση (KM2) : 53.33

Κατάντη : J39

Μέθοδος Απωλειών: SCS

Ποσοστό αδιαπέρατης επιφάνειας	0
Αριθμός Καμπύλης Απορροής-CN	82.36
Αρχικές Απώλειες	10.88

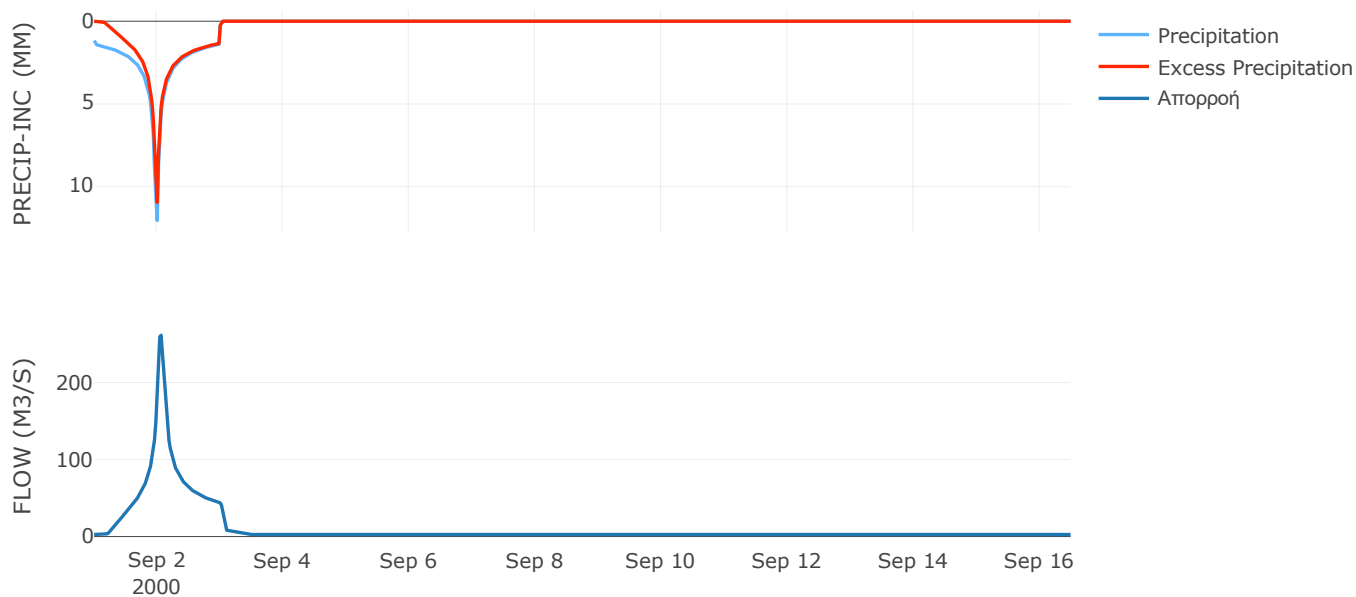
Μέθοδος
Μετασχηματισμού: SCS

Χρόνος Υστέρησης	66.15
------------------	-------

Αποτελέσματα:
EL0415FR6073

Παροχή αιχμής (M3/S)	261.44
Χρονική στιγμή αιχμής	02Sep2000, 01:30
Όγκος (MM)	273.37
Όγκος βροχόπτωσης (M3)	1.4E7
Όγκος απωλειών (M3)	2.97E6
Ενεργός Όγκος (M3)	1.1E7
Όγκος άμεσης απορροής (M3)	1.1E7
Όγκος βασικής απορροής (M3)	3.57E6

Βροχόπτωση και Απορροή



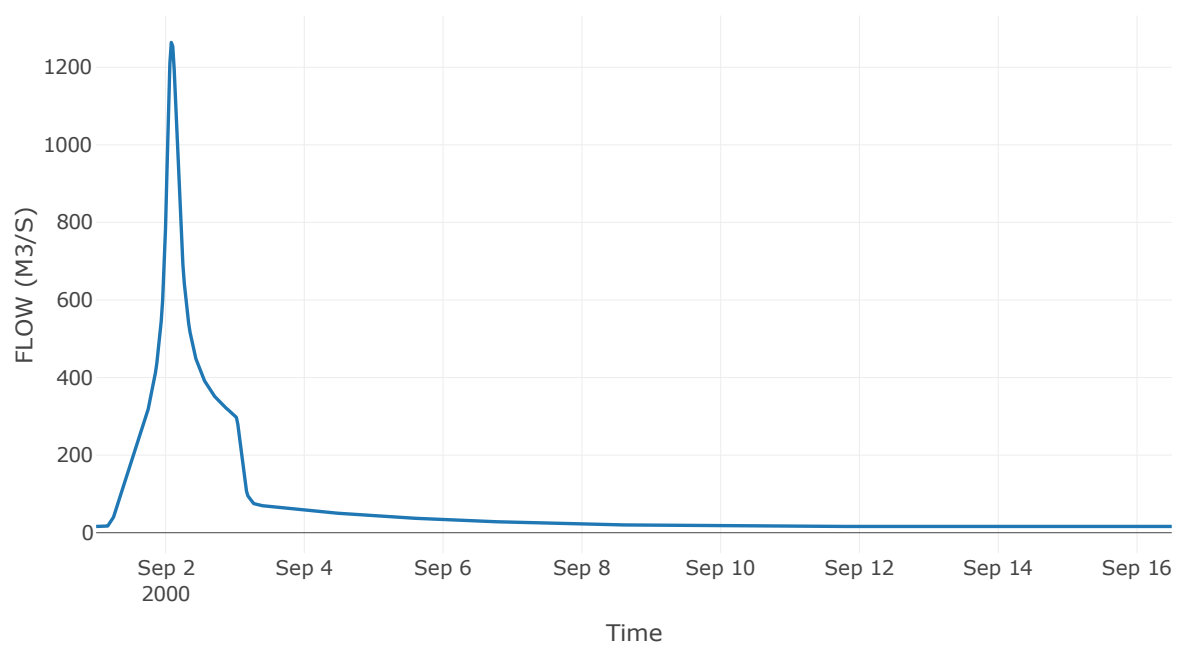
Κόμβος: J39

Κατάντη : R3938

Αποτελέσματα: J39

Παροχή Αιχμής (M3/S)	1263.89
Χρονική στιγμή αιχμής	02Sep2000, 02:00
Όγκος(MM)	306.88

Απορροή



Κλάδος: R3938

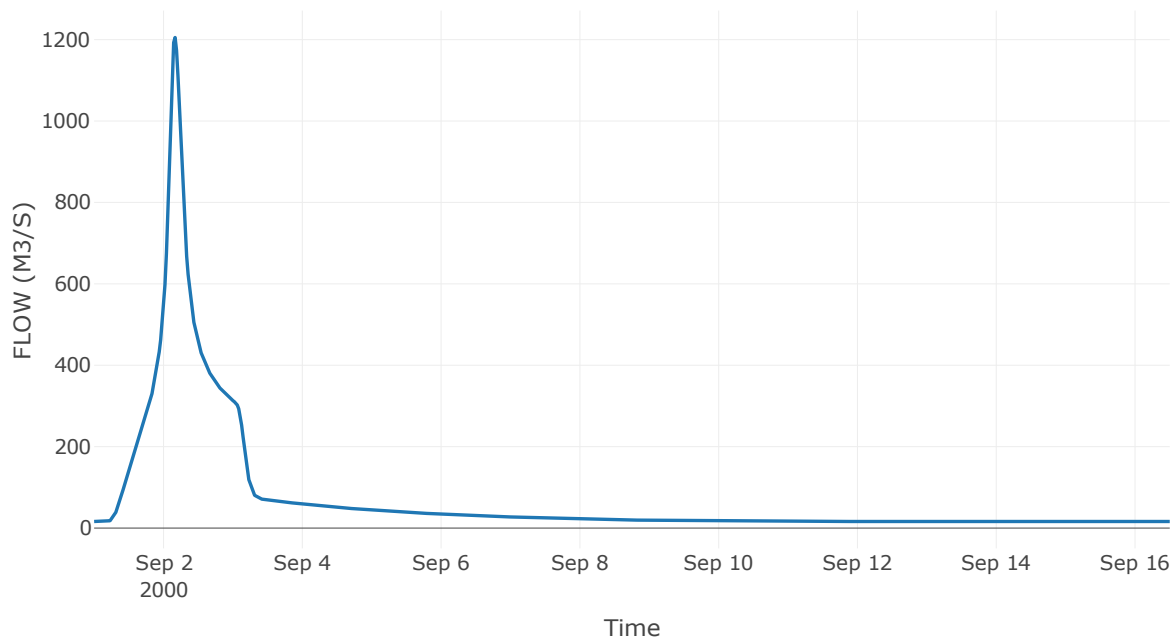
Κατάντη : J38

Μέθοδος Διόδευσης	Muskingum
Αρχική Μεταβλητή	Combined Inflow
Muskingum K	1.67
Συντελεστής βάρους α	0.2
Muskingum Steps	3

Αποτελέσματα: R3938

Παροχή Αιχμής (M3/S)	1205.27
Χρονική στιγμή αιχμής	02Sep2000, 04:00
Όγκος(MM)	306.88
Παροχή Αιχμής Εισόδου (M3/S)	1263.89
Όγκος Εισροής(M3)	9.91E7

Απορροή



Υπολεκάνη: EL0415FR6075

Έκταση (KM2) : 74.2

Κατάντη : J38

Μέθοδος Απωλειών: SCS

Ποσοστό αδιαπέρατης επιφάνειας	0
Αριθμός Καμπύλης Απορροής-CN	86.36
Αρχικές Απώλειες	8.02

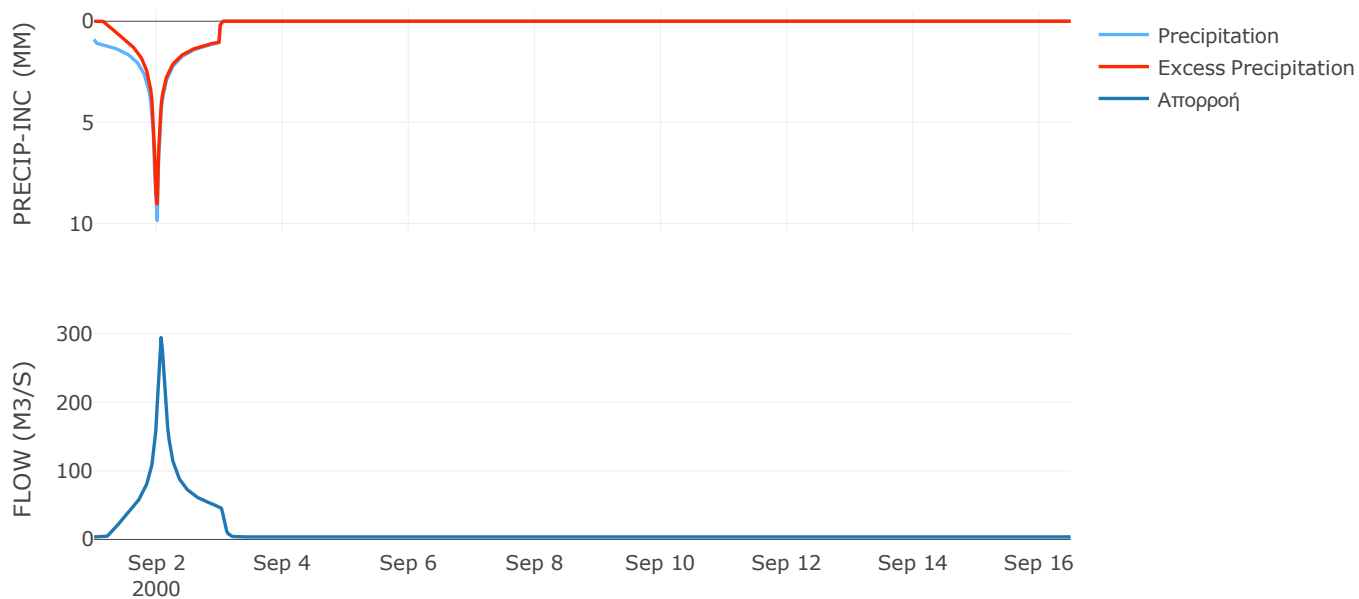
Μέθοδος
Μετασχηματισμού: SCS

Χρόνος Υστέρησης	75.67
------------------	-------

Αποτελέσματα:
EL0415FR6075

Παροχή αιχμής (M3/S)	294.07
Χρονική στιγμή αιχμής	02Sep2000, 01:30
Όγκος (MM)	231.2
Όγκος βροχόπτωσης (M3)	1.53E7
Όγκος απωλειών (M3)	3.07E6
Ενεργός Όγκος (M3)	1.22E7
Όγκος άμεσης απορροής (M3)	1.22E7
Όγκος βασικής απορροής (M3)	4.97E6

Βροχόπτωση και Απορροή



Υπολεκάνη: EL0415FR6047

Έκταση (KM2) : 33.12

Κατάντη : J38

Μέθοδος Απωλειών: SCS

Ποσοστό αδιαπέρατης επιφάνειας	0
Αριθμός Καμπύλης Απορροής-CN	79.68
Αρχικές Απώλειες	12.95

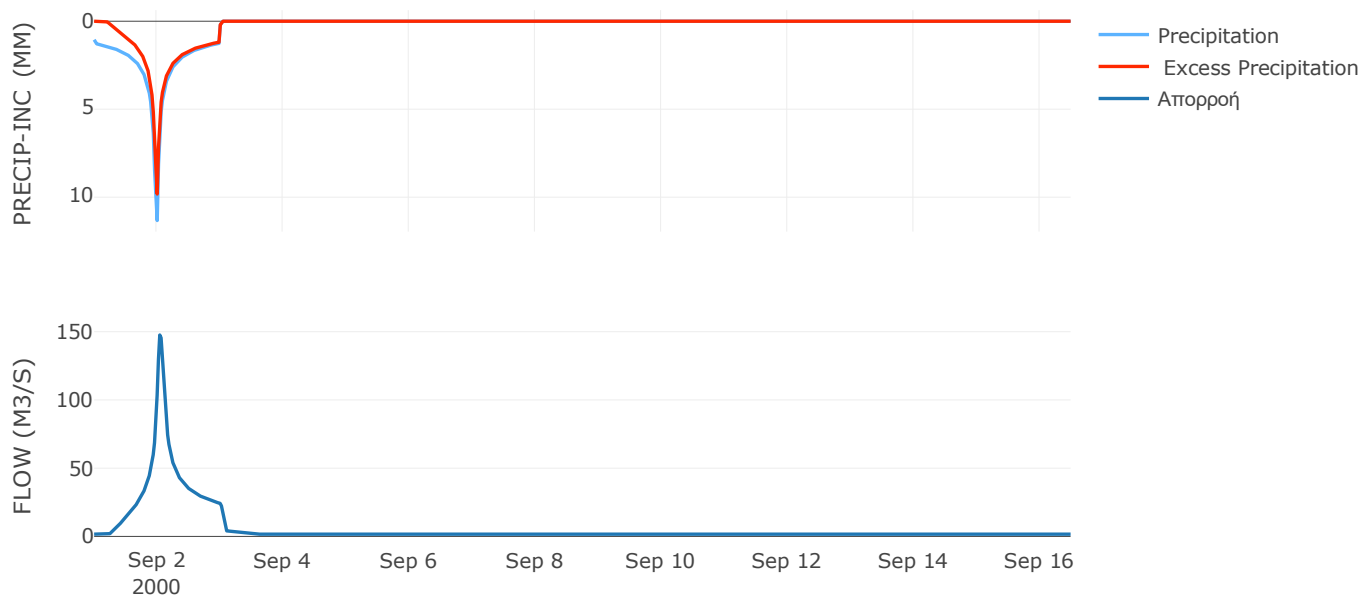
Μέθοδος
Μετασχηματισμού: SCS

Χρόνος Υστέρησης	60.54
------------------	-------

Αποτελέσματα:
EL0415FR6047

Παροχή αιχμής (M3/S)	147.57
Χρονική στιγμή αιχμής	02Sep2000, 01:00
Όγκος (MM)	243.68
Όγκος βροχόπτωσης (M3)	7.95E6
Όγκος απωλειών (M3)	2.1E6
Ενεργός Όγκος (M3)	5.85E6
Όγκος άμεσης απορροής (M3)	5.85E6
Όγκος βασικής απορροής (M3)	2.22E6

Βροχόπτωση και Απορροή



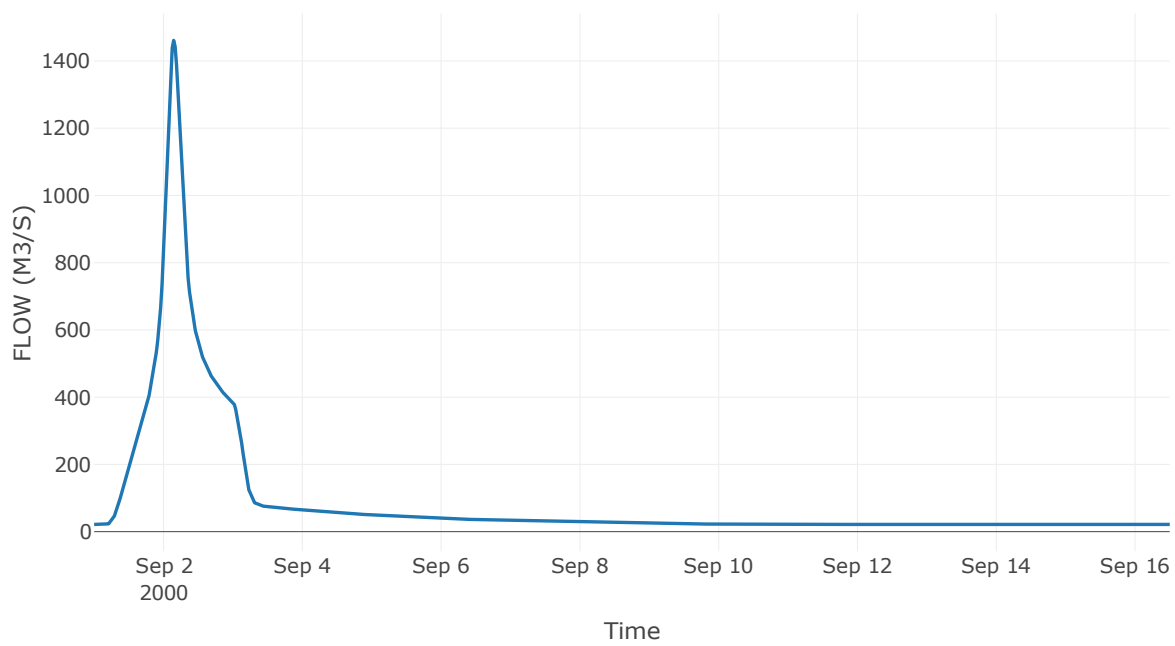
Κόμβος: J38

Κατάντη : R3837

Αποτελέσματα: J38

Παροχή Αιχμής (M3/S)	1461.25
Χρονική στιγμή αιχμής	02Sep2000, 03:30
Όγκος(MM)	288.96

Απορροή



Κλάδος: R3837

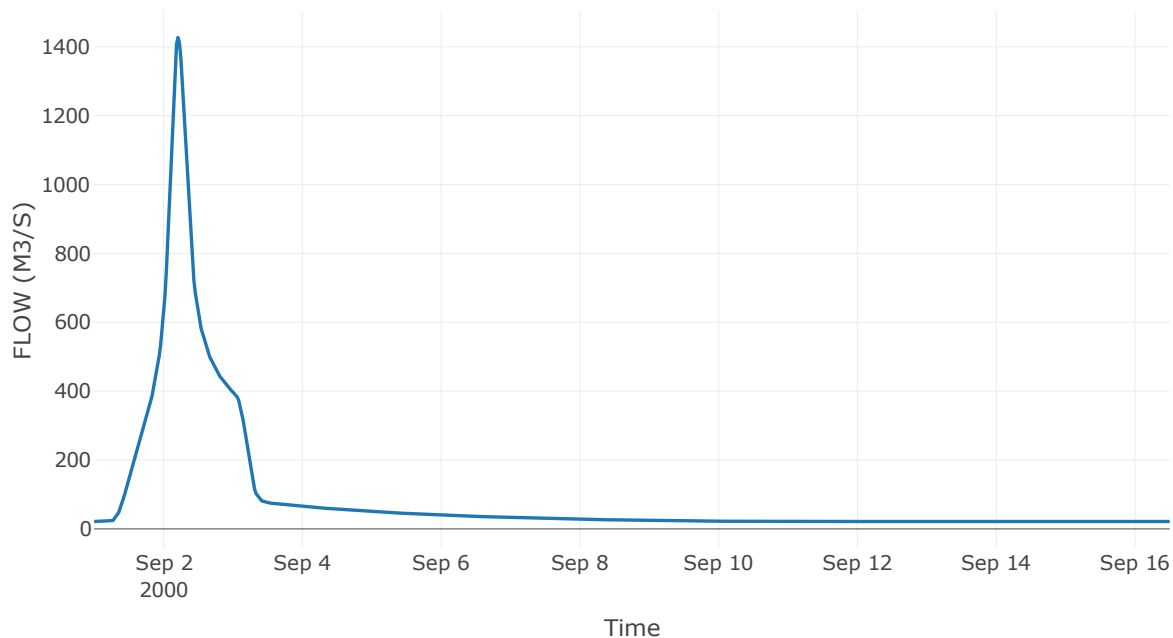
Κατάντη : J37

Μέθοδος Διόδευσης	Muskingum
Αρχική Μεταβλητή	Combined Inflow
Muskingum K	1.54
Συντελεστής βάρους α	0.2
Muskingum Steps	3

Αποτελέσματα: R3837

Παροχή Αιχμής (M3/S)	1427.02
Χρονική στιγμή αιχμής	02Sep2000, 05:00
Όγκος(MM)	288.96
Παροχή Αιχμής Εισόδου (M3/S)	1461.25
Όγκος Εισροής(M3)	1.24E8

Απορροή



Υπολεκάνη: EL0415FR6043

Έκταση (KM2) : 50.16

Κατάντη : J37

Μέθοδος Απωλειών: SCS

Ποσοστό αδιαπέρατης επιφάνειας	0
Αριθμός Καμπύλης Απορροής-CN	76.81
Αρχικές Απώλειες	15.34

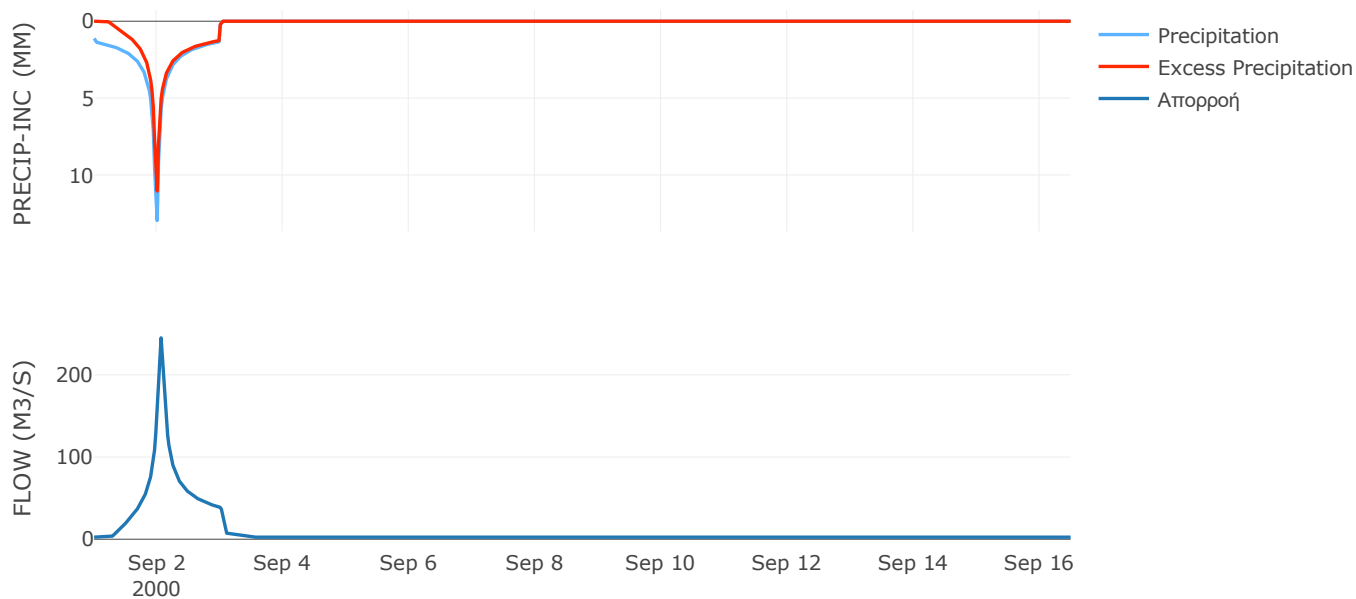
Μέθοδος
Μετασχηματισμού: SCS

Χρόνος Υστέρησης	65.84
------------------	-------

Αποτελέσματα:
EL0415FR6043

Παροχή αιχμής (M3/S)	244.93
Χρονική στιγμή αιχμής	02Sep2000, 01:30
Όγκος (MM)	255.88
Όγκος βροχόπτωσης (M3)	1.32E7
Όγκος απωλειών (M3)	3.71E6
Ενεργός Όγκος (M3)	9.48E6
Όγκος άμεσης απορροής (M3)	9.48E6
Όγκος βασικής απορροής (M3)	3.36E6

Βροχόπτωση και Απορροή



Υπολεκάνη: EL0415FR6074

Έκταση (KM2) : 21.94

Κατάντη : J37

Μέθοδος Απωλειών: SCS

Ποσοστό αδιαπέρατης επιφάνειας	0
Αριθμός Καμπύλης Απορροής-CN	83.03
Αρχικές Απώλειες	10.38

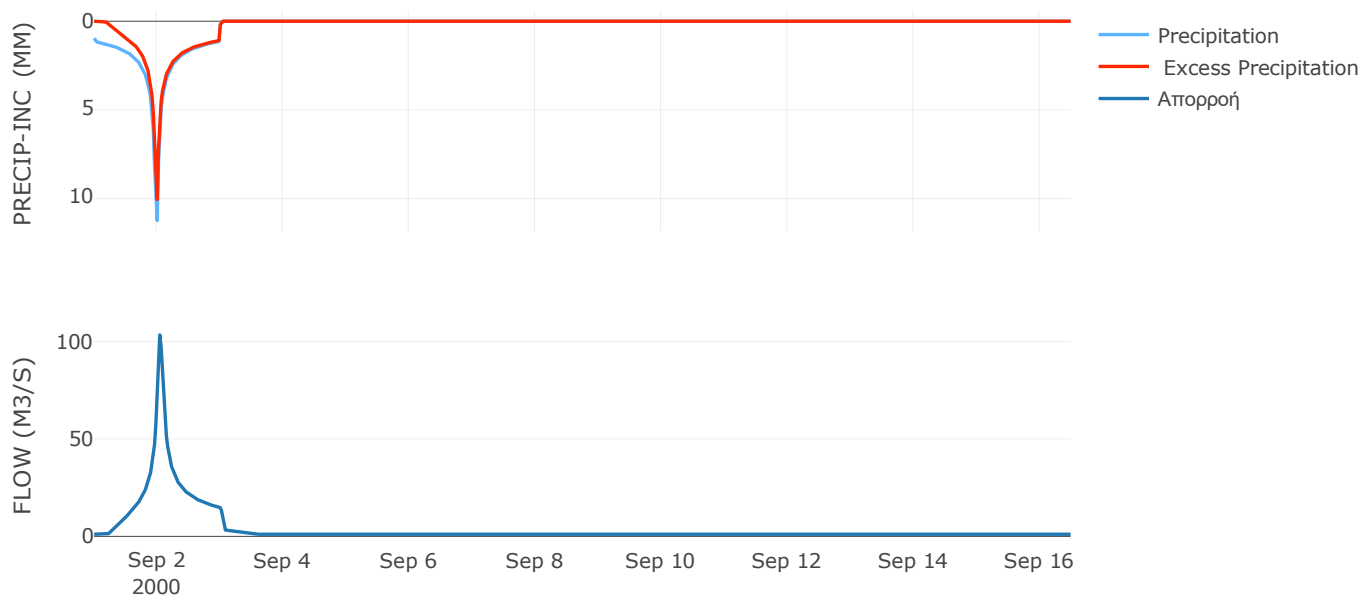
Μέθοδος
Μετασχηματισμού: SCS

Χρόνος Υστέρησης	53.65
------------------	-------

Αποτελέσματα:
EL0415FR6074

Παροχή αιχμής (M3/S)	103.32
Χρονική στιγμή αιχμής	02Sep2000, 01:00
Όγκος (MM)	240.14
Όγκος βροχόπτωσης (M3)	4.94E6
Όγκος απωλειών (M3)	1.14E6
Ενεργός Όγκος (M3)	3.8E6
Όγκος άμεσης απορροής (M3)	3.8E6
Όγκος βασικής απορροής (M3)	1.47E6

Βροχόπτωση και Απορροή



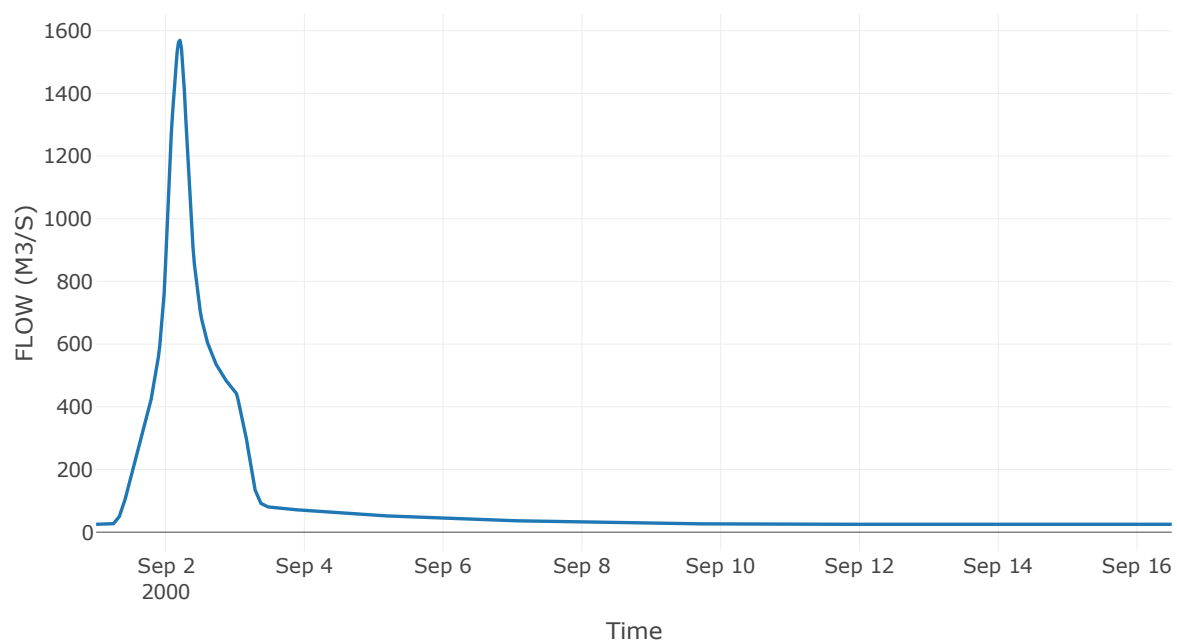
Κόμβος: J37

Κατάντη : R3726

Αποτελέσματα: J37

Παροχή Αιχμής (M3/S)	1569.66
Χρονική στιγμή αιχμής	02Sep2000, 05:00
Όγκος(MM)	283.52

Απορροή



Κλάδος: R3726

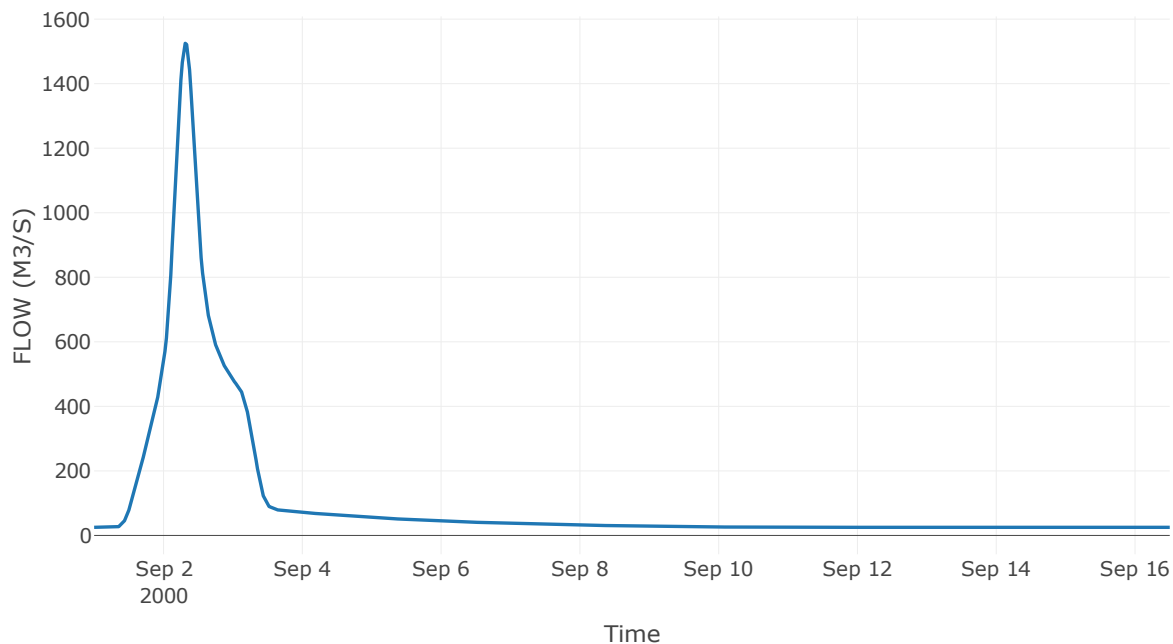
Κατάντη : J26

Μέθοδος Διόδευσης	Muskingum
Αρχική Μεταβλητή	Combined Inflow
Muskingum K	2.93
Συντελεστής βάρους α	0.2
Muskingum Steps	6

Αποτελέσματα: R3726

Παροχή Αιχμής (M3/S)	1524.98
Χρονική στιγμή αιχμής	02Sep2000, 07:30
Όγκος(MM)	283.52
Παροχή Αιχμής Εισόδου (M3/S)	1569.66
Όγκος Εισροής(M3)	1.42E8

Απορροή



Υπολεκάνη: EL0415FR6032

Έκταση (KM2) : 115.9

Κατάντη : J26

Μέθοδος Απωλειών: SCS

Ποσοστό αδιαπέρατης επιφάνειας	0
Αριθμός Καμπύλης Απορροής-CN	77.87
Αρχικές Απώλειες	14.44

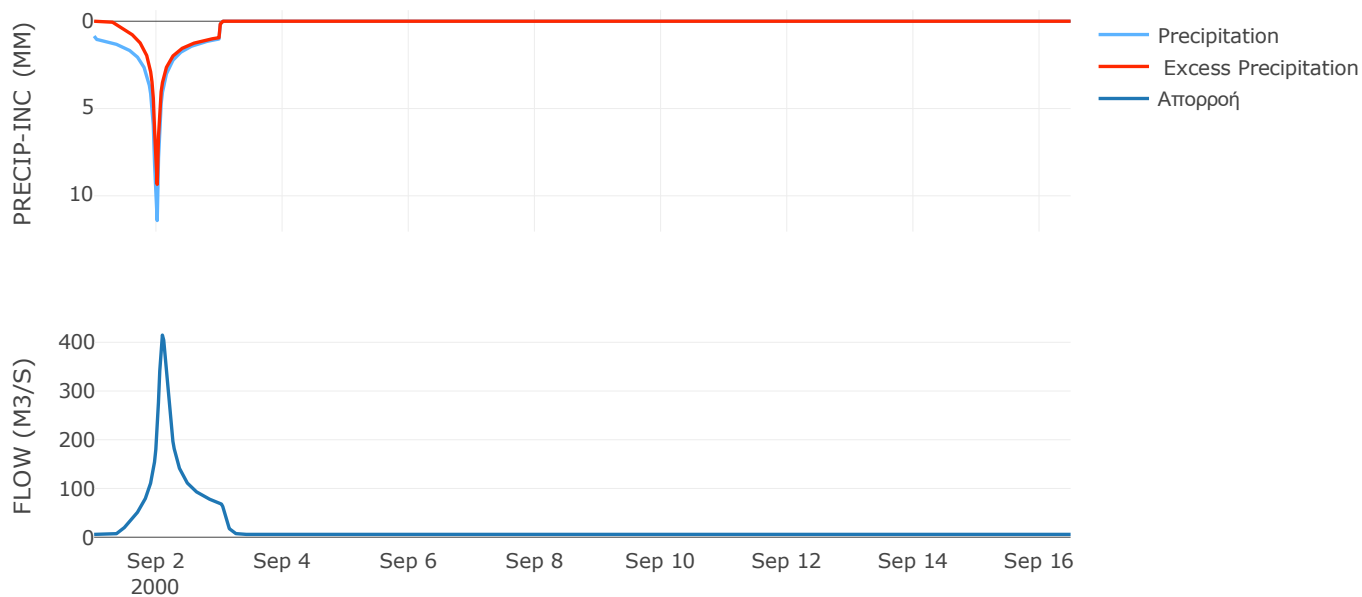
Μέθοδος
Μετασχηματισμού: SCS

Χρόνος Υστέρησης	109.22
------------------	--------

Αποτελέσματα:
EL0415FR6032

Παροχή αιχμής (M3/S)	414.81
Χρονική στιγμή αιχμής	02Sep2000, 02:00
Όγκος (MM)	211.02
Όγκος βροχόπτωσης (M3)	2.45E7
Όγκος απωλειών (M3)	7.79E6
Ενεργός Όγκος (M3)	1.67E7
Όγκος άμεσης απορροής (M3)	1.67E7
Όγκος βασικής απορροής (M3)	7.76E6

Βροχόπτωση και Απορροή



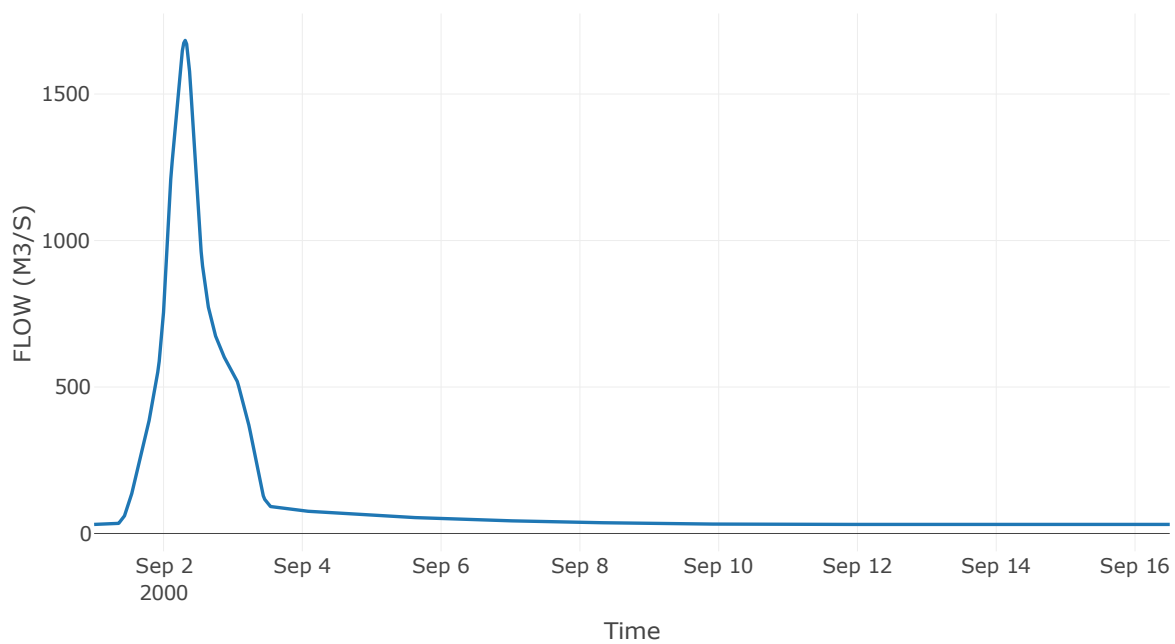
Κόμβος: J26

Κατάντη : R2664

Αποτελέσματα: J26

Παροχή Αιχμής (M3/S)	1683.2
Χρονική στιγμή αιχμής	02Sep2000, 07:30
Όγκος(MM)	269.93

Απορροή



Κλάδος: R2664

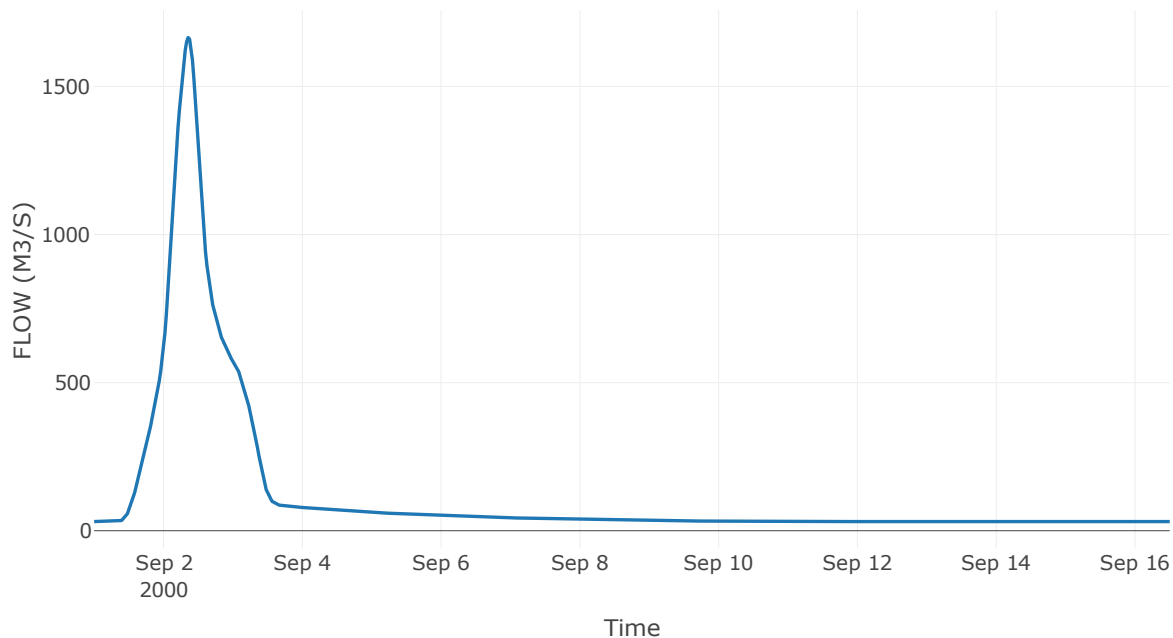
Κατάντη : J64

Μέθοδος Διόδευσης	Muskingum
Αρχική Μεταβλητή	Combined Inflow
Muskingum K	1.24
Συντελεστής βάρους x	0.2
Muskingum Steps	2

Αποτελέσματα: R2664

Παροχή Αιχμής (M3/S)	1665.24
Χρονική στιγμή αιχμής	02Sep2000, 08:30
Όγκος(MM)	269.93
Παροχή Αιχμής Εισόδου (M3/S)	1683.2
Όγκος Εισροής(M3)	1.67E8

Απορροή



Υπολεκάνη: EL0415FR6041

Έκταση (KM2) : 25.72

Κατάντη : J64

Μέθοδος Απωλειών: SCS

Ποσοστό αδιαπέρατης επιφάνειας	0
Αριθμός Καμπύλης Απορροής-CN	76.94
Αρχικές Απώλειες	15.23

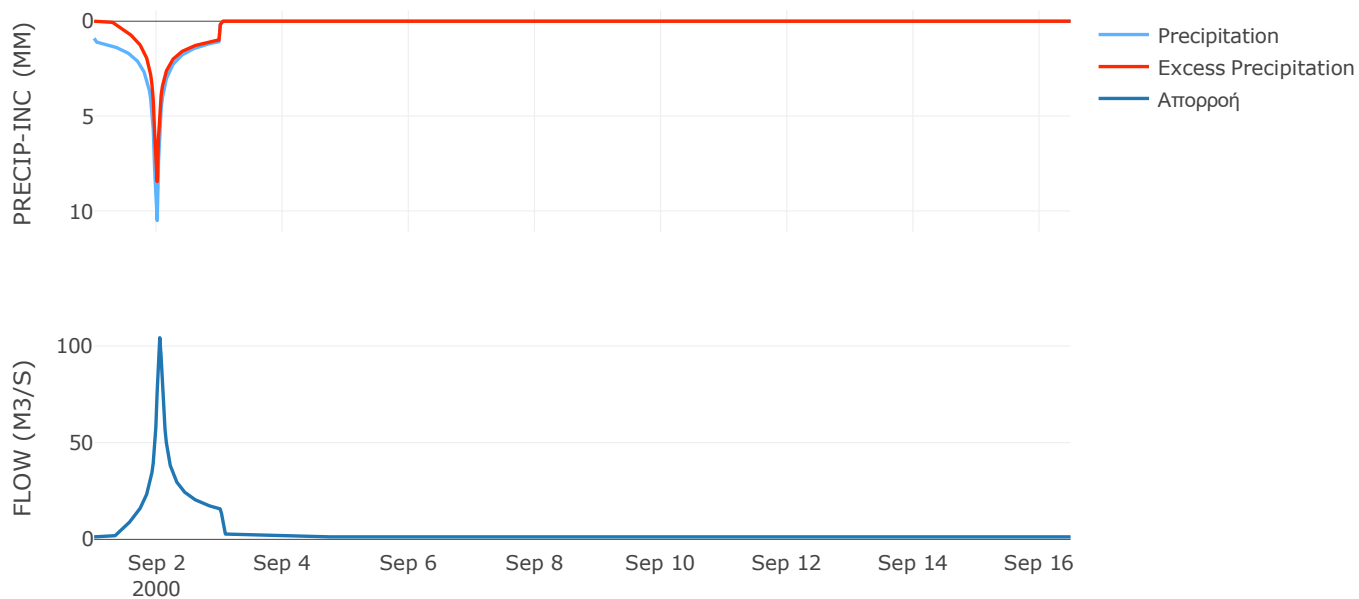
Μέθοδος
Μετασχηματισμού: SCS

Χρόνος Υστέρησης	45.22
------------------	-------

Αποτελέσματα:
EL0415FR6041

Παροχή αιχμής (M3/S)	104.27
Χρονική στιγμή αιχμής	02Sep2000, 01:00
Όγκος (MM)	208.91
Όγκος βροχόπτωσης (M3)	5.45E6
Όγκος απωλειών (M3)	1.8E6
Ενεργός Όγκος (M3)	3.65E6
Όγκος άμεσης απορροής (M3)	3.65E6
Όγκος βασικής απορροής (M3)	1.72E6

Βροχόπτωση και Απορροή



Υπολεκάνη: EL0415FR6087

Έκταση (KM2) : 13.66

Κατάντη : J64

Μέθοδος Απωλειών: SCS

Ποσοστό αδιαπέρατης επιφάνειας	20
Αριθμός Καμπύλης Απορροής-CN	74.89
Αρχικές Απώλειες	17.03

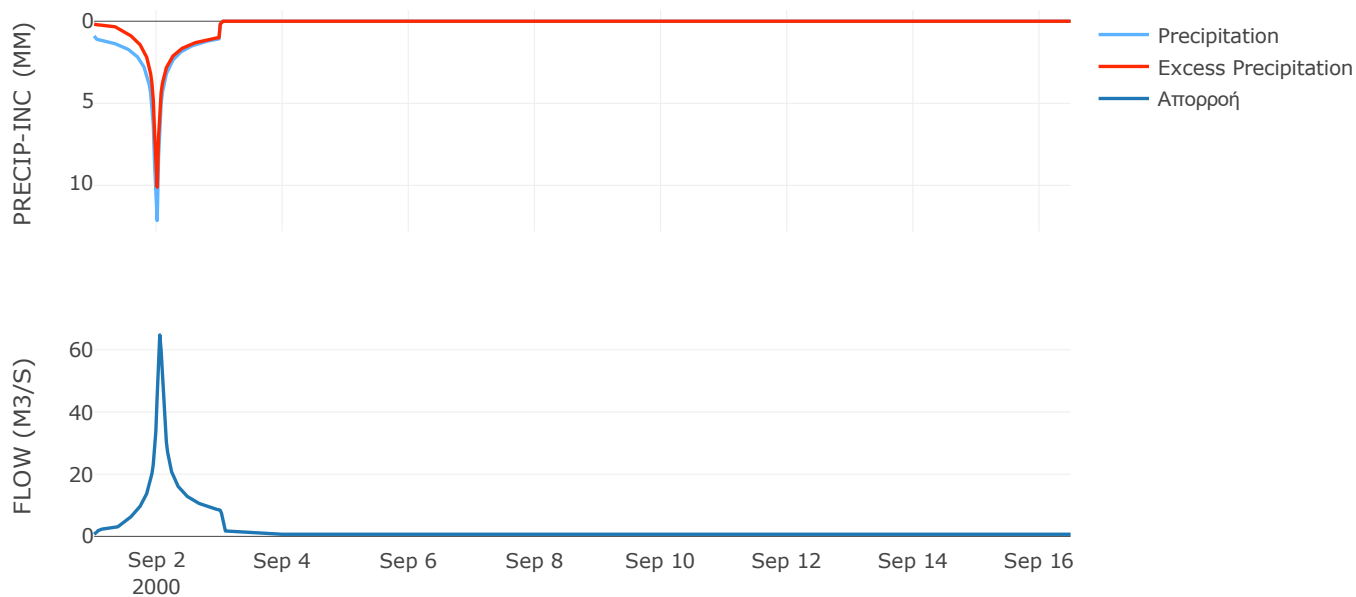
Μέθοδος
Μετασχηματισμού: SCS

Χρόνος Υστέρησης	50.69
------------------	-------

Αποτελέσματα:
EL0415FR6087

Παροχή αιχμής (M3/S)	64.78
Χρονική στιγμή αιχμής	02Sep2000, 01:00
Όγκος (MM)	228.63
Όγκος βροχόπτωσης (M3)	3.05E6
Όγκος απωλειών (M3)	8.45E5
Ενεργός Όγκος (M3)	2.21E6
Όγκος άμεσης απορροής (M3)	2.21E6
Όγκος βασικής απορροής (M3)	9.15E5

Βροχόπτωση και Απορροή



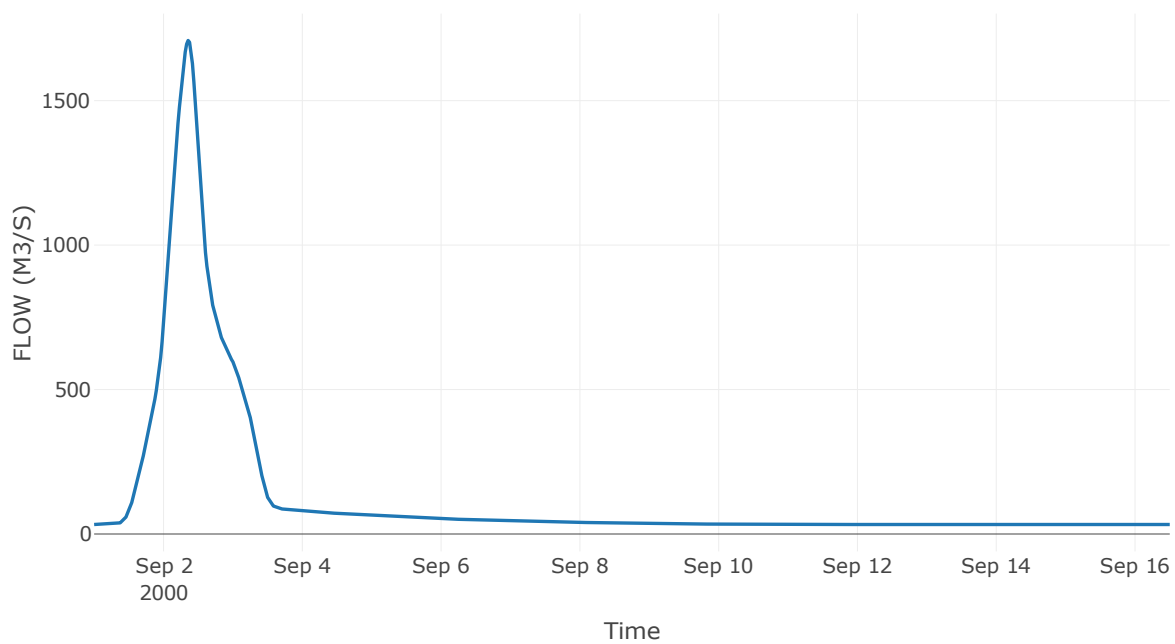
Κόμβος: J64

Κατάντη : R6429

Αποτελέσματα: J64

Παροχή Αιχμής (M3/S)	1708.18
Χρονική στιγμή αιχμής	02Sep2000, 08:30
Όγκος(MM)	266.68

Απορροή



Κλάδος: R6429

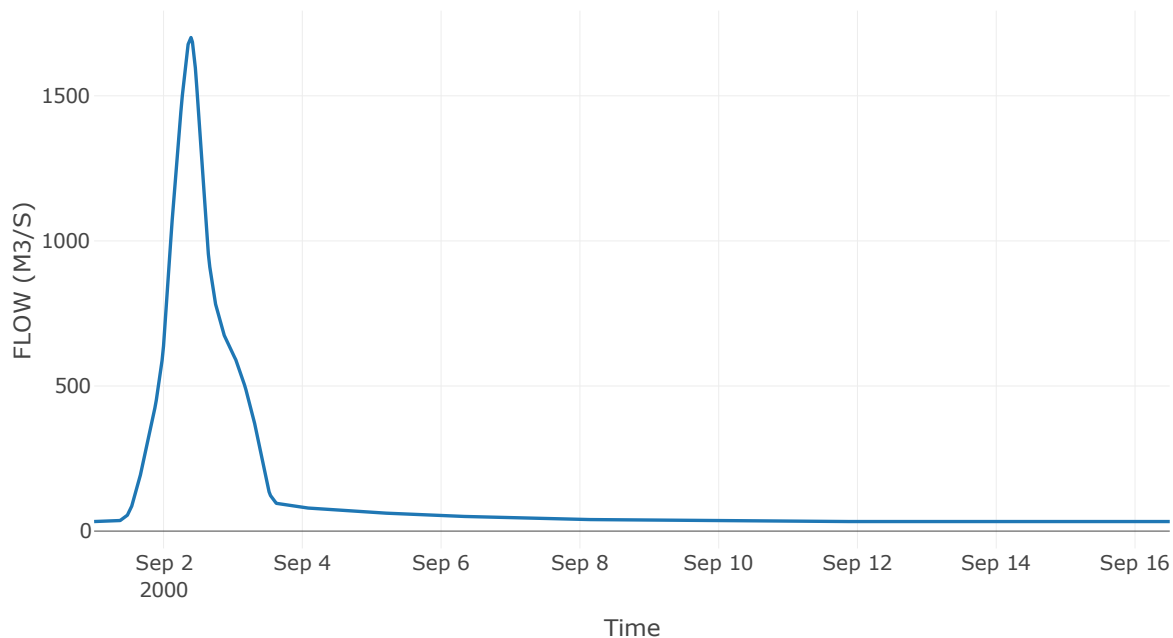
Κατάντη : J29

Μέθοδος Διόδευσης	Muskingum
Αρχική Μεταβλητή	Combined Inflow
Muskingum K	0.78
Συντελεστής βάρους α	0.2
Muskingum Steps	2

Αποτελέσματα: R6429

Παροχή Αιχμής (M3/S)	1700.81
Χρονική στιγμή αιχμής	02Sep2000, 09:30
Όγκος(MM)	266.68
Παροχή Αιχμής Εισόδου (M3/S)	1708.18
Όγκος Εισροής(M3)	1.75E8

Απορροή



Υπολεκάνη: EL0415FR6031

Έκταση (KM2) : 92.16

Κατάντη : J34

Μέθοδος Απωλειών: SCS

Ποσοστό αδιαπέρατης επιφάνειας	0
Αριθμός Καμπύλης Απορροής-CN	90.06
Αρχικές Απώλειες	5.61

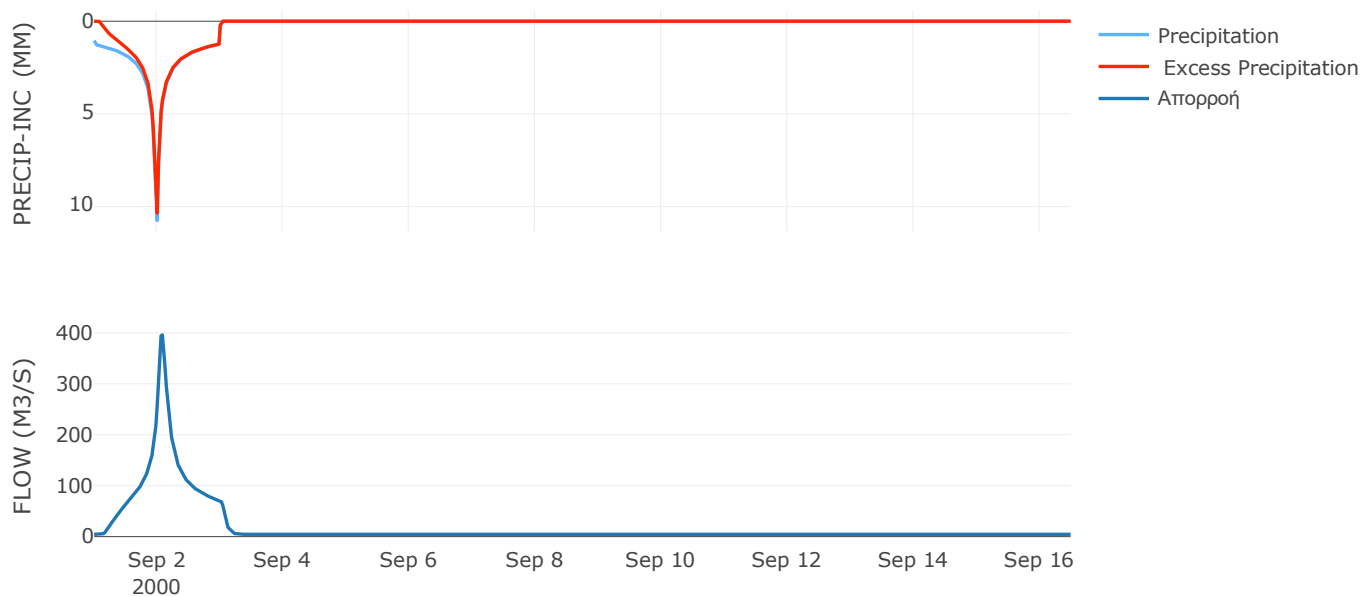
Μέθοδος
Μετασχηματισμού: SCS

Χρόνος Υστέρησης	96.1
------------------	------

Αποτελέσματα:
EL0415FR6031

Παροχή αιχμής (M3/S)	395.78
Χρονική στιγμή αιχμής	02Sep2000, 02:00
Όγκος (MM)	270.85
Όγκος βροχόπτωσης (M3)	2.16E7
Όγκος απωλειών (M3)	2.82E6
Ενεργός Όγκος (M3)	1.88E7
Όγκος άμεσης απορροής (M3)	1.88E7
Όγκος βασικής απορροής (M3)	6.17E6

Βροχόπτωση και Απορροή



Υπολεκάνη: EL0415FR6040

Έκταση (KM2) : 39.05

Κατάντη : J34

Μέθοδος Απωλειών: SCS

Ποσοστό αδιαπέρατης επιφάνειας	0
Αριθμός Καμπύλης Απορροής-CN	79.47
Αρχικές Απώλειες	13.13

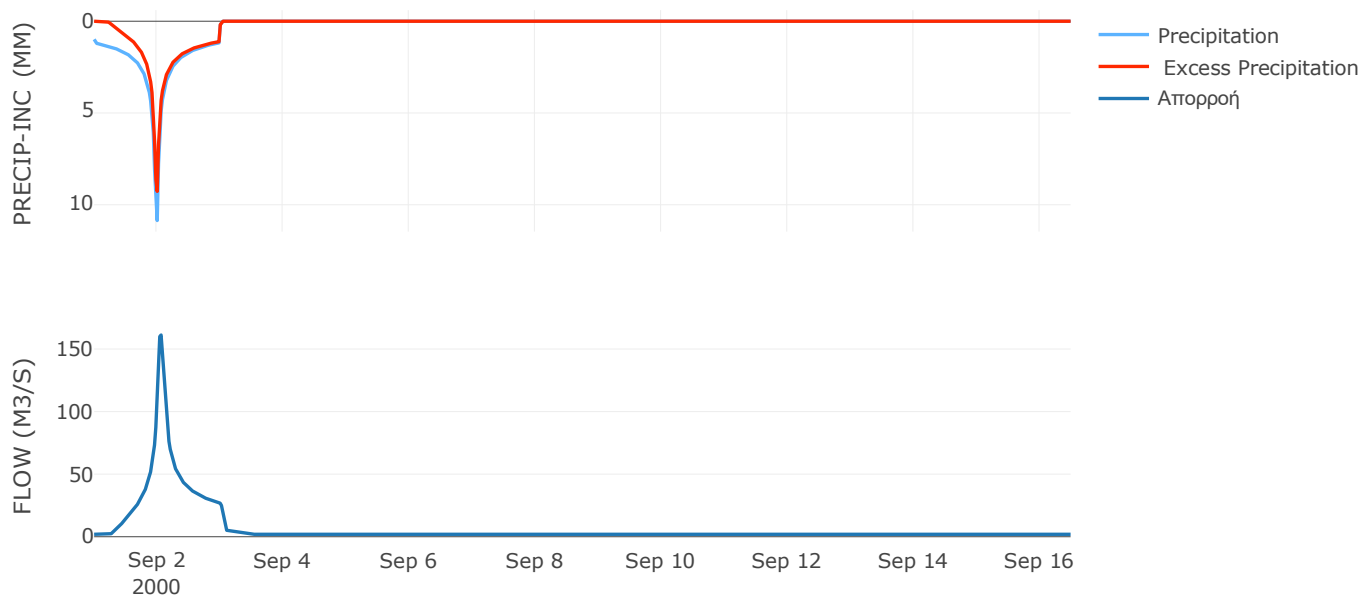
Μέθοδος
Μετασχηματισμού: SCS

Χρόνος Υστέρησης	64.9
------------------	------

Αποτελέσματα:
EL0415FR6040

Παροχή αιχμής (M3/S)	161.22
Χρονική στιγμή αιχμής	02Sep2000, 01:30
Όγκος (MM)	230.65
Όγκος βροχόπτωσης (M3)	8.87E6
Όγκος απωλειών (M3)	2.47E6
Ενεργός Όγκος (M3)	6.39E6
Όγκος άμεσης απορροής (M3)	6.39E6
Όγκος βασικής απορροής (M3)	2.62E6

Βροχόπτωση και Απορροή



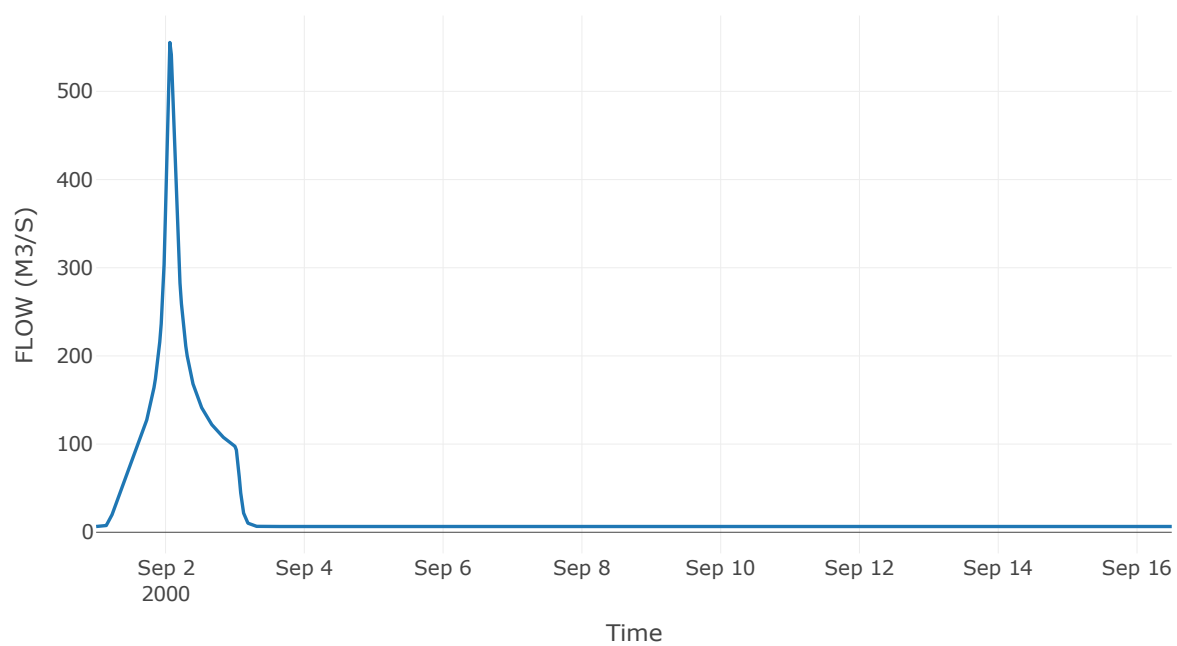
Κόμβος: J34

Κατάντη : R3433

Αποτελέσματα: J34

Παροχή Αιχμής (M3/S)	555.49
Χρονική στιγμή αιχμής	02Sep2000, 01:30
Όγκος(MM)	258.88

Απορροή



Κλάδος: R3433

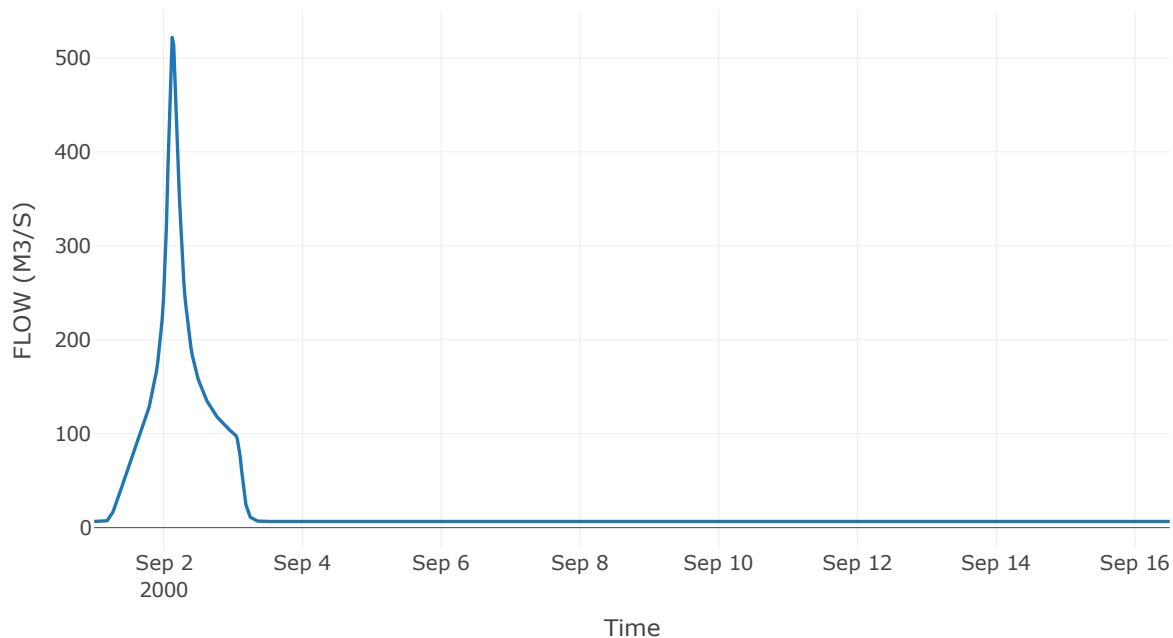
Κατάντη : J33

Μέθοδος Διόδευσης	Muskingum
Αρχική Μεταβλητή	Combined Inflow
Muskingum K	1.47
Συντελεστής βάρους α	0.2
Muskingum Steps	3

Αποτελέσματα: R3433

Παροχή Αιχμής (M3/S)	521.71
Χρονική στιγμή αιχμής	02Sep2000, 03:00
Όγκος(MM)	258.88
Παροχή Αιχμής Εισόδου (M3/S)	555.49
Όγκος Εισροής(M3)	3.4E7

Απορροή



Υπολεκάνη: EL0415FR6038

Έκταση (KM2) : 94.78

Κατάντη : J35

Μέθοδος Απωλειών: SCS

Ποσοστό αδιαπέρατης επιφάνειας	0
Αριθμός Καμπύλης Απορροής-CN	83.47
Αρχικές Απώλειες	10.06

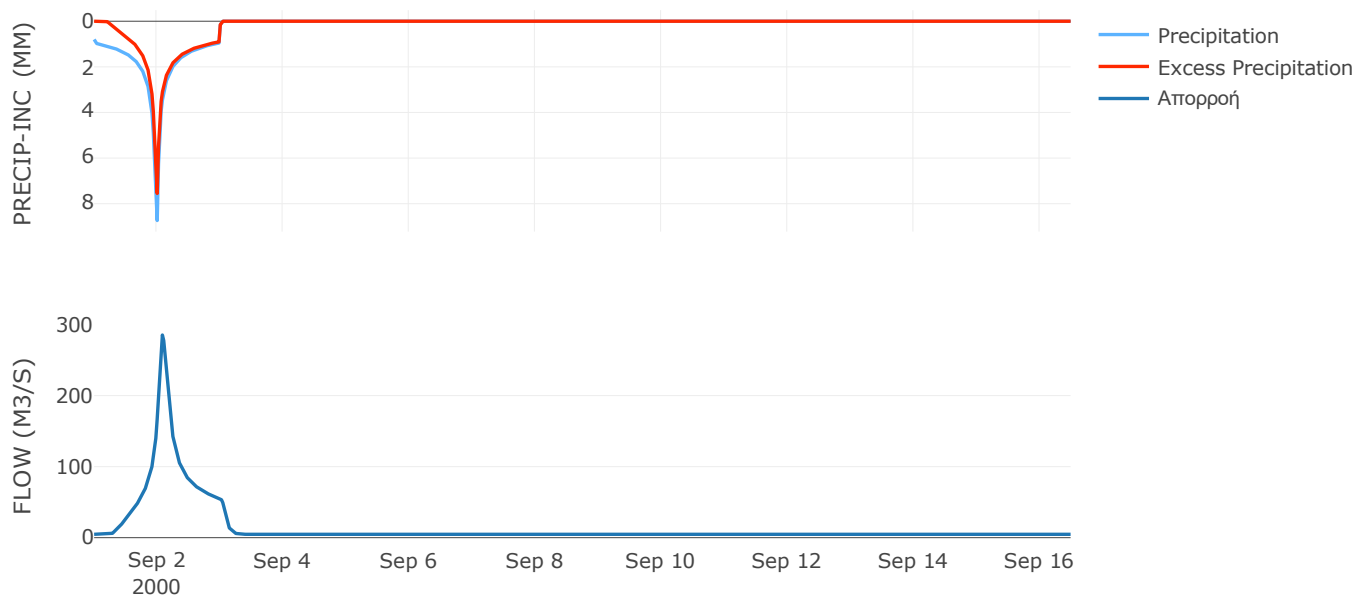
Μέθοδος
Μετασχηματισμού: SCS

Χρόνος Υστέρησης	108.03
------------------	--------

Αποτελέσματα:
EL0415FR6038

Παροχή αιχμής (M3/S)	285.29
Χρονική στιγμή αιχμής	02Sep2000, 02:00
Όγκος (MM)	201.38
Όγκος βροχόπτωσης (M3)	1.74E7
Όγκος απωλειών (M3)	4.65E6
Ενεργός Όγκος (M3)	1.27E7
Όγκος άμεσης απορροής (M3)	1.27E7
Όγκος βασικής απορροής (M3)	6.35E6

Βροχόπτωση και Απορροή



Υπολεκάνη: EL0415FR6048

Έκταση (KM2) : 29.32

Κατάντη : J35

Μέθοδος Απωλειών: SCS

Ποσοστό αδιαπέρατης επιφάνειας	0
Αριθμός Καμπύλης Απορροής-CN	81.27
Αρχικές Απώλειες	11.71

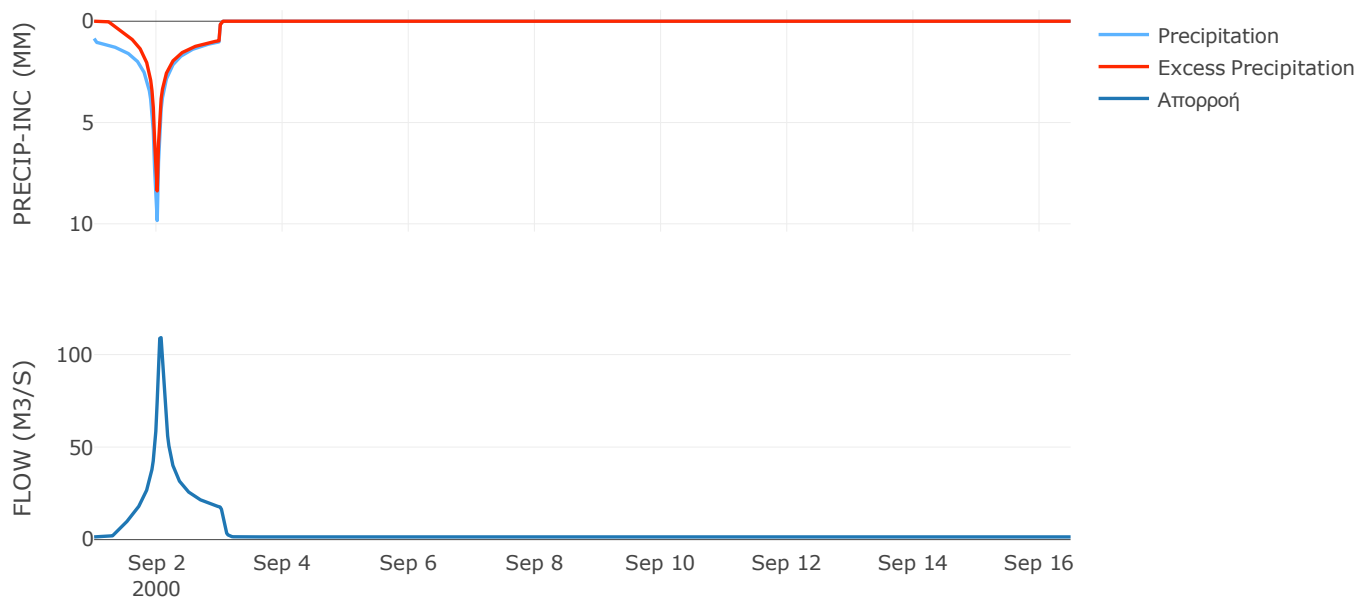
Μέθοδος
Μετασχηματισμού: SCS

Χρόνος Υστέρησης	64.1
------------------	------

Αποτελέσματα:
EL0415FR6048

Παροχή αιχμής (M3/S)	109.16
Χρονική στιγμή αιχμής	02Sep2000, 01:30
Όγκος (MM)	210.57
Όγκος βροχόπτωσης (M3)	5.86E6
Όγκος απωλειών (M3)	1.65E6
Ενεργός Όγκος (M3)	4.21E6
Όγκος άμεσης απορροής (M3)	4.21E6
Όγκος βασικής απορροής (M3)	1.96E6

Βροχόπτωση και Απορροή



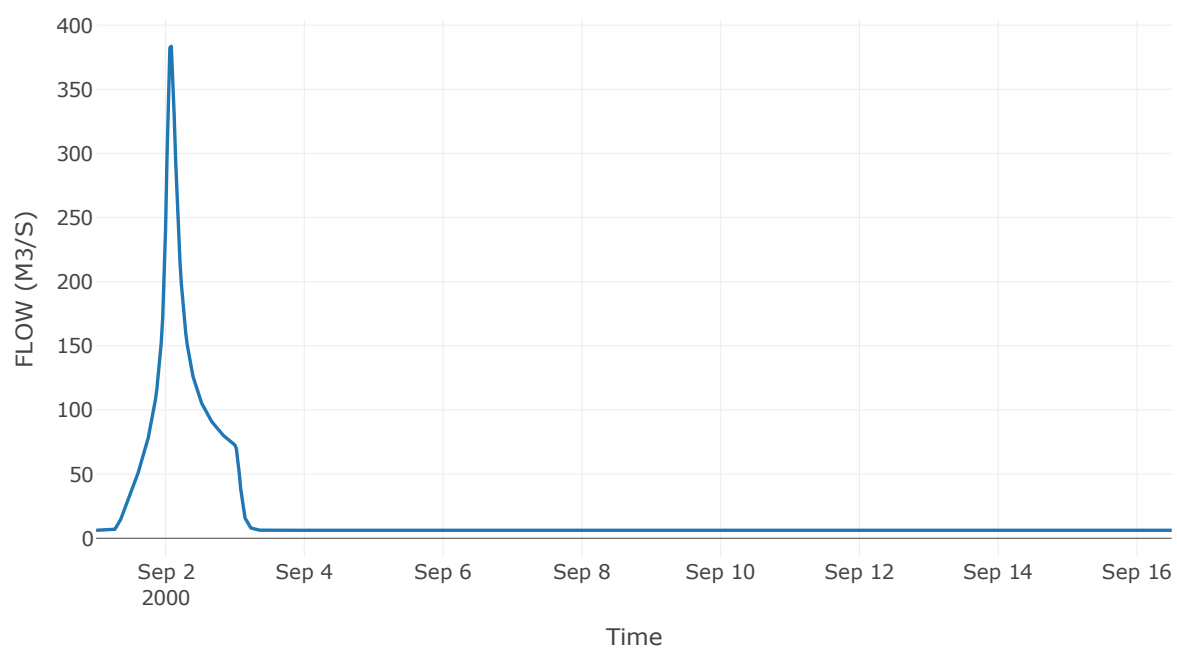
Κόμβος: J35

Κατάντη : R3533

Αποτελέσματα: J35

Παροχή Αιχμής (M3/S)	383.54
Χρονική στιγμή αιχμής	02Sep2000, 02:00
Όγκος(MM)	203.55

Απορροή



Κλάδος: R3533

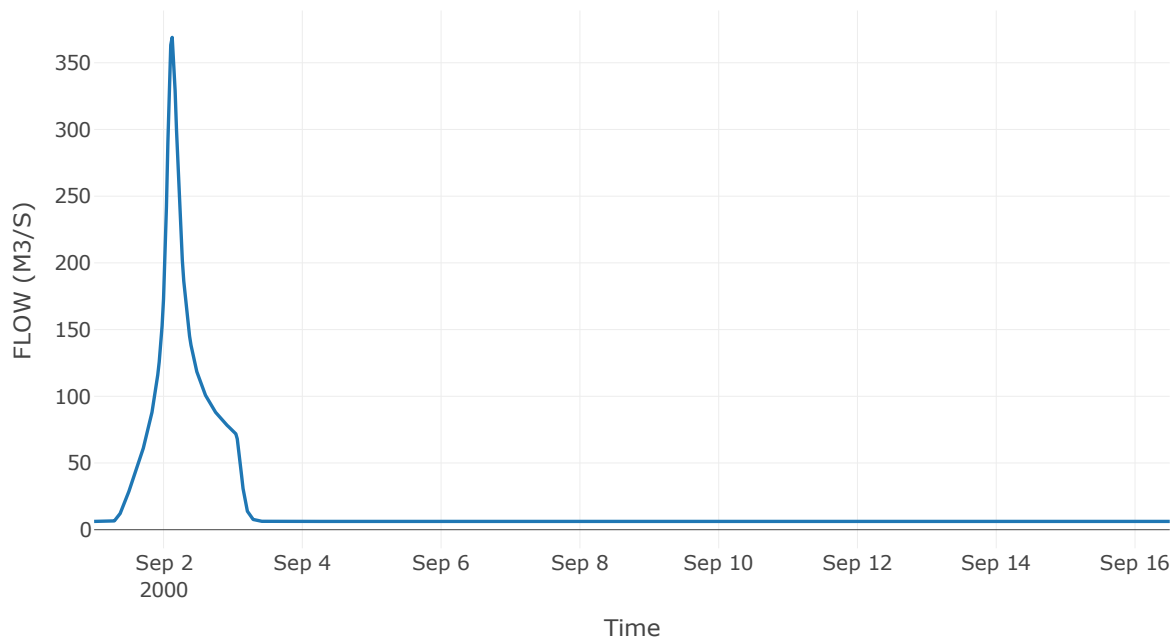
Κατάντη : J33

Μέθοδος Διόδευσης	Muskingum
Αρχική Μεταβλητή	Combined Inflow
Muskingum K	1.07
Συντελεστής βάρους α	0.2
Muskingum Steps	2

Αποτελέσματα: R3533

Παροχή Αιχμής (M3/S)	369.02
Χρονική στιγμή αιχμής	02Sep2000, 03:00
Όγκος(MM)	203.55
Παροχή Αιχμής Εισόδου (M3/S)	383.54
Όγκος Εισροής(M3)	2.53E7

Απορροή



Υπολεκάνη: EL0415FR6077

Έκταση (KM2) : 115.35

Κατάντη : J33

Μέθοδος Απωλειών: SCS

Ποσοστό αδιαπέρατης επιφάνειας	0
Αριθμός Καμπύλης Απορροής-CN	77.06
Αρχικές Απώλειες	15.12

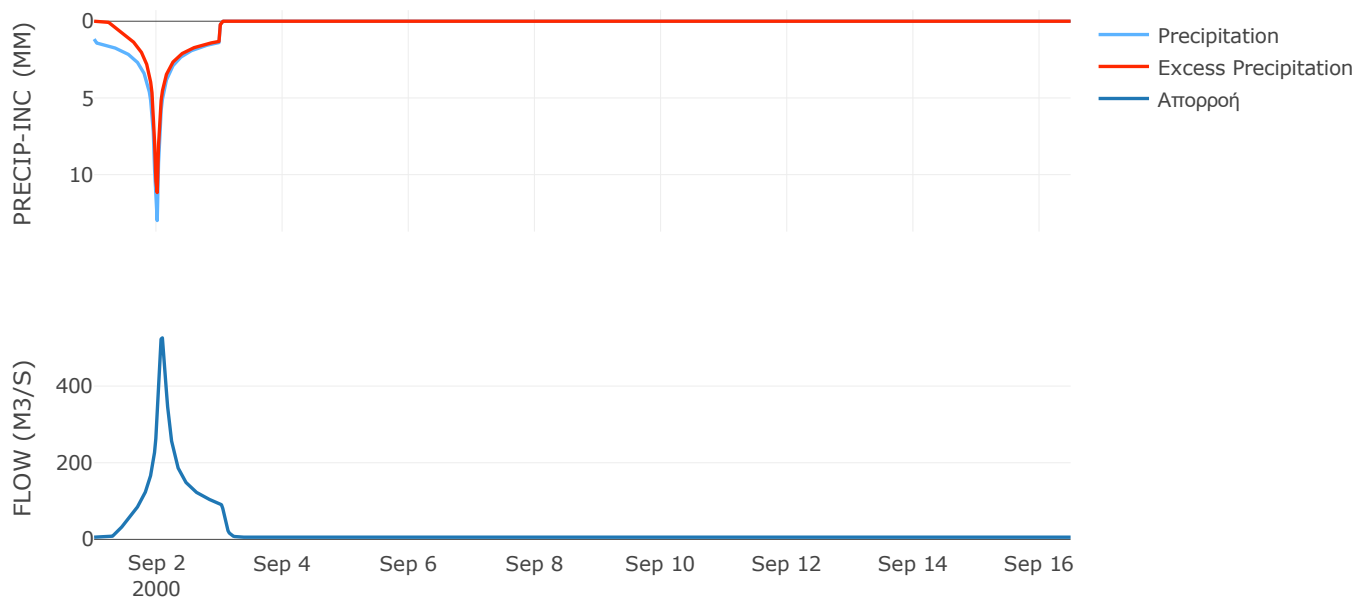
Μέθοδος
Μετασχηματισμού: SCS

Χρόνος Υστέρησης	93.8
------------------	------

Αποτελέσματα:
EL0415FR6077

Παροχή αιχμής (M3/S)	525.86
Χρονική στιγμή αιχμής	02Sep2000, 02:00
Όγκος (MM)	262.82
Όγκος βροχόπτωσης (M3)	3.11E7
Όγκος απωλειών (M3)	8.46E6
Ενεργός Όγκος (M3)	2.26E7
Όγκος άμεσης απορροής (M3)	2.26E7
Όγκος βασικής απορροής (M3)	7.72E6

Βροχόπτωση και Απορροή



Υπολεκάνη: EL0415FR6076

Έκταση (KM2) : 61.38

Κατάντη : J33

Μέθοδος Απωλειών: SCS

Ποσοστό αδιαπέρατης επιφάνειας	0
Αριθμός Καμπύλης Απορροής-CN	77.47
Αρχικές Απώλειες	14.77

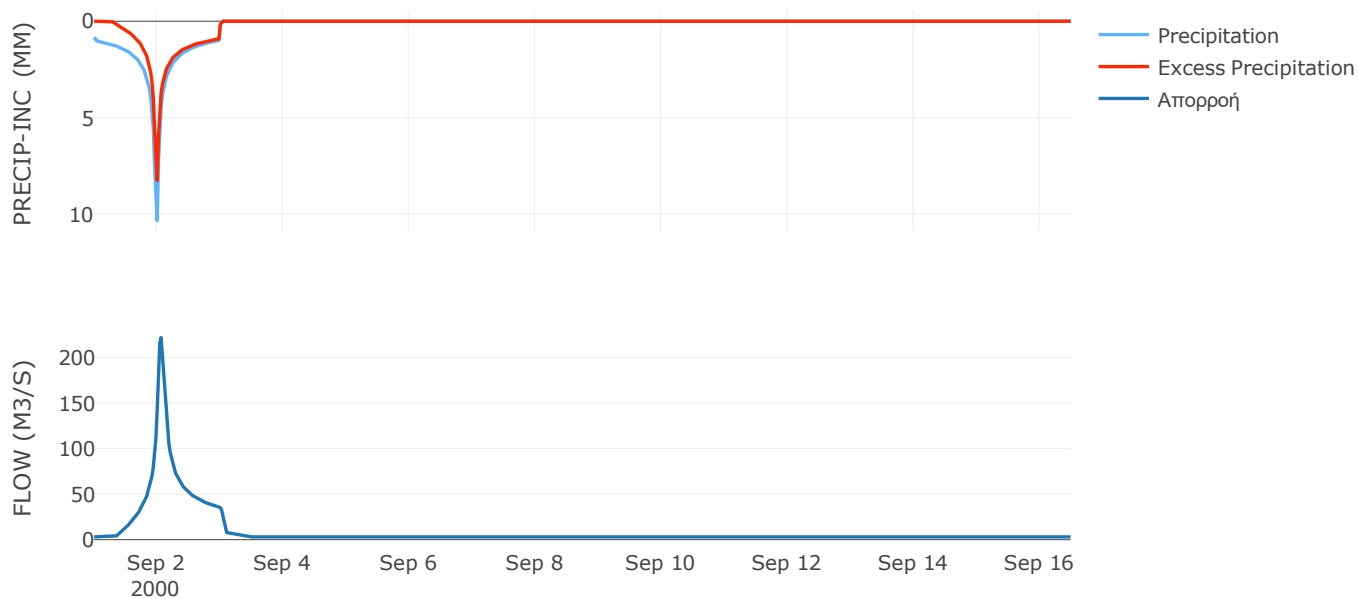
Μέθοδος
Μετασχηματισμού: SCS

Χρόνος Υστέρησης	68.59
------------------	-------

Αποτελέσματα:
EL0415FR6076

Παροχή αιχμής (M3/S)	221.71
Χρονική στιγμή αιχμής	02Sep2000, 01:30
Όγκος (MM)	200.09
Όγκος βροχόπτωσης (M3)	1.23E7
Όγκος απωλειών (M3)	4.15E6
Ενεργός Όγκος (M3)	8.17E6
Όγκος άμεσης απορροής (M3)	8.17E6
Όγκος βασικής απορροής (M3)	4.11E6

Βροχόπτωση και Απορροή



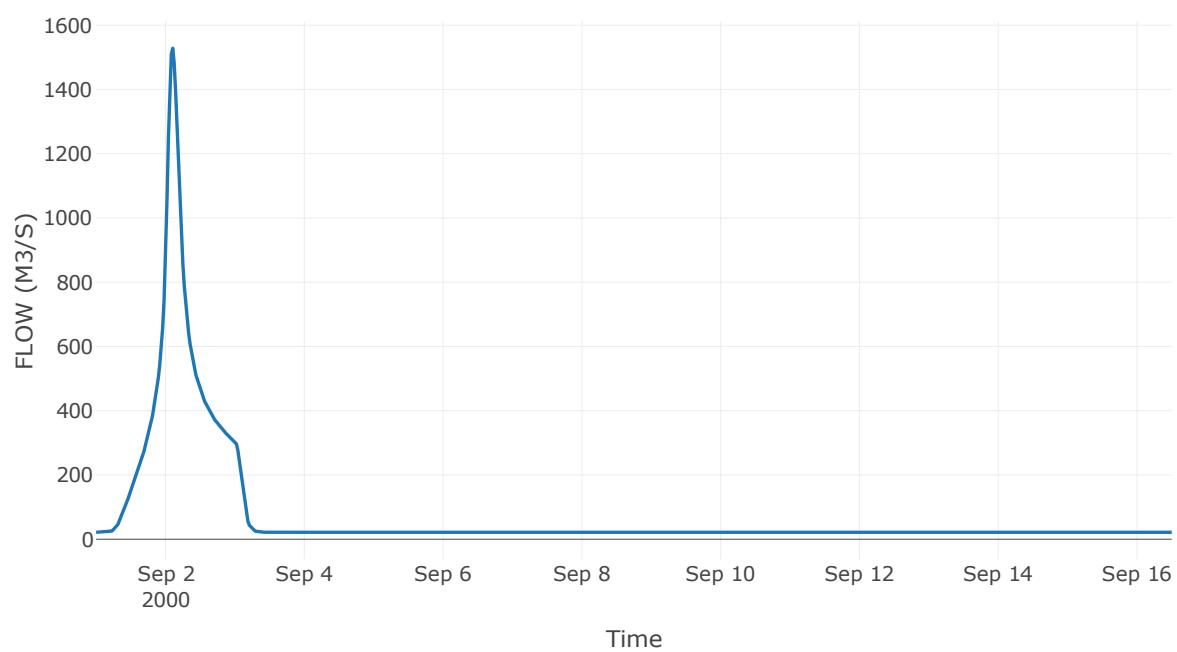
Κόμβος: J33

Κατάντη : R3332

Αποτελέσματα: J33

Παροχή Αιχμής (M3/S)	1528.1
Χρονική στιγμή αιχμής	02Sep2000, 02:30
Όγκος(MM)	235.69

Απορροή



Κλάδος: R3332

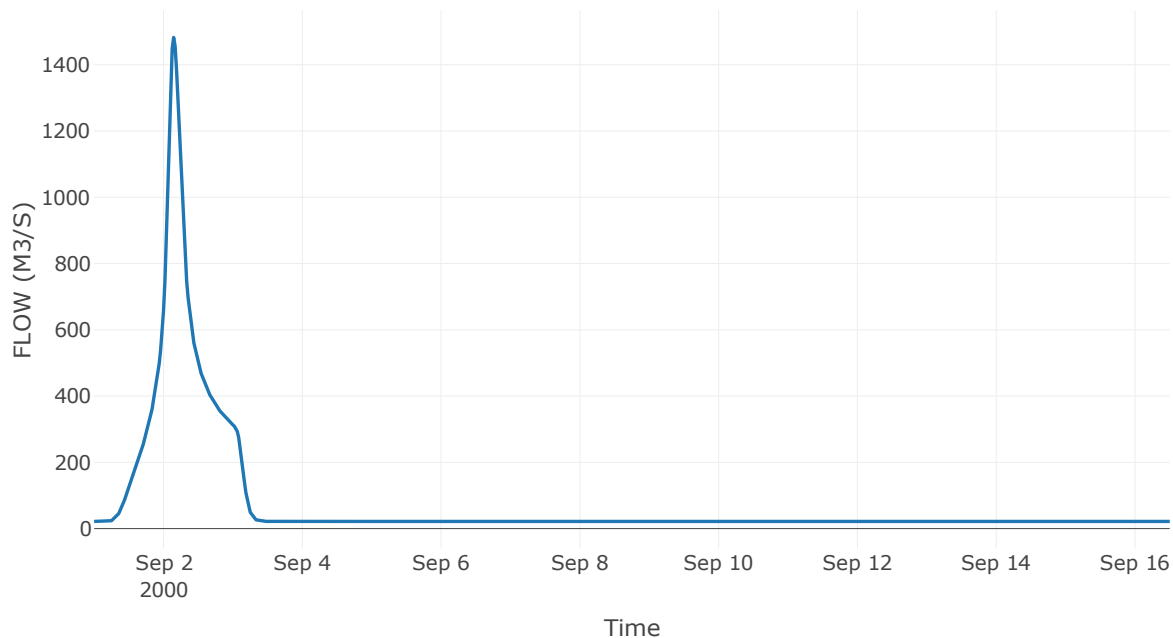
Κατάντη : J32

Μέθοδος Διόδευσης	Muskingum
Αρχική Μεταβλητή	Combined Inflow
Muskingum K	1.1
Συντελεστής βάρους α	0.2
Muskingum Steps	2

Αποτελέσματα: R3332

Παροχή Αιχμής (M3/S)	1482.62
Χρονική στιγμή αιχμής	02Sep2000, 03:30
Όγκος(MM)	235.69
Παροχή Αιχμής Εισόδου (M3/S)	1528.1
Όγκος Εισροής(M3)	1.02E8

Απορροή



Υπολεκάνη: EL0415FR6079

Έκταση (KM2) : 61

Κατάντη : J32

Μέθοδος Απωλειών: SCS

Ποσοστό αδιαπέρατης επιφάνειας	0
Αριθμός Καμπύλης Απορροής-CN	77.9
Αρχικές Απώλειες	14.41

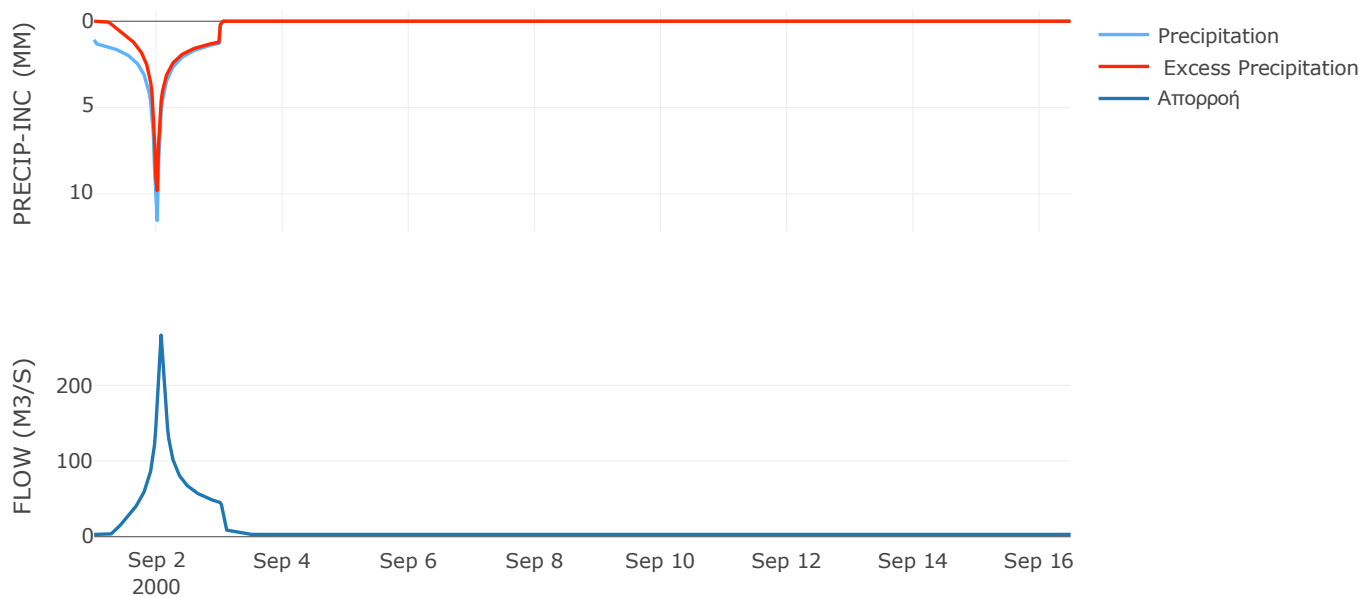
Μέθοδος
Μετασχηματισμού: SCS

Χρόνος Υστέρησης	66.08
------------------	-------

Αποτελέσματα:
EL0415FR6079

Παροχή αιχμής (M3/S)	266.4
Χρονική στιγμή αιχμής	02Sep2000, 01:30
Όγκος (MM)	242.69
Όγκος βροχόπτωσης (M3)	1.49E7
Όγκος απωλειών (M3)	4.23E6
Ενεργός Όγκος (M3)	1.07E7
Όγκος άμεσης απορροής (M3)	1.07E7
Όγκος βασικής απορροής (M3)	4.08E6

Βροχόπτωση και Απορροή



Υπολεκάνη: EL0415FR6078

Έκταση (KM2) : 32.2

Κατάντη : J32

Μέθοδος Απωλειών: SCS

Ποσοστό αδιαπέρατης επιφάνειας	0
Αριθμός Καμπύλης Απορροής-CN	80.34
Αρχικές Απώλειες	12.43

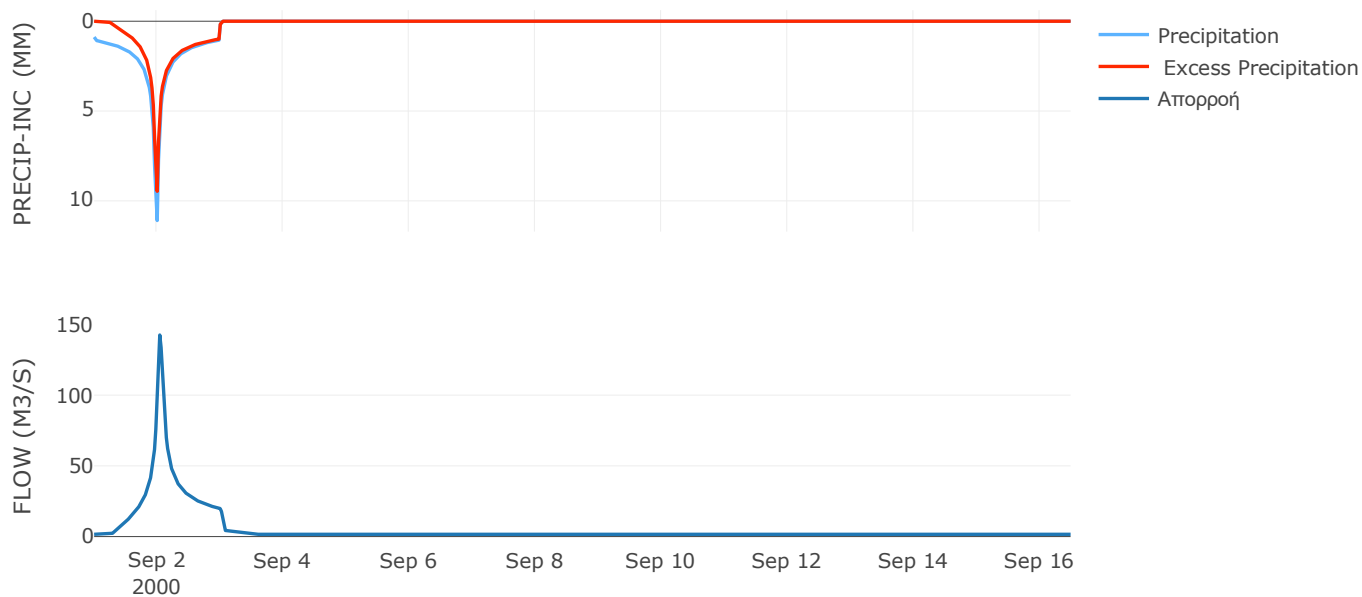
Μέθοδος
Μετασχηματισμού: SCS

Χρόνος Υστέρησης	52.45
------------------	-------

Αποτελέσματα:
EL0415FR6078

Παροχή αιχμής (M3/S)	142.5
Χρονική στιγμή αιχμής	02Sep2000, 01:00
Όγκος (MM)	220.54
Όγκος βροχόπτωσης (M3)	6.87E6
Όγκος απωλειών (M3)	1.93E6
Ενεργός Όγκος (M3)	4.95E6
Όγκος άμεσης απορροής (M3)	4.95E6
Όγκος βασικής απορροής (M3)	2.16E6

Βροχόπτωση και Απορροή



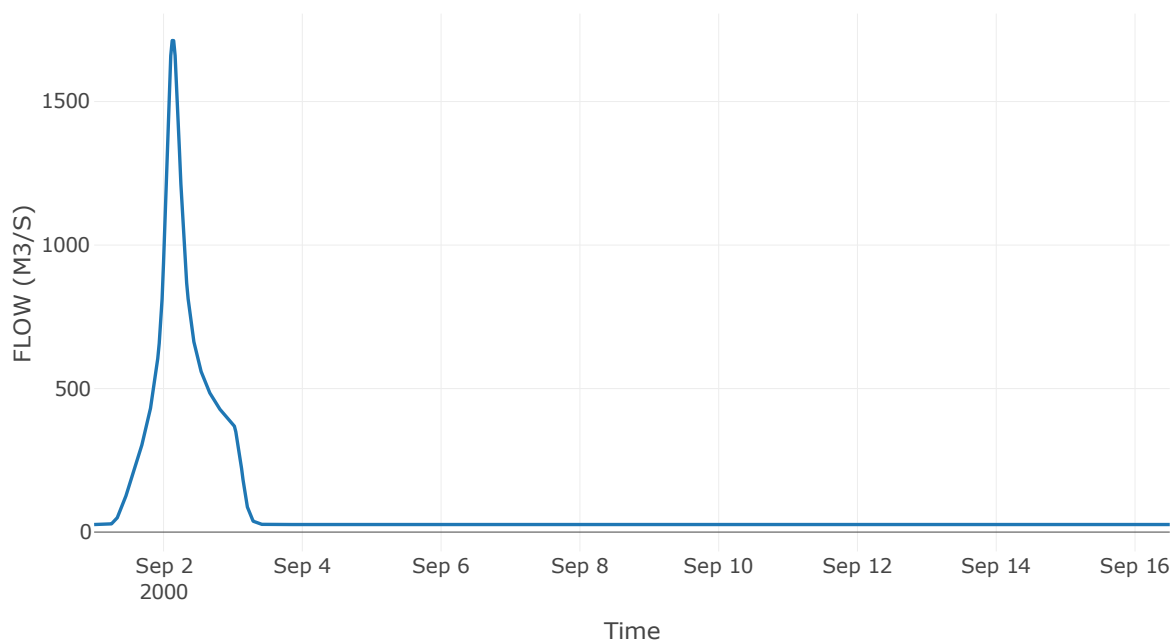
Κόμβος: J32

Κατάντη : R3230

Αποτελέσματα: J32

Παροχή Αιχμής (M3/S)	1712.65
Χρονική στιγμή αιχμής	02Sep2000, 03:00
Όγκος(MM)	235.57

Απορροή



Κλάδος: R3230

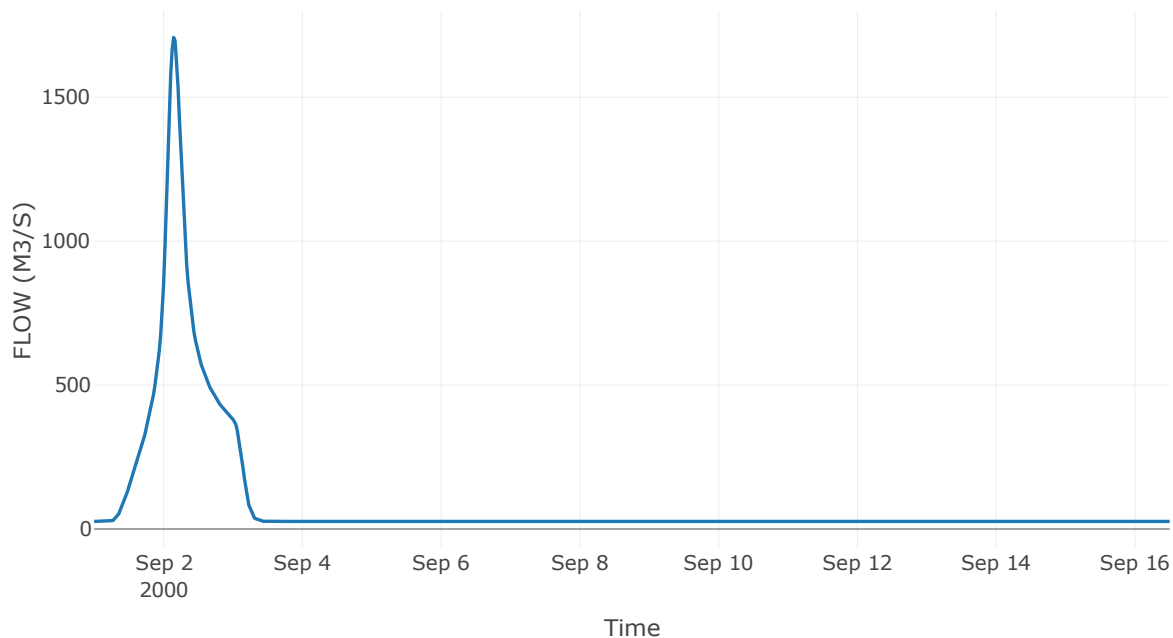
Κατάντη : J30

Μέθοδος Διόδευσης	Muskingum
Αρχική Μεταβλητή	Combined Inflow
Muskingum K	0.38
Συντελεστής βάρους α	0.2
Muskingum Steps	1

Αποτελέσματα: R3230

Παροχή Αιχμής (M3/S)	1707.91
Χρονική στιγμή αιχμής	02Sep2000, 03:30
Όγκος(MM)	235.57
Παροχή Αιχμής Εισόδου (M3/S)	1712.65
Όγκος Εισροής(M3)	1.24E8

Απορροή



Υπολεκάνη: EL0415FR6080

Έκταση (KM2) : 31.99

Κατάντη : J30

Μέθοδος Απωλειών: SCS

Ποσοστό αδιαπέρατης επιφάνειας	0
Αριθμός Καμπύλης Απορροής-CN	77.44
Αρχικές Απώλειες	14.8

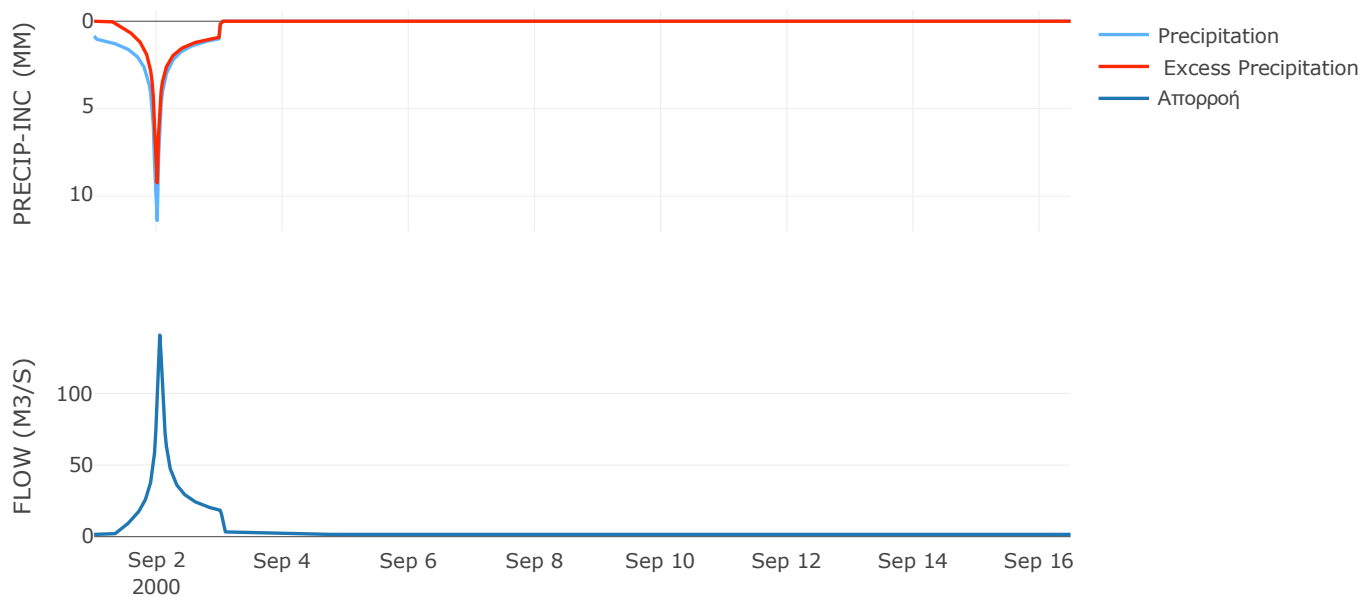
Μέθοδος
Μετασχηματισμού: SCS

Χρόνος Υστέρησης	45.4
------------------	------

Αποτελέσματα:
EL0415FR6080

Παροχή αιχμής (M3/S)	140.76
Χρονική στιγμή αιχμής	02Sep2000, 01:00
Όγκος (MM)	208.29
Όγκος βροχόπτωσης (M3)	6.71E6
Όγκος απωλειών (M3)	2.19E6
Ενεργός Όγκος (M3)	4.52E6
Όγκος άμεσης απορροής (M3)	4.52E6
Όγκος βασικής απορροής (M3)	2.14E6

Βροχόπτωση και Απορροή



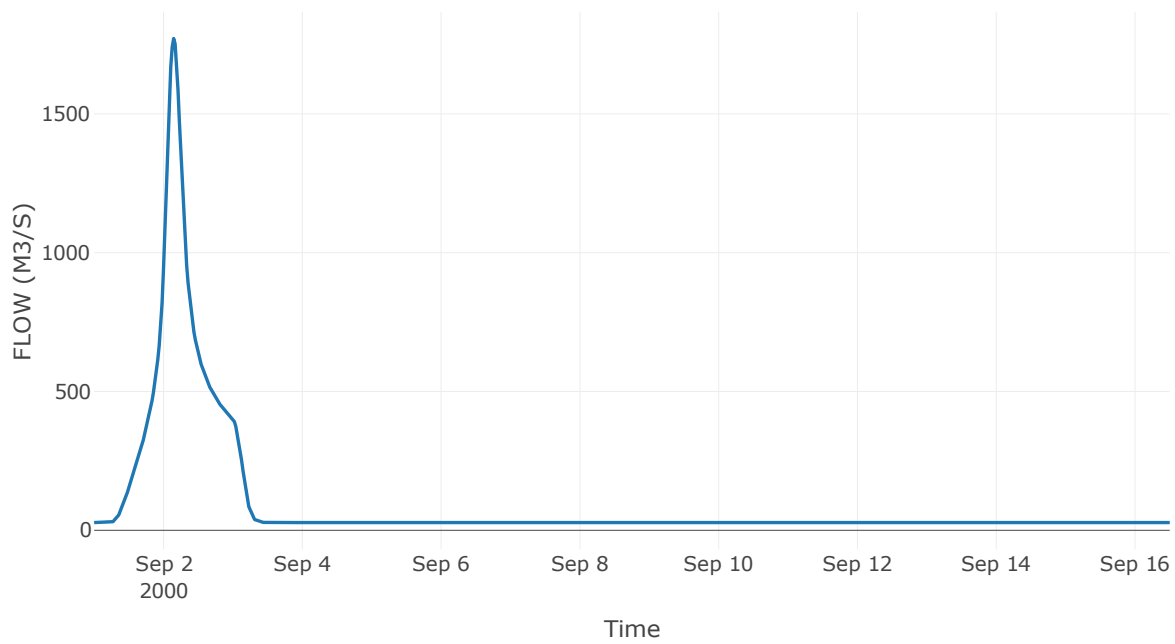
Κόμβος: J30

Κατάντη : R3029

Αποτελέσματα: J30

Παροχή Αιχμής (M3/S)	1771.39
Χρονική στιγμή αιχμής	02Sep2000, 03:30
Όγκος(MM)	234.01

Απορροή



Κλάδος: R3029

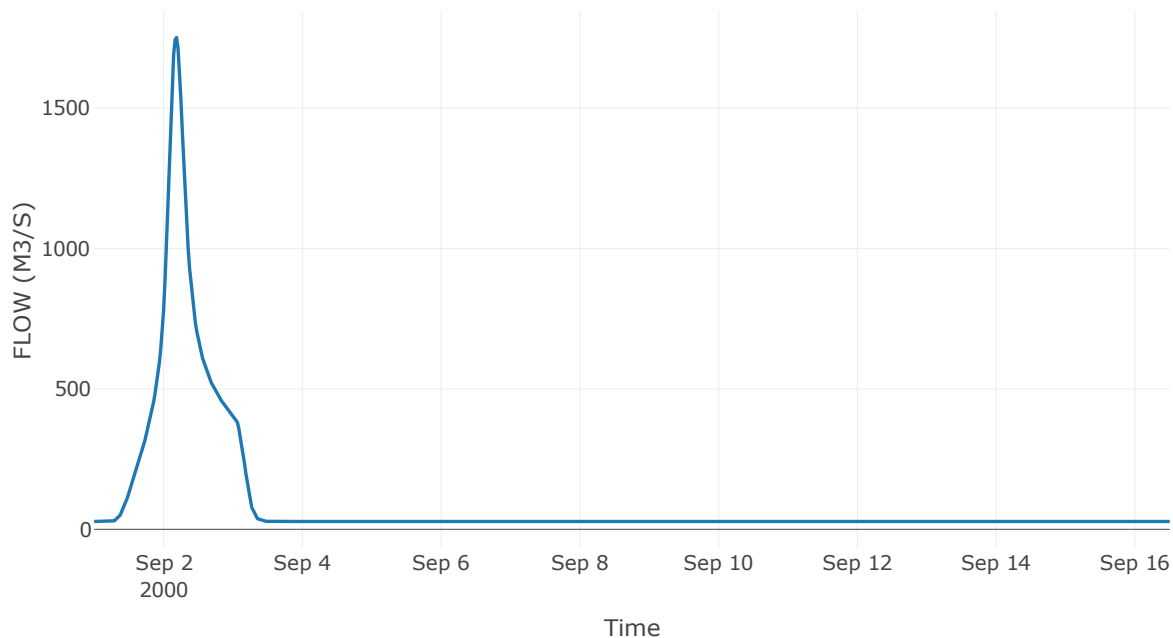
Κατάντη : J29

Μέθοδος Διόδευσης	Muskingum
Αρχική Μεταβλητή	Combined Inflow
Muskingum K	0.79
Συντελεστής βάρους x	0.2
Muskingum Steps	2

Αποτελέσματα: R3029

Παροχή Αιχμής (M3/S)	1751.49
Χρονική στιγμή αιχμής	02Sep2000, 04:30
Όγκος(MM)	234.01
Παροχή Αιχμής Εισόδου (M3/S)	1771.39
Όγκος Εισροής(M3)	1.3E8

Απορροή



Υπολεκάνη: EL0415FR6091

Έκταση (KM2) : 12.79

Κατάντη : J29

Μέθοδος Απωλειών: SCS

Ποσοστό αδιαπέρατης επιφάνειας	20
Αριθμός Καμπύλης Απορροής-CN	82.51
Αρχικές Απώλειες	10.77

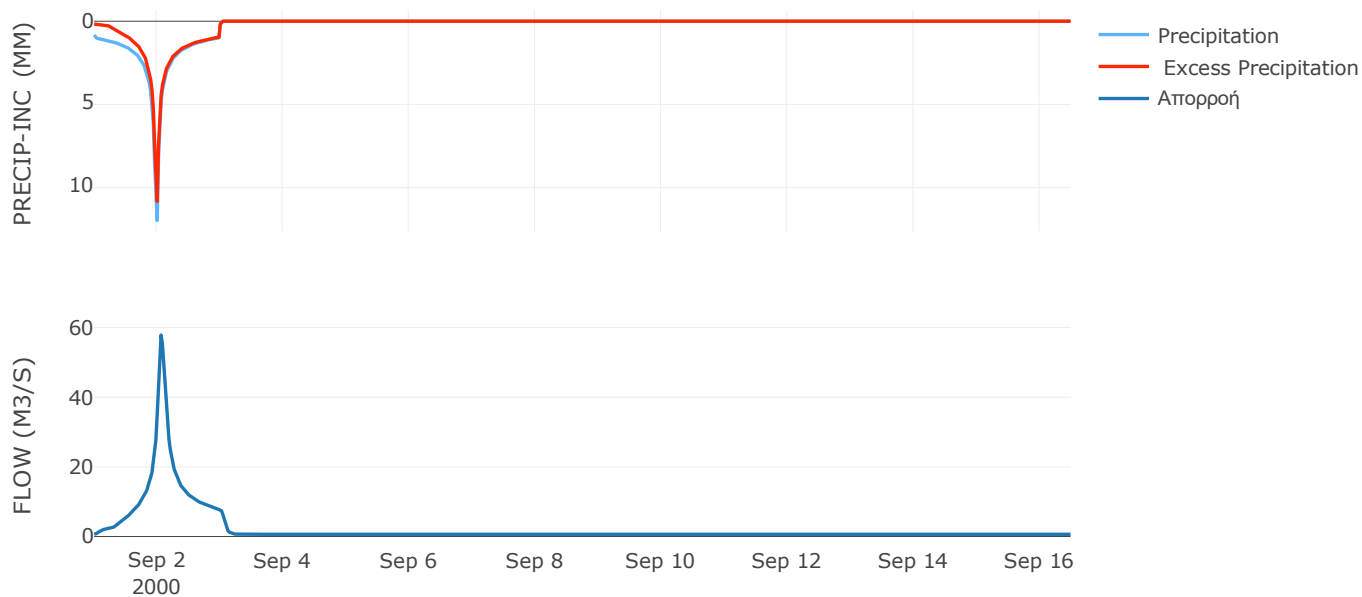
Μέθοδος
Μετασχηματισμού: SCS

Χρόνος Υστέρησης	82.7
------------------	------

Αποτελέσματα:
EL0415FR6091

Παροχή αιχμής (M3/S)	57.85
Χρονική στιγμή αιχμής	02Sep2000, 01:30
Όγκος (MM)	237.05
Όγκος βροχόπτωσης (M3)	2.72E6
Όγκος απωλειών (M3)	5.45E5
Ενεργός Όγκος (M3)	2.17E6
Όγκος άμεσης απορροής (M3)	2.17E6
Όγκος βασικής απορροής (M3)	8.56E5

Βροχόπτωση και Απορροή



Υπολεκάνη: EL0415FR6090

Έκταση (KM2) : 6.36

Κατάντη : J29

Μέθοδος Απωλειών: SCS

Ποσοστό αδιαπέρατης επιφάνειας	20
Αριθμός Καμπύλης Απορροής-CN	83.68
Αρχικές Απώλειες	9.91

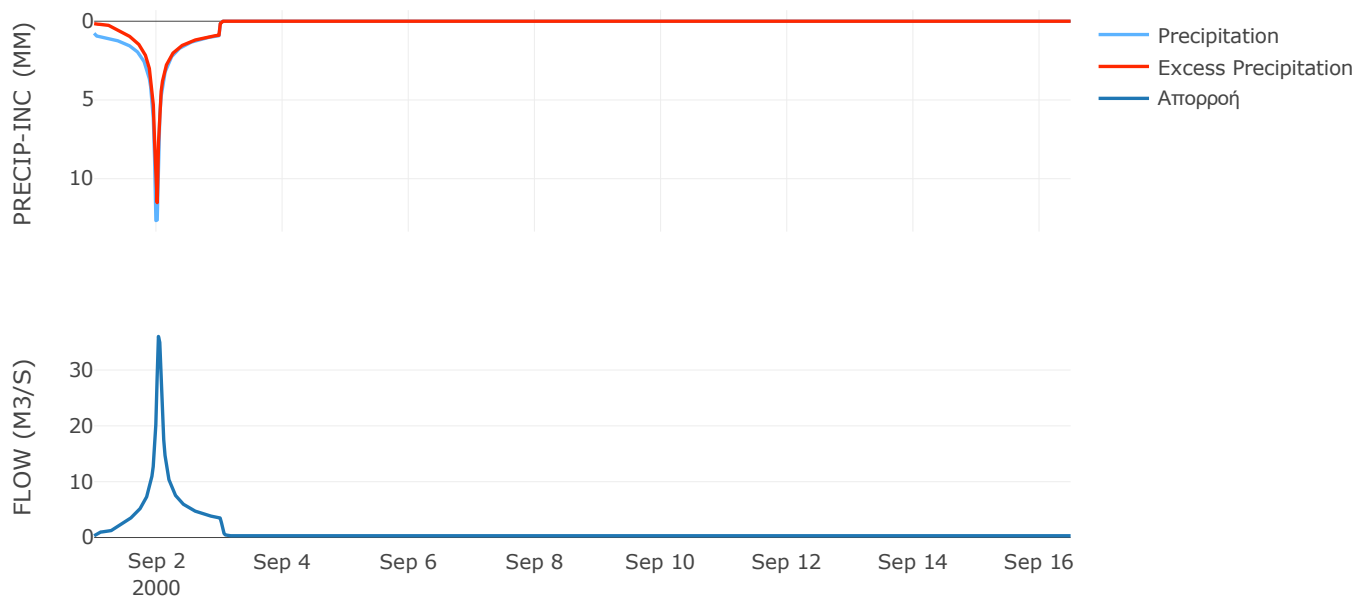
Μέθοδος
Μετασχηματισμού: SCS

Χρόνος Υστέρησης	34.28
------------------	-------

Αποτελέσματα:
EL0415FR6090

Παροχή αιχμής (M3/S)	36.01
Χρονική στιγμή αιχμής	02Sep2000, 00:30
Όγκος (MM)	234.17
Όγκος βροχόπτωσης (M3)	1.31E6
Όγκος απωλειών (M3)	2.52E5
Ενεργός Όγκος (M3)	1.06E6
Όγκος άμεσης απορροής (M3)	1.06E6
Όγκος βασικής απορροής (M3)	4.26E5

Βροχόπτωση και Απορροή



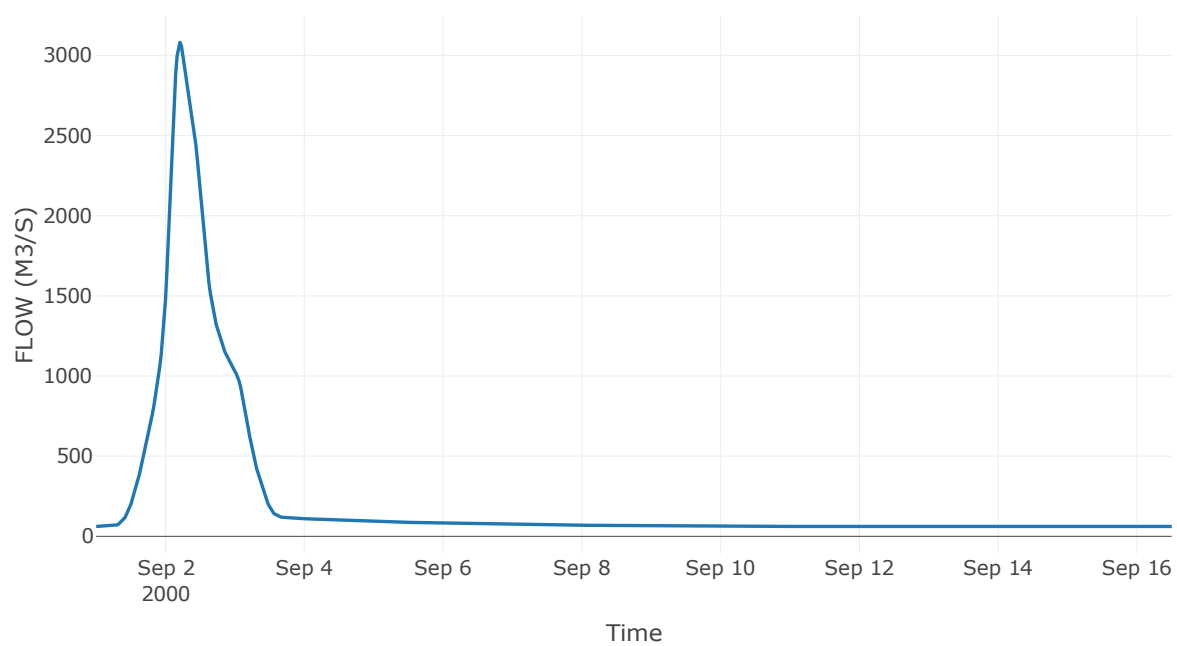
Κόμβος: J29

Κατάντη : R2928

Αποτελέσματα: J29

Παροχή Αιχμής (M3/S)	3081.21
Χρονική στιγμή αιχμής	02Sep2000, 05:00
Όγκος(MM)	251.45

Απορροή



Κλάδος: R2928

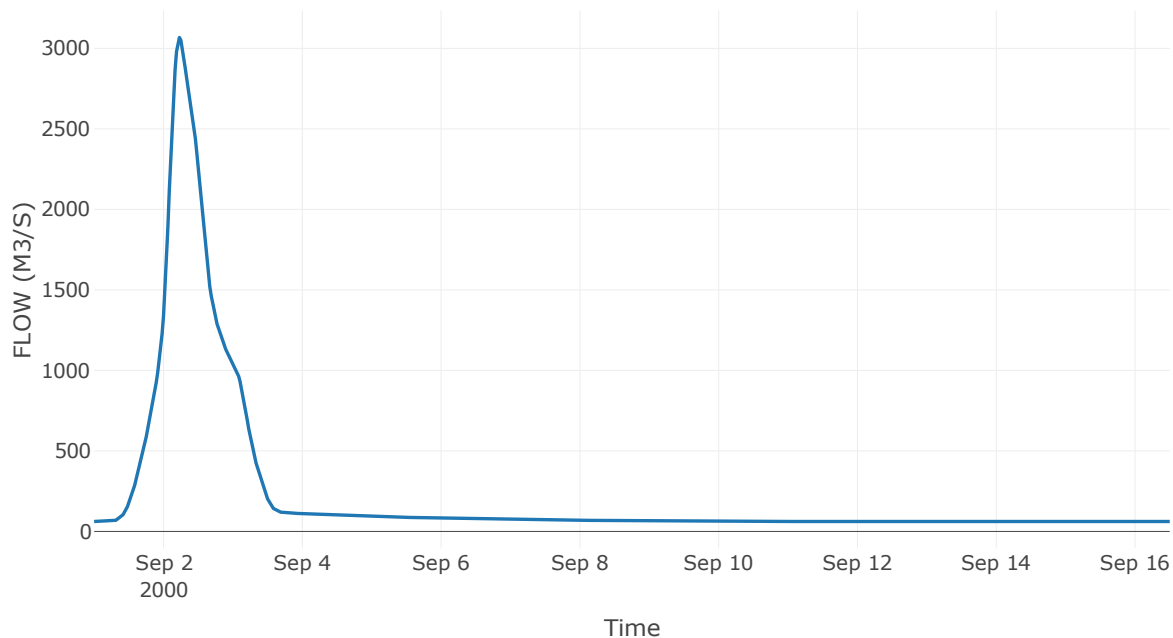
Κατάντη : J28

Μέθοδος Διόδευσης	Muskingum
Αρχική Μεταβλητή	Combined Inflow
Muskingum K	0.51
Συντελεστής βάρους α	0.2
Muskingum Steps	1

Αποτελέσματα: R2928

Παροχή Αιχμής (M3/S)	3067.92
Χρονική στιγμή αιχμής	02Sep2000, 05:30
Όγκος(MM)	251.45
Παροχή Αιχμής Εισόδου (M3/S)	3081.21
Όγκος Εισροής(M3)	3.1E8

Απορροή



Υπολεκάνη: EL0415FR6042

Έκταση (KM2) : 44.43

Κατάντη : J28

Μέθοδος Απωλειών: SCS

Ποσοστό αδιαπέρατης επιφάνειας	0
Αριθμός Καμπύλης Απορροής-CN	82.1
Αρχικές Απώλειες	11.08

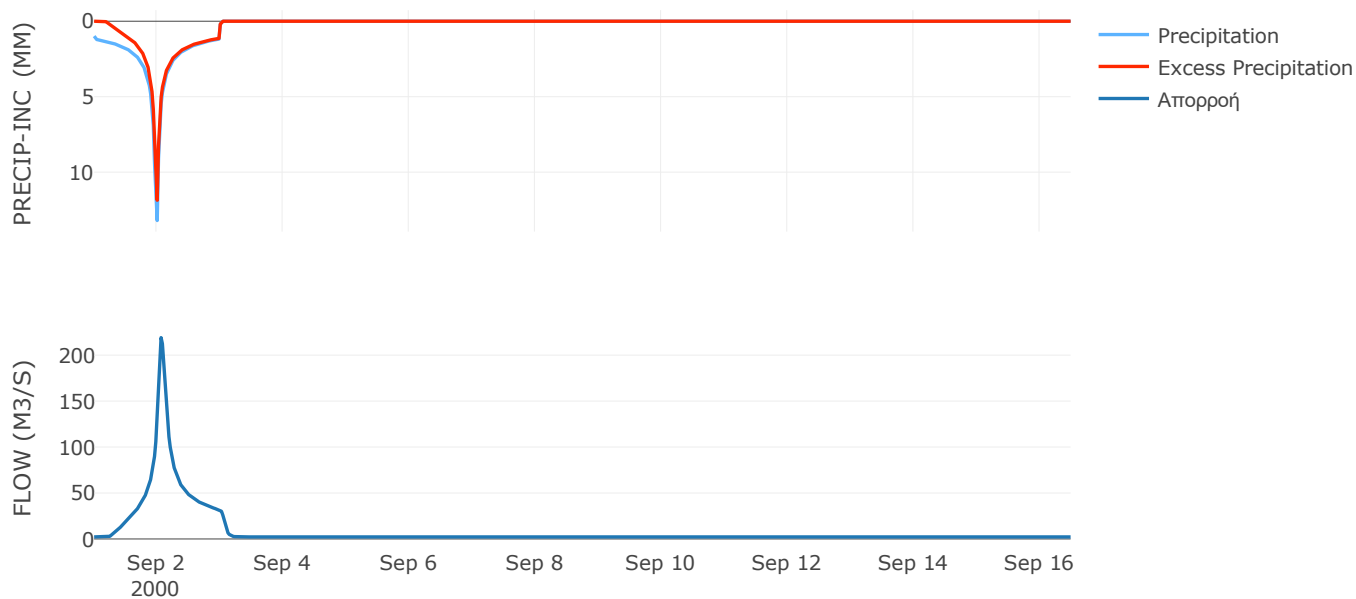
Μέθοδος
Μετασχηματισμού: SCS

Χρόνος Υστέρησης	84.96
------------------	-------

Αποτελέσματα:
EL0415FR6042

Παροχή αιχμής (M3/S)	219.07
Χρονική στιγμή αιχμής	02Sep2000, 01:30
Όγκος (MM)	256.06
Όγκος βροχόπτωσης (M3)	1.09E7
Όγκος απωλειών (M3)	2.48E6
Ενεργός Όγκος (M3)	8.4E6
Όγκος άμεσης απορροής (M3)	8.4E6
Όγκος βασικής απορροής (M3)	2.98E6

Βροχόπτωση και Απορροή



Υπολεκάνη: EL0415FR6089

Έκταση (KM2) : 9.78

Κατάντη : J28

Μέθοδος Απωλειών: SCS

Ποσοστό αδιαπέρατης επιφάνειας	11
Αριθμός Καμπύλης Απορροής-CN	88.08
Αρχικές Απώλειες	6.88

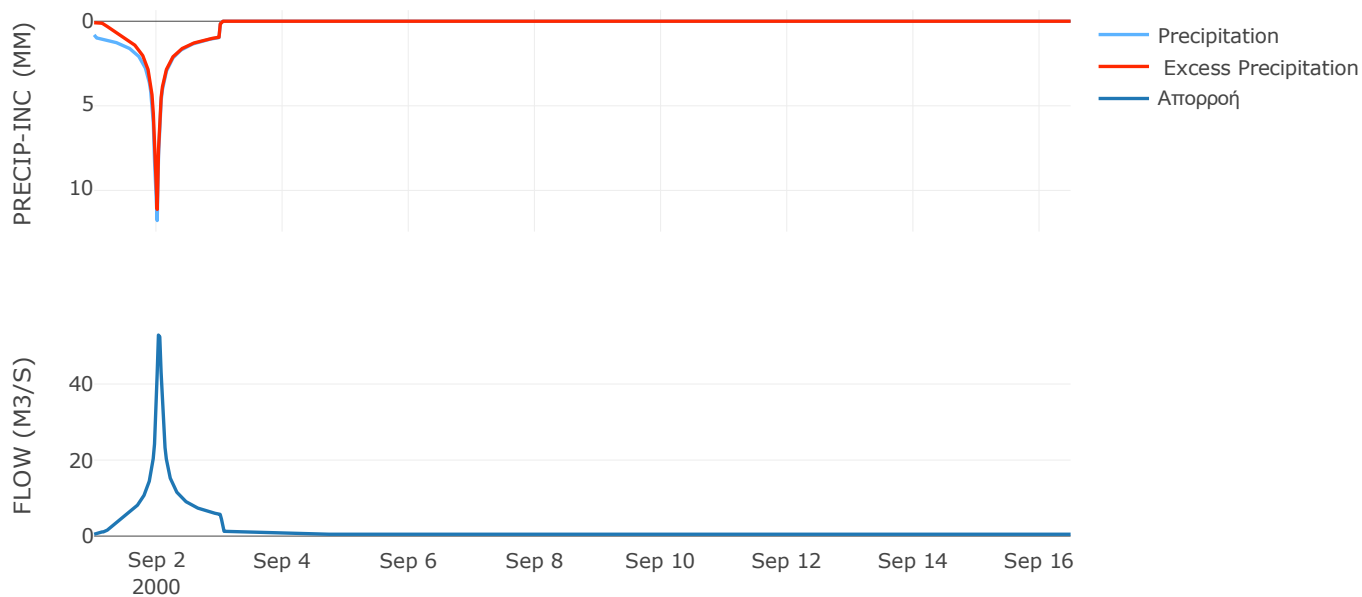
Μέθοδος
Μετασχηματισμού: SCS

Χρόνος Υστέρησης	36.41
------------------	-------

Αποτελέσματα:
EL0415FR6089

Παροχή αιχμής (M3/S)	52.88
Χρονική στιγμή αιχμής	02Sep2000, 00:30
Όγκος (MM)	242.03
Όγκος βροχόπτωσης (M3)	2.03E6
Όγκος απωλειών (M3)	3.15E5
Ενεργός Όγκος (M3)	1.71E6
Όγκος άμεσης απορροής (M3)	1.71E6
Όγκος βασικής απορροής (M3)	6.55E5

Βροχόπτωση και Απορροή



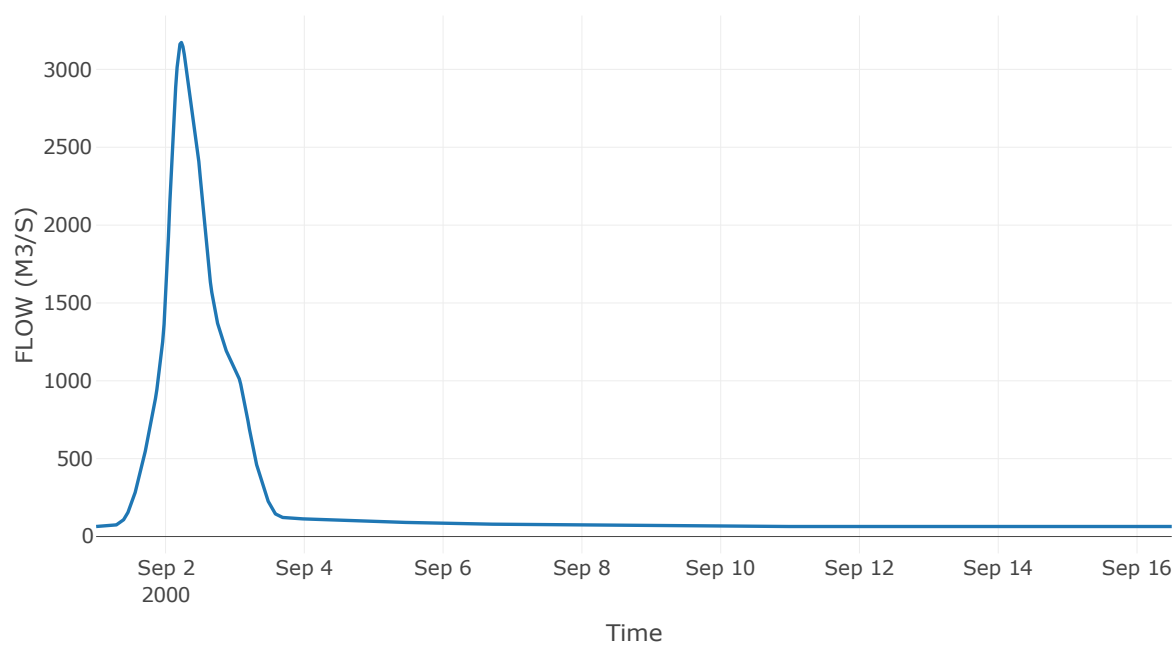
Κόμβος: J28

Κατάντη : R2827

Αποτελέσματα: J28

Παροχή Αιχμής (M3/S)	3172.86
Χρονική στιγμή αιχμής	02Sep2000, 05:30
Όγκος(MM)	251.54

Απορροή



Κλάδος: R2827

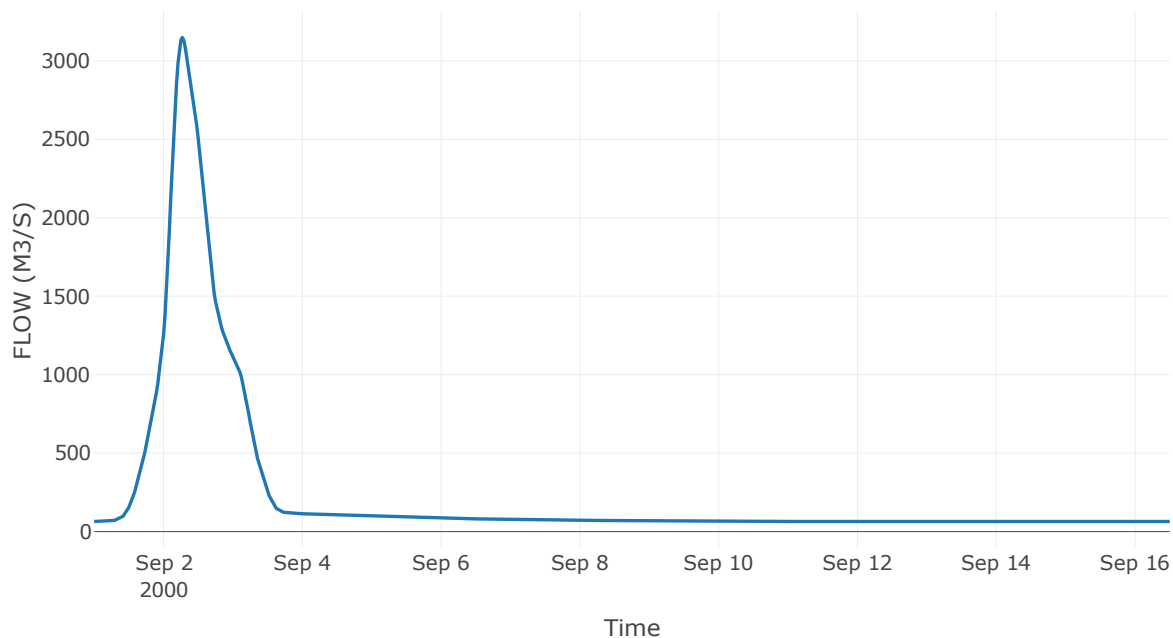
Κατάντη : J27

Μέθοδος Διόδευσης	Muskingum
Αρχική Μεταβλητή	Combined Inflow
Muskingum K	1.05
Συντελεστής βάρους α	0.2
Muskingum Steps	2

Αποτελέσματα: R2827

Παροχή Αιχμής (M3/S)	3148.73
Χρονική στιγμή αιχμής	02Sep2000, 06:30
Όγκος(MM)	251.54
Παροχή Αιχμής Εισόδου (M3/S)	3172.86
Όγκος Εισροής(M3)	3.24E8

Απορροή



Υπολεκάνη: EL0415FR6034

Έκταση (KM2) : 105.64

Κατάντη : J44

Μέθοδος Απωλειών: SCS

Ποσοστό αδιαπέρατης επιφάνειας	0
Αριθμός Καμπύλης Απορροής-CN	81.72
Αρχικές Απώλειες	11.36

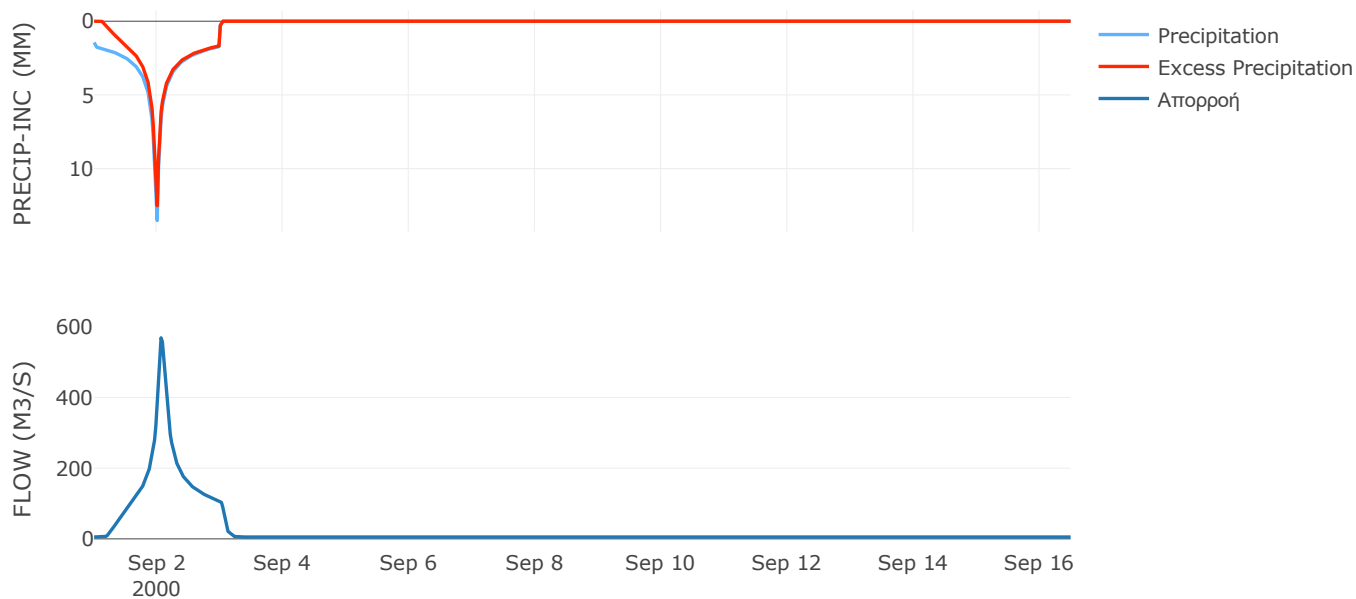
Μέθοδος
Μετασχηματισμού: SCS

Χρόνος Υστέρησης	86.01
------------------	-------

Αποτελέσματα:
EL0415FR6034

Παροχή αιχμής (M3/S)	568.78
Χρονική στιγμή αιχμής	02Sep2000, 01:30
Όγκος (MM)	320.83
Όγκος βροχόπτωσης (M3)	3.31E7
Όγκος απωλειών (M3)	6.25E6
Ενεργός Όγκος (M3)	2.68E7
Όγκος άμεσης απορροής (M3)	2.68E7
Όγκος βασικής απορροής (M3)	7.07E6

Βροχόπτωση και Απορροή



Υπολεκάνη: EL0415FR6044

Έκταση (KM2) : 32.29

Κατάντη : J44

Μέθοδος Απωλειών: SCS

Ποσοστό αδιαπέρατης επιφάνειας	0
Αριθμός Καμπύλης Απορροής-CN	78.59
Αρχικές Απώλειες	13.84

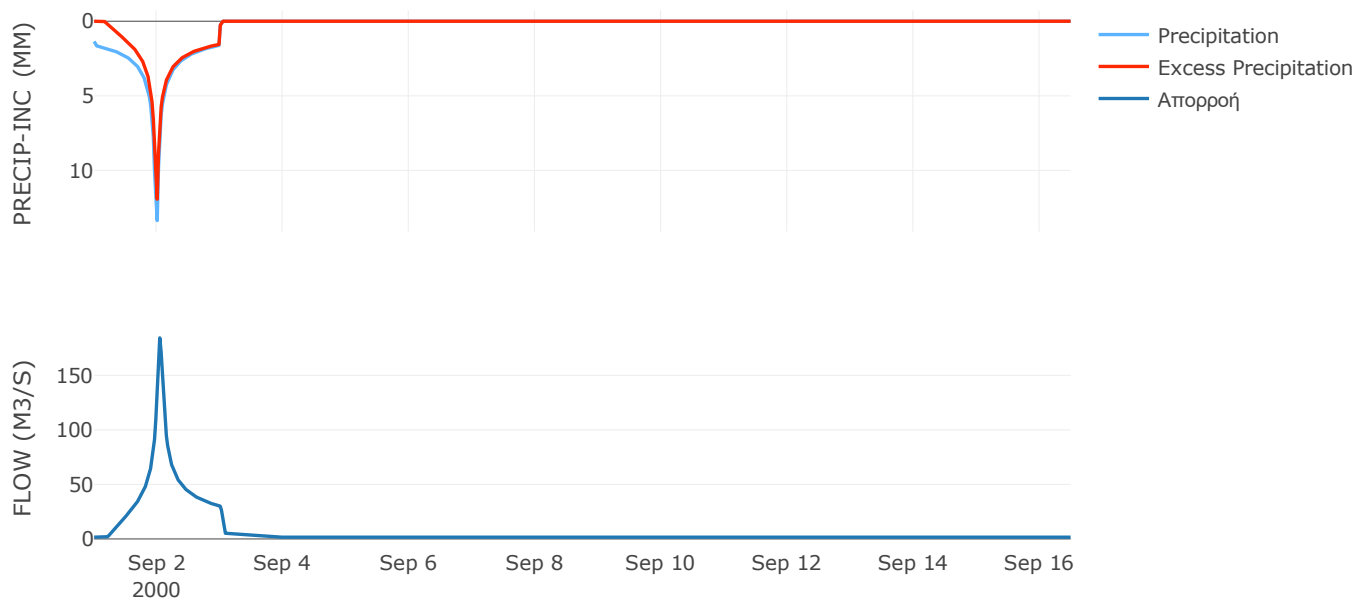
Μέθοδος
Μετασχηματισμού: SCS

Χρόνος Υστέρησης	49.24
------------------	-------

Αποτελέσματα:
EL0415FR6044

Παροχή αιχμής (M3/S)	184.37
Χρονική στιγμή αιχμής	02Sep2000, 01:00
Όγκος (MM)	296.76
Όγκος βροχόπτωσης (M3)	9.67E6
Όγκος απωλειών (M3)	2.25E6
Ενεργός Όγκος (M3)	7.42E6
Όγκος άμεσης απορροής (M3)	7.42E6
Όγκος βασικής απορροής (M3)	2.16E6

Βροχόπτωση και Απορροή



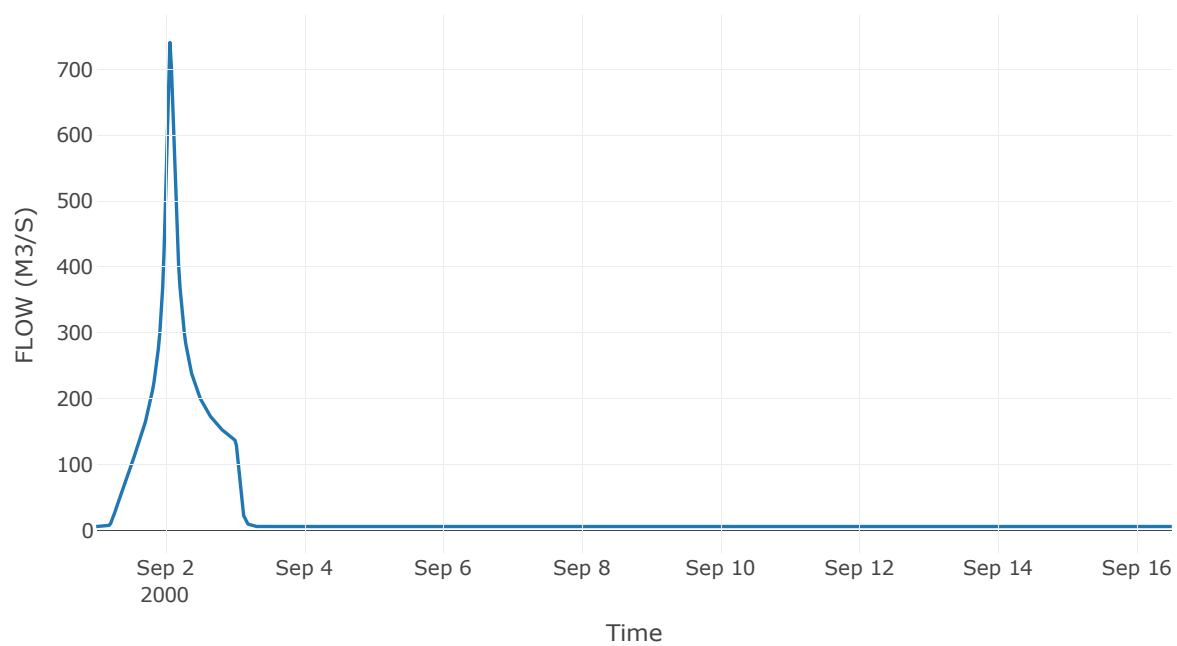
Κόμβος: J44

Κατάντη : R4462

Αποτελέσματα: J44

Παροχή Αιχμής (M3/S)	740.75
Χρονική στιγμή αιχμής	02Sep2000, 01:30
Όγκος(MM)	315.19

Απορροή



Κλάδος: R4462

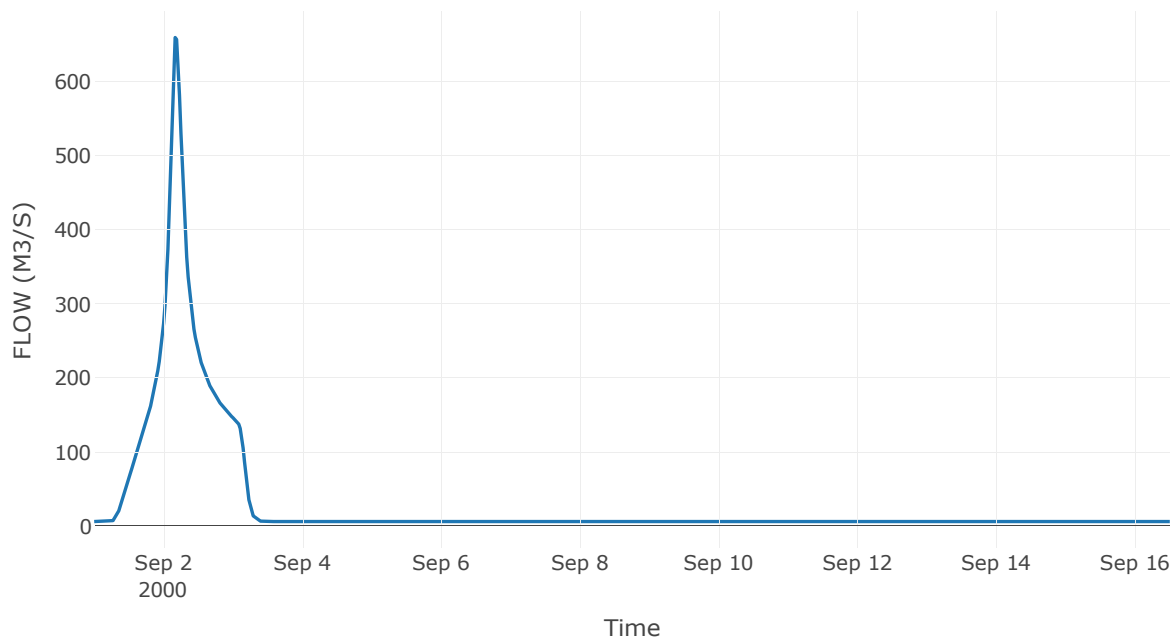
Κατάντη : J62

Μέθοδος Διόδευσης	Muskingum
Αρχική Μεταβλητή	Combined Inflow
Muskingum K	2.72
Συντελεστής βάρους x	0.2
Muskingum Steps	5

Αποτελέσματα: R4462

Παροχή Αιχμής (M3/S)	659.83
Χρονική στιγμή αιχμής	02Sep2000, 04:00
Όγκος(MM)	315.19
Παροχή Αιχμής Εισόδου (M3/S)	740.75
Όγκος Εισροής(M3)	4.35E7

Απορροή



Υπολεκάνη: EL0415FR6033

Έκταση (KM2) : 126.39

Κατάντη : J62

Μέθοδος Απωλειών: SCS

Ποσοστό αδιαπέρατης επιφάνειας	0
Αριθμός Καμπύλης Απορροής-CN	81.83
Αρχικές Απώλειες	11.28

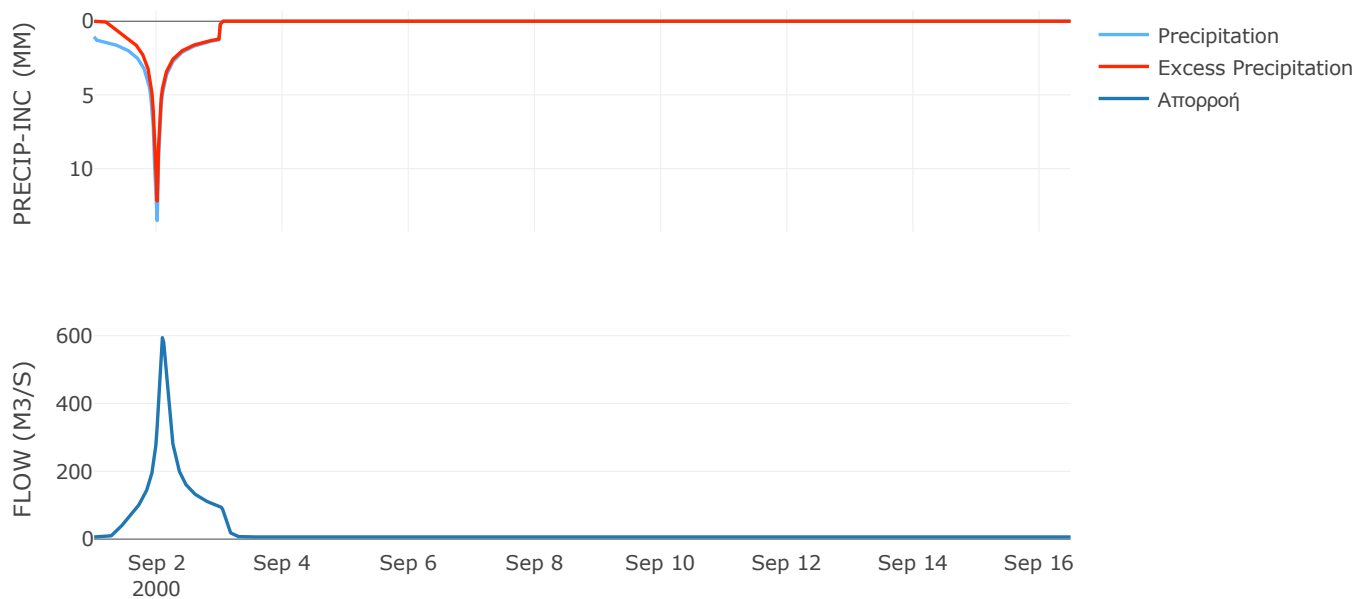
Μέθοδος
Μετασχηματισμού: SCS

Χρόνος Υστέρησης	111.99
------------------	--------

Αποτελέσματα:
EL0415FR6033

Παροχή αιχμής (M3/S)	594.21
Χρονική στιγμή αιχμής	02Sep2000, 02:00
Όγκος (MM)	266.32
Όγκος βροχόπτωσης (M3)	3.24E7
Όγκος απωλειών (M3)	7.22E6
Ενεργός Όγκος (M3)	2.52E7
Όγκος άμεσης απορροής (M3)	2.52E7
Όγκος βασικής απορροής (M3)	8.46E6

Βροχόπτωση και Απορροή



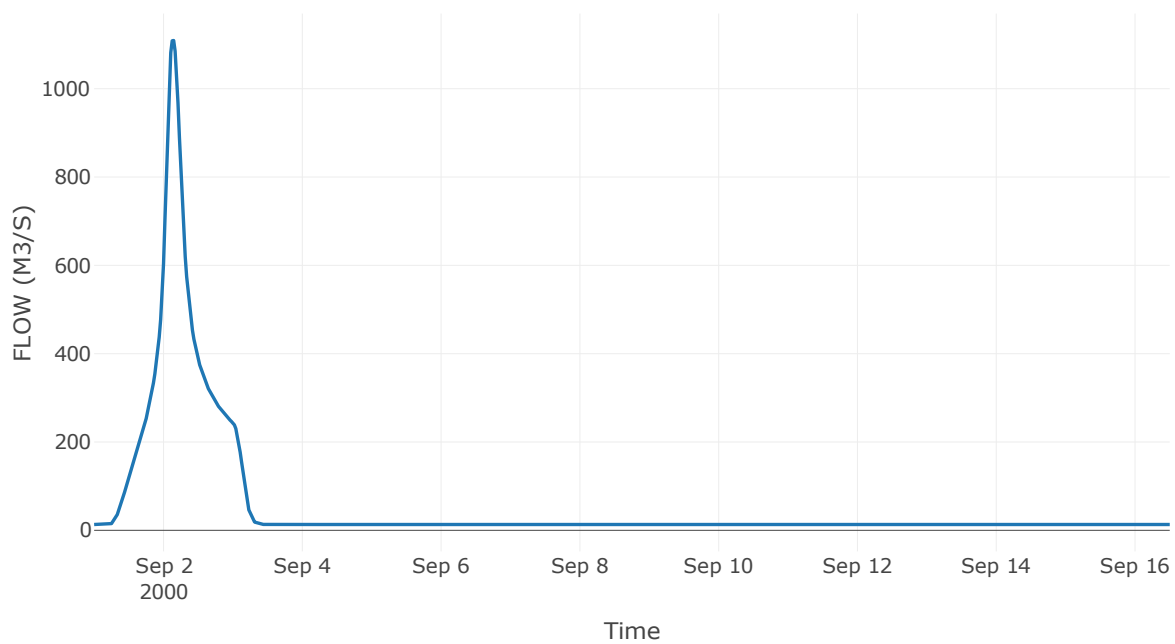
Κόμβος: J62

Κατάντη : R6227

Αποτελέσματα: J62

Παροχή Αιχμής (M3/S)	1109.2
Χρονική στιγμή αιχμής	02Sep2000, 03:30
Όγκος(MM)	291.82

Απορροή



Κλάδος: R6227

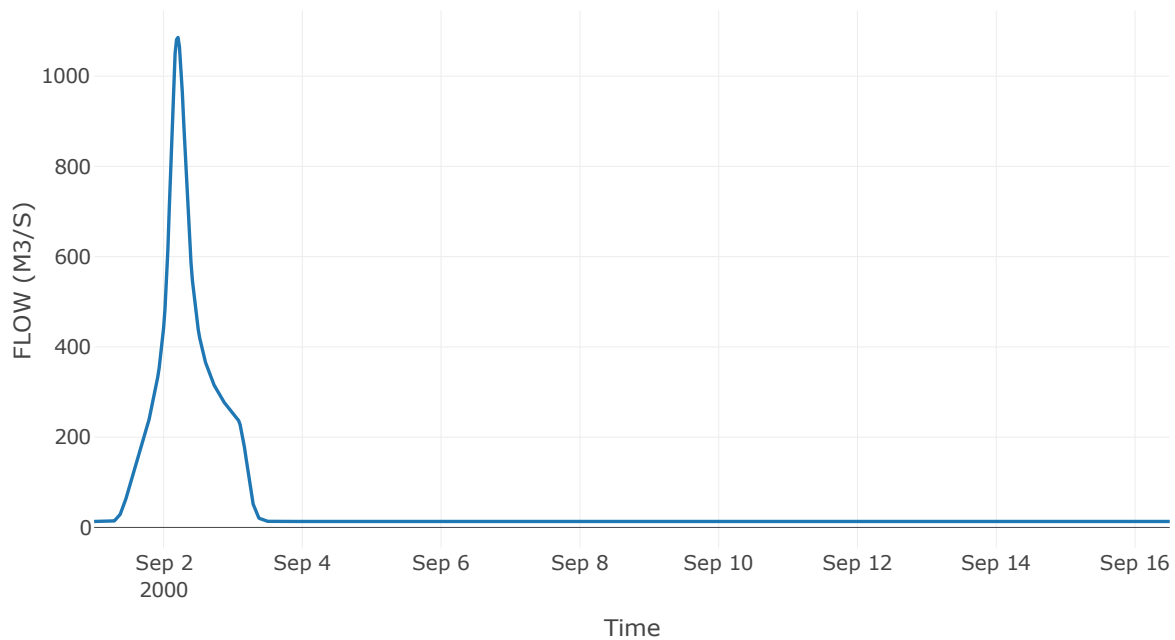
Κατάντη : J27

Μέθοδος Διόδευσης	Muskingum
Αρχική Μεταβλητή	Combined Inflow
Muskingum K	1.56
Συντελεστής βάρους x	0.2
Muskingum Steps	3

Αποτελέσματα: R6227

Παροχή Αιχμής (M3/S)	1085.68
Χρονική στιγμή αιχμής	02Sep2000, 05:00
Όγκος(MM)	291.82
Παροχή Αιχμής Εισόδου (M3/S)	1109.2
Όγκος Εισροής(M3)	7.71E7

Απορροή



Υπολεκάνη: EL0415FR6030

Έκταση (KM2) : 127.36

Κατάντη : J27

Μέθοδος Απωλειών: SCS

Ποσοστό αδιαπέρατης επιφάνειας	17
Αριθμός Καμπύλης Απορροής-CN	90.82
Αρχικές Απώλειες	5.13

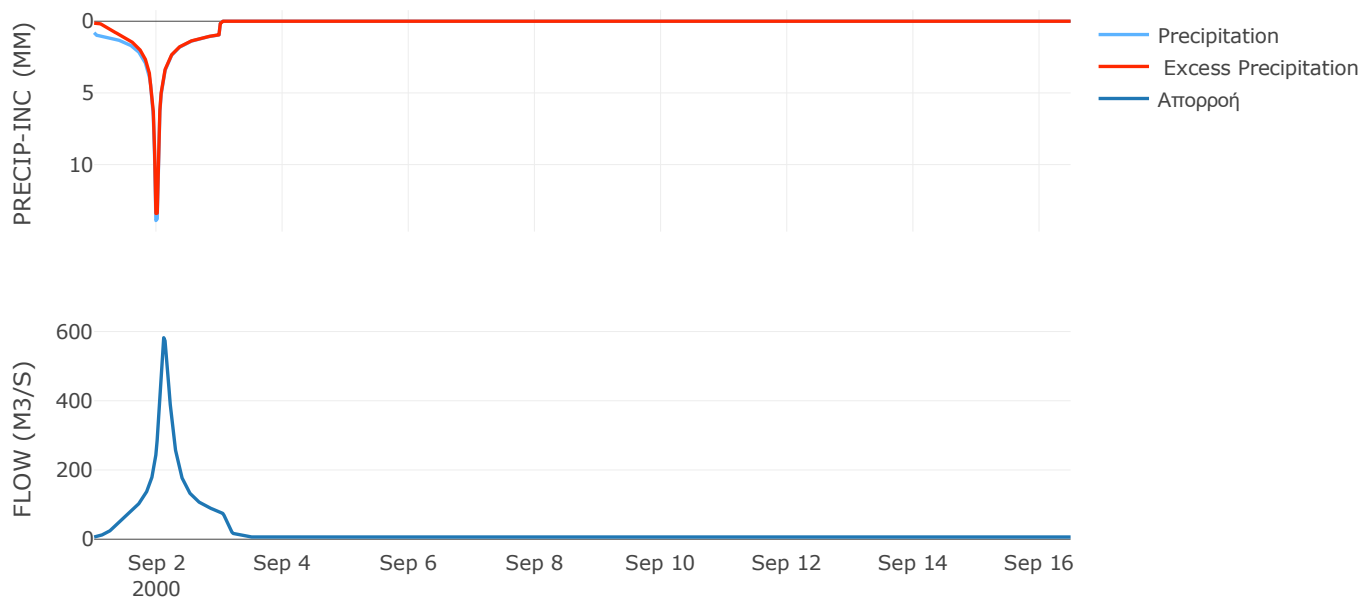
Μέθοδος
Μετασχηματισμού: SCS

Χρόνος Υστέρησης	146.28
------------------	--------

Αποτελέσματα:
EL0415FR6030

Παροχή αιχμής (M3/S)	582.13
Χρονική στιγμή αιχμής	02Sep2000, 02:30
Όγκος (MM)	263.53
Όγκος βροχόπτωσης (M3)	2.8E7
Όγκος απωλειών (M3)	2.97E6
Ενεργός Όγκος (M3)	2.5E7
Όγκος άμεσης απορροής (M3)	2.5E7
Όγκος βασικής απορροής (M3)	8.53E6

Βροχόπτωση και Απορροή



Υπολεκάνη: EL0415FR6086

Έκταση (KM2) : 51.06

Κατάντη : J27

Μέθοδος Απωλειών: SCS

Ποσοστό αδιαπέρατης επιφάνειας	17
Αριθμός Καμπύλης Απορροής-CN	84.08
Αρχικές Απώλειες	9.62

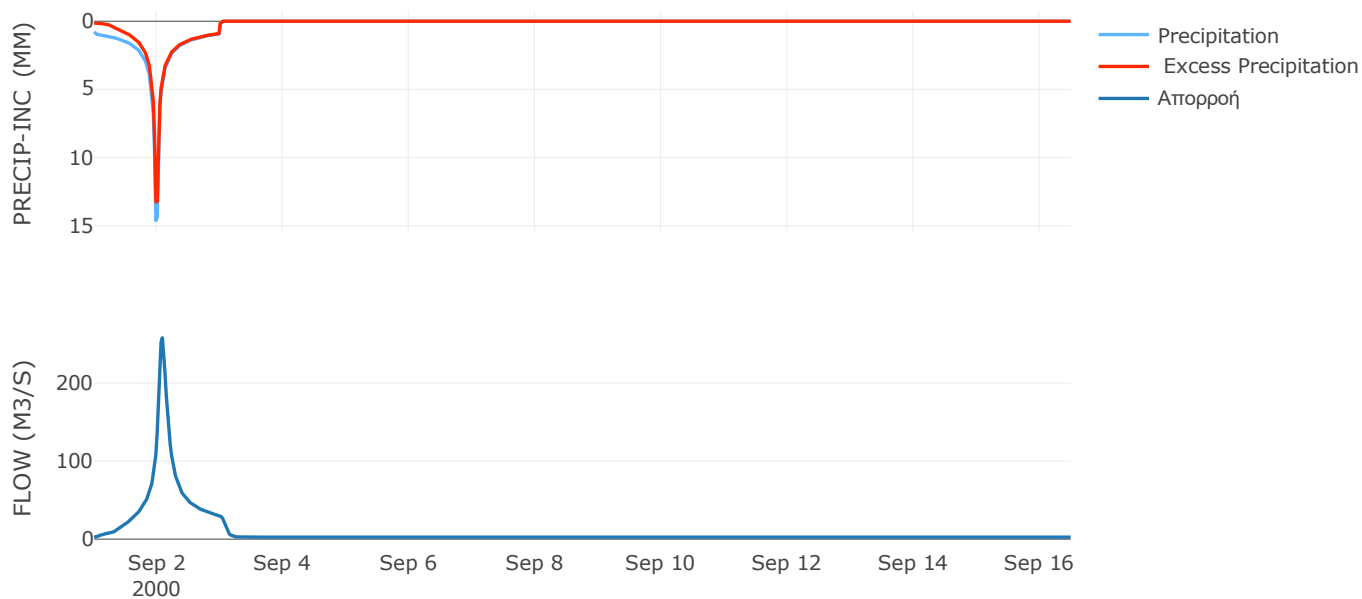
Μέθοδος
Μετασχηματισμού: SCS

Χρόνος Υστέρησης	101.47
------------------	--------

Αποτελέσματα:
EL0415FR6086

Παροχή αιχμής (M3/S)	258.08
Χρονική στιγμή αιχμής	02Sep2000, 02:00
Όγκος (MM)	246.91
Όγκος βροχόπτωσης (M3)	1.13E7
Όγκος απωλειών (M3)	2.07E6
Ενεργός Όγκος (M3)	9.19E6
Όγκος άμεσης απορροής (M3)	9.19E6
Όγκος βασικής απορροής (M3)	3.42E6

Βροχόπτωση και Απορροή



Υπολεκάνη: EL0415FR6088

Έκταση (KM2) : 31.28

Κατάντη : J27

Μέθοδος Απωλειών: SCS

Ποσοστό αδιαπέρατης επιφάνειας	37
Αριθμός Καμπύλης Απορροής-CN	93.03
Αρχικές Απώλειες	3.8

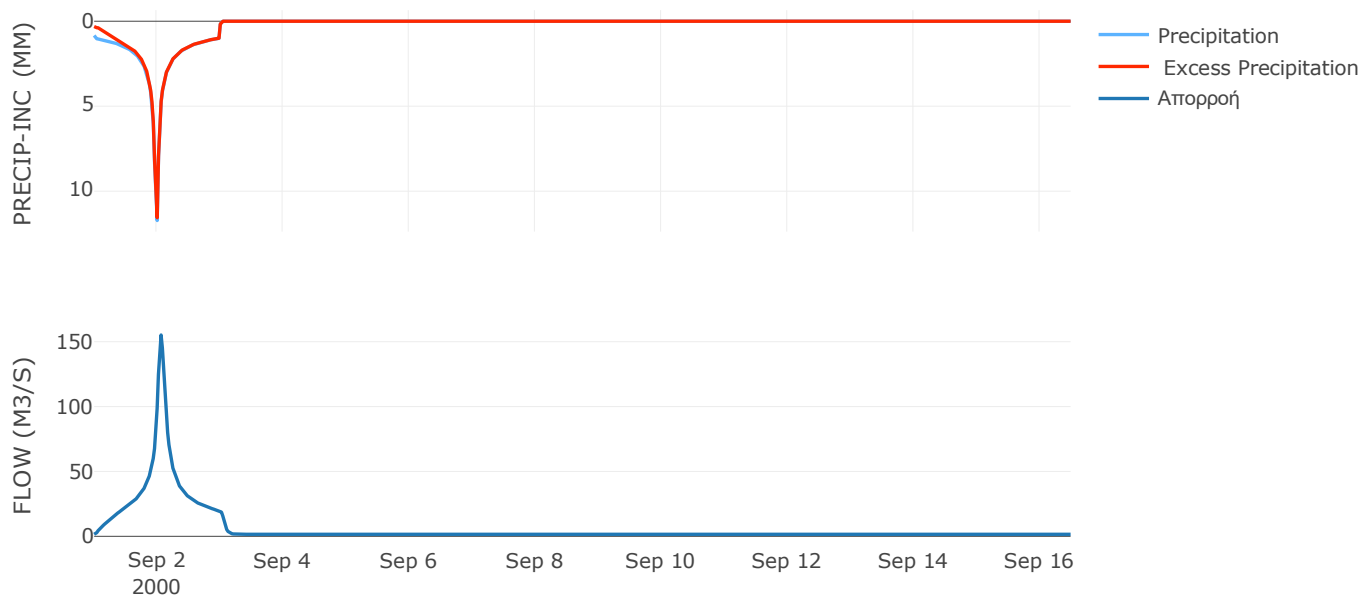
Μέθοδος
Μετασχηματισμού: SCS

Χρόνος Υστέρησης	78.64
------------------	-------

Αποτελέσματα:
EL0415FR6088

Παροχή αιχμής (M3/S)	155.15
Χρονική στιγμή αιχμής	02Sep2000, 01:30
Όγκος (MM)	265.33
Όγκος βροχόπτωσης (M3)	6.62E6
Όγκος απωλειών (M3)	4.18E5
Ενεργός Όγκος (M3)	6.2E6
Όγκος άμεσης απορροής (M3)	6.2E6
Όγκος βασικής απορροής (M3)	2.09E6

Βροχόπτωση και Απορροή



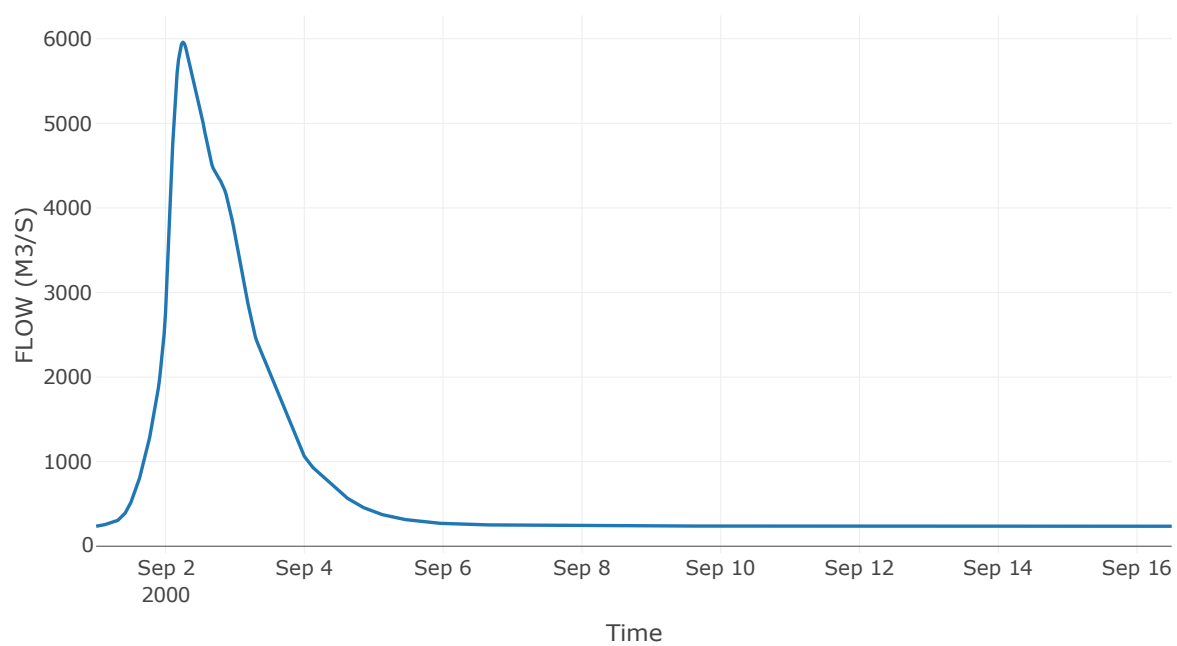
Κόμβος: J27

Κατάντη : R2717

Αποτελέσματα: J27

Παροχή Αιχμής (M3/S)	5959.2
Χρονική στιγμή αιχμής	02Sep2000, 06:00
Όγκος(MM)	273.74

Απορροή



Κλάδος: R2717

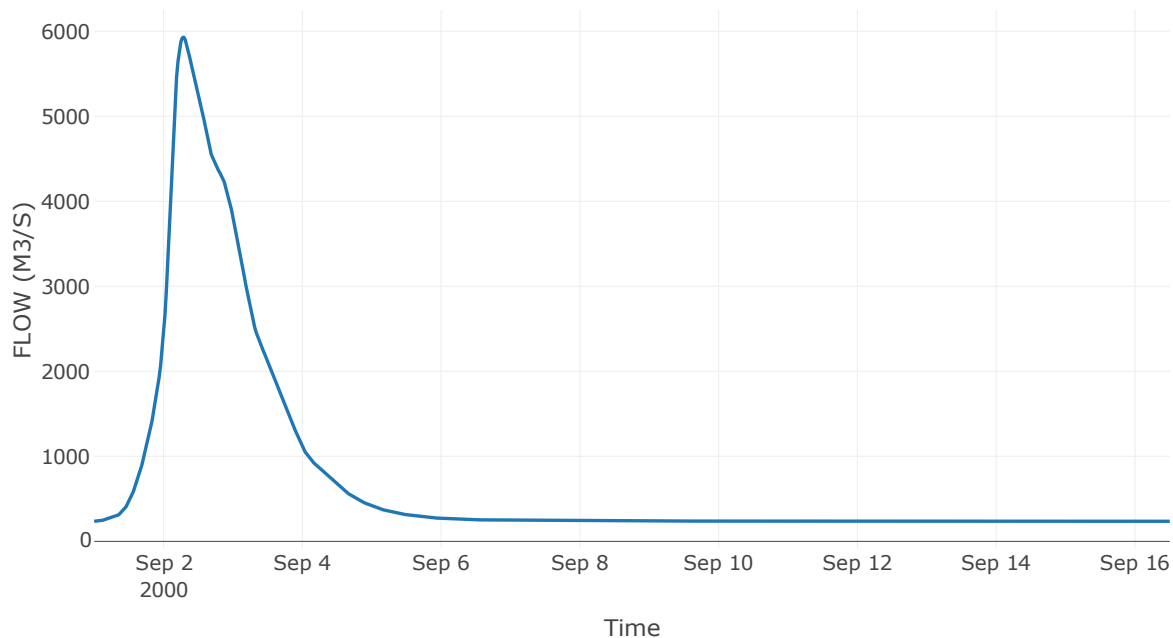
Κατάντη : J17 Res3

Μέθοδος Διόδευσης	Muskingum
Αρχική Μεταβλητή	Combined Inflow
Muskingum K	0.75
Συντελεστής βάρους x	0.2
Muskingum Steps	1

Αποτελέσματα: R2717

Παροχή Αιχμής (M3/S)	5928.59
Χρονική στιγμή αιχμής	02Sep2000, 07:00
Όγκος(MM)	273.74
Παροχή Αιχμής Εισόδου (M3/S)	5959.2
Όγκος Εισροής(M3)	9.73E8

Απορροή



Υπολεκάνη: EL0415FR6085

Έκταση (KM2) : 5.18

Κατάνη : J17 Res3

Μέθοδος Απωλειών: SCS

Ποσοστό αδιαπέρατης επιφάνειας	20
Αριθμός Καμπύλης Απορροής-CN	97.18
Αρχικές Απώλειες	1.47

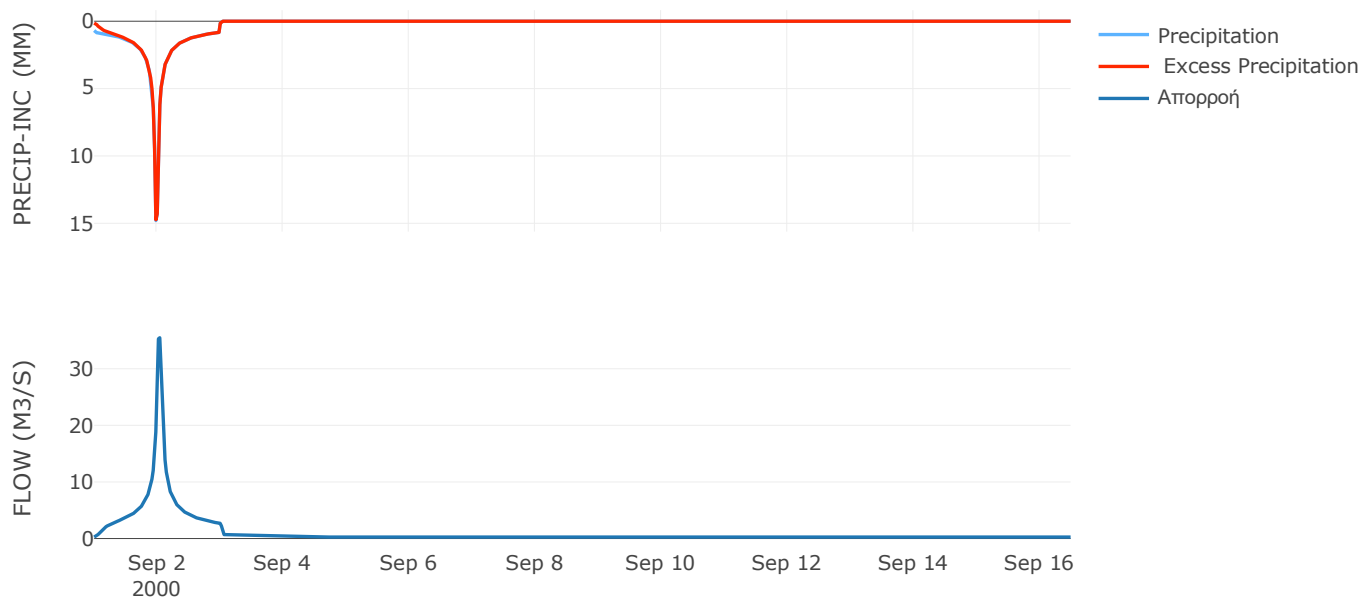
Μέθοδος
Μετασχηματισμού: SCS

Χρόνος Υστέρησης	39.98
------------------	-------

Αποτελέσματα:
EL0415FR6085

Παροχή αιχμής (M3/S)	35.48
Χρονική στιγμή αιχμής	02Sep2000, 01:00
Όγκος (MM)	266.02
Όγκος βροχόπτωσης (M3)	1.07E6
Όγκος απωλειών (M3)	35558.09
Ενεργός Όγκος (M3)	1.03E6
Όγκος άμεσης απορροής (M3)	1.03E6
Όγκος βασικής απορροής (M3)	3.47E5

Βροχόπτωση και Απορροή



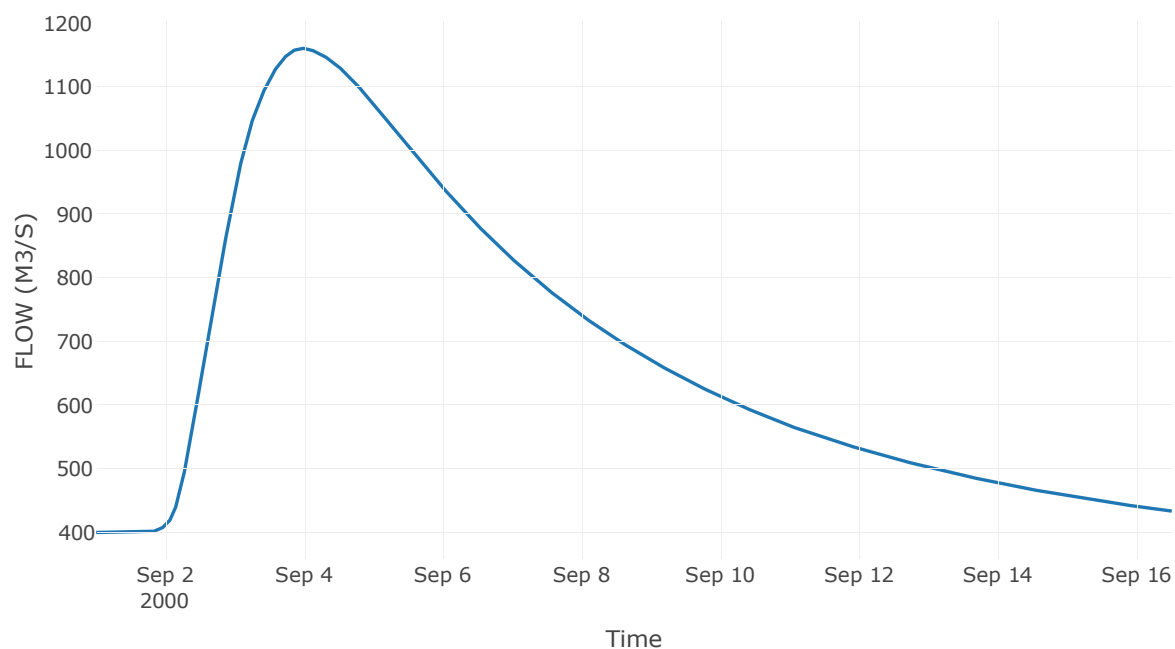
Ταμιευτήρας: J17_RES3

Κατάντη : R1718

Αποτελέσματα: J17_RES3

Παροχή Αιχμής (M3/S)	1160.15
Χρονική στιγμή αιχμής	03Sep2000, 23:30
Όγκος(MM)	256.15
Παροχή Αιχμής Εισόδου (M3/S)	5934.9
Time of Peak Inflow	02Sep2000, 07:00
Όγκος Εισροής (M3)	9.75E8
Maximum Storage (M3)	3.94E9
Peak Elevation (M)	274.2
Discharge Όγκος(M3)	9.12E8

Απορροή



Κλάδος: R1718

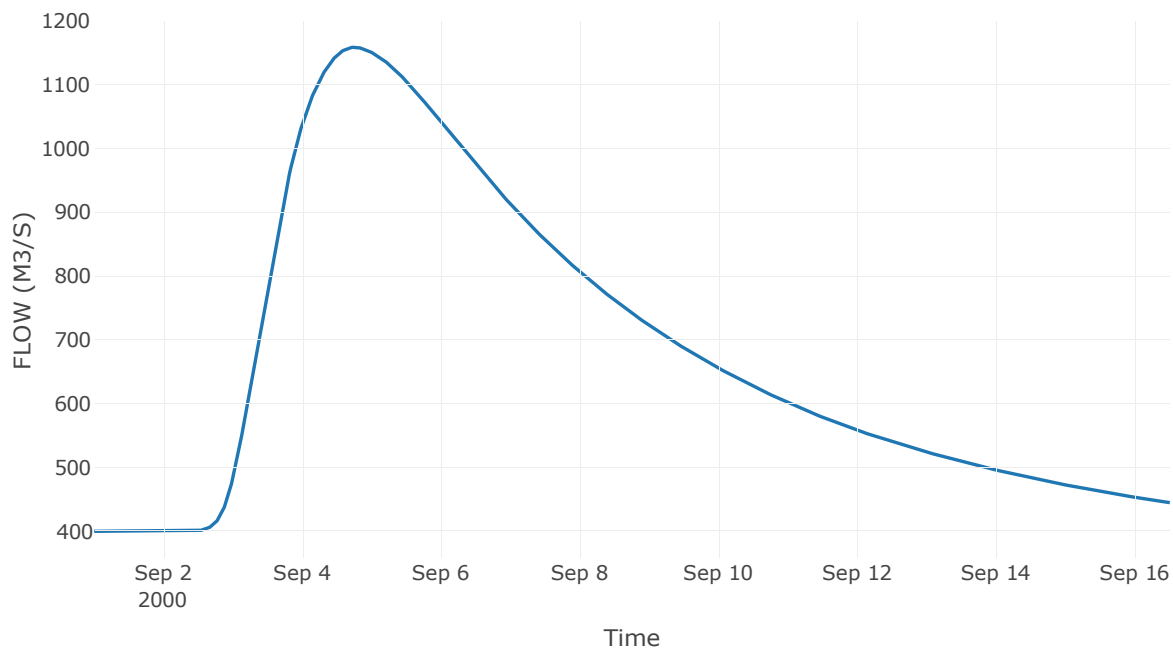
Κατάντη : J18

Μέθοδος Διόδευσης	Muskingum
Αρχική Μεταβλητή	Combined Inflow
Muskingum K	18.33
Συντελεστής βάρους x	0.2
Muskingum Steps	37

Αποτελέσματα: R1718

Παροχή Αιχμής (M3/S)	1158.47
Χρονική στιγμή αιχμής	04Sep2000, 18:00
Όγκος(MM)	255.42
Παροχή Αιχμής Εισόδου (M3/S)	1160.15
Όγκος Εισροής(M3)	9.12E8

Απορροή



Υπολεκάνη: EL0415FR6019

Έκταση (KM2) : 114.28

Κατάντη : J18

Μέθοδος Απωλειών: SCS

Ποσοστό αδιαπέρατης επιφάνειας	4
Αριθμός Καμπύλης Απορροής-CN	89.6
Αρχικές Απώλειες	5.9

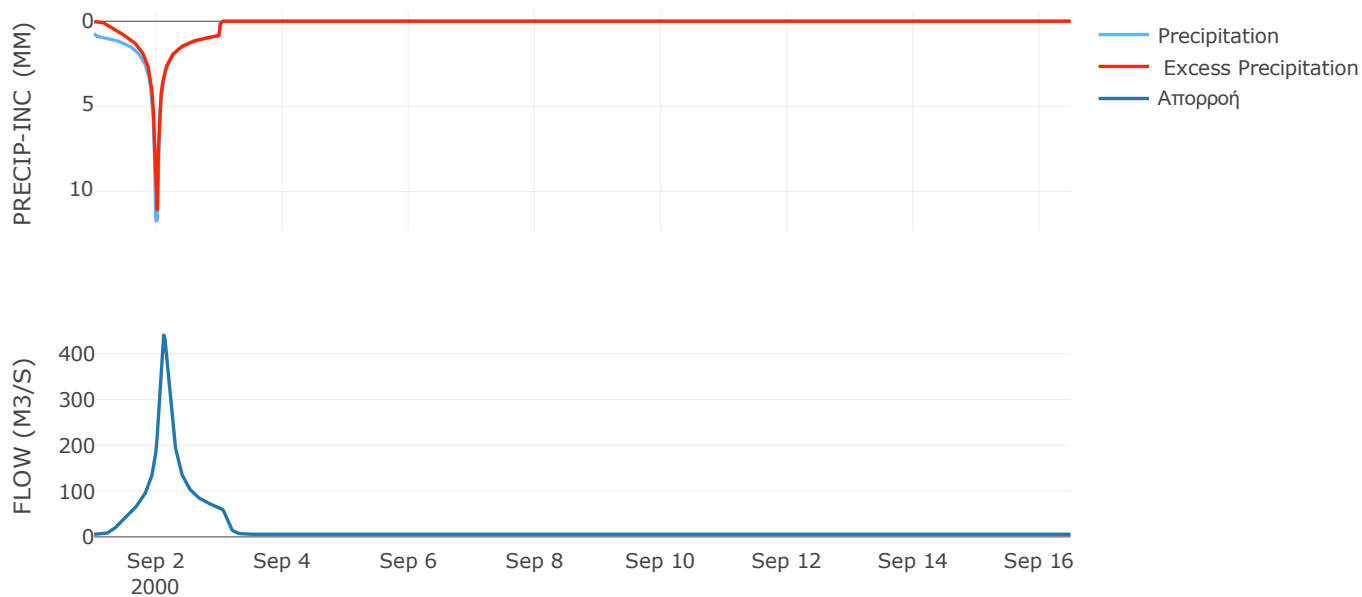
Μέθοδος
Μετασχηματισμού: SCS

Χρόνος Υστέρησης	140.93
------------------	--------

Αποτελέσματα:
EL0415FR6019

Παροχή αιχμής (M3/S)	440.77
Χρονική στιγμή αιχμής	02Sep2000, 02:30
Όγκος (MM)	229.6
Όγκος βροχόπτωσης (M3)	2.2E7
Όγκος απωλειών (M3)	3.44E6
Ενεργός Όγκος (M3)	1.86E7
Όγκος άμεσης απορροής (M3)	1.86E7
Όγκος βασικής απορροής (M3)	7.65E6

Βροχόπτωση και Απορροή



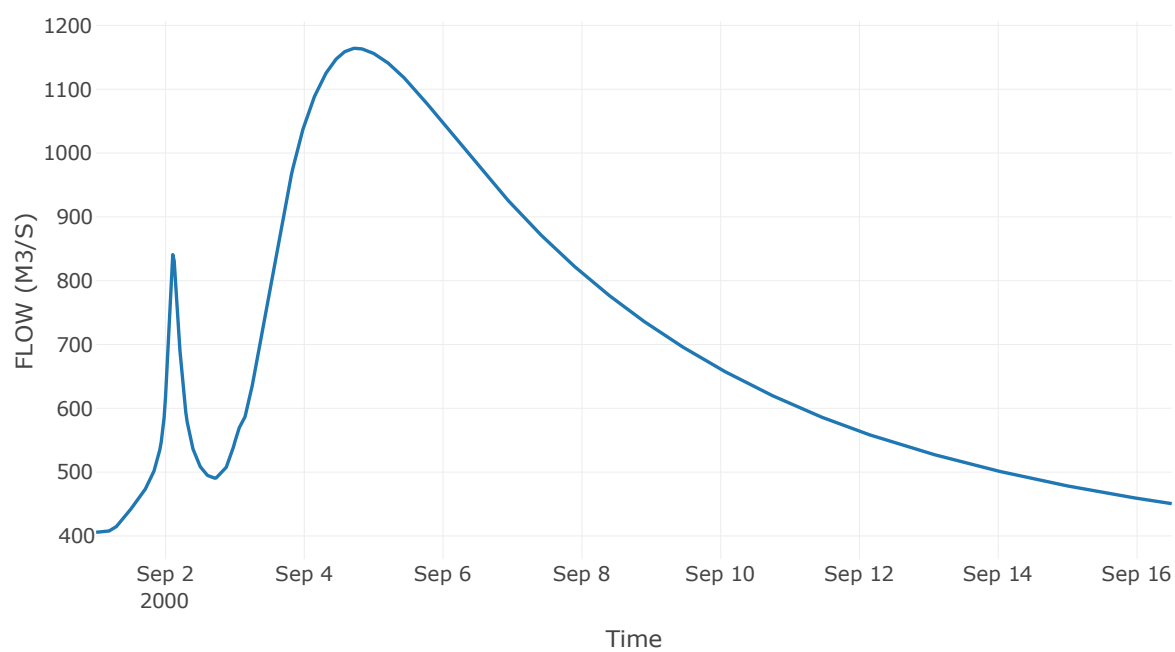
Κόμβος: J18

Κατάντη : R1819

Αποτελέσματα: J18

Παροχή Αιχμής (M3/S)	1164.18
Χρονική στιγμή αιχμής	04Sep2000, 18:00
Όγκος(MM)	254.62

Απορροή



Κλάδος: R1819

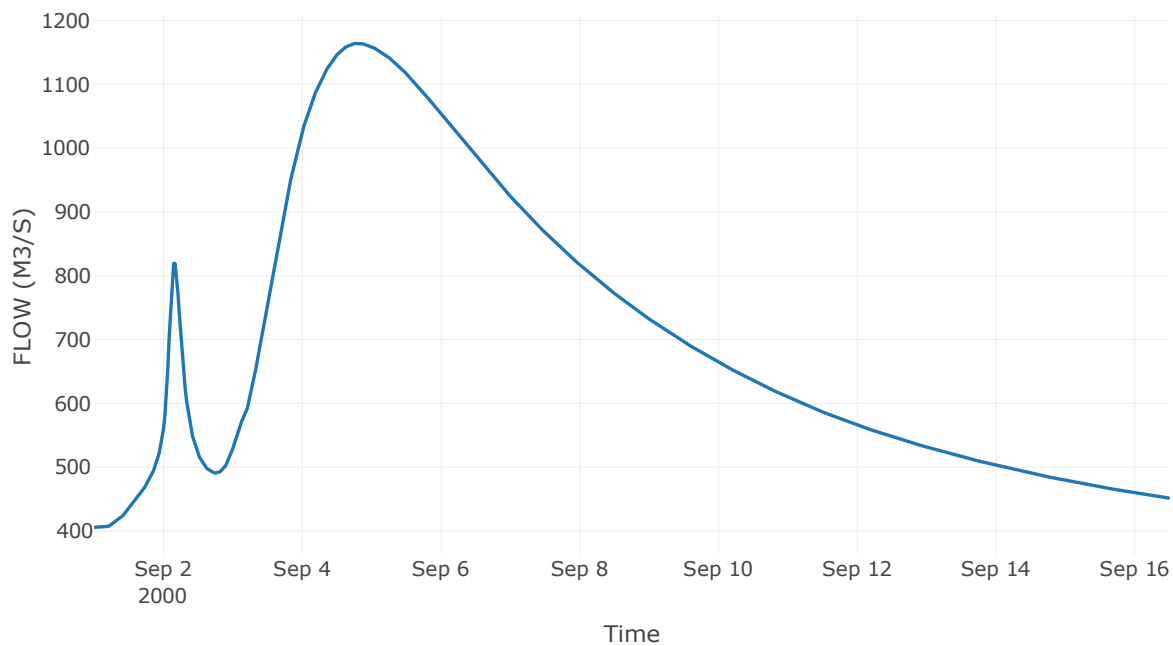
Κατάντη : J19

Μέθοδος Διόδευσης	Muskingum
Αρχική Μεταβλητή	Combined Inflow
Muskingum K	1.18
Συντελεστής βάρους α	0.2
Muskingum Steps	2

Αποτελέσματα: R1819

Παροχή Αιχμής (M3/S)	1164.05
Χρονική στιγμή αιχμής	04Sep2000, 19:00
Όγκος(MM)	254.57
Παροχή Αιχμής Εισόδου (M3/S)	1164.18
Όγκος Εισροής(M3)	9.36E8

Απορροή



Υπολεκάνη: EL0415FR6027

Έκταση (KM2) : 185.56

Κατάντη : J21

Μέθοδος Απωλειών: SCS

Ποσοστό αδιαπέρατης επιφάνειας	0
Αριθμός Καμπύλης Απορροής-CN	86.3
Αρχικές Απώλειες	8.07

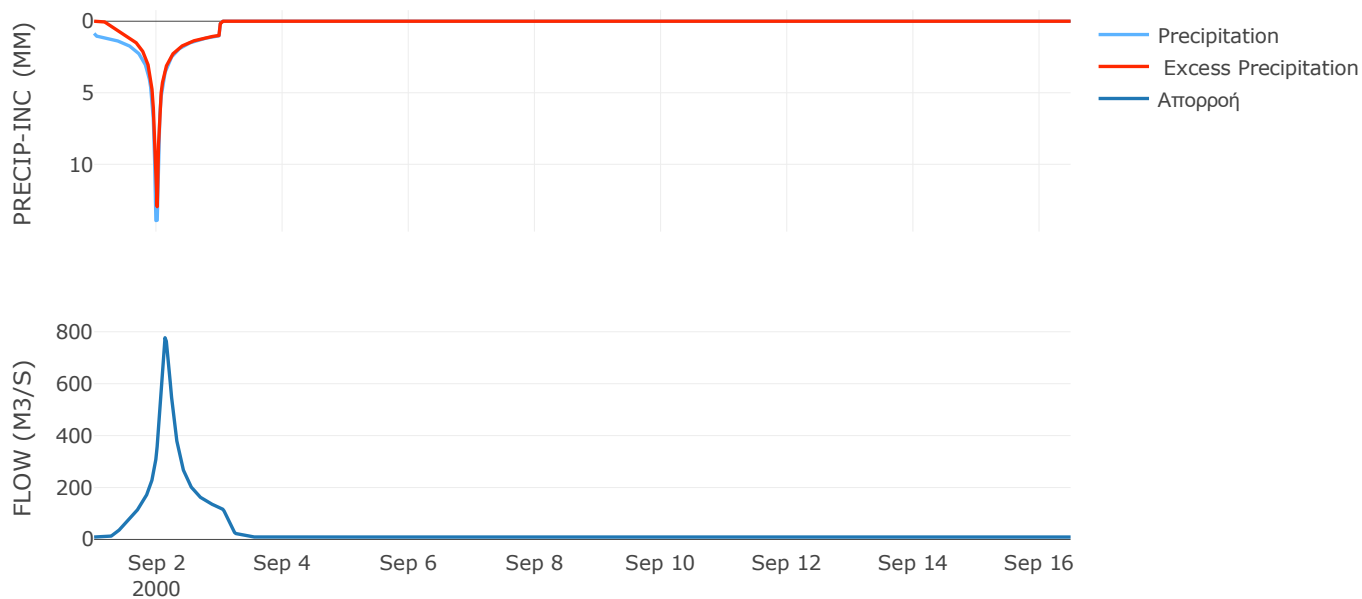
Μέθοδος
Μετασχηματισμού: SCS

Χρόνος Υστέρησης	168.12
------------------	--------

Αποτελέσματα:
EL0415FR6027

Παροχή αιχμής (M3/S)	777.05
Χρονική στιγμή αιχμής	02Sep2000, 03:00
Όγκος (MM)	253.89
Όγκος βροχόπτωσης (M3)	4.25E7
Όγκος απωλειών (M3)	7.83E6
Ενεργός Όγκος (M3)	3.47E7
Όγκος άμεσης απορροής (M3)	3.47E7
Όγκος βασικής απορροής (M3)	1.24E7

Βροχόπτωση και Απορροή



Υπολεκάνη: EL0415FR6026

Έκταση (KM2) : 38.04

Κατάντη : J21

Μέθοδος Απωλειών: SCS

Ποσοστό αδιαπέρατης επιφάνειας	0
Αριθμός Καμπύλης Απορροής-CN	87.69
Αρχικές Απώλειες	7.13

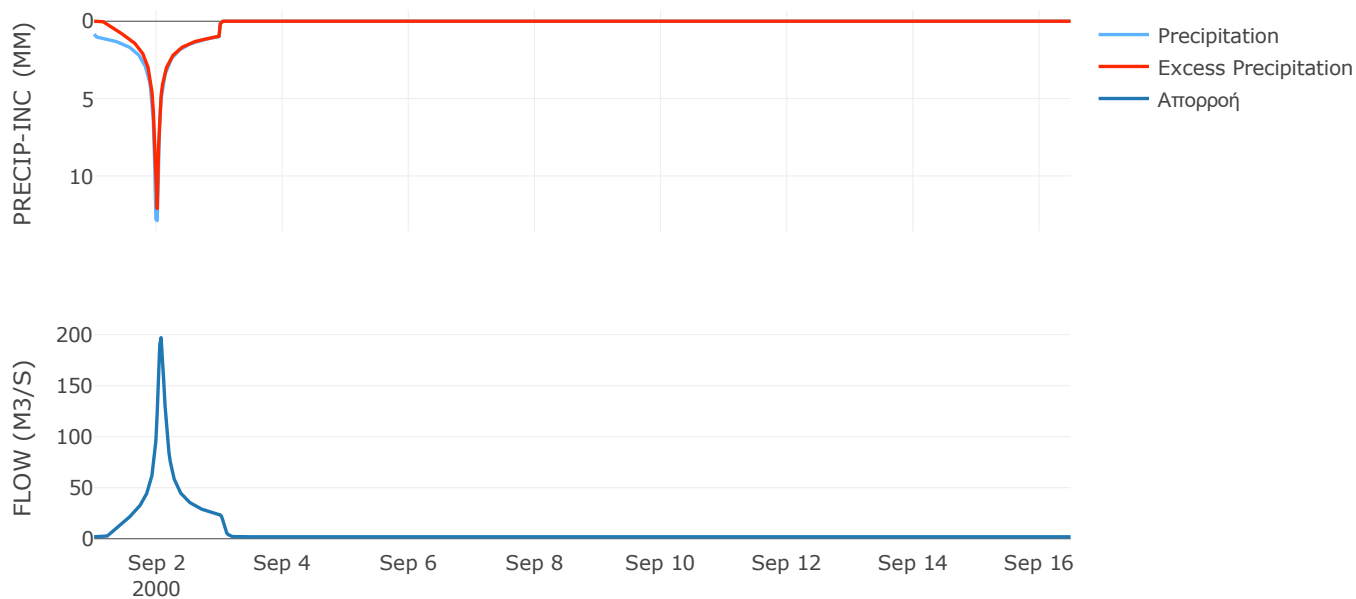
Μέθοδος
Μετασχηματισμού: SCS

Χρόνος Υστέρησης	74.34
------------------	-------

Αποτελέσματα:
EL0415FR6026

Παροχή αιχμής (M3/S)	197.09
Χρονική στιγμή αιχμής	02Sep2000, 01:30
Όγκος (MM)	248.69
Όγκος βροχόπτωσης (M3)	8.34E6
Όγκος απωλειών (M3)	1.43E6
Ενεργός Όγκος (M3)	6.91E6
Όγκος άμεσης απορροής (M3)	6.91E6
Όγκος βασικής απορροής (M3)	2.55E6

Βροχόπτωση και Απορροή



Υπολεκάνη: EL0415FR6025

Έκταση (KM2) : 14.18

Κατάντη : J21

Μέθοδος Απωλειών: SCS

Ποσοστό αδιαπέρατης επιφάνειας	0
Αριθμός Καμπύλης Απορροής-CN	90.21
Αρχικές Απώλειες	5.51

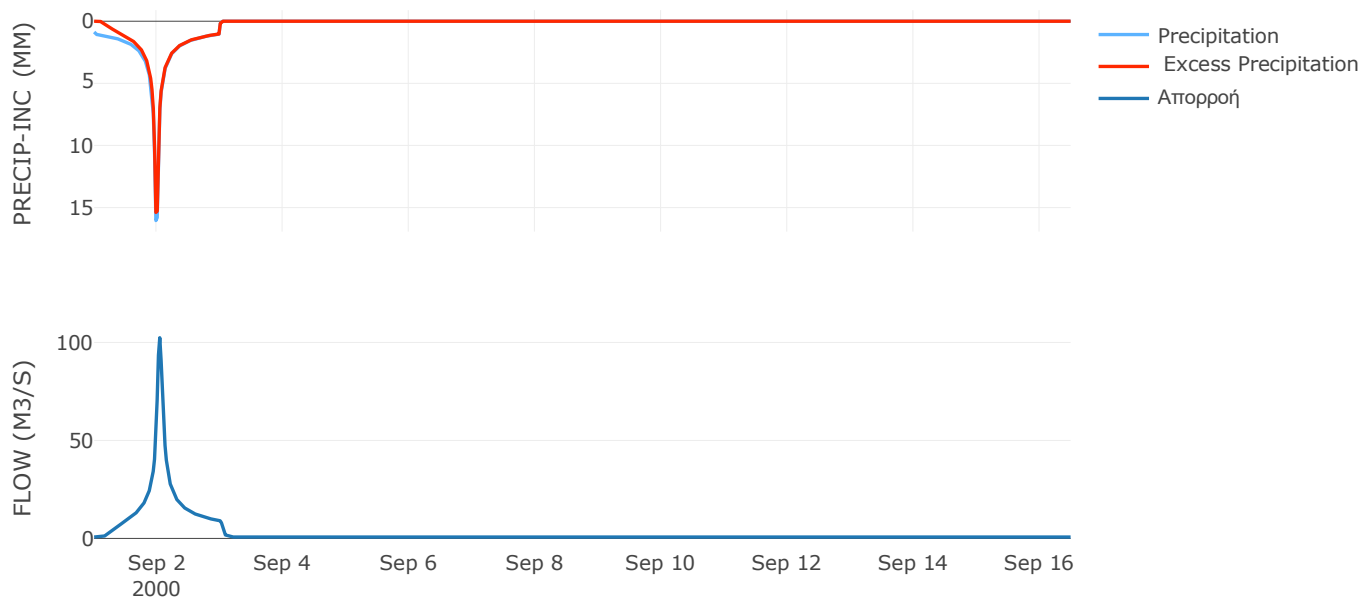
Μέθοδος
Μετασχηματισμού: SCS

Χρόνος Υστέρησης	49.51
------------------	-------

Αποτελέσματα:
EL0415FR6025

Παροχή αιχμής (M3/S)	102.42
Χρονική στιγμή αιχμής	02Sep2000, 01:00
Όγκος (MM)	280.93
Όγκος βροχόπτωσης (M3)	3.46E6
Όγκος απωλειών (M3)	4.29E5
Ενεργός Όγκος (M3)	3.04E6
Όγκος άμεσης απορροής (M3)	3.04E6
Όγκος βασικής απορροής (M3)	9.5E5

Βροχόπτωση και Απορροή



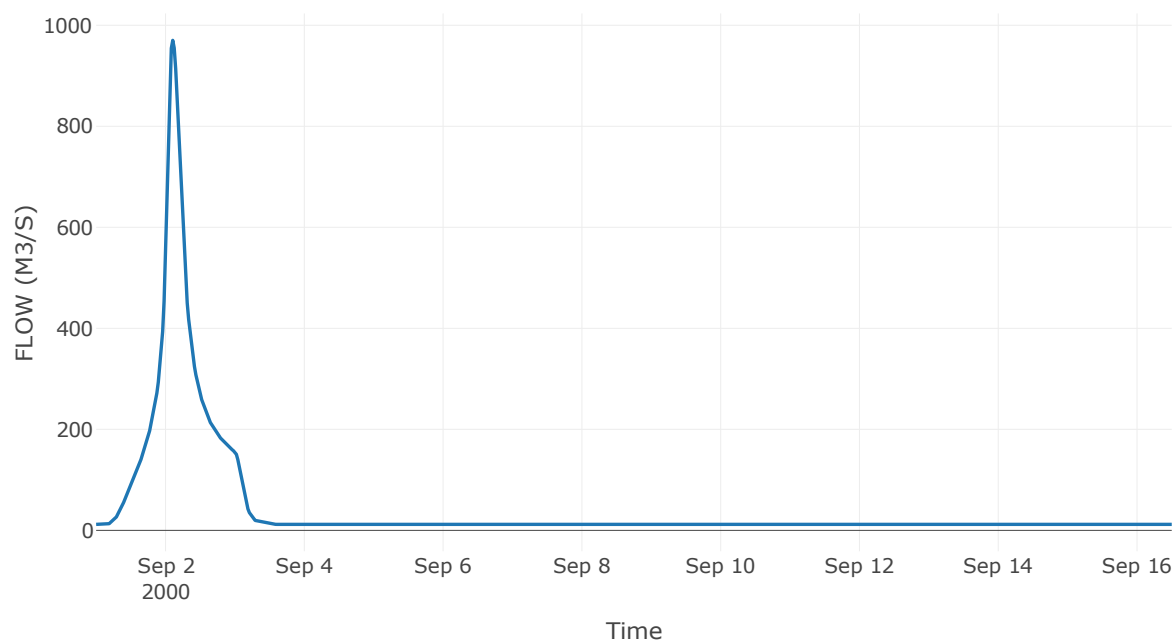
Κόμβος: J21

Κατάντη : R2116

Αποτελέσματα: J21

Παροχή Αιχμής (M3/S)	970.16
Χρονική στιγμή αιχμής	02Sep2000, 02:30
Όγκος(MM)	254.67

Απορροή



Κλάδος: R2116

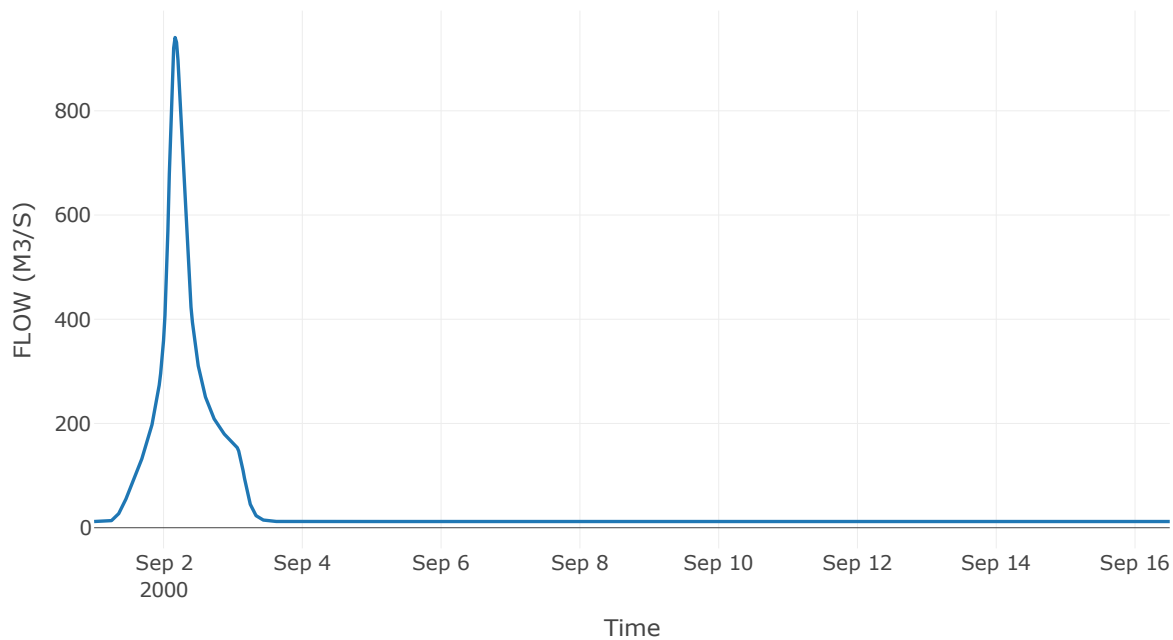
Κατάντη : J16

Μέθοδος Διόδευσης	Muskingum
Αρχική Μεταβλητή	Combined Inflow
Muskingum K	1.52
Συντελεστής βάρους x	0.2
Muskingum Steps	3

Αποτελέσματα: R2116

Παροχή Αιχμής (M3/S)	940.67
Χρονική στιγμή αιχμής	02Sep2000, 04:00
Όγκος(MM)	254.67
Παροχή Αιχμής Εισόδου (M3/S)	970.16
Όγκος Εισροής(M3)	6.06E7

Απορροή



Υπολεκάνη: EL0415FR6024

Έκταση (KM2) : 39.41

Κατάντη : J16

Μέθοδος Απωλειών: SCS

Ποσοστό αδιαπέρατης επιφάνειας	0
Αριθμός Καμπύλης Απορροής-CN	90.74
Αρχικές Απώλειες	5.19

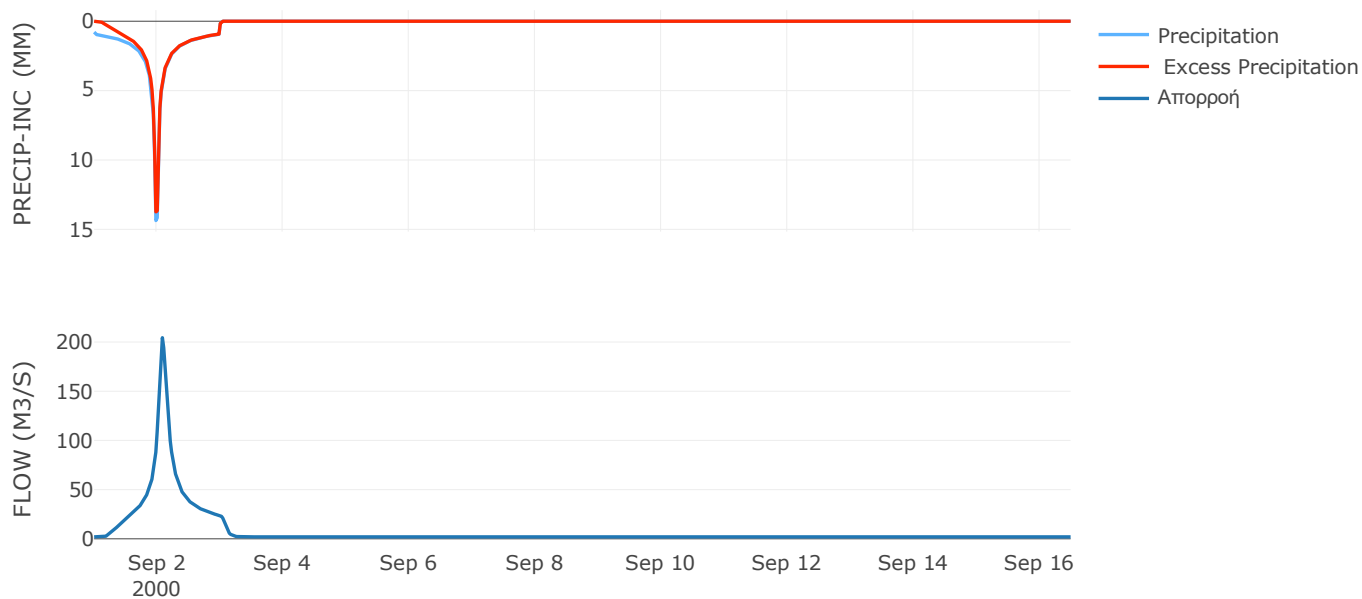
Μέθοδος
Μετασχηματισμού: SCS

Χρόνος Υστέρησης	107.23
------------------	--------

Αποτελέσματα:
EL0415FR6024

Παροχή αιχμής (M3/S)	204.42
Χρονική στιγμή αιχμής	02Sep2000, 02:00
Όγκος (MM)	258.69
Όγκος βροχόπτωσης (M3)	8.67E6
Όγκος απωλειών (M3)	1.12E6
Ενεργός Όγκος (M3)	7.56E6
Όγκος άμεσης απορροής (M3)	7.56E6
Όγκος βασικής απορροής (M3)	2.64E6

Βροχόπτωση και Απορροή



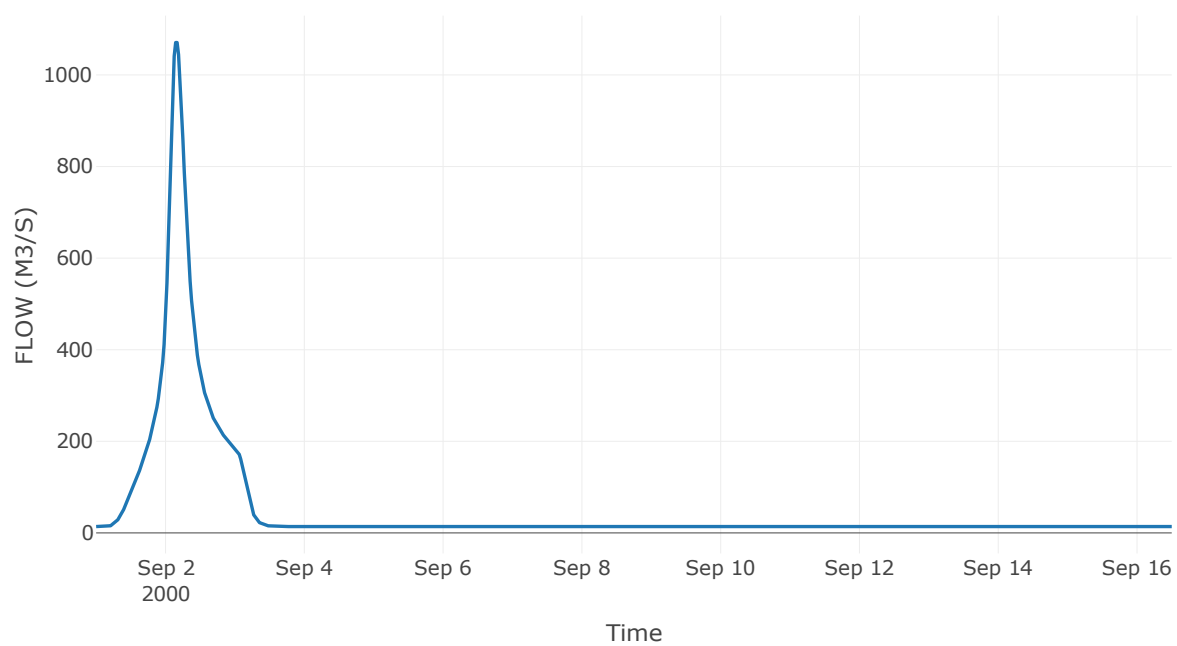
Κόμβος: J16

Κατάντη : R1619

Αποτελέσματα: J16

Παροχή Αιχμής (M3/S)	1070.75
Χρονική στιγμή αιχμής	02Sep2000, 03:30
Όγκος(MM)	255.24

Απορροή



Κλάδος: R1619

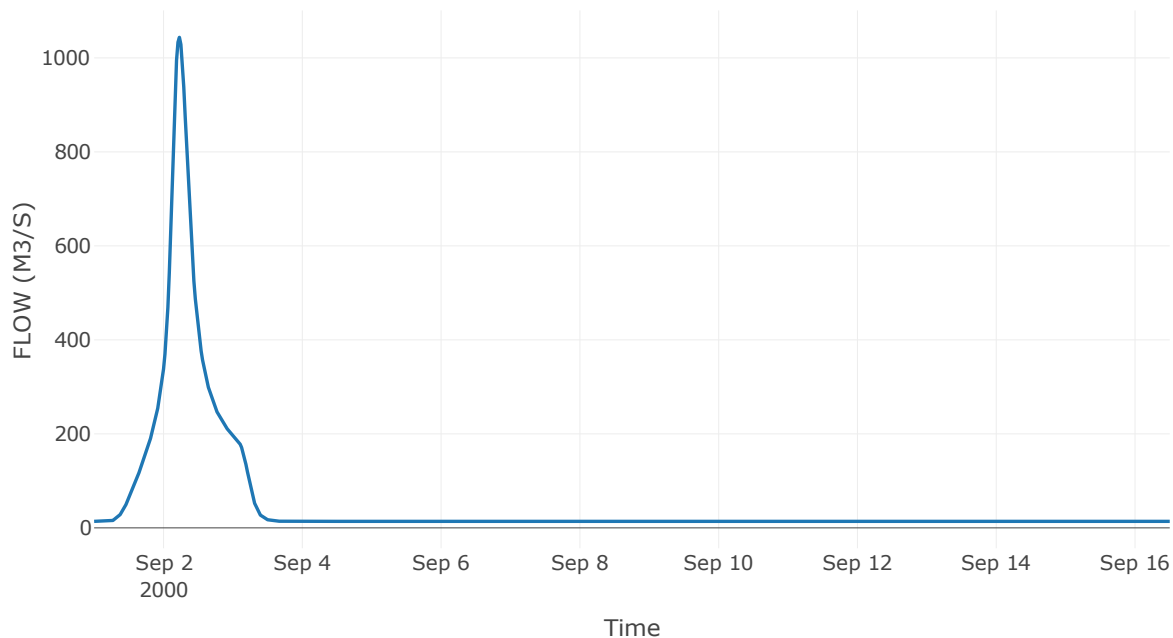
Κατάντη : J19

Μέθοδος Διόδευσης	Muskingum
Αρχική Μεταβλητή	Combined Inflow
Muskingum K	1.64
Συντελεστής βάρους x	0.2
Muskingum Steps	3

Αποτελέσματα: R1619

Παροχή Αιχμής (M3/S)	1043.77
Χρονική στιγμή αιχμής	02Sep2000, 05:30
Όγκος(MM)	255.24
Παροχή Αιχμής Εισόδου (M3/S)	1070.75
Όγκος Εισροής(M3)	7.08E7

Απορροή



Υπολεκάνη: EL0415FR6018

Έκταση (KM2) : 76.58

Κατάντη : J19

Μέθοδος Απωλειών: SCS

Ποσοστό αδιαπέρατης επιφάνειας	8
Αριθμός Καμπύλης Απορροής-CN	91.74
Αρχικές Απώλειες	4.57

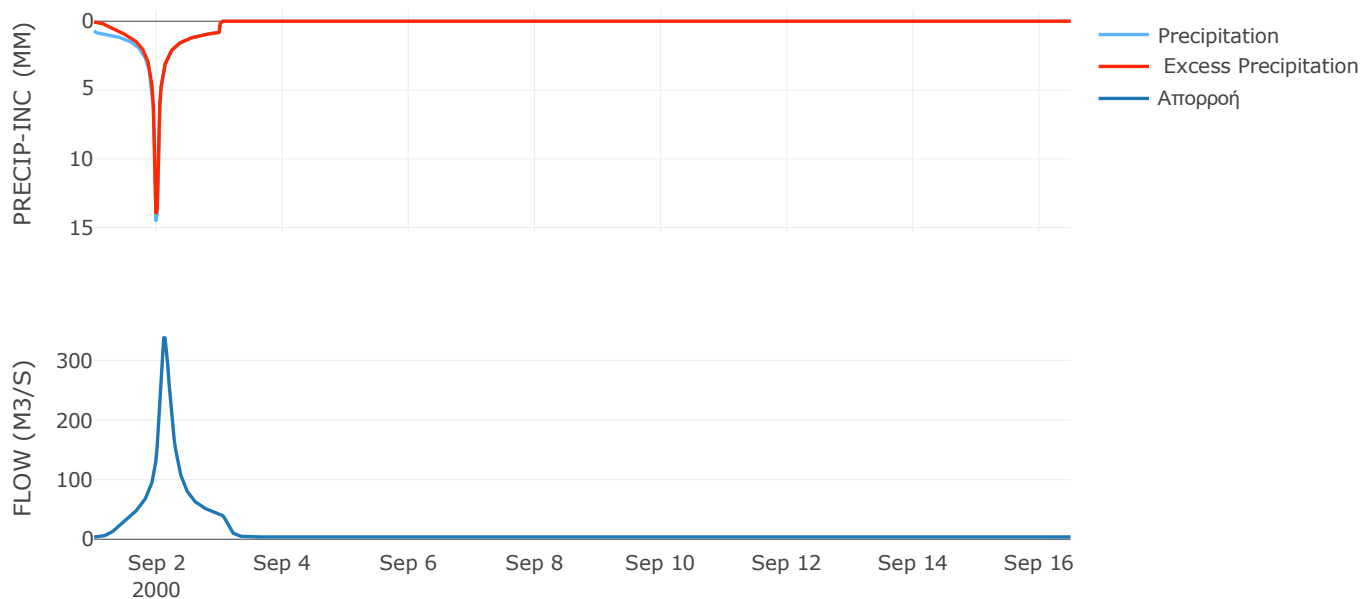
Μέθοδος
Μετασχηματισμού: SCS

Χρόνος Υστέρησης	154.62
------------------	--------

Αποτελέσματα:
EL0415FR6018

Παροχή αιχμής (M3/S)	338.13
Χρονική στιγμή αιχμής	02Sep2000, 02:30
Όγκος (MM)	247.21
Όγκος βροχόπτωσης (M3)	1.56E7
Όγκος απωλειών (M3)	1.77E6
Ενεργός Όγκος (M3)	1.38E7
Όγκος άμεσης απορροής (M3)	1.38E7
Όγκος βασικής απορροής (M3)	5.13E6

Βροχόπτωση και Απορροή



Υπολεκάνη: EL0415FR6096

Έκταση (KM2) : 45.1

Κατάντη : J19

Μέθοδος Απωλειών: SCS

Ποσοστό αδιαπέρατης επιφάνειας	16
Αριθμός Καμπύλης Απορροής-CN	92.01
Αρχικές Απώλειες	4.41

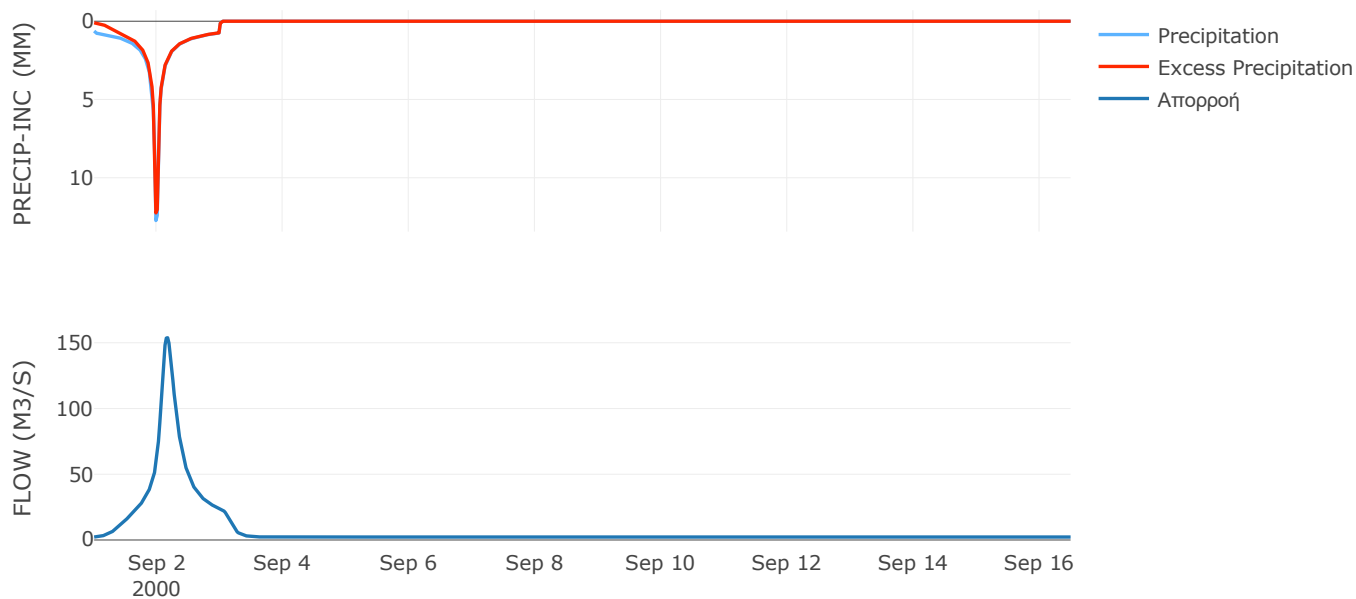
Μέθοδος
Μετασχηματισμού: SCS

Χρόνος Υστέρησης	214.22
------------------	--------

Αποτελέσματα:
EL0415FR6096

Παροχή αιχμής (M3/S)	153.83
Χρονική στιγμή αιχμής	02Sep2000, 04:00
Όγκος (MM)	229.69
Όγκος βροχόπτωσης (M3)	8.25E6
Όγκος απωλειών (M3)	9.11E5
Ενεργός Όγκος (M3)	7.34E6
Όγκος άμεσης απορροής (M3)	7.34E6
Όγκος βασικής απορροής (M3)	3.02E6

Βροχόπτωση και Απορροή



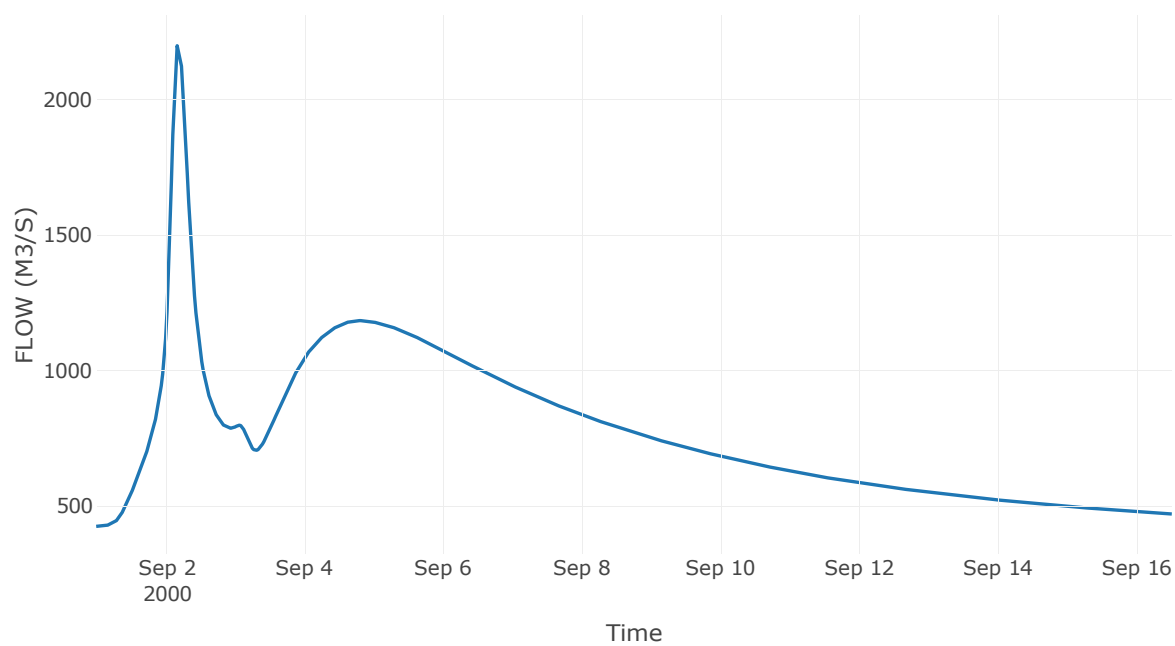
Κόμβος: J19

Κατάντη : R1915

Αποτελέσματα: J19

Παροχή Αιχμής (M3/S)	2209.8
Χρονική στιγμή αιχμής	02Sep2000, 04:30
Όγκος(MM)	254.2

Απορροή



Κλάδος: R1915

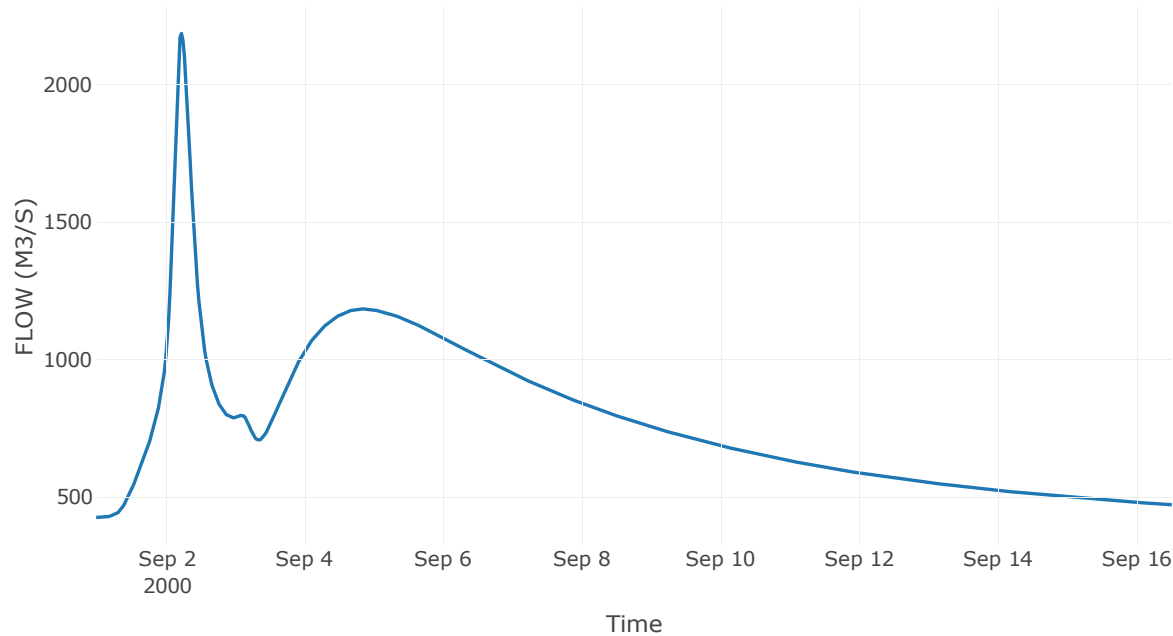
Κατάντη : J15 Res2

Μέθοδος Διόδευσης	Muskingum
Αρχική Μεταβλητή	Combined Inflow
Muskingum K	0.97
Συντελεστής βάρους α	0.2
Muskingum Steps	2

Αποτελέσματα: R1915

Παροχή Αιχμής (M3/S)	2185.7
Χρονική στιγμή αιχμής	02Sep2000, 05:30
Όγκος(MM)	254.16
Παροχή Αιχμής Εισόδου (M3/S)	2209.8
Όγκος Εισροής(M3)	1.04E9

Απορροή



Υπολεκάνη: EL0415FR6095

Έκταση (KM2) : 18.13

Κατάνη : J15 Res2

Μέθοδος Απωλειών: SCS

Ποσοστό αδιαπέρατης επιφάνειας	17
Αριθμός Καμπύλης Απορροής-CN	94.53
Αρχικές Απώλειες	2.94

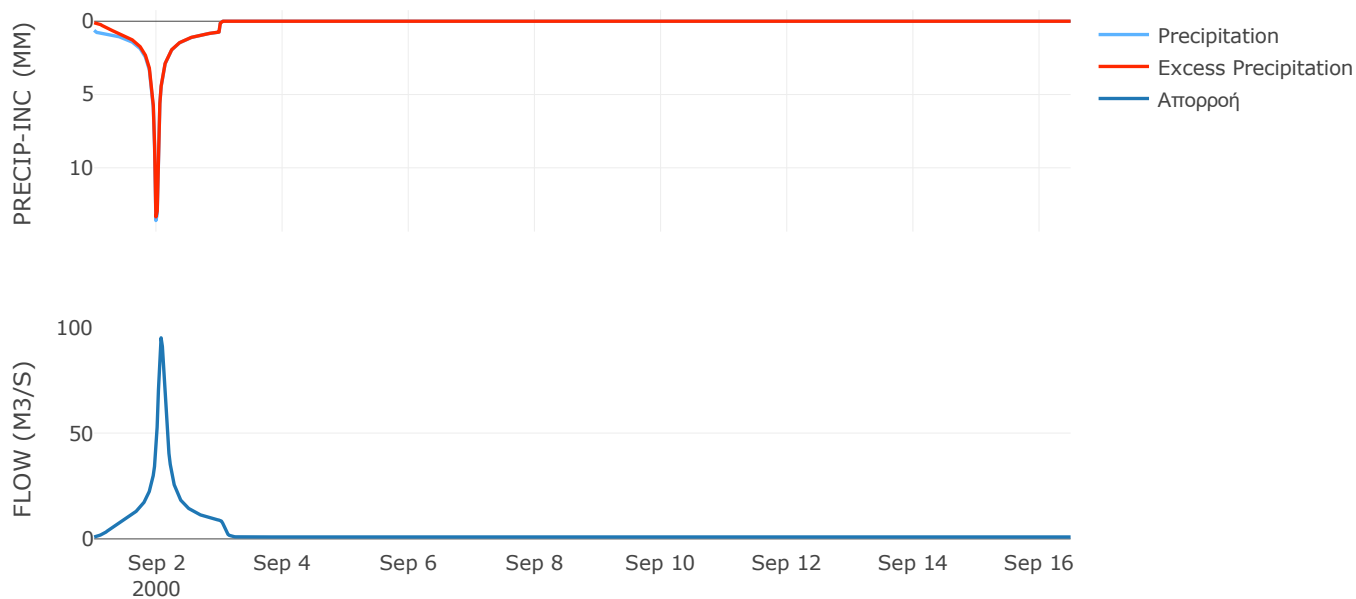
Μέθοδος
Μετασχηματισμού: SCS

Χρόνος Υστέρησης	86.69
------------------	-------

Αποτελέσματα:
EL0415FR6095

Παροχή αιχμής (M3/S)	95.04
Χρονική στιγμή αιχμής	02Sep2000, 01:30
Όγκος (MM)	239.99
Όγκος βροχόπτωσης (M3)	3.39E6
Όγκος απωλειών (M3)	2.49E5
Ενεργός Όγκος (M3)	3.14E6
Όγκος άμεσης απορροής (M3)	3.14E6
Όγκος βασικής απορροής (M3)	1.21E6

Βροχόπτωση και Απορροή



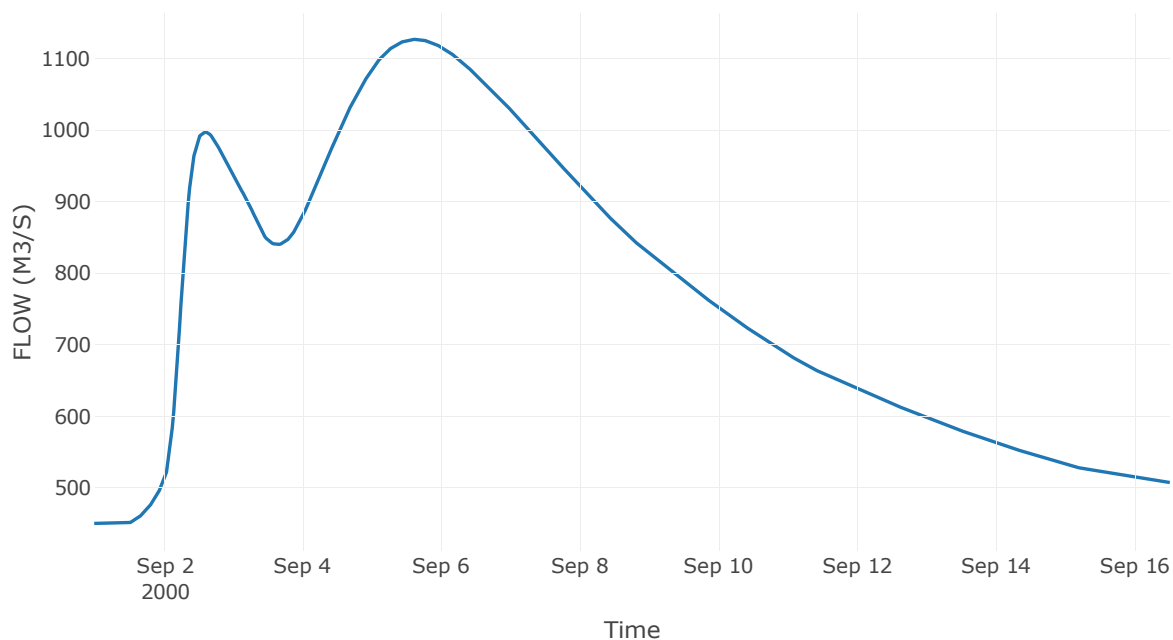
Ταμιευτήρας: J15_RES2

Κατάντη : R1514

Αποτελέσματα: J15_RES2

Παροχή Αιχμής (M3/S)	1126.77
Χρονική στιγμή αιχμής	05Sep2000, 15:00
Όγκος(MM)	251.51
Παροχή Αιχμής Εισόδου (M3/S)	2216.93
Time of Peak Inflow	02Sep2000, 05:30
Όγκος Εισροής (M3)	1.04E9
Maximum Storage (M3)	8.97E8
Peak Elevation (M)	148.12
Discharge Όγκος(M3)	1.03E9

Απορροή



Κλάδος: R1514

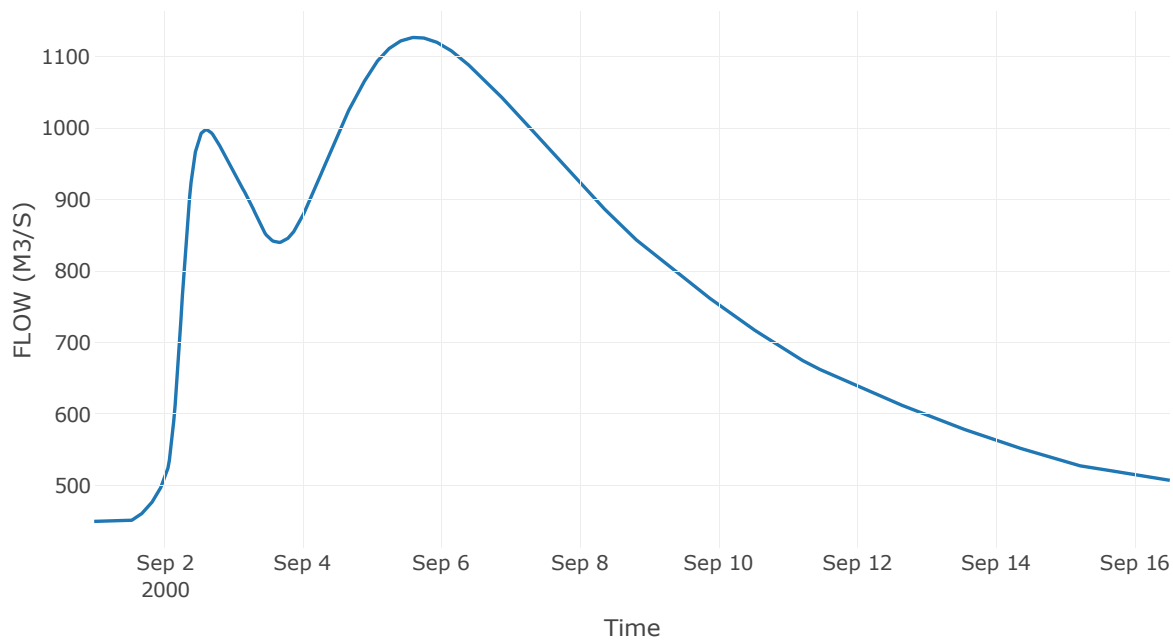
Κατάντη : J14

Μέθοδος Διόδευσης	Muskingum
Αρχική Μεταβλητή	Combined Inflow
Muskingum K	0.36
Συντελεστής βάρους x	0.2
Muskingum Steps	1

Αποτελέσματα: R1514

Παροχή Αιχμής (M3/S)	1126.76
Χρονική στιγμή αιχμής	05Sep2000, 15:30
Όγκος(MM)	251.5
Παροχή Αιχμής Εισόδου (M3/S)	1126.77
Όγκος Εισροής(M3)	1.03E9

Απορροή



Υπολεκάνη: EL0415FR6023

Έκταση (KM2) : 48.62

Κατάντη : J61

Μέθοδος Απωλειών: SCS

Ποσοστό αδιαπέρατης επιφάνειας	0
Αριθμός Καμπύλης Απορροής-CN	87.38
Αρχικές Απώλειες	7.34

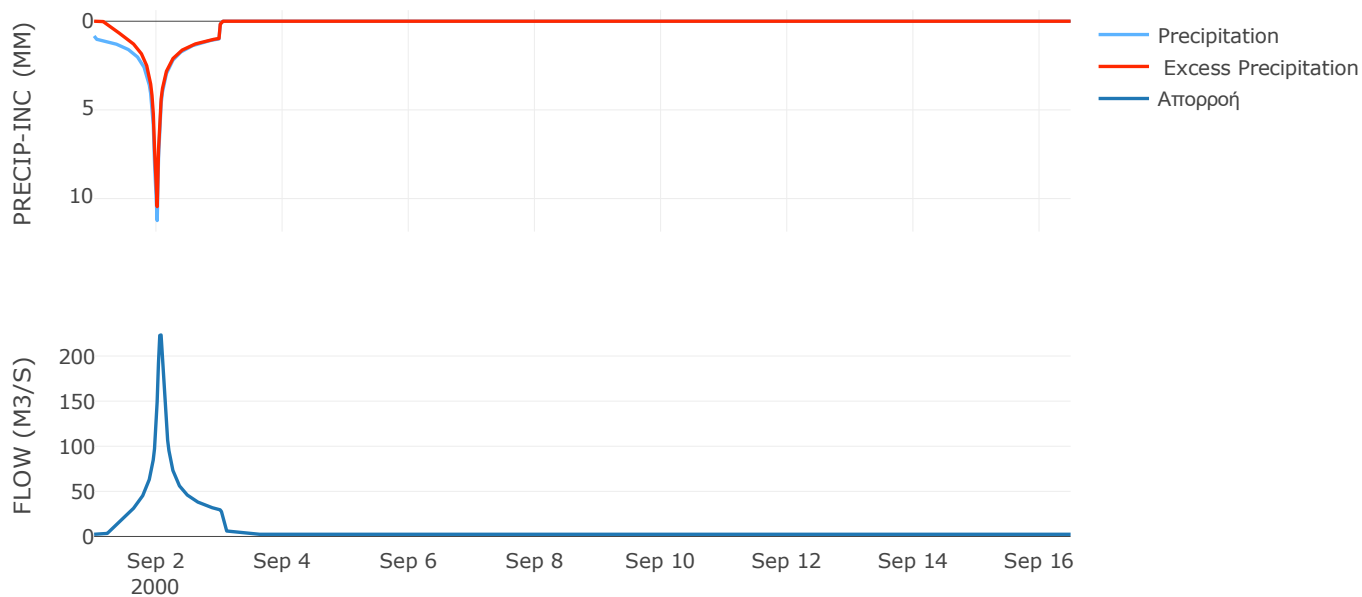
Μέθοδος
Μετασχηματισμού: SCS

Χρόνος Υστέρησης	66.05
------------------	-------

Αποτελέσματα:
EL0415FR6023

Παροχή αιχμής (M3/S)	223.33
Χρονική στιγμή αιχμής	02Sep2000, 01:30
Όγκος (MM)	235.87
Όγκος βροχόπτωσης (M3)	1.01E7
Όγκος απωλειών (M3)	1.86E6
Ενεργός Όγκος (M3)	8.21E6
Όγκος άμεσης απορροής (M3)	8.21E6
Όγκος βασικής απορροής (M3)	3.26E6

Βροχόπτωση και Απορροή



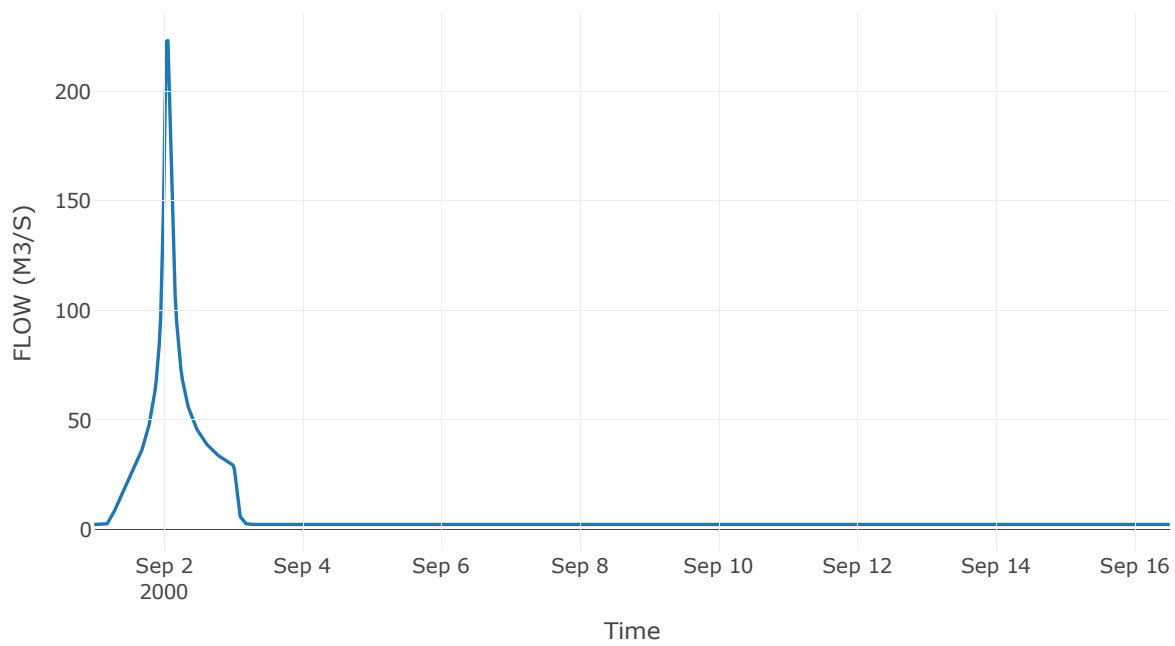
Κόμβος: J61

Κατάντη : R6120

Αποτελέσματα: J61

Παροχή Αιχμής (M3/S)	223.33
Χρονική στιγμή αιχμής	02Sep2000, 01:30
Όγκος(MM)	235.87

Απορροή



Κλάδος: R6120

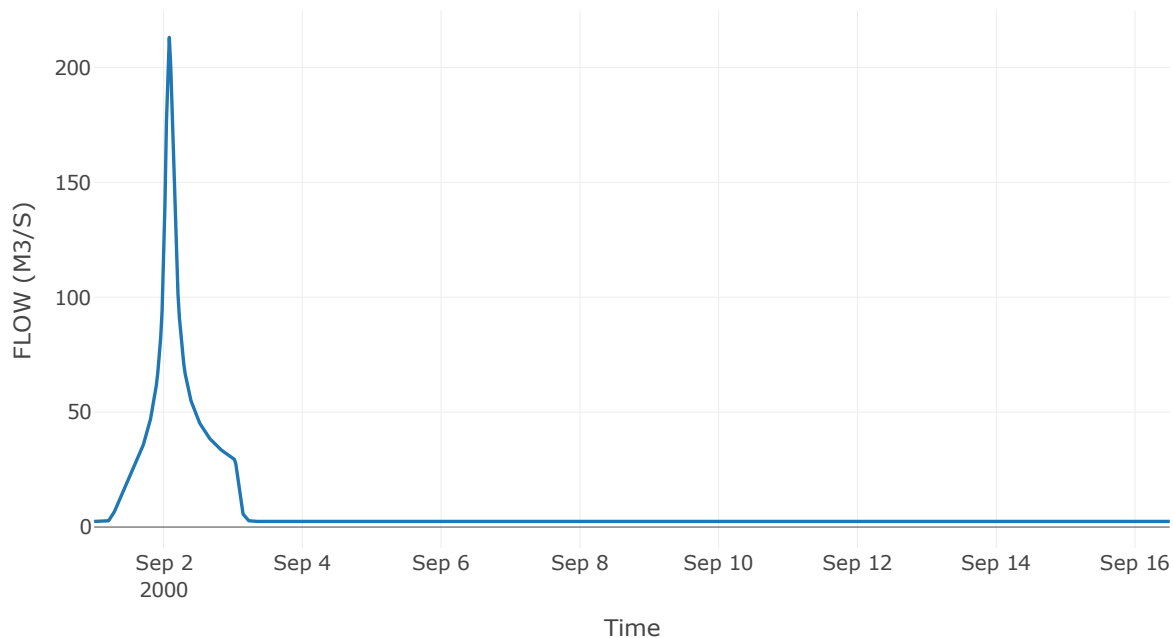
Κατάντη : J20

Μέθοδος Διόδευσης	Muskingum
Αρχική Μεταβλητή	Combined Inflow
Muskingum K	0.7
Συντελεστής βάρους x	0.2
Muskingum Steps	1

Αποτελέσματα: R6120

Παροχή Αιχμής (M3/S)	213.07
Χρονική στιγμή αιχμής	02Sep2000, 02:00
Όγκος(MM)	235.87
Παροχή Αιχμής Εισόδου (M3/S)	223.33
Όγκος Εισροής(M3)	1.15E7

Απορροή



Υπολεκάνη: EL0415FR6022

Έκταση (KM2) : 28.16

Κατάντη : J20

Μέθοδος Απωλειών: SCS

Ποσοστό αδιαπέρατης επιφάνειας	0
Αριθμός Καμπύλης Απορροής-CN	90.97
Αρχικές Απώλειες	5.05

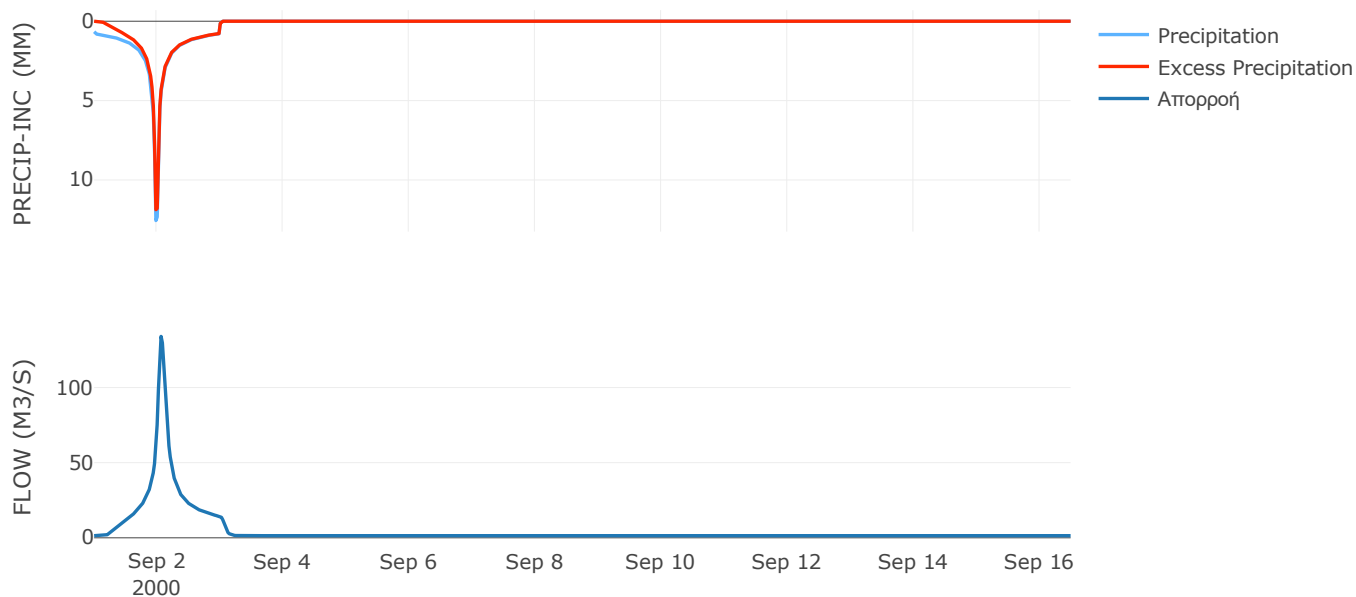
Μέθοδος
Μετασχηματισμού: SCS

Χρόνος Υστέρησης	87.91
------------------	-------

Αποτελέσματα:
EL0415FR6022

Παροχή αιχμής (M3/S)	134.02
Χρονική στιγμή αιχμής	02Sep2000, 01:30
Όγκος (MM)	227.59
Όγκος βροχόπτωσης (M3)	5.29E6
Όγκος απωλειών (M3)	7.66E5
Ενεργός Όγκος (M3)	4.52E6
Όγκος άμεσης απορροής (M3)	4.52E6
Όγκος βασικής απορροής (M3)	1.89E6

Βροχόπτωση και Απορροή



Υπολεκάνη: EL0415FR6021

Έκταση (KM2) : 21.44

Κατάντη : J20

Μέθοδος Απωλειών: SCS

Ποσοστό αδιαπέρατης επιφάνειας	0
Αριθμός Καμπύλης Απορροής-CN	90.61
Αρχικές Απώλειες	5.26

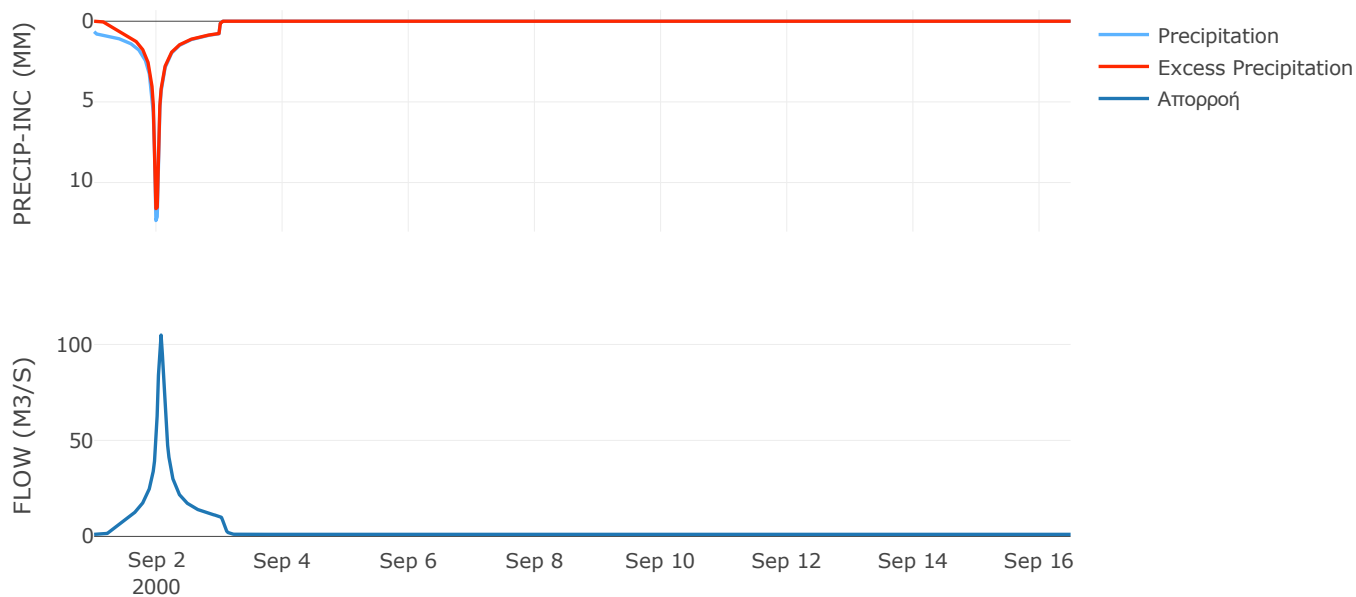
Μέθοδος
Μετασχηματισμού: SCS

Χρόνος Υστέρησης	73.66
------------------	-------

Αποτελέσματα:
EL0415FR6021

Παροχή αιχμής (M3/S)	104.9
Χρονική στιγμή αιχμής	02Sep2000, 01:30
Όγκος (MM)	223.13
Όγκος βροχόπτωσης (M3)	3.95E6
Όγκος απωλειών (M3)	6.05E5
Ενεργός Όγκος (M3)	3.35E6
Όγκος άμεσης απορροής (M3)	3.35E6
Όγκος βασικής απορροής (M3)	1.44E6

Βροχόπτωση και Απορροή



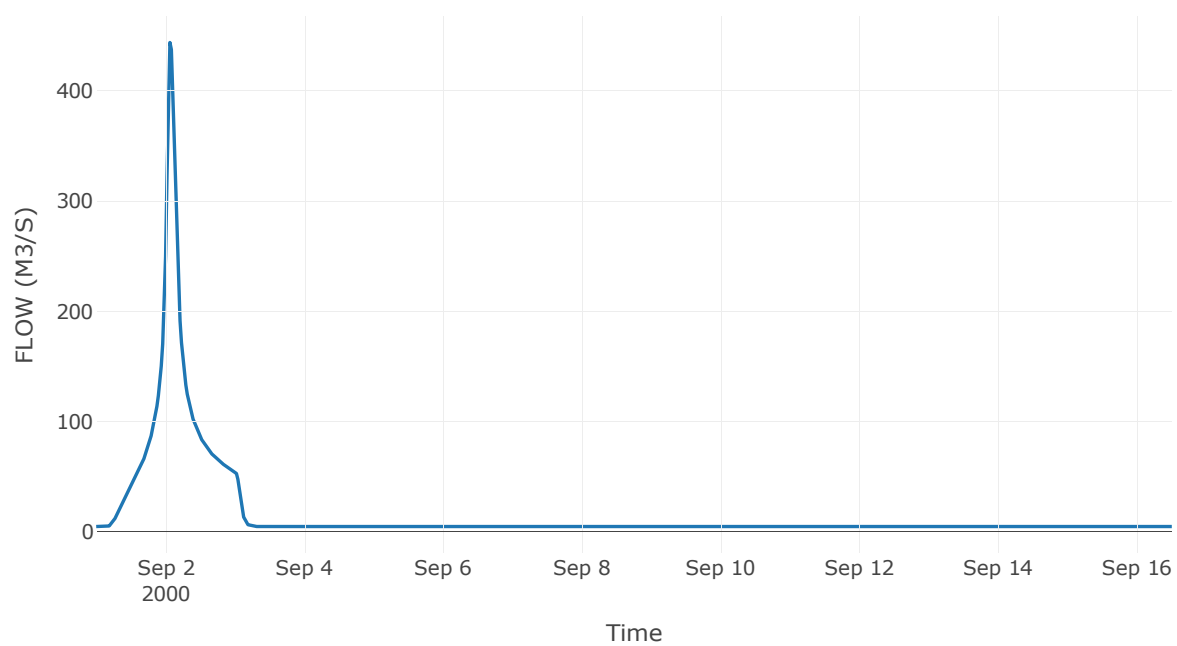
Κόμβος: J20

Κατάντη : R2014

Αποτελέσματα: J20

Παροχή Αιχμής (M3/S)	444.01
Χρονική στιγμή αιχμής	02Sep2000, 01:30
Όγκος(MM)	230.72

Απορροή



Κλάδος: R2014

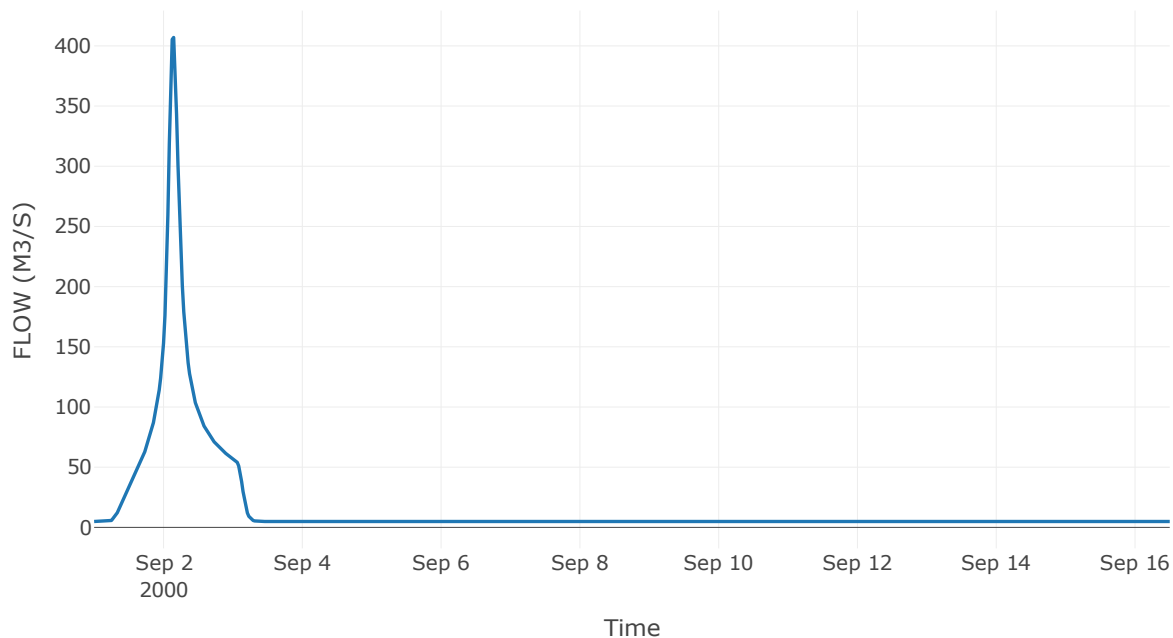
Κατάντη : J14

Μέθοδος Διόδευσης	Muskingum
Αρχική Μεταβλητή	Combined Inflow
Muskingum K	1.57
Συντελεστής βάρους x	0.2
Muskingum Steps	3

Αποτελέσματα: R2014

Παροχή Αιχμής (M3/S)	407
Χρονική στιγμή αιχμής	02Sep2000, 03:30
Όγκος(MM)	230.72
Παροχή Αιχμής Εισόδου (M3/S)	444.01
Όγκος Εισροής(M3)	2.27E7

Απορροή



Υπολεκάνη: EL0415FR6017

Έκταση (KM2) : 48.36

Κατάντη : J14

Μέθοδος Απωλειών: SCS

Ποσοστό αδιαπέρατης επιφάνειας	0
Αριθμός Καμπύλης Απορροής-CN	90.45
Αρχικές Απώλειες	5.37

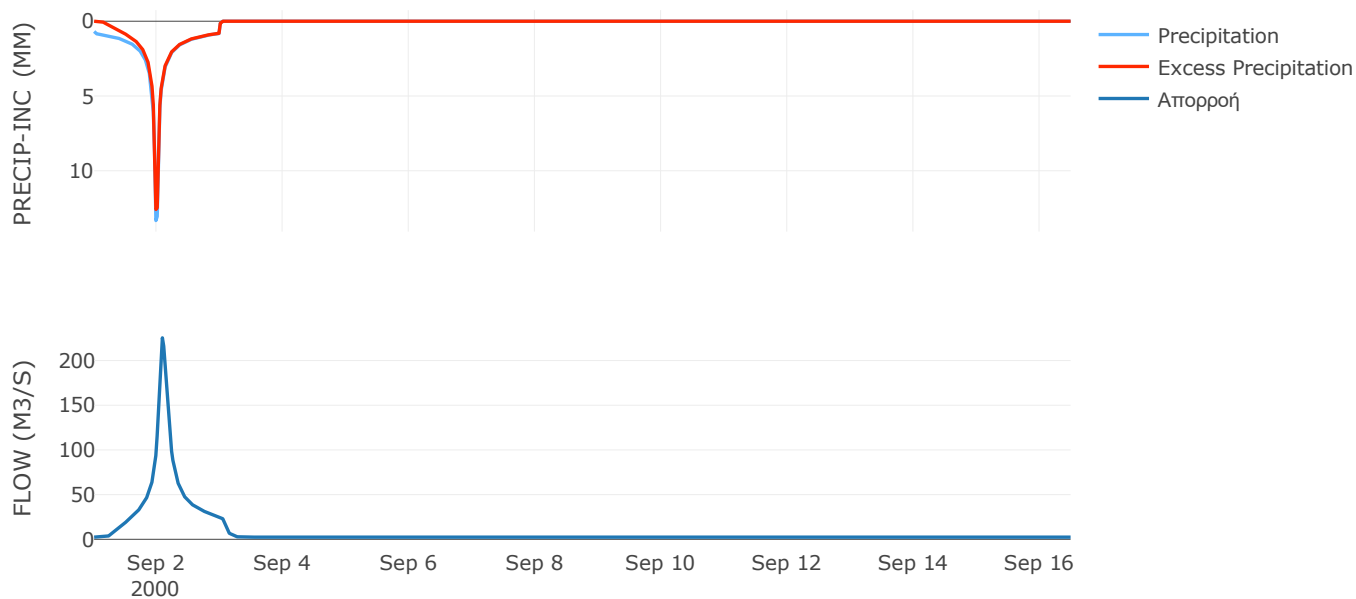
Μέθοδος
Μετασχηματισμού: SCS

Χρόνος Υστέρησης	110.19
------------------	--------

Αποτελέσματα:
EL0415FR6017

Παροχή αιχμής (M3/S)	225.4
Χρονική στιγμή αιχμής	02Sep2000, 02:00
Όγκος (MM)	234.76
Όγκος βροχόπτωσης (M3)	9.51E6
Όγκος απωλειών (M3)	1.4E6
Ενεργός Όγκος (M3)	8.11E6
Όγκος άμεσης απορροής (M3)	8.11E6
Όγκος βασικής απορροής (M3)	3.24E6

Βροχόπτωση και Απορροή



Υπολεκάνη: EL0415FR6020

Έκταση (KM2) : 41.91

Κατάντη : J14

Μέθοδος Απωλειών: SCS

Ποσοστό αδιαπέρατης επιφάνειας	0
Αριθμός Καμπύλης Απορροής-CN	90.65
Αρχικές Απώλειες	5.24

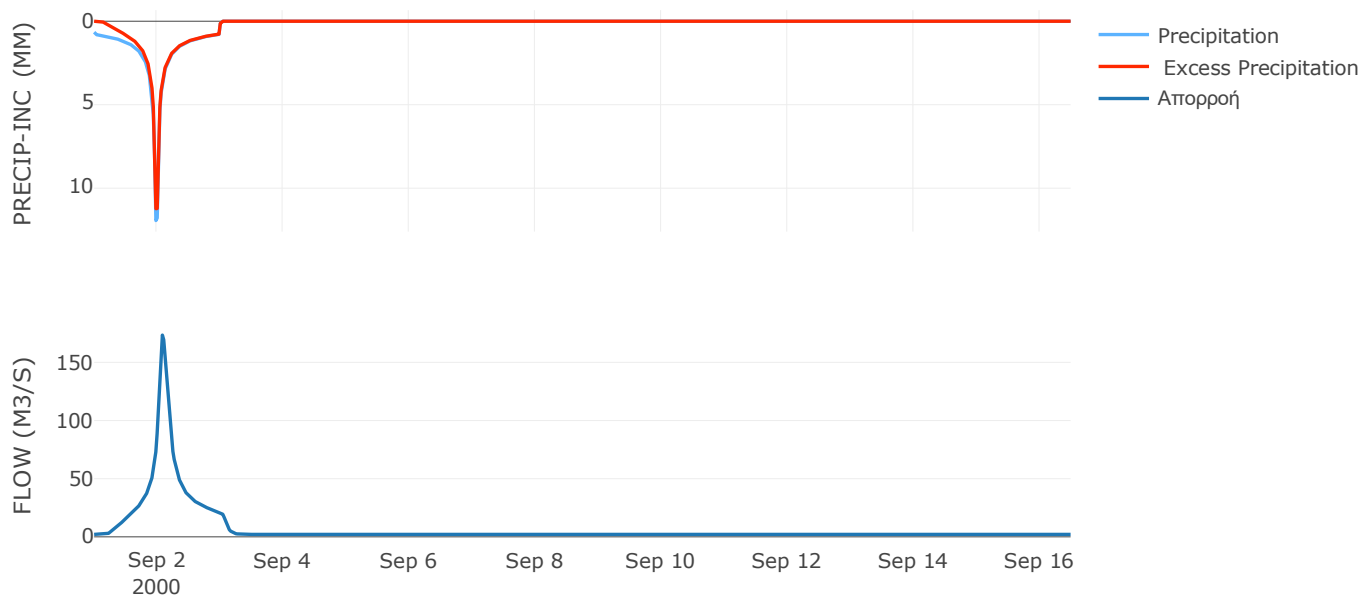
Μέθοδος
Μετασχηματισμού: SCS

Χρόνος Υστέρησης	116.08
------------------	--------

Αποτελέσματα:
EL0415FR6020

Παροχή αιχμής (M3/S)	173.46
Χρονική στιγμή αιχμής	02Sep2000, 02:00
Όγκος (MM)	222.62
Όγκος βροχόπτωσης (M3)	7.7E6
Όγκος απωλειών (M3)	1.18E6
Ενεργός Όγκος (M3)	6.52E6
Όγκος άμεσης απορροής (M3)	6.52E6
Όγκος βασικής απορροής (M3)	2.81E6

Βροχόπτωση και Απορροή



Υπολεκάνη: EL0415FR6097

Έκταση (KM2) : 3.48

Κατάντη : J14

Μέθοδος Απωλειών: SCS

Ποσοστό αδιαπέρατης επιφάνειας	17
Αριθμός Καμπύλης Απορροής-CN	91.92
Αρχικές Απώλειες	4.46

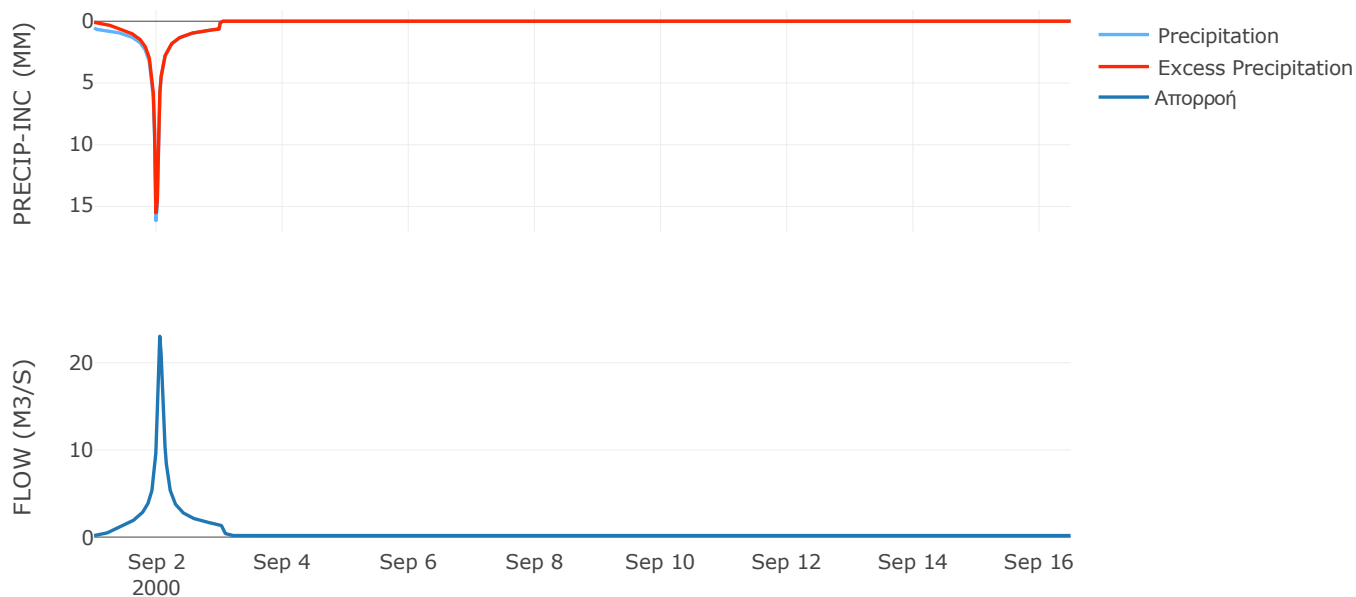
Μέθοδος
Μετασχηματισμού: SCS

Χρόνος Υστέρησης	56.87
------------------	-------

Αποτελέσματα:
EL0415FR6097

Παροχή αιχμής (M3/S)	23.03
Χρονική στιγμή αιχμής	02Sep2000, 01:00
Όγκος (MM)	230.57
Όγκος βροχόπτωσης (M3)	6.39E5
Όγκος απωλειών (M3)	70121.37
Ενεργός Όγκος (M3)	5.69E5
Όγκος άμεσης απορροής (M3)	5.69E5
Όγκος βασικής απορροής (M3)	2.33E5

Βροχόπτωση και Απορροή



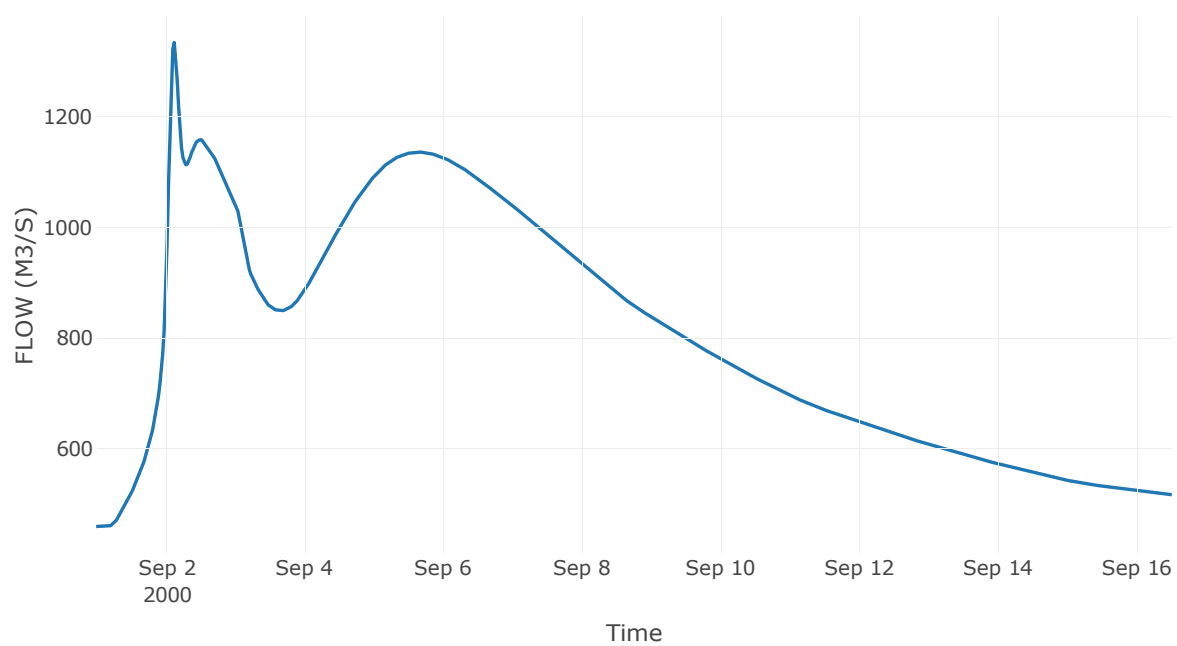
Κόμβος: J14

Κατάντη : R1413

Αποτελέσματα: J14

Παροχή Αιχμής (M3/S)	1334.61
Χρονική στιγμή αιχμής	02Sep2000, 03:00
Όγκος(MM)	250.53

Απορροή



Κλάδος: R1413

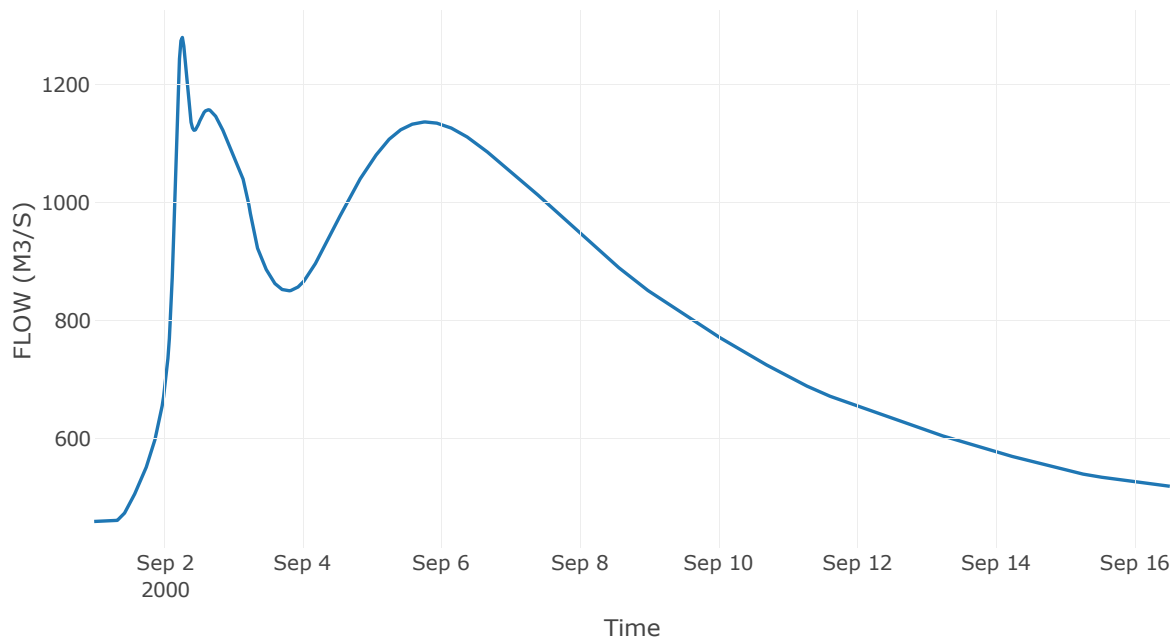
Κατάντη : J13 Res1

Μέθοδος Διόδευσης	Muskingum
Αρχική Μεταβλητή	Combined Inflow
Muskingum K	3.28
Συντελεστής βάρους α	0.2
Muskingum Steps	7

Αποτελέσματα: R1413

Παροχή Αιχμής (M3/S)	1279.38
Χρονική στιγμή αιχμής	02Sep2000, 06:30
Όγκος(MM)	250.37
Παροχή Αιχμής Εισόδου (M3/S)	1334.61
Όγκος Εισροής(M3)	1.07E9

Απορροή



Υπολεκάνη: EL0415FR6016

Έκταση (KM2) : 45.09

Κατάνη : J13 Res1

Μέθοδος Απωλειών: SCS

Ποσοστό αδιαπέρατης επιφάνειας	14
Αριθμός Καμπύλης Απορροής-CN	92.4
Αρχικές Απώλειες	4.18

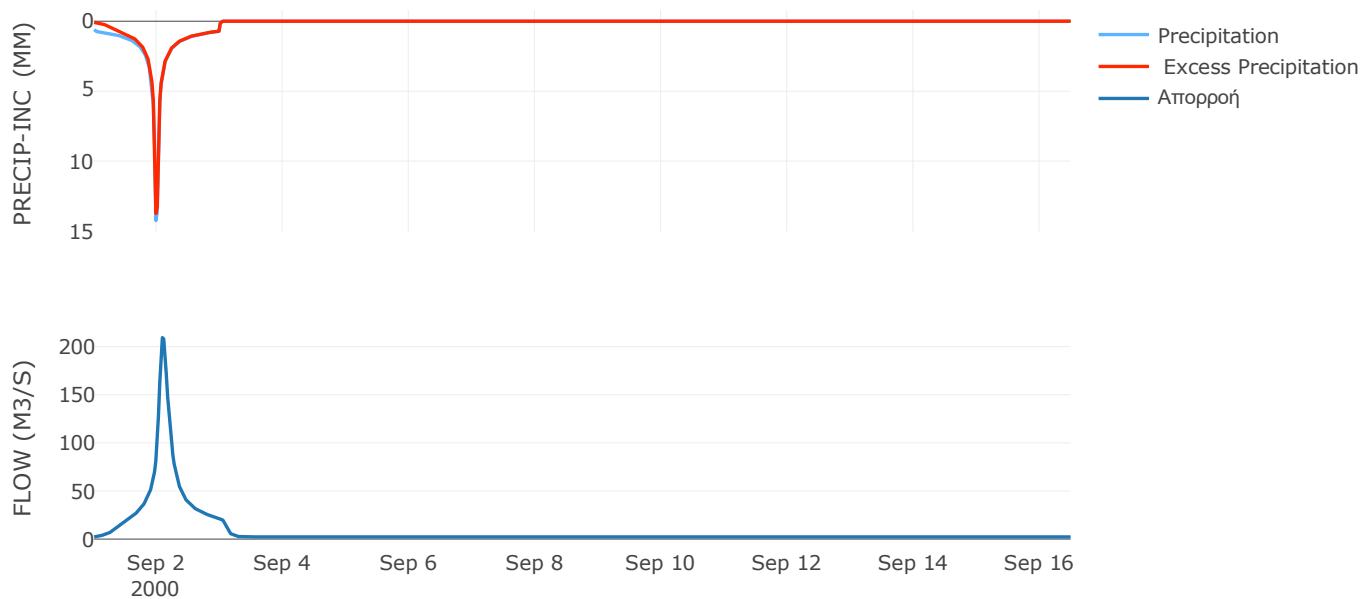
Μέθοδος
Μετασχηματισμού: SCS

Χρόνος Υστέρησης	124.16
------------------	--------

Αποτελέσματα:
EL0415FR6016

Παροχή αιχμής (M3/S)	209.33
Χρονική στιγμή αιχμής	02Sep2000, 02:00
Όγκος (MM)	233.63
Όγκος βροχόπτωσης (M3)	8.4E6
Όγκος απωλειών (M3)	8.89E5
Ενεργός Όγκος (M3)	7.51E6
Όγκος άμεσης απορροής (M3)	7.51E6
Όγκος βασικής απορροής (M3)	3.02E6

Βροχόπτωση και Απορροή



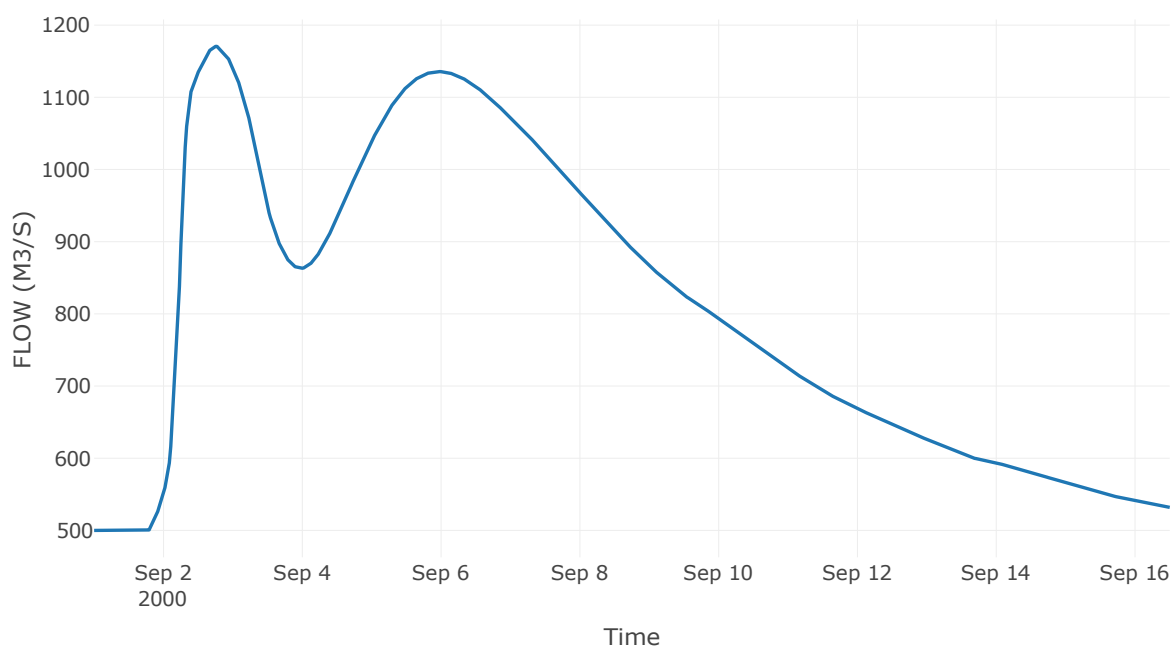
Ταμιευτήρας: J13_RES1

Κατάντη : R138

Αποτελέσματα: J13_RES1

Παροχή Αιχμής (M3/S)	1170.53
Χρονική στιγμή αιχμής	02Sep2000, 18:00
Όγκος(MM)	249.82
Παροχή Αιχμής Εισόδου (M3/S)	1360.79
Time of Peak Inflow	02Sep2000, 06:00
Όγκος Εισροής (M3)	1.08E9
Maximum Storage (M3)	3.87E7
Peak Elevation (M)	62.92
Discharge Όγκος(M3)	1.08E9

Απορροή



Κλάδος: R138

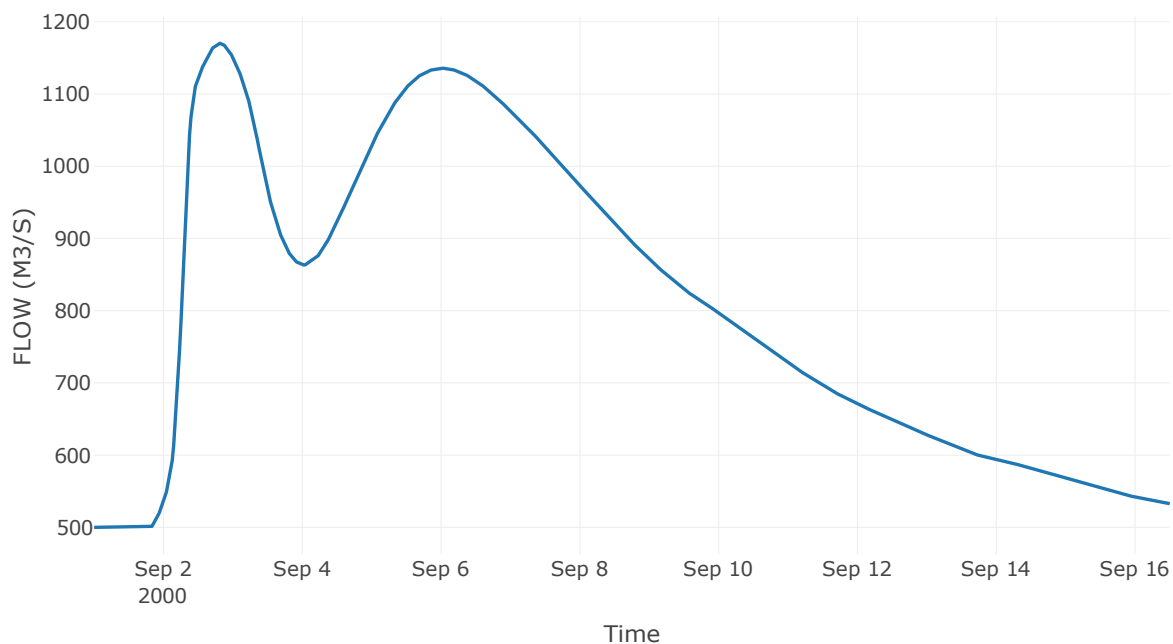
Κατάντη : J8

Μέθοδος Διόδευσης	Muskingum
Αρχική Μεταβλητή	Combined Inflow
Muskingum K	1.19
Συντελεστής βάρους α	0.2
Muskingum Steps	2

Αποτελέσματα: R138

Παροχή Αιχμής (M3/S)	1170.11
Χρονική στιγμή αιχμής	02Sep2000, 19:30
Όγκος(MM)	249.78
Παροχή Αιχμής Εισόδου (M3/S)	1170.53
Όγκος Εισροής(M3)	1.08E9

Απορροή



Υπολεκάνη: EL0415FR6013

Έκταση (KM2) : 37.65

Κατάντη : J12

Μέθοδος Απωλειών: SCS

Ποσοστό αδιαπέρατης επιφάνειας	0
Αριθμός Καμπύλης Απορροής-CN	74.85
Αρχικές Απώλειες	17.07

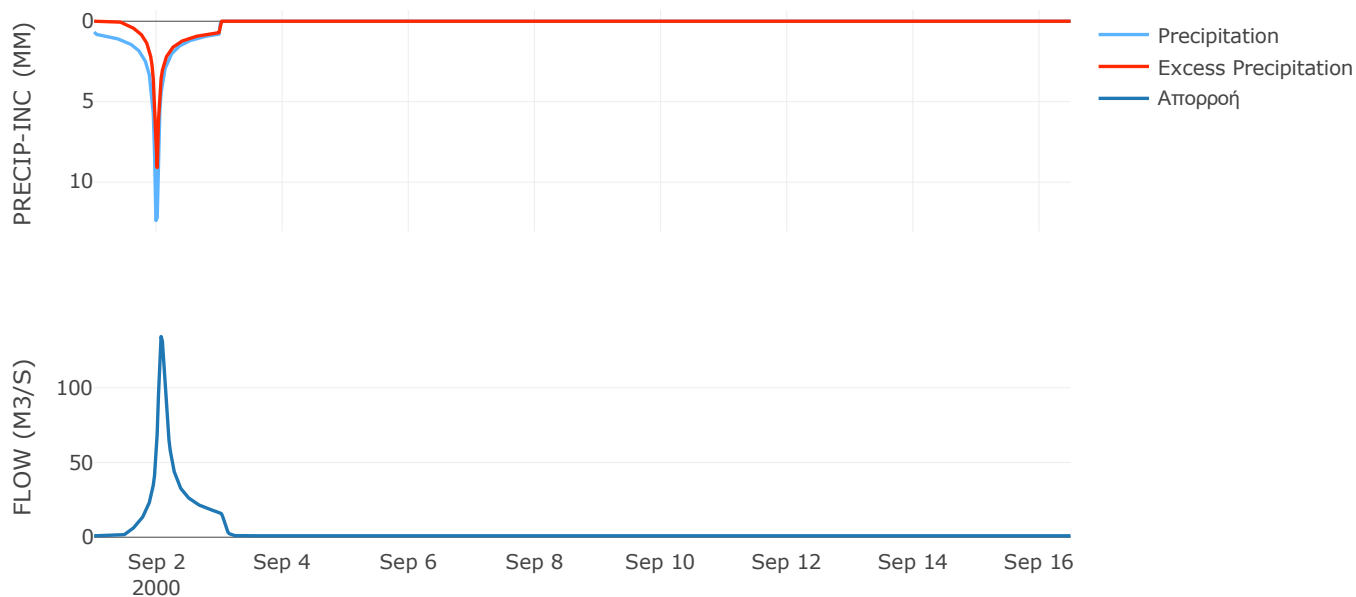
Μέθοδος
Μετασχηματισμού: SCS

Χρόνος Υστέρησης	84.8
------------------	------

Αποτελέσματα:
EL0415FR6013

Παροχή αιχμής (M3/S)	134.33
Χρονική στιγμή αιχμής	02Sep2000, 01:30
Όγκος (MM)	147.96
Όγκος βροχόπτωσης (M3)	7.1E6
Όγκος απωλειών (M3)	2.79E6
Ενεργός Όγκος (M3)	4.31E6
Όγκος άμεσης απορροής (M3)	4.31E6
Όγκος βασικής απορροής (M3)	1.26E6

Βροχόπτωση και Απορροή



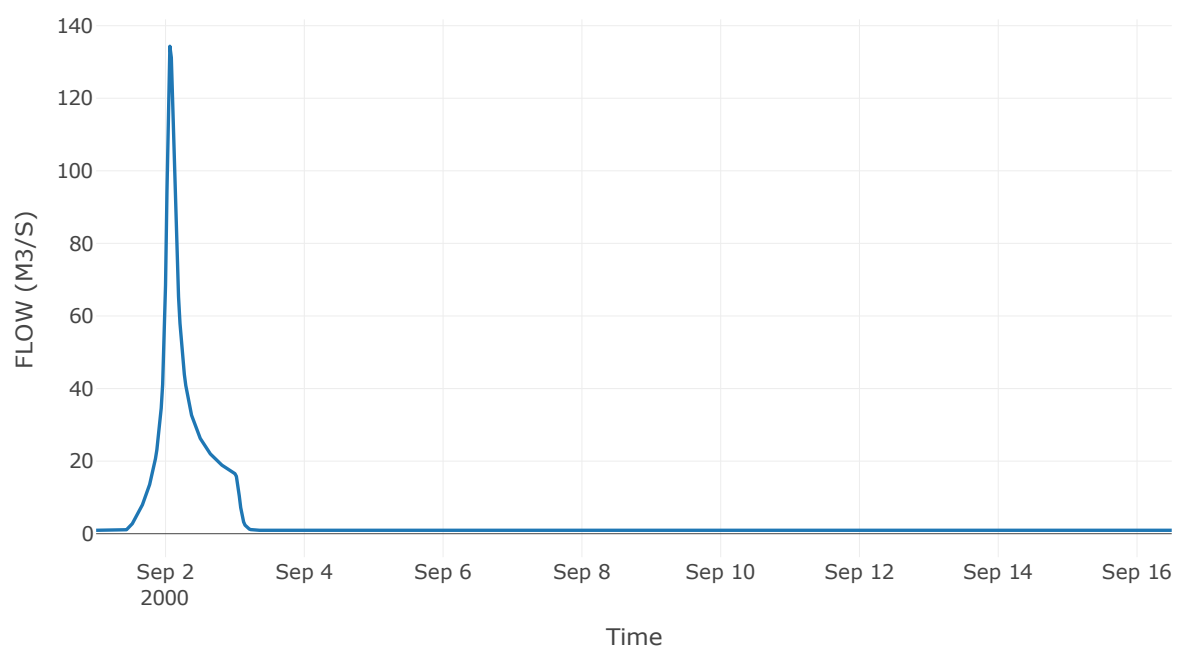
Κόμβος: J12

Κατάντη : R128

Αποτελέσματα: J12

Παροχή Αιχμής (M3/S)	134.33
Χρονική στιγμή αιχμής	02Sep2000, 01:30
Όγκος(MM)	147.96

Απορροή



Κλάδος: R128

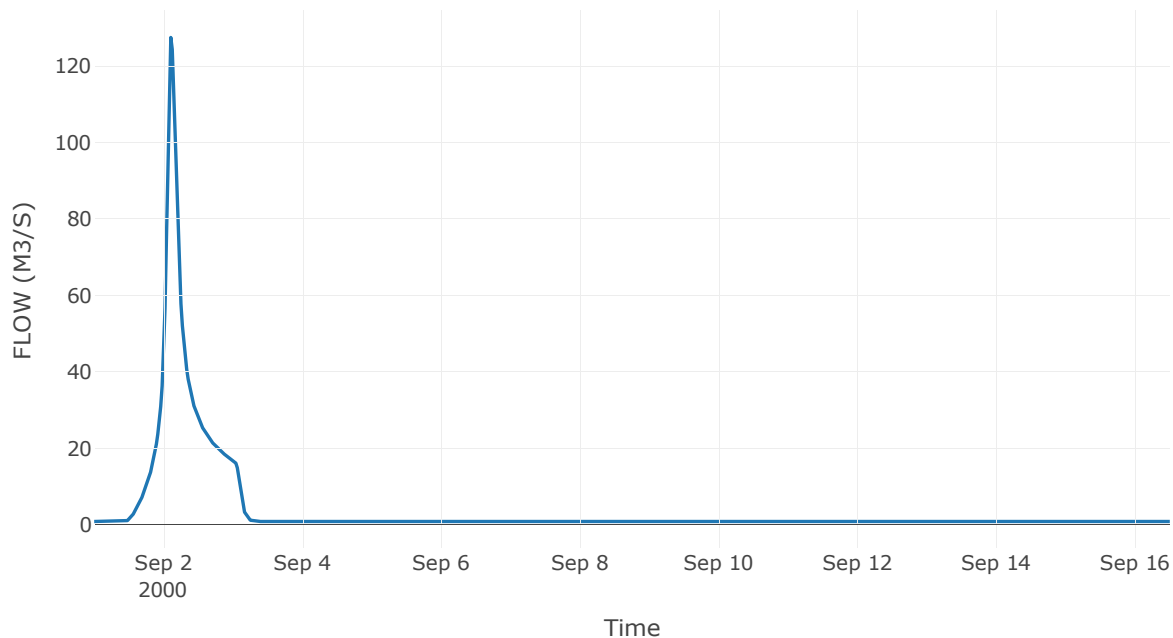
Κατάντη : J8

Μέθοδος Διόδευσης	Muskingum
Αρχική Μεταβλητή	Combined Inflow
Muskingum K	0.93
Συντελεστής βάρους x	0.2
Muskingum Steps	2

Αποτελέσματα: R128

Παροχή Αιχμής (M3/S)	127.47
Χρονική στιγμή αιχμής	02Sep2000, 02:30
Όγκος(MM)	147.96
Παροχή Αιχμής Εισόδου (M3/S)	134.33
Όγκος Εισροής(M3)	5.57E6

Απορροή



Υπολεκάνη: EL0415FR6014

Έκταση (KM2) : 17.43

Κατάντη : J8

Μέθοδος Απωλειών: SCS

Ποσοστό αδιαπέρατης επιφάνειας	0
Αριθμός Καμπύλης Απορροής-CN	90.98
Αρχικές Απώλειες	5.03

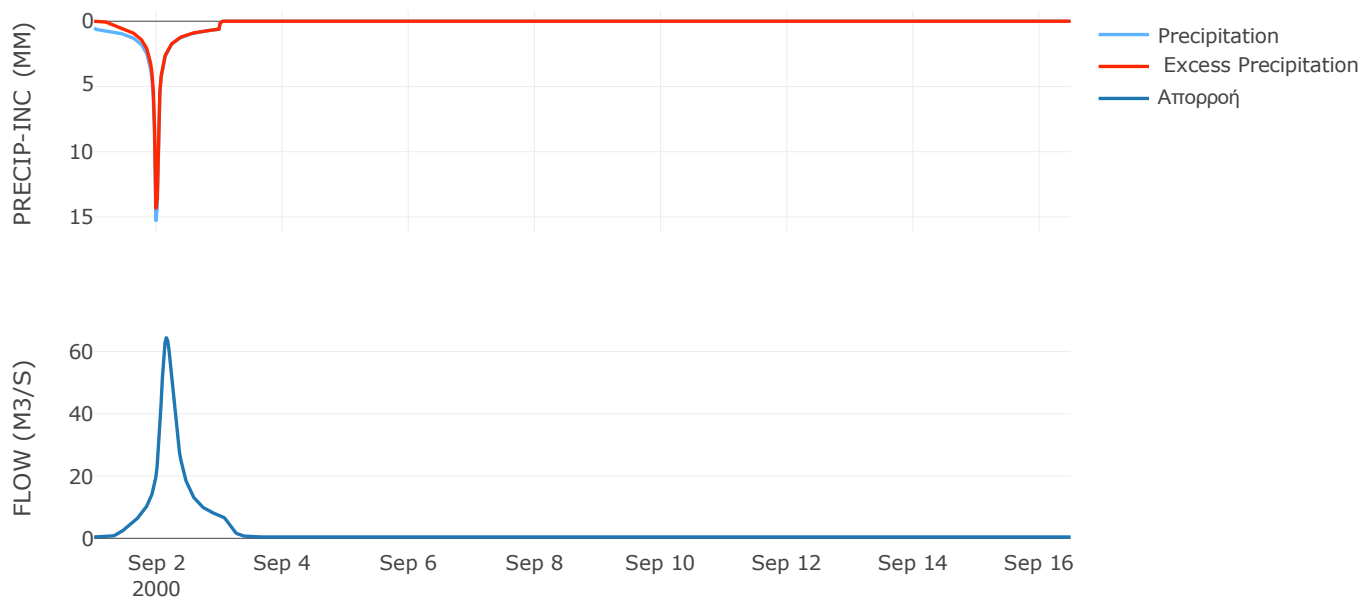
Μέθοδος
Μετασχηματισμού: SCS

Χρόνος Υστέρησης	201.59
------------------	--------

Αποτελέσματα:
EL0415FR6014

Παροχή αιχμής (M3/S)	64.43
Χρονική στιγμή αιχμής	02Sep2000, 03:30
Όγκος (MM)	182.43
Όγκος βροχόπτωσης (M3)	3.07E6
Όγκος απωλειών (M3)	4.7E5
Ενεργός Όγκος (M3)	2.6E6
Όγκος άμεσης απορροής (M3)	2.6E6
Όγκος βασικής απορροής (M3)	5.84E5

Βροχόπτωση και Απορροή



Υπολεκάνη: EL0415FR6015

Έκταση (KM2) : 9.94

Κατάντη : J8

Μέθοδος Απωλειών: SCS

Ποσοστό αδιαπέρατης επιφάνειας	0
Αριθμός Καμπύλης Απορροής-CN	92.63
Αρχικές Απώλειες	4.04

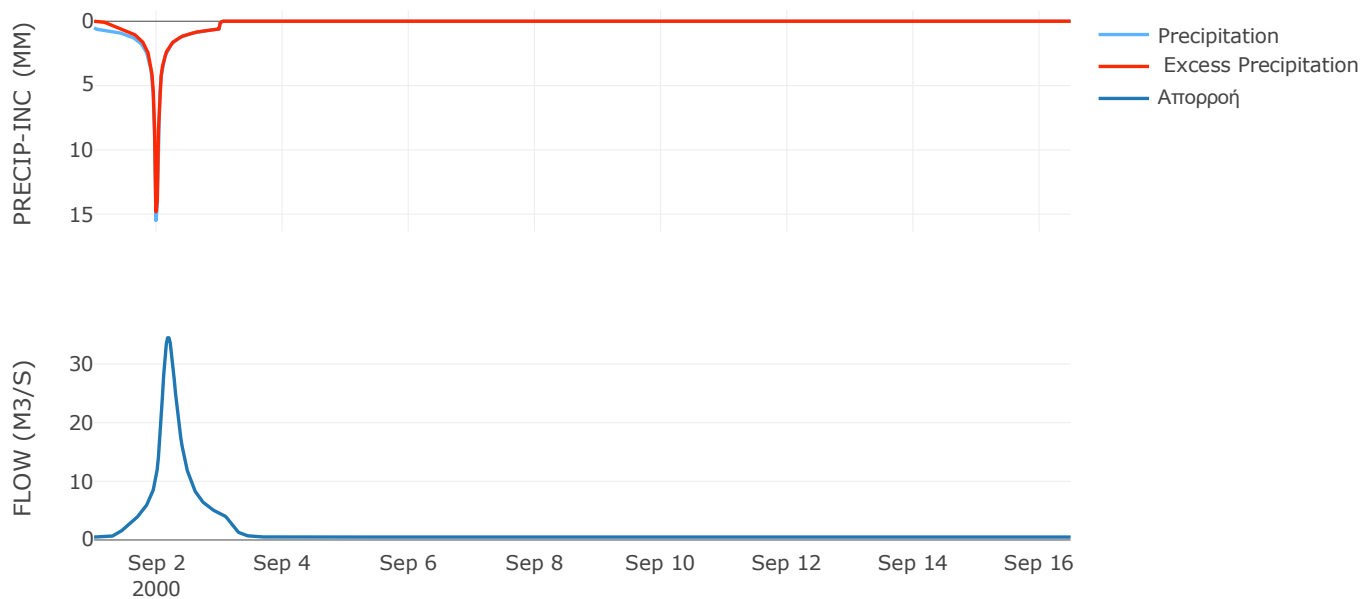
Μέθοδος
Μετασχηματισμού: SCS

Χρόνος Υστέρησης	242.05
------------------	--------

Αποτελέσματα:
EL0415FR6015

Παροχή αιχμής (M3/S)	34.46
Χρονική στιγμή αιχμής	02Sep2000, 04:00
Όγκος (MM)	220.15
Όγκος βροχόπτωσης (M3)	1.74E6
Όγκος απωλειών (M3)	2.2E5
Ενεργός Όγκος (M3)	1.52E6
Όγκος άμεσης απορροής (M3)	1.52E6
Όγκος βασικής απορροής (M3)	6.66E5

Βροχόπτωση και Απορροή



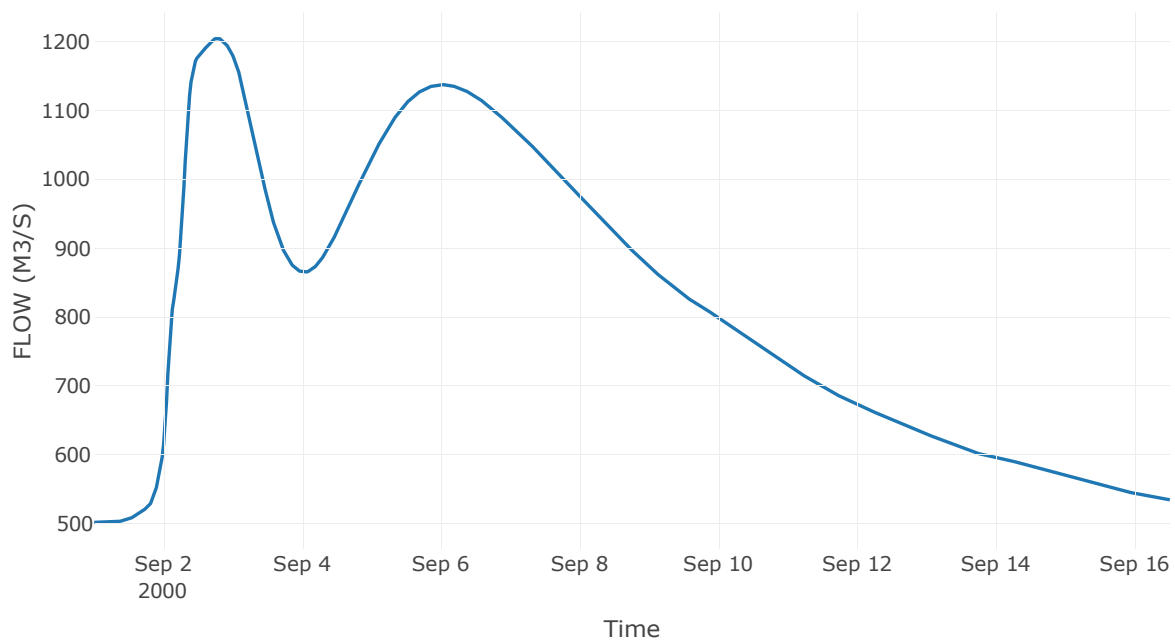
Κόμβος: J8

Κατάντη : R86

Αποτελέσματα: J8

Παροχή Αιχμής (M3/S)	1204.76
Χρονική στιγμή αιχμής	02Sep2000, 18:30
Όγκος(MM)	248.58

Απορροή



Κλάδος: R86

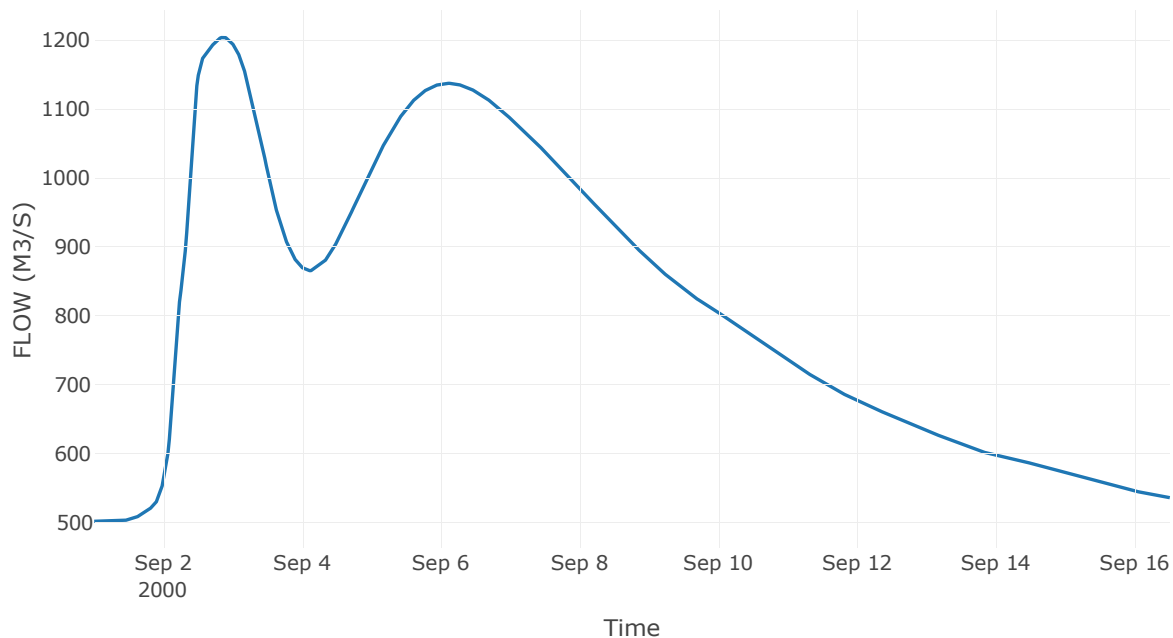
Κατάντη : J6

Μέθοδος Διόδευσης	Muskingum
Αρχική Μεταβλητή	Combined Inflow
Muskingum K	2.04
Συντελεστής βάρους x	0.2
Muskingum Steps	4

Αποτελέσματα: R86

Παροχή Αιχμής (M3/S)	1204.15
Χρονική στιγμή αιχμής	02Sep2000, 20:30
Όγκος(MM)	248.52
Παροχή Αιχμής Εισόδου (M3/S)	1204.76
Όγκος Εισροής(M3)	1.09E9

Απορροή



Κλάδος: R76

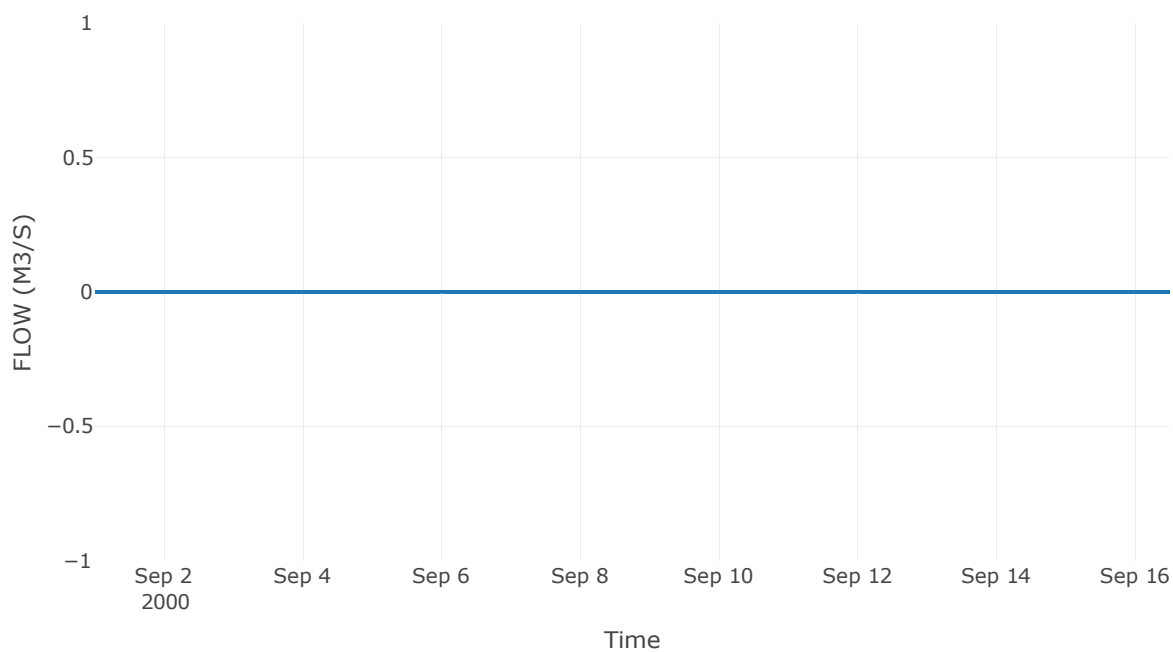
Κατάντη : J6

Μέθοδος Διόδευσης	Muskingum
Αρχική Μεταβλητή	Combined Inflow
Muskingum K	2.38
Συντελεστής βάρους x	0.2
Muskingum Steps	5

Αποτελέσματα: R76

Παροχή Αιχμής (M3/S)	0
Χρονική στιγμή αιχμής	31Aug2000, 24:00
Peak Inflow (M3/S)	0
Όγκος Εισροής (M3)	0

Απορροή



Υπολεκάνη: EL0415FR6008

Έκταση (KM2) : 24.49

Κατάντη : J6

Μέθοδος Απωλειών: SCS

Ποσοστό αδιαπέρατης επιφάνειας	0
Αριθμός Καμπύλης Απορροής-CN	91.36
Αρχικές Απώλειες	4.8

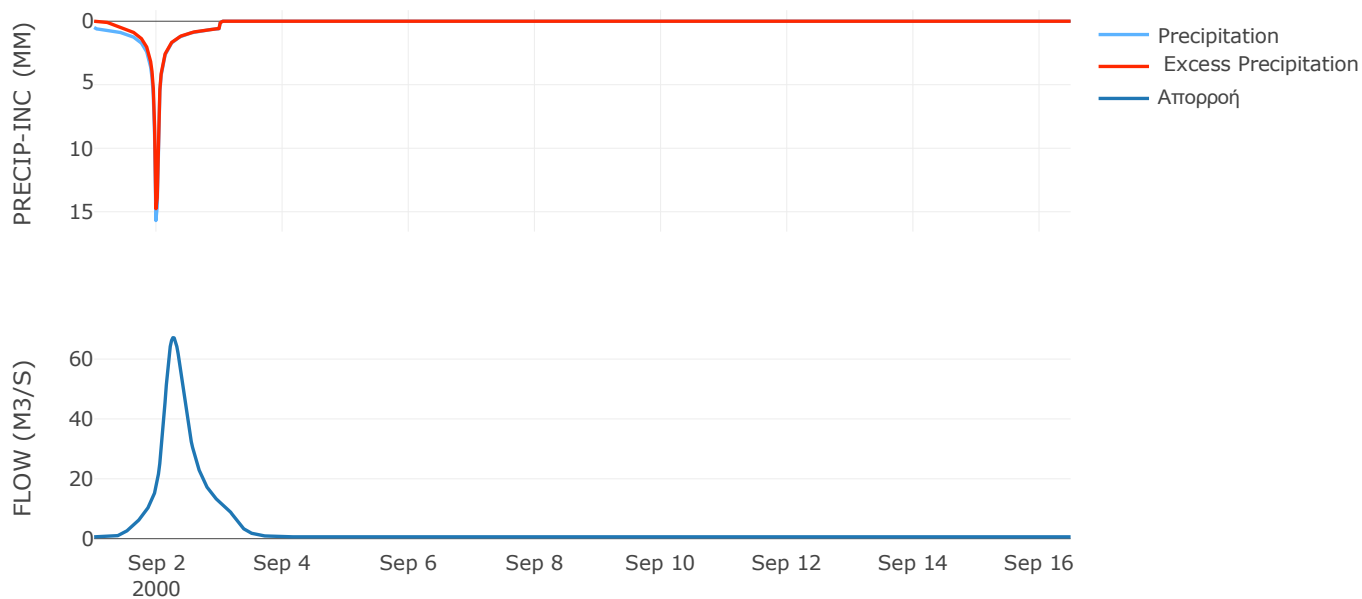
Μέθοδος
Μετασχηματισμού: SCS

Χρόνος Υστέρησης	352.19
------------------	--------

Αποτελέσματα:
EL0415FR6008

Παροχή αιχμής (M3/S)	67.14
Χρονική στιγμή αιχμής	02Sep2000, 06:00
Όγκος (MM)	180
Όγκος βροχόπτωσης (M3)	4.22E6
Όγκος απωλειών (M3)	6.32E5
Ενεργός Όγκος (M3)	3.59E6
Όγκος άμεσης απορροής (M3)	3.59E6
Όγκος βασικής απορροής (M3)	8.2E5

Βροχόπτωση και Απορροή



Υπολεκάνη: EL0415FR6007

Έκταση (KM2) : 16.96

Κατάντη : J6

Μέθοδος Απωλειών: SCS

Ποσοστό αδιαπέρατης επιφάνειας	0
Αριθμός Καμπύλης Απορροής-CN	87.41
Αρχικές Απώλειες	7.32

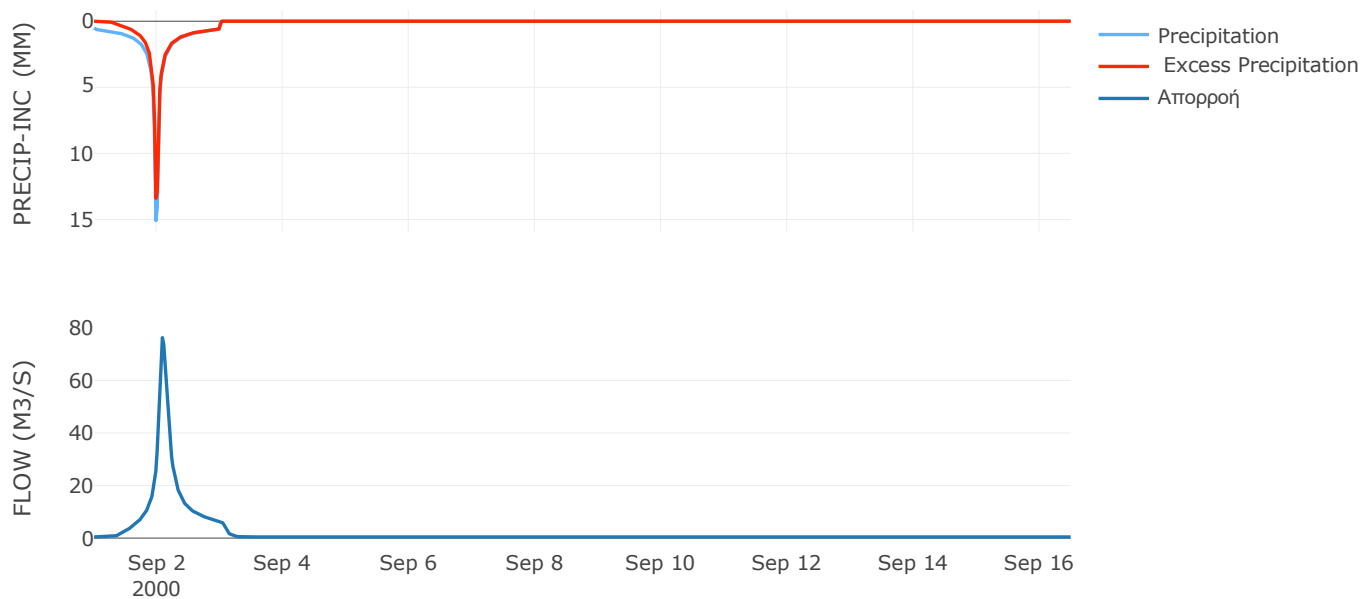
Μέθοδος
Μετασχηματισμού: SCS

Χρόνος Υστέρησης	113.8
------------------	-------

Αποτελέσματα:
EL0415FR6007

Παροχή αιχμής (M3/S)	76.29
Χρονική στιγμή αιχμής	02Sep2000, 02:00
Όγκος (MM)	169.87
Όγκος βροχόπτωσης (M3)	2.95E6
Όγκος απωλειών (M3)	6.33E5
Ενεργός Όγκος (M3)	2.31E6
Όγκος άμεσης απορροής (M3)	2.31E6
Όγκος βασικής απορροής (M3)	5.68E5

Βροχόπτωση και Απορροή



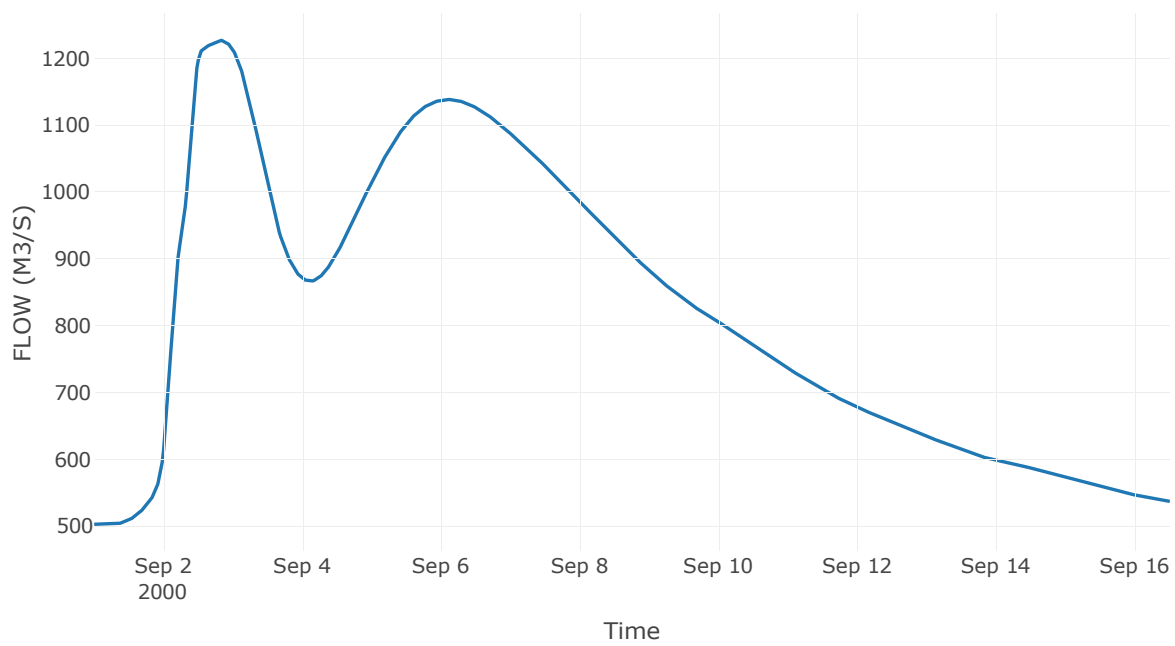
Κόμβος: J6

Κατάντη : R65

Αποτελέσματα: J6

Παροχή Αιχμής (M3/S)	1227.03
Χρονική στιγμή αιχμής	02Sep2000, 20:00
Όγκος(MM)	247.84

Απορροή



Κλάδος: R65

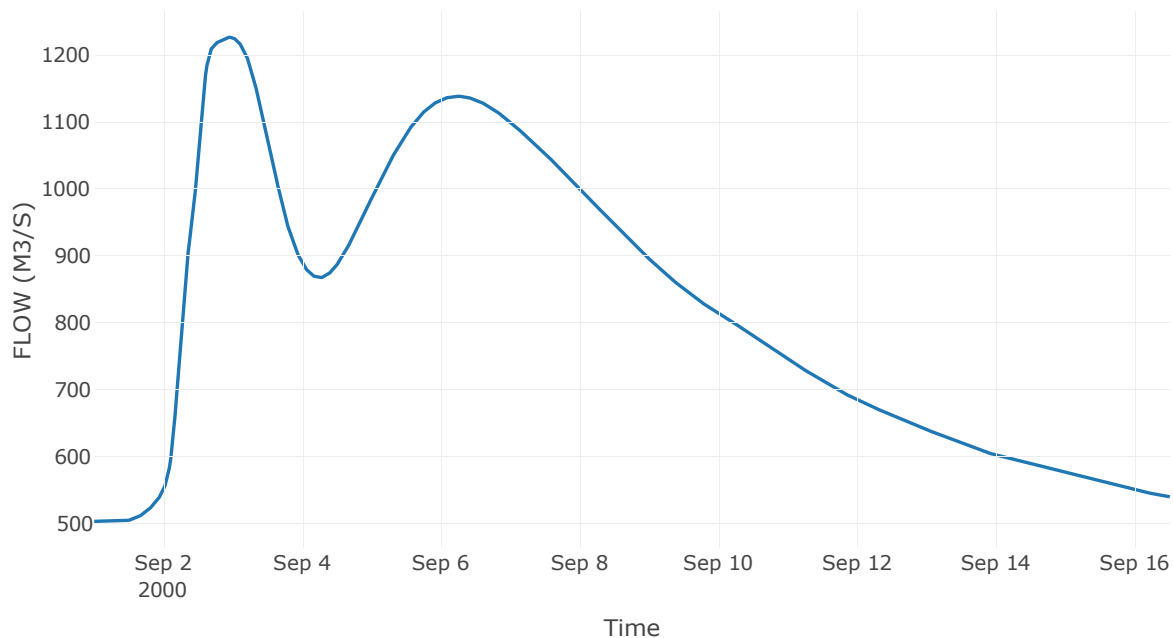
Κατάντη : J5

Μέθοδος Διόδευσης	Muskingum
Αρχική Μεταβλητή	Combined Inflow
Muskingum K	3.21
Συντελεστής βάρους x	0.2
Muskingum Steps	6

Αποτελέσματα: R65

Παροχή Αιχμής (M3/S)	1226.3
Χρονική στιγμή αιχμής	02Sep2000, 23:00
Όγκος(MM)	247.75
Παροχή Αιχμής Εισόδου (M3/S)	1227.03
Όγκος Εισροής(M3)	1.1E9

Απορροή



Υπολεκάνη: EL0415FR6006

Έκταση (KM2) : 20.96

Κατάντη : J5

Μέθοδος Απωλειών: SCS

Ποσοστό αδιαπέρατης επιφάνειας	0
Αριθμός Καμπύλης Απορροής-CN	82.92
Αρχικές Απώλειες	10.47

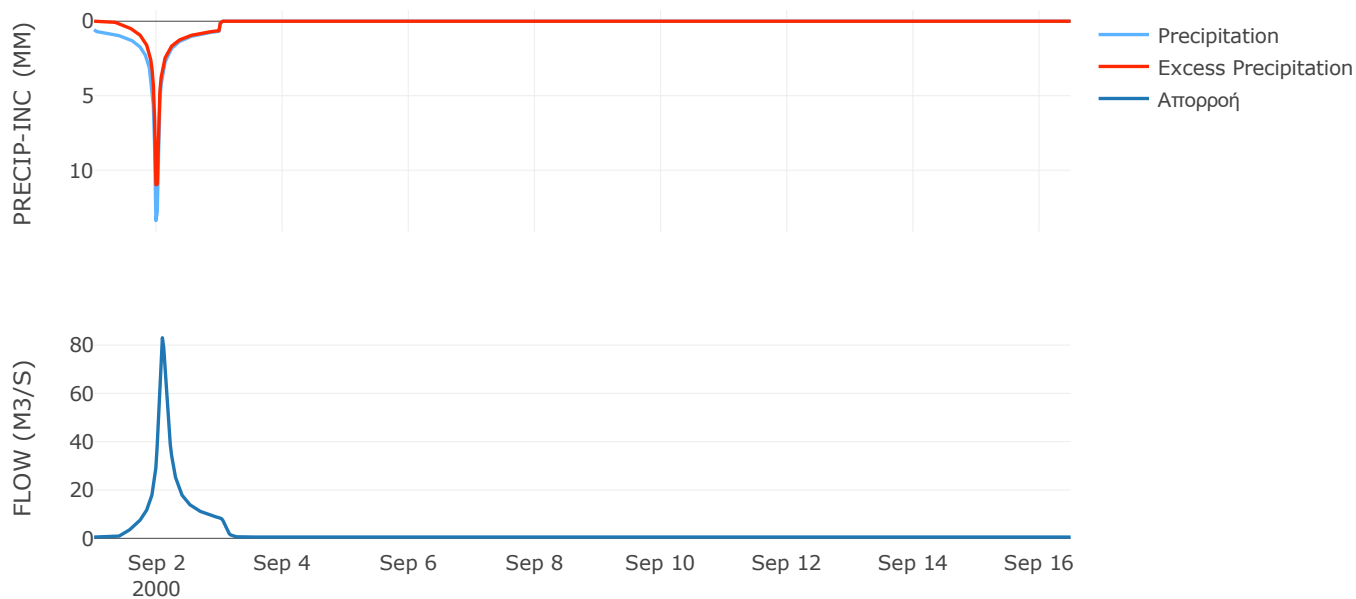
Μέθοδος
Μετασχηματισμού: SCS

Χρόνος Υστέρησης	106.09
------------------	--------

Αποτελέσματα:
EL0415FR6006

Παροχή αιχμής (M3/S)	83.03
Χρονική στιγμή αιχμής	02Sep2000, 02:00
Όγκος (MM)	158.57
Όγκος βροχόπτωσης (M3)	3.67E6
Όγκος απωλειών (M3)	1.05E6
Ενεργός Όγκος (M3)	2.62E6
Όγκος άμεσης απορροής (M3)	2.62E6
Όγκος βασικής απορροής (M3)	7.02E5

Βροχόπτωση και Απορροή



Υπολεκάνη: EL0415FR6005

Έκταση (KM2) : 10.79

Κατάντη : J5

Μέθοδος Απωλειών: SCS

Ποσοστό αδιαπέρατης επιφάνειας	0
Αριθμός Καμπύλης Απορροής-CN	91.03
Αρχικές Απώλειες	5.01

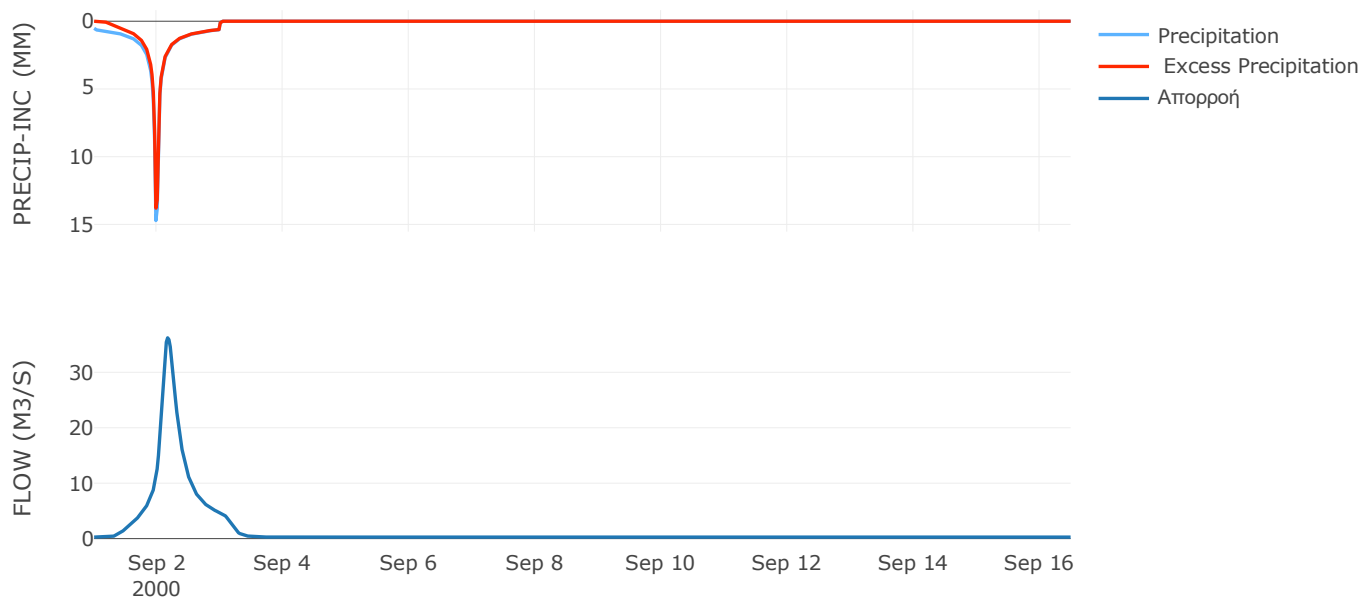
Μέθοδος
Μετασχηματισμού: SCS

Χρόνος Υστέρησης	231.44
------------------	--------

Αποτελέσματα:
EL0415FR6005

Παροχή αιχμής (M3/S)	36.22
Χρονική στιγμή αιχμής	02Sep2000, 04:00
Όγκος (MM)	180.67
Όγκος βροχόπτωσης (M3)	1.88E6
Όγκος απωλειών (M3)	2.89E5
Ενεργός Όγκος (M3)	1.59E6
Όγκος άμεσης απορροής (M3)	1.59E6
Όγκος βασικής απορροής (M3)	3.61E5

Βροχόπτωση και Απορροή



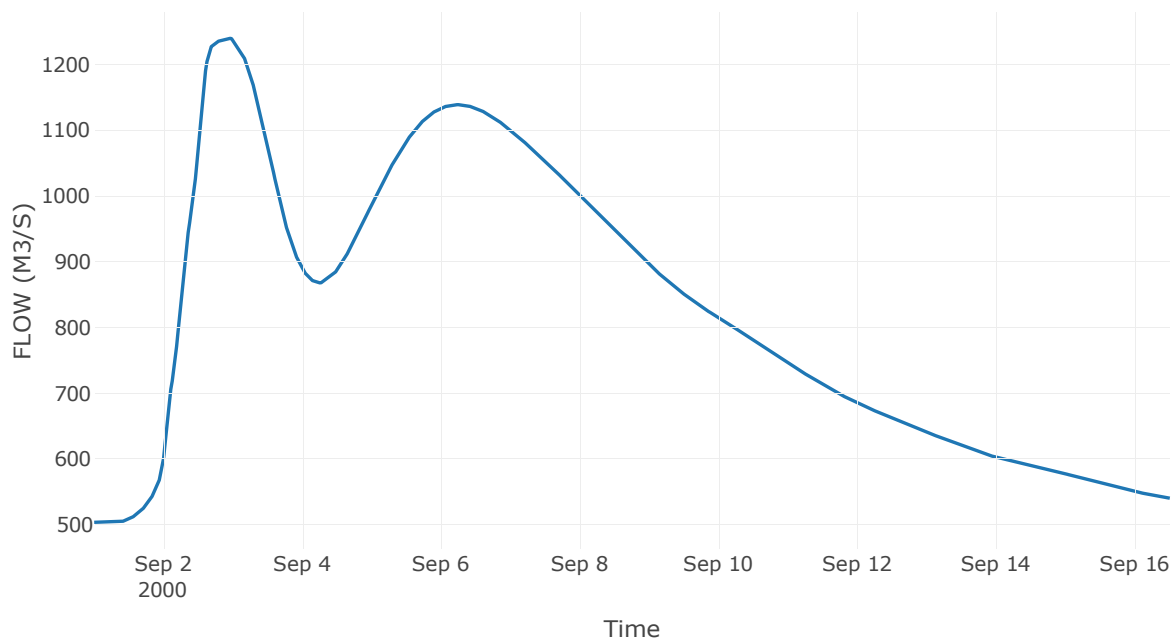
Κόμβος: J5

Κατάντη : R54

Αποτελέσματα: J5

Παροχή Αιχμής (M3/S)	1239.98
Χρονική στιγμή αιχμής	02Sep2000, 22:30
Όγκος(MM)	247.17

Απορροή



Κλάδος: R54

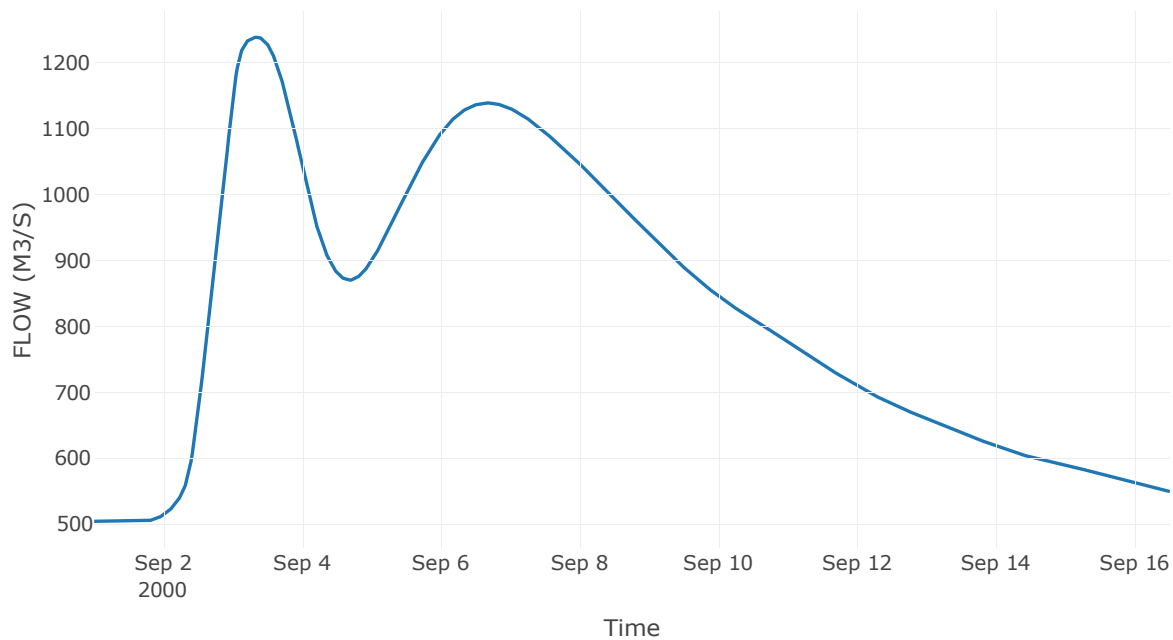
Κατάντη : J4

Μέθοδος Διόδευσης	Muskingum
Αρχική Μεταβλητή	Combined Inflow
Muskingum K	10.31
Συντελεστής βάρους x	0.2
Muskingum Steps	21

Αποτελέσματα: R54

Παροχή Αιχμής (M3/S)	1238.27
Χρονική στιγμή αιχμής	03Sep2000, 08:30
Όγκος(MM)	246.83
Παροχή Αιχμής Εισόδου (M3/S)	1239.98
Όγκος Εισροής(M3)	1.1E9

Απορροή



Υπολεκάνη: EL0415FR6052

Έκταση (KM2) : 27.12

Κατάντη : J4

Μέθοδος Απωλειών: SCS

Ποσοστό αδιαπέρατης επιφάνειας	0
Αριθμός Καμπύλης Απορροής-CN	82.22
Αρχικές Απώλειες	10.99

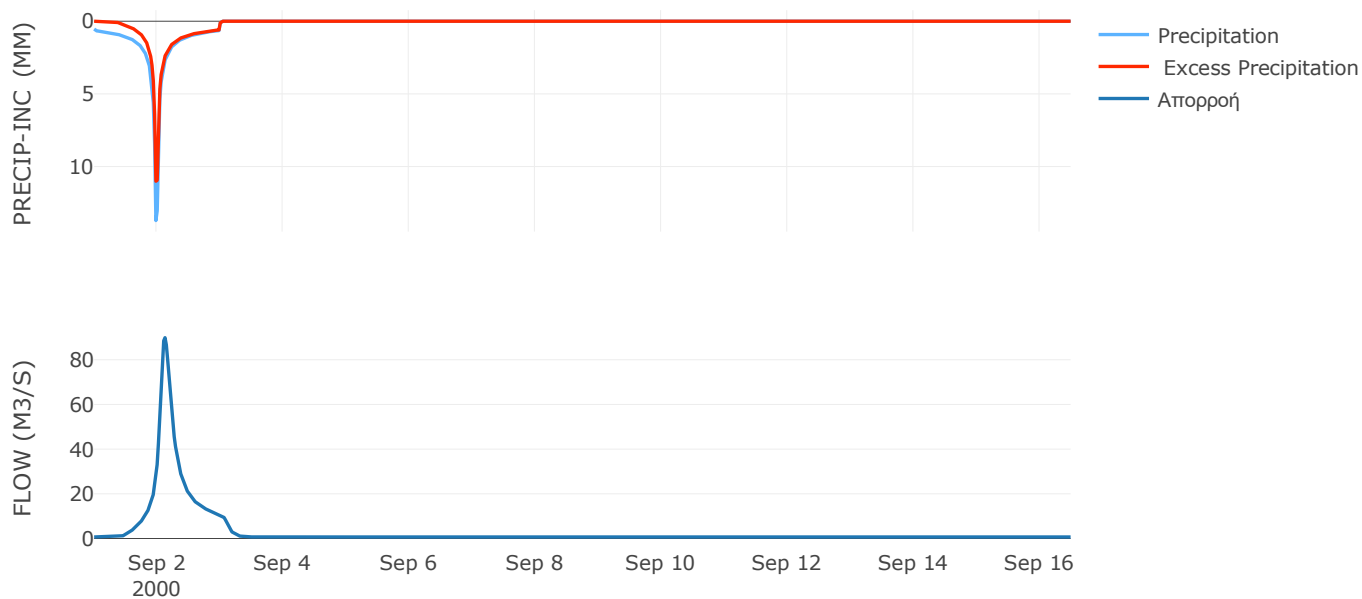
Μέθοδος
Μετασχηματισμού: SCS

Χρόνος Υστέρησης	157.23
------------------	--------

Αποτελέσματα:
EL0415FR6052

Παροχή αιχμής (M3/S)	89.88
Χρονική στιγμή αιχμής	02Sep2000, 03:00
Όγκος (MM)	153.26
Όγκος βροχόπτωσης (M3)	4.66E6
Όγκος απωλειών (M3)	1.41E6
Ενεργός Όγκος (M3)	3.25E6
Όγκος άμεσης απορροής (M3)	3.25E6
Όγκος βασικής απορροής (M3)	9.08E5

Βροχόπτωση και Απορροή



Υπολεκάνη: EL0415FR6004

Έκταση (KM2) : 22.76

Κατάντη : J4

Μέθοδος Απωλειών: SCS

Ποσοστό αδιαπέρατης επιφάνειας	0
Αριθμός Καμπύλης Απορροής-CN	86
Αρχικές Απώλειες	8.27

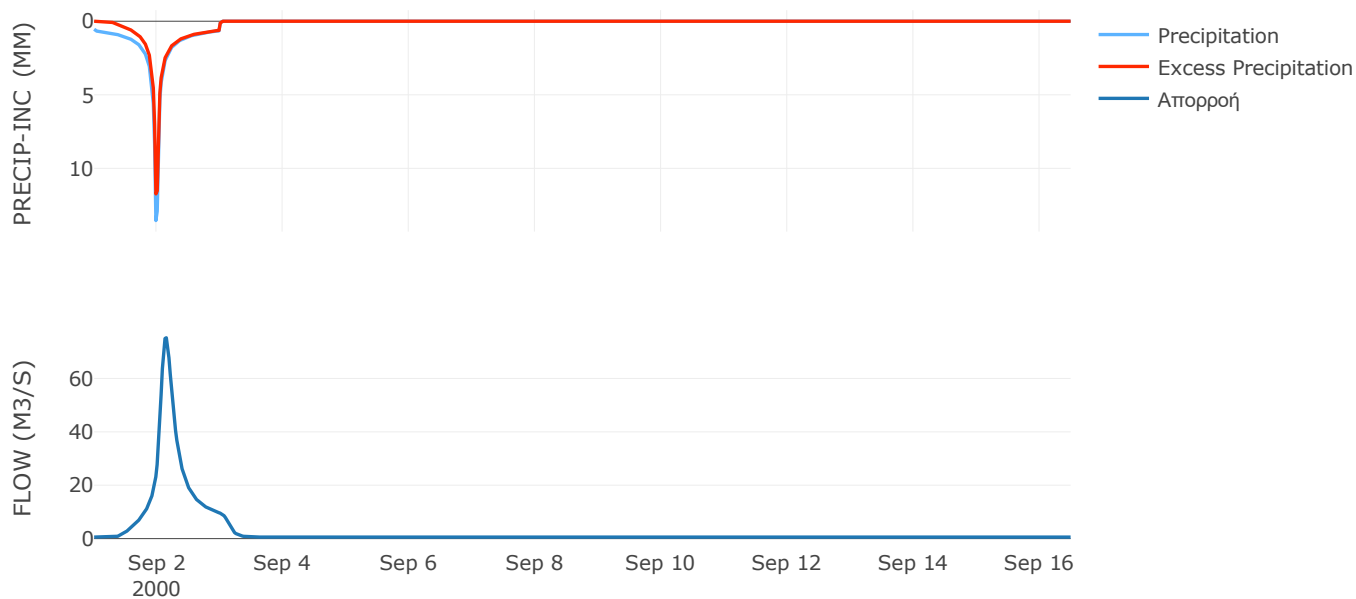
Μέθοδος
Μετασχηματισμού: SCS

Χρόνος Υστέρησης	182.16
------------------	--------

Αποτελέσματα:
EL0415FR6004

Παροχή αιχμής (M3/S)	75.23
Χρονική στιγμή αιχμής	02Sep2000, 03:30
Όγκος (MM)	164.33
Όγκος βροχόπτωσης (M3)	3.92E6
Όγκος απωλειών (M3)	9.39E5
Ενεργός Όγκος (M3)	2.98E6
Όγκος άμεσης απορροής (M3)	2.98E6
Όγκος βασικής απορροής (M3)	7.62E5

Βροχόπτωση και Απορροή



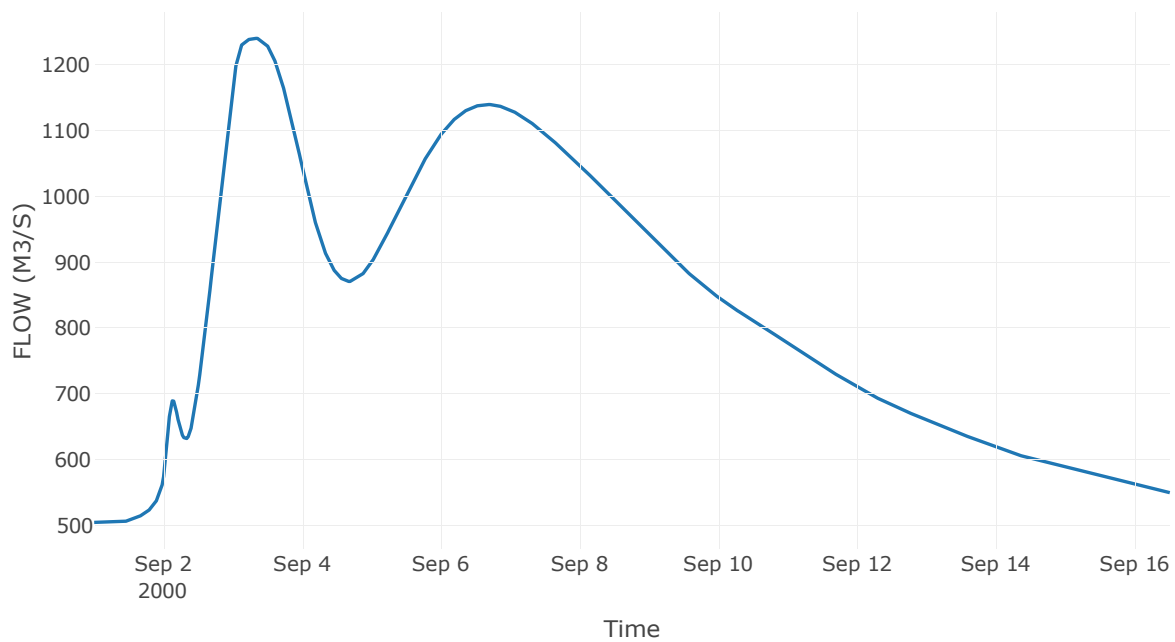
Κόμβος: J4

Κατάντη : R43

Αποτελέσματα: J4

Παροχή Αιχμής (M3/S)	1240.26
Χρονική στιγμή αιχμής	03Sep2000, 08:00
Όγκος(MM)	245.85

Απορροή



Κλάδος: R43

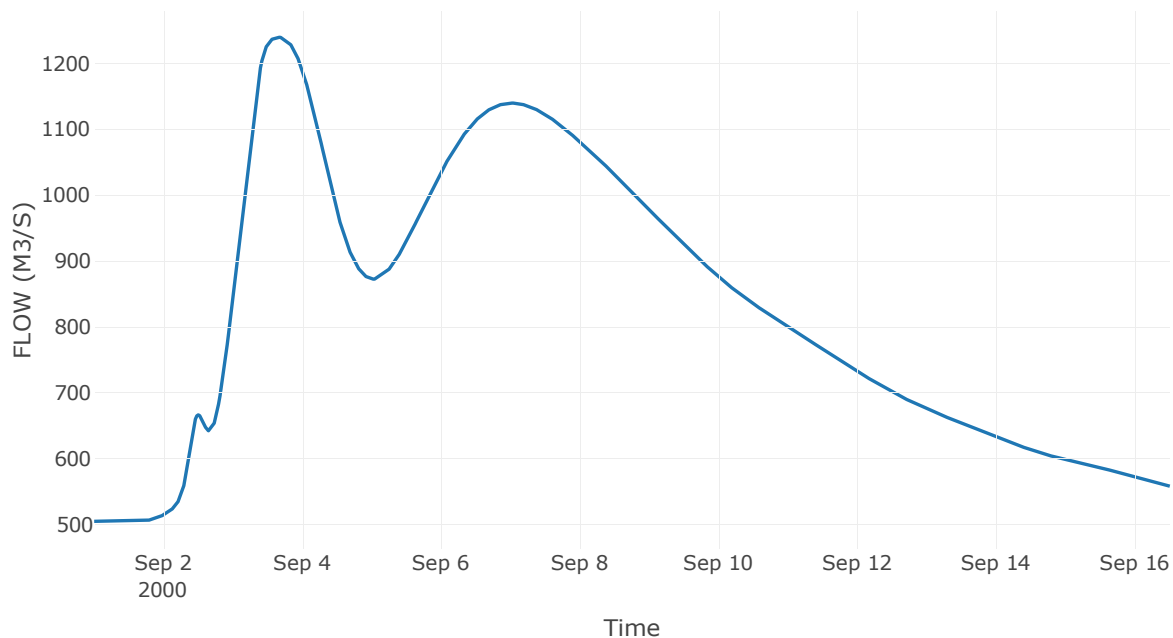
Κατάντη : J3

Μέθοδος Διόδευσης	Muskingum
Αρχική Μεταβλητή	Combined Inflow
Muskingum K	8.29
Συντελεστής βάρους α	0.2
Muskingum Steps	17

Αποτελέσματα: R43

Παροχή Αιχμής (M3/S)	1239.24
Χρονική στιγμή αιχμής	03Sep2000, 16:00
Όγκος(MM)	245.53
Παροχή Αιχμής Εισόδου (M3/S)	1240.26
Όγκος Εισροής(M3)	1.11E9

Απορροή



Υπολεκάνη: EL0415FR6003

Έκταση (KM2) : 27.92

Κατάντη : J3

Μέθοδος Απωλειών: SCS

Ποσοστό αδιαπέρατης επιφάνειας	0
Αριθμός Καμπύλης Απορροής-CN	88.64
Αρχικές Απώλειες	6.51

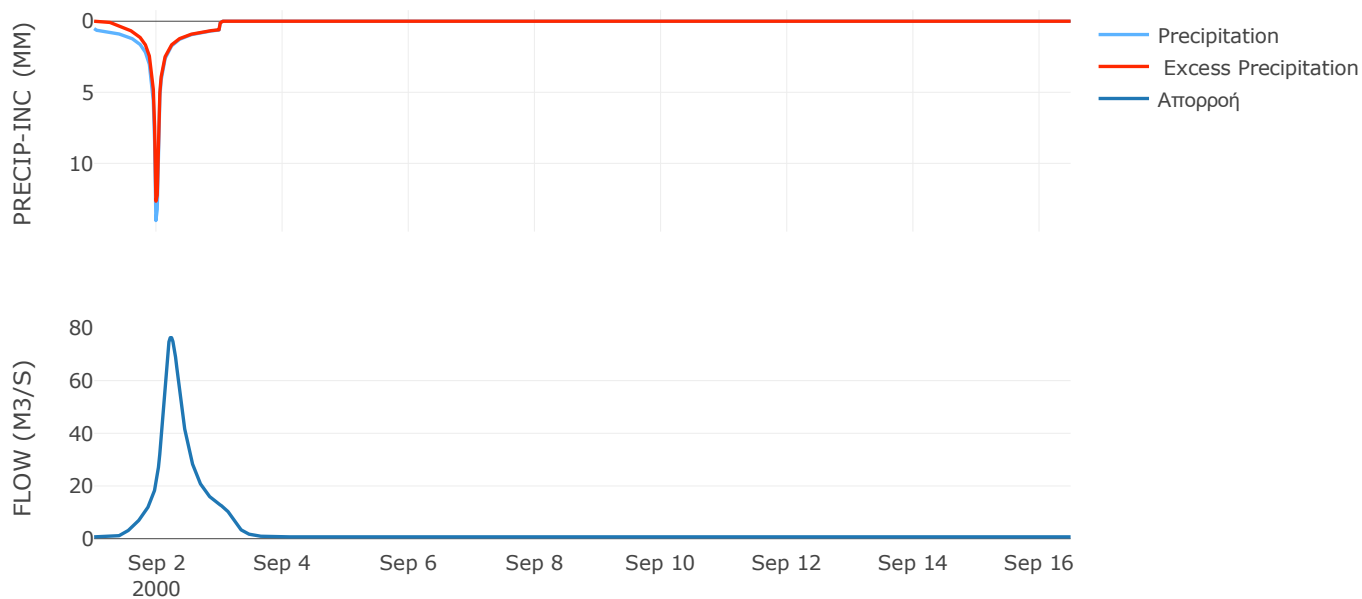
Μέθοδος
Μετασχηματισμού: SCS

Χρόνος Υστέρησης	294.33
------------------	--------

Αποτελέσματα:
EL0415FR6003

Παροχή αιχμής (M3/S)	76.29
Χρονική στιγμή αιχμής	02Sep2000, 05:00
Όγκος (MM)	169.4
Όγκος βροχόπτωσης (M3)	4.73E6
Όγκος απωλειών (M3)	9.39E5
Ενεργός Όγκος (M3)	3.79E6
Όγκος άμεσης απορροής (M3)	3.79E6
Όγκος βασικής απορροής (M3)	9.35E5

Βροχόπτωση και Απορροή



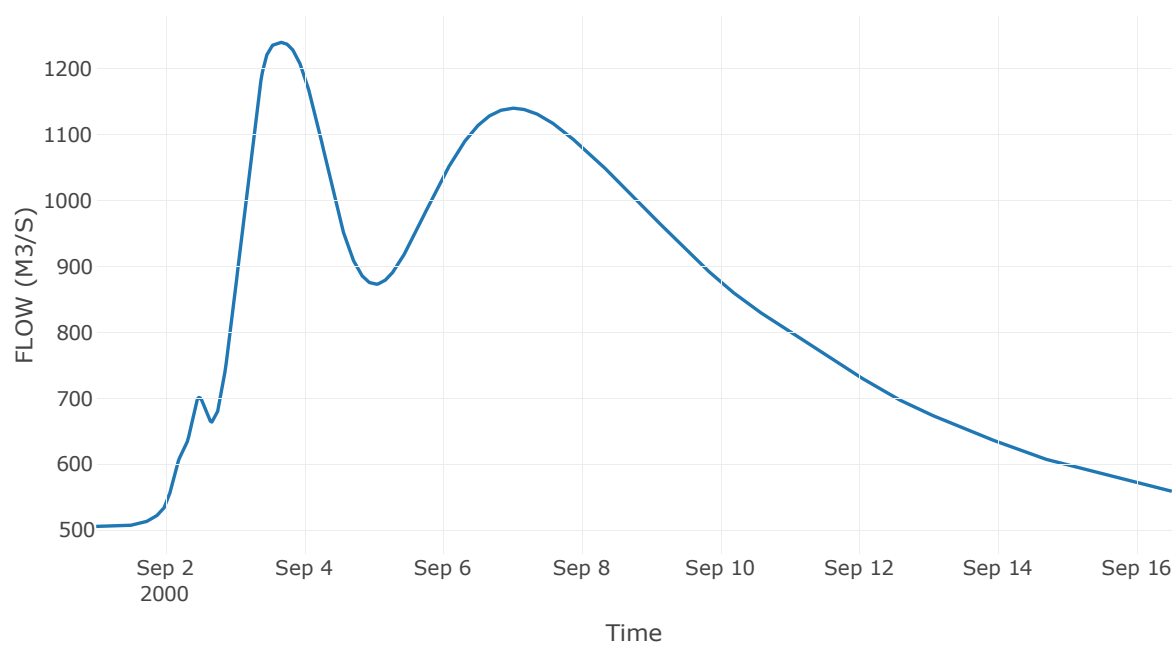
Κόμβος: J3

Κατάντη : R32

Αποτελέσματα: J3

Παροχή Αιχμής (M3/S)	1240.13
Χρονική στιγμή αιχμής	03Sep2000, 16:00
Όγκος(MM)	245.06

Απορροή



Κλάδος: R32

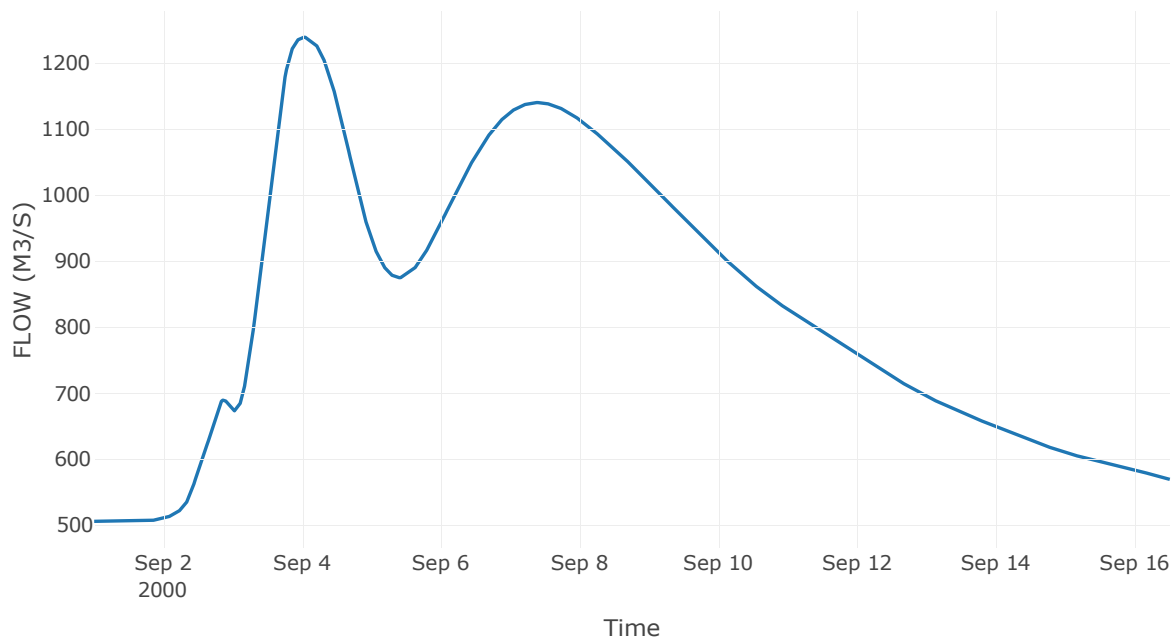
Κατάντη : J2

Μέθοδος Διόδευσης	Muskingum
Αρχική Μεταβλητή	Combined Inflow
Muskingum K	8.87
Συντελεστής βάρους x	0.2
Muskingum Steps	18

Αποτελέσματα: R32

Παροχή Αιχμής (M3/S)	1238.58
Χρονική στιγμή αιχμής	04Sep2000, 00:30
Όγκος(MM)	244.65
Παροχή Αιχμής Εισόδου (M3/S)	1240.13
Όγκος Εισροής(M3)	1.11E9

Απορροή



Υπολεκάνη: EL0415FR6002

Έκταση (KM2) : 27.73

Κατάντη : J2

Μέθοδος Απωλειών: SCS

Ποσοστό αδιαπέρατης επιφάνειας	0
Αριθμός Καμπύλης Απορροής-CN	90.22
Αρχικές Απώλειες	5.5

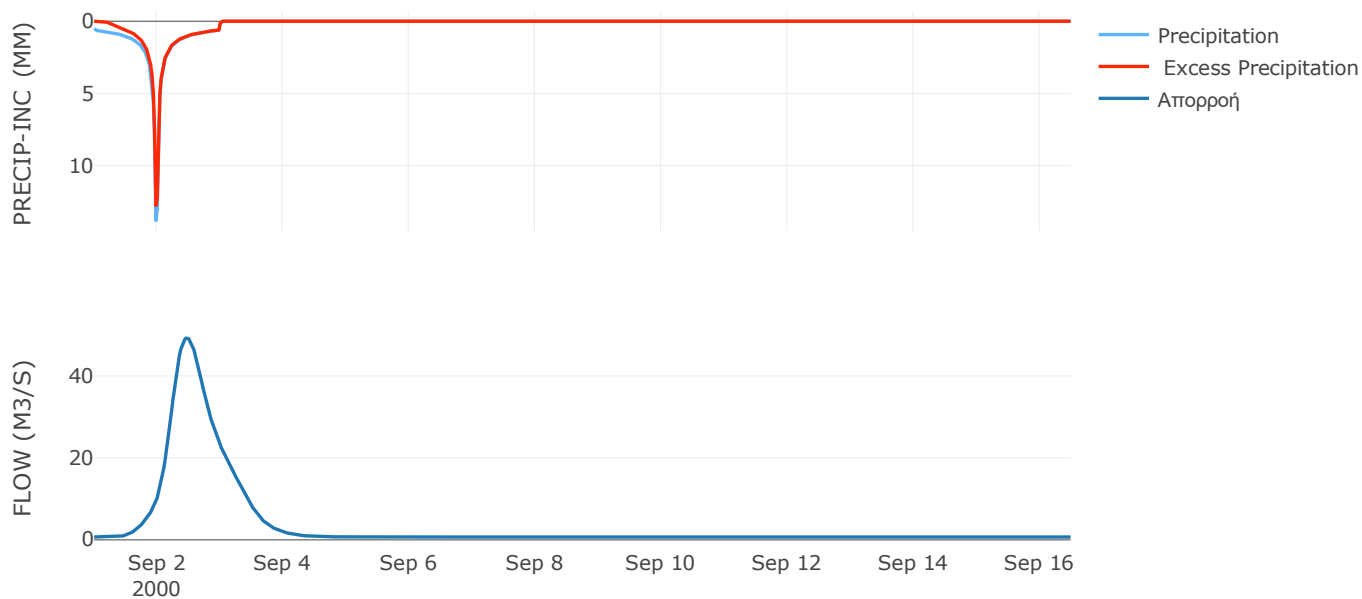
Μέθοδος
Μετασχηματισμού: SCS

Χρόνος Υστέρησης	635.67
------------------	--------

Αποτελέσματα:
EL0415FR6002

Παροχή αιχμής (M3/S)	49.27
Χρονική στιγμή αιχμής	02Sep2000, 11:30
Όγκος (MM)	173.41
Όγκος βροχόπτωσης (M3)	4.69E6
Όγκος απωλειών (M3)	8.06E5
Ενεργός Όγκος (M3)	3.88E6
Όγκος άμεσης απορροής (M3)	3.88E6
Όγκος βασικής απορροής (M3)	9.28E5

Βροχόπτωση και Απορροή



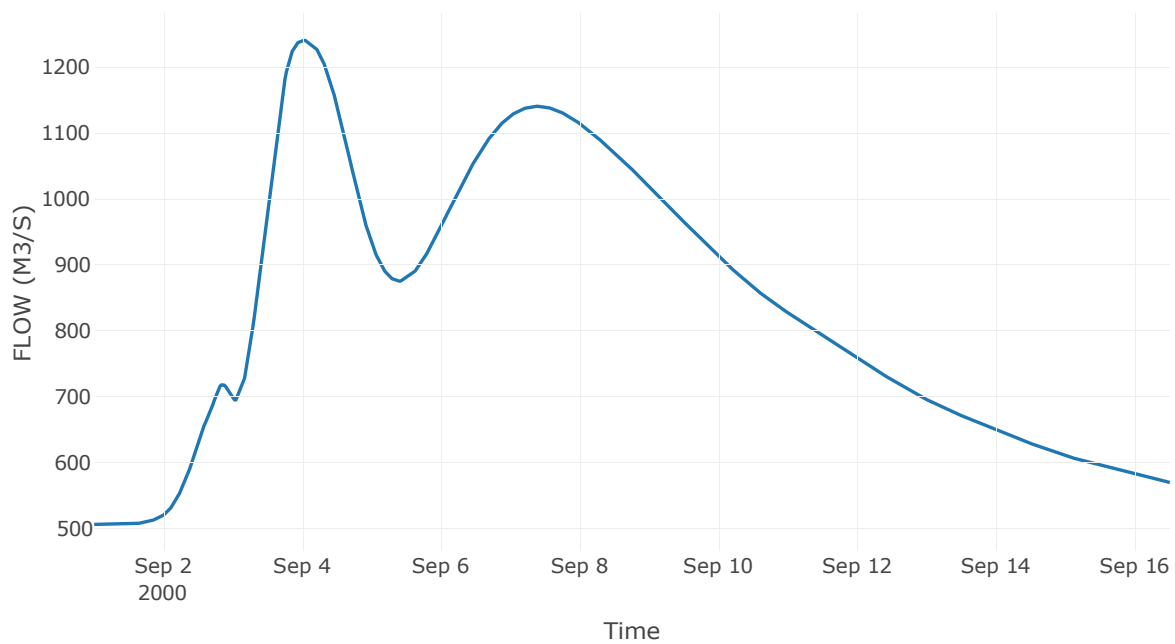
Κόμβος: J2

Κατάντη : R21

Αποτελέσματα: J2

Παροχή Αιχμής (M3/S)	1240.44
Χρονική στιγμή αιχμής	04Sep2000, 00:30
Όγκος(MM)	244.22

Απορροή



Κλάδος: R21

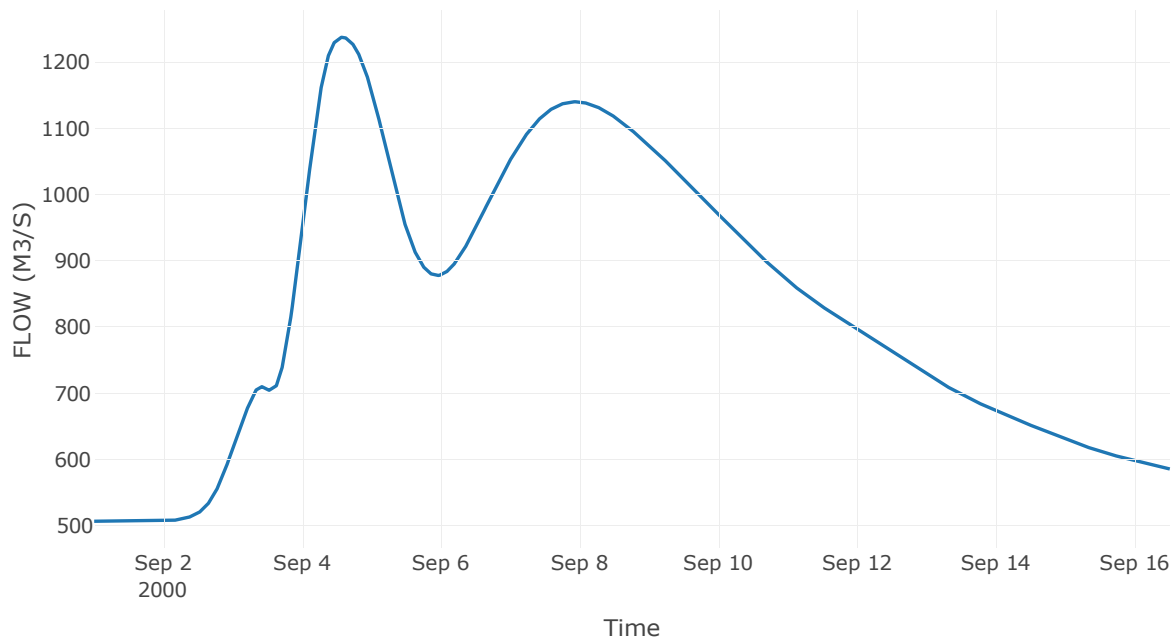
Κατάντη : J1

Μέθοδος Διόδευσης	Muskingum
Αρχική Μεταβλητή	Combined Inflow
Muskingum K	12.98
Συντελεστής βάρους x	0.2
Muskingum Steps	26

Αποτελέσματα: R21

Παροχή Αιχμής (M3/S)	1237.32
Χρονική στιγμή αιχμής	04Sep2000, 14:00
Όγκος(MM)	243.49
Παροχή Αιχμής Εισόδου (M3/S)	1240.44
Όγκος Εισροής(M3)	1.12E9

Απορροή



Υπολεκάνη: EL0415FR6001

Έκταση (KM2) : 48.19

Κατάντη : J1

Μέθοδος Απωλειών: SCS

Ποσοστό αδιαπέρατης επιφάνειας	0
Αριθμός Καμπύλης Απορροής-CN	90.04
Αρχικές Απώλειες	5.62

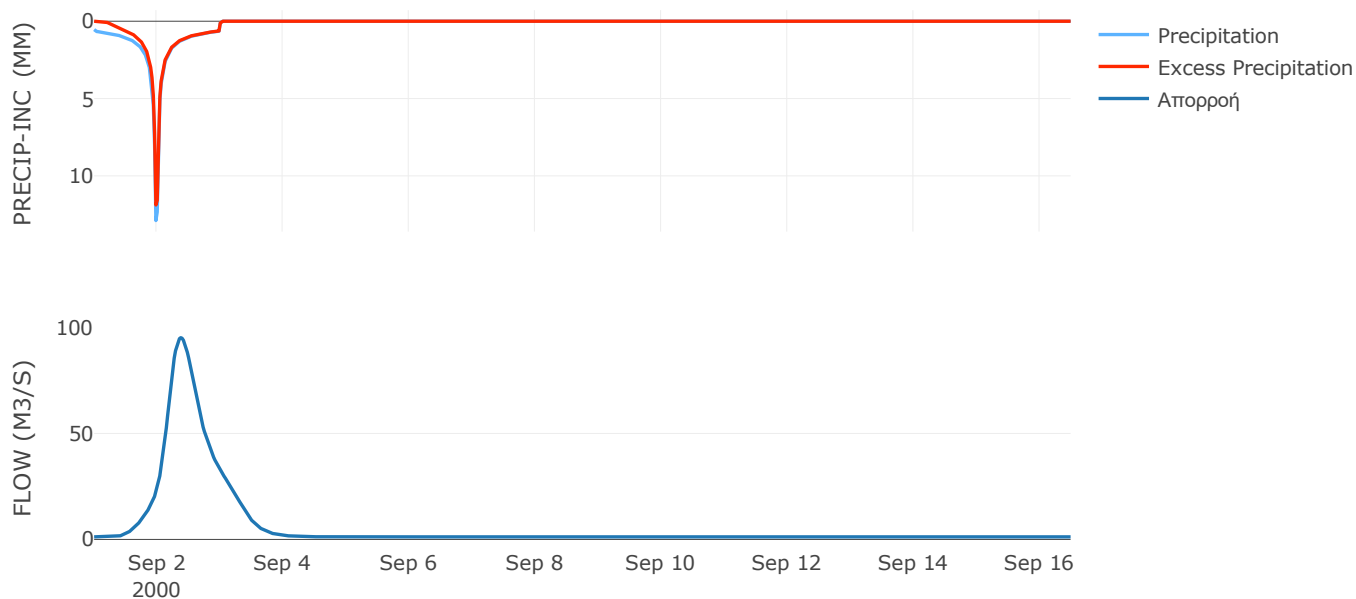
Μέθοδος
Μετασχηματισμού: SCS

Χρόνος Υστέρησης	506.97
------------------	--------

Αποτελέσματα:
EL0415FR6001

Παροχή αιχμής (M3/S)	95.19
Χρονική στιγμή αιχμής	02Sep2000, 09:00
Όγκος (MM)	171.62
Όγκος βροχόπτωσης (M3)	8.08E6
Όγκος απωλειών (M3)	1.42E6
Ενεργός Όγκος (M3)	6.66E6
Όγκος άμεσης απορροής (M3)	6.66E6
Όγκος βασικής απορροής (M3)	1.61E6

Βροχόπτωση και Απορροή

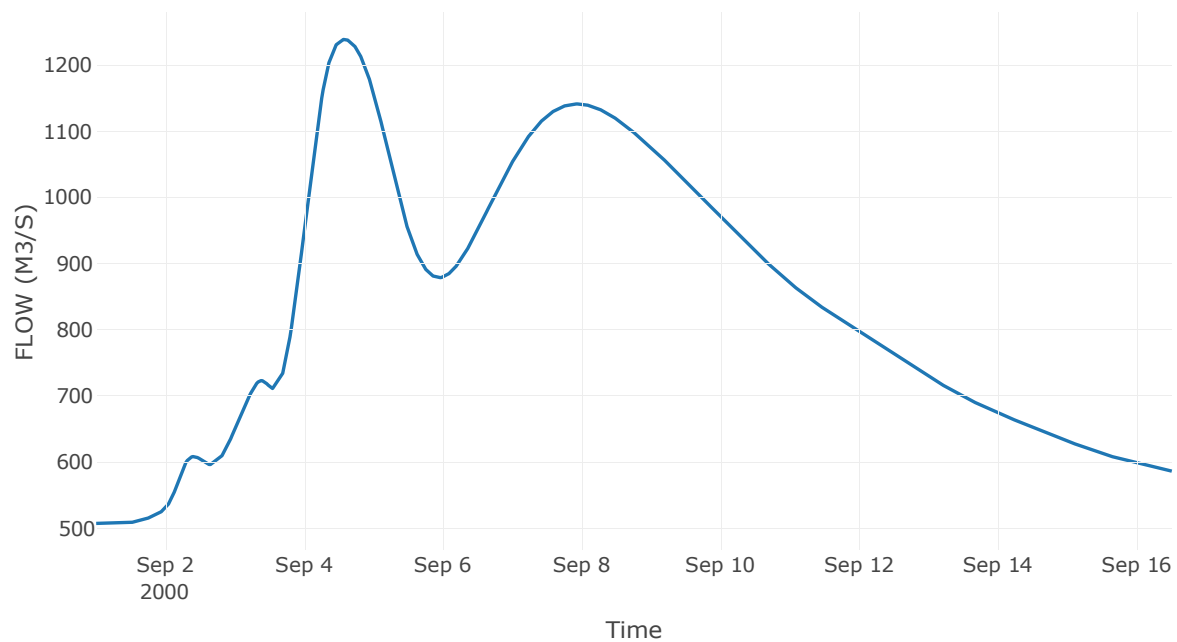


Κόμβος εξόδου: J1

Αποτέλεσμα
τα: J1

Παροχή αιχμής (M3/S)	1238.55
Χρονική στιγμή αιχμής	04Sep2000, 14:00
Όγκος (MM)	242.74

Απορροή



Υπολεκάνη: EL0415FR6069

Έκταση (KM2) : 35

Κατάντη : J43

Μέθοδος Απωλειών: SCS

Ποσοστό αδιαπέρατης επιφάνειας	0
Αριθμός Καμπύλης Απορροής-CN	88.32
Αρχικές Απώλειες	6.72

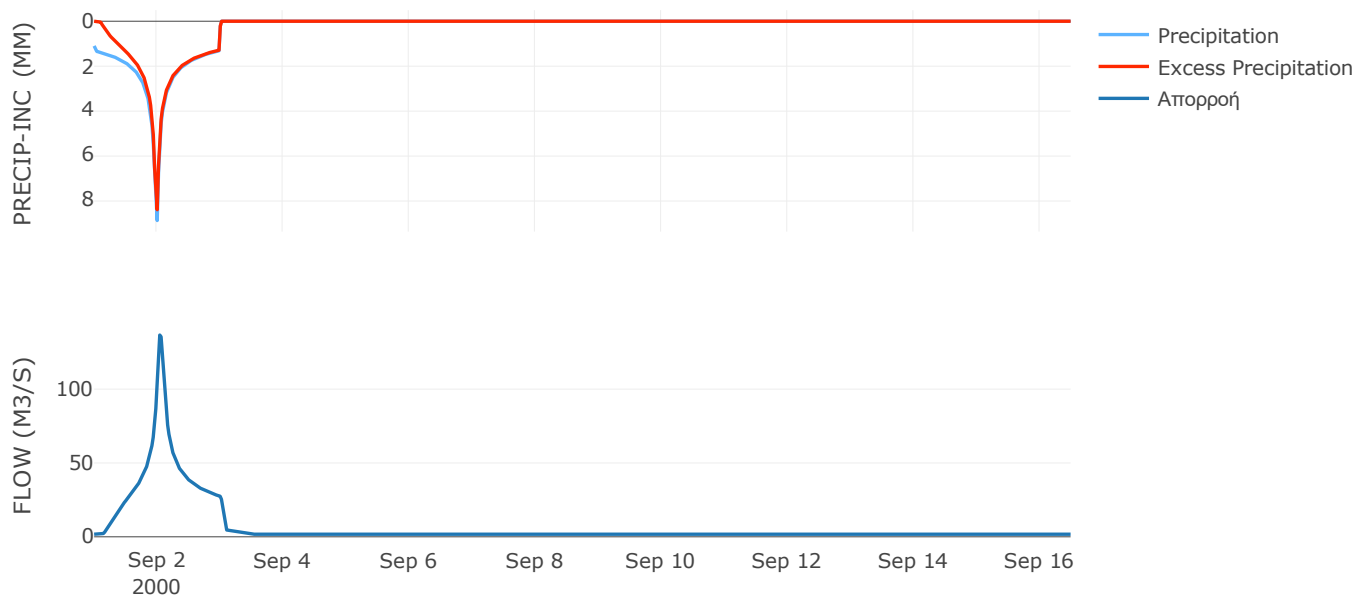
Μέθοδος
Μετασχηματισμού: SCS

Χρόνος Υστέρησης	61.41
------------------	-------

Αποτελέσματα:
EL0415FR6069

Παροχή αιχμής (M3/S)	136.61
Χρονική στιγμή αιχμής	02Sep2000, 01:00
Όγκος (MM)	257.32
Όγκος βροχόπτωσης (M3)	7.92E6
Όγκος απωλειών (M3)	1.25E6
Ενεργός Όγκος (M3)	6.66E6
Όγκος άμεσης απορροής (M3)	6.66E6
Όγκος βασικής απορροής (M3)	2.34E6

Βροχόπτωση και Απορροή



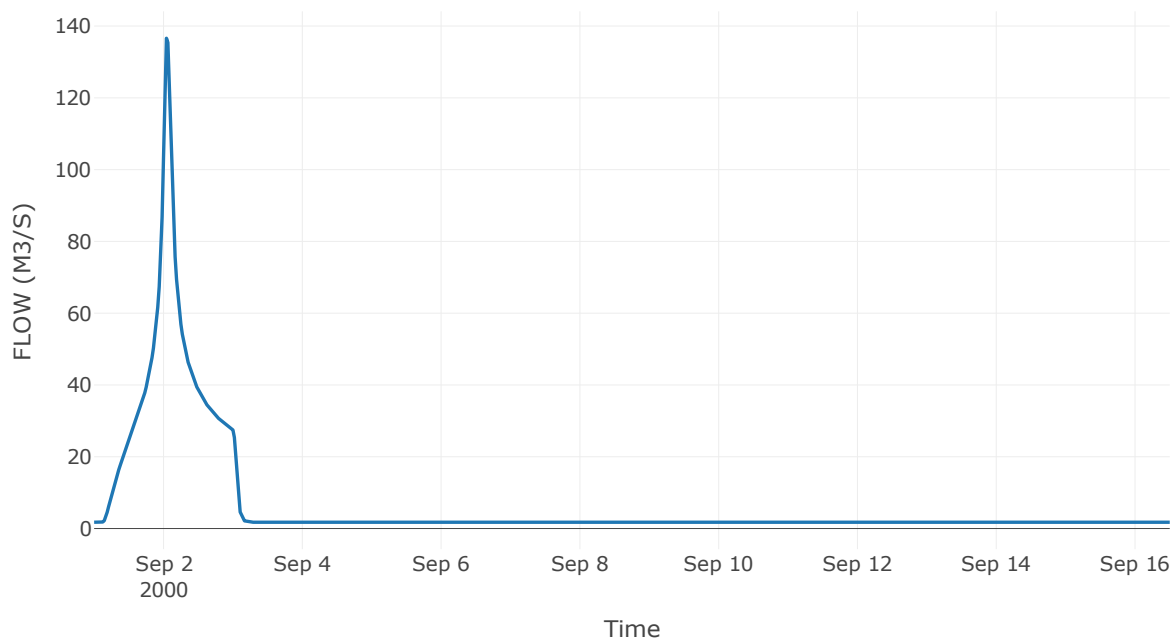
Κόμβος: J43

Κατάντη : R4342

Αποτελέσματα: J43

Παροχή Αιχμής (M3/S)	136.61
Χρονική στιγμή αιχμής	02Sep2000, 01:00
Όγκος(MM)	257.32

Απορροή



Κλάδος: R4342

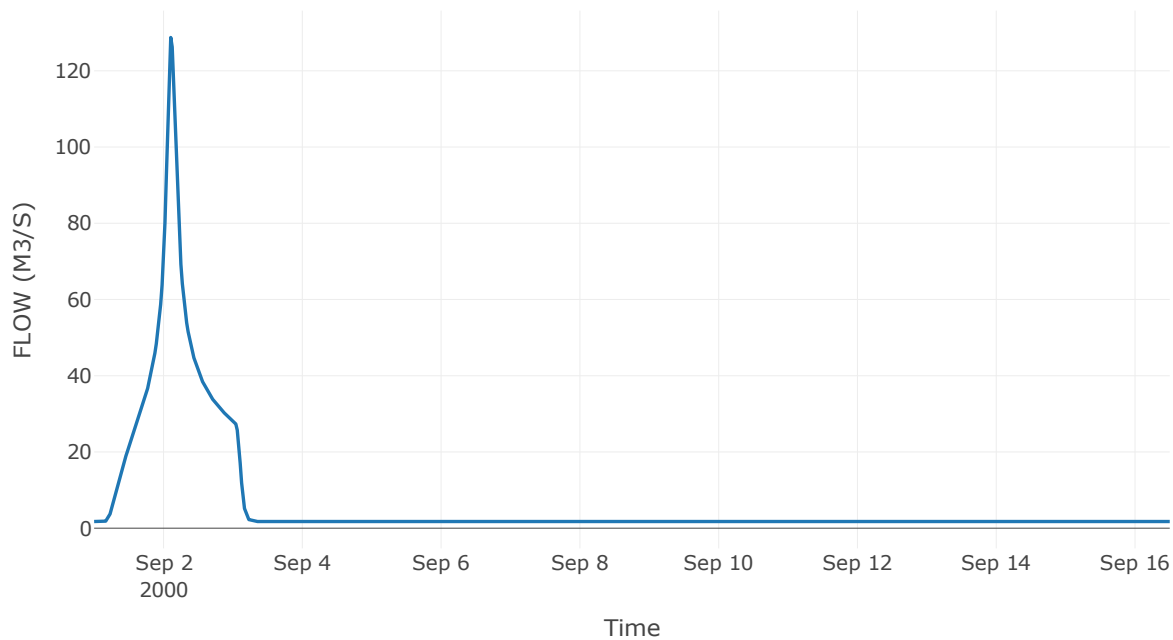
Κατάντη : J42

Μέθοδος Διόδευσης	Muskingum
Αρχική Μεταβλητή	Combined Inflow
Muskingum K	1.39
Συντελεστής βάρους α	0.2
Muskingum Steps	3

Αποτελέσματα: R4342

Παροχή Αιχμής (M3/S)	128.75
Χρονική στιγμή αιχμής	02Sep2000, 02:30
Όγκος(MM)	257.32
Παροχή Αιχμής Εισόδου (M3/S)	136.61
Όγκος Εισροής(M3)	9.01E6

Απορροή



Υπολεκάνη: EL0415FR6081

Έκταση (KM2) : 61.71

Κατάντη : J42

Μέθοδος Απωλειών: SCS

Ποσοστό αδιαπέρατης επιφάνειας	35
Αριθμός Καμπύλης Απορροής-CN	93.97
Αρχικές Απώλειες	3.26

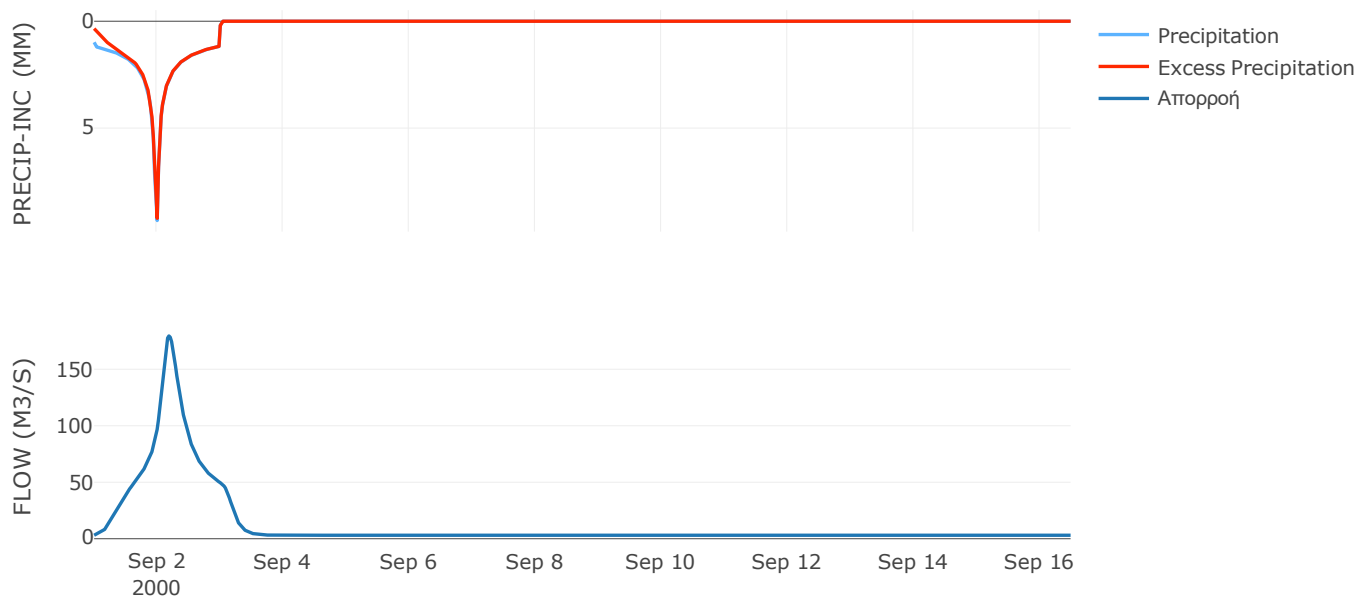
Μέθοδος
Μετασχηματισμού: SCS

Χρόνος Υστέρησης	256.45
------------------	--------

Αποτελέσματα:
EL0415FR6081

Παροχή αιχμής (M3/S)	179.45
Χρονική στιγμή αιχμής	02Sep2000, 04:30
Όγκος (MM)	269.65
Όγκος βροχόπτωσης (M3)	1.32E7
Όγκος απωλειών (M3)	7.38E5
Ενεργός Όγκος (M3)	1.25E7
Όγκος άμεσης απορροής (M3)	1.25E7
Όγκος βασικής απορροής (M3)	4.13E6

Βροχόπτωση και Απορροή



Υπολεκάνη: EL0415FR6070

Έκταση (KM2) : 53.71

Κατάντη : J42

Μέθοδος Απωλειών: SCS

Ποσοστό αδιαπέρατης επιφάνειας	1
Αριθμός Καμπύλης Απορροής-CN	82.8
Αρχικές Απώλειες	10.55

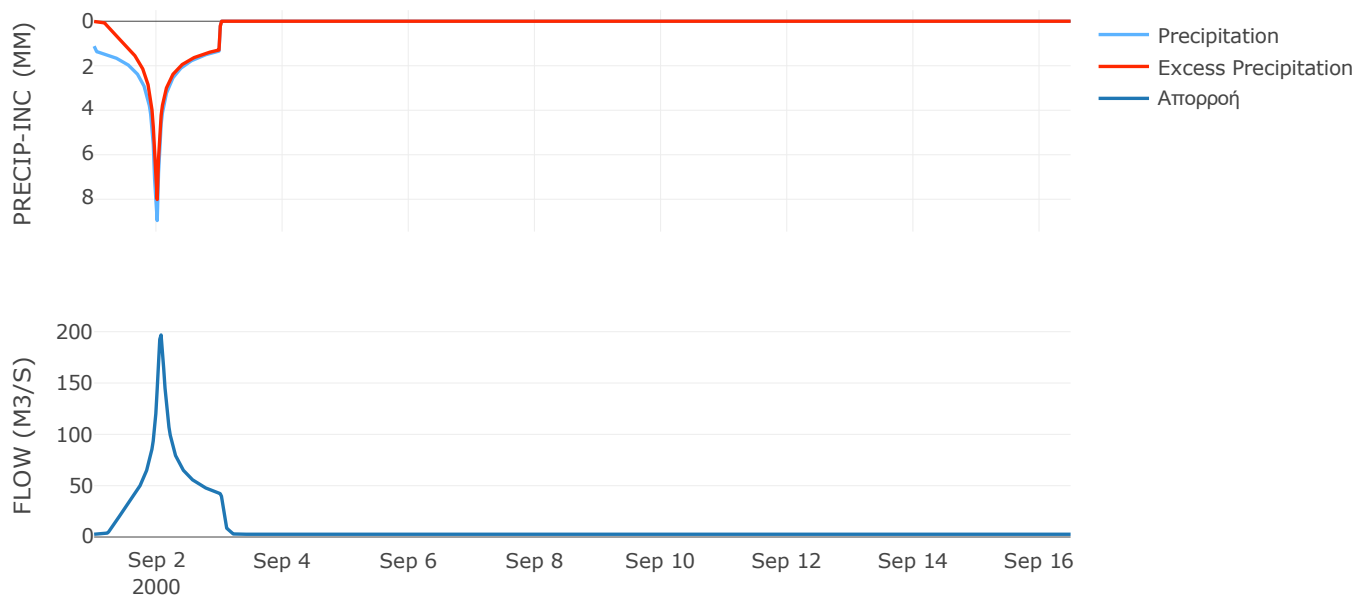
Μέθοδος
Μετασχηματισμού: SCS

Χρόνος Υστέρησης	68.77
------------------	-------

Αποτελέσματα:
EL0415FR6070

Παροχή αιχμής (M3/S)	196.84
Χρονική στιγμή αιχμής	02Sep2000, 01:30
Όγκος (MM)	244.51
Όγκος βροχόπτωσης (M3)	1.24E7
Όγκος απωλειών (M3)	2.82E6
Ενεργός Όγκος (M3)	9.54E6
Όγκος άμεσης απορροής (M3)	9.54E6
Όγκος βασικής απορροής (M3)	3.6E6

Βροχόπτωση και Απορροή



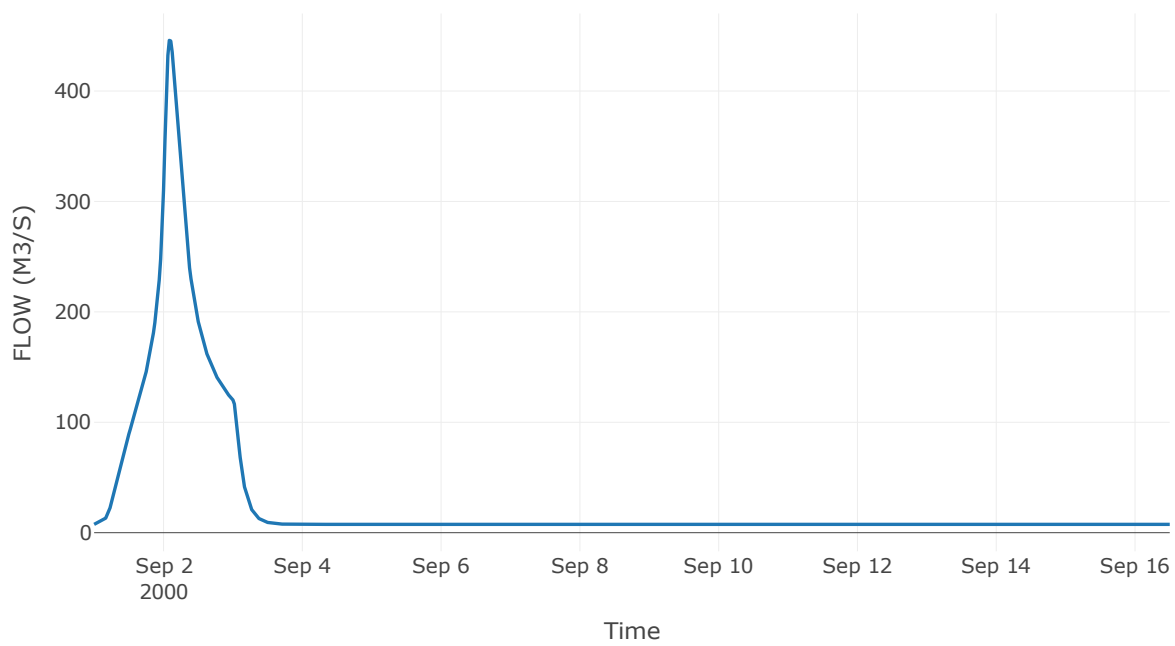
Κόμβος: J42

Κατάντη : R4241

Αποτελέσματα: J42

Παροχή Αιχμής (M3/S)	445.91
Χρονική στιγμή αιχμής	02Sep2000, 02:00
Όγκος(MM)	257.8

Απορροή



Κλάδος: R4241

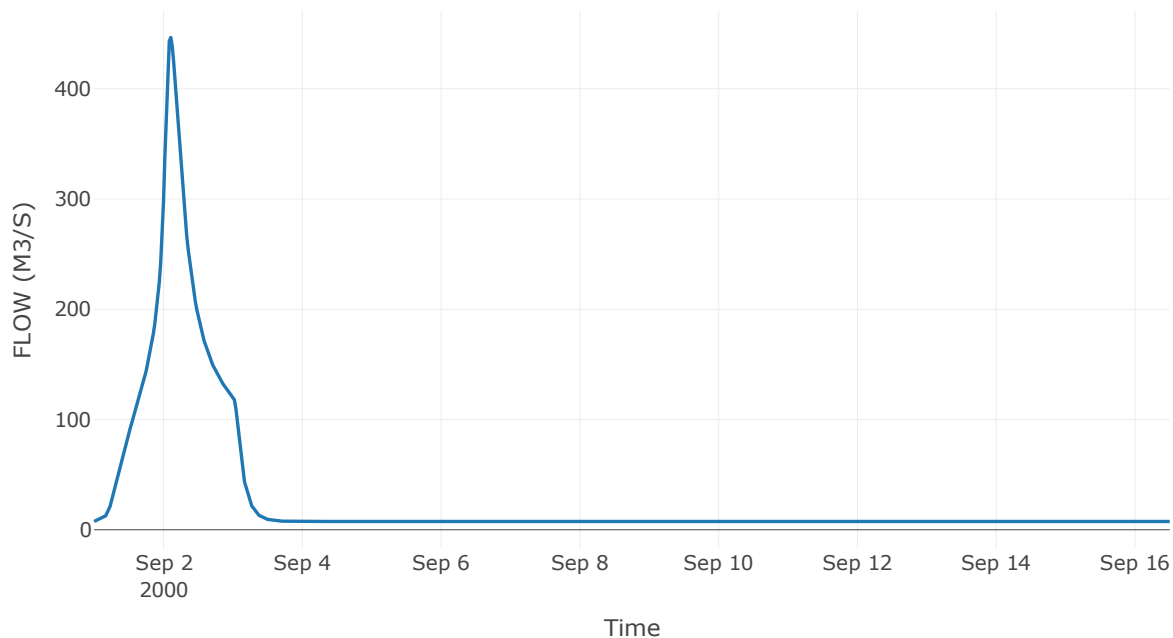
Κατάντη : J41 Res4

Μέθοδος Διόδευσης	Muskingum
Αρχική Μεταβλητή	Combined Inflow
Muskingum K	0.15
Συντελεστής βάρους x	0.2
Muskingum Steps	1

Αποτελέσματα: R4241

Παροχή Αιχμής (M3/S)	446.52
Χρονική στιγμή αιχμής	02Sep2000, 02:30
Όγκος(MM)	257.8
Παροχή Αιχμής Εισόδου (M3/S)	445.91
Όγκος Εισροής(M3)	3.88E7

Απορροή



Υπολεκάνη: EL0415FR6083

Έκταση (KM2) : 14.89

Κατάνη : J41 Res4

Μέθοδος Απωλειών: SCS

Ποσοστό αδιαπέρατης επιφάνειας	9
Αριθμός Καμπύλης Απορροής-CN	91.86
Αρχικές Απώλειες	4.5

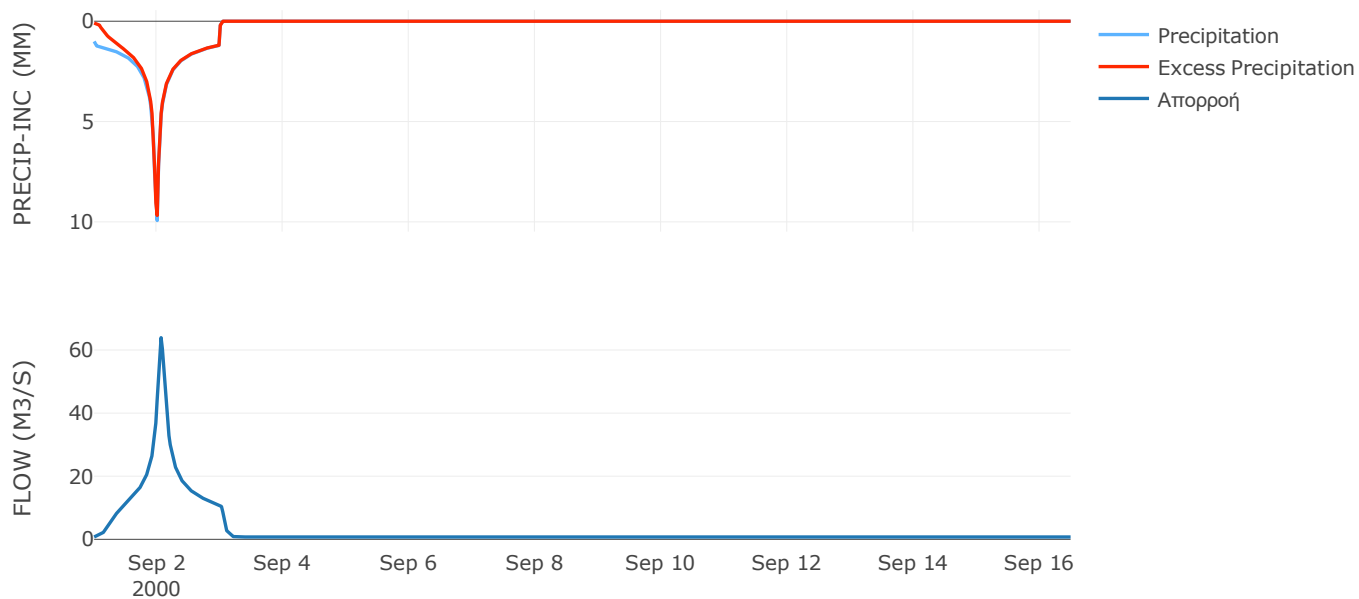
Μέθοδος
Μετασχηματισμού: SCS

Χρόνος Υστέρησης	76.89
------------------	-------

Αποτελέσματα:
EL0415FR6083

Παροχή αιχμής (M3/S)	63.9
Χρονική στιγμή αιχμής	02Sep2000, 01:30
Όγκος (MM)	267.07
Όγκος βροχόπτωσης (M3)	3.32E6
Όγκος απωλειών (M3)	3.37E5
Ενεργός Όγκος (M3)	2.98E6
Όγκος άμεσης απορροής (M3)	2.98E6
Όγκος βασικής απορροής (M3)	9.97E5

Βροχόπτωση και Απορροή



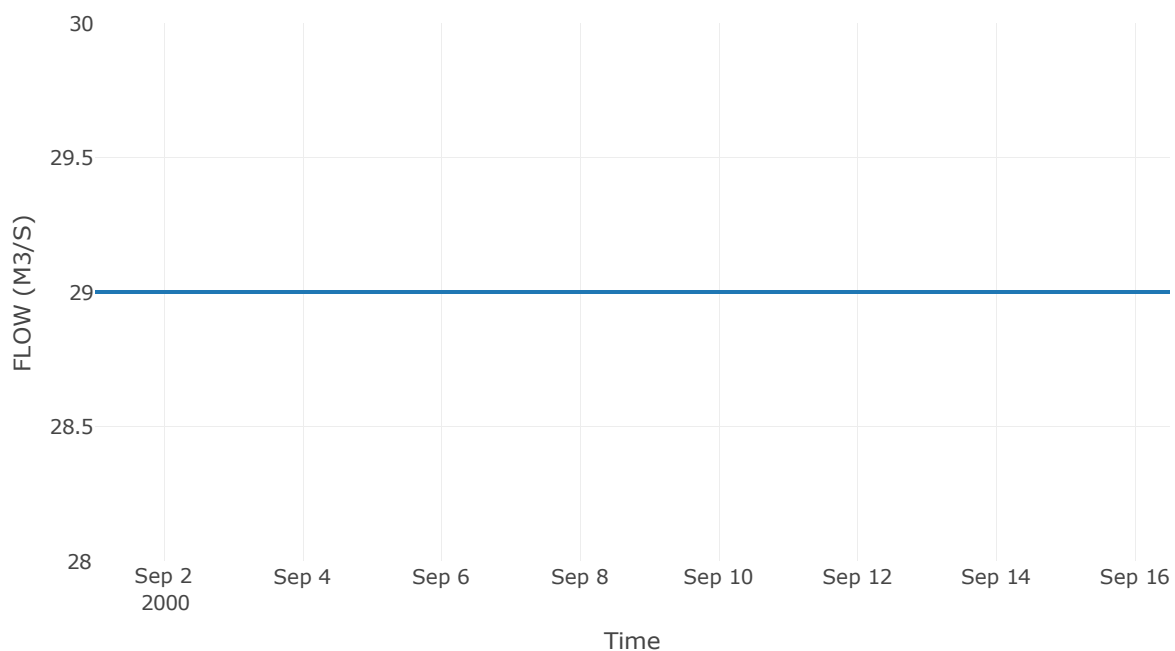
Ταμιευτήρας: J41_RES4

Κατάντη : Κόμβος εξόδου - RES4

Αποτελέσματα: J41_RES4

Παροχή Αιχμής (M3/S)	29
Χρονική στιγμή αιχμής	31Aug2000, 24:00
Όγκος(MM)	234.94
Παροχή Αιχμής Εισόδου (M3/S)	503.43
Time of Peak Inflow	02Sep2000, 02:30
Όγκος Εισροής (M3)	4.28E7
Maximum Storage (M3)	3.85E8
Peak Elevation (M)	792.92
Discharge Όγκος(M3)	3.88E7

Απορροή

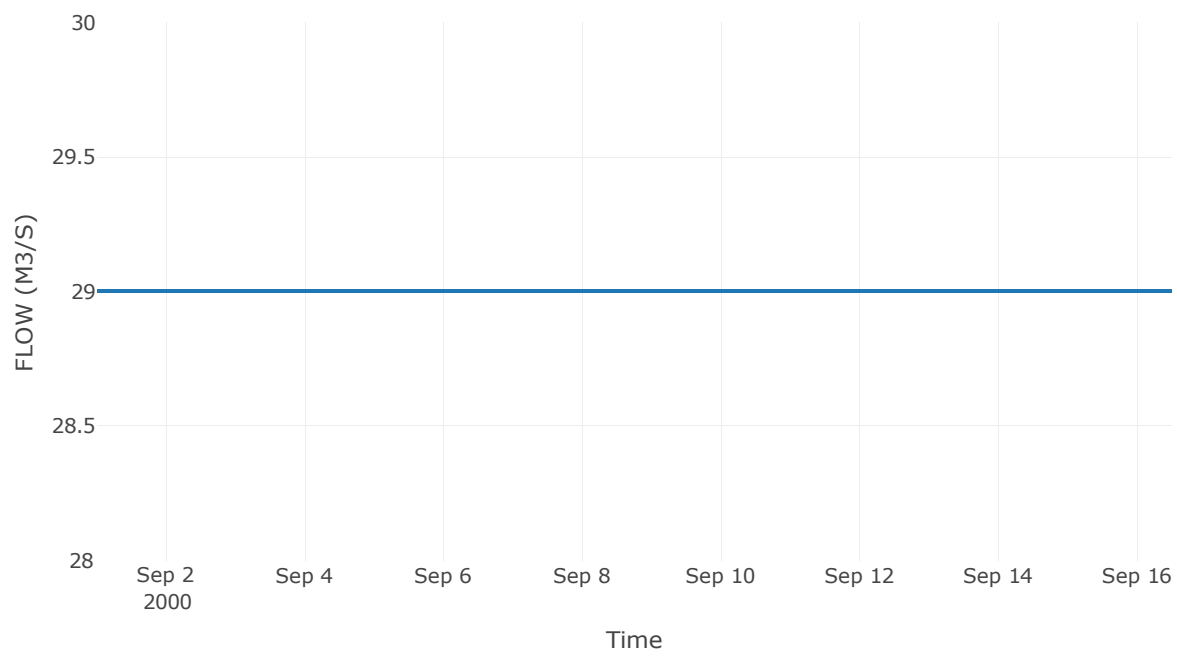


Κόμβος εξόδου: Κόμβος εξόδου-RES4

Αποτελέσματα: Κόμβος εξόδου-RES4

Παροχή Αιχμής (M3/S)	29
Χρονική στιγμή αιχμής	31Aug2000, 24:00
Όγκος(MM)	234.94

Απορροή



Υπολεκάνη: EL0415FR6012

Έκταση (KM2) : 11.82

Κατάντη : J11

Μέθοδος Απωλειών: SCS

Ποσοστό αδιαπέρατης επιφάνειας	0
Αριθμός Καμπύλης Απορροής-CN	74.26
Αρχικές Απώλειες	17.61

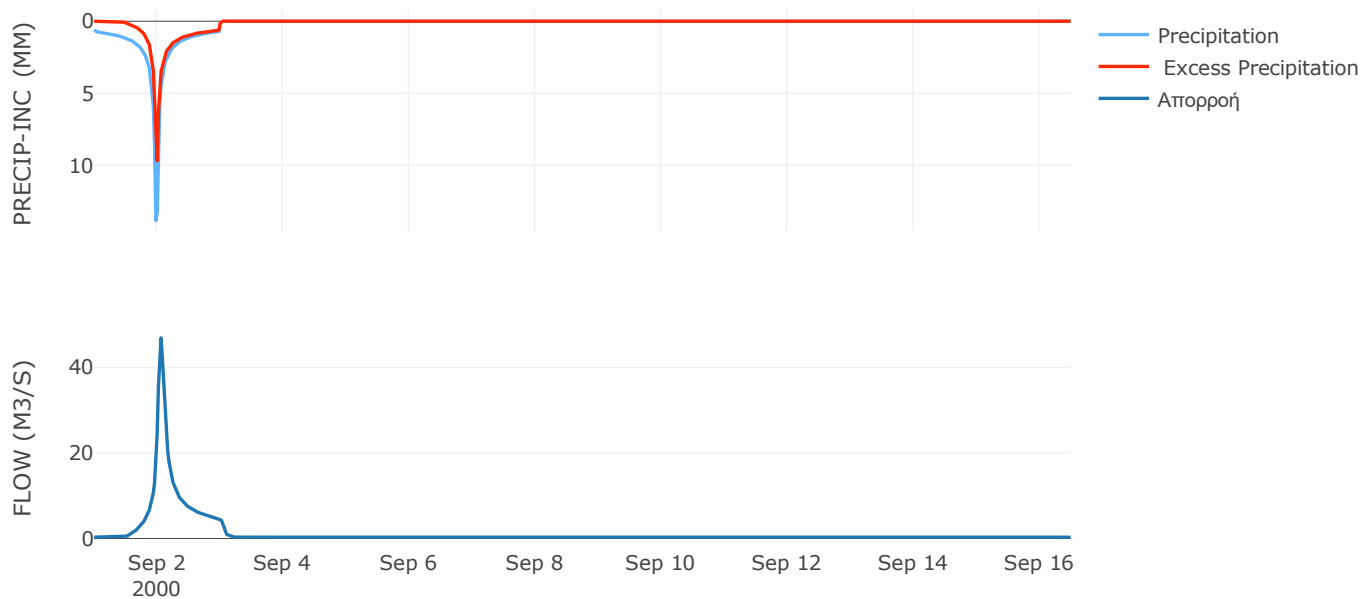
Μέθοδος
Μετασχηματισμού: SCS

Χρόνος Υστέρησης	69.35
------------------	-------

Αποτελέσματα:
EL0415FR6012

Παροχή αιχμής (M3/S)	46.89
Χρονική στιγμή αιχμής	02Sep2000, 01:30
Όγκος (MM)	141.16
Όγκος βροχόπτωσης (M3)	2.16E6
Όγκος απωλειών (M3)	8.87E5
Ενεργός Όγκος (M3)	1.27E6
Όγκος άμεσης απορροής (M3)	1.27E6
Όγκος βασικής απορροής (M3)	3.96E5

Βροχόπτωση και Απορροή



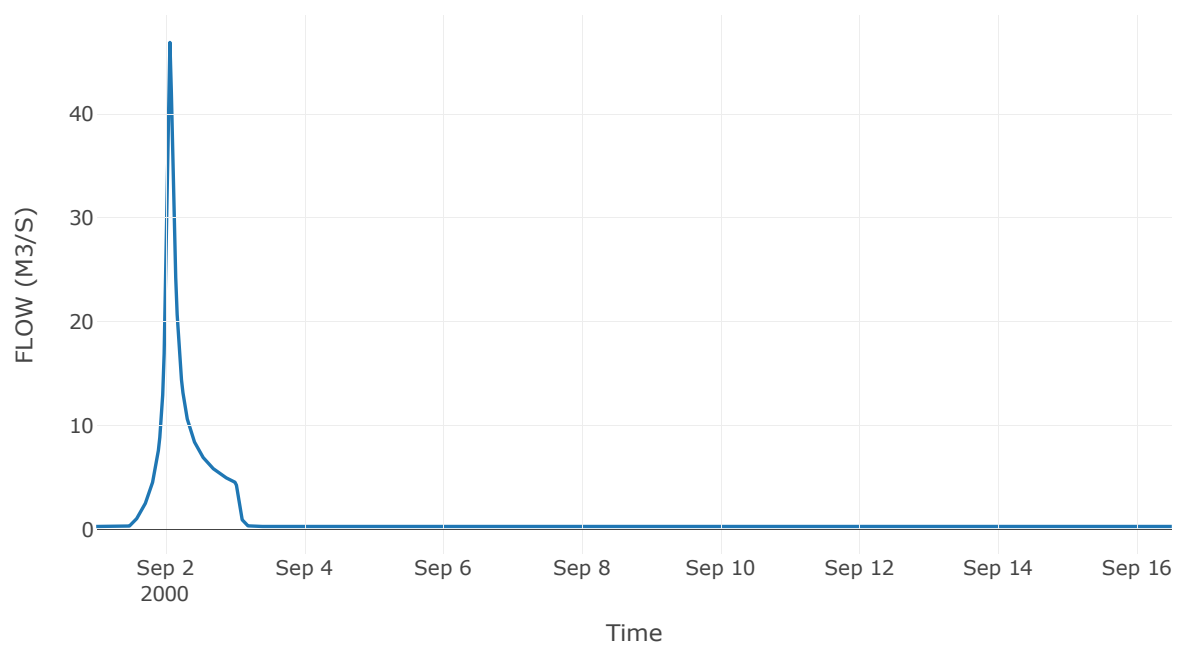
Κόμβος: J11

Κατάντη : R1110

Αποτελέσματα: J11

Παροχή Αιχμής (M3/S)	46.89
Χρονική στιγμή αιχμής	02Sep2000, 01:30
Όγκος(MM)	141.16

Απορροή



Κλάδος: R1110

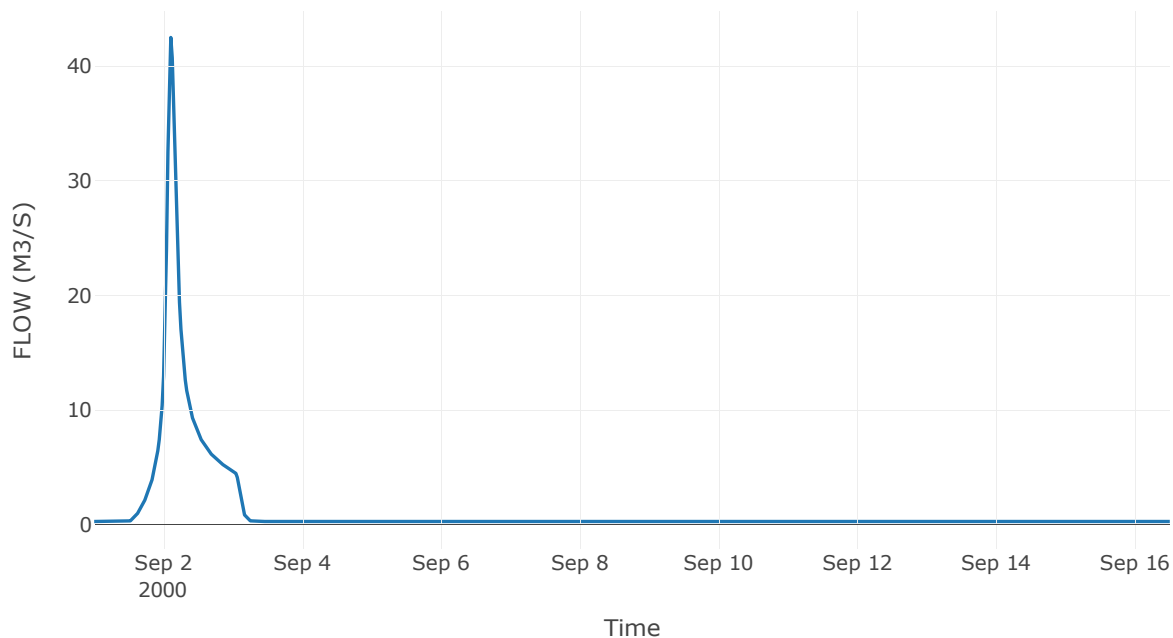
Κατάντη : J10

Μέθοδος Διόδευσης	Muskingum
Αρχική Μεταβλητή	Combined Inflow
Muskingum K	1.16
Συντελεστής βάρους x	0.2
Muskingum Steps	2

Αποτελέσματα: R1110

Παροχή Αιχμής (M3/S)	42.51
Χρονική στιγμή αιχμής	02Sep2000, 02:30
Όγκος(MM)	141.16
Παροχή Αιχμής Εισόδου (M3/S)	46.89
Όγκος Εισροής(M3)	1.67E6

Απορροή



Υπολεκάνη: EL0415FR6011

Έκταση (KM2) : 13.24

Κατάντη : J10

Μέθοδος Απωλειών: SCS

Ποσοστό αδιαπέρατης επιφάνειας	0
Αριθμός Καμπύλης Απορροής-CN	85.1
Αρχικές Απώλειες	8.89

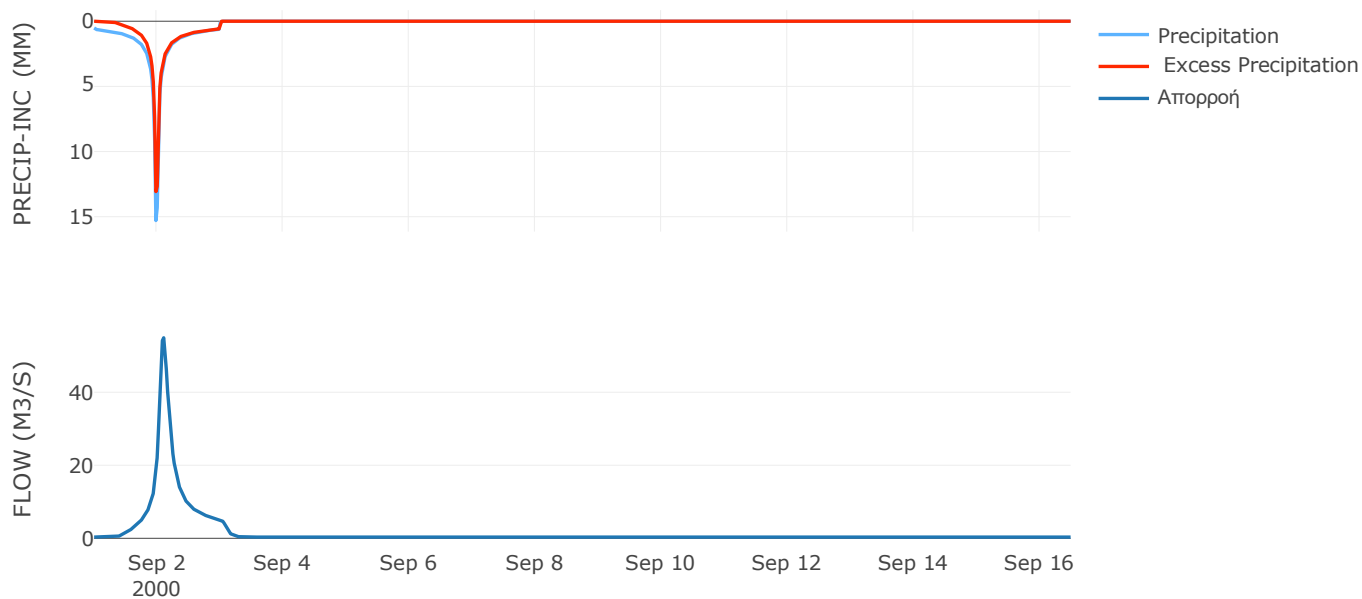
Μέθοδος
Μετασχηματισμού: SCS

Χρόνος Υστέρησης	128.64
------------------	--------

Αποτελέσματα:
EL0415FR6011

Παροχή αιχμής (M3/S)	54.91
Χρονική στιγμή αιχμής	02Sep2000, 02:30
Όγκος (MM)	165.15
Όγκος βροχόπτωσης (M3)	2.33E6
Όγκος απωλειών (M3)	5.82E5
Ενεργός Όγκος (M3)	1.74E6
Όγκος άμεσης απορροής (M3)	1.74E6
Όγκος βασικής απορροής (M3)	4.43E5

Βροχόπτωση και Απορροή



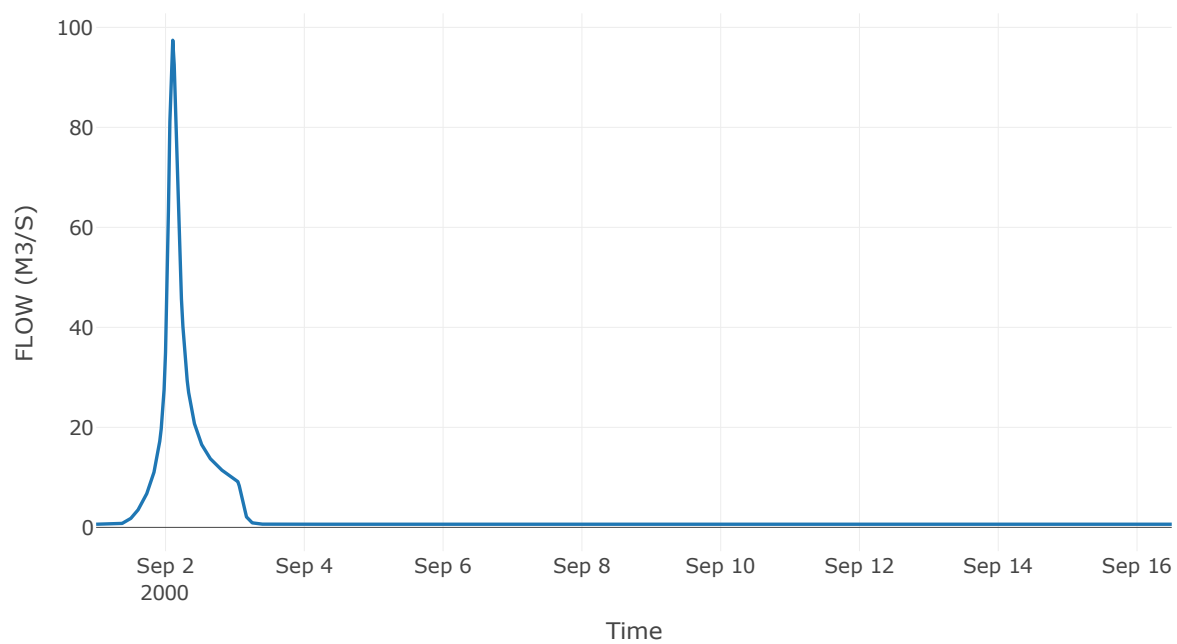
Κόμβος: J10

Κατάντη : R107

Αποτελέσματα: J10

Παροχή Αιχμής (M3/S)	97.43
Χρονική στιγμή αιχμής	02Sep2000, 02:30
Όγκος(MM)	153.83

Απορροή



Κλάδος: R107

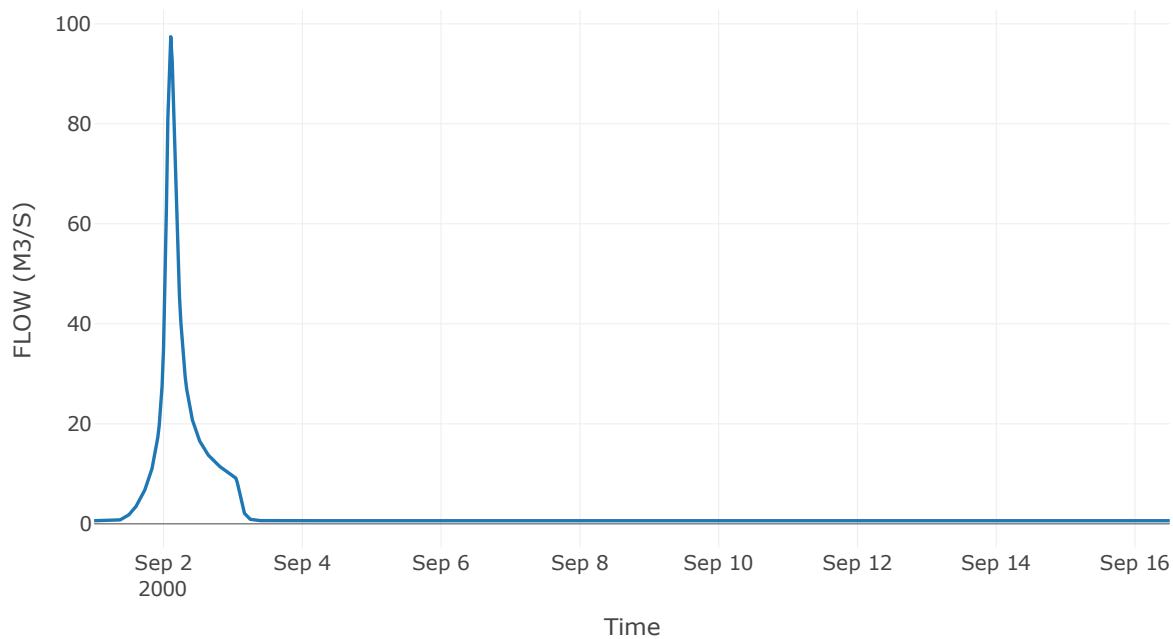
Κατάντη : J7

Μέθοδος Διόδευσης	Χρόνος Υστέρησης
Αρχική Μεταβλητή	Combined Inflow
Χρόνος Υστέρησης	0

Αποτελέσματα: R107

Παροχή Αιχμής (M3/S)	97.43
Χρονική στιγμή αιχμής	02Sep2000, 02:30
Όγκος(MM)	153.83
Παροχή Αιχμής Εισόδου (M3/S)	97.43
Όγκος Εισροής(M3)	3.86E6

Απορροή



Υπολεκάνη: EL0415FR6010

Έκταση (KM2) : 10.43

Κατάντη : J9

Μέθοδος Απωλειών: SCS

Ποσοστό αδιαπέρατης επιφάνειας	0
Αριθμός Καμπύλης Απορροής-CN	84.53
Αρχικές Απώλειες	9.29

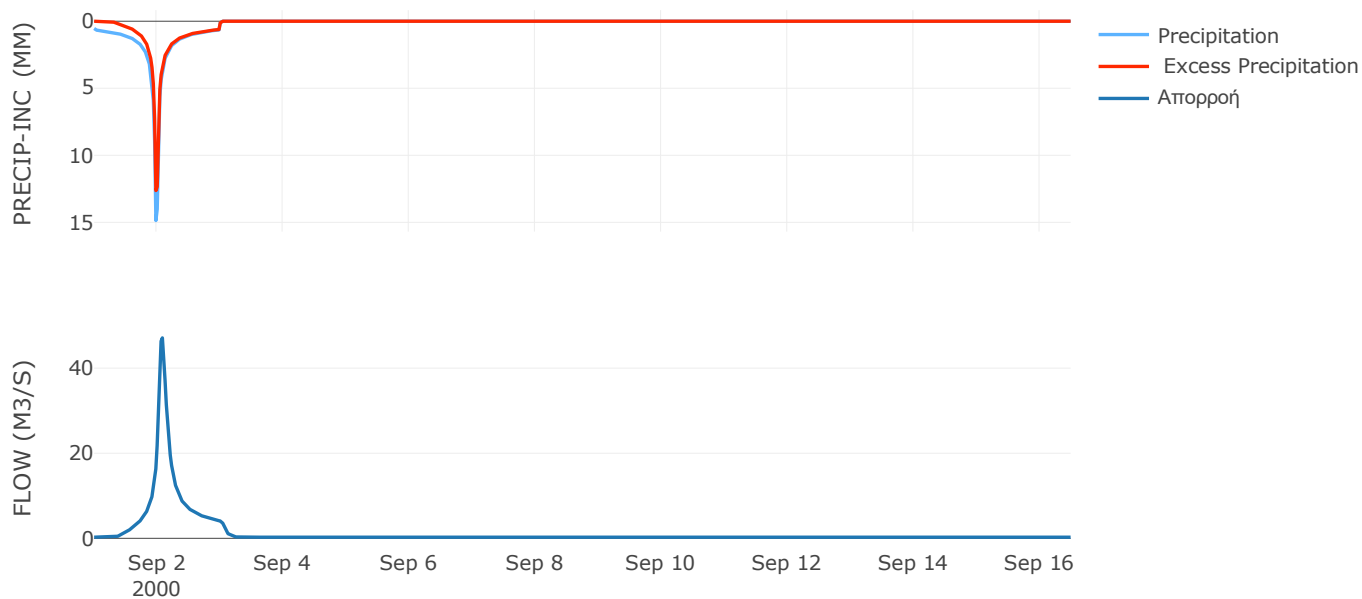
Μέθοδος
Μετασχηματισμού: SCS

Χρόνος Υστέρησης	98.93
------------------	-------

Αποτελέσματα:
EL0415FR6010

Παροχή αιχμής (M3/S)	47.11
Χρονική στιγμή αιχμής	02Sep2000, 02:00
Όγκος (MM)	166.13
Όγκος βροχόπτωσης (M3)	1.86E6
Όγκος απωλειών (M3)	4.77E5
Ενεργός Όγκος (M3)	1.38E6
Όγκος άμεσης απορροής (M3)	1.38E6
Όγκος βασικής απορροής (M3)	3.49E5

Βροχόπτωση και Απορροή



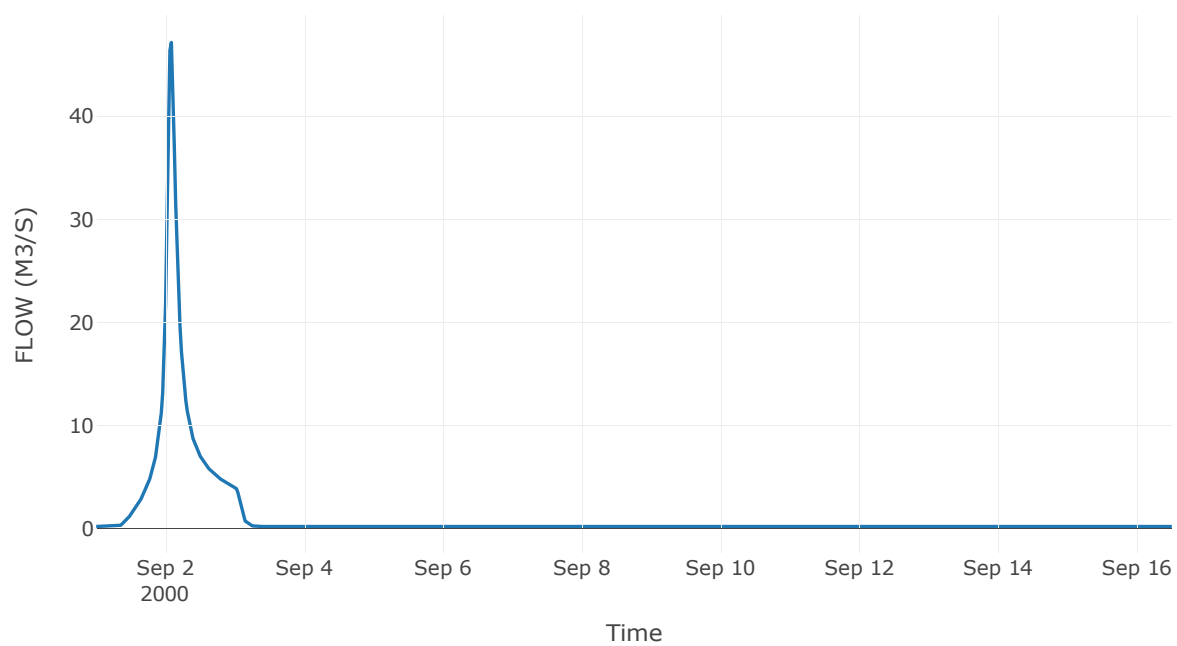
Κόμβος: J9

Κατάντη : R97

Αποτελέσματα: J9

Παροχή Αιχμής (M3/S)	47.11
Χρονική στιγμή αιχμής	02Sep2000, 02:00
Όγκος(MM)	166.13

Απορροή



Κλάδος: R97

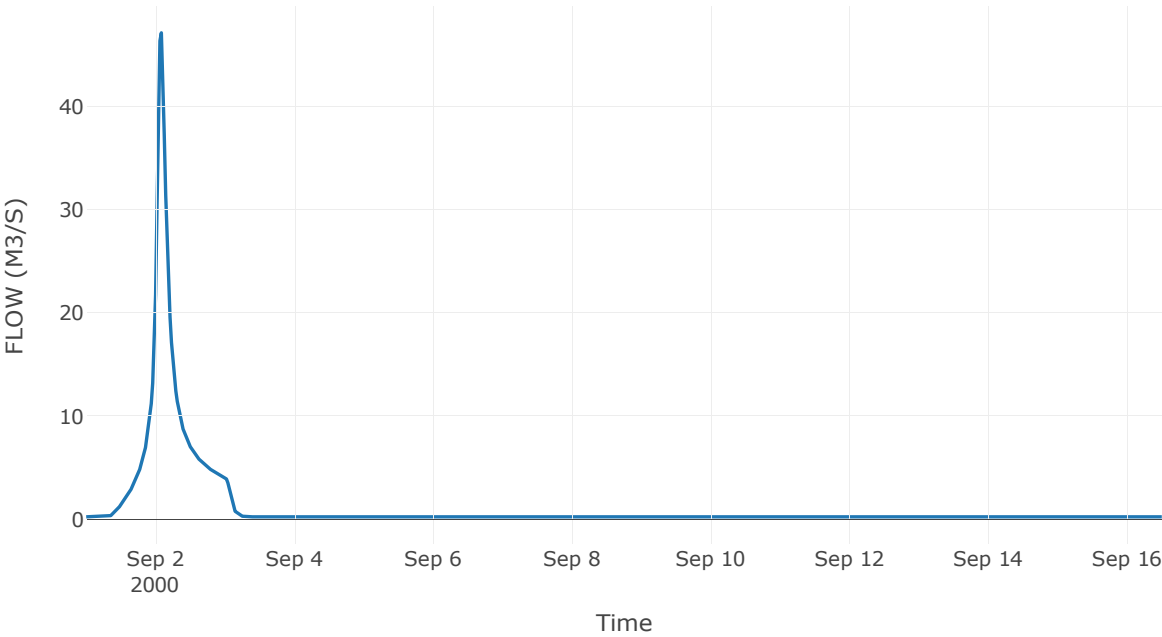
Κατάντη : J7

Μέθοδος Διόδευσης	Χρόνος Υστέρησης
Αρχική Μεταβλητή	Combined Inflow
Χρόνος Υστέρησης	0

Αποτελέσματα: R97

Παροχή Αιχμής (M3/S)	47.11
Χρονική στιγμή αιχμής	02Sep2000, 02:00
Όγκος(MM)	166.13
Παροχή Αιχμής Εισόδου (M3/S)	47.11
Όγκος Εισροής(M3)	1.73E6

Απορροή



Υπολεκάνη: EL0415FR6009

Έκταση (KM2) : 22.05

Κατάντη : J7

Μέθοδος Απωλειών: SCS

Ποσοστό αδιαπέρατης επιφάνειας	41
Αριθμός Καμπύλης Απορροής-CN	89.91
Αρχικές Απώλειες	5.7

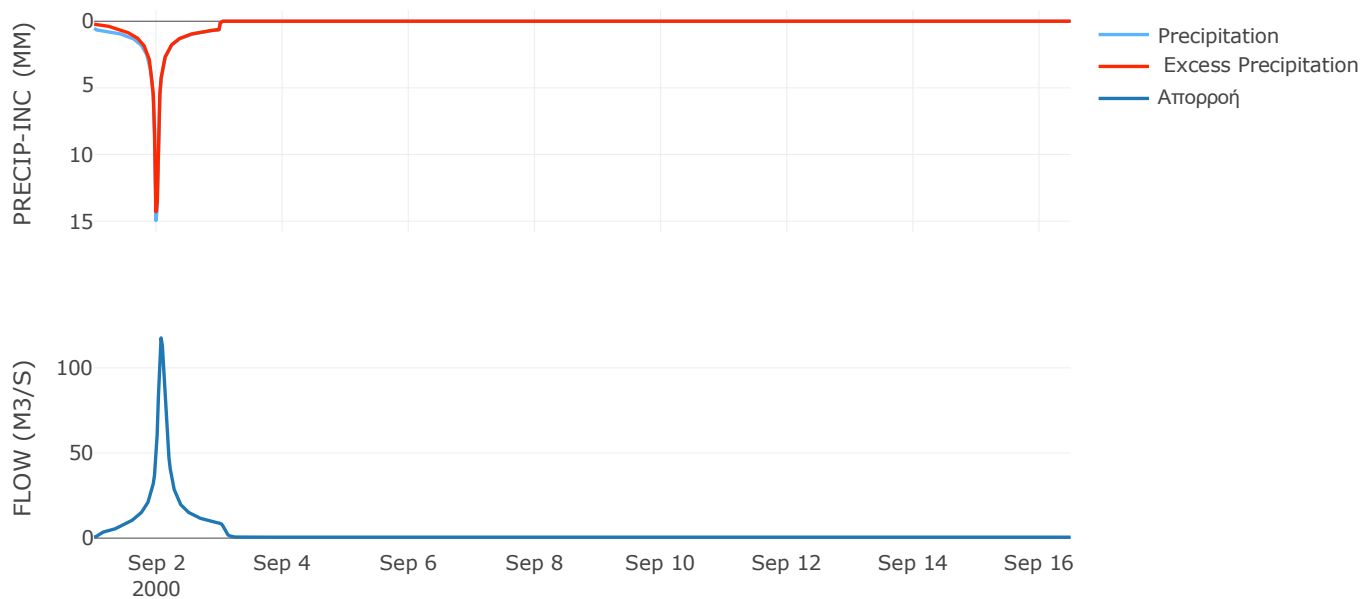
Μέθοδος
Μετασχηματισμού: SCS

Χρόνος Υστέρησης	88.01
------------------	-------

Αποτελέσματα:
EL0415FR6009

Παροχή αιχμής (M3/S)	117.58
Χρονική στιγμή αιχμής	02Sep2000, 01:30
Όγκος (MM)	192.83
Όγκος βροχόπτωσης (M3)	3.9E6
Όγκος απωλειών (M3)	3.92E5
Ενεργός Όγκος (M3)	3.51E6
Όγκος άμεσης απορροής (M3)	3.51E6
Όγκος βασικής απορροής (M3)	7.38E5

Βροχόπτωση και Απορροή

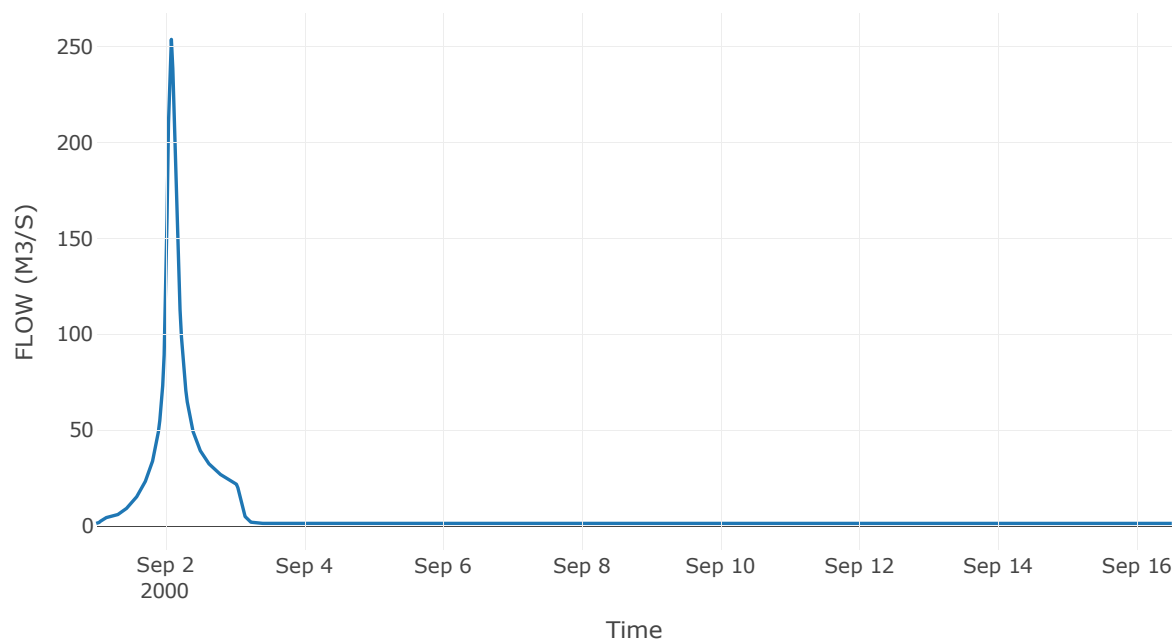


Κόμβος εξόδου: J7

Αποτέλεσμα
τα: J7

Παροχή αιχμής (M3/S)	253.7
Χρονική στιγμή αιχμής	02Sep2000, 02:00
Όγκος (MM)	171

Απορροή



5 Δεδομένα εισόδου και αποτελέσματα υδρολογικού σεναρίου T=100

5.1 Αποτελέσματα, υετογραφήματα και υδρογραφήματα σχεδιασμού υπολεκανών

Υπολεκάνη: EL0415FR6001

Έκταση (KM2) : 48.19

Κατάντη : J1

Μέθοδος Απωλειών: SCS

Ποσοστό αδιαπέρατης επιφάνειας	0
Αριθμός Καμπύλης Απορροής-CN	79.72
Αρχικές Απώλειες	12.92

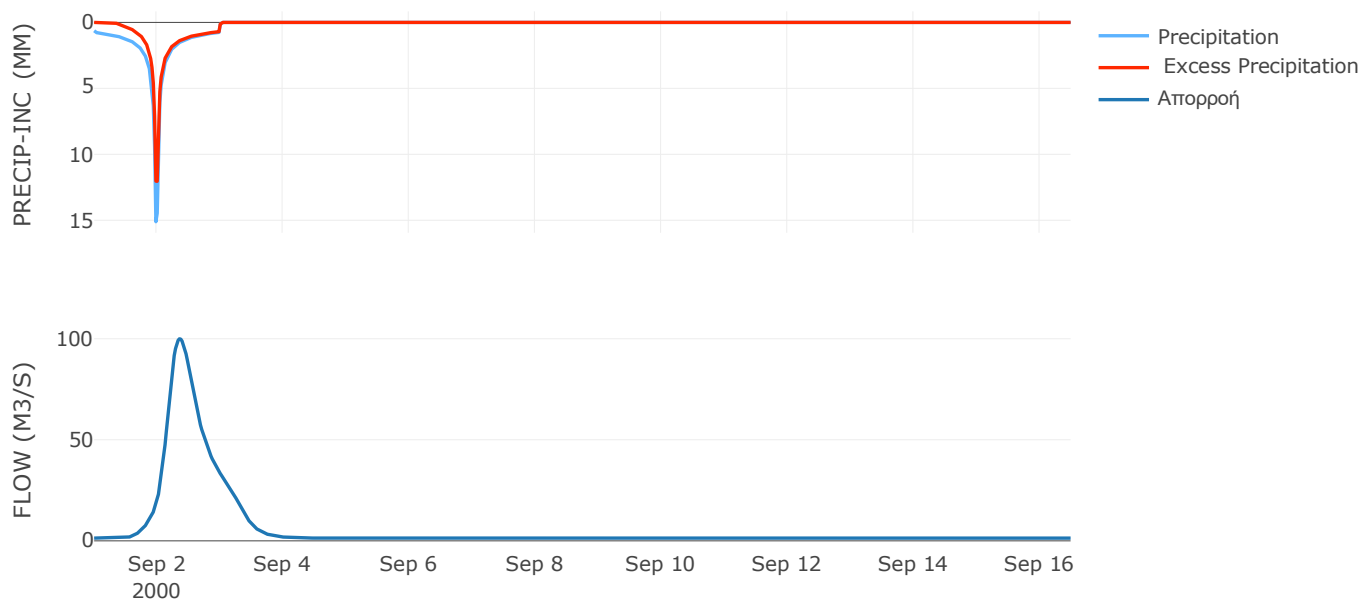
Μέθοδος
Μετασχηματισμού: SCS

Χρόνος Υστέρησης	468.27
------------------	--------

Αποτελέσματα:
EL0415FR6001

Παροχή αιχμής (M3/S)	99.95
Χρονική στιγμή αιχμής	02Sep2000, 08:30
Όγκος (MM)	173.34
Όγκος βροχόπτωσης (M3)	9.47E6
Όγκος απωλειών (M3)	2.93E6
Ενεργός Όγκος (M3)	6.55E6
Όγκος άμεσης απορροής (M3)	6.55E6
Όγκος βασικής απορροής (M3)	1.81E6

Βροχόπτωση και Απορροή



Υπολεκάνη: EL0415FR6002

Έκταση (KM2) : 27.73

Κατάντη : J2

Μέθοδος Απωλειών: SCS

Ποσοστό αδιαπέρατης επιφάνειας	0
Αριθμός Καμπύλης Απορροής-CN	80.05
Αρχικές Απώλειες	12.66

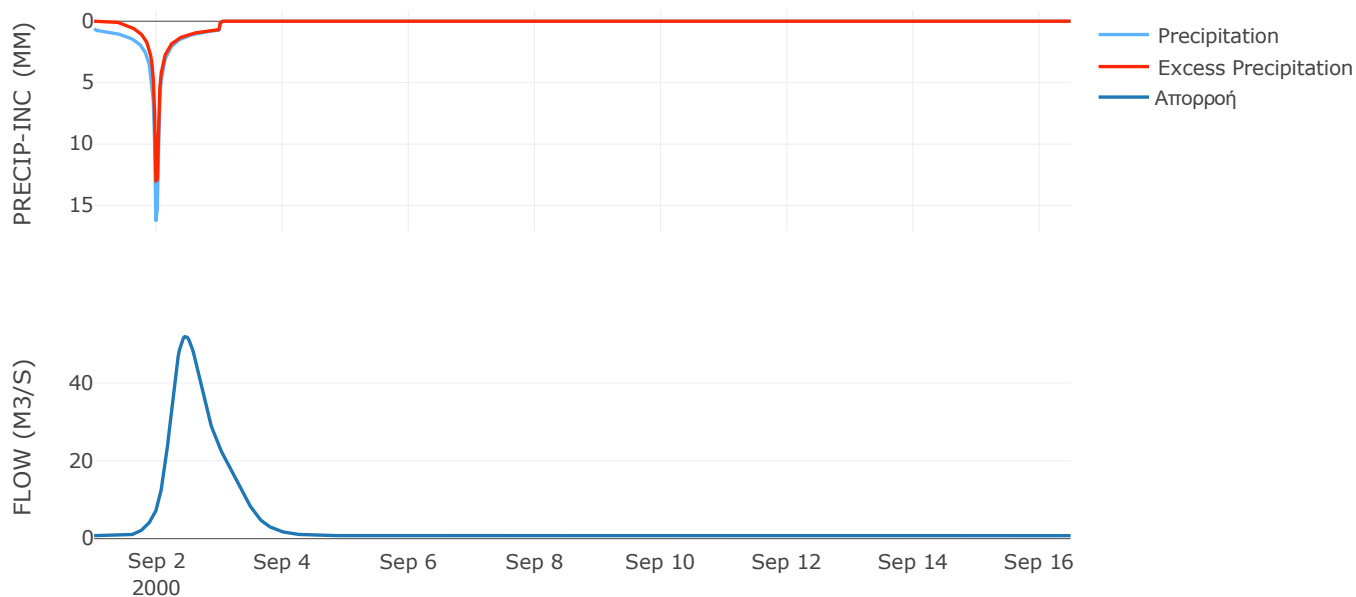
Μέθοδος
Μετασχηματισμού: SCS

Χρόνος Υστέρησης	587.17
------------------	--------

Αποτελέσματα:
EL0415FR6002

Παροχή αιχμής (M3/S)	51.98
Χρονική στιγμή αιχμής	02Sep2000, 11:00
Όγκος (MM)	175.71
Όγκος βροχόπτωσης (M3)	5.49E6
Όγκος απωλειών (M3)	1.66E6
Ενεργός Όγκος (M3)	3.83E6
Όγκος άμεσης απορροής (M3)	3.83E6
Όγκος βασικής απορροής (M3)	1.04E6

Βροχόπτωση και Απορροή



Υπολεκάνη: EL0415FR6003

Έκταση (KM2) : 27.92

Κατάντη : J3

Μέθοδος Απωλειών: SCS

Ποσοστό αδιαπέρατης επιφάνειας	0
Αριθμός Καμπύλης Απορροής-CN	77.23
Αρχικές Απώλειες	14.97

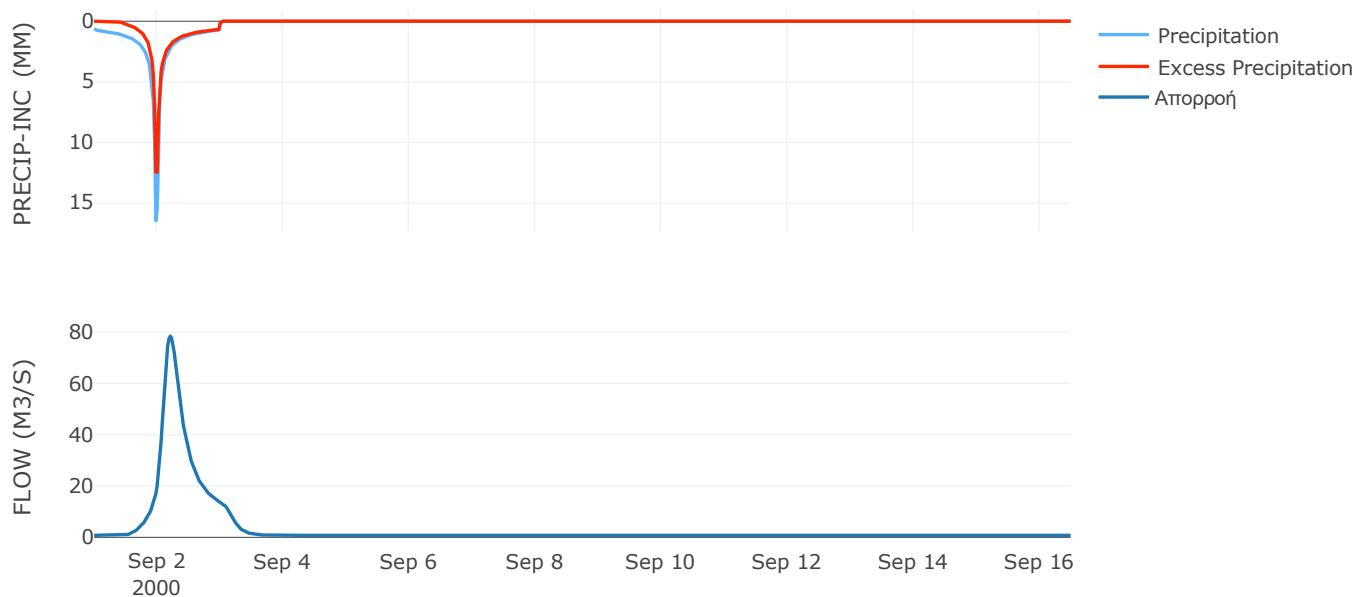
Μέθοδος
Μετασχηματισμού: SCS

Χρόνος Υστέρησης	271.9
------------------	-------

Αποτελέσματα:
EL0415FR6003

Παροχή αιχμής (M3/S)	78.35
Χρονική στιγμή αιχμής	02Sep2000, 05:00
Όγκος (MM)	168.02
Όγκος βροχόπτωσης (M3)	5.55E6
Όγκος απωλειών (M3)	1.9E6
Ενεργός Όγκος (M3)	3.64E6
Όγκος άμεσης απορροής (M3)	3.64E6
Όγκος βασικής απορροής (M3)	1.05E6

Βροχόπτωση και Απορροή



Υπολεκάνη: EL0415FR6004

Έκταση (KM2) : 22.76

Κατάντη : J4

Μέθοδος Απωλειών: SCS

Ποσοστό αδιαπέρατης επιφάνειας	0
Αριθμός Καμπύλης Απορροής-CN	72.77
Αρχικές Απώλειες	19.01

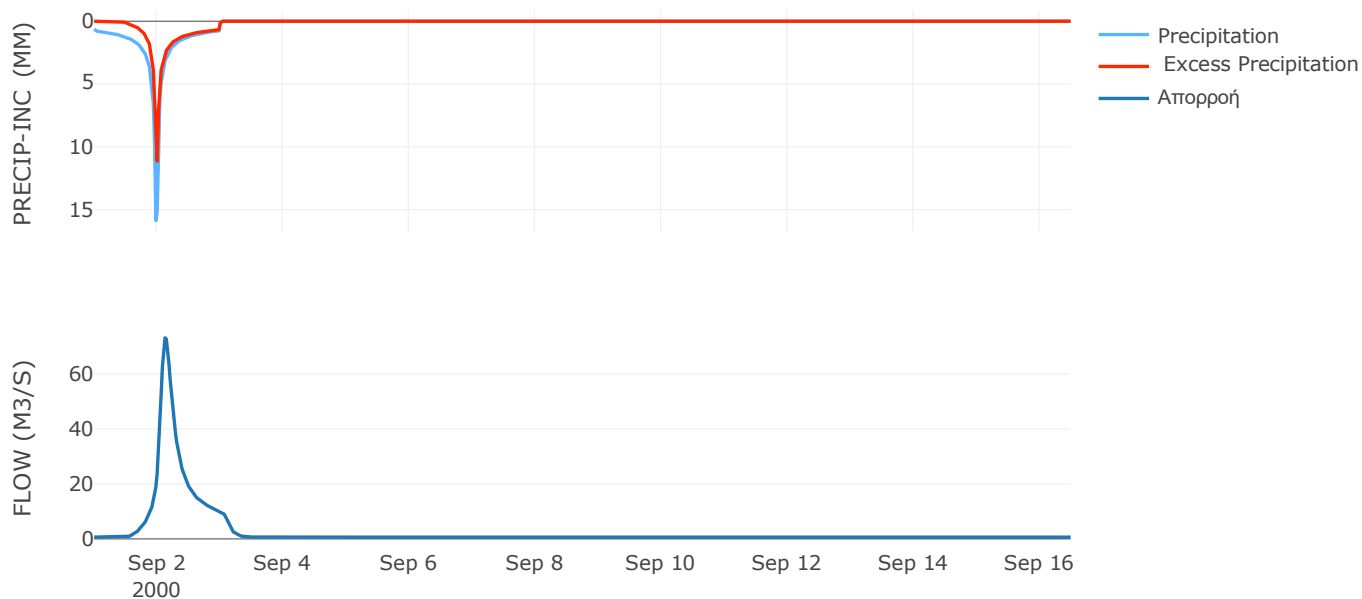
Μέθοδος
Μετασχηματισμού: SCS

Χρόνος Υστέρησης	168.29
------------------	--------

Αποτελέσματα:
EL0415FR6004

Παροχή αιχμής (M3/S)	73.11
Χρονική στιγμή αιχμής	02Sep2000, 03:00
Όγκος (MM)	157.62
Όγκος βροχόπτωσης (M3)	4.59E6
Όγκος απωλειών (M3)	1.86E6
Ενεργός Όγκος (M3)	2.73E6
Όγκος άμεσης απορροής (M3)	2.73E6
Όγκος βασικής απορροής (M3)	8.53E5

Βροχόπτωση και Απορροή



Υπολεκάνη: EL0415FR6005

Έκταση (KM2) : 10.79

Κατάντη : J5

Μέθοδος Απωλειών: SCS

Ποσοστό αδιαπέρατης επιφάνειας	0
Αριθμός Καμπύλης Απορροής-CN	81.52
Αρχικές Απώλειες	11.52

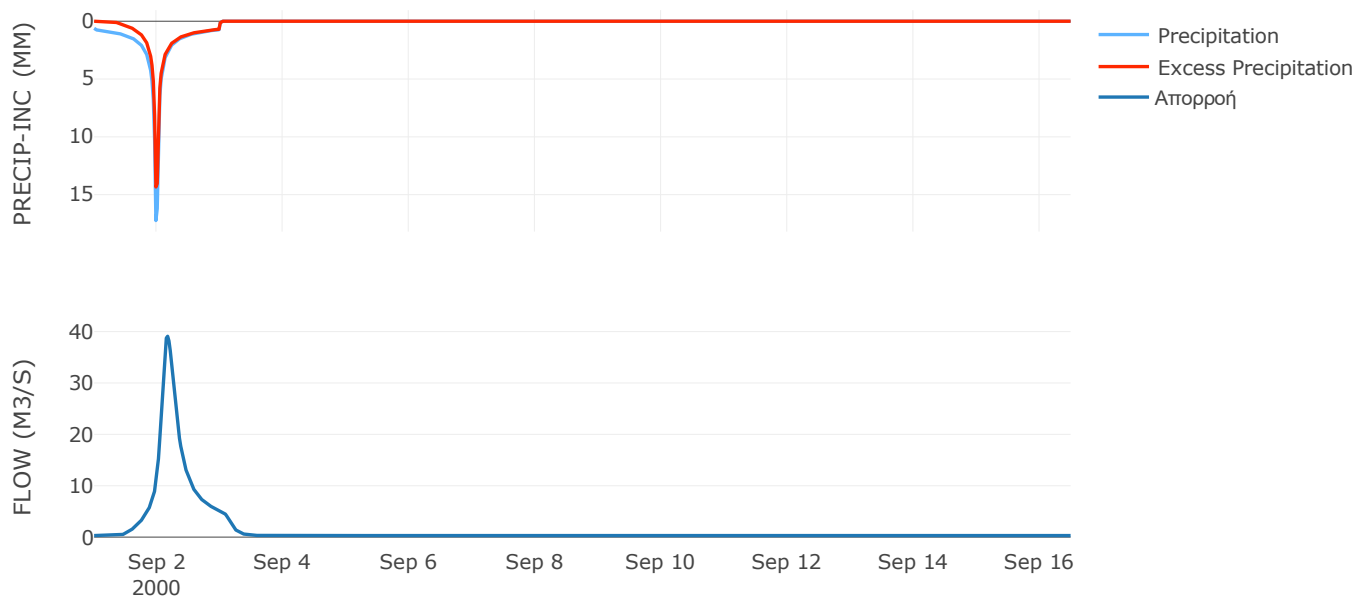
Μέθοδος
Μετασχηματισμού: SCS

Χρόνος Υστέρησης	213.81
------------------	--------

Αποτελέσματα:
EL0415FR6005

Παροχή αιχμής (M3/S)	39.09
Χρονική στιγμή αιχμής	02Sep2000, 04:00
Όγκος (MM)	185.54
Όγκος βροχόπτωσης (M3)	2.2E6
Όγκος απωλειών (M3)	6.02E5
Ενεργός Όγκος (M3)	1.6E6
Όγκος άμεσης απορροής (M3)	1.6E6
Όγκος βασικής απορροής (M3)	4.04E5

Βροχόπτωση και Απορροή



Υπολεκάνη: EL0415FR6006

Έκταση (KM2) : 20.96

Κατάντη : J5

Μέθοδος Απωλειών: SCS

Ποσοστό αδιαπέρατης επιφάνειας	0
Αριθμός Καμπύλης Απορροής-CN	67.85
Αρχικές Απώλειες	24.07

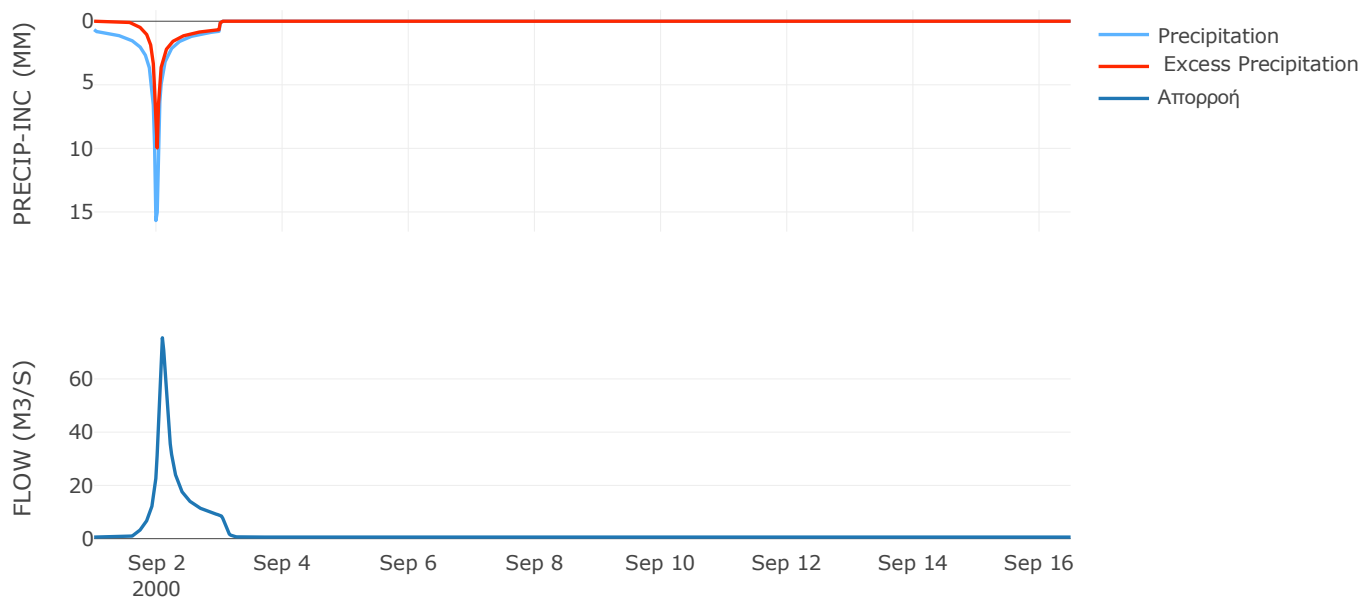
Μέθοδος
Μετασχηματισμού: SCS

Χρόνος Υστέρησης	98
------------------	----

Αποτελέσματα:
EL0415FR6006

Παροχή αιχμής (M3/S)	75.45
Χρονική στιγμή αιχμής	02Sep2000, 02:00
Όγκος (MM)	146.47
Όγκος βροχόπτωσης (M3)	4.3E6
Όγκος απωλειών (M3)	2.02E6
Ενεργός Όγκος (M3)	2.28E6
Όγκος άμεσης απορροής (M3)	2.28E6
Όγκος βασικής απορροής (M3)	7.86E5

Βροχόπτωση και Απορροή



Υπολεκάνη: EL0415FR6007

Έκταση (KM2) : 16.96

Κατάντη : J6

Μέθοδος Απωλειών: SCS

Ποσοστό αδιαπέρατης επιφάνειας	0
Αριθμός Καμπύλης Απορροής-CN	75.12
Αρχικές Απώλειες	16.83

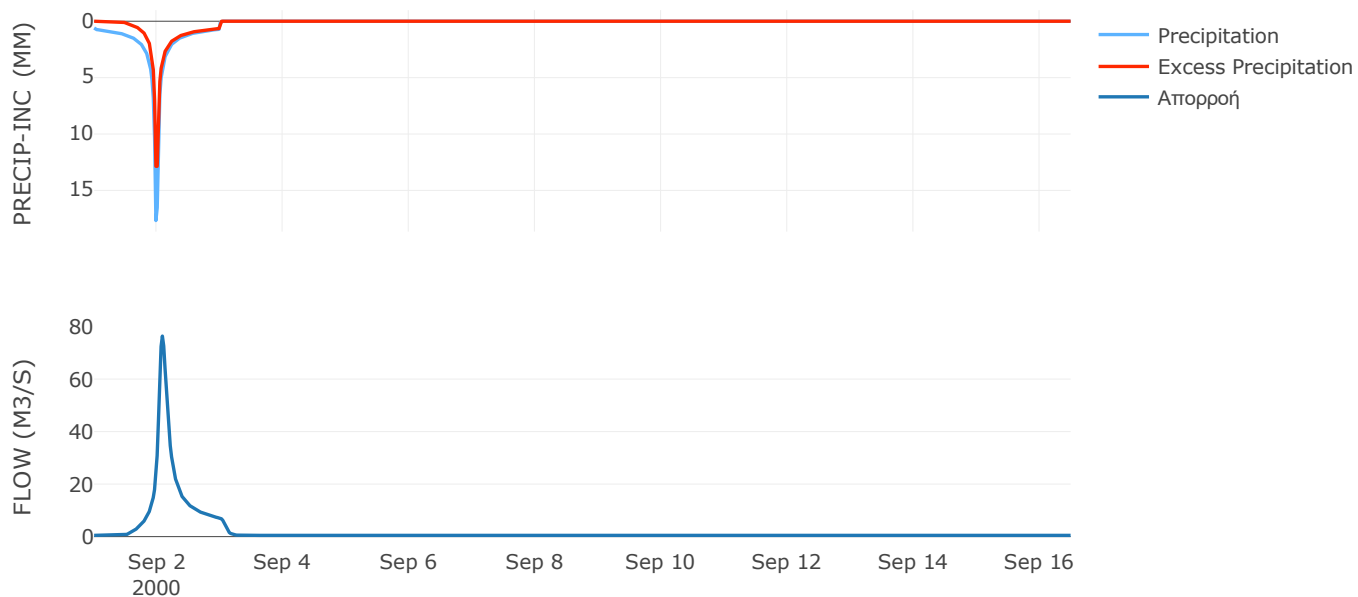
Μέθοδος
Μετασχηματισμού: SCS

Χρόνος Υστέρησης	105.13
------------------	--------

Αποτελέσματα:
EL0415FR6007

Παροχή αιχμής (M3/S)	76.38
Χρονική στιγμή αιχμής	02Sep2000, 02:00
Όγκος (MM)	166.19
Όγκος βροχόπτωσης (M3)	3.45E6
Όγκος απωλειών (M3)	1.27E6
Ενεργός Όγκος (M3)	2.18E6
Όγκος άμεσης απορροής (M3)	2.18E6
Όγκος βασικής απορροής (M3)	6.36E5

Βροχόπτωση και Απορροή



Υπολεκάνη: EL0415FR6008

Έκταση (KM2) : 24.49

Κατάντη : J6

Μέθοδος Απωλειών: SCS

Ποσοστό αδιαπέρατης επιφάνειας	0
Αριθμός Καμπύλης Απορροής-CN	82.14
Αρχικές Απώλειες	11.04

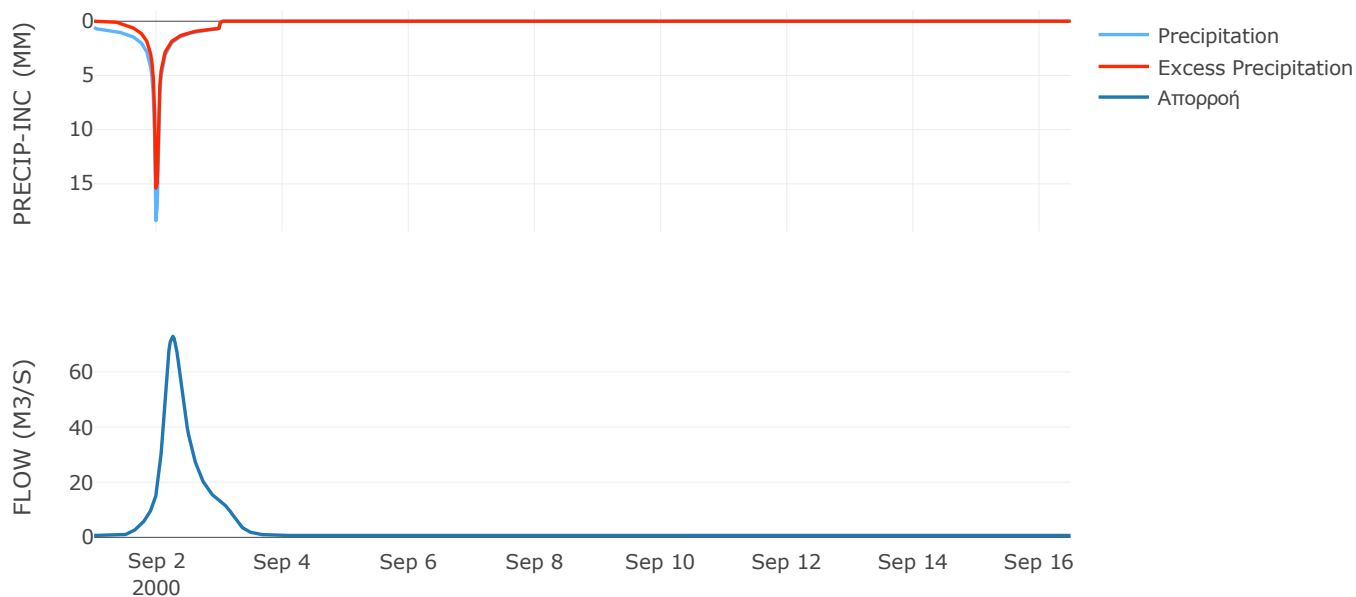
Μέθοδος
Μετασχηματισμού: SCS

Χρόνος Υστέρησης	325.39
------------------	--------

Αποτελέσματα:
EL0415FR6008

Παροχή αιχμής (M3/S)	72.91
Χρονική στιγμή αιχμής	02Sep2000, 06:00
Όγκος (MM)	185.5
Όγκος βροχόπτωσης (M3)	4.94E6
Όγκος απωλειών (M3)	1.32E6
Ενεργός Όγκος (M3)	3.62E6
Όγκος άμεσης απορροής (M3)	3.62E6
Όγκος βασικής απορροής (M3)	9.18E5

Βροχόπτωση και Απορροή



Υπολεκάνη: EL0415FR6009

Έκταση (KM2) : 22.05

Κατάντη : J7

Μέθοδος Απωλειών: SCS

Ποσοστό αδιαπέρατης επιφάνειας	41
Αριθμός Καμπύλης Απορροής-CN	79.49
Αρχικές Απώλειες	13.11

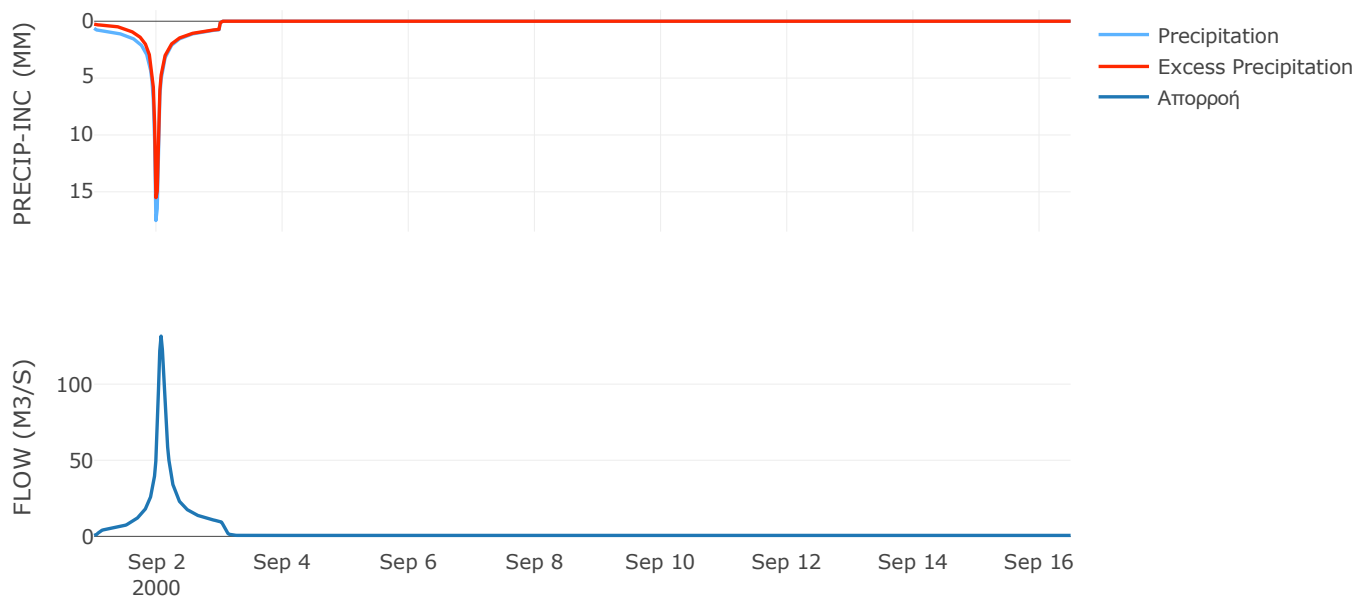
Μέθοδος
Μετασχηματισμού: SCS

Χρόνος Υστέρησης	81.31
------------------	-------

Αποτελέσματα:
EL0415FR6009

Παροχή αιχμής (M3/S)	131.56
Χρονική στιγμή αιχμής	02Sep2000, 01:30
Όγκος (MM)	208.38
Όγκος βροχόπτωσης (M3)	4.58E6
Όγκος απωλειών (M3)	8.08E5
Ενεργός Όγκος (M3)	3.77E6
Όγκος άμεσης απορροής (M3)	3.77E6
Όγκος βασικής απορροής (M3)	8.27E5

Βροχόπτωση και Απορροή



Υπολεκάνη: EL0415FR6010

Έκταση (KM2) : 10.43

Κατάντη : J9

Μέθοδος Απωλειών: SCS

Ποσοστό αδιαπέρατης επιφάνειας	0
Αριθμός Καμπύλης Απορροής-CN	70.38
Αρχικές Απώλειες	21.38

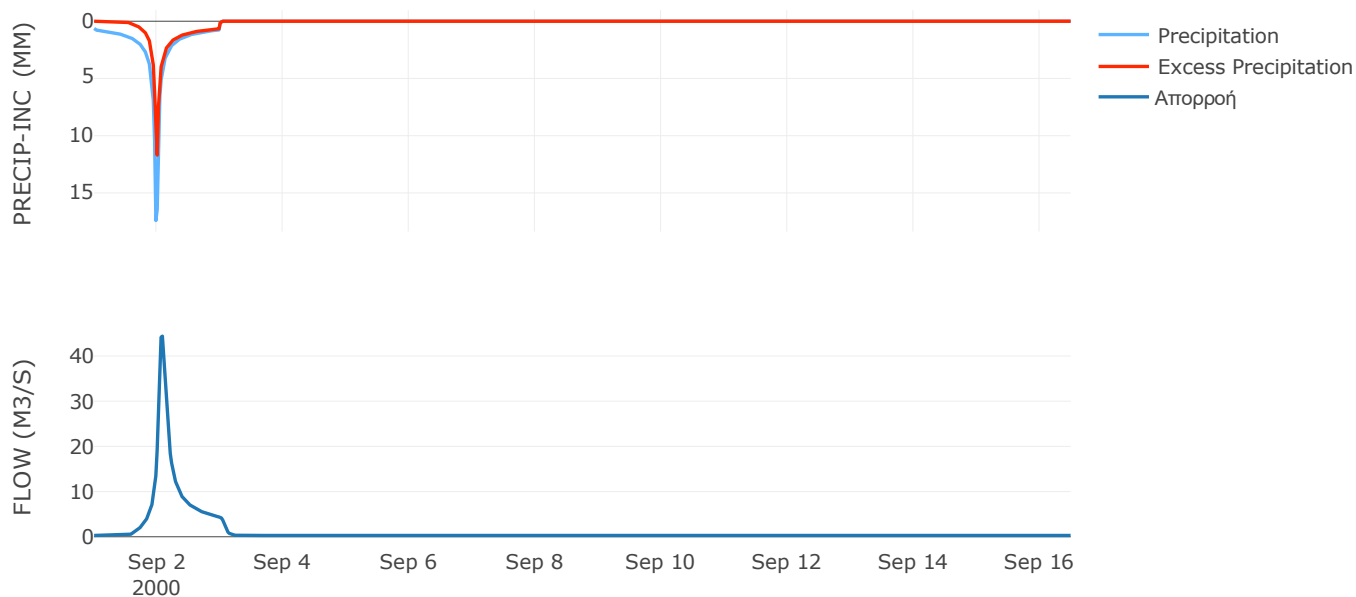
Μέθοδος
Μετασχηματισμού: SCS

Χρόνος Υστέρησης	91.4
------------------	------

Αποτελέσματα:
EL0415FR6010

Παροχή αιχμής (M3/S)	44.4
Χρονική στιγμή αιχμής	02Sep2000, 02:00
Όγκος (MM)	157
Όγκος βροχόπτωσης (M3)	2.18E6
Όγκος απωλειών (M3)	9.33E5
Ενεργός Όγκος (M3)	1.25E6
Όγκος άμεσης απορροής (M3)	1.25E6
Όγκος βασικής απορροής (M3)	3.91E5

Βροχόπτωση και Απορροή



Υπολεκάνη: EL0415FR6011

Έκταση (KM2) : 13.24

Κατάντη : J10

Μέθοδος Απωλειών: SCS

Ποσοστό αδιαπέρατης επιφάνειας	0
Αριθμός Καμπύλης Απορροής-CN	71.3
Αρχικές Απώλειες	20.45

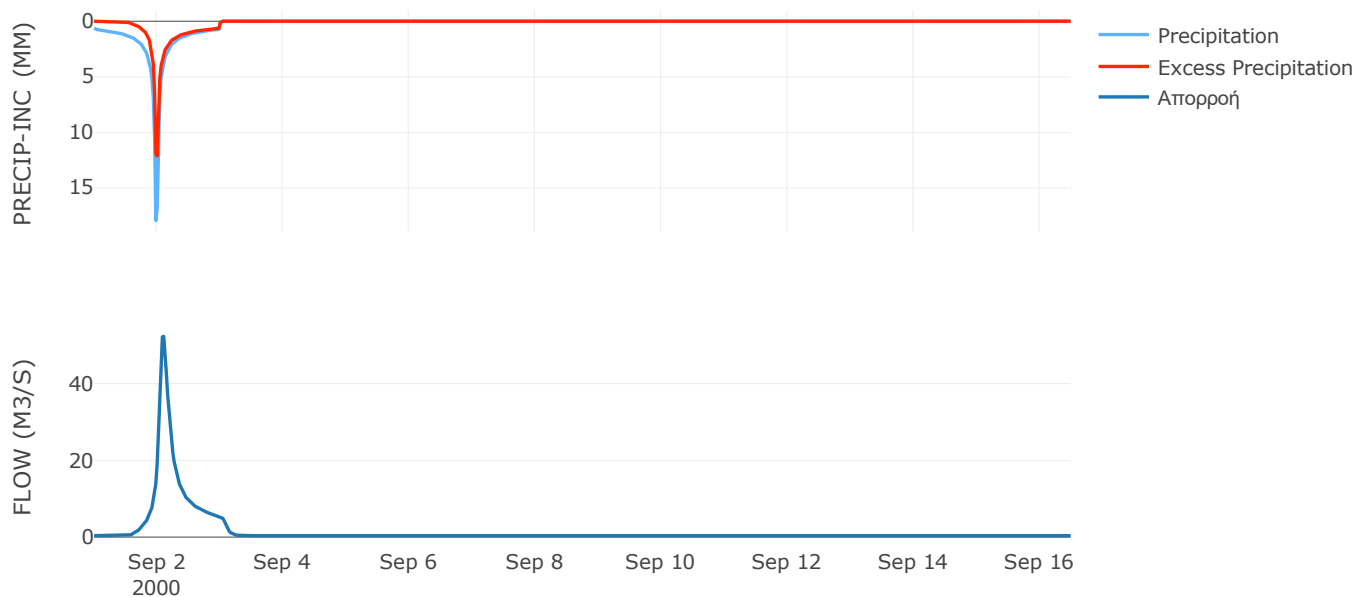
Μέθοδος
Μετασχηματισμού: SCS

Χρόνος Υστέρησης	118.86
------------------	--------

Αποτελέσματα:
EL0415FR6011

Παροχή αιχμής (M3/S)	52.3
Χρονική στιγμή αιχμής	02Sep2000, 02:30
Όγκος (MM)	156.93
Όγκος βροχόπτωσης (M3)	2.72E6
Όγκος απωλειών (M3)	1.14E6
Ενεργός Όγκος (M3)	1.58E6
Όγκος άμεσης απορροής (M3)	1.58E6
Όγκος βασικής απορροής (M3)	4.96E5

Βροχόπτωση και Απορροή



Υπολεκάνη: EL0415FR6012

Έκταση (KM2) : 11.82

Κατάνη : J11

Μέθοδος Απωλειών: SCS

Ποσοστό αδιαπέρατης επιφάνειας	0
Αριθμός Καμπύλης Απορροής-CN	55.64
Αρχικές Απώλειες	40.5

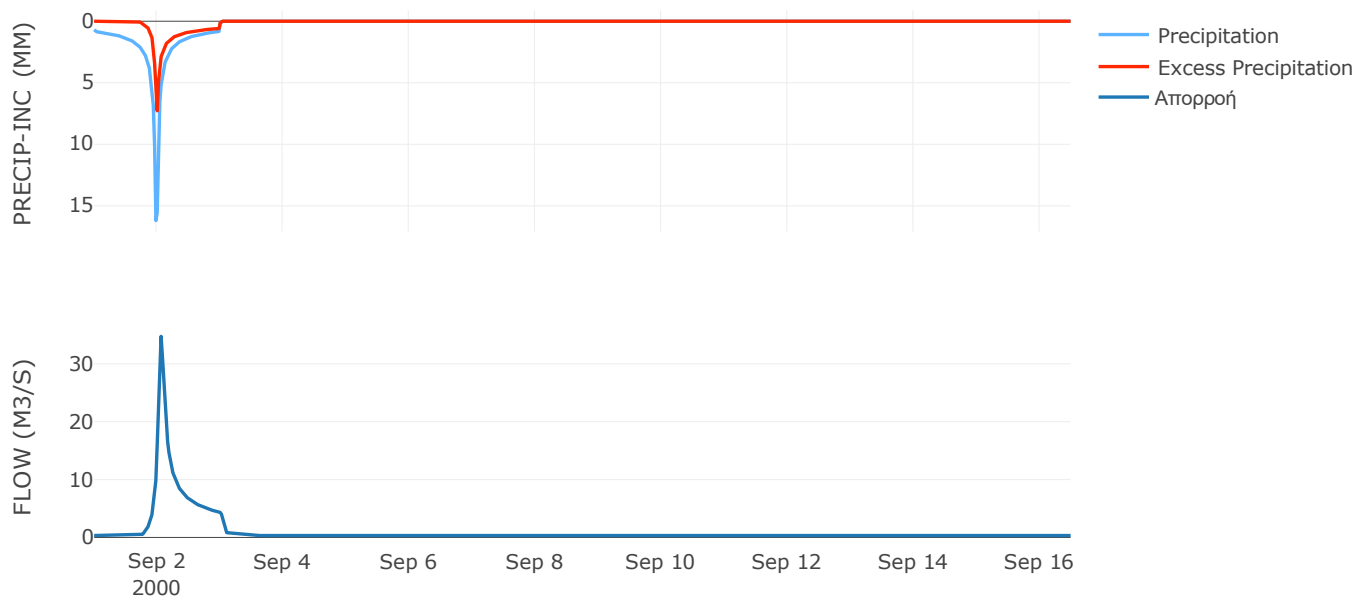
Μέθοδος
Μετασχηματισμού: SCS

Χρόνος Υστέρησης	64.09
------------------	-------

Αποτελέσματα:
EL0415FR6012

Παροχή αιχμής (M3/S)	34.75
Χρονική στιγμή αιχμής	02Sep2000, 01:30
Όγκος (MM)	117.53
Όγκος βροχόπτωσης (M3)	2.53E6
Όγκος απωλειών (M3)	1.58E6
Ενεργός Όγκος (M3)	9.46E5
Όγκος άμεσης απορροής (M3)	9.46E5
Όγκος βασικής απορροής (M3)	4.43E5

Βροχόπτωση και Απορροή



Υπολεκάνη: EL0415FR6013

Έκταση (KM2) : 37.65

Κατάντη : J12

Μέθοδος Απωλειών: SCS

Ποσοστό αδιαπέρατης επιφάνειας	0
Αριθμός Καμπύλης Απορροής-CN	56.41
Αρχικές Απώλειες	39.26

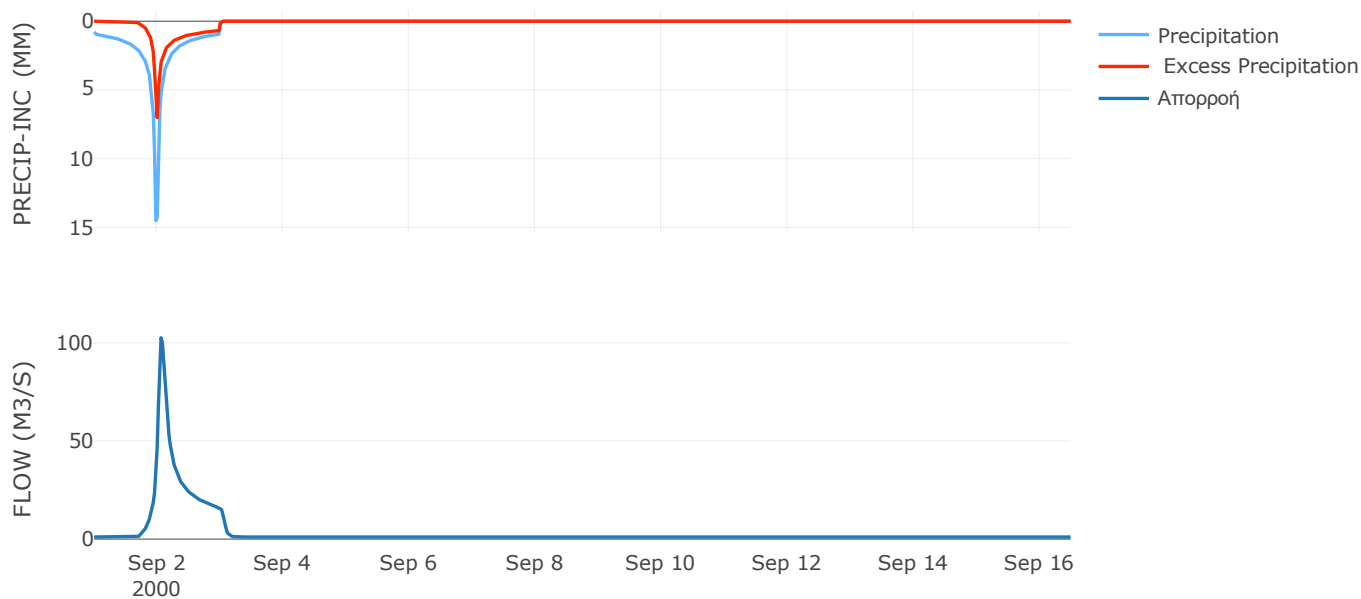
Μέθοδος
Μετασχηματισμού: SCS

Χρόνος Υστέρησης	78.37
------------------	-------

Αποτελέσματα:
EL0415FR6013

Παροχή αιχμής (M3/S)	102.63
Χρονική στιγμή αιχμής	02Sep2000, 01:30
Όγκος (MM)	124.69
Όγκος βροχόπτωσης (M3)	8.31E6
Όγκος απωλειών (M3)	5.03E6
Ενεργός Όγκος (M3)	3.28E6
Όγκος άμεσης απορροής (M3)	3.28E6
Όγκος βασικής απορροής (M3)	1.41E6

Βροχόπτωση και Απορροή



Υπολεκάνη: EL0415FR6014

Έκταση (KM2) : 17.43

Κατάντη : J8

Μέθοδος Απωλειών: SCS

Ποσοστό αδιαπέρατης επιφάνειας	0
Αριθμός Καμπύλης Απορροής-CN	81.44
Αρχικές Απώλειες	11.58

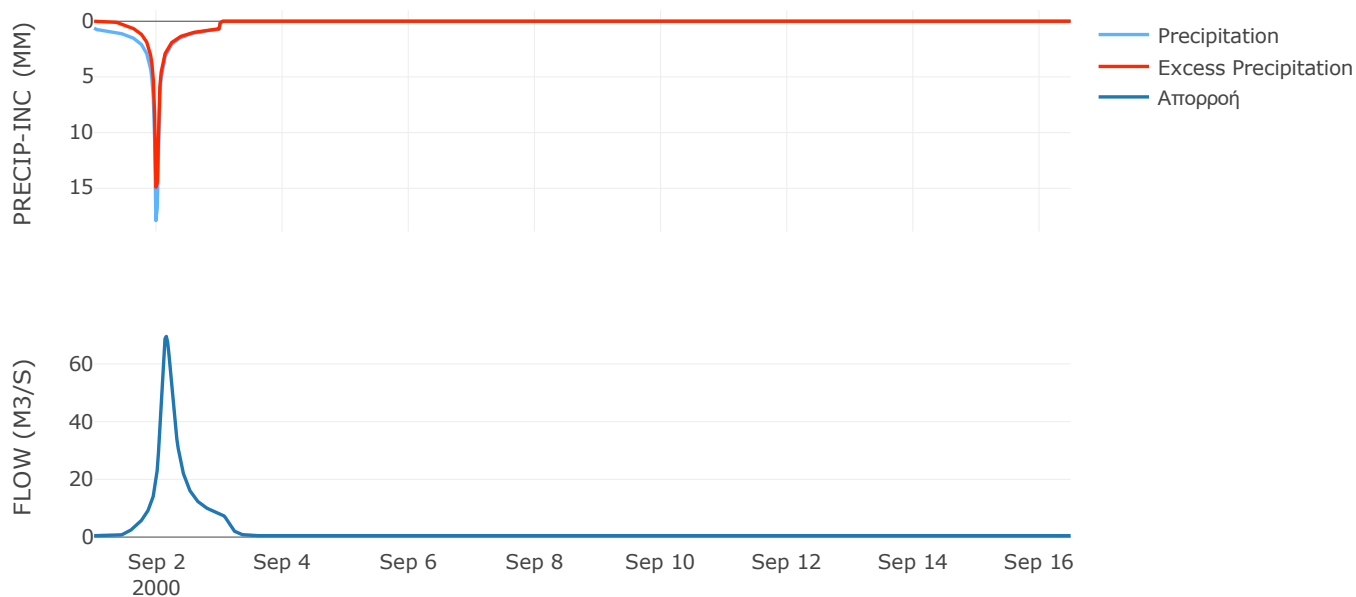
Μέθοδος
Μετασχηματισμού: SCS

Χρόνος Υστέρησης	186.26
------------------	--------

Αποτελέσματα:
EL0415FR6014

Παροχή αιχμής (M3/S)	69.53
Χρονική στιγμή αιχμής	02Sep2000, 03:30
Όγκος (MM)	187.38
Όγκος βροχόπτωσης (M3)	3.59E6
Όγκος απωλειών (M3)	9.79E5
Ενεργός Όγκος (M3)	2.61E6
Όγκος άμεσης απορροής (M3)	2.61E6
Όγκος βασικής απορροής (M3)	6.54E5

Βροχόπτωση και Απορροή



Υπολεκάνη: EL0415FR6015

Έκταση (KM2) : 9.94

Κατάντη : J8

Μέθοδος Απωλειών: SCS

Ποσοστό αδιαπέρατης επιφάνειας	0
Αριθμός Καμπύλης Απορροής-CN	84.53
Αρχικές Απώλειες	9.3

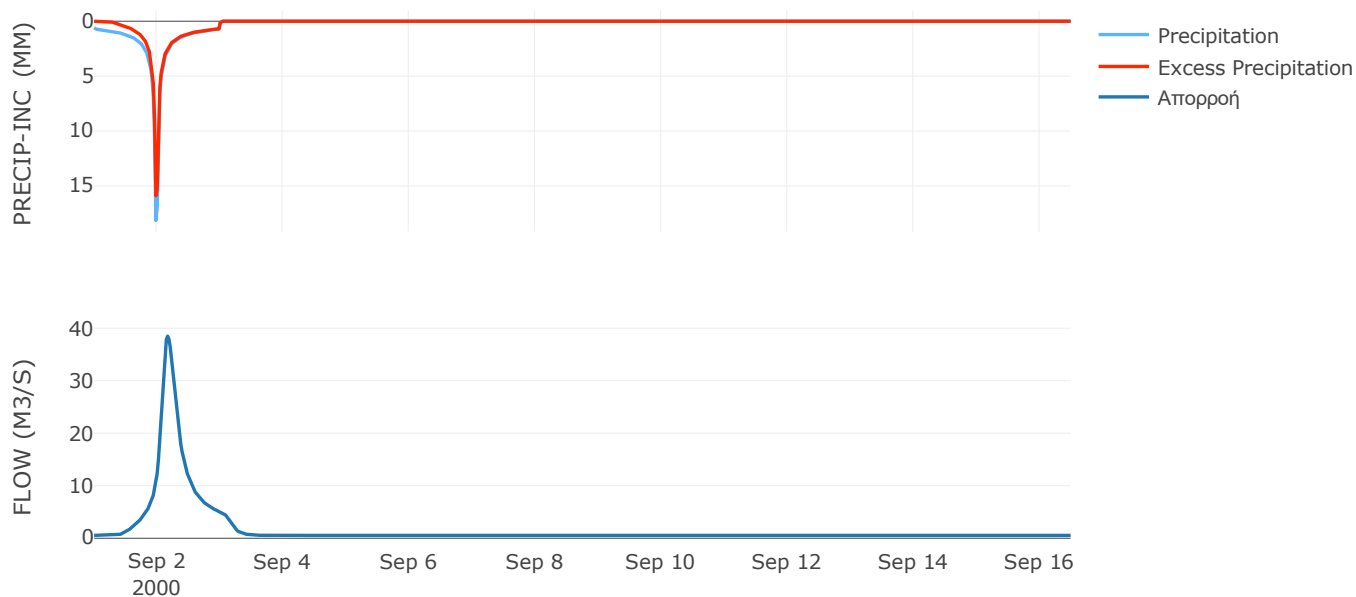
Μέθοδος
Μετασχηματισμού: SCS

Χρόνος Υστέρησης	223.65
------------------	--------

Αποτελέσματα:
EL0415FR6015

Παροχή αιχμής (M3/S)	38.51
Χρονική στιγμή αιχμής	02Sep2000, 04:00
Όγκος (MM)	232.1
Όγκος βροχόπτωσης (M3)	2.04E6
Όγκος απωλειών (M3)	4.66E5
Ενεργός Όγκος (M3)	1.57E6
Όγκος άμεσης απορροής (M3)	1.57E6
Όγκος βασικής απορροής (M3)	7.32E5

Βροχόπτωση και Απορροή



Υπολεκάνη: EL0415FR6016

Έκταση (KM2) : 45.09

Κατάνη : J13 Res1

Μέθοδος Απωλειών: SCS

Ποσοστό αδιαπέρατης επιφάνειας	14
Αριθμός Καμπύλης Απορροής-CN	84.08
Αρχικές Απώλειες	9.62

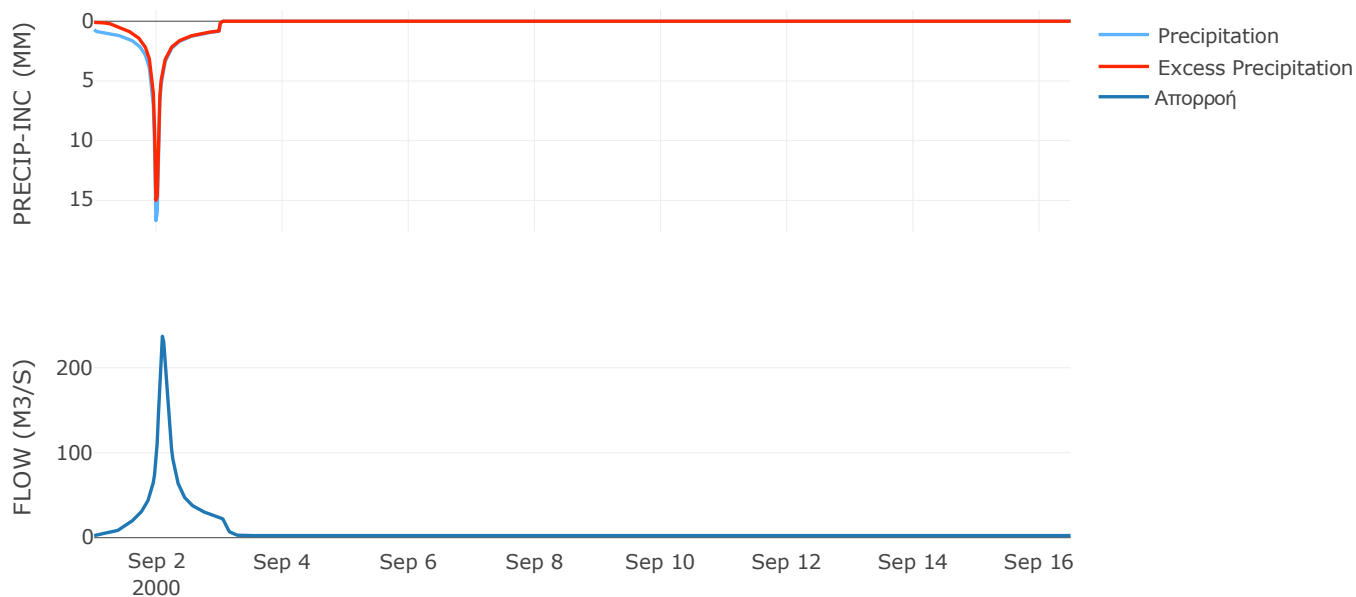
Μέθοδος
Μετασχηματισμού: SCS

Χρόνος Υστέρησης	114.74
------------------	--------

Αποτελέσματα:
EL0415FR6016

Παροχή αιχμής (M3/S)	237.01
Χρονική στιγμή αιχμής	02Sep2000, 02:00
Όγκος (MM)	250.03
Όγκος βροχόπτωσης (M3)	9.84E6
Όγκος απωλειών (M3)	1.89E6
Ενεργός Όγκος (M3)	7.95E6
Όγκος άμεσης απορροής (M3)	7.95E6
Όγκος βασικής απορροής (M3)	3.32E6

Βροχόπτωση και Απορροή



Υπολεκάνη: EL0415FR6017

Έκταση (KM2) : 48.36

Κατάντη : J14

Μέθοδος Απωλειών: SCS

Ποσοστό αδιαπέρατης επιφάνειας	0
Αριθμός Καμπύλης Απορροής-CN	80.45
Αρχικές Απώλειες	12.34

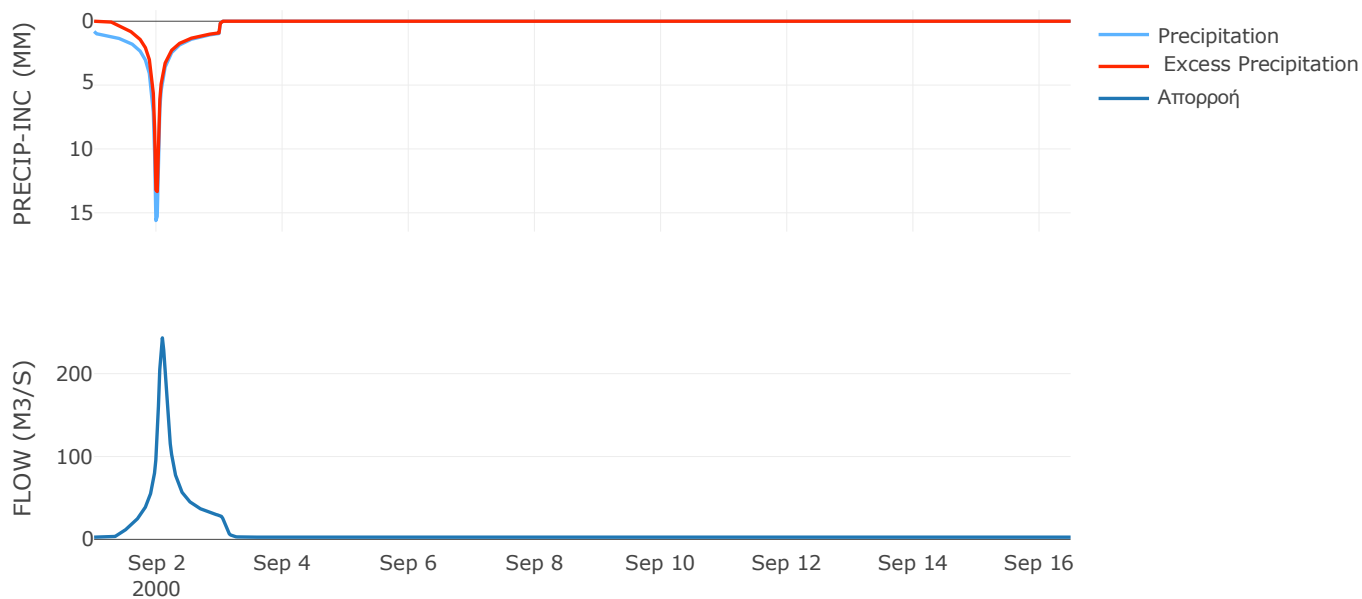
Μέθοδος
Μετασχηματισμού: SCS

Χρόνος Υστέρησης	101.85
------------------	--------

Αποτελέσματα:
EL0415FR6017

Παροχή αιχμής (M3/S)	243.2
Χρονική στιγμή αιχμής	02Sep2000, 02:00
Όγκος (MM)	243.49
Όγκος βροχόπτωσης (M3)	1.11E7
Όγκος απωλειών (M3)	2.92E6
Ενεργός Όγκος (M3)	8.21E6
Όγκος άμεσης απορροής (M3)	8.21E6
Όγκος βασικής απορροής (M3)	3.56E6

Βροχόπτωση και Απορροή



Υπολεκάνη: EL0415FR6018

Έκταση (KM2) : 76.58

Κατάντη : J19

Μέθοδος Απωλειών: SCS

Ποσοστό αδιαπέρατης επιφάνειας	8
Αριθμός Καμπύλης Απορροής-CN	82.85
Αρχικές Απώλειες	10.52

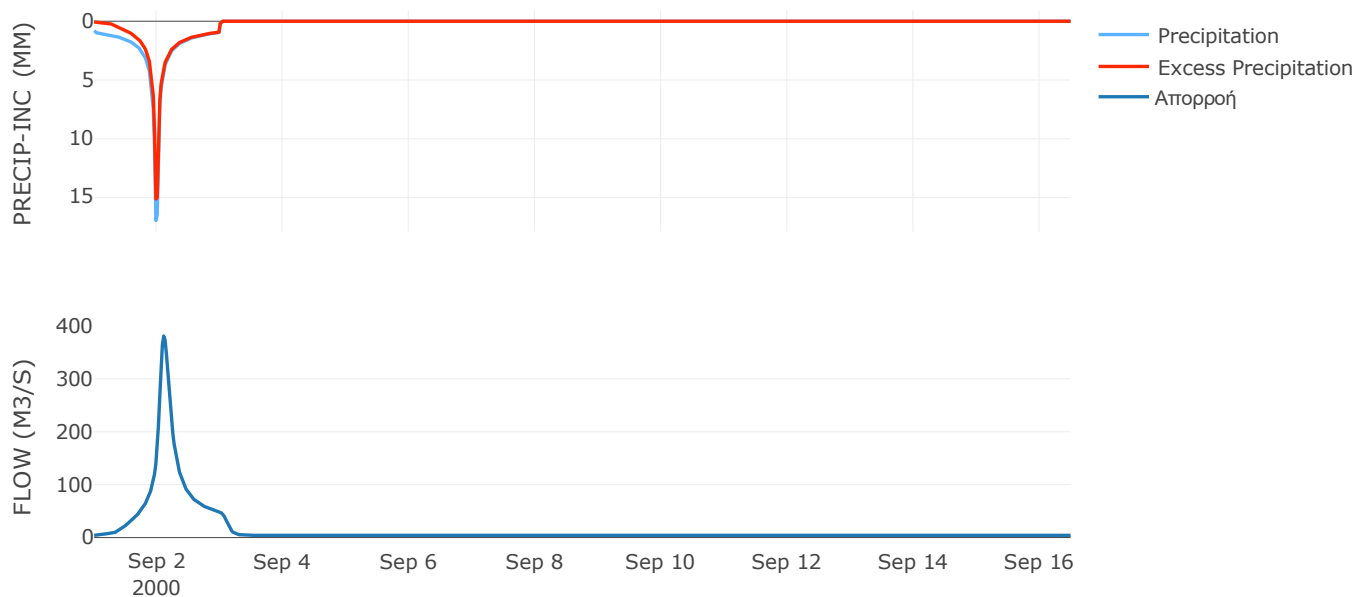
Μέθοδος
Μετασχηματισμού: SCS

Χρόνος Υστέρησης	142.89
------------------	--------

Αποτελέσματα:
EL0415FR6018

Παροχή αιχμής (M3/S)	380.92
Χρονική στιγμή αιχμής	02Sep2000, 02:30
Όγκος (MM)	262.75
Όγκος βροχόπτωσης (M3)	1.82E7
Όγκος απωλειών (M3)	3.75E6
Ενεργός Όγκος (M3)	1.45E7
Όγκος άμεσης απορροής (M3)	1.45E7
Όγκος βασικής απορροής (M3)	5.64E6

Βροχόπτωση και Απορροή



Υπολεκάνη: EL0415FR6019

Έκταση (KM2) : 114.28

Κατάντη : J18

Μέθοδος Απωλειών: SCS

Ποσοστό αδιαπέρατης επιφάνειας	4
Αριθμός Καμπύλης Απορροής-CN	78.93
Αρχικές Απώλειες	13.56

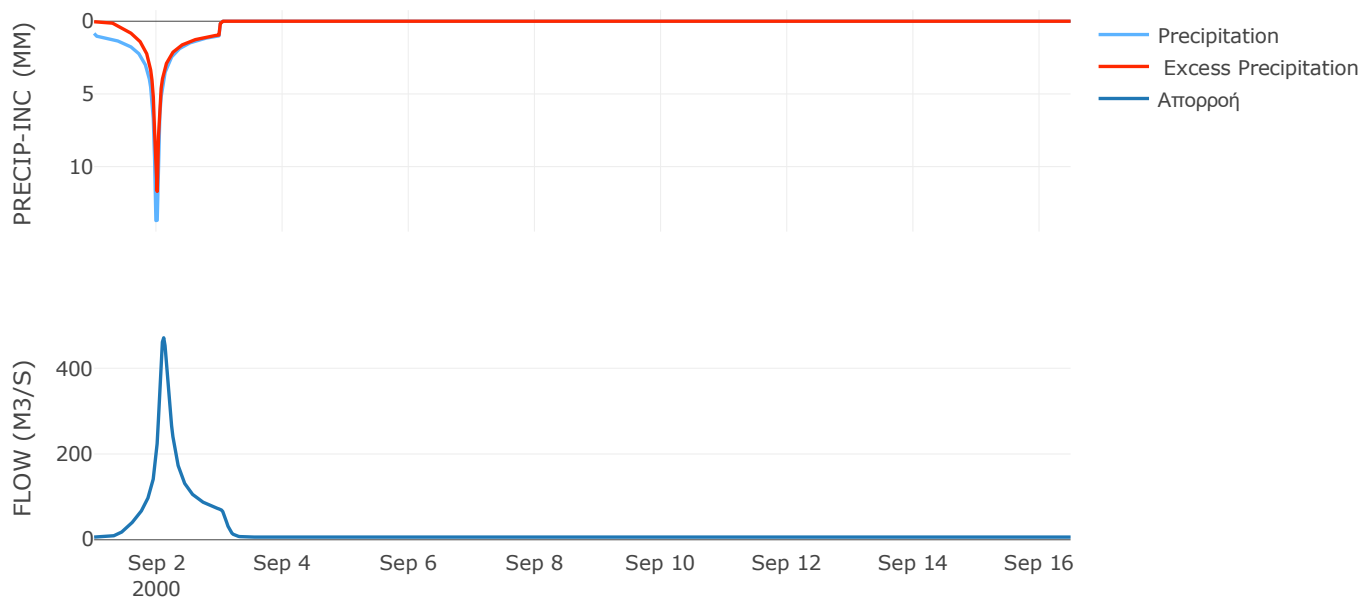
Μέθοδος
Μετασχηματισμού: SCS

Χρόνος Υστέρησης	130.24
------------------	--------

Αποτελέσματα:
EL0415FR6019

Παροχή αιχμής (M3/S)	471.01
Χρονική στιγμή αιχμής	02Sep2000, 02:30
Όγκος (MM)	236.99
Όγκος βροχόπτωσης (M3)	2.58E7
Όγκος απωλειών (M3)	7.12E6
Ενεργός Όγκος (M3)	1.87E7
Όγκος άμεσης απορροής (M3)	1.87E7
Όγκος βασικής απορροής (M3)	8.42E6

Βροχόπτωση και Απορροή



Υπολεκάνη: EL0415FR6020

Έκταση (KM2) : 41.91

Κατάντη : J14

Μέθοδος Απωλειών: SCS

Ποσοστό αδιαπέρατης επιφάνειας	0
Αριθμός Καμπύλης Απορροής-CN	80.83
Αρχικές Απώλειες	12.05

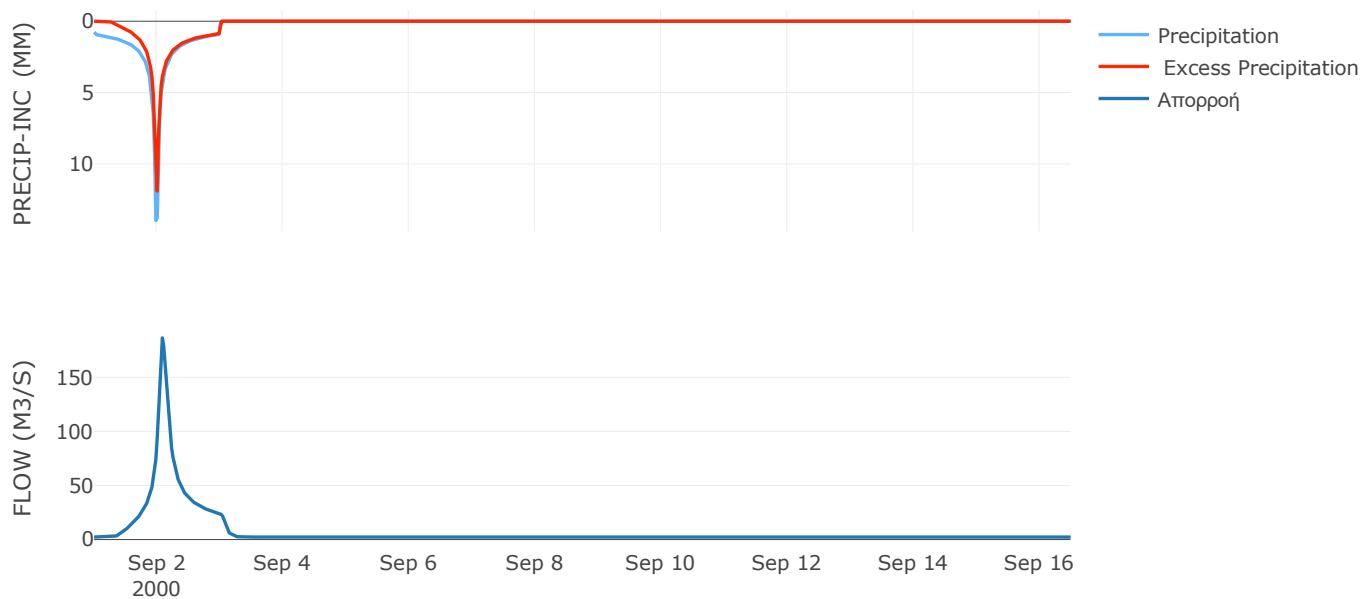
Μέθοδος
Μετασχηματισμού: SCS

Χρόνος Υστέρησης	107.29
------------------	--------

Αποτελέσματα:
EL0415FR6020

Παροχή αιχμής (M3/S)	186.47
Χρονική στιγμή αιχμής	02Sep2000, 02:00
Όγκος (MM)	230.21
Όγκος βροχόπτωσης (M3)	9.01E6
Όγκος απωλειών (M3)	2.45E6
Ενεργός Όγκος (M3)	6.56E6
Όγκος άμεσης απορροής (M3)	6.56E6
Όγκος βασικής απορροής (M3)	3.09E6

Βροχόπτωση και Απορροή



Υπολεκάνη: EL0415FR6021

Έκταση (KM2) : 21.44

Κατάντη : J20

Μέθοδος Απωλειών: SCS

Ποσοστό αδιαπέρατης επιφάνειας	0
Αριθμός Καμπύλης Απορροής-CN	80.76
Αρχικές Απώλειες	12.1

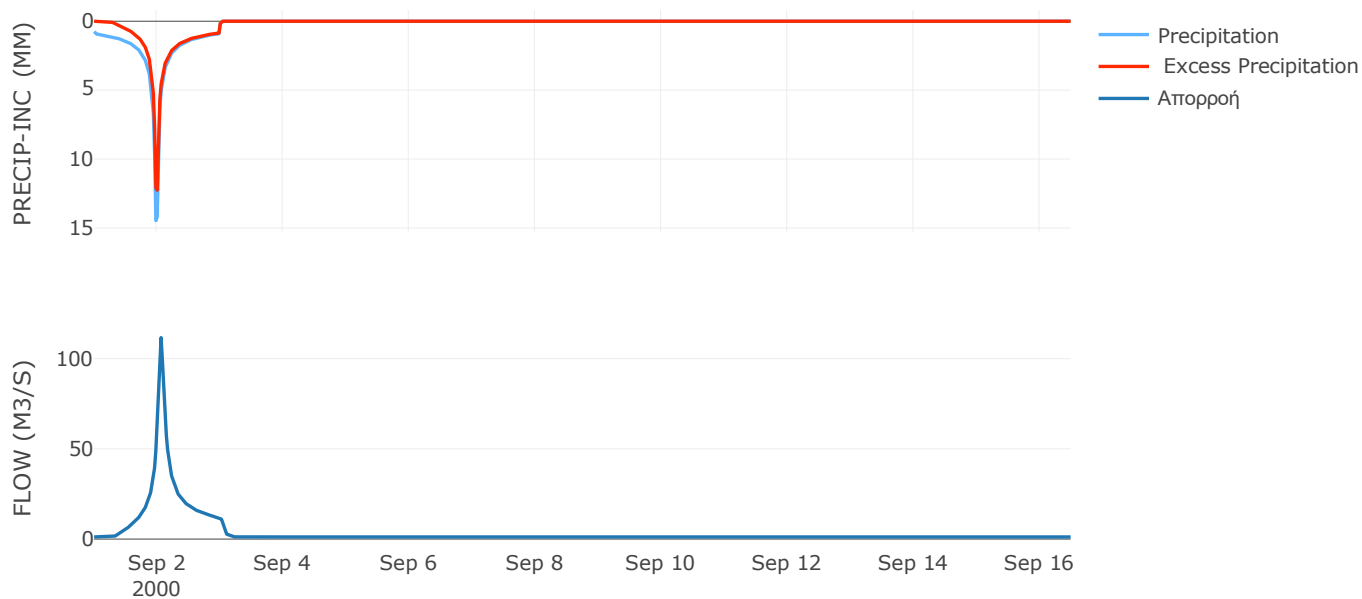
Μέθοδος
Μετασχηματισμού: SCS

Χρόνος Υστέρησης	68.08
------------------	-------

Αποτελέσματα:
EL0415FR6021

Παροχή αιχμής (M3/S)	111.66
Χρονική στιγμή αιχμής	02Sep2000, 01:30
Όγκος (MM)	230.72
Όγκος βροχόπτωσης (M3)	4.63E6
Όγκος απωλειών (M3)	1.26E6
Ενεργός Όγκος (M3)	3.37E6
Όγκος άμεσης απορροής (M3)	3.37E6
Όγκος βασικής απορροής (M3)	1.58E6

Βροχόπτωση και Απορροή



Υπολεκάνη: EL0415FR6022

Έκταση (KM2) : 28.16

Κατάντη : J20

Μέθοδος Απωλειών: SCS

Ποσοστό αδιαπέρατης επιφάνειας	0
Αριθμός Καμπύλης Απορροής-CN	81.41
Αρχικές Απώλειες	11.6

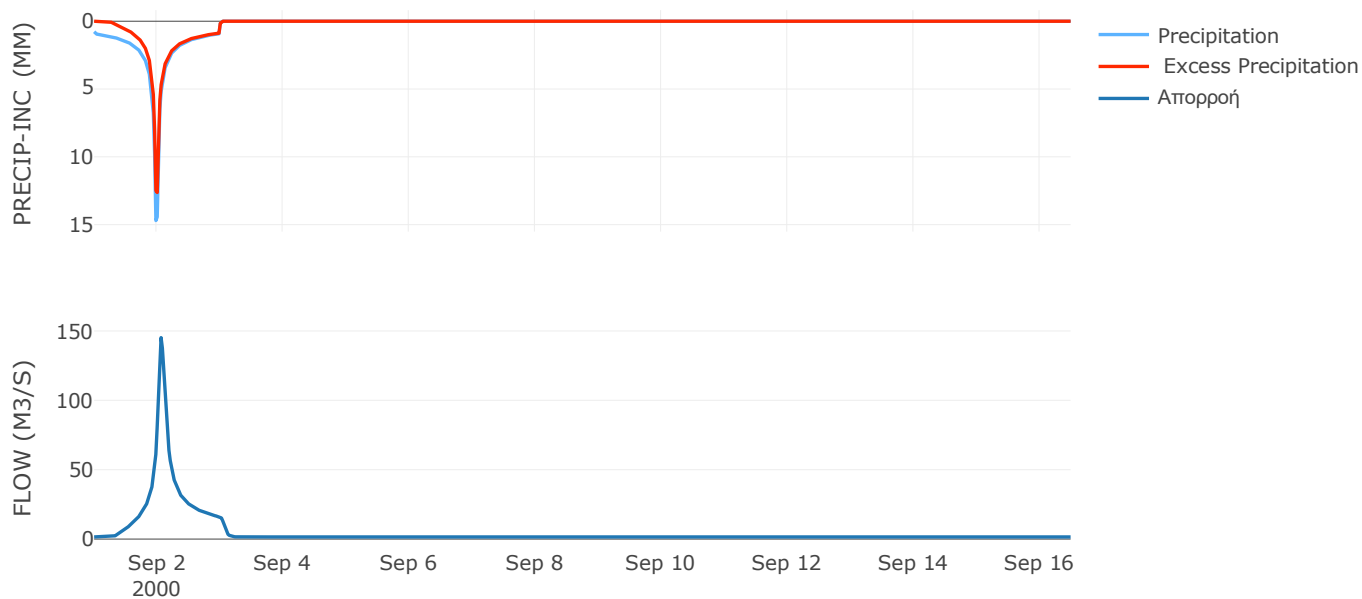
Μέθοδος
Μετασχηματισμού: SCS

Χρόνος Υστέρησης	81.25
------------------	-------

Αποτελέσματα:
EL0415FR6022

Παροχή αιχμής (M3/S)	145.18
Χρονική στιγμή αιχμής	02Sep2000, 01:30
Όγκος (MM)	236.56
Όγκος βροχόπτωσης (M3)	6.19E6
Όγκος απωλειών (M3)	1.6E6
Ενεργός Όγκος (M3)	4.59E6
Όγκος άμεσης απορροής (M3)	4.59E6
Όγκος βασικής απορροής (M3)	2.07E6

Βροχόπτωση και Απορροή



Υπολεκάνη: EL0415FR6023

Έκταση (KM2) : 48.62

Κατάντη : J61

Μέθοδος Απωλειών: SCS

Ποσοστό αδιαπέρατης επιφάνειας	0
Αριθμός Καμπύλης Απορροής-CN	75.06
Αρχικές Απώλειες	16.88

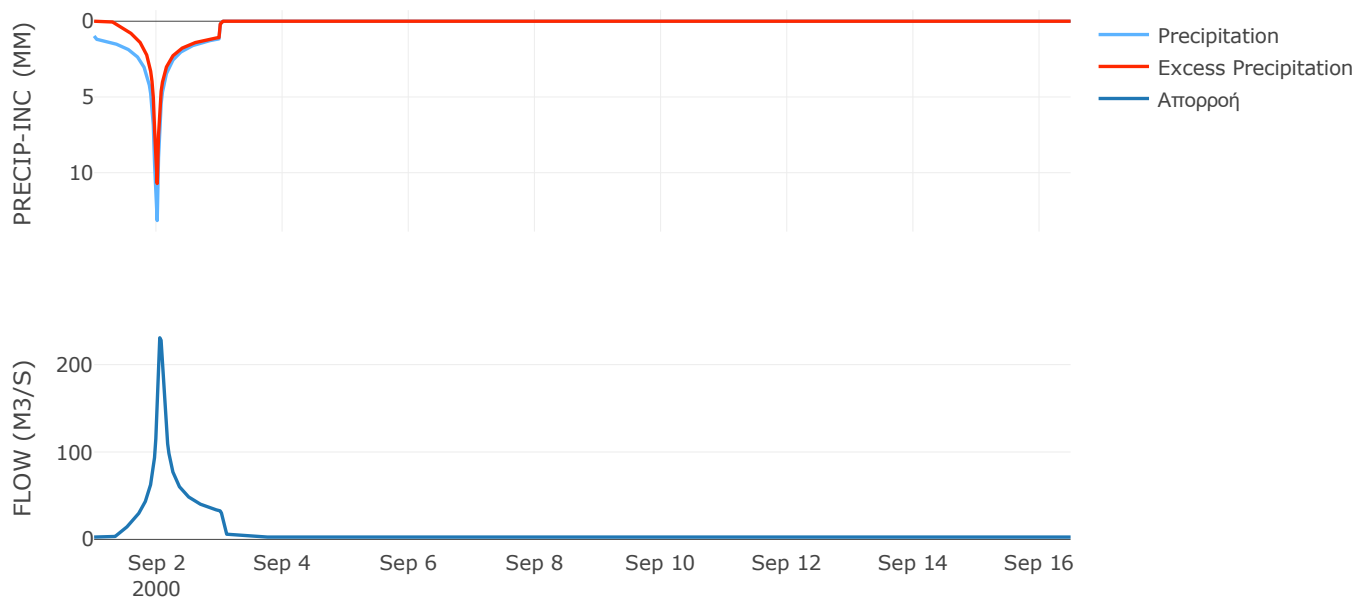
Μέθοδος
Μετασχηματισμού: SCS

Χρόνος Υστέρησης	61.05
------------------	-------

Αποτελέσματα:
EL0415FR6023

Παροχή αιχμής (M3/S)	230.72
Χρονική στιγμή αιχμής	02Sep2000, 01:00
Όγκος (MM)	237.97
Όγκος βροχόπτωσης (M3)	1.18E7
Όγκος απωλειών (M3)	3.81E6
Ενεργός Όγκος (M3)	7.99E6
Όγκος άμεσης απορροής (M3)	7.99E6
Όγκος βασικής απορροής (M3)	3.58E6

Βροχόπτωση και Απορροή



Υπολεκάνη: EL0415FR6024

Έκταση (KM2) : 39.41

Κατάντη : J16

Μέθοδος Απωλειών: SCS

Ποσοστό αδιαπέρατης επιφάνειας	0
Αριθμός Καμπύλης Απορροής-CN	80.98
Αρχικές Απώλειες	11.93

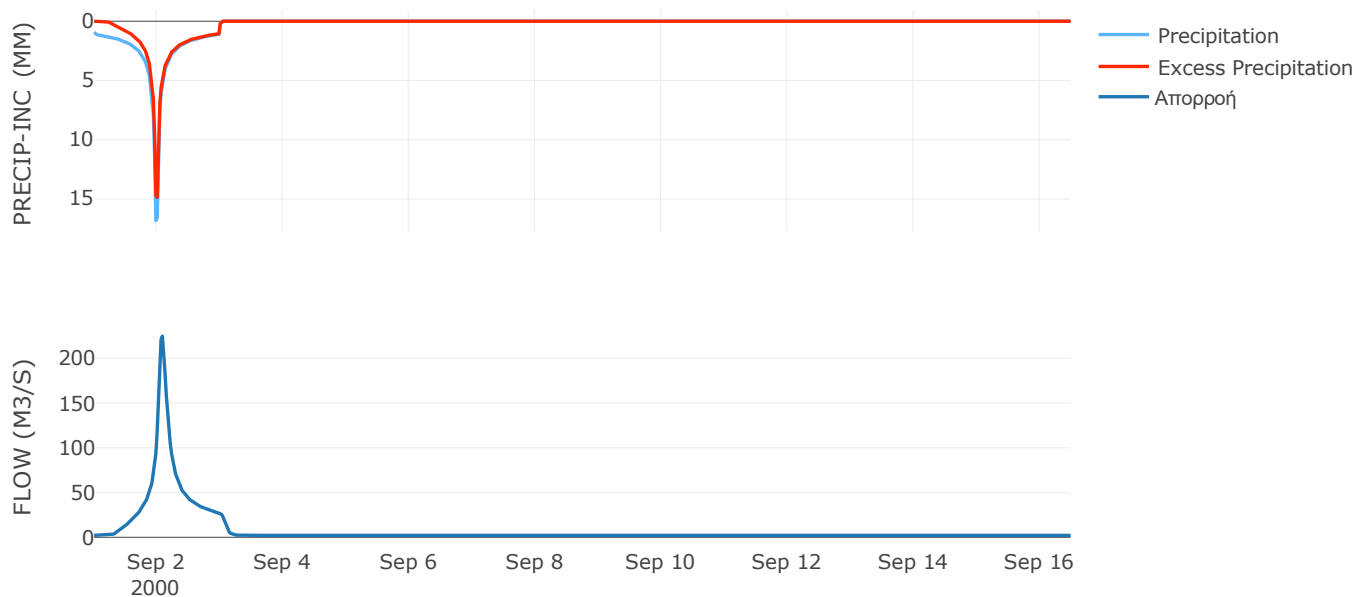
Μέθοδος
Μετασχηματισμού: SCS

Χρόνος Υστέρησης	99.09
------------------	-------

Αποτελέσματα:
EL0415FR6024

Παροχή αιχμής (M3/S)	224.52
Χρονική στιγμή αιχμής	02Sep2000, 02:00
Όγκος (MM)	271.44
Όγκος βροχόπτωσης (M3)	1.02E7
Όγκος απωλειών (M3)	2.36E6
Ενεργός Όγκος (M3)	7.8E6
Όγκος άμεσης απορροής (M3)	7.8E6
Όγκος βασικής απορροής (M3)	2.9E6

Βροχόπτωση και Απορροή



Υπολεκάνη: EL0415FR6025

Έκταση (KM2) : 14.18

Κατάντη : J21

Μέθοδος Απωλειών: SCS

Ποσοστό αδιαπέρατης επιφάνειας	0
Αριθμός Καμπύλης Απορροής-CN	80.02
Αρχικές Απώλειες	12.68

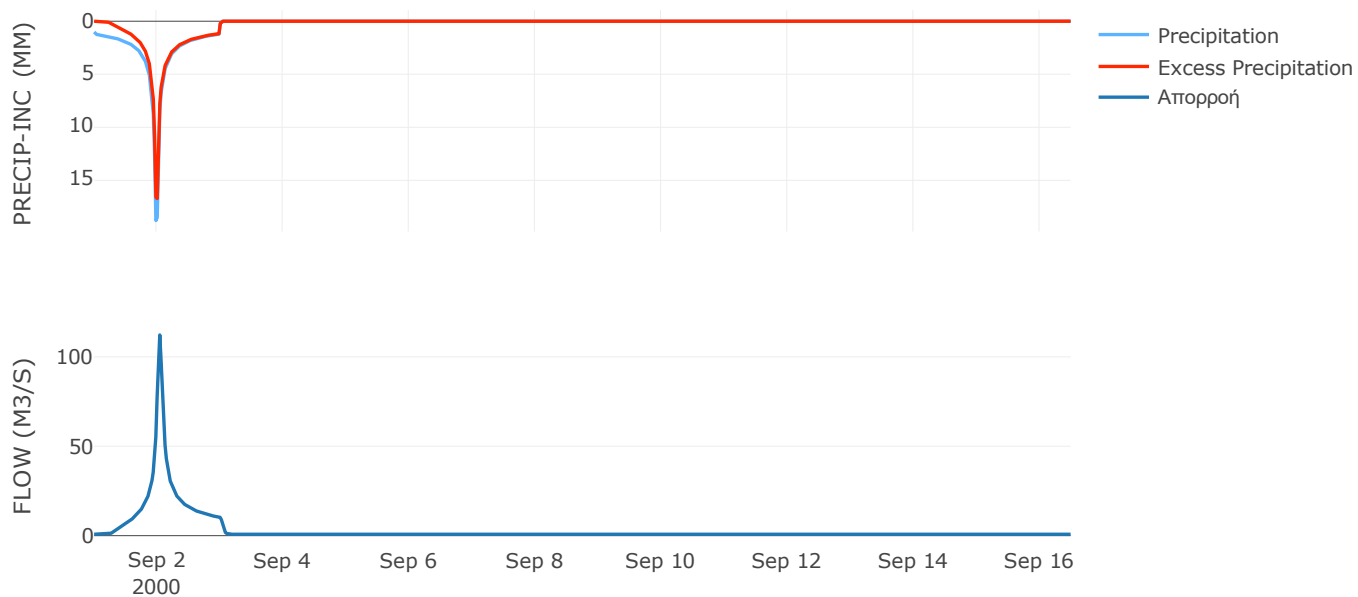
Μέθοδος
Μετασχηματισμού: SCS

Χρόνος Υστέρησης	45.76
------------------	-------

Αποτελέσματα:
EL0415FR6025

Παροχή αιχμής (M3/S)	112.26
Χρονική στιγμή αιχμής	02Sep2000, 01:00
Όγκος (MM)	295.48
Όγκος βροχόπτωσης (M3)	4.06E6
Όγκος απωλειών (M3)	9.1E5
Ενεργός Όγκος (M3)	3.15E6
Όγκος άμεσης απορροής (M3)	3.15E6
Όγκος βασικής απορροής (M3)	1.04E6

Βροχόπτωση και Απορροή



Υπολεκάνη: EL0415FR6026

Έκταση (KM2) : 38.04

Κατάντη : J21

Μέθοδος Απωλειών: SCS

Ποσοστό αδιαπέρατης επιφάνειας	0
Αριθμός Καμπύλης Απορροής-CN	75.6
Αρχικές Απώλειες	16.39

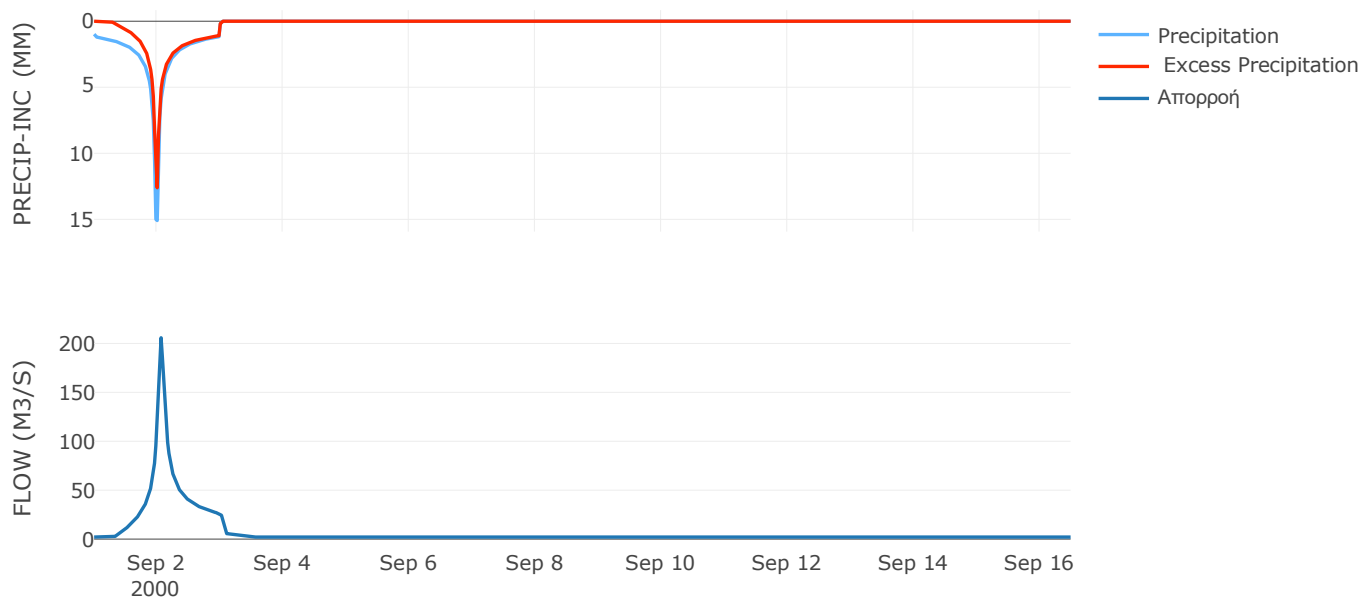
Μέθοδος
Μετασχηματισμού: SCS

Χρόνος Υστέρησης	68.69
------------------	-------

Αποτελέσματα:
EL0415FR6026

Παροχή αιχμής (M3/S)	205.85
Χρονική στιγμή αιχμής	02Sep2000, 01:30
Όγκος (MM)	253.09
Όγκος βροχόπτωσης (M3)	9.77E6
Όγκος απωλειών (M3)	2.95E6
Ενεργός Όγκος (M3)	6.83E6
Όγκος άμεσης απορροής (M3)	6.83E6
Όγκος βασικής απορροής (M3)	2.8E6

Βροχόπτωση και Απορροή



Υπολεκάνη: EL0415FR6027

Έκταση (KM2) : 185.56

Κατάντη : J21

Μέθοδος Απωλειών: SCS

Ποσοστό αδιαπέρατης επιφάνειας	0
Αριθμός Καμπύλης Απορροής-CN	73.25
Αρχικές Απώλειες	18.55

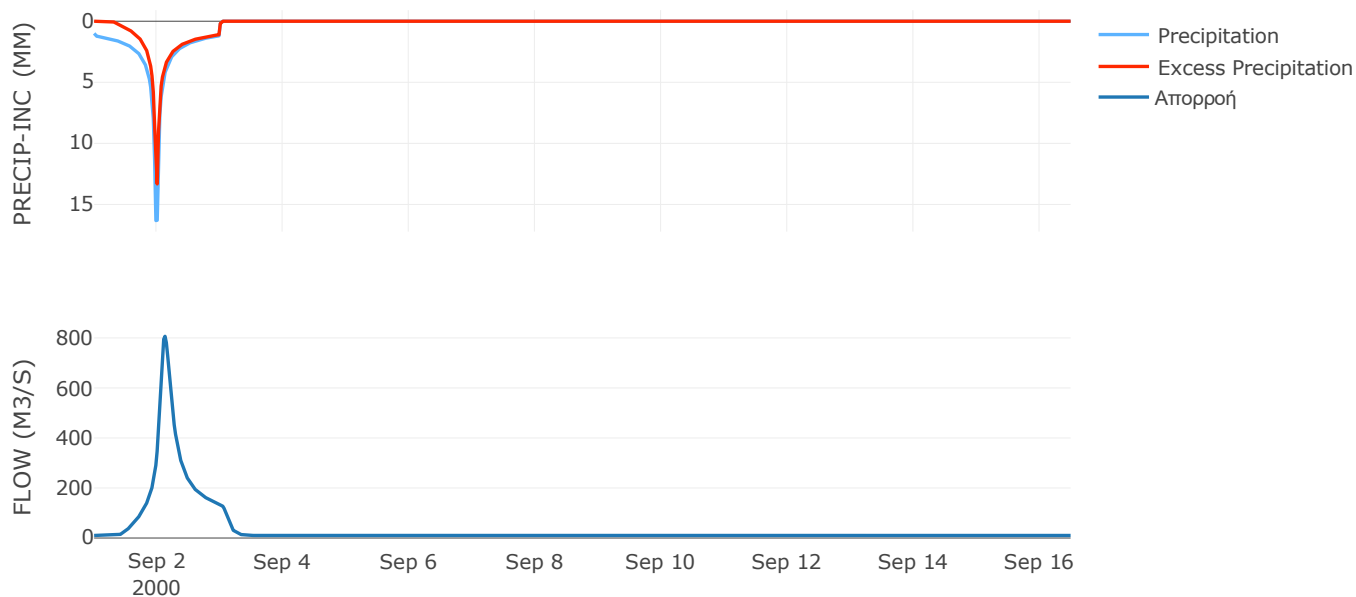
Μέθοδος
Μετασχηματισμού: SCS

Χρόνος Υστέρησης	155.34
------------------	--------

Αποτελέσματα:
EL0415FR6027

Παροχή αιχμής (M3/S)	806.49
Χρονική στιγμή αιχμής	02Sep2000, 03:00
Όγκος (MM)	255.81
Όγκος βροχόπτωσης (M3)	4.98E7
Όγκος απωλειών (M3)	1.6E7
Ενεργός Όγκος (M3)	3.38E7
Όγκος άμεσης απορροής (M3)	3.38E7
Όγκος βασικής απορροής (M3)	1.37E7

Βροχόπτωση και Απορροή



Υπολεκάνη: EL0415FR6028

Έκταση (KM2) : 39.67

Κατάντη : J22

Μέθοδος Απωλειών: SCS

Ποσοστό αδιαπέρατης επιφάνειας	0
Αριθμός Καμπύλης Απορροής-CN	47.2
Αρχικές Απώλειες	56.82

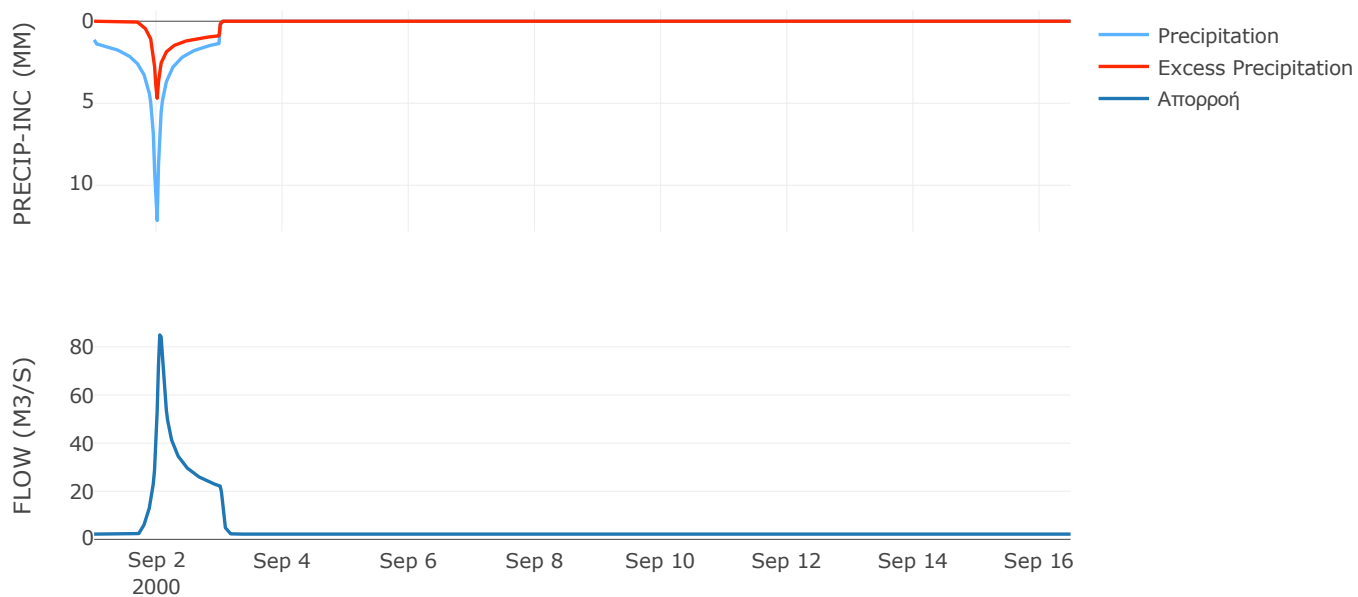
Μέθοδος
Μετασχηματισμού: SCS

Χρόνος Υστέρησης	50.06
------------------	-------

Αποτελέσματα:
EL0415FR6028

Παροχή αιχμής (M3/S)	84.97
Χρονική στιγμή αιχμής	02Sep2000, 01:00
Όγκος (MM)	157.44
Όγκος βροχόπτωσης (M3)	1.03E7
Όγκος απωλειών (M3)	6.93E6
Ενεργός Όγκος (M3)	3.32E6
Όγκος άμεσης απορροής (M3)	3.32E6
Όγκος βασικής απορροής (M3)	2.92E6

Βροχόπτωση και Απορροή



Υπολεκάνη: EL0415FR6029

Έκταση (KM2) : 74.56

Κατάντη : J31

Μέθοδος Απωλειών: SCS

Ποσοστό αδιαπέρατης επιφάνειας	22
Αριθμός Καμπύλης Απορροής-CN	68.74
Αρχικές Απώλειες	23.1

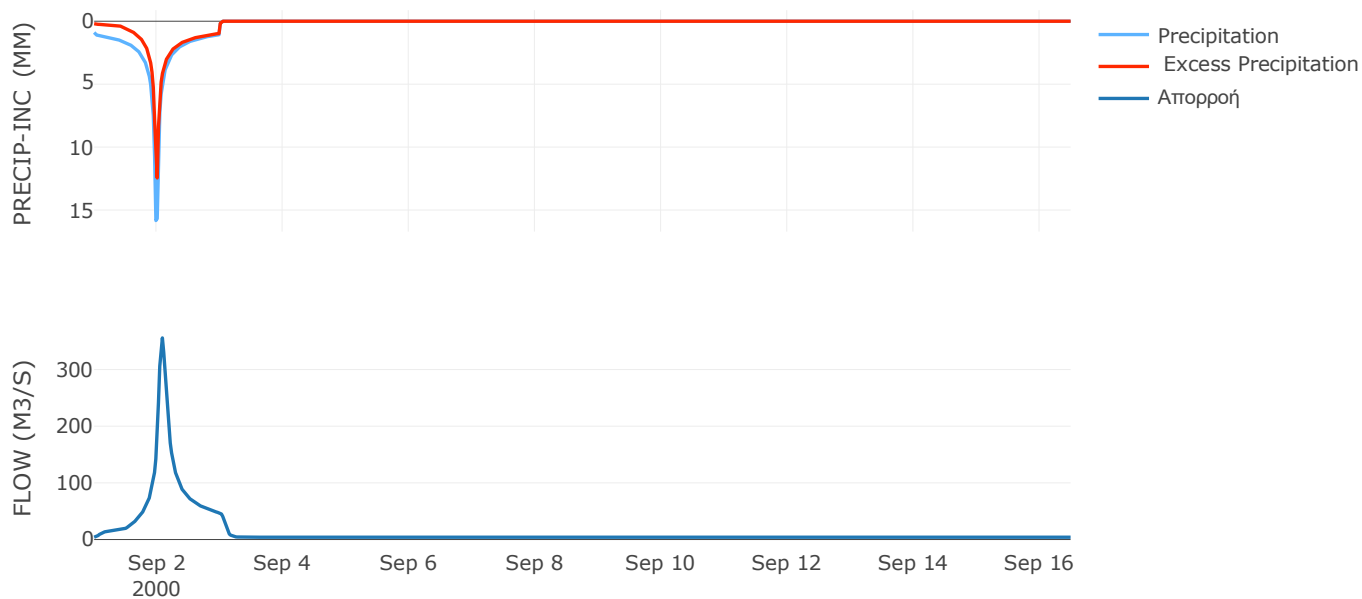
Μέθοδος
Μετασχηματισμού: SCS

Χρόνος Υστέρησης	96.82
------------------	-------

Αποτελέσματα:
EL0415FR6029

Παροχή αιχμής (M3/S)	355.8
Χρονική στιγμή αιχμής	02Sep2000, 02:00
Όγκος (MM)	244.13
Όγκος βροχόπτωσης (M3)	1.85E7
Όγκος απωλειών (M3)	5.78E6
Ενεργός Όγκος (M3)	1.27E7
Όγκος άμεσης απορροής (M3)	1.27E7
Όγκος βασικής απορροής (M3)	5.49E6

Βροχόπτωση και Απορροή



Υπολεκάνη: EL0415FR6030

Έκταση (KM2) : 127.36

Κατάντη : J27

Μέθοδος Απωλειών: SCS

Ποσοστό αδιαπέρατης επιφάνειας	17
Αριθμός Καμπύλης Απορροής-CN	81.14
Αρχικές Απώλειες	11.81

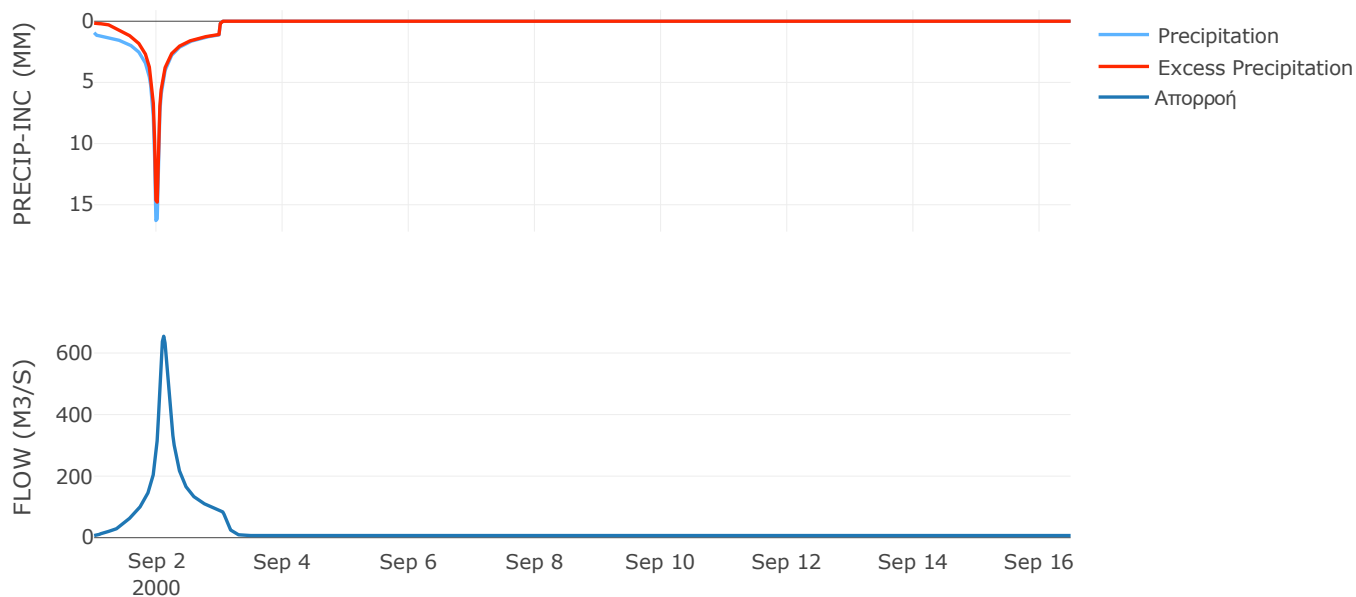
Μέθοδος
Μετασχηματισμού: SCS

Χρόνος Υστέρησης	135.14
------------------	--------

Αποτελέσματα:
EL0415FR6030

Παροχή αιχμής (M3/S)	654.59
Χρονική στιγμή αιχμής	02Sep2000, 02:30
Όγκος (MM)	281.97
Όγκος βροχόπτωσης (M3)	3.28E7
Όγκος απωλειών (M3)	6.28E6
Ενεργός Όγκος (M3)	2.65E7
Όγκος άμεσης απορροής (M3)	2.65E7
Όγκος βασικής απορροής (M3)	9.38E6

Βροχόπτωση και Απορροή



Υπολεκάνη: EL0415FR6031

Έκταση (KM2) : 92.16

Κατάντη : J34

Μέθοδος Απωλειών: SCS

Ποσοστό αδιαπέρατης επιφάνειας	0
Αριθμός Καμπύλης Απορροής-CN	79.75
Αρχικές Απώλειες	12.9

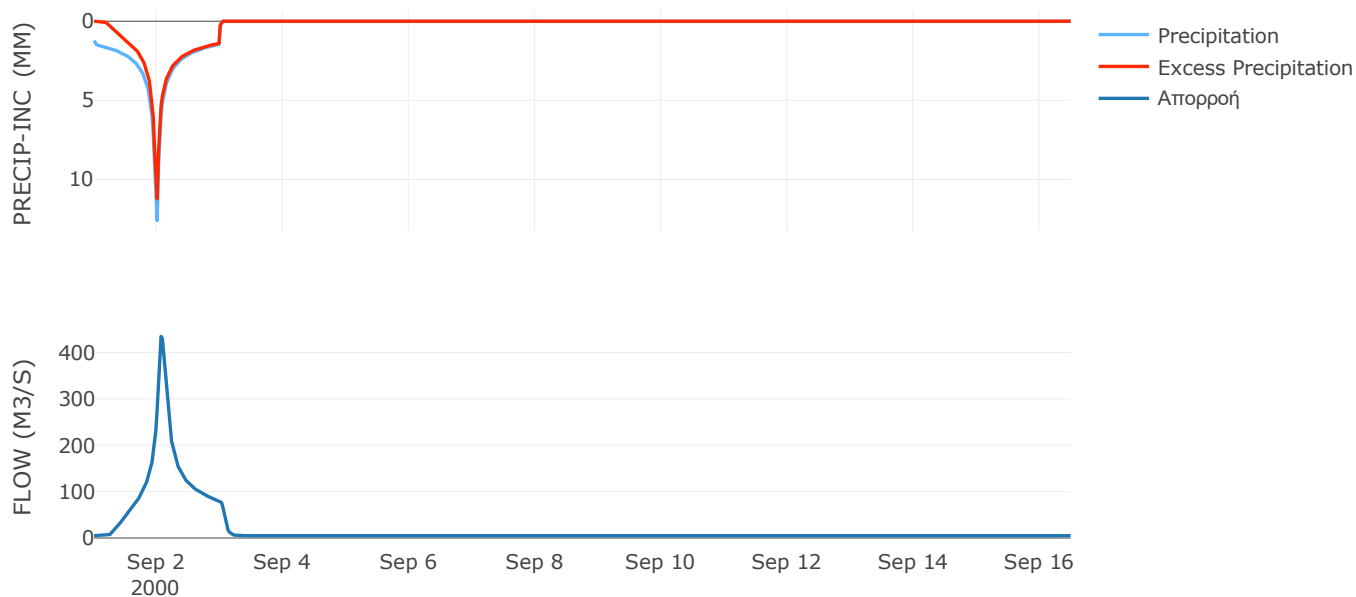
Μέθοδος
Μετασχηματισμού: SCS

Χρόνος Υστέρησης	88.78
------------------	-------

Αποτελέσματα:
EL0415FR6031

Παροχή αιχμής (M3/S)	434.9
Χρονική στιγμή αιχμής	02Sep2000, 01:30
Όγκος (MM)	283.71
Όγκος βροχόπτωσης (M3)	2.53E7
Όγκος απωλειών (M3)	5.96E6
Ενεργός Όγκος (M3)	1.94E7
Όγκος άμεσης απορροής (M3)	1.94E7
Όγκος βασικής απορροής (M3)	6.79E6

Βροχόπτωση και Απορροή



Υπολεκάνη: EL0415FR6032

Έκταση (KM2) : 115.9

Κατάντη : J26

Μέθοδος Απωλειών: SCS

Ποσοστό αδιαπέρατης επιφάνειας	0
Αριθμός Καμπύλης Απορροής-CN	60.48
Αρχικές Απώλειες	33.2

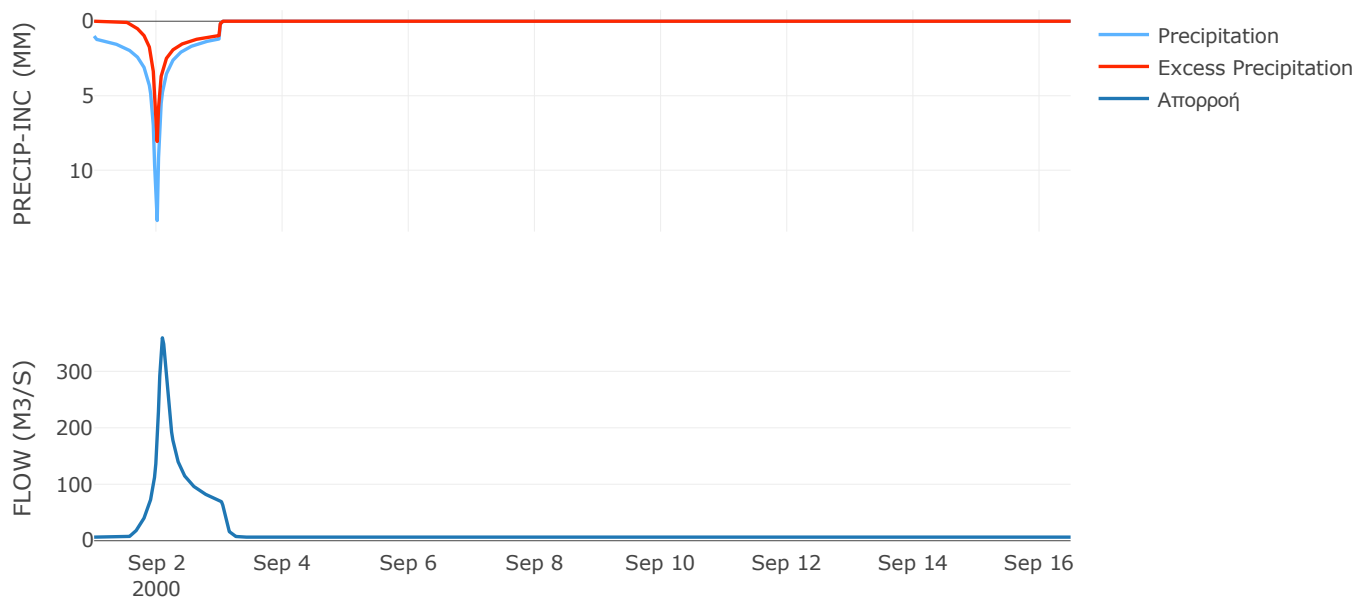
Μέθοδος
Μετασχηματισμού: SCS

Χρόνος Υστέρησης	100.9
------------------	-------

Αποτελέσματα:
EL0415FR6032

Παροχή αιχμής (M3/S)	359.36
Χρονική στιγμή αιχμής	02Sep2000, 02:00
Όγκος (MM)	194.48
Όγκος βροχόπτωσης (M3)	2.87E7
Όγκος απωλειών (M3)	1.47E7
Ενεργός Όγκος (M3)	1.4E7
Όγκος άμεσης απορροής (M3)	1.4E7
Όγκος βασικής απορροής (M3)	8.54E6

Βροχόπτωση και Απορροή



Υπολεκάνη: EL0415FR6033

Έκταση (KM2) : 126.39

Κατάντη : J62

Μέθοδος Απωλειών: SCS

Ποσοστό αδιαπέρατης επιφάνειας	0
Αριθμός Καμπύλης Απορροής-CN	66.2
Αρχικές Απώλειες	25.94

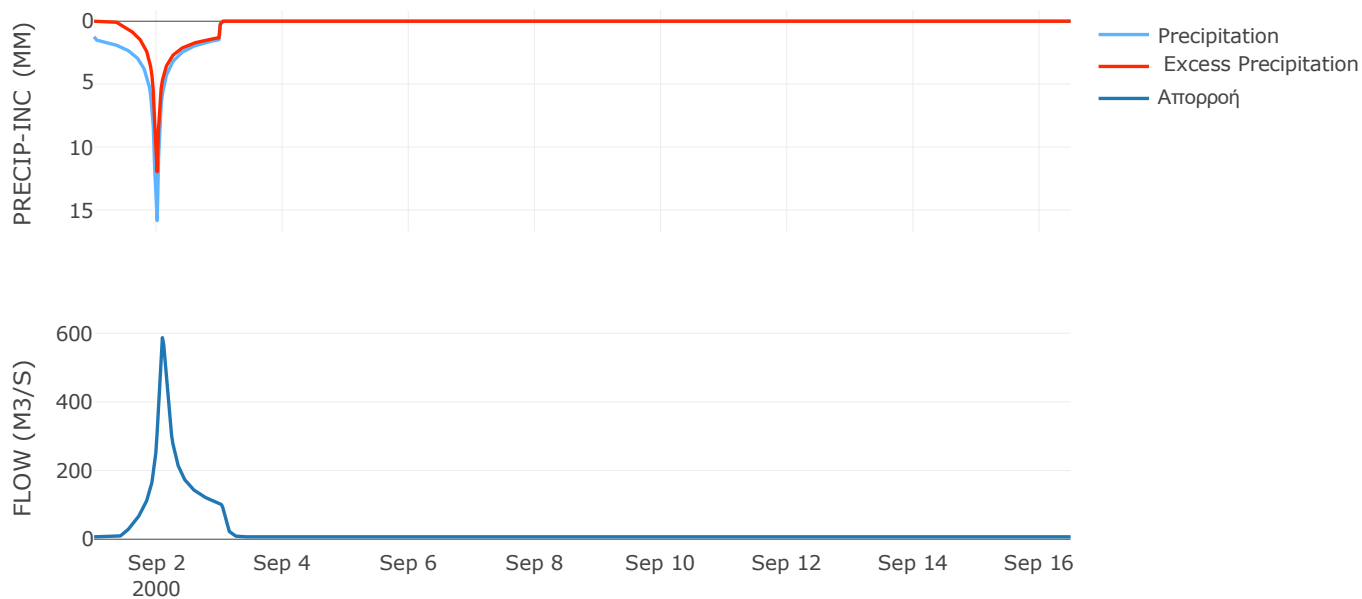
Μέθοδος
Μετασχηματισμού: SCS

Χρόνος Υστέρησης	103.45
------------------	--------

Αποτελέσματα:
EL0415FR6033

Παροχή αιχμής (M3/S)	586.97
Χρονική στιγμή αιχμής	02Sep2000, 02:00
Όγκος (MM)	260.21
Όγκος βροχόπτωσης (M3)	3.8E7
Όγκος απωλειών (M3)	1.44E7
Ενεργός Όγκος (M3)	2.36E7
Όγκος άμεσης απορροής (M3)	2.36E7
Όγκος βασικής απορροής (M3)	9.31E6

Βροχόπτωση και Απορροή



Υπολεκάνη: EL0415FR6034

Έκταση (KM2) : 105.64

Κατάντη : J44

Μέθοδος Απωλειών: SCS

Ποσοστό αδιαπέρατης επιφάνειας	0
Αριθμός Καμπύλης Απορροής-CN	66.03
Αρχικές Απώλειες	26.13

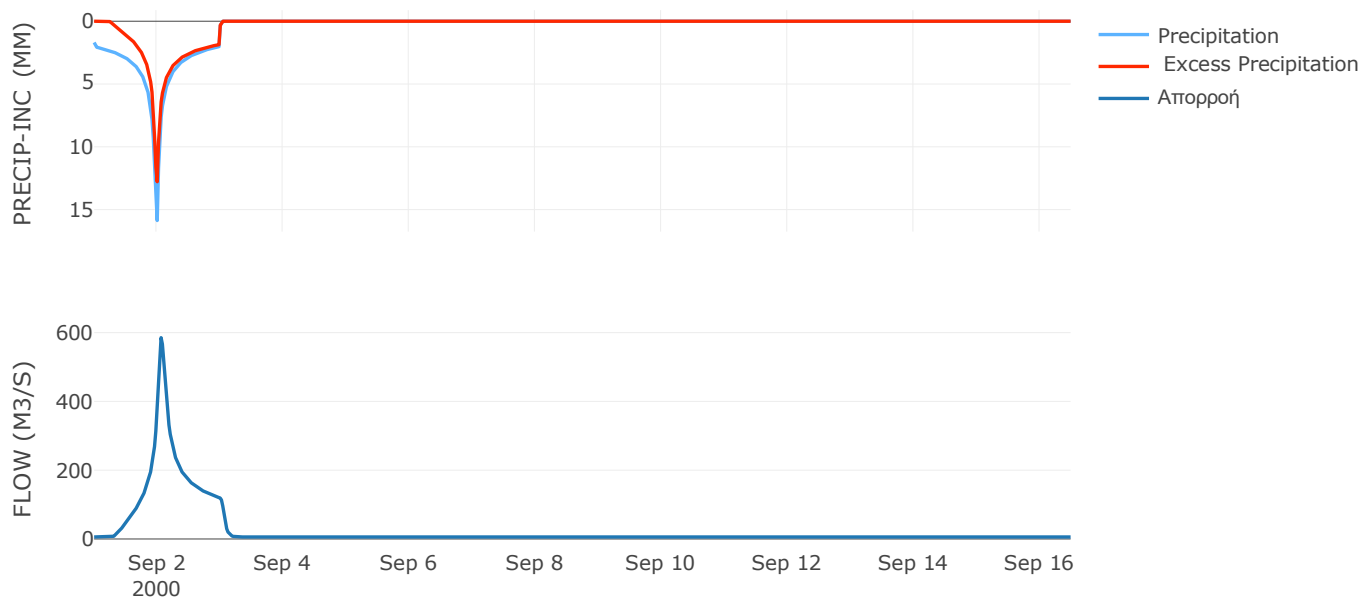
Μέθοδος
Μετασχηματισμού: SCS

Χρόνος Υστέρησης	79.4
------------------	------

Αποτελέσματα:
EL0415FR6034

Παροχή αιχμής (M3/S)	585.28
Χρονική στιγμή αιχμής	02Sep2000, 01:30
Όγκος (MM)	320.43
Όγκος βροχόπτωσης (M3)	3.88E7
Όγκος απωλειών (M3)	1.27E7
Ενεργός Όγκος (M3)	2.61E7
Όγκος άμεσης απορροής (M3)	2.61E7
Όγκος βασικής απορροής (M3)	7.78E6

Βροχόπτωση και Απορροή



Υπολεκάνη: EL0415FR6035

Έκταση (KM2) : 82.38

Κατάντη : J25

Μέθοδος Απωλειών: SCS

Ποσοστό αδιαπέρατης επιφάνειας	0
Αριθμός Καμπύλης Απορροής-CN	77.06
Αρχικές Απώλειες	15.12

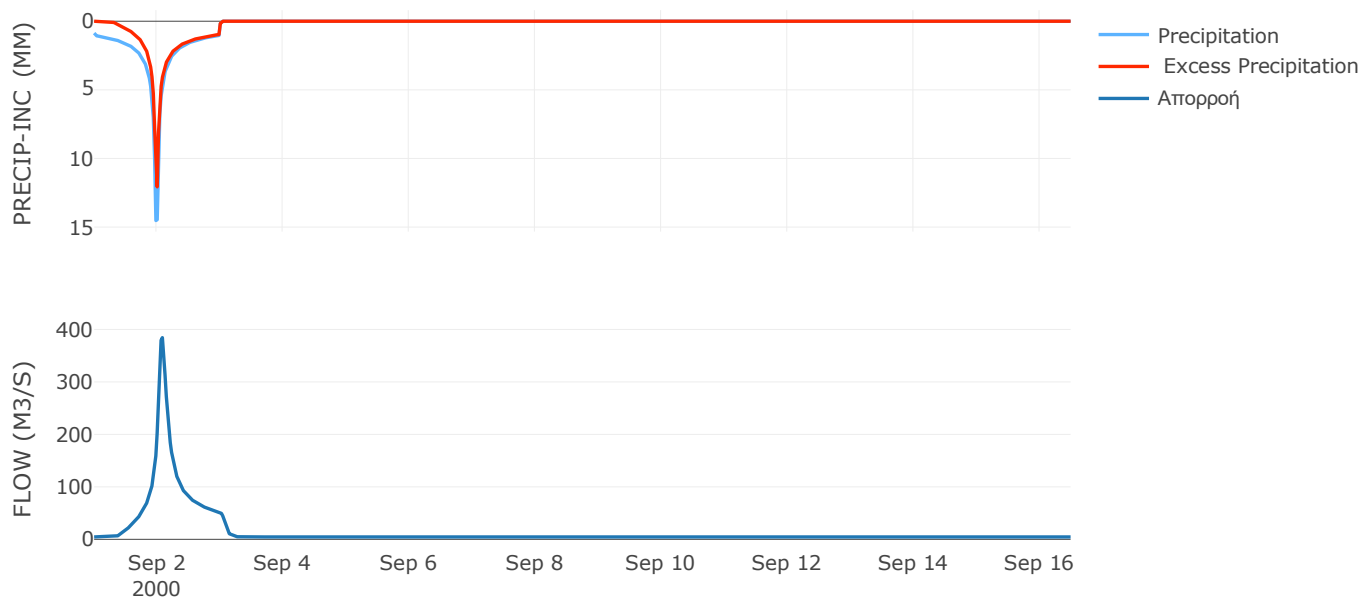
Μέθοδος
Μετασχηματισμού: SCS

Χρόνος Υστέρησης	96.29
------------------	-------

Αποτελέσματα:
EL0415FR6035

Παροχή αιχμής (M3/S)	384.41
Χρονική στιγμή αιχμής	02Sep2000, 02:00
Όγκος (MM)	237.4
Όγκος βροχόπτωσης (M3)	1.94E7
Όγκος απωλειών (M3)	5.88E6
Ενεργός Όγκος (M3)	1.35E7
Όγκος άμεσης απορροής (M3)	1.35E7
Όγκος βασικής απορροής (M3)	6.07E6

Βροχόπτωση και Απορροή



Υπολεκάνη: EL0415FR6036

Έκταση (KM2) : 47.25

Κατάντη : J45

Μέθοδος Απωλειών: SCS

Ποσοστό αδιαπέρατης επιφάνειας	0
Αριθμός Καμπύλης Απορροής-CN	66.01
Αρχικές Απώλειες	26.16

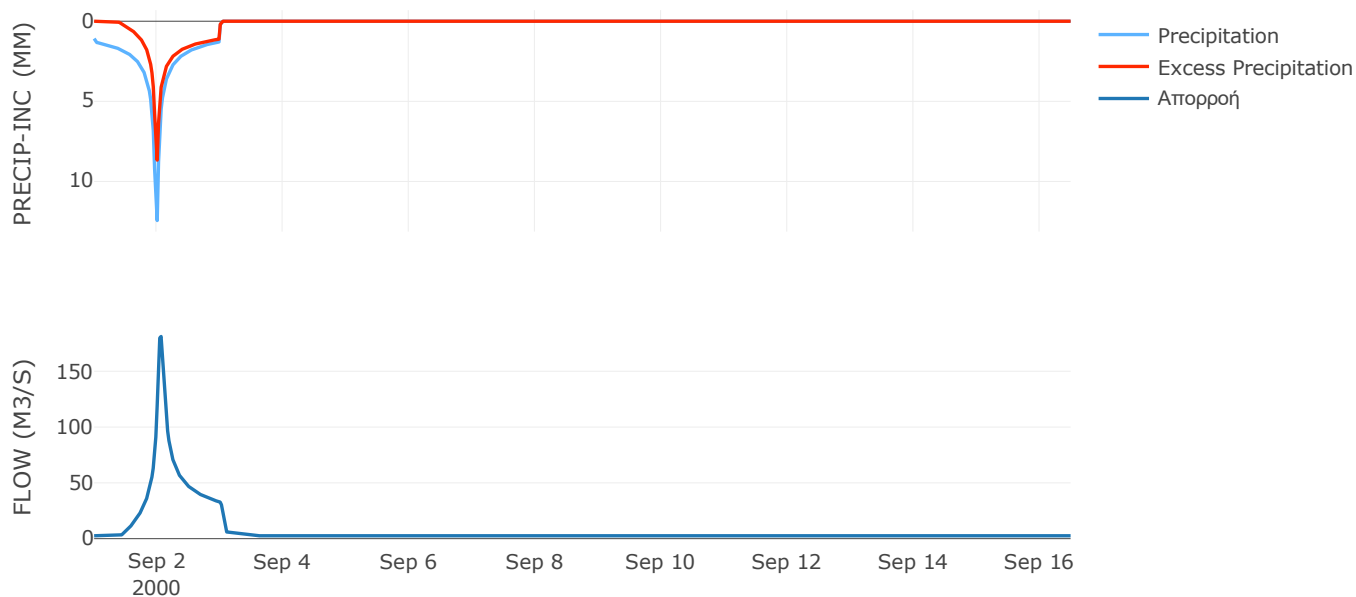
Μέθοδος
Μετασχηματισμού: SCS

Χρόνος Υστέρησης	61.81
------------------	-------

Αποτελέσματα:
EL0415FR6036

Παροχή αιχμής (M3/S)	181.15
Χρονική στιγμή αιχμής	02Sep2000, 01:30
Όγκος (MM)	217.71
Όγκος βροχόπτωσης (M3)	1.2E7
Όγκος απωλειών (M3)	5.16E6
Ενεργός Όγκος (M3)	6.81E6
Όγκος άμεσης απορροής (M3)	6.81E6
Όγκος βασικής απορροής (M3)	3.48E6

Βροχόπτωση και Απορροή



Υπολεκάνη: EL0415FR6037

Έκταση (KM2) : 88.31

Κατάντη : J40

Μέθοδος Απωλειών: SCS

Ποσοστό αδιαπέρατης επιφάνειας	0
Αριθμός Καμπύλης Απορροής-CN	68
Αρχικές Απώλειες	23.91

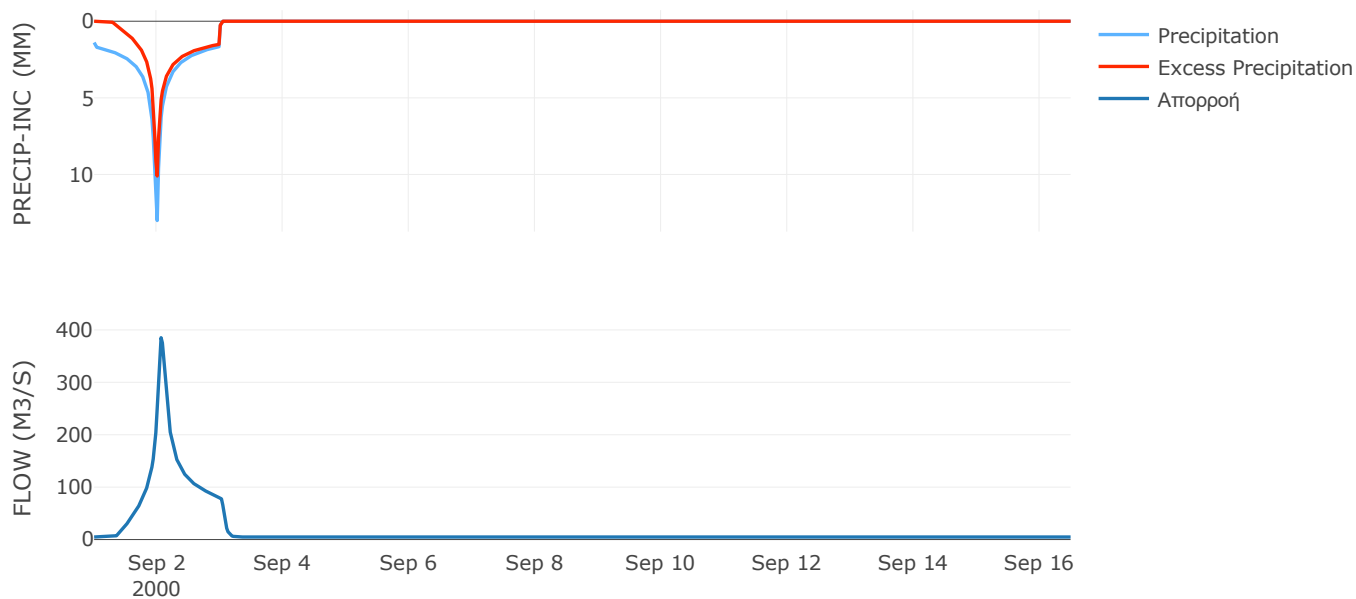
Μέθοδος
Μετασχηματισμού: SCS

Χρόνος Υστέρησης	80.56
------------------	-------

Αποτελέσματα:
EL0415FR6037

Παροχή αιχμής (M3/S)	385.16
Χρονική στιγμή αιχμής	02Sep2000, 01:30
Όγκος (MM)	267.71
Όγκος βροχόπτωσης (M3)	2.66E7
Όγκος απωλειών (M3)	9.49E6
Ενεργός Όγκος (M3)	1.71E7
Όγκος άμεσης απορροής (M3)	1.71E7
Όγκος βασικής απορροής (M3)	6.5E6

Βροχόπτωση και Απορροή



Υπολεκάνη: EL0415FR6038

Έκταση (KM2) : 94.78

Κατάντη : J35

Μέθοδος Απωλειών: SCS

Ποσοστό αδιαπέρατης επιφάνειας	0
Αριθμός Καμπύλης Απορροής-CN	68.71
Αρχικές Απώλειες	23.14

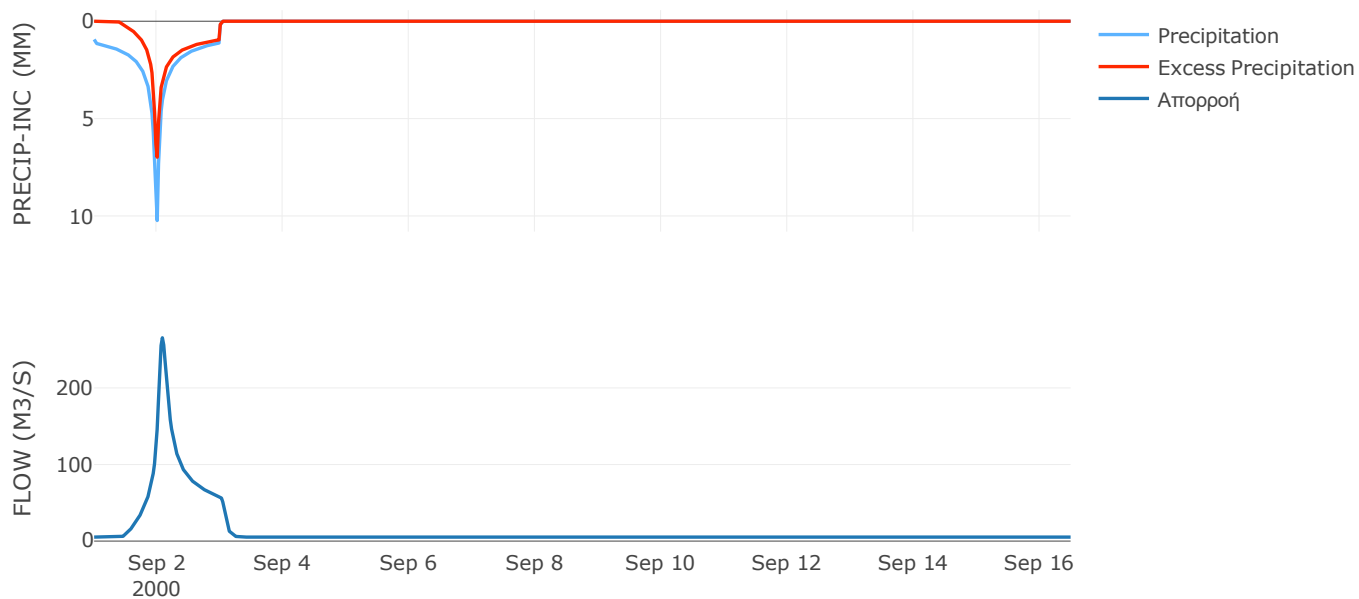
Μέθοδος
Μετασχηματισμού: SCS

Χρόνος Υστέρησης	99.81
------------------	-------

Αποτελέσματα:
EL0415FR6038

Παροχή αιχμής (M3/S)	265.43
Χρονική στιγμή αιχμής	02Sep2000, 02:00
Όγκος (MM)	193.29
Όγκος βροχόπτωσης (M3)	2.04E7
Όγκος απωλειών (M3)	9.03E6
Ενεργός Όγκος (M3)	1.13E7
Όγκος άμεσης απορροής (M3)	1.13E7
Όγκος βασικής απορροής (M3)	6.98E6

Βροχόπτωση και Απορροή



Υπολεκάνη: EL0415FR6039

Έκταση (KM2) : 6.93

Κατάντη : J23

Μέθοδος Απωλειών: SCS

Ποσοστό αδιαπέρατης επιφάνειας	0
Αριθμός Καμπύλης Απορροής-CN	78.67
Αρχικές Απώλειες	13.77

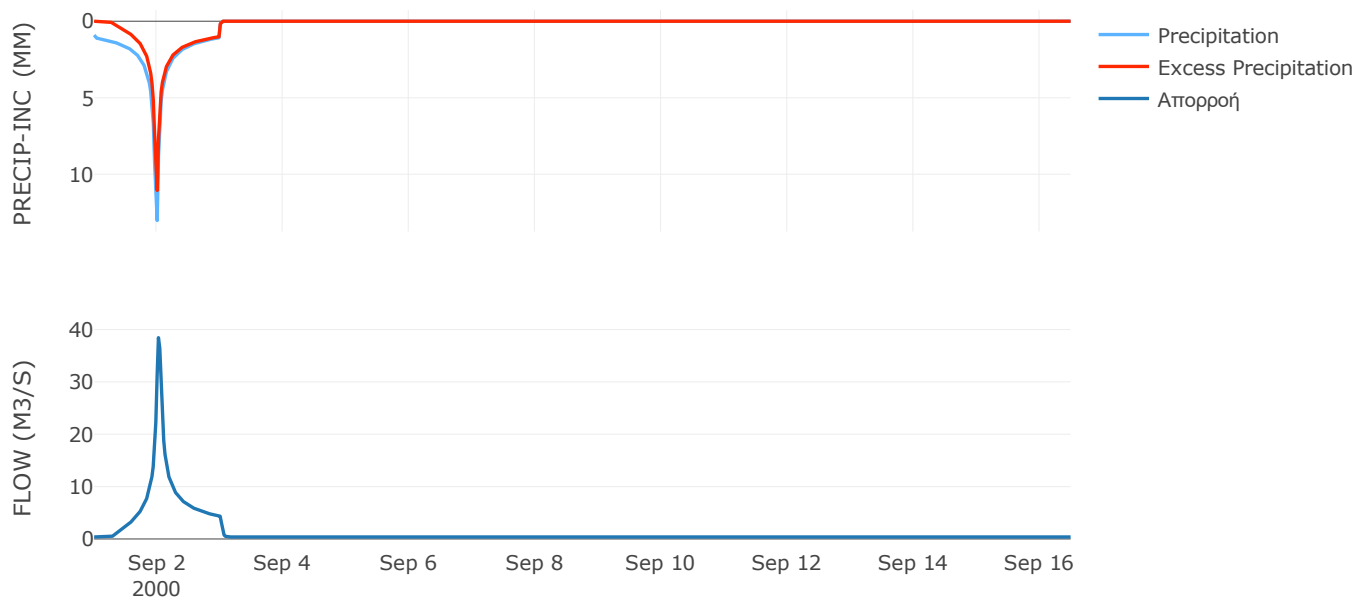
Μέθοδος
Μετασχηματισμού: SCS

Χρόνος Υστέρησης	30.33
------------------	-------

Αποτελέσματα:
EL0415FR6039

Παροχή αιχμής (M3/S)	38.44
Χρονική στιγμή αιχμής	02Sep2000, 00:30
Όγκος (MM)	238.44
Όγκος βροχόπτωσης (M3)	1.6E6
Όγκος απωλειών (M3)	4.58E5
Ενεργός Όγκος (M3)	1.14E6
Όγκος άμεσης απορροής (M3)	1.14E6
Όγκος βασικής απορροής (M3)	5.1E5

Βροχόπτωση και Απορροή



Υπολεκάνη: EL0415FR6040

Έκταση (KM2) : 39.05

Κατάντη : J34

Μέθοδος Απωλειών: SCS

Ποσοστό αδιαπέρατης επιφάνειας	0
Αριθμός Καμπύλης Απορροής-CN	62.72
Αρχικές Απώλειες	30.19

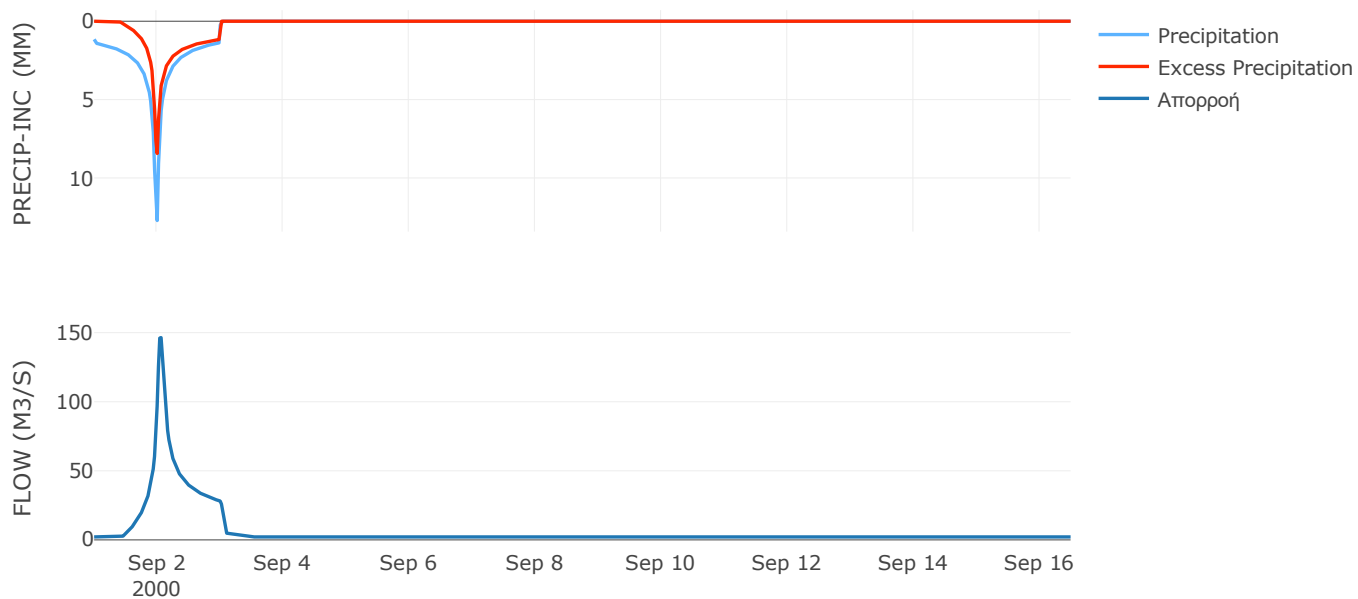
Μέθοδος
Μετασχηματισμού: SCS

Χρόνος Υστέρησης	59.97
------------------	-------

Αποτελέσματα:
EL0415FR6040

Παροχή αιχμής (M3/S)	146.39
Χρονική στιγμή αιχμής	02Sep2000, 01:30
Όγκος (MM)	217.34
Όγκος βροχόπτωσης (M3)	1.04E7
Όγκος απωλειών (M3)	4.77E6
Ενεργός Όγκος (M3)	5.61E6
Όγκος άμεσης απορροής (M3)	5.61E6
Όγκος βασικής απορροής (M3)	2.88E6

Βροχόπτωση και Απορροή



Υπολεκάνη: EL0415FR6041

Έκταση (KM2) : 25.72

Κατάντη : J64

Μέθοδος Απωλειών: SCS

Ποσοστό αδιαπέρατης επιφάνειας	0
Αριθμός Καμπύλης Απορροής-CN	59.19
Αρχικές Απώλειες	35.02

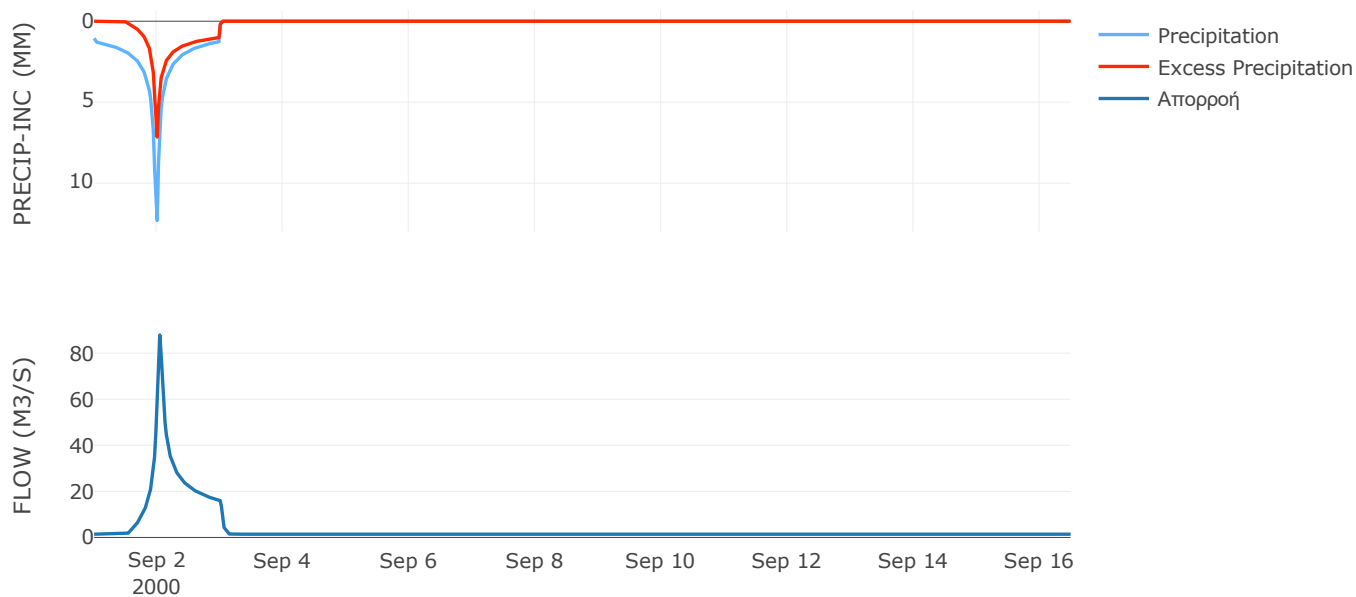
Μέθοδος
Μετασχηματισμού: SCS

Χρόνος Υστέρησης	41.78
------------------	-------

Αποτελέσματα:
EL0415FR6041

Παροχή αιχμής (M3/S)	87.86
Χρονική στιγμή αιχμής	02Sep2000, 01:00
Όγκος (MM)	190.85
Όγκος βροχόπτωσης (M3)	6.39E6
Όγκος απωλειών (M3)	3.37E6
Ενεργός Όγκος (M3)	3.01E6
Όγκος άμεσης απορροής (M3)	3.01E6
Όγκος βασικής απορροής (M3)	1.89E6

Βροχόπτωση και Απορροή



Υπολεκάνη: EL0415FR6042

Έκταση (KM2) : 44.43

Κατάντη : J28

Μέθοδος Απωλειών: SCS

Ποσοστό αδιαπέρατης επιφάνειας	0
Αριθμός Καμπύλης Απορροής-CN	66.59
Αρχικές Απώλειες	25.48

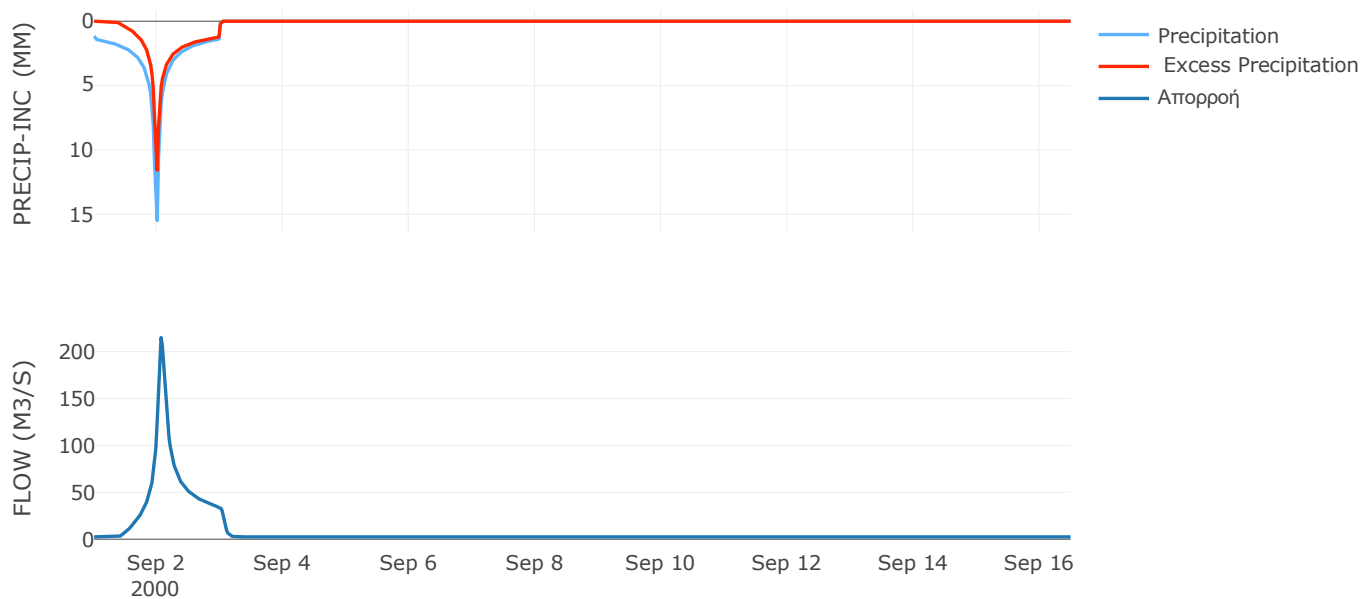
Μέθοδος
Μετασχηματισμού: SCS

Χρόνος Υστέρησης	78.46
------------------	-------

Αποτελέσματα:
EL0415FR6042

Παροχή αιχμής (M3/S)	214.98
Χρονική στιγμή αιχμής	02Sep2000, 01:30
Όγκος (MM)	249.71
Όγκος βροχόπτωσης (M3)	1.28E7
Όγκος απωλειών (M3)	4.94E6
Ενεργός Όγκος (M3)	7.82E6
Όγκος άμεσης απορροής (M3)	7.82E6
Όγκος βασικής απορροής (M3)	3.27E6

Βροχόπτωση και Απορροή



Υπολεκάνη: EL0415FR6043

Έκταση (KM2) : 50.16

Κατάντη : J37

Μέθοδος Απωλειών: SCS

Ποσοστό αδιαπέρατης επιφάνειας	0
Αριθμός Καμπύλης Απορροής-CN	59.02
Αρχικές Απώλειες	35.27

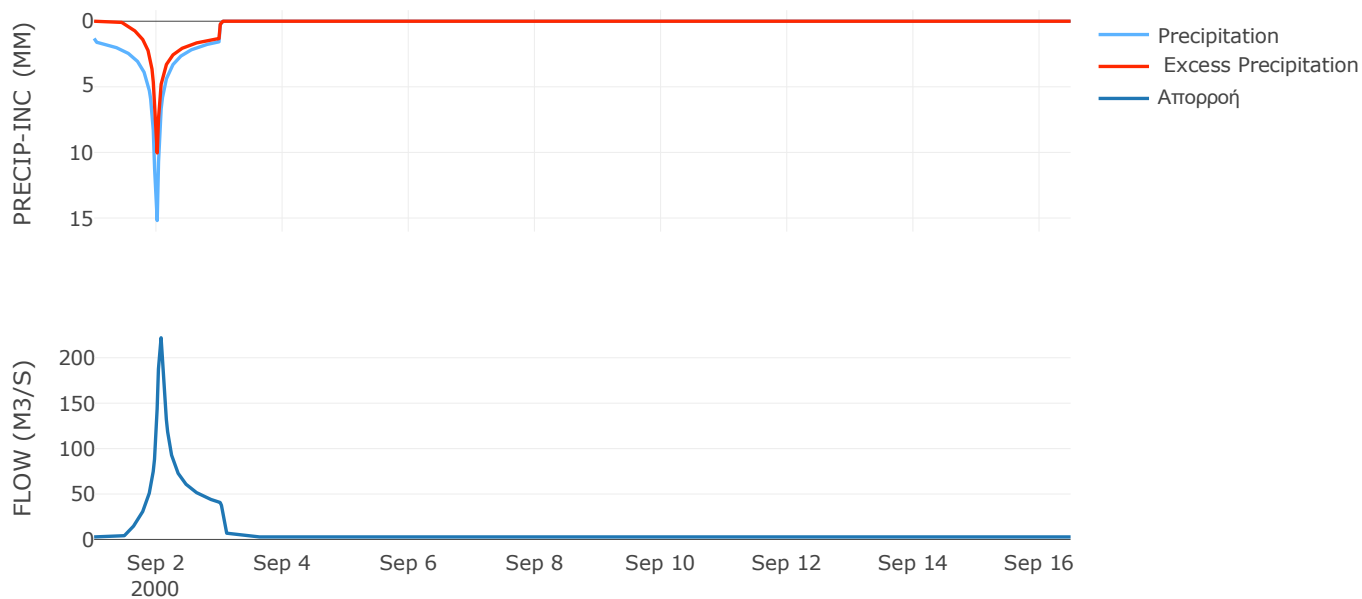
Μέθοδος
Μετασχηματισμού: SCS

Χρόνος Υστέρησης	60.82
------------------	-------

Αποτελέσματα:
EL0415FR6043

Παροχή αιχμής (M3/S)	222.03
Χρονική στιγμή αιχμής	02Sep2000, 01:30
Όγκος (MM)	239.3
Όγκος βροχόπτωσης (M3)	1.55E7
Όγκος απωλειών (M3)	7.14E6
Ενεργός Όγκος (M3)	8.31E6
Όγκος άμεσης απορροής (M3)	8.31E6
Όγκος βασικής απορροής (M3)	3.69E6

Βροχόπτωση και Απορροή



Υπολεκάνη: EL0415FR6044

Έκταση (KM2) : 32.29

Κατάντη : J44

Μέθοδος Απωλειών: SCS

Ποσοστό αδιαπέρατης επιφάνειας	0
Αριθμός Καμπύλης Απορροής-CN	61.48
Αρχικές Απώλειες	31.83

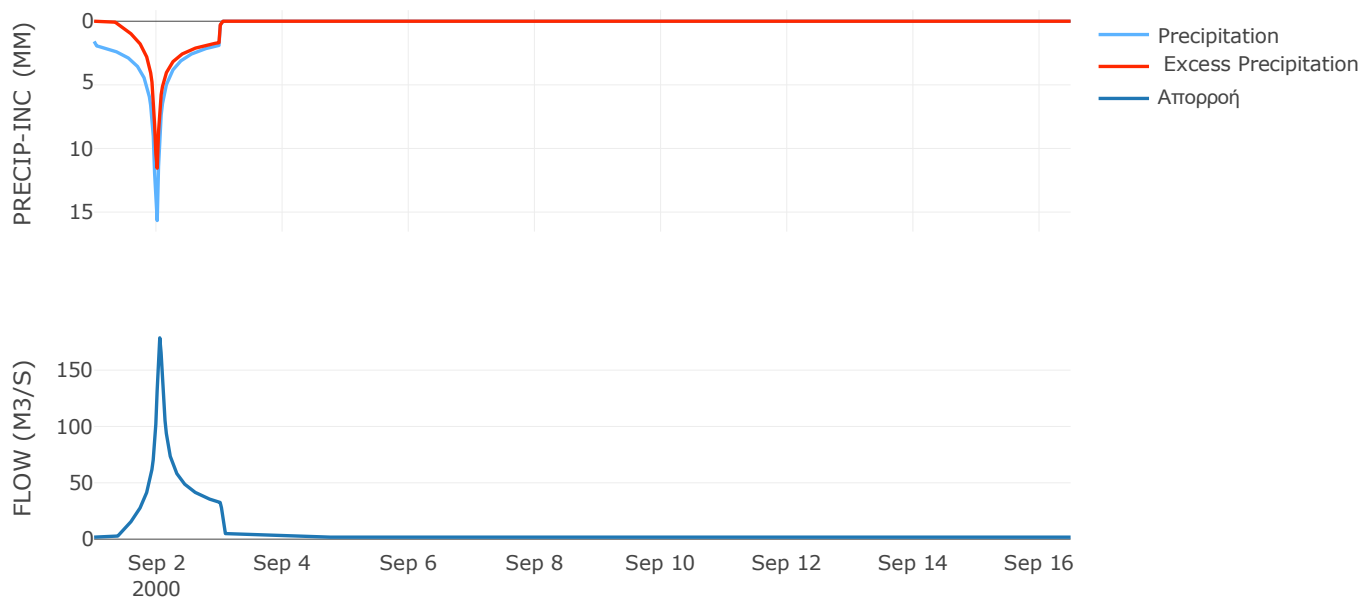
Μέθοδος
Μετασχηματισμού: SCS

Χρόνος Υστέρησης	45.48
------------------	-------

Αποτελέσματα:
EL0415FR6044

Παροχή αιχμής (M3/S)	178.65
Χρονική στιγμή αιχμής	02Sep2000, 01:00
Όγκος (MM)	286.59
Όγκος βροχόπτωσης (M3)	1.13E7
Όγκος απωλειών (M3)	4.46E6
Ενεργός Όγκος (M3)	6.88E6
Όγκος άμεσης απορροής (M3)	6.88E6
Όγκος βασικής απορροής (M3)	2.38E6

Βροχόπτωση και Απορροή



Υπολεκάνη: EL0415FR6045

Έκταση (KM2) : 39.32

Κατάντη : J24

Μέθοδος Απωλειών: SCS

Ποσοστό αδιαπέρατης επιφάνειας	0
Αριθμός Καμπύλης Απορροής-CN	80.27
Αρχικές Απώλειες	12.49

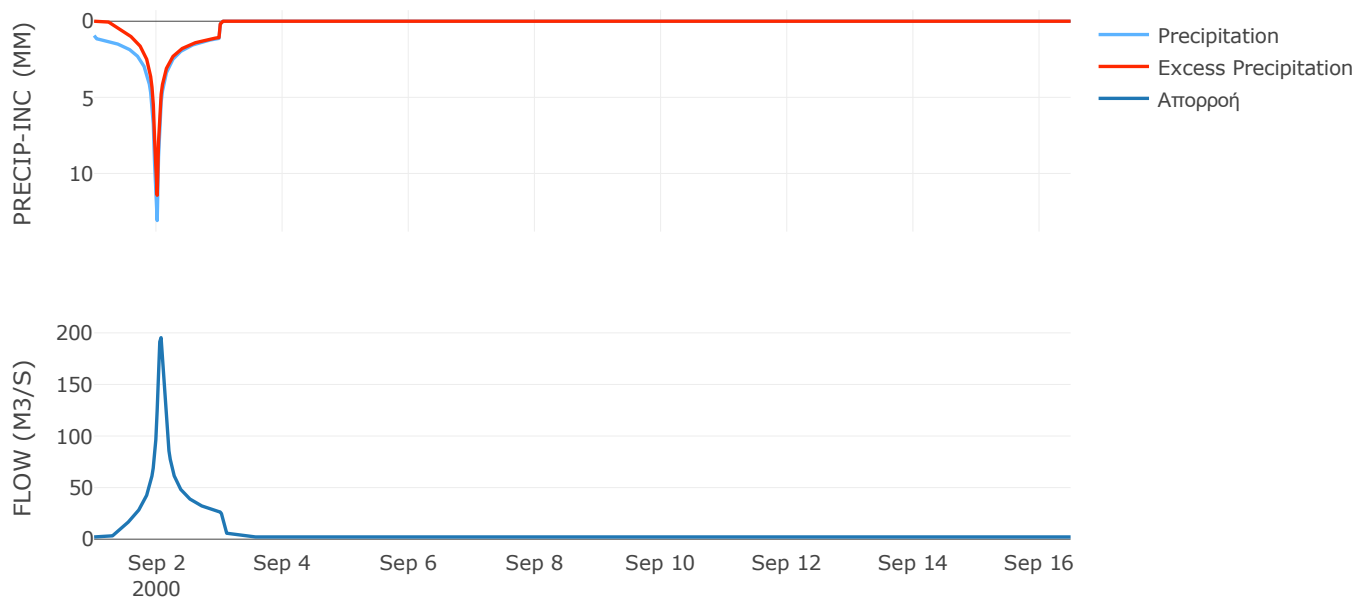
Μέθοδος
Μετασχηματισμού: SCS

Χρόνος Υστέρησης	68.79
------------------	-------

Αποτελέσματα:
EL0415FR6045

Παροχή αιχμής (M3/S)	195.38
Χρονική στιγμή αιχμής	02Sep2000, 01:30
Όγκος (MM)	249.46
Όγκος βροχόπτωσης (M3)	9.32E6
Όγκος απωλειών (M3)	2.41E6
Ενεργός Όγκος (M3)	6.91E6
Όγκος άμεσης απορροής (M3)	6.91E6
Όγκος βασικής απορροής (M3)	2.9E6

Βροχόπτωση και Απορροή



Υπολεκάνη: EL0415FR6046

Έκταση (KM2) : 33.73

Κατάντη : J23

Μέθοδος Απωλειών: SCS

Ποσοστό αδιαπέρατης επιφάνειας	0
Αριθμός Καμπύλης Απορροής-CN	54.47
Αρχικές Απώλειες	42.47

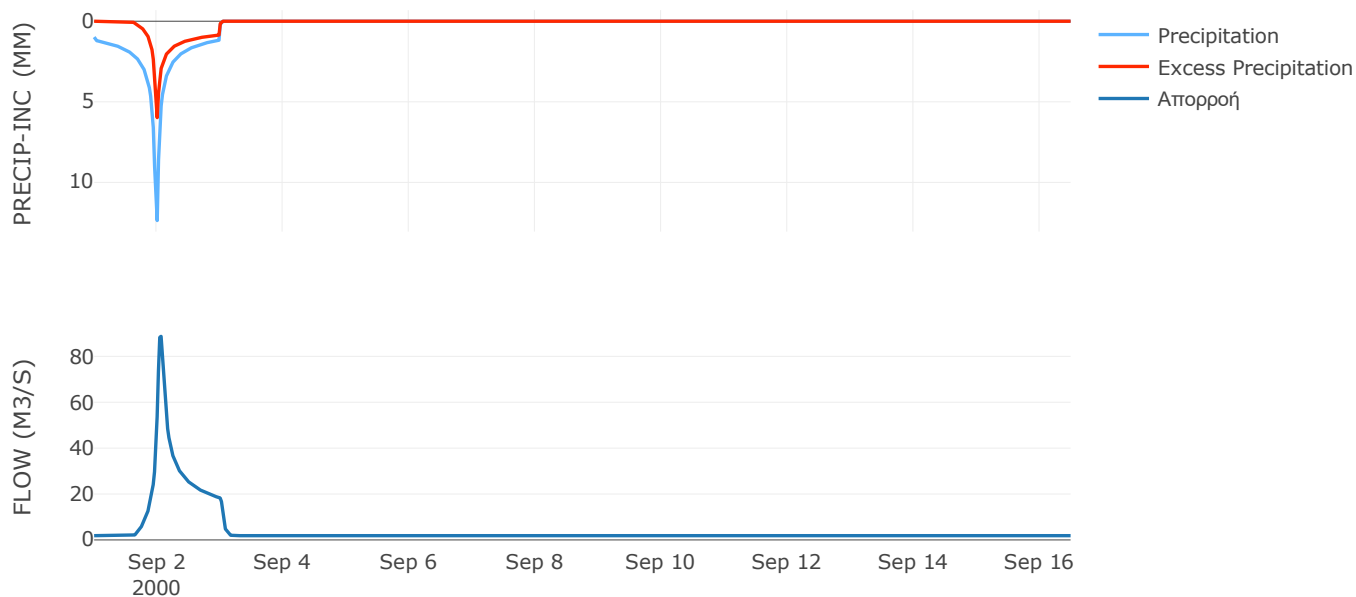
Μέθοδος
Μετασχηματισμού: SCS

Χρόνος Υστέρησης	56.72
------------------	-------

Αποτελέσματα:
EL0415FR6046

Παροχή αιχμής (M3/S)	88.71
Χρονική στιγμή αιχμής	02Sep2000, 01:30
Όγκος (MM)	167.68
Όγκος βροχόπτωσης (M3)	8.04E6
Όγκος απωλειών (M3)	4.87E6
Ενεργός Όγκος (M3)	3.17E6
Όγκος άμεσης απορροής (M3)	3.17E6
Όγκος βασικής απορροής (M3)	2.48E6

Βροχόπτωση και Απορροή



Υπολεκάνη: EL0415FR6047

Έκταση (KM2) : 33.12

Κατάντη : J38

Μέθοδος Απωλειών: SCS

Ποσοστό αδιαπέρατης επιφάνειας	0
Αριθμός Καμπύλης Απορροής-CN	63.03
Αρχικές Απώλειες	29.79

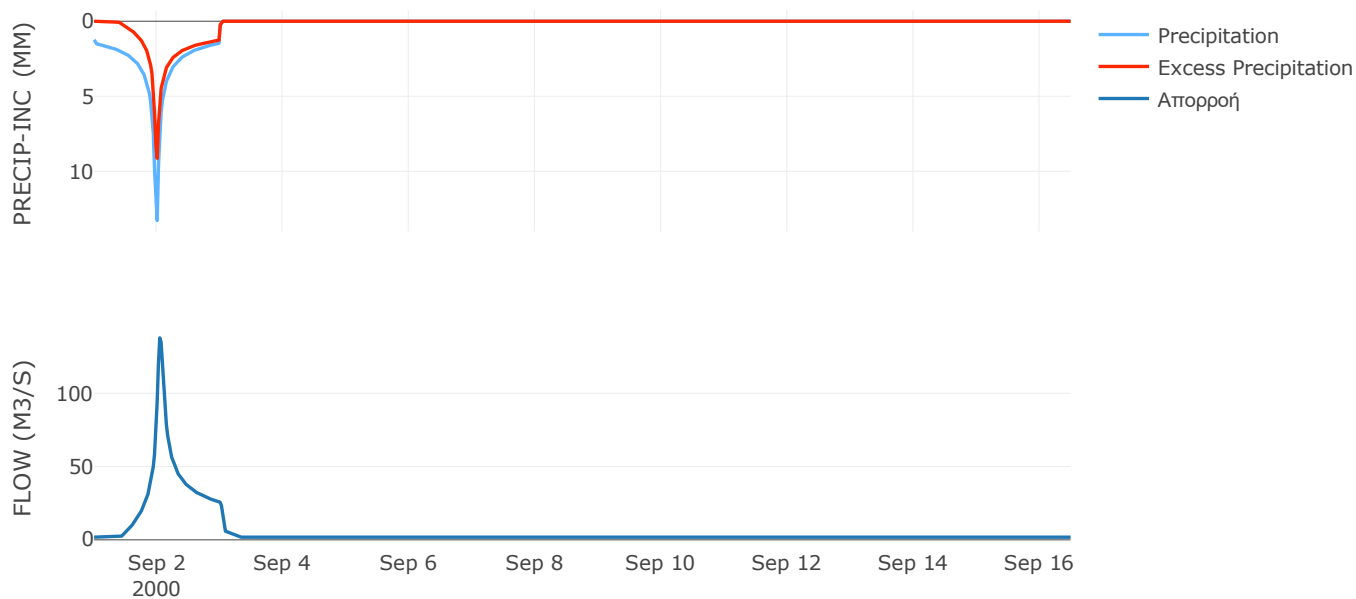
Μέθοδος
Μετασχηματισμού: SCS

Χρόνος Υστέρησης	55.9
------------------	------

Αποτελέσματα:
EL0415FR6047

Παροχή αιχμής (M3/S)	137.8
Χρονική στιγμή αιχμής	02Sep2000, 01:00
Όγκος (MM)	231.79
Όγκος βροχόπτωσης (M3)	9.32E6
Όγκος απωλειών (M3)	4.09E6
Ενεργός Όγκος (M3)	5.24E6
Όγκος άμεσης απορροής (M3)	5.24E6
Όγκος βασικής απορροής (M3)	2.44E6

Βροχόπτωση και Απορροή



Υπολεκάνη: EL0415FR6048

Έκταση (KM2) : 29.32

Κατάντη : J35

Μέθοδος Απωλειών: SCS

Ποσοστό αδιαπέρατης επιφάνειας	0
Αριθμός Καμπύλης Απορροής-CN	65.35
Αρχικές Απώλειες	26.94

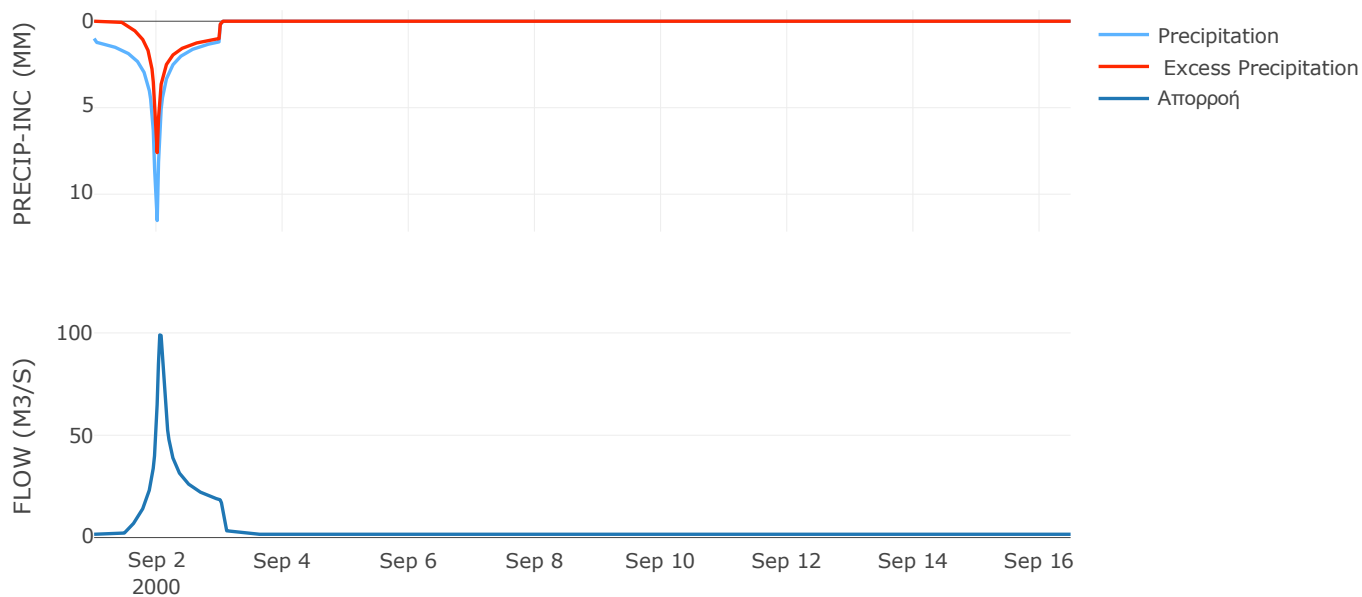
Μέθοδος
Μετασχηματισμού: SCS

Χρόνος Υστέρησης	59.23
------------------	-------

Αποτελέσματα:
EL0415FR6048

Παροχή αιχμής (M3/S)	98.99
Χρονική στιγμή αιχμής	02Sep2000, 01:00
Όγκος (MM)	199.32
Όγκος βροχόπτωσης (M3)	6.87E6
Όγκος απωλειών (M3)	3.18E6
Ενεργός Όγκος (M3)	3.68E6
Όγκος άμεσης απορροής (M3)	3.68E6
Όγκος βασικής απορροής (M3)	2.16E6

Βροχόπτωση και Απορροή



Υπολεκάνη: EL0415FR6049

Έκταση (KM2) : 52.23

Κατάντη : J49

Μέθοδος Απωλειών: SCS

Ποσοστό αδιαπέρατης επιφάνειας	0
Αριθμός Καμπύλης Απορροής-CN	65.85
Αρχικές Απώλειες	26.35

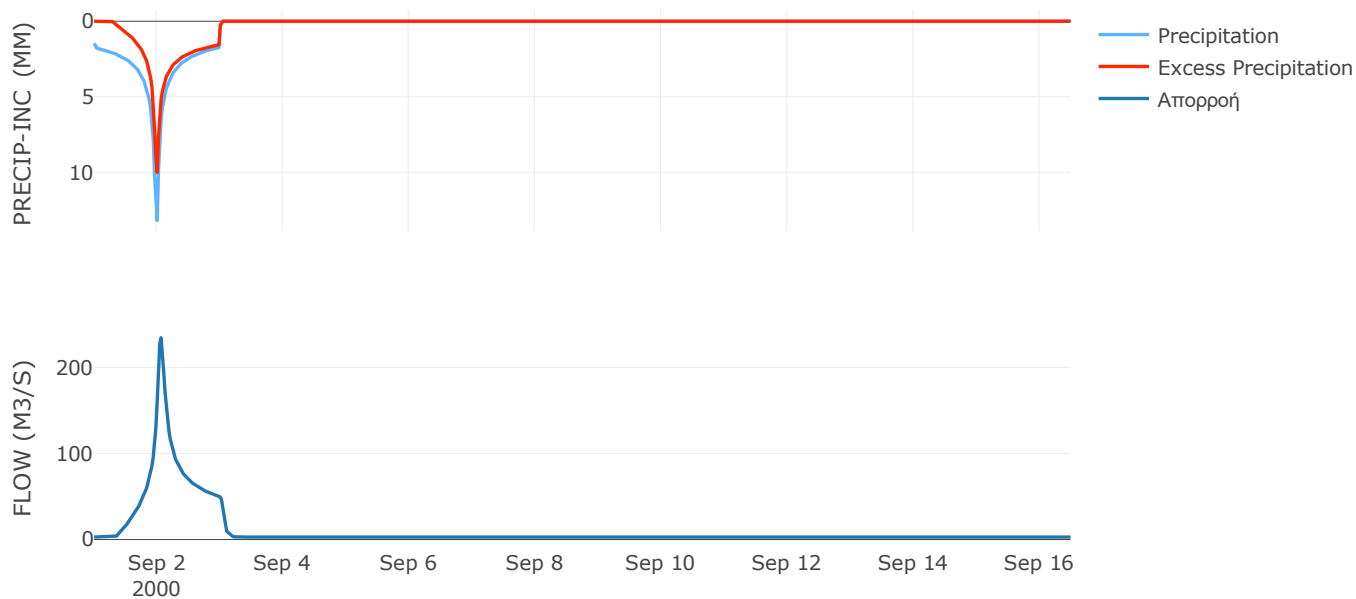
Μέθοδος
Μετασχηματισμού: SCS

Χρόνος Υστέρησης	67.8
------------------	------

Αποτελέσματα:
EL0415FR6049

Παροχή αιχμής (M3/S)	234.43
Χρονική στιγμή αιχμής	02Sep2000, 01:30
Όγκος (MM)	269.37
Όγκος βροχόπτωσης (M3)	1.63E7
Όγκος απωλειών (M3)	6.09E6
Ενεργός Όγκος (M3)	1.02E7
Όγκος άμεσης απορροής (M3)	1.02E7
Όγκος βασικής απορροής (M3)	3.85E6

Βροχόπτωση και Απορροή



Υπολεκάνη: EL0415FR6050

Έκταση (KM2) : 51.03

Κατάντη : J51

Μέθοδος Απωλειών: SCS

Ποσοστό αδιαπέρατης επιφάνειας	0
Αριθμός Καμπύλης Απορροής-CN	62.73
Αρχικές Απώλειες	30.19

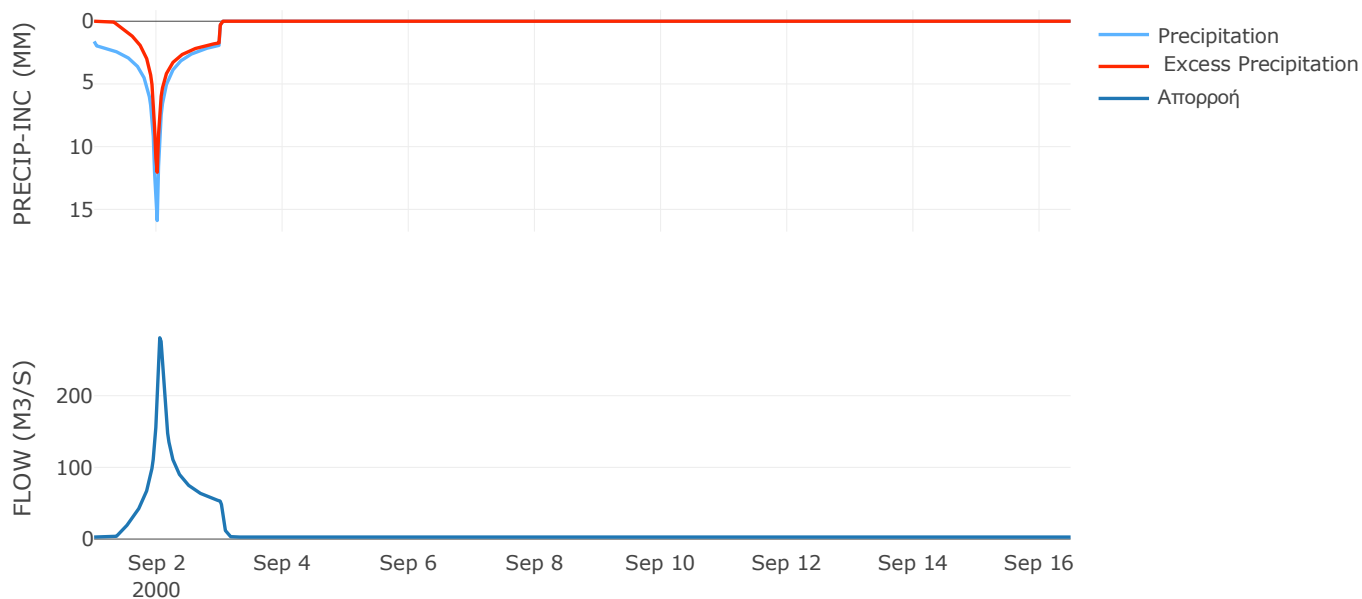
Μέθοδος
Μετασχηματισμού: SCS

Χρόνος Υστέρησης	57.22
------------------	-------

Αποτελέσματα:
EL0415FR6050

Παροχή αιχμής (M3/S)	280.83
Χρονική στιγμή αιχμής	02Sep2000, 01:00
Όγκος (MM)	296.32
Όγκος βροχόπτωσης (M3)	1.82E7
Όγκος απωλειών (M3)	6.8E6
Ενεργός Όγκος (M3)	1.14E7
Όγκος άμεσης απορροής (M3)	1.14E7
Όγκος βασικής απορροής (M3)	3.76E6

Βροχόπτωση και Απορροή



Υπολεκάνη: EL0415FR6051

Έκταση (KM2) : 113.82

Κατάντη : J56

Μέθοδος Απωλειών: SCS

Ποσοστό αδιαπέρατης επιφάνειας	0
Αριθμός Καμπύλης Απορροής-CN	79.1
Αρχικές Απώλειες	13.42

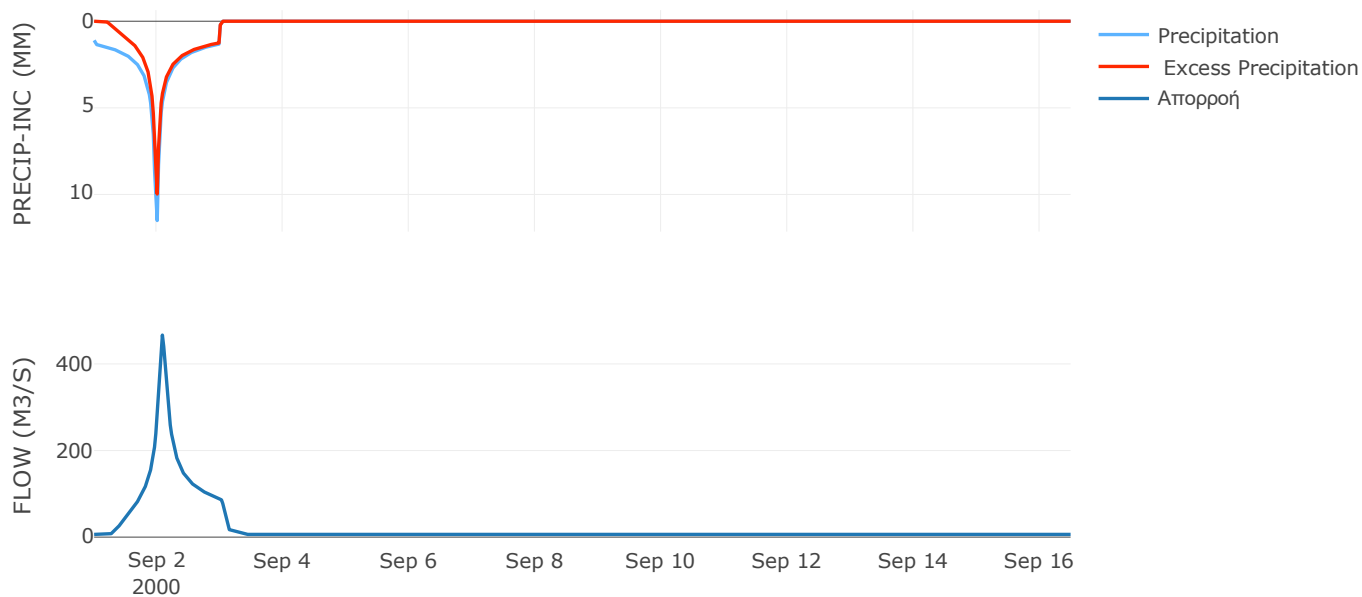
Μέθοδος
Μετασχηματισμού: SCS

Χρόνος Υστέρησης	96.66
------------------	-------

Αποτελέσματα:
EL0415FR6051

Παροχή αιχμής (M3/S)	466.54
Χρονική στιγμή αιχμής	02Sep2000, 02:00
Όγκος (MM)	256.91
Όγκος βροχόπτωσης (M3)	2.83E7
Όγκος απωλειών (M3)	7.47E6
Ενεργός Όγκος (M3)	2.09E7
Όγκος άμεσης απορροής (M3)	2.09E7
Όγκος βασικής απορροής (M3)	8.38E6

Βροχόπτωση και Απορροή



Υπολεκάνη: EL0415FR6052

Έκταση (KM2) : 27.12

Κατάντη : J4

Μέθοδος Απωλειών: SCS

Ποσοστό αδιαπέρατης επιφάνειας	0
Αριθμός Καμπύλης Απορροής-CN	66.78
Αρχικές Απώλειες	25.27

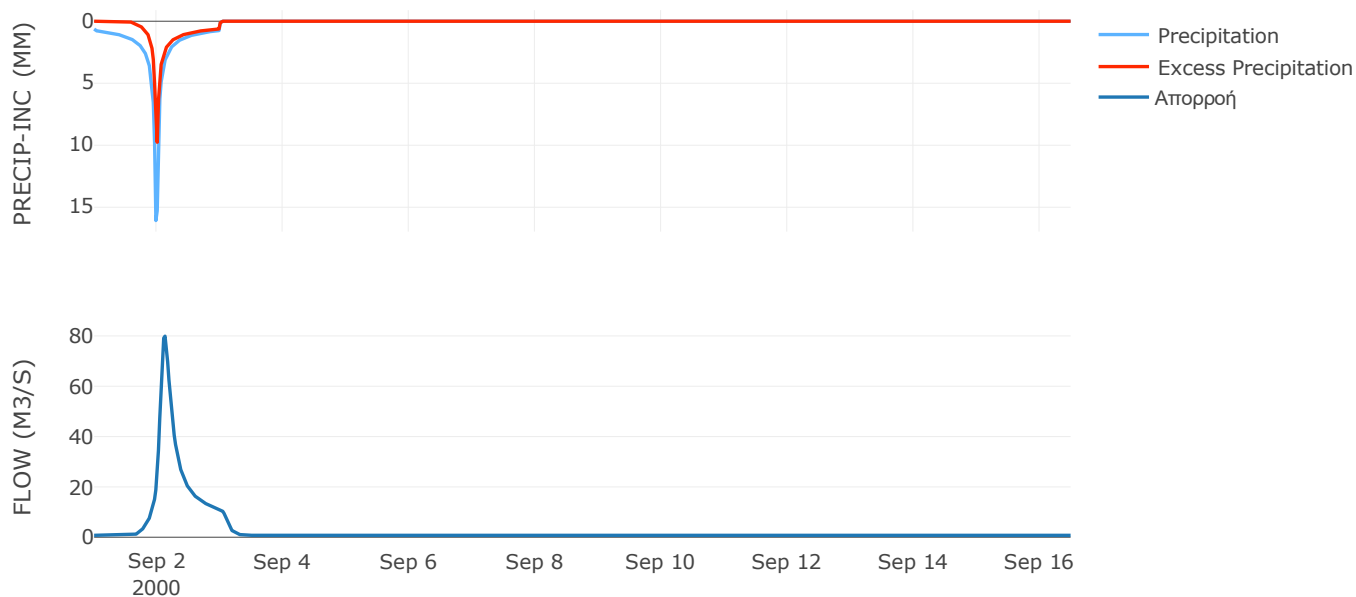
Μέθοδος
Μετασχηματισμού: SCS

Χρόνος Υστέρησης	145.25
------------------	--------

Αποτελέσματα:
EL0415FR6052

Παροχή αιχμής (M3/S)	79.91
Χρονική στιγμή αιχμής	02Sep2000, 03:00
Όγκος (MM)	139.88
Όγκος βροχόπτωσης (M3)	5.46E6
Όγκος απωλειών (M3)	2.68E6
Ενεργός Όγκος (M3)	2.78E6
Όγκος άμεσης απορροής (M3)	2.78E6
Όγκος βασικής απορροής (M3)	1.02E6

Βροχόπτωση και Απορροή



Υπολεκάνη: EL0415FR6053

Έκταση (KM2) : 64.07

Κατάντη : J55

Μέθοδος Απωλειών: SCS

Ποσοστό αδιαπέρατης επιφάνειας	0
Αριθμός Καμπύλης Απορροής-CN	64.15
Αρχικές Απώλειες	28.39

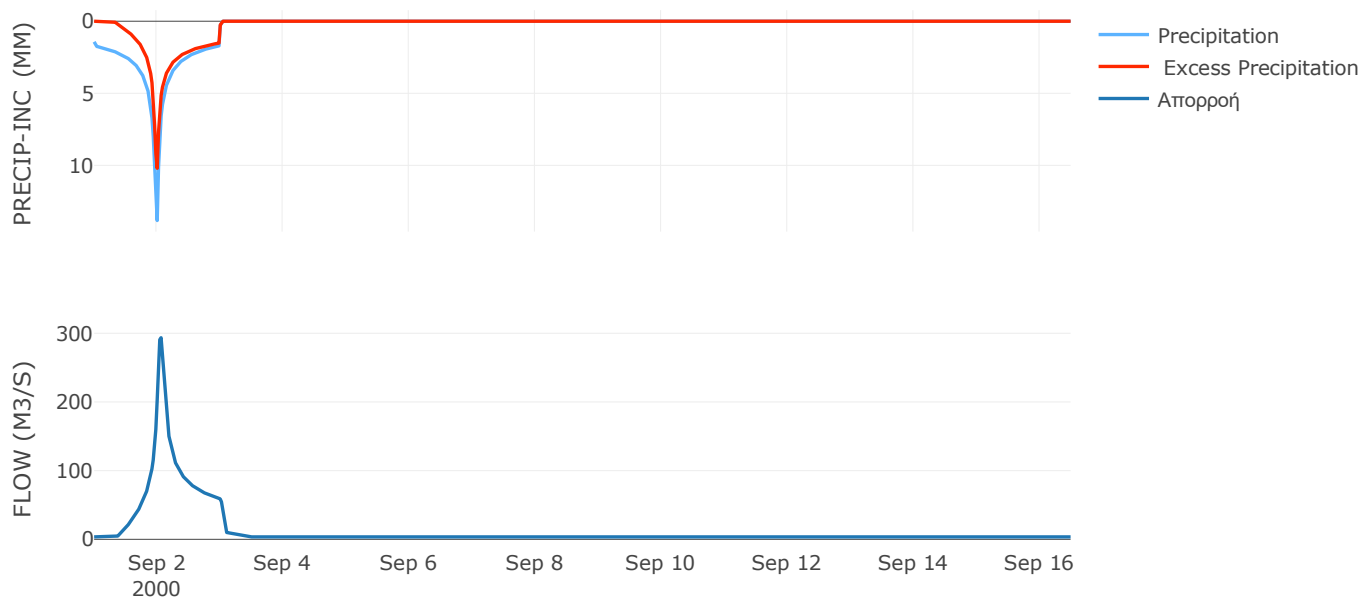
Μέθοδος
Μετασχηματισμού: SCS

Χρόνος Υστέρησης	62.46
------------------	-------

Αποτελέσματα:
EL0415FR6053

Παροχή αιχμής (M3/S)	293.52
Χρονική στιγμή αιχμής	02Sep2000, 01:30
Όγκος (MM)	264.12
Όγκος βροχόπτωσης (M3)	2.01E7
Όγκος απωλειών (M3)	7.89E6
Ενεργός Όγκος (M3)	1.22E7
Όγκος άμεσης απορροής (M3)	1.22E7
Όγκος βασικής απορροής (M3)	4.72E6

Βροχόπτωση και Απορροή



Υπολεκάνη: EL0415FR6054

Έκταση (KM2) : 14.21

Κατάνη : J54

Μέθοδος Απωλειών: SCS

Ποσοστό αδιαπέρατης επιφάνειας	6
Αριθμός Καμπύλης Απορροής-CN	70.78
Αρχικές Απώλειες	20.98

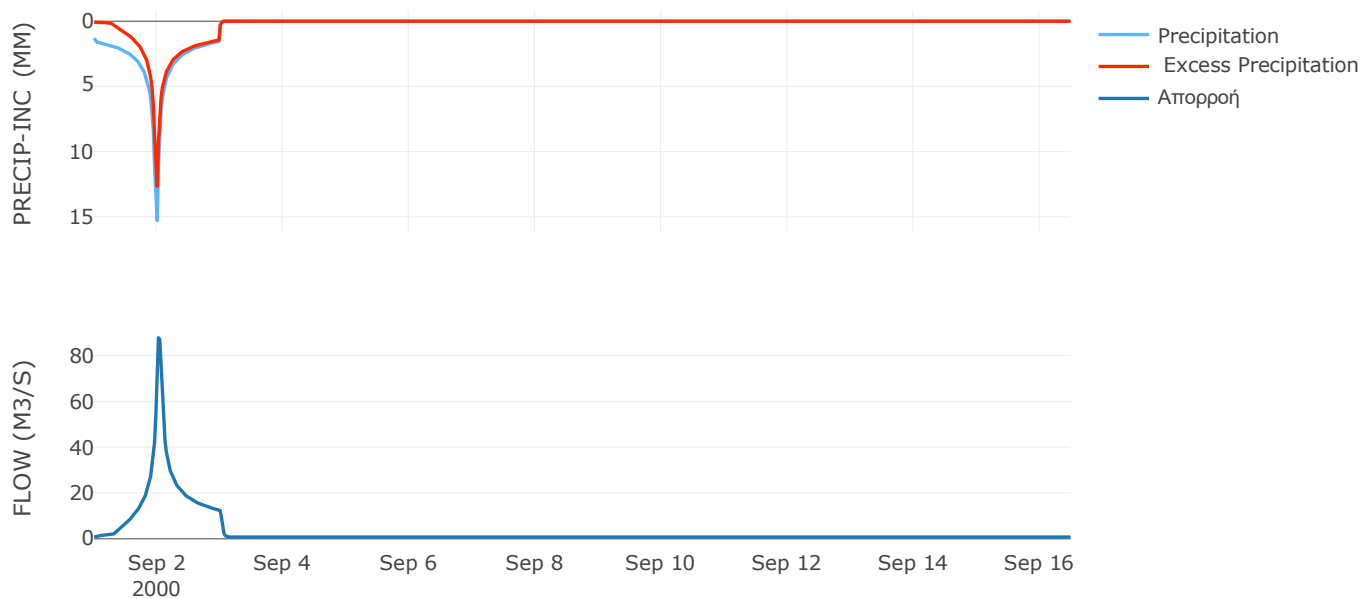
Μέθοδος
Μετασχηματισμού: SCS

Χρόνος Υστέρησης	33.76
------------------	-------

Αποτελέσματα:
EL0415FR6054

Παροχή αιχμής (M3/S)	87.73
Χρονική στιγμή αιχμής	02Sep2000, 00:30
Όγκος (MM)	289.26
Όγκος βροχόπτωσης (M3)	4.37E6
Όγκος απωλειών (M3)	1.31E6
Ενεργός Όγκος (M3)	3.06E6
Όγκος άμεσης απορροής (M3)	3.06E6
Όγκος βασικής απορροής (M3)	1.05E6

Βροχόπτωση και Απορροή



Υπολεκάνη: EL0415FR6055

Έκταση (KM2) : 46.67

Κατάντη : J55

Μέθοδος Απωλειών: SCS

Ποσοστό αδιαπέρατης επιφάνειας	0
Αριθμός Καμπύλης Απορροής-CN	59.03
Αρχικές Απώλειες	35.26

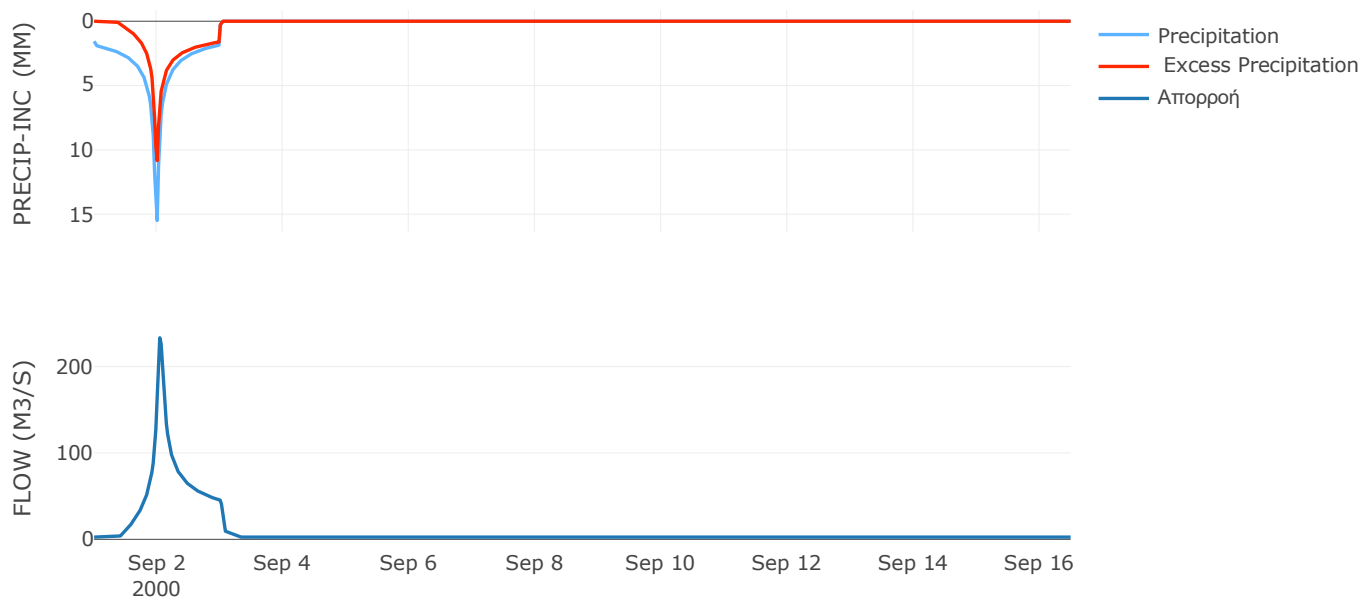
Μέθοδος
Μετασχηματισμού: SCS

Χρόνος Υστέρησης	54.07
------------------	-------

Αποτελέσματα:
EL0415FR6055

Παροχή αιχμής (M3/S)	233.24
Χρονική στιγμή αιχμής	02Sep2000, 01:00
Όγκος (MM)	271.37
Όγκος βροχόπτωσης (M3)	1.61E7
Όγκος απωλειών (M3)	6.89E6
Ενεργός Όγκος (M3)	9.23E6
Όγκος άμεσης απορροής (M3)	9.23E6
Όγκος βασικής απορροής (M3)	3.44E6

Βροχόπτωση και Απορροή



Υπολεκάνη: EL0415FR6056

Έκταση (KM2) : 143.97

Κατάντη : J54

Μέθοδος Απωλειών: SCS

Ποσοστό αδιαπέρατης επιφάνειας	0
Αριθμός Καμπύλης Απορροής-CN	67.72
Αρχικές Απώλειες	24.21

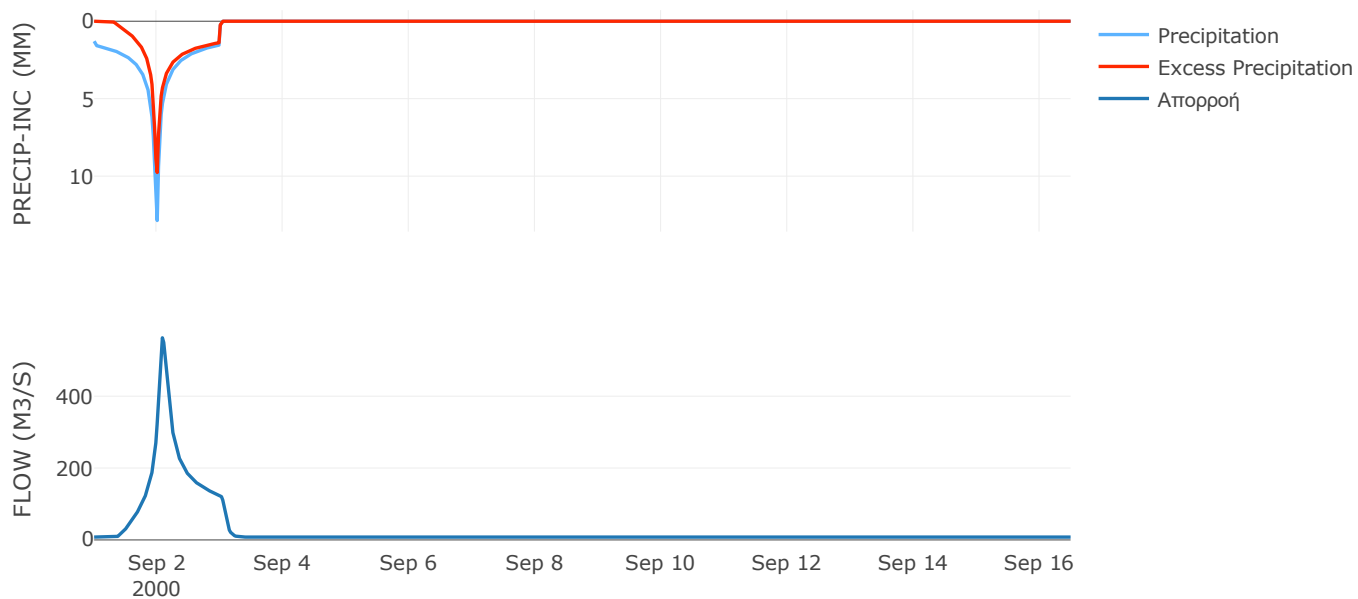
Μέθοδος
Μετασχηματισμού: SCS

Χρόνος Υστέρησης	105.78
------------------	--------

Αποτελέσματα:
EL0415FR6056

Παροχή αιχμής (M3/S)	562.63
Χρονική στιγμή αιχμής	02Sep2000, 02:00
Όγκος (MM)	253.06
Όγκος βροχόπτωσης (M3)	4.12E7
Όγκος απωλειών (M3)	1.54E7
Ενεργός Όγκος (M3)	2.58E7
Όγκος άμεσης απορροής (M3)	2.58E7
Όγκος βασικής απορροής (M3)	1.06E7

Βροχόπτωση και Απορροή



Υπολεκάνη: EL0415FR6057

Έκταση (KM2) : 27.51

Κατάντη : J57

Μέθοδος Απωλειών: SCS

Ποσοστό αδιαπέρατης επιφάνειας	13
Αριθμός Καμπύλης Απορροής-CN	68.48
Αρχικές Απώλειες	23.38

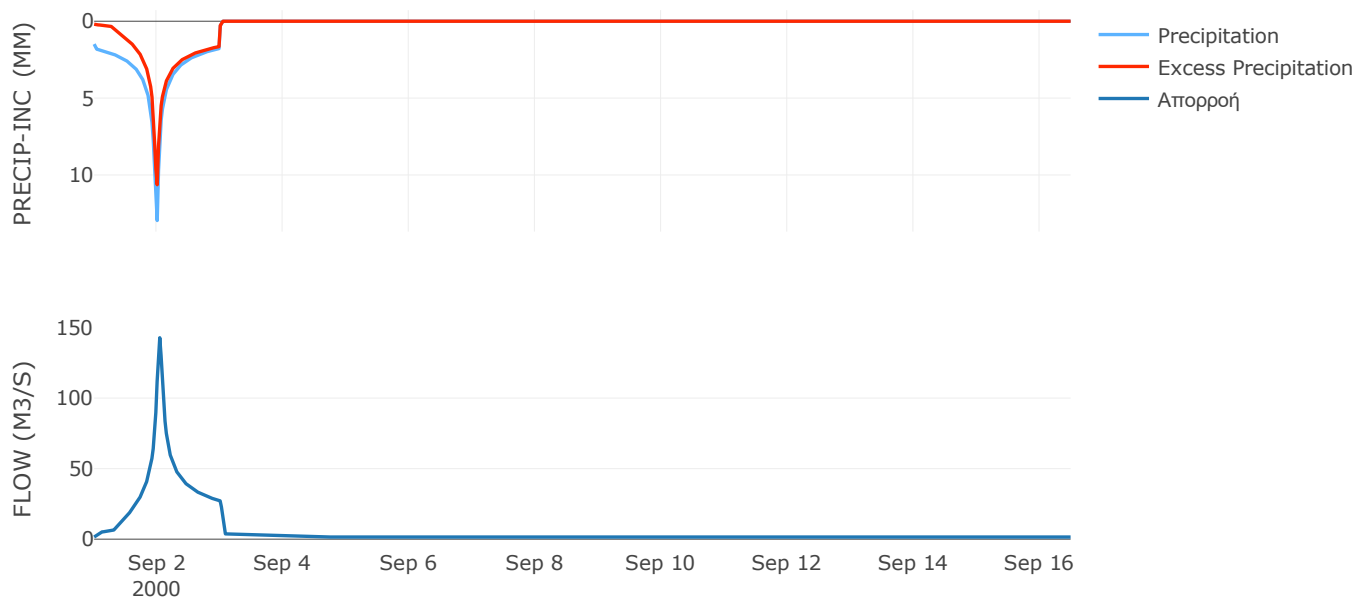
Μέθοδος
Μετασχηματισμού: SCS

Χρόνος Υστέρησης	42.52
------------------	-------

Αποτελέσματα:
EL0415FR6057

Παροχή αιχμής (M3/S)	142.8
Χρονική στιγμή αιχμής	02Sep2000, 01:00
Όγκος (MM)	295.47
Όγκος βροχόπτωσης (M3)	8.66E6
Όγκος απωλειών (M3)	2.56E6
Ενεργός Όγκος (M3)	6.1E6
Όγκος άμεσης απορροής (M3)	6.1E6
Όγκος βασικής απορροής (M3)	2.03E6

Βροχόπτωση και Απορροή



Υπολεκάνη: EL0415FR6058

Έκταση (KM2) : 10.79

Κατάνη : J53 Res5

Μέθοδος Απωλειών: SCS

Ποσοστό αδιαπέρατης επιφάνειας	16
Αριθμός Καμπύλης Απορροής-CN	74.11
Αρχικές Απώλειες	17.75

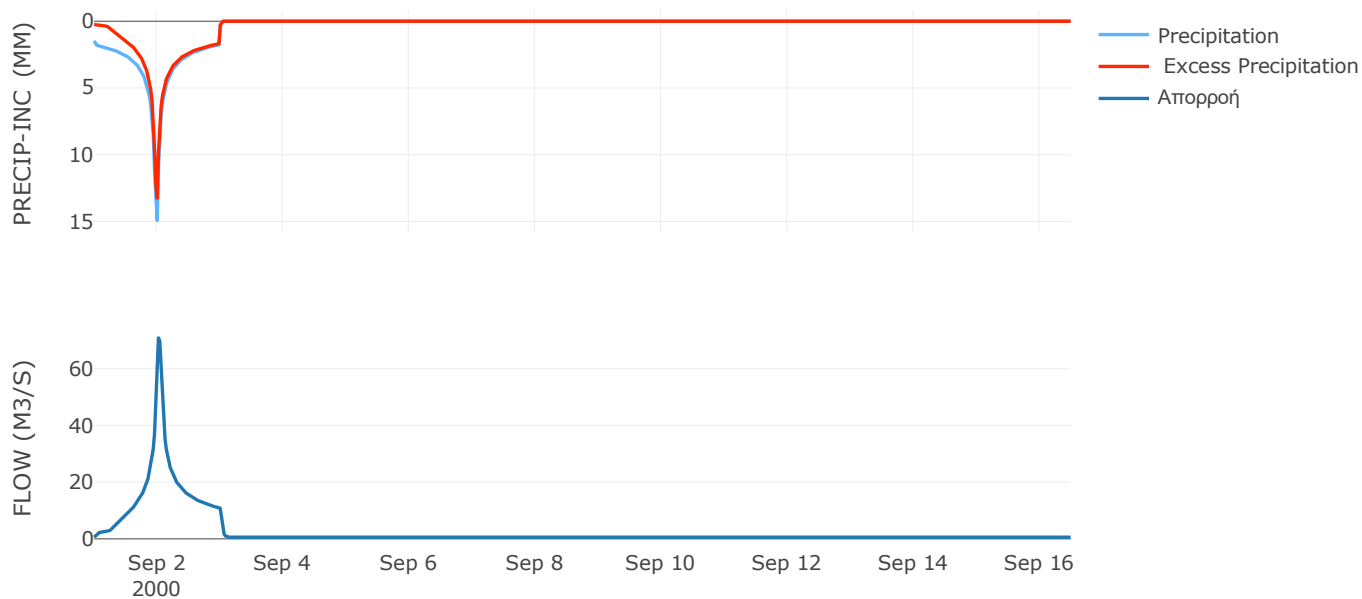
Μέθοδος
Μετασχηματισμού: SCS

Χρόνος Υστέρησης	32.59
------------------	-------

Αποτελέσματα:
EL0415FR6058

Παροχή αιχμής (M3/S)	70.87
Χρονική στιγμή αιχμής	02Sep2000, 00:30
Όγκος (MM)	329.86
Όγκος βροχόπτωσης (M3)	3.55E6
Όγκος απωλειών (M3)	7.87E5
Ενεργός Όγκος (M3)	2.76E6
Όγκος άμεσης απορροής (M3)	2.76E6
Όγκος βασικής απορροής (M3)	7.95E5

Βροχόπτωση και Απορροή



Υπολεκάνη: EL0415FR6059

Έκταση (KM2) : 57.55

Κατάντη : J51

Μέθοδος Απωλειών: SCS

Ποσοστό αδιαπέρατης επιφάνειας	0
Αριθμός Καμπύλης Απορροής-CN	72.96
Αρχικές Απώλειες	18.83

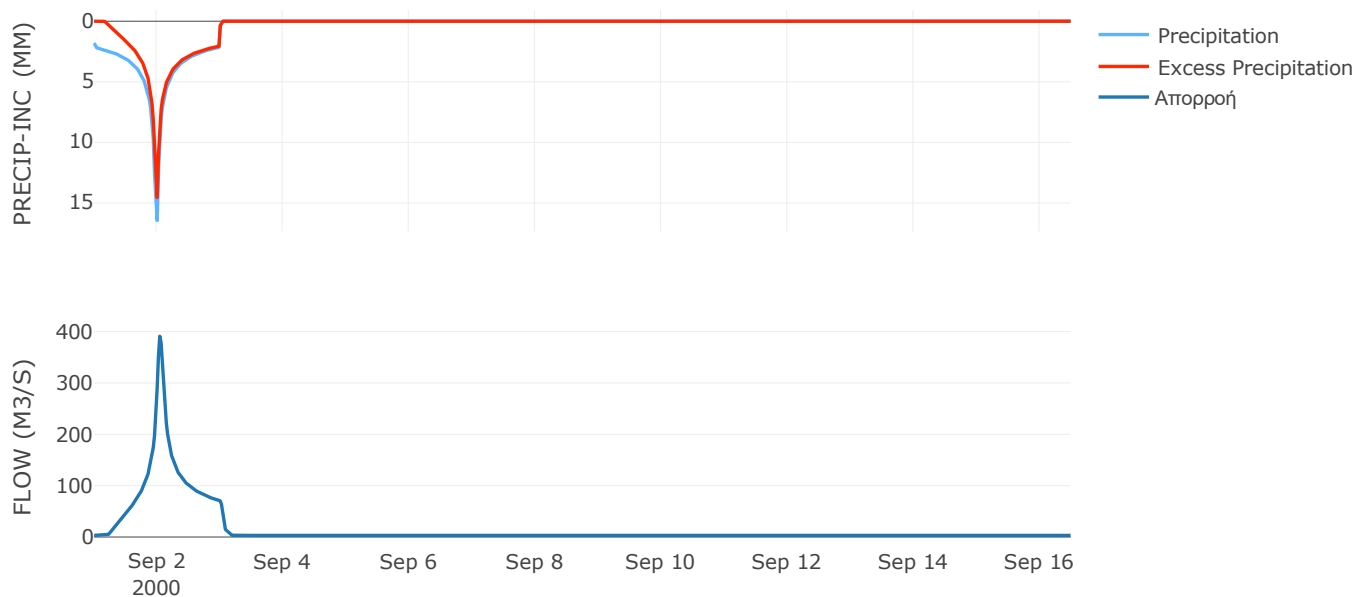
Μέθοδος
Μετασχηματισμού: SCS

Χρόνος Υστέρησης	56.1
------------------	------

Αποτελέσματα:
EL0415FR6059

Παροχή αιχμής (M3/S)	391.03
Χρονική στιγμή αιχμής	02Sep2000, 01:00
Όγκος (MM)	366.74
Όγκος βροχόπτωσης (M3)	2.23E7
Όγκος απωλειών (M3)	5.4E6
Ενεργός Όγκος (M3)	1.69E7
Όγκος άμεσης απορροής (M3)	1.69E7
Όγκος βασικής απορροής (M3)	4.24E6

Βροχόπτωση και Απορροή



Υπολεκάνη: EL0415FR6060

Έκταση (KM2) : 43.14

Κατάντη : J50

Μέθοδος Απωλειών: SCS

Ποσοστό αδιαπέρατης επιφάνειας	0
Αριθμός Καμπύλης Απορροής-CN	74.84
Αρχικές Απώλειες	17.08

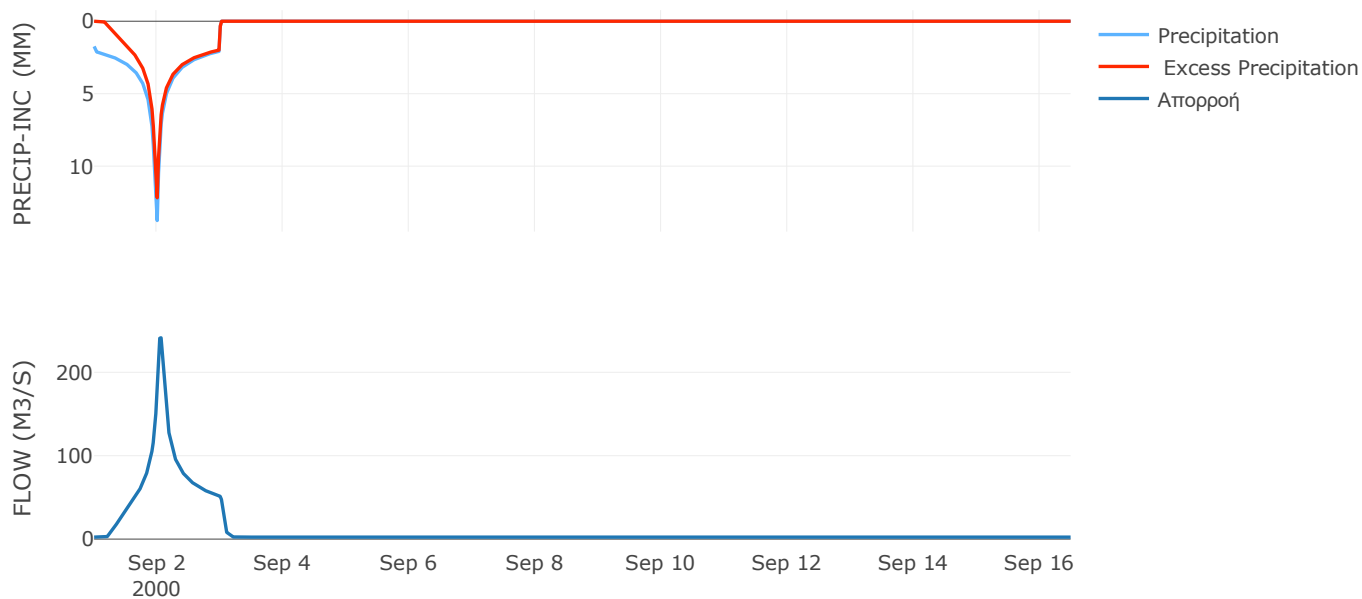
Μέθοδος
Μετασχηματισμού: SCS

Χρόνος Υστέρησης	62.7
------------------	------

Αποτελέσματα:
EL0415FR6060

Παροχή αιχμής (M3/S)	241.35
Χρονική στιγμή αιχμής	02Sep2000, 01:30
Όγκος (MM)	343.79
Όγκος βροχόπτωσης (M3)	1.53E7
Όγκος απωλειών (M3)	3.68E6
Ενεργός Όγκος (M3)	1.17E7
Όγκος άμεσης απορροής (M3)	1.17E7
Όγκος βασικής απορροής (M3)	3.18E6

Βροχόπτωση και Απορροή



Υπολεκάνη: EL0415FR6061

Έκταση (KM2) : 129.17

Κατάντη : J56

Μέθοδος Απωλειών: SCS

Ποσοστό αδιαπέρατης επιφάνειας	0
Αριθμός Καμπύλης Απορροής-CN	67.58
Αρχικές Απώλειες	24.37

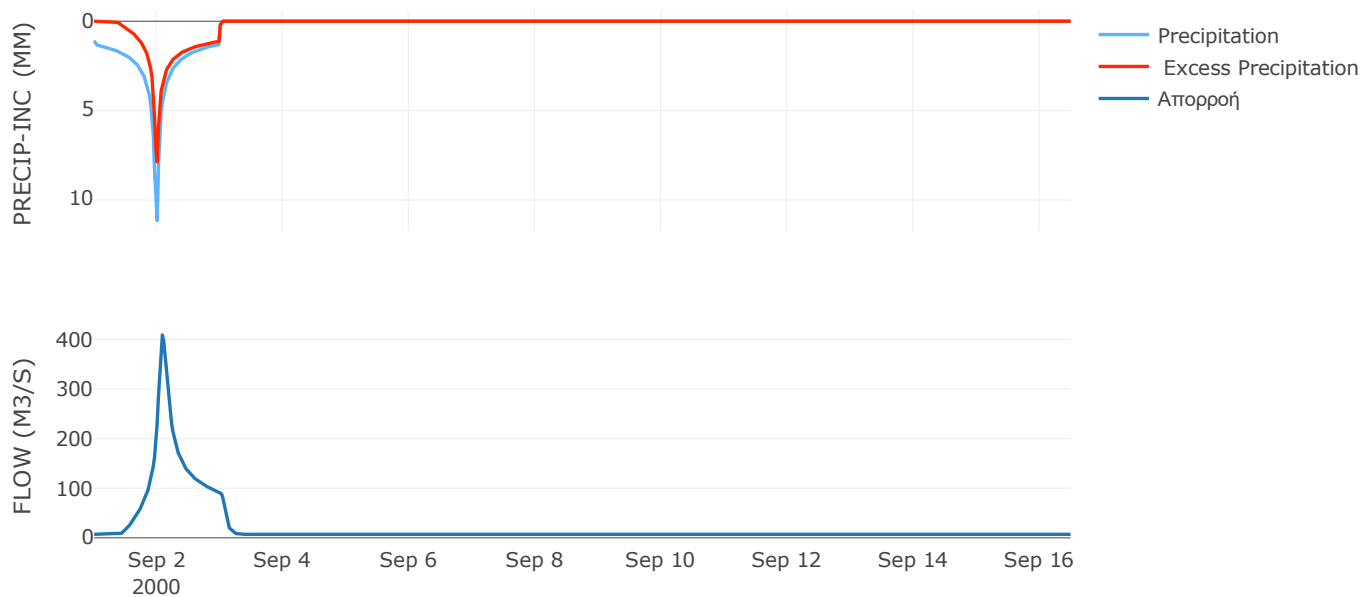
Μέθοδος
Μετασχηματισμού: SCS

Χρόνος Υστέρησης	101.81
------------------	--------

Αποτελέσματα:
EL0415FR6061

Παροχή αιχμής (M3/S)	409.01
Χρονική στιγμή αιχμής	02Sep2000, 02:00
Όγκος (MM)	214.42
Όγκος βροχόπτωσης (M3)	3.14E7
Όγκος απωλειών (M3)	1.33E7
Ενεργός Όγκος (M3)	1.82E7
Όγκος άμεσης απορροής (M3)	1.82E7
Όγκος βασικής απορροής (M3)	9.51E6

Βροχόπτωση και Απορροή



Υπολεκάνη: EL0415FR6062

Έκταση (KM2) : 41.66

Κατάντη : J49

Μέθοδος Απωλειών: SCS

Ποσοστό αδιαπέρατης επιφάνειας	0
Αριθμός Καμπύλης Απορροής-CN	74.55
Αρχικές Απώλειες	17.34

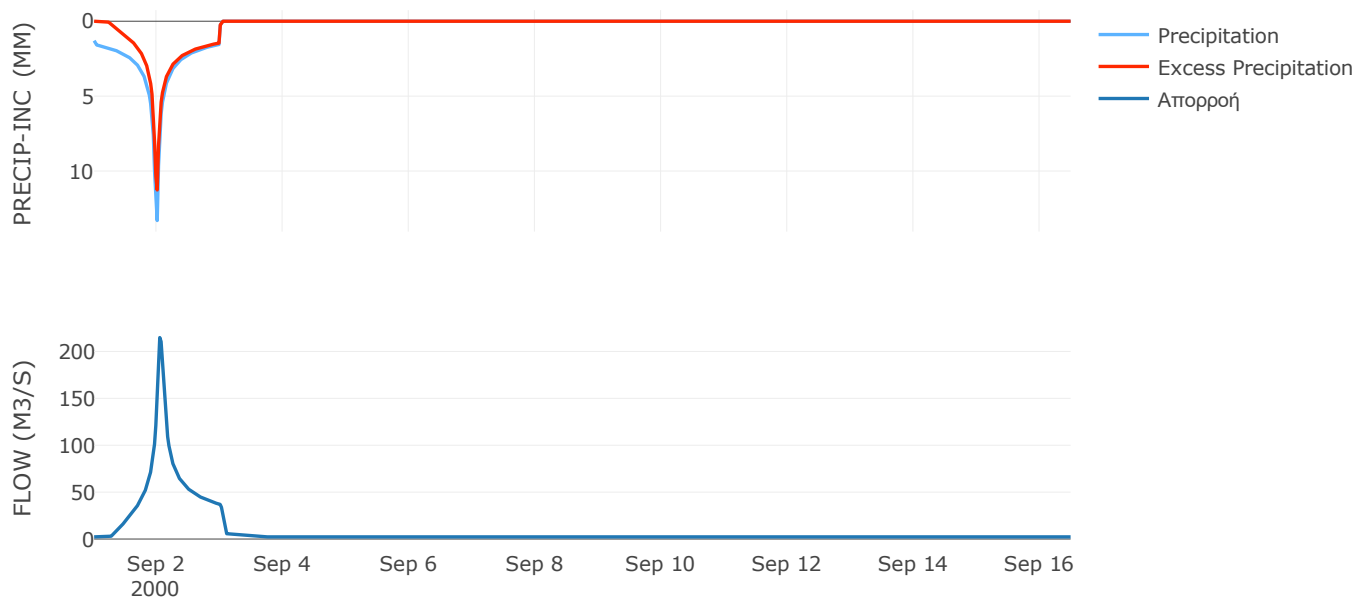
Μέθοδος
Μετασχηματισμού: SCS

Χρόνος Υστέρησης	58.76
------------------	-------

Αποτελέσματα:
EL0415FR6062

Παροχή αιχμής (M3/S)	214.83
Χρονική στιγμή αιχμής	02Sep2000, 01:00
Όγκος (MM)	281.35
Όγκος βροχόπτωσης (M3)	1.21E7
Όγκος απωλειών (M3)	3.47E6
Ενεργός Όγκος (M3)	8.65E6
Όγκος άμεσης απορροής (M3)	8.65E6
Όγκος βασικής απορροής (M3)	3.07E6

Βροχόπτωση και Απορροή



Υπολεκάνη: EL0415FR6063

Έκταση (KM2) : 99.42

Κατάντη : J48

Μέθοδος Απωλειών: SCS

Ποσοστό αδιαπέρατης επιφάνειας	0
Αριθμός Καμπύλης Απορροής-CN	63.55
Αρχικές Απώλειες	29.13

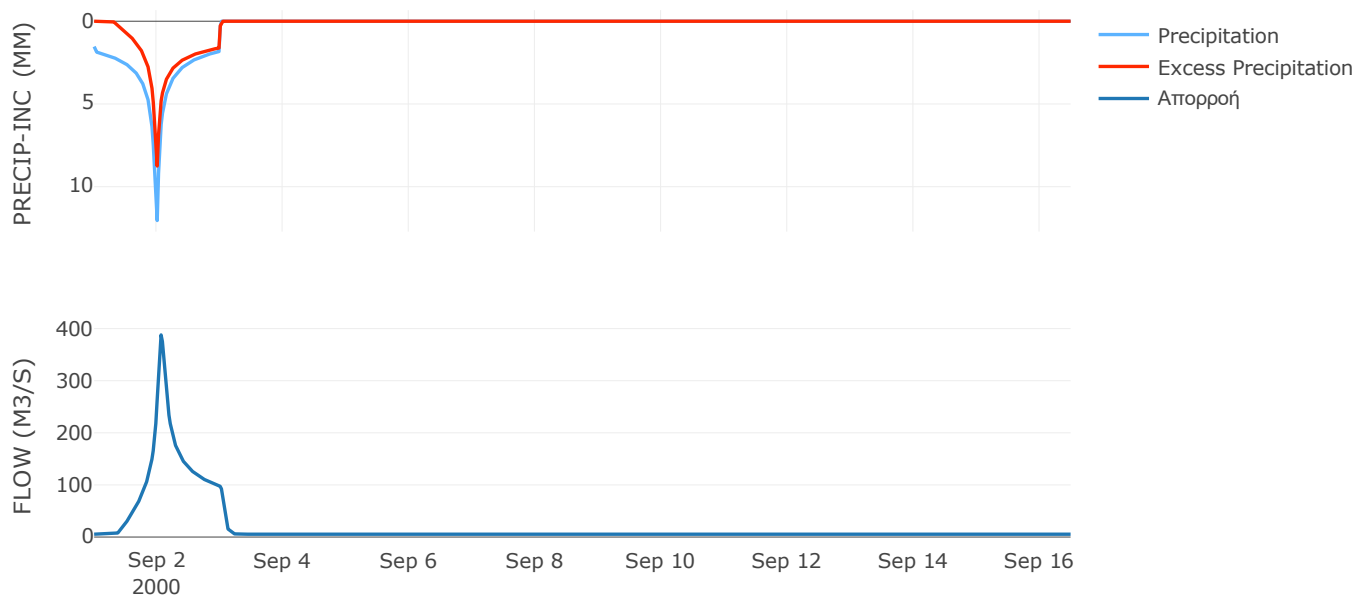
Μέθοδος
Μετασχηματισμού: SCS

Χρόνος Υστέρησης	75.36
------------------	-------

Αποτελέσματα:
EL0415FR6063

Παροχή αιχμής (M3/S)	387.88
Χρονική στιγμή αιχμής	02Sep2000, 01:30
Όγκος (MM)	260.81
Όγκος βροχόπτωσης (M3)	3.11E7
Όγκος απωλειών (M3)	1.25E7
Ενεργός Όγκος (M3)	1.86E7
Όγκος άμεσης απορροής (M3)	1.86E7
Όγκος βασικής απορροής (M3)	7.32E6

Βροχόπτωση και Απορροή



Υπολεκάνη: EL0415FR6064

Έκταση (KM2) : 51.48

Κατάντη : J47

Μέθοδος Απωλειών: SCS

Ποσοστό αδιαπέρατης επιφάνειας	0
Αριθμός Καμπύλης Απορροής-CN	60.98
Αρχικές Απώλειες	32.51

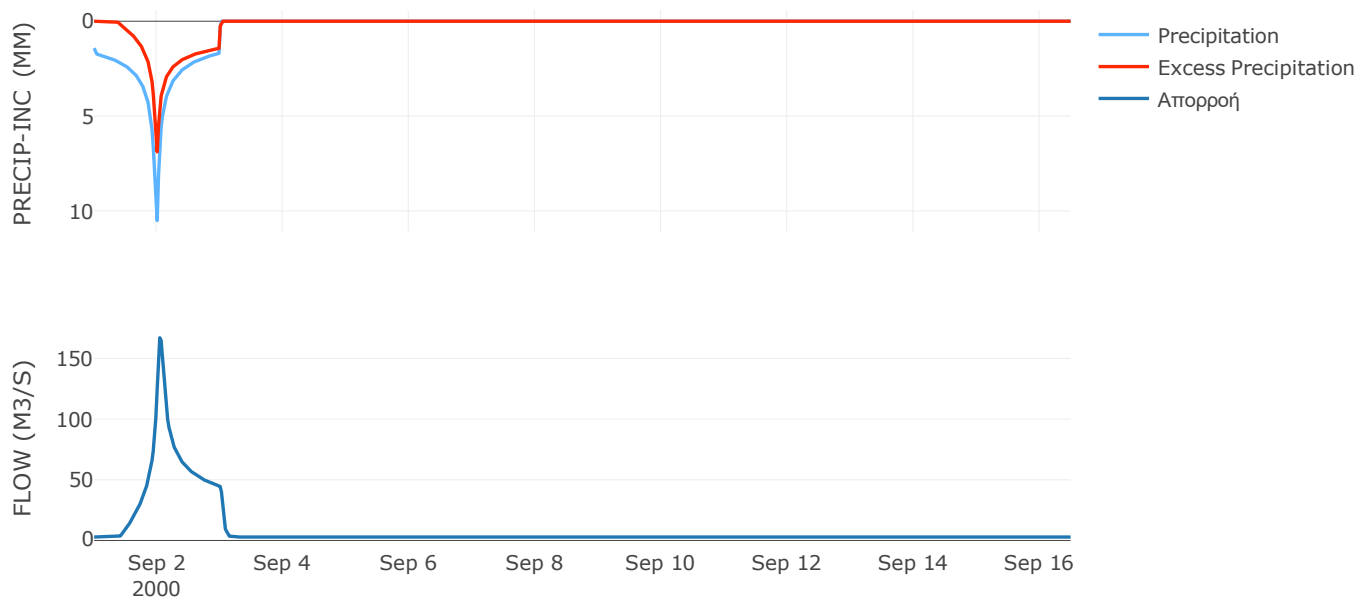
Μέθοδος
Μετασχηματισμού: SCS

Χρόνος Υστέρησης	53.6
------------------	------

Αποτελέσματα:
EL0415FR6064

Παροχή αιχμής (M3/S)	167.04
Χρονική στιγμή αιχμής	02Sep2000, 01:00
Όγκος (MM)	226.03
Όγκος βροχόπτωσης (M3)	1.46E7
Όγκος απωλειών (M3)	6.75E6
Ενεργός Όγκος (M3)	7.84E6
Όγκος άμεσης απορροής (M3)	7.84E6
Όγκος βασικής απορροής (M3)	3.79E6

Βροχόπτωση και Απορροή



Υπολεκάνη: EL0415FR6065

Έκταση (KM2) : 12.04

Κατάντη : J47

Μέθοδος Απωλειών: SCS

Ποσοστό αδιαπέρατης επιφάνειας	0
Αριθμός Καμπύλης Απορροής-CN	63.29
Αρχικές Απώλειες	29.46

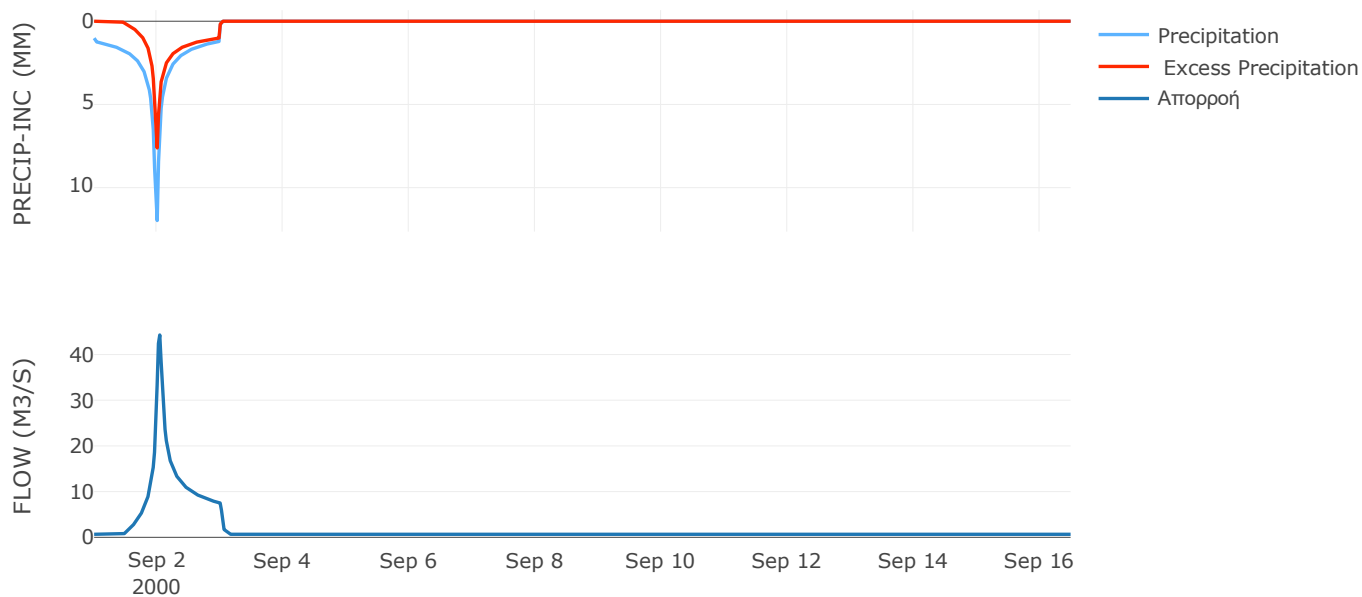
Μέθοδος
Μετασχηματισμού: SCS

Χρόνος Υστέρησης	37.05
------------------	-------

Αποτελέσματα:
EL0415FR6065

Παροχή αιχμής (M3/S)	44.27
Χρονική στιγμή αιχμής	02Sep2000, 01:00
Όγκος (MM)	197.69
Όγκος βροχόπτωσης (M3)	2.89E6
Όγκος απωλειών (M3)	1.4E6
Ενεργός Όγκος (M3)	1.49E6
Όγκος άμεσης απορροής (M3)	1.49E6
Όγκος βασικής απορροής (M3)	8.87E5

Βροχόπτωση και Απορροή



Υπολεκάνη: EL0415FR6066

Έκταση (KM2) : 116.84

Κατάντη : J48

Μέθοδος Απωλειών: SCS

Ποσοστό αδιαπέρατης επιφάνειας	0
Αριθμός Καμπύλης Απορροής-CN	68.04
Αρχικές Απώλειες	23.86

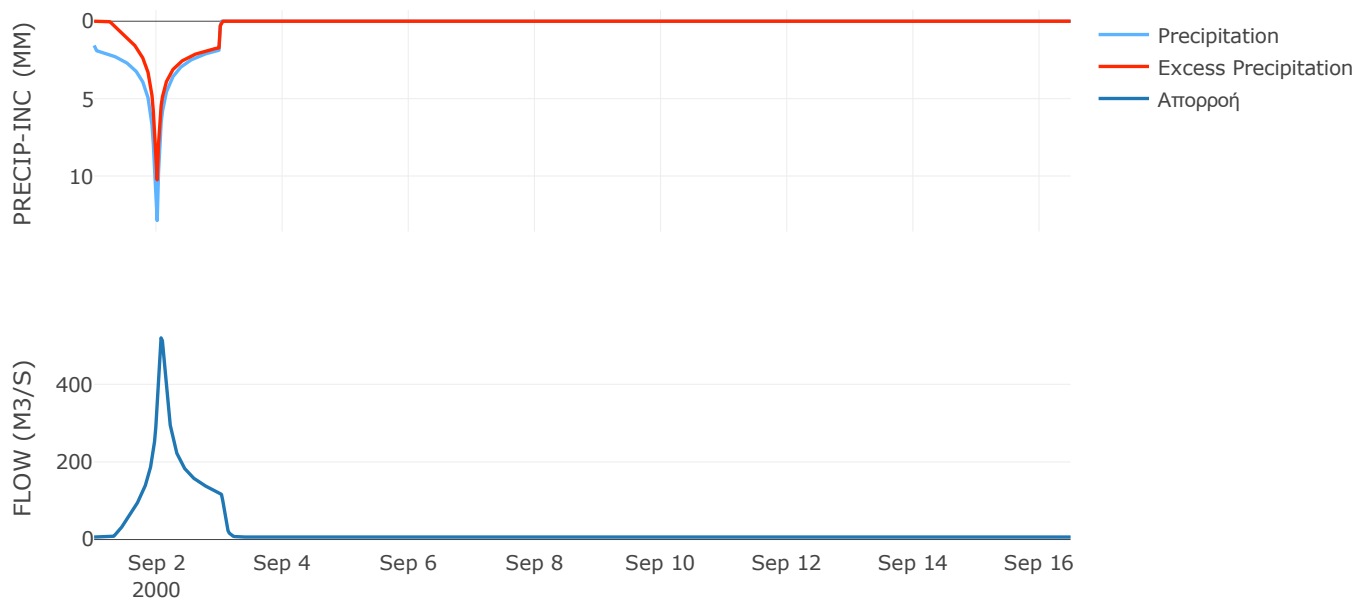
Μέθοδος
Μετασχηματισμού: SCS

Χρόνος Υστέρησης	83.47
------------------	-------

Αποτελέσματα:
EL0415FR6066

Παροχή αιχμής (M3/S)	519.76
Χρονική στιγμή αιχμής	02Sep2000, 01:30
Όγκος (MM)	288.85
Όγκος βροχόπτωσης (M3)	3.79E7
Όγκος απωλειών (M3)	1.28E7
Ενεργός Όγκος (M3)	2.51E7
Όγκος άμεσης απορροής (M3)	2.51E7
Όγκος βασικής απορροής (M3)	8.61E6

Βροχόπτωση και Απορροή



Υπολεκάνη: EL0415FR6067

Έκταση (KM2) : 29.4

Κατάντη : J57

Μέθοδος Απωλειών: SCS

Ποσοστό αδιαπέρατης επιφάνειας	9
Αριθμός Καμπύλης Απορροής-CN	69.88
Αρχικές Απώλειες	21.9

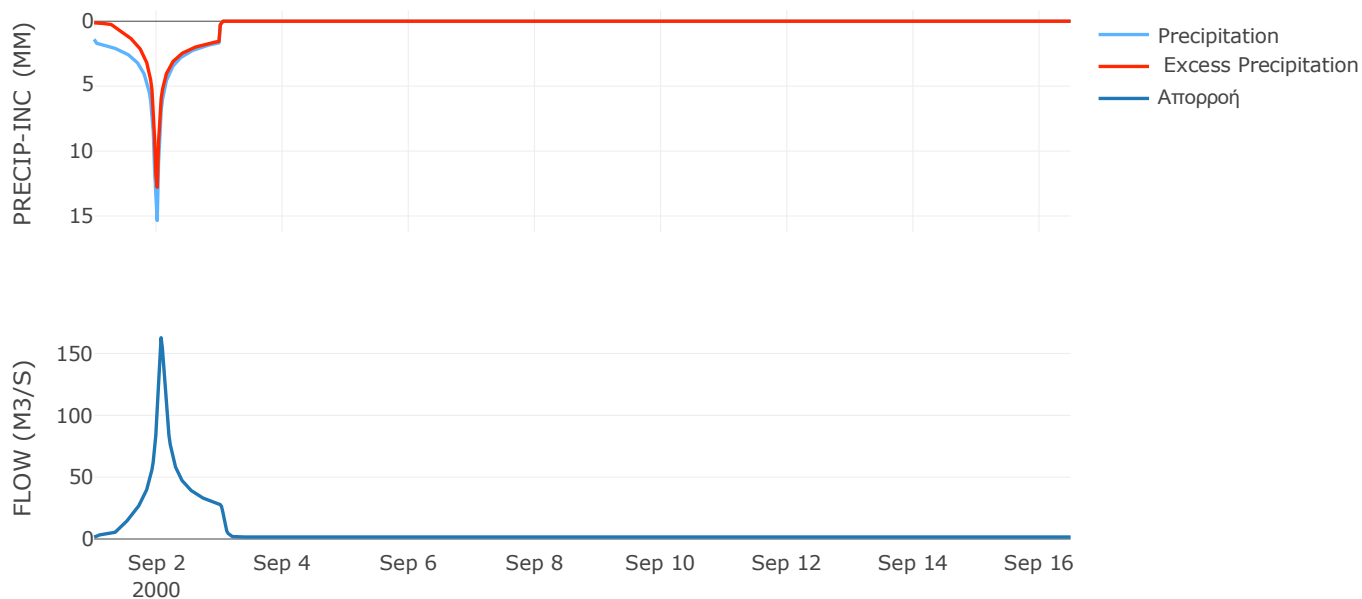
Μέθοδος
Μετασχηματισμού: SCS

Χρόνος Υστέρησης	76.17
------------------	-------

Αποτελέσματα:
EL0415FR6067

Παροχή αιχμής (M3/S)	162.77
Χρονική στιγμή αιχμής	02Sep2000, 01:30
Όγκος (MM)	301.53
Όγκος βροχόπτωσης (M3)	9.43E6
Όγκος απωλειών (M3)	2.73E6
Ενεργός Όγκος (M3)	6.7E6
Όγκος άμεσης απορροής (M3)	6.7E6
Όγκος βασικής απορροής (M3)	2.17E6

Βροχόπτωση και Απορροή



Υπολεκάνη: EL0415FR6068

Έκταση (KM2) : 101.27

Κατάντη : J45

Μέθοδος Απωλειών: SCS

Ποσοστό αδιαπέρατης επιφάνειας	0
Αριθμός Καμπύλης Απορροής-CN	77.74
Αρχικές Απώλειες	14.54

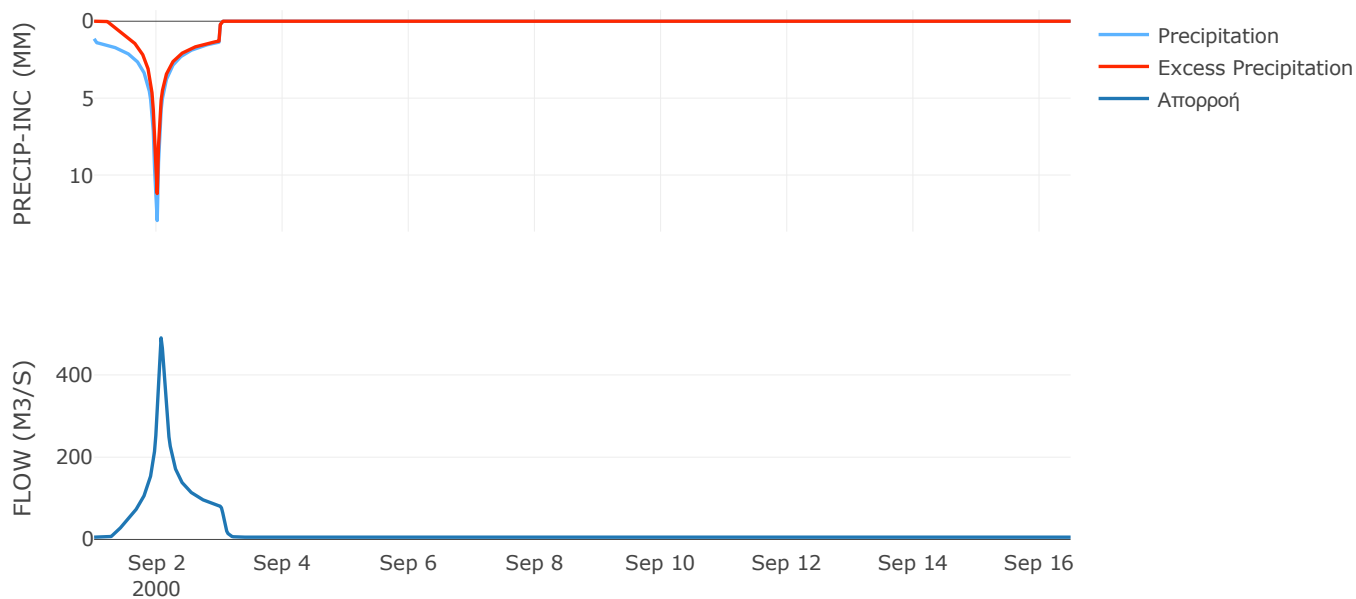
Μέθοδος
Μετασχηματισμού: SCS

Χρόνος Υστέρησης	77.15
------------------	-------

Αποτελέσματα:
EL0415FR6068

Παροχή αιχμής (M3/S)	490.11
Χρονική στιγμή αιχμής	02Sep2000, 01:30
Όγκος (MM)	268.27
Όγκος βροχόπτωσης (M3)	2.69E7
Όγκος απωλειών (M3)	7.18E6
Ενεργός Όγκος (M3)	1.97E7
Όγκος άμεσης απορροής (M3)	1.97E7
Όγκος βασικής απορροής (M3)	7.46E6

Βροχόπτωση και Απορροή



Υπολεκάνη: EL0415FR6069

Έκταση (KM2) : 35

Κατάντη : J43

Μέθοδος Απωλειών: SCS

Ποσοστό αδιαπέρατης επιφάνειας	0
Αριθμός Καμπύλης Απορροής-CN	76.68
Αρχικές Απώλειες	15.45

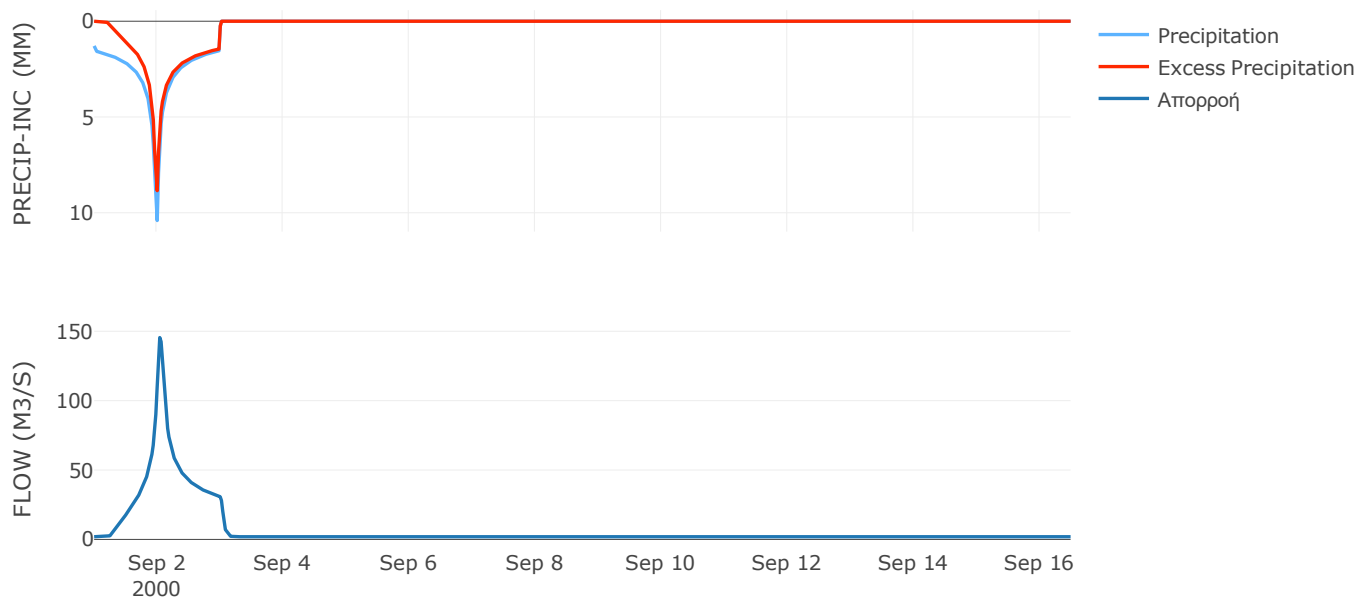
Μέθοδος
Μετασχηματισμού: SCS

Χρόνος Υστέρησης	56.7
------------------	------

Αποτελέσματα:
EL0415FR6069

Παροχή αιχμής (M3/S)	145.47
Χρονική στιγμή αιχμής	02Sep2000, 01:00
Όγκος (MM)	264.6
Όγκος βροχόπτωσης (M3)	9.29E6
Όγκος απωλειών (M3)	2.61E6
Ενεργός Όγκος (M3)	6.68E6
Όγκος άμεσης απορροής (M3)	6.68E6
Όγκος βασικής απορροής (M3)	2.58E6

Βροχόπτωση και Απορροή



Υπολεκάνη: EL0415FR6070

Έκταση (KM2) : 53.71

Κατάντη : J42

Μέθοδος Απωλειών: SCS

Ποσοστό αδιαπέρατης επιφάνειας	1
Αριθμός Καμπύλης Απορροής-CN	67.67
Αρχικές Απώλειες	24.27

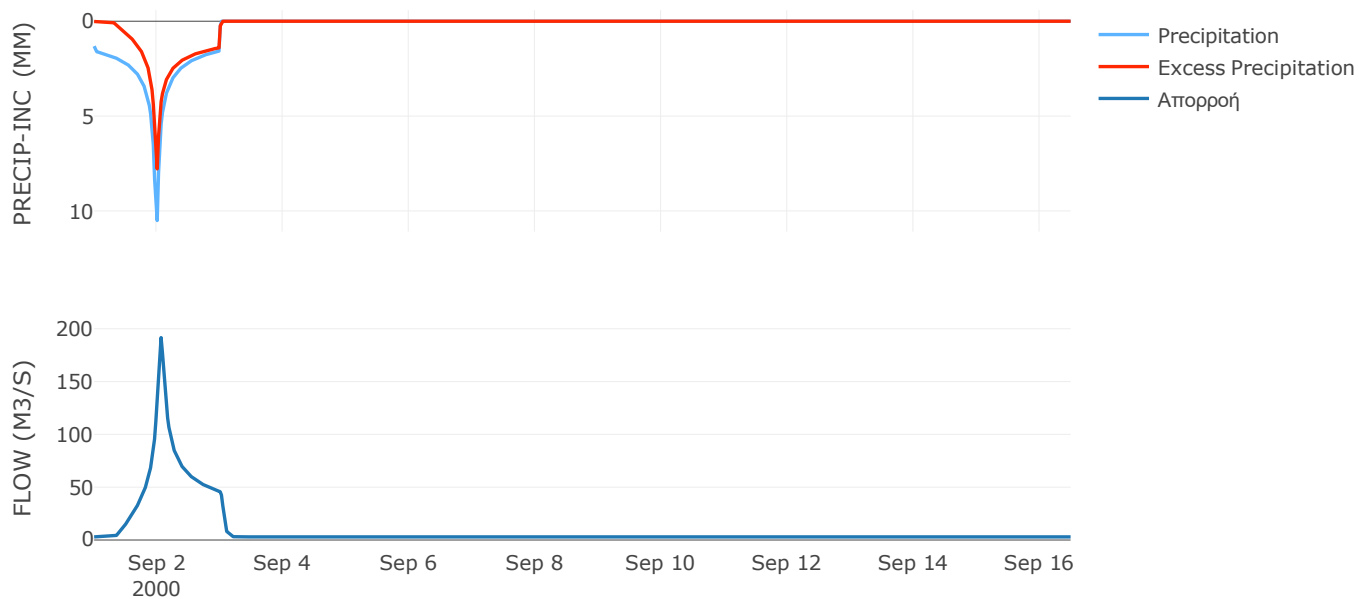
Μέθοδος
Μετασχηματισμού: SCS

Χρόνος Υστέρησης	63.49
------------------	-------

Αποτελέσματα:
EL0415FR6070

Παροχή αιχμής (M3/S)	191.64
Χρονική στιγμή αιχμής	02Sep2000, 01:30
Όγκος (MM)	239.17
Όγκος βροχόπτωσης (M3)	1.45E7
Όγκος απωλειών (M3)	5.61E6
Ενεργός Όγκος (M3)	8.89E6
Όγκος άμεσης απορροής (M3)	8.89E6
Όγκος βασικής απορροής (M3)	3.96E6

Βροχόπτωση και Απορροή



Υπολεκάνη: EL0415FR6071

Έκταση (KM2) : 75.64

Κατάντη : J40

Μέθοδος Απωλειών: SCS

Ποσοστό αδιαπέρατης επιφάνειας	0
Αριθμός Καμπύλης Απορροής-CN	80.28
Αρχικές Απώλειες	12.48

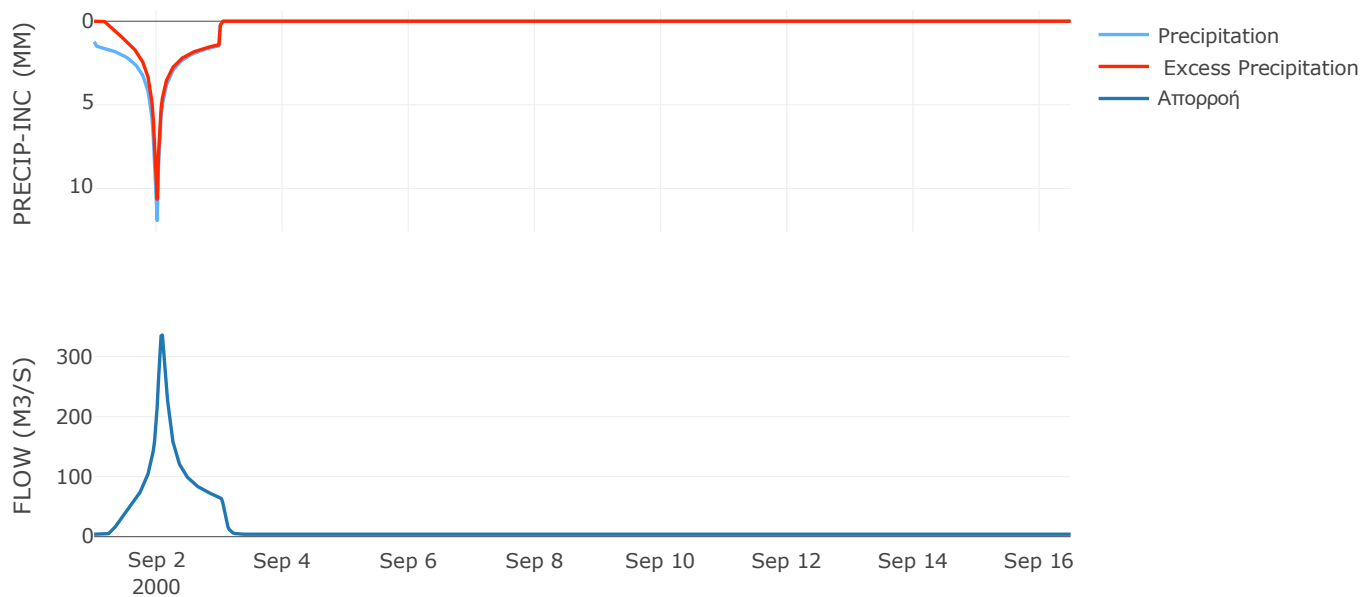
Μέθοδος
Μετασχηματισμού: SCS

Χρόνος Υστέρησης	93.54
------------------	-------

Αποτελέσματα:
EL0415FR6071

Παροχή αιχμής (M3/S)	336.13
Χρονική στιγμή αιχμής	02Sep2000, 02:00
Όγκος (MM)	280.8
Όγκος βροχόπτωσης (M3)	2.04E7
Όγκος απωλειών (M3)	4.74E6
Ενεργός Όγκος (M3)	1.57E7
Όγκος άμεσης απορροής (M3)	1.57E7
Όγκος βασικής απορροής (M3)	5.57E6

Βροχόπτωση και Απορροή



Υπολεκάνη: EL0415FR6072

Έκταση (KM2) : 105.53

Κατάντη : J39

Μέθοδος Απωλειών: SCS

Ποσοστό αδιαπέρατης επιφάνειας	0
Αριθμός Καμπύλης Απορροής-CN	77.74
Αρχικές Απώλειες	14.55

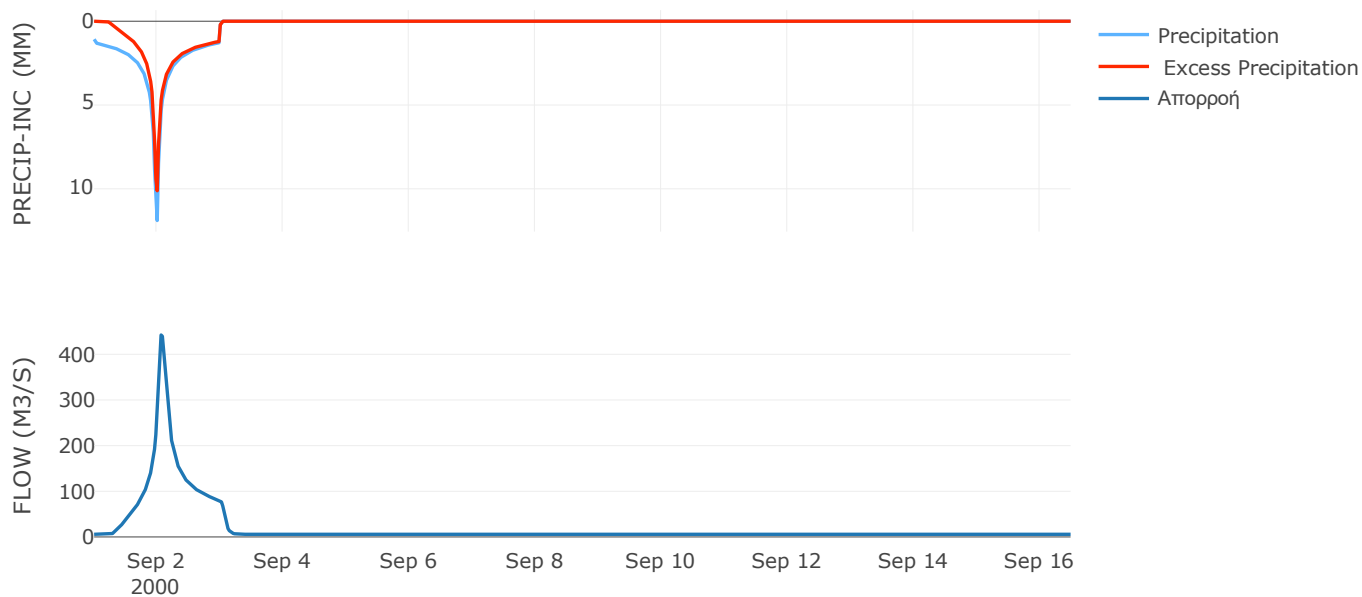
Μέθοδος
Μετασχηματισμού: SCS

Χρόνος Υστέρησης	89.49
------------------	-------

Αποτελέσματα:
EL0415FR6072

Παροχή αιχμής (M3/S)	442.36
Χρονική στιγμή αιχμής	02Sep2000, 01:30
Όγκος (MM)	251.55
Όγκος βροχόπτωσης (M3)	2.62E7
Όγκος απωλειών (M3)	7.39E6
Ενεργός Όγκος (M3)	1.88E7
Όγκος άμεσης απορροής (M3)	1.88E7
Όγκος βασικής απορροής (M3)	7.77E6

Βροχόπτωση και Απορροή



Υπολεκάνη: EL0415FR6073

Έκταση (KM2) : 53.33

Κατάντη : J39

Μέθοδος Απωλειών: SCS

Ποσοστό αδιαπέρατης επιφάνειας	0
Αριθμός Καμπύλης Απορροής-CN	66.99
Αρχικές Απώλειες	25.03

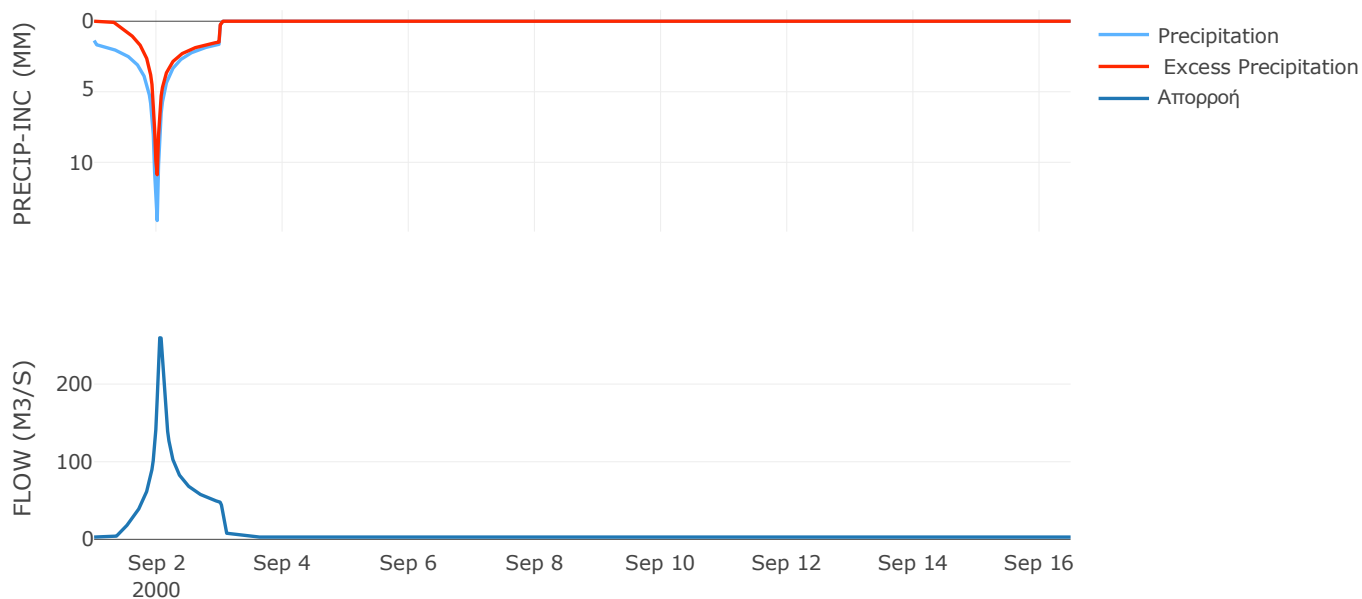
Μέθοδος
Μετασχηματισμού: SCS

Χρόνος Υστέρησης	61.06
------------------	-------

Αποτελέσματα:
EL0415FR6073

Παροχή αιχμής (M3/S)	259.72
Χρονική στιγμή αιχμής	02Sep2000, 01:00
Όγκος (MM)	269.4
Όγκος βροχόπτωσης (M3)	1.64E7
Όγκος απωλειών (M3)	5.96E6
Ενεργός Όγκος (M3)	1.04E7
Όγκος άμεσης απορροής (M3)	1.04E7
Όγκος βασικής απορροής (M3)	3.93E6

Βροχόπτωση και Απορροή



Υπολεκάνη: EL0415FR6074

Έκταση (KM2) : 21.94

Κατάντη : J37

Μέθοδος Απωλειών: SCS

Ποσοστό αδιαπέρατης επιφάνειας	0
Αριθμός Καμπύλης Απορροής-CN	68.03
Αρχικές Απώλειες	23.88

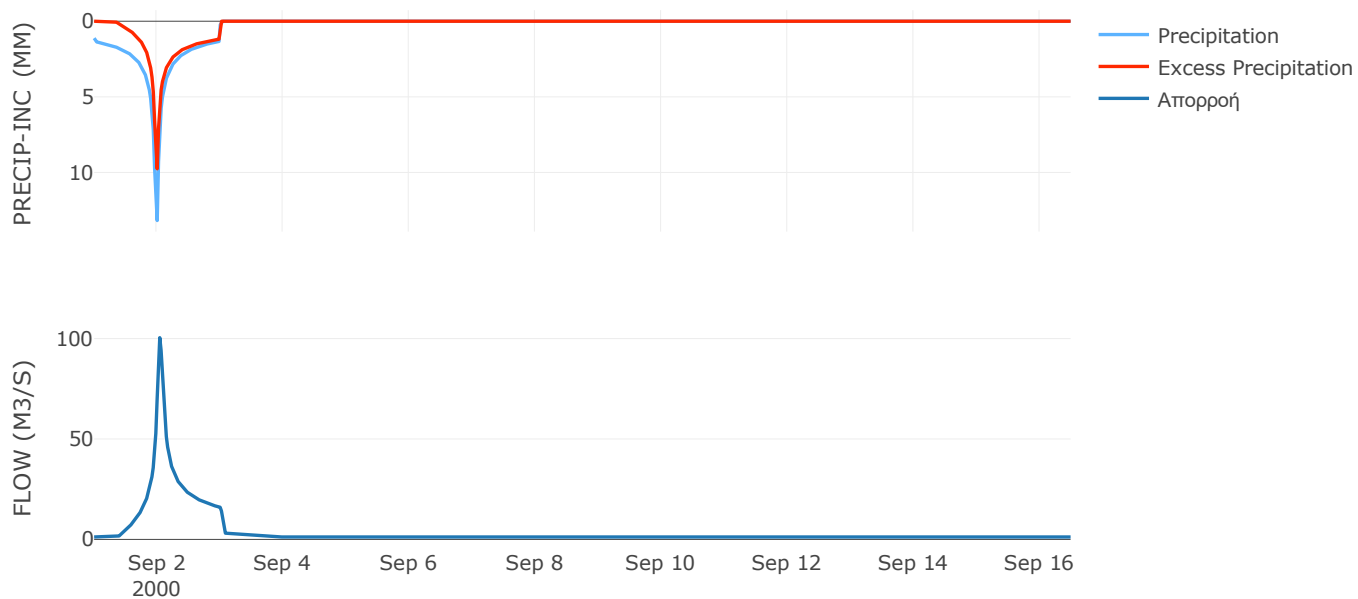
Μέθοδος
Μετασχηματισμού: SCS

Χρόνος Υστέρησης	49.56
------------------	-------

Αποτελέσματα:
EL0415FR6074

Παροχή αιχμής (M3/S)	100.44
Χρονική στιγμή αιχμής	02Sep2000, 01:00
Όγκος (MM)	234.19
Όγκος βροχόπτωσης (M3)	5.8E6
Όγκος απωλειών (M3)	2.27E6
Ενεργός Όγκος (M3)	3.52E6
Όγκος άμεσης απορροής (M3)	3.52E6
Όγκος βασικής απορροής (M3)	1.62E6

Βροχόπτωση και Απορροή



Υπολεκάνη: EL0415FR6075

Έκταση (KM2) : 74.2

Κατάντη : J38

Μέθοδος Απωλειών: SCS

Ποσοστό αδιαπέρατης επιφάνειας	0
Αριθμός Καμπύλης Απορροής-CN	73.35
Αρχικές Απώλειες	18.46

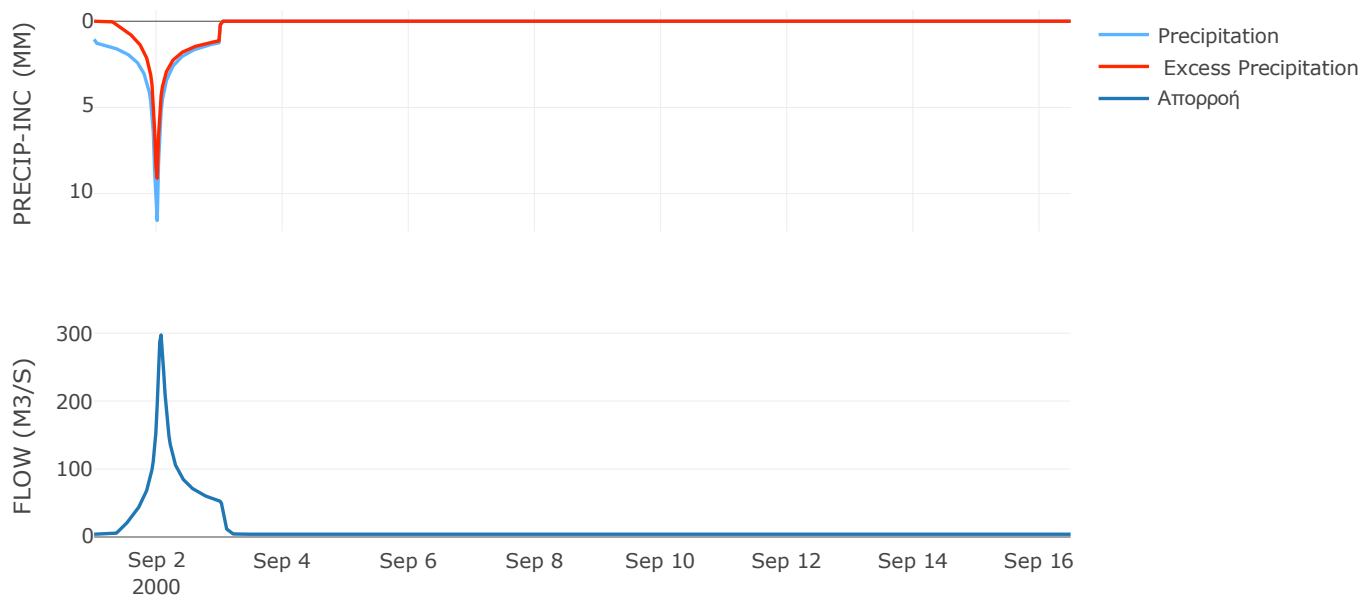
Μέθοδος
Μετασχηματισμού: SCS

Χρόνος Υστέρησης	69.87
------------------	-------

Αποτελέσματα:
EL0415FR6075

Παροχή αιχμής (M3/S)	297.39
Χρονική στιγμή αιχμής	02Sep2000, 01:30
Όγκος (MM)	231.11
Όγκος βροχόπτωσης (M3)	1.79E7
Όγκος απωλειών (M3)	6.21E6
Ενεργός Όγκος (M3)	1.17E7
Όγκος άμεσης απορροής (M3)	1.17E7
Όγκος βασικής απορροής (M3)	5.47E6

Βροχόπτωση και Απορροή



Υπολεκάνη: EL0415FR6076

Έκταση (KM2) : 61.38

Κατάντη : J33

Μέθοδος Απωλειών: SCS

Ποσοστό αδιαπέρατης επιφάνειας	0
Αριθμός Καμπύλης Απορροής-CN	59.92
Αρχικές Απώλειες	33.98

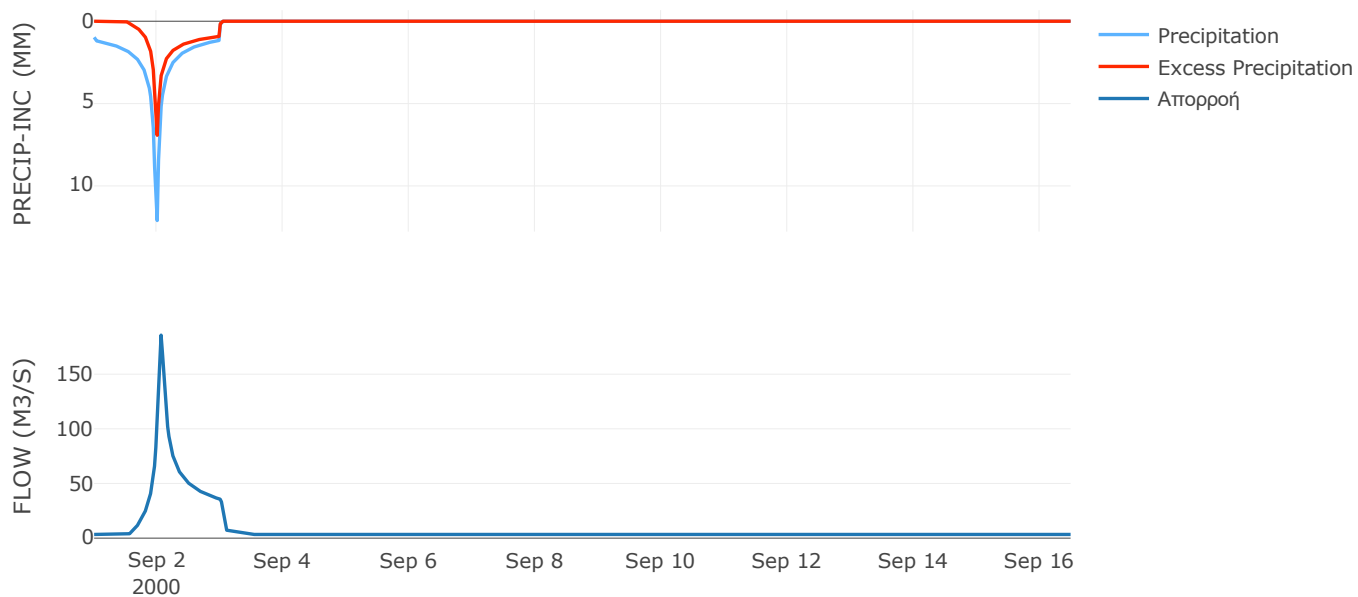
Μέθοδος
Μετασχηματισμού: SCS

Χρόνος Υστέρησης	63.38
------------------	-------

Αποτελέσματα:
EL0415FR6076

Παροχή αιχμής (M3/S)	185.71
Χρονική στιγμή αιχμής	02Sep2000, 01:30
Όγκος (MM)	182.73
Όγκος βροχόπτωσης (M3)	1.44E7
Όγκος απωλειών (M3)	7.74E6
Ενεργός Όγκος (M3)	6.69E6
Όγκος άμεσης απορροής (M3)	6.69E6
Όγκος βασικής απορροής (M3)	4.52E6

Βροχόπτωση και Απορροή



Υπολεκάνη: EL0415FR6077

Έκταση (KM2) : 115.35

Κατάντη : J33

Μέθοδος Απωλειών: SCS

Ποσοστό αδιαπέρατης επιφάνειας	0
Αριθμός Καμπύλης Απορροής-CN	59.36
Αρχικές Απώλειες	34.78

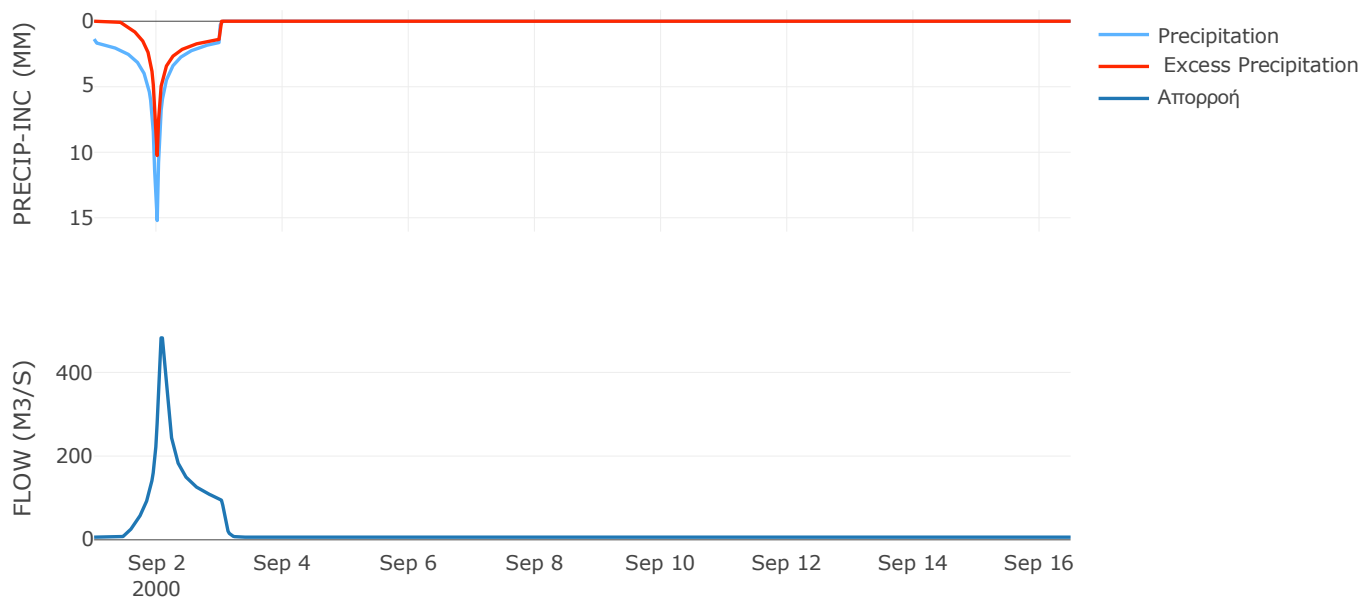
Μέθοδος
Μετασχηματισμού: SCS

Χρόνος Υστέρησης	86.69
------------------	-------

Αποτελέσματα:
EL0415FR6077

Παροχή αιχμής (M3/S)	482.54
Χρονική στιγμή αιχμής	02Sep2000, 01:30
Όγκος (MM)	246.79
Όγκος βροχόπτωσης (M3)	3.64E7
Όγκος απωλειών (M3)	1.64E7
Ενεργός Όγκος (M3)	2E7
Όγκος άμεσης απορροής (M3)	2E7
Όγκος βασικής απορροής (M3)	8.5E6

Βροχόπτωση και Απορροή



Υπολεκάνη: EL0415FR6078

Έκταση (KM2) : 32.2

Κατάντη : J32

Μέθοδος Απωλειών: SCS

Ποσοστό αδιαπέρατης επιφάνειας	0
Αριθμός Καμπύλης Απορροής-CN	63.99
Αρχικές Απώλειες	28.58

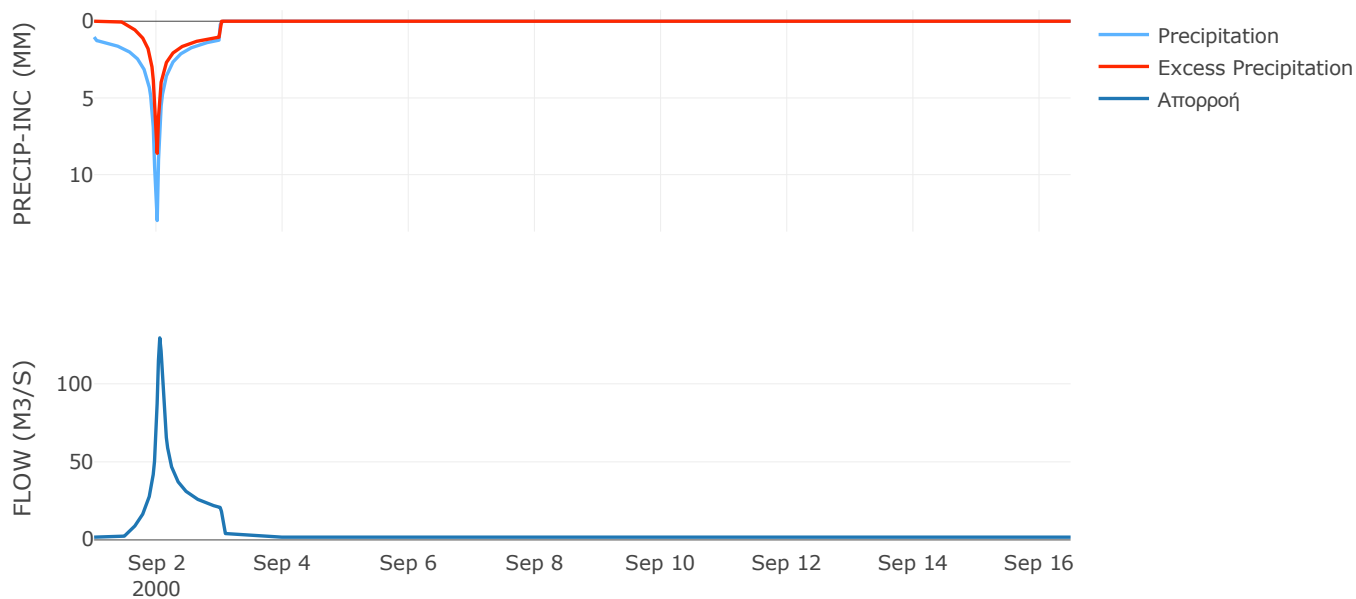
Μέθοδος
Μετασχηματισμού: SCS

Χρόνος Υστέρησης	48.48
------------------	-------

Αποτελέσματα:
EL0415FR6078

Παροχή αιχμής (M3/S)	129.45
Χρονική στιγμή αιχμής	02Sep2000, 01:00
Όγκος (MM)	208.17
Όγκος βροχόπτωσης (M3)	8.05E6
Όγκος απωλειών (M3)	3.72E6
Ενεργός Όγκος (M3)	4.33E6
Όγκος άμεσης απορροής (M3)	4.33E6
Όγκος βασικής απορροής (M3)	2.37E6

Βροχόπτωση και Απορροή



Υπολεκάνη: EL0415FR6079

Έκταση (KM2) : 61

Κατάντη : J32

Μέθοδος Απωλειών: SCS

Ποσοστό αδιαπέρατης επιφάνειας	0
Αριθμός Καμπύλης Απορροής-CN	60.52
Αρχικές Απώλειες	33.14

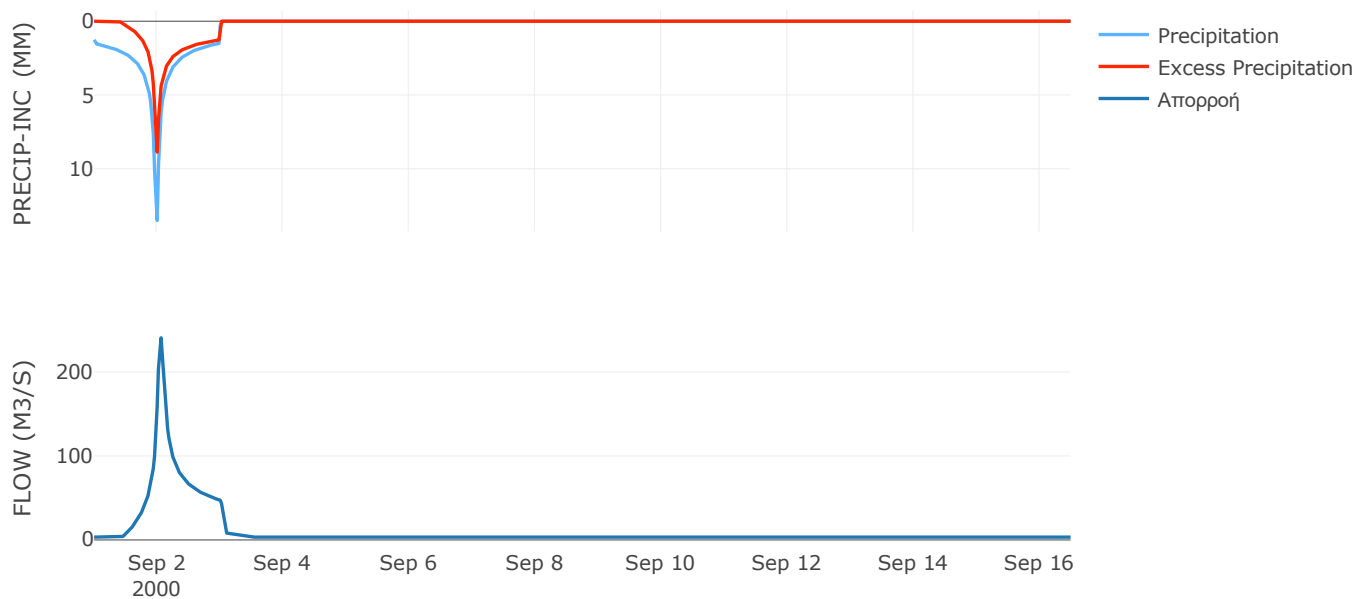
Μέθοδος
Μετασχηματισμού: SCS

Χρόνος Υστέρησης	61.08
------------------	-------

Αποτελέσματα:
EL0415FR6079

Παροχή αιχμής (M3/S)	240.58
Χρονική στιγμή αιχμής	02Sep2000, 01:30
Όγκος (MM)	227.15
Όγκος βροχόπτωσης (M3)	1.75E7
Όγκος απωλειών (M3)	8.14E6
Ενεργός Όγκος (M3)	9.36E6
Όγκος άμεσης απορροής (M3)	9.36E6
Όγκος βασικής απορροής (M3)	4.49E6

Βροχόπτωση και Απορροή



Υπολεκάνη: EL0415FR6080

Έκταση (KM2) : 31.99

Κατάντη : J30

Μέθοδος Απωλειών: SCS

Ποσοστό αδιαπέρατης επιφάνειας	0
Αριθμός Καμπύλης Απορροής-CN	59.88
Αρχικές Απώλειες	34.04

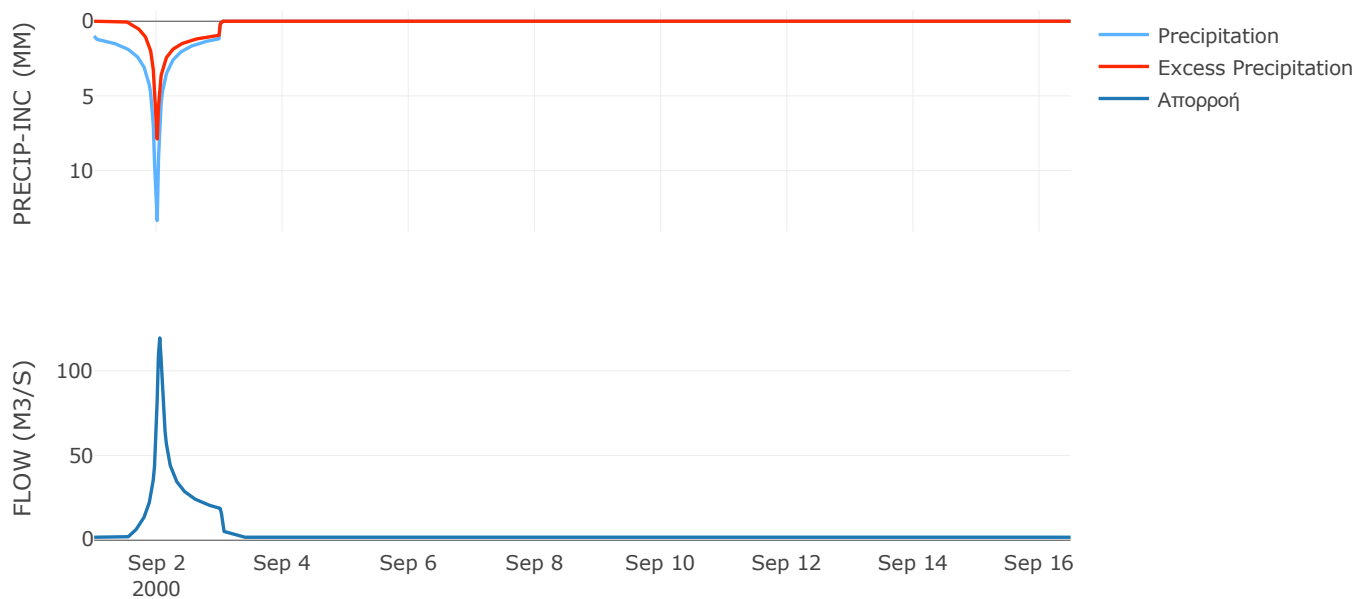
Μέθοδος
Μετασχηματισμού: SCS

Χρόνος Υστέρησης	41.95
------------------	-------

Αποτελέσματα:
EL0415FR6080

Παροχή αιχμής (M3/S)	119.36
Χρονική στιγμή αιχμής	02Sep2000, 01:00
Όγκος (MM)	190.93
Όγκος βροχόπτωσης (M3)	7.86E6
Όγκος απωλειών (M3)	4.11E6
Ενεργός Όγκος (M3)	3.75E6
Όγκος άμεσης απορροής (M3)	3.75E6
Όγκος βασικής απορροής (M3)	2.36E6

Βροχόπτωση και Απορροή



Υπολεκάνη: EL0415FR6081

Έκταση (KM2) : 61.71

Κατάντη : J42

Μέθοδος Απωλειών: SCS

Ποσοστό αδιαπέρατης επιφάνειας	35
Αριθμός Καμπύλης Απορροής-CN	87.13
Αρχικές Απώλειες	7.5

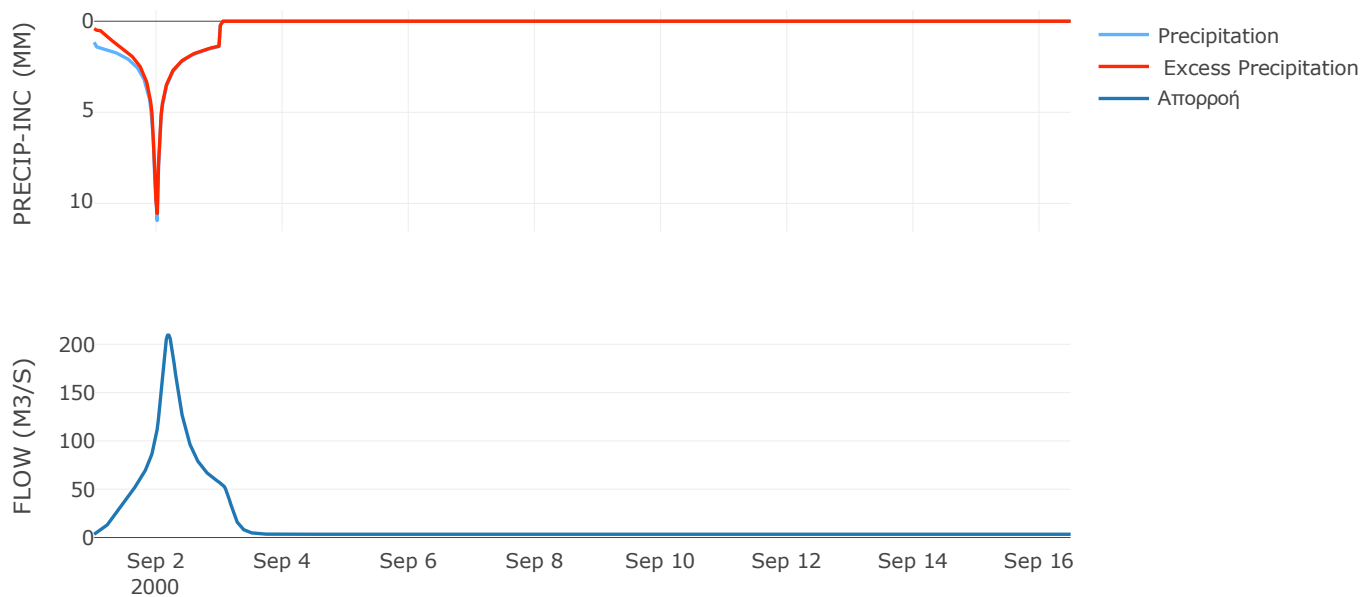
Μέθοδος
Μετασχηματισμού: SCS

Χρόνος Υστέρησης	236.74
------------------	--------

Αποτελέσματα:
EL0415FR6081

Παροχή αιχμής (M3/S)	209.53
Χρονική στιγμή αιχμής	02Sep2000, 04:00
Όγκος (MM)	299.51
Όγκος βροχόπτωσης (M3)	1.55E7
Όγκος απωλειών (M3)	1.61E6
Ενεργός Όγκος (M3)	1.39E7
Όγκος άμεσης απορροής (M3)	1.39E7
Όγκος βασικής απορροής (M3)	4.55E6

Βροχόπτωση και Απορροή



Υπολεκάνη: EL0415FR6082

Έκταση (KM2) : 53.32

Κατάντη : J63

Μέθοδος Απωλειών: SCS

Ποσοστό αδιαπέρατης επιφάνειας	0
Αριθμός Καμπύλης Απορροής-CN	64.85
Αρχικές Απώλειες	27.54

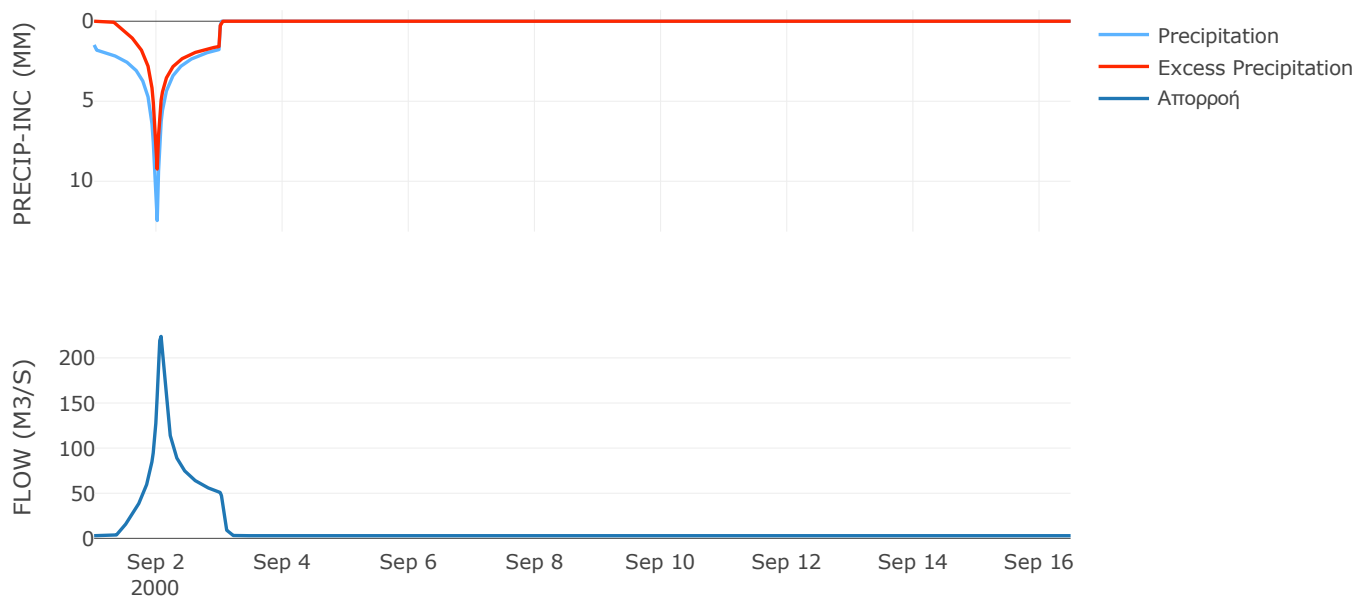
Μέθοδος
Μετασχηματισμού: SCS

Χρόνος Υστέρησης	64.67
------------------	-------

Αποτελέσματα:
EL0415FR6082

Παροχή αιχμής (M3/S)	223.82
Χρονική στιγμή αιχμής	02Sep2000, 01:30
Όγκος (MM)	263.04
Όγκος βροχόπτωσης (M3)	1.65E7
Όγκος απωλειών (M3)	6.4E6
Ενεργός Όγκος (M3)	1.01E7
Όγκος άμεσης απορροής (M3)	1.01E7
Όγκος βασικής απορροής (M3)	3.93E6

Βροχόπτωση και Απορροή



Υπολεκάνη: EL0415FR6083

Έκταση (KM2) : 14.89

Κατάνη : J41 Res4

Μέθοδος Απωλειών: SCS

Ποσοστό αδιαπέρατης επιφάνειας	9
Αριθμός Καμπύλης Απορροής-CN	83.07
Αρχικές Απώλειες	10.36

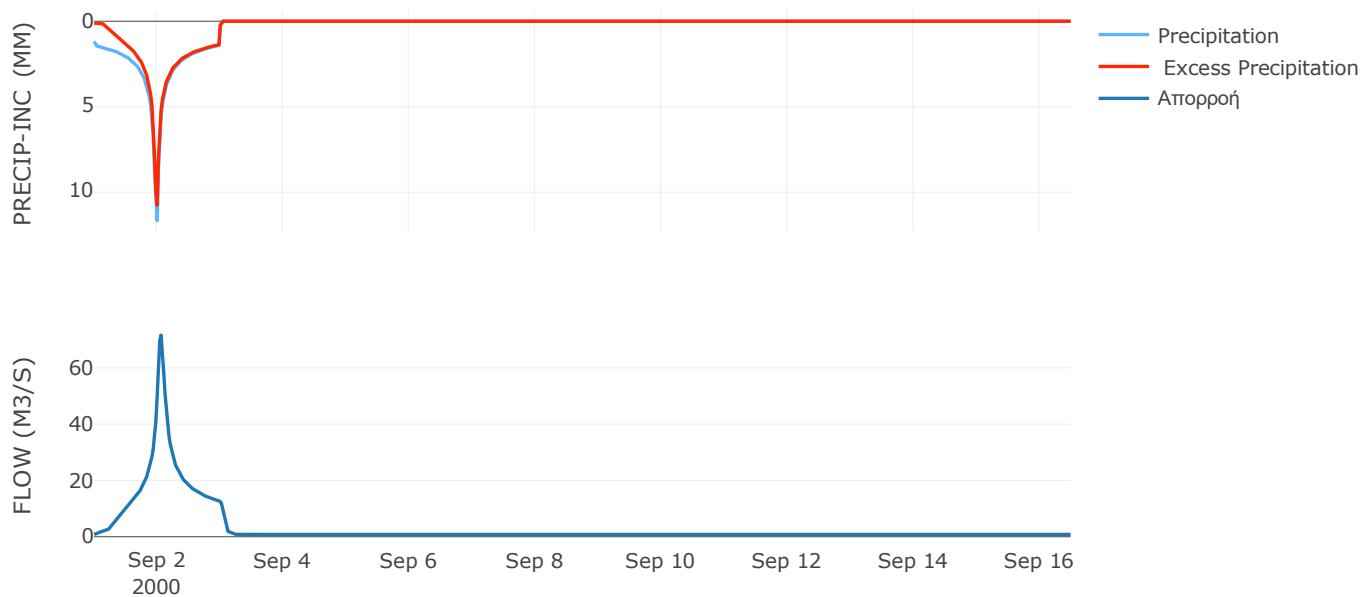
Μέθοδος
Μετασχηματισμού: SCS

Χρόνος Υστέρησης	70.99
------------------	-------

Αποτελέσματα:
EL0415FR6083

Παροχή αιχμής (M3/S)	71.63
Χρονική στιγμή αιχμής	02Sep2000, 01:30
Όγκος (MM)	286.59
Όγκος βροχόπτωσης (M3)	3.89E6
Όγκος απωλειών (M3)	7.22E5
Ενεργός Όγκος (M3)	3.17E6
Όγκος άμεσης απορροής (M3)	3.17E6
Όγκος βασικής απορροής (M3)	1.1E6

Βροχόπτωση και Απορροή



Υπολεκάνη: EL0415FR6084

Έκταση (KM2) : 167.7

Κατάντη : J46

Μέθοδος Απωλειών: SCS

Ποσοστό αδιαπέρατης επιφάνειας	0
Αριθμός Καμπύλης Απορροής-CN	75.65
Αρχικές Απώλειες	16.35

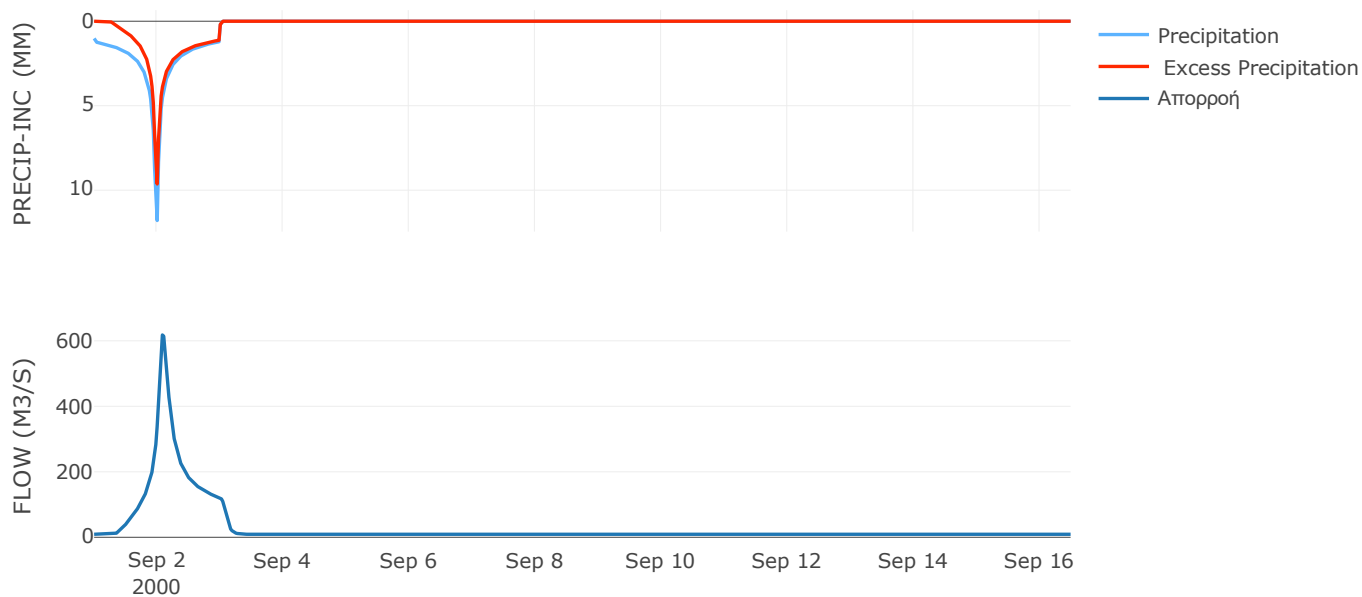
Μέθοδος
Μετασχηματισμού: SCS

Χρόνος Υστέρησης	115.82
------------------	--------

Αποτελέσματα:
EL0415FR6084

Παροχή αιχμής (M3/S)	617.92
Χρονική στιγμή αιχμής	02Sep2000, 02:00
Όγκος (MM)	236.35
Όγκος βροχόπτωσης (M3)	4E7
Όγκος απωλειών (M3)	1.28E7
Ενεργός Όγκος (M3)	2.73E7
Όγκος άμεσης απορροής (M3)	2.73E7
Όγκος βασικής απορροής (M3)	1.24E7

Βροχόπτωση και Απορροή



Υπολεκάνη: EL0415FR6085

Έκταση (KM2) : 5.18

Κατάνη : J17 Res3

Μέθοδος Απωλειών: SCS

Ποσοστό αδιαπέρατης επιφάνειας	20
Αριθμός Καμπύλης Απορροής-CN	93.75
Αρχικές Απώλειες	3.39

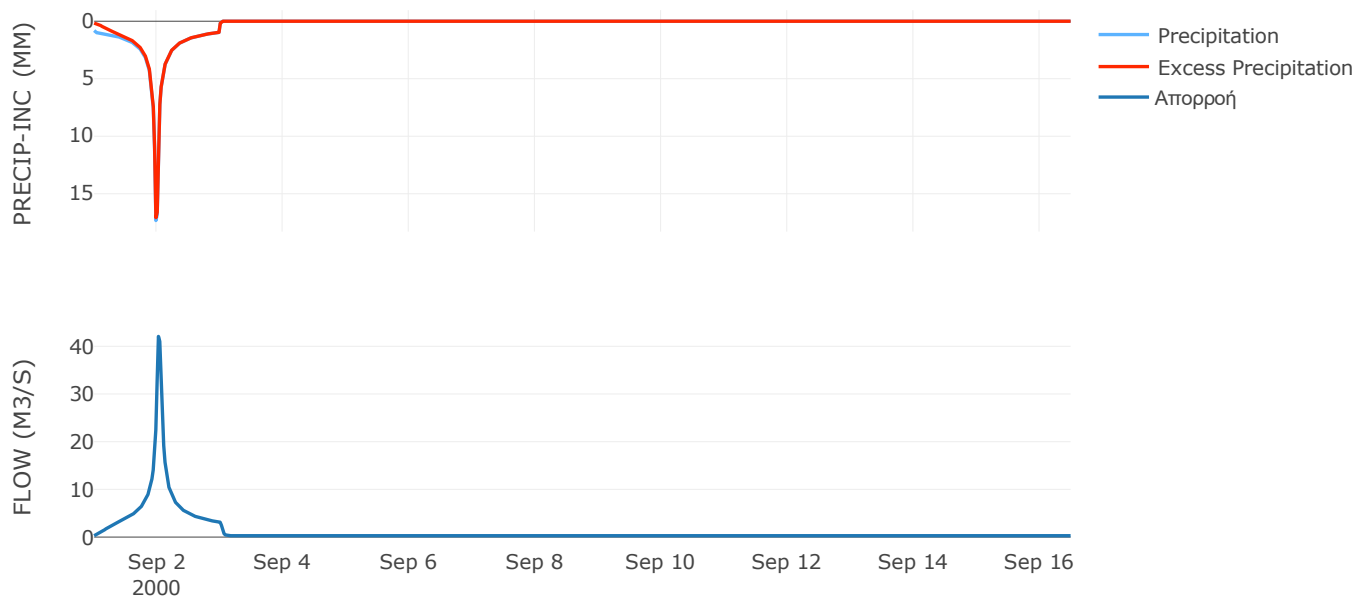
Μέθοδος
Μετασχηματισμού: SCS

Χρόνος Υστέρησης	36.94
------------------	-------

Αποτελέσματα:
EL0415FR6085

Παροχή αιχμής (M3/S)	42.07
Χρονική στιγμή αιχμής	02Sep2000, 00:30
Όγκος (MM)	299.53
Όγκος βροχόπτωσης (M3)	1.25E6
Όγκος απωλειών (M3)	79544.79
Ενεργός Όγκος (M3)	1.17E6
Όγκος άμεσης απορροής (M3)	1.17E6
Όγκος βασικής απορροής (M3)	3.82E5

Βροχόπτωση και Απορροή



Υπολεκάνη: EL0415FR6086

Έκταση (KM2) : 51.06

Κατάντη : J27

Μέθοδος Απωλειών: SCS

Ποσοστό αδιαπέρατης επιφάνειας	17
Αριθμός Καμπύλης Απορροής-CN	69.67
Αρχικές Απώλειες	22.12

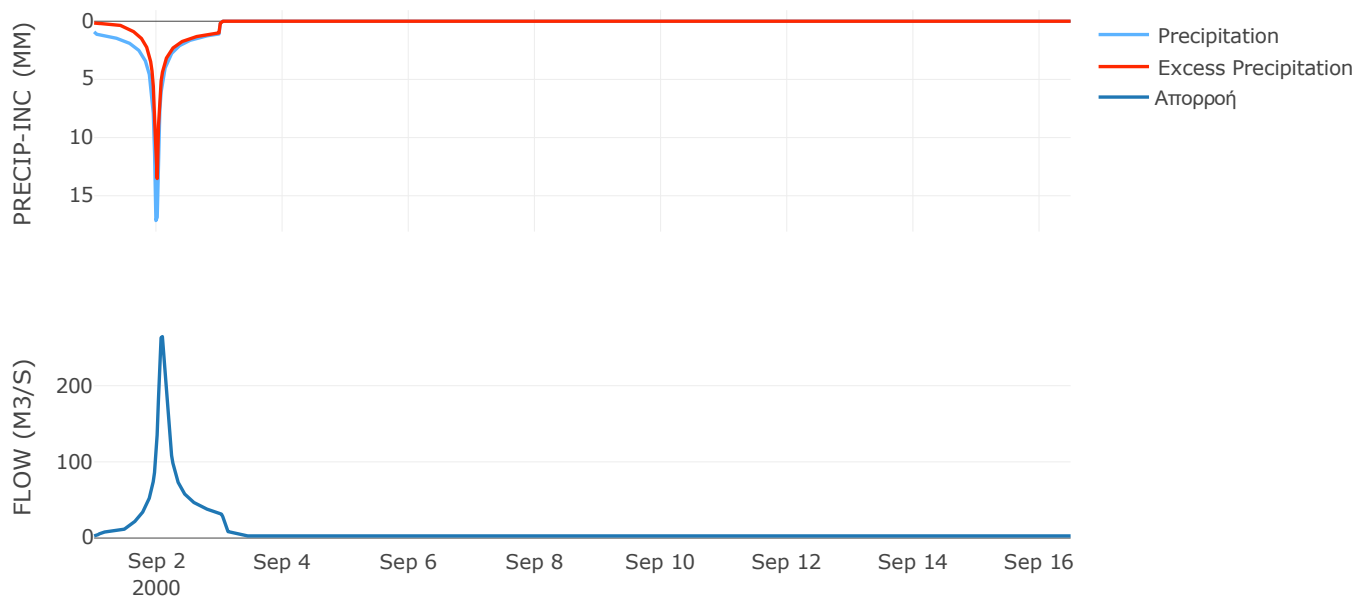
Μέθοδος
Μετασχηματισμού: SCS

Χρόνος Υστέρησης	93.73
------------------	-------

Αποτελέσματα:
EL0415FR6086

Παροχή αιχμής (M3/S)	264.44
Χρονική στιγμή αιχμής	02Sep2000, 02:00
Όγκος (MM)	251.09
Όγκος βροχόπτωσης (M3)	1.32E7
Όγκος απωλειών (M3)	4.13E6
Ενεργός Όγκος (M3)	9.06E6
Όγκος άμεσης απορροής (M3)	9.06E6
Όγκος βασικής απορροής (M3)	3.76E6

Βροχόπτωση και Απορροή



Υπολεκάνη: EL0415FR6087

Έκταση (KM2) : 13.66

Κατάντη : J64

Μέθοδος Απωλειών: SCS

Ποσοστό αδιαπέρατης επιφάνειας	20
Αριθμός Καμπύλης Απορροής-CN	56.47
Αρχικές Απώλειες	39.17

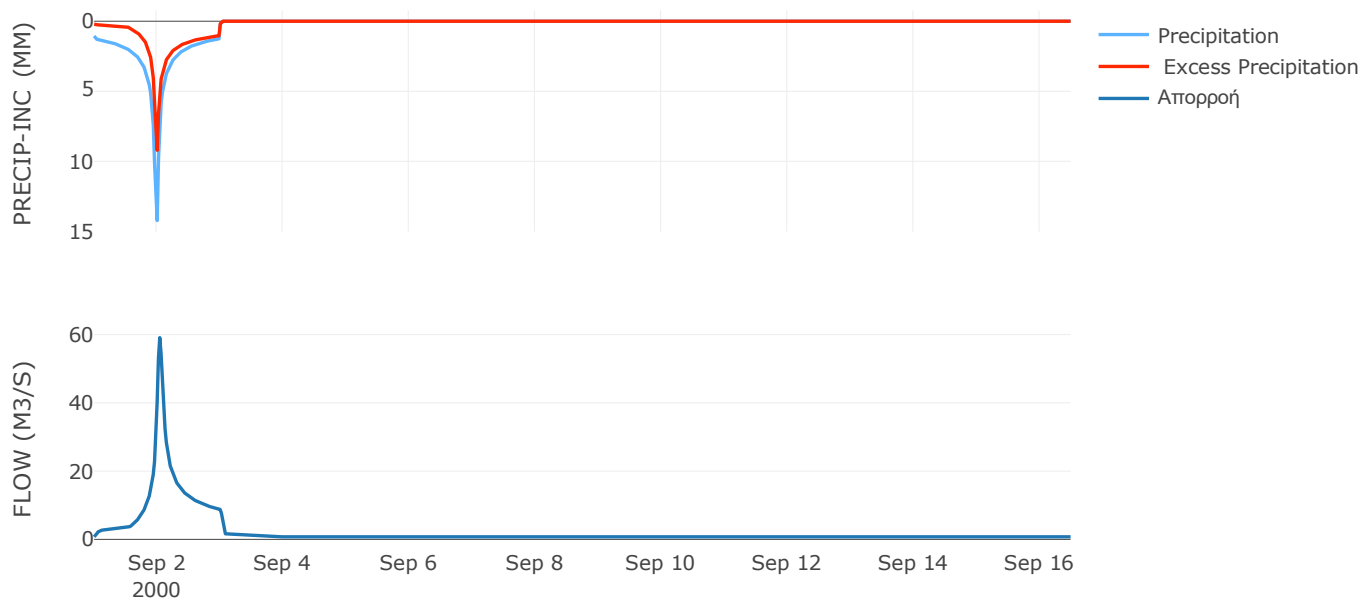
Μέθοδος
Μετασχηματισμού: SCS

Χρόνος Υστέρησης	46.83
------------------	-------

Αποτελέσματα:
EL0415FR6087

Παροχή αιχμής (M3/S)	59.11
Χρονική στιγμή αιχμής	02Sep2000, 01:00
Όγκος (MM)	220.82
Όγκος βροχόπτωσης (M3)	3.58E6
Όγκος απωλειών (M3)	1.57E6
Ενεργός Όγκος (M3)	2.01E6
Όγκος άμεσης απορροής (M3)	2.01E6
Όγκος βασικής απορροής (M3)	1.01E6

Βροχόπτωση και Απορροή



Υπολεκάνη: EL0415FR6088

Έκταση (KM2) : 31.28

Κατάντη : J27

Μέθοδος Απωλειών: SCS

Ποσοστό αδιαπέρατης επιφάνειας	37
Αριθμός Καμπύλης Απορροής-CN	85.31
Αρχικές Απώλειες	8.75

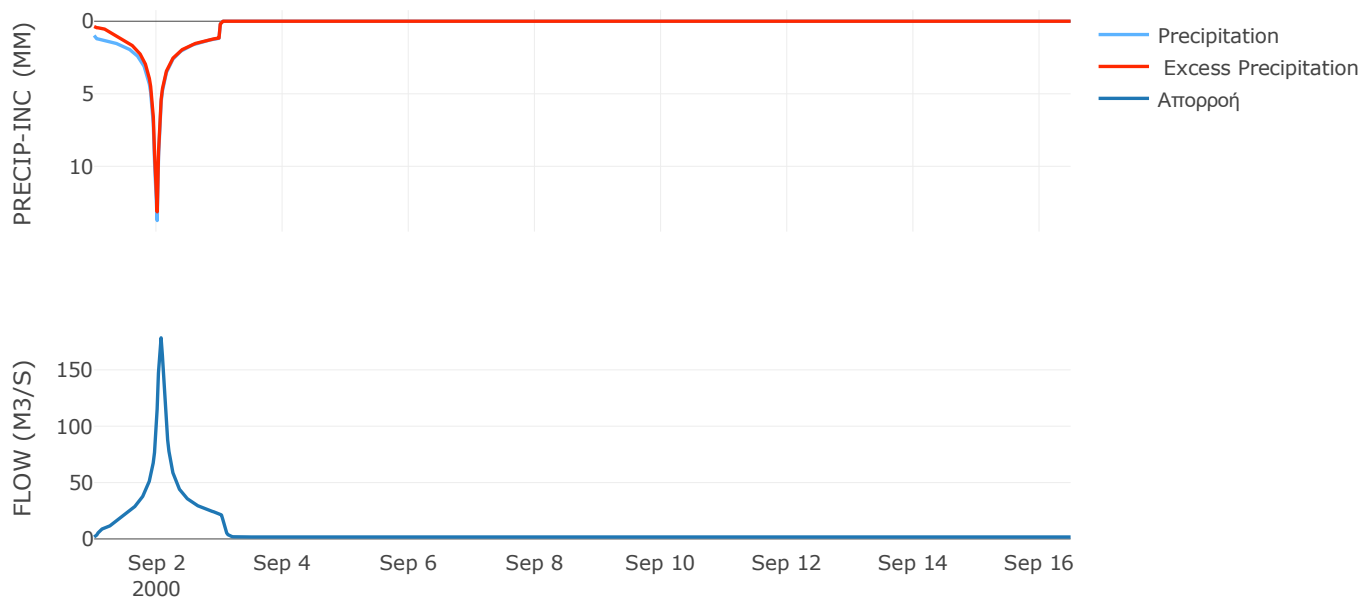
Μέθοδος
Μετασχηματισμού: SCS

Χρόνος Υστέρησης	72.66
------------------	-------

Αποτελέσματα:
EL0415FR6088

Παροχή αιχμής (M3/S)	178.4
Χρονική στιγμή αιχμής	02Sep2000, 01:30
Όγκος (MM)	292.88
Όγκος βροχόπτωσης (M3)	7.76E6
Όγκος απωλειών (M3)	9.01E5
Ενεργός Όγκος (M3)	6.86E6
Όγκος άμεσης απορροής (M3)	6.86E6
Όγκος βασικής απορροής (M3)	2.3E6

Βροχόπτωση και Απορροή



Υπολεκάνη: EL0415FR6089

Έκταση (KM2) : 9.78

Κατάντη : J28

Μέθοδος Απωλειών: SCS

Ποσοστό αδιαπέρατης επιφάνειας	11
Αριθμός Καμπύλης Απορροής-CN	76.26
Αρχικές Απώλειες	15.81

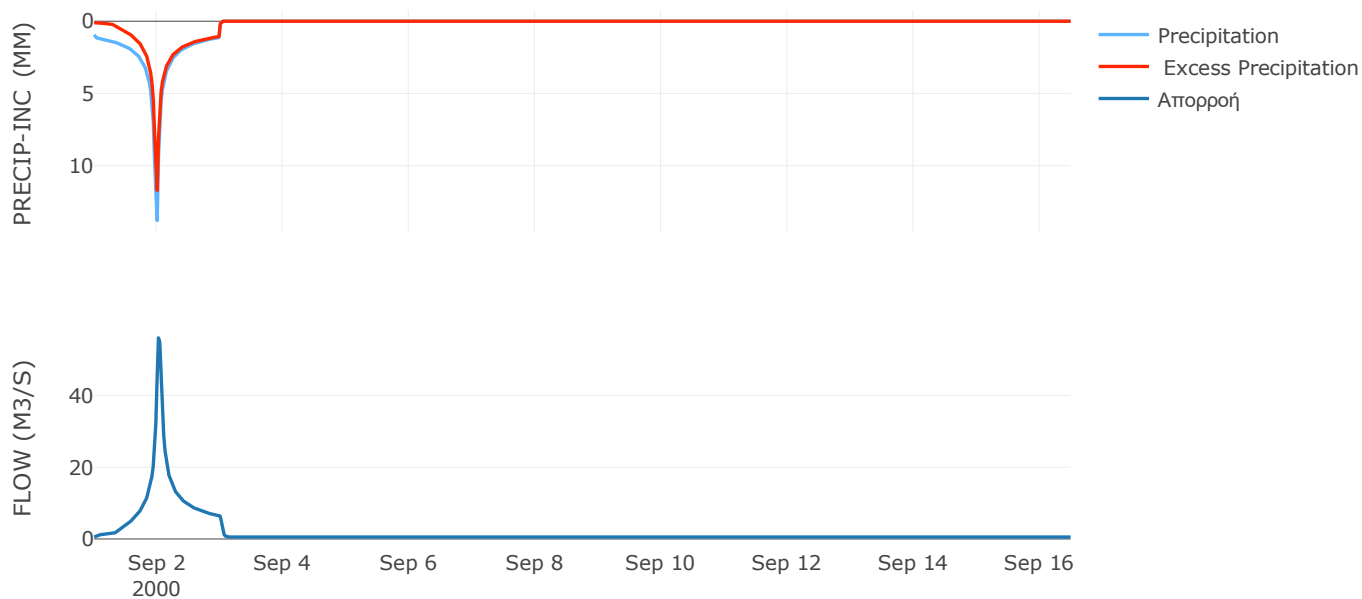
Μέθοδος
Μετασχηματισμού: SCS

Χρόνος Υστέρησης	33.65
------------------	-------

Αποτελέσματα:
EL0415FR6089

Παροχή αιχμής (M3/S)	56.06
Χρονική στιγμή αιχμής	02Sep2000, 00:30
Όγκος (MM)	250.18
Όγκος βροχόπτωσης (M3)	2.37E6
Όγκος απωλειών (M3)	6.48E5
Ενεργός Όγκος (M3)	1.73E6
Όγκος άμεσης απορροής (M3)	1.73E6
Όγκος βασικής απορροής (M3)	7.2E5

Βροχόπτωση και Απορροή



Υπολεκάνη: EL0415FR6090

Έκταση (KM2) : 6.36

Κατάντη : J29

Μέθοδος Απωλειών: SCS

Ποσοστό αδιαπέρατης επιφάνειας	20
Αριθμός Καμπύλης Απορροής-CN	69.04
Αρχικές Απώλειες	22.79

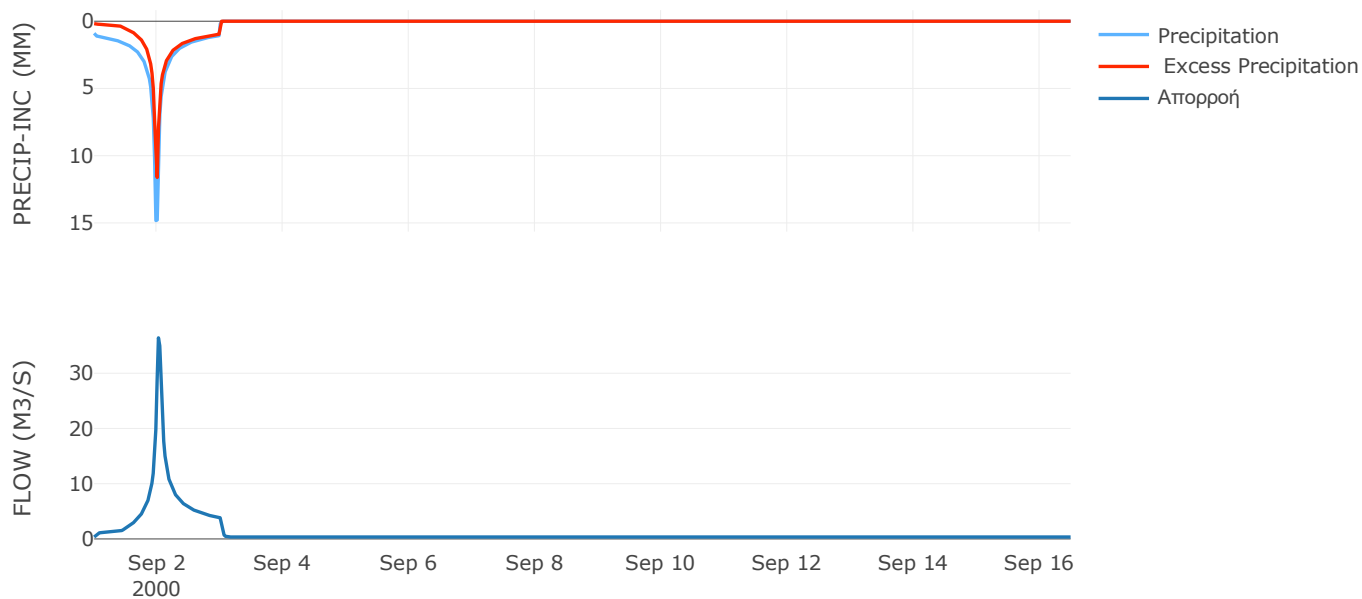
Μέθοδος
Μετασχηματισμού: SCS

Χρόνος Υστέρησης	31.68
------------------	-------

Αποτελέσματα:
EL0415FR6090

Παροχή αιχμής (M3/S)	36.41
Χρονική στιγμή αιχμής	02Sep2000, 00:30
Όγκος (MM)	237.62
Όγκος βροχόπτωσης (M3)	1.54E6
Όγκος απωλειών (M3)	4.97E5
Ενεργός Όγκος (M3)	1.04E6
Όγκος άμεσης απορροής (M3)	1.04E6
Όγκος βασικής απορροής (M3)	4.68E5

Βροχόπτωση και Απορροή



Υπολεκάνη: EL0415FR6091

Έκταση (KM2) : 12.79

Κατάντη : J29

Μέθοδος Απωλειών: SCS

Ποσοστό αδιαπέρατης επιφάνειας	20
Αριθμός Καμπύλης Απορροής-CN	67.22
Αρχικές Απώλειες	24.77

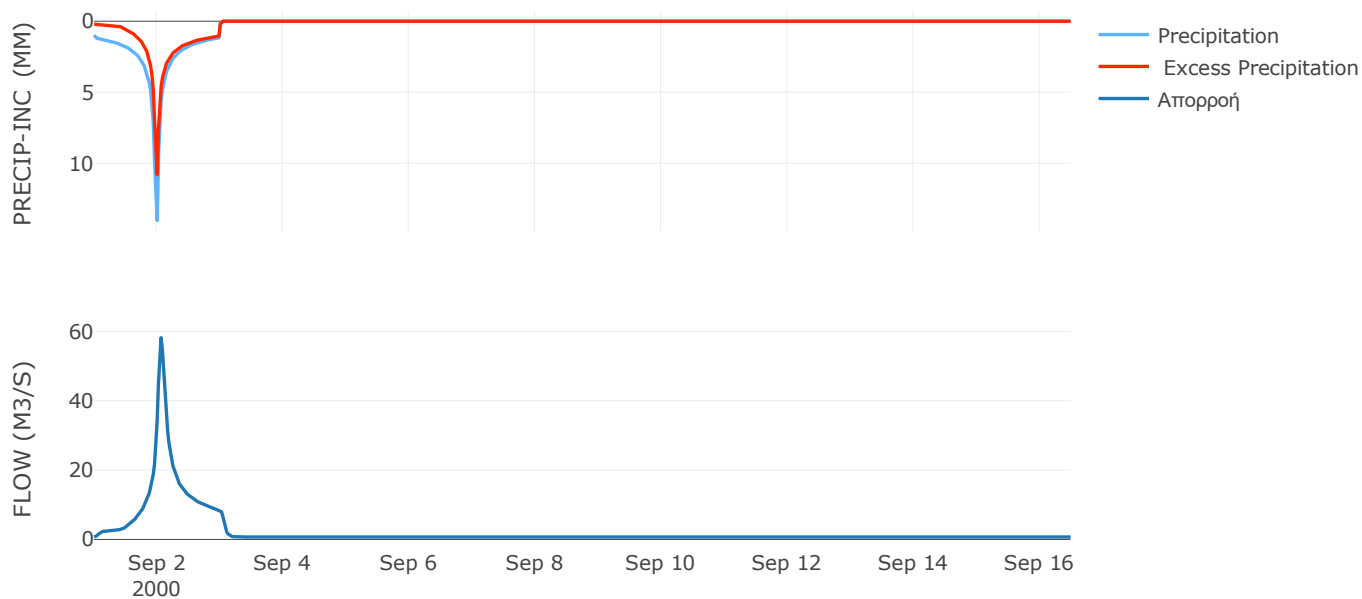
Μέθοδος
Μετασχηματισμού: SCS

Χρόνος Υστέρησης	76.42
------------------	-------

Αποτελέσματα:
EL0415FR6091

Παροχή αιχμής (M3/S)	58.18
Χρονική στιγμή αιχμής	02Sep2000, 01:30
Όγκος (MM)	239.11
Όγκος βροχόπτωσης (M3)	3.19E6
Όγκος απωλειών (M3)	1.07E6
Ενεργός Όγκος (M3)	2.12E6
Όγκος άμεσης απορροής (M3)	2.12E6
Όγκος βασικής απορροής (M3)	9.42E5

Βροχόπτωση και Απορροή



Υπολεκάνη: EL0415FR6092

Έκταση (KM2) : 11.03

Κατάντη : J24

Μέθοδος Απωλειών: SCS

Ποσοστό αδιαπέρατης επιφάνειας	5
Αριθμός Καμπύλης Απορροής-CN	68.91
Αρχικές Απώλειες	22.92

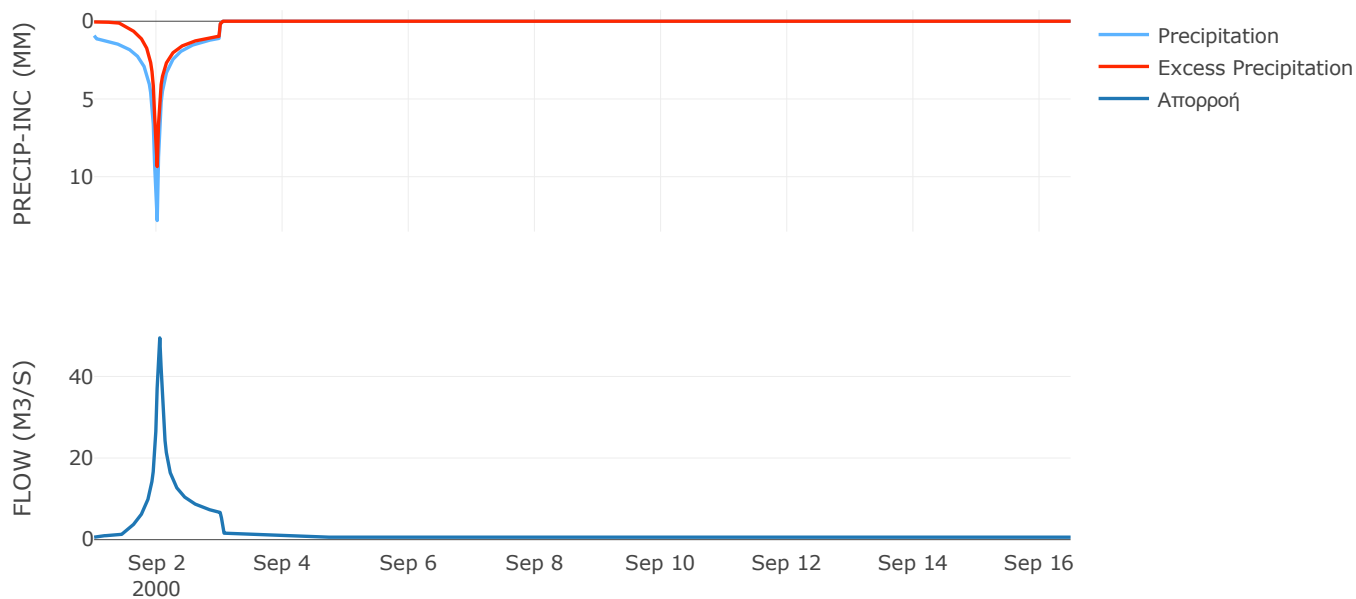
Μέθοδος
Μετασχηματισμού: SCS

Χρόνος Υστέρησης	38.04
------------------	-------

Αποτελέσματα:
EL0415FR6092

Παροχή αιχμής (M3/S)	49.45
Χρονική στιγμή αιχμής	02Sep2000, 01:00
Όγκος (MM)	214.08
Όγκος βροχόπτωσης (M3)	2.57E6
Όγκος απωλειών (M3)	1.02E6
Ενεργός Όγκος (M3)	1.55E6
Όγκος άμεσης απορροής (M3)	1.55E6
Όγκος βασικής απορροής (M3)	8.12E5

Βροχόπτωση και Απορροή



Υπολεκάνη: EL0415FR6093

Έκταση (KM2) : 14.35

Κατάντη : J25

Μέθοδος Απωλειών: SCS

Ποσοστό αδιαπέρατης επιφάνειας	6
Αριθμός Καμπύλης Απορροής-CN	52.13
Αρχικές Απώλειες	46.65

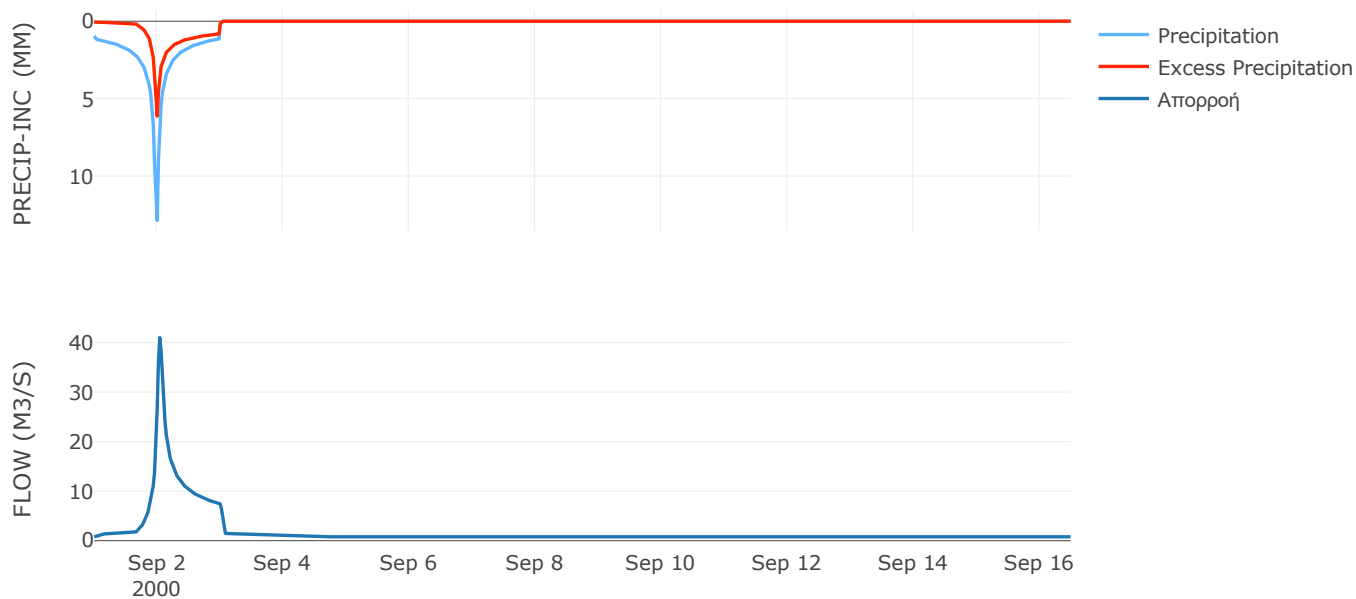
Μέθοδος
Μετασχηματισμού: SCS

Χρόνος Υστέρησης	45.16
------------------	-------

Αποτελέσματα:
EL0415FR6093

Παροχή αιχμής (M3/S)	41
Χρονική στιγμή αιχμής	02Sep2000, 01:00
Όγκος (MM)	169.09
Όγκος βροχόπτωσης (M3)	3.42E6
Όγκος απωλειών (M3)	2.05E6
Ενεργός Όγκος (M3)	1.37E6
Όγκος άμεσης απορροής (M3)	1.37E6
Όγκος βασικής απορροής (M3)	1.06E6

Βροχόπτωση και Απορροή



Υπολεκάνη: EL0415FR6094

Έκταση (KM2) : 17.58

Κατάντη : J22

Μέθοδος Απωλειών: SCS

Ποσοστό αδιαπέρατης επιφάνειας	8
Αριθμός Καμπύλης Απορροής-CN	51.14
Αρχικές Απώλειες	48.53

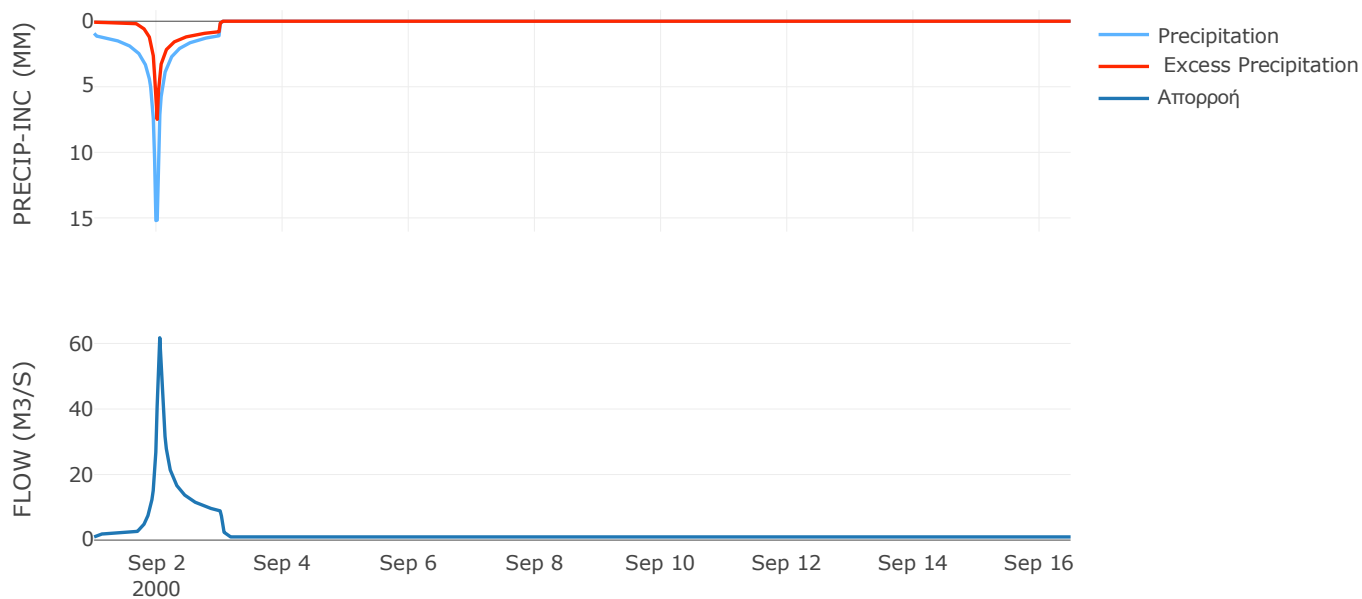
Μέθοδος
Μετασχηματισμού: SCS

Χρόνος Υστέρησης	39.69
------------------	-------

Αποτελέσματα:
EL0415FR6094

Παροχή αιχμής (M3/S)	61.75
Χρονική στιγμή αιχμής	02Sep2000, 01:00
Όγκος (MM)	177.23
Όγκος βροχόπτωσης (M3)	4.38E6
Όγκος απωλειών (M3)	2.56E6
Ενεργός Όγκος (M3)	1.82E6
Όγκος άμεσης απορροής (M3)	1.82E6
Όγκος βασικής απορροής (M3)	1.3E6

Βροχόπτωση και Απορροή



Υπολεκάνη: EL0415FR6095

Έκταση (KM2) : 18.13

Κατάνη : J15 Res2

Μέθοδος Απωλειών: SCS

Ποσοστό αδιαπέρατης επιφάνειας	17
Αριθμός Καμπύλης Απορροής-CN	88.26
Αρχικές Απώλειες	6.75

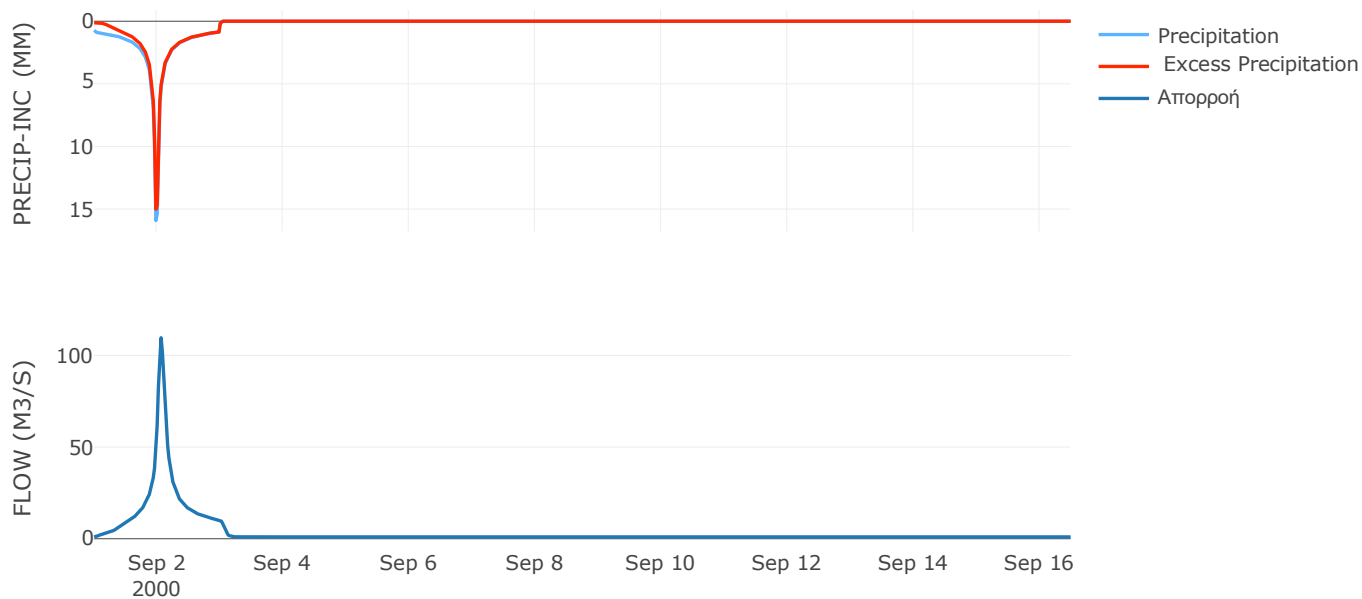
Μέθοδος
Μετασχηματισμού: SCS

Χρόνος Υστέρησης	80.12
------------------	-------

Αποτελέσματα:
EL0415FR6095

Παροχή αιχμής (M3/S)	109.65
Χρονική στιγμή αιχμής	02Sep2000, 01:30
Όγκος (MM)	262.48
Όγκος βροχόπτωσης (M3)	3.96E6
Όγκος απωλειών (M3)	5.4E5
Ενεργός Όγκος (M3)	3.42E6
Όγκος άμεσης απορροής (M3)	3.42E6
Όγκος βασικής απορροής (M3)	1.34E6

Βροχόπτωση και Απορροή



Υπολεκάνη: EL0415FR6096

Έκταση (KM2) : 45.1

Κατάντη : J19

Μέθοδος Απωλειών: SCS

Ποσοστό αδιαπέρατης επιφάνειας	16
Αριθμός Καμπύλης Απορροής-CN	83.35
Αρχικές Απώλειες	10.15

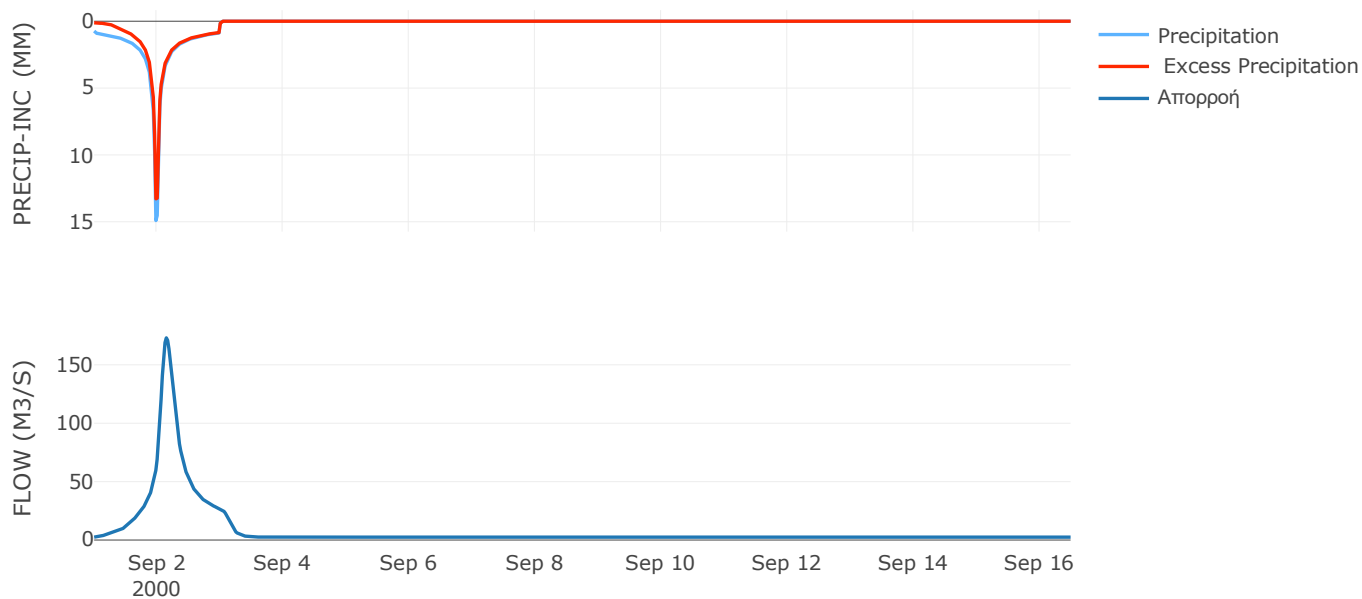
Μέθοδος
Μετασχηματισμού: SCS

Χρόνος Υστέρησης	197.97
------------------	--------

Αποτελέσματα:
EL0415FR6096

Παροχή αιχμής (M3/S)	173.1
Χρονική στιγμή αιχμής	02Sep2000, 03:30
Όγκος (MM)	245.2
Όγκος βροχόπτωσης (M3)	9.66E6
Όγκος απωλειών (M3)	1.92E6
Ενεργός Όγκος (M3)	7.74E6
Όγκος άμεσης απορροής (M3)	7.74E6
Όγκος βασικής απορροής (M3)	3.32E6

Βροχόπτωση και Απορροή



Υπολεκάνη: EL0415FR6097

Έκταση (KM2) : 3.48

Κατάντη : J14

Μέθοδος Απωλειών: SCS

Ποσοστό αδιαπέρατης επιφάνειας	17
Αριθμός Καμπύλης Απορροής-CN	83.19
Αρχικές Απώλειες	10.27

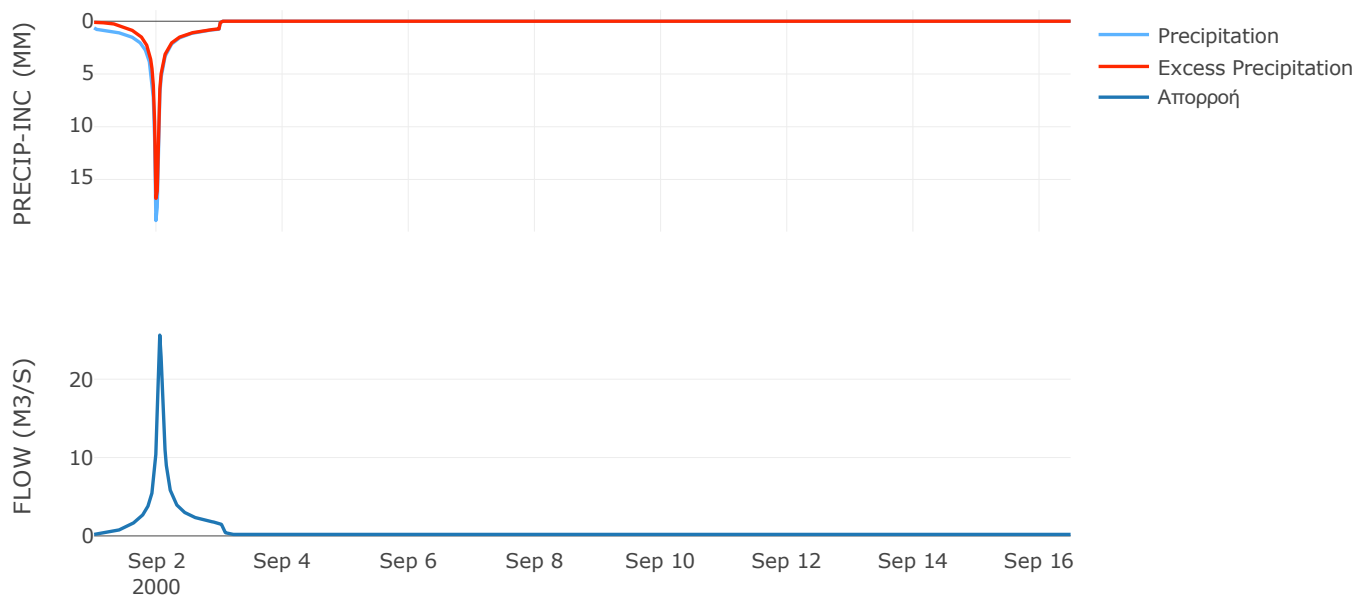
Μέθοδος
Μετασχηματισμού: SCS

Χρόνος Υστέρησης	52.56
------------------	-------

Αποτελέσματα:
EL0415FR6097

Παροχή αιχμής (M3/S)	25.62
Χρονική στιγμή αιχμής	02Sep2000, 01:00
Όγκος (MM)	246.23
Όγκος βροχόπτωσης (M3)	7.48E5
Όγκος απωλειών (M3)	1.48E5
Ενεργός Όγκος (M3)	6E5
Όγκος άμεσης απορροής (M3)	6E5
Όγκος βασικής απορροής (M3)	2.56E5

Βροχόπτωση και Απορροή

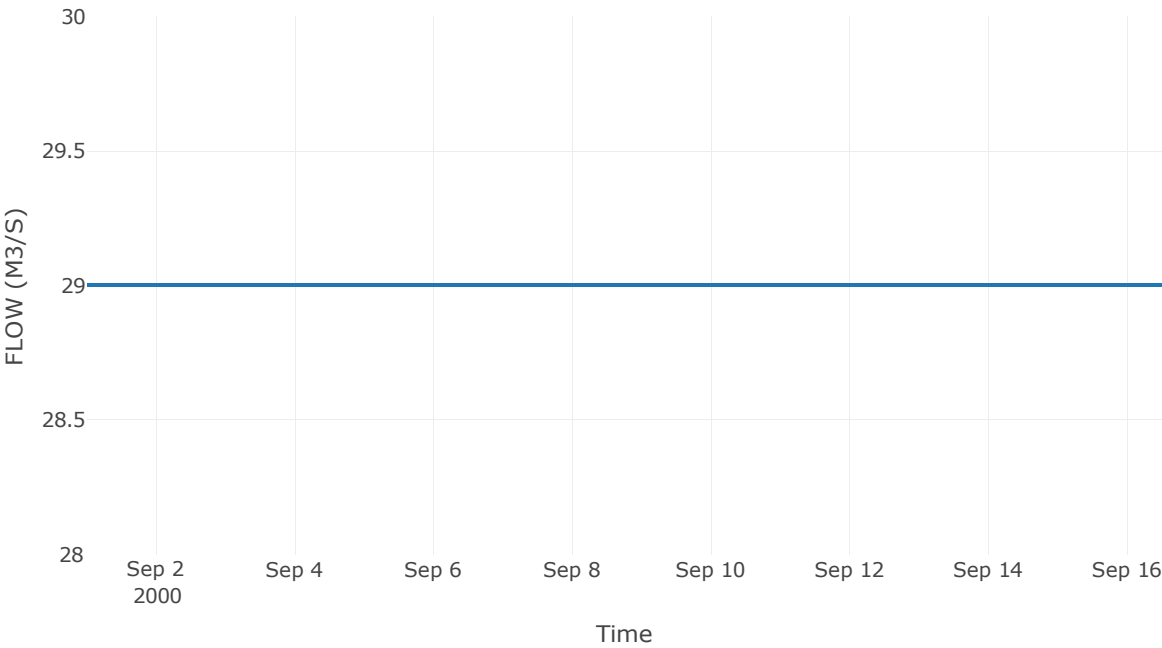


Κόμβος εξόδου: Κόμβος εξόδου-RES4

Αποτελέσματα: Κόμβος εξόδου-RES4

Παροχή Αιχμής (M3/S)	29
Χρονική στιγμή αιχμής	31Aug2000, 24:00
Όγκος(MM)	234.94

Απορροή



5.2 Δεδομένα και Υδρογραφήματα σχεδιασμού Κλάδων υδρογραφικού δικτύου

Κλάδος: R21

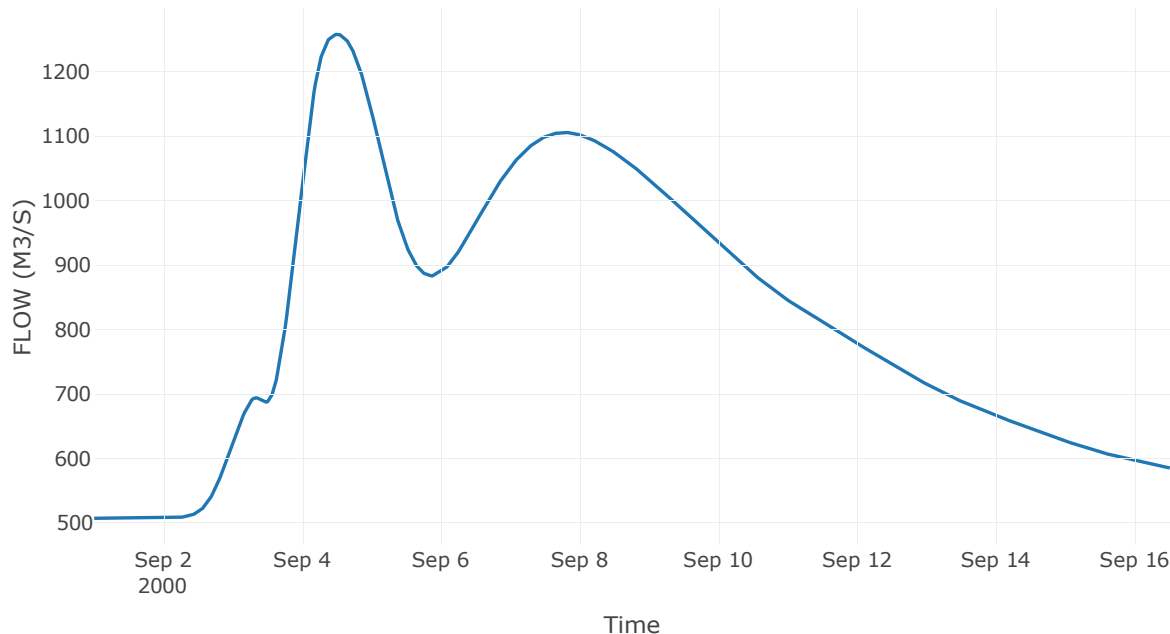
Κατάντη : J1

Μέθοδος Διόδευσης	Muskingum
Αρχική Μεταβλητή	Combined Inflow
Muskingum K	12.27
Συντελεστής βάρους x	0.2
Muskingum Steps	26

Αποτελέσματα: R21

Παροχή Αιχμής (M3/S)	1257.93
Χρονική στιγμή αιχμής	04Sep2000, 12:00
Όγκος(MM)	240.91
Παροχή Αιχμής Εισόδου (M3/S)	1260.51
Όγκος Εισροής(M3)	1.1E9

Απορροή



Κλάδος: R32

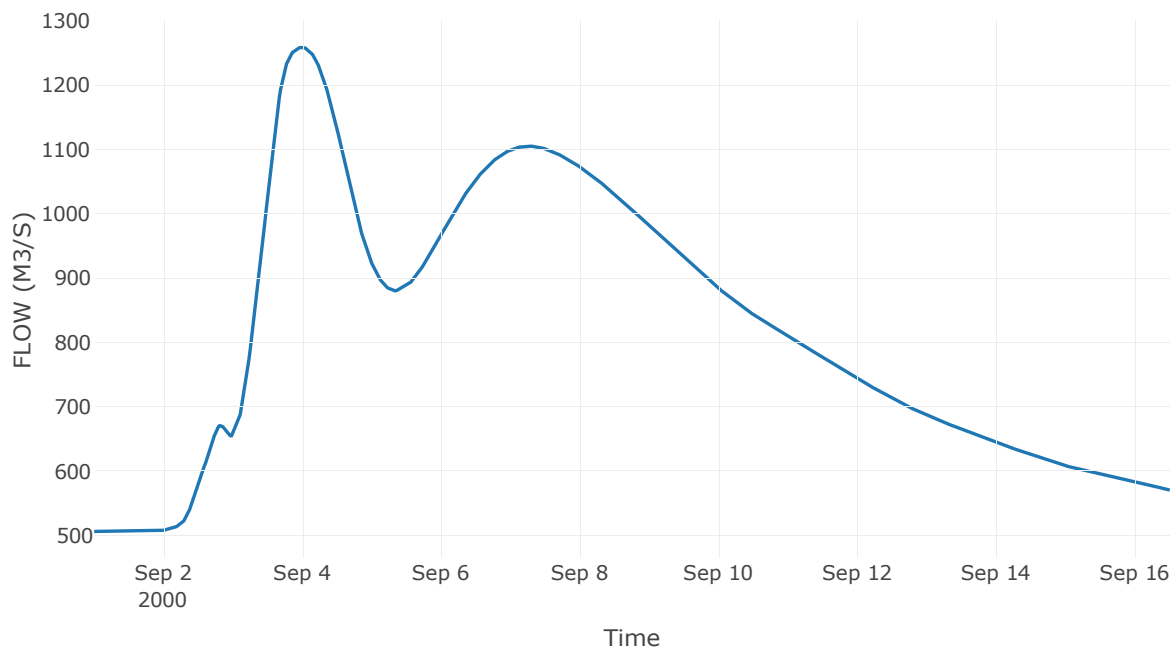
Κατάντη : J2

Μέθοδος Διόδευσης	Muskingum
Αρχική Μεταβλητή	Combined Inflow
Muskingum K	8.38
Συντελεστής βάρους α	0.2
Muskingum Steps	18

Αποτελέσματα: R32

Παροχή Αιχμής (M3/S)	1258.77
Χρονική στιγμή αιχμής	03Sep2000, 24:00
Όγκος(MM)	242
Παροχή Αιχμής Εισόδου (M3/S)	1260.34
Όγκος Εισροής(M3)	1.1E9

Απορροή



Κλάδος: R43

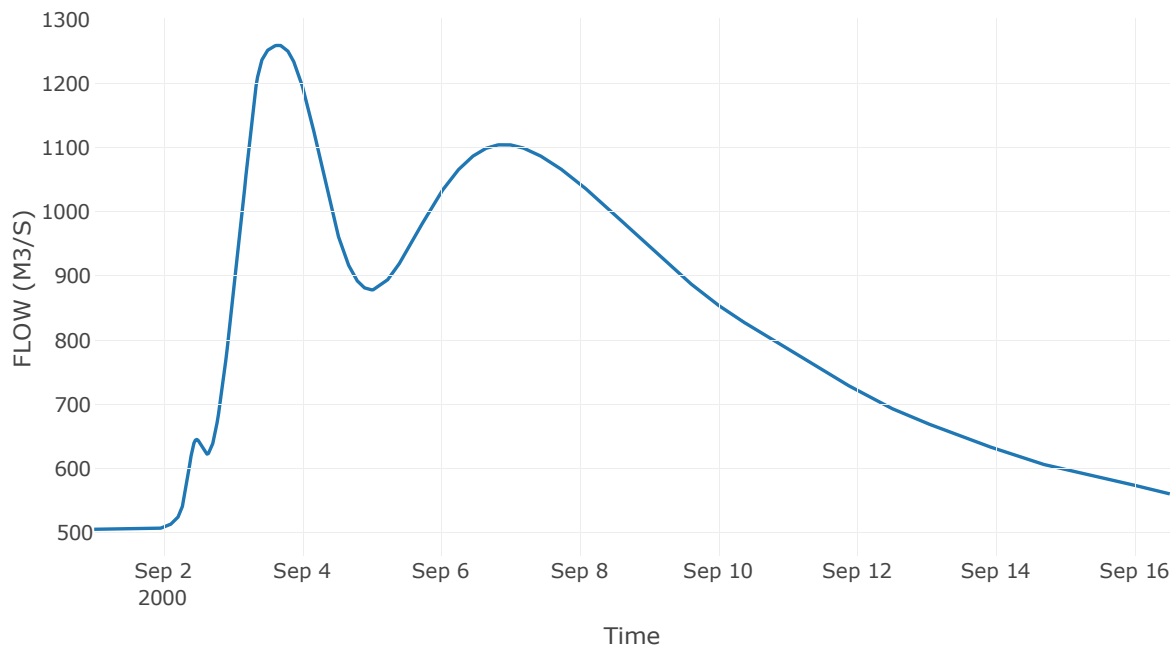
Κατάντη : J3

Μέθοδος Διόδευσης	Muskingum
Αρχική Μεταβλητή	Combined Inflow
Muskingum K	7.83
Συντελεστής βάρους α	0.2
Muskingum Steps	17

Αποτελέσματα: R43

Παροχή Αιχμής (M3/S)	1259.4
Χρονική στιγμή αιχμής	03Sep2000, 16:00
Όγκος(MM)	242.86
Παροχή Αιχμής Εισόδου (M3/S)	1260.99
Όγκος Εισροής(M3)	1.1E9

Απορροή



Κλάδος: R54

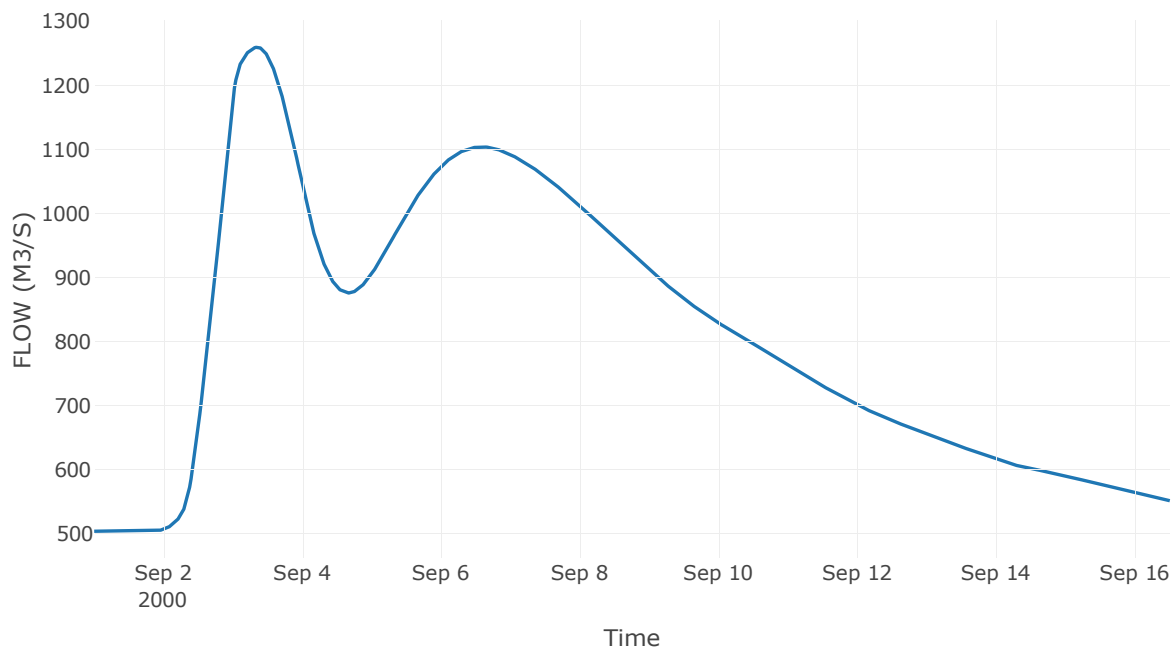
Κατάντη : J4

Μέθοδος Διόδευσης	Muskingum
Αρχική Μεταβλητή	Combined Inflow
Muskingum K	9.75
Συντελεστής βάρους x	0.2
Muskingum Steps	21

Αποτελέσματα: R54

Παροχή Αιχμής (M3/S)	1259.15
Χρονική στιγμή αιχμής	03Sep2000, 08:30
Όγκος(MM)	244.24
Παροχή Αιχμής Εισόδου (M3/S)	1261.66
Όγκος Εισροής(M3)	1.09E9

Απορροή



Κλάδος: R65

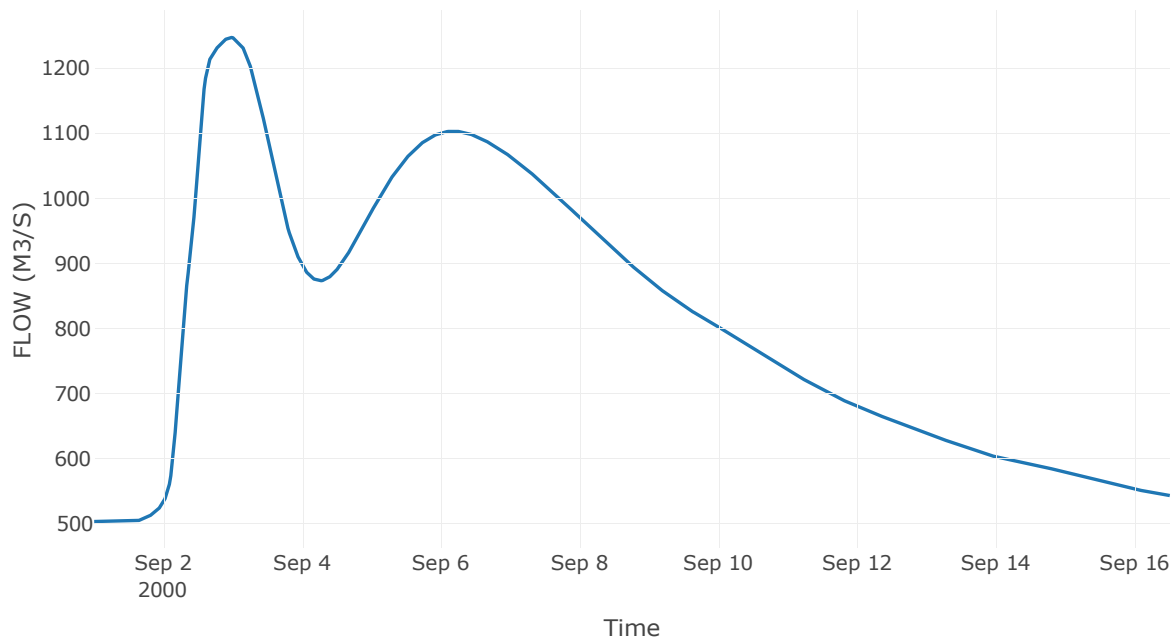
Κατάντη : J5

Μέθοδος Διόδευσης	Muskingum
Αρχική Μεταβλητή	Combined Inflow
Muskingum K	3.03
Συντελεστής βάρους x	0.2
Muskingum Steps	6

Αποτελέσματα: R65

Παροχή Αιχμής (M3/S)	1247.24
Χρονική στιγμή αιχμής	02Sep2000, 23:30
Όγκος(MM)	245.19
Παροχή Αιχμής Εισόδου (M3/S)	1248.08
Όγκος Εισροής(M3)	1.09E9

Απορροή



Κλάδος: R86

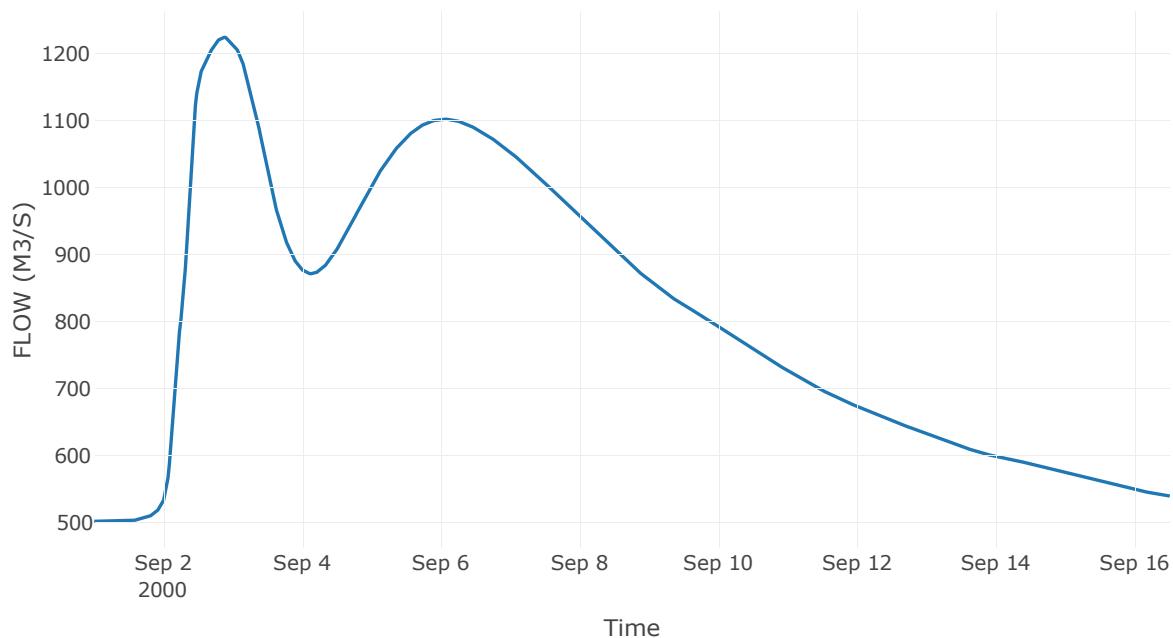
Κατάντη : J6

Μέθοδος Διόδευσης	Muskingum
Αρχική Μεταβλητή	Combined Inflow
Muskingum K	1.92
Συντελεστής βάρους x	0.2
Muskingum Steps	4

Αποτελέσματα: R86

Παροχή Αιχμής (M3/S)	1224.38
Χρονική στιγμή αιχμής	02Sep2000, 21:00
Όγκος(MM)	245.93
Παροχή Αιχμής Εισόδου (M3/S)	1224.97
Όγκος Εισροής(M3)	1.08E9

Απορροή



Κλάδος: R138

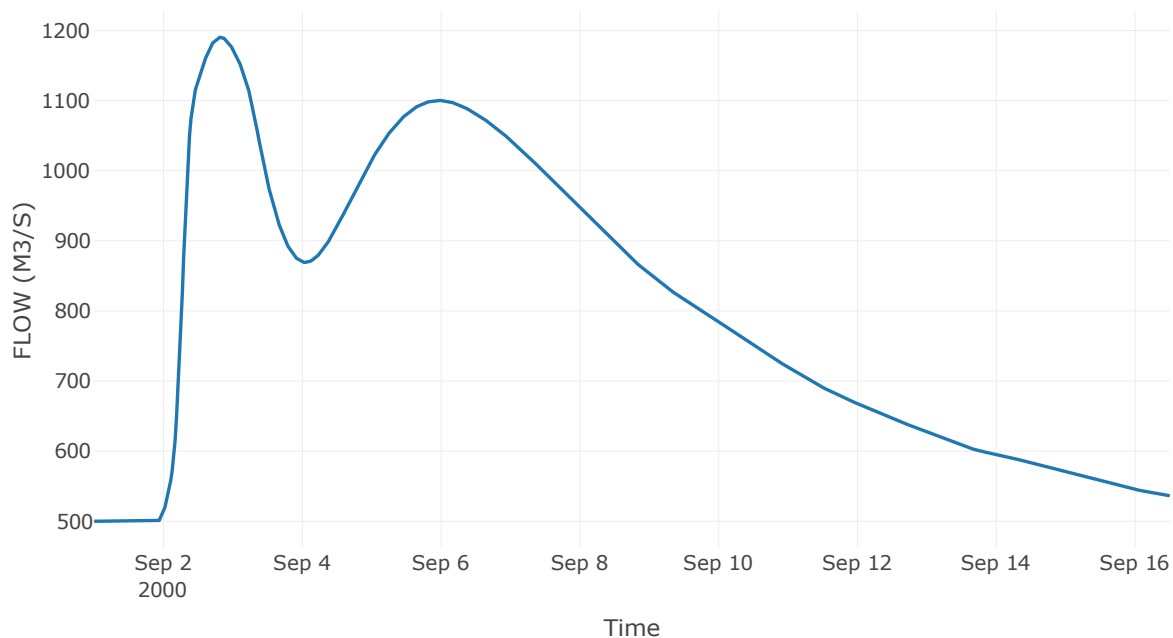
Κατάντη : J8

Μέθοδος Διόδευσης	Muskingum
Αρχική Μεταβλητή	Combined Inflow
Muskingum K	1.12
Συντελεστής βάρους x	0.2
Muskingum Steps	2

Αποτελέσματα: R138

Παροχή Αιχμής (M3/S)	1190.37
Χρονική στιγμή αιχμής	02Sep2000, 19:30
Όγκος(MM)	247.31
Παροχή Αιχμής Εισόδου (M3/S)	1190.82
Όγκος Εισροής(M3)	1.07E9

Απορροή



Κλάδος: R1413

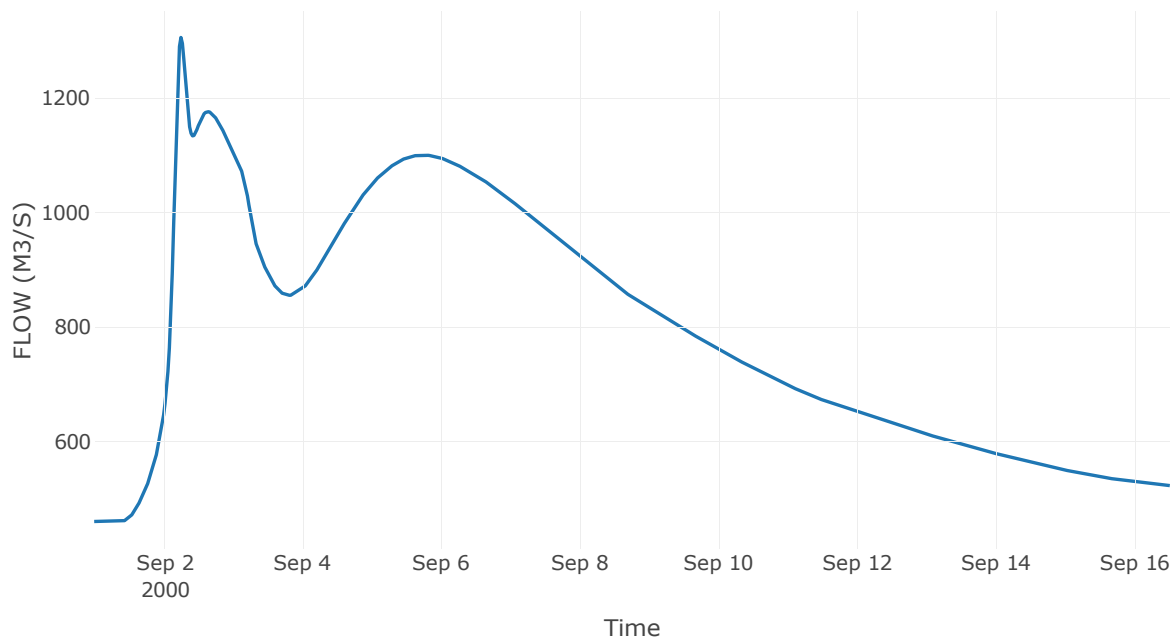
Κατάντη : J13 Res1

Μέθοδος Διόδευσης	Muskingum
Αρχική Μεταβλητή	Combined Inflow
Muskingum K	3.1
Συντελεστής βάρους x	0.2
Muskingum Steps	7

Αποτελέσματα: R1413

Παροχή Αιχμής (M3/S)	1305.71
Χρονική στιγμή αιχμής	02Sep2000, 06:00
Όγκος(MM)	247.74
Παροχή Αιχμής Εισόδου (M3/S)	1356.24
Όγκος Εισροής(M3)	1.06E9

Απορροή



Κλάδος: R1514

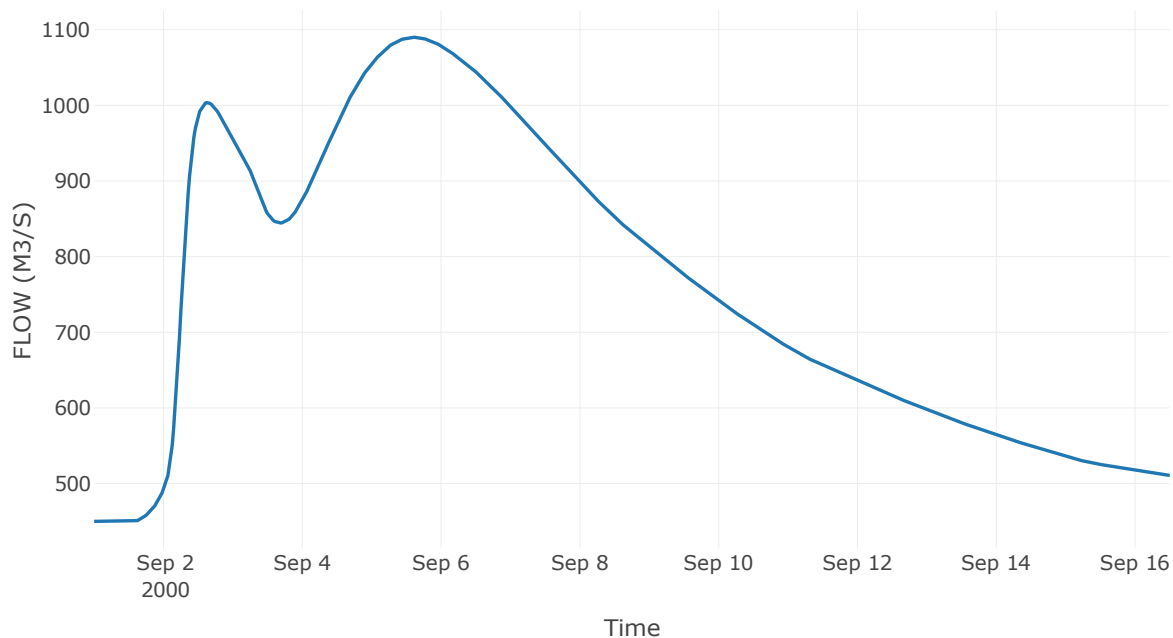
Κατάντη : J14

Μέθοδος Διόδευσης	Muskingum
Αρχική Μεταβλητή	Combined Inflow
Muskingum K	0.34
Συντελεστής βάρους x	0.2
Muskingum Steps	1

Αποτελέσματα: R1514

Παροχή Αιχμής (M3/S)	1089.92
Χρονική στιγμή αιχμής	05Sep2000, 14:30
Όγκος(MM)	248.43
Παροχή Αιχμής Εισόδου (M3/S)	1089.92
Όγκος Εισροής(M3)	1.02E9

Απορροή



Κλάδος: R1915

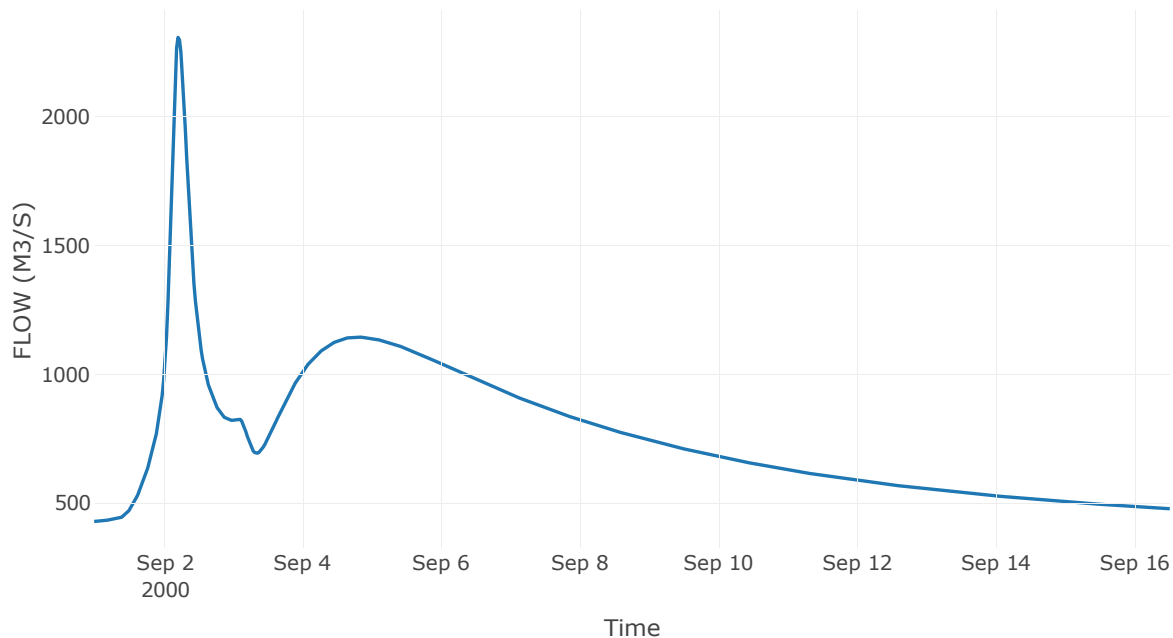
Κατάντη : J15 Res2

Μέθοδος Διόδευσης	Muskingum
Αρχική Μεταβλητή	Combined Inflow
Muskingum K	0.92
Συντελεστής βάρους x	0.2
Muskingum Steps	2

Αποτελέσματα: R1915

Παροχή Αιχμής (M3/S)	2307.06
Χρονική στιγμή αιχμής	02Sep2000, 05:00
Όγκος(MM)	251.13
Παροχή Αιχμής Εισόδου (M3/S)	2331.57
Όγκος Εισροής(M3)	1.02E9

Απορροή



Κλάδος: R1819

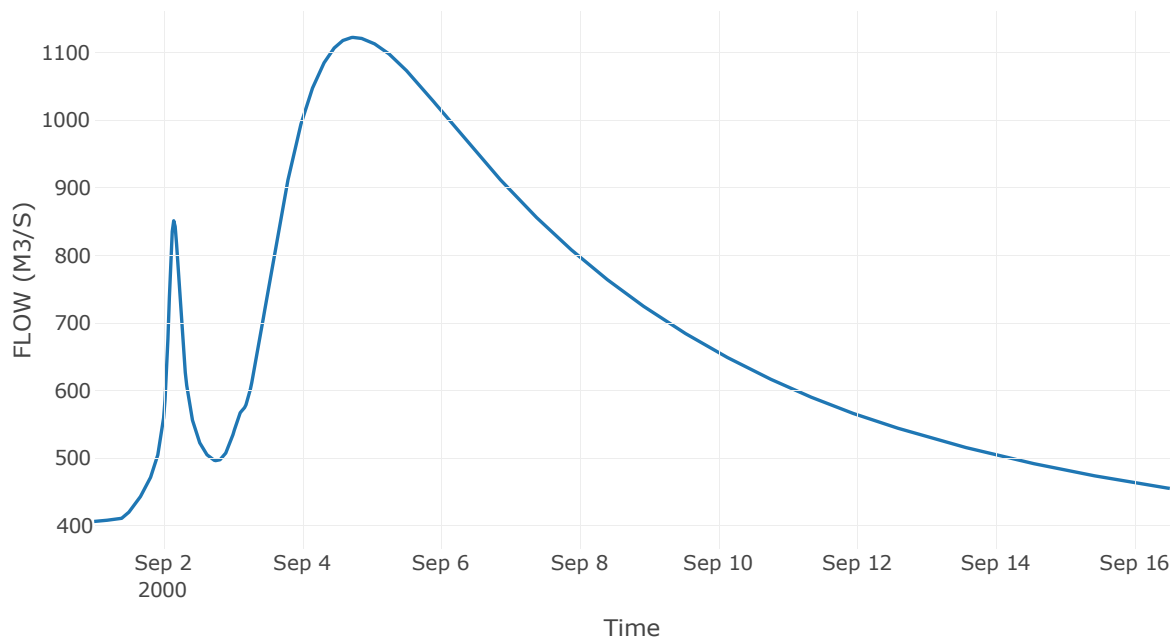
Κατάντη : J19

Μέθοδος Διόδευσης	Muskingum
Αρχική Μεταβλητή	Combined Inflow
Muskingum K	1.12
Συντελεστής βάρους α	0.2
Muskingum Steps	2

Αποτελέσματα: R1819

Παροχή Αιχμής (M3/S)	1122.02
Χρονική στιγμή αιχμής	04Sep2000, 18:00
Όγκος(MM)	250.35
Παροχή Αιχμής Εισόδου (M3/S)	1122.11
Όγκος Εισροής(M3)	9.2E8

Απορροή



Κλάδος: R1718

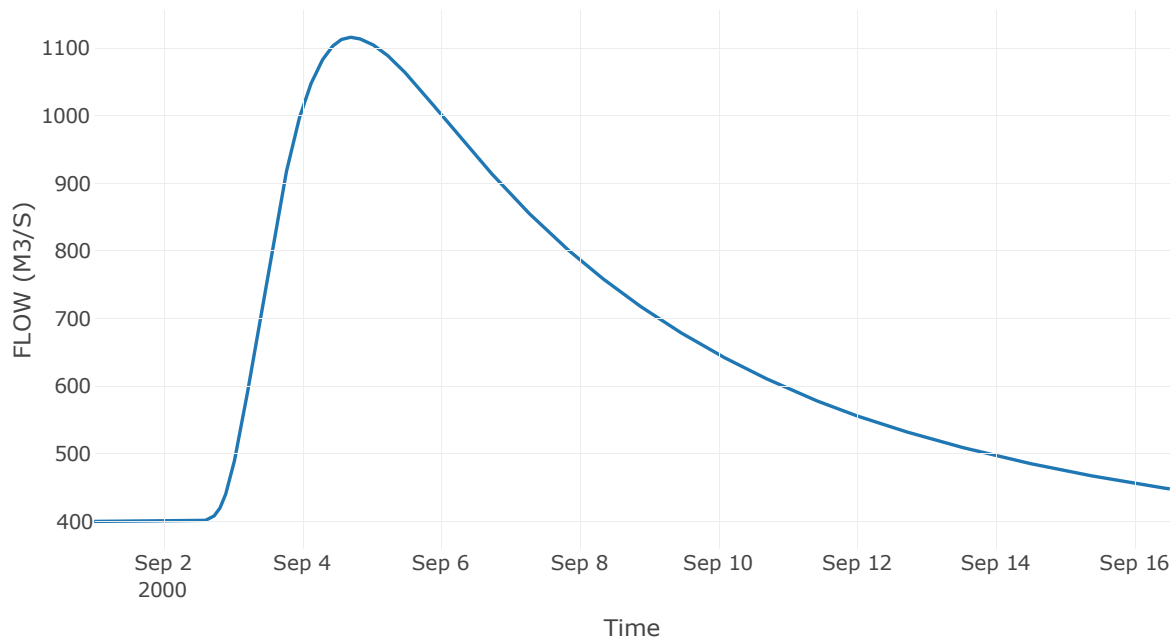
Κατάντη : J18

Μέθοδος Διόδευσης	Muskingum
Αρχική Μεταβλητή	Combined Inflow
Muskingum K	17.33
Συντελεστής βάρους x	0.2
Muskingum Steps	37

Αποτελέσματα: R1718

Παροχή Αιχμής (M3/S)	1115.82
Χρονική στιγμή αιχμής	04Sep2000, 16:30
Όγκος(MM)	250.84
Παροχή Αιχμής Εισόδου (M3/S)	1117.17
Όγκος Εισροής(M3)	8.96E8

Απορροή



Κλάδος: R2717

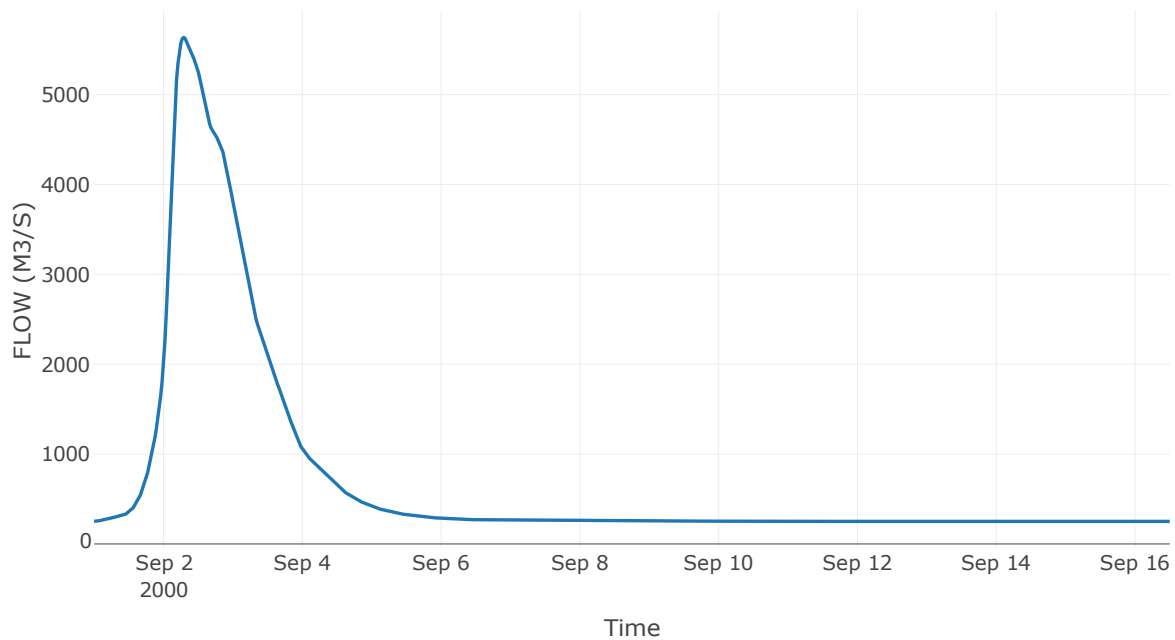
Κατάντη : J17 Res3

Μέθοδος Διόδευσης	Muskingum
Αρχική Μεταβλητή	Combined Inflow
Muskingum K	0.71
Συντελεστής βάρους x	0.2
Muskingum Steps	1

Αποτελέσματα: R2717

Παροχή Αιχμής (M3/S)	5637.06
Χρονική στιγμή αιχμής	02Sep2000, 07:00
Όγκος(MM)	270.52
Παροχή Αιχμής Εισόδου (M3/S)	5656.19
Όγκος Εισροής(M3)	9.62E8

Απορροή



Κλάδος: R3127

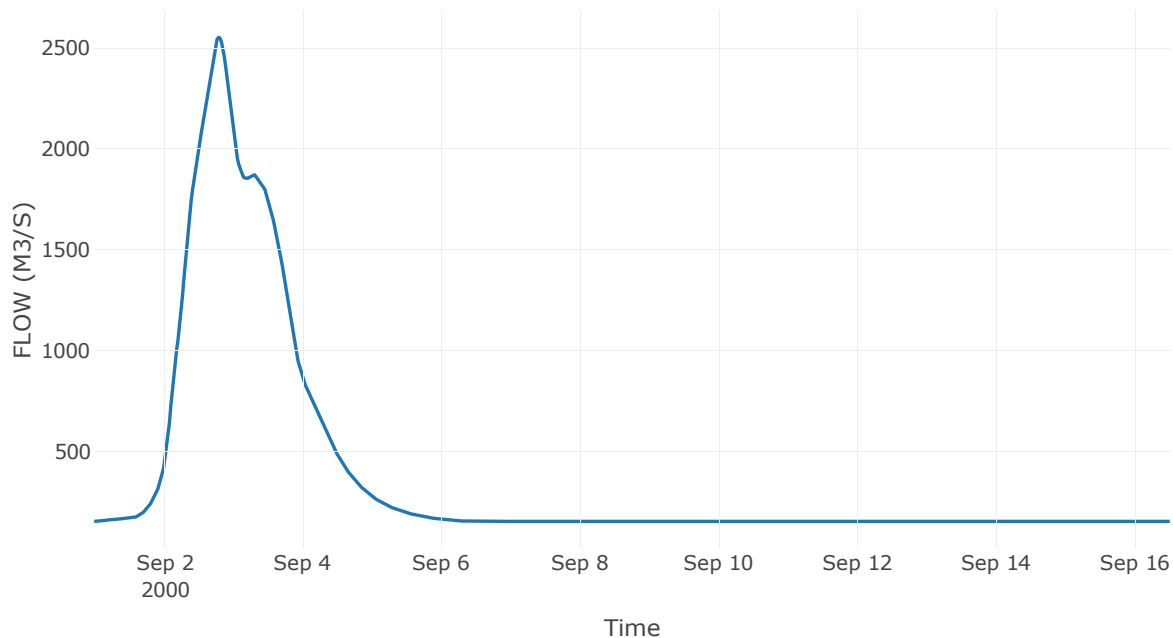
Κατάντη : J27

Μέθοδος Διόδευσης	Muskingum
Αρχική Μεταβλητή	Combined Inflow
Muskingum K	1.94
Συντελεστής βάρους α	0.2
Muskingum Steps	4

Αποτελέσματα: R3127

Παροχή Αιχμής (M3/S)	2552.61
Χρονική στιγμή αιχμής	02Sep2000, 19:00
Όγκος(MM)	284.82
Παροχή Αιχμής Εισόδου (M3/S)	2567.92
Όγκος Εισροής(M3)	5.11E8

Απορροή



Κλάδος: R2231

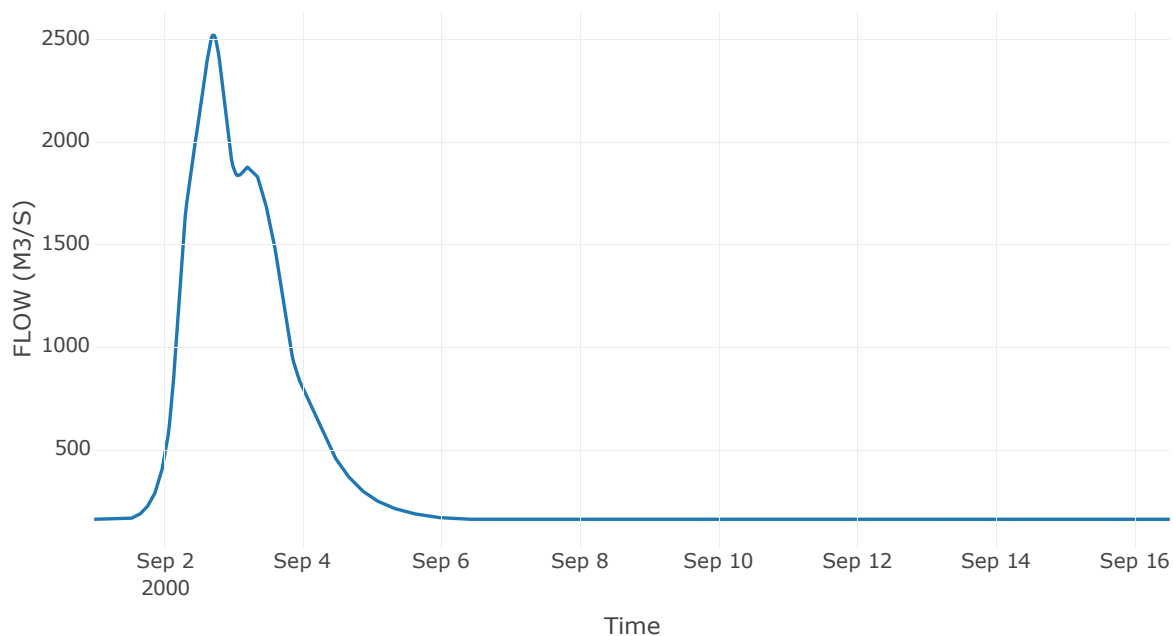
Κατάντη : J31

Μέθοδος Διόδευσης	Muskingum
Αρχική Μεταβλητή	Combined Inflow
Muskingum K	3.66
Συντελεστής βάρους x	0.2
Muskingum Steps	8

Αποτελέσματα: R2231

Παροχή Αιχμής (M3/S)	2509.73
Χρονική στιγμή αιχμής	02Sep2000, 17:00
Όγκος(MM)	286.59
Παροχή Αιχμής Εισόδου (M3/S)	2543.69
Όγκος Εισροής(M3)	4.93E8

Απορροή



Κλάδος: R2522

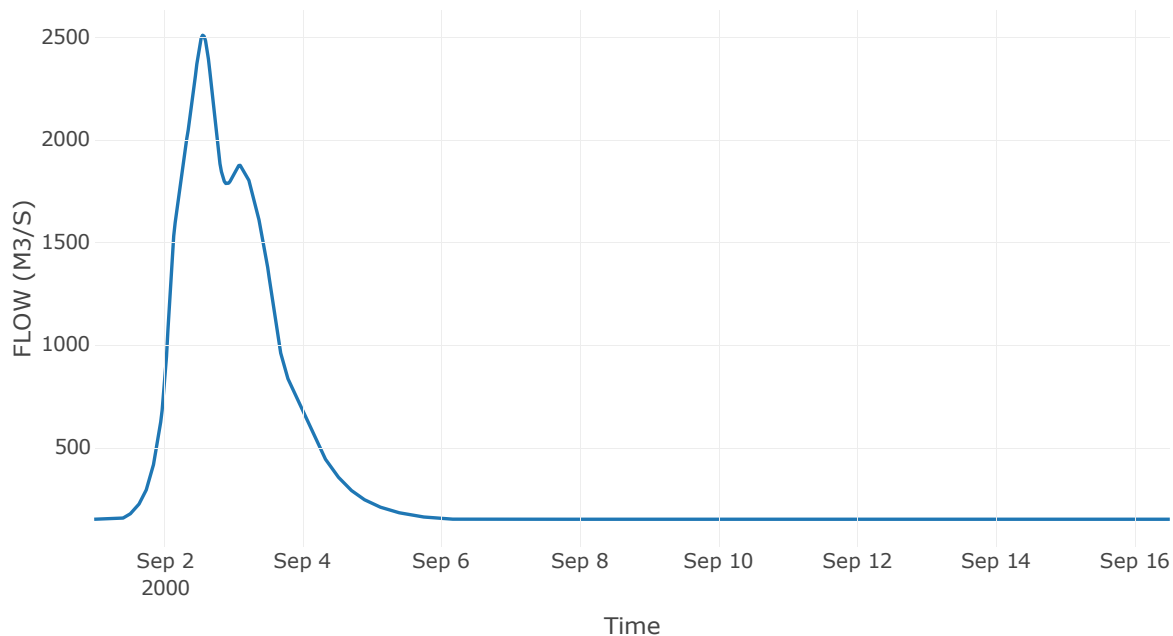
Κατάντη : J22

Μέθοδος Διόδευσης	Muskingum
Αρχική Μεταβλητή	Combined Inflow
Muskingum K	1.04
Συντελεστής βάρους x	0.2
Muskingum Steps	2

Αποτελέσματα: R2522

Παροχή Αιχμής (M3/S)	2503.96
Χρονική στιγμή αιχμής	02Sep2000, 13:30
Όγκος(MM)	290.83
Παροχή Αιχμής Εισόδου (M3/S)	2516.05
Όγκος Εισροής(M3)	4.83E8

Απορροή



Κλάδος: R2425

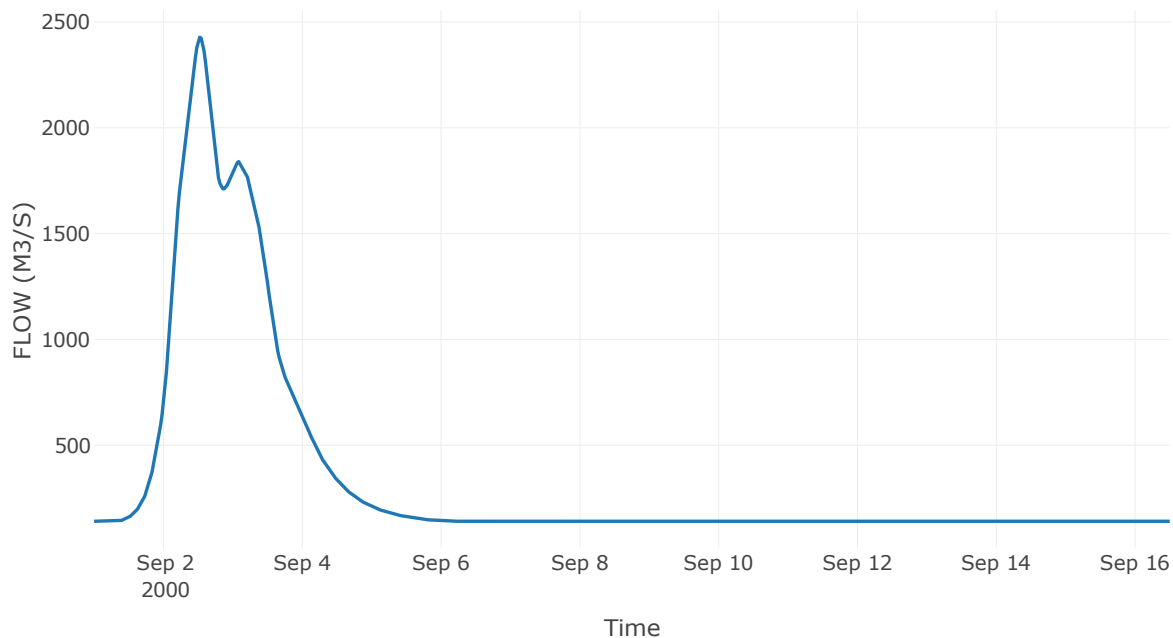
Κατάντη : J25

Μέθοδος Διόδευσης	Muskingum
Αρχική Μεταβλητή	Combined Inflow
Muskingum K	1.62
Συντελεστής βάρους x	0.2
Muskingum Steps	3

Αποτελέσματα: R2425

Παροχή Αιχμής (M3/S)	2427.34
Χρονική στιγμή αιχμής	02Sep2000, 12:30
Όγκος(MM)	294.75
Παροχή Αιχμής Εισόδου (M3/S)	2449.38
Όγκος Εισροής(M3)	4.61E8

Απορροή



Κλάδος: R2324

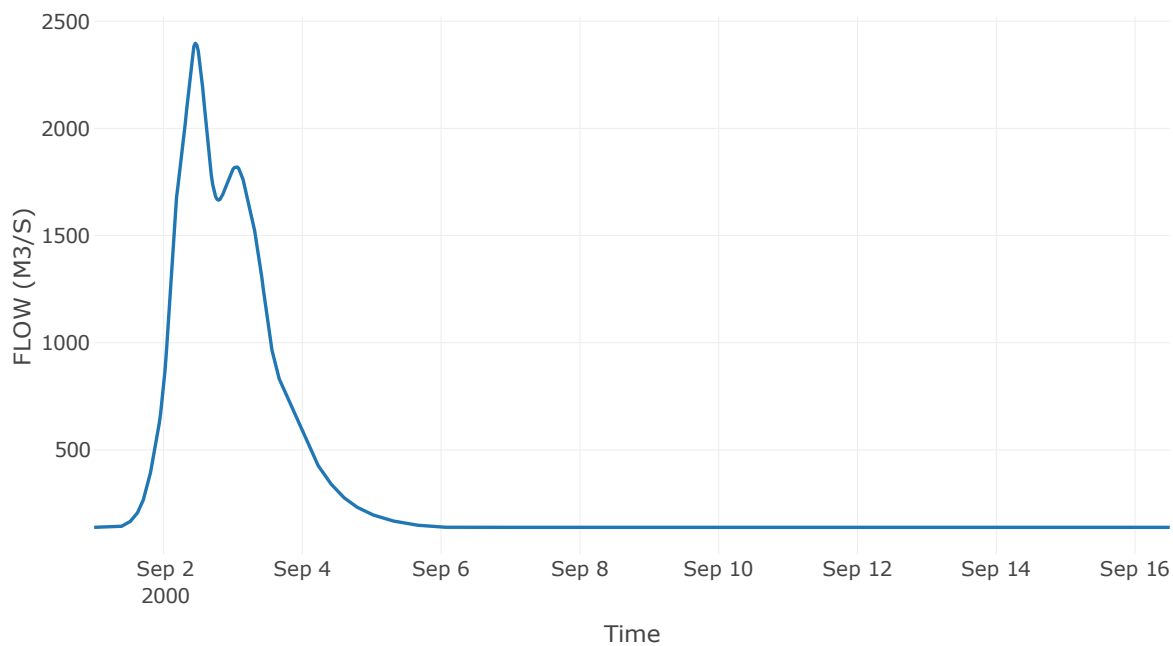
Κατάντη : J24

Μέθοδος Διόδευσης	Muskingum
Αρχική Μεταβλητή	Combined Inflow
Muskingum K	0.79
Συντελεστής βάρους x	0.2
Muskingum Steps	2

Αποτελέσματα: R2324

Παροχή Αιχμής (M3/S)	2397.03
Χρονική στιγμή αιχμής	02Sep2000, 11:00
Όγκος(MM)	296.52
Παροχή Αιχμής Εισόδου (M3/S)	2402.88
Όγκος Εισροής(M3)	4.49E8

Απορροή



Κλάδος: R4523

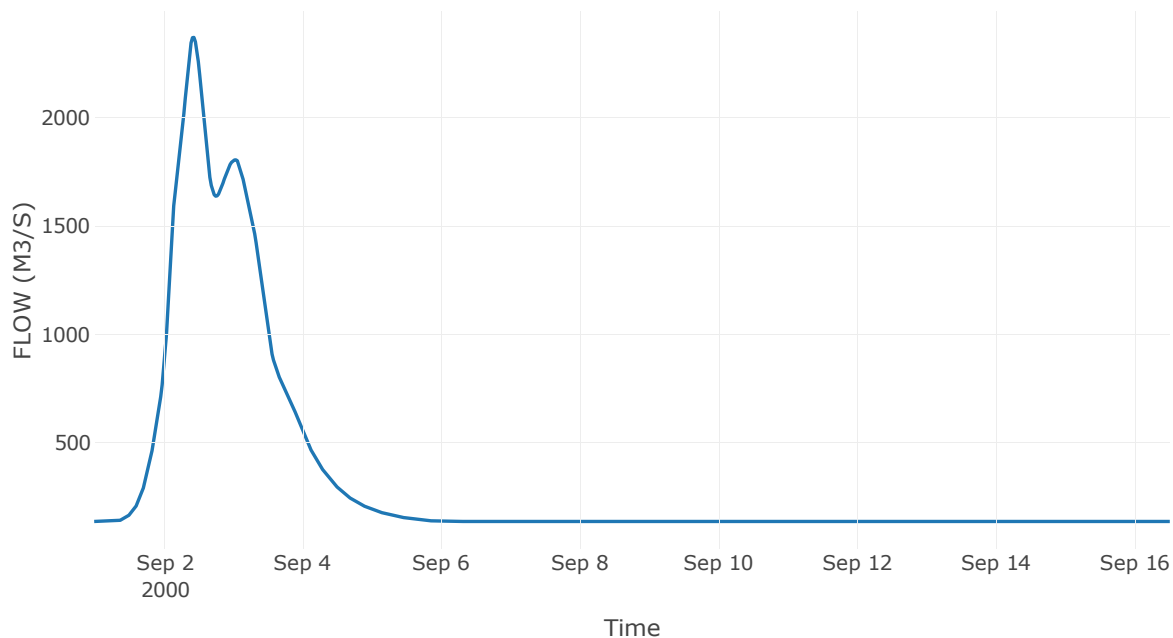
Κατάντη : J23

Μέθοδος Διόδευσης	Muskingum
Αρχική Μεταβλητή	Combined Inflow
Muskingum K	1.72
Συντελεστής βάρους x	0.2
Muskingum Steps	4

Αποτελέσματα: R4523

Παροχή Αιχμής (M3/S)	2368.92
Χρονική στιγμή αιχμής	02Sep2000, 10:30
Όγκος(MM)	299.74
Παροχή Αιχμής Εισόδου (M3/S)	2392.51
Όγκος Εισροής(M3)	4.42E8

Απορροή



Κλάδος: R4645

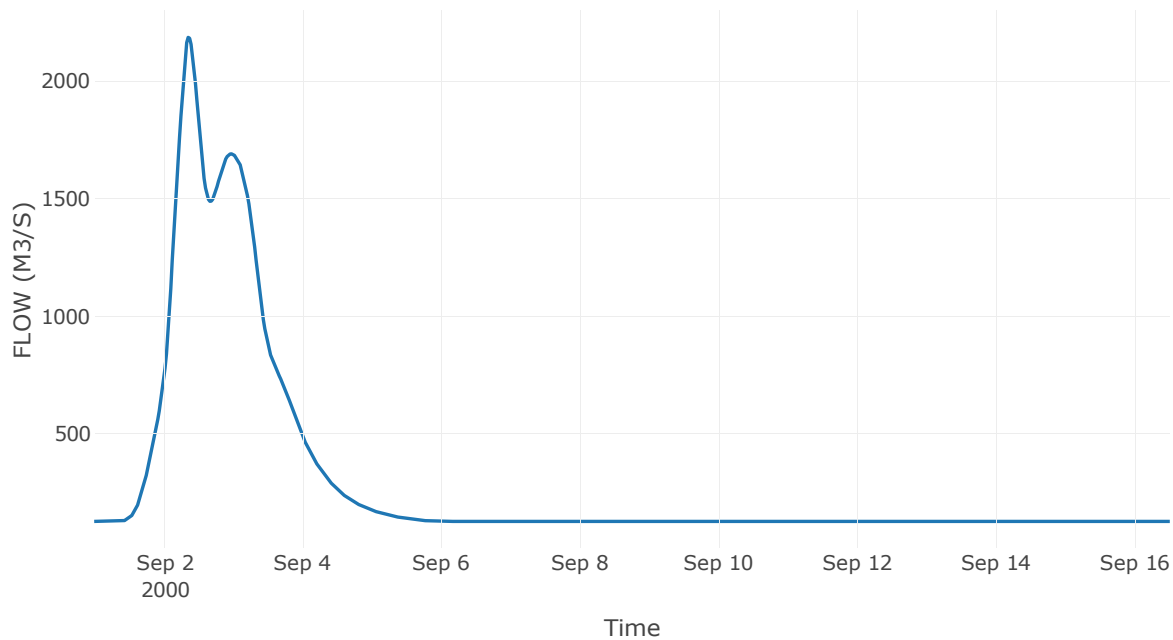
Κατάντη : J45

Μέθοδος Διόδευσης	Muskingum
Αρχική Μεταβλητή	Combined Inflow
Muskingum K	2.14
Συντελεστής βάρους x	0.2
Muskingum Steps	5

Αποτελέσματα: R4645

Παροχή Αιχμής (M3/S)	2186.8
Χρονική στιγμή αιχμής	02Sep2000, 08:30
Όγκος(MM)	305.06
Παροχή Αιχμής Εισόδου (M3/S)	2218.26
Όγκος Εισροής(M3)	4.05E8

Απορροή



Κλάδος: R4746

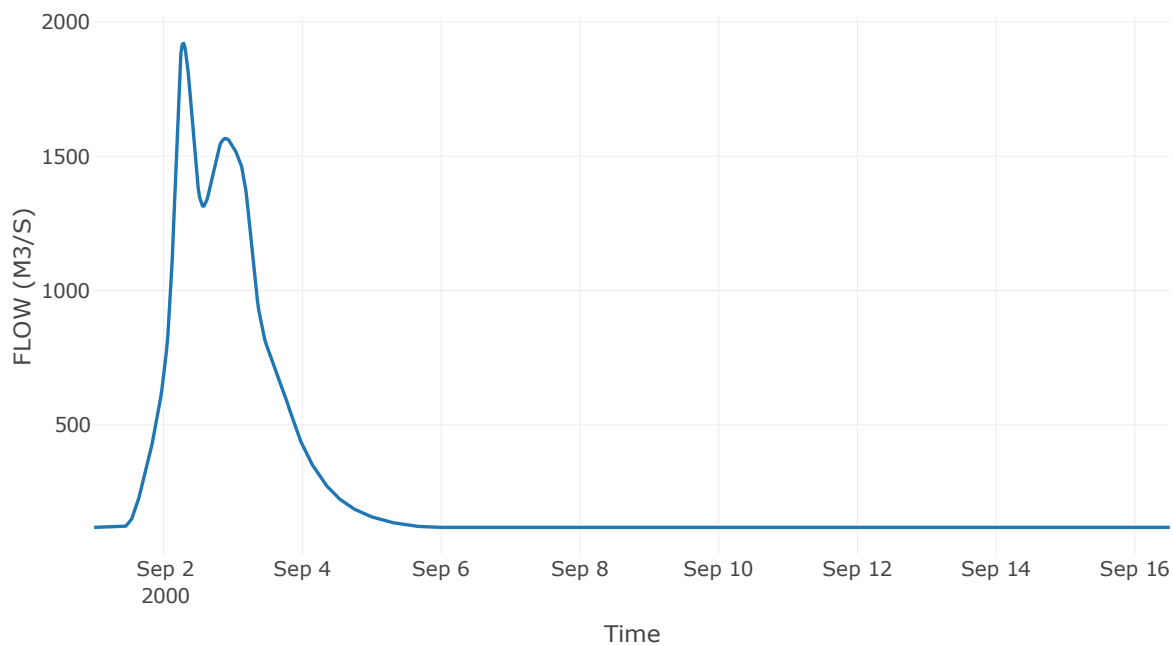
Κατάντη : J46

Μέθοδος Διόδευσης	Muskingum
Αρχική Μεταβλητή	Combined Inflow
Muskingum K	3.5
Συντελεστής βάρους x	0.2
Muskingum Steps	7

Αποτελέσματα: R4746

Παροχή Αιχμής (M3/S)	1919.99
Χρονική στιγμή αιχμής	02Sep2000, 07:00
Όγκος(MM)	315.01
Παροχή Αιχμής Εισόδου (M3/S)	2000.71
Όγκος Εισροής(M3)	3.65E8

Απορροή



Κλάδος: R4947

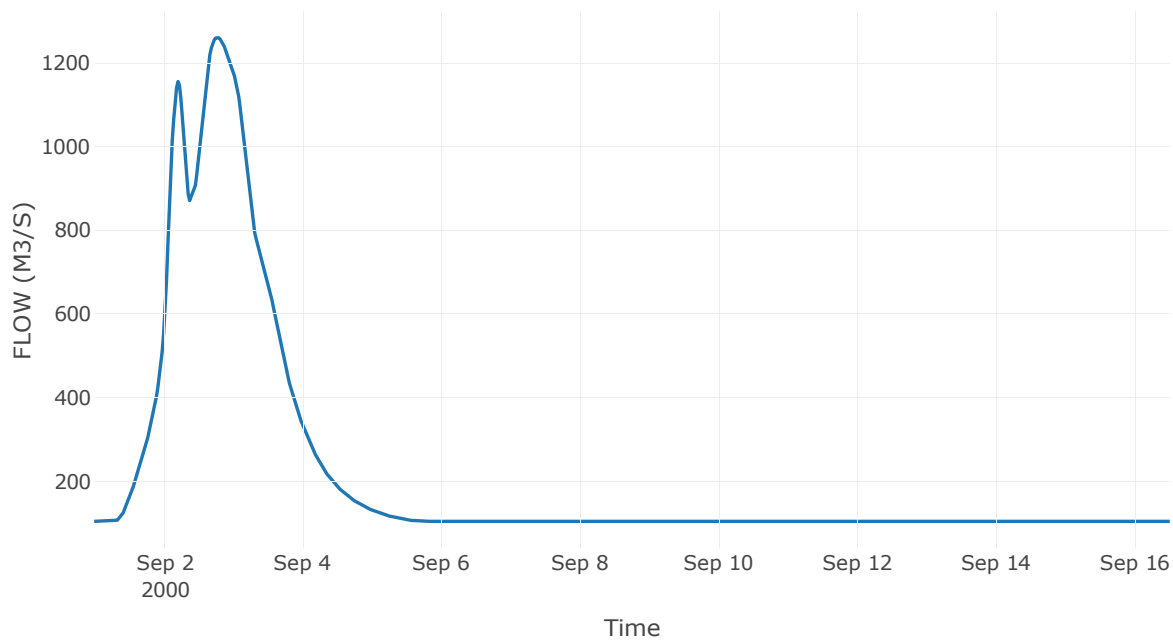
Κατάντη : J47

Μέθοδος Διόδευσης	Muskingum
Αρχική Μεταβλητή	Combined Inflow
Muskingum K	1.39
Συντελεστής βάρους α	0.2
Muskingum Steps	3

Αποτελέσματα: R4947

Παροχή Αιχμής (M3/S)	1260.54
Χρονική στιγμή αιχμής	02Sep2000, 18:30
Όγκος(MM)	331.44
Παροχή Αιχμής Εισόδου (M3/S)	1262.48
Όγκος Εισροής(M3)	2.91E8

Απορροή



Κλάδος: R5049

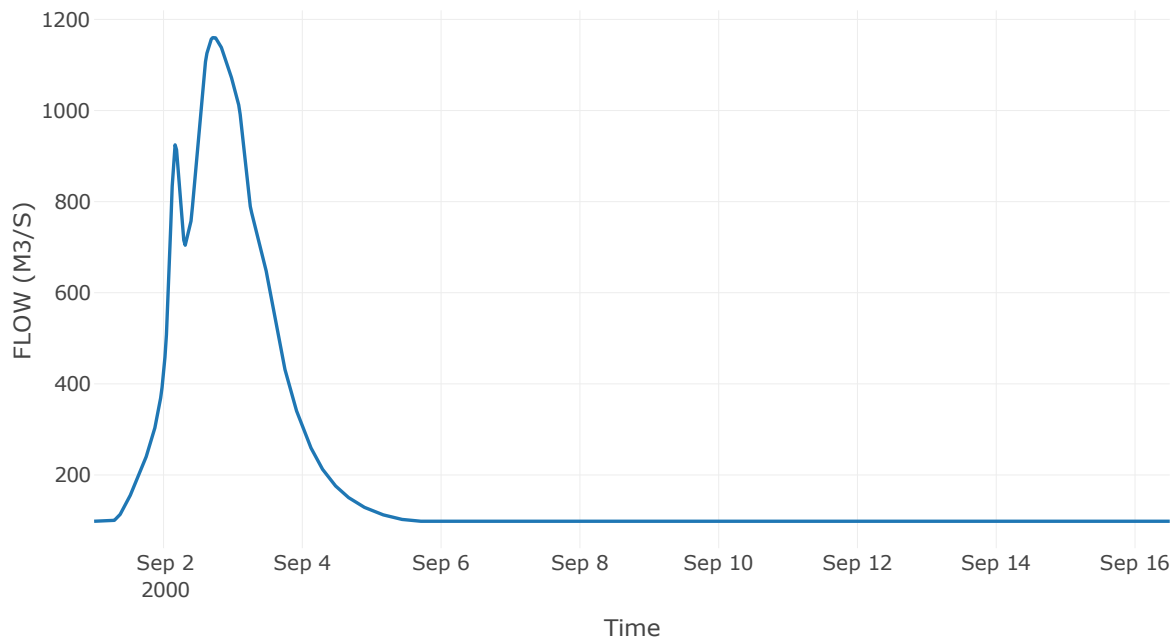
Κατάντη : J49

Μέθοδος Διόδευσης	Muskingum
Αρχική Μεταβλητή	Combined Inflow
Muskingum K	1.76
Συντελεστής βάρους x	0.2
Muskingum Steps	4

Αποτελέσματα: R5049

Παροχή Αιχμής (M3/S)	1160.84
Χρονική στιγμή αιχμής	02Sep2000, 17:30
Όγκος(MM)	338.24
Παροχή Αιχμής Εισόδου (M3/S)	1163.03
Όγκος Εισροής(M3)	2.65E8

Απορροή



Κλάδος: R5150

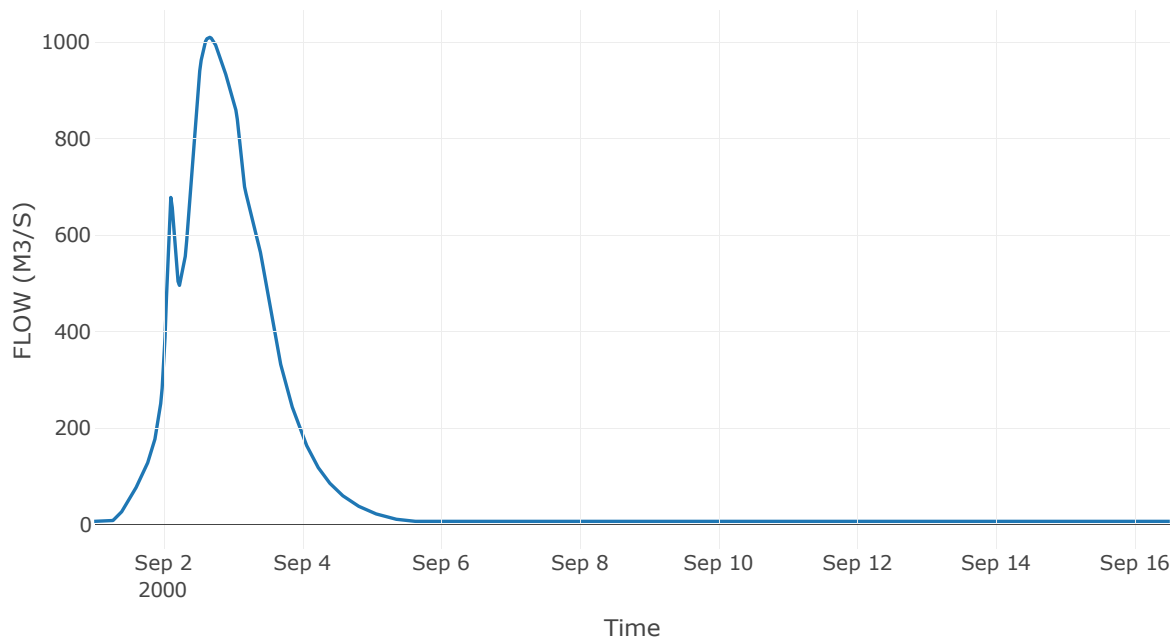
Κατάντη : J50

Μέθοδος Διόδευσης	Muskingum
Αρχική Μεταβλητή	Combined Inflow
Muskingum K	1.24
Συντελεστής βάρους x	0.2
Muskingum Steps	3

Αποτελέσματα: R5150

Παροχή Αιχμής (M3/S)	1010.1
Χρονική στιγμή αιχμής	02Sep2000, 16:00
Όγκος(MM)	1197.66
Παροχή Αιχμής Εισόδου (M3/S)	1011.64
Όγκος Εισροής(M3)	1.3E8

Απορροή



Κλάδος: R5351

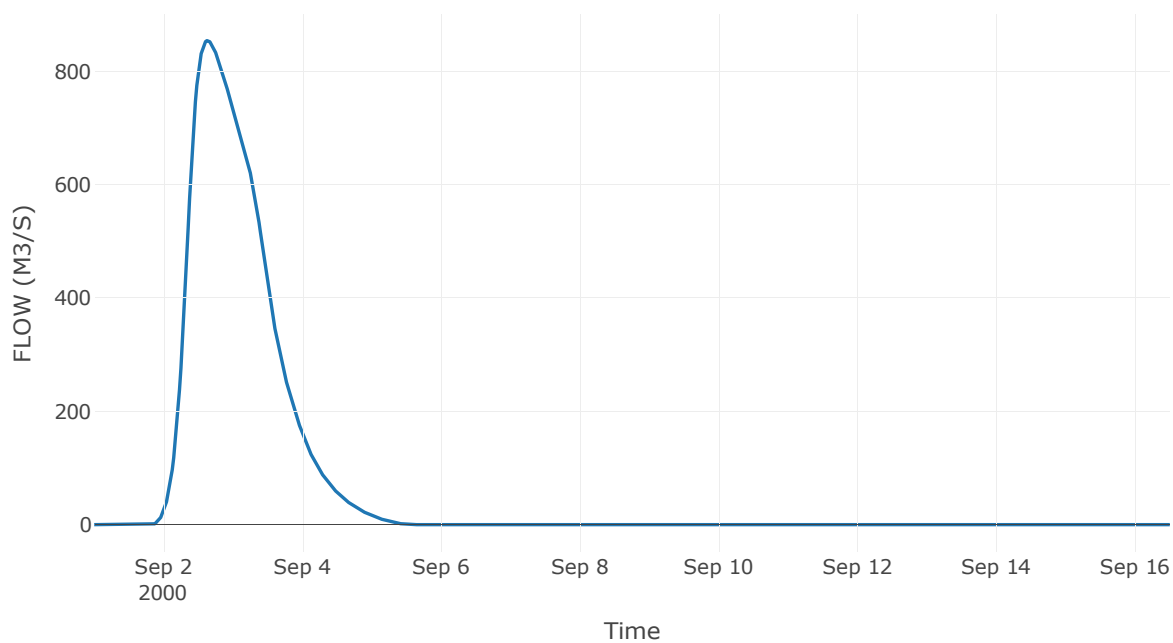
Κατάντη : J51

Μέθοδος Διόδευσης	Muskingum
Αρχική Μεταβλητή	Combined Inflow
Muskingum K	2.28
Συντελεστής βάρους x	0.2
Muskingum Steps	5

Αποτελέσματα: R5351

Παροχή Αιχμής (M3/S)	854.37
Χρονική στιγμή αιχμής	02Sep2000, 15:00
Peak Inflow (M3/S)	856.73
Όγκος Εισροής (M3)	9.38E7

Απορροή



Κλάδος: R5753

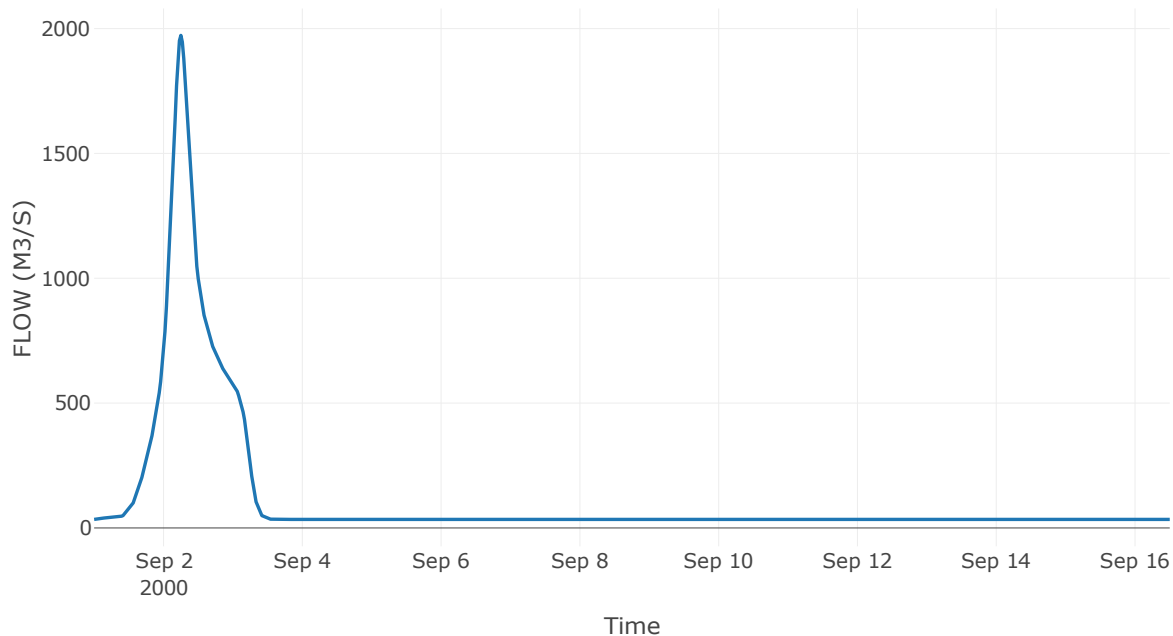
Κατάντη : J53 Res5

Μέθοδος Διόδευσης	Muskingum
Αρχική Μεταβλητή	Combined Inflow
Muskingum K	0.94
Συντελεστής βάρους α	0.2
Muskingum Steps	2

Αποτελέσματα: R5753

Παροχή Αιχμής (M3/S)	1972.8
Χρονική στιγμή αιχμής	02Sep2000, 06:00
Όγκος(MM)	254.1
Παροχή Αιχμής Εισόδου (M3/S)	2000.06
Όγκος Εισροής(M3)	1.58E8

Απορροή



Κλάδος: R5457

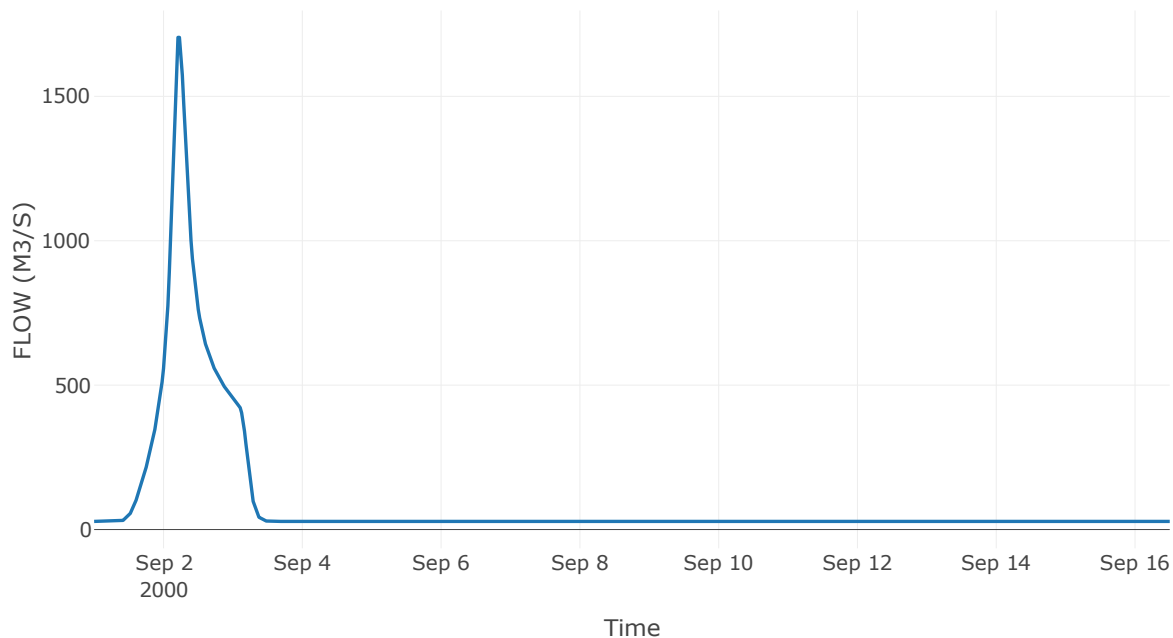
Κατάντη : J57

Μέθοδος Διόδευσης	Muskingum
Αρχική Μεταβλητή	Combined Inflow
Muskingum K	2.41
Συντελεστής βάρους α	0.2
Muskingum Steps	5

Αποτελέσματα: R5457

Παροχή Αιχμής (M3/S)	1704.16
Χρονική στιγμή αιχμής	02Sep2000, 05:00
Όγκος(MM)	248.22
Παροχή Αιχμής Εισόδου (M3/S)	1792.78
Όγκος Εισροής(M3)	1.27E8

Απορροή



Κλάδος: R5554

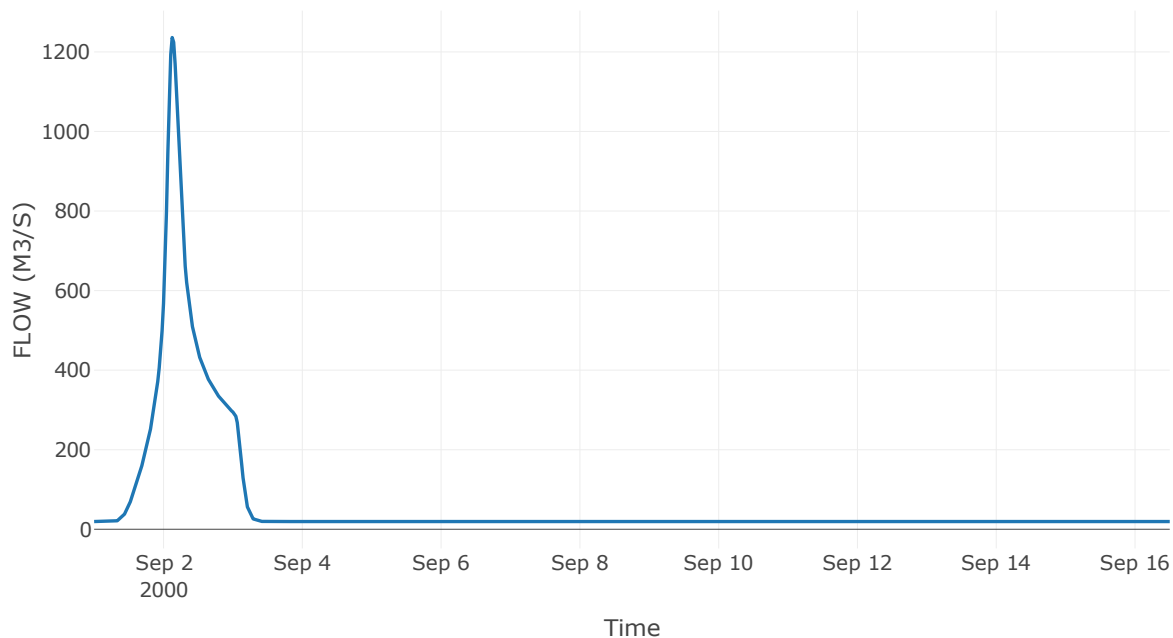
Κατάντη : J54

Μέθοδος Διόδευσης	Muskingum
Αρχική Μεταβλητή	Combined Inflow
Muskingum K	1.03
Συντελεστής βάρους α	0.2
Muskingum Steps	2

Αποτελέσματα: R5554

Παροχή Αιχμής (M3/S)	1236.24
Χρονική στιγμή αιχμής	02Sep2000, 03:00
Όγκος(MM)	244.61
Παροχή Αιχμής Εισόδου (M3/S)	1274.5
Όγκος Εισροής(M3)	8.66E7

Απορροή



Κλάδος: R5655

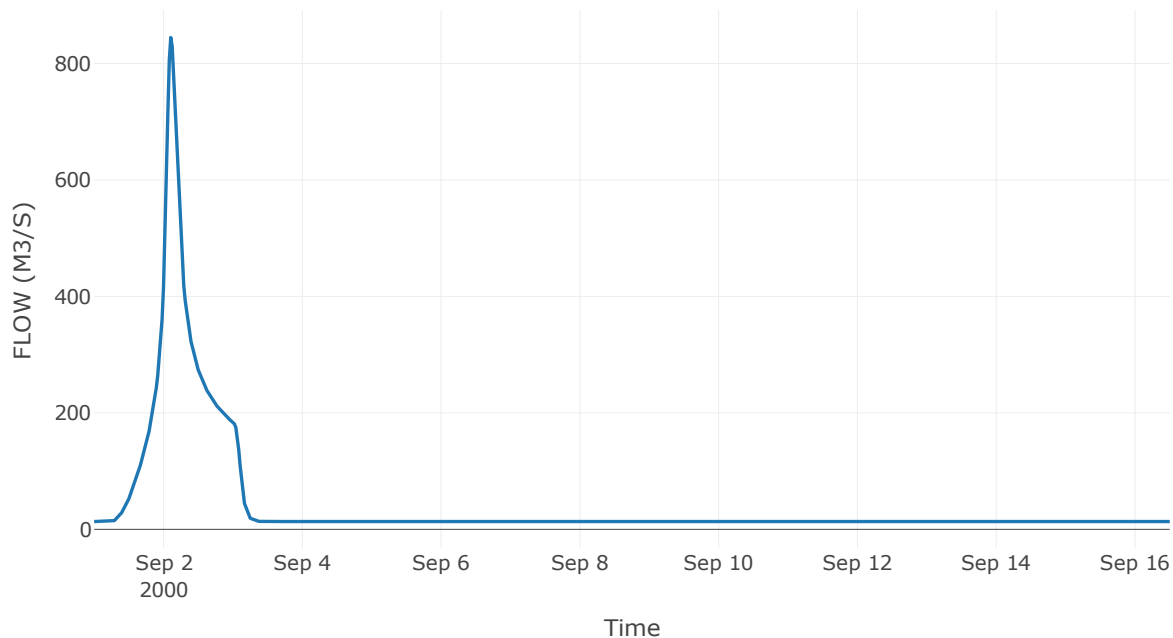
Κατάντη : J55

Μέθοδος Διόδευσης	Muskingum
Αρχική Μεταβλητή	Combined Inflow
Muskingum K	0.67
Συντελεστής βάρους α	0.2
Muskingum Steps	1

Αποτελέσματα: R5655

Παροχή Αιχμής (M3/S)	844.65
Χρονική στιγμή αιχμής	02Sep2000, 02:30
Όγκος(MM)	234.32
Παροχή Αιχμής Εισόδου (M3/S)	875.55
Όγκος Εισροής(M3)	5.7E7

Απορροή



Κλάδος: R6357

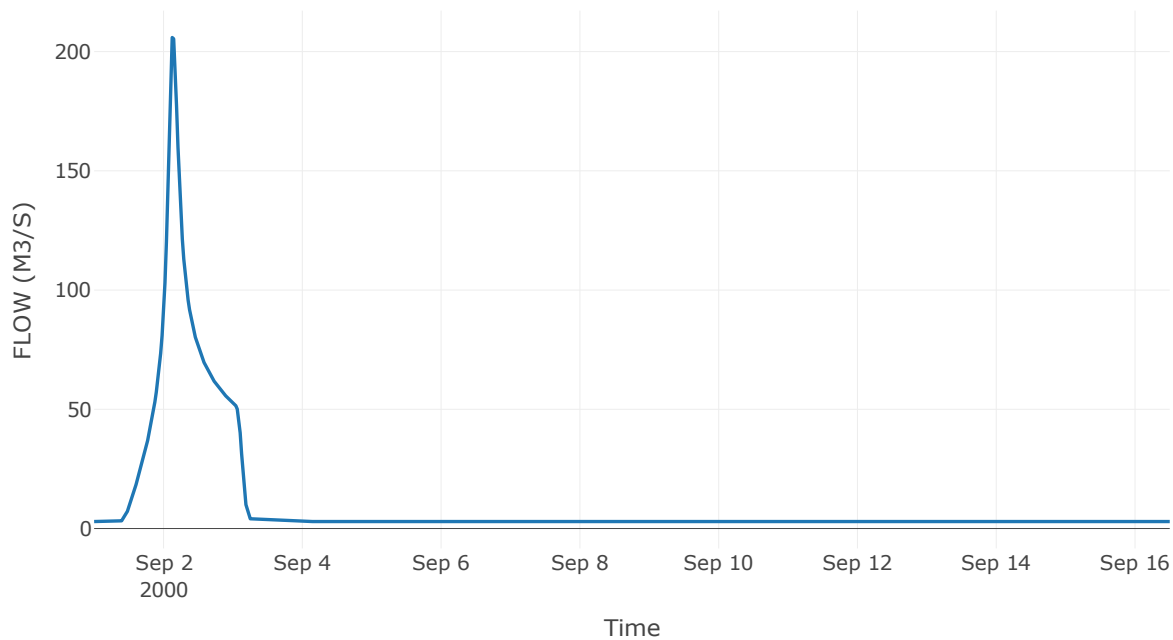
Κατάντη : J57

Μέθοδος Διόδευσης	Muskingum
Αρχική Μεταβλητή	Combined Inflow
Muskingum K	1.82
Συντελεστής βάρους α	0.2
Muskingum Steps	4

Αποτελέσματα: R6357

Παροχή Αιχμής (M3/S)	205.91
Χρονική στιγμή αιχμής	02Sep2000, 03:00
Όγκος(MM)	263.04
Παροχή Αιχμής Εισόδου (M3/S)	223.82
Όγκος Εισροής(M3)	1.4E7

Απορροή



Κλάδος: R4847

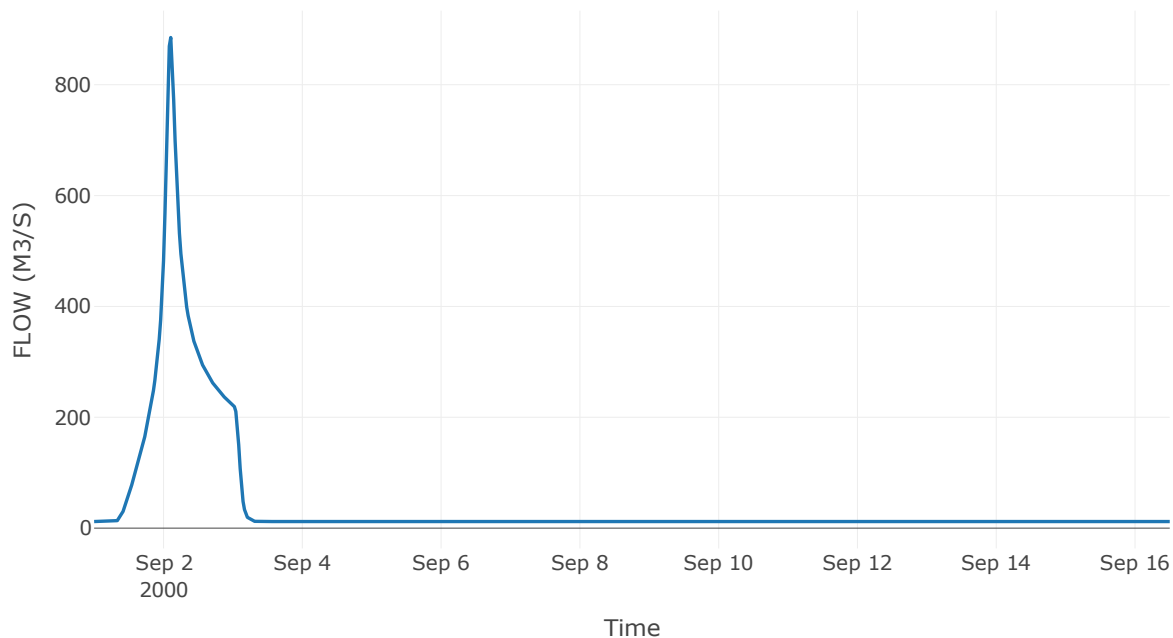
Κατάντη : J47

Μέθοδος Διόδευσης	Muskingum
Αρχική Μεταβλητή	Combined Inflow
Muskingum K	0.72
Συντελεστής βάρους x	0.2
Muskingum Steps	2

Αποτελέσματα: R4847

Παροχή Αιχμής (M3/S)	885.17
Χρονική στιγμή αιχμής	02Sep2000, 02:30
Όγκος(MM)	275.96
Παροχή Αιχμής Εισόδου (M3/S)	907.64
Όγκος Εισροής(M3)	5.97E7

Απορροή



Κλάδος: R4462

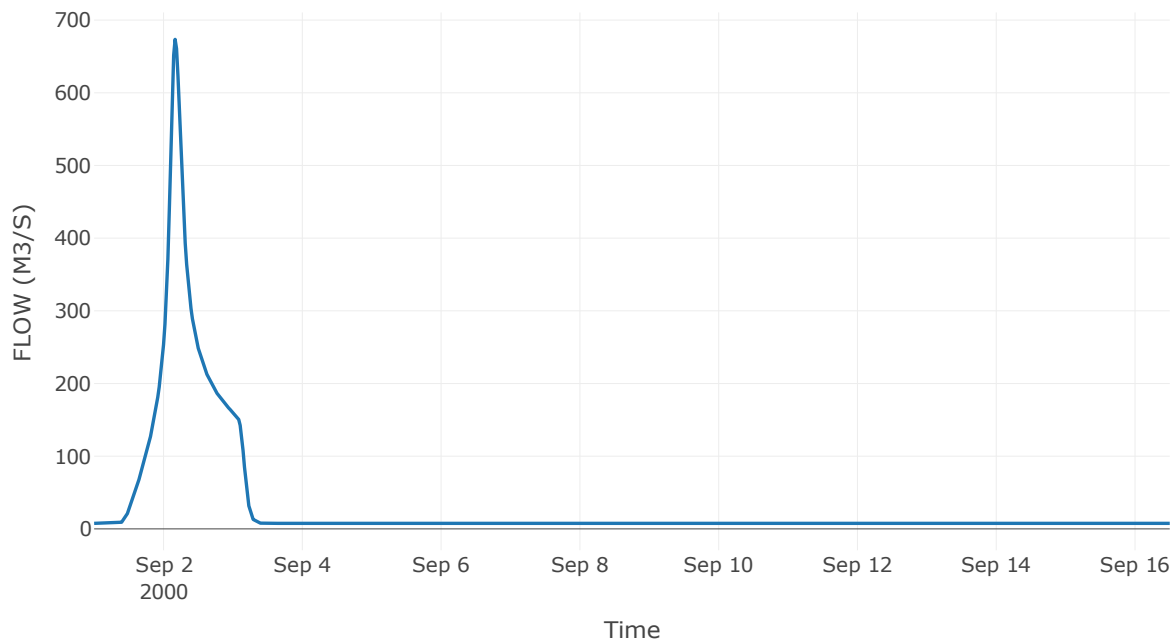
Κατάντη : J62

Μέθοδος Διόδευσης	Muskingum
Αρχική Μεταβλητή	Combined Inflow
Muskingum K	2.57
Συντελεστής βάρους α	0.2
Muskingum Steps	5

Αποτελέσματα: R4462

Παροχή Αιχμής (M3/S)	673.52
Χρονική στιγμή αιχμής	02Sep2000, 04:00
Όγκος(MM)	312.51
Παροχή Αιχμής Εισόδου (M3/S)	750.79
Όγκος Εισροής(M3)	4.31E7

Απορροή



Κλάδος: R6227

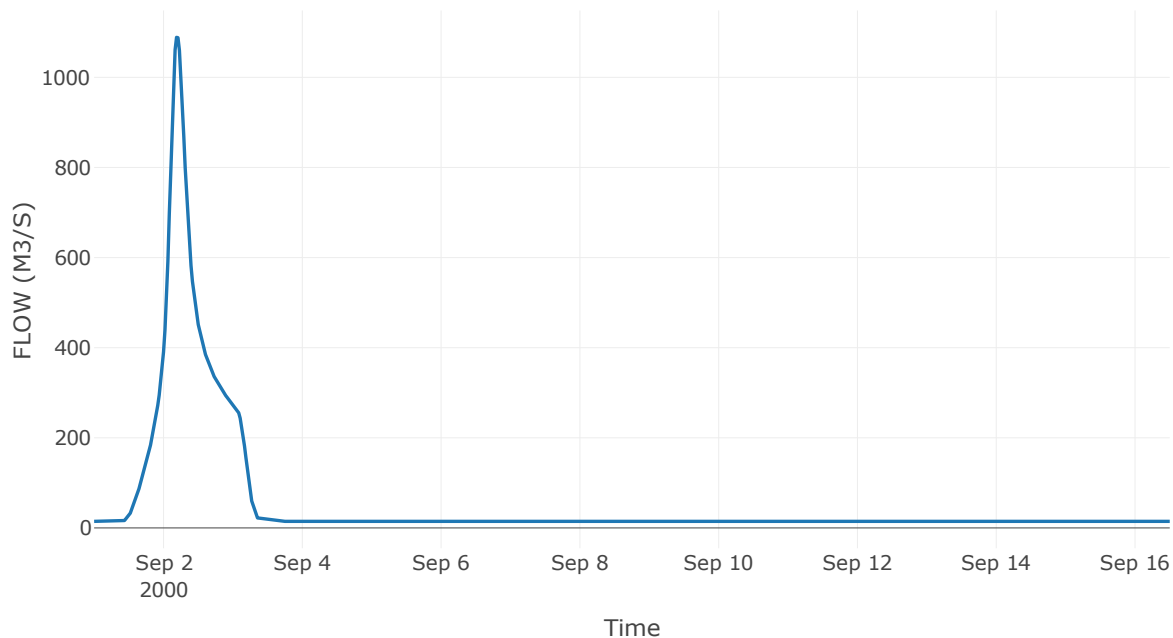
Κατάντη : J27

Μέθοδος Διόδευσης	Muskingum
Αρχική Μεταβλητή	Combined Inflow
Muskingum K	1.47
Συντελεστής βάρους α	0.2
Muskingum Steps	3

Αποτελέσματα: R6227

Παροχή Αιχμής (M3/S)	1088.84
Χρονική στιγμή αιχμής	02Sep2000, 04:30
Όγκος(MM)	287.5
Παροχή Αιχμής Εισόδου (M3/S)	1113.49
Όγκος Εισροής(M3)	7.6E7

Απορροή



Κλάδος: R4342

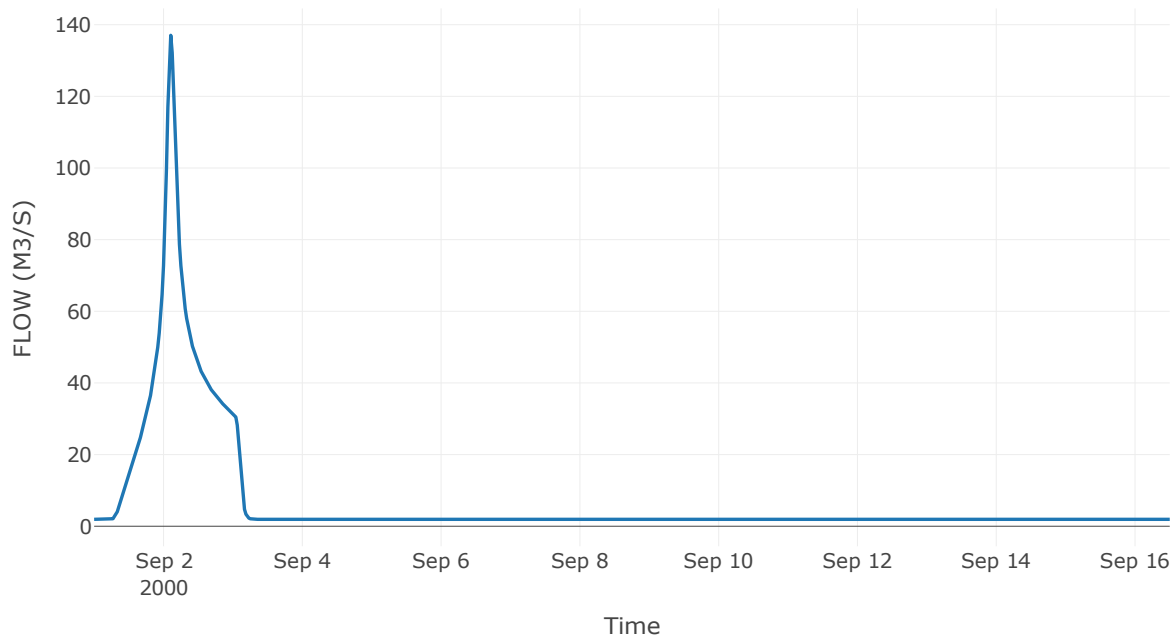
Κατάντη : J42

Μέθοδος Διόδευσης	Muskingum
Αρχική Μεταβλητή	Combined Inflow
Muskingum K	1.31
Συντελεστής βάρους α	0.2
Muskingum Steps	3

Αποτελέσματα: R4342

Παροχή Αιχμής (M3/S)	137.04
Χρονική στιγμή αιχμής	02Sep2000, 02:30
Όγκος(MM)	264.6
Παροχή Αιχμής Εισόδου (M3/S)	145.47
Όγκος Εισροής(M3)	9.26E6

Απορροή



Κλάδος: R4241

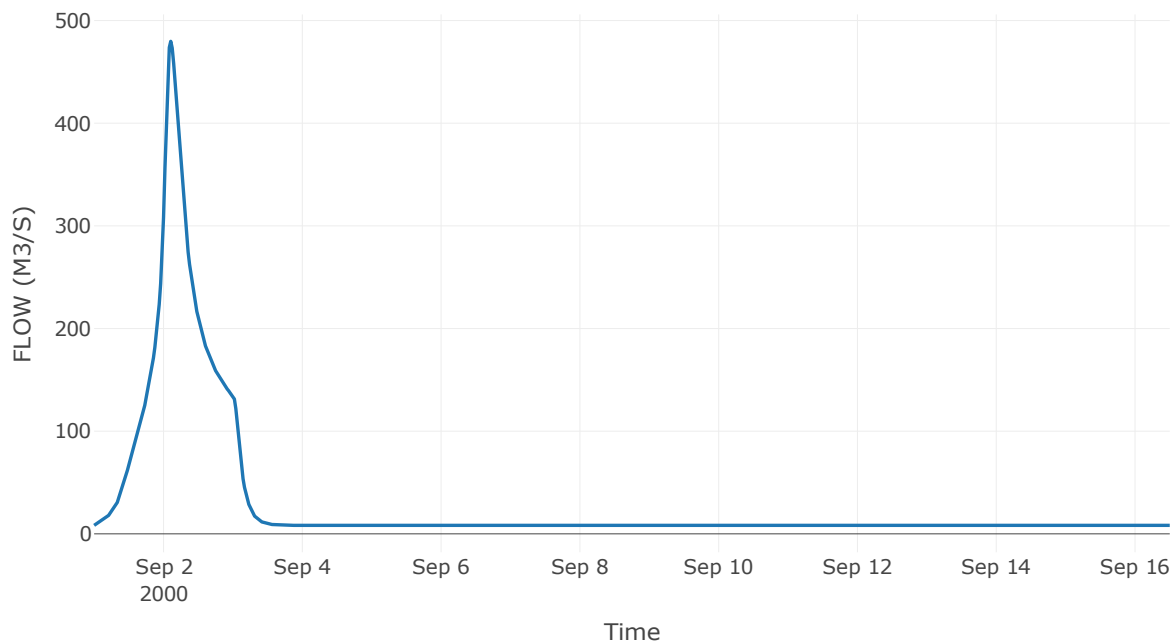
Κατάντη : J41 Res4

Μέθοδος Διόδευσης	Muskingum
Αρχική Μεταβλητή	Combined Inflow
Muskingum K	0.14
Συντελεστής βάρους x	0.2
Muskingum Steps	1

Αποτελέσματα: R4241

Παροχή Αιχμής (M3/S)	479.74
Χρονική στιγμή αιχμής	02Sep2000, 02:30
Όγκος(MM)	269.84
Παροχή Αιχμής Εισόδου (M3/S)	479.17
Όγκος Εισροής(M3)	4.06E7

Απορροή



Κλάδος: R4140

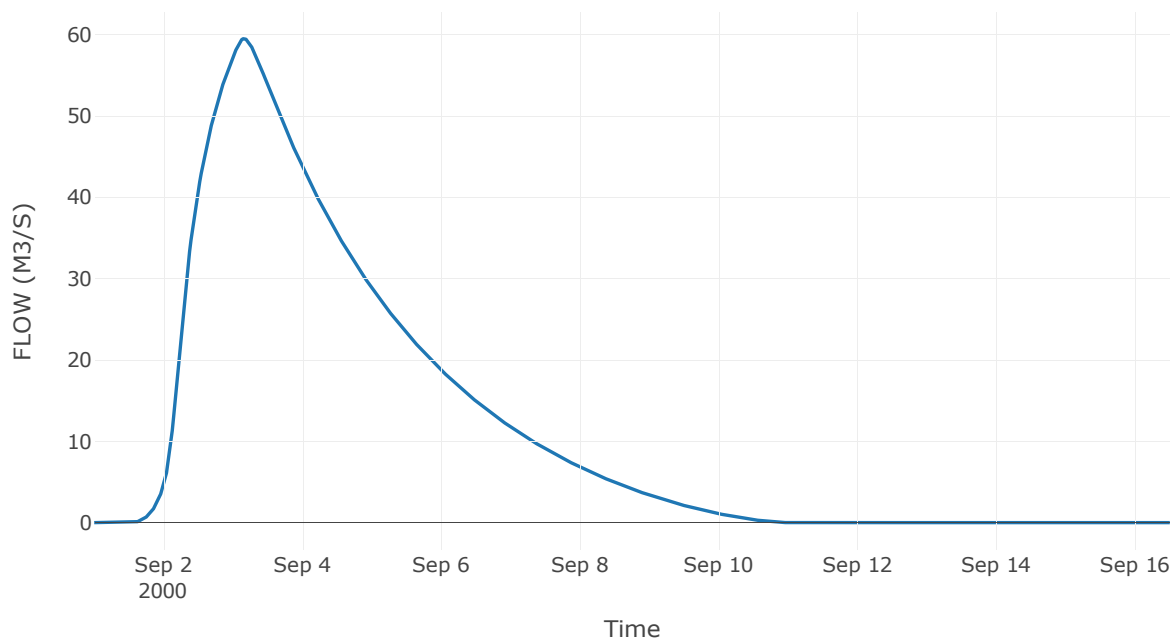
Κατάντη : J40

Μέθοδος Διόδευσης	Muskingum
Αρχική Μεταβλητή	Combined Inflow
Muskingum K	1.57
Συντελεστής βάρους x	0.2
Muskingum Steps	3

Αποτελέσματα: R4140

Παροχή Αιχμής (M3/S)	59.49
Χρονική στιγμή αιχμής	03Sep2000, 04:00
Peak Inflow (M3/S)	59.59
Όγκος Εισροής (M3)	1.57E7

Απορροή



Κλάδος: R4039

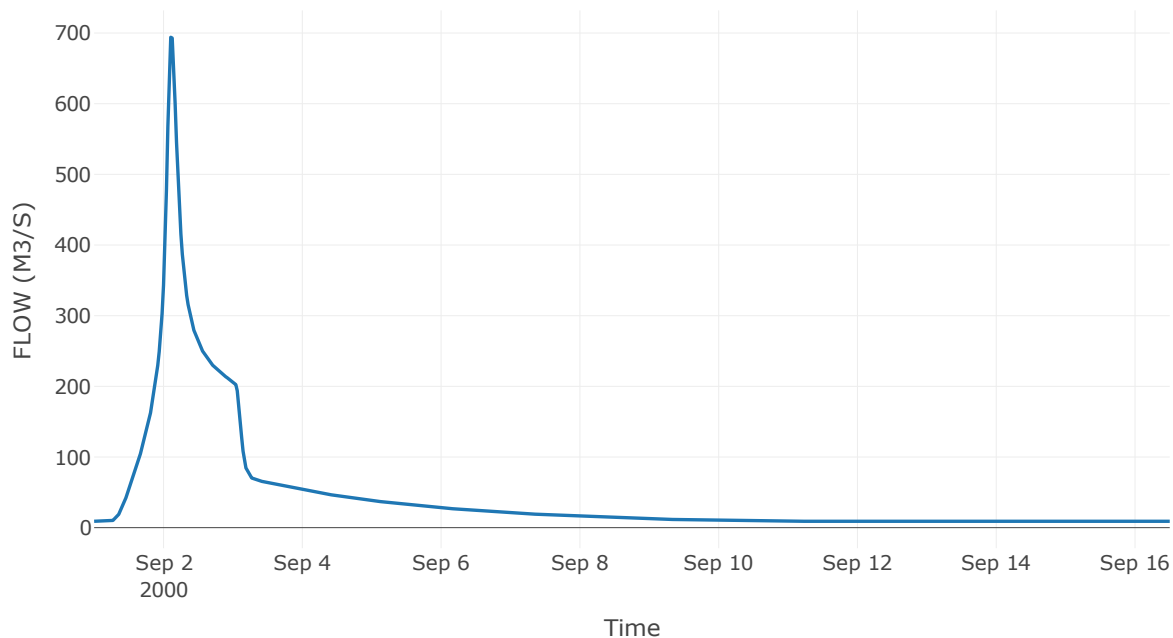
Κατάντη : J39

Μέθοδος Διόδευσης	Muskingum
Αρχική Μεταβλητή	Combined Inflow
Muskingum K	1.02
Συντελεστής βάρους x	0.2
Muskingum Steps	2

Αποτελέσματα: R4039

Παροχή Αιχμής (M3/S)	694.01
Χρονική στιγμή αιχμής	02Sep2000, 02:30
Όγκος(MM)	369.21
Παροχή Αιχμής Εισόδου (M3/S)	727.2
Όγκος Εισροής(M3)	6.05E7

Απορροή



Κλάδος: R3938

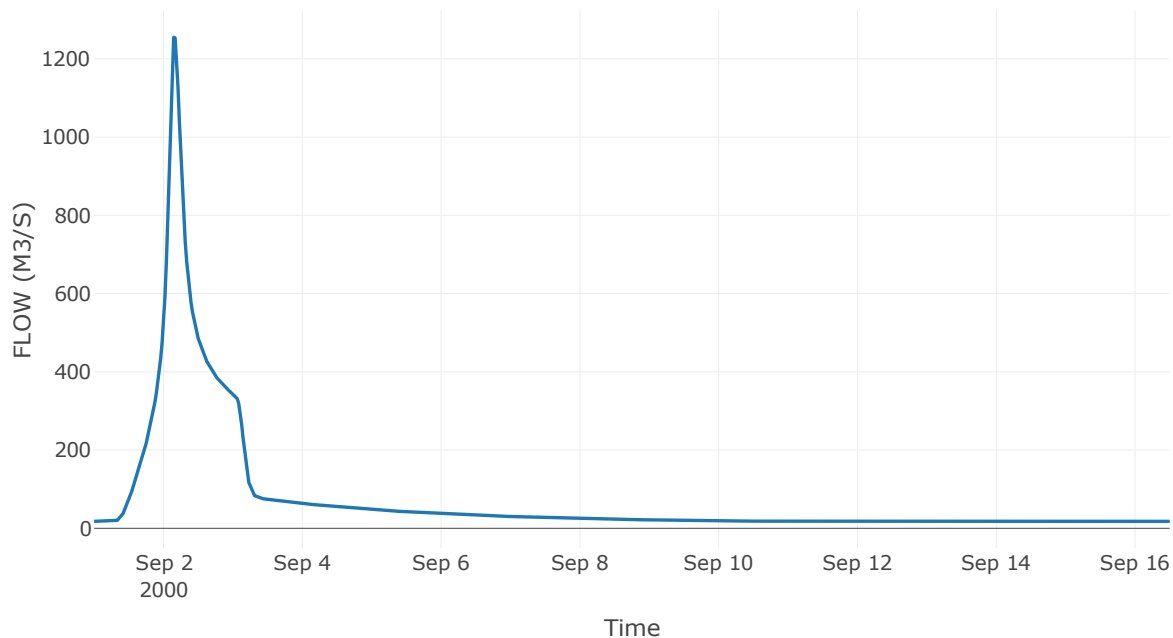
Κατάντη : J38

Μέθοδος Διόδευσης	Muskingum
Αρχική Μεταβλητή	Combined Inflow
Muskingum K	1.57
Συντελεστής βάρους α	0.2
Muskingum Steps	3

Αποτελέσματα: R3938

Παροχή Αιχμής (M3/S)	1254.93
Χρονική στιγμή αιχμής	02Sep2000, 03:30
Όγκος(MM)	314.26
Παροχή Αιχμής Εισόδου (M3/S)	1321.96
Όγκος Εισροής(M3)	1.01E8

Απορροή



Κλάδος: R3837

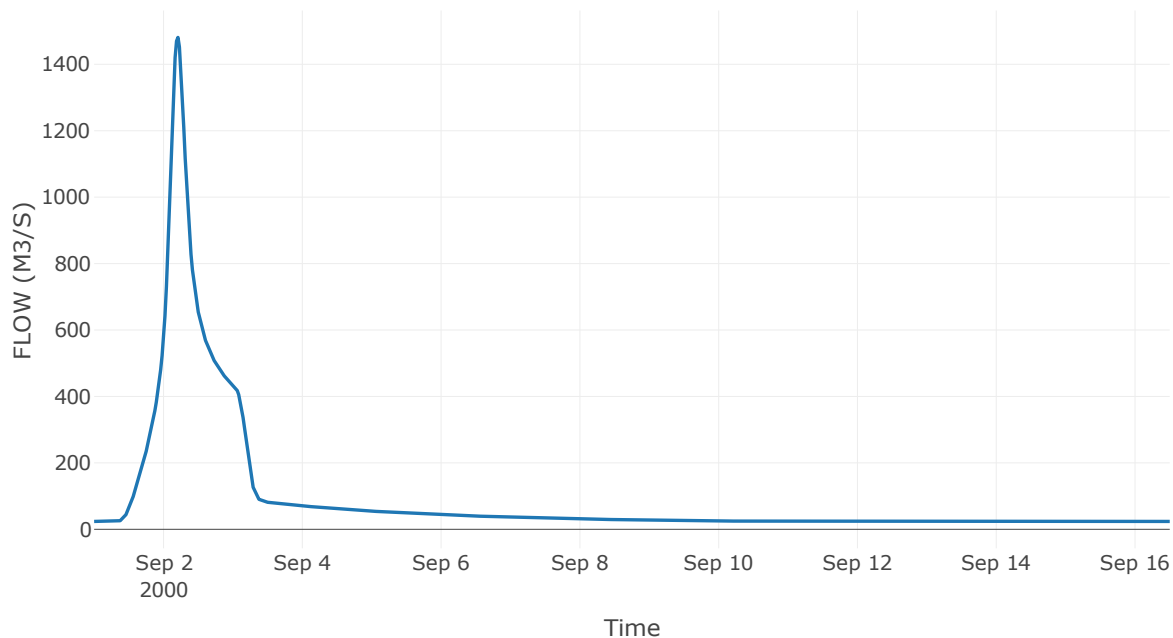
Κατάντη : J37

Μέθοδος Διόδευσης	Muskingum
Αρχική Μεταβλητή	Combined Inflow
Muskingum K	1.45
Συντελεστής βάρους α	0.2
Muskingum Steps	3

Αποτελέσματα: R3837

Παροχή Αιχμής (M3/S)	1480.98
Χρονική στιγμή αιχμής	02Sep2000, 05:00
Όγκος(MM)	293.56
Παροχή Αιχμής Εισόδου (M3/S)	1518.89
Όγκος Εισροής(M3)	1.26E8

Απορροή



Κλάδος: R3726

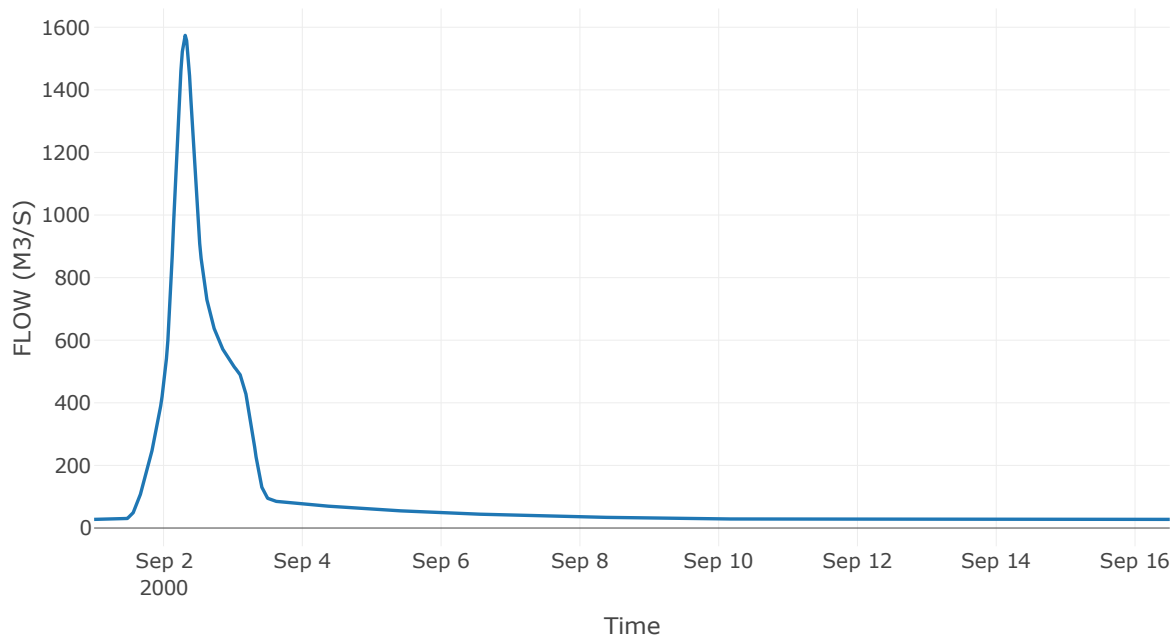
Κατάντη : J26

Μέθοδος Διόδευσης	Muskingum
Αρχική Μεταβλητή	Combined Inflow
Muskingum K	2.77
Συντελεστής βάρους α	0.2
Muskingum Steps	6

Αποτελέσματα: R3726

Παροχή Αιχμής (M3/S)	1574.07
Χρονική στιγμή αιχμής	02Sep2000, 07:30
Όγκος(MM)	285.55
Παροχή Αιχμής Εισόδου (M3/S)	1619.91
Όγκος Εισροής(M3)	1.43E8

Απορροή



Κλάδος: R2664

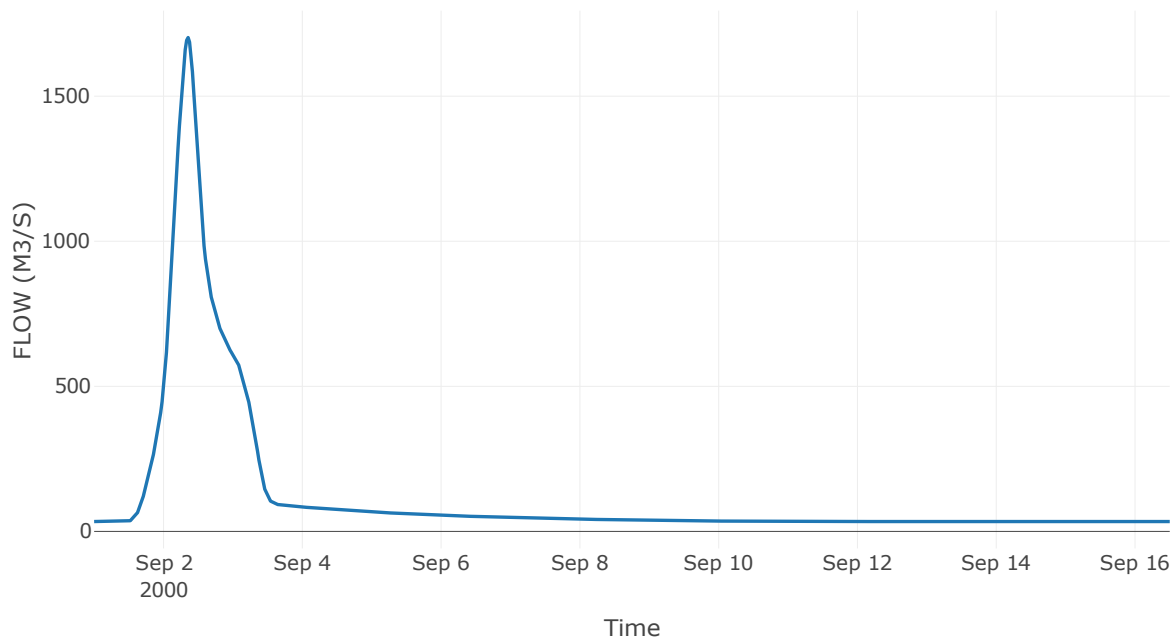
Κατάντη : J64

Μέθοδος Διόδευσης	Muskingum
Αρχική Μεταβλητή	Combined Inflow
Muskingum K	1.17
Συντελεστής βάρους α	0.2
Muskingum Steps	2

Αποτελέσματα: R2664

Παροχή Αιχμής (M3/S)	1702.16
Χρονική στιγμή αιχμής	02Sep2000, 08:30
Όγκος(MM)	268.47
Παροχή Αιχμής Εισόδου (M3/S)	1721.17
Όγκος Εισροής(M3)	1.66E8

Απορροή



Κλάδος: R6429

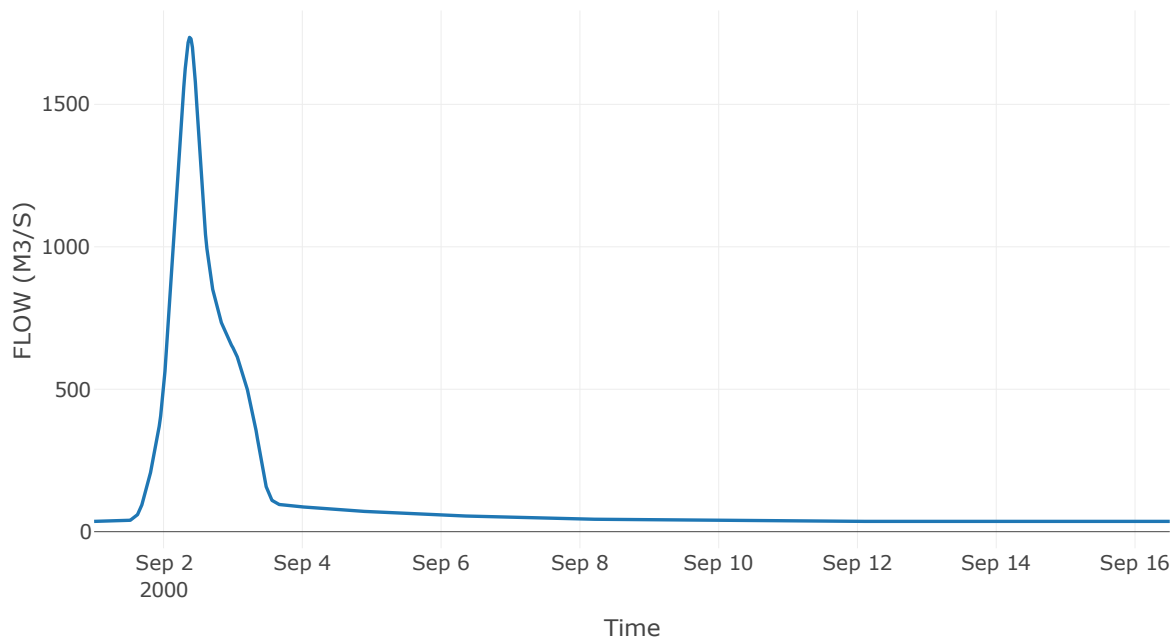
Κατάντη : J29

Μέθοδος Διόδευσης	Muskingum
Αρχική Μεταβλητή	Combined Inflow
Muskingum K	0.74
Συντελεστής βάρους x	0.2
Muskingum Steps	2

Αποτελέσματα: R6429

Παροχή Αιχμής (M3/S)	1735.19
Χρονική στιγμή αιχμής	02Sep2000, 09:00
Όγκος(MM)	264.45
Παροχή Αιχμής Εισόδου (M3/S)	1743.84
Όγκος Εισροής(M3)	1.74E8

Απορροή



Κλάδος: R3533

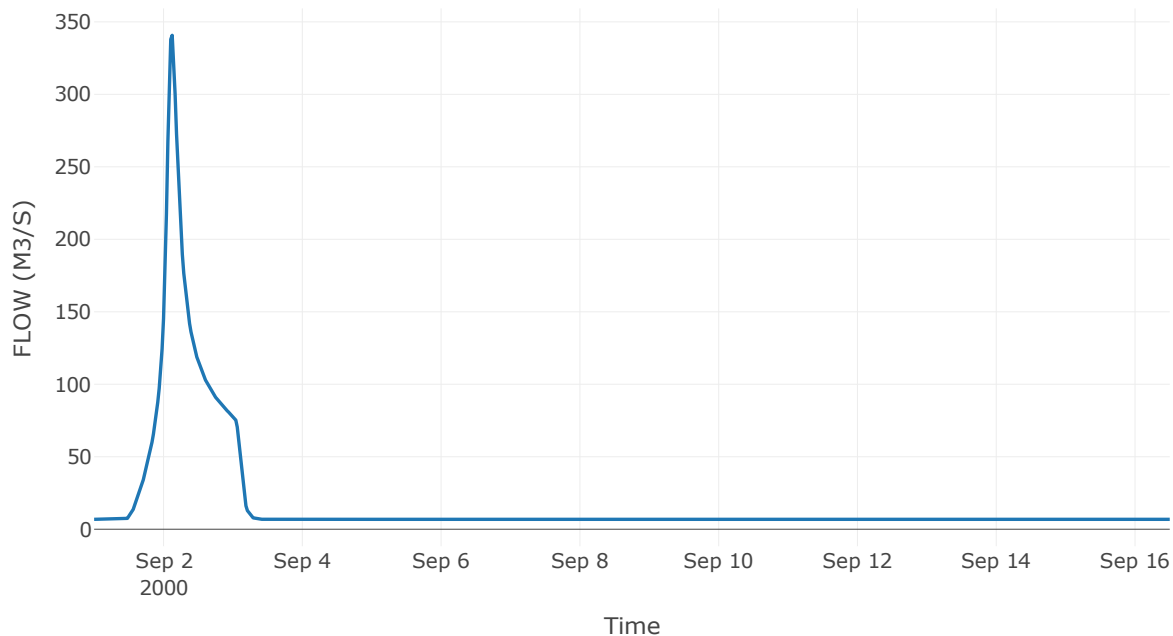
Κατάντη : J33

Μέθοδος Διόδευσης	Muskingum
Αρχική Μεταβλητή	Combined Inflow
Muskingum K	1.01
Συντελεστής βάρους α	0.2
Muskingum Steps	2

Αποτελέσματα: R3533

Παροχή Αιχμής (M3/S)	340.73
Χρονική στιγμή αιχμής	02Sep2000, 03:00
Όγκος(MM)	194.72
Παροχή Αιχμής Εισόδου (M3/S)	354.1
Όγκος Εισροής(M3)	2.42E7

Απορροή



Κλάδος: R3433

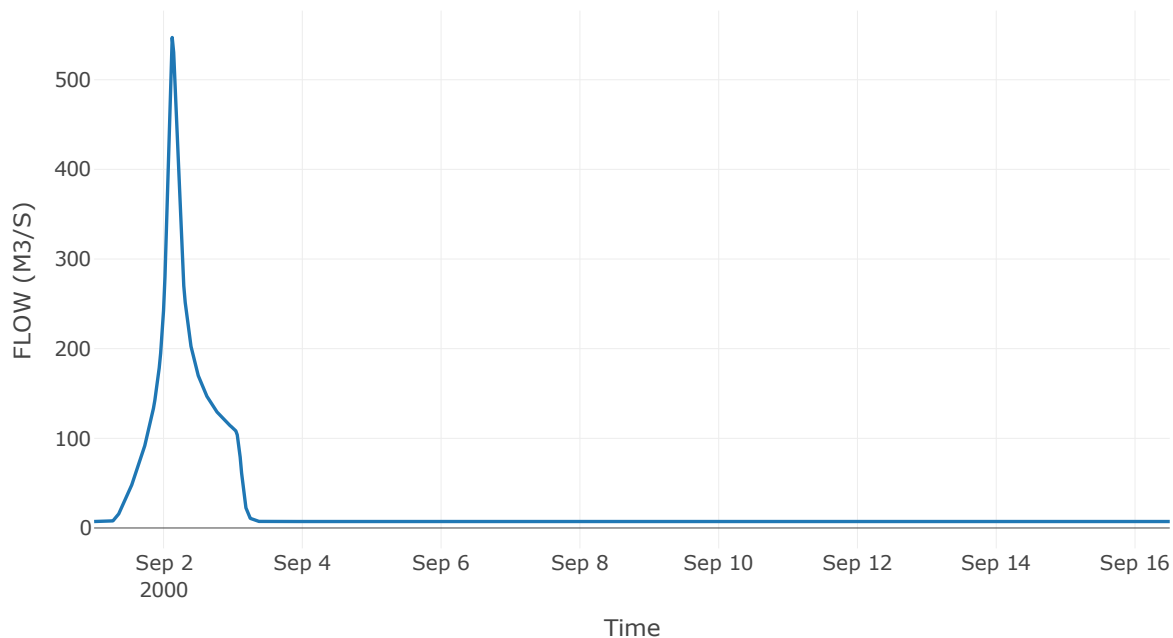
Κατάντη : J33

Μέθοδος Διόδευσης	Muskingum
Αρχική Μεταβλητή	Combined Inflow
Muskingum K	1.39
Συντελεστής βάρους α	0.2
Muskingum Steps	3

Αποτελέσματα: R3433

Παροχή Αιχμής (M3/S)	547.1
Χρονική στιγμή αιχμής	02Sep2000, 03:00
Όγκος(MM)	263.96
Παροχή Αιχμής Εισόδου (M3/S)	581.28
Όγκος Εισροής(M3)	3.46E7

Απορροή



Κλάδος: R3332

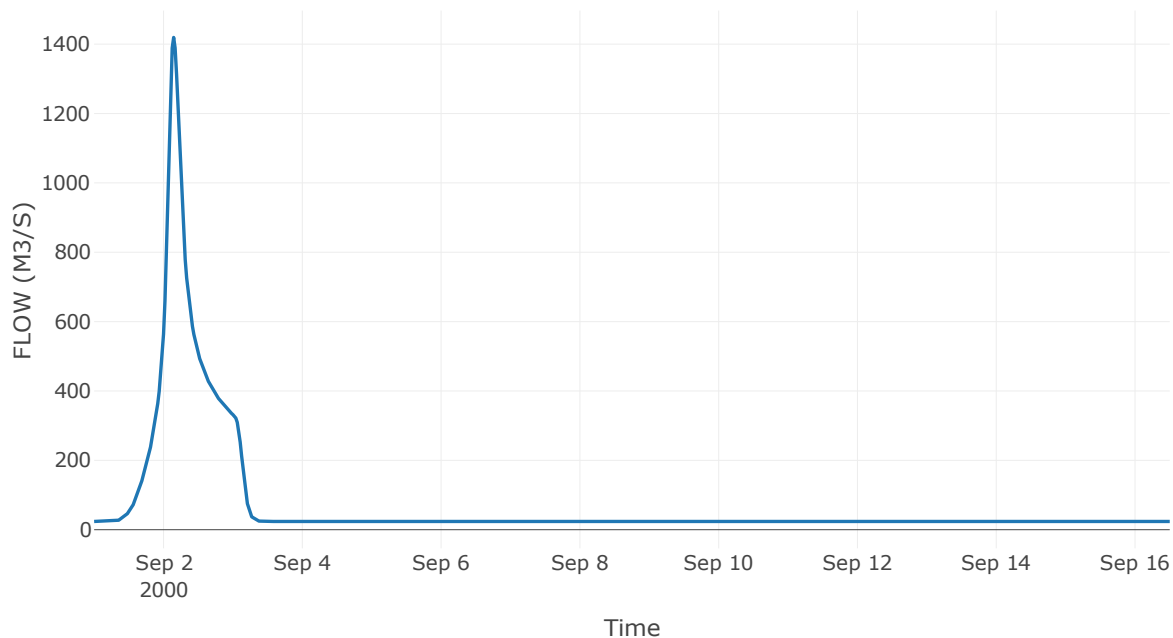
Κατάντη : J32

Μέθοδος Διόδευσης	Muskingum
Αρχική Μεταβλητή	Combined Inflow
Muskingum K	1.04
Συντελεστής βάρους α	0.2
Muskingum Steps	2

Αποτελέσματα: R3332

Παροχή Αιχμής (M3/S)	1419.38
Χρονική στιγμή αιχμής	02Sep2000, 03:30
Όγκος(MM)	227.94
Παροχή Αιχμής Εισόδου (M3/S)	1462.33
Όγκος Εισροής(M3)	9.85E7

Απορροή



Κλάδος: R3230

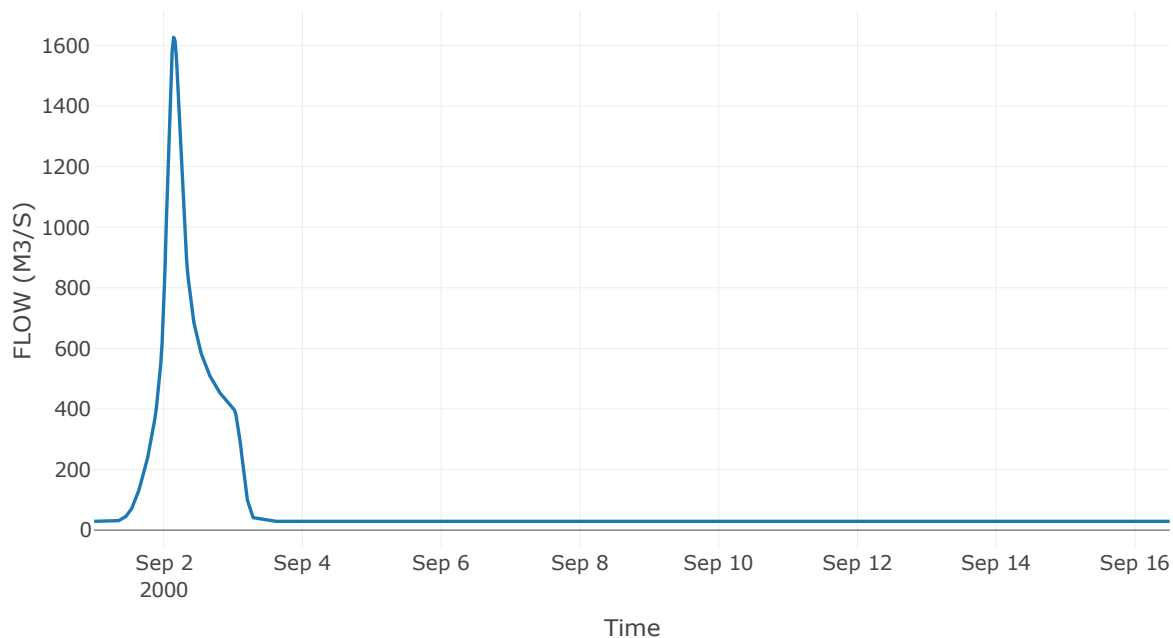
Κατάντη : J30

Μέθοδος Διόδευσης	Muskingum
Αρχική Μεταβλητή	Combined Inflow
Muskingum K	0.36
Συντελεστής βάρους α	0.2
Muskingum Steps	1

Αποτελέσματα: R3230

Παροχή Αιχμής (M3/S)	1626.96
Χρονική στιγμή αιχμής	02Sep2000, 03:30
Όγκος(MM)	226.64
Παροχή Αιχμής Εισόδου (M3/S)	1632.01
Όγκος Εισροής(M3)	1.19E8

Απορροή



Κλάδος: R3029

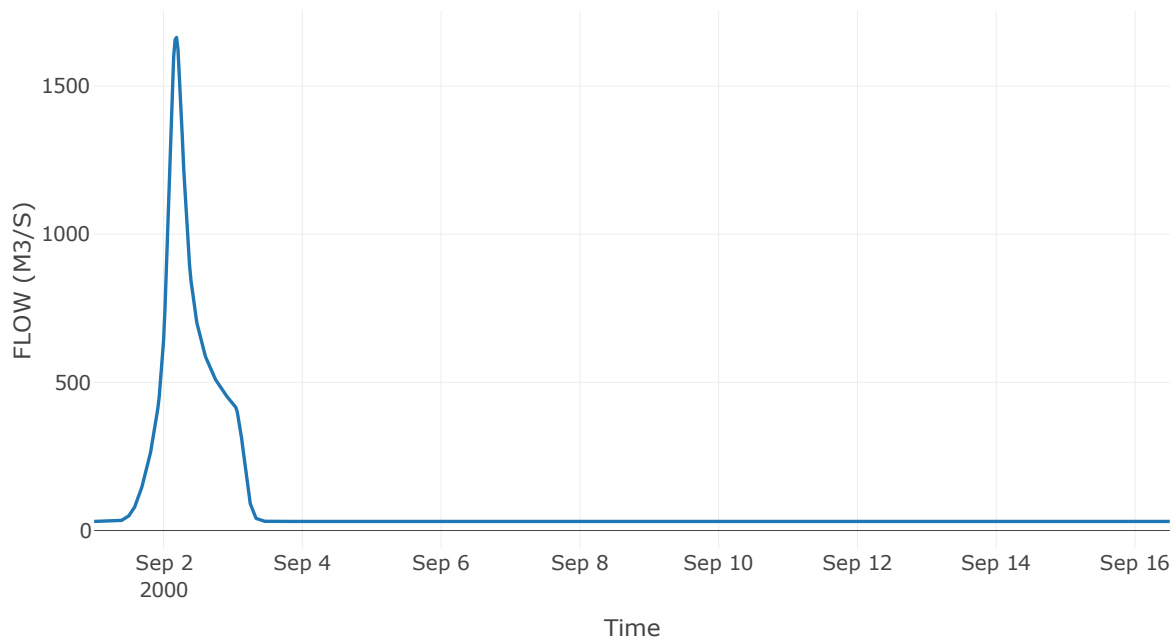
Κατάντη : J29

Μέθοδος Διόδευσης	Muskingum
Αρχική Μεταβλητή	Combined Inflow
Muskingum K	0.74
Συντελεστής βάρους α	0.2
Muskingum Steps	2

Αποτελέσματα: R3029

Παροχή Αιχμής (M3/S)	1664.42
Χρονική στιγμή αιχμής	02Sep2000, 04:30
Όγκος(MM)	224.59
Παροχή Αιχμής Εισόδου (M3/S)	1684
Όγκος Εισροής(M3)	1.25E8

Απορροή



Κλάδος: R2928

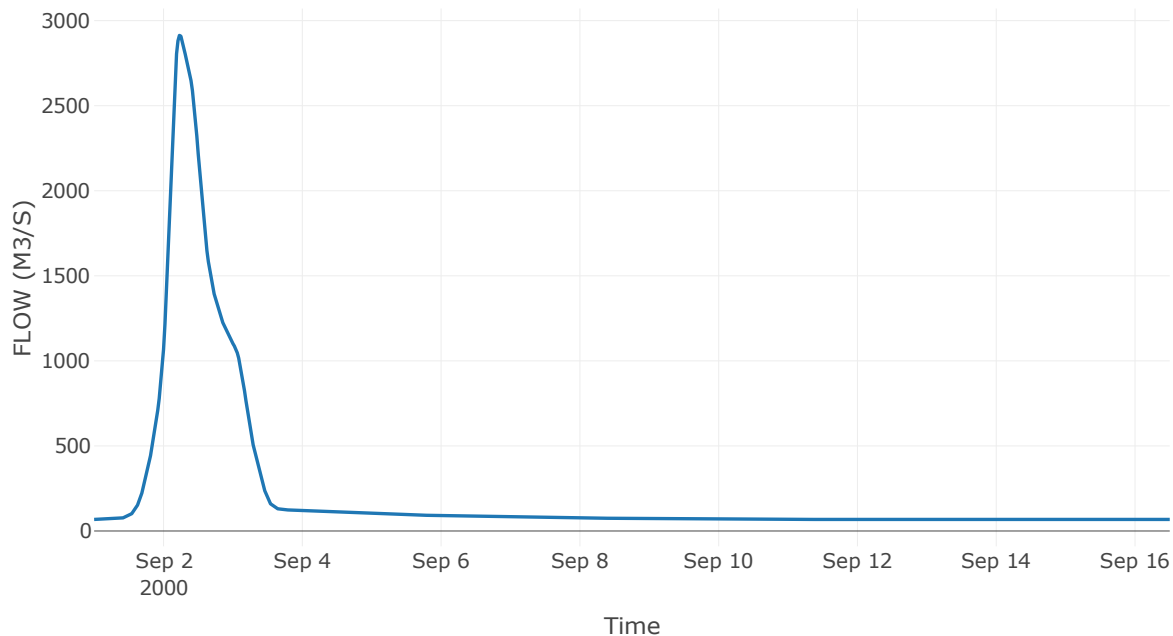
Κατάντη : J28

Μέθοδος Διόδευσης	Muskingum
Αρχική Μεταβλητή	Combined Inflow
Muskingum K	0.49
Συντελεστής βάρους α	0.2
Muskingum Steps	1

Αποτελέσματα: R2928

Παροχή Αιχμής (M3/S)	2913.07
Χρονική στιγμή αιχμής	02Sep2000, 05:30
Όγκος(MM)	246.05
Παροχή Αιχμής Εισόδου (M3/S)	2924.12
Όγκος Εισροής(M3)	3.04E8

Απορροή



Κλάδος: R2827

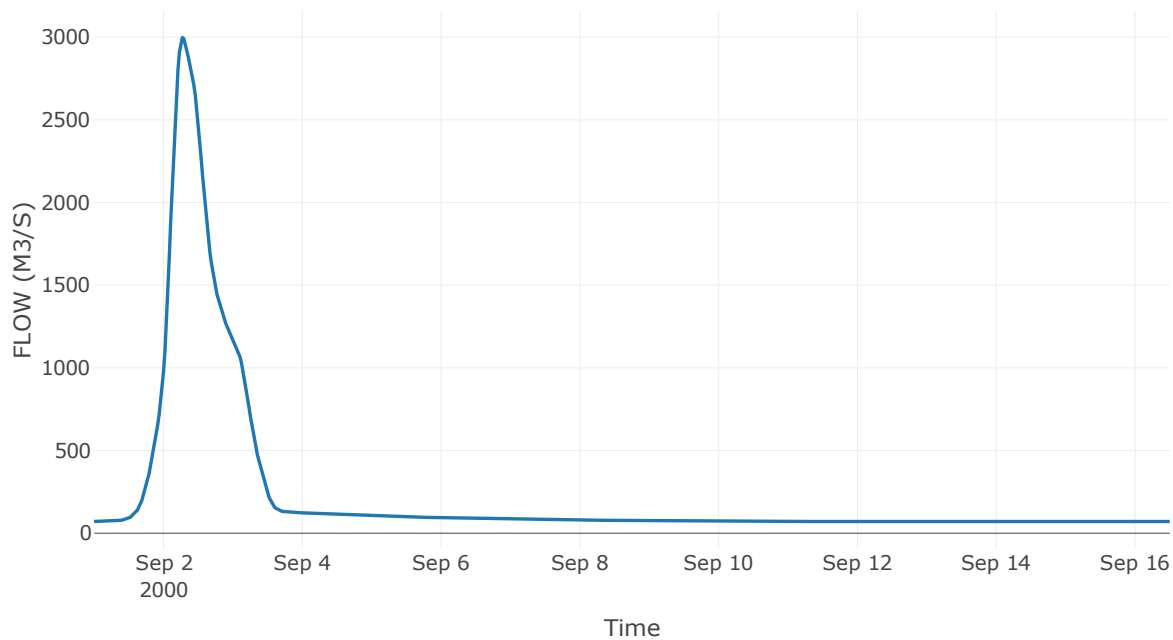
Κατάντη : J27

Μέθοδος Διόδευσης	Muskingum
Αρχική Μεταβλητή	Combined Inflow
Muskingum K	0.99
Συντελεστής βάρους x	0.2
Muskingum Steps	2

Αποτελέσματα: R2827

Παροχή Αιχμής (M3/S)	2998.38
Χρονική στιγμή αιχμής	02Sep2000, 06:30
Όγκος(MM)	246.2
Παροχή Αιχμής Εισόδου (M3/S)	3019.06
Όγκος Εισροής(M3)	3.17E8

Απορροή



Κλάδος: R2116

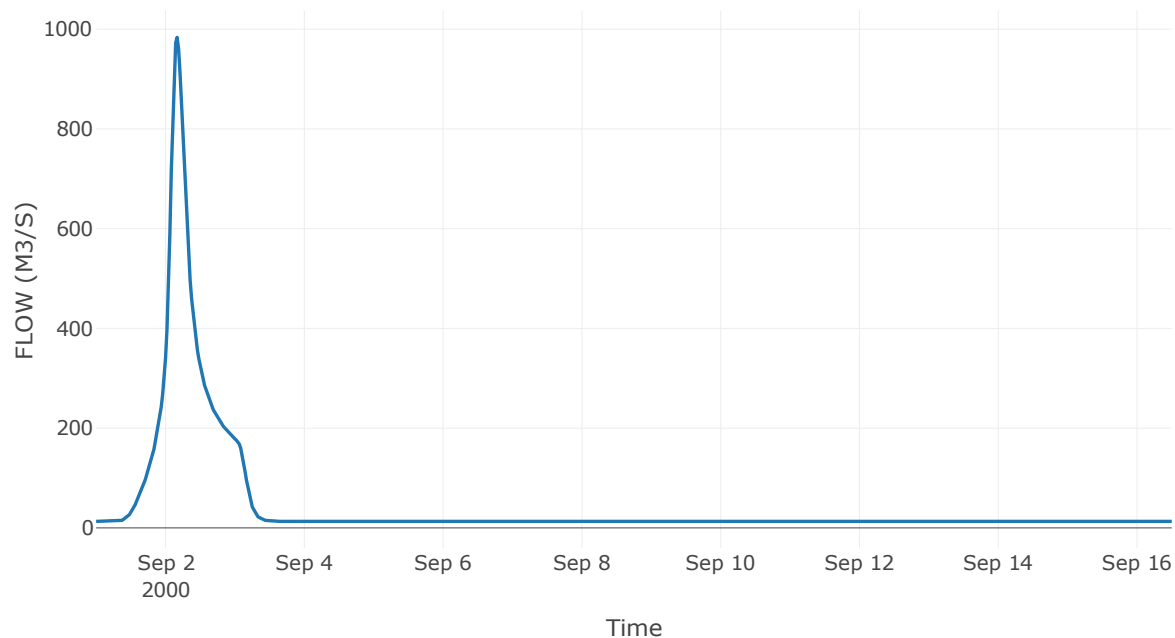
Κατάντη : J16

Μέθοδος Διόδευσης	Muskingum
Αρχική Μεταβλητή	Combined Inflow
Muskingum K	1.44
Συντελεστής βάρους α	0.2
Muskingum Steps	3

Αποτελέσματα: R2116

Παροχή Αιχμής (M3/S)	983.63
Χρονική στιγμή αιχμής	02Sep2000, 04:00
Όγκος(MM)	257.74
Παροχή Αιχμής Εισόδου (M3/S)	1014.41
Όγκος Εισροής(M3)	6.13E7

Απορροή



Κλάδος: R1619

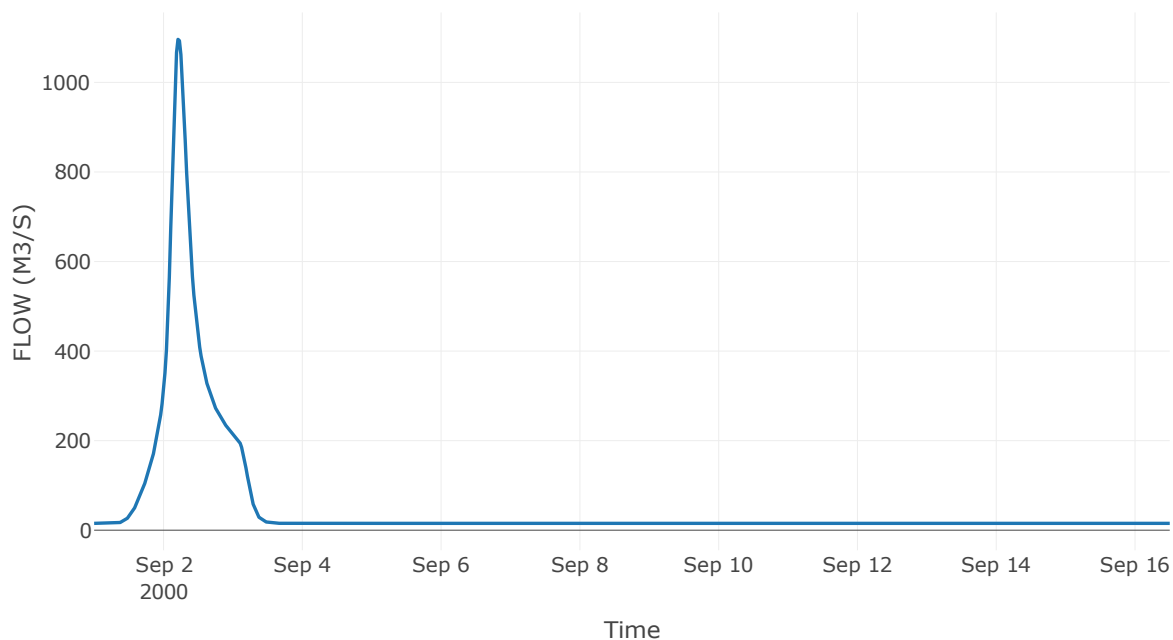
Κατάντη : J19

Μέθοδος Διόδευσης	Muskingum
Αρχική Μεταβλητή	Combined Inflow
Muskingum K	1.55
Συντελεστής βάρους α	0.2
Muskingum Steps	3

Αποτελέσματα: R1619

Παροχή Αιχμής (M3/S)	1096.24
Χρονική στιγμή αιχμής	02Sep2000, 05:00
Όγκος(MM)	259.69
Παροχή Αιχμής Εισόδου (M3/S)	1130.39
Όγκος Εισροής(M3)	7.2E7

Απορροή



Κλάδος: R6120

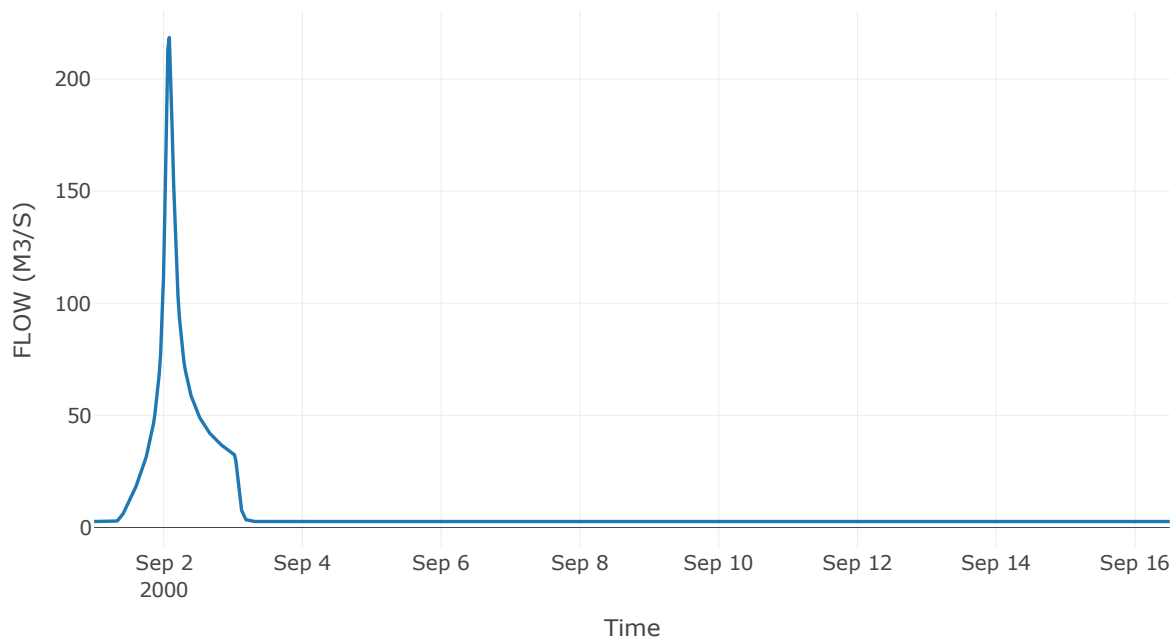
Κατάντη : J20

Μέθοδος Διόδευσης	Muskingum
Αρχική Μεταβλητή	Combined Inflow
Muskingum K	0.66
Συντελεστής βάρους x	0.2
Muskingum Steps	1

Αποτελέσματα: R6120

Παροχή Αιχμής (M3/S)	218.54
Χρονική στιγμή αιχμής	02Sep2000, 02:00
Όγκος(MM)	237.97
Παροχή Αιχμής Εισόδου (M3/S)	230.72
Όγκος Εισροής(M3)	1.16E7

Απορροή



Κλάδος: R2014

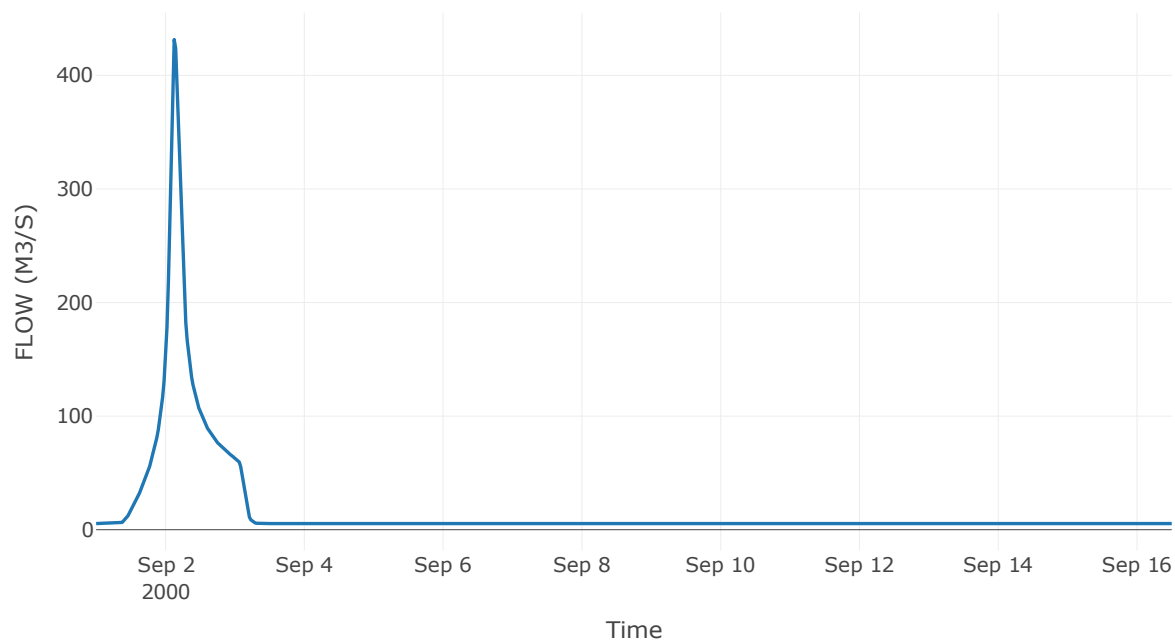
Κατάντη : J14

Μέθοδος Διόδευσης	Muskingum
Αρχική Μεταβλητή	Combined Inflow
Muskingum K	1.48
Συντελεστής βάρους x	0.2
Muskingum Steps	3

Αποτελέσματα: R2014

Παροχή Αιχμής (M3/S)	431.58
Χρονική στιγμή αιχμής	02Sep2000, 03:00
Όγκος(MM)	235.98
Παροχή Αιχμής Εισόδου (M3/S)	470.25
Όγκος Εισροής(M3)	2.32E7

Απορροή



Κλάδος: R128

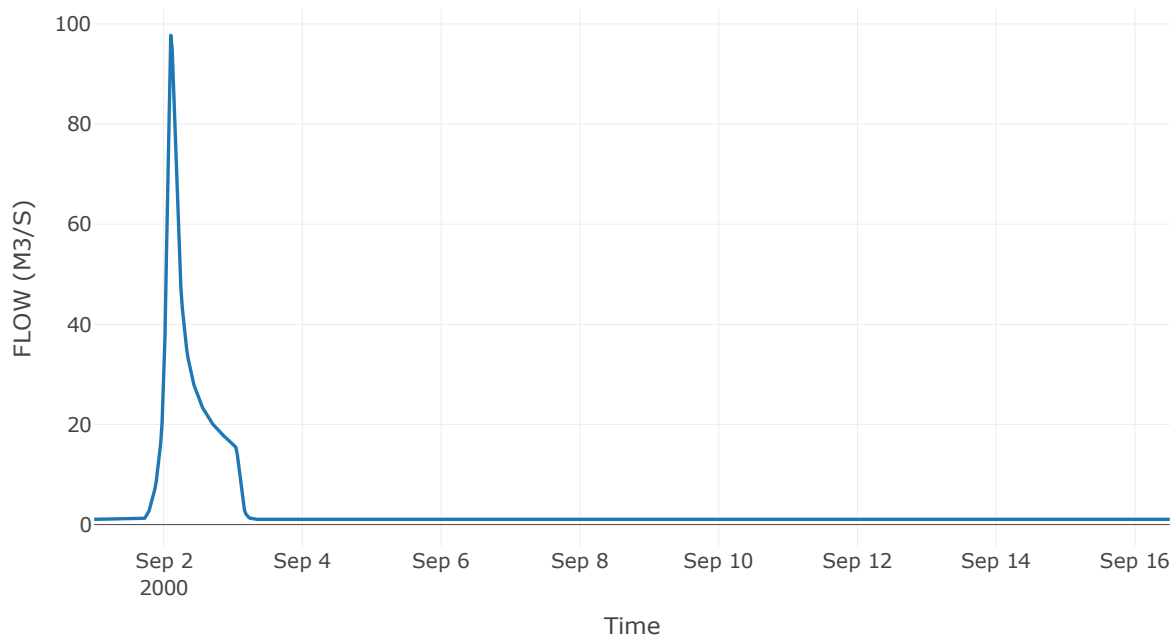
Κατάντη : J8

Μέθοδος Διόδευσης	Muskingum
Αρχική Μεταβλητή	Combined Inflow
Muskingum K	0.88
Συντελεστής βάρους α	0.2
Muskingum Steps	2

Αποτελέσματα: R128

Παροχή Αιχμής (M3/S)	97.72
Χρονική στιγμή αιχμής	02Sep2000, 02:30
Όγκος(MM)	124.69
Παροχή Αιχμής Εισόδου (M3/S)	102.63
Όγκος Εισροής(M3)	4.69E6

Απορροή



Κλάδος: R1110

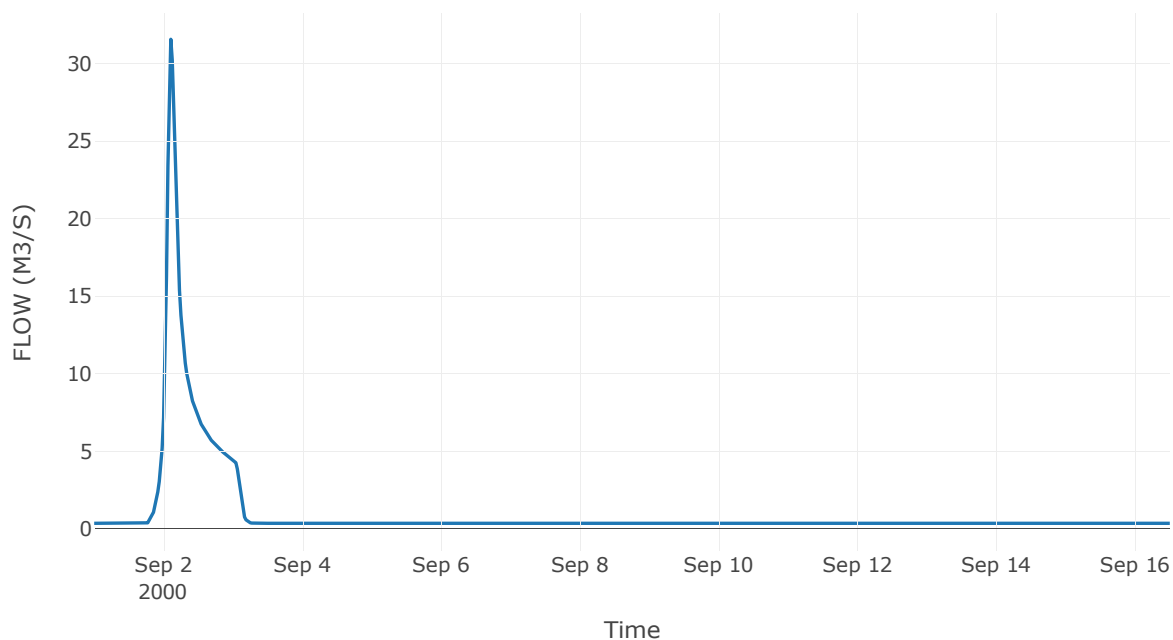
Κατάντη : J10

Μέθοδος Διόδευσης	Muskingum
Αρχική Μεταβλητή	Combined Inflow
Muskingum K	1.09
Συντελεστής βάρους α	0.2
Muskingum Steps	2

Αποτελέσματα: R1110

Παροχή Αιχμής (M3/S)	31.55
Χρονική στιγμή αιχμής	02Sep2000, 02:30
Όγκος(MM)	117.53
Παροχή Αιχμής Εισόδου (M3/S)	34.75
Όγκος Εισροής(M3)	1.39E6

Απορροή



Κλάδος: R107

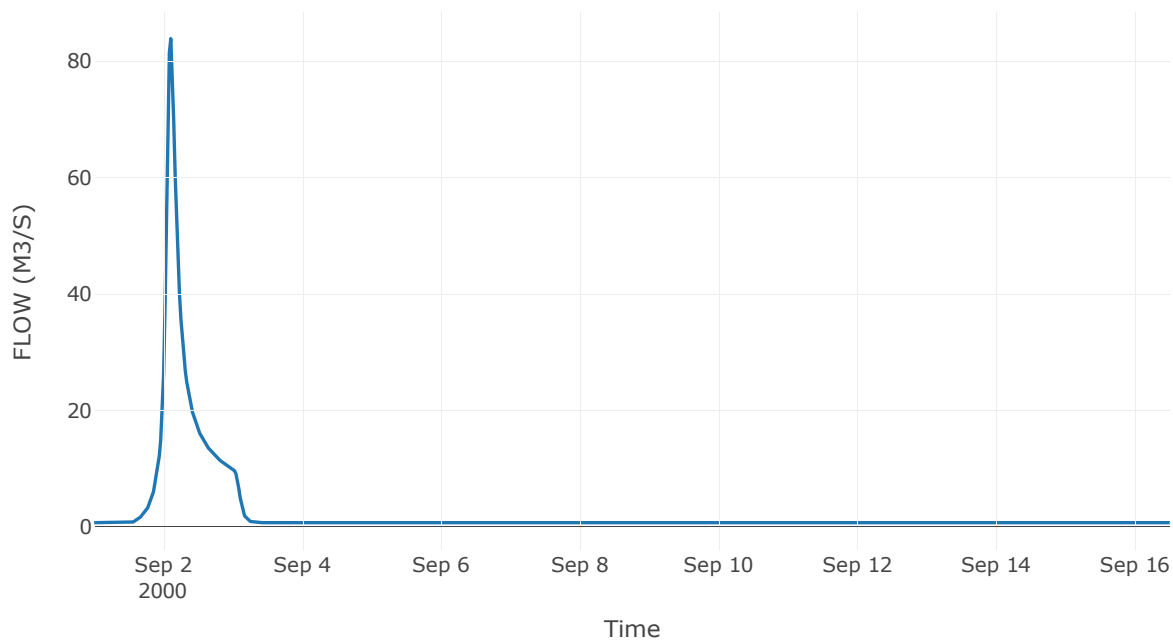
Κατάντη : J7

Μέθοδος Διόδευσης	Χρόνος Υστέρησης
Αρχική Μεταβλητή	Combined Inflow
Χρόνος Υστέρησης	0

Αποτελέσματα: R107

Παροχή Αιχμής (M3/S)	83.85
Χρονική στιγμή αιχμής	02Sep2000, 02:30
Όγκος(MM)	138.34
Παροχή Αιχμής Εισόδου (M3/S)	83.85
Όγκος Εισροής(M3)	3.47E6

Απορροή



Κλάδος: R97

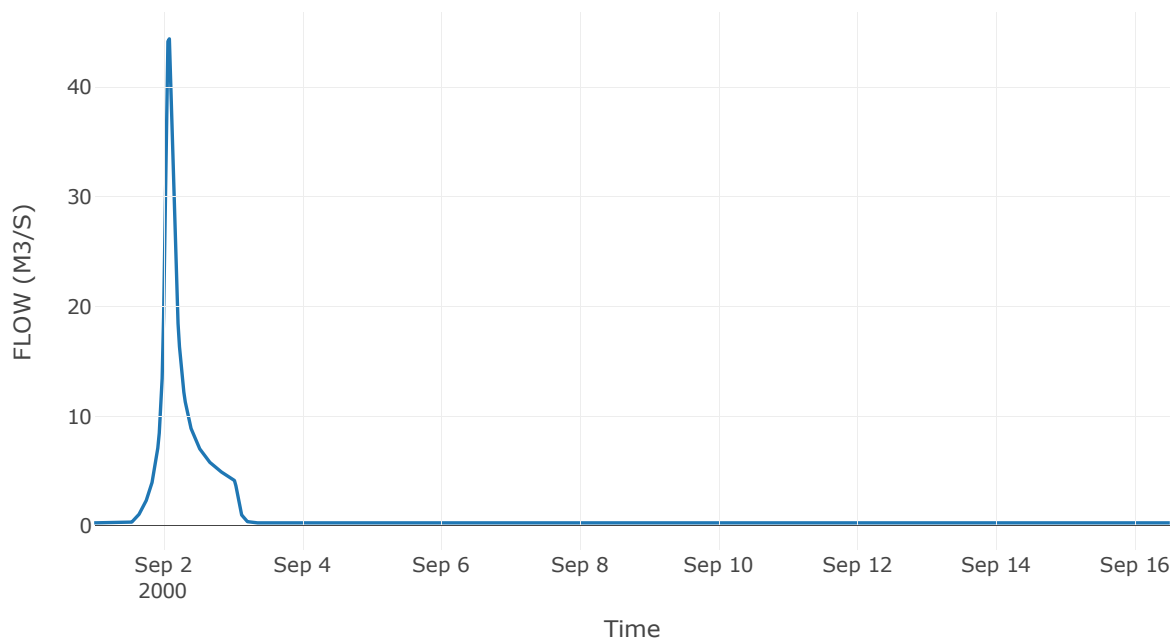
Κατάντη : J7

Μέθοδος Διόδευσης	Χρόνος Υστέρησης
Αρχική Μεταβλητή	Combined Inflow
Χρόνος Υστέρησης	0

Αποτελέσματα: R97

Παροχή Αιχμής (M3/S)	44.4
Χρονική στιγμή αιχμής	02Sep2000, 02:00
Όγκος(MM)	157
Παροχή Αιχμής Εισόδου (M3/S)	44.4
Όγκος Εισροής(M3)	1.64E6

Απορροή



Κλάδος: R76

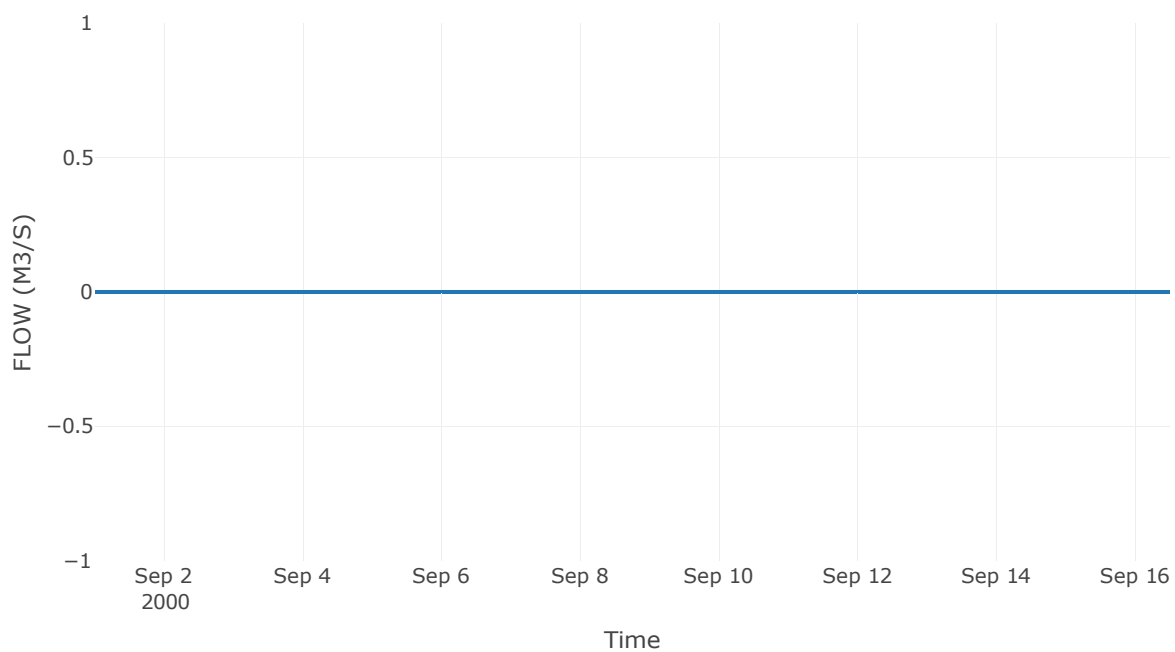
Κατάντη : J6

Μέθοδος Διόδευσης	Muskingum
Αρχική Μεταβλητή	Combined Inflow
Muskingum K	2.25
Συντελεστής βάρους x	0.2
Muskingum Steps	5

Αποτελέσματα: R76

Παροχή Αιχμής (M3/S)	0
Χρονική στιγμή αιχμής	31Aug2000, 24:00
Peak Inflow (M3/S)	0
Όγκος Εισροής (M3)	0

Απορροή



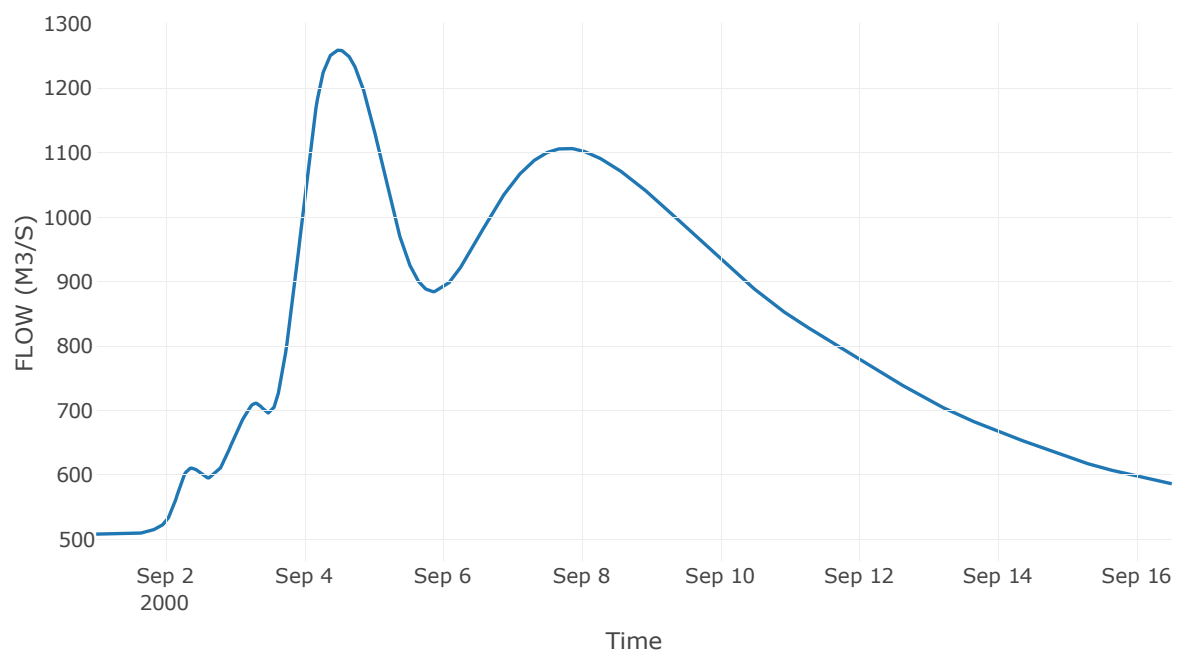
5.3 Δεδομένα και Υδρογραφήματα σχεδιασμού Κόμβων υδρογραφικού δικτύου

Κόμβος εξόδου: J1

Αποτέλεσμα
τα: J1

Παροχή αιχμής (M3/S)	1259.3
Χρονική στιγμή αιχμής	04Sep2000, 12:00
Όγκος (MM)	240.21

Απορροή



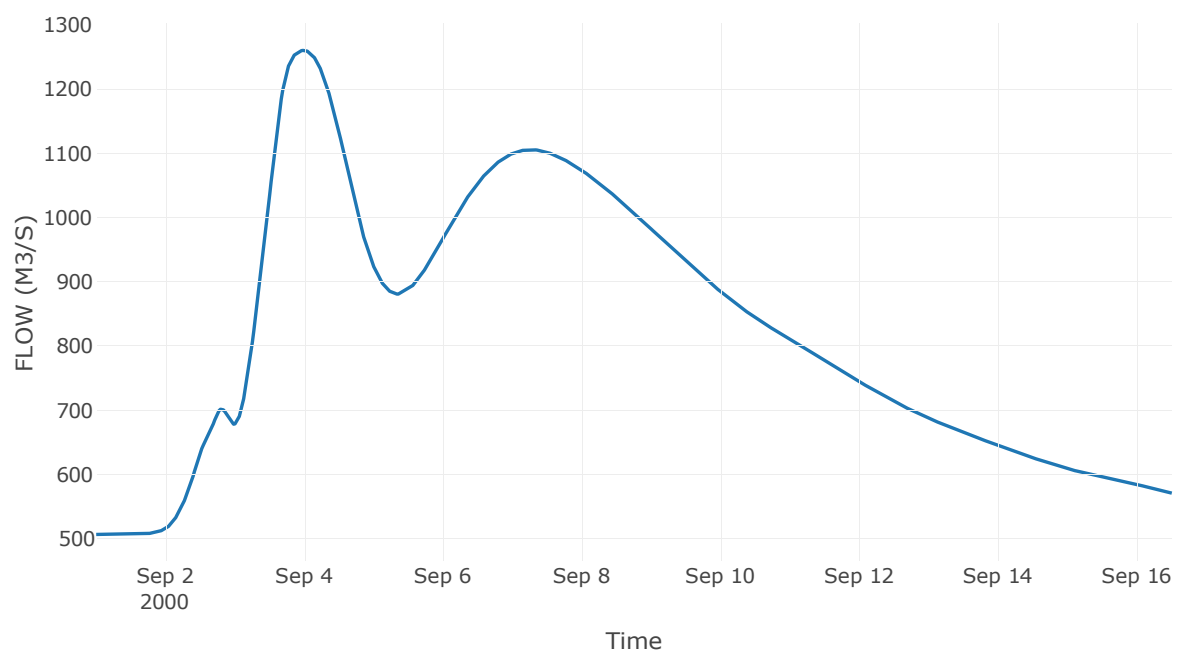
Κόμβος: J2

Κατάντη : R21

Αποτελέσματα: J2

Παροχή Αιχμής (M3/S)	1260.51
Χρονική στιγμή αιχμής	03Sep2000, 23:30
Όγκος(MM)	241.6

Απορροή



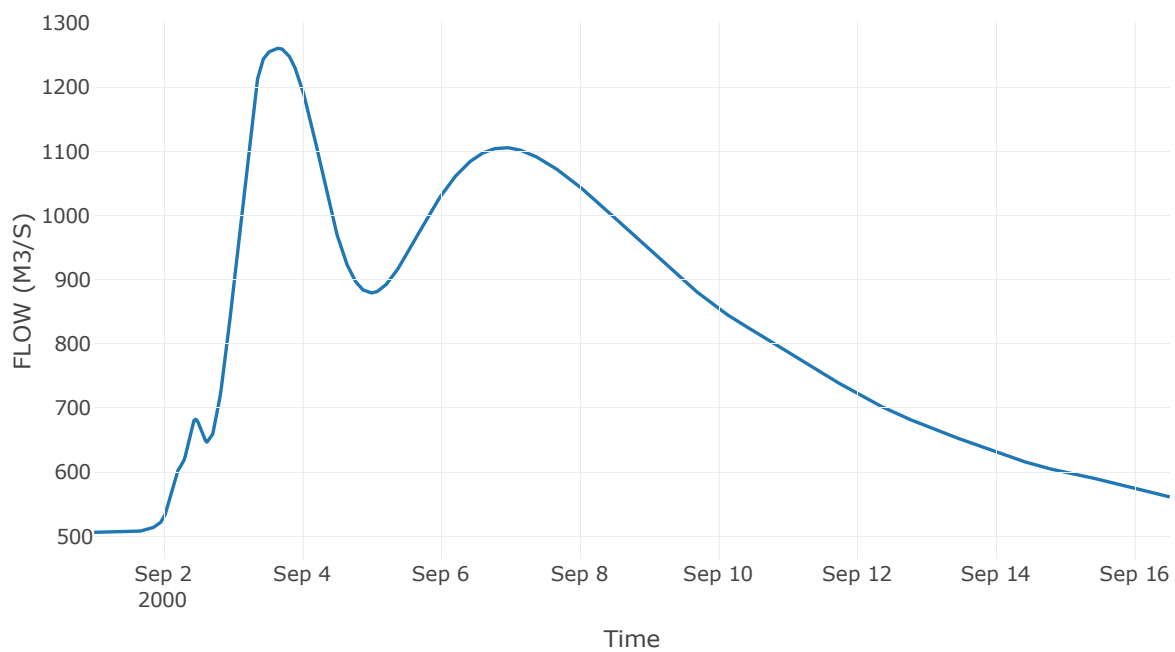
Κόμβος: J3

Κατάντη : R32

Αποτελέσματα: J3

Παροχή Αιχμής (M3/S)	1260.34
Χρονική στιγμή αιχμής	03Sep2000, 15:30
Όγκος(MM)	242.4

Απορροή



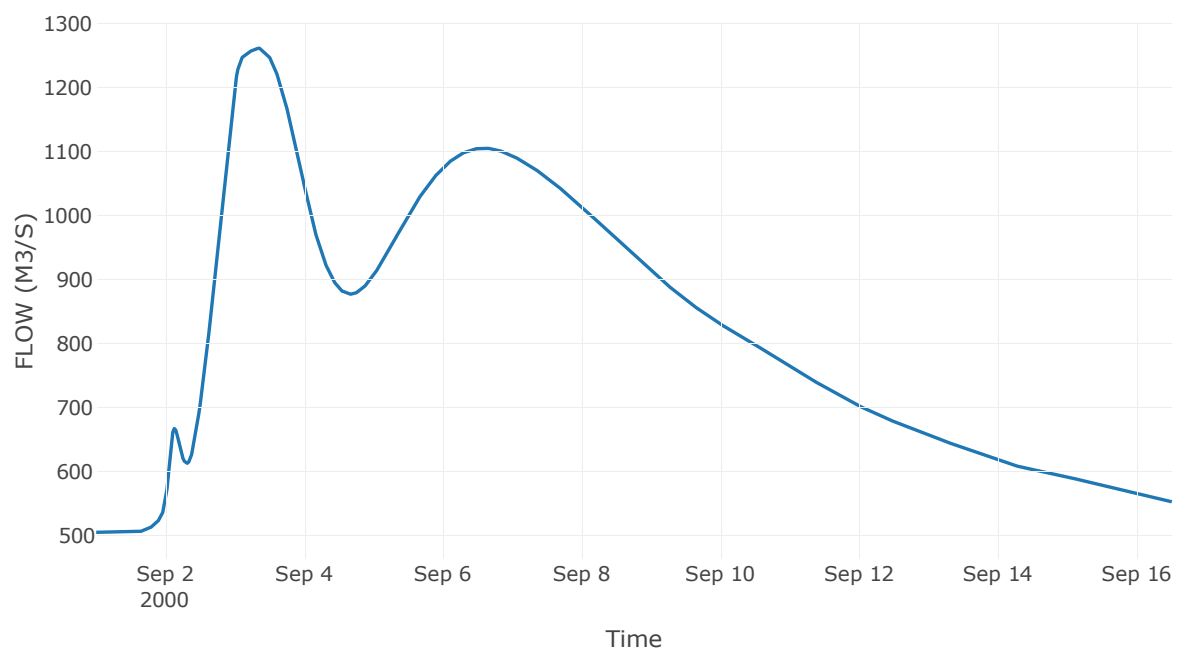
Κόμβος: J4

Κατάντη : R43

Αποτελέσματα: J4

Παροχή Αιχμής (M3/S)	1260.99
Χρονική στιγμή αιχμής	03Sep2000, 08:30
Όγκος(MM)	243.18

Απορροή



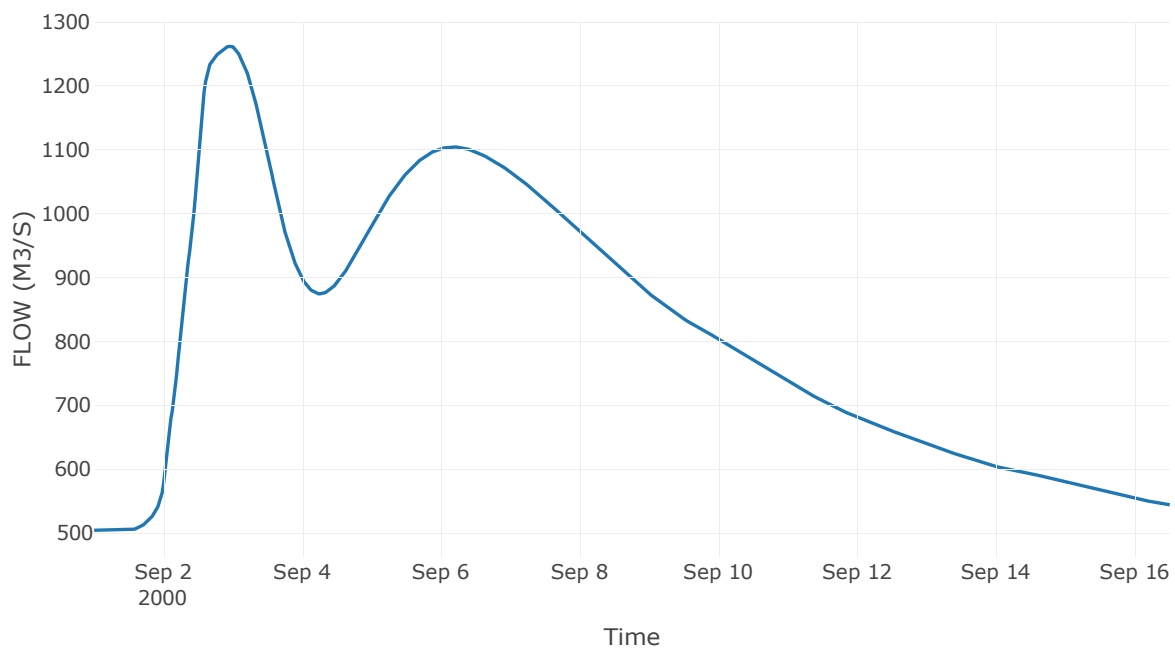
Κόμβος: J5

Κατάντη : R54

Αποτελέσματα: J5

Παροχή Αιχμής (M3/S)	1261.66
Χρονική στιγμή αιχμής	02Sep2000, 23:00
Όγκος(MM)	244.59

Απορροή



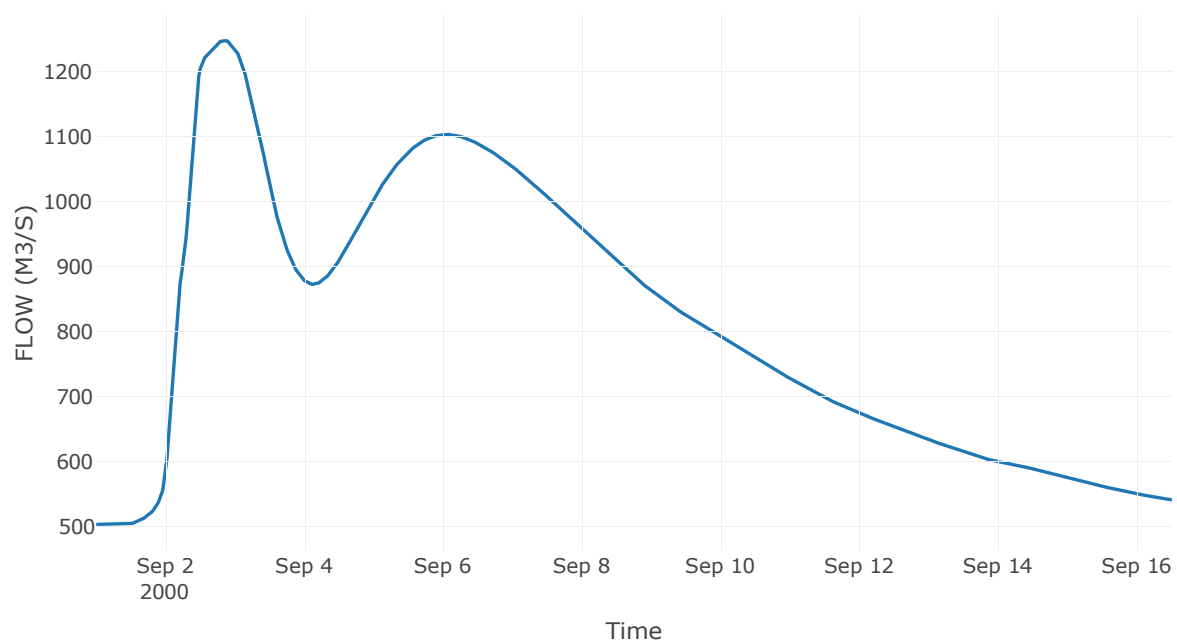
Κόμβος: J6

Κατάντη : R65

Αποτελέσματα: J6

Παροχή Αιχμής (M3/S)	1248.08
Χρονική στιγμή αιχμής	02Sep2000, 20:30
Όγκος(MM)	245.29

Απορροή

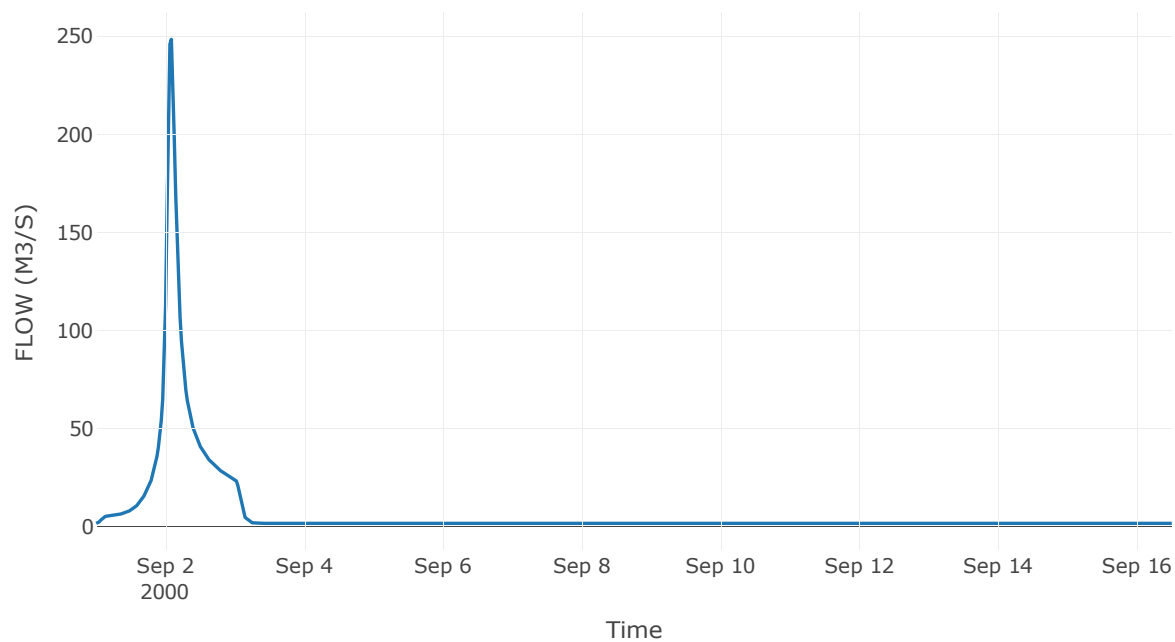


Κόμβος εξόδου: J7

Αποτέλεσμα
τα: J7

Παροχή αιχμής (M3/S)	248.45
Χρονική στιγμή αιχμής	02Sep2000, 02:00
Όγκος (MM)	168.56

Απορροή



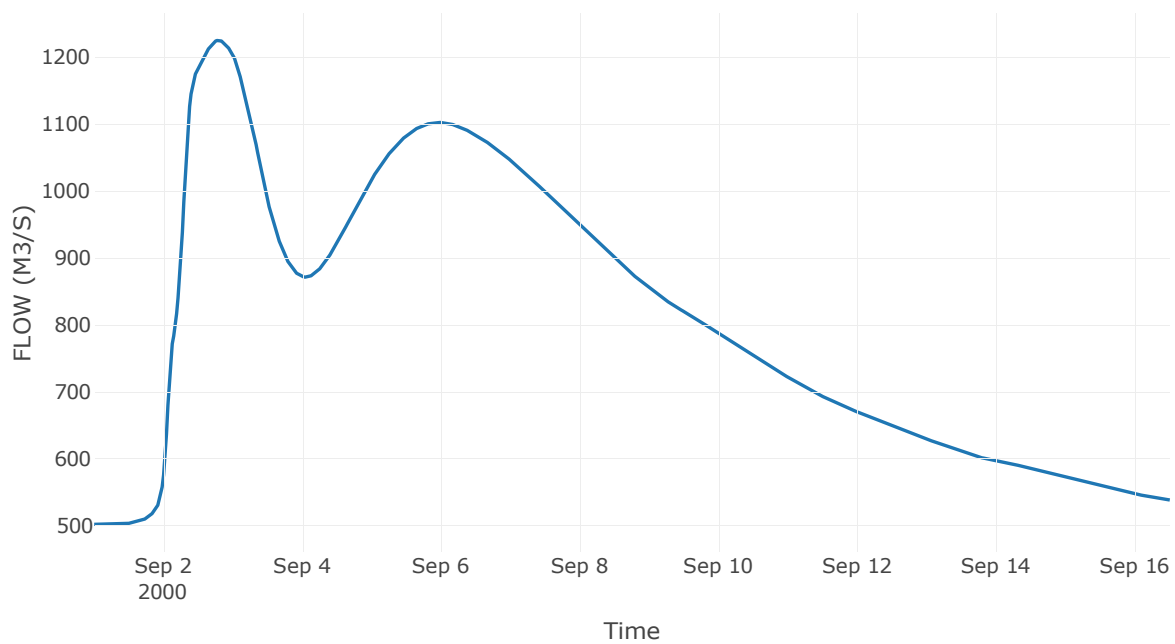
Κόμβος: J8

Κατάντη : R86

Αποτελέσματα: J8

Παροχή Αιχμής (M3/S)	1224.97
Χρονική στιγμή αιχμής	02Sep2000, 19:00
Όγκος(MM)	245.99

Απορροή



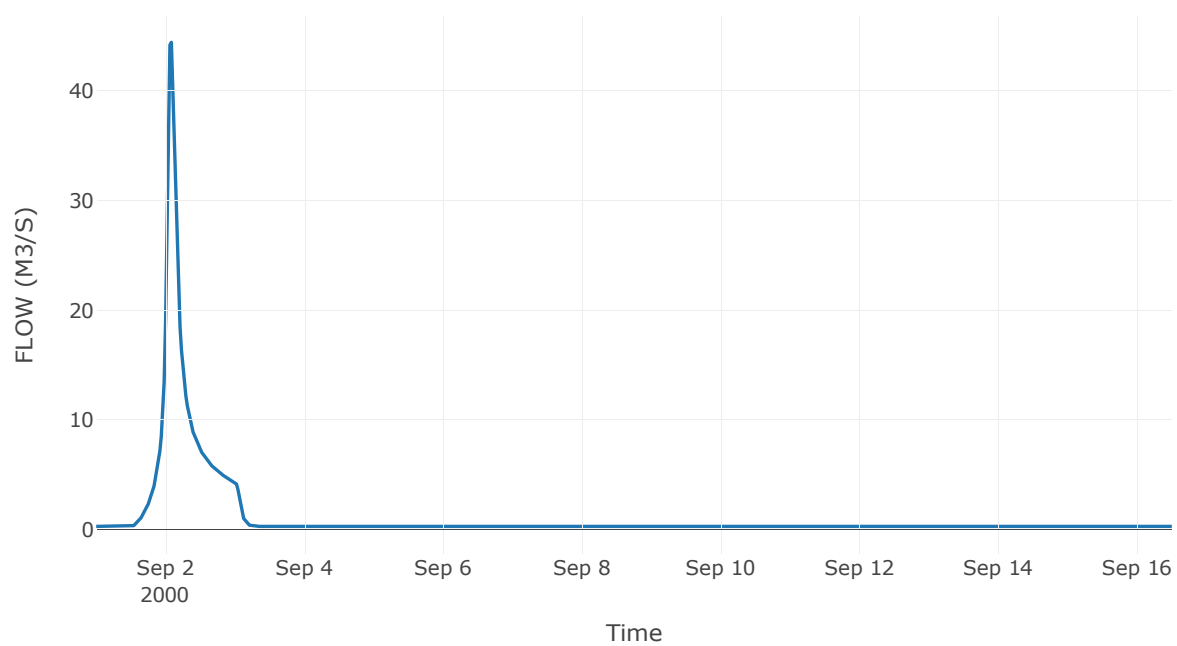
Κόμβος: J9

Κατάντη : R97

Αποτελέσματα: J9

Παροχή Αιχμής (M3/S)	44.4
Χρονική στιγμή αιχμής	02Sep2000, 02:00
Όγκος(MM)	157

Απορροή



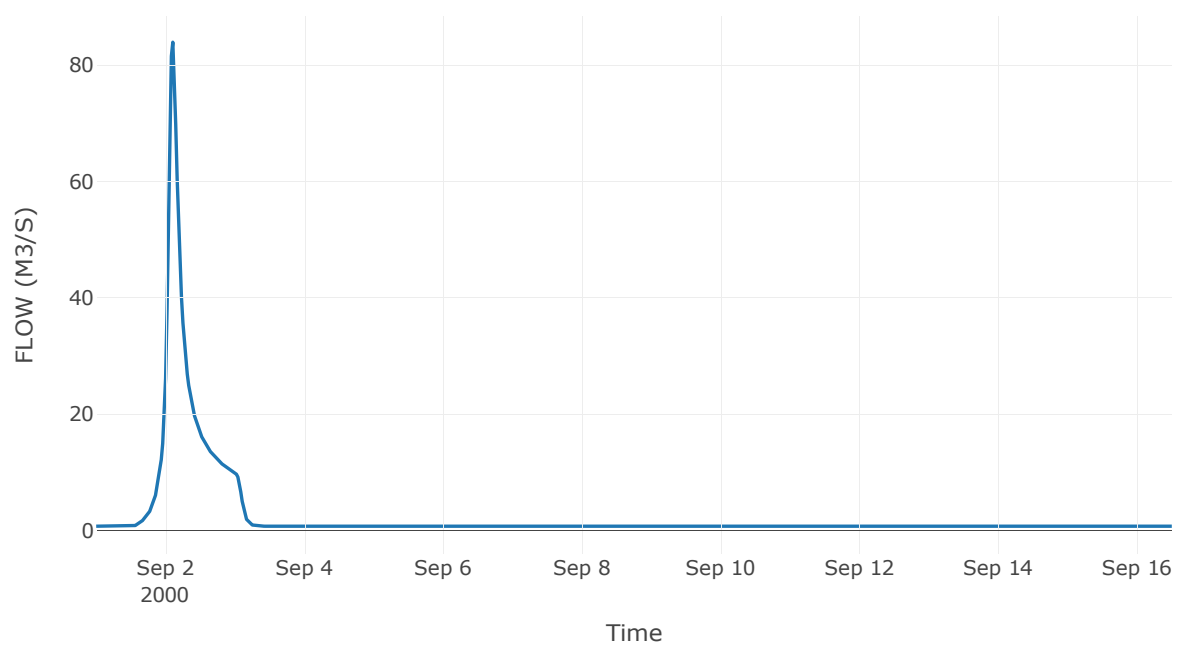
Κόμβος: J10

Κατάντη : R107

Αποτελέσματα: J10

Παροχή Αιχμής (M3/S)	83.85
Χρονική στιγμή αιχμής	02Sep2000, 02:30
Όγκος(MM)	138.34

Απορροή



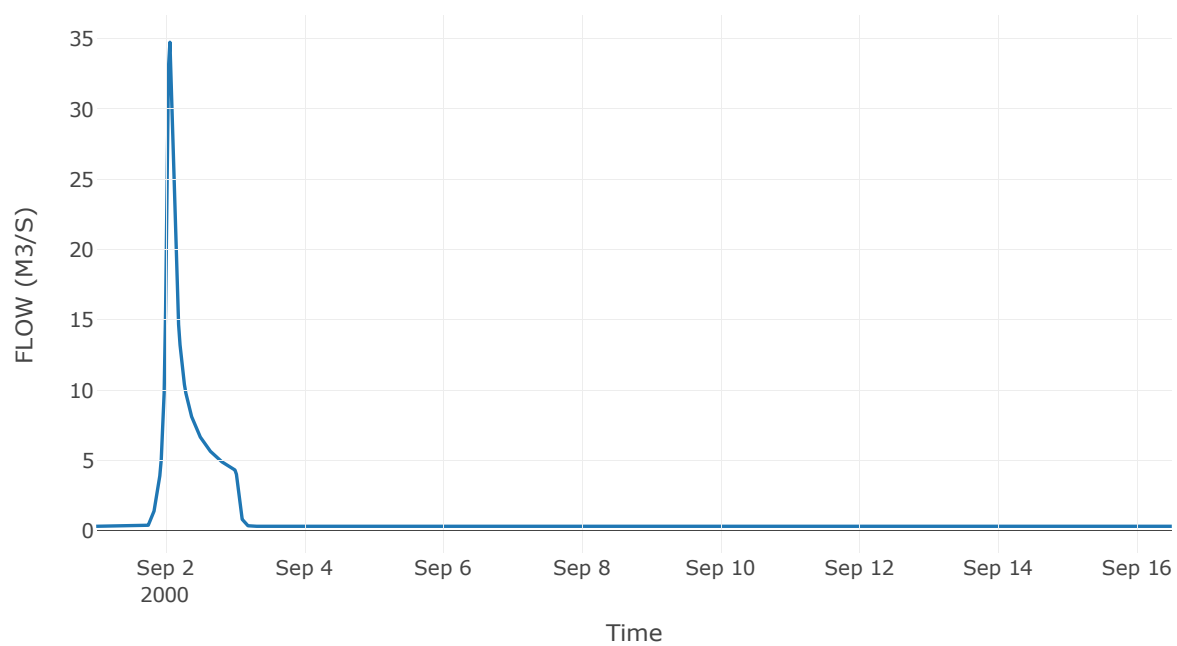
Κόμβος: J11

Κατάντη : R1110

Αποτελέσματα: J11

Παροχή Αιχμής (M3/S)	34.75
Χρονική στιγμή αιχμής	02Sep2000, 01:30
Όγκος(MM)	117.53

Απορροή



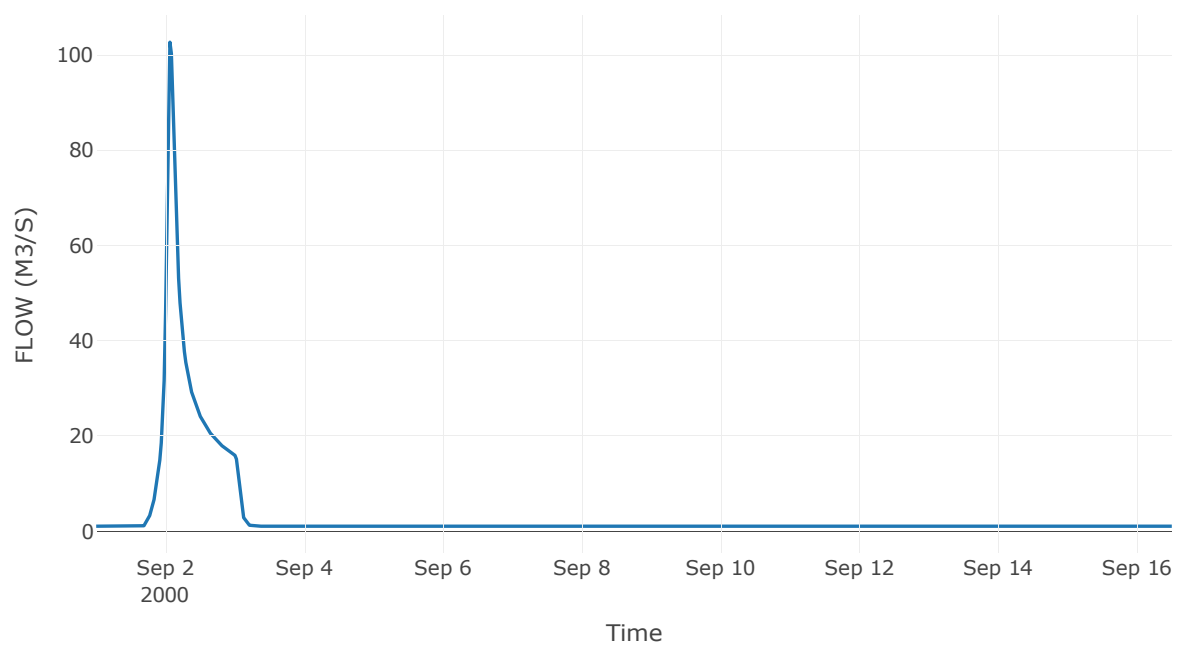
Κόμβος: J12

Κατάντη : R128

Αποτελέσματα: J12

Παροχή Αιχμής (M3/S)	102.63
Χρονική στιγμή αιχμής	02Sep2000, 01:30
Όγκος(MM)	124.69

Απορροή



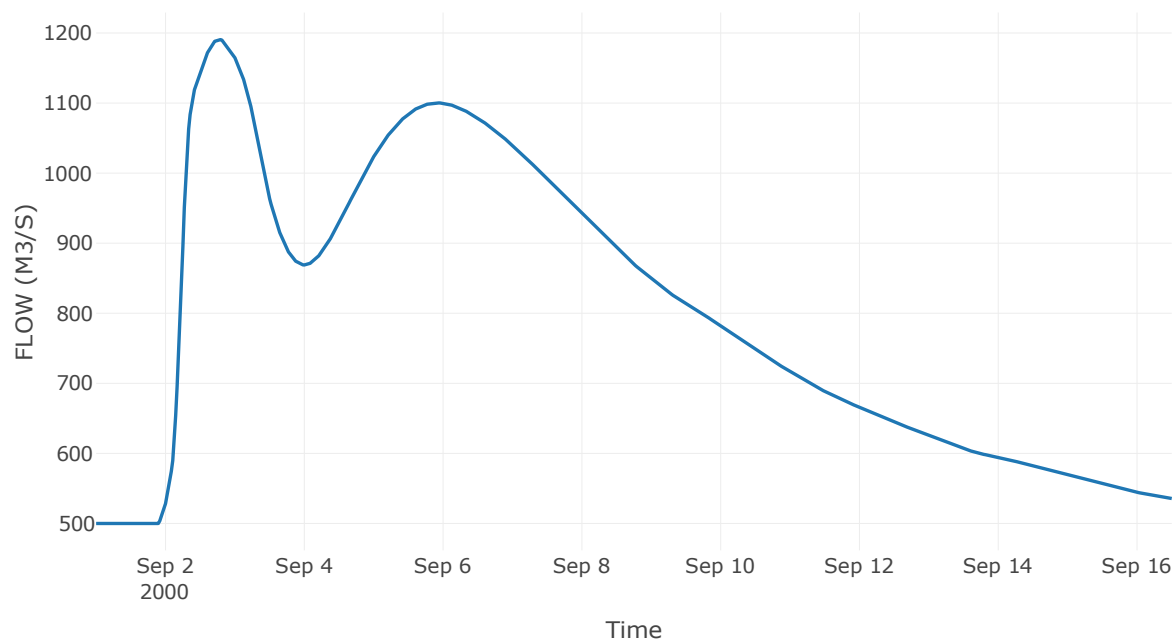
Ταμιευτήρας: J13_RES1

Κατάντη : R138

Αποτελέσματα: J13_RES1

Παροχή Αιχμής (M3/S)	1190.82
Χρονική στιγμή αιχμής	02Sep2000, 18:30
Όγκος(MM)	247.34
Παροχή Αιχμής Εισόδου (M3/S)	1397.94
Time of Peak Inflow	02Sep2000, 06:00
Όγκος Εισροής (M3)	1.07E9
Maximum Storage (M3)	3.9E7
Peak Elevation (M)	62.98
Discharge Όγκος(M3)	1.07E9

Απορροή



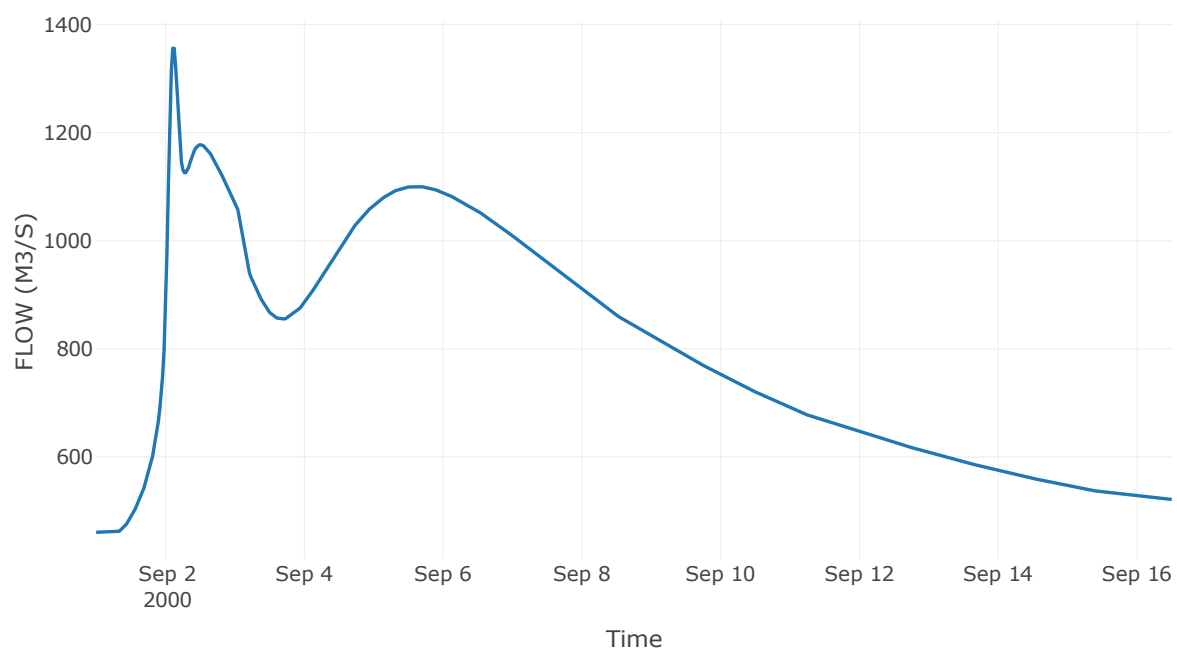
Κόμβος: J14

Κατάντη : R1413

Αποτελέσματα: J14

Παροχή Αιχμής (M3/S)	1356.24
Χρονική στιγμή αιχμής	02Sep2000, 03:00
Όγκος(MM)	247.9

Απορροή



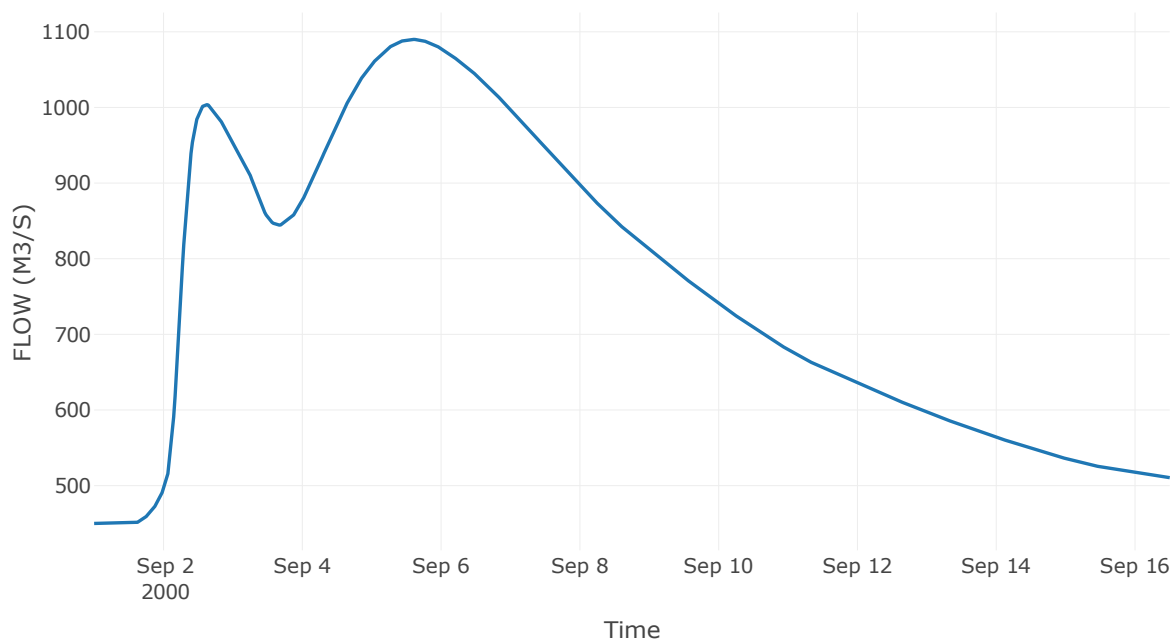
Ταμιευτήρας: J15_RES2

Κατάντη : R1514

Αποτελέσματα: J15_RES2

Παροχή Αιχμής (M3/S)	1089.92
Χρονική στιγμή αιχμής	05Sep2000, 14:00
Όγκος(MM)	248.44
Παροχή Αιχμής Εισόδου (M3/S)	2345.55
Time of Peak Inflow	02Sep2000, 05:00
Όγκος Εισροής (M3)	1.03E9
Maximum Storage (M3)	8.94E8
Peak Elevation (M)	148.05
Discharge Όγκος(M3)	1.02E9

Απορροή



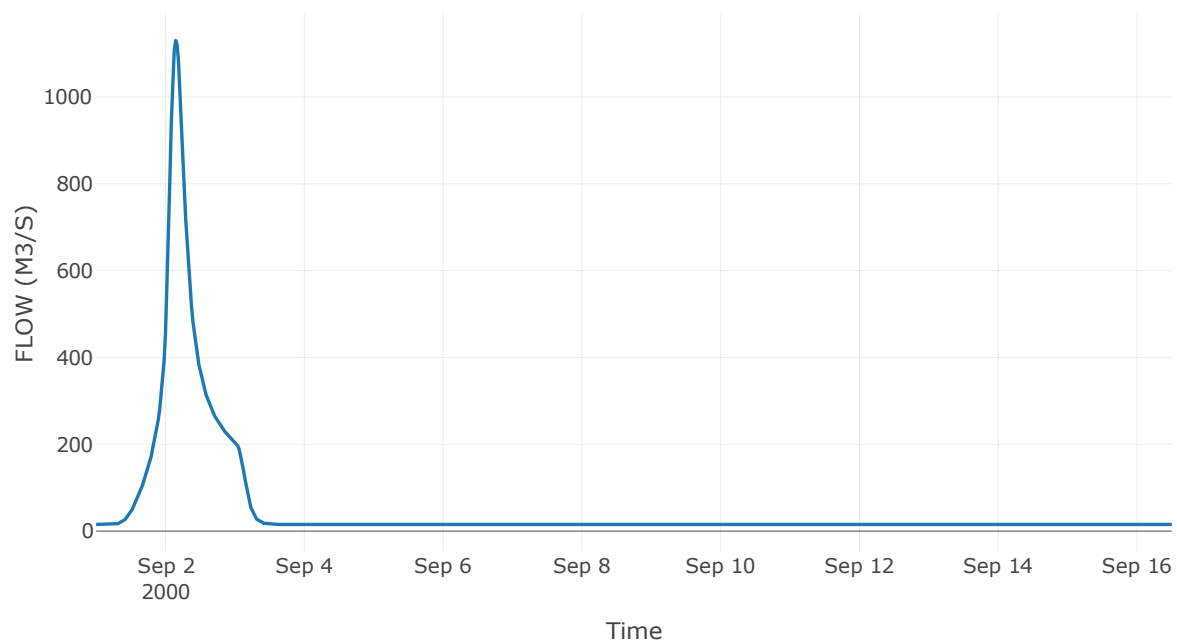
Κόμβος: J16

Κατάντη : R1619

Αποτελέσματα: J16

Παροχή Αιχμής (M3/S)	1130.39
Χρονική στιγμή αιχμής	02Sep2000, 03:30
Όγκος(MM)	259.69

Απορροή



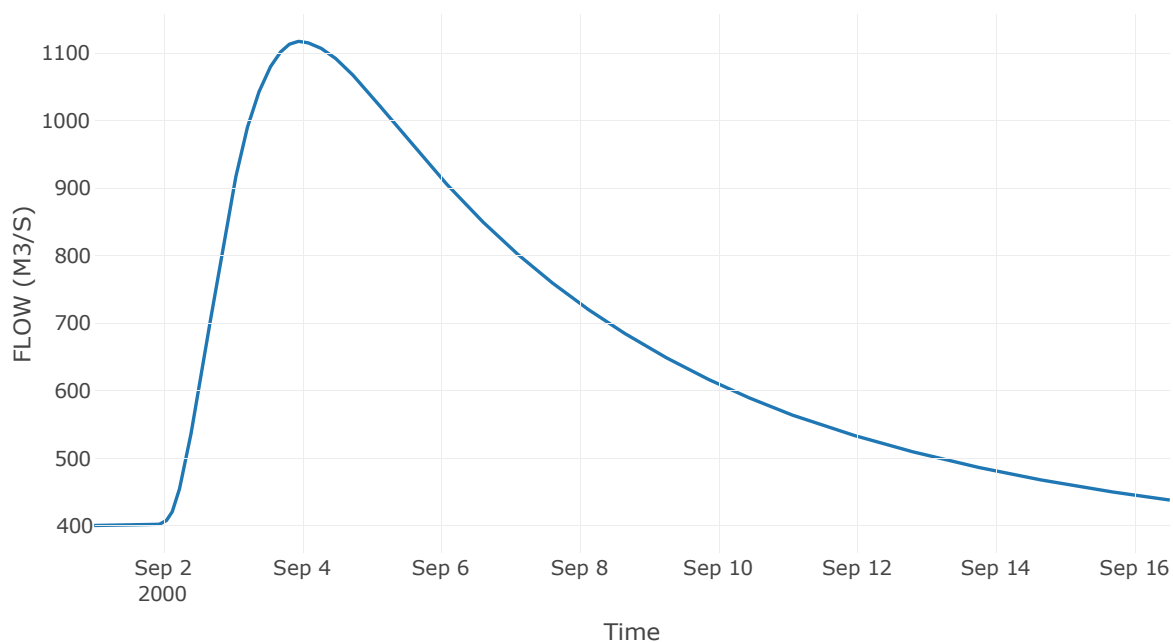
Ταμιευτήρας: J17_RES3

Κατάντη : R1718

Αποτελέσματα: J17_RES3

Παροχή Αιχμής (M3/S)	1117.17
Χρονική στιγμή αιχμής	03Sep2000, 23:00
Όγκος(MM)	251.59
Παροχή Αιχμής Εισόδου (M3/S)	5644.34
Time of Peak Inflow	02Sep2000, 07:00
Όγκος Εισροής (M3)	9.64E8
Maximum Storage (M3)	3.92E9
Peak Elevation (M)	273.94
Discharge Όγκος(M3)	8.96E8

Απορροή



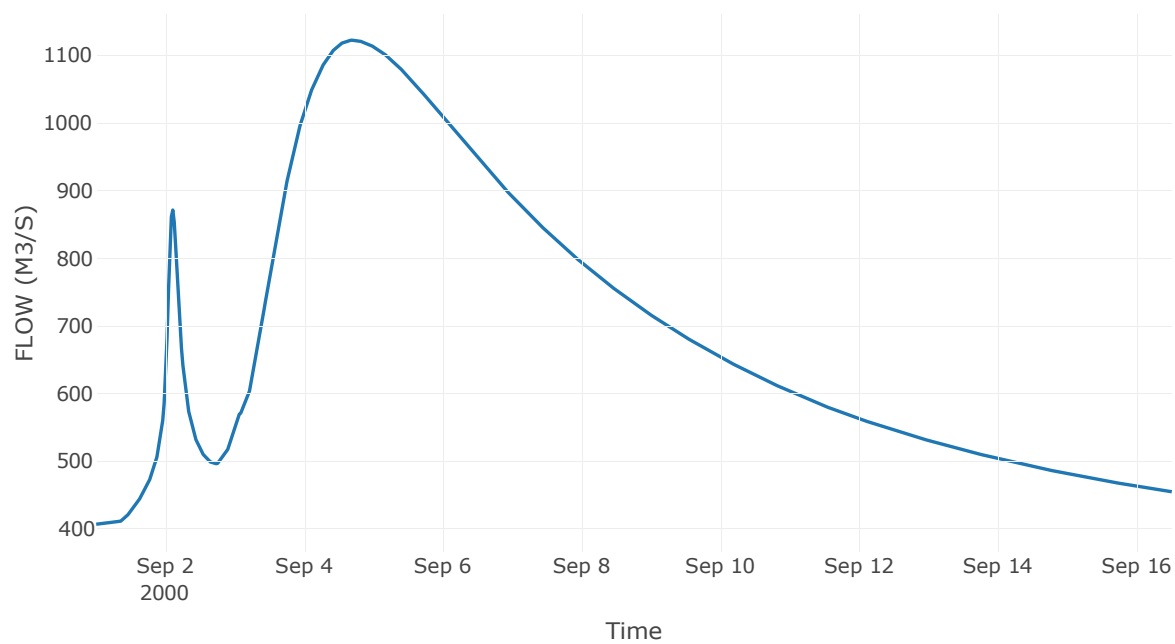
Κόμβος: J18

Κατάντη : R1819

Αποτελέσματα: J18

Παροχή Αιχμής (M3/S)	1122.11
Χρονική στιγμή αιχμής	04Sep2000, 16:30
Όγκος(MM)	250.41

Απορροή



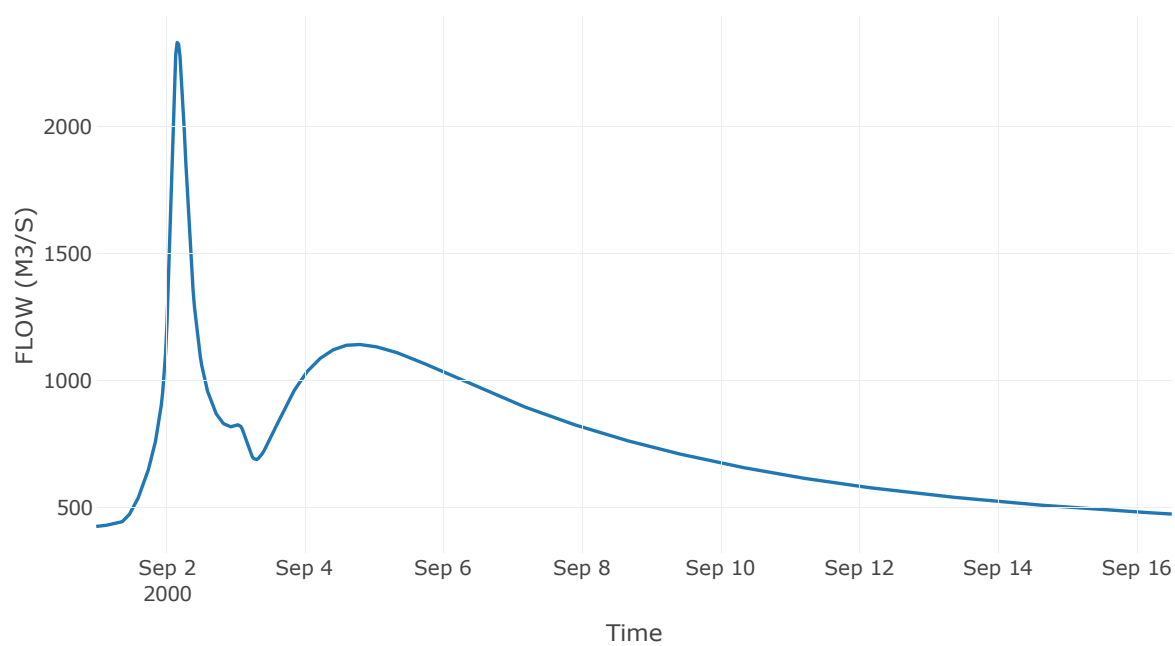
Κόμβος: J19

Κατάντη : R1915

Αποτελέσματα: J19

Παροχή Αιχμής (M3/S)	2331.57
Χρονική στιγμή αιχμής	02Sep2000, 04:00
Όγκος(MM)	251.17

Απορροή



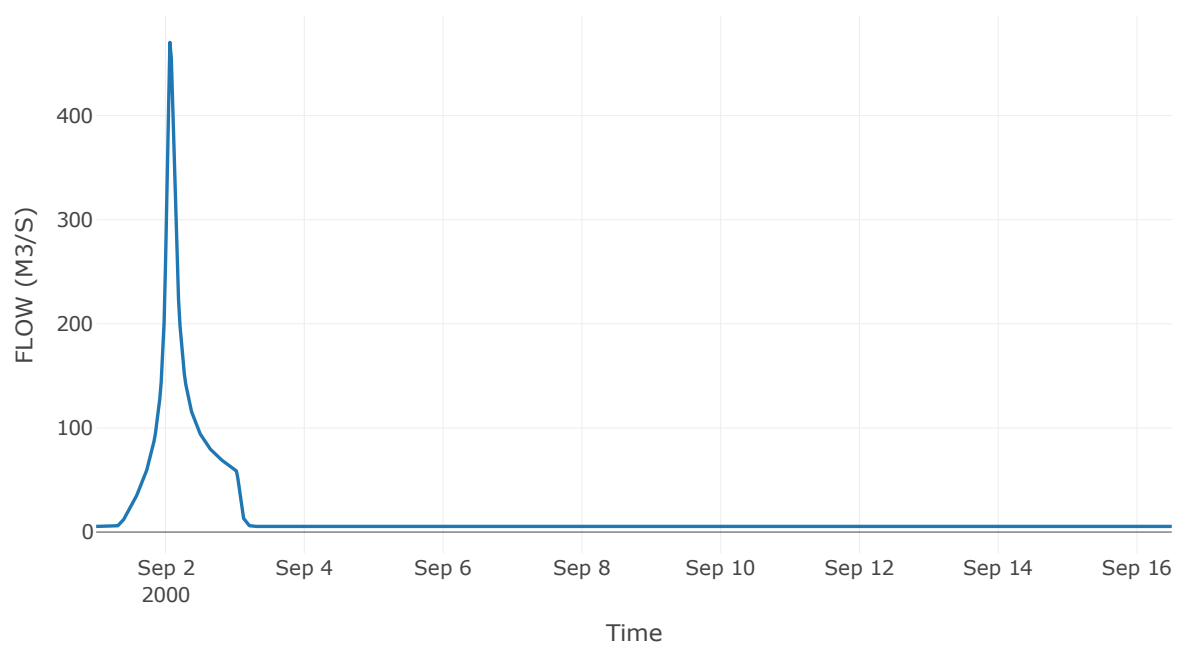
Κόμβος: J20

Κατάντη : R2014

Αποτελέσματα: J20

Παροχή Αιχμής (M3/S)	470.25
Χρονική στιγμή αιχμής	02Sep2000, 01:30
Όγκος(MM)	235.98

Απορροή



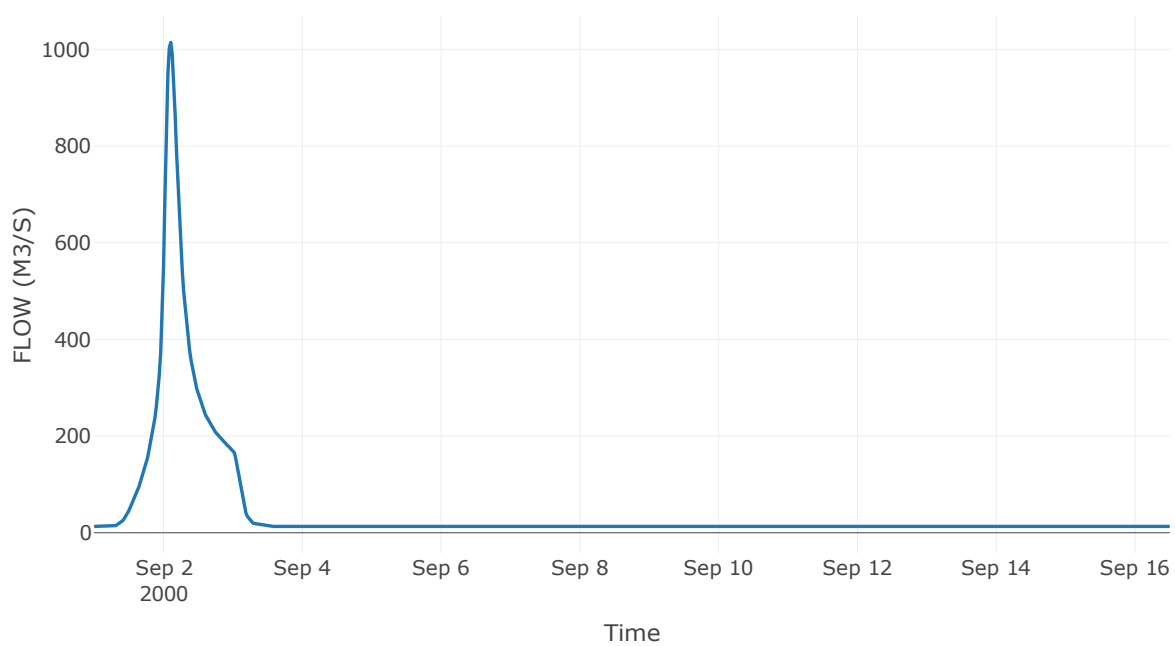
Κόμβος: J21

Κατάντη : R2116

Αποτελέσματα: J21

Παροχή Αιχμής (M3/S)	1014.41
Χρονική στιγμή αιχμής	02Sep2000, 02:30
Όγκος(MM)	257.74

Απορροή



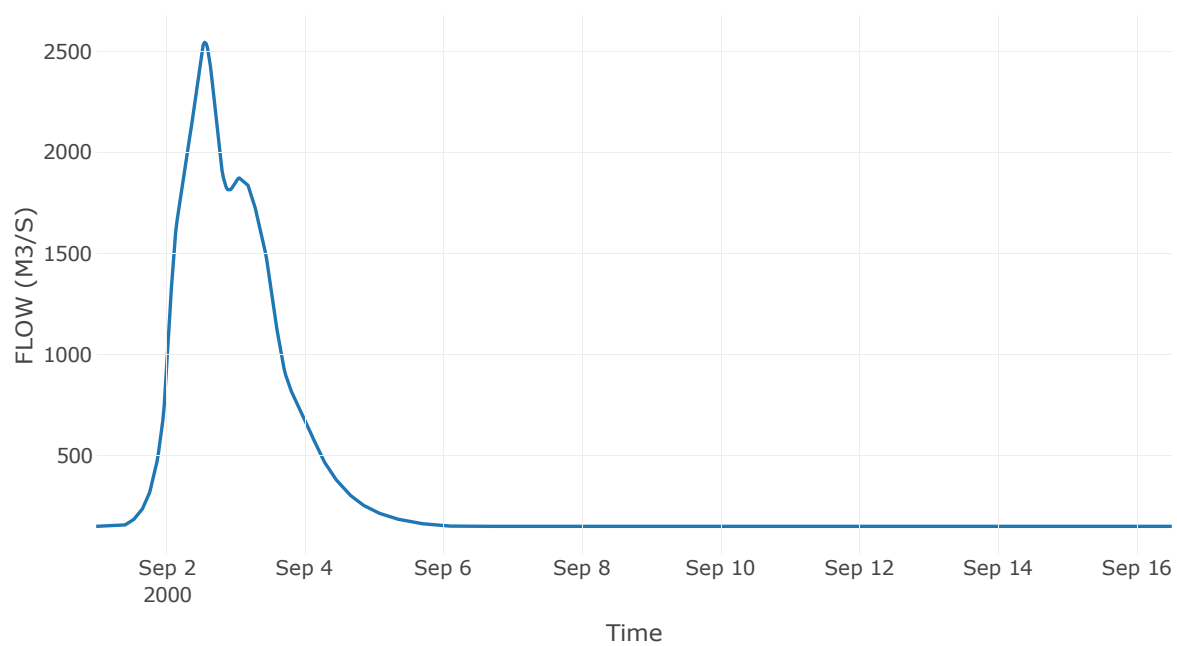
Κόμβος: J22

Κατάντη : R2231

Αποτελέσματα: J22

Παροχή Αιχμής (M3/S)	2543.69
Χρονική στιγμή αιχμής	02Sep2000, 13:30
Όγκος(MM)	286.59

Απορροή



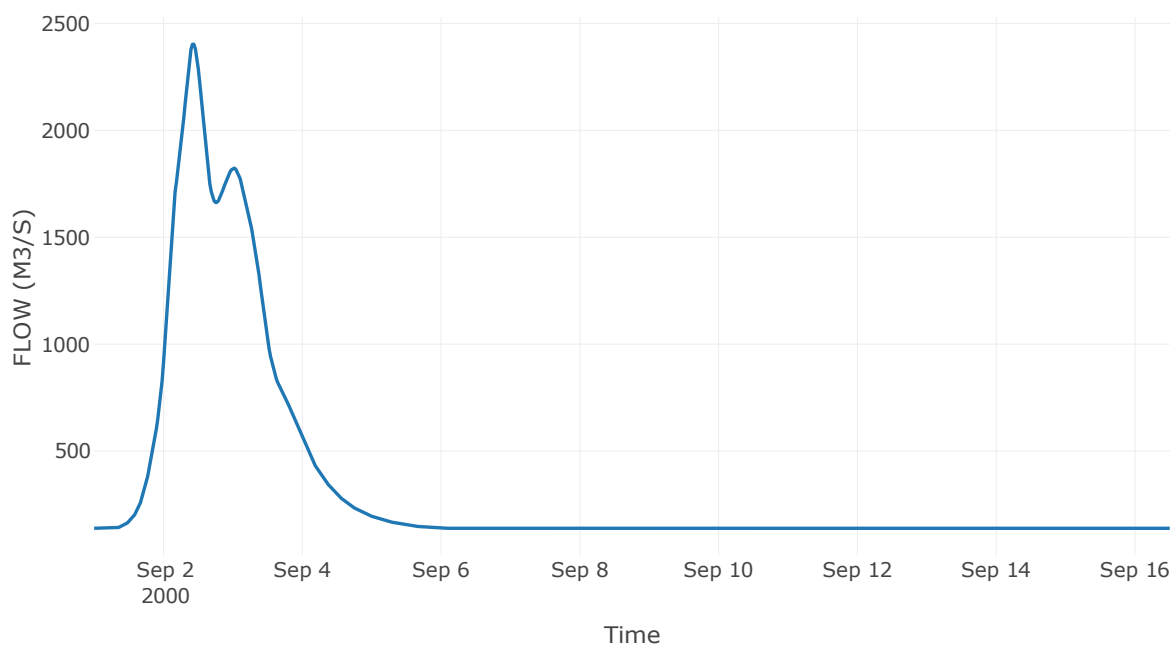
Κόμβος: J23

Κατάντη : R2324

Αποτελέσματα: J23

Παροχή Αιχμής (M3/S)	2402.88
Χρονική στιγμή αιχμής	02Sep2000, 10:30
Όγκος(MM)	296.52

Απορροή



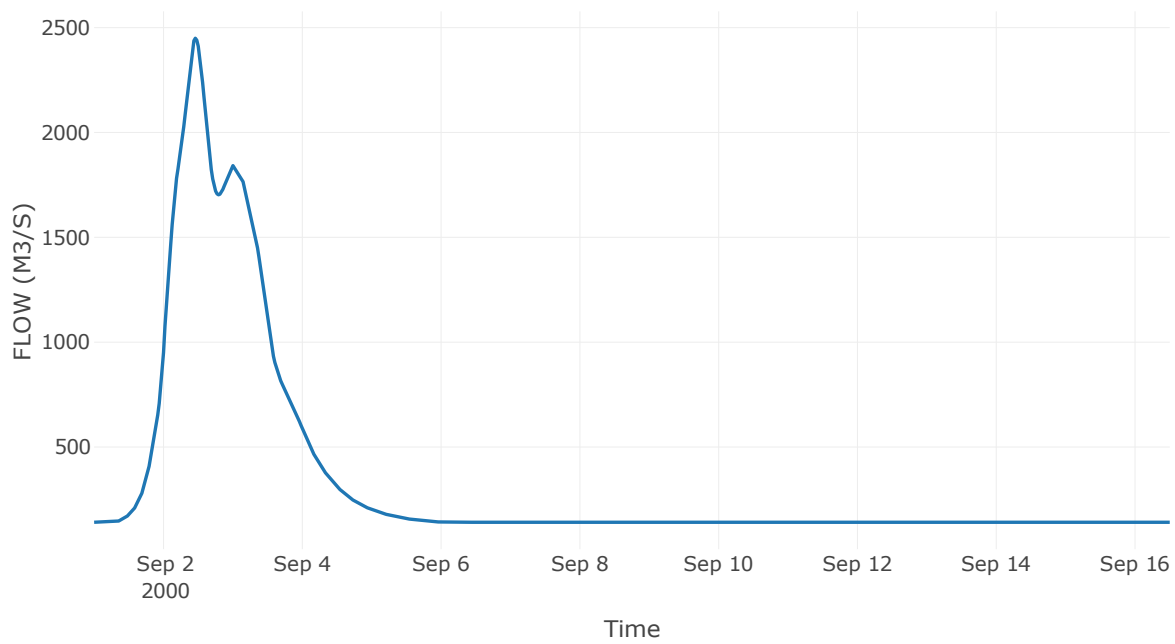
Κόμβος: J24

Κατάντη : R2425

Αποτελέσματα: J24

Παροχή Αιχμής (M3/S)	2449.38
Χρονική στιγμή αιχμής	02Sep2000, 11:00
Όγκος(MM)	294.75

Απορροή



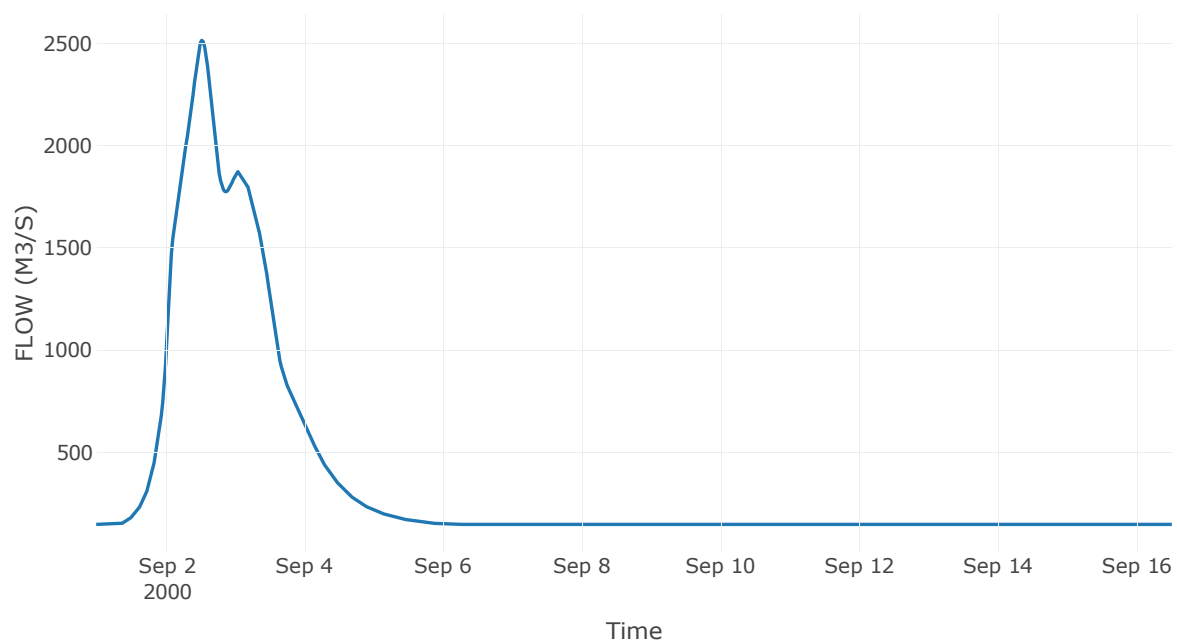
Κόμβος: J25

Κατάντη : R2522

Αποτελέσματα: J25

Παροχή Αιχμής (M3/S)	2516.05
Χρονική στιγμή αιχμής	02Sep2000, 12:30
Όγκος(MM)	290.83

Απορροή



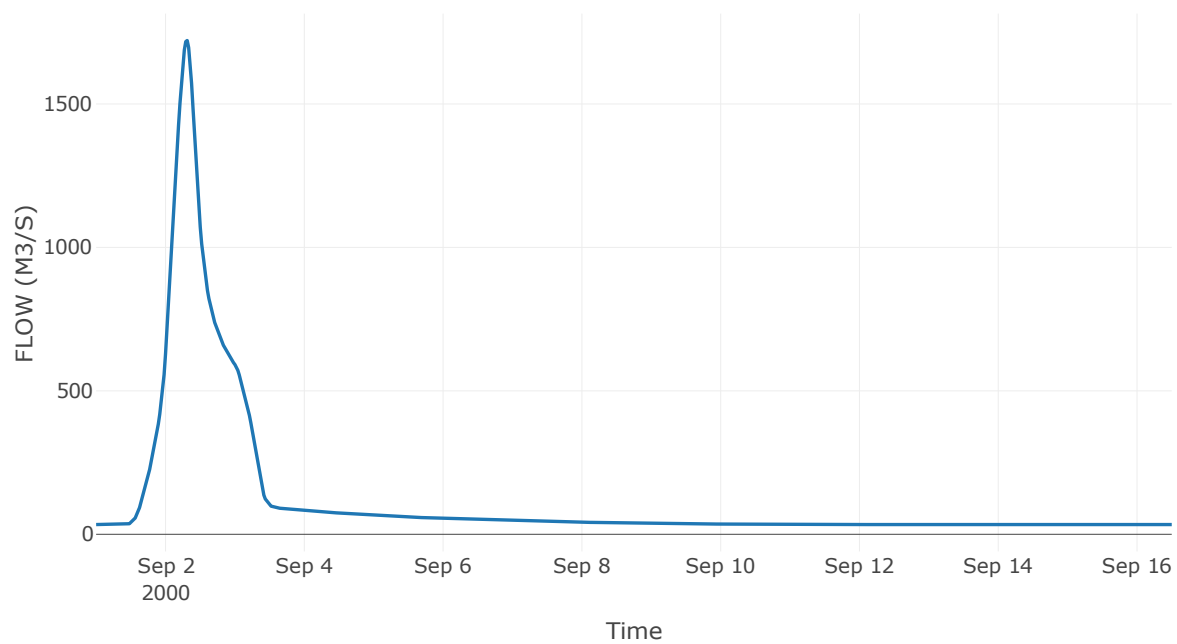
Κόμβος: J26

Κατάντη : R2664

Αποτελέσματα: J26

Παροχή Αιχμής (M3/S)	1721.17
Χρονική στιγμή αιχμής	02Sep2000, 07:30
Όγκος(MM)	268.47

Απορροή



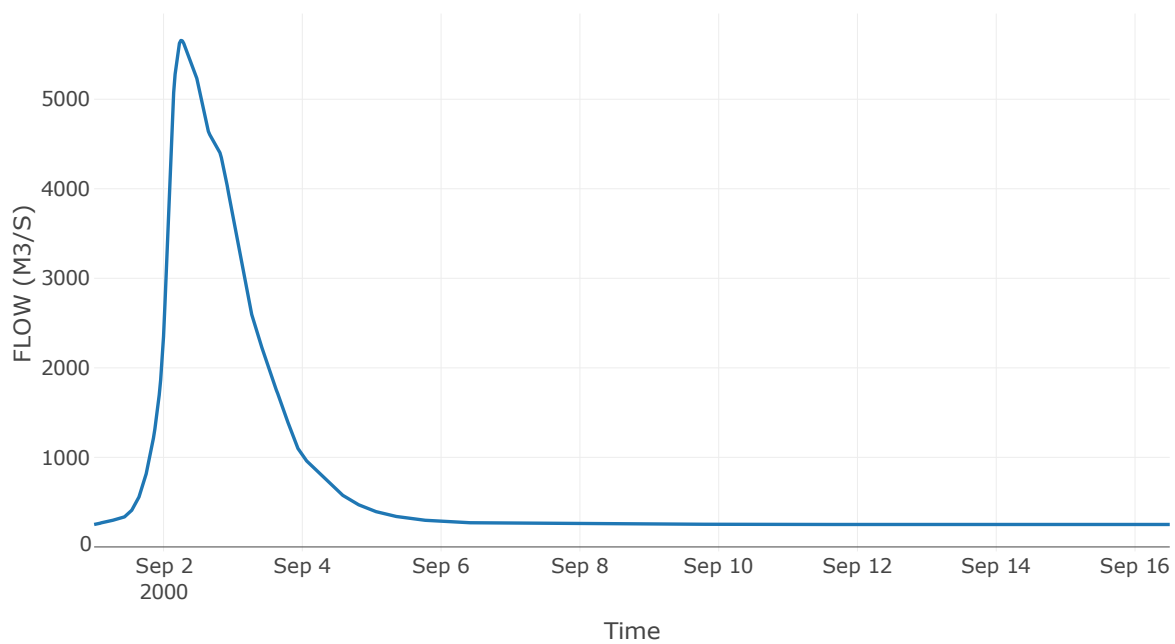
Κόμβος: J27

Κατάντη : R2717

Αποτελέσματα: J27

Παροχή Αιχμής (M3/S)	5656.19
Χρονική στιγμή αιχμής	02Sep2000, 06:00
Όγκος(MM)	270.52

Απορροή



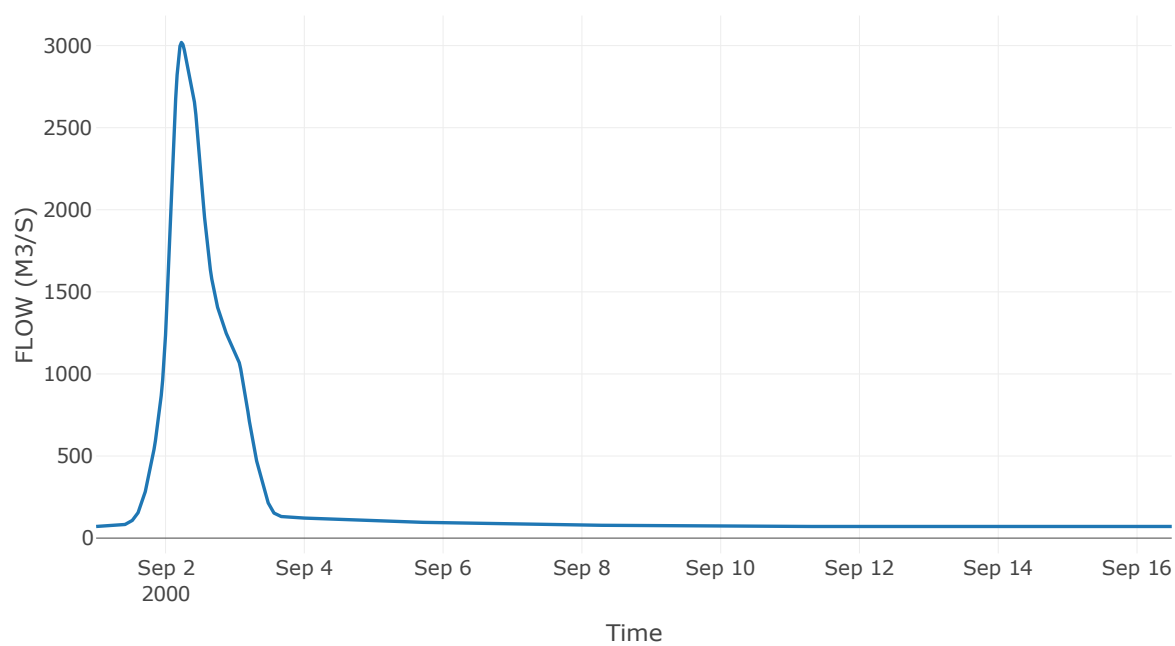
Κόμβος: J28

Κατάντη : R2827

Αποτελέσματα: J28

Παροχή Αιχμής (M3/S)	3019.06
Χρονική στιγμή αιχμής	02Sep2000, 05:30
Όγκος(MM)	246.2

Απορροή



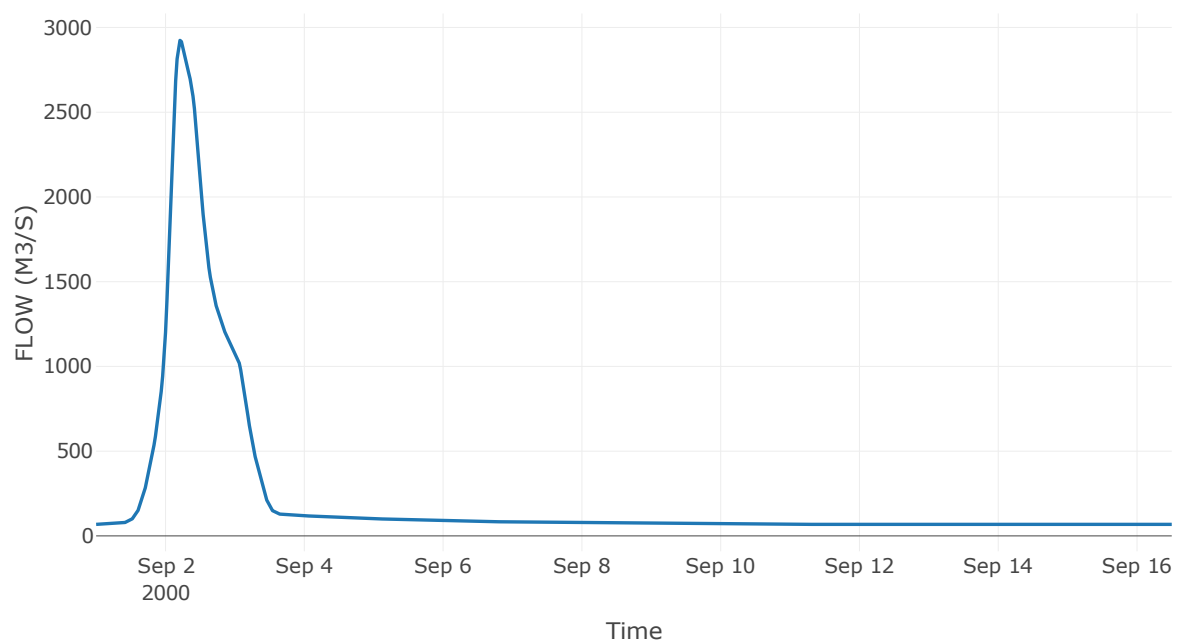
Κόμβος: J29

Κατάντη : R2928

Αποτελέσματα: J29

Παροχή Αιχμής (M3/S)	2924.12
Χρονική στιγμή αιχμής	02Sep2000, 05:00
Όγκος(MM)	246.05

Απορροή



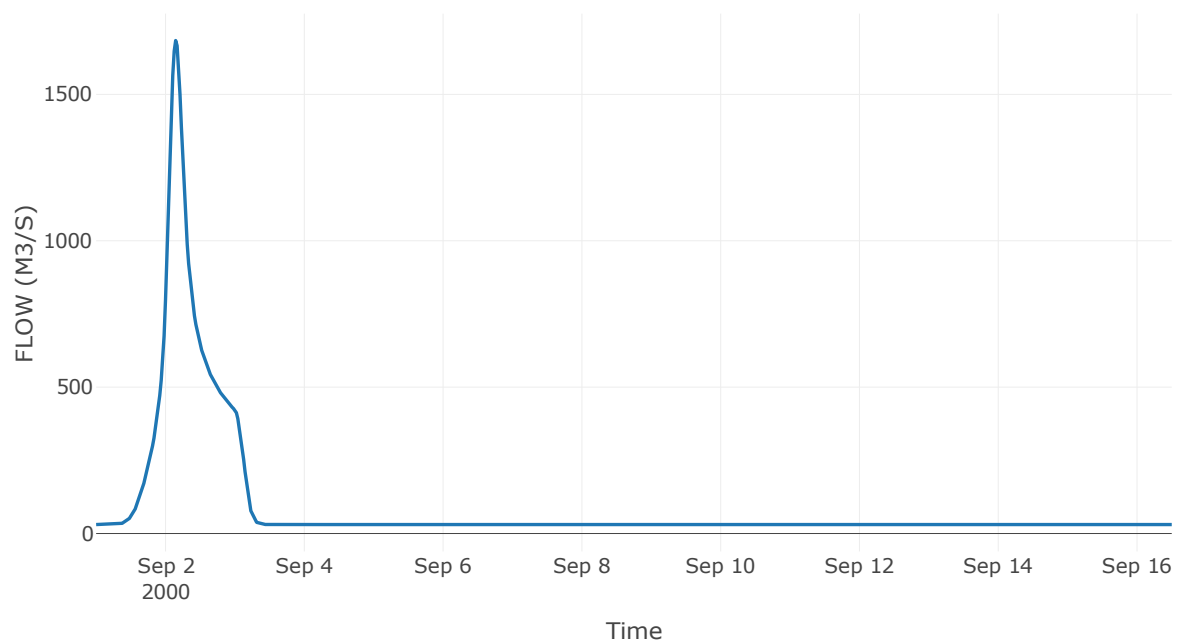
Κόμβος: J30

Κατάντη : R3029

Αποτελέσματα: J30

Παροχή Αιχμής (M3/S)	1684
Χρονική στιγμή αιχμής	02Sep2000, 03:30
Όγκος(MM)	224.59

Απορροή



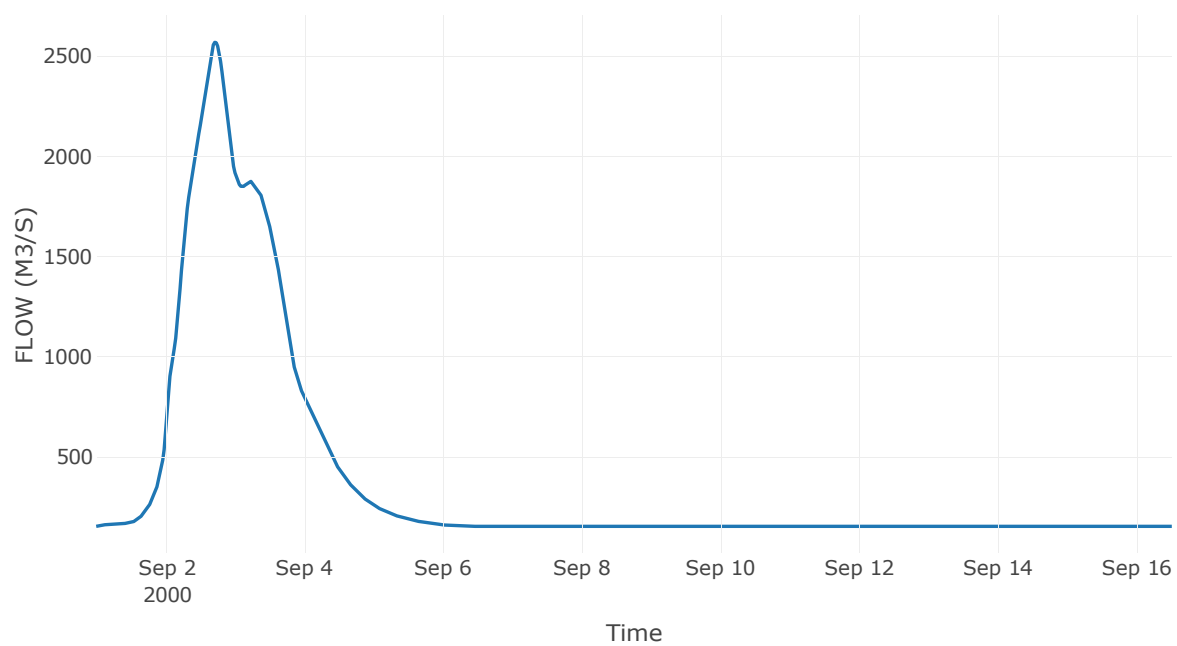
Κόμβος: J31

Κατάντη : R3127

Αποτελέσματα: J31

Παροχή Αιχμής (M3/S)	2567.92
Χρονική στιγμή αιχμής	02Sep2000, 17:00
Όγκος(MM)	284.82

Απορροή



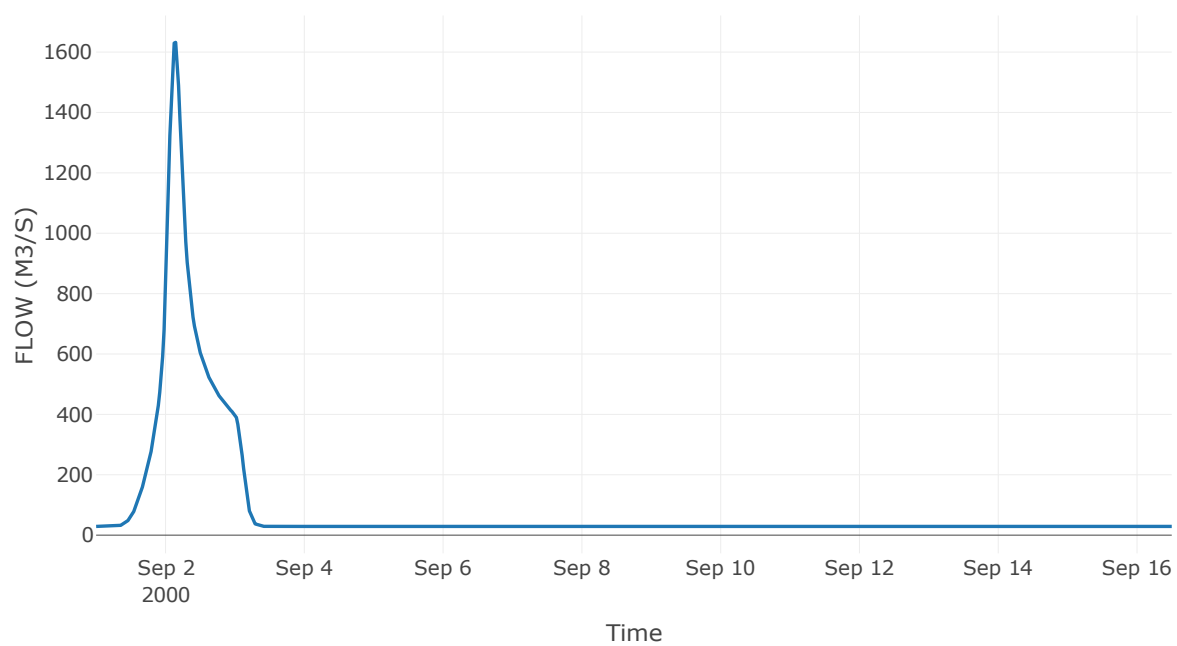
Κόμβος: J32

Κατάντη : R3230

Αποτελέσματα: J32

Παροχή Αιχμής (M3/S)	1632.01
Χρονική στιγμή αιχμής	02Sep2000, 03:30
Όγκος(MM)	226.64

Απορροή



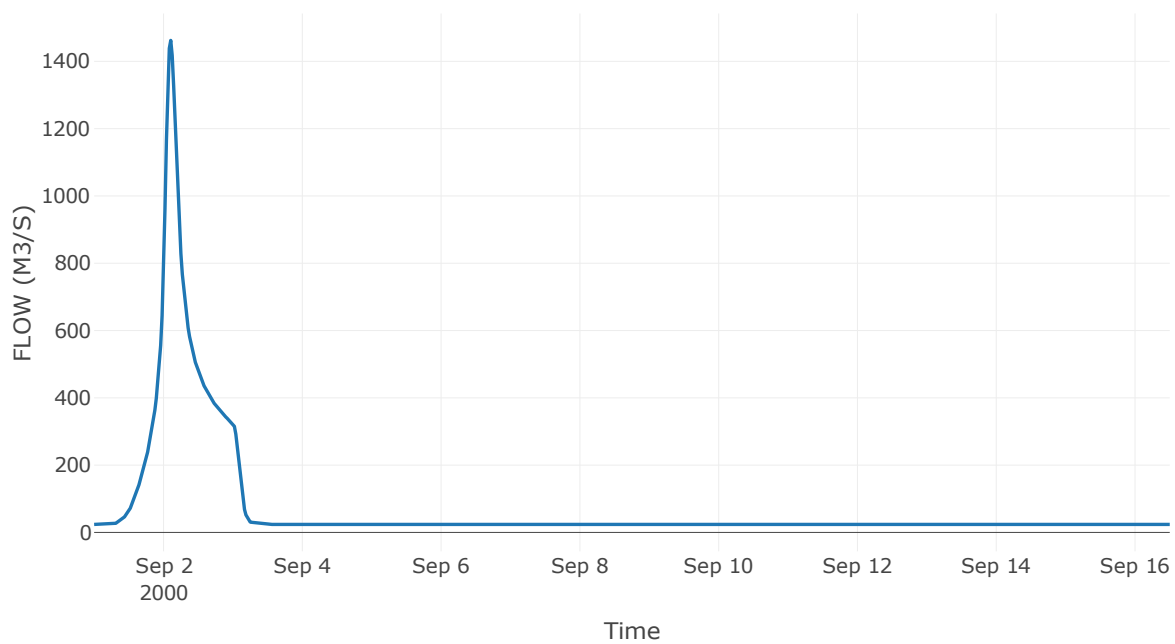
Κόμβος: J33

Κατάντη : R3332

Αποτελέσματα: J33

Παροχή Αιχμής (M3/S)	1462.33
Χρονική στιγμή αιχμής	02Sep2000, 02:30
Όγκος(MM)	227.94

Απορροή



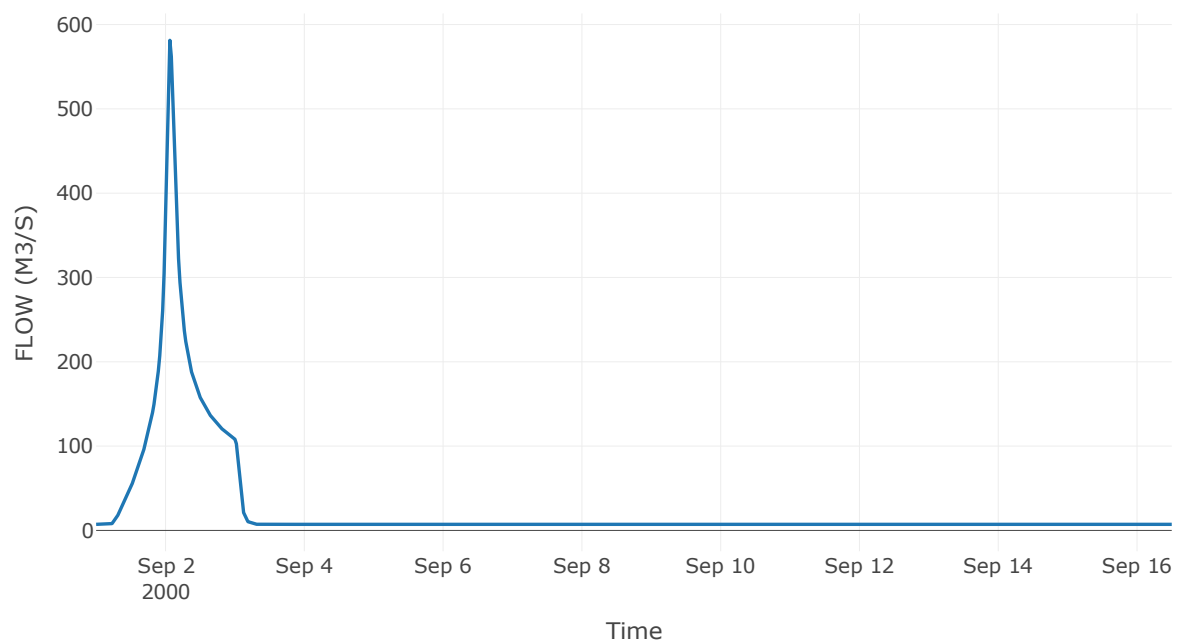
Κόμβος: J34

Κατάντη : R3433

Αποτελέσματα: J34

Παροχή Αιχμής (M3/S)	581.28
Χρονική στιγμή αιχμής	02Sep2000, 01:30
Όγκος(MM)	263.96

Απορροή



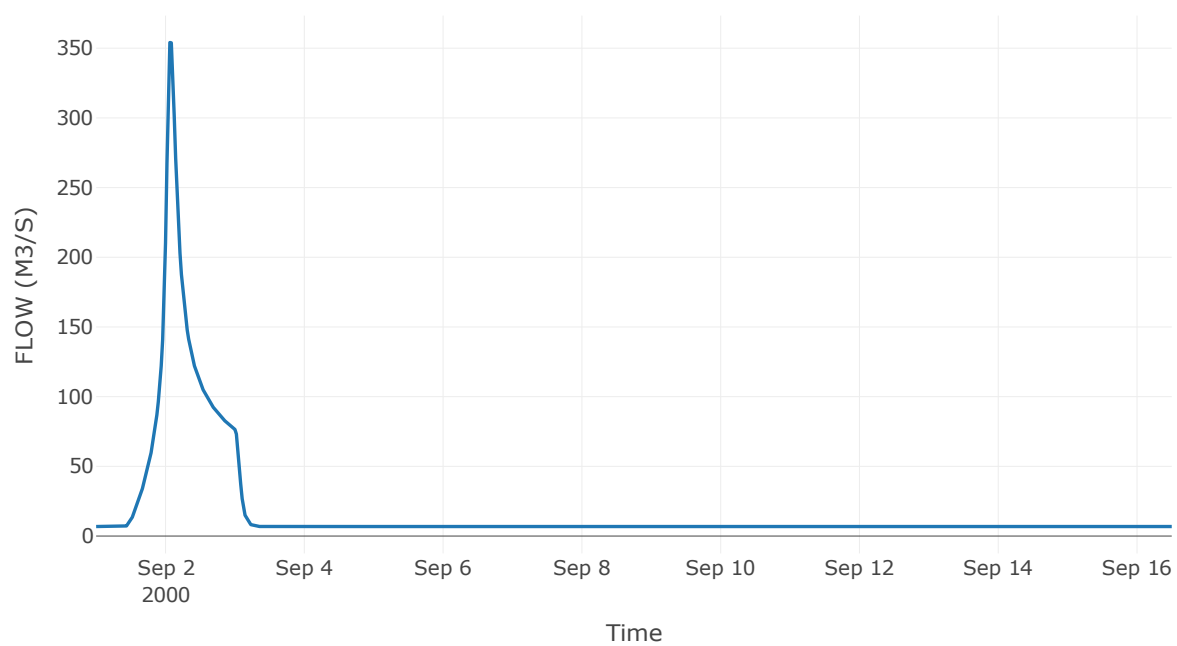
Κόμβος: J35

Κατάντη : R3533

Αποτελέσματα: J35

Παροχή Αιχμής (M3/S)	354.1
Χρονική στιγμή αιχμής	02Sep2000, 01:30
Όγκος(MM)	194.72

Απορροή



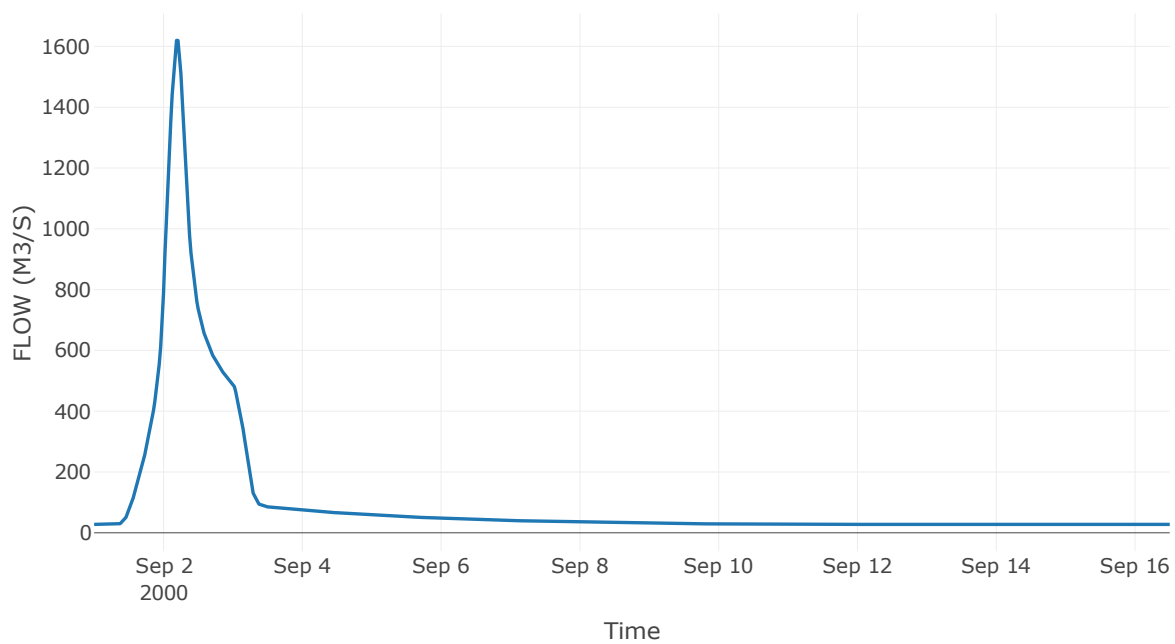
Κόμβος: J37

Κατάντη : R3726

Αποτελέσματα: J37

Παροχή Αιχμής (M3/S)	1619.91
Χρονική στιγμή αιχμής	02Sep2000, 04:30
Όγκος(MM)	285.55

Απορροή



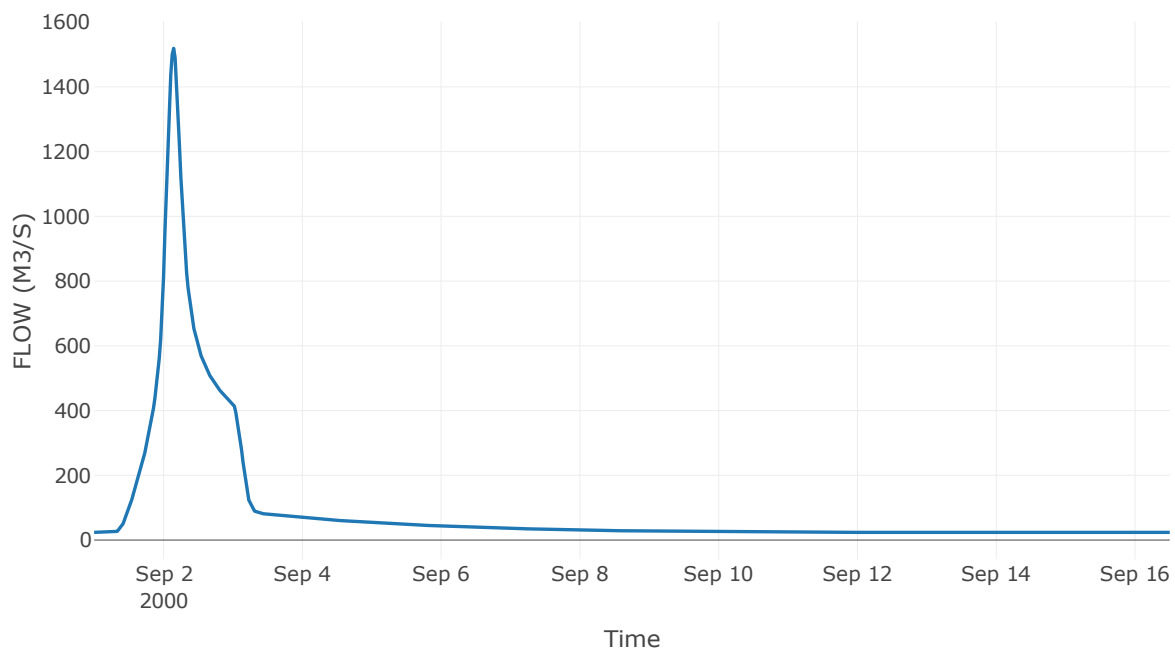
Κόμβος: J38

Κατάντη : R3837

Αποτελέσματα: J38

Παροχή Αιχμής (M3/S)	1518.89
Χρονική στιγμή αιχμής	02Sep2000, 03:30
Όγκος(MM)	293.56

Απορροή



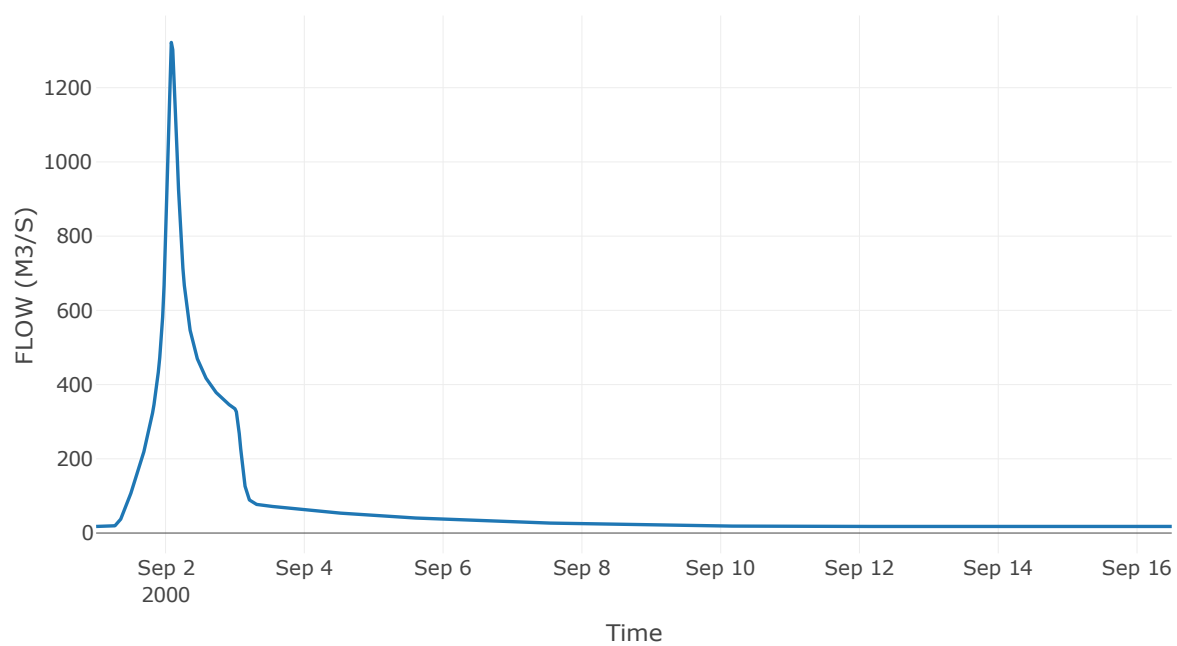
Κόμβος: J39

Κατάντη : R3938

Αποτελέσματα: J39

Παροχή Αιχμής (M3/S)	1321.96
Χρονική στιγμή αιχμής	02Sep2000, 02:00
Όγκος(MM)	314.26

Απορροή



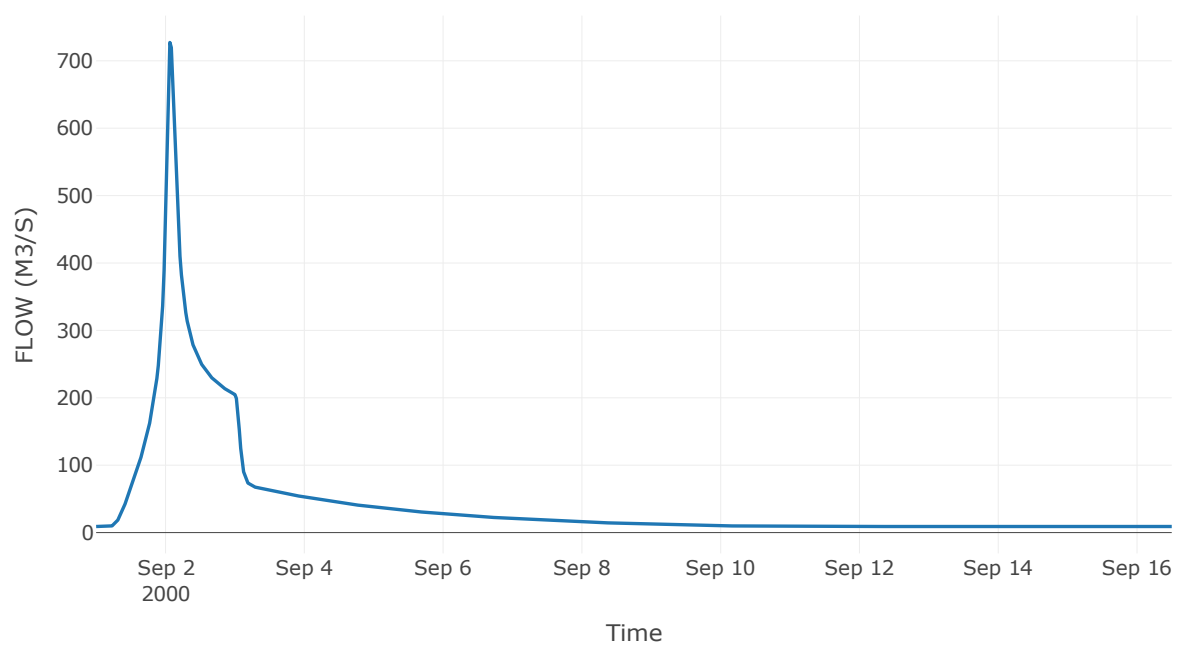
Κόμβος: J40

Κατάντη : R4039

Αποτελέσματα: J40

Παροχή Αιχμής (M3/S)	727.2
Χρονική στιγμή αιχμής	02Sep2000, 01:30
Όγκος(MM)	369.21

Απορροή



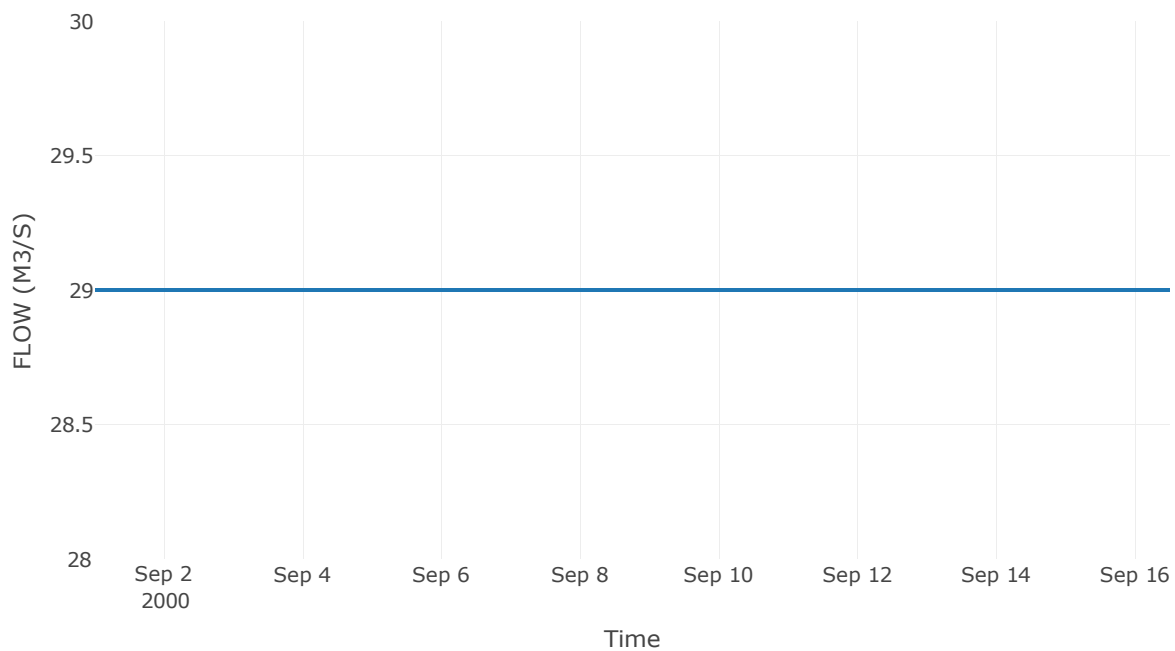
Ταμιευτήρας: J41_RES4

Κατάντη : Κόμβος εξόδου - RES4

Αποτελέσματα: J41_RES4

Παροχή Αιχμής (M3/S)	29
Χρονική στιγμή αιχμής	31Aug2000, 24:00
Όγκος(MM)	234.94
Παροχή Αιχμής Εισόδου (M3/S)	540.25
Time of Peak Inflow	02Sep2000, 02:30
Όγκος Εισροής (M3)	4.49E7
Maximum Storage (M3)	3.86E8
Peak Elevation (M)	792.96
Discharge Όγκος(M3)	3.88E7

Απορροή



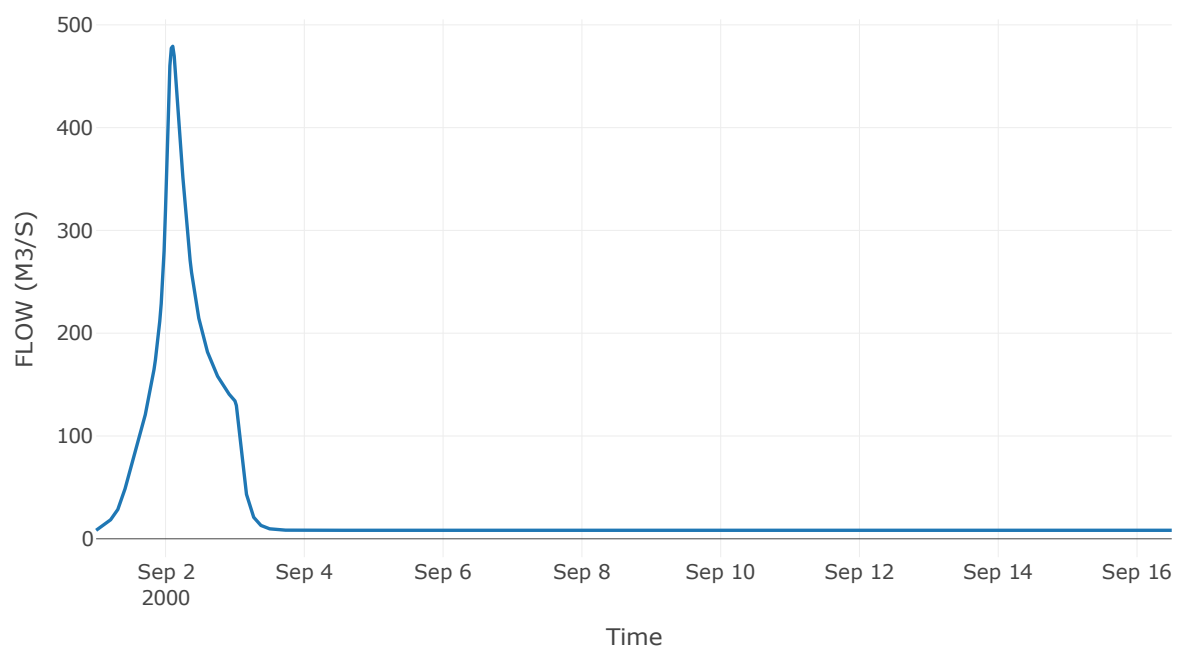
Κόμβος: J42

Κατάντη : R4241

Αποτελέσματα: J42

Παροχή Αιχμής (M3/S)	479.17
Χρονική στιγμή αιχμής	02Sep2000, 02:30
Όγκος(MM)	269.84

Απορροή



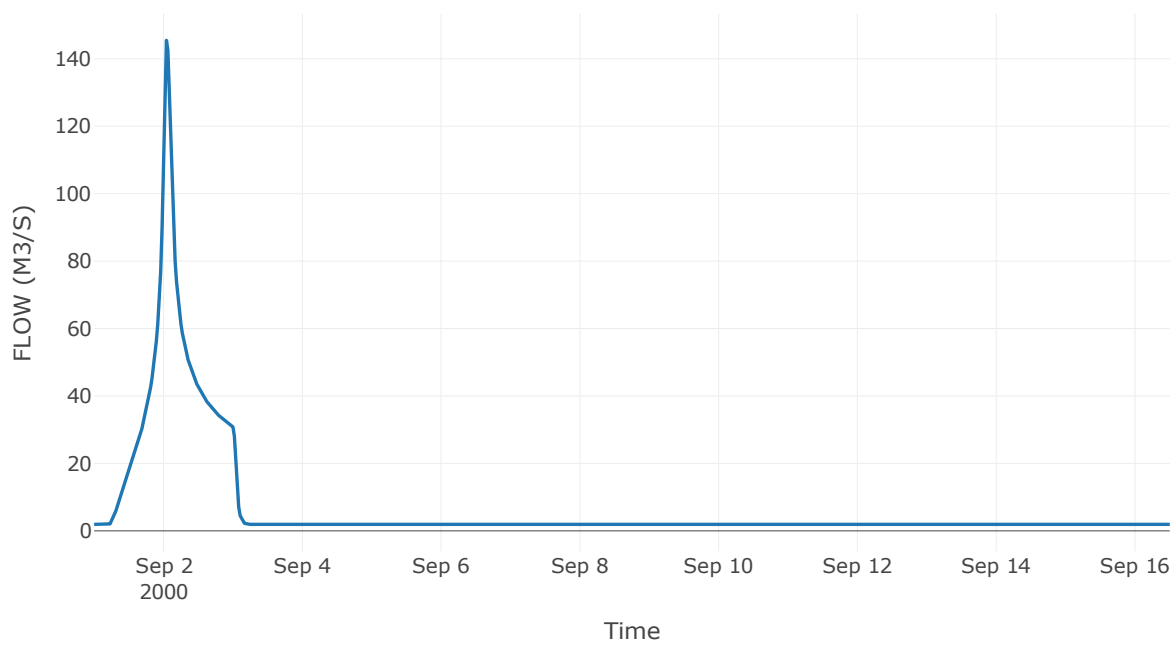
Κόμβος: J43

Κατάντη : R4342

Αποτελέσματα: J43

Παροχή Αιχμής (M3/S)	145.47
Χρονική στιγμή αιχμής	02Sep2000, 01:00
Όγκος(MM)	264.6

Απορροή



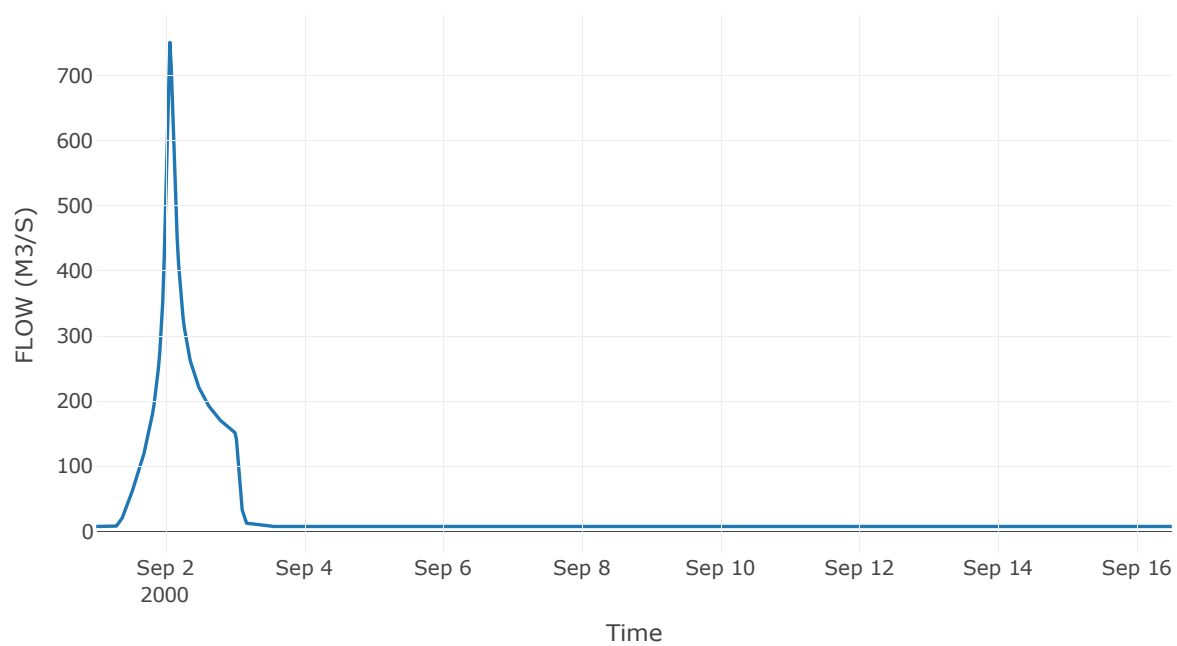
Κόμβος: J44

Κατάντη : R4462

Αποτελέσματα: J44

Παροχή Αιχμής (M3/S)	750.79
Χρονική στιγμή αιχμής	02Sep2000, 01:30
Όγκος(MM)	312.51

Απορροή



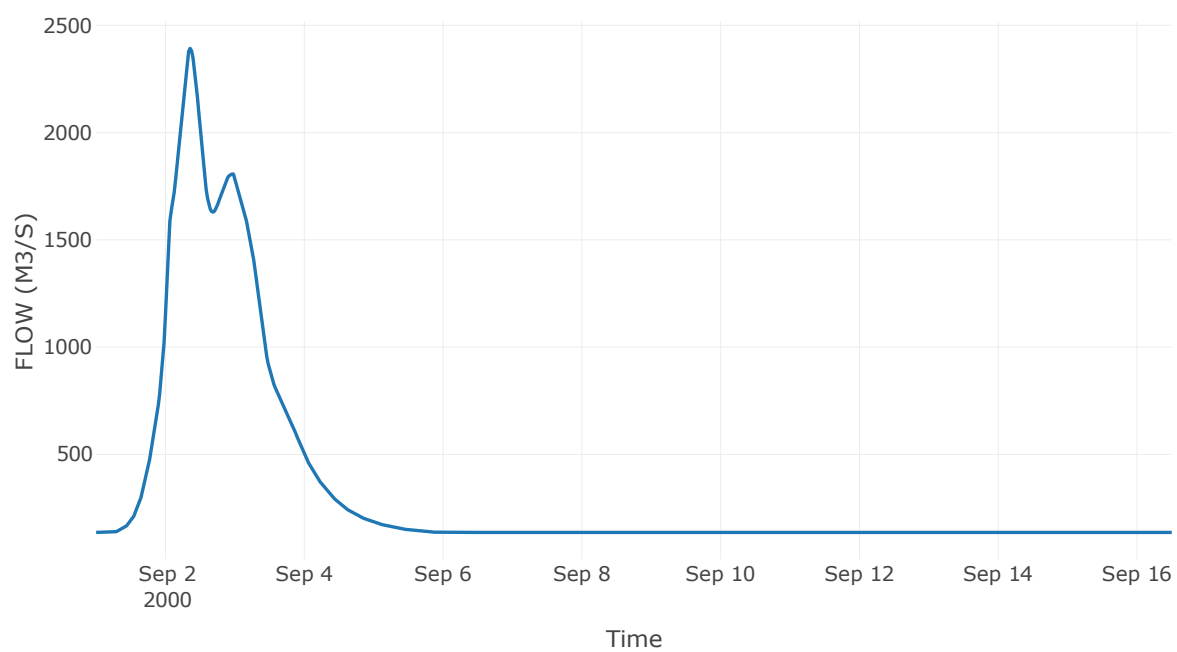
Κόμβος: J45

Κατάντη : R4523

Αποτελέσματα: J45

Παροχή Αιχμής (M3/S)	2392.51
Χρονική στιγμή αιχμής	02Sep2000, 08:30
Όγκος(MM)	299.74

Απορροή



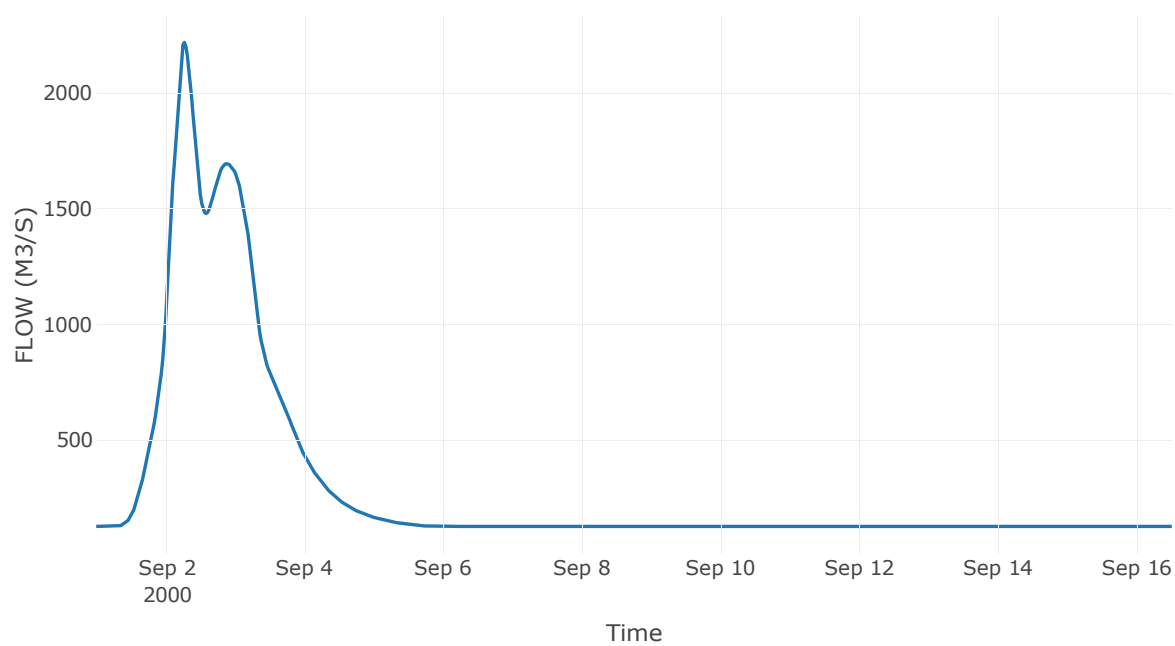
Κόμβος: J46

Κατάντη : R4645

Αποτελέσματα: J46

Παροχή Αιχμής (M3/S)	2218.26
Χρονική στιγμή αιχμής	02Sep2000, 06:30
Όγκος(MM)	305.06

Απορροή



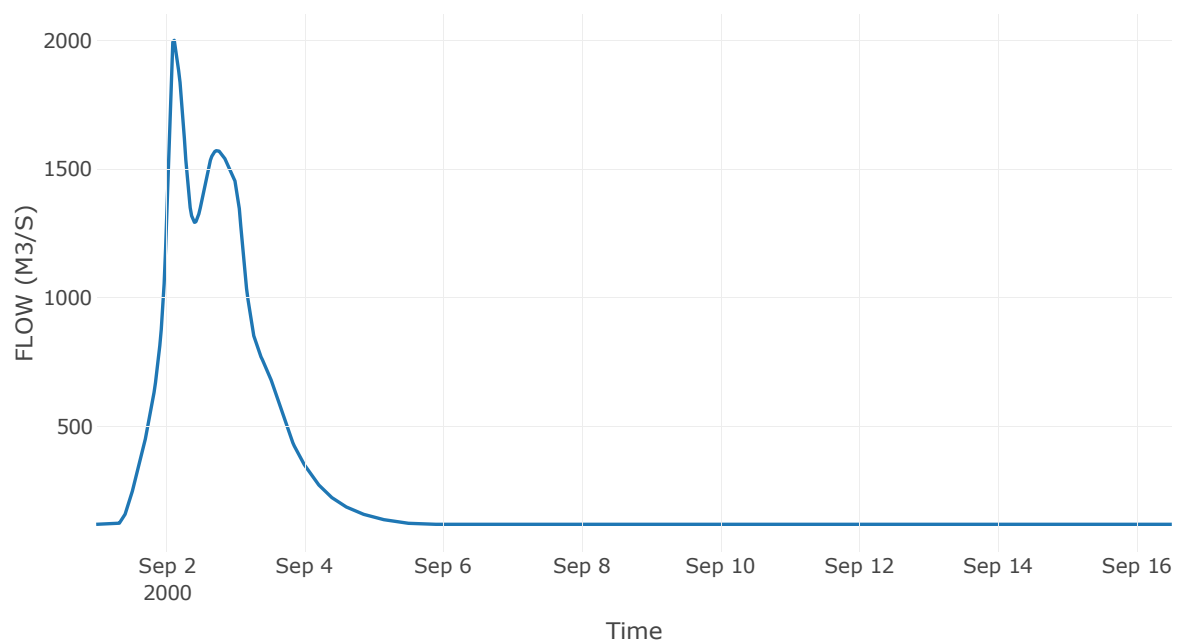
Κόμβος: J47

Κατάντη : R4746

Αποτελέσματα: J47

Παροχή Αιχμής (M3/S)	2000.71
Χρονική στιγμή αιχμής	02Sep2000, 03:00
Όγκος(MM)	315.01

Απορροή



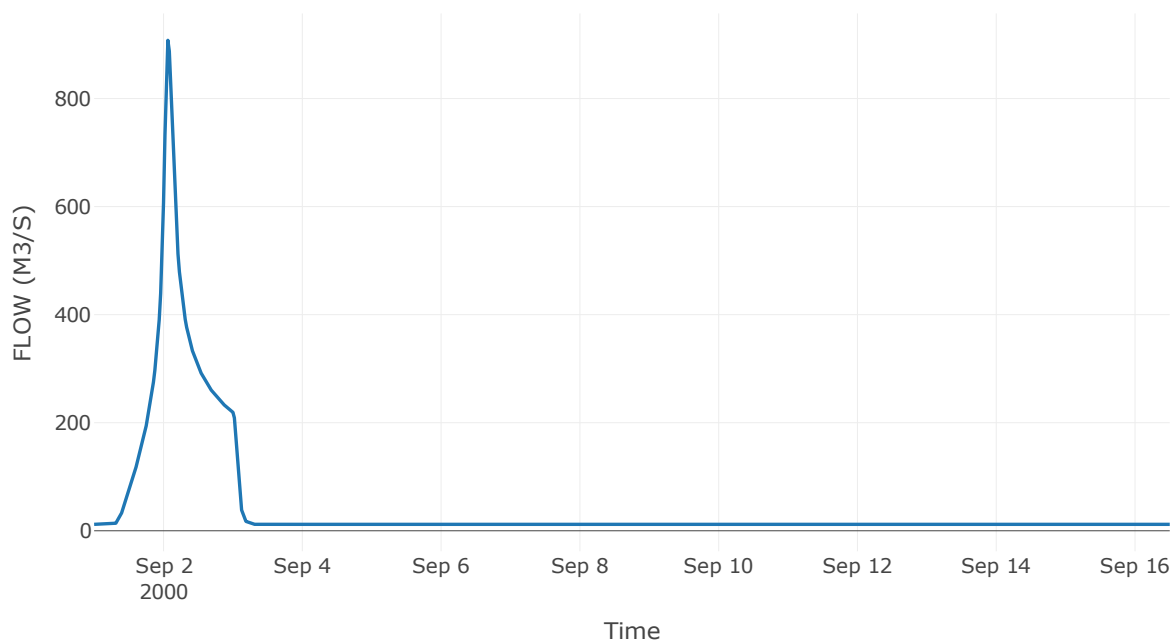
Κόμβος: J48

Κατάντη : R4847

Αποτελέσματα: J48

Παροχή Αιχμής (M3/S)	907.64
Χρονική στιγμή αιχμής	02Sep2000, 01:30
Όγκος(MM)	275.96

Απορροή



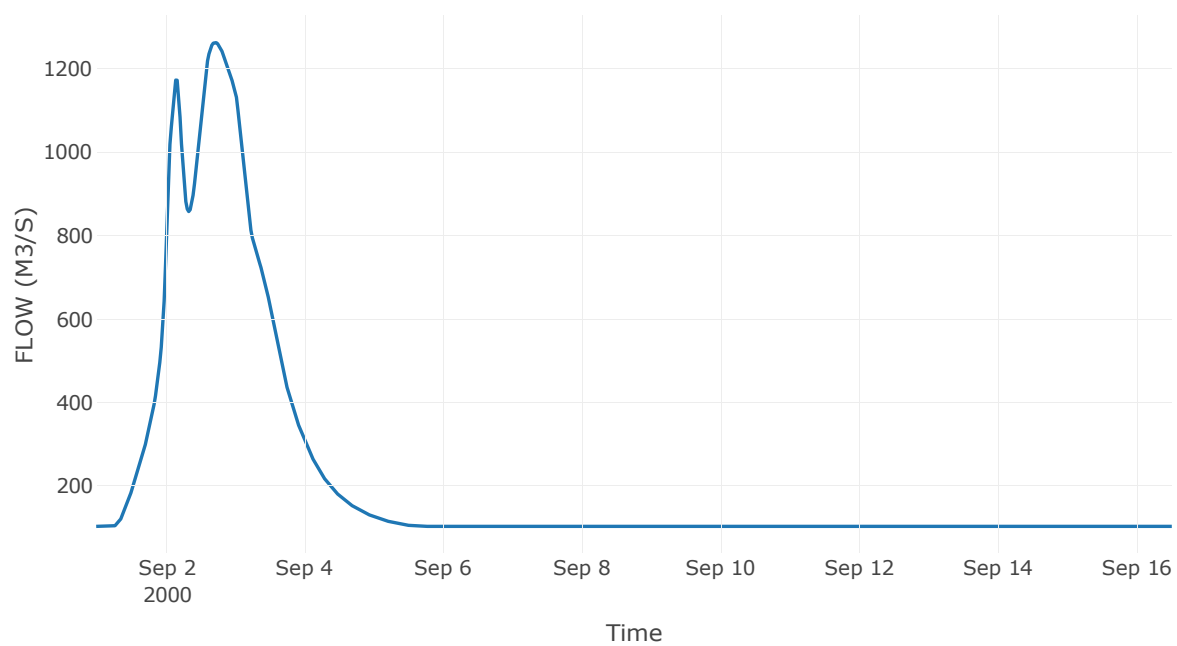
Κόμβος: J49

Κατάντη : R4947

Αποτελέσματα: J49

Παροχή Αιχμής (M3/S)	1262.48
Χρονική στιγμή αιχμής	02Sep2000, 17:00
Όγκος(MM)	331.44

Απορροή



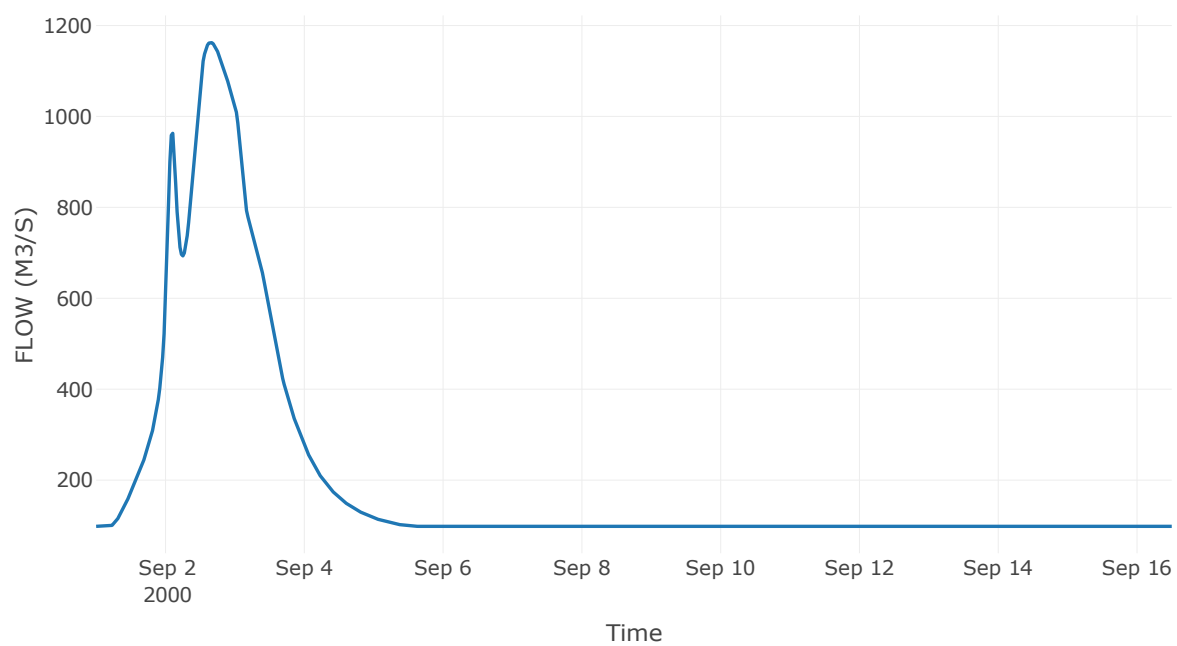
Κόμβος: J50

Κατάντη : R5049

Αποτελέσματα: J50

Παροχή Αιχμής (M3/S)	1163.03
Χρονική στιγμή αιχμής	02Sep2000, 15:30
Όγκος(MM)	338.24

Απορροή



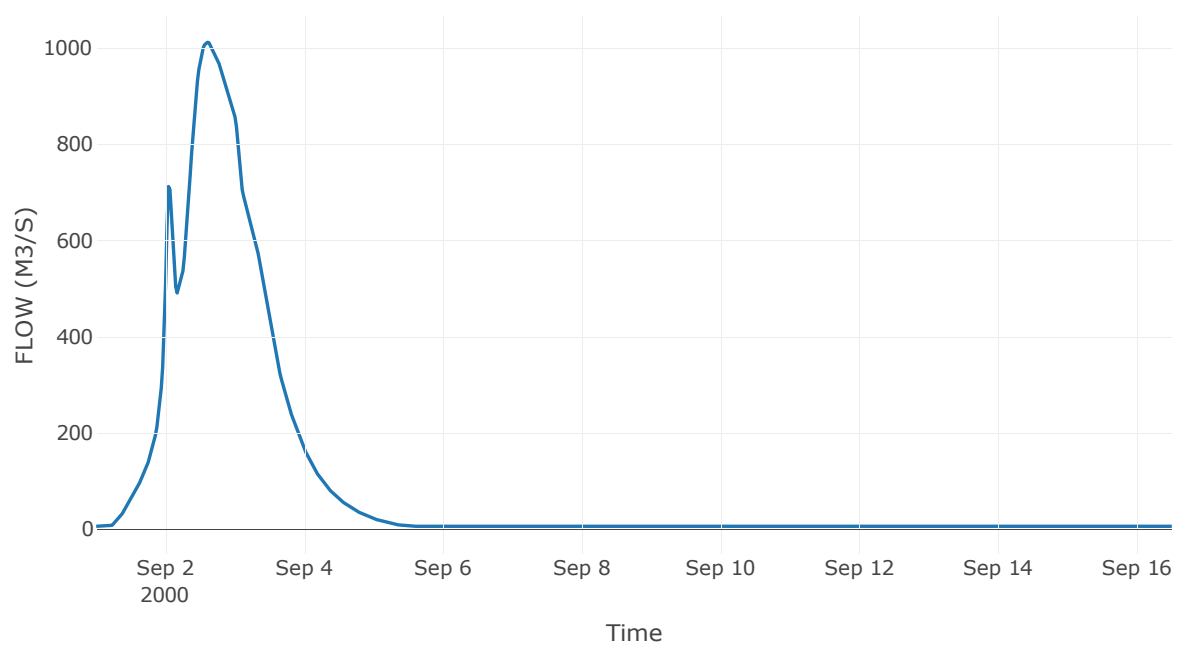
Κόμβος: J51

Κατάντη : R5150

Αποτελέσματα: J51

Παροχή Αιχμής (M3/S)	1011.64
Χρονική στιγμή αιχμής	02Sep2000, 14:30
Όγκος(MM)	1197.66

Απορροή



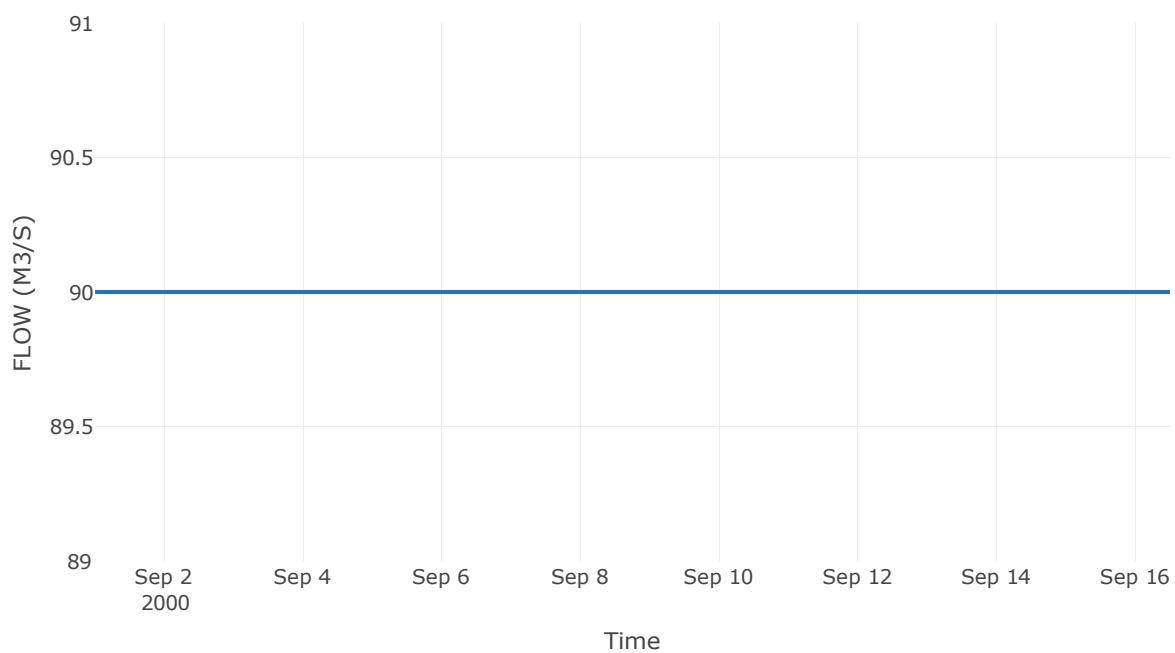
Ταμιευτήρας: J53_RES5

Κατάντη : J50

Αποτελέσματα: J53_RES5

Παροχή Αιχμής (M3/S)	90
Χρονική στιγμή αιχμής	31Aug2000, 24:00
Όγκος(MM)	190.43
Παροχή Αιχμής Εισόδου (M3/S)	1995.37
Time of Peak Inflow	02Sep2000, 06:30
Όγκος Εισροής (M3)	1.62E8
Maximum Storage (M3)	3.15E8
Peak Elevation (M)	764.11
Discharge Όγκος(M3)	1.21E8

Απορροή



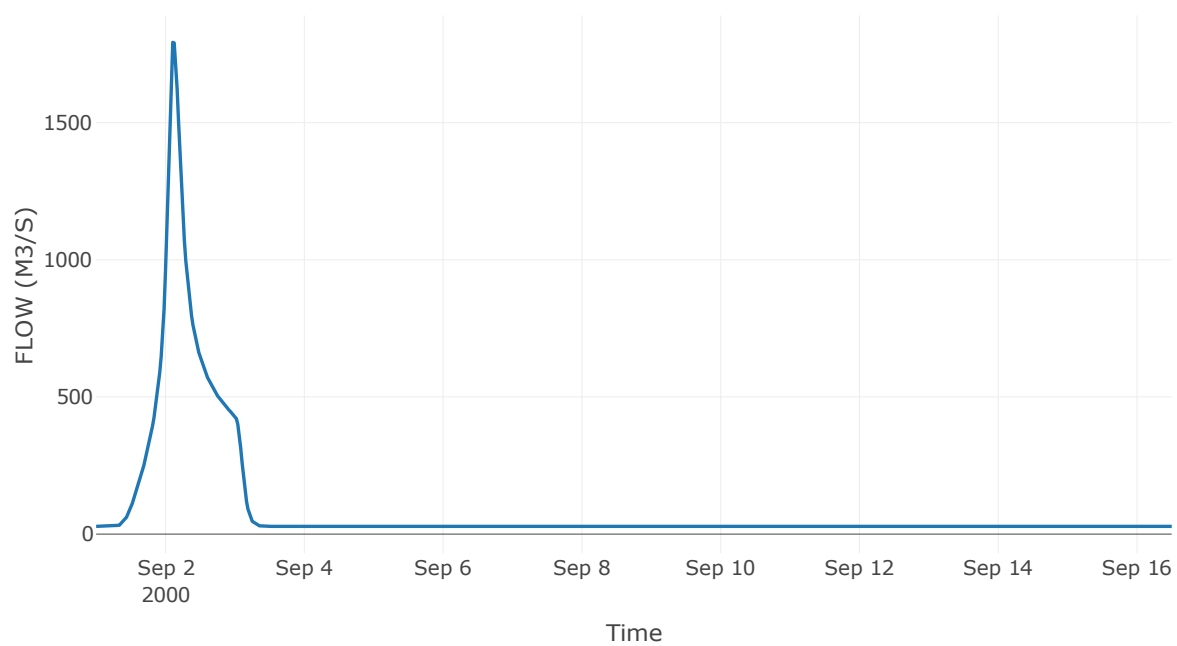
Κόμβος: J54

Κατάντη : R5457

Αποτελέσματα: J54

Παροχή Αιχμής (M3/S)	1792.78
Χρονική στιγμή αιχμής	02Sep2000, 02:30
Όγκος(MM)	248.22

Απορροή



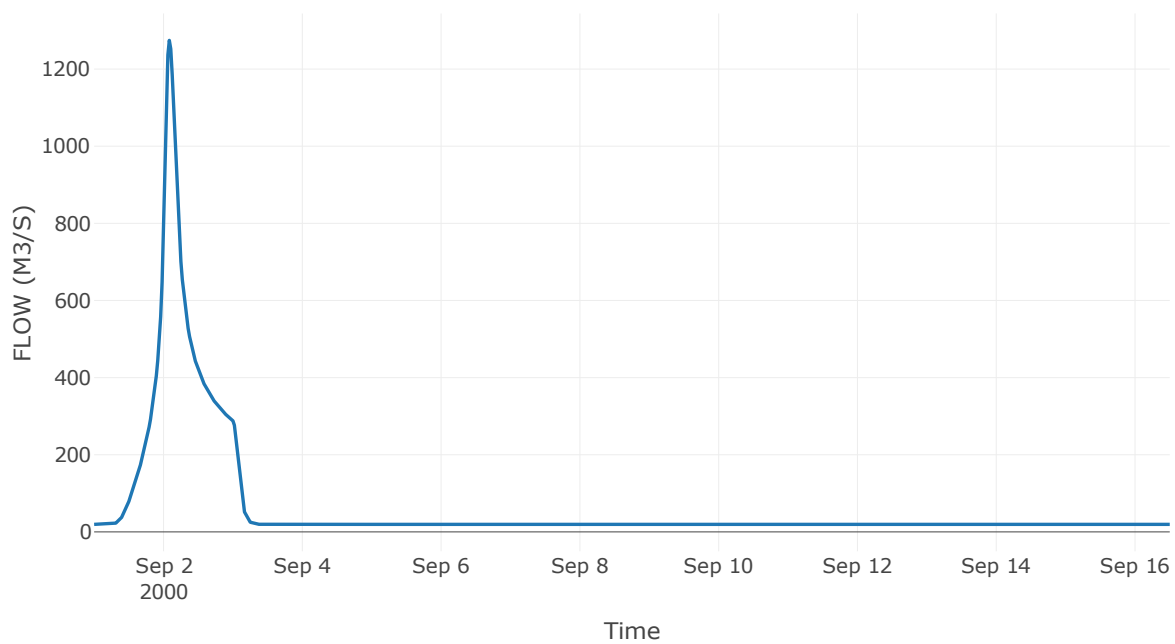
Κόμβος: J55

Κατάντη : R5554

Αποτελέσματα: J55

Παροχή Αιχμής (M3/S)	1274.5
Χρονική στιγμή αιχμής	02Sep2000, 02:00
Όγκος(MM)	244.61

Απορροή



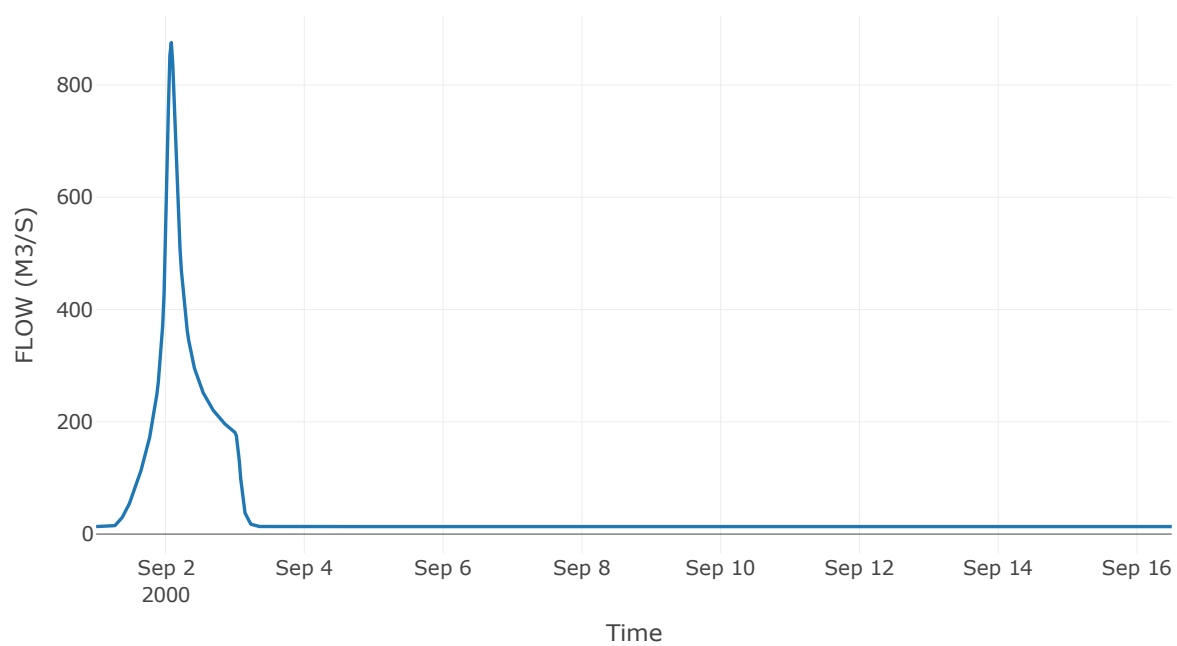
Κόμβος: J56

Κατάντη : R5655

Αποτελέσματα: J56

Παροχή Αιχμής (M3/S)	875.55
Χρονική στιγμή αιχμής	02Sep2000, 02:00
Όγκος(MM)	234.32

Απορροή



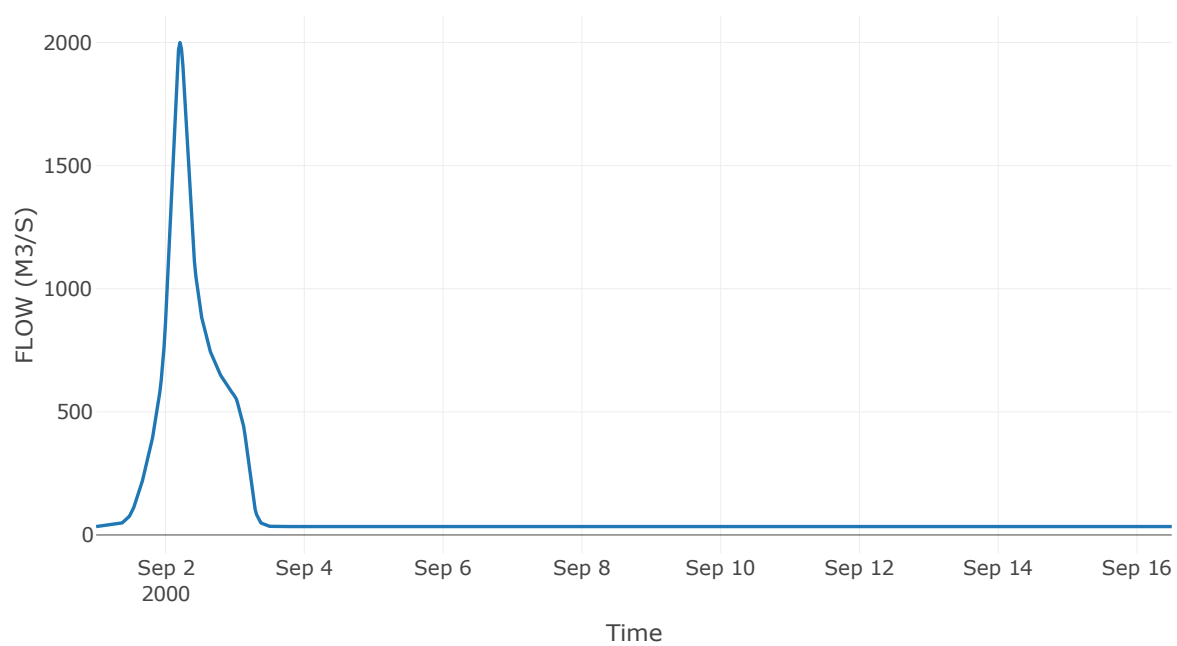
Κόμβος: J57

Κατάντη : R5753

Αποτελέσματα: J57

Παροχή Αιχμής (M3/S)	2000.06
Χρονική στιγμή αιχμής	02Sep2000, 05:00
Όγκος(MM)	254.1

Απορροή



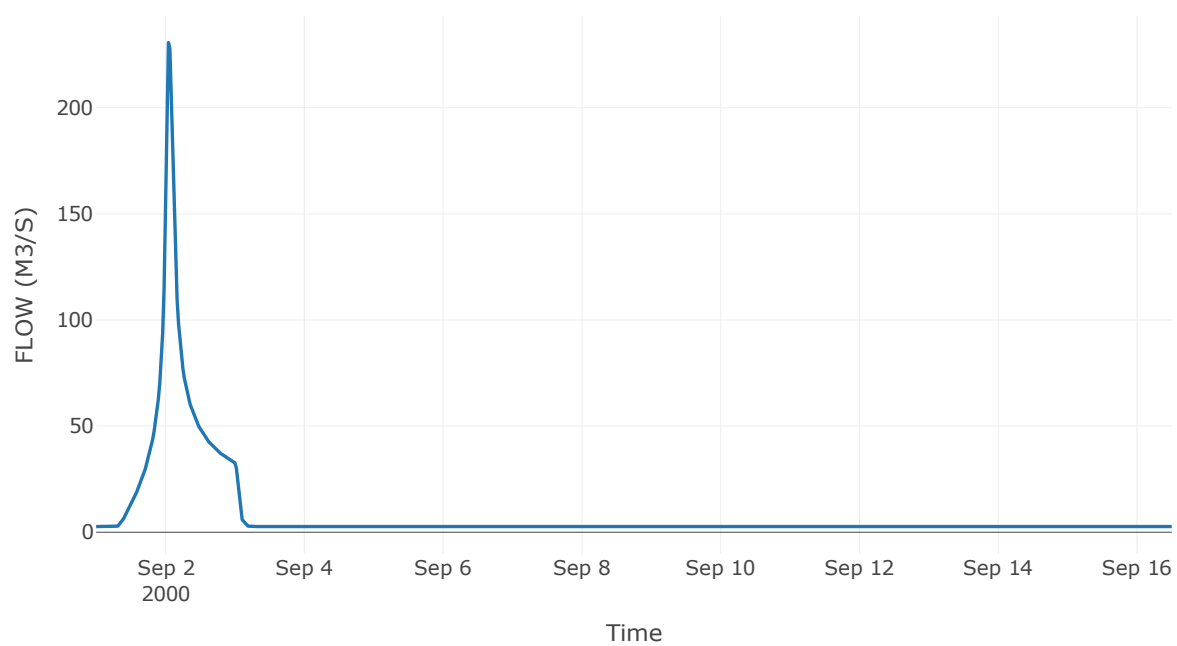
Κόμβος: J61

Κατάντη : R6120

Αποτελέσματα: J61

Παροχή Αιχμής (M3/S)	230.72
Χρονική στιγμή αιχμής	02Sep2000, 01:00
Όγκος(MM)	237.97

Απορροή



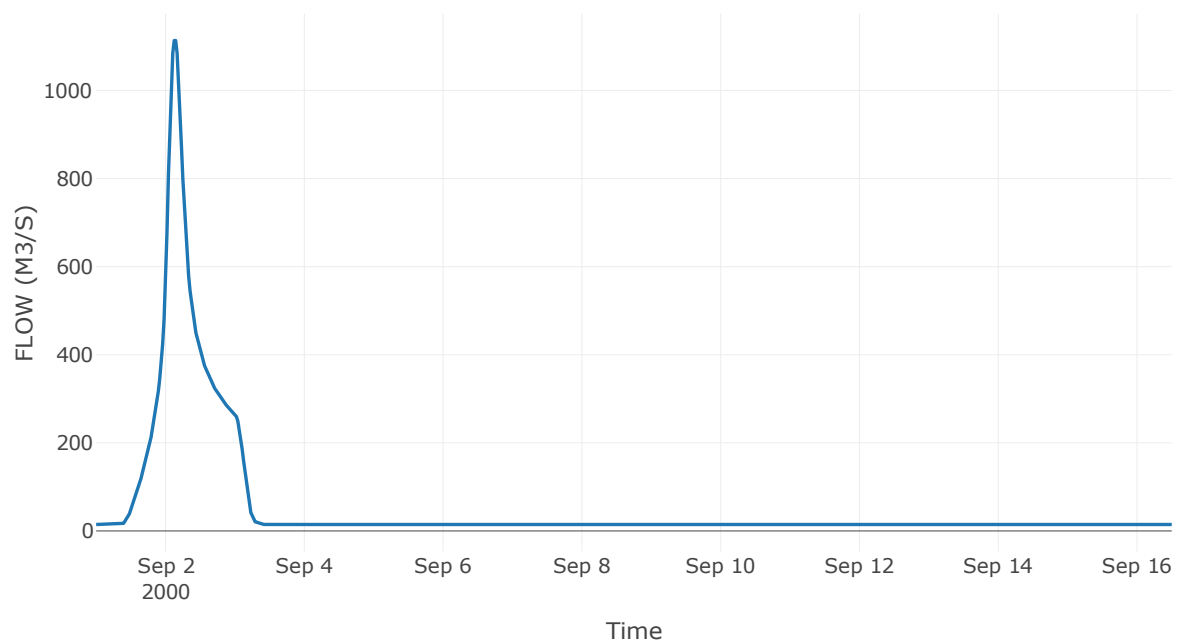
Κόμβος: J62

Κατάντη : R6227

Αποτελέσματα: J62

Παροχή Αιχμής (M3/S)	1113.49
Χρονική στιγμή αιχμής	02Sep2000, 03:30
Όγκος(MM)	287.5

Απορροή



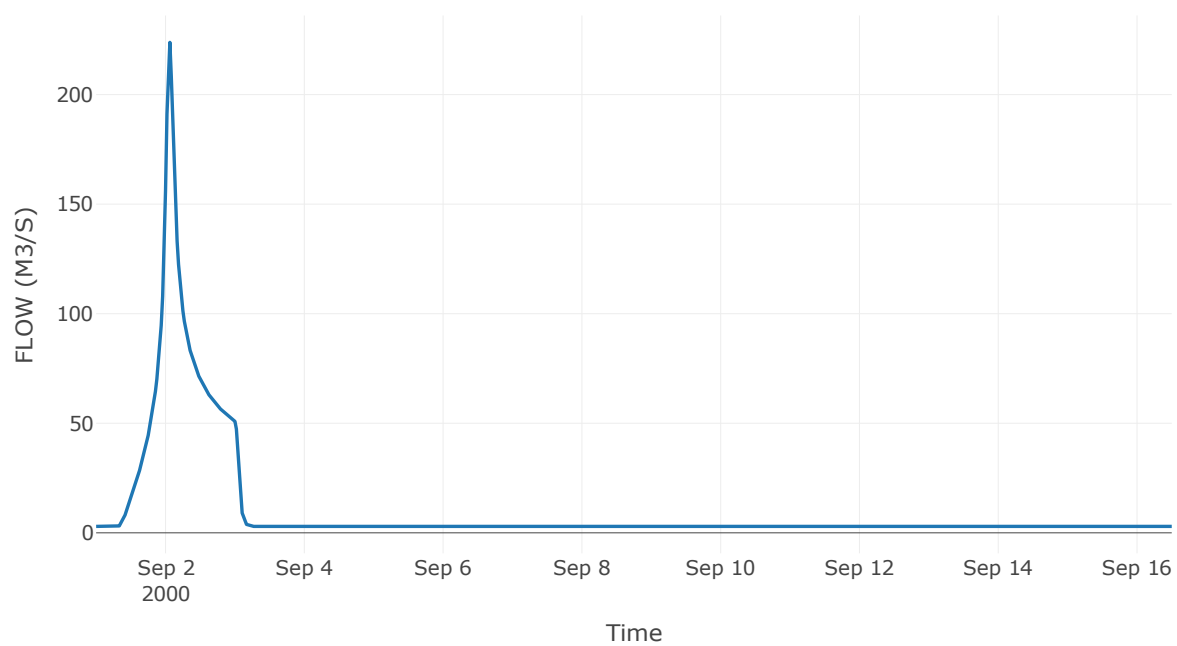
Κόμβος: J63

Κατάντη : R6357

Αποτελέσματα: J63

Παροχή Αιχμής (M3/S)	223.82
Χρονική στιγμή αιχμής	02Sep2000, 01:30
Όγκος(MM)	263.04

Απορροή



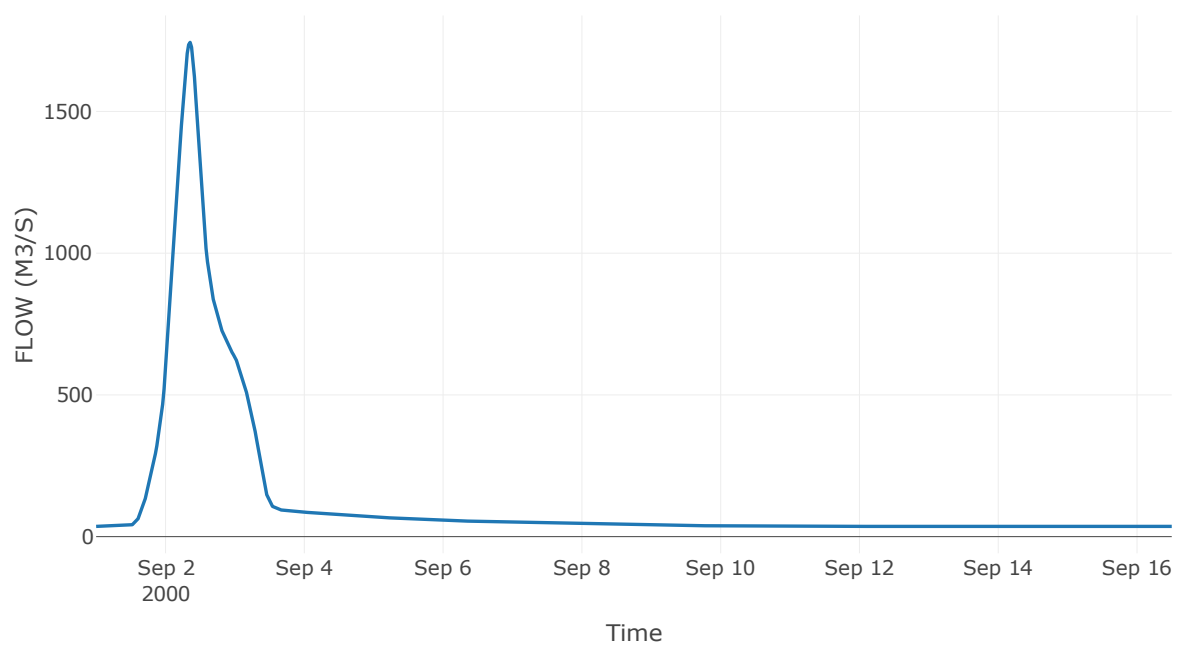
Κόμβος: J64

Κατάντη : R6429

Αποτελέσματα: J64

Παροχή Αιχμής (M3/S)	1743.84
Χρονική στιγμή αιχμής	02Sep2000, 08:30
Όγκος(MM)	264.45

Απορροή



6 Δεδομένα εισόδου και αποτελέσματα υδρολογικού σεναρίου T=100L

6.1 Αποτελέσματα, υετογραφήματα και υδρογραφήματα σχεδιασμού υπολεκανών

Υπολεκάνη: EL0415FR6001

Έκταση (KM2) : 48.19

Κατάνη : J1

Μέθοδος Απωλειών: SCS

Ποσοστό αδιαπέρατης επιφάνειας	0
Αριθμός Καμπύλης Απορροής-CN	62.28
Αρχικές Απώλειες	30.77

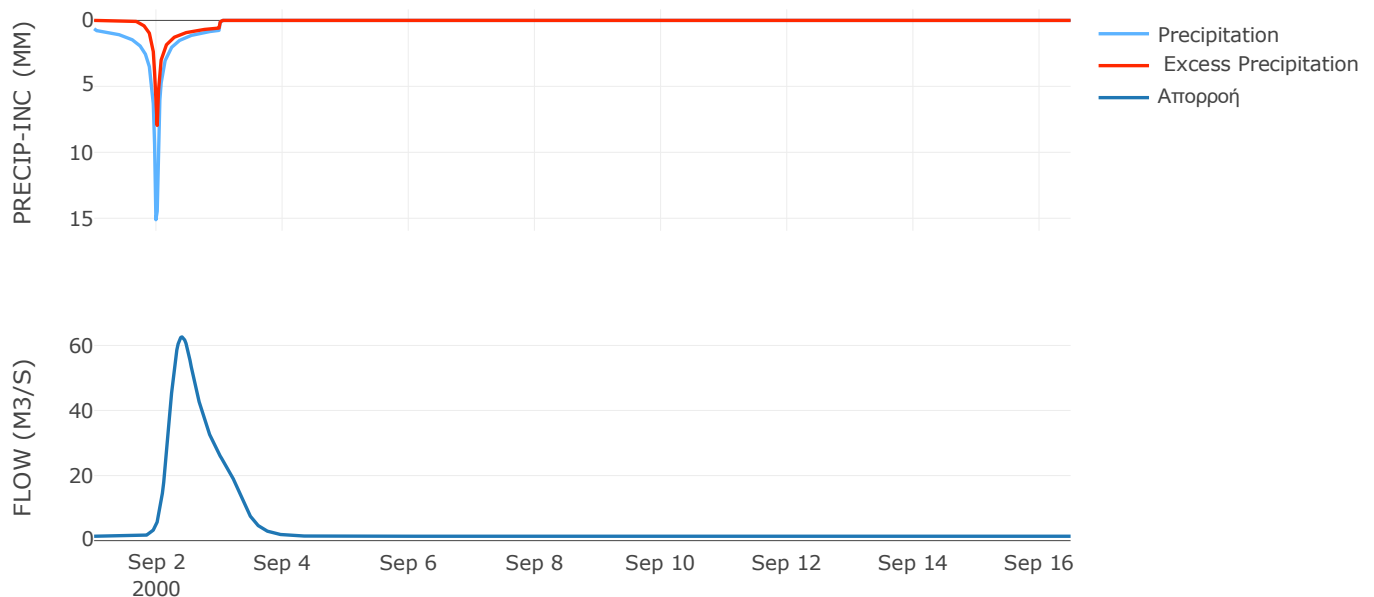
Μέθοδος
Μετασχηματισμού: SCS

Χρόνος Υστέρησης	468.27
------------------	--------

Αποτελέσματα:
EL0415FR6001

Παροχή αιχμής (M3/S)	62.61
Χρονική στιγμή αιχμής	02Sep2000, 09:30
Όγκος (MM)	123.49
Όγκος βροχόπτωσης (M3)	9.47E6
Όγκος απωλειών (M3)	5.33E6
Ενεργός Όγκος (M3)	4.14E6
Όγκος άμεσης απορροής (M3)	4.14E6
Όγκος βασικής απορροής (M3)	1.81E6

Βροχόπτωση και Απορροή



Υπολεκάνη: EL0415FR6002

Έκταση (KM2) : 27.73

Κατάντη : J2

Μέθοδος Απωλειών: SCS

Ποσοστό αδιαπέρατης επιφάνειας	0
Αριθμός Καμπύλης Απορροής-CN	62.76
Αρχικές Απώλειες	30.14

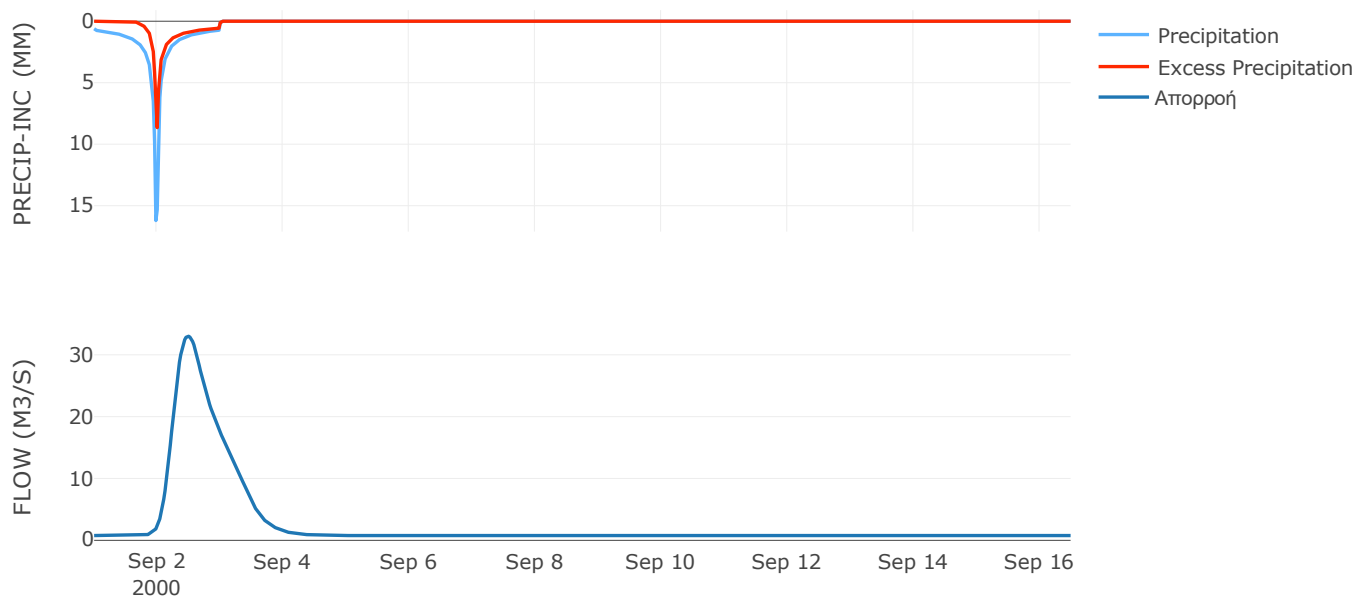
Μέθοδος
Μετασχηματισμού: SCS

Χρόνος Υστέρησης	587.17
------------------	--------

Αποτελέσματα:
EL0415FR6002

Παροχή αιχμής (M3/S)	33
Χρονική στιγμή αιχμής	02Sep2000, 11:30
Όγκος (MM)	125.99
Όγκος βροχόπτωσης (M3)	5.49E6
Όγκος απωλειών (M3)	3.04E6
Ενεργός Όγκος (M3)	2.45E6
Όγκος άμεσης απορροής (M3)	2.45E6
Όγκος βασικής απορροής (M3)	1.04E6

Βροχόπτωση και Απορροή



Υπολεκάνη: EL0415FR6003

Έκταση (KM2) : 27.92

Κατάντη : J3

Μέθοδος Απωλειών: SCS

Ποσοστό αδιαπέρατης επιφάνειας	0
Αριθμός Καμπύλης Απορροής-CN	58.76
Αρχικές Απώλειες	35.65

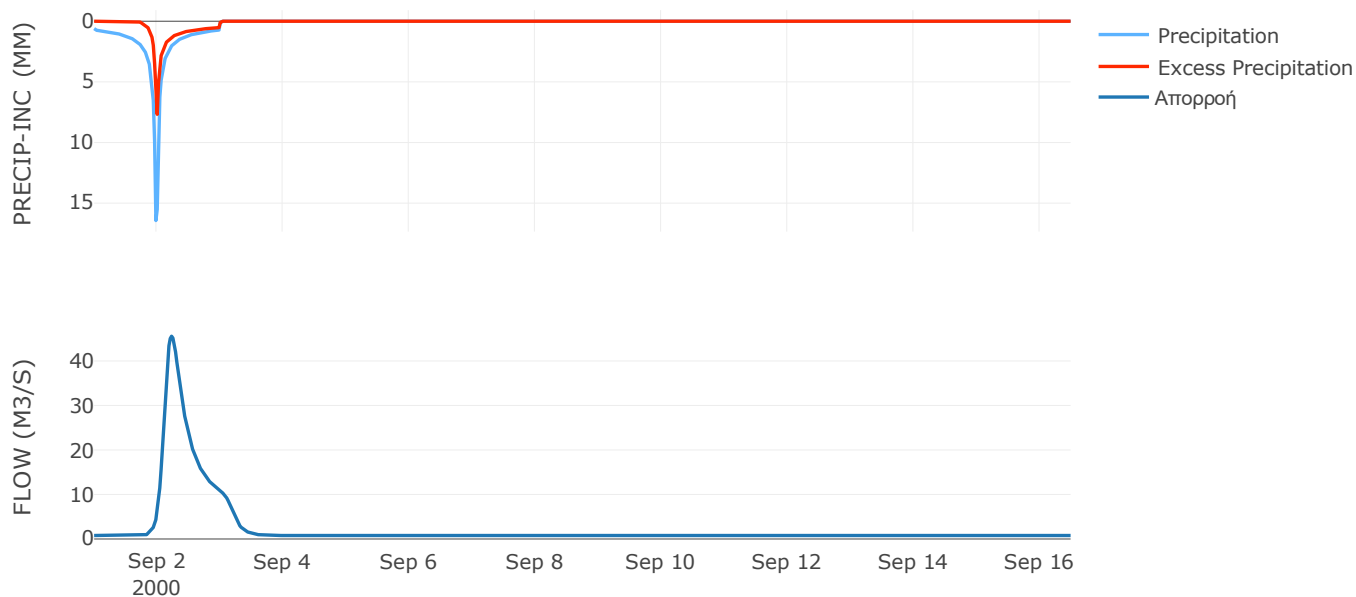
Μέθοδος
Μετασχηματισμού: SCS

Χρόνος Υστέρησης	271.9
------------------	-------

Αποτελέσματα:
EL0415FR6003

Παροχή αιχμής (M3/S)	45.57
Χρονική στιγμή αιχμής	02Sep2000, 05:30
Όγκος (MM)	115.38
Όγκος βροχόπτωσης (M3)	5.55E6
Όγκος απωλειών (M3)	3.37E6
Ενεργός Όγκος (M3)	2.17E6
Όγκος άμεσης απορροής (M3)	2.17E6
Όγκος βασικής απορροής (M3)	1.05E6

Βροχόπτωση και Απορροή



Υπολεκάνη: EL0415FR6004

Έκταση (KM2) : 22.76

Κατάντη : J4

Μέθοδος Απωλειών: SCS

Ποσοστό αδιαπέρατης επιφάνειας	0
Αριθμός Καμπύλης Απορροής-CN	52.88
Αρχικές Απώλειες	45.27

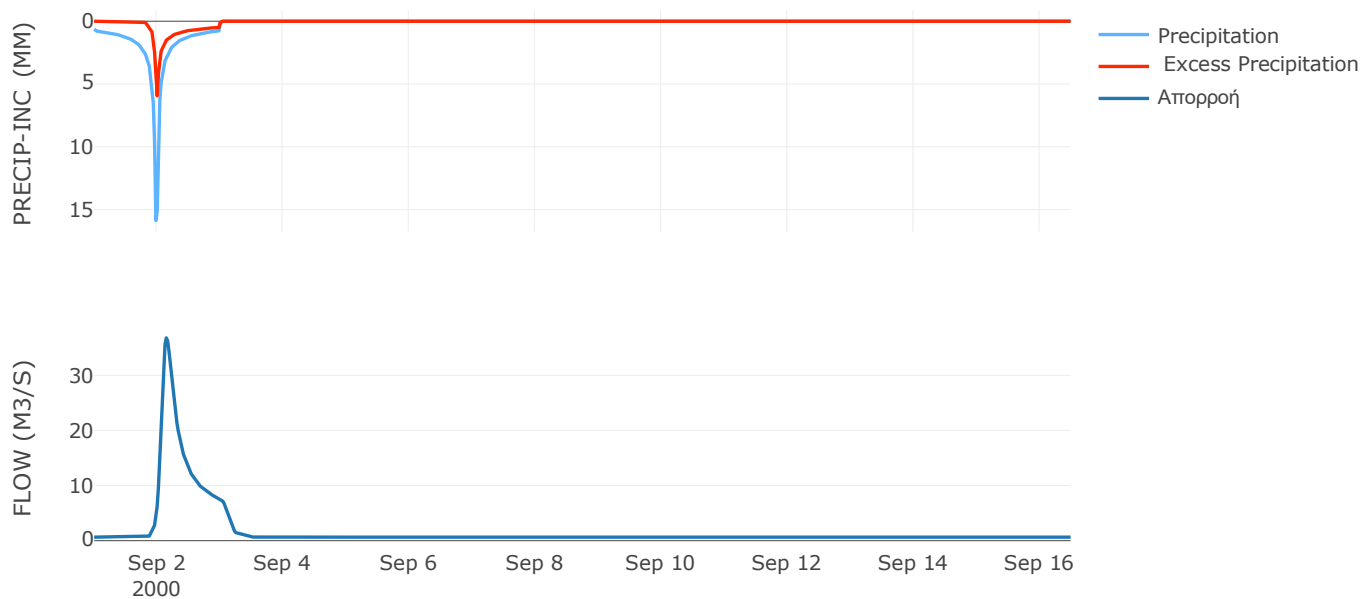
Μέθοδος
Μετασχηματισμού: SCS

Χρόνος Υστέρησης	168.29
------------------	--------

Αποτελέσματα:
EL0415FR6004

Παροχή αιχμής (M3/S)	36.8
Χρονική στιγμή αιχμής	02Sep2000, 03:30
Όγκος (MM)	101.4
Όγκος βροχόπτωσης (M3)	4.59E6
Όγκος απωλειών (M3)	3.14E6
Ενεργός Όγκος (M3)	1.45E6
Όγκος άμεσης απορροής (M3)	1.45E6
Όγκος βασικής απορροής (M3)	8.53E5

Βροχόπτωση και Απορροή



Υπολεκάνη: EL0415FR6005

Έκταση (KM2) : 10.79

Κατάντη : J5

Μέθοδος Απωλειών: SCS

Ποσοστό αδιαπέρατης επιφάνειας	0
Αριθμός Καμπύλης Απορροής-CN	64.94
Αρχικές Απώλειες	27.42

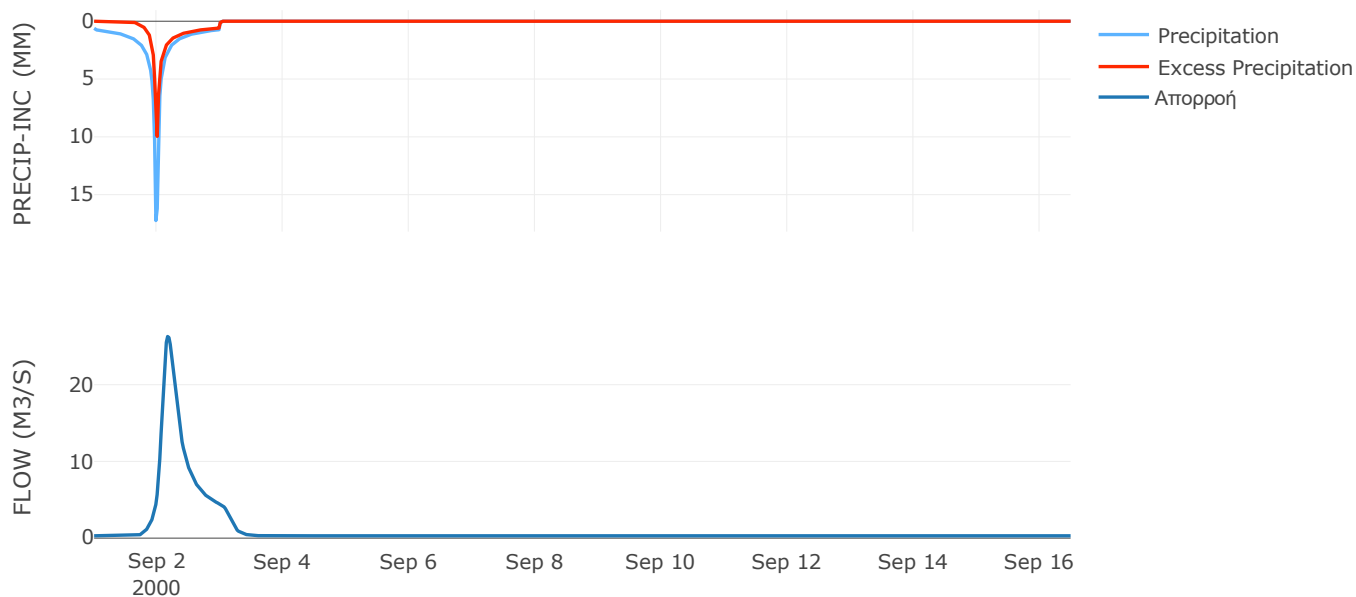
Μέθοδος
Μετασχηματισμού: SCS

Χρόνος Υστέρησης	213.81
------------------	--------

Αποτελέσματα:
EL0415FR6005

Παροχή αιχμής (M3/S)	26.28
Χρονική στιγμή αιχμής	02Sep2000, 04:00
Όγκος (MM)	136.79
Όγκος βροχόπτωσης (M3)	2.2E6
Όγκος απωλειών (M3)	1.13E6
Ενεργός Όγκος (M3)	1.07E6
Όγκος άμεσης απορροής (M3)	1.07E6
Όγκος βασικής απορροής (M3)	4.04E5

Βροχόπτωση και Απορροή



Υπολεκάνη: EL0415FR6006

Έκταση (KM2) : 20.96

Κατάντη : J5

Μέθοδος Απωλειών: SCS

Ποσοστό αδιαπέρατης επιφάνειας	0
Αριθμός Καμπύλης Απορροής-CN	46.99
Αρχικές Απώλειες	57.31

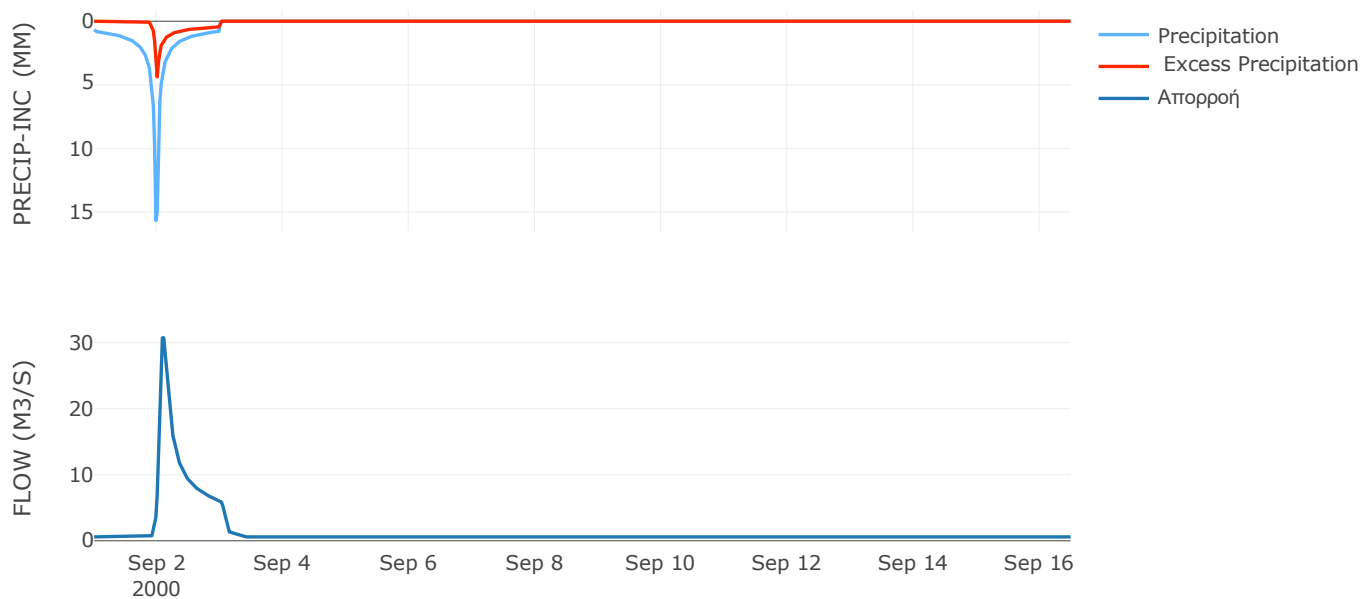
Μέθοδος
Μετασχηματισμού: SCS

Χρόνος Υστέρησης	98
------------------	----

Αποτελέσματα:
EL0415FR6006

Παροχή αιχμής (M3/S)	30.76
Χρονική στιγμή αιχμής	02Sep2000, 02:30
Όγκος (MM)	87.95
Όγκος βροχόπτωσης (M3)	4.3E6
Όγκος απωλειών (M3)	3.25E6
Ενεργός Όγκος (M3)	1.06E6
Όγκος άμεσης απορροής (M3)	1.06E6
Όγκος βασικής απορροής (M3)	7.86E5

Βροχόπτωση και Απορροή



Υπολεκάνη: EL0415FR6007

Έκταση (KM2) : 16.96

Κατάντη : J6

Μέθοδος Απωλειών: SCS

Ποσοστό αδιαπέρατης επιφάνειας	0
Αριθμός Καμπύλης Απορροής-CN	55.91
Αρχικές Απώλειες	40.07

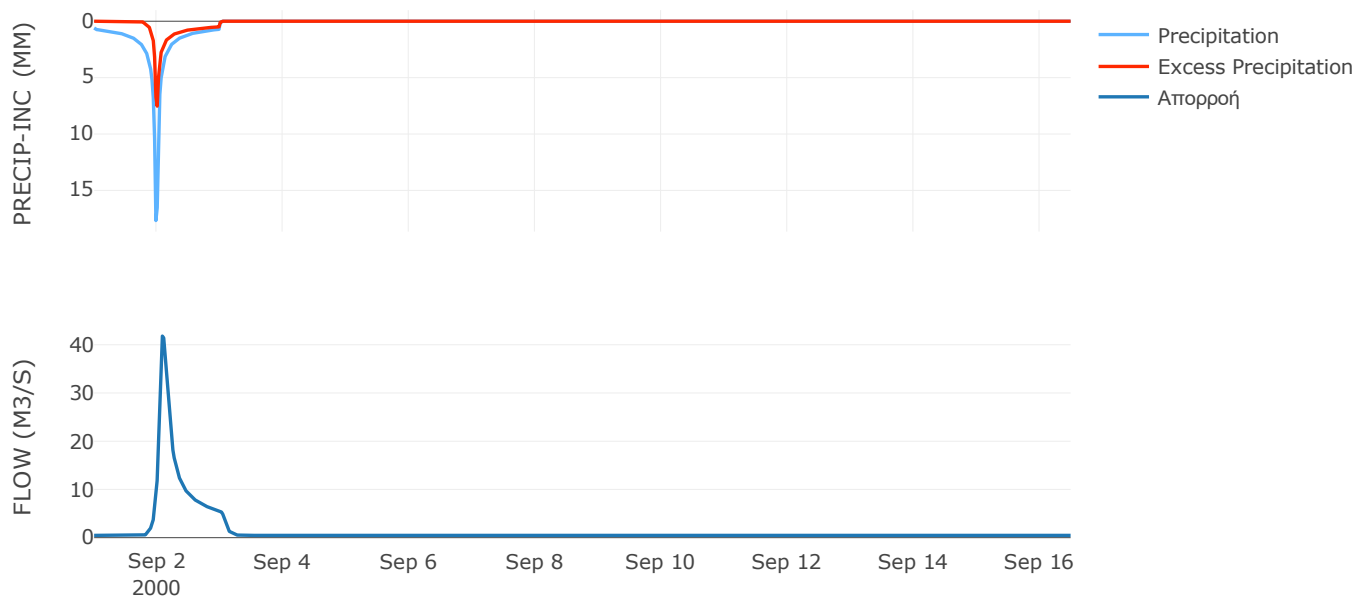
Μέθοδος
Μετασχηματισμού: SCS

Χρόνος Υστέρησης	105.13
------------------	--------

Αποτελέσματα:
EL0415FR6007

Παροχή αιχμής (M3/S)	41.8
Χρονική στιγμή αιχμής	02Sep2000, 02:00
Όγκος (MM)	110.94
Όγκος βροχόπτωσης (M3)	3.45E6
Όγκος απωλειών (M3)	2.21E6
Ενεργός Όγκος (M3)	1.25E6
Όγκος άμεσης απορροής (M3)	1.25E6
Όγκος βασικής απορροής (M3)	6.36E5

Βροχόπτωση και Απορροή



Υπολεκάνη: EL0415FR6008

Έκταση (KM2) : 24.49

Κατάντη : J6

Μέθοδος Απωλειών: SCS

Ποσοστό αδιαπέρατης επιφάνειας	0
Αριθμός Καμπύλης Απορροής-CN	65.89
Αρχικές Απώλειες	26.29

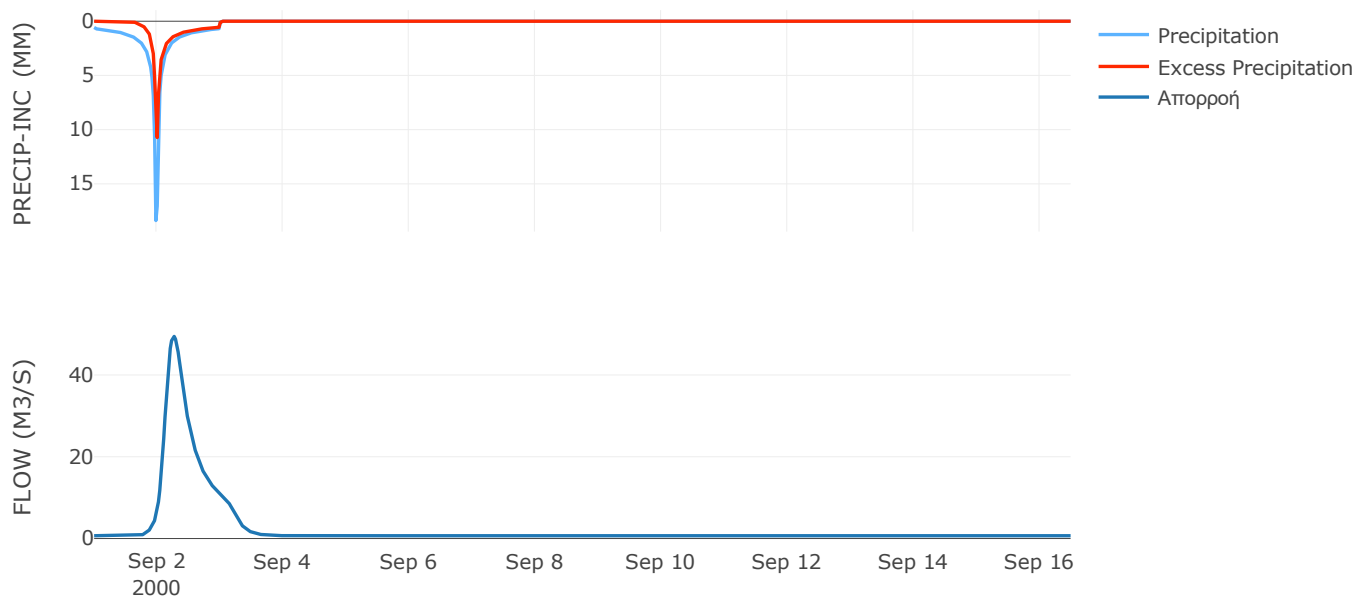
Μέθοδος
Μετασχηματισμού: SCS

Χρόνος Υστέρησης	325.39
------------------	--------

Αποτελέσματα:
EL0415FR6008

Παροχή αιχμής (M3/S)	49.43
Χρονική στιγμή αιχμής	02Sep2000, 06:30
Όγκος (MM)	137.9
Όγκος βροχόπτωσης (M3)	4.94E6
Όγκος απωλειών (M3)	2.48E6
Ενεργός Όγκος (M3)	2.46E6
Όγκος άμεσης απορροής (M3)	2.46E6
Όγκος βασικής απορροής (M3)	9.18E5

Βροχόπτωση και Απορροή



Υπολεκάνη: EL0415FR6009

Έκταση (KM2) : 22.05

Κατάντη : J7

Μέθοδος Απωλειών: SCS

Ποσοστό αδιαπέρατης επιφάνειας	41
Αριθμός Καμπύλης Απορροής-CN	61.95
Αρχικές Απώλειες	31.2

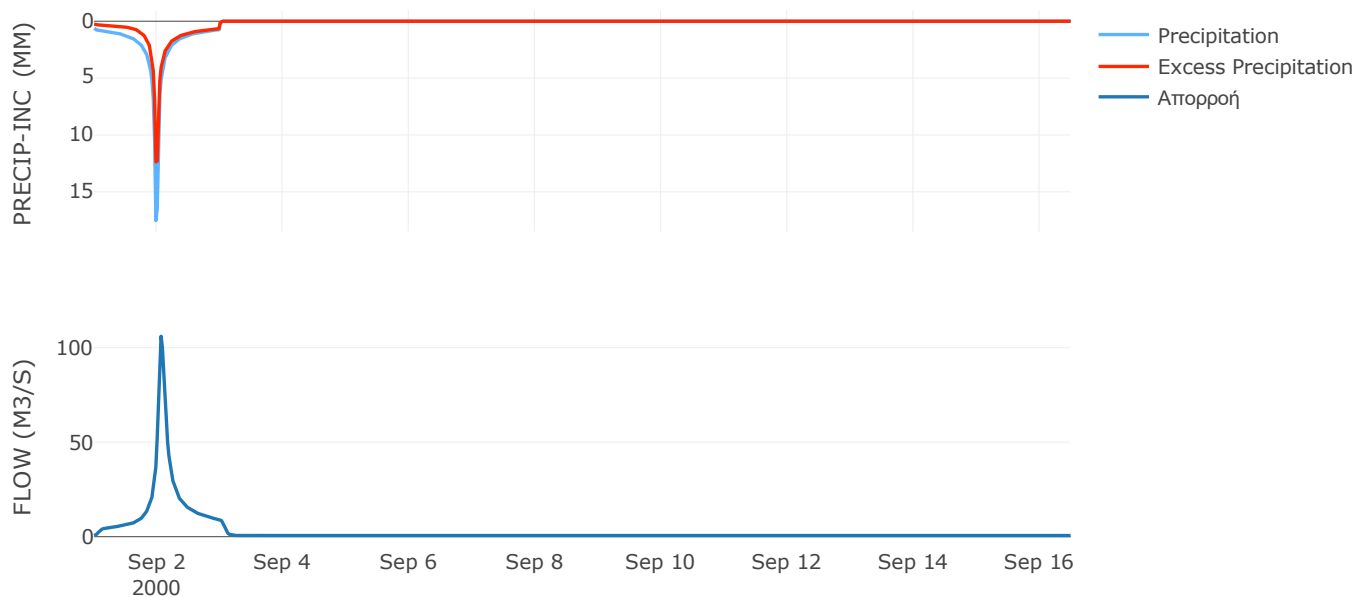
Μέθοδος
Μετασχηματισμού: SCS

Χρόνος Υστέρησης	81.31
------------------	-------

Αποτελέσματα:
EL0415FR6009

Παροχή αιχμής (M3/S)	106.06
Χρονική στιγμή αιχμής	02Sep2000, 01:30
Όγκος (MM)	177.78
Όγκος βροχόπτωσης (M3)	4.58E6
Όγκος απωλειών (M3)	1.48E6
Ενεργός Όγκος (M3)	3.09E6
Όγκος άμεσης απορροής (M3)	3.09E6
Όγκος βασικής απορροής (M3)	8.27E5

Βροχόπτωση και Απορροή



Υπολεκάνη: EL0415FR6010

Έκταση (KM2) : 10.43

Κατάντη : J9

Μέθοδος Απωλειών: SCS

Ποσοστό αδιαπέρατης επιφάνειας	0
Αριθμός Καμπύλης Απορροής-CN	49.95
Αρχικές Απώλειες	50.89

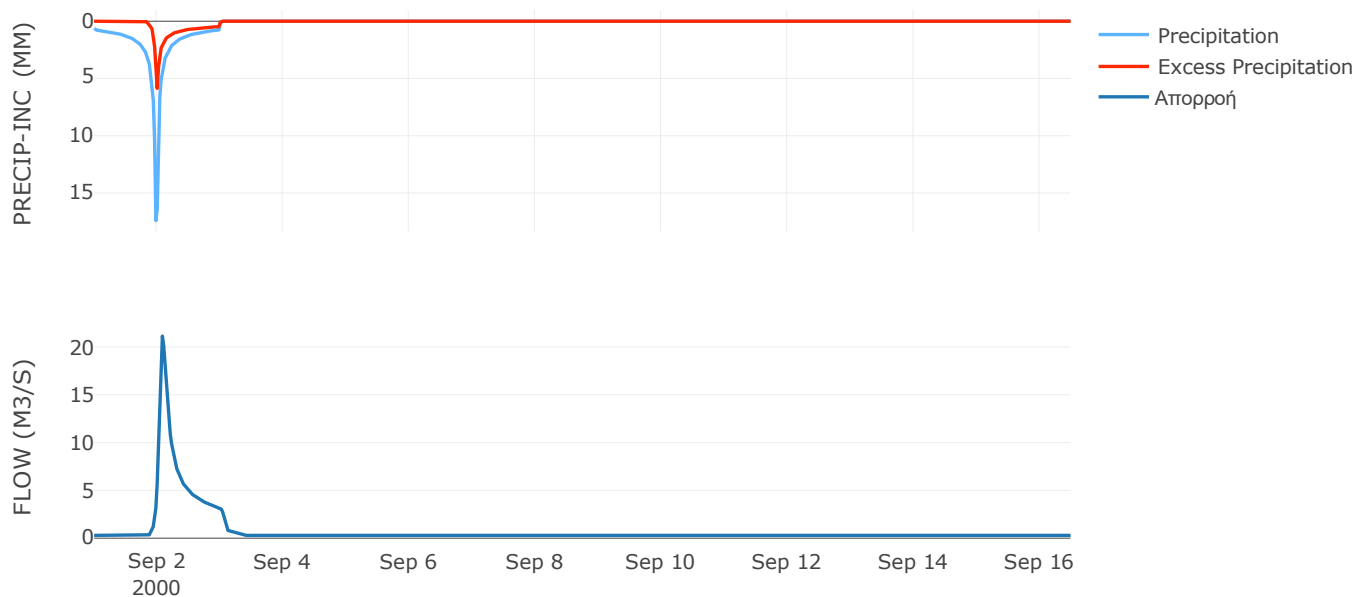
Μέθοδος
Μετασχηματισμού: SCS

Χρόνος Υστέρησης	91.4
------------------	------

Αποτελέσματα:
EL0415FR6010

Παροχή αιχμής (M3/S)	21.15
Χρονική στιγμή αιχμής	02Sep2000, 02:00
Όγκος (MM)	98.06
Όγκος βροχόπτωσης (M3)	2.18E6
Όγκος απωλειών (M3)	1.55E6
Ενεργός Όγκος (M3)	6.31E5
Όγκος άμεσης απορροής (M3)	6.31E5
Όγκος βασικής απορροής (M3)	3.91E5

Βροχόπτωση και Απορροή



Υπολεκάνη: EL0415FR6011

Έκταση (KM2) : 13.24

Κατάντη : J10

Μέθοδος Απωλειών: SCS

Ποσοστό αδιαπέρατης επιφάνειας	0
Αριθμός Καμπύλης Απορροής-CN	51.06
Αρχικές Απώλειες	48.69

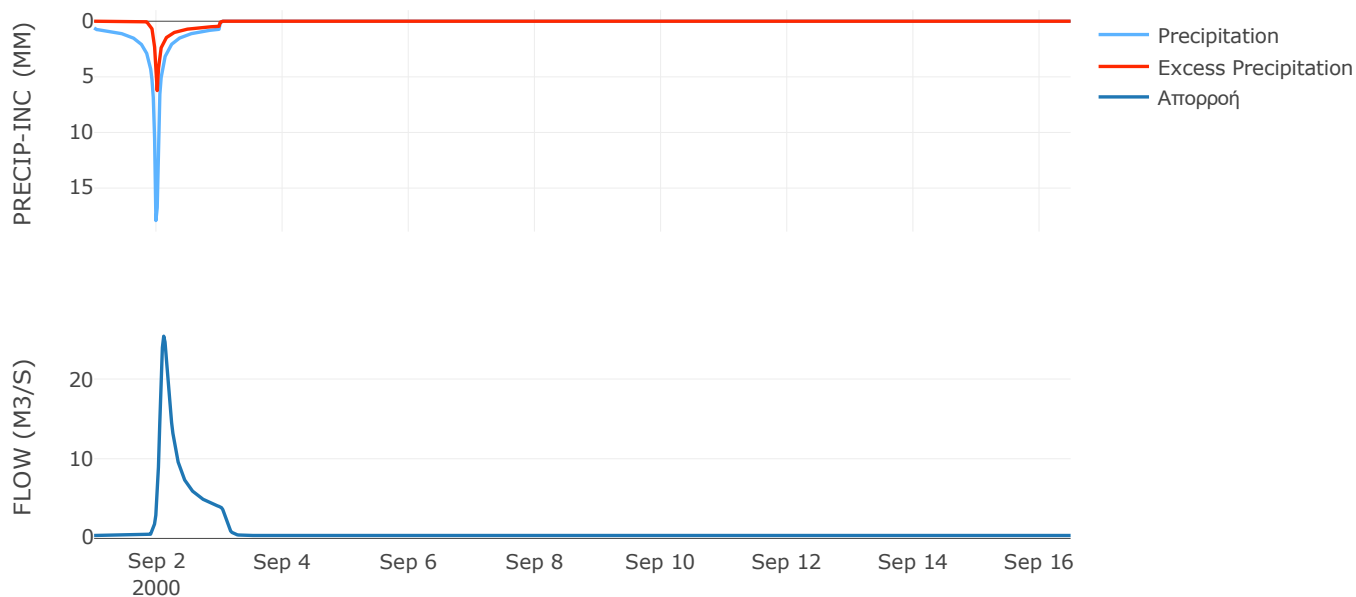
Μέθοδος
Μετασχηματισμού: SCS

Χρόνος Υστέρησης	118.86
------------------	--------

Αποτελέσματα:
EL0415FR6011

Παροχή αιχμής (M3/S)	25.38
Χρονική στιγμή αιχμής	02Sep2000, 02:30
Όγκος (MM)	99.11
Όγκος βροχόπτωσης (M3)	2.72E6
Όγκος απωλειών (M3)	1.91E6
Ενεργός Όγκος (M3)	8.15E5
Όγκος άμεσης απορροής (M3)	8.15E5
Όγκος βασικής απορροής (M3)	4.96E5

Βροχόπτωση και Απορροή



Υπολεκάνη: EL0415FR6012

Έκταση (KM2) : 11.82

Κατάνη : J11

Μέθοδος Απωλειών: SCS

Ποσοστό αδιαπέρατης επιφάνειας	0
Αριθμός Καμπύλης Απορροής-CN	34.51
Αρχικές Απώλειες	96.43

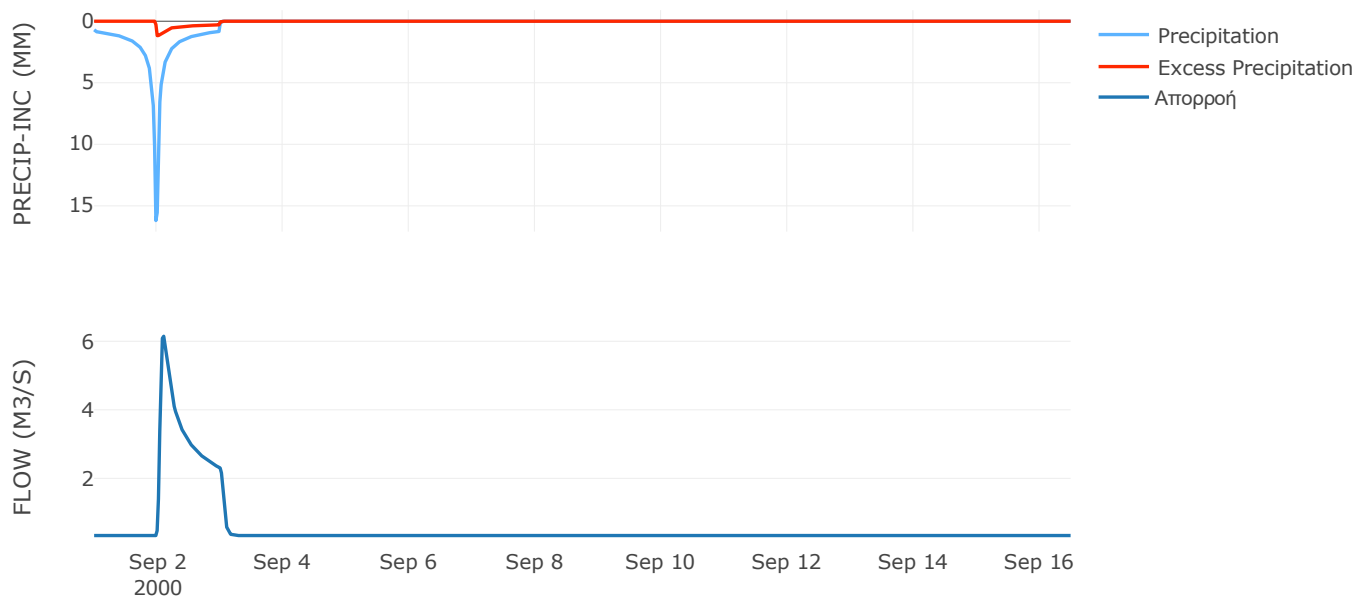
Μέθοδος
Μετασχηματισμού: SCS

Χρόνος Υστέρησης	64.09
------------------	-------

Αποτελέσματα:
EL0415FR6012

Παροχή αιχμής (M3/S)	6.15
Χρονική στιγμή αιχμής	02Sep2000, 02:30
Όγκος (MM)	60.54
Όγκος βροχόπτωσης (M3)	2.53E6
Όγκος απωλειών (M3)	2.26E6
Ενεργός Όγκος (M3)	2.72E5
Όγκος άμεσης απορροής (M3)	2.72E5
Όγκος βασικής απορροής (M3)	4.43E5

Βροχόπτωση και Απορροή



Υπολεκάνη: EL0415FR6013

Έκταση (KM2) : 37.65

Κατάντη : J12

Μέθοδος Απωλειών: SCS

Ποσοστό αδιαπέρατης επιφάνειας	0
Αριθμός Καμπύλης Απορροής-CN	35.21
Αρχικές Απώλειες	93.47

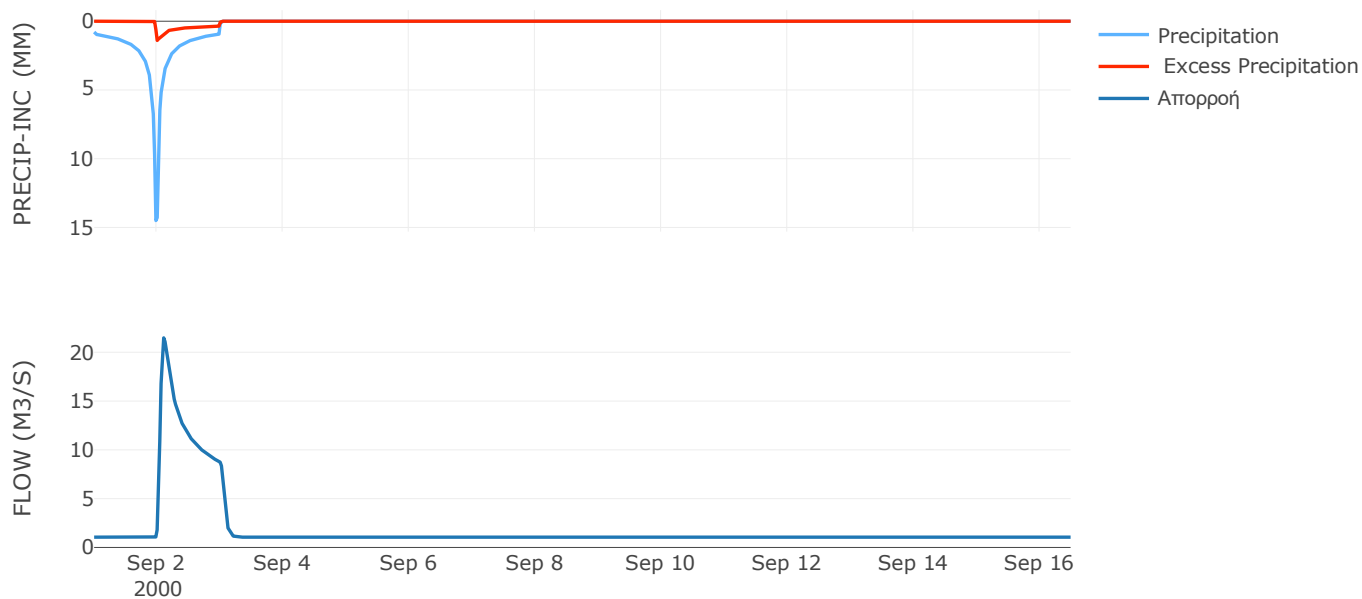
Μέθοδος
Μετασχηματισμού: SCS

Χρόνος Υστέρησης	78.37
------------------	-------

Αποτελέσματα:
EL0415FR6013

Παροχή αιχμής (M3/S)	21.48
Χρονική στιγμή αιχμής	02Sep2000, 02:30
Όγκος (MM)	64.74
Όγκος βροχόπτωσης (M3)	8.31E6
Όγκος απωλειών (M3)	7.28E6
Ενεργός Όγκος (M3)	1.03E6
Όγκος άμεσης απορροής (M3)	1.03E6
Όγκος βασικής απορροής (M3)	1.41E6

Βροχόπτωση και Απορροή



Υπολεκάνη: EL0415FR6014

Έκταση (KM2) : 17.43

Κατάντη : J8

Μέθοδος Απωλειών: SCS

Ποσοστό αδιαπέρατης επιφάνειας	0
Αριθμός Καμπύλης Απορροής-CN	64.82
Αρχικές Απώλειες	27.57

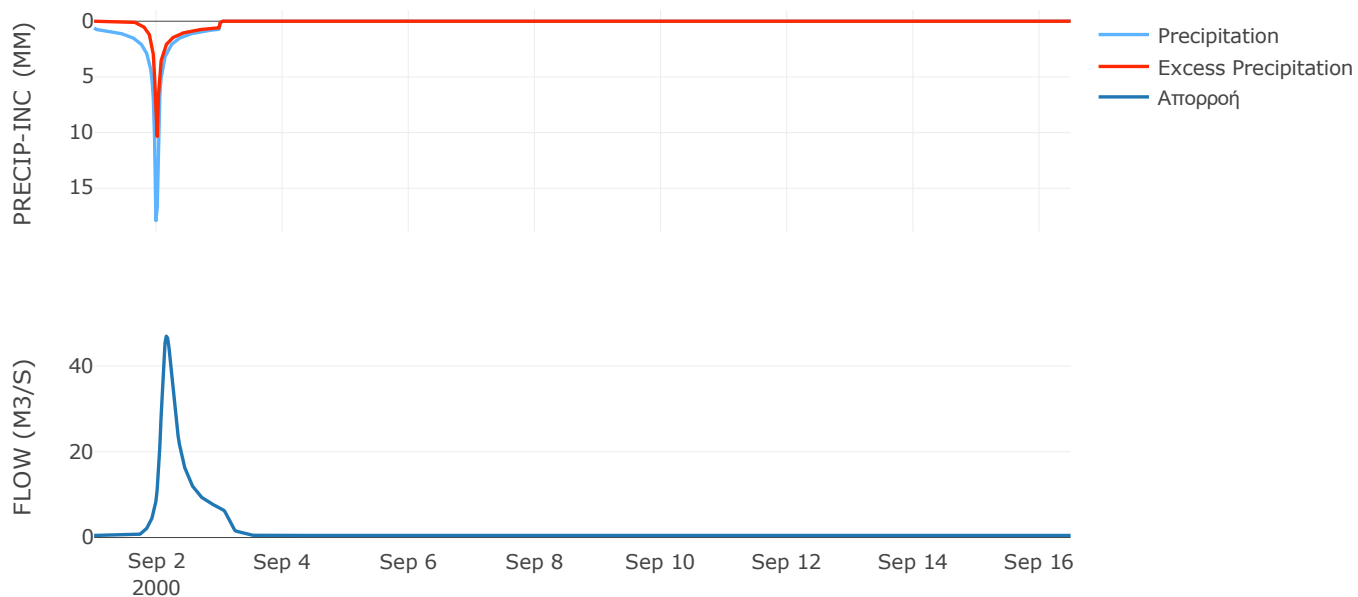
Μέθοδος
Μετασχηματισμού: SCS

Χρόνος Υστέρησης	186.26
------------------	--------

Αποτελέσματα:
EL0415FR6014

Παροχή αιχμής (M3/S)	46.94
Χρονική στιγμή αιχμής	02Sep2000, 03:30
Όγκος (MM)	138.23
Όγκος βροχόπτωσης (M3)	3.59E6
Όγκος απωλειών (M3)	1.84E6
Ενεργός Όγκος (M3)	1.76E6
Όγκος άμεσης απορροής (M3)	1.76E6
Όγκος βασικής απορροής (M3)	6.54E5

Βροχόπτωση και Απορροή



Υπολεκάνη: EL0415FR6015

Έκταση (KM2) : 9.94

Κατάντη : J8

Μέθοδος Απωλειών: SCS

Ποσοστό αδιαπέρατης επιφάνειας	0
Αριθμός Καμπύλης Απορροής-CN	69.64
Αρχικές Απώλειες	22.14

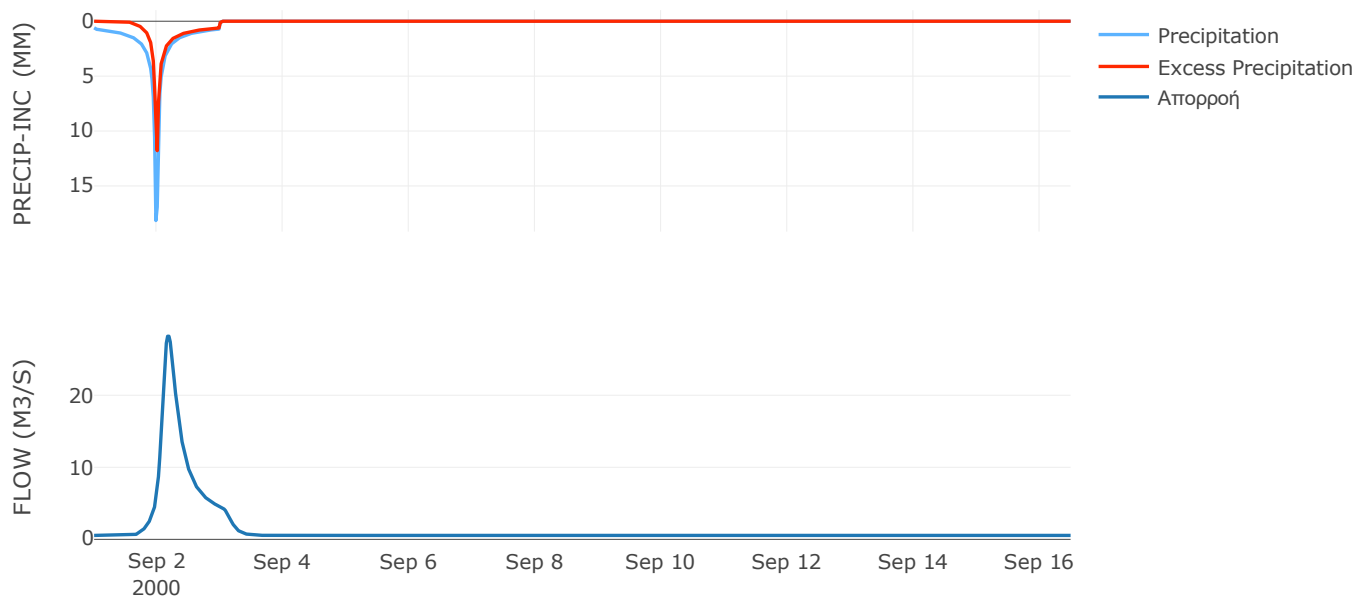
Μέθοδος
Μετασχηματισμού: SCS

Χρόνος Υστέρησης	223.65
------------------	--------

Αποτελέσματα:
EL0415FR6015

Παροχή αιχμής (M3/S)	28.19
Χρονική στιγμή αιχμής	02Sep2000, 04:00
Όγκος (MM)	187.83
Όγκος βροχόπτωσης (M3)	2.04E6
Όγκος απωλειών (M3)	9.06E5
Ενεργός Όγκος (M3)	1.13E6
Όγκος άμεσης απορροής (M3)	1.13E6
Όγκος βασικής απορροής (M3)	7.32E5

Βροχόπτωση και Απορροή



Υπολεκάνη: EL0415FR6016

Έκταση (KM2) : 45.09

Κατάνη : J13 Res1

Μέθοδος Απωλειών: SCS

Ποσοστό αδιαπέρατης επιφάνειας	14
Αριθμός Καμπύλης Απορροής-CN	68.93
Αρχικές Απώλειες	22.9

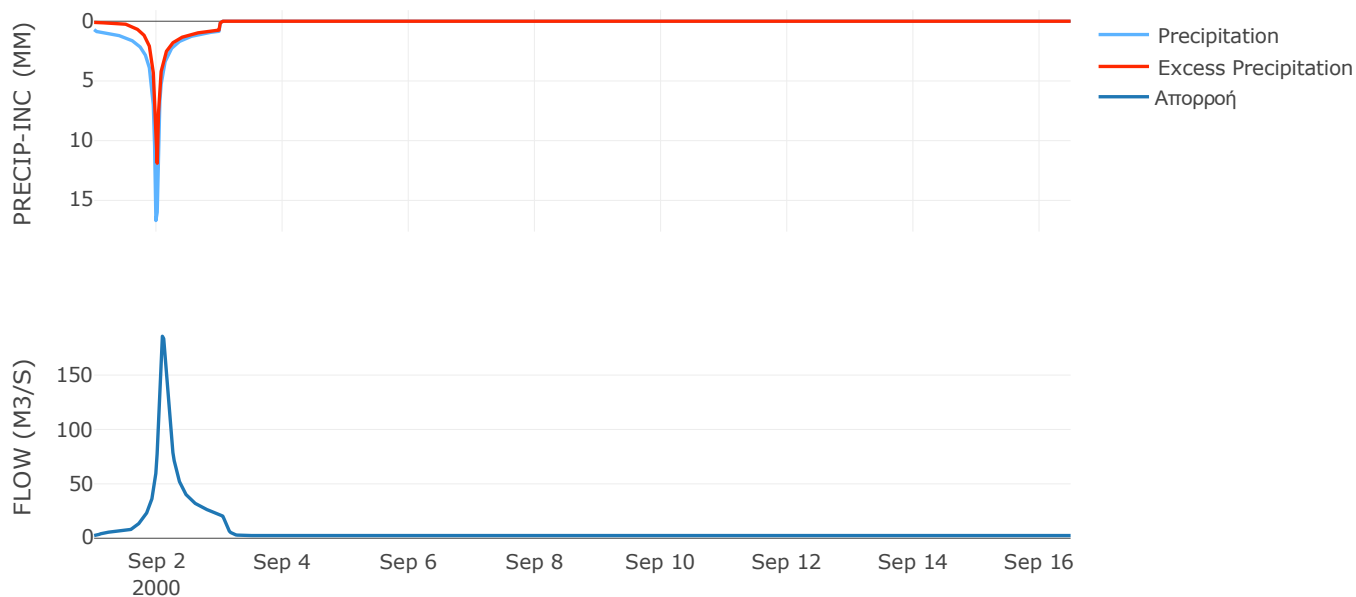
Μέθοδος
Μετασχηματισμού: SCS

Χρόνος Υστέρησης	114.74
------------------	--------

Αποτελέσματα:
EL0415FR6016

Παροχή αιχμής (M3/S)	185.67
Χρονική στιγμή αιχμής	02Sep2000, 02:00
Όγκος (MM)	210.14
Όγκος βροχόπτωσης (M3)	9.84E6
Όγκος απωλειών (M3)	3.69E6
Ενεργός Όγκος (M3)	6.15E6
Όγκος άμεσης απορροής (M3)	6.15E6
Όγκος βασικής απορροής (M3)	3.32E6

Βροχόπτωση και Απορροή



Υπολεκάνη: EL0415FR6017

Έκταση (KM2) : 48.36

Κατάνη : J14

Μέθοδος Απωλειών: SCS

Ποσοστό αδιαπέρατης επιφάνειας	0
Αριθμός Καμπύλης Απορροής-CN	63.35
Αρχικές Απώλειες	29.38

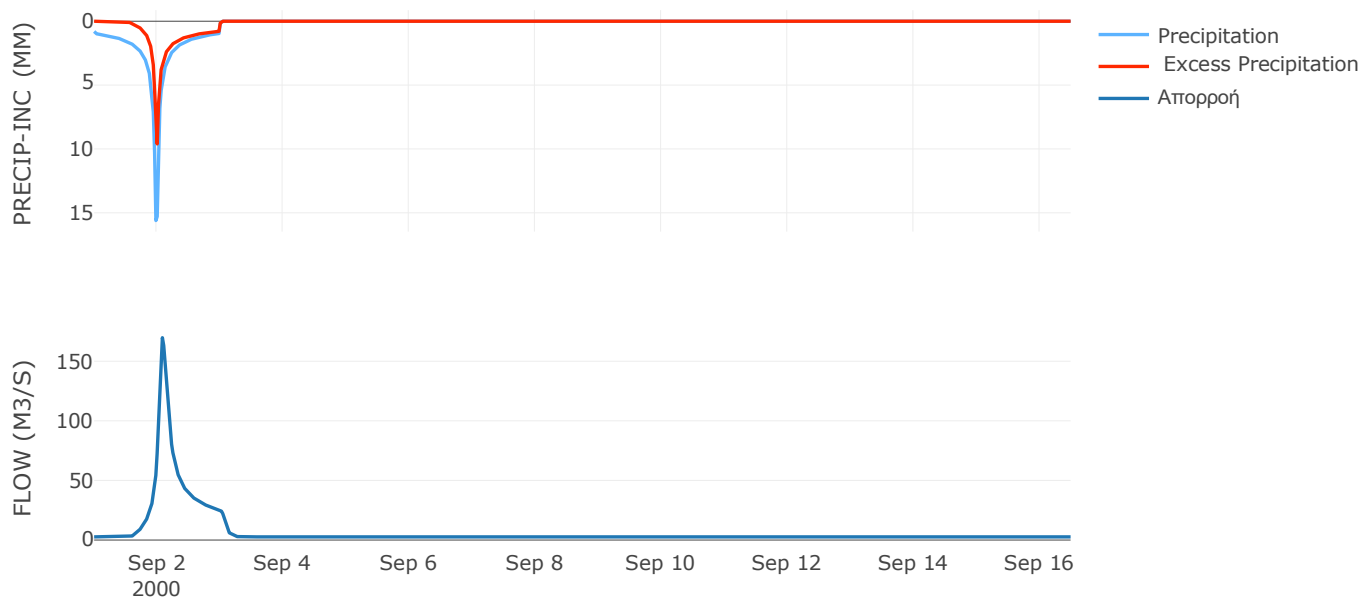
Μέθοδος
Μετασχηματισμού: SCS

Χρόνος Υστέρησης	101.85
------------------	--------

Αποτελέσματα:
EL0415FR6017

Παροχή αιχμής (M3/S)	169.72
Χρονική στιγμή αιχμής	02Sep2000, 02:00
Όγκος (MM)	189.68
Όγκος βροχόπτωσης (M3)	1.11E7
Όγκος απωλειών (M3)	5.52E6
Ενεργός Όγκος (M3)	5.61E6
Όγκος άμεσης απορροής (M3)	5.61E6
Όγκος βασικής απορροής (M3)	3.56E6

Βροχόπτωση και Απορροή



Υπολεκάνη: EL0415FR6018

Έκταση (KM2) : 76.58

Κατάντη : J19

Μέθοδος Απωλειών: SCS

Ποσοστό αδιαπέρατης επιφάνειας	8
Αριθμός Καμπύλης Απορροής-CN	66.98
Αρχικές Απώλειες	25.05

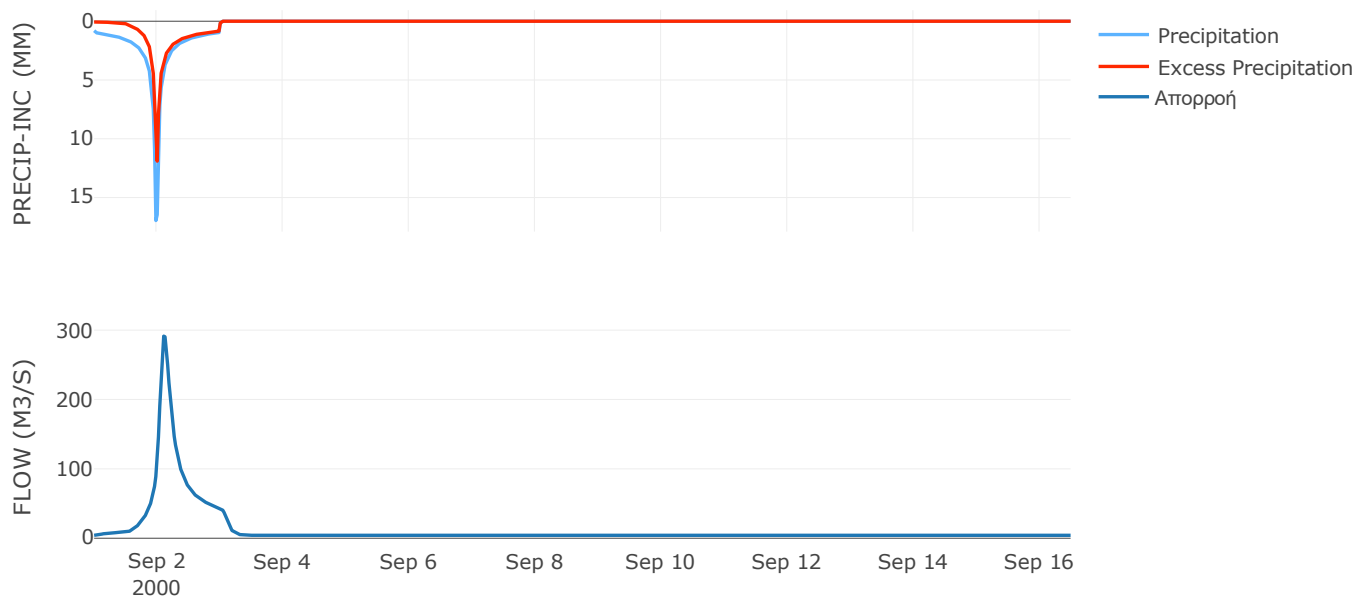
Μέθοδος
Μετασχηματισμού: SCS

Χρόνος Υστέρησης	142.89
------------------	--------

Αποτελέσματα:
EL0415FR6018

Παροχή αιχμής (M3/S)	291.38
Χρονική στιγμή αιχμής	02Sep2000, 02:30
Όγκος (MM)	216.13
Όγκος βροχόπτωσης (M3)	1.82E7
Όγκος απωλειών (M3)	7.32E6
Ενεργός Όγκος (M3)	1.09E7
Όγκος άμεσης απορροής (M3)	1.09E7
Όγκος βασικής απορροής (M3)	5.64E6

Βροχόπτωση και Απορροή



Υπολεκάνη: EL0415FR6019

Έκταση (KM2) : 114.28

Κατάντη : J18

Μέθοδος Απωλειών: SCS

Ποσοστό αδιαπέρατης επιφάνειας	4
Αριθμός Καμπύλης Απορροής-CN	61.14
Αρχικές Απώλειες	32.28

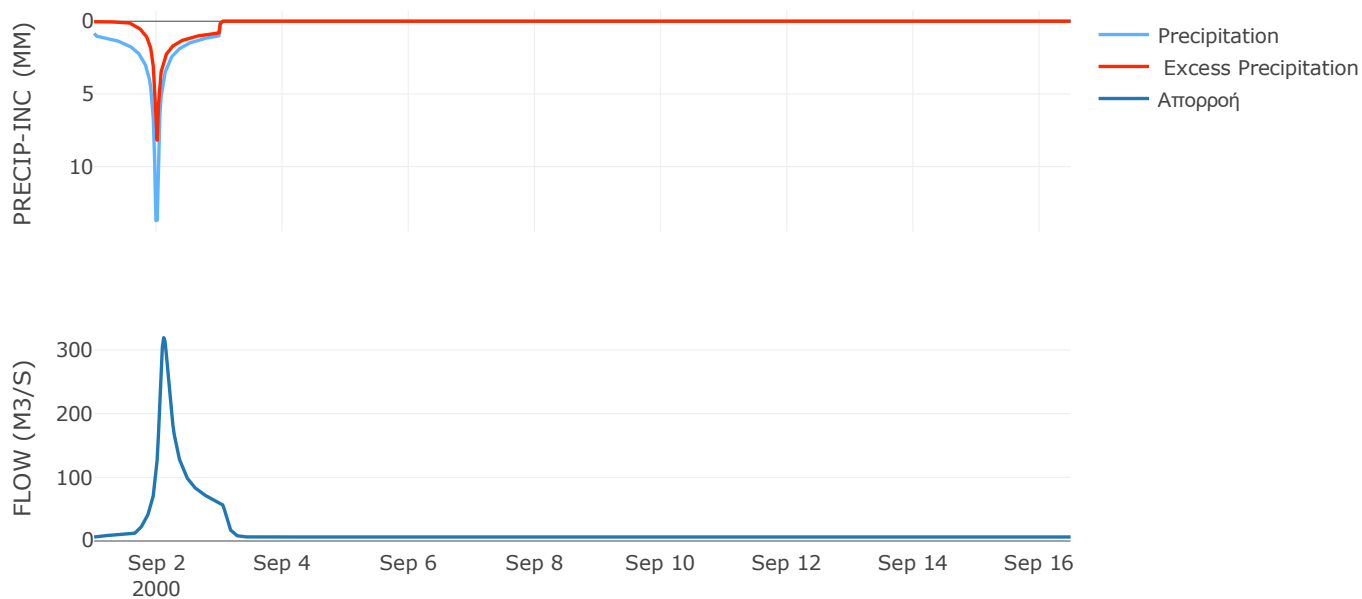
Μέθοδος
Μετασχηματισμού: SCS

Χρόνος Υστέρησης	130.24
------------------	--------

Αποτελέσματα:
EL0415FR6019

Παροχή αιχμής (M3/S)	319.25
Χρονική στιγμή αιχμής	02Sep2000, 02:30
Όγκος (MM)	183.88
Όγκος βροχόπτωσης (M3)	2.58E7
Όγκος απωλειών (M3)	1.32E7
Ενεργός Όγκος (M3)	1.26E7
Όγκος άμεσης απορροής (M3)	1.26E7
Όγκος βασικής απορροής (M3)	8.42E6

Βροχόπτωση και Απορροή



Υπολεκάνη: EL0415FR6020

Έκταση (KM2) : 41.91

Κατάντη : J14

Μέθοδος Απωλειών: SCS

Ποσοστό αδιαπέρατης επιφάνειας	0
Αριθμός Καμπύλης Απορροής-CN	63.91
Αρχικές Απώλειες	28.69

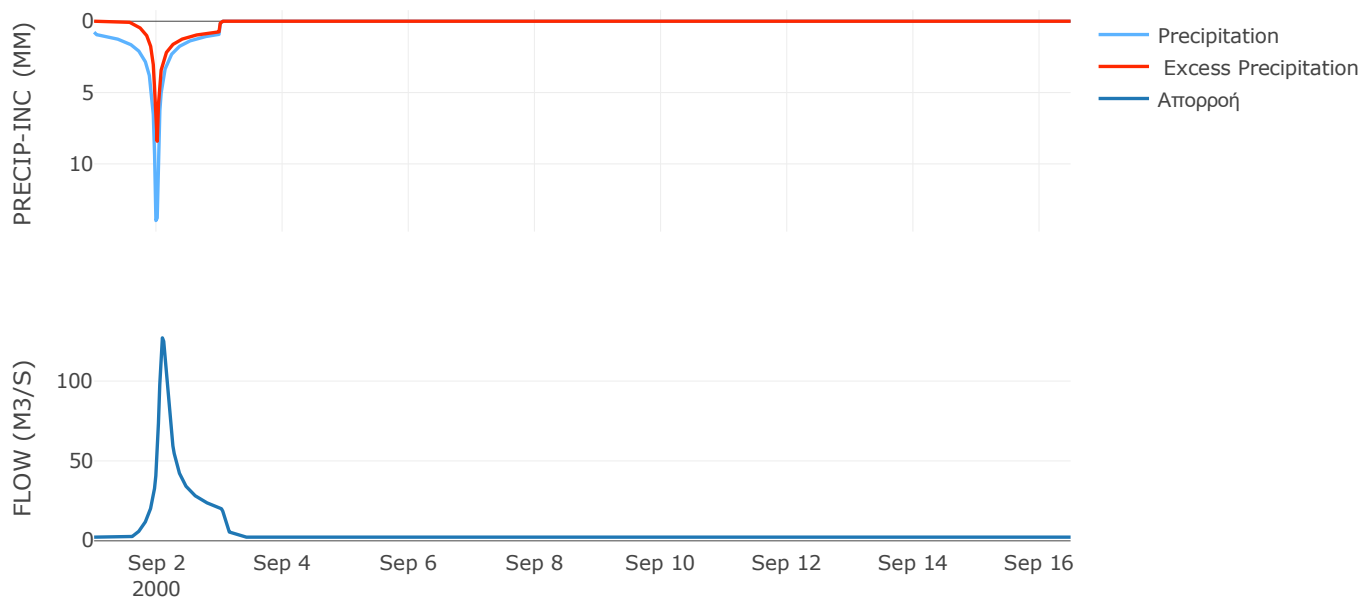
Μέθοδος
Μετασχηματισμού: SCS

Χρόνος Υστέρησης	107.29
------------------	--------

Αποτελέσματα:
EL0415FR6020

Παροχή αιχμής (M3/S)	127.04
Χρονική στιγμή αιχμής	02Sep2000, 02:00
Όγκος (MM)	178.97
Όγκος βροχόπτωσης (M3)	9.01E6
Όγκος απωλειών (M3)	4.6E6
Ενεργός Όγκος (M3)	4.41E6
Όγκος άμεσης απορροής (M3)	4.41E6
Όγκος βασικής απορροής (M3)	3.09E6

Βροχόπτωση και Απορροή



Υπολεκάνη: EL0415FR6021

Έκταση (KM2) : 21.44

Κατάντη : J20

Μέθοδος Απωλειών: SCS

Ποσοστό αδιαπέρατης επιφάνειας	0
Αριθμός Καμπύλης Απορροής-CN	63.81
Αρχικές Απώλειες	28.82

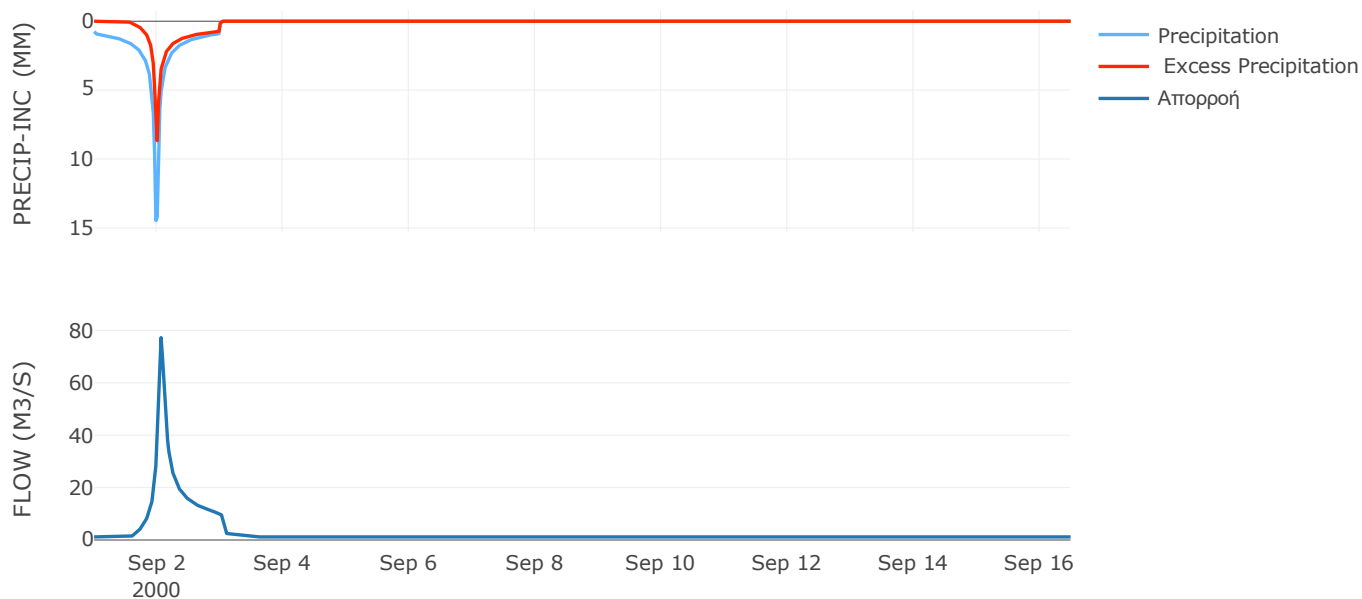
Μέθοδος
Μετασχηματισμού: SCS

Χρόνος Υστέρησης	68.08
------------------	-------

Αποτελέσματα:
EL0415FR6021

Παροχή αιχμής (M3/S)	77.24
Χρονική στιγμή αιχμής	02Sep2000, 01:30
Όγκος (MM)	179.28
Όγκος βροχόπτωσης (M3)	4.63E6
Όγκος απωλειών (M3)	2.36E6
Ενεργός Όγκος (M3)	2.26E6
Όγκος άμεσης απορροής (M3)	2.26E6
Όγκος βασικής απορροής (M3)	1.58E6

Βροχόπτωση και Απορροή



Υπολεκάνη: EL0415FR6022

Έκταση (KM2) : 28.16

Κατάντη : J20

Μέθοδος Απωλειών: SCS

Ποσοστό αδιαπέρατης επιφάνειας	0
Αριθμός Καμπύλης Απορροής-CN	64.77
Αρχικές Απώλειες	27.63

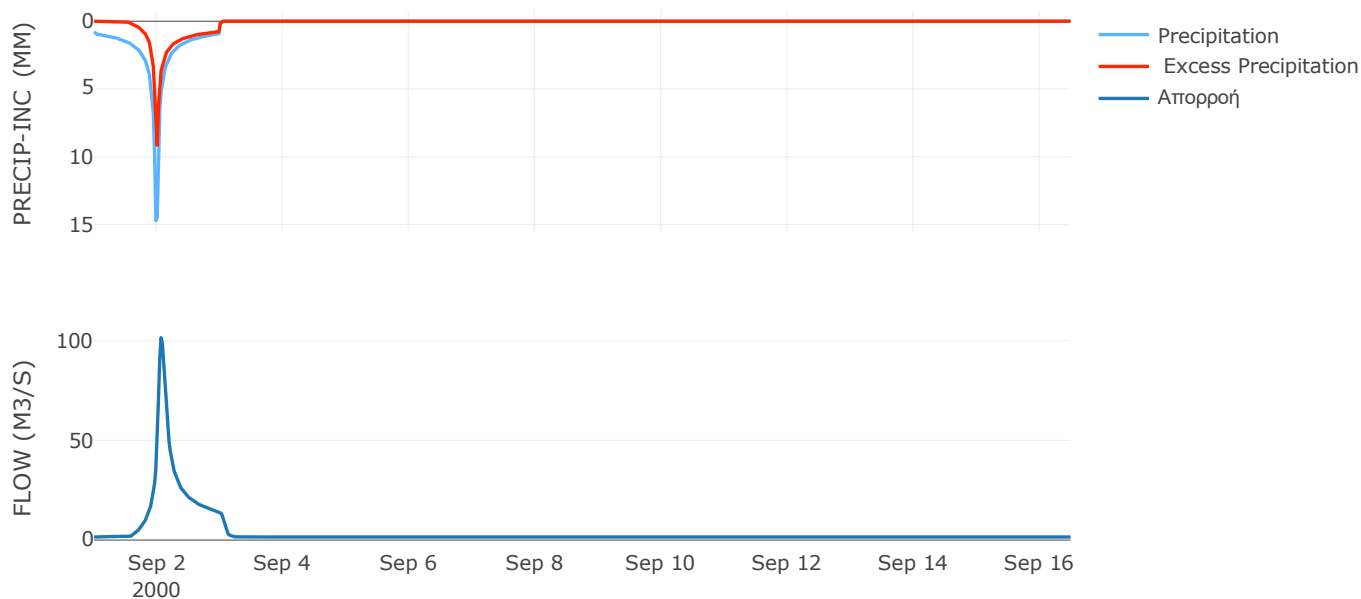
Μέθοδος
Μετασχηματισμού: SCS

Χρόνος Υστέρησης	81.25
------------------	-------

Αποτελέσματα:
EL0415FR6022

Παροχή αιχμής (M3/S)	101.51
Χρονική στιγμή αιχμής	02Sep2000, 01:30
Όγκος (MM)	185.53
Όγκος βροχόπτωσης (M3)	6.19E6
Όγκος απωλειών (M3)	3.04E6
Ενεργός Όγκος (M3)	3.15E6
Όγκος άμεσης απορροής (M3)	3.15E6
Όγκος βασικής απορροής (M3)	2.07E6

Βροχόπτωση και Απορροή



Υπολεκάνη: EL0415FR6023

Έκταση (KM2) : 48.62

Κατάντη : J61

Μέθοδος Απωλειών: SCS

Ποσοστό αδιαπέρατης επιφάνειας	0
Αριθμός Καμπύλης Απορροής-CN	55.83
Αρχικές Απώλειες	40.19

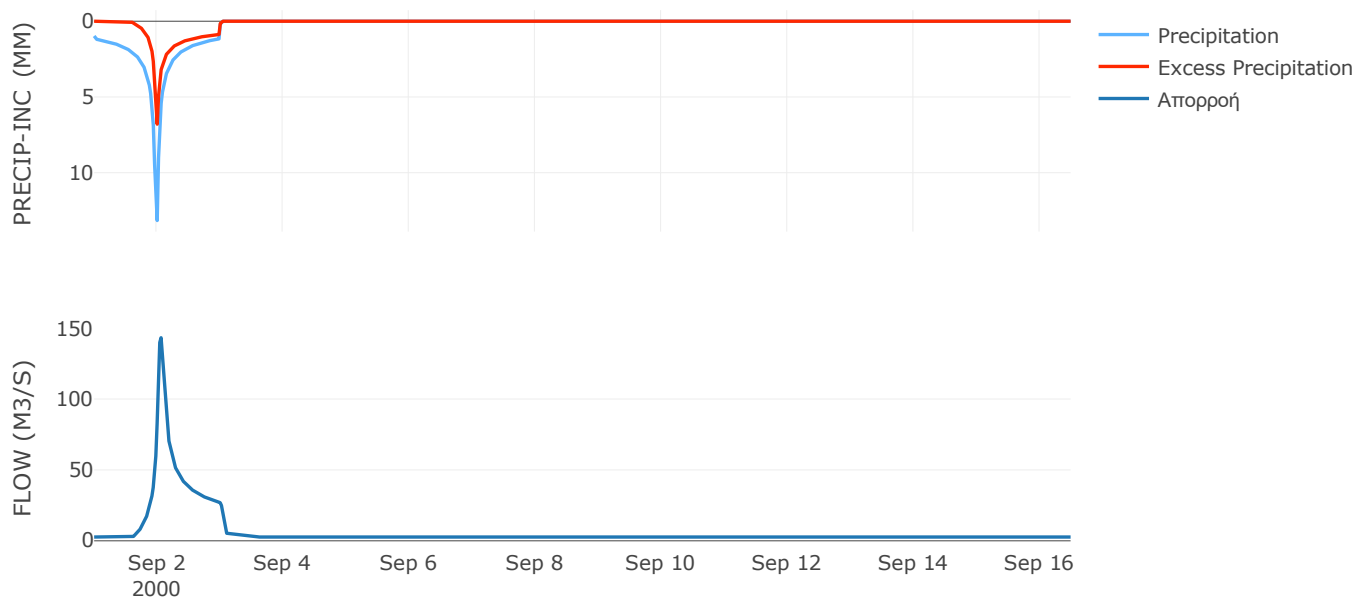
Μέθοδος
Μετασχηματισμού: SCS

Χρόνος Υστέρησης	61.05
------------------	-------

Αποτελέσματα:
EL0415FR6023

Παροχή αιχμής (M3/S)	143.23
Χρονική στιγμή αιχμής	02Sep2000, 01:30
Όγκος (MM)	175.25
Όγκος βροχόπτωσης (M3)	1.18E7
Όγκος απωλειών (M3)	6.86E6
Ενεργός Όγκος (M3)	4.94E6
Όγκος άμεσης απορροής (M3)	4.94E6
Όγκος βασικής απορροής (M3)	3.58E6

Βροχόπτωση και Απορροή



Υπολεκάνη: EL0415FR6024

Έκταση (KM2) : 39.41

Κατάντη : J16

Μέθοδος Απωλειών: SCS

Ποσοστό αδιαπέρατης επιφάνειας	0
Αριθμός Καμπύλης Απορροής-CN	64.14
Αρχικές Απώλειες	28.4

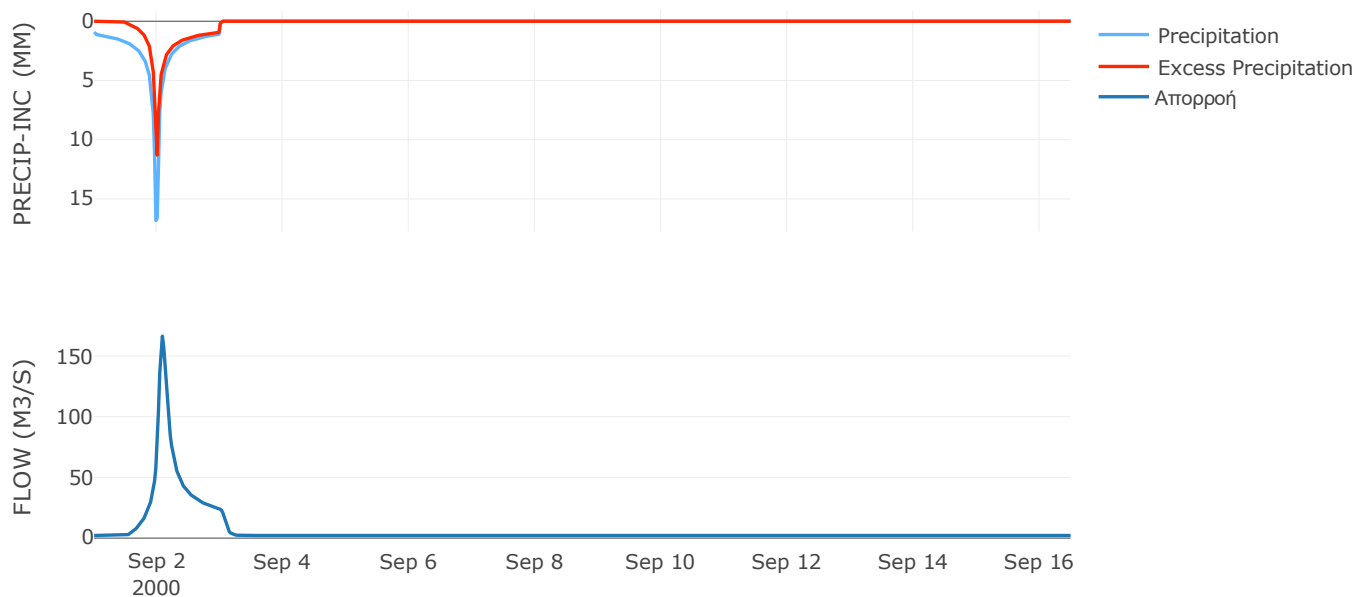
Μέθοδος
Μετασχηματισμού: SCS

Χρόνος Υστέρησης	99.09
------------------	-------

Αποτελέσματα:
EL0415FR6024

Παροχή αιχμής (M3/S)	166.3
Χρονική στιγμή αιχμής	02Sep2000, 02:00
Όγκος (MM)	215.27
Όγκος βροχόπτωσης (M3)	1.02E7
Όγκος απωλειών (M3)	4.58E6
Ενεργός Όγκος (M3)	5.58E6
Όγκος άμεσης απορροής (M3)	5.58E6
Όγκος βασικής απορροής (M3)	2.9E6

Βροχόπτωση και Απορροή



Υπολεκάνη: EL0415FR6025

Έκταση (KM2) : 14.18

Κατάντη : J21

Μέθοδος Απωλειών: SCS

Ποσοστό αδιαπέρατης επιφάνειας	0
Αριθμός Καμπύλης Απορροής-CN	62.72
Αρχικές Απώλειες	30.19

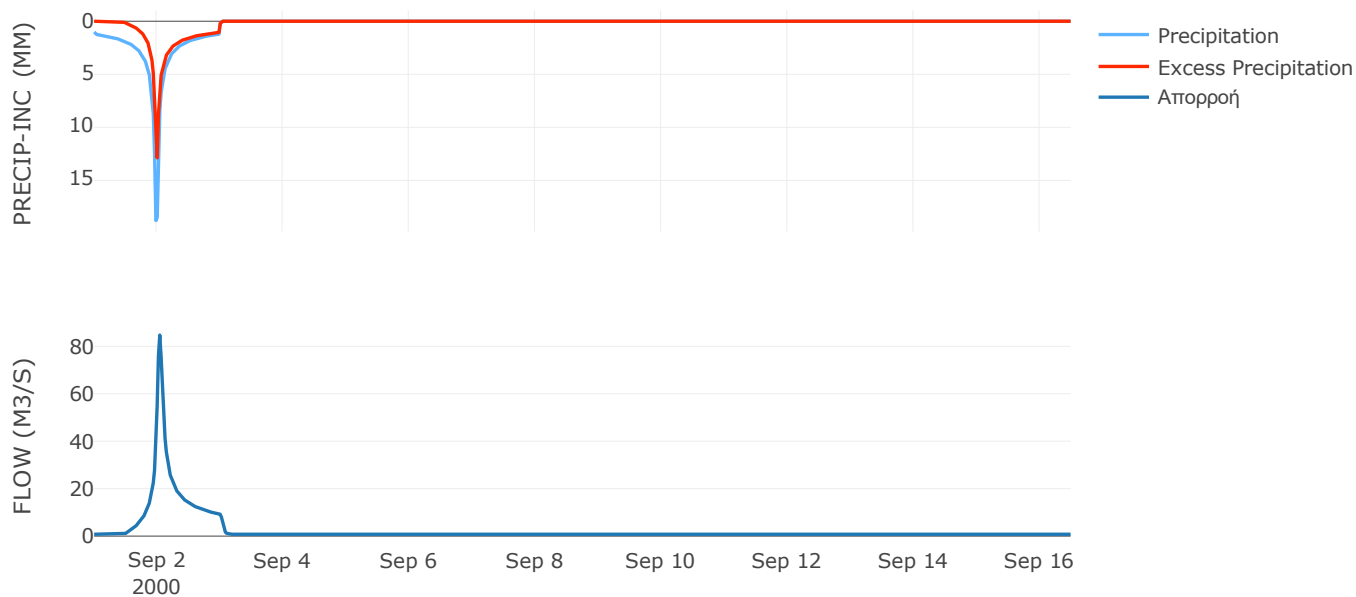
Μέθοδος
Μετασχηματισμού: SCS

Χρόνος Υστέρησης	45.76
------------------	-------

Αποτελέσματα:
EL0415FR6025

Παροχή αιχμής (M3/S)	84.73
Χρονική στιγμή αιχμής	02Sep2000, 01:00
Όγκος (MM)	234.5
Όγκος βροχόπτωσης (M3)	4.06E6
Όγκος απωλειών (M3)	1.77E6
Ενεργός Όγκος (M3)	2.28E6
Όγκος άμεσης απορροής (M3)	2.28E6
Όγκος βασικής απορροής (M3)	1.04E6

Βροχόπτωση και Απορροή



Υπολεκάνη: EL0415FR6026

Έκταση (KM2) : 38.04

Κατάντη : J21

Μέθοδος Απωλειών: SCS

Ποσοστό αδιαπέρατης επιφάνειας	0
Αριθμός Καμπύλης Απορροής-CN	56.55
Αρχικές Απώλειες	39.03

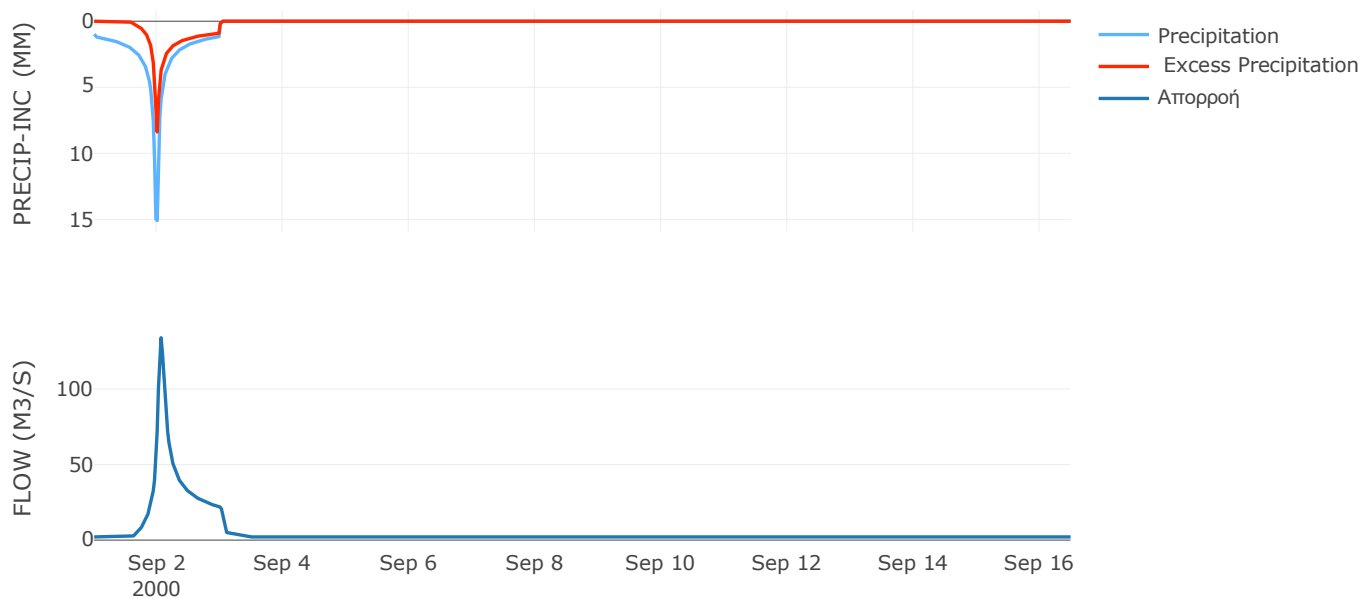
Μέθοδος
Μετασχηματισμού: SCS

Χρόνος Υστέρησης	68.69
------------------	-------

Αποτελέσματα:
EL0415FR6026

Παροχή αιχμής (M3/S)	133.93
Χρονική στιγμή αιχμής	02Sep2000, 01:30
Όγκος (MM)	188.63
Όγκος βροχόπτωσης (M3)	9.77E6
Όγκος απωλειών (M3)	5.4E6
Ενεργός Όγκος (M3)	4.37E6
Όγκος άμεσης απορροής (M3)	4.37E6
Όγκος βασικής απορροής (M3)	2.8E6

Βροχόπτωση και Απορροή



Υπολεκάνη: EL0415FR6027

Έκταση (KM2) : 185.56

Κατάντη : J21

Μέθοδος Απωλειών: SCS

Ποσοστό αδιαπέρατης επιφάνειας	0
Αριθμός Καμπύλης Απορροής-CN	53.49
Αρχικές Απώλειες	44.17

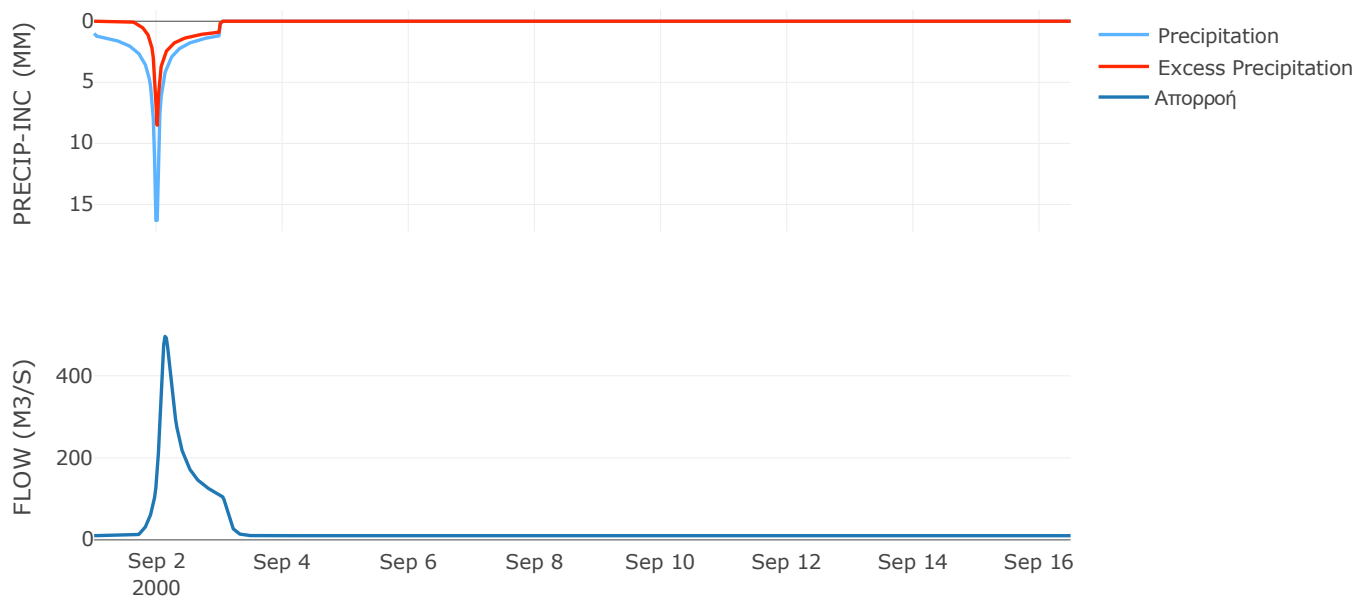
Μέθοδος
Μετασχηματισμού: SCS

Χρόνος Υστέρησης	155.34
------------------	--------

Αποτελέσματα:
EL0415FR6027

Παροχή αιχμής (M3/S)	496.05
Χρονική στιγμή αιχμής	02Sep2000, 03:00
Όγκος (MM)	186.59
Όγκος βροχόπτωσης (M3)	4.98E7
Όγκος απωλειών (M3)	2.88E7
Ενεργός Όγκος (M3)	2.1E7
Όγκος άμεσης απορροής (M3)	2.1E7
Όγκος βασικής απορροής (M3)	1.37E7

Βροχόπτωση και Απορροή



Υπολεκάνη: EL0415FR6028

Έκταση (KM2) : 39.67

Κατάντη : J22

Μέθοδος Απωλειών: SCS

Ποσοστό αδιαπέρατης επιφάνειας	0
Αριθμός Καμπύλης Απορροής-CN	27.3
Αρχικές Απώλειες	135.28

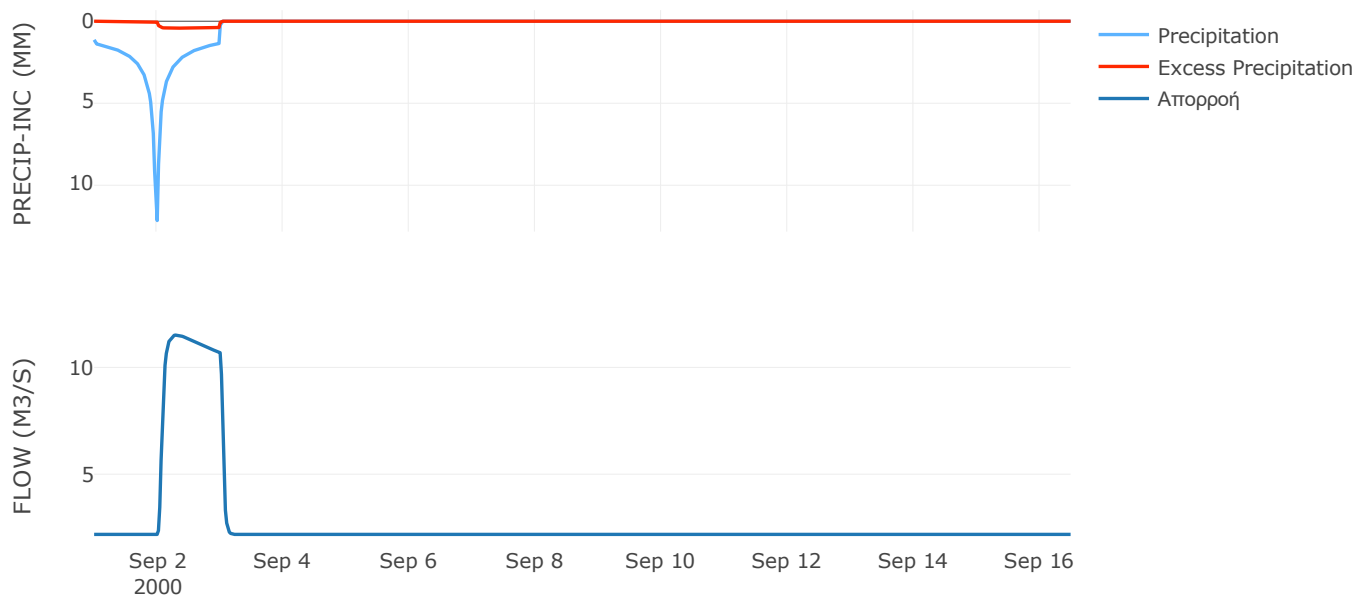
Μέθοδος
Μετασχηματισμού: SCS

Χρόνος Υστέρησης	50.06
------------------	-------

Αποτελέσματα:
EL0415FR6028

Παροχή αιχμής (M3/S)	11.51
Χρονική στιγμή αιχμής	02Sep2000, 07:30
Όγκος (MM)	92.67
Όγκος βροχόπτωσης (M3)	1.03E7
Όγκος απωλειών (M3)	9.5E6
Ενεργός Όγκος (M3)	7.54E5
Όγκος άμεσης απορροής (M3)	7.54E5
Όγκος βασικής απορροής (M3)	2.92E6

Βροχόπτωση και Απορροή



Υπολεκάνη: EL0415FR6029

Έκταση (KM2) : 74.56

Κατάνη : J31

Μέθοδος Απωλειών: SCS

Ποσοστό αδιαπέρατης επιφάνειας	22
Αριθμός Καμπύλης Απορροής-CN	48.02
Αρχικές Απώλειες	55

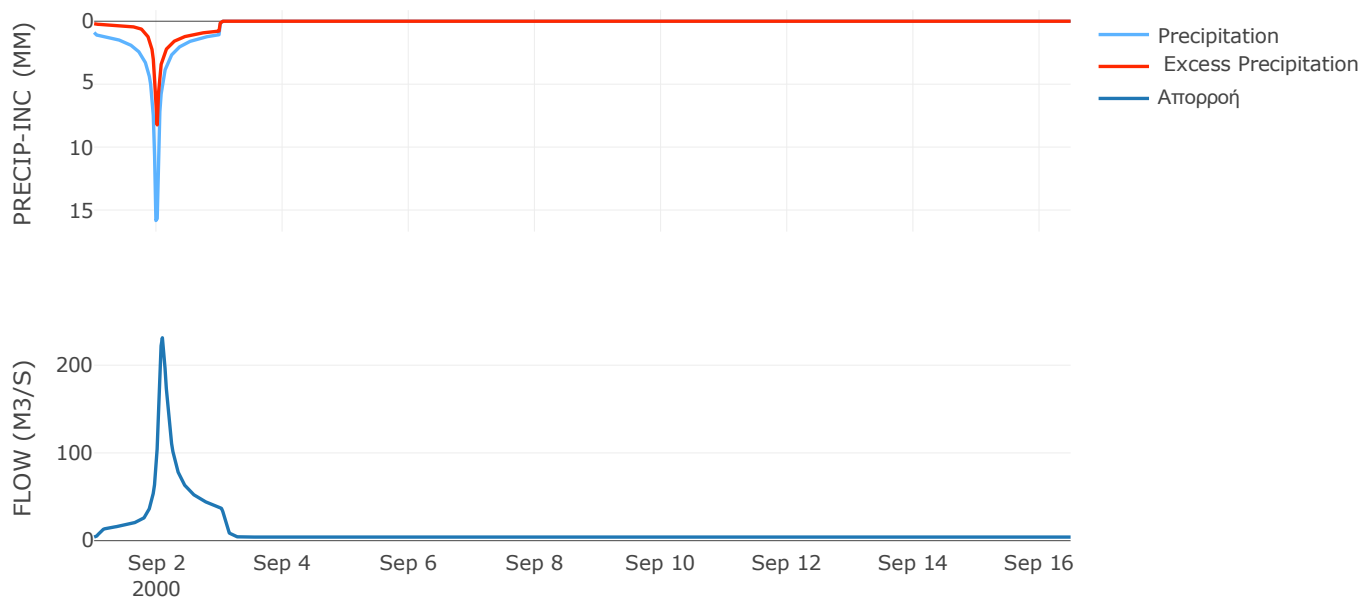
Μέθοδος
Μετασχηματισμού: SCS

Χρόνος Υστέρησης	96.82
------------------	-------

Αποτελέσματα:
EL0415FR6029

Παροχή αιχμής (M3/S)	231.22
Χρονική στιγμή αιχμής	02Sep2000, 02:00
Όγκος (MM)	190.31
Όγκος βροχόπτωσης (M3)	1.85E7
Όγκος απωλειών (M3)	9.79E6
Ενεργός Όγκος (M3)	8.7E6
Όγκος άμεσης απορροής (M3)	8.7E6
Όγκος βασικής απορροής (M3)	5.49E6

Βροχόπτωση και Απορροή



Υπολεκάνη: EL0415FR6030

Έκταση (KM2) : 127.36

Κατάντη : J27

Μέθοδος Απωλειών: SCS

Ποσοστό αδιαπέρατης επιφάνειας	17
Αριθμός Καμπύλης Απορροής-CN	64.38
Αρχικές Απώλειες	28.11

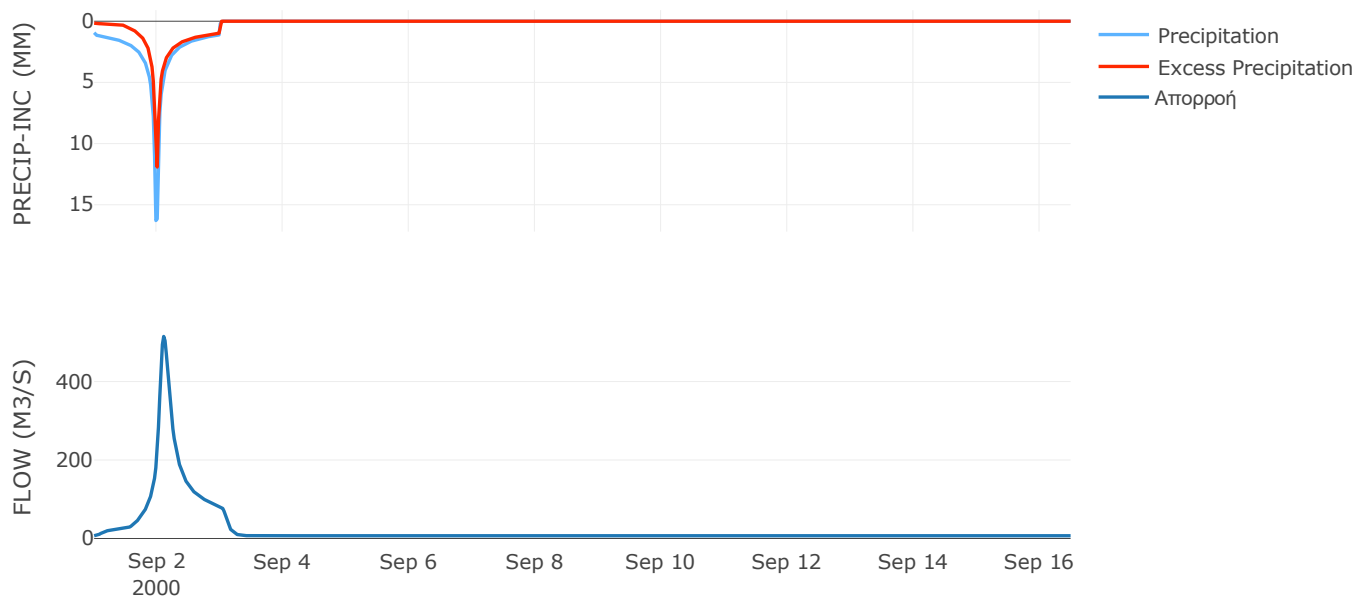
Μέθοδος
Μετασχηματισμού: SCS

Χρόνος Υστέρησης	135.14
------------------	--------

Αποτελέσματα:
EL0415FR6030

Παροχή αιχμής (M3/S)	514.86
Χρονική στιγμή αιχμής	02Sep2000, 02:30
Όγκος (MM)	235.59
Όγκος βροχόπτωσης (M3)	3.28E7
Όγκος απωλειών (M3)	1.22E7
Ενεργός Όγκος (M3)	2.06E7
Όγκος άμεσης απορροής (M3)	2.06E7
Όγκος βασικής απορροής (M3)	9.38E6

Βροχόπτωση και Απορροή



Υπολεκάνη: EL0415FR6031

Έκταση (KM2) : 92.16

Κατάντη : J34

Μέθοδος Απωλειών: SCS

Ποσοστό αδιαπέρατης επιφάνειας	0
Αριθμός Καμπύλης Απορροής-CN	62.32
Αρχικές Απώλειες	30.71

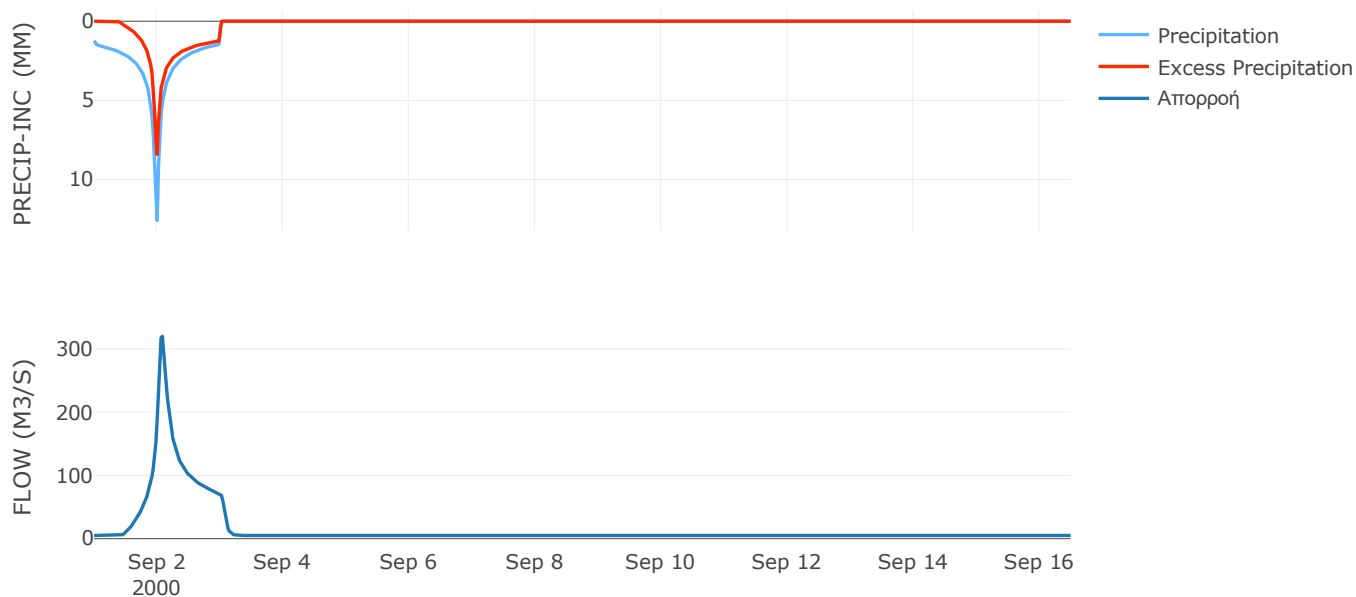
Μέθοδος
Μετασχηματισμού: SCS

Χρόνος Υστέρησης	88.78
------------------	-------

Αποτελέσματα:
EL0415FR6031

Παροχή αιχμής (M3/S)	319.7
Χρονική στιγμή αιχμής	02Sep2000, 02:00
Όγκος (MM)	223.4
Όγκος βροχόπτωσης (M3)	2.53E7
Όγκος απωλειών (M3)	1.15E7
Ενεργός Όγκος (M3)	1.38E7
Όγκος άμεσης απορροής (M3)	1.38E7
Όγκος βασικής απορροής (M3)	6.79E6

Βροχόπτωση και Απορροή



Υπολεκάνη: EL0415FR6032

Έκταση (KM2) : 115.9

Κατάντη : J26

Μέθοδος Απωλειών: SCS

Ποσοστό αδιαπέρατης επιφάνειας	0
Αριθμός Καμπύλης Απορροής-CN	39.12
Αρχικές Απώλειες	79.05

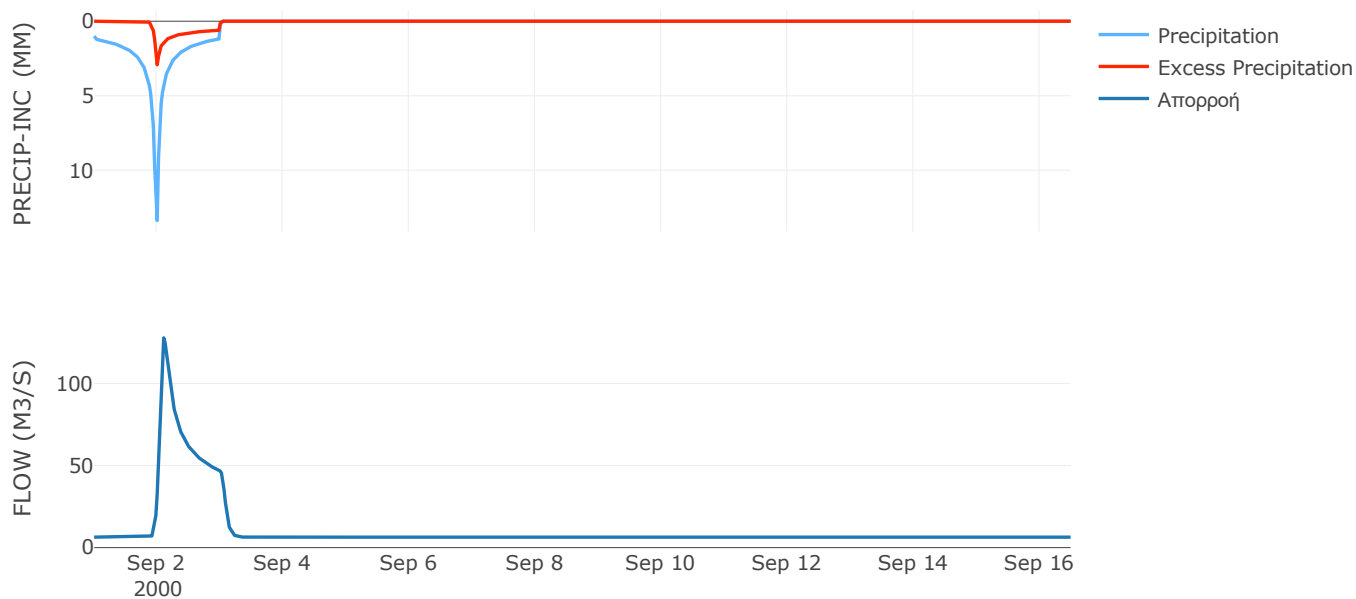
Μέθοδος
Μετασχηματισμού: SCS

Χρόνος Υστέρησης	100.9
------------------	-------

Αποτελέσματα:
EL0415FR6032

Παροχή αιχμής (M3/S)	127.8
Χρονική στιγμή αιχμής	02Sep2000, 02:30
Όγκος (MM)	124.04
Όγκος βροχόπτωσης (M3)	2.87E7
Όγκος απωλειών (M3)	2.29E7
Ενεργός Όγκος (M3)	5.84E6
Όγκος άμεσης απορροής (M3)	5.84E6
Όγκος βασικής απορροής (M3)	8.54E6

Βροχόπτωση και Απορροή



Υπολεκάνη: EL0415FR6033

Έκταση (KM2) : 126.39

Κατάντη : J62

Μέθοδος Απωλειών: SCS

Ποσοστό αδιαπέρατης επιφάνειας	0
Αριθμός Καμπύλης Απορροής-CN	45.13
Αρχικές Απώλειες	61.76

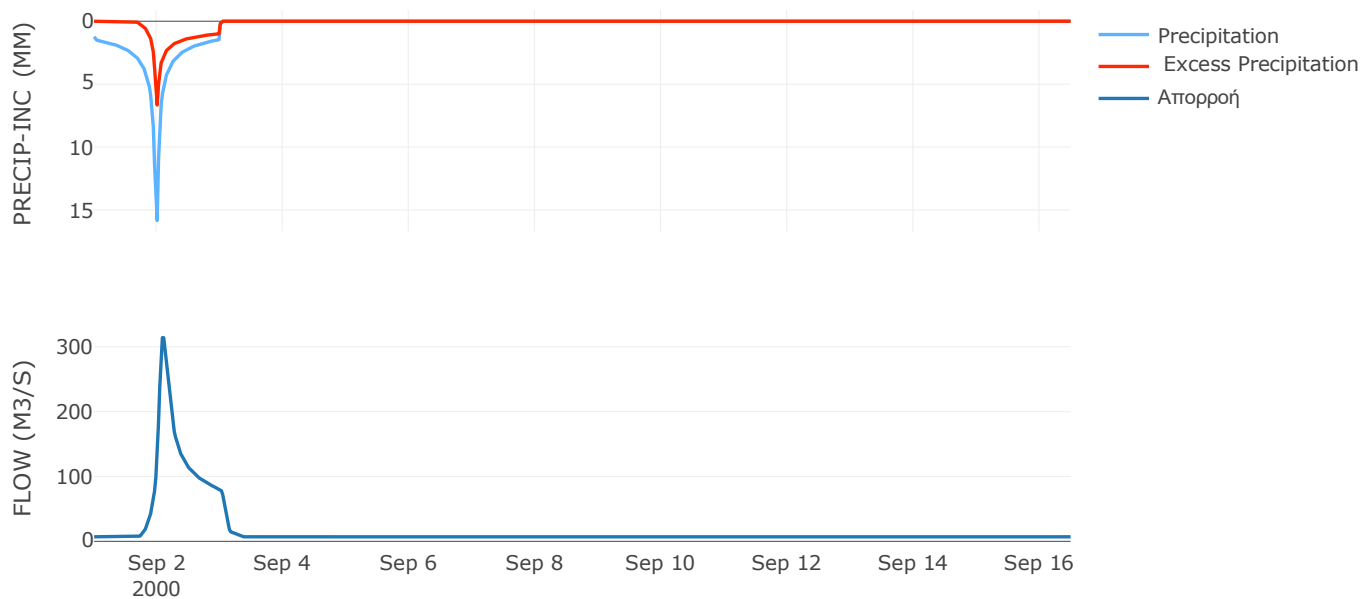
Μέθοδος
Μετασχηματισμού: SCS

Χρόνος Υστέρησης	103.45
------------------	--------

Αποτελέσματα:
EL0415FR6033

Παροχή αιχμής (M3/S)	314.05
Χρονική στιγμή αιχμής	02Sep2000, 02:00
Όγκος (MM)	177.81
Όγκος βροχόπτωσης (M3)	3.8E7
Όγκος απωλειών (M3)	2.48E7
Ενεργός Όγκος (M3)	1.32E7
Όγκος άμεσης απορροής (M3)	1.32E7
Όγκος βασικής απορροής (M3)	9.31E6

Βροχόπτωση και Απορροή



Υπολεκάνη: EL0415FR6034

Έκταση (KM2) : 105.64

Κατάντη : J44

Μέθοδος Απωλειών: SCS

Ποσοστό αδιαπέρατης επιφάνειας	0
Αριθμός Καμπύλης Απορροής-CN	44.95
Αρχικές Απώλειες	62.22

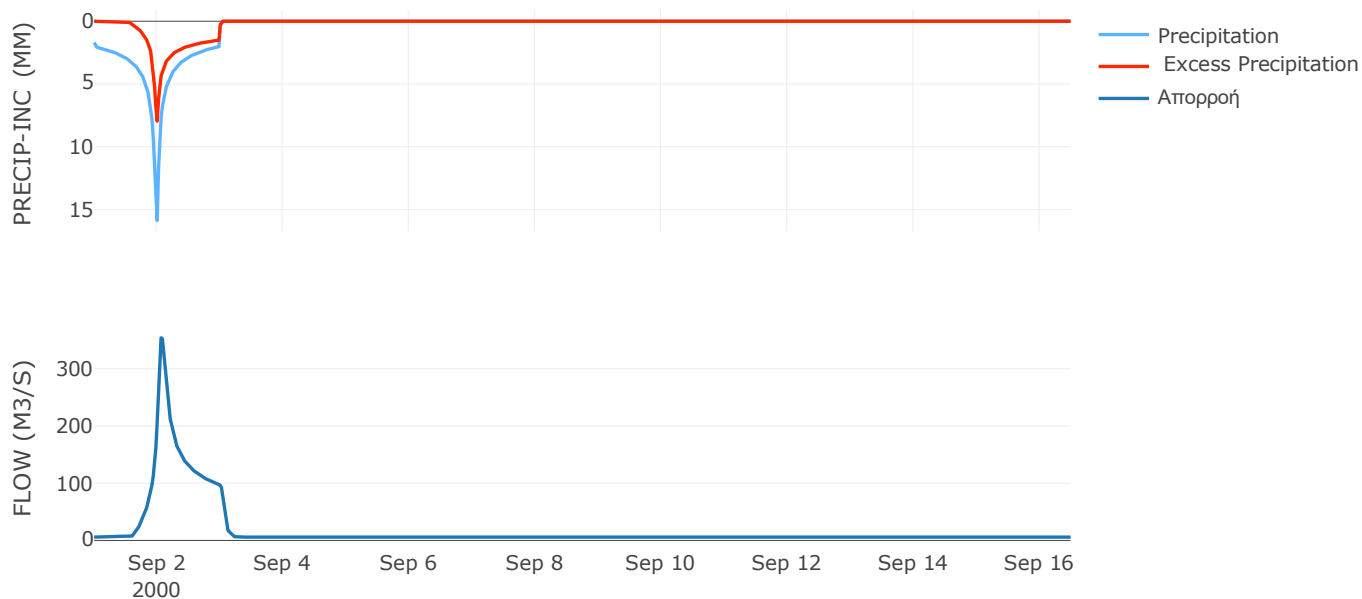
Μέθοδος
Μετασχηματισμού: SCS

Χρόνος Υστέρησης	79.4
------------------	------

Αποτελέσματα:
EL0415FR6034

Παροχή αιχμής (M3/S)	354.08
Χρονική στιγμή αιχμής	02Sep2000, 01:30
Όγκος (MM)	224.77
Όγκος βροχόπτωσης (M3)	3.88E7
Όγκος απωλειών (M3)	2.28E7
Ενεργός Όγκος (M3)	1.6E7
Όγκος άμεσης απορροής (M3)	1.6E7
Όγκος βασικής απορροής (M3)	7.78E6

Βροχόπτωση και Απορροή



Υπολεκάνη: EL0415FR6035

Έκταση (KM2) : 82.38

Κατάντη : J25

Μέθοδος Απωλειών: SCS

Ποσοστό αδιαπέρατης επιφάνειας	0
Αριθμός Καμπύλης Απορροής-CN	58.52
Αρχικές Απώλειες	36

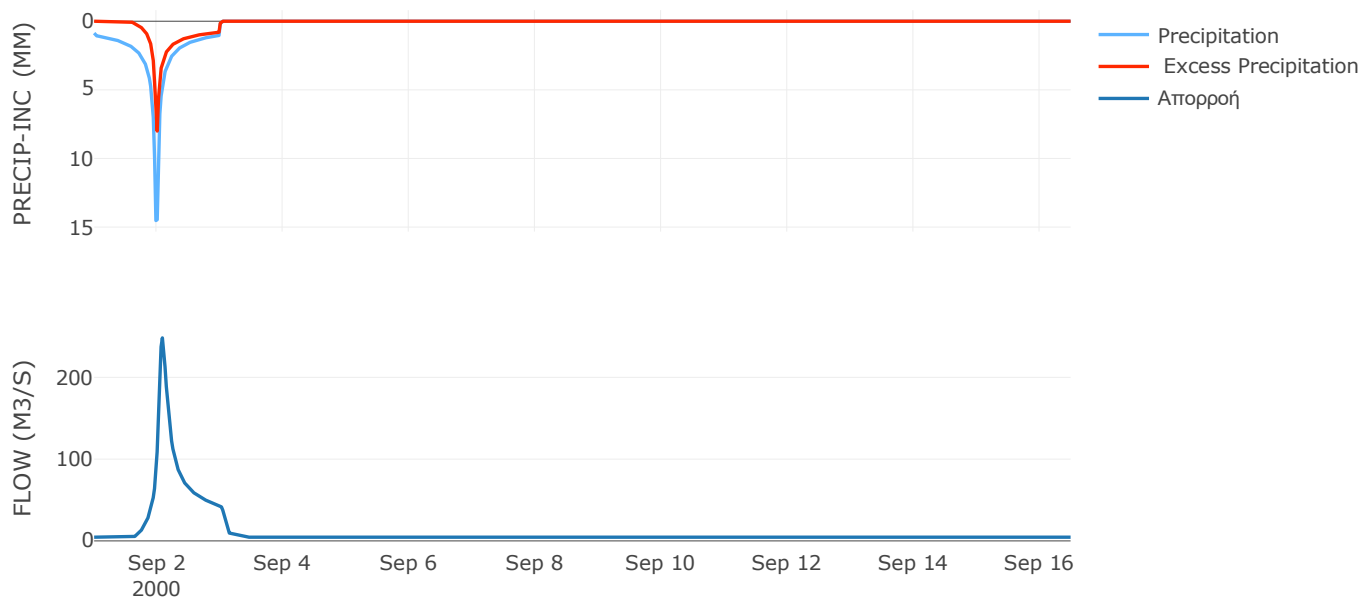
Μέθοδος
Μετασχηματισμού: SCS

Χρόνος Υστέρησης	96.29
------------------	-------

Αποτελέσματα:
EL0415FR6035

Παροχή αιχμής (M3/S)	248.29
Χρονική στιγμή αιχμής	02Sep2000, 02:00
Όγκος (MM)	178.24
Όγκος βροχόπτωσης (M3)	1.94E7
Όγκος απωλειών (M3)	1.08E7
Ενεργός Όγκος (M3)	8.62E6
Όγκος άμεσης απορροής (M3)	8.62E6
Όγκος βασικής απορροής (M3)	6.07E6

Βροχόπτωση και Απορροή



Υπολεκάνη: EL0415FR6036

Έκταση (KM2) : 47.25

Κατάντη : J45

Μέθοδος Απωλειών: SCS

Ποσοστό αδιαπέρατης επιφάνειας	0
Αριθμός Καμπύλης Απορροής-CN	44.92
Αρχικές Απώλειες	62.29

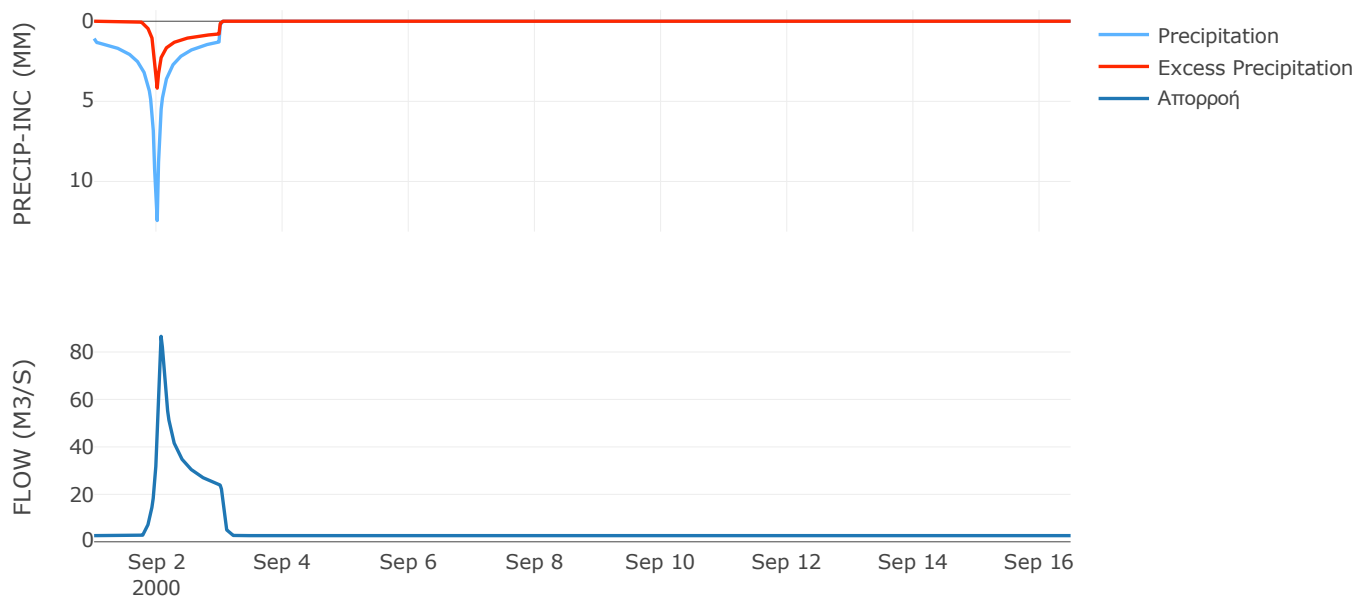
Μέθοδος
Μετασχηματισμού: SCS

Χρόνος Υστέρησης	61.81
------------------	-------

Αποτελέσματα:
EL0415FR6036

Παροχή αιχμής (M3/S)	86.6
Χρονική στιγμή αιχμής	02Sep2000, 01:30
Όγκος (MM)	146.22
Όγκος βροχόπτωσης (M3)	1.2E7
Όγκος απωλειών (M3)	8.54E6
Ενεργός Όγκος (M3)	3.43E6
Όγκος άμεσης απορροής (M3)	3.43E6
Όγκος βασικής απορροής (M3)	3.48E6

Βροχόπτωση και Απορροή



Υπολεκάνη: EL0415FR6037

Έκταση (KM2) : 88.31

Κατάντη : J40

Μέθοδος Απωλειών: SCS

Ποσοστό αδιαπέρατης επιφάνειας	0
Αριθμός Καμπύλης Απορροής-CN	47.16
Αρχικές Απώλειες	56.93

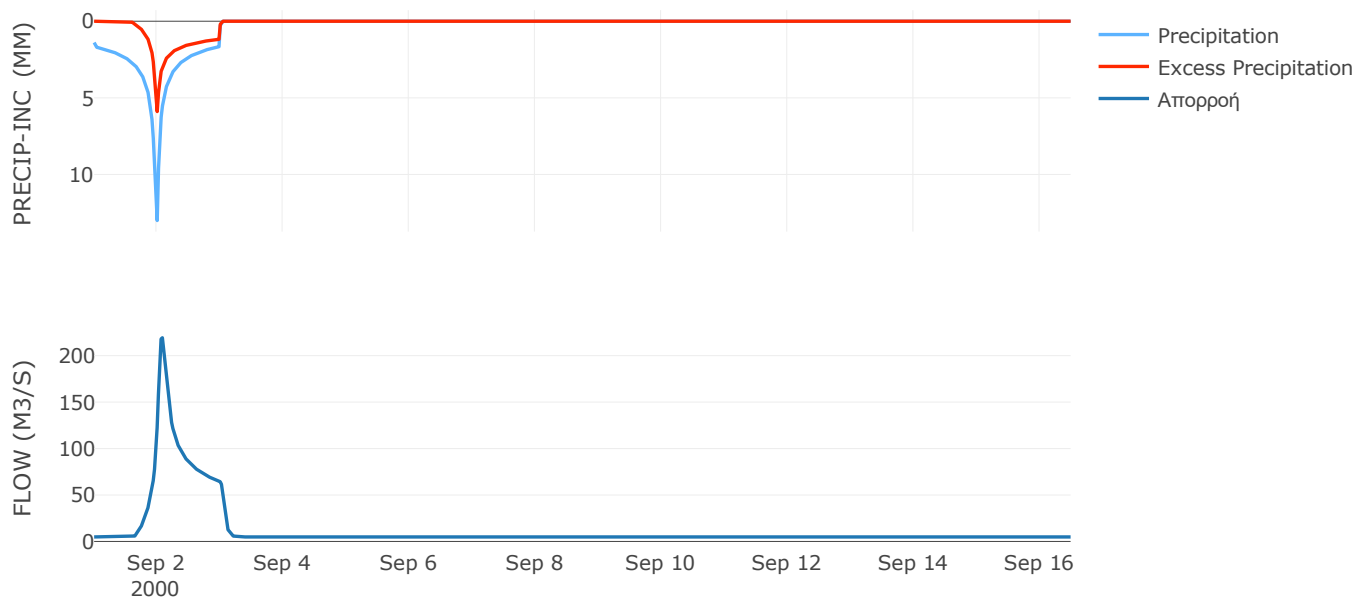
Μέθοδος
Μετασχηματισμού: SCS

Χρόνος Υστέρησης	80.56
------------------	-------

Αποτελέσματα:
EL0415FR6037

Παροχή αιχμής (M3/S)	219.25
Χρονική στιγμή αιχμής	02Sep2000, 02:00
Όγκος (MM)	186.7
Όγκος βροχόπτωσης (M3)	2.66E7
Όγκος απωλειών (M3)	1.66E7
Ενεργός Όγκος (M3)	9.98E6
Όγκος άμεσης απορροής (M3)	9.98E6
Όγκος βασικής απορροής (M3)	6.5E6

Βροχόπτωση και Απορροή



Υπολεκάνη: EL0415FR6038

Έκταση (KM2) : 94.78

Κατάντη : J35

Μέθοδος Απωλειών: SCS

Ποσοστό αδιαπέρατης επιφάνειας	0
Αριθμός Καμπύλης Απορροής-CN	47.98
Αρχικές Απώλειες	55.09

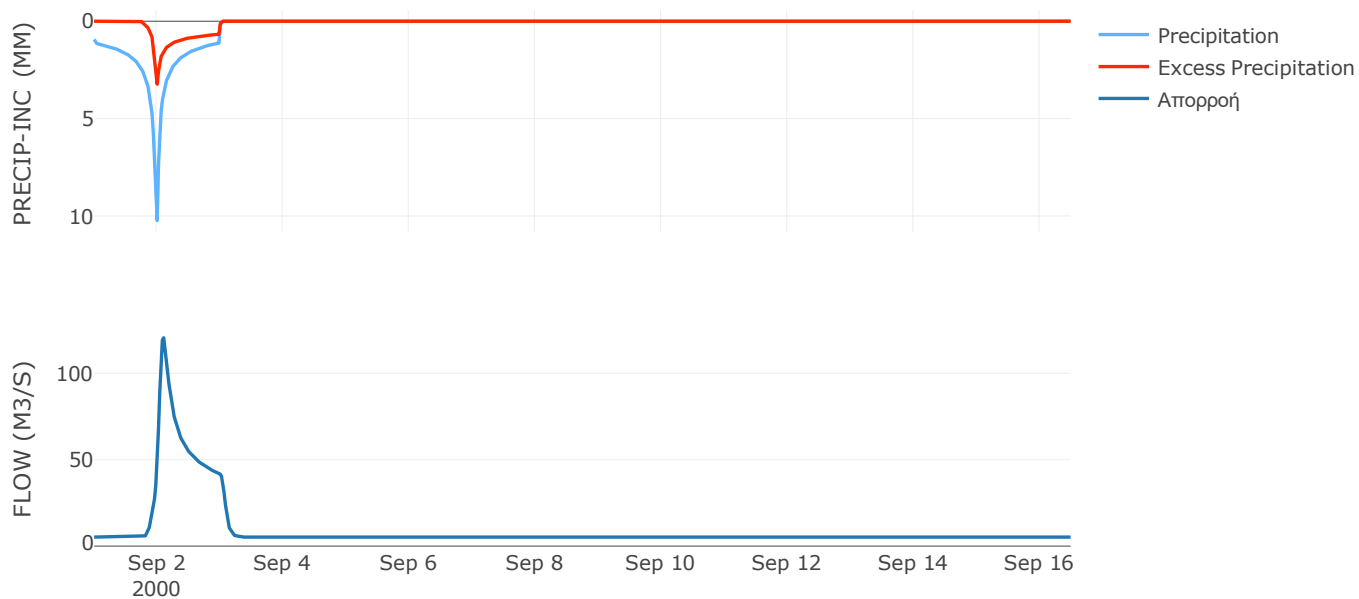
Μέθοδος
Μετασχηματισμού: SCS

Χρόνος Υστέρησης	99.81
------------------	-------

Αποτελέσματα:
EL0415FR6038

Παροχή αιχμής (M3/S)	120.56
Χρονική στιγμή αιχμής	02Sep2000, 02:30
Όγκος (MM)	132.35
Όγκος βροχόπτωσης (M3)	2.04E7
Όγκος απωλειών (M3)	1.48E7
Ενεργός Όγκος (M3)	5.56E6
Όγκος άμεσης απορροής (M3)	5.56E6
Όγκος βασικής απορροής (M3)	6.98E6

Βροχόπτωση και Απορροή



Υπολεκάνη: EL0415FR6039

Έκταση (KM2) : 6.93

Κατάντη : J23

Μέθοδος Απωλειών: SCS

Ποσοστό αδιαπέρατης επιφάνειας	0
Αριθμός Καμπύλης Απορροής-CN	60.78
Αρχικές Απώλειες	32.78

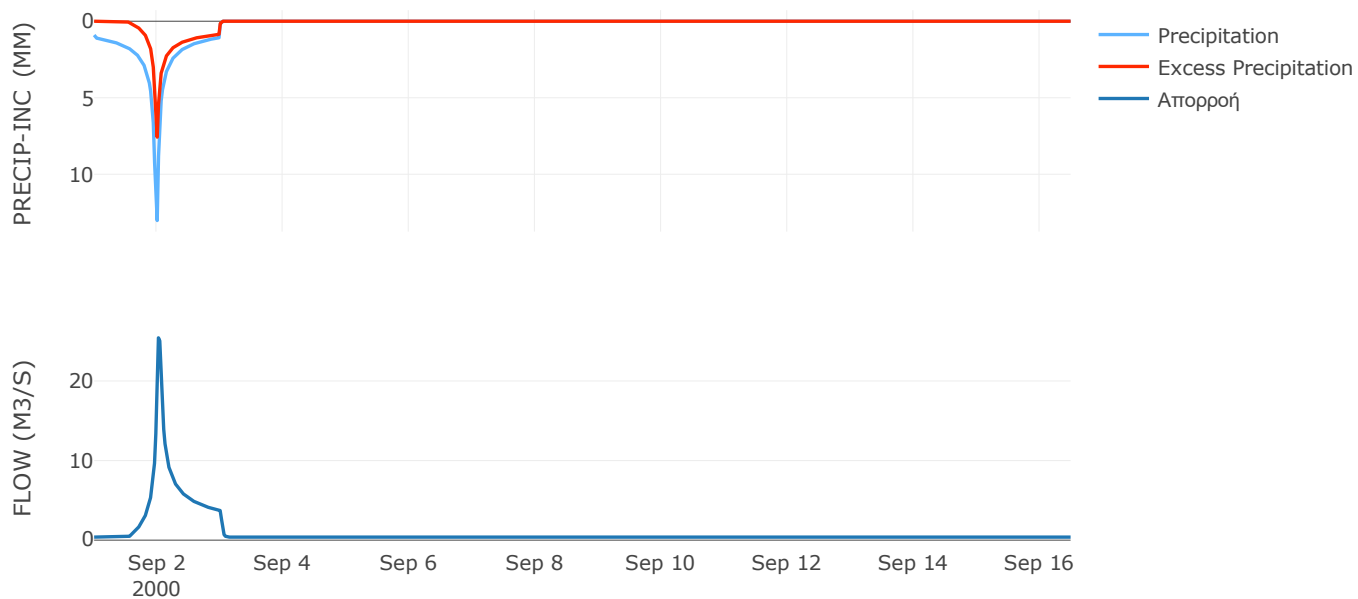
Μέθοδος
Μετασχηματισμού: SCS

Χρόνος Υστέρησης	30.33
------------------	-------

Αποτελέσματα:
EL0415FR6039

Παροχή αιχμής (M3/S)	25.42
Χρονική στιγμή αιχμής	02Sep2000, 00:30
Όγκος (MM)	182.01
Όγκος βροχόπτωσης (M3)	1.6E6
Όγκος απωλειών (M3)	8.49E5
Ενεργός Όγκος (M3)	7.51E5
Όγκος άμεσης απορροής (M3)	7.51E5
Όγκος βασικής απορροής (M3)	5.1E5

Βροχόπτωση και Απορροή



Υπολεκάνη: EL0415FR6040

Έκταση (KM2) : 39.05

Κατάντη : J34

Μέθοδος Απωλειών: SCS

Ποσοστό αδιαπέρατης επιφάνειας	0
Αριθμός Καμπύλης Απορροής-CN	41.41
Αρχικές Απώλειες	71.89

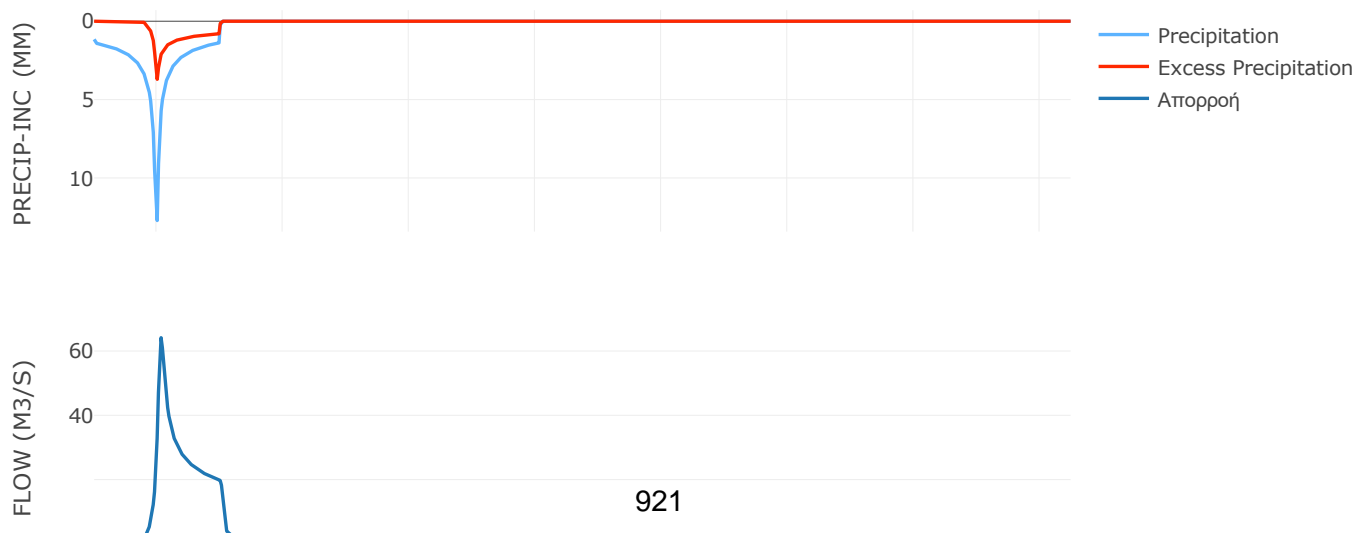
Μέθοδος
Μετασχηματισμού: SCS

Χρόνος Υστέρησης	59.97
------------------	-------

Αποτελέσματα:
EL0415FR6040

Παροχή αιχμής (M3/S)	64.14
Χρονική στιγμή αιχμής	02Sep2000, 01:30
Όγκος (MM)	141.67
Όγκος βροχόπτωσης (M3)	1.04E7
Όγκος απωλειών (M3)	7.73E6
Ενεργός Όγκος (M3)	2.66E6
Όγκος άμεσης απορροής (M3)	2.66E6
Όγκος βασικής απορροής (M3)	2.88E6

Βροχόπτωση και Απορροή



Υπολεκάνη: EL0415FR6041

Έκταση (KM2) : 25.72

Κατάντη : J64

Μέθοδος Απωλειών: SCS

Ποσοστό αδιαπέρατης επιφάνειας	0
Αριθμός Καμπύλης Απορροής-CN	37.85
Αρχικές Απώλειες	83.39

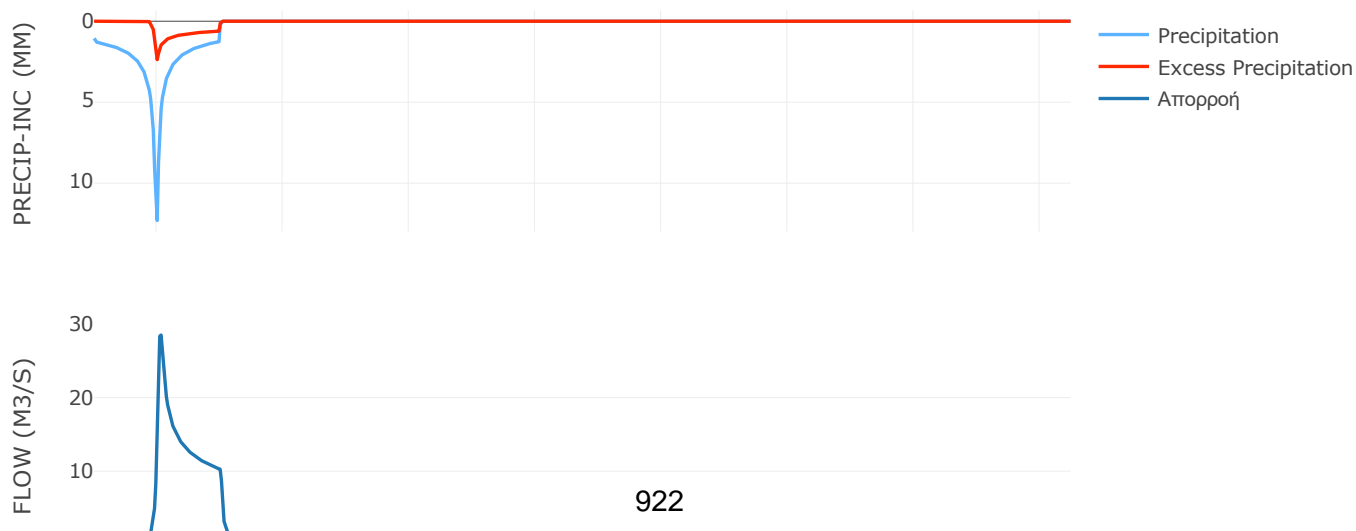
Μέθοδος
Μετασχηματισμού: SCS

Χρόνος Υστέρησης	41.78
------------------	-------

Αποτελέσματα:
EL0415FR6041

Παροχή αιχμής (M3/S)	28.49
Χρονική στιγμή αιχμής	02Sep2000, 01:30
Όγκος (MM)	120.44
Όγκος βροχόπτωσης (M3)	6.39E6
Όγκος απωλειών (M3)	5.19E6
Ενεργός Όγκος (M3)	1.2E6
Όγκος άμεσης απορροής (M3)	1.2E6
Όγκος βασικής απορροής (M3)	1.89E6

Βροχόπτωση και Απορροή



Υπολεκάνη: EL0415FR6042

Έκταση (KM2) : 44.43

Κατάντη : J28

Μέθοδος Απωλειών: SCS

Ποσοστό αδιαπέρατης επιφάνειας	0
Αριθμός Καμπύλης Απορροής-CN	45.57
Αρχικές Απώλειες	60.67

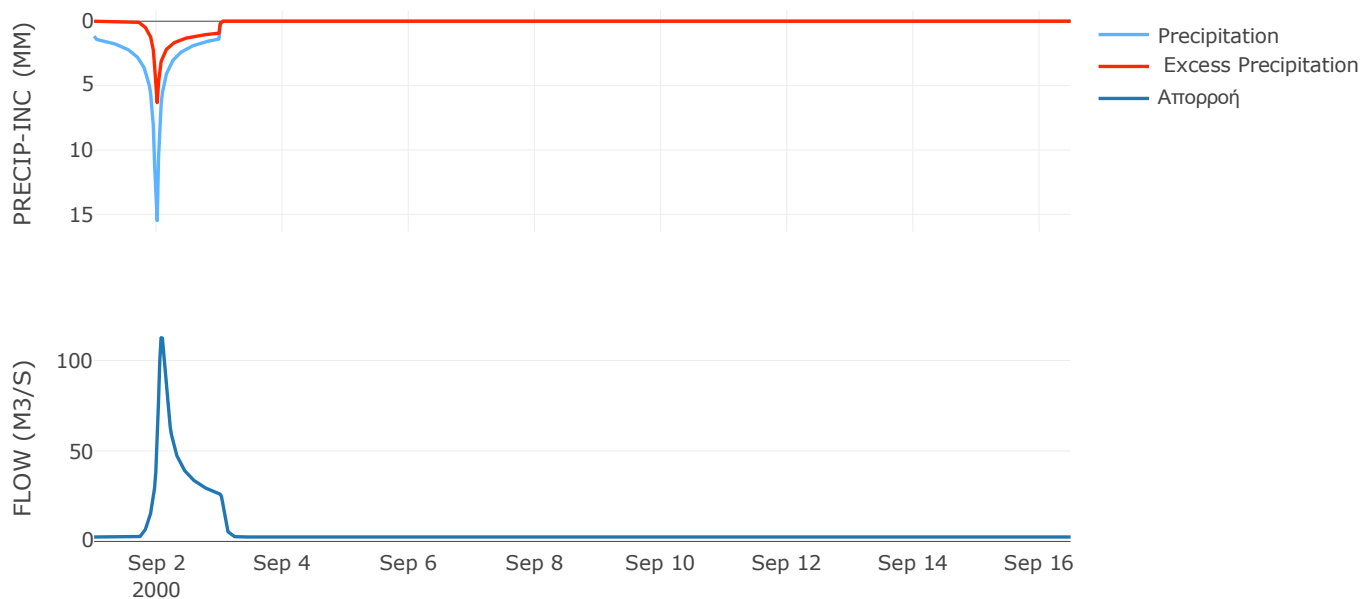
Μέθοδος
Μετασχηματισμού: SCS

Χρόνος Υστέρησης	78.46
------------------	-------

Αποτελέσματα:
EL0415FR6042

Παροχή αιχμής (M3/S)	112.6
Χρονική στιγμή αιχμής	02Sep2000, 01:30
Όγκος (MM)	170.52
Όγκος βροχόπτωσης (M3)	1.28E7
Όγκος απωλειών (M3)	8.46E6
Ενεργός Όγκος (M3)	4.3E6
Όγκος άμεσης απορροής (M3)	4.3E6
Όγκος βασικής απορροής (M3)	3.27E6

Βροχόπτωση και Απορροή



Υπολεκάνη: EL0415FR6043

Έκταση (KM2) : 50.16

Κατάντη : J37

Μέθοδος Απωλειών: SCS

Ποσοστό αδιαπέρατης επιφάνειας	0
Αριθμός Καμπύλης Απορροής-CN	37.69
Αρχικές Απώλειες	83.98

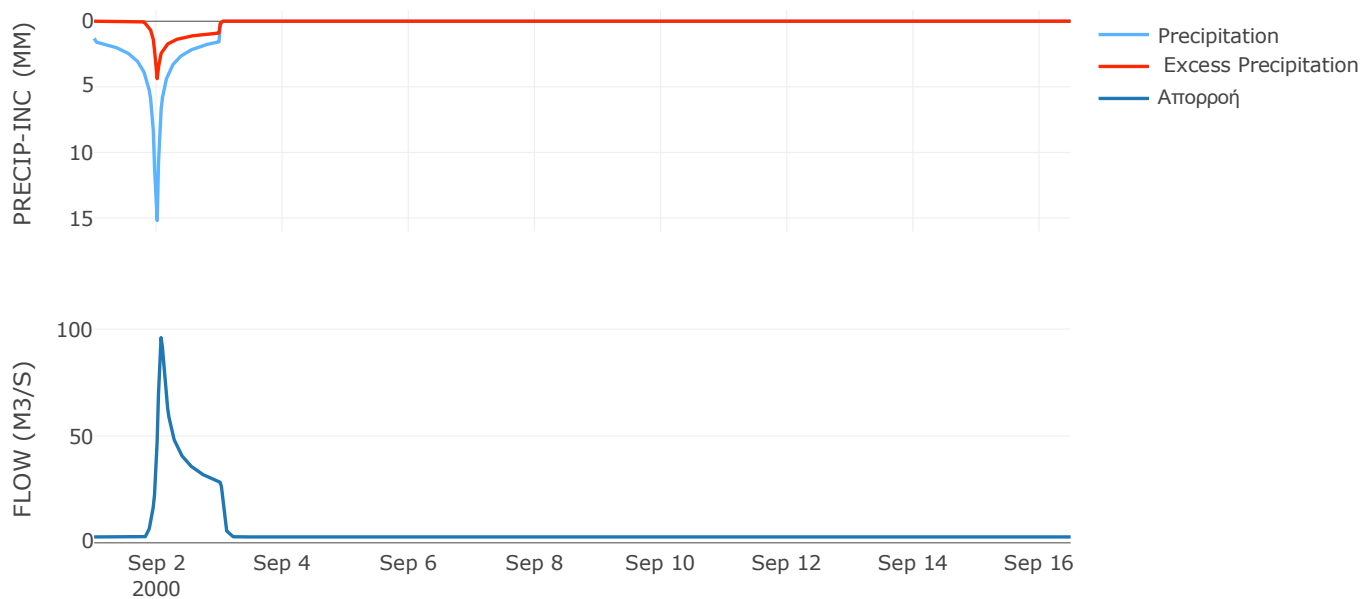
Μέθοδος
Μετασχηματισμού: SCS

Χρόνος Υστέρησης	60.82
------------------	-------

Αποτελέσματα:
EL0415FR6043

Παροχή αιχμής (M3/S)	95.99
Χρονική στιγμή αιχμής	02Sep2000, 01:30
Όγκος (MM)	151.6
Όγκος βροχόπτωσης (M3)	1.55E7
Όγκος απωλειών (M3)	1.15E7
Ενεργός Όγκος (M3)	3.91E6
Όγκος άμεσης απορροής (M3)	3.91E6
Όγκος βασικής απορροής (M3)	3.69E6

Βροχόπτωση και Απορροή



Υπολεκάνη: EL0415FR6044

Έκταση (KM2) : 32.29

Κατάντη : J44

Μέθοδος Απωλειών: SCS

Ποσοστό αδιαπέρατης επιφάνειας	0
Αριθμός Καμπύλης Απορροής-CN	40.13
Αρχικές Απώλειες	75.8

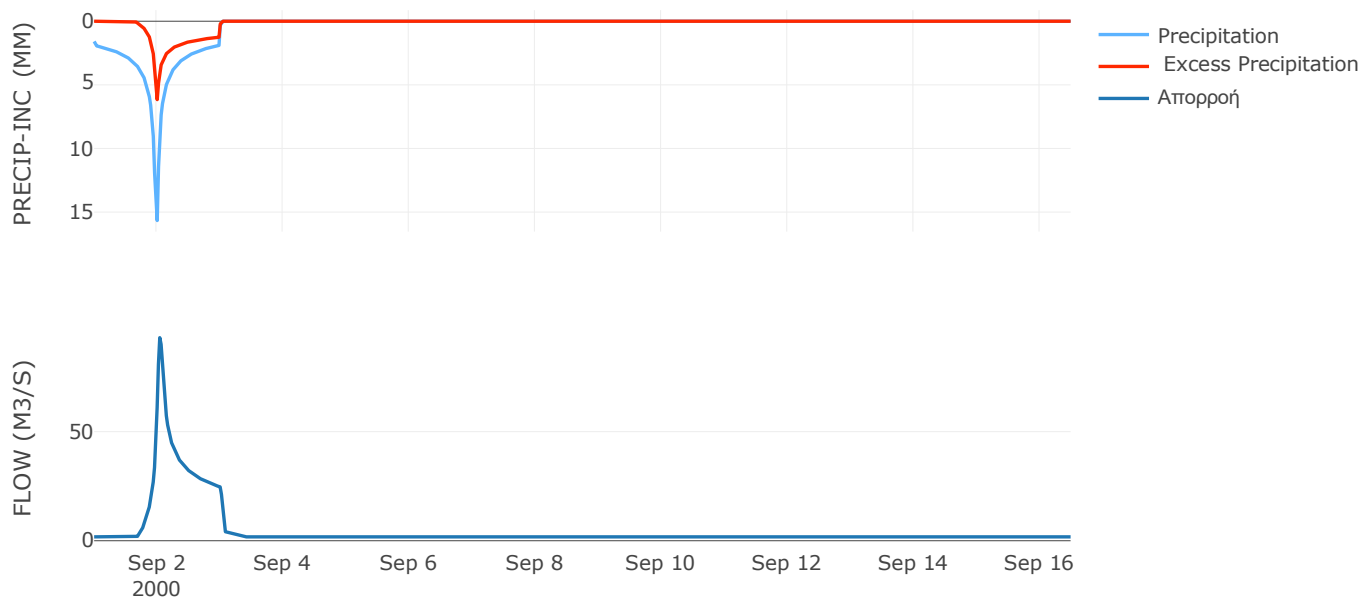
Μέθοδος
Μετασχηματισμού: SCS

Χρόνος Υστέρησης	45.48
------------------	-------

Αποτελέσματα:
EL0415FR6044

Παροχή αιχμής (M3/S)	93.08
Χρονική στιγμή αιχμής	02Sep2000, 01:00
Όγκος (MM)	189.41
Όγκος βροχόπτωσης (M3)	1.13E7
Όγκος απωλειών (M3)	7.6E6
Ενεργός Όγκος (M3)	3.74E6
Όγκος άμεσης απορροής (M3)	3.74E6
Όγκος βασικής απορροής (M3)	2.38E6

Βροχόπτωση και Απορροή



Υπολεκάνη: EL0415FR6045

Έκταση (KM2) : 39.32

Κατάντη : J24

Μέθοδος Απωλειών: SCS

Ποσοστό αδιαπέρατης επιφάνειας	0
Αριθμός Καμπύλης Απορροής-CN	63.08
Αρχικές Απώλειες	29.73

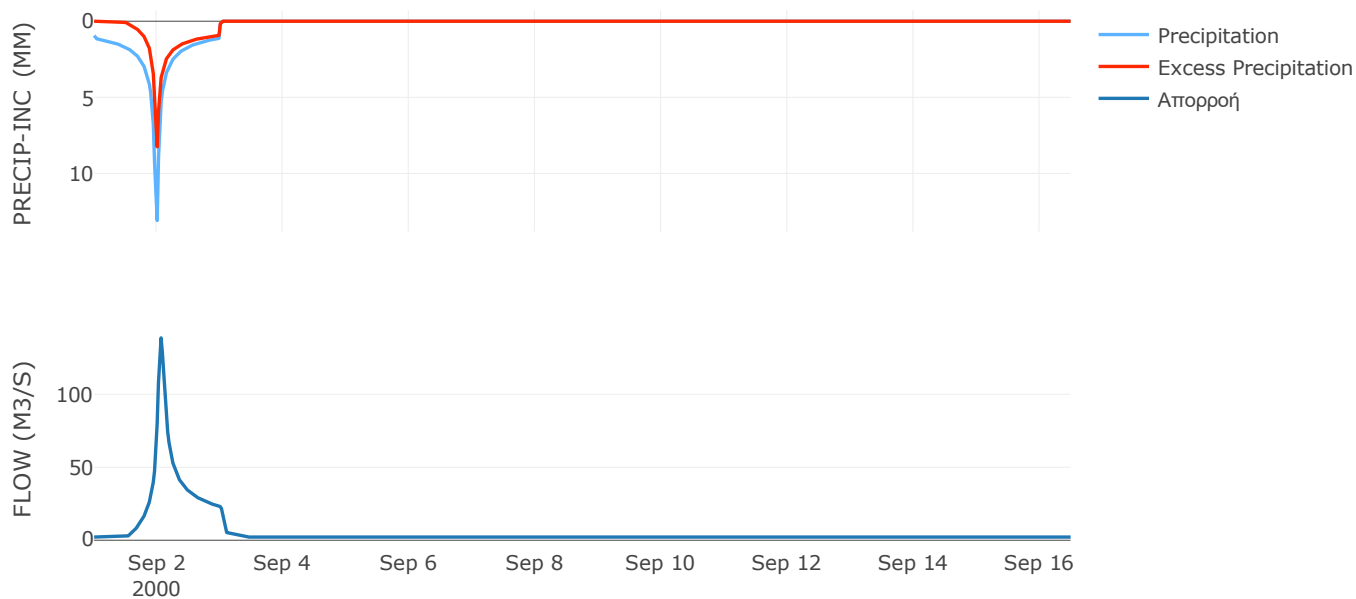
Μέθοδος
Μετασχηματισμού: SCS

Χρόνος Υστέρησης	68.79
------------------	-------

Αποτελέσματα:
EL0415FR6045

Παροχή αιχμής (M3/S)	138.62
Χρονική στιγμή αιχμής	02Sep2000, 01:30
Όγκος (MM)	194.48
Όγκος βροχόπτωσης (M3)	9.32E6
Όγκος απωλειών (M3)	4.57E6
Ενεργός Όγκος (M3)	4.75E6
Όγκος άμεσης απορροής (M3)	4.75E6
Όγκος βασικής απορροής (M3)	2.9E6

Βροχόπτωση και Απορροή



Υπολεκάνη: EL0415FR6046

Έκταση (KM2) : 33.73

Κατάντη : J23

Μέθοδος Απωλειών: SCS

Ποσοστό αδιαπέρατης επιφάνειας	0
Αριθμός Καμπύλης Απορροής-CN	33.44
Αρχικές Απώλειες	101.11

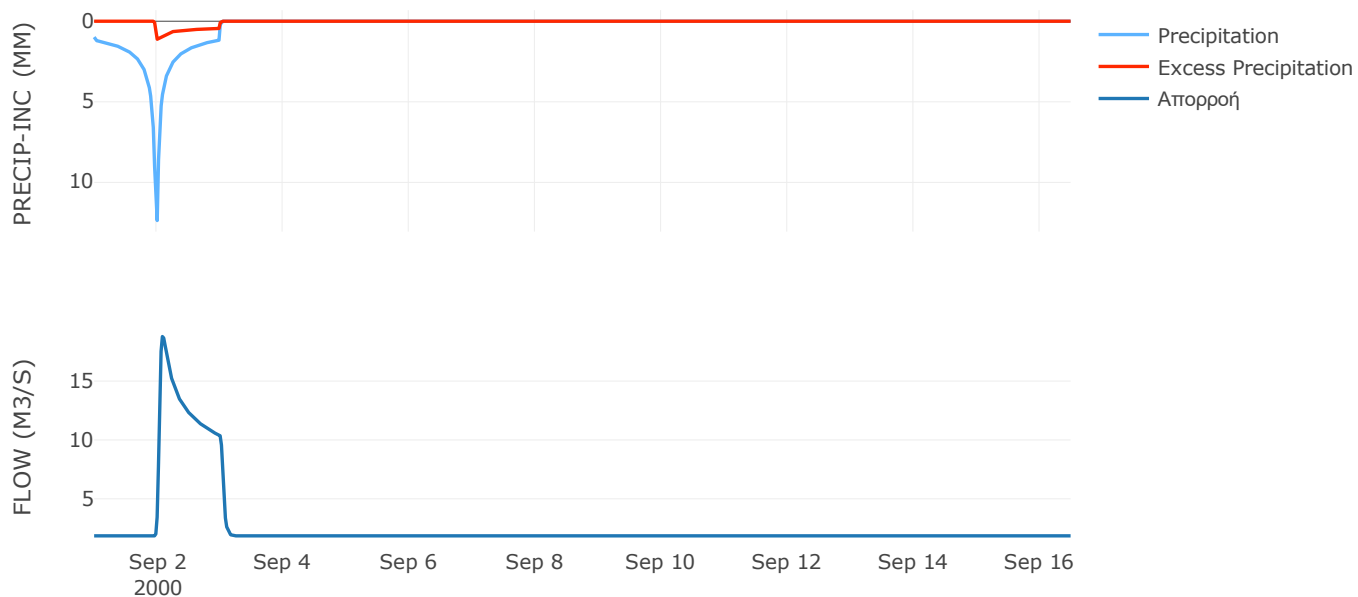
Μέθοδος
Μετασχηματισμού: SCS

Χρόνος Υστέρησης	56.72
------------------	-------

Αποτελέσματα:
EL0415FR6046

Παροχή αιχμής (M3/S)	18.78
Χρονική στιγμή αιχμής	02Sep2000, 02:00
Όγκος (MM)	102.97
Όγκος βροχόπτωσης (M3)	8.04E6
Όγκος απωλειών (M3)	7.05E6
Ενεργός Όγκος (M3)	9.89E5
Όγκος άμεσης απορροής (M3)	9.89E5
Όγκος βασικής απορροής (M3)	2.48E6

Βροχόπτωση και Απορροή



Υπολεκάνη: EL0415FR6047

Έκταση (KM2) : 33.12

Κατάντη : J38

Μέθοδος Απωλειών: SCS

Ποσοστό αδιαπέρατης επιφάνειας	0
Αριθμός Καμπύλης Απορροής-CN	41.73
Αρχικές Απώλειες	70.93

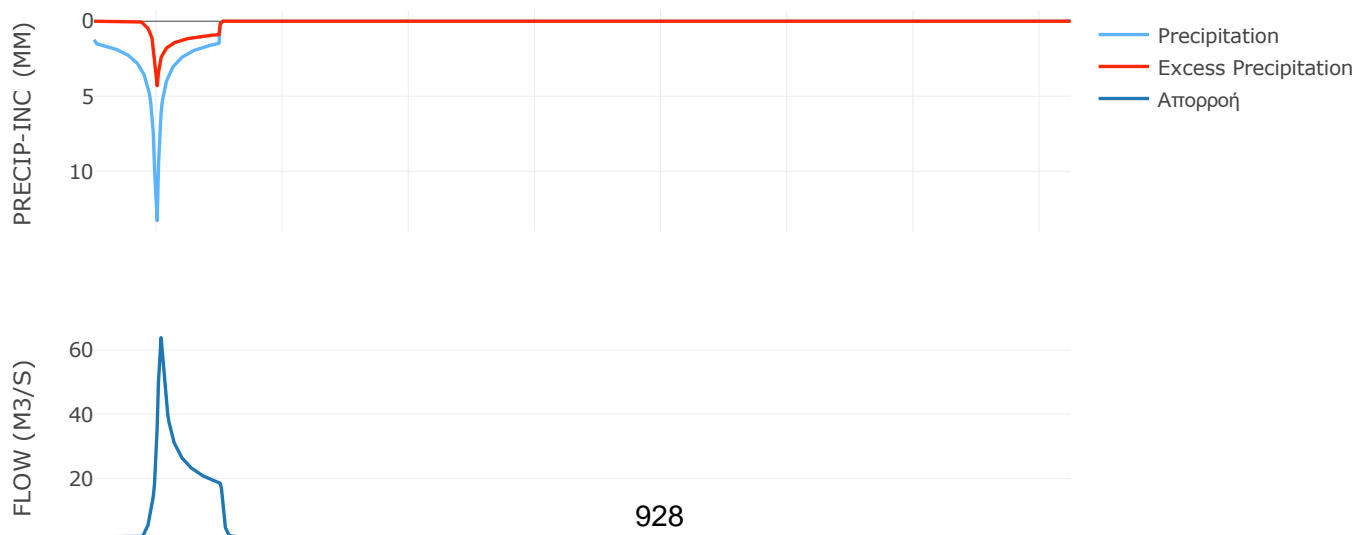
Μέθοδος
Μετασχηματισμού: SCS

Χρόνος Υστέρησης	55.9
------------------	------

Αποτελέσματα:
EL0415FR6047

Παροχή αιχμής (M3/S)	63.83
Χρονική στιγμή αιχμής	02Sep2000, 01:30
Όγκος (MM)	152.1
Όγκος βροχόπτωσης (M3)	9.32E6
Όγκος απωλειών (M3)	6.72E6
Ενεργός Όγκος (M3)	2.6E6
Όγκος άμεσης απορροής (M3)	2.6E6
Όγκος βασικής απορροής (M3)	2.44E6

Βροχόπτωση και Απορροή



Υπολεκάνη: EL0415FR6048

Έκταση (KM2) : 29.32

Κατάντη : J35

Μέθοδος Απωλειών: SCS

Ποσοστό αδιαπέρατης επιφάνειας	0
Αριθμός Καμπύλης Απορροής-CN	44.2
Αρχικές Απώλειες	64.14

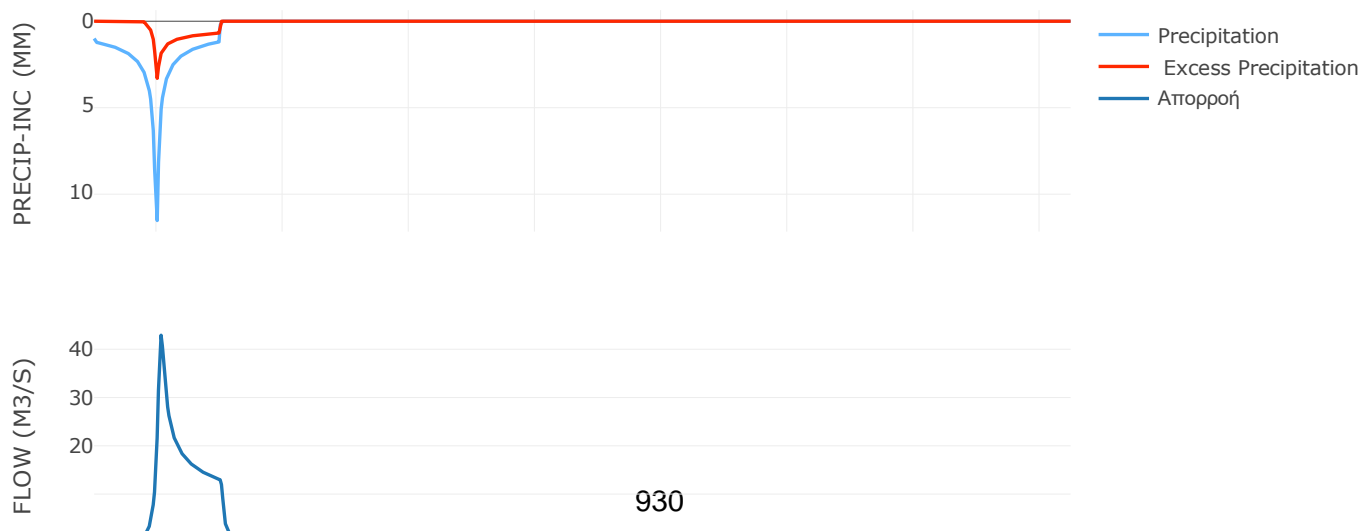
Μέθοδος
Μετασχηματισμού: SCS

Χρόνος Υστέρησης	59.23
------------------	-------

Αποτελέσματα:
EL0415FR6048

Παροχή αιχμής (M3/S)	42.91
Χρονική στιγμή αιχμής	02Sep2000, 01:30
Όγκος (MM)	132.62
Όγκος βροχόπτωσης (M3)	6.87E6
Όγκος απωλειών (M3)	5.14E6
Ενεργός Όγκος (M3)	1.73E6
Όγκος άμεσης απορροής (M3)	1.73E6
Όγκος βασικής απορροής (M3)	2.16E6

Βροχόπτωση και Απορροή



Υπολεκάνη: EL0415FR6049

Έκταση (KM2) : 52.23

Κατάντη : J49

Μέθοδος Απωλειών: SCS

Ποσοστό αδιαπέρατης επιφάνειας	0
Αριθμός Καμπύλης Απορροής-CN	44.74
Αρχικές Απώλειες	62.73

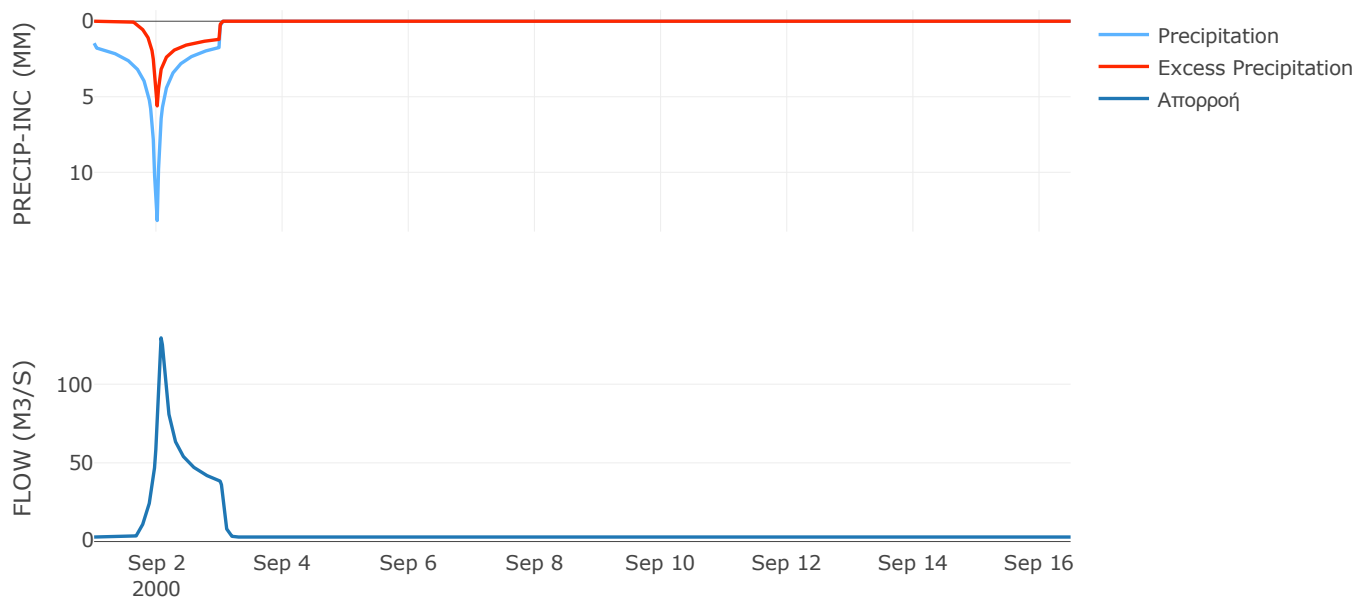
Μέθοδος
Μετασχηματισμού: SCS

Χρόνος Υστέρησης	67.8
------------------	------

Αποτελέσματα:
EL0415FR6049

Παροχή αιχμής (M3/S)	129.47
Χρονική στιγμή αιχμής	02Sep2000, 01:30
Όγκος (MM)	184.21
Όγκος βροχόπτωσης (M3)	1.63E7
Όγκος απωλειών (M3)	1.05E7
Ενεργός Όγκος (M3)	5.77E6
Όγκος άμεσης απορροής (M3)	5.77E6
Όγκος βασικής απορροής (M3)	3.85E6

Βροχόπτωση και Απορροή



Υπολεκάνη: EL0415FR6050

Έκταση (KM2) : 51.03

Κατάντη : J51

Μέθοδος Απωλειών: SCS

Ποσοστό αδιαπέρατης επιφάνειας	0
Αριθμός Καμπύλης Απορροής-CN	41.41
Αρχικές Απώλειες	71.88

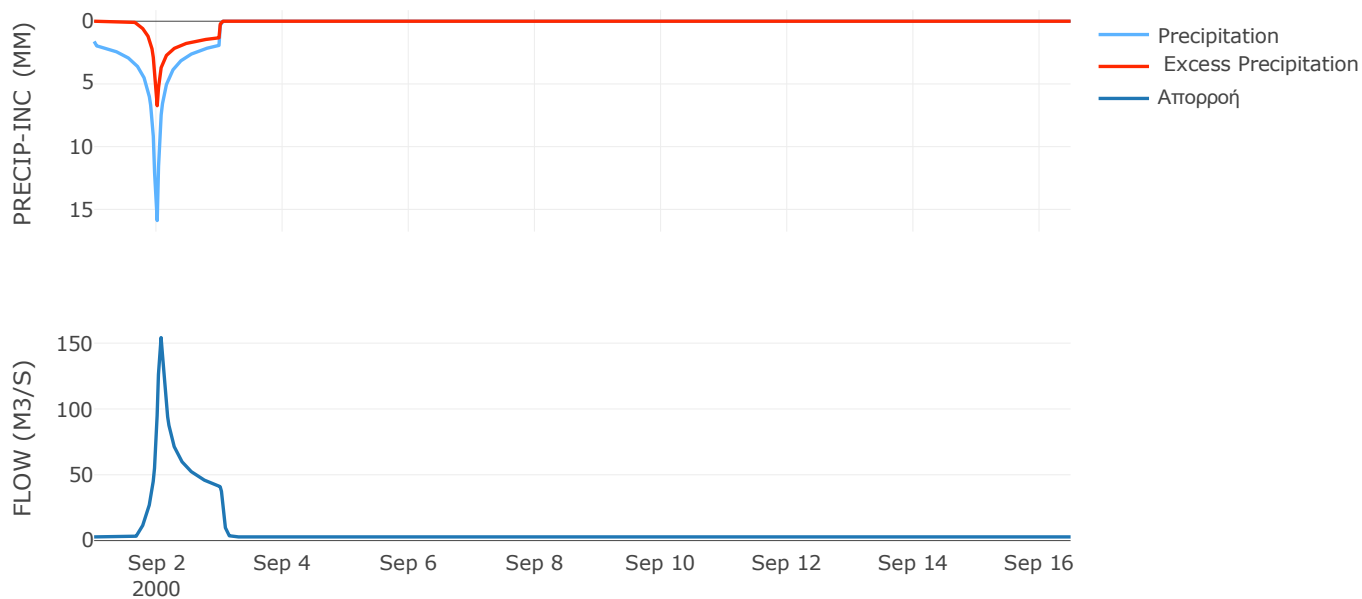
Μέθοδος
Μετασχηματισμού: SCS

Χρόνος Υστέρησης	57.22
------------------	-------

Αποτελέσματα:
EL0415FR6050

Παροχή αιχμής (M3/S)	154.19
Χρονική στιγμή αιχμής	02Sep2000, 01:30
Όγκος (MM)	199.1
Όγκος βροχόπτωσης (M3)	1.82E7
Όγκος απωλειών (M3)	1.18E7
Ενεργός Όγκος (M3)	6.4E6
Όγκος άμεσης απορροής (M3)	6.4E6
Όγκος βασικής απορροής (M3)	3.76E6

Βροχόπτωση και Απορροή



Υπολεκάνη: EL0415FR6051

Έκταση (KM2) : 113.82

Κατάντη : J56

Μέθοδος Απωλειών: SCS

Ποσοστό αδιαπέρατης επιφάνειας	0
Αριθμός Καμπύλης Απορροής-CN	61.39
Αρχικές Απώλειες	31.95

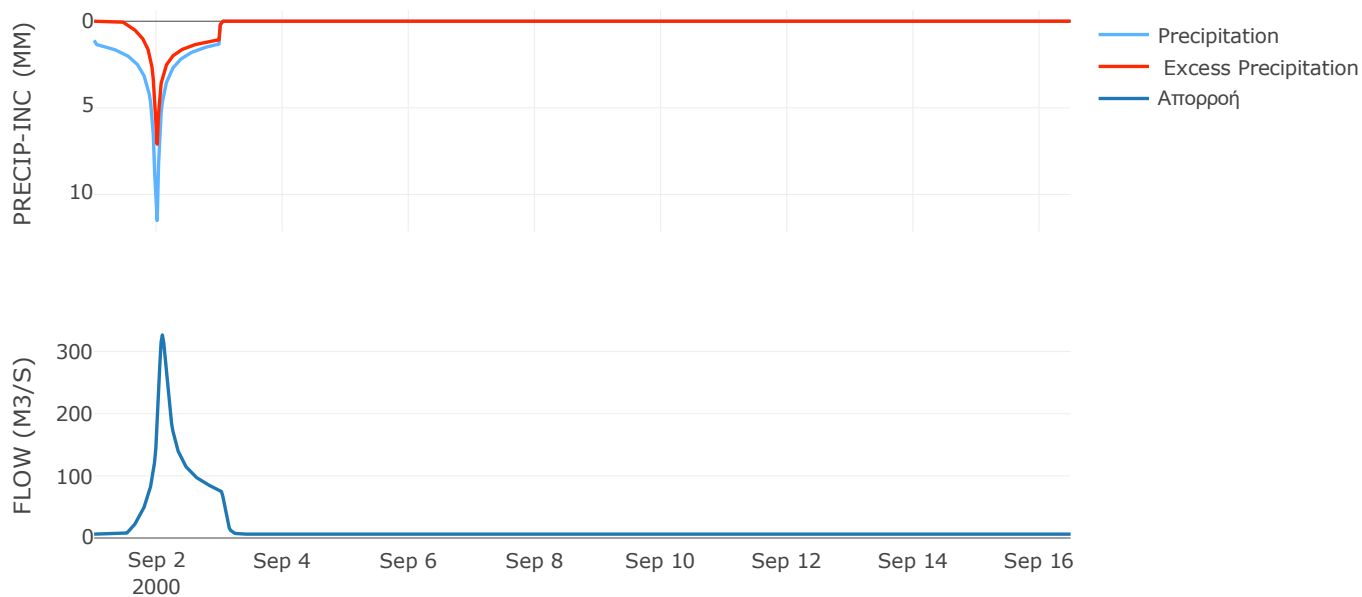
Μέθοδος
Μετασχηματισμού: SCS

Χρόνος Υστέρησης	96.66
------------------	-------

Αποτελέσματα:
EL0415FR6051

Παροχή αιχμής (M3/S)	326.73
Χρονική στιγμή αιχμής	02Sep2000, 02:00
Όγκος (MM)	198.59
Όγκος βροχόπτωσης (M3)	2.83E7
Όγκος απωλειών (M3)	1.41E7
Ενεργός Όγκος (M3)	1.42E7
Όγκος άμεσης απορροής (M3)	1.42E7
Όγκος βασικής απορροής (M3)	8.38E6

Βροχόπτωση και Απορροή



Υπολεκάνη: EL0415FR6052

Έκταση (KM2) : 27.12

Κατάντη : J4

Μέθοδος Απωλειών: SCS

Ποσοστό αδιαπέρατης επιφάνειας	0
Αριθμός Καμπύλης Απορροής-CN	45.78
Αρχικές Απώλειες	60.17

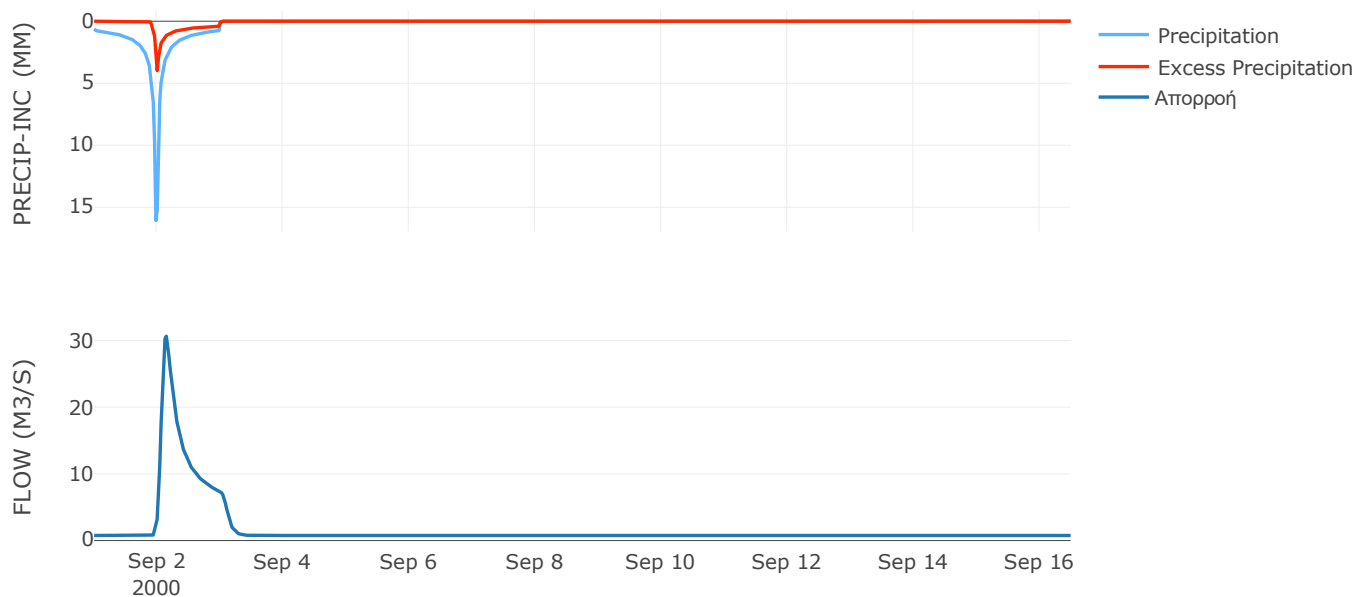
Μέθοδος
Μετασχηματισμού: SCS

Χρόνος Υστέρησης	145.25
------------------	--------

Αποτελέσματα:
EL0415FR6052

Παροχή αιχμής (M3/S)	30.65
Χρονική στιγμή αιχμής	02Sep2000, 03:30
Όγκος (MM)	82.5
Όγκος βροχόπτωσης (M3)	5.46E6
Όγκος απωλειών (M3)	4.24E6
Ενεργός Όγκος (M3)	1.22E6
Όγκος άμεσης απορροής (M3)	1.22E6
Όγκος βασικής απορροής (M3)	1.02E6

Βροχόπτωση και Απορροή



Υπολεκάνη: EL0415FR6053

Έκταση (KM2) : 64.07

Κατάντη : J55

Μέθοδος Απωλειών: SCS

Ποσοστό αδιαπέρατης επιφάνειας	0
Αριθμός Καμπύλης Απορροής-CN	42.9
Αρχικές Απώλειες	67.6

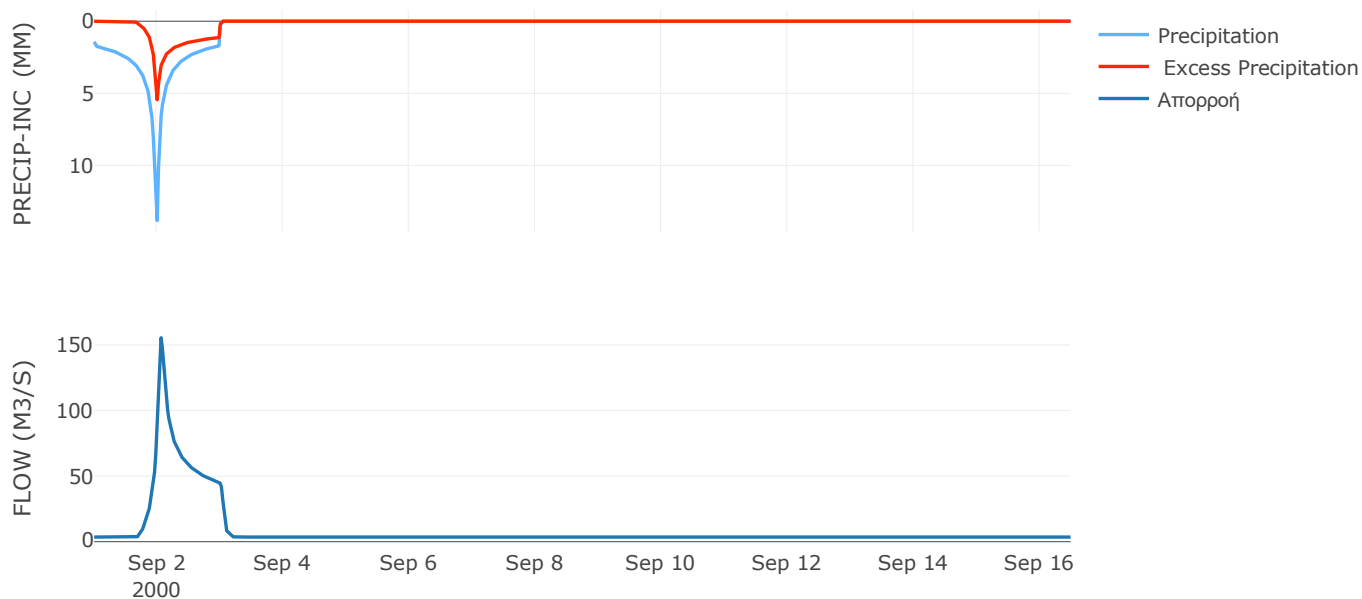
Μέθοδος
Μετασχηματισμού: SCS

Χρόνος Υστέρησης	62.46
------------------	-------

Αποτελέσματα:
EL0415FR6053

Παροχή αιχμής (M3/S)	155.46
Χρονική στιγμή αιχμής	02Sep2000, 01:30
Όγκος (MM)	177.3
Όγκος βροχόπτωσης (M3)	2.01E7
Όγκος απωλειών (M3)	1.35E7
Ενεργός Όγκος (M3)	6.64E6
Όγκος άμεσης απορροής (M3)	6.64E6
Όγκος βασικής απορροής (M3)	4.72E6

Βροχόπτωση και Απορροή



Υπολεκάνη: EL0415FR6054

Έκταση (KM2) : 14.21

Κατάντη : J54

Μέθοδος Απωλειών: SCS

Ποσοστό αδιαπέρατης επιφάνειας	6
Αριθμός Καμπύλης Απορροής-CN	50.43
Αρχικές Απώλειες	49.94

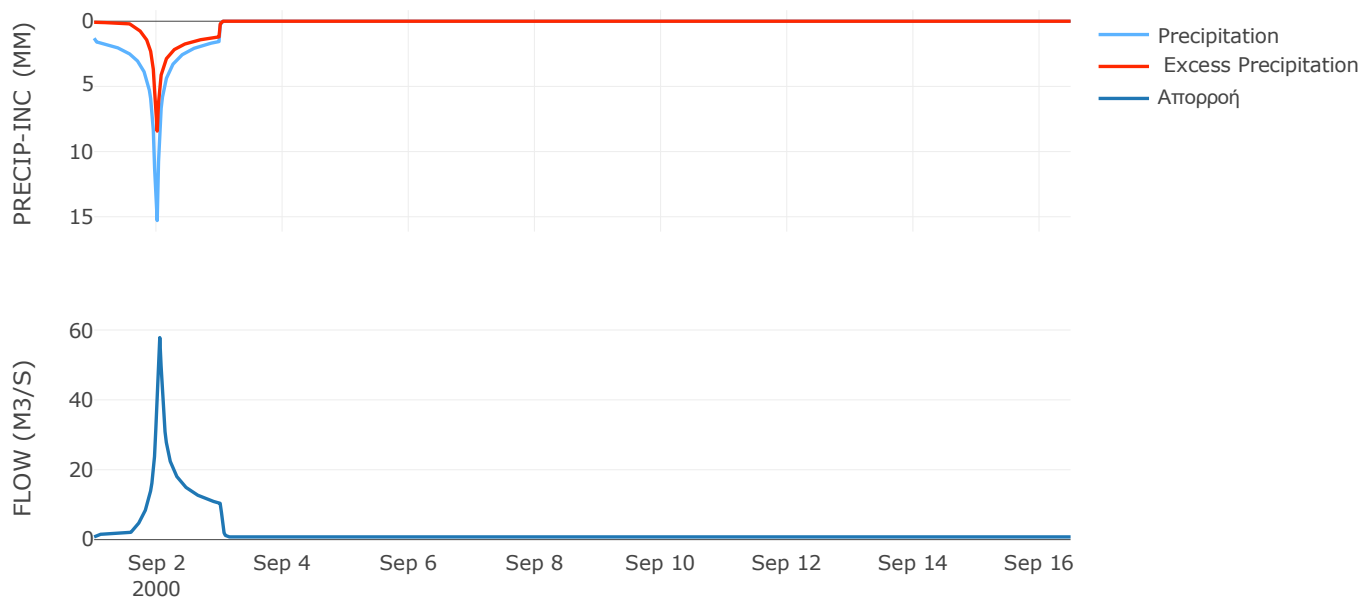
Μέθοδος
Μετασχηματισμού: SCS

Χρόνος Υστέρησης	33.76
------------------	-------

Αποτελέσματα:
EL0415FR6054

Παροχή αιχμής (M3/S)	57.82
Χρονική στιγμή αιχμής	02Sep2000, 01:00
Όγκος (MM)	215.03
Όγκος βροχόπτωσης (M3)	4.37E6
Όγκος απωλειών (M3)	2.36E6
Ενεργός Όγκος (M3)	2.01E6
Όγκος άμεσης απορροής (M3)	2.01E6
Όγκος βασικής απορροής (M3)	1.05E6

Βροχόπτωση και Απορροή



Υπολεκάνη: EL0415FR6055

Έκταση (KM2) : 46.67

Κατάντη : J55

Μέθοδος Απωλειών: SCS

Ποσοστό αδιαπέρατης επιφάνειας	0
Αριθμός Καμπύλης Απορροής-CN	37.7
Αρχικές Απώλειες	83.94

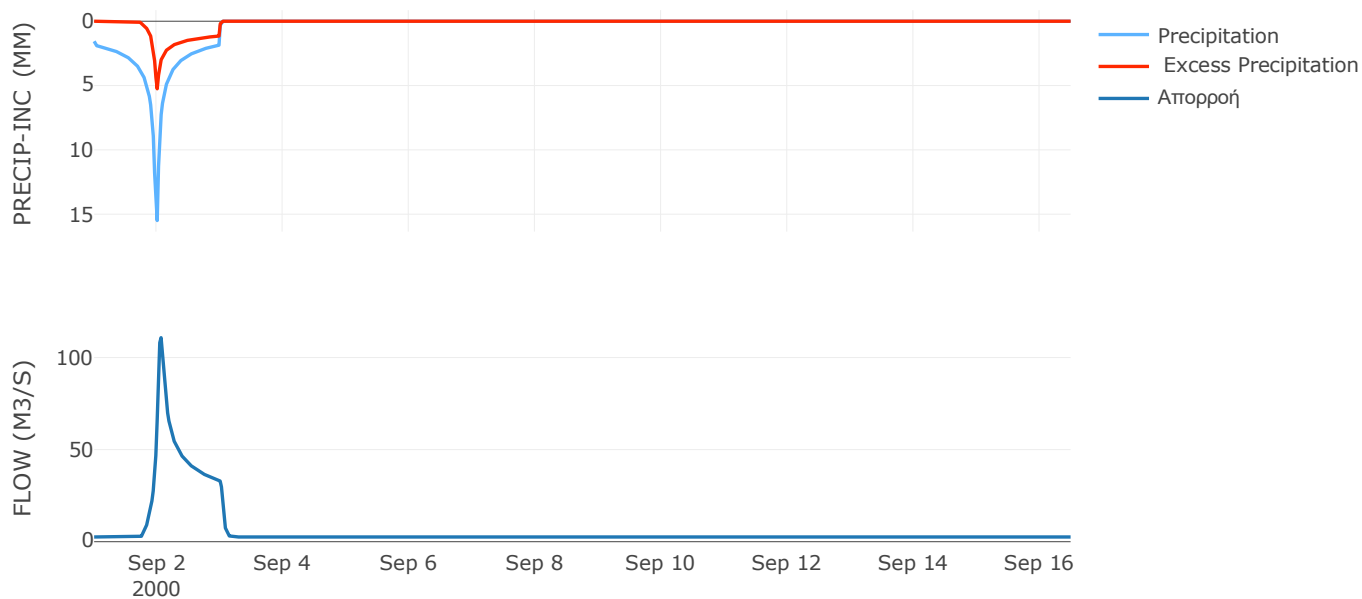
Μέθοδος
Μετασχηματισμού: SCS

Χρόνος Υστέρησης	54.07
------------------	-------

Αποτελέσματα:
EL0415FR6055

Παροχή αιχμής (M3/S)	110.78
Χρονική στιγμή αιχμής	02Sep2000, 01:30
Όγκος (MM)	173.99
Όγκος βροχόπτωσης (M3)	1.61E7
Όγκος απωλειών (M3)	1.14E7
Ενεργός Όγκος (M3)	4.68E6
Όγκος άμεσης απορροής (M3)	4.68E6
Όγκος βασικής απορροής (M3)	3.44E6

Βροχόπτωση και Απορροή



Υπολεκάνη: EL0415FR6056

Έκταση (KM2) : 143.97

Κατάντη : J54

Μέθοδος Απωλειών: SCS

Ποσοστό αδιαπέρατης επιφάνειας	0
Αριθμός Καμπύλης Απορροής-CN	46.84
Αρχικές Απώλειες	57.65

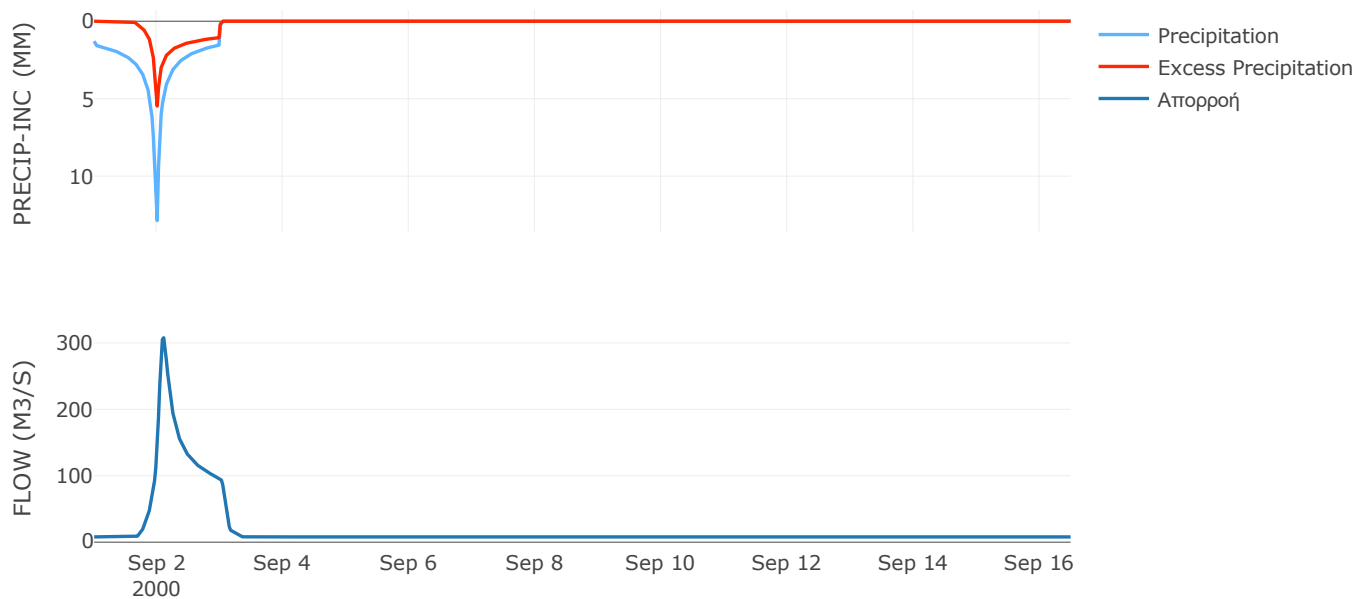
Μέθοδος
Μετασχηματισμού: SCS

Χρόνος Υστέρησης	105.78
------------------	--------

Αποτελέσματα:
EL0415FR6056

Παροχή αιχμής (M3/S)	307.8
Χρονική στιγμή αιχμής	02Sep2000, 02:30
Όγκος (MM)	174.9
Όγκος βροχόπτωσης (M3)	4.12E7
Όγκος απωλειών (M3)	2.67E7
Ενεργός Όγκος (M3)	1.46E7
Όγκος άμεσης απορροής (M3)	1.46E7
Όγκος βασικής απορροής (M3)	1.06E7

Βροχόπτωση και Απορροή



Υπολεκάνη: EL0415FR6057

Έκταση (KM2) : 27.51

Κατάντη : J57

Μέθοδος Απωλειών: SCS

Ποσοστό αδιαπέρατης επιφάνειας	13
Αριθμός Καμπύλης Απορροής-CN	47.72
Αρχικές Απώλειες	55.66

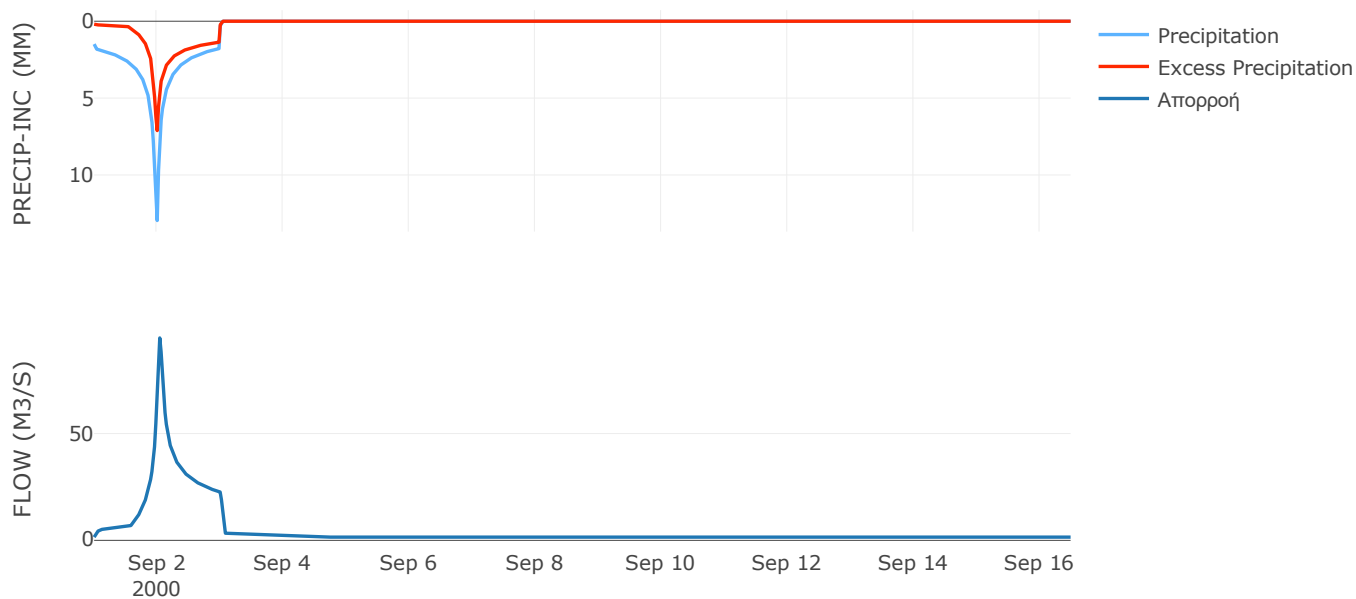
Μέθοδος
Μετασχηματισμού: SCS

Χρόνος Υστέρησης	42.52
------------------	-------

Αποτελέσματα:
EL0415FR6057

Παροχή αιχμής (M3/S)	94.73
Χρονική στιγμή αιχμής	02Sep2000, 01:00
Όγκος (MM)	223.23
Όγκος βροχόπτωσης (M3)	8.66E6
Όγκος απωλειών (M3)	4.54E6
Ενεργός Όγκος (M3)	4.11E6
Όγκος άμεσης απορροής (M3)	4.11E6
Όγκος βασικής απορροής (M3)	2.03E6

Βροχόπτωση και Απορροή



Υπολεκάνη: EL0415FR6058

Έκταση (KM2) : 10.79

Κατάνη : J53 Res5

Μέθοδος Απωλειών: SCS

Ποσοστό αδιαπέρατης επιφάνειας	16
Αριθμός Καμπύλης Απορροής-CN	54.59
Αρχικές Απώλειες	42.25

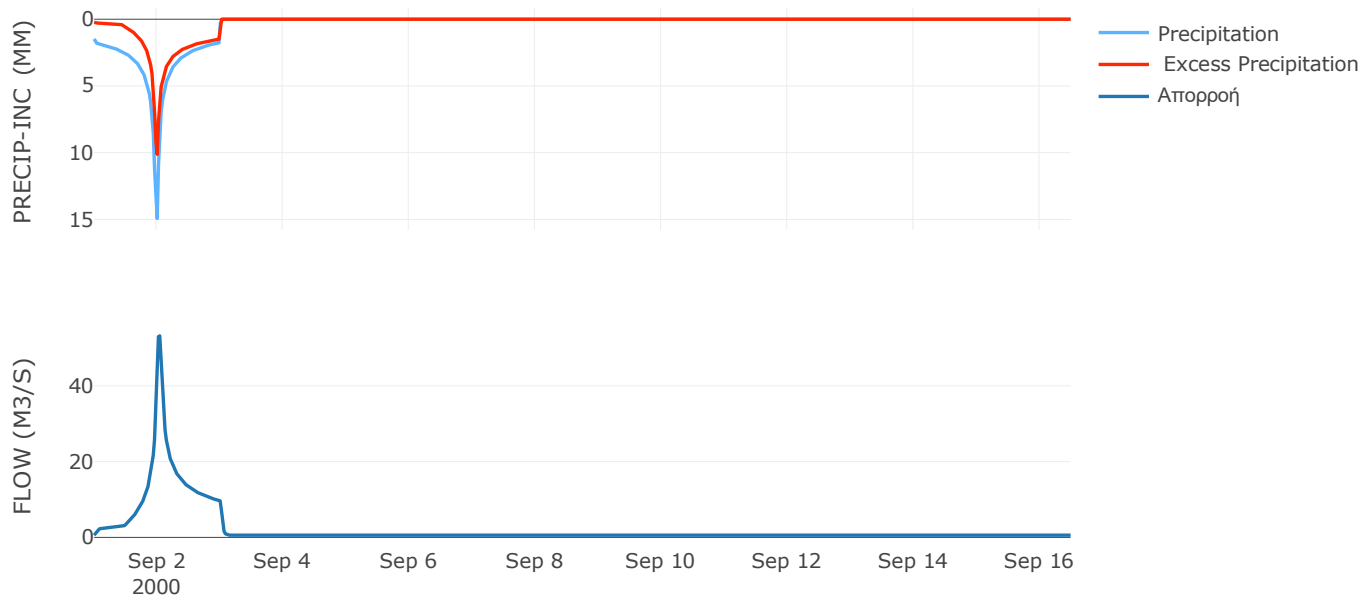
Μέθοδος
Μετασχηματισμού: SCS

Χρόνος Υστέρησης	32.59
------------------	-------

Αποτελέσματα:
EL0415FR6058

Παροχή αιχμής (M3/S)	53.18
Χρονική στιγμή αιχμής	02Sep2000, 01:00
Όγκος (MM)	265.08
Όγκος βροχόπτωσης (M3)	3.55E6
Όγκος απωλειών (M3)	1.49E6
Ενεργός Όγκος (M3)	2.07E6
Όγκος άμεσης απορροής (M3)	2.07E6
Όγκος βασικής απορροής (M3)	7.95E5

Βροχόπτωση και Απορροή



Υπολεκάνη: EL0415FR6059

Έκταση (KM2) : 57.55

Κατάντη : J51

Μέθοδος Απωλειών: SCS

Ποσοστό αδιαπέρατης επιφάνειας	0
Αριθμός Καμπύλης Απορροής-CN	53.12
Αρχικές Απώλειες	44.83

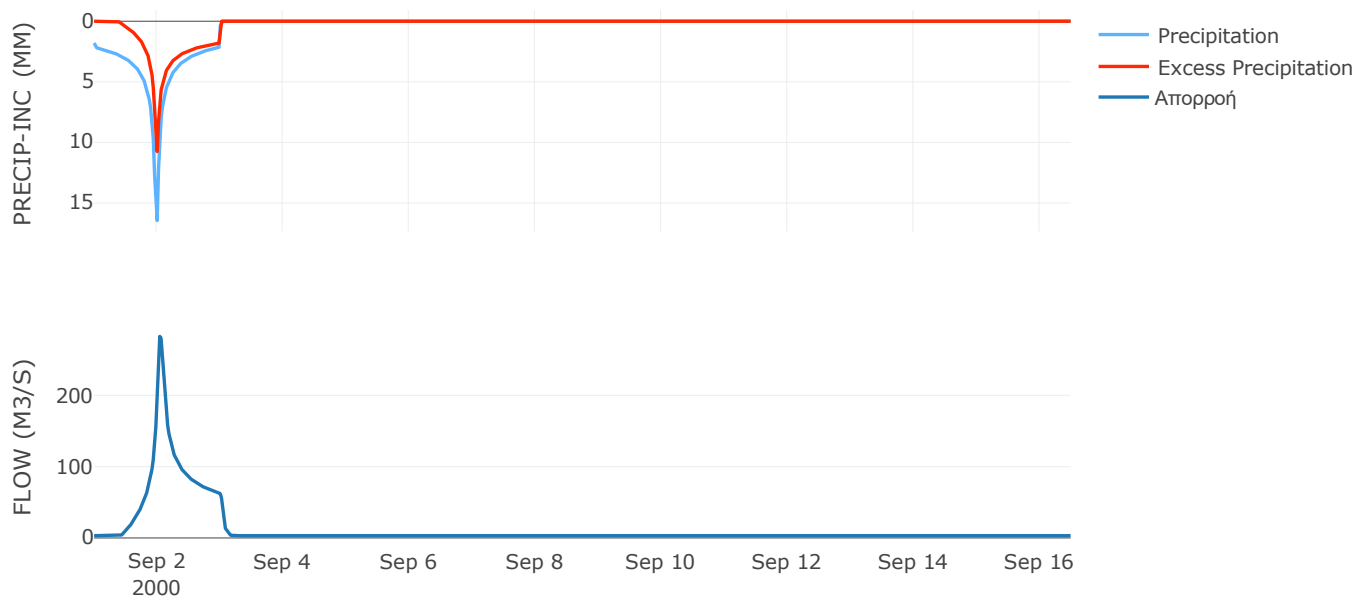
Μέθοδος
Μετασχηματισμού: SCS

Χρόνος Υστέρησης	56.1
------------------	------

Αποτελέσματα:
EL0415FR6059

Παροχή αιχμής (M3/S)	282.63
Χρονική στιγμή αιχμής	02Sep2000, 01:00
Όγκος (MM)	280.29
Όγκος βροχόπτωσης (M3)	2.23E7
Όγκος απωλειών (M3)	1.04E7
Ενεργός Όγκος (M3)	1.19E7
Όγκος άμεσης απορροής (M3)	1.19E7
Όγκος βασικής απορροής (M3)	4.24E6

Βροχόπτωση και Απορροή



Υπολεκάνη: EL0415FR6060

Έκταση (KM2) : 43.14

Κατάντη : J50

Μέθοδος Απωλειών: SCS

Ποσοστό αδιαπέρατης επιφάνειας	0
Αριθμός Καμπύλης Απορροής-CN	55.54
Αρχικές Απώλειες	40.66

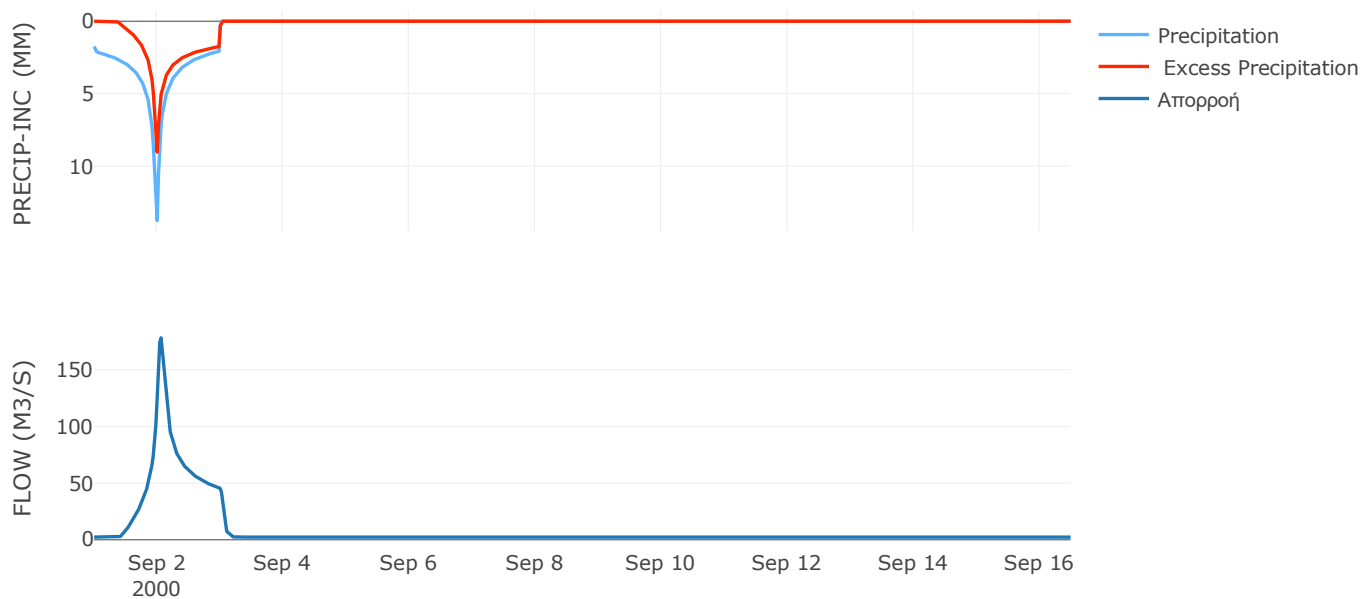
Μέθοδος
Μετασχηματισμού: SCS

Χρόνος Υστέρησης	62.7
------------------	------

Αποτελέσματα:
EL0415FR6060

Παροχή αιχμής (M3/S)	178
Χρονική στιγμή αιχμής	02Sep2000, 01:30
Όγκος (MM)	264.87
Όγκος βροχόπτωσης (M3)	1.53E7
Όγκος απωλειών (M3)	7.08E6
Ενεργός Όγκος (M3)	8.25E6
Όγκος άμεσης απορροής (M3)	8.25E6
Όγκος βασικής απορροής (M3)	3.18E6

Βροχόπτωση και Απορροή



Υπολεκάνη: EL0415FR6061

Έκταση (KM2) : 129.17

Κατάντη : J56

Μέθοδος Απωλειών: SCS

Ποσοστό αδιαπέρατης επιφάνειας	0
Αριθμός Καμπύλης Απορροής-CN	46.68
Αρχικές Απώλειες	58.03

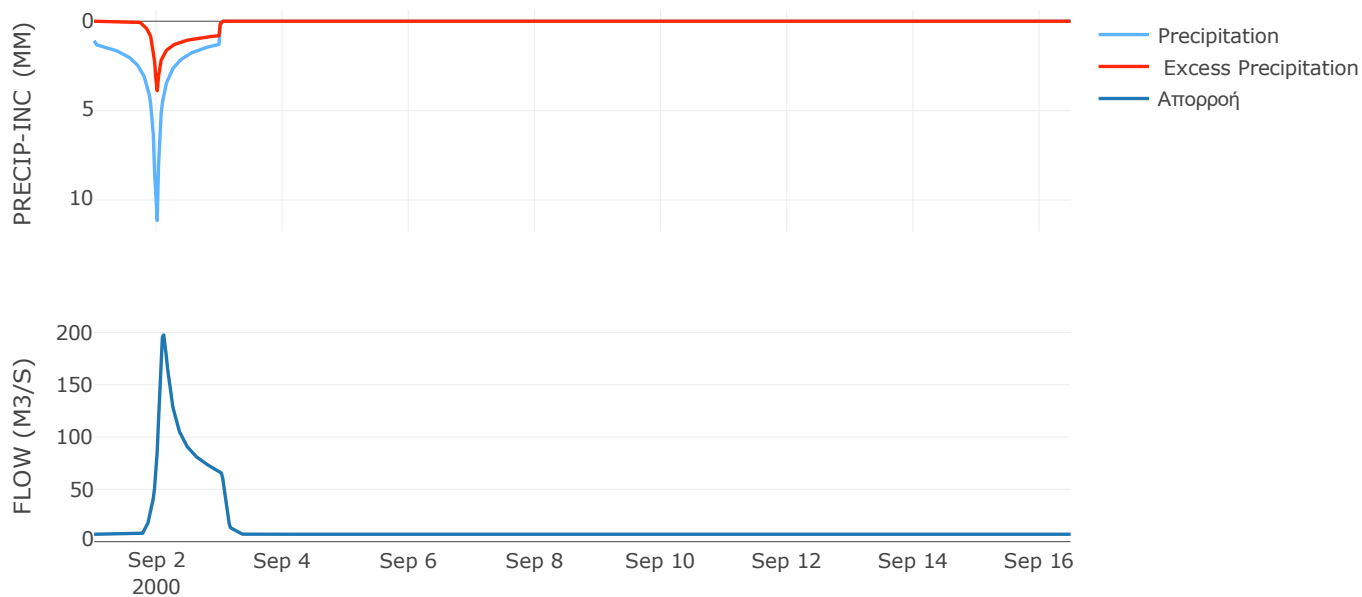
Μέθοδος
Μετασχηματισμού: SCS

Χρόνος Υστέρησης	101.81
------------------	--------

Αποτελέσματα:
EL0415FR6061

Παροχή αιχμής (M3/S)	197.62
Χρονική στιγμή αιχμής	02Sep2000, 02:30
Όγκος (MM)	145.94
Όγκος βροχόπτωσης (M3)	3.14E7
Όγκος απωλειών (M3)	2.21E7
Ενεργός Όγκος (M3)	9.34E6
Όγκος άμεσης απορροής (M3)	9.34E6
Όγκος βασικής απορροής (M3)	9.51E6

Βροχόπτωση και Απορροή



Υπολεκάνη: EL0415FR6062

Έκταση (KM2) : 41.66

Κατάντη : J49

Μέθοδος Απωλειών: SCS

Ποσοστό αδιαπέρατης επιφάνειας	0
Αριθμός Καμπύλης Απορροής-CN	55.16
Αρχικές Απώλειες	41.3

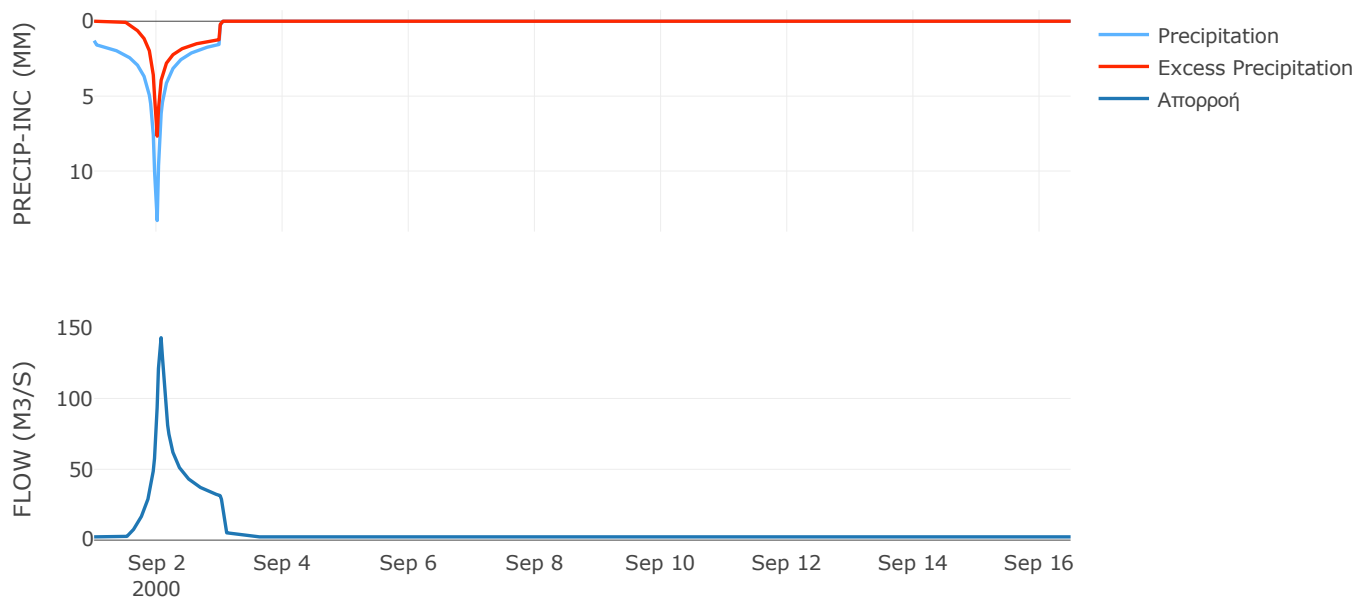
Μέθοδος
Μετασχηματισμού: SCS

Χρόνος Υστέρησης	58.76
------------------	-------

Αποτελέσματα:
EL0415FR6062

Παροχή αιχμής (M3/S)	142.92
Χρονική στιγμή αιχμής	02Sep2000, 01:30
Όγκος (MM)	210.24
Όγκος βροχόπτωσης (M3)	1.21E7
Όγκος απωλειών (M3)	6.43E6
Ενεργός Όγκος (M3)	5.69E6
Όγκος άμεσης απορροής (M3)	5.69E6
Όγκος βασικής απορροής (M3)	3.07E6

Βροχόπτωση και Απορροή



Υπολεκάνη: EL0415FR6063

Έκταση (KM2) : 99.42

Κατάντη : J48

Μέθοδος Απωλειών: SCS

Ποσοστό αδιαπέρατης επιφάνειας	0
Αριθμός Καμπύλης Απορροής-CN	42.28
Αρχικές Απώλειες	69.36

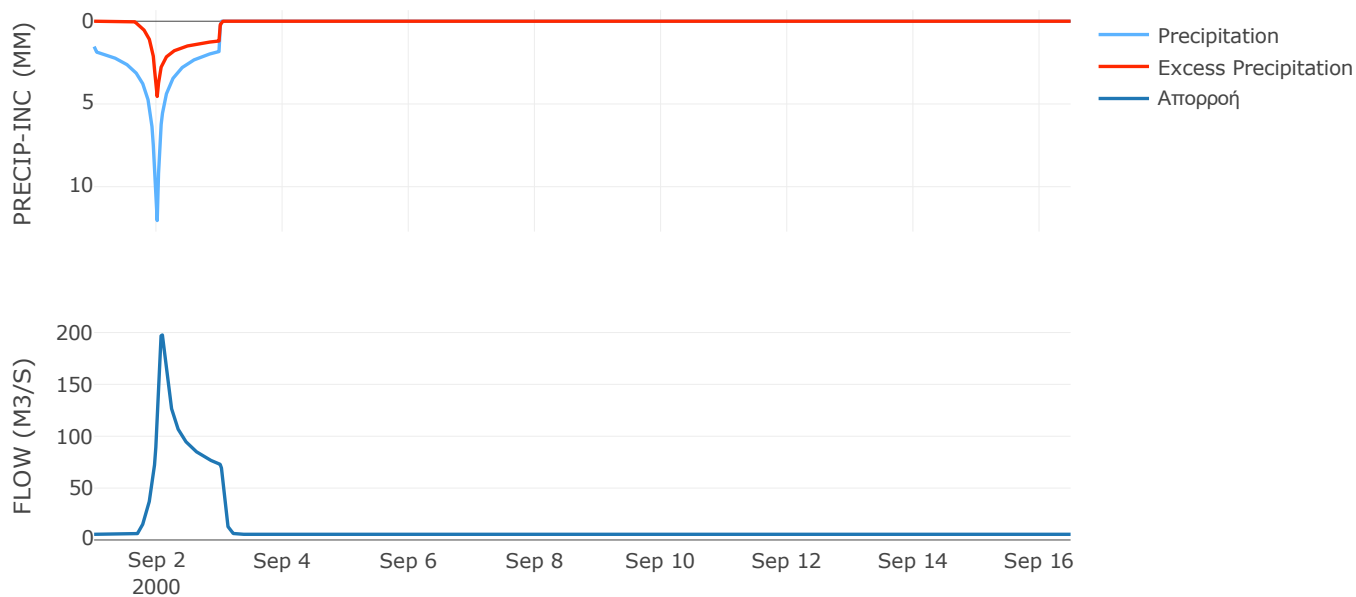
Μέθοδος
Μετασχηματισμού: SCS

Χρόνος Υστέρησης	75.36
------------------	-------

Αποτελέσματα:
EL0415FR6063

Παροχή αιχμής (M3/S)	197.6
Χρονική στιγμή αιχμής	02Sep2000, 02:00
Όγκος (MM)	173.86
Όγκος βροχόπτωσης (M3)	3.11E7
Όγκος απωλειών (M3)	2.11E7
Ενεργός Όγκος (M3)	9.96E6
Όγκος άμεσης απορροής (M3)	9.96E6
Όγκος βασικής απορροής (M3)	7.32E6

Βροχόπτωση και Απορροή



Υπολεκάνη: EL0415FR6064

Έκταση (KM2) : 51.48

Κατάντη : J47

Μέθοδος Απωλειών: SCS

Ποσοστό αδιαπέρατης επιφάνειας	0
Αριθμός Καμπύλης Απορροής-CN	39.63
Αρχικές Απώλειες	77.4

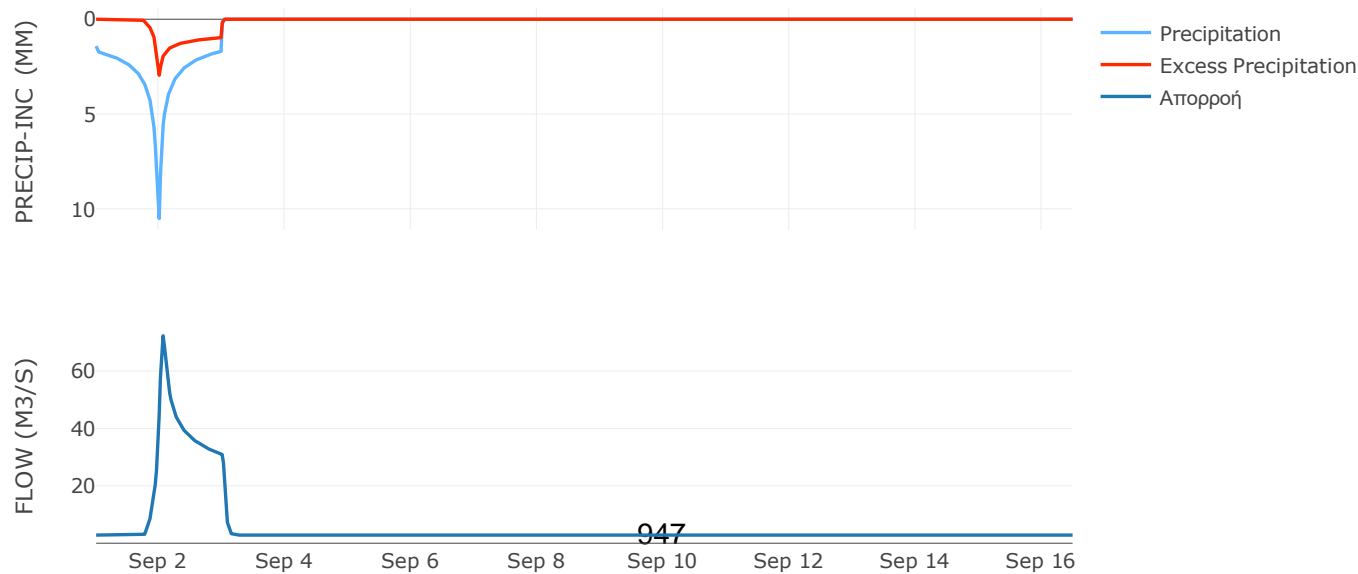
Μέθοδος
Μετασχηματισμού: SCS

Χρόνος Υστέρησης	53.6
------------------	------

Αποτελέσματα:
EL0415FR6064

Παροχή αιχμής (M3/S)	72.29
Χρονική στιγμή αιχμής	02Sep2000, 01:30
Όγκος (MM)	145.3
Όγκος βροχόπτωσης (M3)	1.46E7
Όγκος απωλειών (M3)	1.09E7
Ενεργός Όγκος (M3)	3.69E6
Όγκος άμεσης απορροής (M3)	3.69E6
Όγκος βασικής απορροής (M3)	3.79E6

Βροχόπτωση και Απορροή



Υπολεκάνη: EL0415FR6065

Έκταση (KM2) : 12.04

Κατάντη : J47

Μέθοδος Απωλειών: SCS

Ποσοστό αδιαπέρατης επιφάνειας	0
Αριθμός Καμπύλης Απορροής-CN	42
Αρχικές Απώλειες	70.15

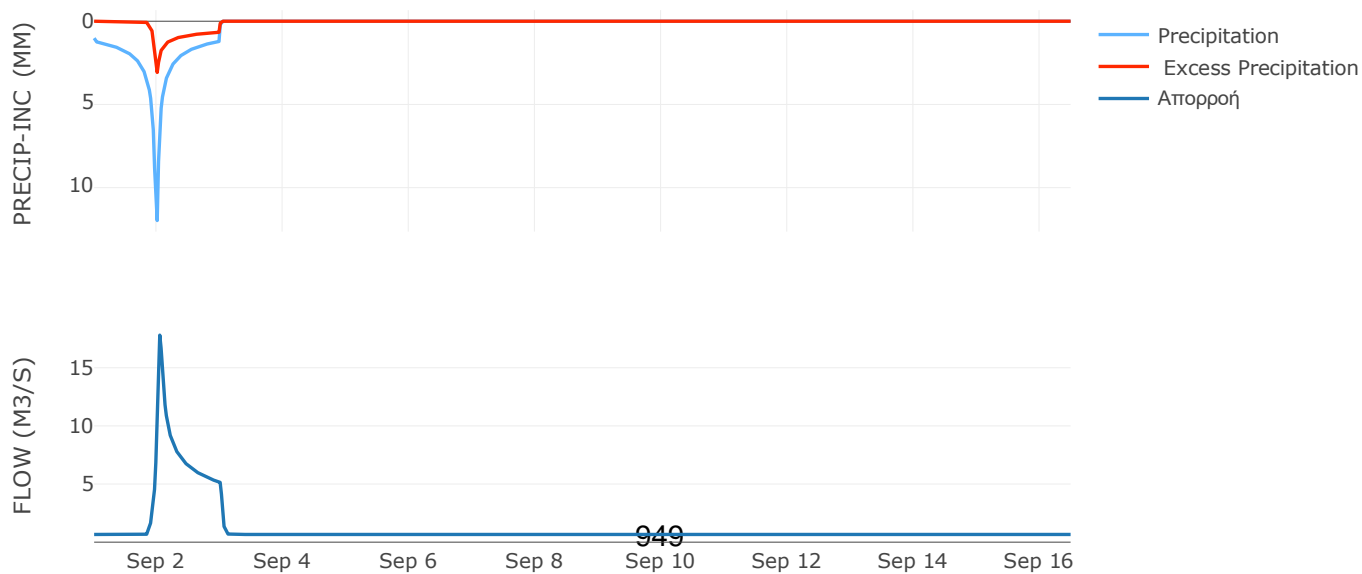
Μέθοδος
Μετασχηματισμού: SCS

Χρόνος Υστέρησης	37.05
------------------	-------

Αποτελέσματα:
EL0415FR6065

Παροχή αιχμής (M3/S)	17.8
Χρονική στιγμή αιχμής	02Sep2000, 01:00
Όγκος (MM)	129.18
Όγκος βροχόπτωσης (M3)	2.89E6
Όγκος απωλειών (M3)	2.22E6
Ενεργός Όγκος (M3)	6.68E5
Όγκος άμεσης απορροής (M3)	6.68E5
Όγκος βασικής απορροής (M3)	8.87E5

Βροχόπτωση και Απορροή



Υπολεκάνη: EL0415FR6066

Έκταση (KM2) : 116.84

Κατάντη : J48

Μέθοδος Απωλειών: SCS

Ποσοστό αδιαπέρατης επιφάνειας	0
Αριθμός Καμπύλης Απορροής-CN	47.21
Αρχικές Απώλειες	56.81

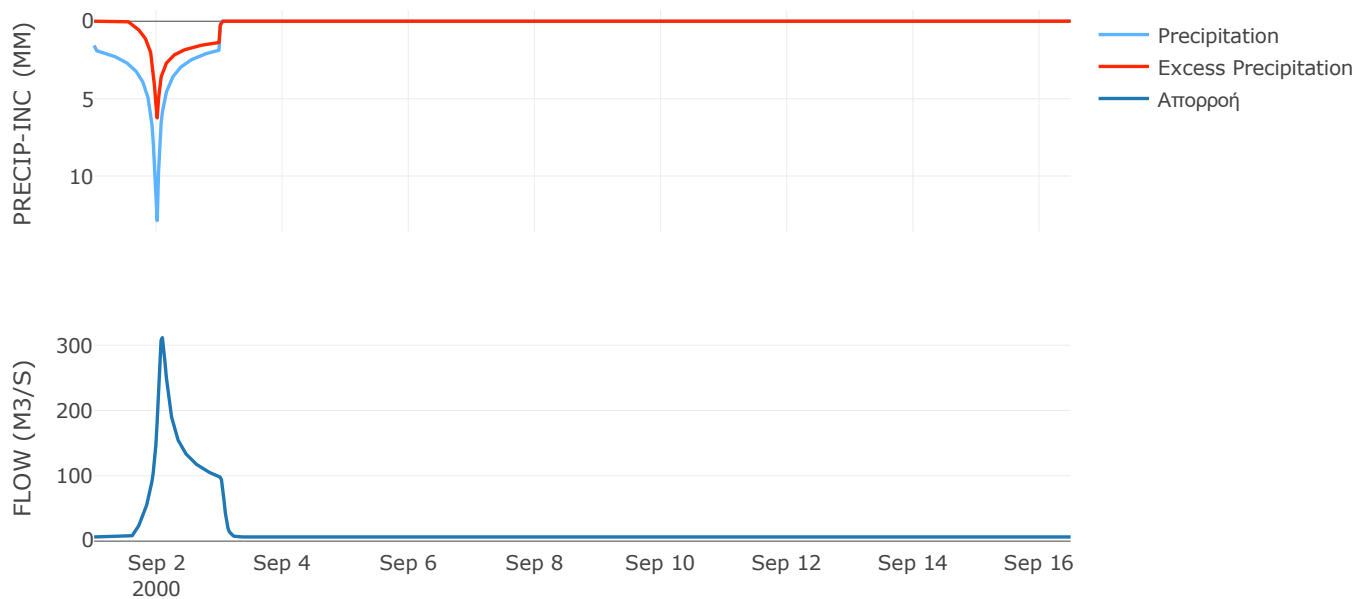
Μέθοδος
Μετασχηματισμού: SCS

Χρόνος Υστέρησης	83.47
------------------	-------

Αποτελέσματα:
EL0415FR6066

Παροχή αιχμής (M3/S)	311.54
Χρονική στιγμή αιχμής	02Sep2000, 02:00
Όγκος (MM)	203.5
Όγκος βροχόπτωσης (M3)	3.79E7
Όγκος απωλειών (M3)	2.27E7
Ενεργός Όγκος (M3)	1.52E7
Όγκος άμεσης απορροής (M3)	1.52E7
Όγκος βασικής απορροής (M3)	8.61E6

Βροχόπτωση και Απορροή



Υπολεκάνη: EL0415FR6067

Έκταση (KM2) : 29.4

Κατάνη : J57

Μέθοδος Απωλειών: SCS

Ποσοστό αδιαπέρατης επιφάνειας	9
Αριθμός Καμπύλης Απορροής-CN	49.35
Αρχικές Απώλειες	52.14

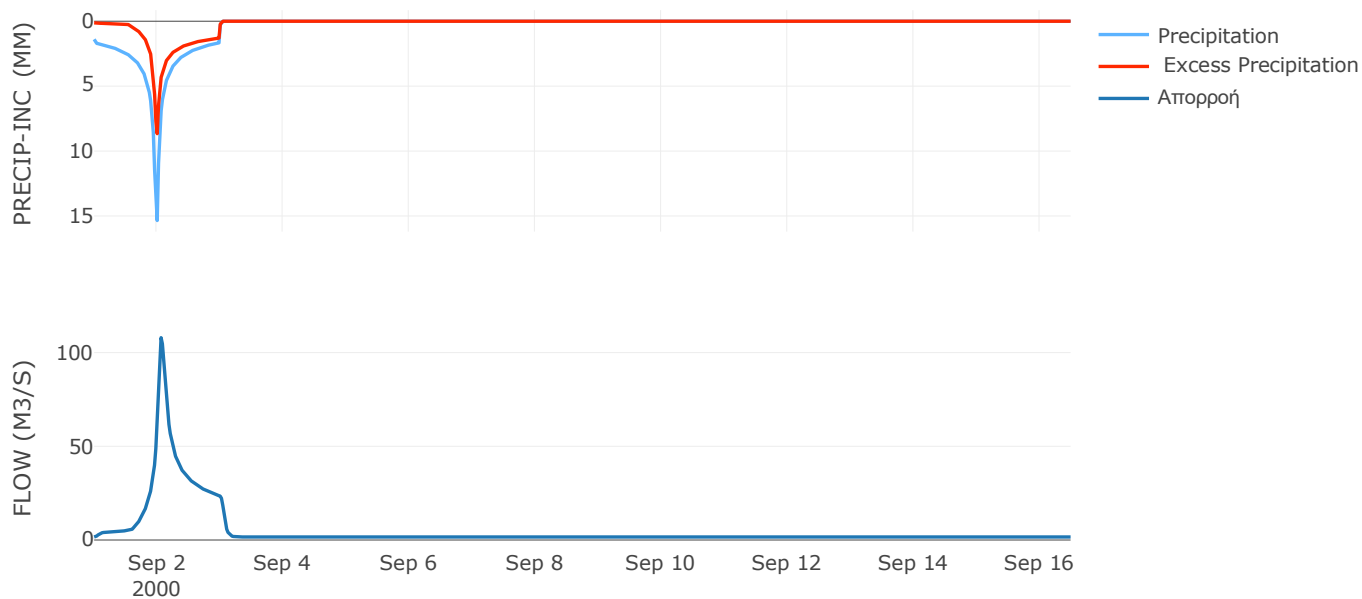
Μέθοδος
Μετασχηματισμού: SCS

Χρόνος Υστέρησης	76.17
------------------	-------

Αποτελέσματα:
EL0415FR6067

Παροχή αιχμής (M3/S)	107.95
Χρονική στιγμή αιχμής	02Sep2000, 01:30
Όγκος (MM)	226.54
Όγκος βροχόπτωσης (M3)	9.43E6
Όγκος απωλειών (M3)	4.94E6
Ενεργός Όγκος (M3)	4.5E6
Όγκος άμεσης απορροής (M3)	4.5E6
Όγκος βασικής απορροής (M3)	2.17E6

Βροχόπτωση και Απορροή



Υπολεκάνη: EL0415FR6068

Έκταση (KM2) : 101.27

Κατάντη : J45

Μέθοδος Απωλειών: SCS

Ποσοστό αδιαπέρατης επιφάνειας	0
Αριθμός Καμπύλης Απορροής-CN	59.47
Αρχικές Απώλειες	34.63

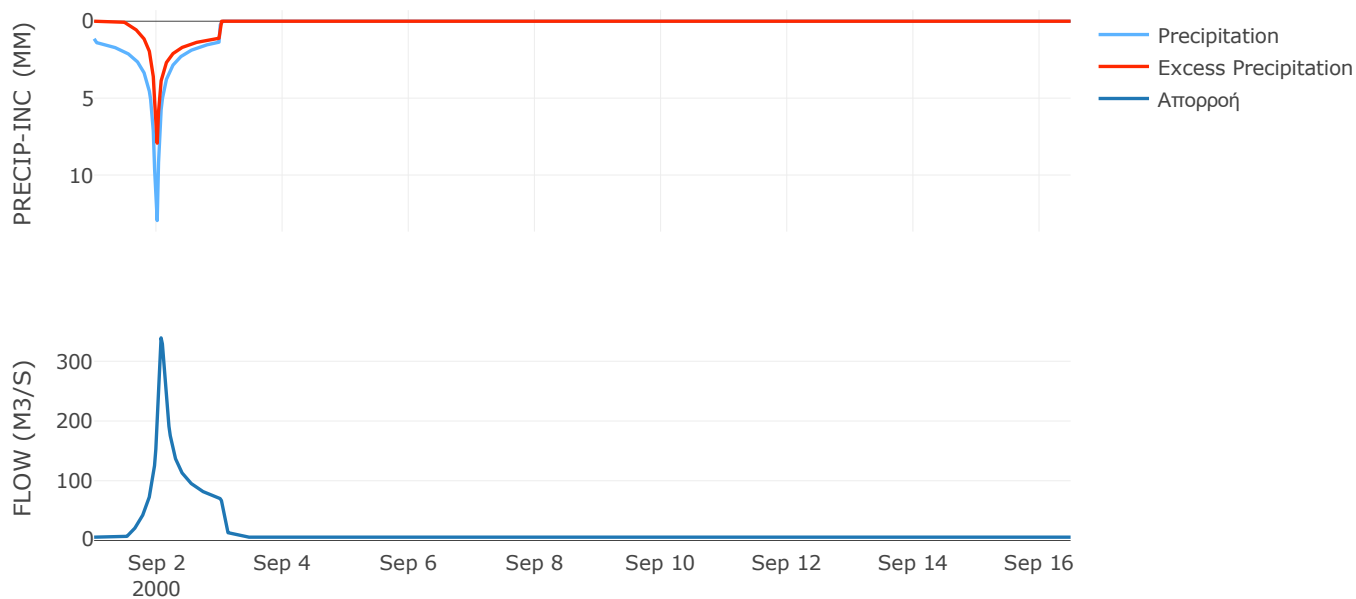
Μέθοδος
Μετασχηματισμού: SCS

Χρόνος Υστέρησης	77.15
------------------	-------

Αποτελέσματα:
EL0415FR6068

Παροχή αιχμής (M3/S)	339.16
Χρονική στιγμή αιχμής	02Sep2000, 01:30
Όγκος (MM)	205.62
Όγκος βροχόπτωσης (M3)	2.69E7
Όγκος απωλειών (M3)	1.35E7
Ενεργός Όγκος (M3)	1.34E7
Όγκος άμεσης απορροής (M3)	1.34E7
Όγκος βασικής απορροής (M3)	7.46E6

Βροχόπτωση και Απορροή



Υπολεκάνη: EL0415FR6069

Έκταση (KM2) : 35

Κατάντη : J43

Μέθοδος Απωλειών: SCS

Ποσοστό αδιαπέρατης επιφάνειας	0
Αριθμός Καμπύλης Απορροής-CN	58
Αρχικές Απώλειες	36.78

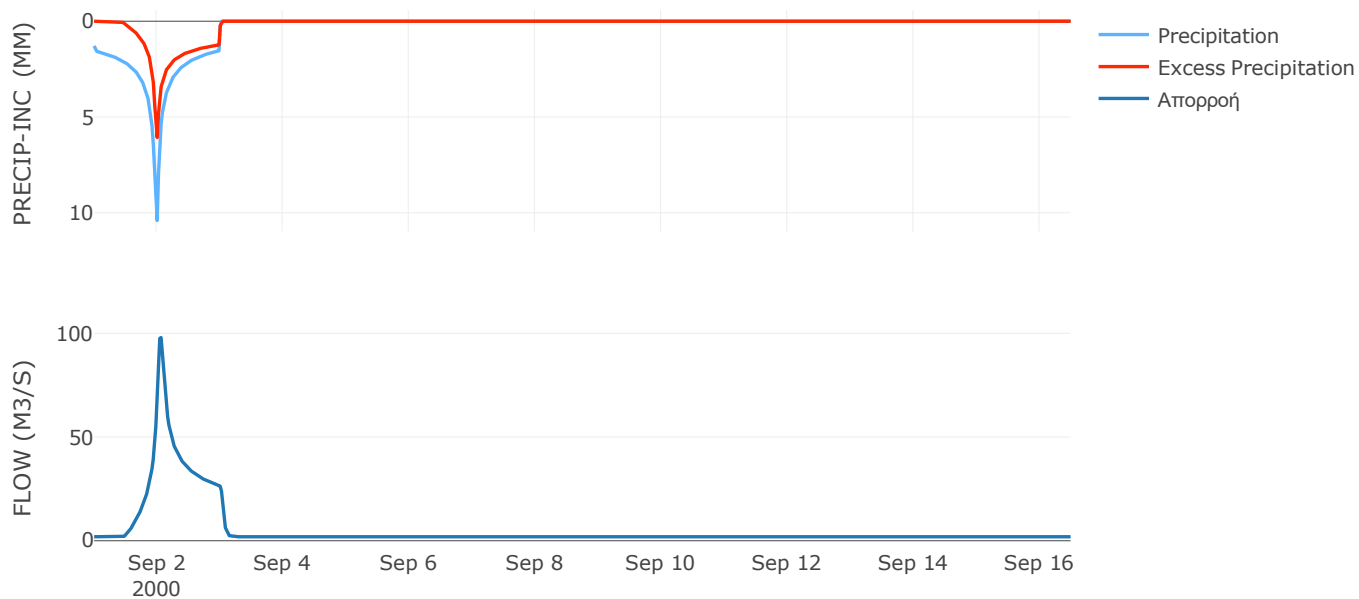
Μέθοδος
Μετασχηματισμού: SCS

Χρόνος Υστέρησης	56.7
------------------	------

Αποτελέσματα:
EL0415FR6069

Παροχή αιχμής (M3/S)	97.96
Χρονική στιγμή αιχμής	02Sep2000, 01:30
Όγκος (MM)	200.36
Όγκος βροχόπτωσης (M3)	9.29E6
Όγκος απωλειών (M3)	4.85E6
Ενεργός Όγκος (M3)	4.43E6
Όγκος άμεσης απορροής (M3)	4.43E6
Όγκος βασικής απορροής (M3)	2.58E6

Βροχόπτωση και Απορροή



Υπολεκάνη: EL0415FR6070

Έκταση (KM2) : 53.71

Κατάντη : J42

Μέθοδος Απωλειών: SCS

Ποσοστό αδιαπέρατης επιφάνειας	1
Αριθμός Καμπύλης Απορροής-CN	46.79
Αρχικές Απώλειες	57.78

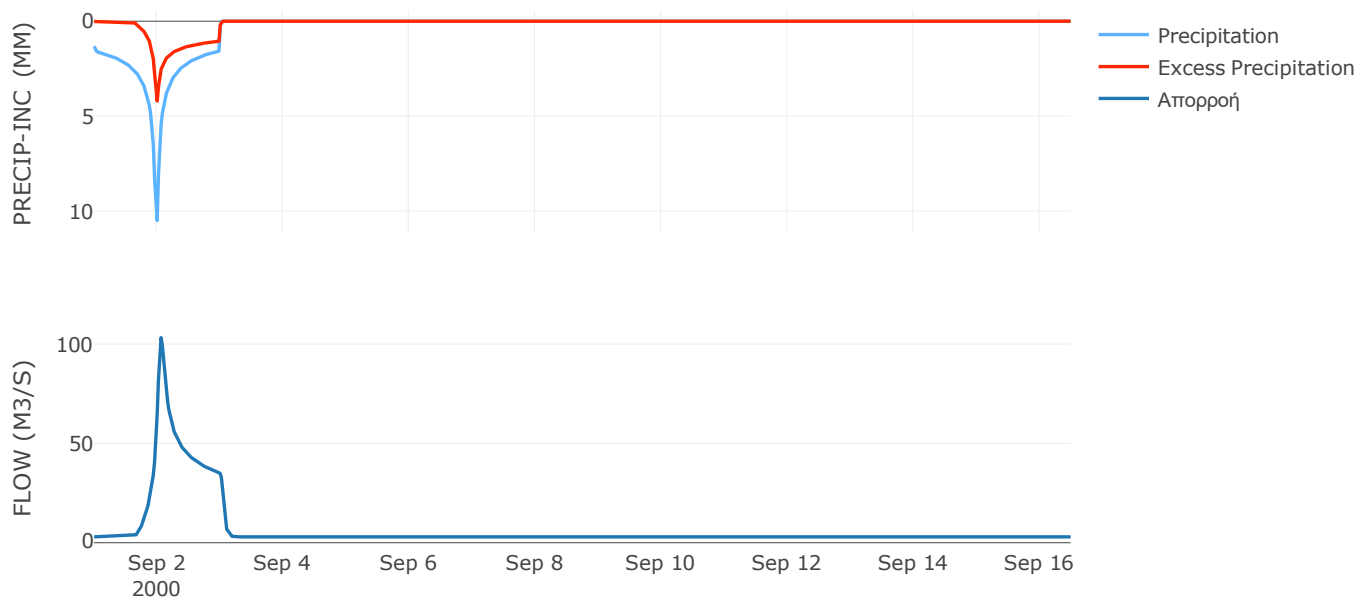
Μέθοδος
Μετασχηματισμού: SCS

Χρόνος Υστέρησης	63.49
------------------	-------

Αποτελέσματα:
EL0415FR6070

Παροχή αιχμής (M3/S)	103.21
Χρονική στιγμή αιχμής	02Sep2000, 01:30
Όγκος (MM)	165.3
Όγκος βροχόπτωσης (M3)	1.45E7
Όγκος απωλειών (M3)	9.58E6
Ενεργός Όγκος (M3)	4.92E6
Όγκος άμεσης απορροής (M3)	4.92E6
Όγκος βασικής απορροής (M3)	3.96E6

Βροχόπτωση και Απορροή



Υπολεκάνη: EL0415FR6071

Έκταση (KM2) : 75.64

Κατάντη : J40

Μέθοδος Απωλειών: SCS

Ποσοστό αδιαπέρατης επιφάνειας	0
Αριθμός Καμπύλης Απορροής-CN	63.1
Αρχικές Απώλειες	29.71

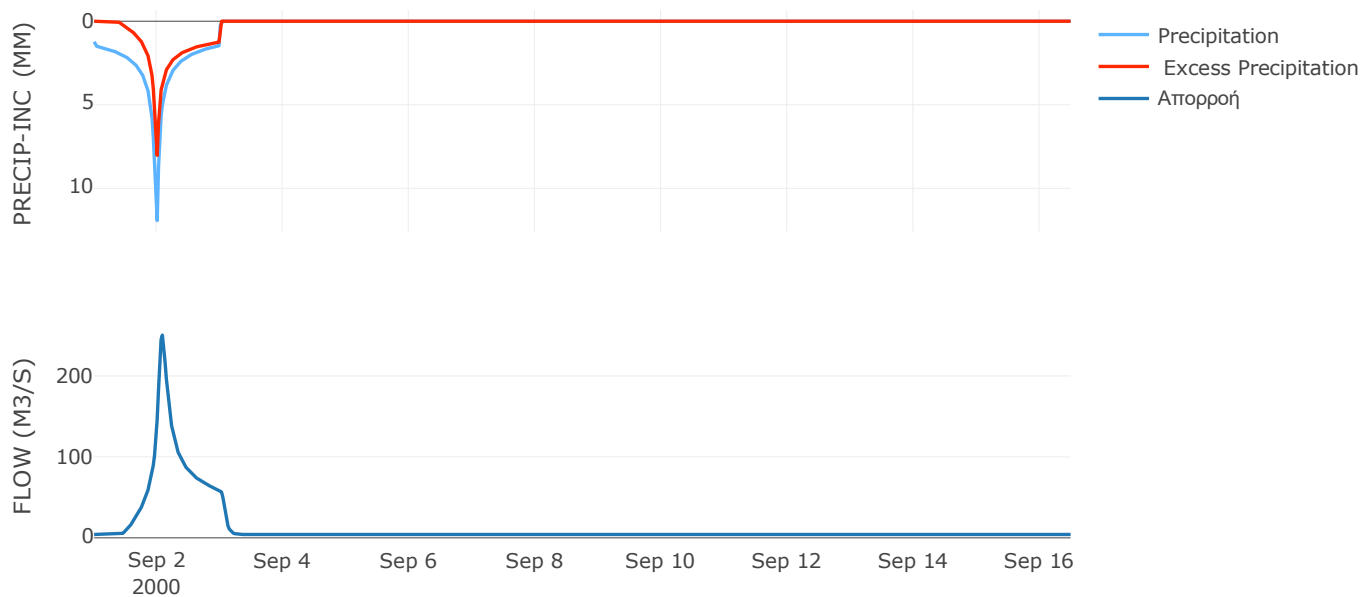
Μέθοδος
Μετασχηματισμού: SCS

Χρόνος Υστέρησης	93.54
------------------	-------

Αποτελέσματα:
EL0415FR6071

Παροχή αιχμής (M3/S)	250.36
Χρονική στιγμή αιχμής	02Sep2000, 02:00
Όγκος (MM)	222
Όγκος βροχόπτωσης (M3)	2.04E7
Όγκος απωλειών (M3)	9.19E6
Ενεργός Όγκος (M3)	1.12E7
Όγκος άμεσης απορροής (M3)	1.12E7
Όγκος βασικής απορροής (M3)	5.57E6

Βροχόπτωση και Απορροή



Υπολεκάνη: EL0415FR6072

Έκταση (KM2) : 105.53

Κατάντη : J39

Μέθοδος Απωλειών: SCS

Ποσοστό αδιαπέρατης επιφάνειας	0
Αριθμός Καμπύλης Απορροής-CN	59.46
Αρχικές Απώλειες	34.64

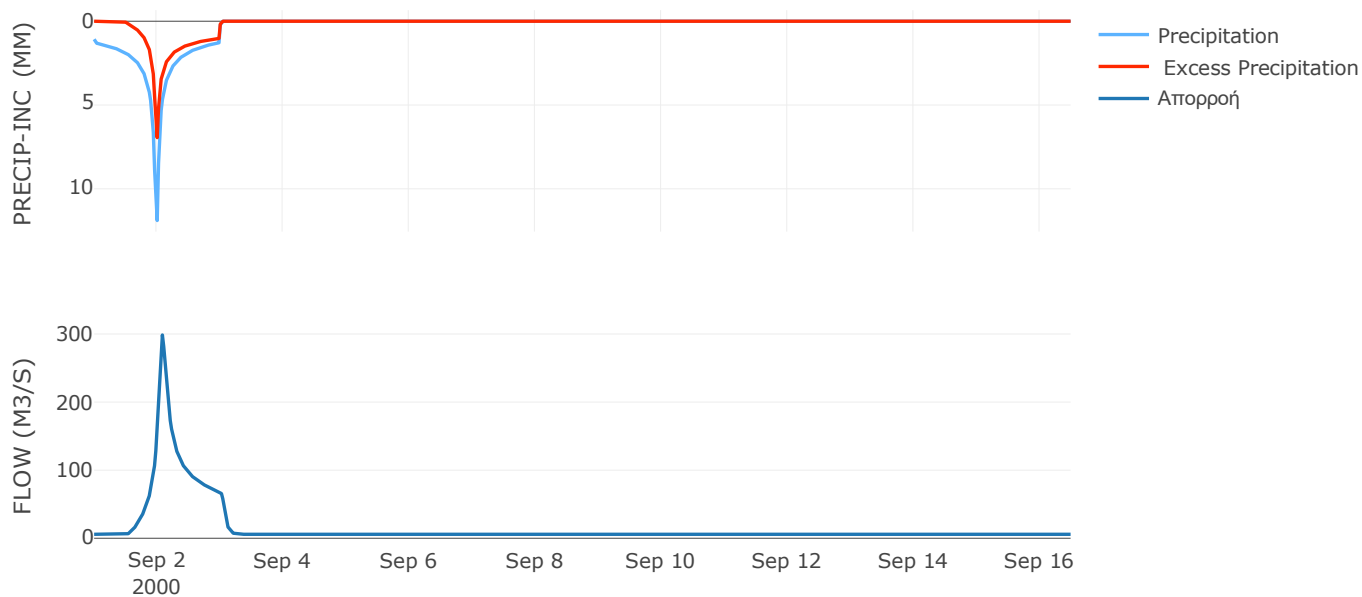
Μέθοδος
Μετασχηματισμού: SCS

Χρόνος Υστέρησης	89.49
------------------	-------

Αποτελέσματα:
EL0415FR6072

Παροχή αιχμής (M3/S)	298.56
Χρονική στιγμή αιχμής	02Sep2000, 02:00
Όγκος (MM)	191.34
Όγκος βροχόπτωσης (M3)	2.62E7
Όγκος απωλειών (M3)	1.37E7
Ενεργός Όγκος (M3)	1.24E7
Όγκος άμεσης απορροής (M3)	1.24E7
Όγκος βασικής απορροής (M3)	7.77E6

Βροχόπτωση και Απορροή



Υπολεκάνη: EL0415FR6073

Έκταση (KM2) : 53.33

Κατάντη : J39

Μέθοδος Απωλειών: SCS

Ποσοστό αδιαπέρατης επιφάνειας	0
Αριθμός Καμπύλης Απορροής-CN	46.02
Αρχικές Απώλειες	59.6

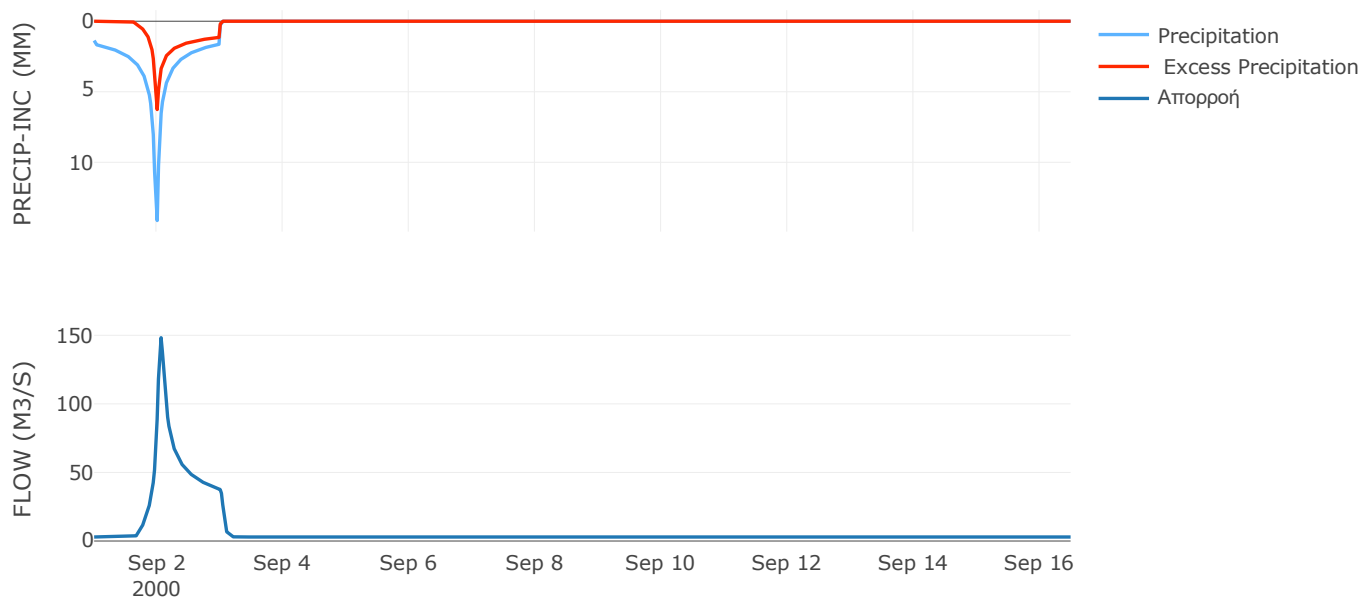
Μέθοδος
Μετασχηματισμού: SCS

Χρόνος Υστέρησης	61.06
------------------	-------

Αποτελέσματα:
EL0415FR6073

Παροχή αιχμής (M3/S)	148.27
Χρονική στιγμή αιχμής	02Sep2000, 01:30
Όγκος (MM)	186.23
Όγκος βροχόπτωσης (M3)	1.64E7
Όγκος απωλειών (M3)	1.04E7
Ενεργός Όγκος (M3)	6E6
Όγκος άμεσης απορροής (M3)	6E6
Όγκος βασικής απορροής (M3)	3.93E6

Βροχόπτωση και Απορροή



Υπολεκάνη: EL0415FR6074

Έκταση (KM2) : 21.94

Κατάντη : J37

Μέθοδος Απωλειών: SCS

Ποσοστό αδιαπέρατης επιφάνειας	0
Αριθμός Καμπύλης Απορροής-CN	47.19
Αρχικές Απώλειες	56.85

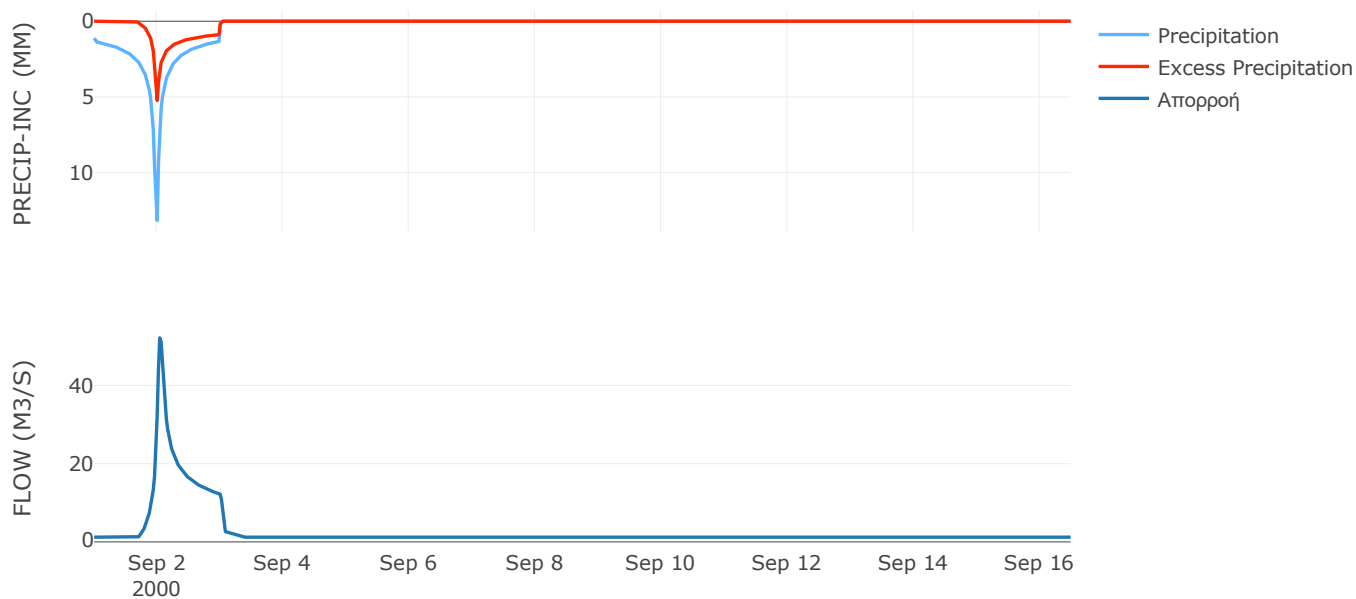
Μέθοδος
Μετασχηματισμού: SCS

Χρόνος Υστέρησης	49.56
------------------	-------

Αποτελέσματα:
EL0415FR6074

Παροχή αιχμής (M3/S)	52.18
Χρονική στιγμή αιχμής	02Sep2000, 01:00
Όγκος (MM)	161.09
Όγκος βροχόπτωσης (M3)	5.8E6
Όγκος απωλειών (M3)	3.88E6
Ενεργός Όγκος (M3)	1.92E6
Όγκος άμεσης απορροής (M3)	1.92E6
Όγκος βασικής απορροής (M3)	1.62E6

Βροχόπτωση και Απορροή



Υπολεκάνη: EL0415FR6075

Έκταση (KM2) : 74.2

Κατάντη : J38

Μέθοδος Απωλειών: SCS

Ποσοστό αδιαπέρατης επιφάνειας	0
Αριθμός Καμπύλης Απορροής-CN	53.62
Αρχικές Απώλειες	43.94

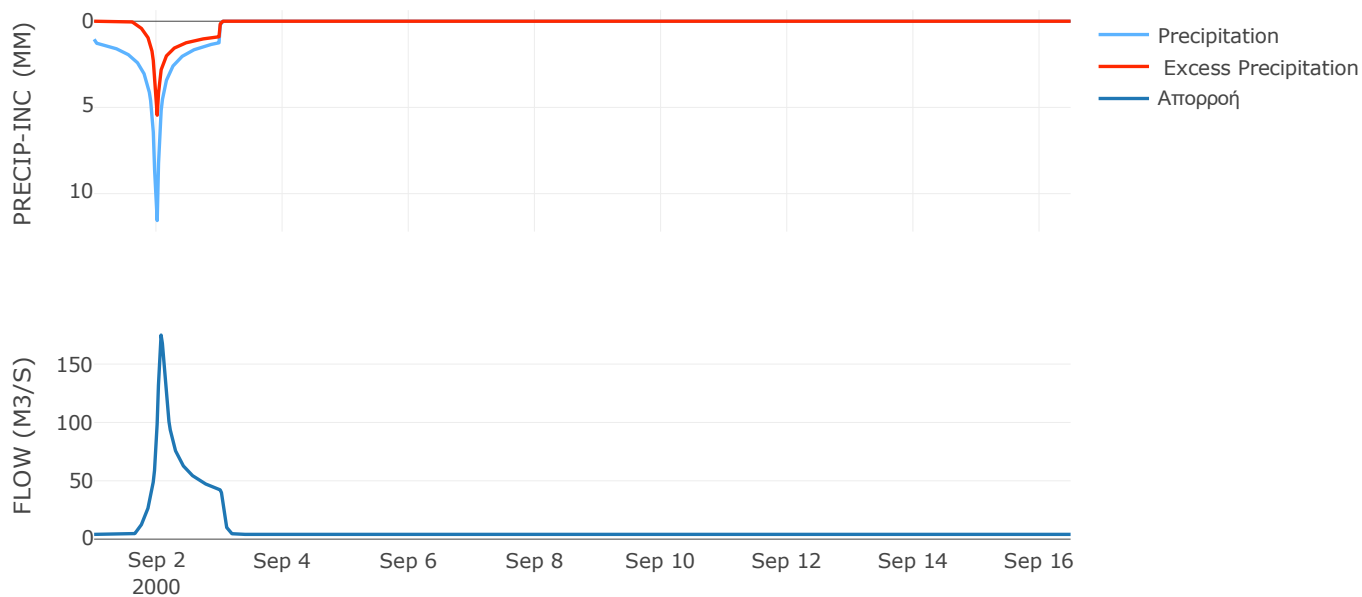
Μέθοδος
Μετασχηματισμού: SCS

Χρόνος Υστέρησης	69.87
------------------	-------

Αποτελέσματα:
EL0415FR6075

Παροχή αιχμής (M3/S)	174.89
Χρονική στιγμή αιχμής	02Sep2000, 01:30
Όγκος (MM)	166.94
Όγκος βροχόπτωσης (M3)	1.79E7
Όγκος απωλειών (M3)	1.1E7
Ενεργός Όγκος (M3)	6.92E6
Όγκος άμεσης απορροής (M3)	6.92E6
Όγκος βασικής απορροής (M3)	5.47E6

Βροχόπτωση και Απορροή



Υπολεκάνη: EL0415FR6076

Έκταση (KM2) : 61.38

Κατάντη : J33

Μέθοδος Απωλειών: SCS

Ποσοστό αδιαπέρατης επιφάνειας	0
Αριθμός Καμπύλης Απορροής-CN	38.57
Αρχικές Απώλειες	80.91

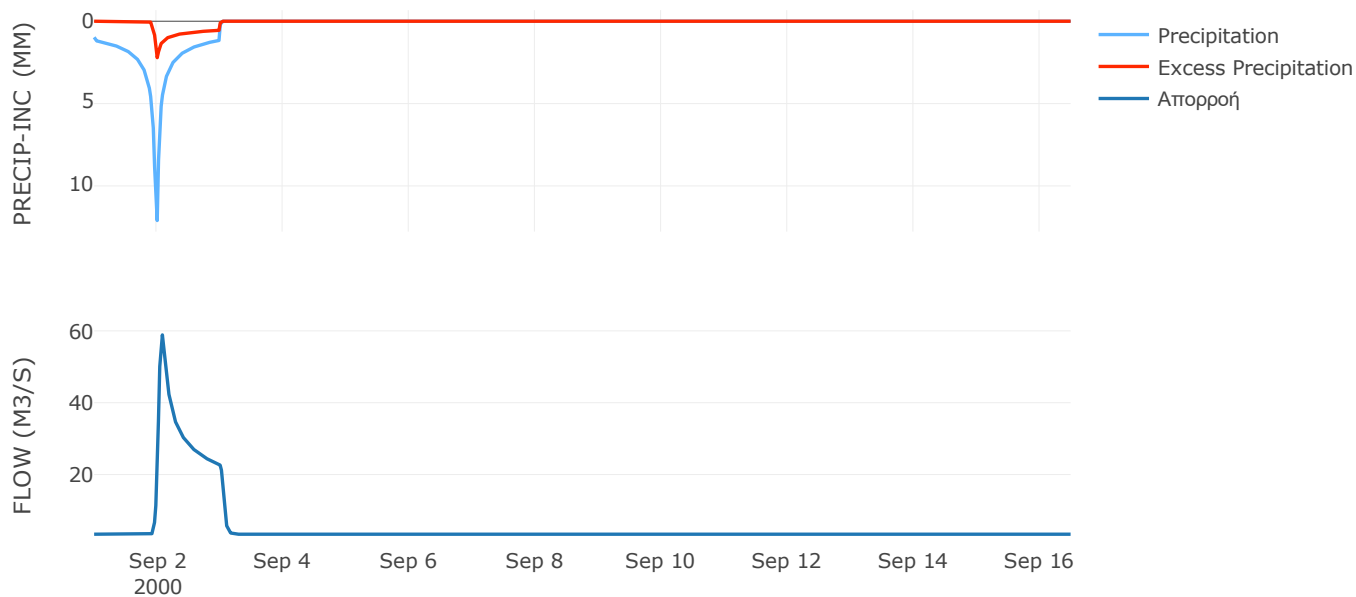
Μέθοδος
Μετασχηματισμού: SCS

Χρόνος Υστέρησης	63.38
------------------	-------

Αποτελέσματα:
EL0415FR6076

Παροχή αιχμής (M3/S)	58.88
Χρονική στιγμή αιχμής	02Sep2000, 02:00
Όγκος (MM)	116.24
Όγκος βροχόπτωσης (M3)	1.44E7
Όγκος απωλειών (M3)	1.18E7
Ενεργός Όγκος (M3)	2.61E6
Όγκος άμεσης απορροής (M3)	2.61E6
Όγκος βασικής απορροής (M3)	4.52E6

Βροχόπτωση και Απορροή



Υπολεκάνη: EL0415FR6077

Έκταση (KM2) : 115.35

Κατάντη : J33

Μέθοδος Απωλειών: SCS

Ποσοστό αδιαπέρατης επιφάνειας	0
Αριθμός Καμπύλης Απορροής-CN	38.02
Αρχικές Απώλειες	82.8

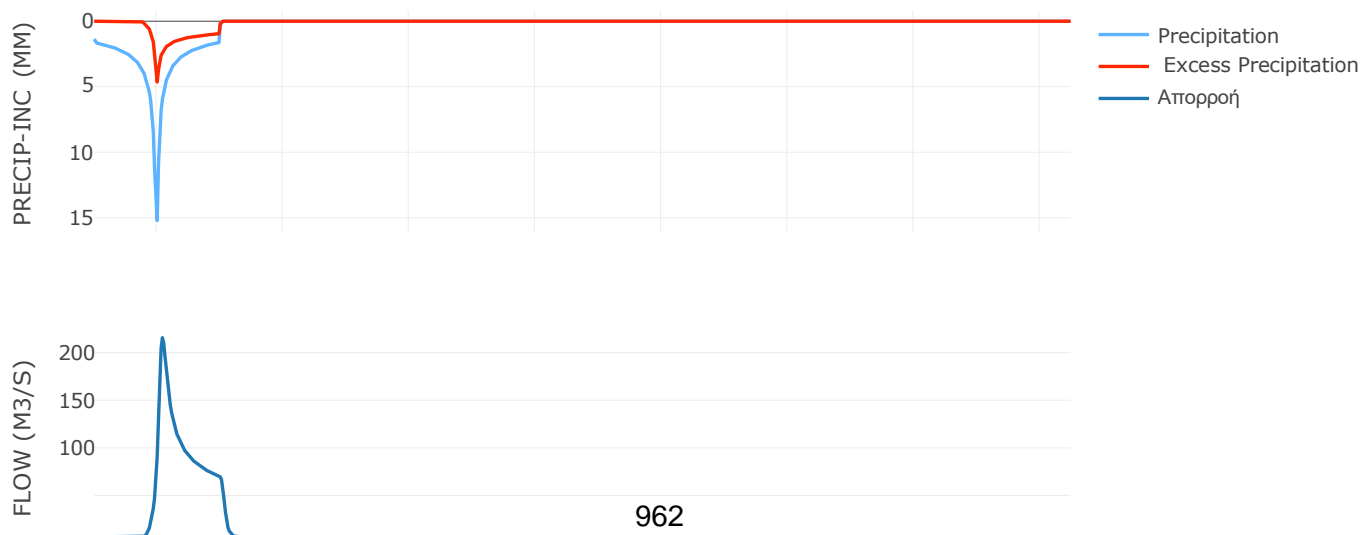
Μέθοδος
Μετασχηματισμού: SCS

Χρόνος Υστέρησης	86.69
------------------	-------

Αποτελέσματα:
EL0415FR6077

Παροχή αιχμής (M3/S)	215.71
Χρονική στιγμή αιχμής	02Sep2000, 02:00
Όγκος (MM)	157.23
Όγκος βροχόπτωσης (M3)	3.64E7
Όγκος απωλειών (M3)	2.67E7
Ενεργός Όγκος (M3)	9.64E6
Όγκος άμεσης απορροής (M3)	9.64E6
Όγκος βασικής απορροής (M3)	8.5E6

Βροχόπτωση και Απορροή



Υπολεκάνη: EL0415FR6078

Έκταση (KM2) : 32.2

Κατάντη : J32

Μέθοδος Απωλειών: SCS

Ποσοστό αδιαπέρατης επιφάνειας	0
Αριθμός Καμπύλης Απορροής-CN	42.74
Αρχικές Απώλειες	68.06

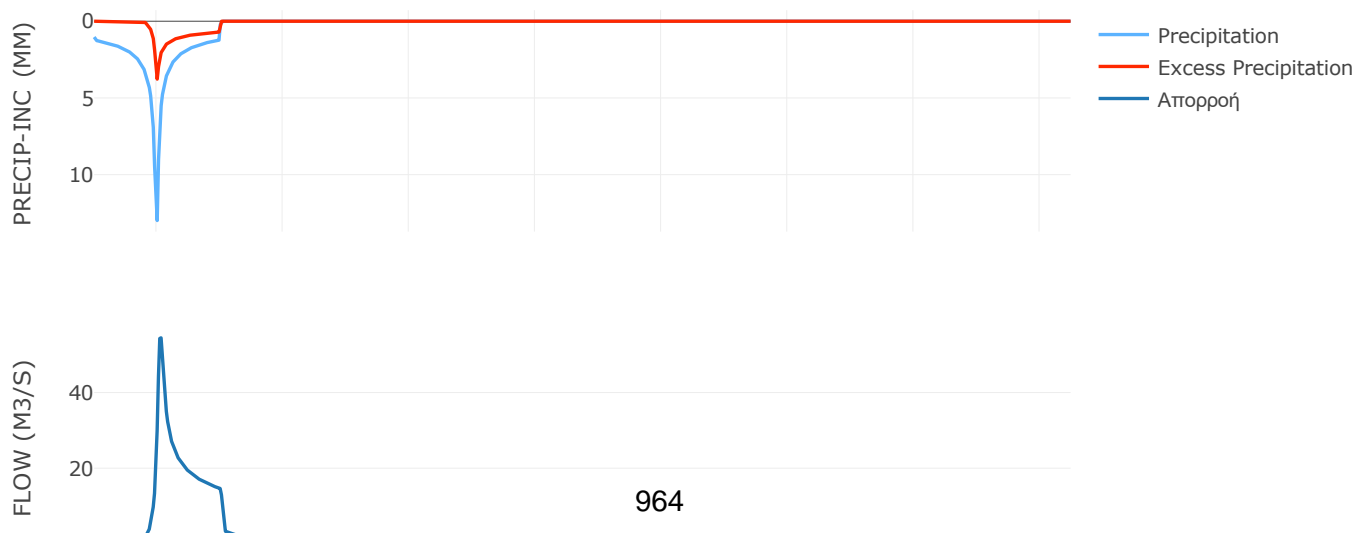
Μέθοδος
Μετασχηματισμού: SCS

Χρόνος Υστέρησης	48.48
------------------	-------

Αποτελέσματα:
EL0415FR6078

Παροχή αιχμής (M3/S)	54.44
Χρονική στιγμή αιχμής	02Sep2000, 01:30
Όγκος (MM)	137.01
Όγκος βροχόπτωσης (M3)	8.05E6
Όγκος απωλειών (M3)	6.01E6
Ενεργός Όγκος (M3)	2.04E6
Όγκος άμεσης απορροής (M3)	2.04E6
Όγκος βασικής απορροής (M3)	2.37E6

Βροχόπτωση και Απορροή



Υπολεκάνη: EL0415FR6079

Έκταση (KM2) : 61

Κατάντη : J32

Μέθοδος Απωλειών: SCS

Ποσοστό αδιαπέρατης επιφάνειας	0
Αριθμός Καμπύλης Απορροής-CN	39.17
Αρχικές Απώλειες	78.91

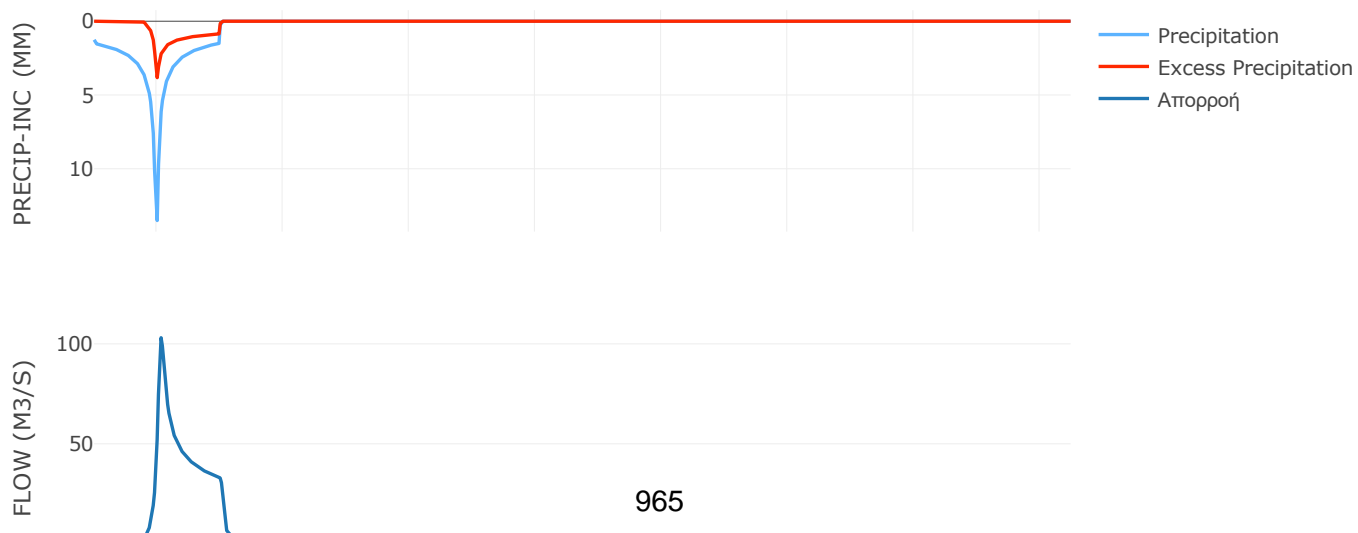
Μέθοδος
Μετασχηματισμού: SCS

Χρόνος Υστέρησης	61.08
------------------	-------

Αποτελέσματα:
EL0415FR6079

Παροχή αιχμής (M3/S)	103.04
Χρονική στιγμή αιχμής	02Sep2000, 01:30
Όγκος (MM)	145.44
Όγκος βροχόπτωσης (M3)	1.75E7
Όγκος απωλειών (M3)	1.31E7
Ενεργός Όγκος (M3)	4.38E6
Όγκος άμεσης απορροής (M3)	4.38E6
Όγκος βασικής απορροής (M3)	4.49E6

Βροχόπτωση και Απορροή



Υπολεκάνη: EL0415FR6080

Έκταση (KM2) : 31.99

Κατάντη : J30

Μέθοδος Απωλειών: SCS

Ποσοστό αδιαπέρατης επιφάνειας	0
Αριθμός Καμπύλης Απορροής-CN	38.53
Αρχικές Απώλειες	81.04

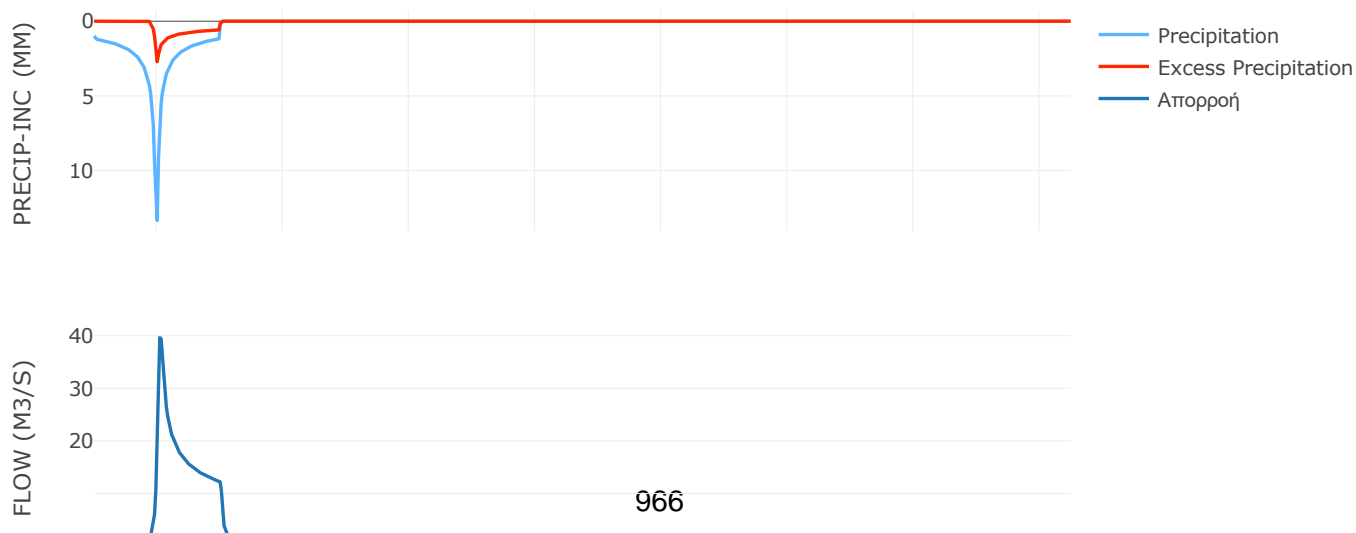
Μέθοδος
Μετασχηματισμού: SCS

Χρόνος Υστέρησης	41.95
------------------	-------

Αποτελέσματα:
EL0415FR6080

Παροχή αιχμής (M3/S)	39.63
Χρονική στιγμή αιχμής	02Sep2000, 01:00
Όγκος (MM)	121.2
Όγκος βροχόπτωσης (M3)	7.86E6
Όγκος απωλειών (M3)	6.34E6
Ενεργός Όγκος (M3)	1.52E6
Όγκος άμεσης απορροής (M3)	1.52E6
Όγκος βασικής απορροής (M3)	2.36E6

Βροχόπτωση και Απορροή



Υπολεκάνη: EL0415FR6081

Έκταση (KM2) : 61.71

Κατάντη : J42

Μέθοδος Απωλειών: SCS

Ποσοστό αδιαπέρατης επιφάνειας	35
Αριθμός Καμπύλης Απορροής-CN	73.99
Αρχικές Απώλειες	17.86

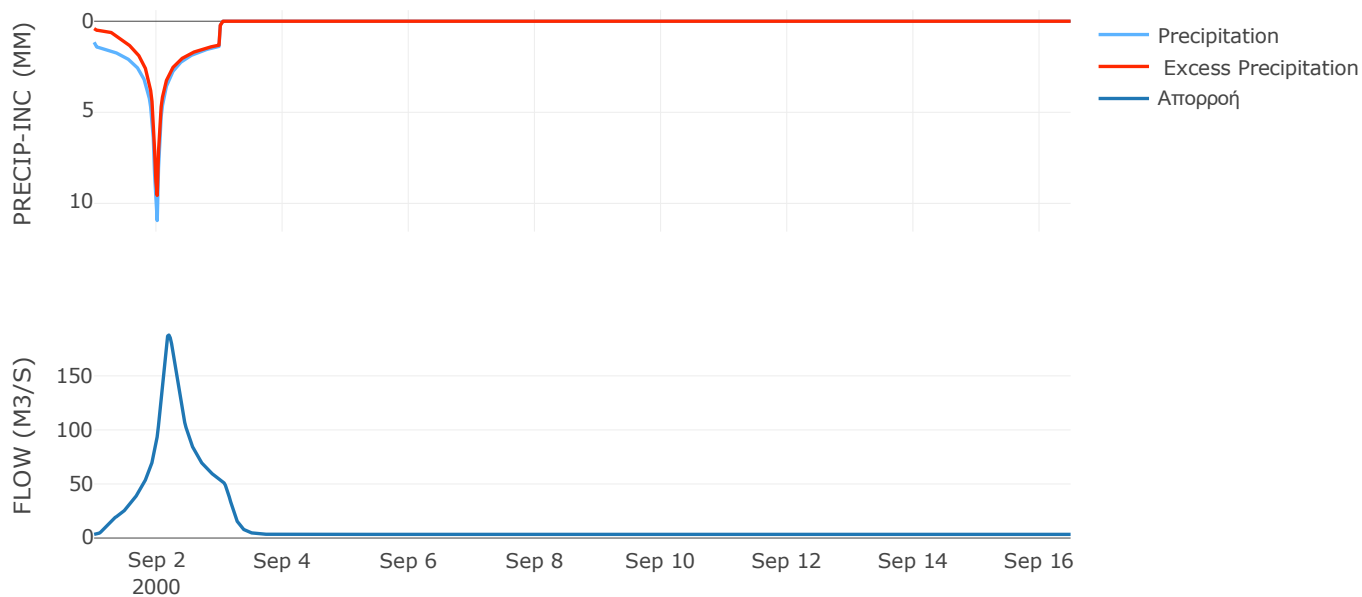
Μέθοδος
Μετασχηματισμού: SCS

Χρόνος Υστέρησης	236.74
------------------	--------

Αποτελέσματα:
EL0415FR6081

Παροχή αιχμής (M3/S)	187.71
Χρονική στιγμή αιχμής	02Sep2000, 04:30
Όγκος (MM)	271.9
Όγκος βροχόπτωσης (M3)	1.55E7
Όγκος απωλειών (M3)	3.31E6
Ενεργός Όγκος (M3)	1.22E7
Όγκος άμεσης απορροής (M3)	1.22E7
Όγκος βασικής απορροής (M3)	4.55E6

Βροχόπτωση και Απορροή



Υπολεκάνη: EL0415FR6082

Έκταση (KM2) : 53.32

Κατάντη : J63

Μέθοδος Απωλειών: SCS

Ποσοστό αδιαπέρατης επιφάνειας	0
Αριθμός Καμπύλης Απορροής-CN	43.65
Αρχικές Απώλειες	65.57

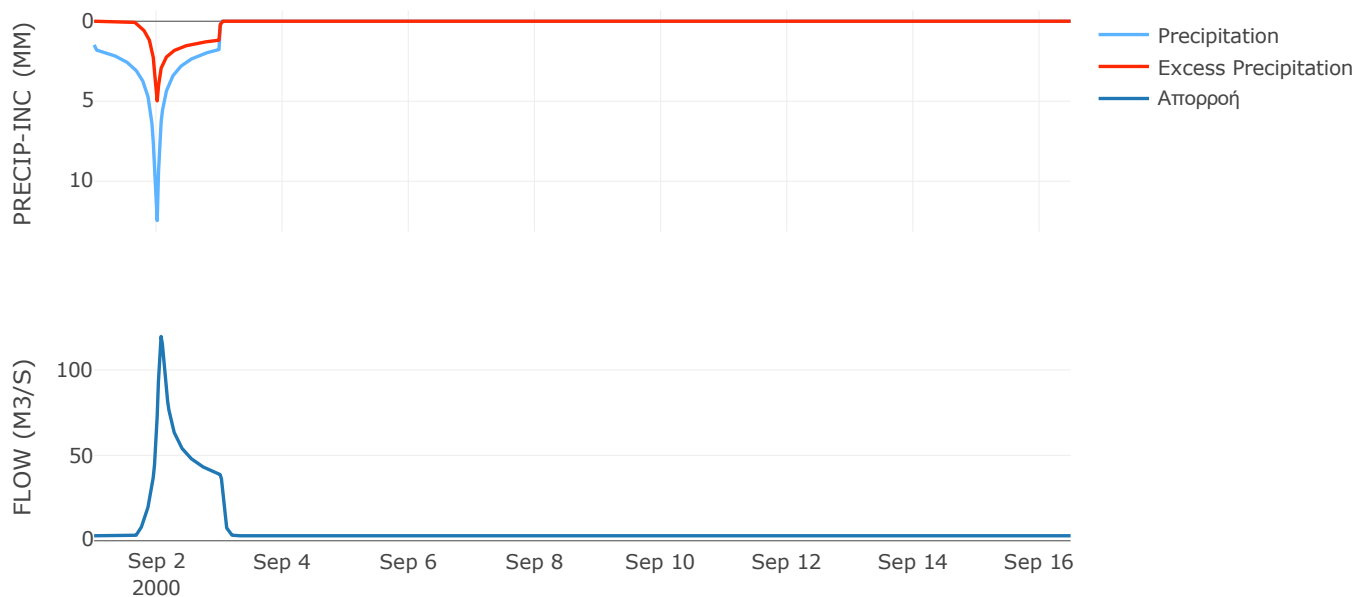
Μέθοδος
Μετασχηματισμού: SCS

Χρόνος Υστέρησης	64.67
------------------	-------

Αποτελέσματα:
EL0415FR6082

Παροχή αιχμής (M3/S)	119.58
Χρονική στιγμή αιχμής	02Sep2000, 01:30
Όγκος (MM)	177.67
Όγκος βροχόπτωσης (M3)	1.65E7
Όγκος απωλειών (M3)	1.1E7
Ενεργός Όγκος (M3)	5.55E6
Όγκος άμεσης απορροής (M3)	5.55E6
Όγκος βασικής απορροής (M3)	3.93E6

Βροχόπτωση και Απορροή



Υπολεκάνη: EL0415FR6083

Έκταση (KM2) : 14.89

Κατάνη : J41 Res4

Μέθοδος Απωλειών: SCS

Ποσοστό αδιαπέρατης επιφάνειας	9
Αριθμός Καμπύλης Απορροής-CN	67.32
Αρχικές Απώλειες	24.66

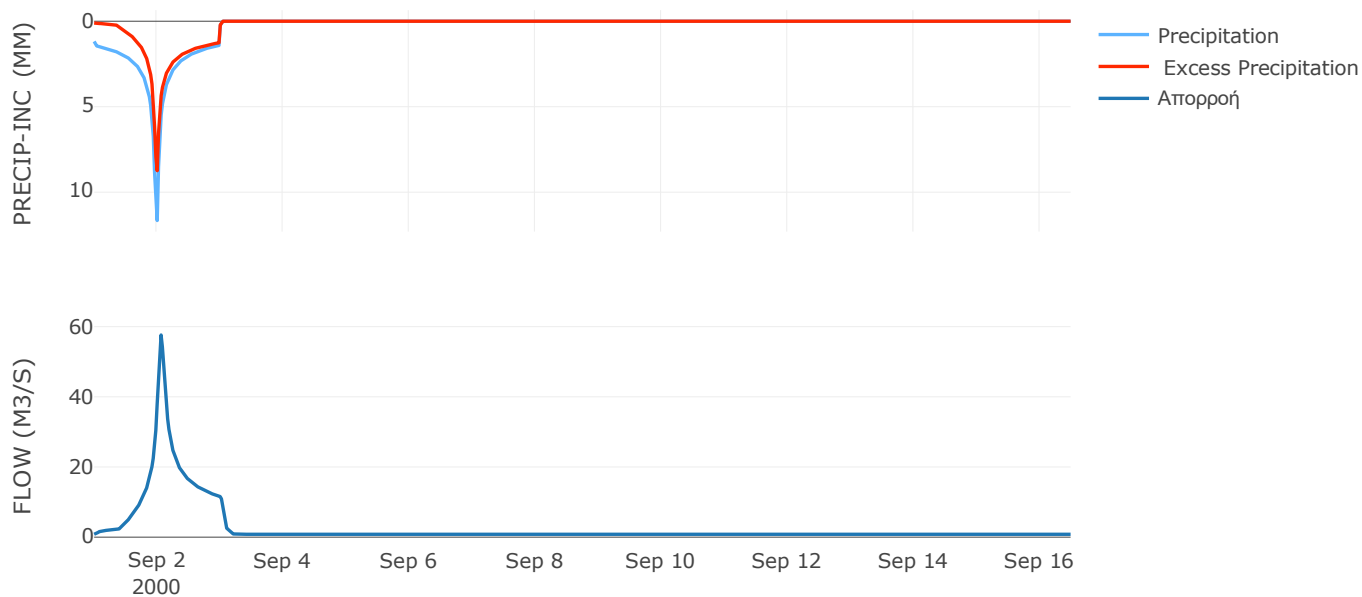
Μέθοδος
Μετασχηματισμού: SCS

Χρόνος Υστέρησης	70.99
------------------	-------

Αποτελέσματα:
EL0415FR6083

Παροχή αιχμής (M3/S)	57.63
Χρονική στιγμή αιχμής	02Sep2000, 01:30
Όγκος (MM)	238.86
Όγκος βροχόπτωσης (M3)	3.89E6
Όγκος απωλειών (M3)	1.43E6
Ενεργός Όγκος (M3)	2.46E6
Όγκος άμεσης απορροής (M3)	2.46E6
Όγκος βασικής απορροής (M3)	1.1E6

Βροχόπτωση και Απορροή



Υπολεκάνη: EL0415FR6084

Έκταση (KM2) : 167.7

Κατάντη : J46

Μέθοδος Απωλειών: SCS

Ποσοστό αδιαπέρατης επιφάνειας	0
Αριθμός Καμπύλης Απορροής-CN	56.62
Αρχικές Απώλειες	38.92

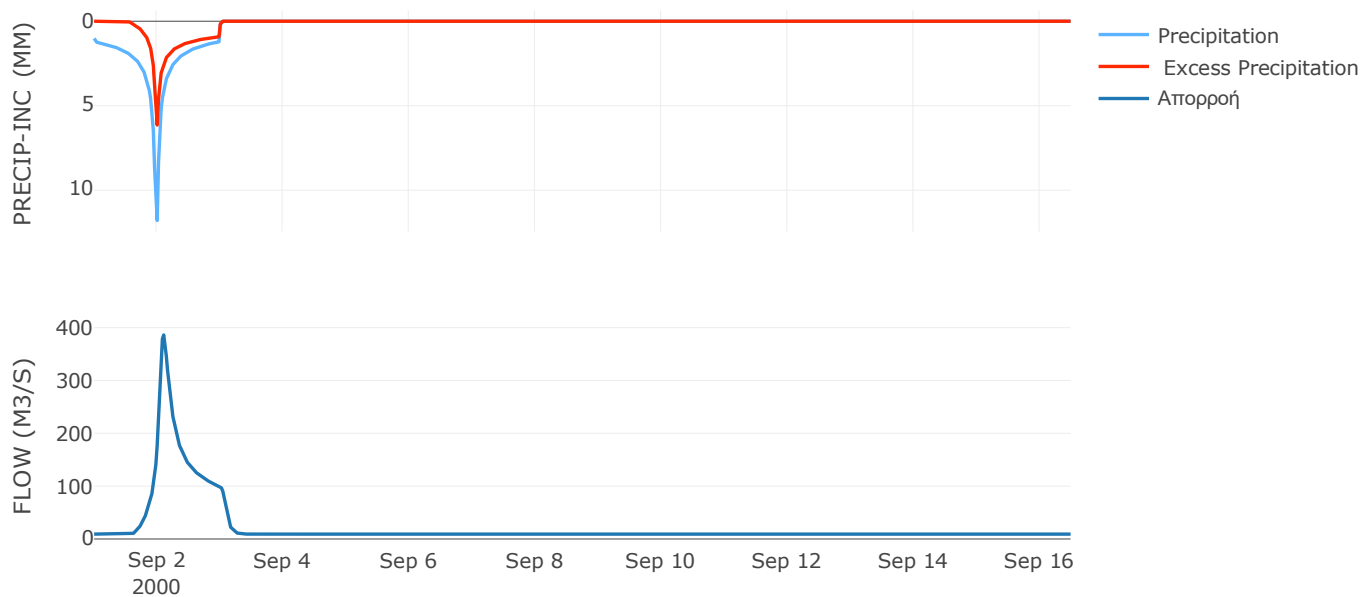
Μέθοδος
Μετασχηματισμού: SCS

Χρόνος Υστέρησης	115.82
------------------	--------

Αποτελέσματα:
EL0415FR6084

Παροχή αιχμής (M3/S)	386.18
Χρονική στιγμή αιχμής	02Sep2000, 02:30
Όγκος (MM)	174.94
Όγκος βροχόπτωσης (M3)	4E7
Όγκος απωλειών (M3)	2.31E7
Ενεργός Όγκος (M3)	1.7E7
Όγκος άμεσης απορροής (M3)	1.7E7
Όγκος βασικής απορροής (M3)	1.24E7

Βροχόπτωση και Απορροή



Υπολεκάνη: EL0415FR6085

Έκταση (KM2) : 5.18

Κατάνη : J17 Res3

Μέθοδος Απωλειών: SCS

Ποσοστό αδιαπέρατης επιφάνειας	20
Αριθμός Καμπύλης Απορροής-CN	86.3
Αρχικές Απώλειες	8.06

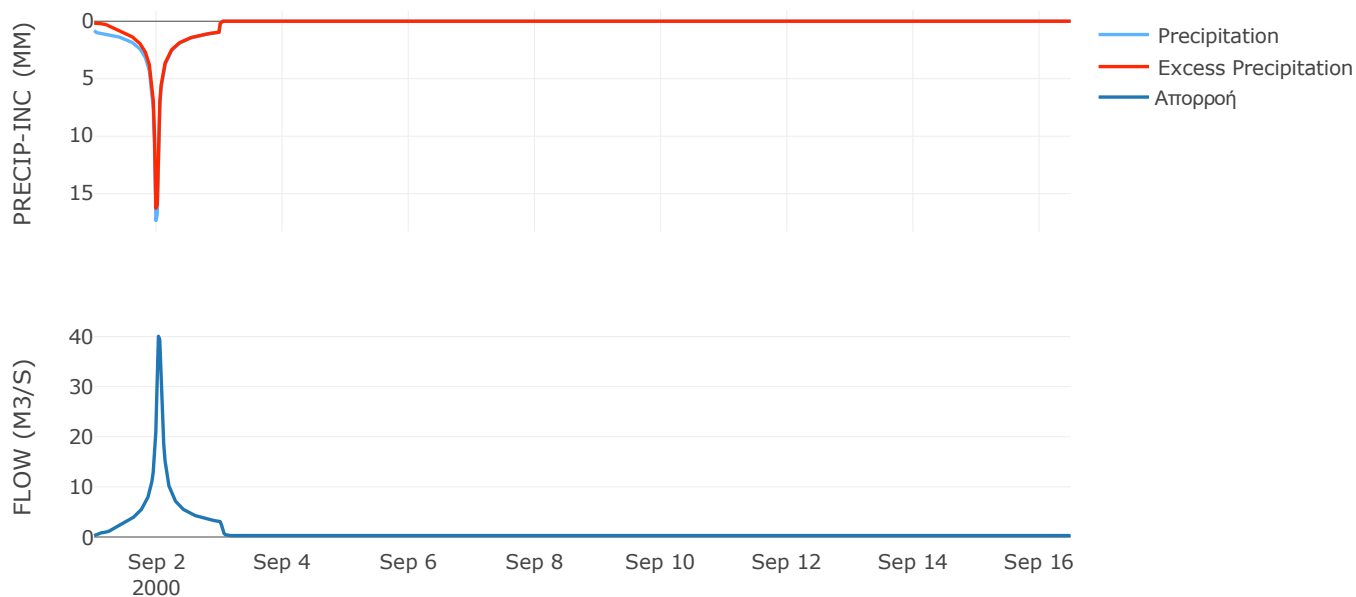
Μέθοδος
Μετασχηματισμού: SCS

Χρόνος Υστέρησης	36.94
------------------	-------

Αποτελέσματα:
EL0415FR6085

Παροχή αιχμής (M3/S)	40.06
Χρονική στιγμή αιχμής	02Sep2000, 00:30
Όγκος (MM)	280.94
Όγκος βροχόπτωσης (M3)	1.25E6
Όγκος απωλειών (M3)	1.76E5
Ενεργός Όγκος (M3)	1.07E6
Όγκος άμεσης απορροής (M3)	1.07E6
Όγκος βασικής απορροής (M3)	3.82E5

Βροχόπτωση και Απορροή



Υπολεκάνη: EL0415FR6086

Έκταση (KM2) : 51.06

Κατάντη : J27

Μέθοδος Απωλειών: SCS

Ποσοστό αδιαπέρατης επιφάνειας	17
Αριθμός Καμπύλης Απορροής-CN	49.1
Αρχικές Απώλειες	52.66

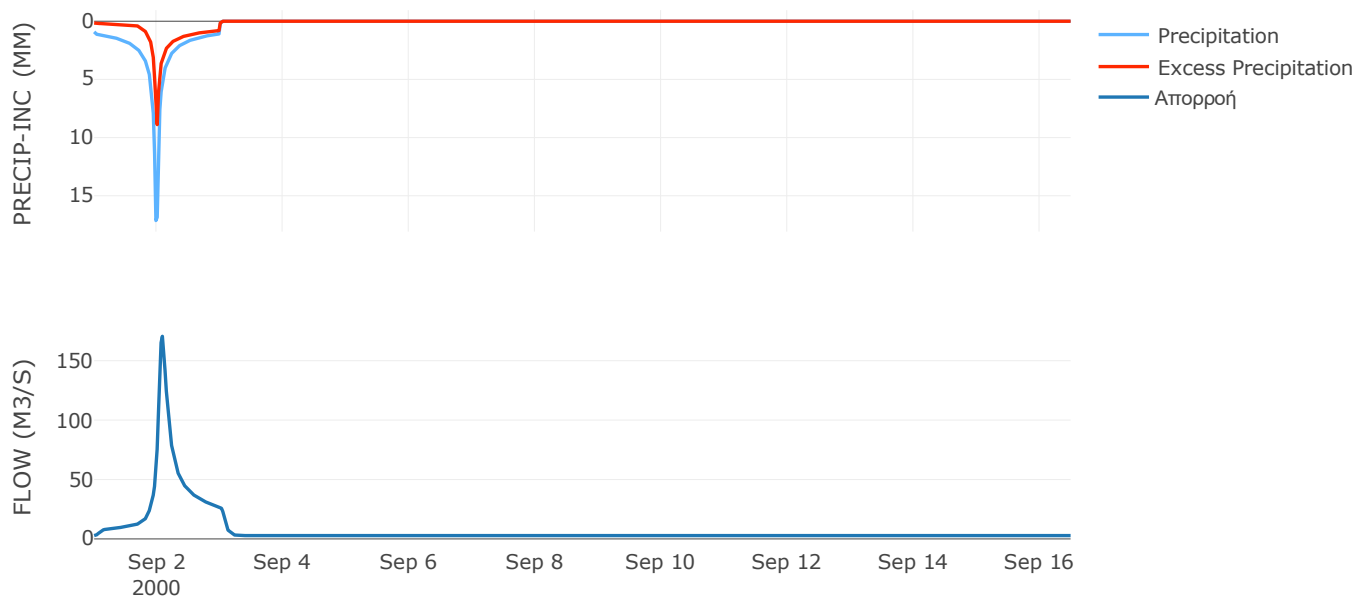
Μέθοδος
Μετασχηματισμού: SCS

Χρόνος Υστέρησης	93.73
------------------	-------

Αποτελέσματα:
EL0415FR6086

Παροχή αιχμής (M3/S)	170.57
Χρονική στιγμή αιχμής	02Sep2000, 02:00
Όγκος (MM)	192.42
Όγκος βροχόπτωσης (M3)	1.32E7
Όγκος απωλειών (M3)	7.12E6
Ενεργός Όγκος (M3)	6.06E6
Όγκος άμεσης απορροής (M3)	6.06E6
Όγκος βασικής απορροής (M3)	3.76E6

Βροχόπτωση και Απορροή



Υπολεκάνη: EL0415FR6087

Έκταση (KM2) : 13.66

Κατάντη : J64

Μέθοδος Απωλειών: SCS

Ποσοστό αδιαπέρατης επιφάνειας	20
Αριθμός Καμπύλης Απορροής-CN	35.27
Αρχικές Απώλειες	93.25

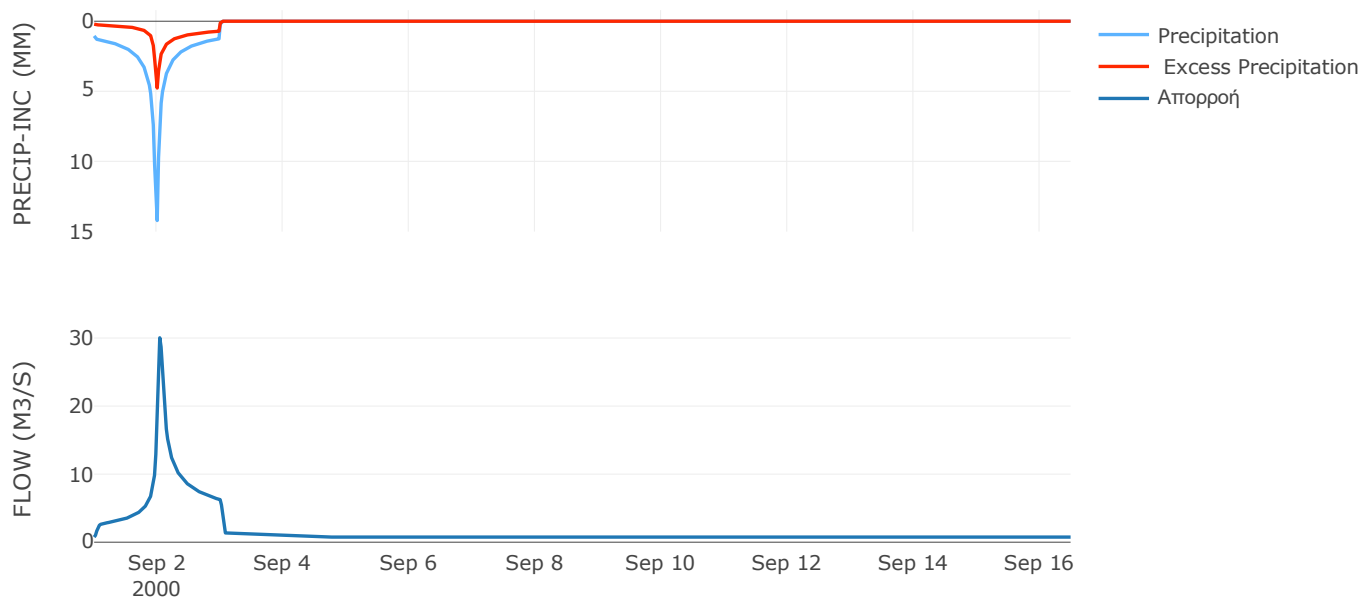
Μέθοδος
Μετασχηματισμού: SCS

Χρόνος Υστέρησης	46.83
------------------	-------

Αποτελέσματα:
EL0415FR6087

Παροχή αιχμής (M3/S)	30.04
Χρονική στιγμή αιχμής	02Sep2000, 01:00
Όγκος (MM)	161.85
Όγκος βροχόπτωσης (M3)	3.58E6
Όγκος απωλειών (M3)	2.37E6
Ενεργός Όγκος (M3)	1.21E6
Όγκος άμεσης απορροής (M3)	1.21E6
Όγκος βασικής απορροής (M3)	1.01E6

Βροχόπτωση και Απορροή



Υπολεκάνη: EL0415FR6088

Έκταση (KM2) : 31.28

Κατάντη : J27

Μέθοδος Απωλειών: SCS

Ποσοστό αδιαπέρατης επιφάνειας	37
Αριθμός Καμπύλης Απορροής-CN	70.92
Αρχικές Απώλειες	20.83

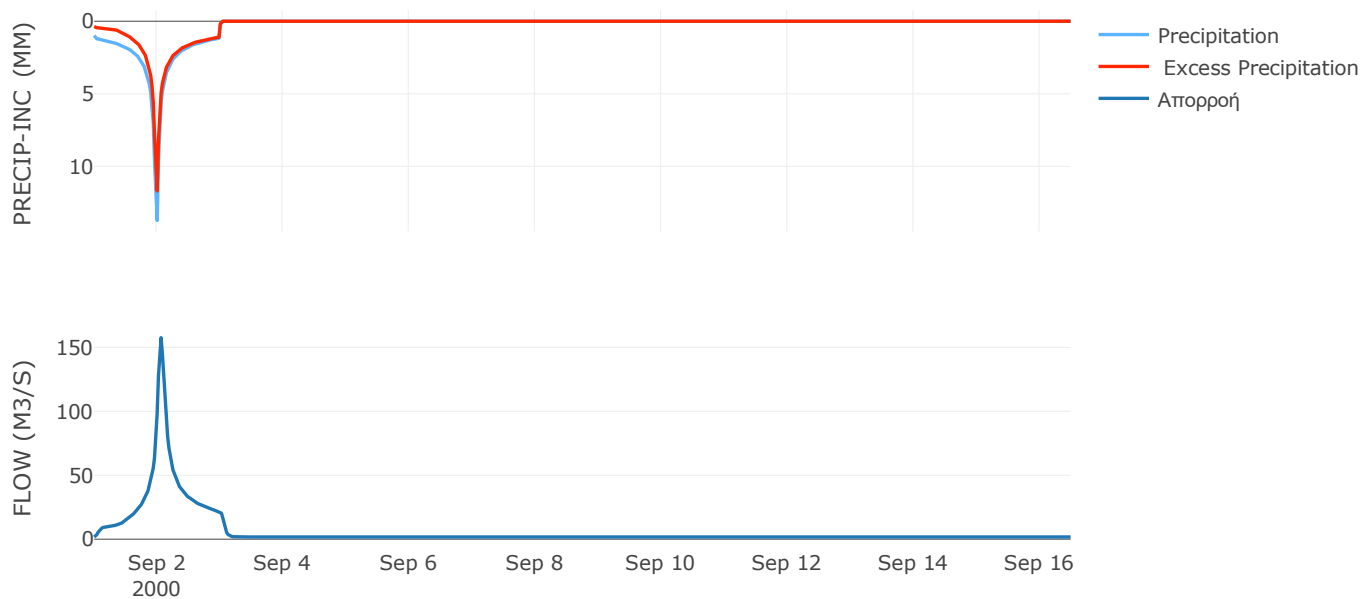
Μέθοδος
Μετασχηματισμού: SCS

Χρόνος Υστέρησης	72.66
------------------	-------

Αποτελέσματα:
EL0415FR6088

Παροχή αιχμής (M3/S)	157.56
Χρονική στιγμή αιχμής	02Sep2000, 01:30
Όγκος (MM)	263.58
Όγκος βροχόπτωσης (M3)	7.76E6
Όγκος απωλειών (M3)	1.82E6
Ενεργός Όγκος (M3)	5.94E6
Όγκος άμεσης απορροής (M3)	5.94E6
Όγκος βασικής απορροής (M3)	2.3E6

Βροχόπτωση και Απορροή



Υπολεκάνη: EL0415FR6089

Έκταση (KM2) : 9.78

Κατάντη : J28

Μέθοδος Απωλειών: SCS

Ποσοστό αδιαπέρατης επιφάνειας	11
Αριθμός Καμπύλης Απορροής-CN	57.43
Αρχικές Απώλειες	37.65

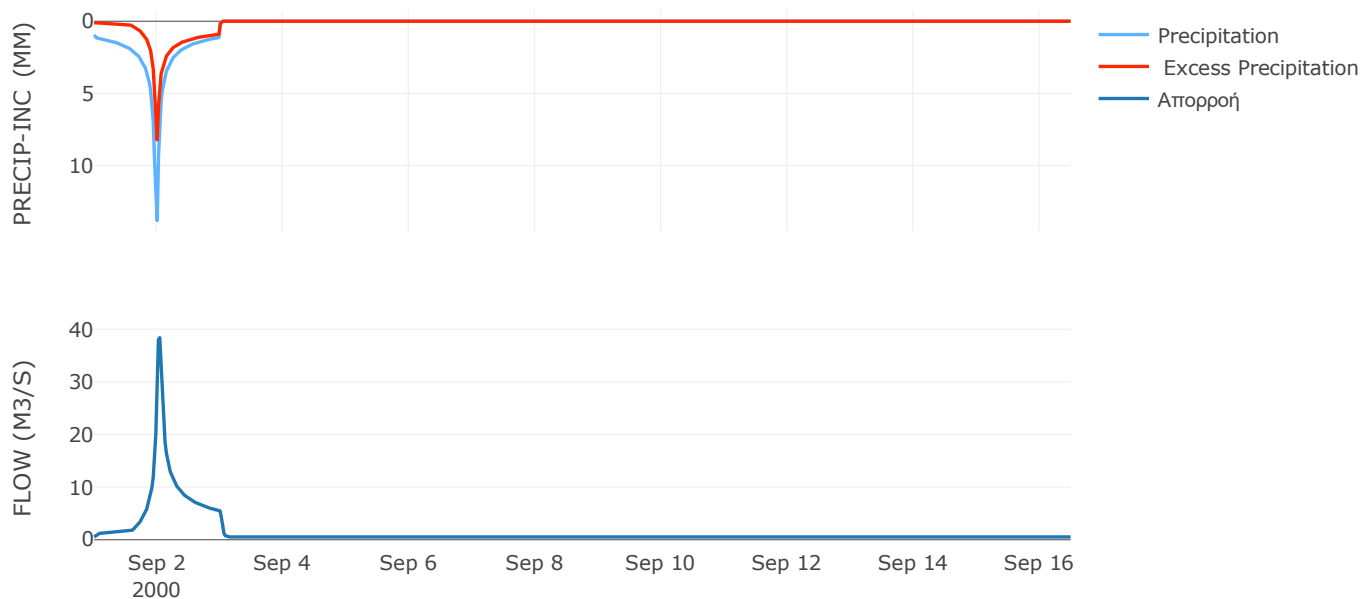
Μέθοδος
Μετασχηματισμού: SCS

Χρόνος Υστέρησης	33.65
------------------	-------

Αποτελέσματα:
EL0415FR6089

Παροχή αιχμής (M3/S)	38.4
Χρονική στιγμή αιχμής	02Sep2000, 01:00
Όγκος (MM)	195.57
Όγκος βροχόπτωσης (M3)	2.37E6
Όγκος απωλειών (M3)	1.18E6
Ενεργός Όγκος (M3)	1.19E6
Όγκος άμεσης απορροής (M3)	1.19E6
Όγκος βασικής απορροής (M3)	7.2E5

Βροχόπτωση και Απορροή



Υπολεκάνη: EL0415FR6090

Έκταση (KM2) : 6.36

Κατάντη : J29

Μέθοδος Απωλειών: SCS

Ποσοστό αδιαπέρατης επιφάνειας	20
Αριθμός Καμπύλης Απορροής-CN	48.36
Αρχικές Απώλειες	54.25

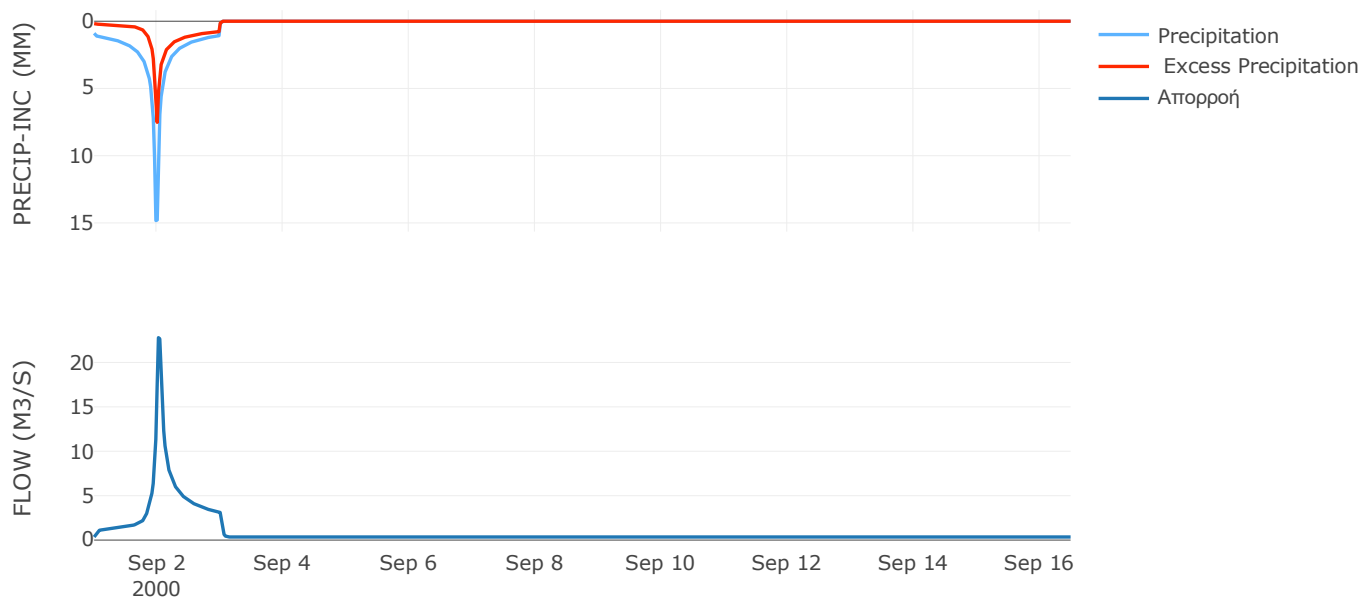
Μέθοδος
Μετασχηματισμού: SCS

Χρόνος Υστέρησης	31.68
------------------	-------

Αποτελέσματα:
EL0415FR6090

Παροχή αιχμής (M3/S)	22.79
Χρονική στιγμή αιχμής	02Sep2000, 00:30
Όγκος (MM)	183.63
Όγκος βροχόπτωσης (M3)	1.54E6
Όγκος απωλειών (M3)	8.4E5
Ενεργός Όγκος (M3)	6.99E5
Όγκος άμεσης απορροής (M3)	6.99E5
Όγκος βασικής απορροής (M3)	4.68E5

Βροχόπτωση και Απορροή



Υπολεκάνη: EL0415FR6091

Έκταση (KM2) : 12.79

Κατάντη : J29

Μέθοδος Απωλειών: SCS

Ποσοστό αδιαπέρατης επιφάνειας	20
Αριθμός Καμπύλης Απορροής-CN	46.27
Αρχικές Απώλειες	58.99

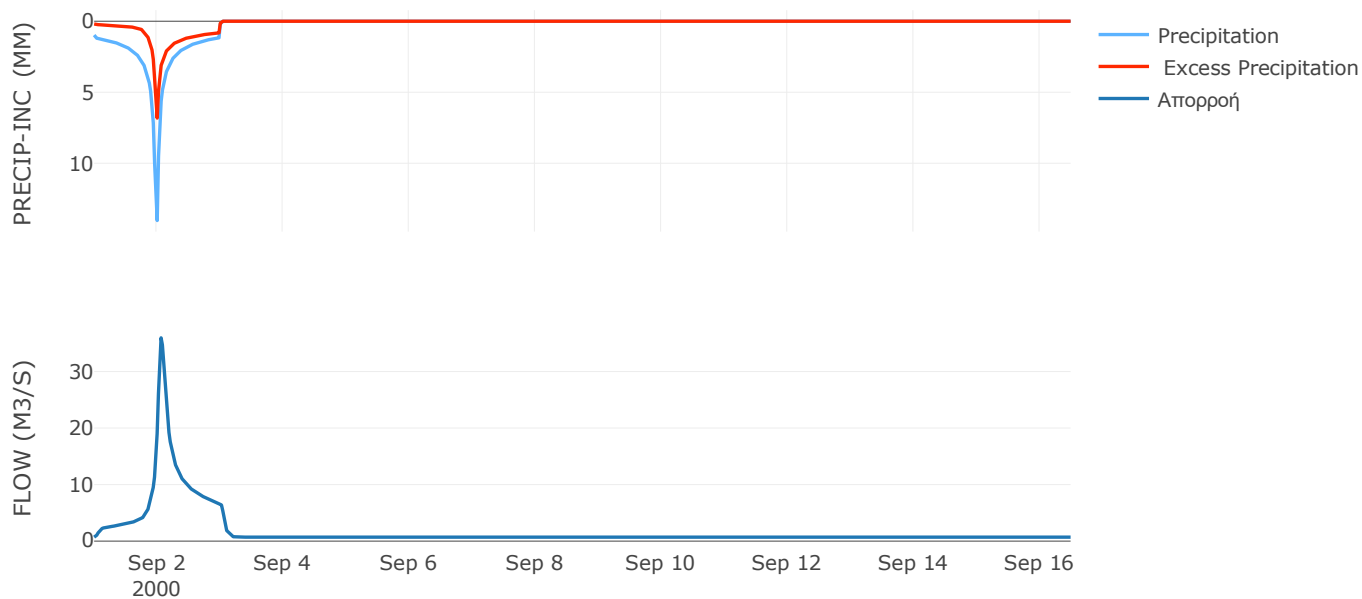
Μέθοδος
Μετασχηματισμού: SCS

Χρόνος Υστέρησης	76.42
------------------	-------

Αποτελέσματα:
EL0415FR6091

Παροχή αιχμής (M3/S)	35.96
Χρονική στιγμή αιχμής	02Sep2000, 01:30
Όγκος (MM)	183.1
Όγκος βροχόπτωσης (M3)	3.19E6
Όγκος απωλειών (M3)	1.79E6
Ενεργός Όγκος (M3)	1.4E6
Όγκος άμεσης απορροής (M3)	1.4E6
Όγκος βασικής απορροής (M3)	9.42E5

Βροχόπτωση και Απορροή



Υπολεκάνη: EL0415FR6092

Έκταση (KM2) : 11.03

Κατάντη : J24

Μέθοδος Απωλειών: SCS

Ποσοστό αδιαπέρατης επιφάνειας	5
Αριθμός Καμπύλης Απορροής-CN	48.21
Αρχικές Απώλειες	54.58

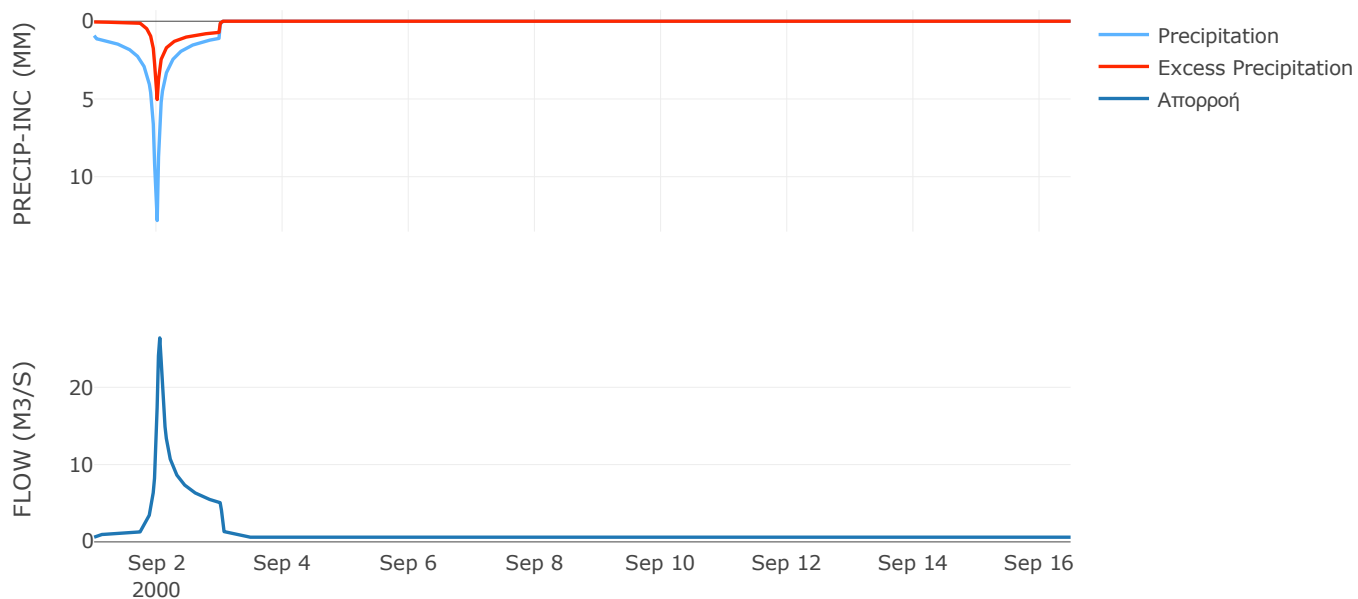
Μέθοδος
Μετασχηματισμού: SCS

Χρόνος Υστέρησης	38.04
------------------	-------

Αποτελέσματα:
EL0415FR6092

Παροχή αιχμής (M3/S)	26.39
Χρονική στιγμή αιχμής	02Sep2000, 01:00
Όγκος (MM)	152.06
Όγκος βροχόπτωσης (M3)	2.57E6
Όγκος απωλειών (M3)	1.7E6
Ενεργός Όγκος (M3)	8.65E5
Όγκος άμεσης απορροής (M3)	8.65E5
Όγκος βασικής απορροής (M3)	8.12E5

Βροχόπτωση και Απορροή



Υπολεκάνη: EL0415FR6093

Έκταση (KM2) : 14.35

Κατάντη : J25

Μέθοδος Απωλειών: SCS

Ποσοστό αδιαπέρατης επιφάνειας	6
Αριθμός Καμπύλης Απορροής-CN	31.38
Αρχικές Απώλειες	111.07

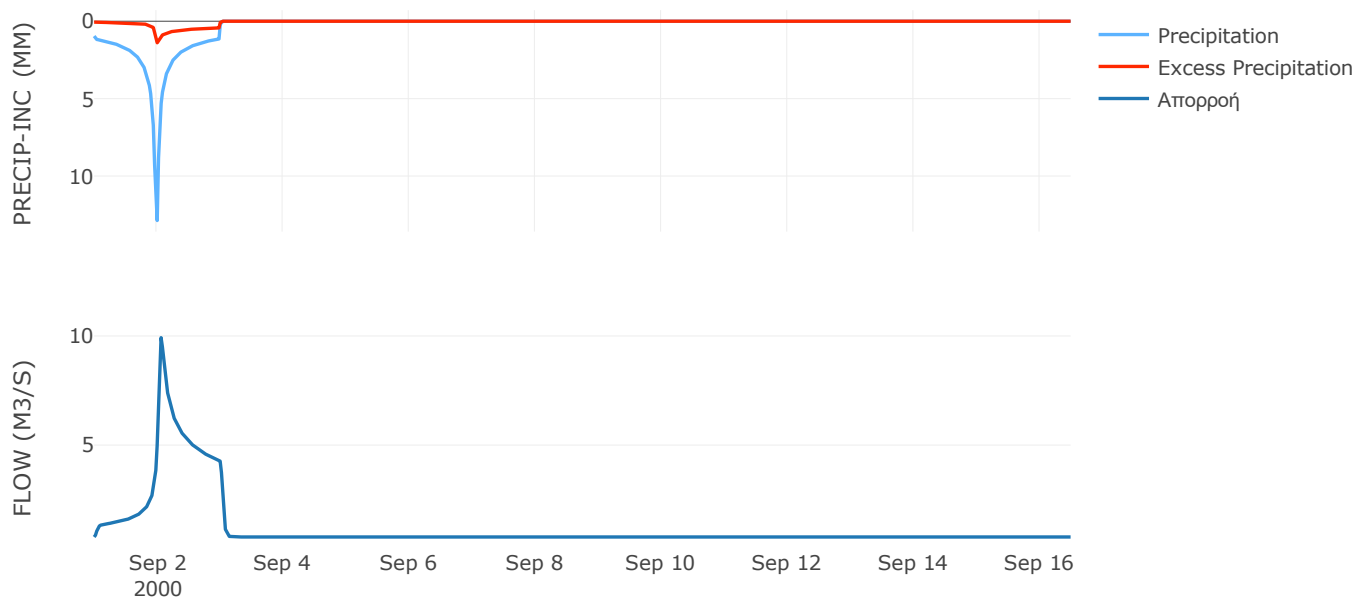
Μέθοδος
Μετασχηματισμού: SCS

Χρόνος Υστέρησης	45.16
------------------	-------

Αποτελέσματα:
EL0415FR6093

Παροχή αιχμής (M3/S)	9.92
Χρονική στιγμή αιχμής	02Sep2000, 01:30
Όγκος (MM)	110.18
Όγκος βροχόπτωσης (M3)	3.42E6
Όγκος απωλειών (M3)	2.89E6
Ενεργός Όγκος (M3)	5.24E5
Όγκος άμεσης απορροής (M3)	5.24E5
Όγκος βασικής απορροής (M3)	1.06E6

Βροχόπτωση και Απορροή



Υπολεκάνη: EL0415FR6094

Έκταση (KM2) : 17.58

Κατάντη : J22

Μέθοδος Απωλειών: SCS

Ποσοστό αδιαπέρατης επιφάνειας	8
Αριθμός Καμπύλης Απορροής-CN	30.54
Αρχικές Απώλειες	115.56

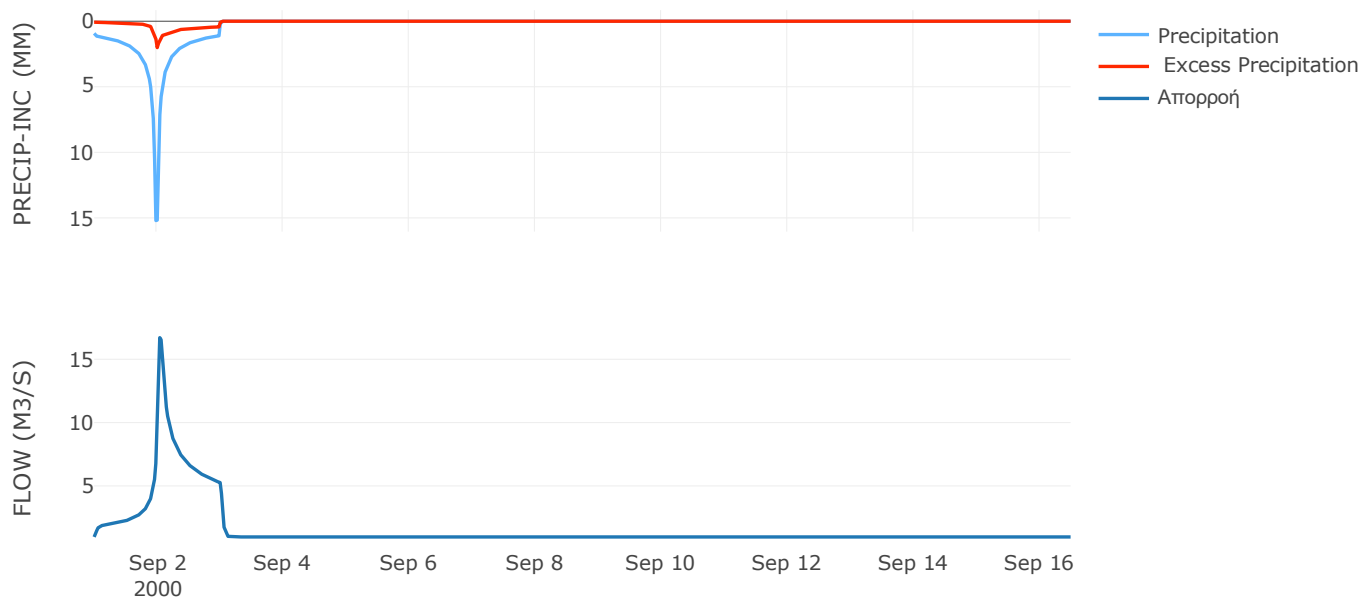
Μέθοδος
Μετασχηματισμού: SCS

Χρόνος Υστέρησης	39.69
------------------	-------

Αποτελέσματα:
EL0415FR6094

Παροχή αιχμής (M3/S)	16.71
Χρονική στιγμή αιχμής	02Sep2000, 01:00
Όγκος (MM)	116.73
Όγκος βροχόπτωσης (M3)	4.38E6
Όγκος απωλειών (M3)	3.63E6
Ενεργός Όγκος (M3)	7.57E5
Όγκος άμεσης απορροής (M3)	7.57E5
Όγκος βασικής απορροής (M3)	1.3E6

Βροχόπτωση και Απορροή



Υπολεκάνη: EL0415FR6095

Έκταση (KM2) : 18.13

Κατάνη : J15 Res2

Μέθοδος Απωλειών: SCS

Ποσοστό αδιαπέρατης επιφάνειας	17
Αριθμός Καμπύλης Απορροής-CN	75.95
Αρχικές Απώλειες	16.08

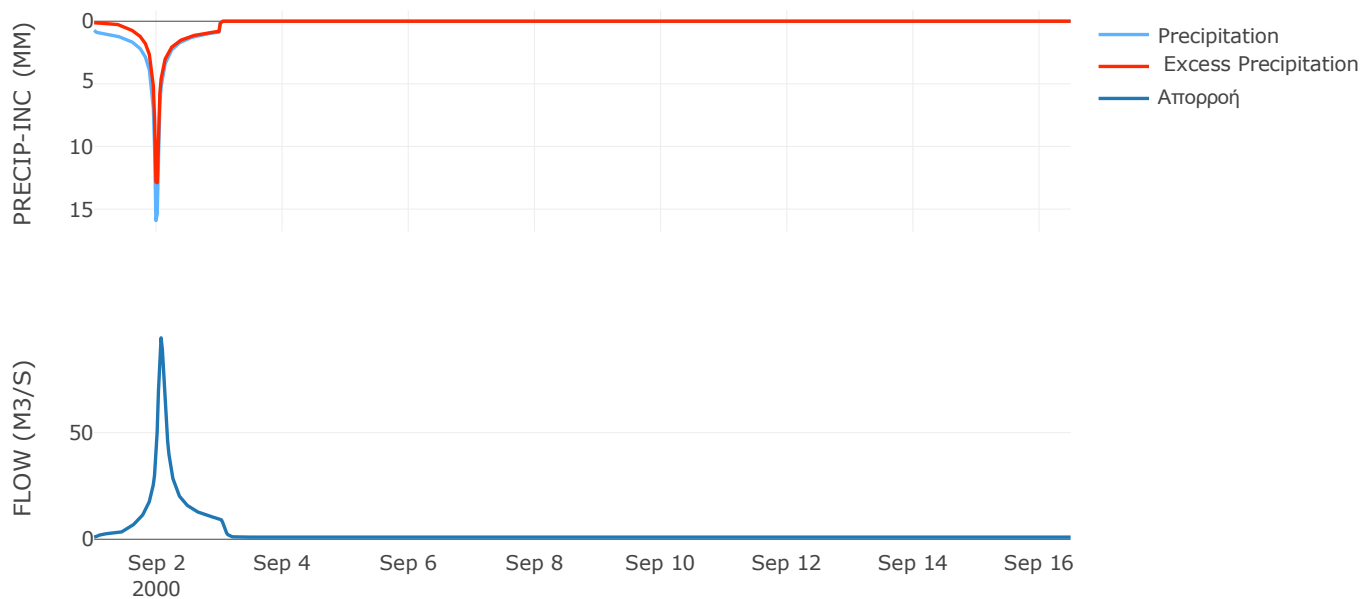
Μέθοδος
Μετασχηματισμού: SCS

Χρόνος Υστέρησης	80.12
------------------	-------

Αποτελέσματα:
EL0415FR6095

Παροχή αιχμής (M3/S)	94.52
Χρονική στιγμή αιχμής	02Sep2000, 01:30
Όγκος (MM)	231.14
Όγκος βροχόπτωσης (M3)	3.96E6
Όγκος απωλειών (M3)	1.11E6
Ενεργός Όγκος (M3)	2.85E6
Όγκος άμεσης απορροής (M3)	2.85E6
Όγκος βασικής απορροής (M3)	1.34E6

Βροχόπτωση και Απορροή



Υπολεκάνη: EL0415FR6096

Έκταση (KM2) : 45.1

Κατάντη : J19

Μέθοδος Απωλειών: SCS

Ποσοστό αδιαπέρατης επιφάνειας	16
Αριθμός Καμπύλης Απορροής-CN	67.77
Αρχικές Απώλειες	24.16

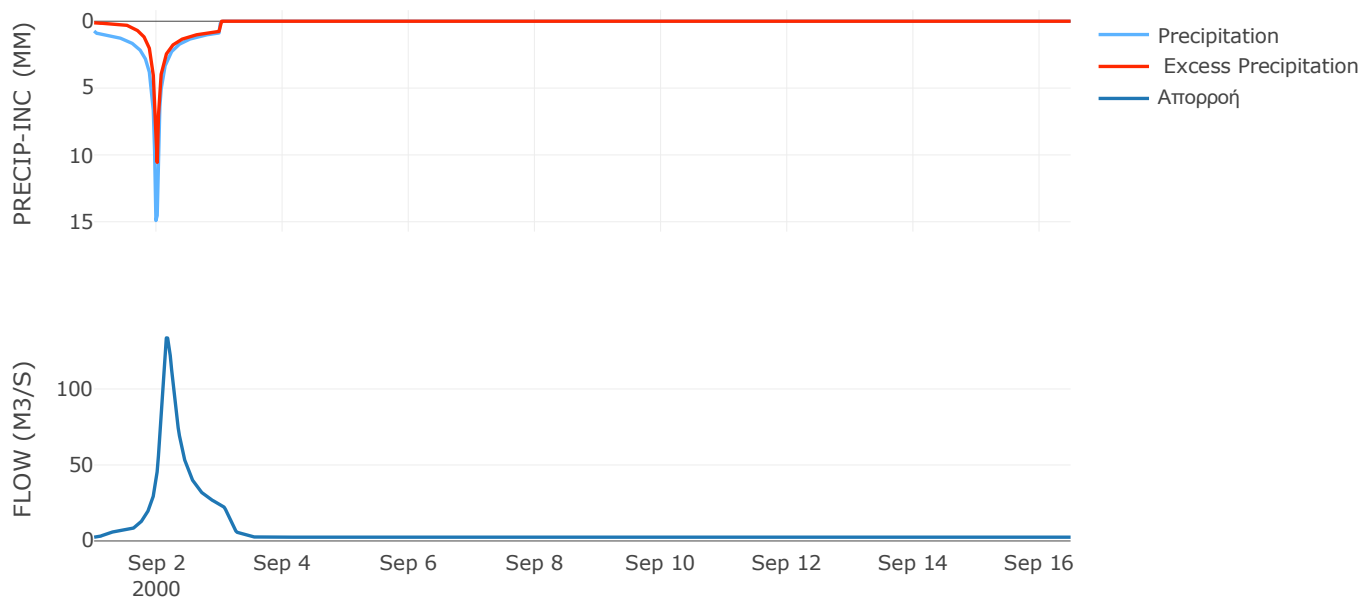
Μέθοδος
Μετασχηματισμού: SCS

Χρόνος Υστέρησης	197.97
------------------	--------

Αποτελέσματα:
EL0415FR6096

Παροχή αιχμής (M3/S)	133.61
Χρονική στιγμή αιχμής	02Sep2000, 03:30
Όγκος (MM)	205.52
Όγκος βροχόπτωσης (M3)	9.66E6
Όγκος απωλειών (M3)	3.71E6
Ενεργός Όγκος (M3)	5.95E6
Όγκος άμεσης απορροής (M3)	5.95E6
Όγκος βασικής απορροής (M3)	3.32E6

Βροχόπτωση και Απορροή



Υπολεκάνη: EL0415FR6097

Έκταση (KM2) : 3.48

Κατάντη : J14

Μέθοδος Απωλειών: SCS

Ποσοστό αδιαπέρατης επιφάνειας	17
Αριθμός Καμπύλης Απορροής-CN	67.51
Αρχικές Απώλειες	24.45

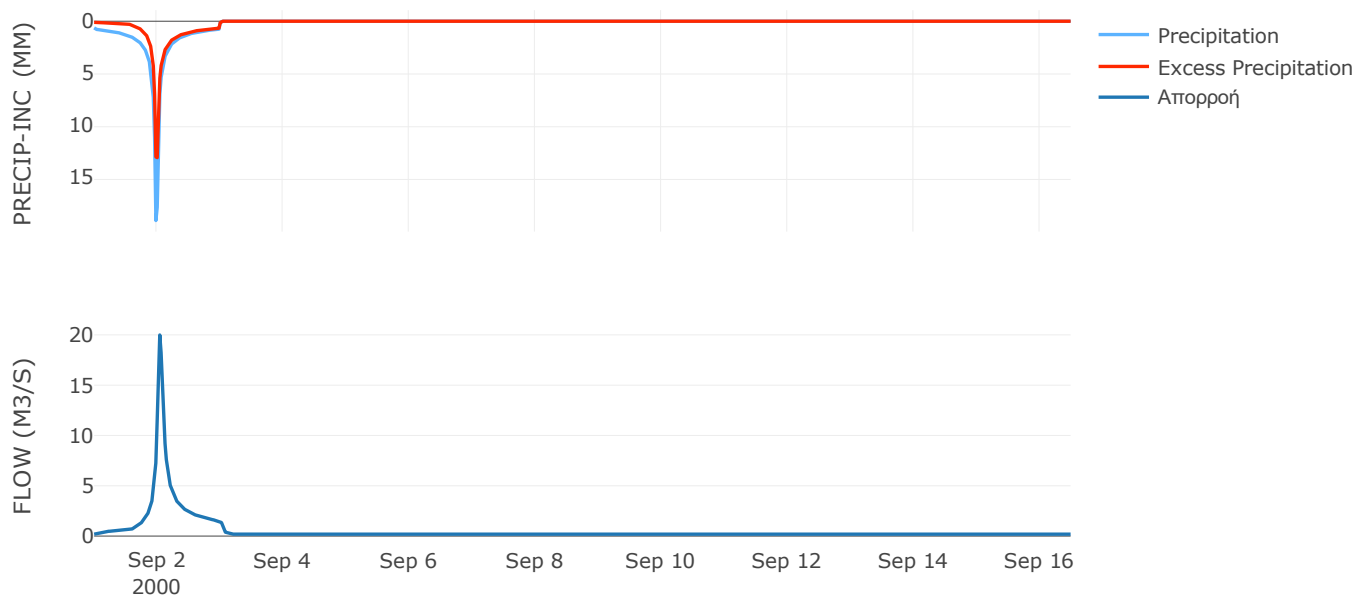
Μέθοδος
Μετασχηματισμού: SCS

Χρόνος Υστέρησης	52.56
------------------	-------

Αποτελέσματα:
EL0415FR6097

Παροχή αιχμής (M3/S)	19.99
Χρονική στιγμή αιχμής	02Sep2000, 01:00
Όγκος (MM)	206.71
Όγκος βροχόπτωσης (M3)	7.48E5
Όγκος απωλειών (M3)	2.85E5
Ενεργός Όγκος (M3)	4.62E5
Όγκος άμεσης απορροής (M3)	4.62E5
Όγκος βασικής απορροής (M3)	2.56E5

Βροχόπτωση και Απορροή

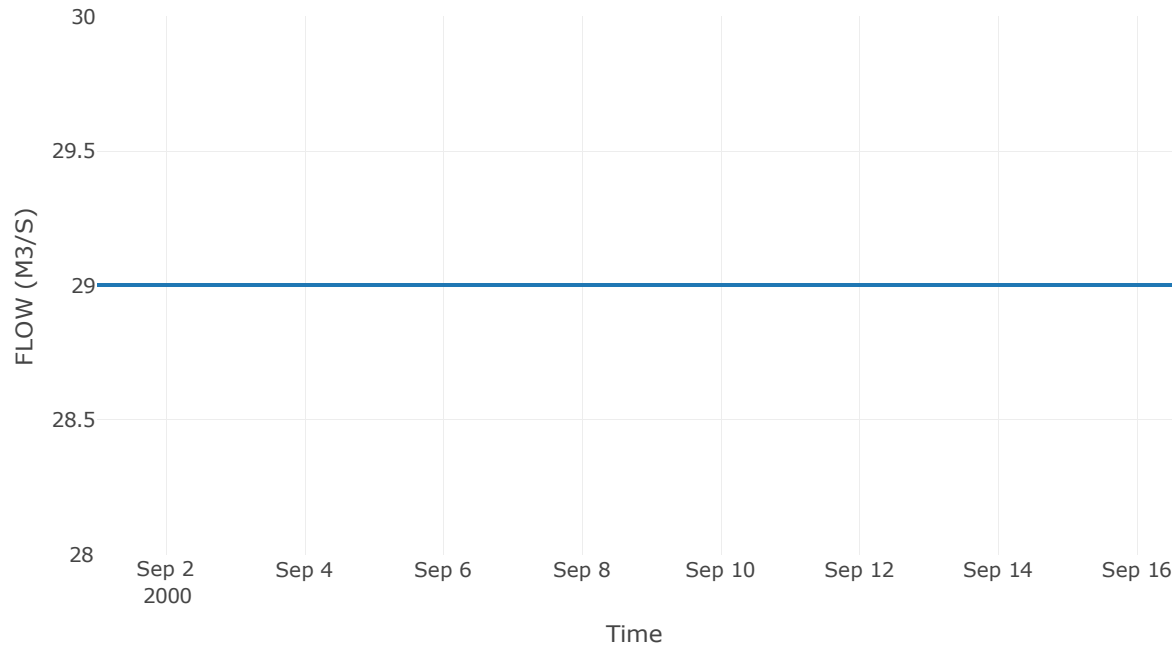


Κόμβος εξόδου: Κόμβος εξόδου-RES4

Αποτελέσματα: Κόμβος εξόδου-RES4

Παροχή Αιχμής (M3/S)	29
Χρονική στιγμή αιχμής	31Aug2000, 24:00
Όγκος(MM)	234.94

Απορροή



6.2 Δεδομένα και Υδρογραφήματα σχεδιασμού Κλάδων υδρογραφικού δικτύου

Κλάδος: R21

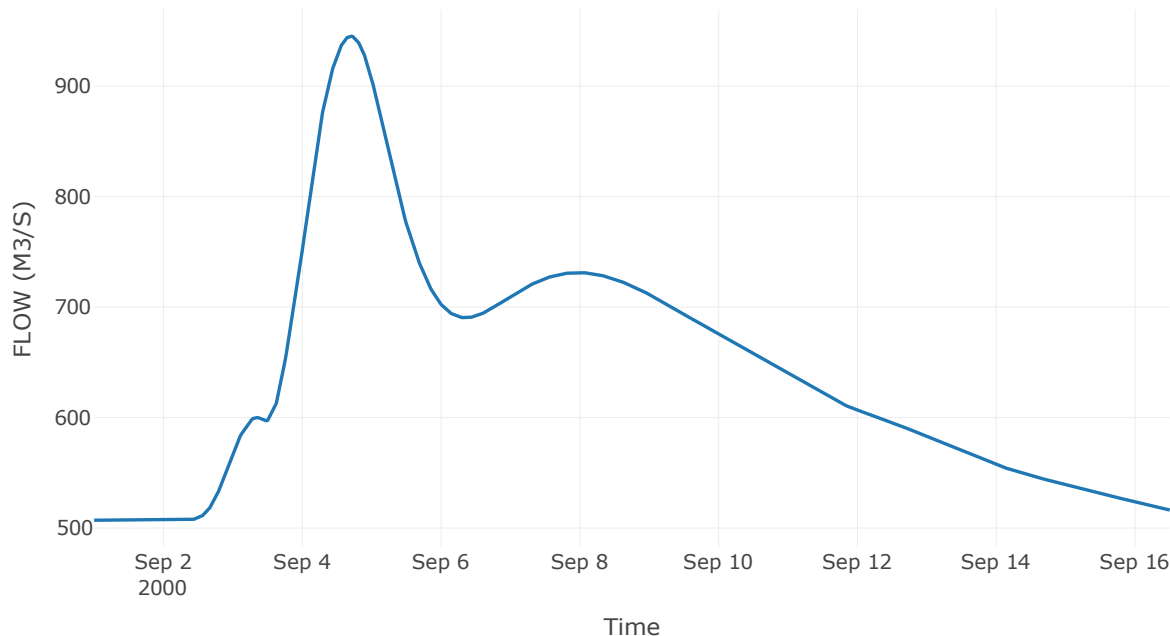
Κατάντη : J1

Μέθοδος Διόδευσης	Muskingum
Αρχική Μεταβλητή	Combined Inflow
Muskingum K	12.27
Συντελεστής βάρους x	0.2
Muskingum Steps	26

Αποτελέσματα: R21

Παροχή Αιχμής (M3/S)	945.13
Χρονική στιγμή αιχμής	04Sep2000, 16:30
Όγκος(MM)	188.03
Παροχή Αιχμής Εισόδου (M3/S)	947.99
Όγκος Εισροής(M3)	8.6E8

Απορροή



Κλάδος: R32

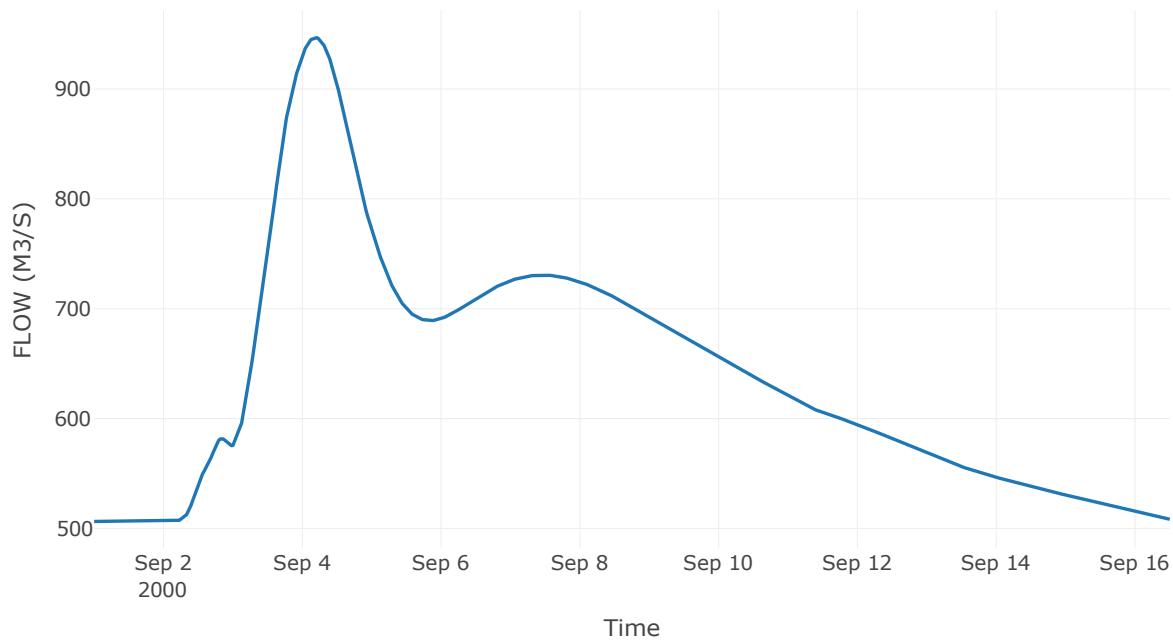
Κατάντη : J2

Μέθοδος Διόδευσης	Muskingum
Αρχική Μεταβλητή	Combined Inflow
Muskingum K	8.38
Συντελεστής βάρους α	0.2
Muskingum Steps	18

Αποτελέσματα: R32

Παροχή Αιχμής (M3/S)	946.88
Χρονική στιγμή αιχμής	04Sep2000, 04:30
Όγκος(MM)	188.47
Παροχή Αιχμής Εισόδου (M3/S)	948.83
Όγκος Εισροής(M3)	8.57E8

Απορροή



Κλάδος: R43

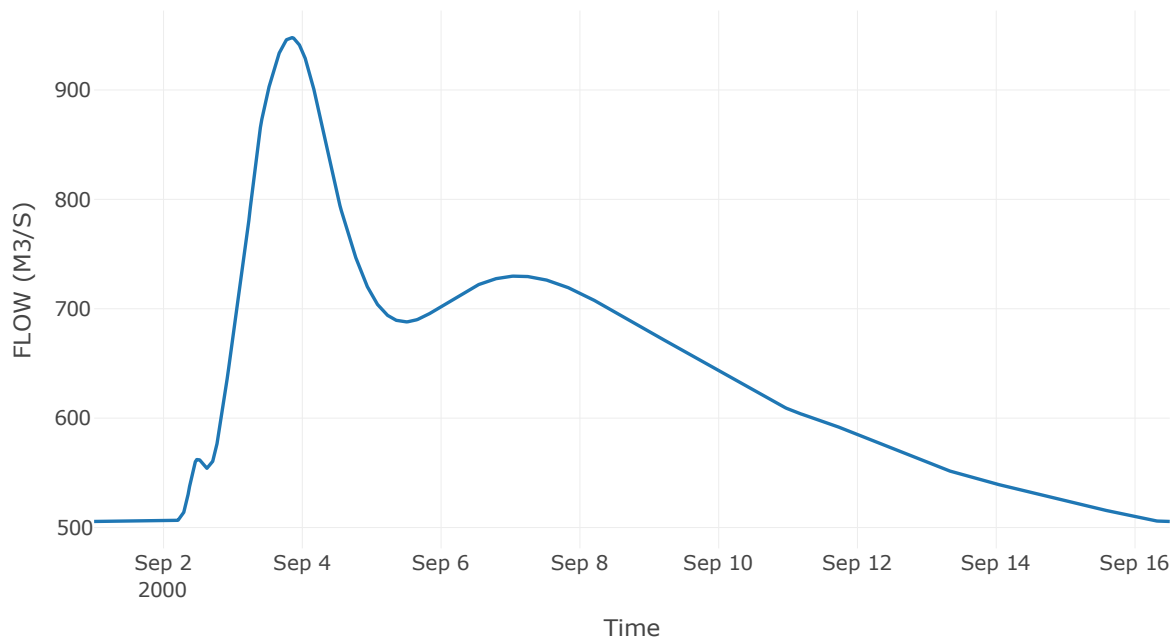
Κατάντη : J3

Μέθοδος Διόδευσης	Muskingum
Αρχική Μεταβλητή	Combined Inflow
Muskingum K	7.83
Συντελεστής βάρους α	0.2
Muskingum Steps	17

Αποτελέσματα: R43

Παροχή Αιχμής (M3/S)	948.03
Χρονική στιγμή αιχμής	03Sep2000, 20:00
Όγκος(MM)	188.92
Παροχή Αιχμής Εισόδου (M3/S)	949.82
Όγκος Εισροής(M3)	8.54E8

Απορροή



Κλάδος: R54

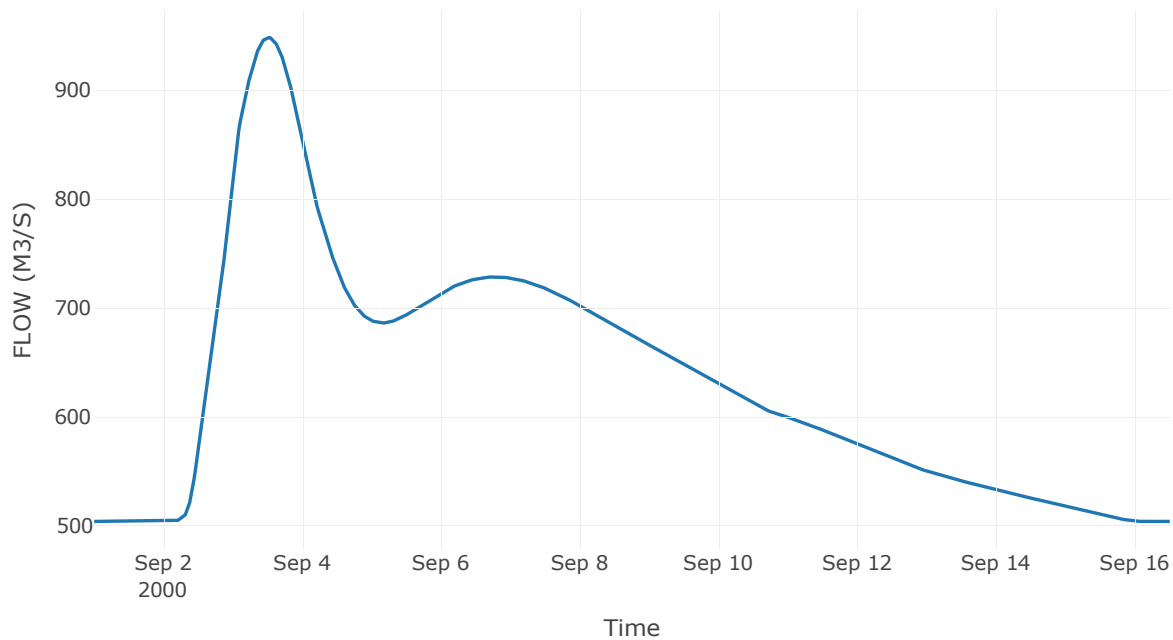
Κατάντη : J4

Μέθοδος Διόδευσης	Muskingum
Αρχική Μεταβλητή	Combined Inflow
Muskingum K	9.75
Συντελεστής βάρους x	0.2
Muskingum Steps	21

Αποτελέσματα: R54

Παροχή Αιχμής (M3/S)	948.4
Χρονική στιγμή αιχμής	03Sep2000, 12:00
Όγκος(MM)	190.01
Παροχή Αιχμής Εισόδου (M3/S)	950.55
Όγκος Εισροής(M3)	8.49E8

Απορροή



Κλάδος: R65

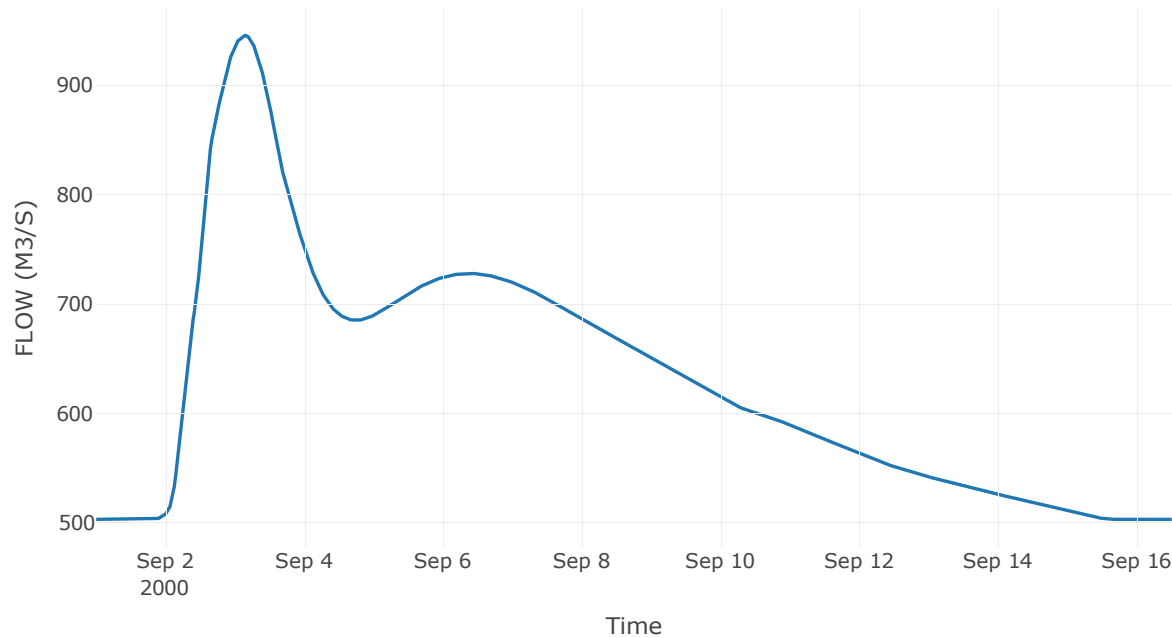
Κατάντη : J5

Μέθοδος Διόδευσης	Muskingum
Αρχική Μεταβλητή	Combined Inflow
Muskingum K	3.03
Συντελεστής βάρους x	0.2
Muskingum Steps	6

Αποτελέσματα: R65

Παροχή Αιχμής (M3/S)	945.28
Χρονική στιγμή αιχμής	03Sep2000, 03:30
Όγκος(MM)	190.63
Παροχή Αιχμής Εισόδου (M3/S)	946.2
Όγκος Εισροής(M3)	8.46E8

Απορροή



Κλάδος: R86

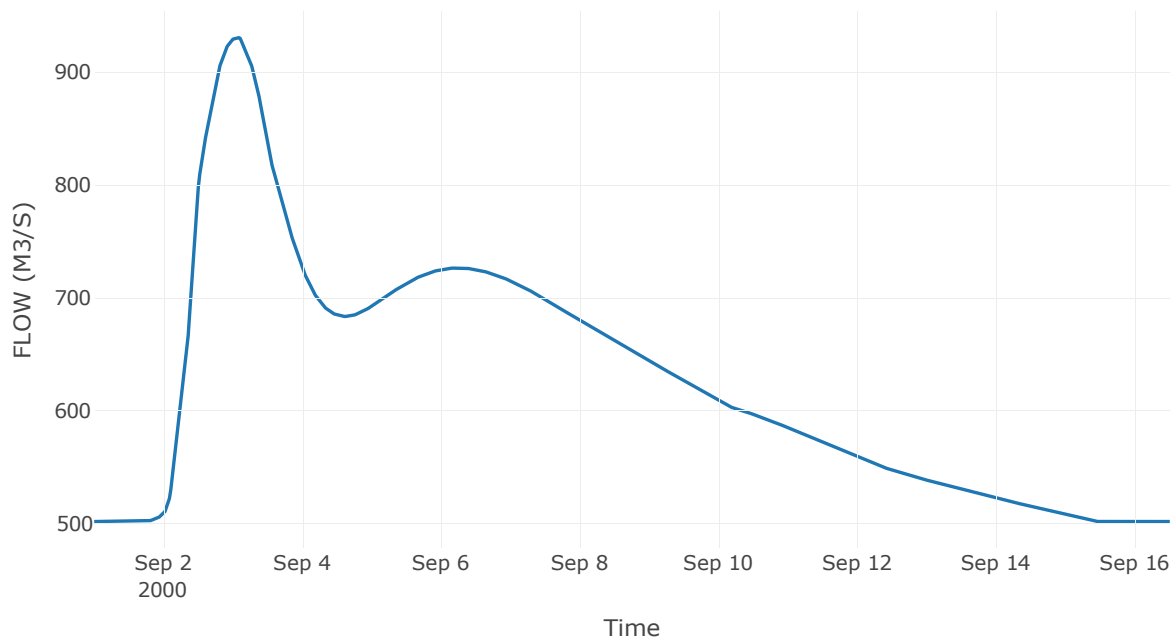
Κατάντη : J6

Μέθοδος Διόδευσης	Muskingum
Αρχική Μεταβλητή	Combined Inflow
Muskingum K	1.92
Συντελεστής βάρους x	0.2
Muskingum Steps	4

Αποτελέσματα: R86

Παροχή Αιχμής (M3/S)	930.78
Χρονική στιγμή αιχμής	03Sep2000, 01:30
Όγκος(MM)	191.23
Παροχή Αιχμής Εισόδου (M3/S)	931.07
Όγκος Εισροής(M3)	8.4E8

Απορροή



Κλάδος: R138

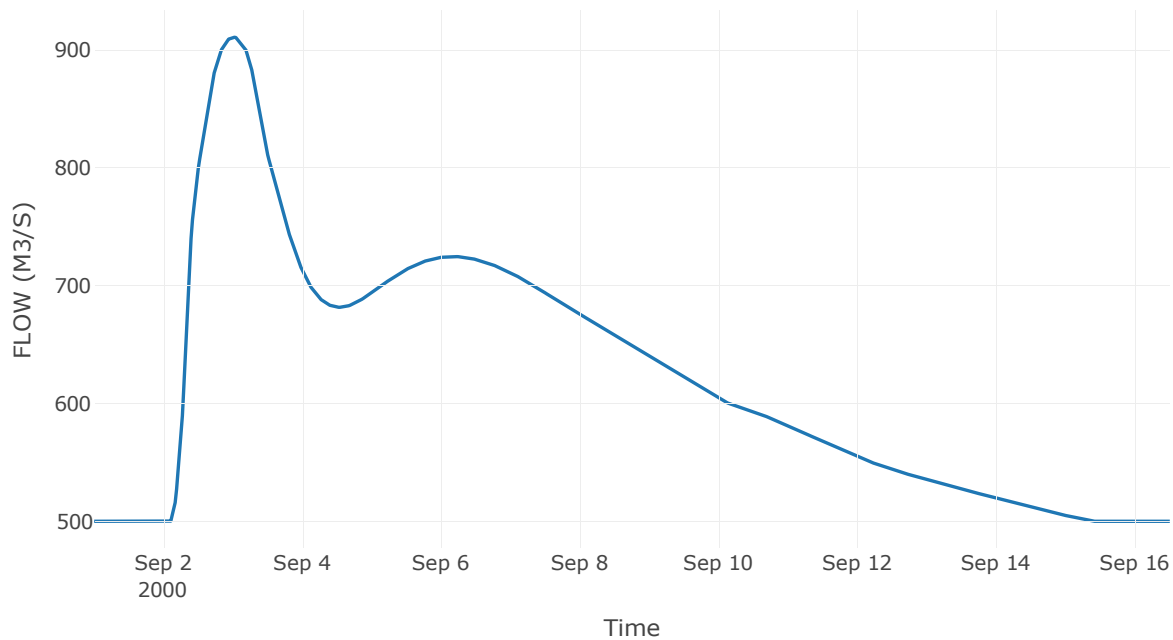
Κατάντη : J8

Μέθοδος Διόδευσης	Muskingum
Αρχική Μεταβλητή	Combined Inflow
Muskingum K	1.12
Συντελεστής βάρους α	0.2
Muskingum Steps	2

Αποτελέσματα: R138

Παροχή Αιχμής (M3/S)	910.67
Χρονική στιγμή αιχμής	03Sep2000, 00:30
Όγκος(MM)	192.55
Παροχή Αιχμής Εισόδου (M3/S)	910.87
Όγκος Εισροής(M3)	8.34E8

Απορροή



Κλάδος: R1413

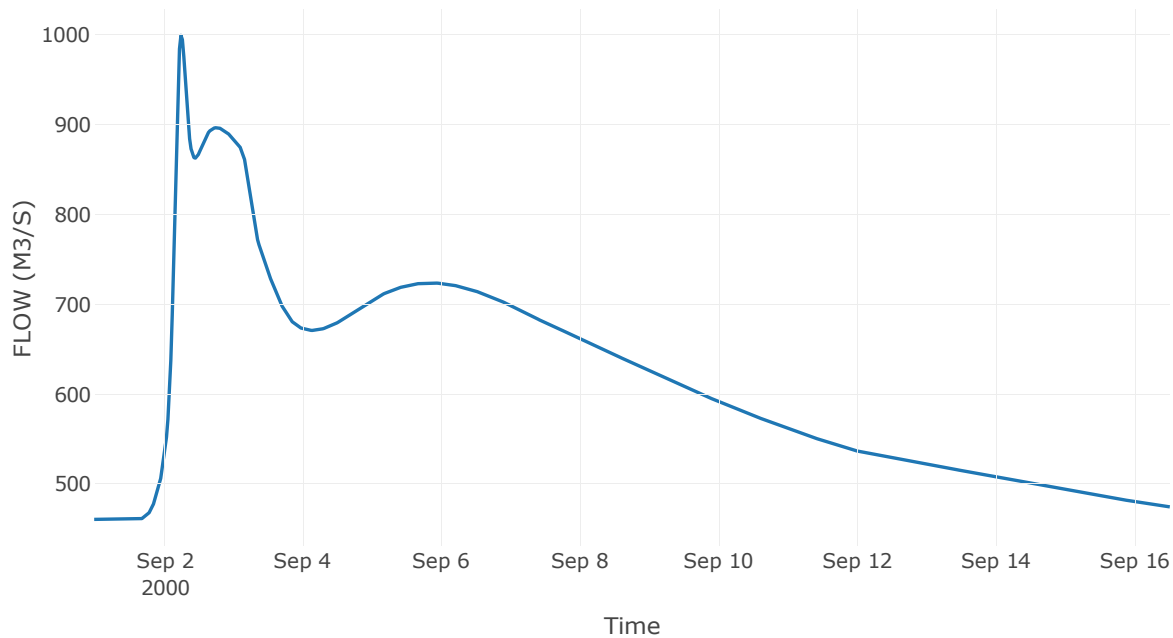
Κατάντη : J13 Res1

Μέθοδος Διόδευσης	Muskingum
Αρχική Μεταβλητή	Combined Inflow
Muskingum K	3.1
Συντελεστής βάρους α	0.2
Muskingum Steps	7

Αποτελέσματα: R1413

Παροχή Αιχμής (M3/S)	999.65
Χρονική στιγμή αιχμής	02Sep2000, 06:00
Όγκος(MM)	191.98
Παροχή Αιχμής Εισόδου (M3/S)	1039.22
Όγκος Εισροής(M3)	8.23E8

Απορροή



Κλάδος: R1514

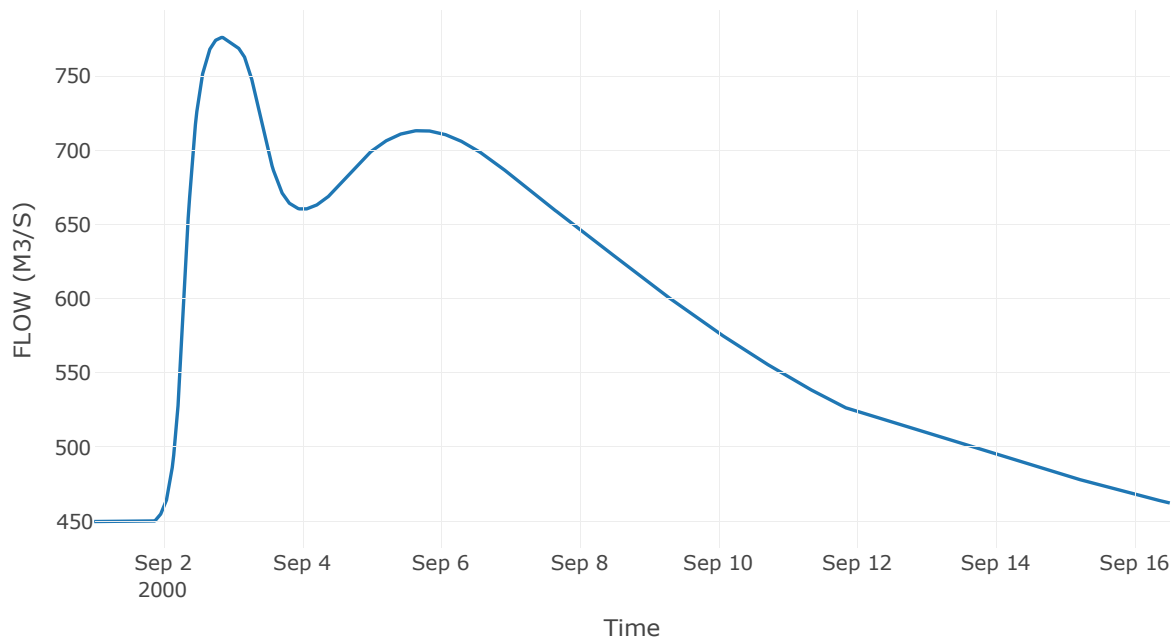
Κατάντη : J14

Μέθοδος Διόδευσης	Muskingum
Αρχική Μεταβλητή	Combined Inflow
Muskingum K	0.34
Συντελεστής βάρους x	0.2
Muskingum Steps	1

Αποτελέσματα: R1514

Παροχή Αιχμής (M3/S)	776.08
Χρονική στιγμή αιχμής	02Sep2000, 20:00
Όγκος(MM)	192.47
Παροχή Αιχμής Εισόδου (M3/S)	776.11
Όγκος Εισροής(M3)	7.88E8

Απορροή



Κλάδος: R1915

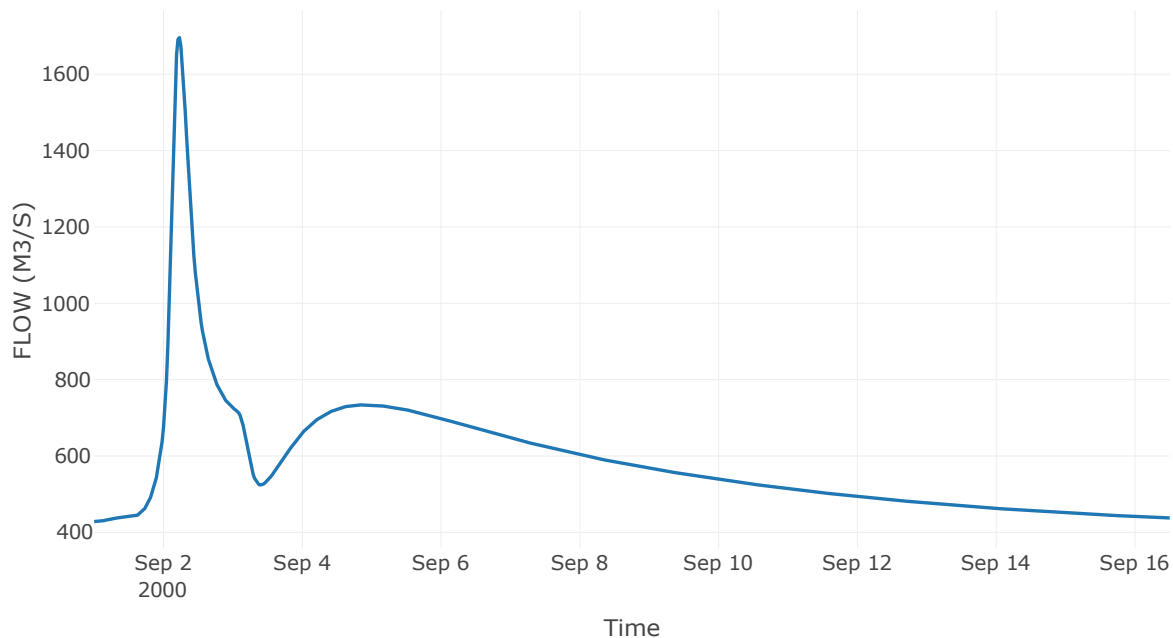
Κατάντη : J15 Res2

Μέθοδος Διόδευσης	Muskingum
Αρχική Μεταβλητή	Combined Inflow
Muskingum K	0.92
Συντελεστής βάρους x	0.2
Muskingum Steps	2

Αποτελέσματα: R1915

Παροχή Αιχμής (M3/S)	1696.05
Χρονική στιγμή αιχμής	02Sep2000, 05:30
Όγκος(MM)	192.86
Παροχή Αιχμής Εισόδου (M3/S)	1713.15
Όγκος Εισροής(M3)	7.86E8

Απορροή



Κλάδος: R1819

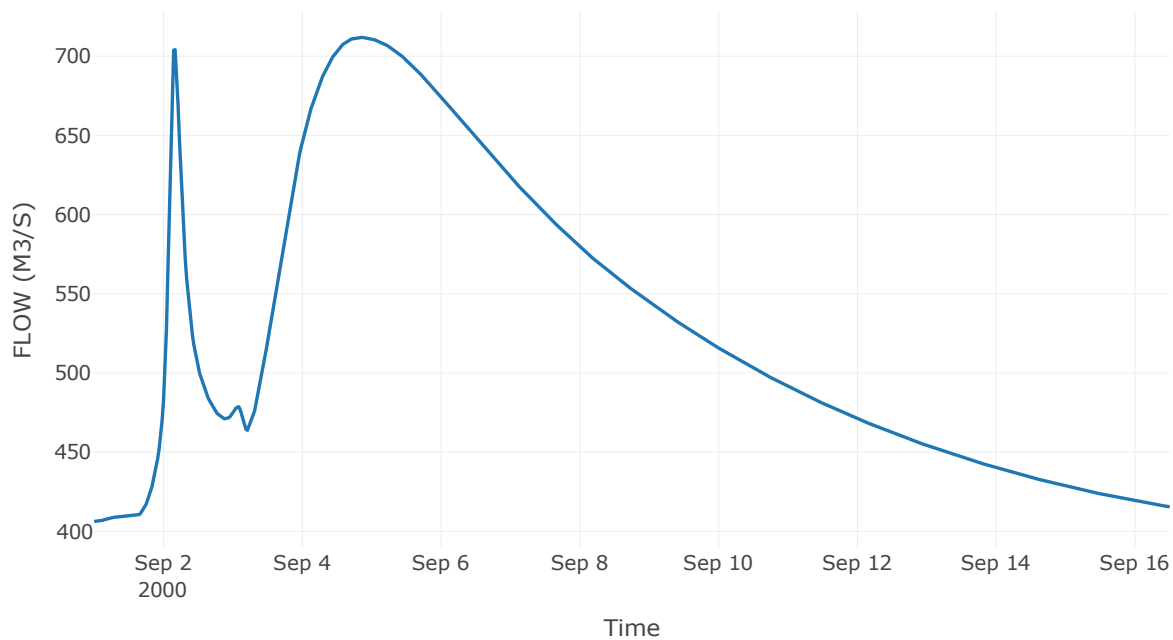
Κατάντη : J19

Μέθοδος Διόδευσης	Muskingum
Αρχική Μεταβλητή	Combined Inflow
Muskingum K	1.12
Συντελεστής βάρους α	0.2
Muskingum Steps	2

Αποτελέσματα: R1819

Παροχή Αιχμής (M3/S)	711.84
Χρονική στιγμή αιχμής	04Sep2000, 20:00
Όγκος(MM)	192.19
Παροχή Αιχμής Εισόδου (M3/S)	719.25
Όγκος Εισροής(M3)	7.06E8

Απορροή



Κλάδος: R1718

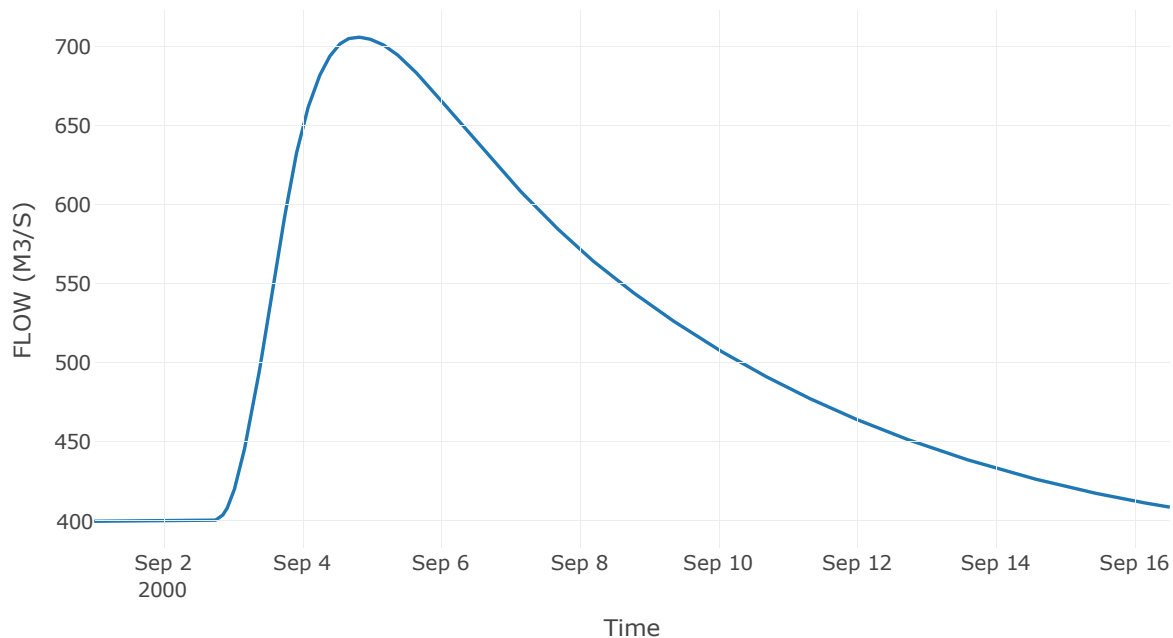
Κατάντη : J18

Μέθοδος Διόδευσης	Muskingum
Αρχική Μεταβλητή	Combined Inflow
Muskingum K	17.33
Συντελεστής βάρους x	0.2
Muskingum Steps	37

Αποτελέσματα: R1718

Παροχή Αιχμής (M3/S)	705.58
Χρονική στιγμή αιχμής	04Sep2000, 19:00
Όγκος(MM)	192.47
Παροχή Αιχμής Εισόδου (M3/S)	705.96
Όγκος Εισροής(M3)	6.86E8

Απορροή



Κλάδος: R2717

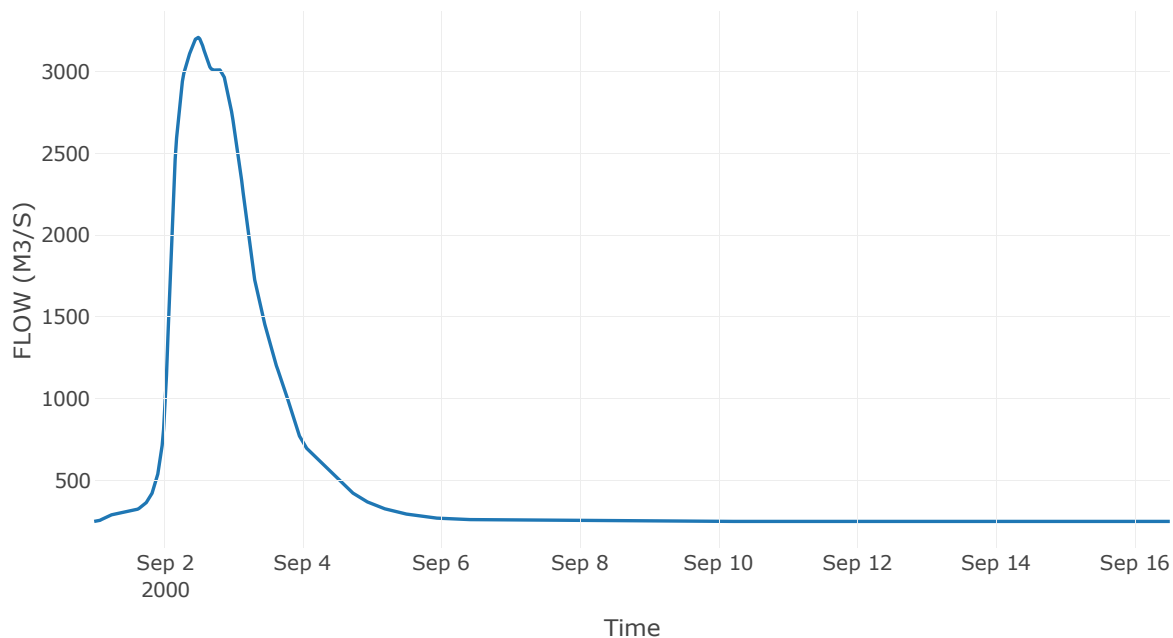
Κατάντη : J17 Res3

Μέθοδος Διόδευσης	Muskingum
Αρχική Μεταβλητή	Combined Inflow
Muskingum K	0.71
Συντελεστής βάρους x	0.2
Muskingum Steps	1

Αποτελέσματα: R2717

Παροχή Αιχμής (M3/S)	3208.9
Χρονική στιγμή αιχμής	02Sep2000, 12:00
Όγκος(MM)	196.99
Παροχή Αιχμής Εισόδου (M3/S)	3214.7
Όγκος Εισροής(M3)	7.01E8

Απορροή



Κλάδος: R3127

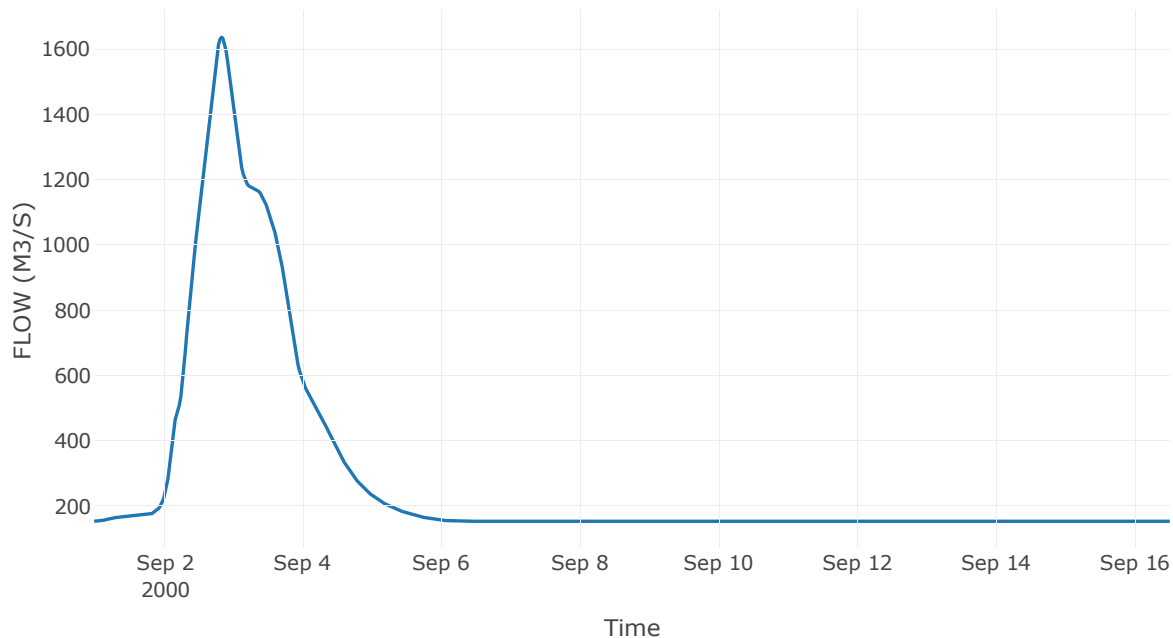
Κατάντη : J27

Μέθοδος Διόδευσης	Muskingum
Αρχική Μεταβλητή	Combined Inflow
Muskingum K	1.94
Συντελεστής βάρους x	0.2
Muskingum Steps	4

Αποτελέσματα: R3127

Παροχή Αιχμής (M3/S)	1635.95
Χρονική στιγμή αιχμής	02Sep2000, 20:00
Όγκος(MM)	212.66
Παροχή Αιχμής Εισόδου (M3/S)	1646.92
Όγκος Εισροής(M3)	3.82E8

Απορροή



Κλάδος: R2231

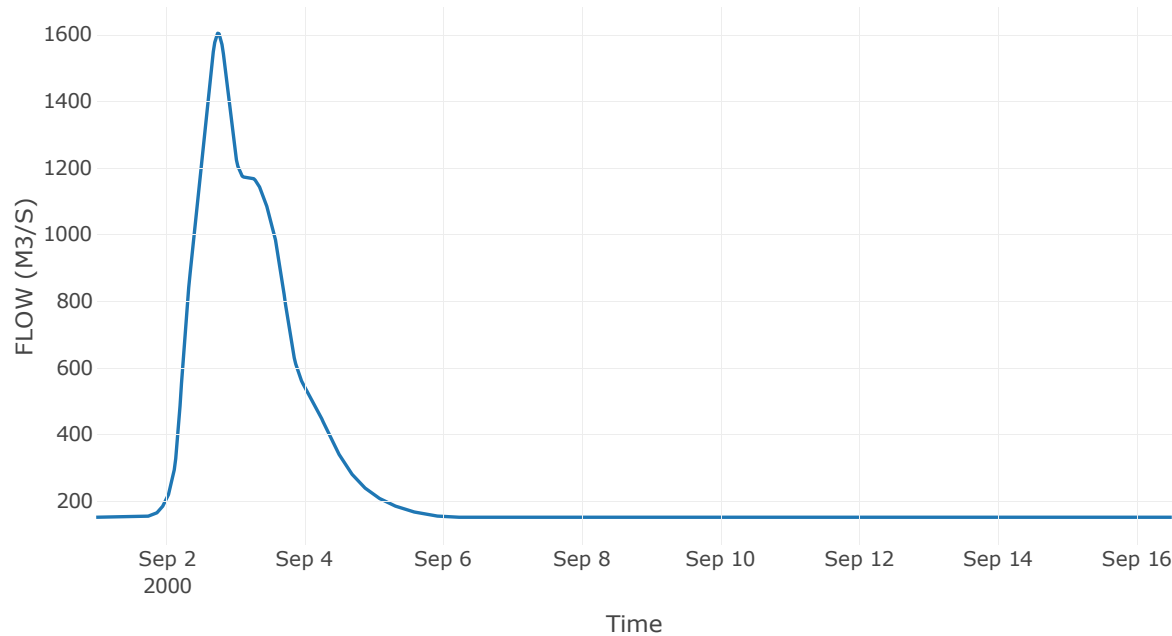
Κατάντη : J31

Μέθοδος Διόδευσης	Muskingum
Αρχική Μεταβλητή	Combined Inflow
Muskingum K	3.66
Συντελεστής βάρους x	0.2
Muskingum Steps	8

Αποτελέσματα: R2231

Παροχή Αιχμής (M3/S)	1602.01
Χρονική στιγμή αιχμής	02Sep2000, 18:00
Όγκος(MM)	213.63
Παροχή Αιχμής Εισόδου (M3/S)	1624.72
Όγκος Εισροής(M3)	3.67E8

Απορροή



Κλάδος: R2522

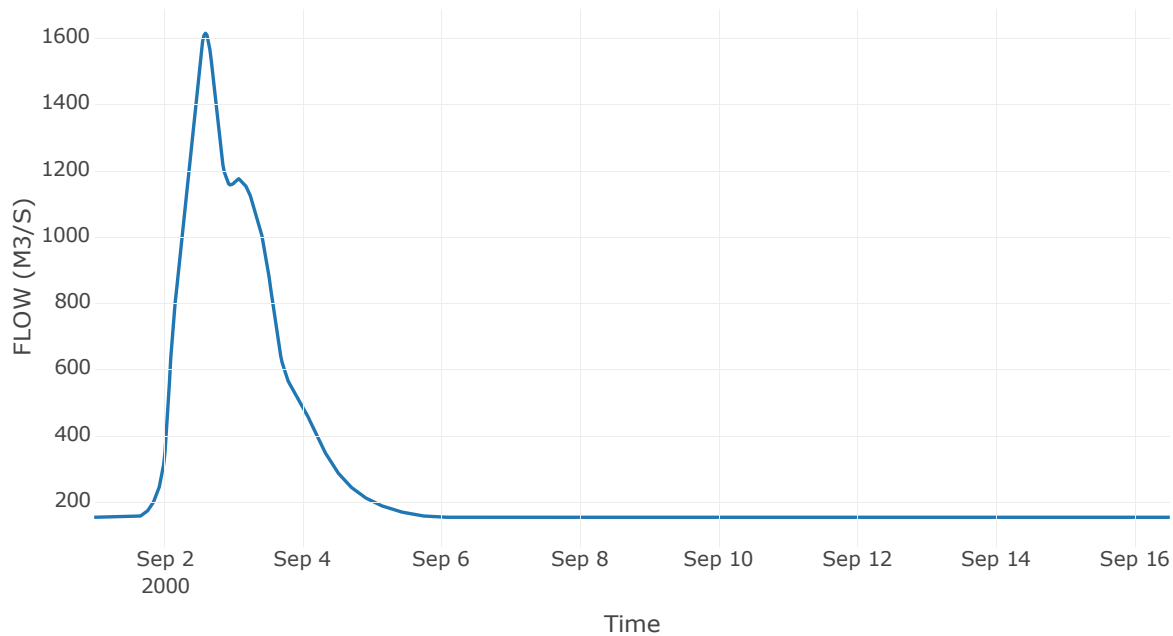
Κατάντη : J22

Μέθοδος Διόδευσης	Muskingum
Αρχική Μεταβλητή	Combined Inflow
Muskingum K	1.04
Συντελεστής βάρους x	0.2
Muskingum Steps	2

Αποτελέσματα: R2522

Παροχή Αιχμής (M3/S)	1607.26
Χρονική στιγμή αιχμής	02Sep2000, 14:30
Όγκος(MM)	217.54
Παροχή Αιχμής Εισόδου (M3/S)	1614.99
Όγκος Εισροής(M3)	3.62E8

Απορροή



Κλάδος: R2425

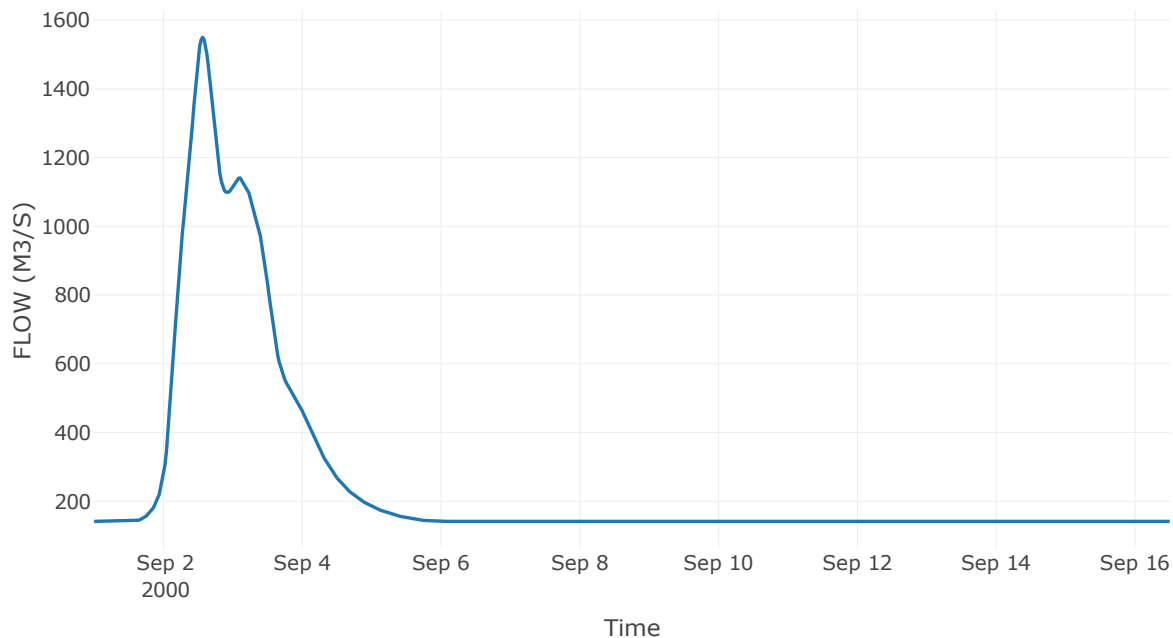
Κατάντη : J25

Μέθοδος Διόδευσης	Muskingum
Αρχική Μεταβλητή	Combined Inflow
Muskingum K	1.62
Συντελεστής βάρους x	0.2
Muskingum Steps	3

Αποτελέσματα: R2425

Παροχή Αιχμής (M3/S)	1549.84
Χρονική στιγμή αιχμής	02Sep2000, 13:30
Όγκος(MM)	220.59
Παροχή Αιχμής Εισόδου (M3/S)	1562.82
Όγκος Εισροής(M3)	3.45E8

Απορροή



Κλάδος: R2324

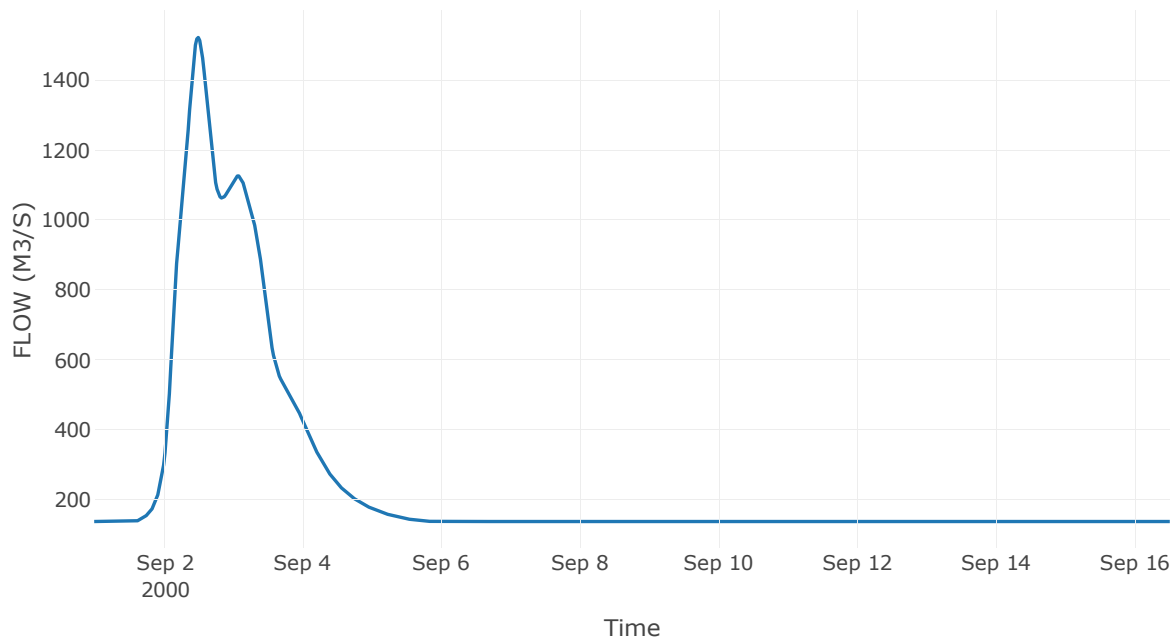
Κατάντη : J24

Μέθοδος Διόδευσης	Muskingum
Αρχική Μεταβλητή	Combined Inflow
Muskingum K	0.79
Συντελεστής βάρους x	0.2
Muskingum Steps	2

Αποτελέσματα: R2324

Παροχή Αιχμής (M3/S)	1522.3
Χρονική στιγμή αιχμής	02Sep2000, 12:00
Όγκος(MM)	221.77
Παροχή Αιχμής Εισόδου (M3/S)	1527.35
Όγκος Εισροής(M3)	3.36E8

Απορροή



Κλάδος: R4523

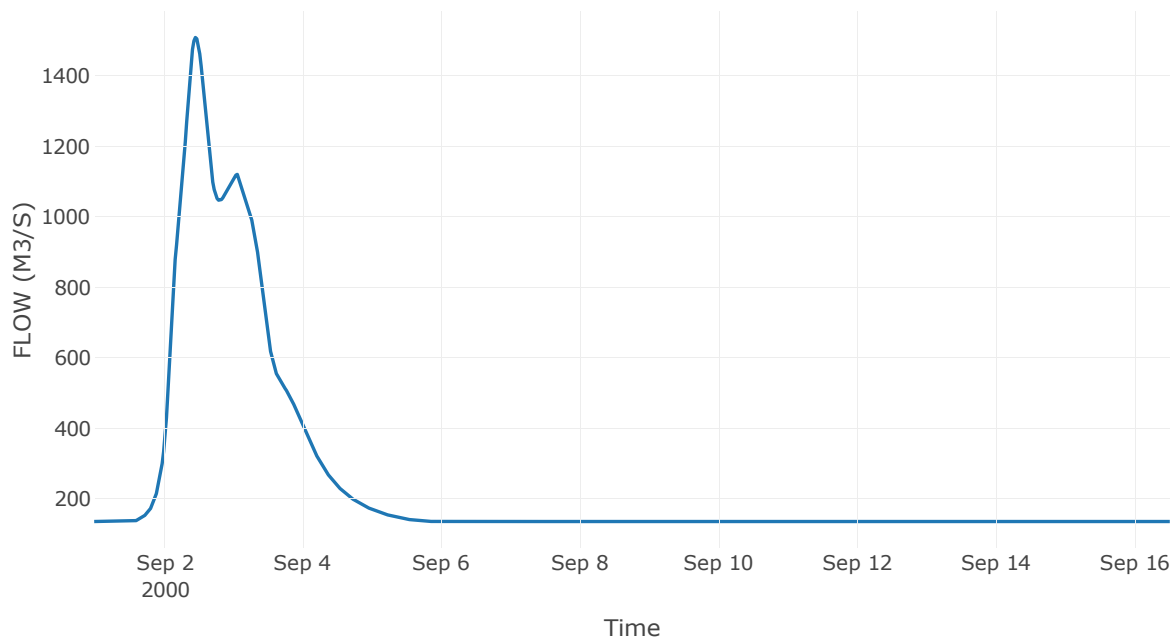
Κατάντη : J23

Μέθοδος Διόδευσης	Muskingum
Αρχική Μεταβλητή	Combined Inflow
Muskingum K	1.72
Συντελεστής βάρους α	0.2
Muskingum Steps	4

Αποτελέσματα: R4523

Παροχή Αιχμής (M3/S)	1509.22
Χρονική στιγμή αιχμής	02Sep2000, 11:00
Όγκος(MM)	224.67
Παροχή Αιχμής Εισόδου (M3/S)	1521.01
Όγκος Εισροής(M3)	3.31E8

Απορροή



Κλάδος: R4645

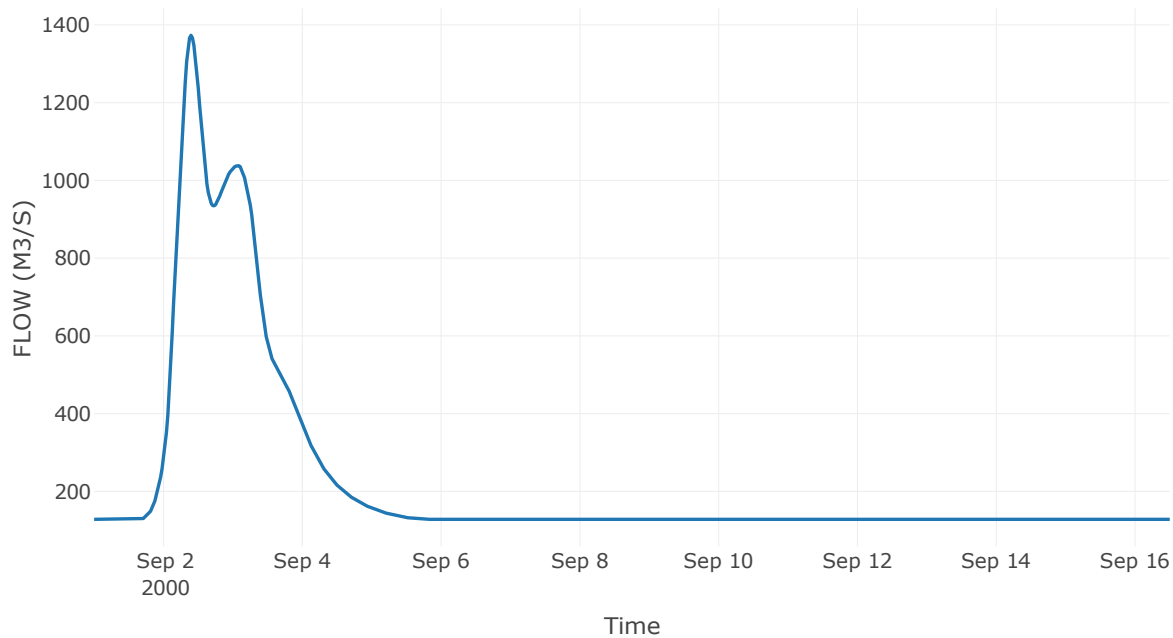
Κατάντη : J45

Μέθοδος Διόδευσης	Muskingum
Αρχική Μεταβλητή	Combined Inflow
Muskingum K	2.14
Συντελεστής βάρους x	0.2
Muskingum Steps	5

Αποτελέσματα: R4645

Παροχή Αιχμής (M3/S)	1373.12
Χρονική στιγμή αιχμής	02Sep2000, 09:30
Όγκος(MM)	228.92
Παροχή Αιχμής Εισόδου (M3/S)	1387.05
Όγκος Εισροής(M3)	3.04E8

Απορροή



Κλάδος: R4746

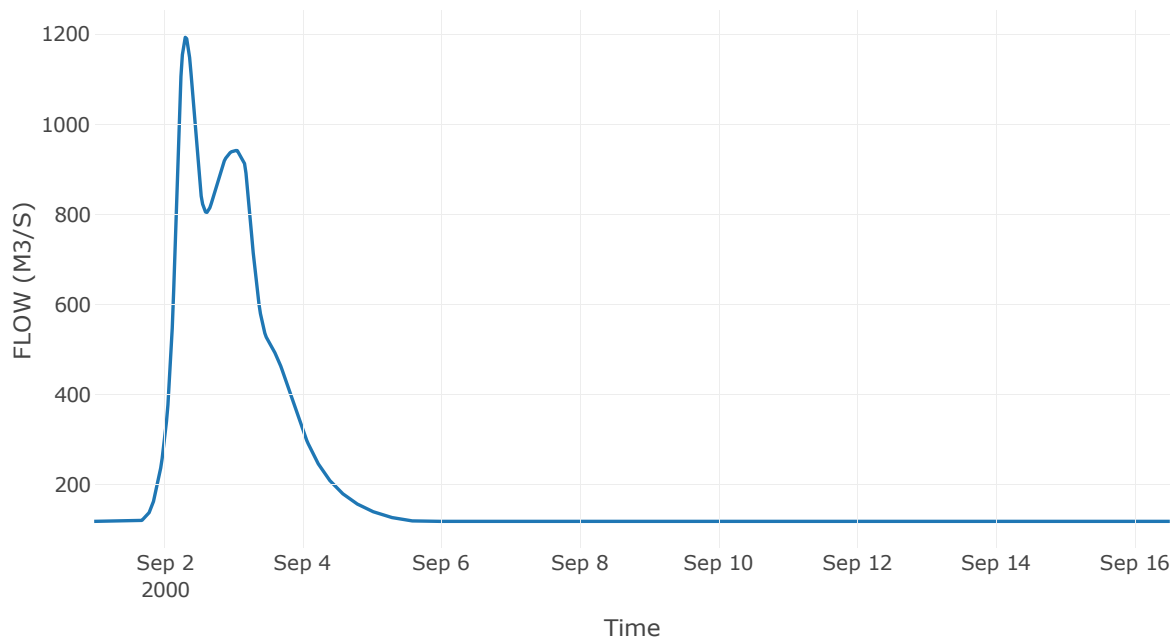
Κατάντη : J46

Μέθοδος Διόδευσης	Muskingum
Αρχική Μεταβλητή	Combined Inflow
Muskingum K	3.5
Συντελεστής βάρους x	0.2
Muskingum Steps	7

Αποτελέσματα: R4746

Παροχή Αιχμής (M3/S)	1192.85
Χρονική στιγμή αιχμής	02Sep2000, 07:30
Όγκος(MM)	236.74
Παροχή Αιχμής Εισόδου (M3/S)	1218.06
Όγκος Εισροής(M3)	2.74E8

Απορροή



Κλάδος: R4947

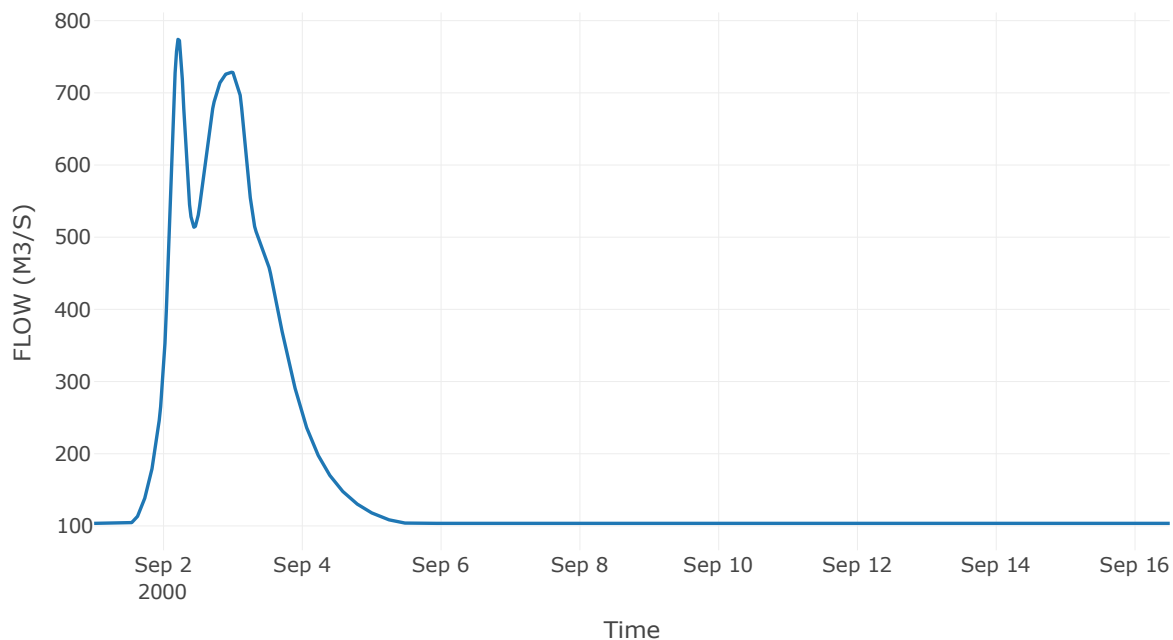
Κατάντη : J47

Μέθοδος Διόδευσης	Muskingum
Αρχική Μεταβλητή	Combined Inflow
Muskingum K	1.39
Συντελεστής βάρους α	0.2
Muskingum Steps	3

Αποτελέσματα: R4947

Παροχή Αιχμής (M3/S)	774.12
Χρονική στιγμή αιχμής	02Sep2000, 05:00
Όγκος(MM)	255.1
Παροχή Αιχμής Εισόδου (M3/S)	790.87
Όγκος Εισροής(M3)	2.24E8

Απορροή



Κλάδος: R5049

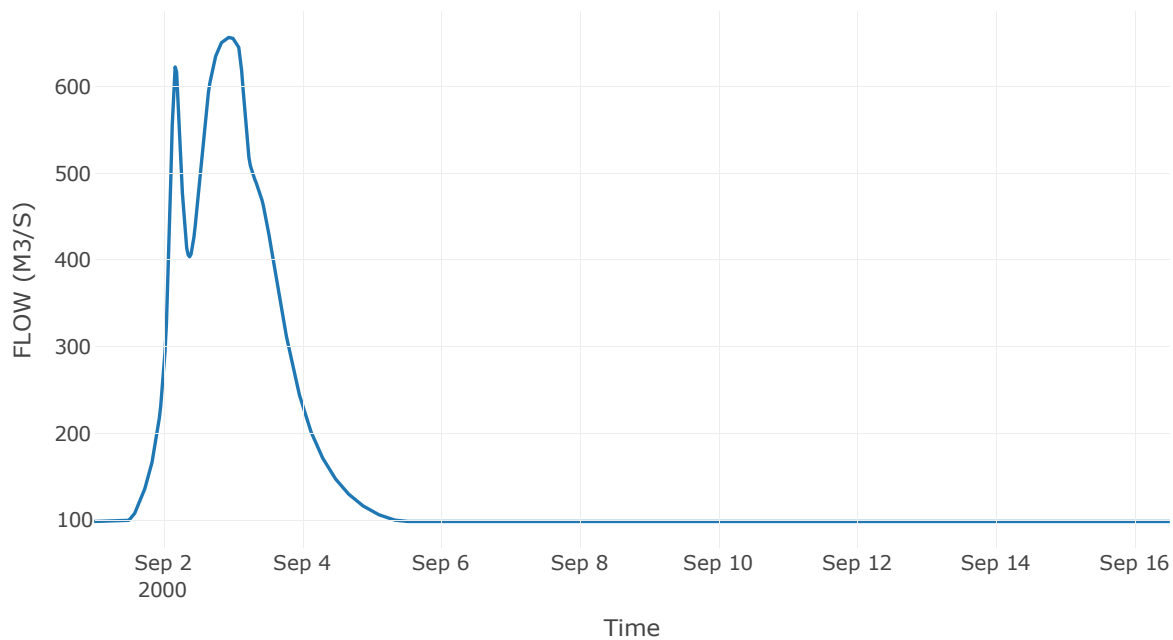
Κατάντη : J49

Μέθοδος Διόδευσης	Muskingum
Αρχική Μεταβλητή	Combined Inflow
Muskingum K	1.76
Συντελεστής βάρους x	0.2
Muskingum Steps	4

Αποτελέσματα: R5049

Παροχή Αιχμής (M3/S)	656.83
Χρονική στιγμή αιχμής	02Sep2000, 22:30
Όγκος(MM)	262.2
Παροχή Αιχμής Εισόδου (M3/S)	657.18
Όγκος Εισροής(M3)	2.06E8

Απορροή



Κλάδος: R5150

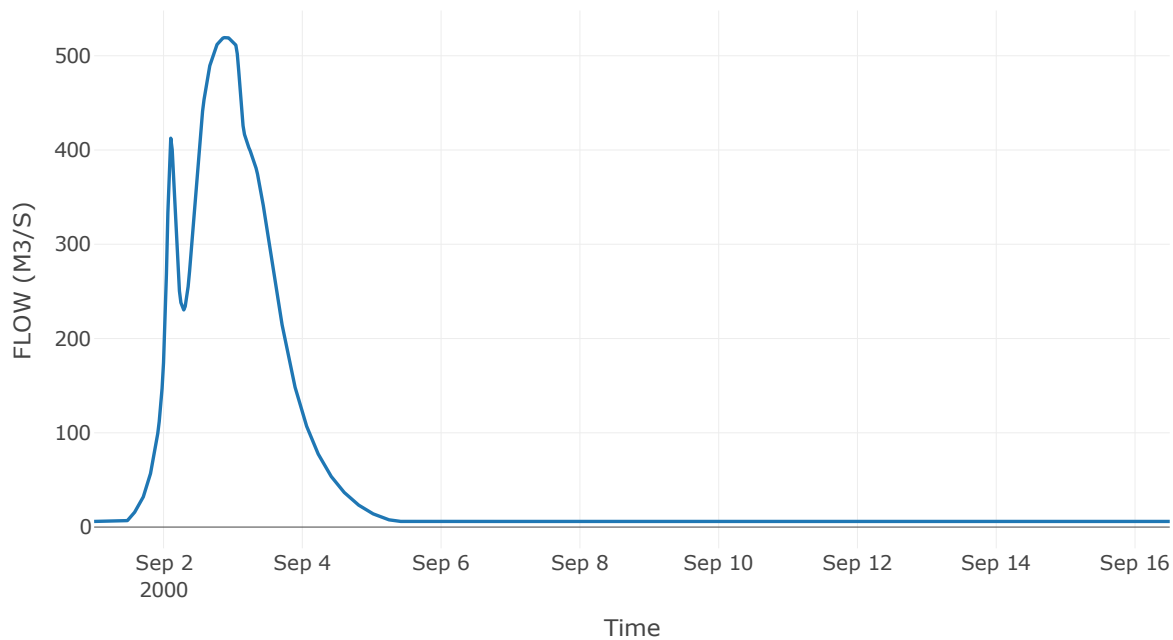
Κατάντη : J50

Μέθοδος Διόδευσης	Muskingum
Αρχική Μεταβλητή	Combined Inflow
Muskingum K	1.24
Συντελεστής βάρους x	0.2
Muskingum Steps	3

Αποτελέσματα: R5150

Παροχή Αιχμής (M3/S)	519.44
Χρονική στιγμή αιχμής	02Sep2000, 21:30
Όγκος(MM)	679.56
Παροχή Αιχμής Εισόδου (M3/S)	519.63
Όγκος Εισροής(M3)	7.38E7

Απορροή



Κλάδος: R5351

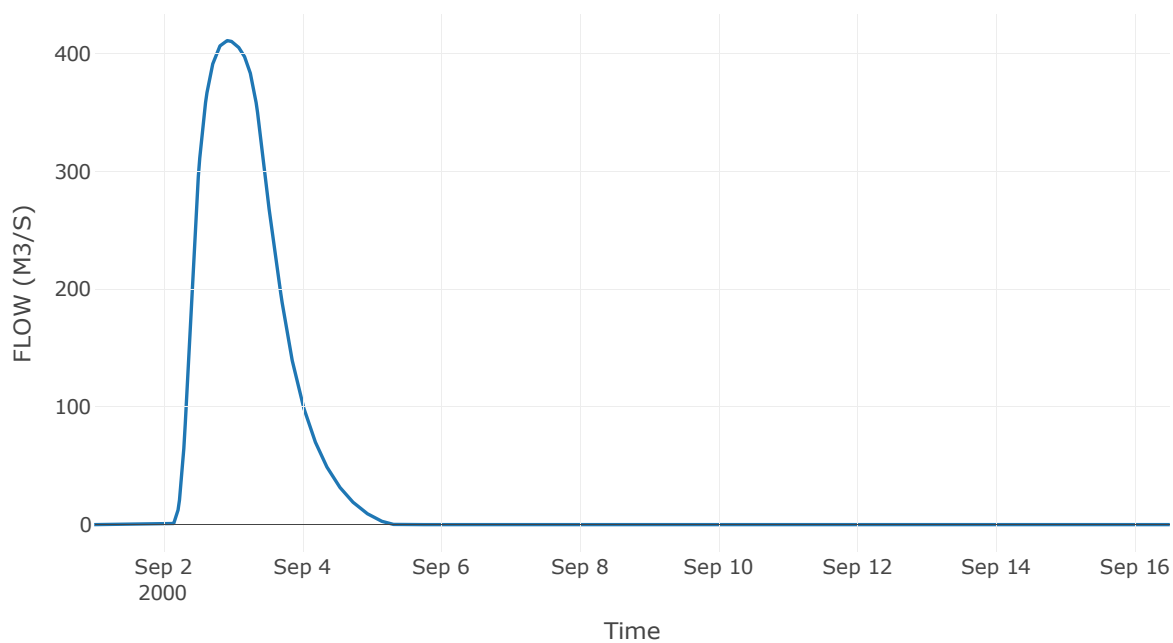
Κατάντη : J51

Μέθοδος Διόδευσης	Muskingum
Αρχική Μεταβλητή	Combined Inflow
Muskingum K	2.28
Συντελεστής βάρους α	0.2
Muskingum Steps	5

Αποτελέσματα: R5351

Παροχή Αιχμής (M3/S)	410.91
Χρονική στιγμή αιχμής	02Sep2000, 22:00
Peak Inflow (M3/S)	411.26
Όγκος Εισροής (M3)	4.75E7

Απορροή



Κλάδος: R5753

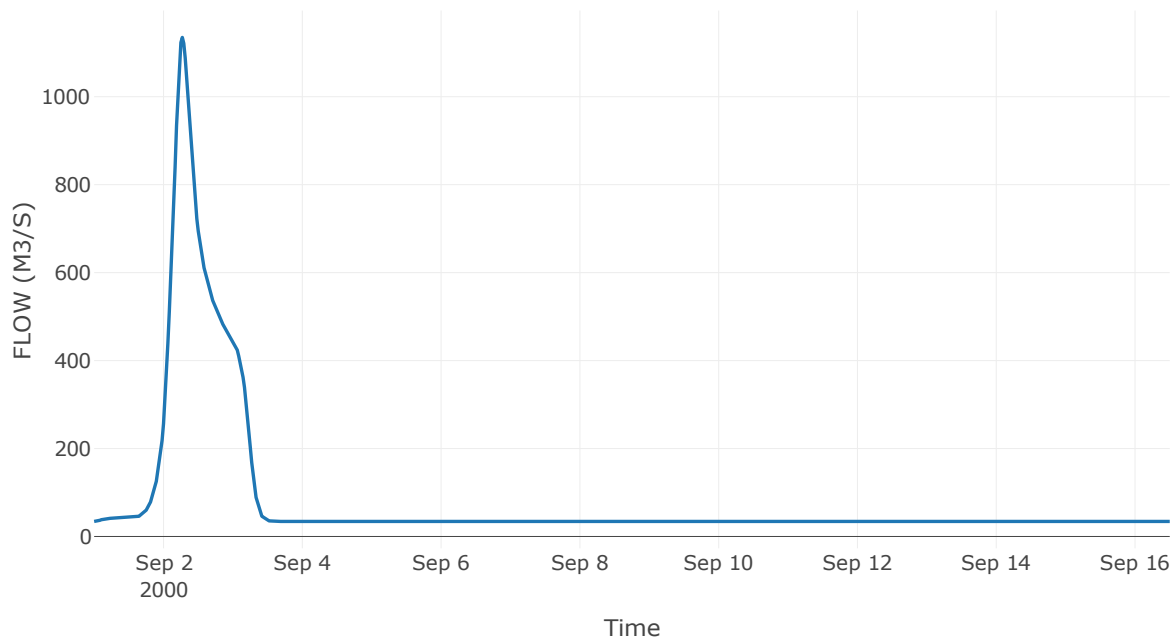
Κατάντη : J53 Res5

Μέθοδος Διόδευσης	Muskingum
Αρχική Μεταβλητή	Combined Inflow
Muskingum K	0.94
Συντελεστής βάρους x	0.2
Muskingum Steps	2

Αποτελέσματα: R5753

Παροχή Αιχμής (M3/S)	1134.86
Χρονική στιγμή αιχμής	02Sep2000, 06:30
Όγκος(MM)	179.13
Παροχή Αιχμής Εισόδου (M3/S)	1149.45
Όγκος Εισροής(M3)	1.12E8

Απορροή



Κλάδος: R5457

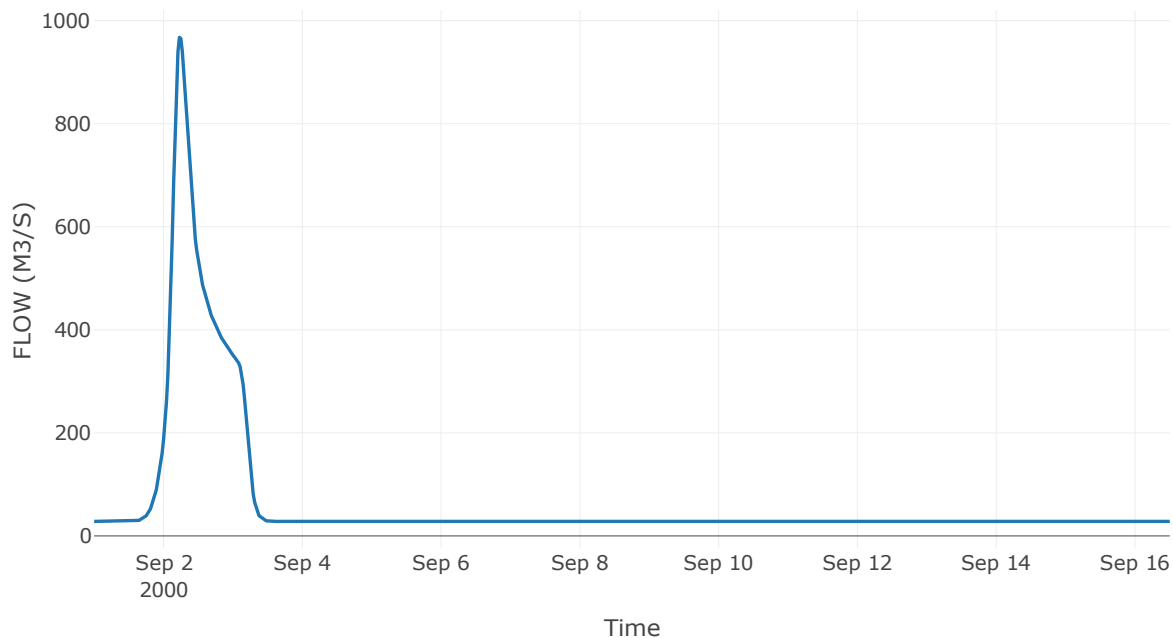
Κατάντη : J57

Μέθοδος Διόδευσης	Muskingum
Αρχική Μεταβλητή	Combined Inflow
Muskingum K	2.41
Συντελεστής βάρους α	0.2
Muskingum Steps	5

Αποτελέσματα: R5457

Παροχή Αιχμής (M3/S)	967.42
Χρονική στιγμή αιχμής	02Sep2000, 05:30
Όγκος(MM)	174.19
Παροχή Αιχμής Εισόδου (M3/S)	1014.37
Όγκος Εισροής(M3)	8.92E7

Απορροή



Κλάδος: R5554

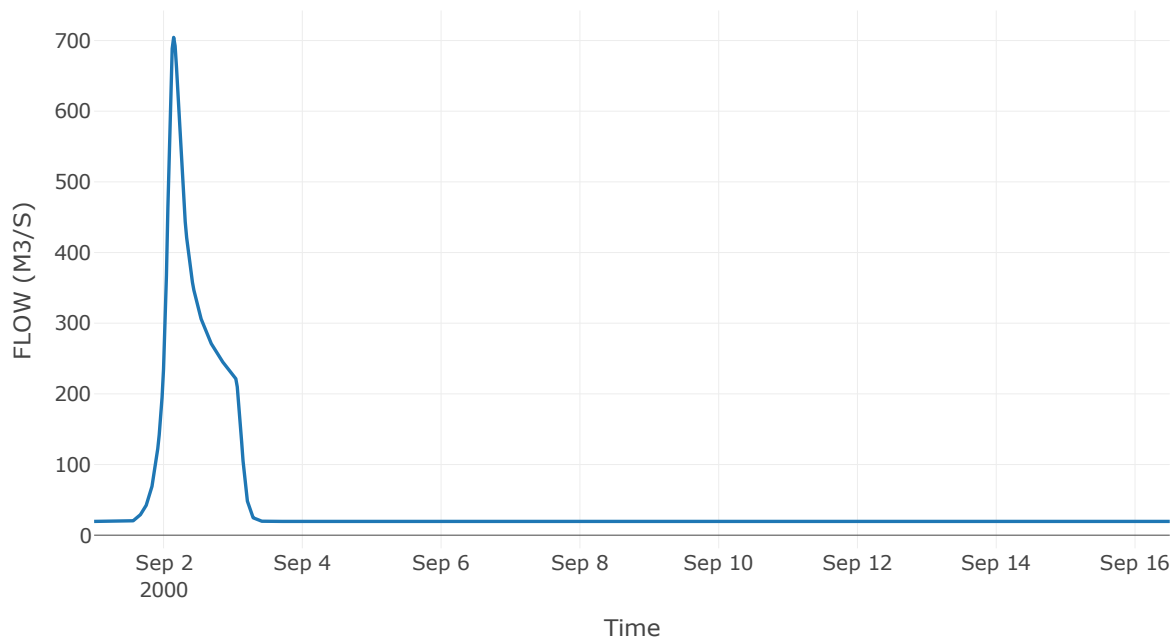
Κατάντη : J54

Μέθοδος Διόδευσης	Muskingum
Αρχική Μεταβλητή	Combined Inflow
Muskingum K	1.03
Συντελεστής βάρους α	0.2
Muskingum Steps	2

Αποτελέσματα: R5554

Παροχή Αιχμής (M3/S)	704.41
Χρονική στιγμή αιχμής	02Sep2000, 03:30
Όγκος(MM)	172.26
Παροχή Αιχμής Εισόδου (M3/S)	724.08
Όγκος Εισροής(M3)	6.1E7

Απορροή



Κλάδος: R5655

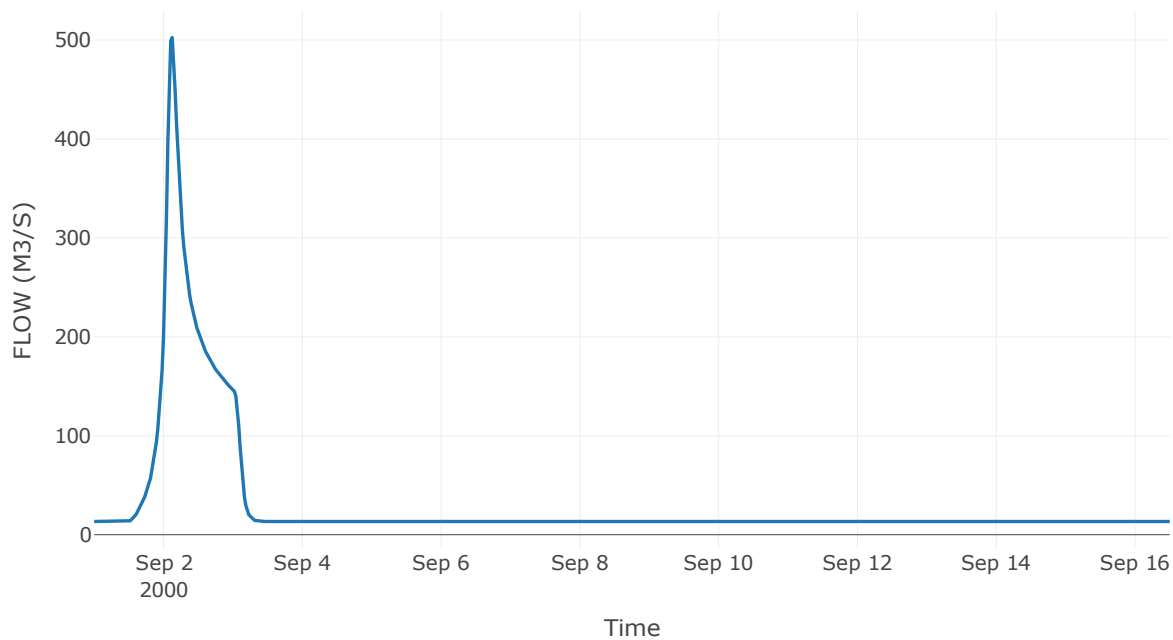
Κατάντη : J55

Μέθοδος Διόδευσης	Muskingum
Αρχική Μεταβλητή	Combined Inflow
Muskingum K	0.67
Συντελεστής βάρους x	0.2
Muskingum Steps	1

Αποτελέσματα: R5655

Παροχή Αιχμής (M3/S)	502.49
Χρονική στιγμή αιχμής	02Sep2000, 03:00
Όγκος(MM)	170.6
Παροχή Αιχμής Εισόδου (M3/S)	522.32
Όγκος Εισροής(M3)	4.15E7

Απορροή



Κλάδος: R6357

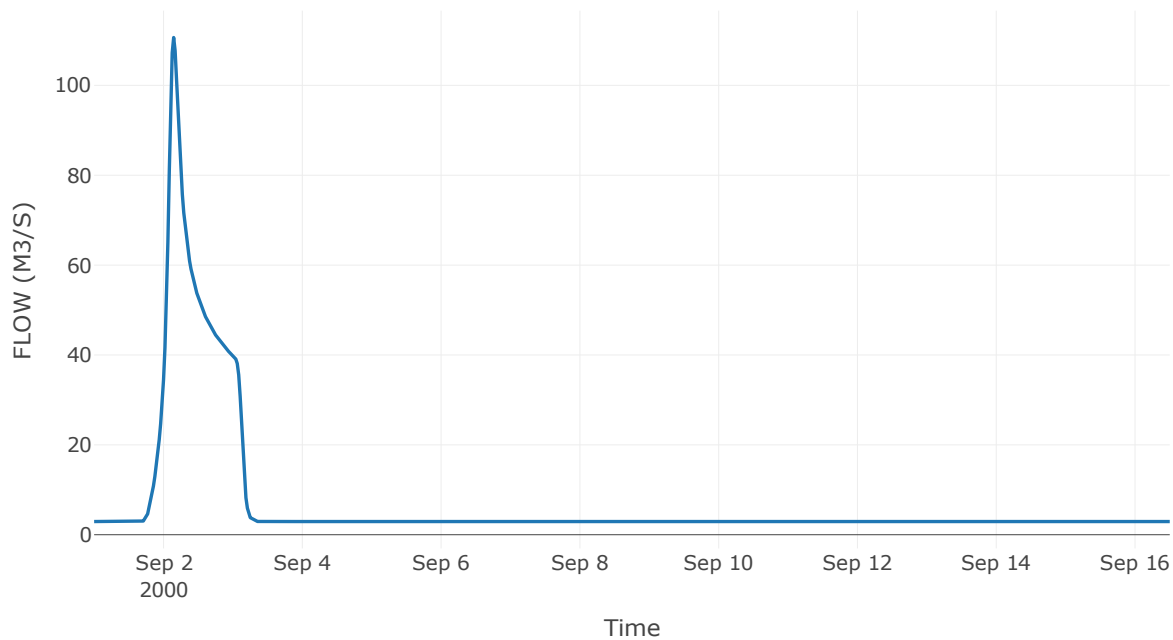
Κατάντη : J57

Μέθοδος Διόδευσης	Muskingum
Αρχική Μεταβλητή	Combined Inflow
Muskingum K	1.82
Συντελεστής βάρους x	0.2
Muskingum Steps	4

Αποτελέσματα: R6357

Παροχή Αιχμής (M3/S)	110.65
Χρονική στιγμή αιχμής	02Sep2000, 03:30
Όγκος(MM)	177.67
Παροχή Αιχμής Εισόδου (M3/S)	119.58
Όγκος Εισροής(M3)	9.48E6

Απορροή



Κλάδος: R4847

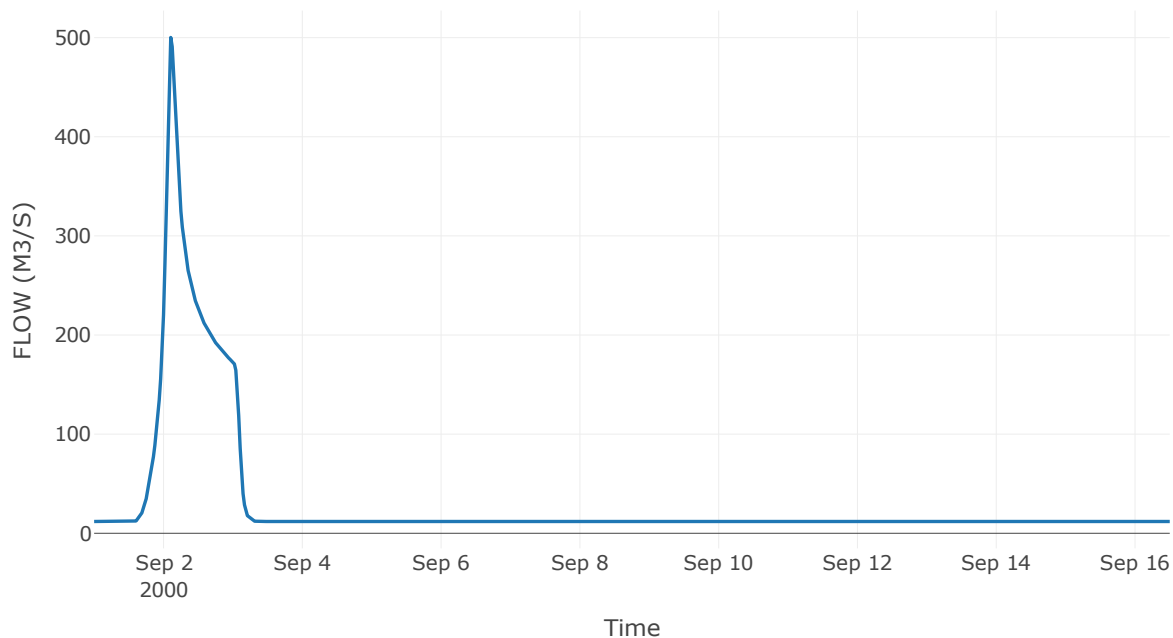
Κατάντη : J47

Μέθοδος Διόδευσης	Muskingum
Αρχική Μεταβλητή	Combined Inflow
Muskingum K	0.72
Συντελεστής βάρους x	0.2
Muskingum Steps	2

Αποτελέσματα: R4847

Παροχή Αιχμής (M3/S)	500.16
Χρονική στιγμή αιχμής	02Sep2000, 02:30
Όγκος(MM)	189.88
Παροχή Αιχμής Εισόδου (M3/S)	509.14
Όγκος Εισροής(M3)	4.11E7

Απορροή



Κλάδος: R4462

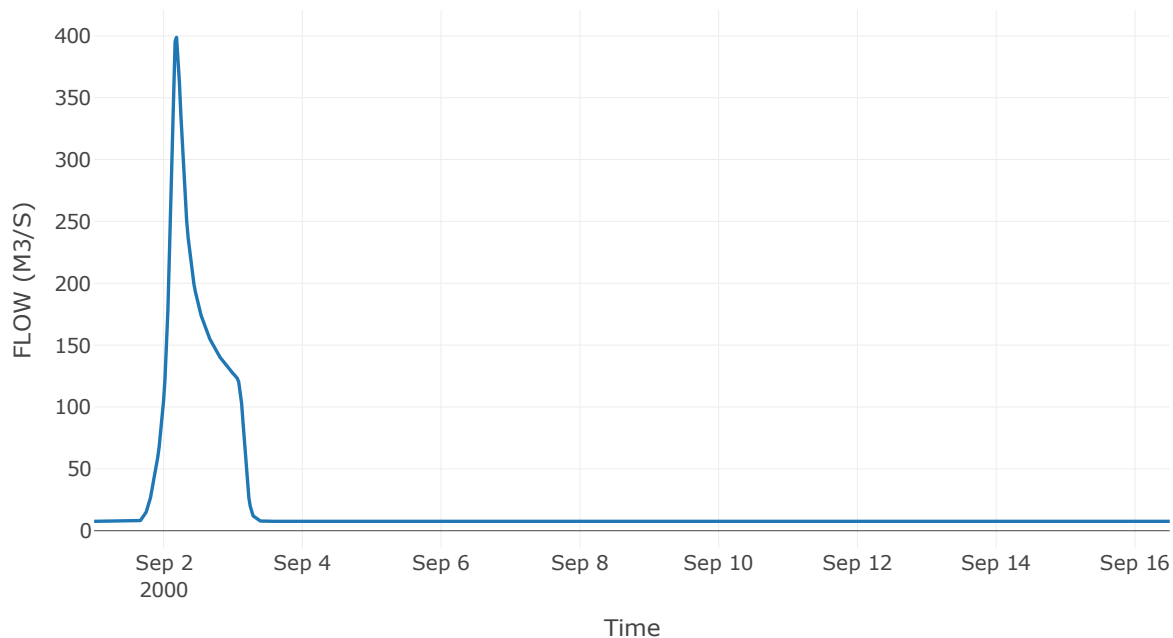
Κατάντη : J62

Μέθοδος Διόδευσης	Muskingum
Αρχική Μεταβλητή	Combined Inflow
Muskingum K	2.57
Συντελεστής βάρους x	0.2
Muskingum Steps	5

Αποτελέσματα: R4462

Παροχή Αιχμής (M3/S)	398.82
Χρονική στιγμή αιχμής	02Sep2000, 04:30
Όγκος(MM)	216.49
Παροχή Αιχμής Εισόδου (M3/S)	444.14
Όγκος Εισροής(M3)	2.99E7

Απορροή



Κλάδος: R6227

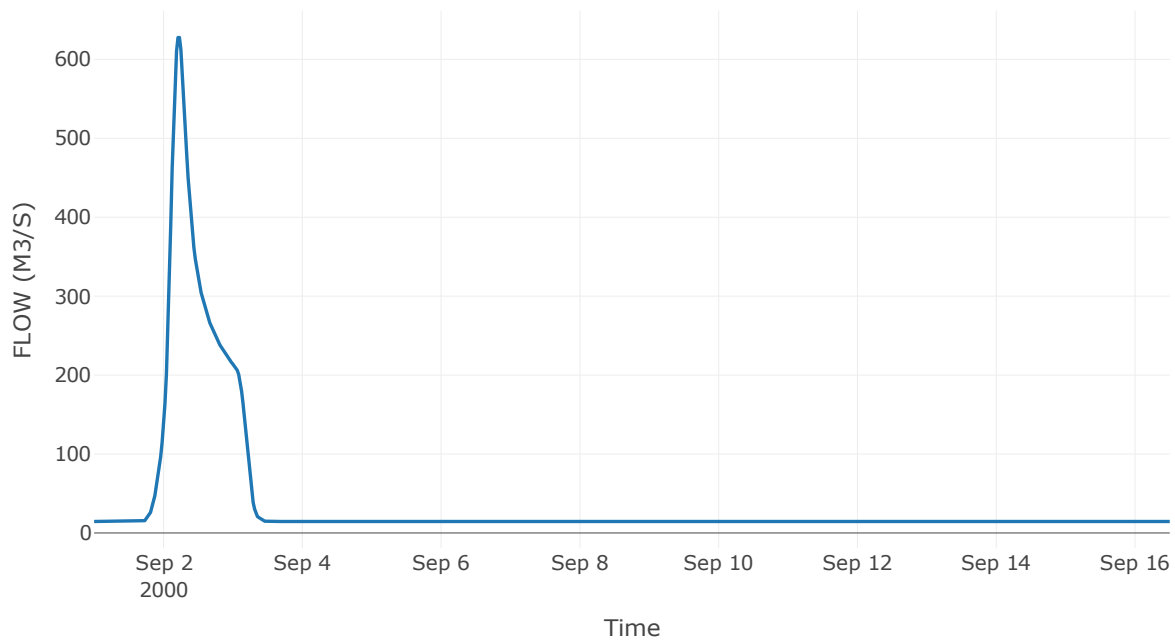
Κατάντη : J27

Μέθοδος Διόδευσης	Muskingum
Αρχική Μεταβλητή	Combined Inflow
Muskingum K	1.47
Συντελεστής βάρους α	0.2
Muskingum Steps	3

Αποτελέσματα: R6227

Παροχή Αιχμής (M3/S)	627.75
Χρονική στιγμή αιχμής	02Sep2000, 05:30
Όγκος(MM)	198
Παροχή Αιχμής Εισόδου (M3/S)	643.38
Όγκος Εισροής(M3)	5.23E7

Απορροή



Κλάδος: R4342

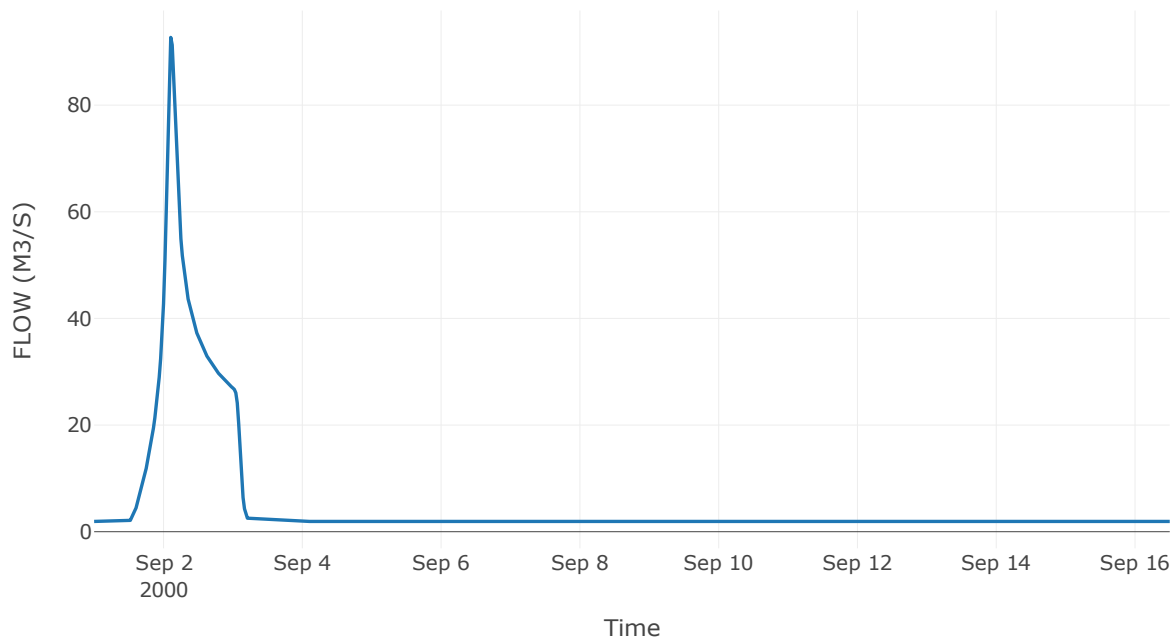
Κατάντη : J42

Μέθοδος Διόδευσης	Muskingum
Αρχική Μεταβλητή	Combined Inflow
Muskingum K	1.31
Συντελεστής βάρους x	0.2
Muskingum Steps	3

Αποτελέσματα: R4342

Παροχή Αιχμής (M3/S)	92.7
Χρονική στιγμή αιχμής	02Sep2000, 02:30
Όγκος(MM)	200.36
Παροχή Αιχμής Εισόδου (M3/S)	97.96
Όγκος Εισροής(M3)	7.02E6

Απορροή



Κλάδος: R4241

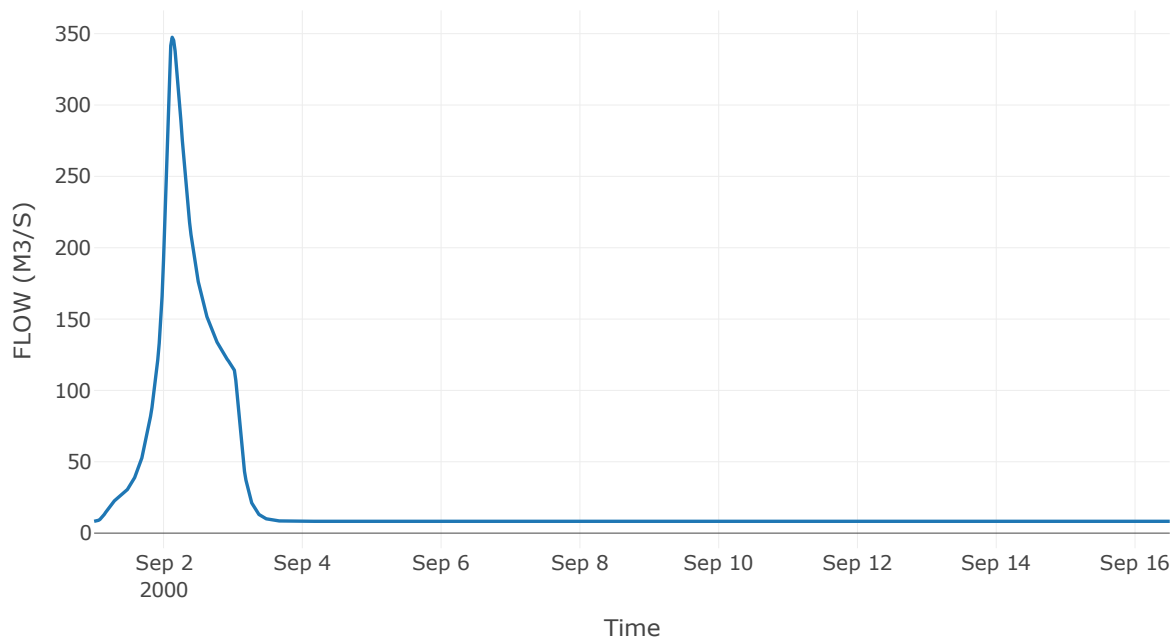
Κατάντη : J41 Res4

Μέθοδος Διόδευσης	Muskingum
Αρχική Μεταβλητή	Combined Inflow
Muskingum K	0.14
Συντελεστής βάρους x	0.2
Muskingum Steps	1

Αποτελέσματα: R4241

Παροχή Αιχμής (M3/S)	347.46
Χρονική στιγμή αιχμής	02Sep2000, 03:00
Όγκος(MM)	217.19
Παροχή Αιχμής Εισόδου (M3/S)	347.68
Όγκος Εισροής(M3)	3.27E7

Απορροή



Κλάδος: R4140

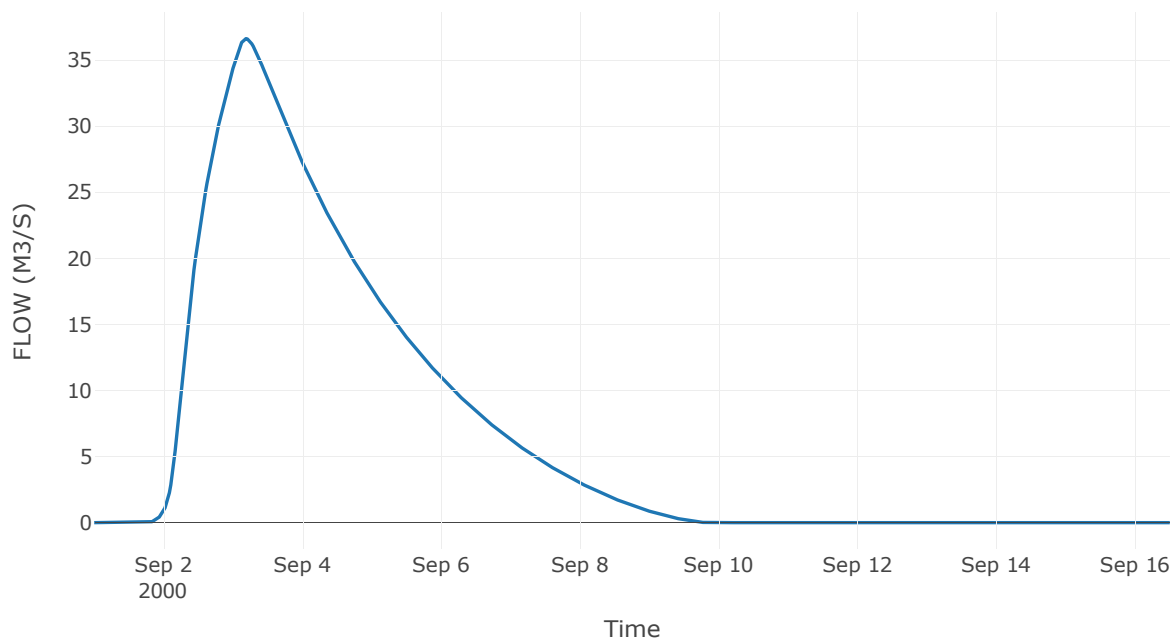
Κατάντη : J40

Μέθοδος Διόδευσης	Muskingum
Αρχική Μεταβλητή	Combined Inflow
Muskingum K	1.57
Συντελεστής βάρους x	0.2
Muskingum Steps	3

Αποτελέσματα: R4140

Παροχή Αιχμής (M3/S)	36.61
Χρονική στιγμή αιχμής	03Sep2000, 04:30
Peak Inflow (M3/S)	36.67
Όγκος Εισροής (M3)	8.97E6

Απορροή



Κλάδος: R4039

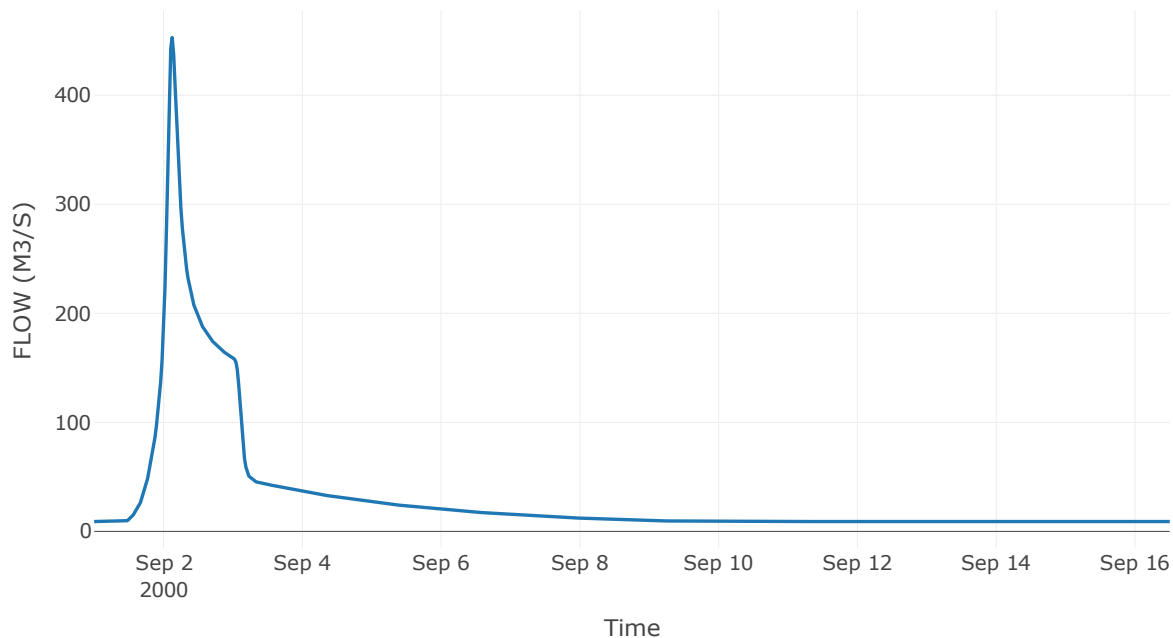
Κατάντη : J39

Μέθοδος Διόδευσης	Muskingum
Αρχική Μεταβλητή	Combined Inflow
Muskingum K	1.02
Συντελεστής βάρους α	0.2
Muskingum Steps	2

Αποτελέσματα: R4039

Παροχή Αιχμής (M3/S)	452.97
Χρονική στιγμή αιχμής	02Sep2000, 03:00
Όγκος(MM)	257.72
Παροχή Αιχμής Εισόδου (M3/S)	471.87
Όγκος Εισροής(M3)	4.23E7

Απορροή



Κλάδος: R3938

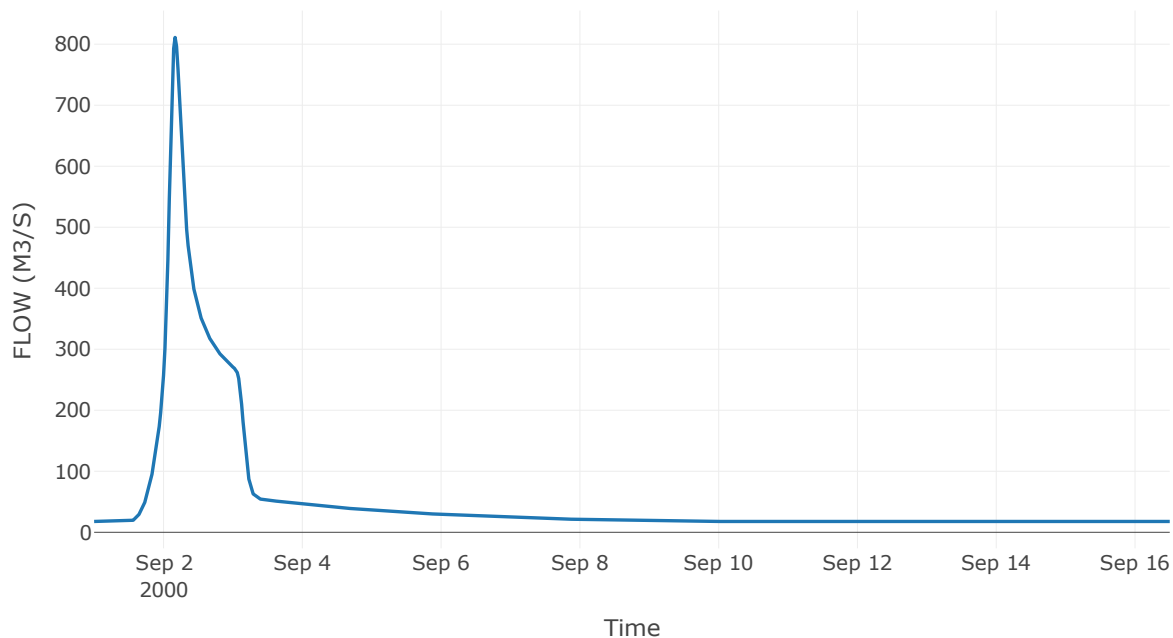
Κατάντη : J38

Μέθοδος Διόδευσης	Muskingum
Αρχική Μεταβλητή	Combined Inflow
Muskingum K	1.57
Συντελεστής βάρους x	0.2
Muskingum Steps	3

Αποτελέσματα: R3938

Παροχή Αιχμής (M3/S)	811.11
Χρονική στιγμή αιχμής	02Sep2000, 04:00
Όγκος(MM)	224.21
Παροχή Αιχμής Εισόδου (M3/S)	847.86
Όγκος Εισροής(M3)	7.24E7

Απορροή



Κλάδος: R3837

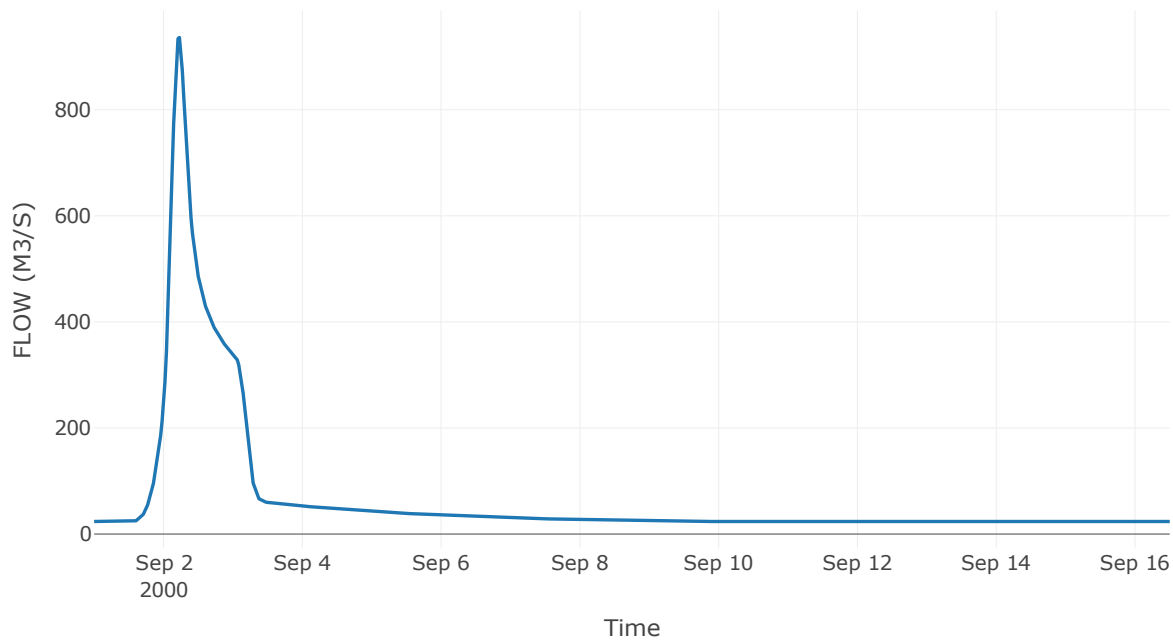
Κατάντη : J37

Μέθοδος Διόδευσης	Muskingum
Αρχική Μεταβλητή	Combined Inflow
Muskingum K	1.45
Συντελεστής βάρους α	0.2
Muskingum Steps	3

Αποτελέσματα: R3837

Παροχή Αιχμής (M3/S)	936.22
Χρονική στιγμή αιχμής	02Sep2000, 05:30
Όγκος(MM)	208.78
Παροχή Αιχμής Εισόδου (M3/S)	961.1
Όγκος Εισροής(M3)	8.98E7

Απορροή



Κλάδος: R3726

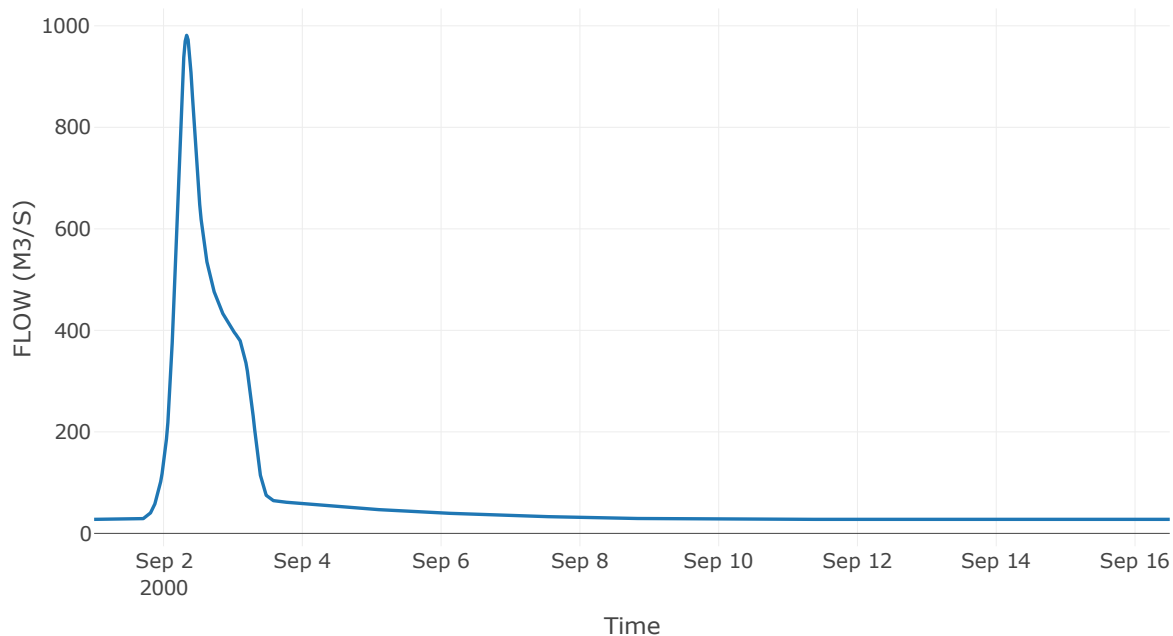
Κατάντη : J26

Μέθοδος Διόδευσης	Muskingum
Αρχική Μεταβλητή	Combined Inflow
Muskingum K	2.77
Συντελεστής βάρους x	0.2
Muskingum Steps	6

Αποτελέσματα: R3726

Παροχή Αιχμής (M3/S)	981.23
Χρονική στιγμή αιχμής	02Sep2000, 08:00
Όγκος(MM)	200.99
Παροχή Αιχμής Εισόδου (M3/S)	1014.4
Όγκος Εισροής(M3)	1.01E8

Απορροή



Κλάδος: R2664

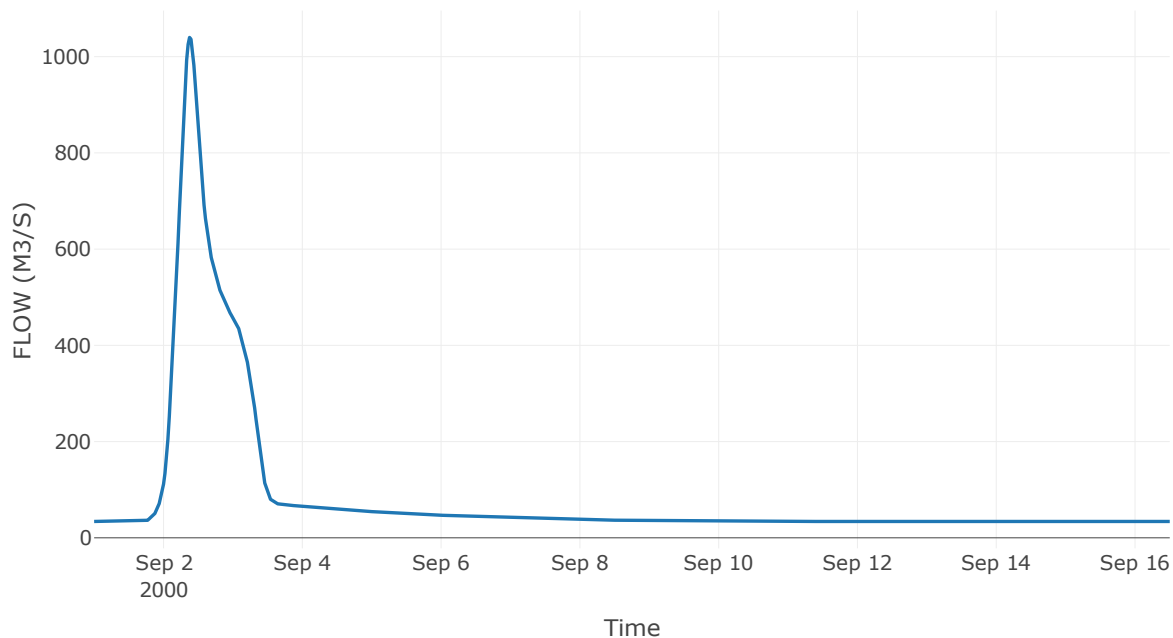
Κατάντη : J64

Μέθοδος Διόδευσης	Muskingum
Αρχική Μεταβλητή	Combined Inflow
Muskingum K	1.17
Συντελεστής βάρους x	0.2
Muskingum Steps	2

Αποτελέσματα: R2664

Παροχή Αιχμής (M3/S)	1039.9
Χρονική στιγμή αιχμής	02Sep2000, 09:00
Όγκος(MM)	186.56
Παροχή Αιχμής Εισόδου (M3/S)	1056.29
Όγκος Εισροής(M3)	1.15E8

Απορροή



Κλάδος: R6429

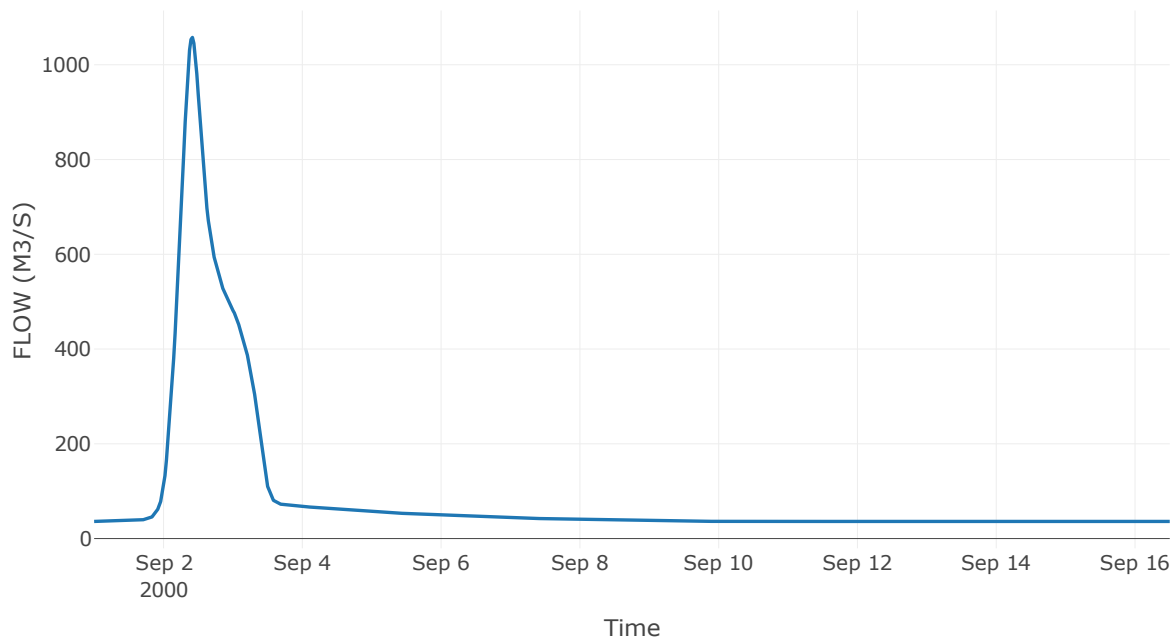
Κατάντη : J29

Μέθοδος Διόδευσης	Muskingum
Αρχική Μεταβλητή	Combined Inflow
Muskingum K	0.74
Συντελεστής βάρους x	0.2
Muskingum Steps	2

Αποτελέσματα: R6429

Παροχή Αιχμής (M3/S)	1057.75
Χρονική στιγμή αιχμής	02Sep2000, 10:00
Όγκος(MM)	183.46
Παροχή Αιχμής Εισόδου (M3/S)	1063.52
Όγκος Εισροής(M3)	1.21E8

Απορροή



Κλάδος: R3533

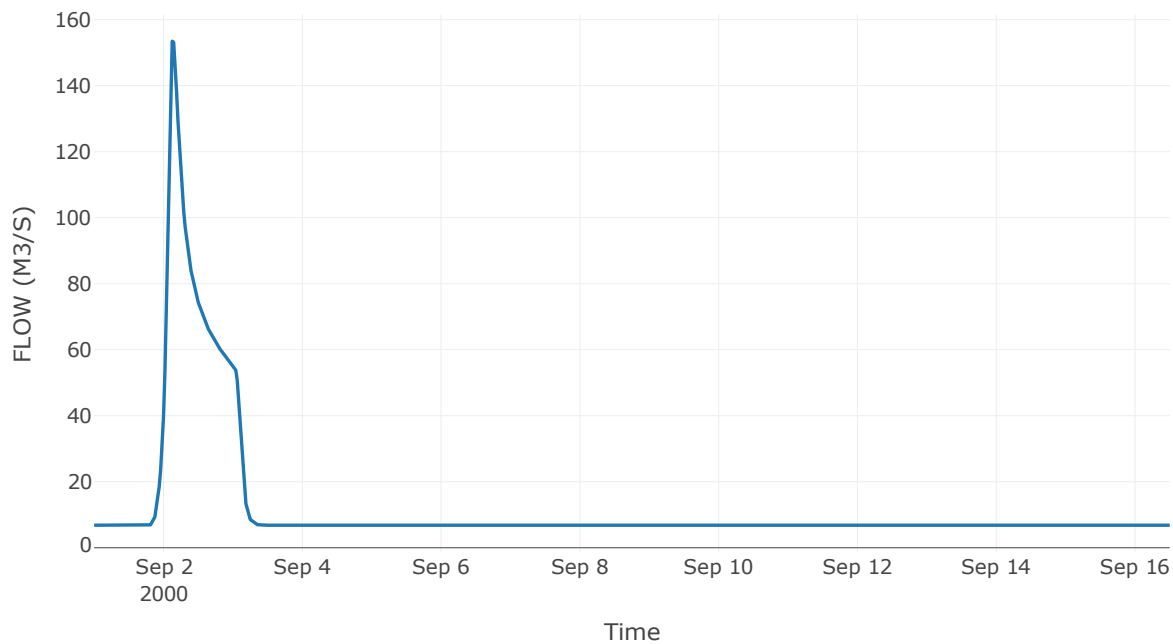
Κατάντη : J33

Μέθοδος Διόδευσης	Muskingum
Αρχική Μεταβλητή	Combined Inflow
Muskingum K	1.01
Συντελεστής βάρους x	0.2
Muskingum Steps	2

Αποτελέσματα: R3533

Παροχή Αιχμής (M3/S)	153.46
Χρονική στιγμή αιχμής	02Sep2000, 03:00
Όγκος(MM)	132.42
Παροχή Αιχμής Εισόδου (M3/S)	159.98
Όγκος Εισροής(M3)	1.64E7

Απορροή



Κλάδος: R3433

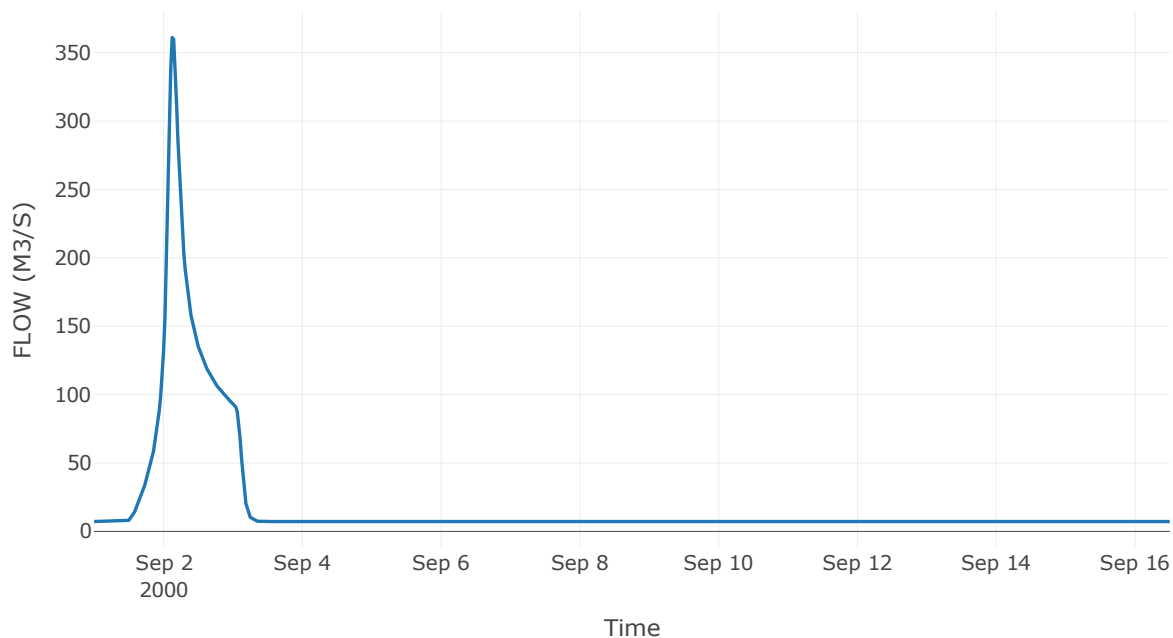
Κατάντη : J33

Μέθοδος Διόδευσης	Muskingum
Αρχική Μεταβλητή	Combined Inflow
Muskingum K	1.39
Συντελεστής βάρους x	0.2
Muskingum Steps	3

Αποτελέσματα: R3433

Παροχή Αιχμής (M3/S)	361.08
Χρονική στιγμή αιχμής	02Sep2000, 03:00
Όγκος(MM)	199.07
Παροχή Αιχμής Εισόδου (M3/S)	381.27
Όγκος Εισροής(M3)	2.61E7

Απορροή



Κλάδος: R3332

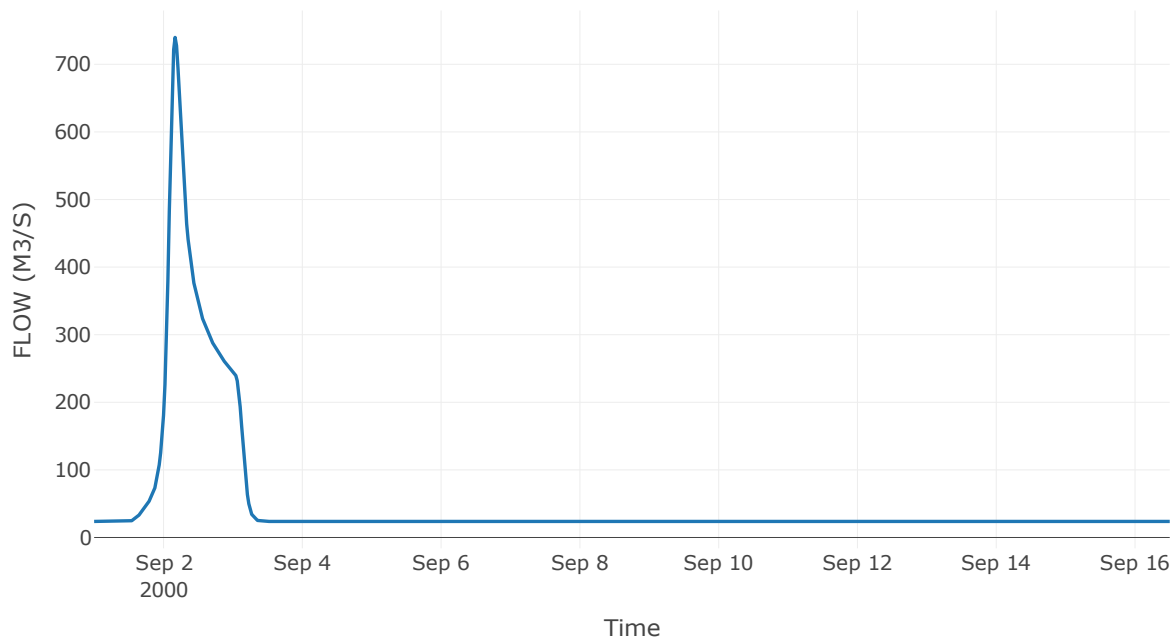
Κατάντη : J32

Μέθοδος Διόδευσης	Muskingum
Αρχική Μεταβλητή	Combined Inflow
Muskingum K	1.04
Συντελεστής βάρους x	0.2
Muskingum Steps	2

Αποτελέσματα: R3332

Παροχή Αιχμής (M3/S)	739.8
Χρονική στιγμή αιχμής	02Sep2000, 04:00
Όγκος(MM)	156.99
Παροχή Αιχμής Εισόδου (M3/S)	761.74
Όγκος Εισροής(M3)	6.78E7

Απορροή



Κλάδος: R3230

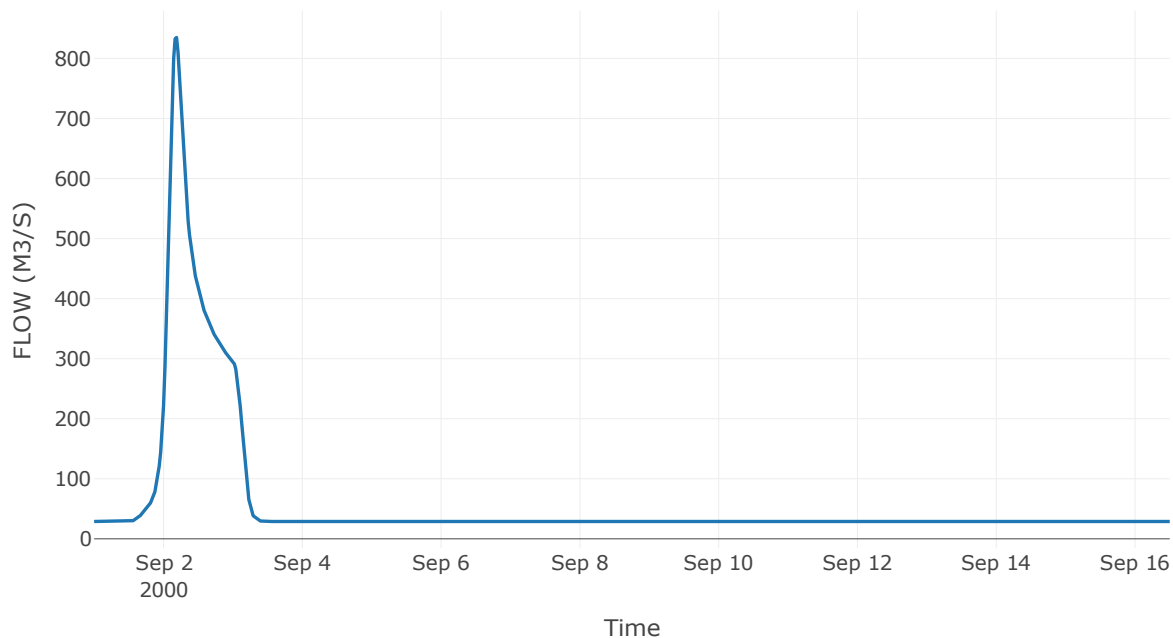
Κατάντη : J30

Μέθοδος Διόδευσης	Muskingum
Αρχική Μεταβλητή	Combined Inflow
Muskingum K	0.36
Συντελεστής βάρους x	0.2
Muskingum Steps	1

Αποτελέσματα: R3230

Παροχή Αιχμής (M3/S)	834.97
Χρονική στιγμή αιχμής	02Sep2000, 04:30
Όγκος(MM)	154.42
Παροχή Αιχμής Εισόδου (M3/S)	841.83
Όγκος Εισροής(M3)	8.11E7

Απορροή



Κλάδος: R3029

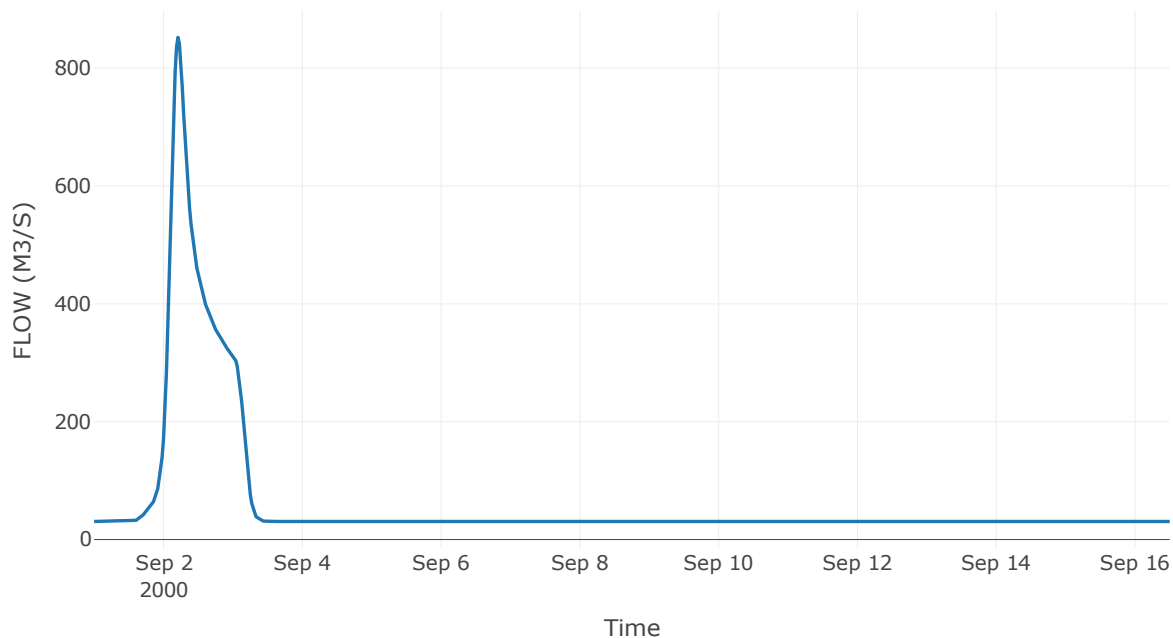
Κατάντη : J29

Μέθοδος Διόδευσης	Muskingum
Αρχική Μεταβλητή	Combined Inflow
Muskingum K	0.74
Συντελεστής βάρους x	0.2
Muskingum Steps	2

Αποτελέσματα: R3029

Παροχή Αιχμής (M3/S)	852.1
Χρονική στιγμή αιχμής	02Sep2000, 05:00
Όγκος(MM)	152.52
Παροχή Αιχμής Εισόδου (M3/S)	858.28
Όγκος Εισροής(M3)	8.5E7

Απορροή



Κλάδος: R2928

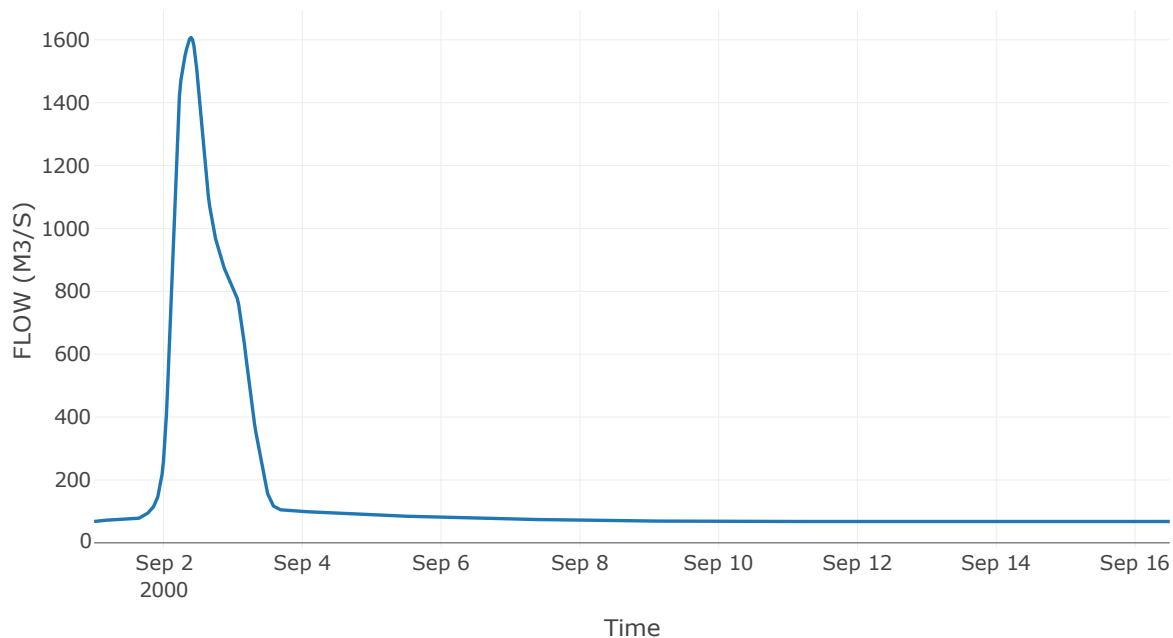
Κατάντη : J28

Μέθοδος Διόδευσης	Muskingum
Αρχική Μεταβλητή	Combined Inflow
Muskingum K	0.49
Συντελεστής βάρους x	0.2
Muskingum Steps	1

Αποτελέσματα: R2928

Παροχή Αιχμής (M3/S)	1607.39
Χρονική στιγμή αιχμής	02Sep2000, 09:30
Όγκος(MM)	169.48
Παροχή Αιχμής Εισόδου (M3/S)	1610.4
Όγκος Εισροής(M3)	2.09E8

Απορροή



Κλάδος: R2827

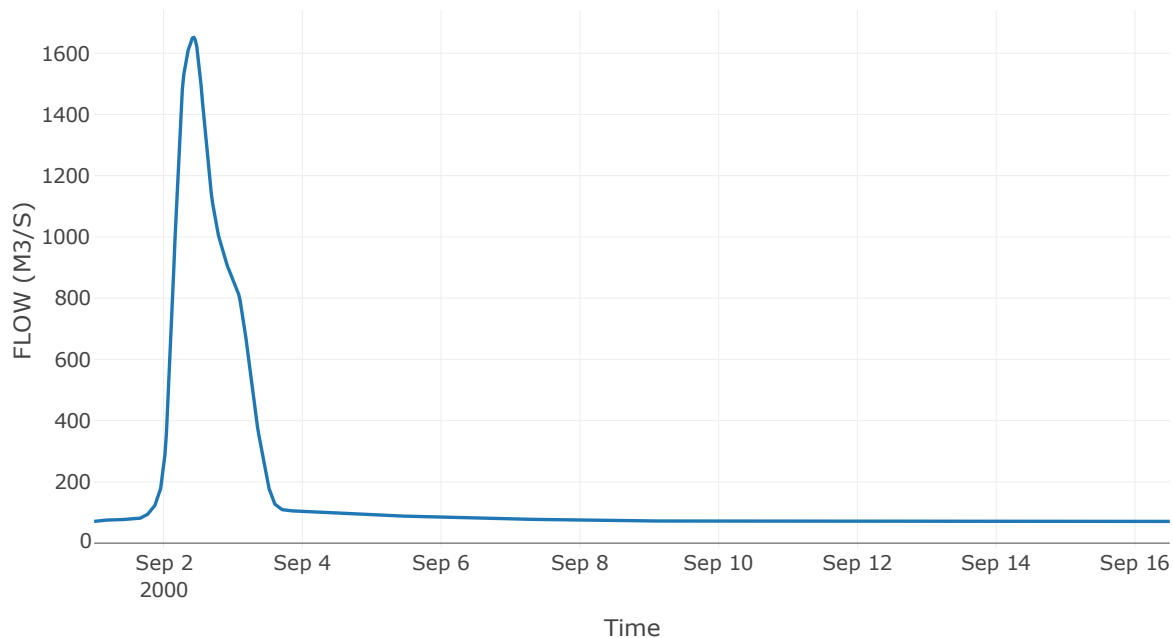
Κατάντη : J27

Μέθοδος Διόδευσης	Muskingum
Αρχική Μεταβλητή	Combined Inflow
Muskingum K	0.99
Συντελεστής βάρους x	0.2
Muskingum Steps	2

Αποτελέσματα: R2827

Παροχή Αιχμής (M3/S)	1651.53
Χρονική στιγμή αιχμής	02Sep2000, 10:30
Όγκος(MM)	169.72
Παροχή Αιχμής Εισόδου (M3/S)	1657.55
Όγκος Εισροής(M3)	2.19E8

Απορροή



Κλάδος: R2116

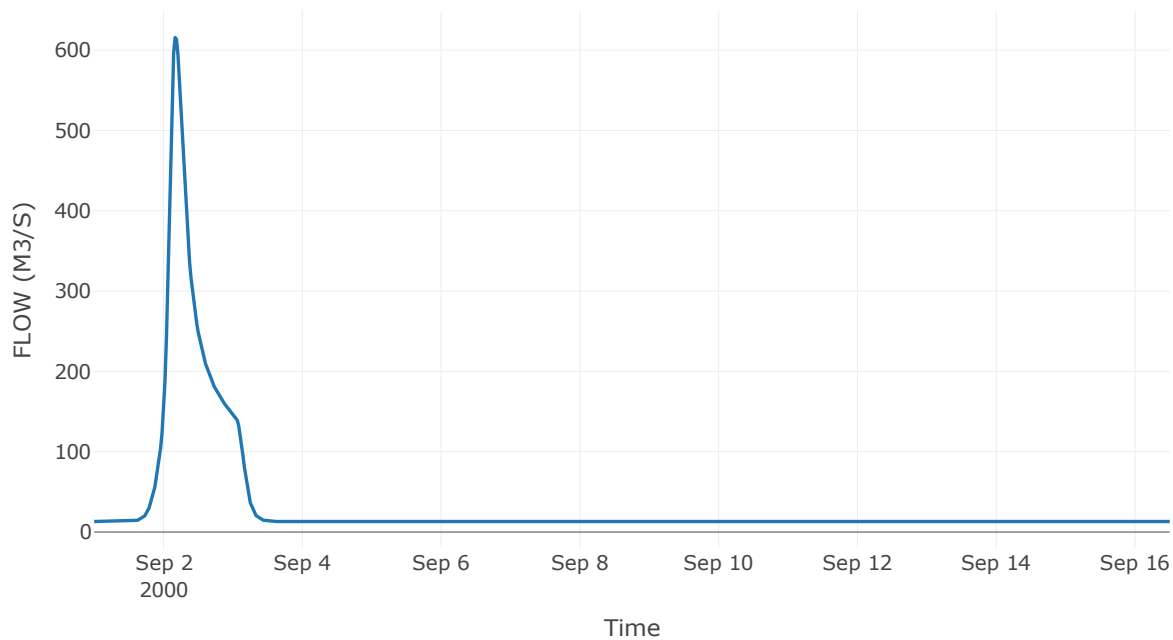
Κατάντη : J16

Μέθοδος Διόδευσης	Muskingum
Αρχική Μεταβλητή	Combined Inflow
Muskingum K	1.44
Συντελεστής βάρους x	0.2
Muskingum Steps	3

Αποτελέσματα: R2116

Παροχή Αιχμής (M3/S)	615.75
Χρονική στιγμή αιχμής	02Sep2000, 04:00
Όγκος(MM)	189.77
Παροχή Αιχμής Εισόδου (M3/S)	633.72
Όγκος Εισροής(M3)	4.51E7

Απορροή



Κλάδος: R1619

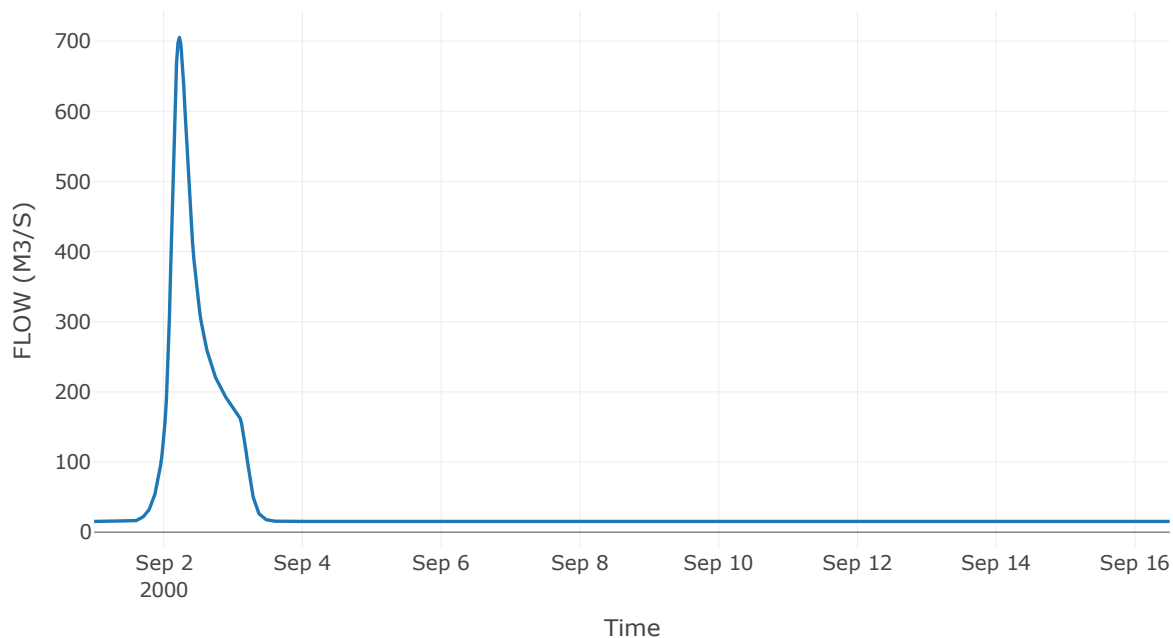
Κατάντη : J19

Μέθοδος Διόδευσης	Muskingum
Αρχική Μεταβλητή	Combined Inflow
Muskingum K	1.55
Συντελεστής βάρους α	0.2
Muskingum Steps	3

Αποτελέσματα: R1619

Παροχή Αιχμής (M3/S)	705.28
Χρονική στιγμή αιχμής	02Sep2000, 05:30
Όγκος(MM)	193.4
Παροχή Αιχμής Εισόδου (M3/S)	723.56
Όγκος Εισροής(M3)	5.36E7

Απορροή



Κλάδος: R6120

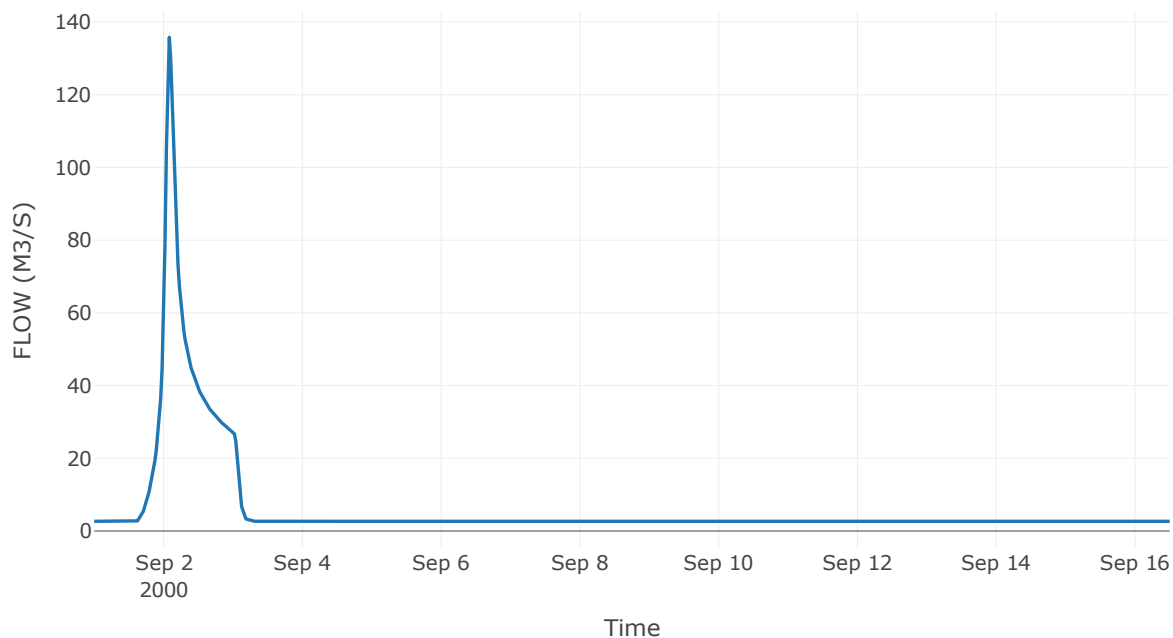
Κατάντη : J20

Μέθοδος Διόδευσης	Muskingum
Αρχική Μεταβλητή	Combined Inflow
Muskingum K	0.66
Συντελεστής βάρους x	0.2
Muskingum Steps	1

Αποτελέσματα: R6120

Παροχή Αιχμής (M3/S)	135.81
Χρονική στιγμή αιχμής	02Sep2000, 02:00
Όγκος(MM)	175.25
Παροχή Αιχμής Εισόδου (M3/S)	143.23
Όγκος Εισροής(M3)	8.52E6

Απορροή



Κλάδος: R2014

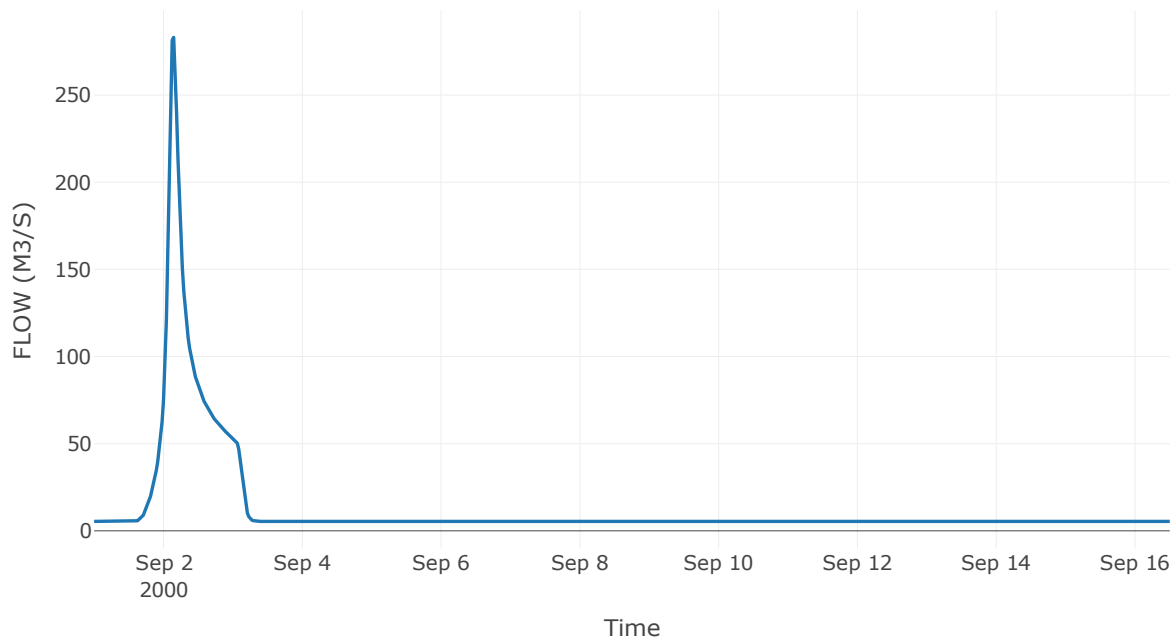
Κατάντη : J14

Μέθοδος Διόδευσης	Muskingum
Αρχική Μεταβλητή	Combined Inflow
Muskingum K	1.48
Συντελεστής βάρους x	0.2
Muskingum Steps	3

Αποτελέσματα: R2014

Παροχή Αιχμής (M3/S)	283.1
Χρονική στιγμή αιχμής	02Sep2000, 03:30
Όγκος(MM)	179.07
Παροχή Αιχμής Εισόδου (M3/S)	306.85
Όγκος Εισροής(M3)	1.76E7

Απορροή



Κλάδος: R128

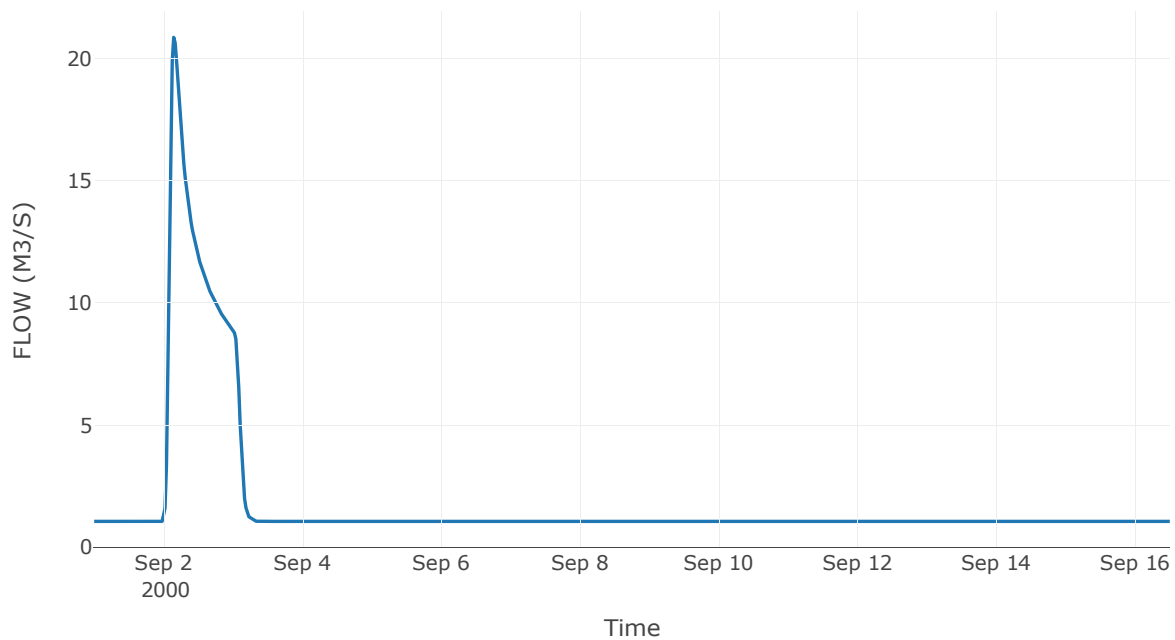
Κατάντη : J8

Μέθοδος Διόδευσης	Muskingum
Αρχική Μεταβλητή	Combined Inflow
Muskingum K	0.88
Συντελεστής βάρους x	0.2
Muskingum Steps	2

Αποτελέσματα: R128

Παροχή Αιχμής (M3/S)	20.86
Χρονική στιγμή αιχμής	02Sep2000, 03:30
Όγκος(MM)	64.74
Παροχή Αιχμής Εισόδου (M3/S)	21.48
Όγκος Εισροής(M3)	2.44E6

Απορροή



Κλάδος: R1110

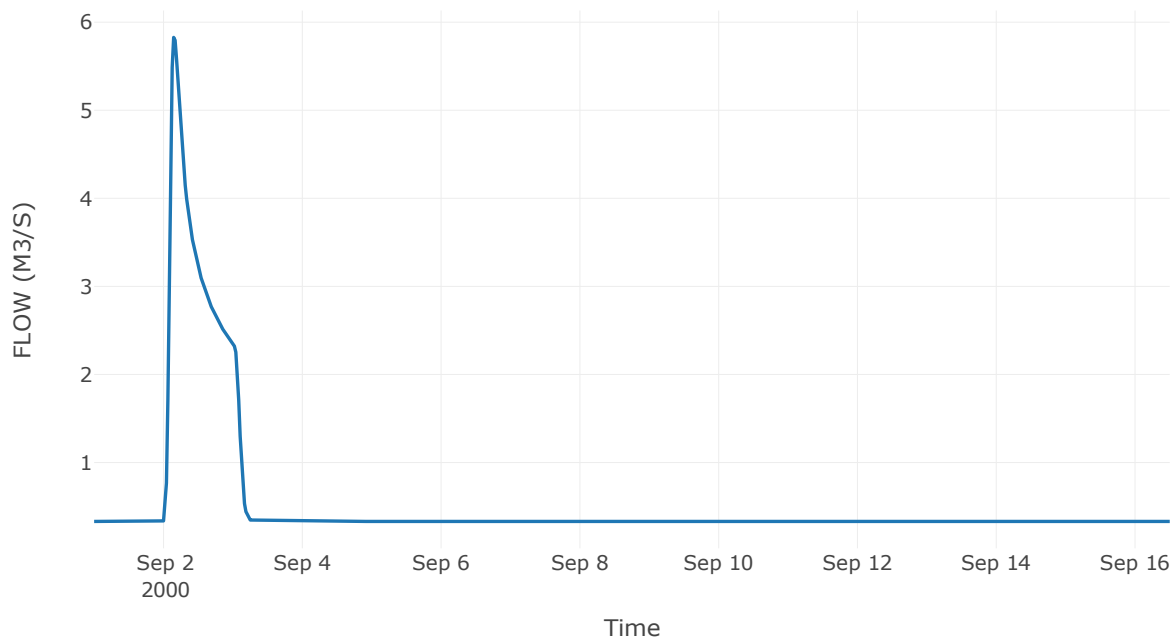
Κατάντη : J10

Μέθοδος Διόδευσης	Muskingum
Αρχική Μεταβλητή	Combined Inflow
Muskingum K	1.09
Συντελεστής βάρους x	0.2
Muskingum Steps	2

Αποτελέσματα: R1110

Παροχή Αιχμής (M3/S)	5.83
Χρονική στιγμή αιχμής	02Sep2000, 03:30
Όγκος(MM)	60.54
Παροχή Αιχμής Εισόδου (M3/S)	6.15
Όγκος Εισροής(M3)	7.16E5

Απορροή



Κλάδος: R107

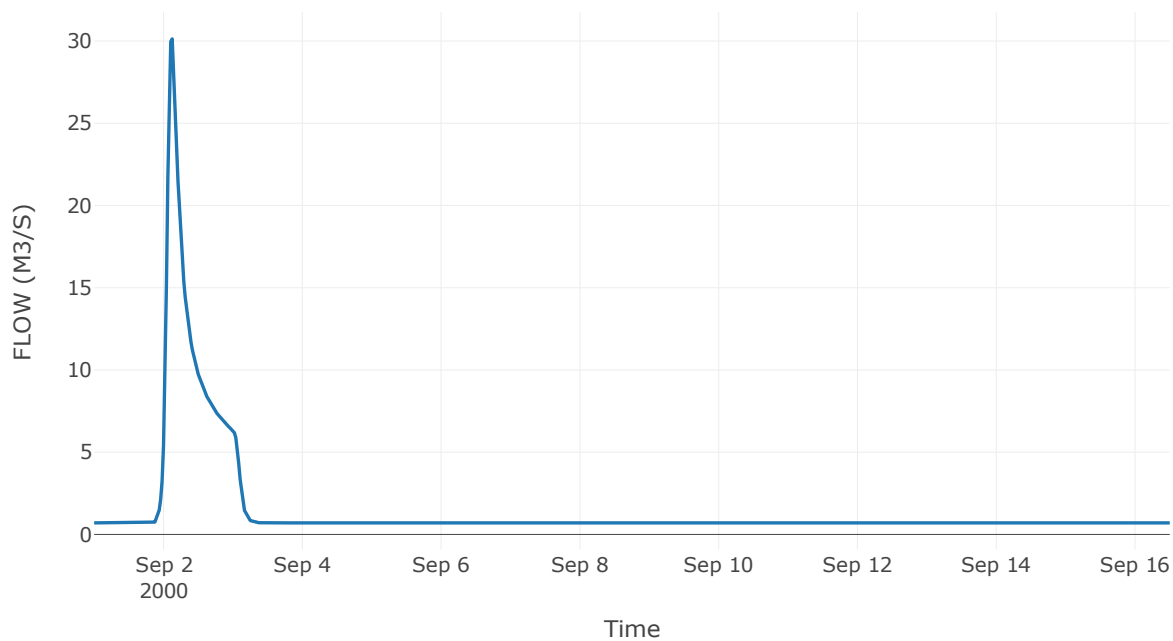
Κατάντη : J7

Μέθοδος Διόδευσης	Χρόνος Υστέρησης
Αρχική Μεταβλητή	Combined Inflow
Χρόνος Υστέρησης	0

Αποτελέσματα: R107

Παροχή Αιχμής (M3/S)	30.13
Χρονική στιγμή αιχμής	02Sep2000, 03:00
Όγκος(MM)	80.91
Παροχή Αιχμής Εισόδου (M3/S)	30.13
Όγκος Εισροής(M3)	2.03E6

Απορροή



Κλάδος: R97

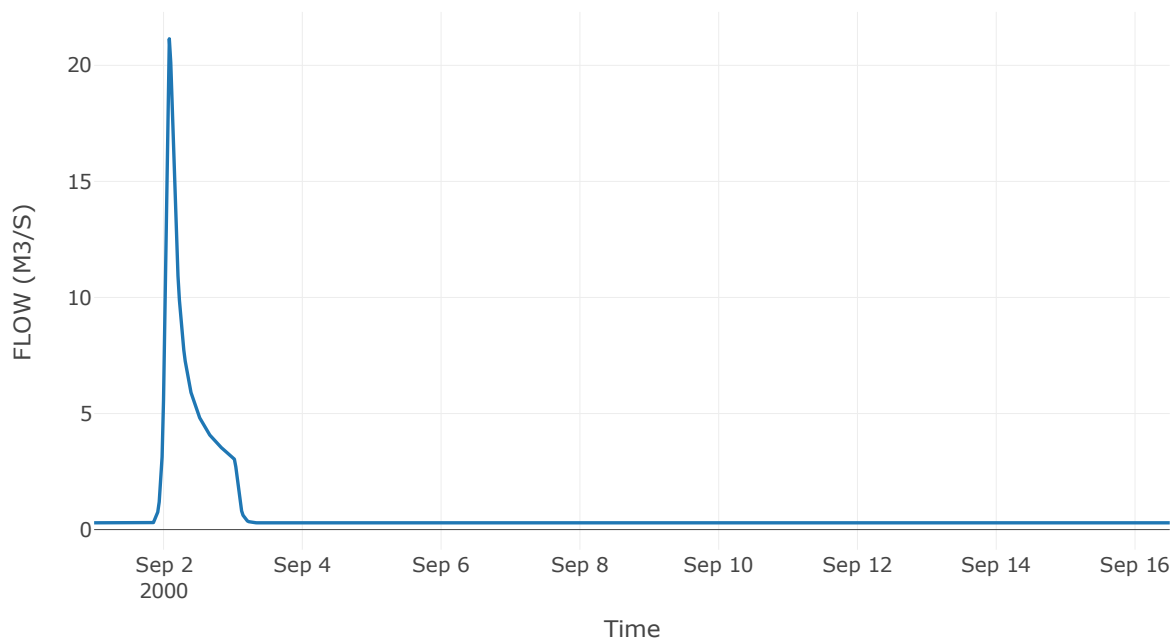
Κατάντη : J7

Μέθοδος Διόδευσης	Χρόνος Υστέρησης
Αρχική Μεταβλητή	Combined Inflow
Χρόνος Υστέρησης	0

Αποτελέσματα: R97

Παροχή Αιχμής (M3/S)	21.15
Χρονική στιγμή αιχμής	02Sep2000, 02:00
Όγκος(MM)	98.06
Παροχή Αιχμής Εισόδου (M3/S)	21.15
Όγκος Εισροής(M3)	1.02E6

Απορροή



Κλάδος: R76

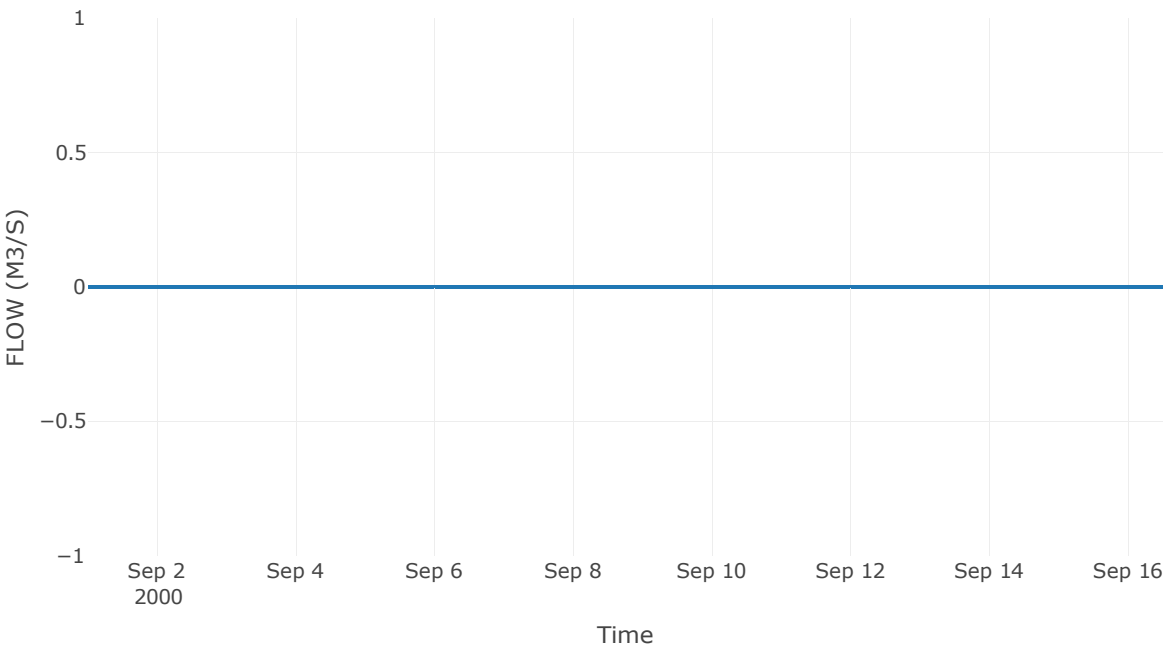
Κατάντη : J6

Μέθοδος Διόδευσης	Muskingum
Αρχική Μεταβλητή	Combined Inflow
Muskingum K	2.25
Συντελεστής βάρους x	0.2
Muskingum Steps	5

Αποτελέσματα: R76

Παροχή Αιχμής (M3/S)	0
Χρονική στιγμή αιχμής	31Aug2000, 24:00
Peak Inflow (M3/S)	0
Όγκος Εισροής (M3)	0

Απορροή



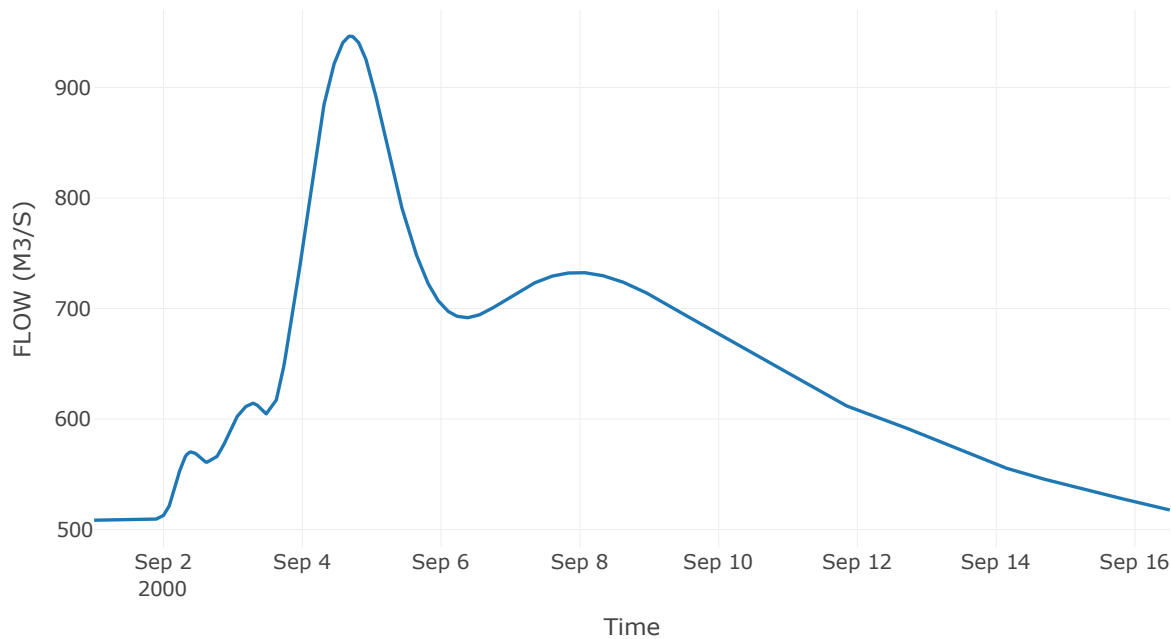
6.3 Δεδομένα και Υδρογραφήματα σχεδιασμού Κόμβων υδρογραφικού δικτύου

Κόμβος εξόδου: J1

Αποτέλεσμα
τα: J1

Παροχή αιχμής (M3/S)	946.48
Χρονική στιγμή αιχμής	04Sep2000, 16:30
Όγκος (MM)	187.36

Απορροή



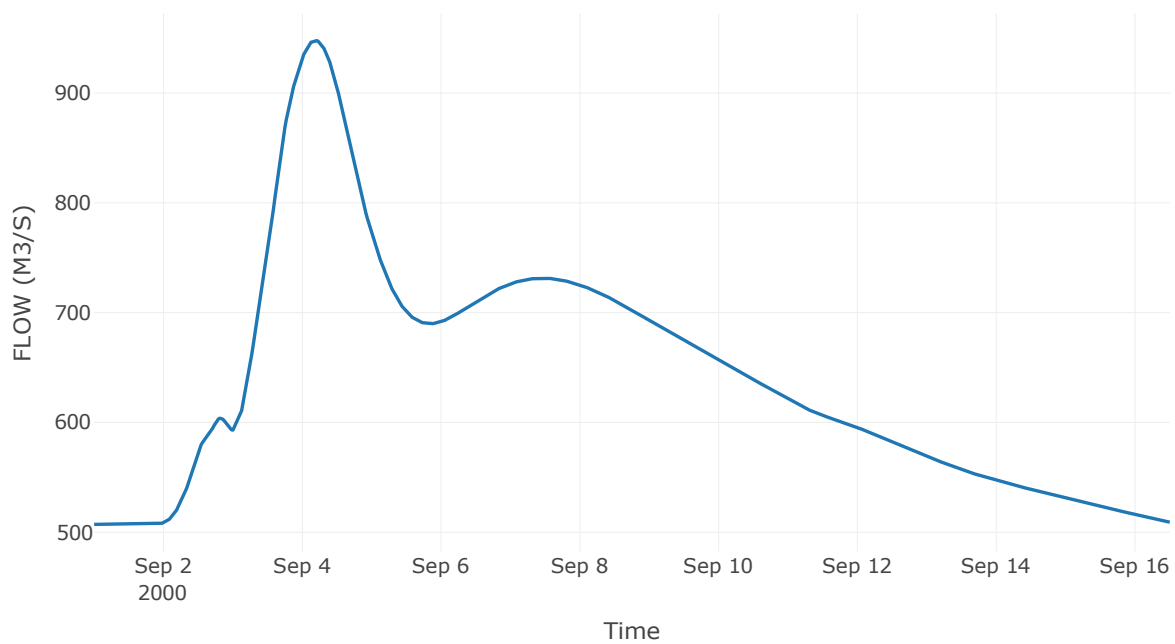
Κόμβος: J2

Κατάντη : R21

Αποτελέσματα: J2

Παροχή Αιχμής (M3/S)	947.99
Χρονική στιγμή αιχμής	04Sep2000, 04:30
Όγκος(MM)	188.09

Απορροή



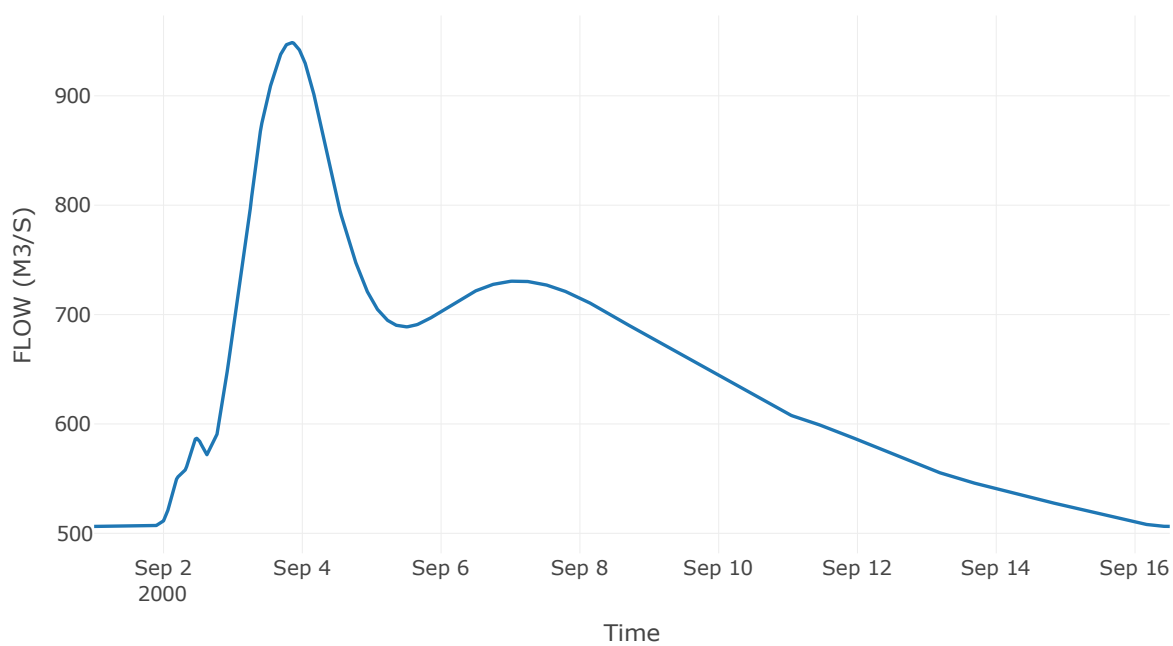
Κόμβος: J3

Κατάντη : R32

Αποτελέσματα: J3

Παροχή Αιχμής (M3/S)	948.83
Χρονική στιγμή αιχμής	03Sep2000, 20:00
Όγκος(MM)	188.47

Απορροή



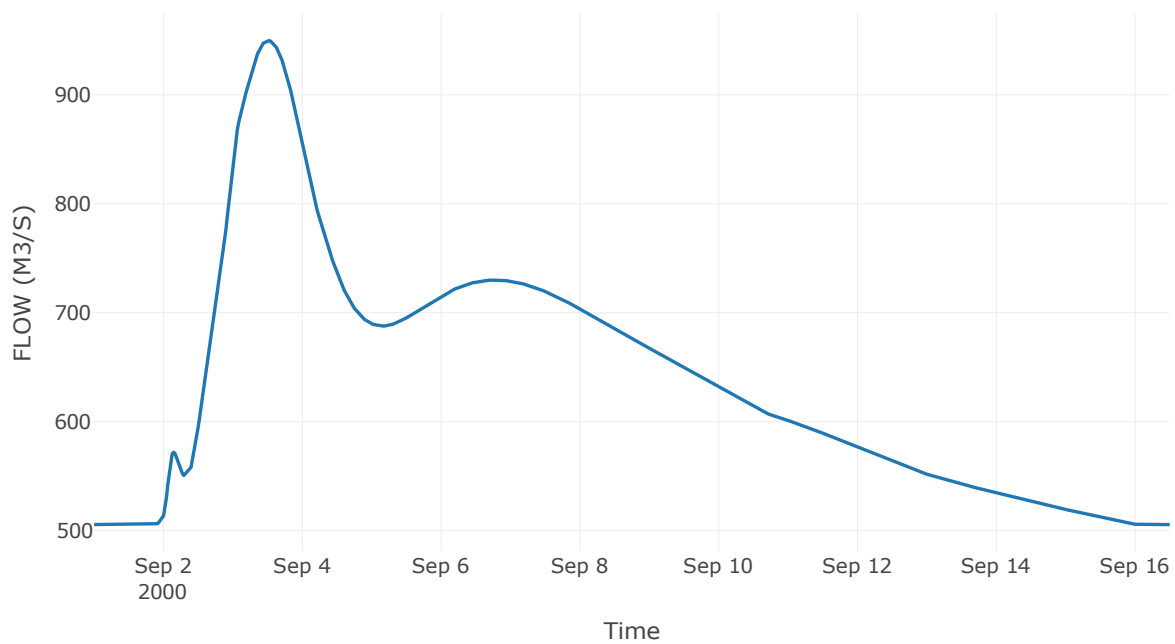
Κόμβος: J4

Κατάντη : R43

Αποτελέσματα: J4

Παροχή Αιχμής (M3/S)	949.82
Χρονική στιγμή αιχμής	03Sep2000, 12:00
Όγκος(MM)	188.92

Απορροή



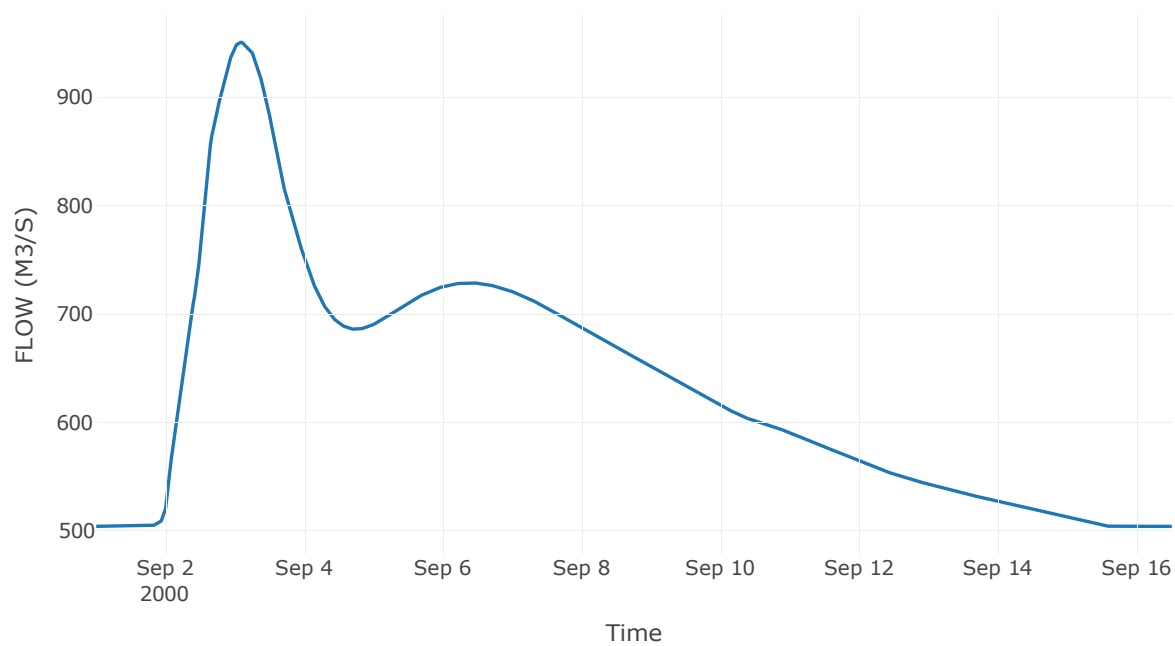
Κόμβος: J5

Κατάντη : R54

Αποτελέσματα: J5

Παροχή Αιχμής (M3/S)	950.55
Χρονική στιγμή αιχμής	03Sep2000, 02:00
Όγκος(MM)	190.01

Απορροή



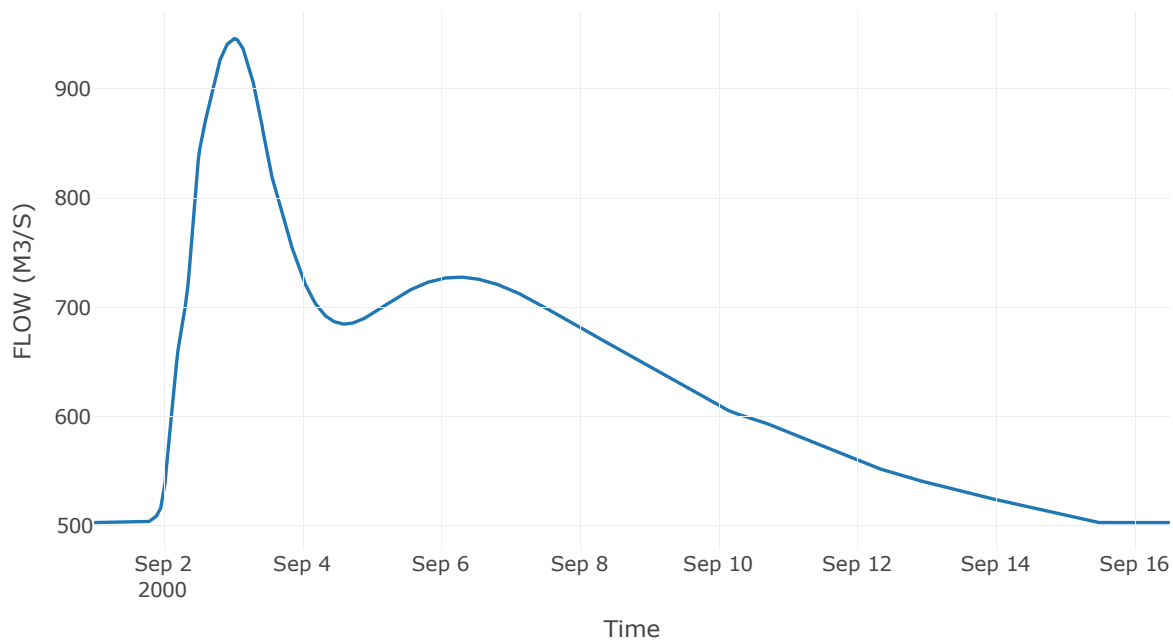
Κόμβος: J6

Κατάντη : R65

Αποτελέσματα: J6

Παροχή Αιχμής (M3/S)	946.2
Χρονική στιγμή αιχμής	03Sep2000, 00:30
Όγκος(MM)	190.63

Απορροή

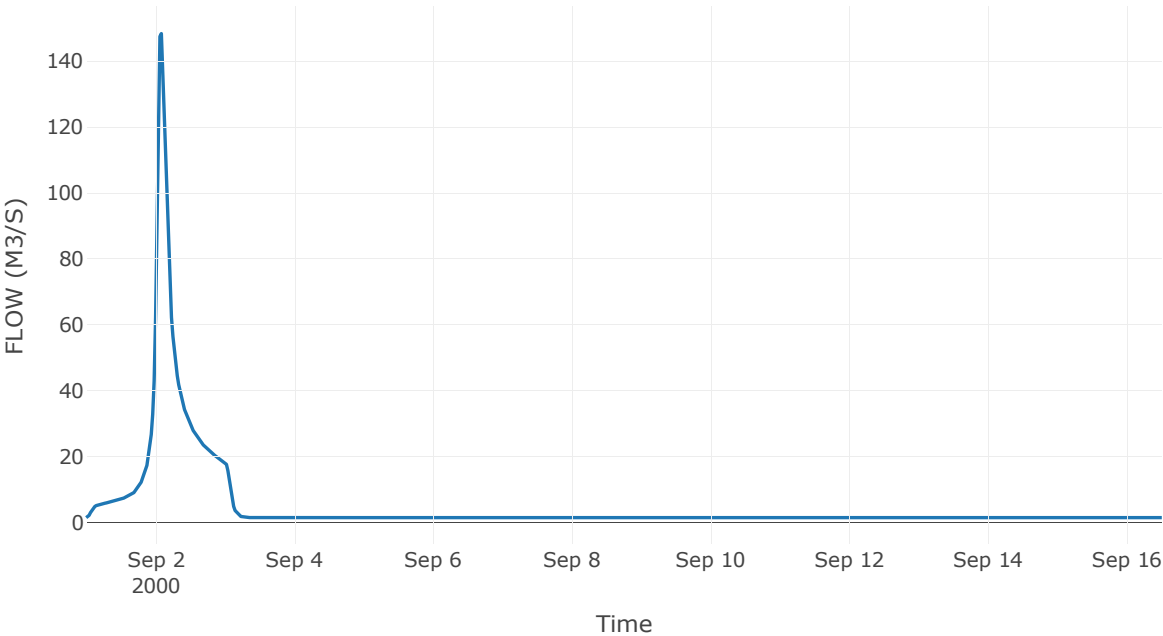


Κόμβος εξόδου: J7

Αποτέλεσμα
τα: J7

Παροχή αιχμής (M3/S)	148.4
Χρονική στιγμή αιχμής	02Sep2000, 02:00
Όγκος (MM)	121.14

Απορροή



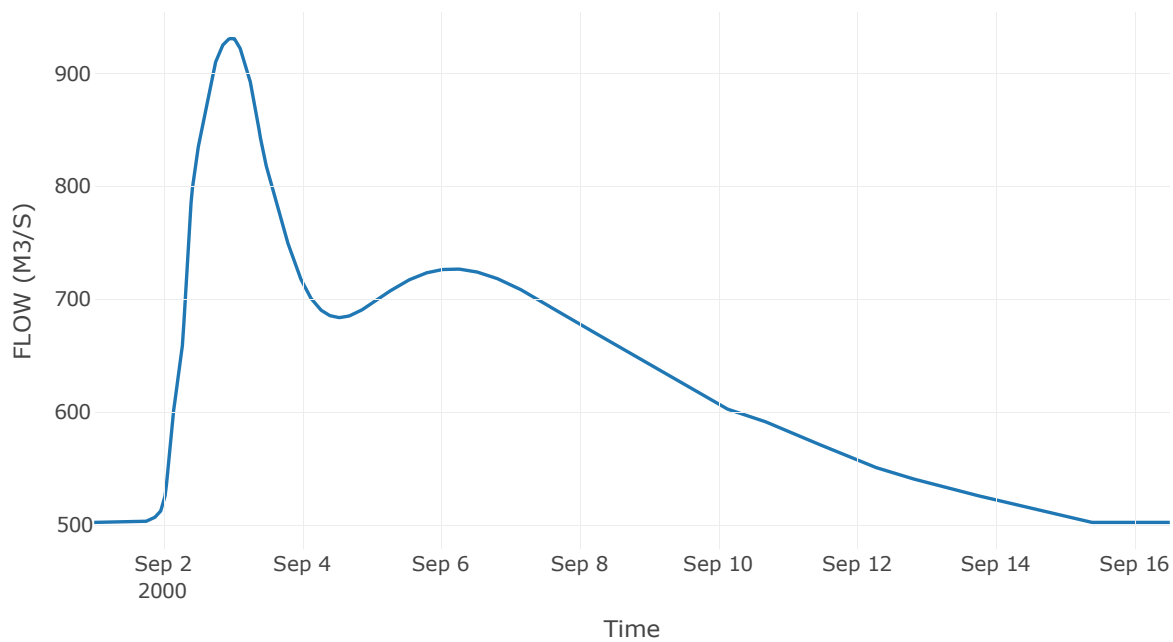
Κόμβος: J8

Κατάντη : R86

Αποτελέσματα: J8

Παροχή Αιχμής (M3/S)	931.07
Χρονική στιγμή αιχμής	02Sep2000, 23:30
Όγκος(MM)	191.23

Απορροή



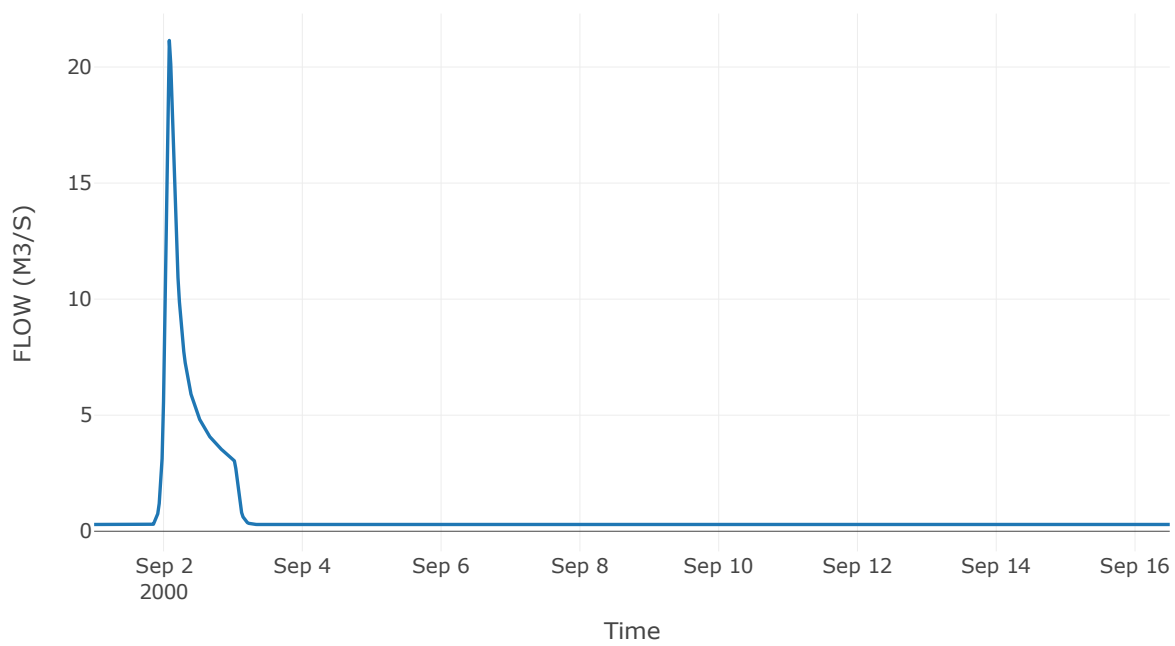
Κόμβος: J9

Κατάντη : R97

Αποτελέσματα: J9

Παροχή Αιχμής (M3/S)	21.15
Χρονική στιγμή αιχμής	02Sep2000, 02:00
Όγκος(MM)	98.06

Απορροή



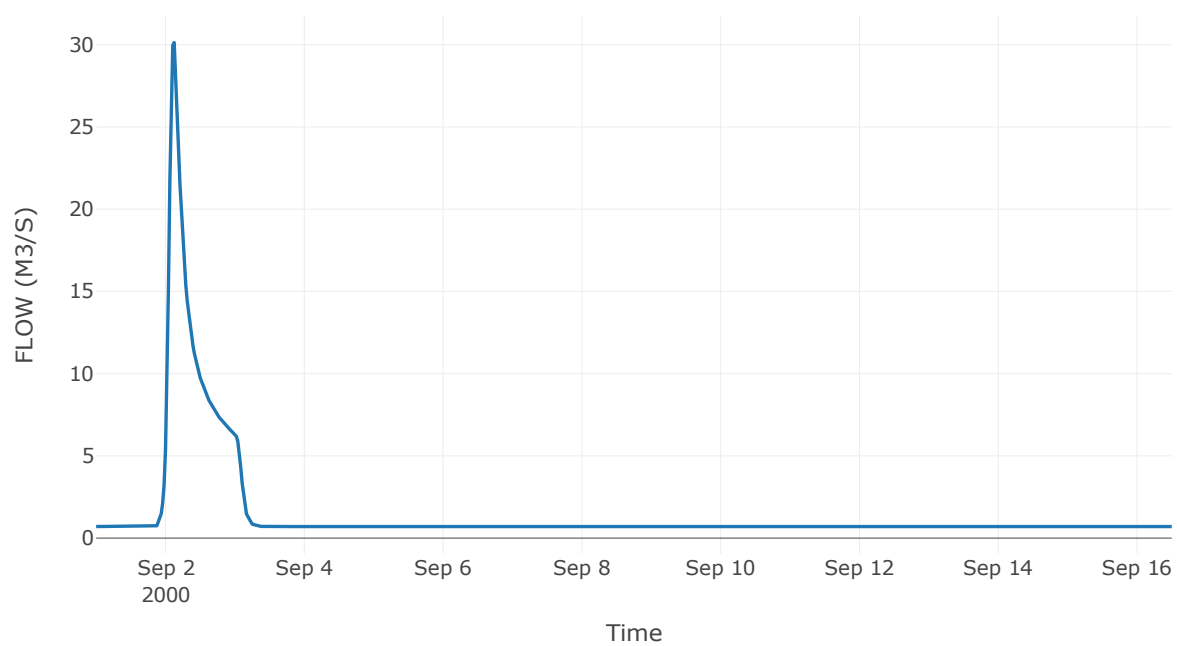
Κόμβος: J10

Κατάντη : R107

Αποτελέσματα: J10

Παροχή Αιχμής (M3/S)	30.13
Χρονική στιγμή αιχμής	02Sep2000, 03:00
Όγκος(MM)	80.91

Απορροή



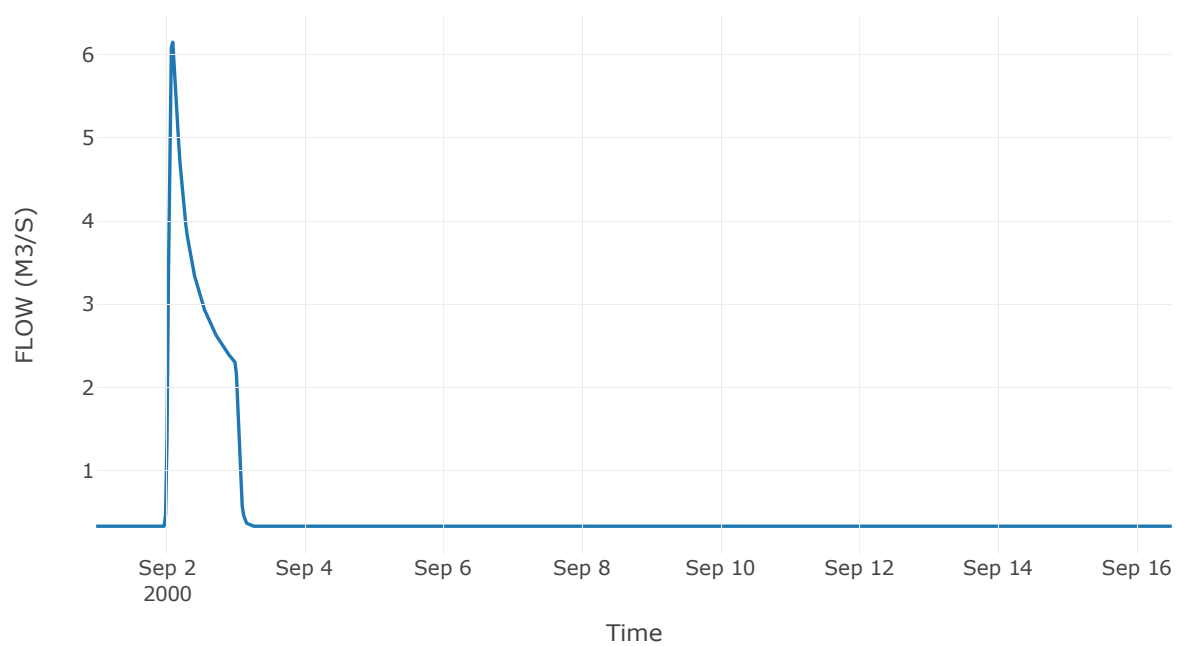
Κόμβος: J11

Κατάντη : R1110

Αποτελέσματα: J11

Παροχή Αιχμής (M3/S)	6.15
Χρονική στιγμή αιχμής	02Sep2000, 02:30
Όγκος(MM)	60.54

Απορροή



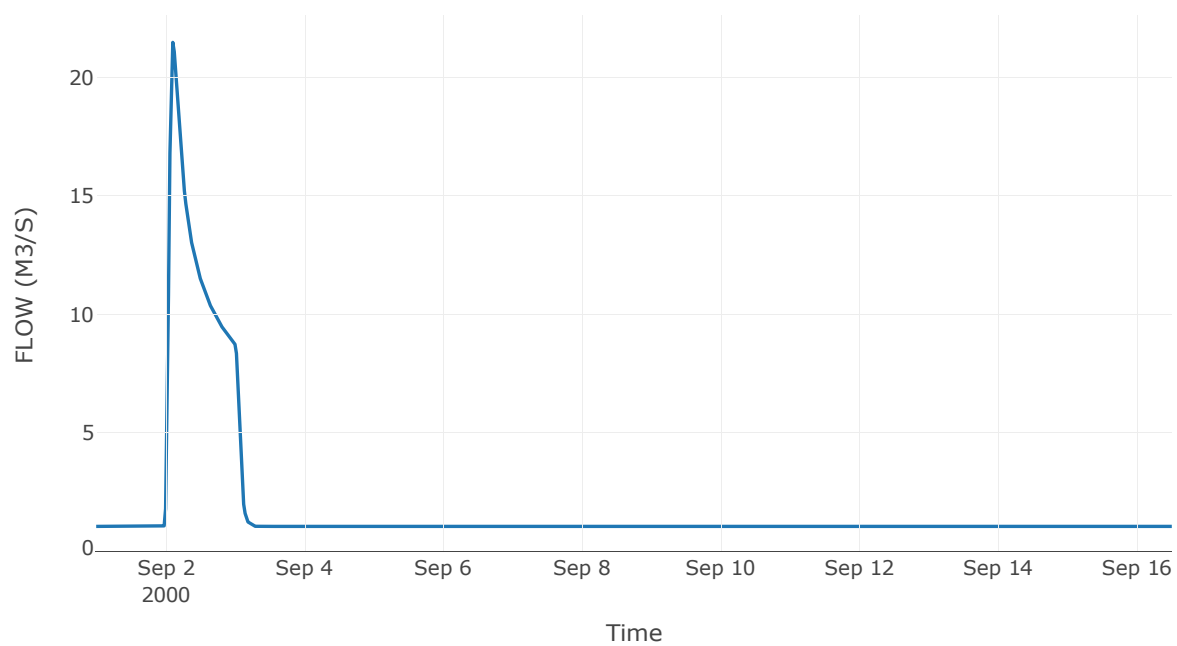
Κόμβος: J12

Κατάντη : R128

Αποτελέσματα: J12

Παροχή Αιχμής (M3/S)	21.48
Χρονική στιγμή αιχμής	02Sep2000, 02:30
Όγκος(MM)	64.74

Απορροή



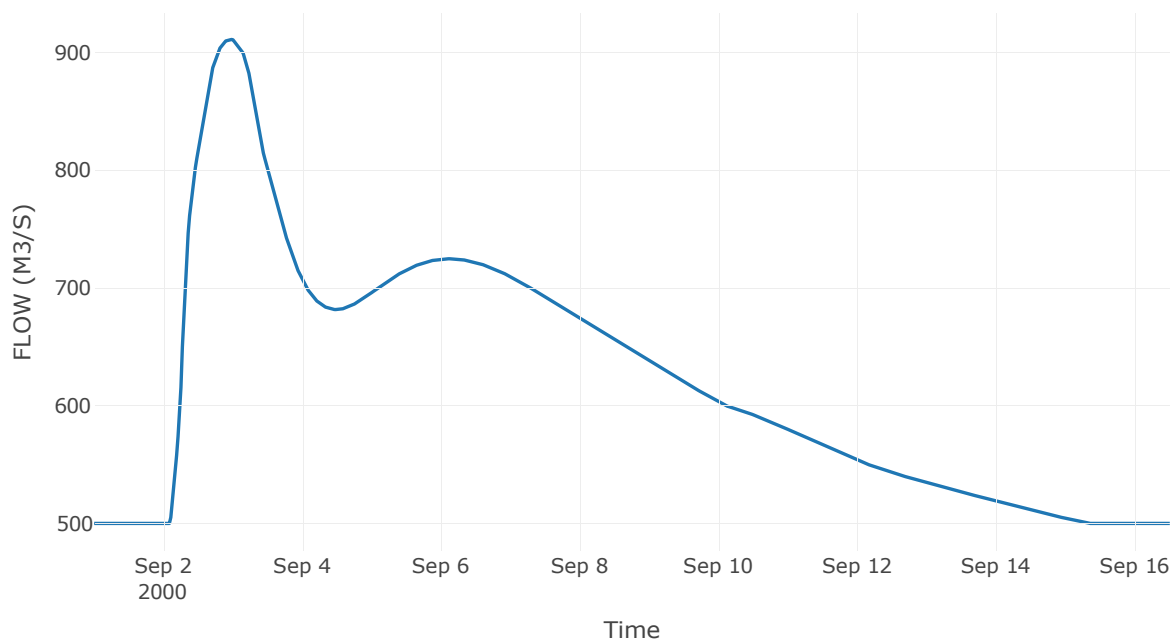
Ταμιευτήρας: J13_RES1

Κατάντη : R138

Αποτελέσματα: J13_RES1

Παροχή Αιχμής (M3/S)	910.87
Χρονική στιγμή αιχμής	02Sep2000, 23:00
Όγκος(MM)	192.55
Παροχή Αιχμής Εισόδου (M3/S)	1078.43
Time of Peak Inflow	02Sep2000, 06:00
Όγκος Εισροής (M3)	8.32E8
Maximum Storage (M3)	3.48E7
Peak Elevation (M)	62.23
Discharge Όγκος(M3)	8.34E8

Απορροή



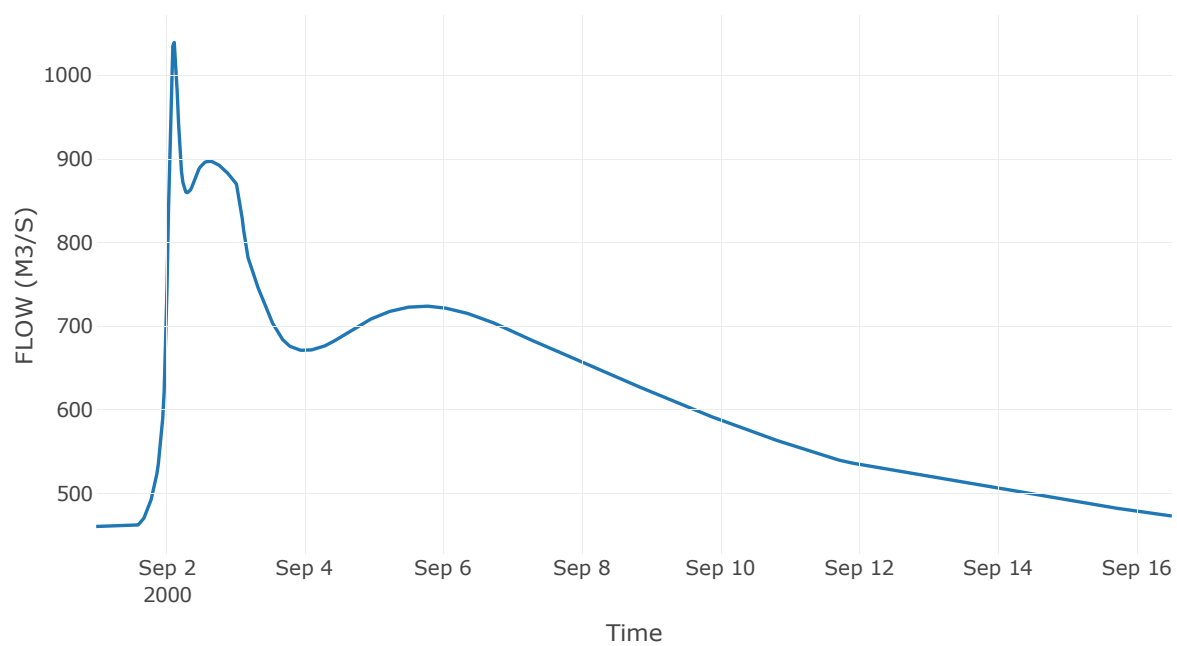
Κόμβος: J14

Κατάντη : R1413

Αποτελέσματα: J14

Παροχή Αιχμής (M3/S)	1039.22
Χρονική στιγμή αιχμής	02Sep2000, 03:00
Όγκος(MM)	192.01

Απορροή



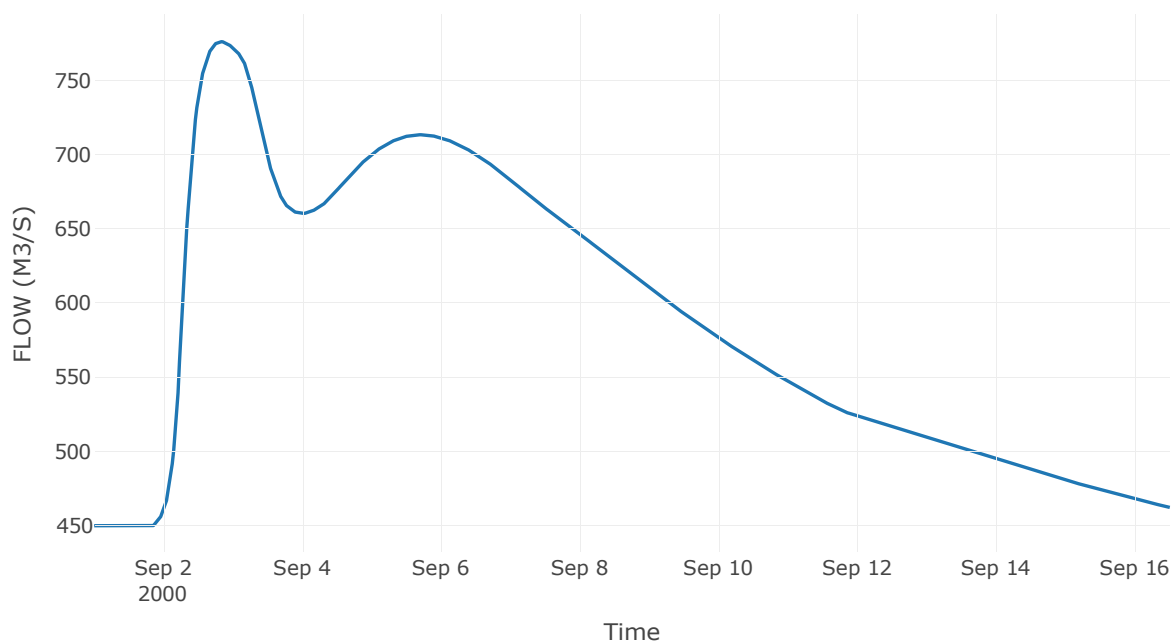
Ταμιευτήρας: J15_RES2

Κατάντη : R1514

Αποτελέσματα: J15_RES2

Παροχή Αιχμής (M3/S)	776.11
Χρονική στιγμή αιχμής	02Sep2000, 20:00
Όγκος(MM)	192.48
Παροχή Αιχμής Εισόδου (M3/S)	1727.46
Time of Peak Inflow	02Sep2000, 05:30
Όγκος Εισροής (M3)	7.9E8
Maximum Storage (M3)	8.73E8
Peak Elevation (M)	147.3
Discharge Όγκος(M3)	7.88E8

Απορροή



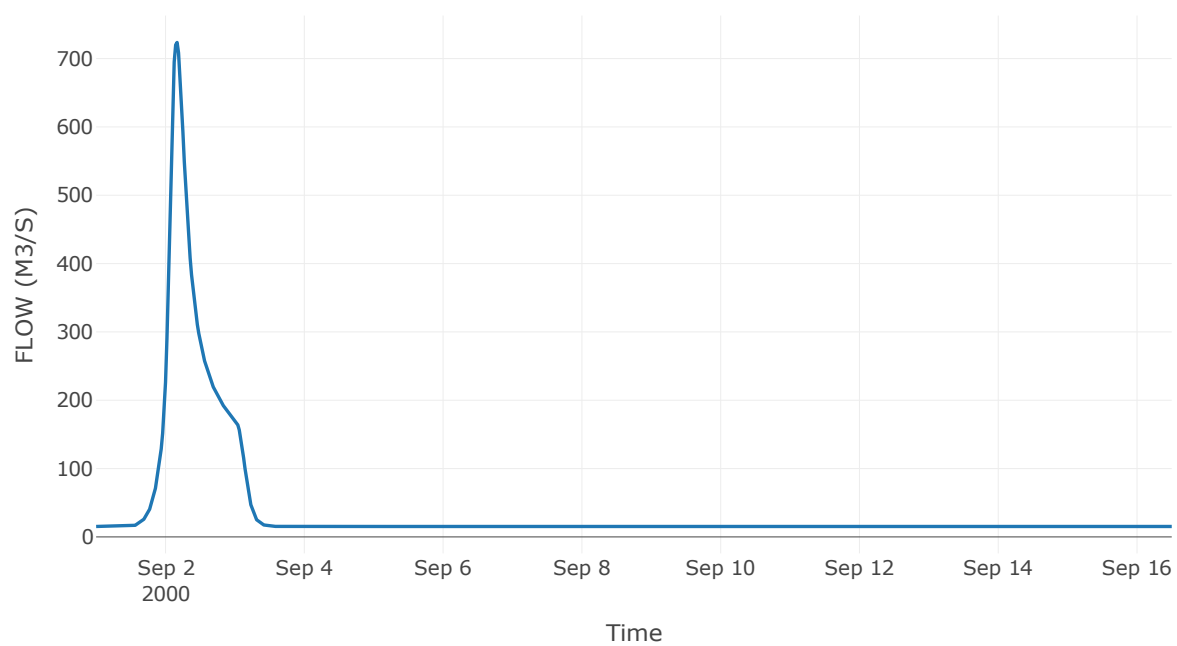
Κόμβος: J16

Κατάντη : R1619

Αποτελέσματα: J16

Παροχή Αιχμής (M3/S)	723.56
Χρονική στιγμή αιχμής	02Sep2000, 04:00
Όγκος(MM)	193.4

Απορροή



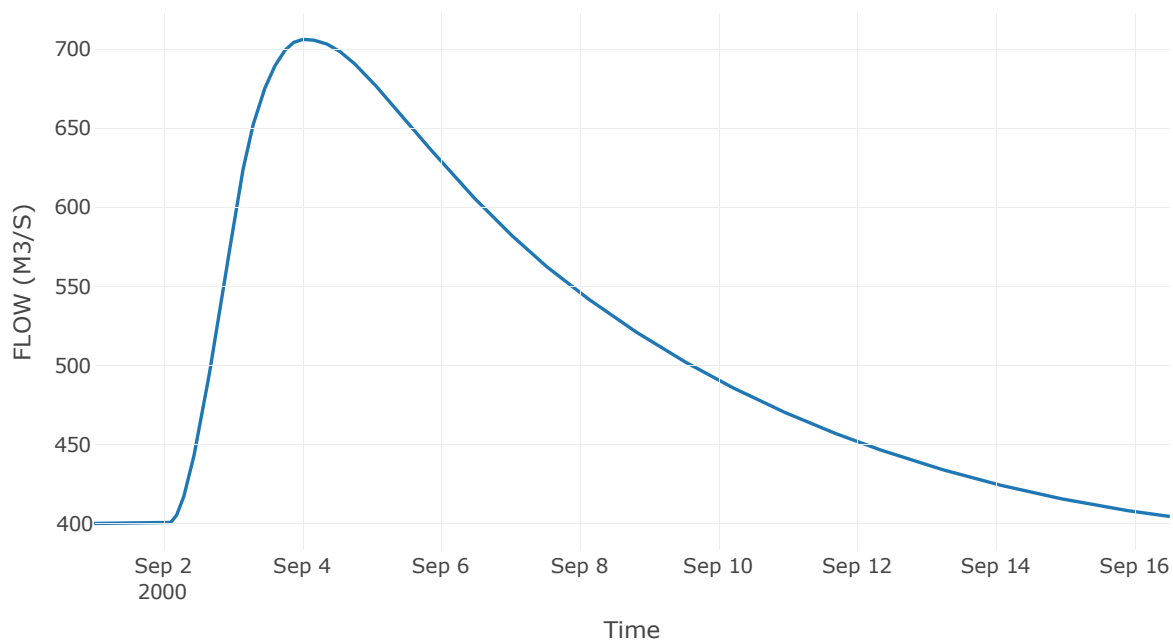
Ταμιευτήρας: J17_RES3

Κατάντη : R1718

Αποτελέσματα: J17_RES3

Παροχή Αιχμής (M3/S)	705.96
Χρονική στιγμή αιχμής	04Sep2000, 01:00
Όγκος(MM)	192.58
Παροχή Αιχμής Εισόδου (M3/S)	3213.75
Time of Peak Inflow	02Sep2000, 12:00
Όγκος Εισροής (M3)	7.02E8
Maximum Storage (M3)	3.73E9
Peak Elevation (M)	271.2
Discharge Όγκος(M3)	6.86E8

Απορροή



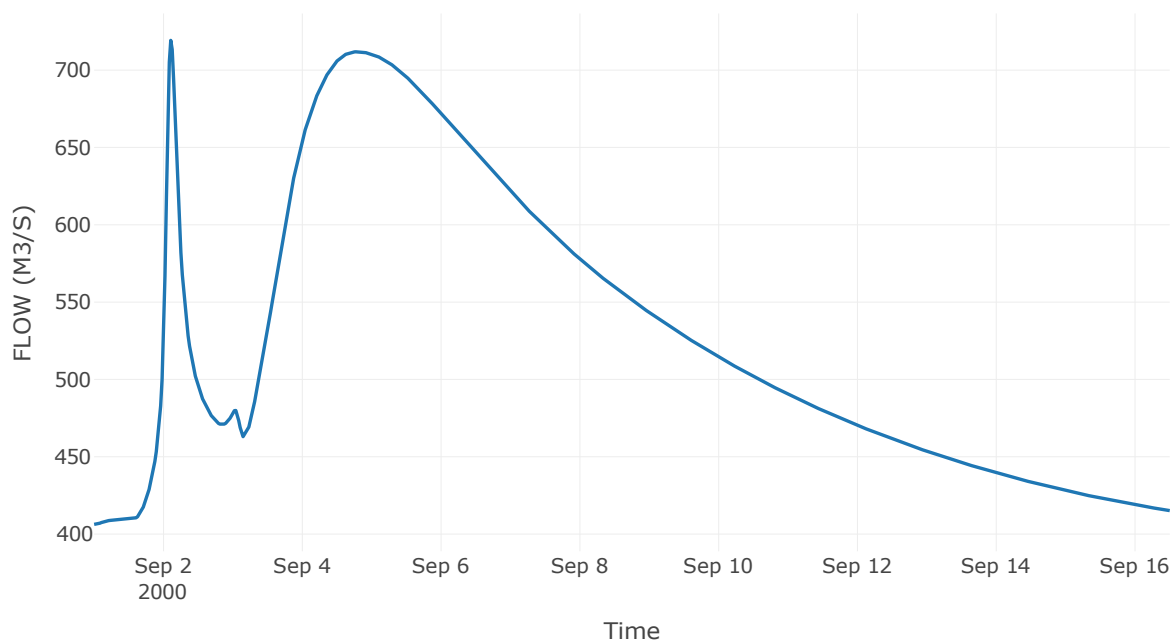
Κόμβος: J18

Κατάντη : R1819

Αποτελέσματα: J18

Παροχή Αιχμής (M3/S)	719.25
Χρονική στιγμή αιχμής	02Sep2000, 02:30
Όγκος(MM)	192.2

Απορροή



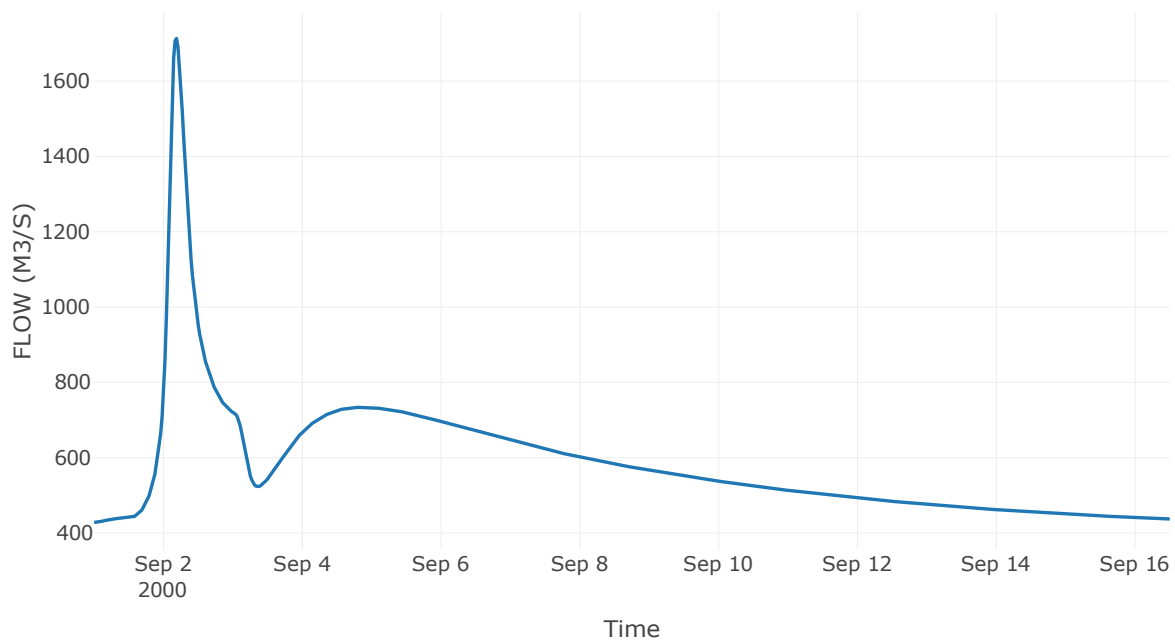
Κόμβος: J19

Κατάντη : R1915

Αποτελέσματα: J19

Παροχή Αιχμής (M3/S)	1713.15
Χρονική στιγμή αιχμής	02Sep2000, 04:30
Όγκος(MM)	192.87

Απορροή



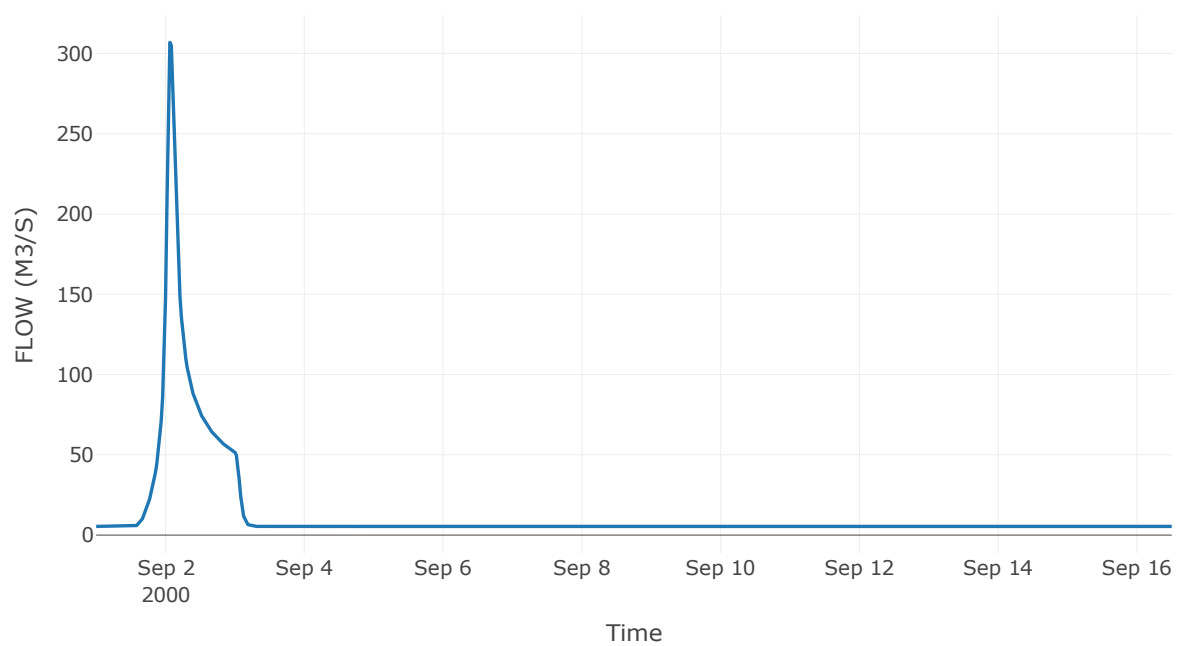
Κόμβος: J20

Κατάντη : R2014

Αποτελέσματα: J20

Παροχή Αιχμής (M3/S)	306.85
Χρονική στιγμή αιχμής	02Sep2000, 01:30
Όγκος(MM)	179.07

Απορροή



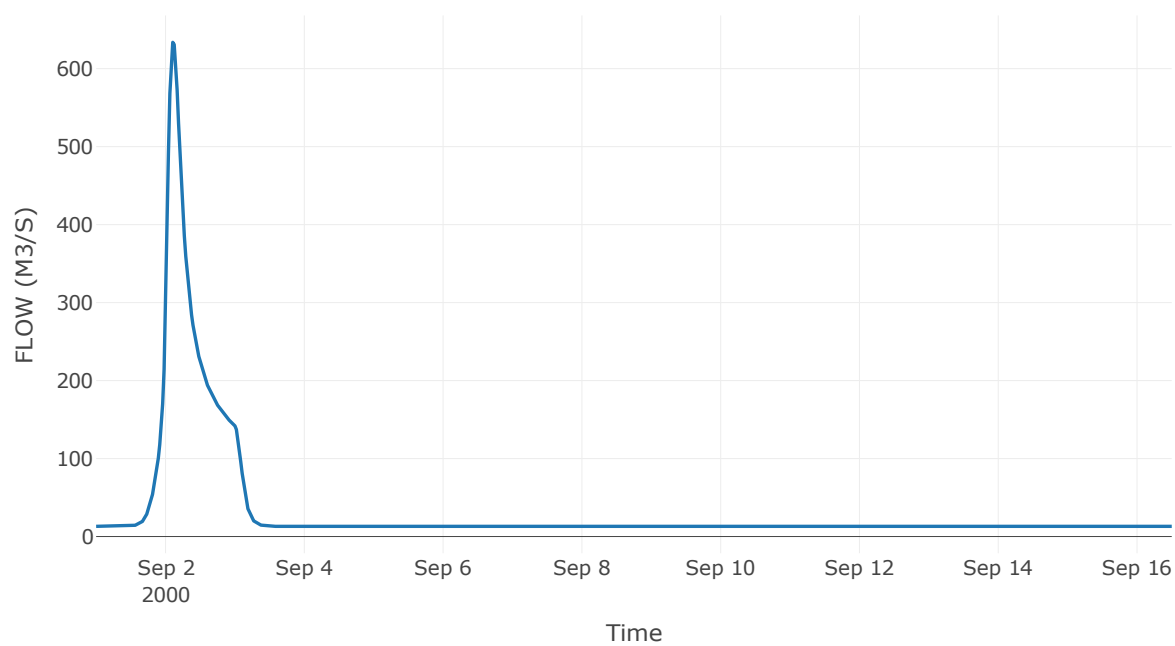
Κόμβος: J21

Κατάντη : R2116

Αποτελέσματα: J21

Παροχή Αιχμής (M3/S)	633.72
Χρονική στιγμή αιχμής	02Sep2000, 02:30
Όγκος(MM)	189.77

Απορροή



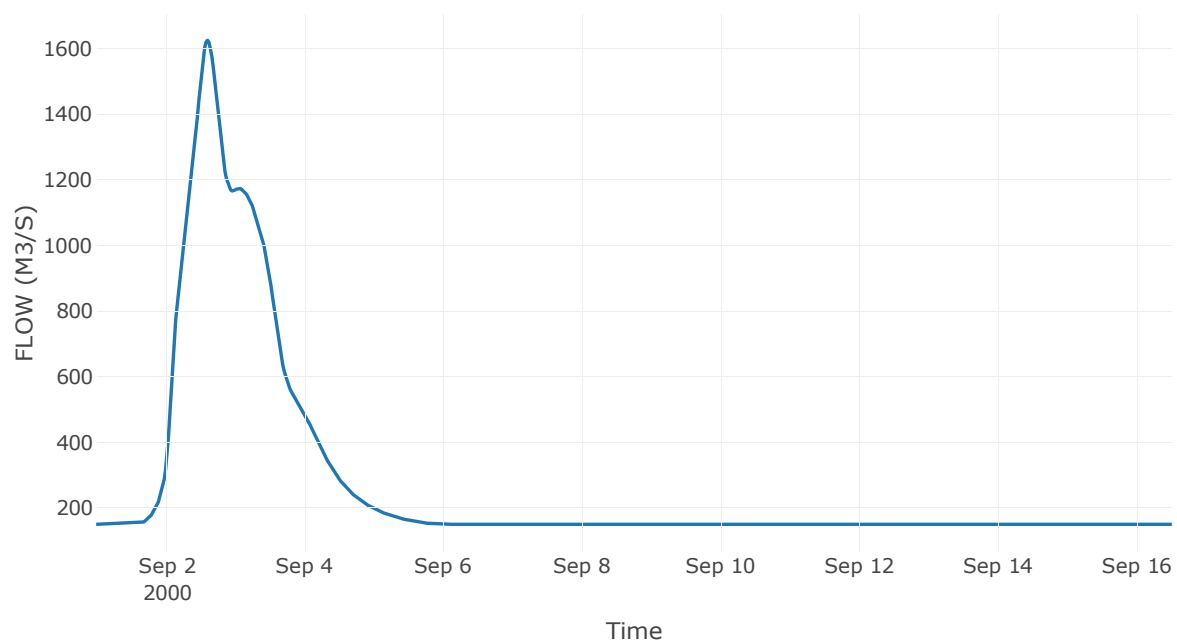
Κόμβος: J22

Κατάντη : R2231

Αποτελέσματα: J22

Παροχή Αιχμής (M3/S)	1624.72
Χρονική στιγμή αιχμής	02Sep2000, 14:30
Όγκος(MM)	213.63

Απορροή



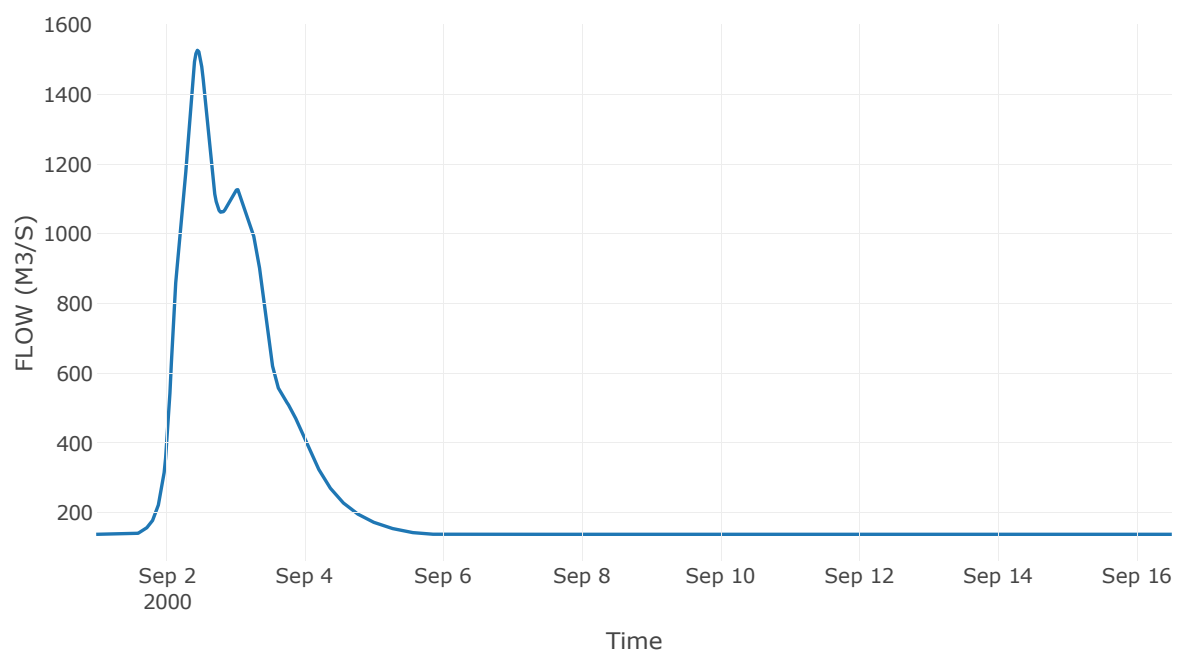
Κόμβος: J23

Κατάντη : R2324

Αποτελέσματα: J23

Παροχή Αιχμής (M3/S)	1527.35
Χρονική στιγμή αιχμής	02Sep2000, 11:00
Όγκος(MM)	221.77

Απορροή



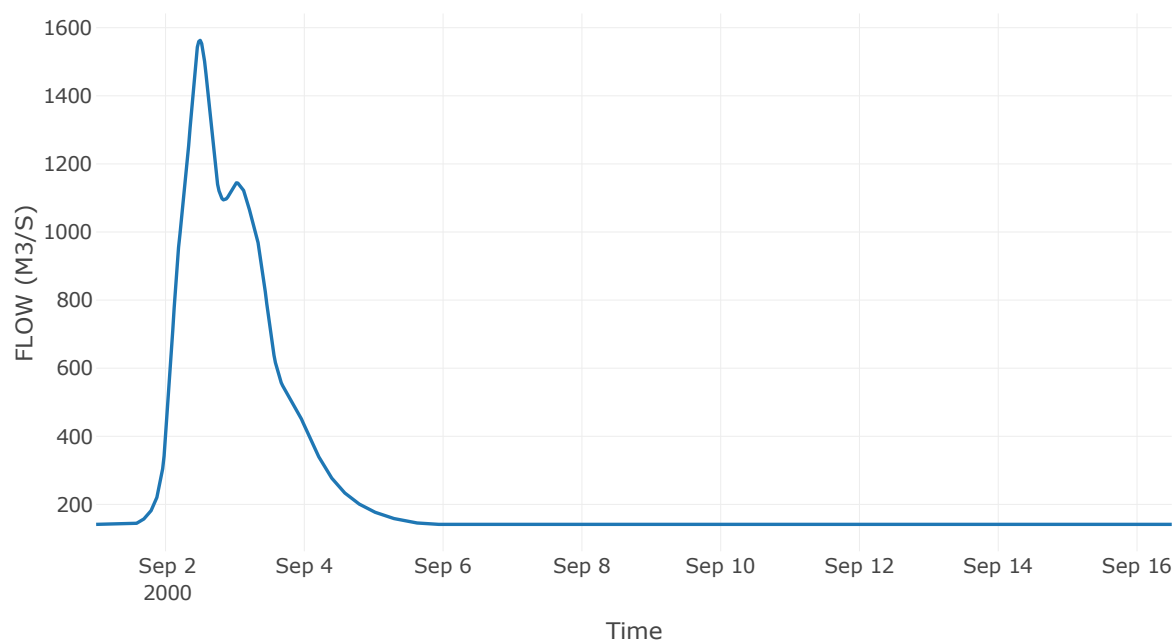
Κόμβος: J24

Κατάντη : R2425

Αποτελέσματα: J24

Παροχή Αιχμής (M3/S)	1562.82
Χρονική στιγμή αιχμής	02Sep2000, 12:00
Όγκος(MM)	220.59

Απορροή



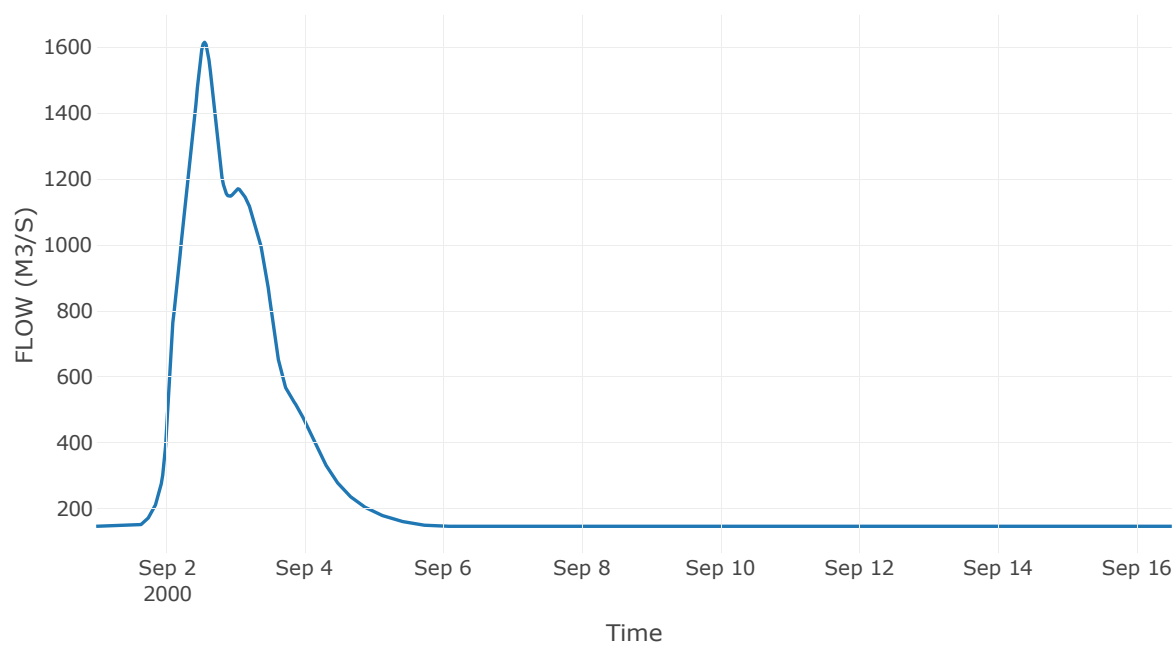
Κόμβος: J25

Κατάντη : R2522

Αποτελέσματα: J25

Παροχή Αιχμής (M3/S)	1614.99
Χρονική στιγμή αιχμής	02Sep2000, 13:30
Όγκος(MM)	217.54

Απορροή



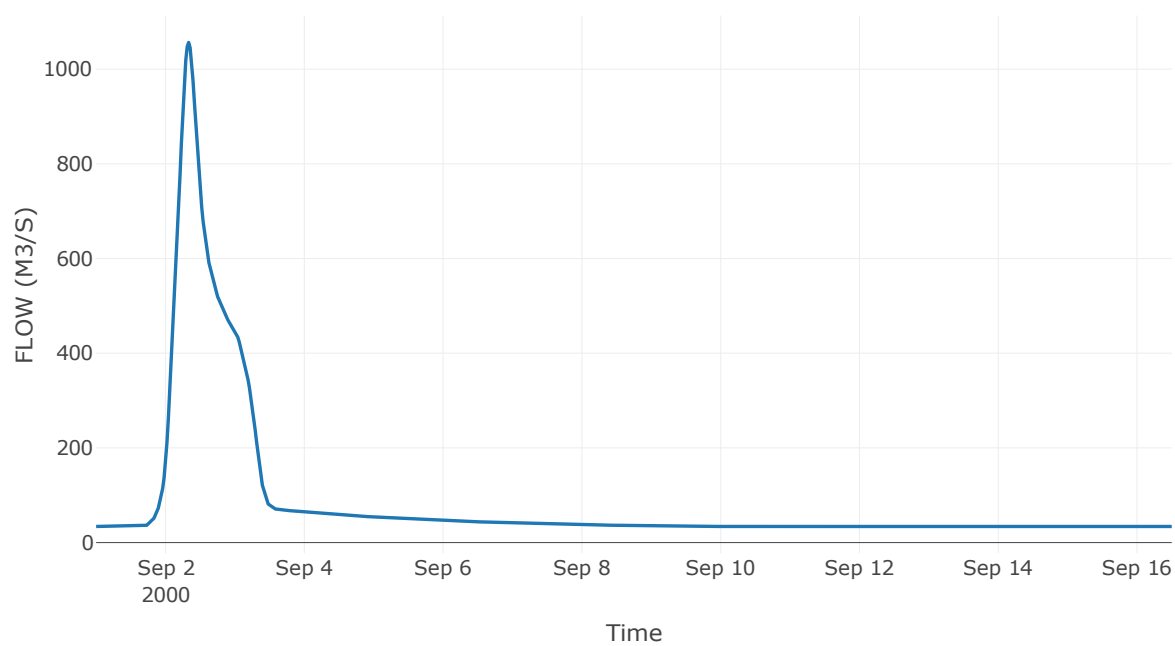
Κόμβος: J26

Κατάντη : R2664

Αποτελέσματα: J26

Παροχή Αιχμής (M3/S)	1056.29
Χρονική στιγμή αιχμής	02Sep2000, 08:00
Όγκος(MM)	186.56

Απορροή



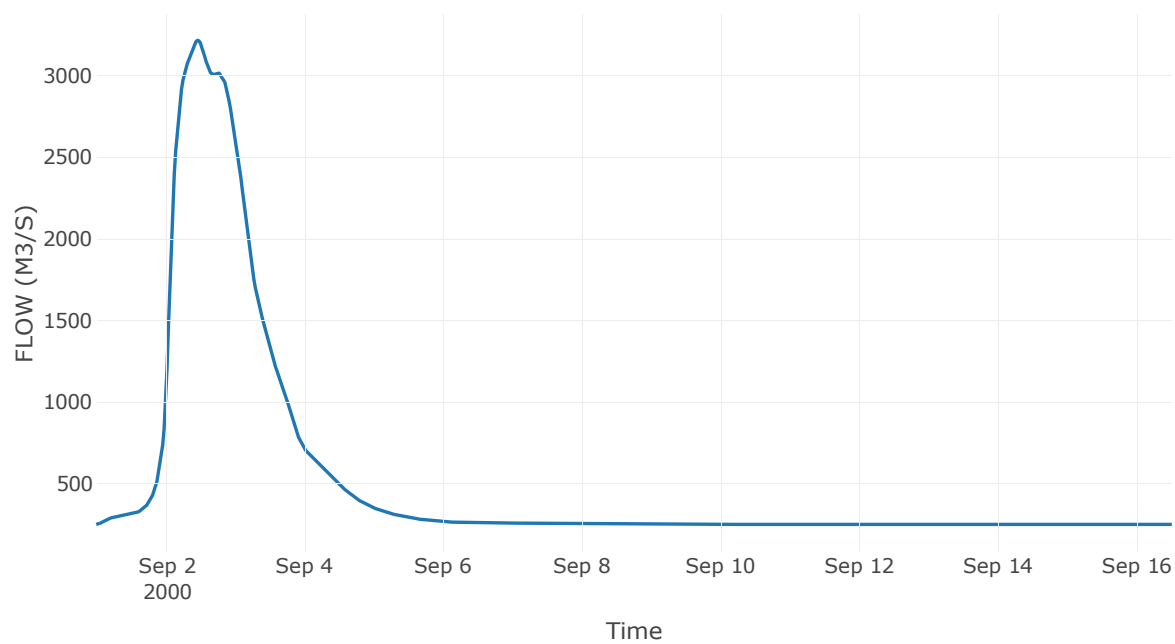
Κόμβος: J27

Κατάντη : R2717

Αποτελέσματα: J27

Παροχή Αιχμής (M3/S)	3214.7
Χρονική στιγμή αιχμής	02Sep2000, 11:00
Όγκος(MM)	196.99

Απορροή



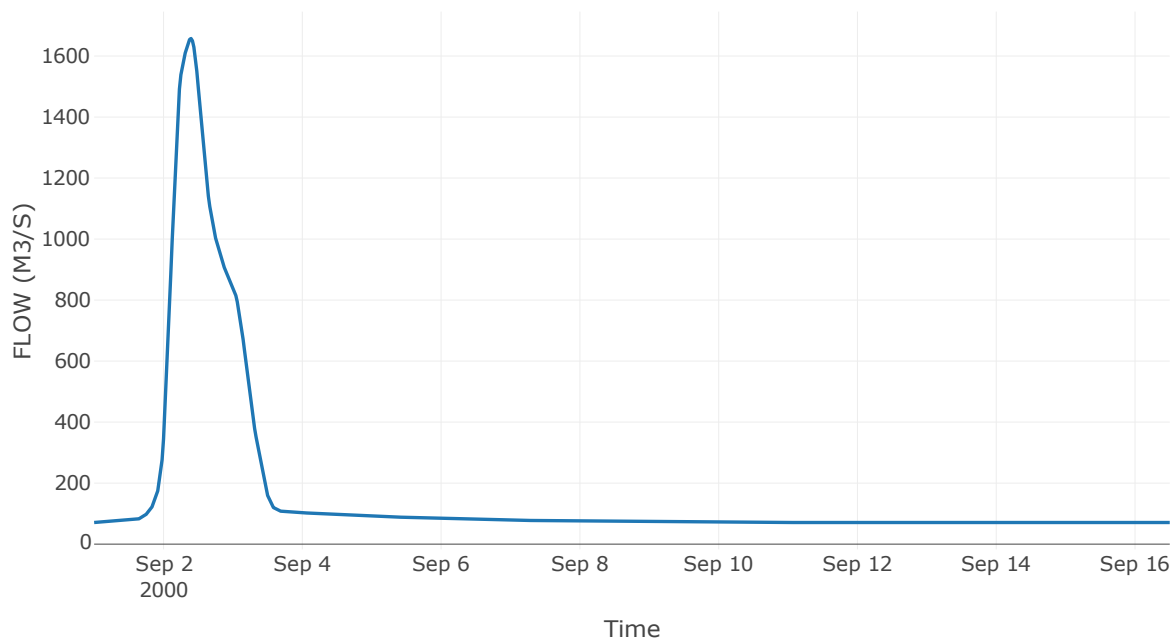
Κόμβος: J28

Κατάντη : R2827

Αποτελέσματα: J28

Παροχή Αιχμής (M3/S)	1657.55
Χρονική στιγμή αιχμής	02Sep2000, 09:30
Όγκος(MM)	169.72

Απορροή



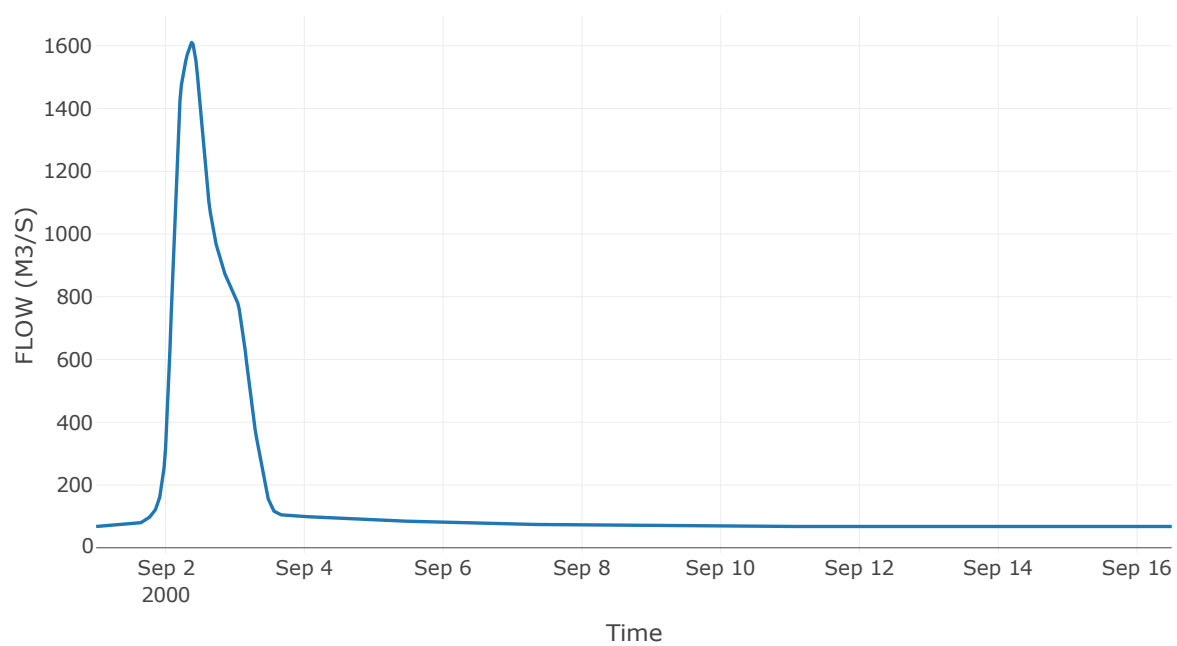
Κόμβος: J29

Κατάντη : R2928

Αποτελέσματα: J29

Παροχή Αιχμής (M3/S)	1610.4
Χρονική στιγμή αιχμής	02Sep2000, 09:00
Όγκος(MM)	169.48

Απορροή



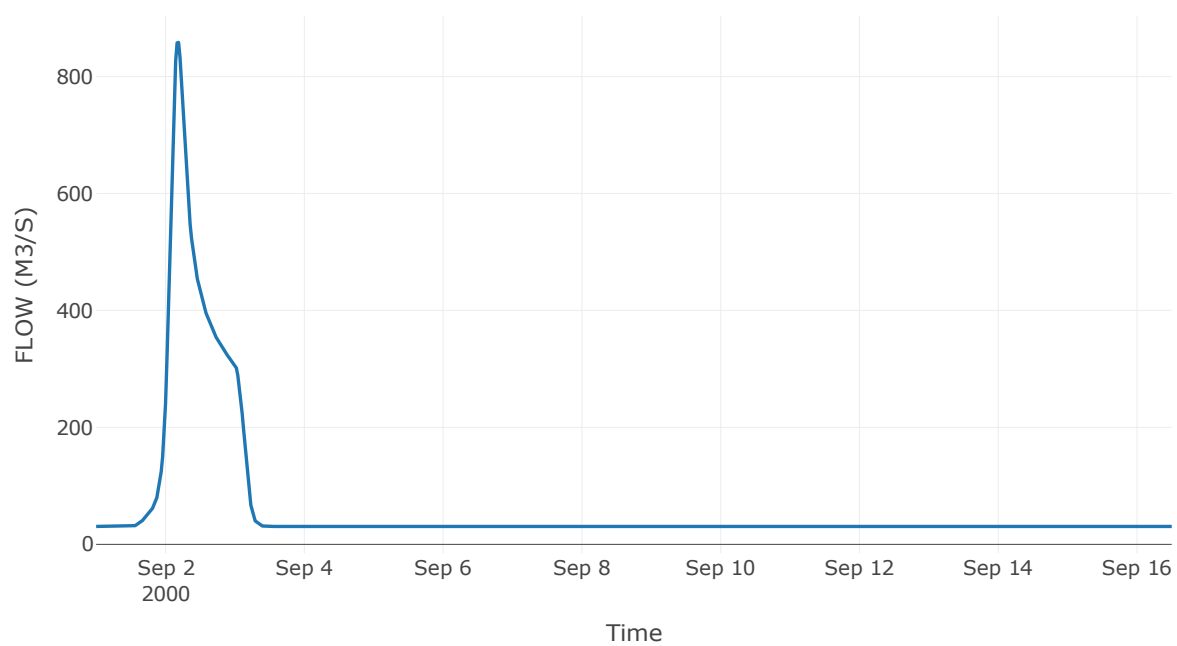
Κόμβος: J30

Κατάντη : R3029

Αποτελέσματα: J30

Παροχή Αιχμής (M3/S)	858.28
Χρονική στιγμή αιχμής	02Sep2000, 04:30
Όγκος(MM)	152.52

Απορροή



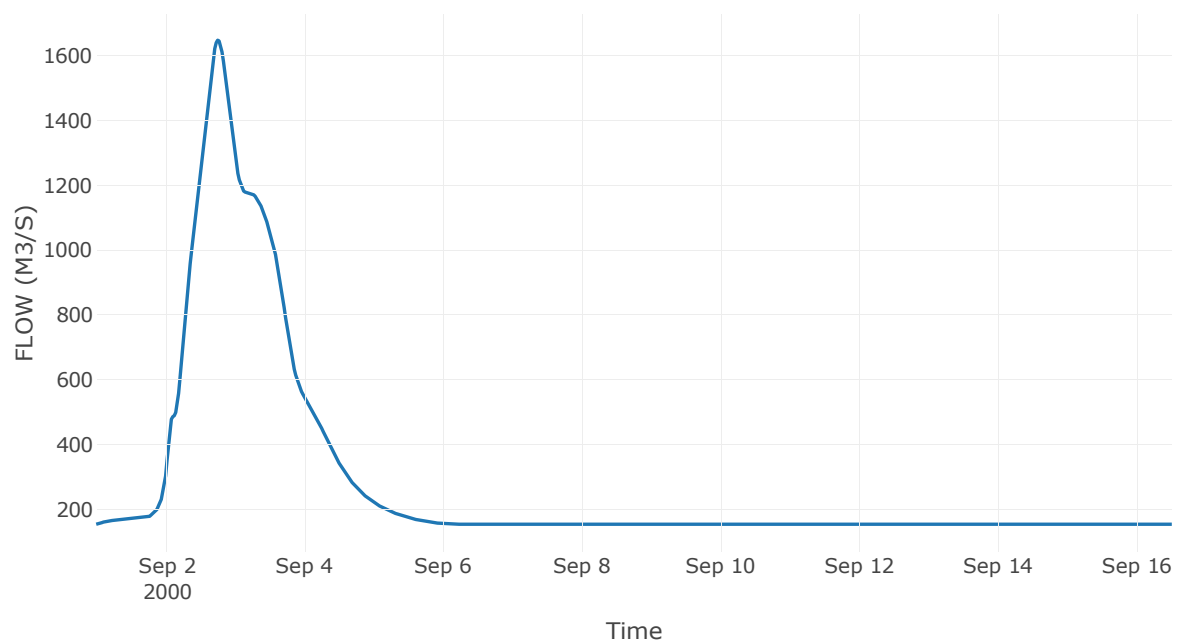
Κόμβος: J31

Κατάντη : R3127

Αποτελέσματα: J31

Παροχή Αιχμής (M3/S)	1646.92
Χρονική στιγμή αιχμής	02Sep2000, 18:00
Όγκος(MM)	212.66

Απορροή



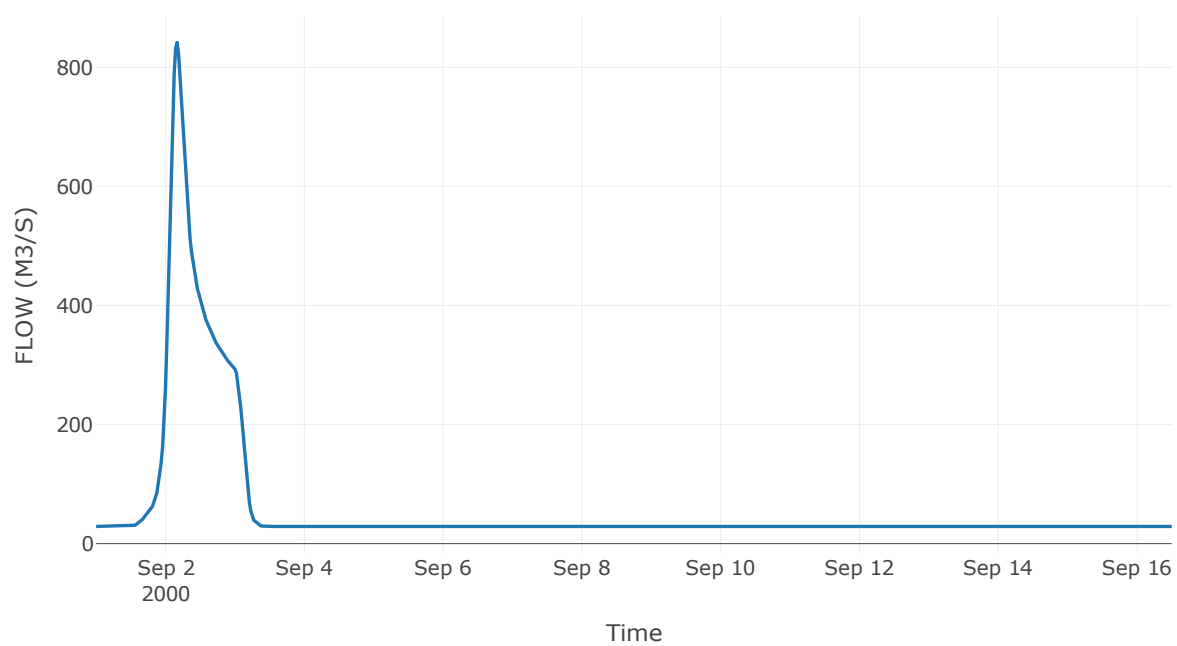
Κόμβος: J32

Κατάντη : R3230

Αποτελέσματα: J32

Παροχή Αιχμής (M3/S)	841.83
Χρονική στιγμή αιχμής	02Sep2000, 04:00
Όγκος(MM)	154.42

Απορροή



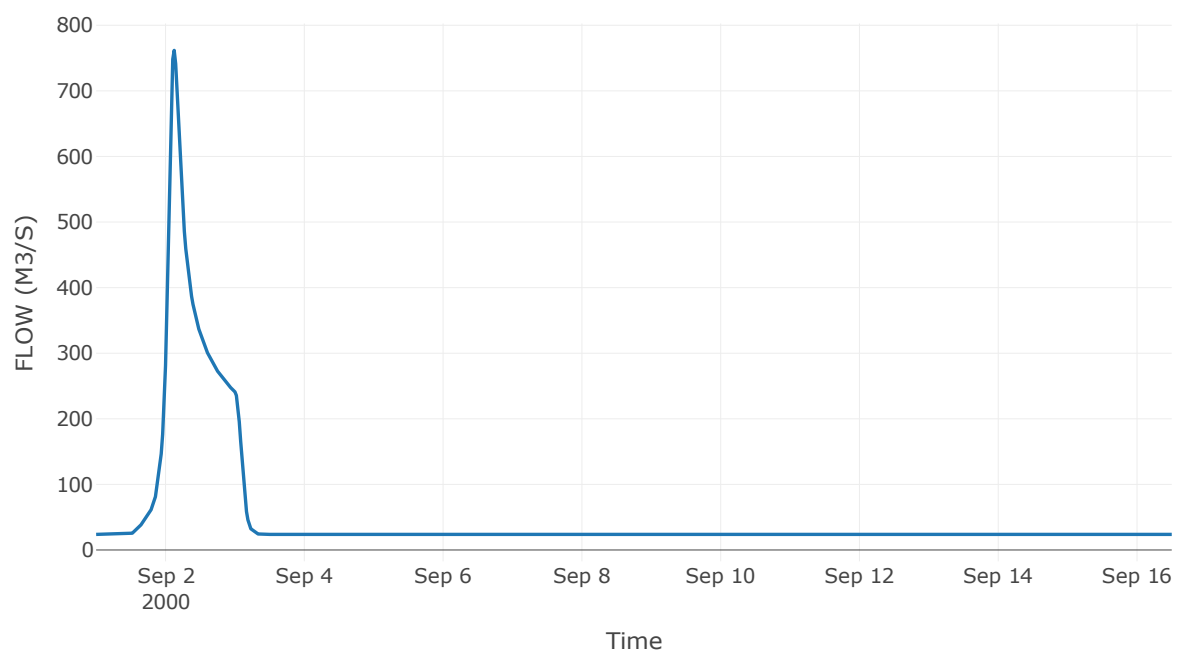
Κόμβος: J33

Κατάντη : R3332

Αποτελέσματα: J33

Παροχή Αιχμής (M3/S)	761.74
Χρονική στιγμή αιχμής	02Sep2000, 03:00
Όγκος(MM)	156.99

Απορροή



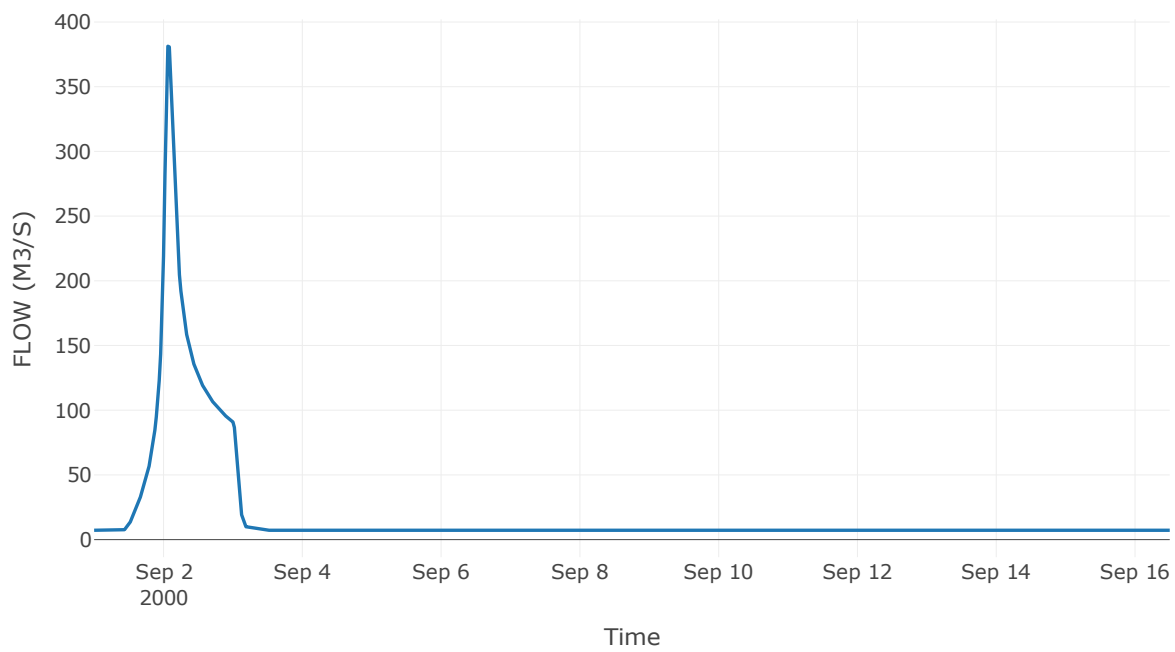
Κόμβος: J34

Κατάντη : R3433

Αποτελέσματα: J34

Παροχή Αιχμής (M3/S)	381.27
Χρονική στιγμή αιχμής	02Sep2000, 01:30
Όγκος(MM)	199.07

Απορροή



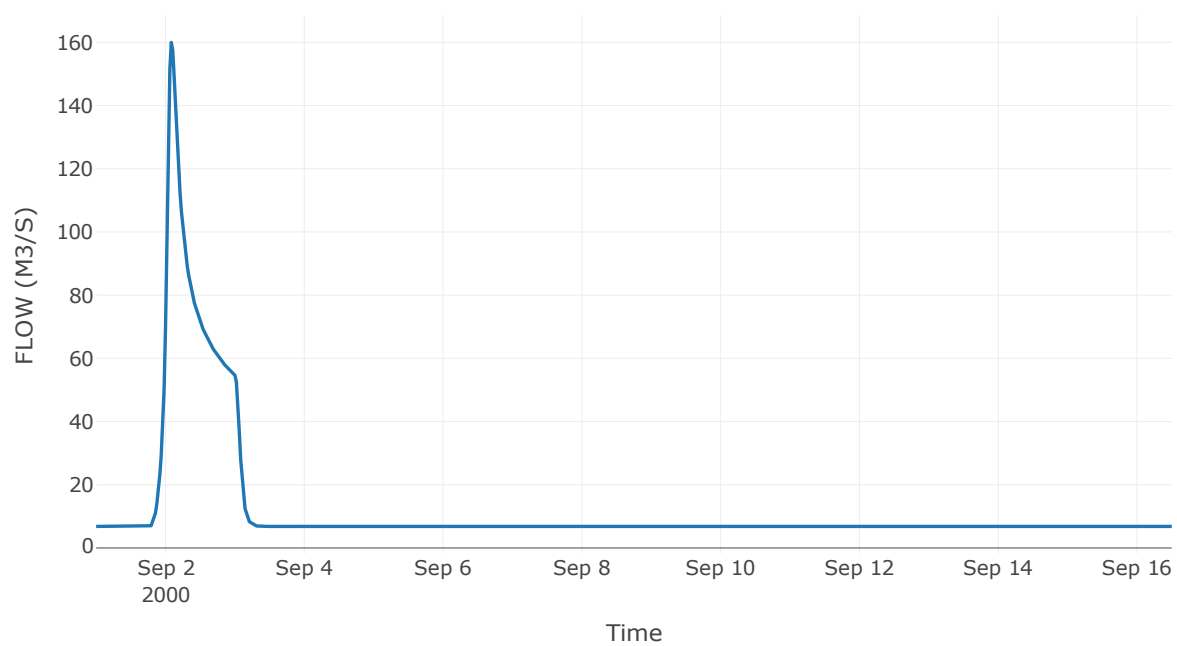
Κόμβος: J35

Κατάντη : R3533

Αποτελέσματα: J35

Παροχή Αιχμής (M3/S)	159.98
Χρονική στιγμή αιχμής	02Sep2000, 02:00
Όγκος(MM)	132.42

Απορροή



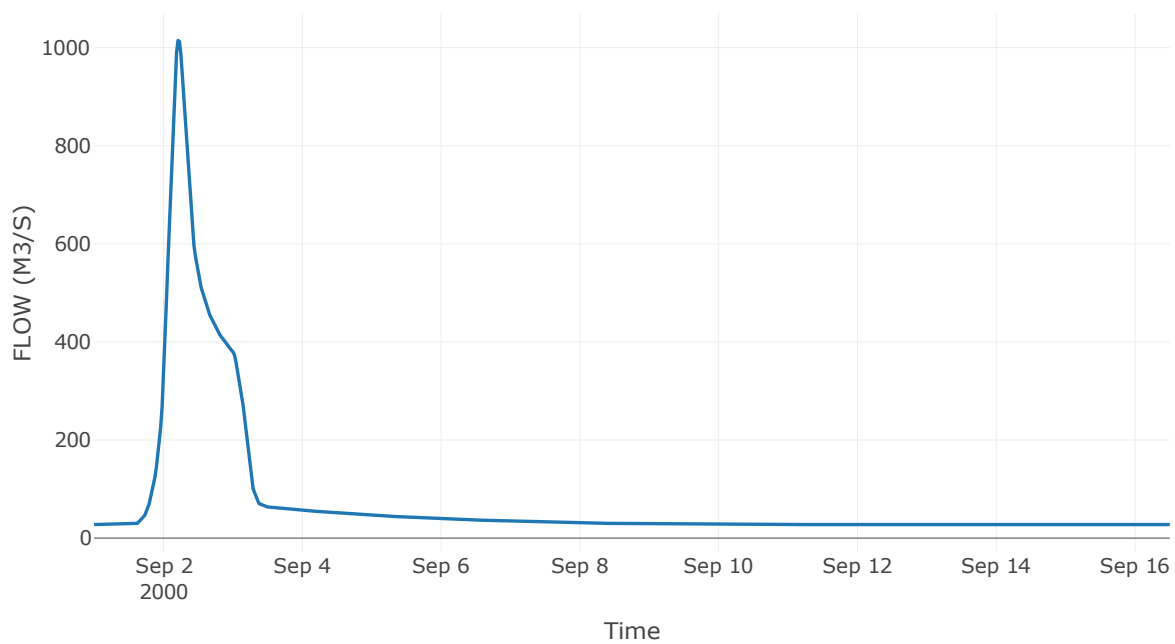
Κόμβος: J37

Κατάντη : R3726

Αποτελέσματα: J37

Παροχή Αιχμής (M3/S)	1014.4
Χρονική στιγμή αιχμής	02Sep2000, 05:00
Όγκος(MM)	200.99

Απορροή



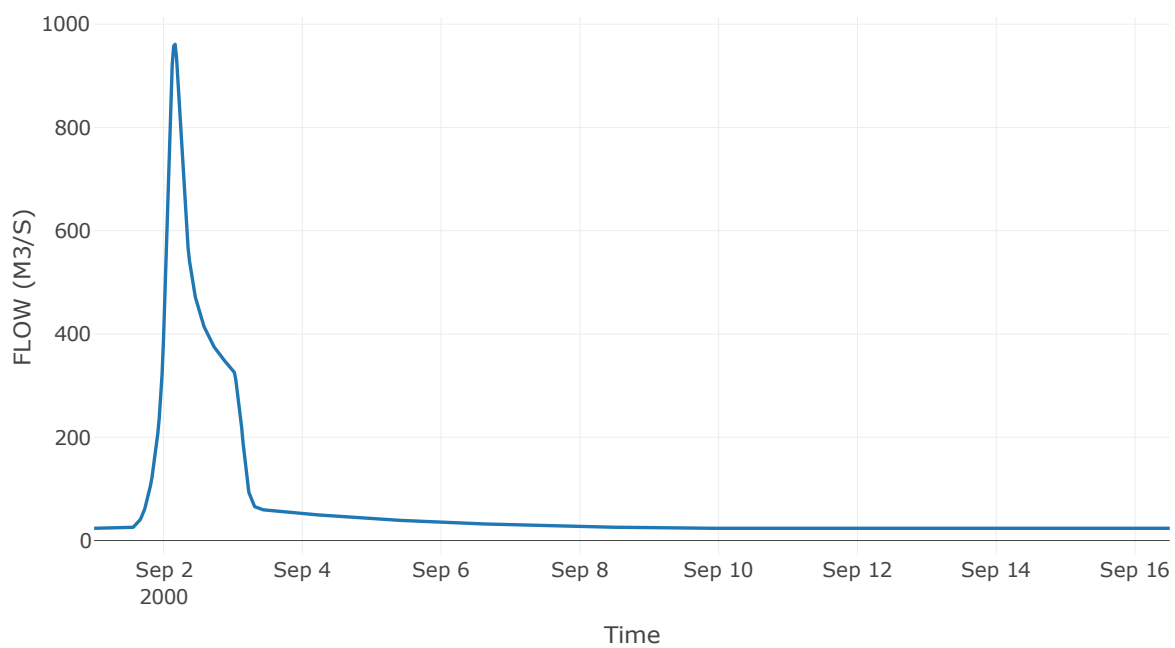
Κόμβος: J38

Κατάντη : R3837

Αποτελέσματα: J38

Παροχή Αιχμής (M3/S)	961.1
Χρονική στιγμή αιχμής	02Sep2000, 04:00
Όγκος(MM)	208.78

Απορροή



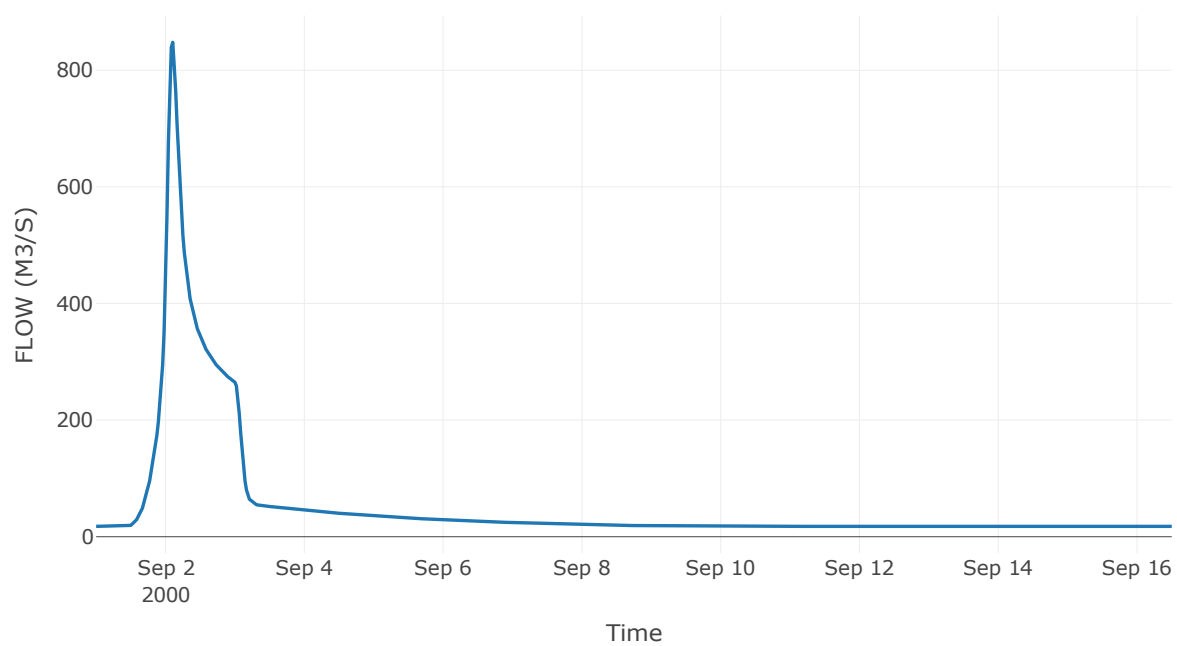
Κόμβος: J39

Κατάντη : R3938

Αποτελέσματα: J39

Παροχή Αιχμής (M3/S)	847.86
Χρονική στιγμή αιχμής	02Sep2000, 02:30
Όγκος(MM)	224.21

Απορροή



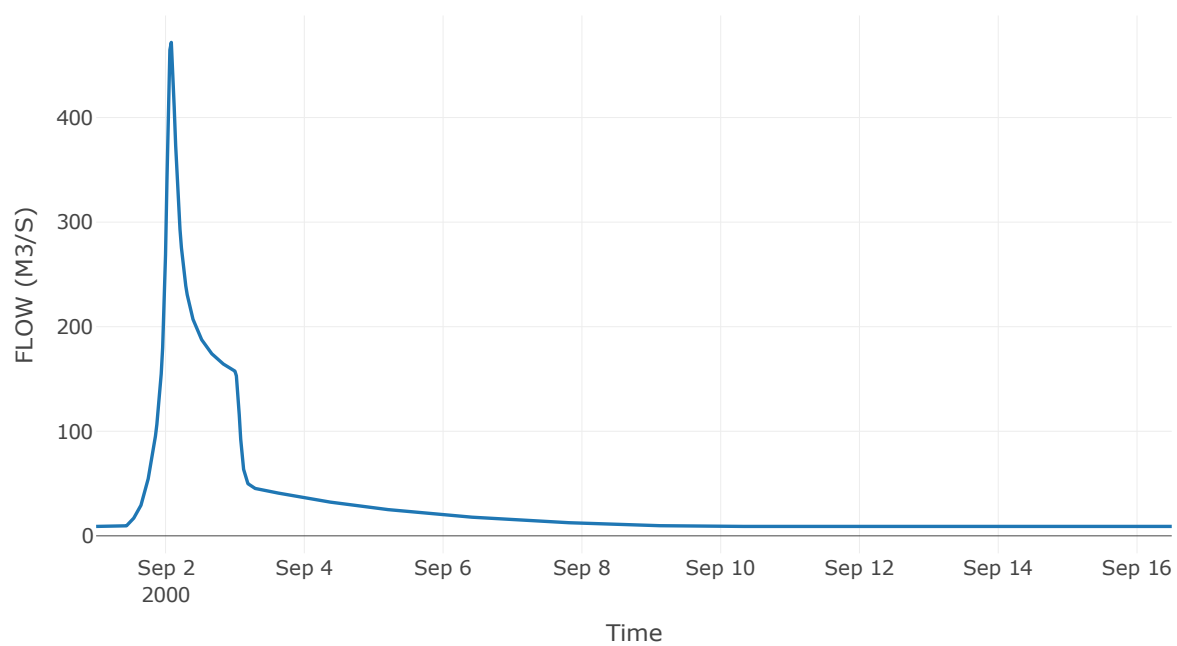
Κόμβος: J40

Κατάντη : R4039

Αποτελέσματα: J40

Παροχή Αιχμής (M3/S)	471.87
Χρονική στιγμή αιχμής	02Sep2000, 02:00
Όγκος(MM)	257.72

Απορροή



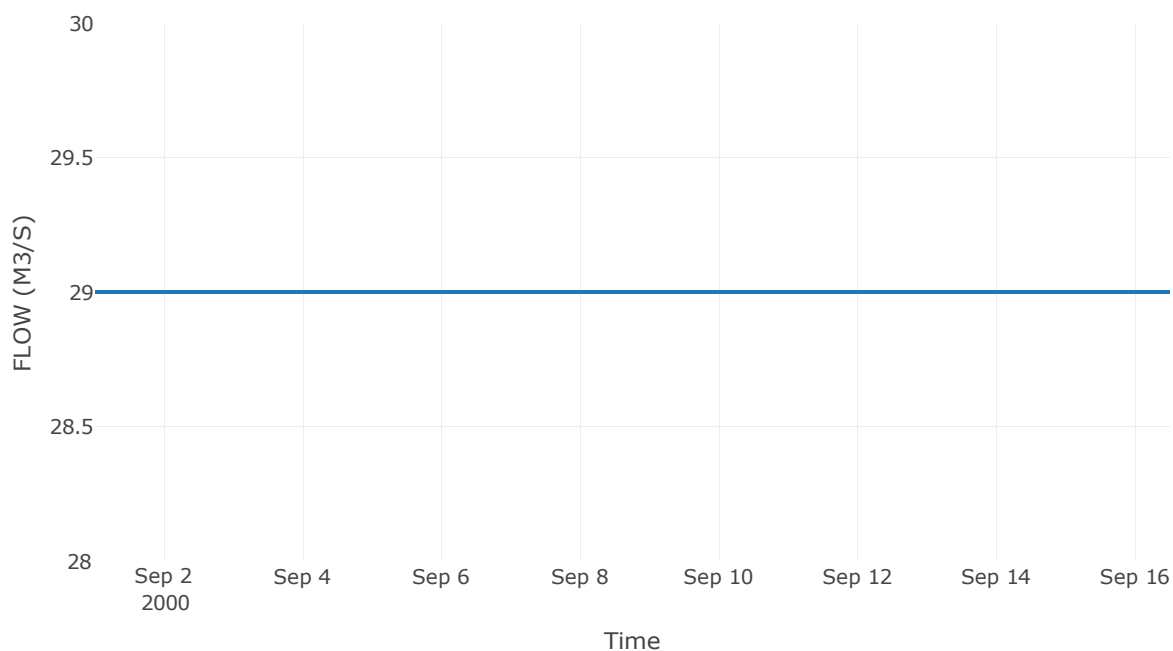
Ταμιευτήρας: J41_RES4

Κατάντη : Κόμβος εξόδου - RES4

Αποτελέσματα: J41_RES4

Παροχή Αιχμής (M3/S)	29
Χρονική στιγμή αιχμής	31Aug2000, 24:00
Όγκος(MM)	234.94
Παροχή Αιχμής Εισόδου (M3/S)	389.84
Time of Peak Inflow	02Sep2000, 03:30
Όγκος Εισροής (M3)	3.62E7
Maximum Storage (M3)	3.79E8
Peak Elevation (M)	792.7
Discharge Όγκος(M3)	3.88E7

Απορροή



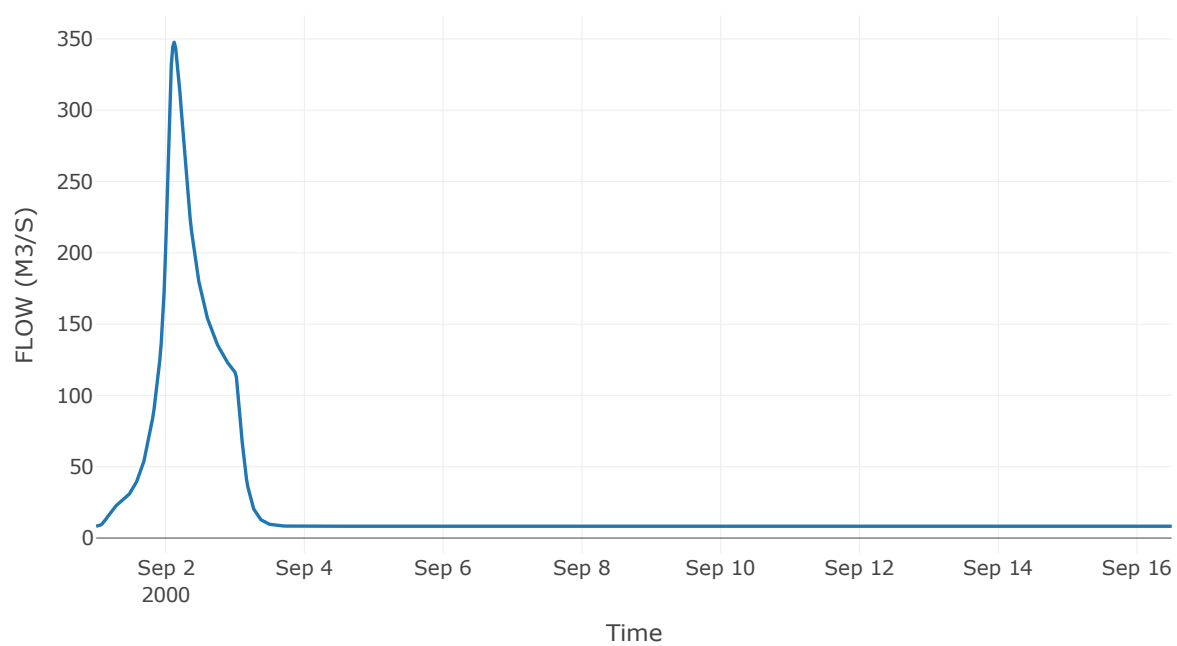
Κόμβος: J42

Κατάντη : R4241

Αποτελέσματα: J42

Παροχή Αιχμής (M3/S)	347.68
Χρονική στιγμή αιχμής	02Sep2000, 03:00
Όγκος(MM)	217.19

Απορροή



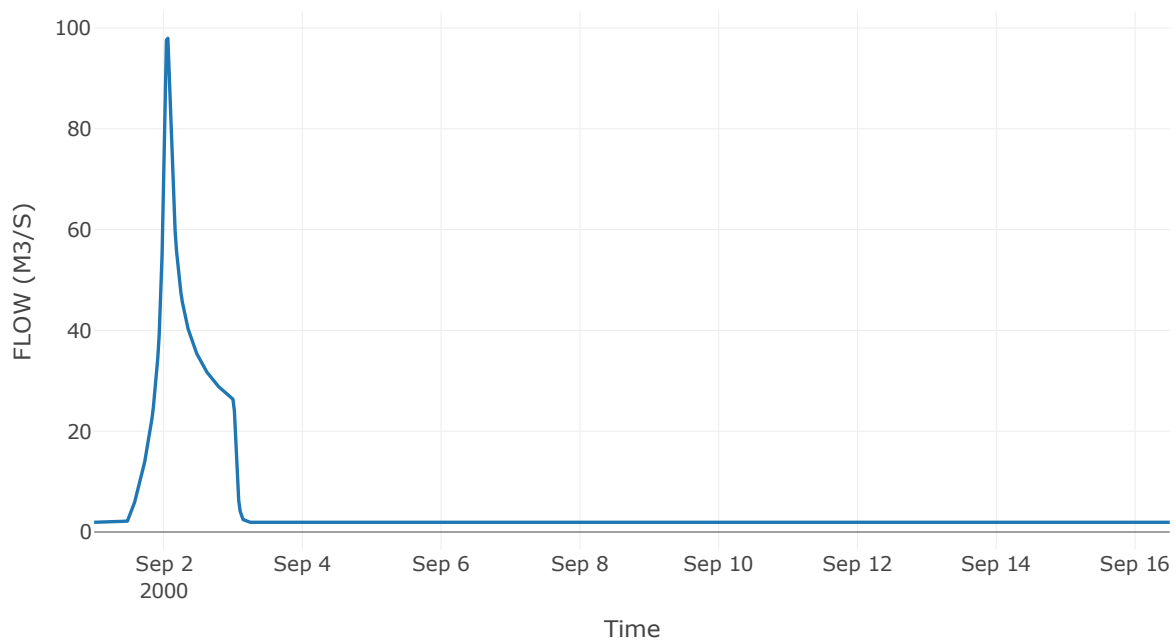
Κόμβος: J43

Κατάντη : R4342

Αποτελέσματα: J43

Παροχή Αιχμής (M3/S)	97.96
Χρονική στιγμή αιχμής	02Sep2000, 01:30
Όγκος(MM)	200.36

Απορροή



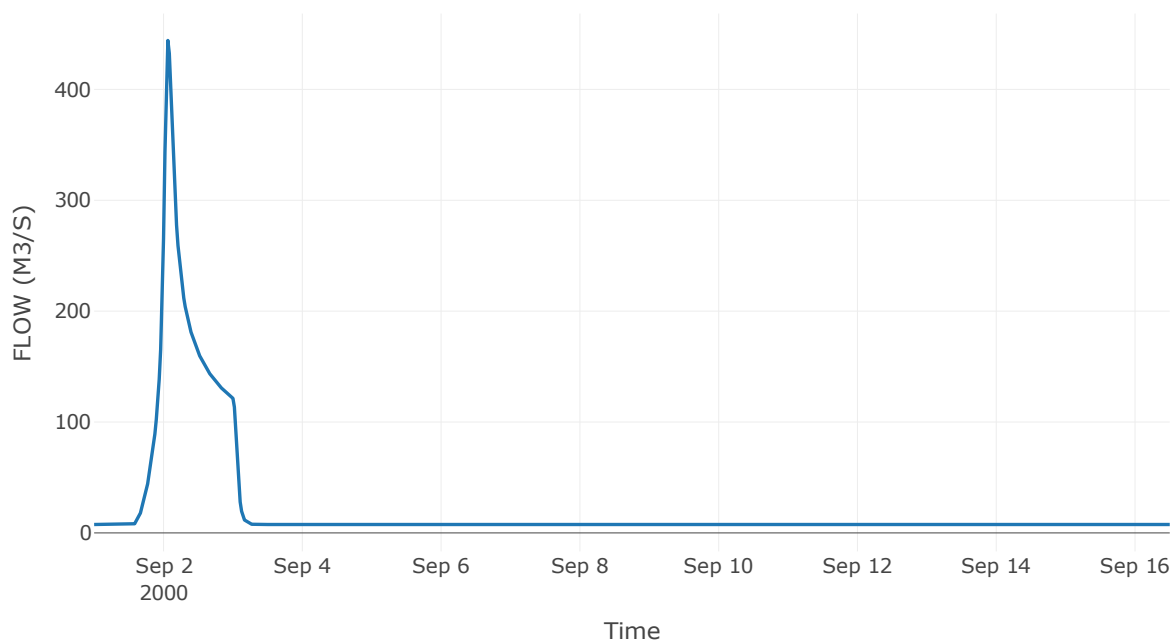
Κόμβος: J44

Κατάντη : R4462

Αποτελέσματα: J44

Παροχή Αιχμής (M3/S)	444.14
Χρονική στιγμή αιχμής	02Sep2000, 01:30
Όγκος(MM)	216.49

Απορροή



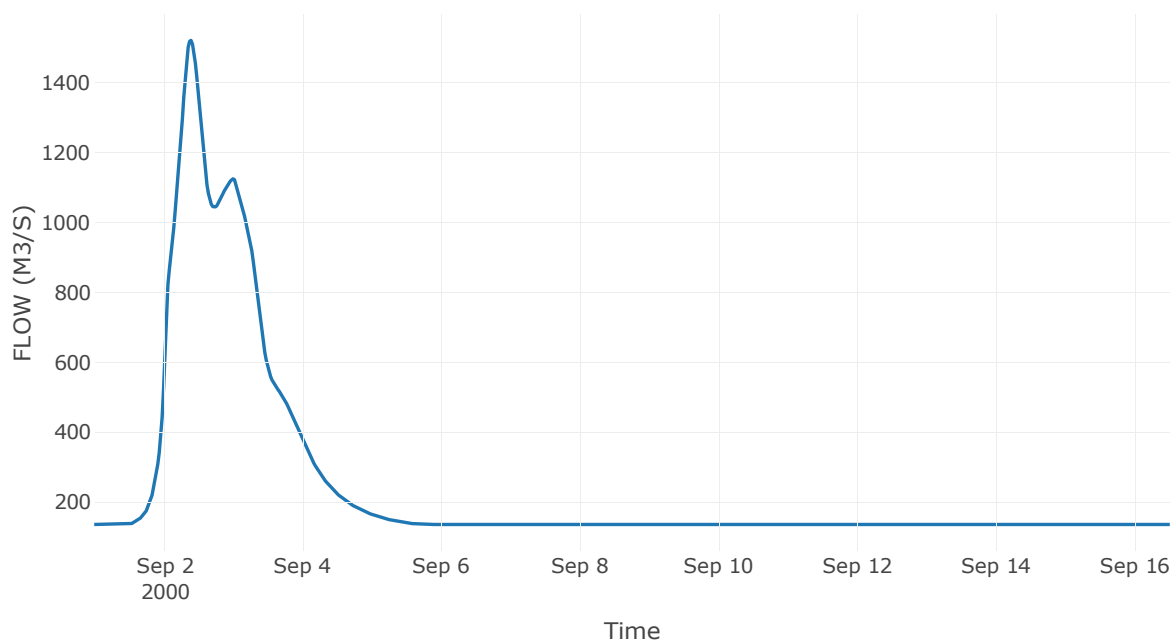
Κόμβος: J45

Κατάντη : R4523

Αποτελέσματα: J45

Παροχή Αιχμής (M3/S)	1521.01
Χρονική στιγμή αιχμής	02Sep2000, 09:30
Όγκος(MM)	224.67

Απορροή



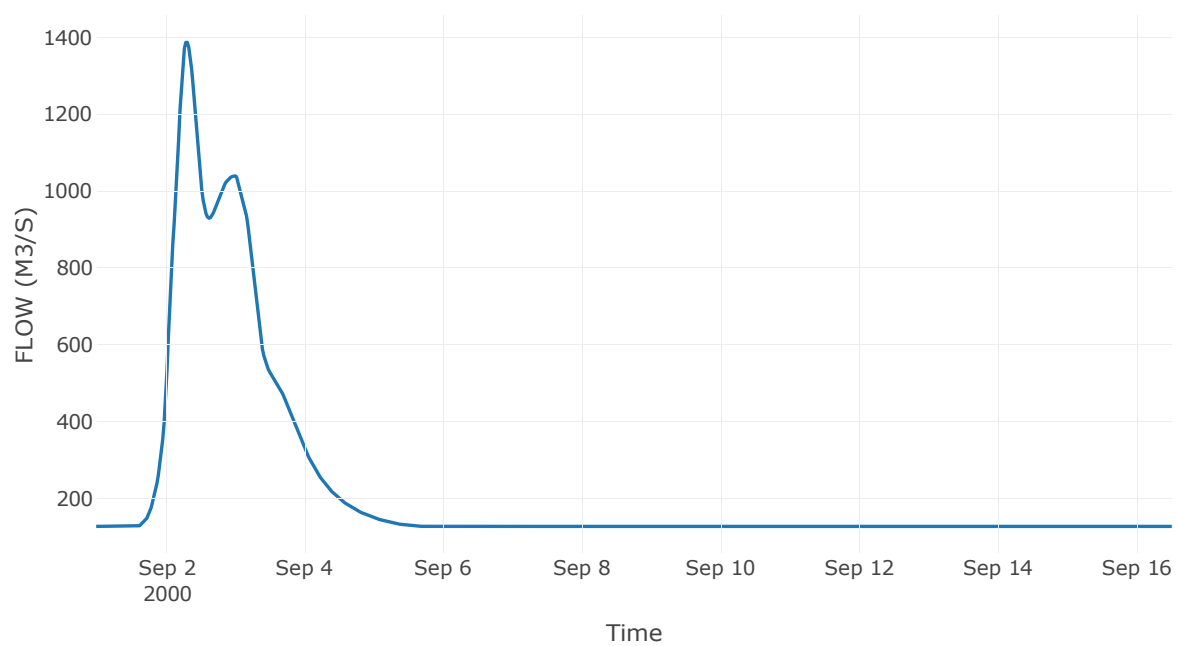
Κόμβος: J46

Κατάντη : R4645

Αποτελέσματα: J46

Παροχή Αιχμής (M3/S)	1387.05
Χρονική στιγμή αιχμής	02Sep2000, 07:30
Όγκος(MM)	228.92

Απορροή



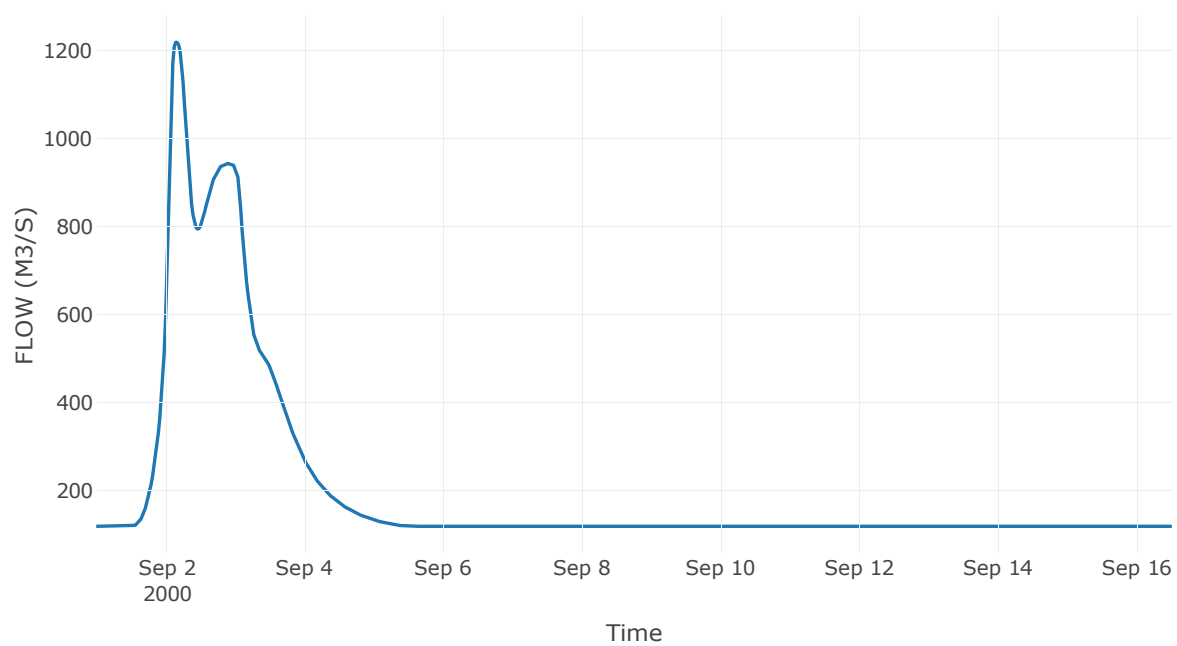
Κόμβος: J47

Κατάντη : R4746

Αποτελέσματα: J47

Παροχή Αιχμής (M3/S)	1218.06
Χρονική στιγμή αιχμής	02Sep2000, 03:30
Όγκος(MM)	236.74

Απορροή



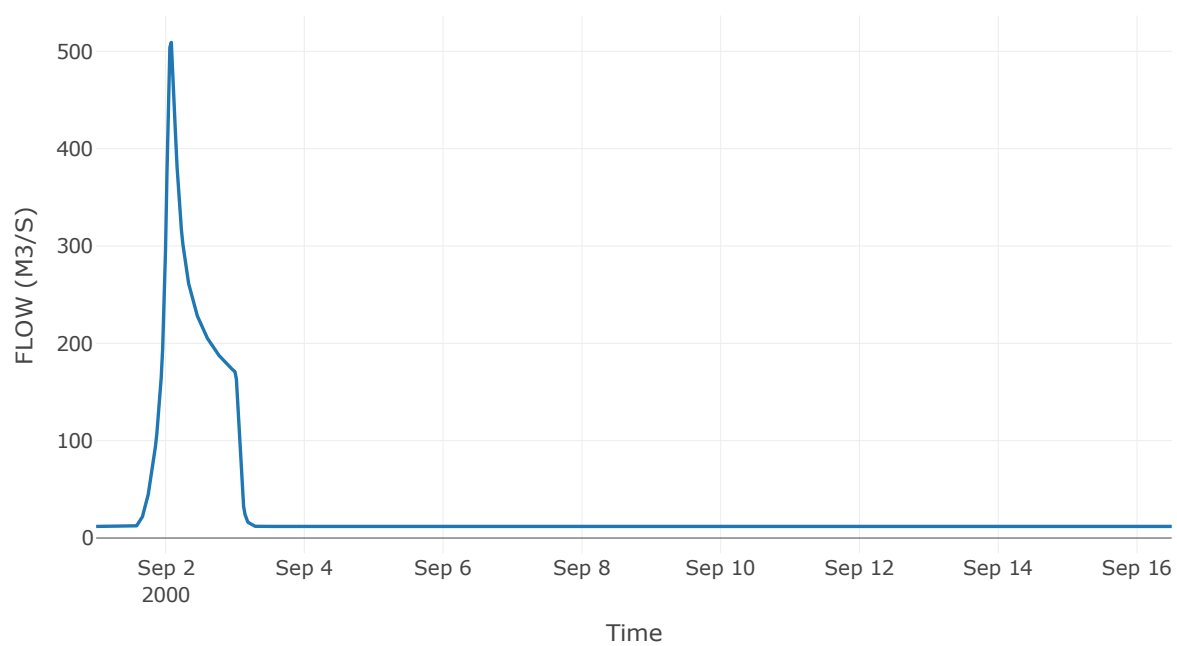
Κόμβος: J48

Κατάντη : R4847

Αποτελέσματα: J48

Παροχή Αιχμής (M3/S)	509.14
Χρονική στιγμή αιχμής	02Sep2000, 02:00
Όγκος(MM)	189.88

Απορροή



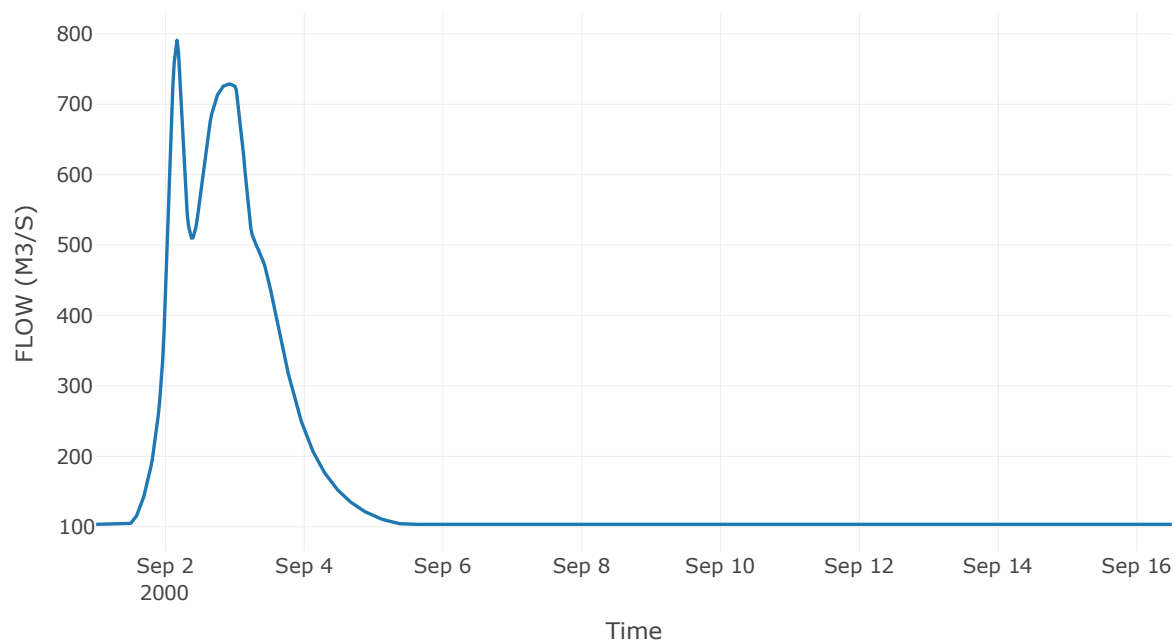
Κόμβος: J49

Κατάντη : R4947

Αποτελέσματα: J49

Παροχή Αιχμής (M3/S)	790.87
Χρονική στιγμή αιχμής	02Sep2000, 04:00
Όγκος(MM)	255.1

Απορροή



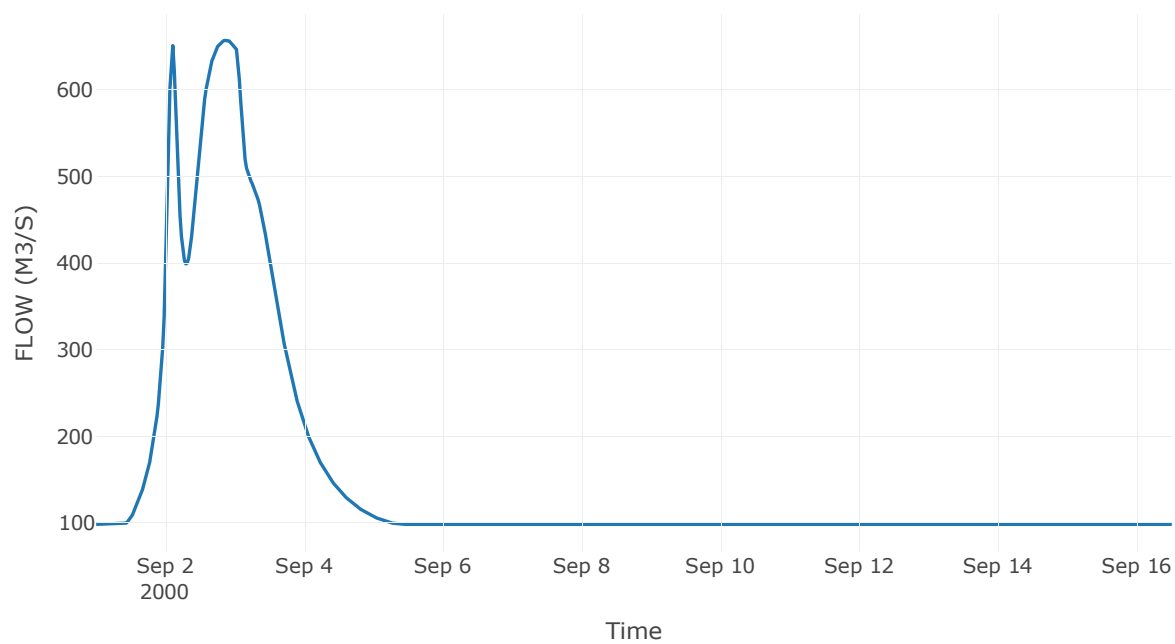
Κόμβος: J50

Κατάντη : R5049

Αποτελέσματα: J50

Παροχή Αιχμής (M3/S)	657.18
Χρονική στιγμή αιχμής	02Sep2000, 21:00
Όγκος(MM)	262.2

Απορροή



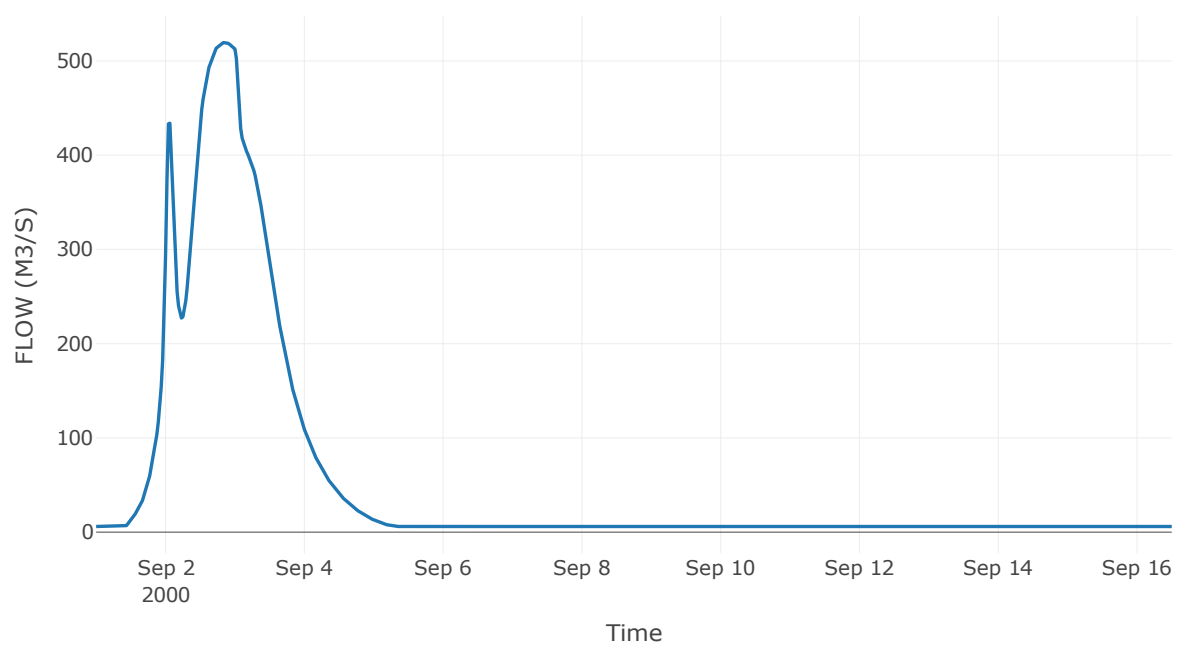
Κόμβος: J51

Κατάντη : R5150

Αποτελέσματα: J51

Παροχή Αιχμής (M3/S)	519.63
Χρονική στιγμή αιχμής	02Sep2000, 20:30
Όγκος(MM)	679.56

Απορροή



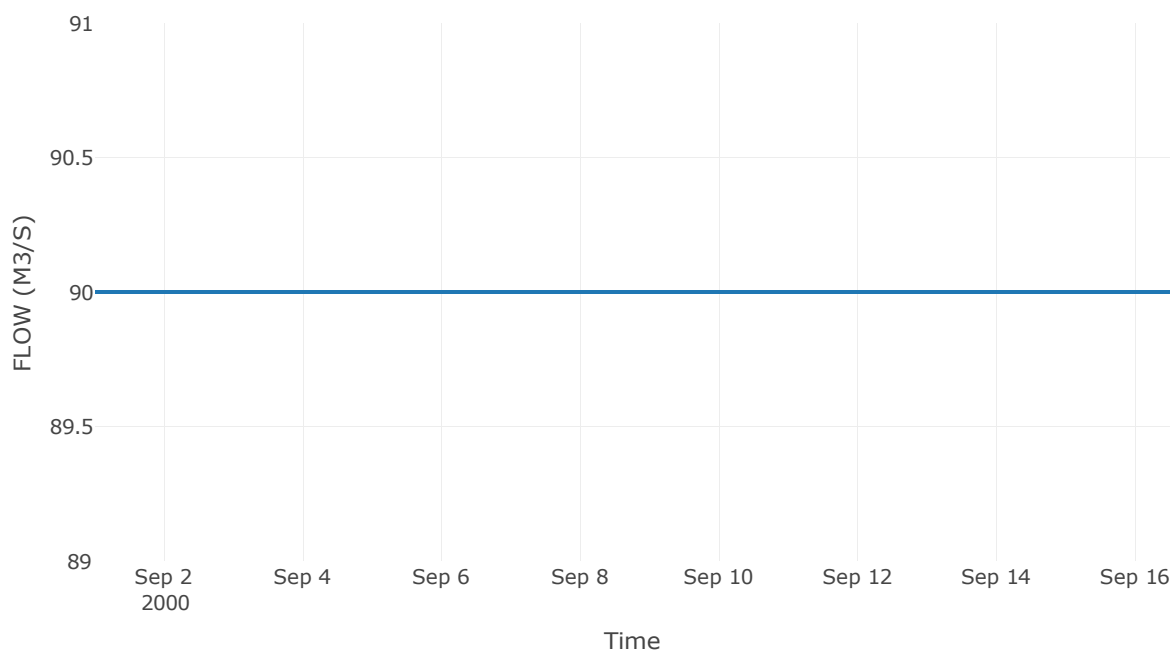
Ταμιευτήρας: J53_RES5

Κατάντη : J50

Αποτελέσματα: J53_RES5

Παροχή Αιχμής (M3/S)	90
Χρονική στιγμή αιχμής	31Aug2000, 24:00
Όγκος(MM)	190.43
Παροχή Αιχμής Εισόδου (M3/S)	1152.93
Time of Peak Inflow	02Sep2000, 07:00
Όγκος Εισροής (M3)	1.14E8
Maximum Storage (M3)	2.97E8
Peak Elevation (M)	761.55
Discharge Όγκος(M3)	1.21E8

Απορροή



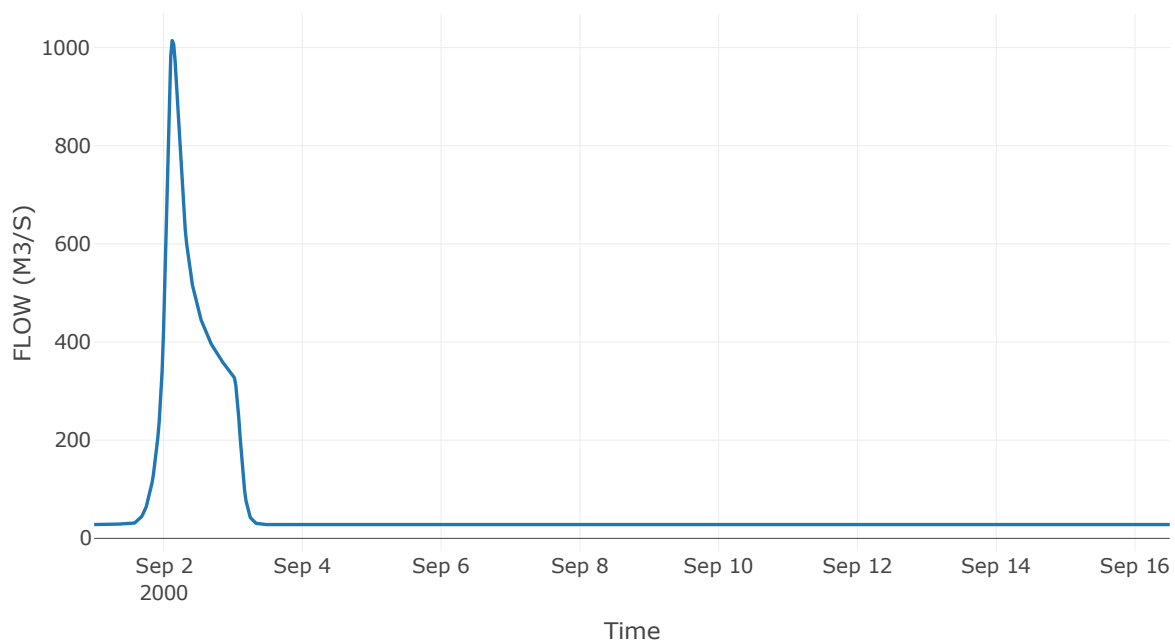
Κόμβος: J54

Κατάντη : R5457

Αποτελέσματα: J54

Παροχή Αιχμής (M3/S)	1014.37
Χρονική στιγμή αιχμής	02Sep2000, 03:00
Όγκος(MM)	174.19

Απορροή



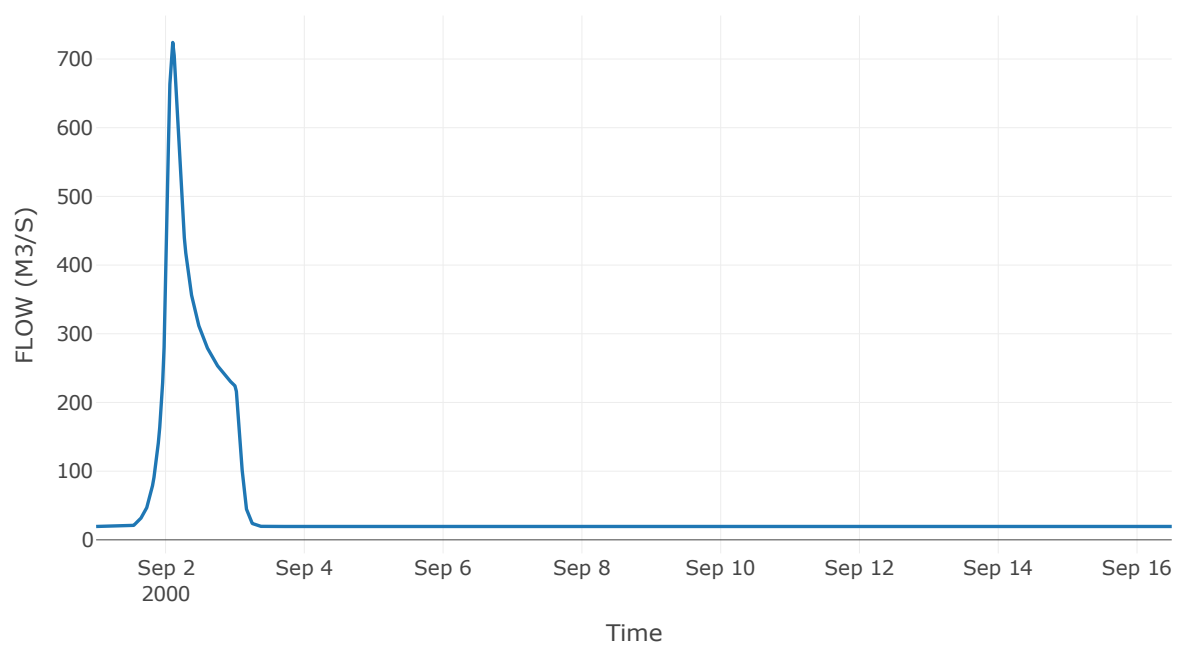
Κόμβος: J55

Κατάντη : R5554

Αποτελέσματα: J55

Παροχή Αιχμής (M3/S)	724.08
Χρονική στιγμή αιχμής	02Sep2000, 02:30
Όγκος(MM)	172.26

Απορροή



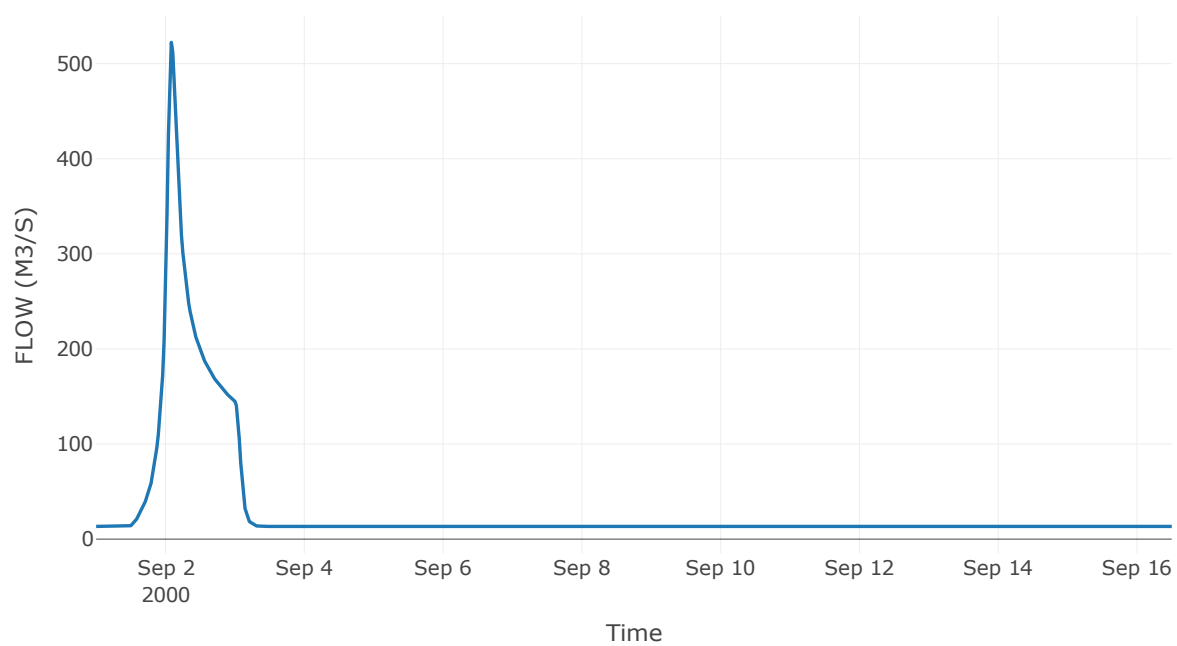
Κόμβος: J56

Κατάντη : R5655

Αποτελέσματα: J56

Παροχή Αιχμής (M3/S)	522.32
Χρονική στιγμή αιχμής	02Sep2000, 02:00
Όγκος(MM)	170.6

Απορροή



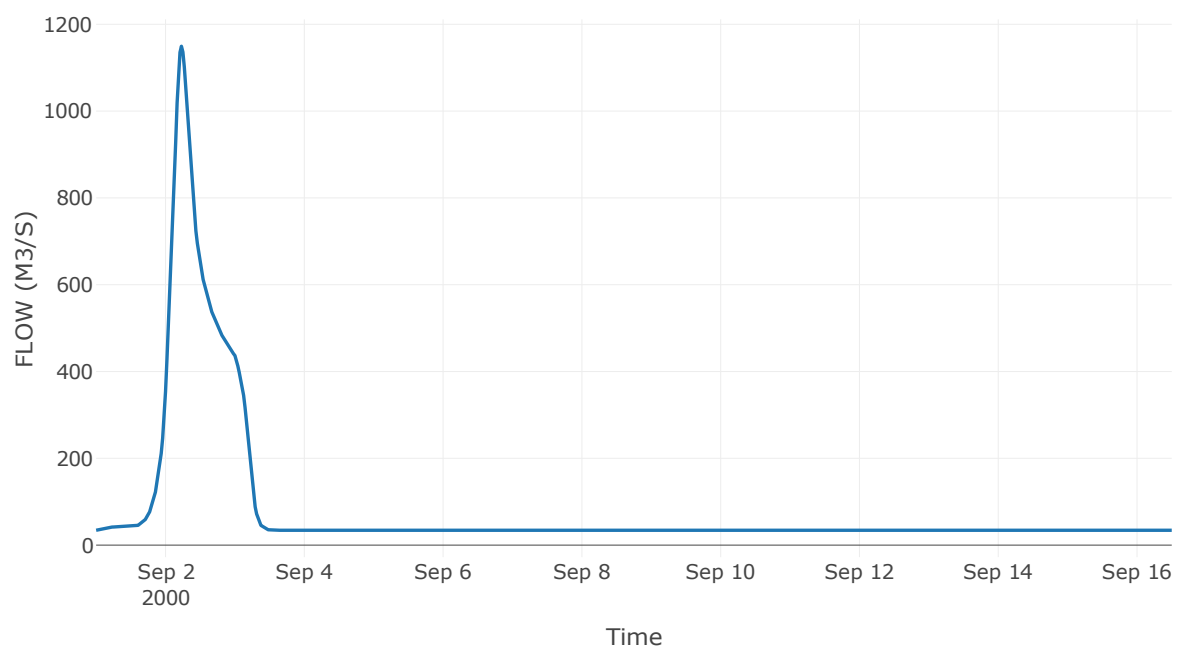
Κόμβος: J57

Κατάντη : R5753

Αποτελέσματα: J57

Παροχή Αιχμής (M3/S)	1149.45
Χρονική στιγμή αιχμής	02Sep2000, 05:30
Όγκος(MM)	179.13

Απορροή



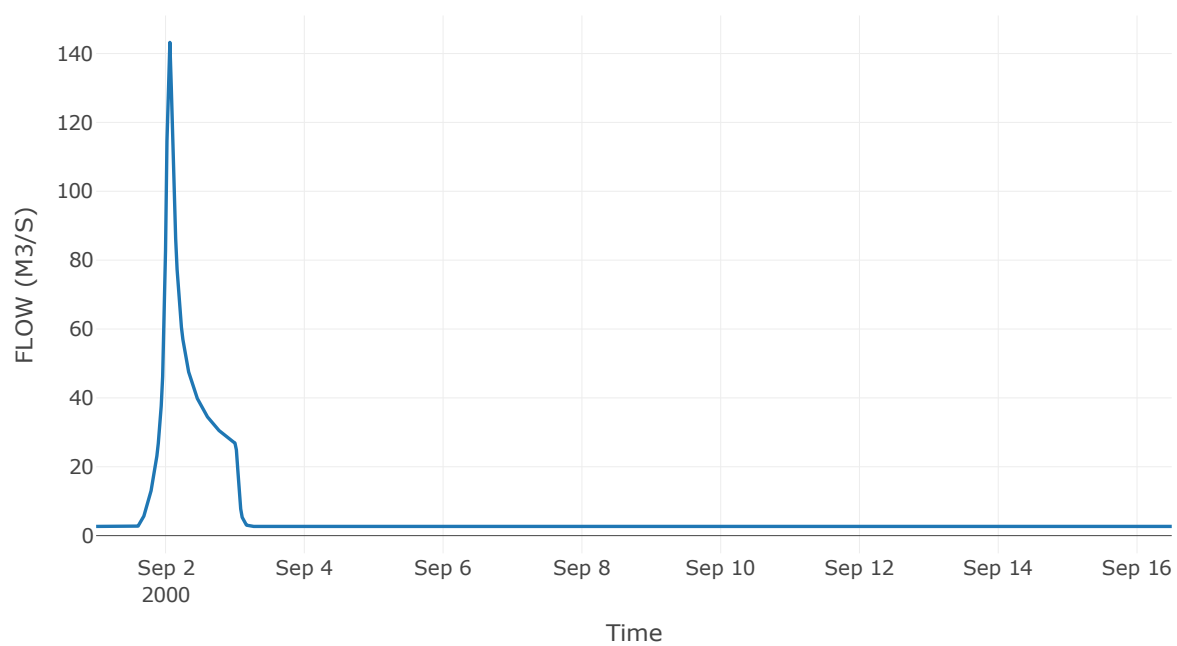
Κόμβος: J61

Κατάντη : R6120

Αποτελέσματα: J61

Παροχή Αιχμής (M3/S)	143.23
Χρονική στιγμή αιχμής	02Sep2000, 01:30
Όγκος(MM)	175.25

Απορροή



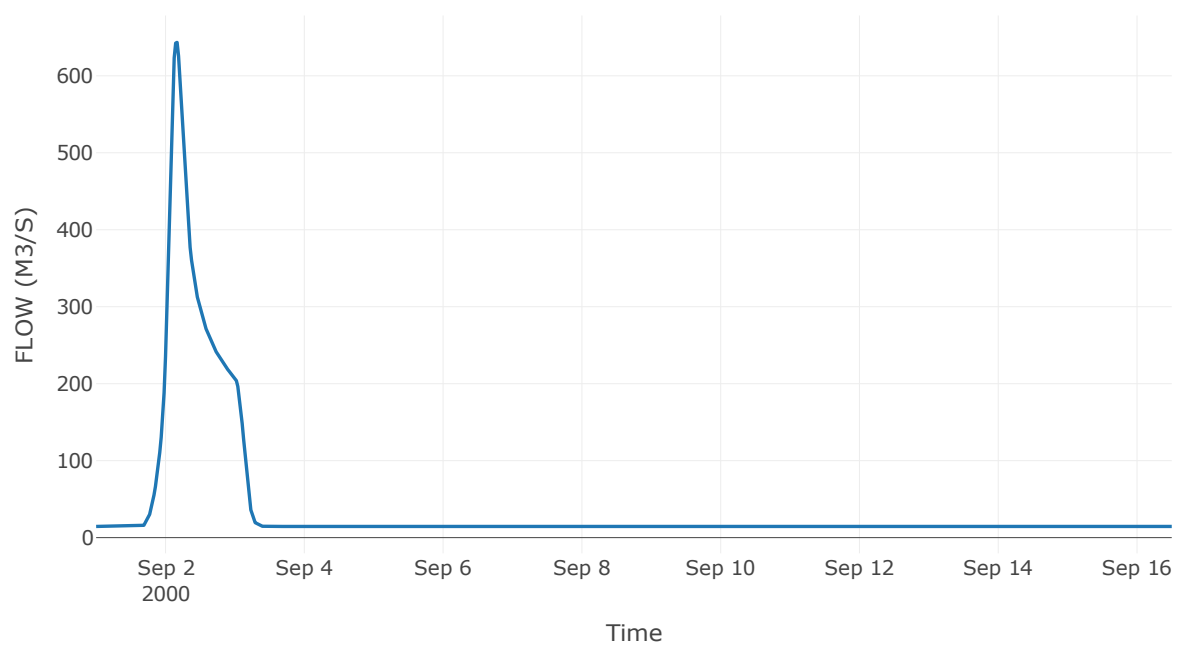
Κόμβος: J62

Κατάντη : R6227

Αποτελέσματα: J62

Παροχή Αιχμής (M3/S)	643.38
Χρονική στιγμή αιχμής	02Sep2000, 04:00
Όγκος(MM)	198

Απορροή



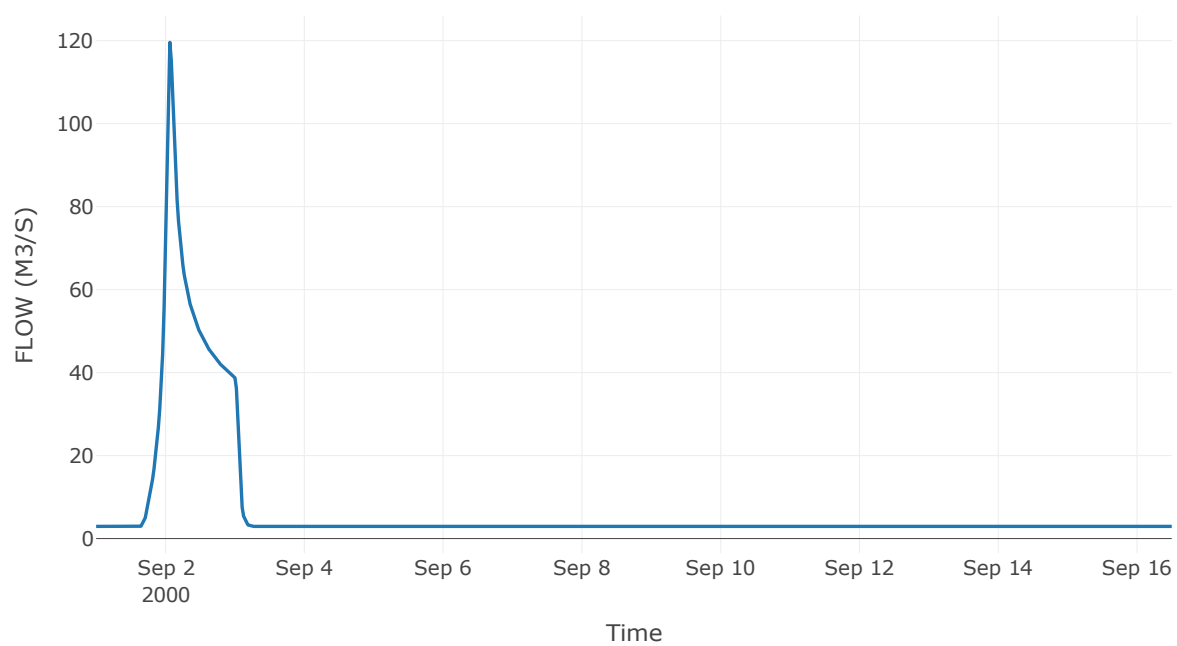
Κόμβος: J63

Κατάντη : R6357

Αποτελέσματα: J63

Παροχή Αιχμής (M3/S)	119.58
Χρονική στιγμή αιχμής	02Sep2000, 01:30
Όγκος(MM)	177.67

Απορροή



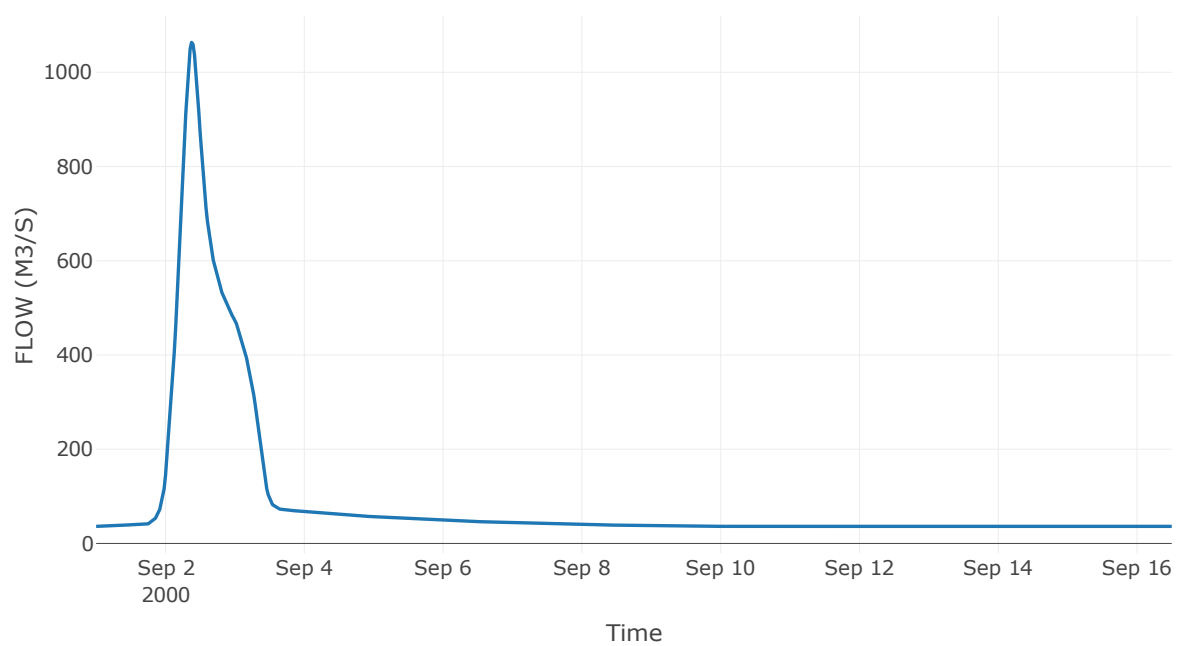
Κόμβος: J64

Κατάντη : R6429

Αποτελέσματα: J64

Παροχή Αιχμής (M3/S)	1063.52
Χρονική στιγμή αιχμής	02Sep2000, 09:00
Όγκος(MM)	183.46

Απορροή



7 Δεδομένα εισόδου και αποτελέσματα υδρολογικού σεναρίου T=100U

7.1 Αποτελέσματα, υετογραφήματα και υδρογραφήματα σχεδιασμού υπολεκανών

Υπολεκάνη: EL0415FR6001

Έκταση (KM2) : 48.19

Κατάνη : J1

Μέθοδος Απωλειών: SCS

Ποσοστό αδιαπέρατης επιφάνειας	0
Αριθμός Καμπύλης Απορροής-CN	90.04
Αρχικές Απώλειες	5.62

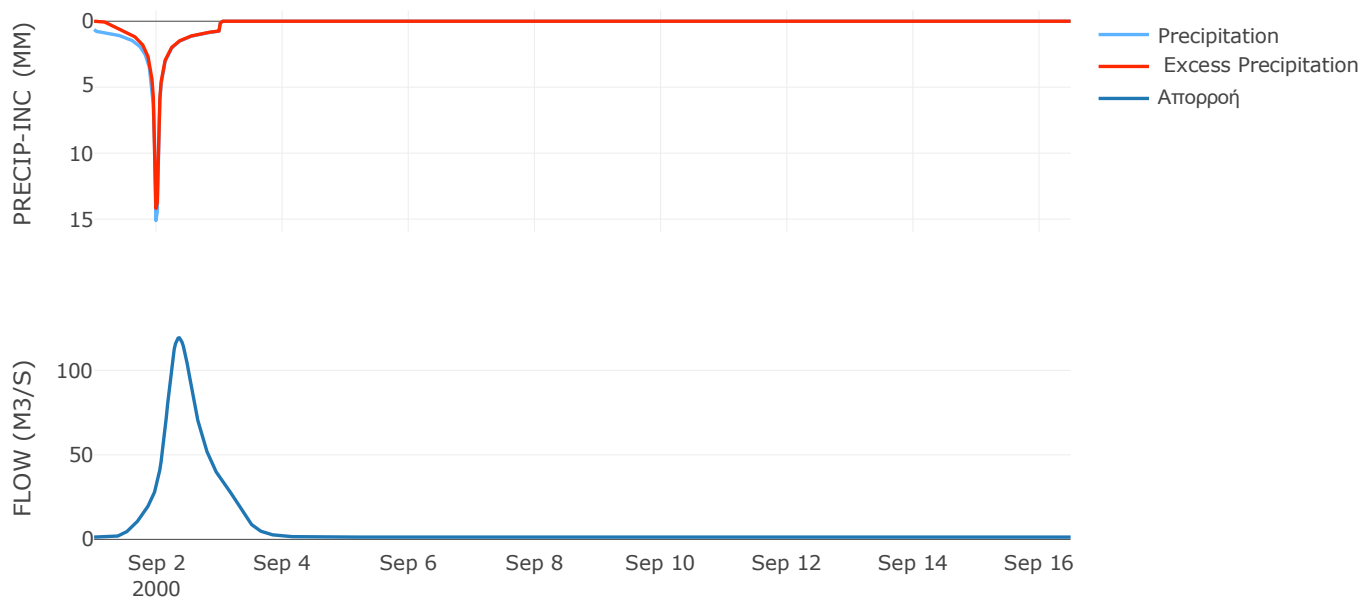
Μέθοδος
Μετασχηματισμού: SCS

Χρόνος Υστέρησης	468.27
------------------	--------

Αποτελέσματα:
EL0415FR6001

Παροχή αιχμής (M3/S)	119.28
Χρονική στιγμή αιχμής	02Sep2000, 08:30
Όγκος (MM)	203.95
Όγκος βροχόπτωσης (M3)	9.47E6
Όγκος απωλειών (M3)	1.45E6
Ενεργός Όγκος (M3)	8.02E6
Όγκος άμεσης απορροής (M3)	8.02E6
Όγκος βασικής απορροής (M3)	1.81E6

Βροχόπτωση και Απορροή



Υπολεκάνη: EL0415FR6002

Έκταση (KM2) : 27.73

Κατάντη : J2

Μέθοδος Απωλειών: SCS

Ποσοστό αδιαπέρατης επιφάνειας	0
Αριθμός Καμπύλης Απορροής-CN	90.22
Αρχικές Απώλειες	5.5

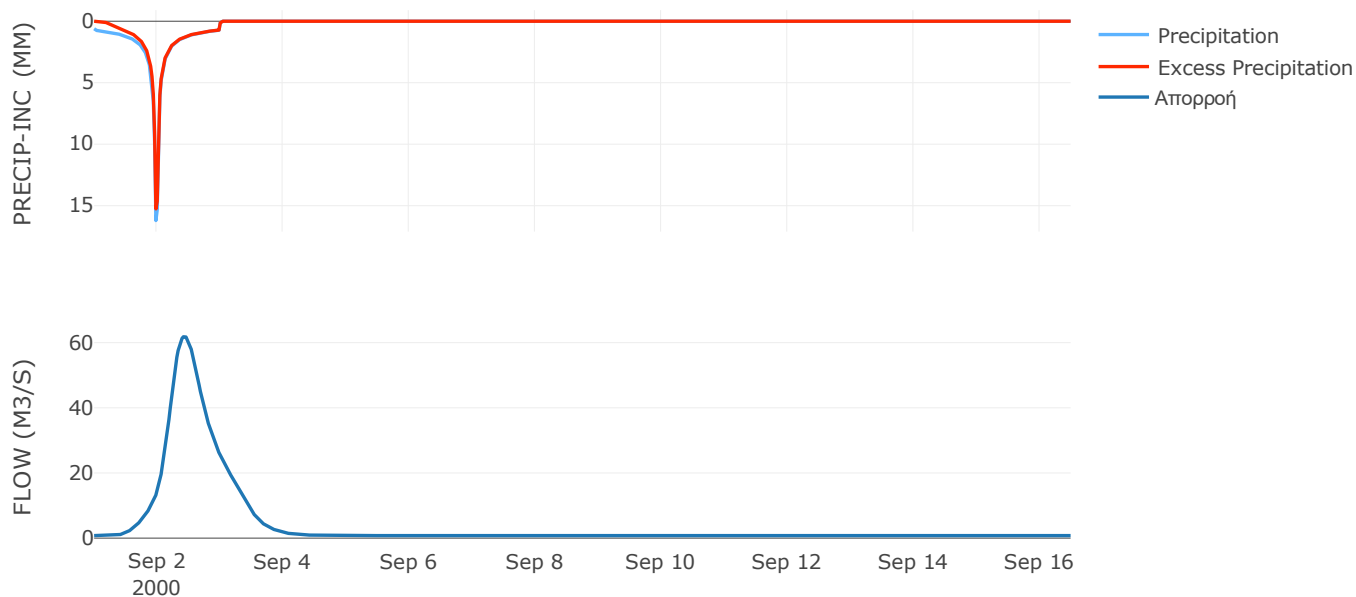
Μέθοδος
Μετασχηματισμού: SCS

Χρόνος Υστέρησης	587.17
------------------	--------

Αποτελέσματα:
EL0415FR6002

Παροχή αιχμής (M3/S)	61.95
Χρονική στιγμή αιχμής	02Sep2000, 10:30
Όγκος (MM)	205.97
Όγκος βροχόπτωσης (M3)	5.49E6
Όγκος απωλειών (M3)	8.2E5
Ενεργός Όγκος (M3)	4.67E6
Όγκος άμεσης απορροής (M3)	4.67E6
Όγκος βασικής απορροής (M3)	1.04E6

Βροχόπτωση και Απορροή



Υπολεκάνη: EL0415FR6003

Έκταση (KM2) : 27.92

Κατάντη : J3

Μέθοδος Απωλειών: SCS

Ποσοστό αδιαπέρατης επιφάνειας	0
Αριθμός Καμπύλης Απορροής-CN	88.64
Αρχικές Απώλειες	6.51

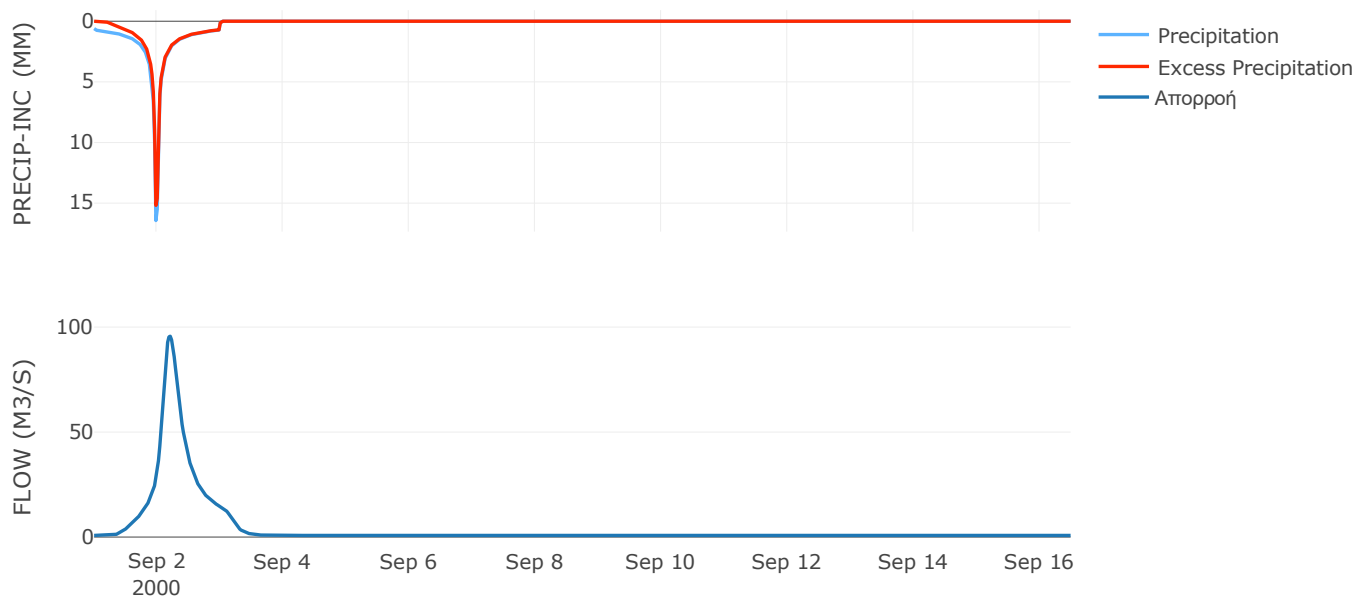
Μέθοδος
Μετασχηματισμού: SCS

Χρόνος Υστέρησης	271.9
------------------	-------

Αποτελέσματα:
EL0415FR6003

Παροχή αιχμής (M3/S)	95.63
Χρονική στιγμή αιχμής	02Sep2000, 05:00
Όγκος (MM)	201.84
Όγκος βροχόπτωσης (M3)	5.55E6
Όγκος απωλειών (M3)	9.59E5
Ενεργός Όγκος (M3)	4.59E6
Όγκος άμεσης απορροής (M3)	4.59E6
Όγκος βασικής απορροής (M3)	1.05E6

Βροχόπτωση και Απορροή



Υπολεκάνη: EL0415FR6004

Έκταση (KM2) : 22.76

Κατάντη : J4

Μέθοδος Απωλειών: SCS

Ποσοστό αδιαπέρατης επιφάνειας	0
Αριθμός Καμπύλης Απορροής-CN	86
Αρχικές Απώλειες	8.27

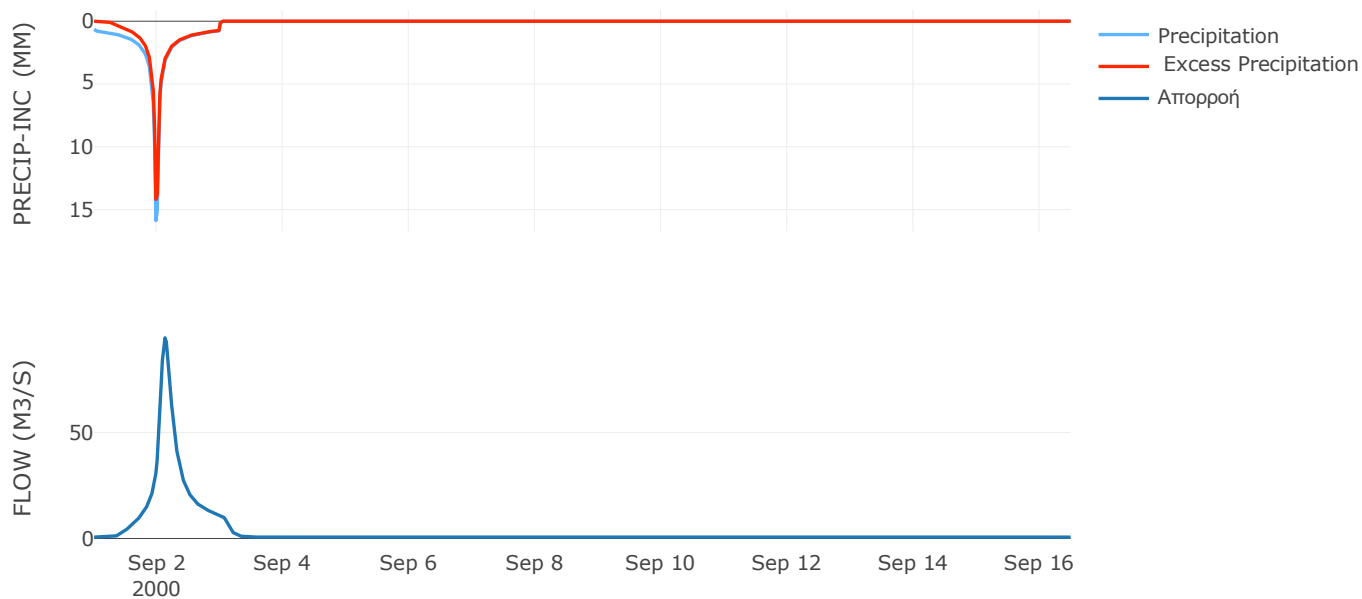
Μέθοδος
Μετασχηματισμού: SCS

Χρόνος Υστέρησης	168.29
------------------	--------

Αποτελέσματα:
EL0415FR6004

Παροχή αιχμής (M3/S)	94.65
Χρονική στιγμή αιχμής	02Sep2000, 03:00
Όγκος (MM)	196.84
Όγκος βροχόπτωσης (M3)	4.59E6
Όγκος απωλειών (M3)	9.63E5
Ενεργός Όγκος (M3)	3.63E6
Όγκος άμεσης απορροής (M3)	3.63E6
Όγκος βασικής απορροής (M3)	8.53E5

Βροχόπτωση και Απορροή



Υπολεκάνη: EL0415FR6005

Έκταση (KM2) : 10.79

Κατάντη : J5

Μέθοδος Απωλειών: SCS

Ποσοστό αδιαπέρατης επιφάνειας	0
Αριθμός Καμπύλης Απορροής-CN	91.03
Αρχικές Απώλειες	5.01

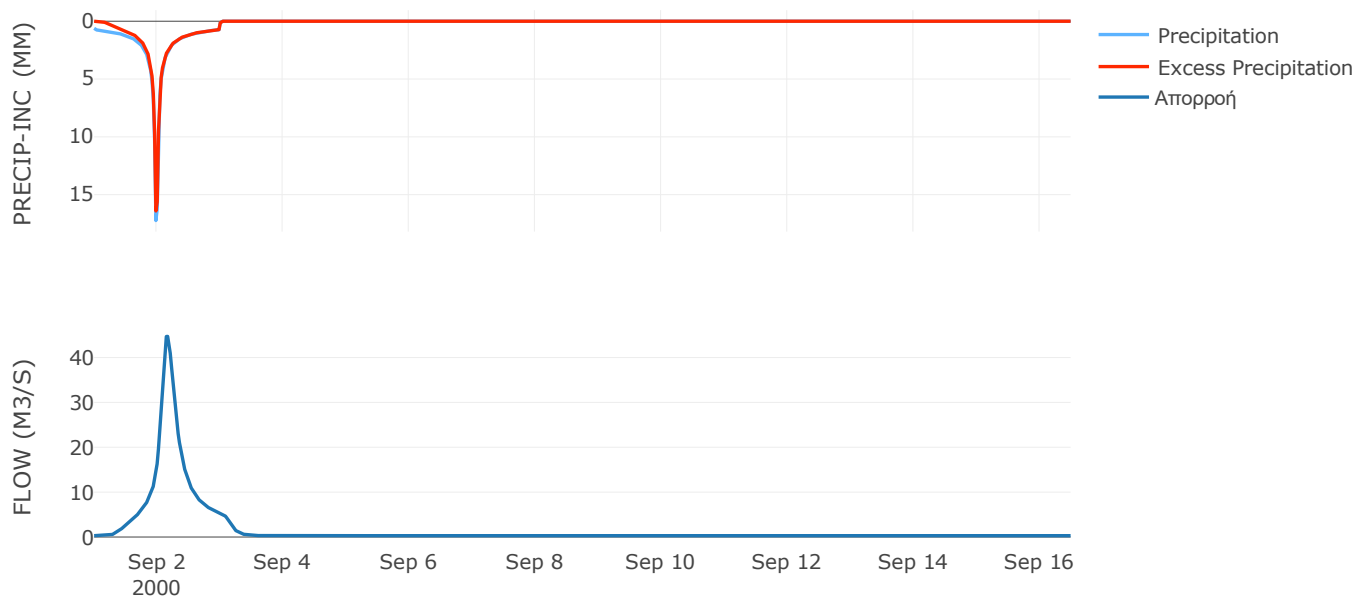
Μέθοδος
Μετασχηματισμού: SCS

Χρόνος Υστέρησης	213.81
------------------	--------

Αποτελέσματα:
EL0415FR6005

Παροχή αιχμής (M3/S)	44.71
Χρονική στιγμή αιχμής	02Sep2000, 04:00
Όγκος (MM)	214.13
Όγκος βροχόπτωσης (M3)	2.2E6
Όγκος απωλειών (M3)	2.94E5
Ενεργός Όγκος (M3)	1.91E6
Όγκος άμεσης απορροής (M3)	1.91E6
Όγκος βασικής απορροής (M3)	4.04E5

Βροχόπτωση και Απορροή



Υπολεκάνη: EL0415FR6006

Έκταση (KM2) : 20.96

Κατάντη : J5

Μέθοδος Απωλειών: SCS

Ποσοστό αδιαπέρατης επιφάνειας	0
Αριθμός Καμπύλης Απορροής-CN	82.92
Αρχικές Απώλειες	10.47

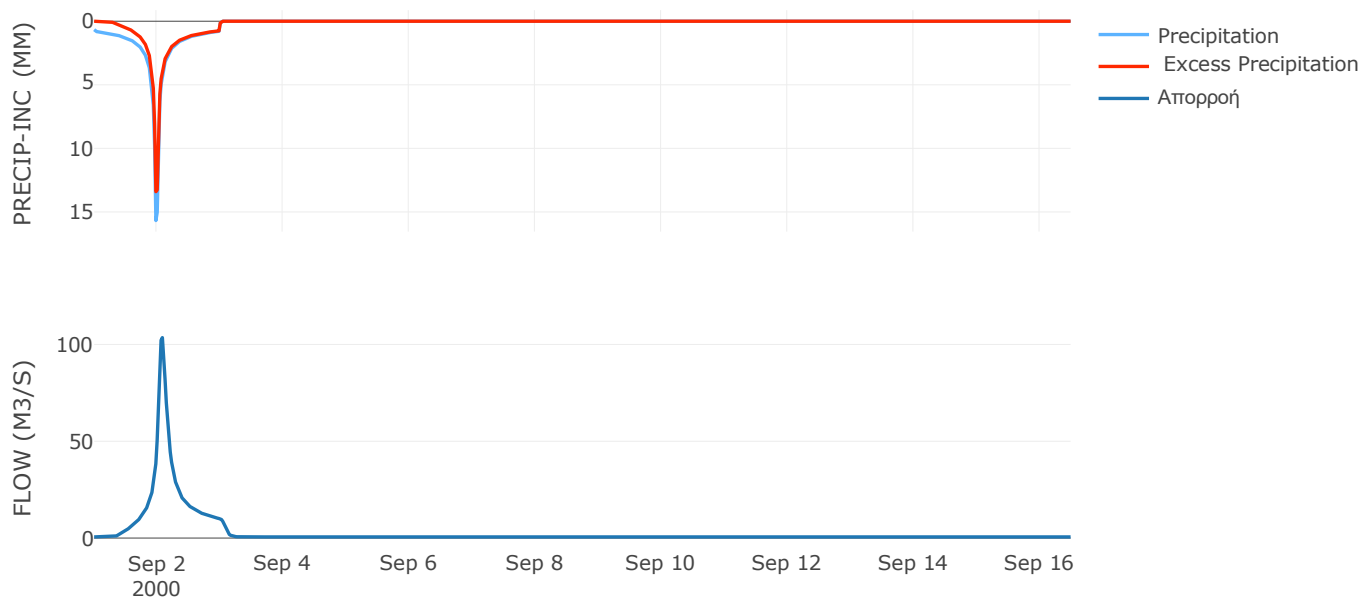
Μέθοδος
Μετασχηματισμού: SCS

Χρόνος Υστέρησης	98
------------------	----

Αποτελέσματα:
EL0415FR6006

Παροχή αιχμής (M3/S)	103.54
Χρονική στιγμή αιχμής	02Sep2000, 02:00
Όγκος (MM)	191.16
Όγκος βροχόπτωσης (M3)	4.3E6
Όγκος απωλειών (M3)	1.08E6
Ενεργός Όγκος (M3)	3.22E6
Όγκος άμεσης απορροής (M3)	3.22E6
Όγκος βασικής απορροής (M3)	7.86E5

Βροχόπτωση και Απορροή



Υπολεκάνη: EL0415FR6007

Έκταση (KM2) : 16.96

Κατάντη : J6

Μέθοδος Απωλειών: SCS

Ποσοστό αδιαπέρατης επιφάνειας	0
Αριθμός Καμπύλης Απορροής-CN	87.41
Αρχικές Απώλειες	7.32

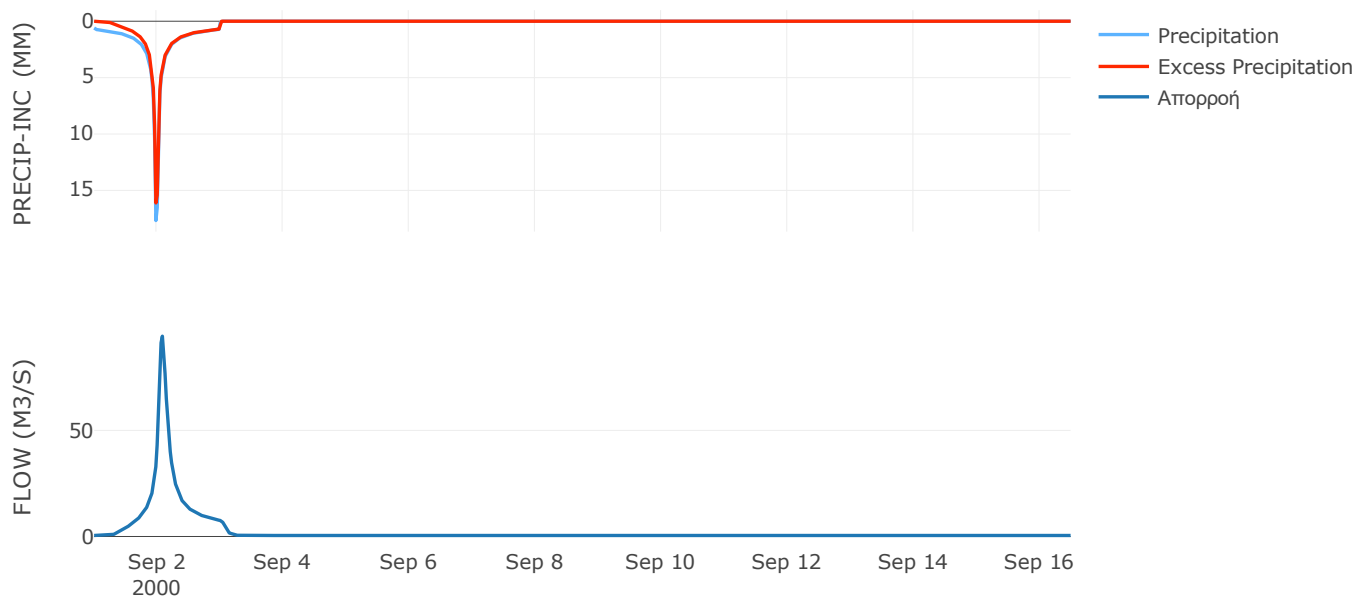
Μέθοδος
Μετασχηματισμού: SCS

Χρόνος Υστέρησης	105.13
------------------	--------

Αποτελέσματα:
EL0415FR6007

Παροχή αιχμής (M3/S)	94.42
Χρονική στιγμή αιχμής	02Sep2000, 02:00
Όγκος (MM)	202.87
Όγκος βροχόπτωσης (M3)	3.45E6
Όγκος απωλειών (M3)	6.47E5
Ενεργός Όγκος (M3)	2.81E6
Όγκος άμεσης απορροής (M3)	2.81E6
Όγκος βασικής απορροής (M3)	6.36E5

Βροχόπτωση και Απορροή



Υπολεκάνη: EL0415FR6008

Έκταση (KM2) : 24.49

Κατάντη : J6

Μέθοδος Απωλειών: SCS

Ποσοστό αδιαπέρατης επιφάνειας	0
Αριθμός Καμπύλης Απορροής-CN	91.36
Αρχικές Απώλειες	4.8

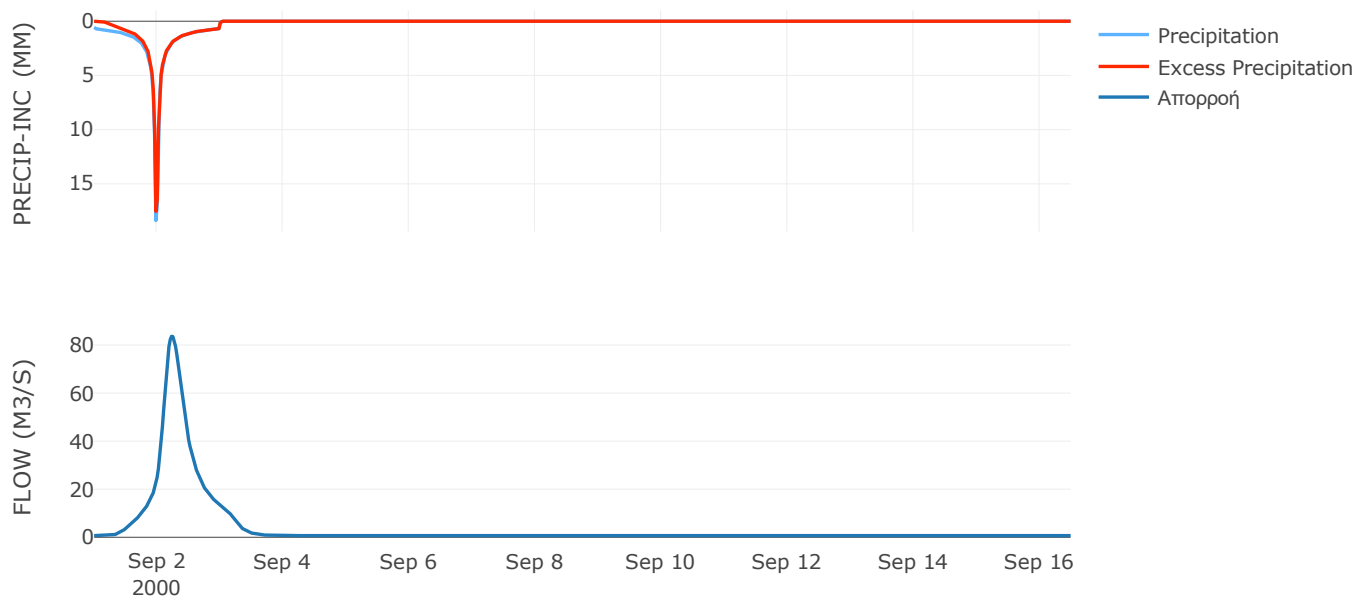
Μέθοδος
Μετασχηματισμού: SCS

Χρόνος Υστέρησης	325.39
------------------	--------

Αποτελέσματα:
EL0415FR6008

Παροχή αιχμής (M3/S)	83.61
Χρονική στιγμή αιχμής	02Sep2000, 05:30
Όγκος (MM)	213.17
Όγκος βροχόπτωσης (M3)	4.94E6
Όγκος απωλειών (M3)	6.42E5
Ενεργός Όγκος (M3)	4.3E6
Όγκος άμεσης απορροής (M3)	4.3E6
Όγκος βασικής απορροής (M3)	9.18E5

Βροχόπτωση και Απορροή



Υπολεκάνη: EL0415FR6009

Έκταση (KM2) : 22.05

Κατάντη : J7

Μέθοδος Απωλειών: SCS

Ποσοστό αδιαπέρατης επιφάνειας	41
Αριθμός Καμπύλης Απορροής-CN	89.91
Αρχικές Απώλειες	5.7

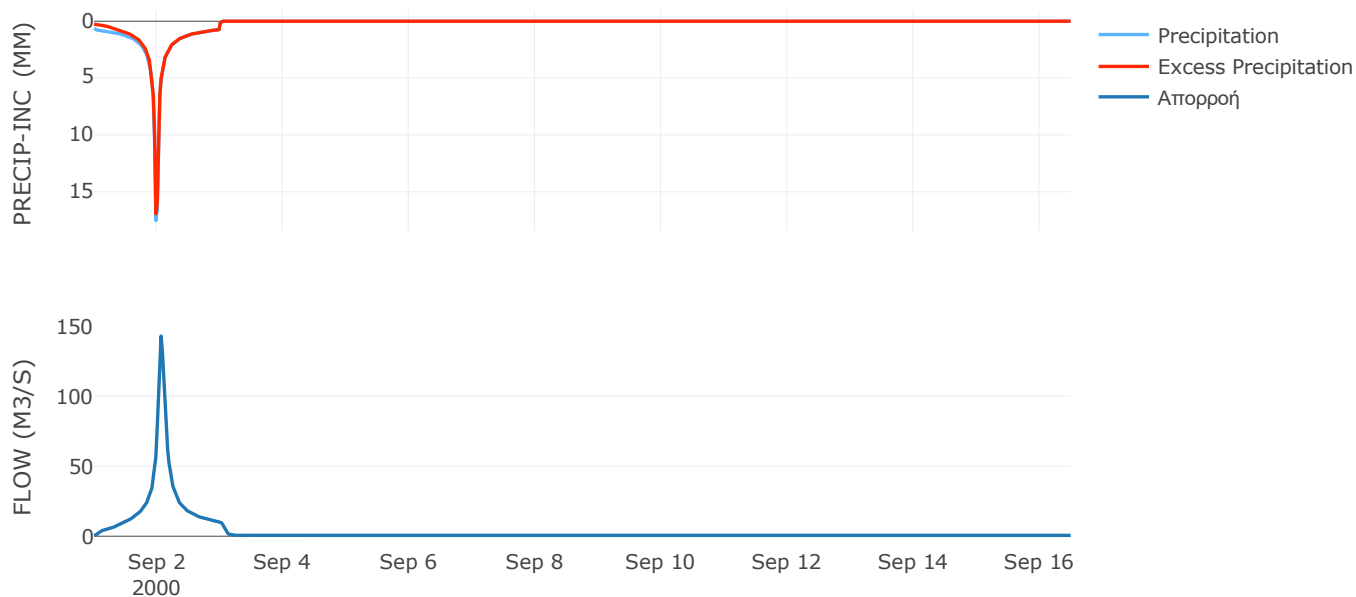
Μέθοδος
Μετασχηματισμού: SCS

Χρόνος Υστέρησης	81.31
------------------	-------

Αποτελέσματα:
EL0415FR6009

Παροχή αιχμής (M3/S)	142.99
Χρονική στιγμή αιχμής	02Sep2000, 01:30
Όγκος (MM)	226.94
Όγκος βροχόπτωσης (M3)	4.58E6
Όγκος απωλειών (M3)	3.99E5
Ενεργός Όγκος (M3)	4.18E6
Όγκος άμεσης απορροής (M3)	4.18E6
Όγκος βασικής απορροής (M3)	8.27E5

Βροχόπτωση και Απορροή



Υπολεκάνη: EL0415FR6010

Έκταση (KM2) : 10.43

Κατάντη : J9

Μέθοδος Απωλειών: SCS

Ποσοστό αδιαπέρατης επιφάνειας	0
Αριθμός Καμπύλης Απορροής-CN	84.53
Αρχικές Απώλειες	9.29

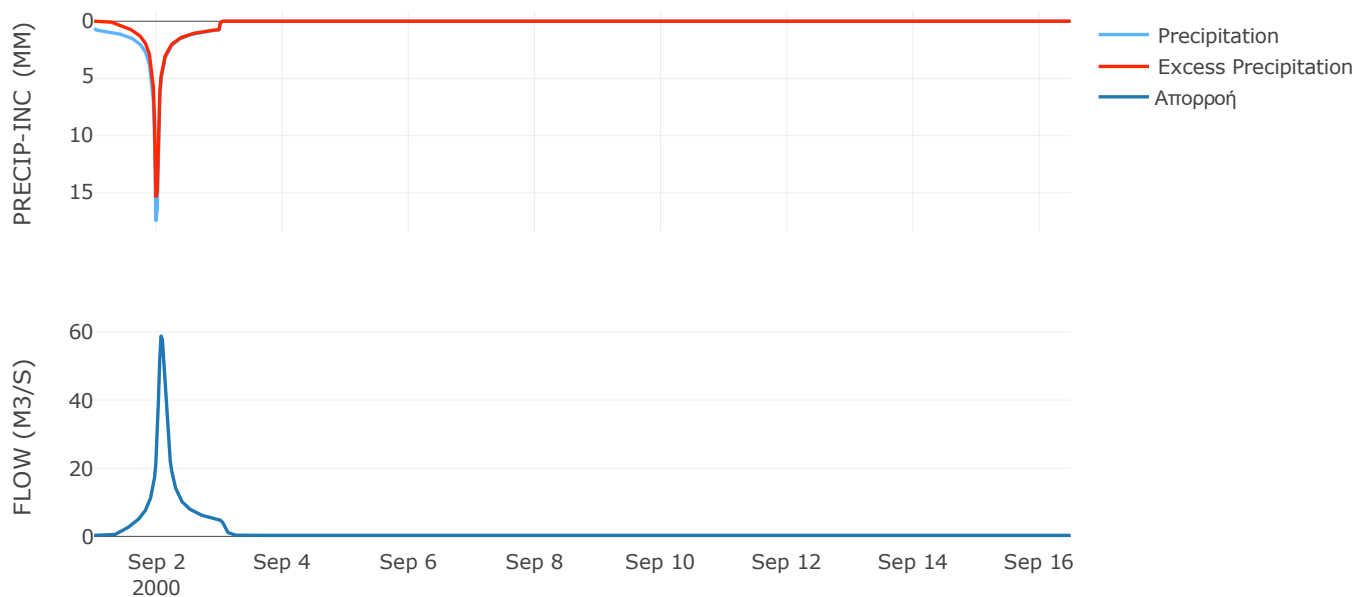
Μέθοδος
Μετασχηματισμού: SCS

Χρόνος Υστέρησης	91.4
------------------	------

Αποτελέσματα:
EL0415FR6010

Παροχή αιχμής (M3/S)	58.81
Χρονική στιγμή αιχμής	02Sep2000, 01:30
Όγκος (MM)	199.47
Όγκος βροχόπτωσης (M3)	2.18E6
Όγκος απωλειών (M3)	4.9E5
Ενεργός Όγκος (M3)	1.69E6
Όγκος άμεσης απορροής (M3)	1.69E6
Όγκος βασικής απορροής (M3)	3.91E5

Βροχόπτωση και Απορροή



Υπολεκάνη: EL0415FR6011

Έκταση (KM2) : 13.24

Κατάνη : J10

Μέθοδος Απωλειών: SCS

Ποσοστό αδιαπέρατης επιφάνειας	0
Αριθμός Καμπύλης Απορροής-CN	85.1
Αρχικές Απώλειες	8.89

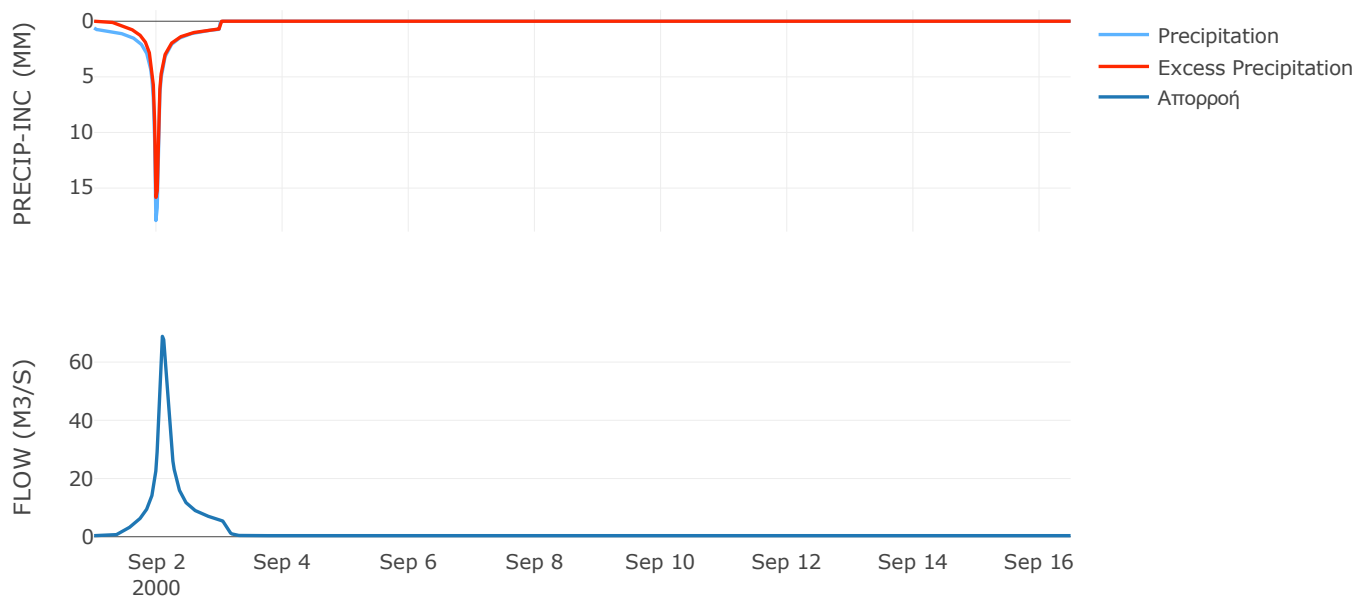
Μέθοδος
Μετασχηματισμού: SCS

Χρόνος Υστέρησης	118.86
------------------	--------

Αποτελέσματα:
EL0415FR6011

Παροχή αιχμής (M3/S)	68.85
Χρονική στιγμή αιχμής	02Sep2000, 02:00
Όγκος (MM)	198.12
Όγκος βροχόπτωσης (M3)	2.72E6
Όγκος απωλειών (M3)	5.98E5
Ενεργός Όγκος (M3)	2.13E6
Όγκος άμεσης απορροής (M3)	2.13E6
Όγκος βασικής απορροής (M3)	4.96E5

Βροχόπτωση και Απορροή



Υπολεκάνη: EL0415FR6012

Έκταση (KM2) : 11.82

Κατάνη : J11

Μέθοδος Απωλειών: SCS

Ποσοστό αδιαπέρατης επιφάνειας	0
Αριθμός Καμπύλης Απορροής-CN	74.26
Αρχικές Απώλειες	17.61

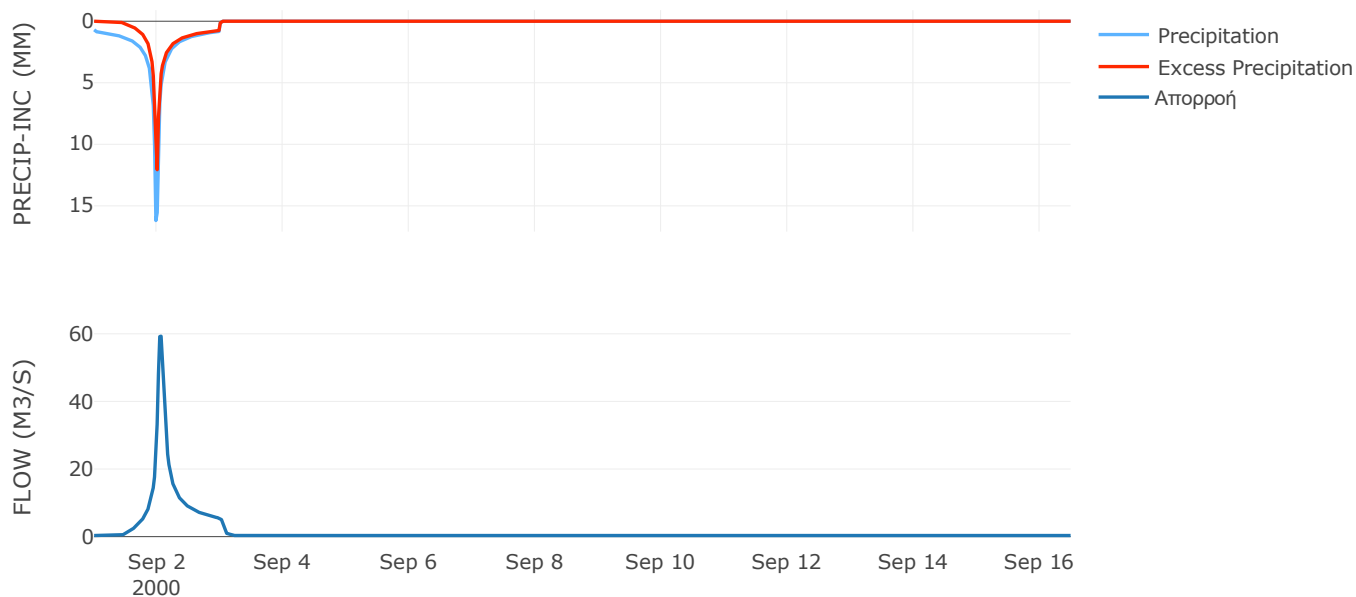
Μέθοδος
Μετασχηματισμού: SCS

Χρόνος Υστέρησης	64.09
------------------	-------

Αποτελέσματα:
EL0415FR6012

Παροχή αιχμής (M3/S)	59.28
Χρονική στιγμή αιχμής	02Sep2000, 01:30
Όγκος (MM)	173.07
Όγκος βροχόπτωσης (M3)	2.53E6
Όγκος απωλειών (M3)	9.27E5
Ενεργός Όγκος (M3)	1.6E6
Όγκος άμεσης απορροής (M3)	1.6E6
Όγκος βασικής απορροής (M3)	4.43E5

Βροχόπτωση και Απορροή



Υπολεκάνη: EL0415FR6013

Έκταση (KM2) : 37.65

Κατάντη : J12

Μέθοδος Απωλειών: SCS

Ποσοστό αδιαπέρατης επιφάνειας	0
Αριθμός Καμπύλης Απορροής-CN	74.85
Αρχικές Απώλειες	17.07

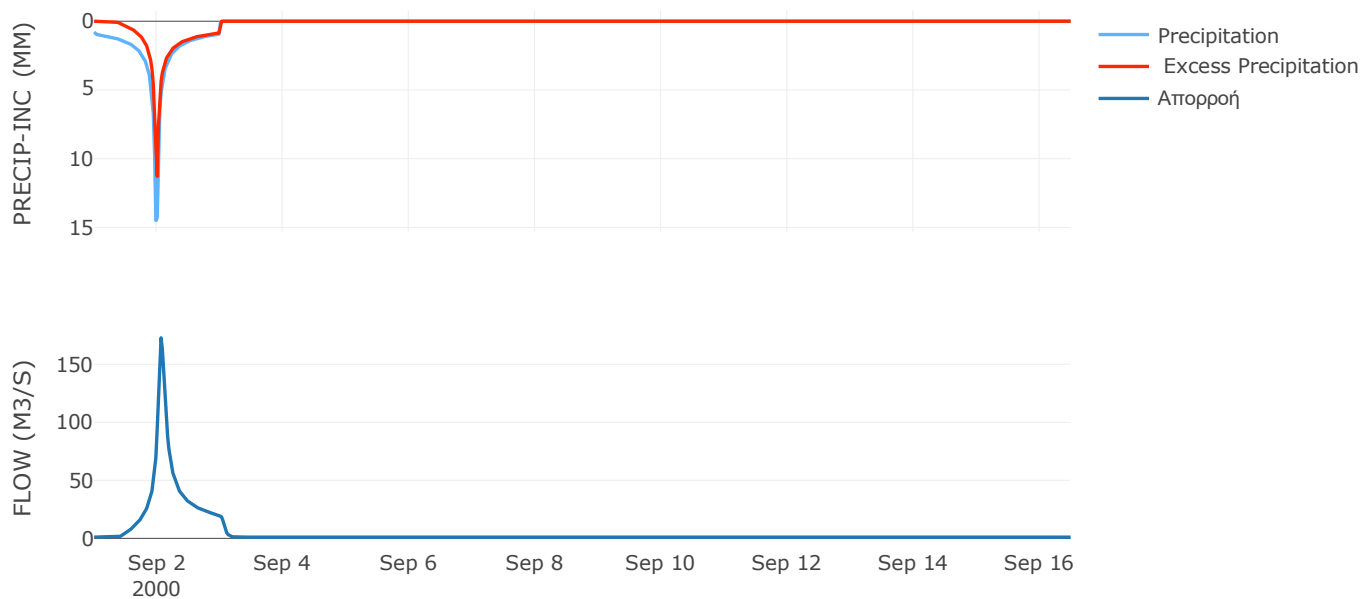
Μέθοδος
Μετασχηματισμού: SCS

Χρόνος Υστέρησης	78.37
------------------	-------

Αποτελέσματα:
EL0415FR6013

Παροχή αιχμής (M3/S)	172.76
Χρονική στιγμή αιχμής	02Sep2000, 01:30
Όγκος (MM)	181.04
Όγκος βροχόπτωσης (M3)	8.31E6
Όγκος απωλειών (M3)	2.91E6
Ενεργός Όγκος (M3)	5.4E6
Όγκος άμεσης απορροής (M3)	5.4E6
Όγκος βασικής απορροής (M3)	1.41E6

Βροχόπτωση και Απορροή



Υπολεκάνη: EL0415FR6014

Έκταση (KM2) : 17.43

Κατάντη : J8

Μέθοδος Απωλειών: SCS

Ποσοστό αδιαπέρατης επιφάνειας	0
Αριθμός Καμπύλης Απορροής-CN	90.98
Αρχικές Απώλειες	5.03

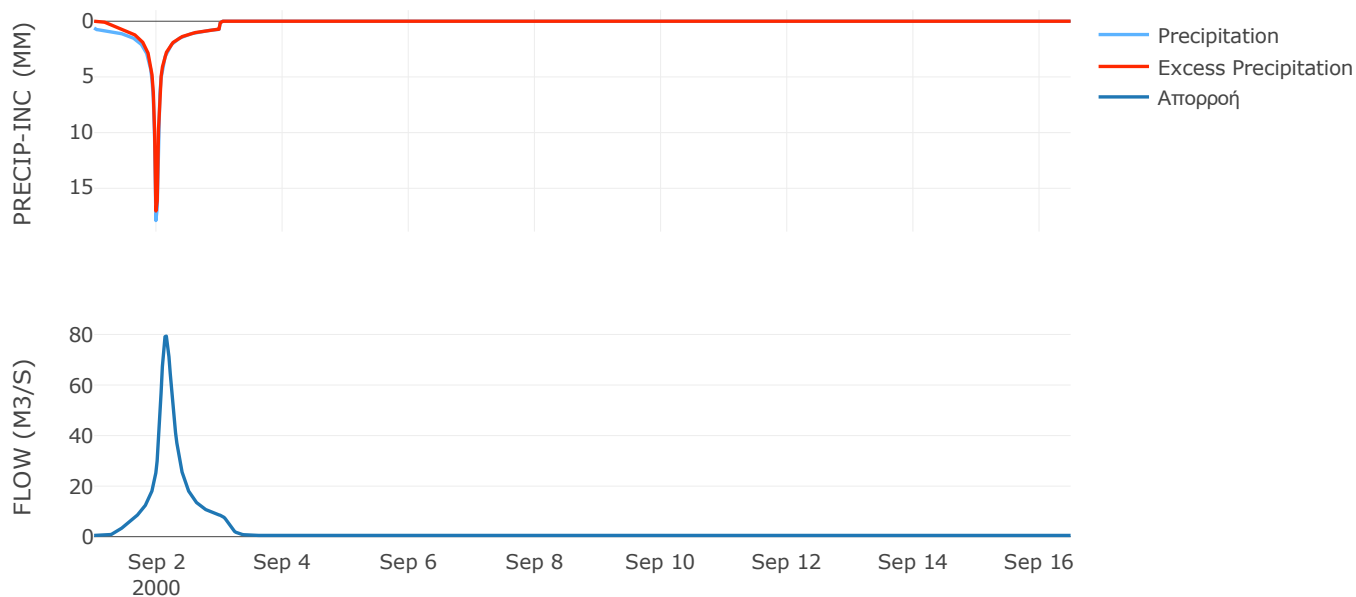
Μέθοδος
Μετασχηματισμού: SCS

Χρόνος Υστέρησης	186.26
------------------	--------

Αποτελέσματα:
EL0415FR6014

Παροχή αιχμής (M3/S)	79.33
Χρονική στιγμή αιχμής	02Sep2000, 03:30
Όγκος (MM)	216.17
Όγκος βροχόπτωσης (M3)	3.59E6
Όγκος απωλειών (M3)	4.78E5
Ενεργός Όγκος (M3)	3.11E6
Όγκος άμεσης απορροής (M3)	3.11E6
Όγκος βασικής απορροής (M3)	6.54E5

Βροχόπτωση και Απορροή



Υπολεκάνη: EL0415FR6015

Έκταση (KM2) : 9.94

Κατάντη : J8

Μέθοδος Απωλειών: SCS

Ποσοστό αδιαπέρατης επιφάνειας	0
Αριθμός Καμπύλης Απορροής-CN	92.63
Αρχικές Απώλειες	4.04

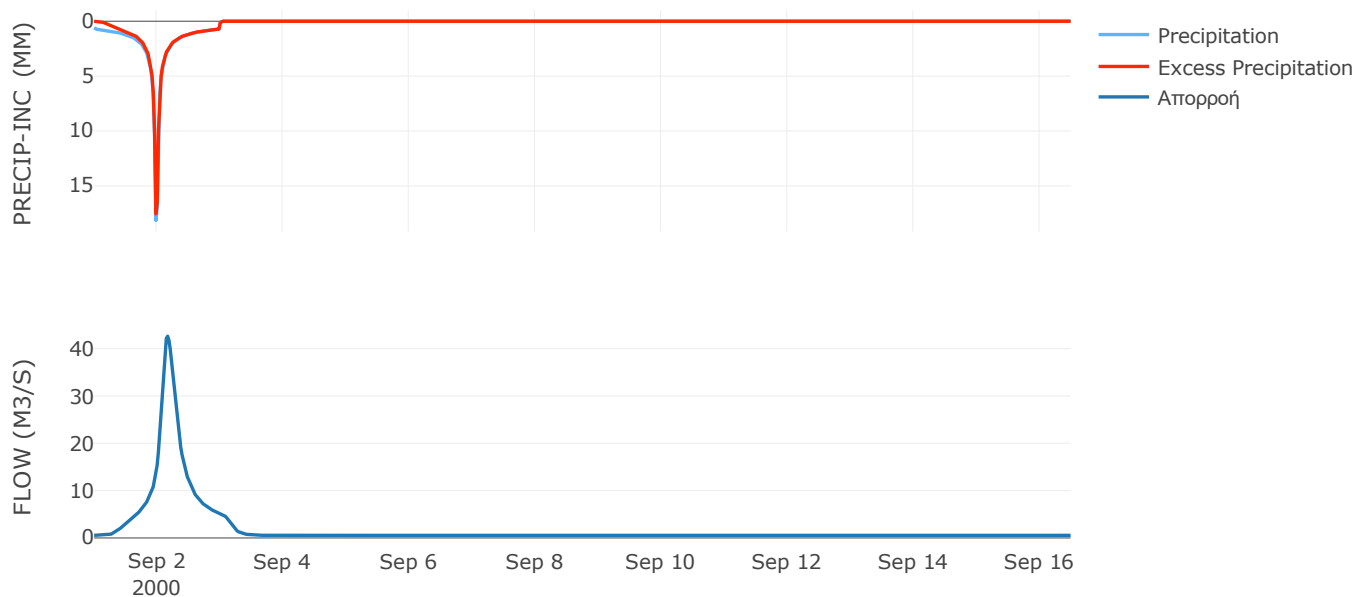
Μέθοδος
Μετασχηματισμού: SCS

Χρόνος Υστέρησης	223.65
------------------	--------

Αποτελέσματα:
EL0415FR6015

Παροχή αιχμής (M3/S)	42.62
Χρονική στιγμή αιχμής	02Sep2000, 04:00
Όγκος (MM)	256.57
Όγκος βροχόπτωσης (M3)	2.04E6
Όγκος απωλειών (M3)	2.23E5
Ενεργός Όγκος (M3)	1.82E6
Όγκος άμεσης απορροής (M3)	1.82E6
Όγκος βασικής απορροής (M3)	7.32E5

Βροχόπτωση και Απορροή



Υπολεκάνη: EL0415FR6016

Έκταση (KM2) : 45.09

Κατάνη : J13 Res1

Μέθοδος Απωλειών: SCS

Ποσοστό αδιαπέρατης επιφάνειας	14
Αριθμός Καμπύλης Απορροής-CN	92.4
Αρχικές Απώλειες	4.18

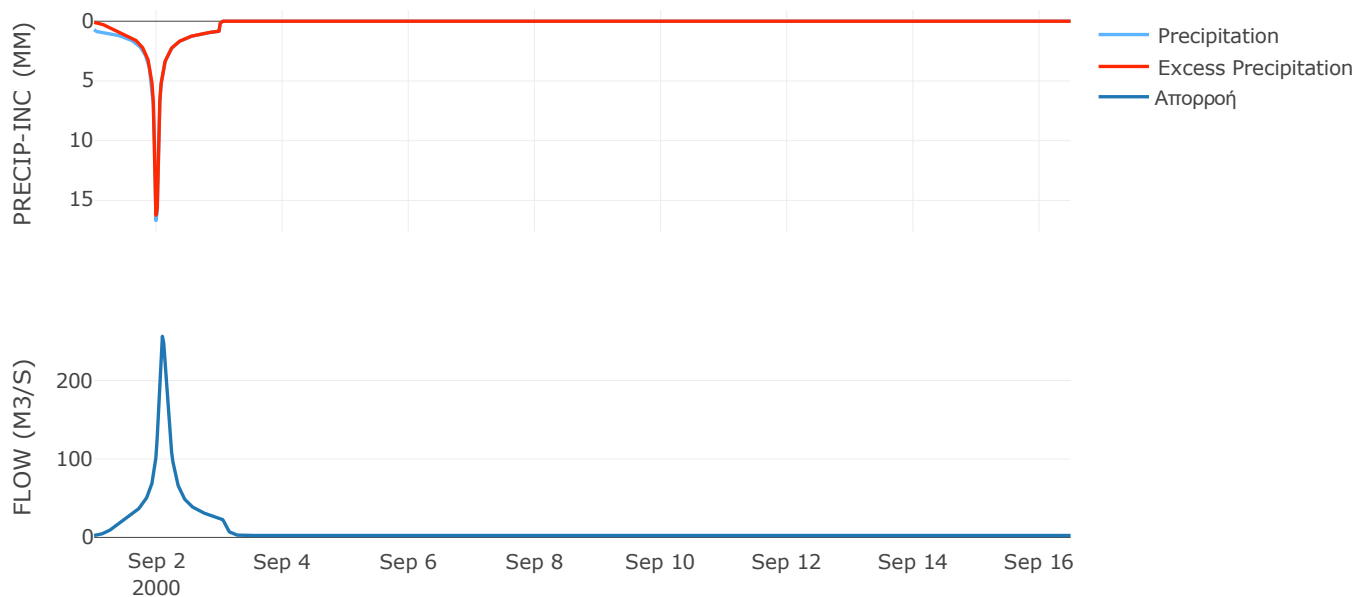
Μέθοδος
Μετασχηματισμού: SCS

Χρόνος Υστέρησης	114.74
------------------	--------

Αποτελέσματα:
EL0415FR6016

Παροχή αιχμής (M3/S)	256.4
Χρονική στιγμή αιχμής	02Sep2000, 02:00
Όγκος (MM)	271.93
Όγκος βροχόπτωσης (M3)	9.84E6
Όγκος απωλειών (M3)	9.01E5
Ενεργός Όγκος (M3)	8.94E6
Όγκος άμεσης απορροής (M3)	8.94E6
Όγκος βασικής απορροής (M3)	3.32E6

Βροχόπτωση και Απορροή



Υπολεκάνη: EL0415FR6017

Έκταση (KM2) : 48.36

Κατάντη : J14

Μέθοδος Απωλειών: SCS

Ποσοστό αδιαπέρατης επιφάνειας	0
Αριθμός Καμπύλης Απορροής-CN	90.45
Αρχικές Απώλειες	5.37

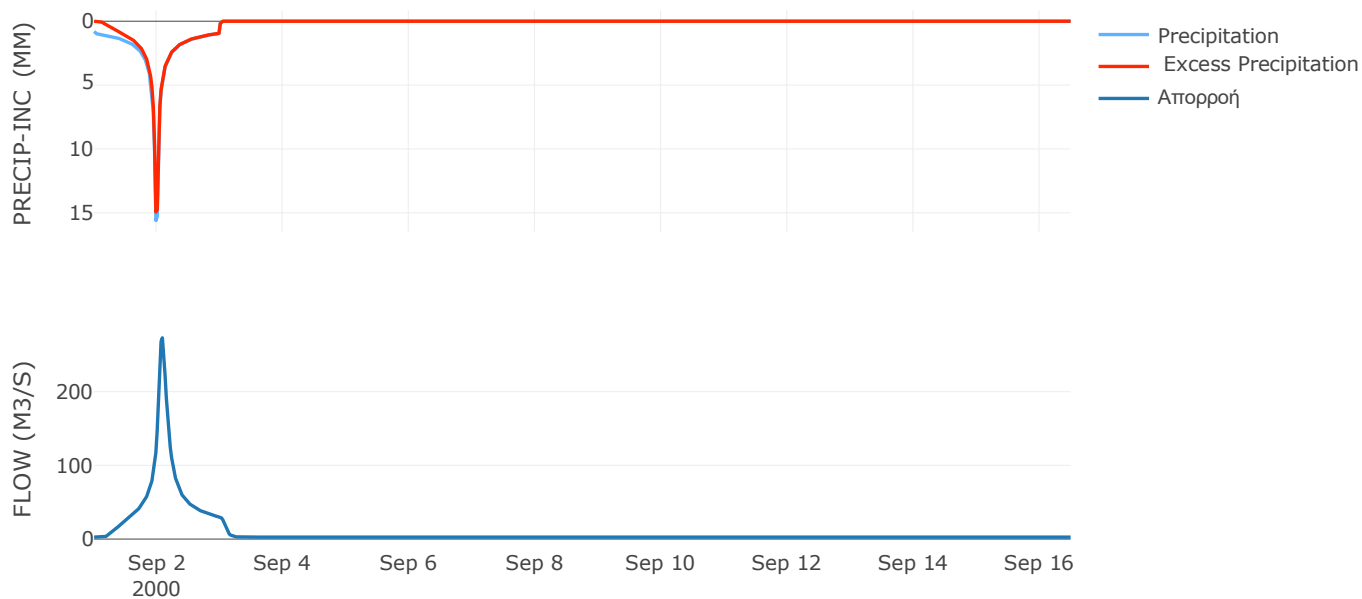
Μέθοδος
Μετασχηματισμού: SCS

Χρόνος Υστέρησης	101.85
------------------	--------

Αποτελέσματα:
EL0415FR6017

Παροχή αιχμής (M3/S)	273.16
Χρονική στιγμή αιχμής	02Sep2000, 02:00
Όγκος (MM)	274.58
Όγκος βροχόπτωσης (M3)	1.11E7
Όγκος απωλειών (M3)	1.42E6
Ενεργός Όγκος (M3)	9.72E6
Όγκος άμεσης απορροής (M3)	9.72E6
Όγκος βασικής απορροής (M3)	3.56E6

Βροχόπτωση και Απορροή



Υπολεκάνη: EL0415FR6018

Έκταση (KM2) : 76.58

Κατάντη : J19

Μέθοδος Απωλειών: SCS

Ποσοστό αδιαπέρατης επιφάνειας	8
Αριθμός Καμπύλης Απορροής-CN	91.74
Αρχικές Απώλειες	4.57

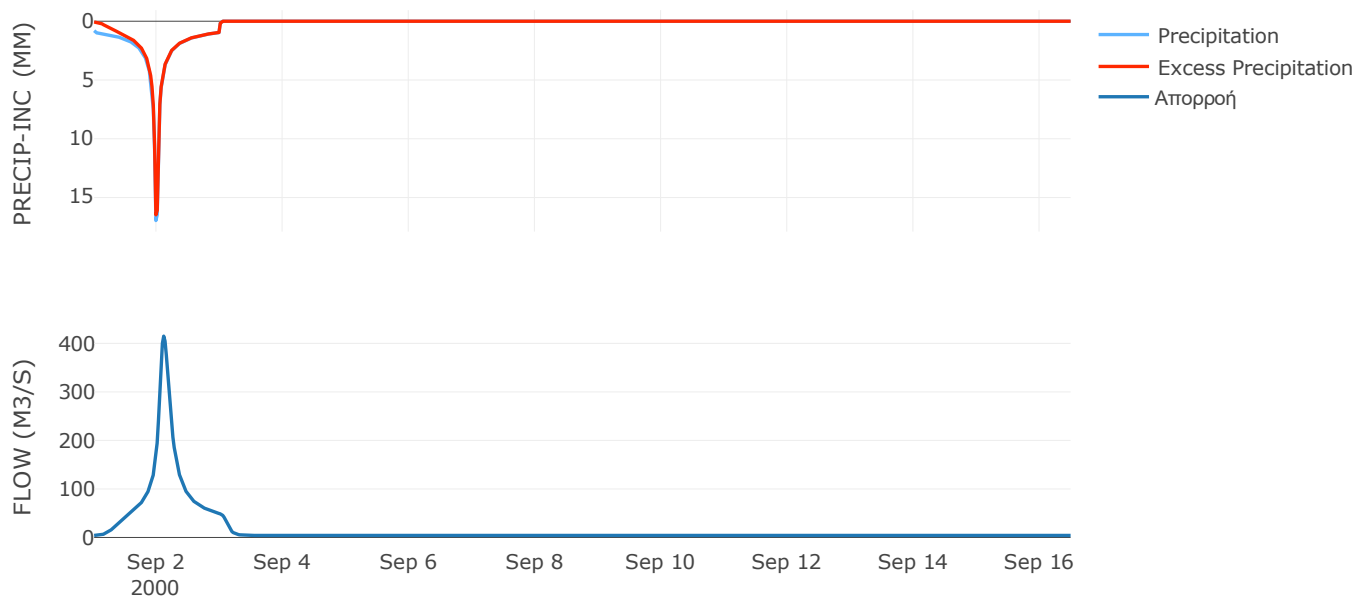
Μέθοδος
Μετασχηματισμού: SCS

Χρόνος Υστέρησης	142.89
------------------	--------

Αποτελέσματα:
EL0415FR6018

Παροχή αιχμής (M3/S)	414.98
Χρονική στιγμή αιχμής	02Sep2000, 02:30
Όγκος (MM)	288.36
Όγκος βροχόπτωσης (M3)	1.82E7
Όγκος απωλειών (M3)	1.79E6
Ενεργός Όγκος (M3)	1.64E7
Όγκος άμεσης απορροής (M3)	1.64E7
Όγκος βασικής απορροής (M3)	5.64E6

Βροχόπτωση και Απορροή



Υπολεκάνη: EL0415FR6019

Έκταση (KM2) : 114.28

Κατάντη : J18

Μέθοδος Απωλειών: SCS

Ποσοστό αδιαπέρατης επιφάνειας	4
Αριθμός Καμπύλης Απορροής-CN	89.6
Αρχικές Απώλειες	5.9

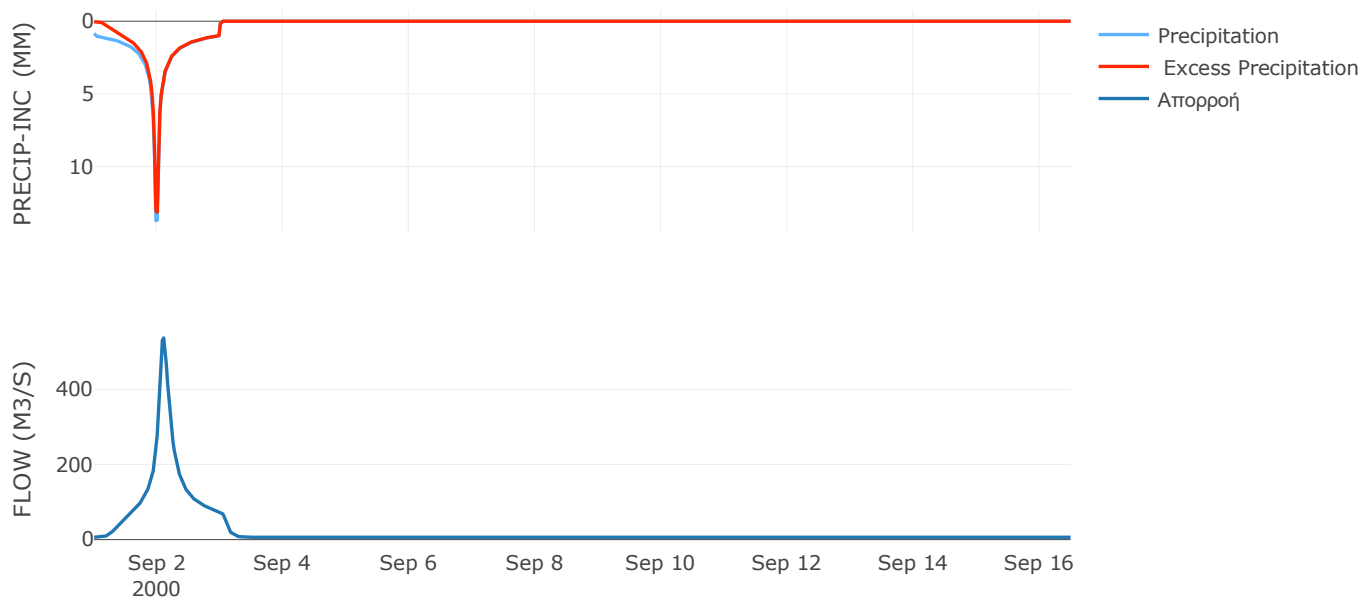
Μέθοδος
Μετασχηματισμού: SCS

Χρόνος Υστέρησης	130.24
------------------	--------

Αποτελέσματα:
EL0415FR6019

Παροχή αιχμής (M3/S)	537.15
Χρονική στιγμή αιχμής	02Sep2000, 02:30
Όγκος (MM)	268.72
Όγκος βροχόπτωσης (M3)	2.58E7
Όγκος απωλειών (M3)	3.5E6
Ενεργός Όγκος (M3)	2.23E7
Όγκος άμεσης απορροής (M3)	2.23E7
Όγκος βασικής απορροής (M3)	8.42E6

Βροχόπτωση και Απορροή



Υπολεκάνη: EL0415FR6020

Έκταση (KM2) : 41.91

Κατάντη : J14

Μέθοδος Απωλειών: SCS

Ποσοστό αδιαπέρατης επιφάνειας	0
Αριθμός Καμπύλης Απορροής-CN	90.65
Αρχικές Απώλειες	5.24

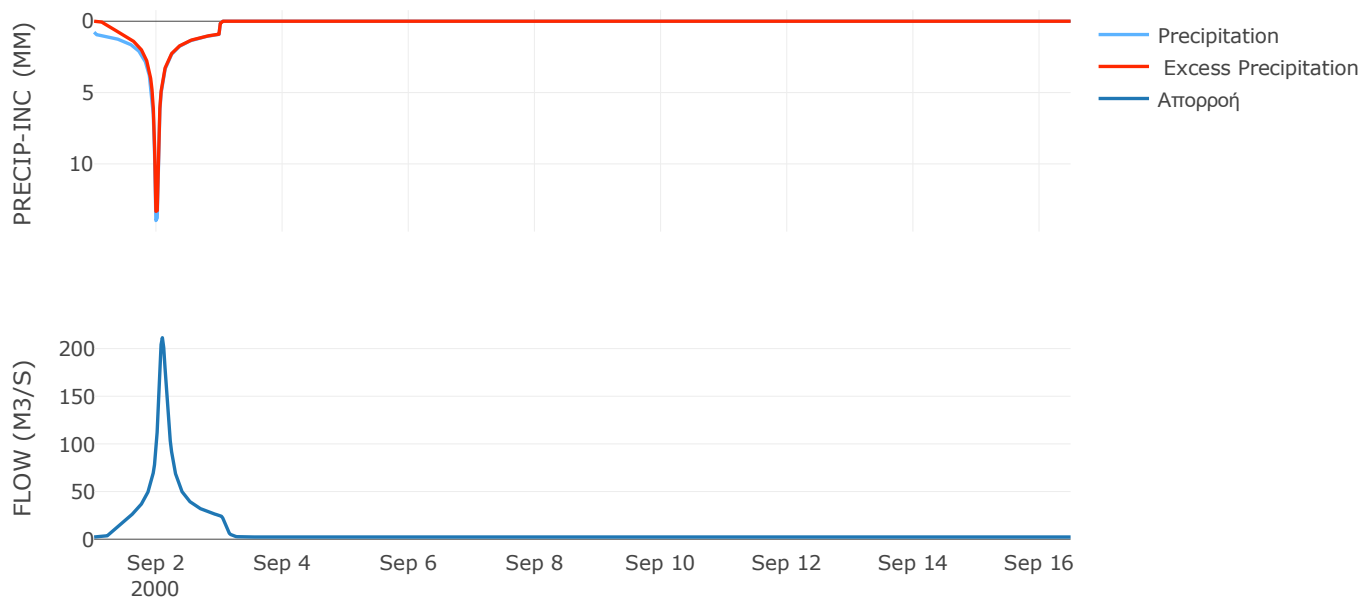
Μέθοδος
Μετασχηματισμού: SCS

Χρόνος Υστέρησης	107.29
------------------	--------

Αποτελέσματα:
EL0415FR6020

Παροχή αιχμής (M3/S)	211.43
Χρονική στιγμή αιχμής	02Sep2000, 02:00
Όγκος (MM)	260.19
Όγκος βροχόπτωσης (M3)	9.01E6
Όγκος απωλειών (M3)	1.2E6
Ενεργός Όγκος (M3)	7.82E6
Όγκος άμεσης απορροής (M3)	7.82E6
Όγκος βασικής απορροής (M3)	3.09E6

Βροχόπτωση και Απορροή



Υπολεκάνη: EL0415FR6021

Έκταση (KM2) : 21.44

Κατάντη : J20

Μέθοδος Απωλειών: SCS

Ποσοστό αδιαπέρατης επιφάνειας	0
Αριθμός Καμπύλης Απορροής-CN	90.61
Αρχικές Απώλειες	5.26

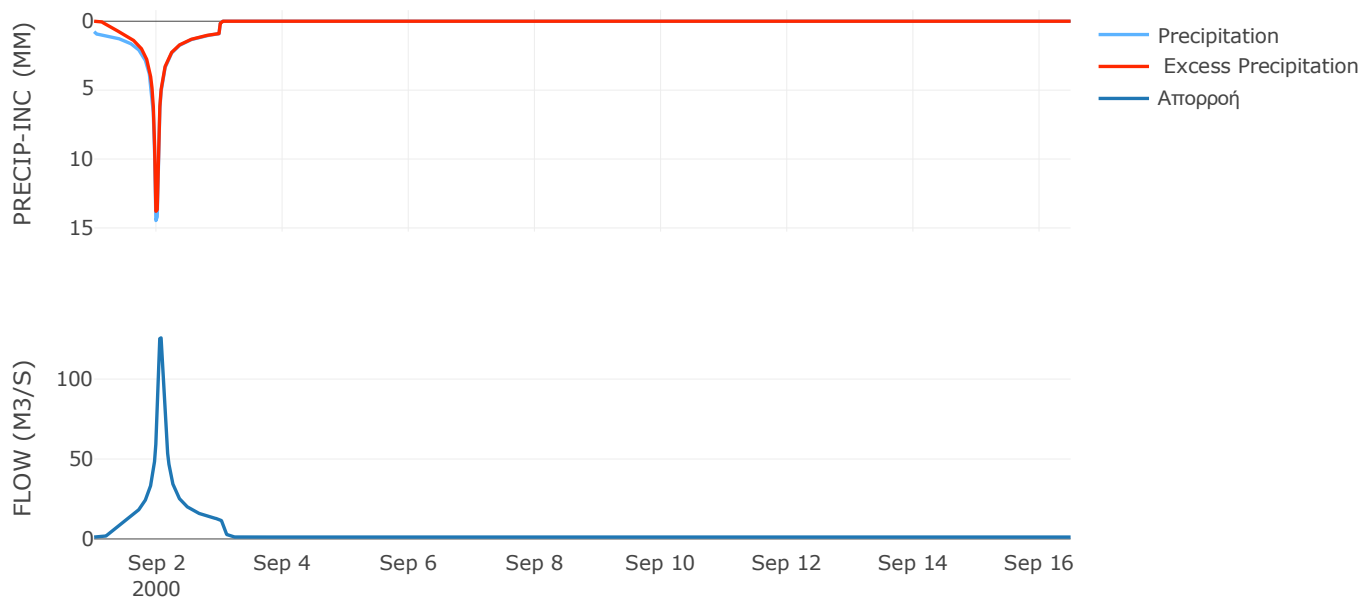
Μέθοδος
Μετασχηματισμού: SCS

Χρόνος Υστέρησης	68.08
------------------	-------

Αποτελέσματα:
EL0415FR6021

Παροχή αιχμής (M3/S)	125.74
Χρονική στιγμή αιχμής	02Sep2000, 01:30
Όγκος (MM)	260.83
Όγκος βροχόπτωσης (M3)	4.63E6
Όγκος απωλειών (M3)	6.14E5
Ενεργός Όγκος (M3)	4.01E6
Όγκος άμεσης απορροής (M3)	4.01E6
Όγκος βασικής απορροής (M3)	1.58E6

Βροχόπτωση και Απορροή



Υπολεκάνη: EL0415FR6022

Έκταση (KM2) : 28.16

Κατάντη : J20

Μέθοδος Απωλειών: SCS

Ποσοστό αδιαπέρατης επιφάνειας	0
Αριθμός Καμπύλης Απορροής-CN	90.97
Αρχικές Απώλειες	5.05

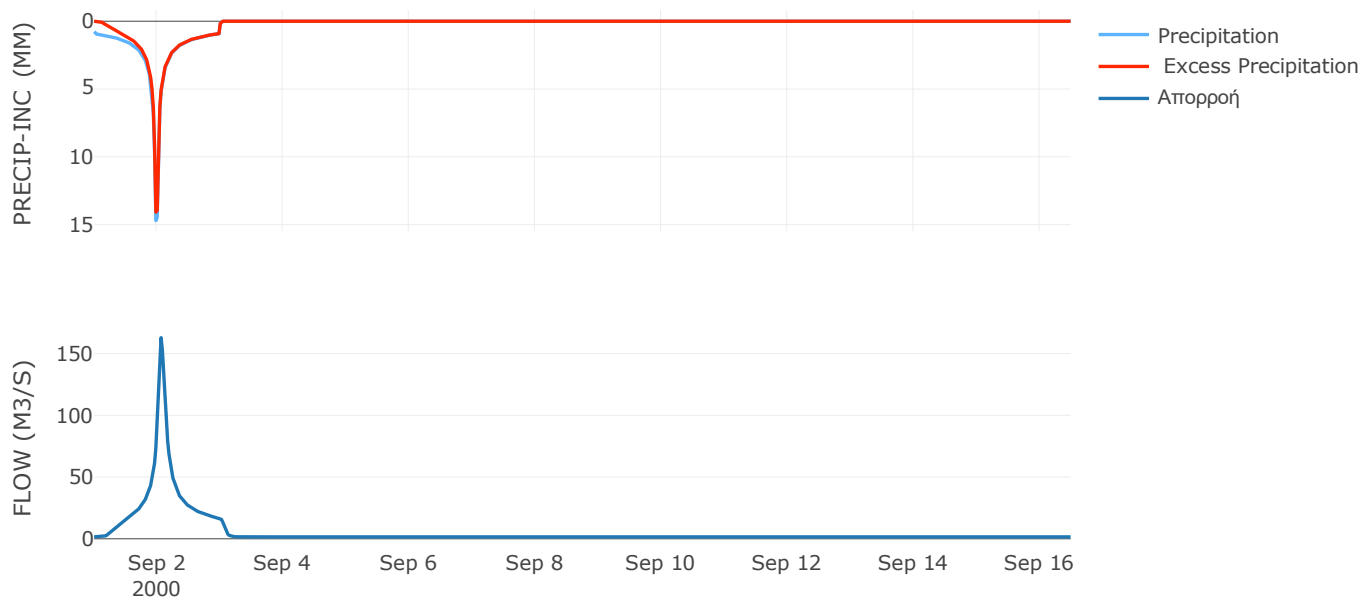
Μέθοδος
Μετασχηματισμού: SCS

Χρόνος Υστέρησης	81.25
------------------	-------

Αποτελέσματα:
EL0415FR6022

Παροχή αιχμής (M3/S)	162.86
Χρονική στιγμή αιχμής	02Sep2000, 01:30
Όγκος (MM)	265.92
Όγκος βροχόπτωσης (M3)	6.19E6
Όγκος απωλειών (M3)	7.78E5
Ενεργός Όγκος (M3)	5.41E6
Όγκος άμεσης απορροής (M3)	5.41E6
Όγκος βασικής απορροής (M3)	2.07E6

Βροχόπτωση και Απορροή



Υπολεκάνη: EL0415FR6023

Έκταση (KM2) : 48.62

Κατάντη : J61

Μέθοδος Απωλειών: SCS

Ποσοστό αδιαπέρατης επιφάνειας	0
Αριθμός Καμπύλης Απορροής-CN	87.38
Αρχικές Απώλειες	7.34

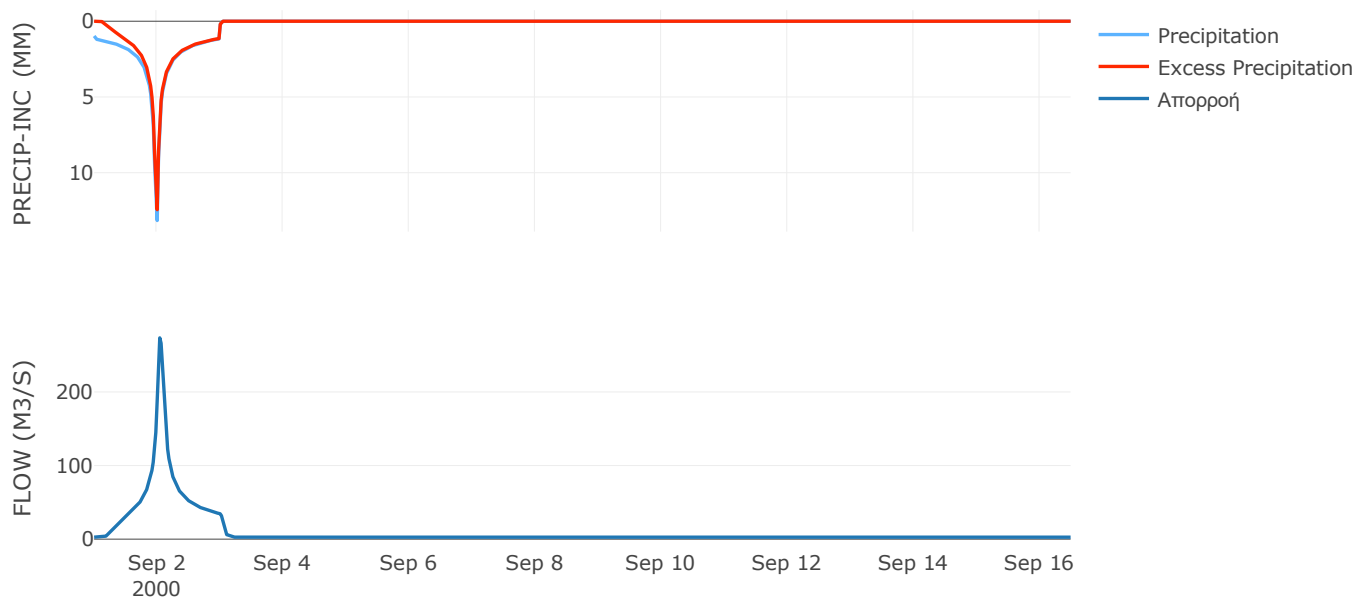
Μέθοδος
Μετασχηματισμού: SCS

Χρόνος Υστέρησης	61.05
------------------	-------

Αποτελέσματα:
EL0415FR6023

Παροχή αιχμής (M3/S)	273.46
Χρονική στιγμή αιχμής	02Sep2000, 01:00
Όγκος (MM)	277.2
Όγκος βροχόπτωσης (M3)	1.18E7
Όγκος απωλειών (M3)	1.9E6
Ενεργός Όγκος (M3)	9.9E6
Όγκος άμεσης απορροής (M3)	9.9E6
Όγκος βασικής απορροής (M3)	3.58E6

Βροχόπτωση και Απορροή



Υπολεκάνη: EL0415FR6024

Έκταση (KM2) : 39.41

Κατάντη : J16

Μέθοδος Απωλειών: SCS

Ποσοστό αδιαπέρατης επιφάνειας	0
Αριθμός Καμπύλης Απορροής-CN	90.74
Αρχικές Απώλειες	5.19

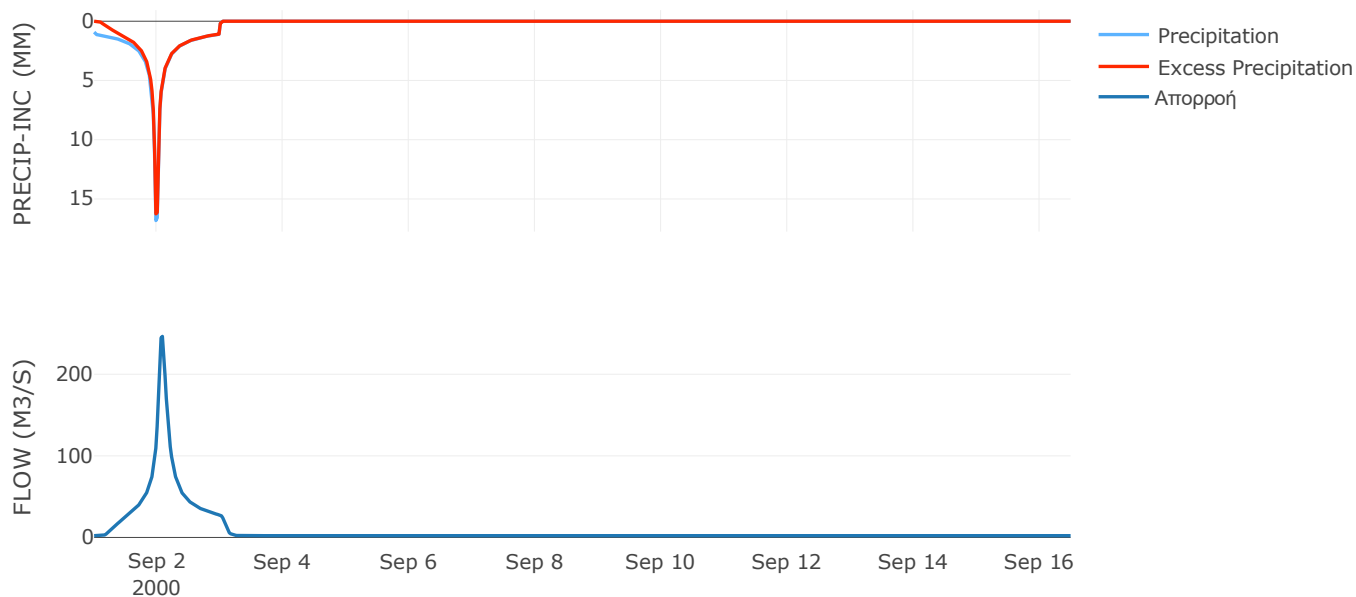
Μέθοδος
Μετασχηματισμού: SCS

Χρόνος Υστέρησης	99.09
------------------	-------

Αποτελέσματα:
EL0415FR6024

Παροχή αιχμής (M3/S)	246.44
Χρονική στιγμή αιχμής	02Sep2000, 02:00
Όγκος (MM)	302.66
Όγκος βροχόπτωσης (M3)	1.02E7
Όγκος απωλειών (M3)	1.13E6
Ενεργός Όγκος (M3)	9.03E6
Όγκος άμεσης απορροής (M3)	9.03E6
Όγκος βασικής απορροής (M3)	2.9E6

Βροχόπτωση και Απορροή



Υπολεκάνη: EL0415FR6025

Έκταση (KM2) : 14.18

Κατάντη : J21

Μέθοδος Απωλειών: SCS

Ποσοστό αδιαπέρατης επιφάνειας	0
Αριθμός Καμπύλης Απορροής-CN	90.21
Αρχικές Απώλειες	5.51

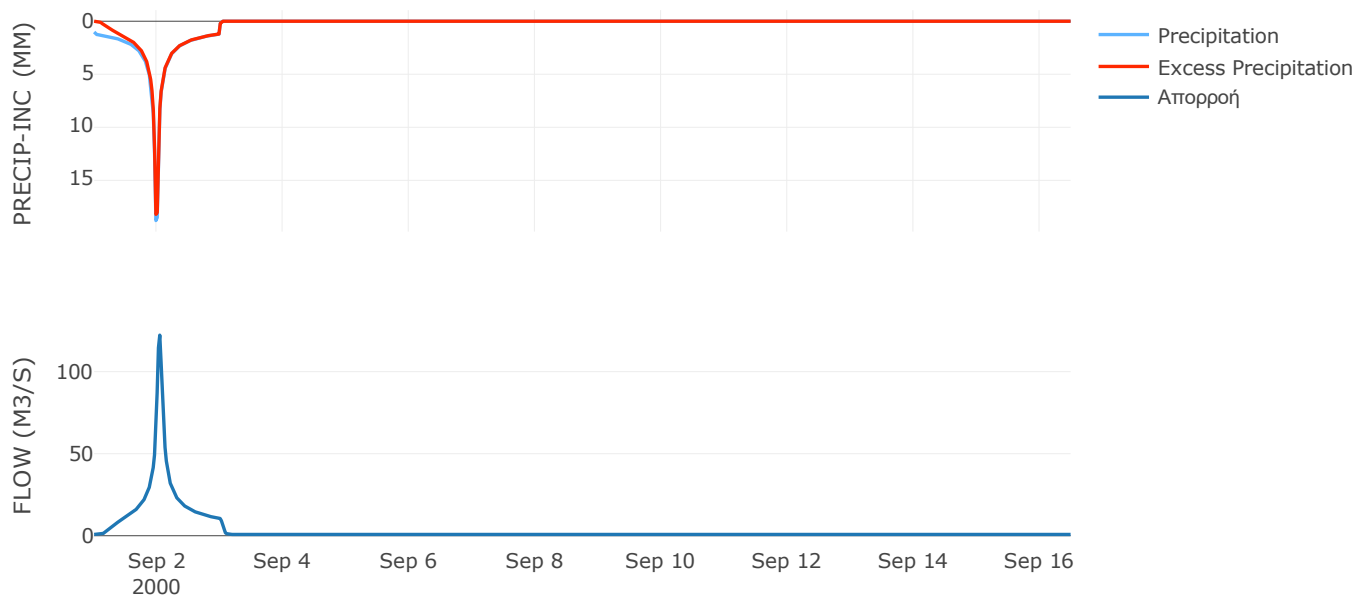
Μέθοδος
Μετασχηματισμού: SCS

Χρόνος Υστέρησης	45.76
------------------	-------

Αποτελέσματα:
EL0415FR6025

Παροχή αιχμής (M3/S)	122.24
Χρονική στιγμή αιχμής	02Sep2000, 01:00
Όγκος (MM)	329.01
Όγκος βροχόπτωσης (M3)	4.06E6
Όγκος απωλειών (M3)	4.34E5
Ενεργός Όγκος (M3)	3.62E6
Όγκος άμεσης απορροής (M3)	3.62E6
Όγκος βασικής απορροής (M3)	1.04E6

Βροχόπτωση και Απορροή



Υπολεκάνη: EL0415FR6026

Έκταση (KM2) : 38.04

Κατάντη : J21

Μέθοδος Απωλειών: SCS

Ποσοστό αδιαπέρατης επιφάνειας	0
Αριθμός Καμπύλης Απορροής-CN	87.69
Αρχικές Απώλειες	7.13

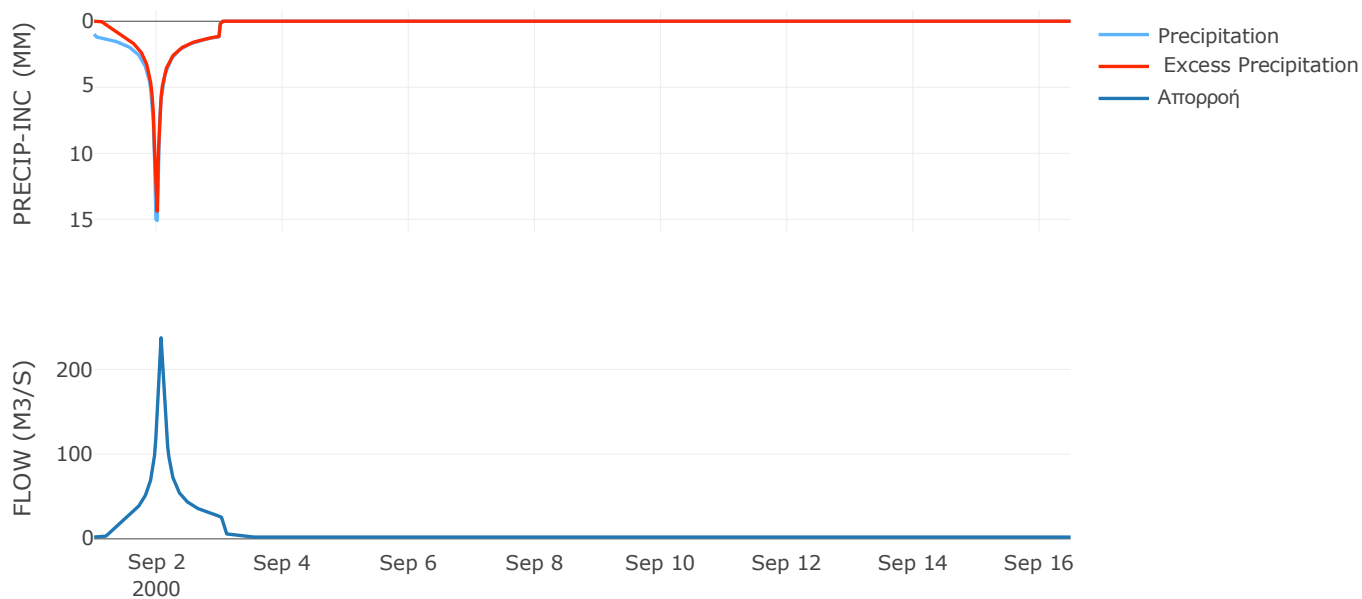
Μέθοδος
Μετασχηματισμού: SCS

Χρόνος Υστέρησης	68.69
------------------	-------

Αποτελέσματα:
EL0415FR6026

Παροχή αιχμής (M3/S)	237.37
Χρονική στιγμή αιχμής	02Sep2000, 01:30
Όγκος (MM)	292.3
Όγκος βροχόπτωσης (M3)	9.77E6
Όγκος απωλειών (M3)	1.46E6
Ενεργός Όγκος (M3)	8.32E6
Όγκος άμεσης απορροής (M3)	8.32E6
Όγκος βασικής απορροής (M3)	2.8E6

Βροχόπτωση και Απορροή



Υπολεκάνη: EL0415FR6027

Έκταση (KM2) : 185.56

Κατάντη : J21

Μέθοδος Απωλειών: SCS

Ποσοστό αδιαπέρατης επιφάνειας	0
Αριθμός Καμπύλης Απορροής-CN	86.3
Αρχικές Απώλειες	8.07

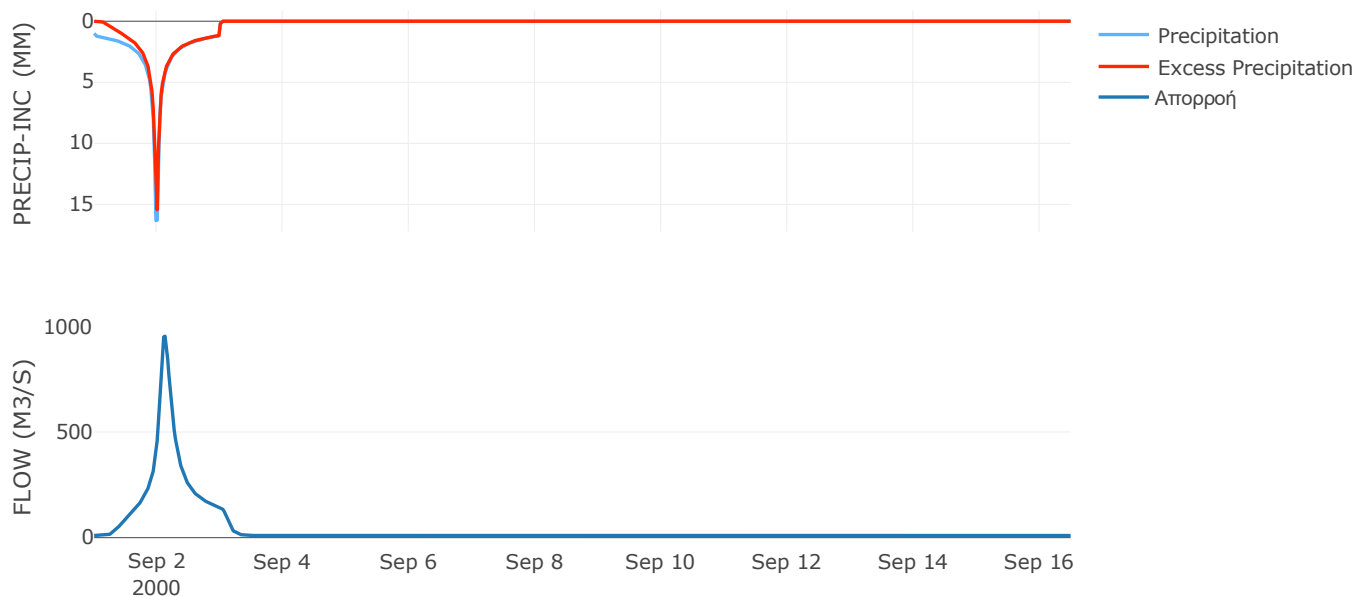
Μέθοδος
Μετασχηματισμού: SCS

Χρόνος Υστέρησης	155.34
------------------	--------

Αποτελέσματα:
EL0415FR6027

Παροχή αιχμής (M3/S)	953.1
Χρονική στιγμή αιχμής	02Sep2000, 03:00
Όγκος (MM)	299.02
Όγκος βροχόπτωσης (M3)	4.98E7
Όγκος απωλειών (M3)	7.98E6
Ενεργός Όγκος (M3)	4.18E7
Όγκος άμεσης απορροής (M3)	4.18E7
Όγκος βασικής απορροής (M3)	1.37E7

Βροχόπτωση και Απορροή



Υπολεκάνη: EL0415FR6028

Έκταση (KM2) : 39.67

Κατάντη : J22

Μέθοδος Απωλειών: SCS

Ποσοστό αδιαπέρατης επιφάνειας	0
Αριθμός Καμπύλης Απορροής-CN	67.28
Αρχικές Απώλειες	24.7

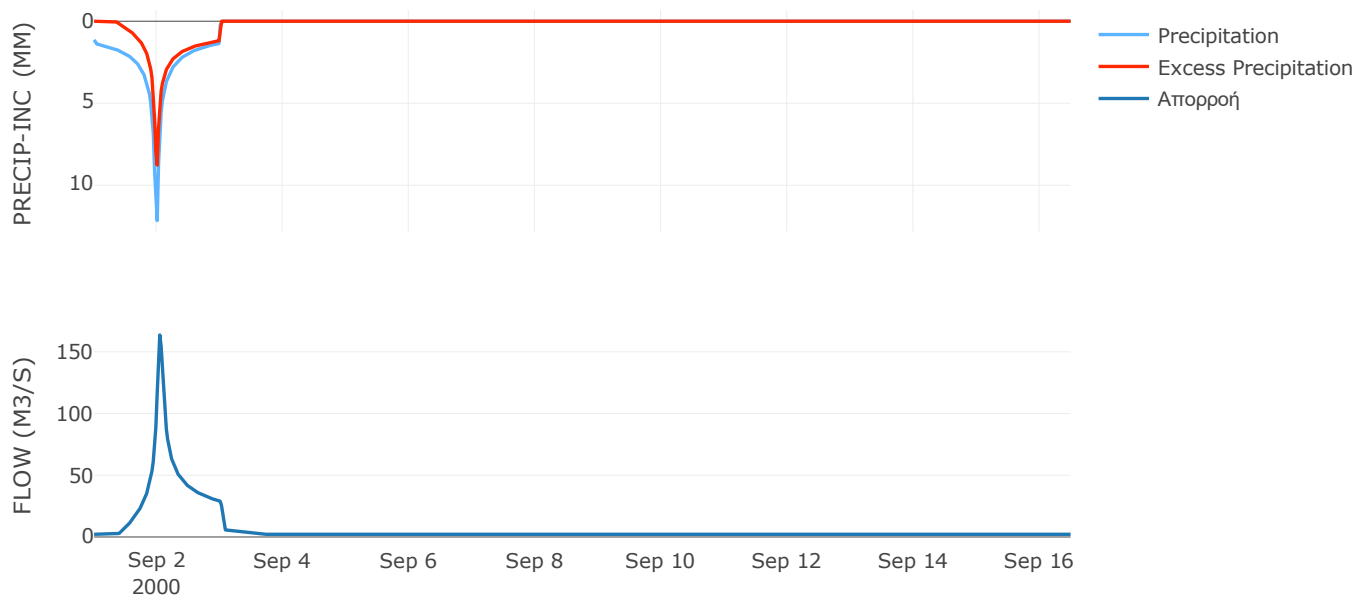
Μέθοδος
Μετασχηματισμού: SCS

Χρόνος Υστέρησης	50.06
------------------	-------

Αποτελέσματα:
EL0415FR6028

Παροχή αιχμής (M3/S)	163.62
Χρονική στιγμή αιχμής	02Sep2000, 01:00
Όγκος (MM)	226.7
Όγκος βροχόπτωσης (M3)	1.03E7
Όγκος απωλειών (M3)	4.19E6
Ενεργός Όγκος (M3)	6.07E6
Όγκος άμεσης απορροής (M3)	6.07E6
Όγκος βασικής απορροής (M3)	2.92E6

Βροχόπτωση και Απορροή



Υπολεκάνη: EL0415FR6029

Έκταση (KM2) : 74.56

Κατάντη : J31

Μέθοδος Απωλειών: SCS

Ποσοστό αδιαπέρατης επιφάνειας	22
Αριθμός Καμπύλης Απορροής-CN	83.49
Αρχικές Απώλειες	10.04

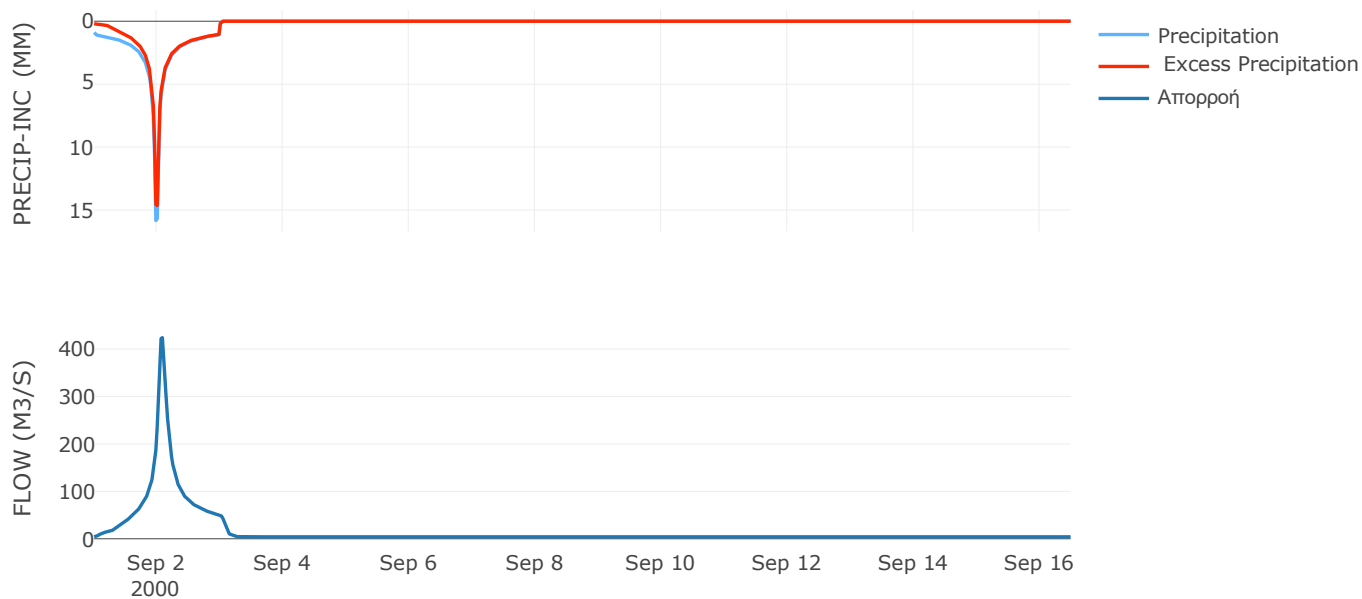
Μέθοδος
Μετασχηματισμού: SCS

Χρόνος Υστέρησης	96.82
------------------	-------

Αποτελέσματα:
EL0415FR6029

Παροχή αιχμής (M3/S)	424.03
Χρονική στιγμή αιχμής	02Sep2000, 02:00
Όγκος (MM)	281.5
Όγκος βροχόπτωσης (M3)	1.85E7
Όγκος απωλειών (M3)	3E6
Ενεργός Όγκος (M3)	1.55E7
Όγκος άμεσης απορροής (M3)	1.55E7
Όγκος βασικής απορροής (M3)	5.49E6

Βροχόπτωση και Απορροή



Υπολεκάνη: EL0415FR6030

Έκταση (KM2) : 127.36

Κατάντη : J27

Μέθοδος Απωλειών: SCS

Ποσοστό αδιαπέρατης επιφάνειας	17
Αριθμός Καμπύλης Απορροής-CN	90.82
Αρχικές Απώλειες	5.13

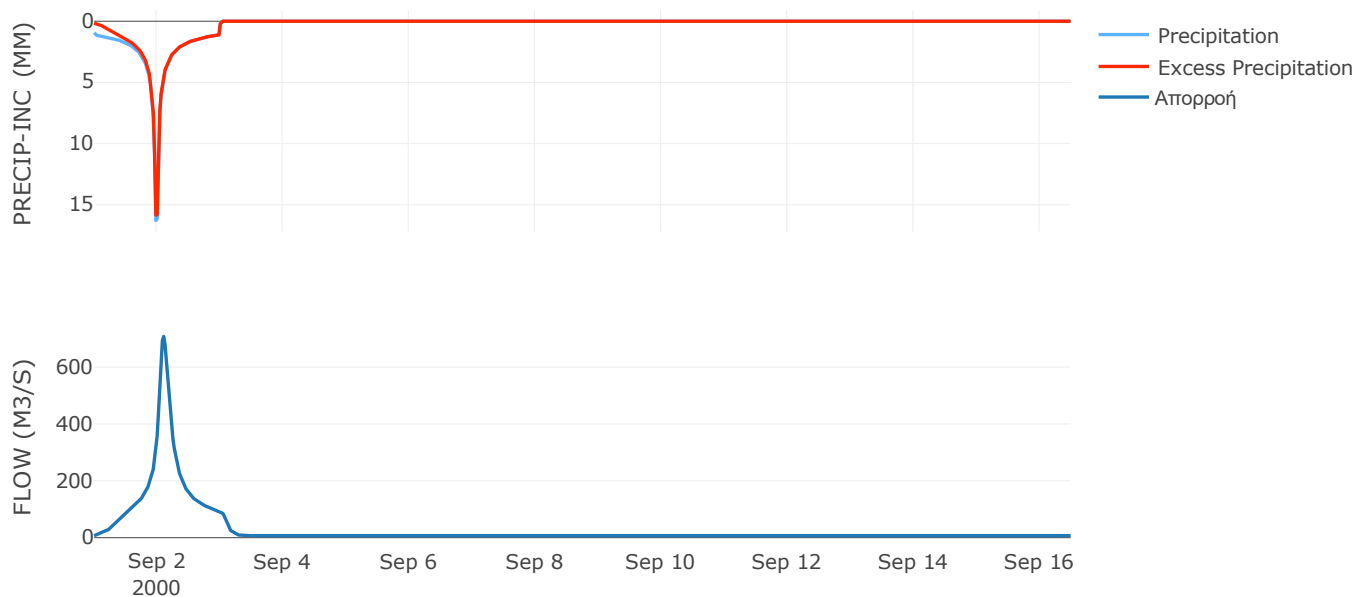
Μέθοδος
Μετασχηματισμού: SCS

Χρόνος Υστέρησης	135.14
------------------	--------

Αποτελέσματα:
EL0415FR6030

Παροχή αιχμής (M3/S)	707.96
Χρονική στιγμή αιχμής	02Sep2000, 02:30
Όγκος (MM)	307.67
Όγκος βροχόπτωσης (M3)	3.28E7
Όγκος απωλειών (M3)	3.01E6
Ενεργός Όγκος (M3)	2.98E7
Όγκος άμεσης απορροής (M3)	2.98E7
Όγκος βασικής απορροής (M3)	9.38E6

Βροχόπτωση και Απορροή



Υπολεκάνη: EL0415FR6031

Έκταση (KM2) : 92.16

Κατάντη : J34

Μέθοδος Απωλειών: SCS

Ποσοστό αδιαπέρατης επιφάνειας	0
Αριθμός Καμπύλης Απορροής-CN	90.06
Αρχικές Απώλειες	5.61

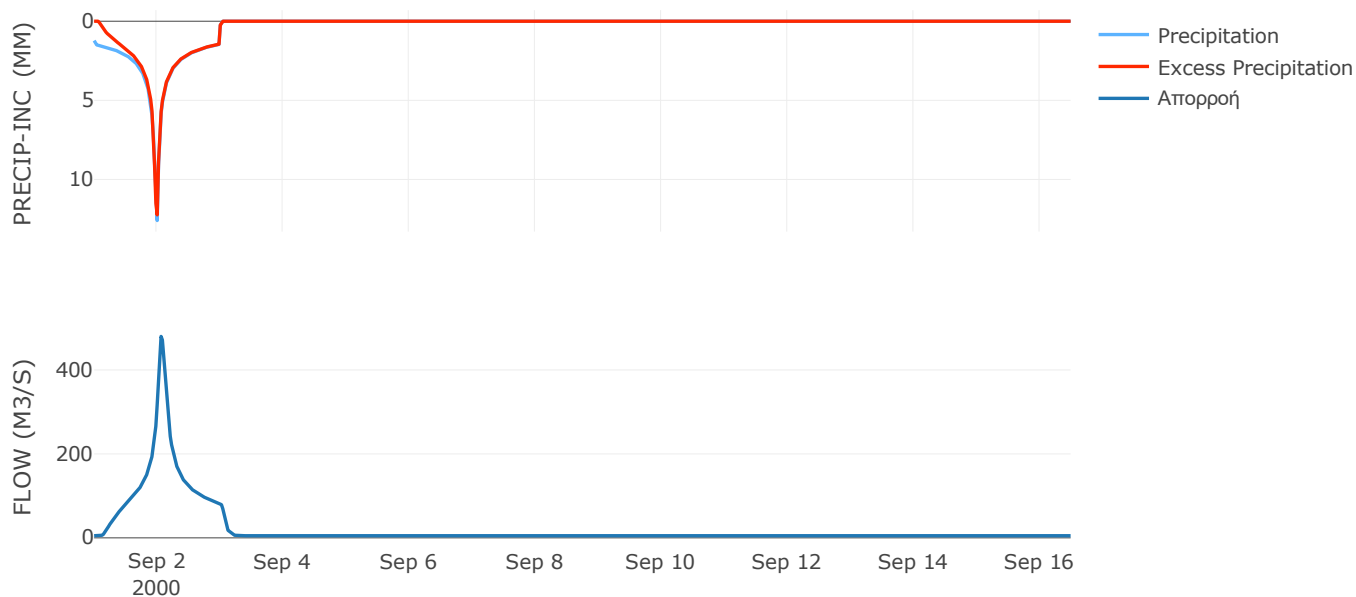
Μέθοδος
Μετασχηματισμού: SCS

Χρόνος Υστέρησης	88.78
------------------	-------

Αποτελέσματα:
EL0415FR6031

Παροχή αιχμής (M3/S)	479.84
Χρονική στιγμή αιχμής	02Sep2000, 01:30
Όγκος (MM)	317.35
Όγκος βροχόπτωσης (M3)	2.53E7
Όγκος απωλειών (M3)	2.86E6
Ενεργός Όγκος (M3)	2.25E7
Όγκος άμεσης απορροής (M3)	2.25E7
Όγκος βασικής απορροής (M3)	6.79E6

Βροχόπτωση και Απορροή



Υπολεκάνη: EL0415FR6032

Έκταση (KM2) : 115.9

Κατάντη : J26

Μέθοδος Απωλειών: SCS

Ποσοστό αδιαπέρατης επιφάνειας	0
Αριθμός Καμπύλης Απορροής-CN	77.87
Αρχικές Απώλειες	14.44

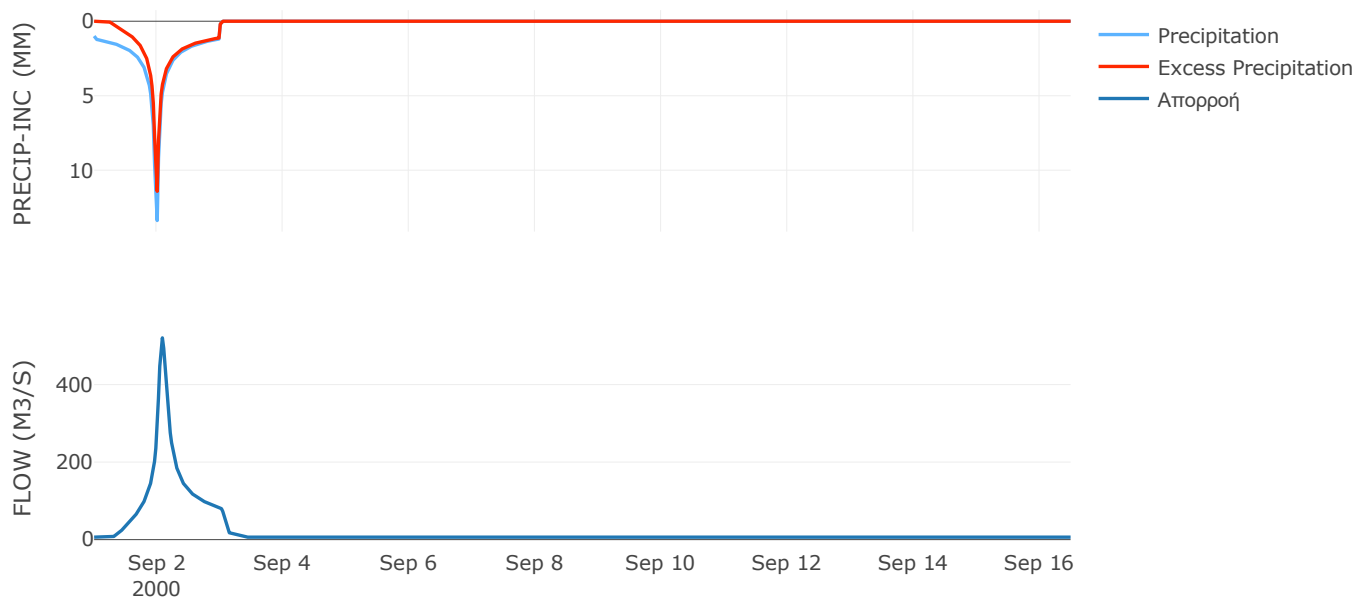
Μέθοδος
Μετασχηματισμού: SCS

Χρόνος Υστέρησης	100.9
------------------	-------

Αποτελέσματα:
EL0415FR6032

Παροχή αιχμής (M3/S)	520.6
Χρονική στιγμή αιχμής	02Sep2000, 02:00
Όγκος (MM)	251.69
Όγκος βροχόπτωσης (M3)	2.87E7
Όγκος απωλειών (M3)	8.06E6
Ενεργός Όγκος (M3)	2.06E7
Όγκος άμεσης απορροής (M3)	2.06E7
Όγκος βασικής απορροής (M3)	8.54E6

Βροχόπτωση και Απορροή



Υπολεκάνη: EL0415FR6033

Έκταση (KM2) : 126.39

Κατάντη : J62

Μέθοδος Απωλειών: SCS

Ποσοστό αδιαπέρατης επιφάνειας	0
Αριθμός Καμπύλης Απορροής-CN	81.83
Αρχικές Απώλειες	11.28

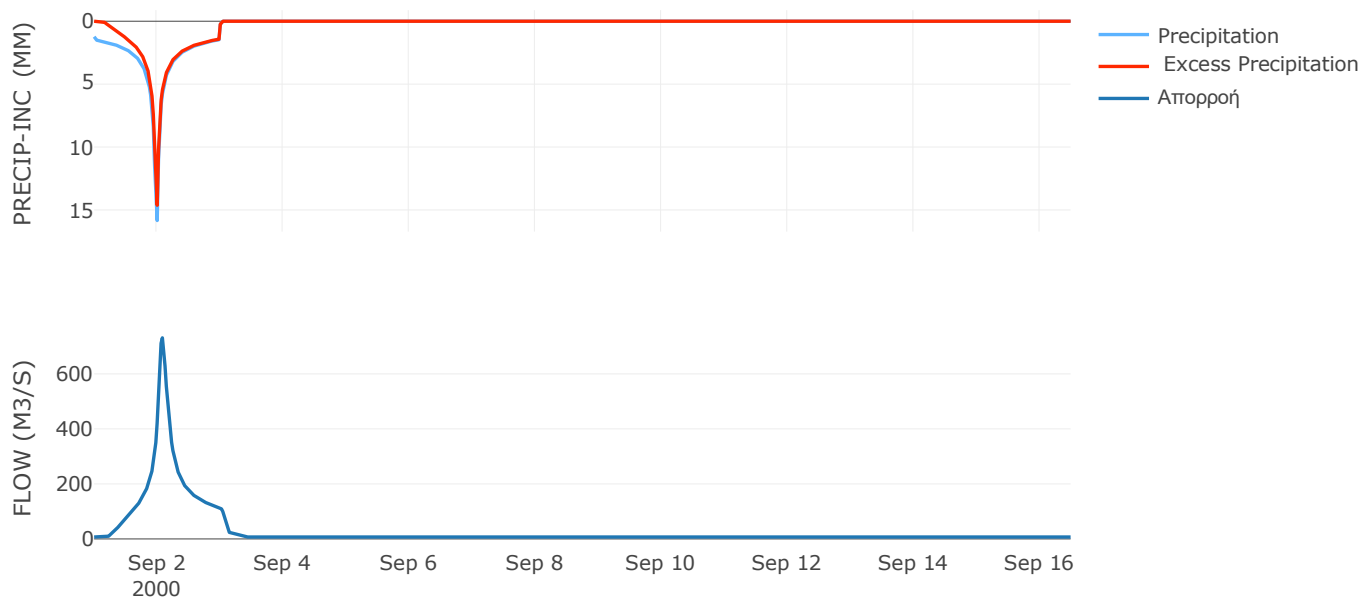
Μέθοδος
Μετασχηματισμού: SCS

Χρόνος Υστέρησης	103.45
------------------	--------

Αποτελέσματα:
EL0415FR6033

Παροχή αιχμής (M3/S)	731.01
Χρονική στιγμή αιχμής	02Sep2000, 02:00
Όγκος (MM)	315.77
Όγκος βροχόπτωσης (M3)	3.8E7
Όγκος απωλειών (M3)	7.39E6
Ενεργός Όγκος (M3)	3.06E7
Όγκος άμεσης απορροής (M3)	3.06E7
Όγκος βασικής απορροής (M3)	9.31E6

Βροχόπτωση και Απορροή



Υπολεκάνη: EL0415FR6034

Έκταση (KM2) : 105.64

Κατάντη : J44

Μέθοδος Απωλειών: SCS

Ποσοστό αδιαπέρατης επιφάνειας	0
Αριθμός Καμπύλης Απορροής-CN	81.72
Αρχικές Απώλειες	11.36

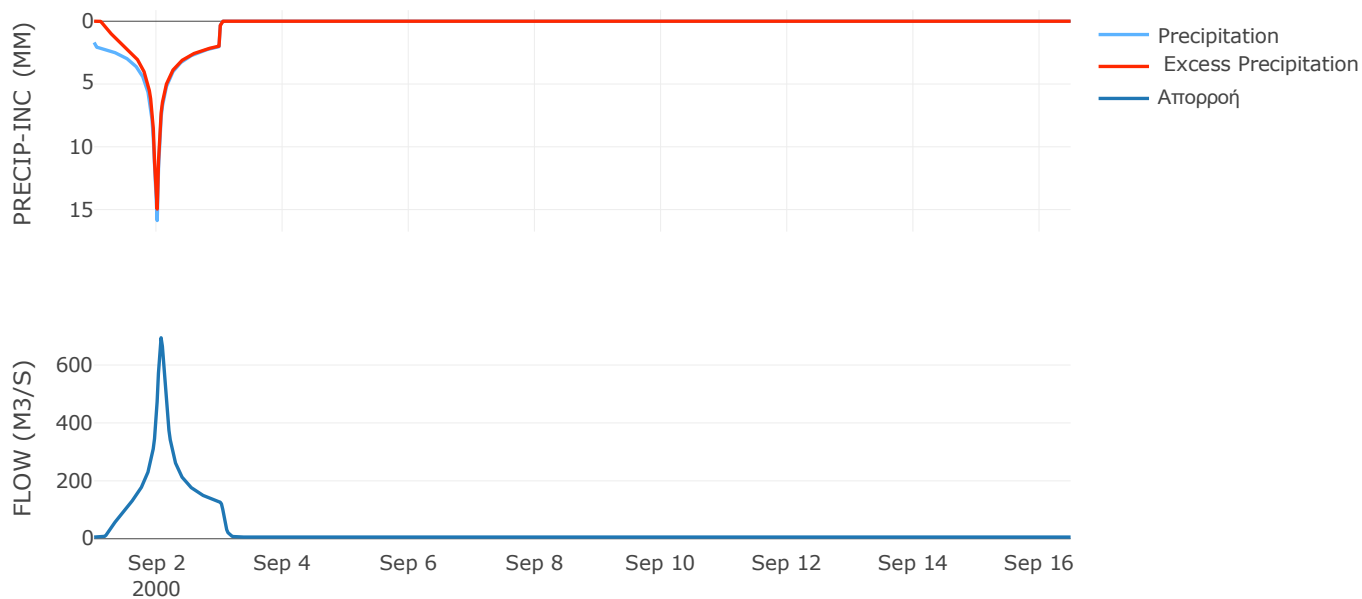
Μέθοδος
Μετασχηματισμού: SCS

Χρόνος Υστέρησης	79.4
------------------	------

Αποτελέσματα:
EL0415FR6034

Παροχή αιχμής (M3/S)	694.13
Χρονική στιγμή αιχμής	02Sep2000, 01:30
Όγκος (MM)	380.69
Όγκος βροχόπτωσης (M3)	3.88E7
Όγκος απωλειών (M3)	6.38E6
Ενεργός Όγκος (M3)	3.24E7
Όγκος άμεσης απορροής (M3)	3.24E7
Όγκος βασικής απορροής (M3)	7.78E6

Βροχόπτωση και Απορροή



Υπολεκάνη: EL0415FR6035

Έκταση (KM2) : 82.38

Κατάντη : J25

Μέθοδος Απωλειών: SCS

Ποσοστό αδιαπέρατης επιφάνειας	0
Αριθμός Καμπύλης Απορροής-CN	88.54
Αρχικές Απώλειες	6.57

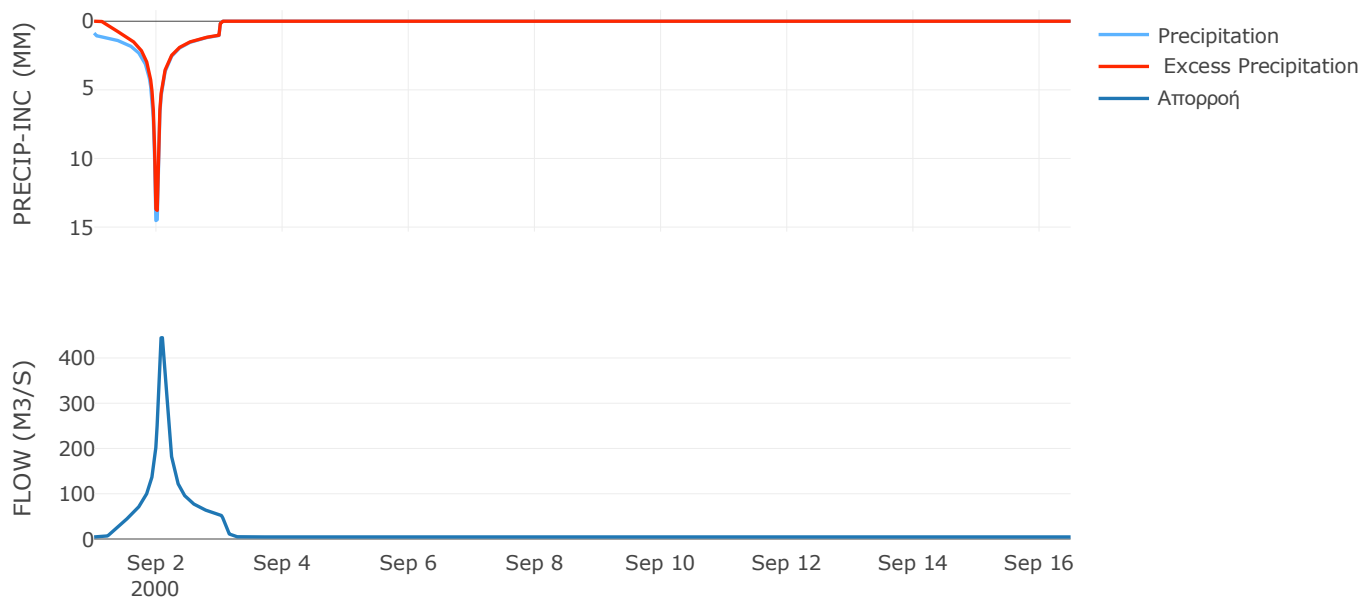
Μέθοδος
Μετασχηματισμού: SCS

Χρόνος Υστέρησης	96.29
------------------	-------

Αποτελέσματα:
EL0415FR6035

Παροχή αιχμής (M3/S)	444.9
Χρονική στιγμή αιχμής	02Sep2000, 02:00
Όγκος (MM)	273.48
Όγκος βροχόπτωσης (M3)	1.94E7
Όγκος απωλειών (M3)	2.91E6
Ενεργός Όγκος (M3)	1.65E7
Όγκος άμεσης απορροής (M3)	1.65E7
Όγκος βασικής απορροής (M3)	6.07E6

Βροχόπτωση και Απορροή



Υπολεκάνη: EL0415FR6036

Έκταση (KM2) : 47.25

Κατάντη : J45

Μέθοδος Απωλειών: SCS

Ποσοστό αδιαπέρατης επιφάνειας	0
Αριθμός Καμπύλης Απορροής-CN	81.7
Αρχικές Απώλειες	11.38

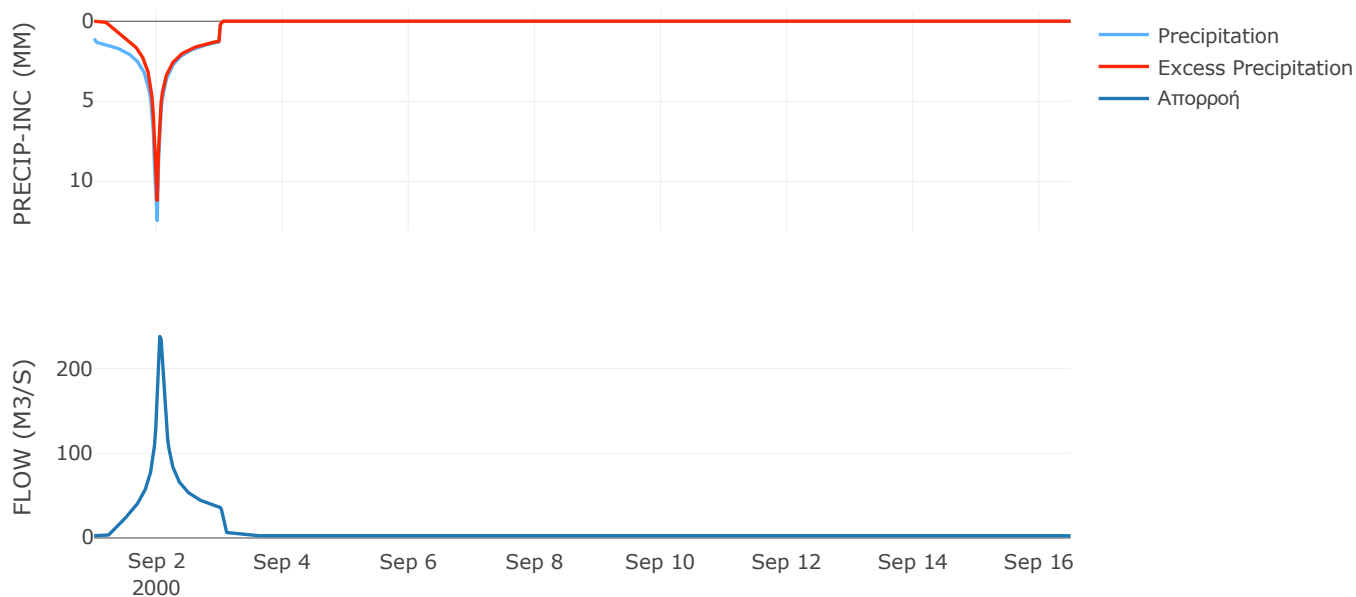
Μέθοδος
Μετασχηματισμού: SCS

Χρόνος Υστέρησης	61.81
------------------	-------

Αποτελέσματα:
EL0415FR6036

Παροχή αιχμής (M3/S)	238.05
Χρονική στιγμή αιχμής	02Sep2000, 01:00
Όγκος (MM)	269.45
Όγκος βροχόπτωσης (M3)	1.2E7
Όγκος απωλειών (M3)	2.71E6
Ενεργός Όγκος (M3)	9.25E6
Όγκος άμεσης απορροής (M3)	9.25E6
Όγκος βασικής απορροής (M3)	3.48E6

Βροχόπτωση και Απορροή



Υπολεκάνη: EL0415FR6037

Έκταση (KM2) : 88.31

Κατάντη : J40

Μέθοδος Απωλειών: SCS

Ποσοστό αδιαπέρατης επιφάνειας	0
Αριθμός Καμπύλης Απορροής-CN	83.01
Αρχικές Απώλειες	10.39

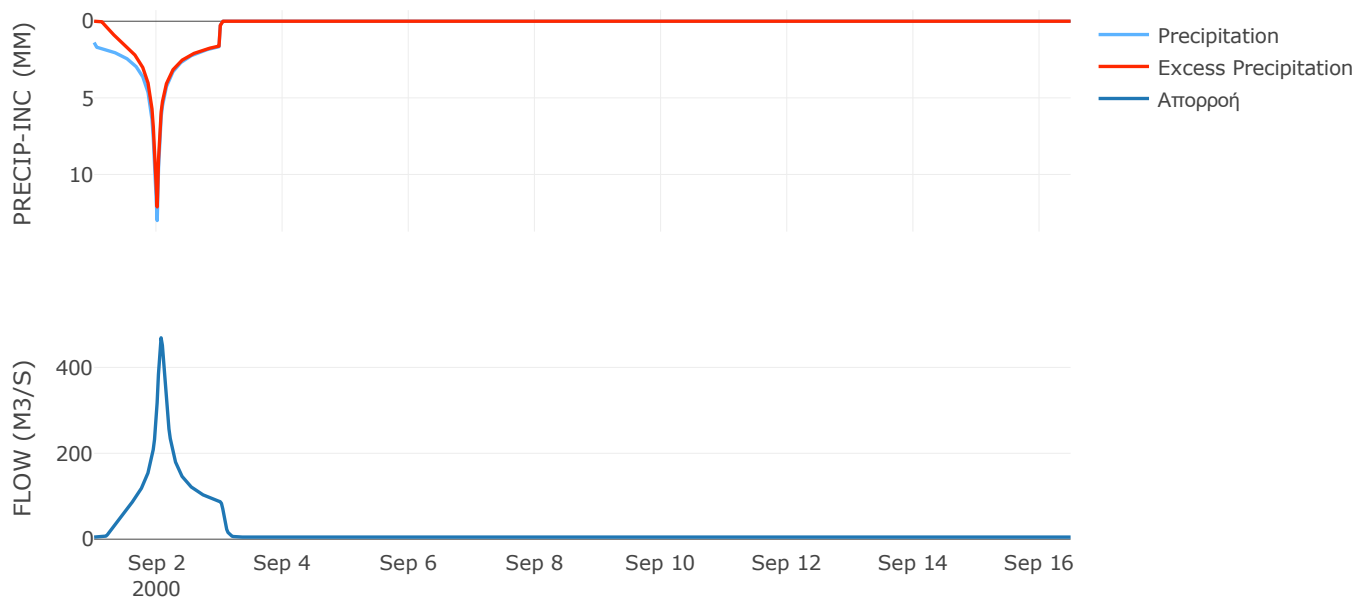
Μέθοδος
Μετασχηματισμού: SCS

Χρόνος Υστέρησης	80.56
------------------	-------

Αποτελέσματα:
EL0415FR6037

Παροχή αιχμής (M3/S)	469.01
Χρονική στιγμή αιχμής	02Sep2000, 01:30
Όγκος (MM)	320.68
Όγκος βροχόπτωσης (M3)	2.66E7
Όγκος απωλειών (M3)	4.81E6
Ενεργός Όγκος (M3)	2.18E7
Όγκος άμεσης απορροής (M3)	2.18E7
Όγκος βασικής απορροής (M3)	6.5E6

Βροχόπτωση και Απορροή



Υπολεκάνη: EL0415FR6038

Έκταση (KM2) : 94.78

Κατάντη : J35

Μέθοδος Απωλειών: SCS

Ποσοστό αδιαπέρατης επιφάνειας	0
Αριθμός Καμπύλης Απορροής-CN	83.47
Αρχικές Απώλειες	10.06

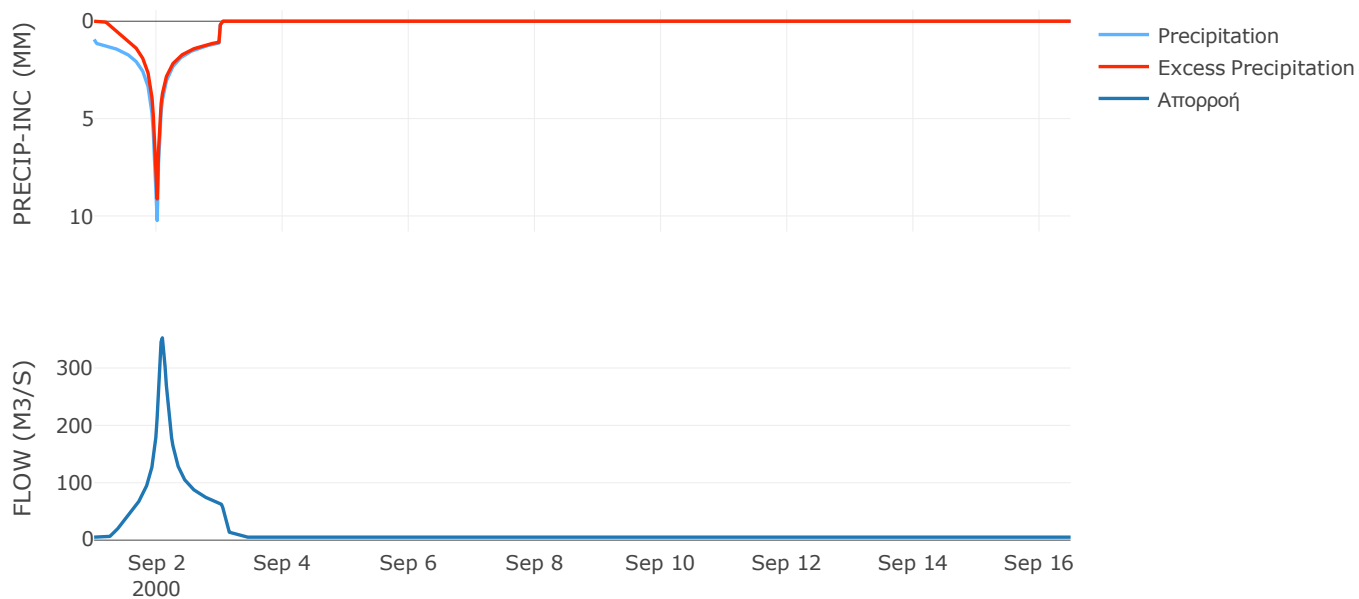
Μέθοδος
Μετασχηματισμού: SCS

Χρόνος Υστέρησης	99.81
------------------	-------

Αποτελέσματα:
EL0415FR6038

Παροχή αιχμής (M3/S)	352.55
Χρονική στιγμή αιχμής	02Sep2000, 02:00
Όγκος (MM)	238.15
Όγκος βροχόπτωσης (M3)	2.04E7
Όγκος απωλειών (M3)	4.78E6
Ενεργός Όγκος (M3)	1.56E7
Όγκος άμεσης απορροής (M3)	1.56E7
Όγκος βασικής απορροής (M3)	6.98E6

Βροχόπτωση και Απορροή



Υπολεκάνη: EL0415FR6039

Έκταση (KM2) : 6.93

Κατάντη : J23

Μέθοδος Απωλειών: SCS

Ποσοστό αδιαπέρατης επιφάνειας	0
Αριθμός Καμπύλης Απορροής-CN	89.46
Αρχικές Απώλειες	5.99

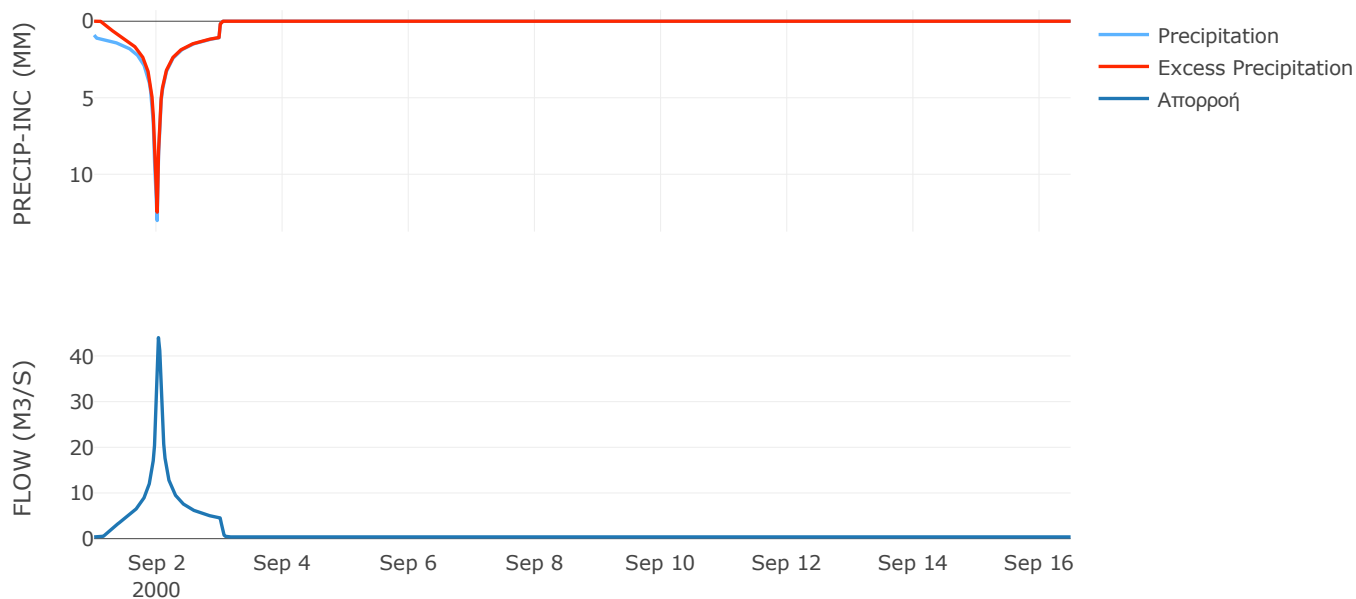
Μέθοδος
Μετασχηματισμού: SCS

Χρόνος Υστέρησης	30.33
------------------	-------

Αποτελέσματα:
EL0415FR6039

Παροχή αιχμής (M3/S)	44.01
Χρονική στιγμή αιχμής	02Sep2000, 00:30
Όγκος (MM)	272.08
Όγκος βροχόπτωσης (M3)	1.6E6
Όγκος απωλειών (M3)	2.25E5
Ενεργός Όγκος (M3)	1.37E6
Όγκος άμεσης απορροής (M3)	1.37E6
Όγκος βασικής απορροής (M3)	5.1E5

Βροχόπτωση και Απορροή



Υπολεκάνη: EL0415FR6040

Έκταση (KM2) : 39.05

Κατάντη : J34

Μέθοδος Απωλειών: SCS

Ποσοστό αδιαπέρατης επιφάνειας	0
Αριθμός Καμπύλης Απορροής-CN	79.47
Αρχικές Απώλειες	13.13

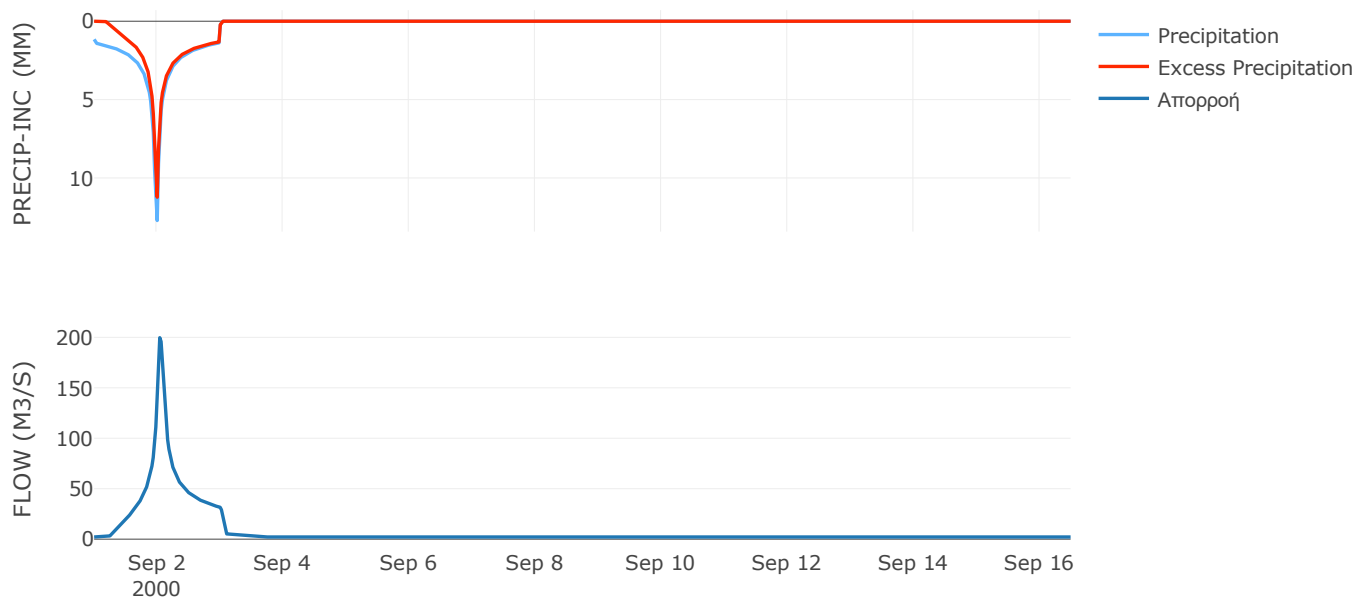
Μέθοδος
Μετασχηματισμού: SCS

Χρόνος Υστέρησης	59.97
------------------	-------

Αποτελέσματα:
EL0415FR6040

Παροχή αιχμής (M3/S)	199.69
Χρονική στιγμή αιχμής	02Sep2000, 01:00
Όγκος (MM)	274.33
Όγκος βροχόπτωσης (M3)	1.04E7
Όγκος απωλειών (M3)	2.55E6
Ενεργός Όγκος (M3)	7.84E6
Όγκος άμεσης απορροής (M3)	7.84E6
Όγκος βασικής απορροής (M3)	2.88E6

Βροχόπτωση και Απορροή



Υπολεκάνη: EL0415FR6041

Έκταση (KM2) : 25.72

Κατάντη : J64

Μέθοδος Απωλειών: SCS

Ποσοστό αδιαπέρατης επιφάνειας	0
Αριθμός Καμπύλης Απορροής-CN	76.94
Αρχικές Απώλειες	15.23

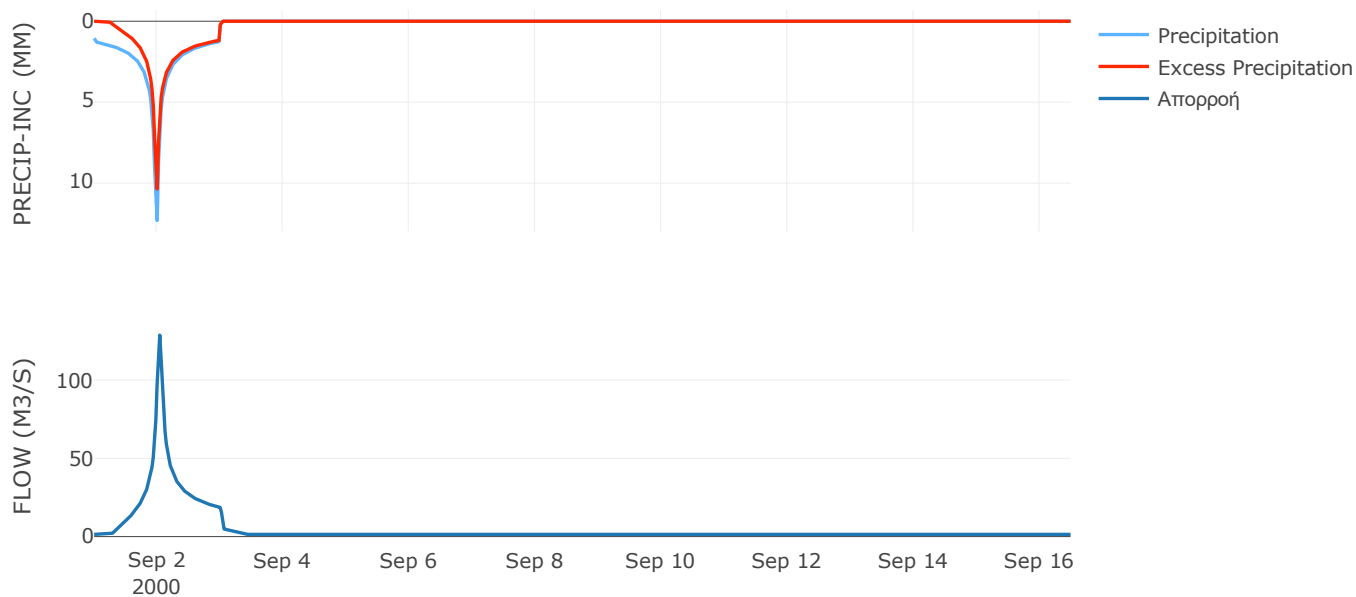
Μέθοδος
Μετασχηματισμού: SCS

Χρόνος Υστέρησης	41.78
------------------	-------

Αποτελέσματα:
EL0415FR6041

Παροχή αιχμής (M3/S)	128.77
Χρονική στιγμή αιχμής	02Sep2000, 01:00
Όγκος (MM)	249.43
Όγκος βροχόπτωσης (M3)	6.39E6
Όγκος απωλειών (M3)	1.87E6
Ενεργός Όγκος (M3)	4.52E6
Όγκος άμεσης απορροής (M3)	4.52E6
Όγκος βασικής απορροής (M3)	1.89E6

Βροχόπτωση και Απορροή



Υπολεκάνη: EL0415FR6042

Έκταση (KM2) : 44.43

Κατάντη : J28

Μέθοδος Απωλειών: SCS

Ποσοστό αδιαπέρατης επιφάνειας	0
Αριθμός Καμπύλης Απορροής-CN	82.1
Αρχικές Απώλειες	11.08

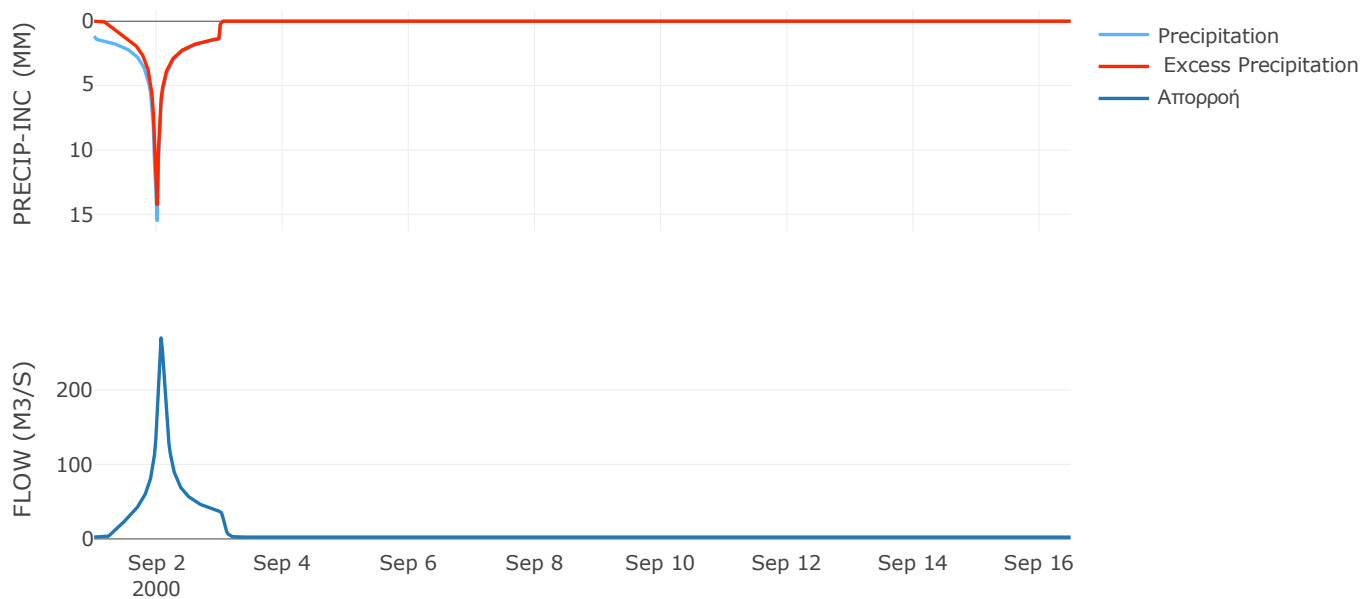
Μέθοδος
Μετασχηματισμού: SCS

Χρόνος Υστέρησης	78.46
------------------	-------

Αποτελέσματα:
EL0415FR6042

Παροχή αιχμής (M3/S)	269.74
Χρονική στιγμή αιχμής	02Sep2000, 01:30
Όγκος (MM)	303.67
Όγκος βροχόπτωσης (M3)	1.28E7
Όγκος απωλειών (M3)	2.54E6
Ενεργός Όγκος (M3)	1.02E7
Όγκος άμεσης απορροής (M3)	1.02E7
Όγκος βασικής απορροής (M3)	3.27E6

Βροχόπτωση και Απορροή



Υπολεκάνη: EL0415FR6043

Έκταση (KM2) : 50.16

Κατάντη : J37

Μέθοδος Απωλειών: SCS

Ποσοστό αδιαπέρατης επιφάνειας	0
Αριθμός Καμπύλης Απορροής-CN	76.81
Αρχικές Απώλειες	15.34

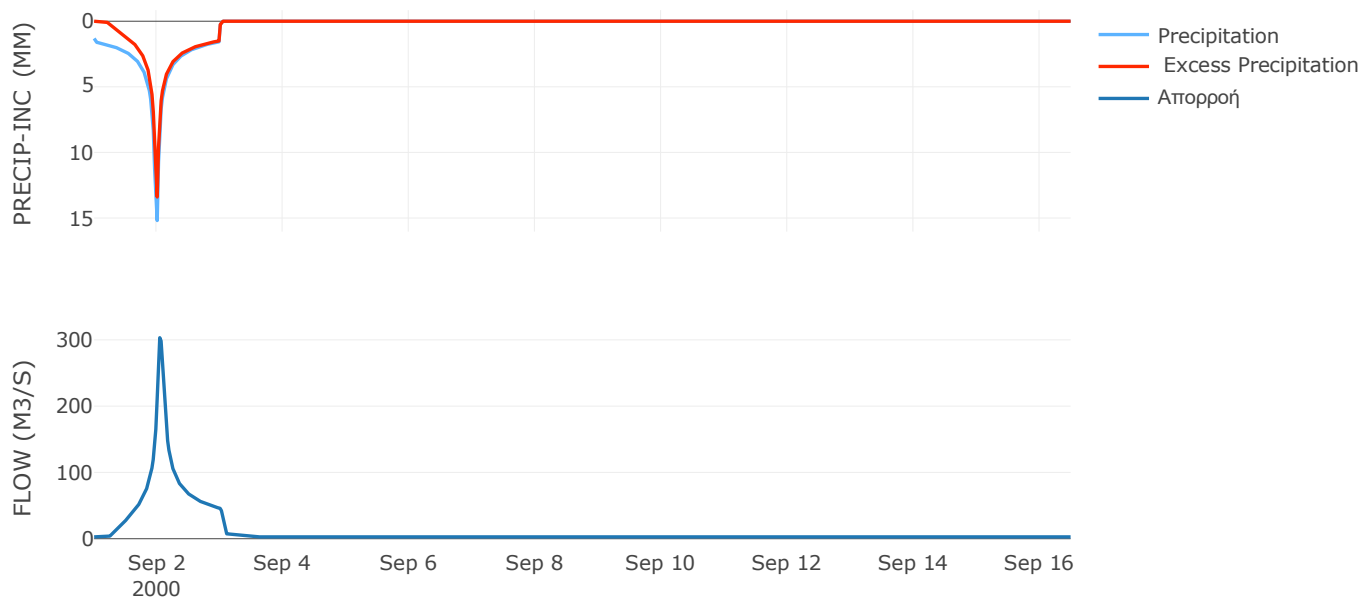
Μέθοδος
Μετασχηματισμού: SCS

Χρόνος Υστέρησης	60.82
------------------	-------

Αποτελέσματα:
EL0415FR6043

Παροχή αιχμής (M3/S)	303.21
Χρονική στιγμή αιχμής	02Sep2000, 01:00
Όγκος (MM)	305.58
Όγκος βροχόπτωσης (M3)	1.55E7
Όγκος απωλειών (M3)	3.82E6
Ενεργός Όγκος (M3)	1.16E7
Όγκος άμεσης απορροής (M3)	1.16E7
Όγκος βασικής απορροής (M3)	3.69E6

Βροχόπτωση και Απορροή



Υπολεκάνη: EL0415FR6044

Έκταση (KM2) : 32.29

Κατάντη : J44

Μέθοδος Απωλειών: SCS

Ποσοστό αδιαπέρατης επιφάνειας	0
Αριθμός Καμπύλης Απορροής-CN	78.59
Αρχικές Απώλειες	13.84

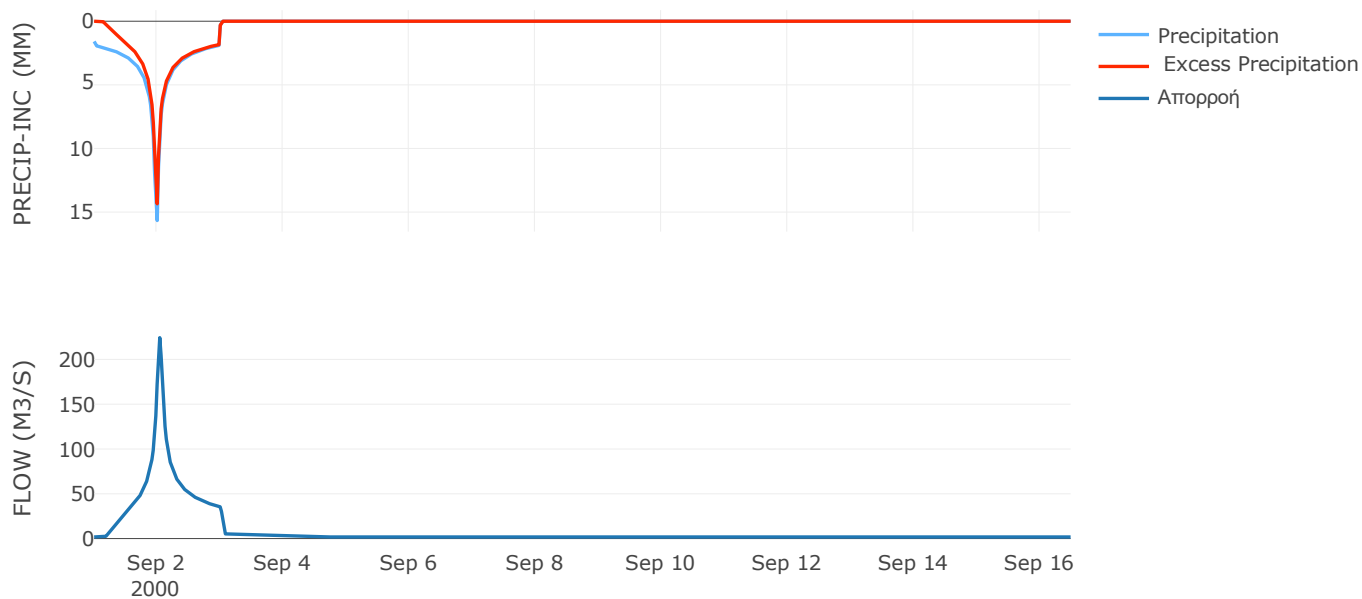
Μέθοδος
Μετασχηματισμού: SCS

Χρόνος Υστέρησης	45.48
------------------	-------

Αποτελέσματα:
EL0415FR6044

Παροχή αιχμής (M3/S)	224.3
Χρονική στιγμή αιχμής	02Sep2000, 01:00
Όγκος (MM)	353.36
Όγκος βροχόπτωσης (M3)	1.13E7
Όγκος απωλειών (M3)	2.3E6
Ενεργός Όγκος (M3)	9.03E6
Όγκος άμεσης απορροής (M3)	9.03E6
Όγκος βασικής απορροής (M3)	2.38E6

Βροχόπτωση και Απορροή



Υπολεκάνη: EL0415FR6045

Έκταση (KM2) : 39.32

Κατάντη : J24

Μέθοδος Απωλειών: SCS

Ποσοστό αδιαπέρατης επιφάνειας	0
Αριθμός Καμπύλης Απορροής-CN	90.34
Αρχικές Απώλειες	5.43

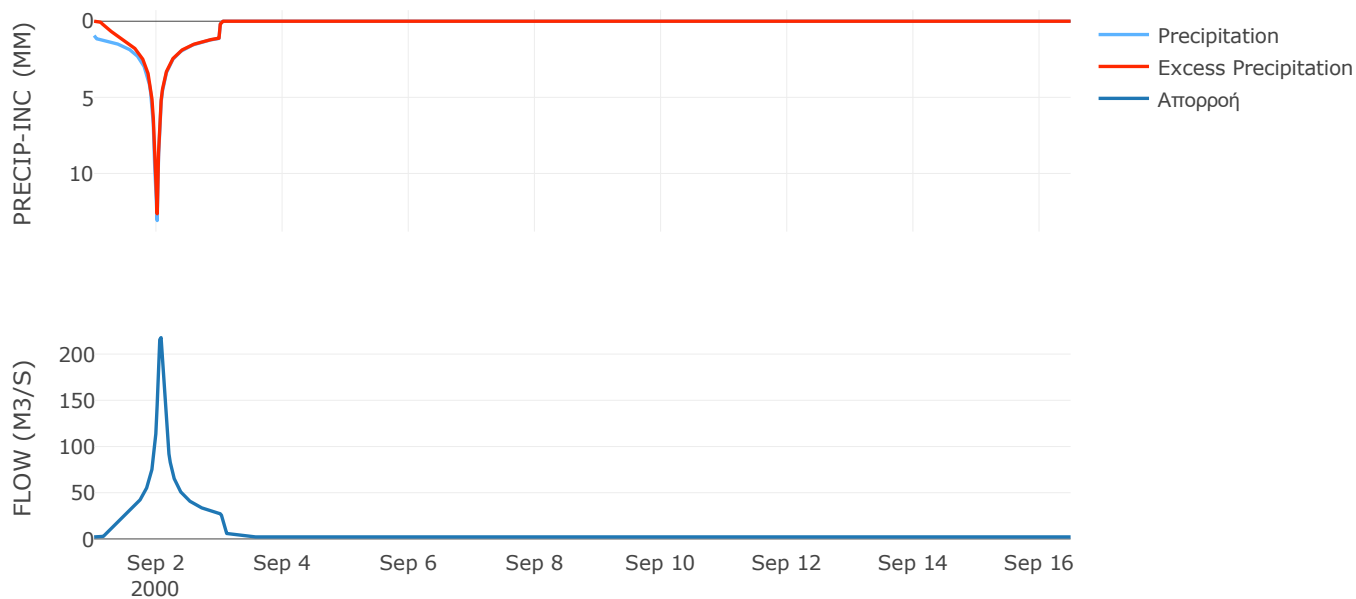
Μέθοδος
Μετασχηματισμού: SCS

Χρόνος Υστέρησης	68.79
------------------	-------

Αποτελέσματα:
EL0415FR6045

Παροχή αιχμής (M3/S)	217.82
Χρονική στιγμή αιχμής	02Sep2000, 01:30
Όγκος (MM)	281.08
Όγκος βροχόπτωσης (M3)	9.32E6
Όγκος απωλειών (M3)	1.17E6
Ενεργός Όγκος (M3)	8.16E6
Όγκος άμεσης απορροής (M3)	8.16E6
Όγκος βασικής απορροής (M3)	2.9E6

Βροχόπτωση και Απορροή



Υπολεκάνη: EL0415FR6046

Έκταση (KM2) : 33.73

Κατάντη : J23

Μέθοδος Απωλειών: SCS

Ποσοστό αδιαπέρατης επιφάνειας	0
Αριθμός Καμπύλης Απορροής-CN	73.34
Αρχικές Απώλειες	18.46

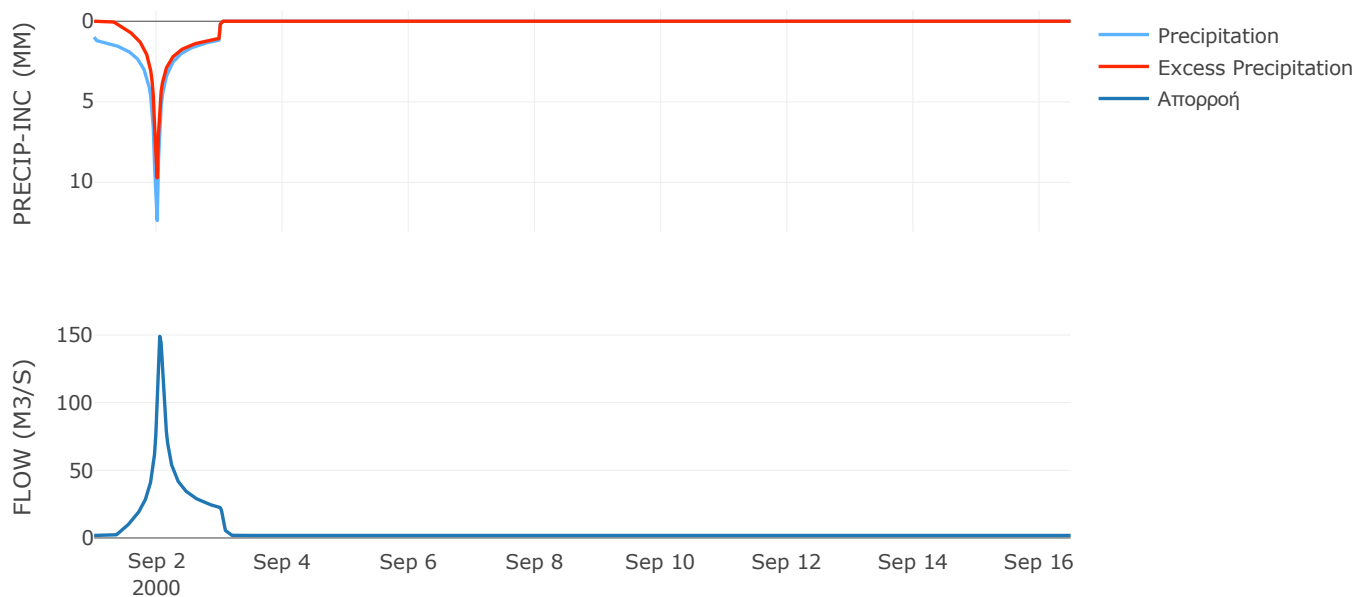
Μέθοδος
Μετασχηματισμού: SCS

Χρόνος Υστέρησης	56.72
------------------	-------

Αποτελέσματα:
EL0415FR6046

Παροχή αιχμής (M3/S)	149.05
Χρονική στιγμή αιχμής	02Sep2000, 01:00
Όγκος (MM)	228.55
Όγκος βροχόπτωσης (M3)	8.04E6
Όγκος απωλειών (M3)	2.82E6
Ενεργός Όγκος (M3)	5.22E6
Όγκος άμεσης απορροής (M3)	5.22E6
Όγκος βασικής απορροής (M3)	2.48E6

Βροχόπτωση και Απορροή



Υπολεκάνη: EL0415FR6047

Έκταση (KM2) : 33.12

Κατάντη : J38

Μέθοδος Απωλειών: SCS

Ποσοστό αδιαπέρατης επιφάνειας	0
Αριθμός Καμπύλης Απορροής-CN	79.68
Αρχικές Απώλειες	12.95

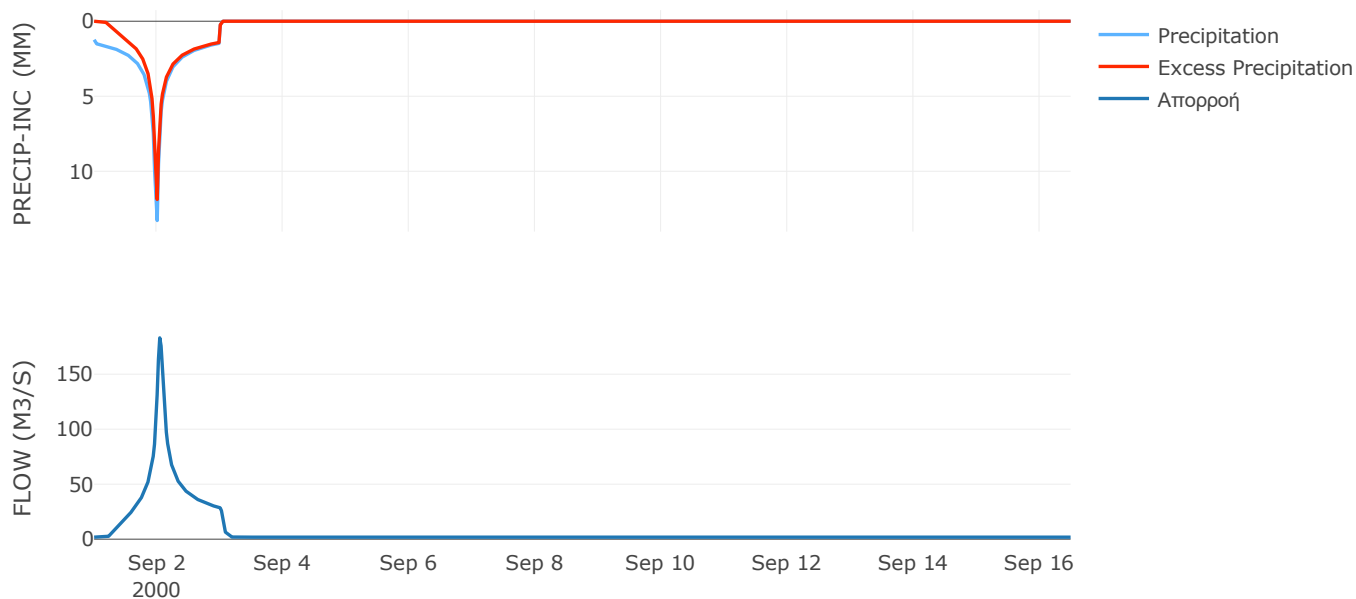
Μέθοδος
Μετασχηματισμού: SCS

Χρόνος Υστέρησης	55.9
------------------	------

Αποτελέσματα:
EL0415FR6047

Παροχή αιχμής (M3/S)	183.05
Χρονική στιγμή αιχμής	02Sep2000, 01:00
Όγκος (MM)	290.03
Όγκος βροχόπτωσης (M3)	9.32E6
Όγκος απωλειών (M3)	2.16E6
Ενεργός Όγκος (M3)	7.17E6
Όγκος άμεσης απορροής (M3)	7.17E6
Όγκος βασικής απορροής (M3)	2.44E6

Βροχόπτωση και Απορροή



Υπολεκάνη: EL0415FR6048

Έκταση (KM2) : 29.32

Κατάντη : J35

Μέθοδος Απωλειών: SCS

Ποσοστό αδιαπέρατης επιφάνειας	0
Αριθμός Καμπύλης Απορροής-CN	81.27
Αρχικές Απώλειες	11.71

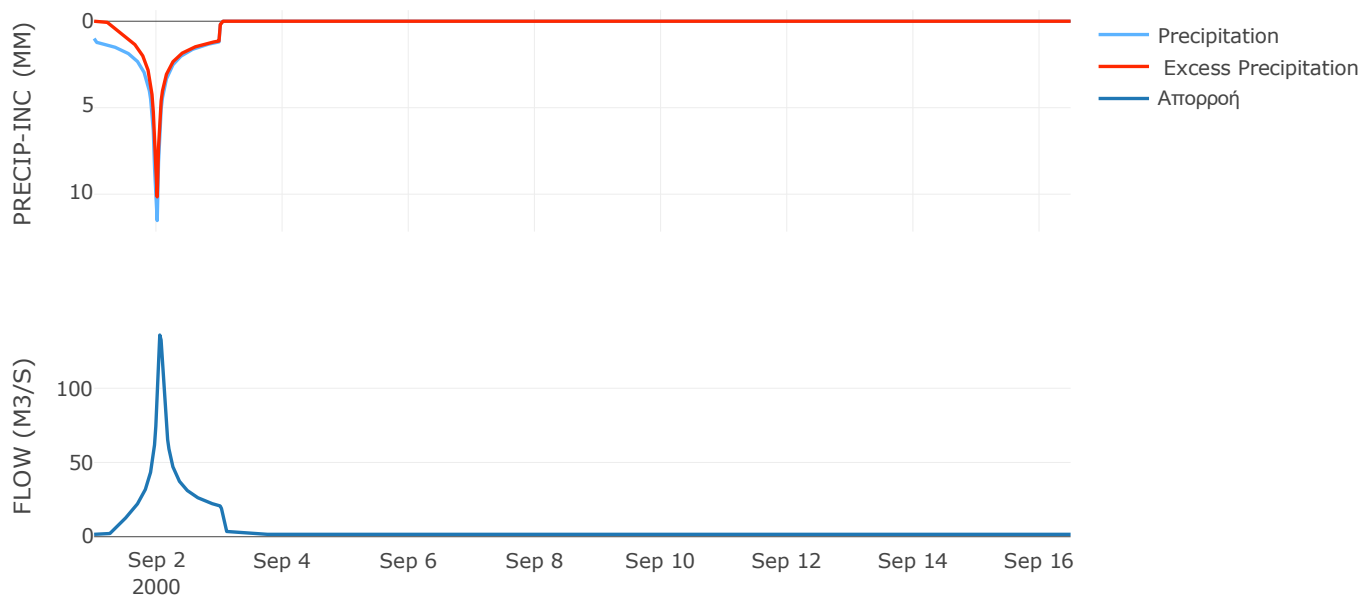
Μέθοδος
Μετασχηματισμού: SCS

Χρόνος Υστέρησης	59.23
------------------	-------

Αποτελέσματα:
EL0415FR6048

Παροχή αιχμής (M3/S)	135.86
Χρονική στιγμή αιχμής	02Sep2000, 01:00
Όγκος (MM)	249.83
Όγκος βροχόπτωσης (M3)	6.87E6
Όγκος απωλειών (M3)	1.7E6
Ενεργός Όγκος (M3)	5.17E6
Όγκος άμεσης απορροής (M3)	5.17E6
Όγκος βασικής απορροής (M3)	2.16E6

Βροχόπτωση και Απορροή



Υπολεκάνη: EL0415FR6049

Έκταση (KM2) : 52.23

Κατάντη : J49

Μέθοδος Απωλειών: SCS

Ποσοστό αδιαπέρατης επιφάνειας	0
Αριθμός Καμπύλης Απορροής-CN	81.6
Αρχικές Απώλειες	11.46

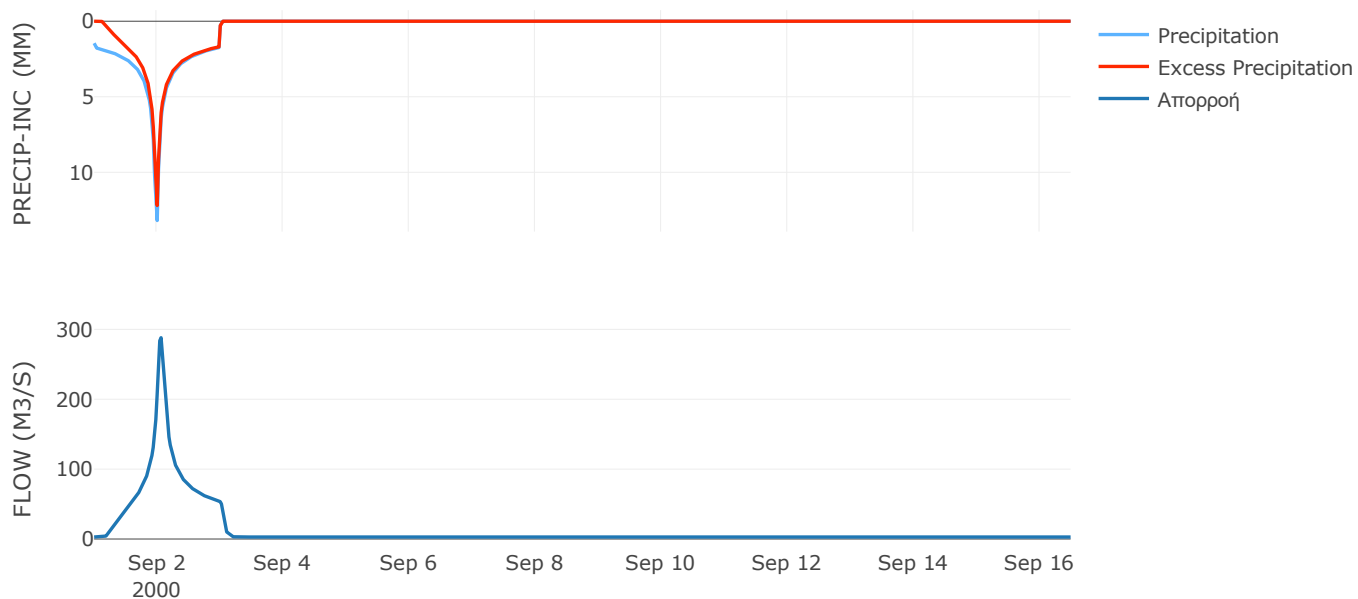
Μέθοδος
Μετασχηματισμού: SCS

Χρόνος Υστέρησης	67.8
------------------	------

Αποτελέσματα:
EL0415FR6049

Παροχή αιχμής (M3/S)	288.07
Χρονική στιγμή αιχμής	02Sep2000, 01:30
Όγκος (MM)	326.33
Όγκος βροχόπτωσης (M3)	1.63E7
Όγκος απωλειών (M3)	3.11E6
Ενεργός Όγκος (M3)	1.32E7
Όγκος άμεσης απορροής (M3)	1.32E7
Όγκος βασικής απορροής (M3)	3.85E6

Βροχόπτωση και Απορροή



Υπολεκάνη: EL0415FR6050

Έκταση (KM2) : 51.03

Κατάνη : J51

Μέθοδος Απωλειών: SCS

Ποσοστό αδιαπέρατης επιφάνειας	0
Αριθμός Καμπύλης Απορροής-CN	79.47
Αρχικές Απώλειες	13.12

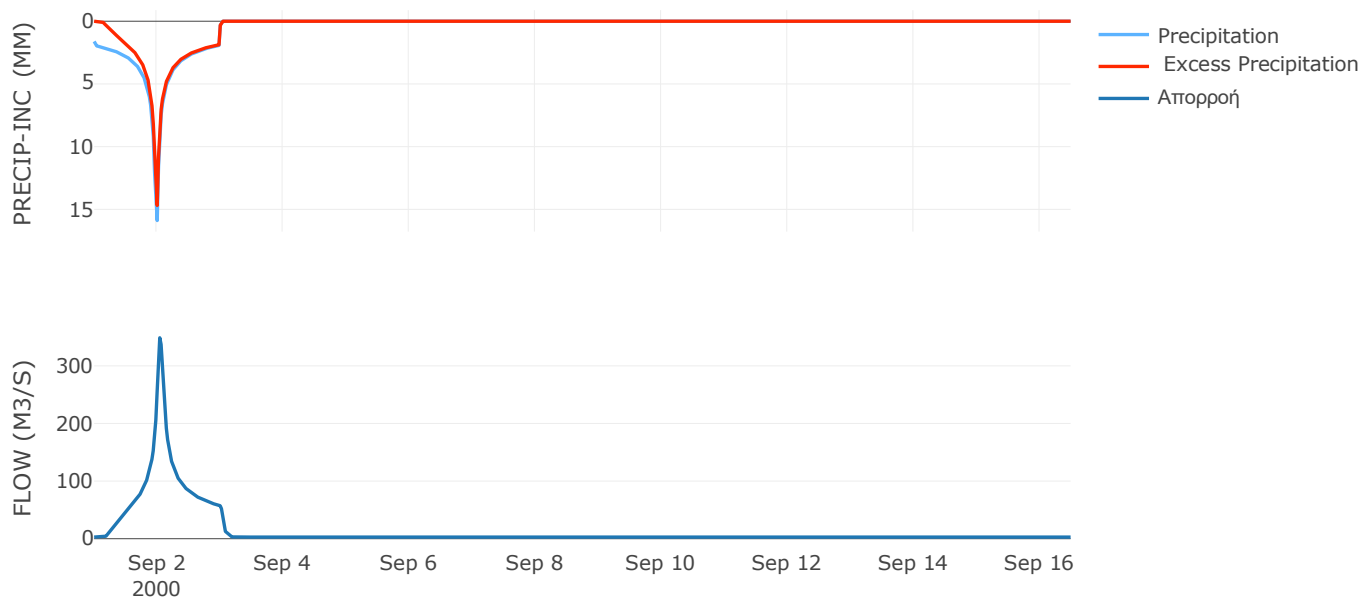
Μέθοδος
Μετασχηματισμού: SCS

Χρόνος Υστέρησης	57.22
------------------	-------

Αποτελέσματα:
EL0415FR6050

Παροχή αιχμής (M3/S)	348.71
Χρονική στιγμή αιχμής	02Sep2000, 01:00
Όγκος (MM)	361.45
Όγκος βροχόπτωσης (M3)	1.82E7
Όγκος απωλειών (M3)	3.48E6
Ενεργός Όγκος (M3)	1.47E7
Όγκος άμεσης απορροής (M3)	1.47E7
Όγκος βασικής απορροής (M3)	3.76E6

Βροχόπτωση και Απορροή



Υπολεκάνη: EL0415FR6051

Έκταση (KM2) : 113.82

Κατάντη : J56

Μέθοδος Απωλειών: SCS

Ποσοστό αδιαπέρατης επιφάνειας	0
Αριθμός Καμπύλης Απορροής-CN	89.7
Αρχικές Απώλειες	5.83

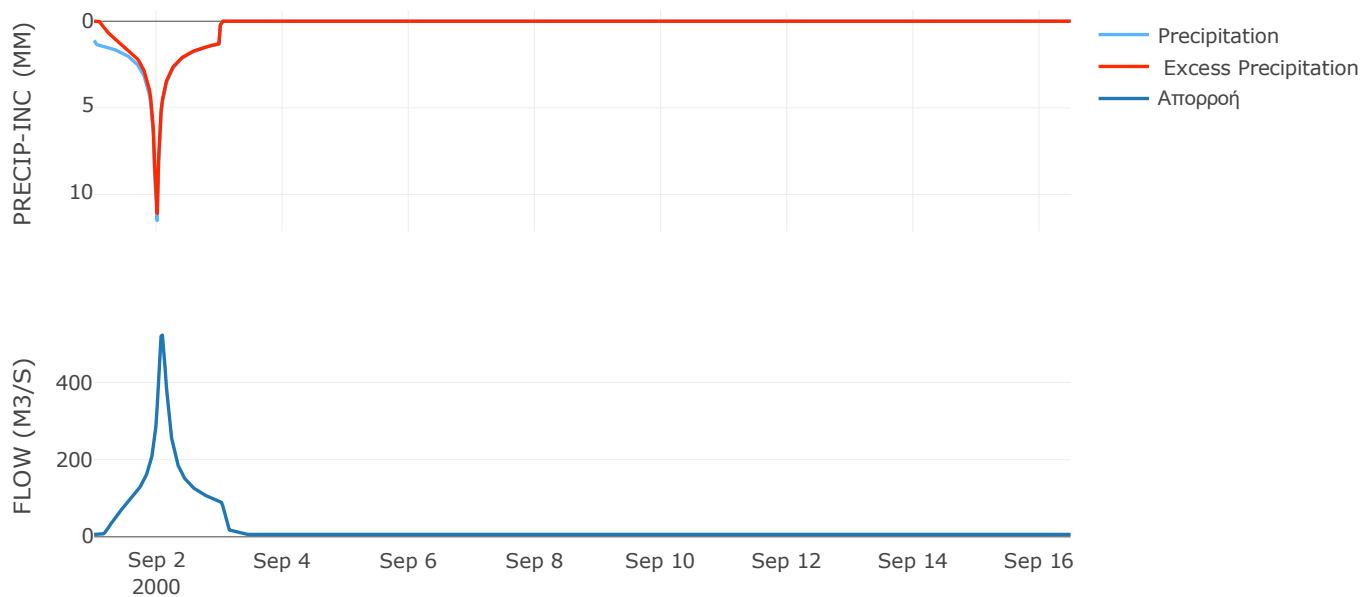
Μέθοδος
Μετασχηματισμού: SCS

Χρόνος Υστέρησης	96.66
------------------	-------

Αποτελέσματα:
EL0415FR6051

Παροχή αιχμής (M3/S)	522.87
Χρονική στιγμή αιχμής	02Sep2000, 02:00
Όγκος (MM)	290.67
Όγκος βροχόπτωσης (M3)	2.83E7
Όγκος απωλειών (M3)	3.63E6
Ενεργός Όγκος (M3)	2.47E7
Όγκος άμεσης απορροής (M3)	2.47E7
Όγκος βασικής απορροής (M3)	8.38E6

Βροχόπτωση και Απορροή



Υπολεκάνη: EL0415FR6052

Έκταση (KM2) : 27.12

Κατάντη : J4

Μέθοδος Απωλειών: SCS

Ποσοστό αδιαπέρατης επιφάνειας	0
Αριθμός Καμπύλης Απορροής-CN	82.22
Αρχικές Απώλειες	10.99

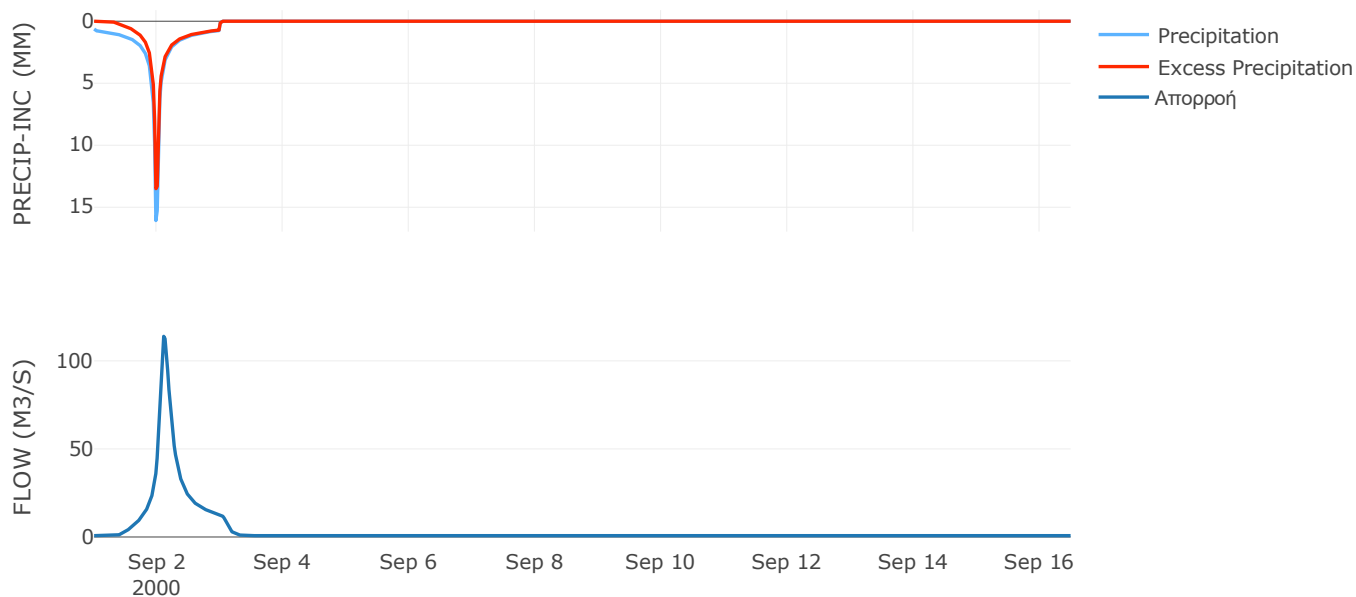
Μέθοδος
Μετασχηματισμού: SCS

Χρόνος Υστέρησης	145.25
------------------	--------

Αποτελέσματα:
EL0415FR6052

Παροχή αιχμής (M3/S)	113.94
Χρονική στιγμή αιχμής	02Sep2000, 02:30
Όγκος (MM)	185.08
Όγκος βροχόπτωσης (M3)	5.46E6
Όγκος απωλειών (M3)	1.45E6
Ενεργός Όγκος (M3)	4E6
Όγκος άμεσης απορροής (M3)	4E6
Όγκος βασικής απορροής (M3)	1.02E6

Βροχόπτωση και Απορροή



Υπολεκάνη: EL0415FR6053

Έκταση (KM2) : 64.07

Κατάντη : J55

Μέθοδος Απωλειών: SCS

Ποσοστό αδιαπέρατης επιφάνειας	0
Αριθμός Καμπύλης Απορροής-CN	80.45
Αρχικές Απώλειες	12.35

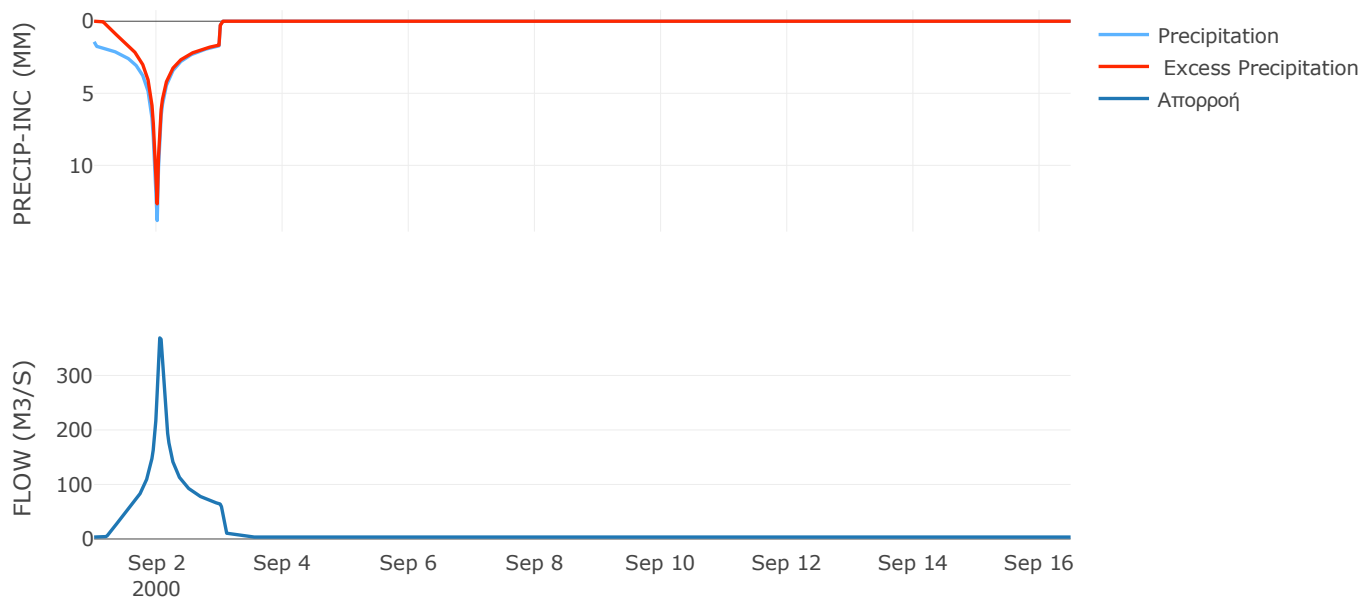
Μέθοδος
Μετασχηματισμού: SCS

Χρόνος Υστέρησης	62.46
------------------	-------

Αποτελέσματα:
EL0415FR6053

Παροχή αιχμής (M3/S)	368.92
Χρονική στιγμή αιχμής	02Sep2000, 01:00
Όγκος (MM)	323.73
Όγκος βροχόπτωσης (M3)	2.01E7
Όγκος απωλειών (M3)	4.07E6
Ενεργός Όγκος (M3)	1.6E7
Όγκος άμεσης απορροής (M3)	1.6E7
Όγκος βασικής απορροής (M3)	4.72E6

Βροχόπτωση και Απορροή



Υπολεκάνη: EL0415FR6054

Έκταση (KM2) : 14.21

Κατάντη : J54

Μέθοδος Απωλειών: SCS

Ποσοστό αδιαπέρατης επιφάνειας	6
Αριθμός Καμπύλης Απορροής-CN	84.78
Αρχικές Απώλειες	9.12

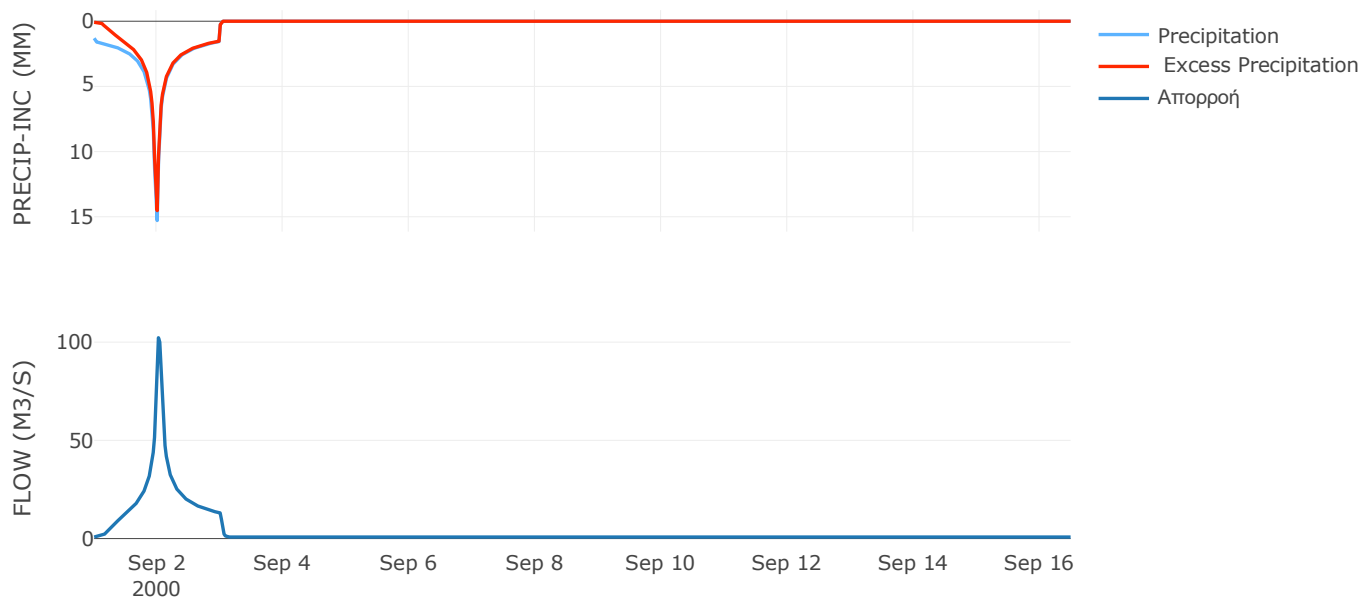
Μέθοδος
Μετασχηματισμού: SCS

Χρόνος Υστέρησης	33.76
------------------	-------

Αποτελέσματα:
EL0415FR6054

Παροχή αιχμής (M3/S)	102.25
Χρονική στιγμή αιχμής	02Sep2000, 00:30
Όγκος (MM)	335.4
Όγκος βροχόπτωσης (M3)	4.37E6
Όγκος απωλειών (M3)	6.5E5
Ενεργός Όγκος (M3)	3.72E6
Όγκος άμεσης απορροής (M3)	3.72E6
Όγκος βασικής απορροής (M3)	1.05E6

Βροχόπτωση και Απορροή



Υπολεκάνη: EL0415FR6055

Έκταση (KM2) : 46.67

Κατάντη : J55

Μέθοδος Απωλειών: SCS

Ποσοστό αδιαπέρατης επιφάνειας	0
Αριθμός Καμπύλης Απορροής-CN	76.82
Αρχικές Απώλειες	15.33

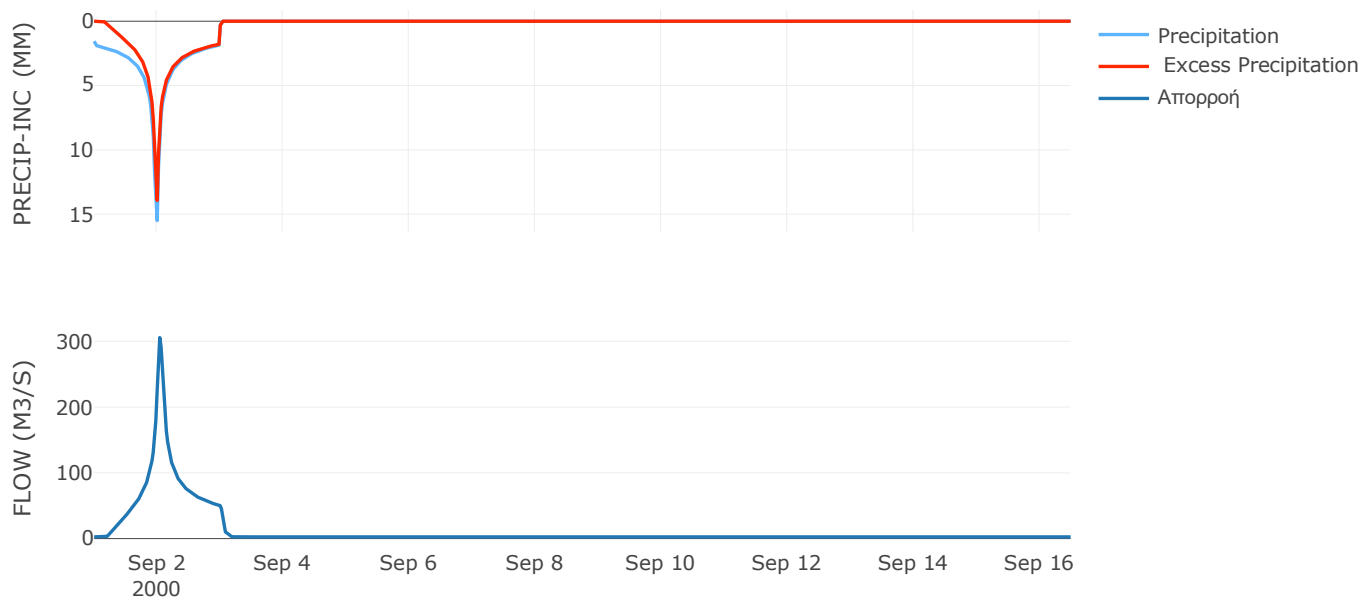
Μέθοδος
Μετασχηματισμού: SCS

Χρόνος Υστέρησης	54.07
------------------	-------

Αποτελέσματα:
EL0415FR6055

Παροχή αιχμής (M3/S)	305.72
Χρονική στιγμή αιχμής	02Sep2000, 01:00
Όγκος (MM)	341.5
Όγκος βροχόπτωσης (M3)	1.61E7
Όγκος απωλειών (M3)	3.62E6
Ενεργός Όγκος (M3)	1.25E7
Όγκος άμεσης απορροής (M3)	1.25E7
Όγκος βασικής απορροής (M3)	3.44E6

Βροχόπτωση και Απορροή



Υπολεκάνη: EL0415FR6056

Έκταση (KM2) : 143.97

Κατάντη : J54

Μέθοδος Απωλειών: SCS

Ποσοστό αδιαπέρατης επιφάνειας	0
Αριθμός Καμπύλης Απορροής-CN	82.83
Αρχικές Απώλειες	10.53

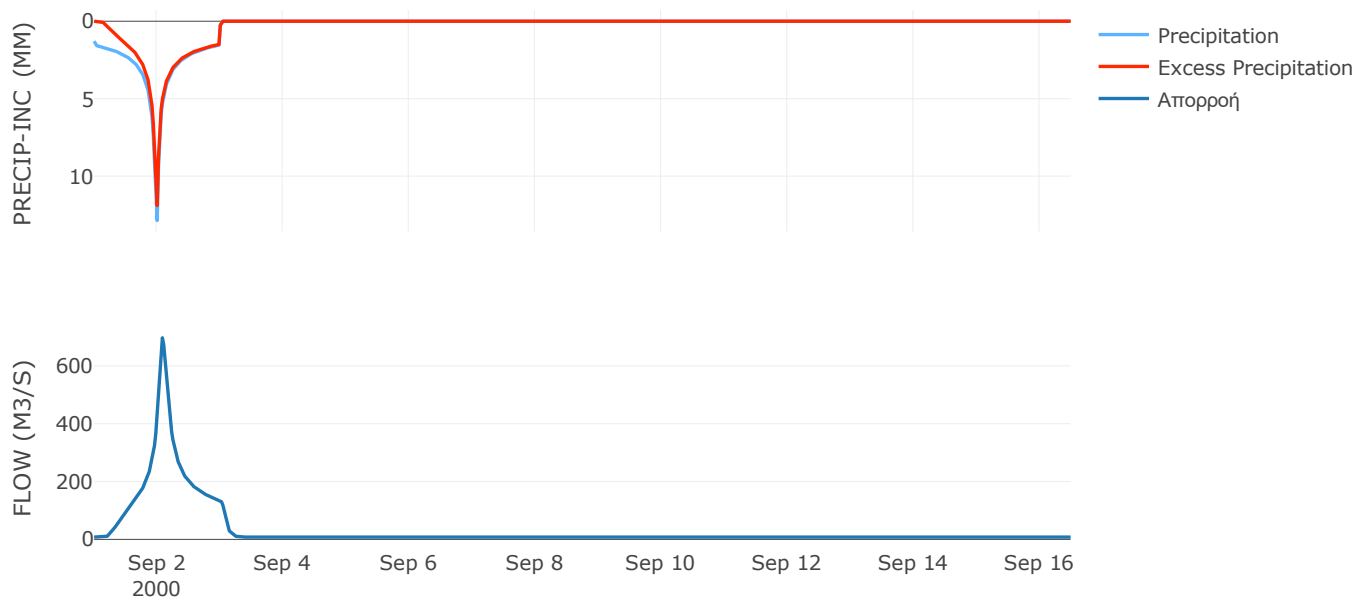
Μέθοδος
Μετασχηματισμού: SCS

Χρόνος Υστέρησης	105.78
------------------	--------

Αποτελέσματα:
EL0415FR6056

Παροχή αιχμής (M3/S)	697.04
Χρονική στιγμή αιχμής	02Sep2000, 02:00
Όγκος (MM)	305.36
Όγκος βροχόπτωσης (M3)	4.12E7
Όγκος απωλειών (M3)	7.88E6
Ενεργός Όγκος (M3)	3.34E7
Όγκος άμεσης απορροής (M3)	3.34E7
Όγκος βασικής απορροής (M3)	1.06E7

Βροχόπτωση και Απορροή



Υπολεκάνη: EL0415FR6057

Έκταση (KM2) : 27.51

Κατάντη : J57

Μέθοδος Απωλειών: SCS

Ποσοστό αδιαπέρατης επιφάνειας	13
Αριθμός Καμπύλης Απορροής-CN	83.33
Αρχικές Απώλειες	10.16

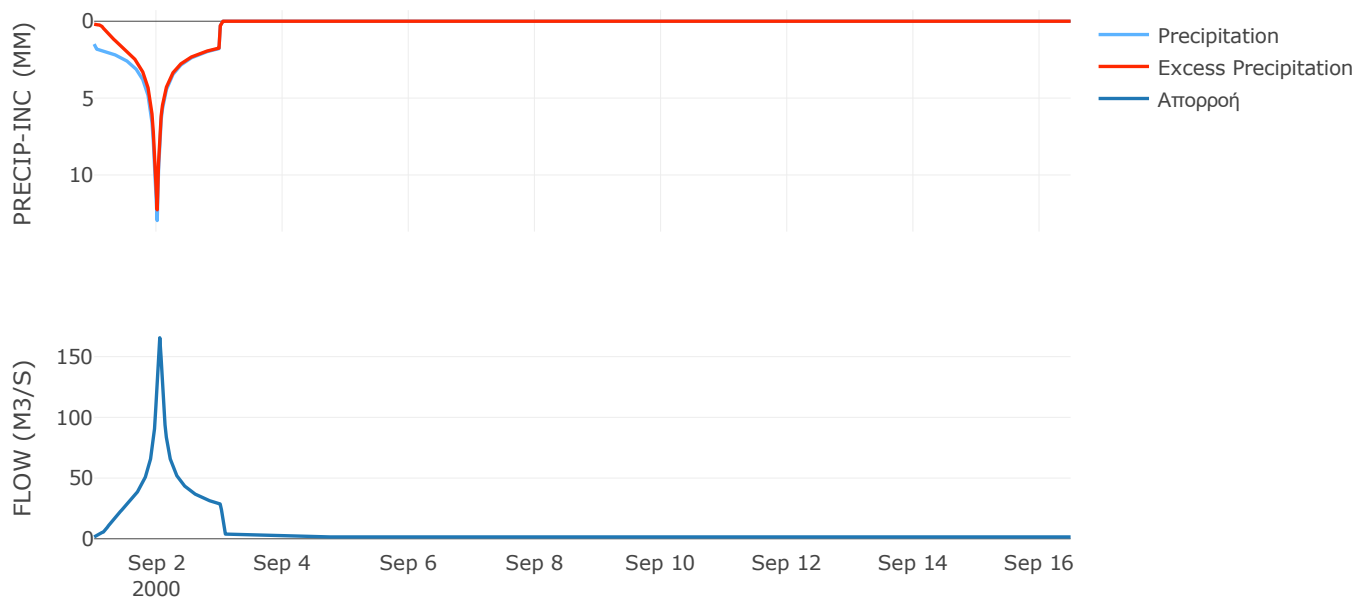
Μέθοδος
Μετασχηματισμού: SCS

Χρόνος Υστέρησης	42.52
------------------	-------

Αποτελέσματα:
EL0415FR6057

Παροχή αιχμής (M3/S)	165.56
Χρονική στιγμή αιχμής	02Sep2000, 01:00
Όγκος (MM)	341.65
Όγκος βροχόπτωσης (M3)	8.66E6
Όγκος απωλειών (M3)	1.29E6
Ενεργός Όγκος (M3)	7.37E6
Όγκος άμεσης απορροής (M3)	7.37E6
Όγκος βασικής απορροής (M3)	2.03E6

Βροχόπτωση και Απορροή



Υπολεκάνη: EL0415FR6058

Έκταση (KM2) : 10.79

Κατάνη : J53 Res5

Μέθοδος Απωλειών: SCS

Ποσοστό αδιαπέρατης επιφάνειας	16
Αριθμός Καμπύλης Απορροής-CN	86.81
Αρχικές Απώλειες	7.72

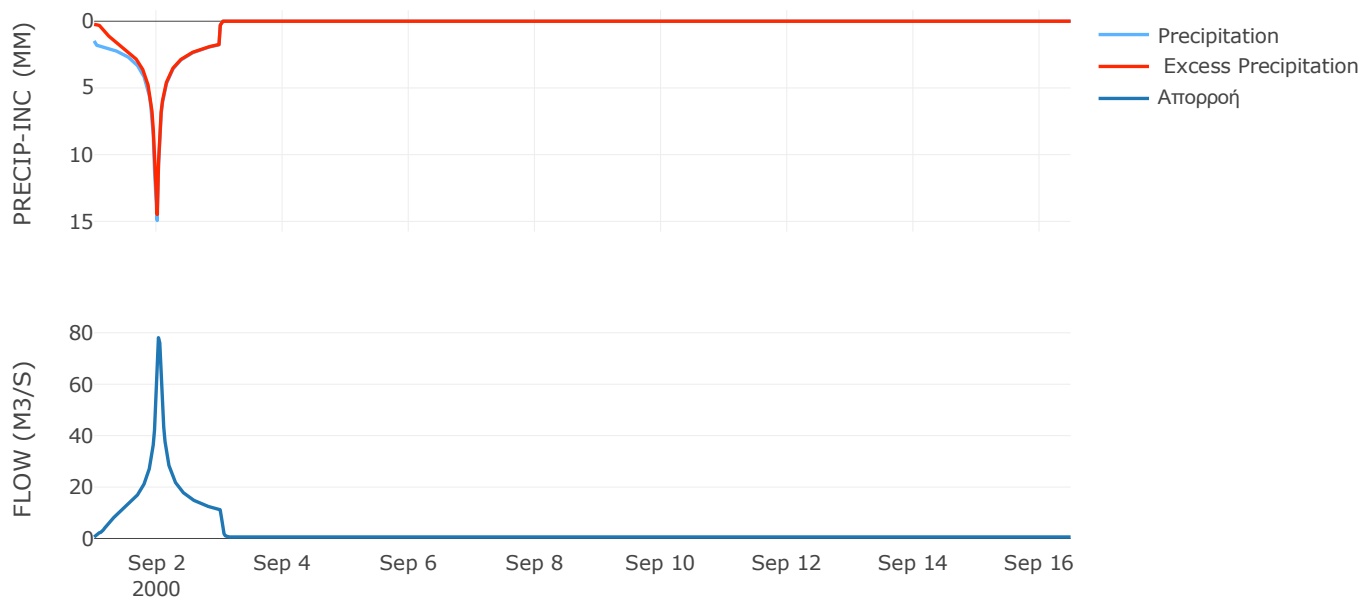
Μέθοδος
Μετασχηματισμού: SCS

Χρόνος Υστέρησης	32.59
------------------	-------

Αποτελέσματα:
EL0415FR6058

Παροχή αιχμής (M3/S)	78.11
Χρονική στιγμή αιχμής	02Sep2000, 00:30
Όγκος (MM)	367.36
Όγκος βροχόπτωσης (M3)	3.55E6
Όγκος απωλειών (M3)	3.82E5
Ενεργός Όγκος (M3)	3.17E6
Όγκος άμεσης απορροής (M3)	3.17E6
Όγκος βασικής απορροής (M3)	7.95E5

Βροχόπτωση και Απορροή



Υπολεκάνη: EL0415FR6059

Έκταση (KM2) : 57.55

Κατάνη : J51

Μέθοδος Απωλειών: SCS

Ποσοστό αδιαπέρατης επιφάνειας	0
Αριθμός Καμπύλης Απορροής-CN	86.12
Αρχικές Απώλειες	8.19

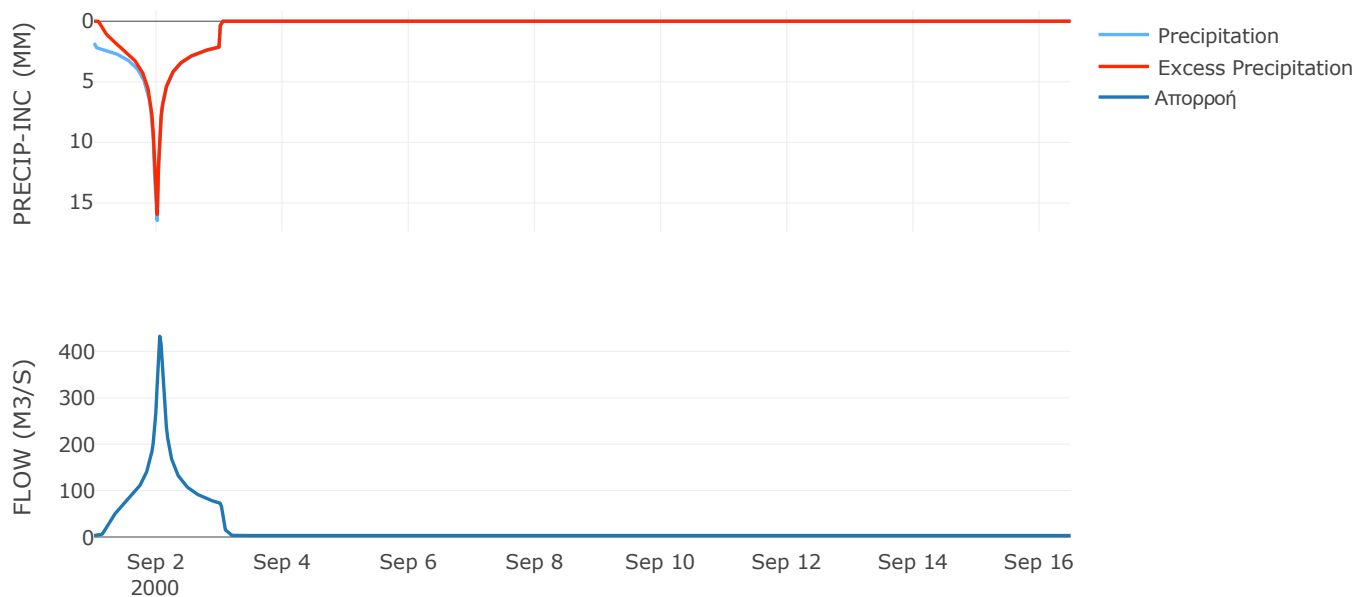
Μέθοδος
Μετασχηματισμού: SCS

Χρόνος Υστέρησης	56.1
------------------	------

Αποτελέσματα:
EL0415FR6059

Παροχή αιχμής (M3/S)	432.61
Χρονική στιγμή αιχμής	02Sep2000, 01:00
Όγκος (MM)	415.4
Όγκος βροχόπτωσης (M3)	2.23E7
Όγκος απωλειών (M3)	2.6E6
Ενεργός Όγκος (M3)	1.97E7
Όγκος άμεσης απορροής (M3)	1.97E7
Όγκος βασικής απορροής (M3)	4.24E6

Βροχόπτωση και Απορροή



Υπολεκάνη: EL0415FR6060

Έκταση (KM2) : 43.14

Κατάντη : J50

Μέθοδος Απωλειών: SCS

Ποσοστό αδιαπέρατης επιφάνειας	0
Αριθμός Καμπύλης Απορροής-CN	87.25
Αρχικές Απώλειες	7.42

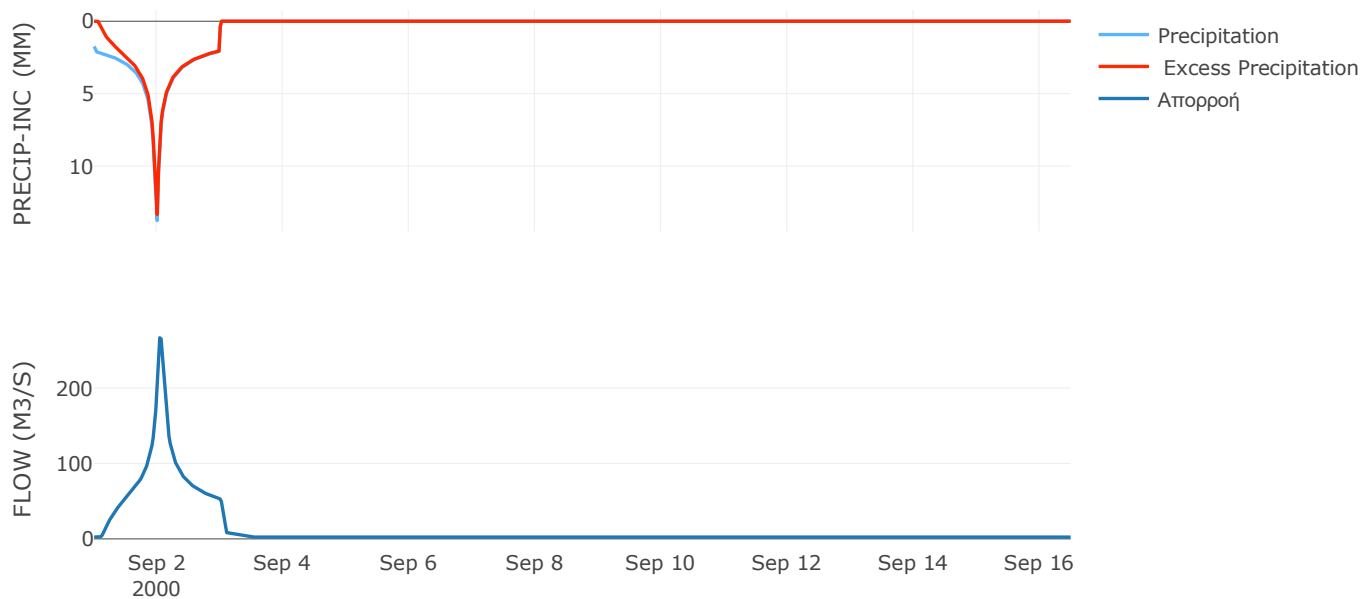
Μέθοδος
Μετασχηματισμού: SCS

Χρόνος Υστέρησης	62.7
------------------	------

Αποτελέσματα:
EL0415FR6060

Παροχή αιχμής (M3/S)	266.47
Χρονική στιγμή αιχμής	02Sep2000, 01:00
Όγκος (MM)	388.07
Όγκος βροχόπτωσης (M3)	1.53E7
Όγκος απωλειών (M3)	1.77E6
Ενεργός Όγκος (M3)	1.36E7
Όγκος άμεσης απορροής (M3)	1.36E7
Όγκος βασικής απορροής (M3)	3.18E6

Βροχόπτωση και Απορροή



Υπολεκάνη: EL0415FR6061

Έκταση (KM2) : 129.17

Κατάντη : J56

Μέθοδος Απωλειών: SCS

Ποσοστό αδιαπέρατης επιφάνειας	0
Αριθμός Καμπύλης Απορροής-CN	82.74
Αρχικές Απώλειες	10.6

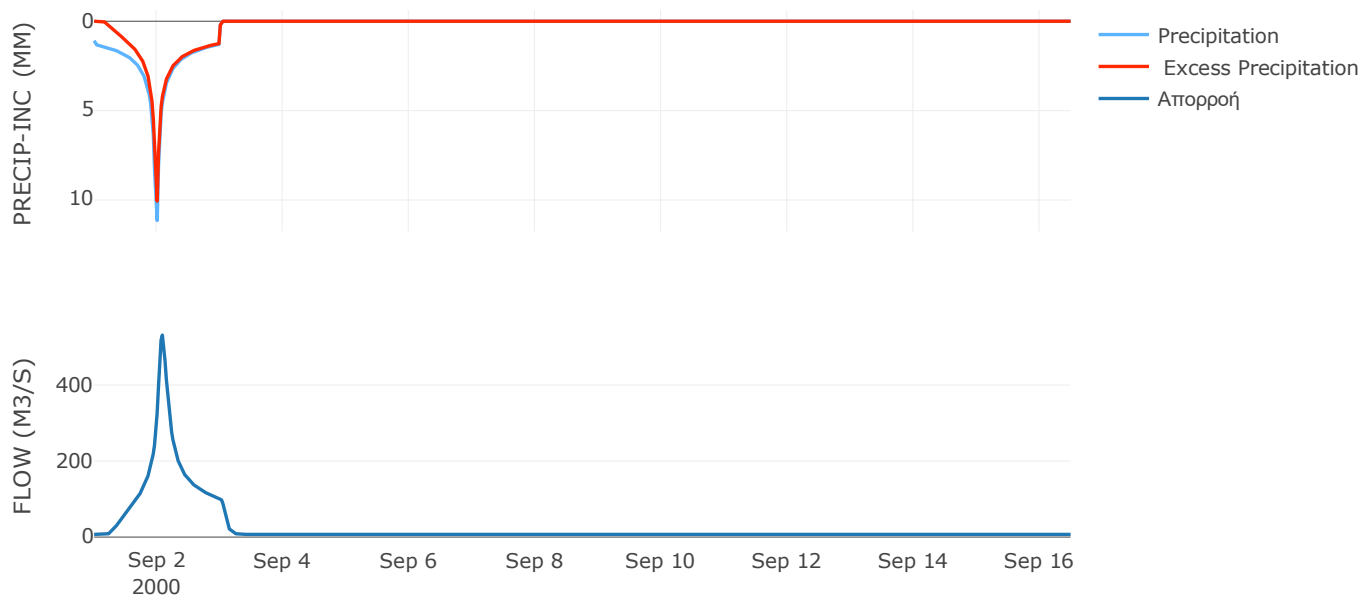
Μέθοδος
Μετασχηματισμού: SCS

Χρόνος Υστέρησης	101.81
------------------	--------

Αποτελέσματα:
EL0415FR6061

Παροχή αιχμής (M3/S)	531.29
Χρονική στιγμή αιχμής	02Sep2000, 02:00
Όγκος (MM)	263.34
Όγκος βροχόπτωσης (M3)	3.14E7
Όγκος απωλειών (M3)	6.94E6
Ενεργός Όγκος (M3)	2.45E7
Όγκος άμεσης απορροής (M3)	2.45E7
Όγκος βασικής απορροής (M3)	9.51E6

Βροχόπτωση και Απορροή



Υπολεκάνη: EL0415FR6062

Έκταση (KM2) : 41.66

Κατάντη : J49

Μέθοδος Απωλειών: SCS

Ποσοστό αδιαπέρατης επιφάνειας	0
Αριθμός Καμπύλης Απορροής-CN	87.07
Αρχικές Απώλειες	7.54

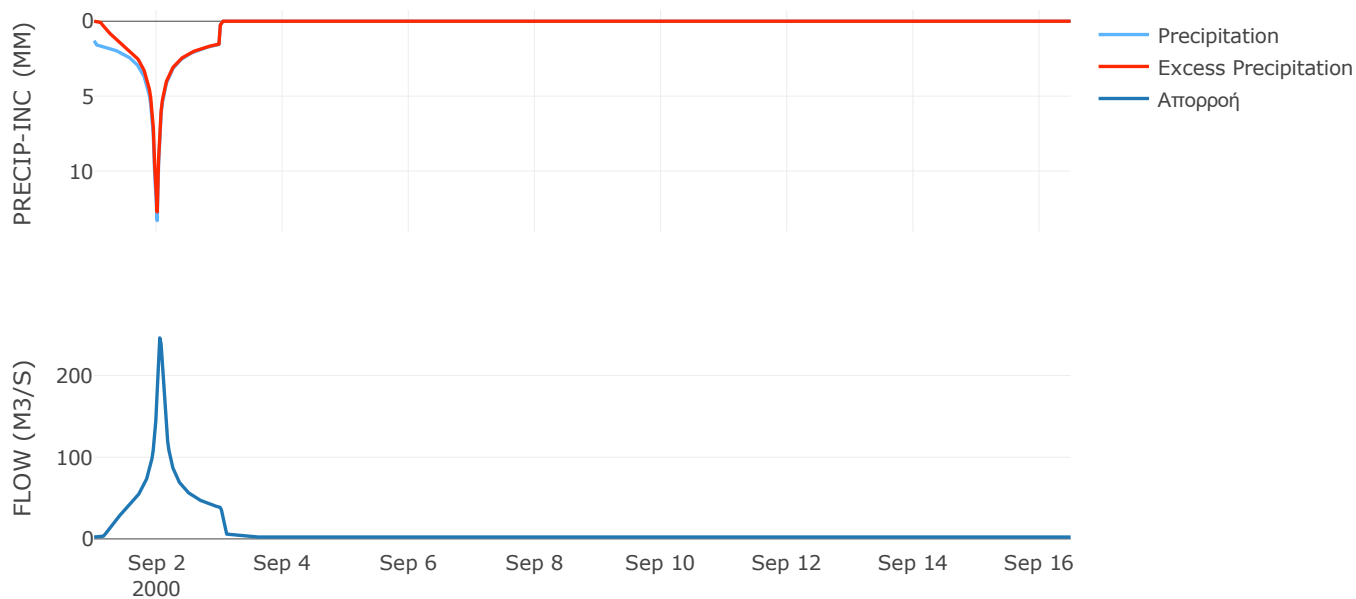
Μέθοδος
Μετασχηματισμού: SCS

Χρόνος Υστέρησης	58.76
------------------	-------

Αποτελέσματα:
EL0415FR6062

Παροχή αιχμής (M3/S)	246.14
Χρονική στιγμή αιχμής	02Sep2000, 01:00
Όγκος (MM)	323.72
Όγκος βροχόπτωσης (M3)	1.21E7
Όγκος απωλειών (M3)	1.7E6
Ενεργός Όγκος (M3)	1.04E7
Όγκος άμεσης απορροής (M3)	1.04E7
Όγκος βασικής απορροής (M3)	3.07E6

Βροχόπτωση και Απορροή



Υπολεκάνη: EL0415FR6063

Έκταση (KM2) : 99.42

Κατάντη : J48

Μέθοδος Απωλειών: SCS

Ποσοστό αδιαπέρατης επιφάνειας	0
Αριθμός Καμπύλης Απορροής-CN	80.04
Αρχικές Απώλειες	12.67

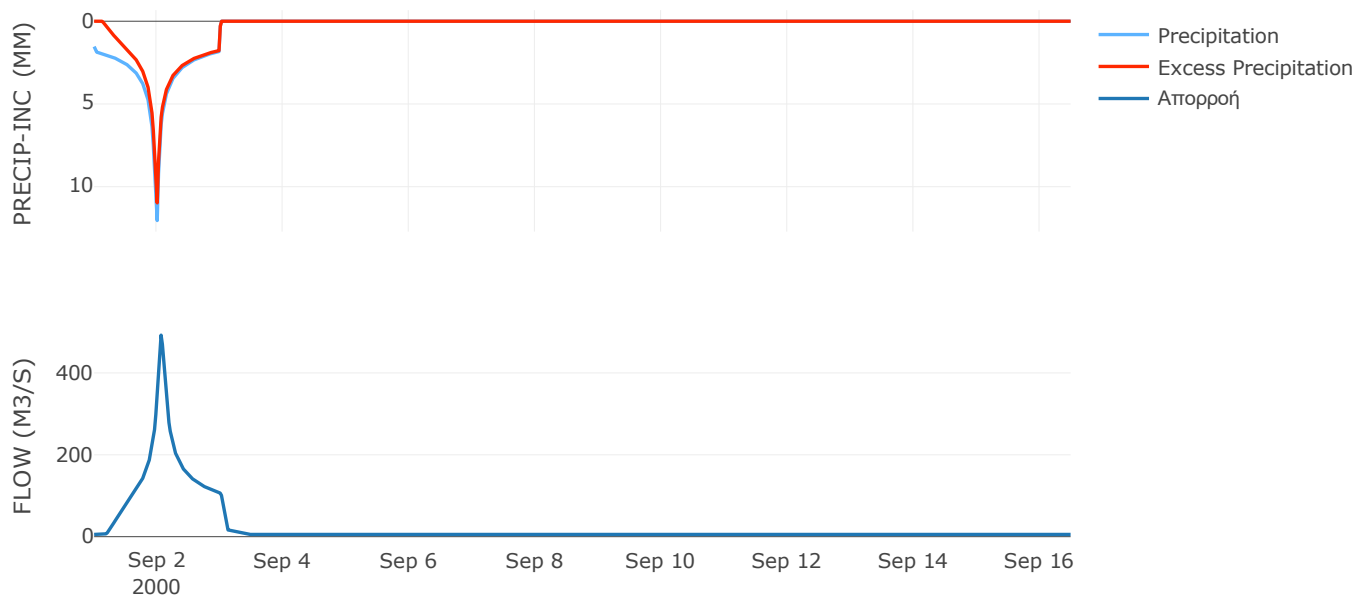
Μέθοδος
Μετασχηματισμού: SCS

Χρόνος Υστέρησης	75.36
------------------	-------

Αποτελέσματα:
EL0415FR6063

Παροχή αιχμής (M3/S)	492.27
Χρονική στιγμή αιχμής	02Sep2000, 01:30
Όγκος (MM)	321.2
Όγκος βροχόπτωσης (M3)	3.11E7
Όγκος απωλειών (M3)	6.46E6
Ενεργός Όγκος (M3)	2.46E7
Όγκος άμεσης απορροής (M3)	2.46E7
Όγκος βασικής απορροής (M3)	7.32E6

Βροχόπτωση και Απορροή



Υπολεκάνη: EL0415FR6064

Έκταση (KM2) : 51.48

Κατάντη : J47

Μέθοδος Απωλειών: SCS

Ποσοστό αδιαπέρατης επιφάνειας	0
Αριθμός Καμπύλης Απορροής-CN	78.23
Αρχικές Απώλειες	14.13

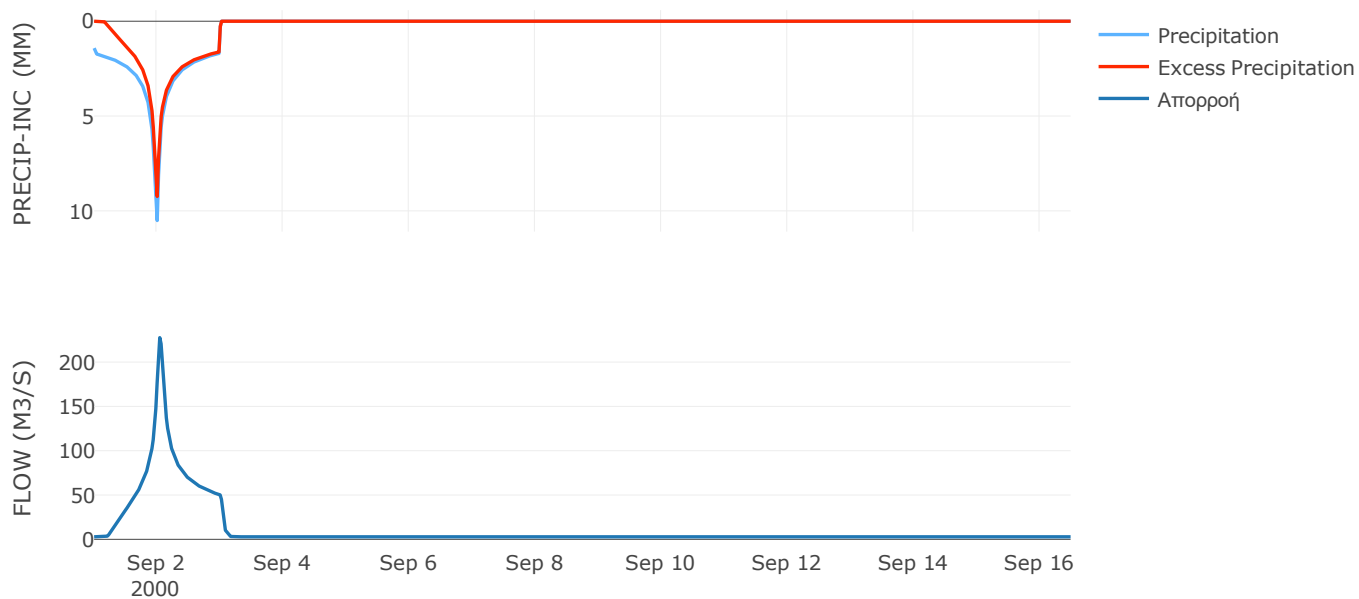
Μέθοδος
Μετασχηματισμού: SCS

Χρόνος Υστέρησης	53.6
------------------	------

Αποτελέσματα:
EL0415FR6064

Παροχή αιχμής (M3/S)	227.59
Χρονική στιγμή αιχμής	02Sep2000, 01:00
Όγκος (MM)	287.07
Όγκος βροχόπτωσης (M3)	1.46E7
Όγκος απωλειών (M3)	3.61E6
Ενεργός Όγκος (M3)	1.1E7
Όγκος άμεσης απορροής (M3)	1.1E7
Όγκος βασικής απορροής (M3)	3.79E6

Βροχόπτωση και Απορροή



Υπολεκάνη: EL0415FR6065

Έκταση (KM2) : 12.04

Κατάντη : J47

Μέθοδος Απωλειών: SCS

Ποσοστό αδιαπέρατης επιφάνειας	0
Αριθμός Καμπύλης Απορροής-CN	79.86
Αρχικές Απώλειες	12.81

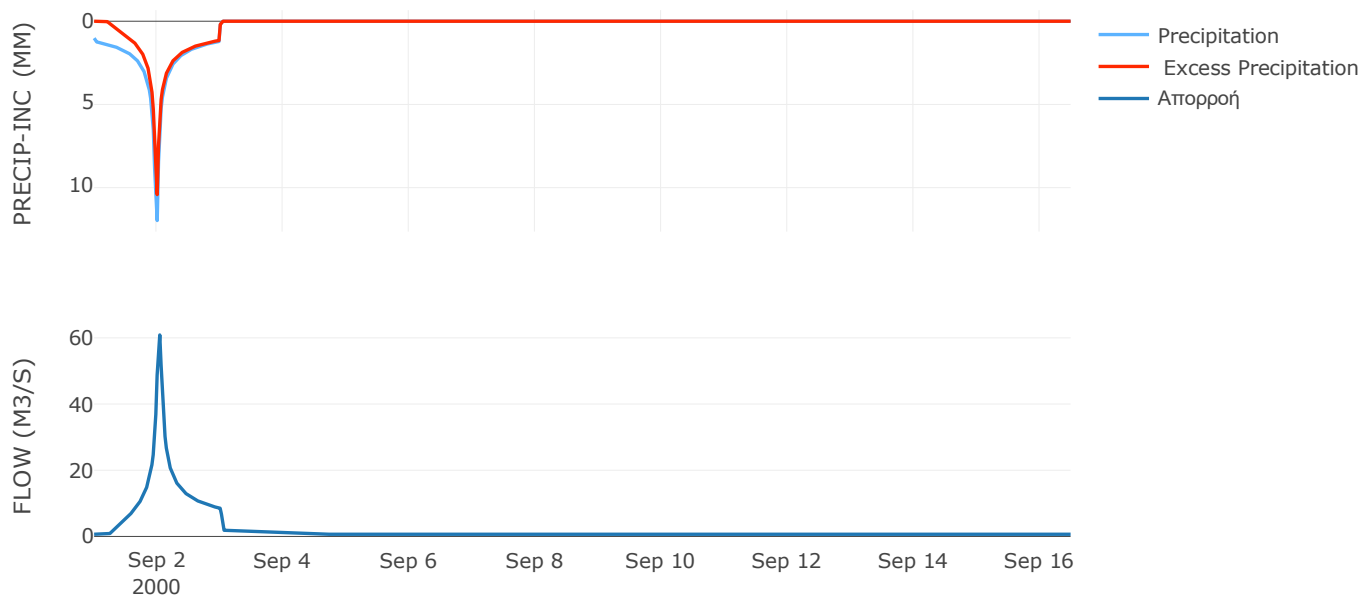
Μέθοδος
Μετασχηματισμού: SCS

Χρόνος Υστέρησης	37.05
------------------	-------

Αποτελέσματα:
EL0415FR6065

Παροχή αιχμής (M3/S)	60.87
Χρονική στιγμή αιχμής	02Sep2000, 01:00
Όγκος (MM)	251.07
Όγκος βροχόπτωσης (M3)	2.89E6
Όγκος απωλειών (M3)	7.56E5
Ενεργός Όγκος (M3)	2.14E6
Όγκος άμεσης απορροής (M3)	2.14E6
Όγκος βασικής απορροής (M3)	8.87E5

Βροχόπτωση και Απορροή



Υπολεκάνη: EL0415FR6066

Έκταση (KM2) : 116.84

Κατάντη : J48

Μέθοδος Απωλειών: SCS

Ποσοστό αδιαπέρατης επιφάνειας	0
Αριθμός Καμπύλης Απορροής-CN	83.04
Αρχικές Απώλειες	10.37

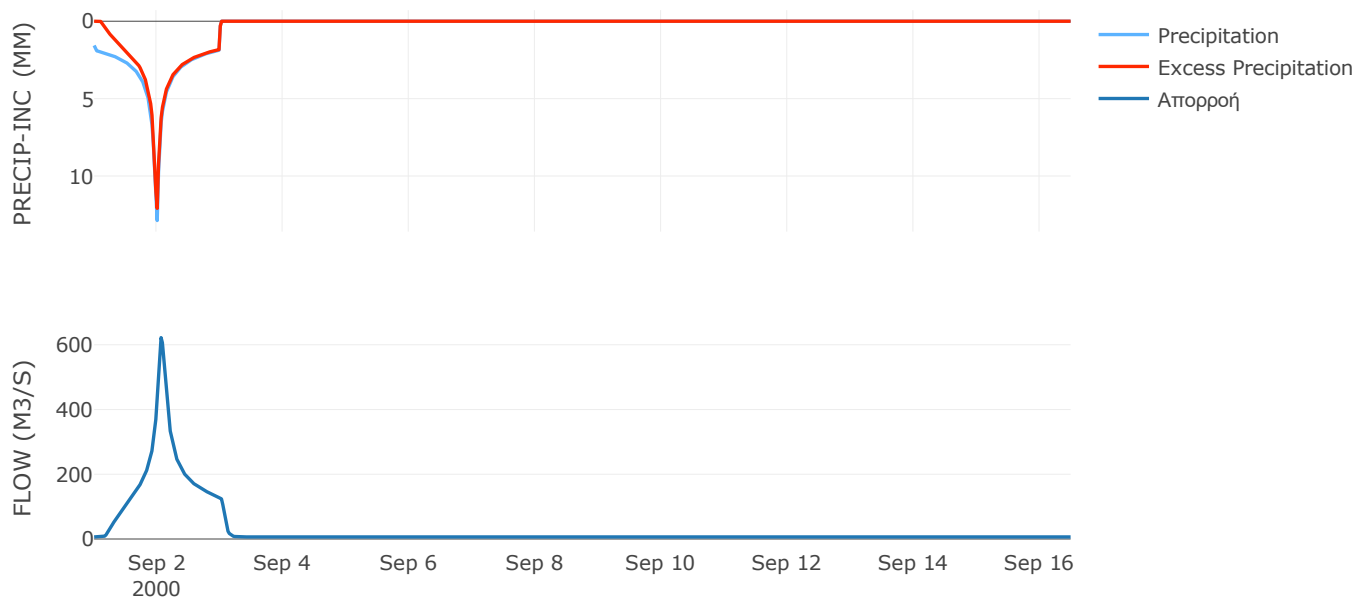
Μέθοδος
Μετασχηματισμού: SCS

Χρόνος Υστέρησης	83.47
------------------	-------

Αποτελέσματα:
EL0415FR6066

Παροχή αιχμής (M3/S)	622.09
Χρονική στιγμή αιχμής	02Sep2000, 01:30
Όγκος (MM)	343.23
Όγκος βροχόπτωσης (M3)	3.79E7
Όγκος απωλειών (M3)	6.41E6
Ενεργός Όγκος (M3)	3.15E7
Όγκος άμεσης απορροής (M3)	3.15E7
Όγκος βασικής απορροής (M3)	8.61E6

Βροχόπτωση και Απορροή



Υπολεκάνη: EL0415FR6067

Έκταση (KM2) : 29.4

Κατάντη : J57

Μέθοδος Απωλειών: SCS

Ποσοστό αδιαπέρατης επιφάνειας	9
Αριθμός Καμπύλης Απορροής-CN	84.22
Αρχικές Απώλειες	9.52

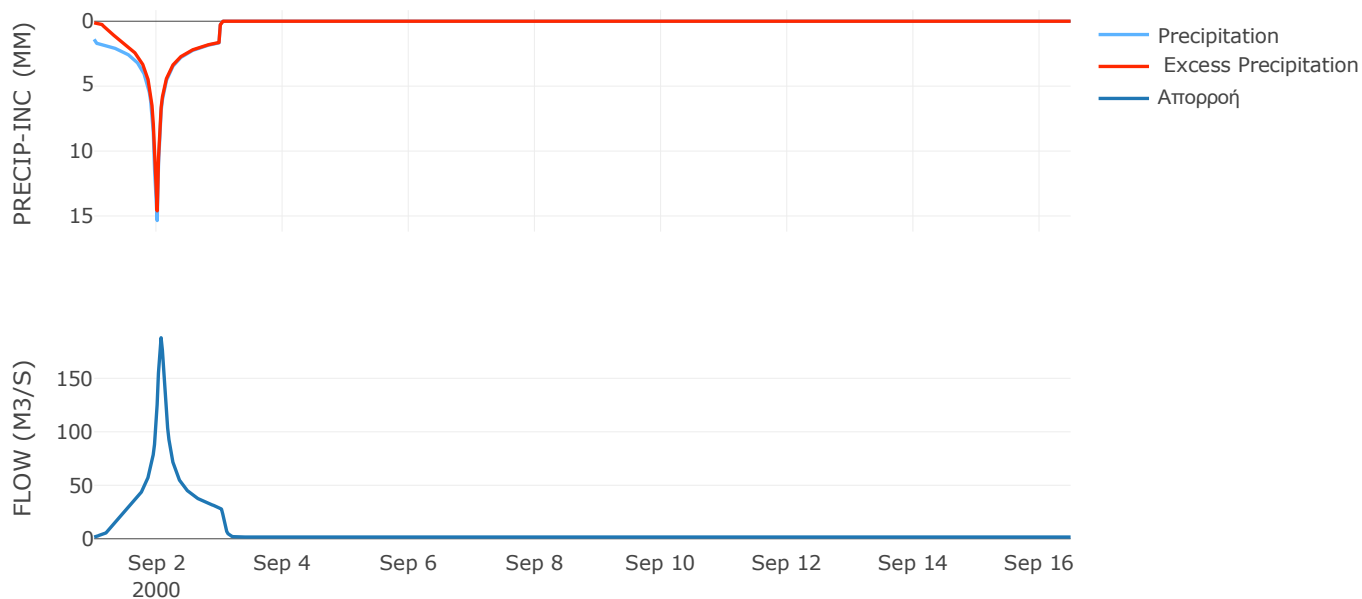
Μέθοδος
Μετασχηματισμού: SCS

Χρόνος Υστέρησης	76.17
------------------	-------

Αποτελέσματα:
EL0415FR6067

Παροχή αιχμής (M3/S)	187.92
Χρονική στιγμή αιχμής	02Sep2000, 01:30
Όγκος (MM)	348.14
Όγκος βροχόπτωσης (M3)	9.43E6
Όγκος απωλειών (M3)	1.36E6
Ενεργός Όγκος (M3)	8.07E6
Όγκος άμεσης απορροής (M3)	8.07E6
Όγκος βασικής απορροής (M3)	2.17E6

Βροχόπτωση και Απορροή



Υπολεκάνη: EL0415FR6068

Έκταση (KM2) : 101.27

Κατάντη : J45

Μέθοδος Απωλειών: SCS

Ποσοστό αδιαπέρατης επιφάνειας	0
Αριθμός Καμπύλης Απορροής-CN	88.93
Αρχικές Απώλειες	6.32

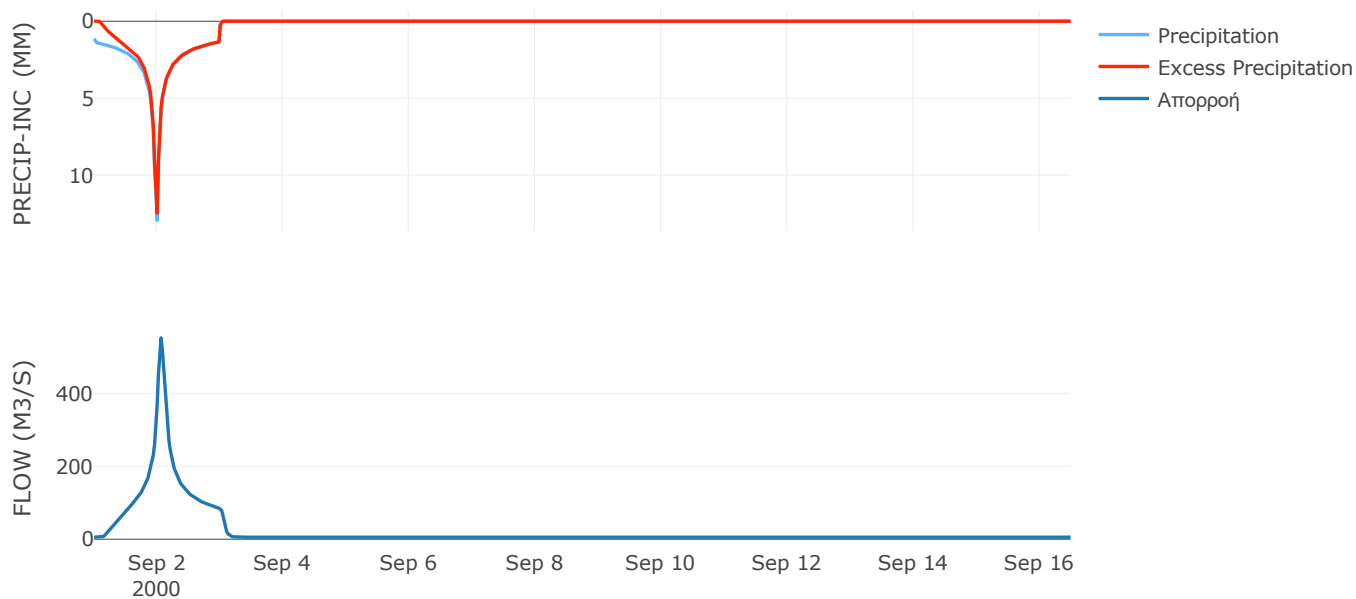
Μέθοδος
Μετασχηματισμού: SCS

Χρόνος Υστέρησης	77.15
------------------	-------

Αποτελέσματα:
EL0415FR6068

Παροχή αιχμής (M3/S)	551.66
Χρονική στιγμή αιχμής	02Sep2000, 01:30
Όγκος (MM)	304.7
Όγκος βροχόπτωσης (M3)	2.69E7
Όγκος απωλειών (M3)	3.49E6
Ενεργός Όγκος (M3)	2.34E7
Όγκος άμεσης απορροής (M3)	2.34E7
Όγκος βασικής απορροής (M3)	7.46E6

Βροχόπτωση και Απορροή



Υπολεκάνη: EL0415FR6069

Έκταση (KM2) : 35

Κατάντη : J43

Μέθοδος Απωλειών: SCS

Ποσοστό αδιαπέρατης επιφάνειας	0
Αριθμός Καμπύλης Απορροής-CN	88.32
Αρχικές Απώλειες	6.72

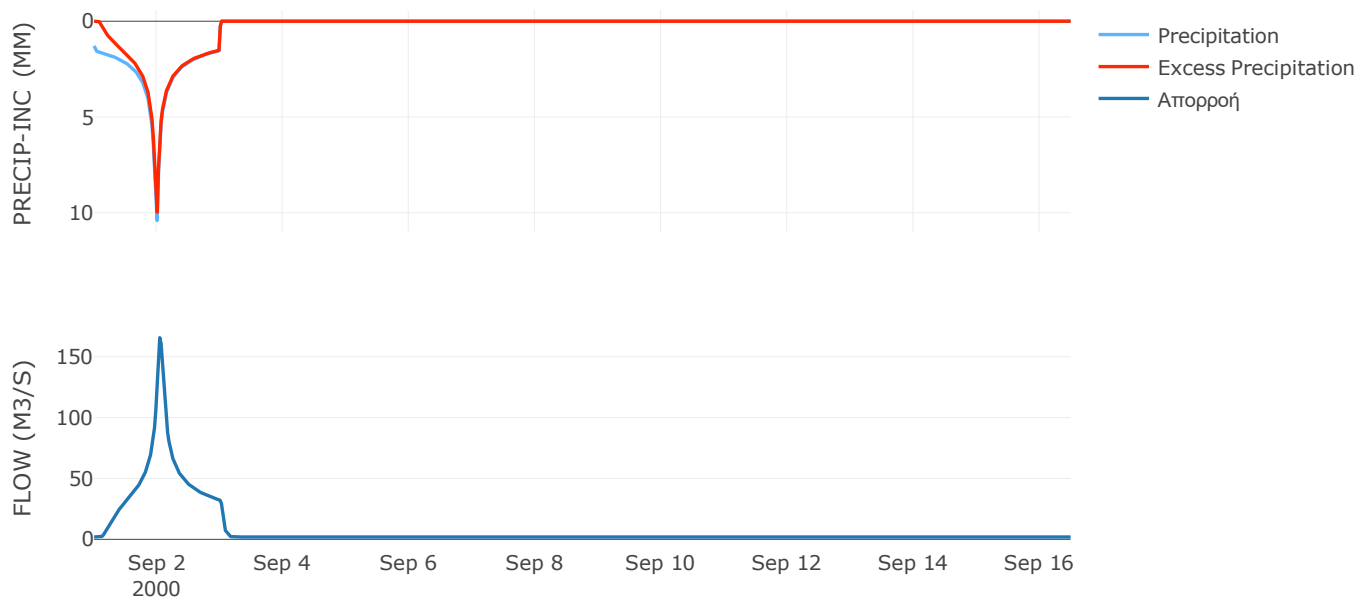
Μέθοδος
Μετασχηματισμού: SCS

Χρόνος Υστέρησης	56.7
------------------	------

Αποτελέσματα:
EL0415FR6069

Παροχή αιχμής (M3/S)	165.65
Χρονική στιγμή αιχμής	02Sep2000, 01:00
Όγκος (MM)	302.62
Όγκος βροχόπτωσης (M3)	9.29E6
Όγκος απωλειών (M3)	1.28E6
Ενεργός Όγκος (M3)	8.01E6
Όγκος άμεσης απορροής (M3)	8.01E6
Όγκος βασικής απορροής (M3)	2.58E6

Βροχόπτωση και Απορροή



Υπολεκάνη: EL0415FR6070

Έκταση (KM2) : 53.71

Κατάντη : J42

Μέθοδος Απωλειών: SCS

Ποσοστό αδιαπέρατης επιφάνειας	1
Αριθμός Καμπύλης Απορροής-CN	82.8
Αρχικές Απώλειες	10.55

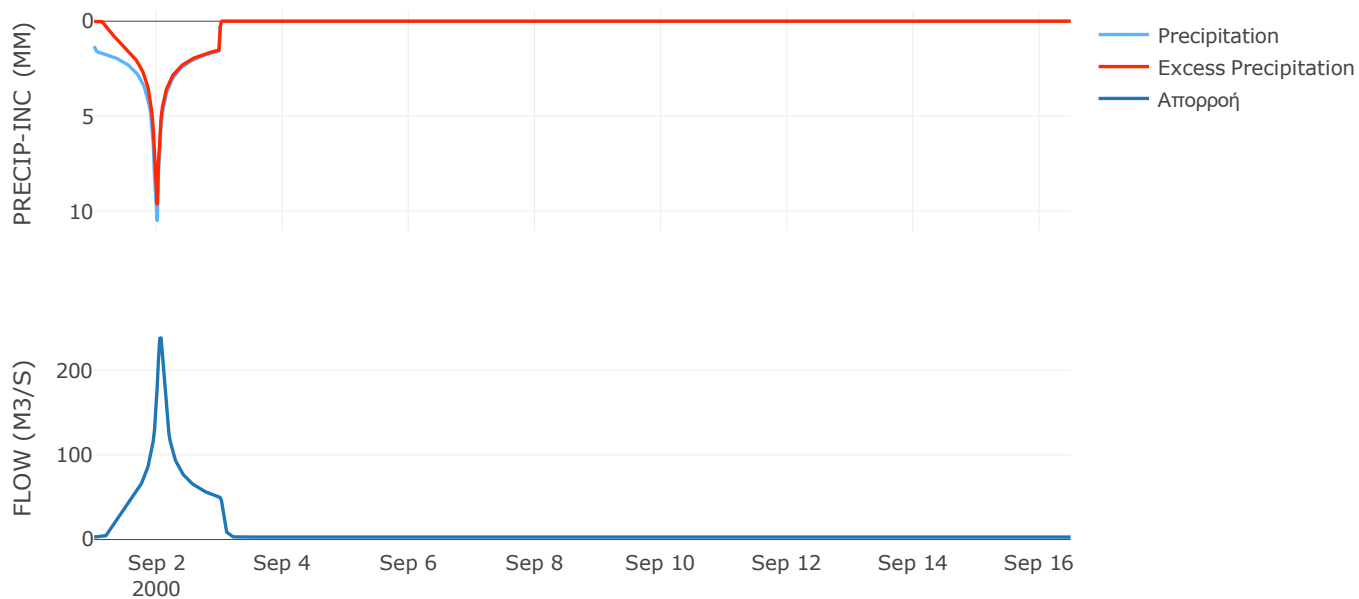
Μέθοδος
Μετασχηματισμού: SCS

Χρόνος Υστέρησης	63.49
------------------	-------

Αποτελέσματα:
EL0415FR6070

Παροχή αιχμής (M3/S)	238.26
Χρονική στιγμή αιχμής	02Sep2000, 01:30
Όγκος (MM)	289.76
Όγκος βροχόπτωσης (M3)	1.45E7
Όγκος απωλειών (M3)	2.89E6
Ενεργός Όγκος (M3)	1.16E7
Όγκος άμεσης απορροής (M3)	1.16E7
Όγκος βασικής απορροής (M3)	3.96E6

Βροχόπτωση και Απορροή



Υπολεκάνη: EL0415FR6071

Έκταση (KM2) : 75.64

Κατάντη : J40

Μέθοδος Απωλειών: SCS

Ποσοστό αδιαπέρατης επιφάνειας	0
Αριθμός Καμπύλης Απορροής-CN	90.35
Αρχικές Απώλειες	5.43

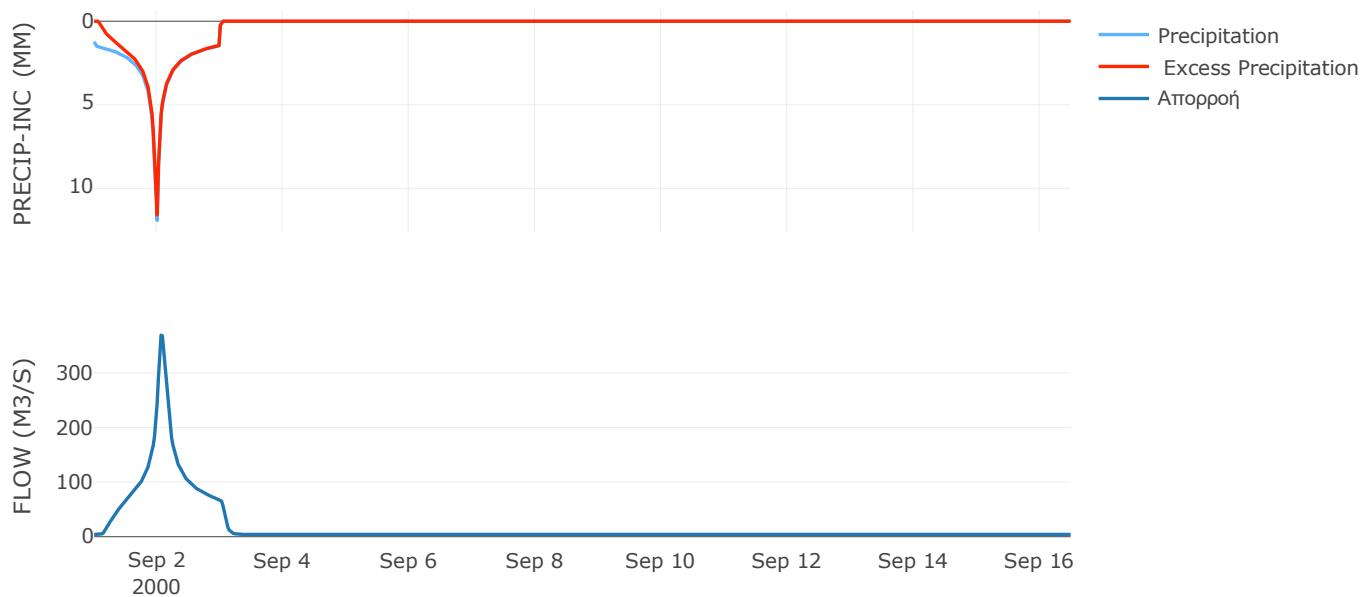
Μέθοδος
Μετασχηματισμού: SCS

Χρόνος Υστέρησης	93.54
------------------	-------

Αποτελέσματα:
EL0415FR6071

Παροχή αιχμής (M3/S)	369.24
Χρονική στιγμή αιχμής	02Sep2000, 01:30
Όγκος (MM)	313.46
Όγκος βροχόπτωσης (M3)	2.04E7
Όγκος απωλειών (M3)	2.27E6
Ενεργός Όγκος (M3)	1.81E7
Όγκος άμεσης απορροής (M3)	1.81E7
Όγκος βασικής απορροής (M3)	5.57E6

Βροχόπτωση και Απορροή



Υπολεκάνη: EL0415FR6072

Έκταση (KM2) : 105.53

Κατάντη : J39

Μέθοδος Απωλειών: SCS

Ποσοστό αδιαπέρατης επιφάνειας	0
Αριθμός Καμπύλης Απορροής-CN	88.93
Αρχικές Απώλειες	6.32

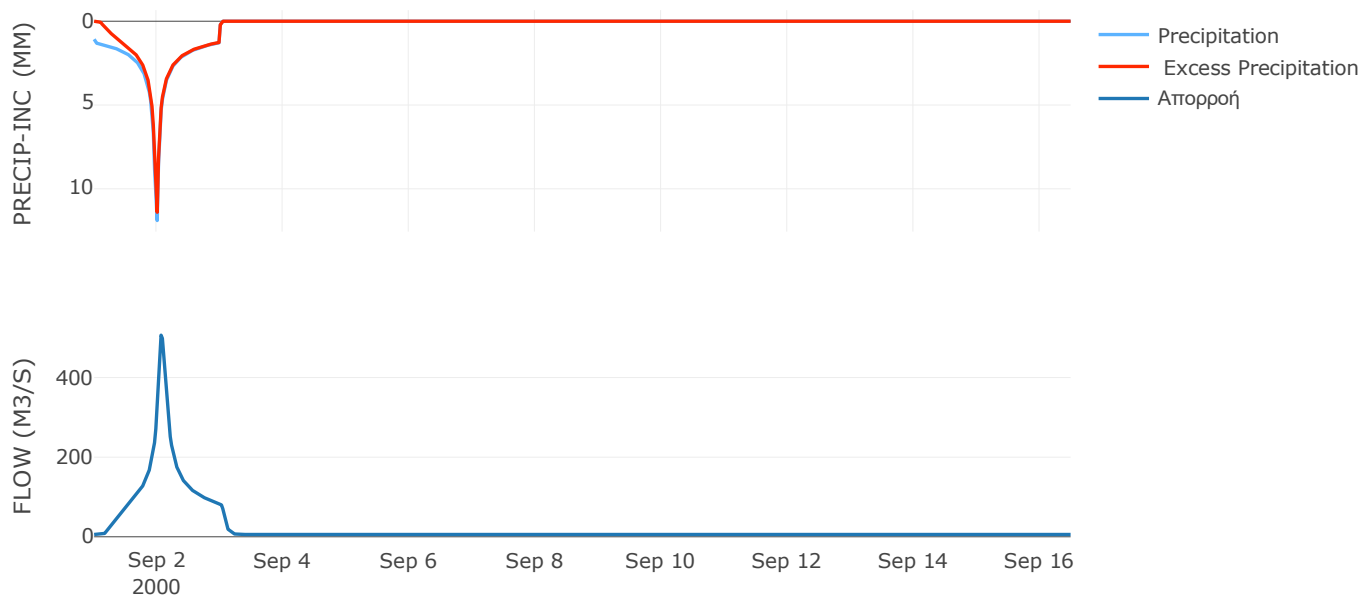
Μέθοδος
Μετασχηματισμού: SCS

Χρόνος Υστέρησης	89.49
------------------	-------

Αποτελέσματα:
EL0415FR6072

Παροχή αιχμής (M3/S)	506.44
Χρονική στιγμή αιχμής	02Sep2000, 01:30
Όγκος (MM)	287.26
Όγκος βροχόπτωσης (M3)	2.62E7
Όγκος απωλειών (M3)	3.62E6
Ενεργός Όγκος (M3)	2.25E7
Όγκος άμεσης απορροής (M3)	2.25E7
Όγκος βασικής απορροής (M3)	7.77E6

Βροχόπτωση και Απορροή



Υπολεκάνη: EL0415FR6073

Έκταση (KM2) : 53.33

Κατάντη : J39

Μέθοδος Απωλειών: SCS

Ποσοστό αδιαπέρατης επιφάνειας	0
Αριθμός Καμπύλης Απορροής-CN	82.36
Αρχικές Απώλειες	10.88

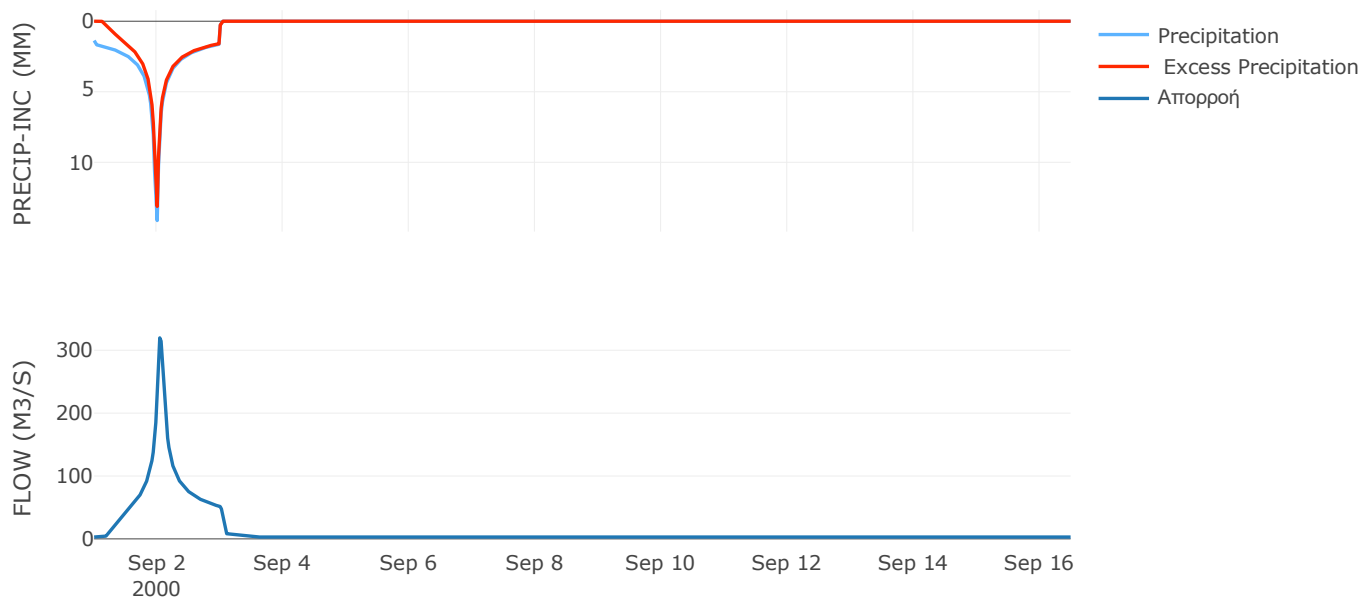
Μέθοδος
Μετασχηματισμού: SCS

Χρόνος Υστέρησης	61.06
------------------	-------

Αποτελέσματα:
EL0415FR6073

Παροχή αιχμής (M3/S)	319.73
Χρονική στιγμή αιχμής	02Sep2000, 01:00
Όγκος (MM)	324.29
Όγκος βροχόπτωσης (M3)	1.64E7
Όγκος απωλειών (M3)	3.03E6
Ενεργός Όγκος (M3)	1.34E7
Όγκος άμεσης απορροής (M3)	1.34E7
Όγκος βασικής απορροής (M3)	3.93E6

Βροχόπτωση και Απορροή



Υπολεκάνη: EL0415FR6074

Έκταση (KM2) : 21.94

Κατάντη : J37

Μέθοδος Απωλειών: SCS

Ποσοστό αδιαπέρατης επιφάνειας	0
Αριθμός Καμπύλης Απορροής-CN	83.03
Αρχικές Απώλειες	10.38

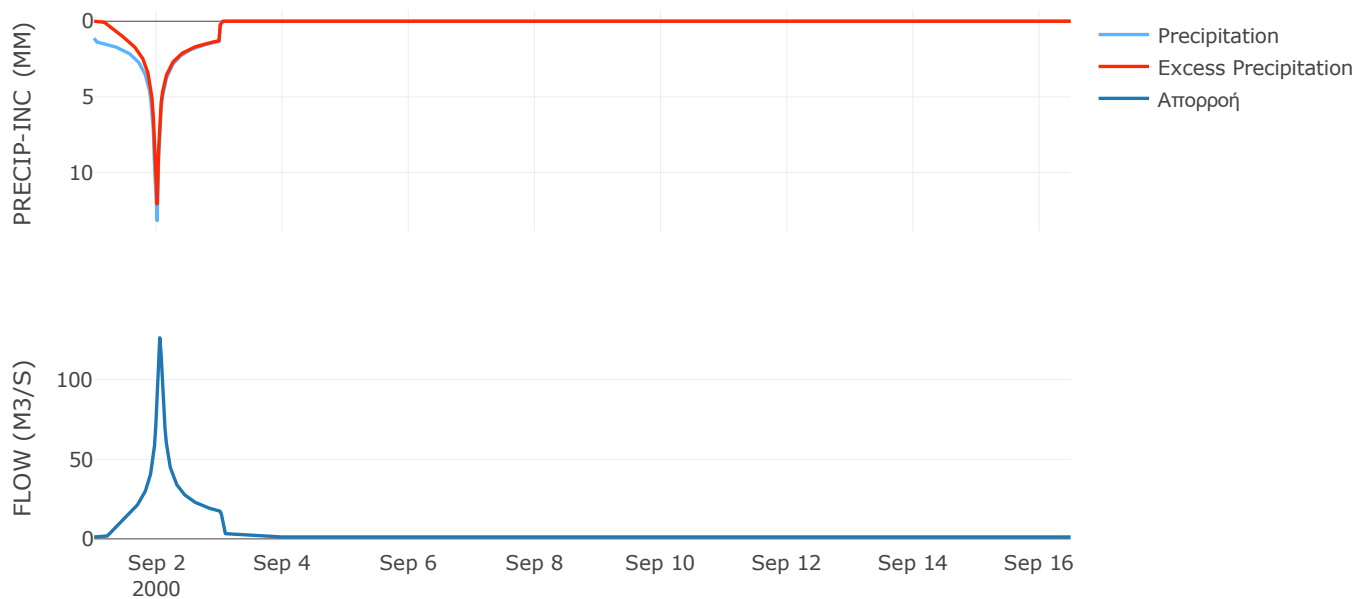
Μέθοδος
Μετασχηματισμού: SCS

Χρόνος Υστέρησης	49.56
------------------	-------

Αποτελέσματα:
EL0415FR6074

Παροχή αιχμής (M3/S)	126.31
Χρονική στιγμή αιχμής	02Sep2000, 01:00
Όγκος (MM)	284.35
Όγκος βροχόπτωσης (M3)	5.8E6
Όγκος απωλειών (M3)	1.17E6
Ενεργός Όγκος (M3)	4.62E6
Όγκος άμεσης απορροής (M3)	4.62E6
Όγκος βασικής απορροής (M3)	1.62E6

Βροχόπτωση και Απορροή



Υπολεκάνη: EL0415FR6075

Έκταση (KM2) : 74.2

Κατάντη : J38

Μέθοδος Απωλειών: SCS

Ποσοστό αδιαπέρατης επιφάνειας	0
Αριθμός Καμπύλης Απορροής-CN	86.36
Αρχικές Απώλειες	8.02

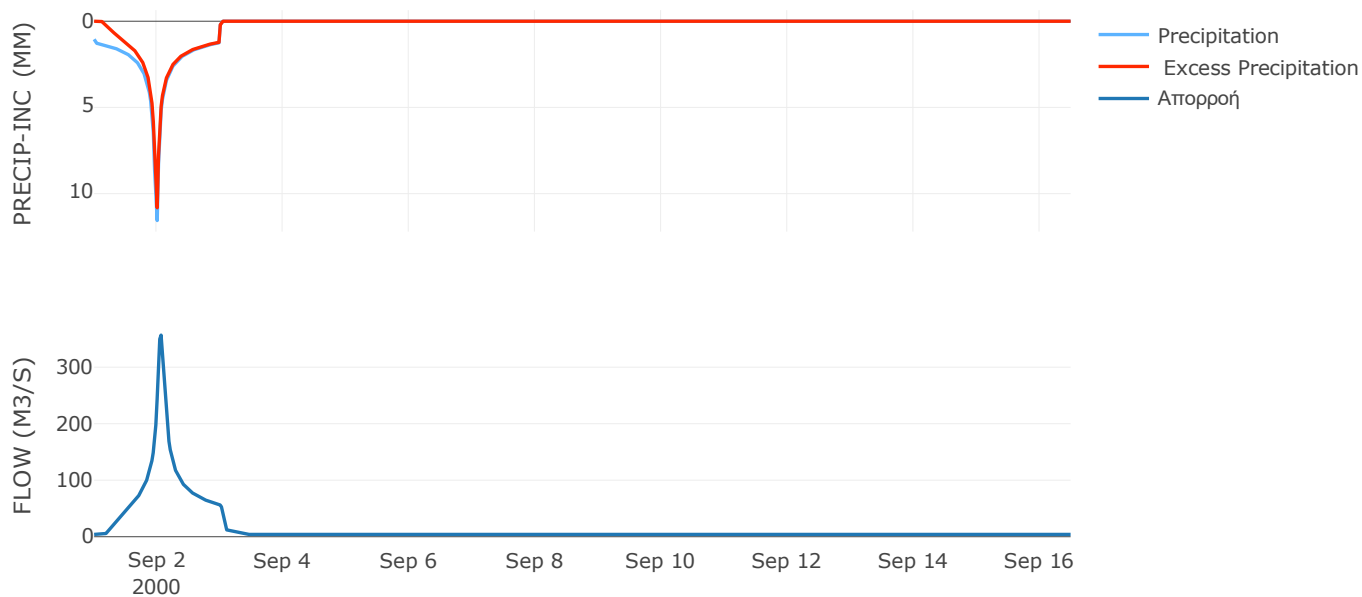
Μέθοδος
Μετασχηματισμού: SCS

Χρόνος Υστέρησης	69.87
------------------	-------

Αποτελέσματα:
EL0415FR6075

Παροχή αιχμής (M3/S)	356.79
Χρονική στιγμή αιχμής	02Sep2000, 01:30
Όγκος (MM)	272.55
Όγκος βροχόπτωσης (M3)	1.79E7
Όγκος απωλειών (M3)	3.13E6
Ενεργός Όγκος (M3)	1.48E7
Όγκος άμεσης απορροής (M3)	1.48E7
Όγκος βασικής απορροής (M3)	5.47E6

Βροχόπτωση και Απορροή



Υπολεκάνη: EL0415FR6076

Έκταση (KM2) : 61.38

Κατάντη : J33

Μέθοδος Απωλειών: SCS

Ποσοστό αδιαπέρατης επιφάνειας	0
Αριθμός Καμπύλης Απορροής-CN	77.47
Αρχικές Απώλειες	14.77

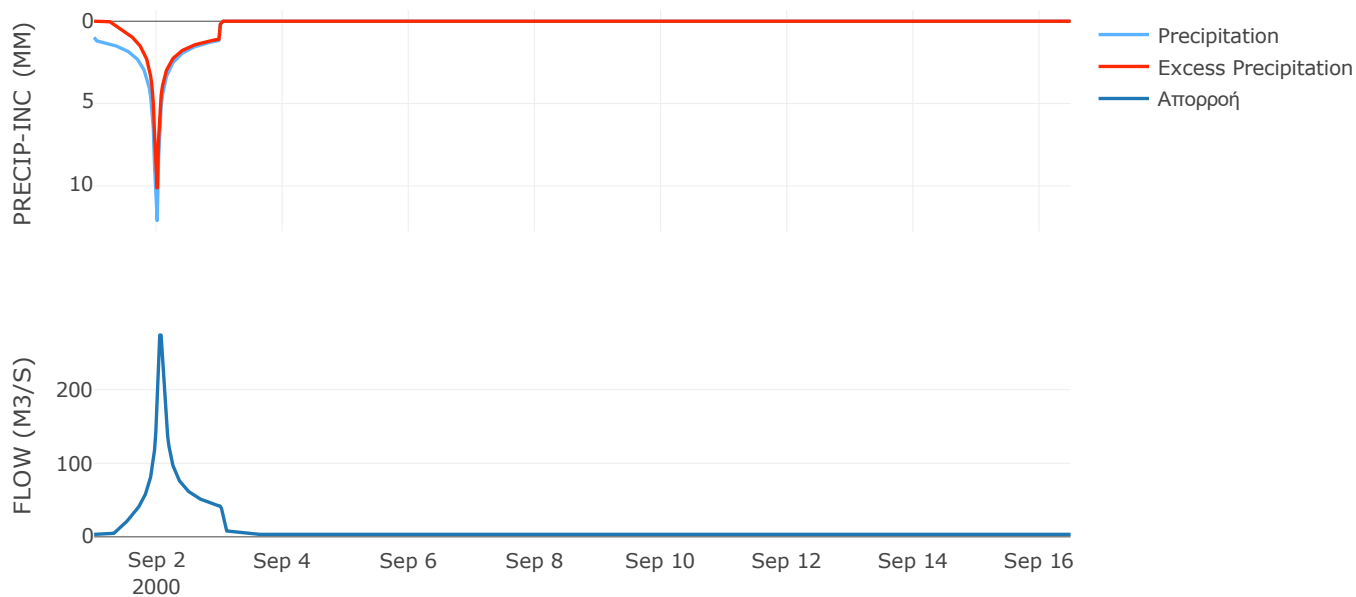
Μέθοδος
Μετασχηματισμού: SCS

Χρόνος Υστέρησης	63.38
------------------	-------

Αποτελέσματα:
EL0415FR6076

Παροχή αιχμής (M3/S)	274.26
Χρονική στιγμή αιχμής	02Sep2000, 01:30
Όγκος (MM)	238.73
Όγκος βροχόπτωσης (M3)	1.44E7
Όγκος απωλειών (M3)	4.3E6
Ενεργός Όγκος (M3)	1.01E7
Όγκος άμεσης απορροής (M3)	1.01E7
Όγκος βασικής απορροής (M3)	4.52E6

Βροχόπτωση και Απορροή



Υπολεκάνη: EL0415FR6077

Έκταση (KM2) : 115.35

Κατάντη : J33

Μέθοδος Απωλειών: SCS

Ποσοστό αδιαπέρατης επιφάνειας	0
Αριθμός Καμπύλης Απορροής-CN	77.06
Αρχικές Απώλειες	15.12

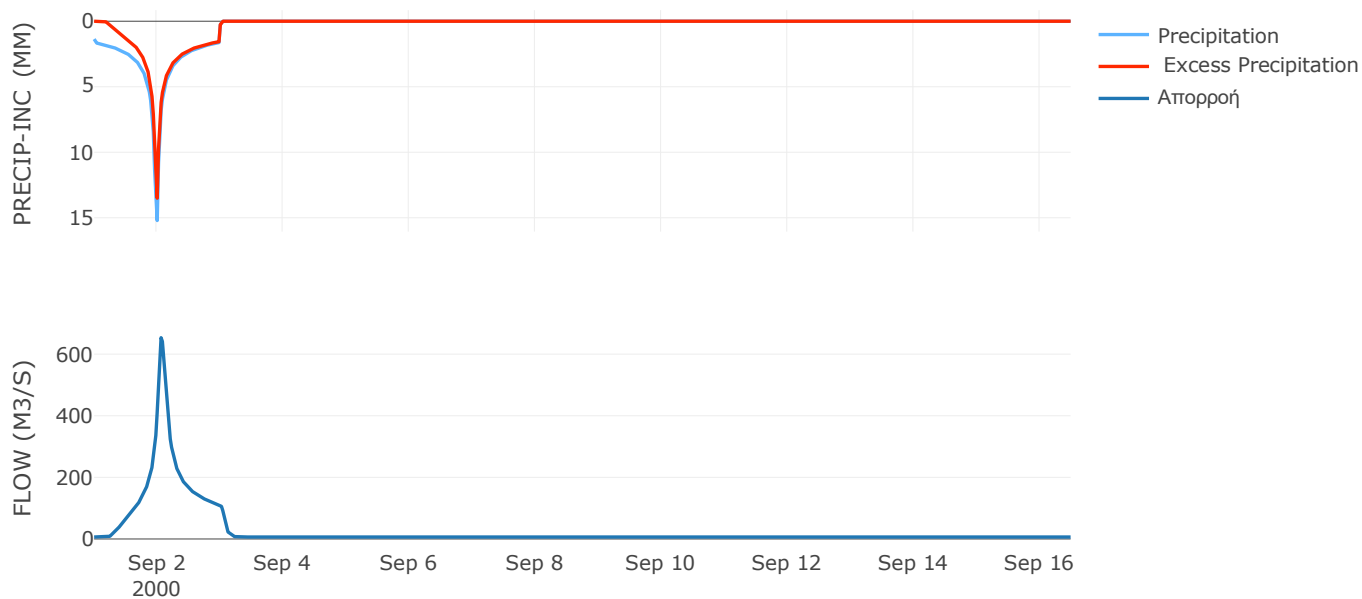
Μέθοδος
Μετασχηματισμού: SCS

Χρόνος Υστέρησης	86.69
------------------	-------

Αποτελέσματα:
EL0415FR6077

Παροχή αιχμής (M3/S)	653.4
Χρονική στιγμή αιχμής	02Sep2000, 01:30
Όγκος (MM)	313.39
Όγκος βροχόπτωσης (M3)	3.64E7
Όγκος απωλειών (M3)	8.71E6
Ενεργός Όγκος (M3)	2.77E7
Όγκος άμεσης απορροής (M3)	2.77E7
Όγκος βασικής απορροής (M3)	8.5E6

Βροχόπτωση και Απορροή



Υπολεκάνη: EL0415FR6078

Έκταση (KM2) : 32.2

Κατάντη : J32

Μέθοδος Απωλειών: SCS

Ποσοστό αδιαπέρατης επιφάνειας	0
Αριθμός Καμπύλης Απορροής-CN	80.34
Αρχικές Απώλειες	12.43

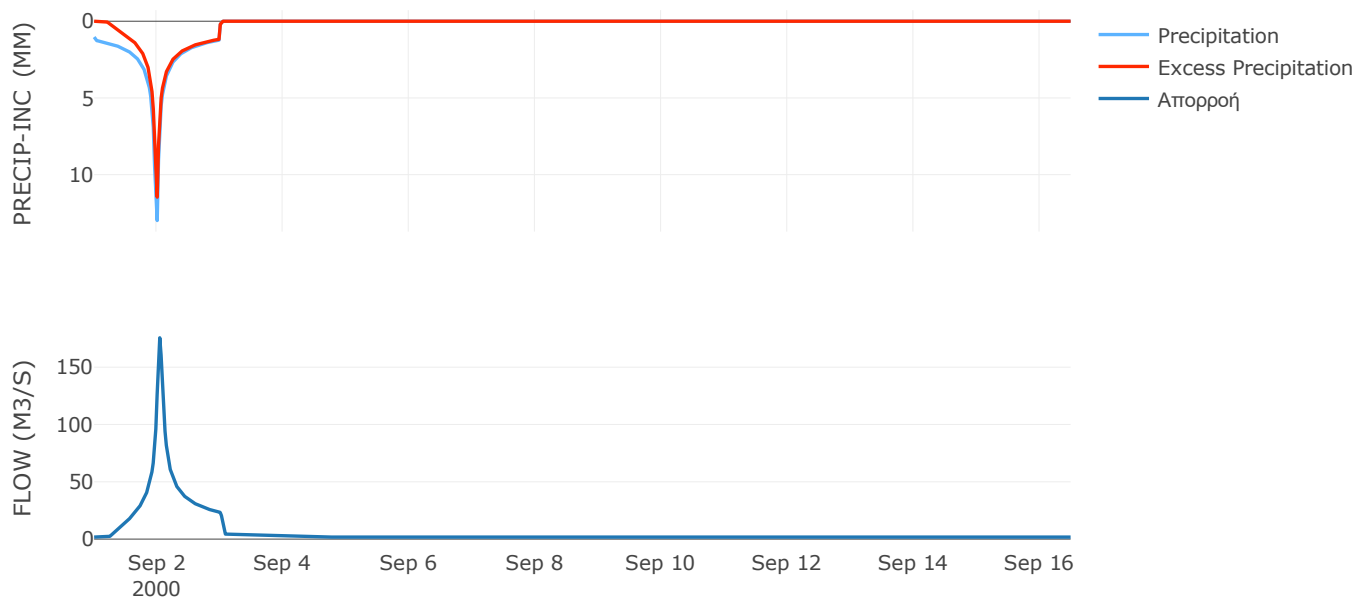
Μέθοδος
Μετασχηματισμού: SCS

Χρόνος Υστέρησης	48.48
------------------	-------

Αποτελέσματα:
EL0415FR6078

Παροχή αιχμής (M3/S)	175.64
Χρονική στιγμή αιχμής	02Sep2000, 01:00
Όγκος (MM)	261.92
Όγκος βροχόπτωσης (M3)	8.05E6
Όγκος απωλειών (M3)	1.99E6
Ενεργός Όγκος (M3)	6.06E6
Όγκος άμεσης απορροής (M3)	6.06E6
Όγκος βασικής απορροής (M3)	2.37E6

Βροχόπτωση και Απορροή



Υπολεκάνη: EL0415FR6079

Έκταση (KM2) : 61

Κατάντη : J32

Μέθοδος Απωλειών: SCS

Ποσοστό αδιαπέρατης επιφάνειας	0
Αριθμός Καμπύλης Απορροής-CN	77.9
Αρχικές Απώλειες	14.41

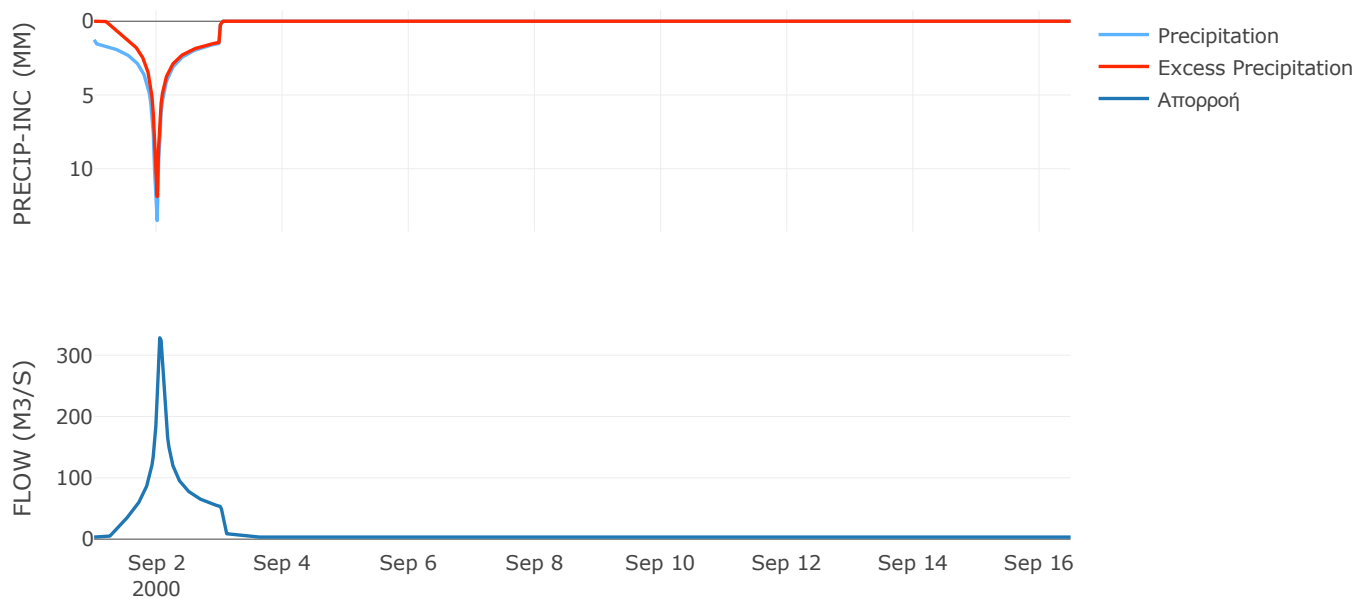
Μέθοδος
Μετασχηματισμού: SCS

Χρόνος Υστέρησης	61.08
------------------	-------

Αποτελέσματα:
EL0415FR6079

Παροχή αιχμής (M3/S)	328.4
Χρονική στιγμή αιχμής	02Sep2000, 01:00
Όγκος (MM)	289.15
Όγκος βροχόπτωσης (M3)	1.75E7
Όγκος απωλειών (M3)	4.35E6
Ενεργός Όγκος (M3)	1.31E7
Όγκος άμεσης απορροής (M3)	1.31E7
Όγκος βασικής απορροής (M3)	4.49E6

Βροχόπτωση και Απορροή



Υπολεκάνη: EL0415FR6080

Έκταση (KM2) : 31.99

Κατάντη : J30

Μέθοδος Απωλειών: SCS

Ποσοστό αδιαπέρατης επιφάνειας	0
Αριθμός Καμπύλης Απορροής-CN	77.44
Αρχικές Απώλειες	14.8

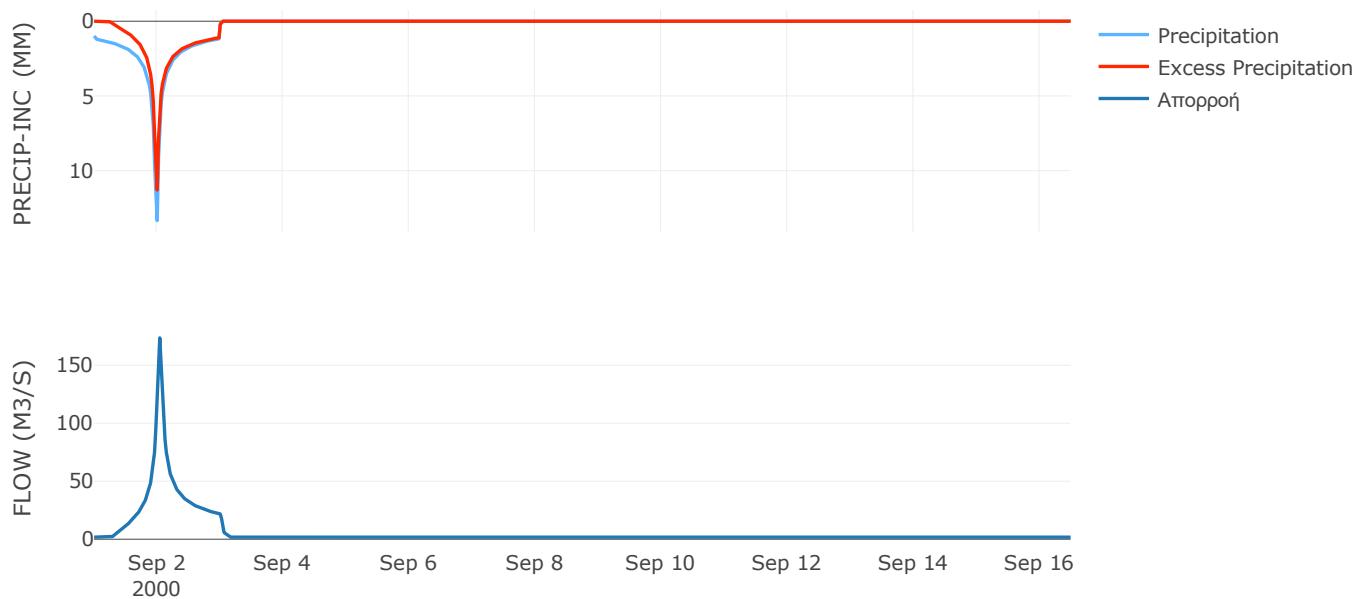
Μέθοδος
Μετασχηματισμού: SCS

Χρόνος Υστέρησης	41.95
------------------	-------

Αποτελέσματα:
EL0415FR6080

Παροχή αιχμής (M3/S)	173.58
Χρονική στιγμή αιχμής	02Sep2000, 01:00
Όγκος (MM)	248.45
Όγκος βροχόπτωσης (M3)	7.86E6
Όγκος απωλειών (M3)	2.27E6
Ενεργός Όγκος (M3)	5.59E6
Όγκος άμεσης απορροής (M3)	5.59E6
Όγκος βασικής απορροής (M3)	2.36E6

Βροχόπτωση και Απορροή



Υπολεκάνη: EL0415FR6081

Έκταση (KM2) : 61.71

Κατάντη : J42

Μέθοδος Απωλειών: SCS

Ποσοστό αδιαπέρατης επιφάνειας	35
Αριθμός Καμπύλης Απορροής-CN	93.97
Αρχικές Απώλειες	3.26

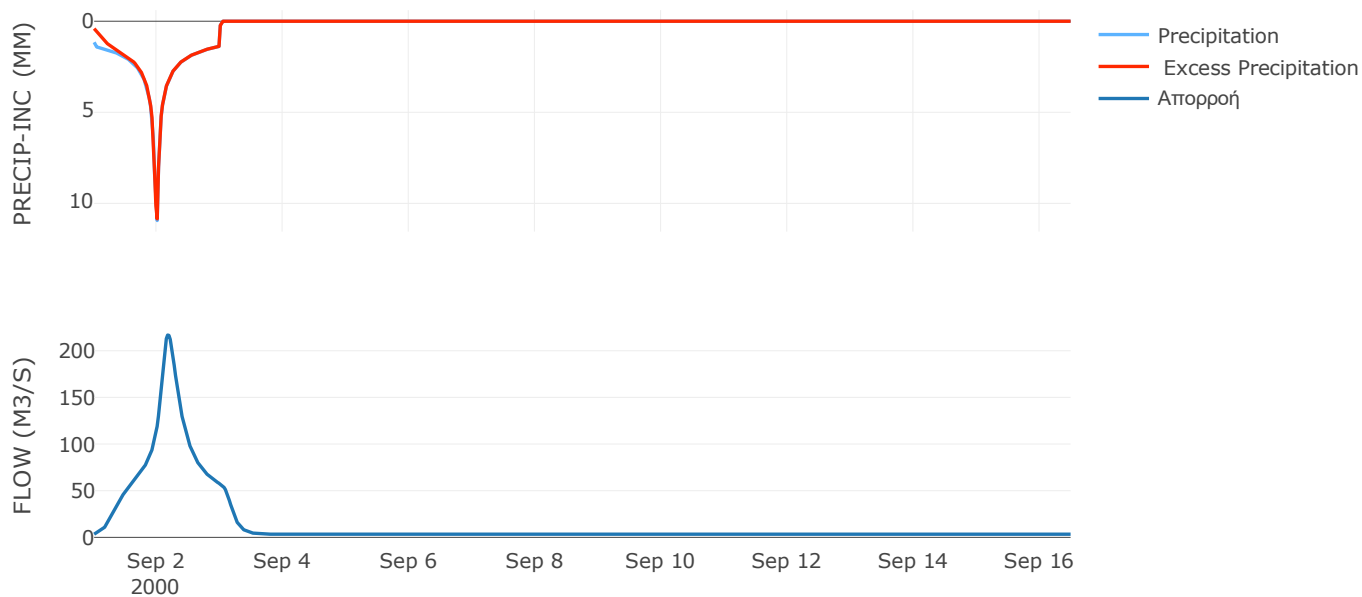
Μέθοδος
Μετασχηματισμού: SCS

Χρόνος Υστέρησης	236.74
------------------	--------

Αποτελέσματα:
EL0415FR6081

Παροχή αιχμής (M3/S)	216.83
Χρονική στιγμή αιχμής	02Sep2000, 04:00
Όγκος (MM)	313.46
Όγκος βροχόπτωσης (M3)	1.55E7
Όγκος απωλειών (M3)	7.45E5
Ενεργός Όγκος (M3)	1.48E7
Όγκος άμεσης απορροής (M3)	1.48E7
Όγκος βασικής απορροής (M3)	4.55E6

Βροχόπτωση και Απορροή



Υπολεκάνη: EL0415FR6082

Έκταση (KM2) : 53.32

Κατάντη : J63

Μέθοδος Απωλειών: SCS

Ποσοστό αδιαπέρατης επιφάνειας	0
Αριθμός Καμπύλης Απορροής-CN	80.93
Αρχικές Απώλειες	11.97

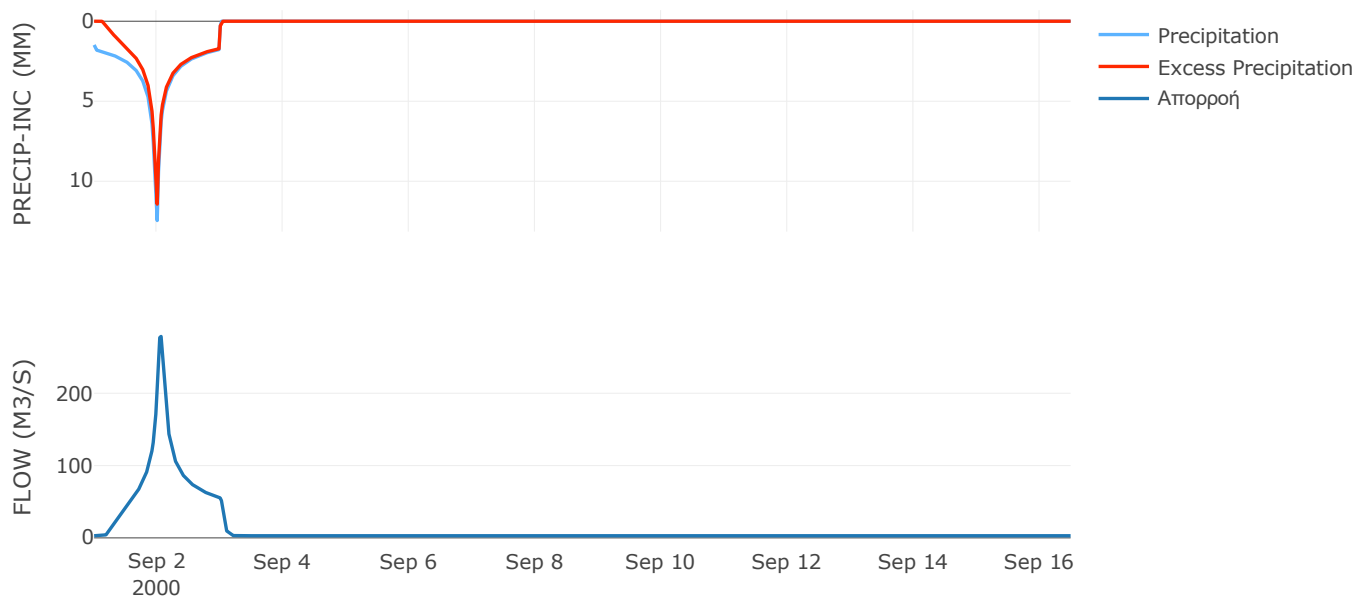
Μέθοδος
Μετασχηματισμού: SCS

Χρόνος Υστέρησης	64.67
------------------	-------

Αποτελέσματα:
EL0415FR6082

Παροχή αιχμής (M3/S)	278.54
Χρονική στιγμή αιχμής	02Sep2000, 01:30
Όγκος (MM)	321.27
Όγκος βροχόπτωσης (M3)	1.65E7
Όγκος απωλειών (M3)	3.3E6
Ενεργός Όγκος (M3)	1.32E7
Όγκος άμεσης απορροής (M3)	1.32E7
Όγκος βασικής απορροής (M3)	3.93E6

Βροχόπτωση και Απορροή



Υπολεκάνη: EL0415FR6083

Έκταση (KM2) : 14.89

Κατάνη : J41 Res4

Μέθοδος Απωλειών: SCS

Ποσοστό αδιαπέρατης επιφάνειας	9
Αριθμός Καμπύλης Απορροής-CN	91.86
Αρχικές Απώλειες	4.5

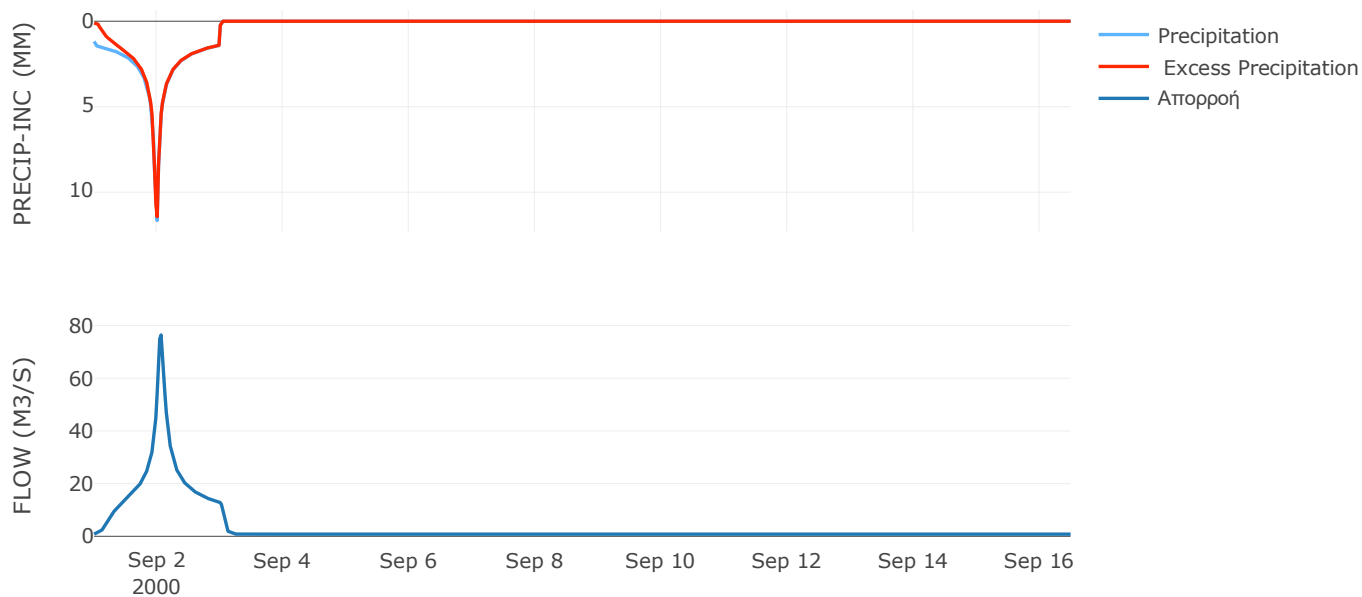
Μέθοδος
Μετασχηματισμού: SCS

Χρόνος Υστέρησης	70.99
------------------	-------

Αποτελέσματα:
EL0415FR6083

Παροχή αιχμής (M3/S)	76.44
Χρονική στιγμή αιχμής	02Sep2000, 01:30
Όγκος (MM)	312.14
Όγκος βροχόπτωσης (M3)	3.89E6
Όγκος απωλειών (M3)	3.41E5
Ενεργός Όγκος (M3)	3.55E6
Όγκος άμεσης απορροής (M3)	3.55E6
Όγκος βασικής απορροής (M3)	1.1E6

Βροχόπτωση και Απορροή



Υπολεκάνη: EL0415FR6084

Έκταση (KM2) : 167.7

Κατάντη : J46

Μέθοδος Απωλειών: SCS

Ποσοστό αδιαπέρατης επιφάνειας	0
Αριθμός Καμπύλης Απορροής-CN	87.73
Αρχικές Απώλειες	7.11

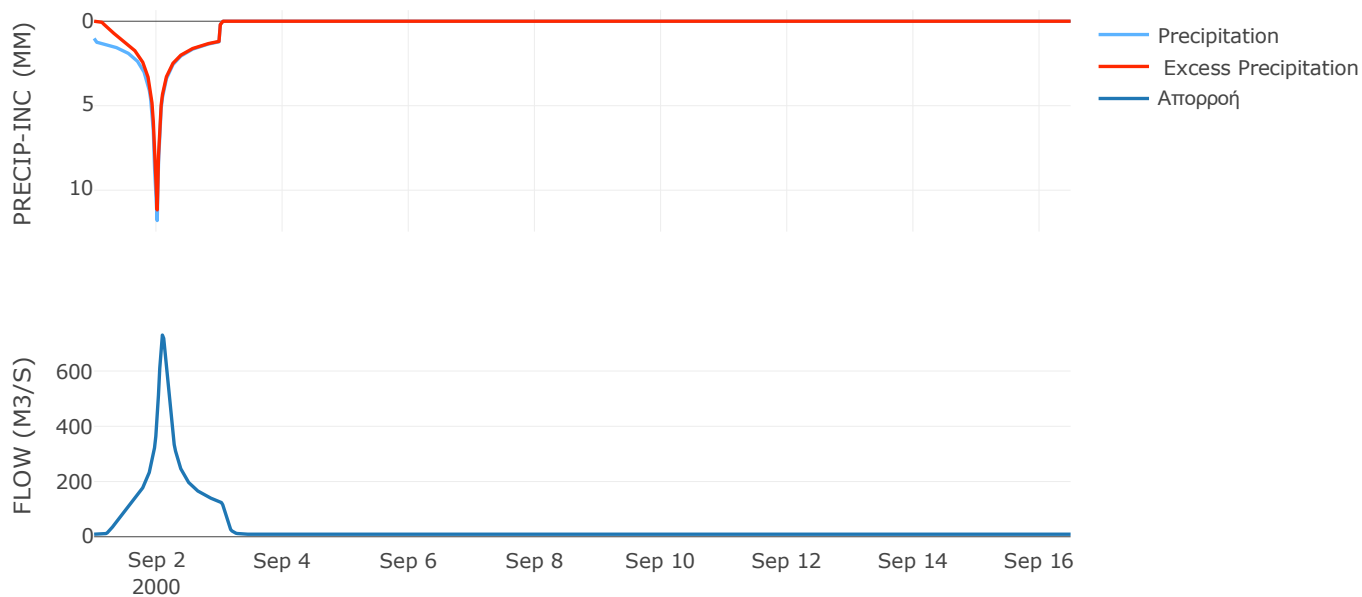
Μέθοδος
Μετασχηματισμού: SCS

Χρόνος Υστέρησης	115.82
------------------	--------

Αποτελέσματα:
EL0415FR6084

Παροχή αιχμής (M3/S)	730.43
Χρονική στιγμή αιχμής	02Sep2000, 02:00
Όγκος (MM)	274.56
Όγκος βροχόπτωσης (M3)	4E7
Όγκος απωλειών (M3)	6.36E6
Ενεργός Όγκος (M3)	3.37E7
Όγκος άμεσης απορροής (M3)	3.37E7
Όγκος βασικής απορροής (M3)	1.24E7

Βροχόπτωση και Απορροή



Υπολεκάνη: EL0415FR6085

Έκταση (KM2) : 5.18

Κατάνη : J17 Res3

Μέθοδος Απωλειών: SCS

Ποσοστό αδιαπέρατης επιφάνειας	20
Αριθμός Καμπύλης Απορροής-CN	97.18
Αρχικές Απώλειες	1.47

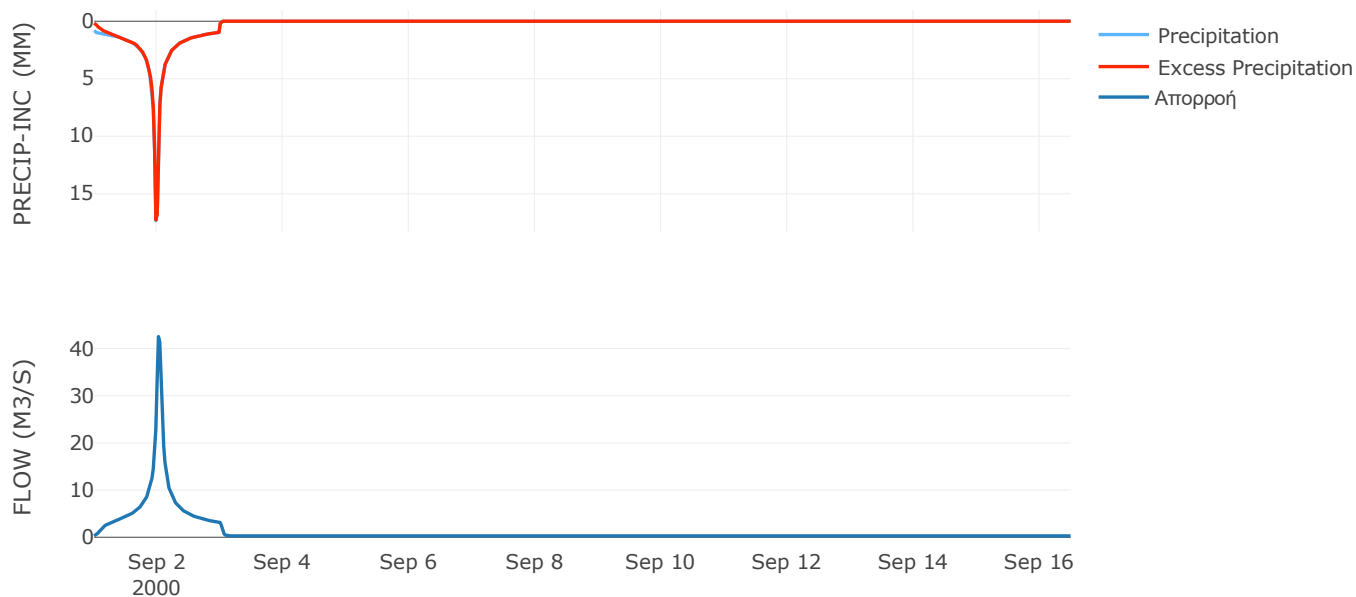
Μέθοδος
Μετασχηματισμού: SCS

Χρόνος Υστέρησης	36.94
------------------	-------

Αποτελέσματα:
EL0415FR6085

Παροχή αιχμής (M3/S)	42.55
Χρονική στιγμή αιχμής	02Sep2000, 00:30
Όγκος (MM)	307.99
Όγκος βροχόπτωσης (M3)	1.25E6
Όγκος απωλειών (M3)	35709.63
Ενεργός Όγκος (M3)	1.21E6
Όγκος άμεσης απορροής (M3)	1.21E6
Όγκος βασικής απορροής (M3)	3.82E5

Βροχόπτωση και Απορροή



Υπολεκάνη: EL0415FR6086

Έκταση (KM2) : 51.06

Κατάντη : J27

Μέθοδος Απωλειών: SCS

Ποσοστό αδιαπέρατης επιφάνειας	17
Αριθμός Καμπύλης Απορροής-CN	84.08
Αρχικές Απώλειες	9.62

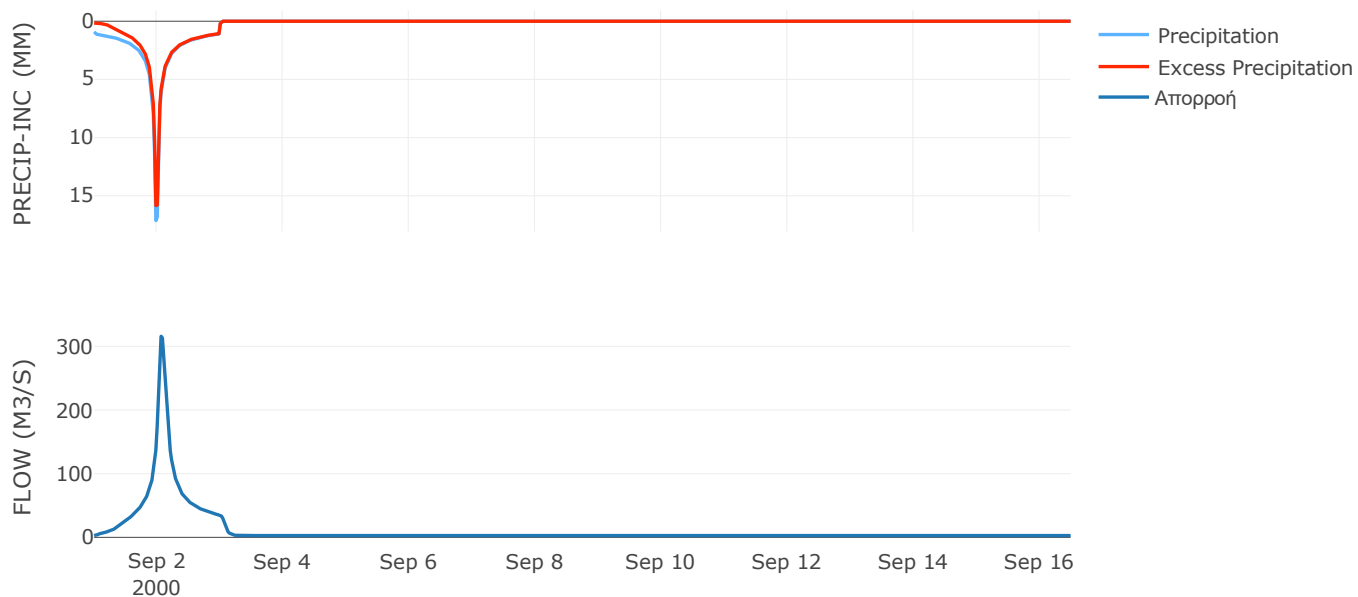
Μέθοδος
Μετασχηματισμού: SCS

Χρόνος Υστέρησης	93.73
------------------	-------

Αποτελέσματα:
EL0415FR6086

Παροχή αιχμής (M3/S)	315.77
Χρονική στιγμή αιχμής	02Sep2000, 01:30
Όγκος (MM)	290.54
Όγκος βροχόπτωσης (M3)	1.32E7
Όγκος απωλειών (M3)	2.11E6
Ενεργός Όγκος (M3)	1.11E7
Όγκος άμεσης απορροής (M3)	1.11E7
Όγκος βασικής απορροής (M3)	3.76E6

Βροχόπτωση και Απορροή



Υπολεκάνη: EL0415FR6087

Έκταση (KM2) : 13.66

Κατάντη : J64

Μέθοδος Απωλειών: SCS

Ποσοστό αδιαπέρατης επιφάνειας	20
Αριθμός Καμπύλης Απορροής-CN	74.89
Αρχικές Απώλειες	17.03

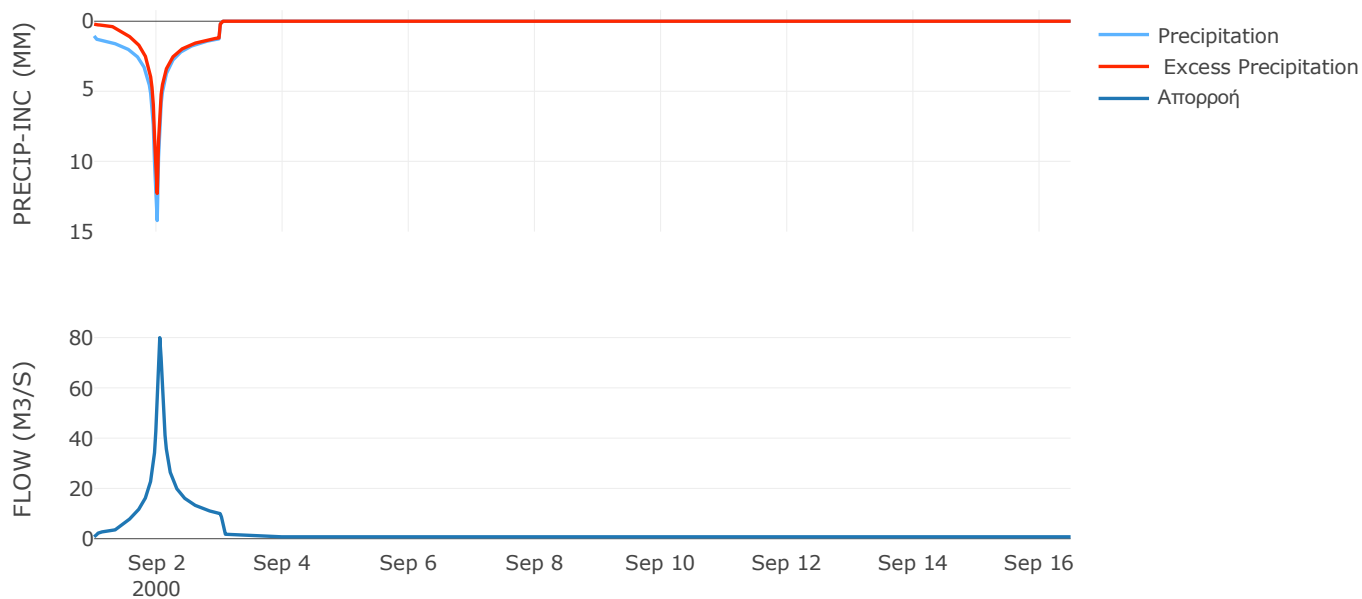
Μέθοδος
Μετασχηματισμού: SCS

Χρόνος Υστέρησης	46.83
------------------	-------

Αποτελέσματα:
EL0415FR6087

Παροχή αιχμής (M3/S)	79.97
Χρονική στιγμή αιχμής	02Sep2000, 01:00
Όγκος (MM)	271.36
Όγκος βροχόπτωσης (M3)	3.58E6
Όγκος απωλειών (M3)	8.77E5
Ενεργός Όγκος (M3)	2.7E6
Όγκος άμεσης απορροής (M3)	2.7E6
Όγκος βασικής απορροής (M3)	1.01E6

Βροχόπτωση και Απορροή



Υπολεκάνη: EL0415FR6088

Έκταση (KM2) : 31.28

Κατάντη : J27

Μέθοδος Απωλειών: SCS

Ποσοστό αδιαπέρατης επιφάνειας	37
Αριθμός Καμπύλης Απορροής-CN	93.03
Αρχικές Απώλειες	3.8

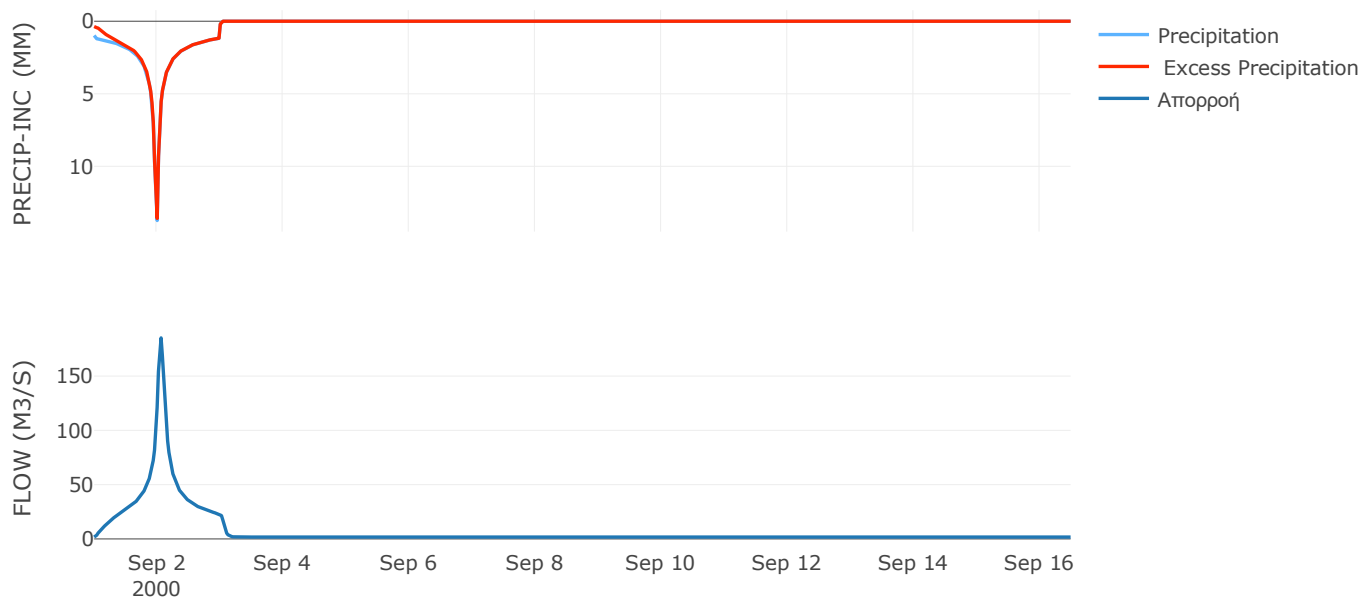
Μέθοδος
Μετασχηματισμού: SCS

Χρόνος Υστέρησης	72.66
------------------	-------

Αποτελέσματα:
EL0415FR6088

Παροχή αιχμής (M3/S)	185.22
Χρονική στιγμή αιχμής	02Sep2000, 01:30
Όγκος (MM)	308.18
Όγκος βροχόπτωσης (M3)	7.76E6
Όγκος απωλειών (M3)	4.23E5
Ενεργός Όγκος (M3)	7.33E6
Όγκος άμεσης απορροής (M3)	7.33E6
Όγκος βασικής απορροής (M3)	2.3E6

Βροχόπτωση και Απορροή



Υπολεκάνη: EL0415FR6089

Έκταση (KM2) : 9.78

Κατάντη : J28

Μέθοδος Απωλειών: SCS

Ποσοστό αδιαπέρατης επιφάνειας	11
Αριθμός Καμπύλης Απορροής-CN	88.08
Αρχικές Απώλειες	6.88

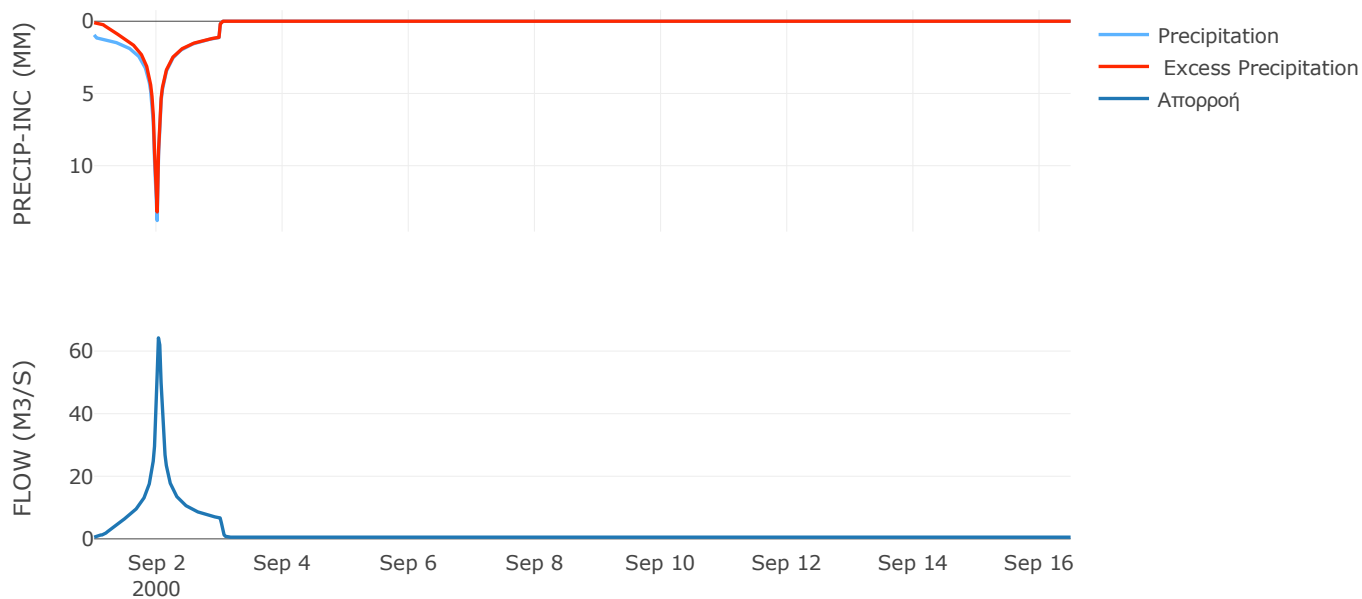
Μέθοδος
Μετασχηματισμού: SCS

Χρόνος Υστέρησης	33.65
------------------	-------

Αποτελέσματα:
EL0415FR6089

Παροχή αιχμής (M3/S)	64.22
Χρονική στιγμή αιχμής	02Sep2000, 00:30
Όγκος (MM)	283.62
Όγκος βροχόπτωσης (M3)	2.37E6
Όγκος απωλειών (M3)	3.21E5
Ενεργός Όγκος (M3)	2.05E6
Όγκος άμεσης απορροής (M3)	2.05E6
Όγκος βασικής απορροής (M3)	7.2E5

Βροχόπτωση και Απορροή



Υπολεκάνη: EL0415FR6090

Έκταση (KM2) : 6.36

Κατάντη : J29

Μέθοδος Απωλειών: SCS

Ποσοστό αδιαπέρατης επιφάνειας	20
Αριθμός Καμπύλης Απορροής-CN	83.68
Αρχικές Απώλειες	9.91

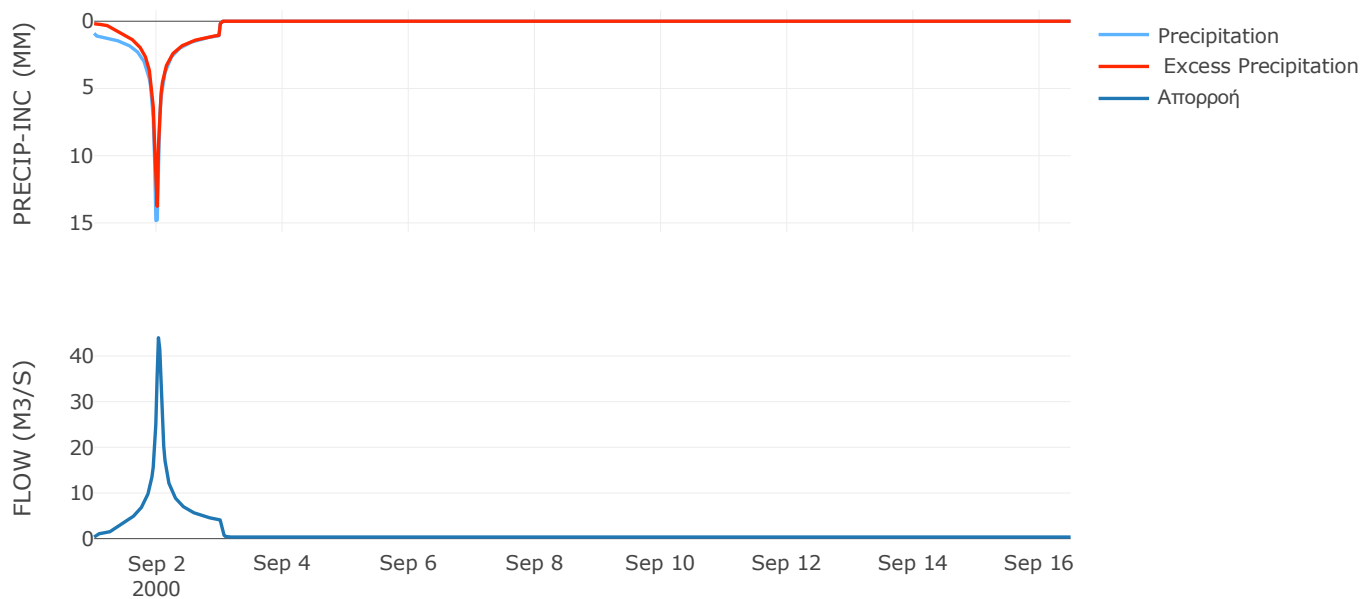
Μέθοδος
Μετασχηματισμού: SCS

Χρόνος Υστέρησης	31.68
------------------	-------

Αποτελέσματα:
EL0415FR6090

Παροχή αιχμής (M3/S)	44
Χρονική στιγμή αιχμής	02Sep2000, 00:30
Όγκος (MM)	275.25
Όγκος βροχόπτωσης (M3)	1.54E6
Όγκος απωλειών (M3)	2.58E5
Ενεργός Όγκος (M3)	1.28E6
Όγκος άμεσης απορροής (M3)	1.28E6
Όγκος βασικής απορροής (M3)	4.68E5

Βροχόπτωση και Απορροή



Υπολεκάνη: EL0415FR6091

Έκταση (KM2) : 12.79

Κατάντη : J29

Μέθοδος Απωλειών: SCS

Ποσοστό αδιαπέρατης επιφάνειας	20
Αριθμός Καμπύλης Απορροής-CN	82.51
Αρχικές Απώλειες	10.77

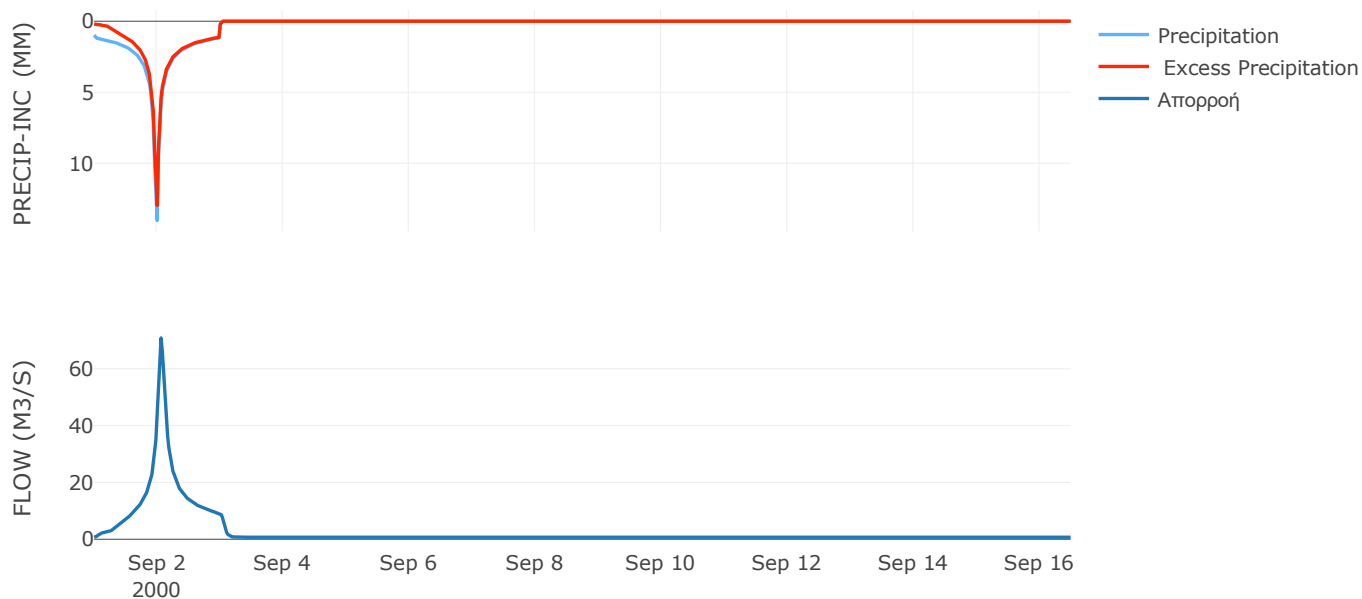
Μέθοδος
Μετασχηματισμού: SCS

Χρόνος Υστέρησης	76.42
------------------	-------

Αποτελέσματα:
EL0415FR6091

Παροχή αιχμής (M3/S)	70.84
Χρονική στιγμή αιχμής	02Sep2000, 01:30
Όγκος (MM)	279.01
Όγκος βροχόπτωσης (M3)	3.19E6
Όγκος απωλειών (M3)	5.6E5
Ενεργός Όγκος (M3)	2.63E6
Όγκος άμεσης απορροής (M3)	2.63E6
Όγκος βασικής απορροής (M3)	9.42E5

Βροχόπτωση και Απορροή



Υπολεκάνη: EL0415FR6092

Έκταση (KM2) : 11.03

Κατάντη : J24

Μέθοδος Απωλειών: SCS

Ποσοστό αδιαπέρατης επιφάνειας	5
Αριθμός Καμπύλης Απορροής-CN	83.6
Αρχικές Απώλειες	9.97

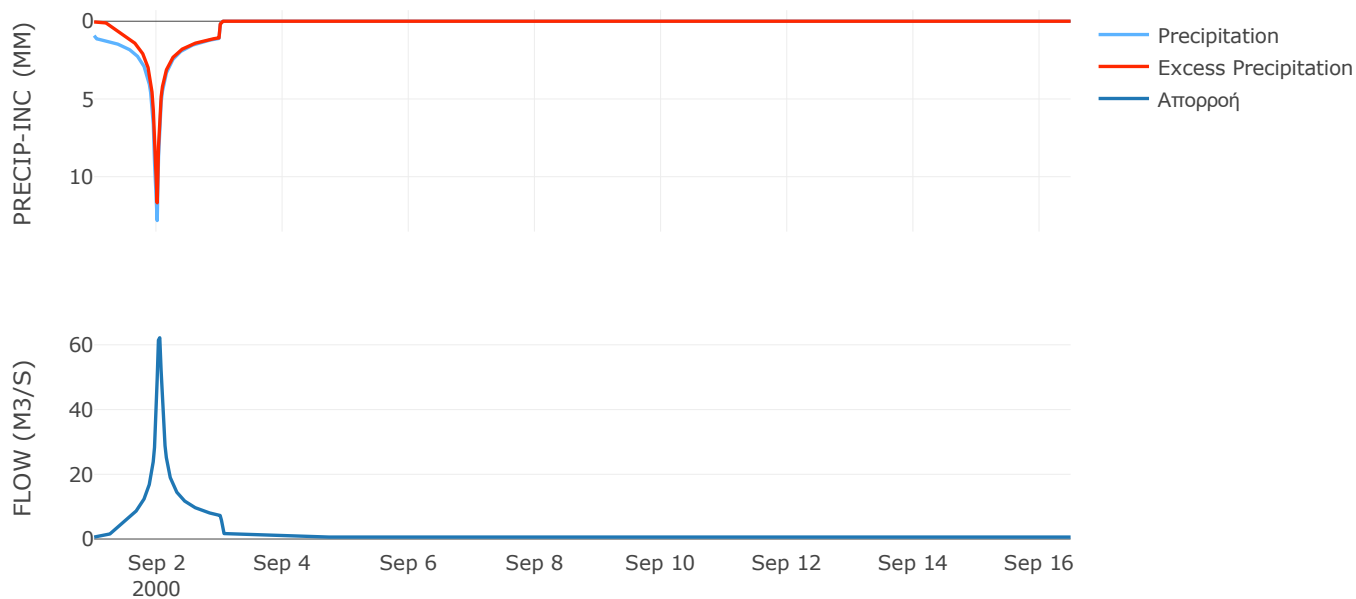
Μέθοδος
Μετασχηματισμού: SCS

Χρόνος Υστέρησης	38.04
------------------	-------

Αποτελέσματα:
EL0415FR6092

Παροχή αιχμής (M3/S)	62.18
Χρονική στιγμή αιχμής	02Sep2000, 01:00
Όγκος (MM)	258.11
Όγκος βροχόπτωσης (M3)	2.57E6
Όγκος απωλειών (M3)	5.31E5
Ενεργός Όγκος (M3)	2.03E6
Όγκος άμεσης απορροής (M3)	2.03E6
Όγκος βασικής απορροής (M3)	8.12E5

Βροχόπτωση και Απορροή



Υπολεκάνη: EL0415FR6093

Έκταση (KM2) : 14.35

Κατάντη : J25

Μέθοδος Απωλειών: SCS

Ποσοστό αδιαπέρατης επιφάνειας	6
Αριθμός Καμπύλης Απορροής-CN	71.47
Αρχικές Απώλειες	20.28

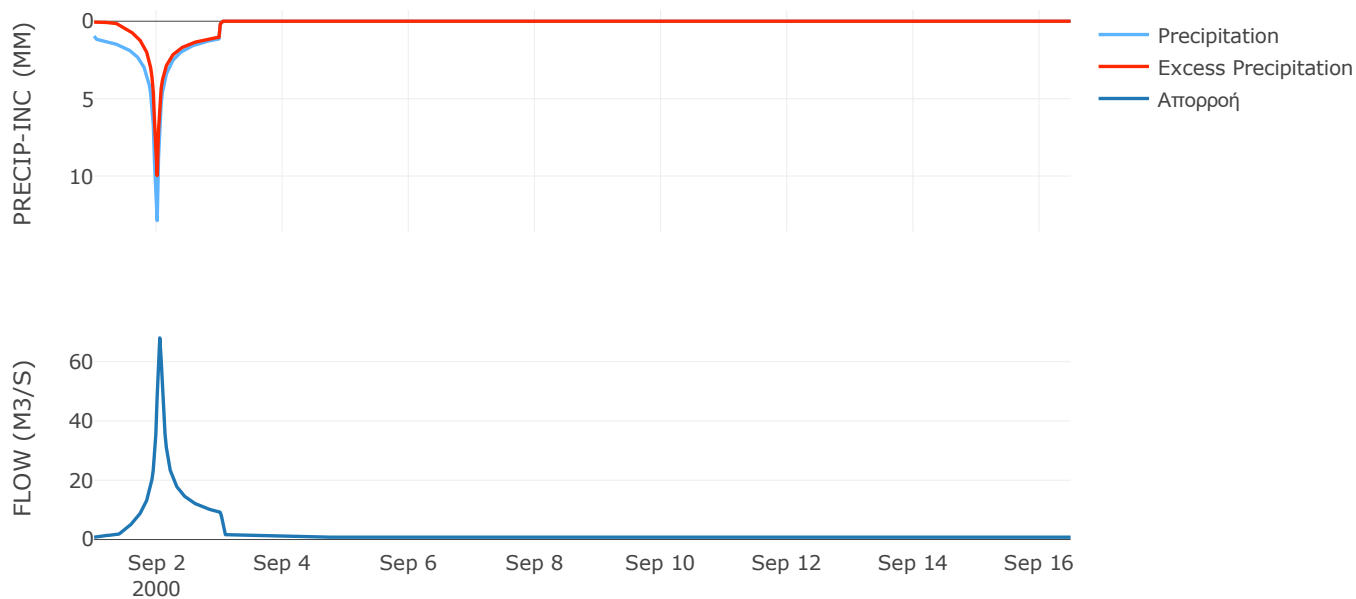
Μέθοδος
Μετασχηματισμού: SCS

Χρόνος Υστέρησης	45.16
------------------	-------

Αποτελέσματα:
EL0415FR6093

Παροχή αιχμής (M3/S)	68.04
Χρονική στιγμή αιχμής	02Sep2000, 01:00
Όγκος (MM)	227.67
Όγκος βροχόπτωσης (M3)	3.42E6
Όγκος απωλειών (M3)	1.21E6
Ενεργός Όγκος (M3)	2.21E6
Όγκος άμεσης απορροής (M3)	2.21E6
Όγκος βασικής απορροής (M3)	1.06E6

Βροχόπτωση και Απορροή



Υπολεκάνη: EL0415FR6094

Έκταση (KM2) : 17.58

Κατάντη : J22

Μέθοδος Απωλειών: SCS

Ποσοστό αδιαπέρατης επιφάνειας	8
Αριθμός Καμπύλης Απορροής-CN	70.65
Αρχικές Απώλειες	21.1

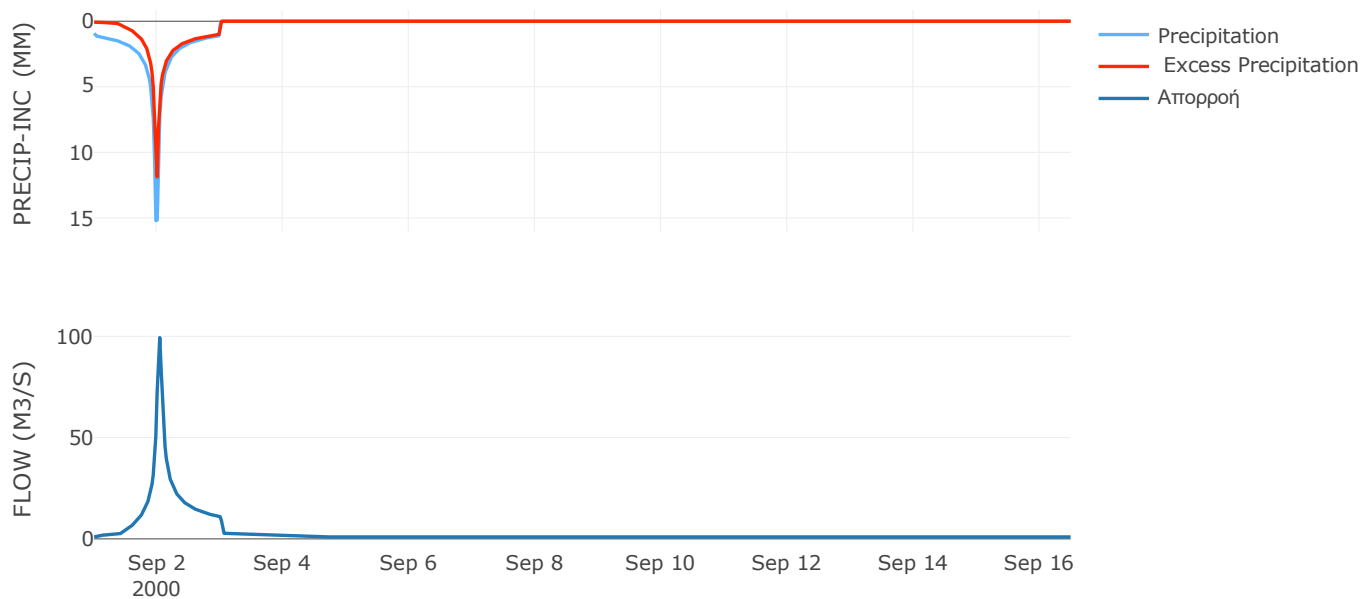
Μέθοδος
Μετασχηματισμού: SCS

Χρόνος Υστέρησης	39.69
------------------	-------

Αποτελέσματα:
EL0415FR6094

Παροχή αιχμής (M3/S)	99.38
Χρονική στιγμή αιχμής	02Sep2000, 01:00
Όγκος (MM)	237.17
Όγκος βροχόπτωσης (M3)	4.38E6
Όγκος απωλειών (M3)	1.51E6
Ενεργός Όγκος (M3)	2.88E6
Όγκος άμεσης απορροής (M3)	2.88E6
Όγκος βασικής απορροής (M3)	1.3E6

Βροχόπτωση και Απορροή



Υπολεκάνη: EL0415FR6095

Έκταση (KM2) : 18.13

Κατάντη : J15 Res2

Μέθοδος Απωλειών: SCS

Ποσοστό αδιαπέρατης επιφάνειας	17
Αριθμός Καμπύλης Απορροής-CN	94.53
Αρχικές Απώλειες	2.94

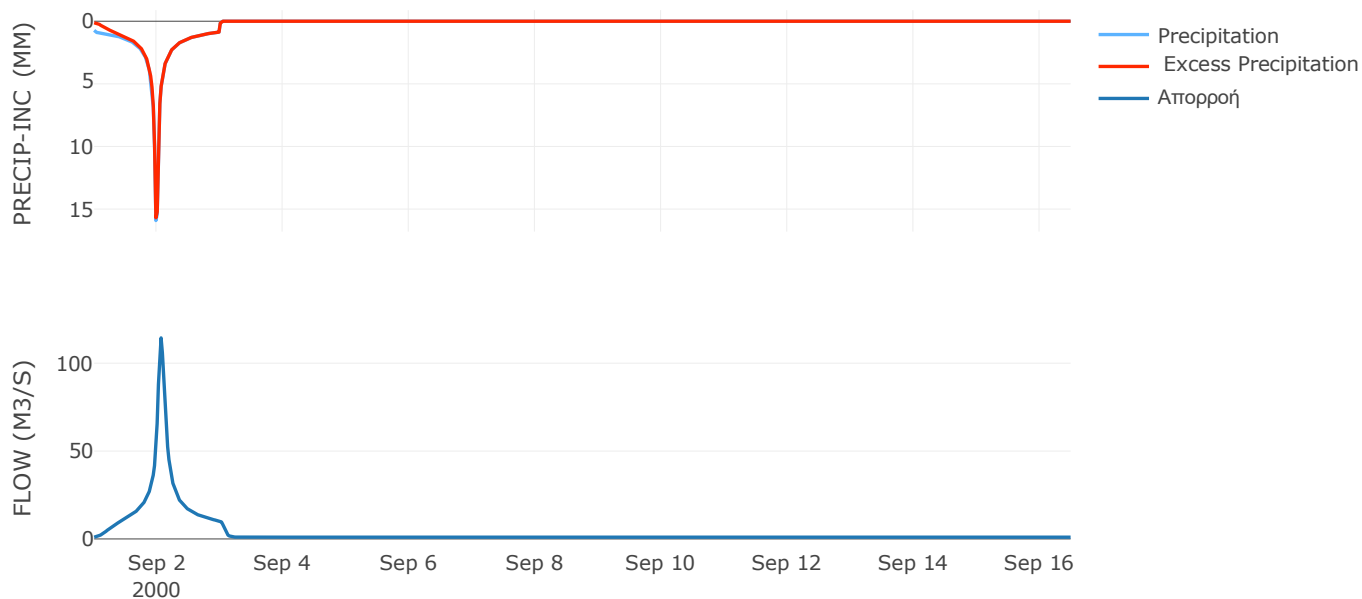
Μέθοδος
Μετασχηματισμού: SCS

Χρόνος Υστέρησης	80.12
------------------	-------

Αποτελέσματα:
EL0415FR6095

Παροχή αιχμής (M3/S)	114.41
Χρονική στιγμή αιχμής	02Sep2000, 01:30
Όγκος (MM)	278.42
Όγκος βροχόπτωσης (M3)	3.96E6
Όγκος απωλειών (M3)	2.51E5
Ενεργός Όγκος (M3)	3.71E6
Όγκος άμεσης απορροής (M3)	3.71E6
Όγκος βασικής απορροής (M3)	1.34E6

Βροχόπτωση και Απορροή



Υπολεκάνη: EL0415FR6096

Έκταση (KM2) : 45.1

Κατάντη : J19

Μέθοδος Απωλειών: SCS

Ποσοστό αδιαπέρατης επιφάνειας	16
Αριθμός Καμπύλης Απορροής-CN	92.01
Αρχικές Απώλειες	4.41

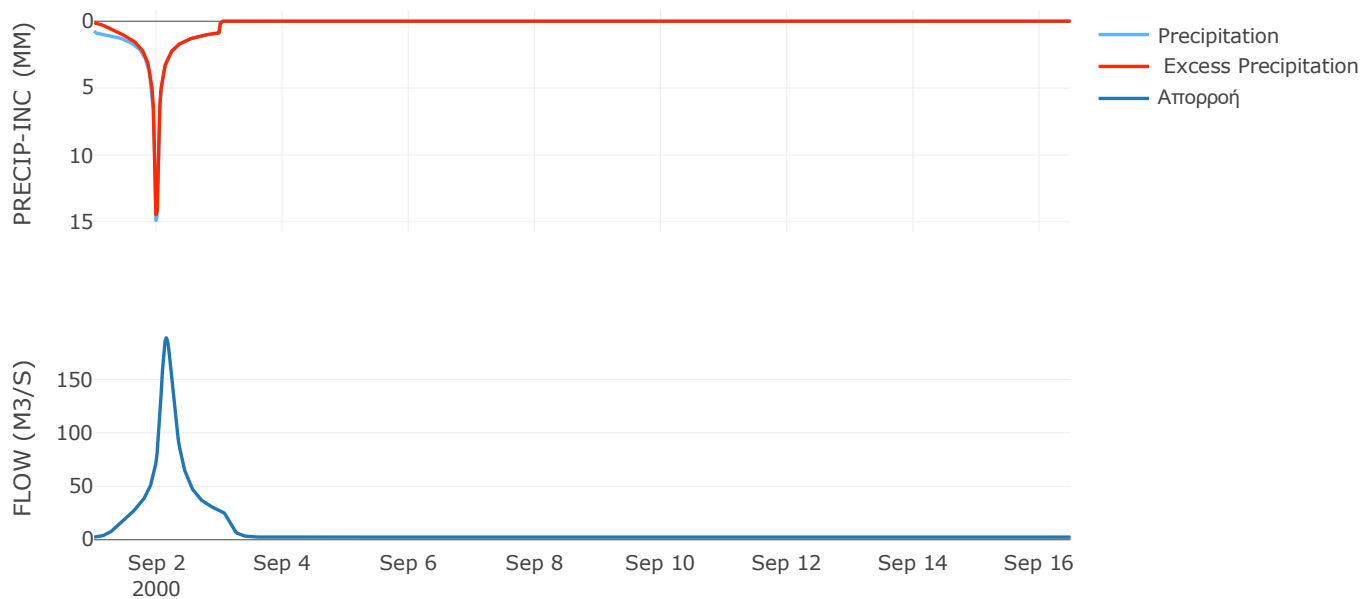
Μέθοδος
Μετασχηματισμού: SCS

Χρόνος Υστέρησης	197.97
------------------	--------

Αποτελέσματα:
EL0415FR6096

Παροχή αιχμής (M3/S)	188.88
Χρονική στιγμή αιχμής	02Sep2000, 03:30
Όγκος (MM)	267.38
Όγκος βροχόπτωσης (M3)	9.66E6
Όγκος απωλειών (M3)	9.24E5
Ενεργός Όγκος (M3)	8.74E6
Όγκος άμεσης απορροής (M3)	8.74E6
Όγκος βασικής απορροής (M3)	3.32E6

Βροχόπτωση και Απορροή



Υπολεκάνη: EL0415FR6097

Έκταση (KM2) : 3.48

Κατάντη : J14

Μέθοδος Απωλειών: SCS

Ποσοστό αδιαπέρατης επιφάνειας	17
Αριθμός Καμπύλης Απορροής-CN	91.92
Αρχικές Απώλειες	4.46

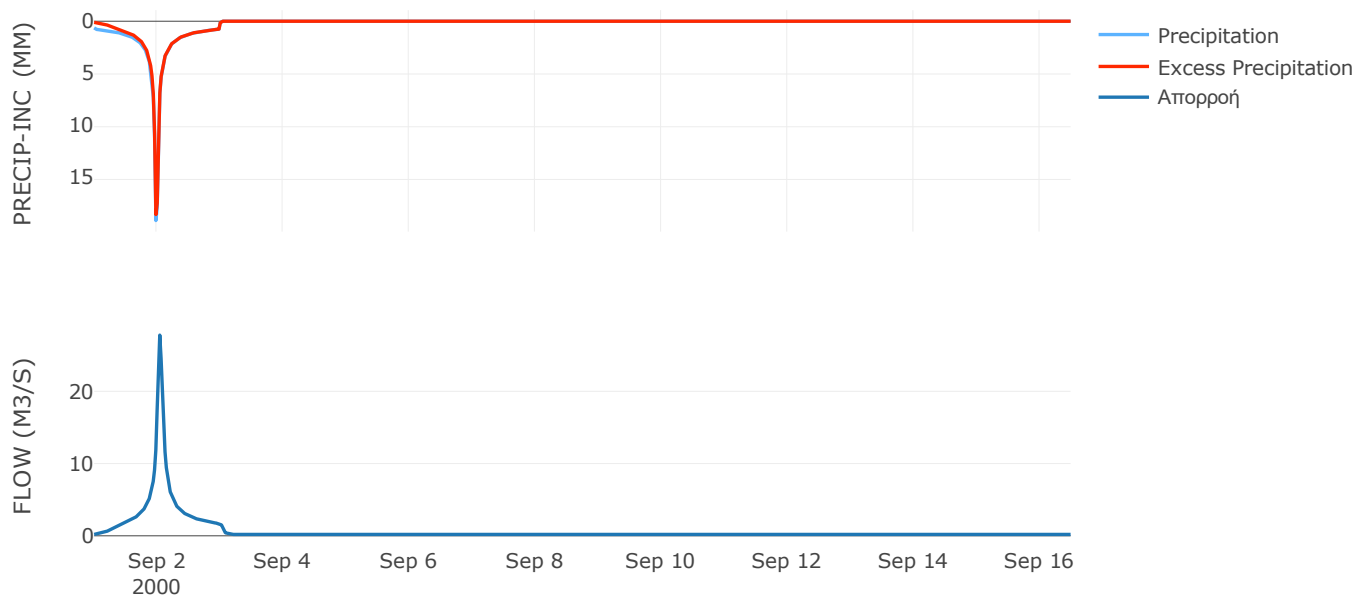
Μέθοδος
Μετασχηματισμού: SCS

Χρόνος Υστέρησης	52.56
------------------	-------

Αποτελέσματα:
EL0415FR6097

Παροχή αιχμής (M3/S)	27.78
Χρονική στιγμή αιχμής	02Sep2000, 01:00
Όγκος (MM)	268.36
Όγκος βροχόπτωσης (M3)	7.48E5
Όγκος απωλειών (M3)	71080.58
Ενεργός Όγκος (M3)	6.77E5
Όγκος άμεσης απορροής (M3)	6.77E5
Όγκος βασικής απορροής (M3)	2.56E5

Βροχόπτωση και Απορροή

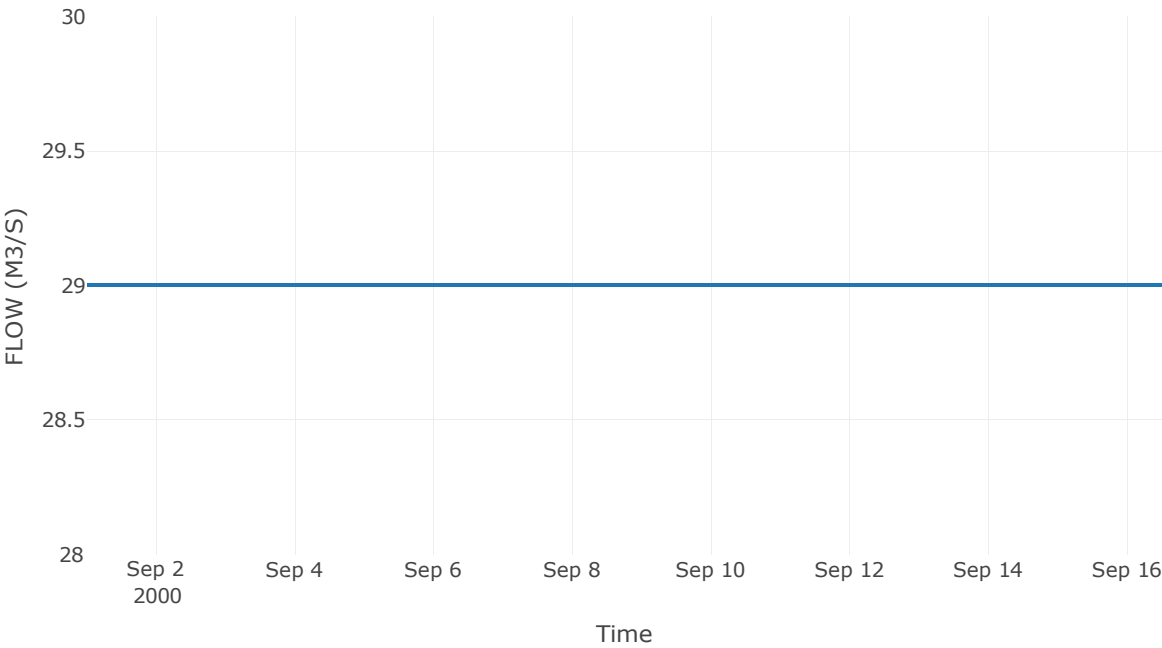


Κόμβος εξόδου: Κόμβος εξόδου-RES4

Αποτελέσματα: Κόμβος εξόδου-RES4

Παροχή Αιχμής (M3/S)	29
Χρονική στιγμή αιχμής	31Aug2000, 24:00
Όγκος(MM)	234.94

Απορροή



7.2 Δεδομένα και Υδρογραφήματα σχεδιασμού Κλάδων υδρογραφικού δικτύου

Κλάδος: R21

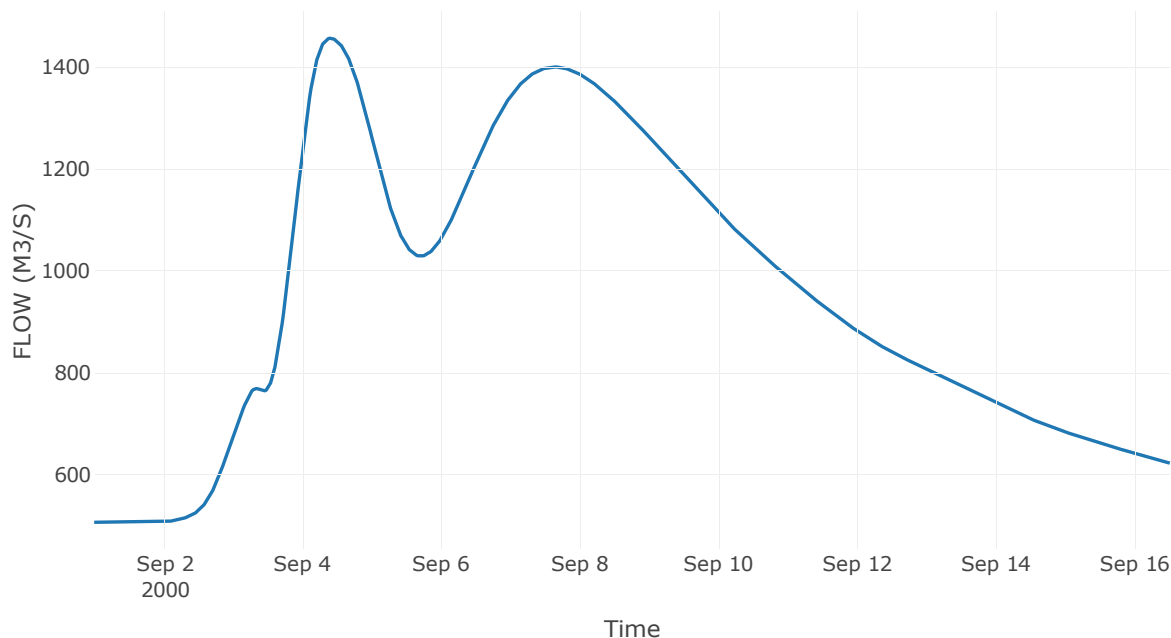
Κατάντη : J1

Μέθοδος Διόδευσης	Muskingum
Αρχική Μεταβλητή	Combined Inflow
Muskingum K	12.27
Συντελεστής βάρους x	0.2
Muskingum Steps	26

Αποτελέσματα: R21

Παροχή Αιχμής (M3/S)	1456.91
Χρονική στιγμή αιχμής	04Sep2000, 09:30
Όγκος(MM)	279.41
Παροχή Αιχμής Εισόδου (M3/S)	1461.04
Όγκος Εισροής(M3)	1.28E9

Απορροή



Κλάδος: R32

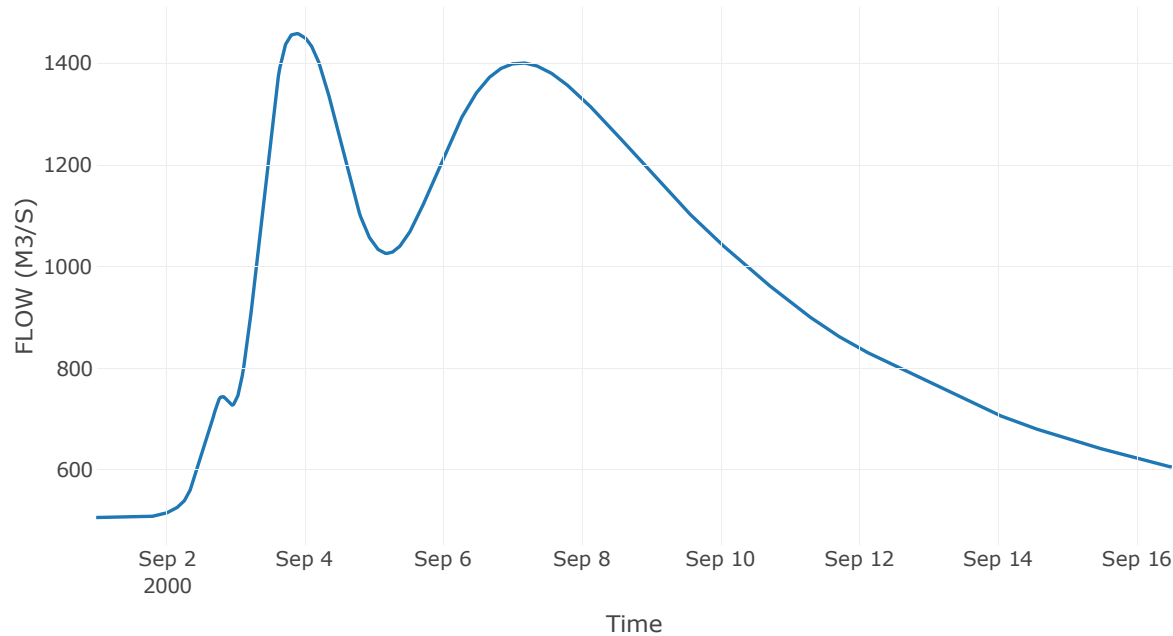
Κατάντη : J2

Μέθοδος Διόδευσης	Muskingum
Αρχική Μεταβλητή	Combined Inflow
Muskingum K	8.38
Συντελεστής βάρους x	0.2
Muskingum Steps	18

Αποτελέσματα: R32

Παροχή Αιχμής (M3/S)	1458.53
Χρονική στιγμή αιχμής	03Sep2000, 21:00
Όγκος(MM)	280.91
Παροχή Αιχμής Εισόδου (M3/S)	1460.82
Όγκος Εισροής(M3)	1.28E9

Απορροή



Κλάδος: R43

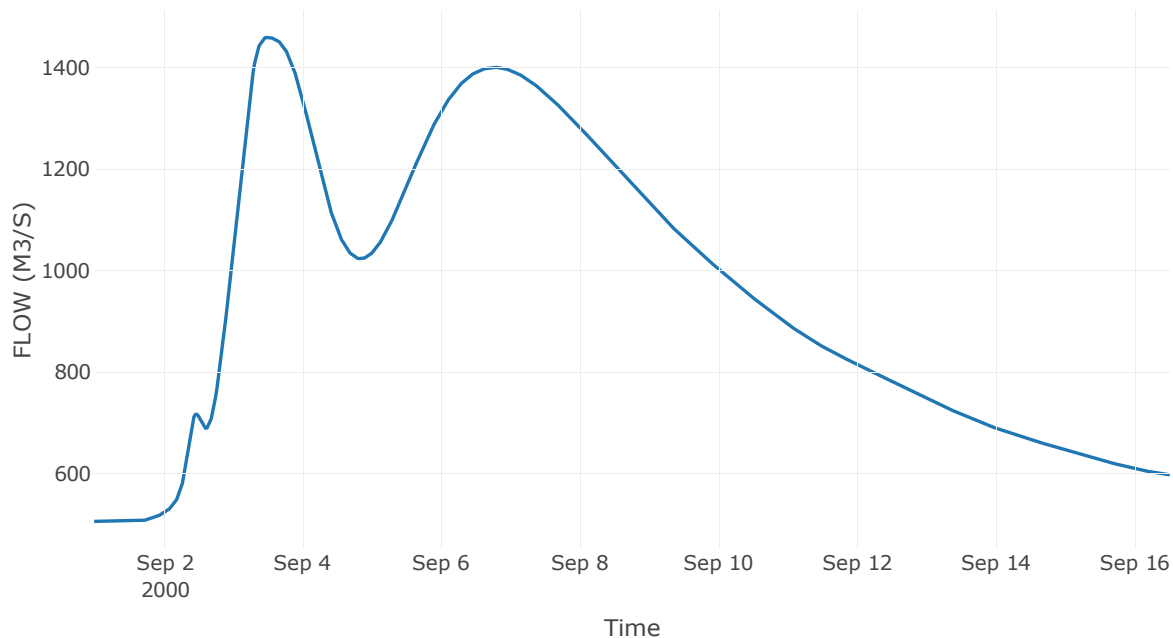
Κατάντη : J3

Μέθοδος Διόδευσης	Muskingum
Αρχική Μεταβλητή	Combined Inflow
Muskingum K	7.83
Συντελεστής βάρους x	0.2
Muskingum Steps	17

Αποτελέσματα: R43

Παροχή Αιχμής (M3/S)	1459.41
Χρονική στιγμή αιχμής	03Sep2000, 12:00
Όγκος(MM)	282.03
Παροχή Αιχμής Εισόδου (M3/S)	1461.99
Όγκος Εισροής(M3)	1.28E9

Απορροή



Κλάδος: R54

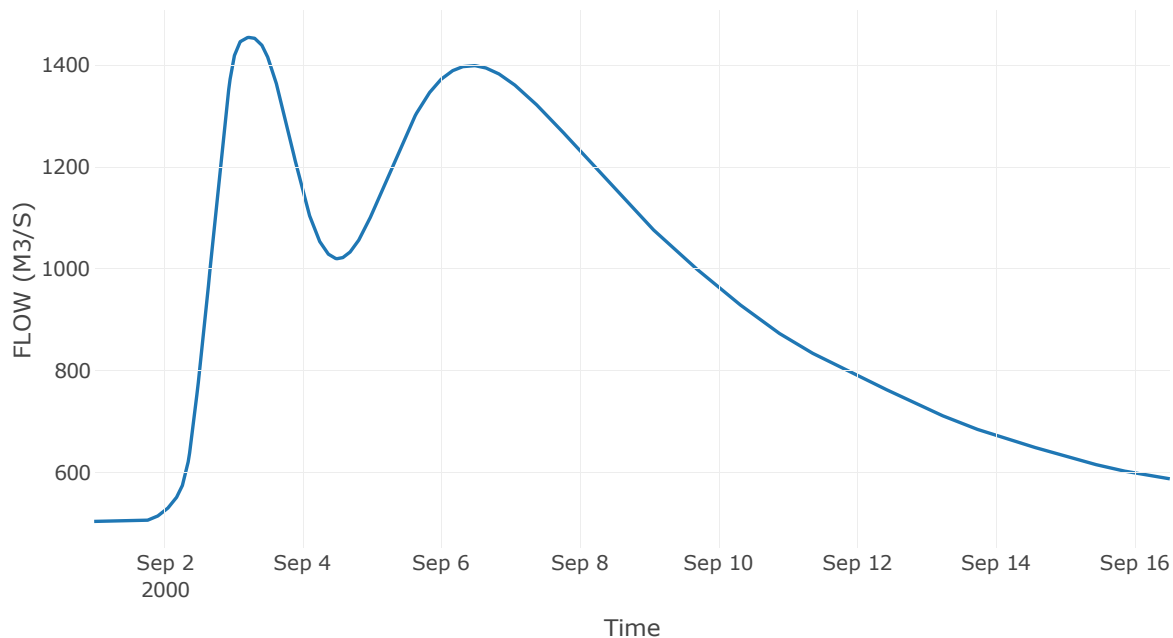
Κατάντη : J4

Μέθοδος Διόδευσης	Muskingum
Αρχική Μεταβλητή	Combined Inflow
Muskingum K	9.75
Συντελεστής βάρους x	0.2
Muskingum Steps	21

Αποτελέσματα: R54

Παροχή Αιχμής (M3/S)	1454.71
Χρονική στιγμή αιχμής	03Sep2000, 06:00
Όγκος(MM)	283.61
Παροχή Αιχμής Εισόδου (M3/S)	1456.22
Όγκος Εισροής(M3)	1.27E9

Απορροή



Κλάδος: R65

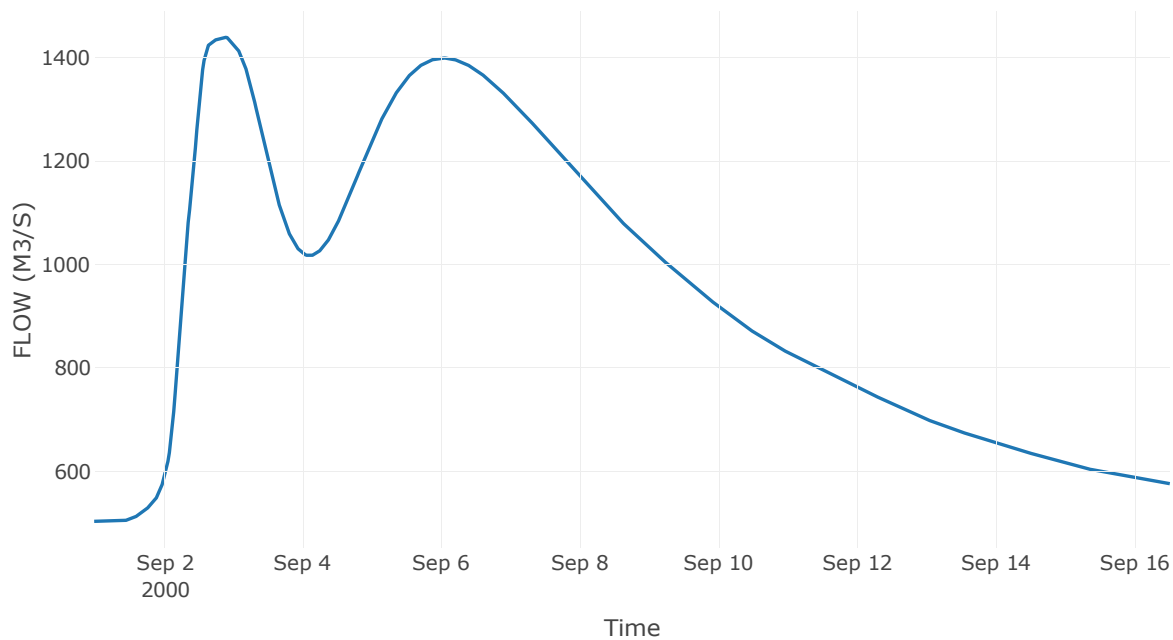
Κατάντη : J5

Μέθοδος Διόδευσης	Muskingum
Αρχική Μεταβλητή	Combined Inflow
Muskingum K	3.03
Συντελεστής βάρους x	0.2
Muskingum Steps	6

Αποτελέσματα: R65

Παροχή Αιχμής (M3/S)	1439.16
Χρονική στιγμή αιχμής	02Sep2000, 21:00
Όγκος(MM)	284.84
Παροχή Αιχμής Εισόδου (M3/S)	1439.98
Όγκος Εισροής(M3)	1.26E9

Απορροή



Κλάδος: R86

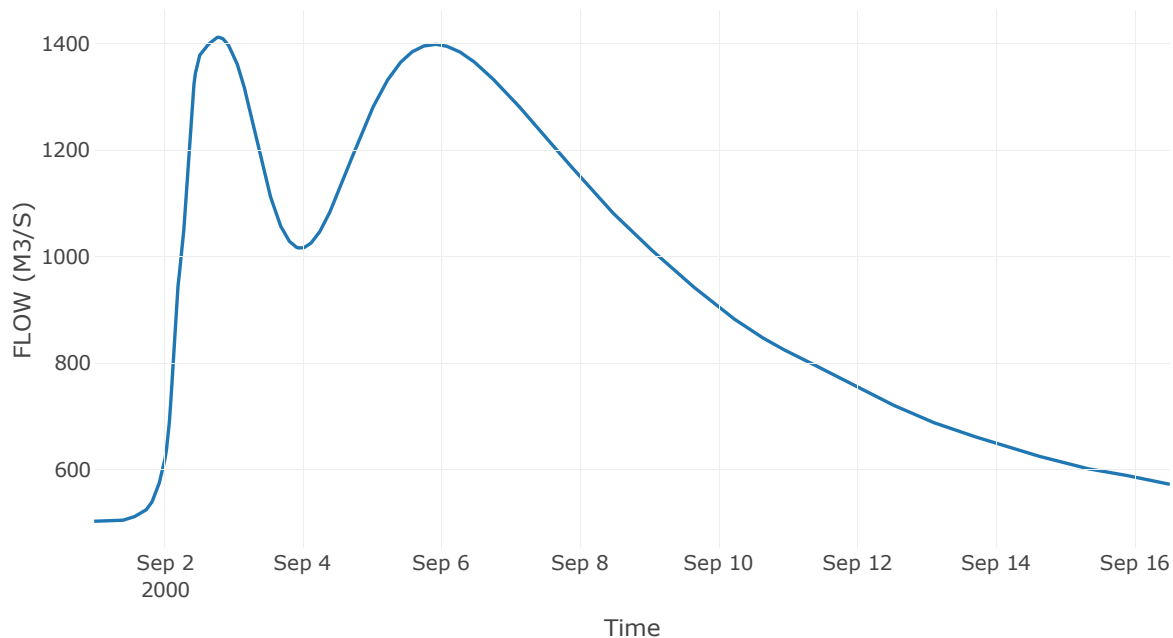
Κατάντη : J6

Μέθοδος Διόδευσης	Muskingum
Αρχική Μεταβλητή	Combined Inflow
Muskingum K	1.92
Συντελεστής βάρους x	0.2
Muskingum Steps	4

Αποτελέσματα: R86

Παροχή Αιχμής (M3/S)	1411.5
Χρονική στιγμή αιχμής	02Sep2000, 19:00
Όγκος(MM)	285.73
Παροχή Αιχμής Εισόδου (M3/S)	1412.21
Όγκος Εισροής(M3)	1.26E9

Απορροή



Κλάδος: R138

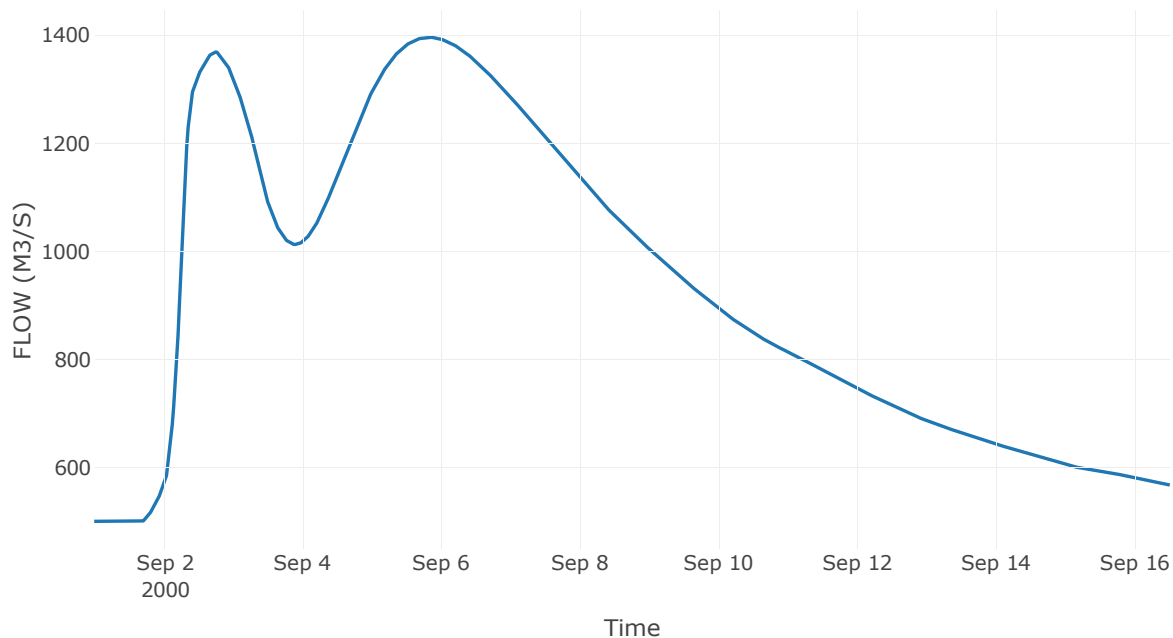
Κατάντη : J8

Μέθοδος Διόδευσης	Muskingum
Αρχική Μεταβλητή	Combined Inflow
Muskingum K	1.12
Συντελεστής βάρους x	0.2
Muskingum Steps	2

Αποτελέσματα: R138

Παροχή Αιχμής (M3/S)	1396.07
Χρονική στιγμή αιχμής	05Sep2000, 20:00
Όγκος(MM)	287.1
Παροχή Αιχμής Εισόδου (M3/S)	1396.15
Όγκος Εισροής(M3)	1.24E9

Απορροή



Κλάδος: R1413

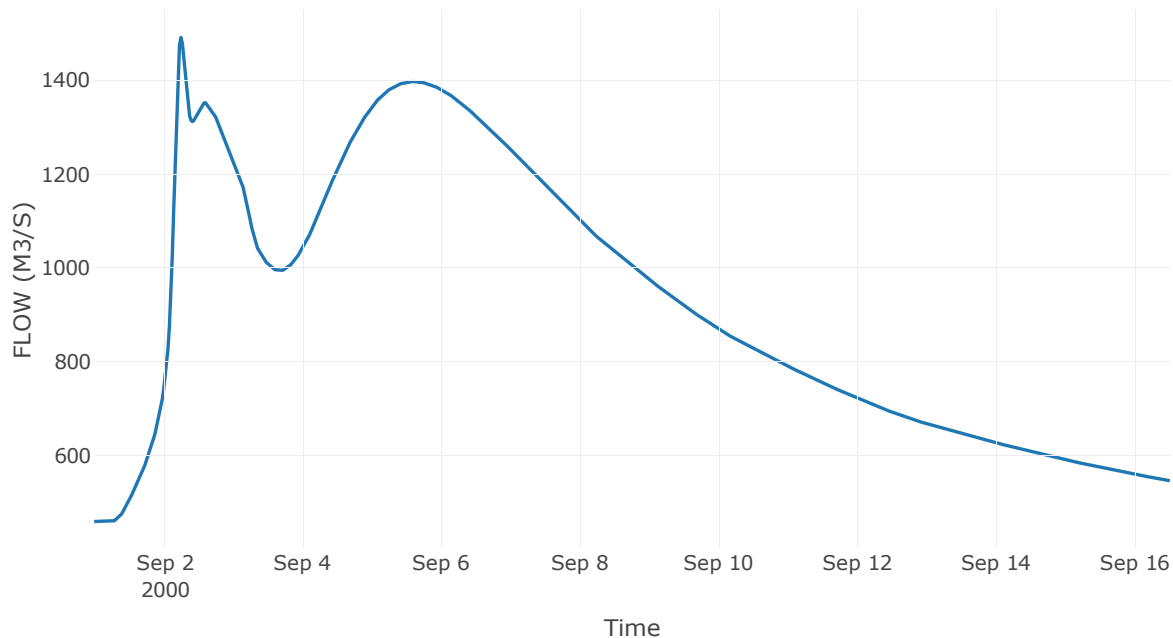
Κατάντη : J13 Res1

Μέθοδος Διόδευσης	Muskingum
Αρχική Μεταβλητή	Combined Inflow
Muskingum K	3.1
Συντελεστής βάρους α	0.2
Muskingum Steps	7

Αποτελέσματα: R1413

Παροχή Αιχμής (M3/S)	1491.04
Χρονική στιγμή αιχμής	02Sep2000, 06:00
Όγκος(MM)	288.11
Παροχή Αιχμής Εισόδου (M3/S)	1552.51
Όγκος Εισροής(M3)	1.24E9

Απορροή



Κλάδος: R1514

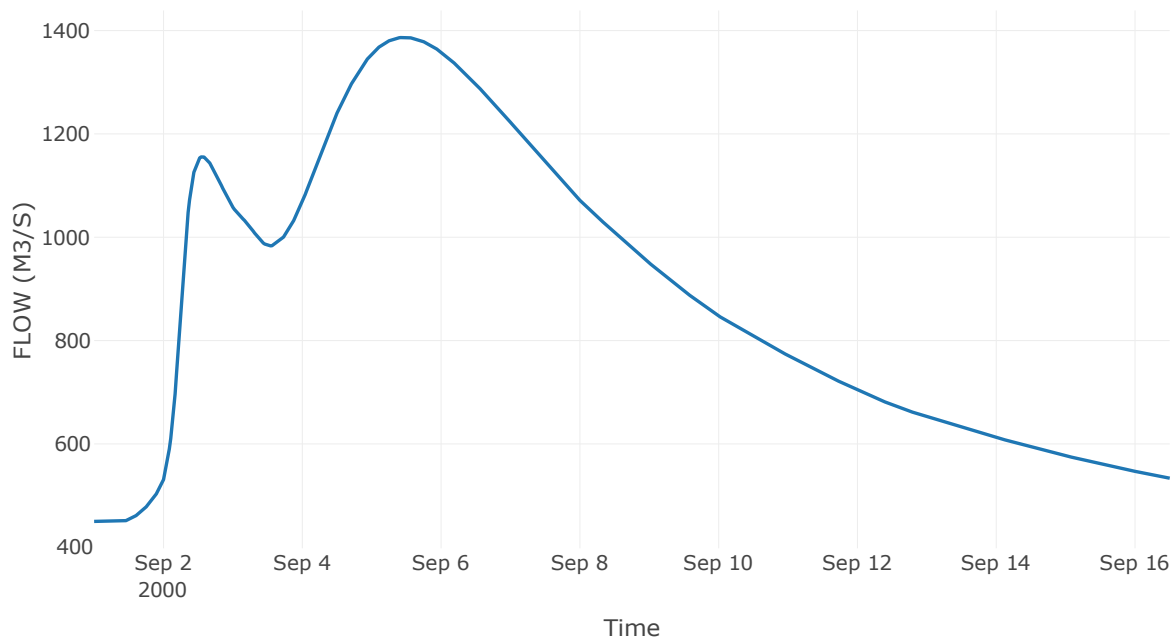
Κατάντη : J14

Μέθοδος Διόδευσης	Muskingum
Αρχική Μεταβλητή	Combined Inflow
Muskingum K	0.34
Συντελεστής βάρους x	0.2
Muskingum Steps	1

Αποτελέσματα: R1514

Παροχή Αιχμής (M3/S)	1386.81
Χρονική στιγμή αιχμής	05Sep2000, 11:30
Όγκος(MM)	289.23
Παροχή Αιχμής Εισόδου (M3/S)	1386.83
Όγκος Εισροής(M3)	1.18E9

Απορροή



Κλάδος: R1915

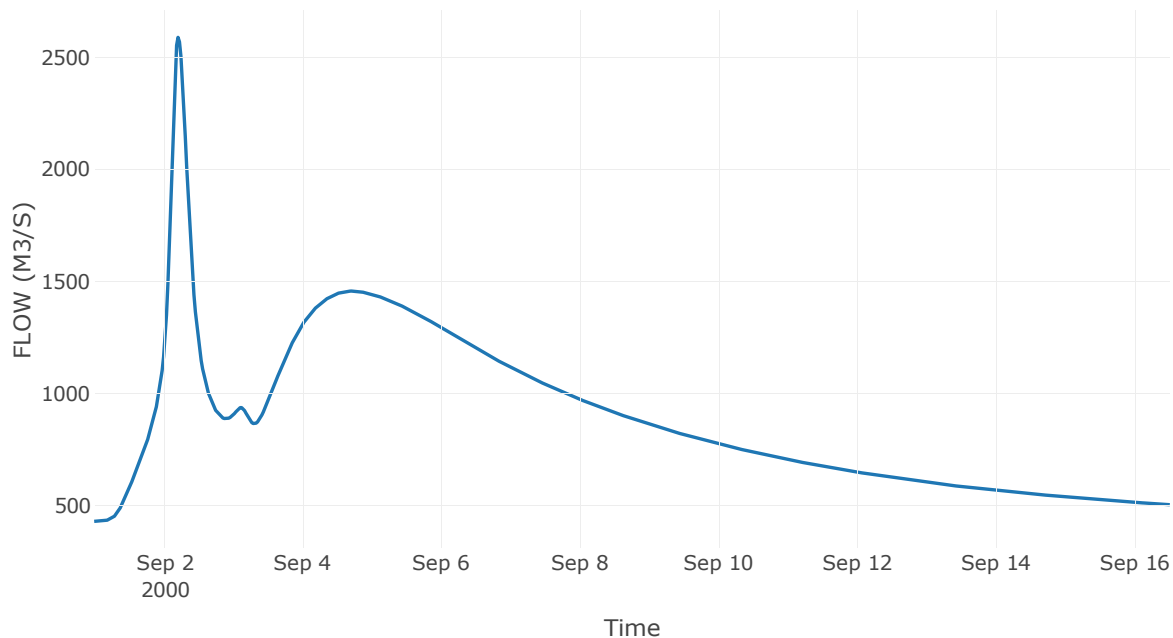
Κατάντη : J15 Res2

Μέθοδος Διόδευσης	Muskingum
Αρχική Μεταβλητή	Combined Inflow
Muskingum K	0.92
Συντελεστής βάρους x	0.2
Muskingum Steps	2

Αποτελέσματα: R1915

Παροχή Αιχμής (M3/S)	2588.99
Χρονική στιγμή αιχμής	02Sep2000, 05:00
Όγκος(MM)	292.95
Παροχή Αιχμής Εισόδου (M3/S)	2617.96
Όγκος Εισροής(M3)	1.19E9

Απορροή



Κλάδος: R1819

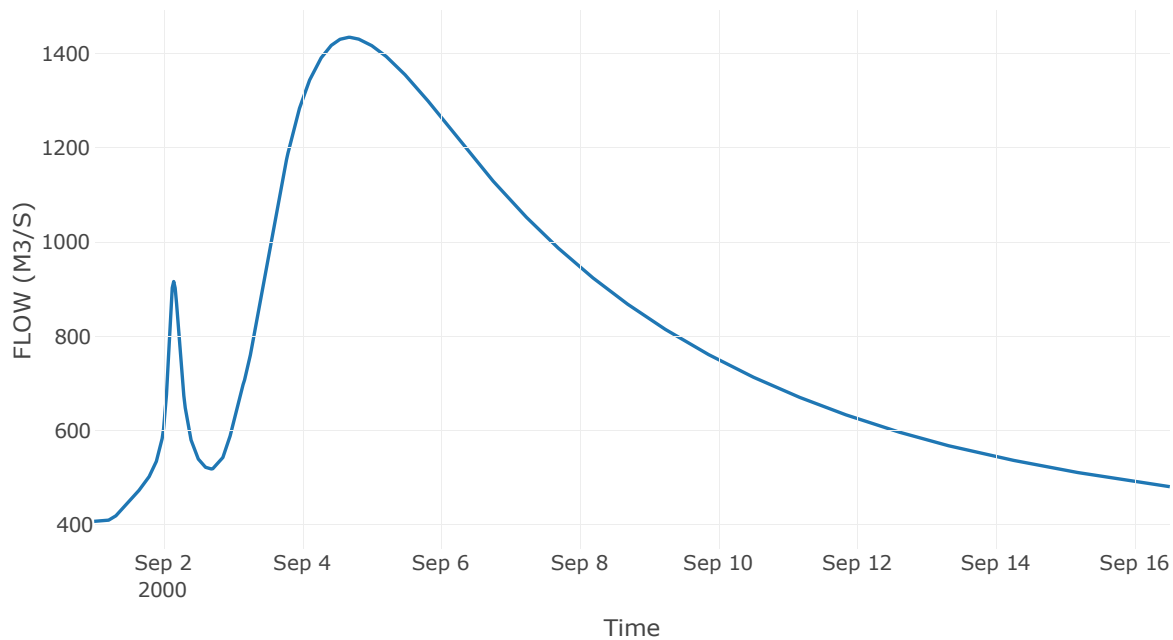
Κατάντη : J19

Μέθοδος Διόδευσης	Muskingum
Αρχική Μεταβλητή	Combined Inflow
Muskingum K	1.12
Συντελεστής βάρους α	0.2
Muskingum Steps	2

Αποτελέσματα: R1819

Παροχή Αιχμής (M3/S)	1434.44
Χρονική στιγμή αιχμής	04Sep2000, 16:00
Όγκος(MM)	292.89
Παροχή Αιχμής Εισόδου (M3/S)	1434.6
Όγκος Εισροής(M3)	1.08E9

Απορροή



Κλάδος: R1718

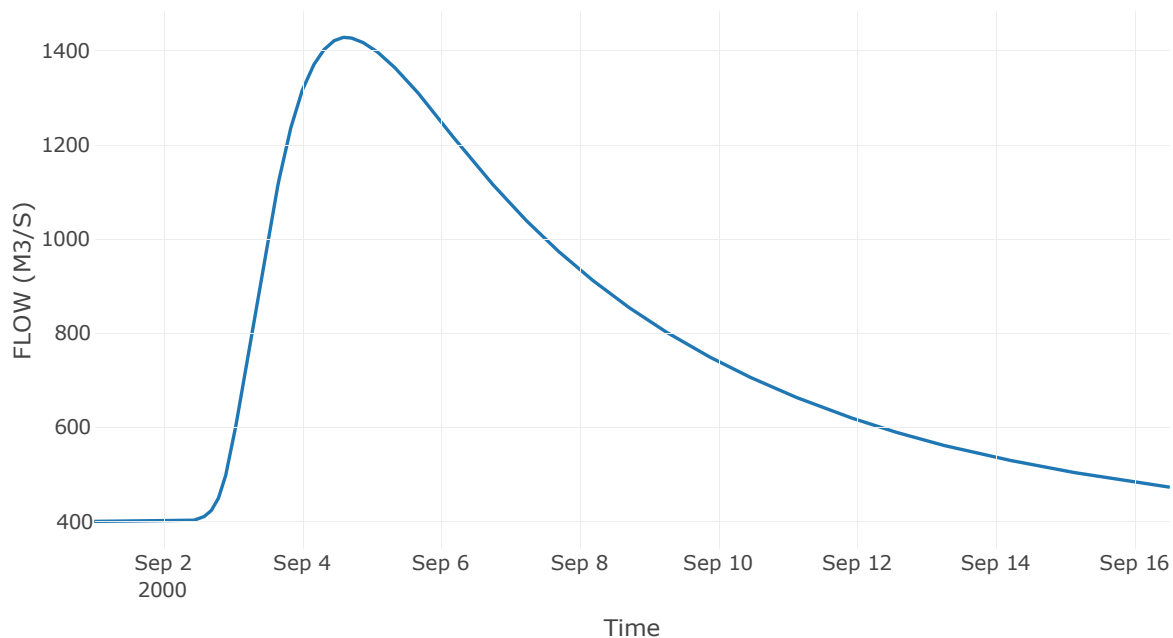
Κατάντη : J18

Μέθοδος Διόδευσης	Muskingum
Αρχική Μεταβλητή	Combined Inflow
Muskingum K	17.33
Συντελεστής βάρους x	0.2
Muskingum Steps	37

Αποτελέσματα: R1718

Παροχή Αιχμής (M3/S)	1428.32
Χρονική στιγμή αιχμής	04Sep2000, 15:00
Όγκος(MM)	293.74
Παροχή Αιχμής Εισόδου (M3/S)	1430.38
Όγκος Εισροής(M3)	1.05E9

Απορροή



Κλάδος: R2717

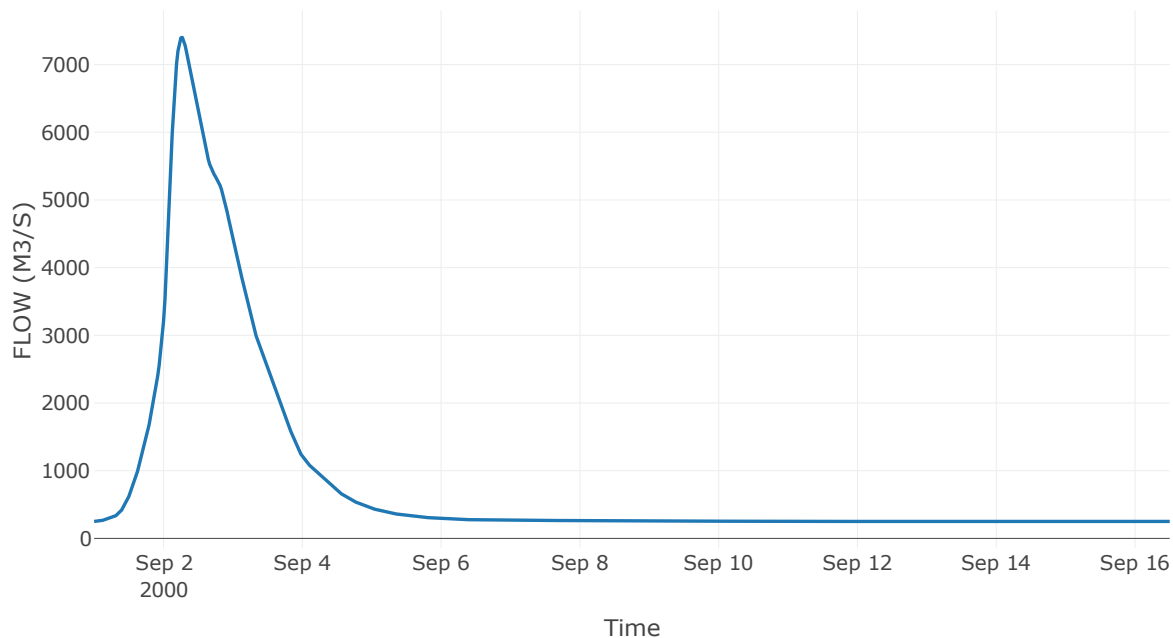
Κατάντη : J17 Res3

Μέθοδος Διόδευσης	Muskingum
Αρχική Μεταβλητή	Combined Inflow
Muskingum K	0.71
Συντελεστής βάρους x	0.2
Muskingum Steps	1

Αποτελέσματα: R2717

Παροχή Αιχμής (M3/S)	7401.24
Χρονική στιγμή αιχμής	02Sep2000, 06:30
Όγκος(MM)	320.57
Παροχή Αιχμής Εισόδου (M3/S)	7440.07
Όγκος Εισροής(M3)	1.14E9

Απορροή



Κλάδος: R3127

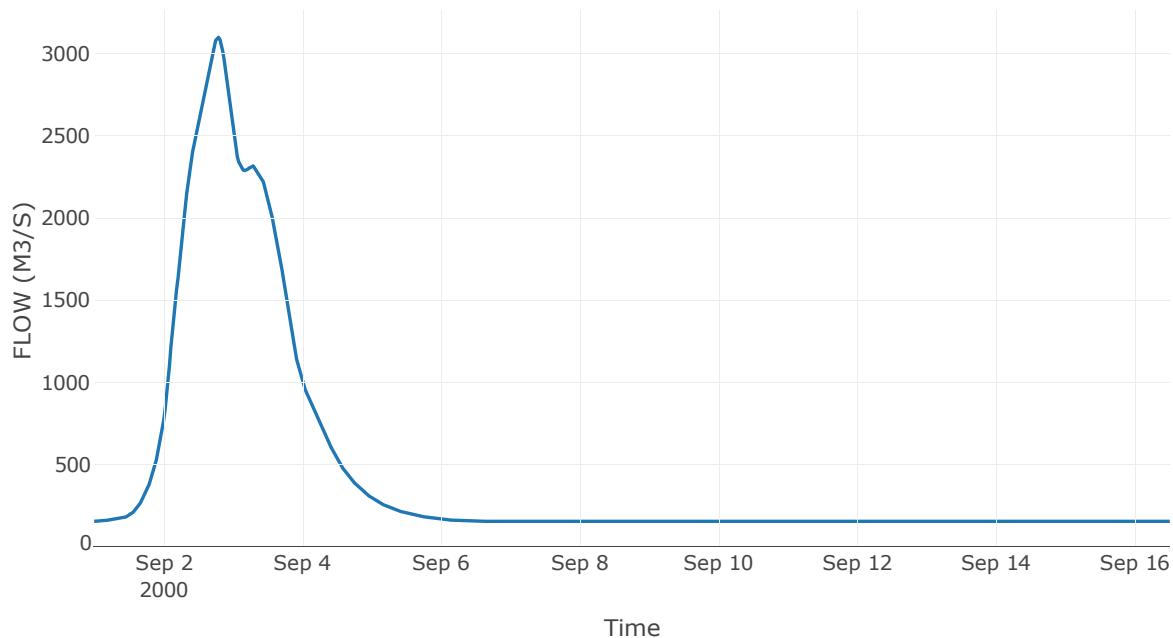
Κατάντη : J27

Μέθοδος Διόδευσης	Muskingum
Αρχική Μεταβλητή	Combined Inflow
Muskingum K	1.94
Συντελεστής βάρους α	0.2
Muskingum Steps	4

Αποτελέσματα: R3127

Παροχή Αιχμής (M3/S)	3098.39
Χρονική στιγμή αιχμής	02Sep2000, 19:00
Όγκος(MM)	333.4
Παροχή Αιχμής Εισόδου (M3/S)	3117.51
Όγκος Εισροής(M3)	5.98E8

Απορροή



Κλάδος: R2231

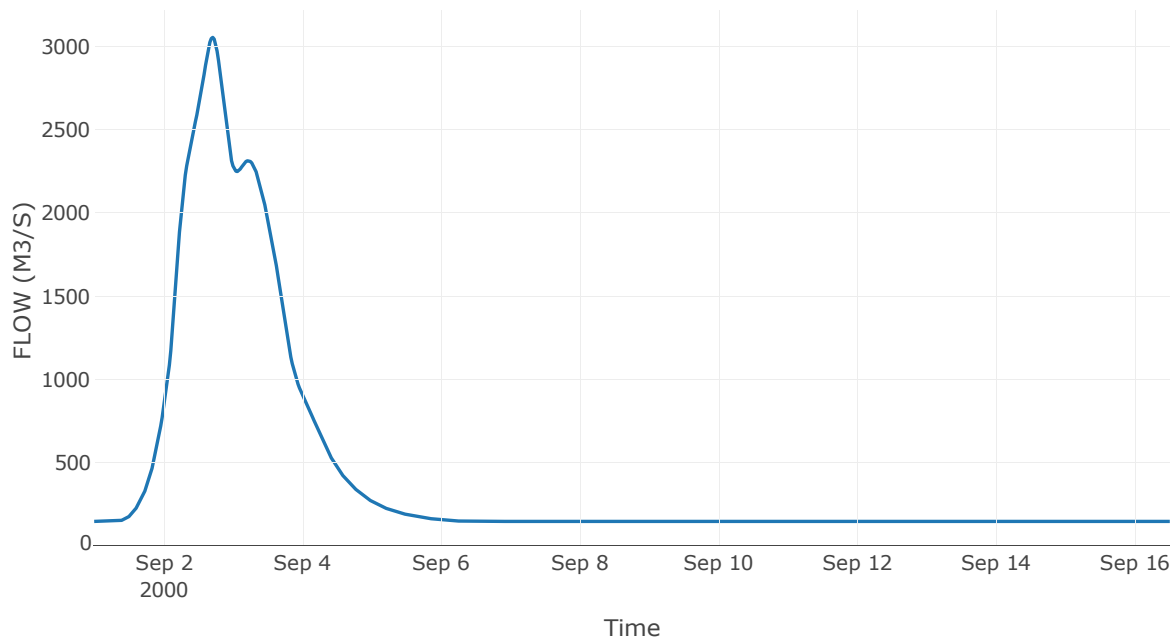
Κατάντη : J31

Μέθοδος Διόδευσης	Muskingum
Αρχική Μεταβλητή	Combined Inflow
Muskingum K	3.66
Συντελεστής βάρους x	0.2
Muskingum Steps	8

Αποτελέσματα: R2231

Παροχή Αιχμής (M3/S)	3054.78
Χρονική στιγμή αιχμής	02Sep2000, 17:00
Όγκος(MM)	335.65
Παροχή Αιχμής Εισόδου (M3/S)	3091.51
Όγκος Εισροής(M3)	5.77E8

Απορροή



Κλάδος: R2522

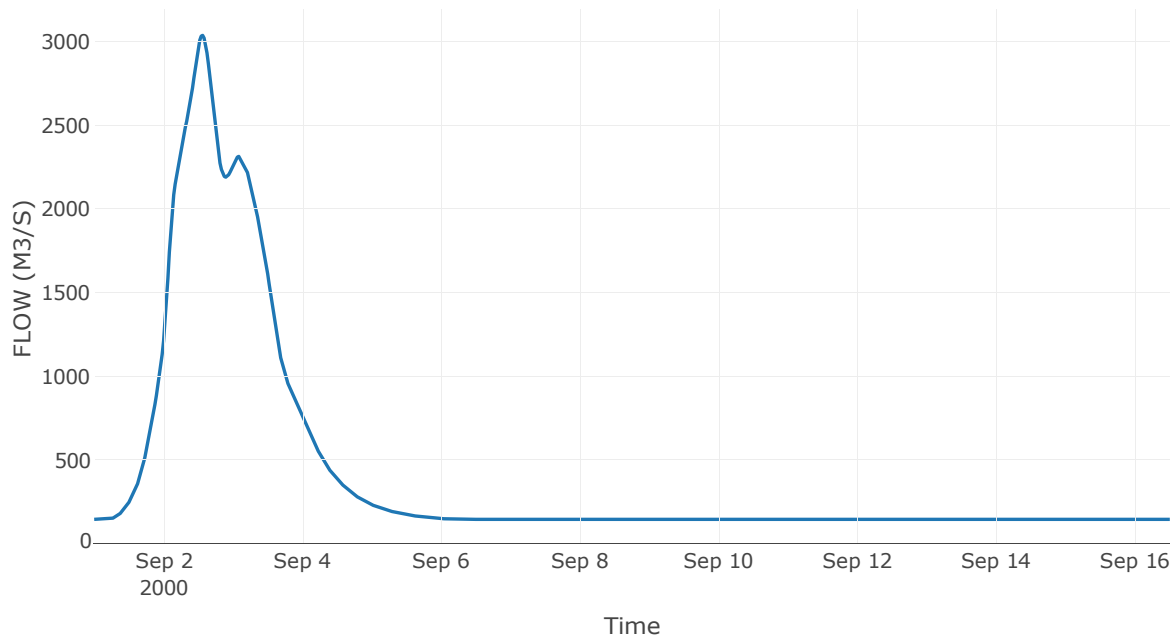
Κατάντη : J22

Μέθοδος Διόδευσης	Muskingum
Αρχική Μεταβλητή	Combined Inflow
Muskingum K	1.04
Συντελεστής βάρους x	0.2
Muskingum Steps	2

Αποτελέσματα: R2522

Παροχή Αιχμής (M3/S)	3037.66
Χρονική στιγμή αιχμής	02Sep2000, 13:30
Όγκος(MM)	339.29
Παροχή Αιχμής Εισόδου (M3/S)	3051.07
Όγκος Εισροής(M3)	5.64E8

Απορροή



Κλάδος: R2425

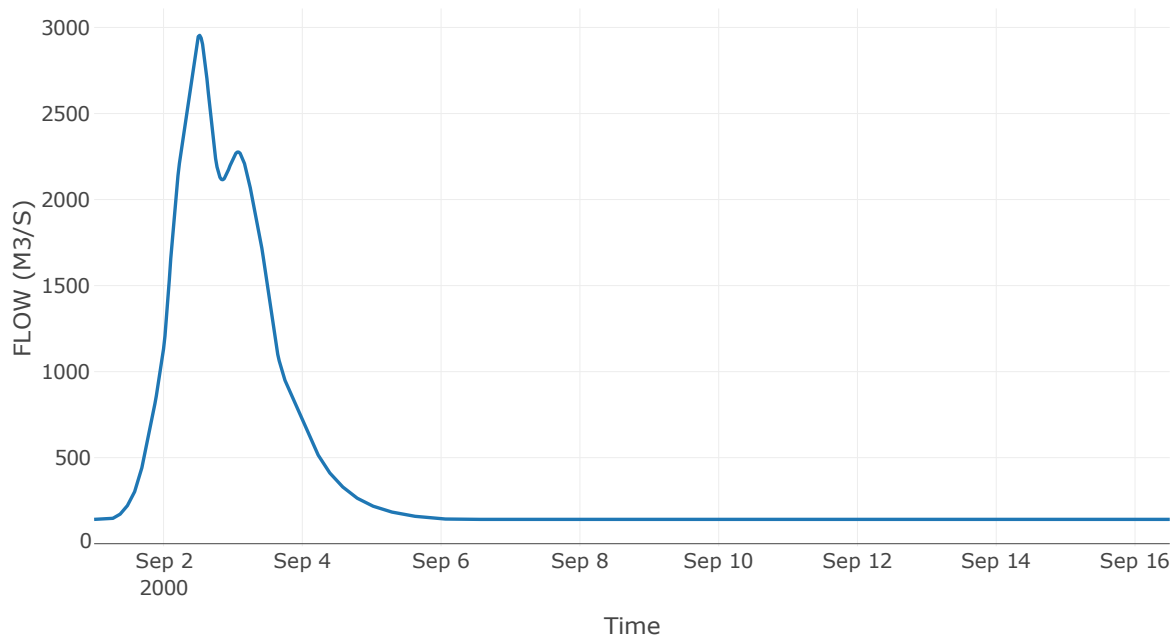
Κατάντη : J25

Μέθοδος Διόδευσης	Muskingum
Αρχική Μεταβλητή	Combined Inflow
Muskingum K	1.62
Συντελεστής βάρους x	0.2
Muskingum Steps	3

Αποτελέσματα: R2425

Παροχή Αιχμής (M3/S)	2954.12
Χρονική στιγμή αιχμής	02Sep2000, 12:30
Όγκος(MM)	343.78
Παροχή Αιχμής Εισόδου (M3/S)	2977.29
Όγκος Εισροής(M3)	5.38E8

Απορροή



Κλάδος: R2324

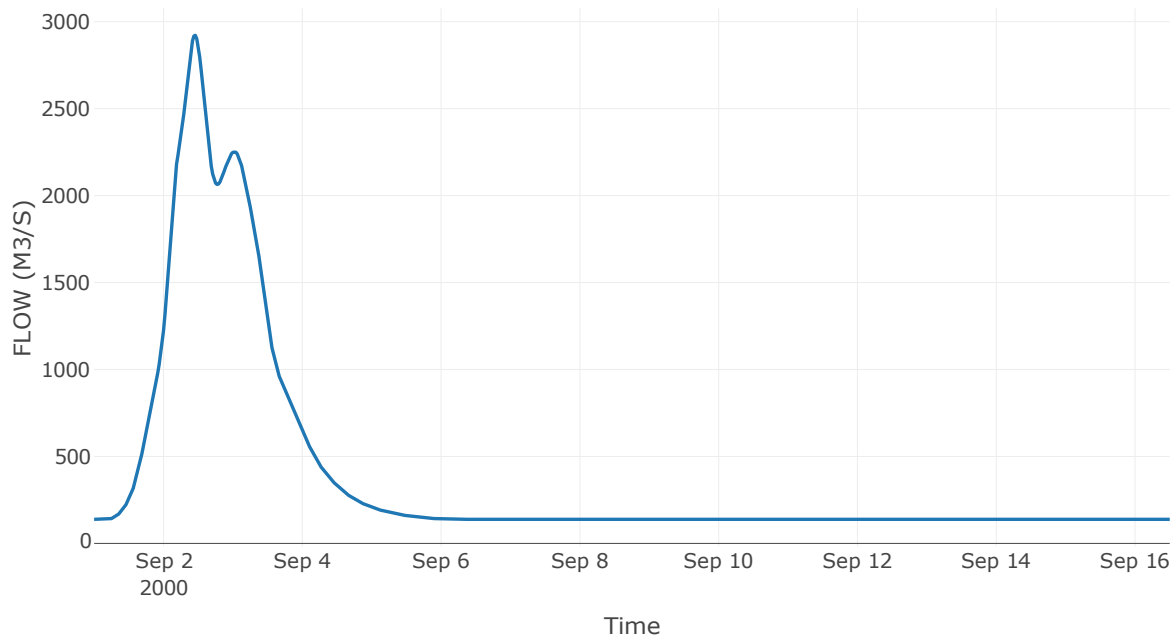
Κατάντη : J24

Μέθοδος Διόδευσης	Muskingum
Αρχική Μεταβλητή	Combined Inflow
Muskingum K	0.79
Συντελεστής βάρους x	0.2
Muskingum Steps	2

Αποτελέσματα: R2324

Παροχή Αιχμής (M3/S)	2921.58
Χρονική στιγμή αιχμής	02Sep2000, 11:00
Όγκος(MM)	346.03
Παροχή Αιχμής Εισόδου (M3/S)	2933.09
Όγκος Εισροής(M3)	5.24E8

Απορροή



Κλάδος: R4523

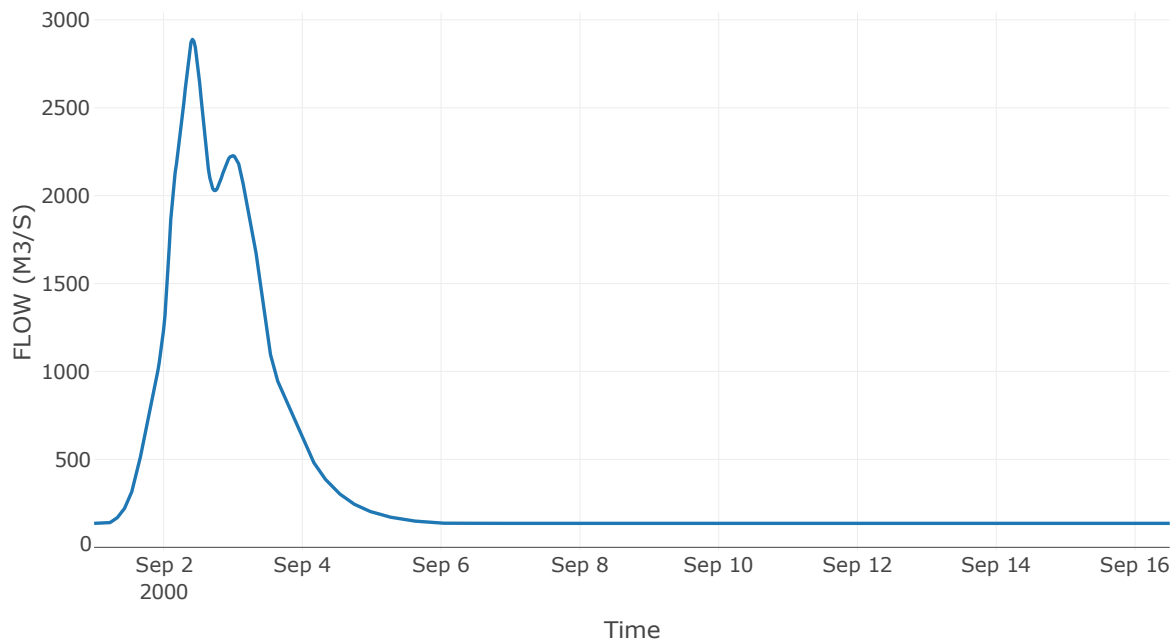
Κατάντη : J23

Μέθοδος Διόδευσης	Muskingum
Αρχική Μεταβλητή	Combined Inflow
Muskingum K	1.72
Συντελεστής βάρους x	0.2
Muskingum Steps	4

Αποτελέσματα: R4523

Παροχή Αιχμής (M3/S)	2888.97
Χρονική στιγμή αιχμής	02Sep2000, 10:00
Όγκος(MM)	349.07
Παροχή Αιχμής Εισόδου (M3/S)	2912.44
Όγκος Εισροής(M3)	5.15E8

Απορροή



Κλάδος: R4645

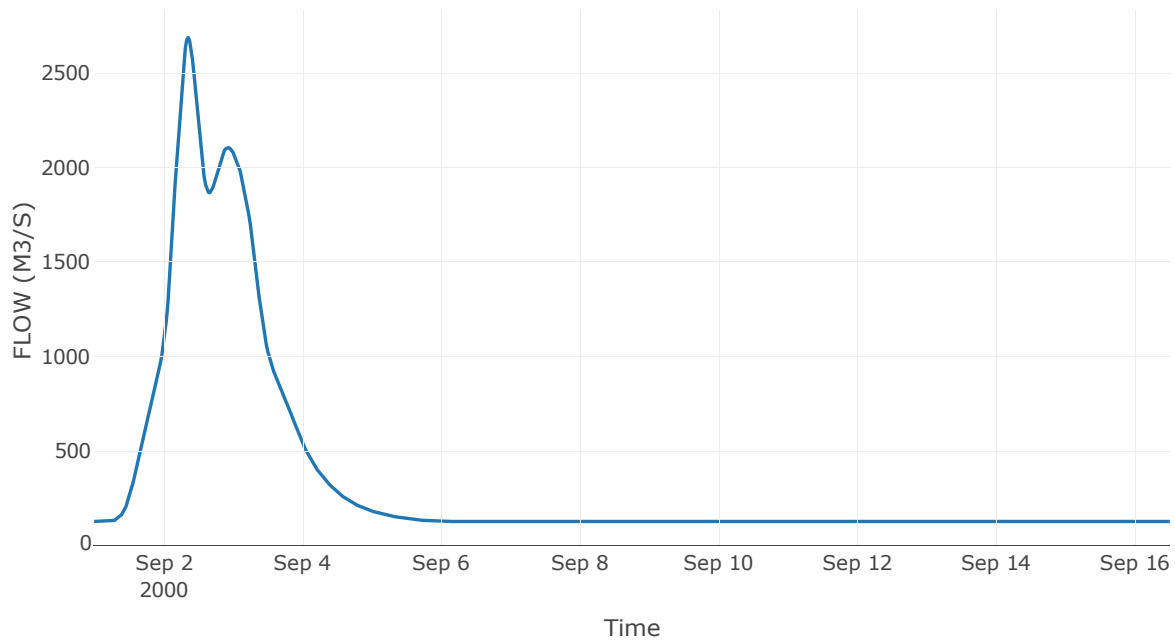
Κατάντη : J45

Μέθοδος Διόδευσης	Muskingum
Αρχική Μεταβλητή	Combined Inflow
Muskingum K	2.14
Συντελεστής βάρους x	0.2
Muskingum Steps	5

Αποτελέσματα: R4645

Παροχή Αιχμής (M3/S)	2688.47
Χρονική στιγμή αιχμής	02Sep2000, 08:30
Όγκος(MM)	355.29
Παροχή Αιχμής Εισόδου (M3/S)	2723.17
Όγκος Εισροής(M3)	4.71E8

Απορροή



Κλάδος: R4746

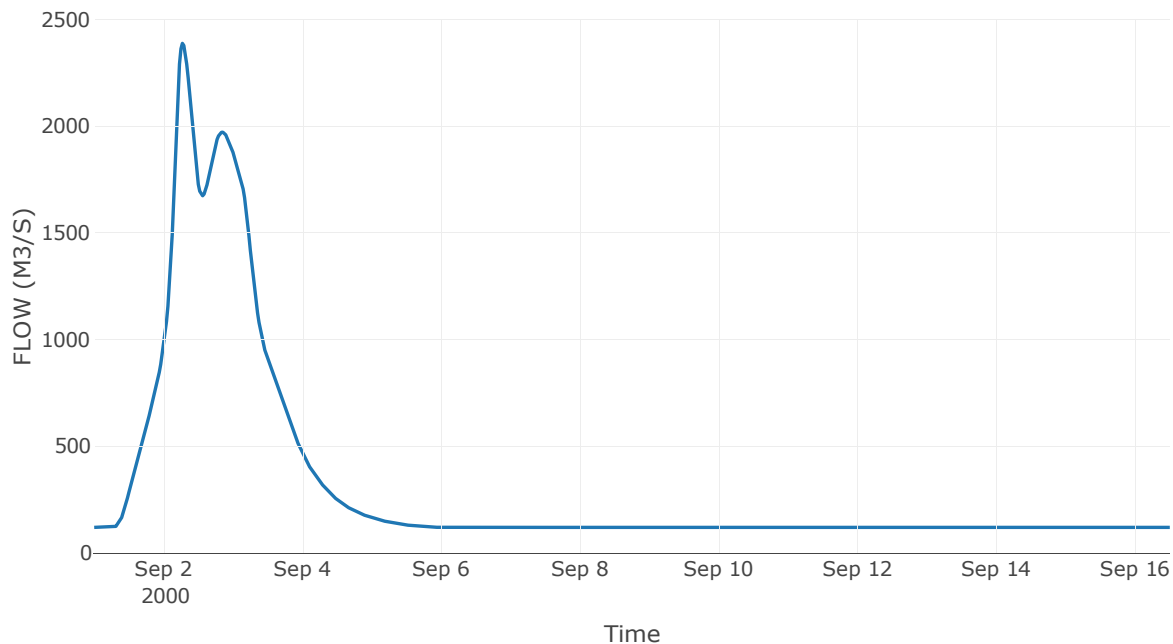
Κατάντη : J46

Μέθοδος Διόδευσης	Muskingum
Αρχική Μεταβλητή	Combined Inflow
Muskingum K	3.5
Συντελεστής βάρους α	0.2
Muskingum Steps	7

Αποτελέσματα: R4746

Παροχή Αιχμής (M3/S)	2386.72
Χρονική στιγμή αιχμής	02Sep2000, 06:30
Όγκος(MM)	366.98
Παροχή Αιχμής Εισόδου (M3/S)	2493.15
Όγκος Εισροής(M3)	4.25E8

Απορροή



Κλάδος: R4947

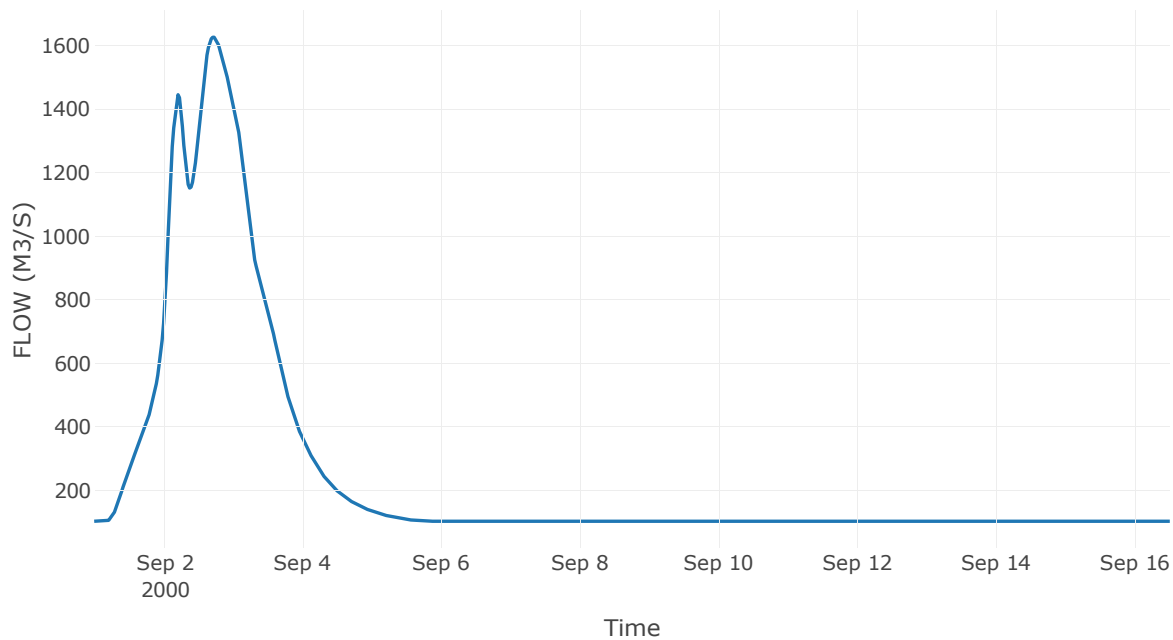
Κατάντη : J47

Μέθοδος Διόδευσης	Muskingum
Αρχική Μεταβλητή	Combined Inflow
Muskingum K	1.39
Συντελεστής βάρους x	0.2
Muskingum Steps	3

Αποτελέσματα: R4947

Παροχή Αιχμής (M3/S)	1625.57
Χρονική στιγμή αιχμής	02Sep2000, 17:00
Όγκος(MM)	381.59
Παροχή Αιχμής Εισόδου (M3/S)	1629.44
Όγκος Εισροής(M3)	3.35E8

Απορροή



Κλάδος: R5049

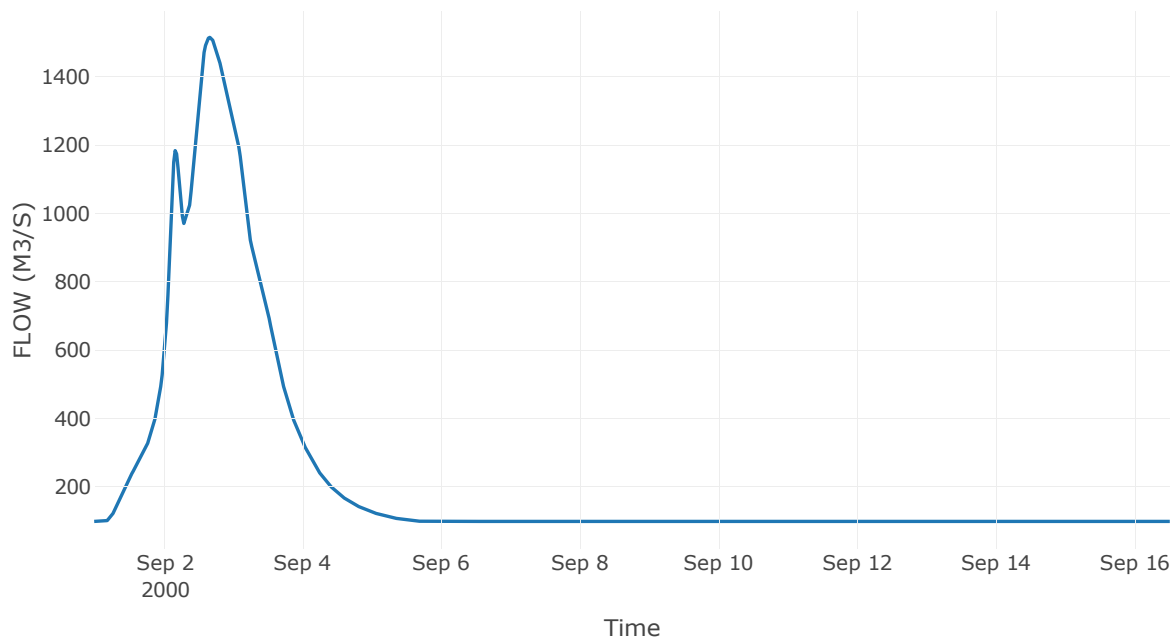
Κατάντη : J49

Μέθοδος Διόδευσης	Muskingum
Αρχική Μεταβλητή	Combined Inflow
Muskingum K	1.76
Συντελεστής βάρους α	0.2
Muskingum Steps	4

Αποτελέσματα: R5049

Παροχή Αιχμής (M3/S)	1515.58
Χρονική στιγμή αιχμής	02Sep2000, 16:00
Όγκος(MM)	388.34
Παροχή Αιχμής Εισόδου (M3/S)	1519.9
Όγκος Εισροής(M3)	3.05E8

Απορροή



Κλάδος: R5150

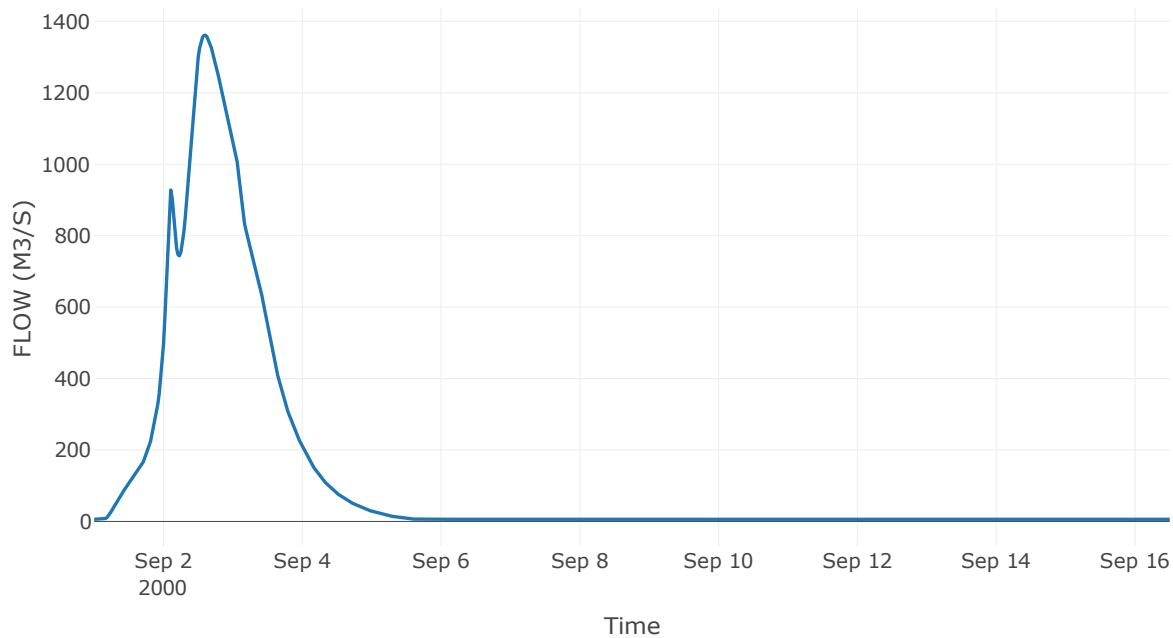
Κατάντη : J50

Μέθοδος Διόδευσης	Muskingum
Αρχική Μεταβλητή	Combined Inflow
Muskingum K	1.24
Συντελεστής βάρους x	0.2
Muskingum Steps	3

Αποτελέσματα: R5150

Παροχή Αιχμής (M3/S)	1360.95
Χρονική στιγμή αιχμής	02Sep2000, 14:30
Όγκος(MM)	1542.17
Παροχή Αιχμής Εισόδου (M3/S)	1364.32
Όγκος Εισροής(M3)	1.67E8

Απορροή



Κλάδος: R5351

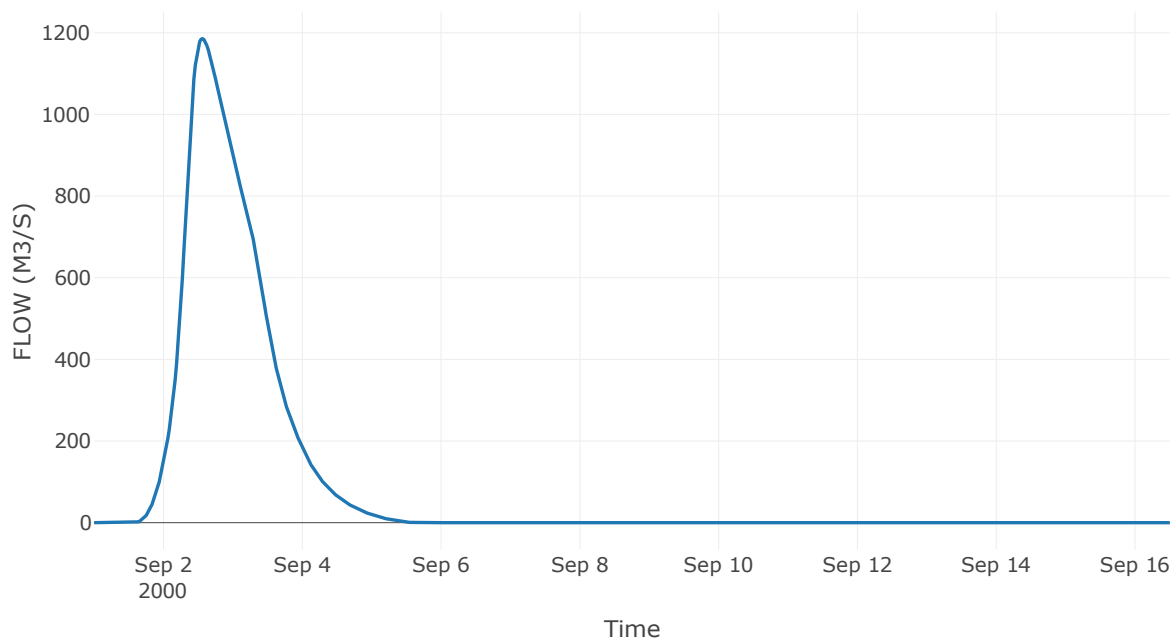
Κατάντη : J51

Μέθοδος Διόδευσης	Muskingum
Αρχική Μεταβλητή	Combined Inflow
Muskingum K	2.28
Συντελεστής βάρους x	0.2
Muskingum Steps	5

Αποτελέσματα: R5351

Παροχή Αιχμής (M3/S)	1185.69
Χρονική στιγμή αιχμής	02Sep2000, 13:30
Peak Inflow (M3/S)	1191.31
Όγκος Εισροής (M3)	1.25E8

Απορροή



Κλάδος: R5753

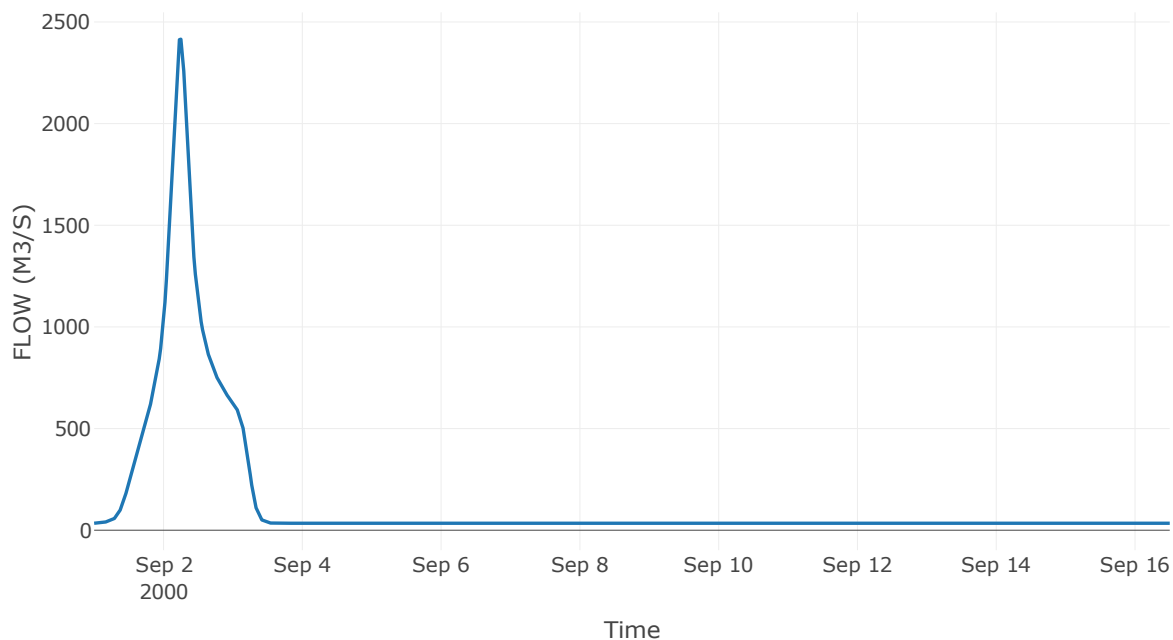
Κατάντη : J53 Res5

Μέθοδος Διόδευσης	Muskingum
Αρχική Μεταβλητή	Combined Inflow
Muskingum K	0.94
Συντελεστής βάρους α	0.2
Muskingum Steps	2

Αποτελέσματα: R5753

Παροχή Αιχμής (M3/S)	2414.99
Χρονική στιγμή αιχμής	02Sep2000, 06:00
Όγκος(MM)	304.23
Παροχή Αιχμής Εισόδου (M3/S)	2450.81
Όγκος Εισροής(M3)	1.89E8

Απορροή



Κλάδος: R5457

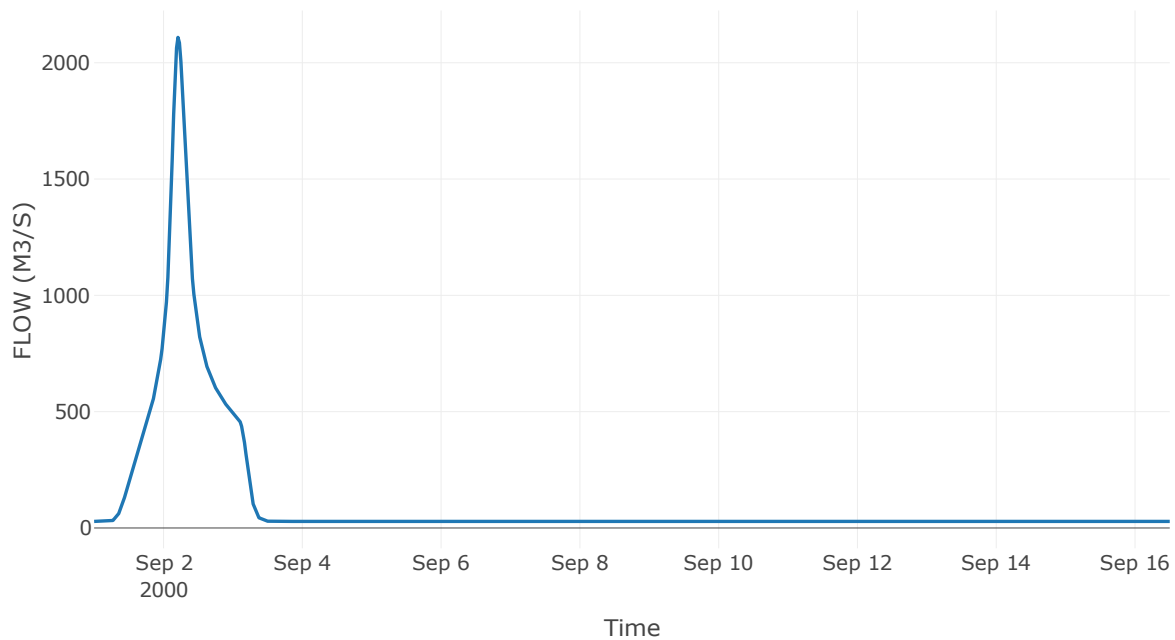
Κατάντη : J57

Μέθοδος Διόδευσης	Muskingum
Αρχική Μεταβλητή	Combined Inflow
Muskingum K	2.41
Συντελεστής βάρους x	0.2
Muskingum Steps	5

Αποτελέσματα: R5457

Παροχή Αιχμής (M3/S)	2109
Χρονική στιγμή αιχμής	02Sep2000, 05:00
Όγκος(MM)	297.92
Παροχή Αιχμής Εισόδου (M3/S)	2222.27
Όγκος Εισροής(M3)	1.53E8

Απορροή



Κλάδος: R5554

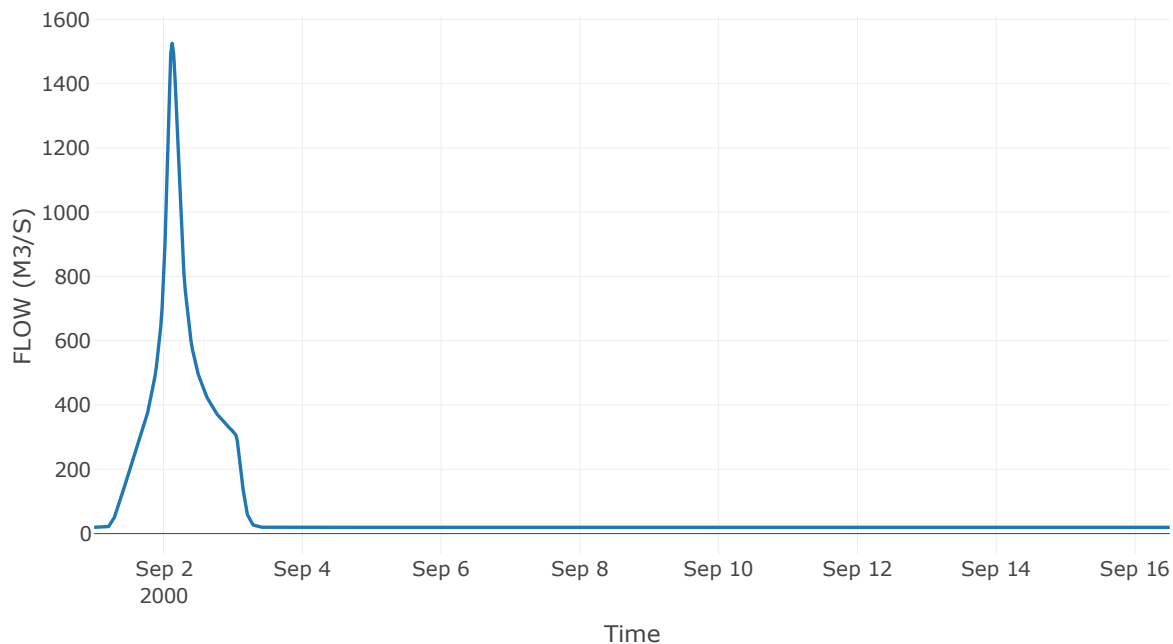
Κατάντη : J54

Μέθοδος Διόδευσης	Muskingum
Αρχική Μεταβλητή	Combined Inflow
Muskingum K	1.03
Συντελεστής βάρους x	0.2
Muskingum Steps	2

Αποτελέσματα: R5554

Παροχή Αιχμής (M3/S)	1525.26
Χρονική στιγμή αιχμής	02Sep2000, 03:00
Όγκος(MM)	293.38
Παροχή Αιχμής Εισόδου (M3/S)	1569.76
Όγκος Εισροής(M3)	1.04E8

Απορροή



Κλάδος: R5655

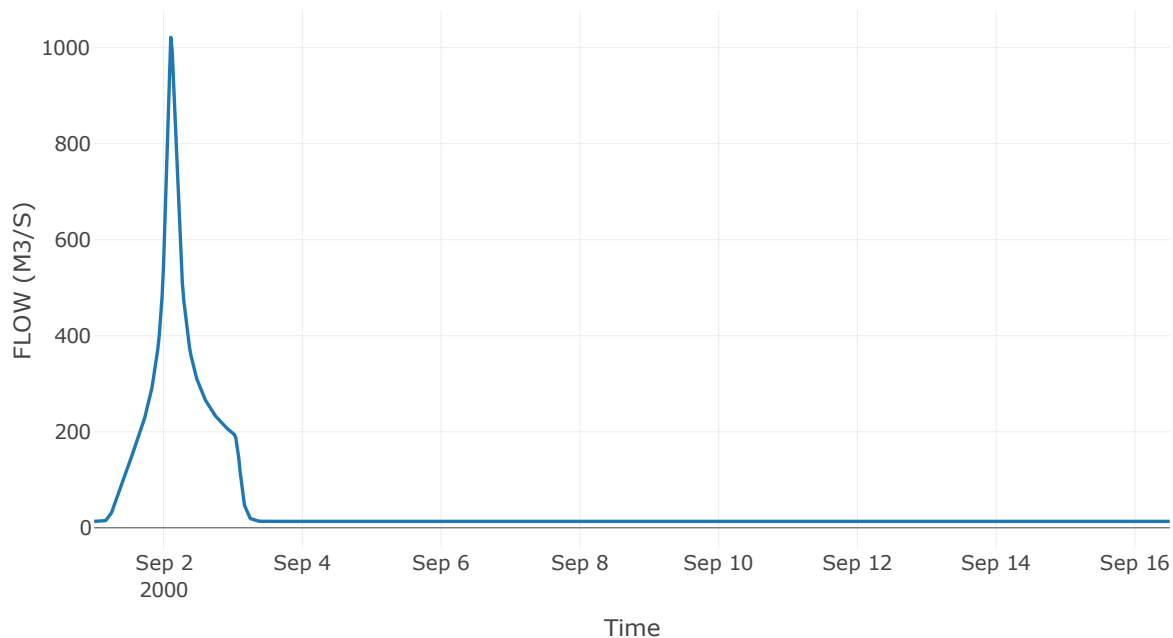
Κατάντη : J55

Μέθοδος Διόδευσης	Muskingum
Αρχική Μεταβλητή	Combined Inflow
Muskingum K	0.67
Συντελεστής βάρους α	0.2
Muskingum Steps	1

Αποτελέσματα: R5655

Παροχή Αιχμής (M3/S)	1021.16
Χρονική στιγμή αιχμής	02Sep2000, 02:30
Όγκος(MM)	276.14
Παροχή Αιχμής Εισόδου (M3/S)	1054.16
Όγκος Εισροής(M3)	6.71E7

Απορροή



Κλάδος: R6357

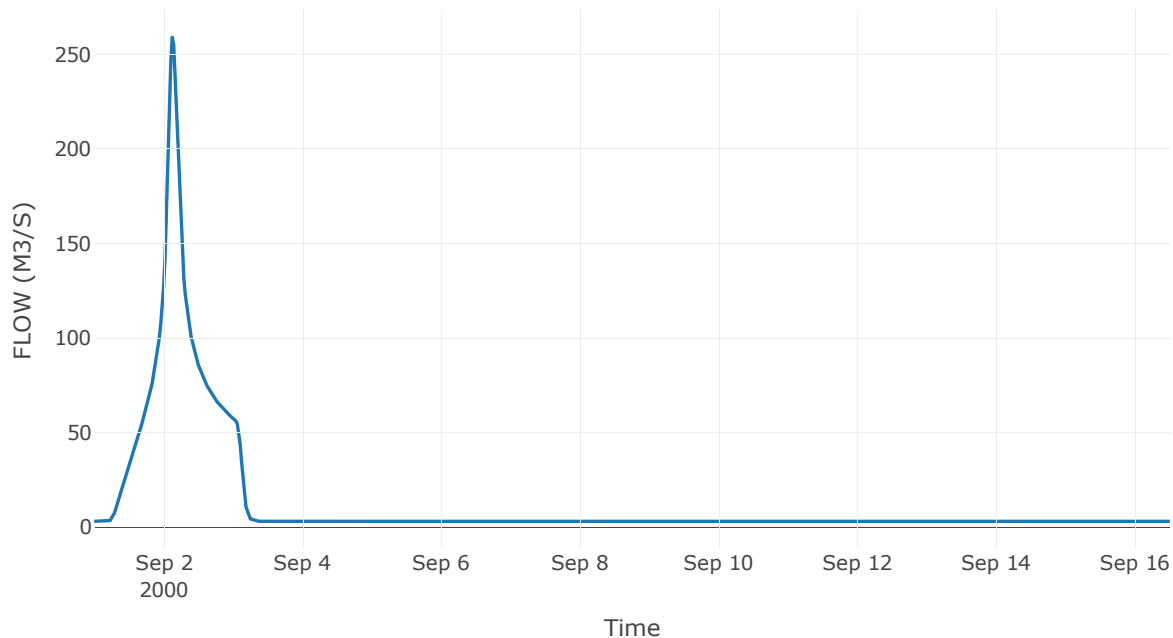
Κατάντη : J57

Μέθοδος Διόδευσης	Muskingum
Αρχική Μεταβλητή	Combined Inflow
Muskingum K	1.82
Συντελεστής βάρους α	0.2
Muskingum Steps	4

Αποτελέσματα: R6357

Παροχή Αιχμής (M3/S)	258.93
Χρονική στιγμή αιχμής	02Sep2000, 03:00
Όγκος(MM)	321.27
Παροχή Αιχμής Εισόδου (M3/S)	278.54
Όγκος Εισροής(M3)	1.71E7

Απορροή



Κλάδος: R4847

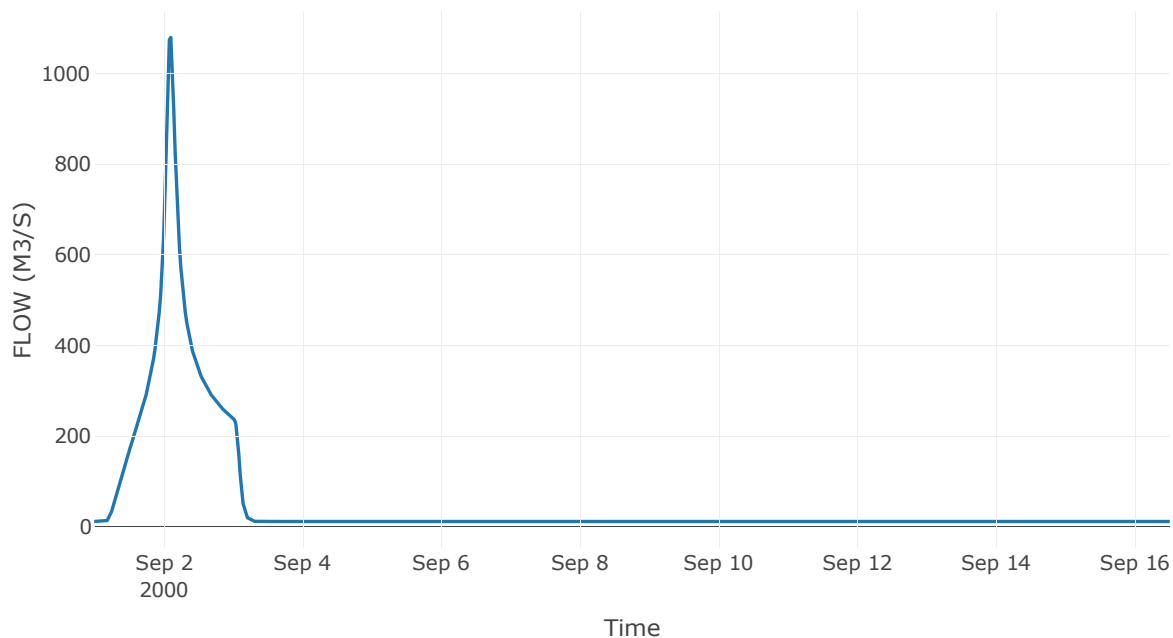
Κατάντη : J47

Μέθοδος Διόδευσης	Muskingum
Αρχική Μεταβλητή	Combined Inflow
Muskingum K	0.72
Συντελεστής βάρους α	0.2
Muskingum Steps	2

Αποτελέσματα: R4847

Παροχή Αιχμής (M3/S)	1079.77
Χρονική στιγμή αιχμής	02Sep2000, 02:30
Όγκος(MM)	333.1
Παροχή Αιχμής Εισόδου (M3/S)	1114.37
Όγκος Εισροής(M3)	7.2E7

Απορροή



Κλάδος: R4462

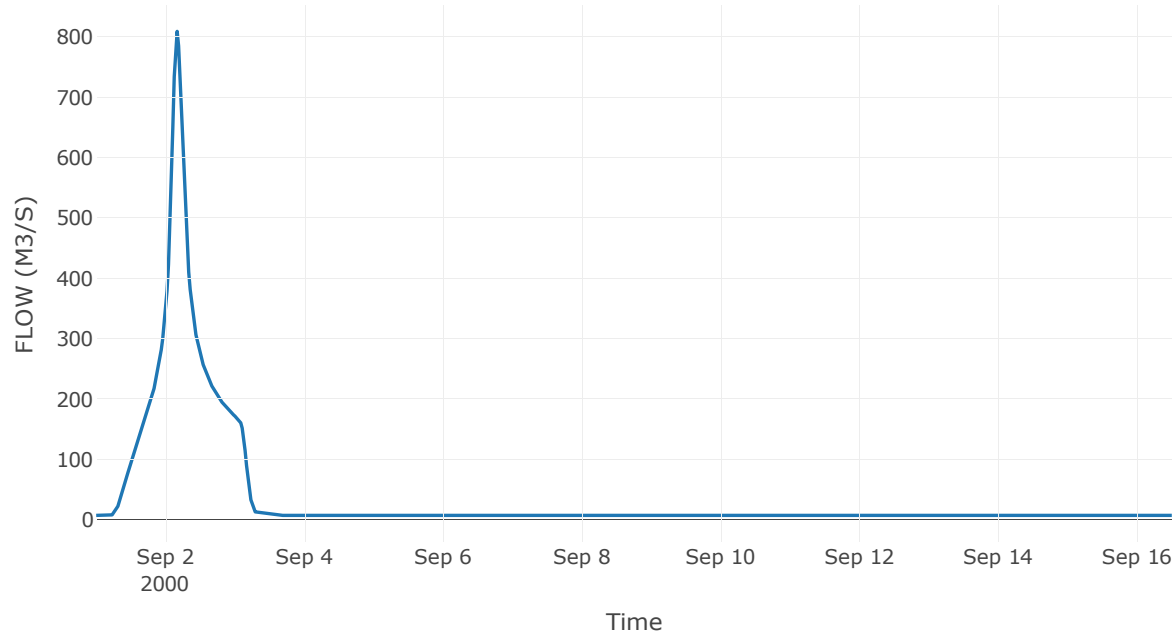
Κατάντη : J62

Μέθοδος Διόδευσης	Muskingum
Αρχική Μεταβλητή	Combined Inflow
Muskingum K	2.57
Συντελεστής βάρους x	0.2
Muskingum Steps	5

Αποτελέσματα: R4462

Παροχή Αιχμής (M3/S)	809.13
Χρονική στιγμή αιχμής	02Sep2000, 04:00
Όγκος(MM)	374.3
Παροχή Αιχμής Εισόδου (M3/S)	898.56
Όγκος Εισροής(M3)	5.16E7

Απορροή



Κλάδος: R6227

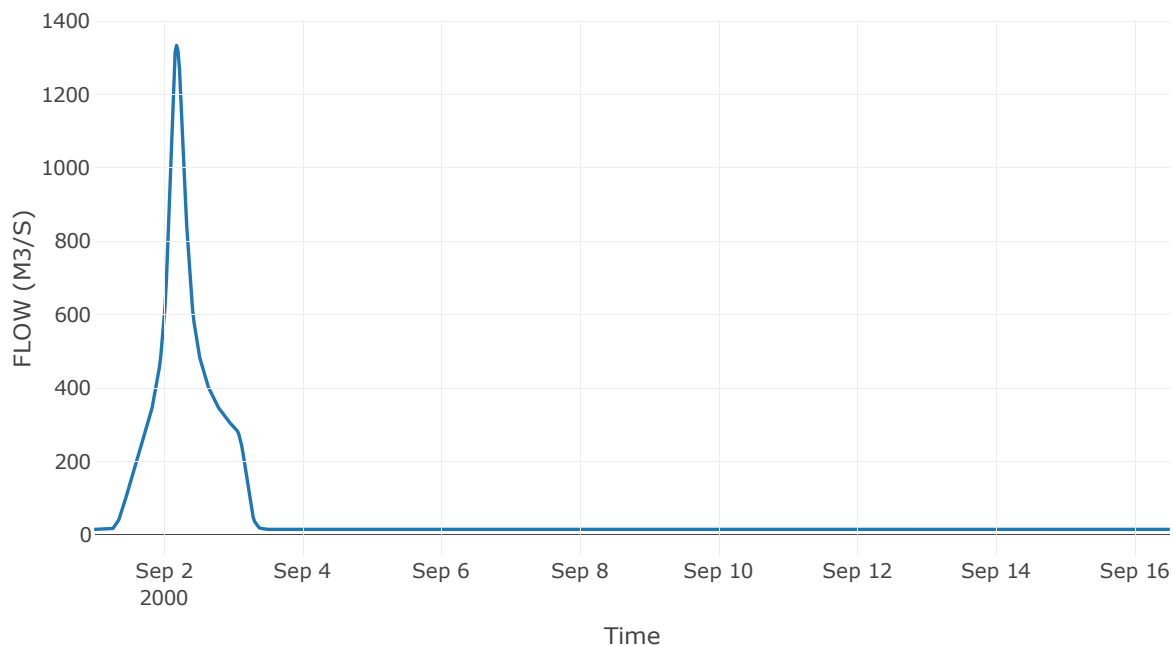
Κατάντη : J27

Μέθοδος Διόδευσης	Muskingum
Αρχική Μεταβλητή	Combined Inflow
Muskingum K	1.47
Συντελεστής βάρους α	0.2
Muskingum Steps	3

Αποτελέσματα: R6227

Παροχή Αιχμής (M3/S)	1332.97
Χρονική στιγμή αιχμής	02Sep2000, 04:30
Όγκος(MM)	346.31
Παροχή Αιχμής Εισόδου (M3/S)	1363
Όγκος Εισροής(M3)	9.15E7

Απορροή



Κλάδος: R4342

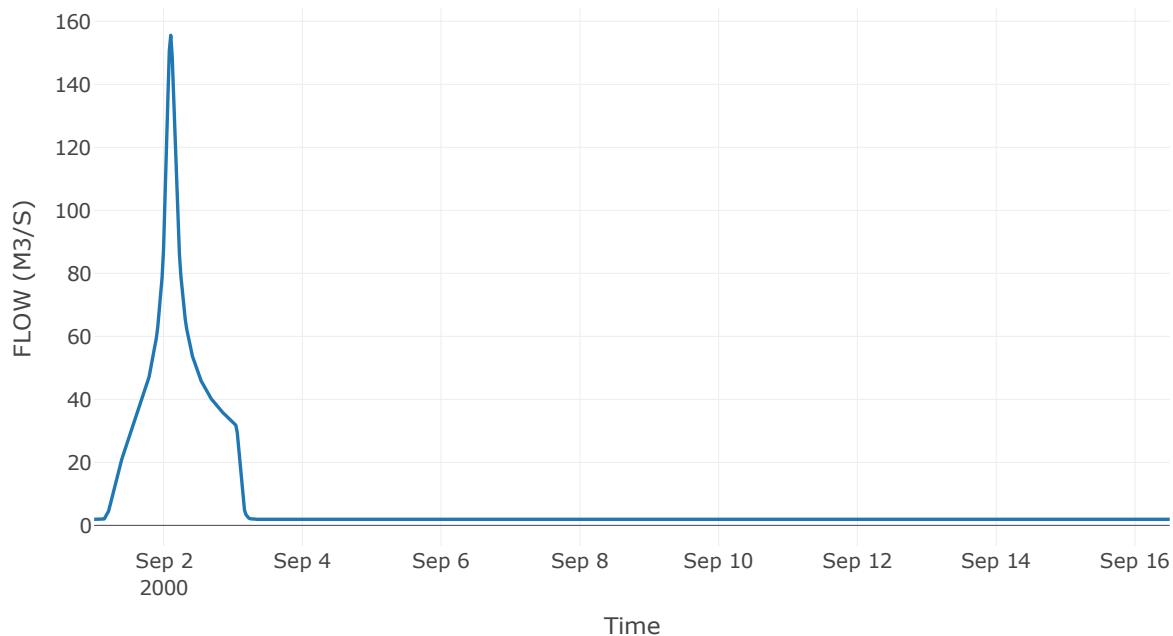
Κατάντη : J42

Μέθοδος Διόδευσης	Muskingum
Αρχική Μεταβλητή	Combined Inflow
Muskingum K	1.31
Συντελεστής βάρους x	0.2
Muskingum Steps	3

Αποτελέσματα: R4342

Παροχή Αιχμής (M3/S)	155.59
Χρονική στιγμή αιχμής	02Sep2000, 02:30
Όγκος(MM)	302.62
Παροχή Αιχμής Εισόδου (M3/S)	165.65
Όγκος Εισροής(M3)	1.06E7

Απορροή



Κλάδος: R4241

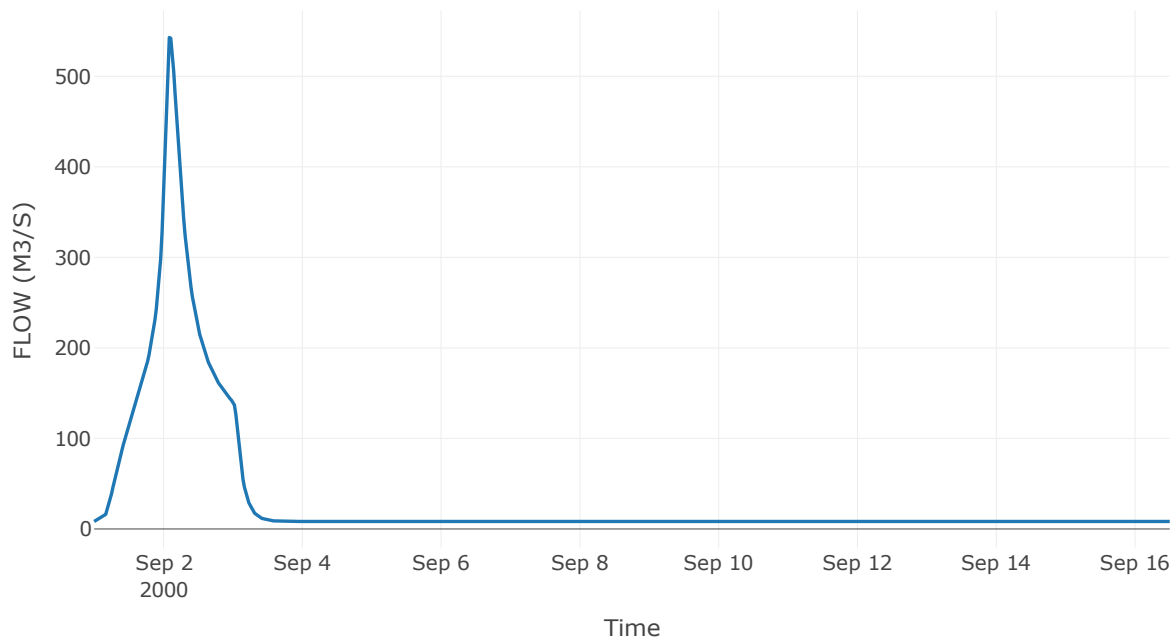
Καπάνη : J41 Res4

Μέθοδος Διόδευσης	Muskingum
Αρχική Μεταβλητή	Combined Inflow
Muskingum K	0.14
Συντελεστής βάρους x	0.2
Muskingum Steps	1

Αποτελέσματα: R4241

Παροχή Αιχμής (M3/S)	542.93
Χρονική στιγμή αιχμής	02Sep2000, 02:00
Όγκος(MM)	302.47
Παροχή Αιχμής Εισόδου (M3/S)	544.65
Όγκος Εισροής(M3)	4.55E7

Απορροή



Κλάδος: R4140

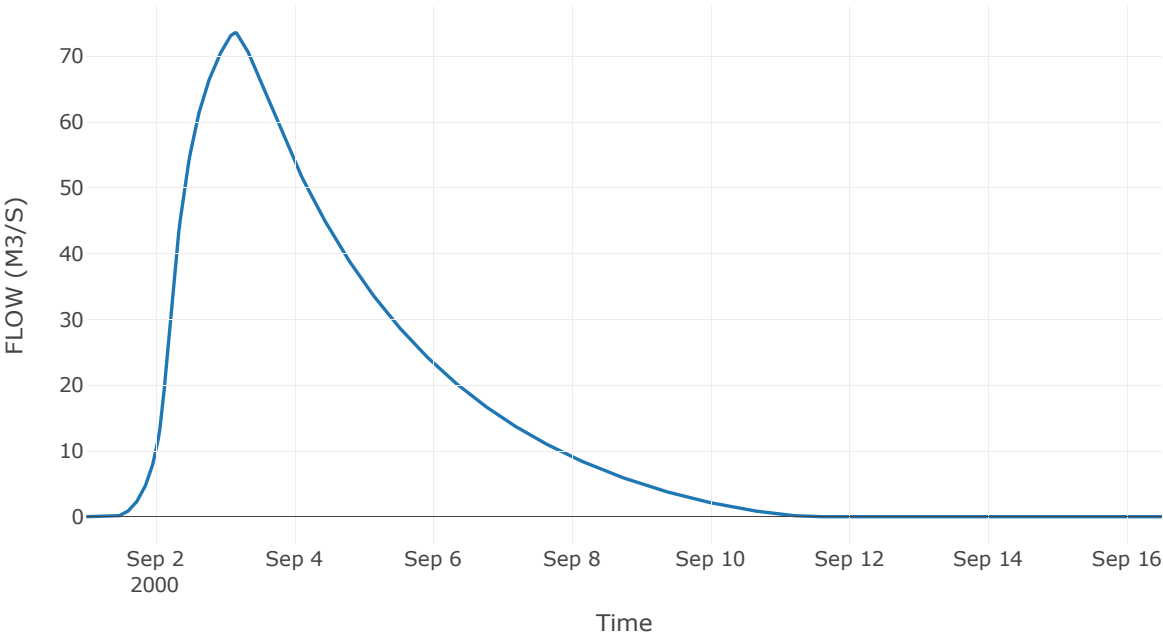
Κατάντη : J40

Μέθοδος Διόδευσης	Muskingum
Αρχική Μεταβλητή	Combined Inflow
Muskingum K	1.57
Συντελεστής βάρους x	0.2
Muskingum Steps	3

Αποτελέσματα: R4140

Παροχή Αιχμής (M3/S)	73.6
Χρονική στιγμή αιχμής	03Sep2000, 03:30
Peak Inflow (M3/S)	73.71
Όγκος Εισροής (M3)	2.01E7

Απορροή



Κλάδος: R4039

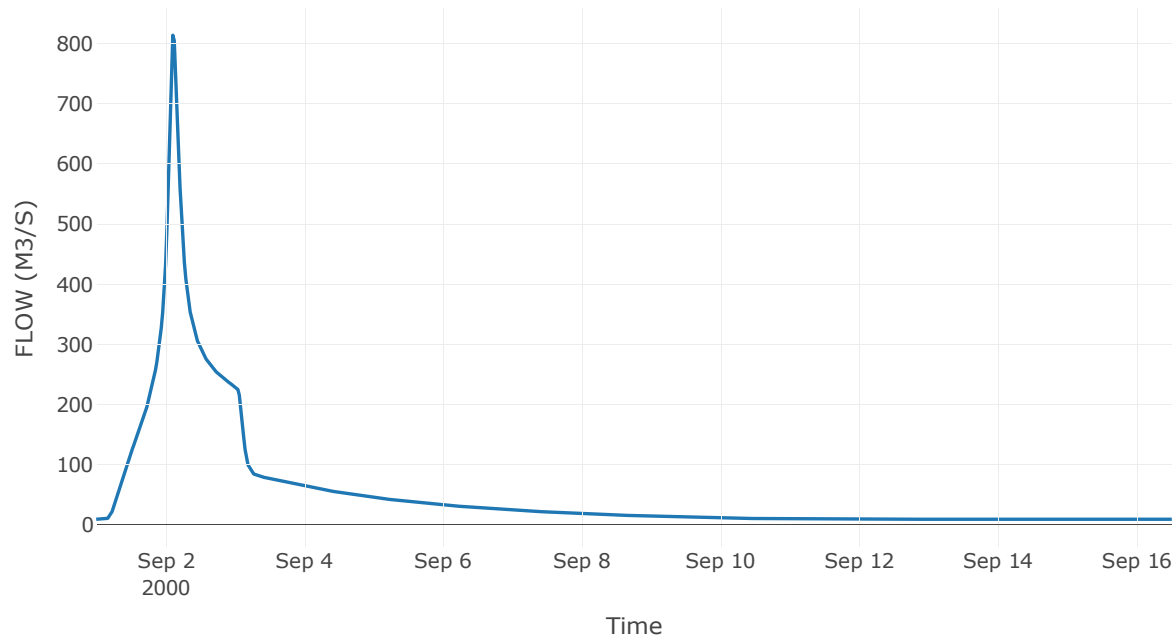
Κατάντη : J39

Μέθοδος Διόδευσης	Muskingum
Αρχική Μεταβλητή	Combined Inflow
Muskingum K	1.02
Συντελεστής βάρους x	0.2
Muskingum Steps	2

Αποτελέσματα: R4039

Παροχή Αιχμής (M3/S)	813.52
Χρονική στιγμή αιχμής	02Sep2000, 02:30
Όγκος(MM)	439.76
Παροχή Αιχμής Εισόδου (M3/S)	851.67
Όγκος Εισροής(M3)	7.21E7

Απορροή



Κλάδος: R3938

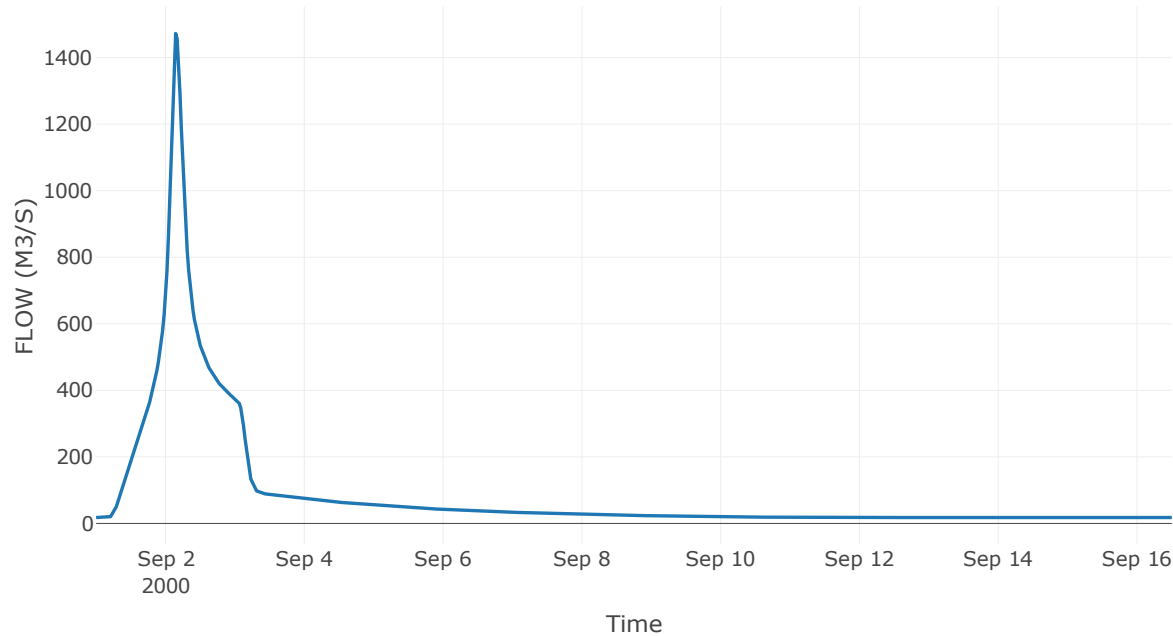
Κατάντη : J38

Μέθοδος Διόδευσης	Muskingum
Αρχική Μεταβλητή	Combined Inflow
Muskingum K	1.57
Συντελεστής βάρους x	0.2
Muskingum Steps	3

Αποτελέσματα: R3938

Παροχή Αιχμής (M3/S)	1472.35
Χρονική στιγμή αιχμής	02Sep2000, 03:30
Όγκος(MM)	370.83
Παροχή Αιχμής Εισόδου (M3/S)	1547.2
Όγκος Εισροής(M3)	1.2E8

Απορροή



Κλάδος: R3837

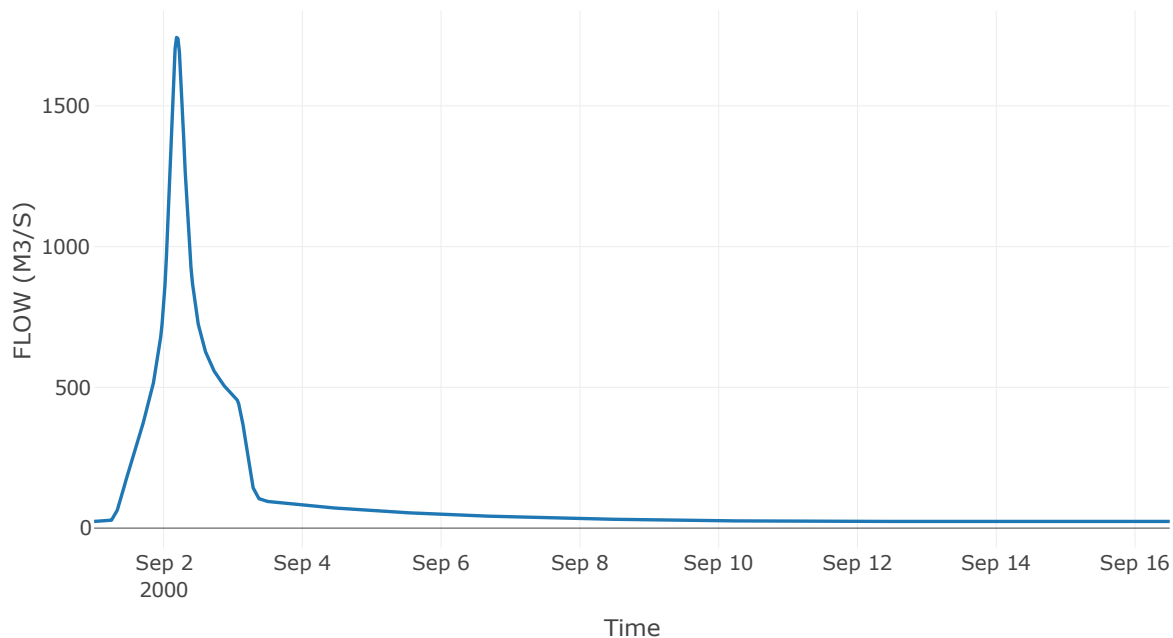
Κατάντη : J37

Μέθοδος Διόδευσης	Muskingum
Αρχική Μεταβλητή	Combined Inflow
Muskingum K	1.45
Συντελεστής βάρους x	0.2
Muskingum Steps	3

Αποτελέσματα: R3837

Παροχή Αιχμής (M3/S)	1742.91
Χρονική στιγμή αιχμής	02Sep2000, 04:30
Όγκος(MM)	347.66
Παροχή Αιχμής Εισόδου (M3/S)	1782.52
Όγκος Εισροής(M3)	1.5E8

Απορροή



Κλάδος: R3726

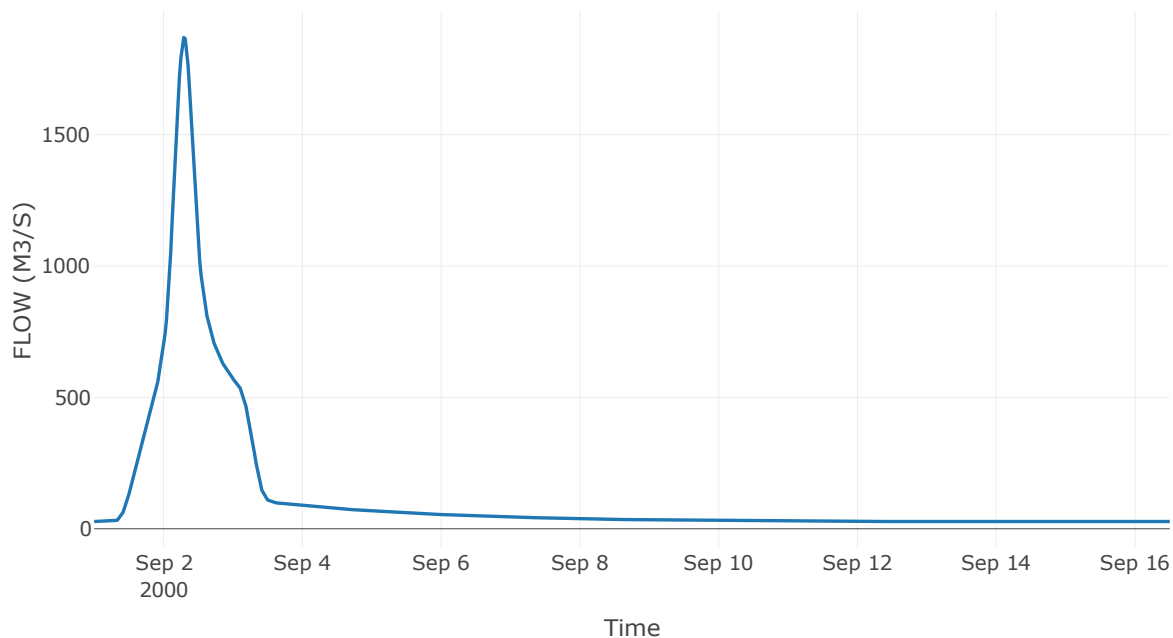
Κατάντη : J26

Μέθοδος Διόδευσης	Muskingum
Αρχική Μεταβλητή	Combined Inflow
Muskingum K	2.77
Συντελεστής βάρους α	0.2
Muskingum Steps	6

Αποτελέσματα: R3726

Παροχή Αιχμής (M3/S)	1869.86
Χρονική στιγμή αιχμής	02Sep2000, 07:00
Όγκος(MM)	340.69
Παροχή Αιχμής Εισόδου (M3/S)	1925.07
Όγκος Εισροής(M3)	1.71E8

Απορροή



Κλάδος: R2664

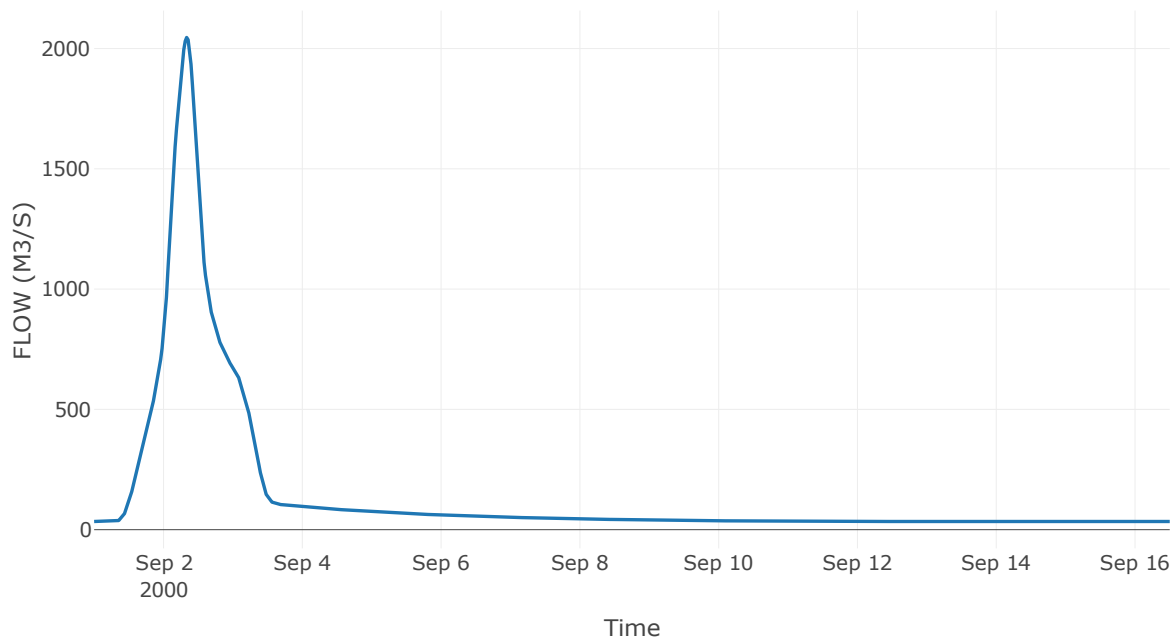
Κατάντη : J64

Μέθοδος Διόδευσης	Muskingum
Αρχική Μεταβλητή	Combined Inflow
Muskingum K	1.17
Συντελεστής βάρους x	0.2
Muskingum Steps	2

Αποτελέσματα: R2664

Παροχή Αιχμής (M3/S)	2045.96
Χρονική στιγμή αιχμής	02Sep2000, 08:00
Όγκος(MM)	324
Παροχή Αιχμής Εισόδου (M3/S)	2066.58
Όγκος Εισροής(M3)	2E8

Απορροή



Κλάδος: R6429

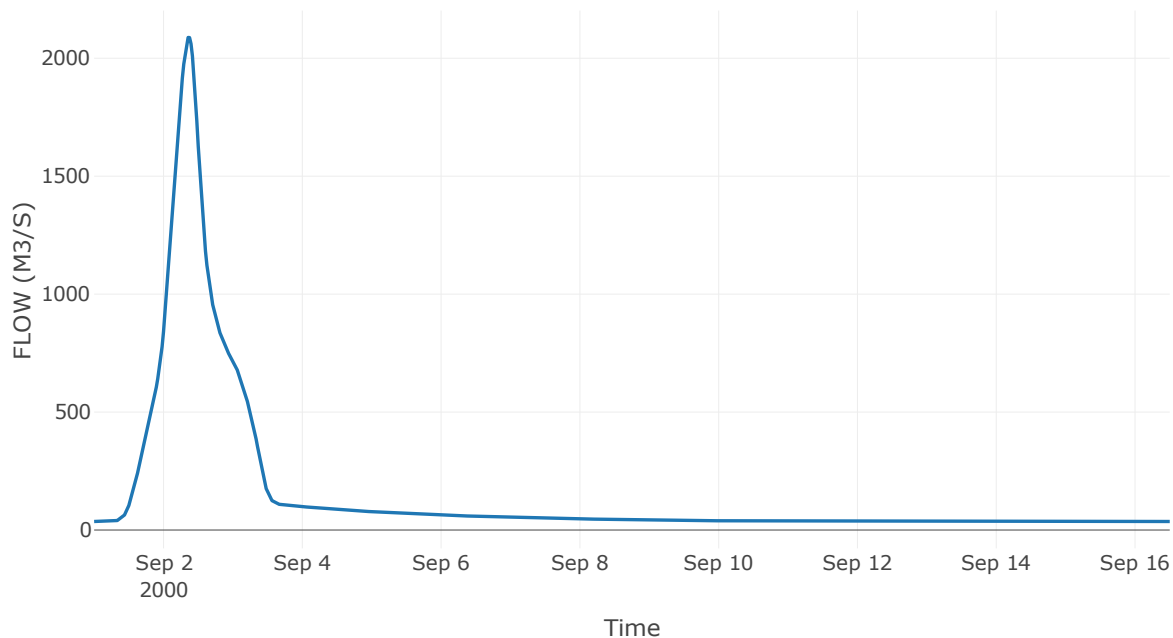
Κατάντη : J29

Μέθοδος Διόδευσης	Muskingum
Αρχική Μεταβλητή	Combined Inflow
Muskingum K	0.74
Συντελεστής βάρους x	0.2
Muskingum Steps	2

Αποτελέσματα: R6429

Παροχή Αιχμής (M3/S)	2088.11
Χρονική στιγμή αιχμής	02Sep2000, 08:30
Όγκος(MM)	319.99
Παροχή Αιχμής Εισόδου (M3/S)	2098.93
Όγκος Εισροής(M3)	2.1E8

Απορροή



Κλάδος: R3533

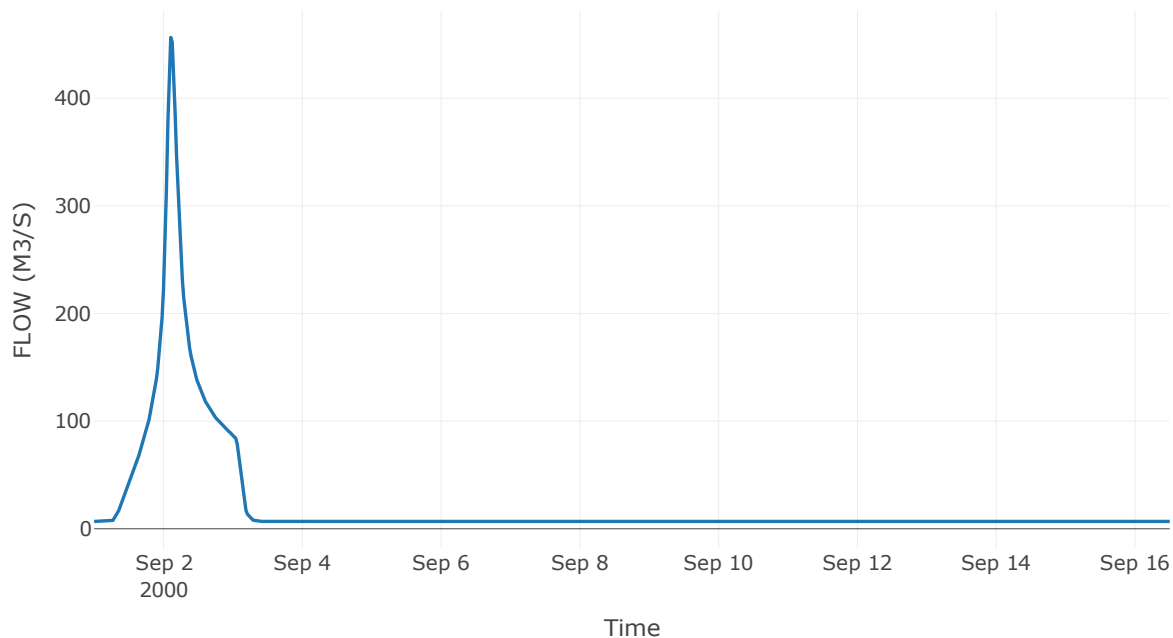
Κατάντη : J33

Μέθοδος Διόδευσης	Muskingum
Αρχική Μεταβλητή	Combined Inflow
Muskingum K	1.01
Συντελεστής βάρους x	0.2
Muskingum Steps	2

Αποτελέσματα: R3533

Παροχή Αιχμής (M3/S)	456.54
Χρονική στιγμή αιχμής	02Sep2000, 02:30
Όγκος(MM)	240.91
Παροχή Αιχμής Εισόδου (M3/S)	478.03
Όγκος Εισροής(M3)	2.99E7

Απορροή



Κλάδος: R3433

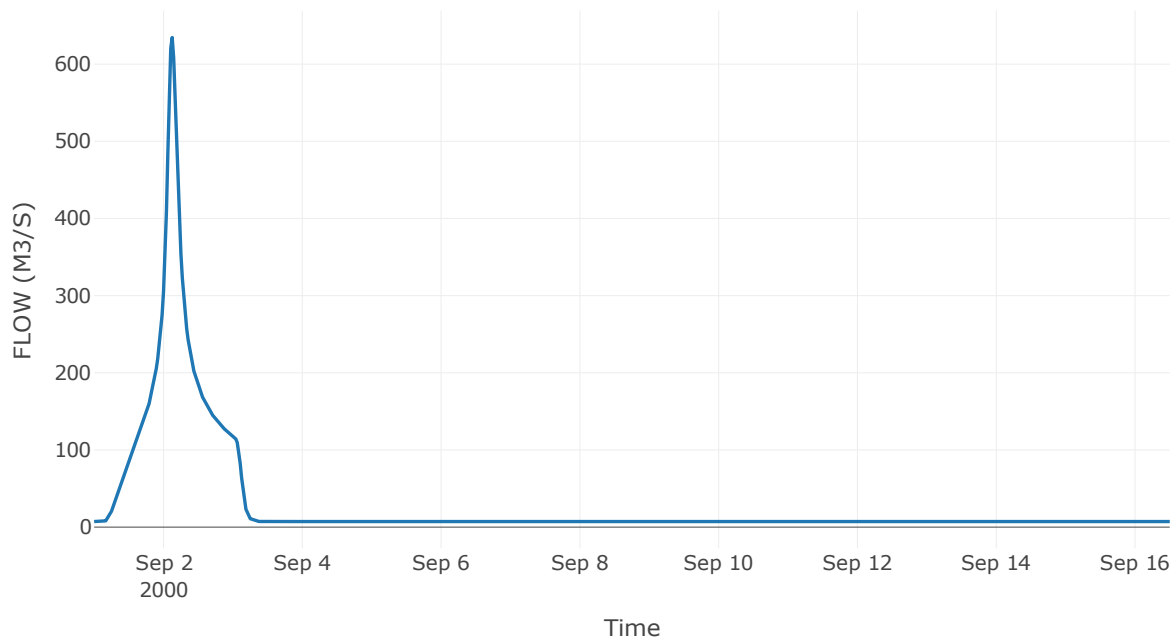
Κατάντη : J33

Μέθοδος Διόδευσης	Muskingum
Αρχική Μεταβλητή	Combined Inflow
Muskingum K	1.39
Συντελεστής βάρους x	0.2
Muskingum Steps	3

Αποτελέσματα: R3433

Παροχή Αιχμής (M3/S)	634.53
Χρονική στιγμή αιχμής	02Sep2000, 03:00
Όγκος(MM)	304.55
Παροχή Αιχμής Εισόδου (M3/S)	675.64
Όγκος Εισροής(M3)	4E7

Απορροή



Κλάδος: R3332

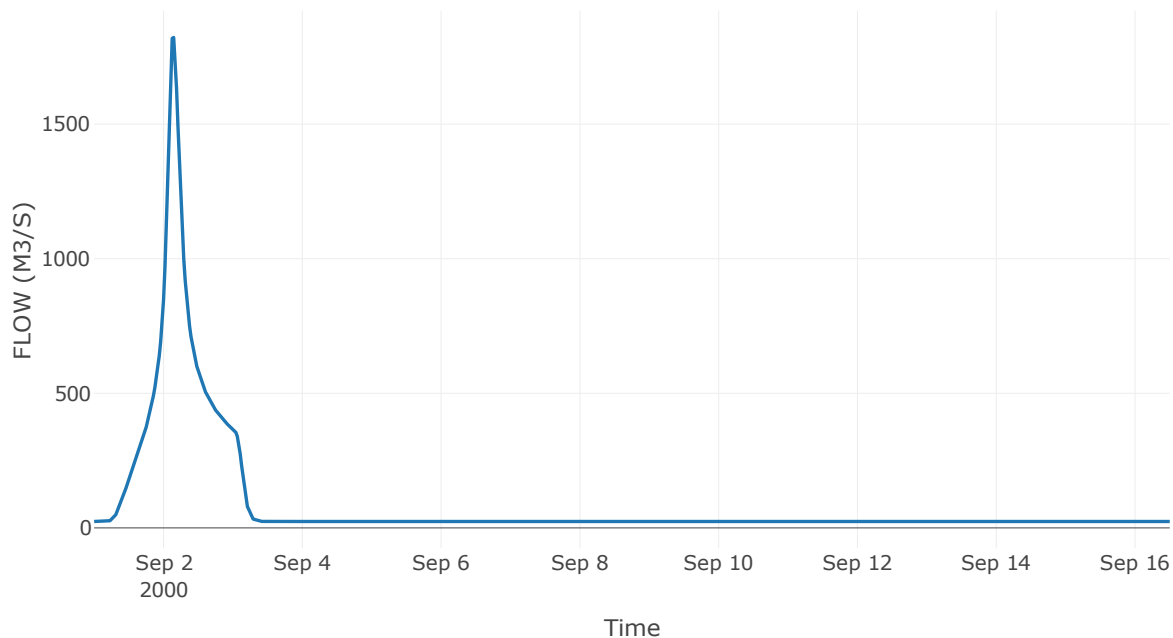
Κατάντη : J32

Μέθοδος Διόδευσης	Muskingum
Αρχική Μεταβλητή	Combined Inflow
Muskingum K	1.04
Συντελεστής βάρους x	0.2
Muskingum Steps	2

Αποτελέσματα: R3332

Παροχή Αιχμής (M3/S)	1821.9
Χρονική στιγμή αιχμής	02Sep2000, 03:30
Όγκος(MM)	279.28
Παροχή Αιχμής Εισόδου (M3/S)	1881.32
Όγκος Εισροής(M3)	1.21E8

Απορροή



Κλάδος: R3230

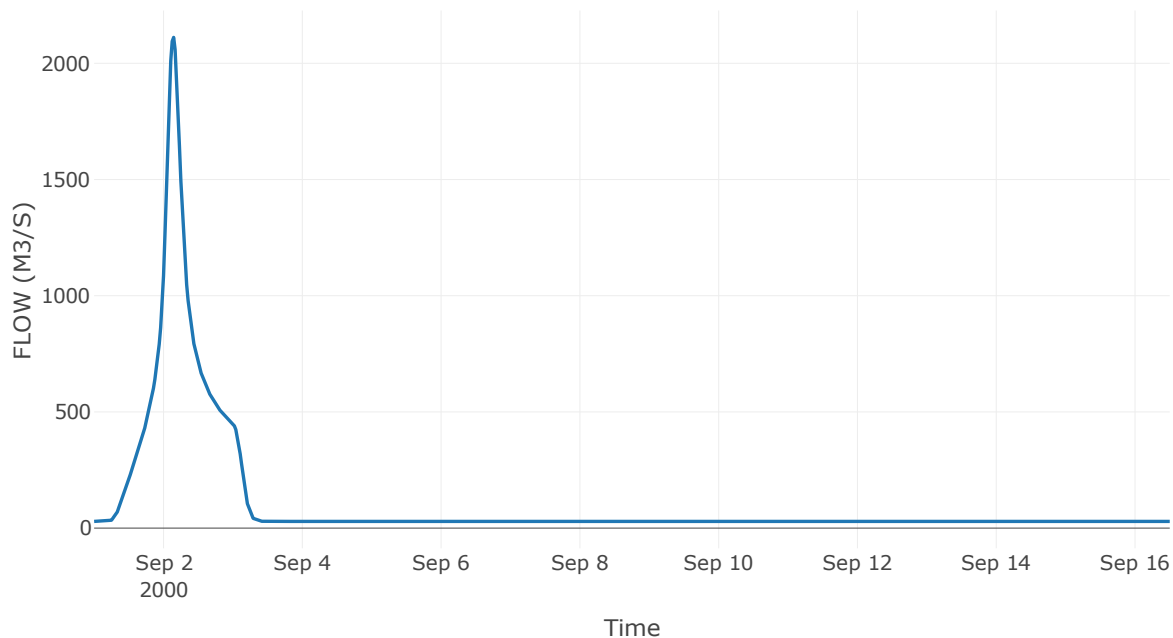
Κατάντη : J30

Μέθοδος Διόδευσης	Muskingum
Αρχική Μεταβλητή	Combined Inflow
Muskingum K	0.36
Συντελεστής βάρους x	0.2
Muskingum Steps	1

Αποτελέσματα: R3230

Παροχή Αιχμής (M3/S)	2111.54
Χρονική στιγμή αιχμής	02Sep2000, 03:30
Όγκος(MM)	279.36
Παροχή Αιχμής Εισόδου (M3/S)	2125.58
Όγκος Εισροής(M3)	1.47E8

Απορροή



Κλάδος: R3029

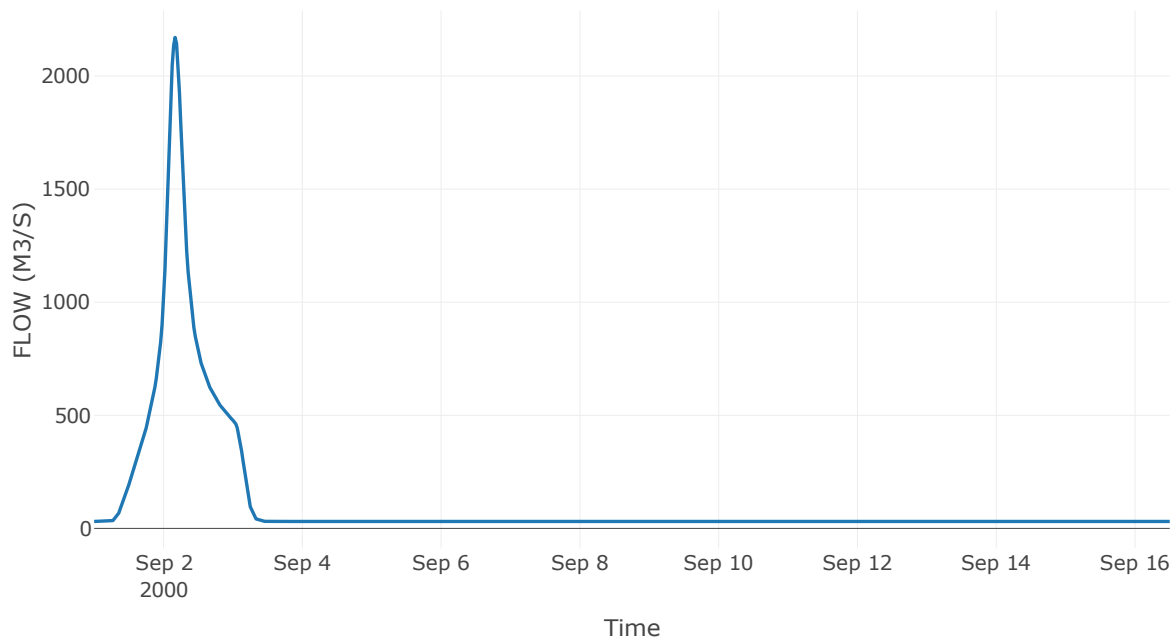
Κατάντη : J29

Μέθοδος Διόδευσης	Muskingum
Αρχική Μεταβλητή	Combined Inflow
Muskingum K	0.74
Συντελεστής βάρους x	0.2
Muskingum Steps	2

Αποτελέσματα: R3029

Παροχή Αιχμής (M3/S)	2170.35
Χρονική στιγμή αιχμής	02Sep2000, 04:00
Όγκος(MM)	277.58
Παροχή Αιχμής Εισόδου (M3/S)	2186.44
Όγκος Εισροής(M3)	1.55E8

Απορροή



Κλάδος: R2928

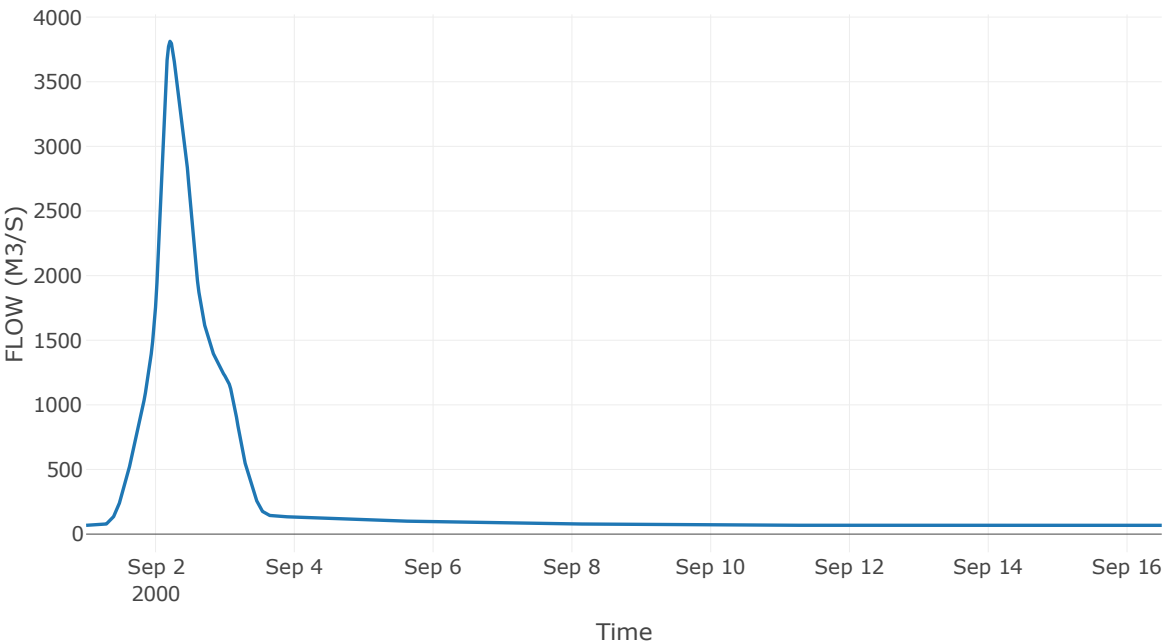
Κατάντη : J28

Μέθοδος Διόδευσης	Muskingum
Αρχική Μεταβλητή	Combined Inflow
Muskingum K	0.49
Συντελεστής βάρους x	0.2
Muskingum Steps	1

Αποτελέσματα: R2928

Παροχή Αιχμής (M3/S)	3812.66
Χρονική στιγμή αιχμής	02Sep2000, 05:00
Όγκος(MM)	300.18
Παροχή Αιχμής Εισόδου (M3/S)	3829.73
Όγκος Εισροής(M3)	3.7E8

Απορροή



Κλάδος: R2827

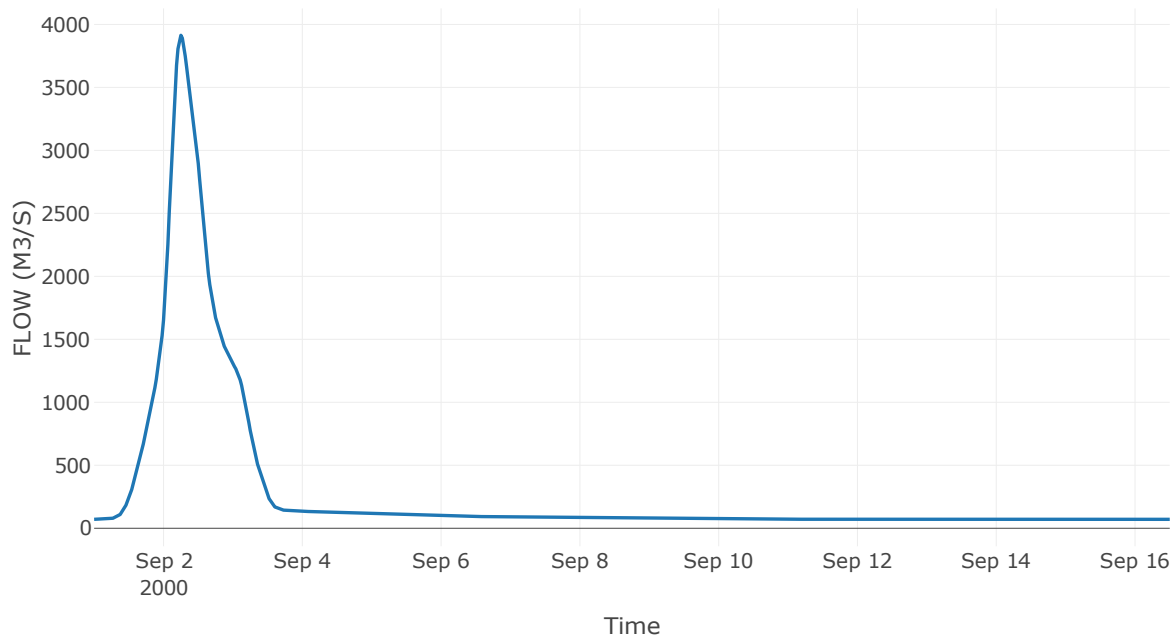
Κατάντη : J27

Μέθοδος Διόδευσης	Muskingum
Αρχική Μεταβλητή	Combined Inflow
Muskingum K	0.99
Συντελεστής βάρους x	0.2
Muskingum Steps	2

Αποτελέσματα: R2827

Παροχή Αιχμής (M3/S)	3913.88
Χρονική στιγμή αιχμής	02Sep2000, 06:00
Όγκος(MM)	300.18
Παροχή Αιχμής Εισόδου (M3/S)	3945.25
Όγκος Εισροής(M3)	3.87E8

Απορροή



Κλάδος: R2116

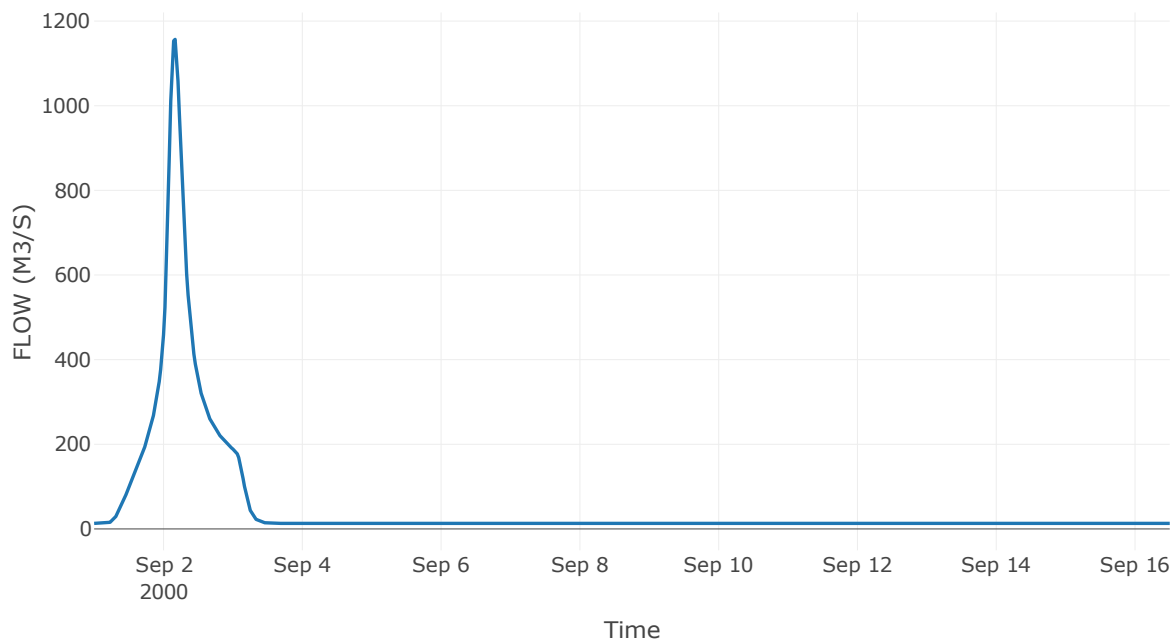
Κατάντη : J16

Μέθοδος Διόδευσης	Muskingum
Αρχική Μεταβλητή	Combined Inflow
Muskingum K	1.44
Συντελεστής βάρους x	0.2
Muskingum Steps	3

Αποτελέσματα: R2116

Παροχή Αιχμής (M3/S)	1156.77
Χρονική στιγμή αιχμής	02Sep2000, 04:00
Όγκος(MM)	299.73
Παροχή Αιχμής Εισόδου (M3/S)	1193.59
Όγκος Εισροής(M3)	7.13E7

Απορροή



Κλάδος: R1619

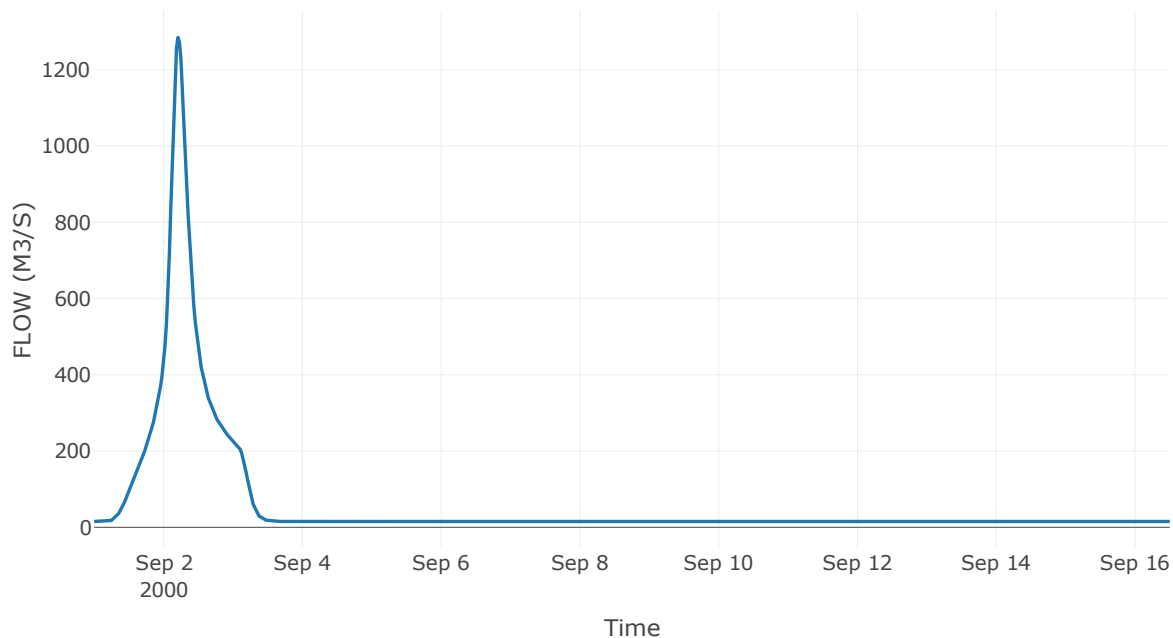
Κατάντη : J19

Μέθοδος Διόδευσης	Muskingum
Αρχική Μεταβλητή	Combined Inflow
Muskingum K	1.55
Συντελεστής βάρους x	0.2
Muskingum Steps	3

Αποτελέσματα: R1619

Παροχή Αιχμής (M3/S)	1284.49
Χρονική στιγμή αιχμής	02Sep2000, 05:00
Όγκος(MM)	300.15
Παροχή Αιχμής Εισόδου (M3/S)	1323.33
Όγκος Εισροής(M3)	8.32E7

Απορροή



Κλάδος: R6120

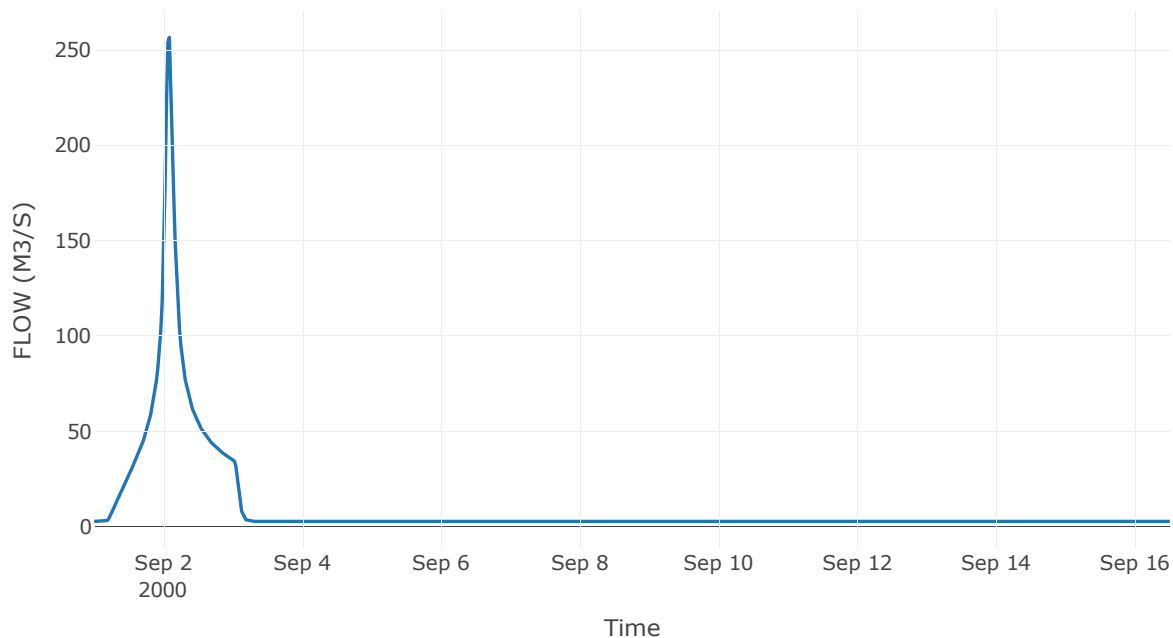
Κατάντη : J20

Μέθοδος Διόδευσης	Muskingum
Αρχική Μεταβλητή	Combined Inflow
Muskingum K	0.66
Συντελεστής βάρους x	0.2
Muskingum Steps	1

Αποτελέσματα: R6120

Παροχή Αιχμής (M3/S)	256.62
Χρονική στιγμή αιχμής	02Sep2000, 02:00
Όγκος(MM)	277.2
Παροχή Αιχμής Εισόδου (M3/S)	273.46
Όγκος Εισροής(M3)	1.35E7

Απορροή



Κλάδος: R2014

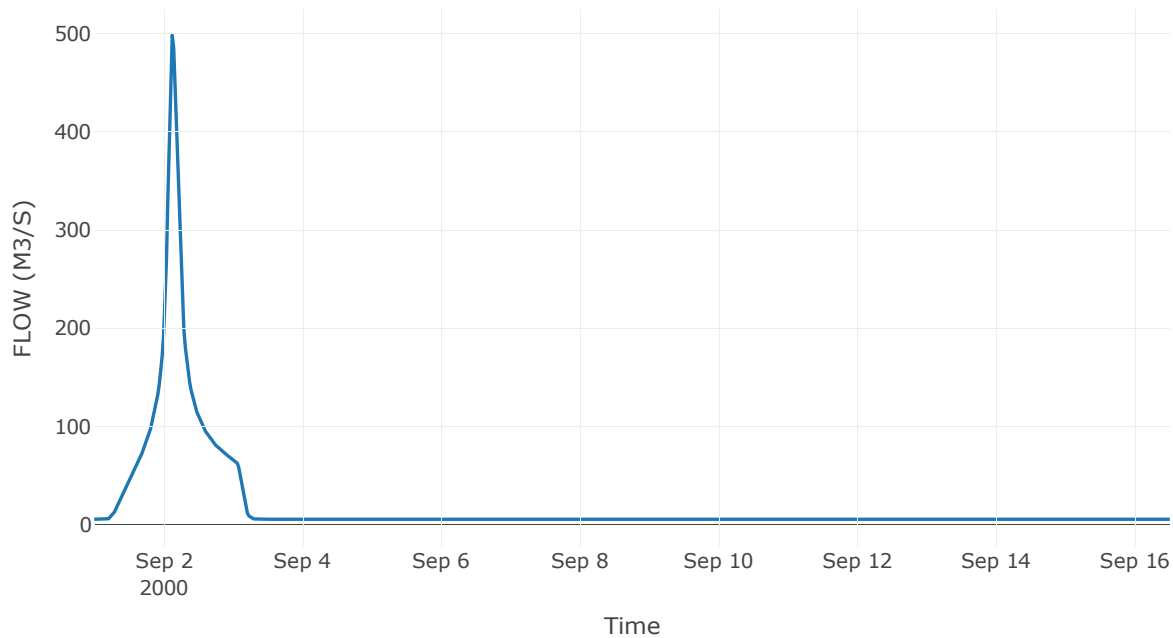
Κατάντη : J14

Μέθοδος Διόδευσης	Muskingum
Αρχική Μεταβλητή	Combined Inflow
Muskingum K	1.48
Συντελεστής βάρους x	0.2
Muskingum Steps	3

Αποτελέσματα: R2014

Παροχή Αιχμής (M3/S)	498.36
Χρονική στιγμή αιχμής	02Sep2000, 03:00
Όγκος(MM)	270.39
Παροχή Αιχμής Εισόδου (M3/S)	542.67
Όγκος Εισροής(M3)	2.66E7

Απορροή



Κλάδος: R128

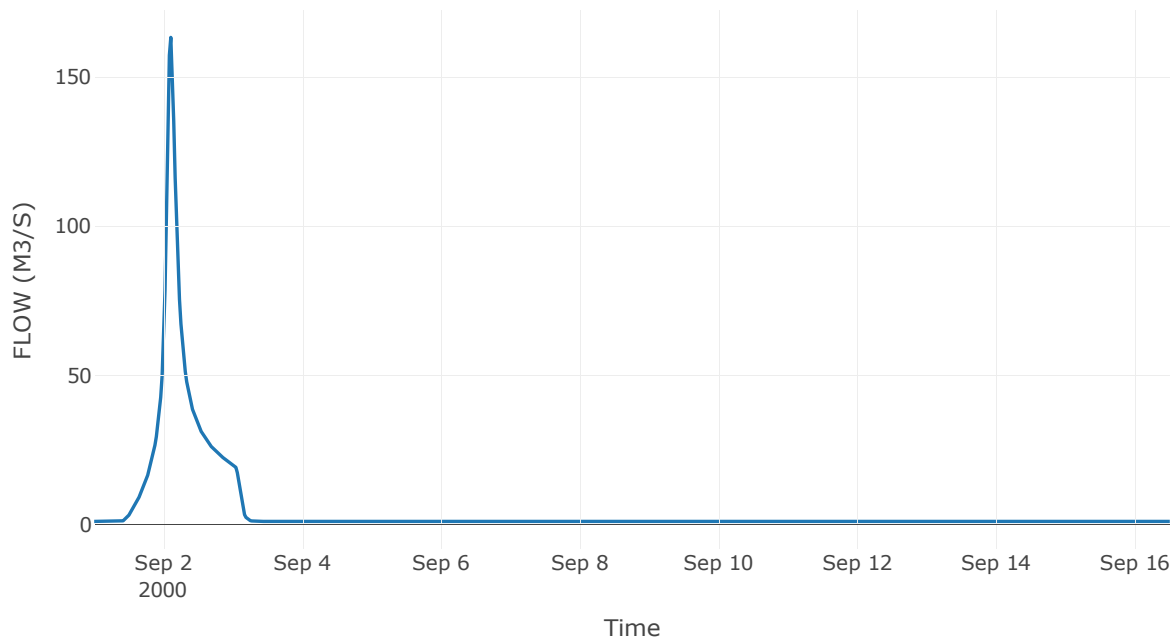
Κατάντη : J8

Μέθοδος Διόδευσης	Muskingum
Αρχική Μεταβλητή	Combined Inflow
Muskingum K	0.88
Συντελεστής βάρους x	0.2
Muskingum Steps	2

Αποτελέσματα: R128

Παροχή Αιχμής (M3/S)	163.31
Χρονική στιγμή αιχμής	02Sep2000, 02:30
Όγκος(MM)	181.04
Παροχή Αιχμής Εισόδου (M3/S)	172.76
Όγκος Εισροής(M3)	6.82E6

Απορροή



Κλάδος: R1110

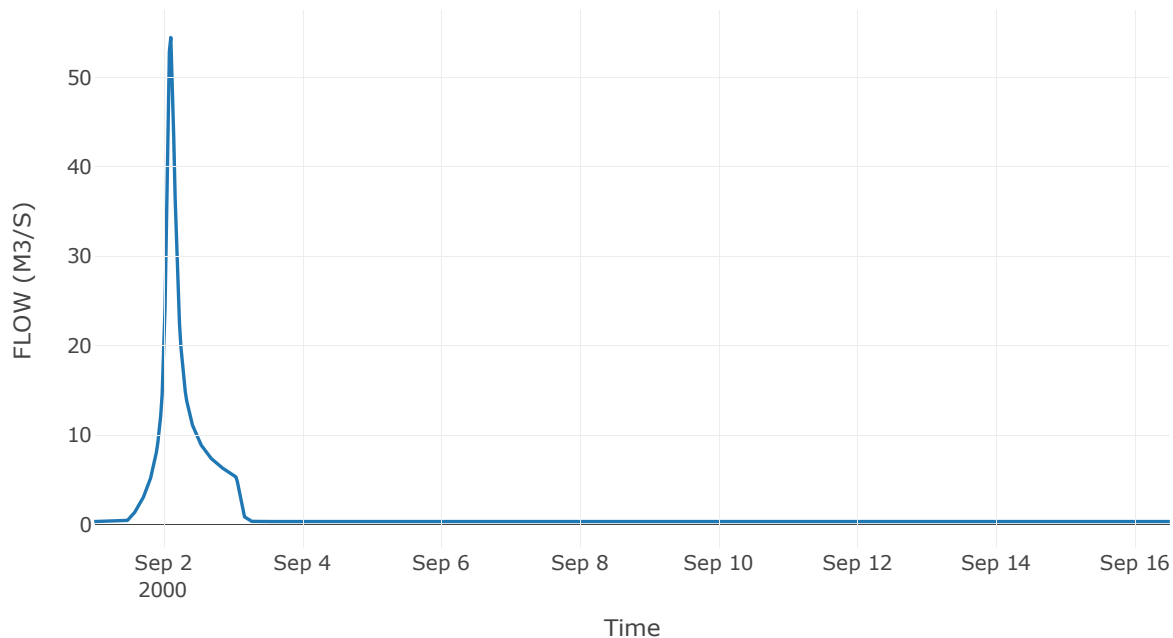
Κατάντη : J10

Μέθοδος Διόδευσης	Muskingum
Αρχική Μεταβλητή	Combined Inflow
Muskingum K	1.09
Συντελεστής βάρους x	0.2
Muskingum Steps	2

Αποτελέσματα: R1110

Παροχή Αιχμής (M3/S)	54.49
Χρονική στιγμή αιχμής	02Sep2000, 02:30
Όγκος(MM)	173.07
Παροχή Αιχμής Εισόδου (M3/S)	59.28
Όγκος Εισροής(M3)	2.05E6

Απορροή



Κλάδος: R107

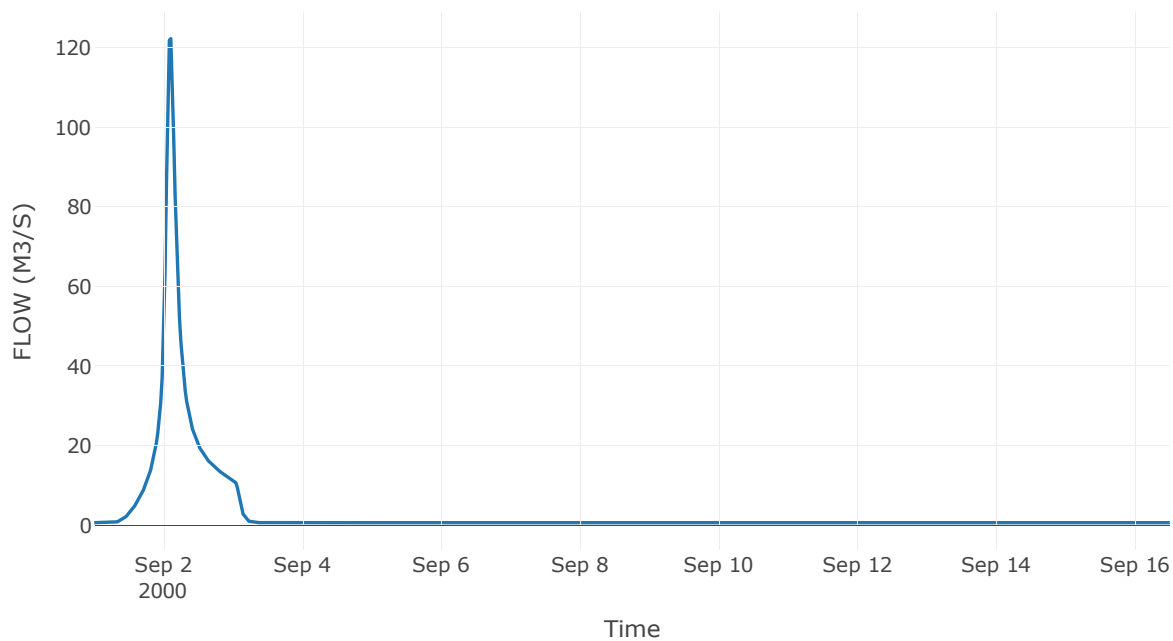
Κατάντη : J7

Μέθοδος Διόδευσης	Χρόνος Υστέρησης
Αρχική Μεταβλητή	Combined Inflow
Χρόνος Υστέρησης	0

Αποτελέσματα: R107

Παροχή Αιχμής (M3/S)	122.17
Χρονική στιγμή αιχμής	02Sep2000, 02:30
Όγκος(MM)	186.3
Παροχή Αιχμής Εισόδου (M3/S)	122.17
Όγκος Εισροής(M3)	4.67E6

Απορροή



Κλάδος: R97

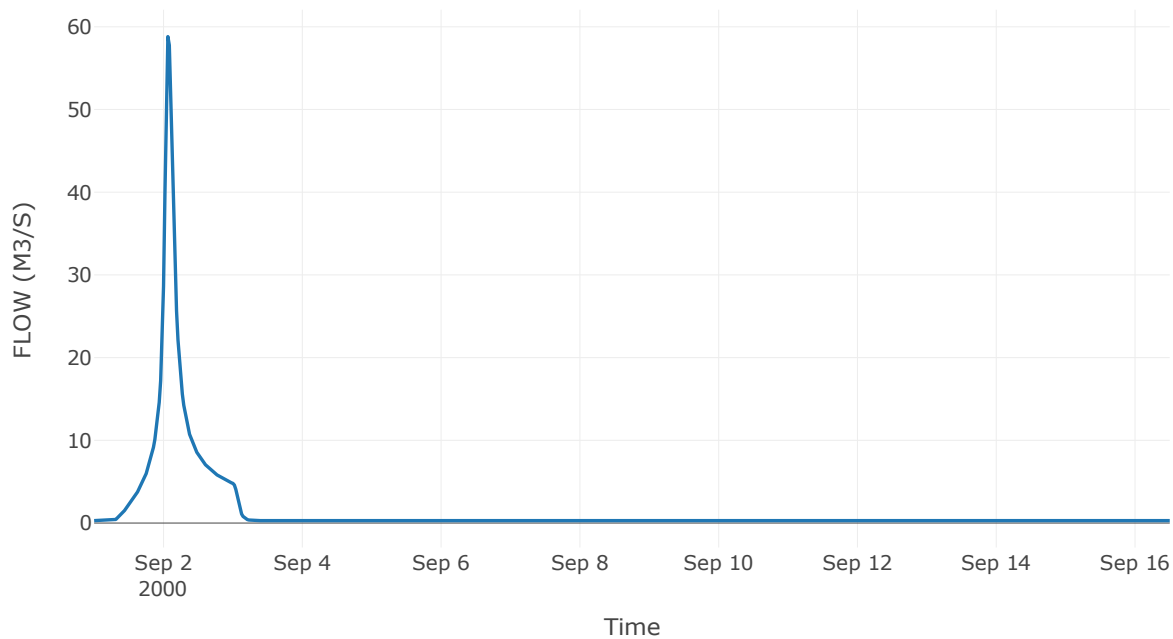
Κατάντη : J7

Μέθοδος Διόδευσης	Χρόνος Υστέρησης
Αρχική Μεταβλητή	Combined Inflow
Χρόνος Υστέρησης	0

Αποτελέσματα: R97

Παροχή Αιχμής (M3/S)	58.81
Χρονική στιγμή αιχμής	02Sep2000, 01:30
Όγκος(MM)	199.47
Παροχή Αιχμής Εισόδου (M3/S)	58.81
Όγκος Εισροής(M3)	2.08E6

Απορροή



Κλάδος: R76

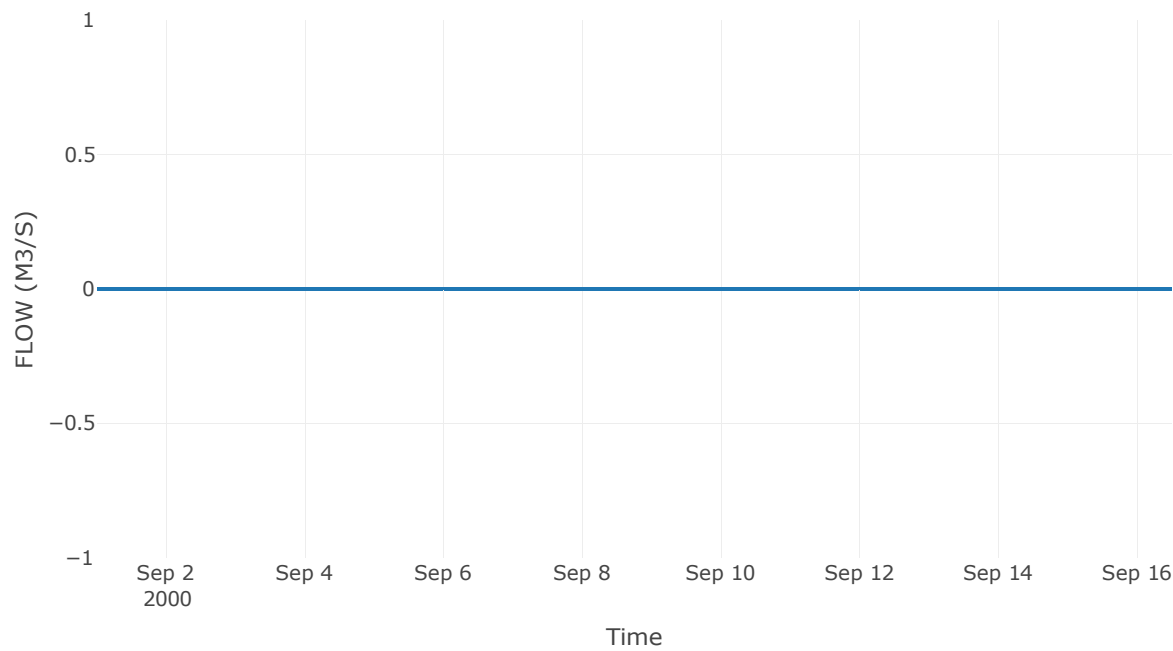
Κατάντη : J6

Μέθοδος Διόδευσης	Muskingum
Αρχική Μεταβλητή	Combined Inflow
Muskingum K	2.25
Συντελεστής βάρους x	0.2
Muskingum Steps	5

Αποτελέσματα: R76

Παροχή Αιχμής (M3/S)	0
Χρονική στιγμή αιχμής	31Aug2000, 24:00
Peak Inflow (M3/S)	0
Όγκος Εισροής (M3)	0

Απορροή



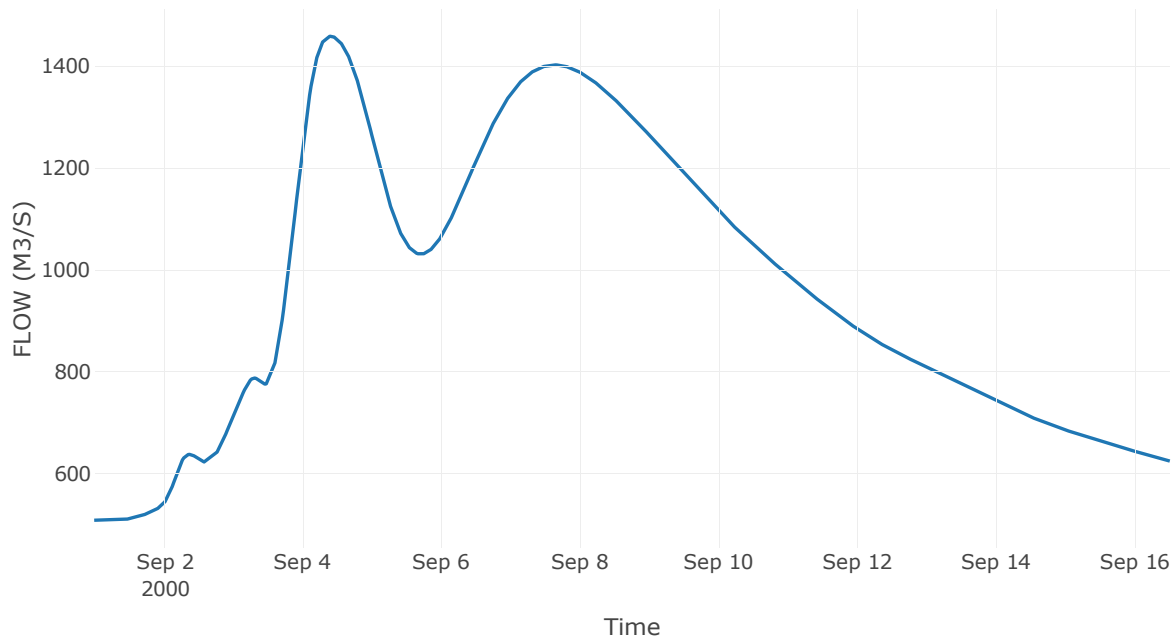
7.3 Δεδομένα και Υδρογραφήματα σχεδιασμού Κλάδων υδρογραφικού δικτύου

Κόμβος εξόδου: J1

Αποτέλεσμα
τα: J1

Παροχή αιχμής (M3/S)	1458.32
Χρονική στιγμή αιχμής	04Sep2000, 09:30
Όγκος (MM)	278.63

Απορροή



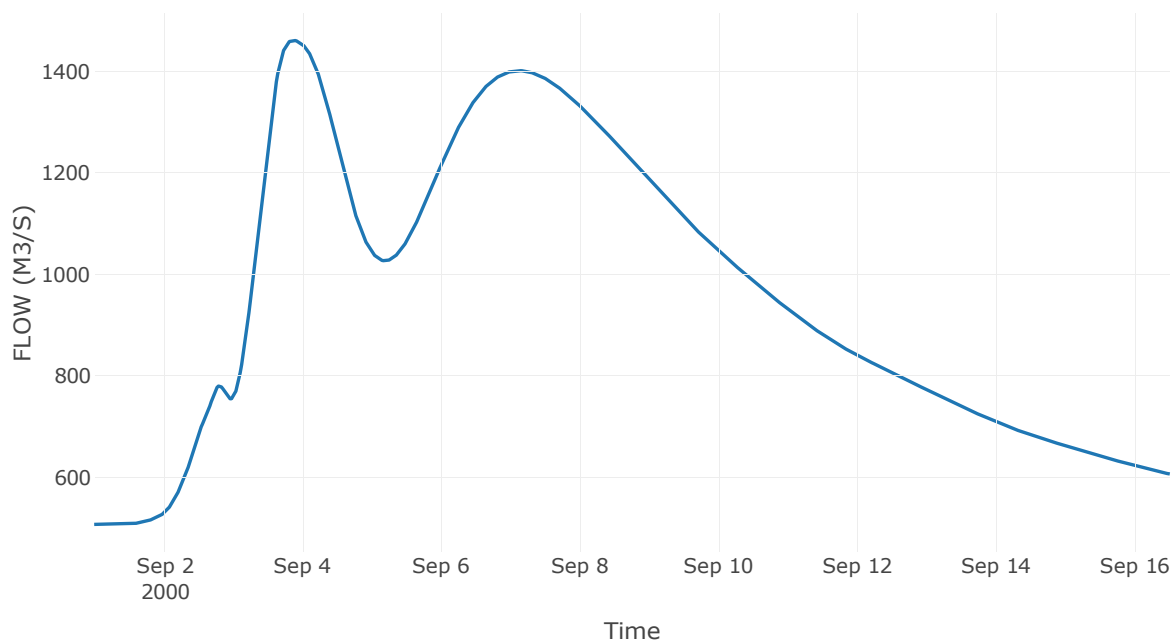
Κόμβος: J2

Κατάντη : R21

Αποτελέσματα: J2

Παροχή Αιχμής (M3/S)	1461.04
Χρονική στιγμή αιχμής	03Sep2000, 21:00
Όγκος(MM)	280.45

Απορροή



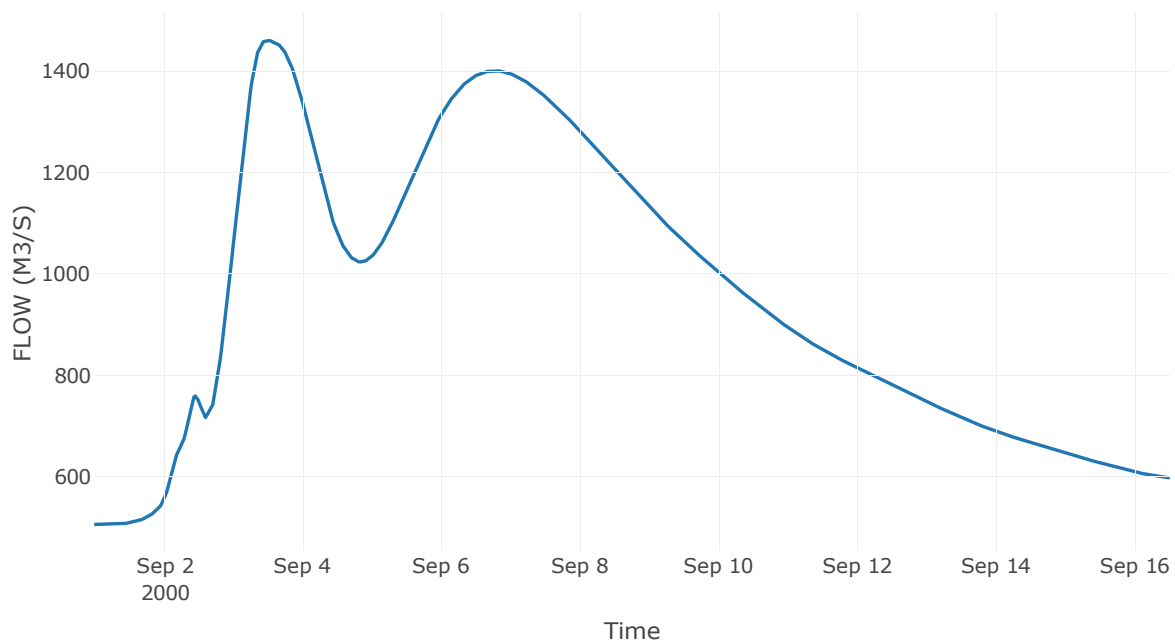
Κόμβος: J3

Κατάντη : R32

Αποτελέσματα: J3

Παροχή Αιχμής (M3/S)	1460.82
Χρονική στιγμή αιχμής	03Sep2000, 12:00
Όγκος(MM)	281.54

Απορροή



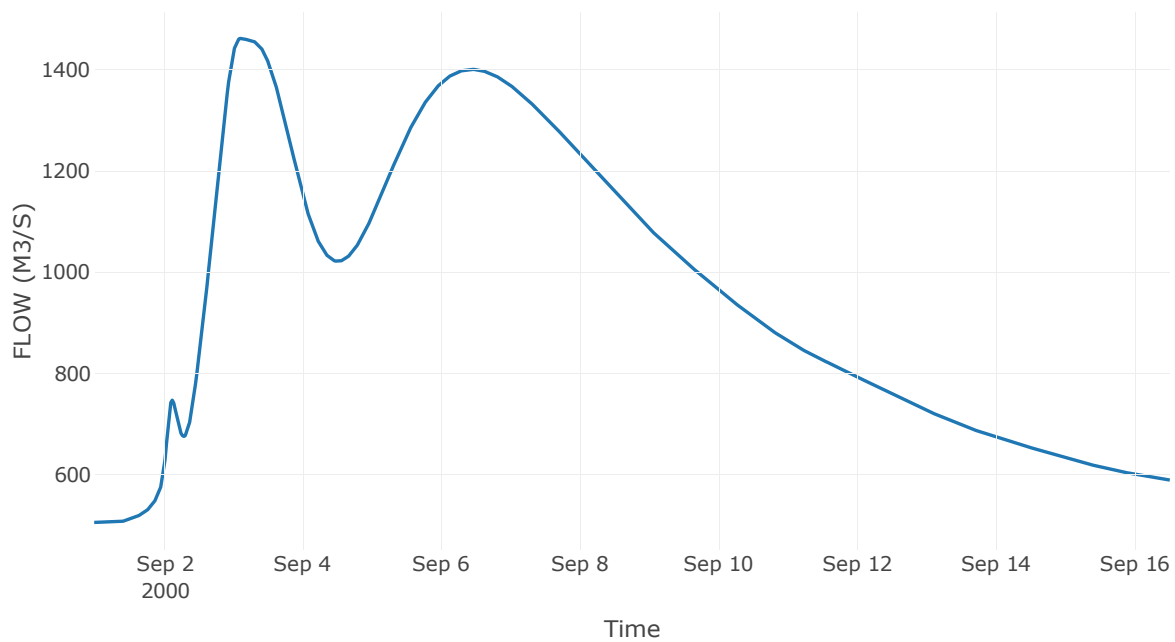
Κόμβος: J4

Κατάντη : R43

Αποτελέσματα: J4

Παροχή Αιχμής (M3/S)	1461.99
Χρονική στιγμή αιχμής	03Sep2000, 03:00
Όγκος(MM)	282.58

Απορροή



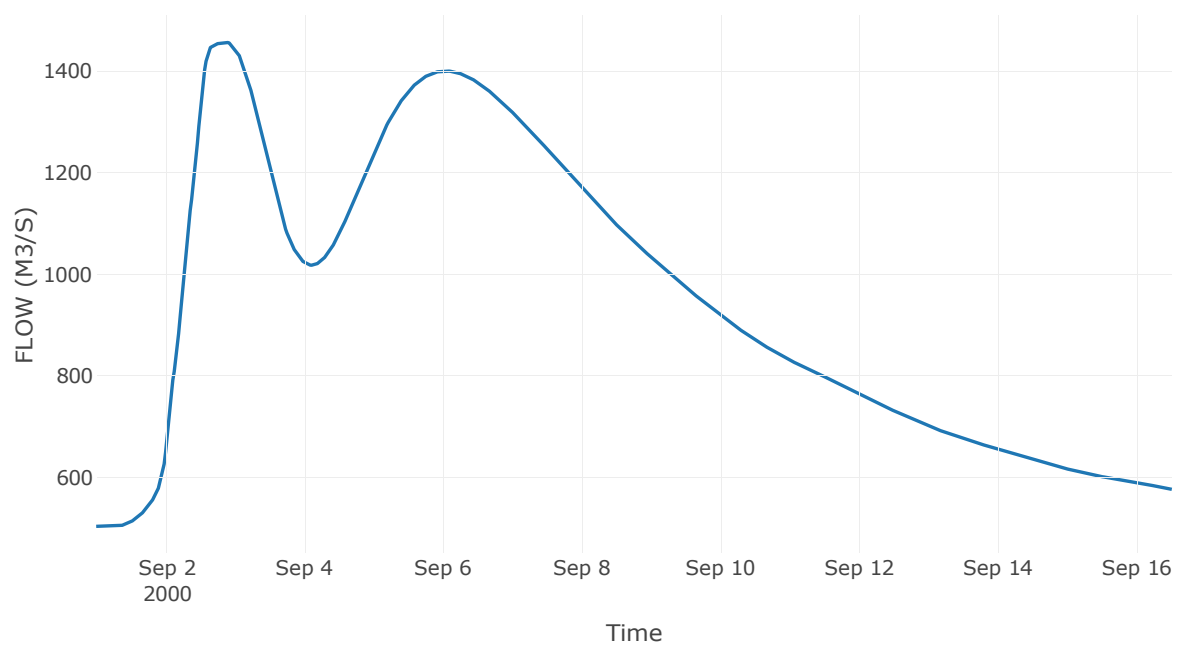
Κόμβος: J5

Κατάντη : R54

Αποτελέσματα: J5

Παροχή Αιχμής (M3/S)	1456.22
Χρονική στιγμή αιχμής	02Sep2000, 21:00
Όγκος(MM)	284.23

Απορροή



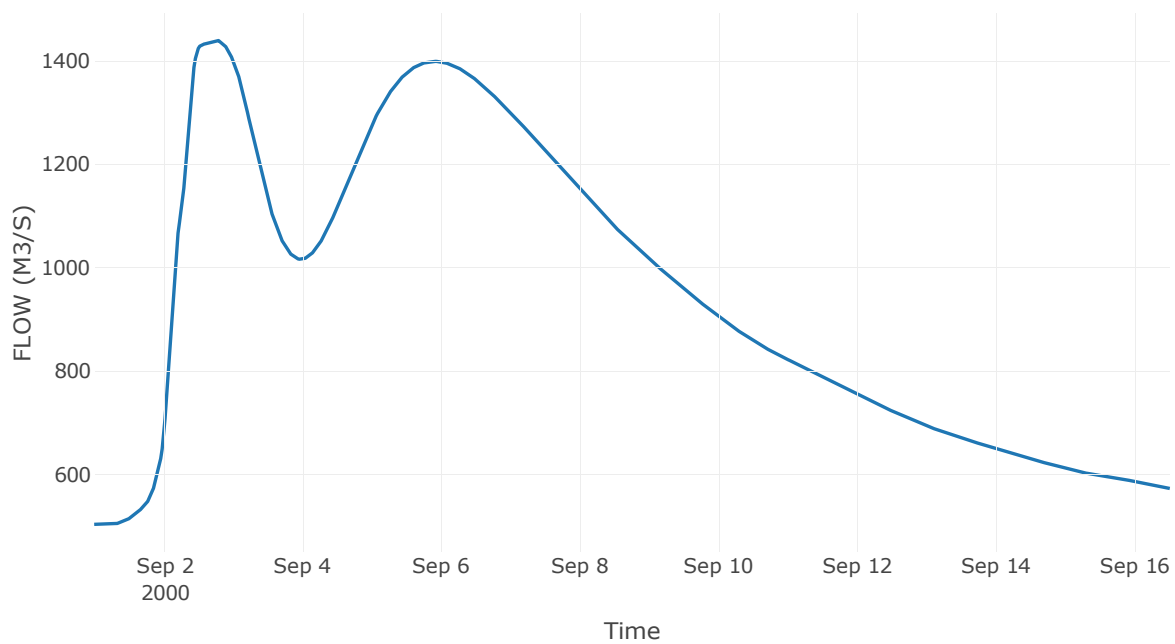
Κόμβος: J6

Κατάντη : R65

Αποτελέσματα: J6

Παροχή Αιχμής (M3/S)	1439.98
Χρονική στιγμή αιχμής	02Sep2000, 18:30
Όγκος(MM)	285.01

Απορροή

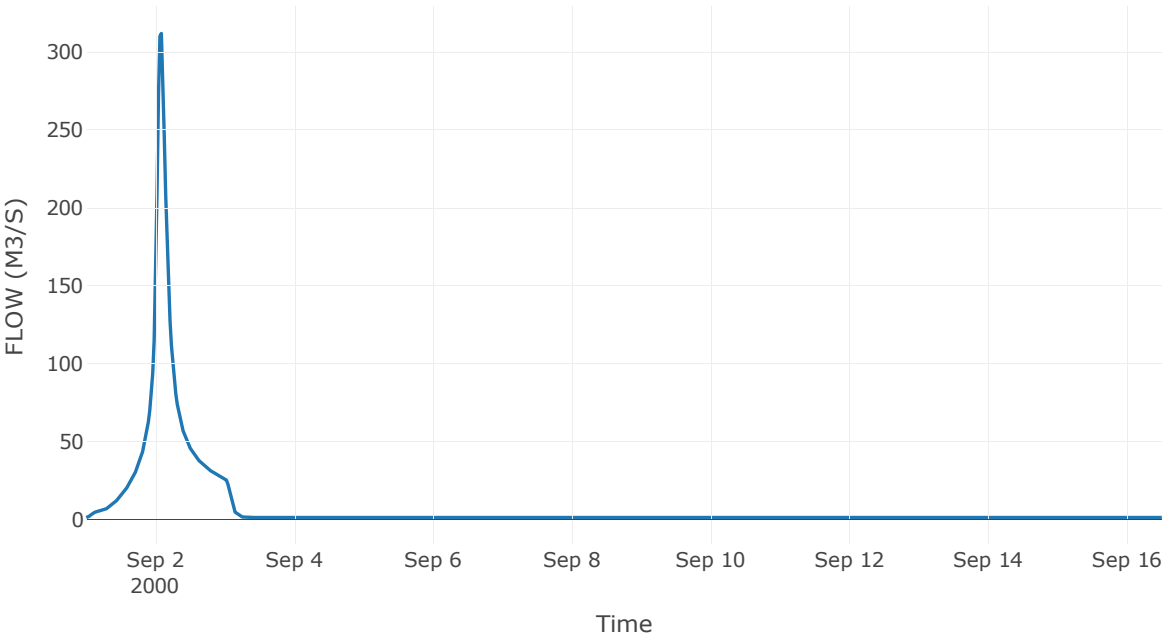


Κόμβος εξόδου: J7

Αποτέλεσμα
τα: J7

Παροχή αιχμής (M3/S)	311.87
Χρονική στιγμή αιχμής	02Sep2000, 02:00
Όγκος (MM)	204.26

Απορροή



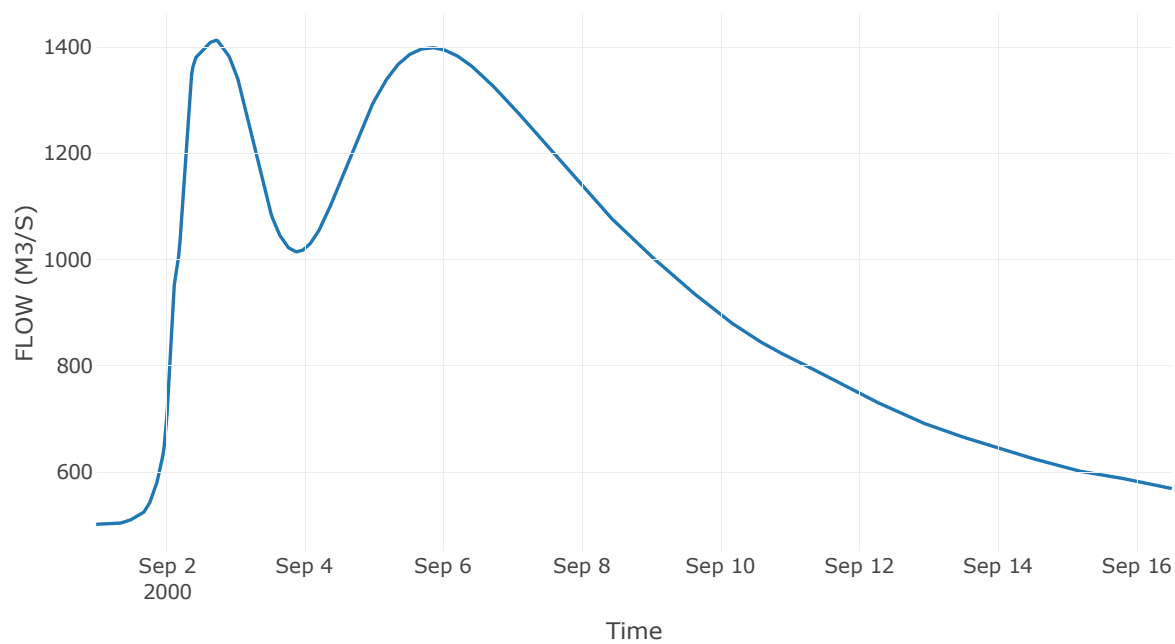
Κόμβος: J8

Κατάντη : R86

Αποτελέσματα: J8

Παροχή Αιχμής (M3/S)	1412.21
Χρονική στιγμή αιχμής	02Sep2000, 17:00
Όγκος(MM)	285.84

Απορροή



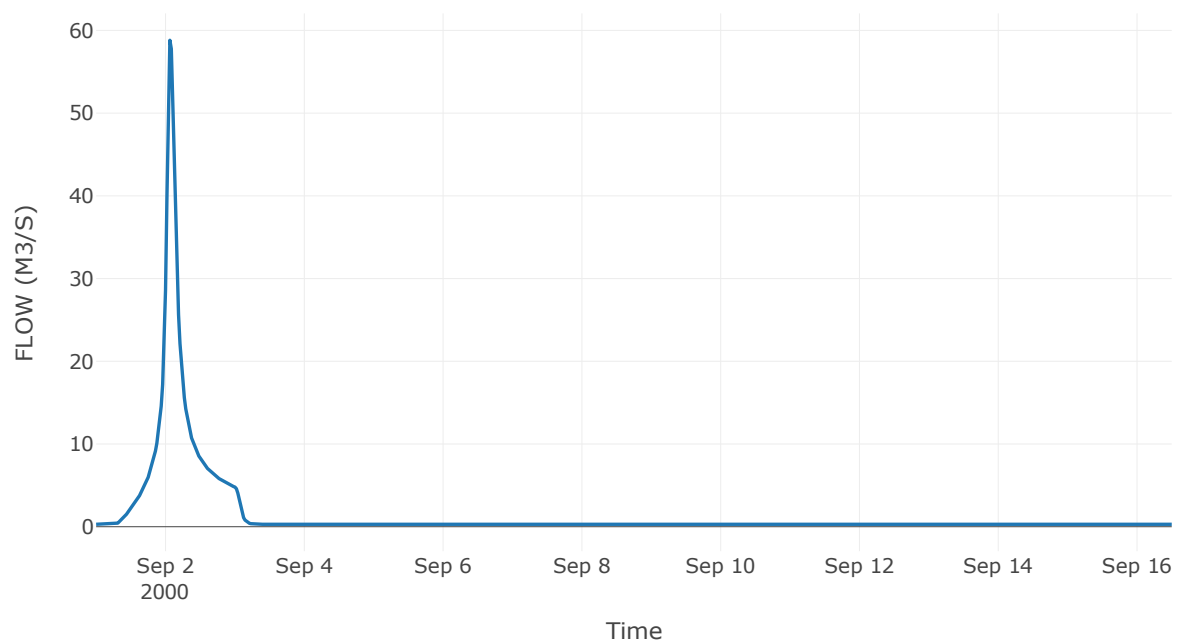
Κόμβος: J9

Κατάντη : R97

Αποτελέσματα: J9

Παροχή Αιχμής (M3/S)	58.81
Χρονική στιγμή αιχμής	02Sep2000, 01:30
Όγκος(MM)	199.47

Απορροή



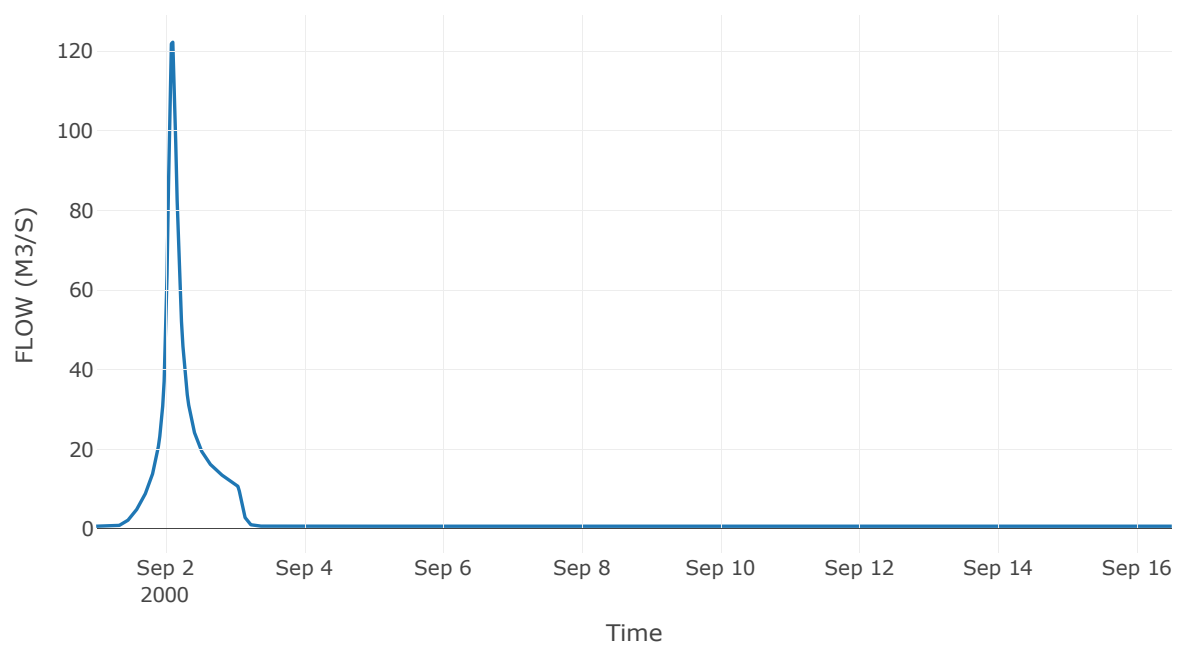
Κόμβος: J10

Κατάντη : R107

Αποτελέσματα: J10

Παροχή Αιχμής (M3/S)	122.17
Χρονική στιγμή αιχμής	02Sep2000, 02:30
Όγκος(MM)	186.3

Απορροή



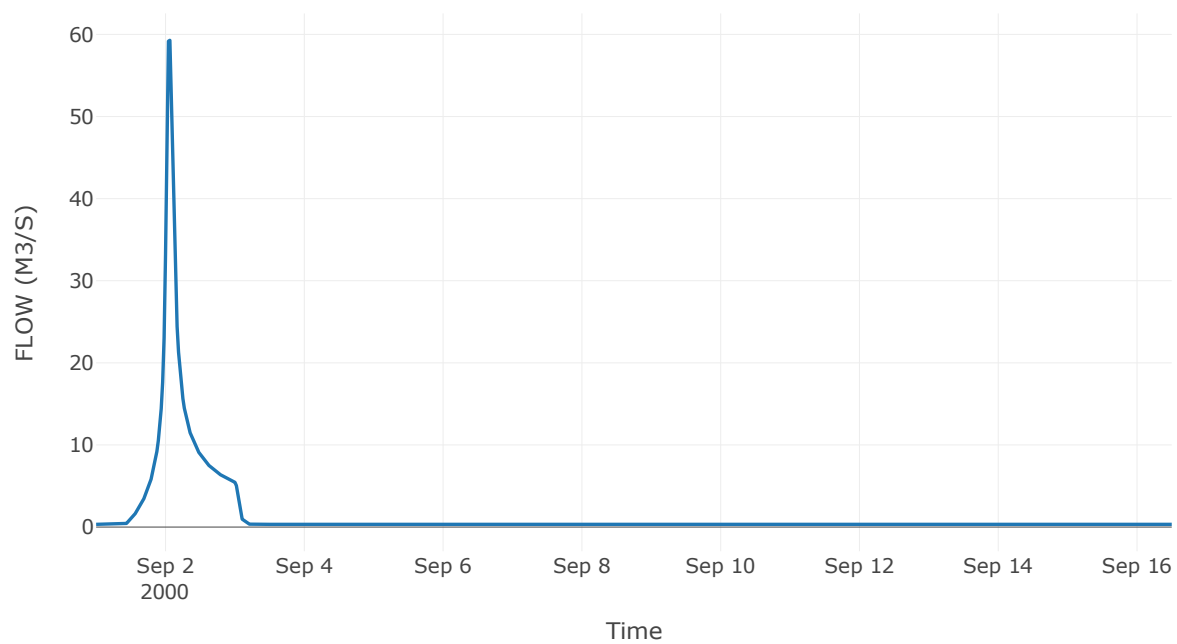
Κόμβος: J11

Κατάντη : R1110

Αποτελέσματα: J11

Παροχή Αιχμής (M3/S)	59.28
Χρονική στιγμή αιχμής	02Sep2000, 01:30
Όγκος(MM)	173.07

Απορροή



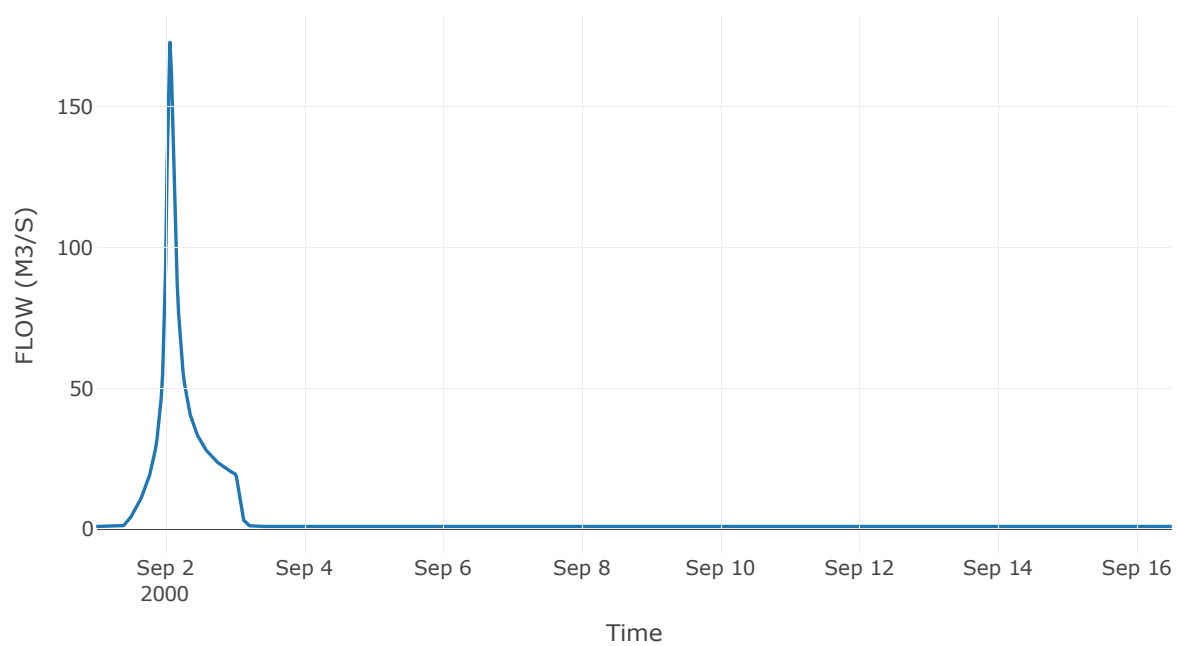
Κόμβος: J12

Κατάντη : R128

Αποτελέσματα: J12

Παροχή Αιχμής (M3/S)	172.76
Χρονική στιγμή αιχμής	02Sep2000, 01:30
Όγκος(MM)	181.04

Απορροή



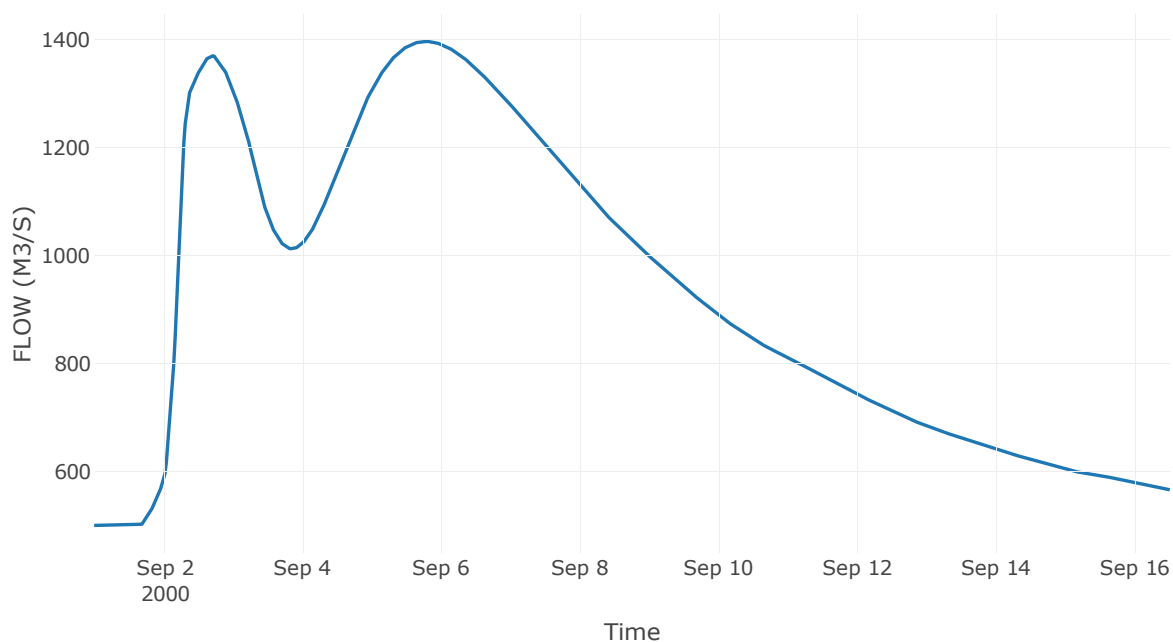
Ταμιευτήρας: J13_RES1

Κατάντη : R138

Αποτελέσματα: J13_RES1

Παροχή Αιχμής (M3/S)	1396.15
Χρονική στιγμή αιχμής	05Sep2000, 18:30
Όγκος(MM)	287.16
Παροχή Αιχμής Εισόδου (M3/S)	1587.56
Time of Peak Inflow	02Sep2000, 06:00
Όγκος Εισροής (M3)	1.25E9
Maximum Storage (M3)	4.19E7
Peak Elevation (M)	63.49
Discharge Όγκος(M3)	1.24E9

Απορροή



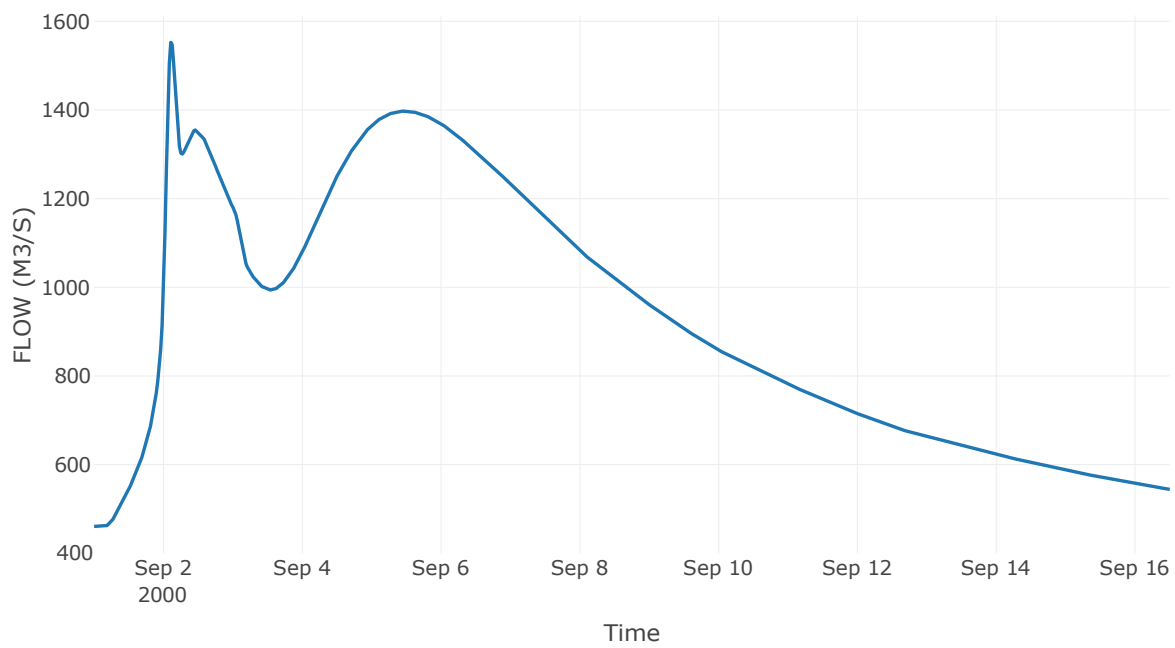
Κόμβος: J14

Κατάντη : R1413

Αποτελέσματα: J14

Παροχή Αιχμής (M3/S)	1552.51
Χρονική στιγμή αιχμής	02Sep2000, 02:30
Όγκος(MM)	288.34

Απορροή



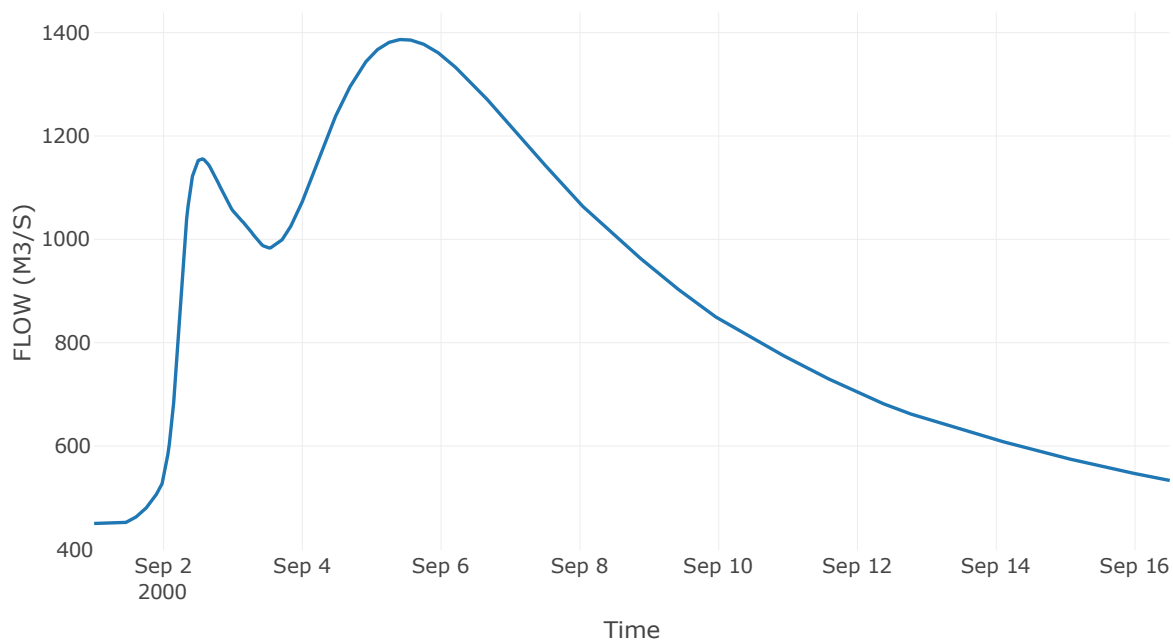
Ταμιευτήρας: J15_RES2

Κατάντη : R1514

Αποτελέσματα: J15_RES2

Παροχή Αιχμής (M3/S)	1386.83
Χρονική στιγμή αιχμής	05Sep2000, 11:00
Όγκος(MM)	289.26
Παροχή Αιχμής Εισόδου (M3/S)	2628.42
Time of Peak Inflow	02Sep2000, 05:00
Όγκος Εισροής (M3)	1.2E9
Maximum Storage (M3)	9.11E8
Peak Elevation (M)	148.64
Discharge Όγκος(M3)	1.18E9

Απορροή



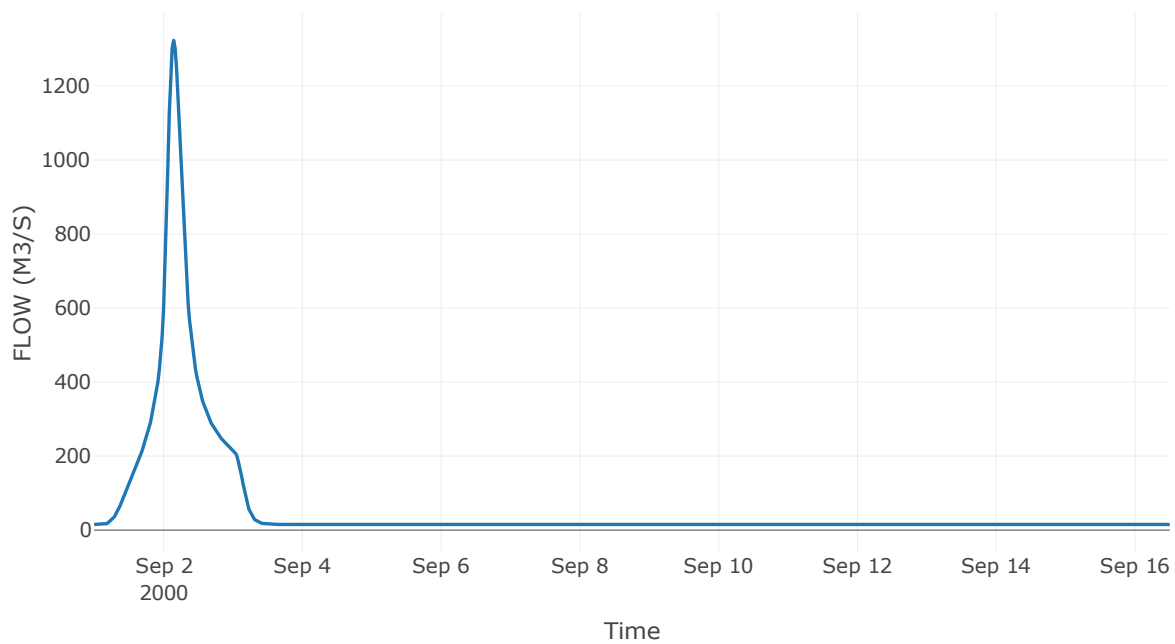
Κόμβος: J16

Κατάντη : R1619

Αποτελέσματα: J16

Παροχή Αιχμής (M3/S)	1323.33
Χρονική στιγμή αιχμής	02Sep2000, 03:30
Όγκος(MM)	300.15

Απορροή



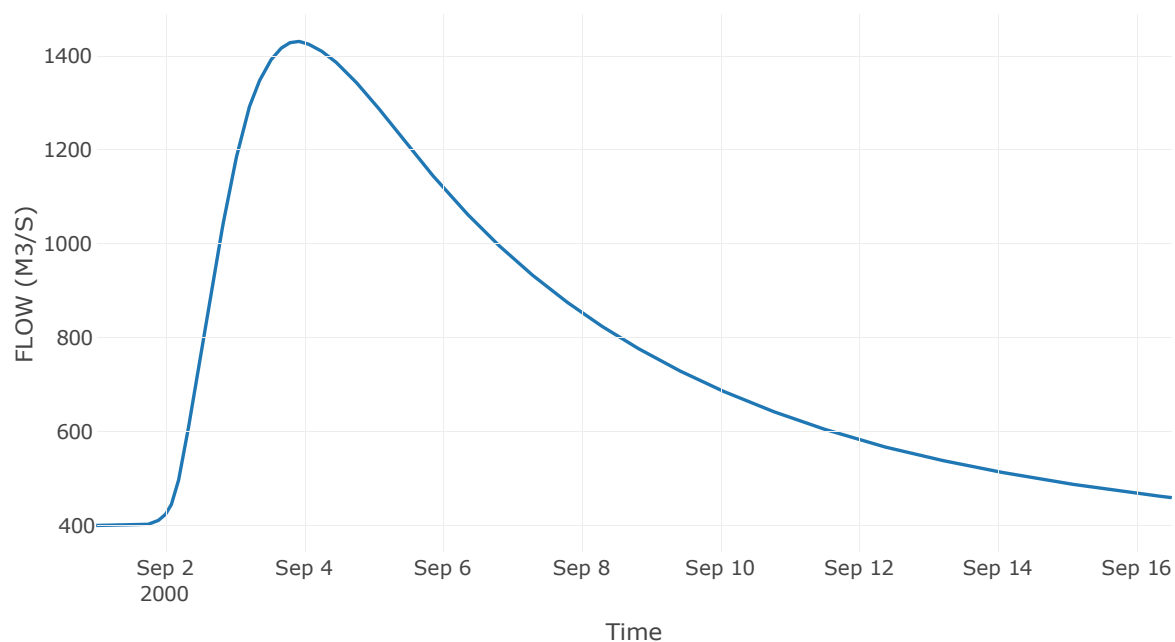
Ταμιευτήρας: J17_RES3

Κατάντη : R1718

Αποτελέσματα: J17_RES3

Παροχή Αιχμής (M3/S)	1430.38
Χρονική στιγμή αιχμής	03Sep2000, 21:30
Όγκος(MM)	294.9
Παροχή Αιχμής Εισόδου (M3/S)	7408.98
Time of Peak Inflow	02Sep2000, 06:30
Όγκος Εισροής (M3)	1.14E9
Maximum Storage (M3)	4.05E9
Peak Elevation (M)	275.68
Discharge Όγκος(M3)	1.05E9

Απορροή



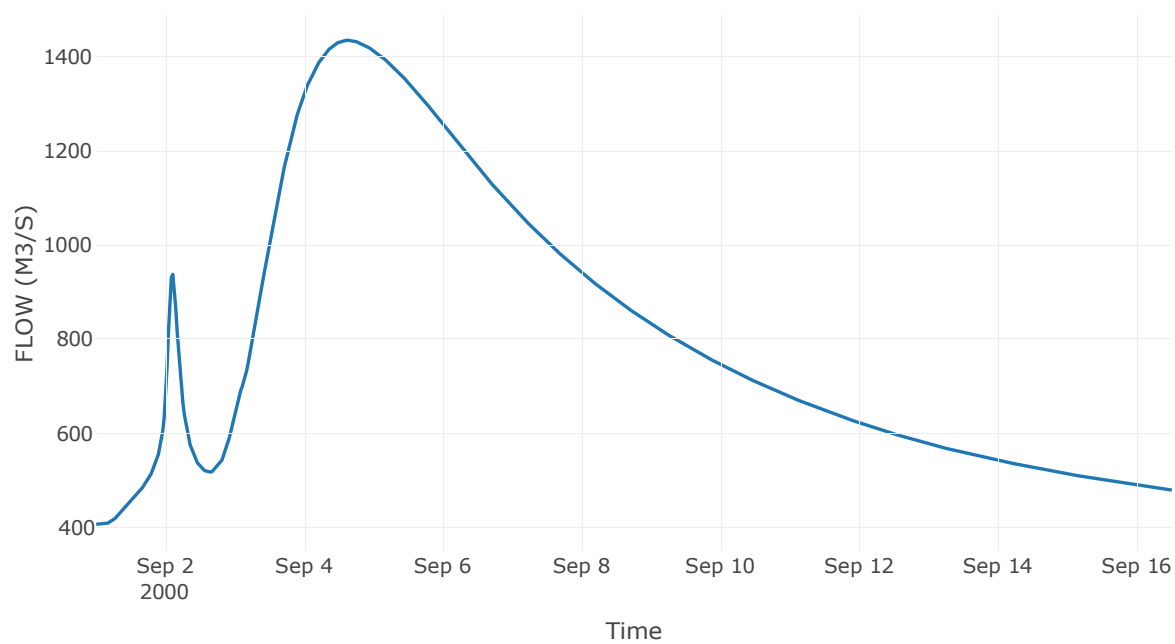
Κόμβος: J18

Κατάντη : R1819

Αποτελέσματα: J18

Παροχή Αιχμής (M3/S)	1434.6
Χρονική στιγμή αιχμής	04Sep2000, 15:00
Όγκος(MM)	292.97

Απορροή



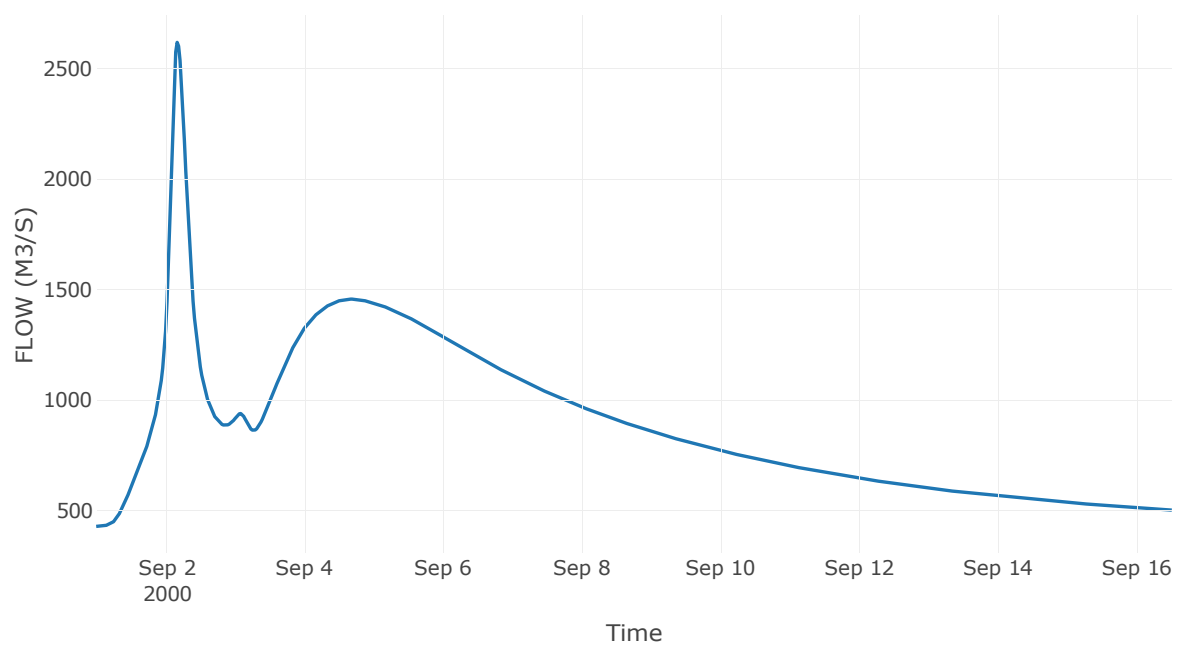
Κόμβος: J19

Κατάντη : R1915

Αποτελέσματα: J19

Παροχή Αιχμής (M3/S)	2617.96
Χρονική στιγμή αιχμής	02Sep2000, 04:00
Όγκος(MM)	293.01

Απορροή



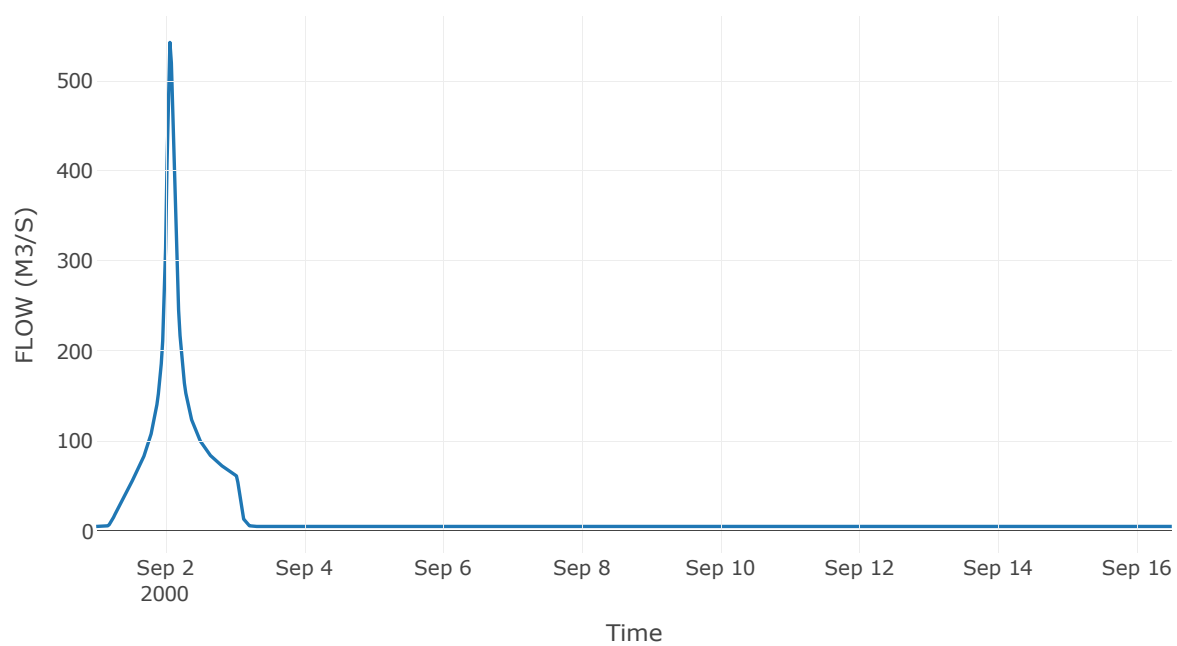
Κόμβος: J20

Κατάντη : R2014

Αποτελέσματα: J20

Παροχή Αιχμής (M3/S)	542.67
Χρονική στιγμή αιχμής	02Sep2000, 01:30
Όγκος(MM)	270.39

Απορροή



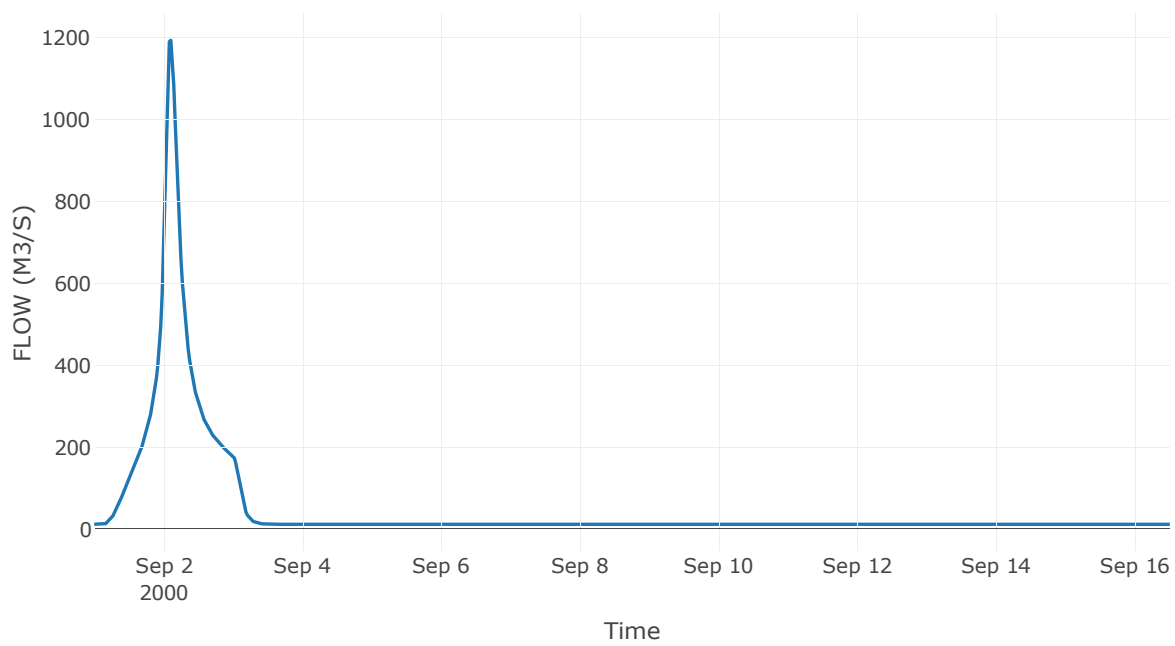
Κόμβος: J21

Κατάντη : R2116

Αποτελέσματα: J21

Παροχή Αιχμής (M3/S)	1193.59
Χρονική στιγμή αιχμής	02Sep2000, 02:30
Όγκος(MM)	299.73

Απορροή



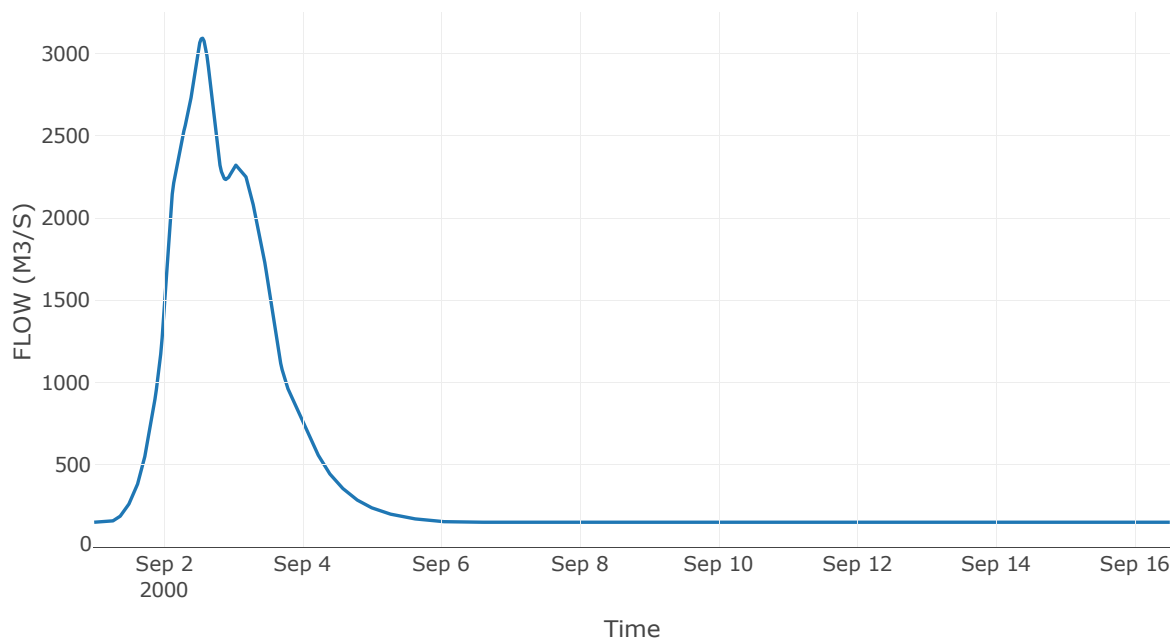
Κόμβος: J22

Κατάντη : R2231

Αποτελέσματα: J22

Παροχή Αιχμής (M3/S)	3091.51
Χρονική στιγμή αιχμής	02Sep2000, 13:30
Όγκος(MM)	335.65

Απορροή



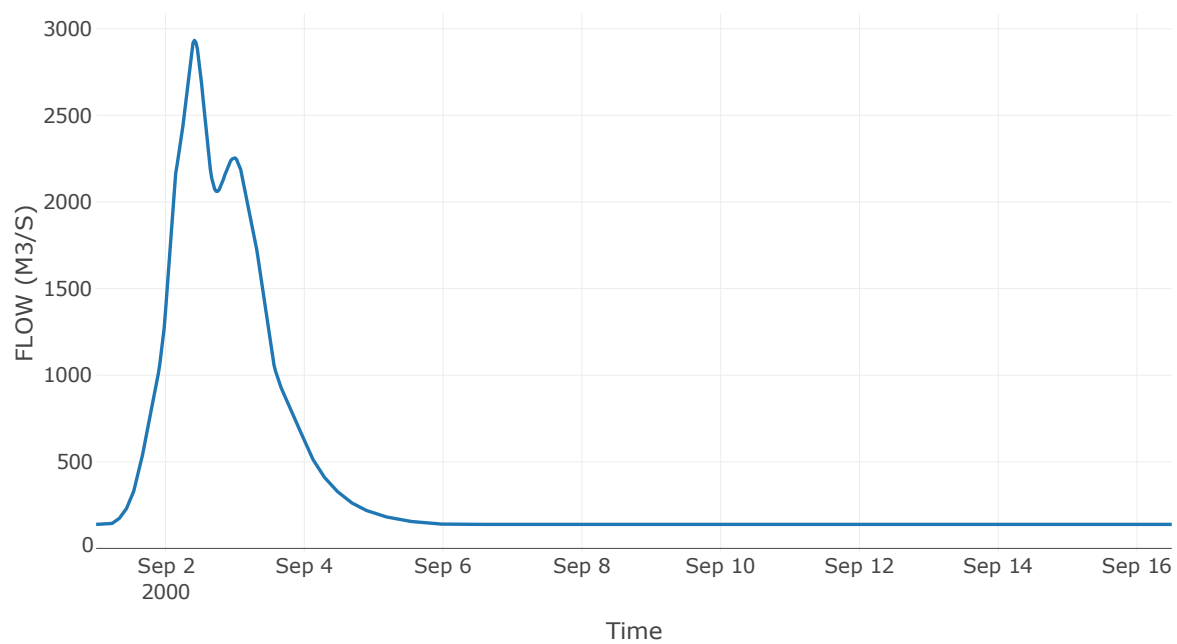
Κόμβος: J23

Κατάντη : R2324

Αποτελέσματα: J23

Παροχή Αιχμής (M3/S)	2933.09
Χρονική στιγμή αιχμής	02Sep2000, 10:00
Όγκος(MM)	346.03

Απορροή



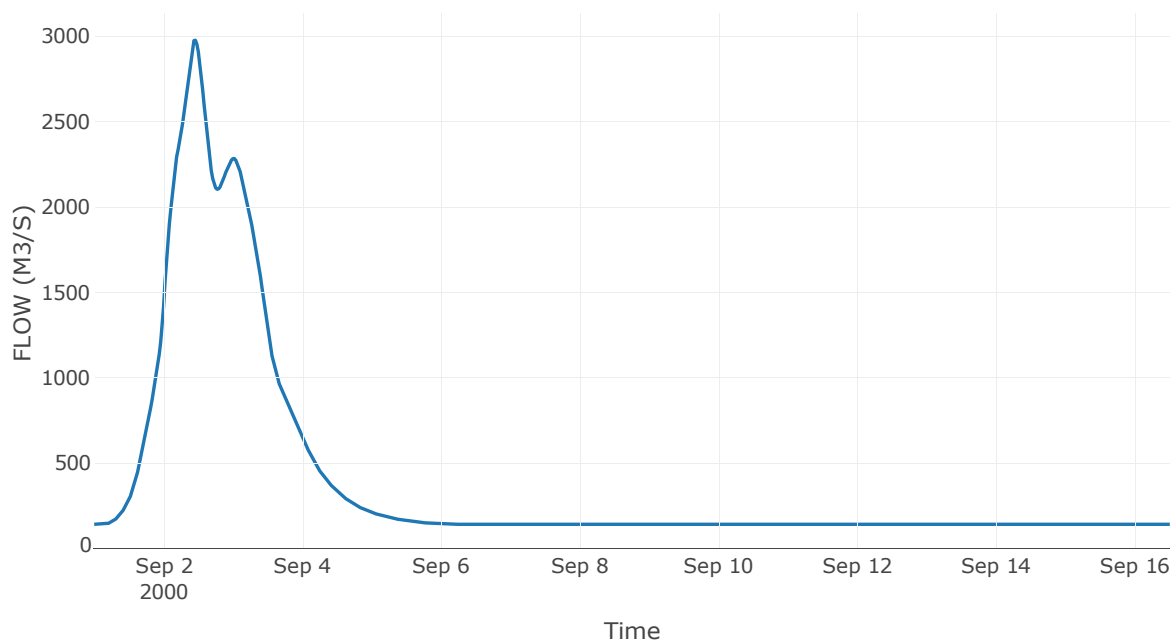
Κόμβος: J24

Κατάντη : R2425

Αποτελέσματα: J24

Παροχή Αιχμής (M3/S)	2977.29
Χρονική στιγμή αιχμής	02Sep2000, 11:00
Όγκος(MM)	343.78

Απορροή



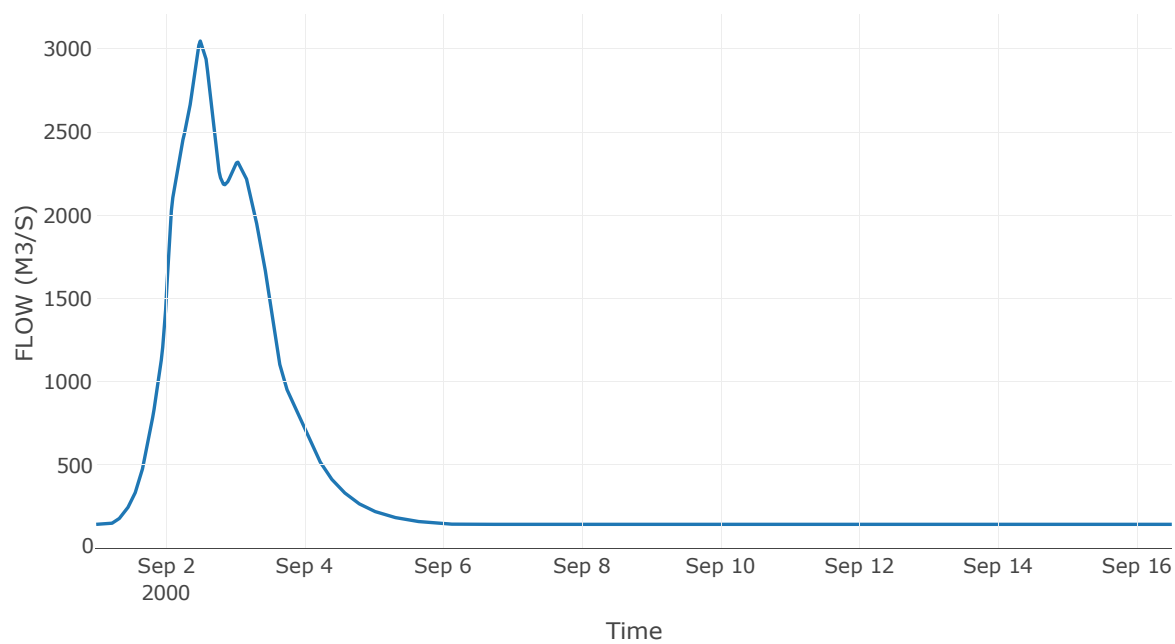
Κόμβος: J25

Κατάντη : R2522

Αποτελέσματα: J25

Παροχή Αιχμής (M3/S)	3051.07
Χρονική στιγμή αιχμής	02Sep2000, 12:30
Όγκος(MM)	339.29

Απορροή



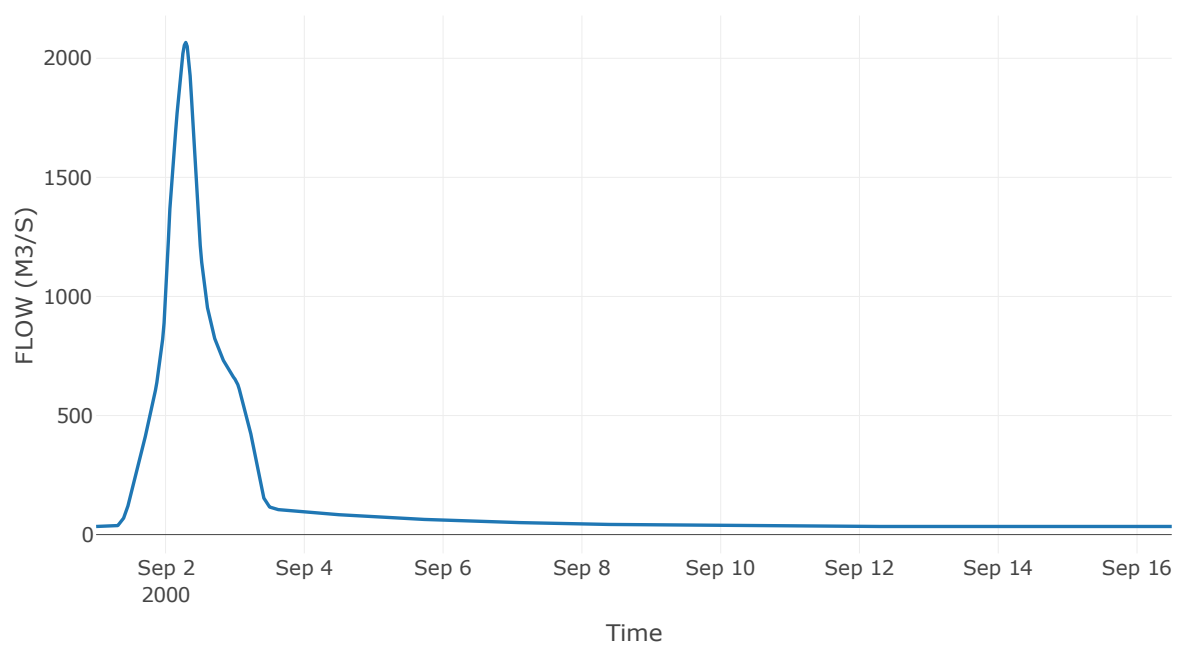
Κόμβος: J26

Κατάντη : R2664

Αποτελέσματα: J26

Παροχή Αιχμής (M3/S)	2066.58
Χρονική στιγμή αιχμής	02Sep2000, 07:00
Όγκος(MM)	324

Απορροή



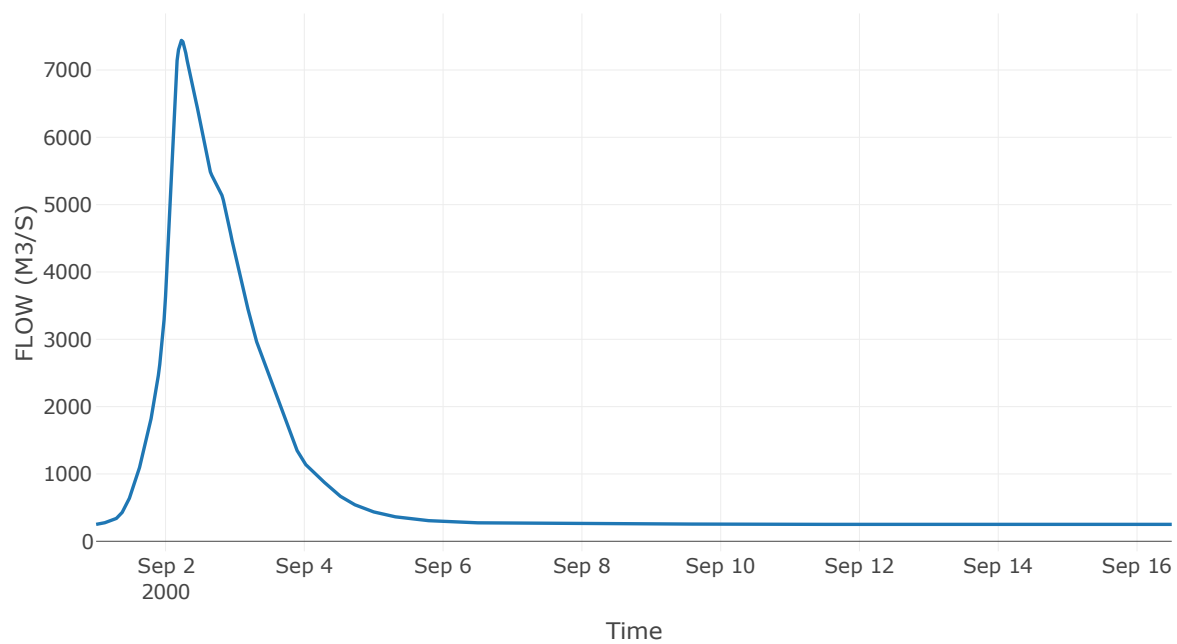
Κόμβος: J27

Κατάντη : R2717

Αποτελέσματα: J27

Παροχή Αιχμής (M3/S)	7440.07
Χρονική στιγμή αιχμής	02Sep2000, 05:30
Όγκος(MM)	320.57

Απορροή



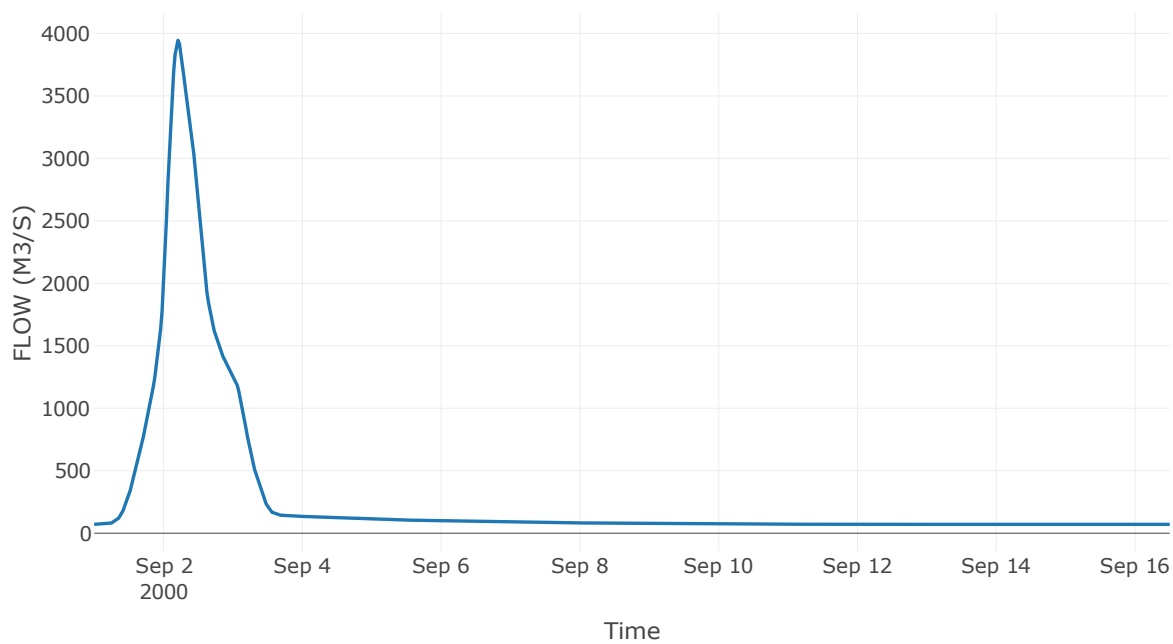
Κόμβος: J28

Κατάντη : R2827

Αποτελέσματα: J28

Παροχή Αιχμής (M3/S)	3945.25
Χρονική στιγμή αιχμής	02Sep2000, 05:00
Όγκος(MM)	300.18

Απορροή



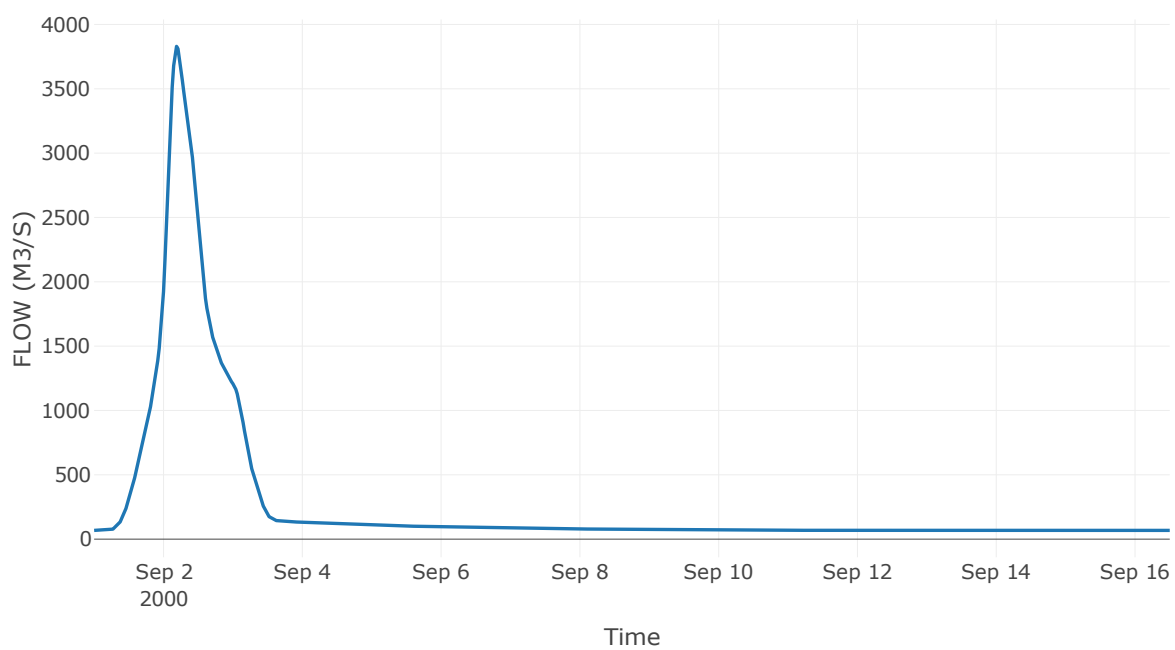
Κόμβος: J29

Κατάντη : R2928

Αποτελέσματα: J29

Παροχή Αιχμής (M3/S)	3829.73
Χρονική στιγμή αιχμής	02Sep2000, 04:30
Όγκος(MM)	300.18

Απορροή



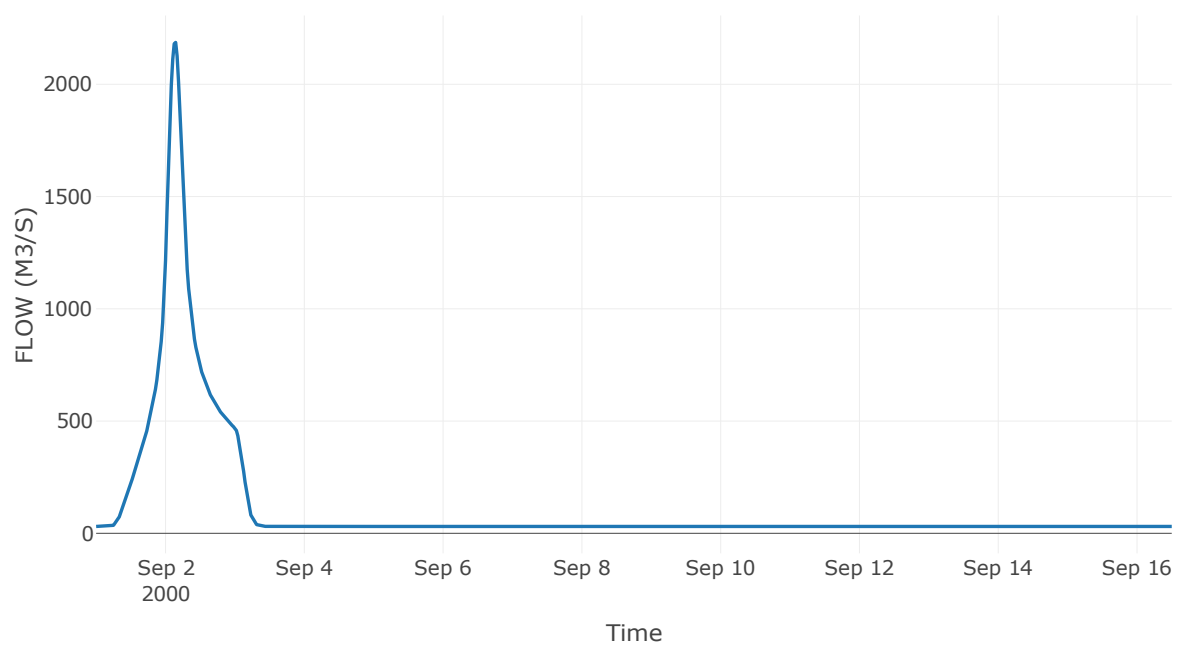
Κόμβος: J30

Κατάντη : R3029

Αποτελέσματα: J30

Παροχή Αιχμής (M3/S)	2186.44
Χρονική στιγμή αιχμής	02Sep2000, 03:30
Όγκος(MM)	277.58

Απορροή



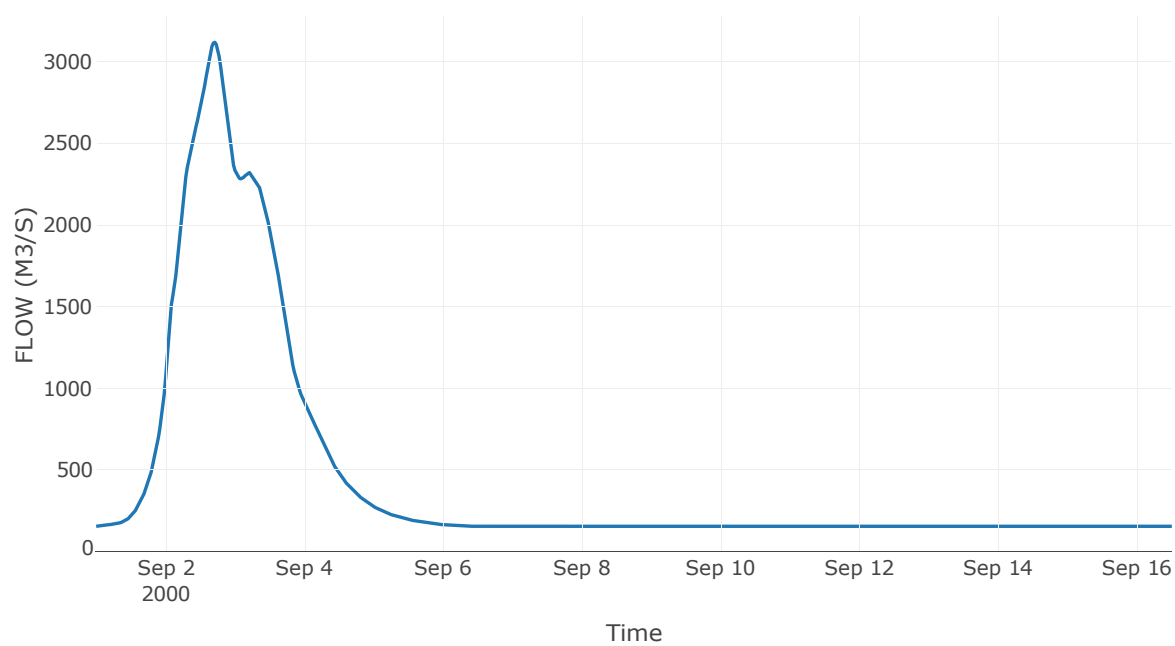
Κόμβος: J31

Κατάντη : R3127

Αποτελέσματα: J31

Παροχή Αιχμής (M3/S)	3117.51
Χρονική στιγμή αιχμής	02Sep2000, 17:00
Όγκος(MM)	333.4

Απορροή



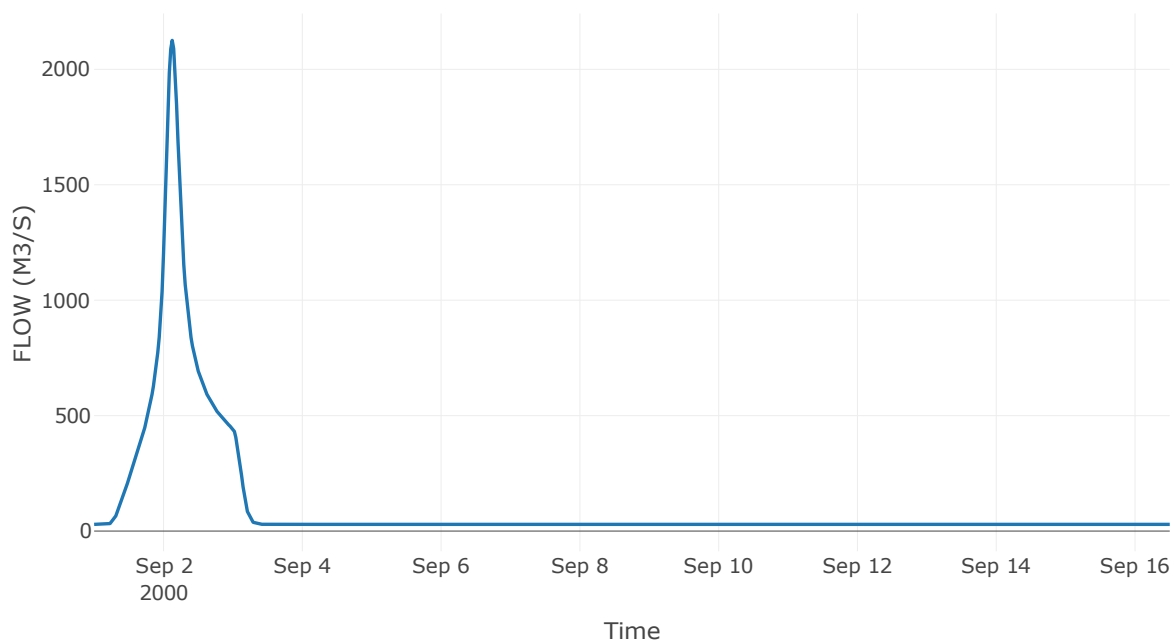
Κόμβος: J32

Κατάντη : R3230

Αποτελέσματα: J32

Παροχή Αιχμής (M3/S)	2125.58
Χρονική στιγμή αιχμής	02Sep2000, 03:00
Όγκος(MM)	279.36

Απορροή



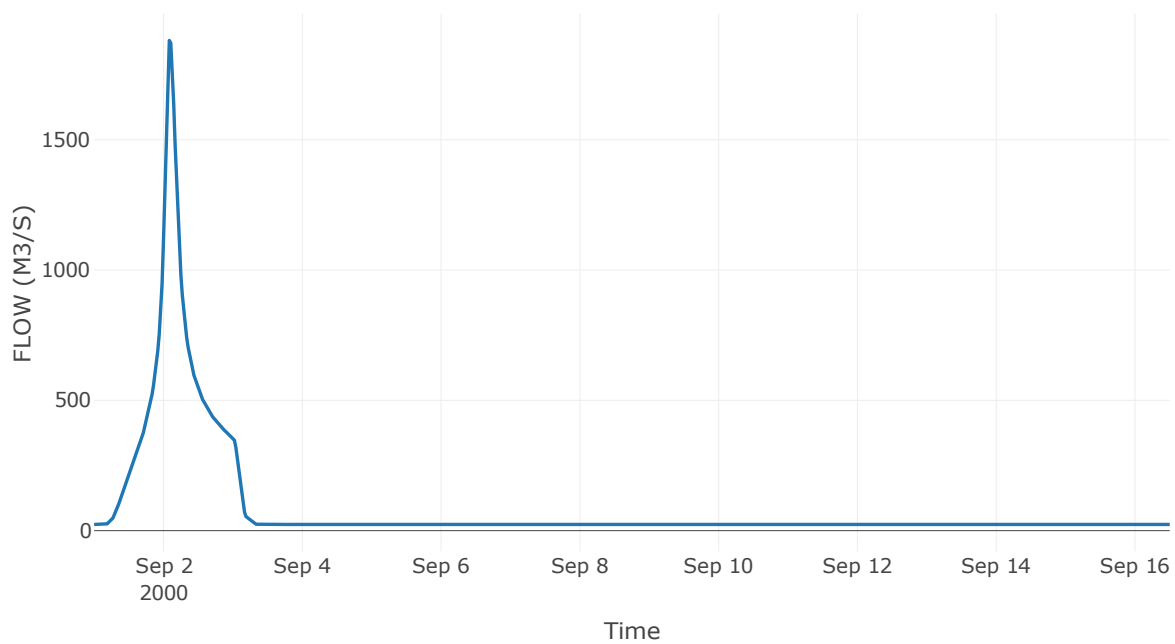
Κόμβος: J33

Κατάντη : R3332

Αποτελέσματα: J33

Παροχή Αιχμής (M3/S)	1881.32
Χρονική στιγμή αιχμής	02Sep2000, 02:00
Όγκος(MM)	279.28

Απορροή



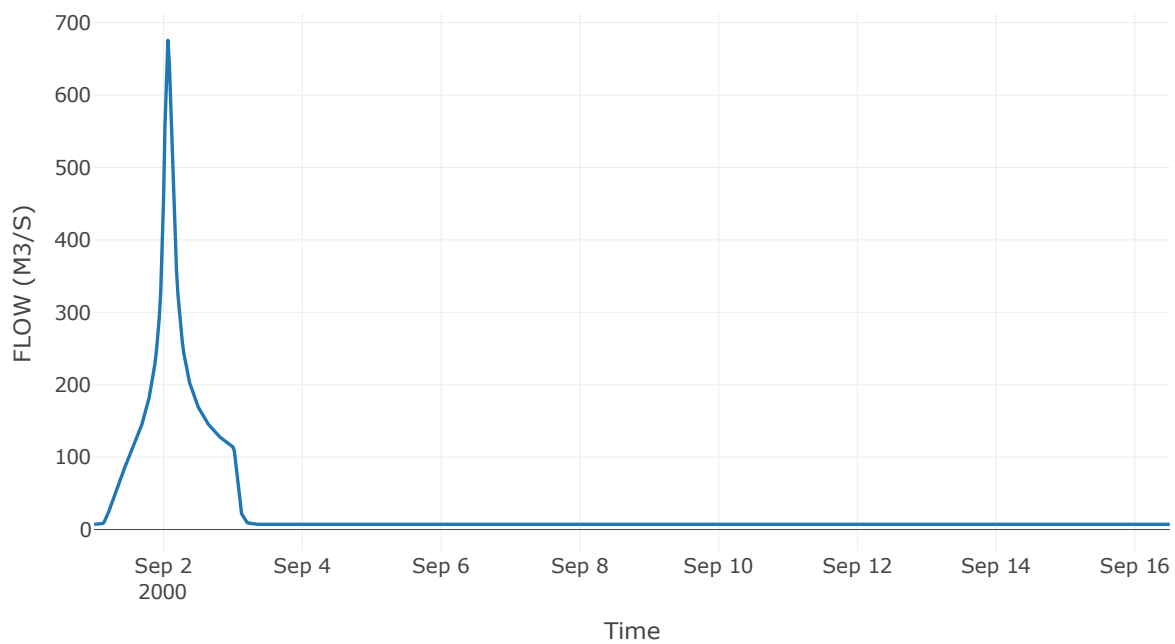
Κόμβος: J34

Κατάντη : R3433

Αποτελέσματα: J34

Παροχή Αιχμής (M3/S)	675.64
Χρονική στιγμή αιχμής	02Sep2000, 01:30
Όγκος(MM)	304.55

Απορροή



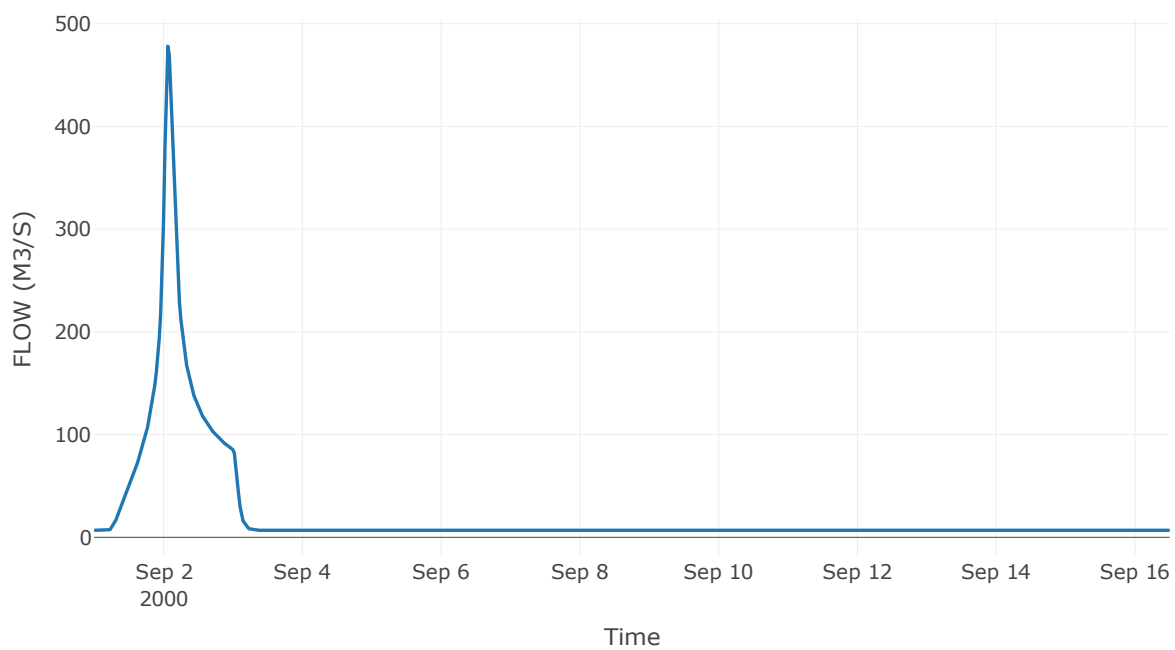
Κόμβος: J35

Κατάντη : R3533

Αποτελέσματα: J35

Παροχή Αιχμής (M3/S)	478.03
Χρονική στιγμή αιχμής	02Sep2000, 01:30
Όγκος(MM)	240.91

Απορροή



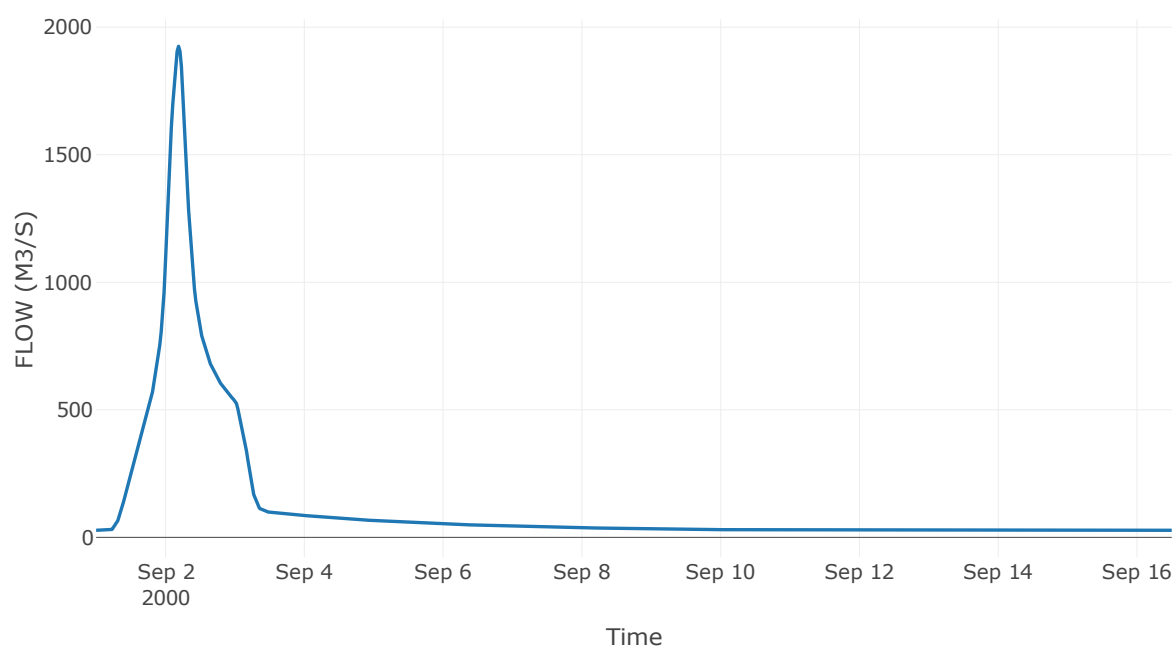
Κόμβος: J37

Κατάντη : R3726

Αποτελέσματα: J37

Παροχή Αιχμής (M3/S)	1925.07
Χρονική στιγμή αιχμής	02Sep2000, 04:30
Όγκος(MM)	340.69

Απορροή



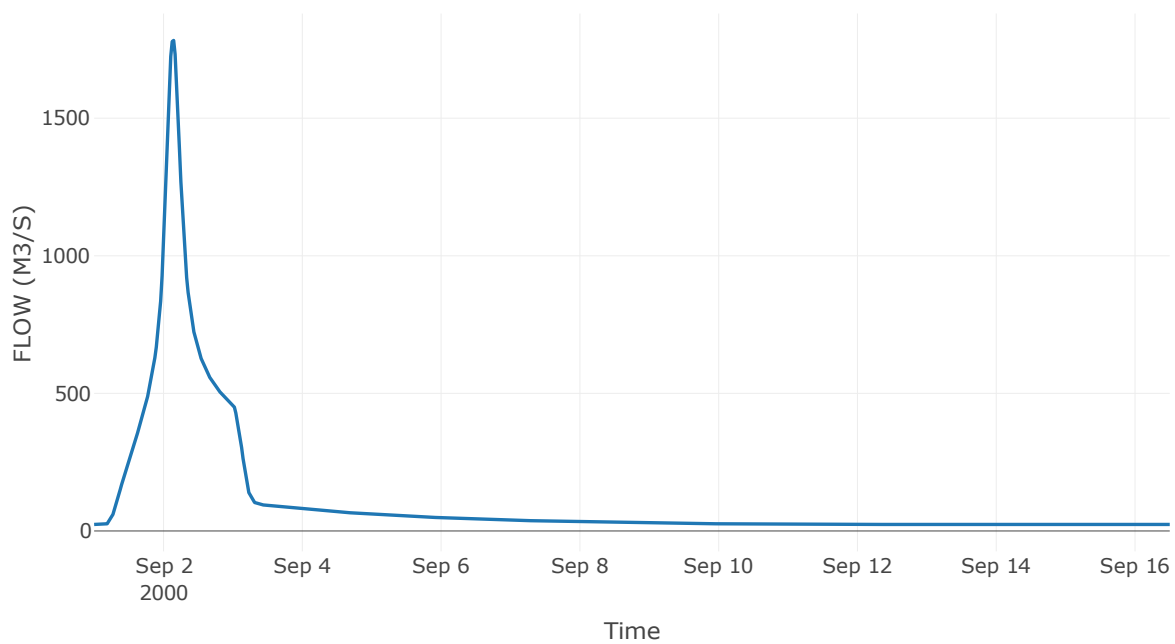
Κόμβος: J38

Κατάντη : R3837

Αποτελέσματα: J38

Παροχή Αιχμής (M3/S)	1782.52
Χρονική στιγμή αιχμής	02Sep2000, 03:30
Όγκος(MM)	347.66

Απορροή



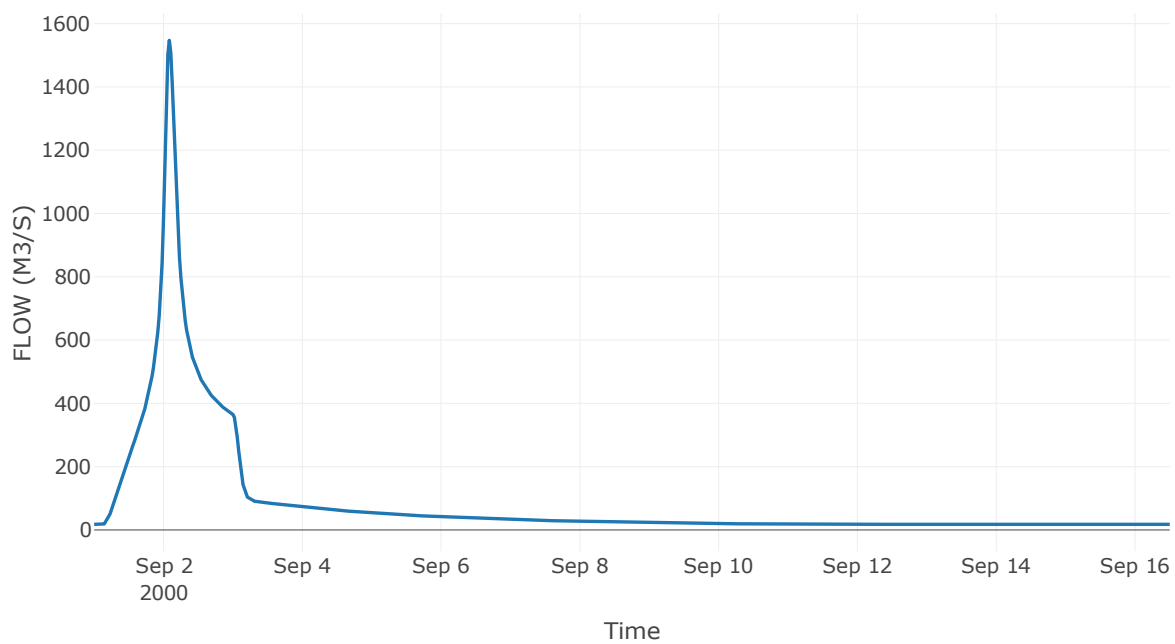
Κόμβος: J39

Κατάντη : R3938

Αποτελέσματα: J39

Παροχή Αιχμής (M3/S)	1547.2
Χρονική στιγμή αιχμής	02Sep2000, 02:00
Όγκος(MM)	370.83

Απορροή



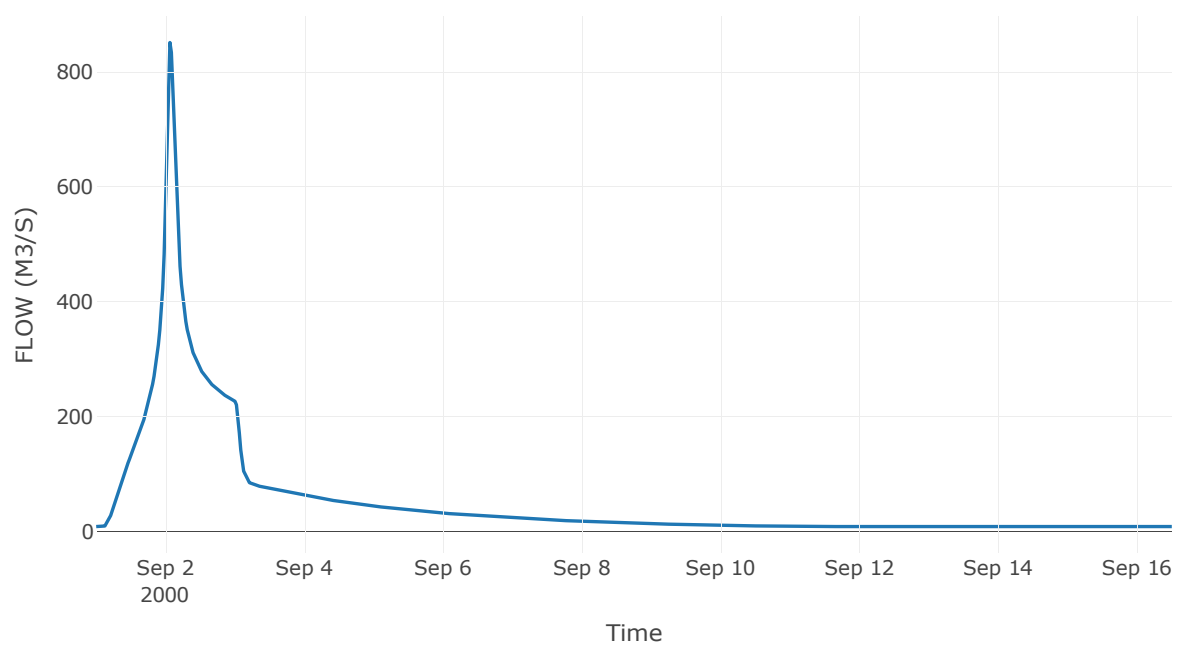
Κόμβος: J40

Κατάντη : R4039

Αποτελέσματα: J40

Παροχή Αιχμής (M3/S)	851.67
Χρονική στιγμή αιχμής	02Sep2000, 01:30
Όγκος(MM)	439.76

Απορροή



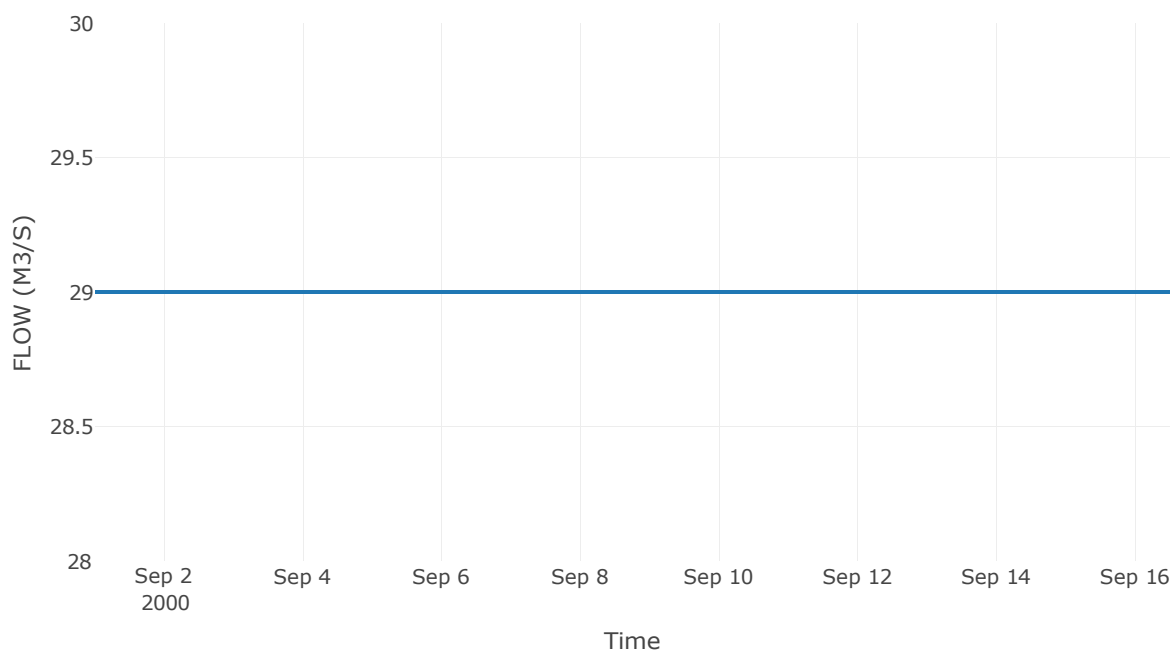
Ταμιευτήρας: J41_RES4

Κατάντη : Κόμβος εξόδου - RES4

Αποτελέσματα: J41_RES4

Παροχή Αιχμής (M3/S)	29
Χρονική στιγμή αιχμής	31Aug2000, 24:00
Όγκος(MM)	234.94
Παροχή Αιχμής Εισόδου (M3/S)	613.53
Time of Peak Inflow	02Sep2000, 02:30
Όγκος Εισροής (M3)	5.02E7
Maximum Storage (M3)	3.9E8
Peak Elevation (M)	793.11
Discharge Όγκος(M3)	3.88E7

Απορροή



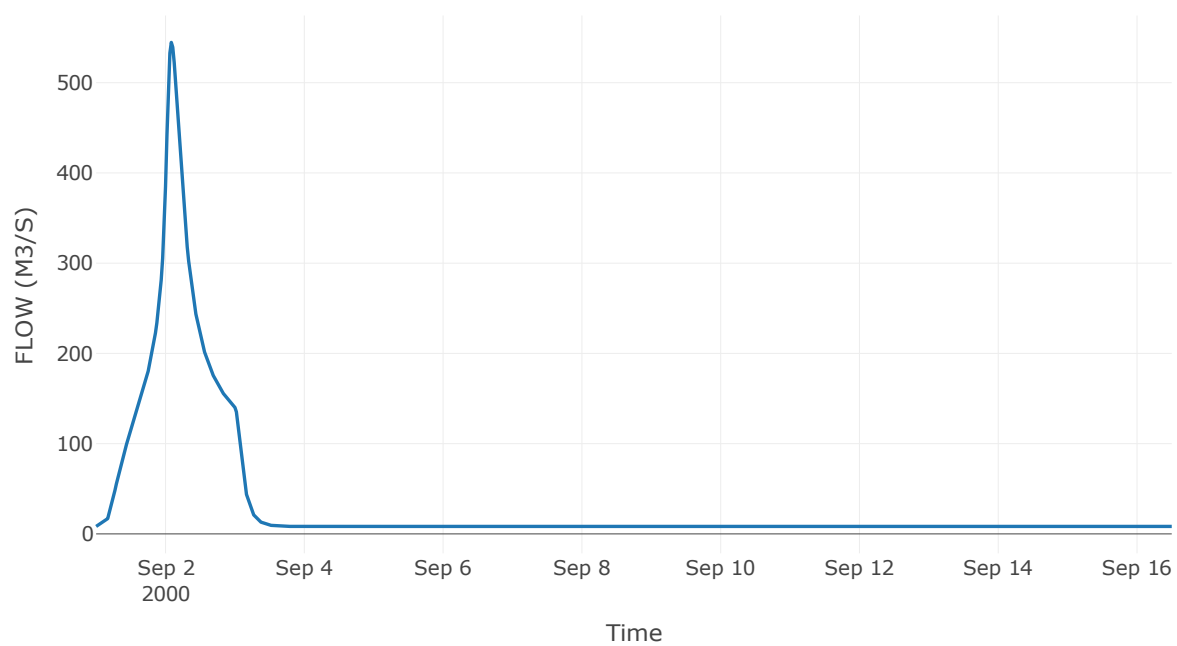
Κόμβος: J42

Κατάντη : R4241

Αποτελέσματα: J42

Παροχή Αιχμής (M3/S)	544.65
Χρονική στιγμή αιχμής	02Sep2000, 02:00
Όγκος(MM)	302.47

Απορροή



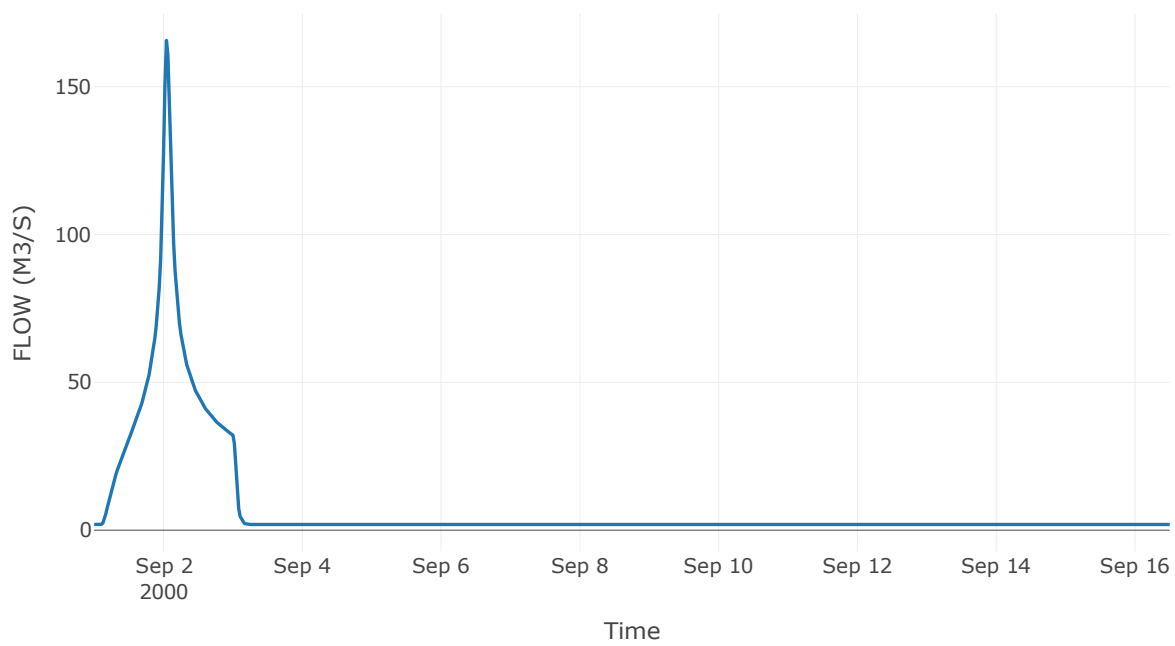
Κόμβος: J43

Κατάντη : R4342

Αποτελέσματα: J43

Παροχή Αιχμής (M3/S)	165.65
Χρονική στιγμή αιχμής	02Sep2000, 01:00
Όγκος(MM)	302.62

Απορροή



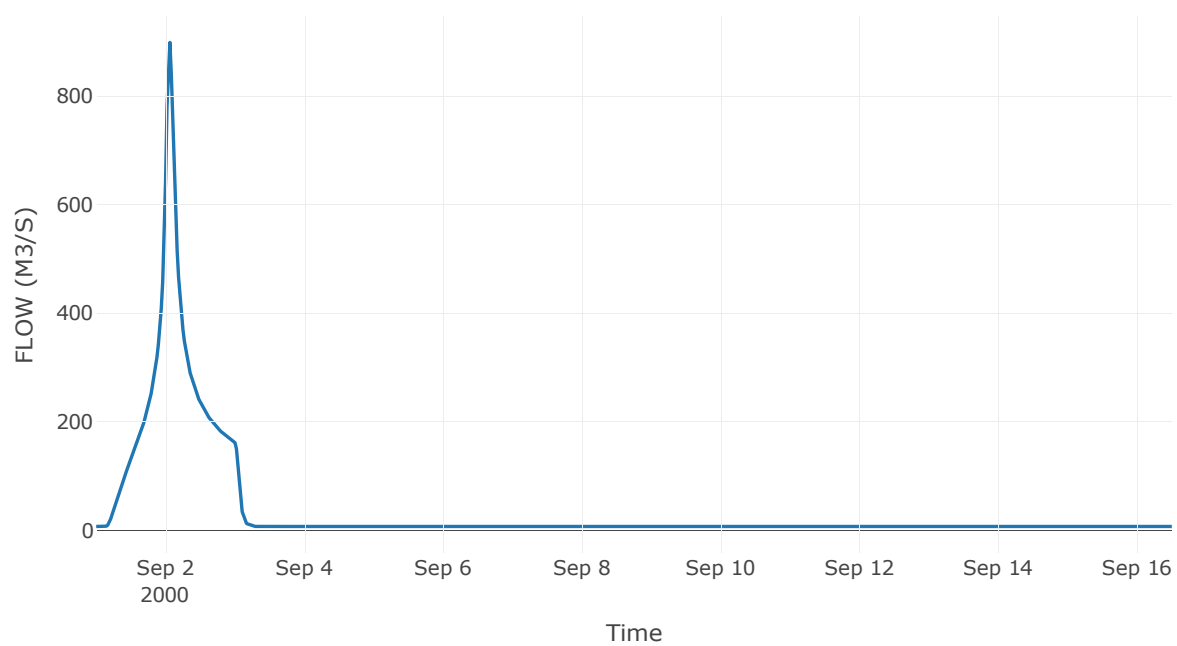
Κόμβος: J44

Κατάντη : R4462

Αποτελέσματα: J44

Παροχή Αιχμής (M3/S)	898.56
Χρονική στιγμή αιχμής	02Sep2000, 01:30
Όγκος(MM)	374.3

Απορροή



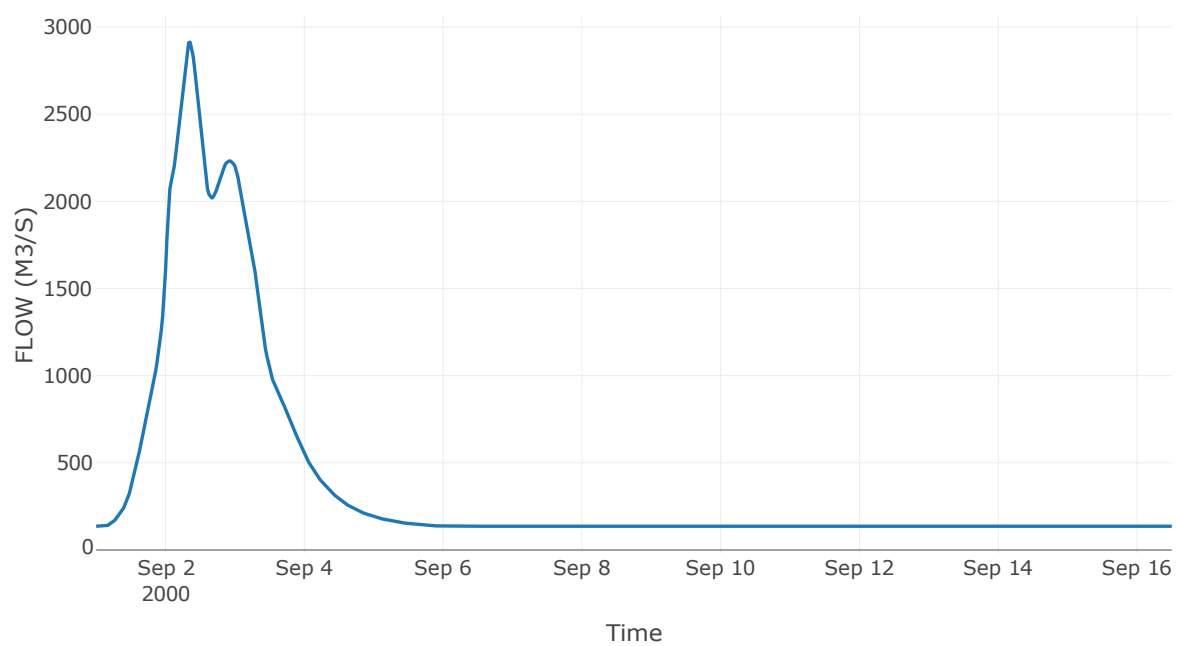
Κόμβος: J45

Κατάντη : R4523

Αποτελέσματα: J45

Παροχή Αιχμής (M3/S)	2912.44
Χρονική στιγμή αιχμής	02Sep2000, 08:30
Όγκος(MM)	349.07

Απορροή



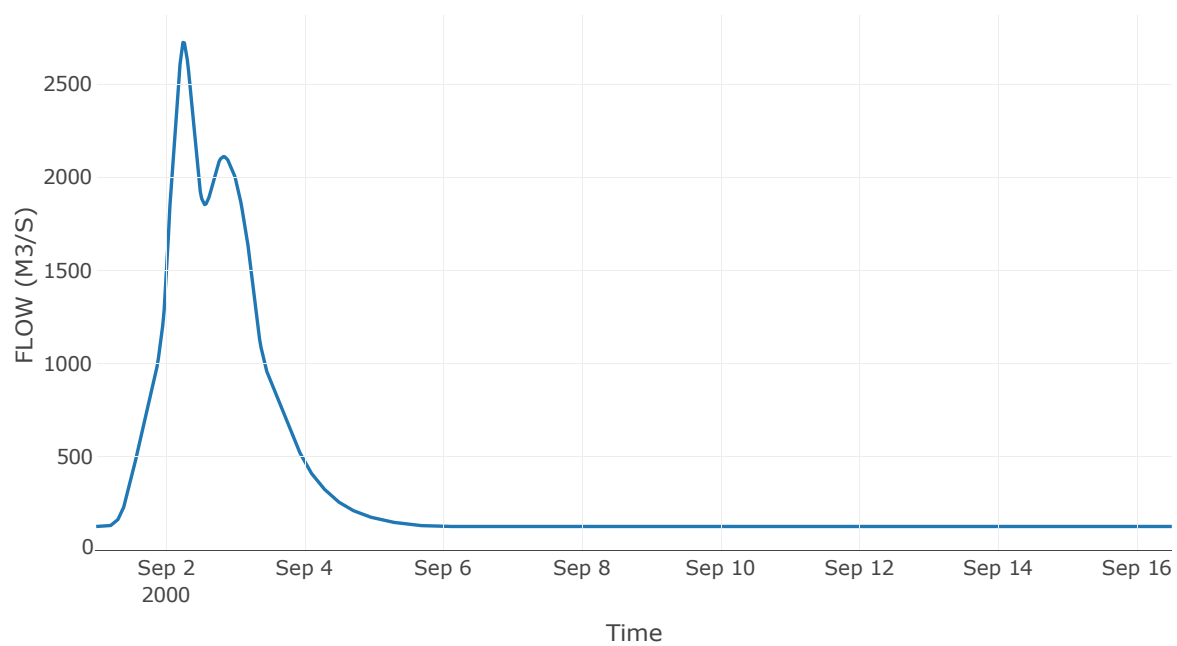
Κόμβος: J46

Κατάντη : R4645

Αποτελέσματα: J46

Παροχή Αιχμής (M3/S)	2723.17
Χρονική στιγμή αιχμής	02Sep2000, 06:00
Όγκος(MM)	355.29

Απορροή



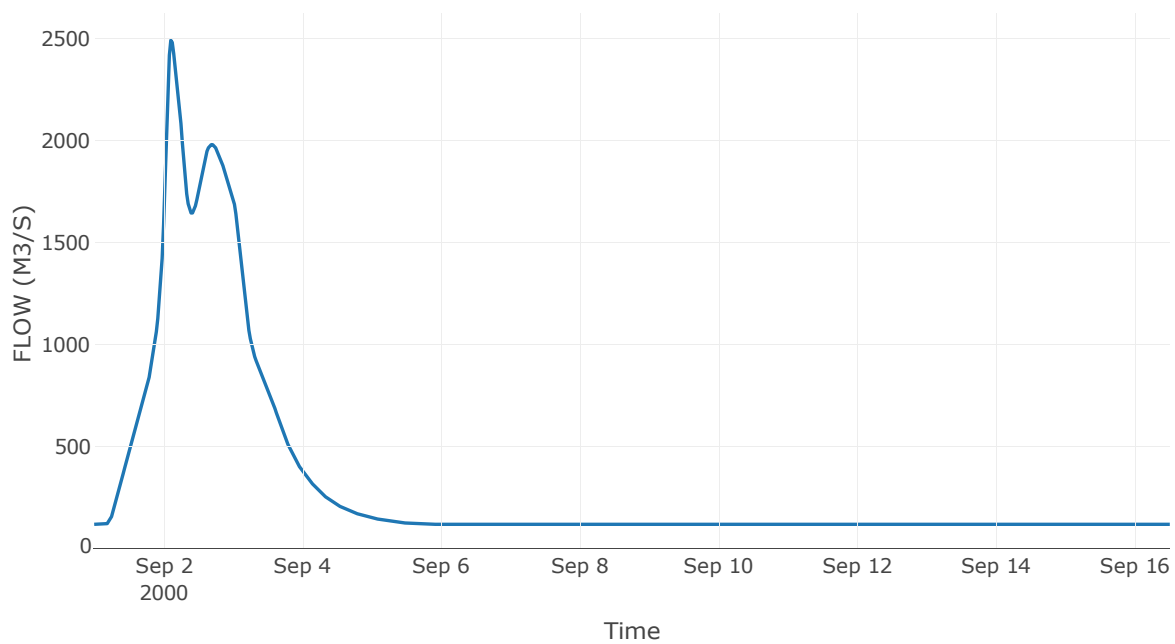
Κόμβος: J47

Κατάντη : R4746

Αποτελέσματα: J47

Παροχή Αιχμής (M3/S)	2493.15
Χρονική στιγμή αιχμής	02Sep2000, 02:30
Όγκος(MM)	366.98

Απορροή



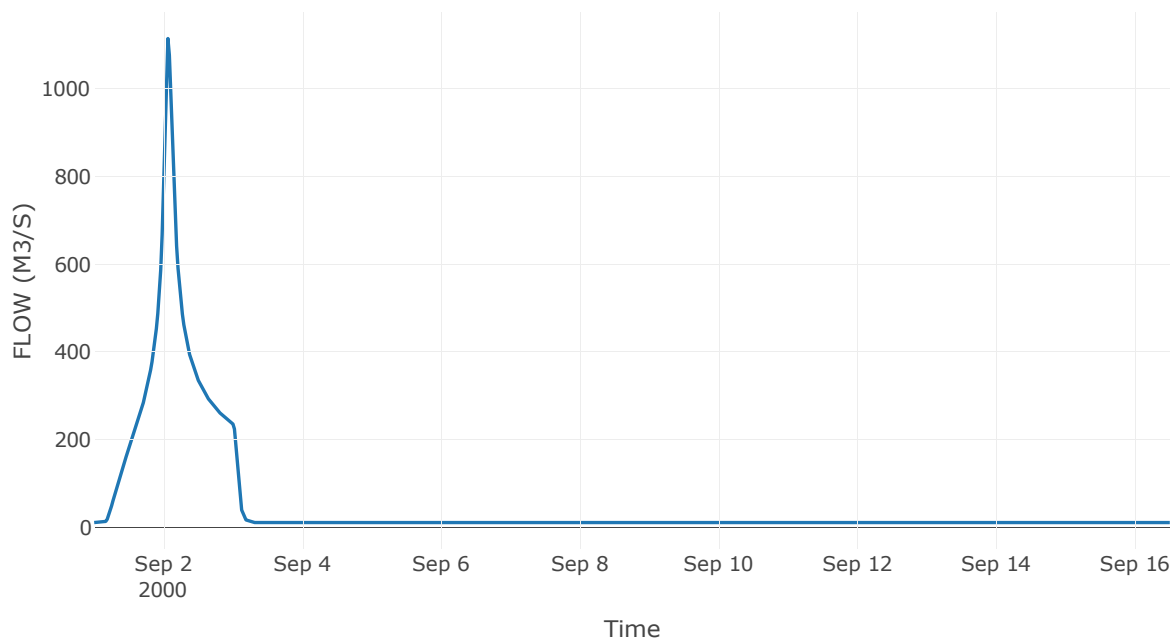
Κόμβος: J48

Κατάντη : R4847

Αποτελέσματα: J48

Παροχή Αιχμής (M3/S)	1114.37
Χρονική στιγμή αιχμής	02Sep2000, 01:30
Όγκος(MM)	333.1

Απορροή



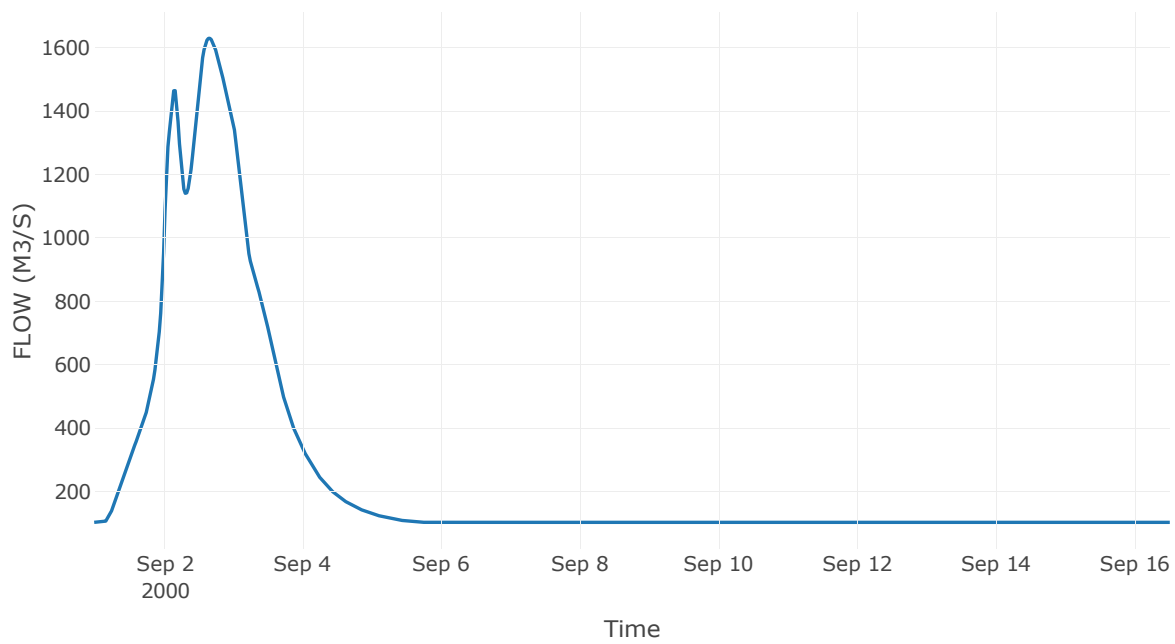
Κόμβος: J49

Κατάντη : R4947

Αποτελέσματα: J49

Παροχή Αιχμής (M3/S)	1629.44
Χρονική στιγμή αιχμής	02Sep2000, 16:00
Όγκος(MM)	381.59

Απορροή



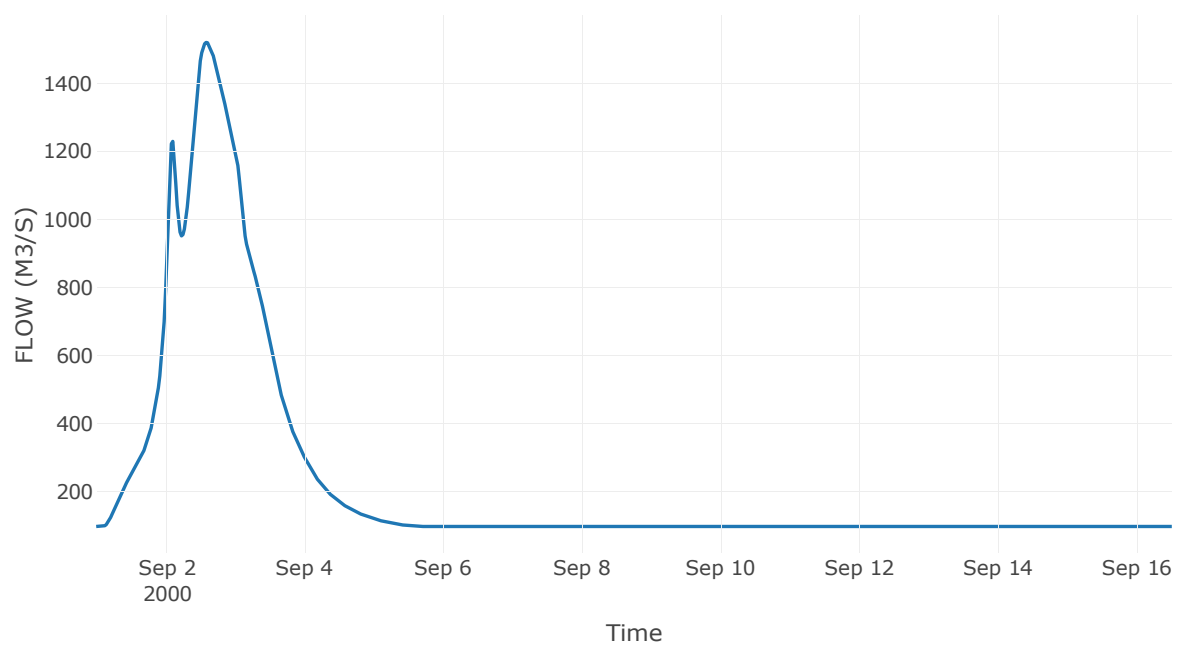
Κόμβος: J50

Κατάντη : R5049

Αποτελέσματα: J50

Παροχή Αιχμής (M3/S)	1519.9
Χρονική στιγμή αιχμής	02Sep2000, 14:00
Όγκος(MM)	388.34

Απορροή



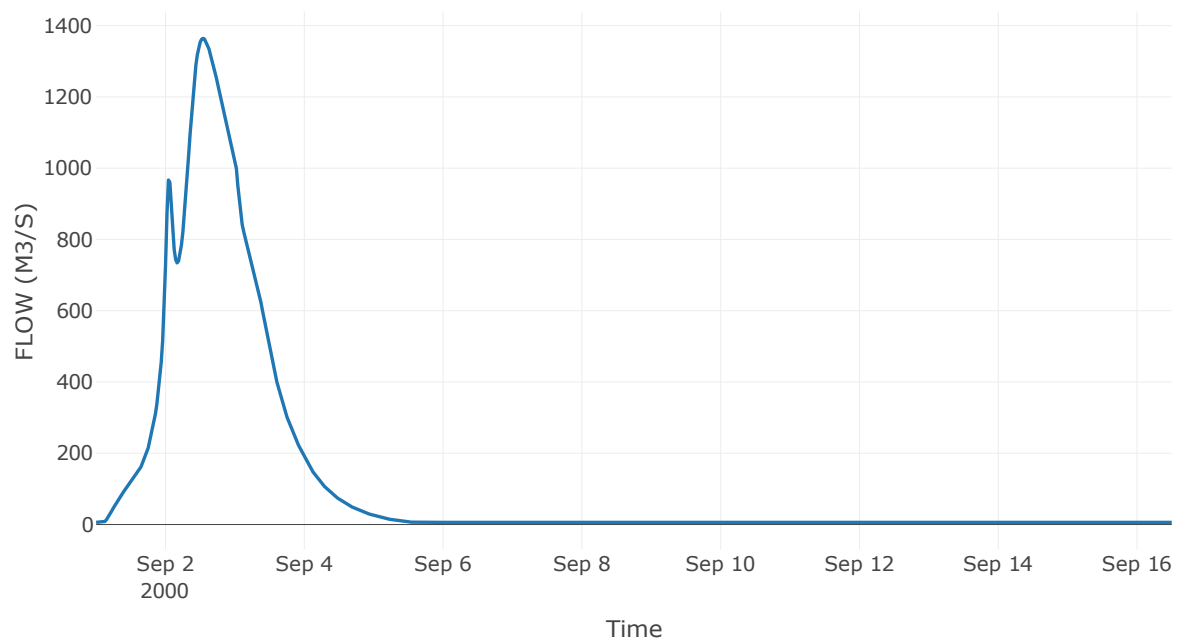
Κόμβος: J51

Κατάντη : R5150

Αποτελέσματα: J51

Παροχή Αιχμής (M3/S)	1364.32
Χρονική στιγμή αιχμής	02Sep2000, 13:00
Όγκος(MM)	1542.17

Απορροή



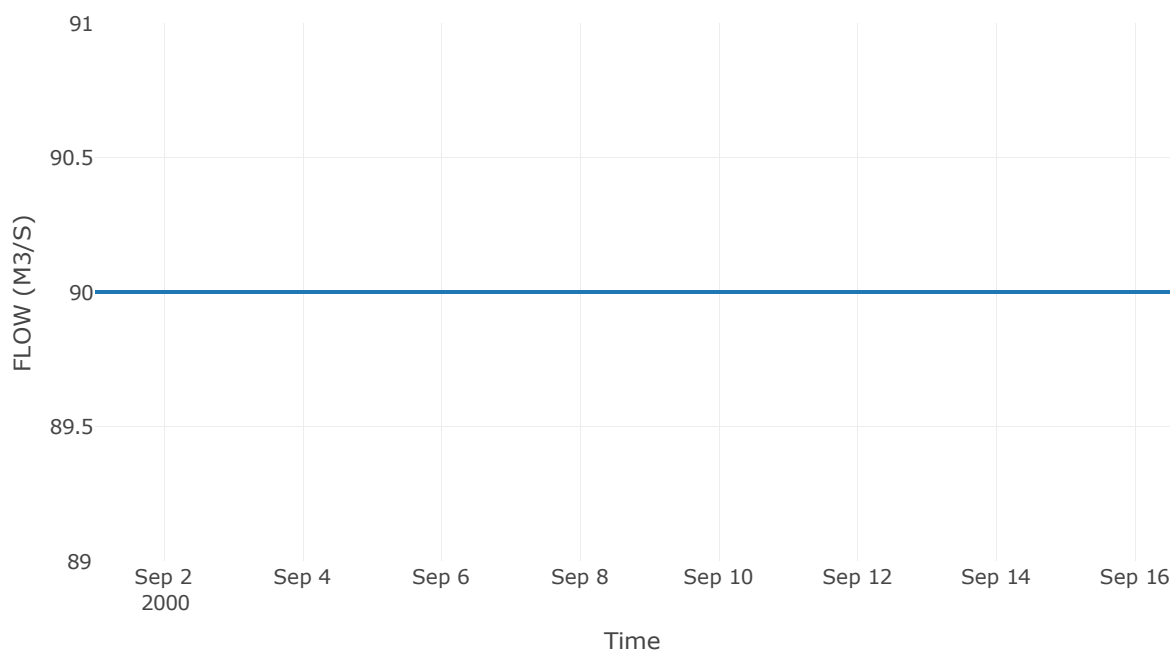
Ταμιευτήρας: J53_RES5

Κατάντη : J50

Αποτελέσματα: J53_RES5

Παροχή Αιχμής (M3/S)	90
Χρονική στιγμή αιχμής	31Aug2000, 24:00
Όγκος(MM)	190.43
Παροχή Αιχμής Εισόδου (M3/S)	2438.8
Time of Peak Inflow	02Sep2000, 06:30
Όγκος Εισροής (M3)	1.93E8
Maximum Storage (M3)	3.27E8
Peak Elevation (M)	765.74
Discharge Όγκος(M3)	1.21E8

Απορροή



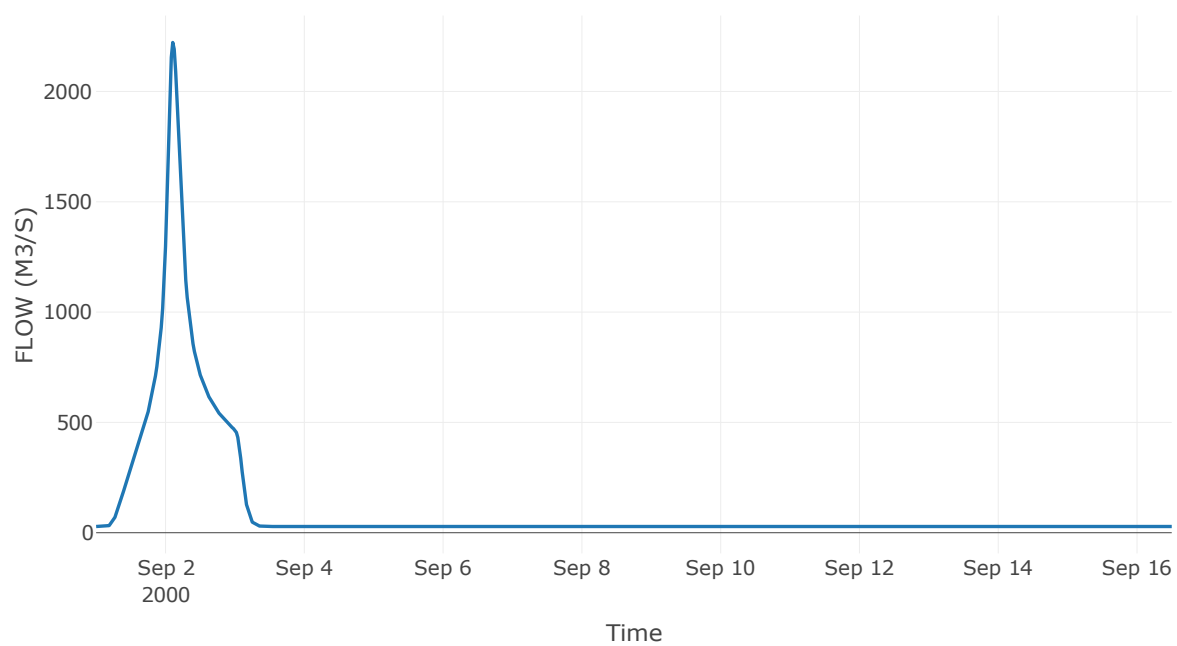
Κόμβος: J54

Κατάντη : R5457

Αποτελέσματα: J54

Παροχή Αιχμής (M3/S)	2222.27
Χρονική στιγμή αιχμής	02Sep2000, 02:30
Όγκος(MM)	297.92

Απορροή



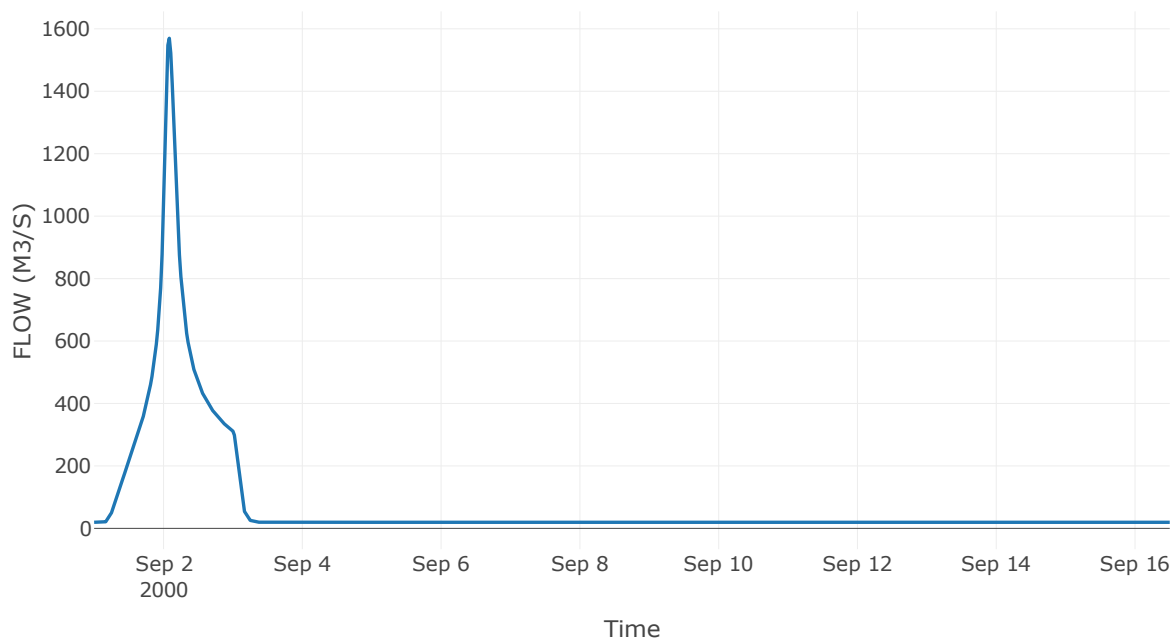
Κόμβος: J55

Κατάντη : R5554

Αποτελέσματα: J55

Παροχή Αιχμής (M3/S)	1569.76
Χρονική στιγμή αιχμής	02Sep2000, 02:00
Όγκος(MM)	293.38

Απορροή



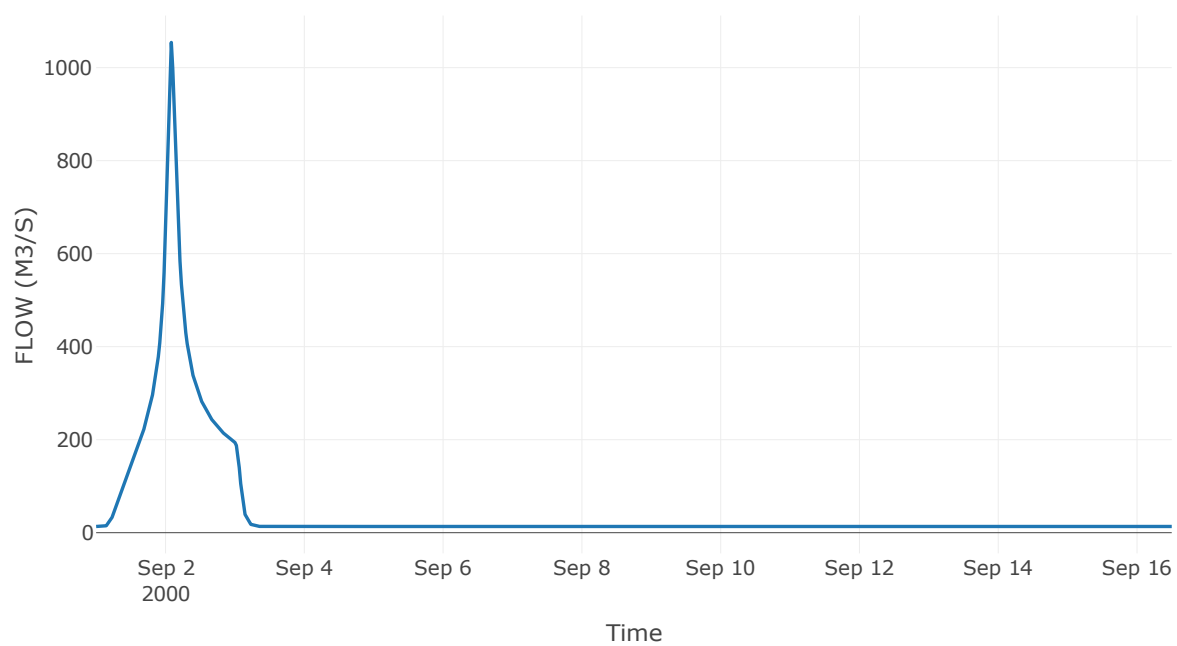
Κόμβος: J56

Κατάντη : R5655

Αποτελέσματα: J56

Παροχή Αιχμής (M3/S)	1054.16
Χρονική στιγμή αιχμής	02Sep2000, 02:00
Όγκος(MM)	276.14

Απορροή



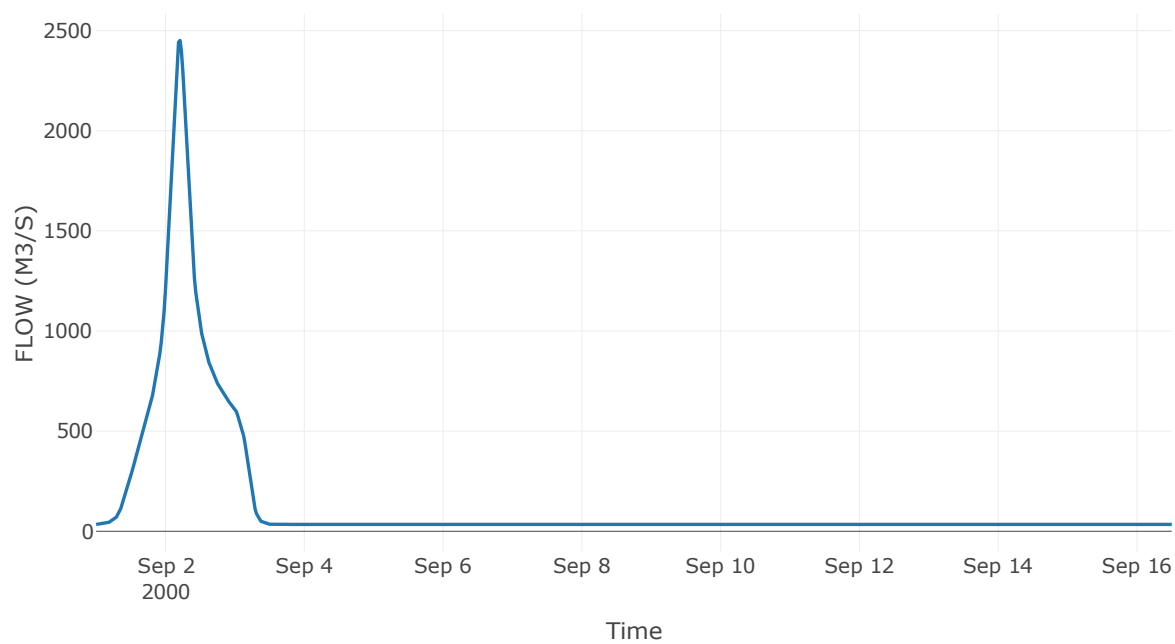
Κόμβος: J57

Κατάντη : R5753

Αποτελέσματα: J57

Παροχή Αιχμής (M3/S)	2450.81
Χρονική στιγμή αιχμής	02Sep2000, 05:00
Όγκος(MM)	304.23

Απορροή



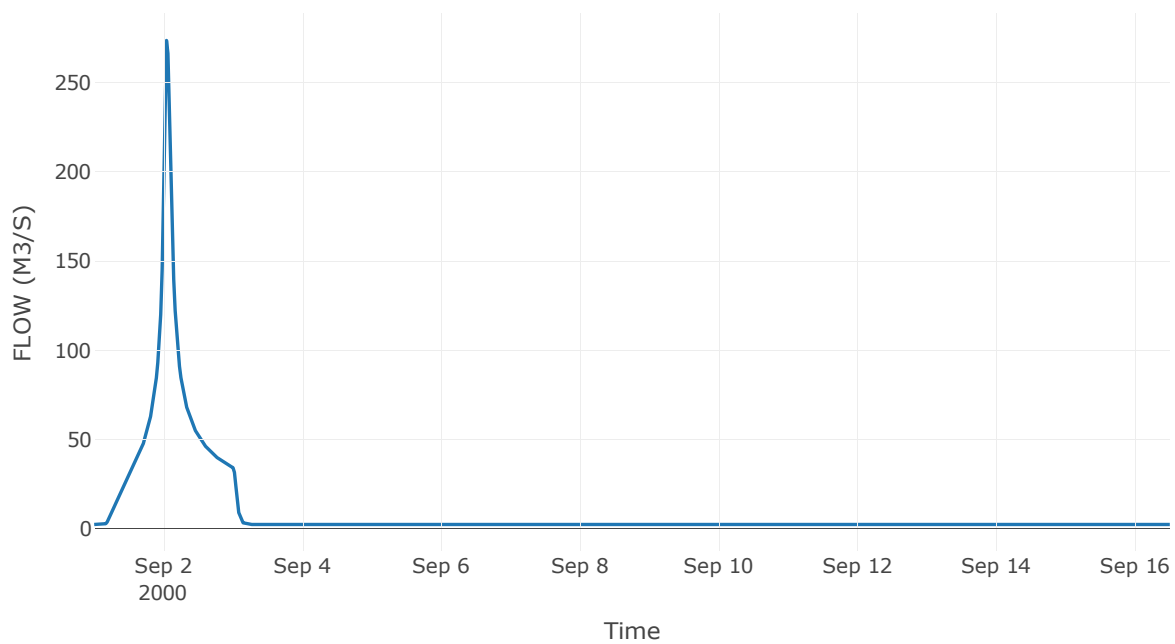
Κόμβος: J61

Κατάντη : R6120

Αποτελέσματα: J61

Παροχή Αιχμής (M3/S)	273.46
Χρονική στιγμή αιχμής	02Sep2000, 01:00
Όγκος(MM)	277.2

Απορροή



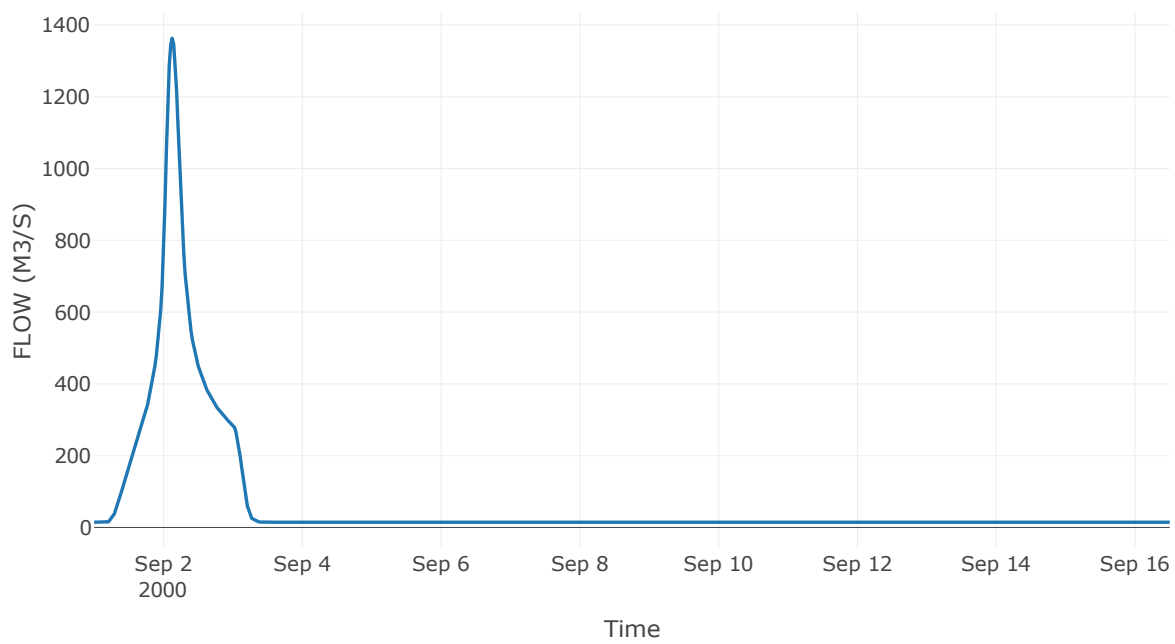
Κόμβος: J62

Κατάντη : R6227

Αποτελέσματα: J62

Παροχή Αιχμής (M3/S)	1363
Χρονική στιγμή αιχμής	02Sep2000, 03:00
Όγκος(MM)	346.31

Απορροή



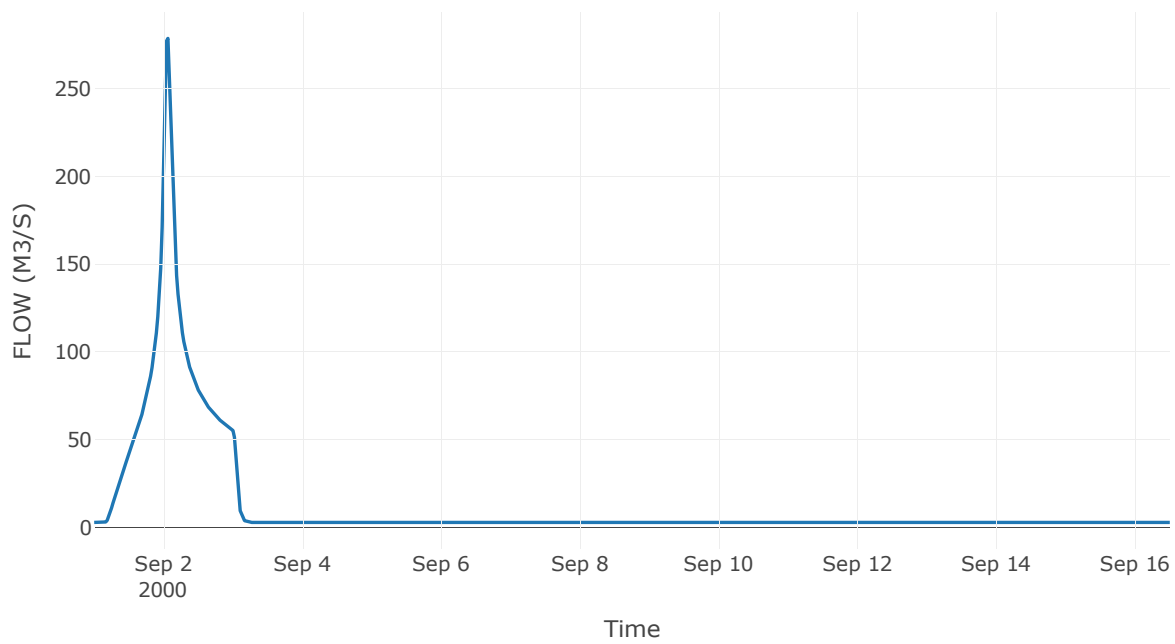
Κόμβος: J63

Κατάντη : R6357

Αποτελέσματα: J63

Παροχή Αιχμής (M3/S)	278.54
Χρονική στιγμή αιχμής	02Sep2000, 01:30
Όγκος(MM)	321.27

Απορροή



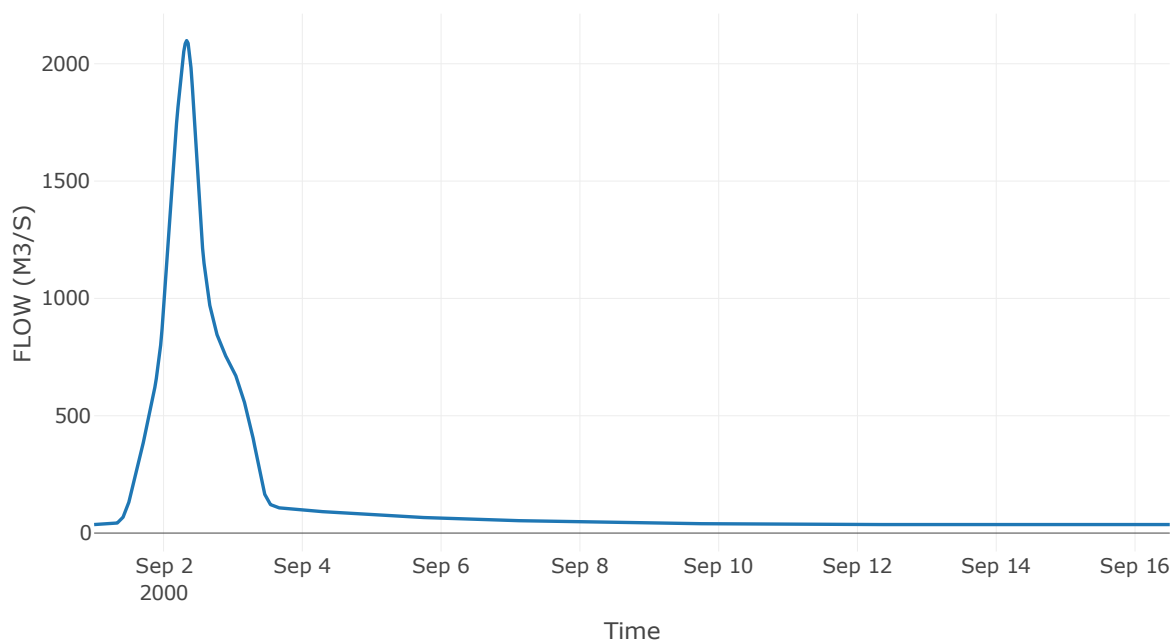
Κόμβος: J64

Κατάντη : R6429

Αποτελέσματα: J64

Παροχή Αιχμής (M3/S)	2098.93
Χρονική στιγμή αιχμής	02Sep2000, 08:00
Όγκος(MM)	319.99

Απορροή



8 Δεδομένα εισόδου και αποτελέσματα υδρολογικού σεναρίου $T=1000$

8.1 Αποτελέσματα, υετογραφήματα και υδρογραφήματα σχεδιασμού υπολεκανών

Υπολεκάνη: EL0415FR6001

Έκταση (KM2) : 48.19

Κατάντη : J1

Μέθοδος Απωλειών: SCS

Ποσοστό αδιαπέρατης επιφάνειας	0
Αριθμός Καμπύλης Απορροής-CN	79.72
Αρχικές Απώλειες	12.92

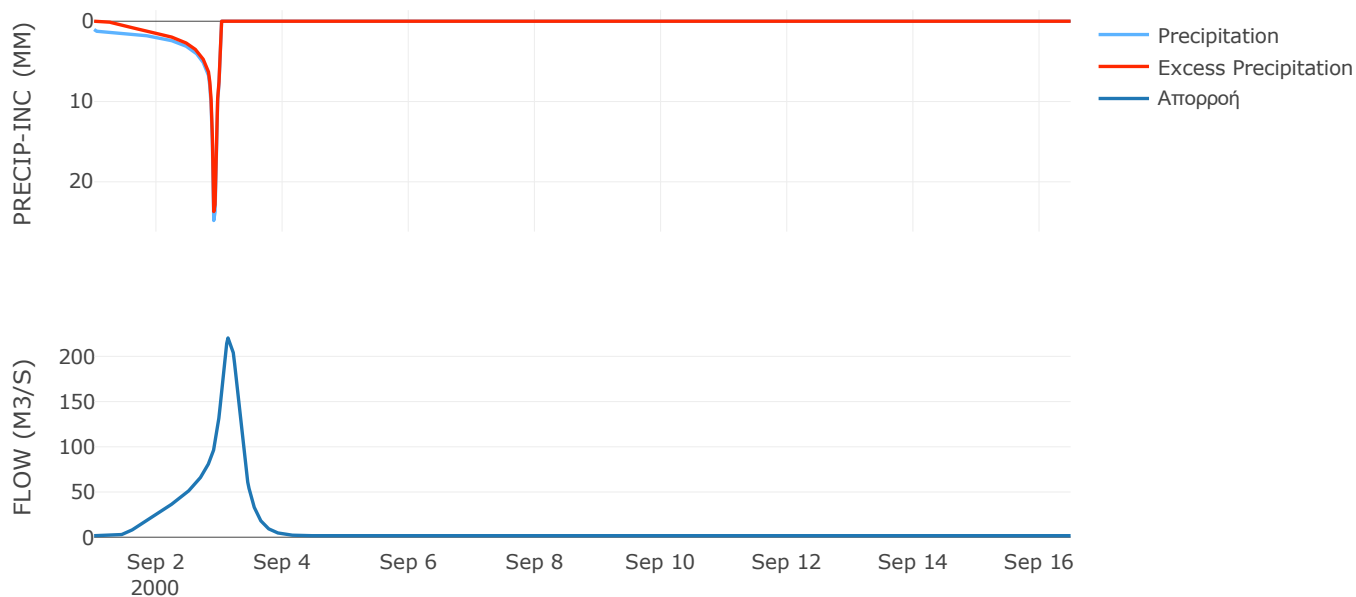
Μέθοδος
Μετασχηματισμού: SCS

Χρόνος Υστέρησης	365.34
------------------	--------

Αποτελέσματα:
EL0415FR6001

Παροχή αιχμής (M3/S)	222.1
Χρονική στιγμή αιχμής	03Sep2000, 03:30
Όγκος (MM)	303.41
Όγκος βροχόπτωσης (M3)	1.56E7
Όγκος απωλειών (M3)	3.2E6
Ενεργός Όγκος (M3)	1.24E7
Όγκος άμεσης απορροής (M3)	1.24E7
Όγκος βασικής απορροής (M3)	2.26E6

Βροχόπτωση και Απορροή



Υπολεκάνη: EL0415FR6002

Έκταση (KM2) : 27.73

Κατάντη : J2

Μέθοδος Απωλειών: SCS

Ποσοστό αδιαπέρατης επιφάνειας	0
Αριθμός Καμπύλης Απορροής-CN	80.05
Αρχικές Απώλειες	12.66

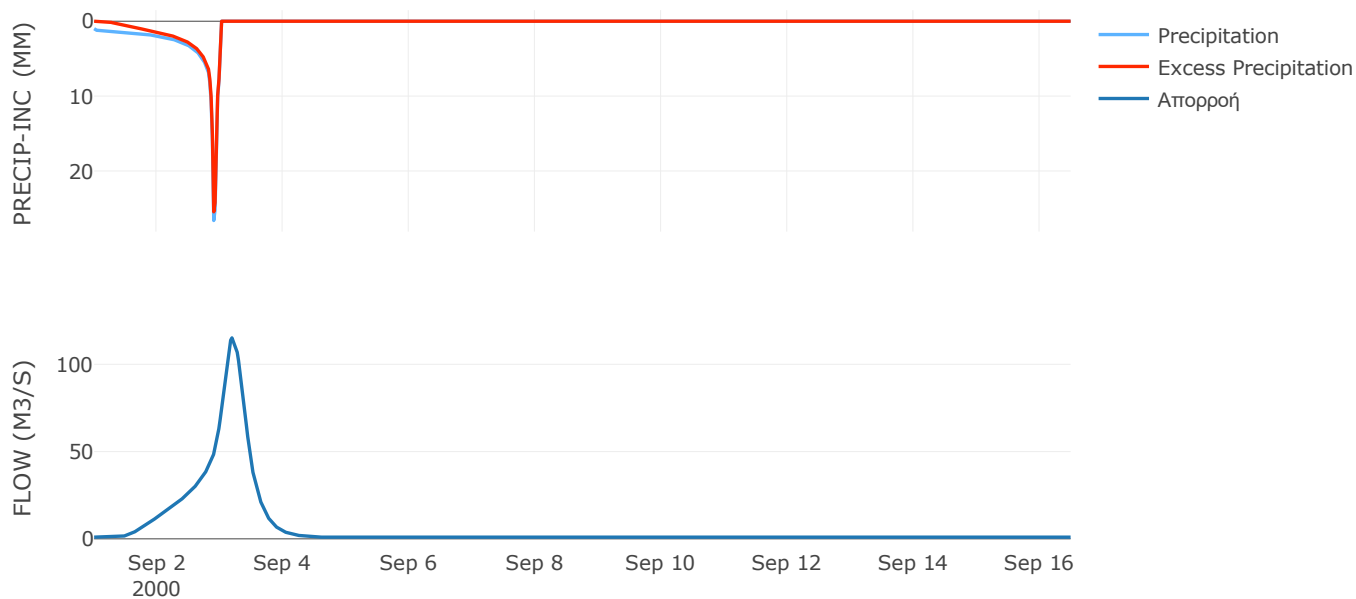
Μέθοδος
Μετασχηματισμού: SCS

Χρόνος Υστέρησης	458.14
------------------	--------

Αποτελέσματα:
EL0415FR6002

Παροχή αιχμής (M3/S)	115.16
Χρονική στιγμή αιχμής	03Sep2000, 04:30
Όγκος (MM)	306.9
Όγκος βροχόπτωσης (M3)	9.02E6
Όγκος απωλειών (M3)	1.81E6
Ενεργός Όγκος (M3)	7.21E6
Όγκος άμεσης απορροής (M3)	7.21E6
Όγκος βασικής απορροής (M3)	1.3E6

Βροχόπτωση και Απορροή



Υπολεκάνη: EL0415FR6003

Έκταση (KM2) : 27.92

Κατάντη : J3

Μέθοδος Απωλειών: SCS

Ποσοστό αδιαπέρατης επιφάνειας	0
Αριθμός Καμπύλης Απορροής-CN	77.23
Αρχικές Απώλειες	14.97

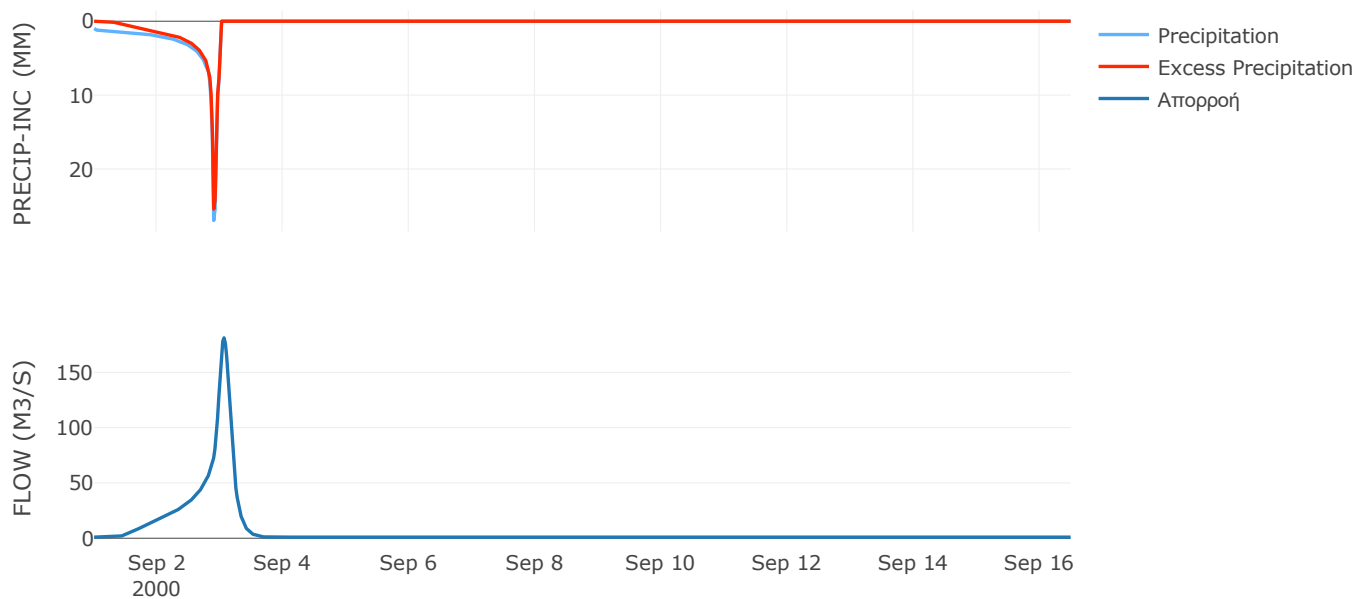
Μέθοδος
Μετασχηματισμού: SCS

Χρόνος Υστέρησης	212.2
------------------	-------

Αποτελέσματα:
EL0415FR6003

Παροχή αιχμής (M3/S)	181.16
Χρονική στιγμή αιχμής	03Sep2000, 01:30
Όγκος (MM)	297.77
Όγκος βροχόπτωσης (M3)	9.11E6
Όγκος απωλειών (M3)	2.1E6
Ενεργός Όγκος (M3)	7E6
Όγκος άμεσης απορροής (M3)	7E6
Όγκος βασικής απορροής (M3)	1.31E6

Βροχόπτωση και Απορροή



Υπολεκάνη: EL0415FR6004

Έκταση (KM2) : 22.76

Κατάντη : J4

Μέθοδος Απωλειών: SCS

Ποσοστό αδιαπέρατης επιφάνειας	0
Αριθμός Καμπύλης Απορροής-CN	72.77
Αρχικές Απώλειες	19.01

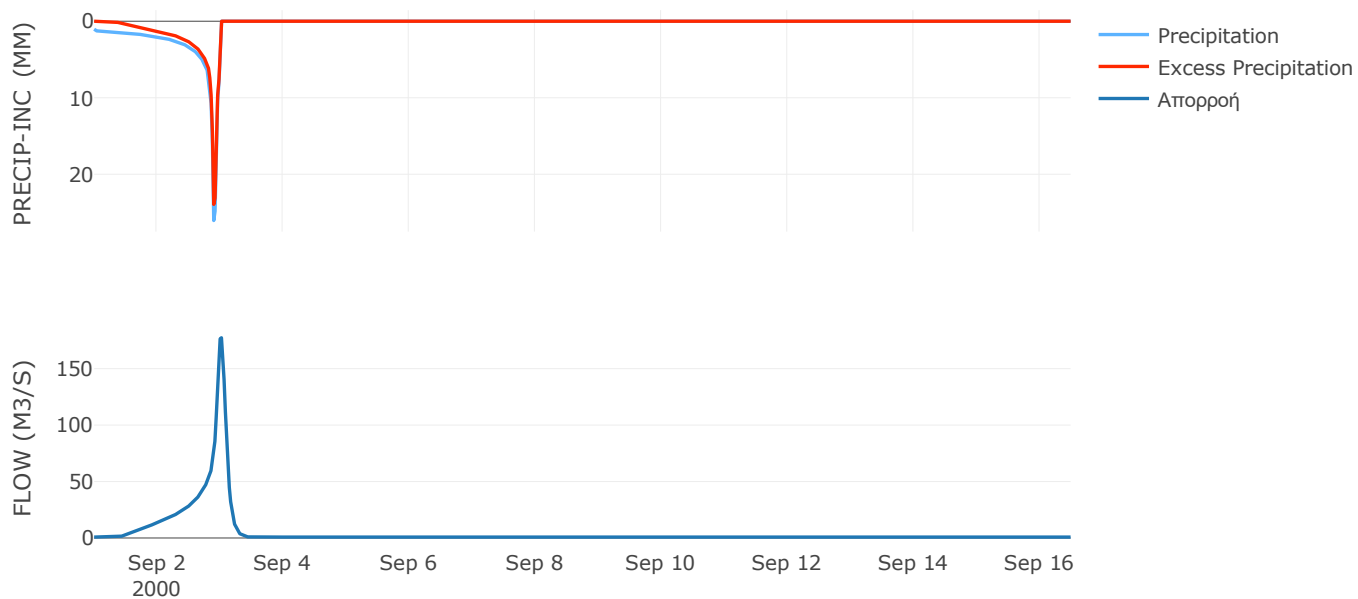
Μέθοδος
Μετασχηματισμού: SCS

Χρόνος Υστέρησης	131.36
------------------	--------

Αποτελέσματα:
EL0415FR6004

Παροχή αιχμής (M3/S)	177.35
Χρονική στιγμή αιχμής	03Sep2000, 00:30
Όγκος (MM)	285.99
Όγκος βροχόπτωσης (M3)	7.53E6
Όγκος απωλειών (M3)	2.09E6
Ενεργός Όγκος (M3)	5.44E6
Όγκος άμεσης απορροής (M3)	5.44E6
Όγκος βασικής απορροής (M3)	1.07E6

Βροχόπτωση και Απορροή



Υπολεκάνη: EL0415FR6005

Έκταση (KM2) : 10.79

Κατάντη : J5

Μέθοδος Απωλειών: SCS

Ποσοστό αδιαπέρατης επιφάνειας	0
Αριθμός Καμπύλης Απορροής-CN	81.52
Αρχικές Απώλειες	11.52

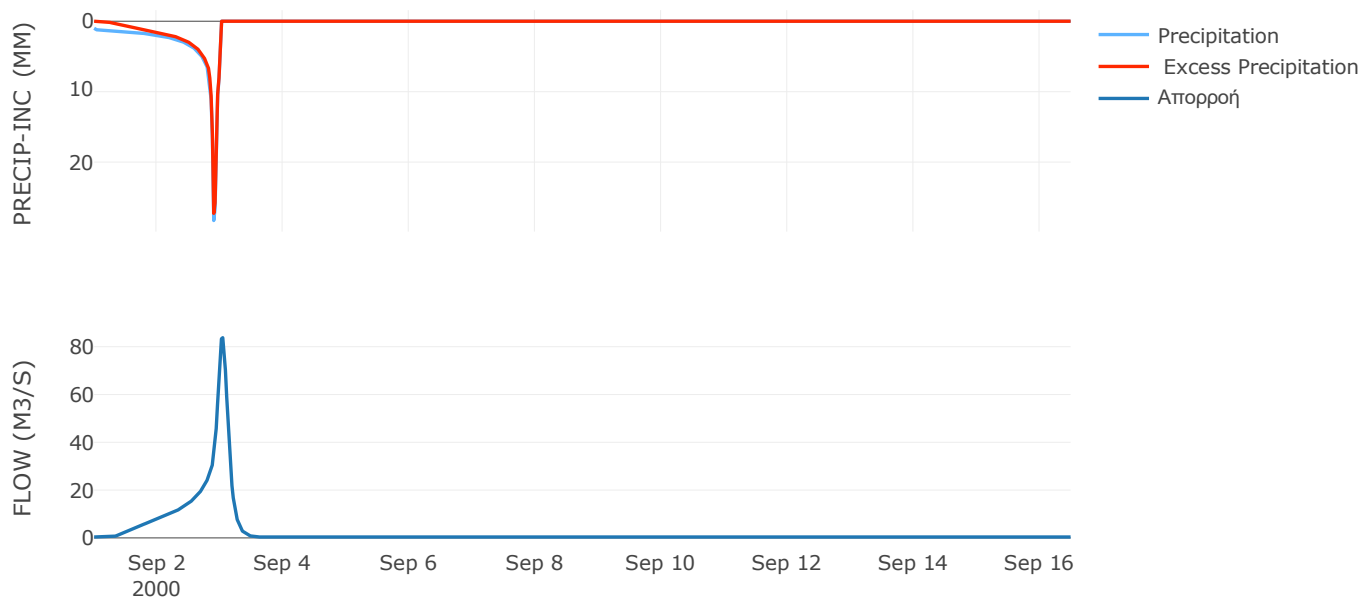
Μέθοδος
Μετασχηματισμού: SCS

Χρόνος Υστέρησης	166.88
------------------	--------

Αποτελέσματα:
EL0415FR6005

Παροχή αιχμής (M3/S)	83.77
Χρονική στιγμή αιχμής	03Sep2000, 01:00
Όγκος (MM)	321.16
Όγκος βροχόπτωσης (M3)	3.61E6
Όγκος απωλειών (M3)	6.52E5
Ενεργός Όγκος (M3)	2.96E6
Όγκος άμεσης απορροής (M3)	2.96E6
Όγκος βασικής απορροής (M3)	5.06E5

Βροχόπτωση και Απορροή



Υπολεκάνη: EL0415FR6006

Έκταση (KM2) : 20.96

Κατάντη : J5

Μέθοδος Απωλειών: SCS

Ποσοστό αδιαπέρατης επιφάνειας	0
Αριθμός Καμπύλης Απορροής-CN	67.85
Αρχικές Απώλειες	24.07

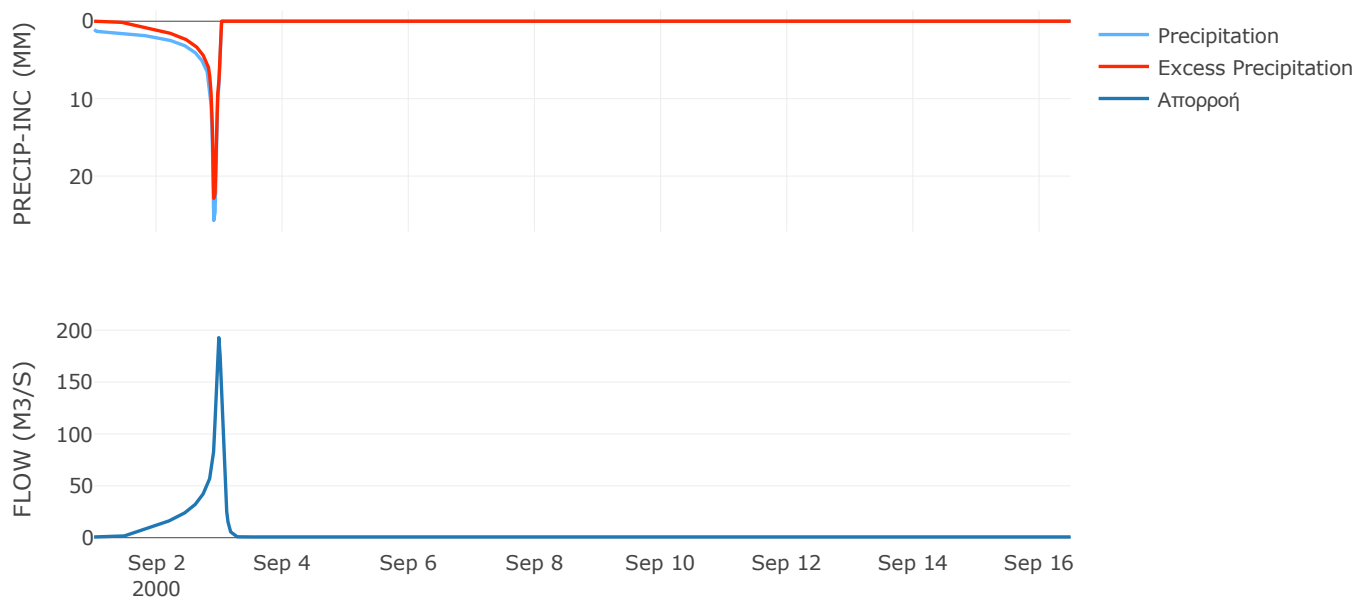
Μέθοδος
Μετασχηματισμού: SCS

Χρόνος Υστέρησης	76.48
------------------	-------

Αποτελέσματα:
EL0415FR6006

Παροχή αιχμής (M3/S)	192.84
Χρονική στιγμή αιχμής	02Sep2000, 23:30
Όγκος (MM)	273.1
Όγκος βροχόπτωσης (M3)	7.07E6
Όγκος απωλειών (M3)	2.33E6
Ενεργός Όγκος (M3)	4.74E6
Όγκος άμεσης απορροής (M3)	4.74E6
Όγκος βασικής απορροής (M3)	9.82E5

Βροχόπτωση και Απορροή



Υπολεκάνη: EL0415FR6007

Έκταση (KM2) : 16.96

Κατάντη : J6

Μέθοδος Απωλειών: SCS

Ποσοστό αδιαπέρατης επιφάνειας	0
Αριθμός Καμπύλης Απορροής-CN	75.12
Αρχικές Απώλειες	16.83

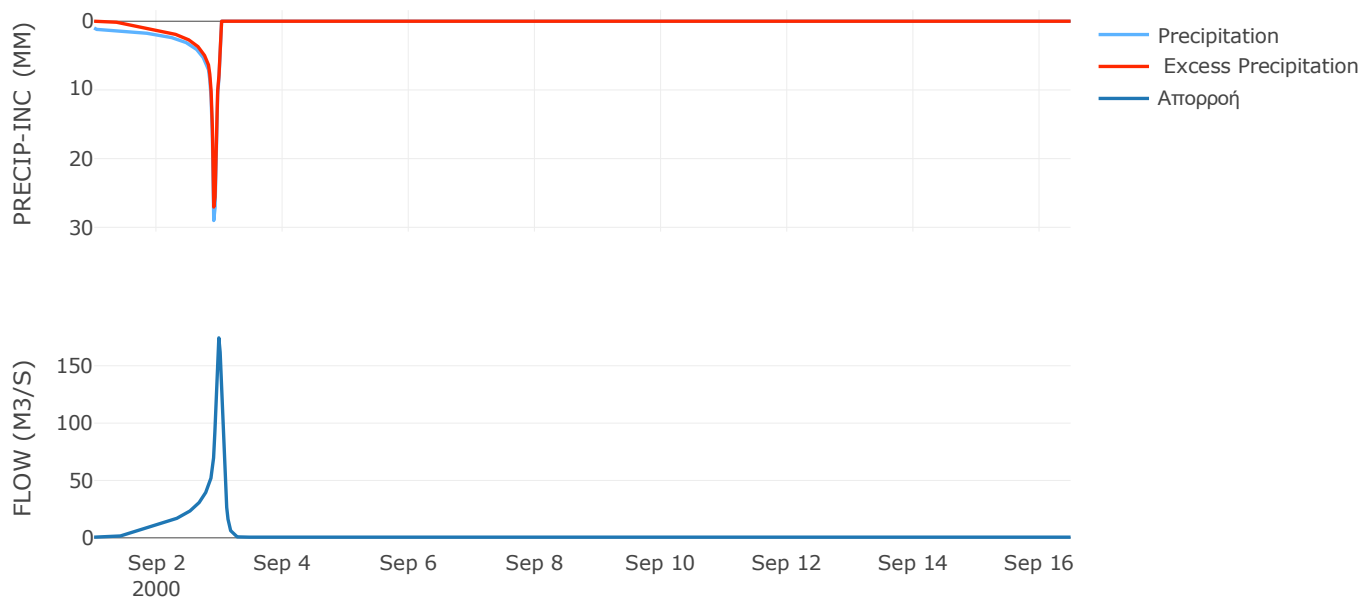
Μέθοδος
Μετασχηματισμού: SCS

Χρόνος Υστέρησης	82.05
------------------	-------

Αποτελέσματα:
EL0415FR6007

Παροχή αιχμής (M3/S)	174.31
Χρονική στιγμή αιχμής	02Sep2000, 23:30
Όγκος (MM)	297.67
Όγκος βροχόπτωσης (M3)	5.67E6
Όγκος απωλειών (M3)	1.41E6
Ενεργός Όγκος (M3)	4.25E6
Όγκος άμεσης απορροής (M3)	4.25E6
Όγκος βασικής απορροής (M3)	7.95E5

Βροχόπτωση και Απορροή



Υπολεκάνη: EL0415FR6008

Έκταση (KM2) : 24.49

Κατάντη : J6

Μέθοδος Απωλειών: SCS

Ποσοστό αδιαπέρατης επιφάνειας	0
Αριθμός Καμπύλης Απορροής-CN	82.14
Αρχικές Απώλειες	11.04

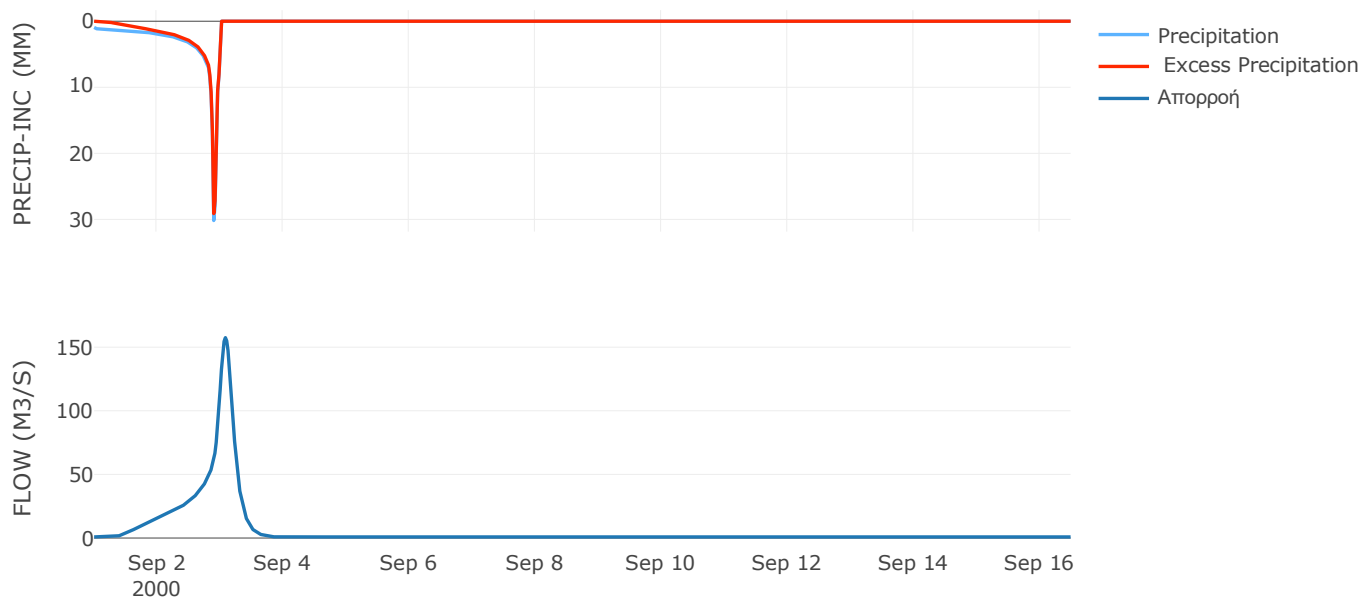
Μέθοδος
Μετασχηματισμού: SCS

Χρόνος Υστέρησης	254.02
------------------	--------

Αποτελέσματα:
EL0415FR6008

Παροχή αιχμής (M3/S)	157.49
Χρονική στιγμή αιχμής	03Sep2000, 02:00
Όγκος (MM)	319.98
Όγκος βροχόπτωσης (M3)	8.11E6
Όγκος απωλειών (M3)	1.42E6
Ενεργός Όγκος (M3)	6.69E6
Όγκος άμεσης απορροής (M3)	6.69E6
Όγκος βασικής απορροής (M3)	1.15E6

Βροχόπτωση και Απορροή



Υπολεκάνη: EL0415FR6009

Έκταση (KM2) : 22.05

Κατάντη : J7

Μέθοδος Απωλειών: SCS

Ποσοστό αδιαπέρατης επιφάνειας	41
Αριθμός Καμπύλης Απορροής-CN	79.49
Αρχικές Απώλειες	13.11

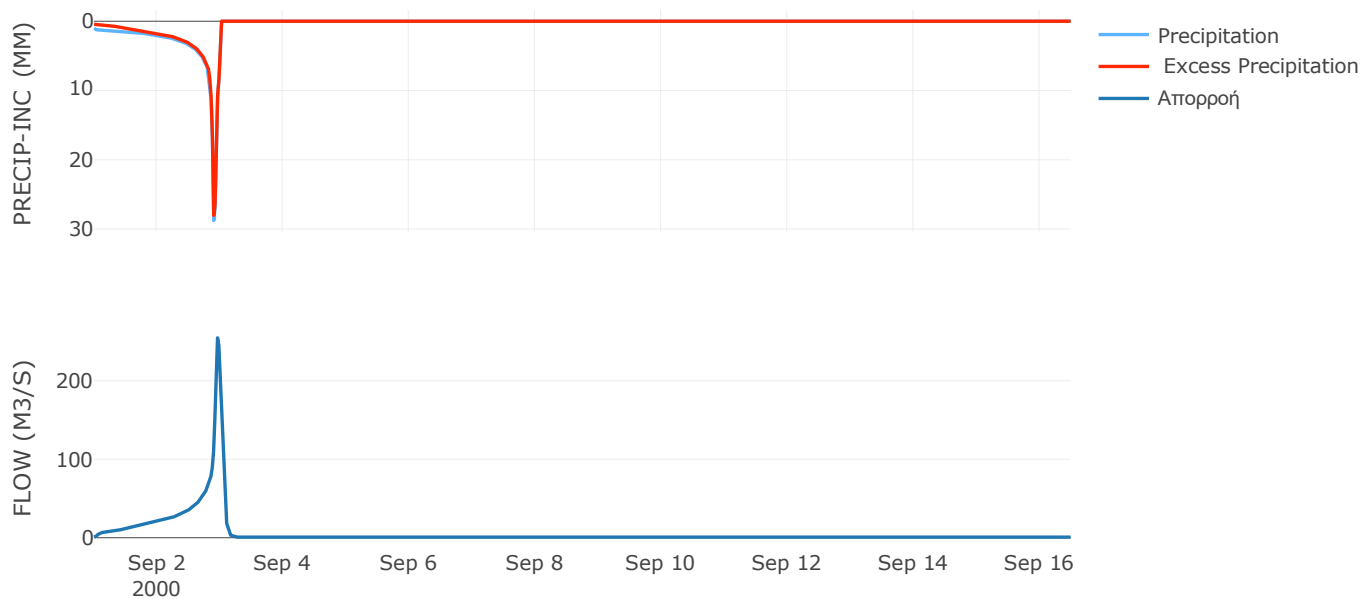
Μέθοδος
Μετασχηματισμού: SCS

Χρόνος Υστέρησης	63.46
------------------	-------

Αποτελέσματα:
EL0415FR6009

Παροχή αιχμής (M3/S)	254.61
Χρονική στιγμή αιχμής	02Sep2000, 23:00
Όγκος (MM)	347.62
Όγκος βροχόπτωσης (M3)	7.51E6
Όγκος απωλειών (M3)	8.81E5
Ενεργός Όγκος (M3)	6.63E6
Όγκος άμεσης απορροής (M3)	6.63E6
Όγκος βασικής απορροής (M3)	1.03E6

Βροχόπτωση και Απορροή



Υπολεκάνη: EL0415FR6010

Έκταση (KM2) : 10.43

Κατάντη : J9

Μέθοδος Απωλειών: SCS

Ποσοστό αδιαπέρατης επιφάνειας	0
Αριθμός Καμπύλης Απορροής-CN	70.38
Αρχικές Απώλειες	21.38

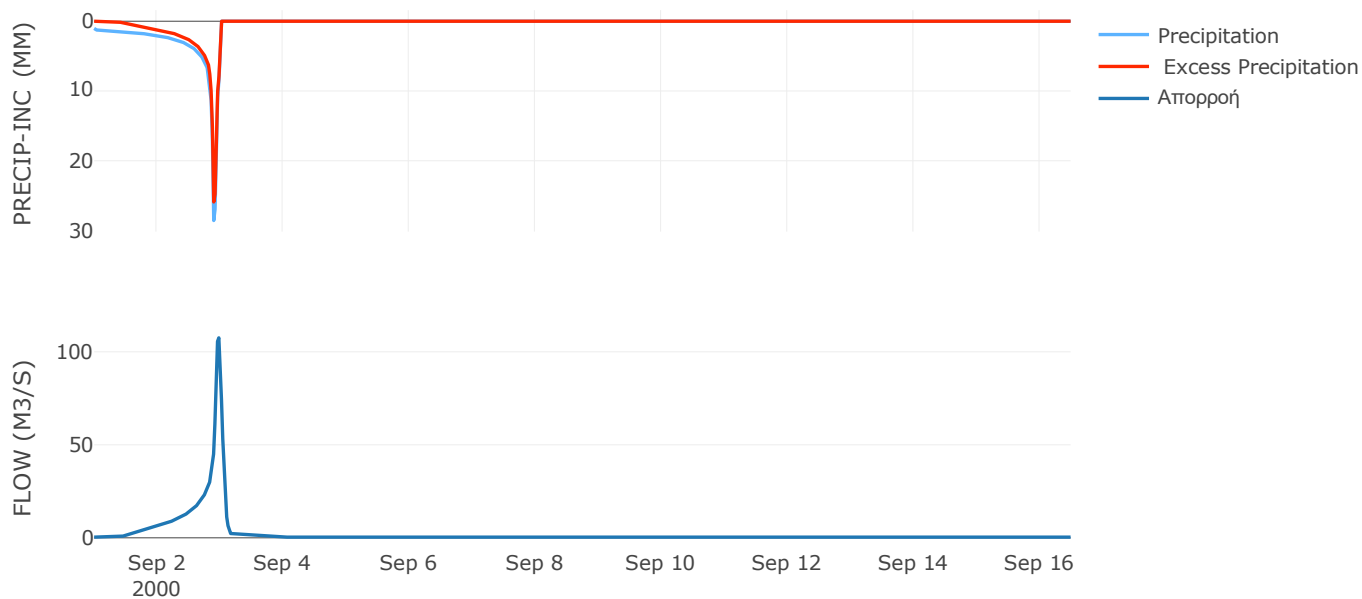
Μέθοδος
Μετασχηματισμού: SCS

Χρόνος Υστέρησης	71.36
------------------	-------

Αποτελέσματα:
EL0415FR6010

Παροχή αιχμής (M3/S)	107.51
Χρονική στιγμή αιχμής	02Sep2000, 23:30
Όγκος (MM)	288.11
Όγκος βροχόπτωσης (M3)	3.57E6
Όγκος απωλειών (M3)	1.06E6
Ενεργός Όγκος (M3)	2.51E6
Όγκος άμεσης απορροής (M3)	2.51E6
Όγκος βασικής απορροής (M3)	4.89E5

Βροχόπτωση και Απορροή



Υπολεκάνη: EL0415FR6011

Έκταση (KM2) : 13.24

Κατάντη : J10

Μέθοδος Απωλειών: SCS

Ποσοστό αδιαπέρατης επιφάνειας	0
Αριθμός Καμπύλης Απορροής-CN	71.3
Αρχικές Απώλειες	20.45

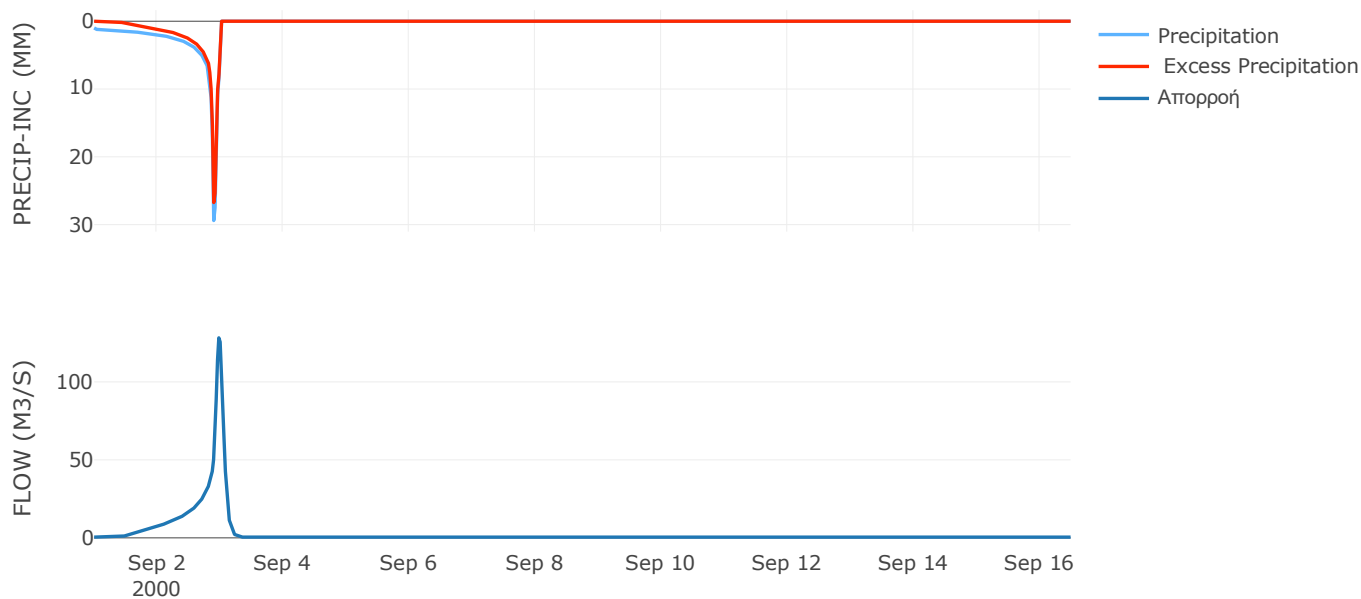
Μέθοδος
Μετασχηματισμού: SCS

Χρόνος Υστέρησης	92.79
------------------	-------

Αποτελέσματα:
EL0415FR6011

Παροχή αιχμής (M3/S)	128.25
Χρονική στιγμή αιχμής	02Sep2000, 23:30
Όγκος (MM)	286.76
Όγκος βροχόπτωσης (M3)	4.47E6
Όγκος απωλειών (M3)	1.29E6
Ενεργός Όγκος (M3)	3.18E6
Όγκος άμεσης απορροής (M3)	3.18E6
Όγκος βασικής απορροής (M3)	6.2E5

Βροχόπτωση και Απορροή



Υπολεκάνη: EL0415FR6012

Έκταση (KM2) : 11.82

Κατάντη : J11

Μέθοδος Απωλειών: SCS

Ποσοστό αδιαπέρατης επιφάνειας	0
Αριθμός Καμπύλης Απορροής-CN	55.64
Αρχικές Απώλειες	40.5

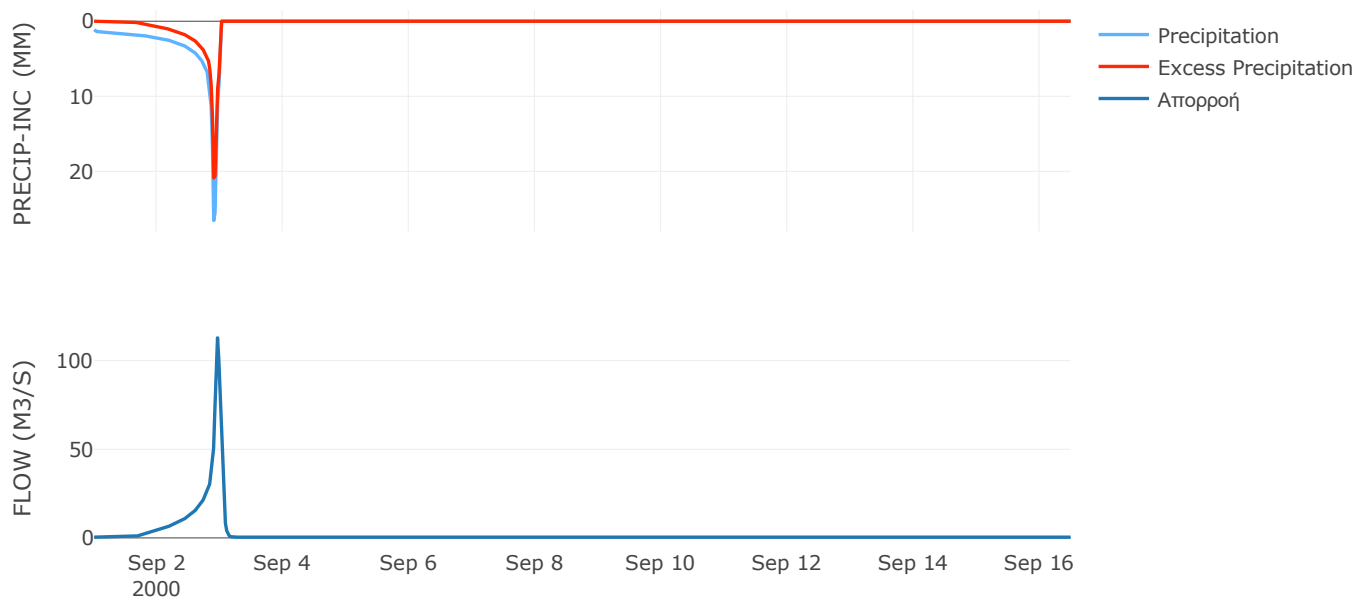
Μέθοδος
Μετασχηματισμού: SCS

Χρόνος Υστέρησης	50.05
------------------	-------

Αποτελέσματα:
EL0415FR6012

Παροχή αιχμής (M3/S)	112.87
Χρονική στιγμή αιχμής	02Sep2000, 23:00
Όγκος (MM)	234.67
Όγκος βροχόπτωσης (M3)	4.15E6
Όγκος απωλειών (M3)	1.93E6
Ενεργός Όγκος (M3)	2.22E6
Όγκος άμεσης απορροής (M3)	2.22E6
Όγκος βασικής απορροής (M3)	5.54E5

Βροχόπτωση και Απορροή



Υπολεκάνη: EL0415FR6013

Έκταση (KM2) : 37.65

Κατάντη : J12

Μέθοδος Απωλειών: SCS

Ποσοστό αδιαπέρατης επιφάνειας	0
Αριθμός Καμπύλης Απορροής-CN	56.41
Αρχικές Απώλειες	39.26

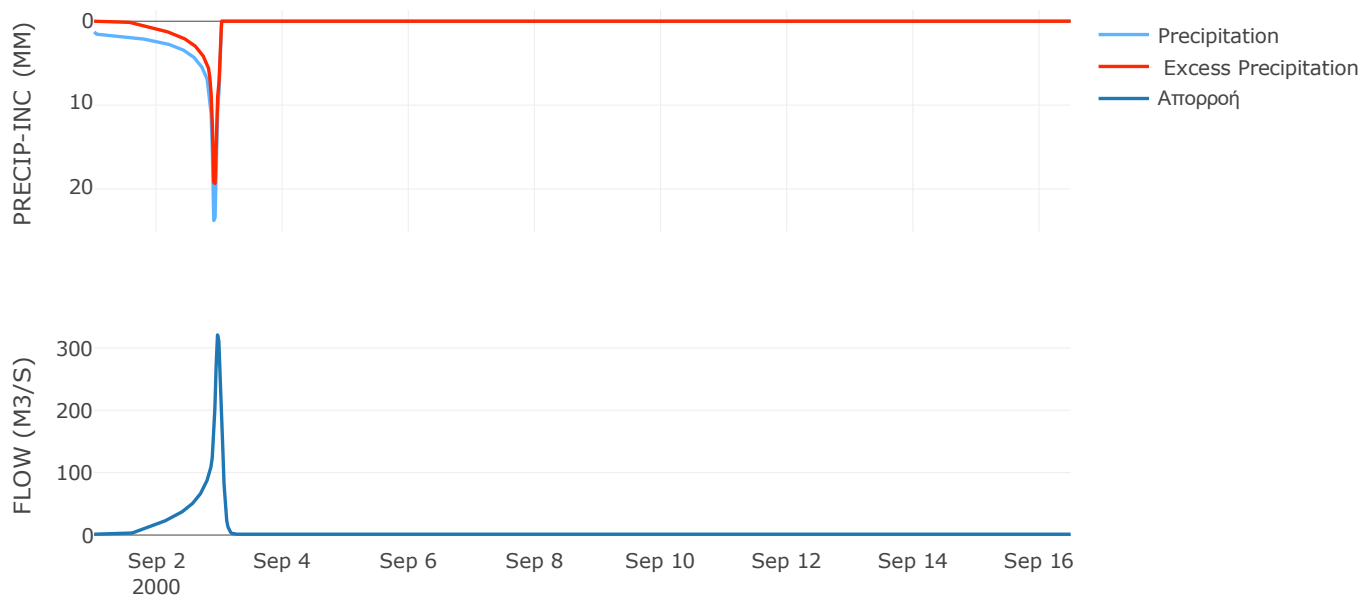
Μέθοδος
Μετασχηματισμού: SCS

Χρόνος Υστέρησης	61.21
------------------	-------

Αποτελέσματα:
EL0415FR6013

Παροχή αιχμής (M3/S)	320.81
Χρονική στιγμή αιχμής	02Sep2000, 23:00
Όγκος (MM)	247.42
Όγκος βροχόπτωσης (M3)	1.36E7
Όγκος απωλειών (M3)	6.07E6
Ενεργός Όγκος (M3)	7.55E6
Όγκος άμεσης απορροής (M3)	7.55E6
Όγκος βασικής απορροής (M3)	1.76E6

Βροχόπτωση και Απορροή



Υπολεκάνη: EL0415FR6014

Έκταση (KM2) : 17.43

Κατάντη : J8

Μέθοδος Απωλειών: SCS

Ποσοστό αδιαπέρατης επιφάνειας	0
Αριθμός Καμπύλης Απορροής-CN	81.44
Αρχικές Απώλειες	11.58

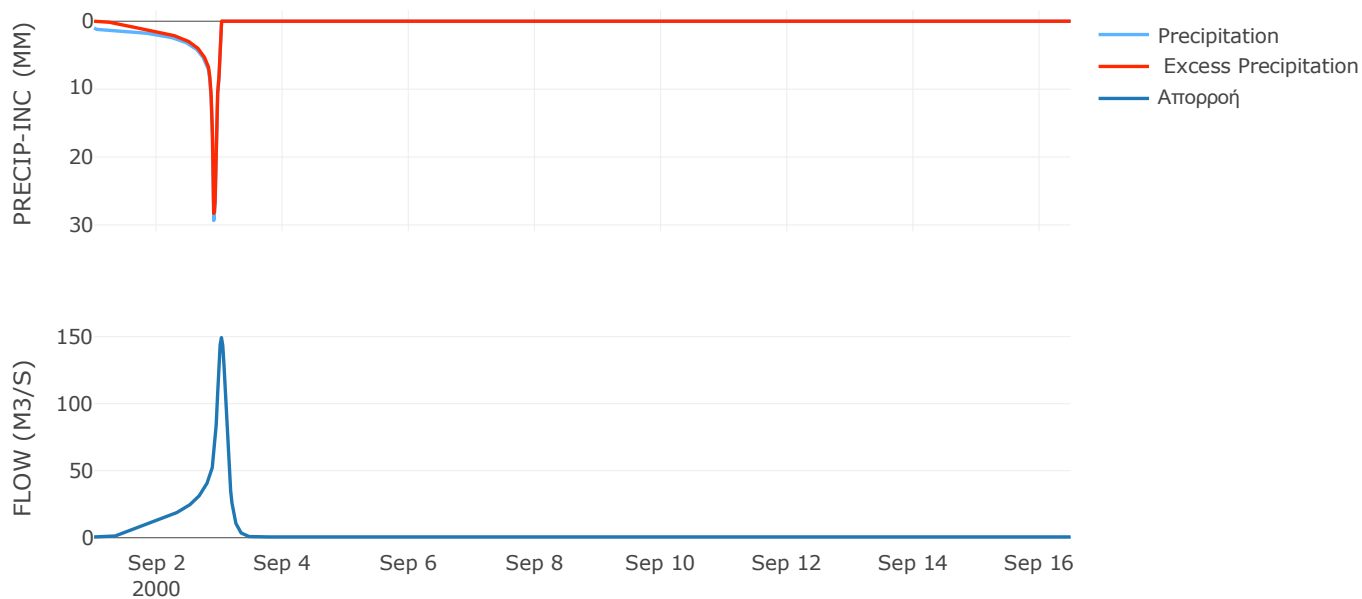
Μέθοδος
Μετασχηματισμού: SCS

Χρόνος Υστέρησης	145.42
------------------	--------

Αποτελέσματα:
EL0415FR6014

Παροχή αιχμής (M3/S)	149.28
Χρονική στιγμή αιχμής	03Sep2000, 00:30
Όγκος (MM)	324.2
Όγκος βροχόπτωσης (M3)	5.89E6
Όγκος απωλειών (M3)	1.06E6
Ενεργός Όγκος (M3)	4.83E6
Όγκος άμεσης απορροής (M3)	4.83E6
Όγκος βασικής απορροής (M3)	8.17E5

Βροχόπτωση και Απορροή



Υπολεκάνη: EL0415FR6015

Έκταση (KM2) : 9.94

Κατάντη : J8

Μέθοδος Απωλειών: SCS

Ποσοστό αδιαπέρατης επιφάνειας	0
Αριθμός Καμπύλης Απορροής-CN	84.53
Αρχικές Απώλειες	9.3

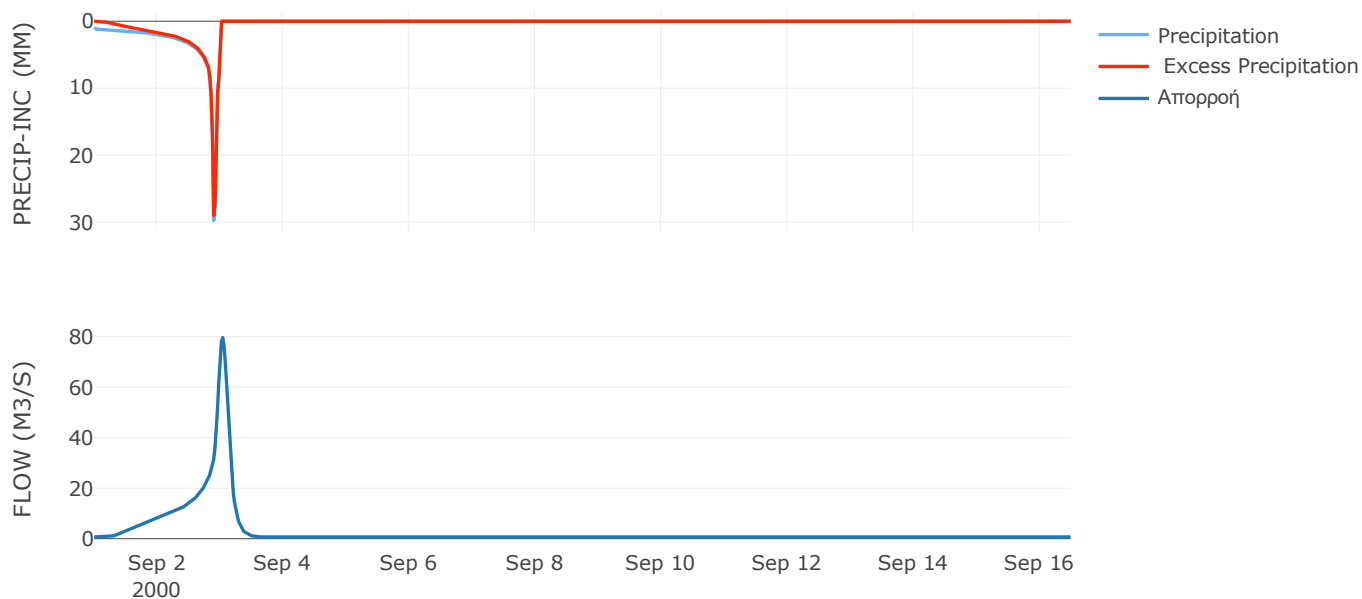
Μέθοδος
Μετασχηματισμού: SCS

Χρόνος Υστέρησης	174.64
------------------	--------

Αποτελέσματα:
EL0415FR6015

Παροχή αιχμής (M3/S)	79.6
Χρονική στιγμή αιχμής	03Sep2000, 01:00
Όγκος (MM)	380.48
Όγκος βροχόπτωσης (M3)	3.35E6
Όγκος απωλειών (M3)	4.97E5
Ενεργός Όγκος (M3)	2.85E6
Όγκος άμεσης απορροής (M3)	2.85E6
Όγκος βασικής απορροής (M3)	9.32E5

Βροχόπτωση και Απορροή



Υπολεκάνη: EL0415FR6016

Έκταση (KM2) : 45.09

Κατάνη : J13 Res1

Μέθοδος Απωλειών: SCS

Ποσοστό αδιαπέρατης επιφάνειας	14
Αριθμός Καμπύλης Απορροής-CN	84.08
Αρχικές Απώλειες	9.62

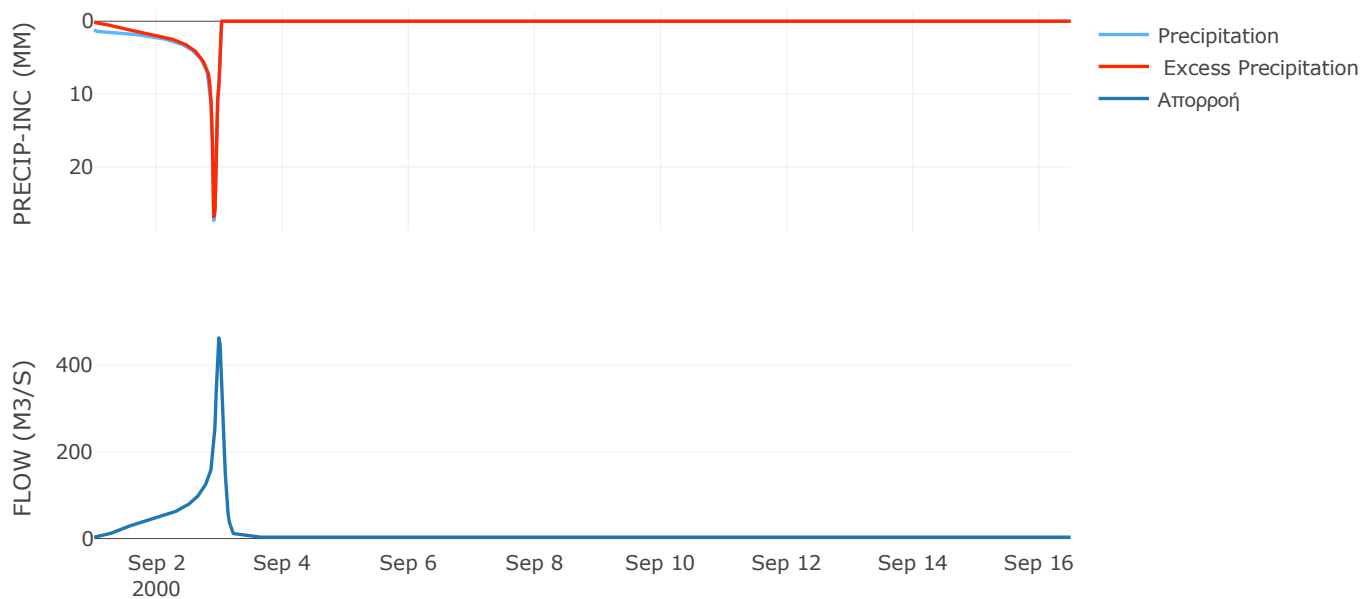
Μέθοδος
Μετασχηματισμού: SCS

Χρόνος Υστέρησης	89.62
------------------	-------

Αποτελέσματα:
EL0415FR6016

Παροχή αιχμής (M3/S)	462.75
Χρονική στιγμή αιχμής	02Sep2000, 23:30
Όγκος (MM)	406.85
Όγκος βροχόπτωσης (M3)	1.61E7
Όγκος απωλειών (M3)	2.01E6
Ενεργός Όγκος (M3)	1.41E7
Όγκος άμεσης απορροής (M3)	1.41E7
Όγκος βασικής απορροής (M3)	4.23E6

Βροχόπτωση και Απορροή



Υπολεκάνη: EL0415FR6017

Έκταση (KM2) : 48.36

Κατάντη : J14

Μέθοδος Απωλειών: SCS

Ποσοστό αδιαπέρατης επιφάνειας	0
Αριθμός Καμπύλης Απορροής-CN	80.45
Αρχικές Απώλειες	12.34

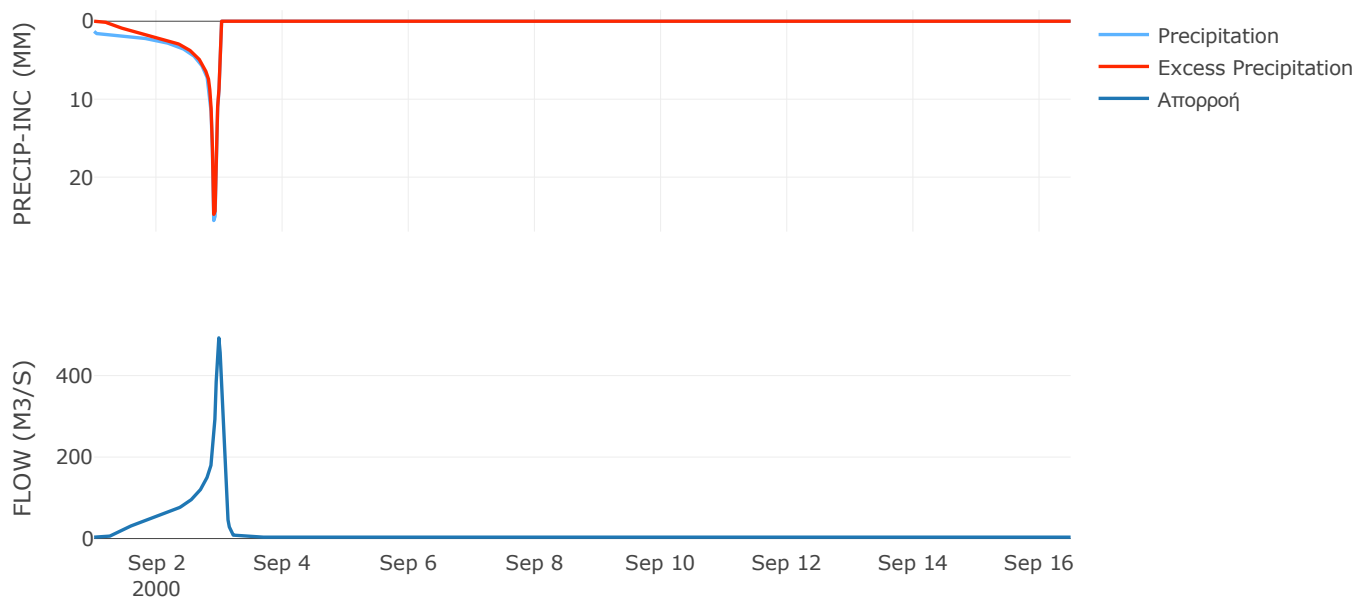
Μέθοδος
Μετασχηματισμού: SCS

Χρόνος Υστέρησης	79.57
------------------	-------

Αποτελέσματα:
EL0415FR6017

Παροχή αιχμής (M3/S)	492.51
Χρονική στιγμή αιχμής	02Sep2000, 23:30
Όγκος (MM)	405.86
Όγκος βροχόπτωσης (M3)	1.82E7
Όγκος απωλειών (M3)	3.15E6
Ενεργός Όγκος (M3)	1.51E7
Όγκος άμεσης απορροής (M3)	1.51E7
Όγκος βασικής απορροής (M3)	4.53E6

Βροχόπτωση και Απορροή



Υπολεκάνη: EL0415FR6018

Έκταση (KM2) : 76.58

Κατάντη : J19

Μέθοδος Απωλειών: SCS

Ποσοστό αδιαπέρατης επιφάνειας	8
Αριθμός Καμπύλης Απορροής-CN	82.85
Αρχικές Απώλειες	10.52

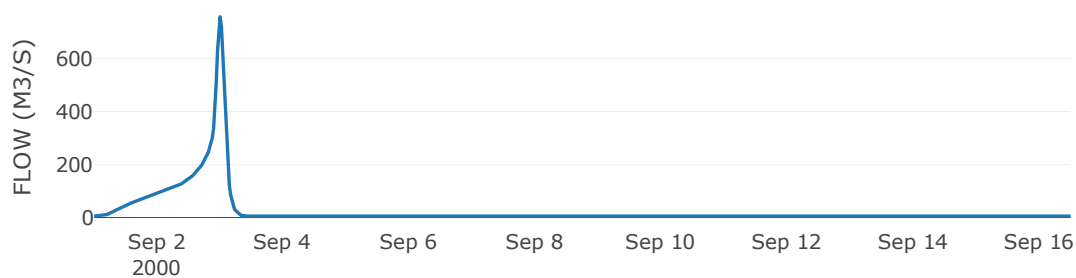
Μέθοδος
Μετασχηματισμού: SCS

Χρόνος Υστέρησης	111.61
------------------	--------

Αποτελέσματα:
EL0415FR6018

Παροχή αιχμής (M3/S)	756.79
Χρονική στιγμή αιχμής	02Sep2000, 24:00
Όγκος (MM)	431.78
Όγκος βροχόπτωσης (M3)	2.99E7
Όγκος απωλειών (M3)	4E6
Ενεργός Όγκος (M3)	2.59E7
Όγκος άμεσης απορροής (M3)	2.59E7
Όγκος βασικής απορροής (M3)	7.18E6

Βροχόπτωση και Απορροή



Υπολεκάνη: EL0415FR6019

Έκταση (KM2) : 114.28

Κατάντη : J18

Μέθοδος Απωλειών: SCS

Ποσοστό αδιαπέρατης επιφάνειας	4
Αριθμός Καμπύλης Απορροής-CN	78.93
Αρχικές Απώλειες	13.56

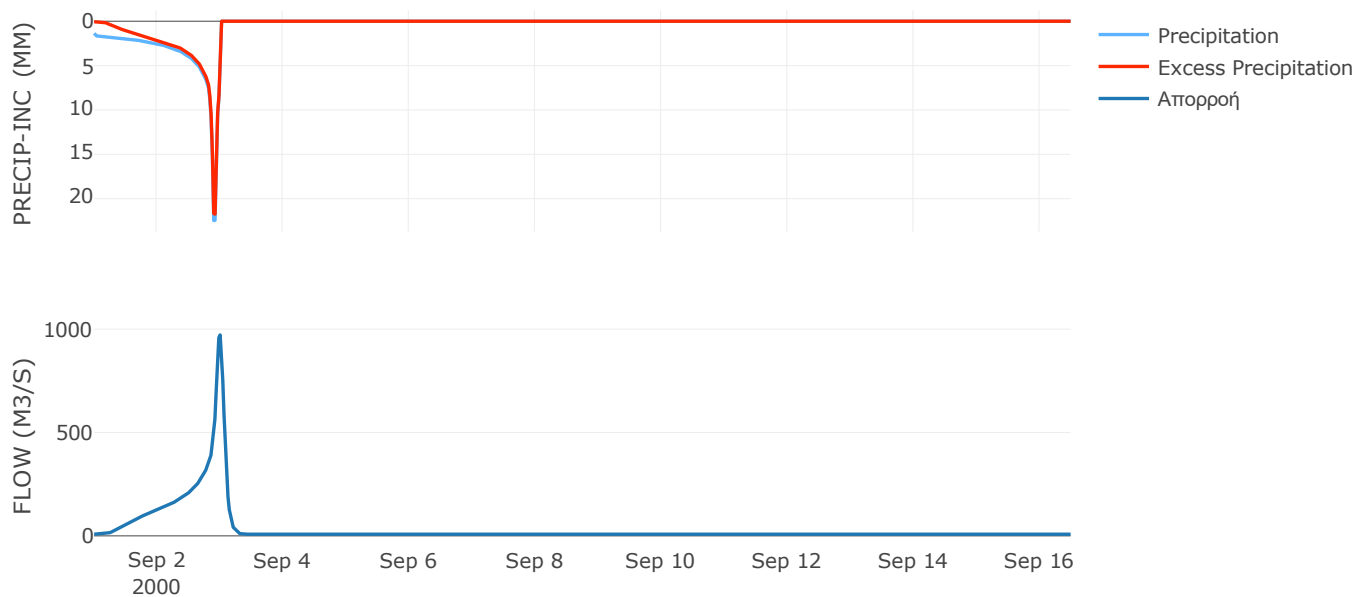
Μέθοδος
Μετασχηματισμού: SCS

Χρόνος Υστέρησης	101.73
------------------	--------

Αποτελέσματα:
EL0415FR6019

Παροχή αιχμής (M3/S)	972.04
Χρονική στιγμή αιχμής	02Sep2000, 24:00
Όγκος (MM)	395.94
Όγκος βροχόπτωσης (M3)	4.23E7
Όγκος απωλειών (M3)	7.74E6
Ενεργός Όγκος (M3)	3.45E7
Όγκος άμεσης απορροής (M3)	3.45E7
Όγκος βασικής απορροής (M3)	1.07E7

Βροχόπτωση και Απορροή



Υπολεκάνη: EL0415FR6020

Έκταση (KM2) : 41.91

Κατάντη : J14

Μέθοδος Απωλειών: SCS

Ποσοστό αδιαπέρατης επιφάνειας	0
Αριθμός Καμπύλης Απορροής-CN	80.83
Αρχικές Απώλειες	12.05

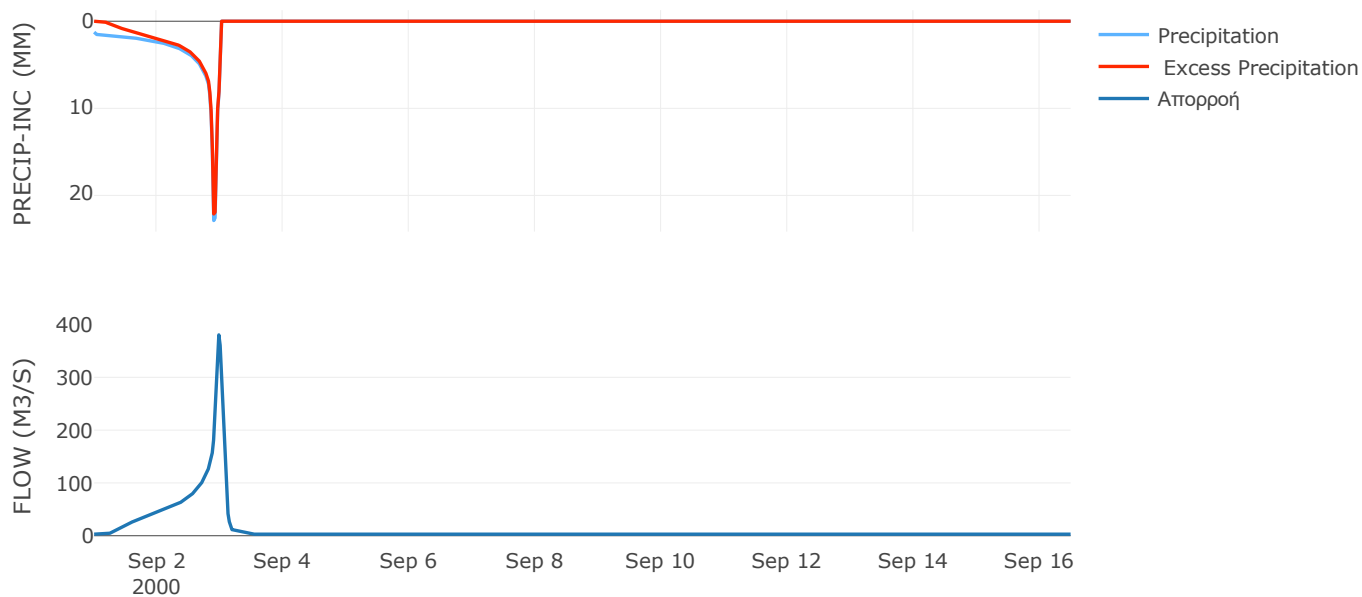
Μέθοδος
Μετασχηματισμού: SCS

Χρόνος Υστέρησης	83.84
------------------	-------

Αποτελέσματα:
EL0415FR6020

Παροχή αιχμής (M3/S)	380.4
Χρονική στιγμή αιχμής	02Sep2000, 23:30
Όγκος (MM)	382.7
Όγκος βροχόπτωσης (M3)	1.48E7
Όγκος απωλειών (M3)	2.65E6
Ενεργός Όγκος (M3)	1.21E7
Όγκος άμεσης απορροής (M3)	1.21E7
Όγκος βασικής απορροής (M3)	3.93E6

Βροχόπτωση και Απορροή



Υπολεκάνη: EL0415FR6021

Έκταση (KM2) : 21.44

Κατάντη : J20

Μέθοδος Απωλειών: SCS

Ποσοστό αδιαπέρατης επιφάνειας	0
Αριθμός Καμπύλης Απορροής-CN	80.76
Αρχικές Απώλειες	12.1

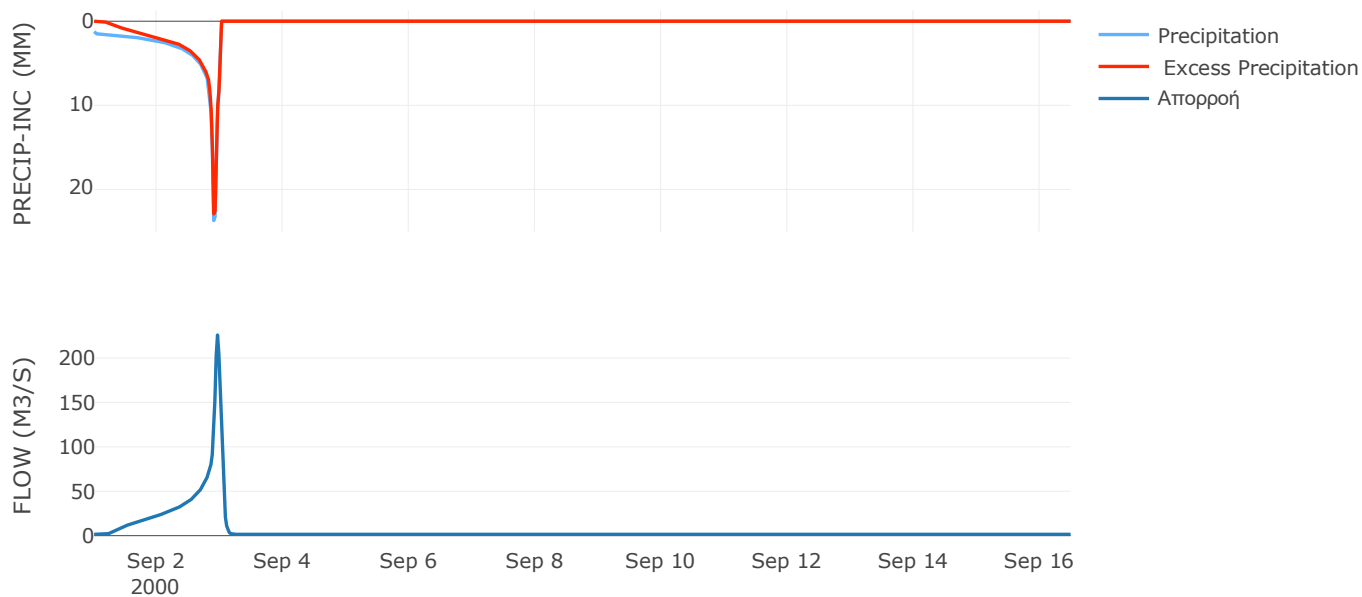
Μέθοδος
Μετασχηματισμού: SCS

Χρόνος Υστέρησης	53.2
------------------	------

Αποτελέσματα:
EL0415FR6021

Παροχή αιχμής (M3/S)	225.95
Χρονική στιγμή αιχμής	02Sep2000, 23:00
Όγκος (MM)	383.74
Όγκος βροχόπτωσης (M3)	7.58E6
Όγκος απωλειών (M3)	1.36E6
Ενεργός Όγκος (M3)	6.22E6
Όγκος άμεσης απορροής (M3)	6.22E6
Όγκος βασικής απορροής (M3)	2.01E6

Βροχόπτωση και Απορροή



Υπολεκάνη: EL0415FR6022

Έκταση (KM2) : 28.16

Κατάντη : J20

Μέθοδος Απωλειών: SCS

Ποσοστό αδιαπέρατης επιφάνειας	0
Αριθμός Καμπύλης Απορροής-CN	81.41
Αρχικές Απώλειες	11.6

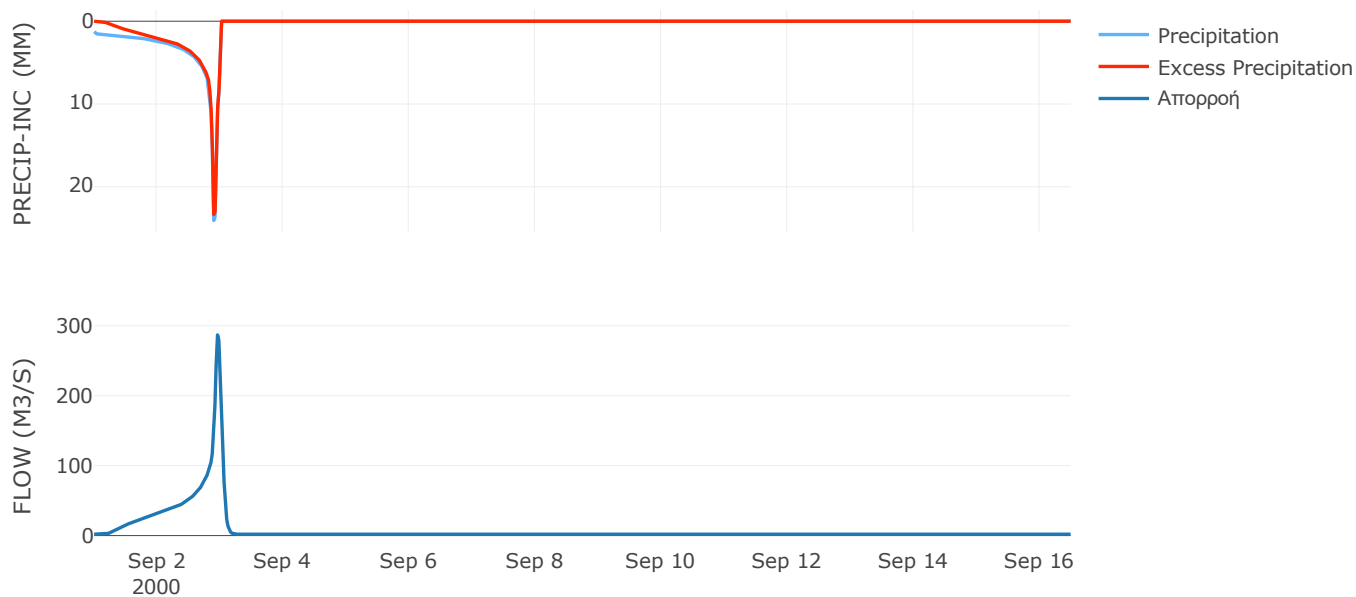
Μέθοδος
Μετασχηματισμού: SCS

Χρόνος Υστέρησης	63.48
------------------	-------

Αποτελέσματα:
EL0415FR6022

Παροχή αιχμής (M3/S)	286.93
Χρονική στιγμή αιχμής	02Sep2000, 23:00
Όγκος (MM)	392.59
Όγκος βροχόπτωσης (M3)	1.01E7
Όγκος απωλειών (M3)	1.73E6
Ενεργός Όγκος (M3)	8.41E6
Όγκος άμεσης απορροής (M3)	8.41E6
Όγκος βασικής απορροής (M3)	2.64E6

Βροχόπτωση και Απορροή



Υπολεκάνη: EL0415FR6023

Έκταση (KM2) : 48.62

Κατάντη : J61

Μέθοδος Απωλειών: SCS

Ποσοστό αδιαπέρατης επιφάνειας	0
Αριθμός Καμπύλης Απορροής-CN	75.06
Αρχικές Απώλειες	16.88

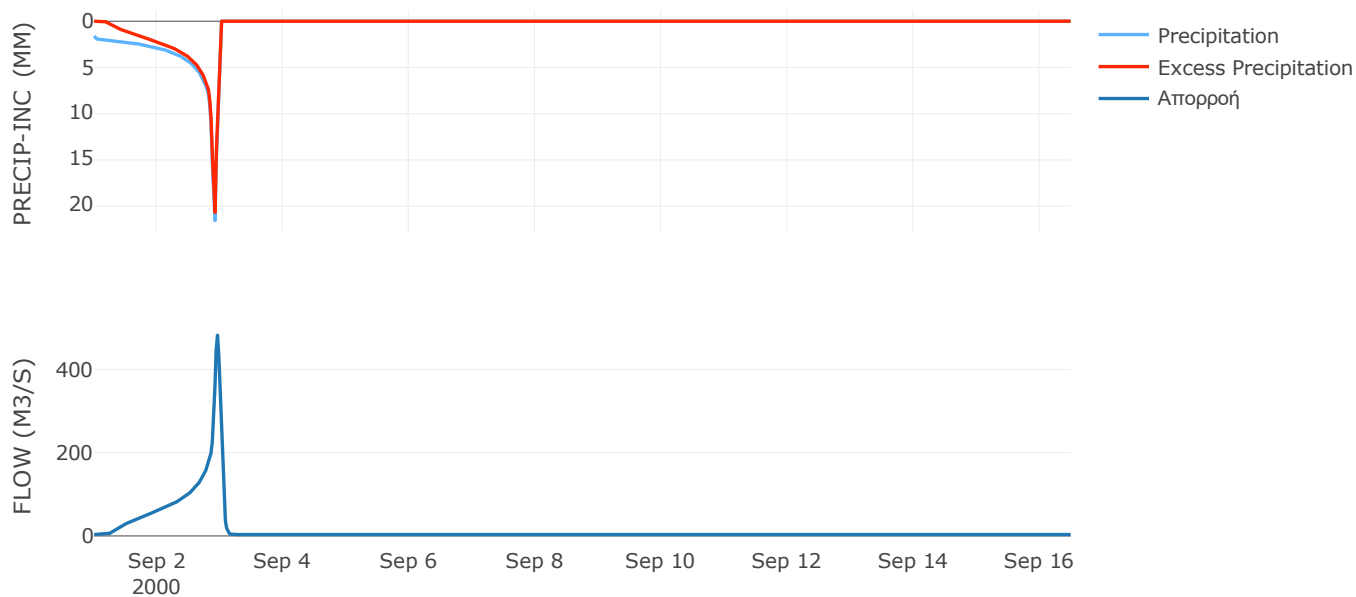
Μέθοδος
Μετασχηματισμού: SCS

Χρόνος Υστέρησης	47.7
------------------	------

Αποτελέσματα:
EL0415FR6023

Παροχή αιχμής (M3/S)	482.02
Χρονική στιγμή αιχμής	02Sep2000, 23:00
Όγκος (MM)	405.26
Όγκος βροχόπτωσης (M3)	1.93E7
Όγκος απωλειών (M3)	4.18E6
Ενεργός Όγκος (M3)	1.51E7
Όγκος άμεσης απορροής (M3)	1.51E7
Όγκος βασικής απορροής (M3)	4.56E6

Βροχόπτωση και Απορροή



Υπολεκάνη: EL0415FR6024

Έκταση (KM2) : 39.41

Κατάντη : J16

Μέθοδος Απωλειών: SCS

Ποσοστό αδιαπέρατης επιφάνειας	0
Αριθμός Καμπύλης Απορροής-CN	80.98
Αρχικές Απώλειες	11.93

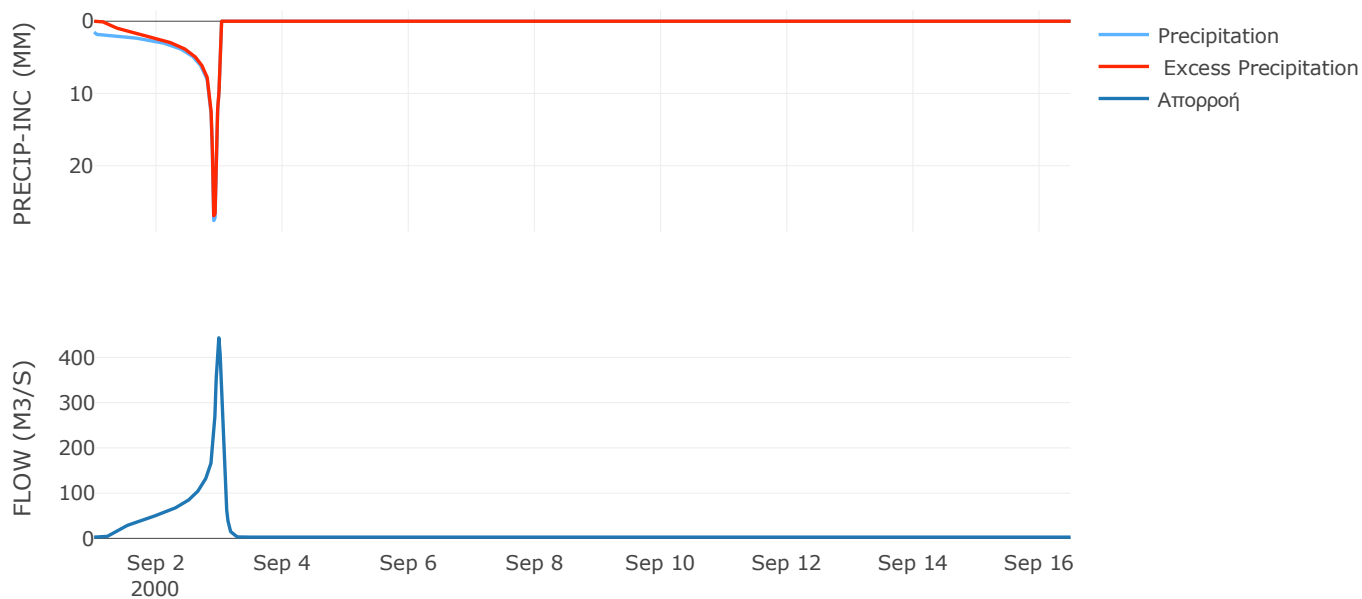
Μέθοδος
Μετασχηματισμού: SCS

Χρόνος Υστέρησης	77.38
------------------	-------

Αποτελέσματα:
EL0415FR6024

Παροχή αιχμής (M3/S)	443.32
Χρονική στιγμή αιχμής	02Sep2000, 23:30
Όγκος (MM)	452.3
Όγκος βροχόπτωσης (M3)	1.67E7
Όγκος απωλειών (M3)	2.52E6
Ενεργός Όγκος (M3)	1.41E7
Όγκος άμεσης απορροής (M3)	1.41E7
Όγκος βασικής απορροής (M3)	3.69E6

Βροχόπτωση και Απορροή



Υπολεκάνη: EL0415FR6025

Έκταση (KM2) : 14.18

Κατάντη : J21

Μέθοδος Απωλειών: SCS

Ποσοστό αδιαπέρατης επιφάνειας	0
Αριθμός Καμπύλης Απορροής-CN	80.02
Αρχικές Απώλειες	12.68

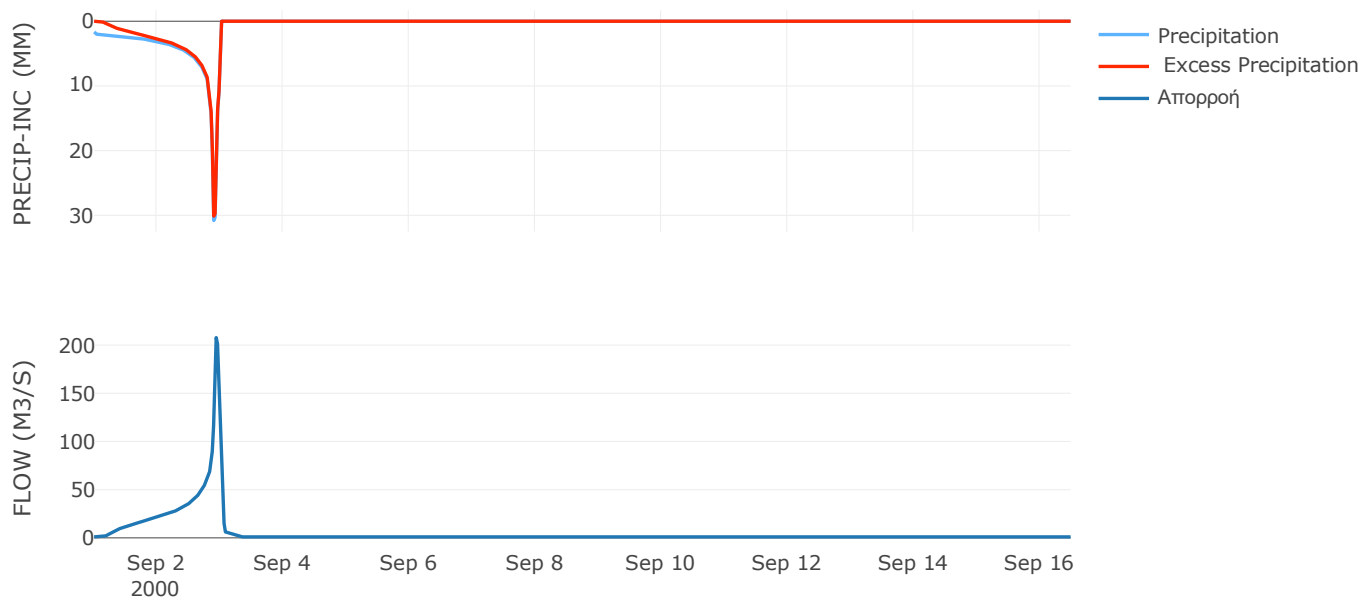
Μέθοδος
Μετασχηματισμού: SCS

Χρόνος Υστέρησης	35.73
------------------	-------

Αποτελέσματα:
EL0415FR6025

Παροχή αιχμής (M3/S)	207.8
Χρονική στιγμή αιχμής	02Sep2000, 22:30
Όγκος (MM)	494.25
Όγκος βροχόπτωσης (M3)	6.65E6
Όγκος απωλειών (M3)	9.69E5
Ενεργός Όγκος (M3)	5.68E6
Όγκος άμεσης απορροής (M3)	5.68E6
Όγκος βασικής απορροής (M3)	1.33E6

Βροχόπτωση και Απορροή



Υπολεκάνη: EL0415FR6026

Έκταση (KM2) : 38.04

Κατάντη : J21

Μέθοδος Απωλειών: SCS

Ποσοστό αδιαπέρατης επιφάνειας	0
Αριθμός Καμπύλης Απορροής-CN	75.6
Αρχικές Απώλειες	16.39

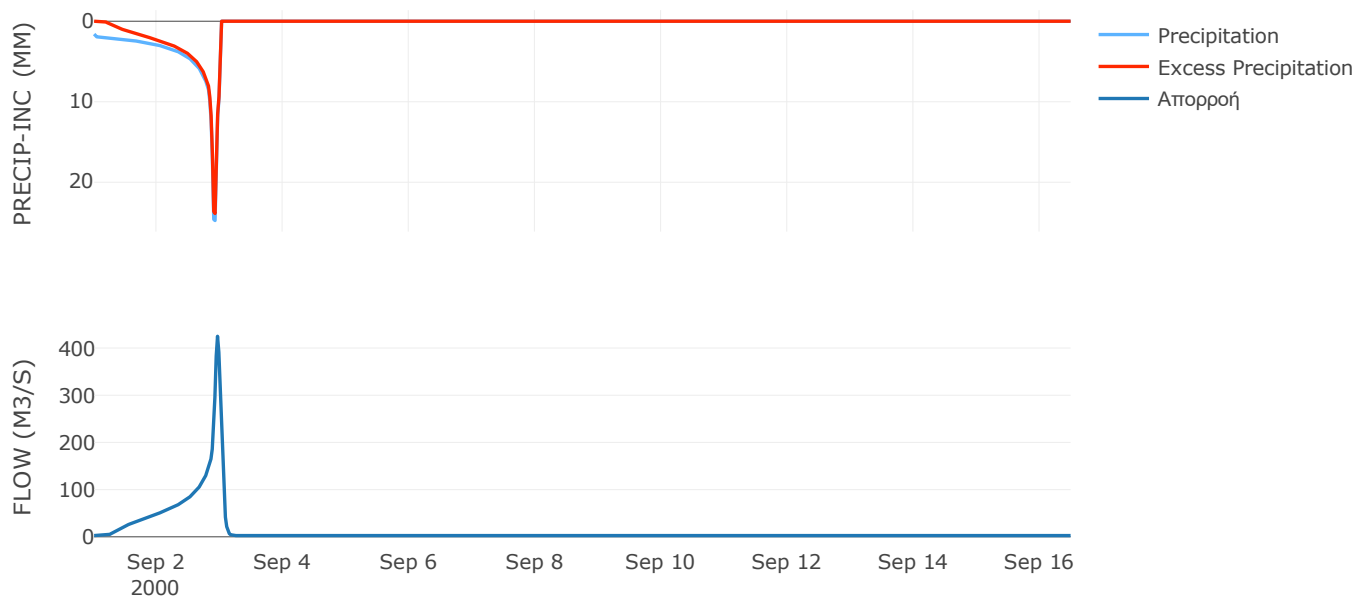
Μέθοδος
Μετασχηματισμού: SCS

Χρόνος Υστέρησης	53.63
------------------	-------

Αποτελέσματα:
EL0415FR6026

Παροχή αιχμής (M3/S)	424.99
Χρονική στιγμή αιχμής	02Sep2000, 23:00
Όγκος (MM)	430.76
Όγκος βροχόπτωσης (M3)	1.6E7
Όγκος απωλειών (M3)	3.22E6
Ενεργός Όγκος (M3)	1.28E7
Όγκος άμεσης απορροής (M3)	1.28E7
Όγκος βασικής απορροής (M3)	3.57E6

Βροχόπτωση και Απορροή



Υπολεκάνη: EL0415FR6027

Έκταση (KM2) : 185.56

Κατάντη : J21

Μέθοδος Απωλειών: SCS

Ποσοστό αδιαπέρατης επιφάνειας	0
Αριθμός Καμπύλης Απορροής-CN	73.25
Αρχικές Απώλειες	18.55

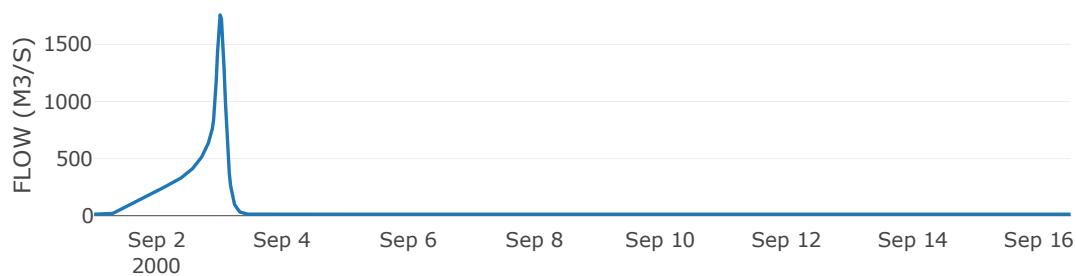
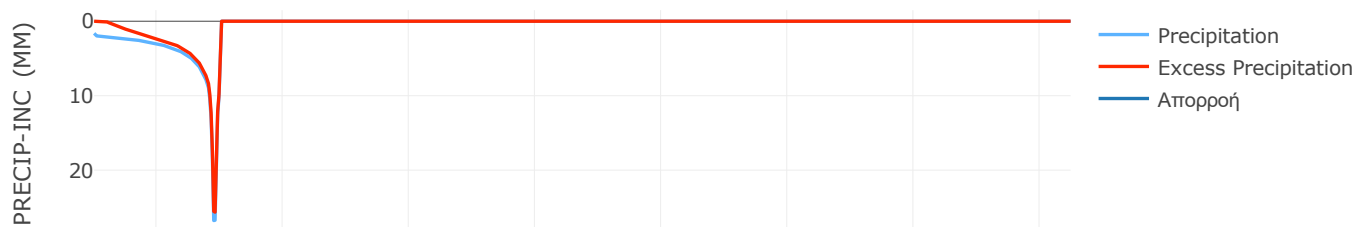
Μέθοδος
Μετασχηματισμού: SCS

Χρόνος Υστέρησης	121.29
------------------	--------

Αποτελέσματα:
EL0415FR6027

Παροχή αιχμής (M3/S)	1758.09
Χρονική στιγμή αιχμής	02Sep2000, 24:00
Όγκος (MM)	439.33
Όγκος βροχόπτωσης (M3)	8.17E7
Όγκος απωλειών (M3)	1.75E7
Ενεργός Όγκος (M3)	6.41E7
Όγκος άμεσης απορροής (M3)	6.41E7
Όγκος βασικής απορροής (M3)	1.74E7

Βροχόπτωση και Απορροή



Υπολεκάνη: EL0415FR6028

Έκταση (KM2) : 39.67

Κατάντη : J22

Μέθοδος Απωλειών: SCS

Ποσοστό αδιαπέρατης επιφάνειας	0
Αριθμός Καμπύλης Απορροής-CN	47.2
Αρχικές Απώλειες	56.82

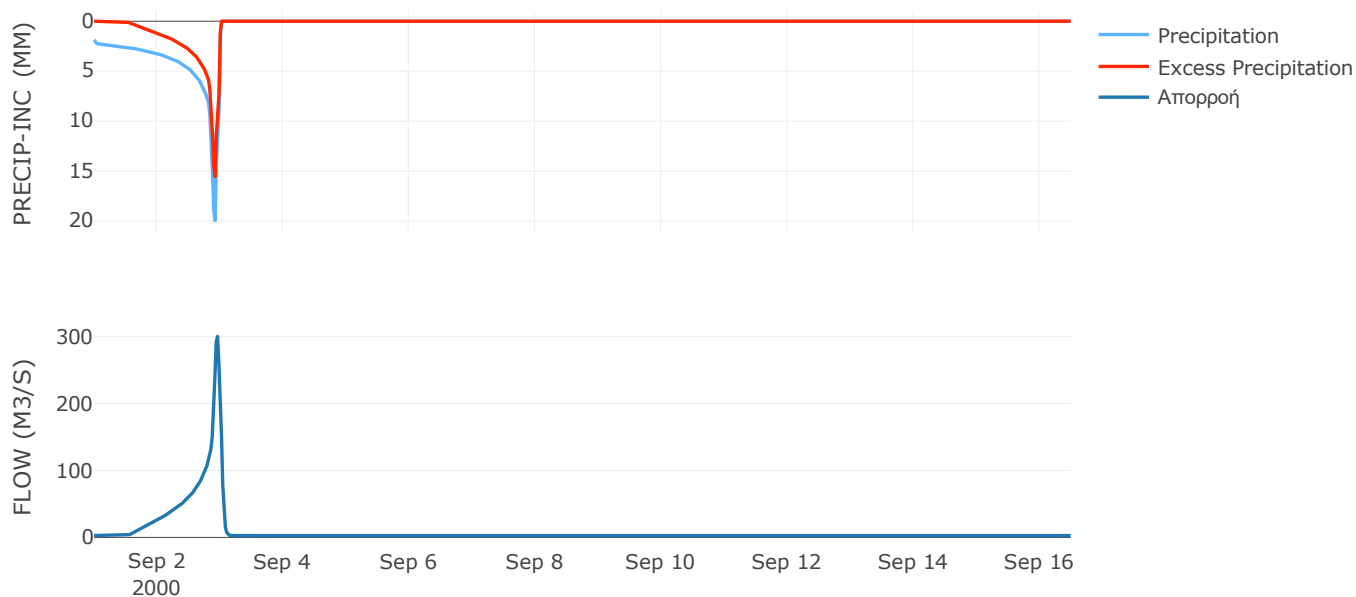
Μέθοδος
Μετασχηματισμού: SCS

Χρόνος Υστέρησης	39.09
------------------	-------

Αποτελέσματα:
EL0415FR6028

Παροχή αιχμής (M3/S)	300.34
Χρονική στιγμή αιχμής	02Sep2000, 23:00
Όγκος (MM)	300.81
Όγκος βροχόπτωσης (M3)	1.68E7
Όγκος απωλειών (M3)	8.61E6
Ενεργός Όγκος (M3)	8.21E6
Όγκος άμεσης απορροής (M3)	8.21E6
Όγκος βασικής απορροής (M3)	3.72E6

Βροχόπτωση και Απορροή



Υπολεκάνη: EL0415FR6029

Έκταση (KM2) : 74.56

Κατάντη : J31

Μέθοδος Απωλειών: SCS

Ποσοστό αδιαπέρατης επιφάνειας	22
Αριθμός Καμπύλης Απορροής-CN	68.74
Αρχικές Απώλειες	23.1

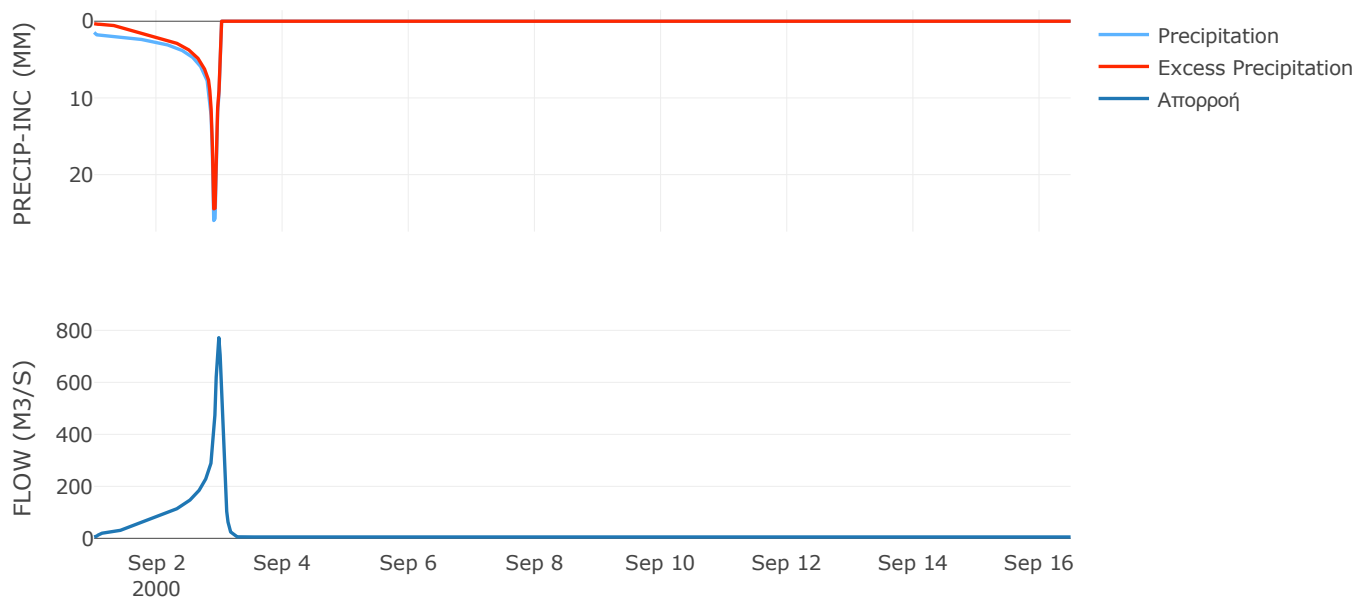
Μέθοδος
Μετασχηματισμού: SCS

Χρόνος Υστέρησης	75.58
------------------	-------

Αποτελέσματα:
EL0415FR6029

Παροχή αιχμής (M3/S)	771.83
Χρονική στιγμή αιχμής	02Sep2000, 23:30
Όγκος (MM)	413.53
Όγκος βροχόπτωσης (M3)	3.03E7
Όγκος απωλειών (M3)	6.51E6
Ενεργός Όγκος (M3)	2.38E7
Όγκος άμεσης απορροής (M3)	2.38E7
Όγκος βασικής απορροής (M3)	6.99E6

Βροχόπτωση και Απορροή



Υπολεκάνη: EL0415FR6030

Έκταση (KM2) : 127.36

Κατάντη : J27

Μέθοδος Απωλειών: SCS

Ποσοστό αδιαπέρατης επιφάνειας	17
Αριθμός Καμπύλης Απορροής-CN	81.14
Αρχικές Απώλειες	11.81

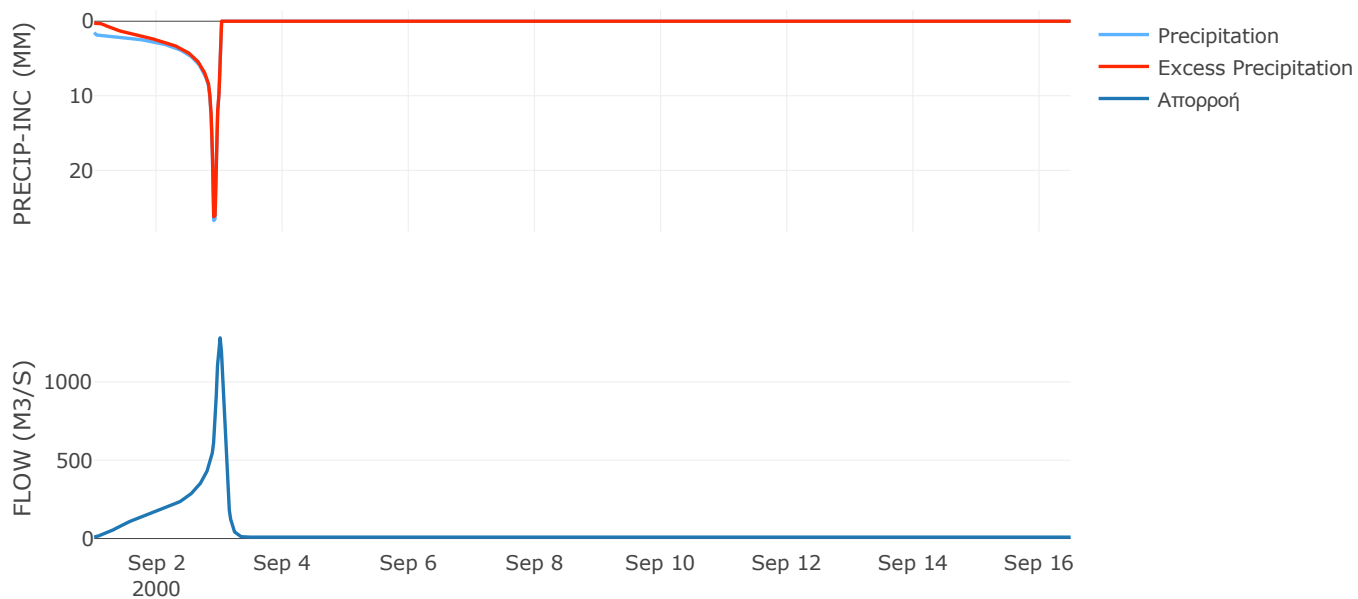
Μέθοδος
Μετασχηματισμού: SCS

Χρόνος Υστέρησης	105.48
------------------	--------

Αποτελέσματα:
EL0415FR6030

Παροχή αιχμής (M3/S)	1281
Χρονική στιγμή αιχμής	02Sep2000, 24:00
Όγκος (MM)	464.01
Όγκος βροχόπτωσης (M3)	5.39E7
Όγκος απωλειών (M3)	6.7E6
Ενεργός Όγκος (M3)	4.72E7
Όγκος άμεσης απορροής (M3)	4.72E7
Όγκος βασικής απορροής (M3)	1.19E7

Βροχόπτωση και Απορροή



Υπολεκάνη: EL0415FR6031

Έκταση (KM2) : 92.16

Κατάντη : J34

Μέθοδος Απωλειών: SCS

Ποσοστό αδιαπέρατης επιφάνειας	0
Αριθμός Καμπύλης Απορροής-CN	79.75
Αρχικές Απώλειες	12.9

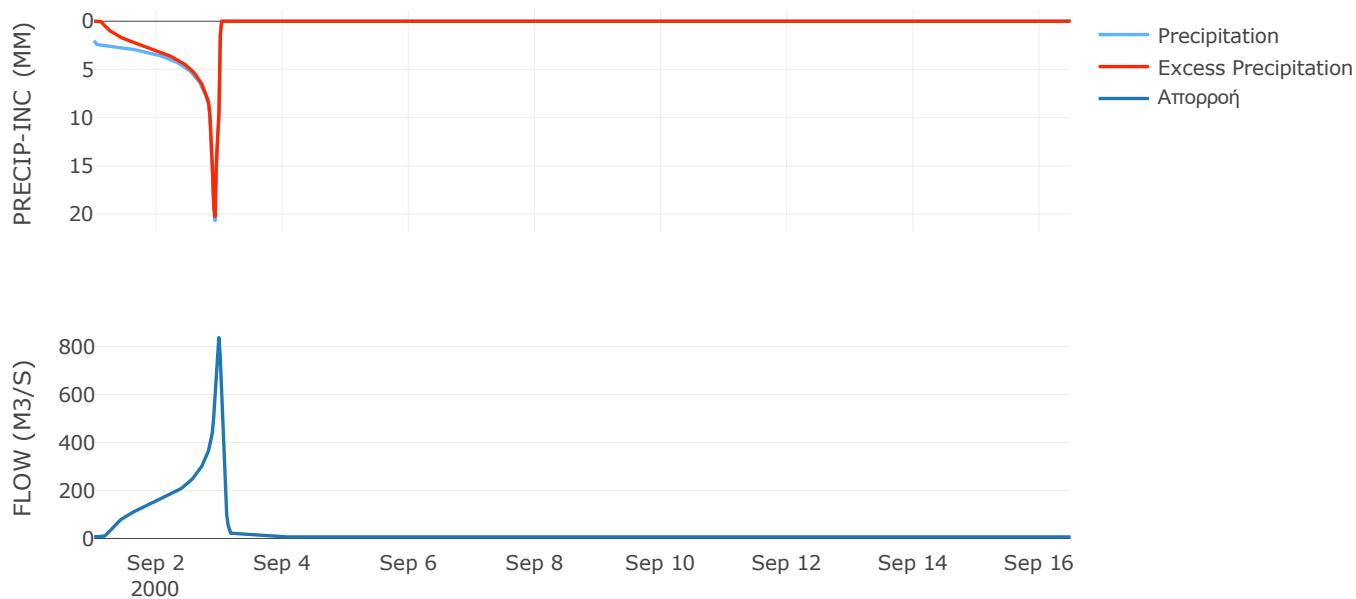
Μέθοδος
Μετασχηματισμού: SCS

Χρόνος Υστέρησης	69.31
------------------	-------

Αποτελέσματα:
EL0415FR6031

Παροχή αιχμής (M3/S)	836.79
Χρονική στιγμή αιχμής	02Sep2000, 23:30
Όγκος (MM)	475.45
Όγκος βροχόπτωσης (M3)	4.15E7
Όγκος απωλειών (M3)	6.37E6
Ενεργός Όγκος (M3)	3.52E7
Όγκος άμεσης απορροής (M3)	3.52E7
Όγκος βασικής απορροής (M3)	8.64E6

Βροχόπτωση και Απορροή



Υπολεκάνη: EL0415FR6032

Έκταση (KM2) : 115.9

Κατάντη : J26

Μέθοδος Απωλειών: SCS

Ποσοστό αδιαπέρατης επιφάνειας	0
Αριθμός Καμπύλης Απορροής-CN	60.48
Αρχικές Απώλειες	33.2

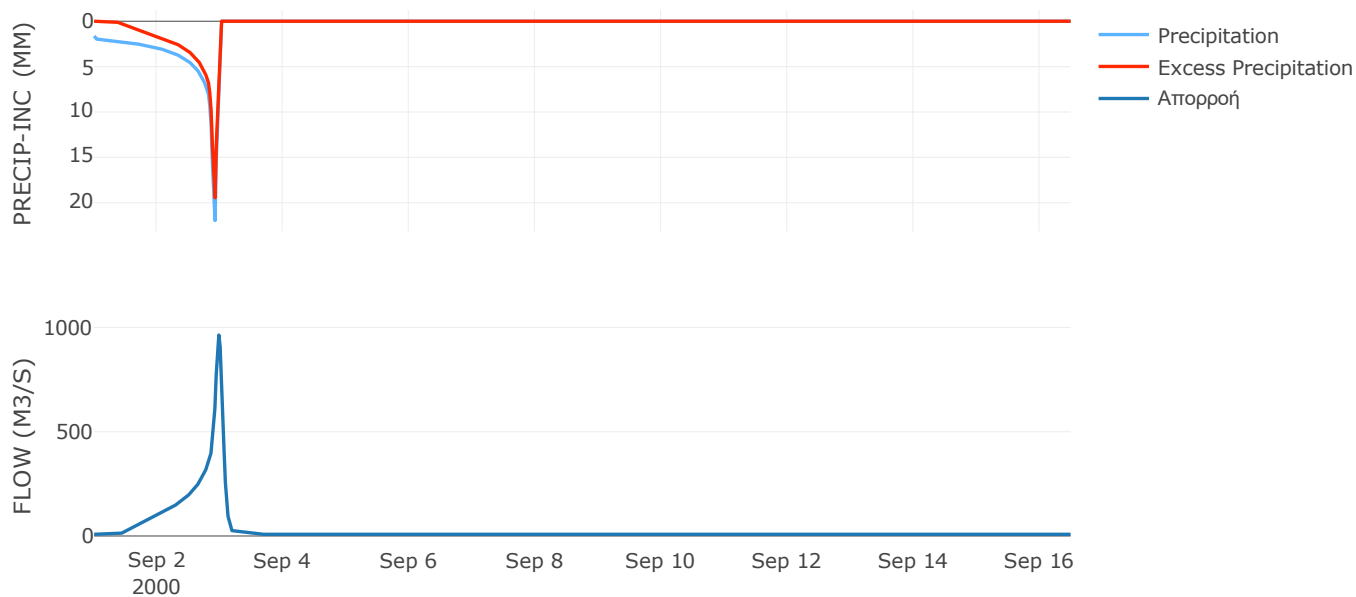
Μέθοδος
Μετασχηματισμού: SCS

Χρόνος Υστέρησης	78.76
------------------	-------

Αποτελέσματα:
EL0415FR6032

Παροχή αιχμής (M3/S)	963.9
Χρονική στιγμή αιχμής	02Sep2000, 23:30
Όγκος (MM)	352.04
Όγκος βροχόπτωσης (M3)	4.71E7
Όγκος απωλειών (M3)	1.72E7
Ενεργός Όγκος (M3)	2.99E7
Όγκος άμεσης απορροής (M3)	2.99E7
Όγκος βασικής απορροής (M3)	1.09E7

Βροχόπτωση και Απορροή



Υπολεκάνη: EL0415FR6033

Έκταση (KM2) : 126.39

Κατάντη : J62

Μέθοδος Απωλειών: SCS

Ποσοστό αδιαπέρατης επιφάνειας	0
Αριθμός Καμπύλης Απορροής-CN	66.2
Αρχικές Απώλειες	25.94

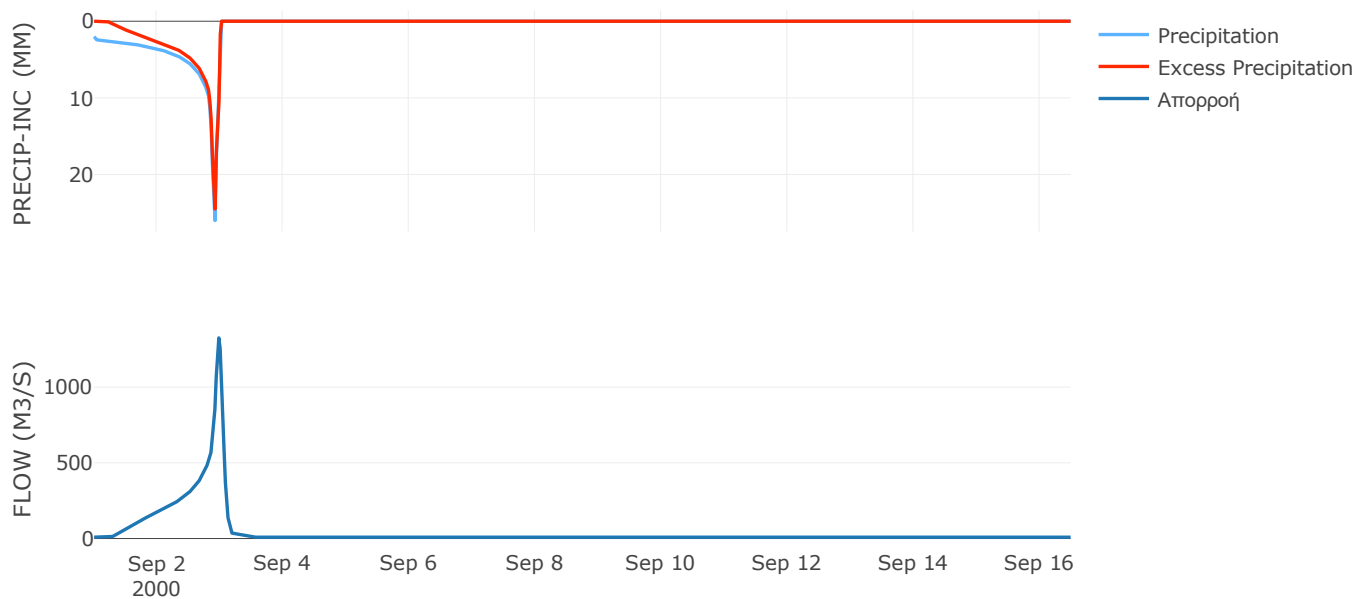
Μέθοδος
Μετασχηματισμού: SCS

Χρόνος Υστέρησης	80.72
------------------	-------

Αποτελέσματα:
EL0415FR6033

Παροχή αιχμής (M3/S)	1324.76
Χρονική στιγμή αιχμής	02Sep2000, 23:30
Όγκος (MM)	459.93
Όγκος βροχόπτωσης (M3)	6.24E7
Όγκος απωλειών (M3)	1.61E7
Ενεργός Όγκος (M3)	4.63E7
Όγκος άμεσης απορροής (M3)	4.63E7
Όγκος βασικής απορροής (M3)	1.18E7

Βροχόπτωση και Απορροή



Υπολεκάνη: EL0415FR6034

Έκταση (KM2) : 105.64

Κατάντη : J44

Μέθοδος Απωλειών: SCS

Ποσοστό αδιαπέρατης επιφάνειας	0
Αριθμός Καμπύλης Απορροής-CN	66.03
Αρχικές Απώλειες	26.13

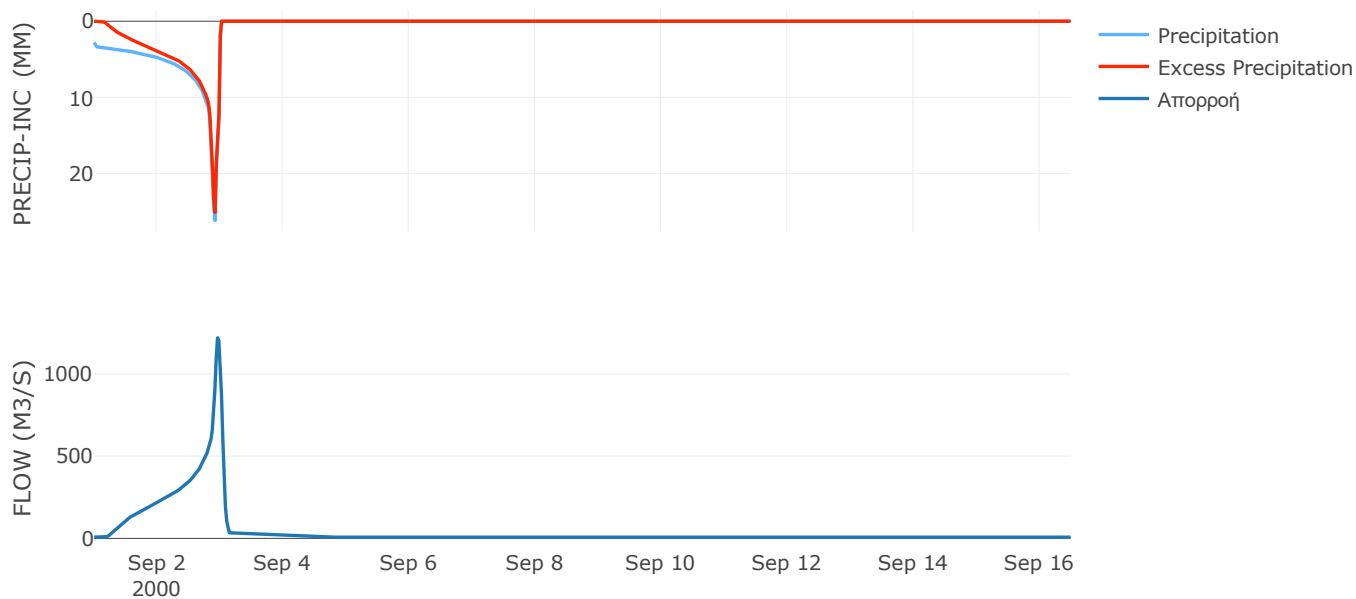
Μέθοδος
Μετασχηματισμού: SCS

Χρόνος Υστέρησης	61.85
------------------	-------

Αποτελέσματα:
EL0415FR6034

Παροχή αιχμής (M3/S)	1219.39
Χρονική στιγμή αιχμής	02Sep2000, 23:00
Όγκος (MM)	566.37
Όγκος βροχόπτωσης (M3)	6.4E7
Όγκος απωλειών (M3)	1.4E7
Ενεργός Όγκος (M3)	4.99E7
Όγκος άμεσης απορροής (M3)	4.99E7
Όγκος βασικής απορροής (M3)	9.9E6

Βροχόπτωση και Απορροή



Υπολεκάνη: EL0415FR6035

Έκταση (KM2) : 82.38

Κατάντη : J25

Μέθοδος Απωλειών: SCS

Ποσοστό αδιαπέρατης επιφάνειας	0
Αριθμός Καμπύλης Απορροής-CN	77.06
Αρχικές Απώλειες	15.12

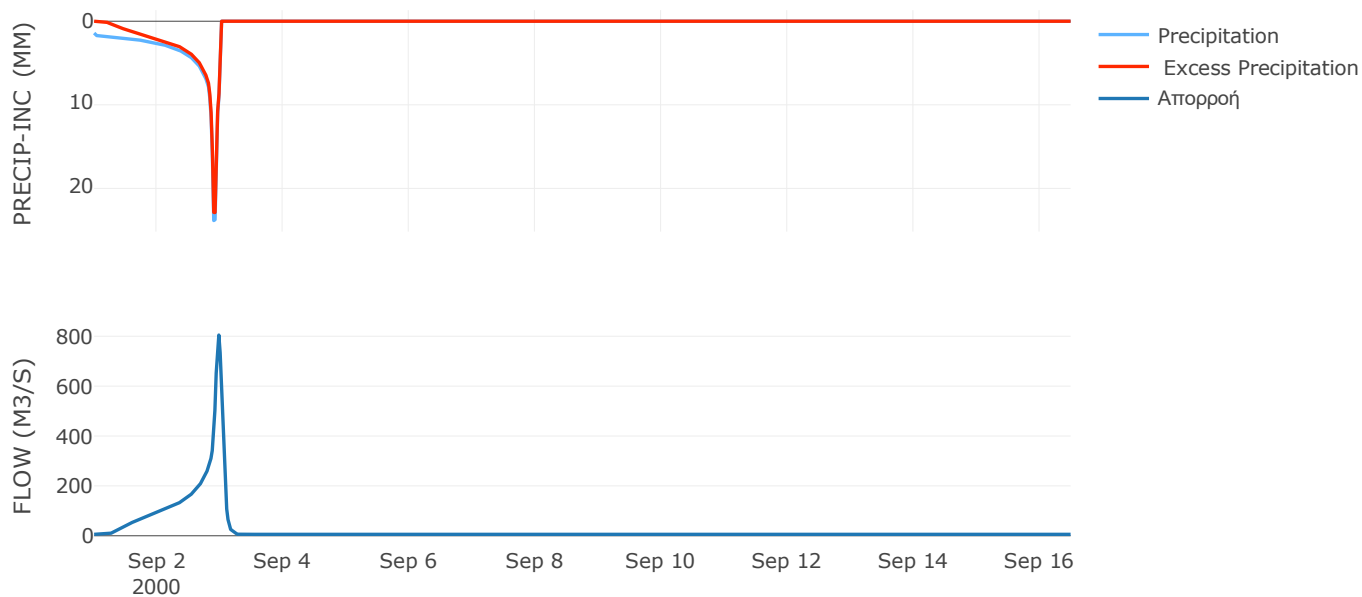
Μέθοδος
Μετασχηματισμού: SCS

Χρόνος Υστέρησης	75.16
------------------	-------

Αποτελέσματα:
EL0415FR6035

Παροχή αιχμής (M3/S)	804.94
Χρονική στιγμή αιχμής	02Sep2000, 23:30
Όγκος (MM)	401.77
Όγκος βροχόπτωσης (M3)	3.18E7
Όγκος απωλειών (M3)	6.42E6
Ενεργός Όγκος (M3)	2.54E7
Όγκος άμεσης απορροής (M3)	2.54E7
Όγκος βασικής απορροής (M3)	7.72E6

Βροχόπτωση και Απορροή



Υπολεκάνη: EL0415FR6036

Έκταση (KM2) : 47.25

Κατάντη : J45

Μέθοδος Απωλειών: SCS

Ποσοστό αδιαπέρατης επιφάνειας	0
Αριθμός Καμπύλης Απορροής-CN	66.01
Αρχικές Απώλειες	26.16

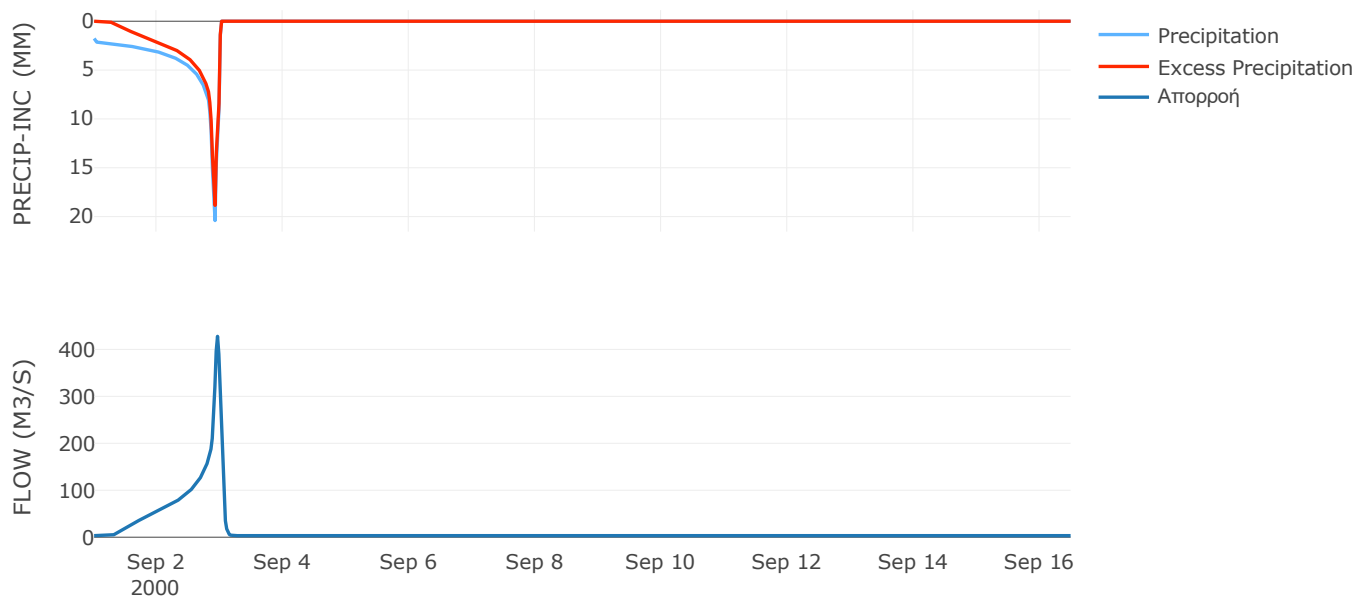
Μέθοδος
Μετασχηματισμού: SCS

Χρόνος Υστέρησης	48.25
------------------	-------

Αποτελέσματα:
EL0415FR6036

Παροχή αιχμής (M3/S)	427.85
Χρονική στιγμή αιχμής	02Sep2000, 23:00
Όγκος (MM)	385.16
Όγκος βροχόπτωσης (M3)	1.96E7
Όγκος απωλειών (M3)	5.86E6
Ενεργός Όγκος (M3)	1.38E7
Όγκος άμεσης απορροής (M3)	1.38E7
Όγκος βασικής απορροής (M3)	4.43E6

Βροχόπτωση και Απορροή



Υπολεκάνη: EL0415FR6037

Έκταση (KM2) : 88.31

Κατάντη : J40

Μέθοδος Απωλειών: SCS

Ποσοστό αδιαπέρατης επιφάνειας	0
Αριθμός Καμπύλης Απορροής-CN	68
Αρχικές Απώλειες	23.91

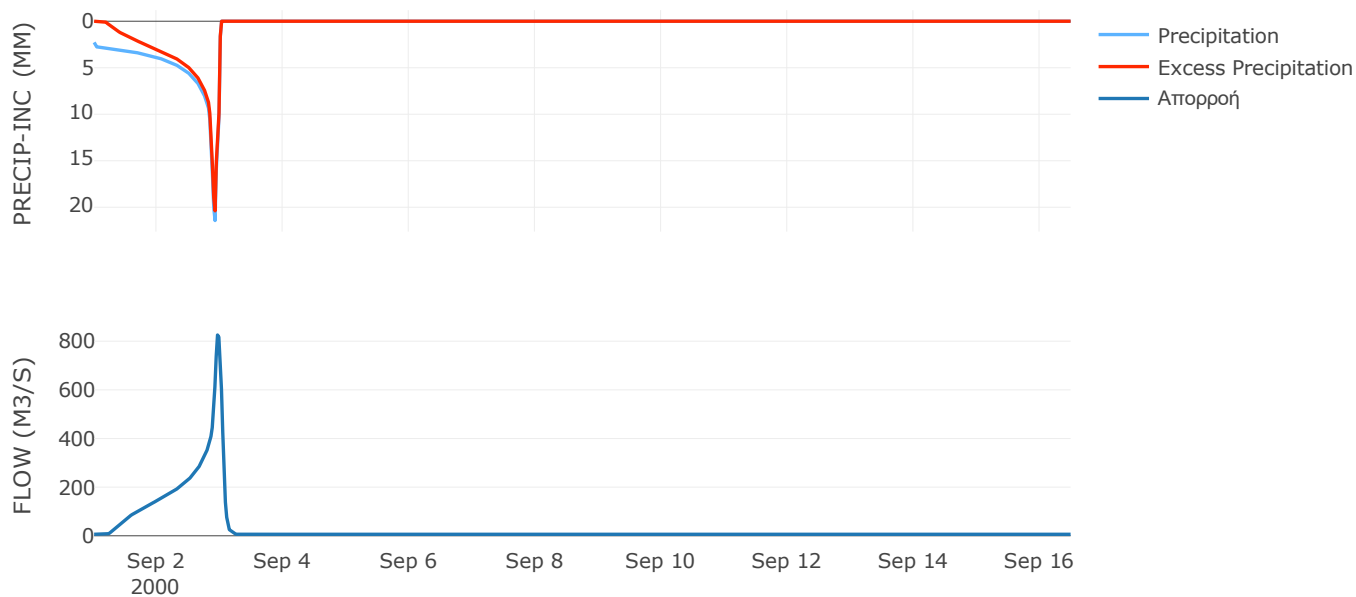
Μέθοδος
Μετασχηματισμού: SCS

Χρόνος Υστέρησης	62.77
------------------	-------

Αποτελέσματα:
EL0415FR6037

Παροχή αιχμής (M3/S)	825.6
Χρονική στιγμή αιχμής	02Sep2000, 23:00
Όγκος (MM)	471.1
Όγκος βροχόπτωσης (M3)	4.39E7
Όγκος απωλειών (M3)	1.05E7
Ενεργός Όγκος (M3)	3.33E7
Όγκος άμεσης απορροής (M3)	3.33E7
Όγκος βασικής απορροής (M3)	8.28E6

Βροχόπτωση και Απορροή



Υπολεκάνη: EL0415FR6038

Έκταση (KM2) : 94.78

Κατάντη : J35

Μέθοδος Απωλειών: SCS

Ποσοστό αδιαπέρατης επιφάνειας	0
Αριθμός Καμπύλης Απορροής-CN	68.71
Αρχικές Απώλειες	23.14

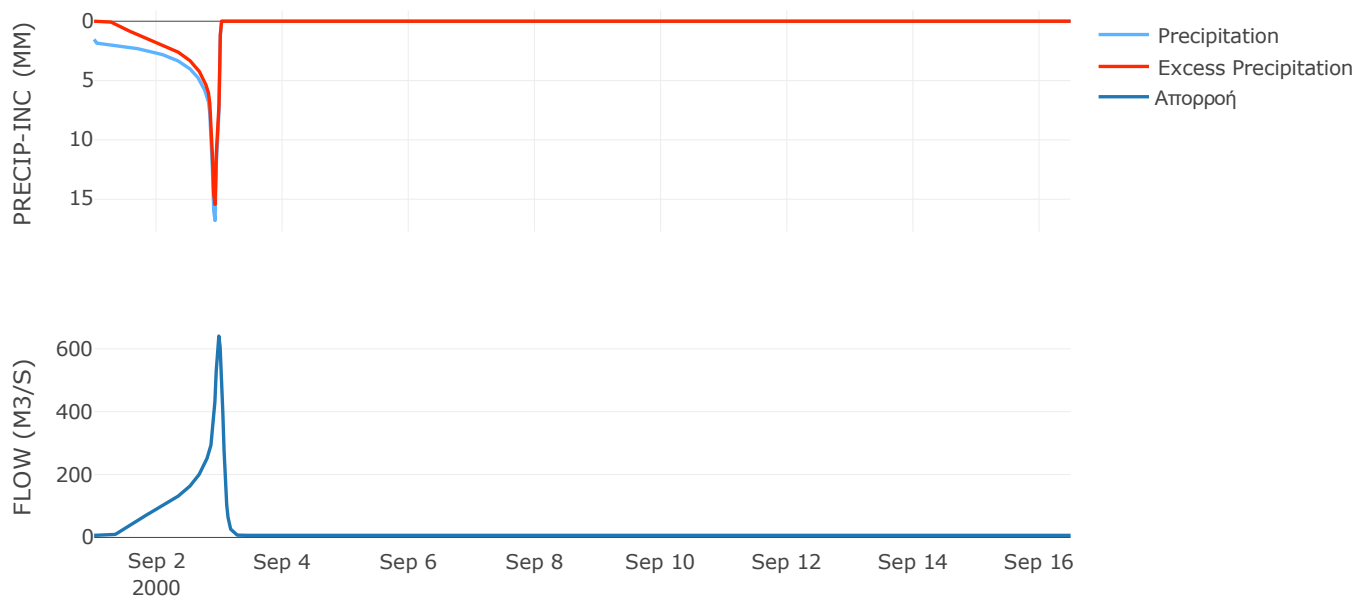
Μέθοδος
Μετασχηματισμού: SCS

Χρόνος Υστέρησης	77.92
------------------	-------

Αποτελέσματα:
EL0415FR6038

Παροχή αιχμής (M3/S)	640.55
Χρονική στιγμή αιχμής	02Sep2000, 23:30
Όγκος (MM)	337.67
Όγκος βροχόπτωσης (M3)	3.34E7
Όγκος απωλειών (M3)	1.03E7
Ενεργός Όγκος (M3)	2.31E7
Όγκος άμεσης απορροής (M3)	2.31E7
Όγκος βασικής απορροής (M3)	8.88E6

Βροχόπτωση και Απορροή



Υπολεκάνη: EL0415FR6039

Έκταση (KM2) : 6.93

Κατάντη : J23

Μέθοδος Απωλειών: SCS

Ποσοστό αδιαπέρατης επιφάνειας	0
Αριθμός Καμπύλης Απορροής-CN	78.67
Αρχικές Απώλειες	13.77

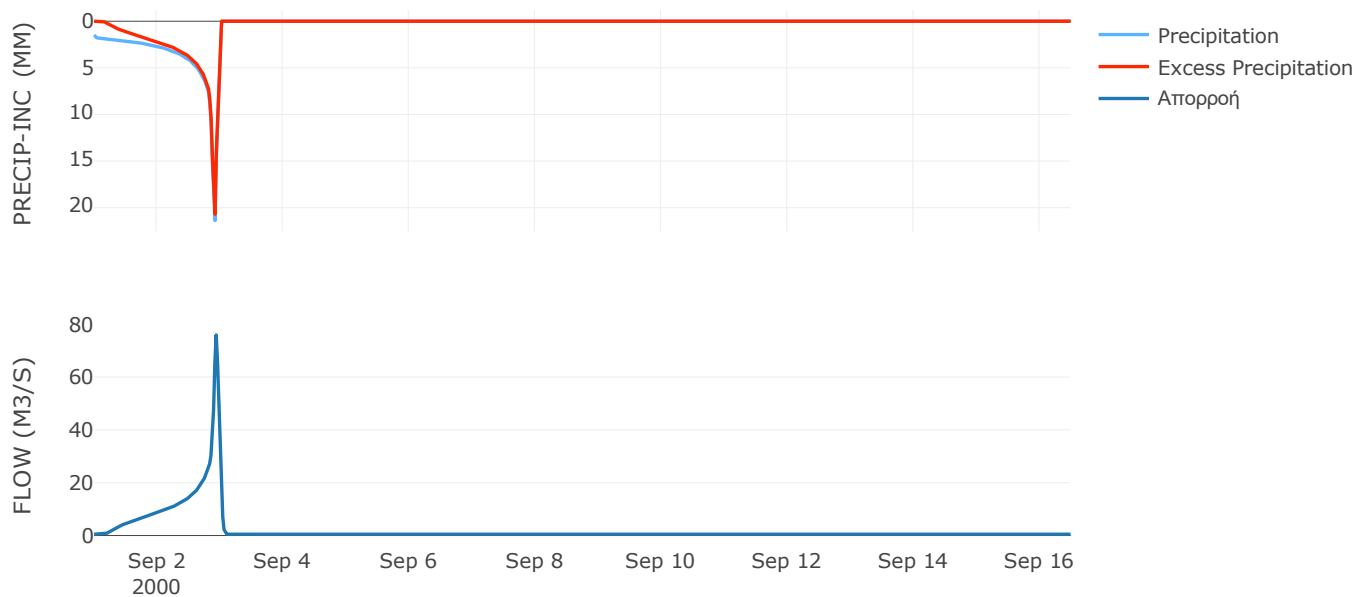
Μέθοδος
Μετασχηματισμού: SCS

Χρόνος Υστέρησης	23.67
------------------	-------

Αποτελέσματα:
EL0415FR6039

Παροχή αιχμής (M3/S)	75.93
Χρονική στιγμή αιχμής	02Sep2000, 22:30
Όγκος (MM)	400.94
Όγκος βροχόπτωσης (M3)	2.63E6
Όγκος απωλειών (M3)	4.97E5
Ενεργός Όγκος (M3)	2.13E6
Όγκος άμεσης απορροής (M3)	2.13E6
Όγκος βασικής απορροής (M3)	6.5E5

Βροχόπτωση και Απορροή



Υπολεκάνη: EL0415FR6040

Έκταση (KM2) : 39.05

Κατάντη : J34

Μέθοδος Απωλειών: SCS

Ποσοστό αδιαπέρατης επιφάνειας	0
Αριθμός Καμπύλης Απορροής-CN	62.72
Αρχικές Απώλειες	30.19

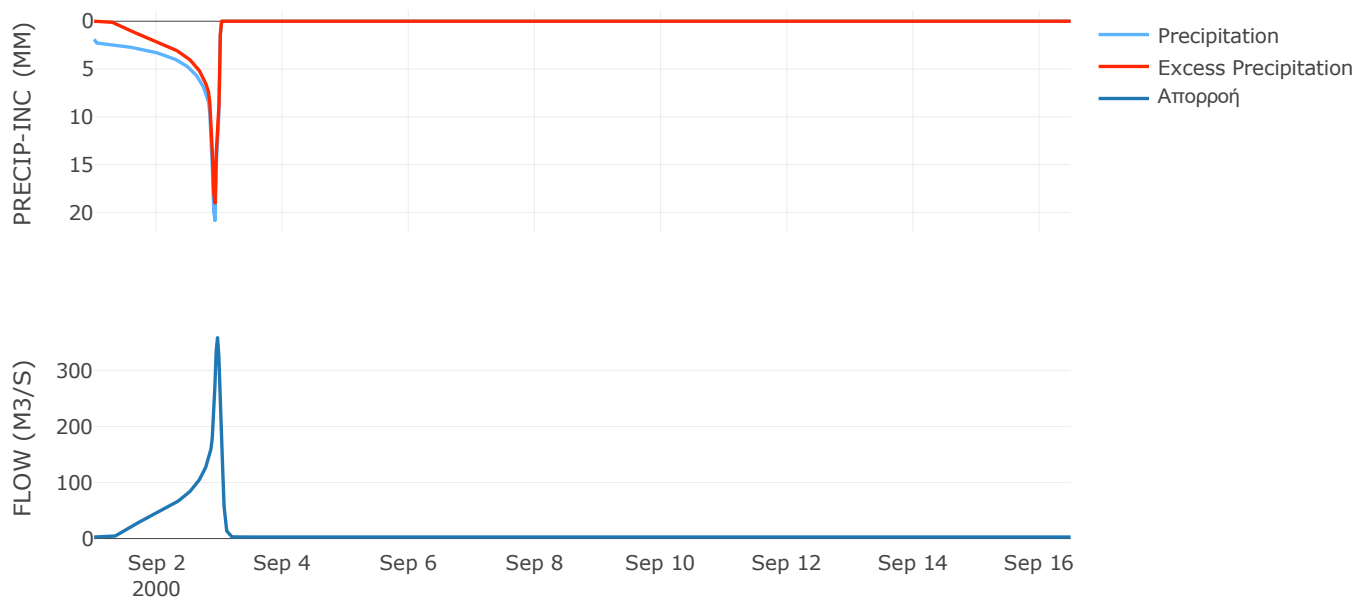
Μέθοδος
Μετασχηματισμού: SCS

Χρόνος Υστέρησης	46.83
------------------	-------

Αποτελέσματα:
EL0415FR6040

Παροχή αιχμής (M3/S)	358.41
Χρονική στιγμή αιχμής	02Sep2000, 23:00
Όγκος (MM)	389.55
Όγκος βροχόπτωσης (M3)	1.7E7
Όγκος απωλειών (M3)	5.48E6
Ενεργός Όγκος (M3)	1.16E7
Όγκος άμεσης απορροής (M3)	1.16E7
Όγκος βασικής απορροής (M3)	3.66E6

Βροχόπτωση και Απορροή



Υπολεκάνη: EL0415FR6041

Έκταση (KM2) : 25.72

Κατάντη : J64

Μέθοδος Απωλειών: SCS

Ποσοστό αδιαπέρατης επιφάνειας	0
Αριθμός Καμπύλης Απορροής-CN	59.19
Αρχικές Απώλειες	35.02

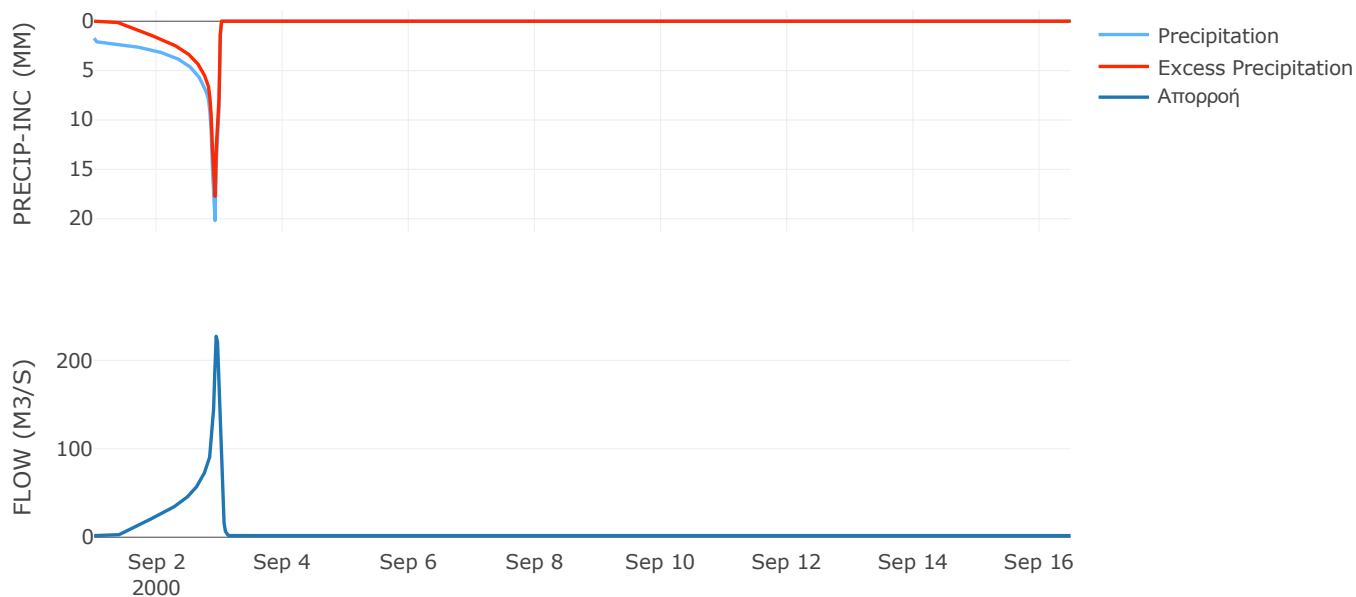
Μέθοδος
Μετασχηματισμού: SCS

Χρόνος Υστέρησης	32.63
------------------	-------

Αποτελέσματα:
EL0415FR6041

Παροχή αιχμής (M3/S)	227.14
Χρονική στιγμή αιχμής	02Sep2000, 22:30
Όγκος (MM)	347.01
Όγκος βροχόπτωσης (M3)	1.05E7
Όγκος απωλειών (M3)	3.96E6
Ενεργός Όγκος (M3)	6.51E6
Όγκος άμεσης απορροής (M3)	6.51E6
Όγκος βασικής απορροής (M3)	2.41E6

Βροχόπτωση και Απορροή



Υπολεκάνη: EL0415FR6042

Έκταση (KM2) : 44.43

Κατάντη : J28

Μέθοδος Απωλειών: SCS

Ποσοστό αδιαπέρατης επιφάνειας	0
Αριθμός Καμπύλης Απορροής-CN	66.59
Αρχικές Απώλειες	25.48

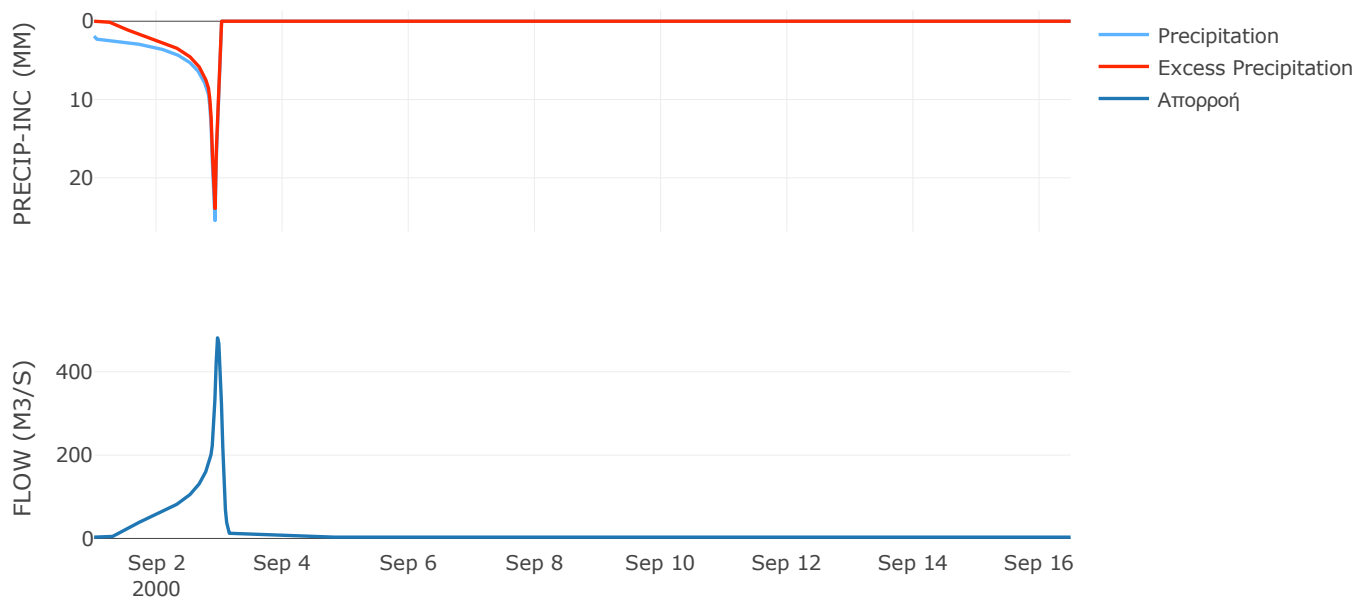
Μέθοδος
Μετασχηματισμού: SCS

Χρόνος Υστέρησης	61.19
------------------	-------

Αποτελέσματα:
EL0415FR6042

Παροχή αιχμής (M3/S)	481.38
Χρονική στιγμή αιχμής	02Sep2000, 23:00
Όγκος (MM)	441.4
Όγκος βροχόπτωσης (M3)	2.1E7
Όγκος απωλειών (M3)	5.54E6
Ενεργός Όγκος (M3)	1.54E7
Όγκος άμεσης απορροής (M3)	1.54E7
Όγκος βασικής απορροής (M3)	4.17E6

Βροχόπτωση και Απορροή



Υπολεκάνη: EL0415FR6043

Έκταση (KM2) : 50.16

Κατάντη : J37

Μέθοδος Απωλειών: SCS

Ποσοστό αδιαπέρατης επιφάνειας	0
Αριθμός Καμπύλης Απορροής-CN	59.02
Αρχικές Απώλειες	35.27

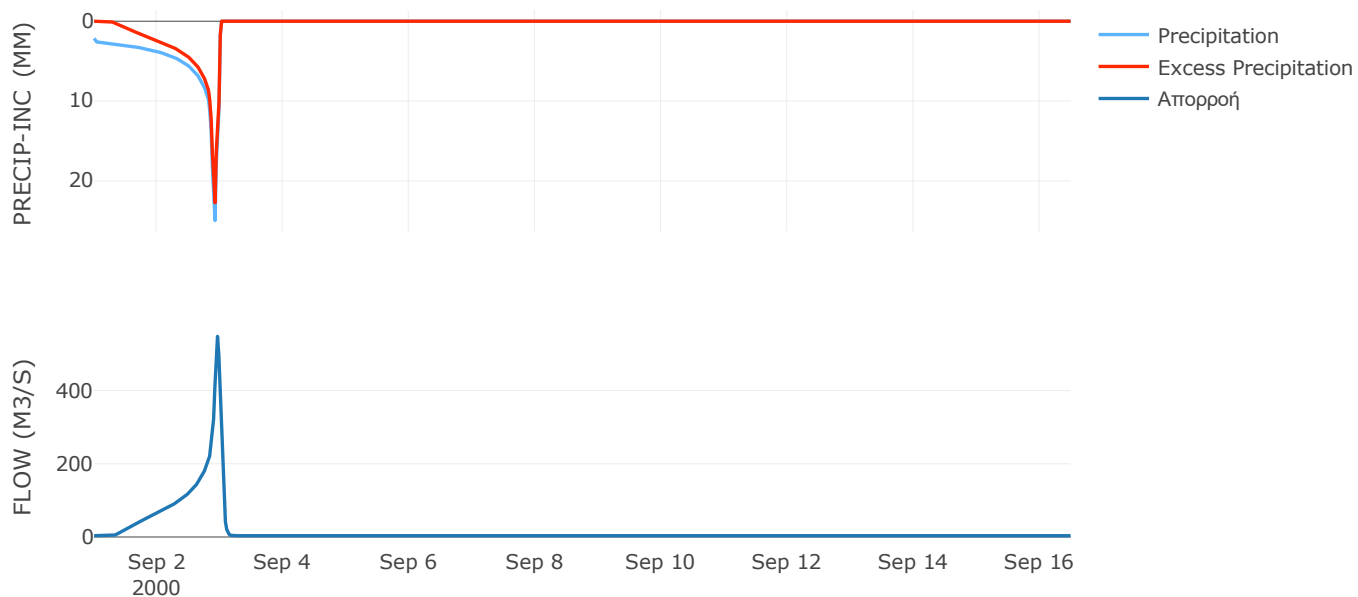
Μέθοδος
Μετασχηματισμού: SCS

Χρόνος Υστέρησης	47.45
------------------	-------

Αποτελέσματα:
EL0415FR6043

Παροχή αιχμής (M3/S)	547.7
Χρονική στιγμή αιχμής	02Sep2000, 23:00
Όγκος (MM)	436.16
Όγκος βροχόπτωσης (M3)	2.54E7
Όγκος απωλειών (M3)	8.2E6
Ενεργός Όγκος (M3)	1.72E7
Όγκος άμεσης απορροής (M3)	1.72E7
Όγκος βασικής απορροής (M3)	4.7E6

Βροχόπτωση και Απορροή



Υπολεκάνη: EL0415FR6044

Έκταση (KM2) : 32.29

Κατάντη : J44

Μέθοδος Απωλειών: SCS

Ποσοστό αδιαπέρατης επιφάνειας	0
Αριθμός Καμπύλης Απορροής-CN	61.48
Αρχικές Απώλειες	31.83

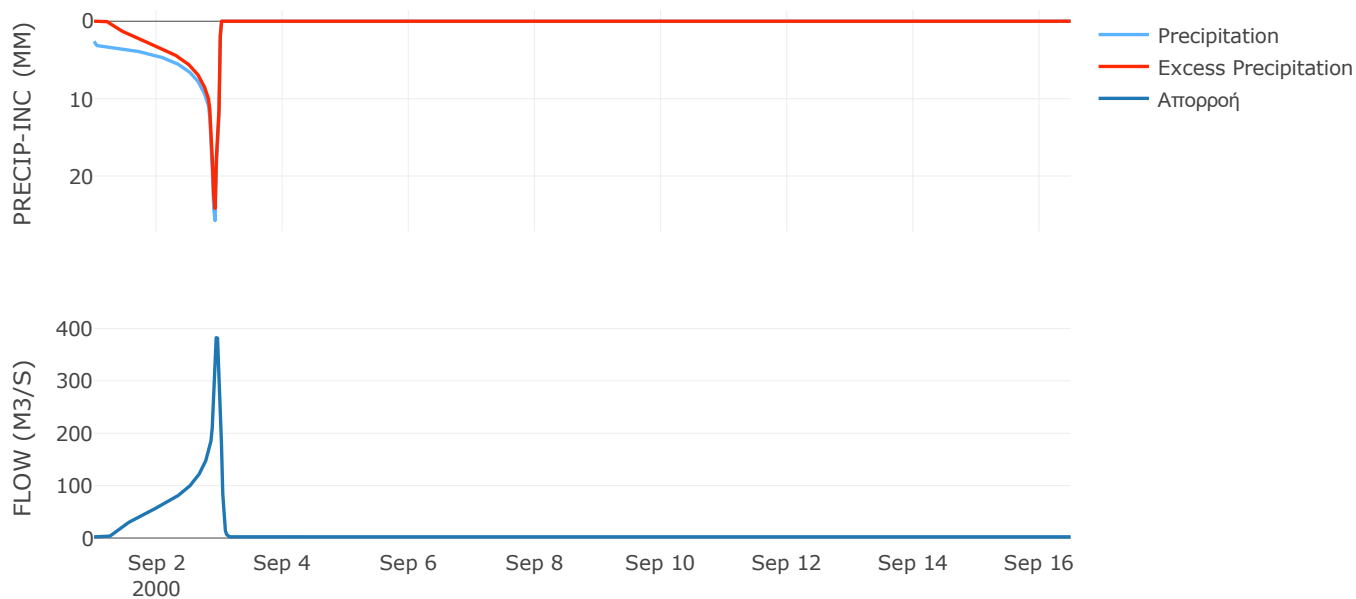
Μέθοδος
Μετασχηματισμού: SCS

Χρόνος Υστέρησης	35.47
------------------	-------

Αποτελέσματα:
EL0415FR6044

Παροχή αιχμής (M3/S)	382.43
Χρονική στιγμή αιχμής	02Sep2000, 22:30
Όγκος (MM)	515.71
Όγκος βροχόπτωσης (M3)	1.86E7
Όγκος απωλειών (M3)	5.01E6
Ενεργός Όγκος (M3)	1.36E7
Όγκος άμεσης απορροής (M3)	1.36E7
Όγκος βασικής απορροής (M3)	3.03E6

Βροχόπτωση και Απορροή



Υπολεκάνη: EL0415FR6045

Έκταση (KM2) : 39.32

Κατάντη : J24

Μέθοδος Απωλειών: SCS

Ποσοστό αδιαπέρατης επιφάνειας	0
Αριθμός Καμπύλης Απορροής-CN	80.27
Αρχικές Απώλειες	12.49

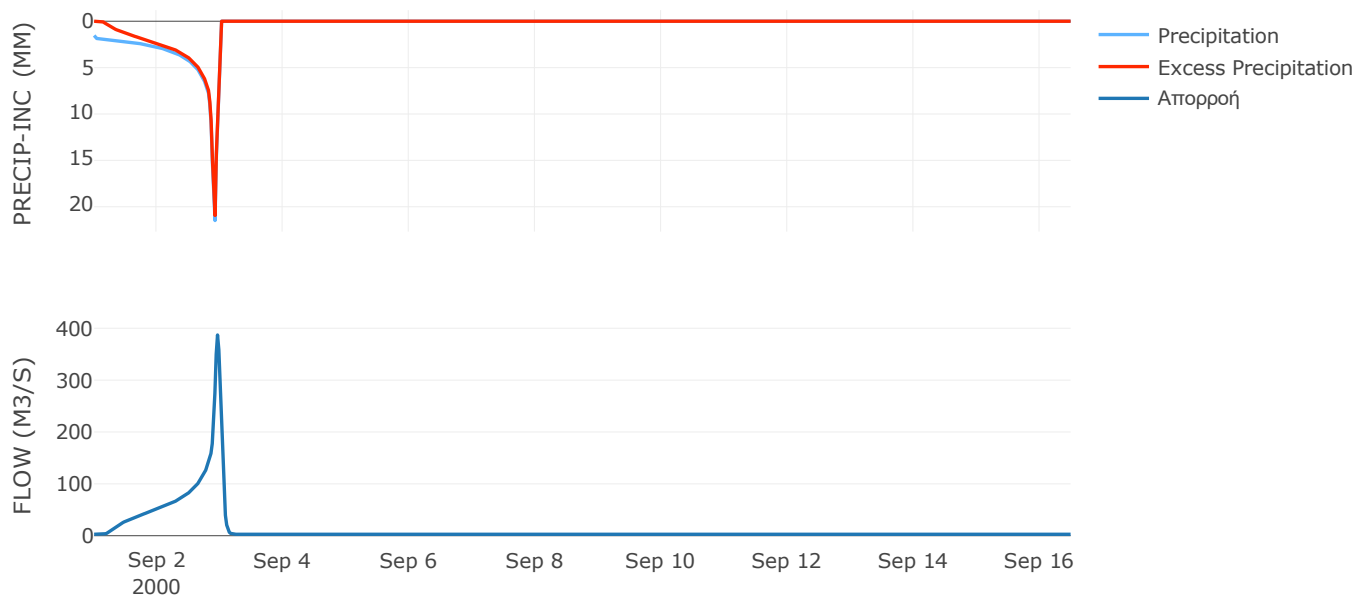
Μέθοδος
Μετασχηματισμού: SCS

Χρόνος Υστέρησης	53.69
------------------	-------

Αποτελέσματα:
EL0415FR6045

Παροχή αιχμής (M3/S)	387.06
Χρονική στιγμή αιχμής	02Sep2000, 23:00
Όγκος (MM)	416.92
Όγκος βροχόπτωσης (M3)	1.53E7
Όγκος απωλειών (M3)	2.6E6
Ενεργός Όγκος (M3)	1.27E7
Όγκος άμεσης απορροής (M3)	1.27E7
Όγκος βασικής απορροής (M3)	3.69E6

Βροχόπτωση και Απορροή



Υπολεκάνη: EL0415FR6046

Έκταση (KM2) : 33.73

Κατάντη : J23

Μέθοδος Απωλειών: SCS

Ποσοστό αδιαπέρατης επιφάνειας	0
Αριθμός Καμπύλης Απορροής-CN	54.47
Αρχικές Απώλειες	42.47

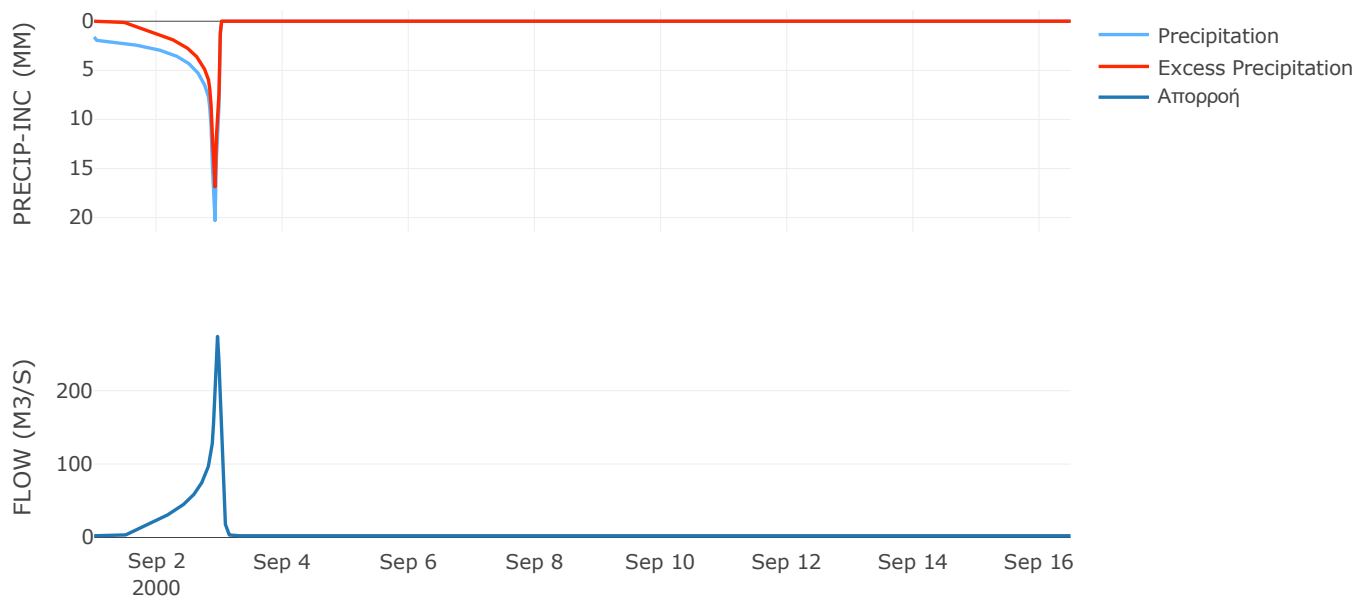
Μέθοδος
Μετασχηματισμού: SCS

Χρόνος Υστέρησης	44.28
------------------	-------

Αποτελέσματα:
EL0415FR6046

Παροχή αιχμής (M3/S)	273.96
Χρονική στιγμή αιχμής	02Sep2000, 23:00
Όγκος (MM)	310.48
Όγκος βροχόπτωσης (M3)	1.32E7
Όγκος απωλειών (M3)	5.88E6
Ενεργός Όγκος (M3)	7.31E6
Όγκος άμεσης απορροής (M3)	7.31E6
Όγκος βασικής απορροής (M3)	3.16E6

Βροχόπτωση και Απορροή



Υπολεκάνη: EL0415FR6047

Έκταση (KM2) : 33.12

Κατάντη : J38

Μέθοδος Απωλειών: SCS

Ποσοστό αδιαπέρατης επιφάνειας	0
Αριθμός Καμπύλης Απορροής-CN	63.03
Αρχικές Απώλειες	29.79

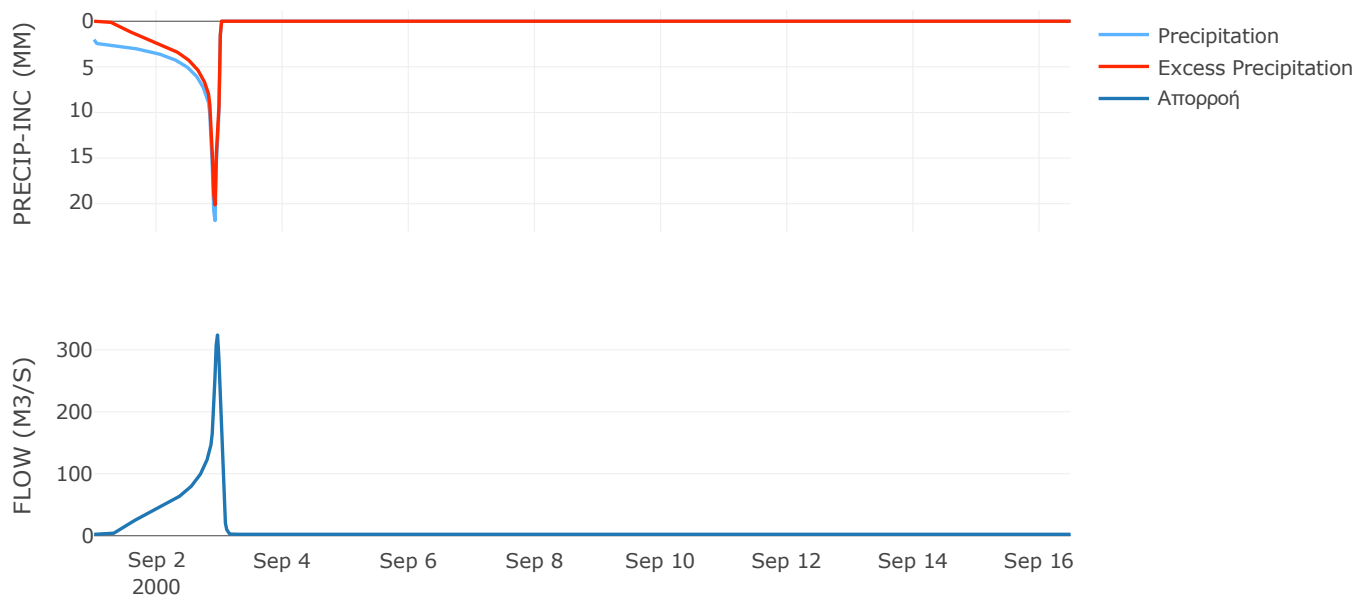
Μέθοδος
Μετασχηματισμού: SCS

Χρόνος Υστέρησης	43.59
------------------	-------

Αποτελέσματα:
EL0415FR6047

Παροχή αιχμής (M3/S)	323.89
Χρονική στιγμή αιχμής	02Sep2000, 23:00
Όγκος (MM)	416.06
Όγκος βροχόπτωσης (M3)	1.53E7
Όγκος απωλειών (M3)	4.66E6
Ενεργός Όγκος (M3)	1.07E7
Όγκος άμεσης απορροής (M3)	1.07E7
Όγκος βασικής απορροής (M3)	3.1E6

Βροχόπτωση και Απορροή



Υπολεκάνη: EL0415FR6048

Έκταση (KM2) : 29.32

Κατάντη : J35

Μέθοδος Απωλειών: SCS

Ποσοστό αδιαπέρατης επιφάνειας	0
Αριθμός Καμπύλης Απορροής-CN	65.35
Αρχικές Απώλειες	26.94

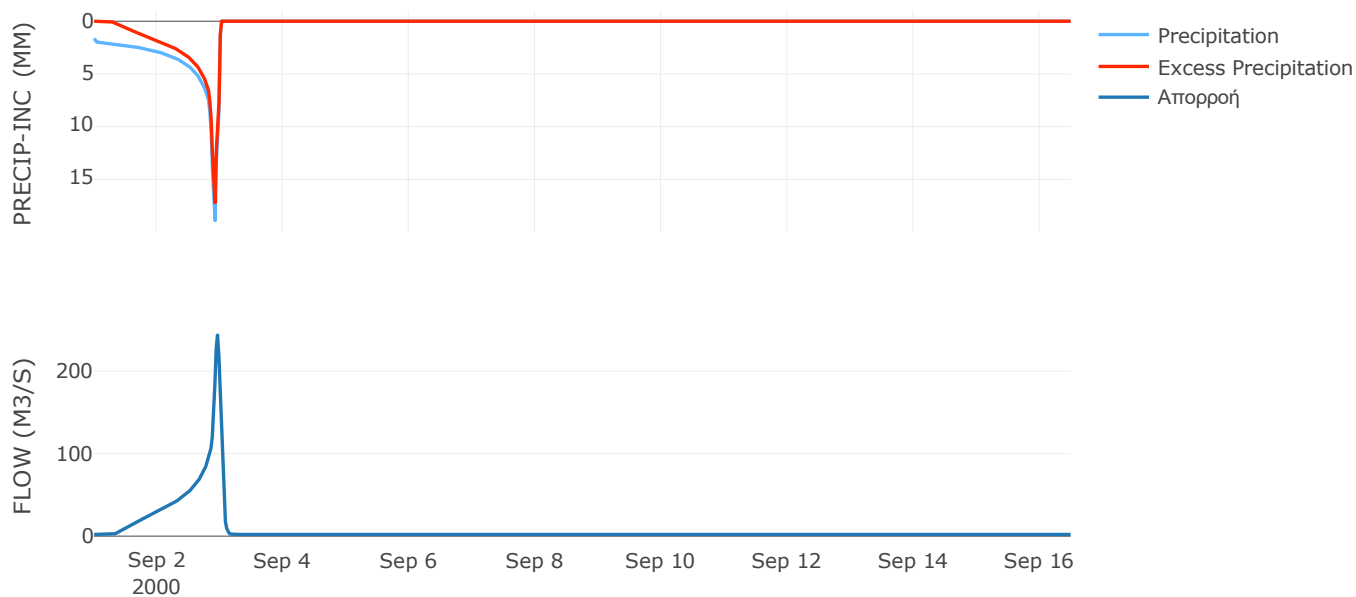
Μέθοδος
Μετασχηματισμού: SCS

Χρόνος Υστέρησης	46.25
------------------	-------

Αποτελέσματα:
EL0415FR6048

Παροχή αιχμής (M3/S)	243.51
Χρονική στιγμή αιχμής	02Sep2000, 23:00
Όγκος (MM)	353.21
Όγκος βροχόπτωσης (M3)	1.13E7
Όγκος απωλειών (M3)	3.66E6
Ενεργός Όγκος (M3)	7.61E6
Όγκος άμεσης απορροής (M3)	7.61E6
Όγκος βασικής απορροής (M3)	2.75E6

Βροχόπτωση και Απορροή



Υπολεκάνη: EL0415FR6049

Έκταση (KM2) : 52.23

Κατάντη : J49

Μέθοδος Απωλειών: SCS

Ποσοστό αδιαπέρατης επιφάνειας	0
Αριθμός Καμπύλης Απορροής-CN	65.85
Αρχικές Απώλειες	26.35

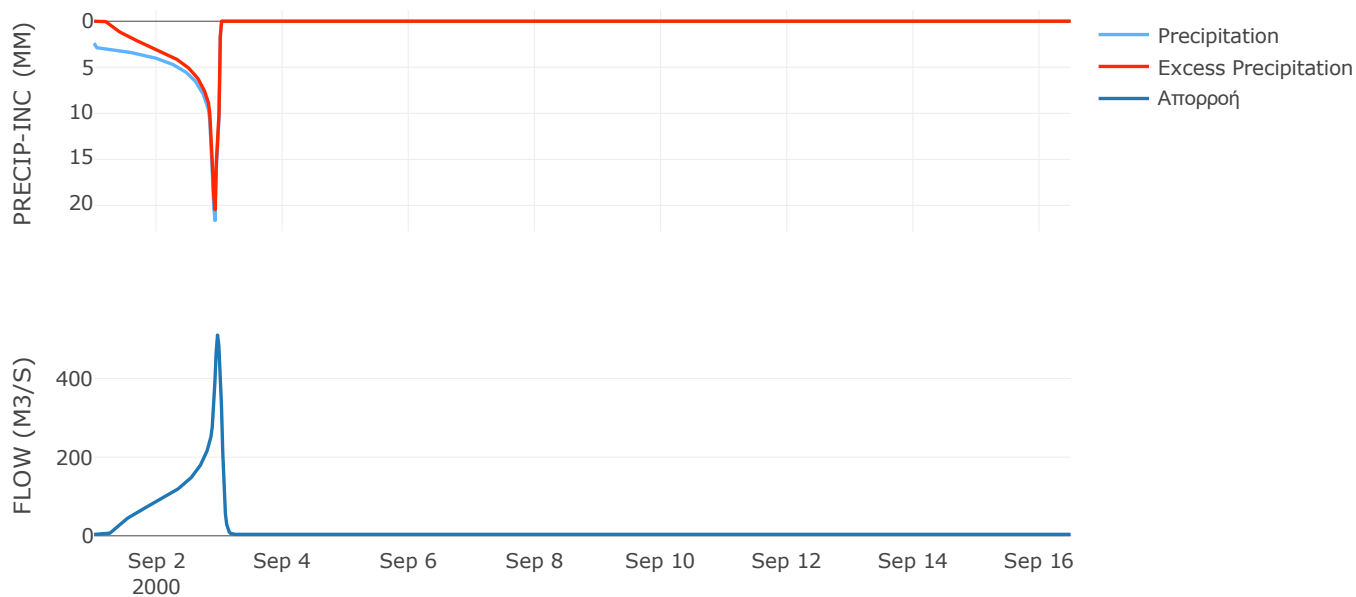
Μέθοδος
Μετασχηματισμού: SCS

Χρόνος Υστέρησης	52.94
------------------	-------

Αποτελέσματα:
EL0415FR6049

Παροχή αιχμής (M3/S)	510.33
Χρονική στιγμή αιχμής	02Sep2000, 23:00
Όγκος (MM)	475.96
Όγκος βροχόπτωσης (M3)	2.67E7
Όγκος απωλειών (M3)	6.79E6
Ενεργός Όγκος (M3)	2E7
Όγκος άμεσης απορροής (M3)	2E7
Όγκος βασικής απορροής (M3)	4.9E6

Βροχόπτωση και Απορροή



Υπολεκάνη: EL0415FR6050

Έκταση (KM2) : 51.03

Κατάντη : J51

Μέθοδος Απωλειών: SCS

Ποσοστό αδιαπέρατης επιφάνειας	0
Αριθμός Καμπύλης Απορροής-CN	62.73
Αρχικές Απώλειες	30.19

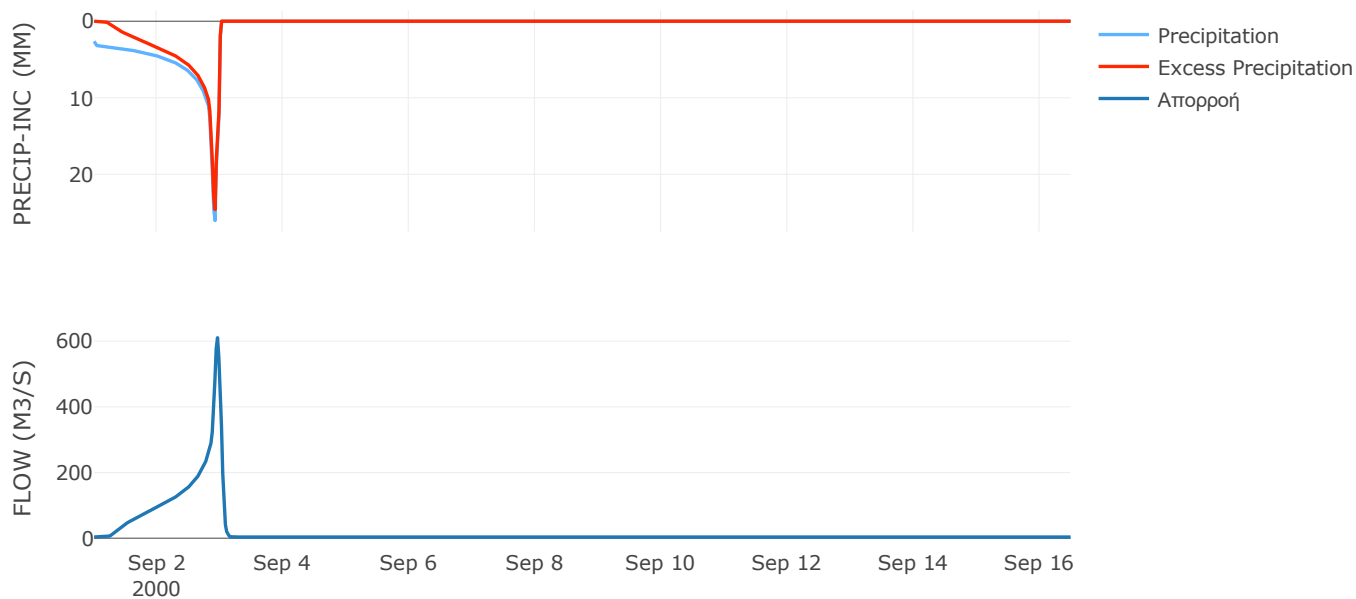
Μέθοδος
Μετασχηματισμού: SCS

Χρόνος Υστέρησης	44.7
------------------	------

Αποτελέσματα:
EL0415FR6050

Παροχή αιχμής (M3/S)	610.33
Χρονική στιγμή αιχμής	02Sep2000, 23:00
Όγκος (MM)	528.3
Όγκος βροχόπτωσης (M3)	2.98E7
Όγκος απωλειών (M3)	7.59E6
Ενεργός Όγκος (M3)	2.22E7
Όγκος άμεσης απορροής (M3)	2.22E7
Όγκος βασικής απορροής (M3)	4.78E6

Βροχόπτωση και Απορροή



Υπολεκάνη: EL0415FR6051

Έκταση (KM2) : 113.82

Κατάντη : J56

Μέθοδος Απωλειών: SCS

Ποσοστό αδιαπέρατης επιφάνειας	0
Αριθμός Καμπύλης Απορροής-CN	79.1
Αρχικές Απώλειες	13.42

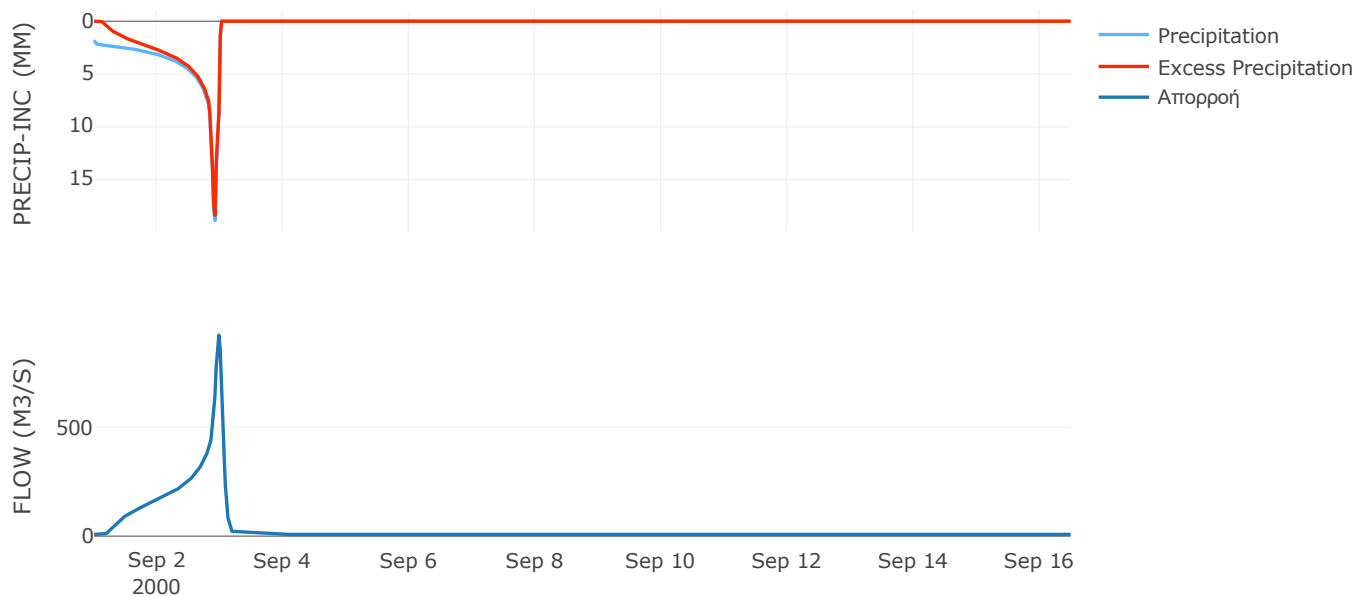
Μέθοδος
Μετασχηματισμού: SCS

Χρόνος Υστέρησης	75.47
------------------	-------

Αποτελέσματα:
EL0415FR6051

Παροχή αιχμής (M3/S)	926.75
Χρονική στιγμή αιχμής	02Sep2000, 23:30
Όγκος (MM)	431.19
Όγκος βροχόπτωσης (M3)	4.65E7
Όγκος απωλειών (M3)	8.06E6
Ενεργός Όγκος (M3)	3.84E7
Όγκος άμεσης απορροής (M3)	3.84E7
Όγκος βασικής απορροής (M3)	1.07E7

Βροχόπτωση και Απορροή



Υπολεκάνη: EL0415FR6052

Έκταση (KM2) : 27.12

Κατάντη : J4

Μέθοδος Απωλειών: SCS

Ποσοστό αδιαπέρατης επιφάνειας	0
Αριθμός Καμπύλης Απορροής-CN	66.78
Αρχικές Απώλειες	25.27

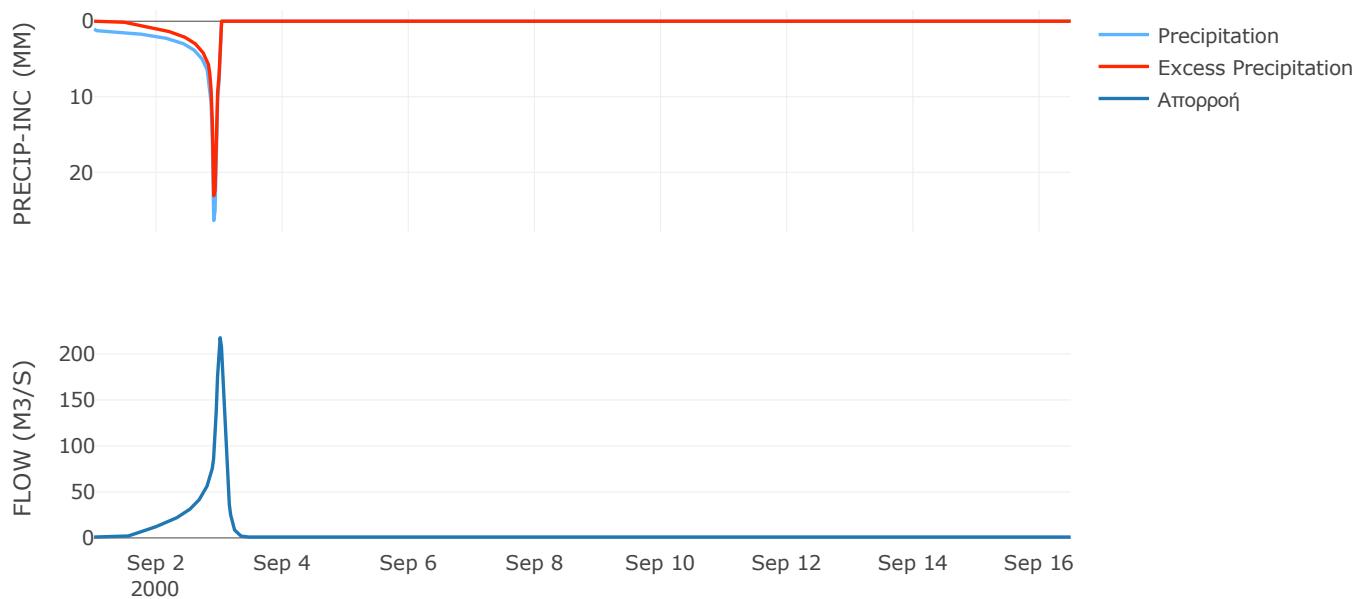
Μέθοδος
Μετασχηματισμού: SCS

Χρόνος Υστέρησης	113.36
------------------	--------

Αποτελέσματα:
EL0415FR6052

Παροχή αιχμής (M3/S)	217.63
Χρονική στιγμή αιχμής	02Sep2000, 24:00
Όγκος (MM)	262.55
Όγκος βροχόπτωσης (M3)	8.96E6
Όγκος απωλειών (M3)	3.11E6
Ενεργός Όγκος (M3)	5.85E6
Όγκος άμεσης απορροής (M3)	5.85E6
Όγκος βασικής απορροής (M3)	1.27E6

Βροχόπτωση και Απορροή



Υπολεκάνη: EL0415FR6053

Έκταση (KM2) : 64.07

Κατάντη : J55

Μέθοδος Απωλειών: SCS

Ποσοστό αδιαπέρατης επιφάνειας	0
Αριθμός Καμπύλης Απορροής-CN	64.15
Αρχικές Απώλειες	28.39

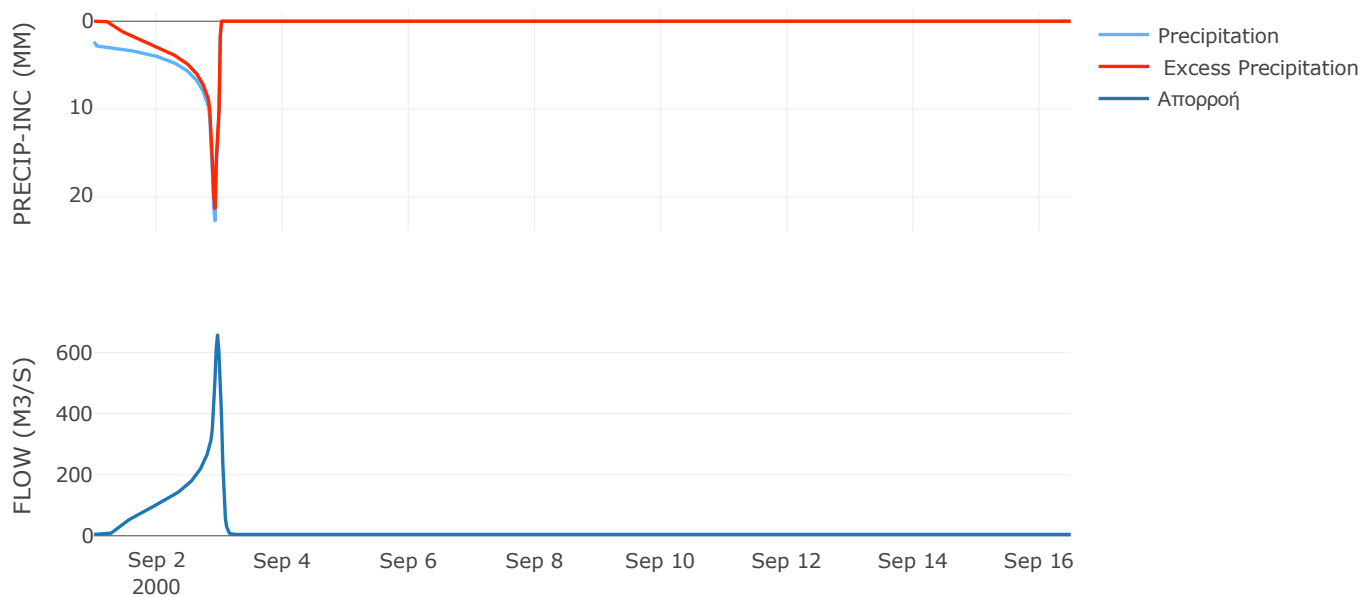
Μέθοδος
Μετασχηματισμού: SCS

Χρόνος Υστέρησης	48.8
------------------	------

Αποτελέσματα:
EL0415FR6053

Παροχή αιχμής (M3/S)	657.17
Χρονική στιγμή αιχμής	02Sep2000, 23:00
Όγκος (MM)	469.41
Όγκος βροχόπτωσης (M3)	3.29E7
Όγκος απωλειών (M3)	8.86E6
Ενεργός Όγκος (M3)	2.41E7
Όγκος άμεσης απορροής (M3)	2.41E7
Όγκος βασικής απορροής (M3)	6.01E6

Βροχόπτωση και Απορροή



Υπολεκάνη: EL0415FR6054

Έκταση (KM2) : 14.21

Κατάντη : J54

Μέθοδος Απωλειών: SCS

Ποσοστό αδιαπέρατης επιφάνειας	6
Αριθμός Καμπύλης Απορροής-CN	70.78
Αρχικές Απώλειες	20.98

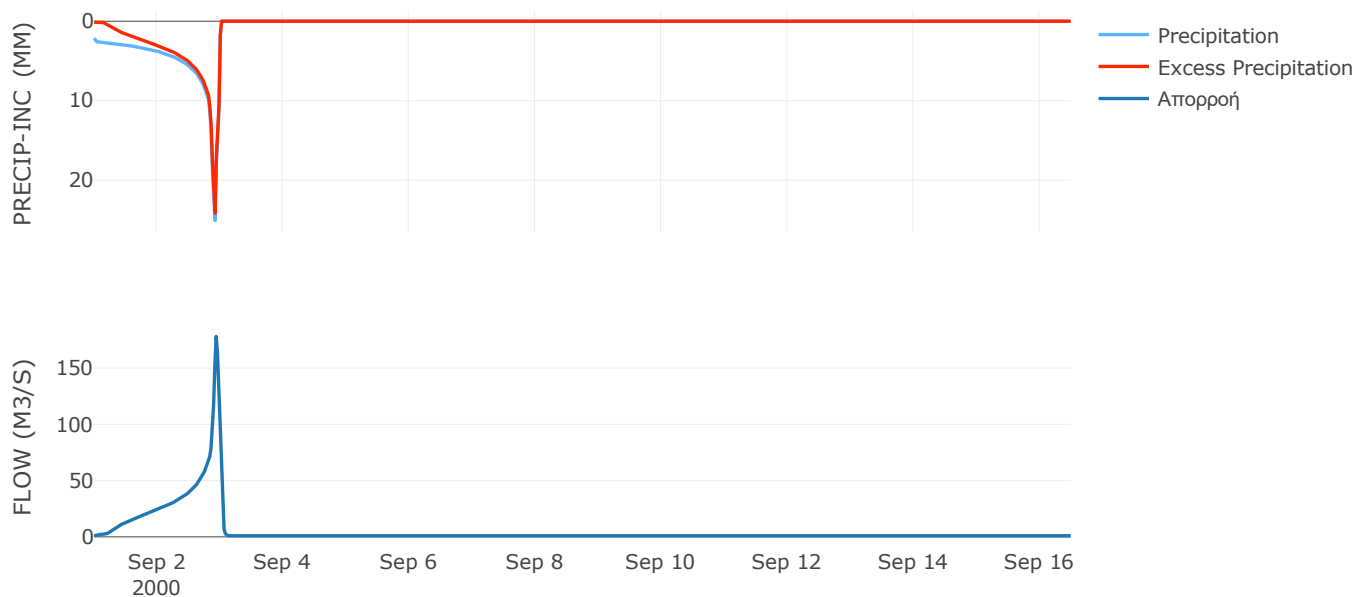
Μέθοδος
Μετασχηματισμού: SCS

Χρόνος Υστέρησης	26.37
------------------	-------

Αποτελέσματα:
EL0415FR6054

Παροχή αιχμής (M3/S)	178.12
Χρονική στιγμή αιχμής	02Sep2000, 22:30
Όγκος (MM)	497.06
Όγκος βροχόπτωσης (M3)	7.16E6
Όγκος απωλειών (M3)	1.43E6
Ενεργός Όγκος (M3)	5.73E6
Όγκος άμεσης απορροής (M3)	5.73E6
Όγκος βασικής απορροής (M3)	1.33E6

Βροχόπτωση και Απορροή



Υπολεκάνη: EL0415FR6055

Έκταση (KM2) : 46.67

Κατάντη : J55

Μέθοδος Απωλειών: SCS

Ποσοστό αδιαπέρατης επιφάνειας	0
Αριθμός Καμπύλης Απορροής-CN	59.03
Αρχικές Απώλειες	35.26

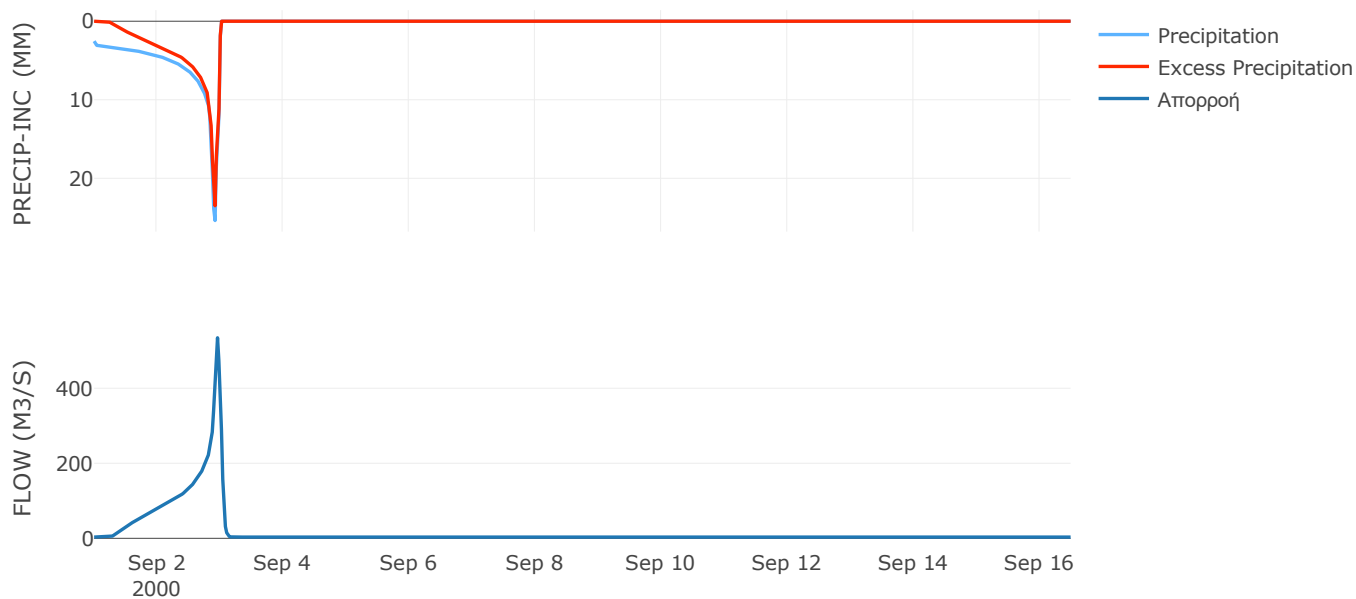
Μέθοδος
Μετασχηματισμού: SCS

Χρόνος Υστέρησης	42.25
------------------	-------

Αποτελέσματα:
EL0415FR6055

Παροχή αιχμής (M3/S)	534.56
Χρονική στιγμή αιχμής	02Sep2000, 23:00
Όγκος (MM)	491.88
Όγκος βροχόπτωσης (M3)	2.64E7
Όγκος απωλειών (M3)	7.82E6
Ενεργός Όγκος (M3)	1.86E7
Όγκος άμεσης απορροής (M3)	1.86E7
Όγκος βασικής απορροής (M3)	4.38E6

Βροχόπτωση και Απορροή



Υπολεκάνη: EL0415FR6056

Έκταση (KM2) : 143.97

Κατάντη : J54

Μέθοδος Απωλειών: SCS

Ποσοστό αδιαπέρατης επιφάνειας	0
Αριθμός Καμπύλης Απορροής-CN	67.72
Αρχικές Απώλειες	24.21

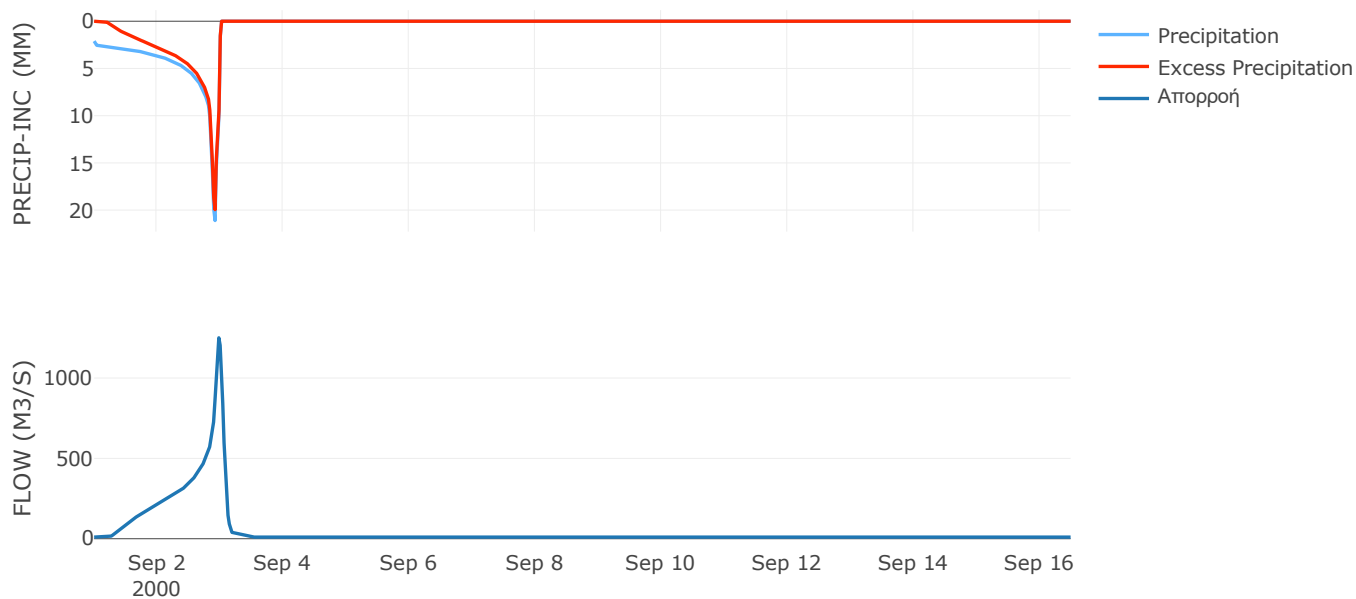
Μέθοδος
Μετασχηματισμού: SCS

Χρόνος Υστέρησης	82.59
------------------	-------

Αποτελέσματα:
EL0415FR6056

Παροχή αιχμής (M3/S)	1250.41
Χρονική στιγμή αιχμής	02Sep2000, 23:30
Όγκος (MM)	444.17
Όγκος βροχόπτωσης (M3)	6.76E7
Όγκος απωλειών (M3)	1.72E7
Ενεργός Όγκος (M3)	5.04E7
Όγκος άμεσης απορροής (M3)	5.04E7
Όγκος βασικής απορροής (M3)	1.35E7

Βροχόπτωση και Απορροή



Υπολεκάνη: EL0415FR6057

Έκταση (KM2) : 27.51

Κατάντη : J57

Μέθοδος Απωλειών: SCS

Ποσοστό αδιαπέρατης επιφάνειας	13
Αριθμός Καμπύλης Απορροής-CN	68.48
Αρχικές Απώλειες	23.38

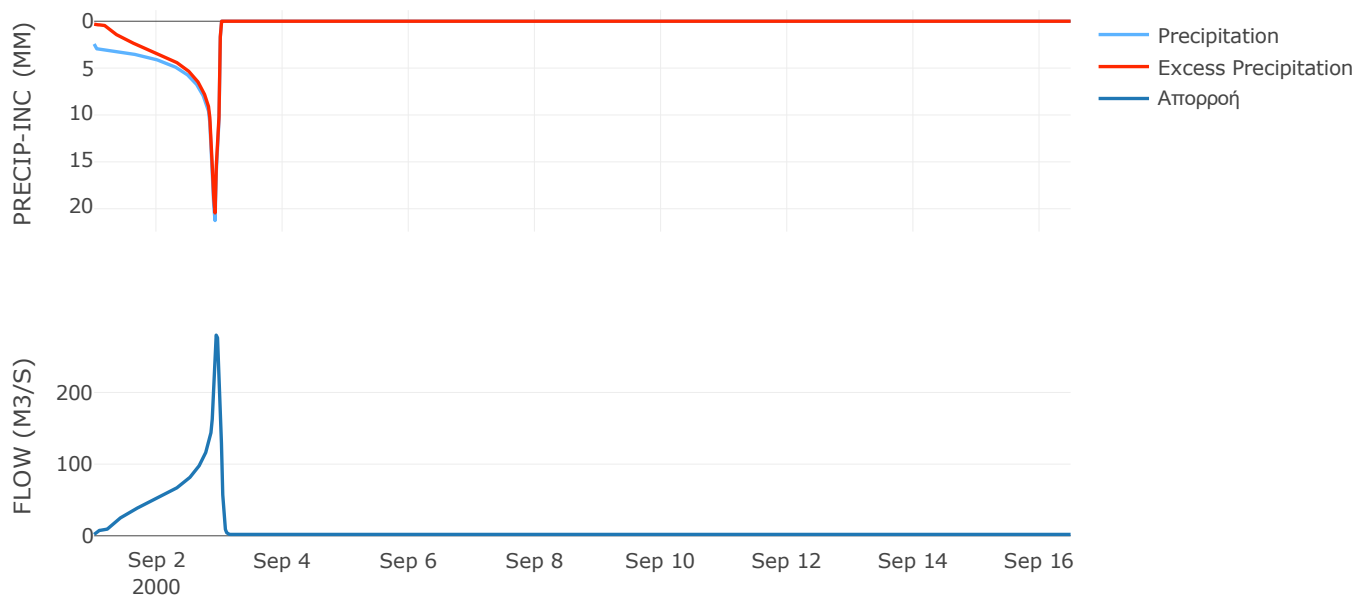
Μέθοδος
Μετασχηματισμού: SCS

Χρόνος Υστέρησης	33.2
------------------	------

Αποτελέσματα:
EL0415FR6057

Παροχή αιχμής (M3/S)	280.08
Χρονική στιγμή αιχμής	02Sep2000, 22:30
Όγκος (MM)	507.24
Όγκος βροχόπτωσης (M3)	1.42E7
Όγκος απωλειών (M3)	2.82E6
Ενεργός Όγκος (M3)	1.14E7
Όγκος άμεσης απορροής (M3)	1.14E7
Όγκος βασικής απορροής (M3)	2.58E6

Βροχόπτωση και Απορροή



Υπολεκάνη: EL0415FR6058

Έκταση (KM2) : 10.79

Κατάνη : J53 Res5

Μέθοδος Απωλειών: SCS

Ποσοστό αδιαπέρατης επιφάνειας	16
Αριθμός Καμπύλης Απορροής-CN	74.11
Αρχικές Απώλειες	17.75

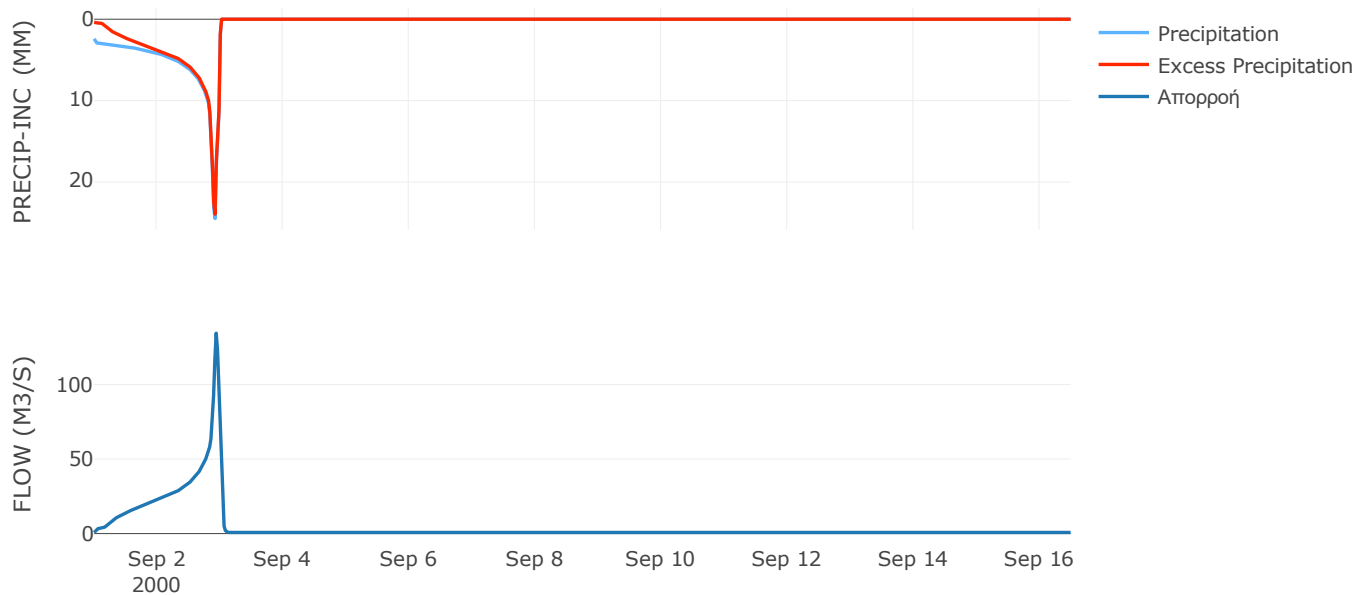
Μέθοδος
Μετασχηματισμού: SCS

Χρόνος Υστέρησης	25.46
------------------	-------

Αποτελέσματα:
EL0415FR6058

Παροχή αιχμής (M3/S)	134.4
Χρονική στιγμή αιχμής	02Sep2000, 22:30
Όγκος (MM)	554.42
Όγκος βροχόπτωσης (M3)	5.82E6
Όγκος απωλειών (M3)	8.48E5
Ενεργός Όγκος (M3)	4.97E6
Όγκος άμεσης απορροής (M3)	4.97E6
Όγκος βασικής απορροής (M3)	1.01E6

Βροχόπτωση και Απορροή



Υπολεκάνη: EL0415FR6059

Έκταση (KM2) : 57.55

Κατάντη : J51

Μέθοδος Απωλειών: SCS

Ποσοστό αδιαπέρατης επιφάνειας	0
Αριθμός Καμπύλης Απορροής-CN	72.96
Αρχικές Απώλειες	18.83

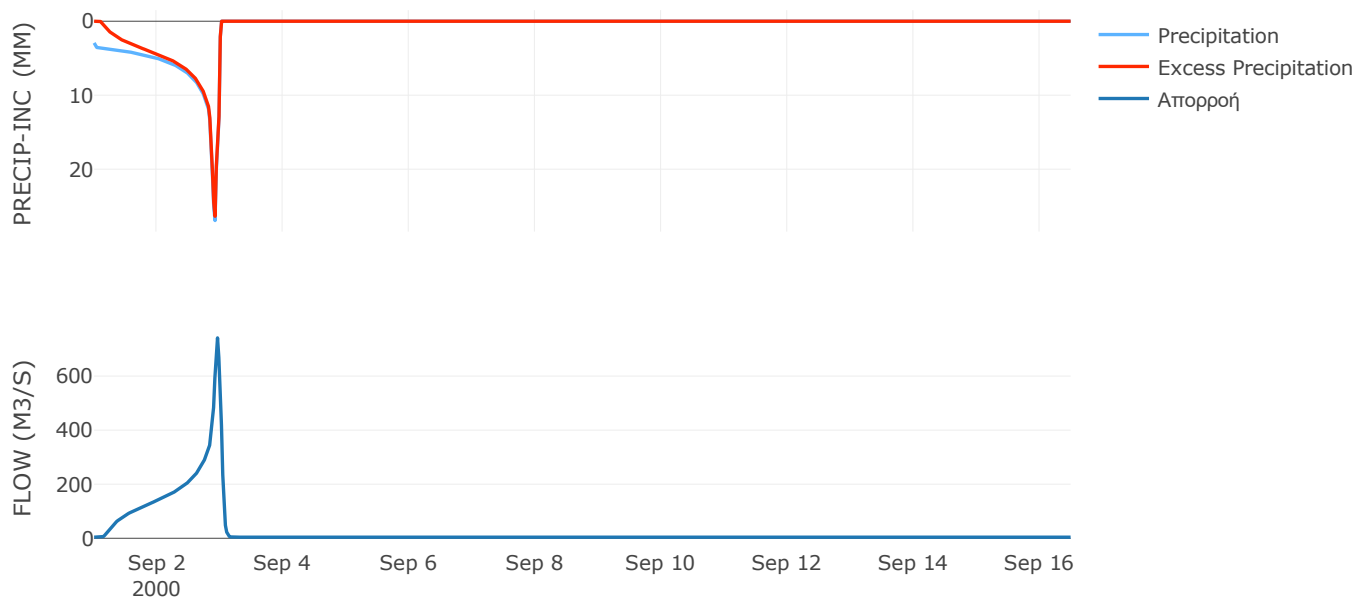
Μέθοδος
Μετασχηματισμού: SCS

Χρόνος Υστέρησης	43.83
------------------	-------

Αποτελέσματα:
EL0415FR6059

Παροχή αιχμής (M3/S)	741.44
Χρονική στιγμή αιχμής	02Sep2000, 23:00
Όγκος (MM)	627.16
Όγκος βροχόπτωσης (M3)	3.65E7
Όγκος απωλειών (M3)	5.78E6
Ενεργός Όγκος (M3)	3.07E7
Όγκος άμεσης απορροής (M3)	3.07E7
Όγκος βασικής απορροής (M3)	5.39E6

Βροχόπτωση και Απορροή



Υπολεκάνη: EL0415FR6060

Έκταση (KM2) : 43.14

Κατάντη : J50

Μέθοδος Απωλειών: SCS

Ποσοστό αδιαπέρατης επιφάνειας	0
Αριθμός Καμπύλης Απορροής-CN	74.84
Αρχικές Απώλειες	17.08

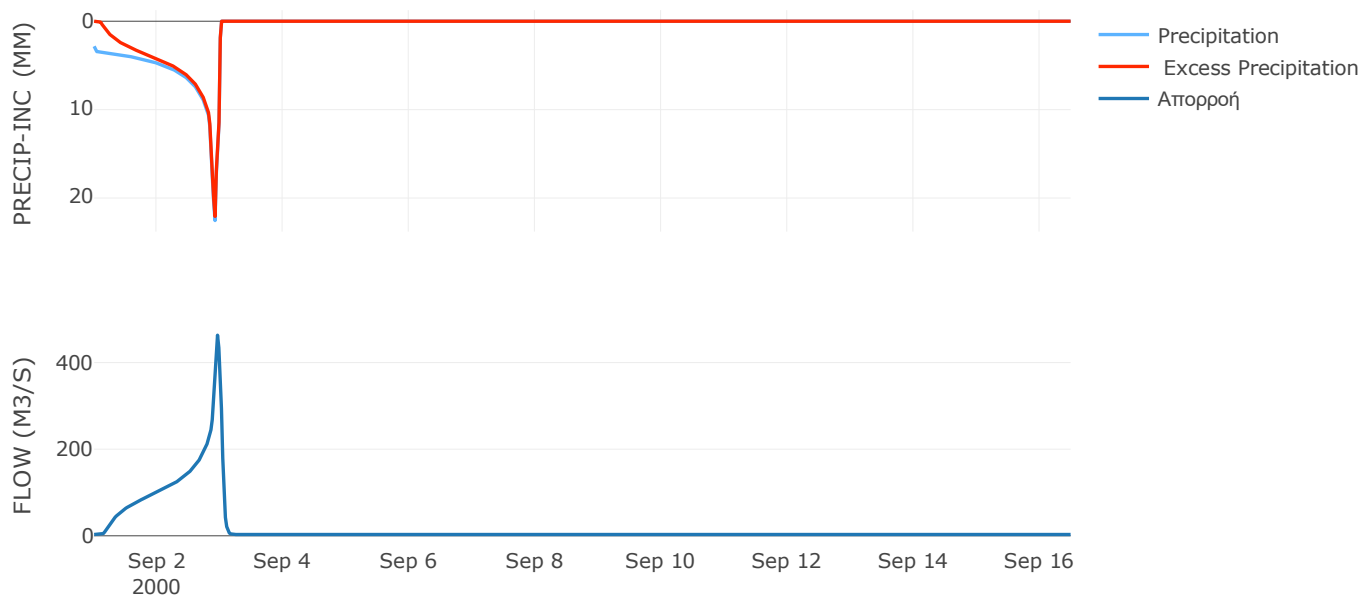
Μέθοδος
Μετασχηματισμού: SCS

Χρόνος Υστέρησης	48.98
------------------	-------

Αποτελέσματα:
EL0415FR6060

Παροχή αιχμής (M3/S)	463.16
Χρονική στιγμή αιχμής	02Sep2000, 23:00
Όγκος (MM)	584.99
Όγκος βροχόπτωσης (M3)	2.51E7
Όγκος απωλειών (M3)	3.94E6
Ενεργός Όγκος (M3)	2.12E7
Όγκος άμεσης απορροής (M3)	2.12E7
Όγκος βασικής απορροής (M3)	4.04E6

Βροχόπτωση και Απορροή



Υπολεκάνη: EL0415FR6061

Έκταση (KM2) : 129.17

Κατάντη : J56

Μέθοδος Απωλειών: SCS

Ποσοστό αδιαπέρατης επιφάνειας	0
Αριθμός Καμπύλης Απορροής-CN	67.58
Αρχικές Απώλειες	24.37

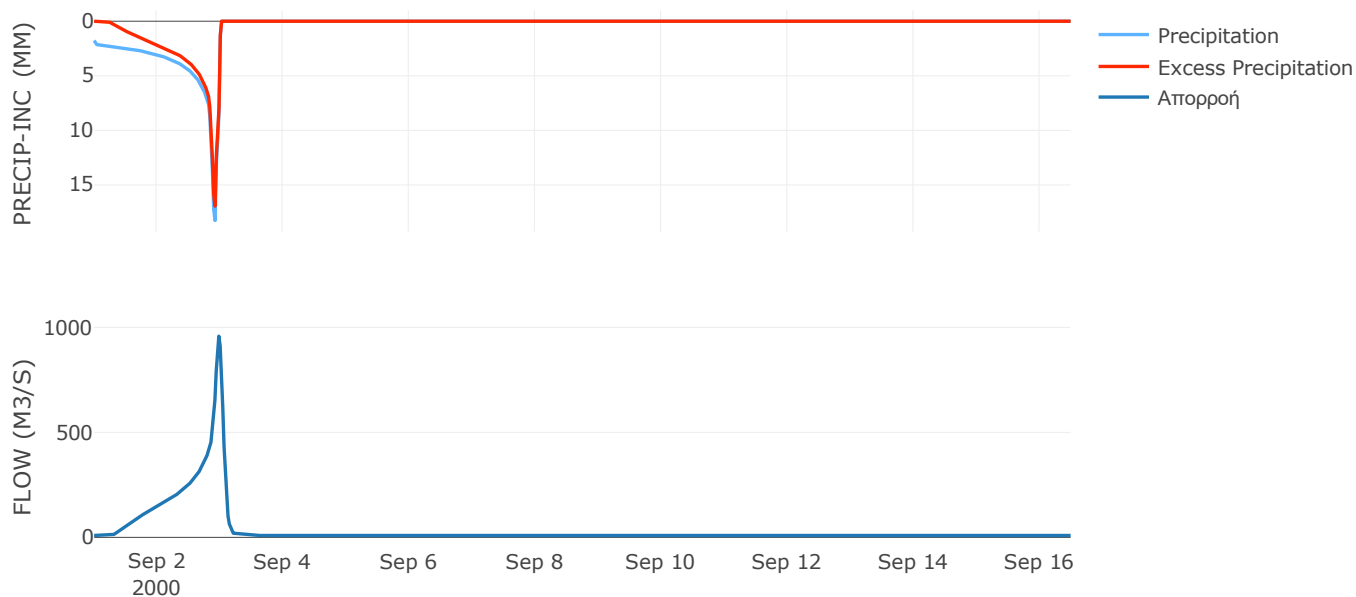
Μέθοδος
Μετασχηματισμού: SCS

Χρόνος Υστέρησης	79.55
------------------	-------

Αποτελέσματα:
EL0415FR6061

Παροχή αιχμής (M3/S)	958.61
Χρονική στιγμή αιχμής	02Sep2000, 23:30
Όγκος (MM)	376.18
Όγκος βροχόπτωσης (M3)	5.15E7
Όγκος απωλειών (M3)	1.5E7
Ενεργός Όγκος (M3)	3.65E7
Όγκος άμεσης απορροής (M3)	3.65E7
Όγκος βασικής απορροής (M3)	1.21E7

Βροχόπτωση και Απορροή



Υπολεκάνη: EL0415FR6062

Έκταση (KM2) : 41.66

Κατάντη : J49

Μέθοδος Απωλειών: SCS

Ποσοστό αδιαπέρατης επιφάνειας	0
Αριθμός Καμπύλης Απορροής-CN	74.55
Αρχικές Απώλειες	17.34

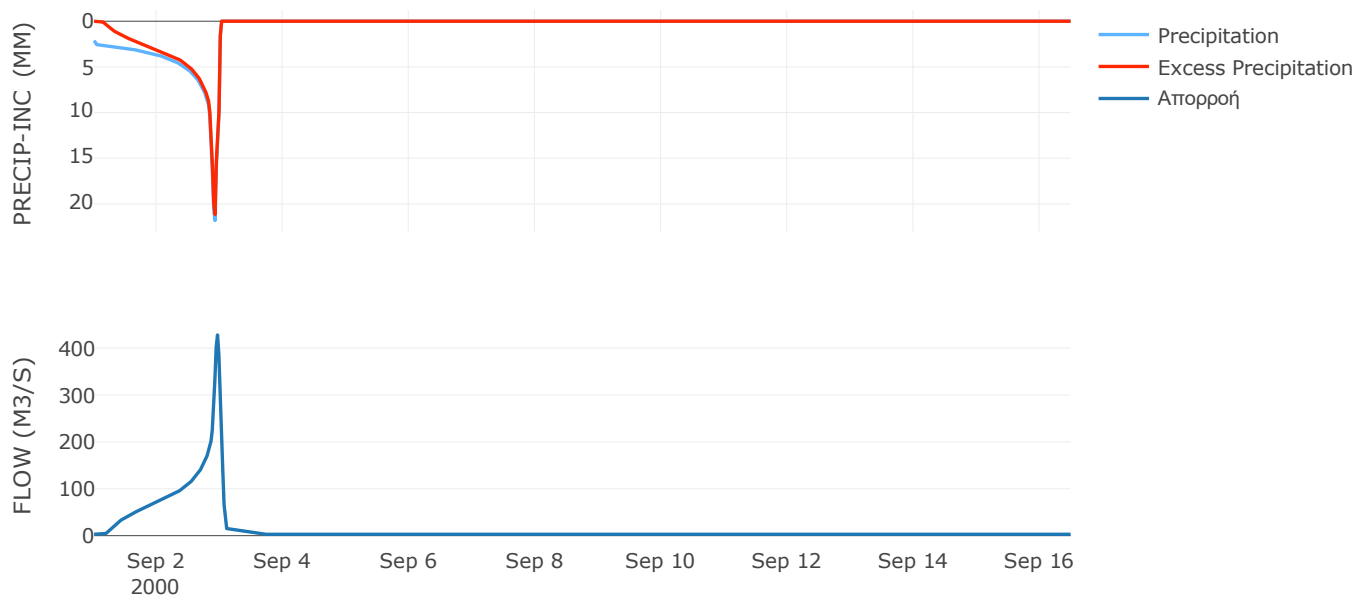
Μέθοδος
Μετασχηματισμού: SCS

Χρόνος Υστέρησης	45.88
------------------	-------

Αποτελέσματα:
EL0415FR6062

Παροχή αιχμής (M3/S)	427.89
Χρονική στιγμή αιχμής	02Sep2000, 23:00
Όγκος (MM)	480.55
Όγκος βροχόπτωσης (M3)	1.99E7
Όγκος απωλειών (M3)	3.76E6
Ενεργός Όγκος (M3)	1.61E7
Όγκος άμεσης απορροής (M3)	1.61E7
Όγκος βασικής απορροής (M3)	3.91E6

Βροχόπτωση και Απορροή



Υπολεκάνη: EL0415FR6063

Έκταση (KM2) : 99.42

Κατάντη : J48

Μέθοδος Απωλειών: SCS

Ποσοστό αδιαπέρατης επιφάνειας	0
Αριθμός Καμπύλης Απορροής-CN	63.55
Αρχικές Απώλειες	29.13

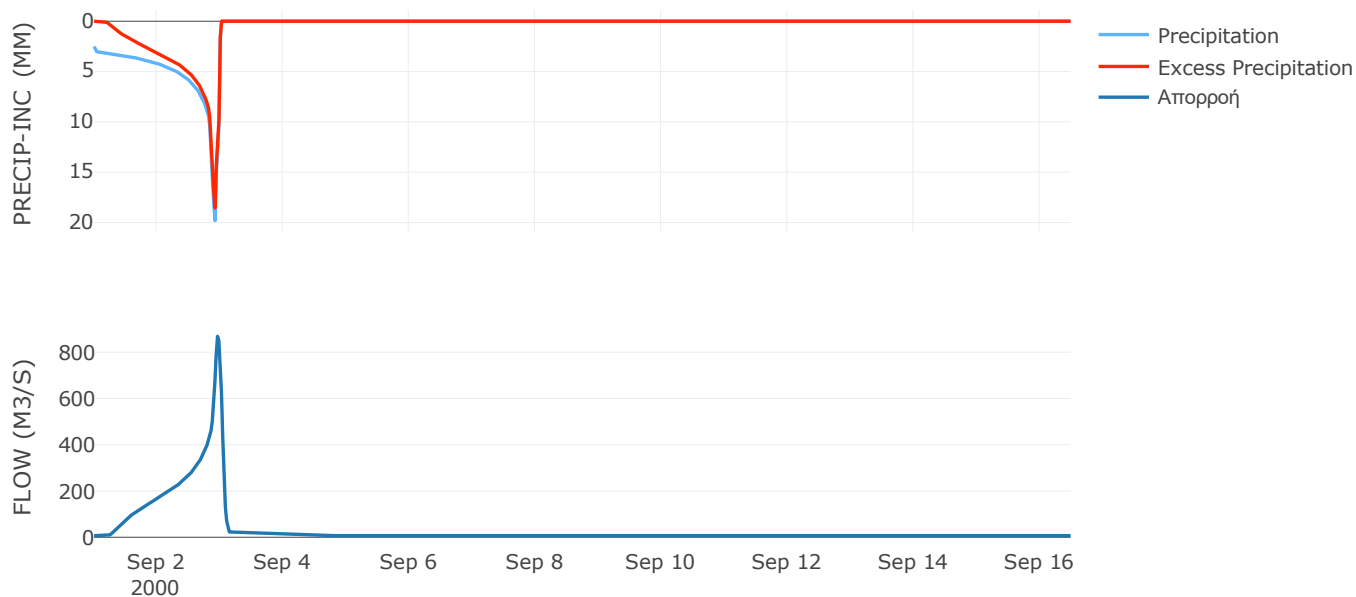
Μέθοδος
Μετασχηματισμού: SCS

Χρόνος Υστέρησης	58.77
------------------	-------

Αποτελέσματα:
EL0415FR6063

Παροχή αιχμής (M3/S)	868.52
Χρονική στιγμή αιχμής	02Sep2000, 23:00
Όγκος (MM)	466.39
Όγκος βροχόπτωσης (M3)	5.11E7
Όγκος απωλειών (M3)	1.4E7
Ενεργός Όγκος (M3)	3.7E7
Όγκος άμεσης απορροής (M3)	3.7E7
Όγκος βασικής απορροής (M3)	9.32E6

Βροχόπτωση και Απορροή



Υπολεκάνη: EL0415FR6064

Έκταση (KM2) : 51.48

Κατάντη : J47

Μέθοδος Απωλειών: SCS

Ποσοστό αδιαπέρατης επιφάνειας	0
Αριθμός Καμπύλης Απορροής-CN	60.98
Αρχικές Απώλειες	32.51

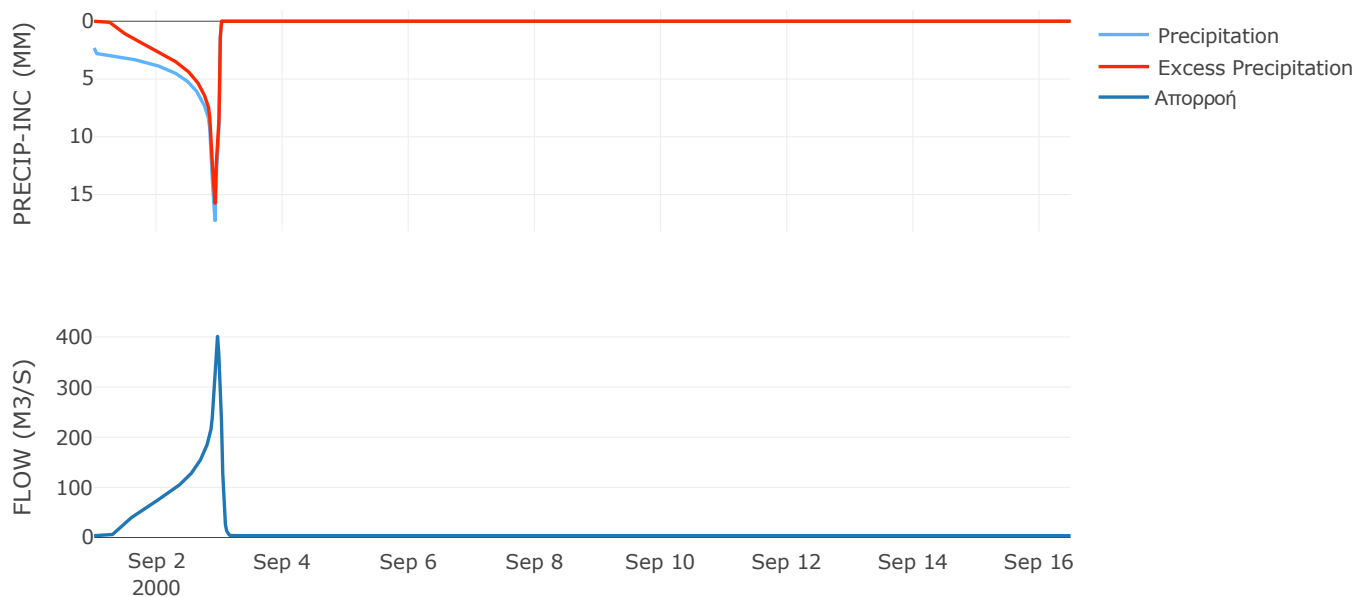
Μέθοδος
Μετασχηματισμού: SCS

Χρόνος Υστέρησης	41.84
------------------	-------

Αποτελέσματα:
EL0415FR6064

Παροχή αιχμής (M3/S)	401.05
Χρονική στιγμή αιχμής	02Sep2000, 23:00
Όγκος (MM)	408.41
Όγκος βροχόπτωσης (M3)	2.4E7
Όγκος απωλειών (M3)	7.76E6
Ενεργός Όγκος (M3)	1.62E7
Όγκος άμεσης απορροής (M3)	1.62E7
Όγκος βασικής απορροής (M3)	4.83E6

Βροχόπτωση και Απορροή



Υπολεκάνη: EL0415FR6065

Έκταση (KM2) : 12.04

Κατάντη : J47

Μέθοδος Απωλειών: SCS

Ποσοστό αδιαπέρατης επιφάνειας	0
Αριθμός Καμπύλης Απορροής-CN	63.29
Αρχικές Απώλειες	29.46

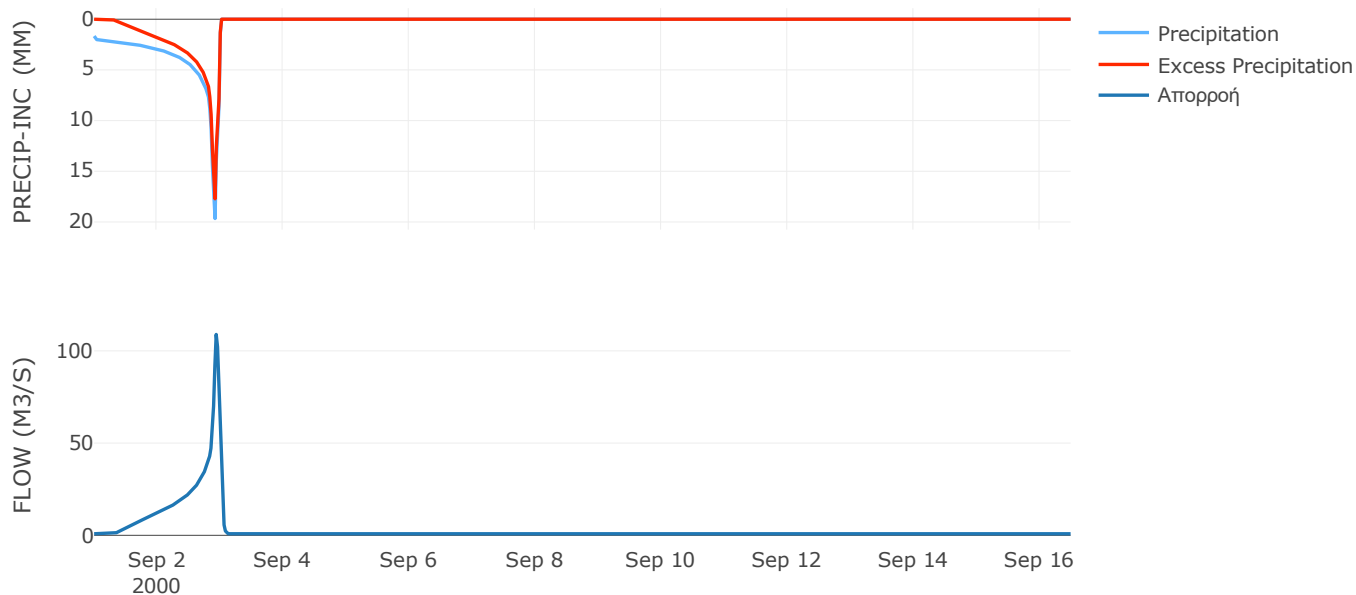
Μέθοδος
Μετασχηματισμού: SCS

Χρόνος Υστέρησης	28.91
------------------	-------

Αποτελέσματα:
EL0415FR6065

Παροχή αιχμής (M3/S)	108.9
Χρονική στιγμή αιχμής	02Sep2000, 22:30
Όγκος (MM)	353.67
Όγκος βροχόπτωσης (M3)	4.75E6
Όγκος απωλειών (M3)	1.62E6
Ενεργός Όγκος (M3)	3.13E6
Όγκος άμεσης απορροής (M3)	3.13E6
Όγκος βασικής απορροής (M3)	1.13E6

Βροχόπτωση και Απορροή



Υπολεκάνη: EL0415FR6066

Έκταση (KM2) : 116.84

Κατάντη : J48

Μέθοδος Απωλειών: SCS

Ποσοστό αδιαπέρατης επιφάνειας	0
Αριθμός Καμπύλης Απορροής-CN	68.04
Αρχικές Απώλειες	23.86

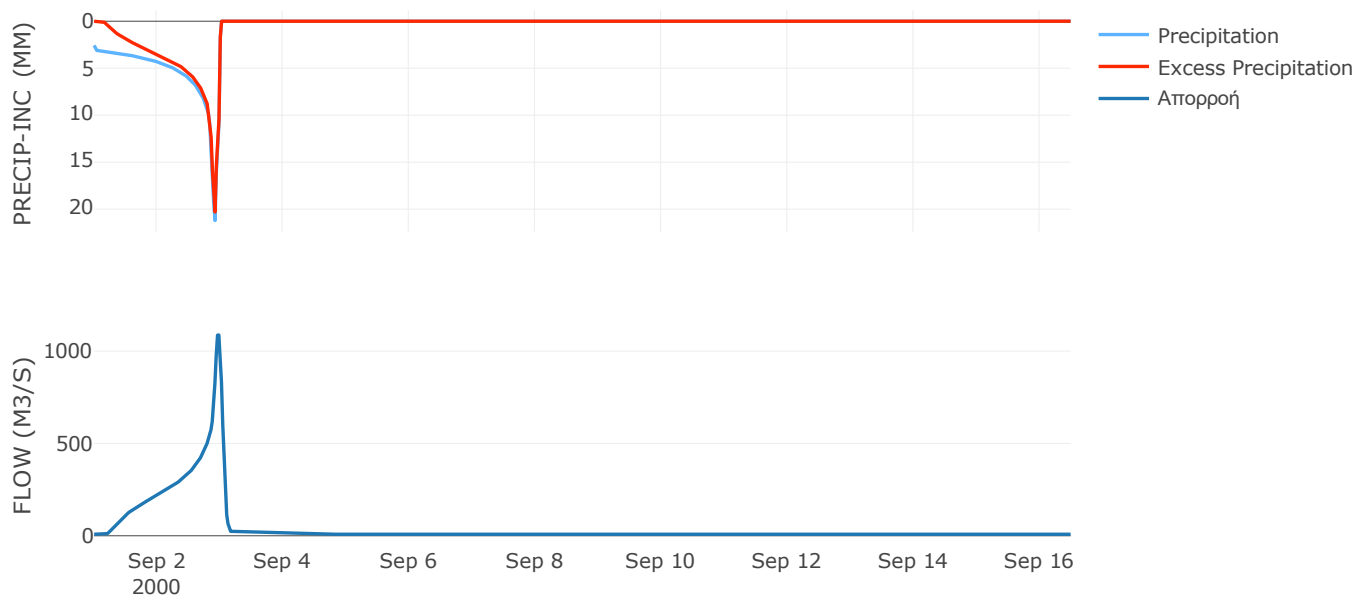
Μέθοδος
Μετασχηματισμού: SCS

Χρόνος Υστέρησης	65.04
------------------	-------

Αποτελέσματα:
EL0415FR6066

Παροχή αιχμής (M3/S)	1087.28
Χρονική στιγμή αιχμής	02Sep2000, 23:30
Όγκος (MM)	507.59
Όγκος βροχόπτωσης (M3)	6.24E7
Όγκος απωλειών (M3)	1.41E7
Ενεργός Όγκος (M3)	4.84E7
Όγκος άμεσης απορροής (M3)	4.84E7
Όγκος βασικής απορροής (M3)	1.1E7

Βροχόπτωση και Απορροή



Υπολεκάνη: EL0415FR6067

Έκταση (KM2) : 29.4

Κατάντη : J57

Μέθοδος Απωλειών: SCS

Ποσοστό αδιαπέρατης επιφάνειας	9
Αριθμός Καμπύλης Απορροής-CN	69.88
Αρχικές Απώλειες	21.9

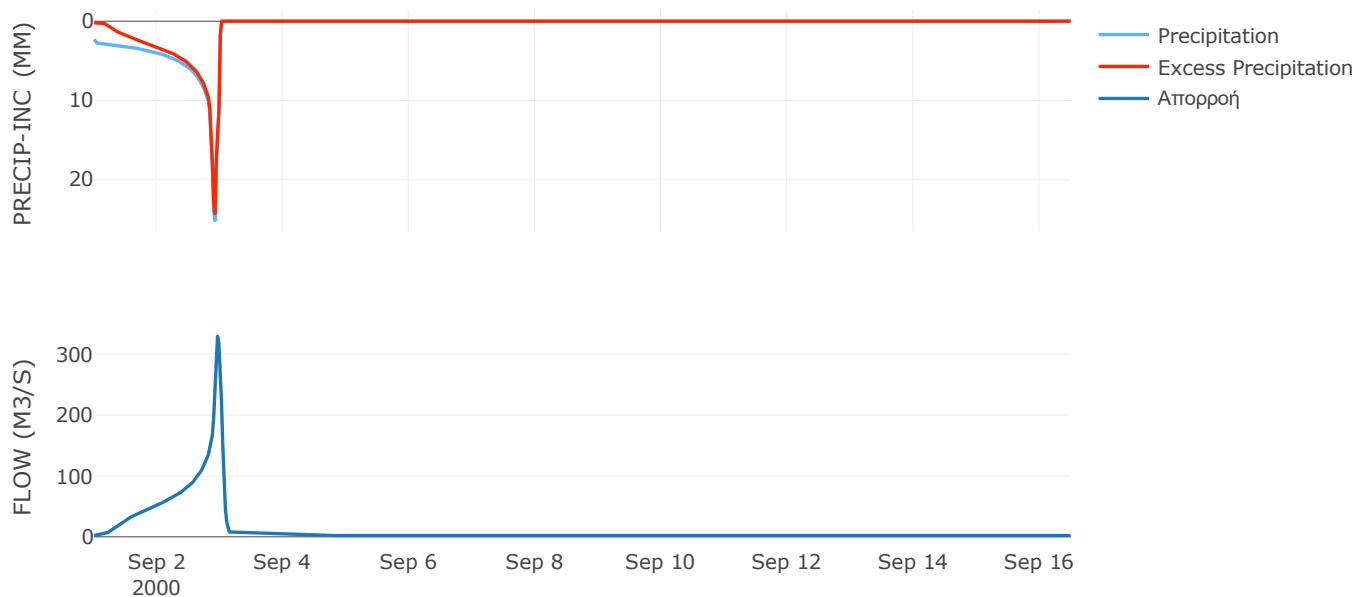
Μέθοδος
Μετασχηματισμού: SCS

Χρόνος Υστέρησης	59.51
------------------	-------

Αποτελέσματα:
EL0415FR6067

Παροχή αιχμής (M3/S)	329.39
Χρονική στιγμή αιχμής	02Sep2000, 23:00
Όγκος (MM)	517.55
Όγκος βροχόπτωσης (M3)	1.55E7
Όγκος απωλειών (M3)	2.99E6
Ενεργός Όγκος (M3)	1.25E7
Όγκος άμεσης απορροής (M3)	1.25E7
Όγκος βασικής απορροής (M3)	2.76E6

Βροχόπτωση και Απορροή



Υπολεκάνη: EL0415FR6068

Έκταση (KM2) : 101.27

Κατάντη : J45

Μέθοδος Απωλειών: SCS

Ποσοστό αδιαπέρατης επιφάνειας	0
Αριθμός Καμπύλης Απορροής-CN	77.74
Αρχικές Απώλειες	14.54

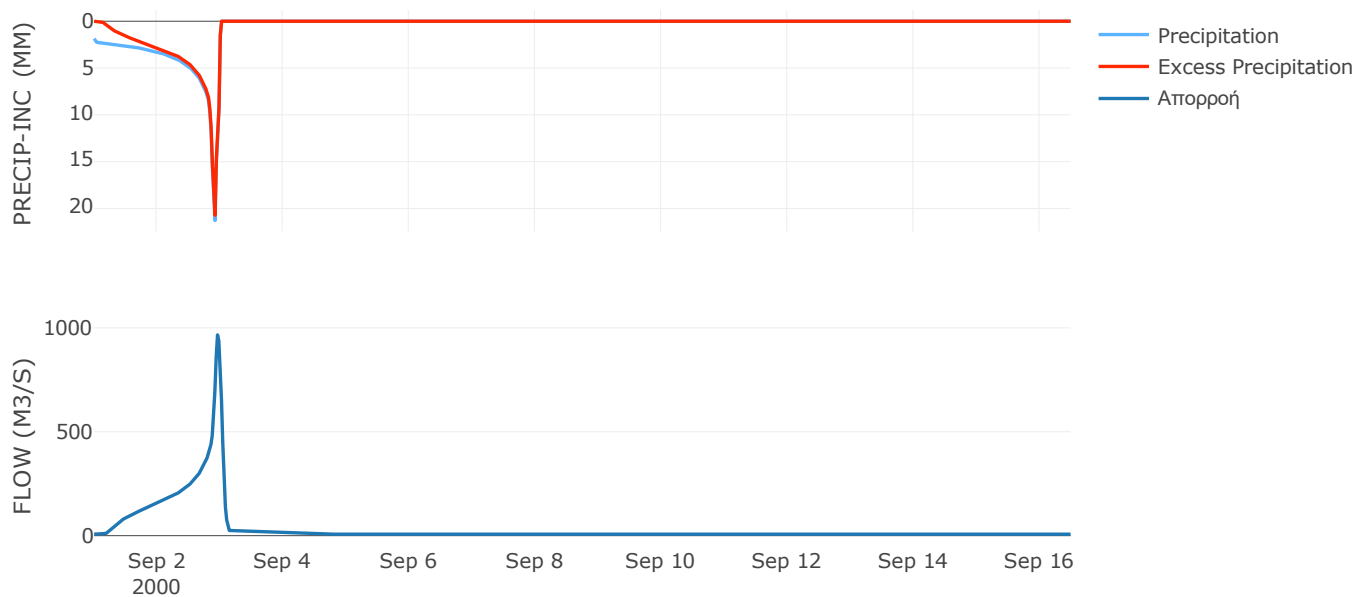
Μέθοδος
Μετασχηματισμού: SCS

Χρόνος Υστέρησης	60.19
------------------	-------

Αποτελέσματα:
EL0415FR6068

Παροχή αιχμής (M3/S)	966.04
Χρονική στιγμή αιχμής	02Sep2000, 23:00
Όγκος (MM)	453.44
Όγκος βροχόπτωσης (M3)	4.42E7
Όγκος απωλειών (M3)	7.75E6
Ενεργός Όγκος (M3)	3.64E7
Όγκος άμεσης απορροής (M3)	3.64E7
Όγκος βασικής απορροής (M3)	9.49E6

Βροχόπτωση και Απορροή



Υπολεκάνη: EL0415FR6069

Έκταση (KM2) : 35

Κατάντη : J43

Μέθοδος Απωλειών: SCS

Ποσοστό αδιαπέρατης επιφάνειας	0
Αριθμός Καμπύλης Απορροής-CN	76.68
Αρχικές Απώλειες	15.45

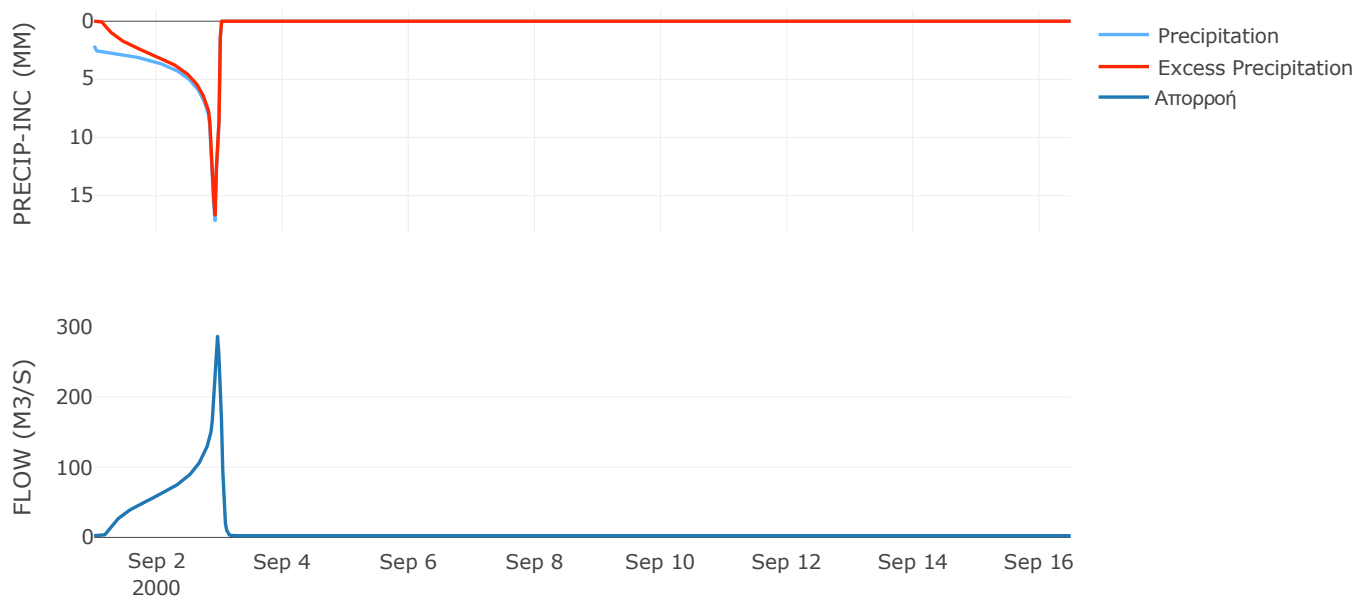
Μέθοδος
Μετασχηματισμού: SCS

Χρόνος Υστέρησης	44.18
------------------	-------

Αποτελέσματα:
EL0415FR6069

Παροχή αιχμής (M3/S)	286.52
Χρονική στιγμή αιχμής	02Sep2000, 23:00
Όγκος (MM)	450.04
Όγκος βροχόπτωσης (M3)	1.53E7
Όγκος απωλειών (M3)	2.83E6
Ενεργός Όγκος (M3)	1.25E7
Όγκος άμεσης απορροής (M3)	1.25E7
Όγκος βασικής απορροής (M3)	3.28E6

Βροχόπτωση και Απορροή



Υπολεκάνη: EL0415FR6070

Έκταση (KM2) : 53.71

Κατάντη : J42

Μέθοδος Απωλειών: SCS

Ποσοστό αδιαπέρατης επιφάνειας	1
Αριθμός Καμπύλης Απορροής-CN	67.67
Αρχικές Απώλειες	24.27

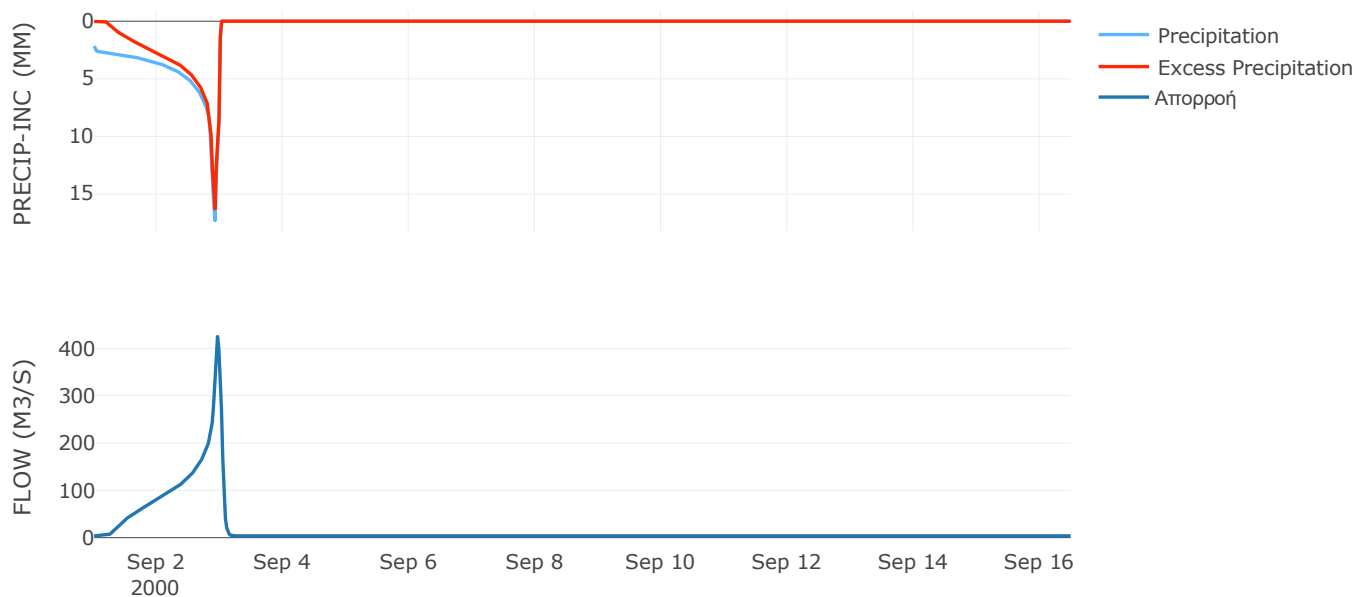
Μέθοδος
Μετασχηματισμού: SCS

Χρόνος Υστέρησης	49.48
------------------	-------

Αποτελέσματα:
EL0415FR6070

Παροχή αιχμής (M3/S)	424.78
Χρονική στιγμή αιχμής	02Sep2000, 23:00
Όγκος (MM)	420.9
Όγκος βροχόπτωσης (M3)	2.39E7
Όγκος απωλειών (M3)	6.3E6
Ενεργός Όγκος (M3)	1.76E7
Όγκος άμεσης απορροής (M3)	1.76E7
Όγκος βασικής απορροής (M3)	5.03E6

Βροχόπτωση και Απορροή



Υπολεκάνη: EL0415FR6071

Έκταση (KM2) : 75.64

Κατάντη : J40

Μέθοδος Απωλειών: SCS

Ποσοστό αδιαπέρατης επιφάνειας	0
Αριθμός Καμπύλης Απορροής-CN	80.28
Αρχικές Απώλειες	12.48

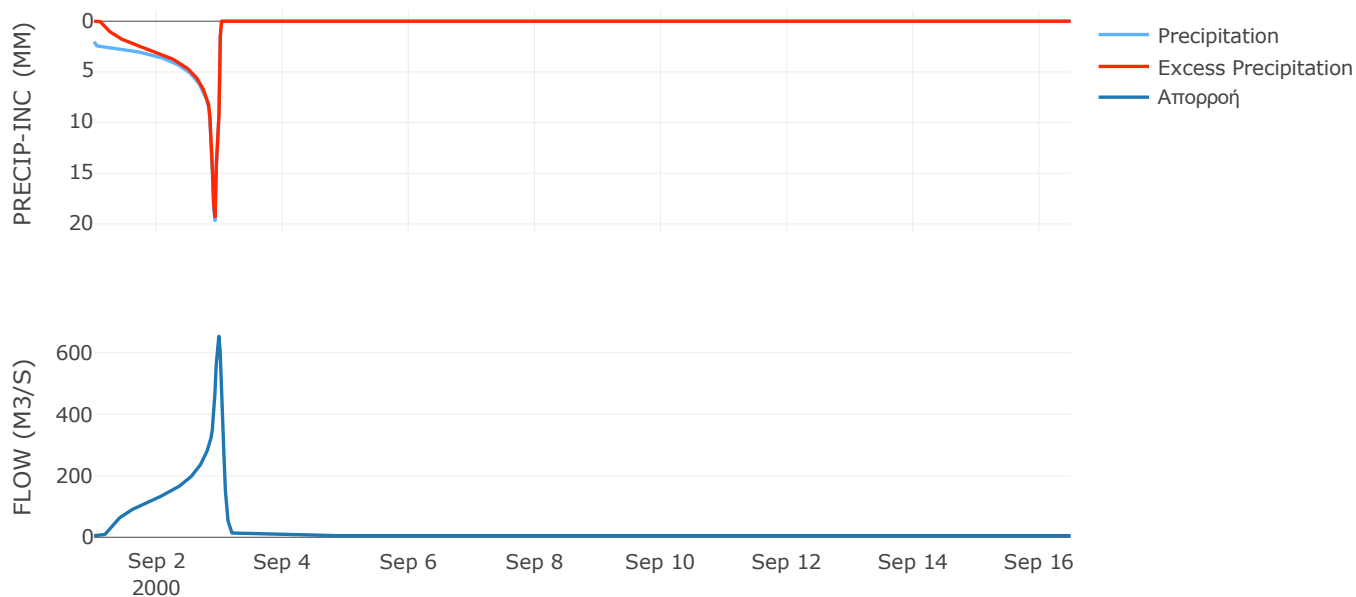
Μέθοδος
Μετασχηματισμού: SCS

Χρόνος Υστέρησης	72.86
------------------	-------

Αποτελέσματα:
EL0415FR6071

Παροχή αιχμής (M3/S)	653.22
Χρονική στιγμή αιχμής	02Sep2000, 23:30
Όγκος (MM)	471.59
Όγκος βροχόπτωσης (M3)	3.36E7
Όγκος απωλειών (M3)	5.07E6
Ενεργός Όγκος (M3)	2.86E7
Όγκος άμεσης απορροής (M3)	2.86E7
Όγκος βασικής απορροής (M3)	7.09E6

Βροχόπτωση και Απορροή



Υπολεκάνη: EL0415FR6072

Έκταση (KM2) : 105.53

Κατάντη : J39

Μέθοδος Απωλειών: SCS

Ποσοστό αδιαπέρατης επιφάνειας	0
Αριθμός Καμπύλης Απορροής-CN	77.74
Αρχικές Απώλειες	14.55

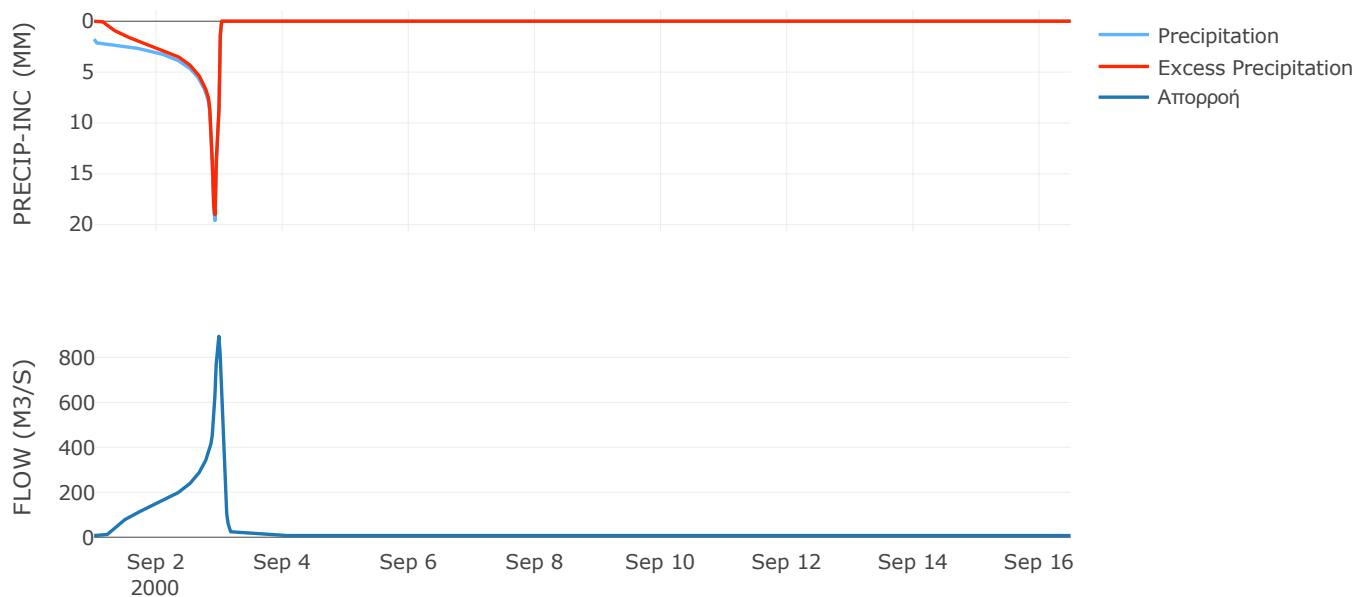
Μέθοδος
Μετασχηματισμού: SCS

Χρόνος Υστέρησης	69.72
------------------	-------

Αποτελέσματα:
EL0415FR6072

Παροχή αιχμής (M3/S)	894.16
Χρονική στιγμή αιχμής	02Sep2000, 23:30
Όγκος (MM)	426.19
Όγκος βροχόπτωσης (M3)	4.31E7
Όγκος απωλειών (M3)	8.01E6
Ενεργός Όγκος (M3)	3.51E7
Όγκος άμεσης απορροής (M3)	3.51E7
Όγκος βασικής απορροής (M3)	9.89E6

Βροχόπτωση και Απορροή



Υπολεκάνη: EL0415FR6073

Έκταση (KM2) : 53.33

Κατάντη : J39

Μέθοδος Απωλειών: SCS

Ποσοστό αδιαπέρατης επιφάνειας	0
Αριθμός Καμπύλης Απορροής-CN	66.99
Αρχικές Απώλειες	25.03

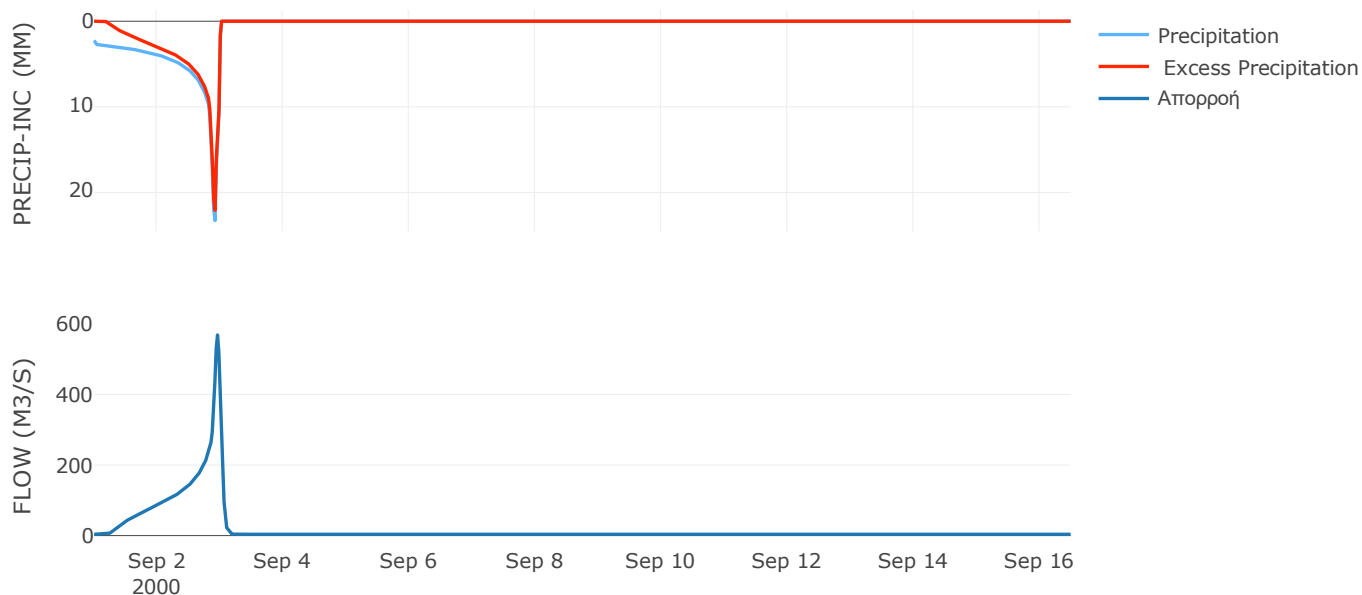
Μέθοδος
Μετασχηματισμού: SCS

Χρόνος Υστέρησης	47.57
------------------	-------

Αποτελέσματα:
EL0415FR6073

Παροχή αιχμής (M3/S)	568.74
Χρονική στιγμή αιχμής	02Sep2000, 23:00
Όγκος (MM)	476
Όγκος βροχόπτωσης (M3)	2.7E7
Όγκος απωλειών (M3)	6.63E6
Ενεργός Όγκος (M3)	2.04E7
Όγκος άμεσης απορροής (M3)	2.04E7
Όγκος βασικής απορροής (M3)	5E6

Βροχόπτωση και Απορροή



Υπολεκάνη: EL0415FR6074

Έκταση (KM2) : 21.94

Κατάνη : J37

Μέθοδος Απωλειών: SCS

Ποσοστό αδιαπέρατης επιφάνειας	0
Αριθμός Καμπύλης Απορροής-CN	68.03
Αρχικές Απώλειες	23.88

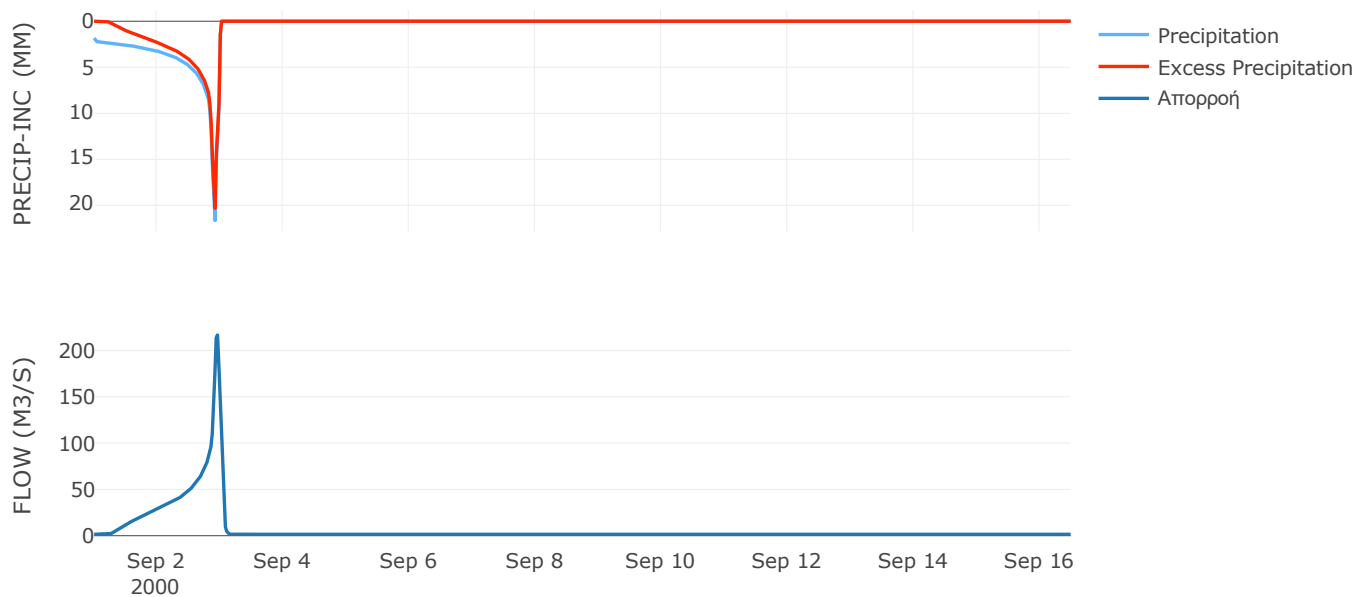
Μέθοδος
Μετασχηματισμού: SCS

Χρόνος Υστέρησης	38.66
------------------	-------

Αποτελέσματα:
EL0415FR6074

Παροχή αιχμής (M3/S)	216.7
Χρονική στιγμή αιχμής	02Sep2000, 23:00
Όγκος (MM)	411.46
Όγκος βροχόπτωσης (M3)	9.52E6
Όγκος απωλειών (M3)	2.55E6
Ενεργός Όγκος (M3)	6.97E6
Όγκος άμεσης απορροής (M3)	6.97E6
Όγκος βασικής απορροής (M3)	2.06E6

Βροχόπτωση και Απορροή



Υπολεκάνη: EL0415FR6075

Έκταση (KM2) : 74.2

Κατάντη : J38

Μέθοδος Απωλειών: SCS

Ποσοστό αδιαπέρατης επιφάνειας	0
Αριθμός Καμπύλης Απορροής-CN	73.35
Αρχικές Απώλειες	18.46

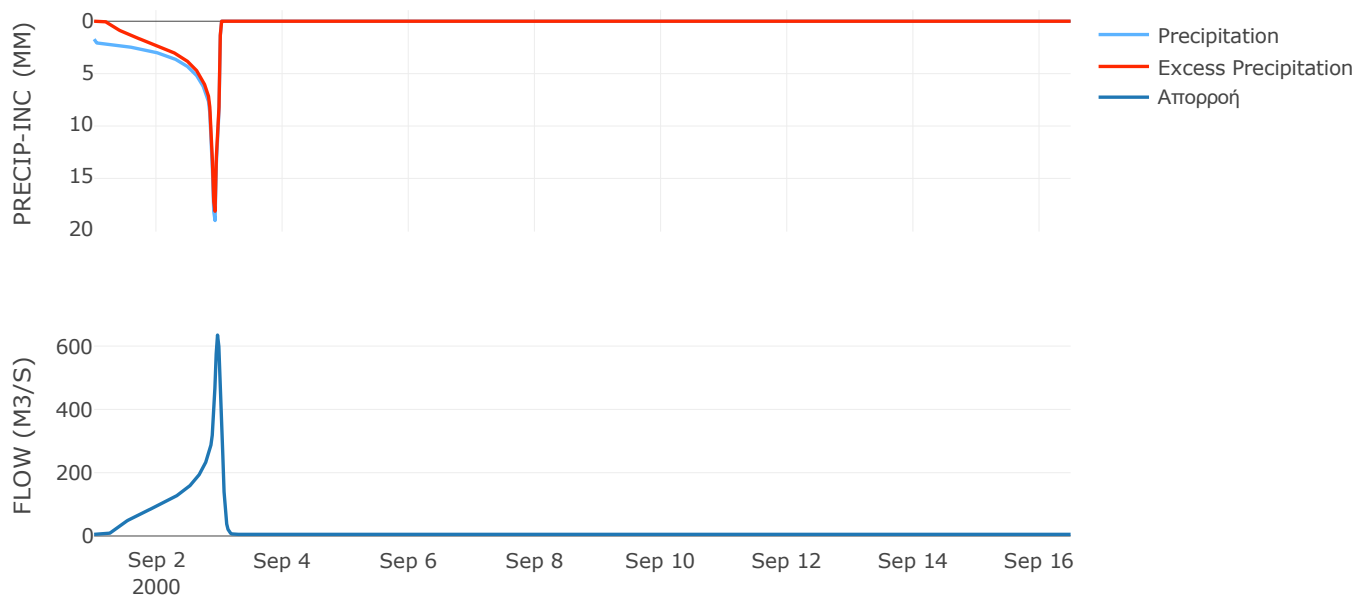
Μέθοδος
Μετασχηματισμού: SCS

Χρόνος Υστέρησης	54.47
------------------	-------

Αποτελέσματα:
EL0415FR6075

Παροχή αιχμής (M3/S)	634.94
Χρονική στιγμή αιχμής	02Sep2000, 23:00
Όγκος (MM)	397.85
Όγκος βροχόπτωσης (M3)	2.94E7
Όγκος απωλειών (M3)	6.87E6
Ενεργός Όγκος (M3)	2.26E7
Όγκος άμεσης απορροής (M3)	2.26E7
Όγκος βασικής απορροής (M3)	6.96E6

Βροχόπτωση και Απορροή



Υπολεκάνη: EL0415FR6076

Έκταση (KM2) : 61.38

Κατάντη : J33

Μέθοδος Απωλειών: SCS

Ποσοστό αδιαπέρατης επιφάνειας	0
Αριθμός Καμπύλης Απορροής-CN	59.92
Αρχικές Απώλειες	33.98

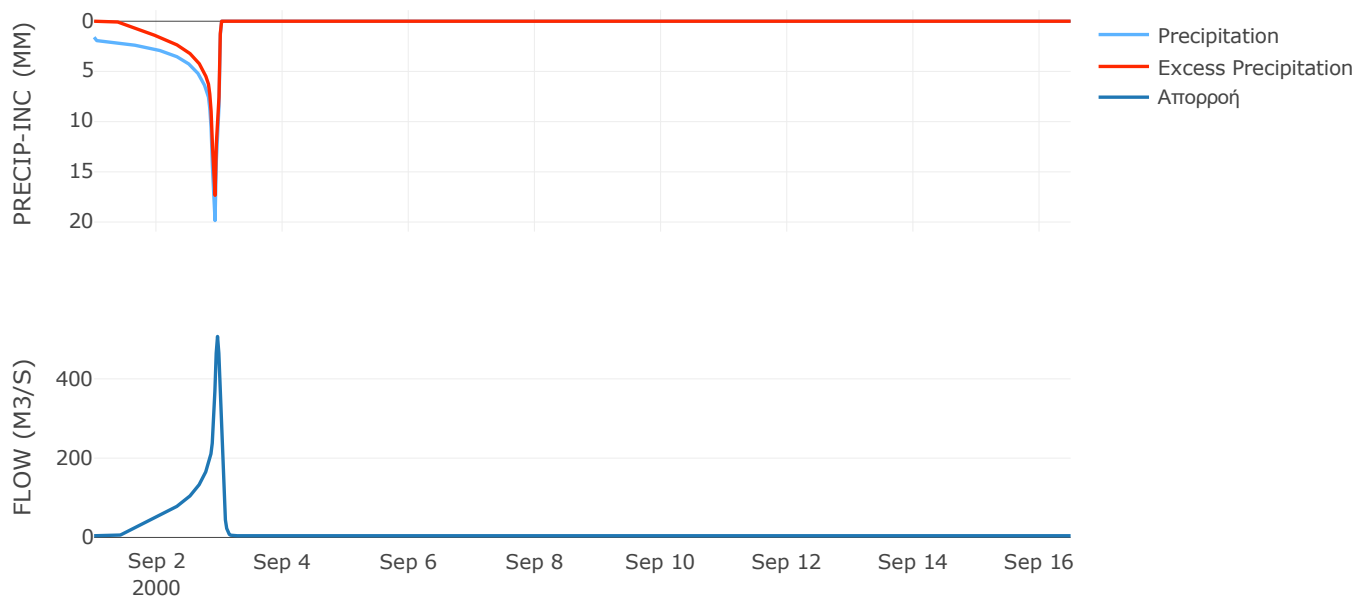
Μέθοδος
Μετασχηματισμού: SCS

Χρόνος Υστέρησης	49.49
------------------	-------

Αποτελέσματα:
EL0415FR6076

Παροχή αιχμής (M3/S)	507
Χρονική στιγμή αιχμής	02Sep2000, 23:00
Όγκος (MM)	330.95
Όγκος βροχόπτωσης (M3)	2.37E7
Όγκος απωλειών (M3)	9.12E6
Ενεργός Όγκος (M3)	1.46E7
Όγκος άμεσης απορροής (M3)	1.46E7
Όγκος βασικής απορροής (M3)	5.75E6

Βροχόπτωση και Απορροή



Υπολεκάνη: EL0415FR6077

Έκταση (KM2) : 115.35

Κατάντη : J33

Μέθοδος Απωλειών: SCS

Ποσοστό αδιαπέρατης επιφάνειας	0
Αριθμός Καμπύλης Απορροής-CN	59.36
Αρχικές Απώλειες	34.78

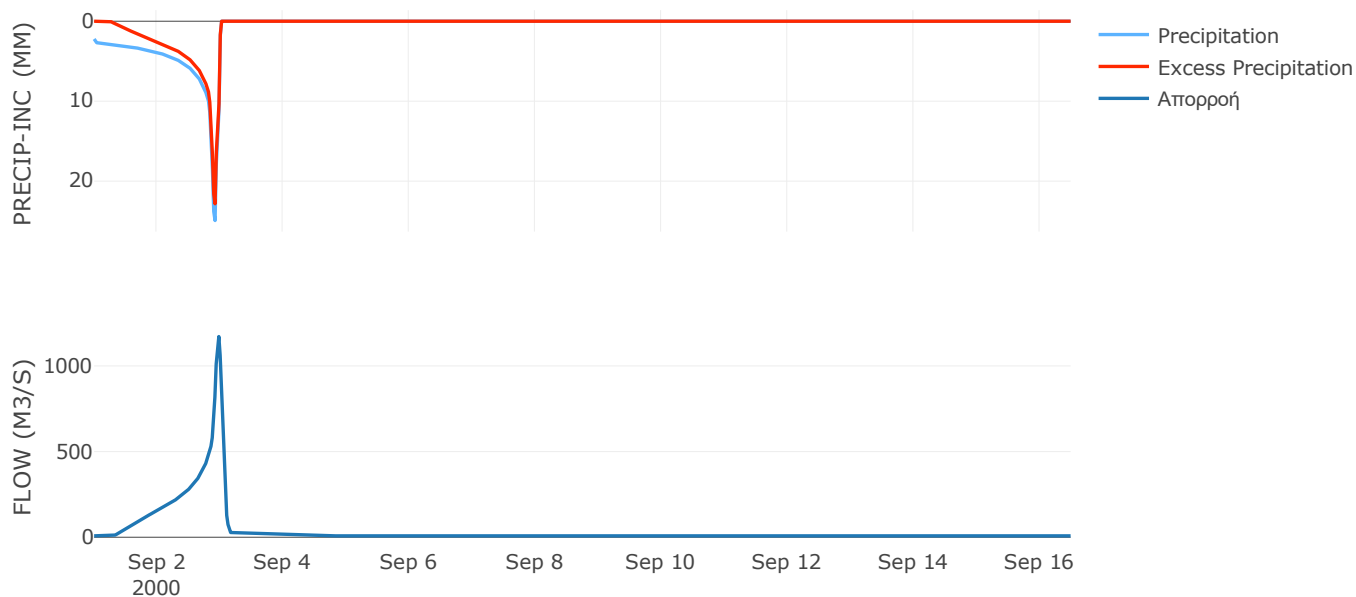
Μέθοδος
Μετασχηματισμού: SCS

Χρόνος Υστέρησης	67.72
------------------	-------

Αποτελέσματα:
EL0415FR6077

Παροχή αιχμής (M3/S)	1171.43
Χρονική στιγμή αιχμής	02Sep2000, 23:30
Όγκος (MM)	447.83
Όγκος βροχόπτωσης (M3)	5.96E7
Όγκος απωλειών (M3)	1.87E7
Ενεργός Όγκος (M3)	4.08E7
Όγκος άμεσης απορροής (M3)	4.08E7
Όγκος βασικής απορροής (M3)	1.08E7

Βροχόπτωση και Απορροή



Υπολεκάνη: EL0415FR6078

Έκταση (KM2) : 32.2

Κατάντη : J32

Μέθοδος Απωλειών: SCS

Ποσοστό αδιαπέρατης επιφάνειας	0
Αριθμός Καμπύλης Απορροής-CN	63.99
Αρχικές Απώλειες	28.58

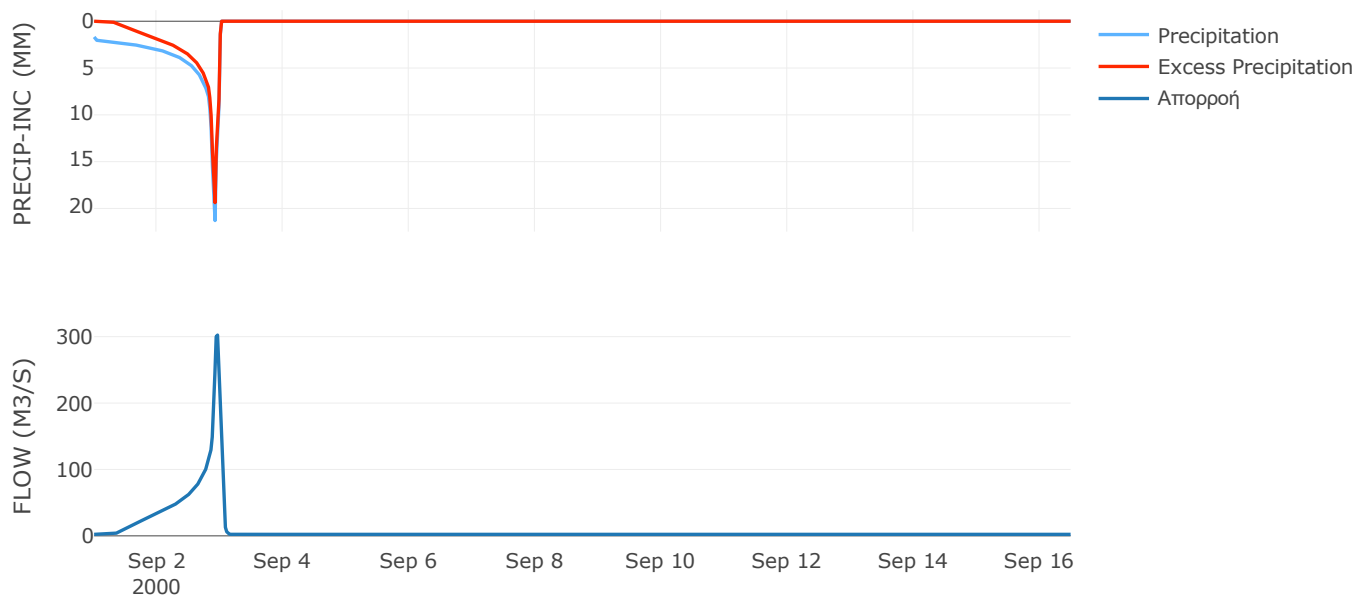
Μέθοδος
Μετασχηματισμού: SCS

Χρόνος Υστέρησης	37.87
------------------	-------

Αποτελέσματα:
EL0415FR6078

Παροχή αιχμής (M3/S)	302.45
Χρονική στιγμή αιχμής	02Sep2000, 23:00
Όγκος (MM)	370.82
Όγκος βροχόπτωσης (M3)	1.32E7
Όγκος απωλειών (M3)	4.27E6
Ενεργός Όγκος (M3)	8.92E6
Όγκος άμεσης απορροής (M3)	8.92E6
Όγκος βασικής απορροής (M3)	3.02E6

Βροχόπτωση και Απορροή



Υπολεκάνη: EL0415FR6079

Έκταση (KM2) : 61

Κατάντη : J32

Μέθοδος Απωλειών: SCS

Ποσοστό αδιαπέρατης επιφάνειας	0
Αριθμός Καμπύλης Απορροής-CN	60.52
Αρχικές Απώλειες	33.14

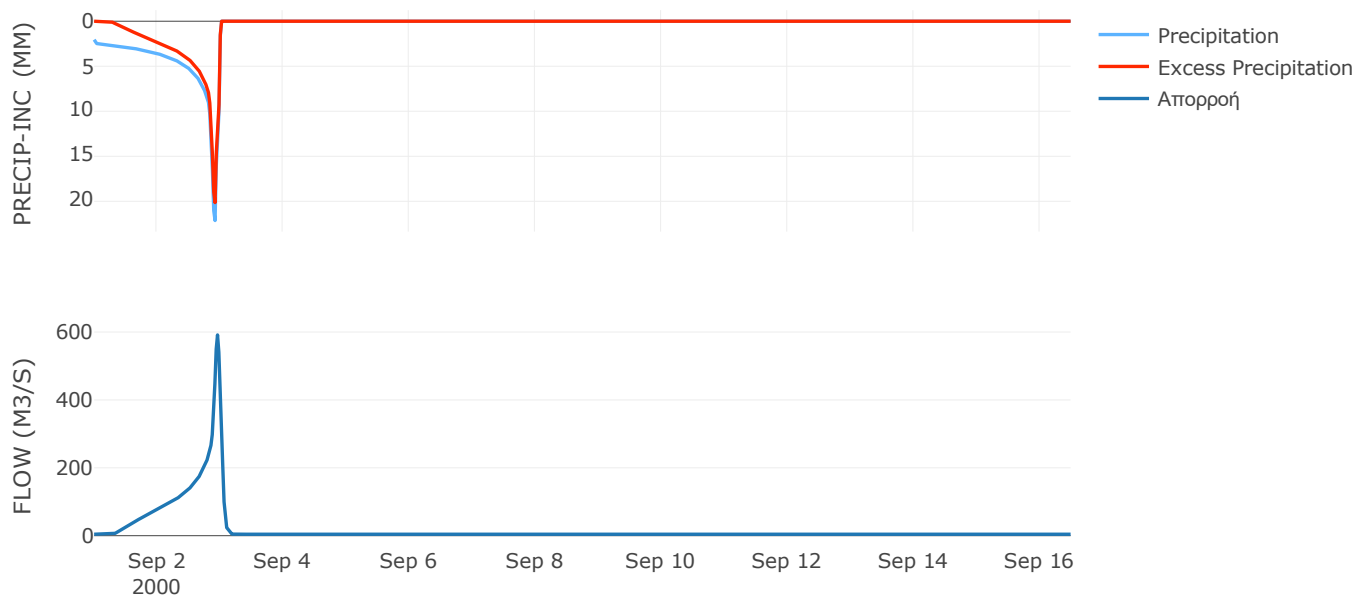
Μέθοδος
Μετασχηματισμού: SCS

Χρόνος Υστέρησης	47.71
------------------	-------

Αποτελέσματα:
EL0415FR6079

Παροχή αιχμής (M3/S)	591.55
Χρονική στιγμή αιχμής	02Sep2000, 23:00
Όγκος (MM)	410.52
Όγκος βροχόπτωσης (M3)	2.87E7
Όγκος απωλειών (M3)	9.35E6
Ενεργός Όγκος (M3)	1.93E7
Όγκος άμεσης απορροής (M3)	1.93E7
Όγκος βασικής απορροής (M3)	5.72E6

Βροχόπτωση και Απορροή



Υπολεκάνη: EL0415FR6080

Έκταση (KM2) : 31.99

Κατάντη : J30

Μέθοδος Απωλειών: SCS

Ποσοστό αδιαπέρατης επιφάνειας	0
Αριθμός Καμπύλης Απορροής-CN	59.88
Αρχικές Απώλειες	34.04

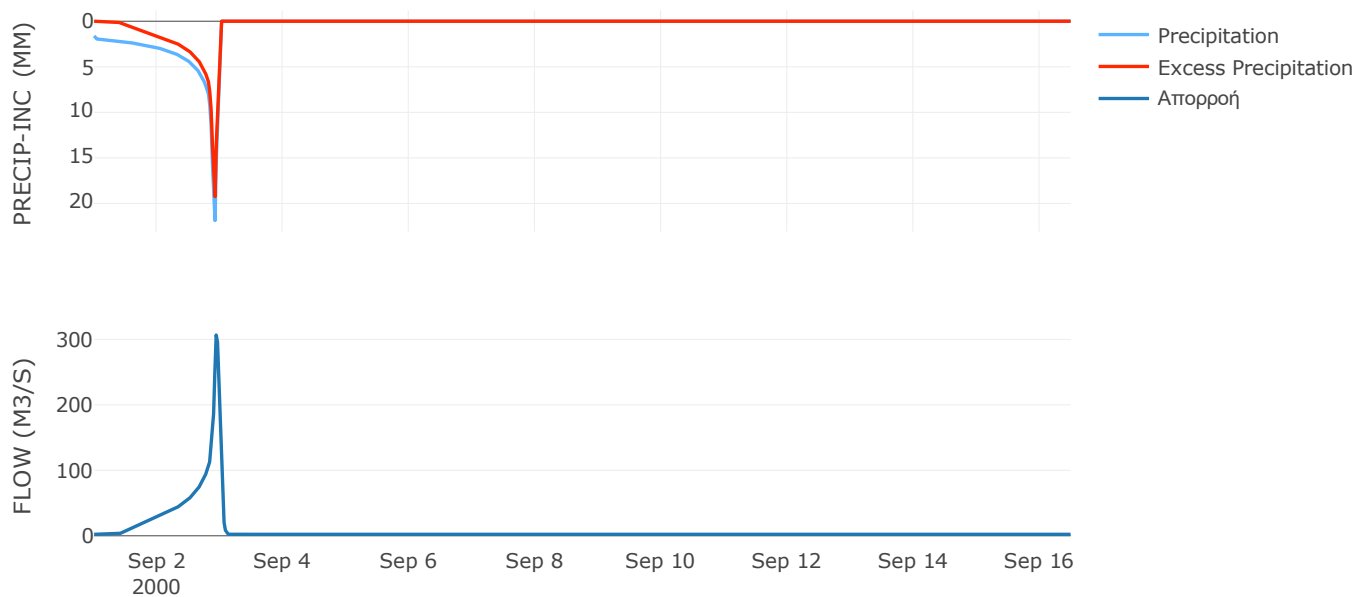
Μέθοδος
Μετασχηματισμού: SCS

Χρόνος Υστέρησης	32.77
------------------	-------

Αποτελέσματα:
EL0415FR6080

Παροχή αιχμής (M3/S)	306.74
Χρονική στιγμή αιχμής	02Sep2000, 22:30
Όγκος (MM)	345.91
Όγκος βροχόπτωσης (M3)	1.29E7
Όγκος απωλειών (M3)	4.81E6
Ενεργός Όγκος (M3)	8.07E6
Όγκος άμεσης απορροής (M3)	8.07E6
Όγκος βασικής απορροής (M3)	3E6

Βροχόπτωση και Απορροή



Υπολεκάνη: EL0415FR6081

Έκταση (KM2) : 61.71

Κατάντη : J42

Μέθοδος Απωλειών: SCS

Ποσοστό αδιαπέρατης επιφάνειας	35
Αριθμός Καμπύλης Απορροής-CN	87.13
Αρχικές Απώλειες	7.5

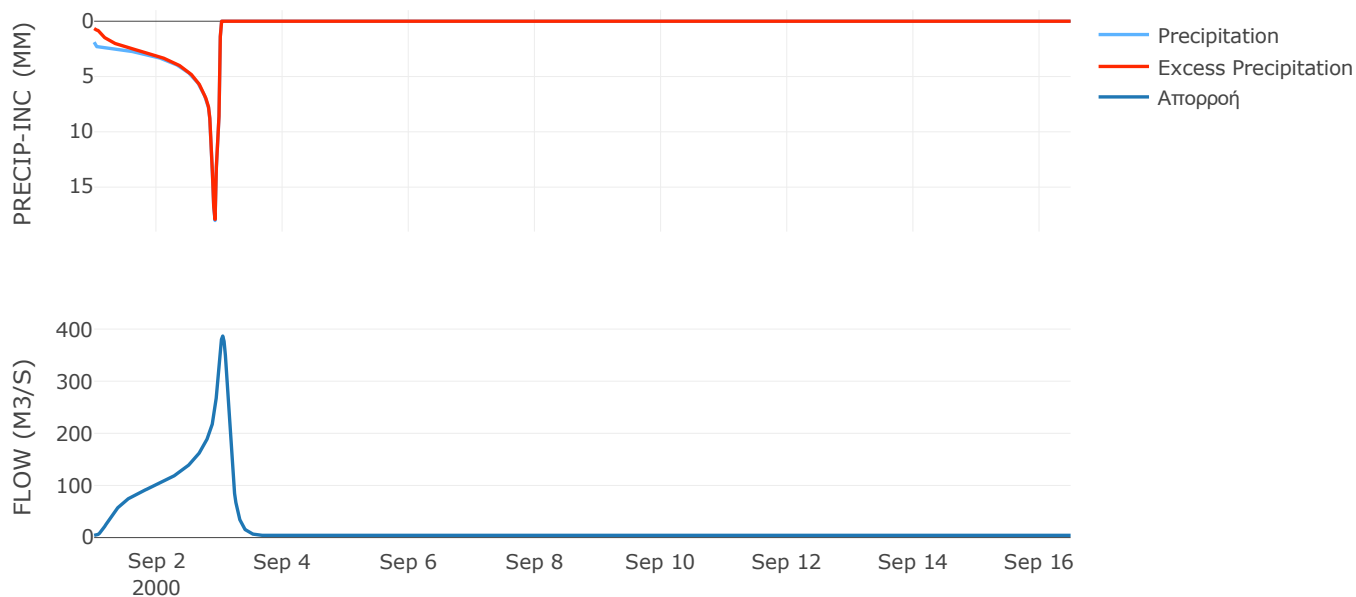
Μέθοδος
Μετασχηματισμού: SCS

Χρόνος Υστέρησης	184.47
------------------	--------

Αποτελέσματα:
EL0415FR6081

Παροχή αιχμής (M3/S)	386.64
Χρονική στιγμή αιχμής	03Sep2000, 01:00
Όγκος (MM)	481.39
Όγκος βροχόπτωσης (M3)	2.56E7
Όγκος απωλειών (M3)	1.68E6
Ενεργός Όγκος (M3)	2.39E7
Όγκος άμεσης απορροής (M3)	2.39E7
Όγκος βασικής απορροής (M3)	5.78E6

Βροχόπτωση και Απορροή



Υπολεκάνη: EL0415FR6082

Έκταση (KM2) : 53.32

Κατάντη : J63

Μέθοδος Απωλειών: SCS

Ποσοστό αδιαπέρατης επιφάνειας	0
Αριθμός Καμπύλης Απορροής-CN	64.85
Αρχικές Απώλειες	27.54

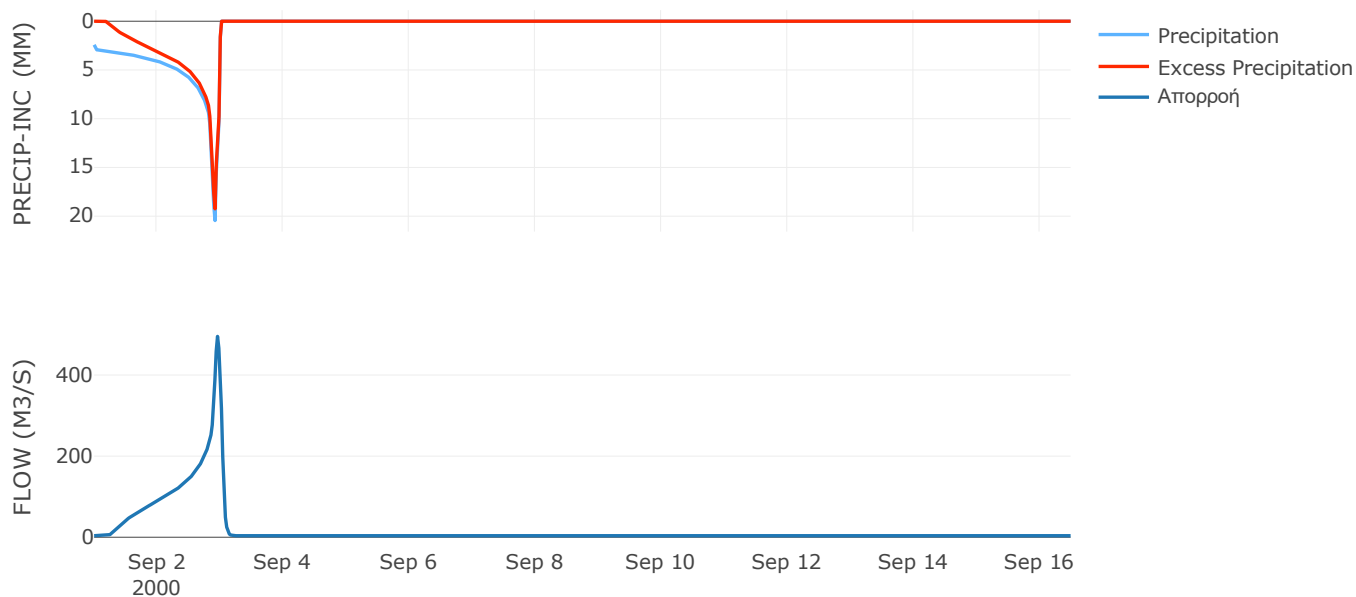
Μέθοδος
Μετασχηματισμού: SCS

Χρόνος Υστέρησης	50.48
------------------	-------

Αποτελέσματα:
EL0415FR6082

Παροχή αιχμής (M3/S)	495.28
Χρονική στιγμή αιχμής	02Sep2000, 23:00
Όγκος (MM)	467.01
Όγκος βροχόπτωσης (M3)	2.71E7
Όγκος απωλειών (M3)	7.17E6
Ενεργός Όγκος (M3)	1.99E7
Όγκος άμεσης απορροής (M3)	1.99E7
Όγκος βασικής απορροής (M3)	5E6

Βροχόπτωση και Απορροή



Υπολεκάνη: EL0415FR6083

Έκταση (KM2) : 14.89

Κατάνη : J41 Res4

Μέθοδος Απωλειών: SCS

Ποσοστό αδιαπέρατης επιφάνειας	9
Αριθμός Καμπύλης Απορροής-CN	83.07
Αρχικές Απώλειες	10.36

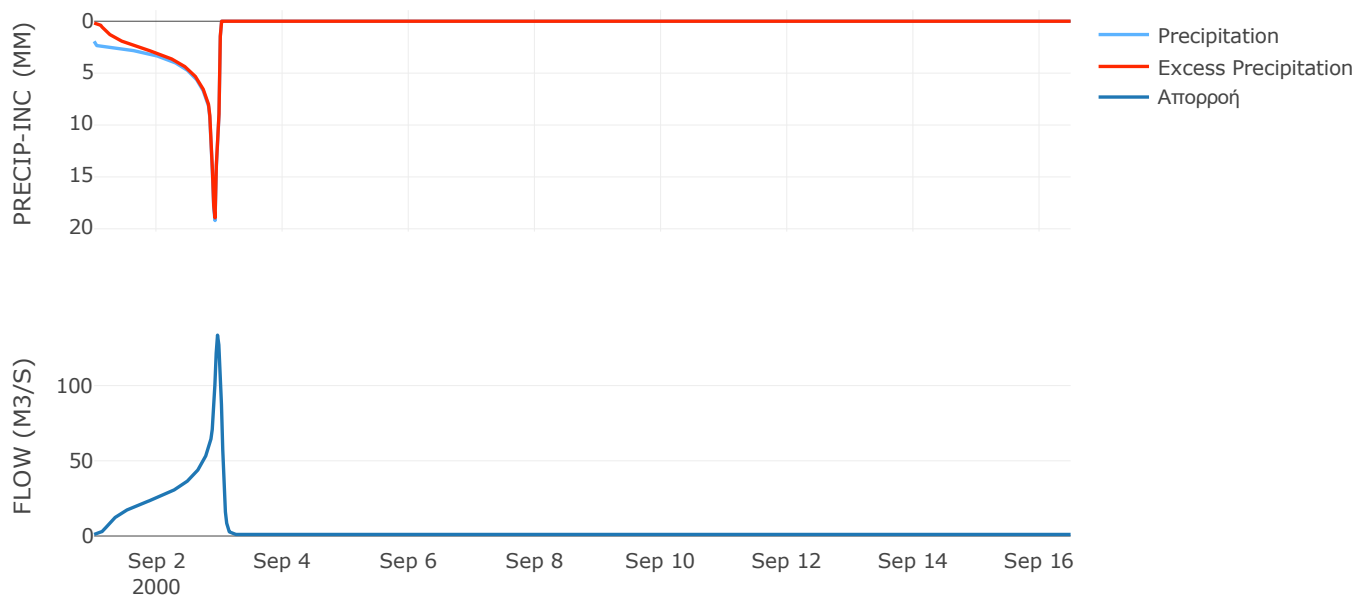
Μέθοδος
Μετασχηματισμού: SCS

Χρόνος Υστέρησης	55.31
------------------	-------

Αποτελέσματα:
EL0415FR6083

Παροχή αιχμής (M3/S)	133.53
Χρονική στιγμή αιχμής	02Sep2000, 23:00
Όγκος (MM)	472.94
Όγκος βροχόπτωσης (M3)	6.41E6
Όγκος απωλειών (M3)	7.65E5
Ενεργός Όγκος (M3)	5.64E6
Όγκος άμεσης απορροής (M3)	5.64E6
Όγκος βασικής απορροής (M3)	1.4E6

Βροχόπτωση και Απορροή



Υπολεκάνη: EL0415FR6084

Έκταση (KM2) : 167.7

Κατάντη : J46

Μέθοδος Απωλειών: SCS

Ποσοστό αδιαπέρατης επιφάνειας	0
Αριθμός Καμπύλης Απορροής-CN	75.65
Αρχικές Απώλειες	16.35

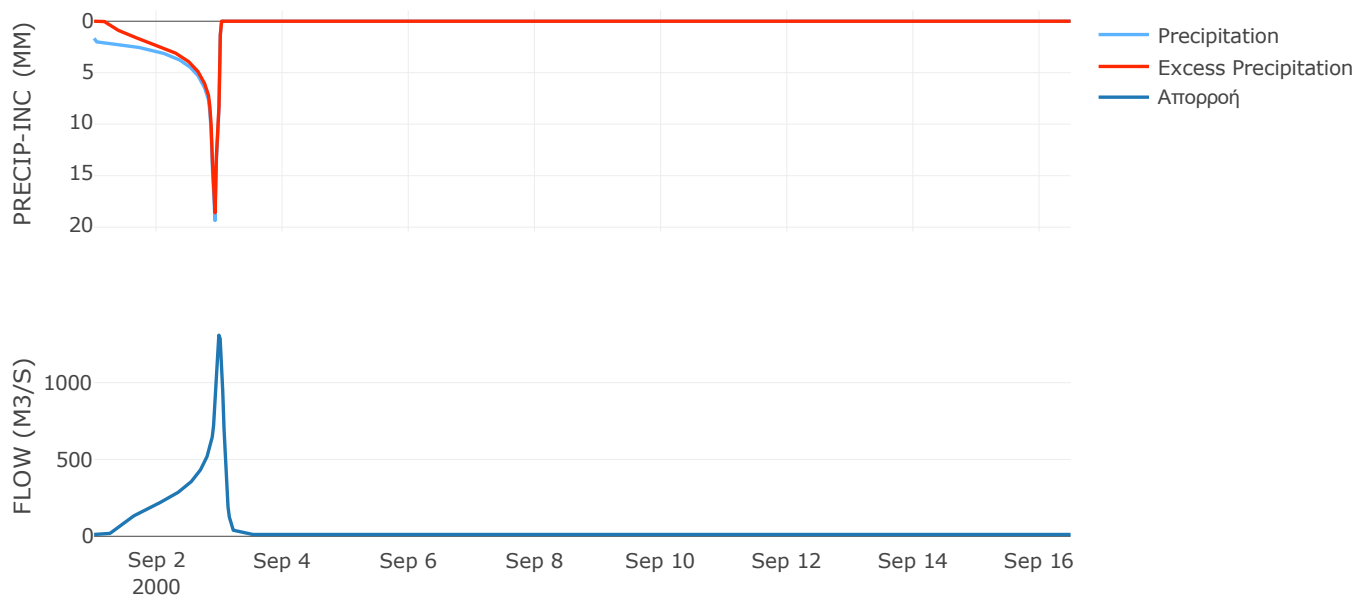
Μέθοδος
Μετασχηματισμού: SCS

Χρόνος Υστέρησης	90.42
------------------	-------

Αποτελέσματα:
EL0415FR6084

Παροχή αιχμής (M3/S)	1308.95
Χρονική στιγμή αιχμής	02Sep2000, 23:30
Όγκος (MM)	402.14
Όγκος βροχόπτωσης (M3)	6.57E7
Όγκος απωλειών (M3)	1.4E7
Ενεργός Όγκος (M3)	5.17E7
Όγκος άμεσης απορροής (M3)	5.17E7
Όγκος βασικής απορροής (M3)	1.57E7

Βροχόπτωση και Απορροή



Υπολεκάνη: EL0415FR6085

Έκταση (KM2) : 5.18

Κατάνη : J17 Res3

Μέθοδος Απωλειών: SCS

Ποσοστό αδιαπέρατης επιφάνειας	20
Αριθμός Καμπύλης Απορροής-CN	93.75
Αρχικές Απώλειες	3.39

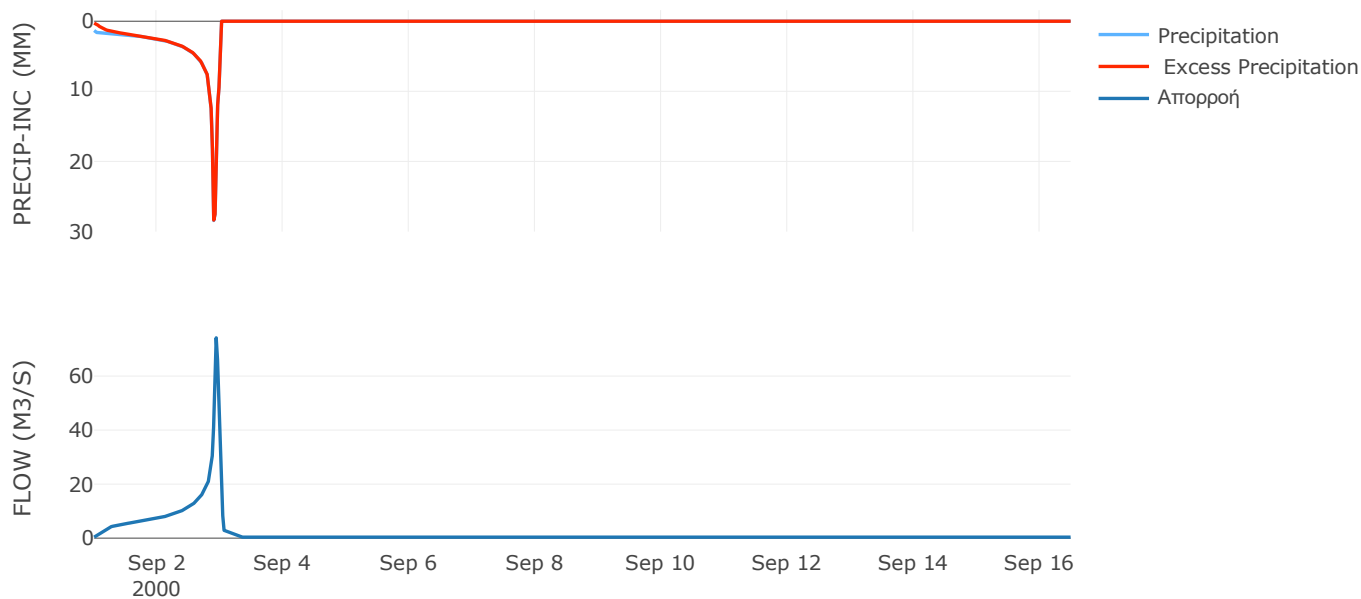
Μέθοδος
Μετασχηματισμού: SCS

Χρόνος Υστέρησης	28.84
------------------	-------

Αποτελέσματα:
EL0415FR6085

Παροχή αιχμής (M3/S)	74.17
Χρονική στιγμή αιχμής	02Sep2000, 22:30
Όγκος (MM)	473.85
Όγκος βροχόπτωσης (M3)	2.05E6
Όγκος απωλειών (M3)	81305.64
Ενεργός Όγκος (M3)	1.97E6
Όγκος άμεσης απορροής (M3)	1.97E6
Όγκος βασικής απορροής (M3)	4.86E5

Βροχόπτωση και Απορροή



Υπολεκάνη: EL0415FR6086

Έκταση (KM2) : 51.06

Κατάντη : J27

Μέθοδος Απωλειών: SCS

Ποσοστό αδιαπέρατης επιφάνειας	17
Αριθμός Καμπύλης Απορροής-CN	69.67
Αρχικές Απώλειες	22.12

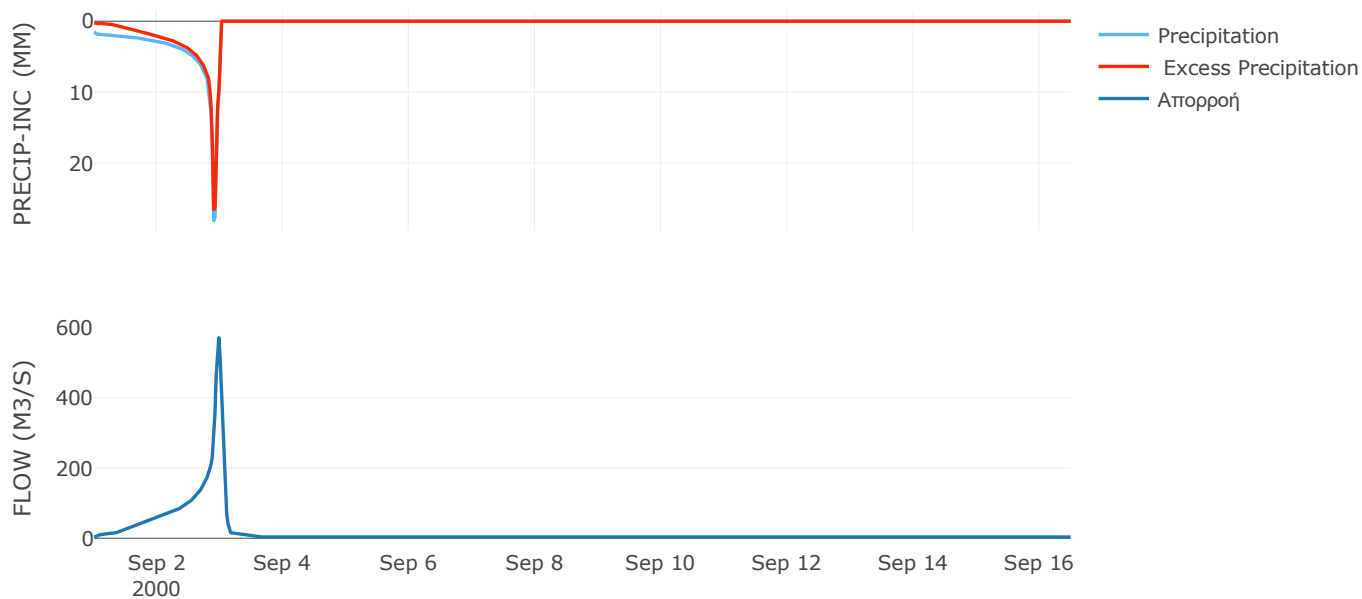
Μέθοδος
Μετασχηματισμού: SCS

Χρόνος Υστέρησης	73.15
------------------	-------

Αποτελέσματα:
EL0415FR6086

Παροχή αιχμής (M3/S)	571.65
Χρονική στιγμή αιχμής	02Sep2000, 23:30
Όγκος (MM)	427.56
Όγκος βροχόπτωσης (M3)	2.17E7
Όγκος απωλειών (M3)	4.61E6
Ενεργός Όγκος (M3)	1.7E7
Όγκος άμεσης απορροής (M3)	1.7E7
Όγκος βασικής απορροής (M3)	4.79E6

Βροχόπτωση και Απορροή



Υπολεκάνη: EL0415FR6087

Έκταση (KM2) : 13.66

Κατάντη : J64

Μέθοδος Απωλειών: SCS

Ποσοστό αδιαπέρατης επιφάνειας	20
Αριθμός Καμπύλης Απορροής-CN	56.47
Αρχικές Απώλειες	39.17

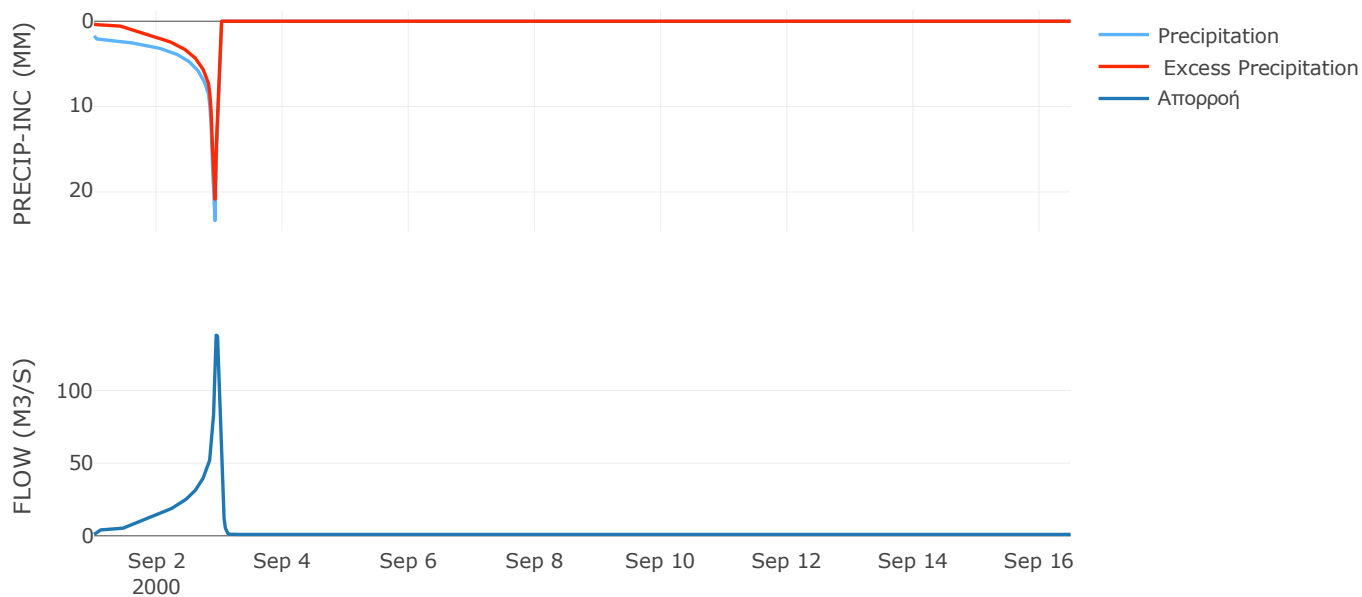
Μέθοδος
Μετασχηματισμού: SCS

Χρόνος Υστέρησης	36.56
------------------	-------

Αποτελέσματα:
EL0415FR6087

Παροχή αιχμής (M3/S)	138.11
Χρονική στιγμή αιχμής	02Sep2000, 22:30
Όγκος (MM)	387.79
Όγκος βροχόπτωσης (M3)	5.87E6
Όγκος απωλειών (M3)	1.85E6
Ενεργός Όγκος (M3)	4.02E6
Όγκος άμεσης απορροής (M3)	4.02E6
Όγκος βασικής απορροής (M3)	1.28E6

Βροχόπτωση και Απορροή



Υπολεκάνη: EL0415FR6088

Έκταση (KM2) : 31.28

Κατάντη : J27

Μέθοδος Απωλειών: SCS

Ποσοστό αδιαπέρατης επιφάνειας	37
Αριθμός Καμπύλης Απορροής-CN	85.31
Αρχικές Απώλειες	8.75

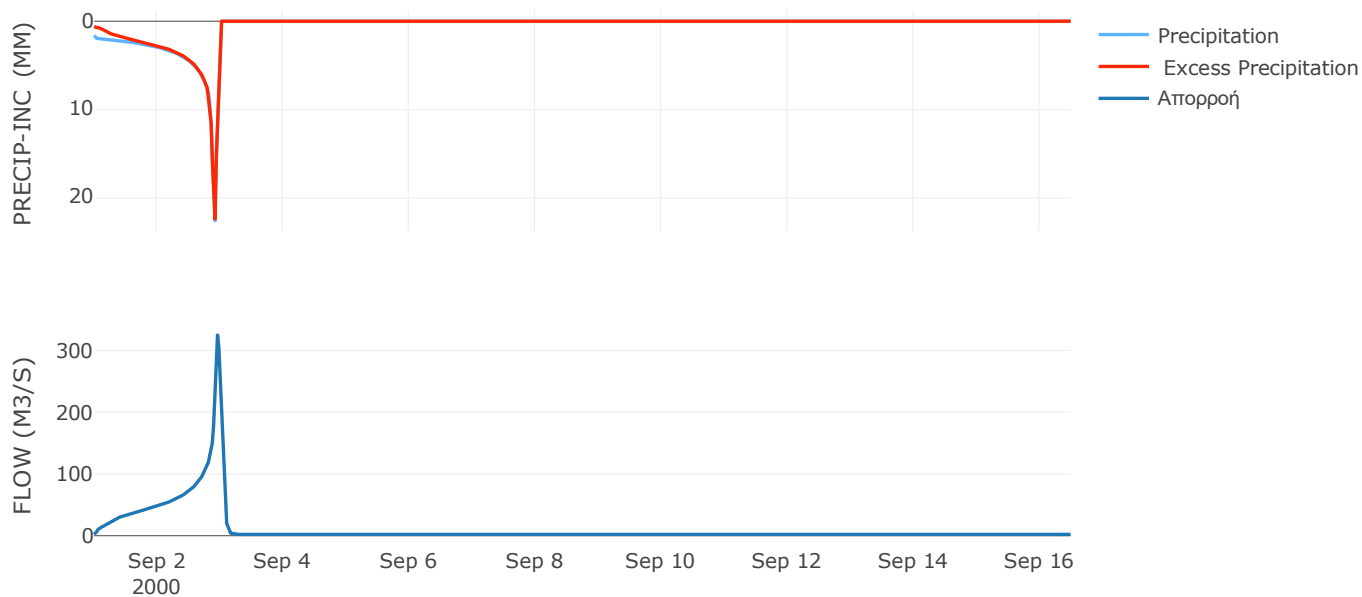
Μέθοδος
Μετασχηματισμού: SCS

Χρόνος Υστέρησης	56.73
------------------	-------

Αποτελέσματα:
EL0415FR6088

Παροχή αιχμής (M3/S)	324.93
Χρονική στιγμή αιχμής	02Sep2000, 23:00
Όγκος (MM)	470.31
Όγκος βροχόπτωσης (M3)	1.27E7
Όγκος απωλειών (M3)	9.49E5
Ενεργός Όγκος (M3)	1.18E7
Όγκος άμεσης απορροής (M3)	1.18E7
Όγκος βασικής απορροής (M3)	2.93E6

Βροχόπτωση και Απορροή



Υπολεκάνη: EL0415FR6089

Έκταση (KM2) : 9.78

Κατάντη : J28

Μέθοδος Απωλειών: SCS

Ποσοστό αδιαπέρατης επιφάνειας	11
Αριθμός Καμπύλης Απορροής-CN	76.26
Αρχικές Απώλειες	15.81

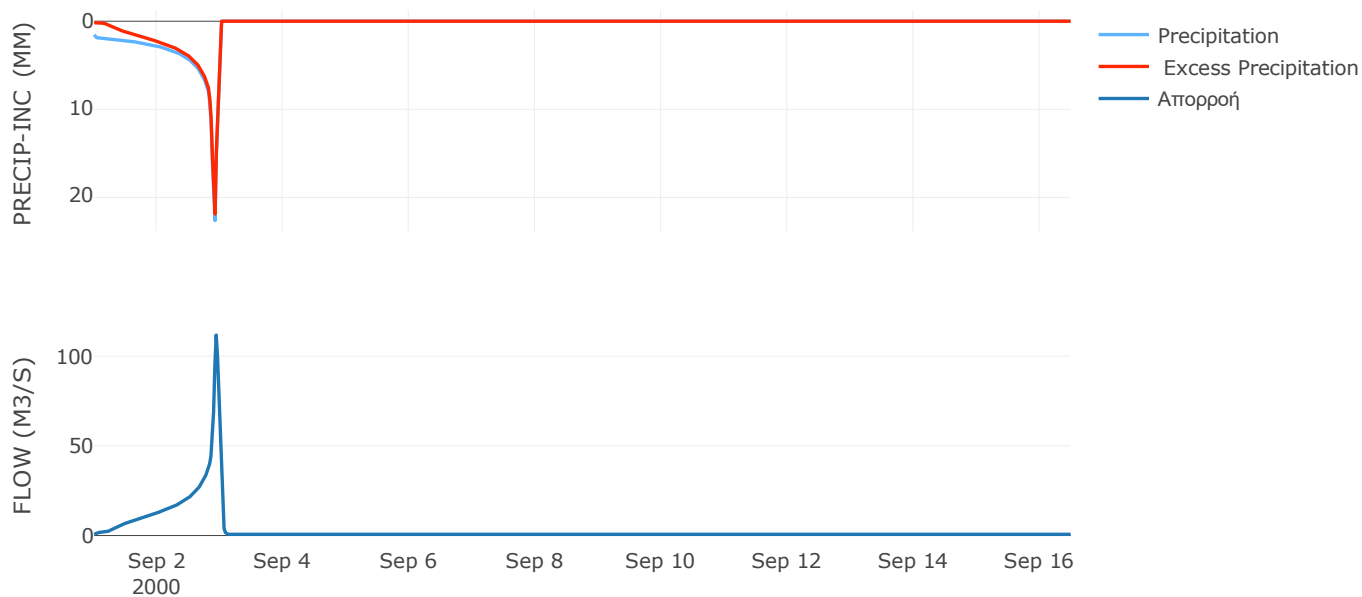
Μέθοδος
Μετασχηματισμού: SCS

Χρόνος Υστέρησης	26.27
------------------	-------

Αποτελέσματα:
EL0415FR6089

Παροχή αιχμής (M3/S)	111.83
Χρονική στιγμή αιχμής	02Sep2000, 22:30
Όγκος (MM)	419.53
Όγκος βροχόπτωσης (M3)	3.89E6
Όγκος απωλειών (M3)	7.08E5
Ενεργός Όγκος (M3)	3.19E6
Όγκος άμεσης απορροής (M3)	3.19E6
Όγκος βασικής απορροής (M3)	9.17E5

Βροχόπτωση και Απορροή



Υπολεκάνη: EL0415FR6090

Έκταση (KM2) : 6.36

Κατάντη : J29

Μέθοδος Απωλειών: SCS

Ποσοστό αδιαπέρατης επιφάνειας	20
Αριθμός Καμπύλης Απορροής-CN	69.04
Αρχικές Απώλειες	22.79

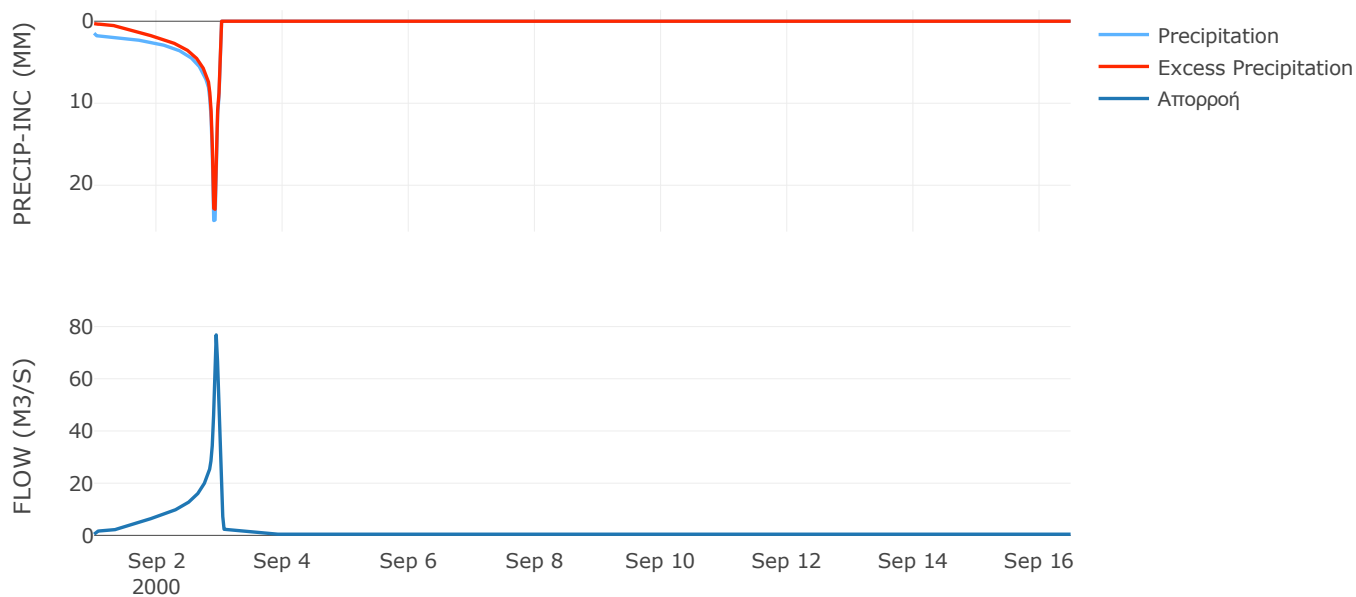
Μέθοδος
Μετασχηματισμού: SCS

Χρόνος Υστέρησης	24.74
------------------	-------

Αποτελέσματα:
EL0415FR6090

Παροχή αιχμής (M3/S)	76.81
Χρονική στιγμή αιχμής	02Sep2000, 22:30
Όγκος (MM)	402.75
Όγκος βροχόπτωσης (M3)	2.52E6
Όγκος απωλειών (M3)	5.6E5
Ενεργός Όγκος (M3)	1.96E6
Όγκος άμεσης απορροής (M3)	1.96E6
Όγκος βασικής απορροής (M3)	5.96E5

Βροχόπτωση και Απορροή



Υπολεκάνη: EL0415FR6091

Έκταση (KM2) : 12.79

Κατάντη : J29

Μέθοδος Απωλειών: SCS

Ποσοστό αδιαπέρατης επιφάνειας	20
Αριθμός Καμπύλης Απορροής-CN	67.22
Αρχικές Απώλειες	24.77

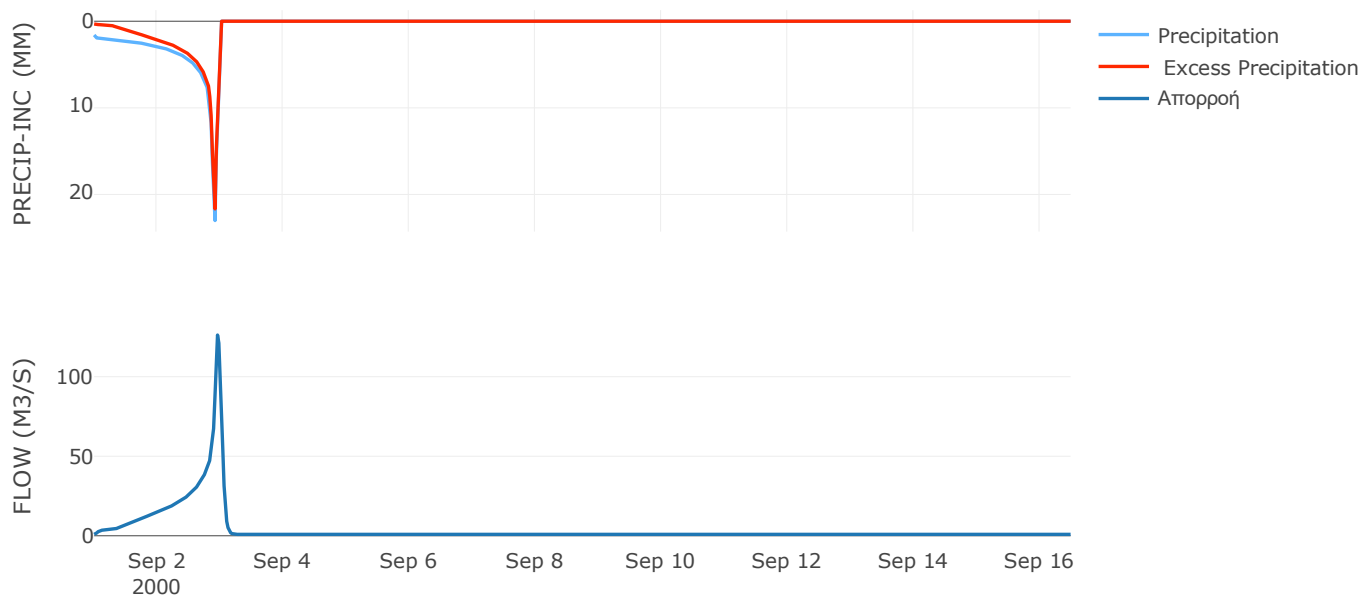
Μέθοδος
Μετασχηματισμού: SCS

Χρόνος Υστέρησης	59.68
------------------	-------

Αποτελέσματα:
EL0415FR6091

Παροχή αιχμής (M3/S)	126.18
Χρονική στιγμή αιχμής	02Sep2000, 23:00
Όγκος (MM)	407.49
Όγκος βροχόπτωσης (M3)	5.22E6
Όγκος απωλειών (M3)	1.21E6
Ενεργός Όγκος (M3)	4.01E6
Όγκος άμεσης απορροής (M3)	4.01E6
Όγκος βασικής απορροής (M3)	1.2E6

Βροχόπτωση και Απορροή



Υπολεκάνη: EL0415FR6092

Έκταση (KM2) : 11.03

Κατάντη : J24

Μέθοδος Απωλειών: SCS

Ποσοστό αδιαπέρατης επιφάνειας	5
Αριθμός Καμπύλης Απορροής-CN	68.91
Αρχικές Απώλειες	22.92

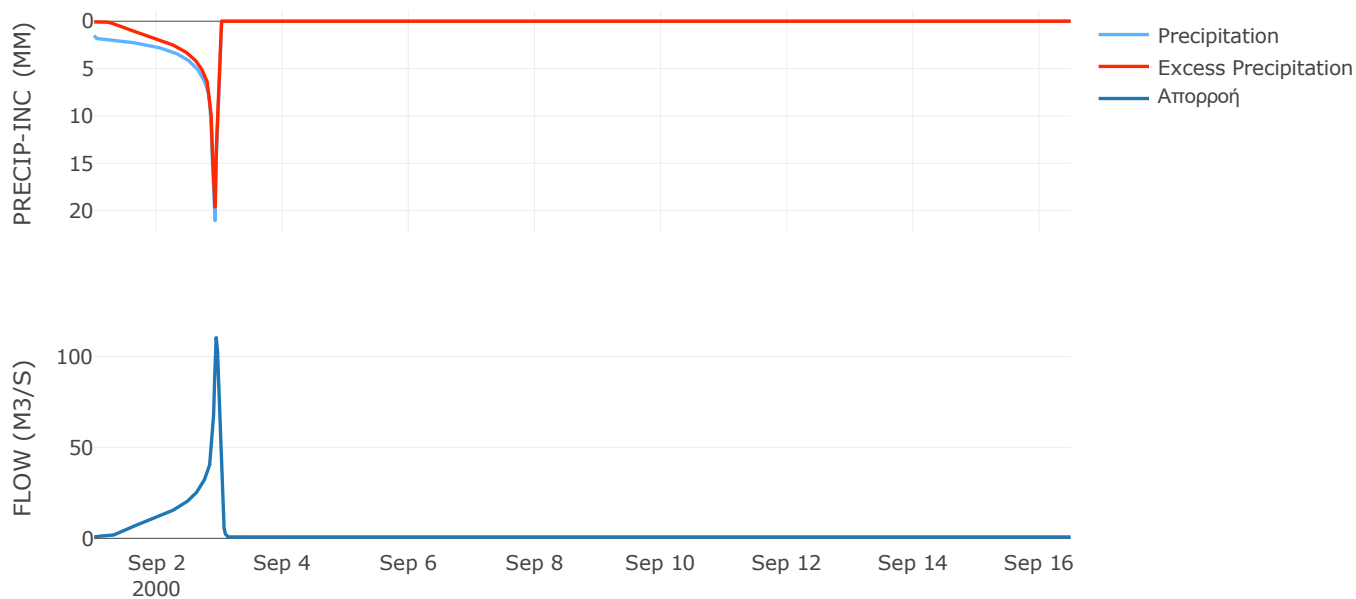
Μέθοδος
Μετασχηματισμού: SCS

Χρόνος Υστέρησης	29.69
------------------	-------

Αποτελέσματα:
EL0415FR6092

Παροχή αιχμής (M3/S)	110.39
Χρονική στιγμή αιχμής	02Sep2000, 22:30
Όγκος (MM)	371.19
Όγκος βροχόπτωσης (M3)	4.21E6
Όγκος απωλειών (M3)	1.15E6
Ενεργός Όγκος (M3)	3.06E6
Όγκος άμεσης απορροής (M3)	3.06E6
Όγκος βασικής απορροής (M3)	1.03E6

Βροχόπτωση και Απορροή



Υπολεκάνη: EL0415FR6093

Έκταση (KM2) : 14.35

Κατάντη : J25

Μέθοδος Απωλειών: SCS

Ποσοστό αδιαπέρατης επιφάνειας	6
Αριθμός Καμπύλης Απορροής-CN	52.13
Αρχικές Απώλειες	46.65

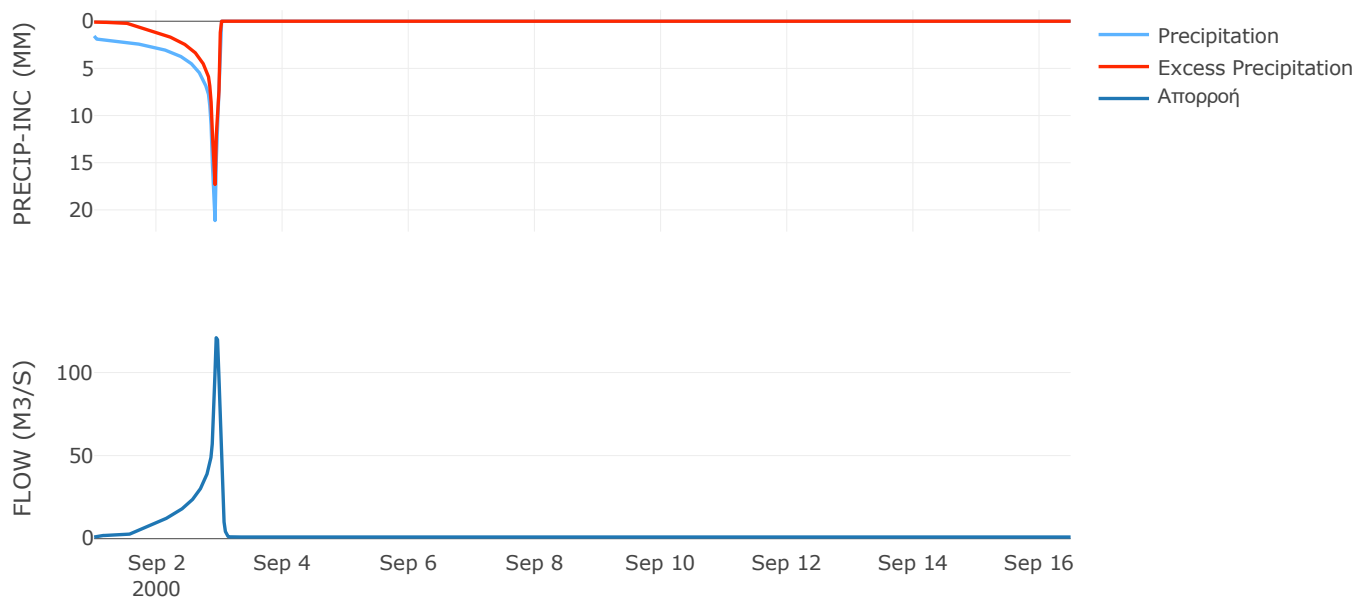
Μέθοδος
Μετασχηματισμού: SCS

Χρόνος Υστέρησης	35.25
------------------	-------

Αποτελέσματα:
EL0415FR6093

Παροχή αιχμής (M3/S)	120.93
Χρονική στιγμή αιχμής	02Sep2000, 22:30
Όγκος (MM)	310
Όγκος βροχόπτωσης (M3)	5.61E6
Όγκος απωλειών (M3)	2.51E6
Ενεργός Όγκος (M3)	3.1E6
Όγκος άμεσης απορροής (M3)	3.1E6
Όγκος βασικής απορροής (M3)	1.35E6

Βροχόπτωση και Απορροή



Υπολεκάνη: EL0415FR6094

Έκταση (KM2) : 17.58

Κατάντη : J22

Μέθοδος Απωλειών: SCS

Ποσοστό αδιαπέρατης επιφάνειας	8
Αριθμός Καμπύλης Απορροής-CN	51.14
Αρχικές Απώλειες	48.53

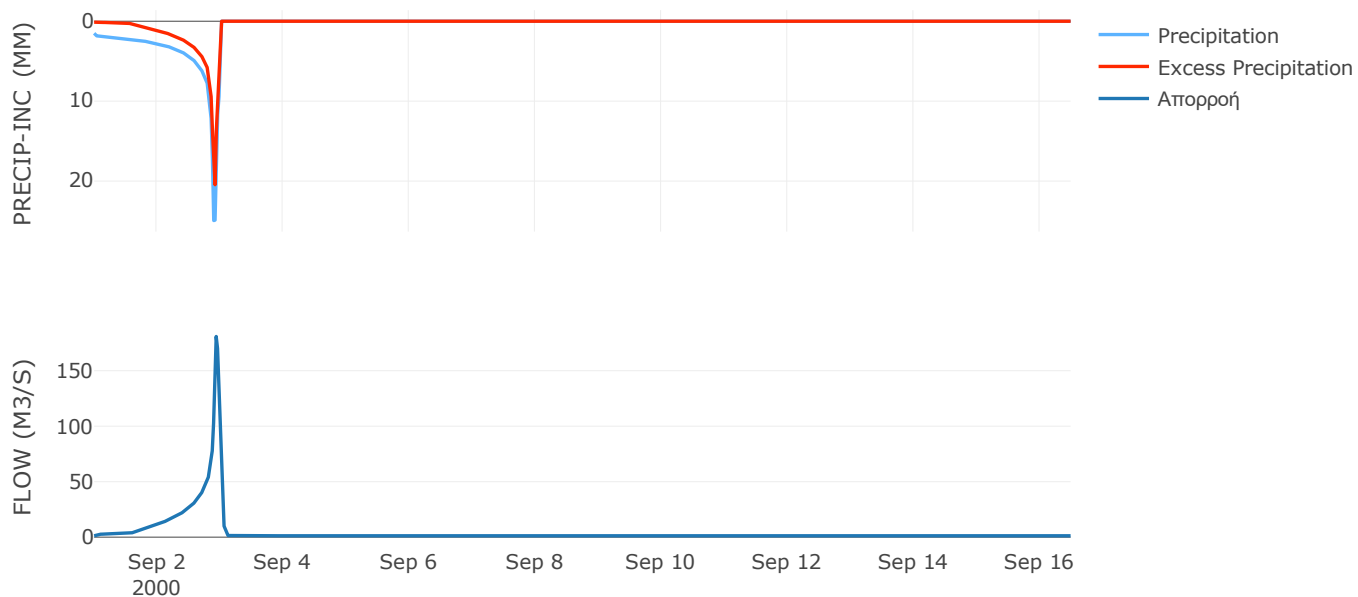
Μέθοδος
Μετασχηματισμού: SCS

Χρόνος Υστέρησης	30.99
------------------	-------

Αποτελέσματα:
EL0415FR6094

Παροχή αιχμής (M3/S)	180.86
Χρονική στιγμή αιχμής	02Sep2000, 22:30
Όγκος (MM)	324.66
Όγκος βροχόπτωσης (M3)	7.19E6
Όγκος απωλειών (M3)	3.13E6
Ενεργός Όγκος (M3)	4.06E6
Όγκος άμεσης απορροής (M3)	4.06E6
Όγκος βασικής απορροής (M3)	1.65E6

Βροχόπτωση και Απορροή



Υπολεκάνη: EL0415FR6095

Έκταση (KM2) : 18.13

Κατάνη : J15 Res2

Μέθοδος Απωλειών: SCS

Ποσοστό αδιαπέρατης επιφάνειας	17
Αριθμός Καμπύλης Απορροής-CN	88.26
Αρχικές Απώλειες	6.75

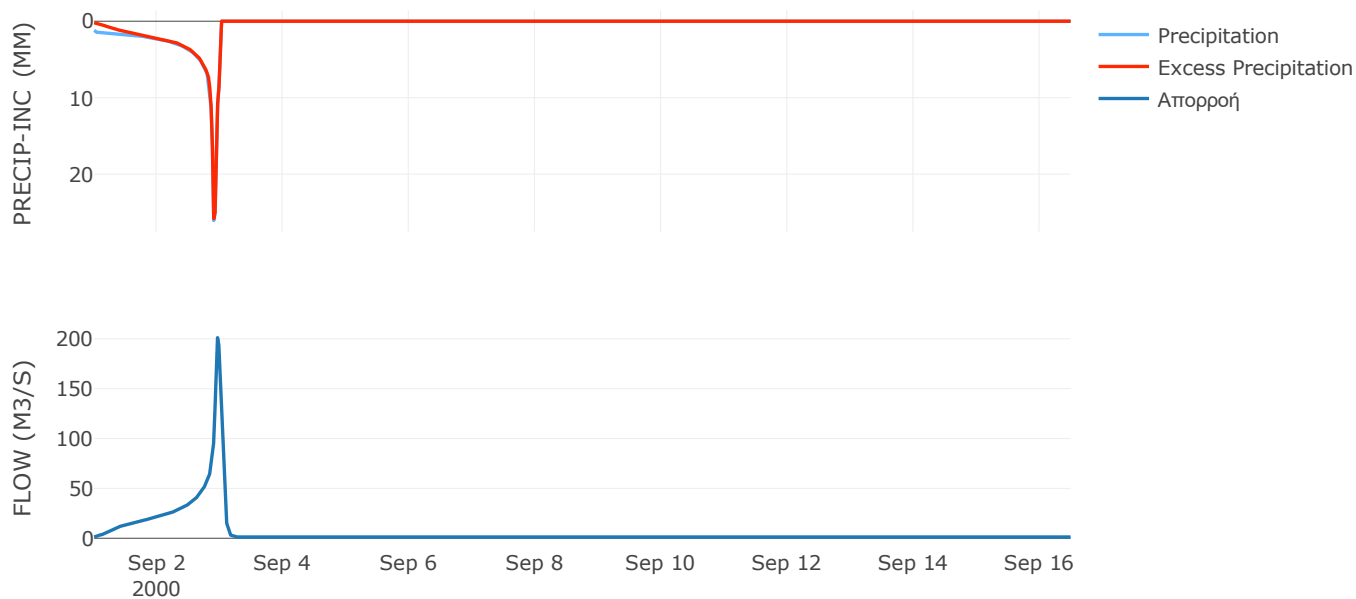
Μέθοδος
Μετασχηματισμού: SCS

Χρόνος Υστέρησης	62.6
------------------	------

Αποτελέσματα:
EL0415FR6095

Παροχή αιχμής (M3/S)	201.16
Χρονική στιγμή αιχμής	02Sep2000, 23:00
Όγκος (MM)	420.65
Όγκος βροχόπτωσης (M3)	6.49E6
Όγκος απωλειών (M3)	5.65E5
Ενεργός Όγκος (M3)	5.93E6
Όγκος άμεσης απορροής (M3)	5.93E6
Όγκος βασικής απορροής (M3)	1.7E6

Βροχόπτωση και Απορροή



Υπολεκάνη: EL0415FR6096

Έκταση (KM2) : 45.1

Κατάντη : J19

Μέθοδος Απωλειών: SCS

Ποσοστό αδιαπέρατης επιφάνειας	16
Αριθμός Καμπύλης Απορροής-CN	83.35
Αρχικές Απώλειες	10.15

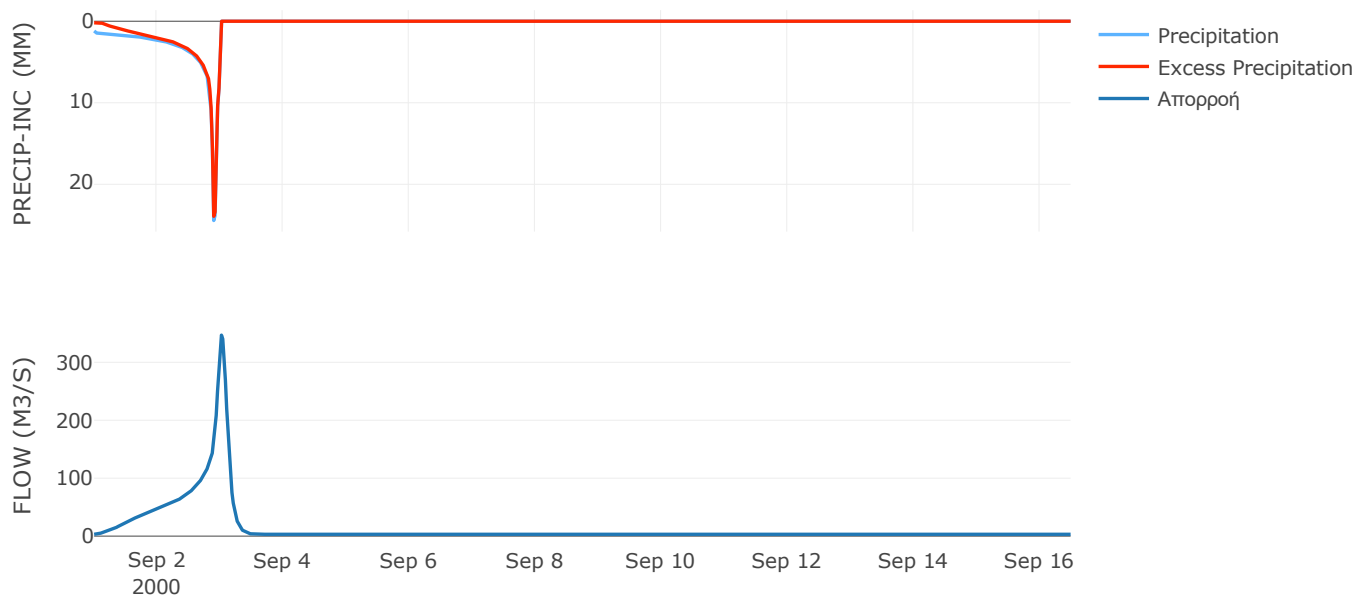
Μέθοδος
Μετασχηματισμού: SCS

Χρόνος Υστέρησης	154.63
------------------	--------

Αποτελέσματα:
EL0415FR6096

Παροχή αιχμής (M3/S)	346.94
Χρονική στιγμή αιχμής	03Sep2000, 00:30
Όγκος (MM)	399.23
Όγκος βροχόπτωσης (M3)	1.58E7
Όγκος απωλειών (M3)	2.06E6
Ενεργός Όγκος (M3)	1.38E7
Όγκος άμεσης απορροής (M3)	1.38E7
Όγκος βασικής απορροής (M3)	4.23E6

Βροχόπτωση και Απορροή



Υπολεκάνη: EL0415FR6097

Έκταση (KM2) : 3.48

Κατάντη : J14

Μέθοδος Απωλειών: SCS

Ποσοστό αδιαπέρατης επιφάνειας	17
Αριθμός Καμπύλης Απορροής-CN	83.19
Αρχικές Απώλειες	10.27

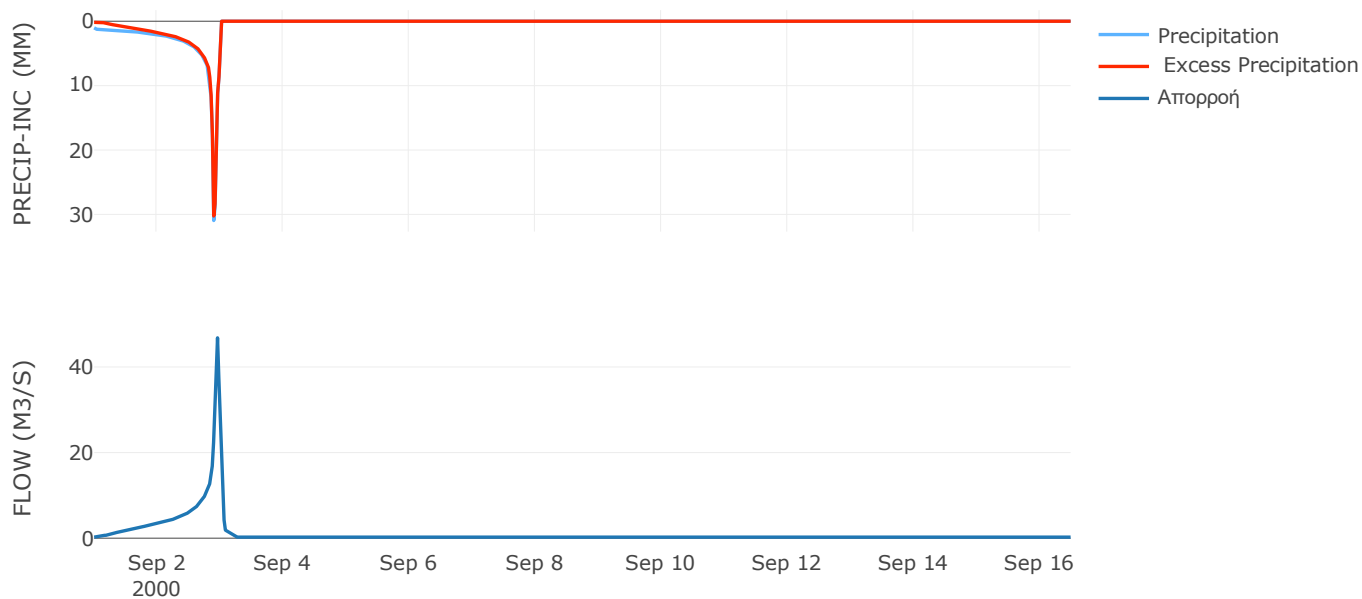
Μέθοδος
Μετασχηματισμού: SCS

Χρόνος Υστέρησης	41.06
------------------	-------

Αποτελέσματα:
EL0415FR6097

Παροχή αιχμής (M3/S)	46.81
Χρονική στιγμή αιχμής	02Sep2000, 23:00
Όγκος (MM)	400.69
Όγκος βροχόπτωσης (M3)	1.22E6
Όγκος απωλειών (M3)	1.58E5
Ενεργός Όγκος (M3)	1.07E6
Όγκος άμεσης απορροής (M3)	1.07E6
Όγκος βασικής απορροής (M3)	3.26E5

Βροχόπτωση και Απορροή

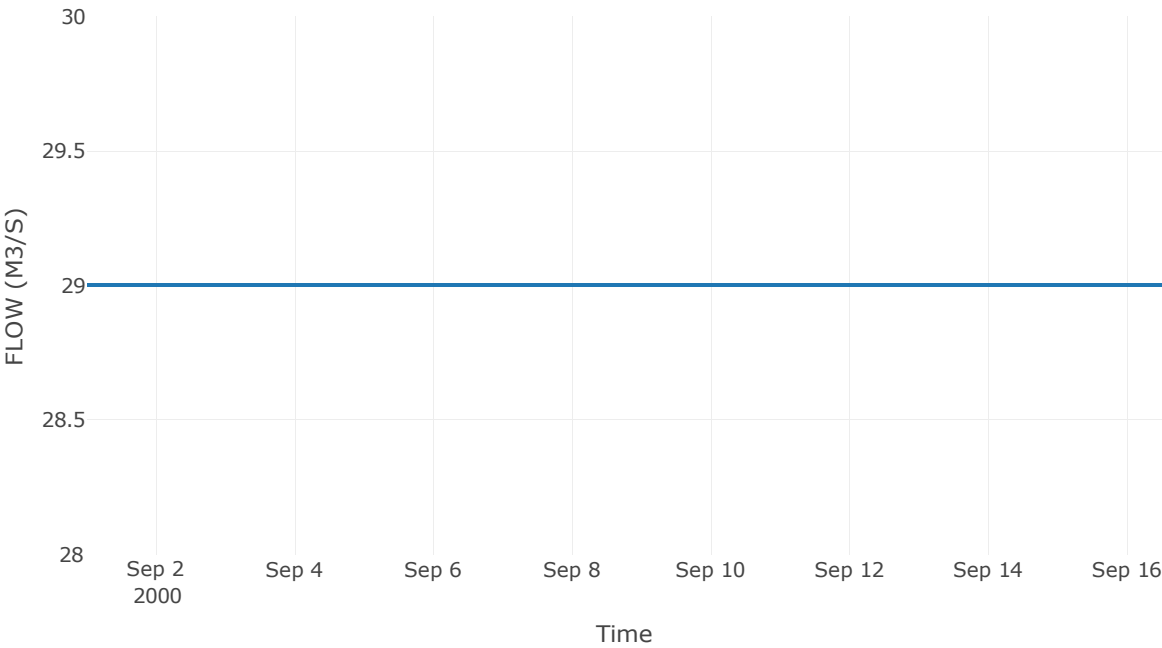


Κόμβος εξόδου: Κόμβος εξόδου-RES4

Αποτελέσματα: Κόμβος εξόδου-RES4

Παροχή Αιχμής (M3/S)	29
Χρονική στιγμή αιχμής	31Aug2000, 24:00
Όγκος(MM)	234.94

Απορροή



8.2 Δεδομένα και Υδρογραφήματα σχεδιασμού Κλάδων υδρογραφικού δικτύου

Κλάδος: R21

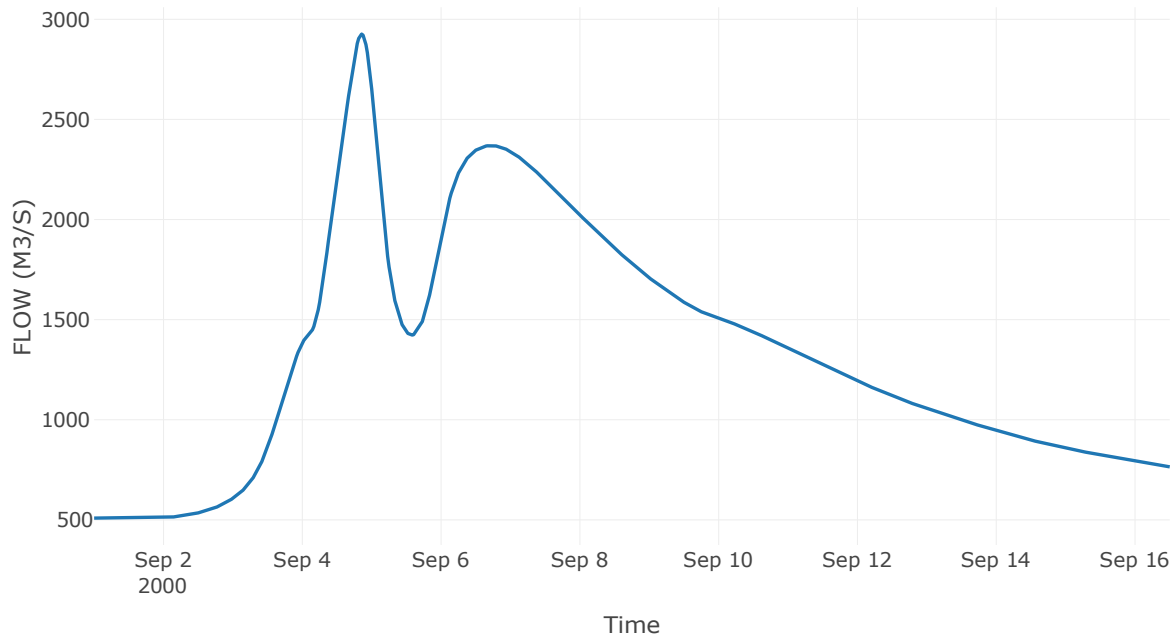
Κατάντη : J1

Μέθοδος Διόδευσης	Muskingum
Αρχική Μεταβλητή	Combined Inflow
Muskingum K	10.33
Συντελεστής βάρους x	0.2
Muskingum Steps	26

Αποτελέσματα: R21

Παροχή Αιχμής (M3/S)	2926.26
Χρονική στιγμή αιχμής	04Sep2000, 20:30
Όγκος(MM)	391.87
Παροχή Αιχμής Εισόδου (M3/S)	2987.03
Όγκος Εισροής(M3)	1.8E9

Απορροή



Κλάδος: R32

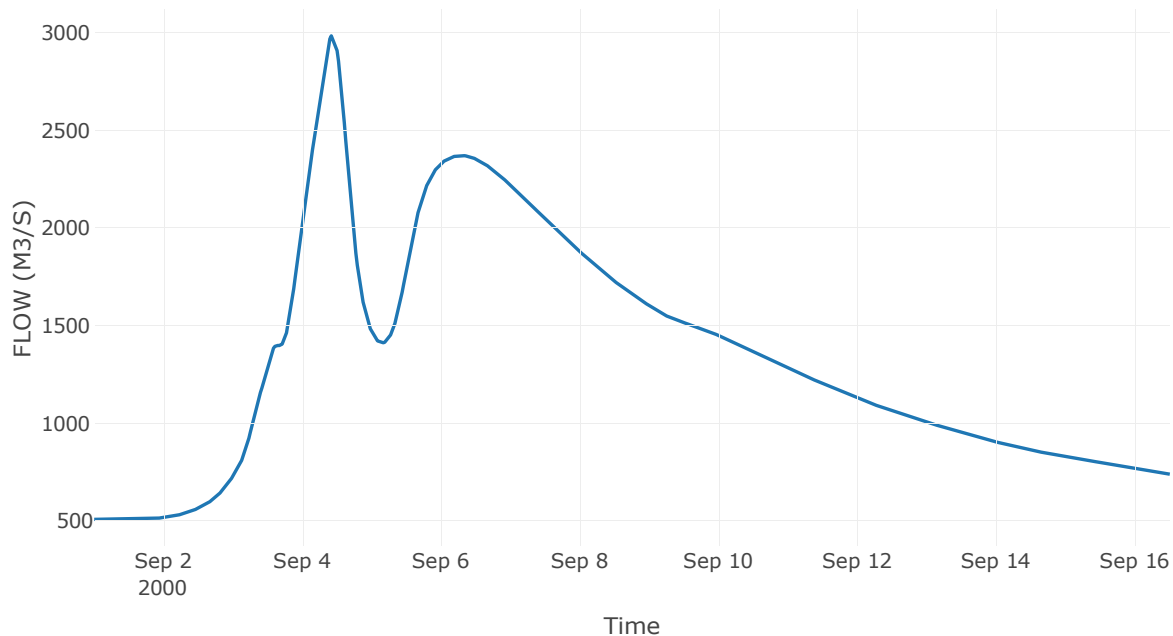
Κατάντη : J2

Μέθοδος Διόδευσης	Muskingum
Αρχική Μεταβλητή	Combined Inflow
Muskingum K	7.06
Συντελεστής βάρους x	0.2
Muskingum Steps	18

Αποτελέσματα: R32

Παροχή Αιχμής (M3/S)	2985.77
Χρονική στιγμή αιχμής	04Sep2000, 10:30
Όγκος(MM)	394.38
Παροχή Αιχμής Εισόδου (M3/S)	3036.04
Όγκος Εισροής(M3)	1.8E9

Απορροή



Κλάδος: R43

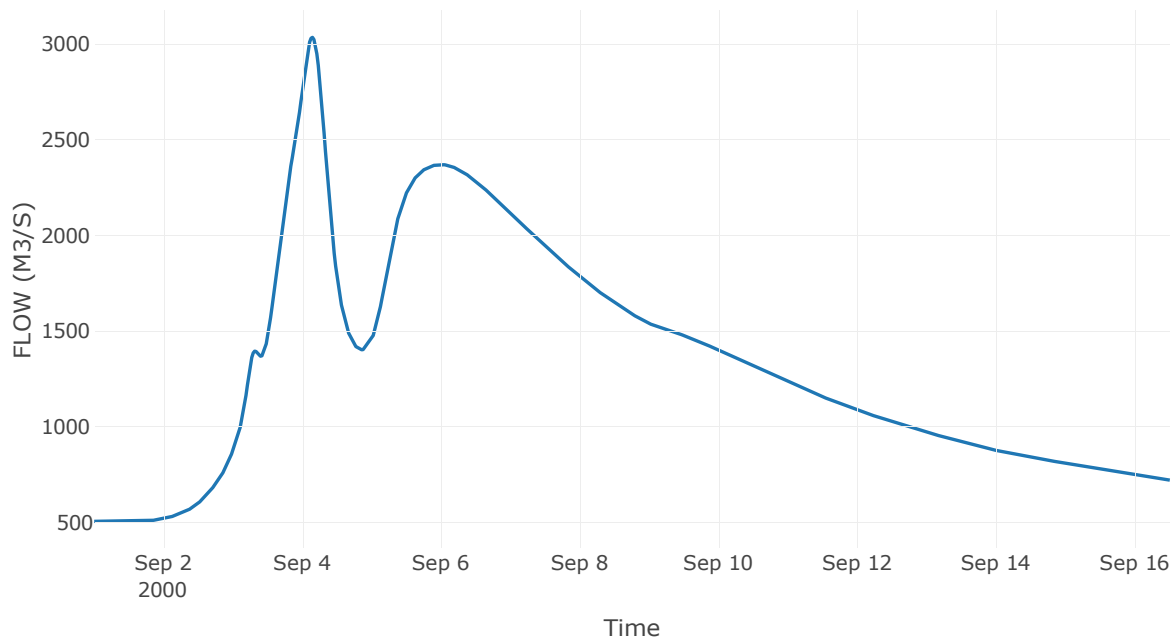
Κατάντη : J3

Μέθοδος Διόδευσης	Muskingum
Αρχική Μεταβλητή	Combined Inflow
Muskingum K	6.59
Συντελεστής βάρους x	0.2
Muskingum Steps	17

Αποτελέσματα: R43

Παροχή Αιχμής (M3/S)	3035.06
Χρονική στιγμή αιχμής	04Sep2000, 03:30
Όγκος(MM)	396.24
Παροχή Αιχμής Εισόδου (M3/S)	3089.21
Όγκος Εισροής(M3)	1.8E9

Απορροή



Κλάδος: R54

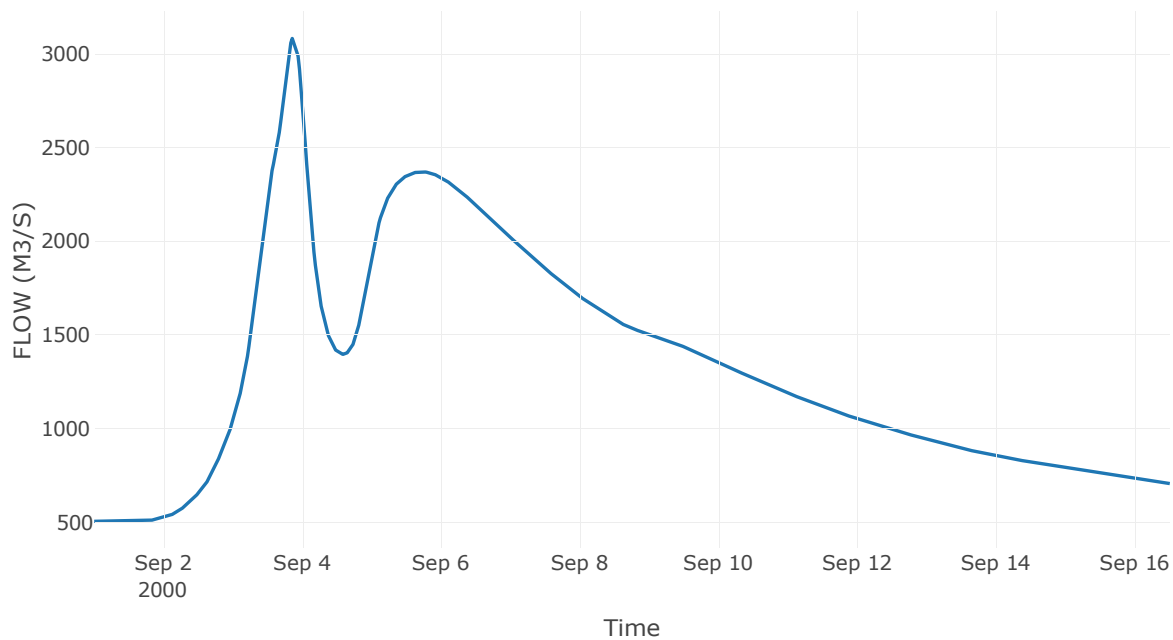
Κατάντη : J4

Μέθοδος Διόδευσης	Muskingum
Αρχική Μεταβλητή	Combined Inflow
Muskingum K	8.2
Συντελεστής βάρους x	0.2
Muskingum Steps	21

Αποτελέσματα: R54

Παροχή Αιχμής (M3/S)	3087.46
Χρονική στιγμή αιχμής	03Sep2000, 21:00
Όγκος(MM)	398.72
Παροχή Αιχμής Εισόδου (M3/S)	3166.83
Όγκος Εισροής(M3)	1.79E9

Απορροή



Κλάδος: R65

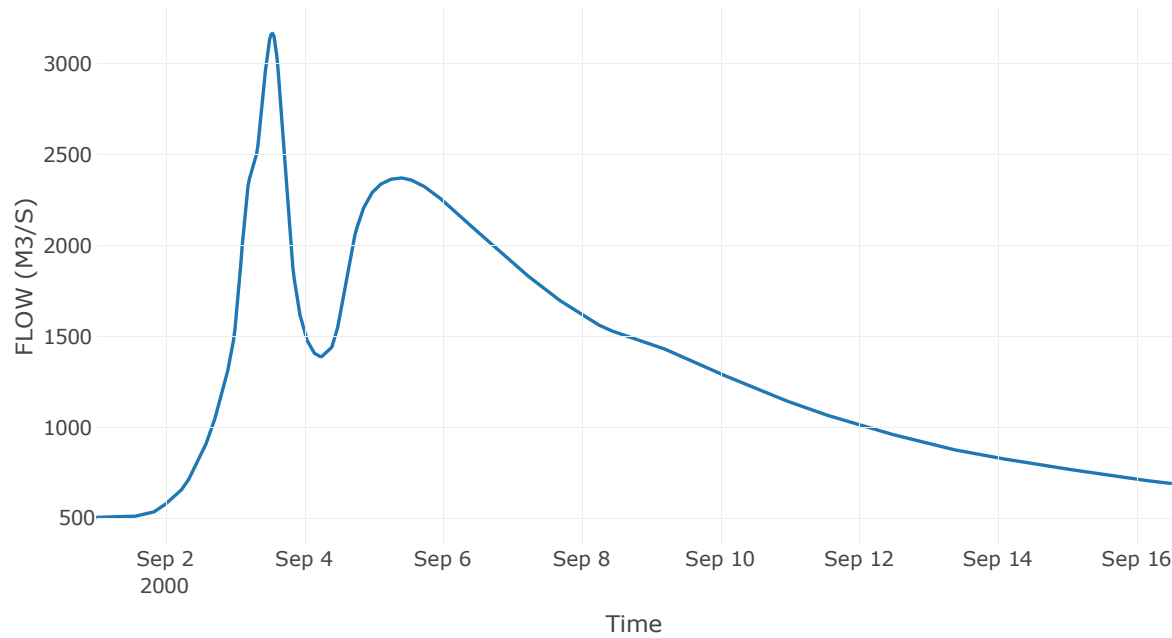
Κατάντη : J5

Μέθοδος Διόδευσης	Muskingum
Αρχική Μεταβλητή	Combined Inflow
Muskingum K	2.55
Συντελεστής βάρους x	0.2
Muskingum Steps	6

Αποτελέσματα: R65

Παροχή Αιχμής (M3/S)	3165.61
Χρονική στιγμή αιχμής	03Sep2000, 13:00
Όγκος(MM)	400.79
Παροχή Αιχμής Εισόδου (M3/S)	3194.81
Όγκος Εισροής(M3)	1.78E9

Απορροή



Κλάδος: R86

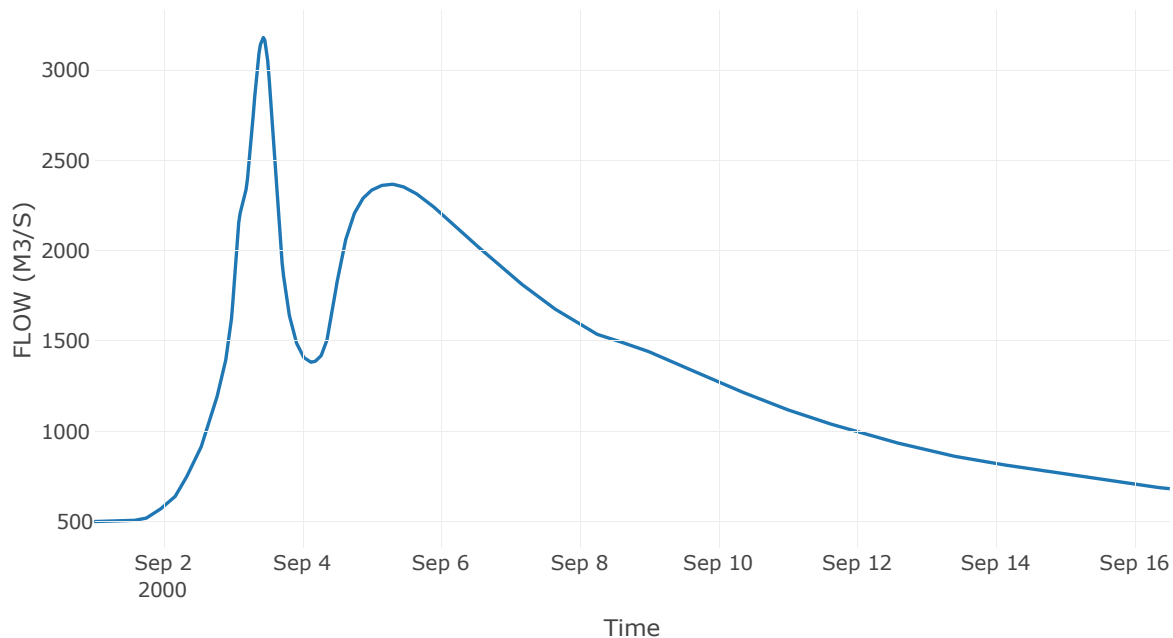
Κατάντη : J6

Μέθοδος Διόδευσης	Muskingum
Αρχική Μεταβλητή	Combined Inflow
Muskingum K	1.62
Συντελεστής βάρους x	0.2
Muskingum Steps	4

Αποτελέσματα: R86

Παροχή Αιχμής (M3/S)	3181.3
Χρονική στιγμή αιχμής	03Sep2000, 10:30
Όγκος(MM)	402.02
Παροχή Αιχμής Εισόδου (M3/S)	3198.9
Όγκος Εισροής(M3)	1.77E9

Απορροή



Κλάδος: R138

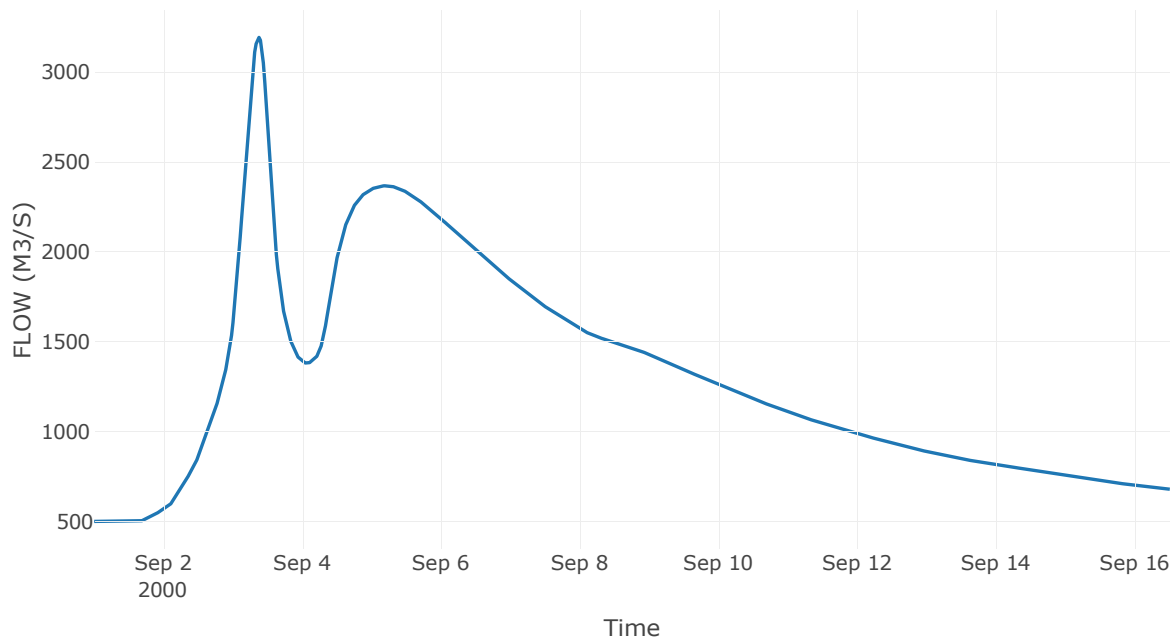
Κατάντη : J8

Μέθοδος Διόδευσης	Muskingum
Αρχική Μεταβλητή	Combined Inflow
Muskingum K	0.94
Συντελεστής βάρους x	0.2
Muskingum Steps	2

Αποτελέσματα: R138

Παροχή Αιχμής (M3/S)	3192.48
Χρονική στιγμή αιχμής	03Sep2000, 09:00
Όγκος(MM)	403.97
Παροχή Αιχμής Εισόδου (M3/S)	3204.34
Όγκος Εισροής(M3)	1.75E9

Απορροή



Κλάδος: R1413

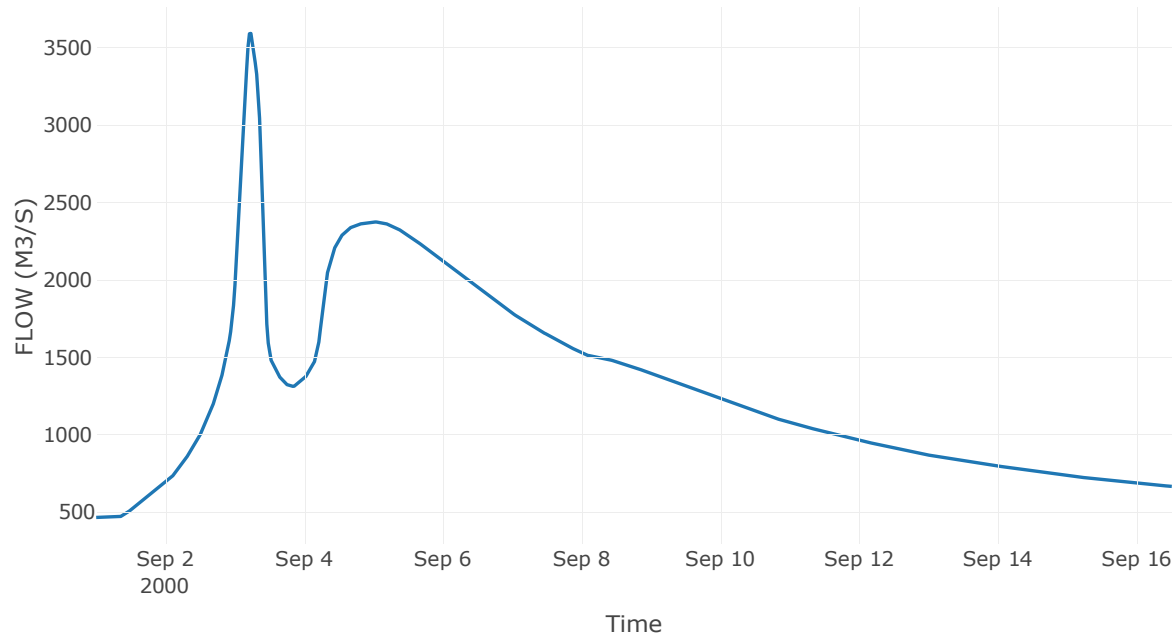
Κατάντη : J13 Res1

Μέθοδος Διόδευσης	Muskingum
Αρχική Μεταβλητή	Combined Inflow
Muskingum K	2.61
Συντελεστής βάρους x	0.2
Muskingum Steps	7

Αποτελέσματα: R1413

Παροχή Αιχμής (M3/S)	3591.9
Χρονική στιγμή αιχμής	03Sep2000, 05:30
Όγκος(MM)	405.7
Παροχή Αιχμής Εισόδου (M3/S)	3758.73
Όγκος Εισροής(M3)	1.74E9

Απορροή



Κλάδος: R1514

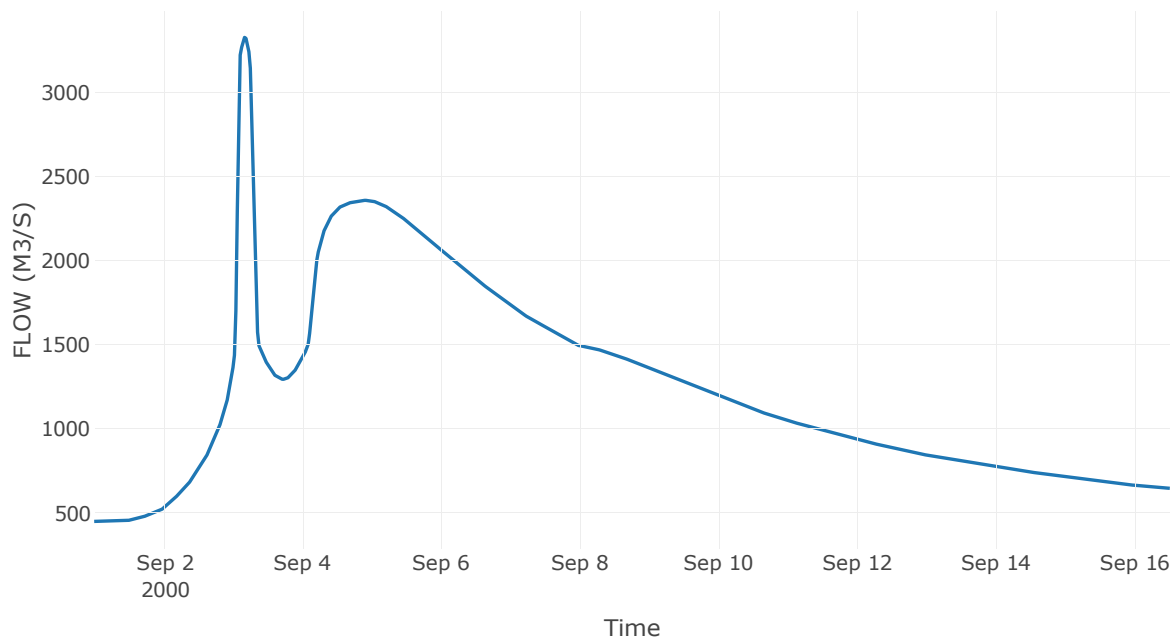
Κατάντη : J14

Μέθοδος Διόδευσης	Muskingum
Αρχική Μεταβλητή	Combined Inflow
Muskingum K	0.29
Συντελεστής βάρους x	0.2
Muskingum Steps	1

Αποτελέσματα: R1514

Παροχή Αιχμής (M3/S)	3329.44
Χρονική στιγμή αιχμής	03Sep2000, 04:00
Όγκος(MM)	406.6
Παροχή Αιχμής Εισόδου (M3/S)	3331.33
Όγκος Εισροής(M3)	1.66E9

Απορροή



Κλάδος: R1915

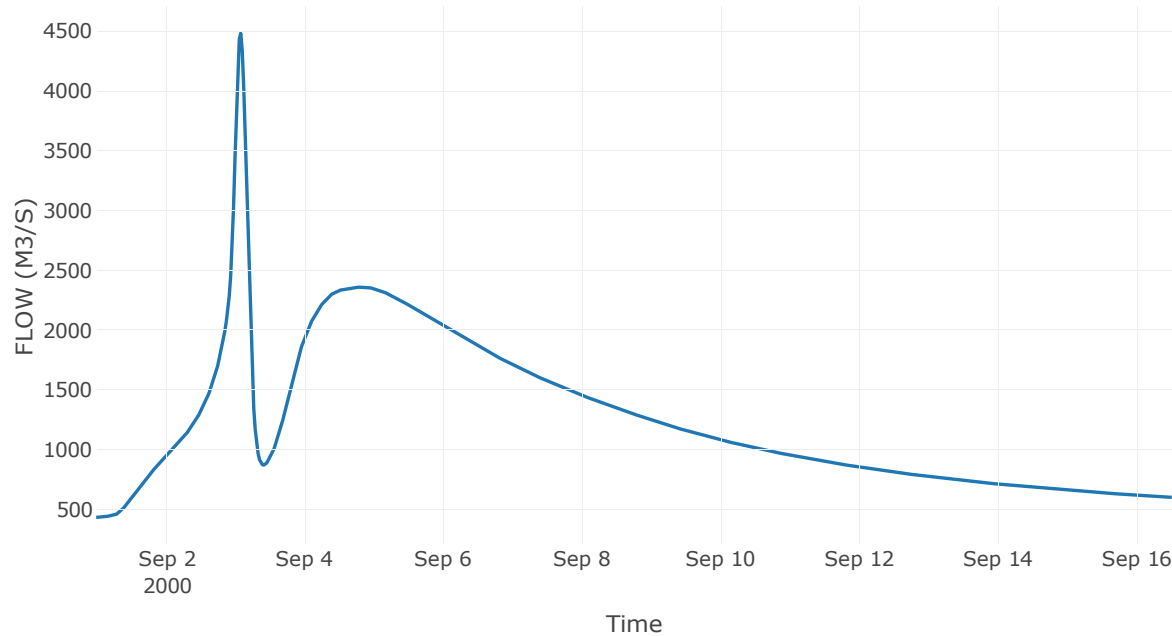
Κατάντη : J15 Res2

Μέθοδος Διόδευσης	Muskingum
Αρχική Μεταβλητή	Combined Inflow
Muskingum K	0.77
Συντελεστής βάρους x	0.2
Muskingum Steps	2

Αποτελέσματα: R1915

Παροχή Αιχμής (M3/S)	4481.15
Χρονική στιγμή αιχμής	03Sep2000, 02:00
Όγκος(MM)	413.04
Παροχή Αιχμής Εισόδου (M3/S)	4554.03
Όγκος Εισροής(M3)	1.68E9

Απορροή



Κλάδος: R1819

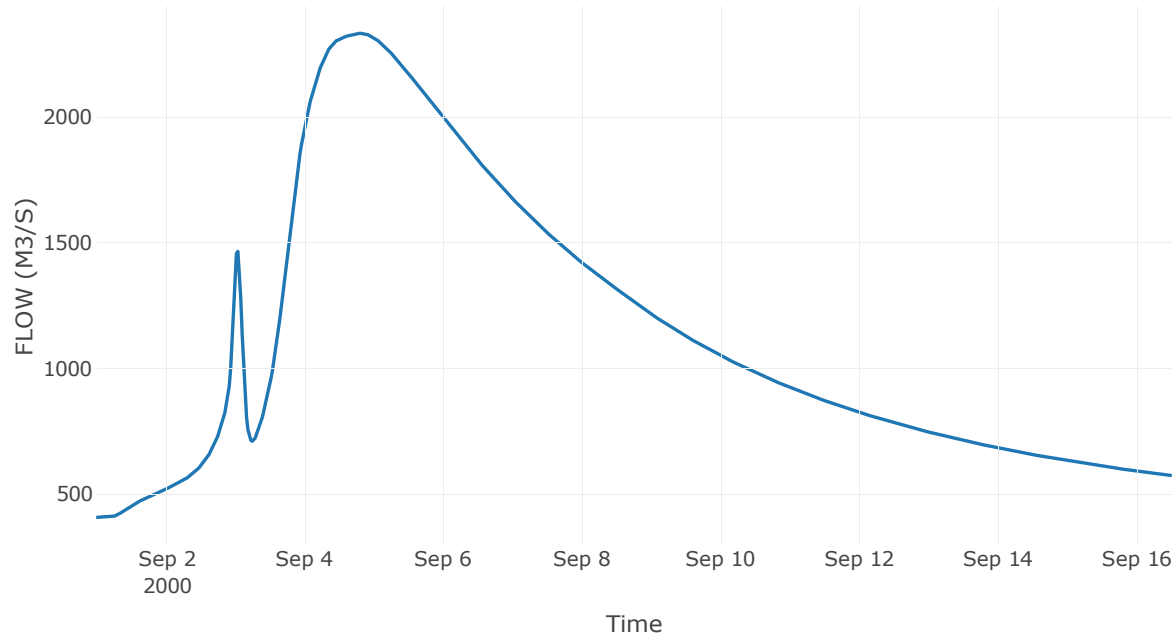
Κατάντη : J19

Μέθοδος Διόδευσης	Muskingum
Αρχική Μεταβλητή	Combined Inflow
Muskingum K	0.94
Συντελεστής βάρους x	0.2
Muskingum Steps	2

Αποτελέσματα: R1819

Παροχή Αιχμής (M3/S)	2332.4
Χρονική στιγμή αιχμής	04Sep2000, 19:30
Όγκος(MM)	410.7
Παροχή Αιχμής Εισόδου (M3/S)	2332.61
Όγκος Εισροής(M3)	1.51E9

Απορροή



Κλάδος: R1718

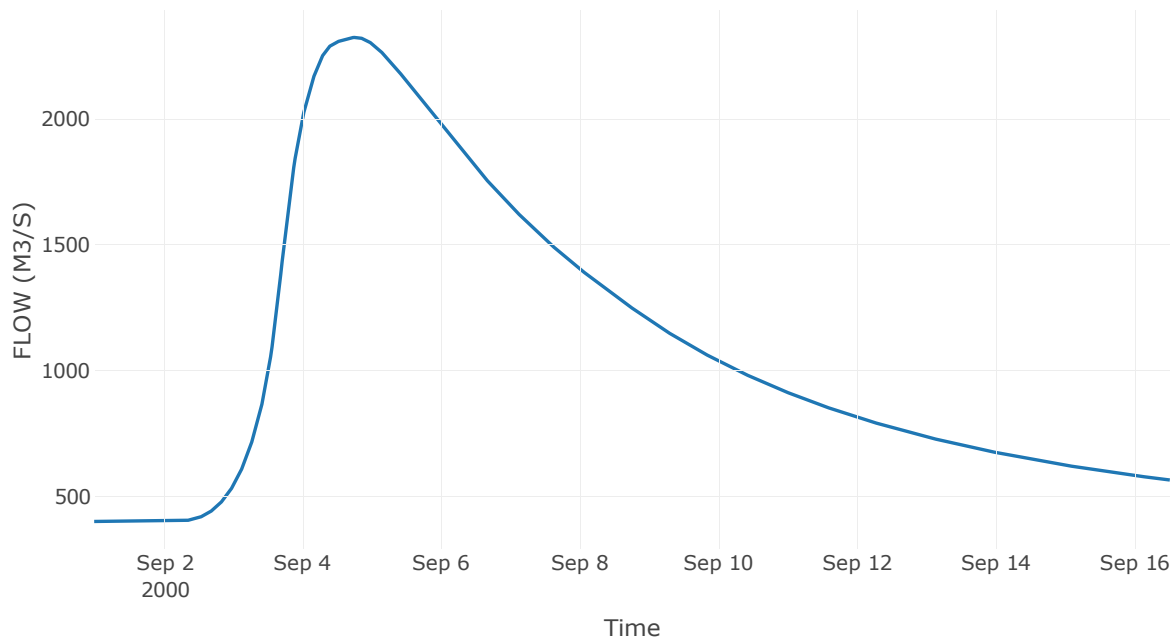
Κατάντη : J18

Μέθοδος Διόδευσης	Muskingum
Αρχική Μεταβλητή	Combined Inflow
Muskingum K	14.58
Συντελεστής βάρους x	0.2
Muskingum Steps	37

Αποτελέσματα: R1718

Παροχή Αιχμής (M3/S)	2324.61
Χρονική στιγμή αιχμής	04Sep2000, 18:30
Όγκος(MM)	411.33
Παροχή Αιχμής Εισόδου (M3/S)	2327.4
Όγκος Εισροής(M3)	1.47E9

Απορροή



Κλάδος: R2717

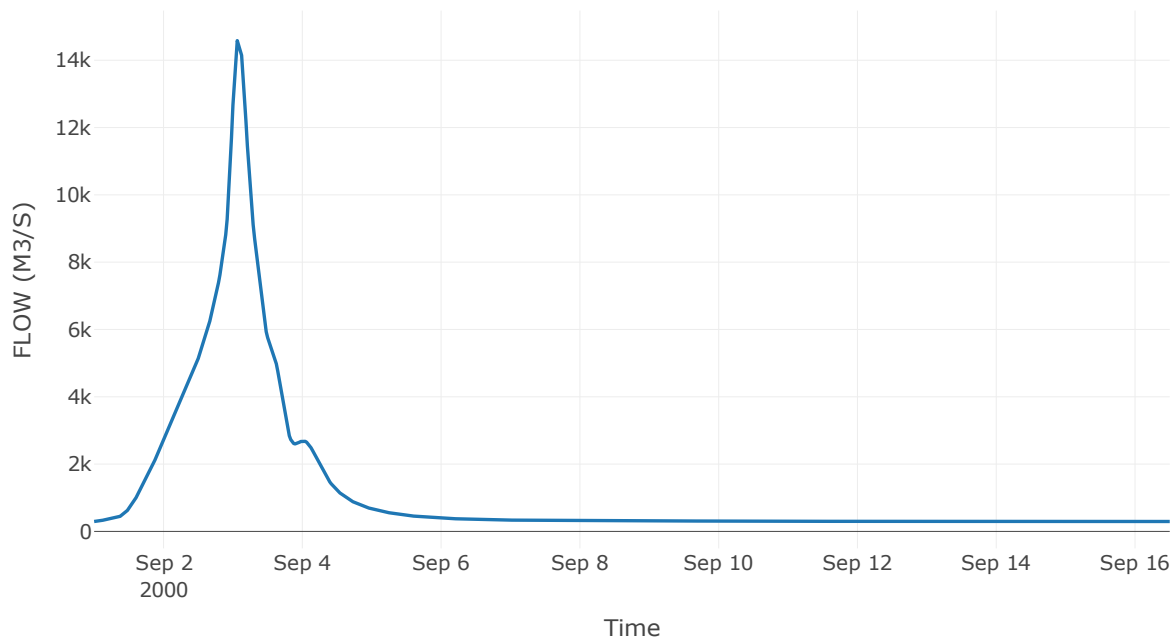
Κατάντη : J17 Res3

Μέθοδος Διόδευσης	Muskingum
Αρχική Μεταβλητή	Combined Inflow
Muskingum K	0.6
Συντελεστής βάρους x	0.2
Muskingum Steps	1

Αποτελέσματα: R2717

Παροχή Αιχμής (M3/S)	14676.09
Χρονική στιγμή αιχμής	03Sep2000, 02:00
Όγκος(MM)	460.59
Παροχή Αιχμής Εισόδου (M3/S)	14774.98
Όγκος Εισροής(M3)	1.64E9

Απορροή



Κλάδος: R3127

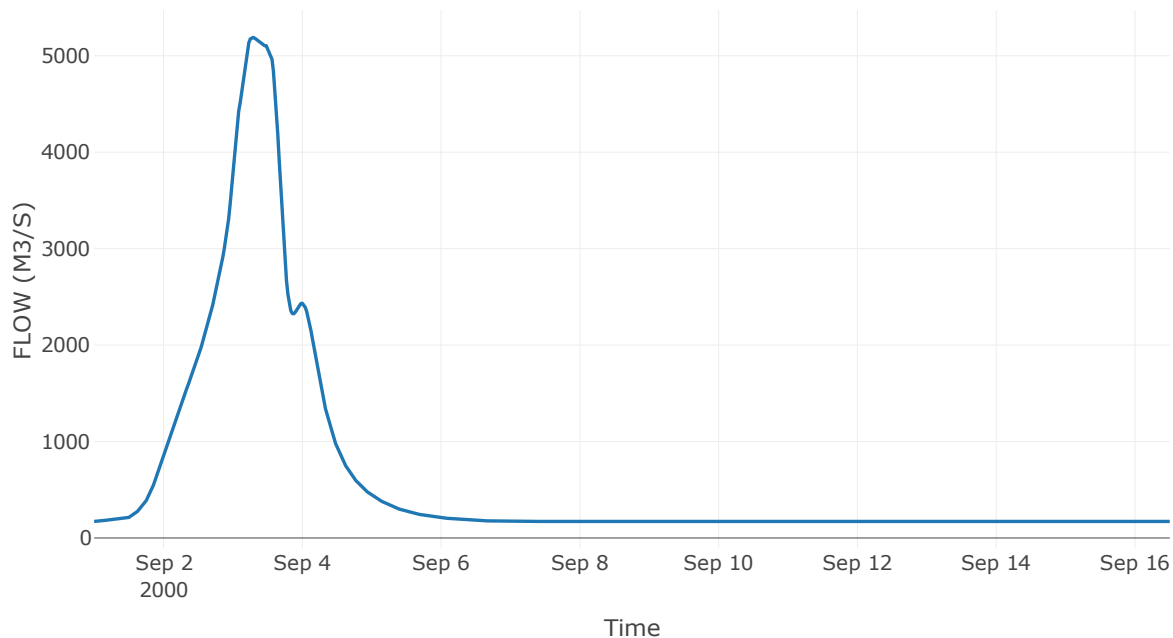
Κατάντη : J27

Μέθοδος Διόδευσης	Muskingum
Αρχική Μεταβλητή	Combined Inflow
Muskingum K	1.63
Συντελεστής βάρους x	0.2
Muskingum Steps	4

Αποτελέσματα: R3127

Παροχή Αιχμής (M3/S)	5190.25
Χρονική στιγμή αιχμής	03Sep2000, 07:00
Όγκος(MM)	467.01
Παροχή Αιχμής Εισόδου (M3/S)	5200.4
Όγκος Εισροής(M3)	8.38E8

Απορροή



Κλάδος: R2231

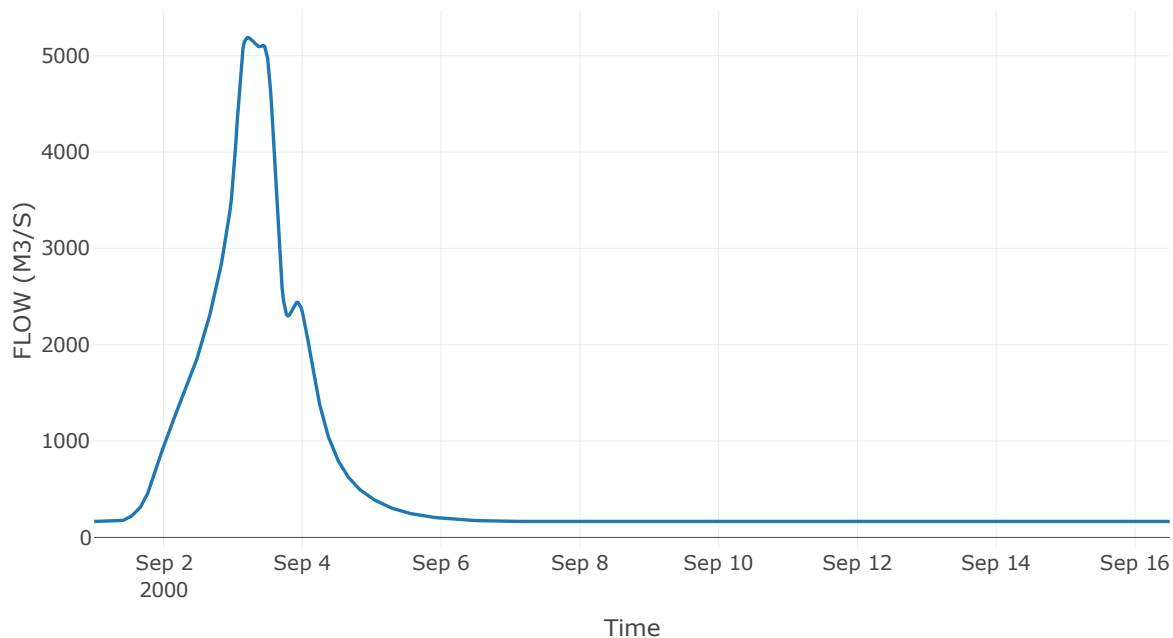
Κατάντη : J31

Μέθοδος Διόδευσης	Muskingum
Αρχική Μεταβλητή	Combined Inflow
Muskingum K	3.08
Συντελεστής βάρους x	0.2
Muskingum Steps	8

Αποτελέσματα: R2231

Παροχή Αιχμής (M3/S)	5189.38
Χρονική στιγμή αιχμής	03Sep2000, 05:00
Όγκος(MM)	469.32
Παροχή Αιχμής Εισόδου (M3/S)	5208.44
Όγκος Εισροής(M3)	8.07E8

Απορροή



Κλάδος: R2522

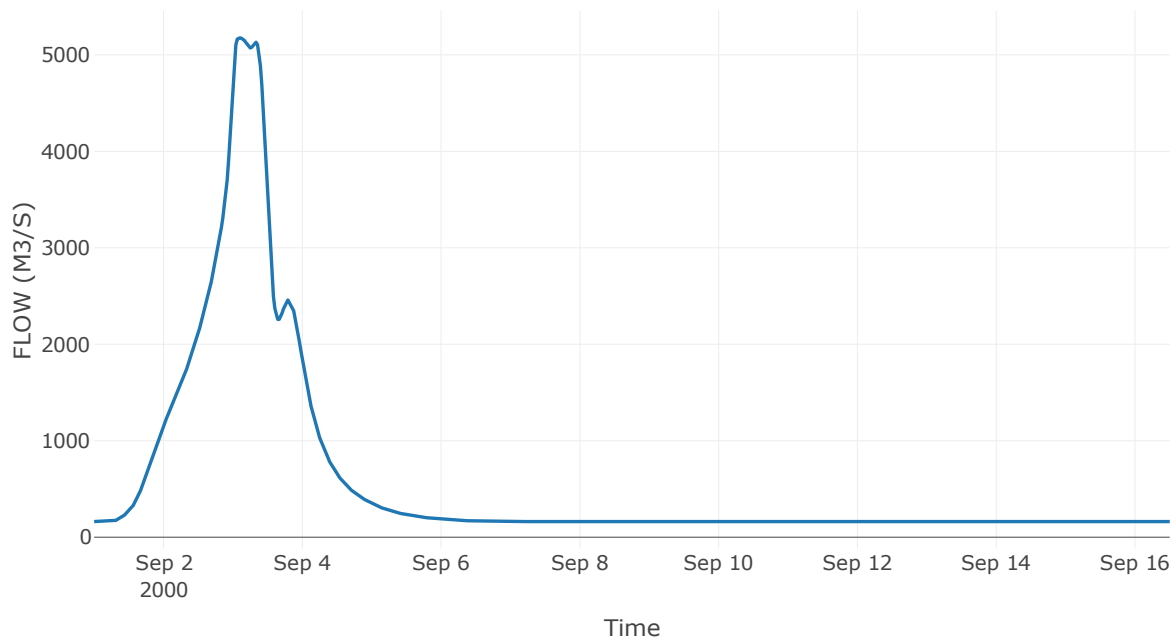
Κατάντη : J22

Μέθοδος Διόδευσης	Muskingum
Αρχική Μεταβλητή	Combined Inflow
Muskingum K	0.88
Συντελεστής βάρους x	0.2
Muskingum Steps	2

Αποτελέσματα: R2522

Παροχή Αιχμής (M3/S)	5179.56
Χρονική στιγμή αιχμής	03Sep2000, 02:00
Όγκος(MM)	474.88
Παροχή Αιχμής Εισόδου (M3/S)	5190.42
Όγκος Εισροής(M3)	7.89E8

Απορροή



Κλάδος: R2425

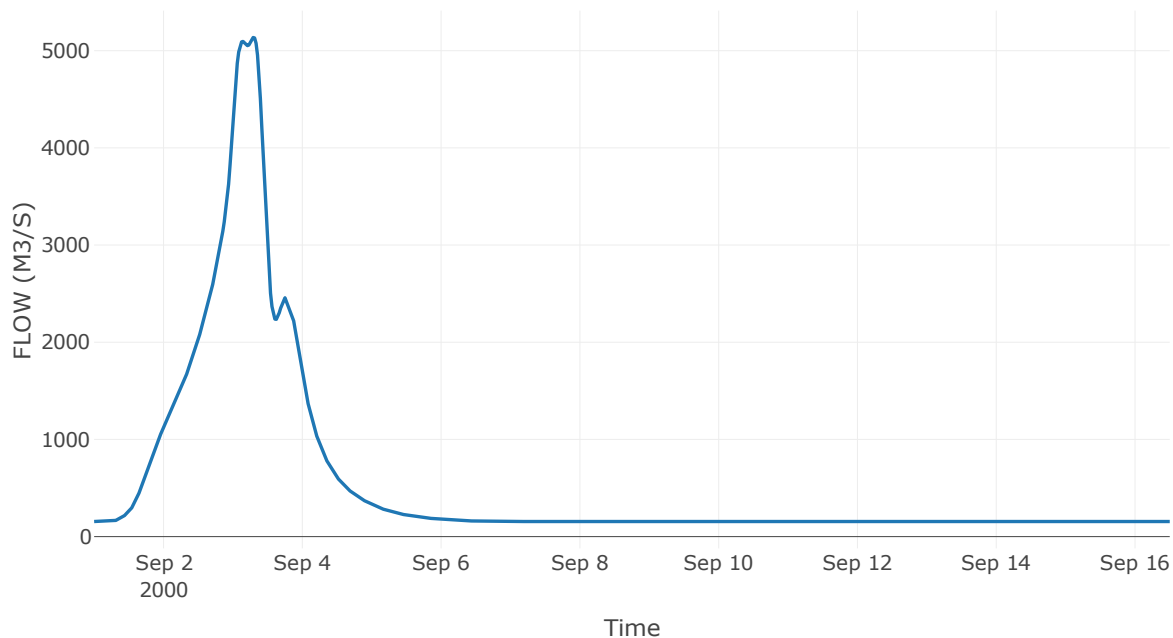
Κατάντη : J25

Μέθοδος Διόδευσης	Muskingum
Αρχική Μεταβλητή	Combined Inflow
Muskingum K	1.36
Συντελεστής βάρους x	0.2
Muskingum Steps	3

Αποτελέσματα: R2425

Παροχή Αιχμής (M3/S)	5135.77
Χρονική στιγμή αιχμής	03Sep2000, 07:00
Όγκος(MM)	480.23
Παροχή Αιχμής Εισόδου (M3/S)	5165.81
Όγκος Εισροής(M3)	7.52E8

Απορροή



Κλάδος: R2324

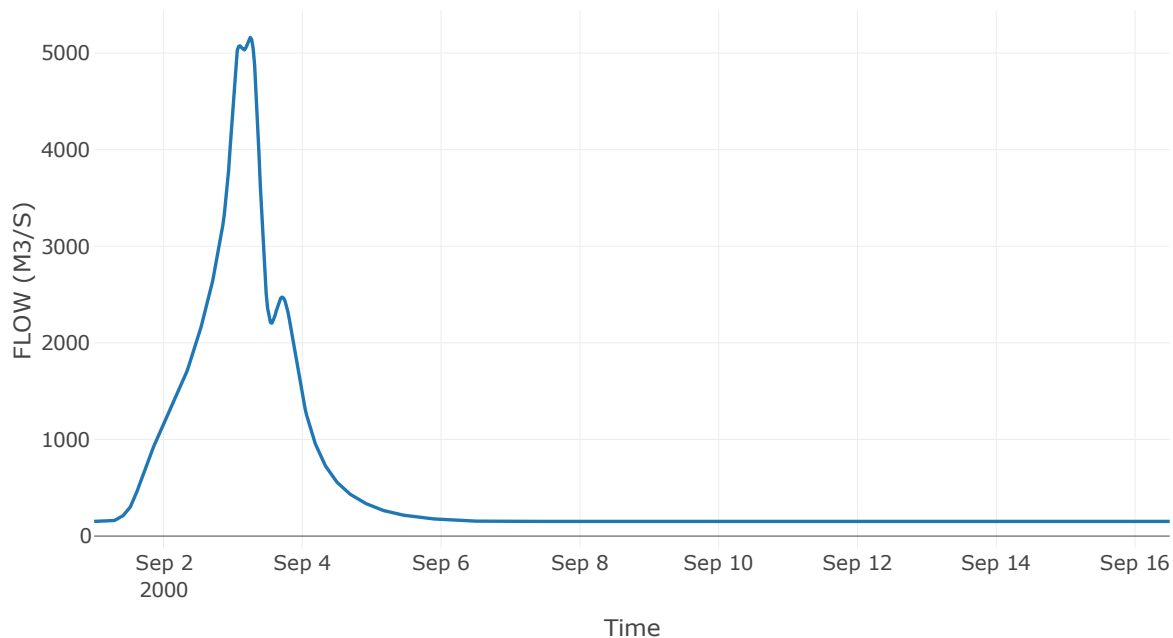
Κατάντη : J24

Μέθοδος Διόδευσης	Muskingum
Αρχική Μεταβλητή	Combined Inflow
Muskingum K	0.67
Συντελεστής βάρους x	0.2
Muskingum Steps	2

Αποτελέσματα: R2324

Παροχή Αιχμής (M3/S)	5162.29
Χρονική στιγμή αιχμής	03Sep2000, 06:00
Όγκος(MM)	482.67
Παροχή Αιχμής Εισόδου (M3/S)	5175.43
Όγκος Εισροής(M3)	7.31E8

Απορροή



Κλάδος: R4523

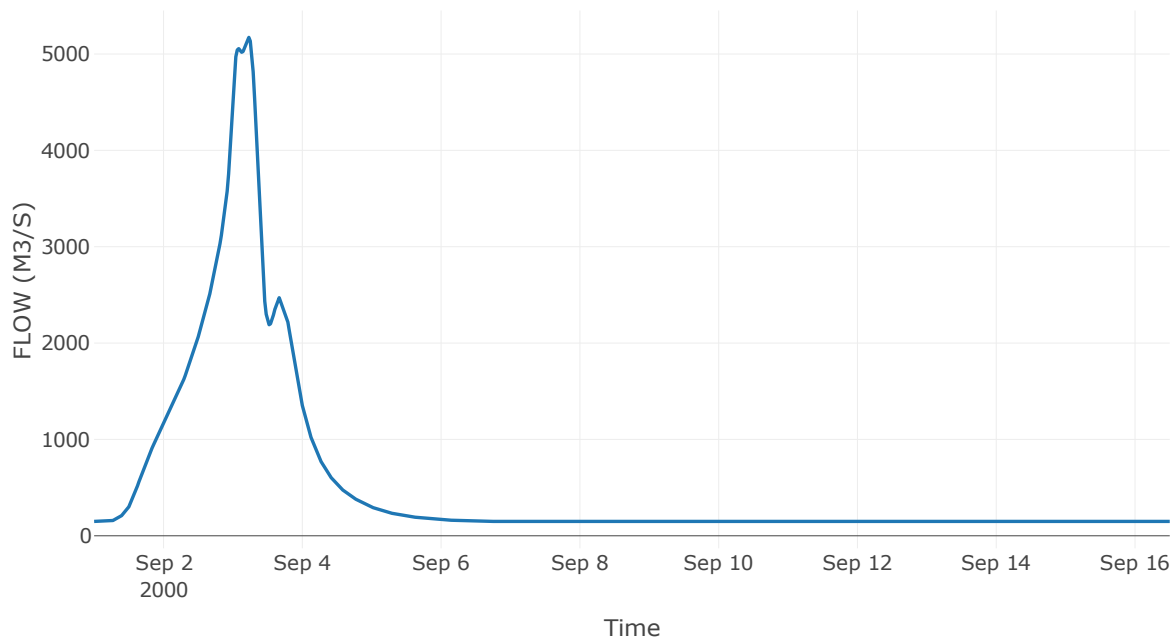
Κατάντη : J23

Μέθοδος Διόδευσης	Muskingum
Αρχική Μεταβλητή	Combined Inflow
Muskingum K	1.45
Συντελεστής βάρους x	0.2
Muskingum Steps	4

Αποτελέσματα: R4523

Παροχή Αιχμής (M3/S)	5172.58
Χρονική στιγμή αιχμής	03Sep2000, 05:30
Όγκος(MM)	487
Παροχή Αιχμής Εισόδου (M3/S)	5205.47
Όγκος Εισροής(M3)	7.18E8

Απορροή



Κλάδος: R4645

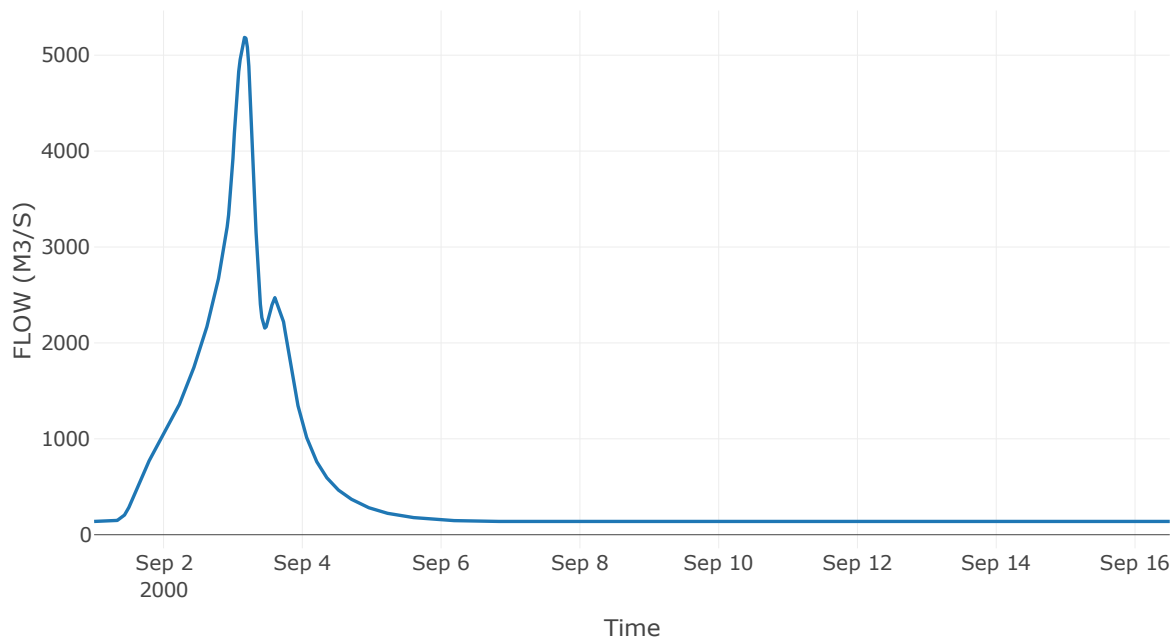
Κατάντη : J45

Μέθοδος Διόδευσης	Muskingum
Αρχική Μεταβλητή	Combined Inflow
Muskingum K	1.8
Συντελεστής βάρους x	0.2
Muskingum Steps	5

Αποτελέσματα: R4645

Παροχή Αιχμής (M3/S)	5185.34
Χρονική στιγμή αιχμής	03Sep2000, 04:00
Όγκος(MM)	493.19
Παροχή Αιχμής Εισόδου (M3/S)	5250.95
Όγκος Εισροής(M3)	6.54E8

Απορροή



Κλάδος: R4746

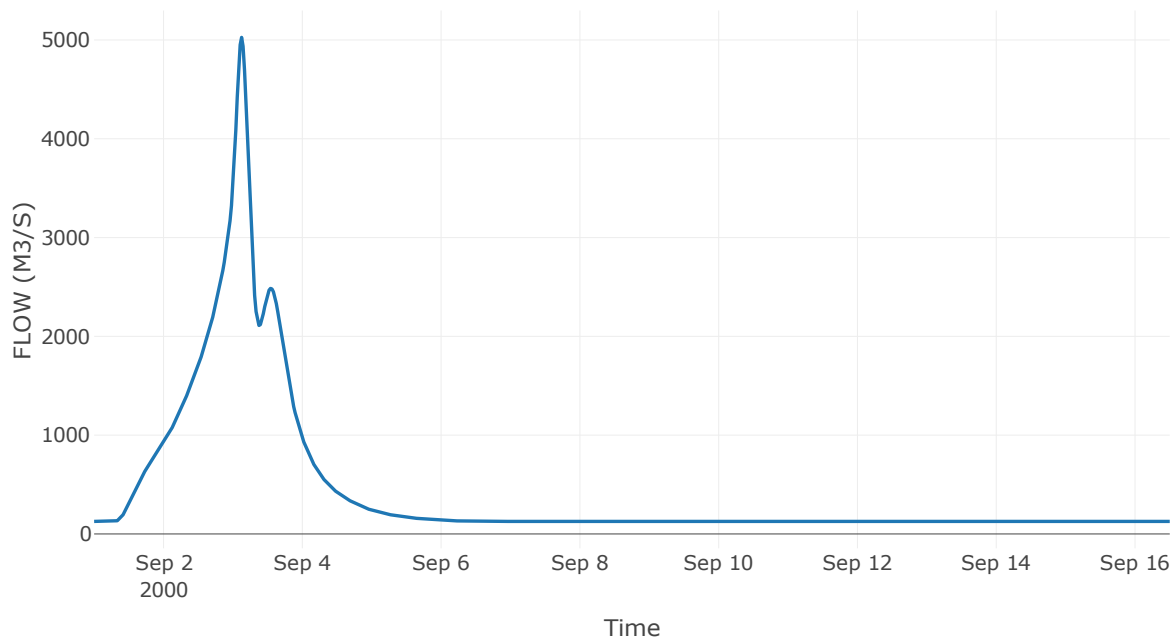
Κατάντη : J46

Μέθοδος Διόδευσης	Muskingum
Αρχική Μεταβλητή	Combined Inflow
Muskingum K	2.95
Συντελεστής βάρους x	0.2
Muskingum Steps	7

Αποτελέσματα: R4746

Παροχή Αιχμής (M3/S)	5025.98
Χρονική στιγμή αιχμής	03Sep2000, 03:00
Όγκος(MM)	506.37
Παροχή Αιχμής Εισόδου (M3/S)	5329.69
Όγκος Εισροής(M3)	5.87E8

Απορροή



Κλάδος: R4947

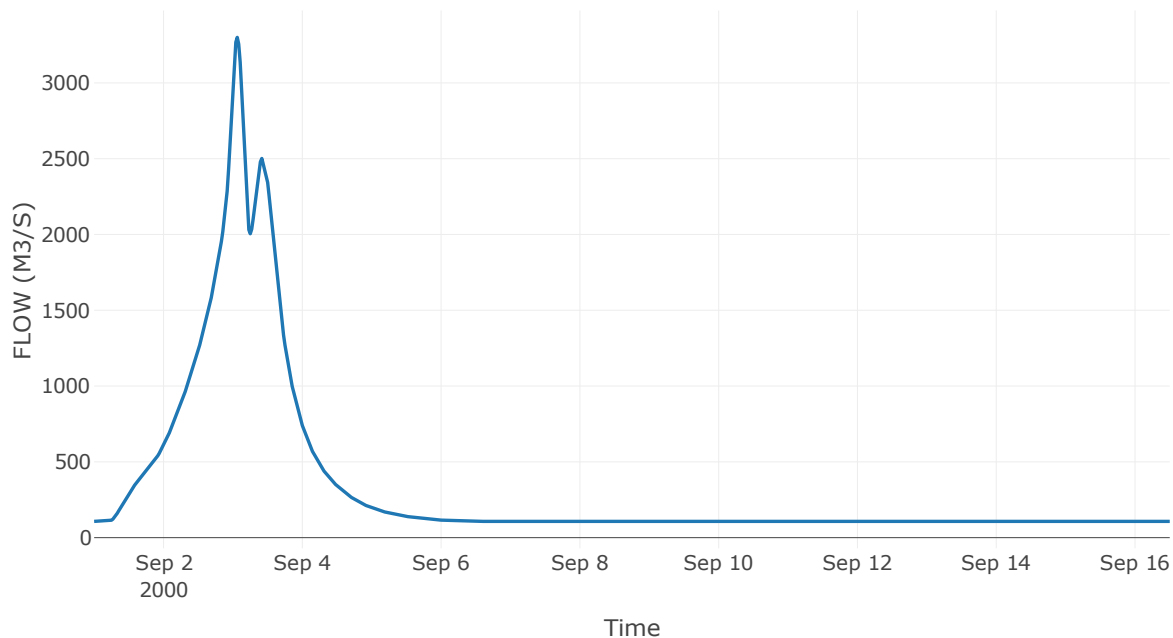
Κατάντη : J47

Μέθοδος Διόδευσης	Muskingum
Αρχική Μεταβλητή	Combined Inflow
Muskingum K	1.17
Συντελεστής βάρους x	0.2
Muskingum Steps	3

Αποτελέσματα: R4947

Παροχή Αιχμής (M3/S)	3300.36
Χρονική στιγμή αιχμής	03Sep2000, 01:30
Όγκος(MM)	518.56
Παροχή Αιχμής Εισόδου (M3/S)	3348.25
Όγκος Εισροής(M3)	4.56E8

Απορροή



Κλάδος: R5049

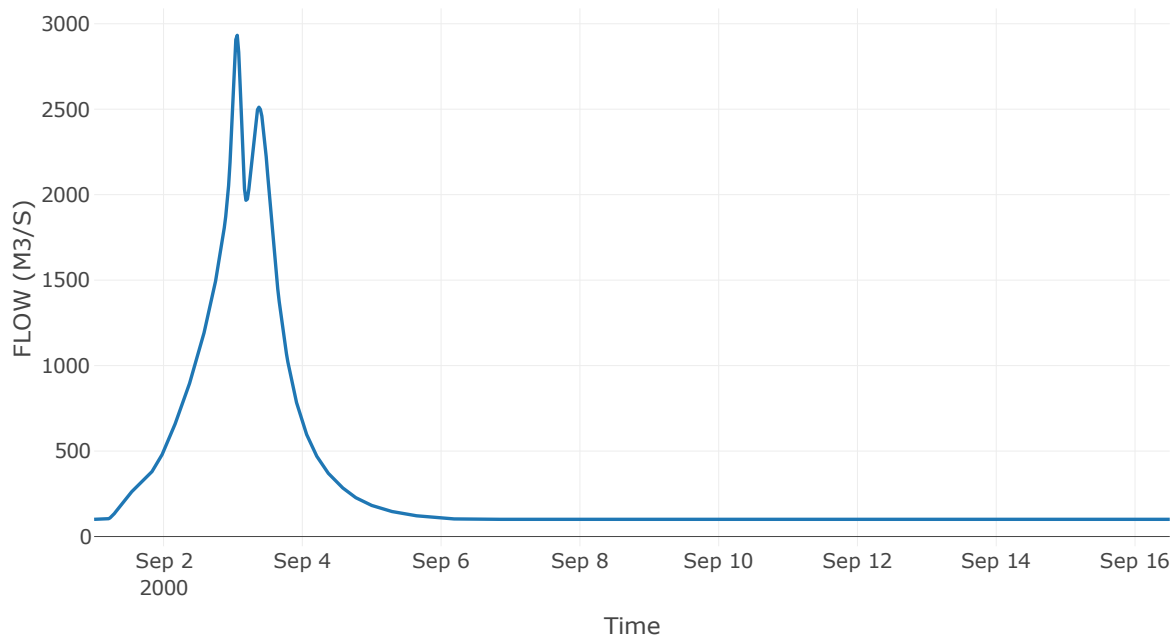
Κατάντη : J49

Μέθοδος Διόδευσης	Muskingum
Αρχική Μεταβλητή	Combined Inflow
Muskingum K	1.48
Συντελεστής βάρους α	0.2
Muskingum Steps	4

Αποτελέσματα: R5049

Παροχή Αιχμής (M3/S)	2932.2
Χρονική στιγμή αιχμής	03Sep2000, 01:30
Όγκος(MM)	523.41
Παροχή Αιχμής Εισόδου (M3/S)	3028.48
Όγκος Εισροής(M3)	4.11E8

Απορροή



Κλάδος: R5150

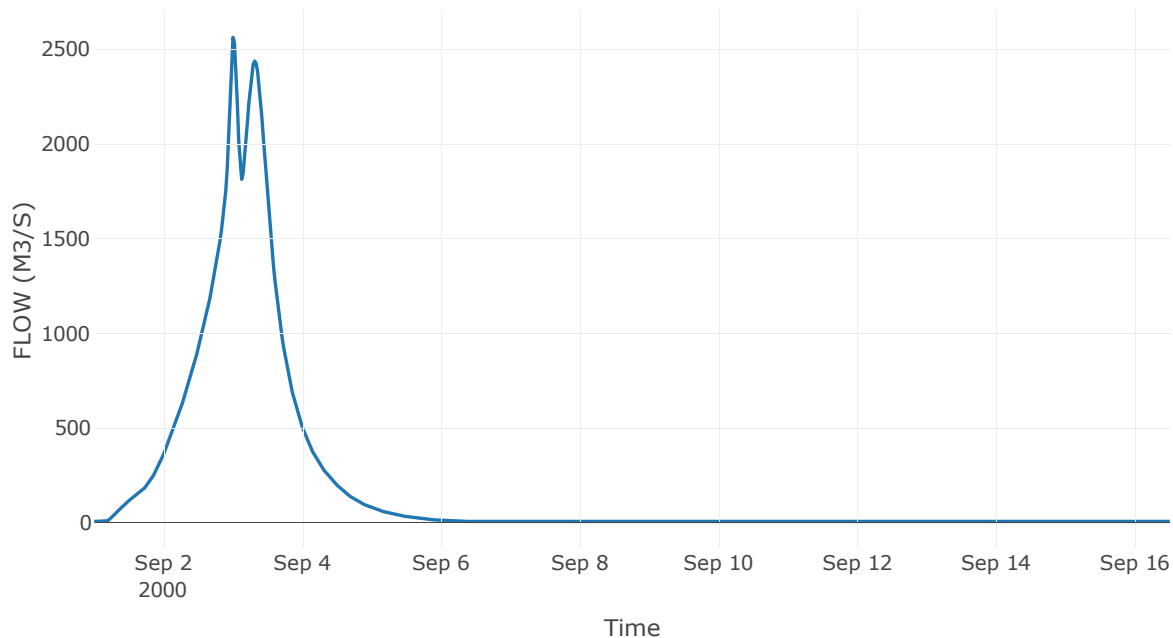
Κατάντη : J50

Μέθοδος Διόδευσης	Muskingum
Αρχική Μεταβλητή	Combined Inflow
Muskingum K	1.04
Συντελεστής βάρους x	0.2
Muskingum Steps	3

Αποτελέσματα: R5150

Παροχή Αιχμής (M3/S)	2562.41
Χρονική στιγμή αιχμής	02Sep2000, 24:00
Όγκος(MM)	2440.05
Παροχή Αιχμής Εισόδου (M3/S)	2640
Όγκος Εισροής(M3)	2.65E8

Απορροή



Κλάδος: R5351

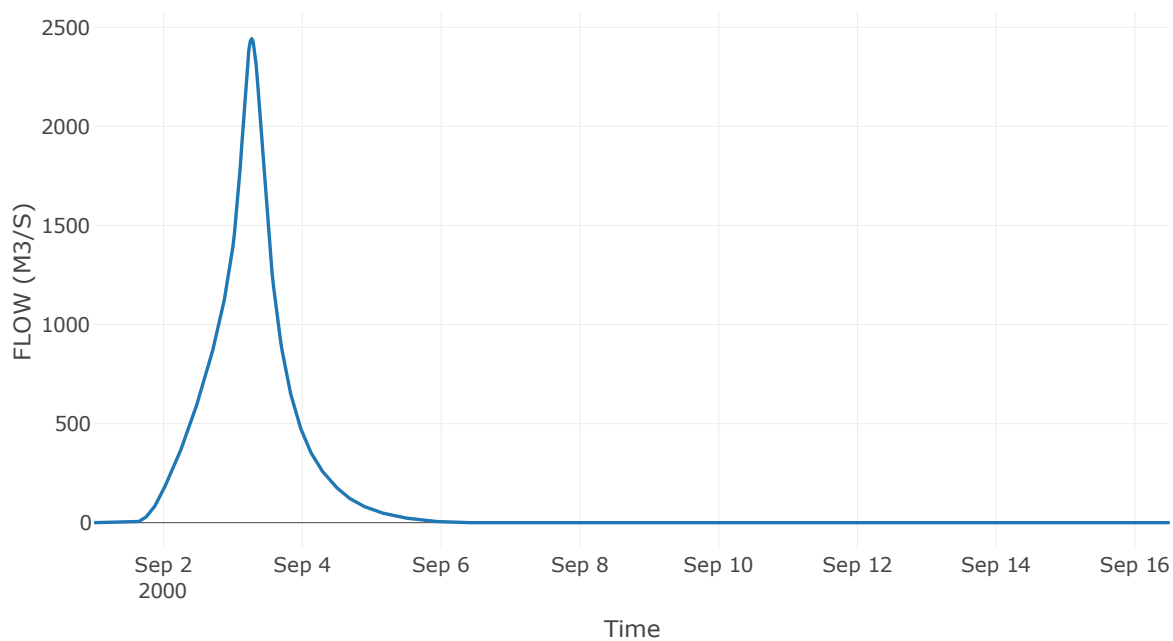
Κατάντη : J51

Μέθοδος Διόδευσης	Muskingum
Αρχική Μεταβλητή	Combined Inflow
Muskingum K	1.92
Συντελεστής βάρους x	0.2
Muskingum Steps	5

Αποτελέσματα: R5351

Παροχή Αιχμής (M3/S)	2442.72
Χρονική στιγμή αιχμής	03Sep2000, 06:30
Peak Inflow (M3/S)	2471.21
Όγκος Εισροής (M3)	2.02E8

Απορροή



Κλάδος: R5753

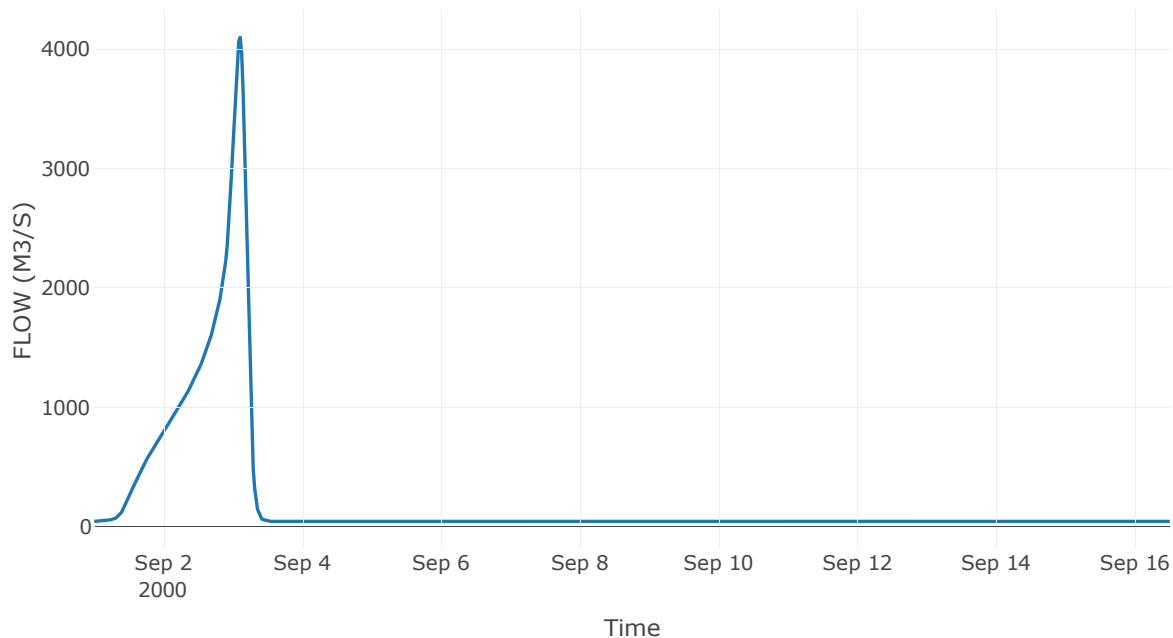
Κατάντη : J53 Res5

Μέθοδος Διόδευσης	Muskingum
Αρχική Μεταβλητή	Combined Inflow
Muskingum K	0.79
Συντελεστής βάρους x	0.2
Muskingum Steps	2

Αποτελέσματα: R5753

Παροχή Αιχμής (M3/S)	4097.86
Χρονική στιγμή αιχμής	03Sep2000, 02:30
Όγκος(MM)	443.28
Παροχή Αιχμής Εισόδου (M3/S)	4156.52
Όγκος Εισροής(M3)	2.76E8

Απορροή



Κλάδος: R5457

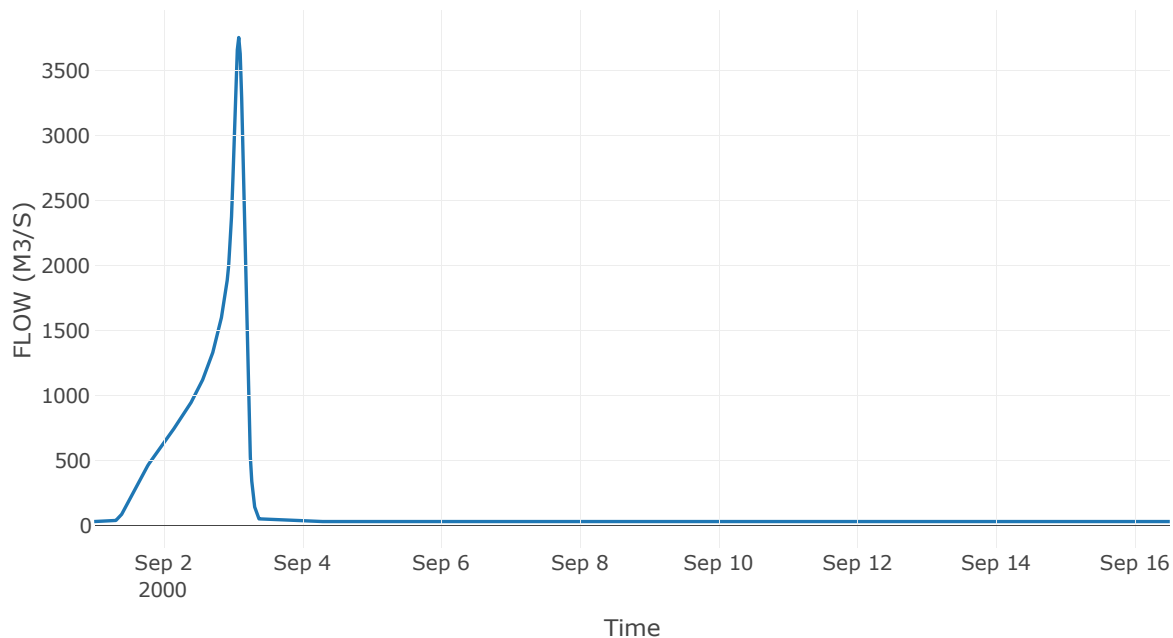
Κατάντη : J57

Μέθοδος Διόδευσης	Muskingum
Αρχική Μεταβλητή	Combined Inflow
Muskingum K	2.03
Συντελεστής βάρους x	0.2
Muskingum Steps	5

Αποτελέσματα: R5457

Παροχή Αιχμής (M3/S)	3752.44
Χρονική στιγμή αιχμής	03Sep2000, 02:00
Όγκος(MM)	433.1
Παροχή Αιχμής Εισόδου (M3/S)	3998.75
Όγκος Εισροής(M3)	2.22E8

Απορροή



Κλάδος: R5554

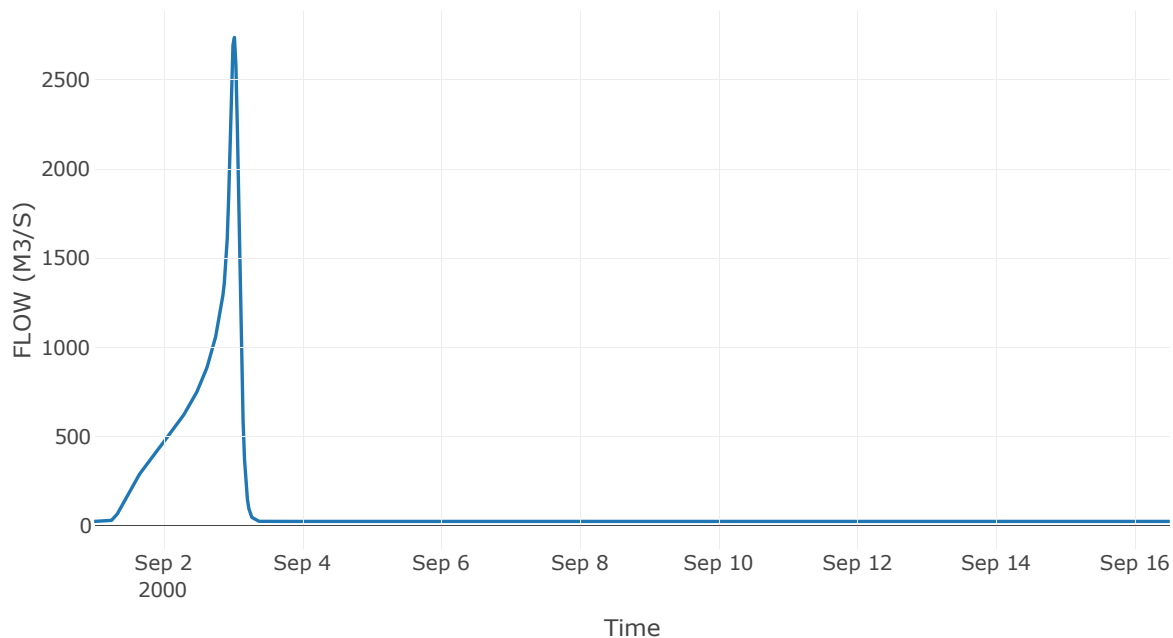
Κατάντη : J54

Μέθοδος Διόδευσης	Muskingum
Αρχική Μεταβλητή	Combined Inflow
Muskingum K	0.86
Συντελεστής βάρους x	0.2
Muskingum Steps	2

Αποτελέσματα: R5554

Παροχή Αιχμής (M3/S)	2736.15
Χρονική στιγμή αιχμής	03Sep2000, 00:30
Όγκος(MM)	426.03
Παροχή Αιχμής Εισόδου (M3/S)	2829.09
Όγκος Εισροής(M3)	1.51E8

Απορροή



Κλάδος: R5655

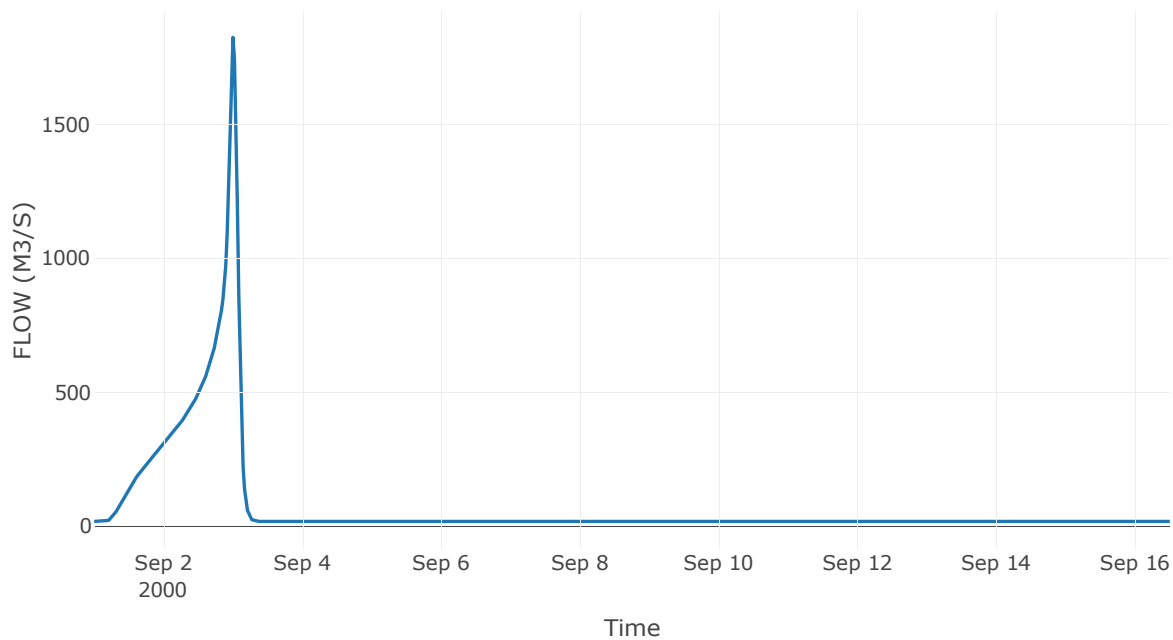
Κατάντη : J55

Μέθοδος Διόδευσης	Muskingum
Αρχική Μεταβλητή	Combined Inflow
Muskingum K	0.57
Συντελεστής βάρους x	0.2
Muskingum Steps	1

Αποτελέσματα: R5655

Παροχή Αιχμής (M3/S)	1824.62
Χρονική στιγμή αιχμής	02Sep2000, 24:00
Όγκος(MM)	401.95
Παροχή Αιχμής Εισόδου (M3/S)	1885.36
Όγκος Εισροής(M3)	9.77E7

Απορροή



Κλάδος: R6357

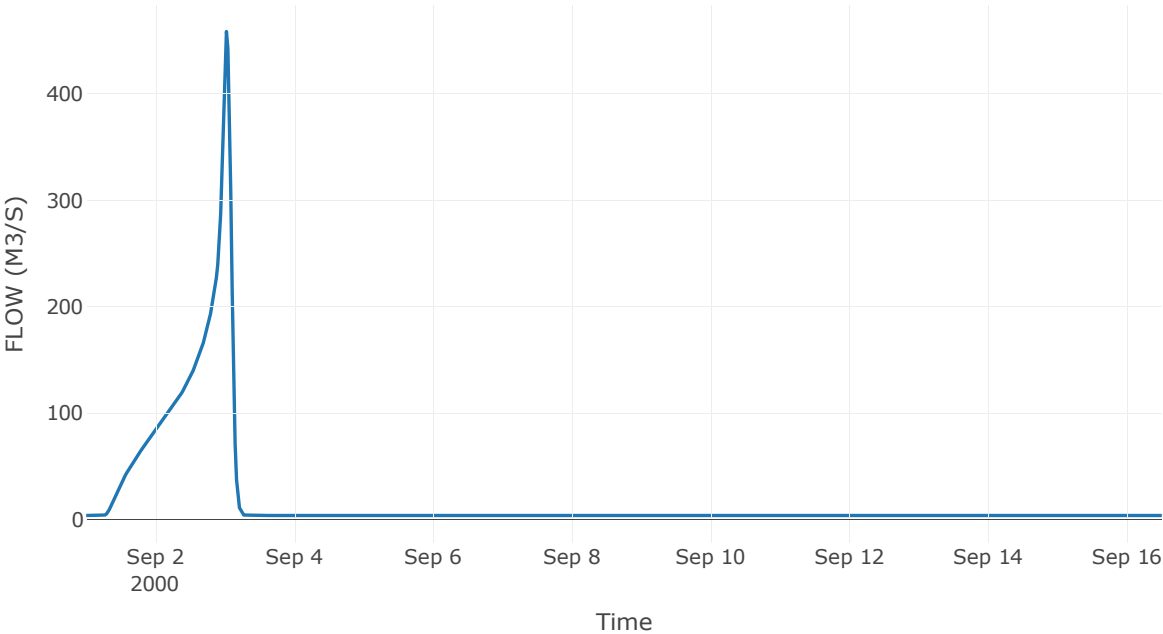
Κατάντη : J57

Μέθοδος Διόδευσης	Muskingum
Αρχική Μεταβλητή	Combined Inflow
Muskingum K	1.53
Συντελεστής βάρους x	0.2
Muskingum Steps	4

Αποτελέσματα: R6357

Παροχή Αιχμής (M3/S)	458.54
Χρονική στιγμή αιχμής	03Sep2000, 00:30
Όγκος(MM)	467.01
Παροχή Αιχμής Εισόδου (M3/S)	495.28
Όγκος Εισροής(M3)	2.49E7

Απορροή



Κλάδος: R4847

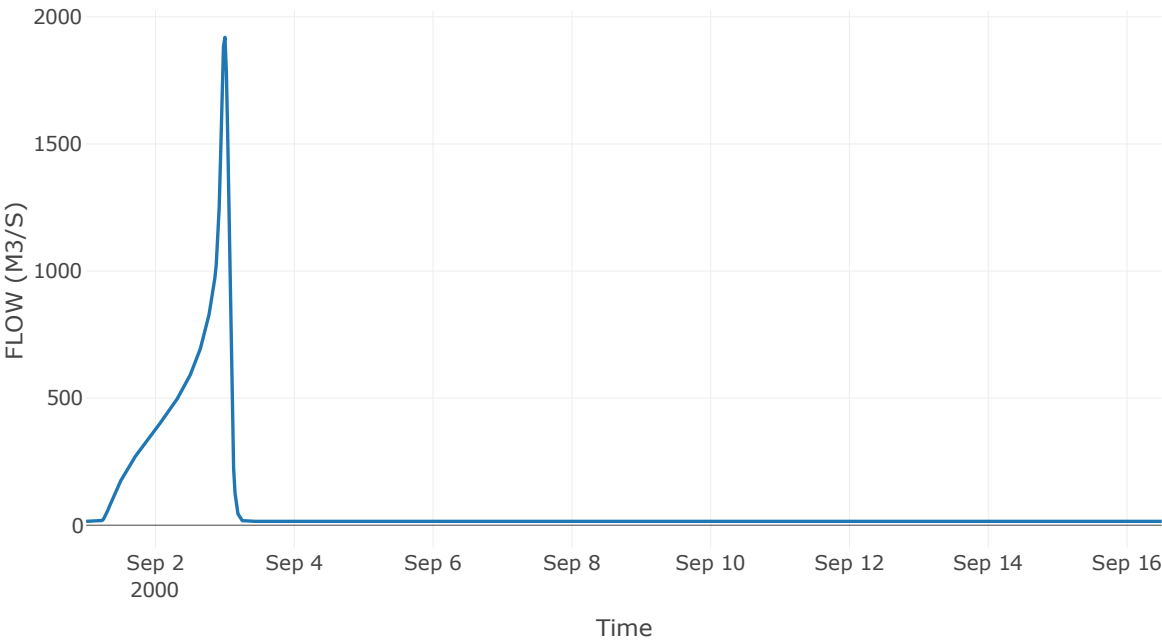
Κατάντη : J47

Μέθοδος Διόδευσης	Muskingum
Αρχική Μεταβλητή	Combined Inflow
Muskingum K	0.61
Συντελεστής βάρους x	0.2
Muskingum Steps	2

Αποτελέσματα: R4847

Παροχή Αιχμής (M3/S)	1919.43
Χρονική στιγμή αιχμής	02Sep2000, 24:00
Όγκος(MM)	488.65
Παροχή Αιχμής Εισόδου (M3/S)	1954.69
Όγκος Εισροής(M3)	1.06E8

Απορροή



Κλάδος: R4462

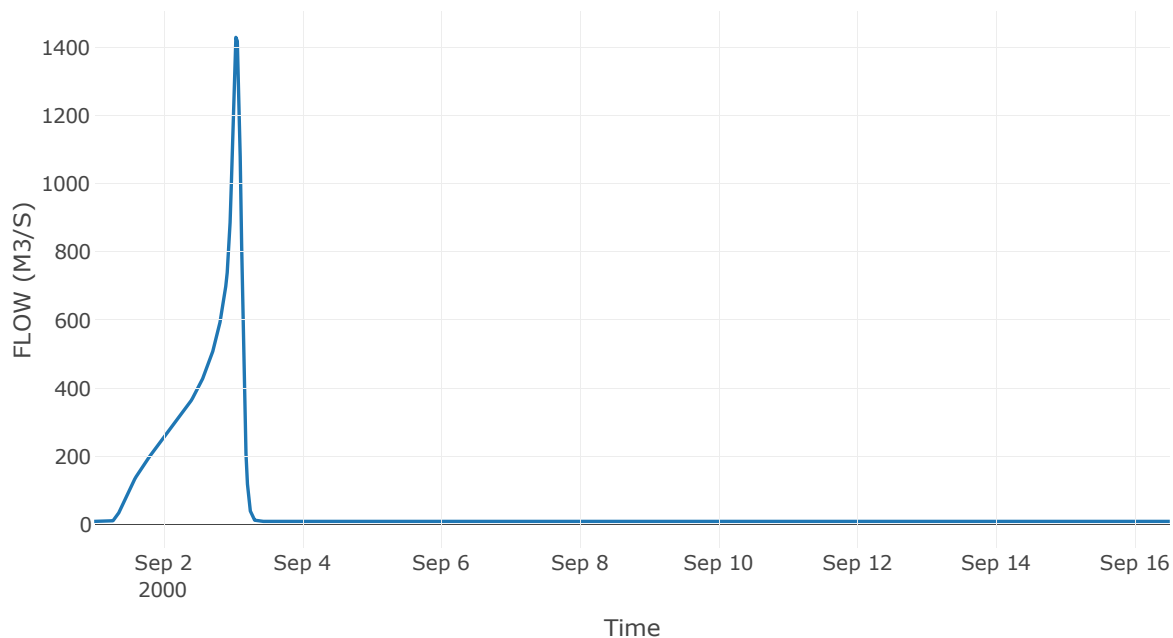
Κατάντη : J62

Μέθοδος Διόδευσης	Muskingum
Αρχική Μεταβλητή	Combined Inflow
Muskingum K	2.17
Συντελεστής βάρους x	0.2
Muskingum Steps	5

Αποτελέσματα: R4462

Παροχή Αιχμής (M3/S)	1430.43
Χρονική στιγμή αιχμής	03Sep2000, 01:00
Όγκος(MM)	554.51
Παροχή Αιχμής Εισόδου (M3/S)	1600.84
Όγκος Εισροής(M3)	7.65E7

Απορροή



Κλάδος: R6227

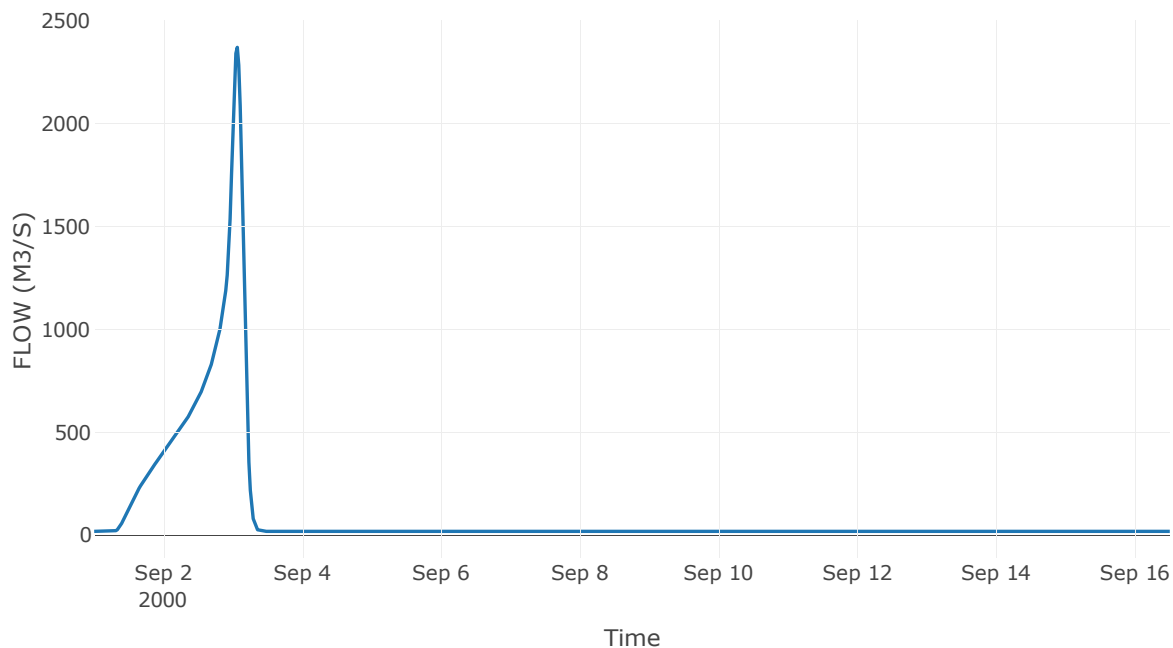
Κατάντη : J27

Μέθοδος Διόδευσης	Muskingum
Αρχική Μεταβλητή	Combined Inflow
Muskingum K	1.24
Συντελεστής βάρους x	0.2
Muskingum Steps	3

Αποτελέσματα: R6227

Παροχή Αιχμής (M3/S)	2369.53
Χρονική στιγμή αιχμής	03Sep2000, 01:30
Όγκος(MM)	509.29
Παροχή Αιχμής Εισόδου (M3/S)	2434.97
Όγκος Εισροής(M3)	1.35E8

Απορροή



Κλάδος: R4342

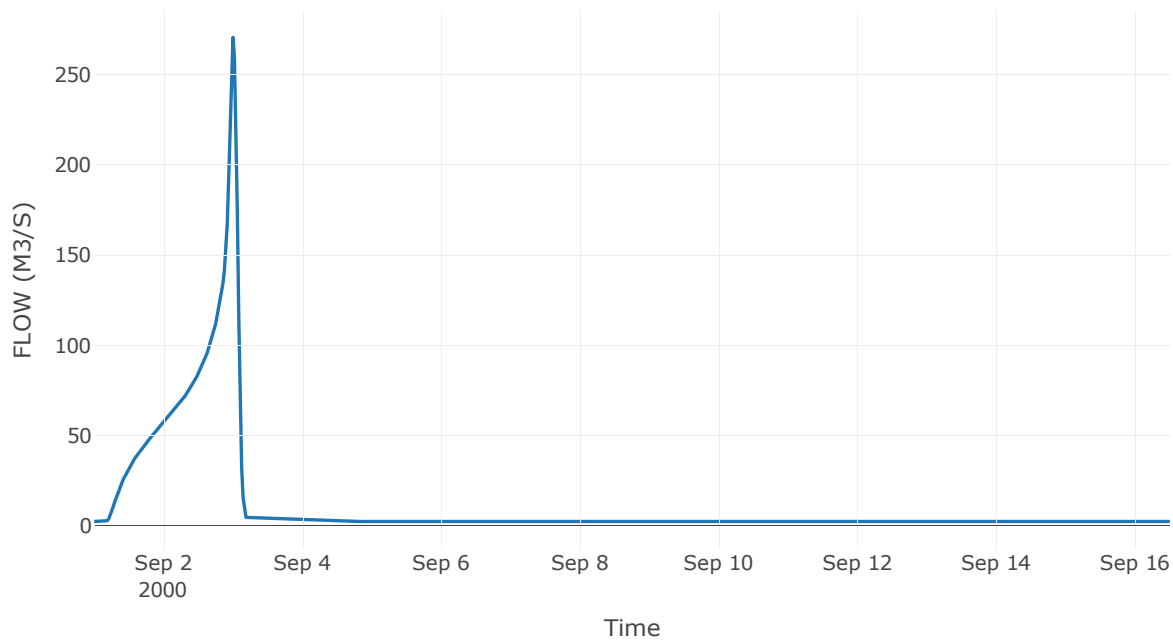
Κατάντη : J42

Μέθοδος Διόδευσης	Muskingum
Αρχική Μεταβλητή	Combined Inflow
Muskingum K	1.11
Συντελεστής βάρους x	0.2
Muskingum Steps	3

Αποτελέσματα: R4342

Παροχή Αιχμής (M3/S)	270.51
Χρονική στιγμή αιχμής	02Sep2000, 24:00
Όγκος(MM)	450.04
Παροχή Αιχμής Εισόδου (M3/S)	286.52
Όγκος Εισροής(M3)	1.58E7

Απορροή



Κλάδος: R4241

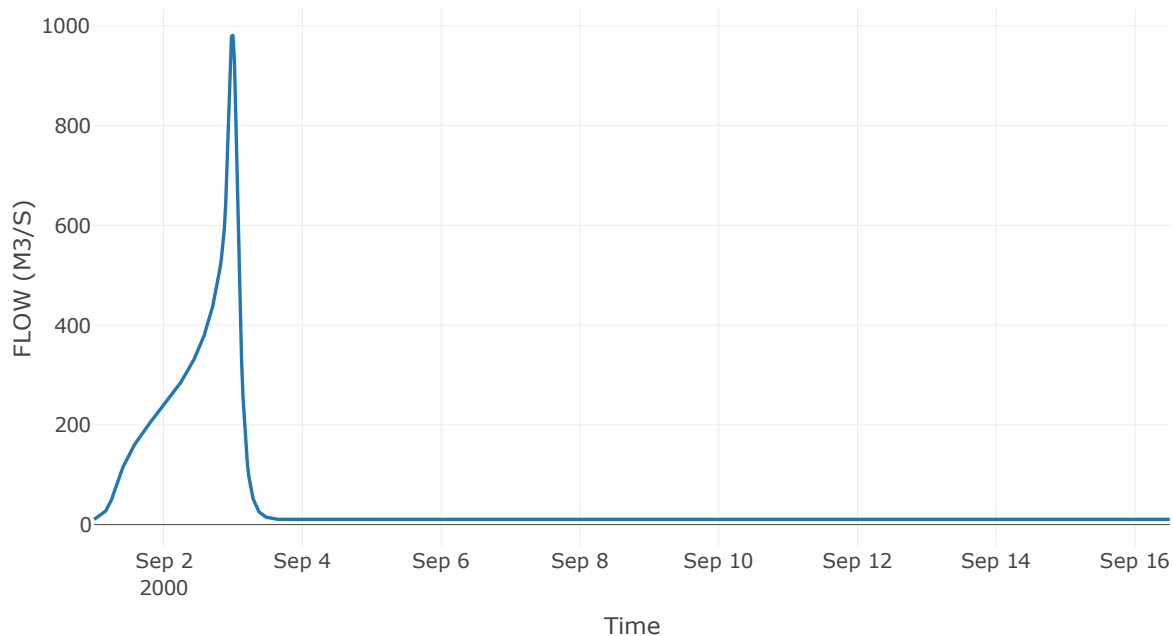
Καπάνη : J41 Res4

Μέθοδος Διόδευσης	Muskingum
Αρχική Μεταβλητή	Combined Inflow
Muskingum K	0.12
Συντελεστής βάρους x	0.2
Muskingum Steps	1

Αποτελέσματα: R4241

Παροχή Αιχμής (M3/S)	981.03
Χρονική στιγμή αιχμής	02Sep2000, 24:00
Όγκος(MM)	452.5
Παροχή Αιχμής Εισόδου (M3/S)	983.94
Όγκος Εισροής(M3)	6.81E7

Απορροή



Κλάδος: R4140

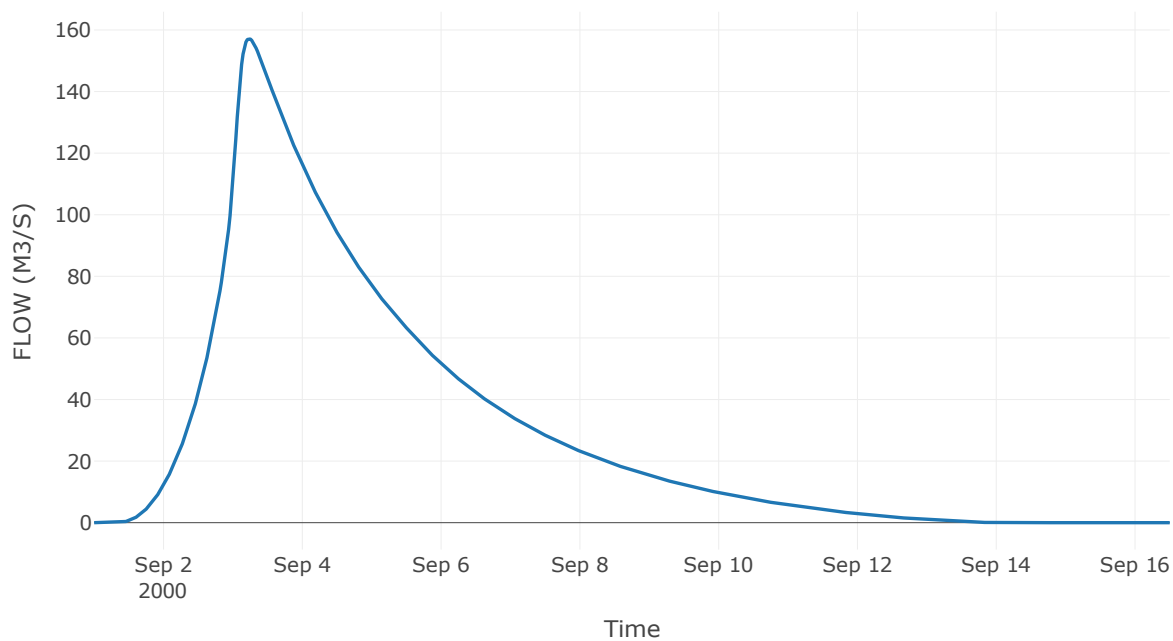
Κατάντη : J40

Μέθοδος Διόδευσης	Muskingum
Αρχική Μεταβλητή	Combined Inflow
Muskingum K	1.32
Συντελεστής βάρους x	0.2
Muskingum Steps	3

Αποτελέσματα: R4140

Παροχή Αιχμής (M3/S)	157.18
Χρονική στιγμή αιχμής	03Sep2000, 05:30
Peak Inflow (M3/S)	157.45
Όγκος Εισροής (M3)	4.01E7

Απορροή



Κλάδος: R4039

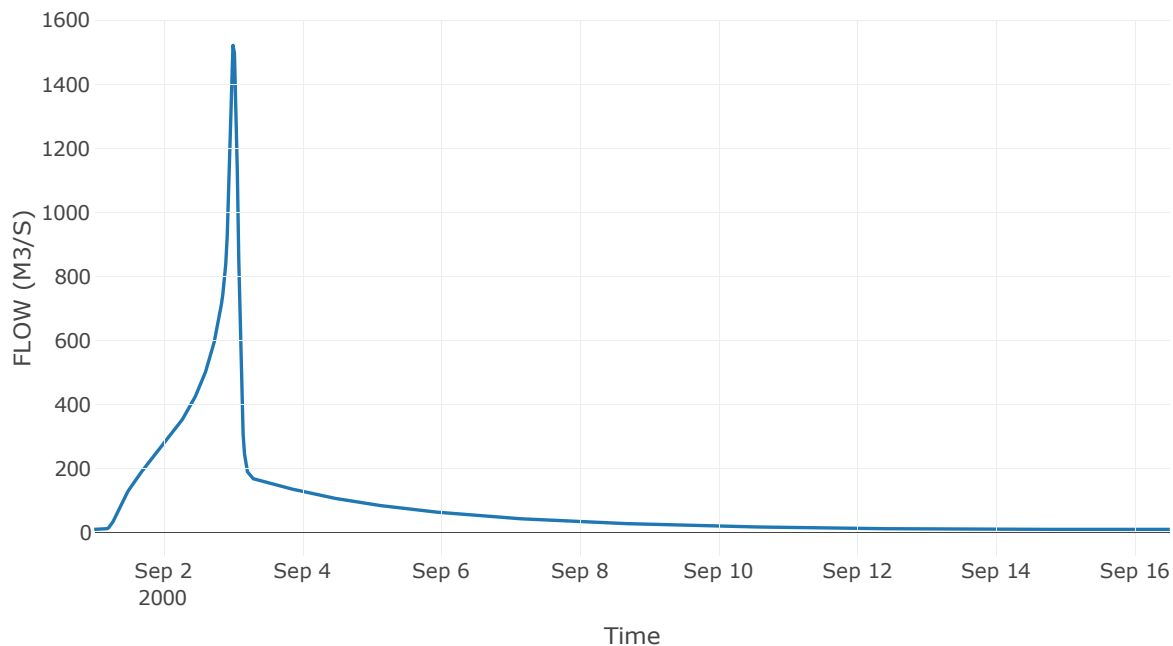
Κατάντη : J39

Μέθοδος Διόδευσης	Muskingum
Αρχική Μεταβλητή	Combined Inflow
Muskingum K	0.86
Συντελεστής βάρους α	0.2
Muskingum Steps	2

Αποτελέσματα: R4039

Παροχή Αιχμής (M3/S)	1521.5
Χρονική στιγμή αιχμής	02Sep2000, 24:00
Όγκος(MM)	715.74
Παροχή Αιχμής Εισόδου (M3/S)	1574.8
Όγκος Εισροής(M3)	1.17E8

Απορροή



Κλάδος: R3938

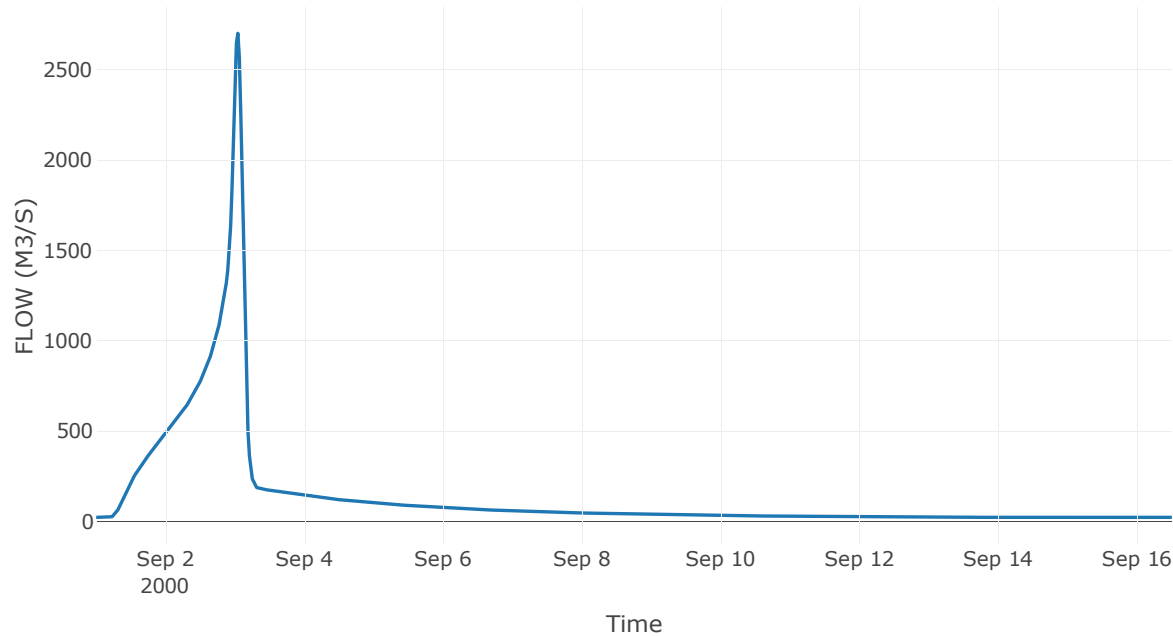
Κατάντη : J38

Μέθοδος Διόδευσης	Muskingum
Αρχική Μεταβλητή	Combined Inflow
Muskingum K	1.33
Συντελεστής βάρους x	0.2
Muskingum Steps	3

Αποτελέσματα: R3938

Παροχή Αιχμής (M3/S)	2700.56
Χρονική στιγμή αιχμής	03Sep2000, 01:00
Όγκος(MM)	581.48
Παροχή Αιχμής Εισόδου (M3/S)	2834.47
Όγκος Εισροής(M3)	1.88E8

Απορροή



Κλάδος: R3837

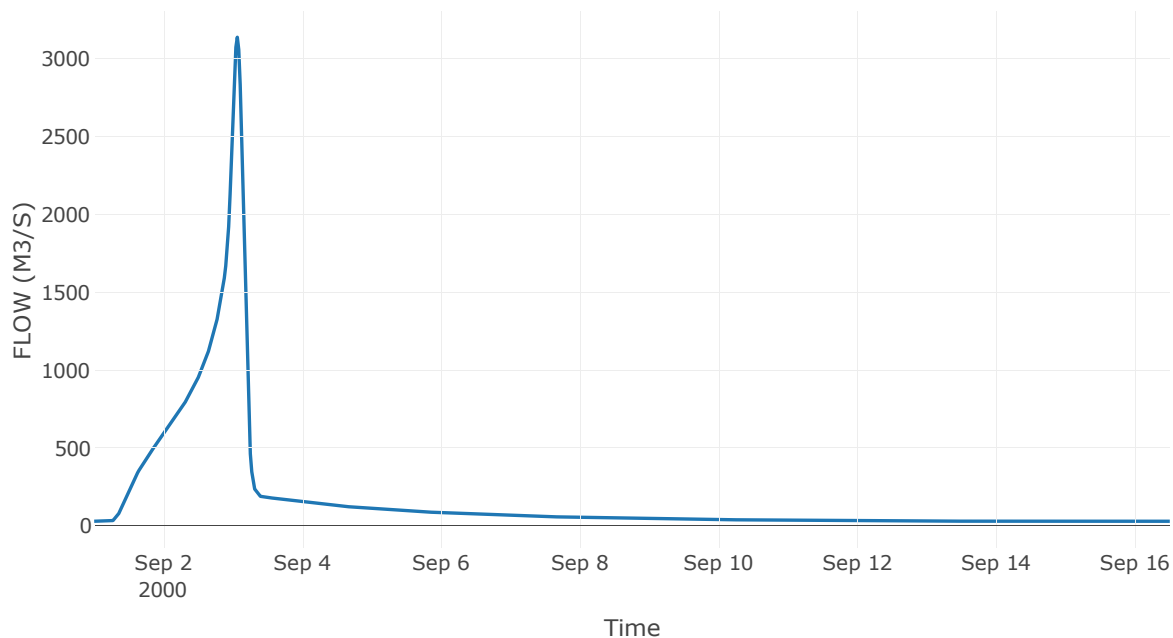
Κατάντη : J37

Μέθοδος Διόδευσης	Muskingum
Αρχική Μεταβλητή	Combined Inflow
Muskingum K	1.22
Συντελεστής βάρους α	0.2
Muskingum Steps	3

Αποτελέσματα: R3837

Παροχή Αιχμής (M3/S)	3138.93
Χρονική στιγμή αιχμής	03Sep2000, 01:30
Όγκος(MM)	537.06
Παροχή Αιχμής Εισόδου (M3/S)	3227.98
Όγκος Εισροής(M3)	2.31E8

Απορροή



Κλάδος: R3726

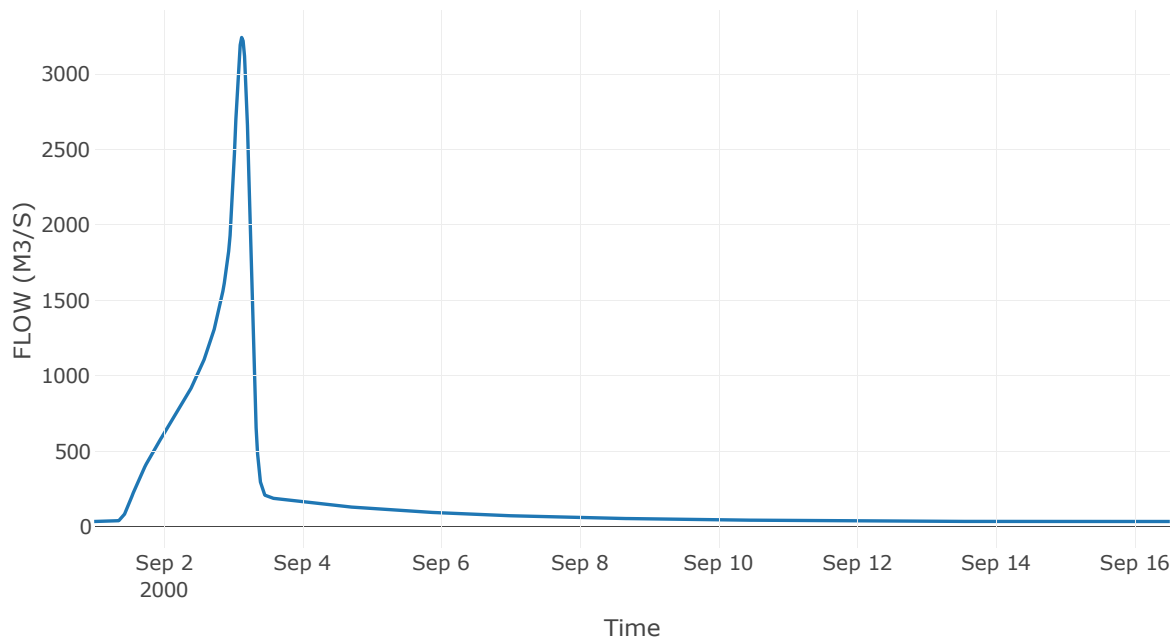
Κατάντη : J26

Μέθοδος Διόδευσης	Muskingum
Αρχική Μεταβλητή	Combined Inflow
Muskingum K	2.33
Συντελεστής βάρους x	0.2
Muskingum Steps	6

Αποτελέσματα: R3726

Παροχή Αιχμής (M3/S)	3243.25
Χρονική στιγμή αιχμής	03Sep2000, 03:00
Όγκος(MM)	521.5
Παροχή Αιχμής Εισόδου (M3/S)	3320.86
Όγκος Εισροής(M3)	2.62E8

Απορροή



Κλάδος: R2664

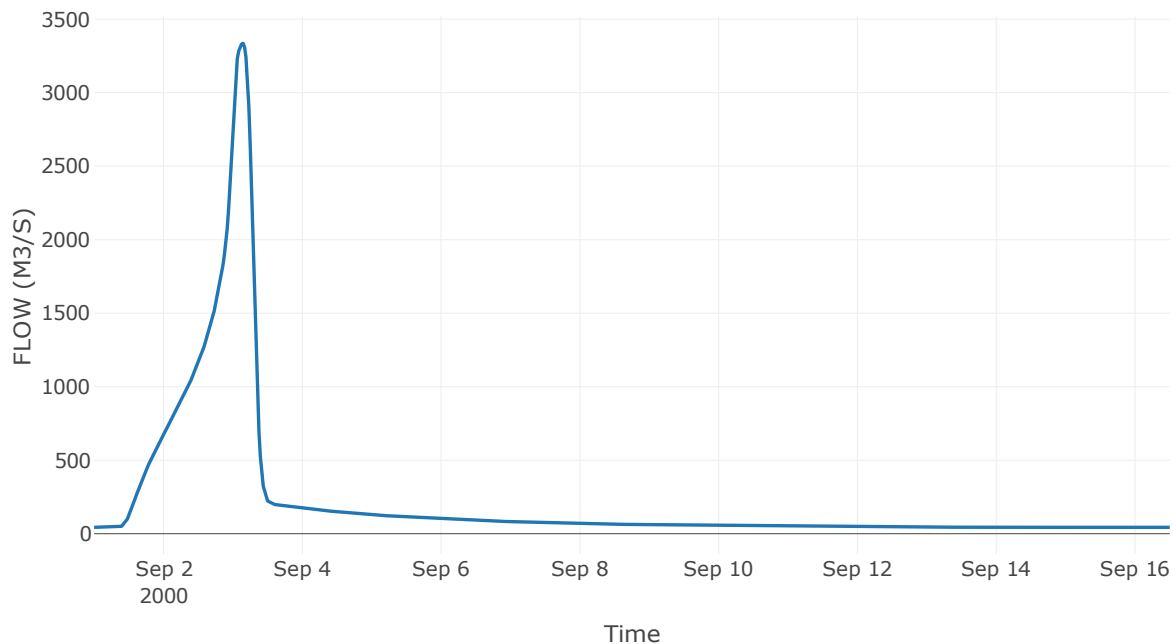
Κατάντη : J64

Μέθοδος Διόδευσης	Muskingum
Αρχική Μεταβλητή	Combined Inflow
Muskingum K	0.98
Συντελεστής βάρους x	0.2
Muskingum Steps	2

Αποτελέσματα: R2664

Παροχή Αιχμής (M3/S)	3335.66
Χρονική στιγμή αιχμής	03Sep2000, 03:30
Όγκος(MM)	489.73
Παροχή Αιχμής Εισόδου (M3/S)	3347.63
Όγκος Εισροής(M3)	3.03E8

Απορροή



Κλάδος: R6429

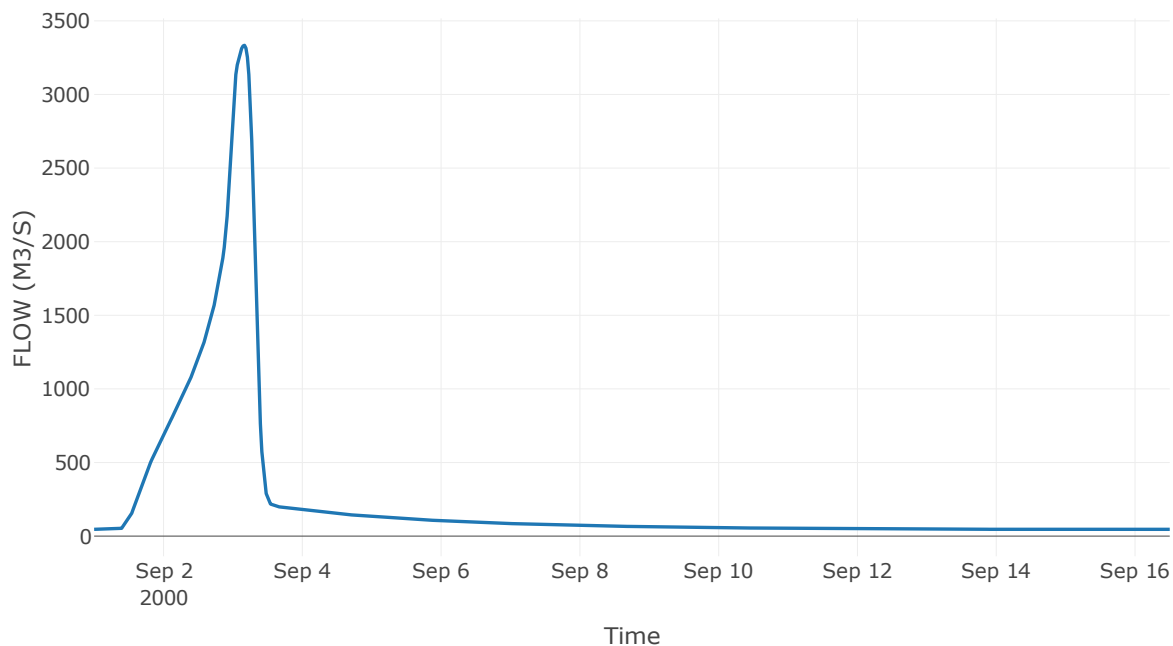
Κατάντη : J29

Μέθοδος Διόδευσης	Muskingum
Αρχική Μεταβλητή	Combined Inflow
Muskingum K	0.62
Συντελεστής βάρους x	0.2
Muskingum Steps	2

Αποτελέσματα: R6429

Παροχή Αιχμής (M3/S)	3333.78
Χρονική στιγμή αιχμής	03Sep2000, 04:00
Όγκος(MM)	482.03
Παροχή Αιχμής Εισόδου (M3/S)	3338.62
Όγκος Εισροής(M3)	3.17E8

Απορροή



Κλάδος: R3533

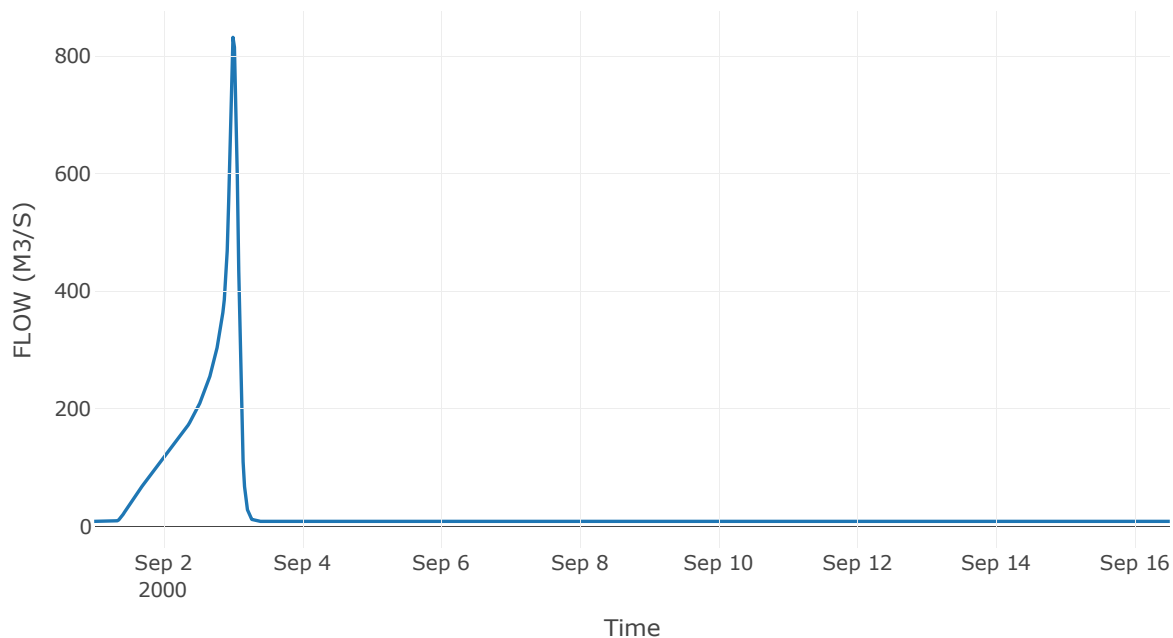
Κατάντη : J33

Μέθοδος Διόδευσης	Muskingum
Αρχική Μεταβλητή	Combined Inflow
Muskingum K	0.85
Συντελεστής βάρους x	0.2
Muskingum Steps	2

Αποτελέσματα: R3533

Παροχή Αιχμής (M3/S)	831.06
Χρονική στιγμή αιχμής	02Sep2000, 24:00
Όγκος(MM)	341.34
Παροχή Αιχμής Εισόδου (M3/S)	860.1
Όγκος Εισροής(M3)	4.24E7

Απορροή



Κλάδος: R3433

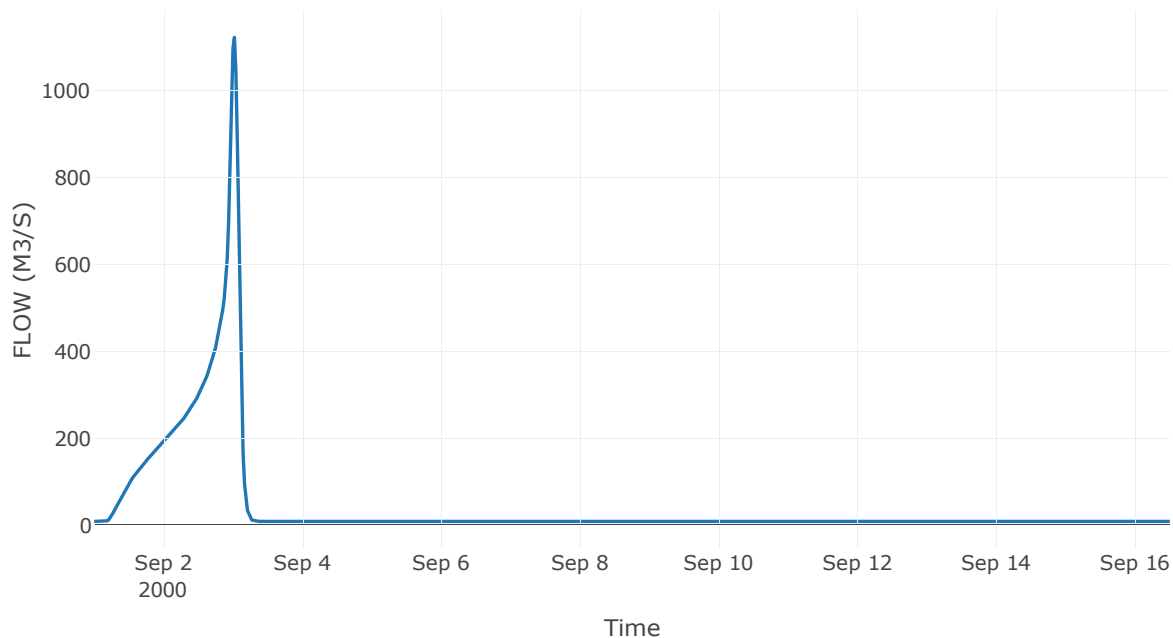
Κατάντη : J33

Μέθοδος Διόδευσης	Muskingum
Αρχική Μεταβλητή	Combined Inflow
Muskingum K	1.17
Συντελεστής βάρους x	0.2
Muskingum Steps	3

Αποτελέσματα: R3433

Παροχή Αιχμής (M3/S)	1121.71
Χρονική στιγμή αιχμής	03Sep2000, 00:30
Όγκος(MM)	449.88
Παροχή Αιχμής Εισόδου (M3/S)	1185.51
Όγκος Εισροής(M3)	5.9E7

Απορροή



Κλάδος: R3332

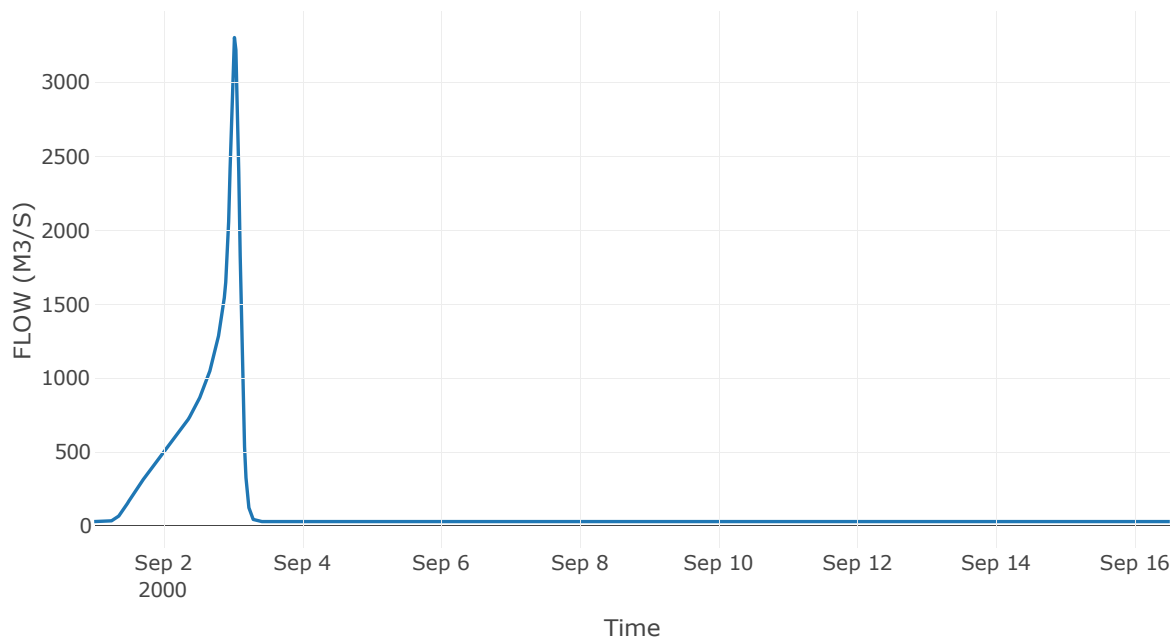
Κατάντη : J32

Μέθοδος Διόδευσης	Muskingum
Αρχική Μεταβλητή	Combined Inflow
Muskingum K	0.87
Συντελεστής βάρους x	0.2
Muskingum Steps	2

Αποτελέσματα: R3332

Παροχή Αιχμής (M3/S)	3303.65
Χρονική στιγμή αιχμής	03Sep2000, 00:30
Όγκος(MM)	401.26
Παροχή Αιχμής Εισόδου (M3/S)	3389.87
Όγκος Εισροής(M3)	1.73E8

Απορροή



Κλάδος: R3230

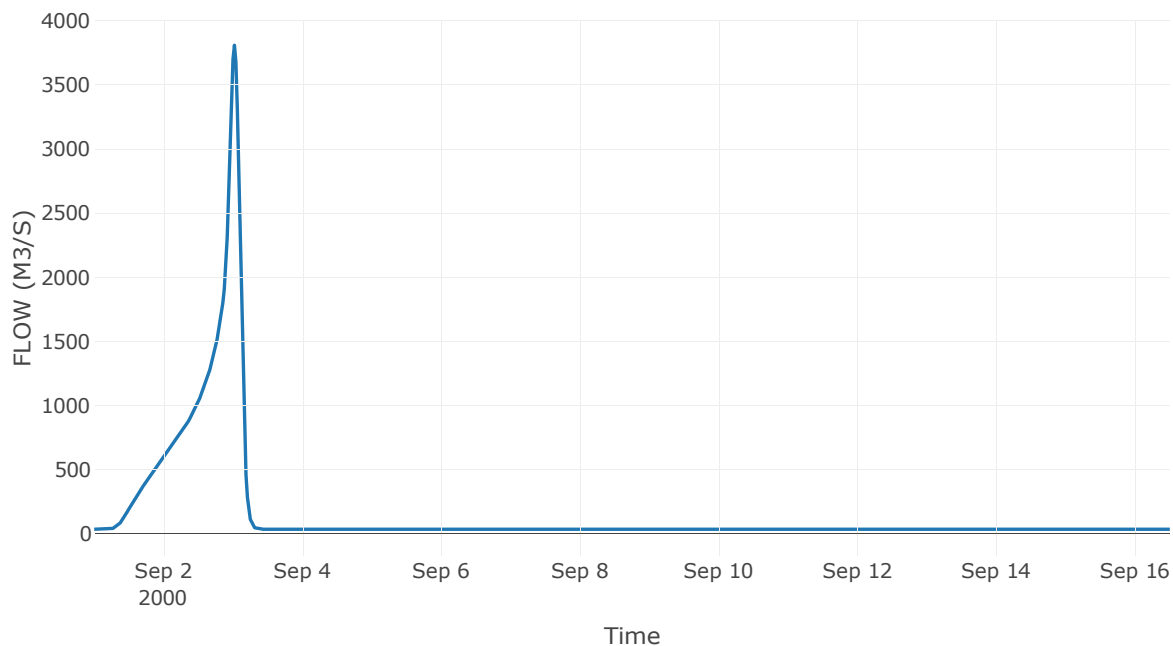
Κατάντη : J30

Μέθοδος Διόδευσης	Muskingum
Αρχική Μεταβλητή	Combined Inflow
Muskingum K	0.31
Συντελεστής βάρους x	0.2
Muskingum Steps	1

Αποτελέσματα: R3230

Παροχή Αιχμής (M3/S)	3806.79
Χρονική στιγμή αιχμής	03Sep2000, 00:30
Όγκος(MM)	400.47
Παροχή Αιχμής Εισόδου (M3/S)	3815.03
Όγκος Εισροής(M3)	2.1E8

Απορροή



Κλάδος: R3029

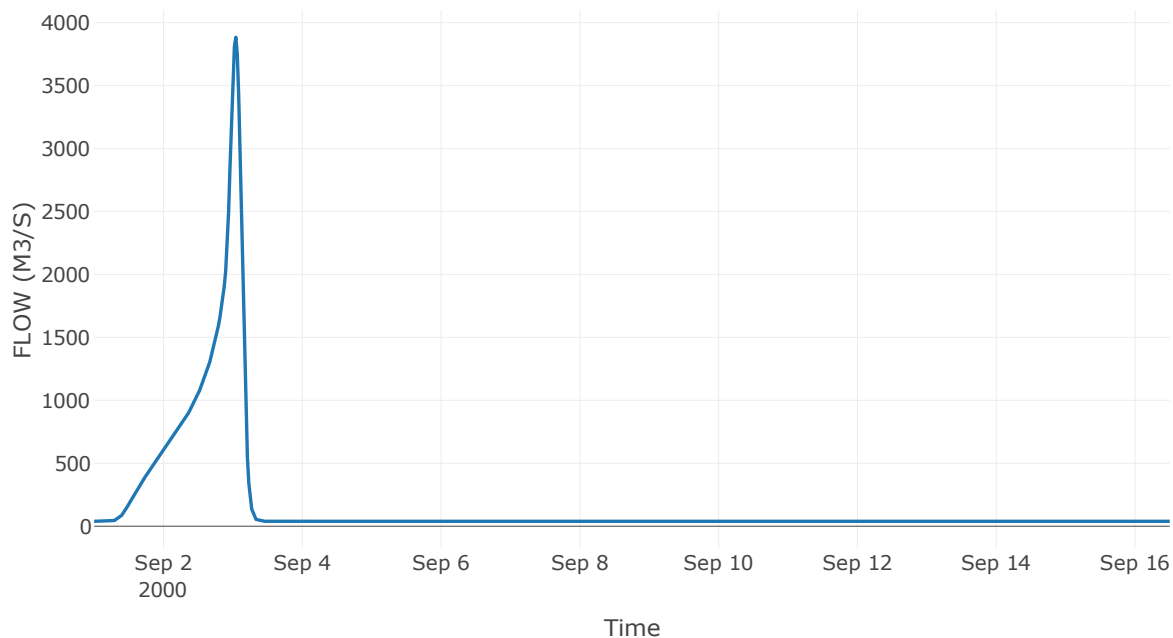
Κατάντη : J29

Μέθοδος Διόδευσης	Muskingum
Αρχική Μεταβλητή	Combined Inflow
Muskingum K	0.63
Συντελεστής βάρους x	0.2
Muskingum Steps	2

Αποτελέσματα: R3029

Παροχή Αιχμής (M3/S)	3883.79
Χρονική στιγμή αιχμής	03Sep2000, 01:00
Όγκος(MM)	397.34
Παροχή Αιχμής Εισόδου (M3/S)	3928.4
Όγκος Εισροής(M3)	2.21E8

Απορροή



Κλάδος: R2928

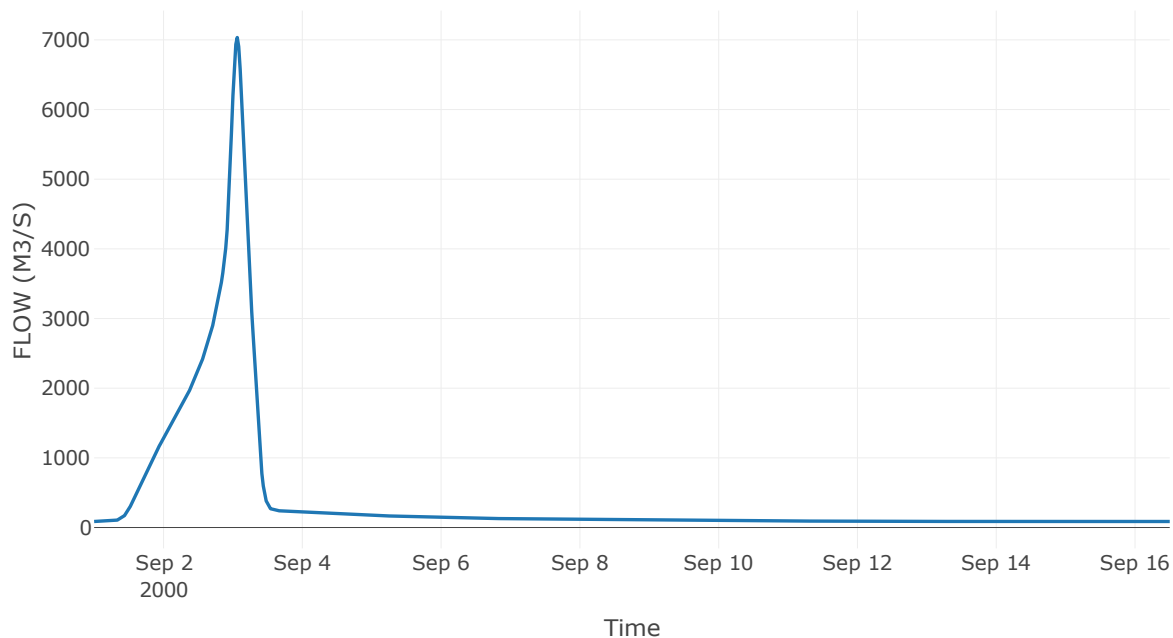
Κατάντη : J28

Μέθοδος Διόδευσης	Muskingum
Αρχική Μεταβλητή	Combined Inflow
Muskingum K	0.41
Συντελεστής βάρους x	0.2
Muskingum Steps	1

Αποτελέσματα: R2928

Παροχή Αιχμής (M3/S)	7034.02
Χρονική στιγμή αιχμής	03Sep2000, 01:30
Όγκος(MM)	442.6
Παροχή Αιχμής Εισόδου (M3/S)	7080.7
Όγκος Εισροής(M3)	5.46E8

Απορροή



Κλάδος: R2827

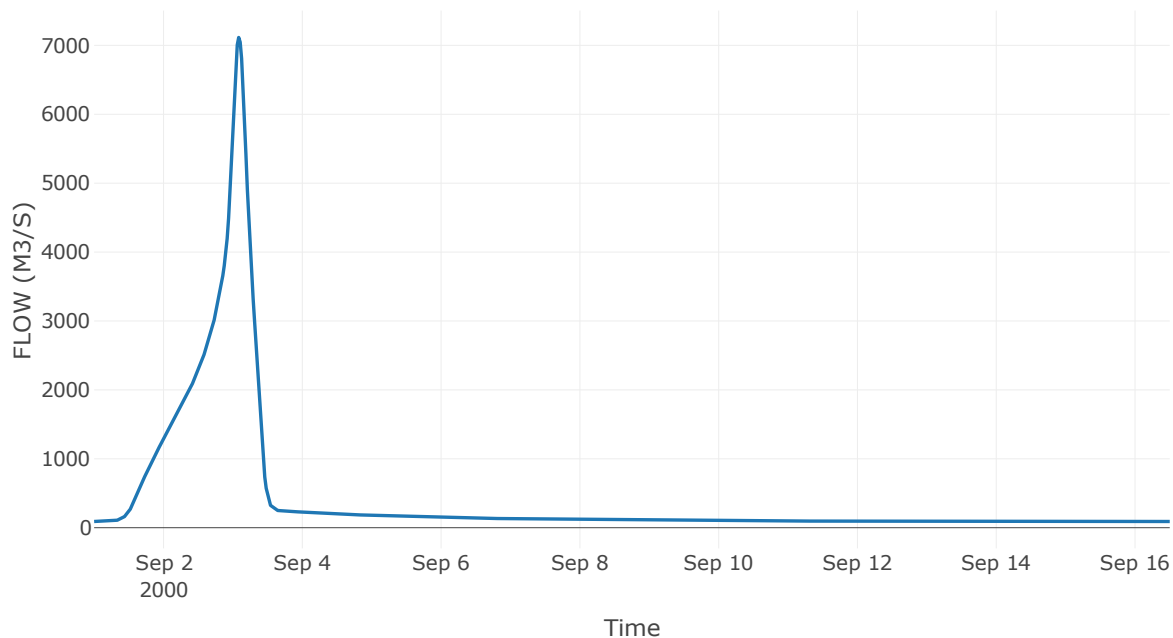
Κατάντη : J27

Μέθοδος Διόδευσης	Muskingum
Αρχική Μεταβλητή	Combined Inflow
Muskingum K	0.83
Συντελεστής βάρους x	0.2
Muskingum Steps	2

Αποτελέσματα: R2827

Παροχή Αιχμής (M3/S)	7115.02
Χρονική στιγμή αιχμής	03Sep2000, 02:00
Όγκος(MM)	442.38
Παροχή Αιχμής Εισόδου (M3/S)	7168.64
Όγκος Εισροής(M3)	5.7E8

Απορροή



Κλάδος: R2116

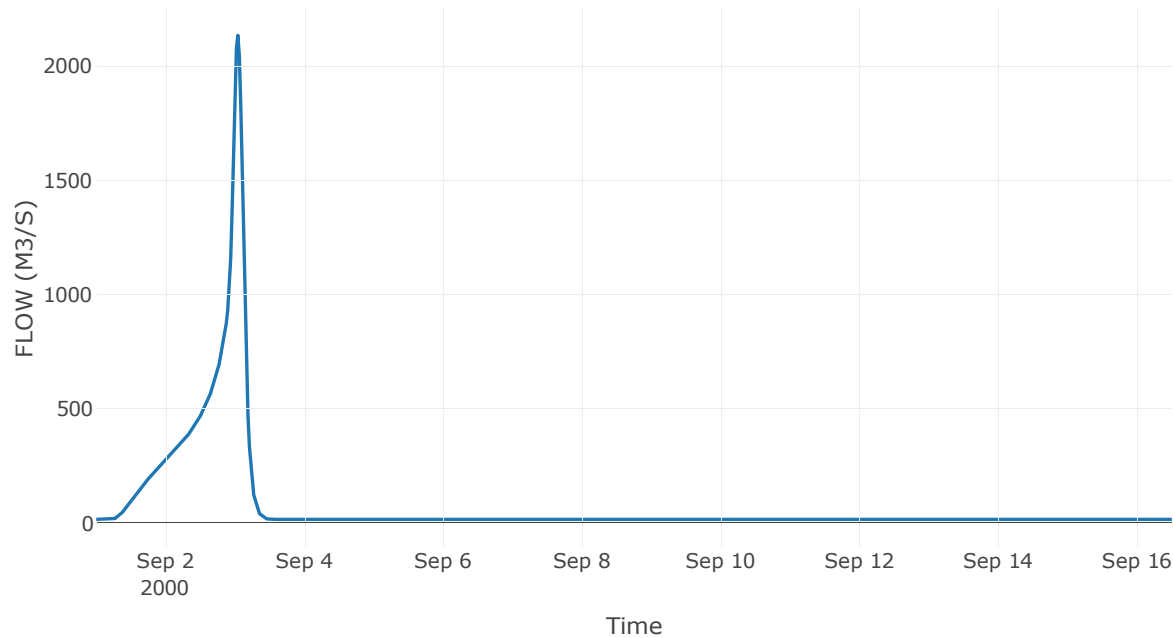
Κατάντη : J16

Μέθοδος Διόδευσης	Muskingum
Αρχική Μεταβλητή	Combined Inflow
Muskingum K	1.21
Συντελεστής βάρους x	0.2
Muskingum Steps	3

Αποτελέσματα: R2116

Παροχή Αιχμής (M3/S)	2134.79
Χρονική στιγμή αιχμής	03Sep2000, 01:00
Όγκος(MM)	441.24
Παροχή Αιχμής Εισόδου (M3/S)	2204.61
Όγκος Εισροής(M3)	1.05E8

Απορροή



Κλάδος: R1619

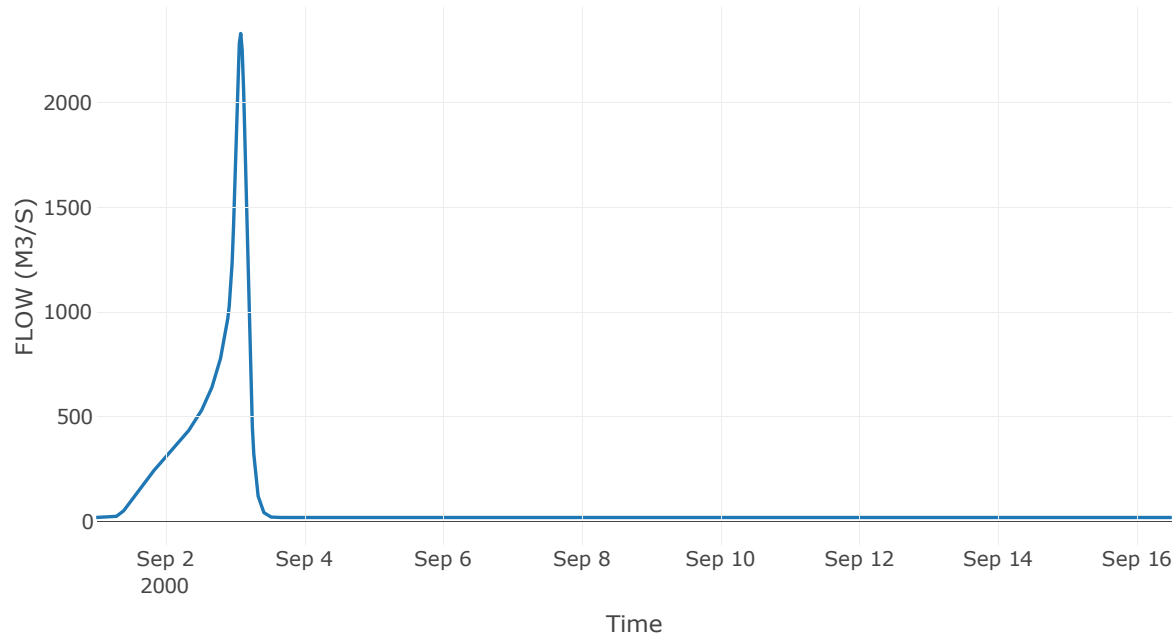
Κατάντη : J19

Μέθοδος Διόδευσης	Muskingum
Αρχική Μεταβλητή	Combined Inflow
Muskingum K	1.31
Συντελεστής βάρους x	0.2
Muskingum Steps	3

Αποτελέσματα: R1619

Παροχή Αιχμής (M3/S)	2331.45
Χρονική στιγμή αιχμής	03Sep2000, 02:00
Όγκος(MM)	442.81
Παροχή Αιχμής Εισόδου (M3/S)	2418.28
Όγκος Εισροής(M3)	1.23E8

Απορροή



Κλάδος: R6120

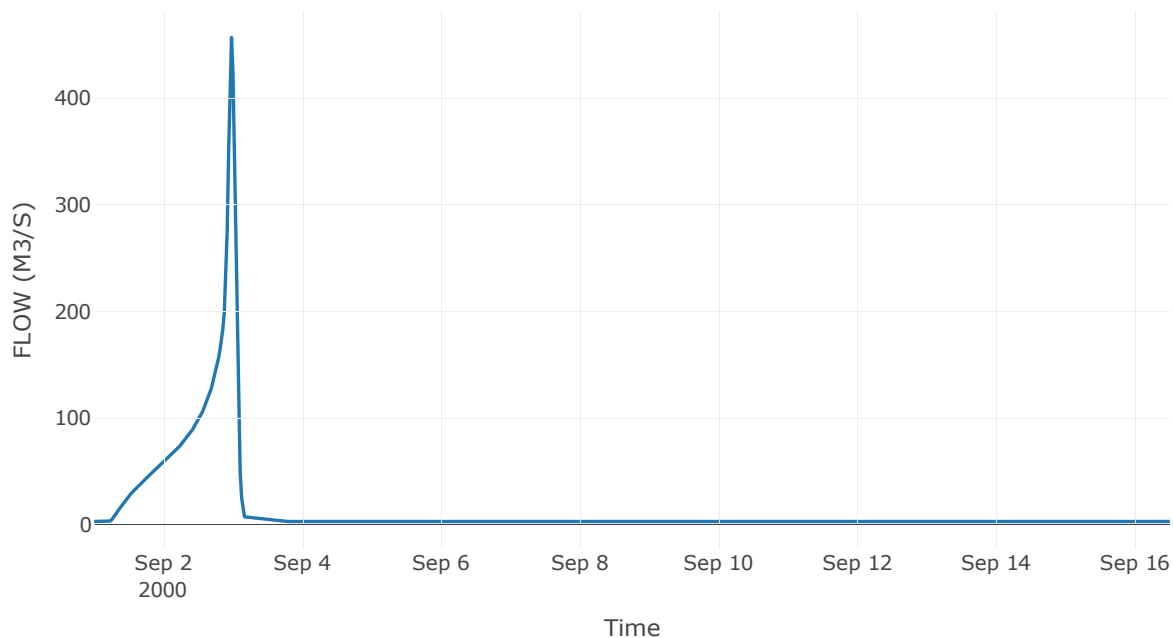
Κατάντη : J20

Μέθοδος Διόδευσης	Muskingum
Αρχική Μεταβλητή	Combined Inflow
Muskingum K	0.56
Συντελεστής βάρους x	0.2
Muskingum Steps	1

Αποτελέσματα: R6120

Παροχή Αιχμής (M3/S)	456.69
Χρονική στιγμή αιχμής	02Sep2000, 23:30
Όγκος(MM)	405.26
Παροχή Αιχμής Εισόδου (M3/S)	482.02
Όγκος Εισροής(M3)	1.97E7

Απορροή



Κλάδος: R2014

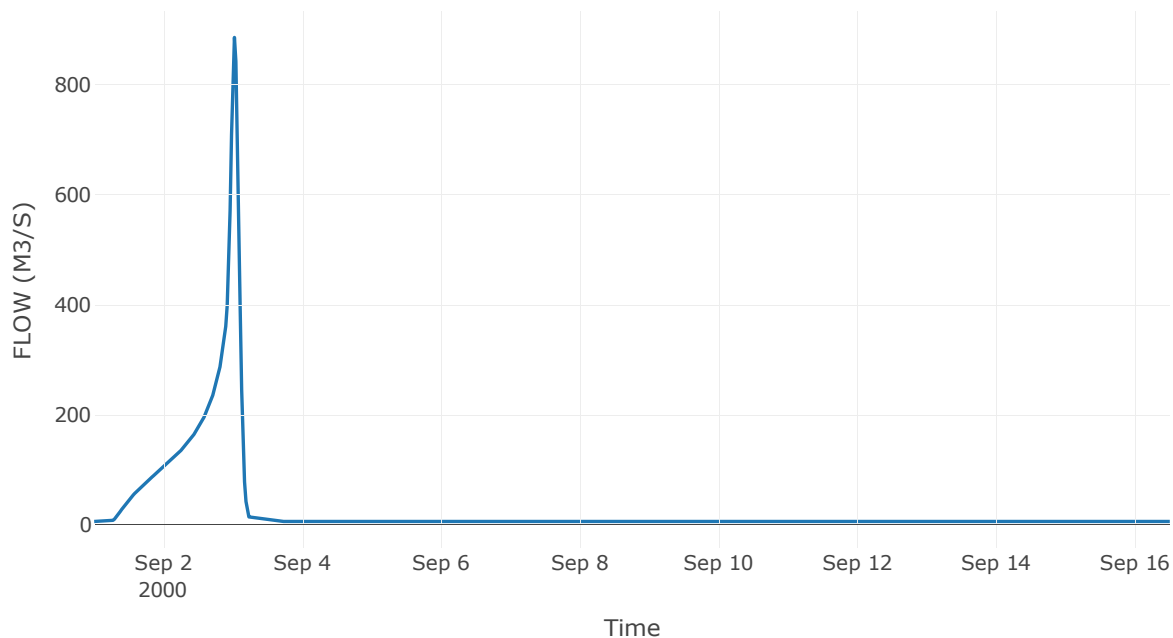
Κατάντη : J14

Μέθοδος Διόδευσης	Muskingum
Αρχική Μεταβλητή	Combined Inflow
Muskingum K	1.25
Συντελεστής βάρους x	0.2
Muskingum Steps	3

Αποτελέσματα: R2014

Παροχή Αιχμής (M3/S)	885.97
Χρονική στιγμή αιχμής	03Sep2000, 00:30
Όγκος(MM)	396.93
Παροχή Αιχμής Εισόδου (M3/S)	941.01
Όγκος Εισροής(M3)	3.9E7

Απορροή



Κλάδος: R128

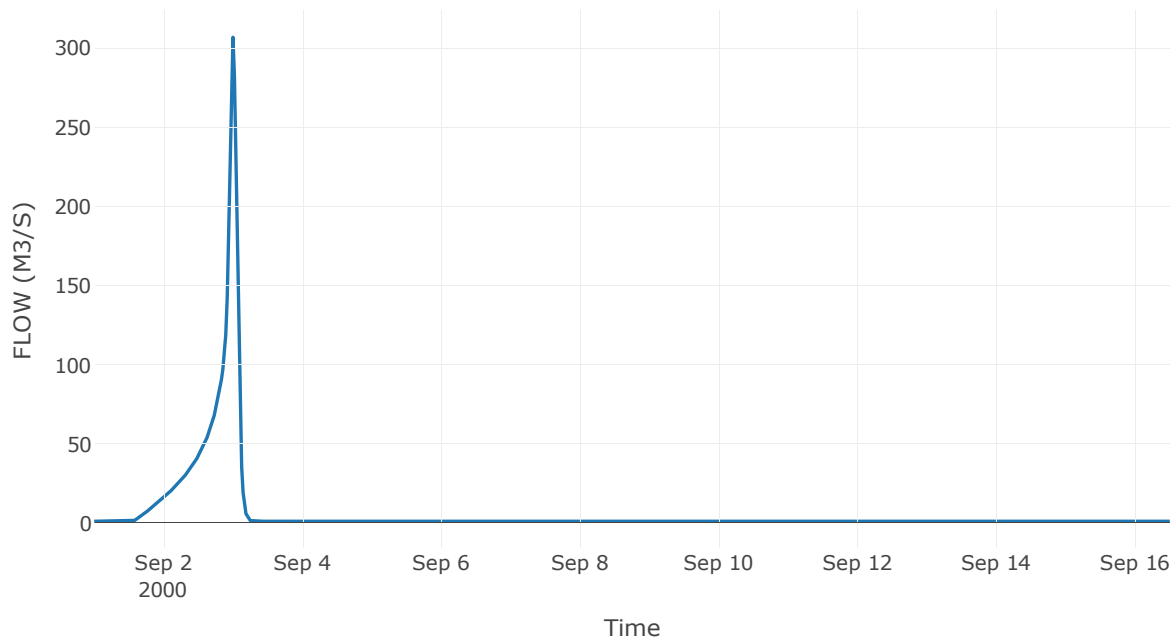
Κατάντη : J8

Μέθοδος Διόδευσης	Muskingum
Αρχική Μεταβλητή	Combined Inflow
Muskingum K	0.74
Συντελεστής βάρους x	0.2
Muskingum Steps	2

Αποτελέσματα: R128

Παροχή Αιχμής (M3/S)	306.92
Χρονική στιγμή αιχμής	02Sep2000, 24:00
Όγκος(MM)	247.42
Παροχή Αιχμής Εισόδου (M3/S)	320.81
Όγκος Εισροής(M3)	9.31E6

Απορροή



Κλάδος: R1110

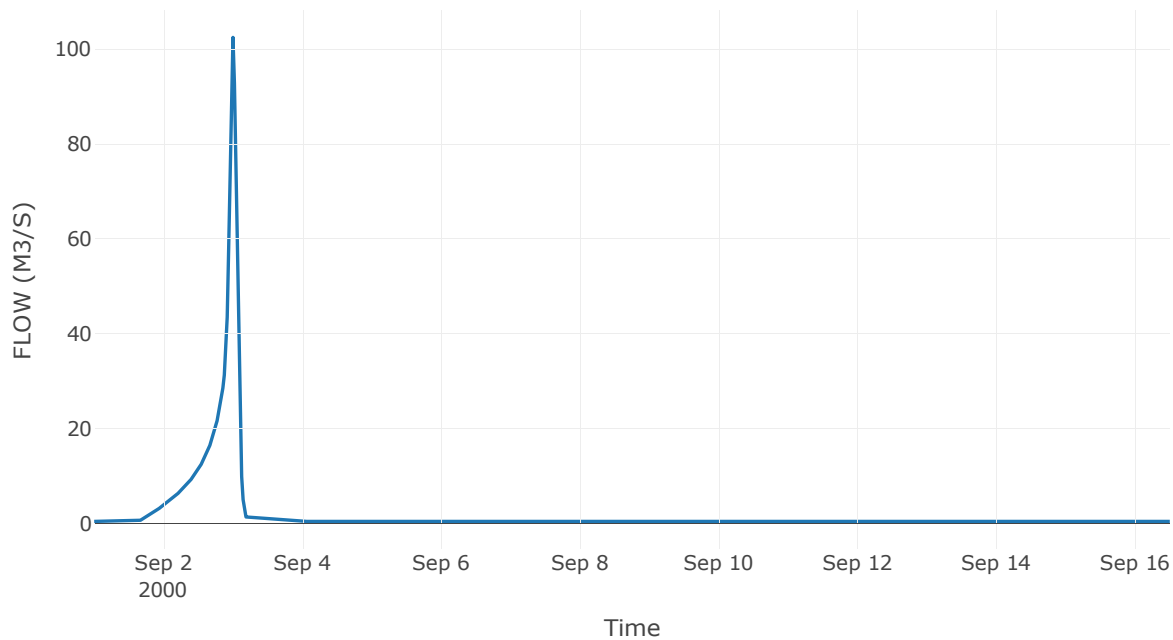
Κατάντη : J10

Μέθοδος Διόδευσης	Muskingum
Αρχική Μεταβλητή	Combined Inflow
Muskingum K	0.92
Συντελεστής βάρους x	0.2
Muskingum Steps	2

Αποτελέσματα: R1110

Παροχή Αιχμής (M3/S)	102.48
Χρονική στιγμή αιχμής	02Sep2000, 24:00
Όγκος(MM)	234.67
Παροχή Αιχμής Εισόδου (M3/S)	112.87
Όγκος Εισροής(M3)	2.78E6

Απορροή



Κλάδος: R107

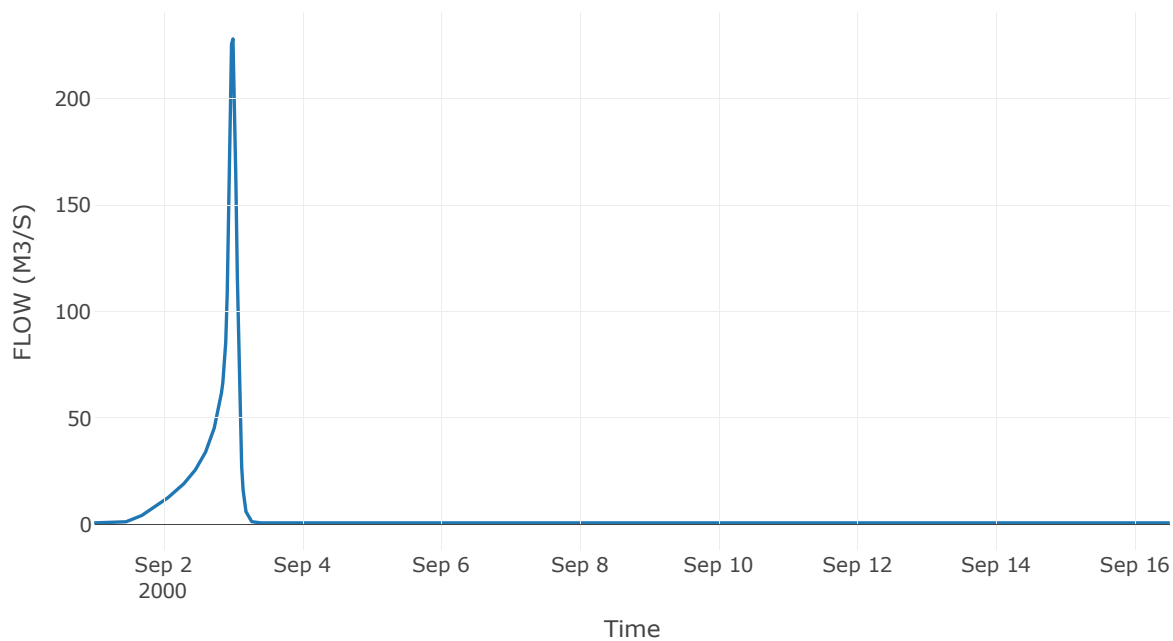
Κατάντη : J7

Μέθοδος Διόδευσης	Χρόνος Υστέρησης
Αρχική Μεταβλητή	Combined Inflow
Χρόνος Υστέρησης	0

Αποτελέσματα: R107

Παροχή Αιχμής (M3/S)	228.08
Χρονική στιγμή αιχμής	02Sep2000, 24:00
Όγκος(MM)	262.19
Παροχή Αιχμής Εισόδου (M3/S)	228.08
Όγκος Εισροής(M3)	6.57E6

Απορροή



Κλάδος: R97

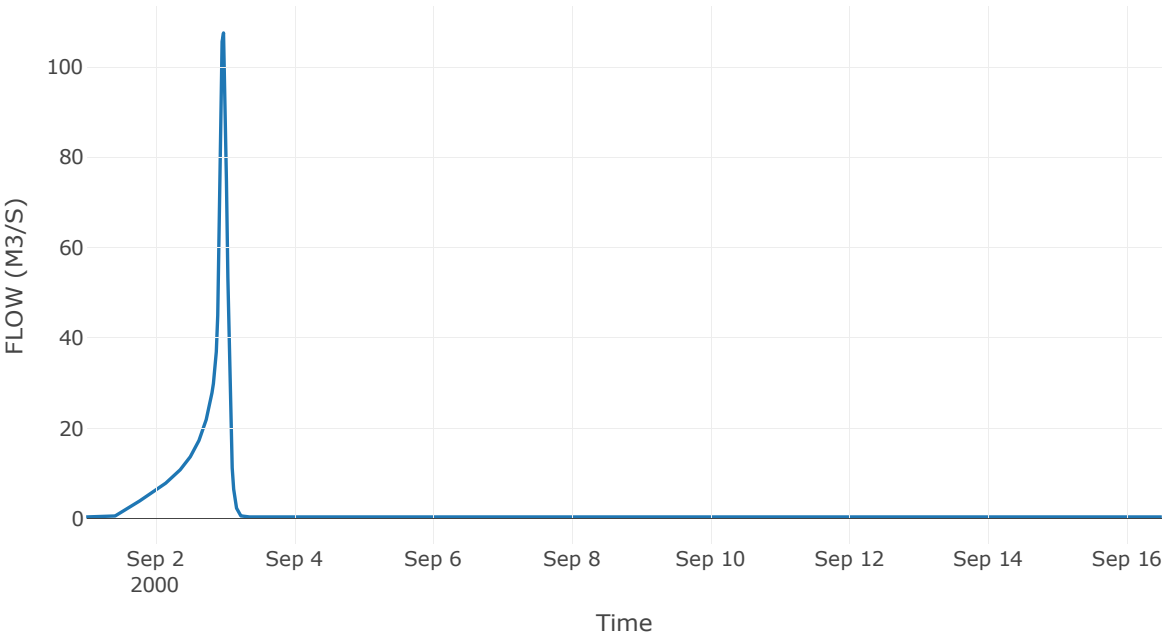
Κατάντη : J7

Μέθοδος Διόδευσης	Χρόνος Υστέρησης
Αρχική Μεταβλητή	Combined Inflow
Χρόνος Υστέρησης	0

Αποτελέσματα: R97

Παροχή Αιχμής (M3/S)	107.51
Χρονική στιγμή αιχμής	02Sep2000, 23:30
Όγκος(MM)	288.11
Παροχή Αιχμής Εισόδου (M3/S)	107.51
Όγκος Εισροής(M3)	3E6

Απορροή



Κλάδος: R76

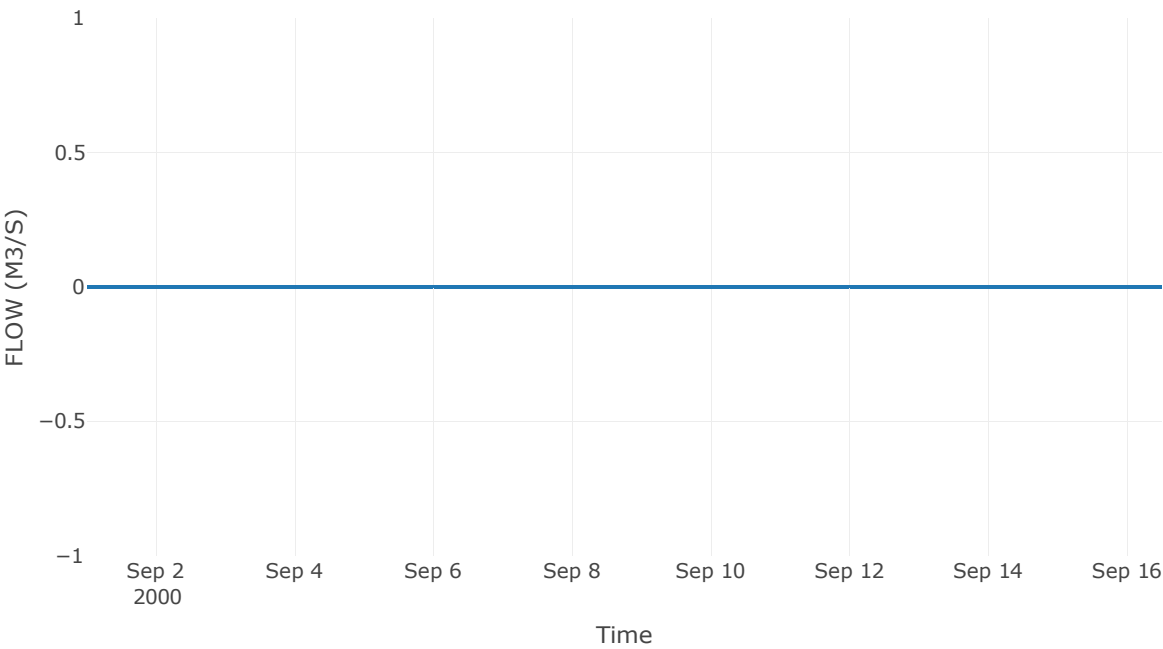
Κατάντη : J6

Μέθοδος Διόδευσης	Muskingum
Αρχική Μεταβλητή	Combined Inflow
Muskingum K	1.89
Συντελεστής βάρους x	0.2
Muskingum Steps	5

Αποτελέσματα: R76

Παροχή Αιχμής (M3/S)	0
Χρονική στιγμή αιχμής	31Aug2000, 24:00
Peak Inflow (M3/S)	0
Όγκος Εισροής (M3)	0

Απορροή

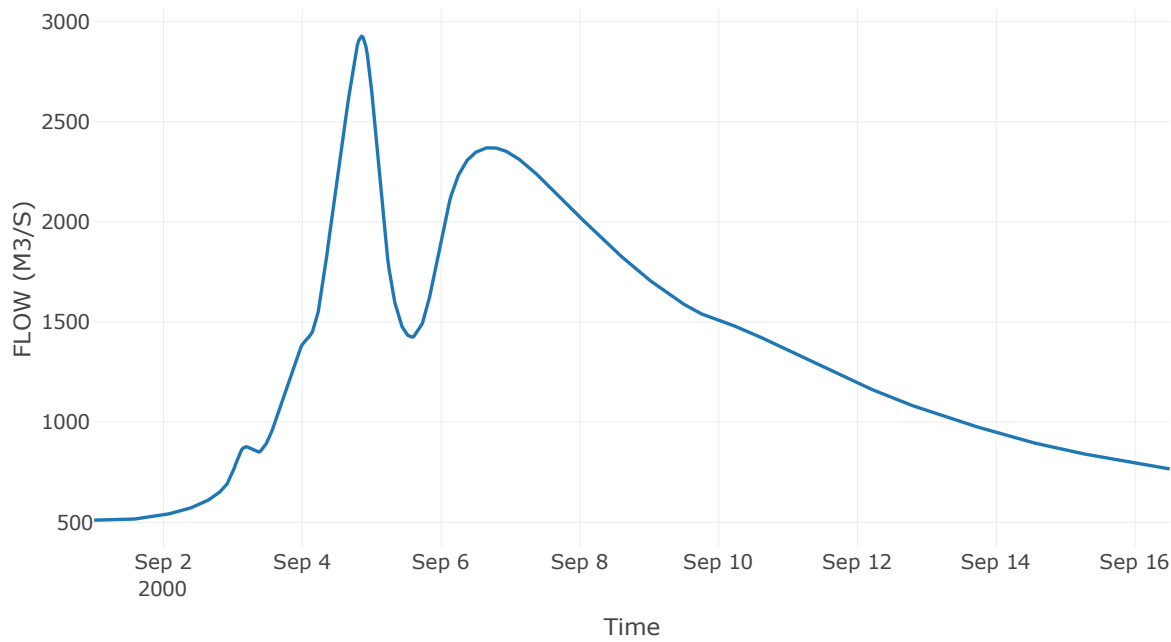


8.3 Δεδομένα και Υδρογραφήματα σχεδιασμού Κλάδων υδρογραφικού δικτύου

Κόμβος εξόδου: J1

Αποτέλεσμα τα: J1	
Παροχή αιχμής (M3/S)	2927.95
Χρονική στιγμή αιχμής	04Sep2000, 20:30
Όγκος (MM)	390.95

Απορροή



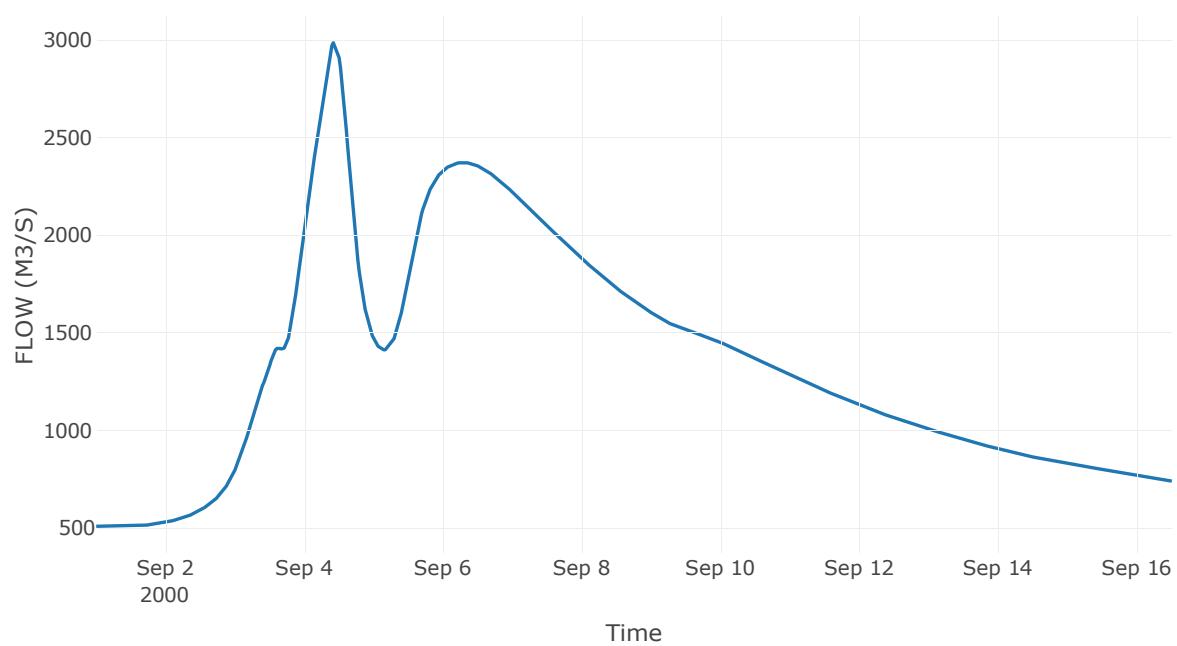
Κόμβος: J2

Κατάντη : R21

Αποτελέσματα: J2

Παροχή Αιχμής (M3/S)	2987.03
Χρονική στιγμή αιχμής	04Sep2000, 10:30
Όγκος(MM)	393.85

Απορροή



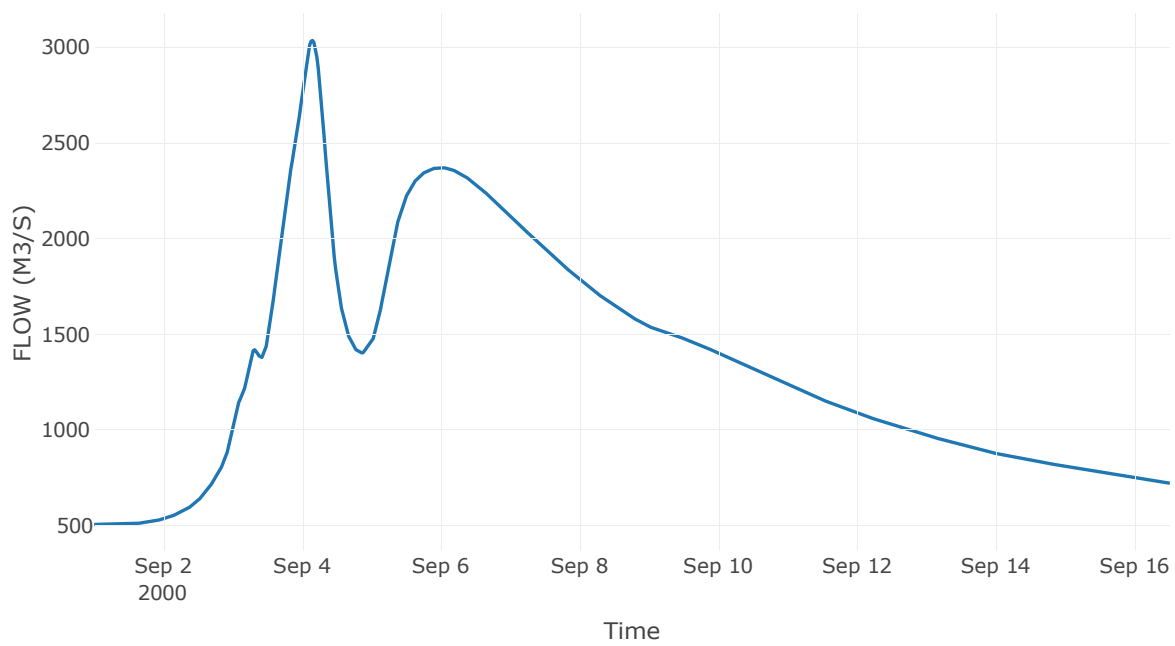
Κόμβος: J3

Κατάντη : R32

Αποτελέσματα: J3

Παροχή Αιχμής (M3/S)	3036.04
Χρονική στιγμή αιχμής	04Sep2000, 03:30
Όγκος(MM)	395.63

Απορροή



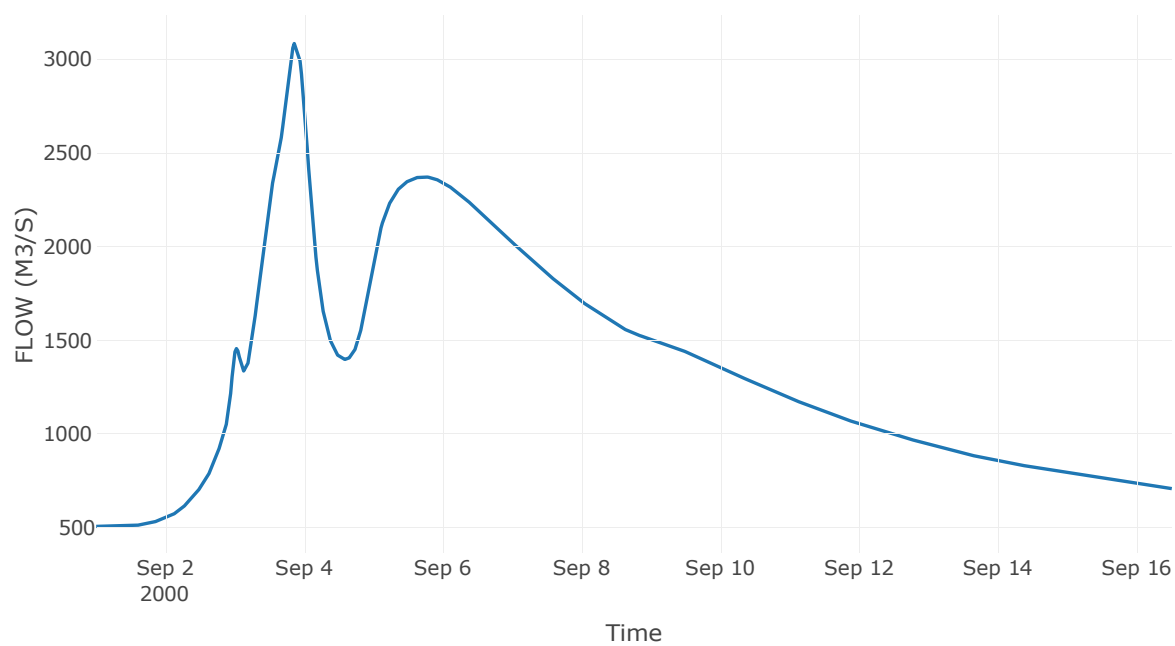
Κόμβος: J4

Κατάντη : R43

Αποτελέσματα: J4

Παροχή Αιχμής (M3/S)	3089.21
Χρονική στιγμή αιχμής	03Sep2000, 21:00
Όγκος(MM)	397.33

Απορροή



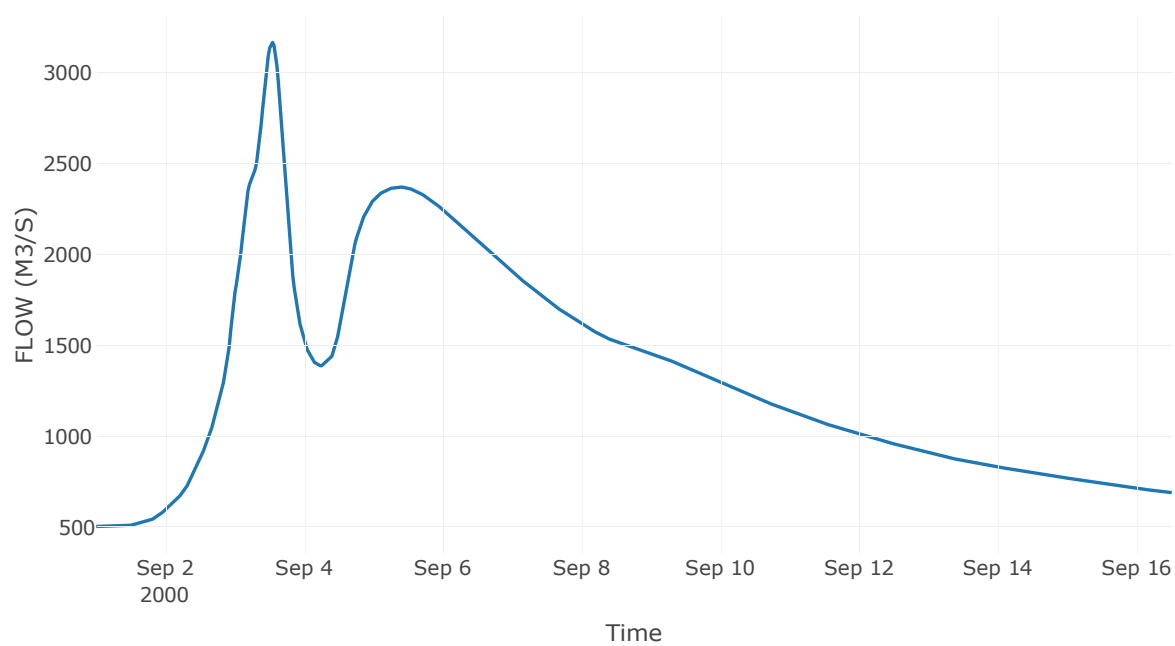
Κόμβος: J5

Κατάντη : R54

Αποτελέσματα: J5

Παροχή Αιχμής (M3/S)	3166.83
Χρονική στιγμή αιχμής	03Sep2000, 13:00
Όγκος(MM)	400

Απορροή



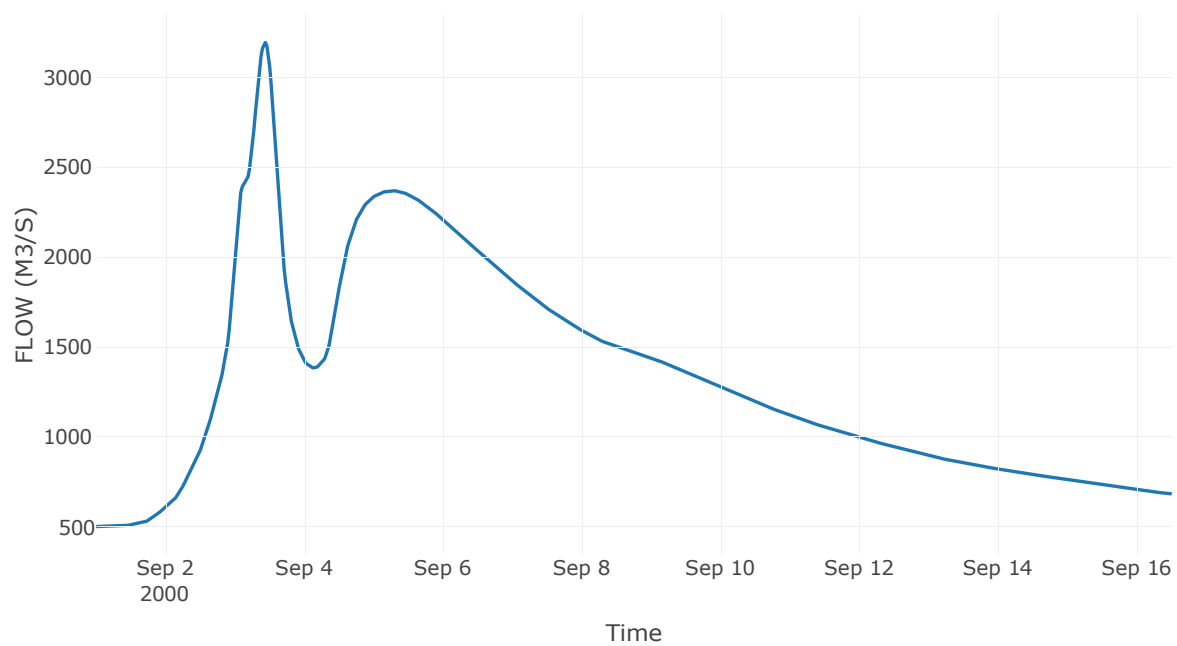
Κόμβος: J6

Κατάντη : R65

Αποτελέσματα: J6

Παροχή Αιχμής (M3/S)	3194.81
Χρονική στιγμή αιχμής	03Sep2000, 10:30
Όγκος(MM)	401.17

Απορροή

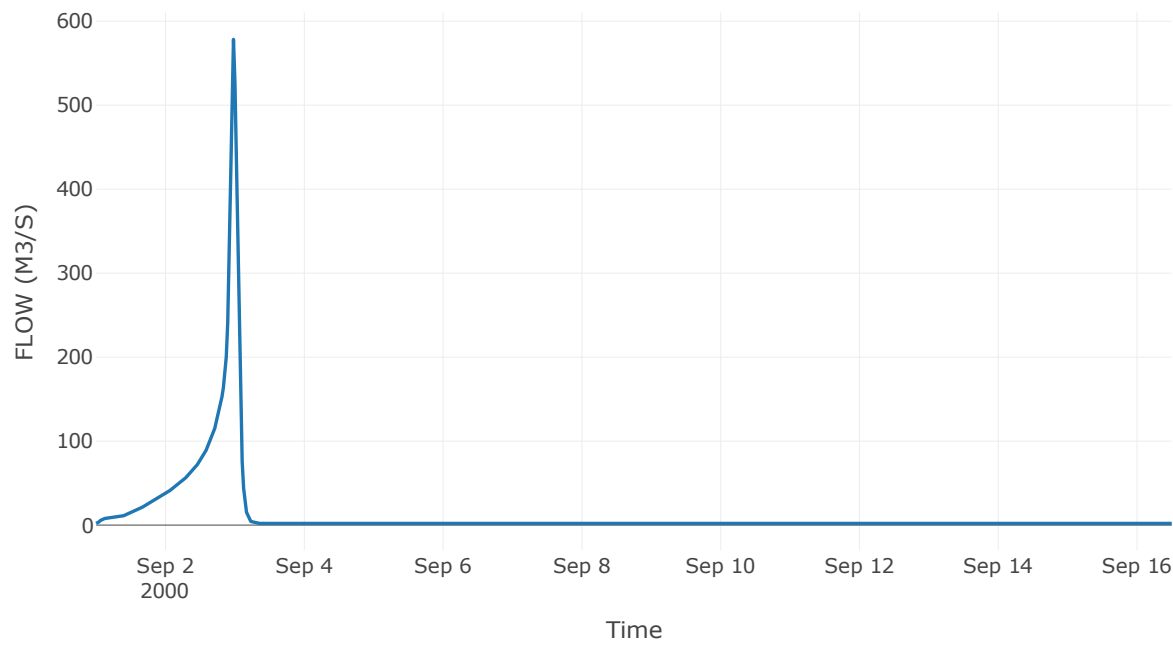


Κόμβος εξόδου: J7

Αποτέλεσμα
τα: J7

Παροχή αιχμής (M3/S)	578.39
Χρονική στιγμή αιχμής	02Sep2000, 23:30
Όγκος (MM)	299.62

Απορροή



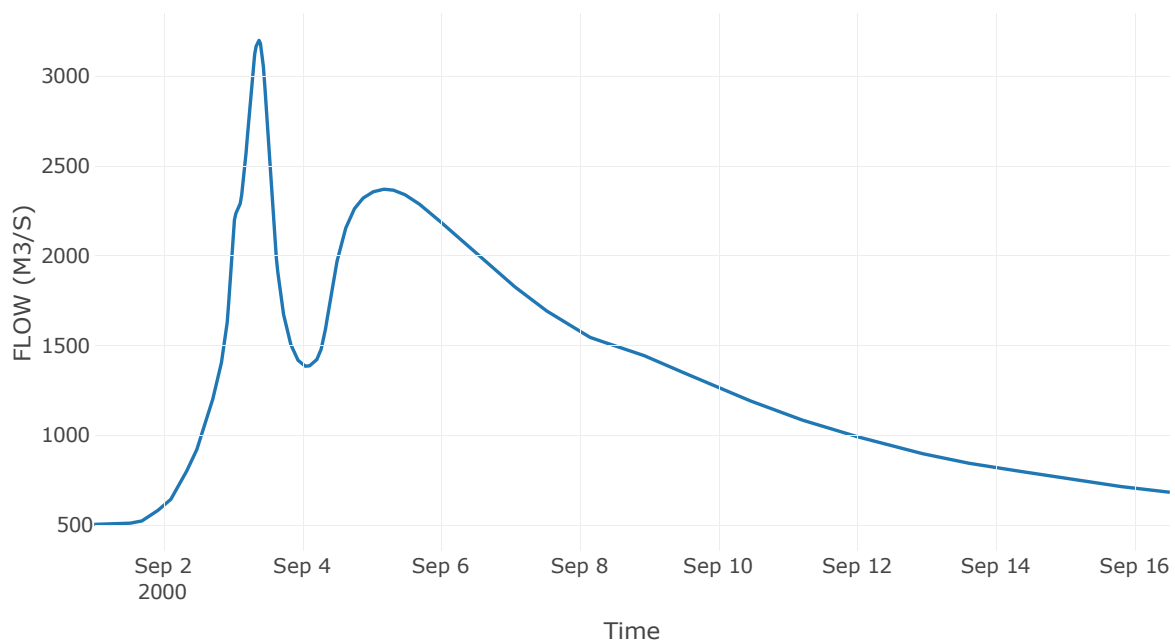
Κόμβος: J8

Κατάντη : R86

Αποτελέσματα: J8

Παροχή Αιχμής (M3/S)	3198.9
Χρονική στιγμή αιχμής	03Sep2000, 09:00
Όγκος(MM)	402.26

Απορροή



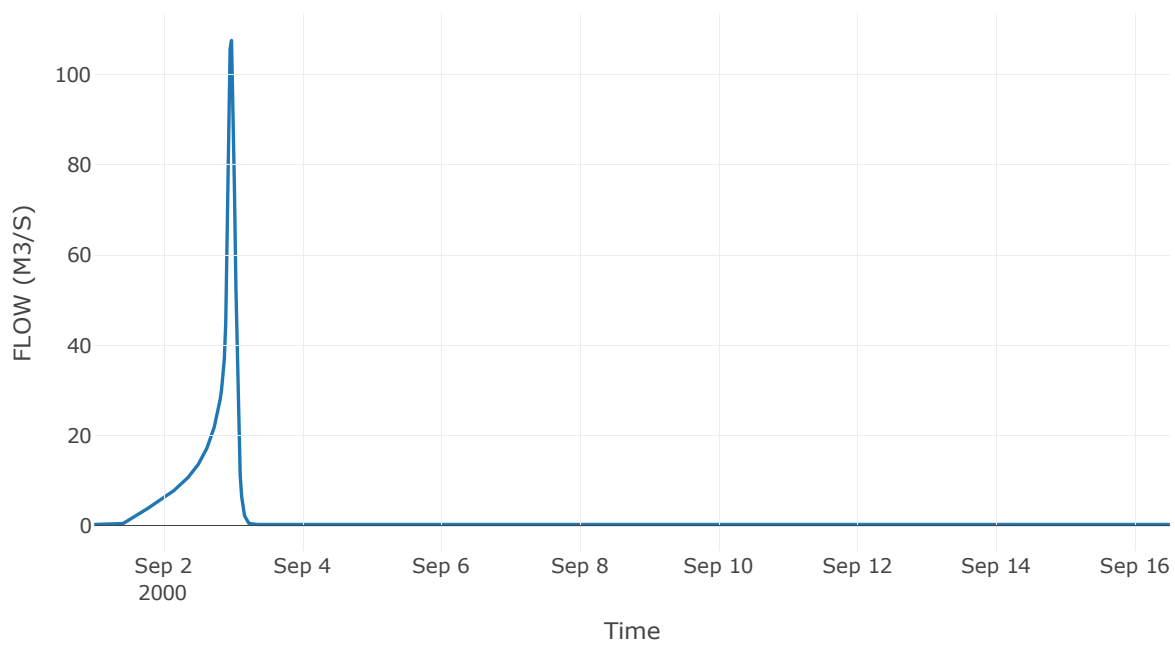
Κόμβος: J9

Κατάντη : R97

Αποτελέσματα: J9

Παροχή Αιχμής (M3/S)	107.51
Χρονική στιγμή αιχμής	02Sep2000, 23:30
Όγκος(MM)	288.11

Απορροή



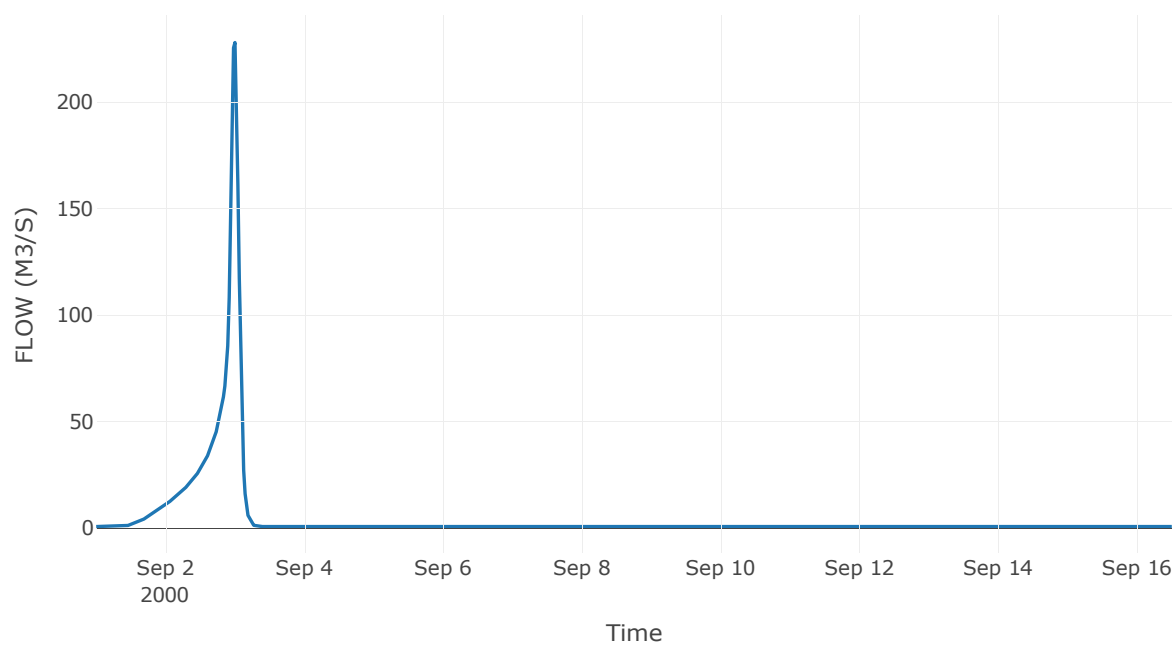
Κόμβος: J10

Κατάντη : R107

Αποτελέσματα: J10

Παροχή Αιχμής (M3/S)	228.08
Χρονική στιγμή αιχμής	02Sep2000, 24:00
Όγκος(MM)	262.19

Απορροή



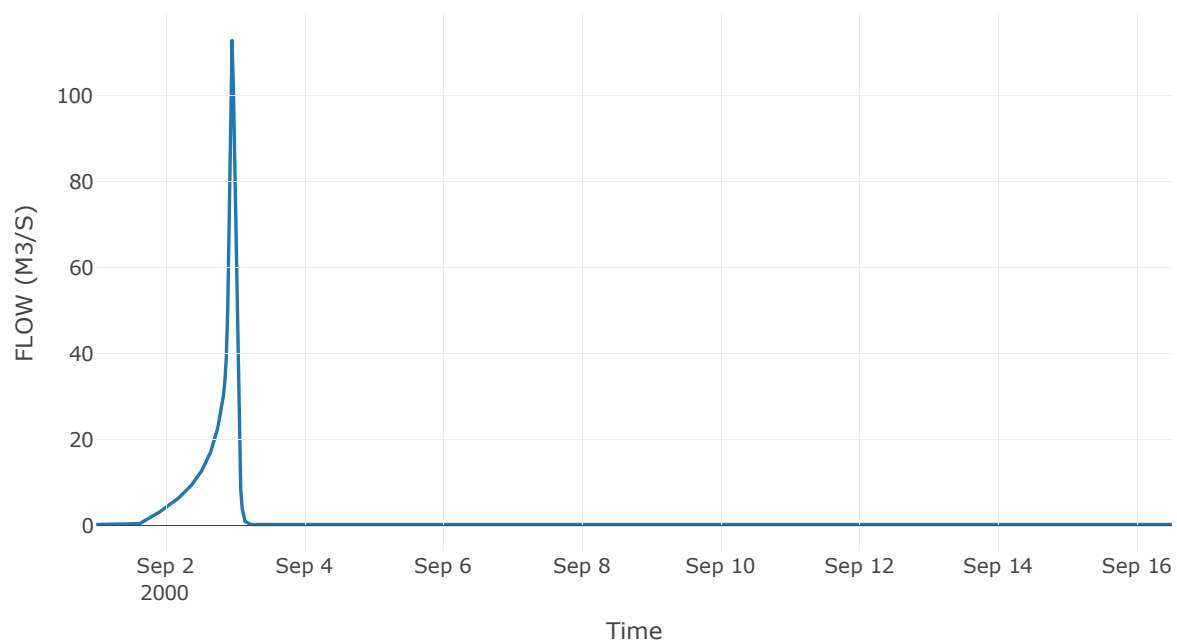
Κόμβος: J11

Κατάντη : R1110

Αποτελέσματα: J11

Παροχή Αιχμής (M3/S)	112.87
Χρονική στιγμή αιχμής	02Sep2000, 23:00
Όγκος(MM)	234.67

Απορροή



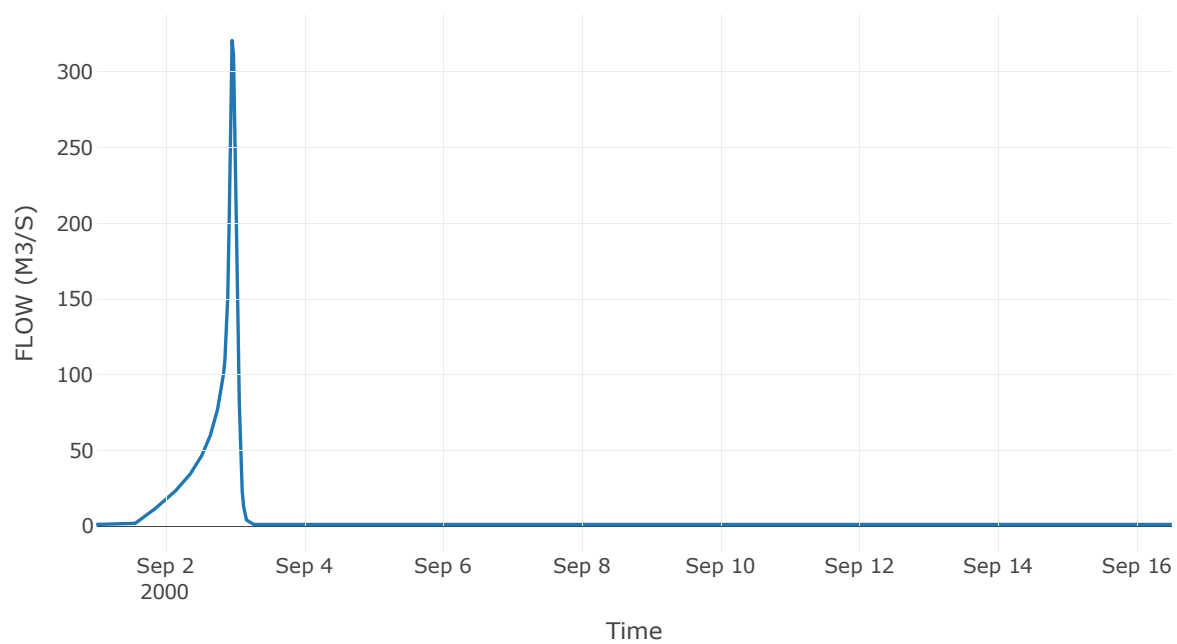
Κόμβος: J12

Κατάντη : R128

Αποτελέσματα: J12

Παροχή Αιχμής (M3/S)	320.81
Χρονική στιγμή αιχμής	02Sep2000, 23:00
Όγκος(MM)	247.42

Απορροή



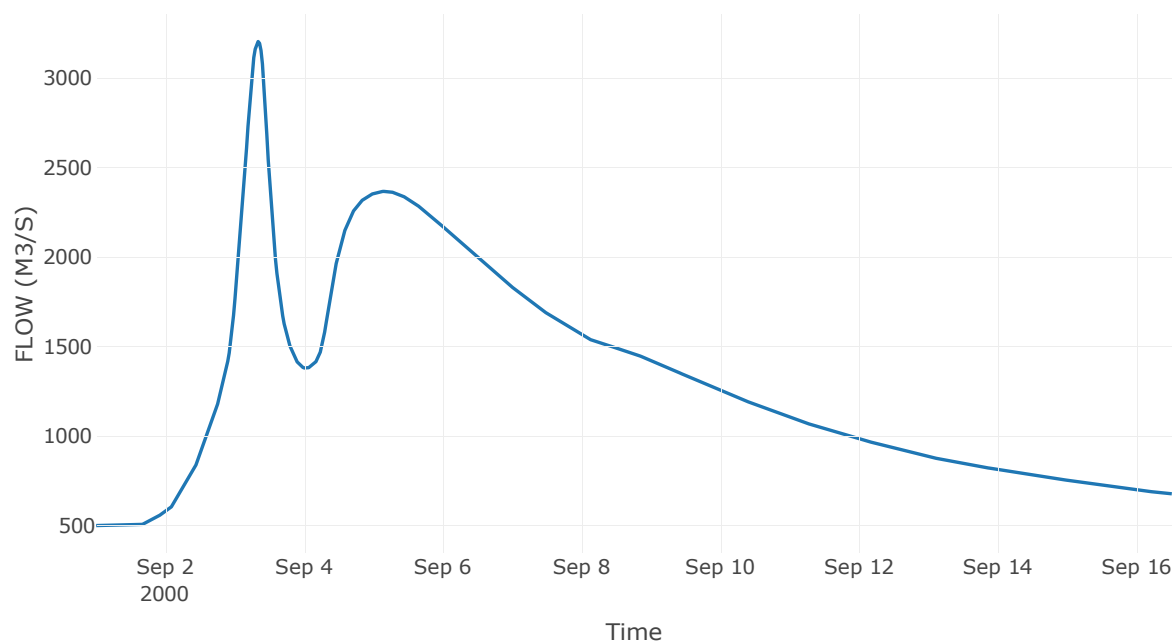
Ταμιευτήρας: J13_RES1

Κατάντη : R138

Αποτελέσματα: J13_RES1

Παροχή Αιχμής (M3/S)	3204.34
Χρονική στιγμή αιχμής	03Sep2000, 08:00
Όγκος(MM)	404.11
Παροχή Αιχμής Εισόδου (M3/S)	3601.49
Time of Peak Inflow	03Sep2000, 05:00
Όγκος Εισροής (M3)	1.76E9
Maximum Storage (M3)	6.4E7
Peak Elevation (M)	66.97
Discharge Όγκος(M3)	1.75E9

Απορροή



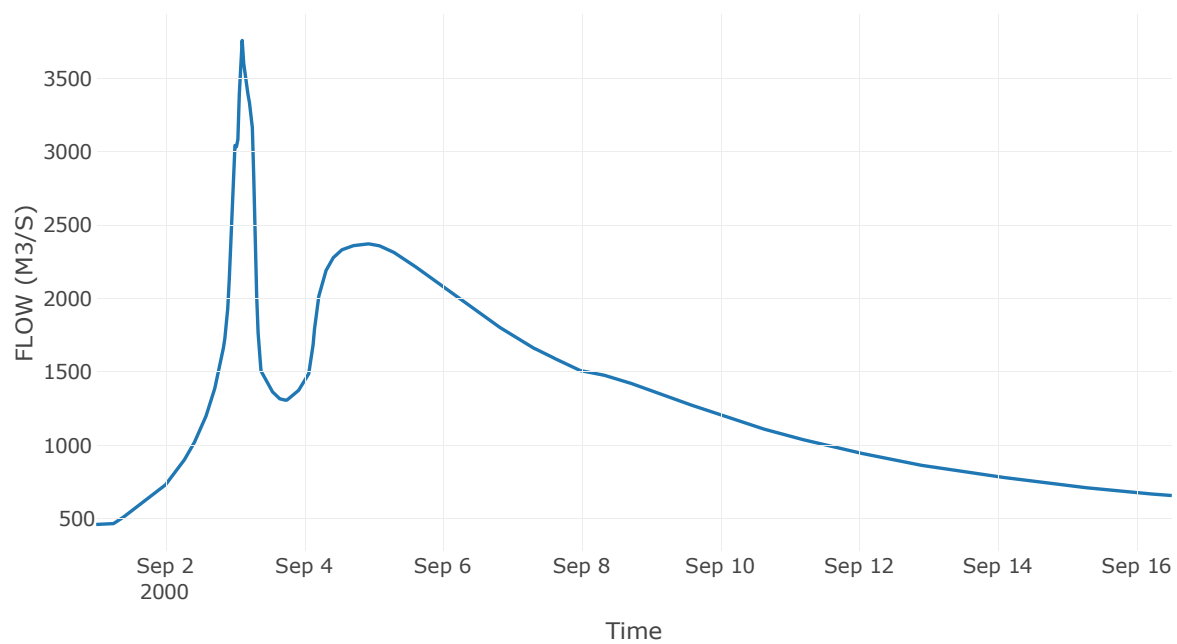
Κόμβος: J14

Κατάντη : R1413

Αποτελέσματα: J14

Παροχή Αιχμής (M3/S)	3758.73
Χρονική στιγμή αιχμής	03Sep2000, 02:30
Όγκος(MM)	406.14

Απορροή



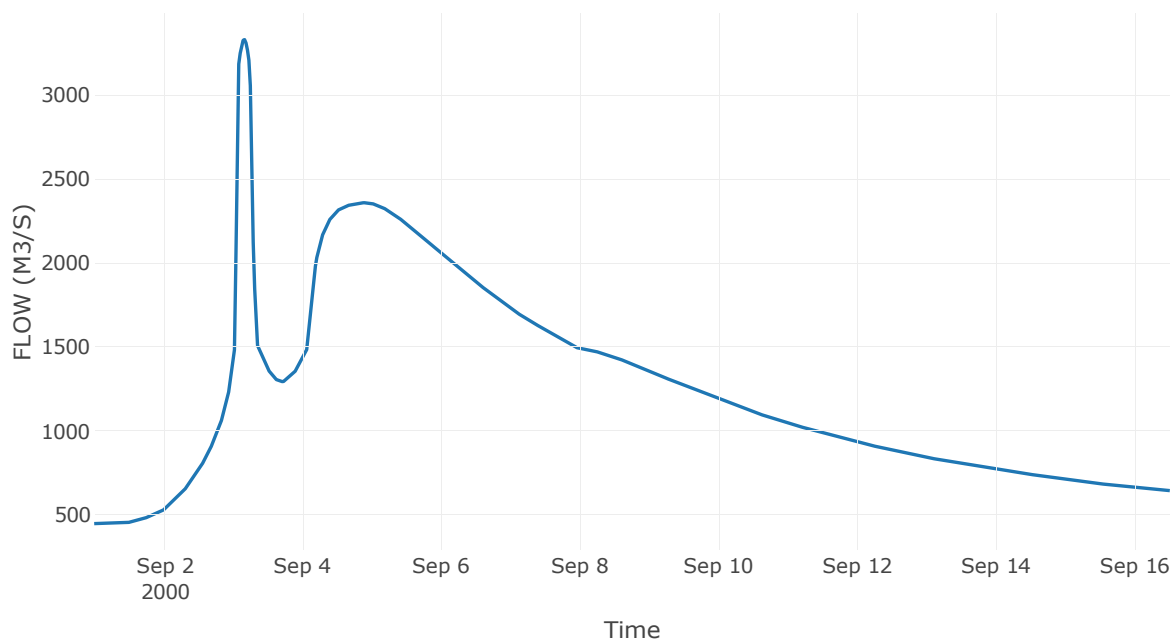
Ταμιευτήρας: J15_RES2

Κατάντη : R1514

Αποτελέσματα: J15_RES2

Παροχή Αιχμής (M3/S)	3331.33
Χρονική στιγμή αιχμής	03Sep2000, 04:00
Όγκος(MM)	406.65
Παροχή Αιχμής Εισόδου (M3/S)	4508.46
Time of Peak Inflow	03Sep2000, 02:00
Όγκος Εισροής (M3)	1.69E9
Maximum Storage (M3)	9.32E8
Peak Elevation (M)	149.38
Discharge Όγκος(M3)	1.66E9

Απορροή



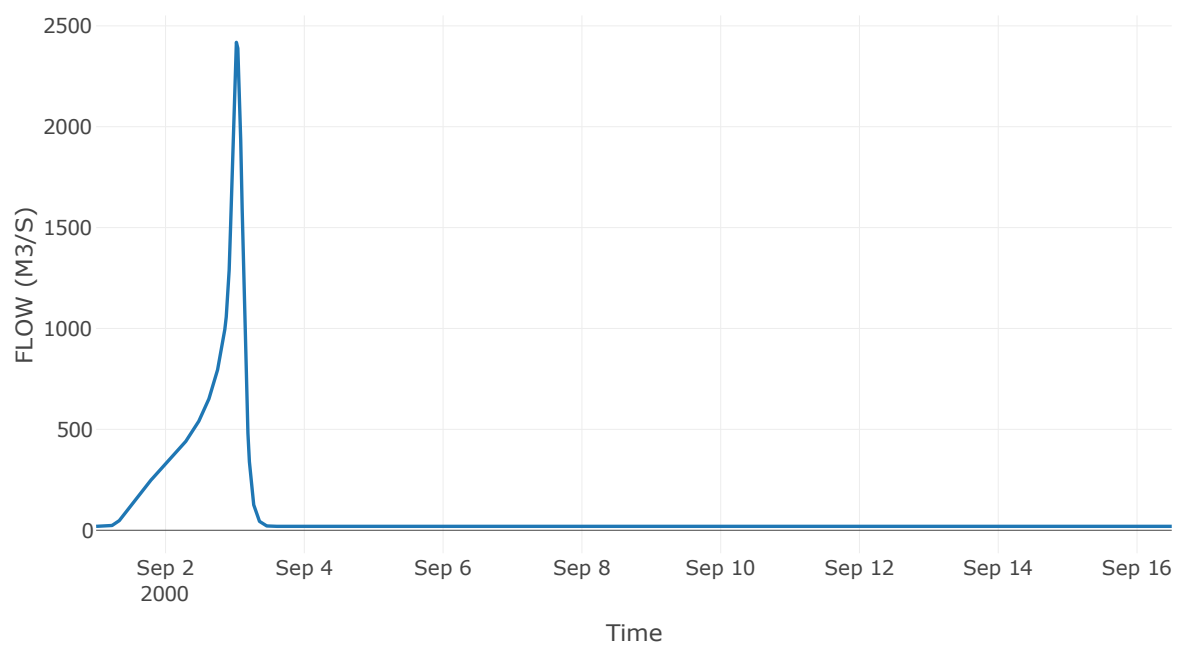
Κόμβος: J16

Κατάντη : R1619

Αποτελέσματα: J16

Παροχή Αιχμής (M3/S)	2418.28
Χρονική στιγμή αιχμής	03Sep2000, 00:30
Όγκος(MM)	442.81

Απορροή



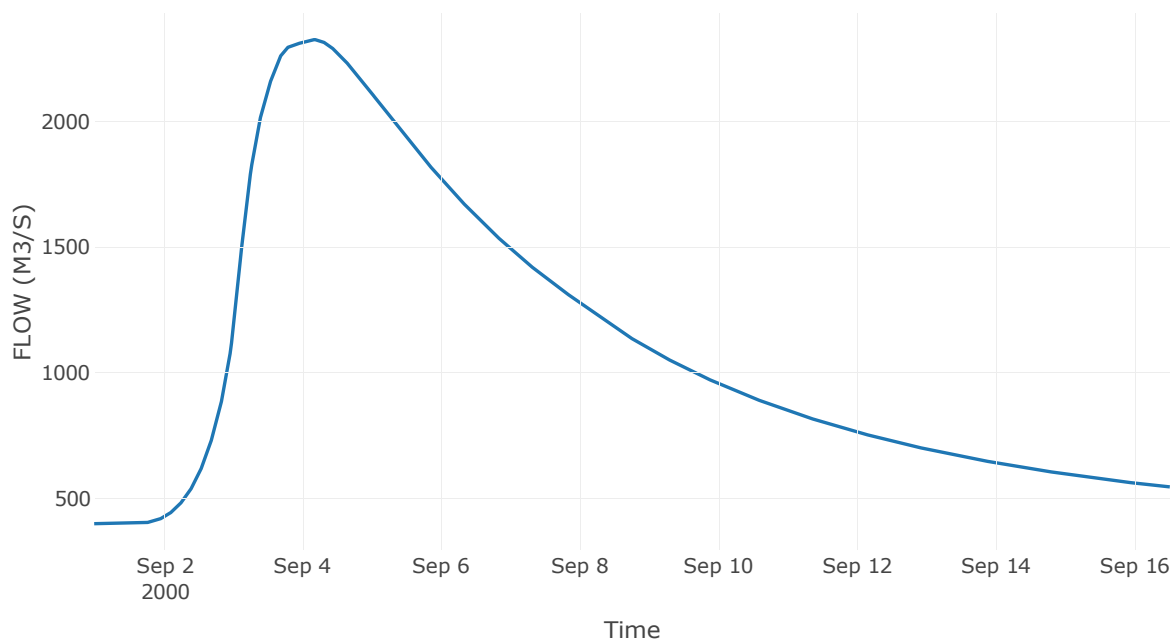
Ταμιευτήρας: J17_RES3

Κατάντη : R1718

Αποτελέσματα: J17_RES3

Παροχή Αιχμής (M3/S)	2327.4
Χρονική στιγμή αιχμής	04Sep2000, 04:00
Όγκος(MM)	413.63
Παροχή Αιχμής Εισόδου (M3/S)	14677.24
Time of Peak Inflow	03Sep2000, 02:00
Όγκος Εισροής (M3)	1.64E9
Maximum Storage (M3)	4.39E9
Peak Elevation (M)	279.86
Discharge Όγκος(M3)	1.47E9

Απορροή



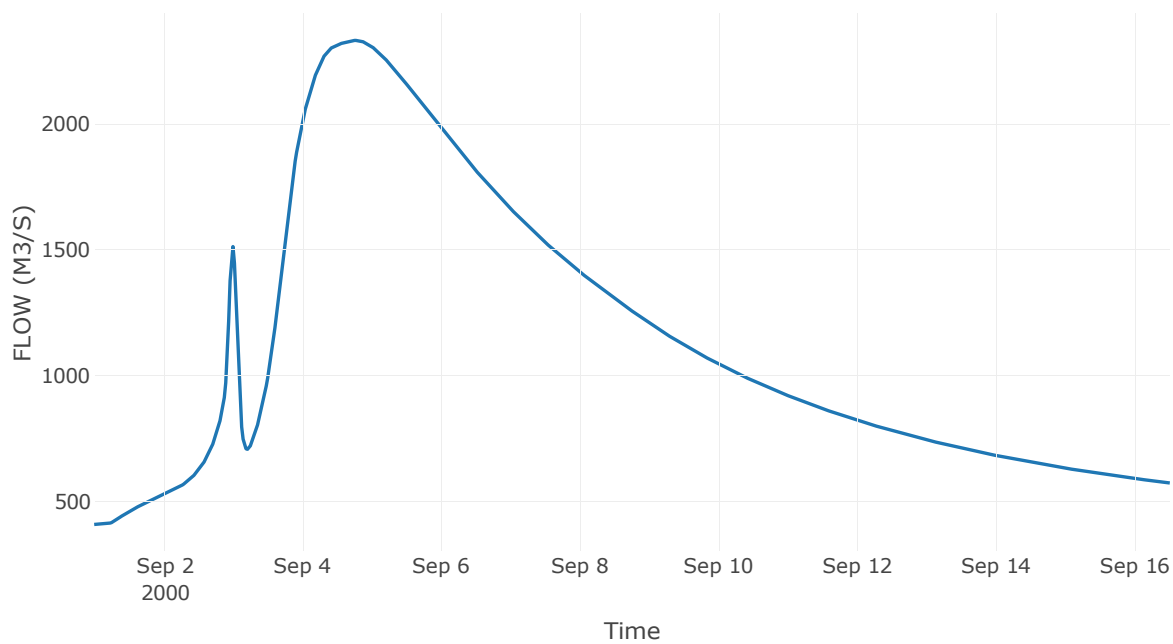
Κόμβος: J18

Κατάντη : R1819

Αποτελέσματα: J18

Παροχή Αιχμής (M3/S)	2332.61
Χρονική στιγμή αιχμής	04Sep2000, 18:30
Όγκος(MM)	410.85

Απορροή



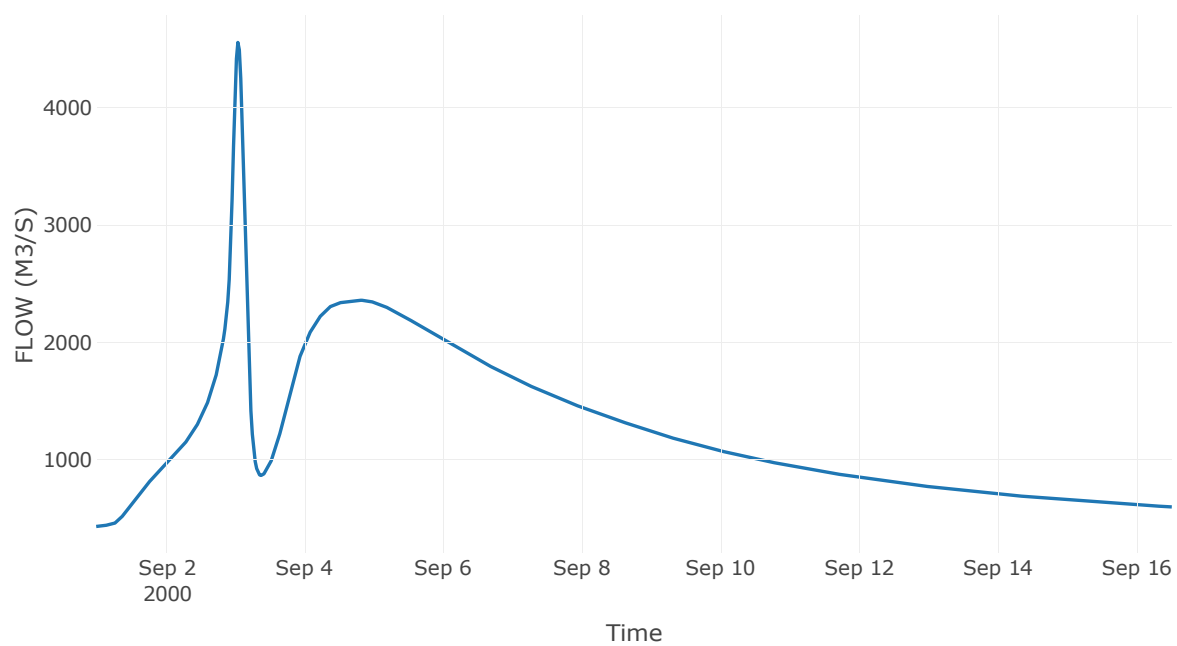
Κόμβος: J19

Κατάντη : R1915

Αποτελέσματα: J19

Παροχή Αιχμής (M3/S)	4554.03
Χρονική στιγμή αιχμής	03Sep2000, 01:00
Όγκος(MM)	413.15

Απορροή



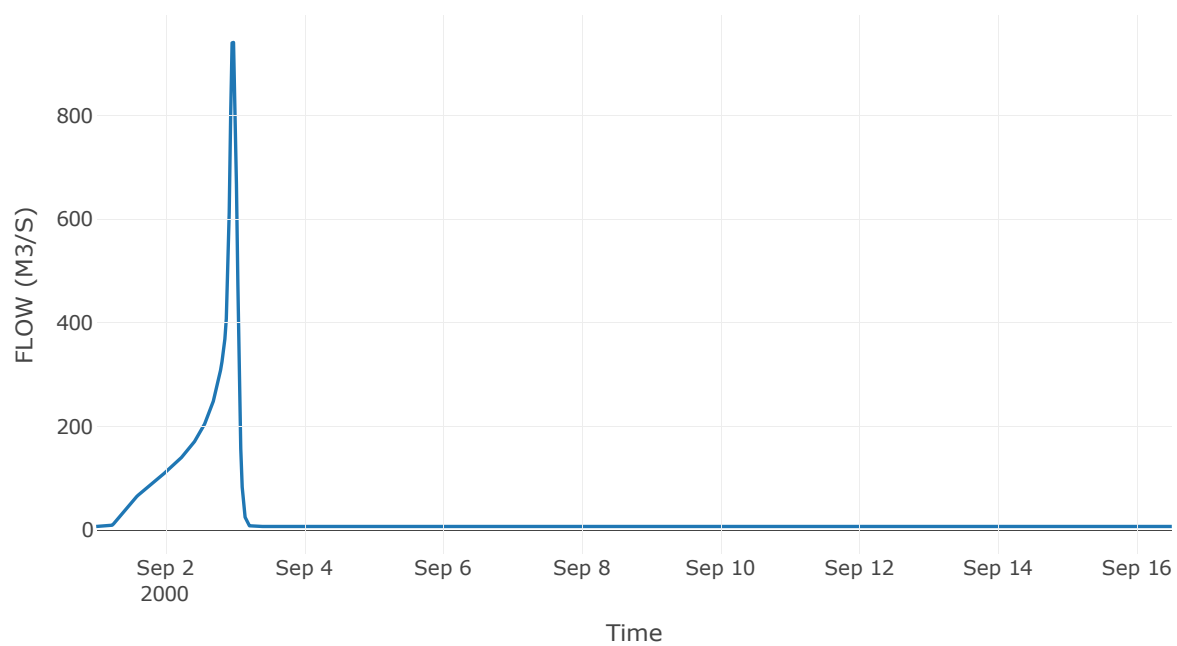
Κόμβος: J20

Κατάντη : R2014

Αποτελέσματα: J20

Παροχή Αιχμής (M3/S)	941.01
Χρονική στιγμή αιχμής	02Sep2000, 23:30
Όγκος(MM)	396.93

Απορροή



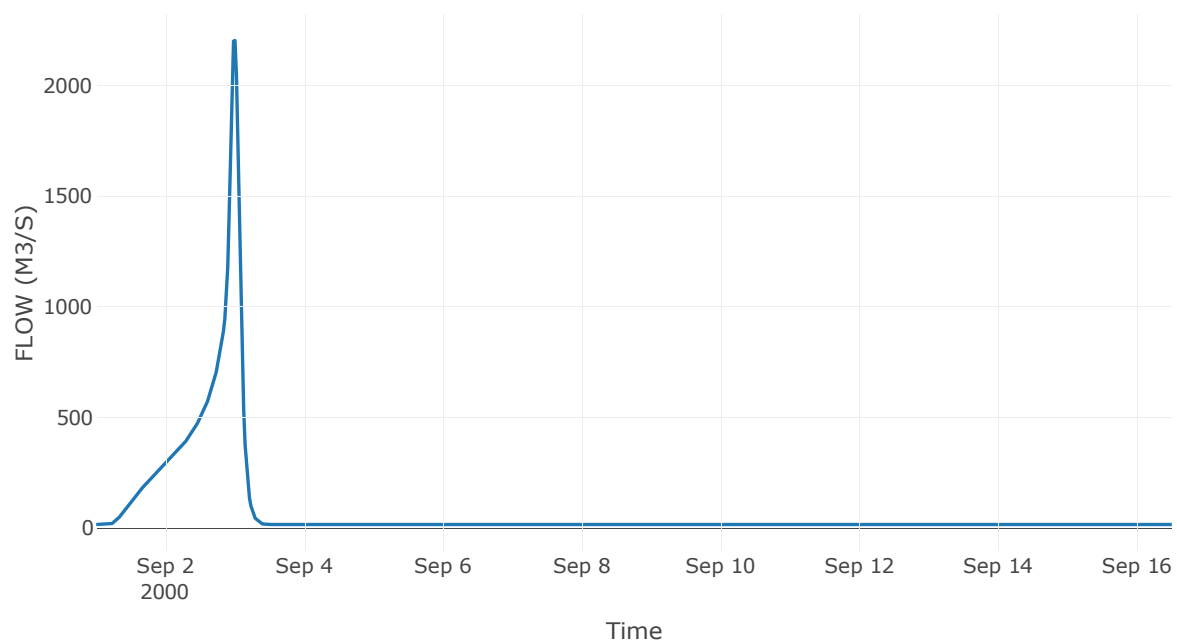
Κόμβος: J21

Κατάντη : R2116

Αποτελέσματα: J21

Παροχή Αιχμής (M3/S)	2204.61
Χρονική στιγμή αιχμής	02Sep2000, 24:00
Όγκος(MM)	441.24

Απορροή



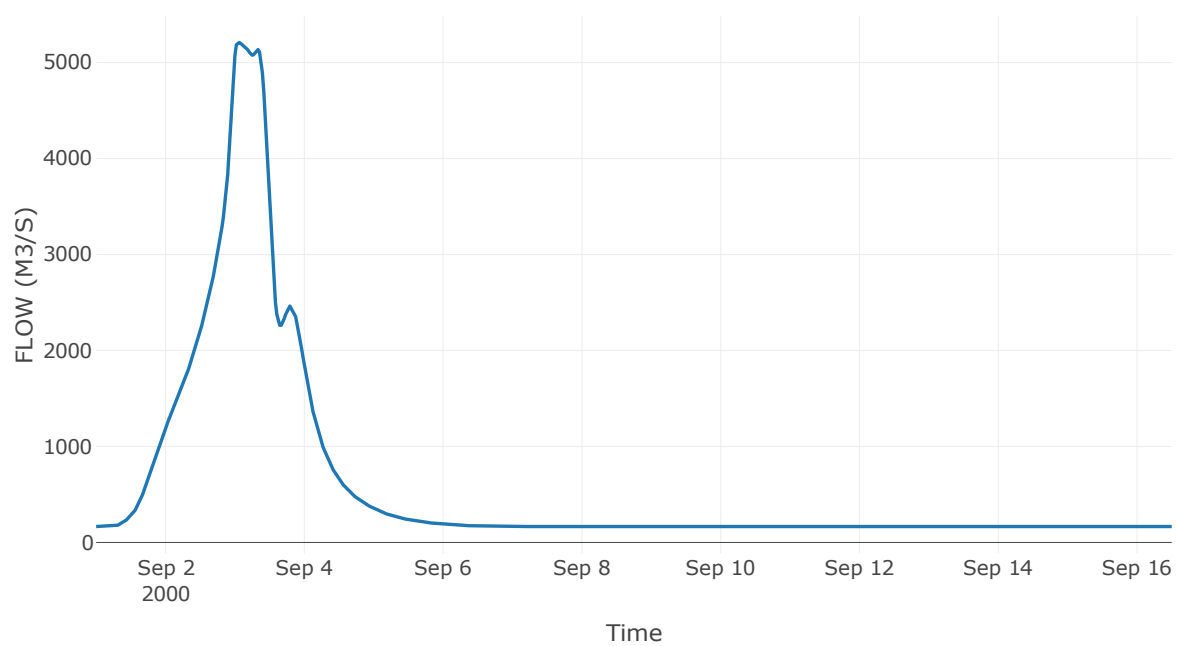
Κόμβος: J22

Κατάντη : R2231

Αποτελέσματα: J22

Παροχή Αιχμής (M3/S)	5208.44
Χρονική στιγμή αιχμής	03Sep2000, 01:30
Όγκος(MM)	469.32

Απορροή



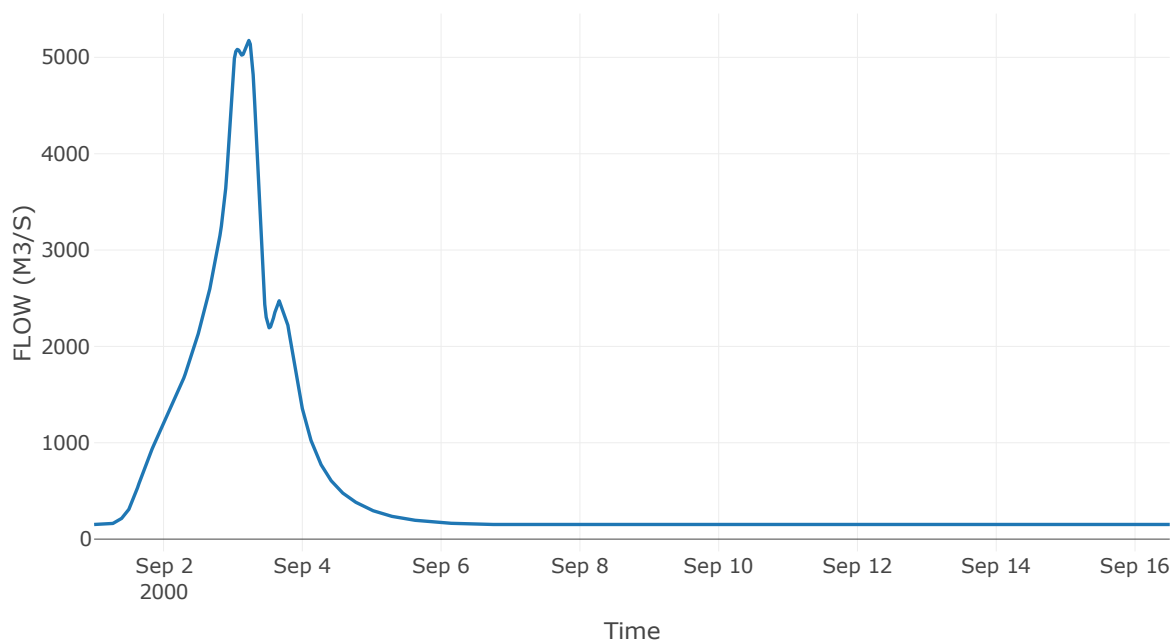
Κόμβος: J23

Κατάντη : R2324

Αποτελέσματα: J23

Παροχή Αιχμής (M3/S)	5175.43
Χρονική στιγμή αιχμής	03Sep2000, 05:30
Όγκος(MM)	482.67

Απορροή



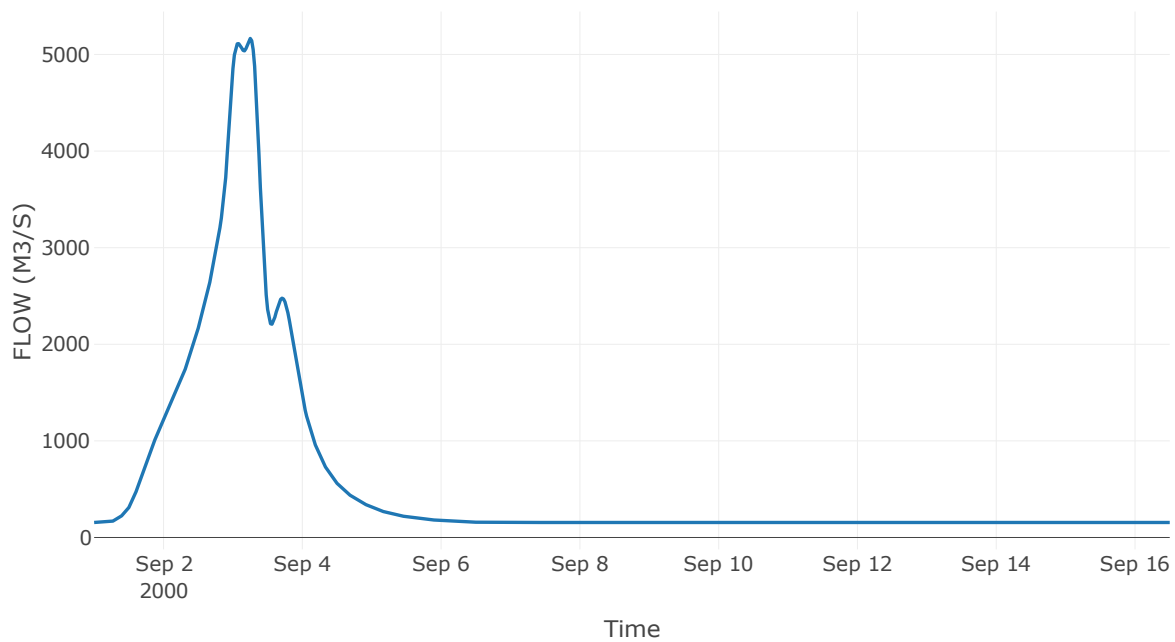
Κόμβος: J24

Κατάντη : R2425

Αποτελέσματα: J24

Παροχή Αιχμής (M3/S)	5165.81
Χρονική στιγμή αιχμής	03Sep2000, 06:00
Όγκος(MM)	480.23

Απορροή



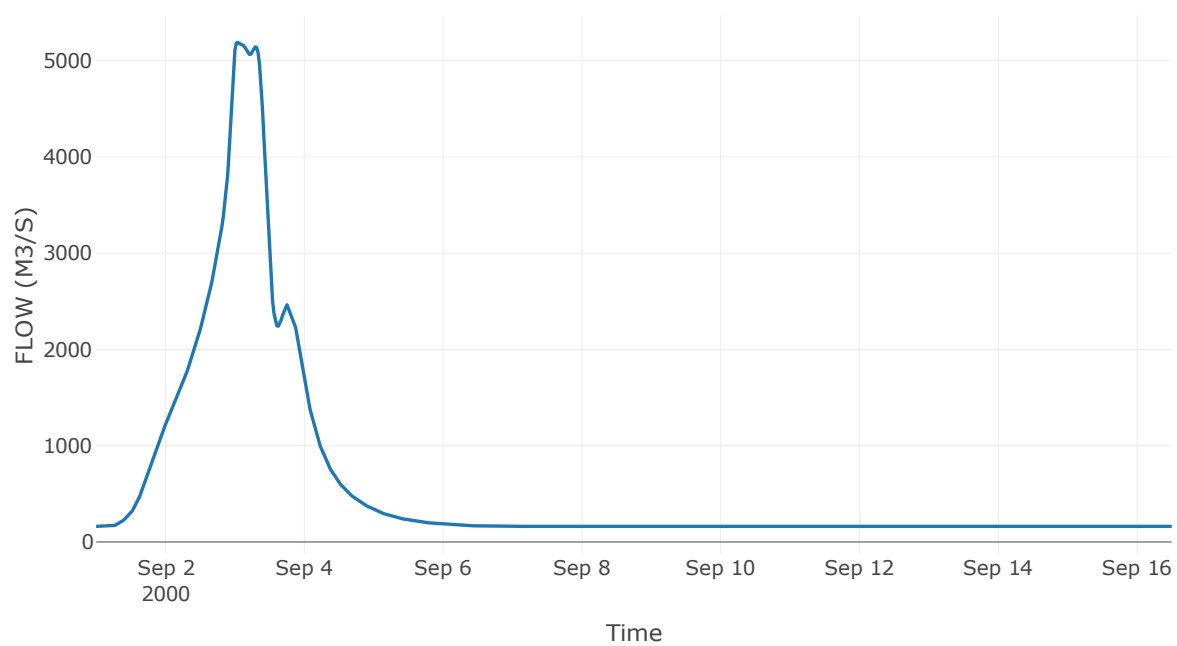
Κόμβος: J25

Κατάντη : R2522

Αποτελέσματα: J25

Παροχή Αιχμής (M3/S)	5190.42
Χρονική στιγμή αιχμής	03Sep2000, 01:00
Όγκος(MM)	474.88

Απορροή



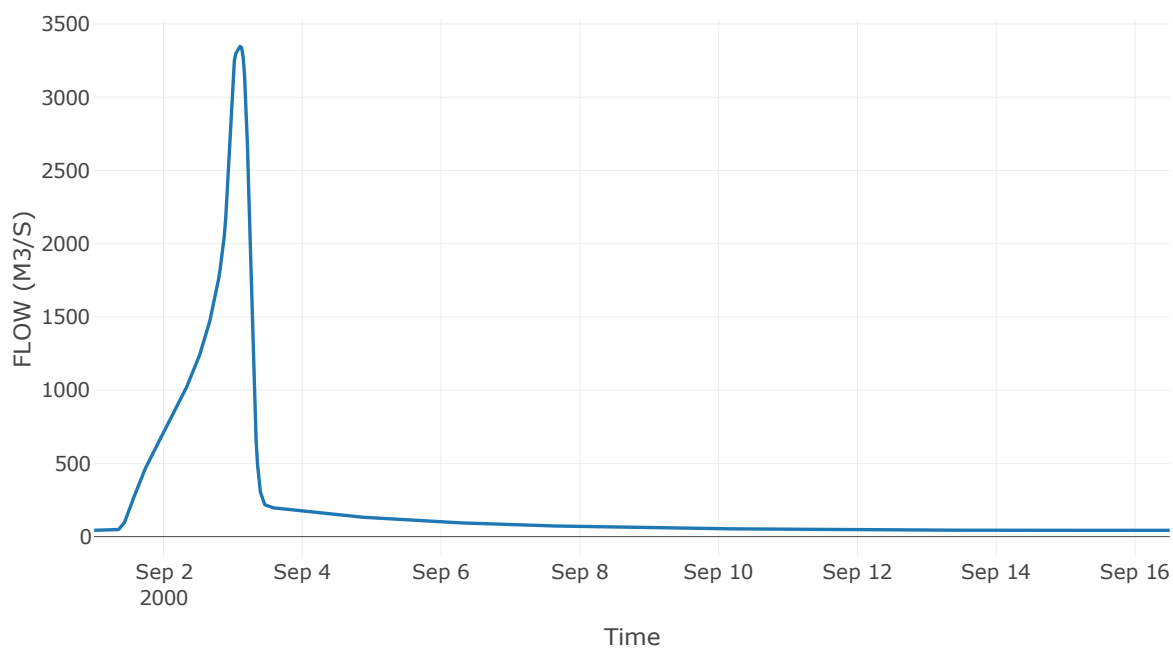
Κόμβος: J26

Κατάντη : R2664

Αποτελέσματα: J26

Παροχή Αιχμής (M3/S)	3347.63
Χρονική στιγμή αιχμής	03Sep2000, 02:30
Όγκος(MM)	489.73

Απορροή



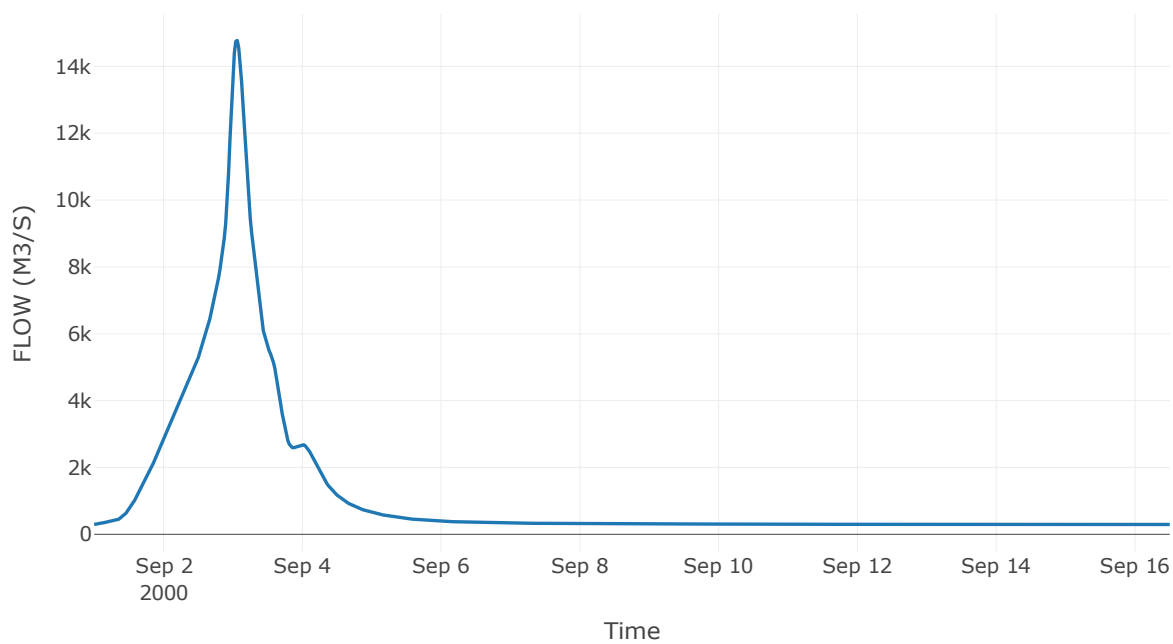
Κόμβος: J27

Κατάντη : R2717

Αποτελέσματα: J27

Παροχή Αιχμής (M3/S)	14774.98
Χρονική στιγμή αιχμής	03Sep2000, 01:30
Όγκος(MM)	460.59

Απορροή



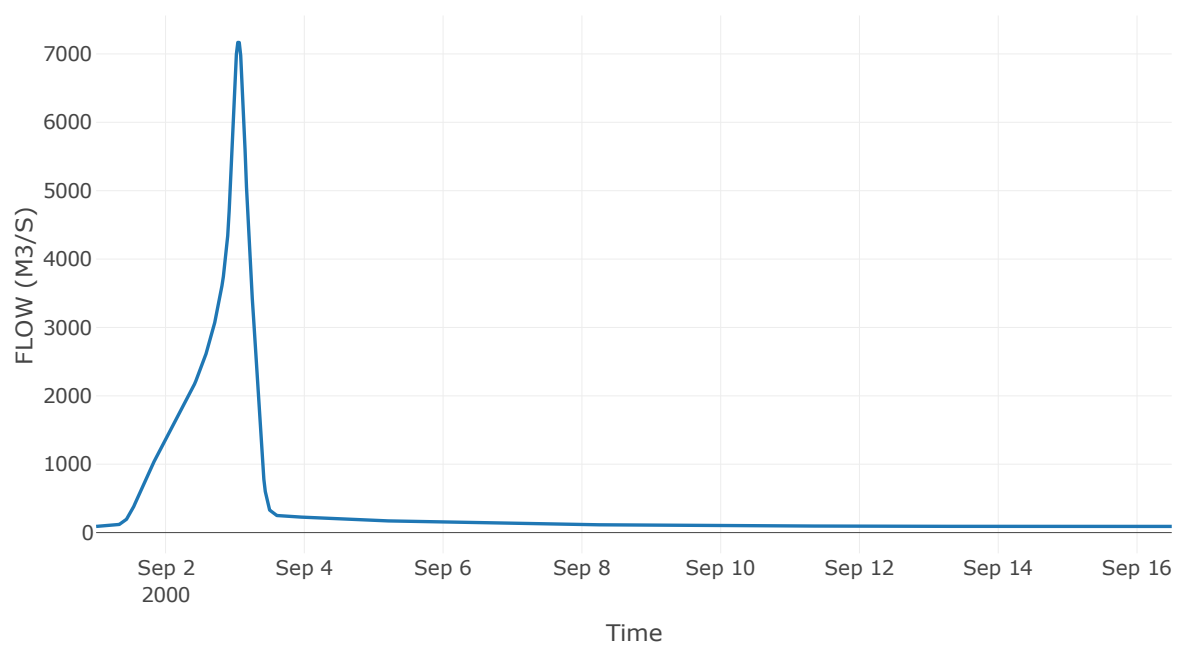
Κόμβος: J28

Κατάντη : R2827

Αποτελέσματα: J28

Παροχή Αιχμής (M3/S)	7168.64
Χρονική στιγμή αιχμής	03Sep2000, 01:00
Όγκος(MM)	442.38

Απορροή



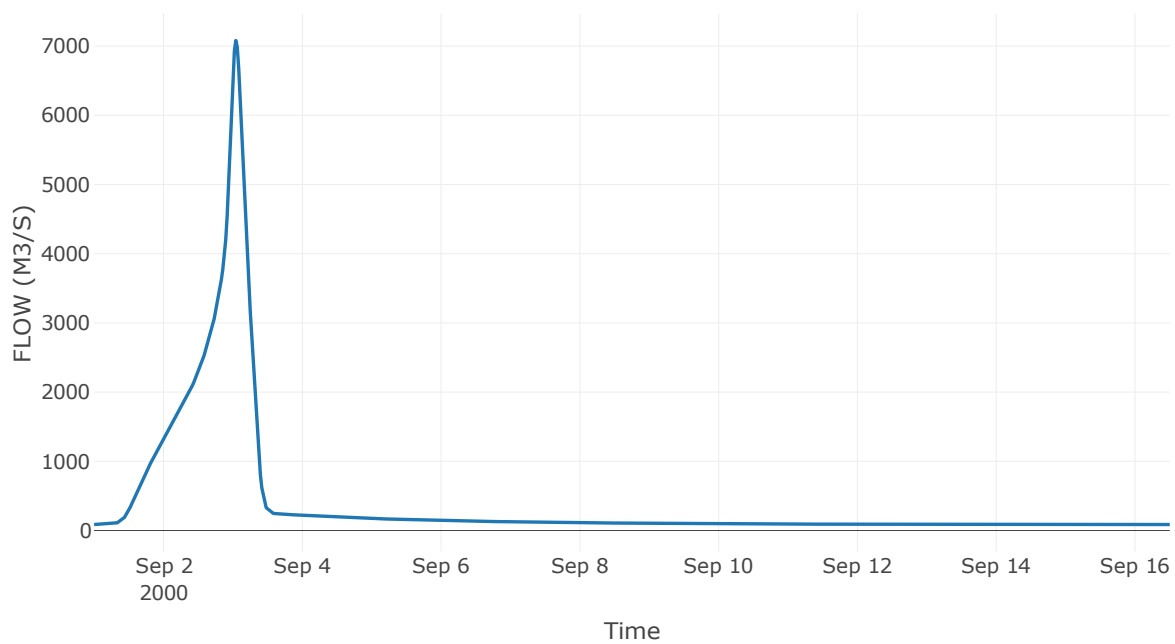
Κόμβος: J29

Κατάντη : R2928

Αποτελέσματα: J29

Παροχή Αιχμής (M3/S)	7080.7
Χρονική στιγμή αιχμής	03Sep2000, 01:00
Όγκος(MM)	442.6

Απορροή



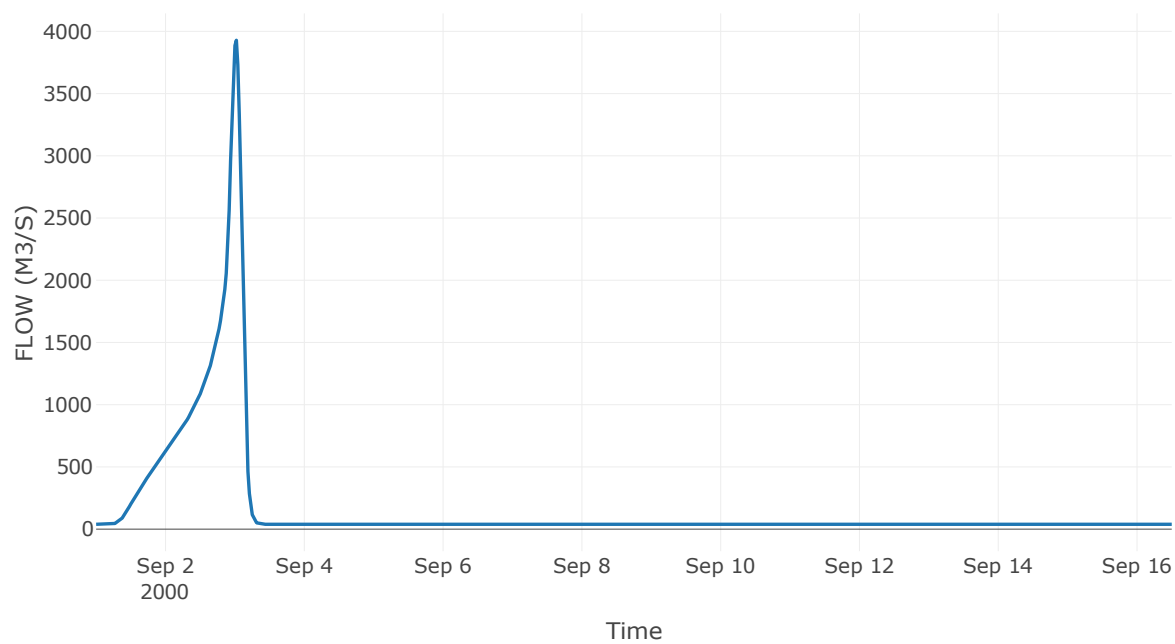
Κόμβος: J30

Κατάντη : R3029

Αποτελέσματα: J30

Παροχή Αιχμής (M3/S)	3928.4
Χρονική στιγμή αιχμής	03Sep2000, 00:30
Όγκος(MM)	397.34

Απορροή



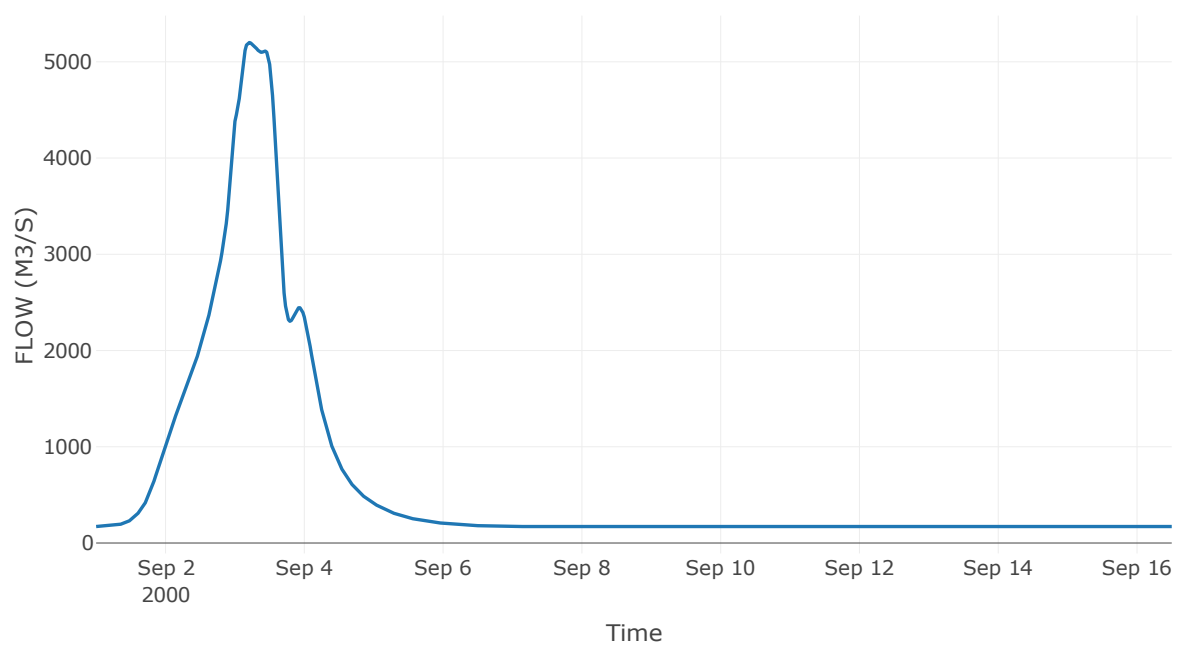
Κόμβος: J31

Κατάντη : R3127

Αποτελέσματα: J31

Παροχή Αιχμής (M3/S)	5200.4
Χρονική στιγμή αιχμής	03Sep2000, 05:00
Όγκος(MM)	467.01

Απορροή



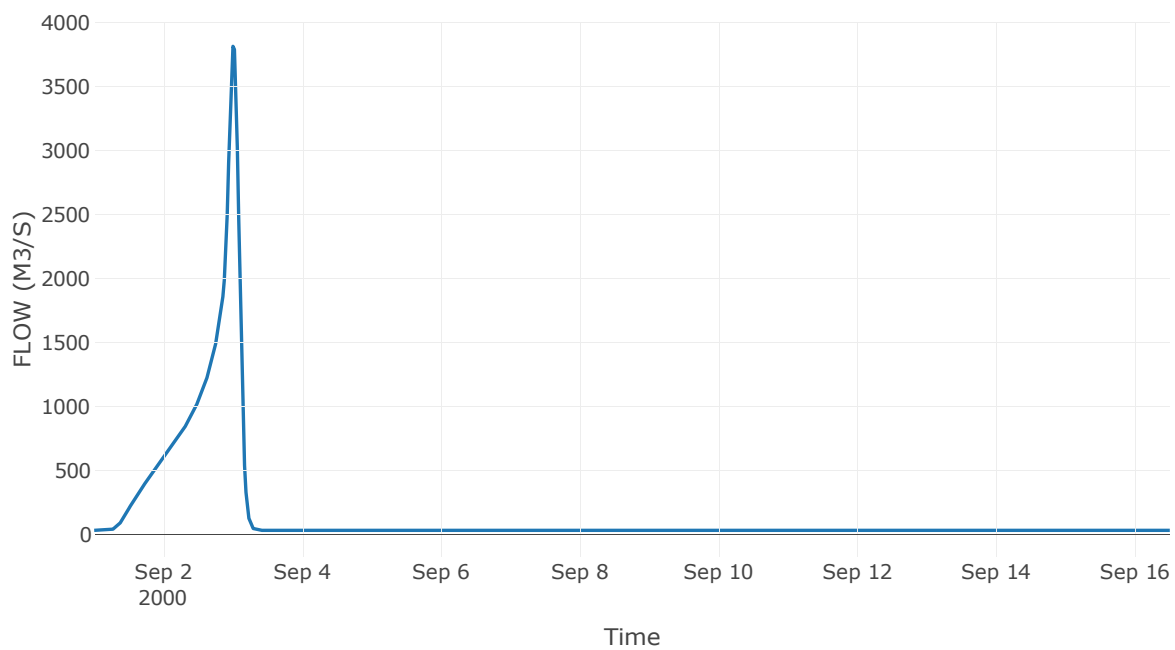
Κόμβος: J32

Κατάντη : R3230

Αποτελέσματα: J32

Παροχή Αιχμής (M3/S)	3815.03
Χρονική στιγμή αιχμής	02Sep2000, 24:00
Όγκος(MM)	400.47

Απορροή



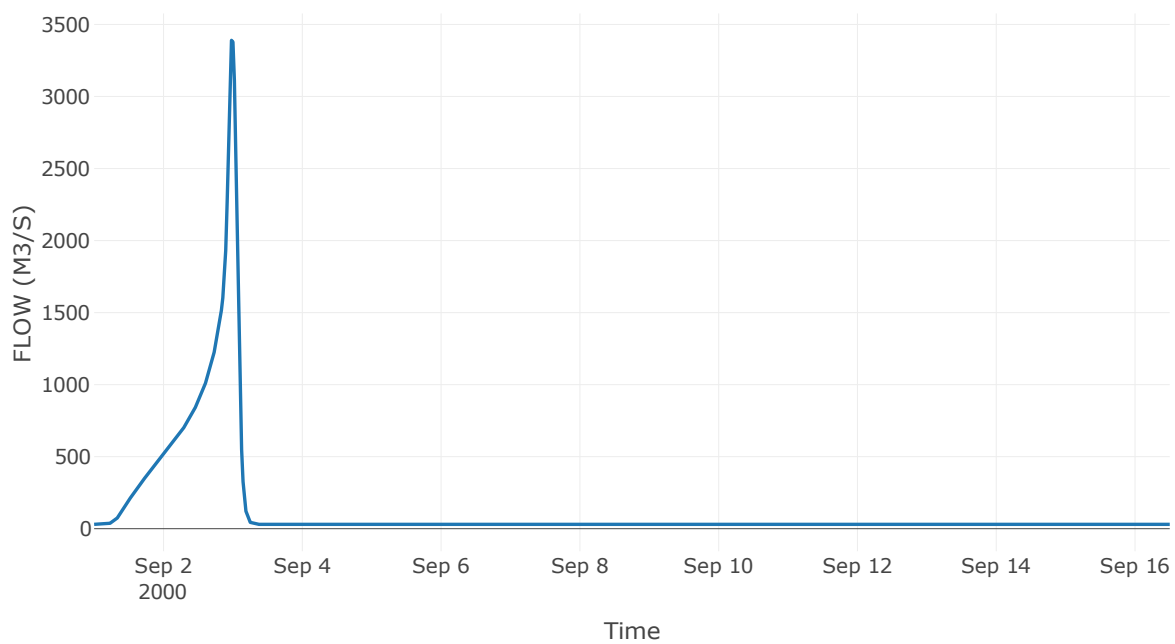
Κόμβος: J33

Κατάντη : R3332

Αποτελέσματα: J33

Παροχή Αιχμής (M3/S)	3389.87
Χρονική στιγμή αιχμής	02Sep2000, 23:30
Όγκος(MM)	401.26

Απορροή



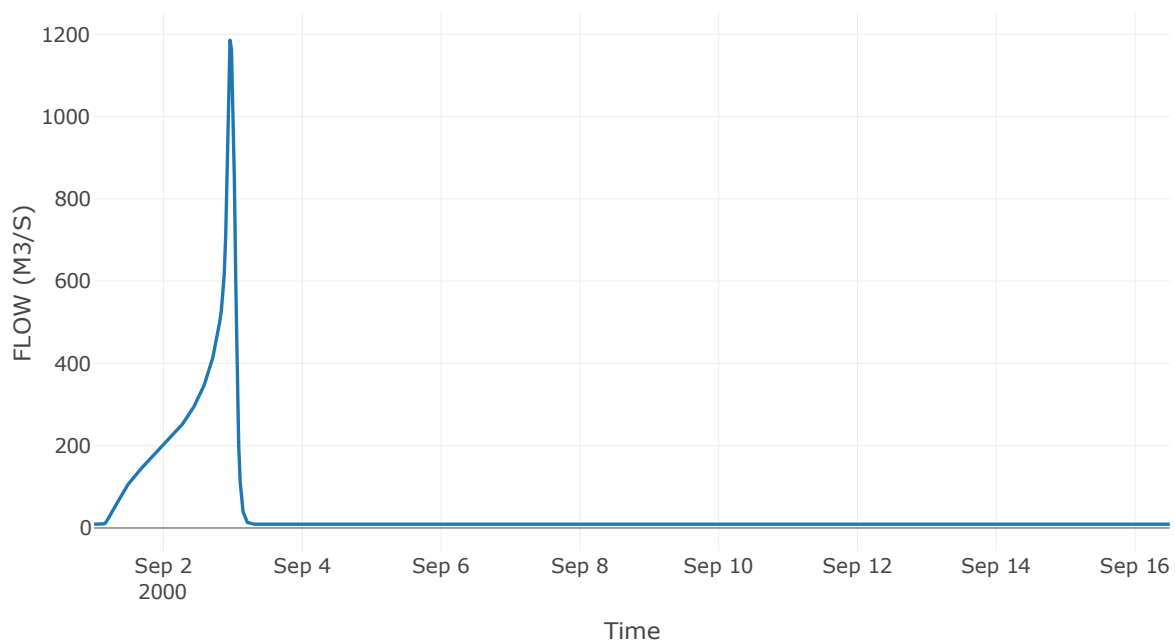
Κόμβος: J34

Κατάντη : R3433

Αποτελέσματα: J34

Παροχή Αιχμής (M3/S)	1185.51
Χρονική στιγμή αιχμής	02Sep2000, 23:00
Όγκος(MM)	449.88

Απορροή



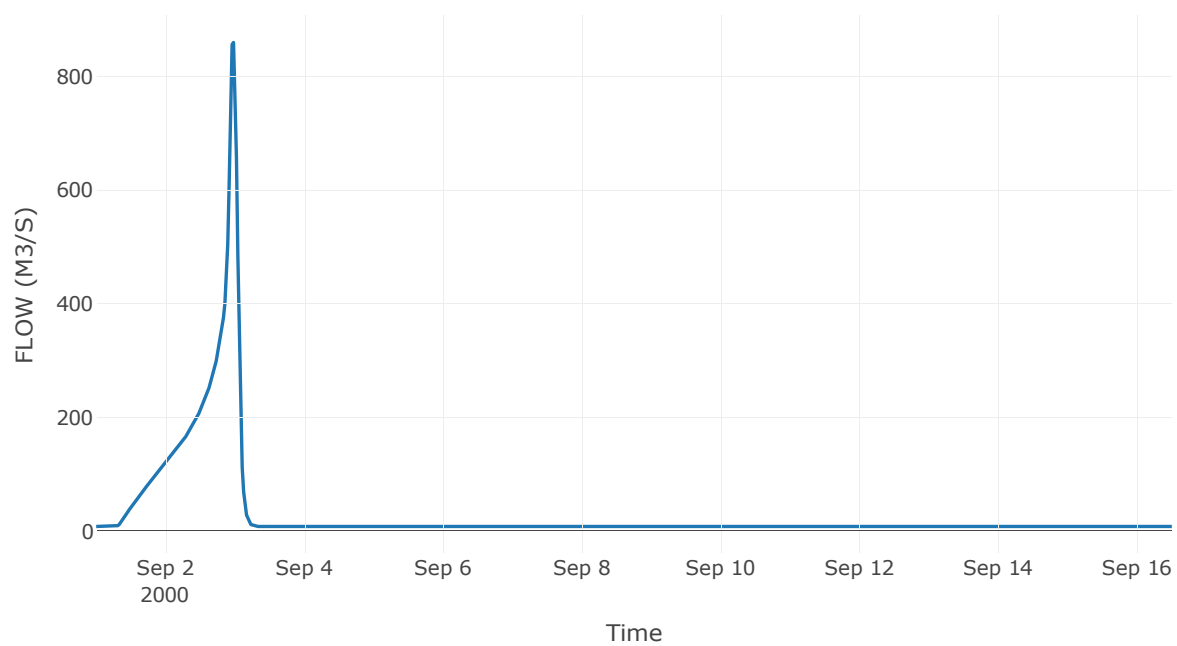
Κόμβος: J35

Κατάντη : R3533

Αποτελέσματα: J35

Παροχή Αιχμής (M3/S)	860.1
Χρονική στιγμή αιχμής	02Sep2000, 23:30
Όγκος(MM)	341.34

Απορροή



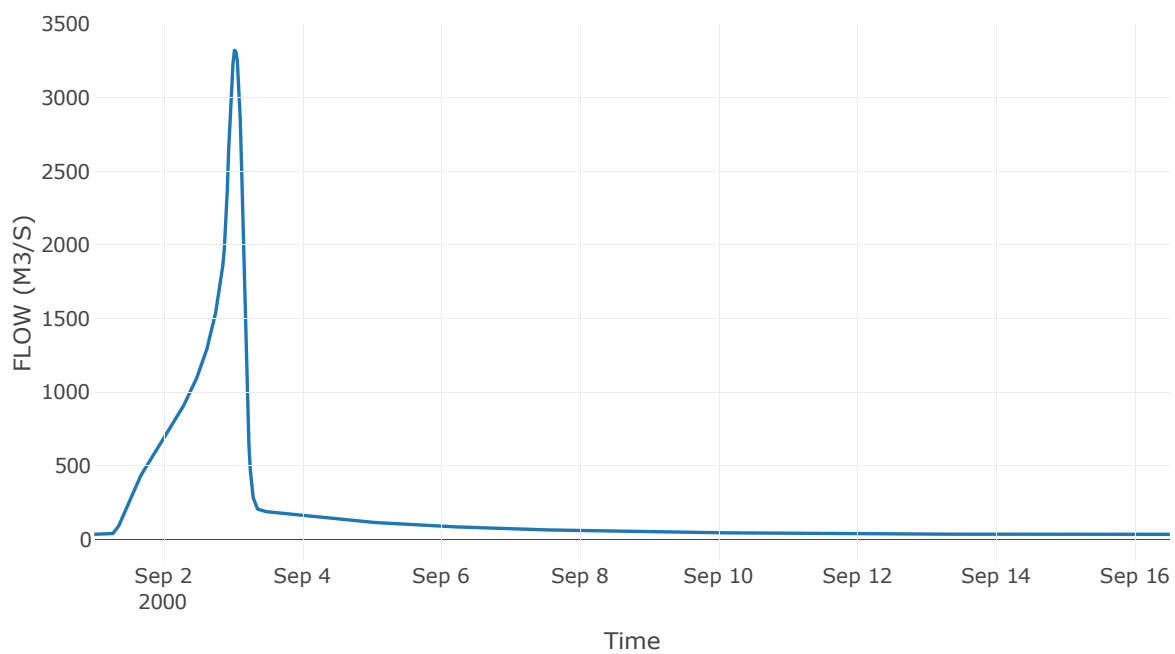
Κόμβος: J37

Κατάντη : R3726

Αποτελέσματα: J37

Παροχή Αιχμής (M3/S)	3320.86
Χρονική στιγμή αιχμής	03Sep2000, 00:30
Όγκος(MM)	521.5

Απορροή



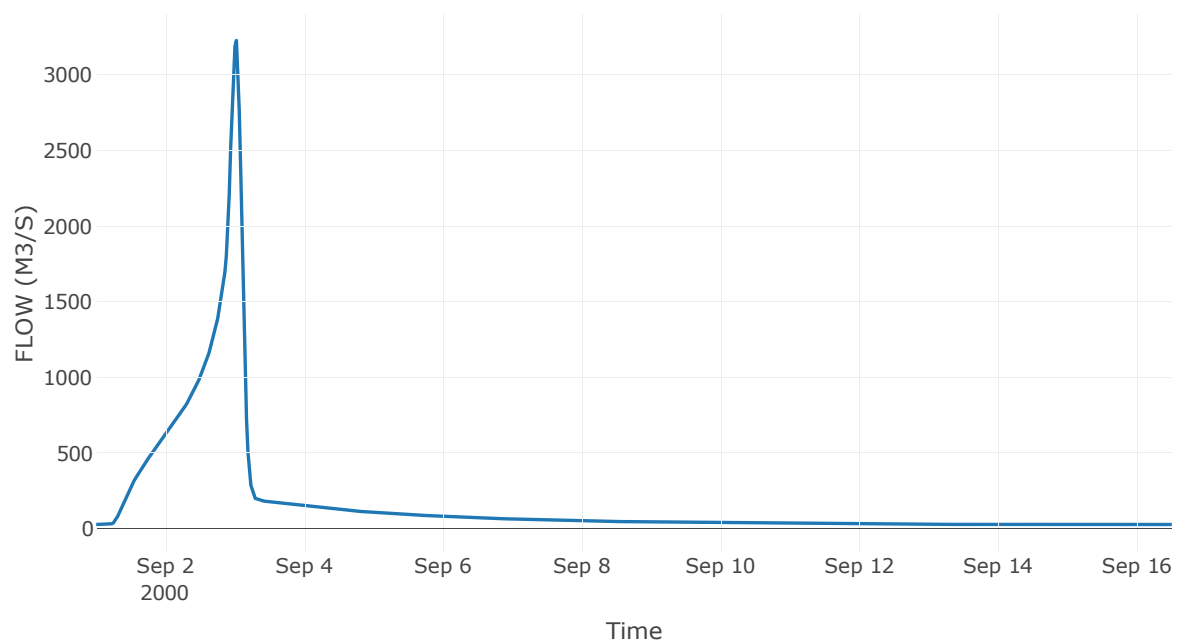
Κόμβος: J38

Κατάντη : R3837

Αποτελέσματα: J38

Παροχή Αιχμής (M3/S)	3227.98
Χρονική στιγμή αιχμής	03Sep2000, 00:30
Όγκος(MM)	537.06

Απορροή



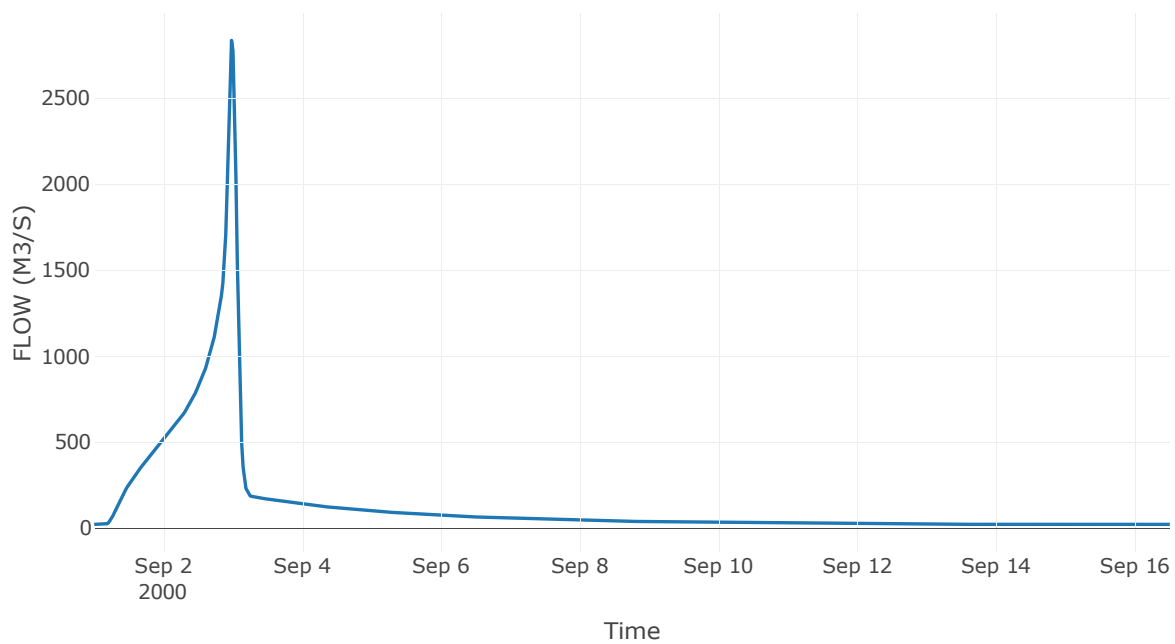
Κόμβος: J39

Κατάντη : R3938

Αποτελέσματα: J39

Παροχή Αιχμής (M3/S)	2834.47
Χρονική στιγμή αιχμής	02Sep2000, 23:30
Όγκος(MM)	581.48

Απορροή



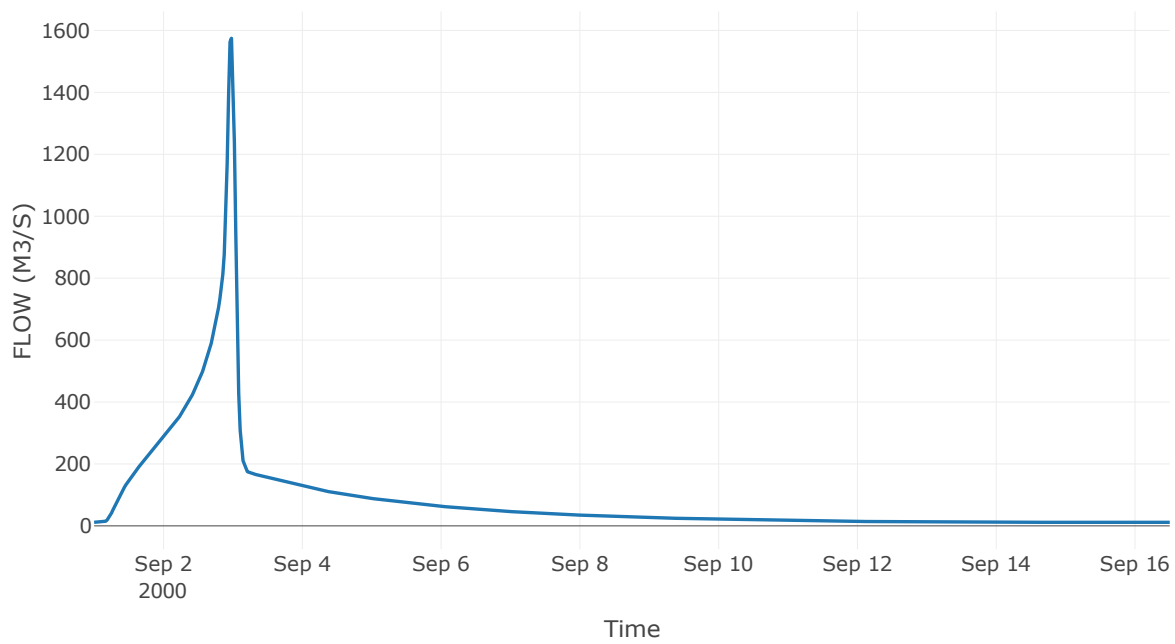
Κόμβος: J40

Κατάντη : R4039

Αποτελέσματα: J40

Παροχή Αιχμής (M3/S)	1574.8
Χρονική στιγμή αιχμής	02Sep2000, 23:30
Όγκος(MM)	715.74

Απορροή



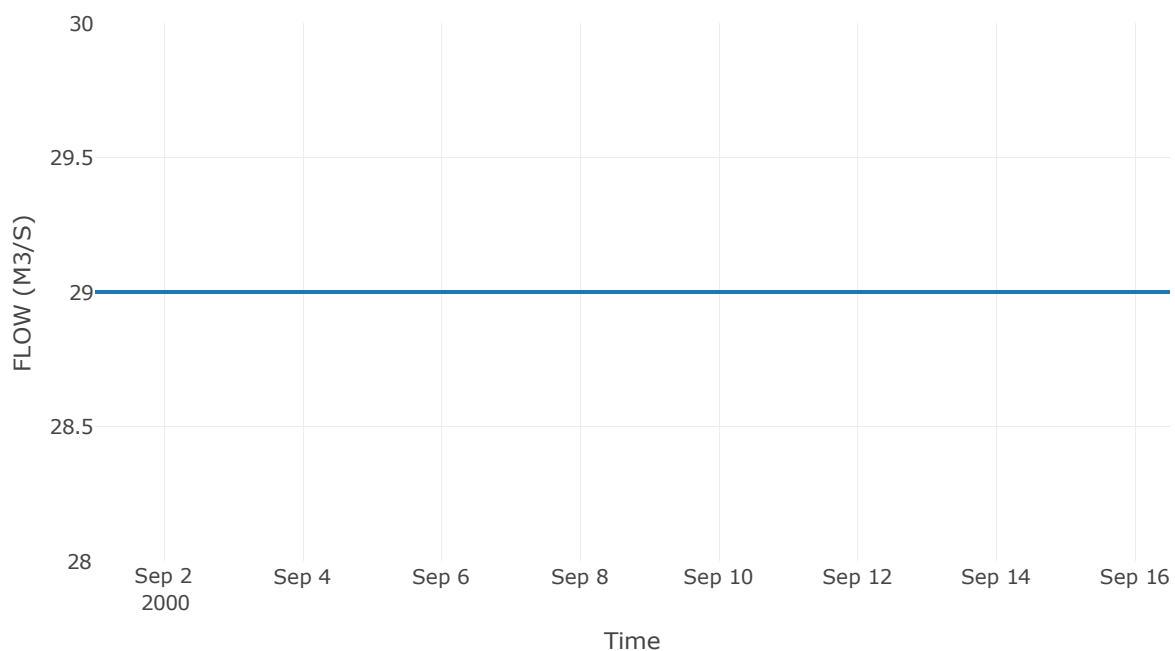
Ταμιευτήρας: J41_RES4

Κατάντη : Κόμβος εξόδου - RES4

Αποτελέσματα: J41_RES4

Παροχή Αιχμής (M3/S)	29
Χρονική στιγμή αιχμής	31Aug2000, 24:00
Όγκος(MM)	234.94
Παροχή Αιχμής Εισόδου (M3/S)	1106.41
Time of Peak Inflow	02Sep2000, 24:00
Όγκος Εισροής (M3)	7.51E7
Maximum Storage (M3)	4.1E8
Peak Elevation (M)	793.84
Discharge Όγκος(M3)	3.88E7

Απορροή



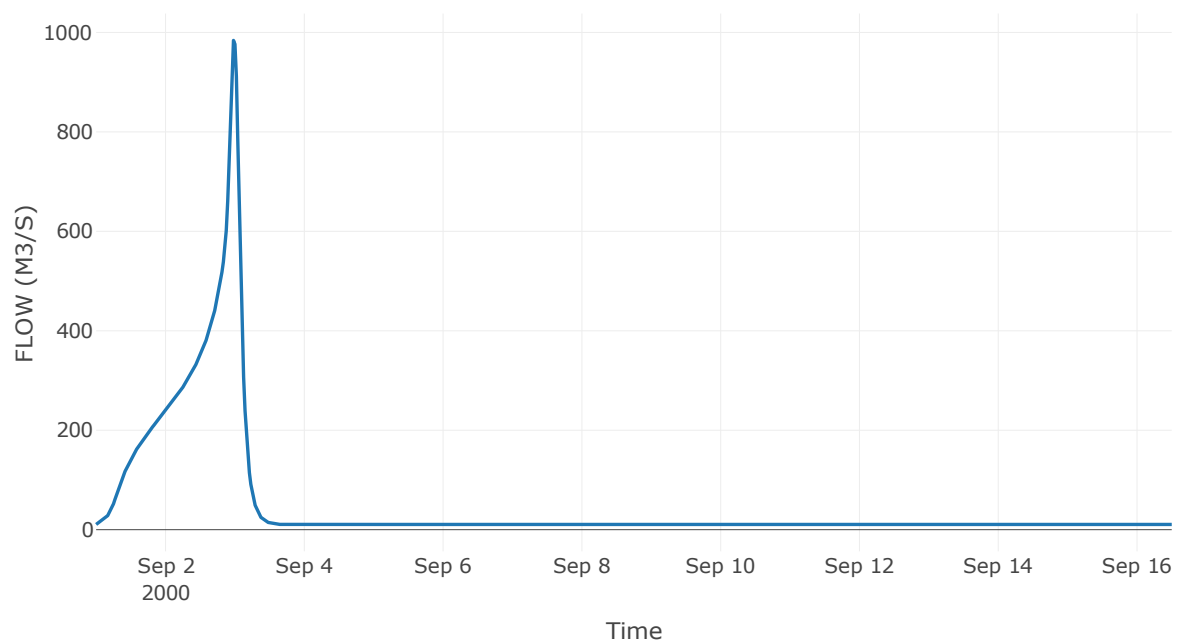
Κόμβος: J42

Κατάντη : R4241

Αποτελέσματα: J42

Παροχή Αιχμής (M3/S)	983.94
Χρονική στιγμή αιχμής	02Sep2000, 23:30
Όγκος(MM)	452.5

Απορροή



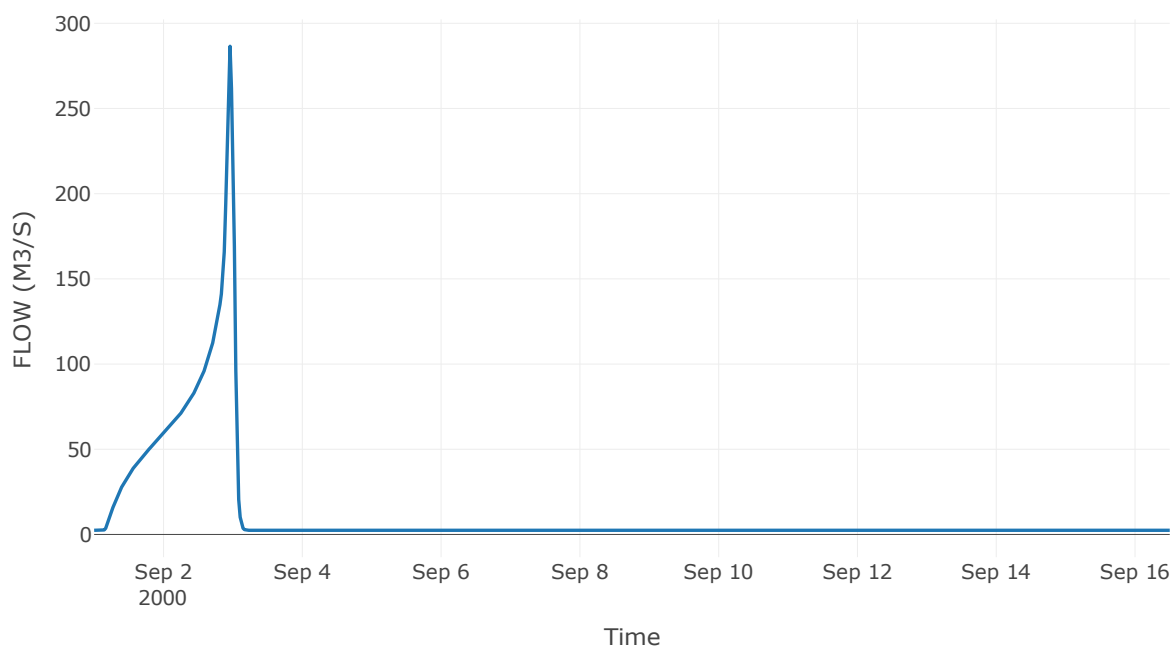
Κόμβος: J43

Κατάντη : R4342

Αποτελέσματα: J43

Παροχή Αιχμής (M3/S)	286.52
Χρονική στιγμή αιχμής	02Sep2000, 23:00
Όγκος(MM)	450.04

Απορροή



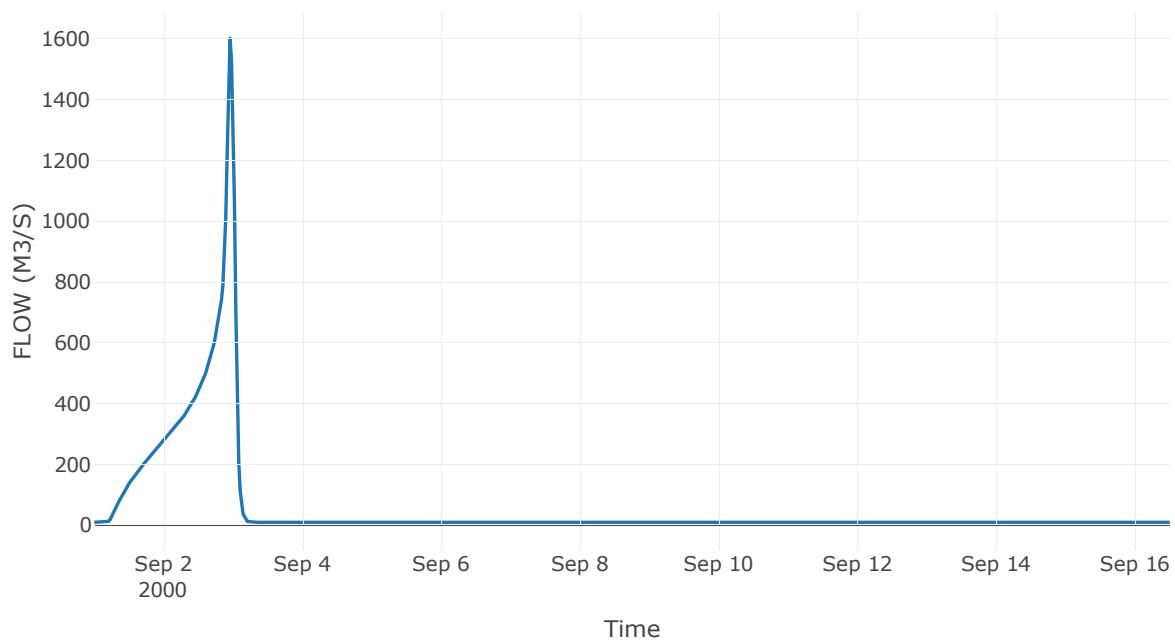
Κόμβος: J44

Κατάντη : R4462

Αποτελέσματα: J44

Παροχή Αιχμής (M3/S)	1600.84
Χρονική στιγμή αιχμής	02Sep2000, 23:00
Όγκος(MM)	554.51

Απορροή



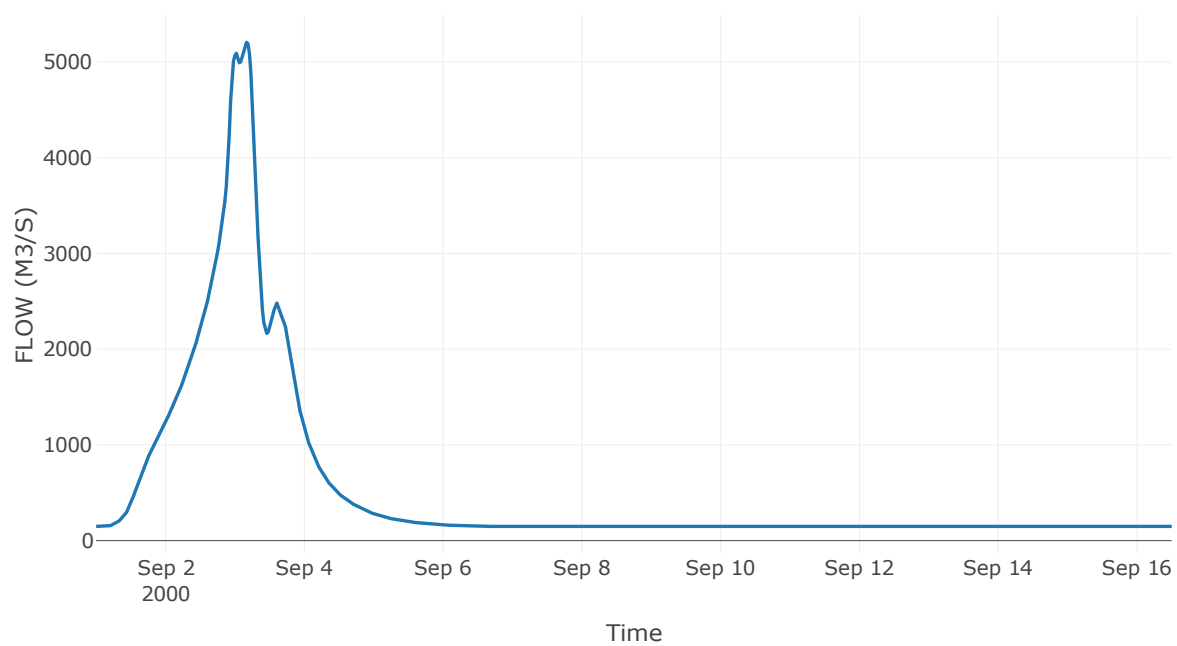
Κόμβος: J45

Κατάντη : R4523

Αποτελέσματα: J45

Παροχή Αιχμής (M3/S)	5205.47
Χρονική στιγμή αιχμής	03Sep2000, 04:00
Όγκος(MM)	487

Απορροή



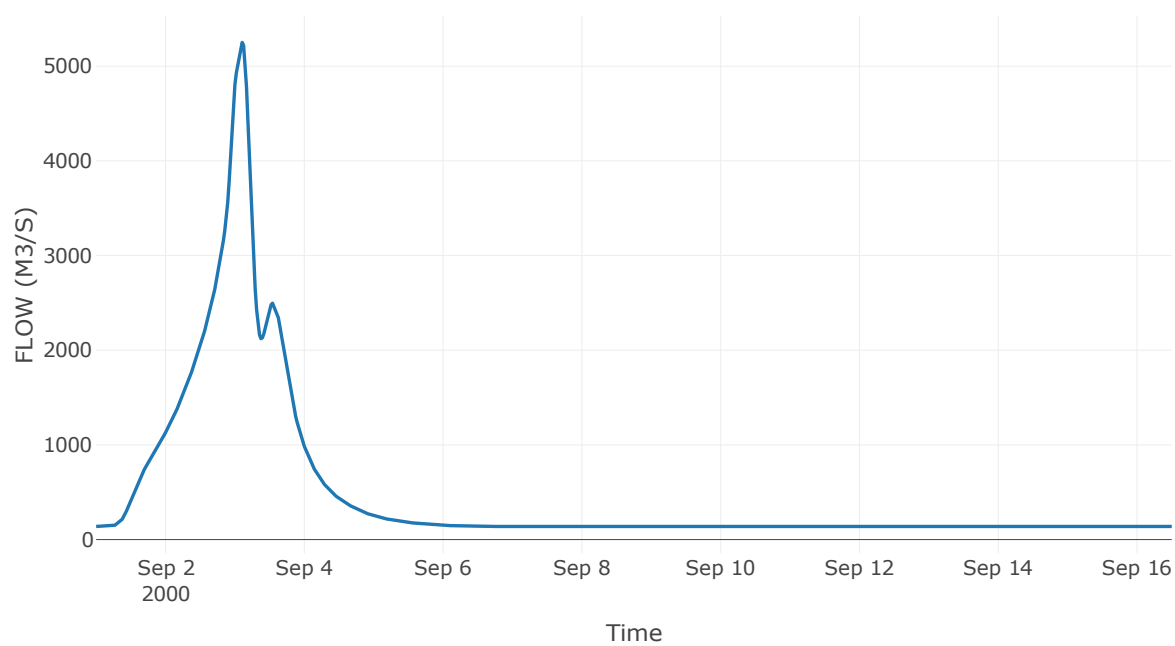
Κόμβος: J46

Κατάντη : R4645

Αποτελέσματα: J46

Παροχή Αιχμής (M3/S)	5250.95
Χρονική στιγμή αιχμής	03Sep2000, 02:30
Όγκος(MM)	493.19

Απορροή



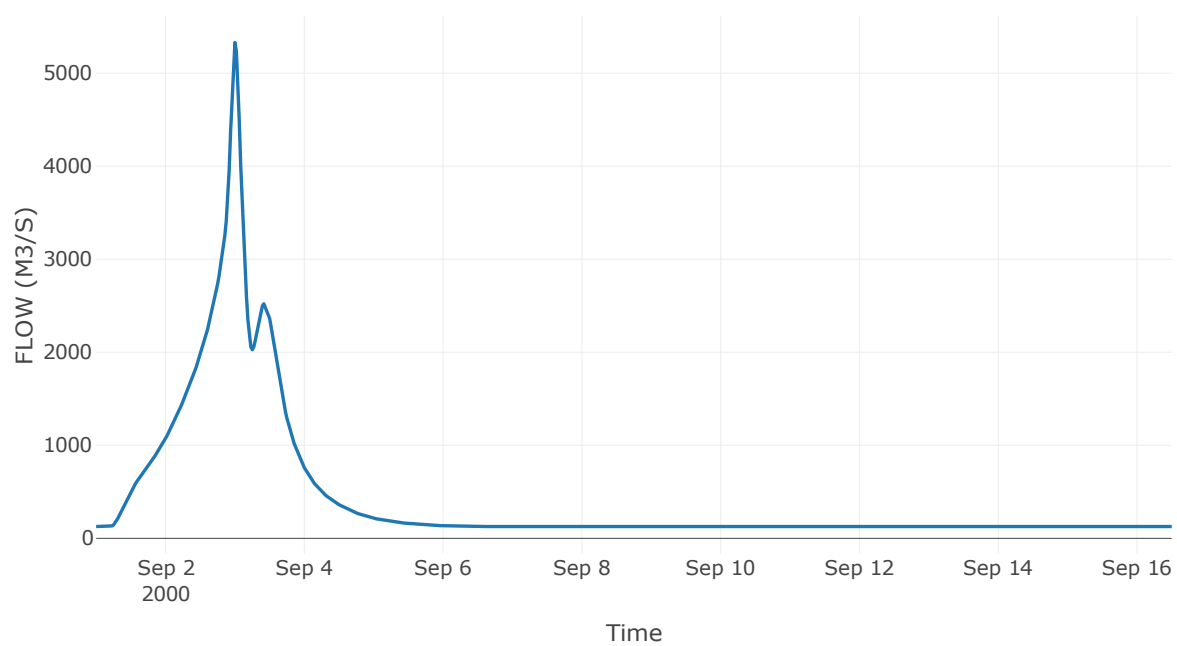
Κόμβος: J47

Κατάντη : R4746

Αποτελέσματα: J47

Παροχή Αιχμής (M3/S)	5329.69
Χρονική στιγμή αιχμής	02Sep2000, 24:00
Όγκος(MM)	506.37

Απορροή



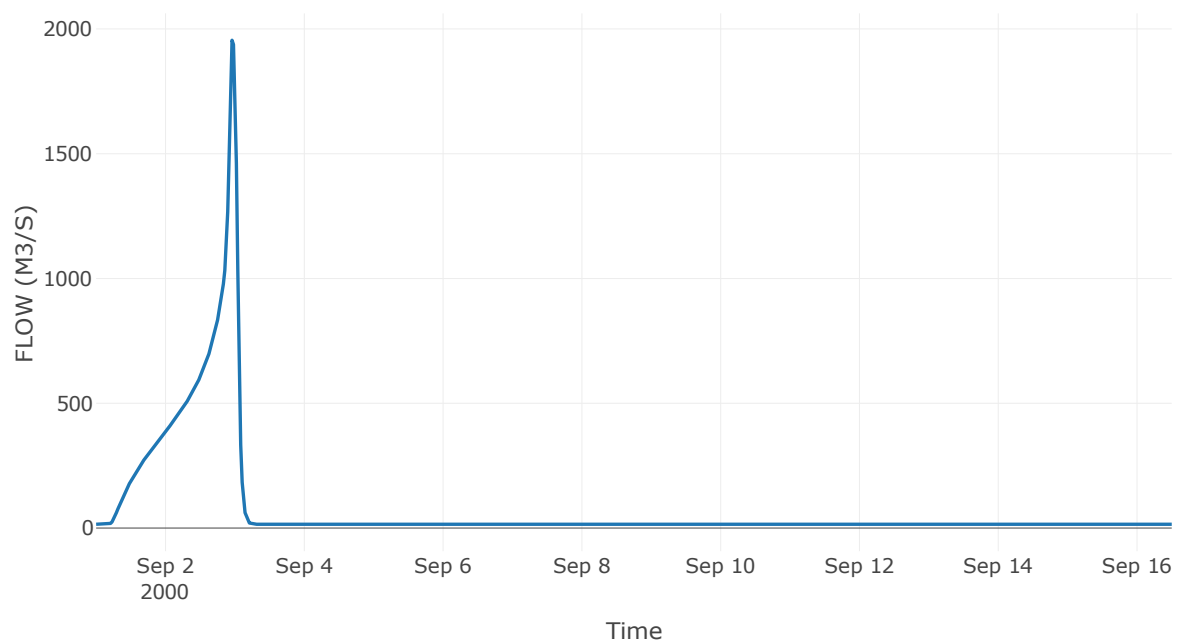
Κόμβος: J48

Κατάντη : R4847

Αποτελέσματα: J48

Παροχή Αιχμής (M3/S)	1954.69
Χρονική στιγμή αιχμής	02Sep2000, 23:00
Όγκος(MM)	488.65

Απορροή



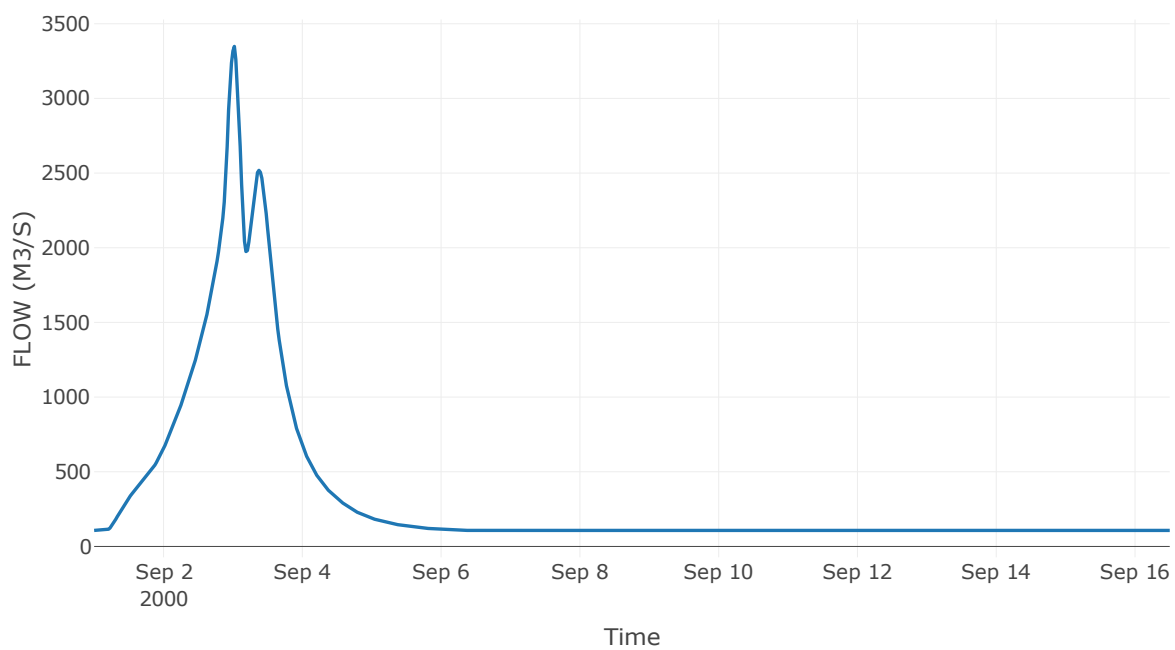
Κόμβος: J49

Κατάντη : R4947

Αποτελέσματα: J49

Παροχή Αιχμής (M3/S)	3348.25
Χρονική στιγμή αιχμής	03Sep2000, 00:30
Όγκος(MM)	518.56

Απορροή



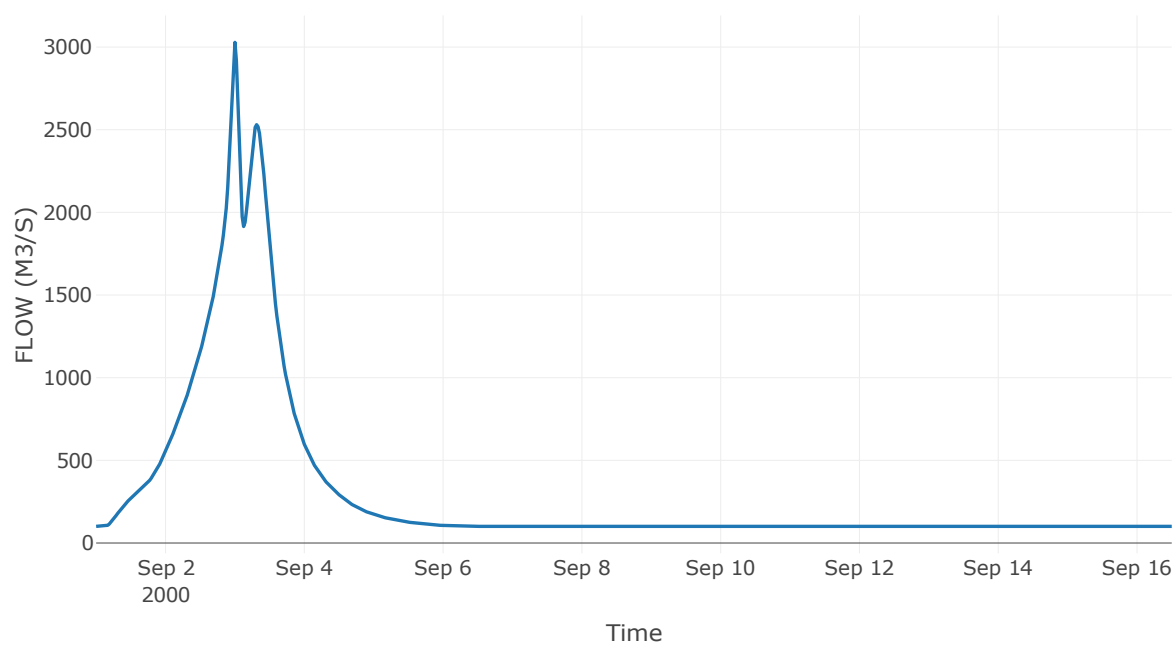
Κόμβος: J50

Κατάντη : R5049

Αποτελέσματα: J50

Παροχή Αιχμής (M3/S)	3028.48
Χρονική στιγμή αιχμής	02Sep2000, 24:00
Όγκος(MM)	523.41

Απορροή



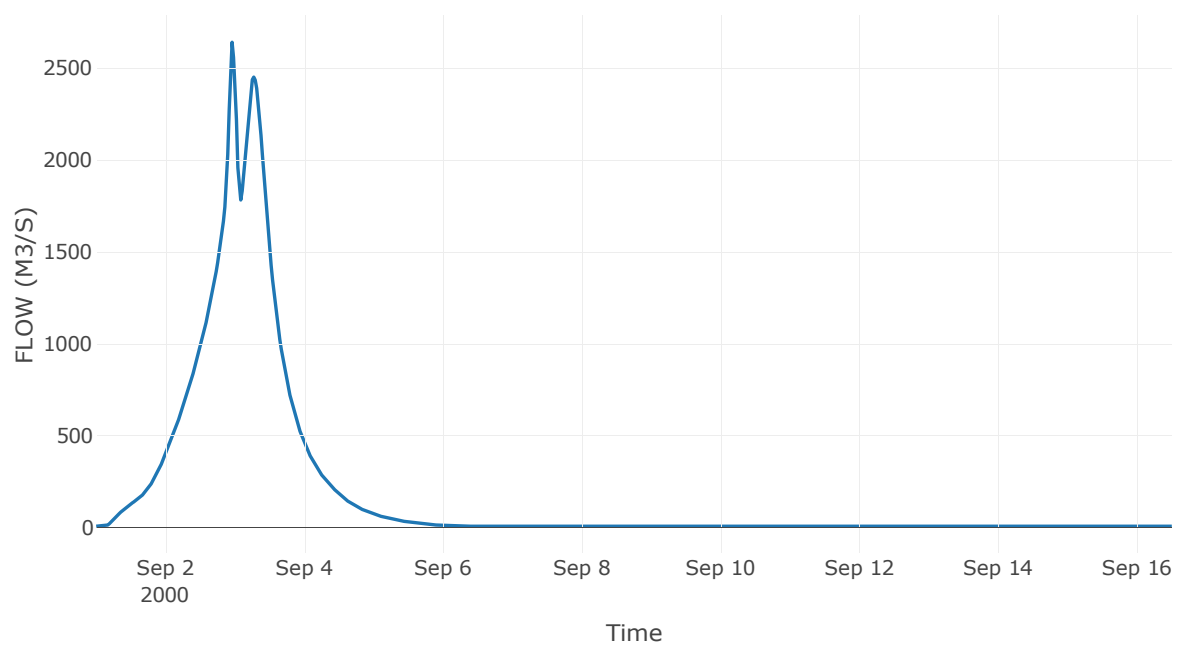
Κόμβος: J51

Κατάντη : R5150

Αποτελέσματα: J51

Παροχή Αιχμής (M3/S)	2640
Χρονική στιγμή αιχμής	02Sep2000, 23:00
Όγκος(MM)	2440.05

Απορροή



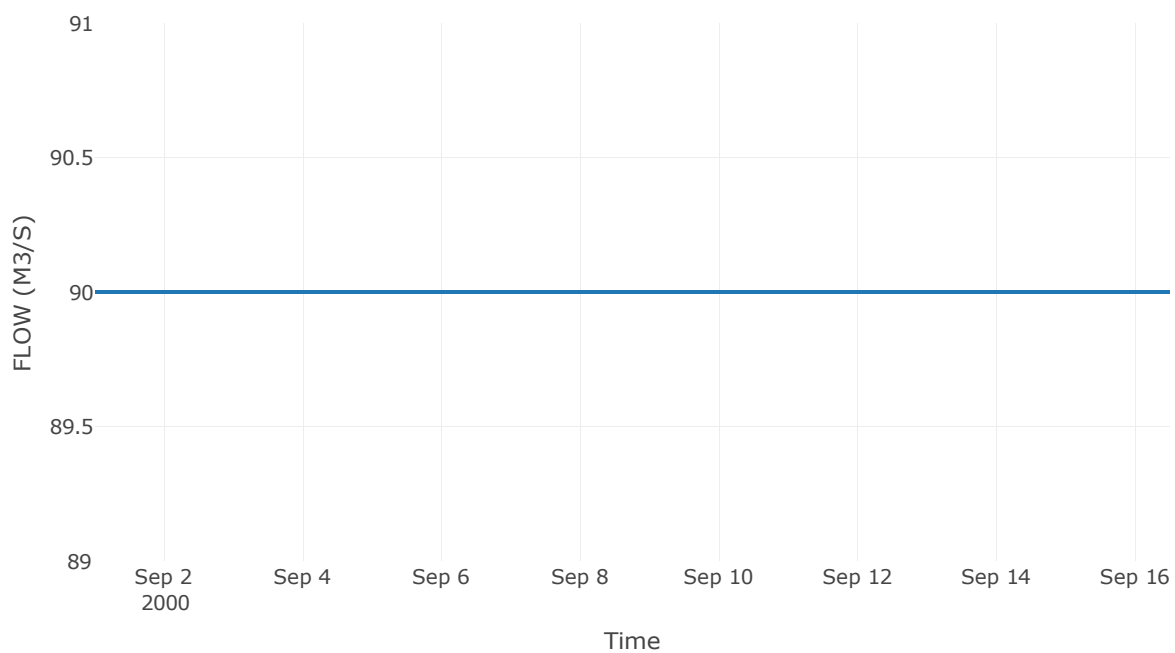
Ταμιευτήρας: J53_RES5

Κατάντη : J50

Αποτελέσματα: J53_RES5

Παροχή Αιχμής (M3/S)	90
Χρονική στιγμή αιχμής	31Aug2000, 24:00
Όγκος(MM)	190.43
Παροχή Αιχμής Εισόδου (M3/S)	4098.92
Time of Peak Inflow	03Sep2000, 03:00
Όγκος Εισροής (M3)	2.82E8
Maximum Storage (M3)	3.66E8
Peak Elevation (M)	770.9
Discharge Όγκος(M3)	1.21E8

Απορροή



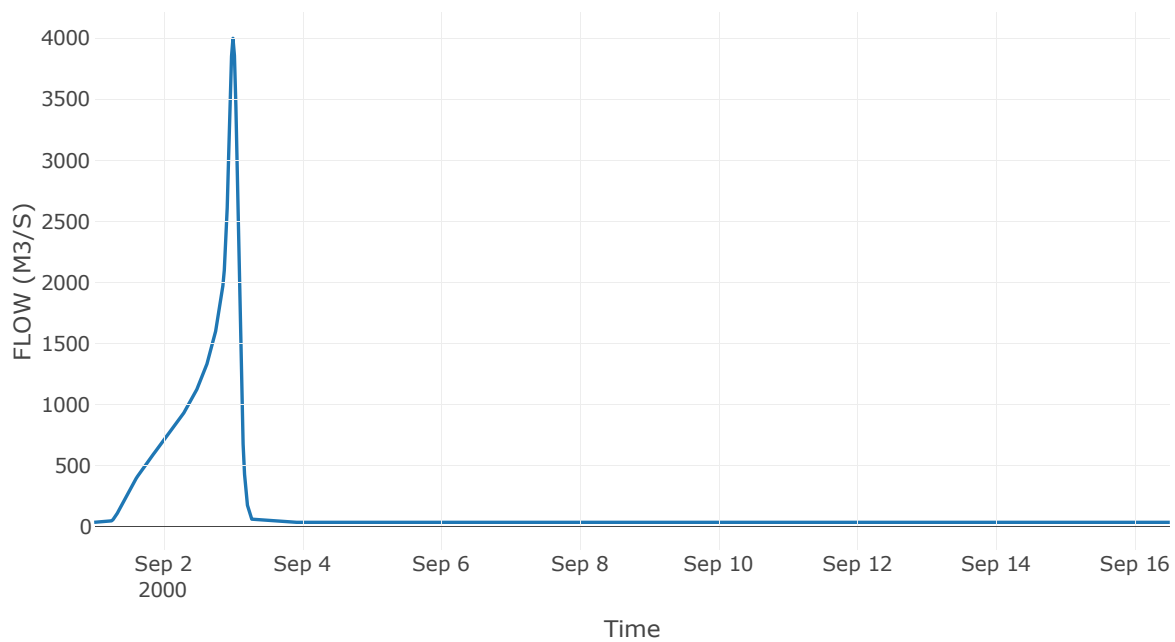
Κόμβος: J54

Κατάντη : R5457

Αποτελέσματα: J54

Παροχή Αιχμής (M3/S)	3998.75
Χρονική στιγμή αιχμής	02Sep2000, 24:00
Όγκος(MM)	433.1

Απορροή



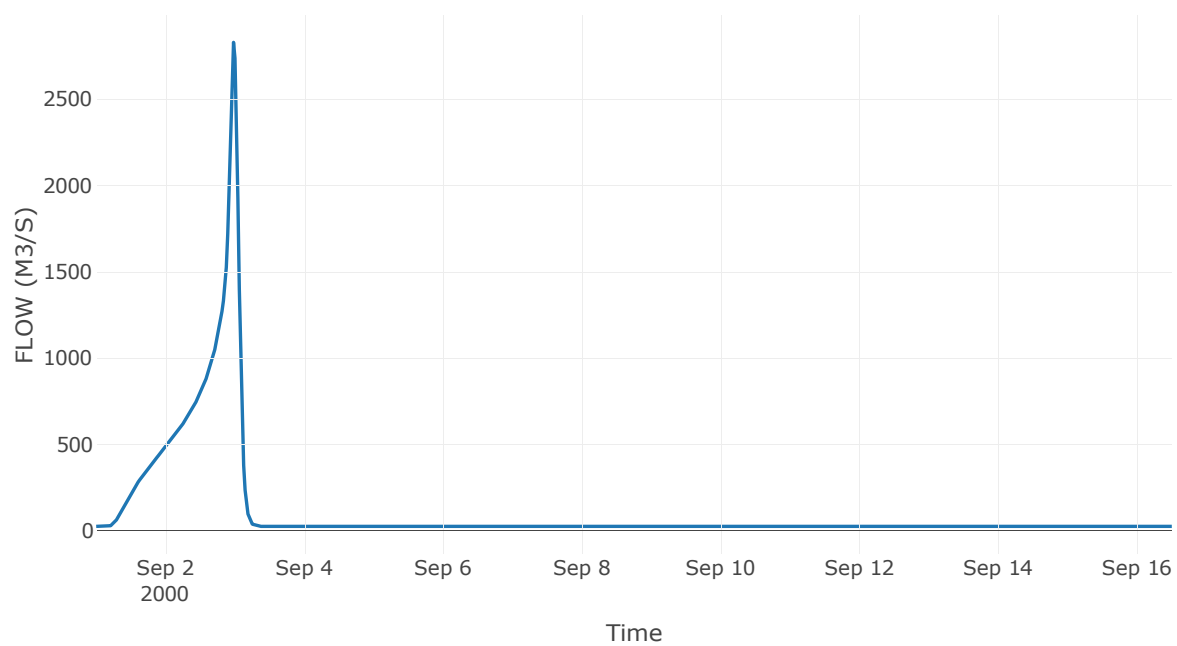
Κόμβος: J55

Κατάντη : R5554

Αποτελέσματα: J55

Παροχή Αιχμής (M3/S)	2829.09
Χρονική στιγμή αιχμής	02Sep2000, 23:30
Όγκος(MM)	426.03

Απορροή



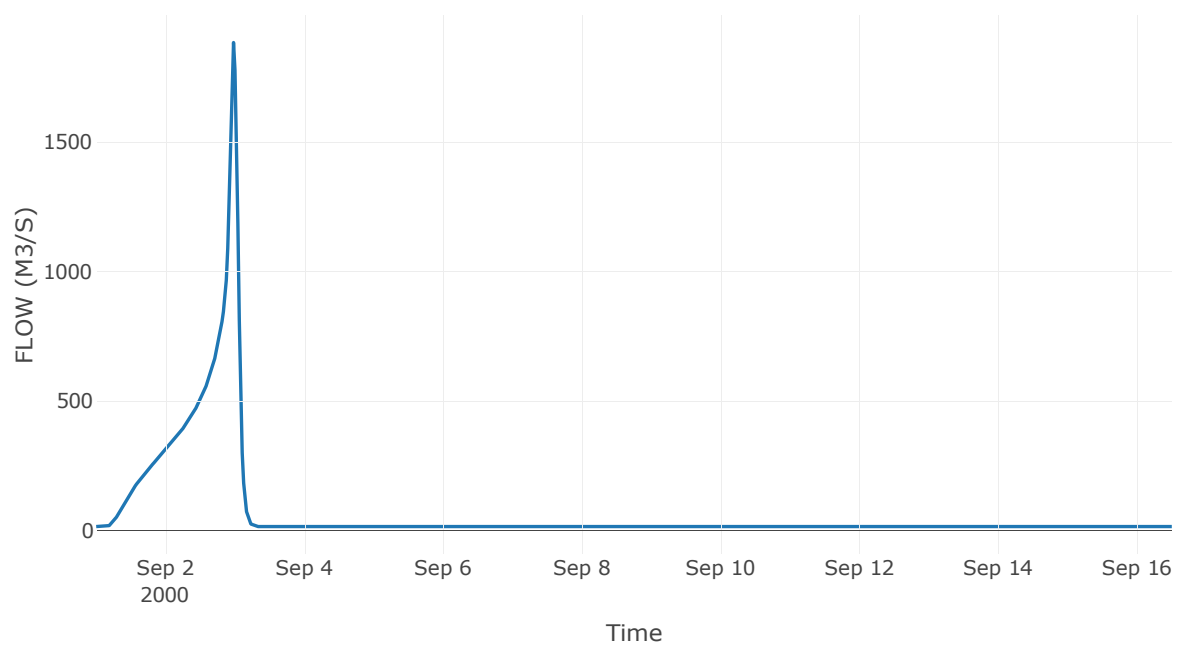
Κόμβος: J56

Κατάντη : R5655

Αποτελέσματα: J56

Παροχή Αιχμής (M3/S)	1885.36
Χρονική στιγμή αιχμής	02Sep2000, 23:30
Όγκος(MM)	401.95

Απορροή



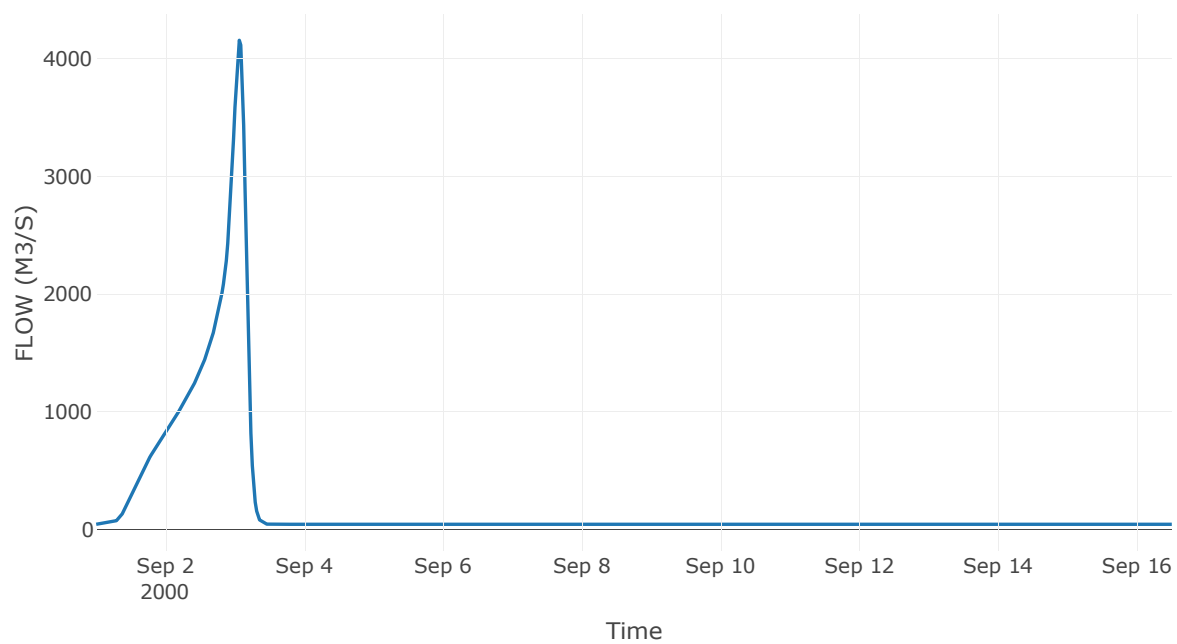
Κόμβος: J57

Κατάντη : R5753

Αποτελέσματα: J57

Παροχή Αιχμής (M3/S)	4156.52
Χρονική στιγμή αιχμής	03Sep2000, 01:30
Όγκος(MM)	443.28

Απορροή



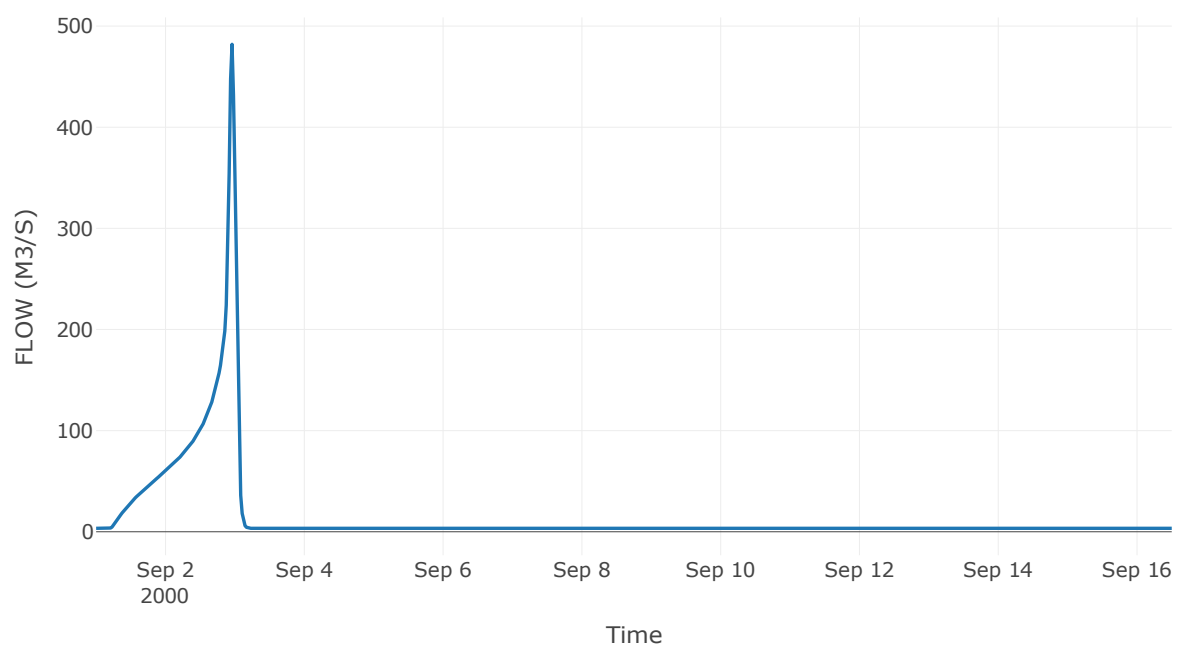
Κόμβος: J61

Κατάντη : R6120

Αποτελέσματα: J61

Παροχή Αιχμής (M3/S)	482.02
Χρονική στιγμή αιχμής	02Sep2000, 23:00
Όγκος(MM)	405.26

Απορροή



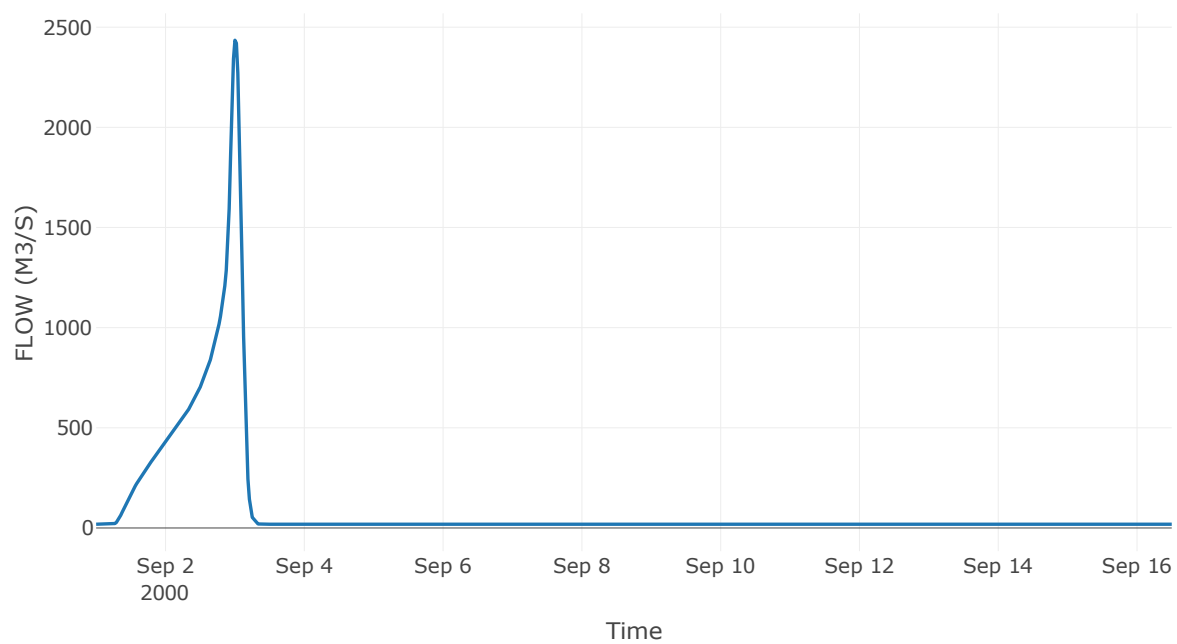
Κόμβος: J62

Κατάντη : R6227

Αποτελέσματα: J62

Παροχή Αιχμής (M3/S)	2434.97
Χρονική στιγμή αιχμής	02Sep2000, 24:00
Όγκος(MM)	509.29

Απορροή



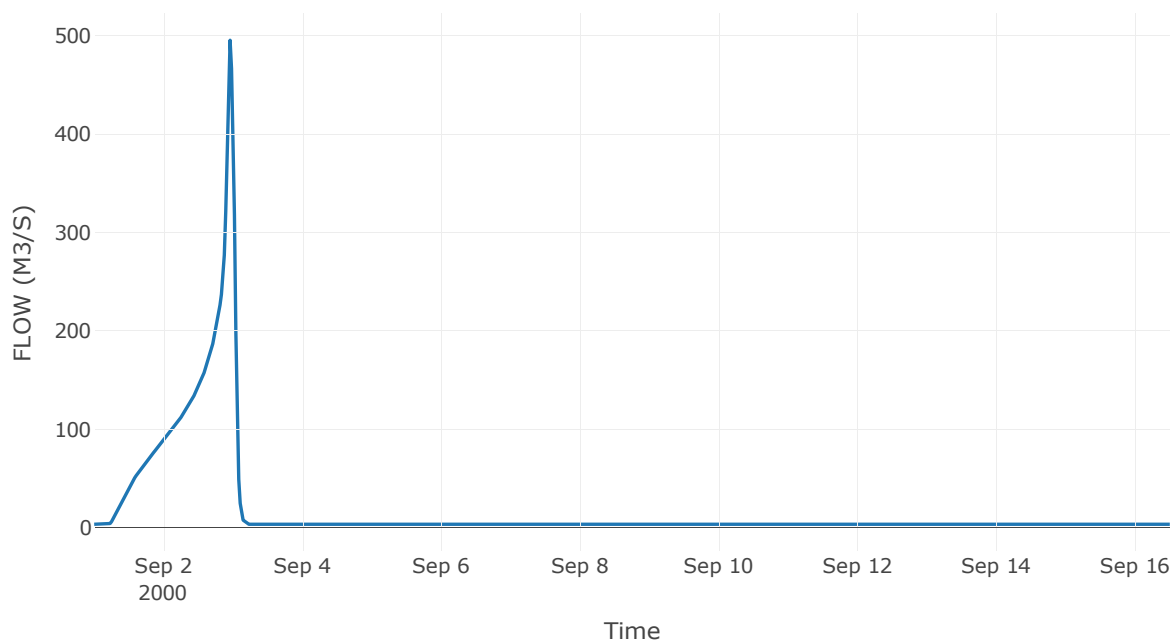
Κόμβος: J63

Κατάντη : R6357

Αποτελέσματα: J63

Παροχή Αιχμής (M3/S)	495.28
Χρονική στιγμή αιχμής	02Sep2000, 23:00
Όγκος(MM)	467.01

Απορροή



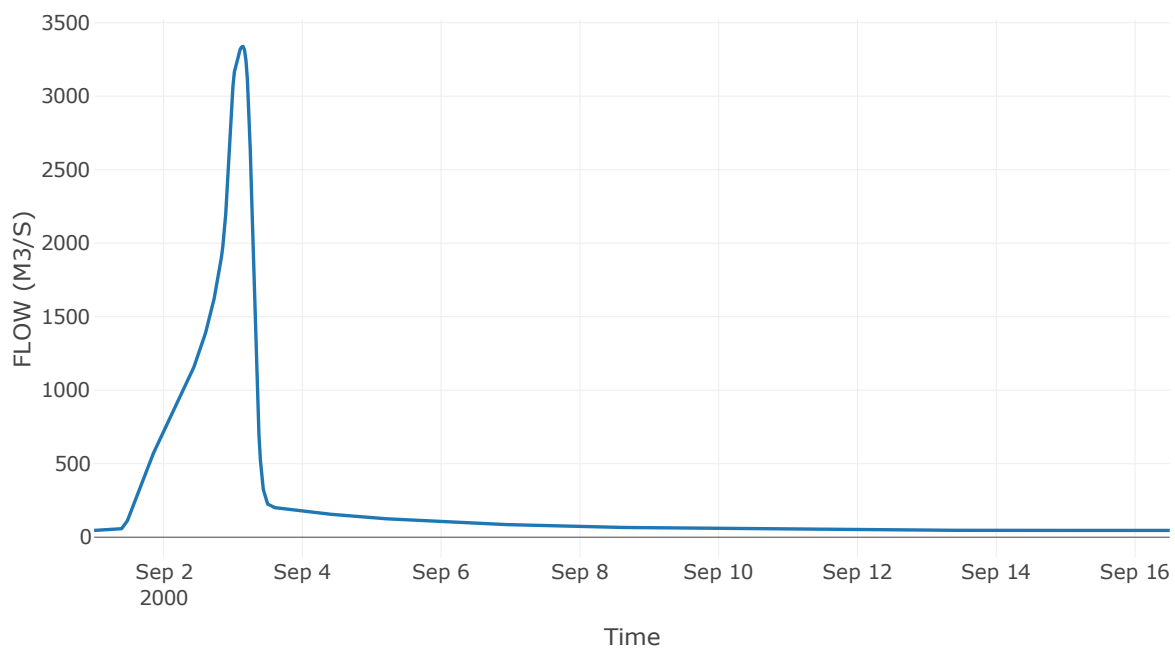
Κόμβος: J64

Κατάντη : R6429

Αποτελέσματα: J64

Παροχή Αιχμής (M3/S)	3338.62
Χρονική στιγμή αιχμής	03Sep2000, 03:30
Όγκος(MM)	482.03

Απορροή



9 Δεδομένα εισόδου και αποτελέσματα υδρολογικού σεναρίου T=1000L

9.1 Αποτελέσματα, υετογραφήματα και υδρογραφήματα σχεδιασμού υπολεκανών

Υπολεκάνη: EL0415FR6001

Έκταση (KM2) : 48.19

Κατάντη : J1

Μέθοδος Απωλειών: SCS

Ποσοστό αδιαπέρατης επιφάνειας	0
Αριθμός Καμπύλης Απορροής-CN	62.28
Αρχικές Απώλειες	30.77

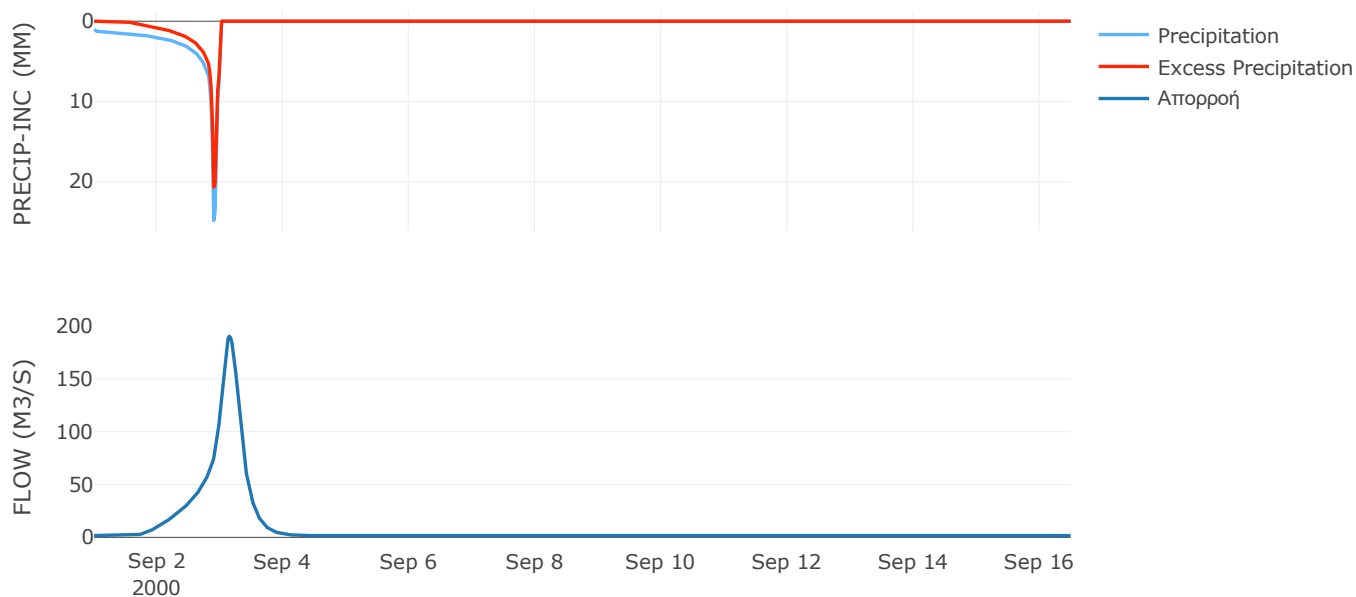
Μέθοδος
Μετασχηματισμού: SCS

Χρόνος Υστέρησης	365.34
------------------	--------

Αποτελέσματα:
EL0415FR6001

Παροχή αιχμής (M3/S)	190.36
Χρονική στιγμή αιχμής	03Sep2000, 03:30
Όγκος (MM)	238.26
Όγκος βροχόπτωσης (M3)	1.56E7
Όγκος απωλειών (M3)	6.34E6
Ενεργός Όγκος (M3)	9.22E6
Όγκος άμεσης απορροής (M3)	9.22E6
Όγκος βασικής απορροής (M3)	2.26E6

Βροχόπτωση και Απορροή



Υπολεκάνη: EL0415FR6002

Έκταση (KM2) : 27.73

Κατάντη : J2

Μέθοδος Απωλειών: SCS

Ποσοστό αδιαπέρατης επιφάνειας	0
Αριθμός Καμπύλης Απορροής-CN	62.76
Αρχικές Απώλειες	30.14

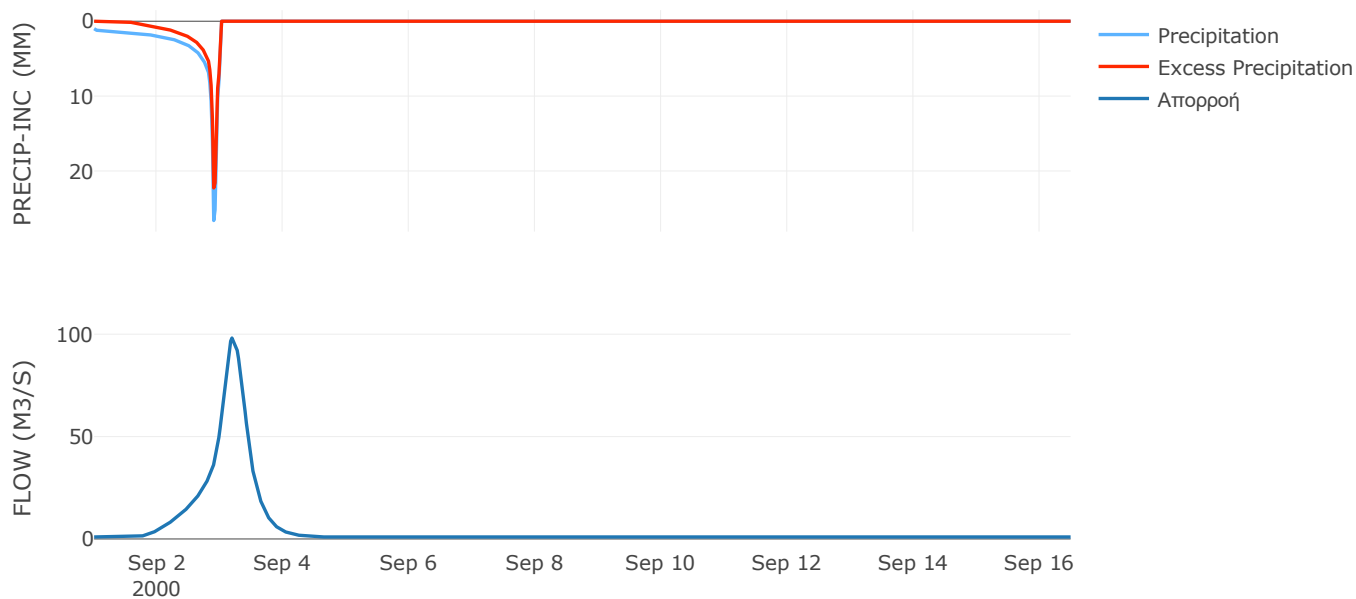
Μέθοδος
Μετασχηματισμού: SCS

Χρόνος Υστέρησης	458.14
------------------	--------

Αποτελέσματα:
EL0415FR6002

Παροχή αιχμής (M3/S)	98.31
Χρονική στιγμή αιχμής	03Sep2000, 05:00
Όγκος (MM)	242.29
Όγκος βροχόπτωσης (M3)	9.02E6
Όγκος απωλειών (M3)	3.6E6
Ενεργός Όγκος (M3)	5.42E6
Όγκος άμεσης απορροής (M3)	5.42E6
Όγκος βασικής απορροής (M3)	1.3E6

Βροχόπτωση και Απορροή



Υπολεκάνη: EL0415FR6003

Έκταση (KM2) : 27.92

Κατάντη : J3

Μέθοδος Απωλειών: SCS

Ποσοστό αδιαπέρατης επιφάνειας	0
Αριθμός Καμπύλης Απορροής-CN	58.76
Αρχικές Απώλειες	35.65

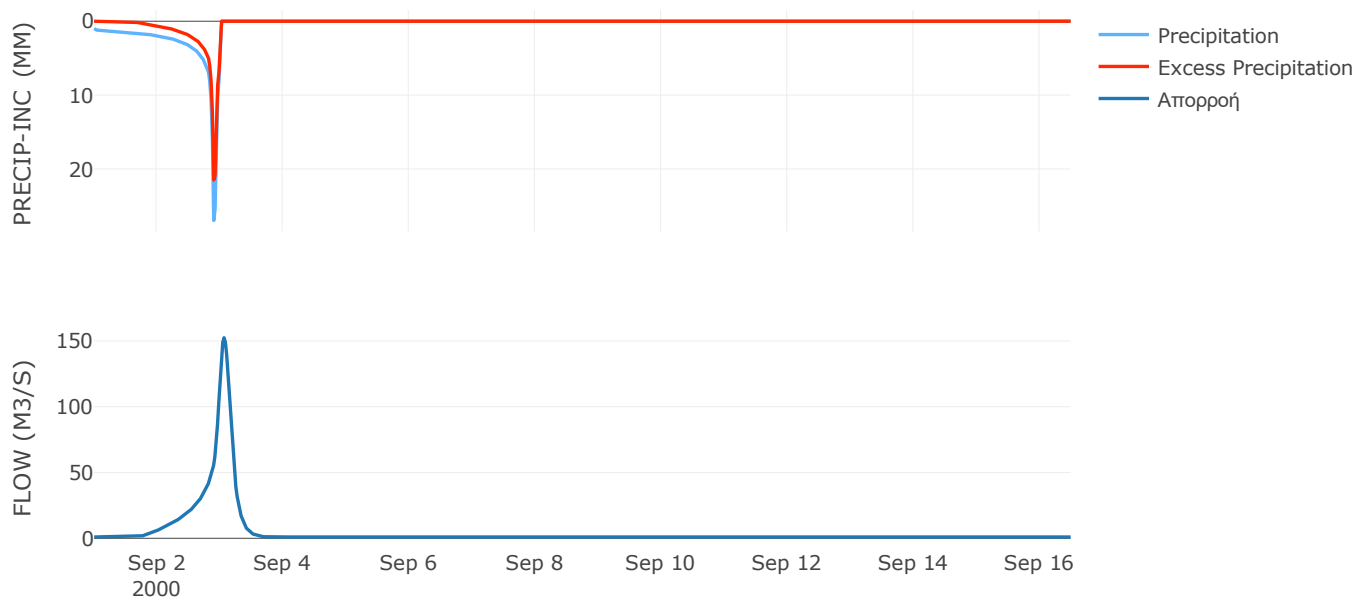
Μέθοδος
Μετασχηματισμού: SCS

Χρόνος Υστέρησης	212.2
------------------	-------

Αποτελέσματα:
EL0415FR6003

Παροχή αιχμής (M3/S)	152.46
Χρονική στιγμή αιχμής	03Sep2000, 01:30
Όγκος (MM)	226.96
Όγκος βροχόπτωσης (M3)	9.11E6
Όγκος απωλειών (M3)	4.08E6
Ενεργός Όγκος (M3)	5.03E6
Όγκος άμεσης απορροής (M3)	5.03E6
Όγκος βασικής απορροής (M3)	1.31E6

Βροχόπτωση και Απορροή



Υπολεκάνη: EL0415FR6004

Έκταση (KM2) : 22.76

Κατάντη : J4

Μέθοδος Απωλειών: SCS

Ποσοστό αδιαπέρατης επιφάνειας	0
Αριθμός Καμπύλης Απορροής-CN	52.88
Αρχικές Απώλειες	45.27

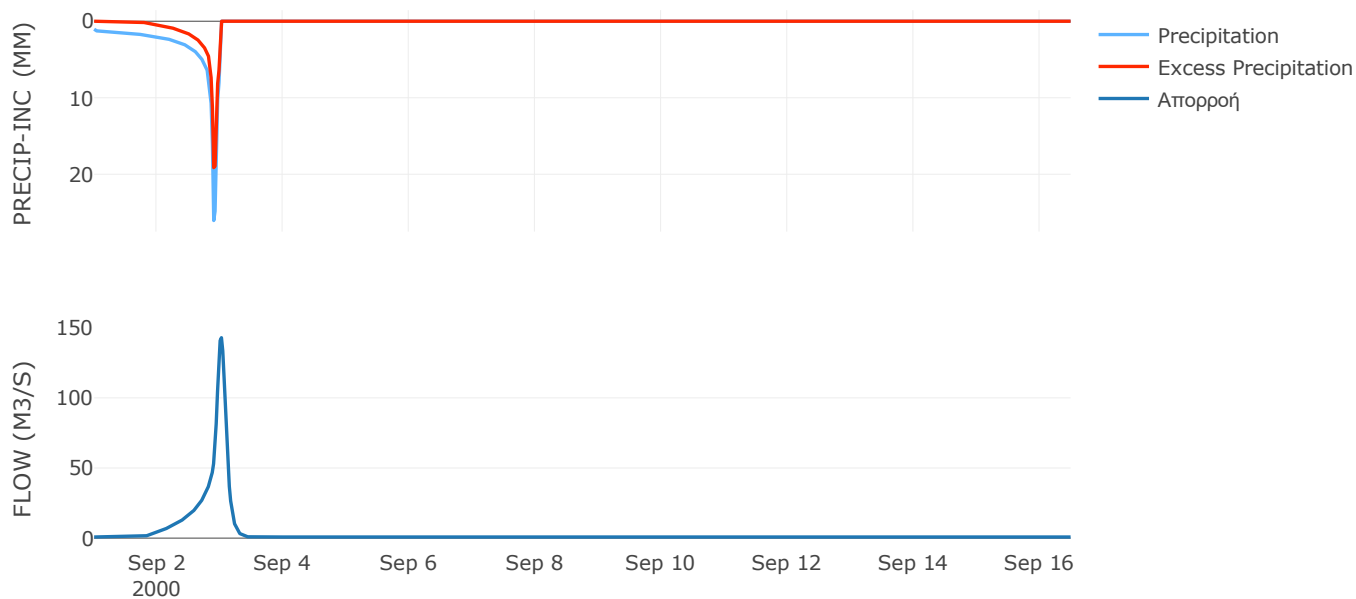
Μέθοδος
Μετασχηματισμού: SCS

Χρόνος Υστέρησης	131.36
------------------	--------

Αποτελέσματα:
EL0415FR6004

Παροχή αιχμής (M3/S)	142.88
Χρονική στιγμή αιχμής	03Sep2000, 00:30
Όγκος (MM)	206.3
Όγκος βροχόπτωσης (M3)	7.53E6
Όγκος απωλειών (M3)	3.9E6
Ενεργός Όγκος (M3)	3.63E6
Όγκος άμεσης απορροής (M3)	3.63E6
Όγκος βασικής απορροής (M3)	1.07E6

Βροχόπτωση και Απορροή



Υπολεκάνη: EL0415FR6005

Έκταση (KM2) : 10.79

Κατάντη : J5

Μέθοδος Απωλειών: SCS

Ποσοστό αδιαπέρατης επιφάνειας	0
Αριθμός Καμπύλης Απορροής-CN	64.94
Αρχικές Απώλειες	27.42

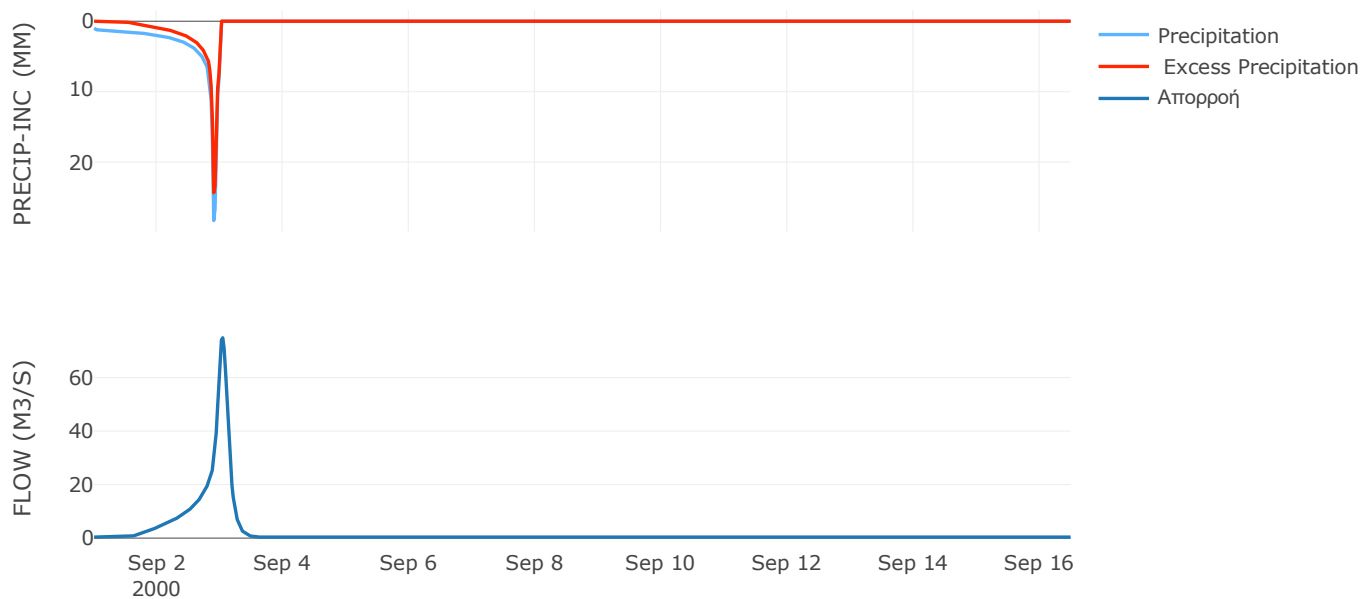
Μέθοδος
Μετασχηματισμού: SCS

Χρόνος Υστέρησης	166.88
------------------	--------

Αποτελέσματα:
EL0415FR6005

Παροχή αιχμής (M3/S)	74.88
Χρονική στιγμή αιχμής	03Sep2000, 01:00
Όγκος (MM)	259.32
Όγκος βροχόπτωσης (M3)	3.61E6
Όγκος απωλειών (M3)	1.32E6
Ενεργός Όγκος (M3)	2.29E6
Όγκος άμεσης απορροής (M3)	2.29E6
Όγκος βασικής απορροής (M3)	5.06E5

Βροχόπτωση και Απορροή



Υπολεκάνη: EL0415FR6006

Έκταση (KM2) : 20.96

Κατάντη : J5

Μέθοδος Απωλειών: SCS

Ποσοστό αδιαπέρατης επιφάνειας	0
Αριθμός Καμπύλης Απορροής-CN	46.99
Αρχικές Απώλειες	57.31

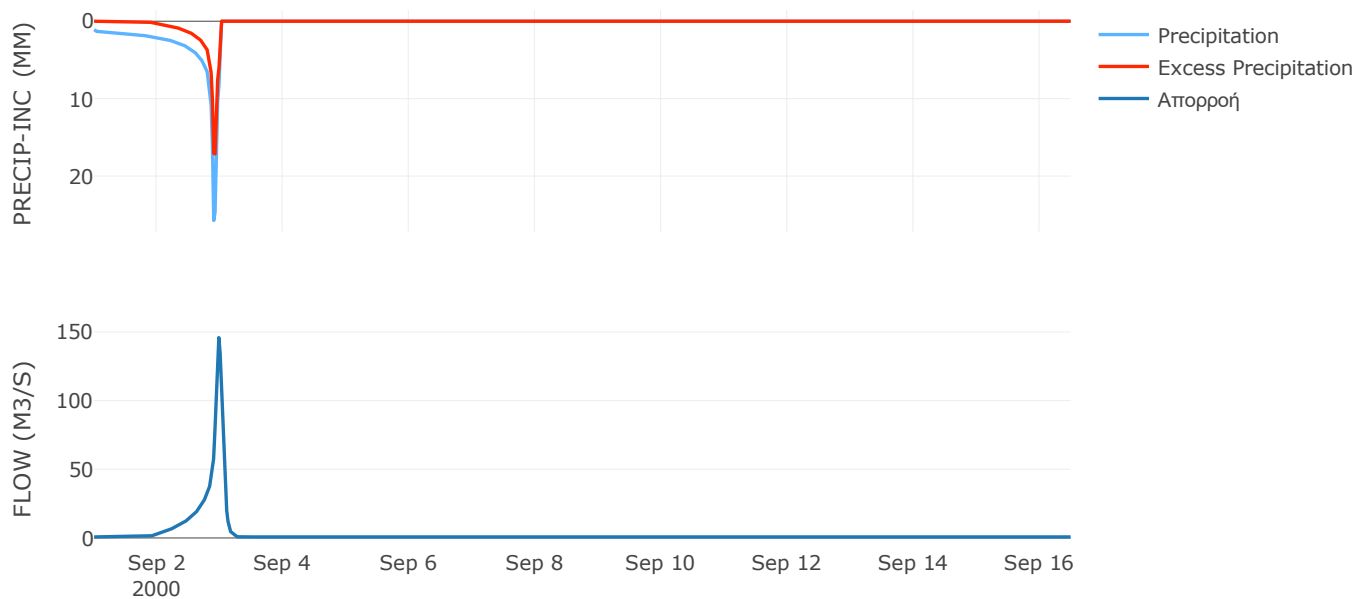
Μέθοδος
Μετασχηματισμού: SCS

Χρόνος Υστέρησης	76.48
------------------	-------

Αποτελέσματα:
EL0415FR6006

Παροχή αιχμής (M3/S)	145.87
Χρονική στιγμή αιχμής	02Sep2000, 23:30
Όγκος (MM)	185.2
Όγκος βροχόπτωσης (M3)	7.07E6
Όγκος απωλειών (M3)	4.17E6
Ενεργός Όγκος (M3)	2.9E6
Όγκος άμεσης απορροής (M3)	2.9E6
Όγκος βασικής απορροής (M3)	9.82E5

Βροχόπτωση και Απορροή



Υπολεκάνη: EL0415FR6007

Έκταση (KM2) : 16.96

Κατάντη : J6

Μέθοδος Απωλειών: SCS

Ποσοστό αδιαπέρατης επιφάνειας	0
Αριθμός Καμπύλης Απορροής-CN	55.91
Αρχικές Απώλειες	40.07

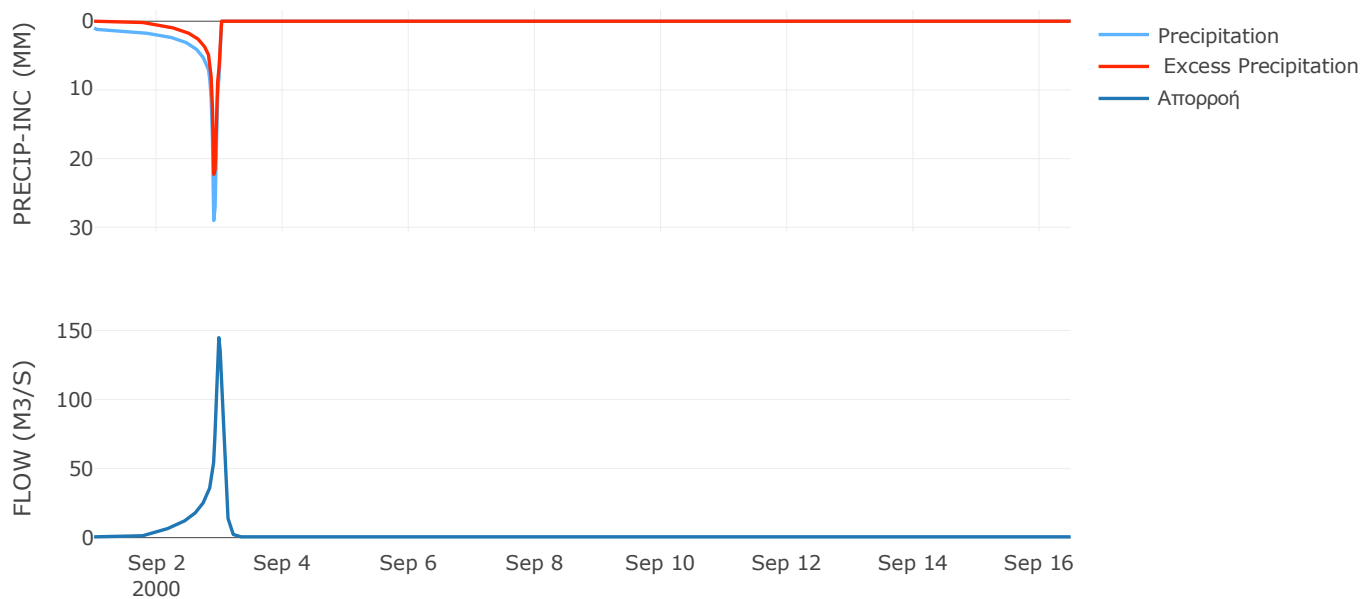
Μέθοδος
Μετασχηματισμού: SCS

Χρόνος Υστέρησης	82.05
------------------	-------

Αποτελέσματα:
EL0415FR6007

Παροχή αιχμής (M3/S)	144.77
Χρονική στιγμή αιχμής	02Sep2000, 23:30
Όγκος (MM)	221.78
Όγκος βροχόπτωσης (M3)	5.67E6
Όγκος απωλειών (M3)	2.7E6
Ενεργός Όγκος (M3)	2.97E6
Όγκος άμεσης απορροής (M3)	2.97E6
Όγκος βασικής απορροής (M3)	7.95E5

Βροχόπτωση και Απορροή



Υπολεκάνη: EL0415FR6008

Έκταση (KM2) : 24.49

Κατάντη : J6

Μέθοδος Απωλειών: SCS

Ποσοστό αδιαπέρατης επιφάνειας	0
Αριθμός Καμπύλης Απορροής-CN	65.89
Αρχικές Απώλειες	26.29

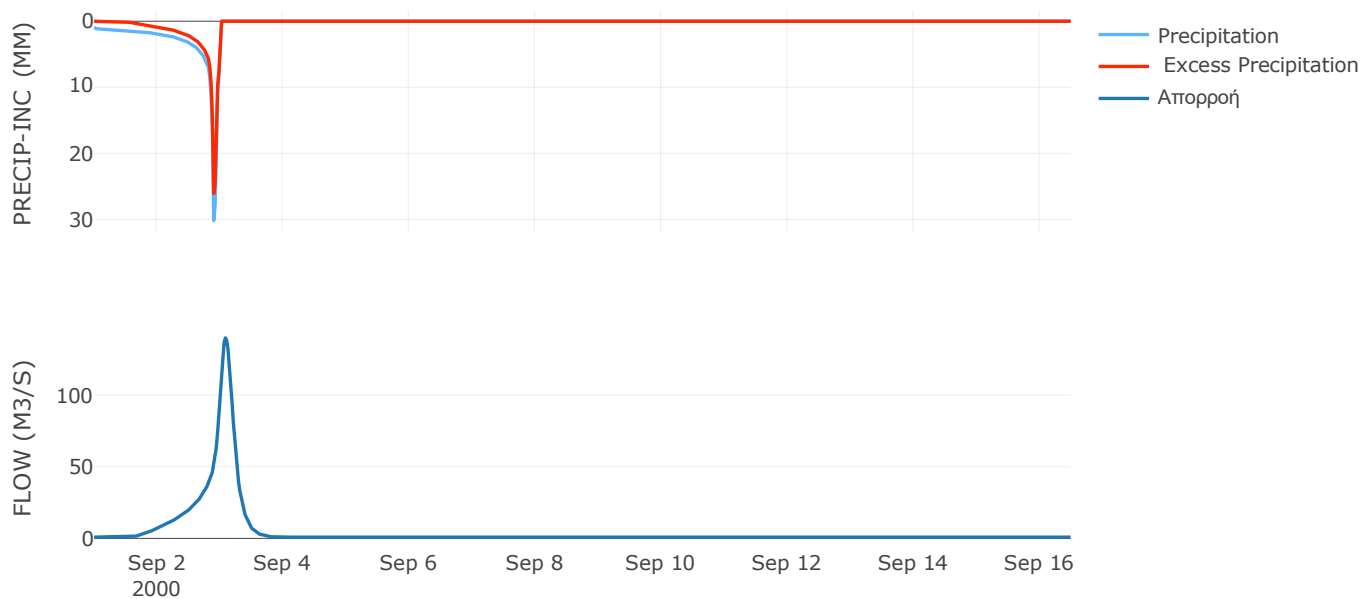
Μέθοδος
Μετασχηματισμού: SCS

Χρόνος Υστέρησης	254.02
------------------	--------

Αποτελέσματα:
EL0415FR6008

Παροχή αιχμής (M3/S)	140.03
Χρονική στιγμή αιχμής	03Sep2000, 02:00
Όγκος (MM)	259.97
Όγκος βροχόπτωσης (M3)	8.11E6
Όγκος απωλειών (M3)	2.89E6
Ενεργός Όγκος (M3)	5.22E6
Όγκος άμεσης απορροής (M3)	5.22E6
Όγκος βασικής απορροής (M3)	1.15E6

Βροχόπτωση και Απορροή



Υπολεκάνη: EL0415FR6009

Έκταση (KM2) : 22.05

Κατάντη : J7

Μέθοδος Απωλειών: SCS

Ποσοστό αδιαπέρατης επιφάνειας	41
Αριθμός Καμπύλης Απορροής-CN	61.95
Αρχικές Απώλειες	31.2

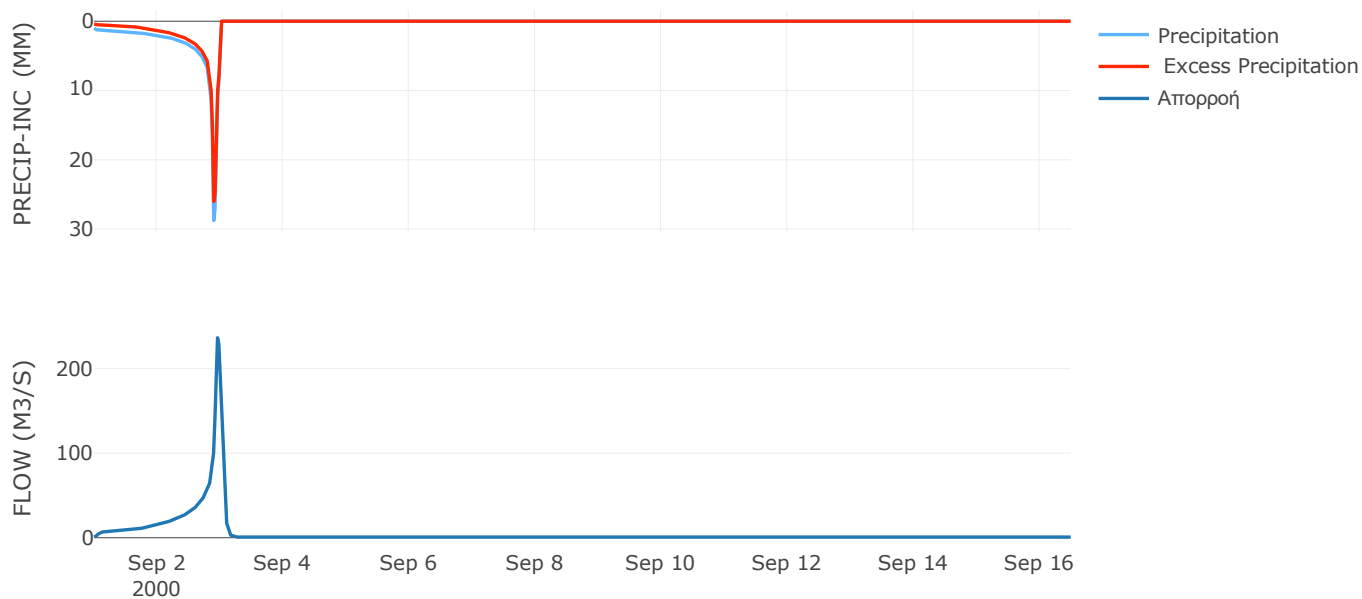
Μέθοδος
Μετασχηματισμού: SCS

Χρόνος Υστέρησης	63.46
------------------	-------

Αποτελέσματα:
EL0415FR6009

Παροχή αιχμής (M3/S)	236.55
Χρονική στιγμή αιχμής	02Sep2000, 23:00
Όγκος (MM)	307.96
Όγκος βροχόπτωσης (M3)	7.51E6
Όγκος απωλειών (M3)	1.76E6
Ενεργός Όγκος (M3)	5.76E6
Όγκος άμεσης απορροής (M3)	5.76E6
Όγκος βασικής απορροής (M3)	1.03E6

Βροχόπτωση και Απορροή



Υπολεκάνη: EL0415FR6010

Έκταση (KM2) : 10.43

Κατάντη : J9

Μέθοδος Απωλειών: SCS

Ποσοστό αδιαπέρατης επιφάνειας	0
Αριθμός Καμπύλης Απορροής-CN	49.95
Αρχικές Απώλειες	50.89

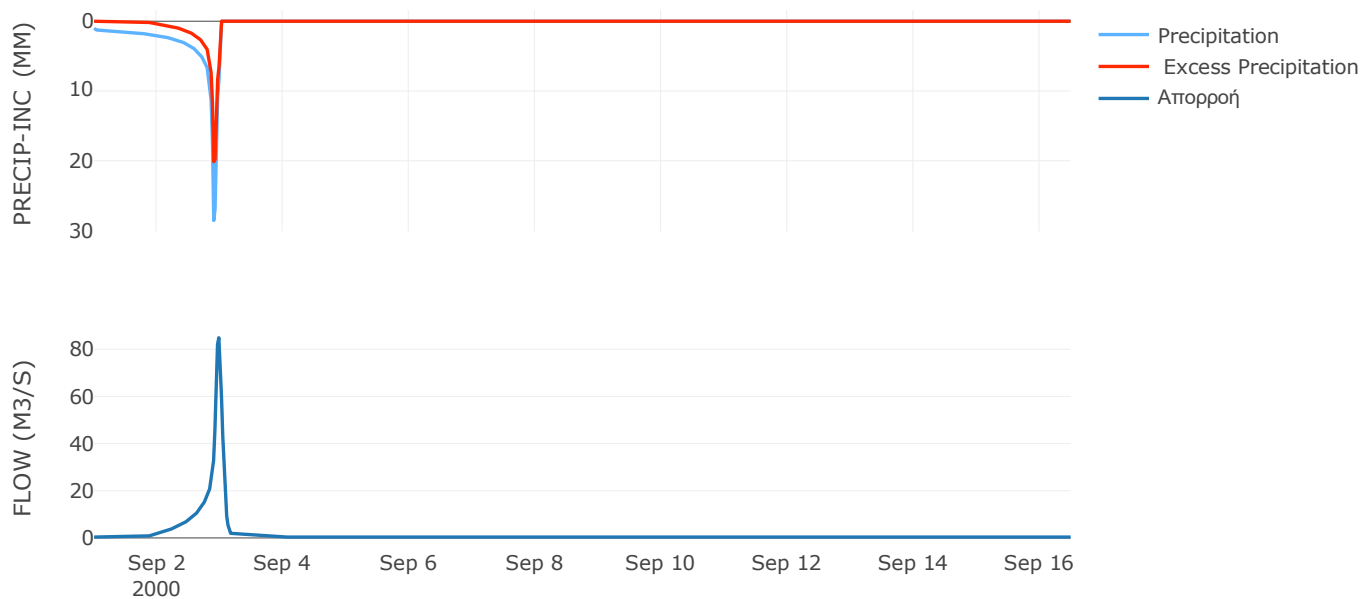
Μέθοδος
Μετασχηματισμού: SCS

Χρόνος Υστέρησης	71.36
------------------	-------

Αποτελέσματα:
EL0415FR6010

Παροχή αιχμής (M3/S)	84.86
Χρονική στιγμή αιχμής	02Sep2000, 23:30
Όγκος (MM)	202.85
Όγκος βροχόπτωσης (M3)	3.57E6
Όγκος απωλειών (M3)	1.95E6
Ενεργός Όγκος (M3)	1.63E6
Όγκος άμεσης απορροής (M3)	1.63E6
Όγκος βασικής απορροής (M3)	4.89E5

Βροχόπτωση και Απορροή



Υπολεκάνη: EL0415FR6011

Έκταση (KM2) : 13.24

Κατάντη : J10

Μέθοδος Απωλειών: SCS

Ποσοστό αδιαπέρατης επιφάνειας	0
Αριθμός Καμπύλης Απορροής-CN	51.06
Αρχικές Απώλειες	48.69

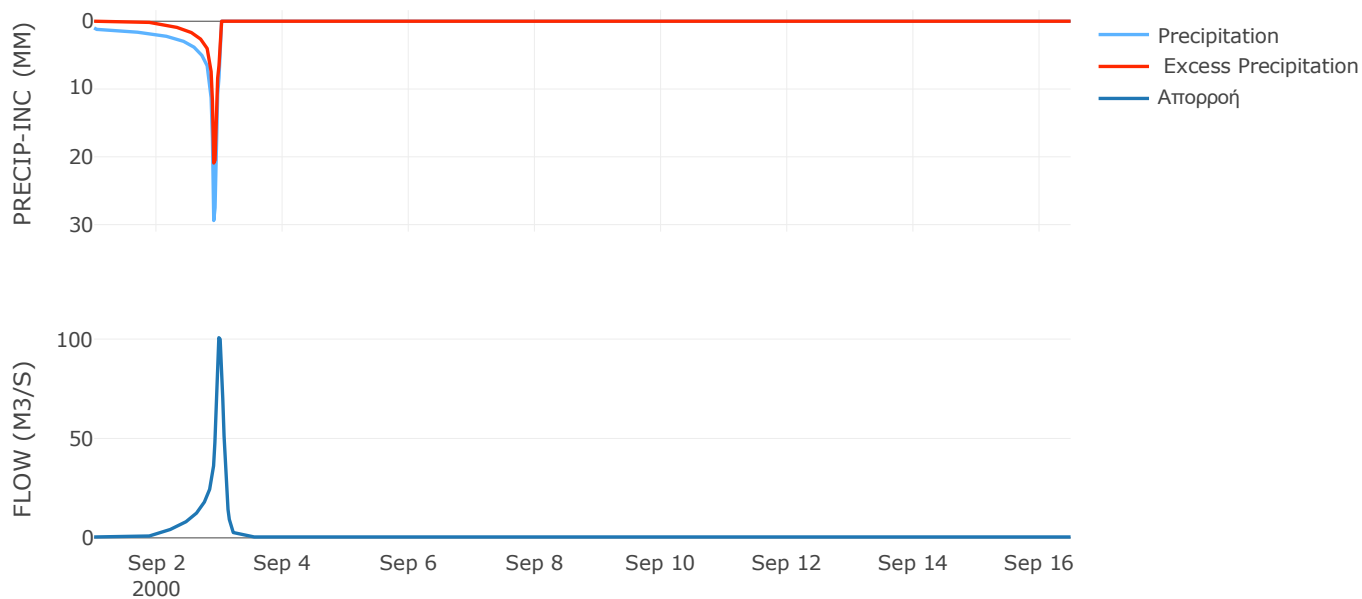
Μέθοδος
Μετασχηματισμού: SCS

Χρόνος Υστέρησης	92.79
------------------	-------

Αποτελέσματα:
EL0415FR6011

Παροχή αιχμής (M3/S)	100.72
Χρονική στιγμή αιχμής	02Sep2000, 23:30
Όγκος (MM)	203.71
Όγκος βροχόπτωσης (M3)	4.47E6
Όγκος απωλειών (M3)	2.39E6
Ενεργός Όγκος (M3)	2.08E6
Όγκος άμεσης απορροής (M3)	2.08E6
Όγκος βασικής απορροής (M3)	6.2E5

Βροχόπτωση και Απορροή



Υπολεκάνη: EL0415FR6012

Έκταση (KM2) : 11.82

Κατάντη : J11

Μέθοδος Απωλειών: SCS

Ποσοστό αδιαπέρατης επιφάνειας	0
Αριθμός Καμπύλης Απορροής-CN	34.51
Αρχικές Απώλειες	96.43

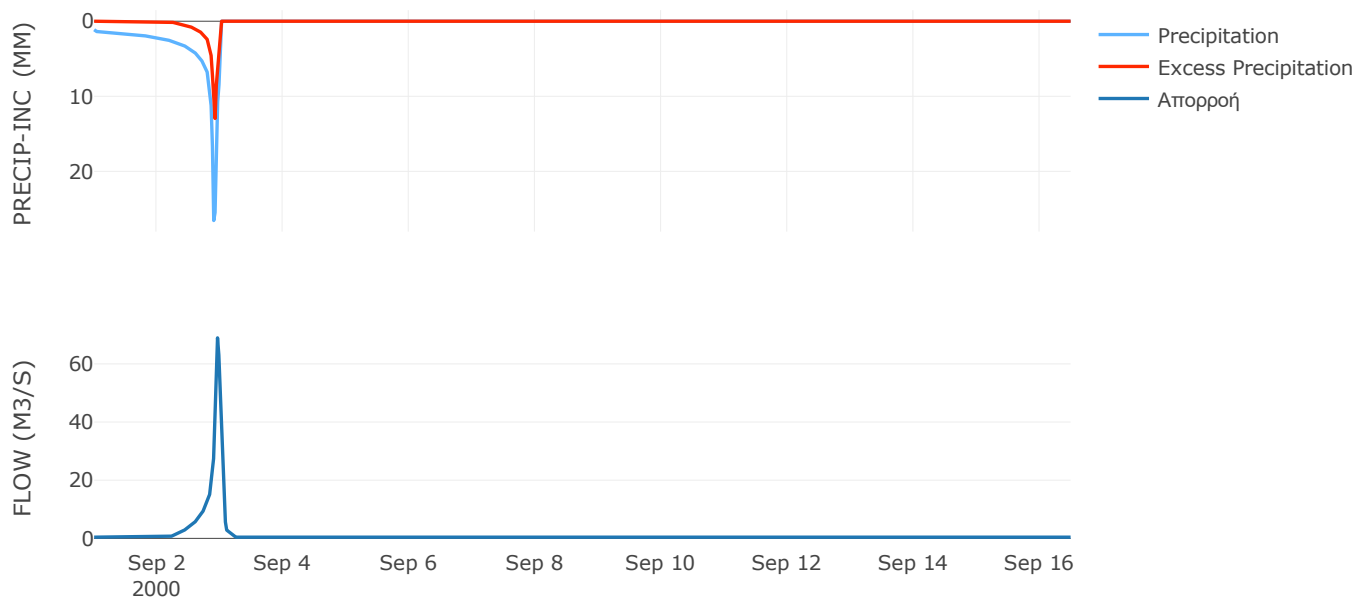
Μέθοδος
Μετασχηματισμού: SCS

Χρόνος Υστέρησης	50.05
------------------	-------

Αποτελέσματα:
EL0415FR6012

Παροχή αιχμής (M3/S)	68.95
Χρονική στιγμή αιχμής	02Sep2000, 23:00
Όγκος (MM)	134.75
Όγκος βροχόπτωσης (M3)	4.15E6
Όγκος απωλειών (M3)	3.11E6
Ενεργός Όγκος (M3)	1.04E6
Όγκος άμεσης απορροής (M3)	1.04E6
Όγκος βασικής απορροής (M3)	5.54E5

Βροχόπτωση και Απορροή



Υπολεκάνη: EL0415FR6013

Έκταση (KM2) : 37.65

Κατάντη : J12

Μέθοδος Απωλειών: SCS

Ποσοστό αδιαπέρατης επιφάνειας	0
Αριθμός Καμπύλης Απορροής-CN	35.21
Αρχικές Απώλειες	93.47

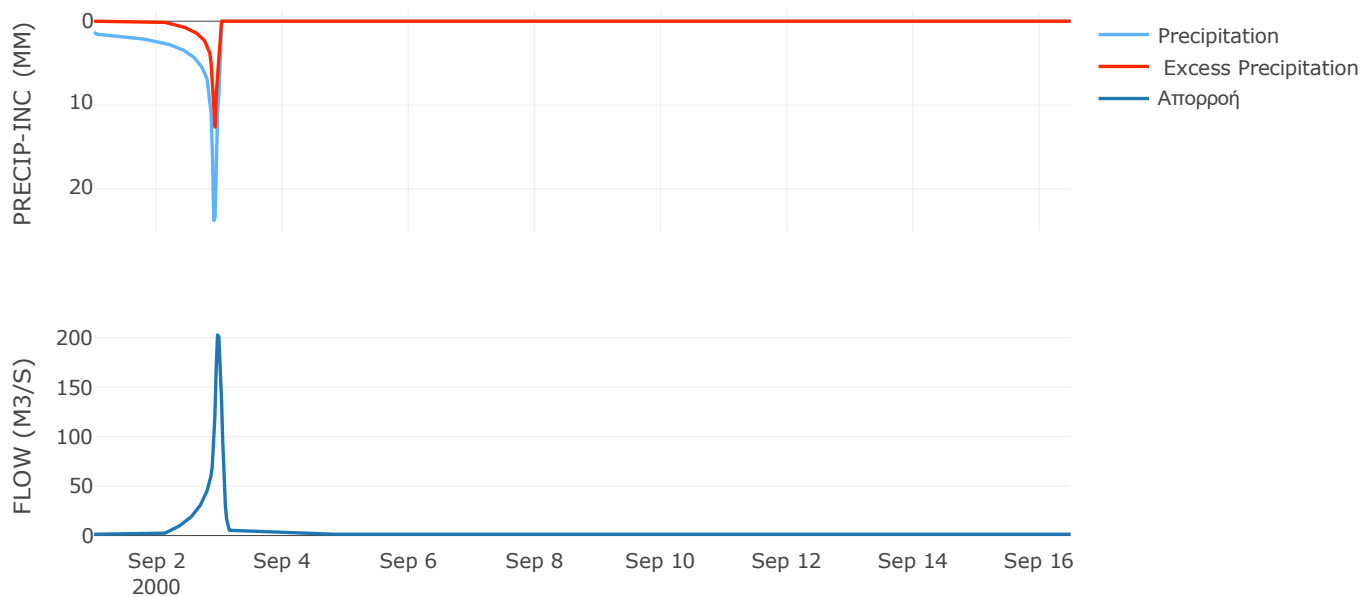
Μέθοδος
Μετασχηματισμού: SCS

Χρόνος Υστέρησης	61.21
------------------	-------

Αποτελέσματα:
EL0415FR6013

Παροχή αιχμής (M3/S)	202.66
Χρονική στιγμή αιχμής	02Sep2000, 23:00
Όγκος (MM)	144.76
Όγκος βροχόπτωσης (M3)	1.36E7
Όγκος απωλειών (M3)	9.94E6
Ενεργός Όγκος (M3)	3.69E6
Όγκος άμεσης απορροής (M3)	3.69E6
Όγκος βασικής απορροής (M3)	1.76E6

Βροχόπτωση και Απορροή



Υπολεκάνη: EL0415FR6014

Έκταση (KM2) : 17.43

Κατάντη : J8

Μέθοδος Απωλειών: SCS

Ποσοστό αδιαπέρατης επιφάνειας	0
Αριθμός Καμπύλης Απορροής-CN	64.82
Αρχικές Απώλειες	27.57

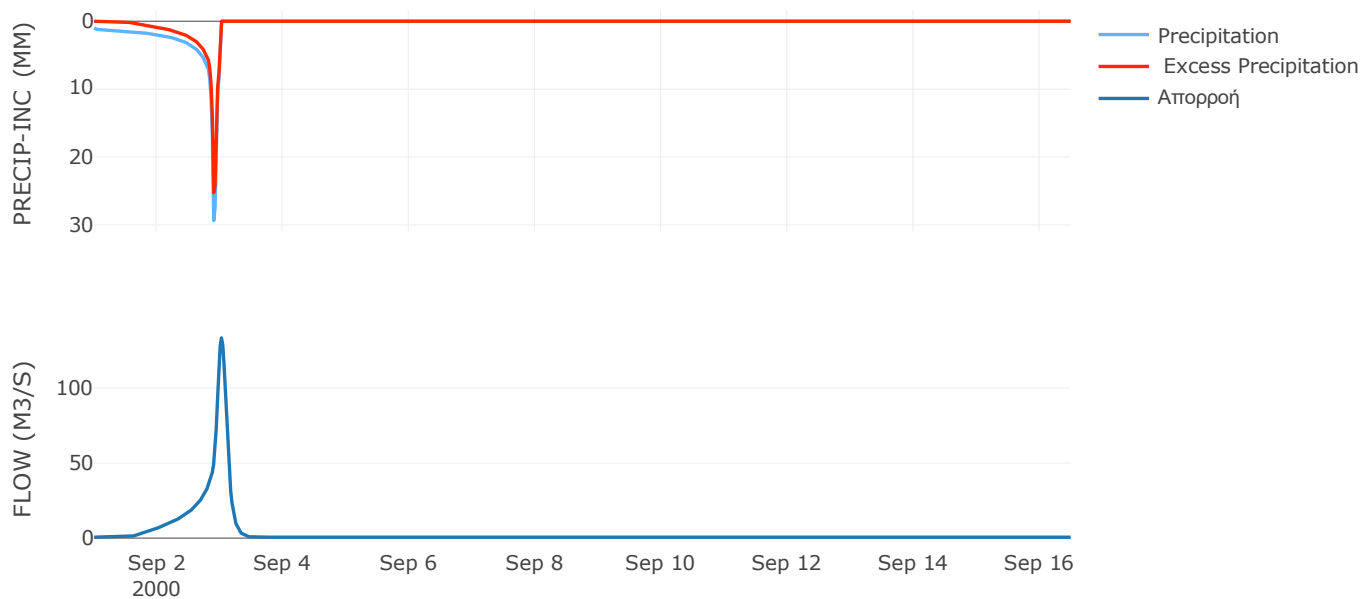
Μέθοδος
Μετασχηματισμού: SCS

Χρόνος Υστέρησης	145.42
------------------	--------

Αποτελέσματα:
EL0415FR6014

Παροχή αιχμής (M3/S)	133.4
Χρονική στιγμή αιχμής	03Sep2000, 00:30
Όγκος (MM)	261.92
Όγκος βροχόπτωσης (M3)	5.89E6
Όγκος απωλειών (M3)	2.14E6
Ενεργός Όγκος (M3)	3.75E6
Όγκος άμεσης απορροής (M3)	3.75E6
Όγκος βασικής απορροής (M3)	8.17E5

Βροχόπτωση και Απορροή



Υπολεκάνη: EL0415FR6015

Έκταση (KM2) : 9.94

Κατάντη : J8

Μέθοδος Απωλειών: SCS

Ποσοστό αδιαπέρατης επιφάνειας	0
Αριθμός Καμπύλης Απορροής-CN	69.64
Αρχικές Απώλειες	22.14

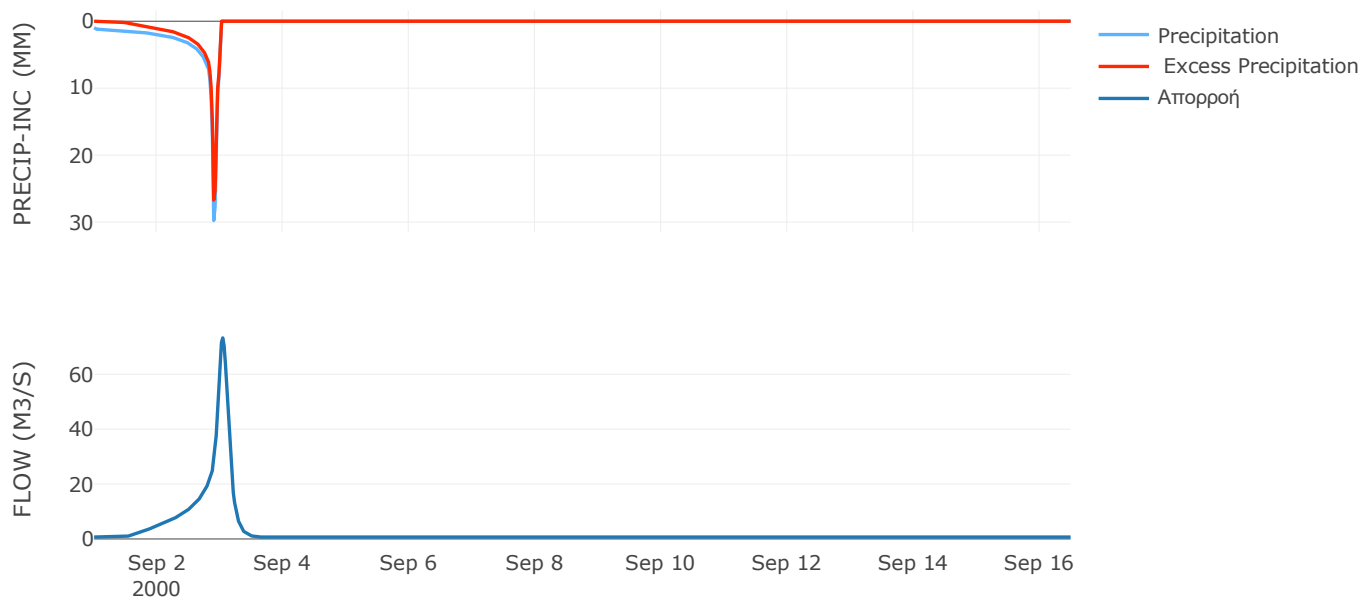
Μέθοδος
Μετασχηματισμού: SCS

Χρόνος Υστέρησης	174.64
------------------	--------

Αποτελέσματα:
EL0415FR6015

Παροχή αιχμής (M3/S)	73.25
Χρονική στιγμή αιχμής	03Sep2000, 01:00
Όγκος (MM)	326.45
Όγκος βροχόπτωσης (M3)	3.35E6
Όγκος απωλειών (M3)	1.03E6
Ενεργός Όγκος (M3)	2.31E6
Όγκος άμεσης απορροής (M3)	2.31E6
Όγκος βασικής απορροής (M3)	9.32E5

Βροχόπτωση και Απορροή



Υπολεκάνη: EL0415FR6016

Έκταση (KM2) : 45.09

Κατάνη : J13 Res1

Μέθοδος Απωλειών: SCS

Ποσοστό αδιαπέρατης επιφάνειας	14
Αριθμός Καμπύλης Απορροής-CN	68.93
Αρχικές Απώλειες	22.9

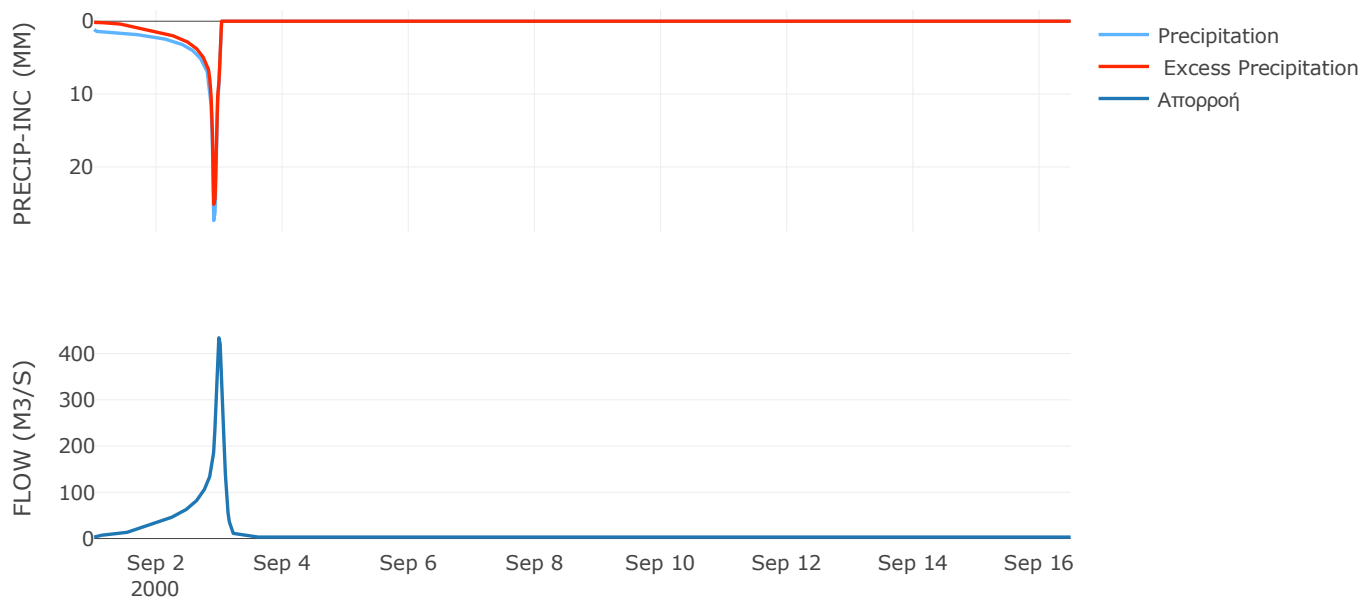
Μέθοδος
Μετασχηματισμού: SCS

Χρόνος Υστέρησης	89.62
------------------	-------

Αποτελέσματα:
EL0415FR6016

Παροχή αιχμής (M3/S)	434.07
Χρονική στιγμή αιχμής	02Sep2000, 23:30
Όγκος (MM)	358.39
Όγκος βροχόπτωσης (M3)	1.61E7
Όγκος απωλειών (M3)	4.2E6
Ενεργός Όγκος (M3)	1.19E7
Όγκος άμεσης απορροής (M3)	1.19E7
Όγκος βασικής απορροής (M3)	4.23E6

Βροχόπτωση και Απορροή



Υπολεκάνη: EL0415FR6017

Έκταση (KM2) : 48.36

Κατάντη : J14

Μέθοδος Απωλειών: SCS

Ποσοστό αδιαπέρατης επιφάνειας	0
Αριθμός Καμπύλης Απορροής-CN	63.35
Αρχικές Απώλειες	29.38

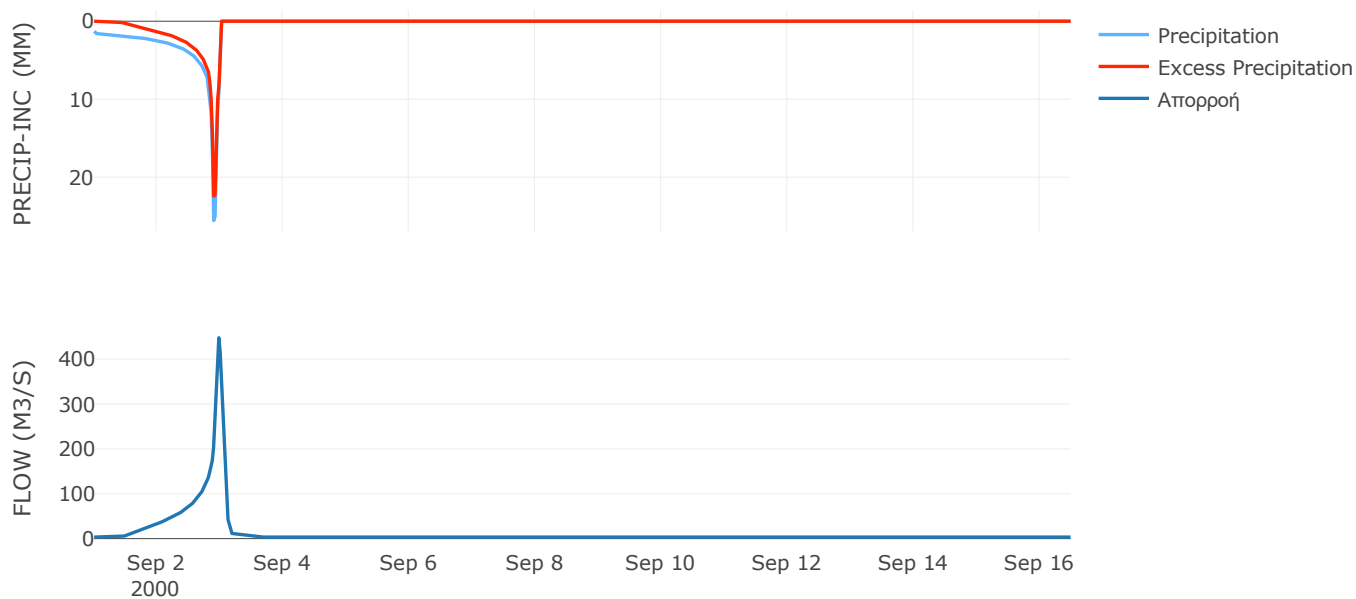
Μέθοδος
Μετασχηματισμού: SCS

Χρόνος Υστέρησης	79.57
------------------	-------

Αποτελέσματα:
EL0415FR6017

Παροχή αιχμής (M3/S)	447.56
Χρονική στιγμή αιχμής	02Sep2000, 23:30
Όγκος (MM)	338.31
Όγκος βροχόπτωσης (M3)	1.82E7
Όγκος απωλειών (M3)	6.42E6
Ενεργός Όγκος (M3)	1.18E7
Όγκος άμεσης απορροής (M3)	1.18E7
Όγκος βασικής απορροής (M3)	4.53E6

Βροχόπτωση και Απορροή



Υπολεκάνη: EL0415FR6018

Έκταση (KM2) : 76.58

Κατάντη : J19

Μέθοδος Απωλειών: SCS

Ποσοστό αδιαπέρατης επιφάνειας	8
Αριθμός Καμπύλης Απορροής-CN	66.98
Αρχικές Απώλειες	25.05

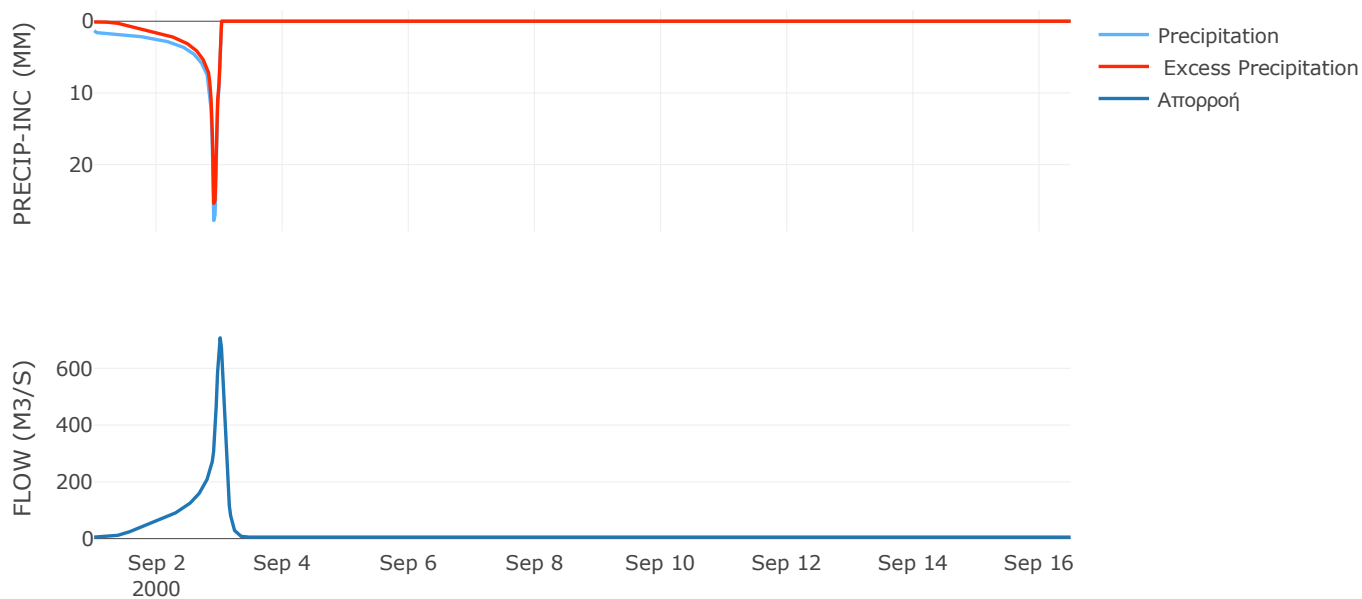
Μέθοδος
Μετασχηματισμού: SCS

Χρόνος Υστέρησης	111.61
------------------	--------

Αποτελέσματα:
EL0415FR6018

Παροχή αιχμής (M3/S)	707.49
Χρονική στιγμή αιχμής	02Sep2000, 24:00
Όγκος (MM)	375.12
Όγκος βροχόπτωσης (M3)	2.99E7
Όγκος απωλειών (M3)	8.33E6
Ενεργός Όγκος (M3)	2.15E7
Όγκος άμεσης απορροής (M3)	2.15E7
Όγκος βασικής απορροής (M3)	7.18E6

Βροχόπτωση και Απορροή



Υπολεκάνη: EL0415FR6019

Έκταση (KM2) : 114.28

Κατάντη : J18

Μέθοδος Απωλειών: SCS

Ποσοστό αδιαπέρατης επιφάνειας	4
Αριθμός Καμπύλης Απορροής-CN	61.14
Αρχικές Απώλειες	32.28

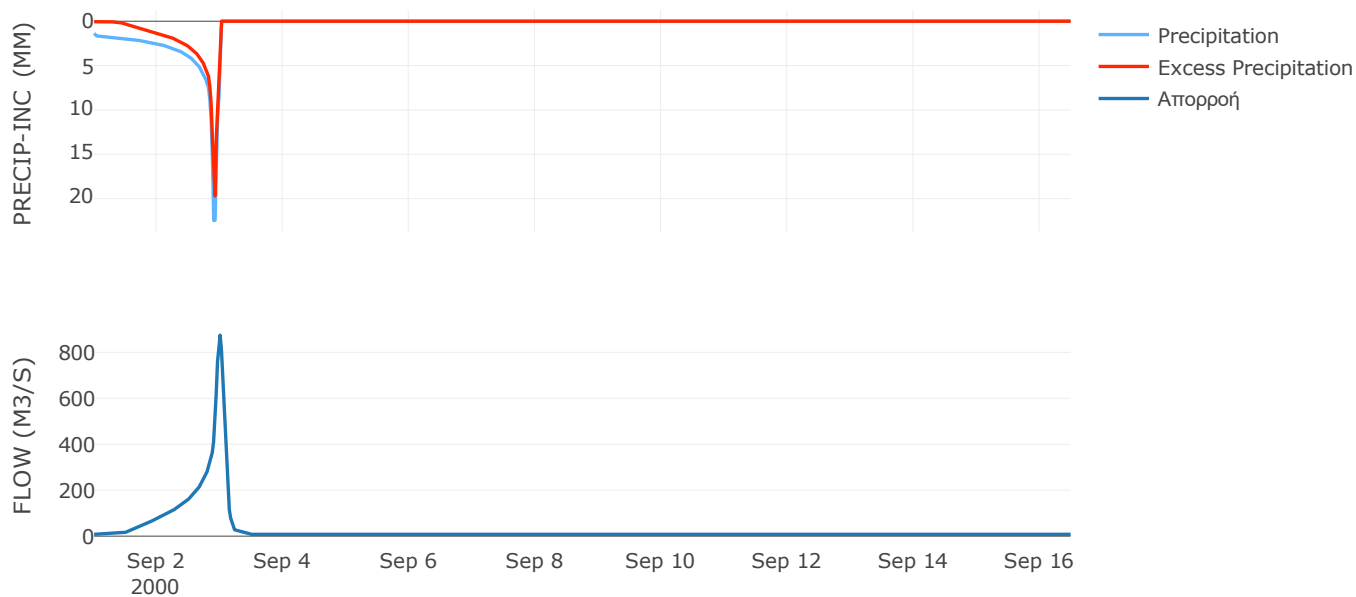
Μέθοδος
Μετασχηματισμού: SCS

Χρόνος Υστέρησης	101.73
------------------	--------

Αποτελέσματα:
EL0415FR6019

Παροχή αιχμής (M3/S)	874.89
Χρονική στιγμή αιχμής	02Sep2000, 24:00
Όγκος (MM)	327.81
Όγκος βροχόπτωσης (M3)	4.23E7
Όγκος απωλειών (M3)	1.55E7
Ενεργός Όγκος (M3)	2.67E7
Όγκος άμεσης απορροής (M3)	2.67E7
Όγκος βασικής απορροής (M3)	1.07E7

Βροχόπτωση και Απορροή



Υπολεκάνη: EL0415FR6020

Έκταση (KM2) : 41.91

Κατάντη : J14

Μέθοδος Απωλειών: SCS

Ποσοστό αδιαπέρατης επιφάνειας	0
Αριθμός Καμπύλης Απορροής-CN	63.91
Αρχικές Απώλειες	28.69

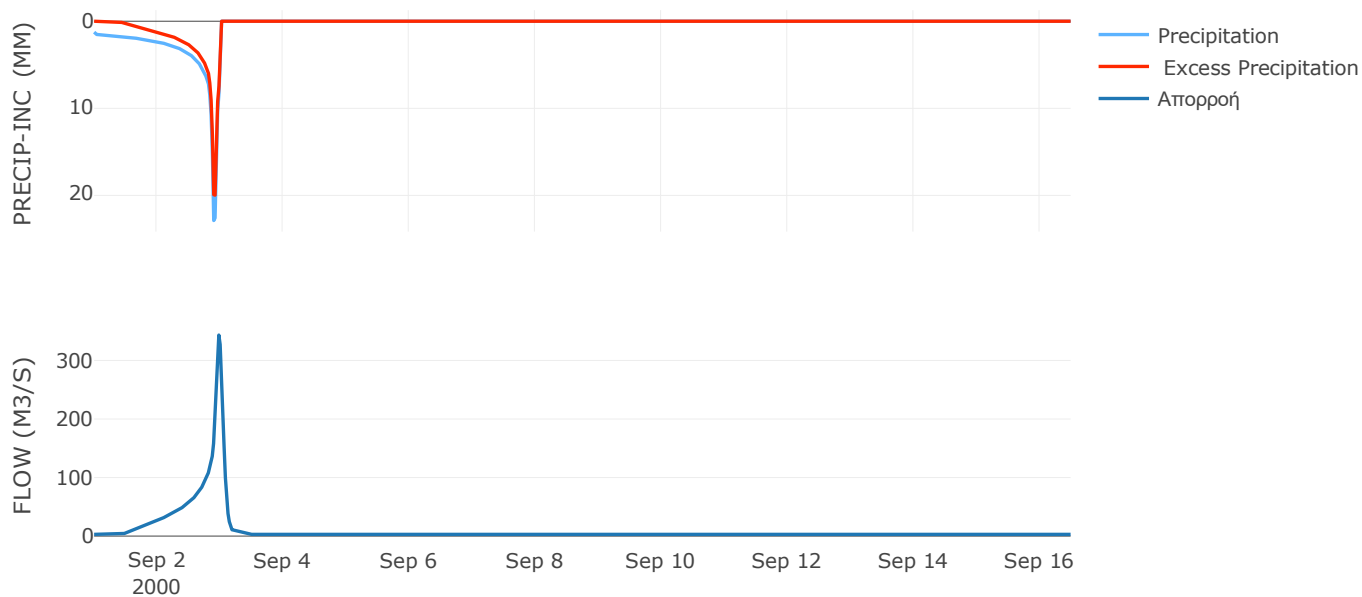
Μέθοδος
Μετασχηματισμού: SCS

Χρόνος Υστέρησης	83.84
------------------	-------

Αποτελέσματα:
EL0415FR6020

Παροχή αιχμής (M3/S)	343.4
Χρονική στιγμή αιχμής	02Sep2000, 23:30
Όγκος (MM)	317.86
Όγκος βροχόπτωσης (M3)	1.48E7
Όγκος απωλειών (M3)	5.37E6
Ενεργός Όγκος (M3)	9.39E6
Όγκος άμεσης απορροής (M3)	9.39E6
Όγκος βασικής απορροής (M3)	3.93E6

Βροχόπτωση και Απορροή



Υπολεκάνη: EL0415FR6021

Έκταση (KM2) : 21.44

Κατάντη : J20

Μέθοδος Απωλειών: SCS

Ποσοστό αδιαπέρατης επιφάνειας	0
Αριθμός Καμπύλης Απορροής-CN	63.81
Αρχικές Απώλειες	28.82

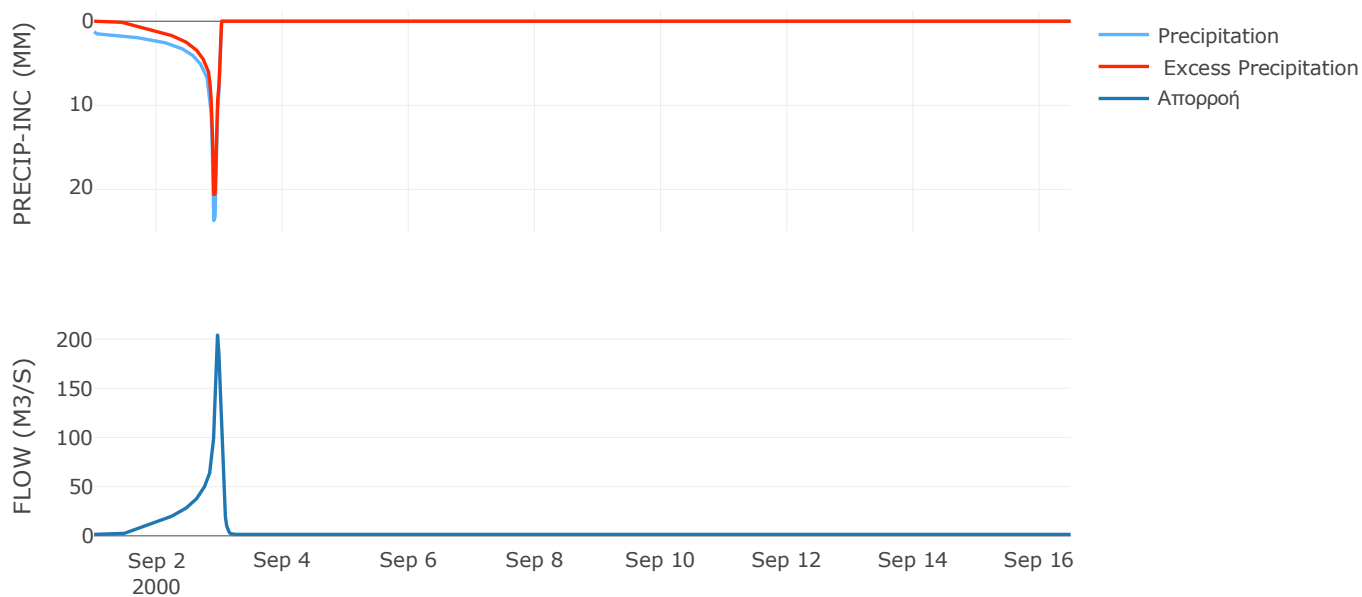
Μέθοδος
Μετασχηματισμού: SCS

Χρόνος Υστέρησης	53.2
------------------	------

Αποτελέσματα:
EL0415FR6021

Παροχή αιχμής (M3/S)	204.07
Χρονική στιγμή αιχμής	02Sep2000, 23:00
Όγκος (MM)	318.64
Όγκος βροχόπτωσης (M3)	7.58E6
Όγκος απωλειών (M3)	2.76E6
Ενεργός Όγκος (M3)	4.82E6
Όγκος άμεσης απορροής (M3)	4.82E6
Όγκος βασικής απορροής (M3)	2.01E6

Βροχόπτωση και Απορροή



Υπολεκάνη: EL0415FR6022

Έκταση (KM2) : 28.16

Κατάντη : J20

Μέθοδος Απωλειών: SCS

Ποσοστό αδιαπέρατης επιφάνειας	0
Αριθμός Καμπύλης Απορροής-CN	64.77
Αρχικές Απώλειες	27.63

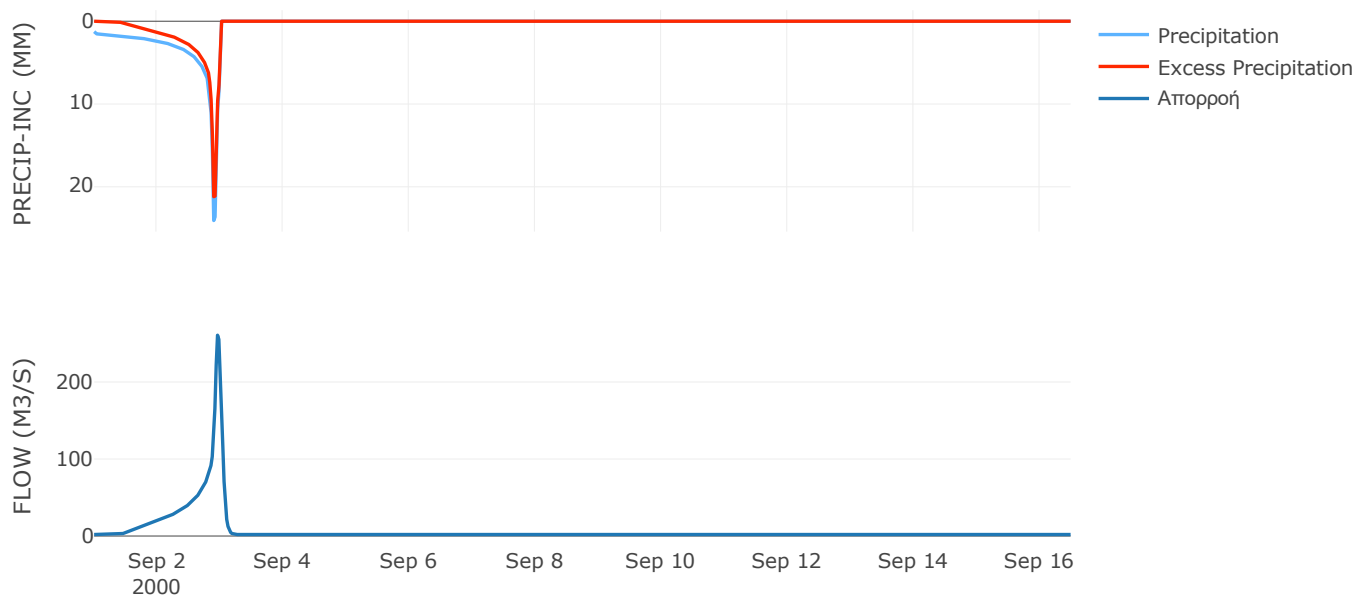
Μέθοδος
Μετασχηματισμού: SCS

Χρόνος Υστέρησης	63.48
------------------	-------

Αποτελέσματα:
EL0415FR6022

Παροχή αιχμής (M3/S)	260.75
Χρονική στιγμή αιχμής	02Sep2000, 23:00
Όγκος (MM)	328.7
Όγκος βροχόπτωσης (M3)	1.01E7
Όγκος απωλειών (M3)	3.53E6
Ενεργός Όγκος (M3)	6.62E6
Όγκος άμεσης απορροής (M3)	6.62E6
Όγκος βασικής απορροής (M3)	2.64E6

Βροχόπτωση και Απορροή



Υπολεκάνη: EL0415FR6023

Έκταση (KM2) : 48.62

Κατάντη : J61

Μέθοδος Απωλειών: SCS

Ποσοστό αδιαπέρατης επιφάνειας	0
Αριθμός Καμπύλης Απορροής-CN	55.83
Αρχικές Απώλειες	40.19

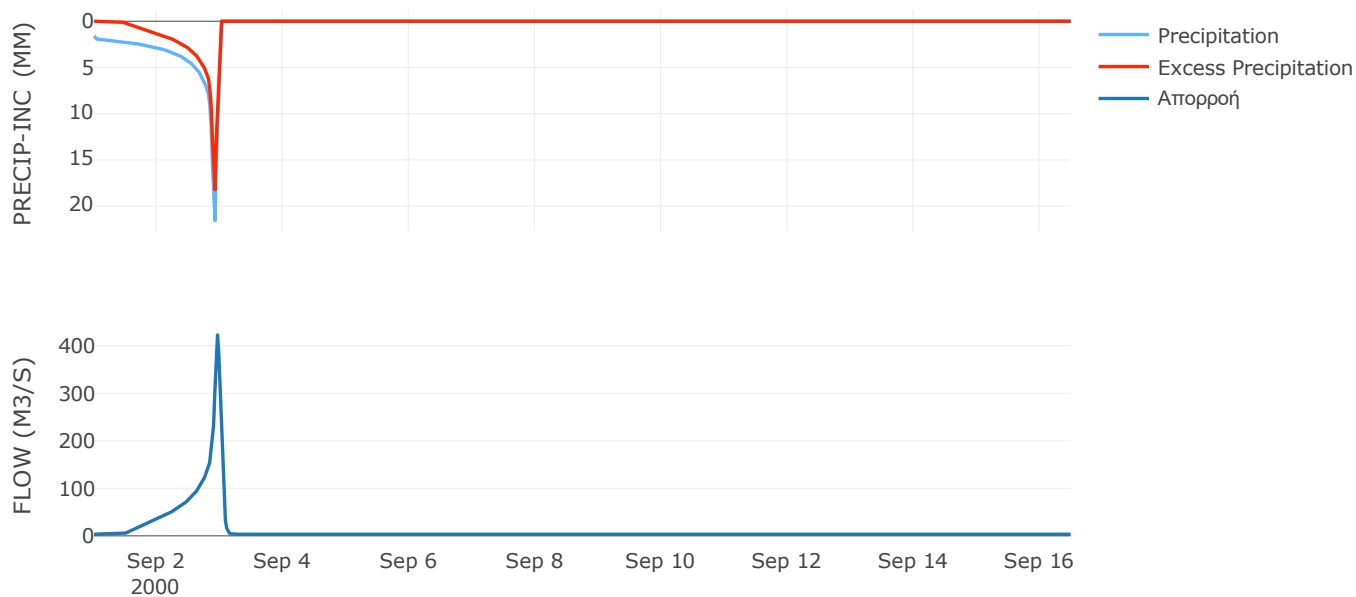
Μέθοδος
Μετασχηματισμού: SCS

Χρόνος Υστέρησης	47.7
------------------	------

Αποτελέσματα:
EL0415FR6023

Παροχή αιχμής (M3/S)	422.57
Χρονική στιγμή αιχμής	02Sep2000, 23:00
Όγκος (MM)	322.41
Όγκος βροχόπτωσης (M3)	1.93E7
Όγκος απωλειών (M3)	8.21E6
Ενεργός Όγκος (M3)	1.11E7
Όγκος άμεσης απορροής (M3)	1.11E7
Όγκος βασικής απορροής (M3)	4.56E6

Βροχόπτωση και Απορροή



Υπολεκάνη: EL0415FR6024

Έκταση (KM2) : 39.41

Κατάντη : J16

Μέθοδος Απωλειών: SCS

Ποσοστό αδιαπέρατης επιφάνειας	0
Αριθμός Καμπύλης Απορροής-CN	64.14
Αρχικές Απώλειες	28.4

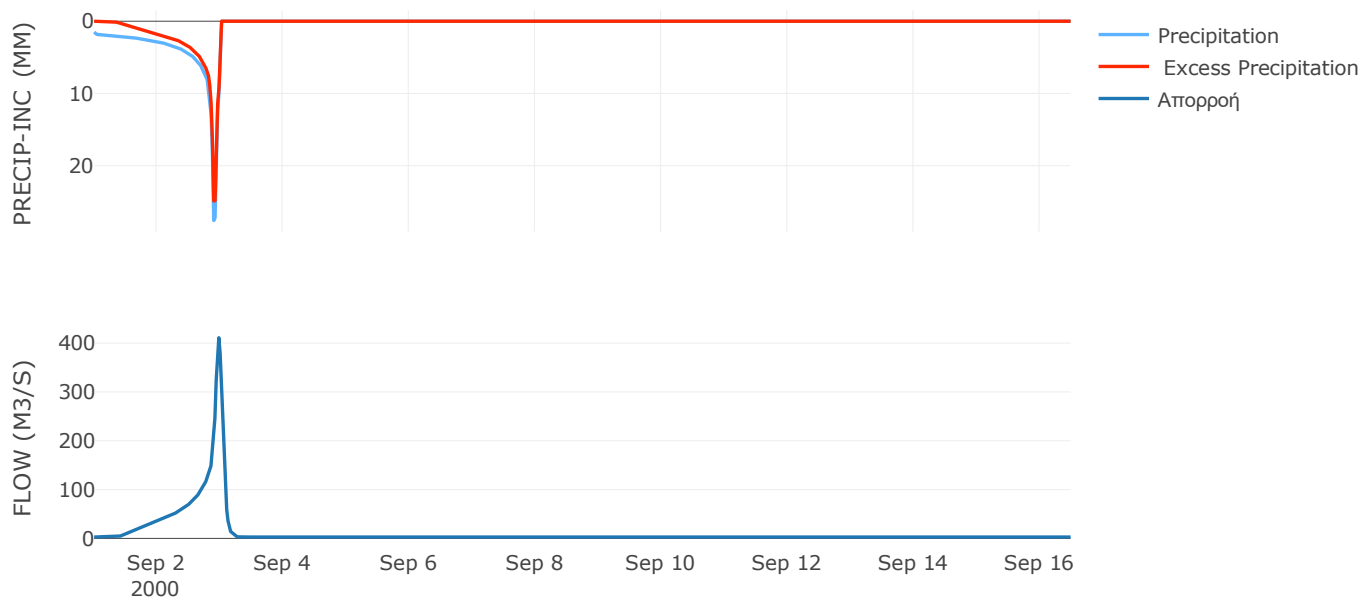
Μέθοδος
Μετασχηματισμού: SCS

Χρόνος Υστέρησης	77.38
------------------	-------

Αποτελέσματα:
EL0415FR6024

Παροχή αιχμής (M3/S)	410.96
Χρονική στιγμή αιχμής	02Sep2000, 23:30
Όγκος (MM)	383.52
Όγκος βροχόπτωσης (M3)	1.67E7
Όγκος απωλειών (M3)	5.23E6
Ενεργός Όγκος (M3)	1.14E7
Όγκος άμεσης απορροής (M3)	1.14E7
Όγκος βασικής απορροής (M3)	3.69E6

Βροχόπτωση και Απορροή



Υπολεκάνη: EL0415FR6025

Έκταση (KM2) : 14.18

Κατάντη : J21

Μέθοδος Απωλειών: SCS

Ποσοστό αδιαπέρατης επιφάνειας	0
Αριθμός Καμπύλης Απορροής-CN	62.72
Αρχικές Απώλειες	30.19

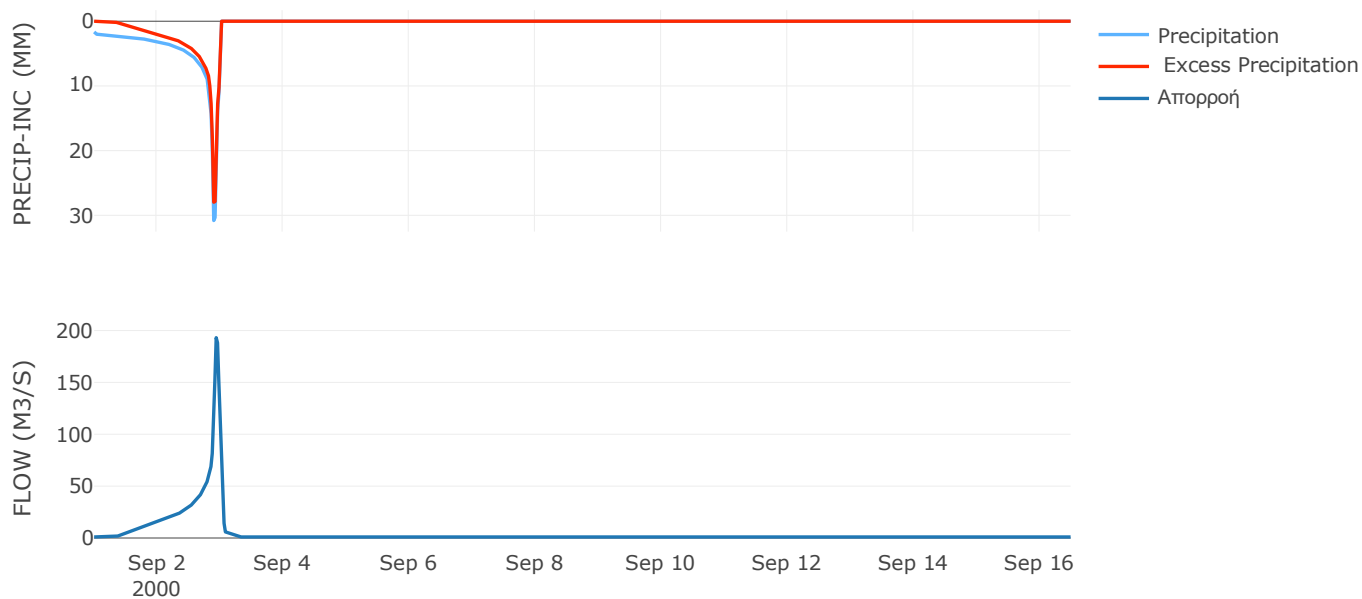
Μέθοδος
Μετασχηματισμού: SCS

Χρόνος Υστέρησης	35.73
------------------	-------

Αποτελέσματα:
EL0415FR6025

Παροχή αιχμής (M3/S)	193.12
Χρονική στιγμή αιχμής	02Sep2000, 22:30
Όγκος (MM)	420.1
Όγκος βροχόπτωσης (M3)	6.65E6
Όγκος απωλειών (M3)	2.02E6
Ενεργός Όγκος (M3)	4.63E6
Όγκος άμεσης απορροής (M3)	4.63E6
Όγκος βασικής απορροής (M3)	1.33E6

Βροχόπτωση και Απορροή



Υπολεκάνη: EL0415FR6026

Έκταση (KM2) : 38.04

Κατάντη : J21

Μέθοδος Απωλειών: SCS

Ποσοστό αδιαπέρατης επιφάνειας	0
Αριθμός Καμπύλης Απορροής-CN	56.55
Αρχικές Απώλειες	39.03

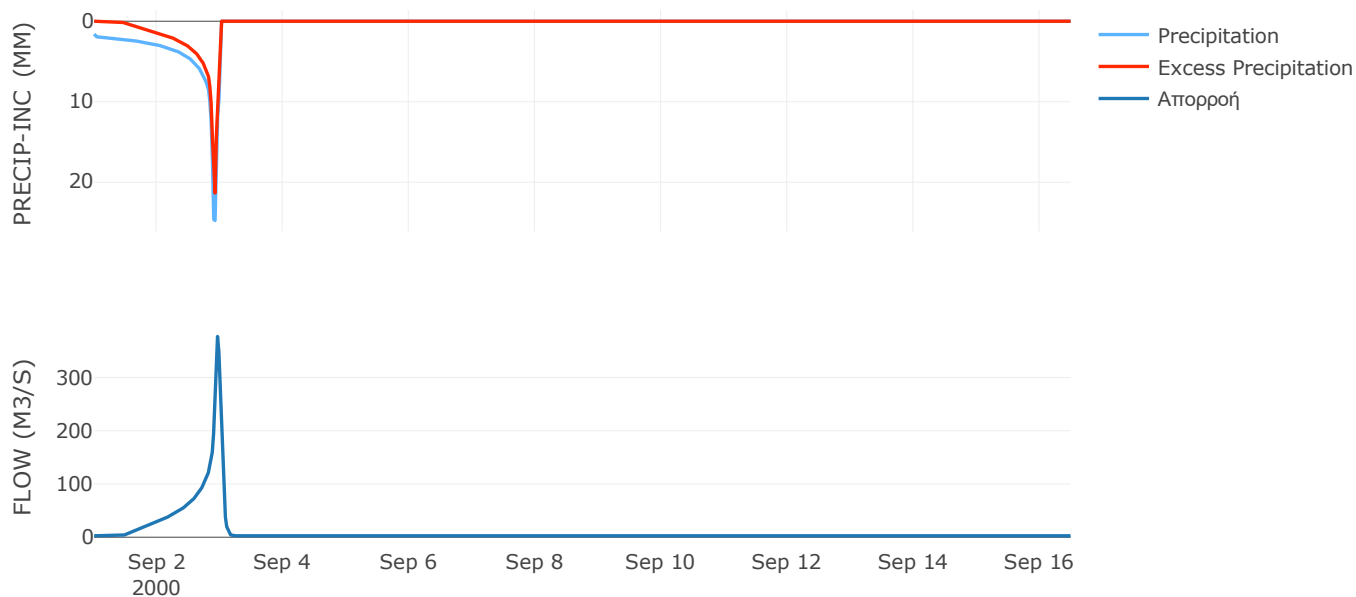
Μέθοδος
Μετασχηματισμού: SCS

Χρόνος Υστέρησης	53.63
------------------	-------

Αποτελέσματα:
EL0415FR6026

Παροχή αιχμής (M3/S)	377.07
Χρονική στιγμή αιχμής	02Sep2000, 23:00
Όγκος (MM)	347.06
Όγκος βροχόπτωσης (M3)	1.6E7
Όγκος απωλειών (M3)	6.4E6
Ενεργός Όγκος (M3)	9.64E6
Όγκος άμεσης απορροής (M3)	9.64E6
Όγκος βασικής απορροής (M3)	3.57E6

Βροχόπτωση και Απορροή



Υπολεκάνη: EL0415FR6027

Έκταση (KM2) : 185.56

Κατάντη : J21

Μέθοδος Απωλειών: SCS

Ποσοστό αδιαπέρατης επιφάνειας	0
Αριθμός Καμπύλης Απορροής-CN	53.49
Αρχικές Απώλειες	44.17

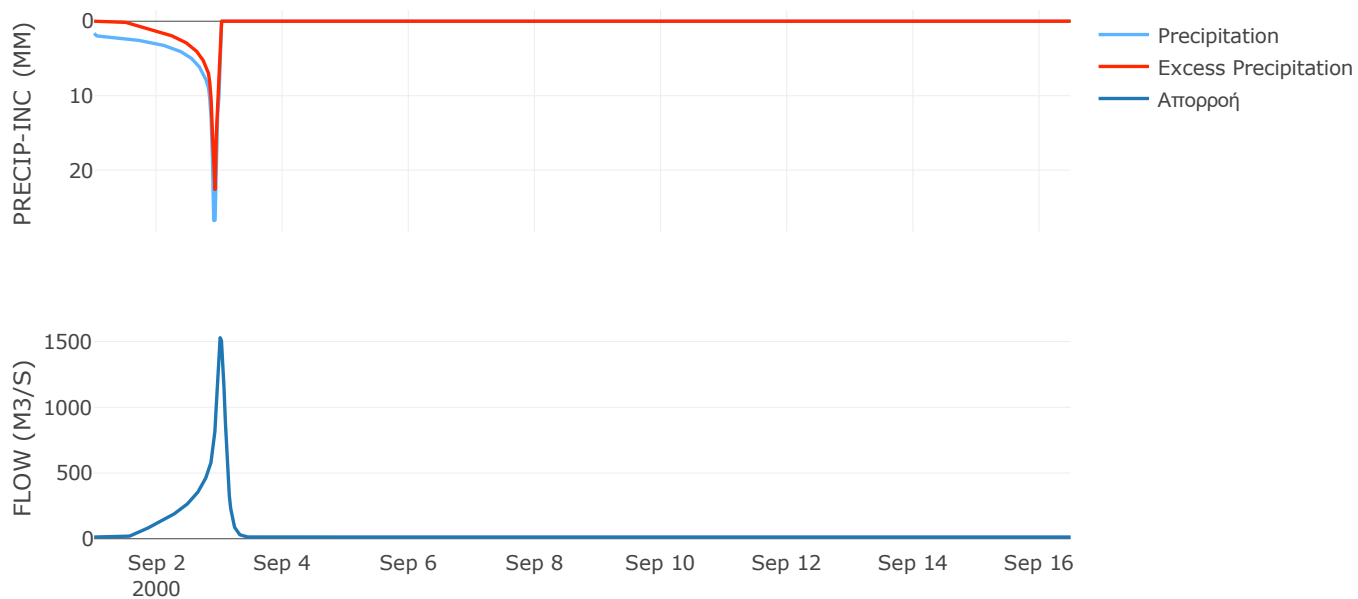
Μέθοδος
Μετασχηματισμού: SCS

Χρόνος Υστέρησης	121.29
------------------	--------

Αποτελέσματα:
EL0415FR6027

Παροχή αιχμής (M3/S)	1529.43
Χρονική στιγμή αιχμής	02Sep2000, 24:00
Όγκος (MM)	347.97
Όγκος βροχόπτωσης (M3)	8.17E7
Όγκος απωλειών (M3)	3.45E7
Ενεργός Όγκος (M3)	4.72E7
Όγκος άμεσης απορροής (M3)	4.72E7
Όγκος βασικής απορροής (M3)	1.74E7

Βροχόπτωση και Απορροή



Υπολεκάνη: EL0415FR6028

Έκταση (KM2) : 39.67

Κατάντη : J22

Μέθοδος Απωλειών: SCS

Ποσοστό αδιαπέρατης επιφάνειας	0
Αριθμός Καμπύλης Απορροής-CN	27.3
Αρχικές Απώλειες	135.28

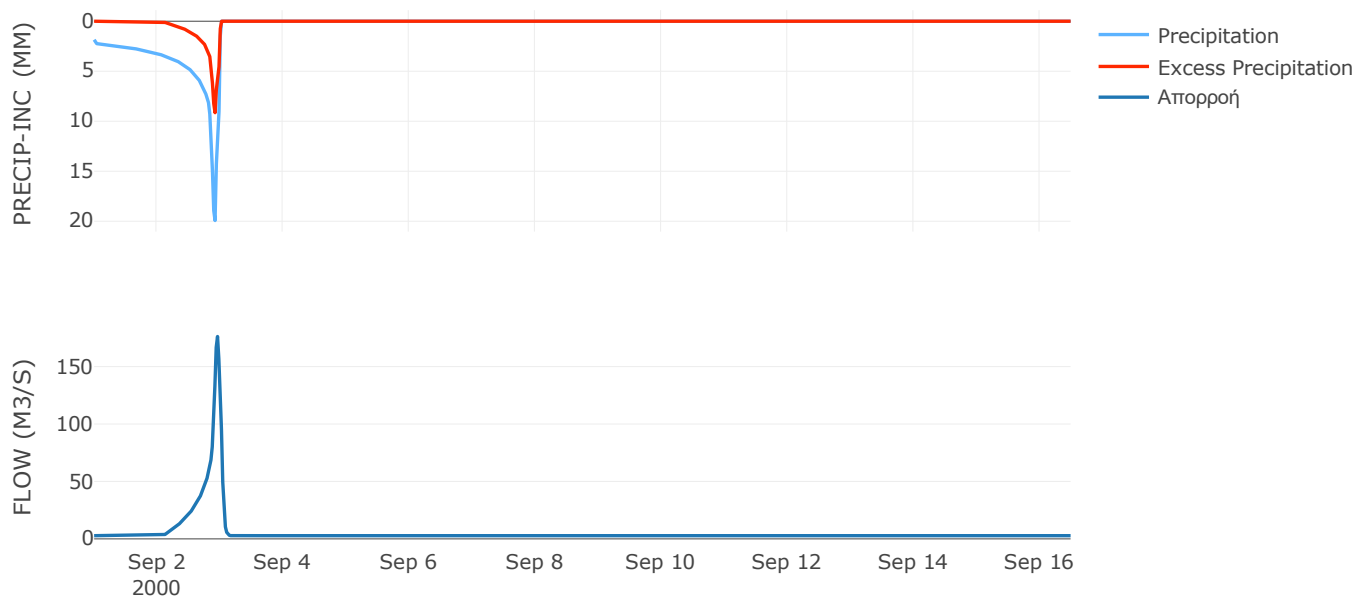
Μέθοδος
Μετασχηματισμού: SCS

Χρόνος Υστέρησης	39.09
------------------	-------

Αποτελέσματα:
EL0415FR6028

Παροχή αιχμής (M3/S)	176.19
Χρονική στιγμή αιχμής	02Sep2000, 23:00
Όγκος (MM)	180.15
Όγκος βροχόπτωσης (M3)	1.68E7
Όγκος απωλειών (M3)	1.34E7
Ενεργός Όγκος (M3)	3.43E6
Όγκος άμεσης απορροής (M3)	3.43E6
Όγκος βασικής απορροής (M3)	3.72E6

Βροχόπτωση και Απορροή



Υπολεκάνη: EL0415FR6029

Έκταση (KM2) : 74.56

Κατάντη : J31

Μέθοδος Απωλειών: SCS

Ποσοστό αδιαπέρατης επιφάνειας	22
Αριθμός Καμπύλης Απορροής-CN	48.02
Αρχικές Απώλειες	55

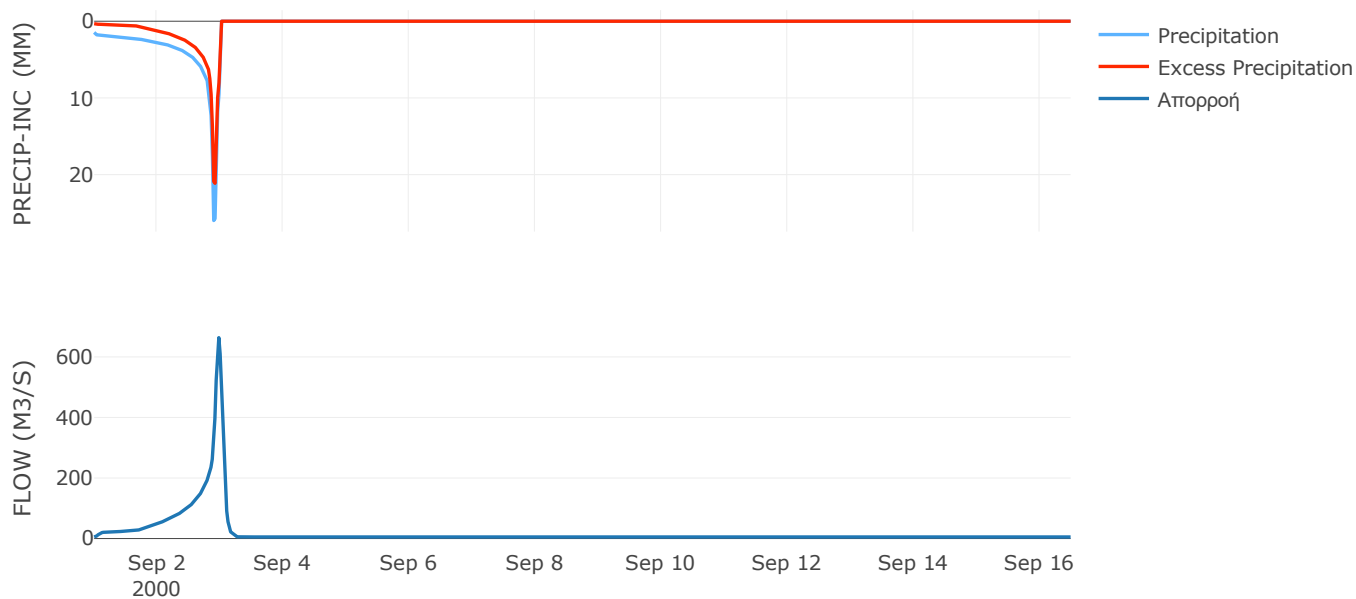
Μέθοδος
Μετασχηματισμού: SCS

Χρόνος Υστέρησης	75.58
------------------	-------

Αποτελέσματα:
EL0415FR6029

Παροχή αιχμής (M3/S)	663.71
Χρονική στιγμή αιχμής	02Sep2000, 23:30
Όγκος (MM)	337.47
Όγκος βροχόπτωσης (M3)	3.03E7
Όγκος απωλειών (M3)	1.22E7
Ενεργός Όγκος (M3)	1.82E7
Όγκος άμεσης απορροής (M3)	1.82E7
Όγκος βασικής απορροής (M3)	6.99E6

Βροχόπτωση και Απορροή



Υπολεκάνη: EL0415FR6030

Έκταση (KM2) : 127.36

Κατάντη : J27

Μέθοδος Απωλειών: SCS

Ποσοστό αδιαπέρατης επιφάνειας	17
Αριθμός Καμπύλης Απορροής-CN	64.38
Αρχικές Απώλειες	28.11

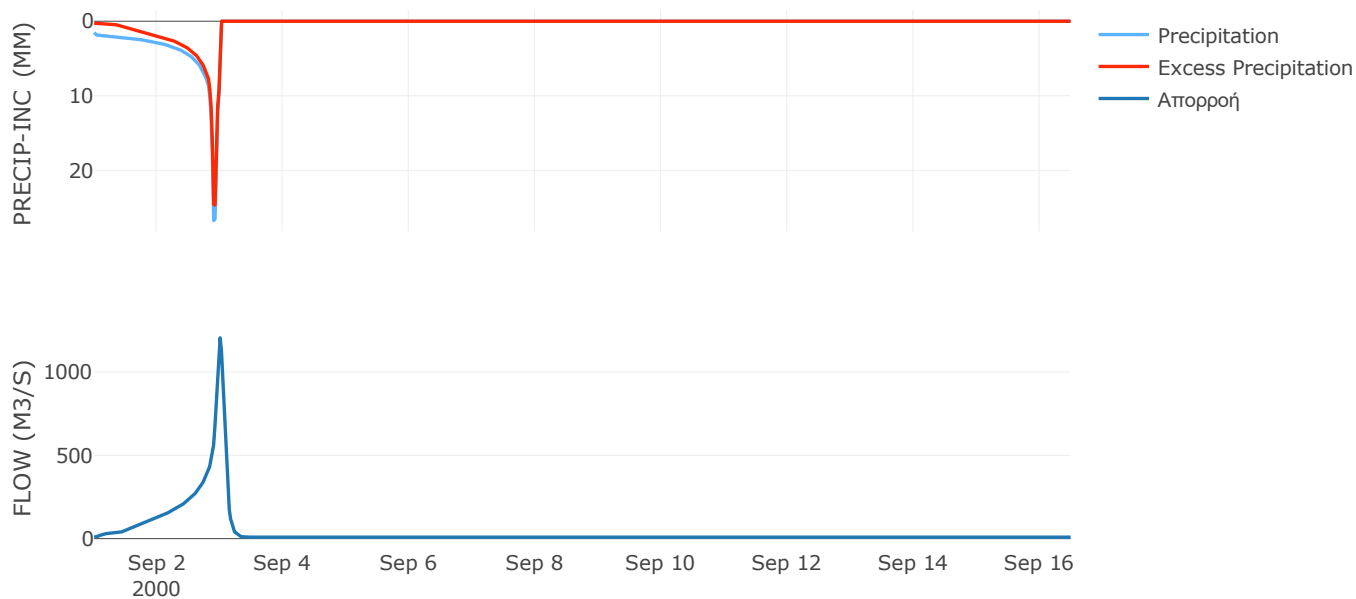
Μέθοδος
Μετασχηματισμού: SCS

Χρόνος Υστέρησης	105.48
------------------	--------

Αποτελέσματα:
EL0415FR6030

Παροχή αιχμής (M3/S)	1204.73
Χρονική στιγμή αιχμής	02Sep2000, 24:00
Όγκος (MM)	407.29
Όγκος βροχόπτωσης (M3)	5.39E7
Όγκος απωλειών (M3)	1.39E7
Ενεργός Όγκος (M3)	3.99E7
Όγκος άμεσης απορροής (M3)	3.99E7
Όγκος βασικής απορροής (M3)	1.19E7

Βροχόπτωση και Απορροή



Υπολεκάνη: EL0415FR6031

Έκταση (KM2) : 92.16

Κατάντη : J34

Μέθοδος Απωλειών: SCS

Ποσοστό αδιαπέρατης επιφάνειας	0
Αριθμός Καμπύλης Απορροής-CN	62.32
Αρχικές Απώλειες	30.71

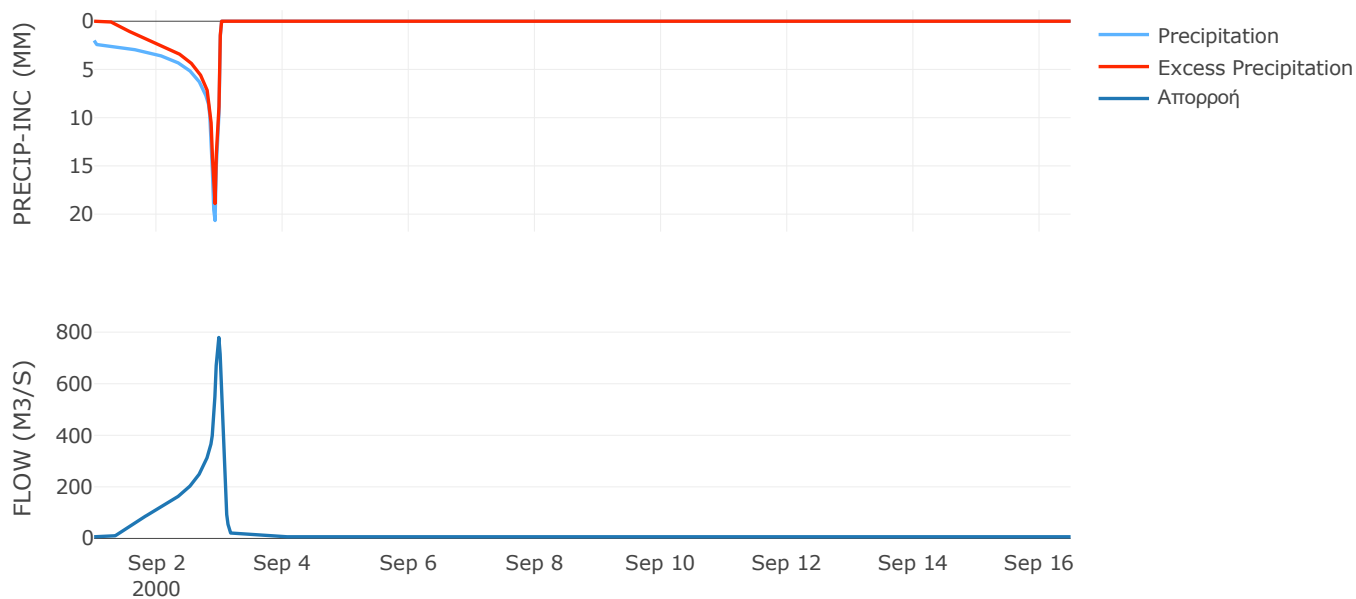
Μέθοδος
Μετασχηματισμού: SCS

Χρόνος Υστέρησης	69.31
------------------	-------

Αποτελέσματα:
EL0415FR6031

Παροχή αιχμής (M3/S)	779.39
Χρονική στιγμή αιχμής	02Sep2000, 23:30
Όγκος (MM)	401.39
Όγκος βροχόπτωσης (M3)	4.15E7
Όγκος απωλειών (M3)	1.32E7
Ενεργός Όγκος (M3)	2.84E7
Όγκος άμεσης απορροής (M3)	2.84E7
Όγκος βασικής απορροής (M3)	8.64E6

Βροχόπτωση και Απορροή



Υπολεκάνη: EL0415FR6032

Έκταση (KM2) : 115.9

Κατάντη : J26

Μέθοδος Απωλειών: SCS

Ποσοστό αδιαπέρατης επιφάνειας	0
Αριθμός Καμπύλης Απορροής-CN	39.12
Αρχικές Απώλειες	79.05

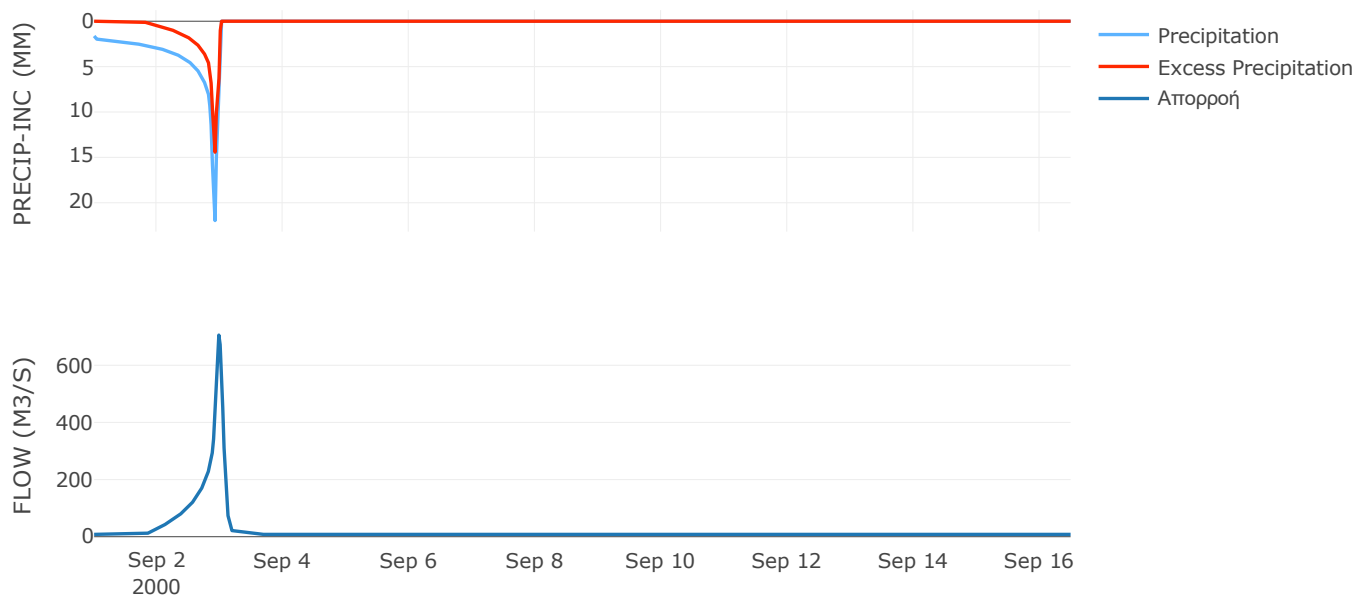
Μέθοδος
Μετασχηματισμού: SCS

Χρόνος Υστέρησης	78.76
------------------	-------

Αποτελέσματα:
EL0415FR6032

Παροχή αιχμής (M3/S)	705.71
Χρονική στιγμή αιχμής	02Sep2000, 23:30
Όγκος (MM)	242.04
Όγκος βροχόπτωσης (M3)	4.71E7
Όγκος απωλειών (M3)	2.99E7
Ενεργός Όγκος (M3)	1.72E7
Όγκος άμεσης απορροής (M3)	1.72E7
Όγκος βασικής απορροής (M3)	1.09E7

Βροχόπτωση και Απορροή



Υπολεκάνη: EL0415FR6033

Έκταση (KM2) : 126.39

Κατάντη : J62

Μέθοδος Απωλειών: SCS

Ποσοστό αδιαπέρατης επιφάνειας	0
Αριθμός Καμπύλης Απορροής-CN	45.13
Αρχικές Απώλειες	61.76

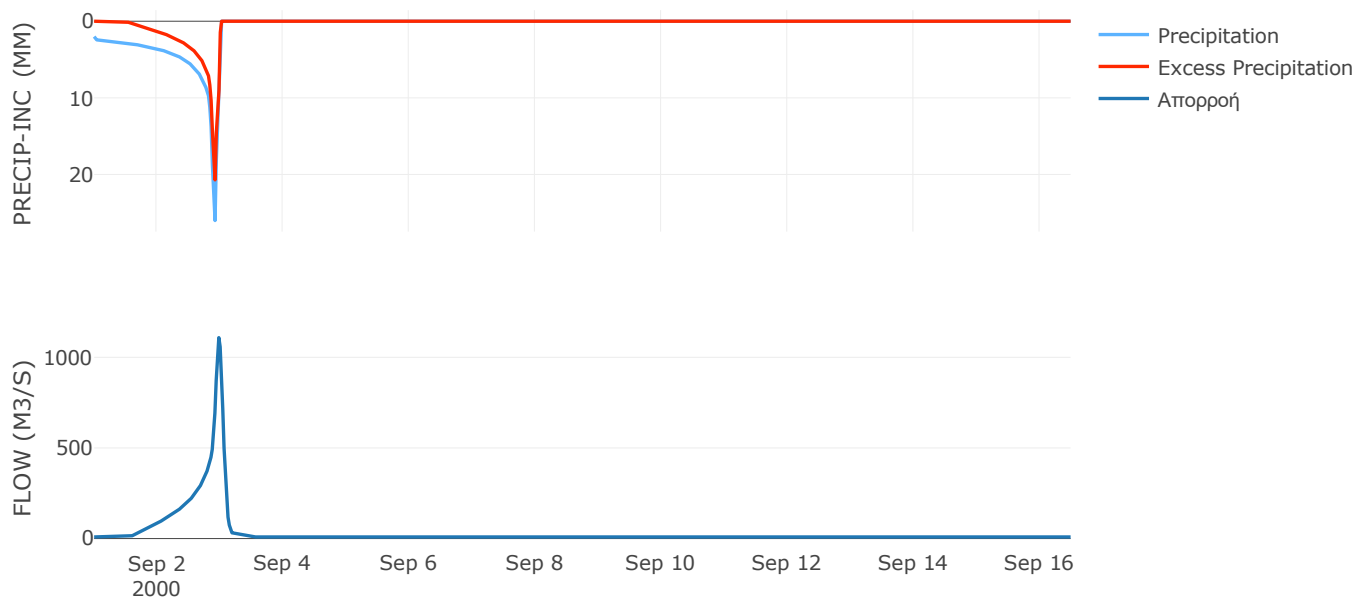
Μέθοδος
Μετασχηματισμού: SCS

Χρόνος Υστέρησης	80.72
------------------	-------

Αποτελέσματα:
EL0415FR6033

Παροχή αιχμής (M3/S)	1108.49
Χρονική στιγμή αιχμής	02Sep2000, 23:30
Όγκος (MM)	345.59
Όγκος βροχόπτωσης (M3)	6.24E7
Όγκος απωλειών (M3)	3.06E7
Ενεργός Όγκος (M3)	3.18E7
Όγκος άμεσης απορροής (M3)	3.18E7
Όγκος βασικής απορροής (M3)	1.18E7

Βροχόπτωση και Απορροή



Υπολεκάνη: EL0415FR6034

Έκταση (KM2) : 105.64

Κατάντη : J44

Μέθοδος Απωλειών: SCS

Ποσοστό αδιαπέρατης επιφάνειας	0
Αριθμός Καμπύλης Απορροής-CN	44.95
Αρχικές Απώλειες	62.22

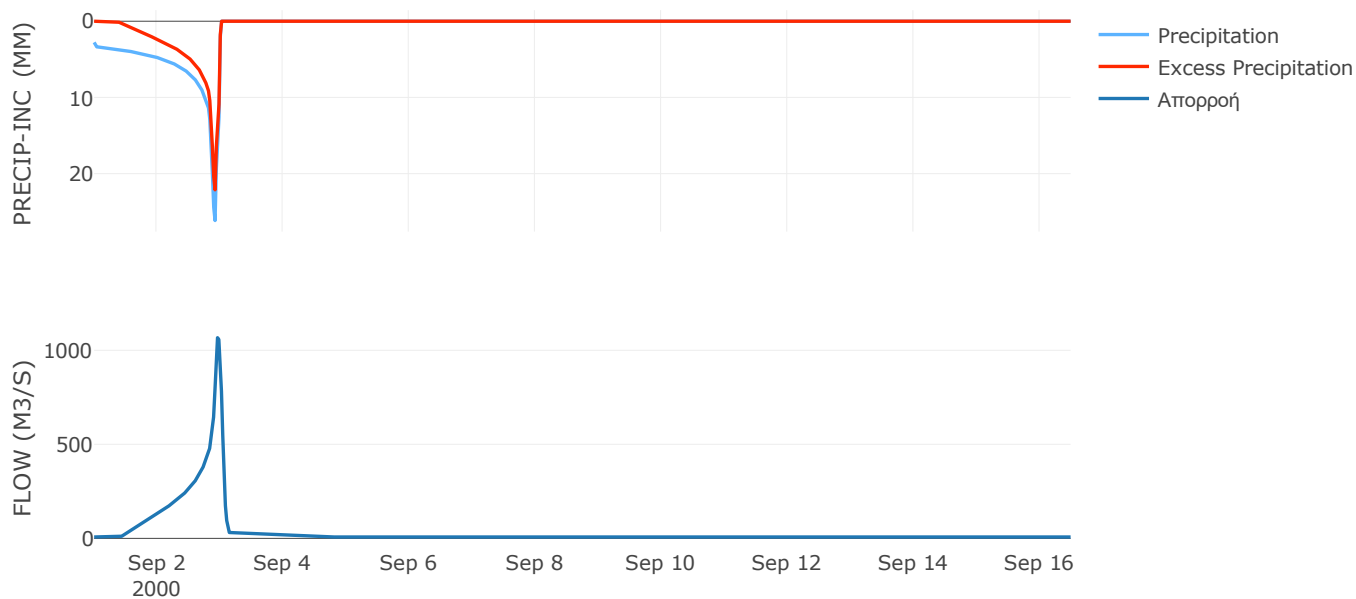
Μέθοδος
Μετασχηματισμού: SCS

Χρόνος Υστέρησης	61.85
------------------	-------

Αποτελέσματα:
EL0415FR6034

Παροχή αιχμής (M3/S)	1066.94
Χρονική στιγμή αιχμής	02Sep2000, 23:00
Όγκος (MM)	439.09
Όγκος βροχόπτωσης (M3)	6.4E7
Όγκος απωλειών (M3)	2.75E7
Ενεργός Όγκος (M3)	3.65E7
Όγκος άμεσης απορροής (M3)	3.65E7
Όγκος βασικής απορροής (M3)	9.9E6

Βροχόπτωση και Απορροή



Υπολεκάνη: EL0415FR6035

Έκταση (KM2) : 82.38

Κατάντη : J25

Μέθοδος Απωλειών: SCS

Ποσοστό αδιαπέρατης επιφάνειας	0
Αριθμός Καμπύλης Απορροής-CN	58.52
Αρχικές Απώλειες	36

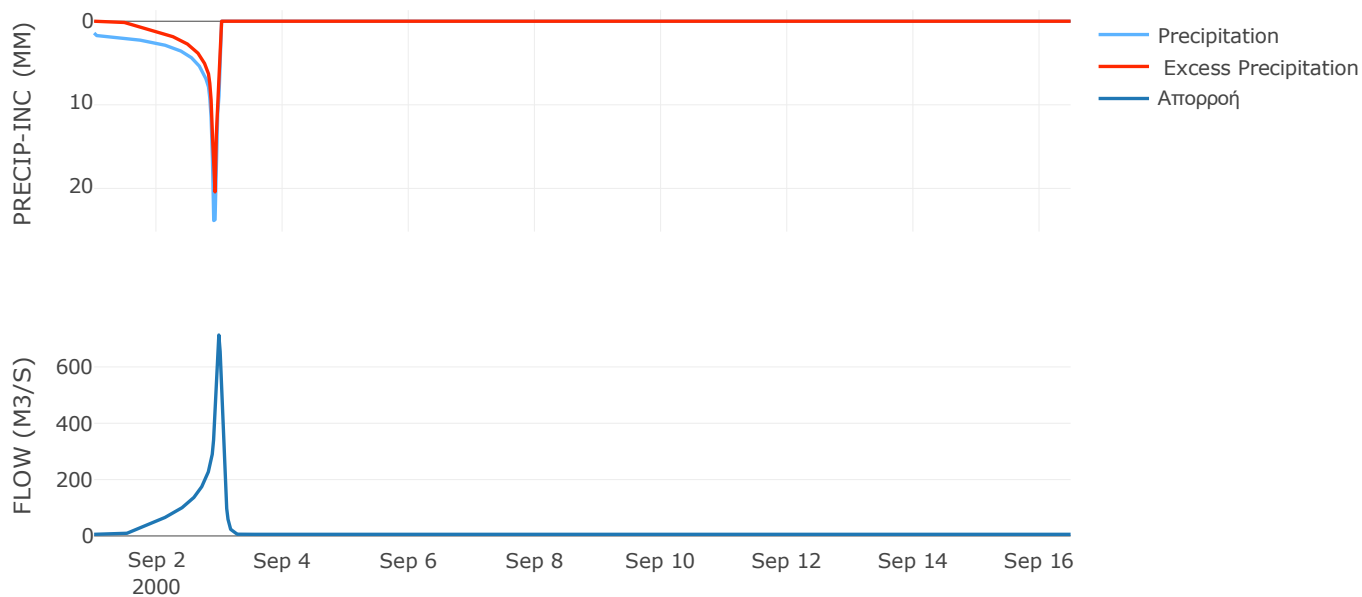
Μέθοδος
Μετασχηματισμού: SCS

Χρόνος Υστέρησης	75.16
------------------	-------

Αποτελέσματα:
EL0415FR6035

Παροχή αιχμής (M3/S)	713.27
Χρονική στιγμή αιχμής	02Sep2000, 23:30
Όγκος (MM)	324.82
Όγκος βροχόπτωσης (M3)	3.18E7
Όγκος απωλειών (M3)	1.28E7
Ενεργός Όγκος (M3)	1.9E7
Όγκος άμεσης απορροής (M3)	1.9E7
Όγκος βασικής απορροής (M3)	7.72E6

Βροχόπτωση και Απορροή



Υπολεκάνη: EL0415FR6036

Έκταση (KM2) : 47.25

Κατάντη : J45

Μέθοδος Απωλειών: SCS

Ποσοστό αδιαπέρατης επιφάνειας	0
Αριθμός Καμπύλης Απορροής-CN	44.92
Αρχικές Απώλειες	62.29

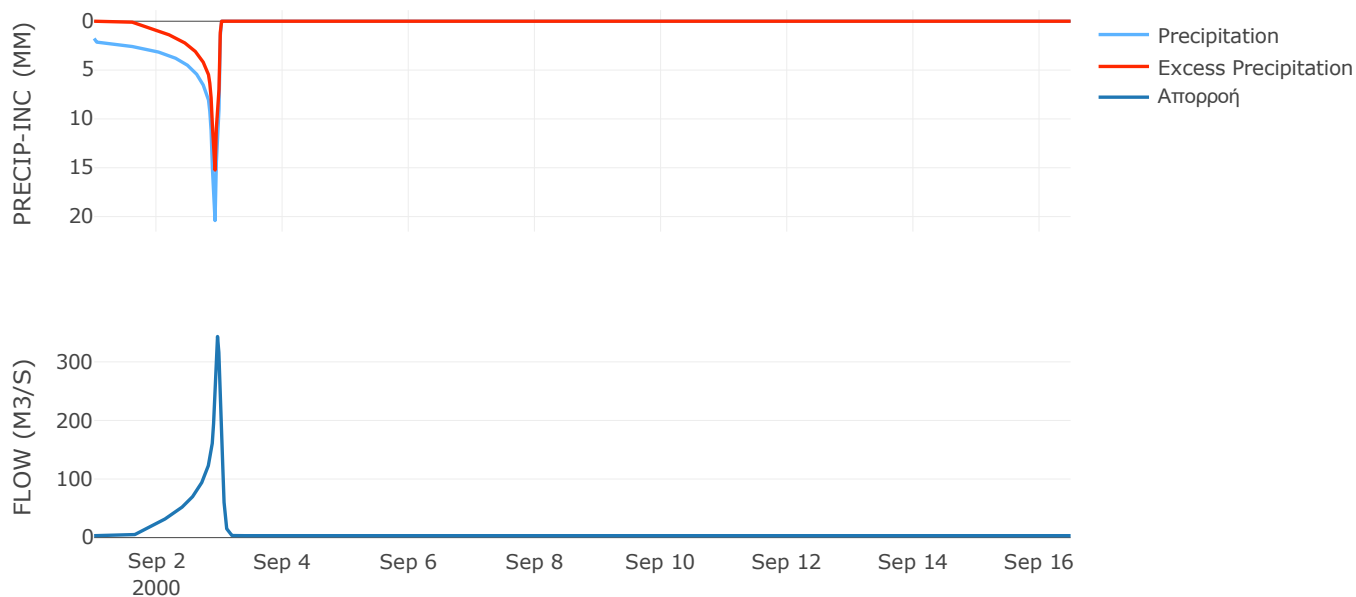
Μέθοδος
Μετασχηματισμού: SCS

Χρόνος Υστέρησης	48.25
------------------	-------

Αποτελέσματα:
EL0415FR6036

Παροχή αιχμής (M3/S)	343.27
Χρονική στιγμή αιχμής	02Sep2000, 23:00
Όγκος (MM)	281.44
Όγκος βροχόπτωσης (M3)	1.96E7
Όγκος απωλειών (M3)	1.08E7
Ενεργός Όγκος (M3)	8.87E6
Όγκος άμεσης απορροής (M3)	8.87E6
Όγκος βασικής απορροής (M3)	4.43E6

Βροχόπτωση και Απορροή



Υπολεκάνη: EL0415FR6037

Έκταση (KM2) : 88.31

Κατάντη : J40

Μέθοδος Απωλειών: SCS

Ποσοστό αδιαπέρατης επιφάνειας	0
Αριθμός Καμπύλης Απορροής-CN	47.16
Αρχικές Απώλειες	56.93

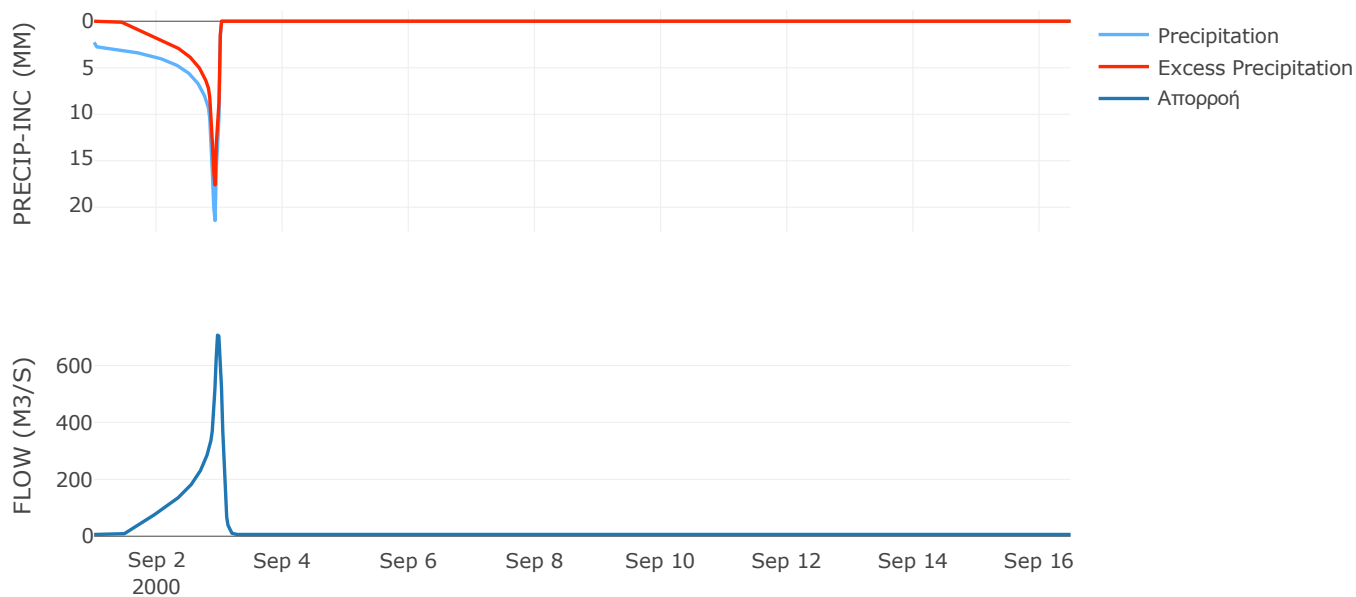
Μέθοδος
Μετασχηματισμού: SCS

Χρόνος Υστέρησης	62.77
------------------	-------

Αποτελέσματα:
EL0415FR6037

Παροχή αιχμής (M3/S)	706.82
Χρονική στιγμή αιχμής	02Sep2000, 23:00
Όγκος (MM)	360.71
Όγκος βροχόπτωσης (M3)	4.39E7
Όγκος απωλειών (M3)	2.03E7
Ενεργός Όγκος (M3)	2.36E7
Όγκος άμεσης απορροής (M3)	2.36E7
Όγκος βασικής απορροής (M3)	8.28E6

Βροχόπτωση και Απορροή



Υπολεκάνη: EL0415FR6038

Έκταση (KM2) : 94.78

Κατάντη : J35

Μέθοδος Απωλειών: SCS

Ποσοστό αδιαπέρατης επιφάνειας	0
Αριθμός Καμπύλης Απορροής-CN	47.98
Αρχικές Απώλειες	55.09

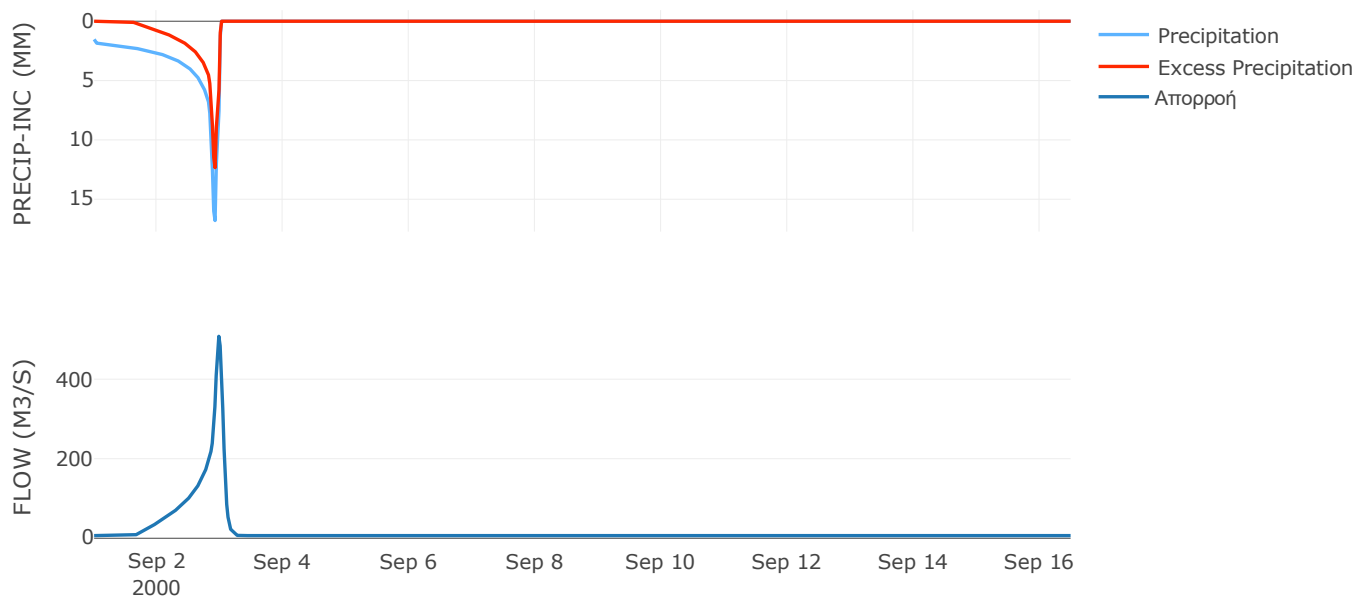
Μέθοδος
Μετασχηματισμού: SCS

Χρόνος Υστέρησης	77.92
------------------	-------

Αποτελέσματα:
EL0415FR6038

Παροχή αιχμής (M3/S)	507.82
Χρονική στιγμή αιχμής	02Sep2000, 23:30
Όγκος (MM)	248.3
Όγκος βροχόπτωσης (M3)	3.34E7
Όγκος απωλειών (M3)	1.88E7
Ενεργός Όγκος (M3)	1.46E7
Όγκος άμεσης απορροής (M3)	1.46E7
Όγκος βασικής απορροής (M3)	8.88E6

Βροχόπτωση και Απορροή



Υπολεκάνη: EL0415FR6039

Έκταση (KM2) : 6.93

Κατάντη : J23

Μέθοδος Απωλειών: SCS

Ποσοστό αδιαπέρατης επιφάνειας	0
Αριθμός Καμπύλης Απορροής-CN	60.78
Αρχικές Απώλειες	32.78

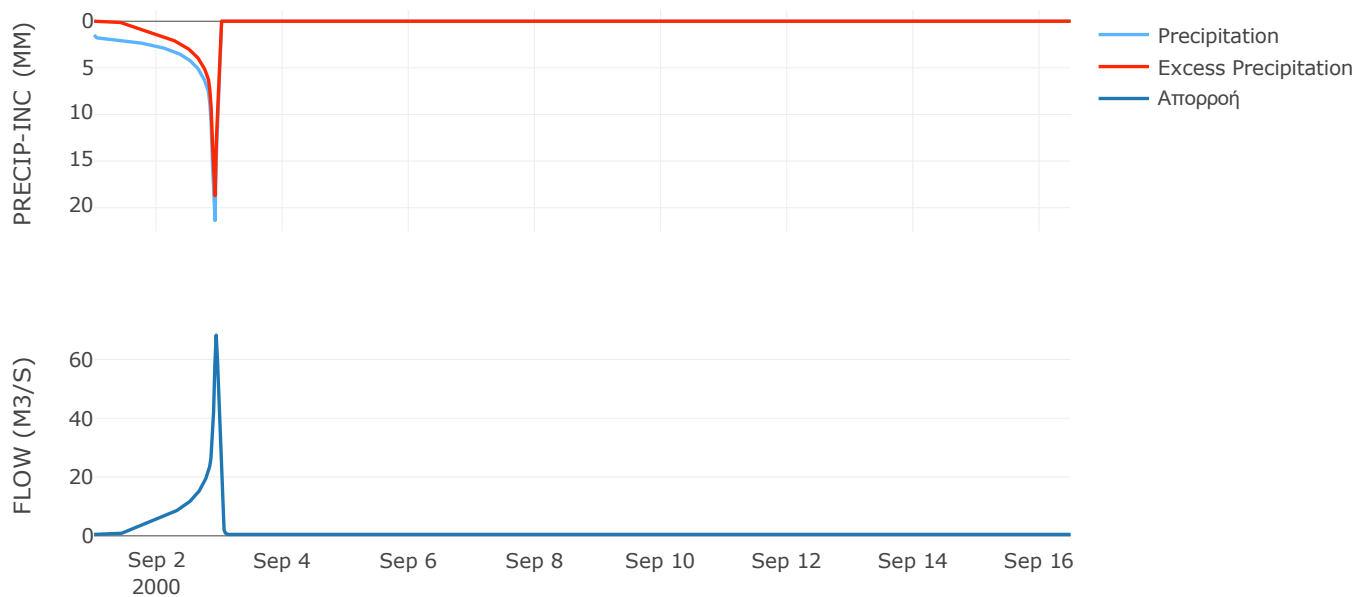
Μέθοδος
Μετασχηματισμού: SCS

Χρόνος Υστέρησης	23.67
------------------	-------

Αποτελέσματα:
EL0415FR6039

Παροχή αιχμής (M3/S)	68.29
Χρονική στιγμή αιχμής	02Sep2000, 22:30
Όγκος (MM)	328.61
Όγκος βροχόπτωσης (M3)	2.63E6
Όγκος απωλειών (M3)	9.98E5
Ενεργός Όγκος (M3)	1.63E6
Όγκος άμεσης απορροής (M3)	1.63E6
Όγκος βασικής απορροής (M3)	6.5E5

Βροχόπτωση και Απορροή



Υπολεκάνη: EL0415FR6040

Έκταση (KM2) : 39.05

Κατάντη : J34

Μέθοδος Απωλειών: SCS

Ποσοστό αδιαπέρατης επιφάνειας	0
Αριθμός Καμπύλης Απορροής-CN	41.41
Αρχικές Απώλειες	71.89

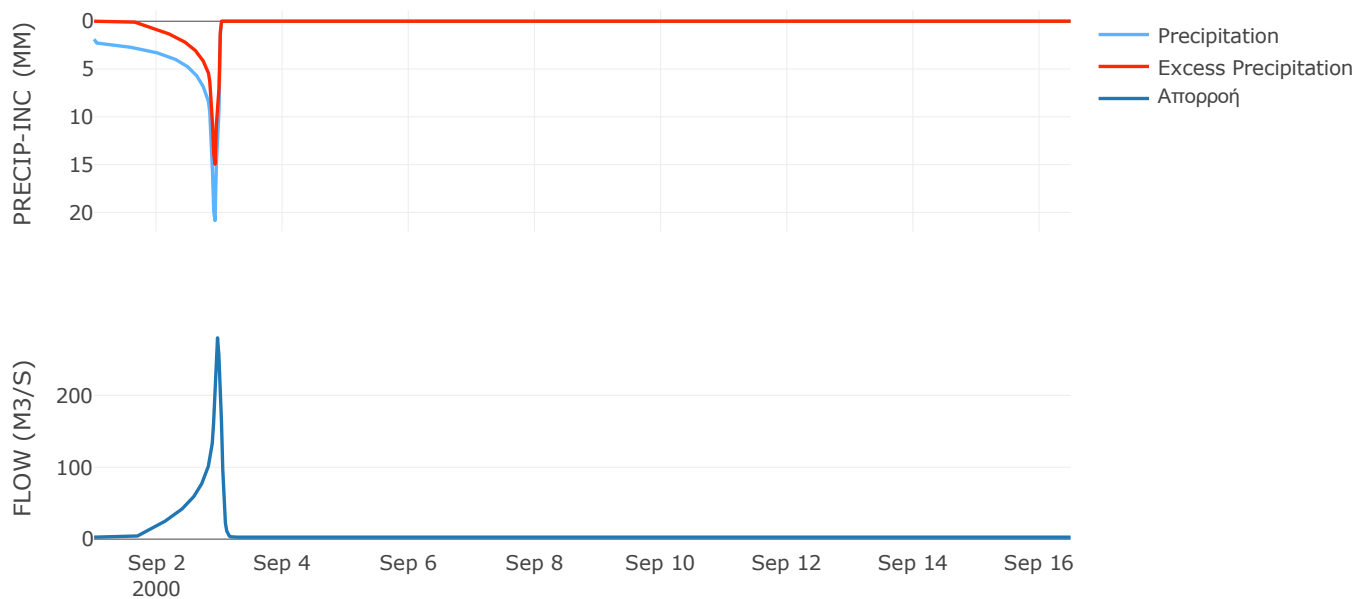
Μέθοδος
Μετασχηματισμού: SCS

Χρόνος Υστέρησης	46.83
------------------	-------

Αποτελέσματα:
EL0415FR6040

Παροχή αιχμής (M3/S)	279.95
Χρονική στιγμή αιχμής	02Sep2000, 23:00
Όγκος (MM)	277
Όγκος βροχόπτωσης (M3)	1.7E7
Όγκος απωλειών (M3)	9.87E6
Ενεργός Όγκος (M3)	7.16E6
Όγκος άμεσης απορροής (M3)	7.16E6
Όγκος βασικής απορροής (M3)	3.66E6

Βροχόπτωση και Απορροή



Υπολεκάνη: EL0415FR6041

Έκταση (KM2) : 25.72

Κατάντη : J64

Μέθοδος Απωλειών: SCS

Ποσοστό αδιαπέρατης επιφάνειας	0
Αριθμός Καμπύλης Απορροής-CN	37.85
Αρχικές Απώλειες	83.39

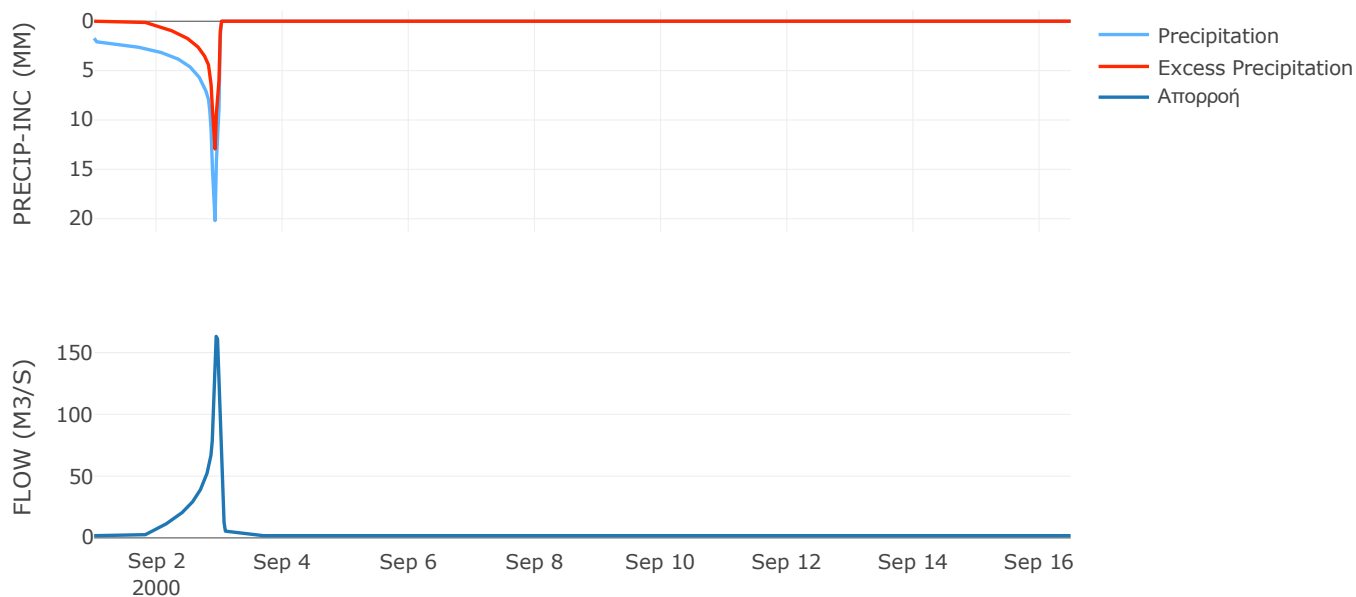
Μέθοδος
Μετασχηματισμού: SCS

Χρόνος Υστέρησης	32.63
------------------	-------

Αποτελέσματα:
EL0415FR6041

Παροχή αιχμής (M3/S)	163.15
Χρονική στιγμή αιχμής	02Sep2000, 22:30
Όγκος (MM)	235.42
Όγκος βροχόπτωσης (M3)	1.05E7
Όγκος απωλειών (M3)	6.83E6
Ενεργός Όγκος (M3)	3.64E6
Όγκος άμεσης απορροής (M3)	3.64E6
Όγκος βασικής απορροής (M3)	2.41E6

Βροχόπτωση και Απορροή



Υπολεκάνη: EL0415FR6042

Έκταση (KM2) : 44.43

Κατάντη : J28

Μέθοδος Απωλειών: SCS

Ποσοστό αδιαπέρατης επιφάνειας	0
Αριθμός Καμπύλης Απορροής-CN	45.57
Αρχικές Απώλειες	60.67

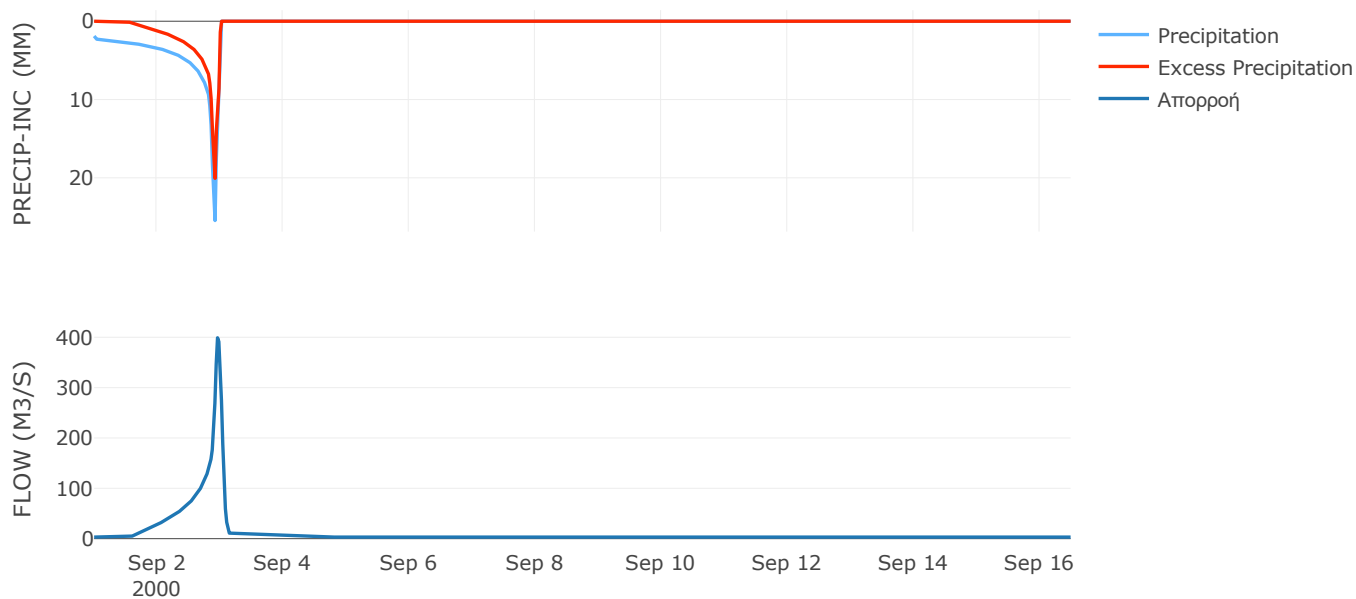
Μέθοδος
Μετασχηματισμού: SCS

Χρόνος Υστέρησης	61.19
------------------	-------

Αποτελέσματα:
EL0415FR6042

Παροχή αιχμής (M3/S)	398.99
Χρονική στιγμή αιχμής	02Sep2000, 23:00
Όγκος (MM)	330.7
Όγκος βροχόπτωσης (M3)	2.1E7
Όγκος απωλειών (M3)	1.05E7
Ενεργός Όγκος (M3)	1.05E7
Όγκος άμεσης απορροής (M3)	1.05E7
Όγκος βασικής απορροής (M3)	4.17E6

Βροχόπτωση και Απορροή



Υπολεκάνη: EL0415FR6043

Έκταση (KM2) : 50.16

Κατάντη : J37

Μέθοδος Απωλειών: SCS

Ποσοστό αδιαπέρατης επιφάνειας	0
Αριθμός Καμπύλης Απορροής-CN	37.69
Αρχικές Απώλειες	83.98

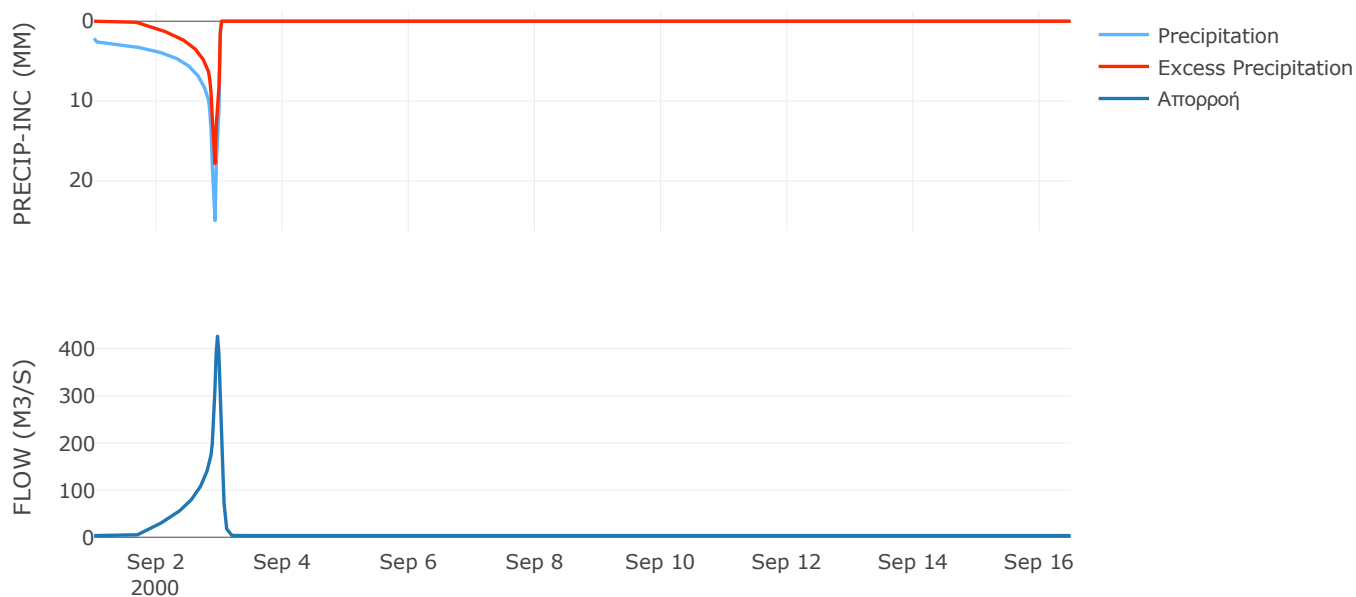
Μέθοδος
Μετασχηματισμού: SCS

Χρόνος Υστέρησης	47.45
------------------	-------

Αποτελέσματα:
EL0415FR6043

Παροχή αιχμής (M3/S)	426.17
Χρονική στιγμή αιχμής	02Sep2000, 23:00
Όγκος (MM)	305.27
Όγκος βροχόπτωσης (M3)	2.54E7
Όγκος απωλειών (M3)	1.48E7
Ενεργός Όγκος (M3)	1.06E7
Όγκος άμεσης απορροής (M3)	1.06E7
Όγκος βασικής απορροής (M3)	4.7E6

Βροχόπτωση και Απορροή



Υπολεκάνη: EL0415FR6044

Έκταση (KM2) : 32.29

Κατάντη : J44

Μέθοδος Απωλειών: SCS

Ποσοστό αδιαπέρατης επιφάνειας	0
Αριθμός Καμπύλης Απορροής-CN	40.13
Αρχικές Απώλειες	75.8

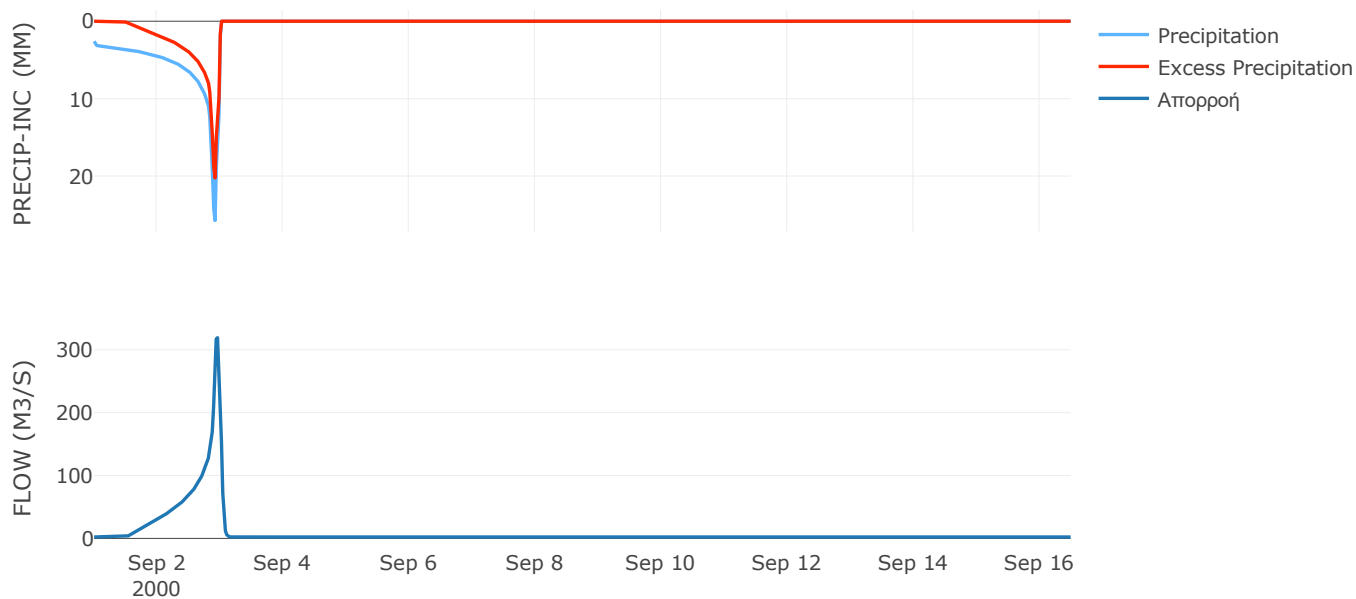
Μέθοδος
Μετασχηματισμού: SCS

Χρόνος Υστέρησης	35.47
------------------	-------

Αποτελέσματα:
EL0415FR6044

Παροχή αιχμής (M3/S)	319.15
Χρονική στιγμή αιχμής	02Sep2000, 23:00
Όγκος (MM)	379.15
Όγκος βροχόπτωσης (M3)	1.86E7
Όγκος απωλειών (M3)	9.42E6
Ενεργός Όγκος (M3)	9.22E6
Όγκος άμεσης απορροής (M3)	9.22E6
Όγκος βασικής απορροής (M3)	3.03E6

Βροχόπτωση και Απορροή



Υπολεκάνη: EL0415FR6045

Έκταση (KM2) : 39.32

Κατάντη : J24

Μέθοδος Απωλειών: SCS

Ποσοστό αδιαπέρατης επιφάνειας	0
Αριθμός Καμπύλης Απορροής-CN	63.08
Αρχικές Απώλειες	29.73

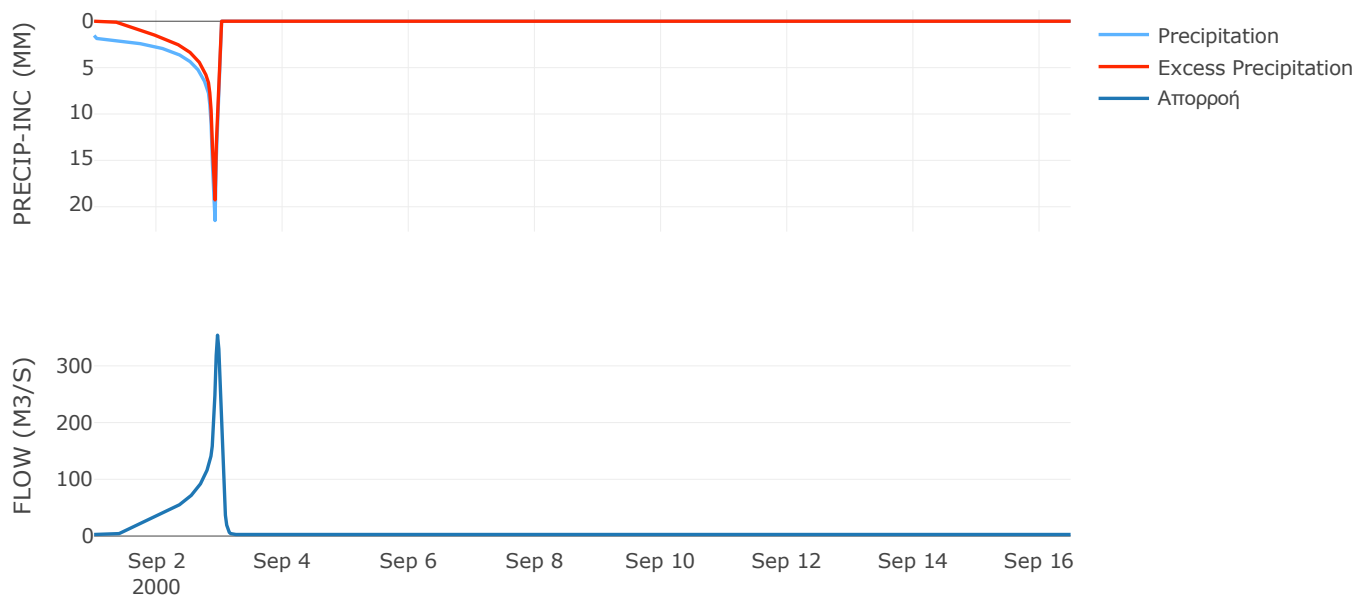
Μέθοδος
Μετασχηματισμού: SCS

Χρόνος Υστέρησης	53.69
------------------	-------

Αποτελέσματα:
EL0415FR6045

Παροχή αιχμής (M3/S)	354.04
Χρονική στιγμή αιχμής	02Sep2000, 23:00
Όγκος (MM)	348.07
Όγκος βροχόπτωσης (M3)	1.53E7
Όγκος απωλειών (M3)	5.3E6
Ενεργός Όγκος (M3)	1E7
Όγκος άμεσης απορροής (M3)	1E7
Όγκος βασικής απορροής (M3)	3.69E6

Βροχόπτωση και Απορροή



Υπολεκάνη: EL0415FR6046

Έκταση (KM2) : 33.73

Κατάντη : J23

Μέθοδος Απωλειών: SCS

Ποσοστό αδιαπέρατης επιφάνειας	0
Αριθμός Καμπύλης Απορροής-CN	33.44
Αρχικές Απώλειες	101.11

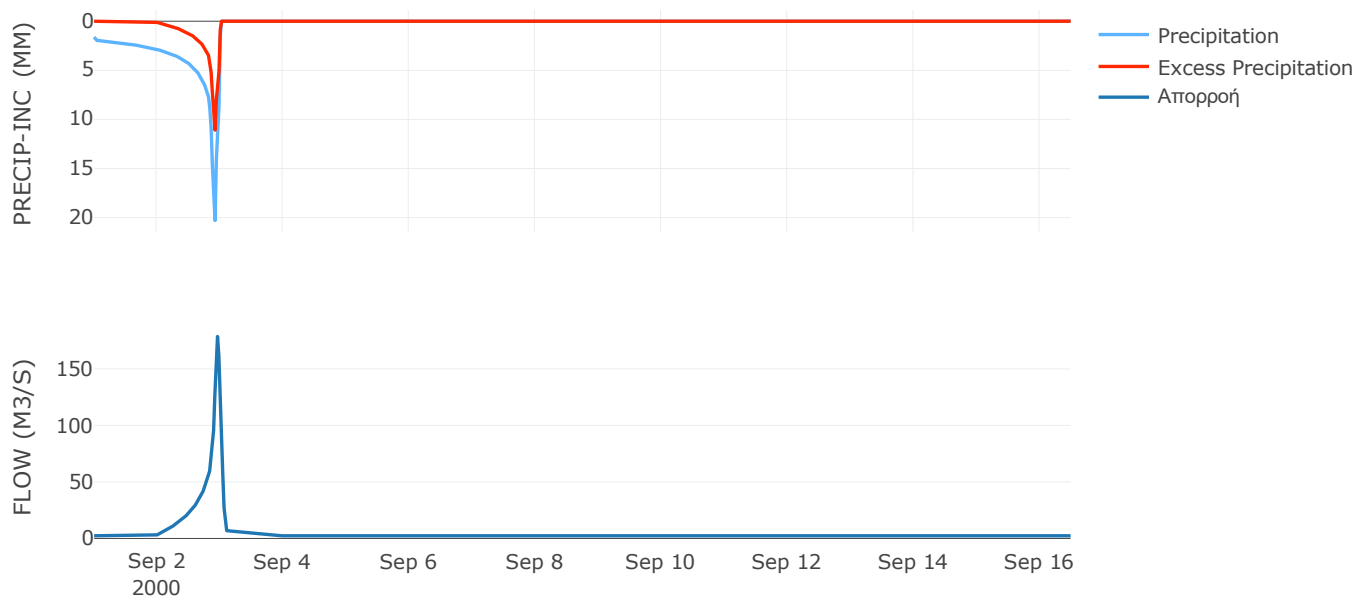
Μέθοδος
Μετασχηματισμού: SCS

Χρόνος Υστέρησης	44.28
------------------	-------

Αποτελέσματα:
EL0415FR6046

Παροχή αιχμής (M3/S)	178.67
Χρονική στιγμή αιχμής	02Sep2000, 23:00
Όγκος (MM)	199.49
Όγκος βροχόπτωσης (M3)	1.32E7
Όγκος απωλειών (M3)	9.63E6
Ενεργός Όγκος (M3)	3.57E6
Όγκος άμεσης απορροής (M3)	3.57E6
Όγκος βασικής απορροής (M3)	3.16E6

Βροχόπτωση και Απορροή



Υπολεκάνη: EL0415FR6047

Έκταση (KM2) : 33.12

Κατάντη : J38

Μέθοδος Απωλειών: SCS

Ποσοστό αδιαπέρατης επιφάνειας	0
Αριθμός Καμπύλης Απορροής-CN	41.73
Αρχικές Απώλειες	70.93

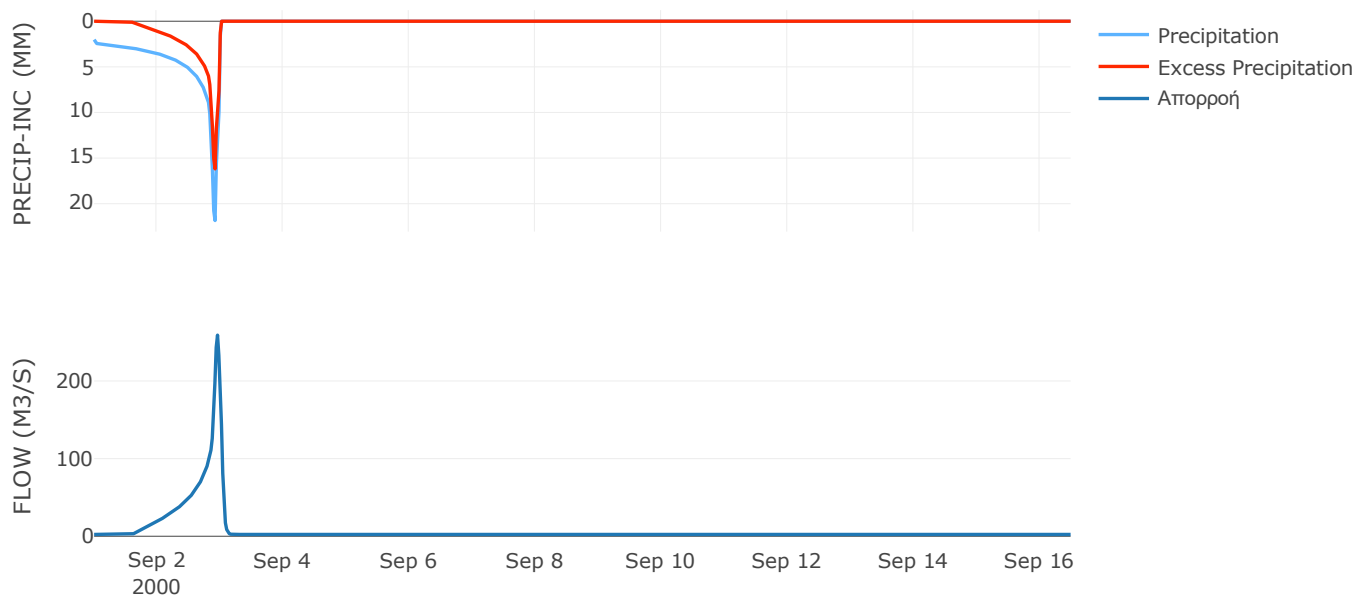
Μέθοδος
Μετασχηματισμού: SCS

Χρόνος Υστέρησης	43.59
------------------	-------

Αποτελέσματα:
EL0415FR6047

Παροχή αιχμής (M3/S)	259.06
Χρονική στιγμή αιχμής	02Sep2000, 23:00
Όγκος (MM)	299.56
Όγκος βροχόπτωσης (M3)	1.53E7
Όγκος απωλειών (M3)	8.52E6
Ενεργός Όγκος (M3)	6.82E6
Όγκος άμεσης απορροής (M3)	6.82E6
Όγκος βασικής απορροής (M3)	3.1E6

Βροχόπτωση και Απορροή



Υπολεκάνη: EL0415FR6048

Έκταση (KM2) : 29.32

Κατάντη : J35

Μέθοδος Απωλειών: SCS

Ποσοστό αδιαπέρατης επιφάνειας	0
Αριθμός Καμπύλης Απορροής-CN	44.2
Αρχικές Απώλειες	64.14

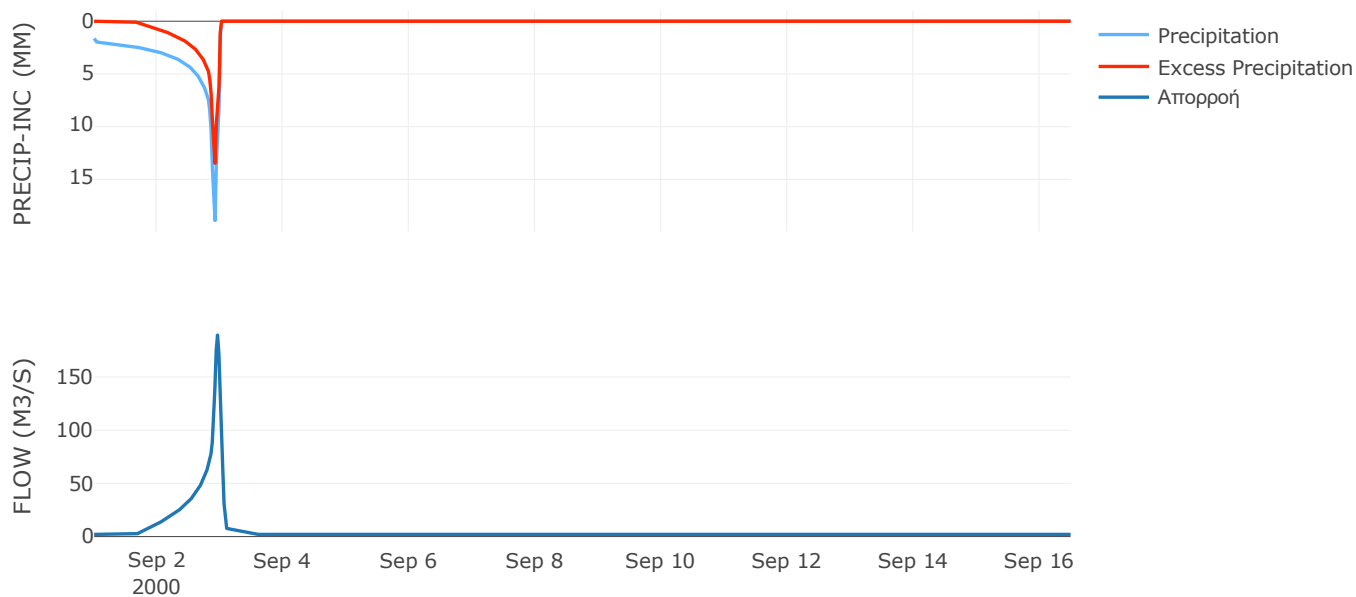
Μέθοδος
Μετασχηματισμού: SCS

Χρόνος Υστέρησης	46.25
------------------	-------

Αποτελέσματα:
EL0415FR6048

Παροχή αιχμής (M3/S)	189.38
Χρονική στιγμή αιχμής	02Sep2000, 23:00
Όγκος (MM)	253.64
Όγκος βροχόπτωσης (M3)	1.13E7
Όγκος απωλειών (M3)	6.58E6
Ενεργός Όγκος (M3)	4.69E6
Όγκος άμεσης απορροής (M3)	4.69E6
Όγκος βασικής απορροής (M3)	2.75E6

Βροχόπτωση και Απορροή



Υπολεκάνη: EL0415FR6049

Έκταση (KM2) : 52.23

Κατάντη : J49

Μέθοδος Απωλειών: SCS

Ποσοστό αδιαπέρατης επιφάνειας	0
Αριθμός Καμπύλης Απορροής-CN	44.74
Αρχικές Απώλειες	62.73

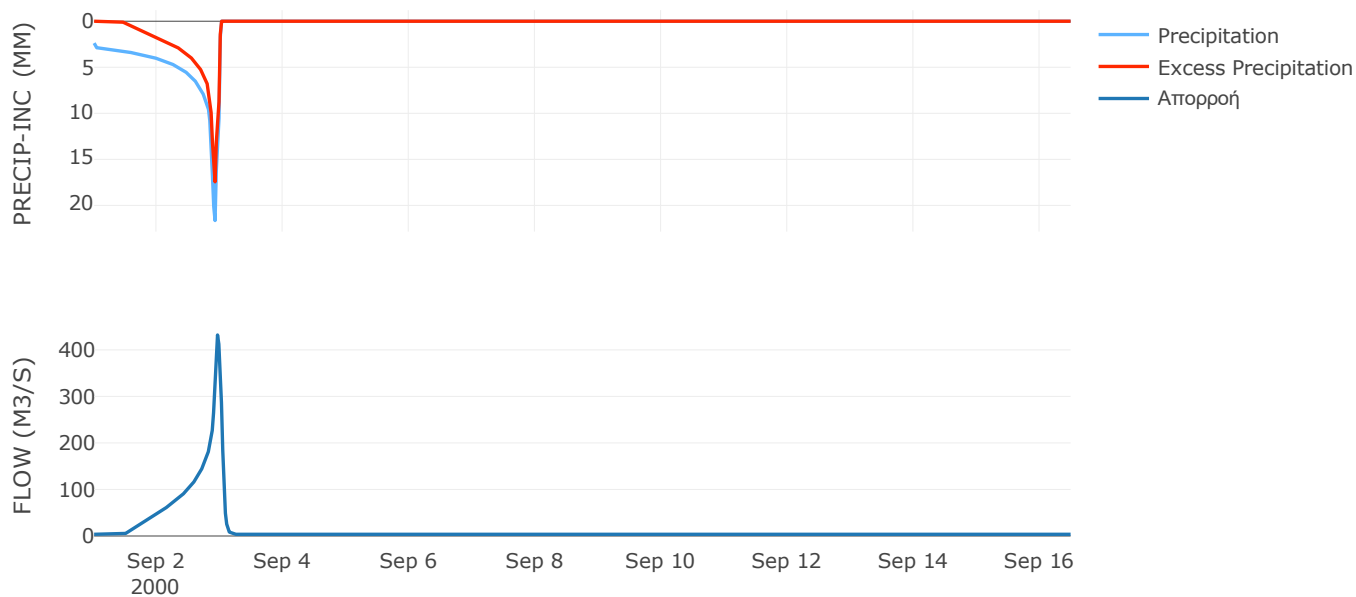
Μέθοδος
Μετασχηματισμού: SCS

Χρόνος Υστέρησης	52.94
------------------	-------

Αποτελέσματα:
EL0415FR6049

Παροχή αιχμής (M3/S)	432.01
Χρονική στιγμή αιχμής	02Sep2000, 23:00
Όγκος (MM)	358.47
Όγκος βροχόπτωσης (M3)	2.67E7
Όγκος απωλειών (M3)	1.29E7
Ενεργός Όγκος (M3)	1.38E7
Όγκος άμεσης απορροής (M3)	1.38E7
Όγκος βασικής απορροής (M3)	4.9E6

Βροχόπτωση και Απορροή



Υπολεκάνη: EL0415FR6050

Έκταση (KM2) : 51.03

Κατάντη : J51

Μέθοδος Απωλειών: SCS

Ποσοστό αδιαπέρατης επιφάνειας	0
Αριθμός Καμπύλης Απορροής-CN	41.41
Αρχικές Απώλειες	71.88

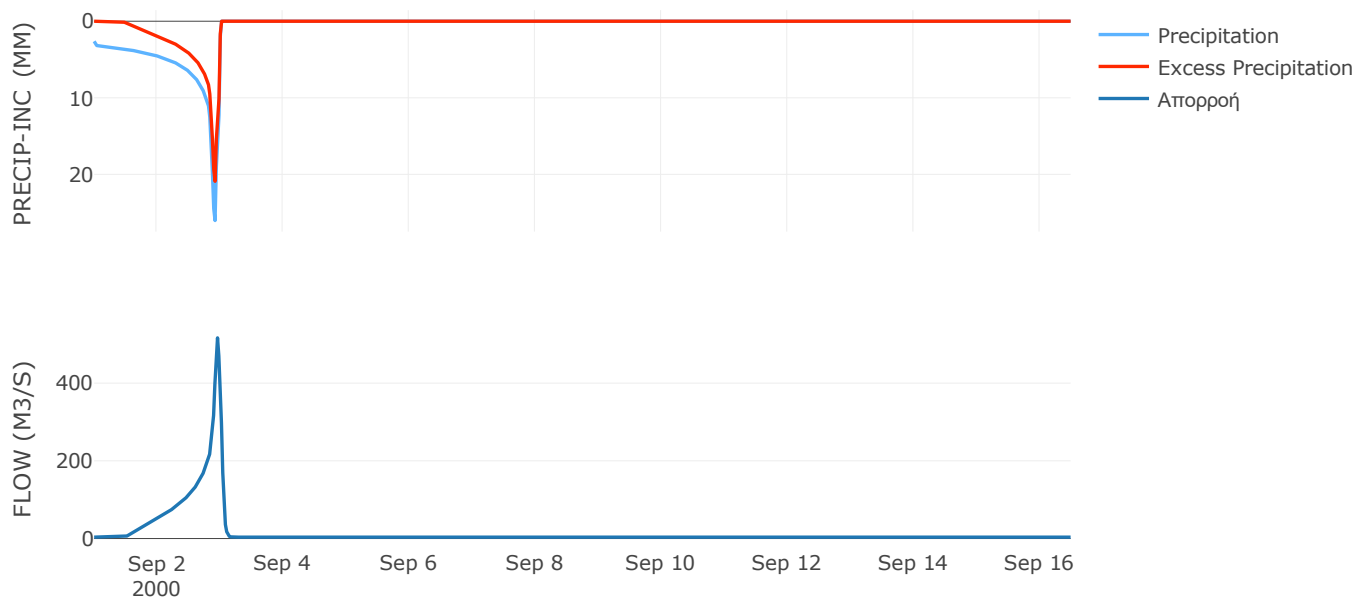
Μέθοδος
Μετασχηματισμού: SCS

Χρόνος Υστέρησης	44.7
------------------	------

Αποτελέσματα:
EL0415FR6050

Παροχή αιχμής (M3/S)	516.5
Χρονική στιγμή αιχμής	02Sep2000, 23:00
Όγκος (MM)	394.12
Όγκος βροχόπτωσης (M3)	2.98E7
Όγκος απωλειών (M3)	1.44E7
Ενεργός Όγκος (M3)	1.53E7
Όγκος άμεσης απορροής (M3)	1.53E7
Όγκος βασικής απορροής (M3)	4.78E6

Βροχόπτωση και Απορροή



Υπολεκάνη: EL0415FR6051

Έκταση (KM2) : 113.82

Κατάντη : J56

Μέθοδος Απωλειών: SCS

Ποσοστό αδιαπέρατης επιφάνειας	0
Αριθμός Καμπύλης Απορροής-CN	61.39
Αρχικές Απώλειες	31.95

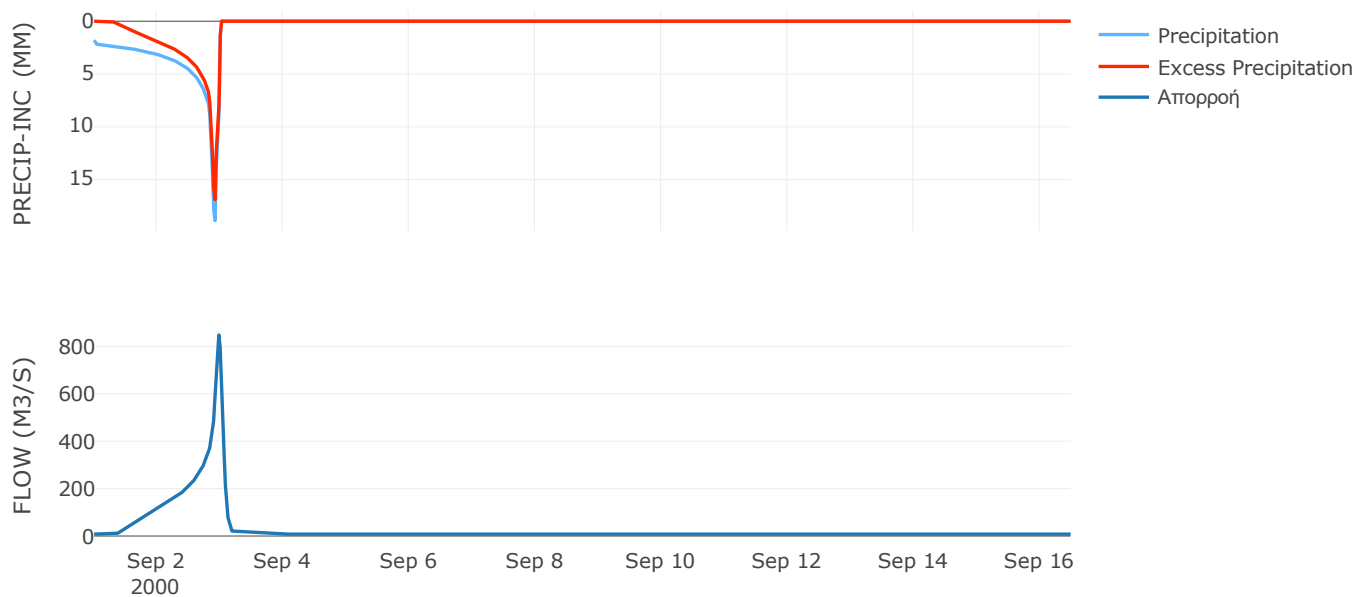
Μέθοδος
Μετασχηματισμού: SCS

Χρόνος Υστέρησης	75.47
------------------	-------

Αποτελέσματα:
EL0415FR6051

Παροχή αιχμής (M3/S)	848.02
Χρονική στιγμή αιχμής	02Sep2000, 23:30
Όγκος (MM)	357.86
Όγκος βροχόπτωσης (M3)	4.65E7
Όγκος απωλειών (M3)	1.64E7
Ενεργός Όγκος (M3)	3.01E7
Όγκος άμεσης απορροής (M3)	3.01E7
Όγκος βασικής απορροής (M3)	1.07E7

Βροχόπτωση και Απορροή



Υπολεκάνη: EL0415FR6052

Έκταση (KM2) : 27.12

Κατάντη : J4

Μέθοδος Απωλειών: SCS

Ποσοστό αδιαπέρατης επιφάνειας	0
Αριθμός Καμπύλης Απορροής-CN	45.78
Αρχικές Απώλειες	60.17

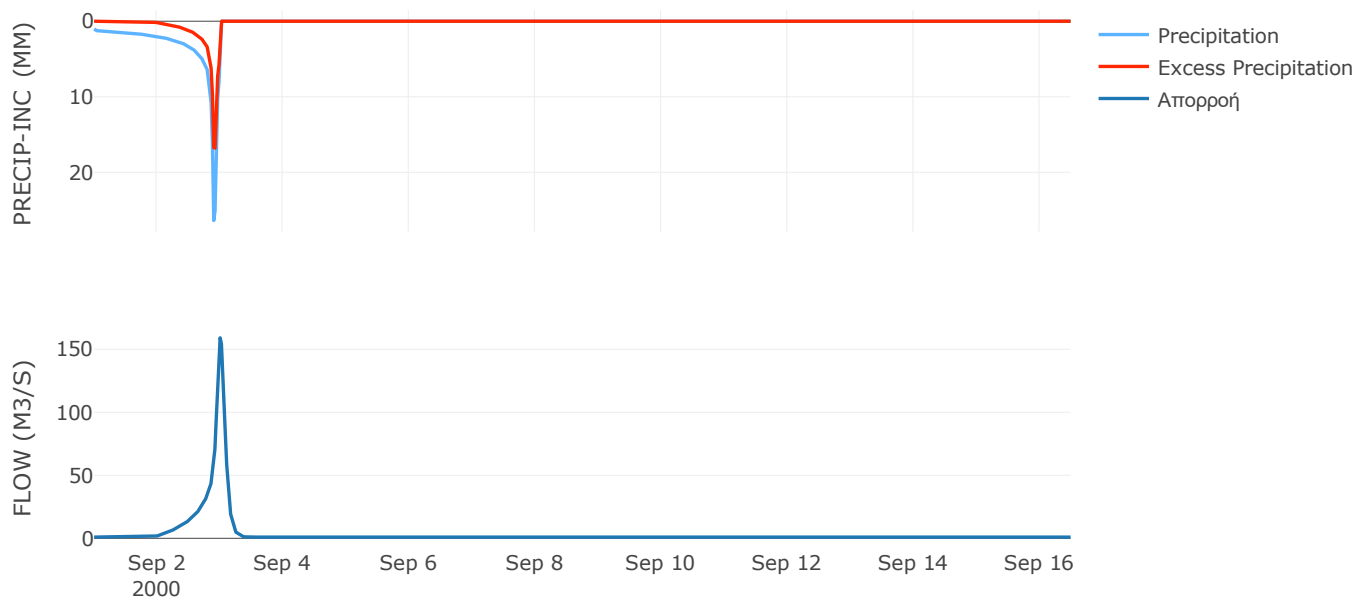
Μέθοδος
Μετασχηματισμού: SCS

Χρόνος Υστέρησης	113.36
------------------	--------

Αποτελέσματα:
EL0415FR6052

Παροχή αιχμής (M3/S)	159.12
Χρονική στιγμή αιχμής	02Sep2000, 24:00
Όγκος (MM)	174.66
Όγκος βροχόπτωσης (M3)	8.96E6
Όγκος απωλειών (M3)	5.49E6
Ενεργός Όγκος (M3)	3.47E6
Όγκος άμεσης απορροής (M3)	3.47E6
Όγκος βασικής απορροής (M3)	1.27E6

Βροχόπτωση και Απορροή



Υπολεκάνη: EL0415FR6053

Έκταση (KM2) : 64.07

Κατάντη : J55

Μέθοδος Απωλειών: SCS

Ποσοστό αδιαπέρατης επιφάνειας	0
Αριθμός Καμπύλης Απορροής-CN	42.9
Αρχικές Απώλειες	67.6

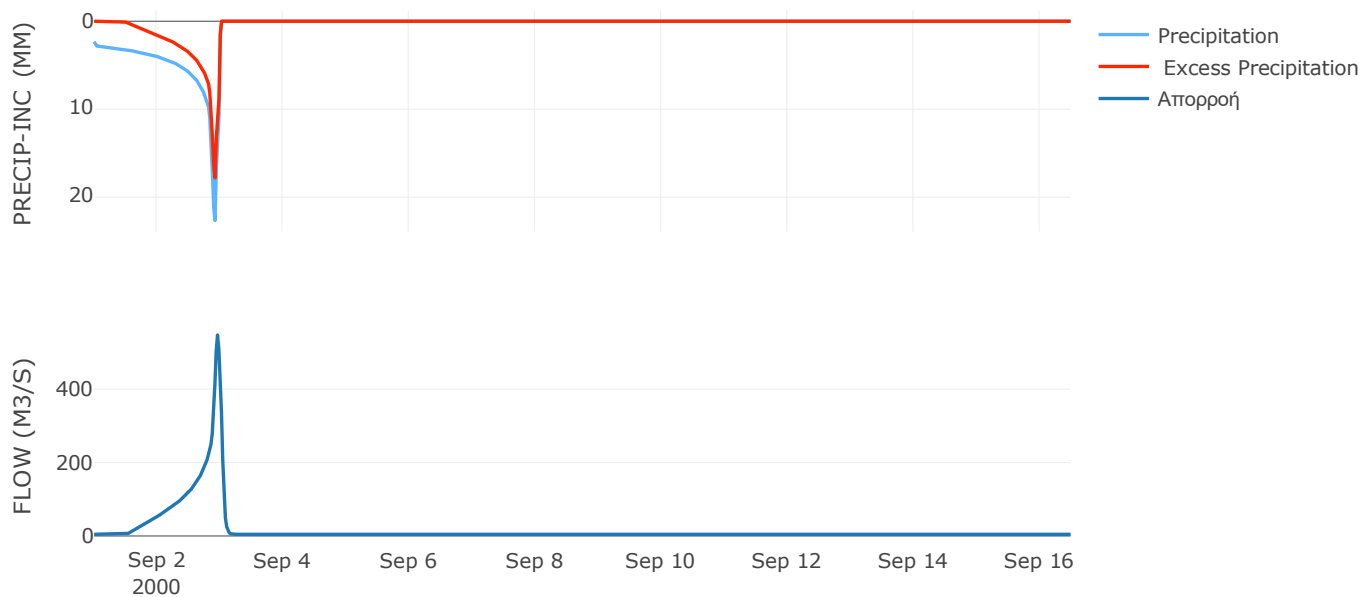
Μέθοδος
Μετασχηματισμού: SCS

Χρόνος Υστέρησης	48.8
------------------	------

Αποτελέσματα:
EL0415FR6053

Παροχή αιχμής (M3/S)	547.17
Χρονική στιγμή αιχμής	02Sep2000, 23:00
Όγκος (MM)	347.7
Όγκος βροχόπτωσης (M3)	3.29E7
Όγκος απωλειών (M3)	1.67E7
Ενεργός Όγκος (M3)	1.63E7
Όγκος άμεσης απορροής (M3)	1.63E7
Όγκος βασικής απορροής (M3)	6.01E6

Βροχόπτωση και Απορροή



Υπολεκάνη: EL0415FR6054

Έκταση (KM2) : 14.21

Κατάντη : J54

Μέθοδος Απωλειών: SCS

Ποσοστό αδιαπέρατης επιφάνειας	6
Αριθμός Καμπύλης Απορροής-CN	50.43
Αρχικές Απώλειες	49.94

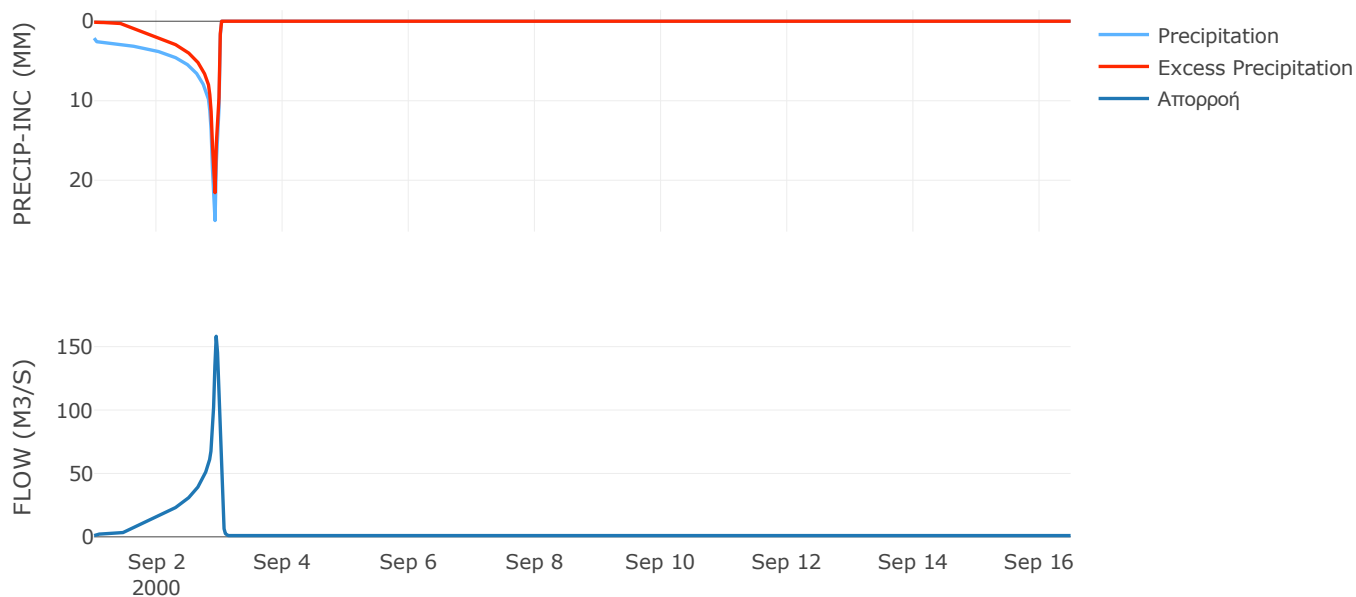
Μέθοδος
Μετασχηματισμού: SCS

Χρόνος Υστέρησης	26.37
------------------	-------

Αποτελέσματα:
EL0415FR6054

Παροχή αιχμής (M3/S)	158.19
Χρονική στιγμή αιχμής	02Sep2000, 22:30
Όγκος (MM)	399.38
Όγκος βροχόπτωσης (M3)	7.16E6
Όγκος απωλειών (M3)	2.82E6
Ενεργός Όγκος (M3)	4.34E6
Όγκος άμεσης απορροής (M3)	4.34E6
Όγκος βασικής απορροής (M3)	1.33E6

Βροχόπτωση και Απορροή



Υπολεκάνη: EL0415FR6055

Έκταση (KM2) : 46.67

Κατάντη : J55

Μέθοδος Απωλειών: SCS

Ποσοστό αδιαπέρατης επιφάνειας	0
Αριθμός Καμπύλης Απορροής-CN	37.7
Αρχικές Απώλειες	83.94

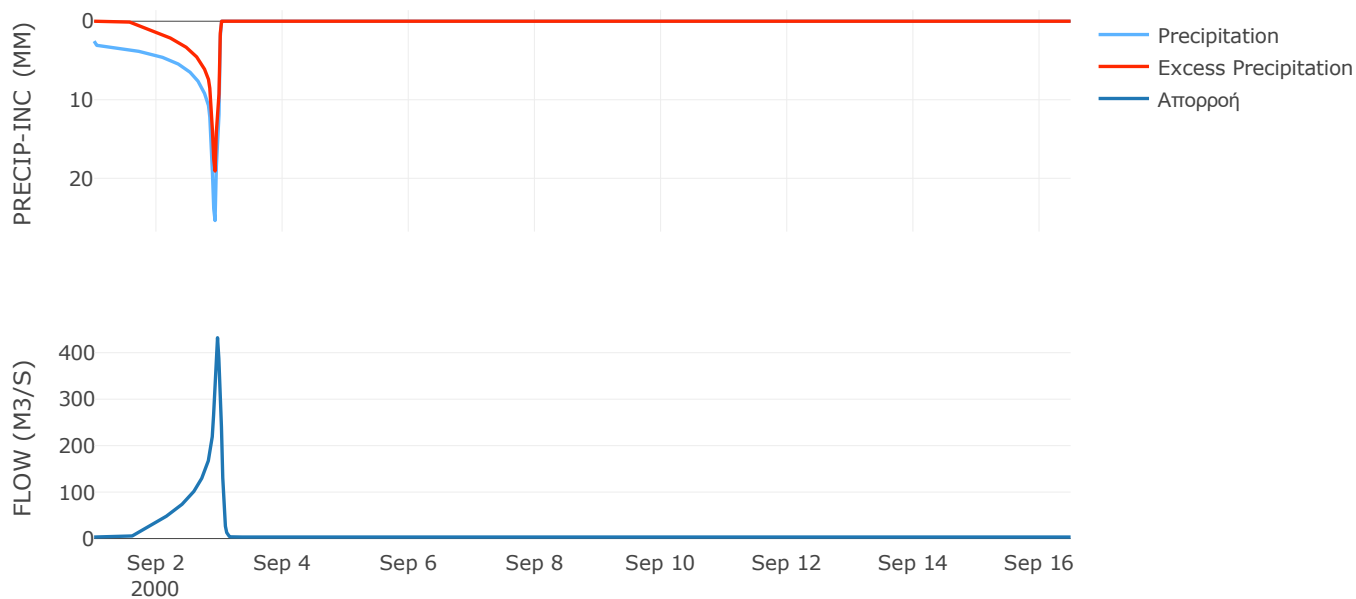
Μέθοδος
Μετασχηματισμού: SCS

Χρόνος Υστέρησης	42.25
------------------	-------

Αποτελέσματα:
EL0415FR6055

Παροχή αιχμής (M3/S)	432.21
Χρονική στιγμή αιχμής	02Sep2000, 23:00
Όγκος (MM)	351.2
Όγκος βροχόπτωσης (M3)	2.64E7
Όγκος απωλειών (M3)	1.44E7
Ενεργός Όγκος (M3)	1.2E7
Όγκος άμεσης απορροής (M3)	1.2E7
Όγκος βασικής απορροής (M3)	4.38E6

Βροχόπτωση και Απορροή



Υπολεκάνη: EL0415FR6056

Έκταση (KM2) : 143.97

Κατάντη : J54

Μέθοδος Απωλειών: SCS

Ποσοστό αδιαπέρατης επιφάνειας	0
Αριθμός Καμπύλης Απορροής-CN	46.84
Αρχικές Απώλειες	57.65

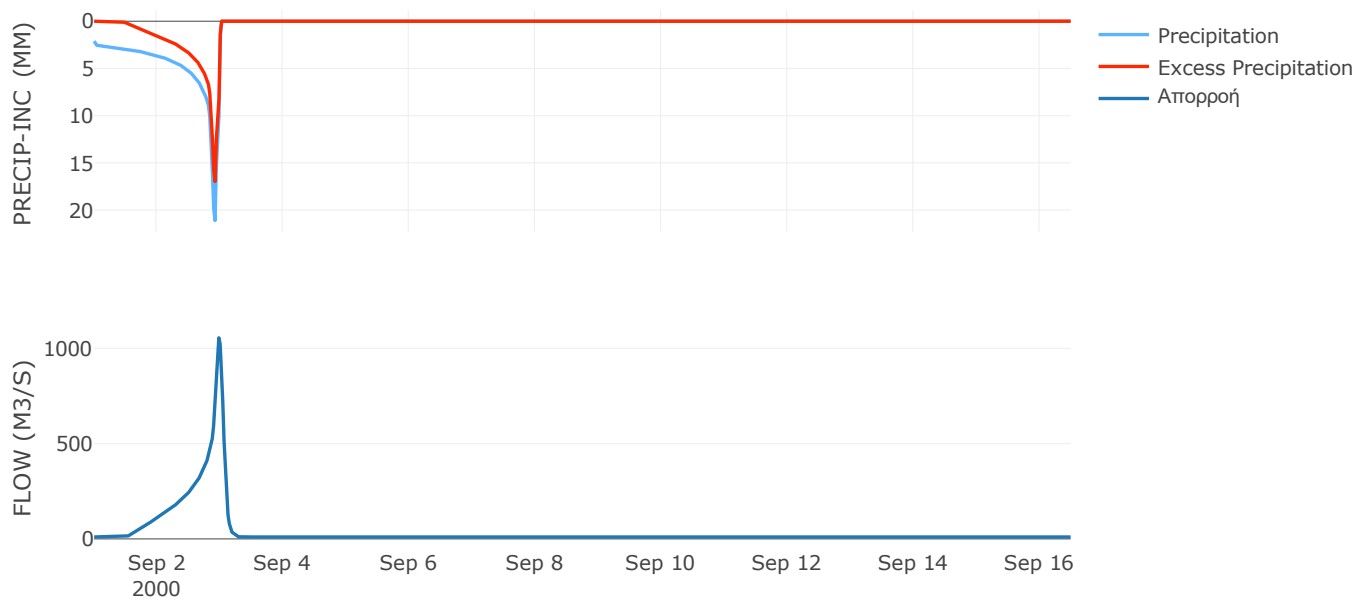
Μέθοδος
Μετασχηματισμού: SCS

Χρόνος Υστέρησης	82.59
------------------	-------

Αποτελέσματα:
EL0415FR6056

Παροχή αιχμής (M3/S)	1055.38
Χρονική στιγμή αιχμής	02Sep2000, 23:30
Όγκος (MM)	336.31
Όγκος βροχόπτωσης (M3)	6.76E7
Όγκος απωλειών (M3)	3.27E7
Ενεργός Όγκος (M3)	3.49E7
Όγκος άμεσης απορροής (M3)	3.49E7
Όγκος βασικής απορροής (M3)	1.35E7

Βροχόπτωση και Απορροή



Υπολεκάνη: EL0415FR6057

Έκταση (KM2) : 27.51

Κατάντη : J57

Μέθοδος Απωλειών: SCS

Ποσοστό αδιαπέρατης επιφάνειας	13
Αριθμός Καμπύλης Απορροής-CN	47.72
Αρχικές Απώλειες	55.66

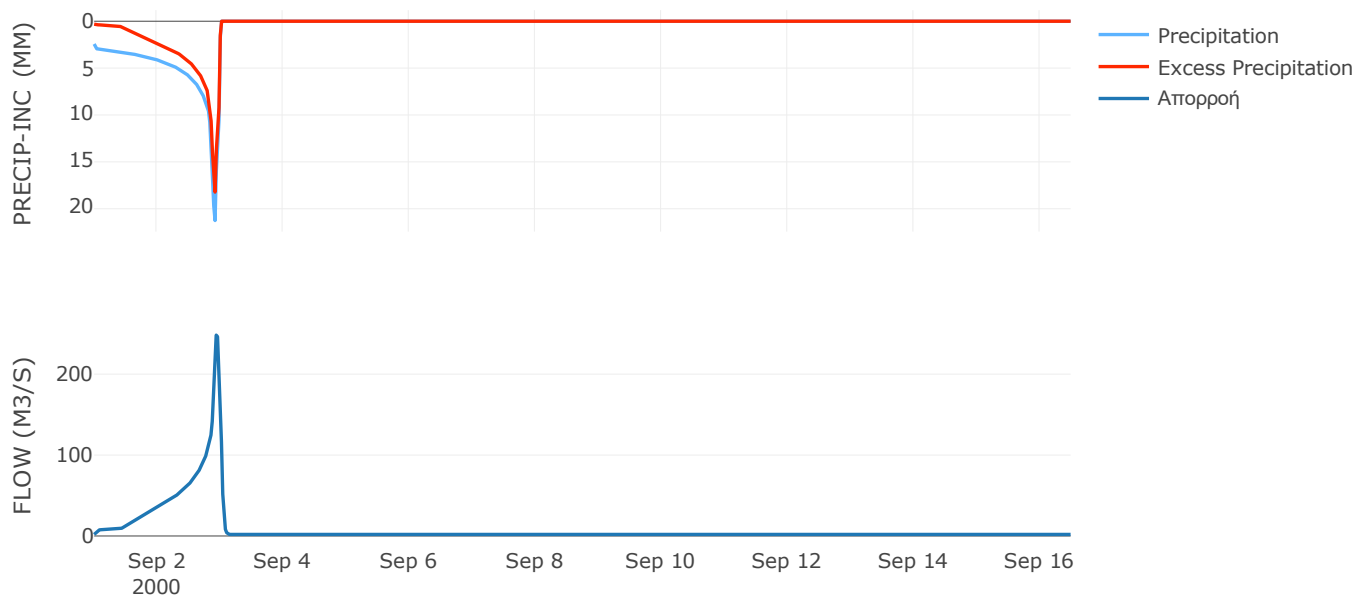
Μέθοδος
Μετασχηματισμού: SCS

Χρόνος Υστέρησης	33.2
------------------	------

Αποτελέσματα:
EL0415FR6057

Παροχή αιχμής (M3/S)	248.25
Χρονική στιγμή αιχμής	02Sep2000, 22:30
Όγκος (MM)	410.43
Όγκος βροχόπτωσης (M3)	1.42E7
Όγκος απωλειών (M3)	5.48E6
Ενεργός Όγκος (M3)	8.71E6
Όγκος άμεσης απορροής (M3)	8.71E6
Όγκος βασικής απορροής (M3)	2.58E6

Βροχόπτωση και Απορροή



Υπολεκάνη: EL0415FR6058

Έκταση (KM2) : 10.79

Κατάνη : J53 Res5

Μέθοδος Απωλειών: SCS

Ποσοστό αδιαπέρατης επιφάνειας	16
Αριθμός Καμπύλης Απορροής-CN	54.59
Αρχικές Απώλειες	42.25

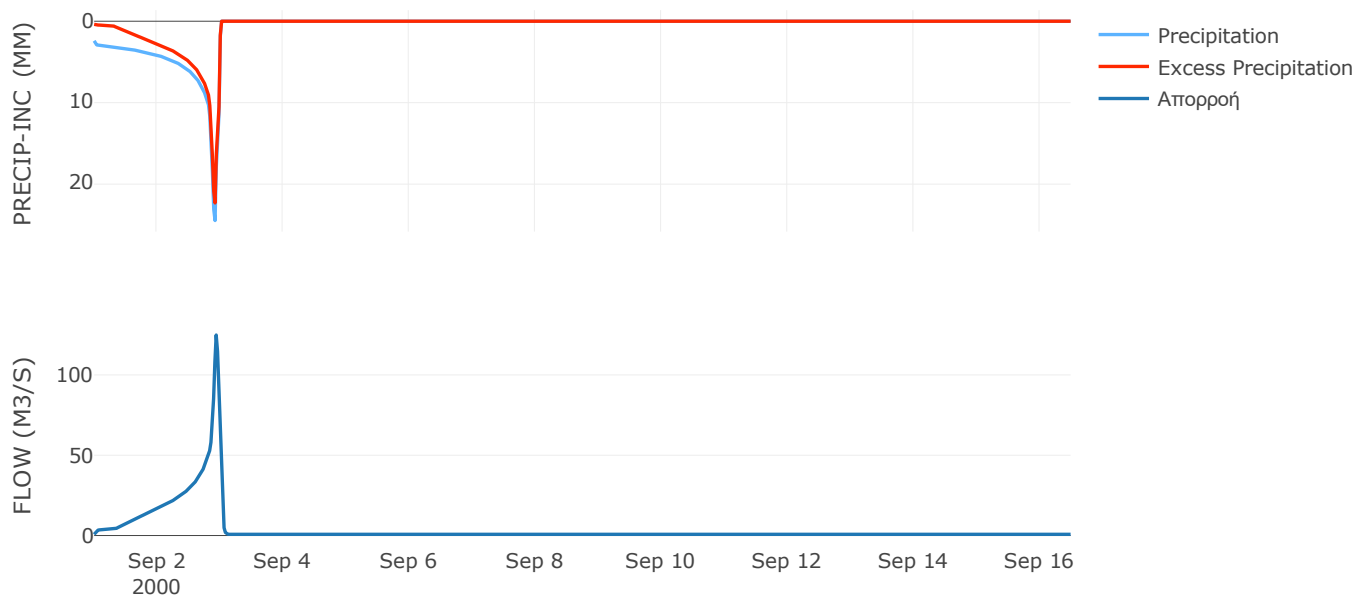
Μέθοδος
Μετασχηματισμού: SCS

Χρόνος Υστέρησης	25.46
------------------	-------

Αποτελέσματα:
EL0415FR6058

Παροχή αιχμής (M3/S)	124.86
Χρονική στιγμή αιχμής	02Sep2000, 22:30
Όγκος (MM)	473
Όγκος βροχόπτωσης (M3)	5.82E6
Όγκος απωλειών (M3)	1.73E6
Ενεργός Όγκος (M3)	4.09E6
Όγκος άμεσης απορροής (M3)	4.09E6
Όγκος βασικής απορροής (M3)	1.01E6

Βροχόπτωση και Απορροή



Υπολεκάνη: EL0415FR6059

Έκταση (KM2) : 57.55

Κατάντη : J51

Μέθοδος Απωλειών: SCS

Ποσοστό αδιαπέρατης επιφάνειας	0
Αριθμός Καμπύλης Απορροής-CN	53.12
Αρχικές Απώλειες	44.83

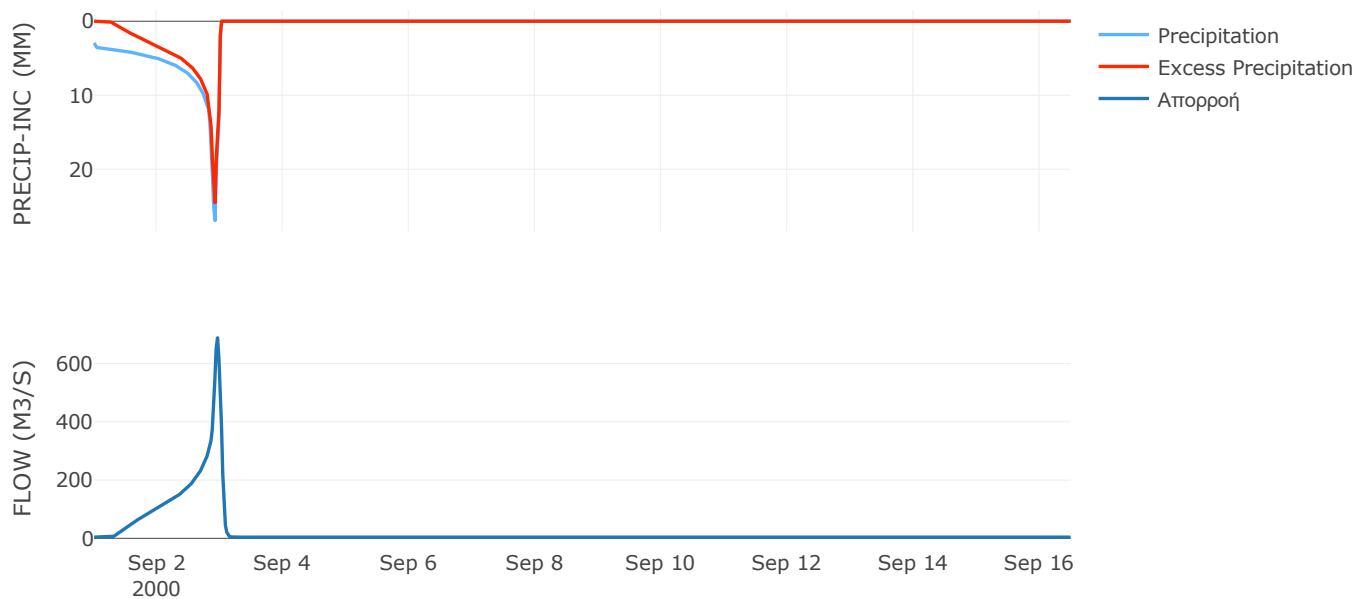
Μέθοδος
Μετασχηματισμού: SCS

Χρόνος Υστέρησης	43.83
------------------	-------

Αποτελέσματα:
EL0415FR6059

Παροχή αιχμής (M3/S)	688.32
Χρονική στιγμή αιχμής	02Sep2000, 23:00
Όγκος (MM)	520.44
Όγκος βροχόπτωσης (M3)	3.65E7
Όγκος απωλειών (M3)	1.19E7
Ενεργός Όγκος (M3)	2.46E7
Όγκος άμεσης απορροής (M3)	2.46E7
Όγκος βασικής απορροής (M3)	5.39E6

Βροχόπτωση και Απορροή



Υπολεκάνη: EL0415FR6060

Έκταση (KM2) : 43.14

Κατάντη : J50

Μέθοδος Απωλειών: SCS

Ποσοστό αδιαπέρατης επιφάνειας	0
Αριθμός Καμπύλης Απορροής-CN	55.54
Αρχικές Απώλειες	40.66

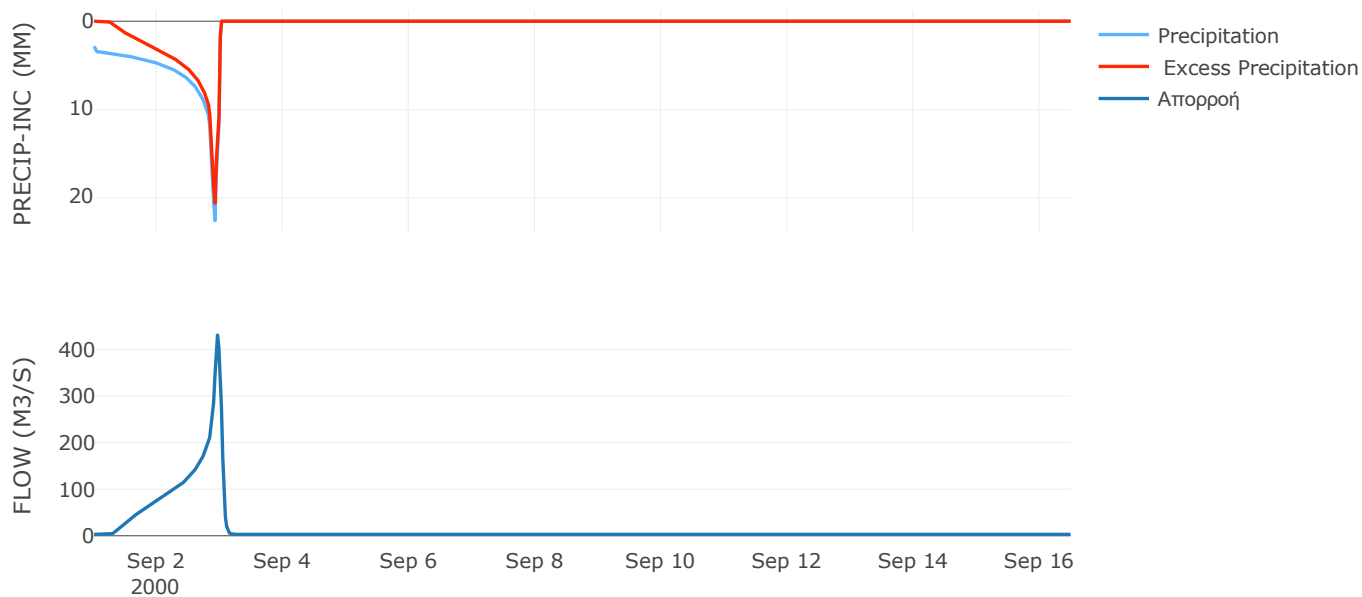
Μέθοδος
Μετασχηματισμού: SCS

Χρόνος Υστέρησης	48.98
------------------	-------

Αποτελέσματα:
EL0415FR6060

Παροχή αιχμής (M3/S)	430.74
Χρονική στιγμή αιχμής	02Sep2000, 23:00
Όγκος (MM)	487.76
Όγκος βροχόπτωσης (M3)	2.51E7
Όγκος απωλειών (M3)	8.13E6
Ενεργός Όγκος (M3)	1.7E7
Όγκος άμεσης απορροής (M3)	1.7E7
Όγκος βασικής απορροής (M3)	4.04E6

Βροχόπτωση και Απορροή



Υπολεκάνη: EL0415FR6061

Έκταση (KM2) : 129.17

Κατάντη : J56

Μέθοδος Απωλειών: SCS

Ποσοστό αδιαπέρατης επιφάνειας	0
Αριθμός Καμπύλης Απορροής-CN	46.68
Αρχικές Απώλειες	58.03

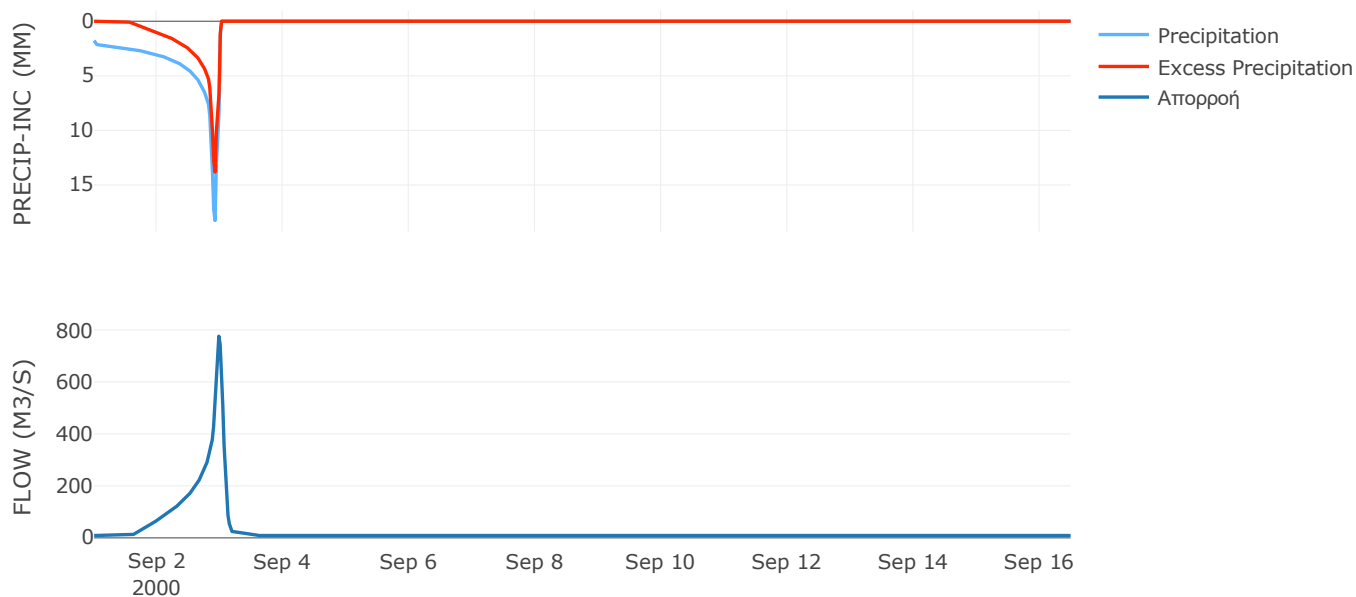
Μέθοδος
Μετασχηματισμού: SCS

Χρόνος Υστέρησης	79.55
------------------	-------

Αποτελέσματα:
EL0415FR6061

Παροχή αιχμής (M3/S)	775.75
Χρονική στιγμή αιχμής	02Sep2000, 23:30
Όγκος (MM)	277.75
Όγκος βροχόπτωσης (M3)	5.15E7
Όγκος απωλειών (M3)	2.77E7
Ενεργός Όγκος (M3)	2.38E7
Όγκος άμεσης απορροής (M3)	2.38E7
Όγκος βασικής απορροής (M3)	1.21E7

Βροχόπτωση και Απορροή



Υπολεκάνη: EL0415FR6062

Έκταση (KM2) : 41.66

Κατάντη : J49

Μέθοδος Απωλειών: SCS

Ποσοστό αδιαπέρατης επιφάνειας	0
Αριθμός Καμπύλης Απορροής-CN	55.16
Αρχικές Απώλειες	41.3

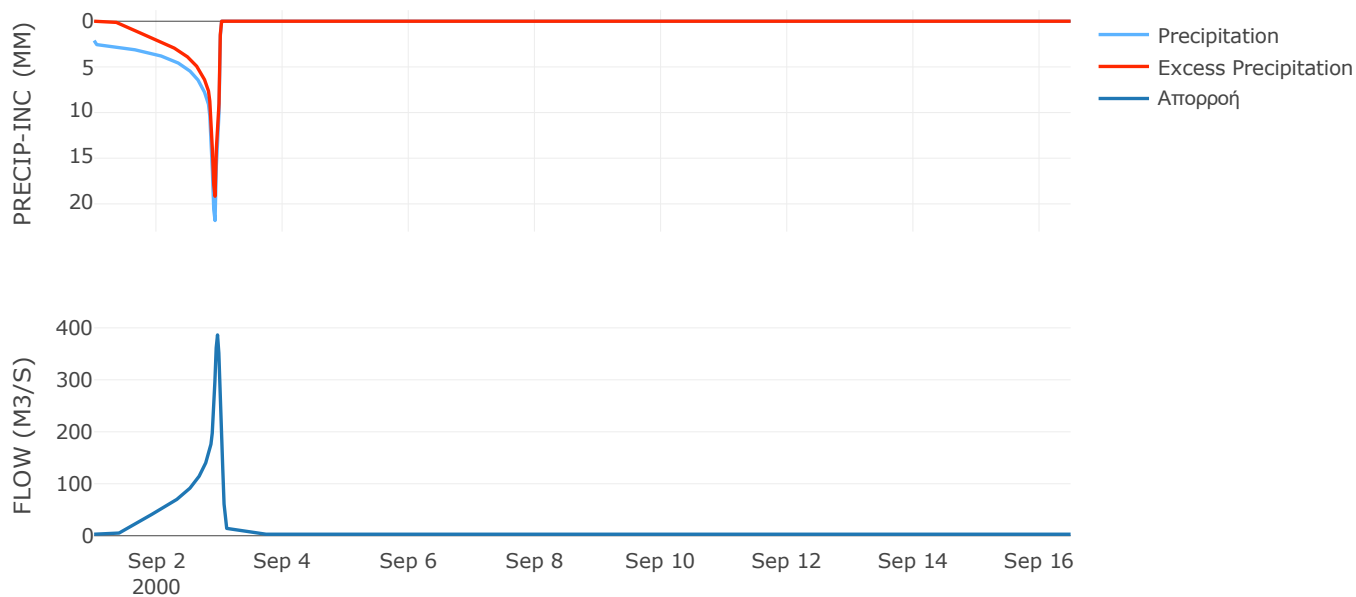
Μέθοδος
Μετασχηματισμού: SCS

Χρόνος Υστέρησης	45.88
------------------	-------

Αποτελέσματα:
EL0415FR6062

Παροχή αιχμής (M3/S)	386.39
Χρονική στιγμή αιχμής	02Sep2000, 23:00
Όγκος (MM)	389.45
Όγκος βροχόπτωσης (M3)	1.99E7
Όγκος απωλειών (M3)	7.56E6
Ενεργός Όγκος (M3)	1.23E7
Όγκος άμεσης απορροής (M3)	1.23E7
Όγκος βασικής απορροής (M3)	3.91E6

Βροχόπτωση και Απορροή



Υπολεκάνη: EL0415FR6063

Έκταση (KM2) : 99.42

Κατάντη : J48

Μέθοδος Απωλειών: SCS

Ποσοστό αδιαπέρατης επιφάνειας	0
Αριθμός Καμπύλης Απορροής-CN	42.28
Αρχικές Απώλειες	69.36

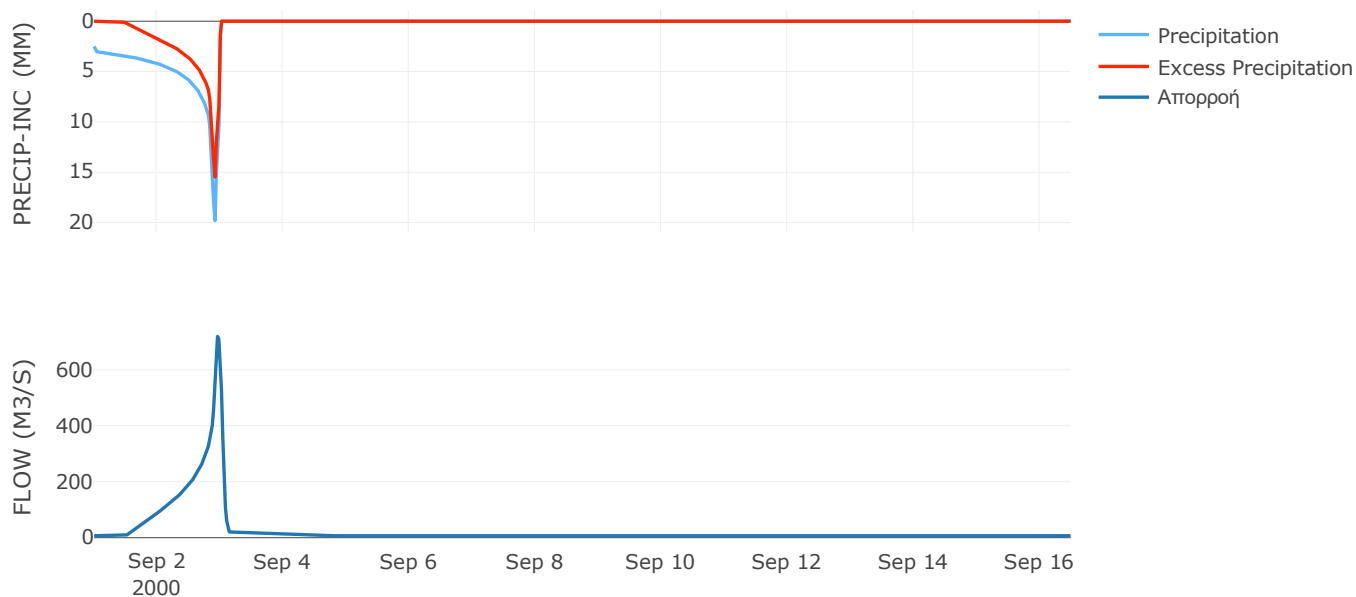
Μέθοδος
Μετασχηματισμού: SCS

Χρόνος Υστέρησης	58.77
------------------	-------

Αποτελέσματα:
EL0415FR6063

Παροχή αιχμής (M3/S)	718.92
Χρονική στιγμή αιχμής	02Sep2000, 23:00
Όγκος (MM)	343.37
Όγκος βροχόπτωσης (M3)	5.11E7
Όγκος απωλειών (M3)	2.63E7
Ενεργός Όγκος (M3)	2.48E7
Όγκος άμεσης απορροής (M3)	2.48E7
Όγκος βασικής απορροής (M3)	9.32E6

Βροχόπτωση και Απορροή



Υπολεκάνη: EL0415FR6064

Έκταση (KM2) : 51.48

Κατάντη : J47

Μέθοδος Απωλειών: SCS

Ποσοστό αδιαπέρατης επιφάνειας	0
Αριθμός Καμπύλης Απορροής-CN	39.63
Αρχικές Απώλειες	77.4

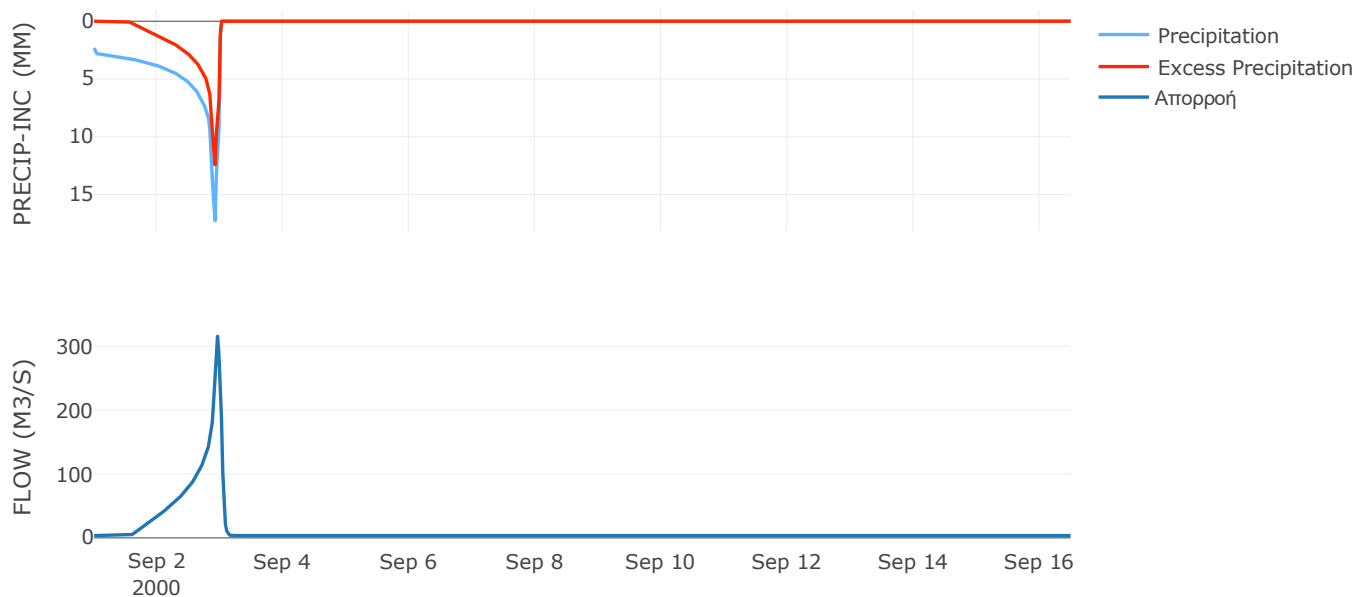
Μέθοδος
Μετασχηματισμού: SCS

Χρόνος Υστέρησης	41.84
------------------	-------

Αποτελέσματα:
EL0415FR6064

Παροχή αιχμής (M3/S)	315.55
Χρονική στιγμή αιχμής	02Sep2000, 23:00
Όγκος (MM)	287.95
Όγκος βροχόπτωσης (M3)	2.4E7
Όγκος απωλειών (M3)	1.4E7
Ενεργός Όγκος (M3)	1E7
Όγκος άμεσης απορροής (M3)	1E7
Όγκος βασικής απορροής (M3)	4.83E6

Βροχόπτωση και Απορροή



Υπολεκάνη: EL0415FR6065

Έκταση (KM2) : 12.04

Κατάντη : J47

Μέθοδος Απωλειών: SCS

Ποσοστό αδιαπέρατης επιφάνειας	0
Αριθμός Καμπύλης Απορροής-CN	42
Αρχικές Απώλειες	70.15

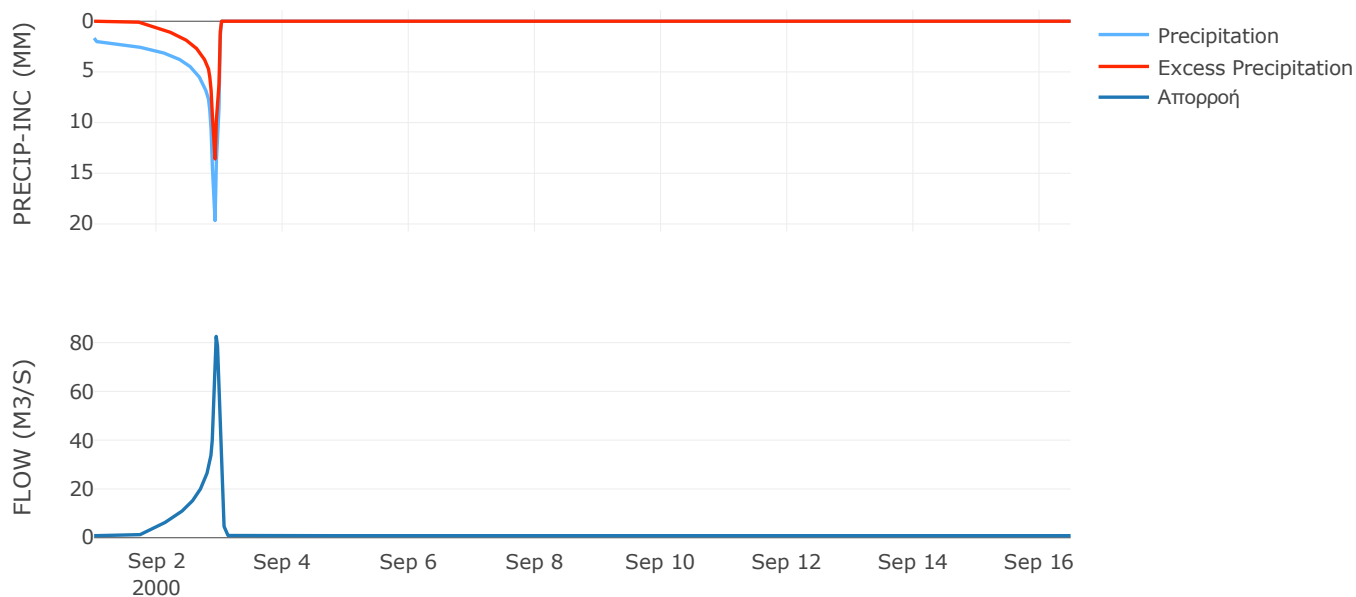
Μέθοδος
Μετασχηματισμού: SCS

Χρόνος Υστέρησης	28.91
------------------	-------

Αποτελέσματα:
EL0415FR6065

Παροχή αιχμής (M3/S)	82.55
Χρονική στιγμή αιχμής	02Sep2000, 22:30
Όγκος (MM)	249.46
Όγκος βροχόπτωσης (M3)	4.75E6
Όγκος απωλειών (M3)	2.87E6
Ενεργός Όγκος (M3)	1.87E6
Όγκος άμεσης απορροής (M3)	1.87E6
Όγκος βασικής απορροής (M3)	1.13E6

Βροχόπτωση και Απορροή



Υπολεκάνη: EL0415FR6066

Έκταση (KM2) : 116.84

Κατάντη : J48

Μέθοδος Απωλειών: SCS

Ποσοστό αδιαπέρατης επιφάνειας	0
Αριθμός Καμπύλης Απορροής-CN	47.21
Αρχικές Απώλειες	56.81

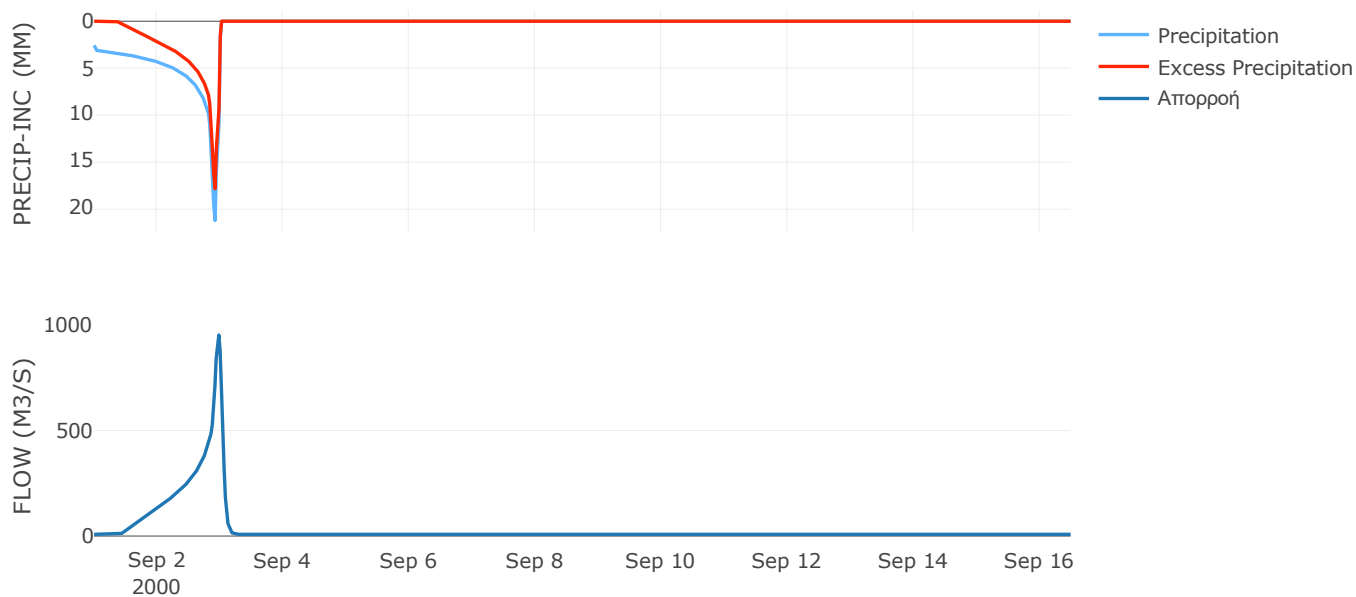
Μέθοδος
Μετασχηματισμού: SCS

Χρόνος Υστέρησης	65.04
------------------	-------

Αποτελέσματα:
EL0415FR6066

Παροχή αιχμής (M3/S)	951.87
Χρονική στιγμή αιχμής	02Sep2000, 23:30
Όγκος (MM)	393.23
Όγκος βροχόπτωσης (M3)	6.24E7
Όγκος απωλειών (M3)	2.74E7
Ενεργός Όγκος (M3)	3.5E7
Όγκος άμεσης απορροής (M3)	3.5E7
Όγκος βασικής απορροής (M3)	1.1E7

Βροχόπτωση και Απορροή



Υπολεκάνη: EL0415FR6067

Έκταση (KM2) : 29.4

Κατάντη : J57

Μέθοδος Απωλειών: SCS

Ποσοστό αδιαπέρατης επιφάνειας	9
Αριθμός Καμπύλης Απορροής-CN	49.35
Αρχικές Απώλειες	52.14

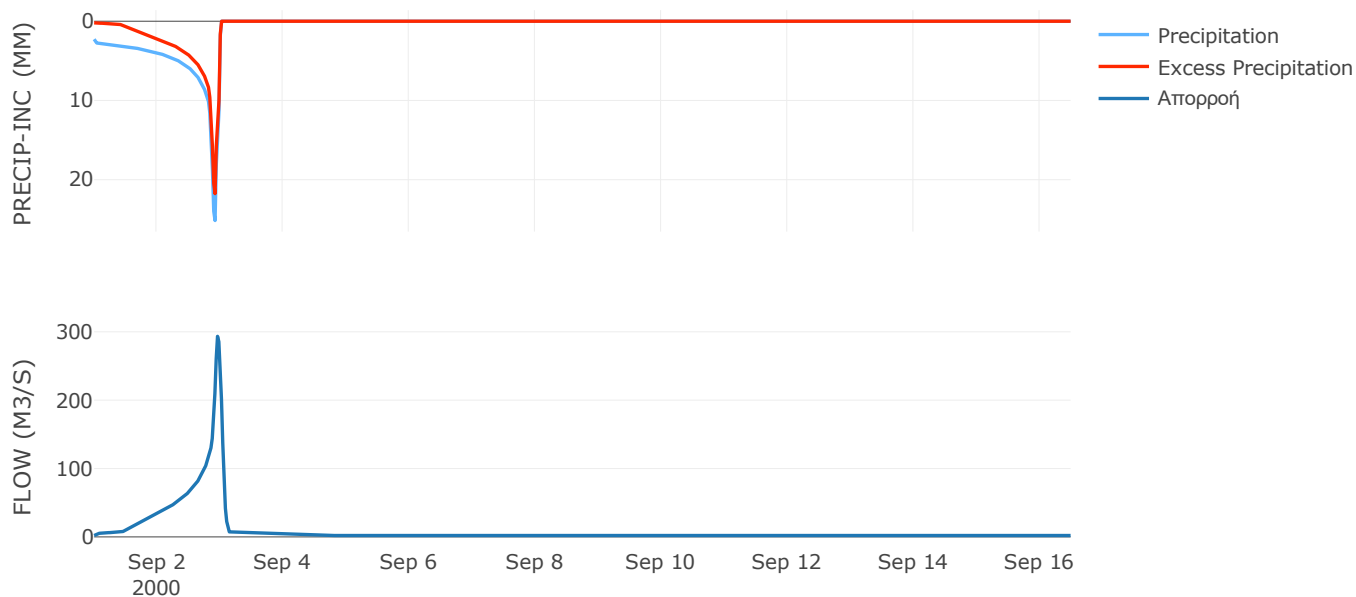
Μέθοδος
Μετασχηματισμού: SCS

Χρόνος Υστέρησης	59.51
------------------	-------

Αποτελέσματα:
EL0415FR6067

Παροχή αιχμής (M3/S)	293.35
Χρονική στιγμή αιχμής	02Sep2000, 23:00
Όγκος (MM)	418.88
Όγκος βροχόπτωσης (M3)	1.55E7
Όγκος απωλειών (M3)	5.89E6
Ενεργός Όγκος (M3)	9.56E6
Όγκος άμεσης απορροής (M3)	9.56E6
Όγκος βασικής απορροής (M3)	2.76E6

Βροχόπτωση και Απορροή



Υπολεκάνη: EL0415FR6068

Έκταση (KM2) : 101.27

Κατάντη : J45

Μέθοδος Απωλειών: SCS

Ποσοστό αδιαπέρατης επιφάνειας	0
Αριθμός Καμπύλης Απορροής-CN	59.47
Αρχικές Απώλειες	34.63

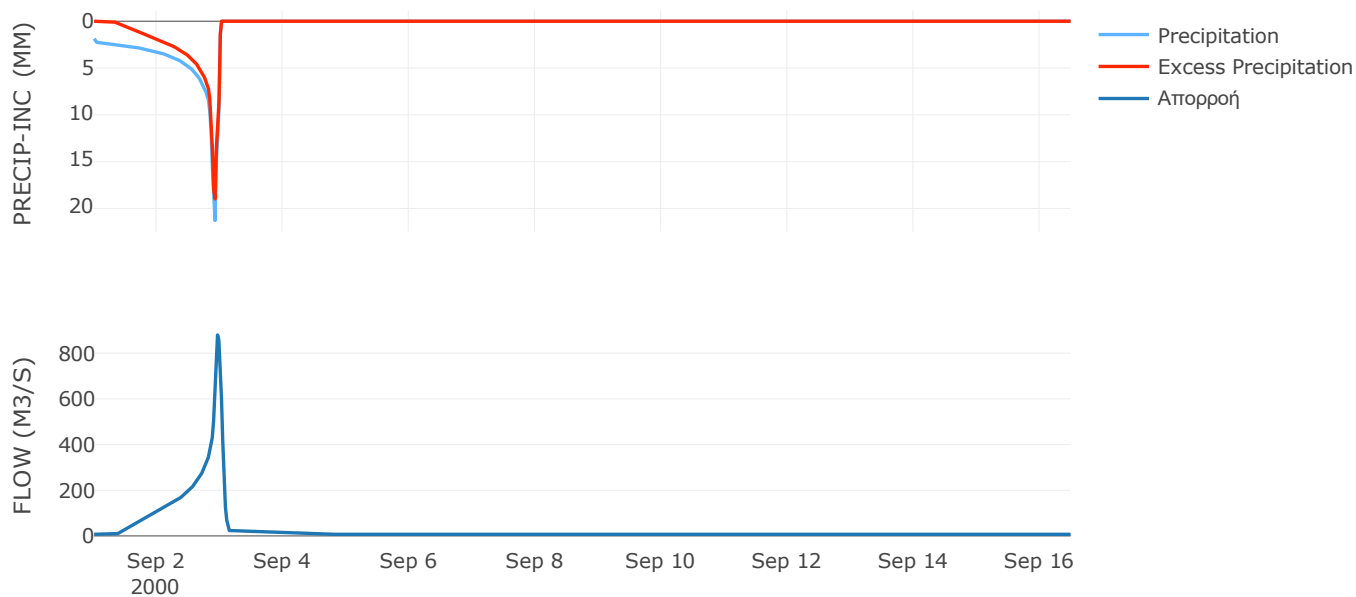
Μέθοδος
Μετασχηματισμού: SCS

Χρόνος Υστέρησης	60.19
------------------	-------

Αποτελέσματα:
EL0415FR6068

Παροχή αιχμής (M3/S)	879.79
Χρονική στιγμή αιχμής	02Sep2000, 23:00
Όγκος (MM)	374.39
Όγκος βροχόπτωσης (M3)	4.42E7
Όγκος απωλειών (M3)	1.58E7
Ενεργός Όγκος (M3)	2.84E7
Όγκος άμεσης απορροής (M3)	2.84E7
Όγκος βασικής απορροής (M3)	9.49E6

Βροχόπτωση και Απορροή



Υπολεκάνη: EL0415FR6069

Έκταση (KM2) : 35

Κατάντη : J43

Μέθοδος Απωλειών: SCS

Ποσοστό αδιαπέρατης επιφάνειας	0
Αριθμός Καμπύλης Απορροής-CN	58
Αρχικές Απώλειες	36.78

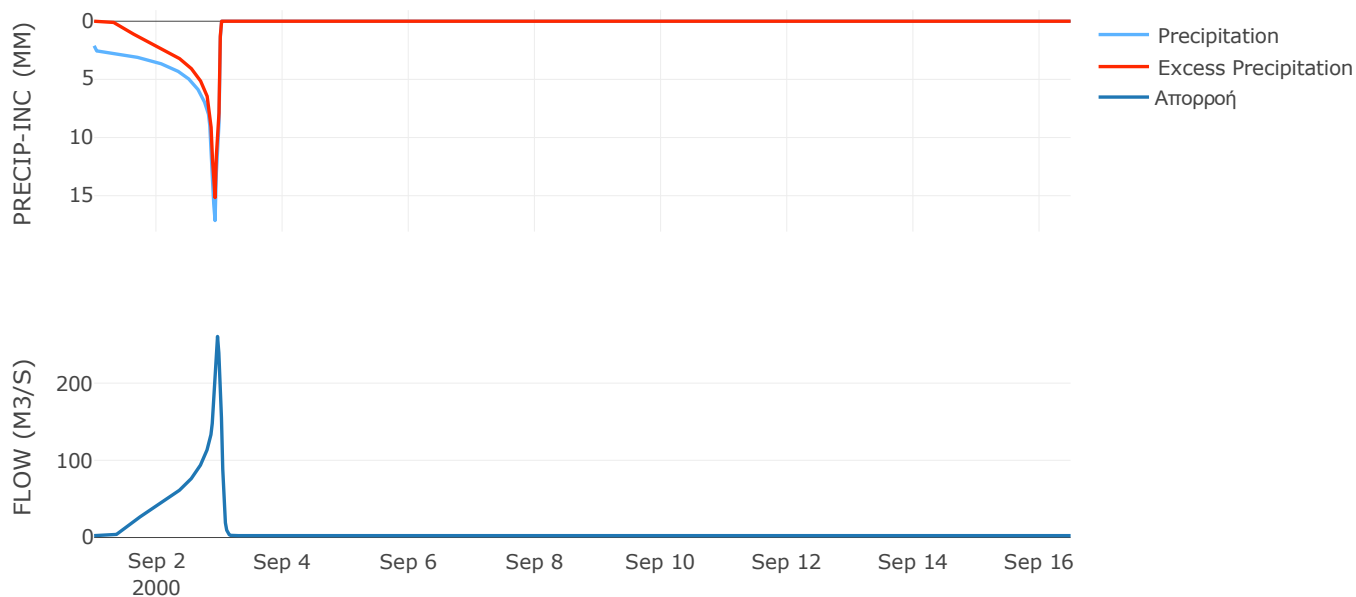
Μέθοδος
Μετασχηματισμού: SCS

Χρόνος Υστέρησης	44.18
------------------	-------

Αποτελέσματα:
EL0415FR6069

Παροχή αιχμής (M3/S)	260.48
Χρονική στιγμή αιχμής	02Sep2000, 23:00
Όγκος (MM)	367.98
Όγκος βροχόπτωσης (M3)	1.53E7
Όγκος απωλειών (M3)	5.7E6
Ενεργός Όγκος (M3)	9.6E6
Όγκος άμεσης απορροής (M3)	9.6E6
Όγκος βασικής απορροής (M3)	3.28E6

Βροχόπτωση και Απορροή



Υπολεκάνη: EL0415FR6070

Έκταση (KM2) : 53.71

Κατάντη : J42

Μέθοδος Απωλειών: SCS

Ποσοστό αδιαπέρατης επιφάνειας	1
Αριθμός Καμπύλης Απορροής-CN	46.79
Αρχικές Απώλειες	57.78

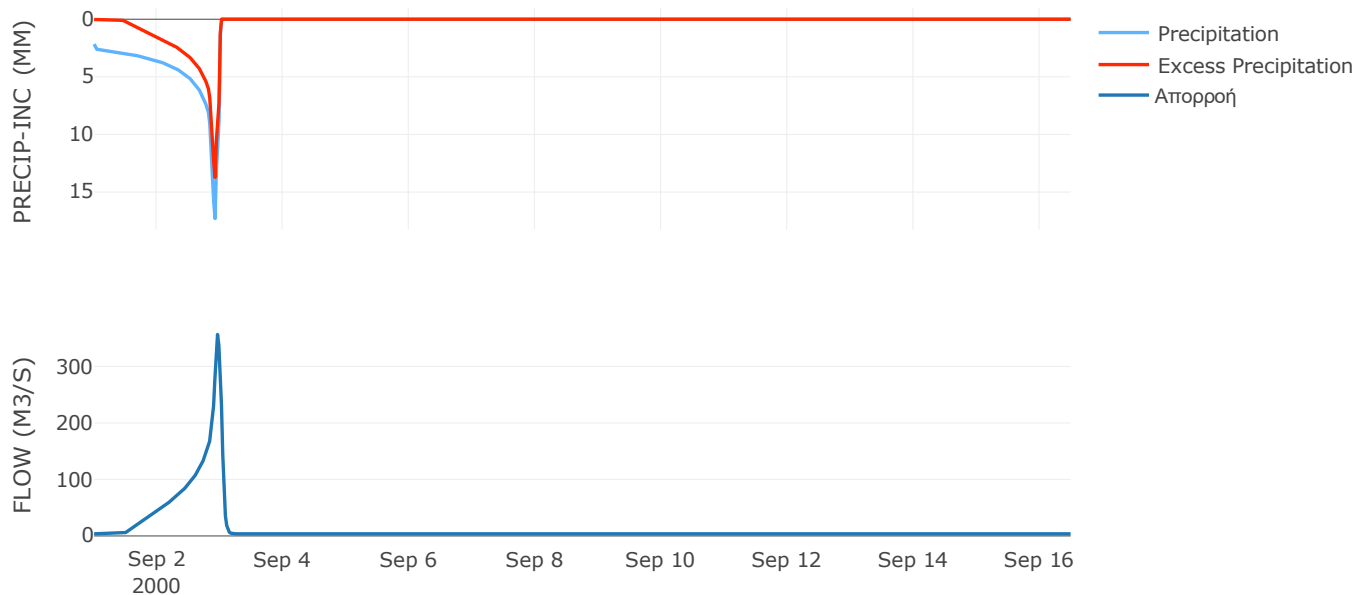
Μέθοδος
Μετασχηματισμού: SCS

Χρόνος Υστέρησης	49.48
------------------	-------

Αποτελέσματα:
EL0415FR6070

Παροχή αιχμής (M3/S)	356.52
Χρονική στιγμή αιχμής	02Sep2000, 23:00
Όγκος (MM)	317.24
Όγκος βροχόπτωσης (M3)	2.39E7
Όγκος απωλειών (M3)	1.19E7
Ενεργός Όγκος (M3)	1.2E7
Όγκος άμεσης απορροής (M3)	1.2E7
Όγκος βασικής απορροής (M3)	5.03E6

Βροχόπτωση και Απορροή



Υπολεκάνη: EL0415FR6071

Έκταση (KM2) : 75.64

Κατάντη : J40

Μέθοδος Απωλειών: SCS

Ποσοστό αδιαπέρατης επιφάνειας	0
Αριθμός Καμπύλης Απορροής-CN	63.1
Αρχικές Απώλειες	29.71

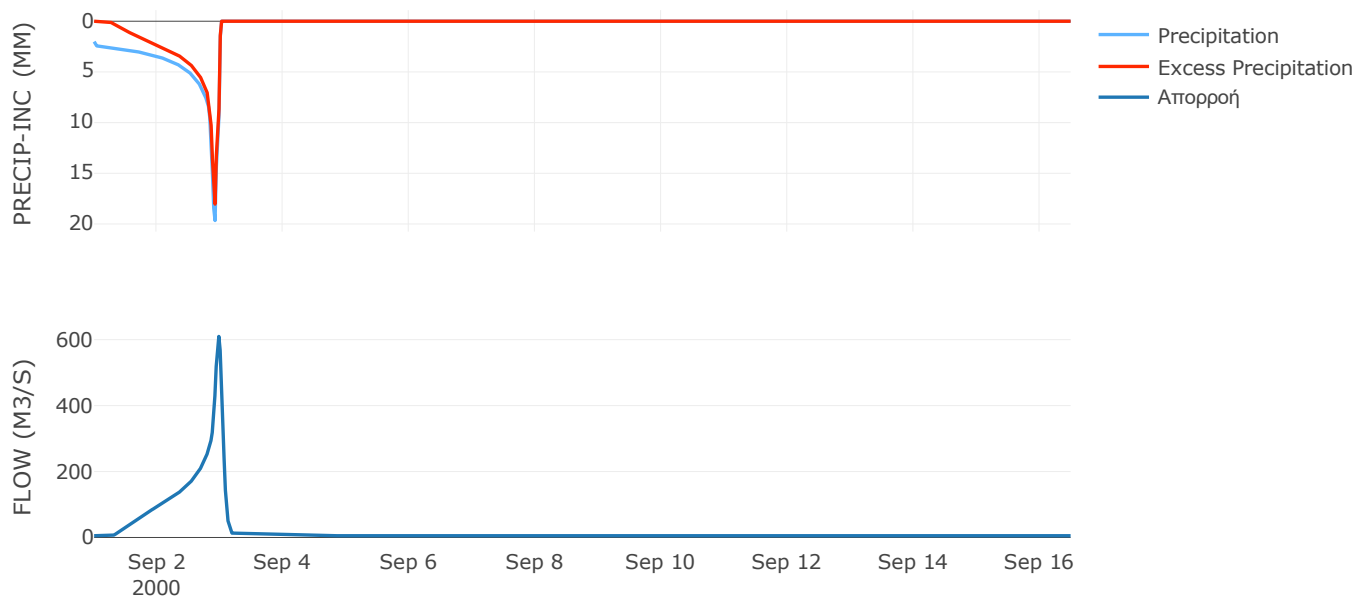
Μέθοδος
Μετασχηματισμού: SCS

Χρόνος Υστέρησης	72.86
------------------	-------

Αποτελέσματα:
EL0415FR6071

Παροχή αιχμής (M3/S)	609.69
Χρονική στιγμή αιχμής	02Sep2000, 23:30
Όγκος (MM)	399.48
Όγκος βροχόπτωσης (M3)	3.36E7
Όγκος απωλειών (M3)	1.05E7
Ενεργός Όγκος (M3)	2.31E7
Όγκος άμεσης απορροής (M3)	2.31E7
Όγκος βασικής απορροής (M3)	7.09E6

Βροχόπτωση και Απορροή



Υπολεκάνη: EL0415FR6072

Έκταση (KM2) : 105.53

Κατάντη : J39

Μέθοδος Απωλειών: SCS

Ποσοστό αδιαπέρατης επιφάνειας	0
Αριθμός Καμπύλης Απορροής-CN	59.46
Αρχικές Απώλειες	34.64

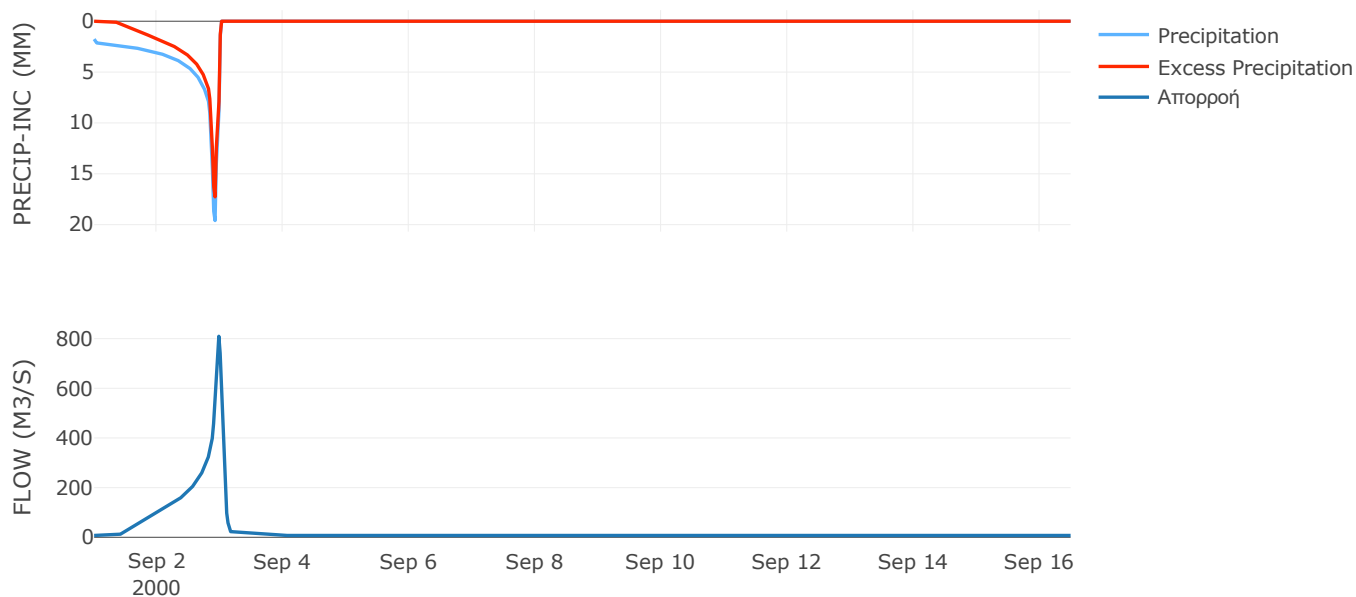
Μέθοδος
Μετασχηματισμού: SCS

Χρόνος Υστέρησης	69.72
------------------	-------

Αποτελέσματα:
EL0415FR6072

Παροχή αιχμής (M3/S)	809.47
Χρονική στιγμή αιχμής	02Sep2000, 23:30
Όγκος (MM)	349.16
Όγκος βροχόπτωσης (M3)	4.31E7
Όγκος απωλειών (M3)	1.61E7
Ενεργός Όγκος (M3)	2.7E7
Όγκος άμεσης απορροής (M3)	2.7E7
Όγκος βασικής απορροής (M3)	9.89E6

Βροχόπτωση και Απορροή



Υπολεκάνη: EL0415FR6073

Έκταση (KM2) : 53.33

Κατάντη : J39

Μέθοδος Απωλειών: SCS

Ποσοστό αδιαπέρατης επιφάνειας	0
Αριθμός Καμπύλης Απορροής-CN	46.02
Αρχικές Απώλειες	59.6

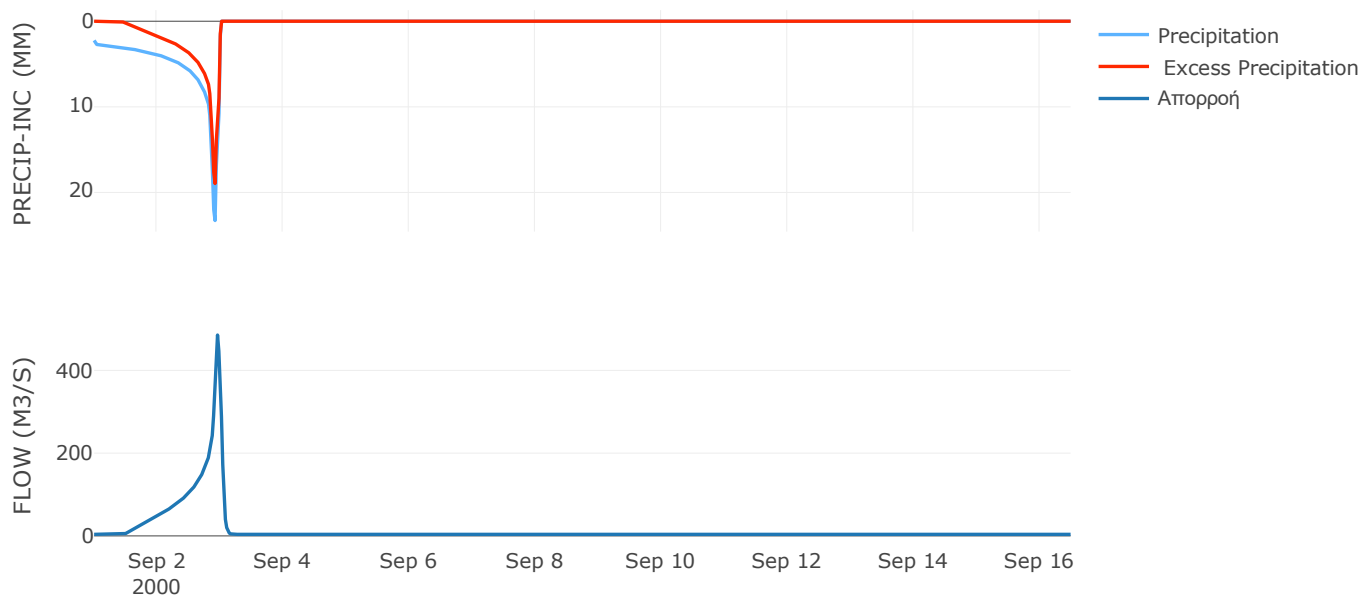
Μέθοδος
Μετασχηματισμού: SCS

Χρόνος Υστέρησης	47.57
------------------	-------

Αποτελέσματα:
EL0415FR6073

Παροχή αιχμής (M3/S)	485.54
Χρονική στιγμή αιχμής	02Sep2000, 23:00
Όγκος (MM)	361.97
Όγκος βροχόπτωσης (M3)	2.7E7
Όγκος απωλειών (M3)	1.27E7
Ενεργός Όγκος (M3)	1.43E7
Όγκος άμεσης απορροής (M3)	1.43E7
Όγκος βασικής απορροής (M3)	5E6

Βροχόπτωση και Απορροή



Υπολεκάνη: EL0415FR6074

Έκταση (KM2) : 21.94

Κατάντη : J37

Μέθοδος Απωλειών: SCS

Ποσοστό αδιαπέρατης επιφάνειας	0
Αριθμός Καμπύλης Απορροής-CN	47.19
Αρχικές Απώλειες	56.85

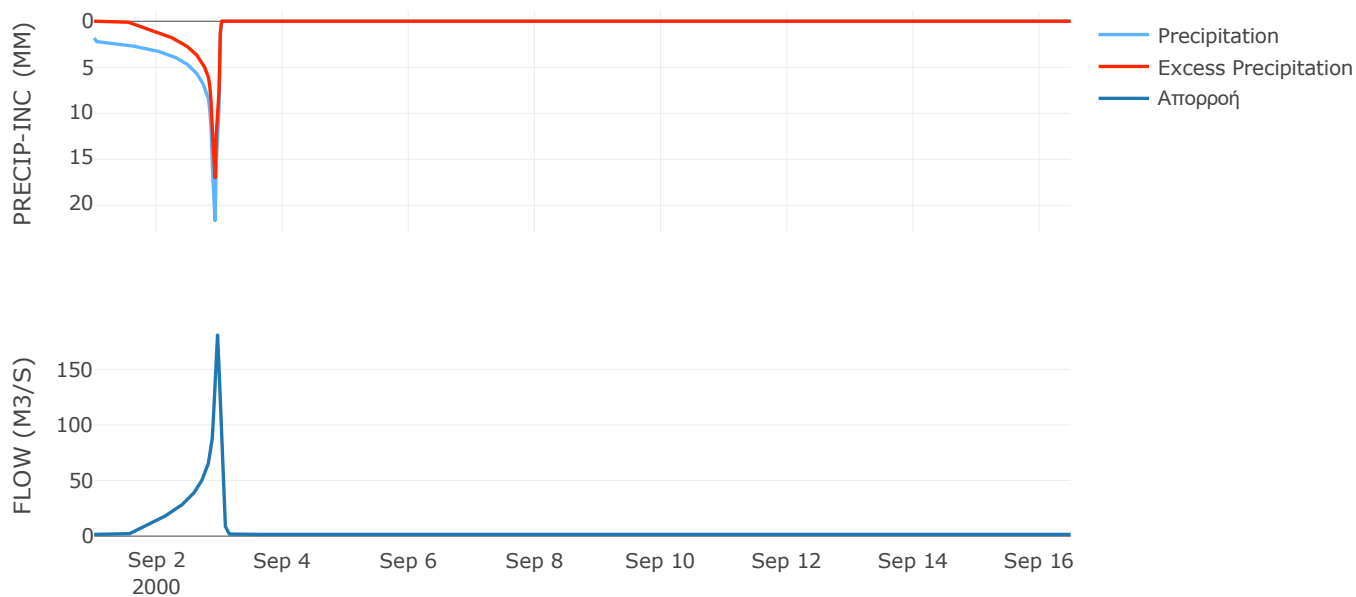
Μέθοδος
Μετασχηματισμού: SCS

Χρόνος Υστέρησης	38.66
------------------	-------

Αποτελέσματα:
EL0415FR6074

Παροχή αιχμής (M3/S)	180.79
Χρονική στιγμή αιχμής	02Sep2000, 23:00
Όγκος (MM)	308.86
Όγκος βροχόπτωσης (M3)	9.52E6
Όγκος απωλειών (M3)	4.8E6
Ενεργός Όγκος (M3)	4.72E6
Όγκος άμεσης απορροής (M3)	4.72E6
Όγκος βασικής απορροής (M3)	2.06E6

Βροχόπτωση και Απορροή



Υπολεκάνη: EL0415FR6075

Έκταση (KM2) : 74.2

Κατάντη : J38

Μέθοδος Απωλειών: SCS

Ποσοστό αδιαπέρατης επιφάνειας	0
Αριθμός Καμπύλης Απορροής-CN	53.62
Αρχικές Απώλειες	43.94

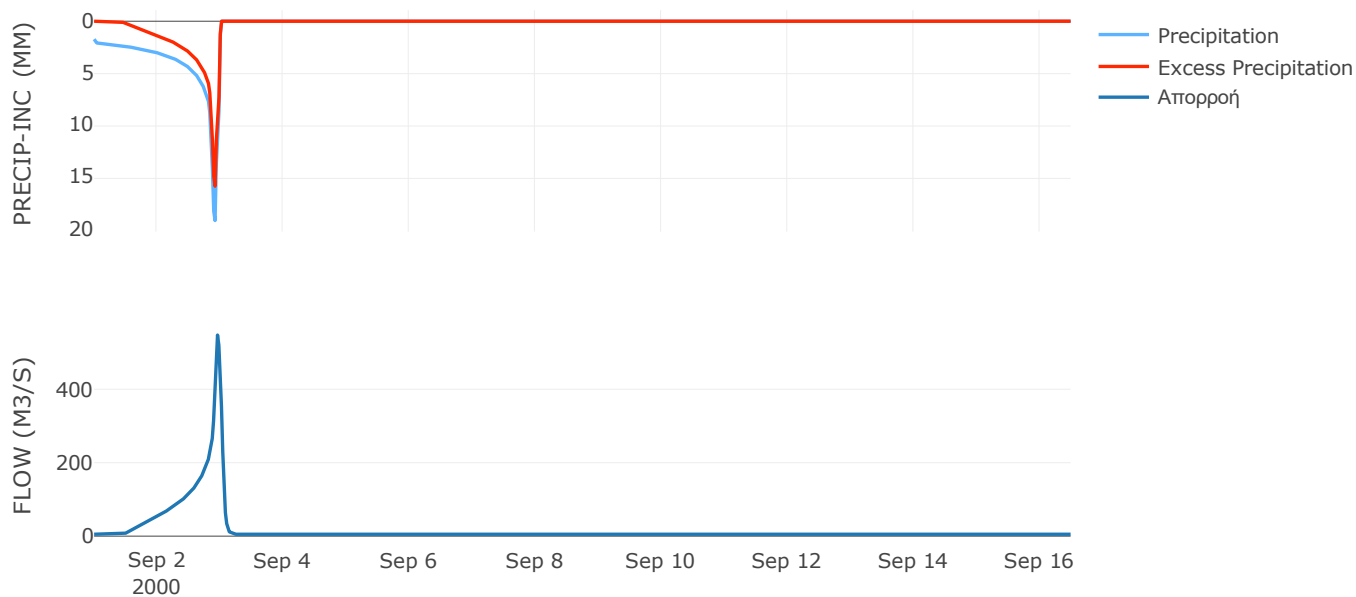
Μέθοδος
Μετασχηματισμού: SCS

Χρόνος Υστέρησης	54.47
------------------	-------

Αποτελέσματα:
EL0415FR6075

Παροχή αιχμής (M3/S)	547.46
Χρονική στιγμή αιχμής	02Sep2000, 23:00
Όγκος (MM)	311.15
Όγκος βροχόπτωσης (M3)	2.94E7
Όγκος απωλειών (M3)	1.33E7
Ενεργός Όγκος (M3)	1.61E7
Όγκος άμεσης απορροής (M3)	1.61E7
Όγκος βασικής απορροής (M3)	6.96E6

Βροχόπτωση και Απορροή



Υπολεκάνη: EL0415FR6076

Έκταση (KM2) : 61.38

Κατάνη : J33

Μέθοδος Απωλειών: SCS

Ποσοστό αδιαπέρατης επιφάνειας	0
Αριθμός Καμπύλης Απορροής-CN	38.57
Αρχικές Απώλειες	80.91

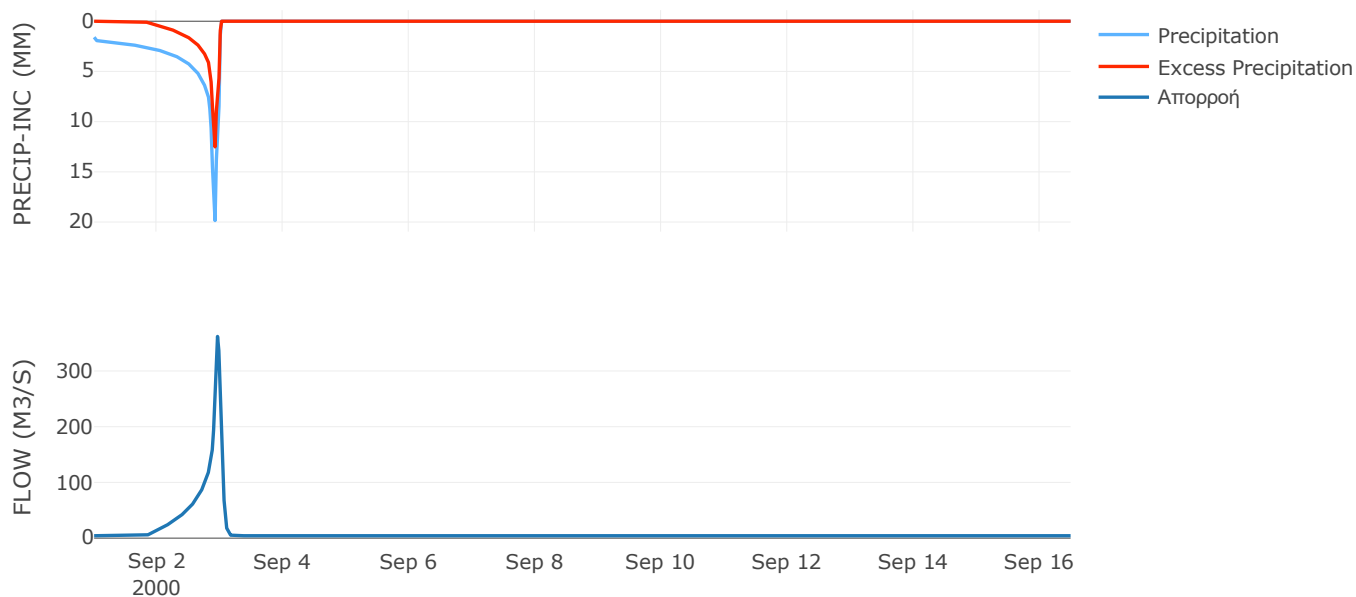
Μέθοδος
Μετασχηματισμού: SCS

Χρόνος Υστέρησης	49.49
------------------	-------

Αποτελέσματα:
EL0415FR6076

Παροχή αιχμής (M3/S)	362
Χρονική στιγμή αιχμής	02Sep2000, 23:00
Όγκος (MM)	224.75
Όγκος βροχόπτωσης (M3)	2.37E7
Όγκος απωλειών (M3)	1.56E7
Ενεργός Όγκος (M3)	8.04E6
Όγκος άμεσης απορροής (M3)	8.04E6
Όγκος βασικής απορροής (M3)	5.75E6

Βροχόπτωση και Απορροή



Υπολεκάνη: EL0415FR6077

Έκταση (KM2) : 115.35

Κατάντη : J33

Μέθοδος Απωλειών: SCS

Ποσοστό αδιαπέρατης επιφάνειας	0
Αριθμός Καμπύλης Απορροής-CN	38.02
Αρχικές Απώλειες	82.8

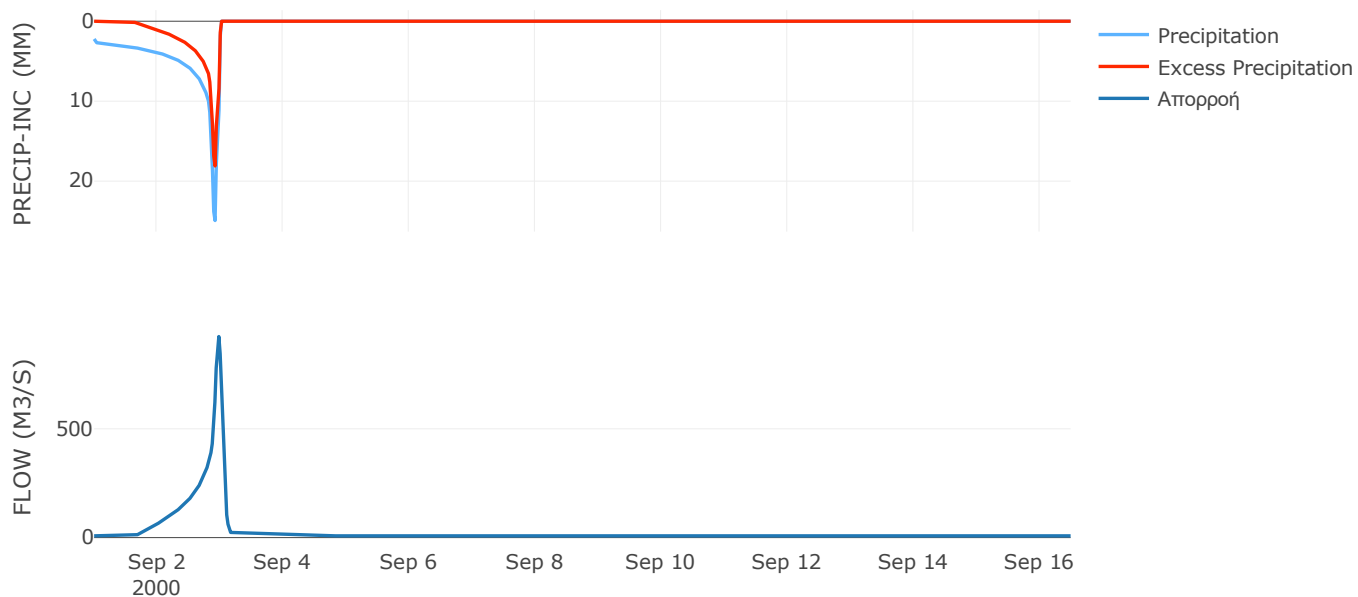
Μέθοδος
Μετασχηματισμού: SCS

Χρόνος Υστέρησης	67.72
------------------	-------

Αποτελέσματα:
EL0415FR6077

Παροχή αιχμής (M3/S)	924.02
Χρονική στιγμή αιχμής	02Sep2000, 23:30
Όγκος (MM)	315.74
Όγκος βροχόπτωσης (M3)	5.96E7
Όγκος απωλειών (M3)	3.4E7
Ενεργός Όγκος (M3)	2.56E7
Όγκος άμεσης απορροής (M3)	2.56E7
Όγκος βασικής απορροής (M3)	1.08E7

Βροχόπτωση και Απορροή



Υπολεκάνη: EL0415FR6078

Έκταση (KM2) : 32.2

Κατάντη : J32

Μέθοδος Απωλειών: SCS

Ποσοστό αδιαπέρατης επιφάνειας	0
Αριθμός Καμπύλης Απορροής-CN	42.74
Αρχικές Απώλειες	68.06

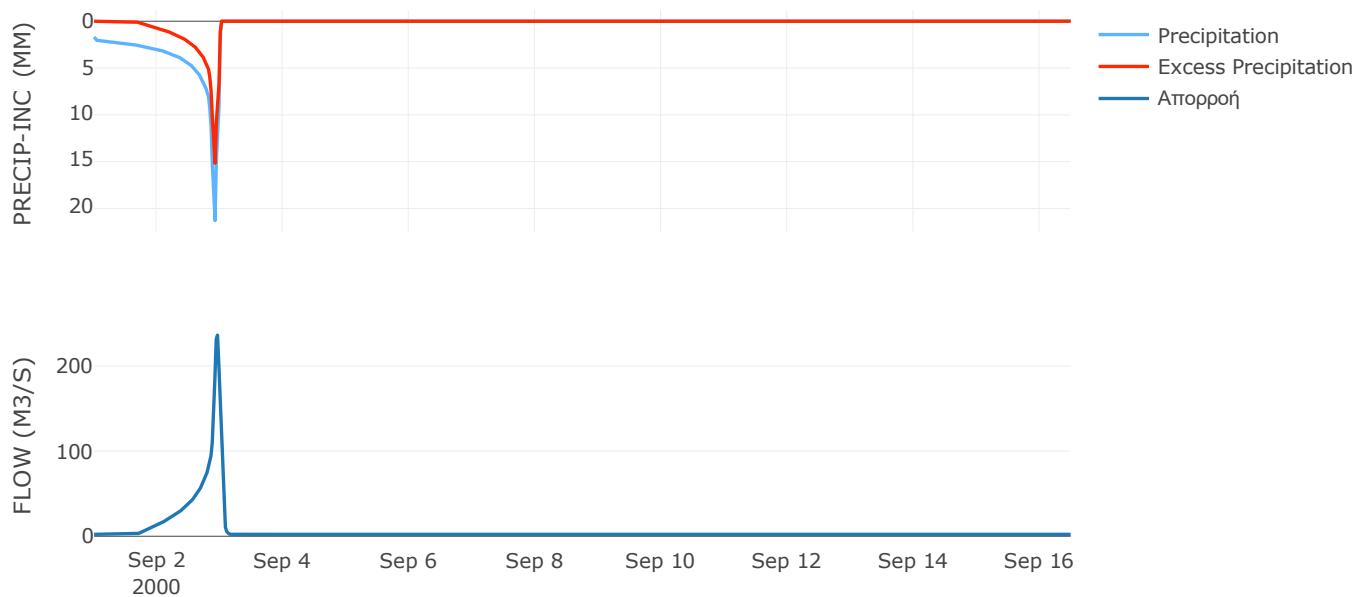
Μέθοδος
Μετασχηματισμού: SCS

Χρόνος Υστέρησης	37.87
------------------	-------

Αποτελέσματα:
EL0415FR6078

Παροχή αιχμής (M3/S)	236.14
Χρονική στιγμή αιχμής	02Sep2000, 23:00
Όγκος (MM)	264.82
Όγκος βροχόπτωσης (M3)	1.32E7
Όγκος απωλειών (M3)	7.68E6
Ενεργός Όγκος (M3)	5.51E6
Όγκος άμεσης απορροής (M3)	5.51E6
Όγκος βασικής απορροής (M3)	3.02E6

Βροχόπτωση και Απορροή



Υπολεκάνη: EL0415FR6079

Έκταση (KM2) : 61

Κατάντη : J32

Μέθοδος Απωλειών: SCS

Ποσοστό αδιαπέρατης επιφάνειας	0
Αριθμός Καμπύλης Απορροής-CN	39.17
Αρχικές Απώλειες	78.91

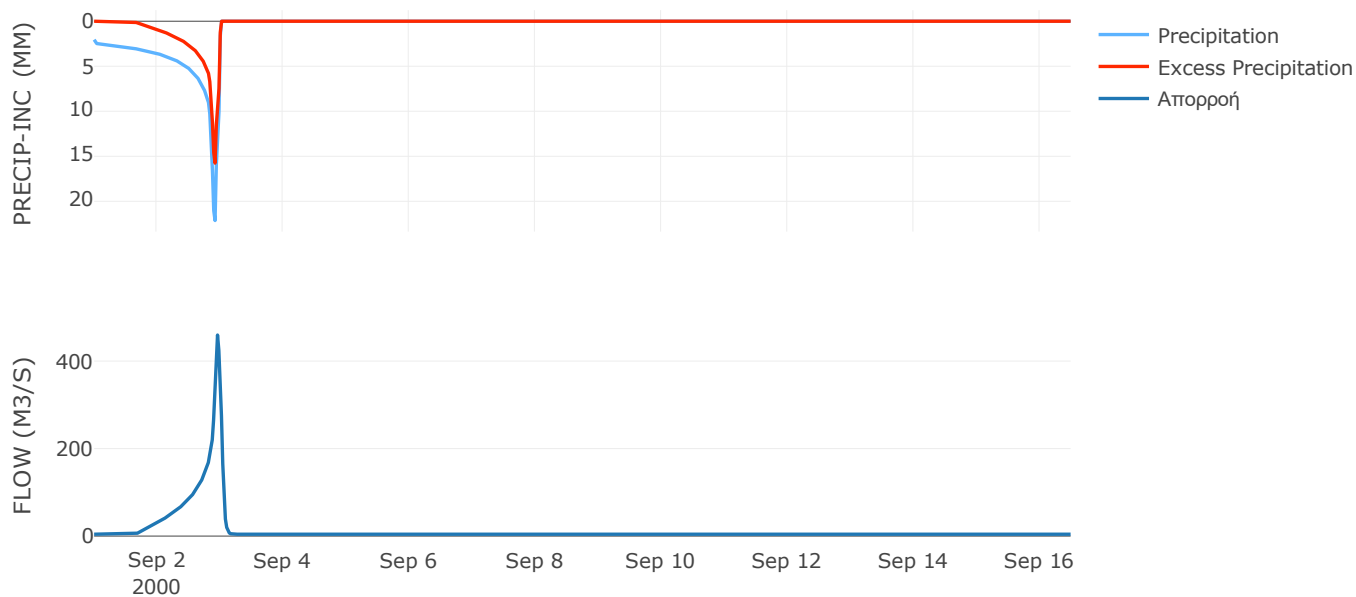
Μέθοδος
Μετασχηματισμού: SCS

Χρόνος Υστέρησης	47.71
------------------	-------

Αποτελέσματα:
EL0415FR6079

Παροχή αιχμής (M3/S)	459.44
Χρονική στιγμή αιχμής	02Sep2000, 23:00
Όγκος (MM)	288.48
Όγκος βροχόπτωσης (M3)	2.87E7
Όγκος απωλειών (M3)	1.68E7
Ενεργός Όγκος (M3)	1.19E7
Όγκος άμεσης απορροής (M3)	1.19E7
Όγκος βασικής απορροής (M3)	5.72E6

Βροχόπτωση και Απορροή



Υπολεκάνη: EL0415FR6080

Έκταση (KM2) : 31.99

Κατάντη : J30

Μέθοδος Απωλειών: SCS

Ποσοστό αδιαπέρατης επιφάνειας	0
Αριθμός Καμπύλης Απορροής-CN	38.53
Αρχικές Απώλειες	81.04

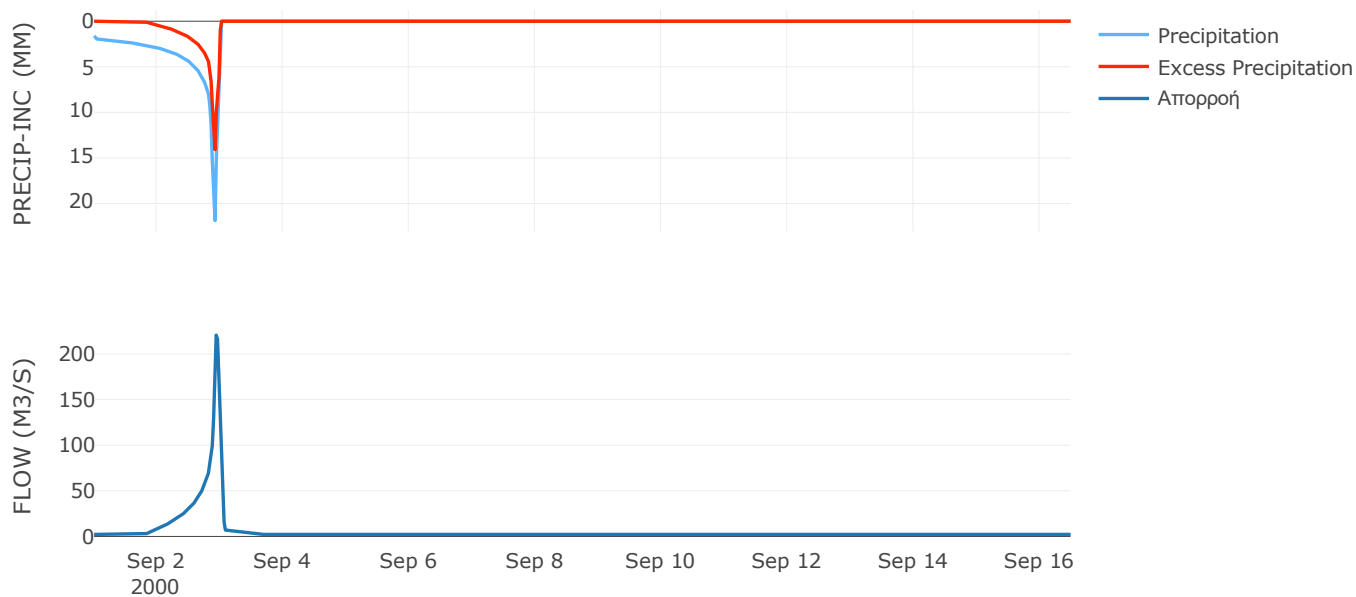
Μέθοδος
Μετασχηματισμού: SCS

Χρόνος Υστέρησης	32.77
------------------	-------

Αποτελέσματα:
EL0415FR6080

Παροχή αιχμής (M3/S)	220.65
Χρονική στιγμή αιχμής	02Sep2000, 22:30
Όγκος (MM)	236.04
Όγκος βροχόπτωσης (M3)	1.29E7
Όγκος απωλειών (M3)	8.33E6
Ενεργός Όγκος (M3)	4.55E6
Όγκος άμεσης απορροής (M3)	4.55E6
Όγκος βασικής απορροής (M3)	3E6

Βροχόπτωση και Απορροή



Υπολεκάνη: EL0415FR6081

Έκταση (KM2) : 61.71

Κατάντη : J42

Μέθοδος Απωλειών: SCS

Ποσοστό αδιαπέρατης επιφάνειας	35
Αριθμός Καμπύλης Απορροής-CN	73.99
Αρχικές Απώλειες	17.86

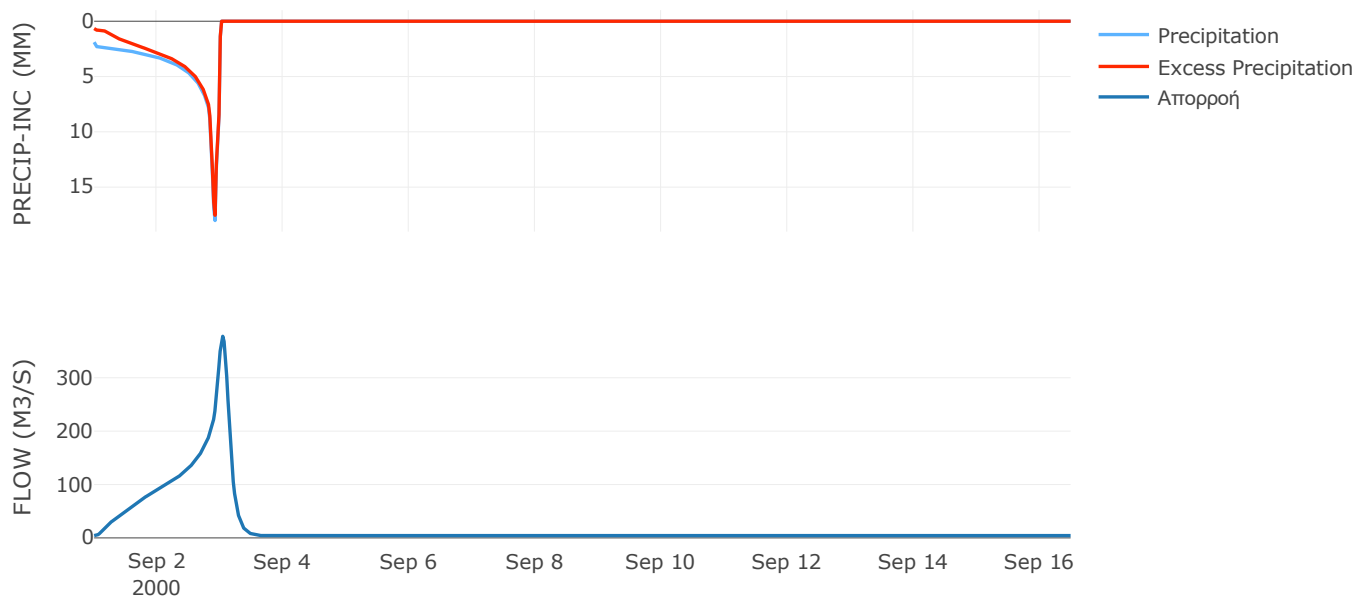
Μέθοδος
Μετασχηματισμού: SCS

Χρόνος Υστέρησης	184.47
------------------	--------

Αποτελέσματα:
EL0415FR6081

Παροχή αιχμής (M3/S)	377.64
Χρονική στιγμή αιχμής	03Sep2000, 01:00
Όγκος (MM)	449.6
Όγκος βροχόπτωσης (M3)	2.56E7
Όγκος απωλειών (M3)	3.64E6
Ενεργός Όγκος (M3)	2.2E7
Όγκος άμεσης απορροής (M3)	2.2E7
Όγκος βασικής απορροής (M3)	5.78E6

Βροχόπτωση και Απορροή



Υπολεκάνη: EL0415FR6082

Έκταση (KM2) : 53.32

Κατάντη : J63

Μέθοδος Απωλειών: SCS

Ποσοστό αδιαπέρατης επιφάνειας	0
Αριθμός Καμπύλης Απορροής-CN	43.65
Αρχικές Απώλειες	65.57

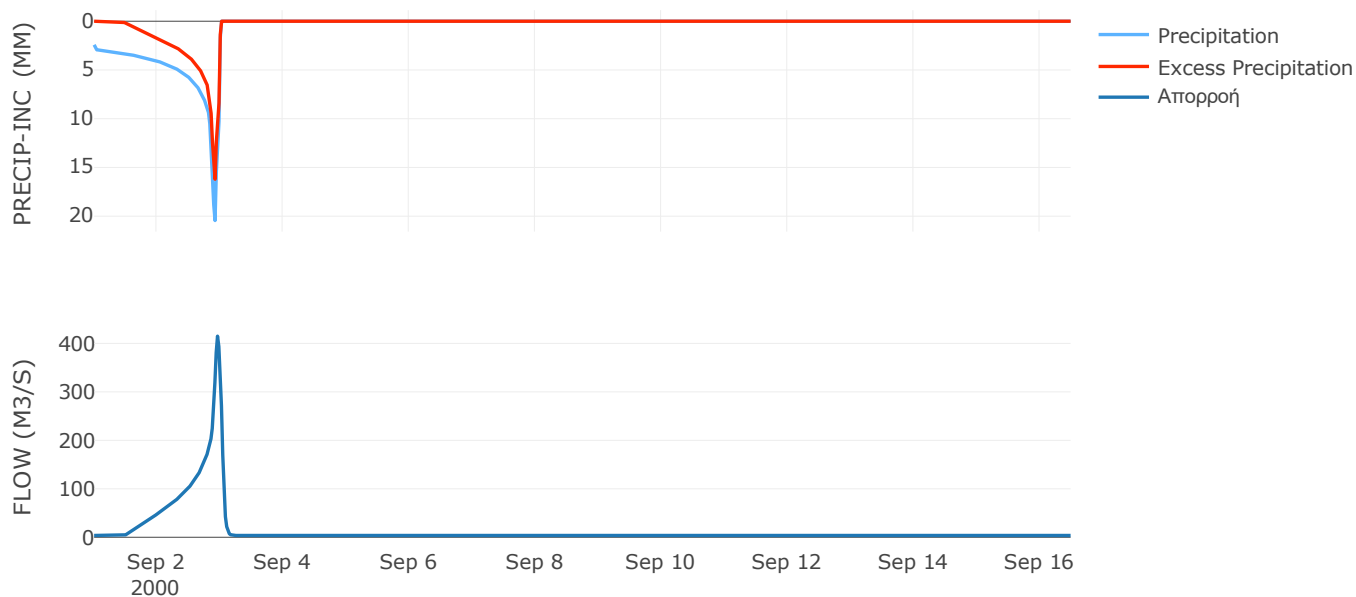
Μέθοδος
Μετασχηματισμού: SCS

Χρόνος Υστέρησης	50.48
------------------	-------

Αποτελέσματα:
EL0415FR6082

Παροχή αιχμής (M3/S)	414.98
Χρονική στιγμή αιχμής	02Sep2000, 23:00
Όγκος (MM)	347.72
Όγκος βροχόπτωσης (M3)	2.71E7
Όγκος απωλειών (M3)	1.35E7
Ενεργός Όγκος (M3)	1.35E7
Όγκος άμεσης απορροής (M3)	1.35E7
Όγκος βασικής απορροής (M3)	5E6

Βροχόπτωση και Απορροή



Υπολεκάνη: EL0415FR6083

Έκταση (KM2) : 14.89

Κατάνη : J41 Res4

Μέθοδος Απωλειών: SCS

Ποσοστό αδιαπέρατης επιφάνειας	9
Αριθμός Καμπύλης Απορροής-CN	67.32
Αρχικές Απώλειες	24.66

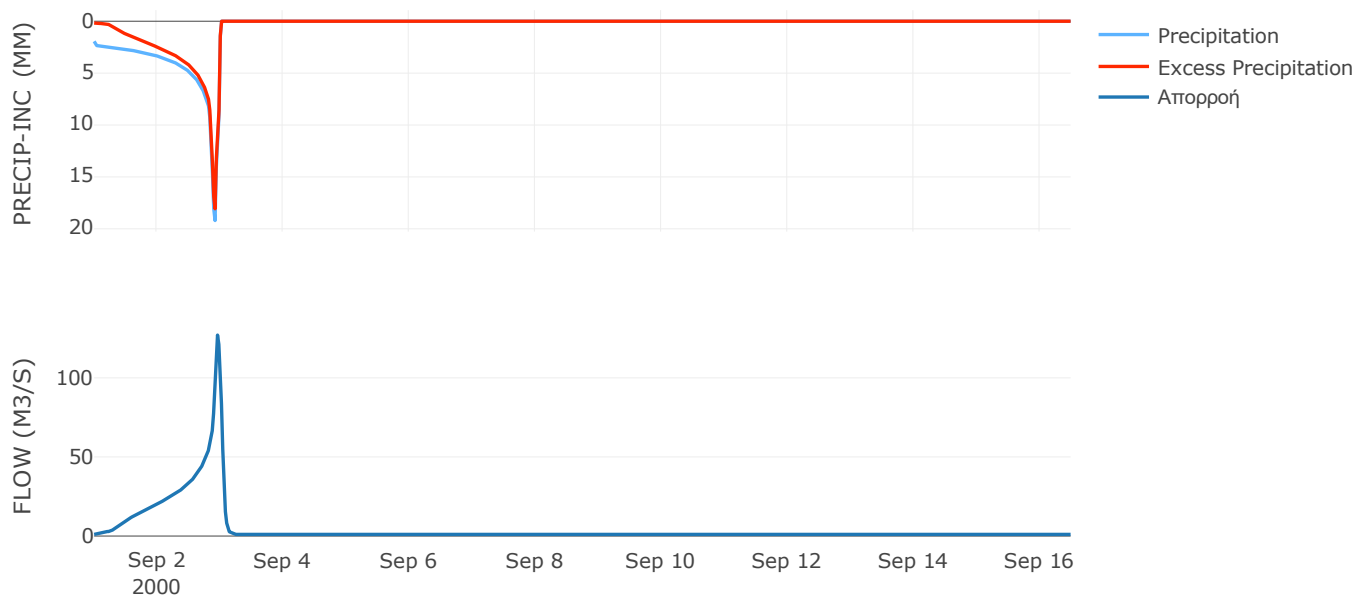
Μέθοδος
Μετασχηματισμού: SCS

Χρόνος Υστέρησης	55.31
------------------	-------

Αποτελέσματα:
EL0415FR6083

Παροχή αιχμής (M3/S)	127.02
Χρονική στιγμή αιχμής	02Sep2000, 23:00
Όγκος (MM)	415.83
Όγκος βροχόπτωσης (M3)	6.41E6
Όγκος απωλειών (M3)	1.62E6
Ενεργός Όγκος (M3)	4.79E6
Όγκος άμεσης απορροής (M3)	4.79E6
Όγκος βασικής απορροής (M3)	1.4E6

Βροχόπτωση και Απορροή



Υπολεκάνη: EL0415FR6084

Έκταση (KM2) : 167.7

Κατάντη : J46

Μέθοδος Απωλειών: SCS

Ποσοστό αδιαπέρατης επιφάνειας	0
Αριθμός Καμπύλης Απορροής-CN	56.62
Αρχικές Απώλειες	38.92

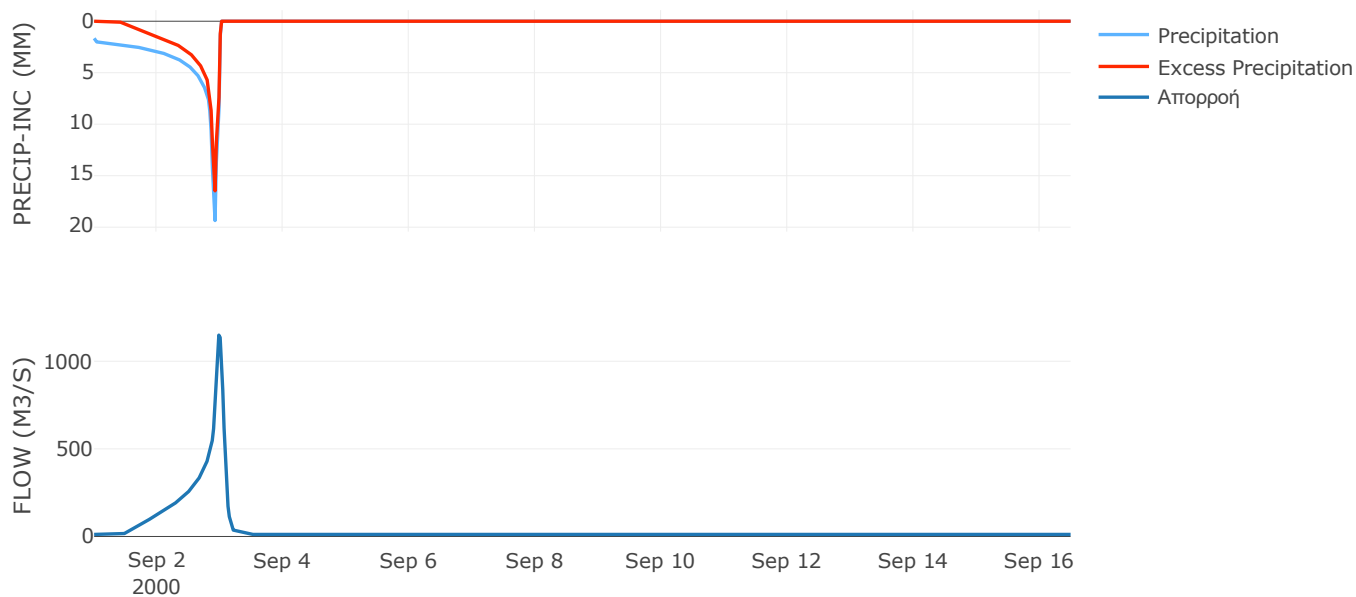
Μέθοδος
Μετασχηματισμού: SCS

Χρόνος Υστέρησης	90.42
------------------	-------

Αποτελέσματα:
EL0415FR6084

Παροχή αιχμής (M3/S)	1148.95
Χρονική στιγμή αιχμής	02Sep2000, 23:30
Όγκος (MM)	321.25
Όγκος βροχόπτωσης (M3)	6.57E7
Όγκος απωλειών (M3)	2.76E7
Ενεργός Όγκος (M3)	3.82E7
Όγκος άμεσης απορροής (M3)	3.82E7
Όγκος βασικής απορροής (M3)	1.57E7

Βροχόπτωση και Απορροή



Υπολεκάνη: EL0415FR6085

Έκταση (KM2) : 5.18

Κατάνη : J17 Res3

Μέθοδος Απωλειών: SCS

Ποσοστό αδιαπέρατης επιφάνειας	20
Αριθμός Καμπύλης Απορροής-CN	86.3
Αρχικές Απώλειες	8.06

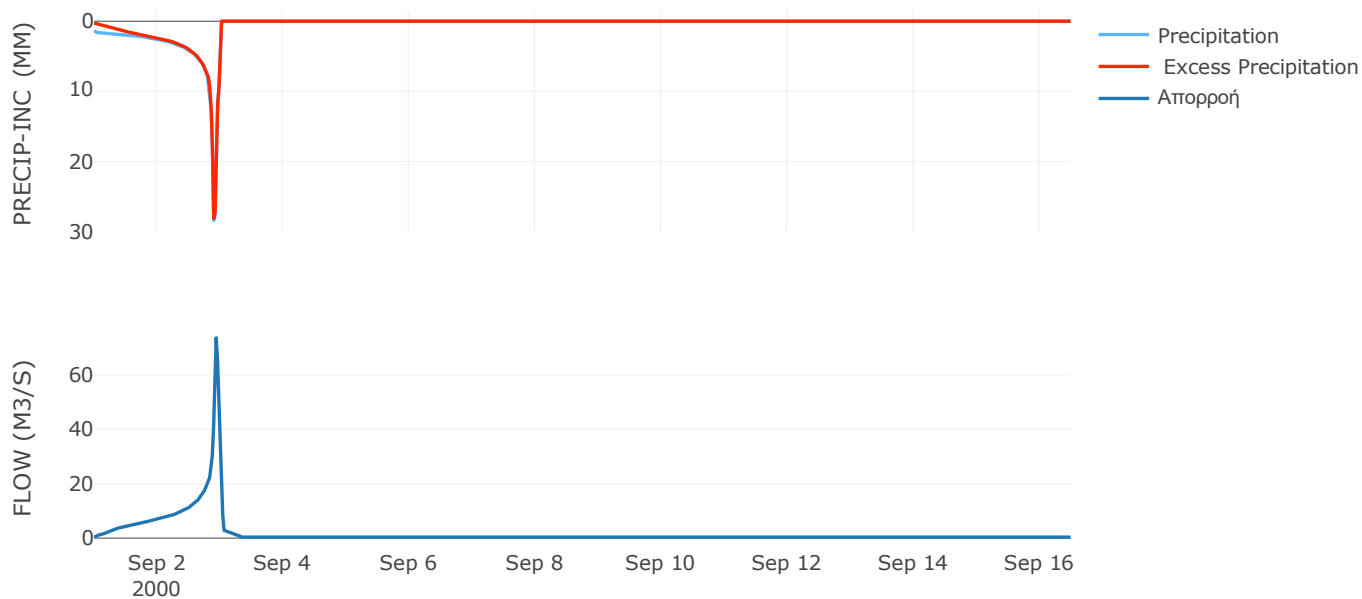
Μέθοδος
Μετασχηματισμού: SCS

Χρόνος Υστέρησης	28.84
------------------	-------

Αποτελέσματα:
EL0415FR6085

Παροχή αιχμής (M3/S)	73.55
Χρονική στιγμή αιχμής	02Sep2000, 22:30
Όγκος (MM)	453.88
Όγκος βροχόπτωσης (M3)	2.05E6
Όγκος απωλειών (M3)	1.85E5
Ενεργός Όγκος (M3)	1.87E6
Όγκος άμεσης απορροής (M3)	1.87E6
Όγκος βασικής απορροής (M3)	4.86E5

Βροχόπτωση και Απορροή



Υπολεκάνη: EL0415FR6086

Έκταση (KM2) : 51.06

Κατάντη : J27

Μέθοδος Απωλειών: SCS

Ποσοστό αδιαπέρατης επιφάνειας	17
Αριθμός Καμπύλης Απορροής-CN	49.1
Αρχικές Απώλειες	52.66

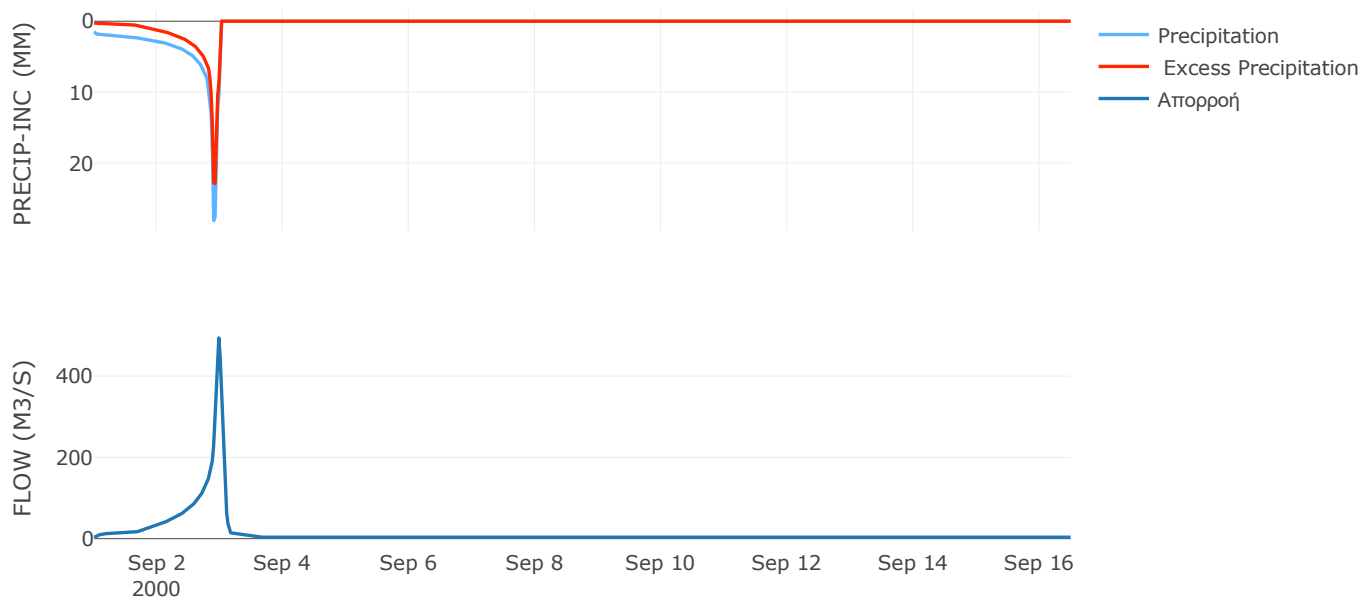
Μέθοδος
Μετασχηματισμού: SCS

Χρόνος Υστέρησης	73.15
------------------	-------

Αποτελέσματα:
EL0415FR6086

Παροχή αιχμής (M3/S)	494.11
Χρονική στιγμή αιχμής	02Sep2000, 23:30
Όγκος (MM)	346.3
Όγκος βροχόπτωσης (M3)	2.17E7
Όγκος απωλειών (M3)	8.76E6
Ενεργός Όγκος (M3)	1.29E7
Όγκος άμεσης απορροής (M3)	1.29E7
Όγκος βασικής απορροής (M3)	4.79E6

Βροχόπτωση και Απορροή



Υπολεκάνη: EL0415FR6087

Έκταση (KM2) : 13.66

Κατάντη : J64

Μέθοδος Απωλειών: SCS

Ποσοστό αδιαπέρατης επιφάνειας	20
Αριθμός Καμπύλης Απορροής-CN	35.27
Αρχικές Απώλειες	93.25

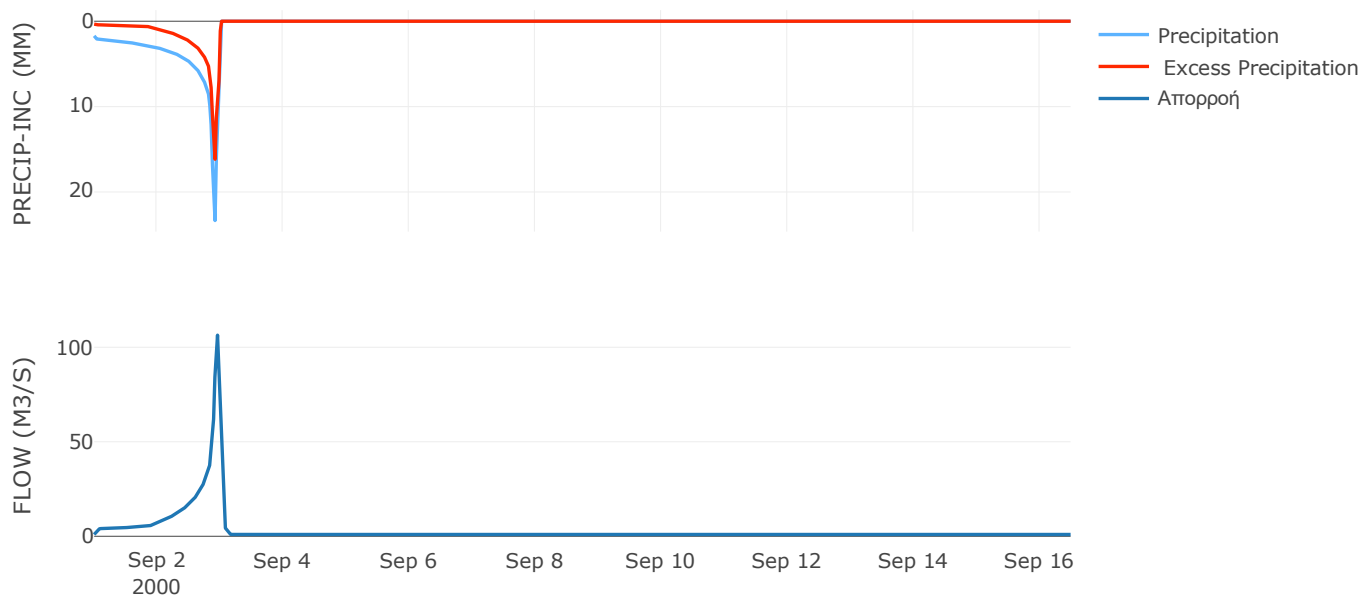
Μέθοδος
Μετασχηματισμού: SCS

Χρόνος Υστέρησης	36.56
------------------	-------

Αποτελέσματα:
EL0415FR6087

Παροχή αιχμής (M3/S)	106.4
Χρονική στιγμή αιχμής	02Sep2000, 23:00
Όγκος (MM)	292.52
Όγκος βροχόπτωσης (M3)	5.87E6
Όγκος απωλειών (M3)	3.16E6
Ενεργός Όγκος (M3)	2.72E6
Όγκος άμεσης απορροής (M3)	2.72E6
Όγκος βασικής απορροής (M3)	1.28E6

Βροχόπτωση και Απορροή



Υπολεκάνη: EL0415FR6088

Έκταση (KM2) : 31.28

Κατάντη : J27

Μέθοδος Απωλειών: SCS

Ποσοστό αδιαπέρατης επιφάνειας	37
Αριθμός Καμπύλης Απορροής-CN	70.92
Αρχικές Απώλειες	20.83

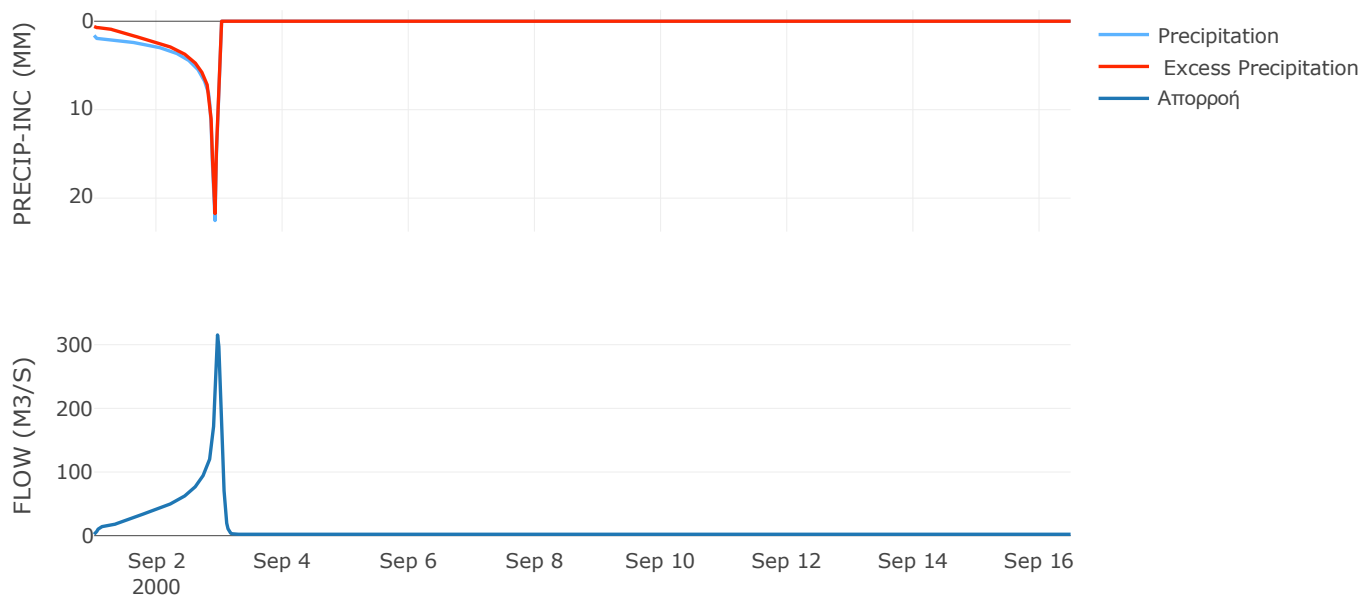
Μέθοδος
Μετασχηματισμού: SCS

Χρόνος Υστέρησης	56.73
------------------	-------

Αποτελέσματα:
EL0415FR6088

Παροχή αιχμής (M3/S)	315.32
Χρονική στιγμή αιχμής	02Sep2000, 23:00
Όγκος (MM)	435.86
Όγκος βροχόπτωσης (M3)	1.27E7
Όγκος απωλειών (M3)	2.03E6
Ενεργός Όγκος (M3)	1.07E7
Όγκος άμεσης απορροής (M3)	1.07E7
Όγκος βασικής απορροής (M3)	2.93E6

Βροχόπτωση και Απορροή



Υπολεκάνη: EL0415FR6089

Έκταση (KM2) : 9.78

Κατάντη : J28

Μέθοδος Απωλειών: SCS

Ποσοστό αδιαπέρατης επιφάνειας	11
Αριθμός Καμπύλης Απορροής-CN	57.43
Αρχικές Απώλειες	37.65

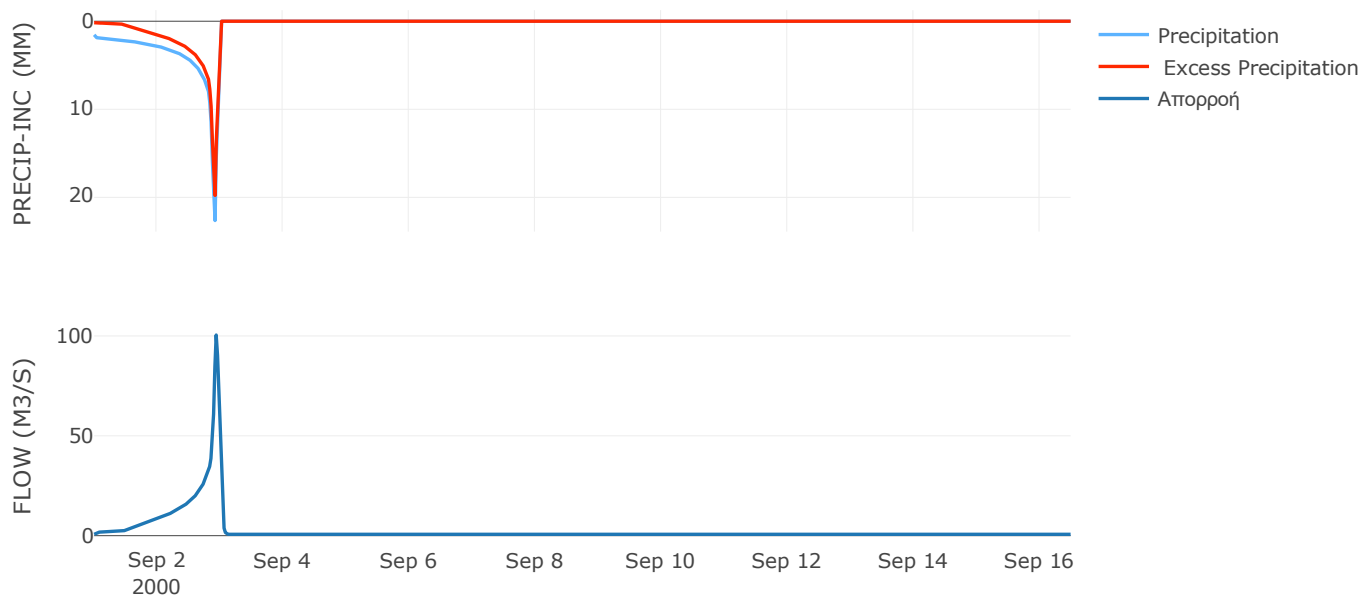
Μέθοδος
Μετασχηματισμού: SCS

Χρόνος Υστέρησης	26.27
------------------	-------

Αποτελέσματα:
EL0415FR6089

Παροχή αιχμής (M3/S)	100.47
Χρονική στιγμή αιχμής	02Sep2000, 22:30
Όγκος (MM)	348.34
Όγκος βροχόπτωσης (M3)	3.89E6
Όγκος απωλειών (M3)	1.4E6
Ενεργός Όγκος (M3)	2.49E6
Όγκος άμεσης απορροής (M3)	2.49E6
Όγκος βασικής απορροής (M3)	9.17E5

Βροχόπτωση και Απορροή



Υπολεκάνη: EL0415FR6090

Έκταση (KM2) : 6.36

Κατάντη : J29

Μέθοδος Απωλειών: SCS

Ποσοστό αδιαπέρατης επιφάνειας	20
Αριθμός Καμπύλης Απορροής-CN	48.36
Αρχικές Απώλειες	54.25

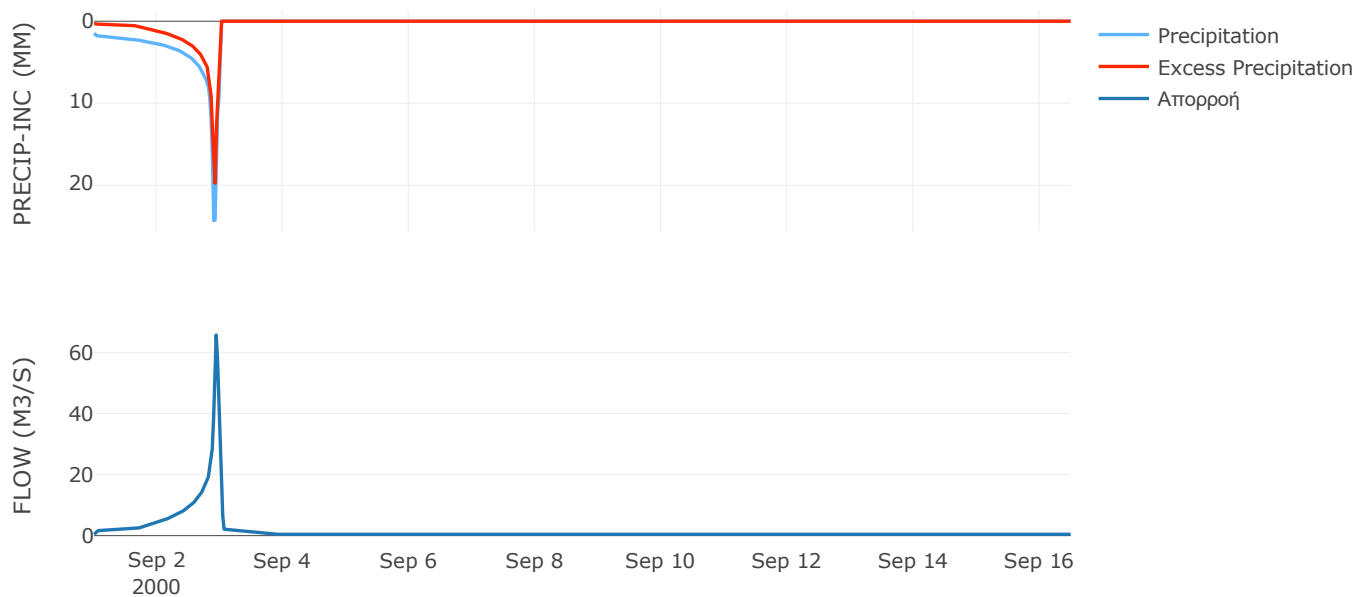
Μέθοδος
Μετασχηματισμού: SCS

Χρόνος Υστέρησης	24.74
------------------	-------

Αποτελέσματα:
EL0415FR6090

Παροχή αιχμής (M3/S)	65.69
Χρονική στιγμή αιχμής	02Sep2000, 22:30
Όγκος (MM)	326.3
Όγκος βροχόπτωσης (M3)	2.52E6
Όγκος απωλειών (M3)	1.05E6
Ενεργός Όγκος (M3)	1.48E6
Όγκος άμεσης απορροής (M3)	1.48E6
Όγκος βασικής απορροής (M3)	5.96E5

Βροχόπτωση και Απορροή



Υπολεκάνη: EL0415FR6091

Έκταση (KM2) : 12.79

Κατάντη : J29

Μέθοδος Απωλειών: SCS

Ποσοστό αδιαπέρατης επιφάνειας	20
Αριθμός Καμπύλης Απορροής-CN	46.27
Αρχικές Απώλειες	58.99

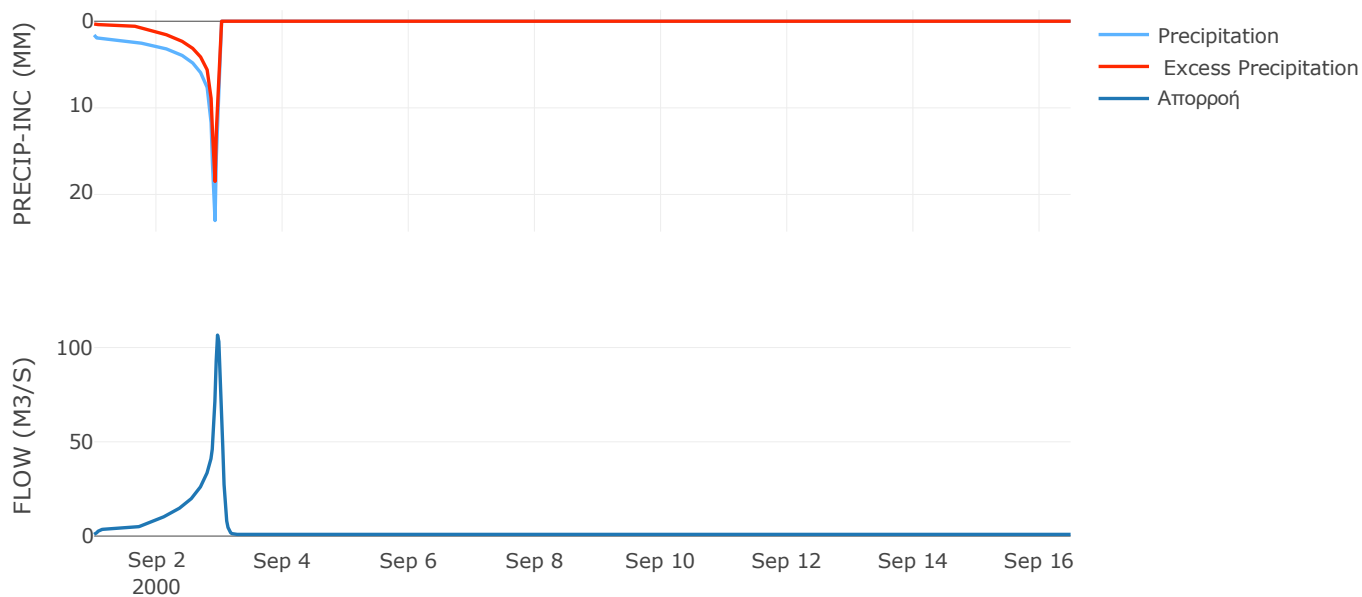
Μέθοδος
Μετασχηματισμού: SCS

Χρόνος Υστέρησης	59.68
------------------	-------

Αποτελέσματα:
EL0415FR6091

Παροχή αιχμής (M3/S)	106.62
Χρονική στιγμή αιχμής	02Sep2000, 23:00
Όγκος (MM)	327.07
Όγκος βροχόπτωσης (M3)	5.22E6
Όγκος απωλειών (M3)	2.24E6
Ενεργός Όγκος (M3)	2.98E6
Όγκος άμεσης απορροής (M3)	2.98E6
Όγκος βασικής απορροής (M3)	1.2E6

Βροχόπτωση και Απορροή



Υπολεκάνη: EL0415FR6092

Έκταση (KM2) : 11.03

Κατάντη : J24

Μέθοδος Απωλειών: SCS

Ποσοστό αδιαπέρατης επιφάνειας	5
Αριθμός Καμπύλης Απορροής-CN	48.21
Αρχικές Απώλειες	54.58

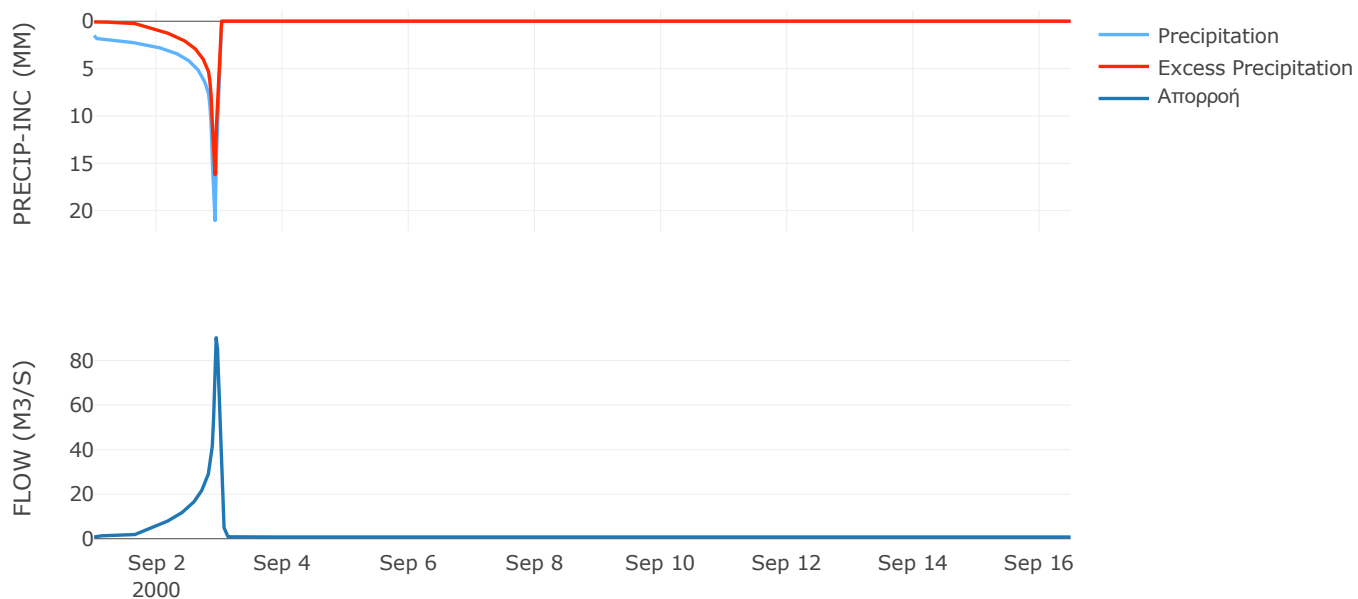
Μέθοδος
Μετασχηματισμού: SCS

Χρόνος Υστέρησης	29.69
------------------	-------

Αποτελέσματα:
EL0415FR6092

Παροχή αιχμής (M3/S)	90.26
Χρονική στιγμή αιχμής	02Sep2000, 22:30
Όγκος (MM)	282.29
Όγκος βροχόπτωσης (M3)	4.21E6
Όγκος απωλειών (M3)	2.13E6
Ενεργός Όγκος (M3)	2.08E6
Όγκος άμεσης απορροής (M3)	2.08E6
Όγκος βασικής απορροής (M3)	1.03E6

Βροχόπτωση και Απορροή



Υπολεκάνη: EL0415FR6093

Έκταση (KM2) : 14.35

Κατάντη : J25

Μέθοδος Απωλειών: SCS

Ποσοστό αδιαπέρατης επιφάνειας	6
Αριθμός Καμπύλης Απορροής-CN	31.38
Αρχικές Απώλειες	111.07

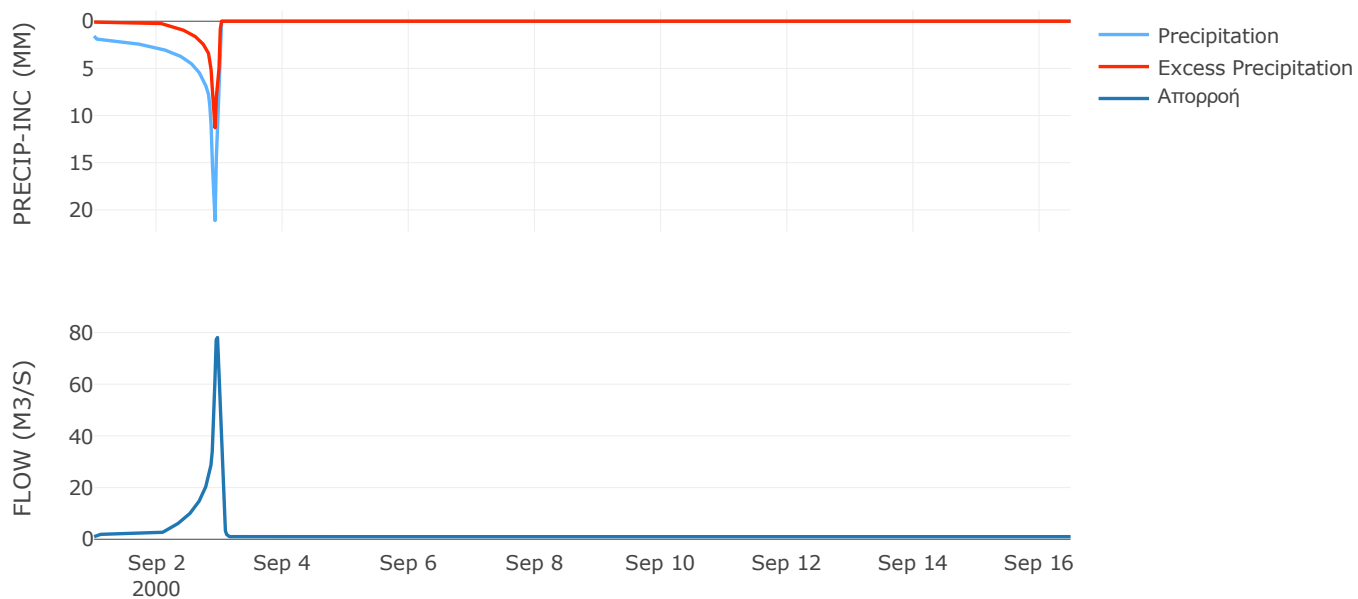
Μέθοδος
Μετασχηματισμού: SCS

Χρόνος Υστέρησης	35.25
------------------	-------

Αποτελέσματα:
EL0415FR6093

Παροχή αιχμής (M3/S)	78.08
Χρονική στιγμή αιχμής	02Sep2000, 23:00
Όγκος (MM)	205.27
Όγκος βροχόπτωσης (M3)	5.61E6
Όγκος απωλειών (M3)	4.01E6
Ενεργός Όγκος (M3)	1.6E6
Όγκος άμεσης απορροής (M3)	1.6E6
Όγκος βασικής απορροής (M3)	1.35E6

Βροχόπτωση και Απορροή



Υπολεκάνη: EL0415FR6094

Έκταση (KM2) : 17.58

Κατάντη : J22

Μέθοδος Απωλειών: SCS

Ποσοστό αδιαπέρατης επιφάνειας	8
Αριθμός Καμπύλης Απορροής-CN	30.54
Αρχικές Απώλειες	115.56

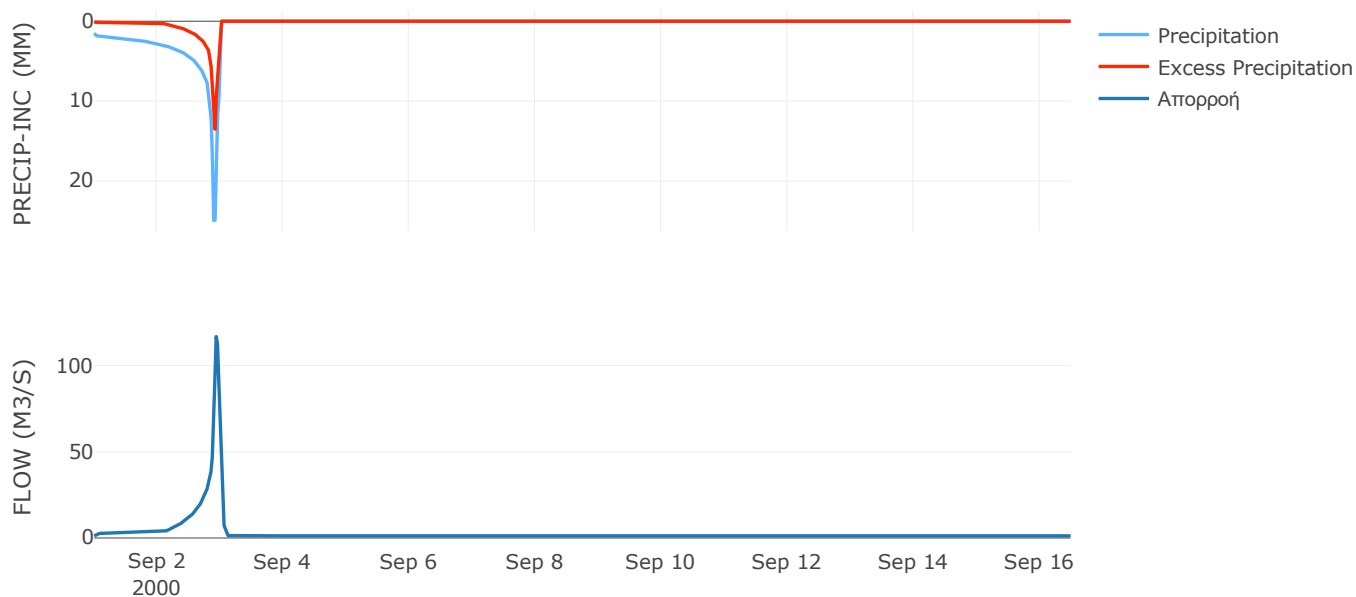
Μέθοδος
Μετασχηματισμού: SCS

Χρόνος Υστέρησης	30.99
------------------	-------

Αποτελέσματα:
EL0415FR6094

Παροχή αιχμής (M3/S)	116.86
Χρονική στιγμή αιχμής	02Sep2000, 22:30
Όγκος (MM)	217.39
Όγκος βροχόπτωσης (M3)	7.19E6
Όγκος απωλειών (M3)	5.02E6
Ενεργός Όγκος (M3)	2.17E6
Όγκος άμεσης απορροής (M3)	2.17E6
Όγκος βασικής απορροής (M3)	1.65E6

Βροχόπτωση και Απορροή



Υπολεκάνη: EL0415FR6095

Έκταση (KM2) : 18.13

Κατάνη : J15 Res2

Μέθοδος Απωλειών: SCS

Ποσοστό αδιαπέρατης επιφάνειας	17
Αριθμός Καμπύλης Απορροής-CN	75.95
Αρχικές Απώλειες	16.08

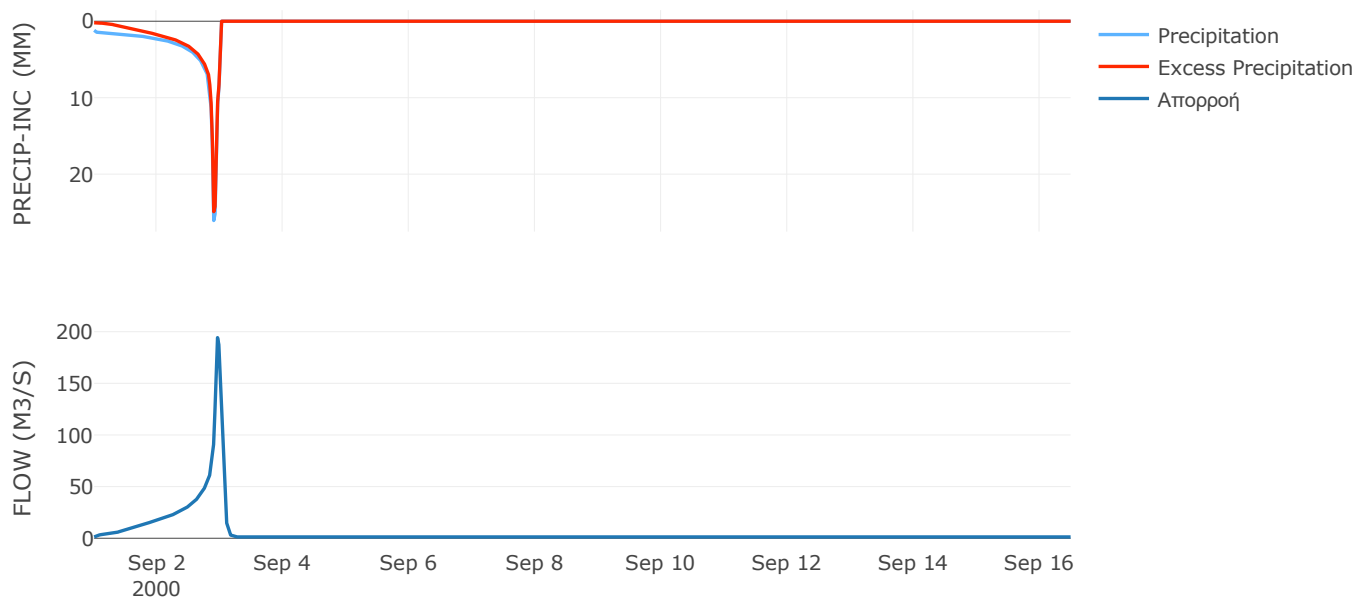
Μέθοδος
Μετασχηματισμού: SCS

Χρόνος Υστέρησης	62.6
------------------	------

Αποτελέσματα:
EL0415FR6095

Παροχή αιχμής (M3/S)	194.24
Χρονική στιγμή αιχμής	02Sep2000, 23:00
Όγκος (MM)	384.45
Όγκος βροχόπτωσης (M3)	6.49E6
Όγκος απωλειών (M3)	1.22E6
Ενεργός Όγκος (M3)	5.27E6
Όγκος άμεσης απορροής (M3)	5.27E6
Όγκος βασικής απορροής (M3)	1.7E6

Βροχόπτωση και Απορροή



Υπολεκάνη: EL0415FR6096

Έκταση (KM2) : 45.1

Κατάντη : J19

Μέθοδος Απωλειών: SCS

Ποσοστό αδιαπέρατης επιφάνειας	16
Αριθμός Καμπύλης Απορροής-CN	67.77
Αρχικές Απώλειες	24.16

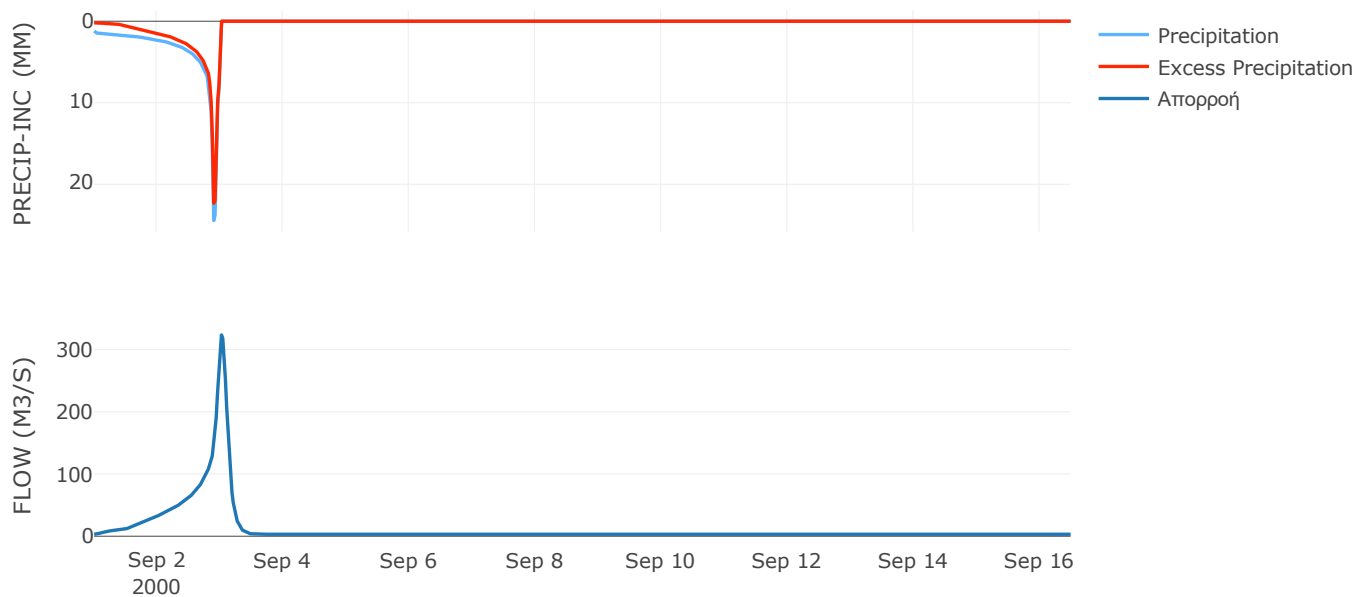
Μέθοδος
Μετασχηματισμού: SCS

Χρόνος Υστέρησης	154.63
------------------	--------

Αποτελέσματα:
EL0415FR6096

Παροχή αιχμής (M3/S)	323.47
Χρονική στιγμή αιχμής	03Sep2000, 00:30
Όγκος (MM)	350.45
Όγκος βροχόπτωσης (M3)	1.58E7
Όγκος απωλειών (M3)	4.26E6
Ενεργός Όγκος (M3)	1.16E7
Όγκος άμεσης απορροής (M3)	1.16E7
Όγκος βασικής απορροής (M3)	4.23E6

Βροχόπτωση και Απορροή



Υπολεκάνη: EL0415FR6097

Έκταση (KM2) : 3.48

Κατάντη : J14

Μέθοδος Απωλειών: SCS

Ποσοστό αδιαπέρατης επιφάνειας	17
Αριθμός Καμπύλης Απορροής-CN	67.51
Αρχικές Απώλειες	24.45

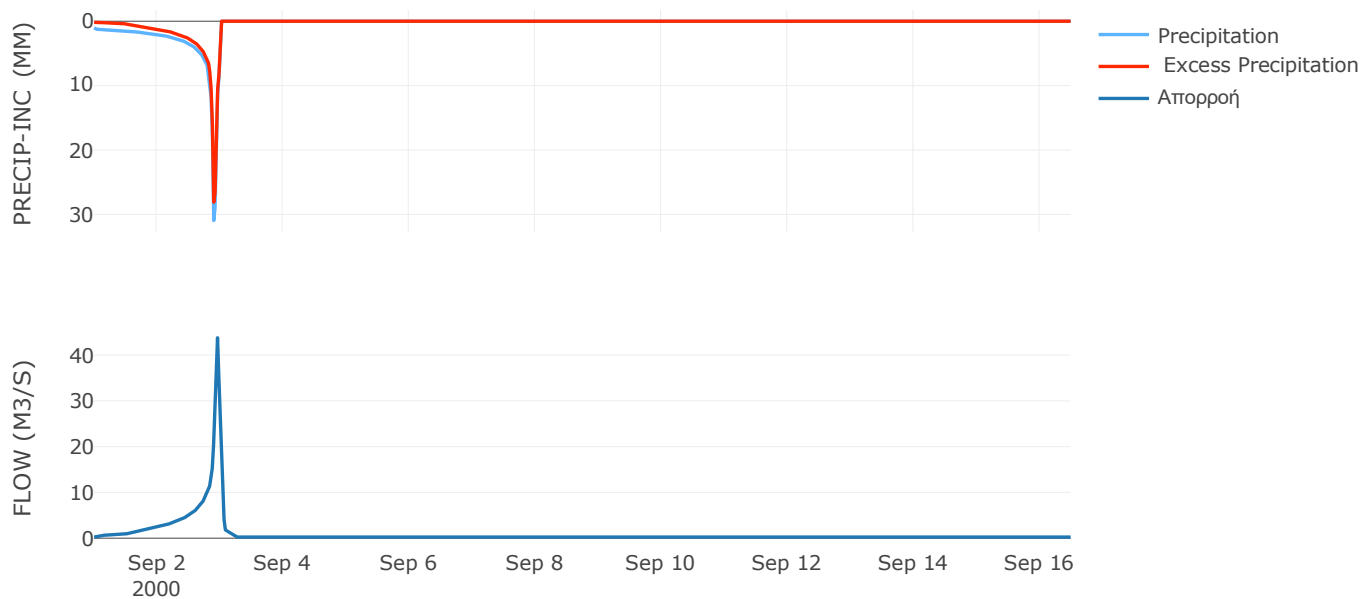
Μέθοδος
Μετασχηματισμού: SCS

Χρόνος Υστέρησης	41.06
------------------	-------

Αποτελέσματα:
EL0415FR6097

Παροχή αιχμής (M3/S)	43.79
Χρονική στιγμή αιχμής	02Sep2000, 23:00
Όγκος (MM)	352.06
Όγκος βροχόπτωσης (M3)	1.22E6
Όγκος απωλειών (M3)	3.27E5
Ενεργός Όγκος (M3)	8.98E5
Όγκος άμεσης απορροής (M3)	8.98E5
Όγκος βασικής απορροής (M3)	3.26E5

Βροχόπτωση και Απορροή

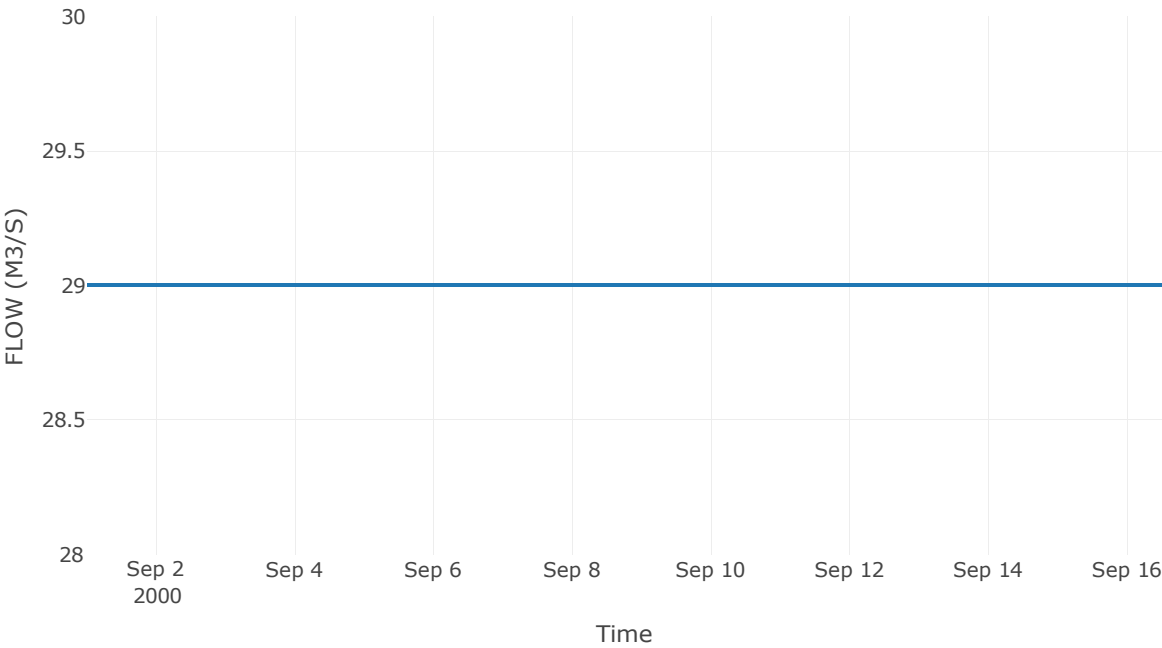


Κόμβος εξόδου: Κόμβος εξόδου-RES4

Αποτελέσματα: Κόμβος εξόδου-RES4

Παροχή Αιχμής (M3/S)	29
Χρονική στιγμή αιχμής	31Aug2000, 24:00
Όγκος(MM)	234.94

Απορροή



9.2 Δεδομένα και Υδρογραφήματα σχεδιασμού Κλάδων υδρογραφικού δικτύου

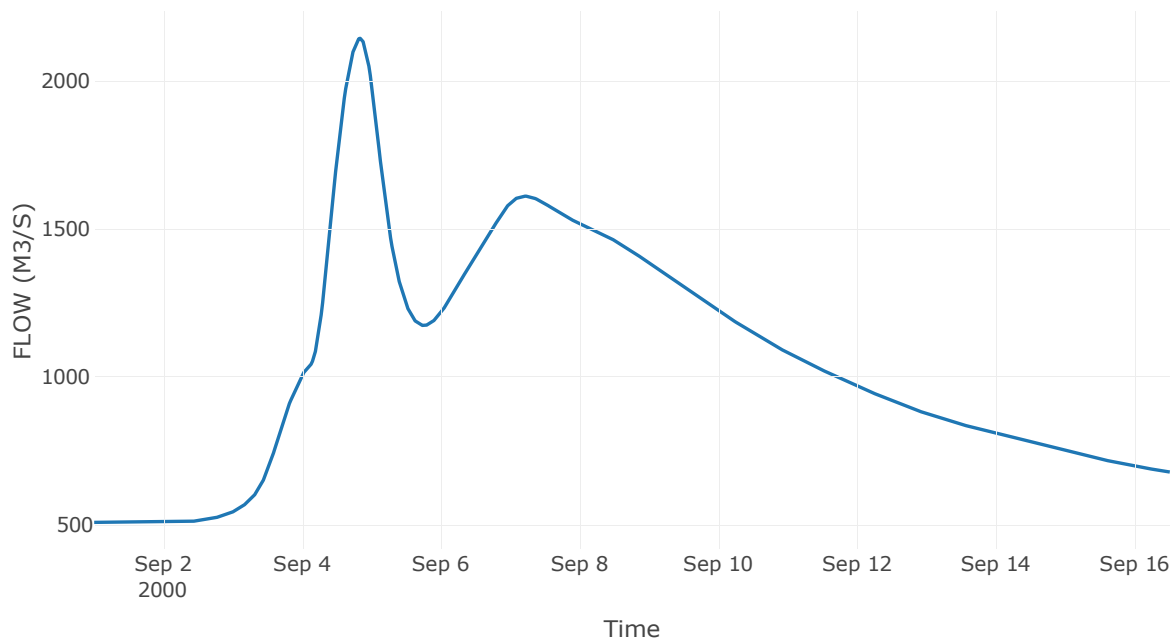
Κλάδος: R21

Κατάντη : J1

Μέθοδος Διόδευσης	Muskingum
Αρχική Μεταβλητή	Combined Inflow
Muskingum K	10.33
Συντελεστής βάρους x	0.2
Muskingum Steps	26

Αποτελέσματα: R21	
Παροχή Αιχμής (M3/S)	2143.96
Χρονική στιγμή αιχμής	04Sep2000, 20:00
Όγκος(MM)	307.75
Παροχή Αιχμής Εισόδου (M3/S)	2166.82
Όγκος Εισροής(M3)	1.41E9

Απορροή



Κλάδος: R32

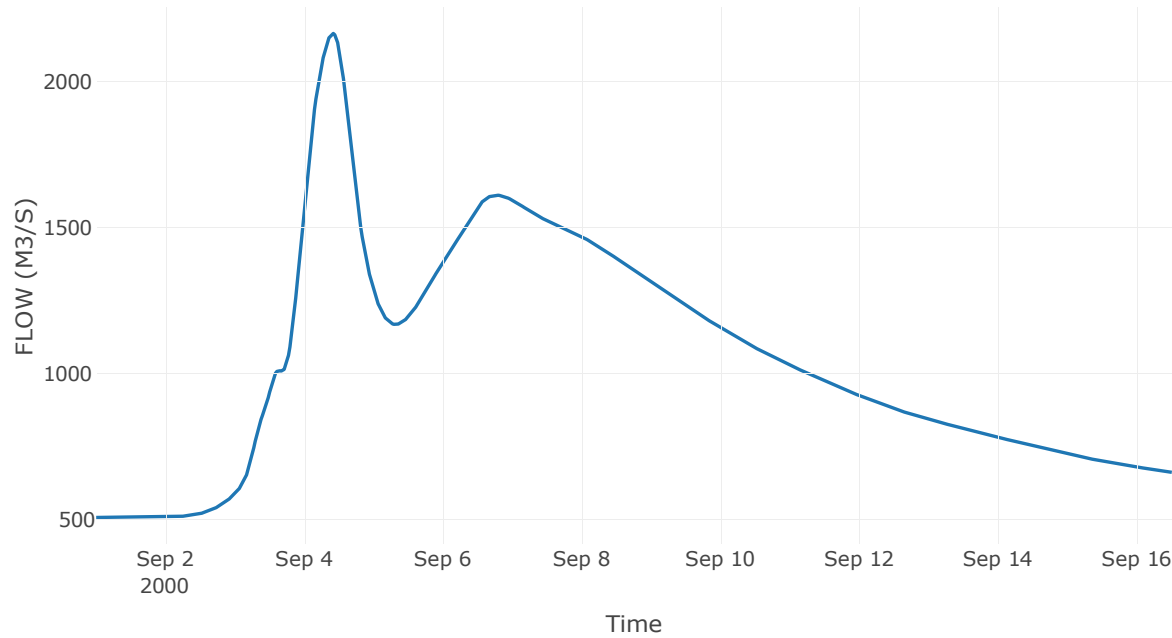
Κατάντη : J2

Μέθοδος Διόδευσης	Muskingum
Αρχική Μεταβλητή	Combined Inflow
Muskingum K	7.06
Συντελεστής βάρους x	0.2
Muskingum Steps	18

Αποτελέσματα: R32

Παροχή Αιχμής (M3/S)	2165.54
Χρονική στιγμή αιχμής	04Sep2000, 10:00
Όγκος(MM)	309.48
Παροχή Αιχμής Εισόδου (M3/S)	2183.05
Όγκος Εισροής(M3)	1.41E9

Απορροή



Κλάδος: R43

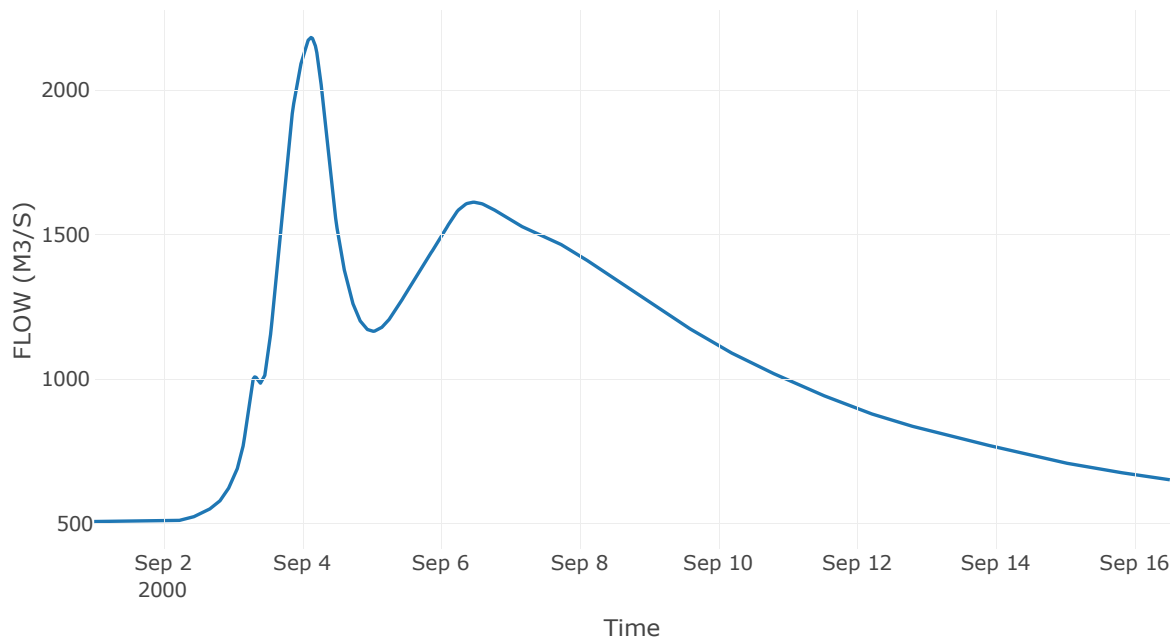
Κατάντη : J3

Μέθοδος Διόδευσης	Muskingum
Αρχική Μεταβλητή	Combined Inflow
Muskingum K	6.59
Συντελεστής βάρους x	0.2
Muskingum Steps	17

Αποτελέσματα: R43

Παροχή Αιχμής (M3/S)	2182.08
Χρονική στιγμή αιχμής	04Sep2000, 03:00
Όγκος(MM)	310.83
Παροχή Αιχμής Εισόδου (M3/S)	2199.44
Όγκος Εισροής(M3)	1.41E9

Απορροή



Κλάδος: R54

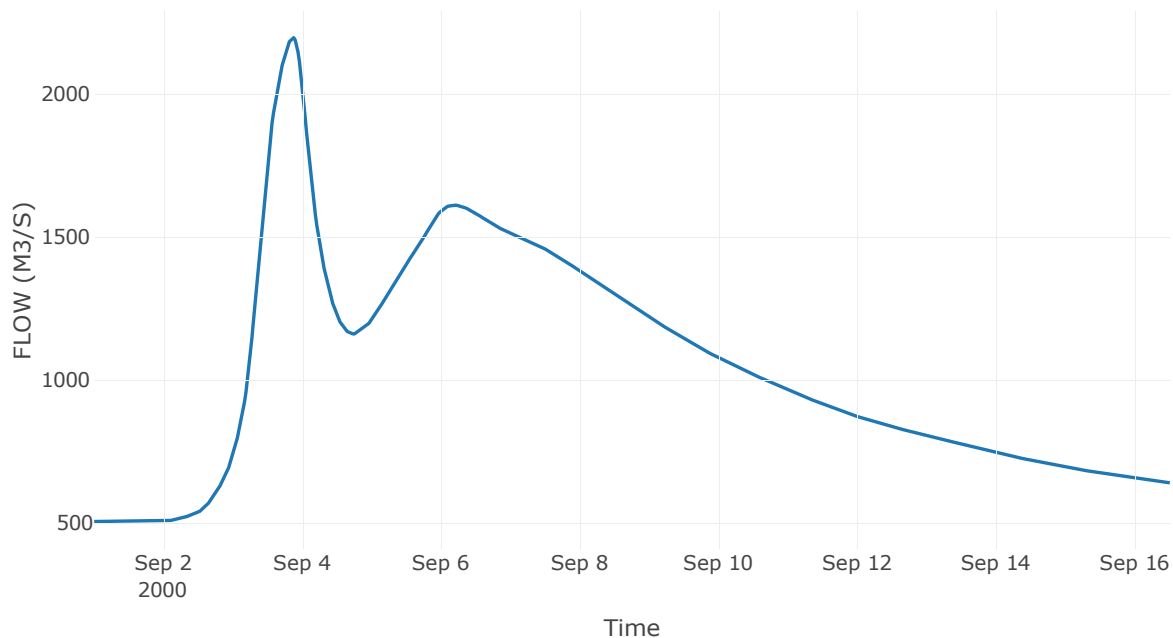
Κατάντη : J4

Μέθοδος Διόδευσης	Muskingum
Αρχική Μεταβλητή	Combined Inflow
Muskingum K	8.2
Συντελεστής βάρους x	0.2
Muskingum Steps	21

Αποτελέσματα: R54

Παροχή Αιχμής (M3/S)	2197.69
Χρονική στιγμή αιχμής	03Sep2000, 20:30
Όγκος(MM)	312.93
Παροχή Αιχμής Εισόδου (M3/S)	2230.11
Όγκος Εισροής(M3)	1.4E9

Απορροή



Κλάδος: R65

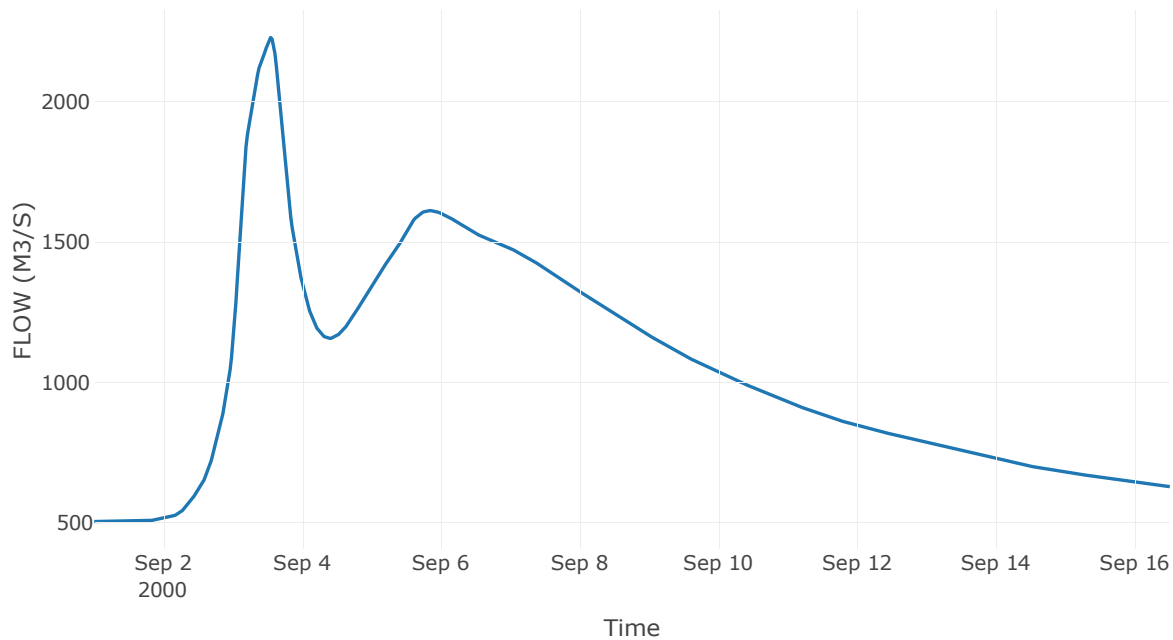
Κατάντη : J5

Μέθοδος Διόδευσης	Muskingum
Αρχική Μεταβλητή	Combined Inflow
Muskingum K	2.55
Συντελεστής βάρους α	0.2
Muskingum Steps	6

Αποτελέσματα: R65

Παροχή Αιχμής (M3/S)	2228.9
Χρονική στιγμή αιχμής	03Sep2000, 13:00
Όγκος(MM)	314.53
Παροχή Αιχμής Εισόδου (M3/S)	2245.22
Όγκος Εισροής(M3)	1.4E9

Απορροή



Κλάδος: R86

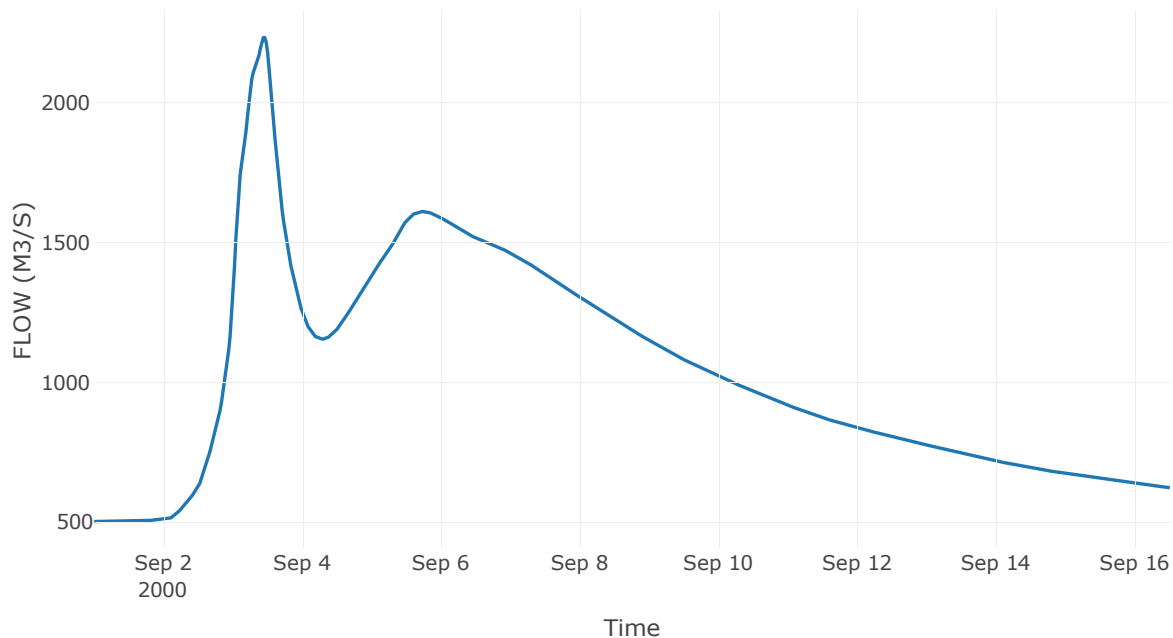
Κατάντη : J6

Μέθοδος Διόδευσης	Muskingum
Αρχική Μεταβλητή	Combined Inflow
Muskingum K	1.62
Συντελεστής βάρους x	0.2
Muskingum Steps	4

Αποτελέσματα: R86

Παροχή Αιχμής (M3/S)	2232.91
Χρονική στιγμή αιχμής	03Sep2000, 10:30
Όγκος(MM)	315.45
Παροχή Αιχμής Εισόδου (M3/S)	2247.64
Όγκος Εισροής(M3)	1.39E9

Απορροή



Κλάδος: R138

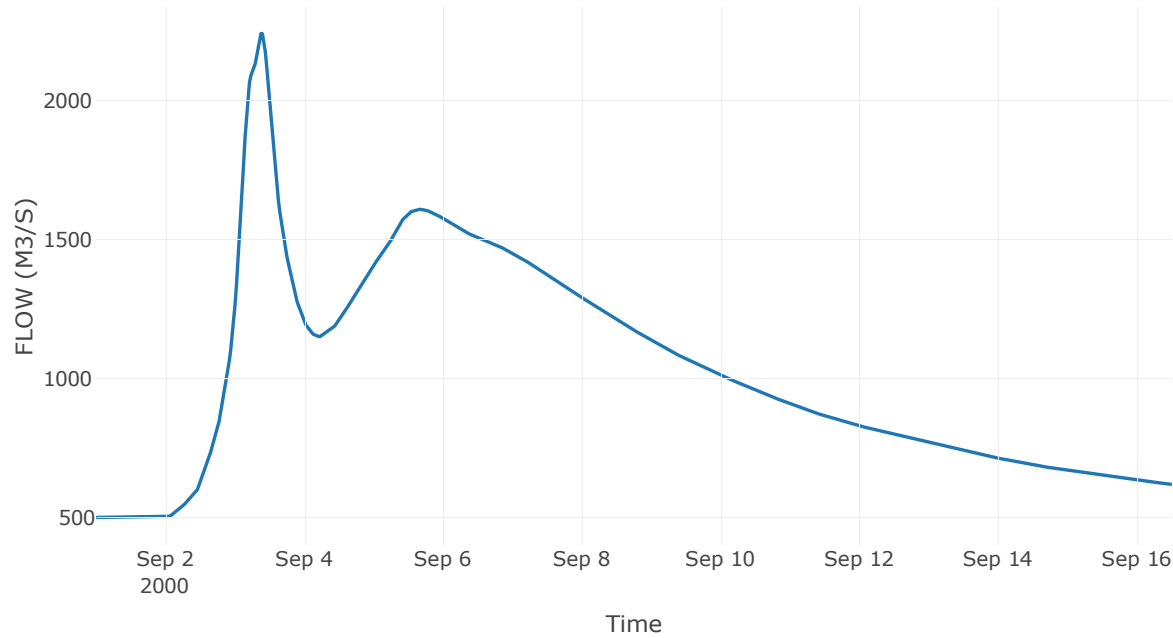
Κατάντη : J8

Μέθοδος Διόδευσης	Muskingum
Αρχική Μεταβλητή	Combined Inflow
Muskingum K	0.94
Συντελεστής βάρους x	0.2
Muskingum Steps	2

Αποτελέσματα: R138

Παροχή Αιχμής (M3/S)	2241.53
Χρονική στιγμή αιχμής	03Sep2000, 09:00
Όγκος(MM)	317.29
Παροχή Αιχμής Εισόδου (M3/S)	2253.06
Όγκος Εισροής(M3)	1.37E9

Απορροή



Κλάδος: R1413

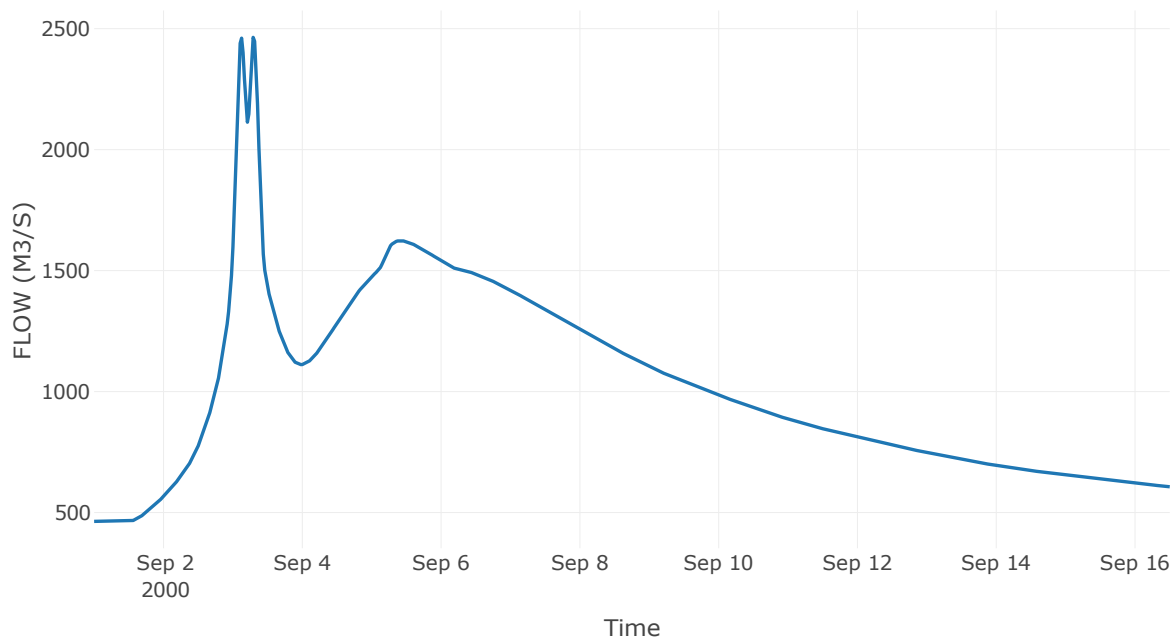
Κατάντη : J13 Res1

Μέθοδος Διόδευσης	Muskingum
Αρχική Μεταβλητή	Combined Inflow
Muskingum K	2.61
Συντελεστής βάρους α	0.2
Muskingum Steps	7

Αποτελέσματα: R1413

Παροχή Αιχμής (M3/S)	2464.03
Χρονική στιγμή αιχμής	03Sep2000, 07:00
Όγκος(MM)	318.25
Παροχή Αιχμής Εισόδου (M3/S)	2599.59
Όγκος Εισροής(M3)	1.36E9

Απορροή



Κλάδος: R1514

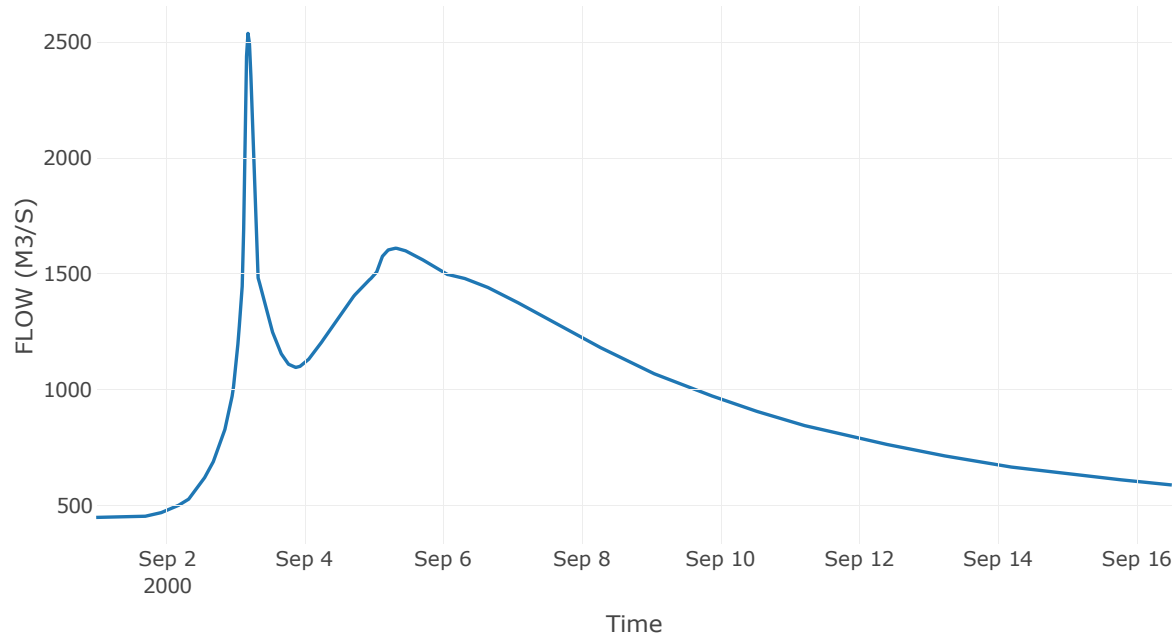
Κατάντη : J14

Μέθοδος Διόδευσης	Muskingum
Αρχική Μεταβλητή	Combined Inflow
Muskingum K	0.29
Συντελεστής βάρους x	0.2
Muskingum Steps	1

Αποτελέσματα: R1514

Παροχή Αιχμής (M3/S)	2537.26
Χρονική στιγμή αιχμής	03Sep2000, 04:30
Όγκος(MM)	318.19
Παροχή Αιχμής Εισόδου (M3/S)	2536.92
Όγκος Εισροής(M3)	1.3E9

Απορροή



Κλάδος: R1915

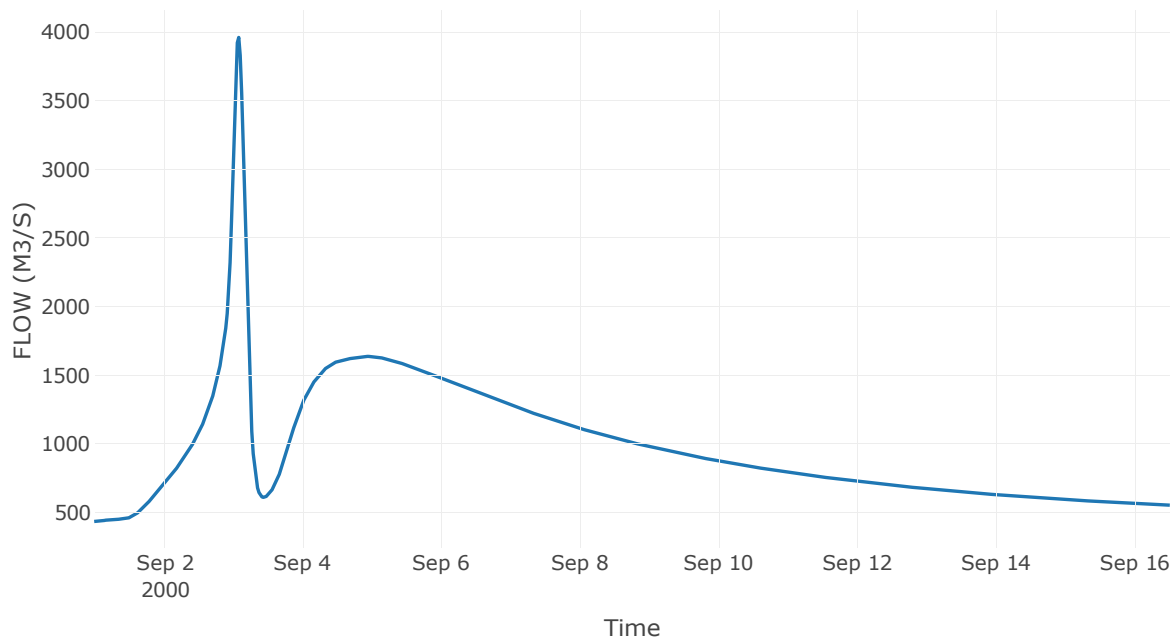
Κατάντη : J15 Res2

Μέθοδος Διόδευσης	Muskingum
Αρχική Μεταβλητή	Combined Inflow
Muskingum K	0.77
Συντελεστής βάρους α	0.2
Muskingum Steps	2

Αποτελέσματα: R1915

Παροχή Αιχμής (M3/S)	3962.87
Χρονική στιγμή αιχμής	03Sep2000, 02:00
Όγκος(MM)	322.97
Παροχή Αιχμής Εισόδου (M3/S)	4031.12
Όγκος Εισροής(M3)	1.32E9

Απορροή



Κλάδος: R1819

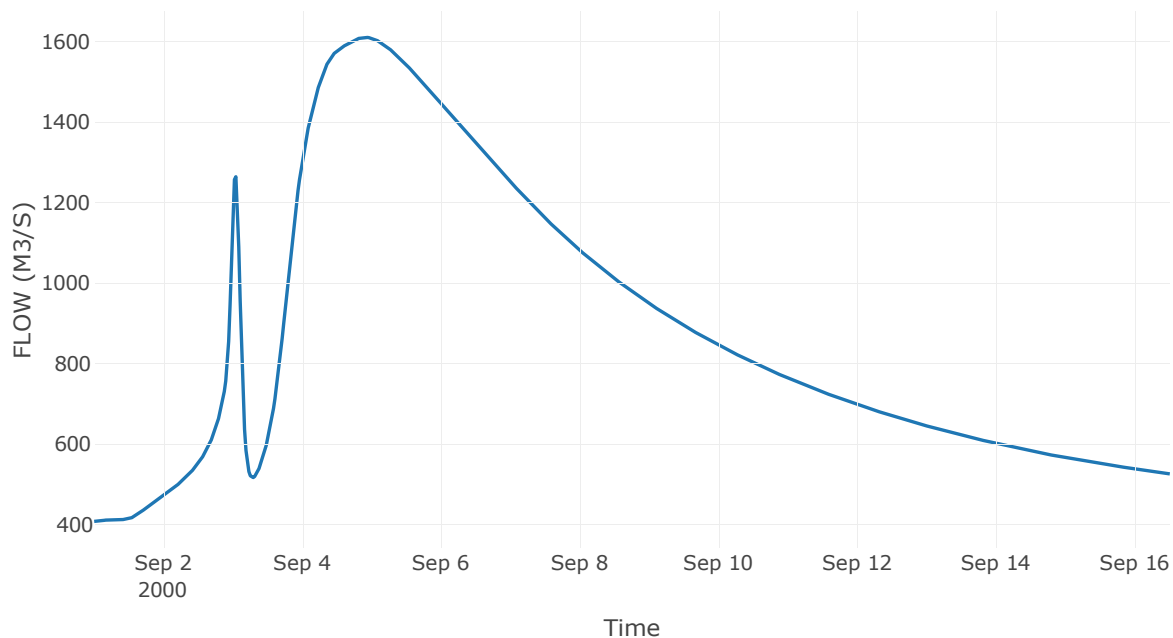
Κατάντη : J19

Μέθοδος Διόδευσης	Muskingum
Αρχική Μεταβλητή	Combined Inflow
Muskingum K	0.94
Συντελεστής βάρους α	0.2
Muskingum Steps	2

Αποτελέσματα: R1819

Παροχή Αιχμής (M3/S)	1610.72
Χρονική στιγμή αιχμής	04Sep2000, 22:00
Όγκος(MM)	319.1
Παροχή Αιχμής Εισόδου (M3/S)	1610.87
Όγκος Εισροής(M3)	1.17E9

Απορροή



Κλάδος: R1718

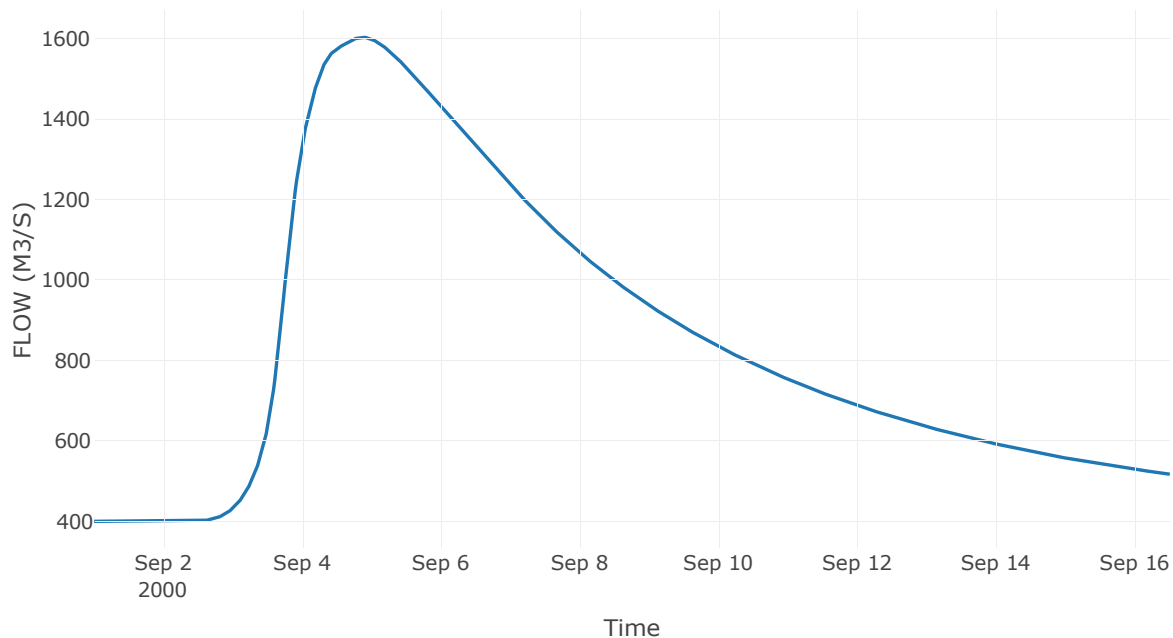
Κατάντη : J18

Μέθοδος Διόδευσης	Muskingum
Αρχική Μεταβλητή	Combined Inflow
Muskingum K	14.58
Συντελεστής βάρους x	0.2
Muskingum Steps	37

Αποτελέσματα: R1718

Παροχή Αιχμής (M3/S)	1602.87
Χρονική στιγμή αιχμής	04Sep2000, 21:00
Όγκος(MM)	318.93
Παροχή Αιχμής Εισόδου (M3/S)	1604.74
Όγκος Εισροής(M3)	1.14E9

Απορροή



Κλάδος: R2717

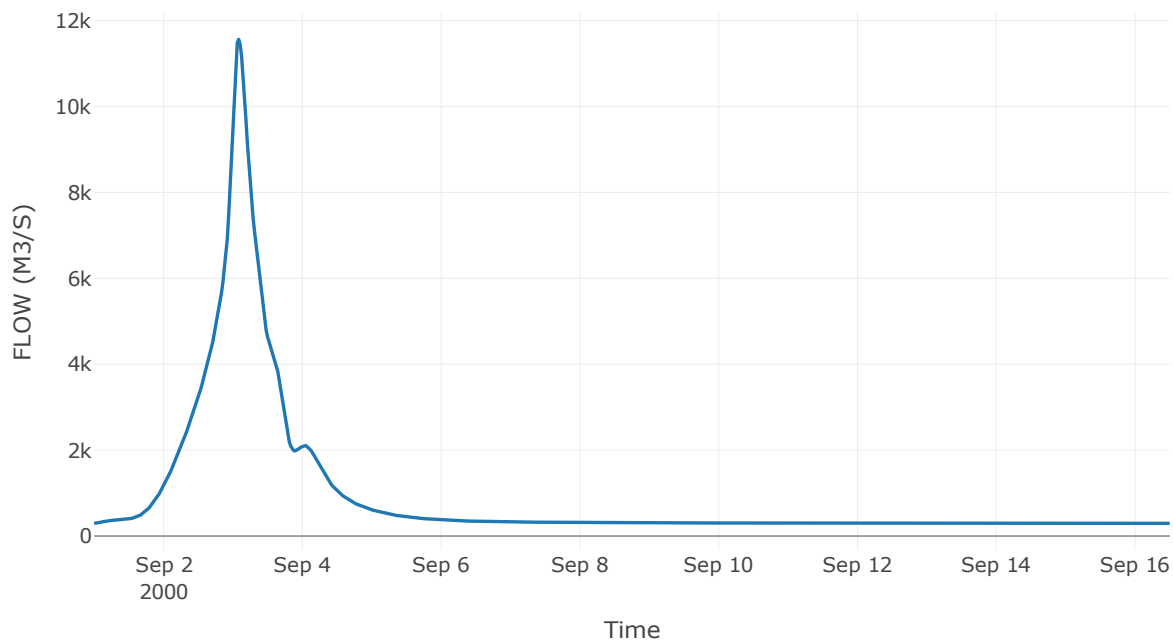
Κατάντη : J17 Res3

Μέθοδος Διόδευσης	Muskingum
Αρχική Μεταβλητή	Combined Inflow
Muskingum K	0.6
Συντελεστής βάρους x	0.2
Muskingum Steps	1

Αποτελέσματα: R2717

Παροχή Αιχμής (M3/S)	11565.78
Χρονική στιγμή αιχμής	03Sep2000, 02:00
Όγκος(MM)	357.68
Παροχή Αιχμής Εισόδου (M3/S)	11645.92
Όγκος Εισροής(M3)	1.27E9

Απορροή



Κλάδος: R3127

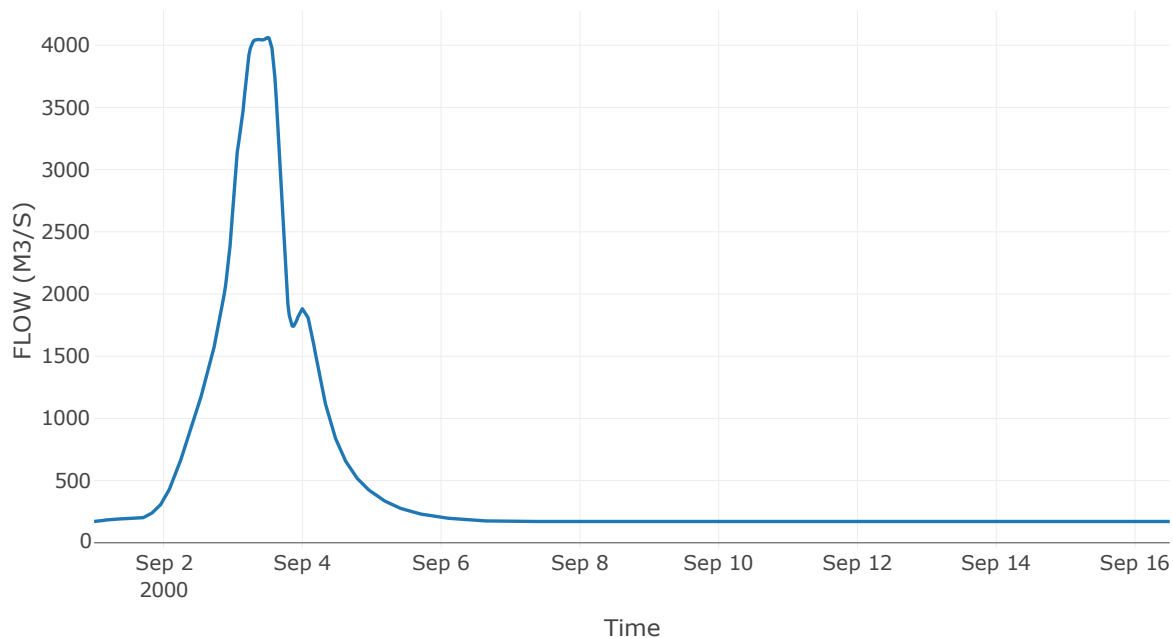
Κατάντη : J27

Μέθοδος Διόδευσης	Muskingum
Αρχική Μεταβλητή	Combined Inflow
Muskingum K	1.63
Συντελεστής βάρους x	0.2
Muskingum Steps	4

Αποτελέσματα: R3127

Παροχή Αιχμής (M3/S)	4062.38
Χρονική στιγμή αιχμής	03Sep2000, 12:00
Όγκος(MM)	366.91
Παροχή Αιχμής Εισόδου (M3/S)	4071.37
Όγκος Εισροής(M3)	6.58E8

Απορροή



Κλάδος: R2231

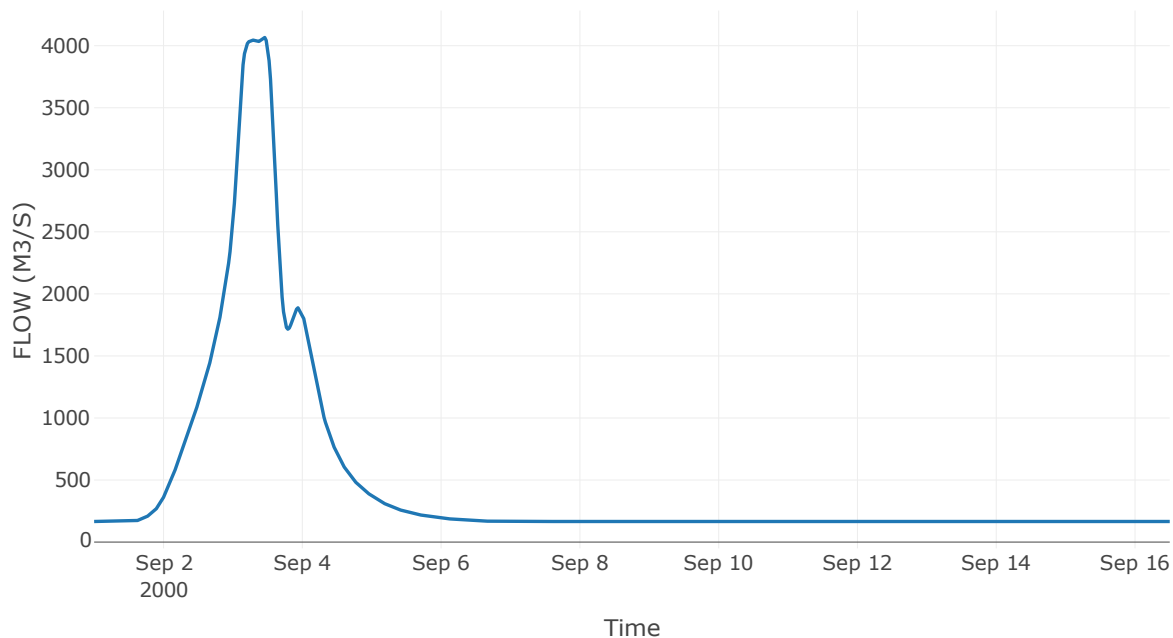
Κατάντη : J31

Μέθοδος Διόδευσης	Muskingum
Αρχική Μεταβλητή	Combined Inflow
Muskingum K	3.08
Συντελεστής βάρους x	0.2
Muskingum Steps	8

Αποτελέσματα: R2231

Παροχή Αιχμής (M3/S)	4066.15
Χρονική στιγμή αιχμής	03Sep2000, 10:30
Όγκος(MM)	368.19
Παροχή Αιχμής Εισόδου (M3/S)	4099.65
Όγκος Εισροής(M3)	6.33E8

Απορροή



Κλάδος: R2522

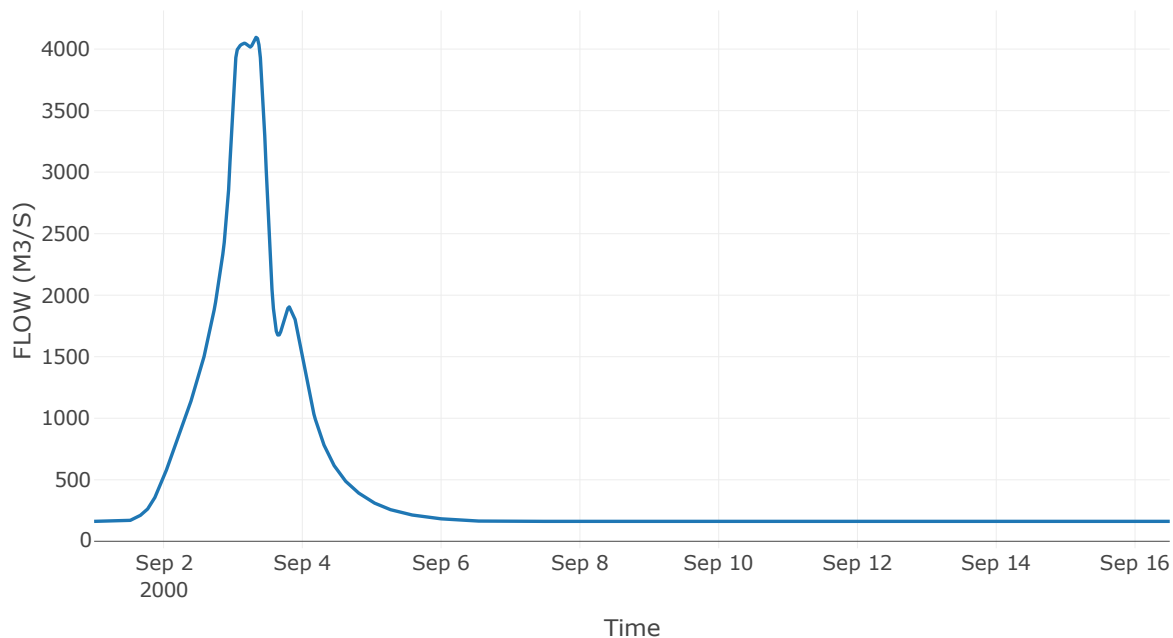
Κατάντη : J22

Μέθοδος Διόδευσης	Muskingum
Αρχική Μεταβλητή	Combined Inflow
Muskingum K	0.88
Συντελεστής βάρους x	0.2
Muskingum Steps	2

Αποτελέσματα: R2522

Παροχή Αιχμής (M3/S)	4095.64
Χρονική στιγμή αιχμής	03Sep2000, 08:00
Όγκος(MM)	374.27
Παροχή Αιχμής Εισόδου (M3/S)	4109.12
Όγκος Εισροής(M3)	6.22E8

Απορροή



Κλάδος: R2425

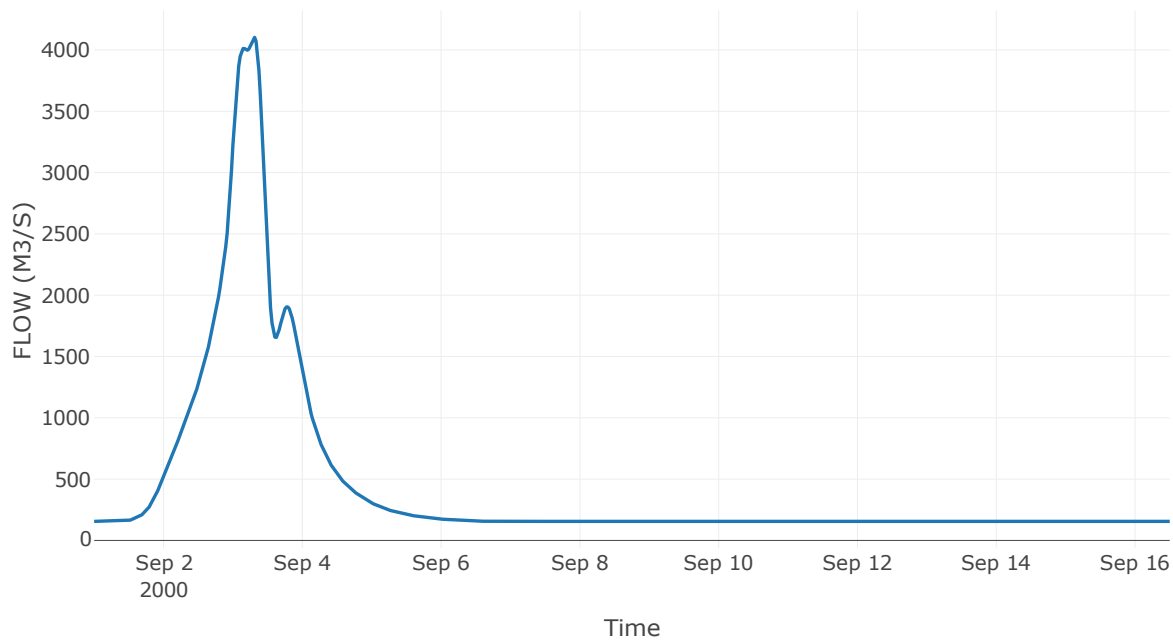
Κατάντη : J25

Μέθοδος Διόδευσης	Muskingum
Αρχική Μεταβλητή	Combined Inflow
Muskingum K	1.36
Συντελεστής βάρους x	0.2
Muskingum Steps	3

Αποτελέσματα: R2425

Παροχή Αιχμής (M3/S)	4102.35
Χρονική στιγμή αιχμής	03Sep2000, 07:30
Όγκος(MM)	378.42
Παροχή Αιχμής Εισόδου (M3/S)	4126.98
Όγκος Εισροής(M3)	5.92E8

Απορροή



Κλάδος: R2324

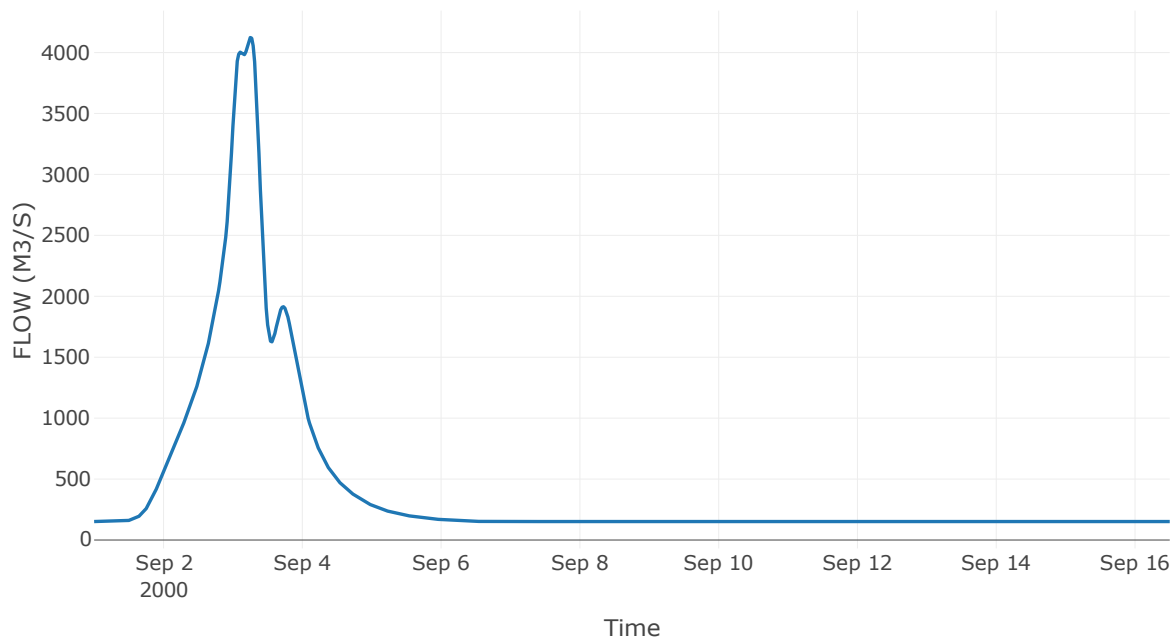
Κατάντη : J24

Μέθοδος Διόδευσης	Muskingum
Αρχική Μεταβλητή	Combined Inflow
Muskingum K	0.67
Συντελεστής βάρους x	0.2
Muskingum Steps	2

Αποτελέσματα: R2324

Παροχή Αιχμής (M3/S)	4123.46
Χρονική στιγμή αιχμής	03Sep2000, 06:00
Όγκος(MM)	379.91
Παροχή Αιχμής Εισόδου (M3/S)	4138.48
Όγκος Εισροής(M3)	5.76E8

Απορροή



Κλάδος: R4523

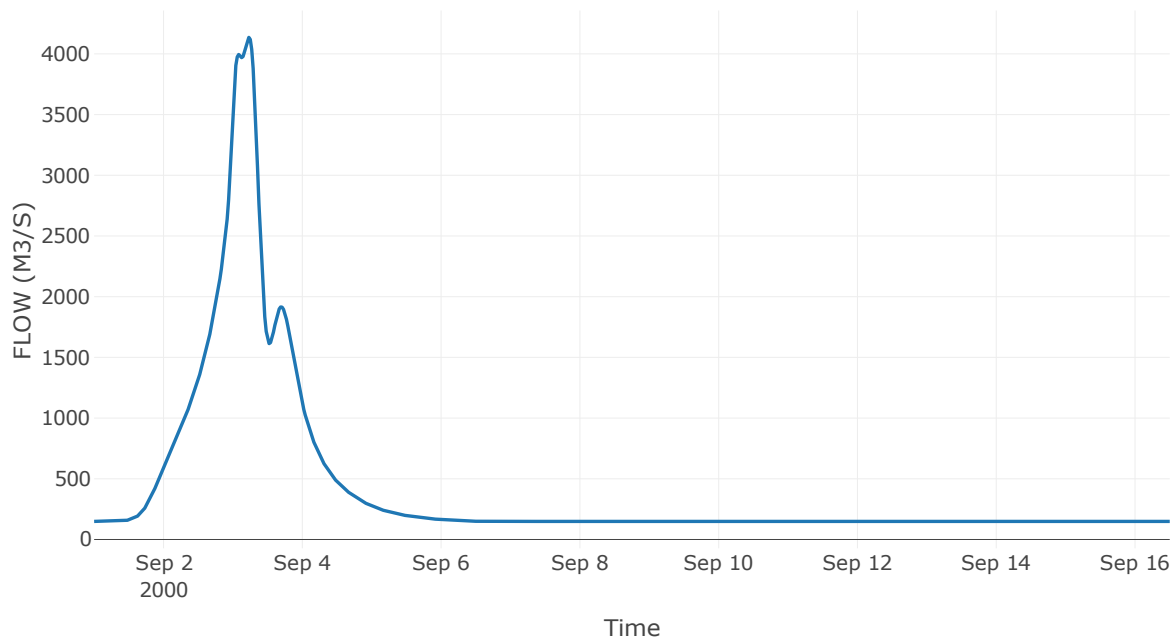
Κατάντη : J23

Μέθοδος Διόδευσης	Muskingum
Αρχική Μεταβλητή	Combined Inflow
Muskingum K	1.45
Συντελεστής βάρους x	0.2
Muskingum Steps	4

Αποτελέσματα: R4523

Παροχή Αιχμής (M3/S)	4135.63
Χρονική στιγμή αιχμής	03Sep2000, 05:30
Όγκος(MM)	384.28
Παροχή Αιχμής Εισόδου (M3/S)	4164.83
Όγκος Εισροής(M3)	5.67E8

Απορροή



Κλάδος: R4645

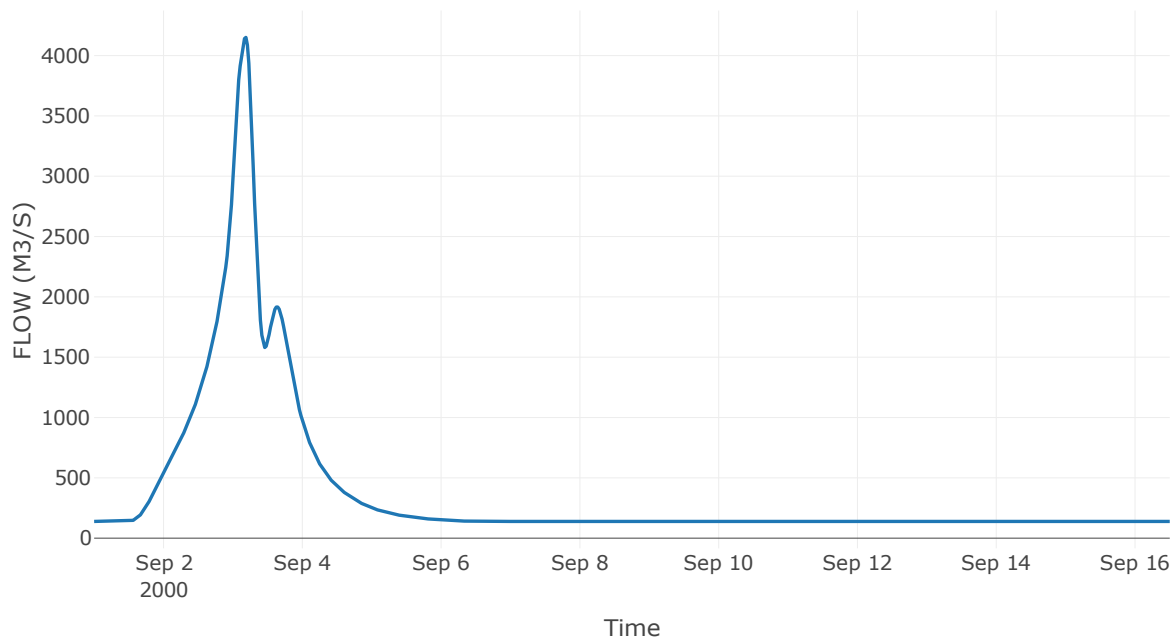
Κατάντη : J45

Μέθοδος Διόδευσης	Muskingum
Αρχική Μεταβλητή	Combined Inflow
Muskingum K	1.8
Συντελεστής βάρους x	0.2
Muskingum Steps	5

Αποτελέσματα: R4645

Παροχή Αιχμής (M3/S)	4150.52
Χρονική στιγμή αιχμής	03Sep2000, 04:30
Όγκος(MM)	388.7
Παροχή Αιχμής Εισόδου (M3/S)	4204.01
Όγκος Εισροής(M3)	5.15E8

Απορροή



Κλάδος: R4746

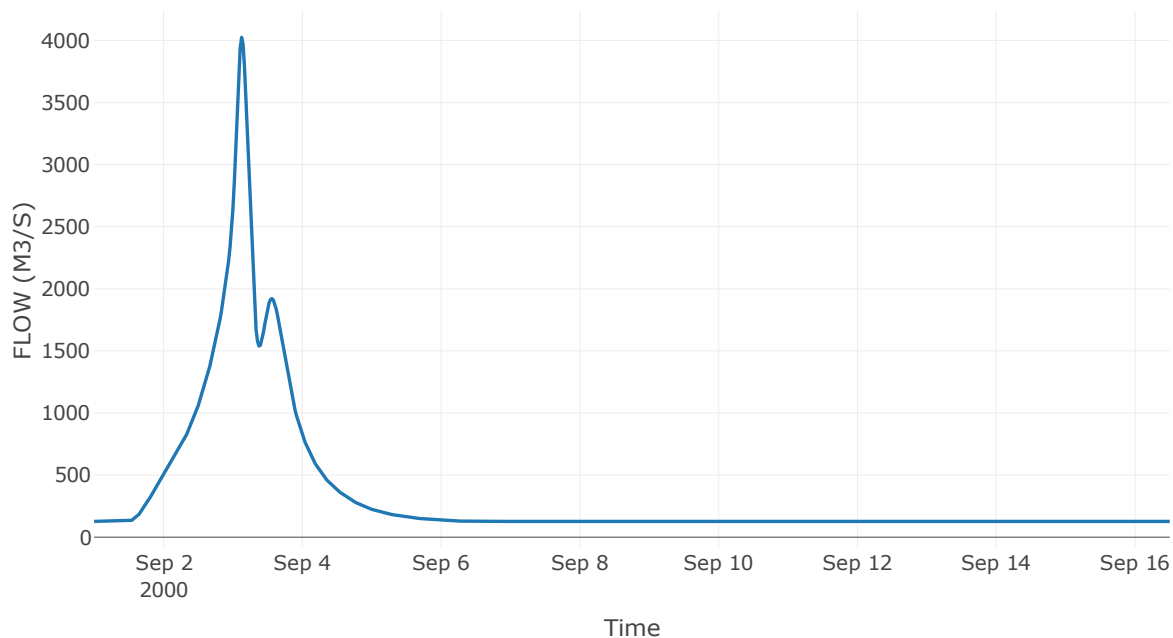
Κατάντη : J46

Μέθοδος Διόδευσης	Muskingum
Αρχική Μεταβλητή	Combined Inflow
Muskingum K	2.95
Συντελεστής βάρους x	0.2
Muskingum Steps	7

Αποτελέσματα: R4746

Παροχή Αιχμής (M3/S)	4024.19
Χρονική στιγμή αιχμής	03Sep2000, 03:00
Όγκος(MM)	398.47
Παροχή Αιχμής Εισόδου (M3/S)	4281.97
Όγκος Εισροής(M3)	4.62E8

Απορροή



Κλάδος: R4947

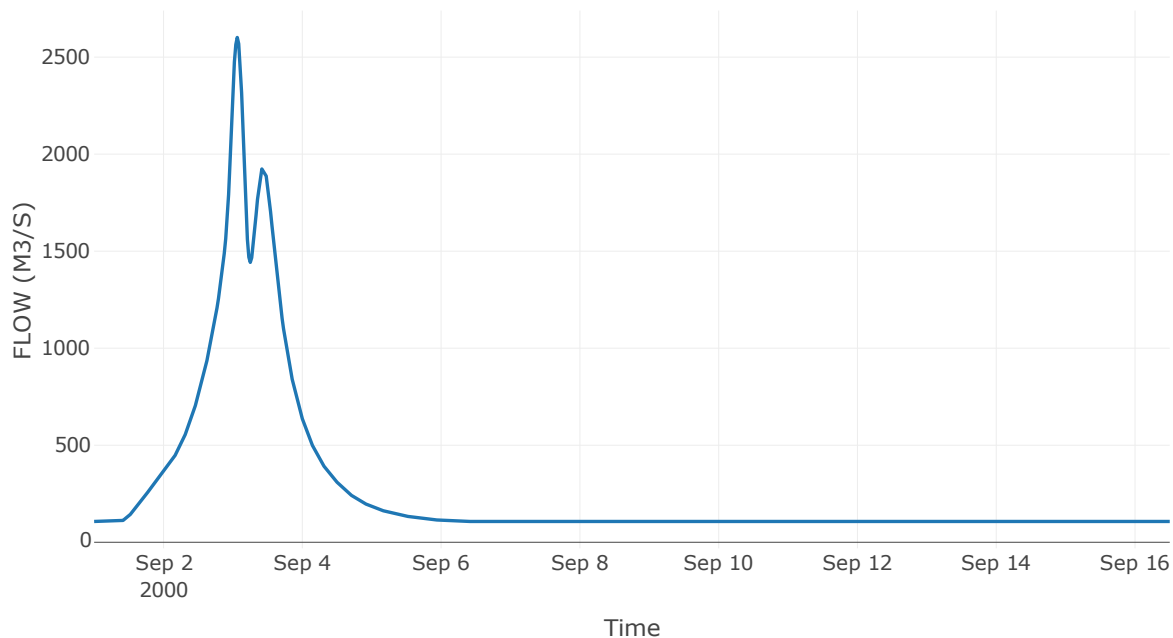
Κατάντη : J47

Μέθοδος Διόδευσης	Muskingum
Αρχική Μεταβλητή	Combined Inflow
Muskingum K	1.17
Συντελεστής βάρους x	0.2
Muskingum Steps	3

Αποτελέσματα: R4947

Παροχή Αιχμής (M3/S)	2601.38
Χρονική στιγμή αιχμής	03Sep2000, 01:30
Όγκος(MM)	413.91
Παροχή Αιχμής Εισόδου (M3/S)	2647.49
Όγκος Εισροής(M3)	3.64E8

Απορροή



Κλάδος: R5049

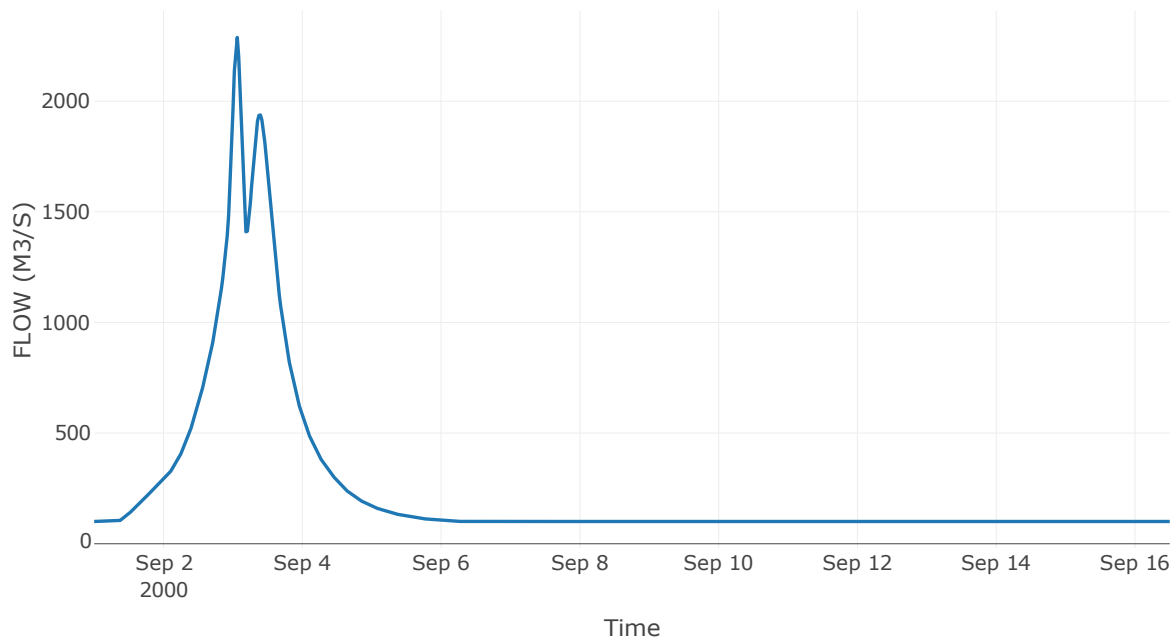
Κατάντη : J49

Μέθοδος Διόδευσης	Muskingum
Αρχική Μεταβλητή	Combined Inflow
Muskingum K	1.48
Συντελεστής βάρους x	0.2
Muskingum Steps	4

Αποτελέσματα: R5049

Παροχή Αιχμής (M3/S)	2287.91
Χρονική στιγμή αιχμής	03Sep2000, 01:30
Όγκος(MM)	418.9
Παροχή Αιχμής Εισόδου (M3/S)	2375.05
Όγκος Εισροής(M3)	3.29E8

Απορροή



Κλάδος: R5150

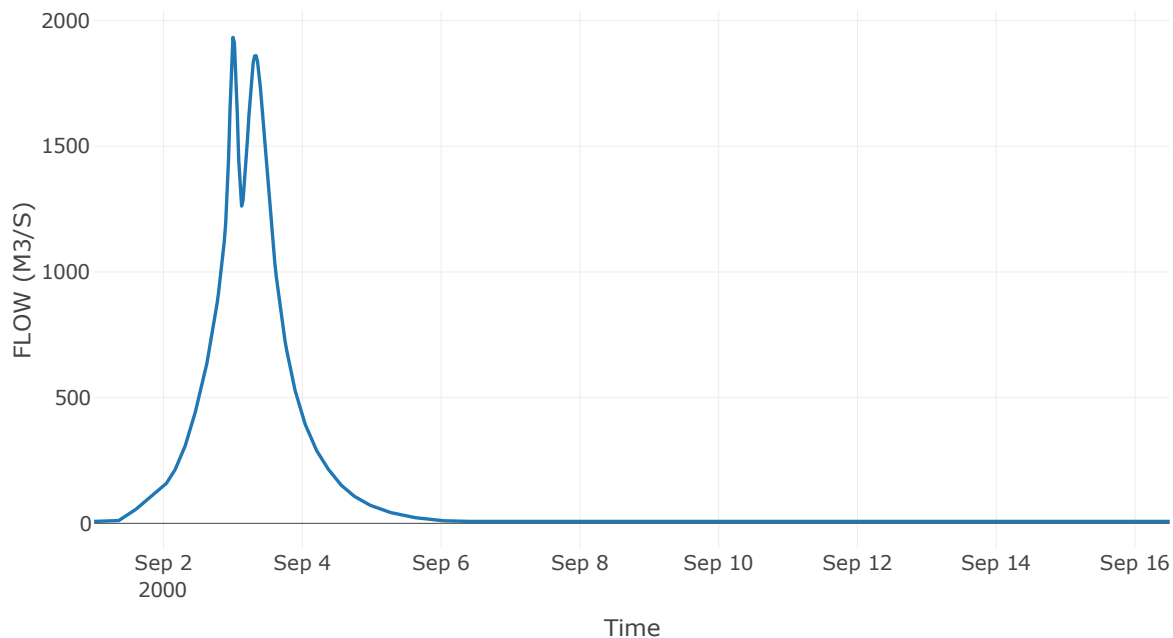
Κατάντη : J50

Μέθοδος Διόδευσης	Muskingum
Αρχική Μεταβλητή	Combined Inflow
Muskingum K	1.04
Συντελεστής βάρους x	0.2
Muskingum Steps	3

Αποτελέσματα: R5150

Παροχή Αιχμής (M3/S)	1933.12
Χρονική στιγμή αιχμής	02Sep2000, 24:00
Όγκος(MM)	1723.42
Παροχή Αιχμής Εισόδου (M3/S)	2003.15
Όγκος Εισροής(M3)	1.87E8

Απορροή



Κλάδος: R5351

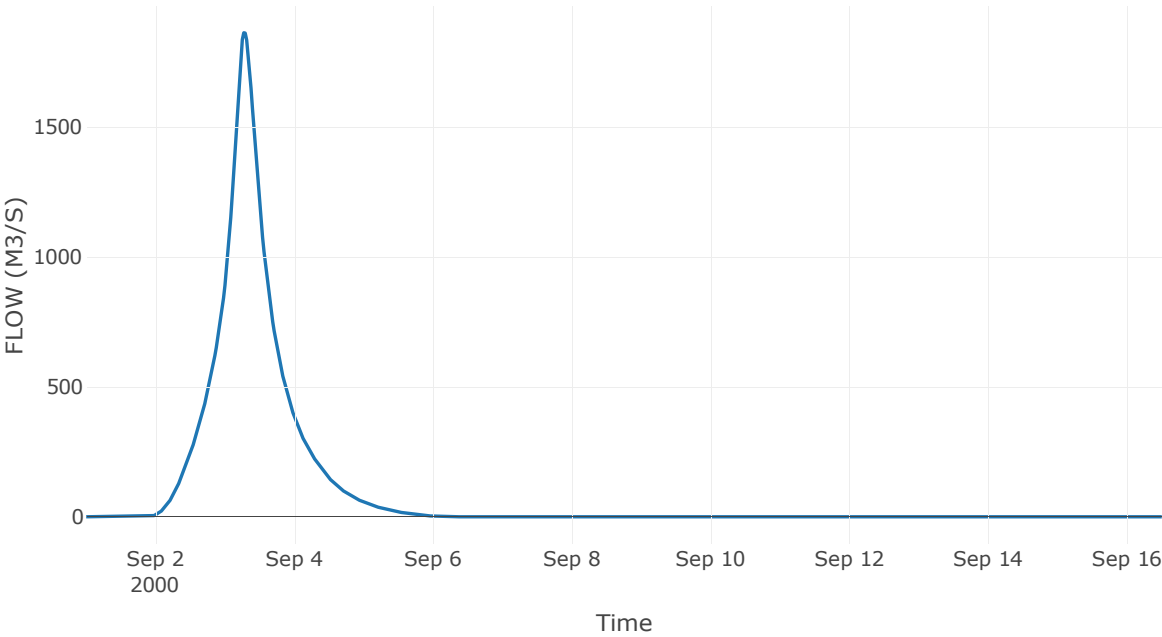
Κατάντη : J51

Μέθοδος Διόδευσης	Muskingum
Αρχική Μεταβλητή	Combined Inflow
Muskingum K	1.92
Συντελεστής βάρους x	0.2
Muskingum Steps	5

Αποτελέσματα: R5351

Παροχή Αιχμής (M3/S)	1864.38
Χρονική στιγμή αιχμής	03Sep2000, 06:30
Peak Inflow (M3/S)	1889.42
Όγκος Εισροής (M3)	1.37E8

Απορροή



Κλάδος: R5753

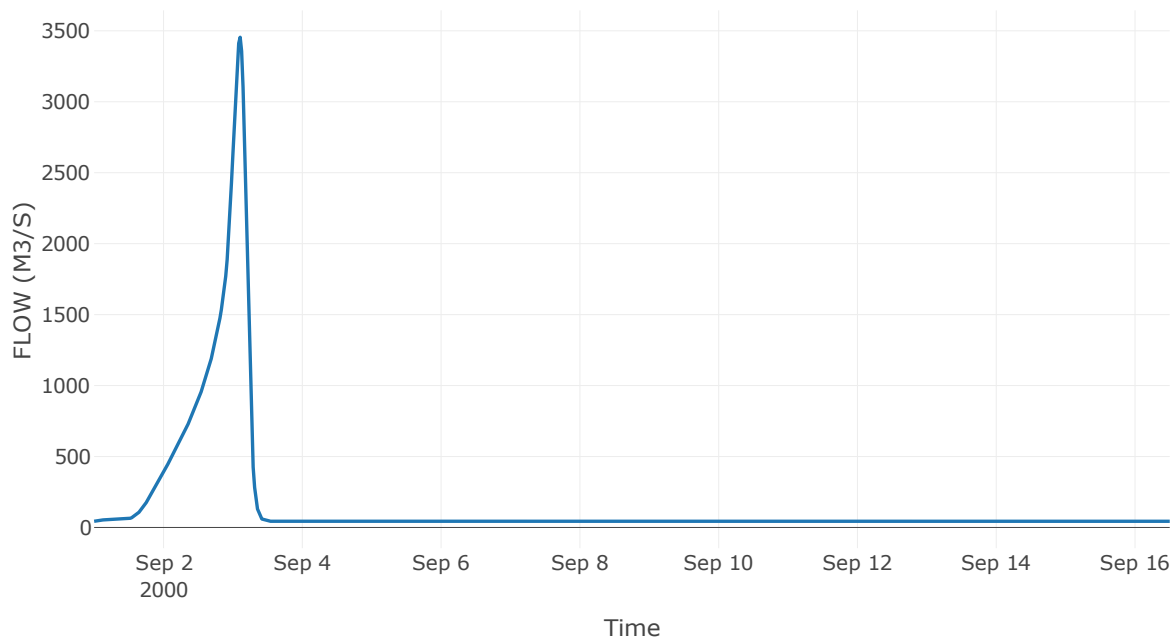
Κατάντη : J53 Res5

Μέθοδος Διόδευσης	Muskingum
Αρχική Μεταβλητή	Combined Inflow
Muskingum K	0.79
Συντελεστής βάρους x	0.2
Muskingum Steps	2

Αποτελέσματα: R5753

Παροχή Αιχμής (M3/S)	3454.51
Χρονική στιγμή αιχμής	03Sep2000, 02:30
Όγκος(MM)	339.98
Παροχή Αιχμής Εισόδου (M3/S)	3496.69
Όγκος Εισροής(M3)	2.12E8

Απορροή



Κλάδος: R5457

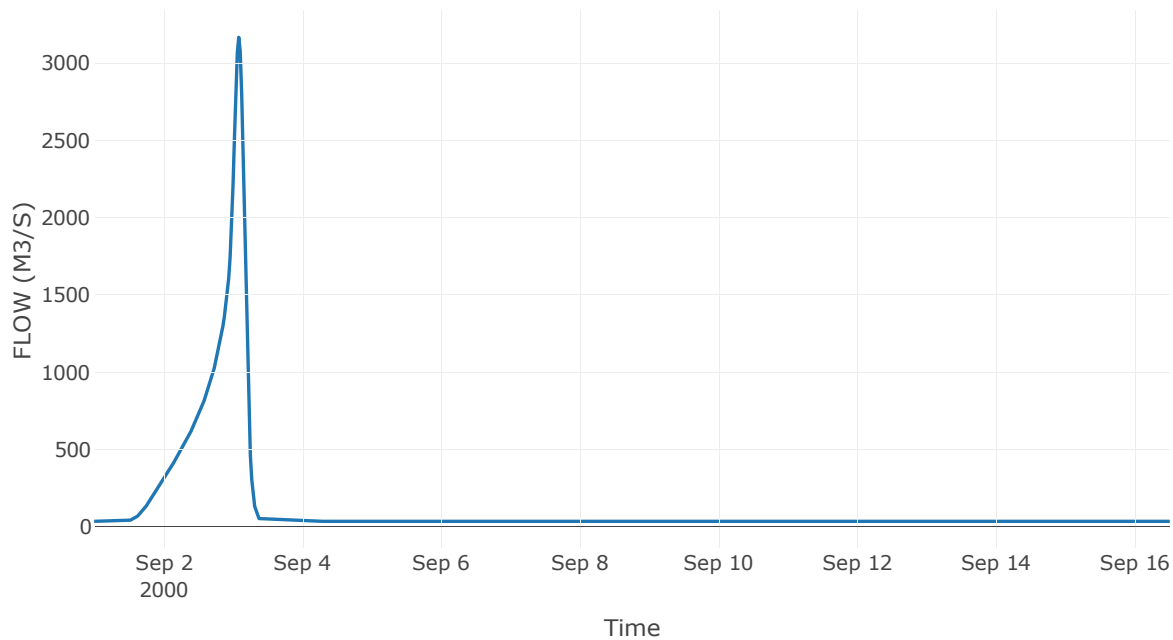
Κατάντη : J57

Μέθοδος Διόδευσης	Muskingum
Αρχική Μεταβλητή	Combined Inflow
Muskingum K	2.03
Συντελεστής βάρους x	0.2
Muskingum Steps	5

Αποτελέσματα: R5457

Παροχή Αιχμής (M3/S)	3166.22
Χρονική στιγμή αιχμής	03Sep2000, 02:00
Όγκος(MM)	330.86
Παροχή Αιχμής Εισόδου (M3/S)	3376.65
Όγκος Εισροής(M3)	1.69E8

Απορροή



Κλάδος: R5554

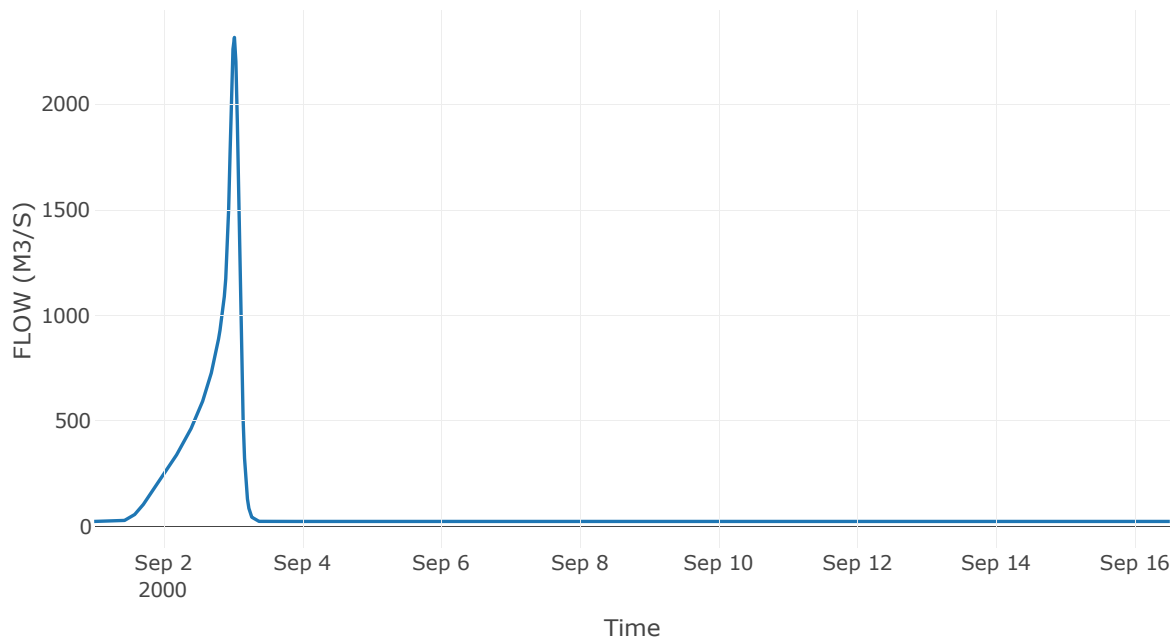
Κατάντη : J54

Μέθοδος Διόδευσης	Muskingum
Αρχική Μεταβλητή	Combined Inflow
Muskingum K	0.86
Συντελεστής βάρους x	0.2
Muskingum Steps	2

Αποτελέσματα: R5554

Παροχή Αιχμής (M3/S)	2317.17
Χρονική στιγμή αιχμής	03Sep2000, 00:30
Όγκος(MM)	325.89
Παροχή Αιχμής Εισόδου (M3/S)	2391.44
Όγκος Εισροής(M3)	1.15E8

Απορροή



Κλάδος: R5655

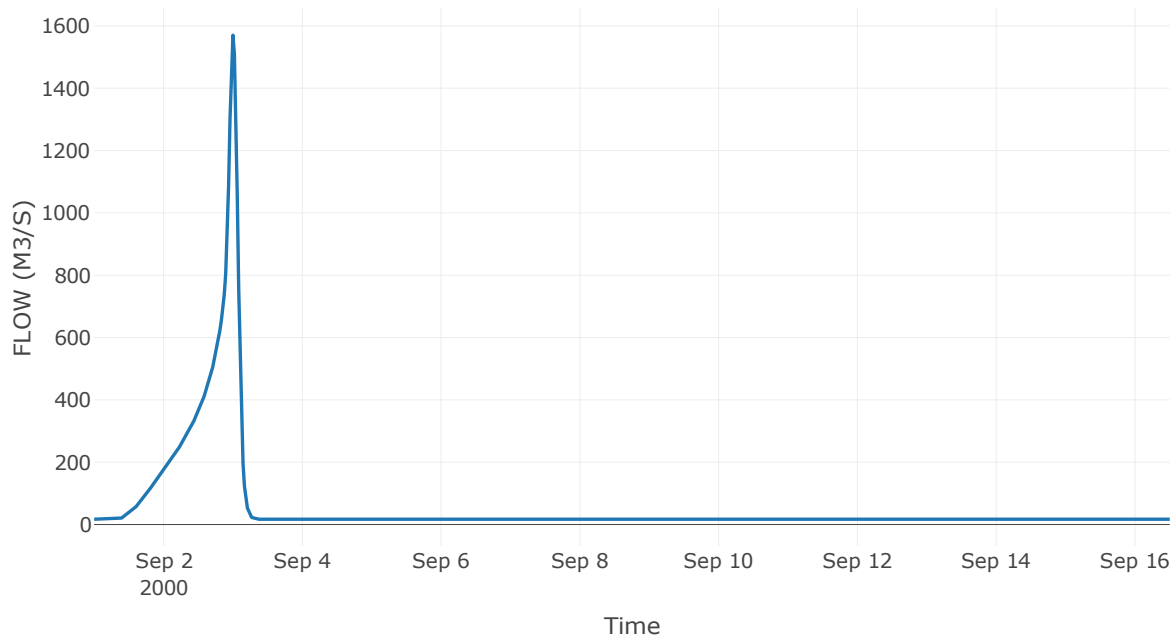
Κατάντη : J55

Μέθοδος Διόδευσης	Muskingum
Αρχική Μεταβλητή	Combined Inflow
Muskingum K	0.57
Συντελεστής βάρους x	0.2
Muskingum Steps	1

Αποτελέσματα: R5655

Παροχή Αιχμής (M3/S)	1570.1
Χρονική στιγμή αιχμής	02Sep2000, 24:00
Όγκος(MM)	315.28
Παροχή Αιχμής Εισόδου (M3/S)	1623.76
Όγκος Εισροής(M3)	7.66E7

Απορροή



Κλάδος: R6357

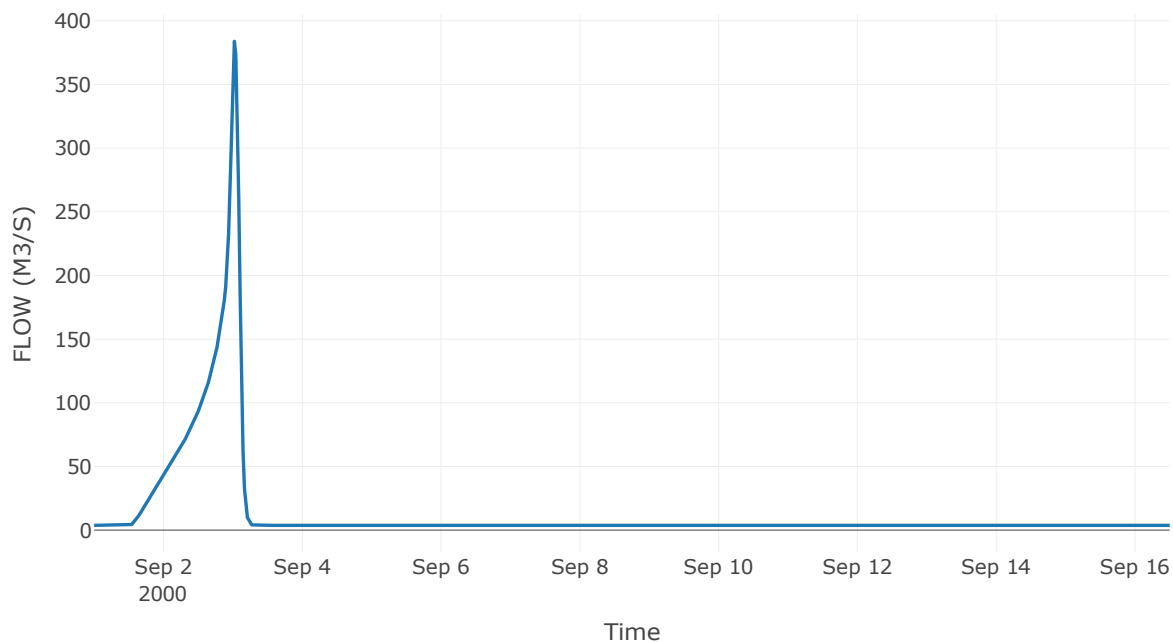
Κατάντη : J57

Μέθοδος Διόδευσης	Muskingum
Αρχική Μεταβλητή	Combined Inflow
Muskingum K	1.53
Συντελεστής βάρους x	0.2
Muskingum Steps	4

Αποτελέσματα: R6357

Παροχή Αιχμής (M3/S)	383.88
Χρονική στιγμή αιχμής	03Sep2000, 00:30
Όγκος(MM)	347.72
Παροχή Αιχμής Εισόδου (M3/S)	414.98
Όγκος Εισροής(M3)	1.85E7

Απορροή



Κλάδος: R4847

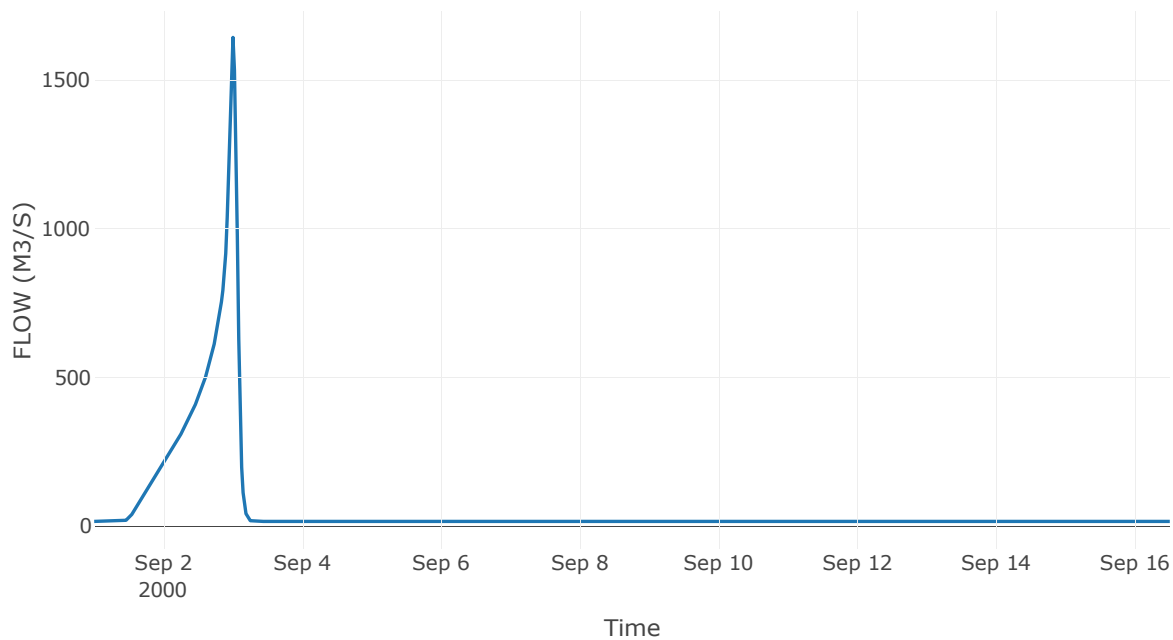
Κατάντη : J47

Μέθοδος Διόδευσης	Muskingum
Αρχική Μεταβλητή	Combined Inflow
Muskingum K	0.61
Συντελεστής βάρους x	0.2
Muskingum Steps	2

Αποτελέσματα: R4847

Παροχή Αιχμής (M3/S)	1642.59
Χρονική στιγμή αιχμής	02Sep2000, 24:00
Όγκος(MM)	370.31
Παροχή Αιχμής Εισόδου (M3/S)	1664.4
Όγκος Εισροής(M3)	8.01E7

Απορροή



Κλάδος: R4462

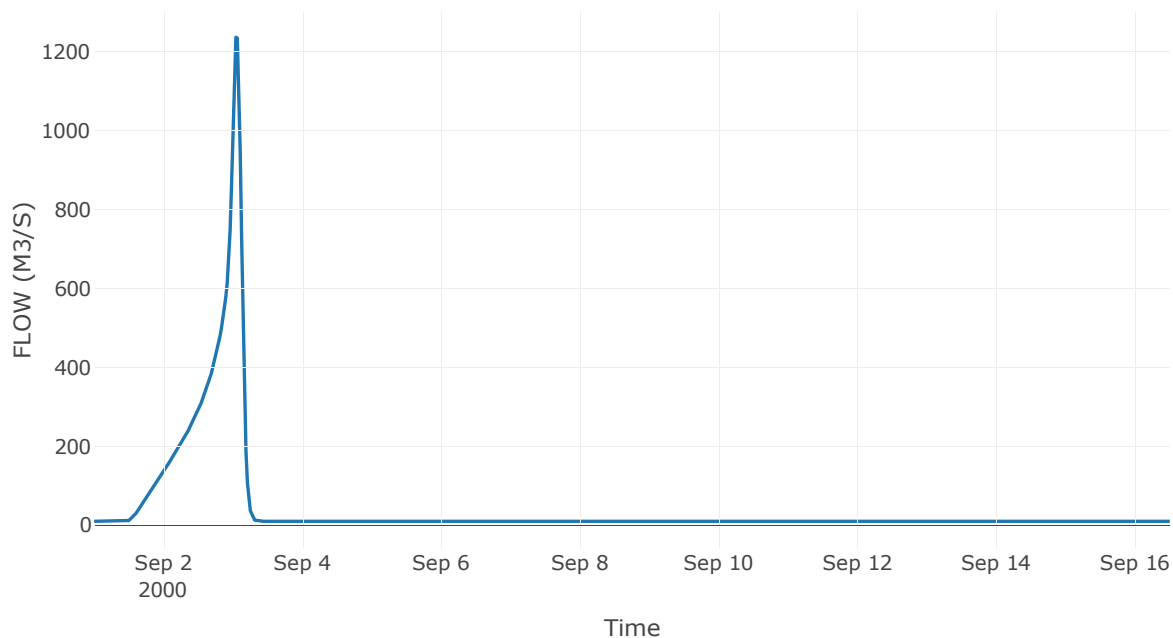
Κατάντη : J62

Μέθοδος Διόδευσης	Muskingum
Αρχική Μεταβλητή	Combined Inflow
Muskingum K	2.17
Συντελεστής βάρους x	0.2
Muskingum Steps	5

Αποτελέσματα: R4462

Παροχή Αιχμής (M3/S)	1235.74
Χρονική στιγμή αιχμής	03Sep2000, 01:00
Όγκος(MM)	425.06
Παροχή Αιχμής Εισόδου (M3/S)	1386.09
Όγκος Εισροής(M3)	5.86E7

Απορροή



Κλάδος: R6227

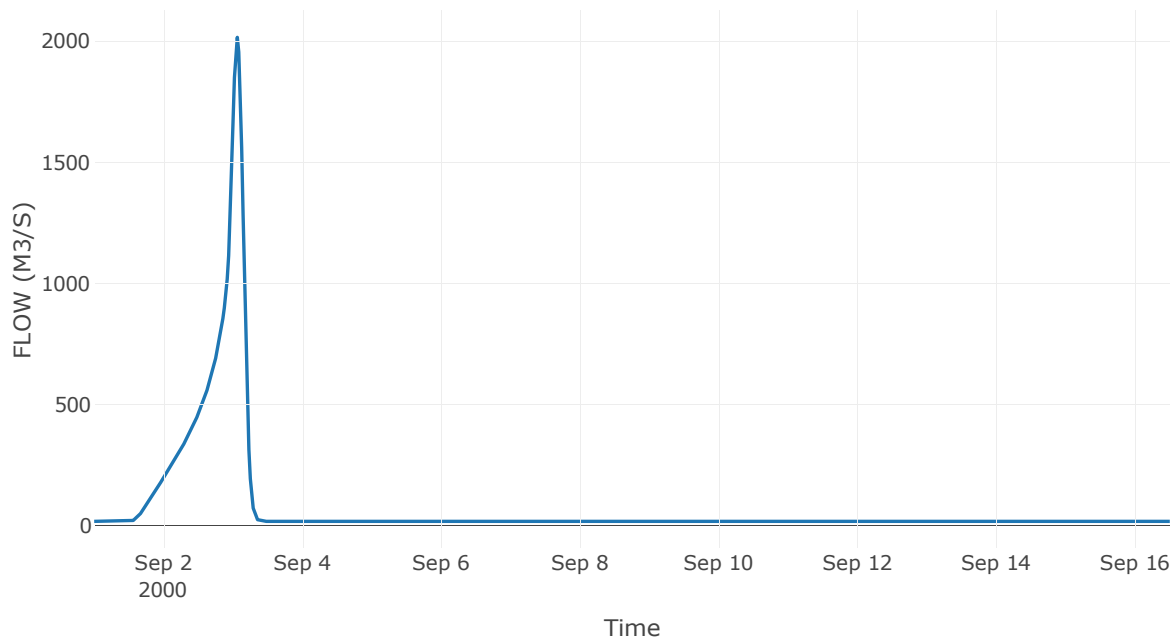
Κατάντη : J27

Μέθοδος Διόδευσης	Muskingum
Αρχική Μεταβλητή	Combined Inflow
Muskingum K	1.24
Συντελεστής βάρους x	0.2
Muskingum Steps	3

Αποτελέσματα: R6227

Παροχή Αιχμής (M3/S)	2015.52
Χρονική στιγμή αιχμής	03Sep2000, 01:30
Όγκος(MM)	387.06
Παροχή Αιχμής Εισόδου (M3/S)	2066.5
Όγκος Εισροής(M3)	1.02E8

Απορροή



Κλάδος: R4342

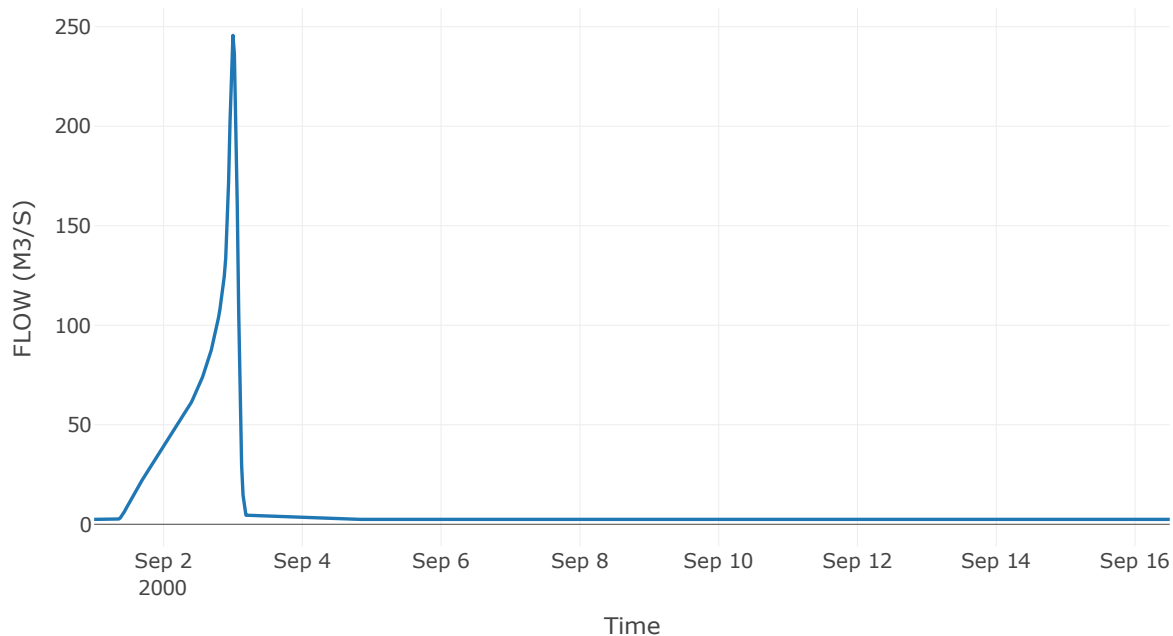
Κατάντη : J42

Μέθοδος Διόδευσης	Muskingum
Αρχική Μεταβλητή	Combined Inflow
Muskingum K	1.11
Συντελεστής βάρους x	0.2
Muskingum Steps	3

Αποτελέσματα: R4342

Παροχή Αιχμής (M3/S)	245.64
Χρονική στιγμή αιχμής	02Sep2000, 24:00
Όγκος(MM)	367.98
Παροχή Αιχμής Εισόδου (M3/S)	260.48
Όγκος Εισροής(M3)	1.29E7

Απορροή



Κλάδος: R4241

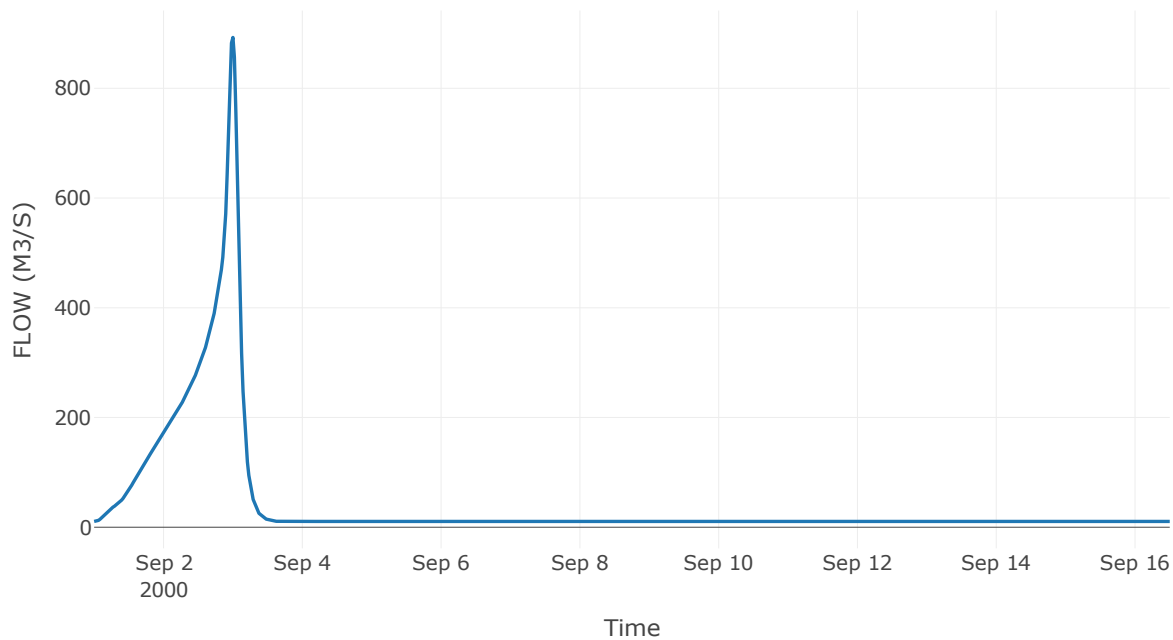
Κατάντη : J41 Res4

Μέθοδος Διόδευσης	Muskingum
Αρχική Μεταβλητή	Combined Inflow
Muskingum K	0.12
Συντελεστής βάρους x	0.2
Muskingum Steps	1

Αποτελέσματα: R4241

Παροχή Αιχμής (M3/S)	892.75
Χρονική στιγμή αιχμής	02Sep2000, 24:00
Όγκος(MM)	383.34
Παροχή Αιχμής Εισόδου (M3/S)	890.62
Όγκος Εισροής(M3)	5.77E7

Απορροή



Κλάδος: R4140

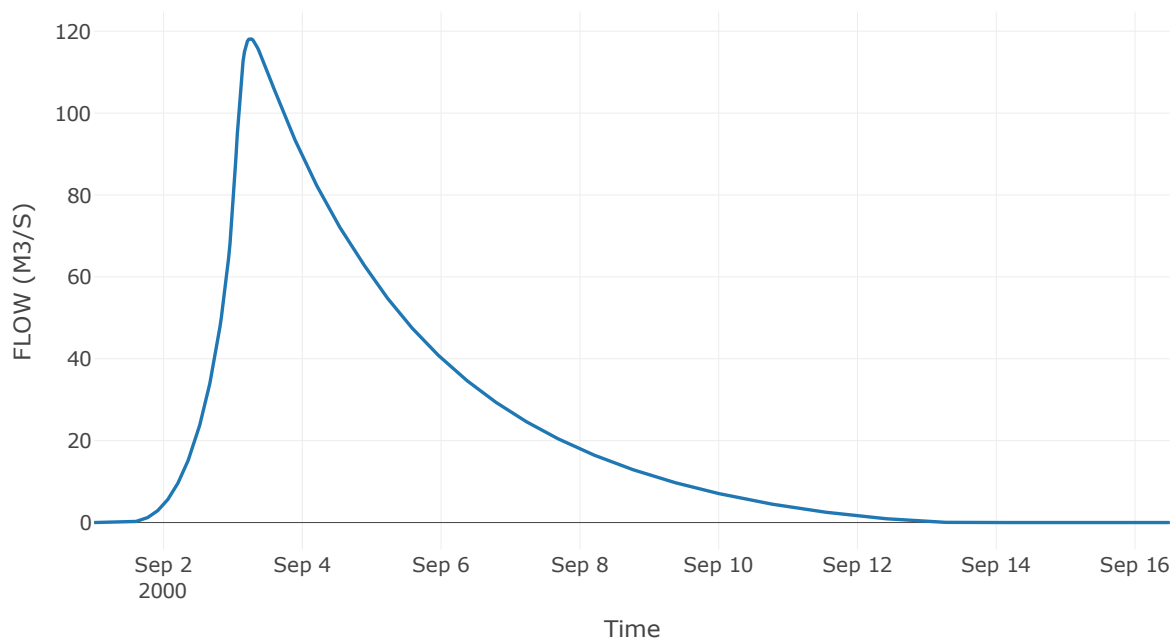
Κατάντη : J40

Μέθοδος Διόδευσης	Muskingum
Αρχική Μεταβλητή	Combined Inflow
Muskingum K	1.32
Συντελεστής βάρους x	0.2
Muskingum Steps	3

Αποτελέσματα: R4140

Παροχή Αιχμής (M3/S)	118.21
Χρονική στιγμή αιχμής	03Sep2000, 06:00
Peak Inflow (M3/S)	118.41
Όγκος Εισροής (M3)	2.98E7

Απορροή



Κλάδος: R4039

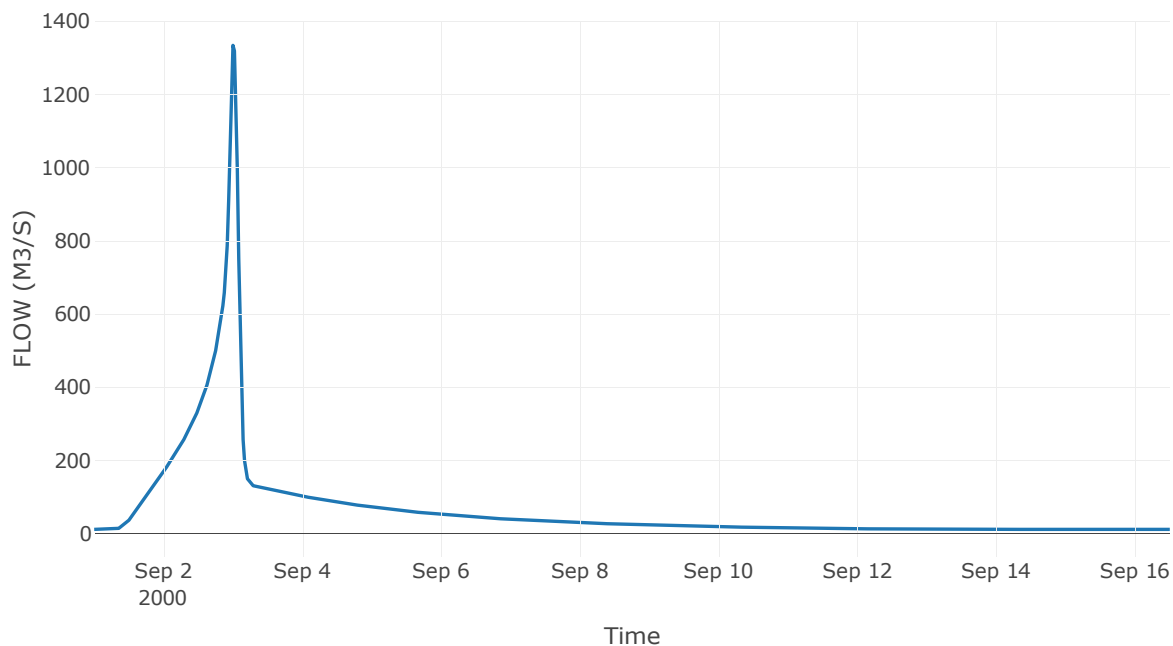
Κατάντη : J39

Μέθοδος Διόδευσης	Muskingum
Αρχική Μεταβλητή	Combined Inflow
Muskingum K	0.86
Συντελεστής βάρους α	0.2
Muskingum Steps	2

Αποτελέσματα: R4039

Παροχή Αιχμής (M3/S)	1333.49
Χρονική στιγμή αιχμής	02Sep2000, 24:00
Όγκος(MM)	560.12
Παροχή Αιχμής Εισόδου (M3/S)	1386.08
Όγκος Εισροής(M3)	9.18E7

Απορροή



Κλάδος: R3938

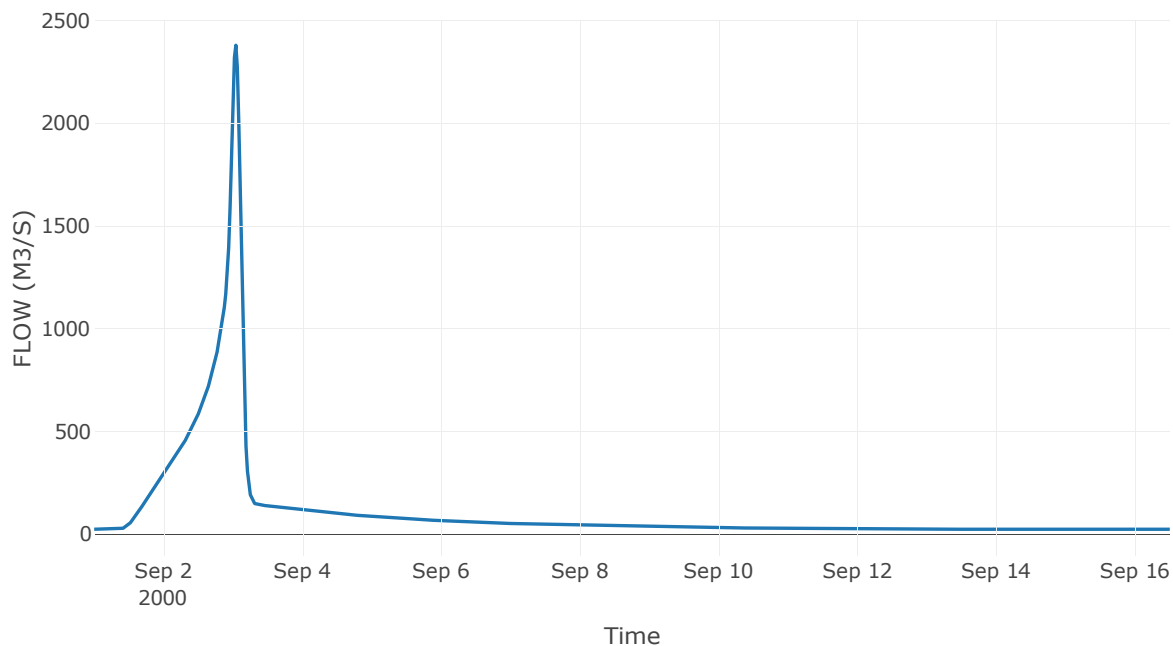
Κατάντη : J38

Μέθοδος Διόδευσης	Muskingum
Αρχική Μεταβλητή	Combined Inflow
Muskingum K	1.33
Συντελεστής βάρους x	0.2
Muskingum Steps	3

Αποτελέσματα: R3938

Παροχή Αιχμής (M3/S)	2378.68
Χρονική στιγμή αιχμής	03Sep2000, 01:00
Όγκος(MM)	458.42
Παροχή Αιχμής Εισόδου (M3/S)	2493.71
Όγκος Εισροής(M3)	1.48E8

Απορροή



Κλάδος: R3837

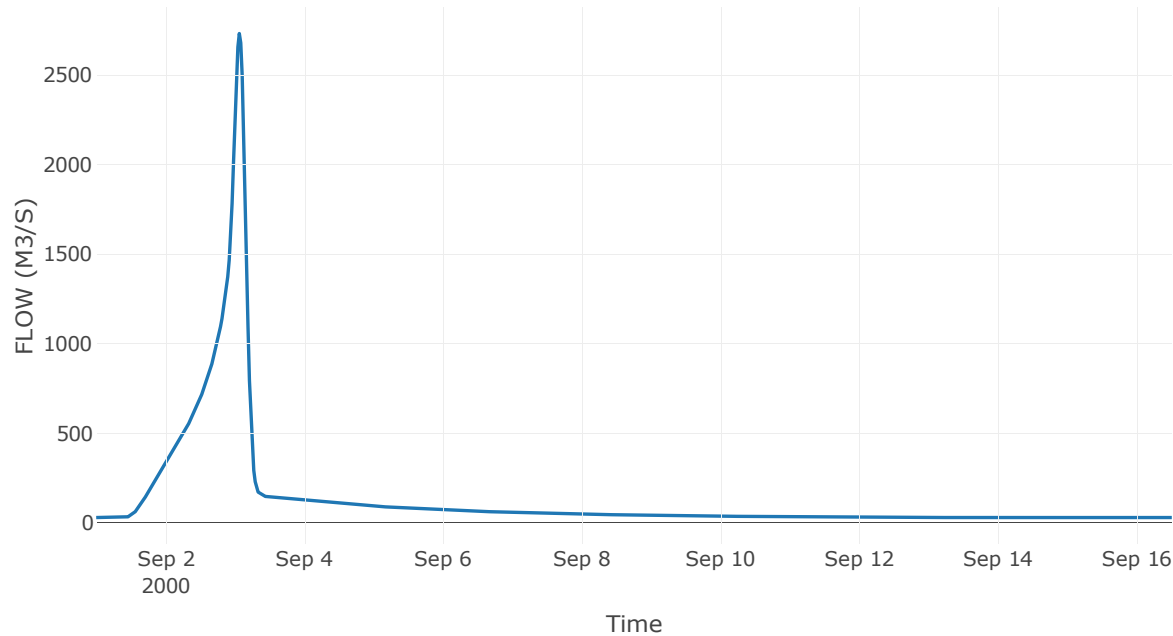
Κατάντη : J37

Μέθοδος Διόδευσης	Muskingum
Αρχική Μεταβλητή	Combined Inflow
Muskingum K	1.22
Συντελεστής βάρους x	0.2
Muskingum Steps	3

Αποτελέσματα: R3837

Παροχή Αιχμής (M3/S)	2731.07
Χρονική στιγμή αιχμής	03Sep2000, 01:30
Όγκος(MM)	420.78
Παροχή Αιχμής Εισόδου (M3/S)	2818.85
Όγκος Εισροής(M3)	1.81E8

Απορροή



Κλάδος: R3726

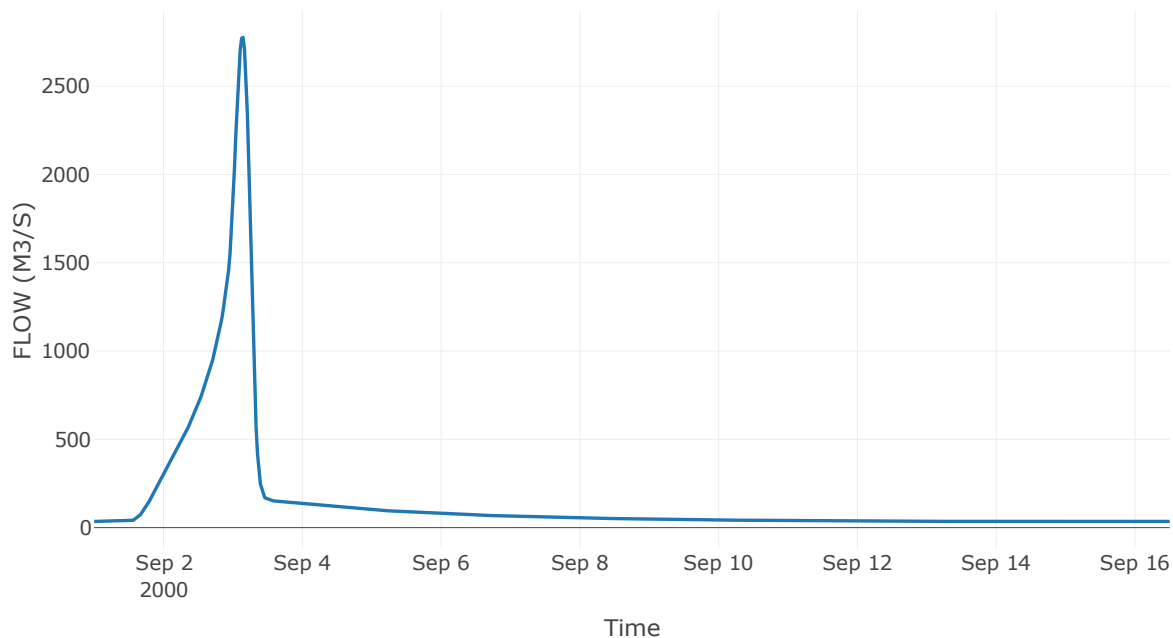
Κατάντη : J26

Μέθοδος Διόδευσης	Muskingum
Αρχική Μεταβλητή	Combined Inflow
Muskingum K	2.33
Συντελεστής βάρους x	0.2
Muskingum Steps	6

Αποτελέσματα: R3726

Παροχή Αιχμής (M3/S)	2775.8
Χρονική στιγμή αιχμής	03Sep2000, 03:30
Όγκος(MM)	404.36
Παροχή Αιχμής Εισόδου (M3/S)	2848.69
Όγκος Εισροής(M3)	2.03E8

Απορροή



Κλάδος: R2664

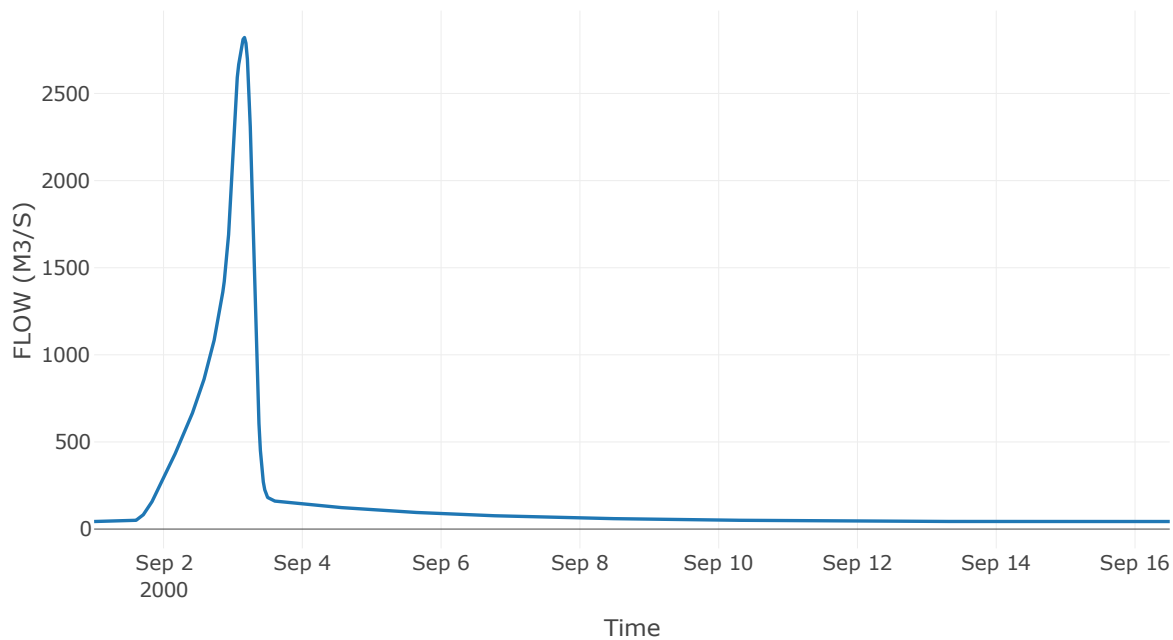
Κατάντη : J64

Μέθοδος Διόδευσης	Muskingum
Αρχική Μεταβλητή	Combined Inflow
Muskingum K	0.98
Συντελεστής βάρους x	0.2
Muskingum Steps	2

Αποτελέσματα: R2664

Παροχή Αιχμής (M3/S)	2821.45
Χρονική στιγμή αιχμής	03Sep2000, 04:00
Όγκος(MM)	373.92
Παροχή Αιχμής Εισόδου (M3/S)	2844.24
Όγκος Εισροής(M3)	2.31E8

Απορροή



Κλάδος: R6429

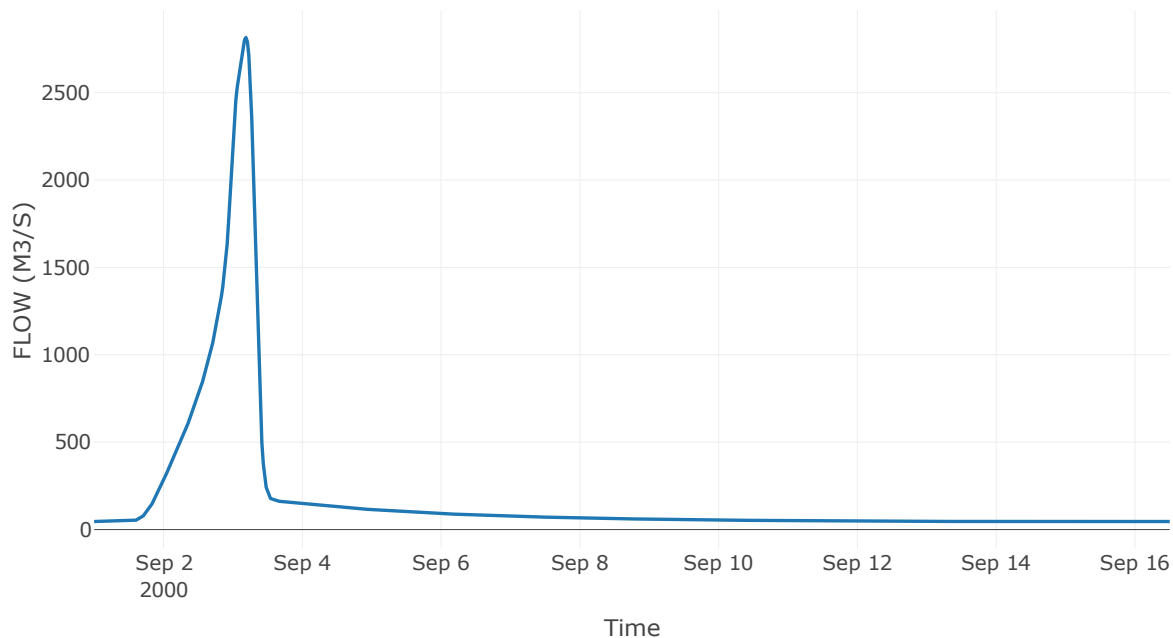
Κατάντη : J29

Μέθοδος Διόδευσης	Muskingum
Αρχική Μεταβλητή	Combined Inflow
Muskingum K	0.62
Συντελεστής βάρους x	0.2
Muskingum Steps	2

Αποτελέσματα: R6429

Παροχή Αιχμής (M3/S)	2815.52
Χρονική στιγμή αιχμής	03Sep2000, 04:30
Όγκος(MM)	366.81
Παροχή Αιχμής Εισόδου (M3/S)	2824.22
Όγκος Εισροής(M3)	2.41E8

Απορροή



Κλάδος: R3533

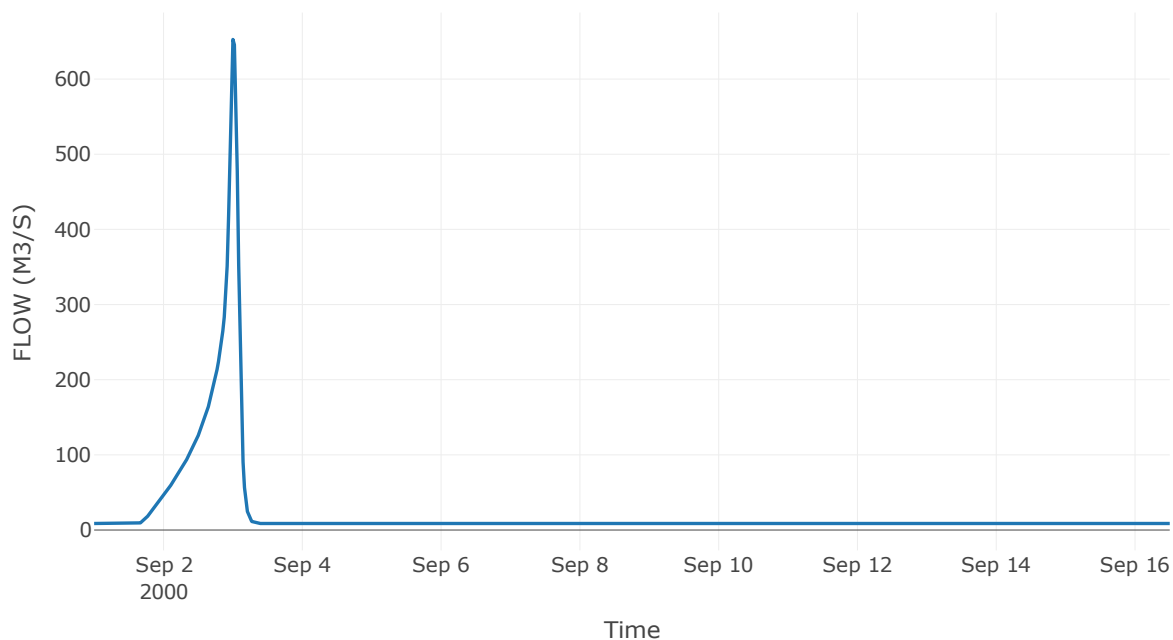
Κατάντη : J33

Μέθοδος Διόδευσης	Muskingum
Αρχική Μεταβλητή	Combined Inflow
Muskingum K	0.85
Συντελεστής βάρους x	0.2
Muskingum Steps	2

Αποτελέσματα: R3533

Παροχή Αιχμής (M3/S)	652.71
Χρονική στιγμή αιχμής	02Sep2000, 24:00
Όγκος(MM)	249.56
Παροχή Αιχμής Εισόδου (M3/S)	680.53
Όγκος Εισροής(M3)	3.1E7

Απορροή



Κλάδος: R3433

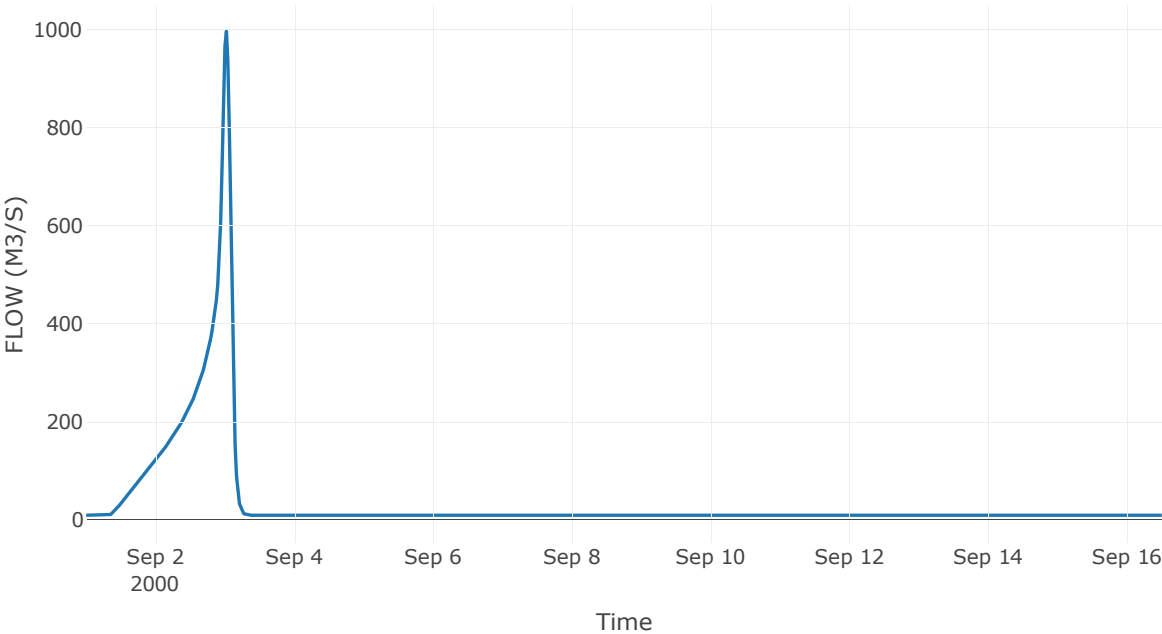
Κατάντη : J33

Μέθοδος Διόδευσης	Muskingum
Αρχική Μεταβλητή	Combined Inflow
Muskingum K	1.17
Συντελεστής βάρους x	0.2
Muskingum Steps	3

Αποτελέσματα: R3433

Παροχή Αιχμής (M3/S)	996.75
Χρονική στιγμή αιχμής	03Sep2000, 00:30
Όγκος(MM)	364.37
Παροχή Αιχμής Εισόδου (M3/S)	1047.46
Όγκος Εισροής(M3)	4.78E7

Απορροή



Κλάδος: R3332

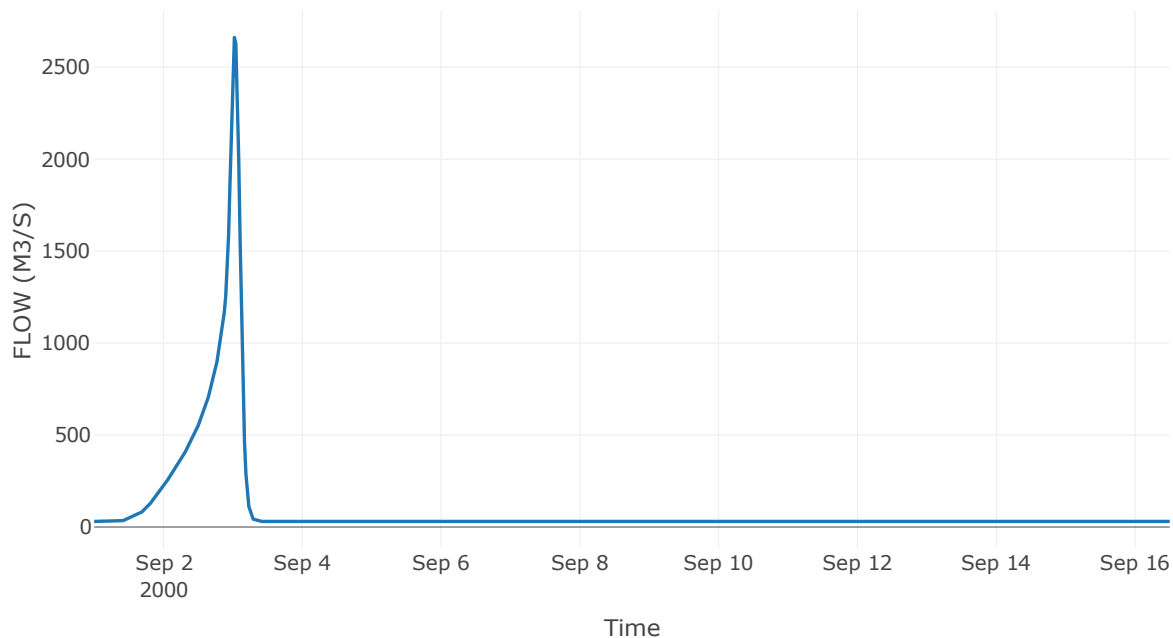
Κατάντη : J32

Μέθοδος Διόδευσης	Muskingum
Αρχική Μεταβλητή	Combined Inflow
Muskingum K	0.87
Συντελεστής βάρους x	0.2
Muskingum Steps	2

Αποτελέσματα: R3332

Παροχή Αιχμής (M3/S)	2662.06
Χρονική στιγμή αιχμής	03Sep2000, 00:30
Όγκος(MM)	298.57
Παροχή Αιχμής Εισόδου (M3/S)	2750.74
Όγκος Εισροής(M3)	1.29E8

Απορροή



Κλάδος: R3230

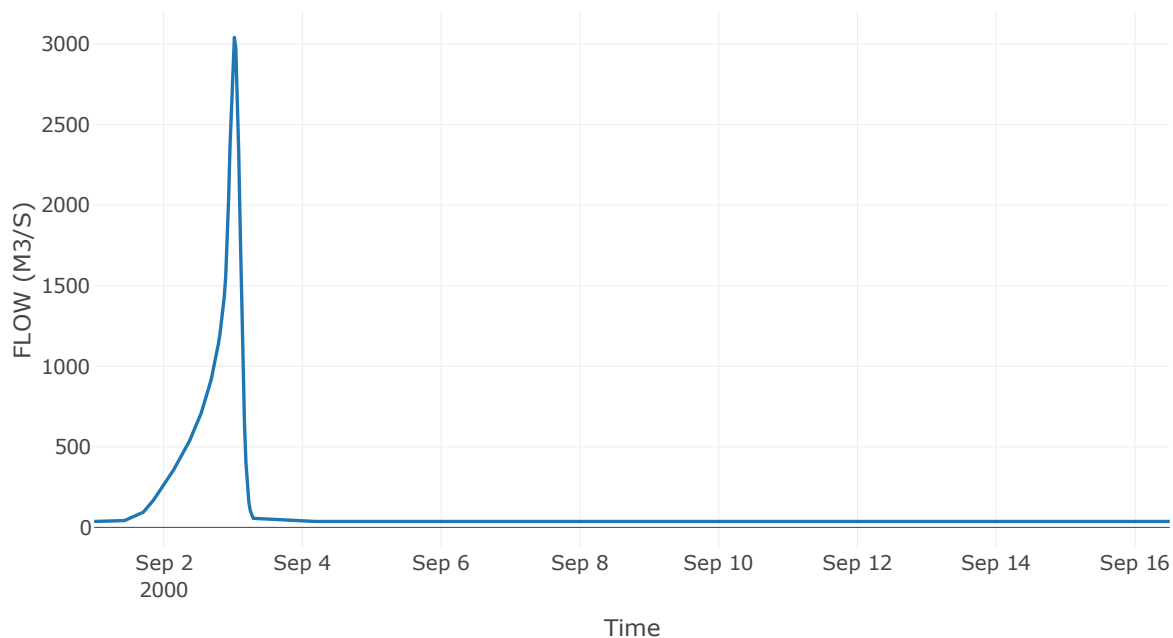
Κατάντη : J30

Μέθοδος Διόδευσης	Muskingum
Αρχική Μεταβλητή	Combined Inflow
Muskingum K	0.31
Συντελεστής βάρους x	0.2
Muskingum Steps	1

Αποτελέσματα: R3230

Παροχή Αιχμής (M3/S)	3041.33
Χρονική στιγμή αιχμής	03Sep2000, 00:30
Όγκος(MM)	295.33
Παροχή Αιχμής Εισόδου (M3/S)	3051.53
Όγκος Εισροής(M3)	1.55E8

Απορροή



Κλάδος: R3029

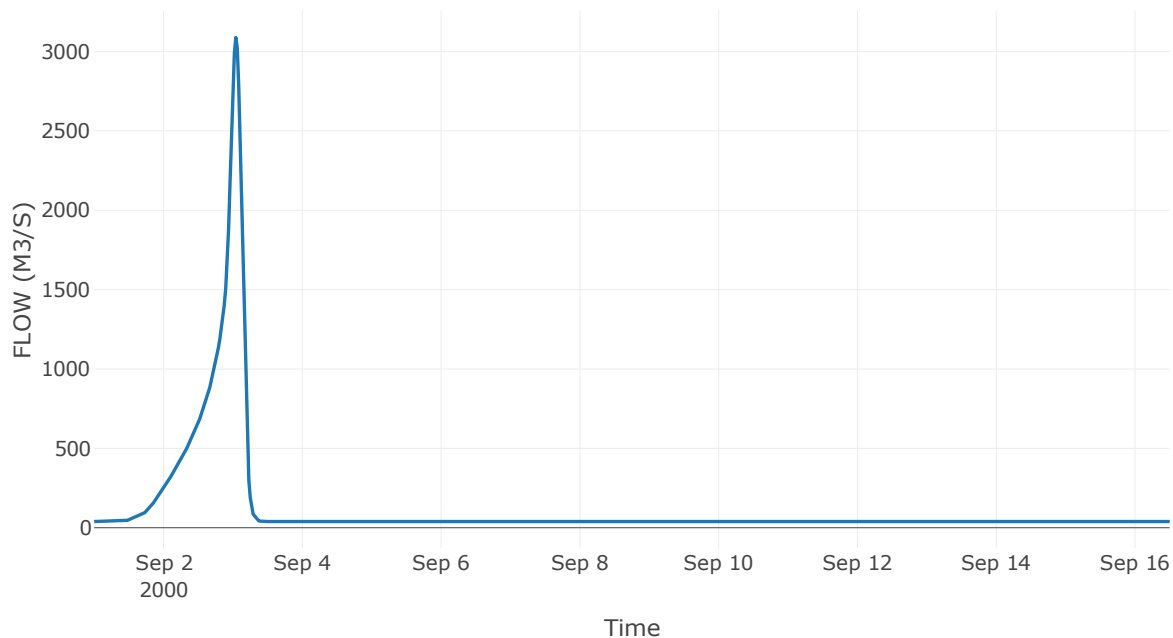
Κατάντη : J29

Μέθοδος Διόδευσης	Muskingum
Αρχική Μεταβλητή	Combined Inflow
Muskingum K	0.63
Συντελεστής βάρους x	0.2
Muskingum Steps	2

Αποτελέσματα: R3029

Παροχή Αιχμής (M3/S)	3088.34
Χρονική στιγμή αιχμής	03Sep2000, 01:00
Όγκος(MM)	291.93
Παροχή Αιχμής Εισόδου (M3/S)	3133.75
Όγκος Εισροής(M3)	1.63E8

Απορροή



Κλάδος: R2928

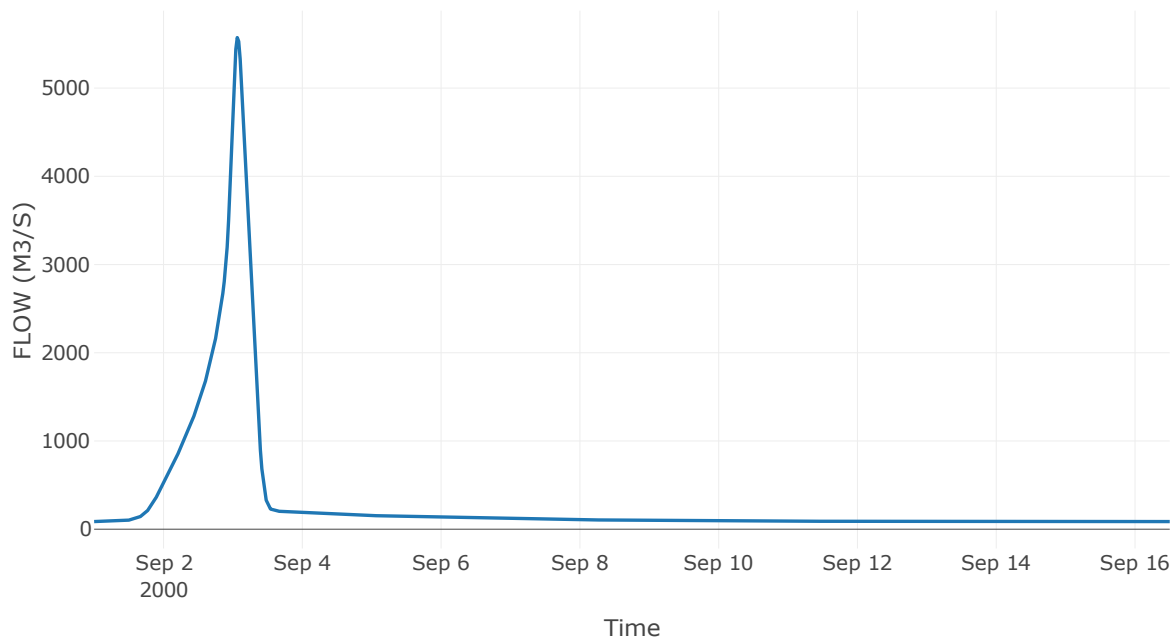
Κατάντη : J28

Μέθοδος Διόδευσης	Muskingum
Αρχική Μεταβλητή	Combined Inflow
Muskingum K	0.41
Συντελεστής βάρους x	0.2
Muskingum Steps	1

Αποτελέσματα: R2928

Παροχή Αιχμής (M3/S)	5572.9
Χρονική στιγμή αιχμής	03Sep2000, 01:30
Όγκος(MM)	332.37
Παροχή Αιχμής Εισόδου (M3/S)	5597.88
Όγκος Εισροής(M3)	4.1E8

Απορροή



Κλάδος: R2827

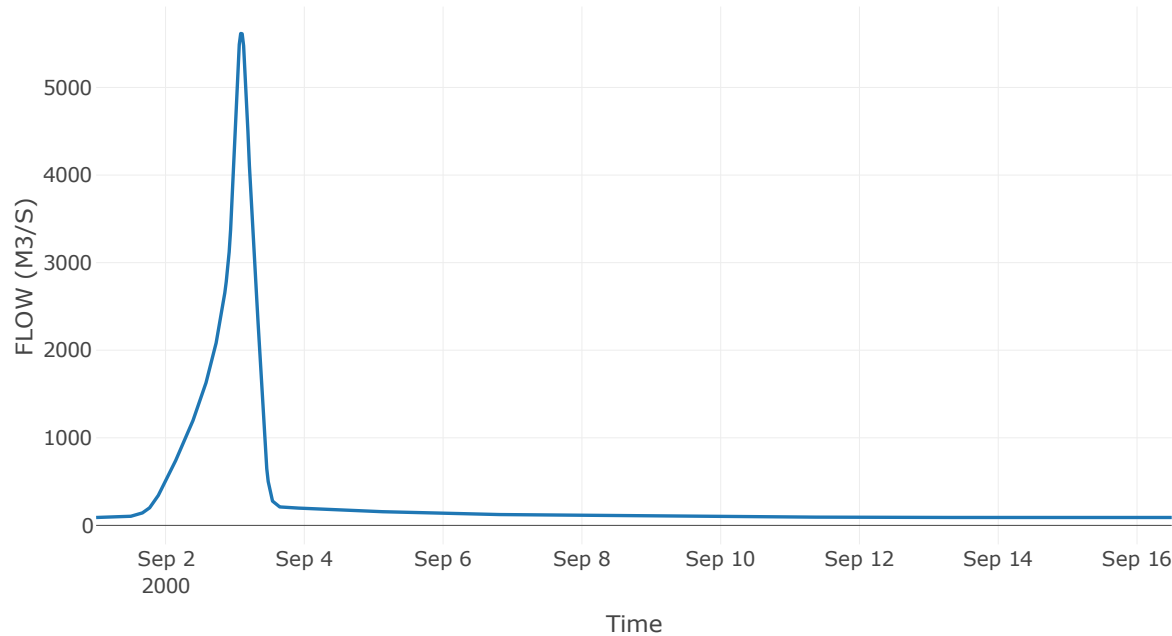
Κατάντη : J27

Μέθοδος Διόδευσης	Muskingum
Αρχική Μεταβλητή	Combined Inflow
Muskingum K	0.83
Συντελεστής βάρους x	0.2
Muskingum Steps	2

Αποτελέσματα: R2827

Παροχή Αιχμής (M3/S)	5616.73
Χρονική στιγμή αιχμής	03Sep2000, 02:00
Όγκος(MM)	332.44
Παροχή Αιχμής Εισόδου (M3/S)	5686.79
Όγκος Εισροής(M3)	4.28E8

Απορροή



Κλάδος: R2116

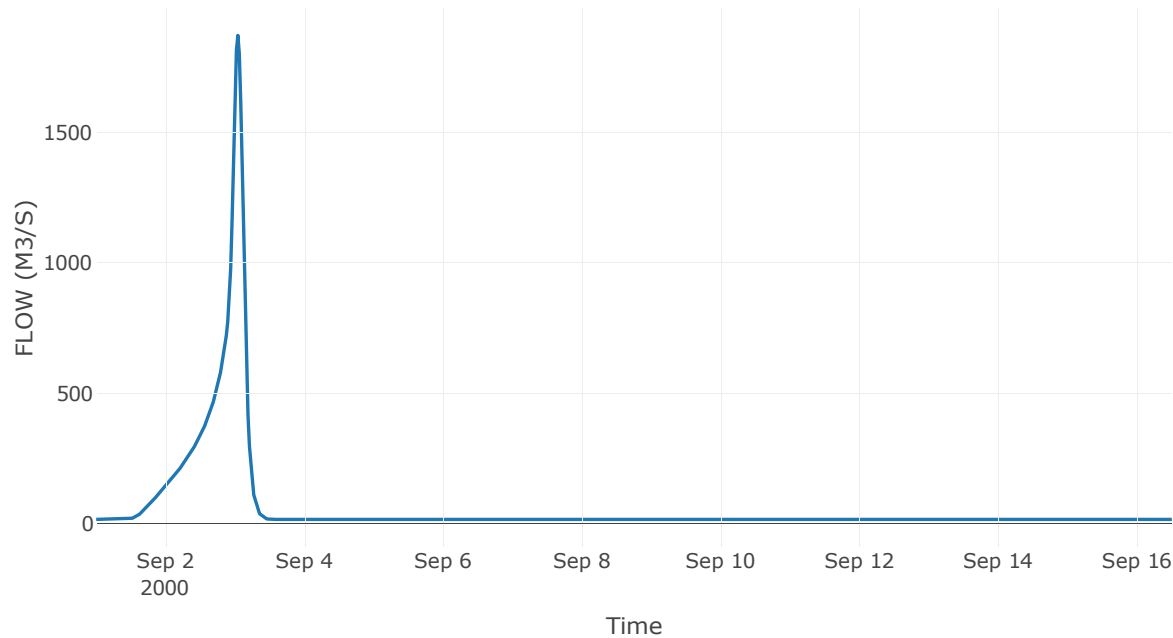
Κατάντη : J16

Μέθοδος Διόδευσης	Muskingum
Αρχική Μεταβλητή	Combined Inflow
Muskingum K	1.21
Συντελεστής βάρους x	0.2
Muskingum Steps	3

Αποτελέσματα: R2116

Παροχή Αιχμής (M3/S)	1870.86
Χρονική στιγμή αιχμής	03Sep2000, 01:00
Όγκος(MM)	352.12
Παροχή Αιχμής Εισόδου (M3/S)	1936.09
Όγκος Εισροής(M3)	8.37E7

Απορροή



Κλάδος: R1619

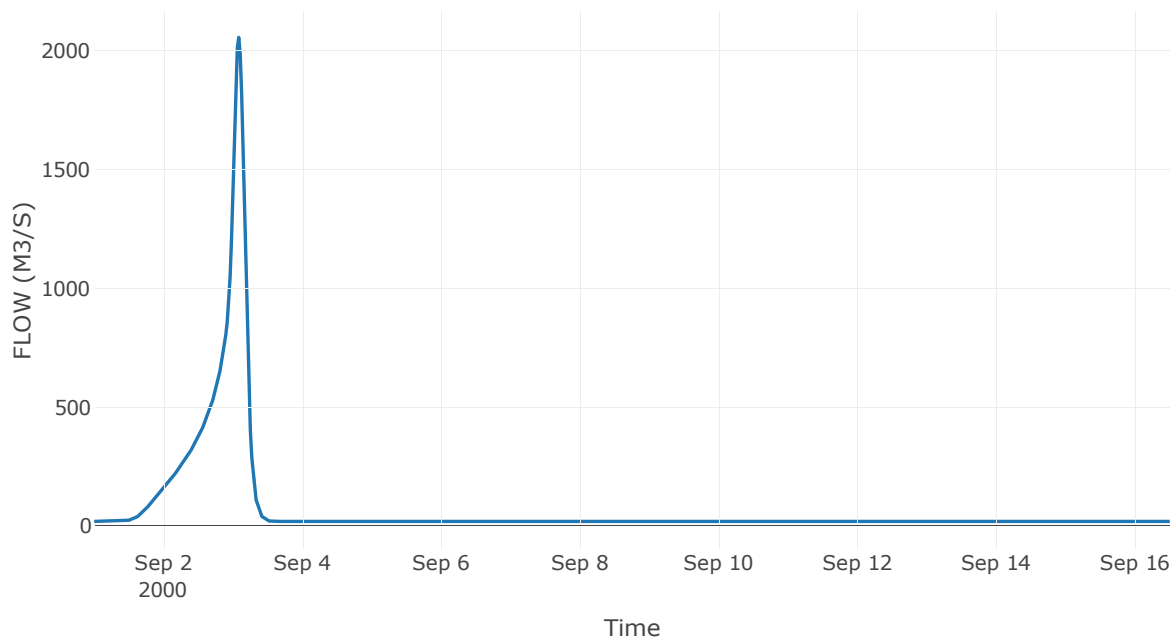
Κατάντη : J19

Μέθοδος Διόδευσης	Muskingum
Αρχική Μεταβλητή	Combined Inflow
Muskingum K	1.31
Συντελεστής βάρους x	0.2
Muskingum Steps	3

Αποτελέσματα: R1619

Παροχή Αιχμής (M3/S)	2055.19
Χρονική στιγμή αιχμής	03Sep2000, 02:00
Όγκος(MM)	356.59
Παροχή Αιχμής Εισόδου (M3/S)	2131.3
Όγκος Εισροής(M3)	9.88E7

Απορροή



Κλάδος: R6120

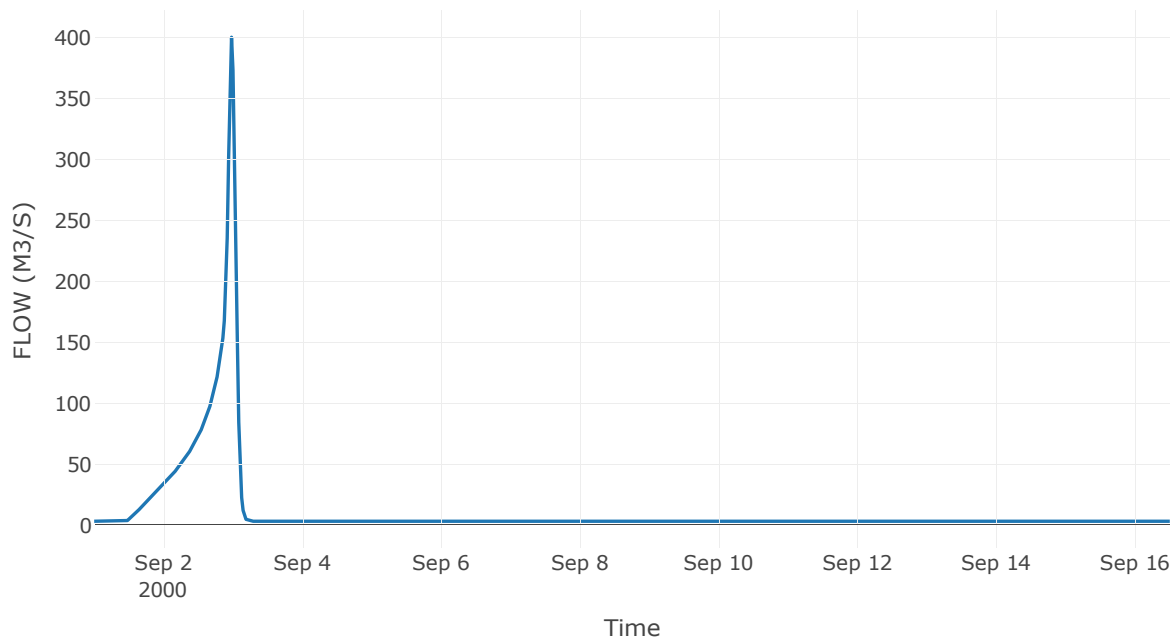
Κατάντη : J20

Μέθοδος Διόδευσης	Muskingum
Αρχική Μεταβλητή	Combined Inflow
Muskingum K	0.56
Συντελεστής βάρους x	0.2
Muskingum Steps	1

Αποτελέσματα: R6120

Παροχή Αιχμής (M3/S)	400.01
Χρονική στιγμή αιχμής	02Sep2000, 23:30
Όγκος(MM)	322.41
Παροχή Αιχμής Εισόδου (M3/S)	422.57
Όγκος Εισροής(M3)	1.57E7

Απορροή



Κλάδος: R2014

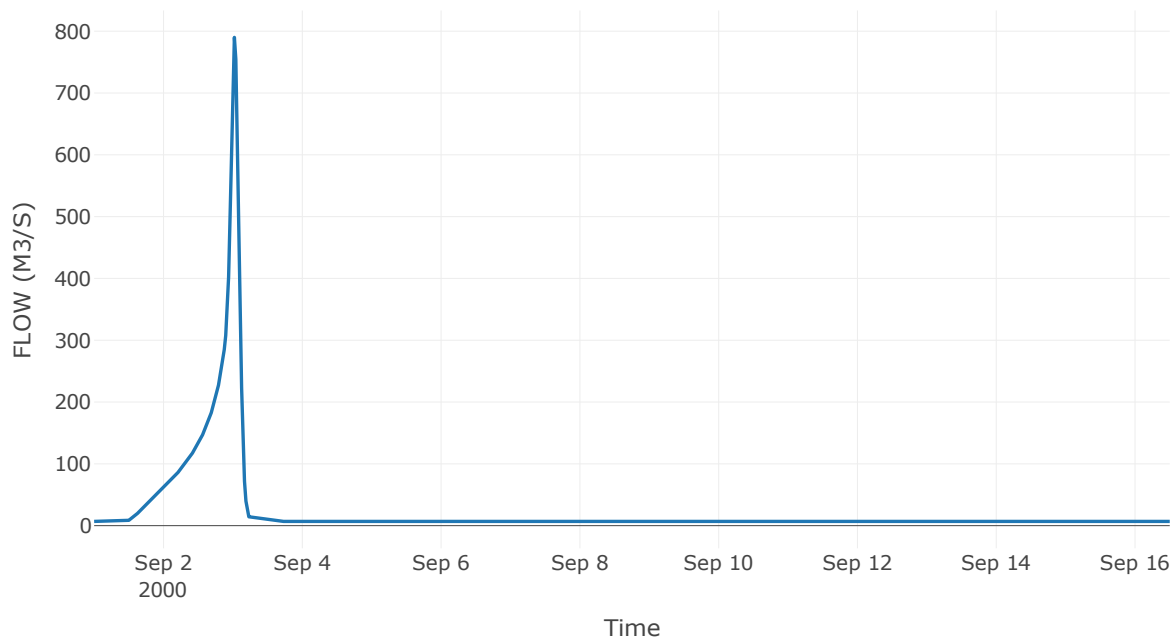
Κατάντη : J14

Μέθοδος Διόδευσης	Muskingum
Αρχική Μεταβλητή	Combined Inflow
Muskingum K	1.25
Συντελεστής βάρους x	0.2
Muskingum Steps	3

Αποτελέσματα: R2014

Παροχή Αιχμής (M3/S)	790.02
Χρονική στιγμή αιχμής	03Sep2000, 00:30
Όγκος(MM)	323.39
Παροχή Αιχμής Εισόδου (M3/S)	841.75
Όγκος Εισροής(M3)	3.18E7

Απορροή



Κλάδος: R128

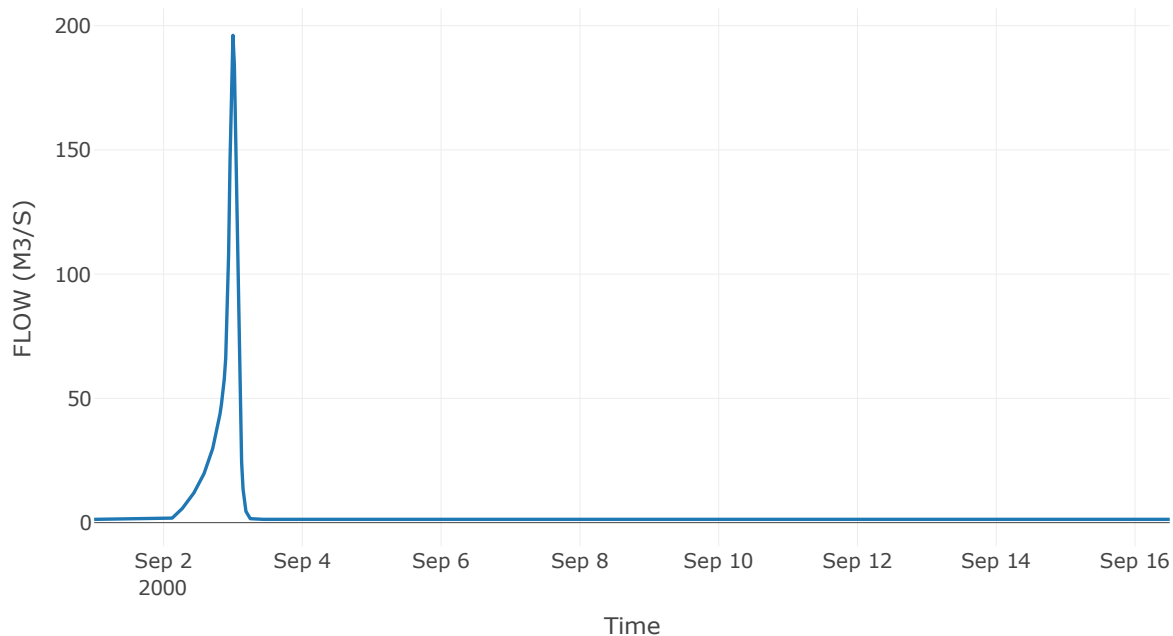
Κατάντη : J8

Μέθοδος Διόδευσης	Muskingum
Αρχική Μεταβλητή	Combined Inflow
Muskingum K	0.74
Συντελεστής βάρους x	0.2
Muskingum Steps	2

Αποτελέσματα: R128

Παροχή Αιχμής (M3/S)	196.09
Χρονική στιγμή αιχμής	02Sep2000, 24:00
Όγκος(MM)	144.76
Παροχή Αιχμής Εισόδου (M3/S)	202.66
Όγκος Εισροής(M3)	5.45E6

Απορροή



Κλάδος: R1110

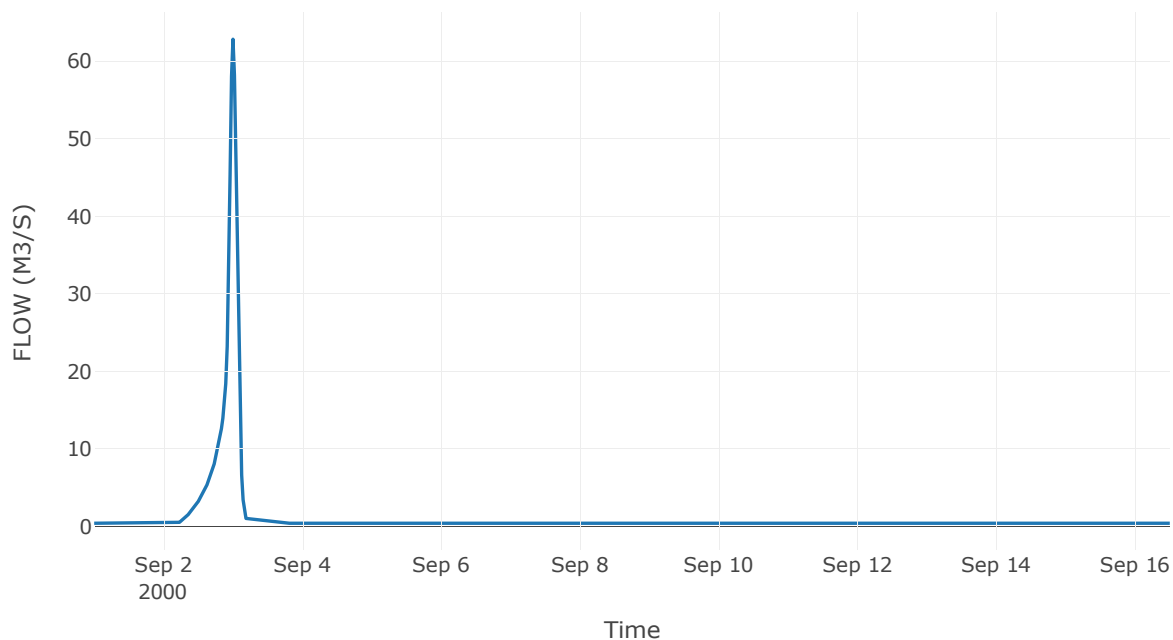
Κατάντη : J10

Μέθοδος Διόδευσης	Muskingum
Αρχική Μεταβλητή	Combined Inflow
Muskingum K	0.92
Συντελεστής βάρους x	0.2
Muskingum Steps	2

Αποτελέσματα: R1110

Παροχή Αιχμής (M3/S)	62.8
Χρονική στιγμή αιχμής	02Sep2000, 24:00
Όγκος(MM)	134.75
Παροχή Αιχμής Εισόδου (M3/S)	68.95
Όγκος Εισροής(M3)	1.59E6

Απορροή



Κλάδος: R107

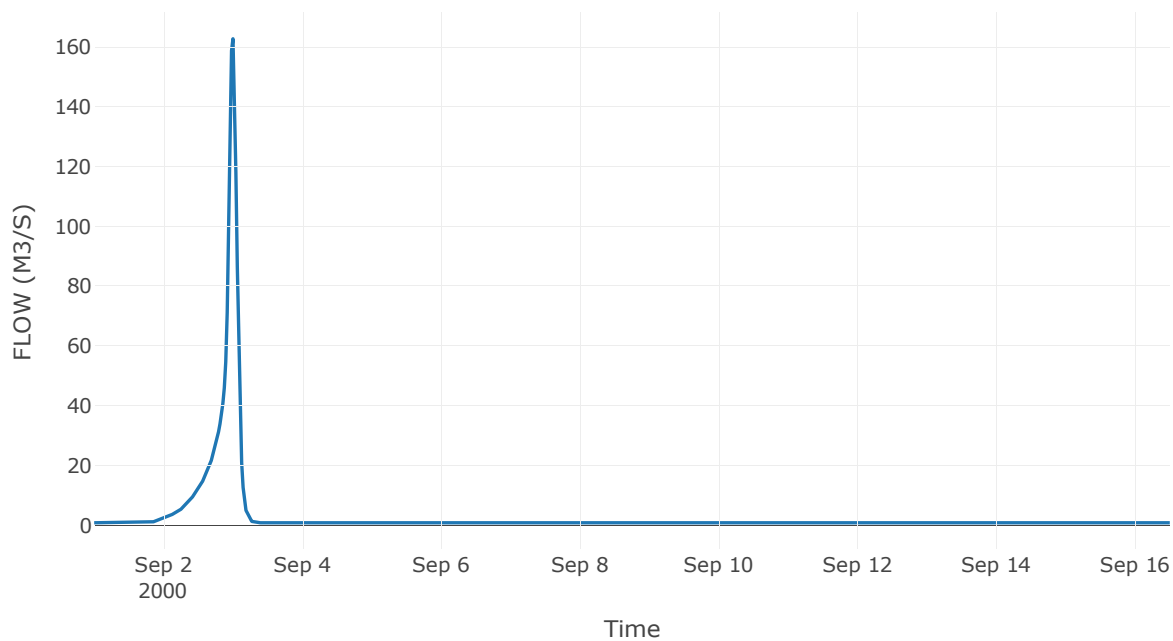
Κατάντη : J7

Μέθοδος Διόδευσης	Χρόνος Υστέρησης
Αρχική Μεταβλητή	Combined Inflow
Χρόνος Υστέρησης	0

Αποτελέσματα: R107

Παροχή Αιχμής (M3/S)	162.73
Χρονική στιγμή αιχμής	02Sep2000, 24:00
Όγκος(MM)	171.17
Παροχή Αιχμής Εισόδου (M3/S)	162.73
Όγκος Εισροής(M3)	4.29E6

Απορροή



Κλάδος: R97

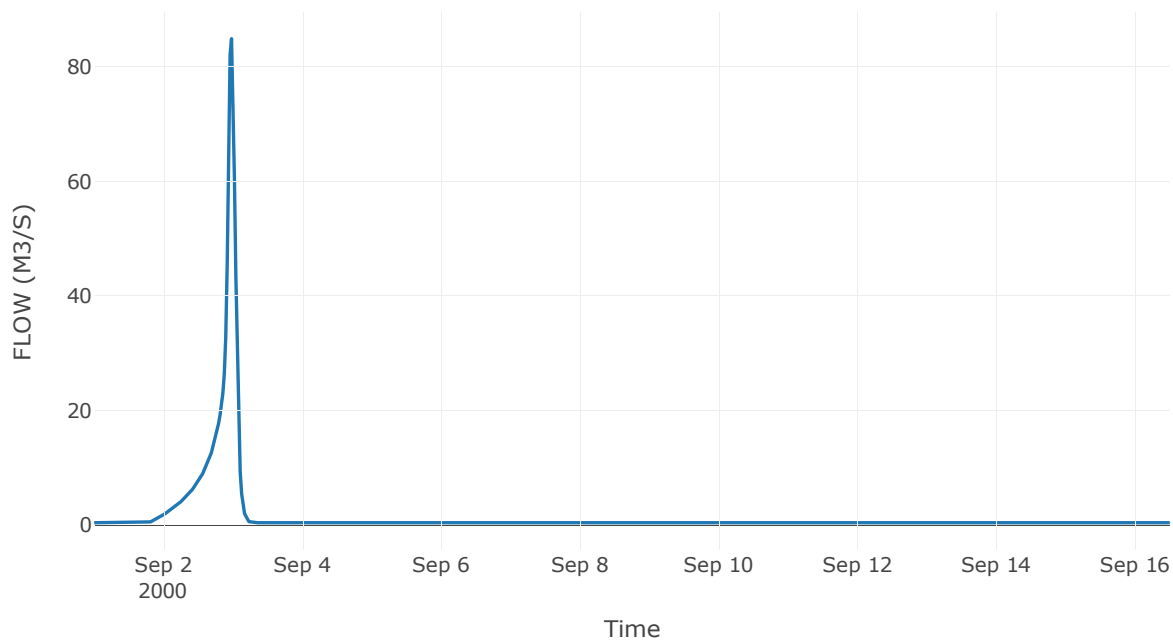
Κατάντη : J7

Μέθοδος Διόδευσης	Χρόνος Υστέρησης
Αρχική Μεταβλητή	Combined Inflow
Χρόνος Υστέρησης	0

Αποτελέσματα: R97

Παροχή Αιχμής (M3/S)	84.86
Χρονική στιγμή αιχμής	02Sep2000, 23:30
Όγκος(MM)	202.85
Παροχή Αιχμής Εισόδου (M3/S)	84.86
Όγκος Εισροής(M3)	2.11E6

Απορροή



Κλάδος: R76

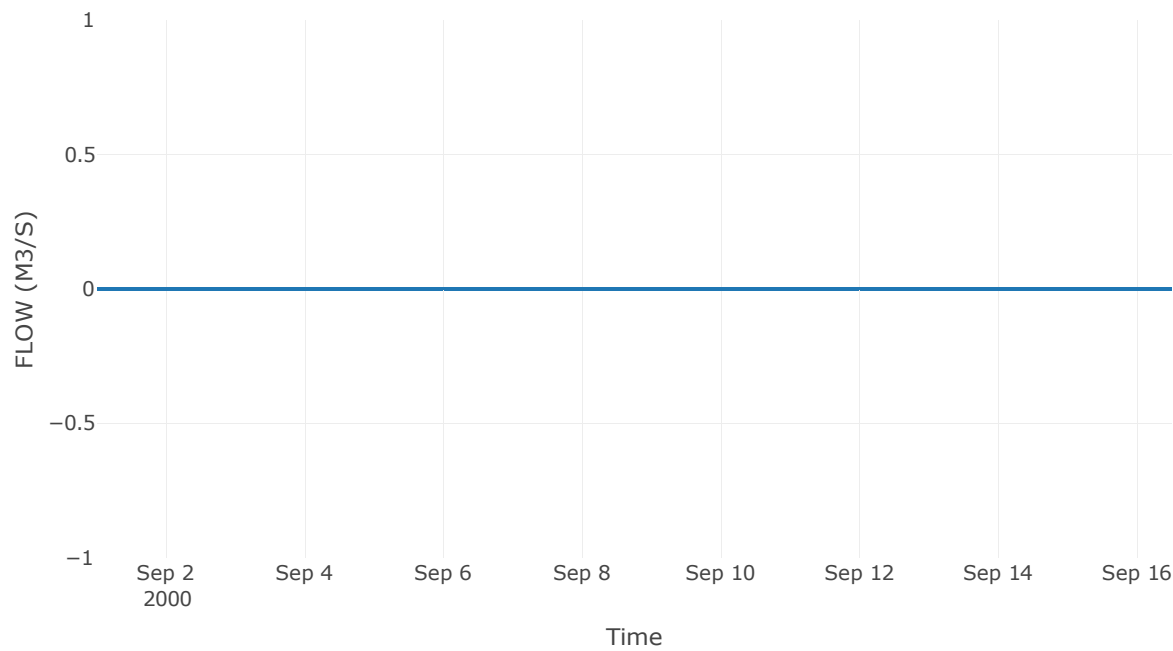
Κατάντη : J6

Μέθοδος Διόδευσης	Muskingum
Αρχική Μεταβλητή	Combined Inflow
Muskingum K	1.89
Συντελεστής βάρους x	0.2
Muskingum Steps	5

Αποτελέσματα: R76

Παροχή Αιχμής (M3/S)	0
Χρονική στιγμή αιχμής	31Aug2000, 24:00
Peak Inflow (M3/S)	0
Όγκος Εισροής (M3)	0

Απορροή

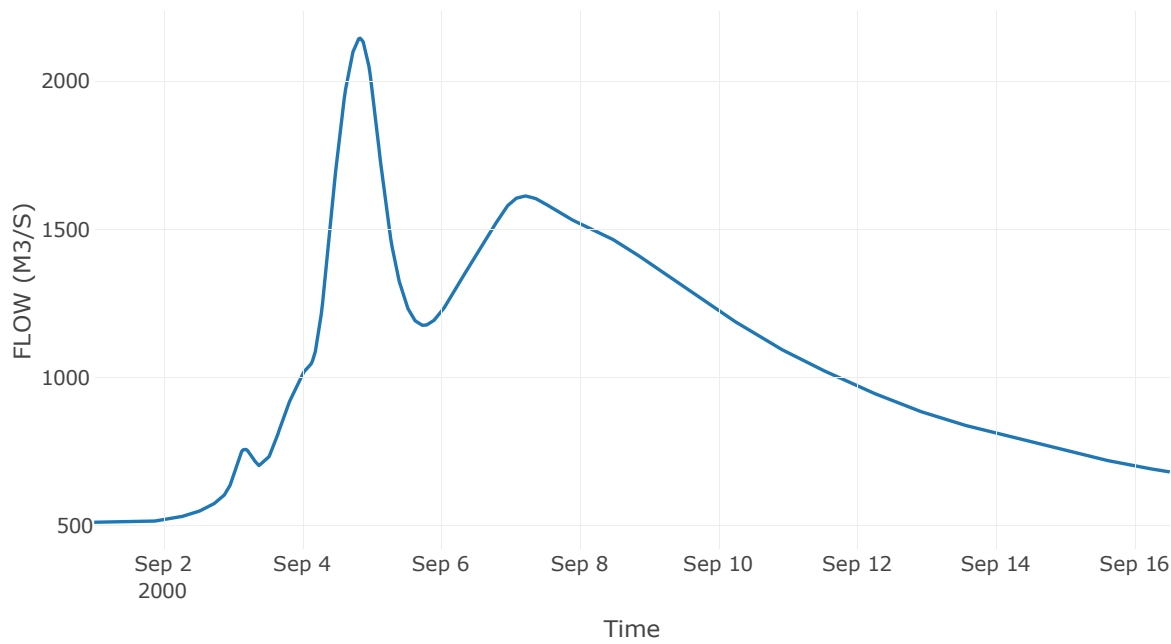


9.3 Δεδομένα και Υδρογραφήματα σχεδιασμού Κλάδων υδρογραφικού δικτύου

Κόμβος εξόδου: J1

Αποτέλεσμα τα: J1	
Παροχή αιχμής (M3/S)	2145.64
Χρονική στιγμή αιχμής	04Sep2000, 20:00
Όγκος (MM)	307.03

Απορροή



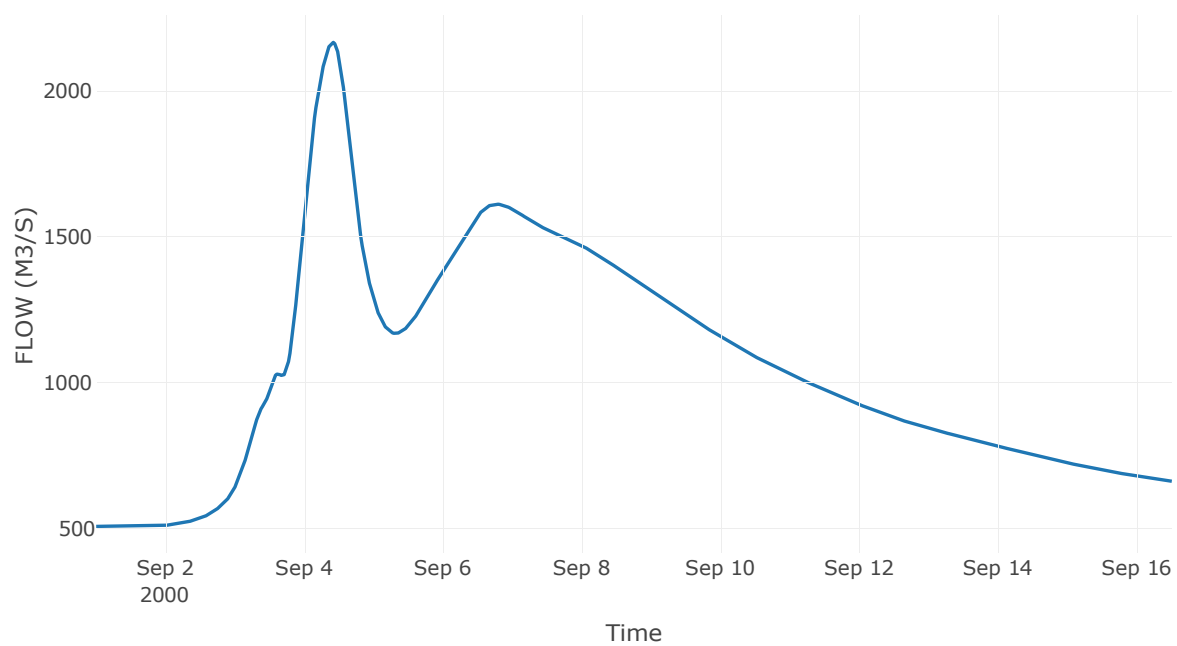
Κόμβος: J2

Κατάντη : R21

Αποτελέσματα: J2

Παροχή Αιχμής (M3/S)	2166.82
Χρονική στιγμή αιχμής	04Sep2000, 10:00
Όγκος(MM)	309.07

Απορροή



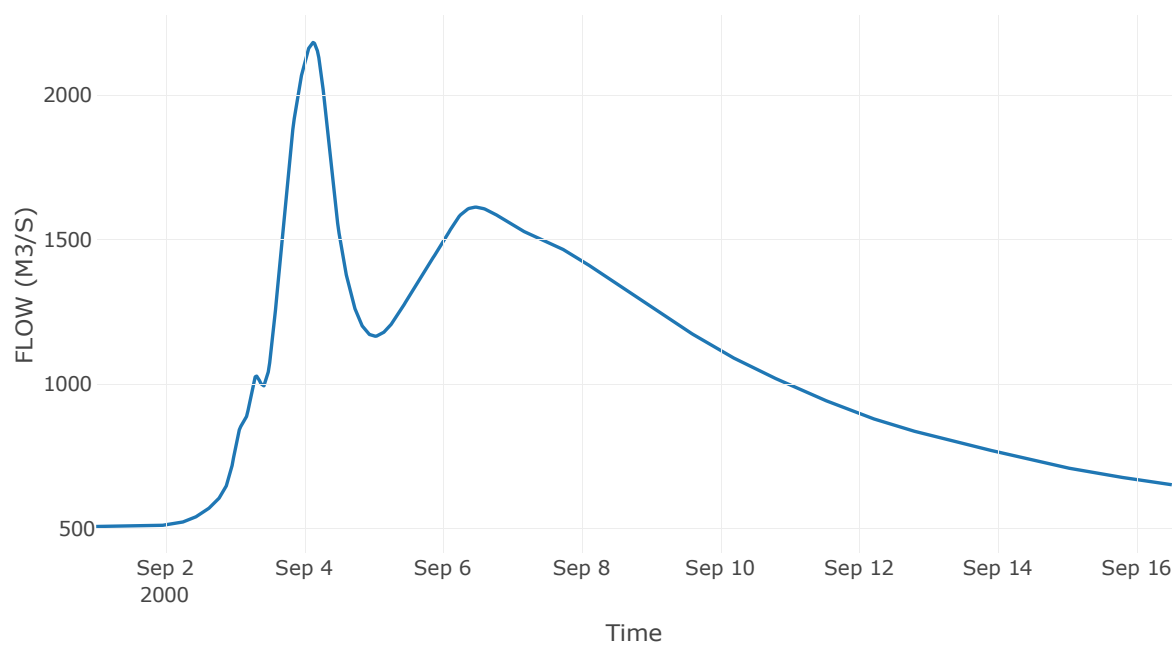
Κόμβος: J3

Κατάντη : R32

Αποτελέσματα: J3

Παροχή Αιχμής (M3/S)	2183.05
Χρονική στιγμή αιχμής	04Sep2000, 03:00
Όγκος(MM)	310.32

Απορροή



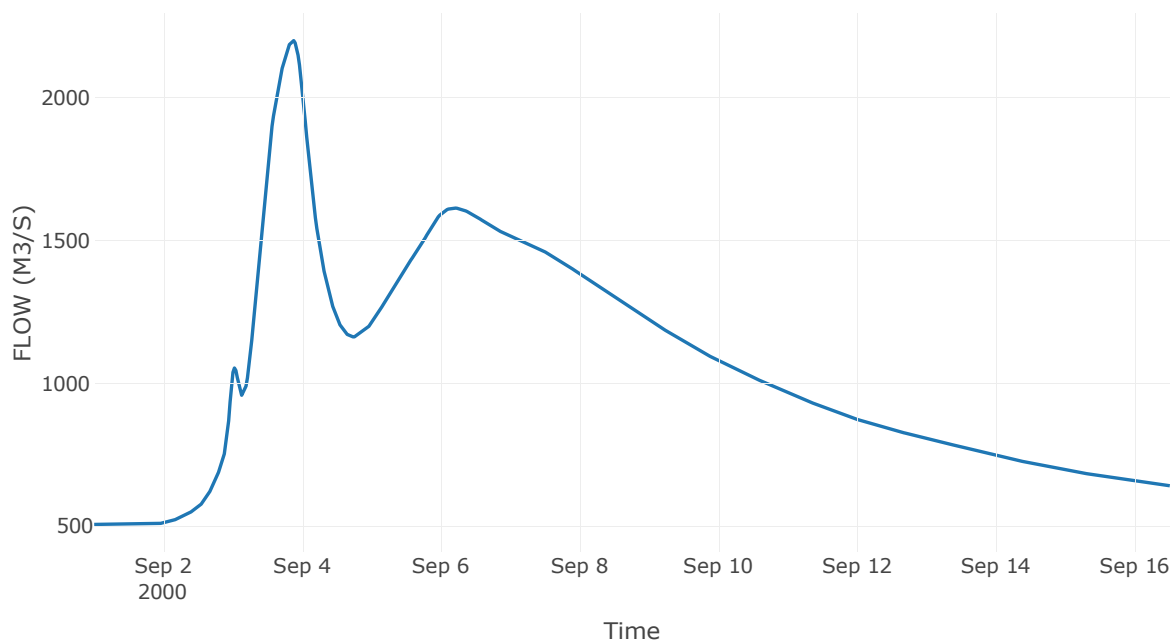
Κόμβος: J4

Κατάντη : R43

Αποτελέσματα: J4

Παροχή Αιχμής (M3/S)	2199.44
Χρονική στιγμή αιχμής	03Sep2000, 20:30
Όγκος(MM)	311.57

Απορροή



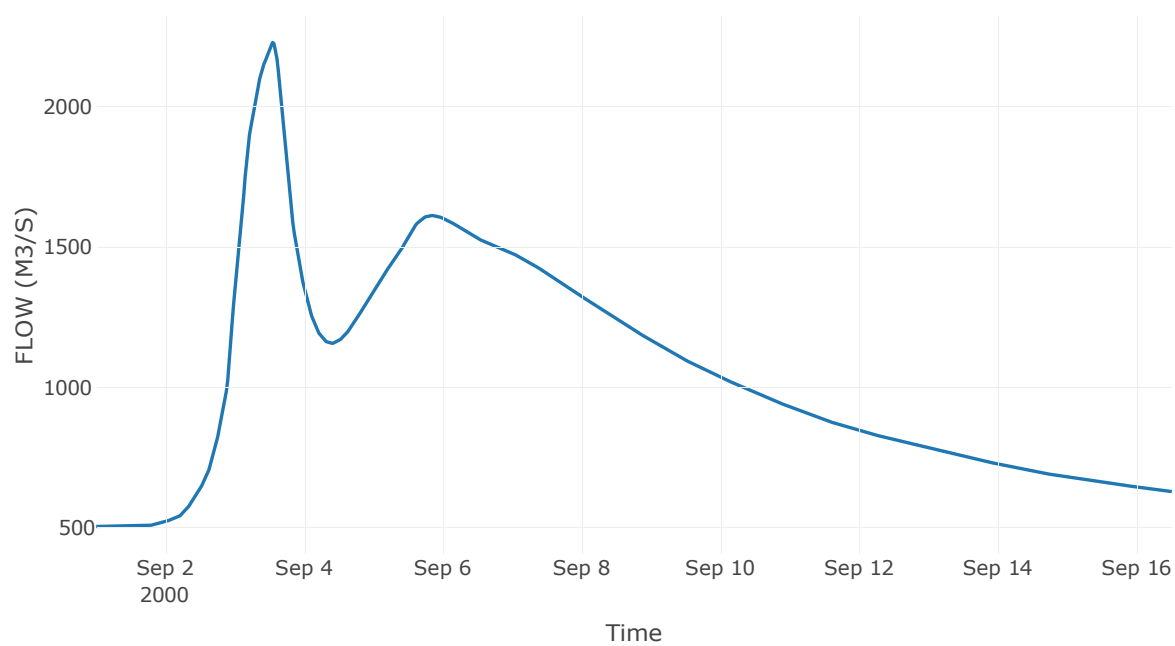
Κόμβος: J5

Κατάντη : R54

Αποτελέσματα: J5

Παροχή Αιχμής (M3/S)	2230.11
Χρονική στιγμή αιχμής	03Sep2000, 13:00
Όγκος(MM)	313.79

Απορροή



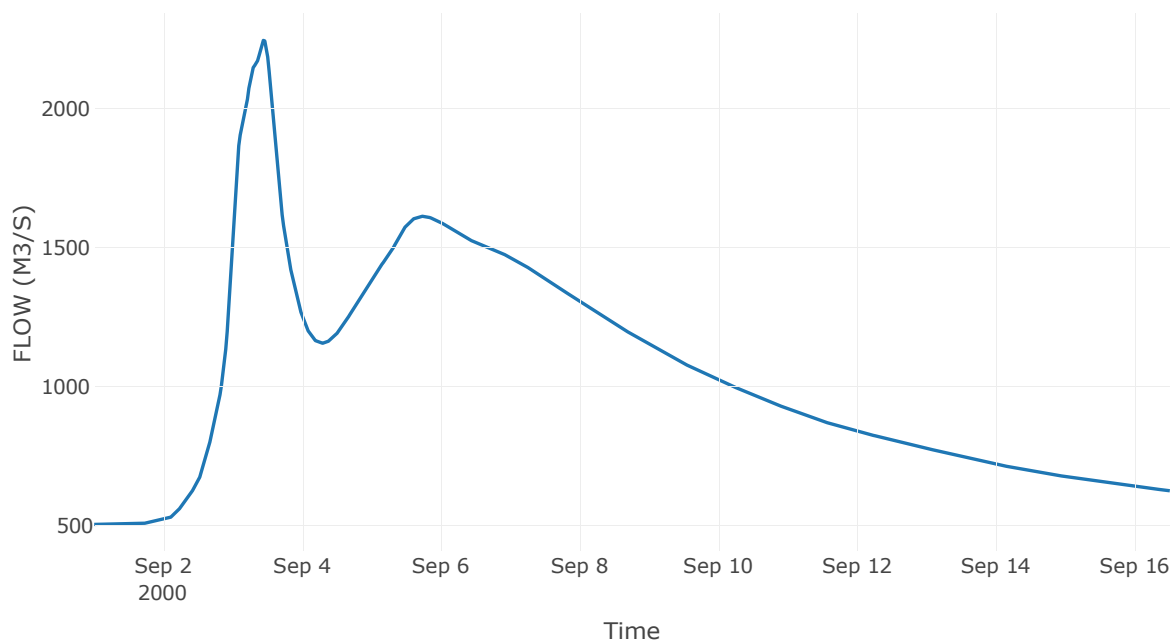
Κόμβος: J6

Κατάντη : R65

Αποτελέσματα: J6

Παροχή Αιχμής (M3/S)	2245.22
Χρονική στιγμή αιχμής	03Sep2000, 10:30
Όγκος(MM)	314.79

Απορροή

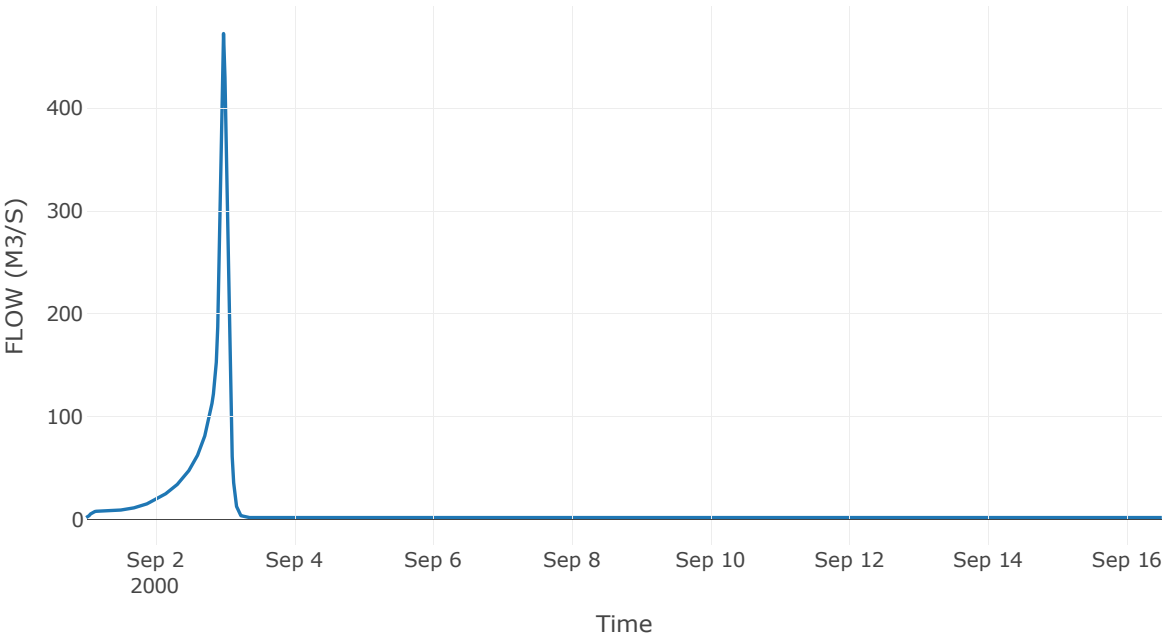


Κόμβος εξόδου: J7

Αποτέλεσμα
τα: J7

Παροχή αιχμής (M3/S)	472.61
Χρονική στιγμή αιχμής	02Sep2000, 23:30
Όγκος (MM)	229.33

Απορροή



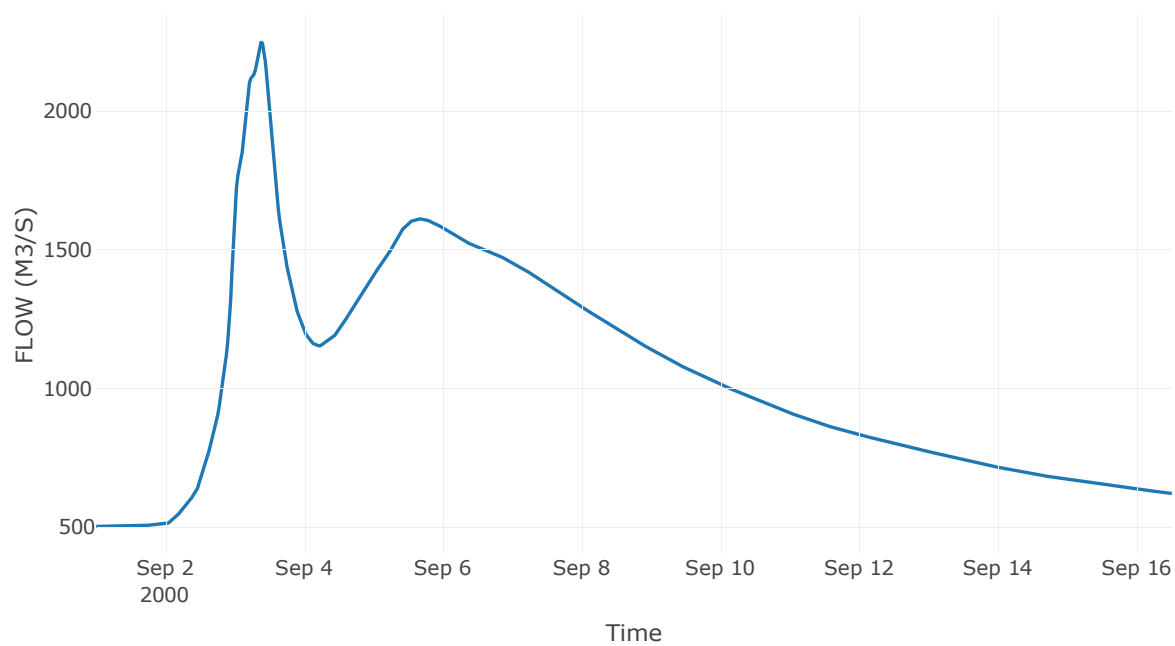
Κόμβος: J8

Κατάντη : R86

Αποτελέσματα: J8

Παροχή Αιχμής (M3/S)	2247.64
Χρονική στιγμή αιχμής	03Sep2000, 09:00
Όγκος(MM)	315.61

Απορροή



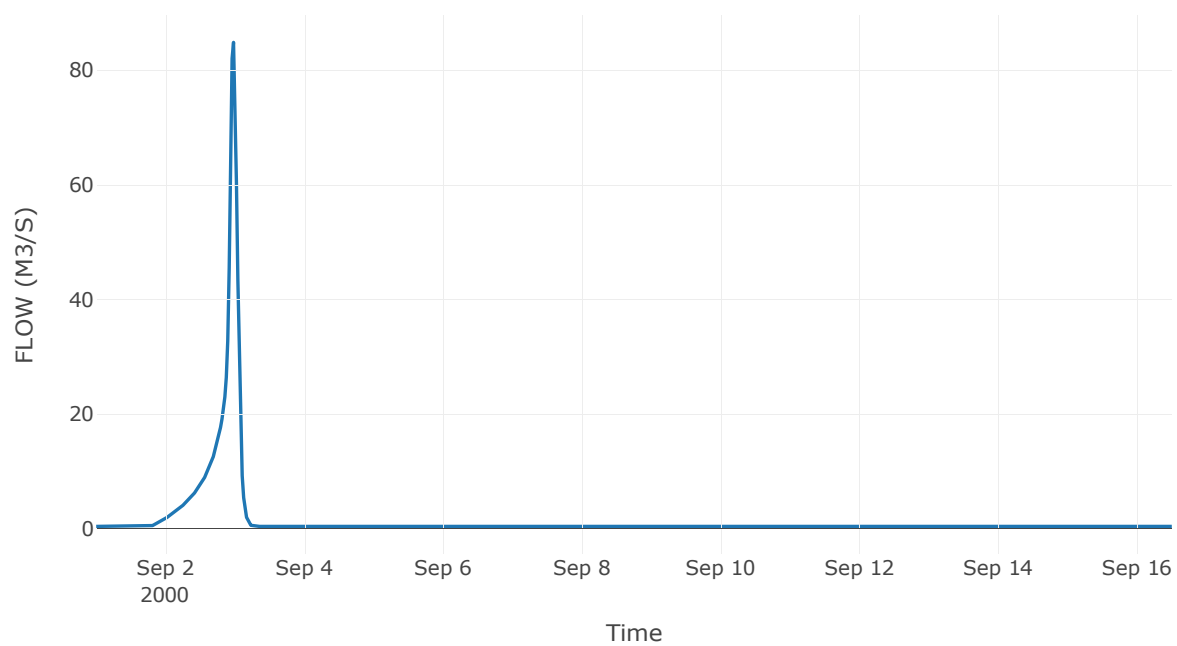
Κόμβος: J9

Κατάντη : R97

Αποτελέσματα: J9

Παροχή Αιχμής (M3/S)	84.86
Χρονική στιγμή αιχμής	02Sep2000, 23:30
Όγκος(MM)	202.85

Απορροή



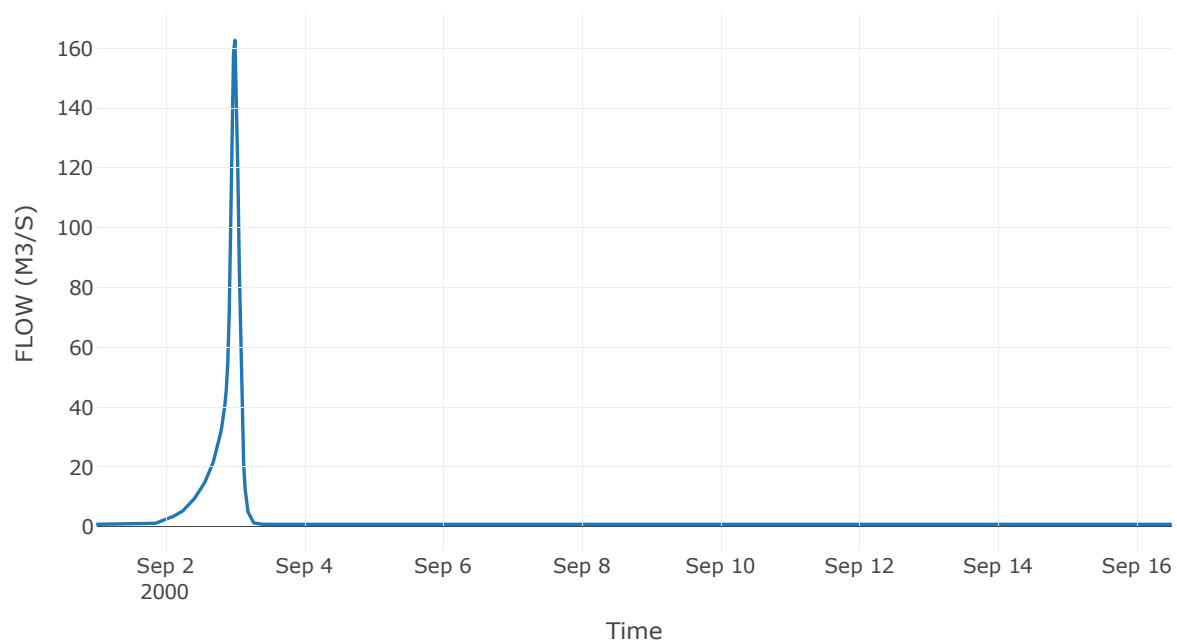
Κόμβος: J10

Κατάντη : R107

Αποτελέσματα: J10

Παροχή Αιχμής (M3/S)	162.73
Χρονική στιγμή αιχμής	02Sep2000, 24:00
Όγκος(MM)	171.17

Απορροή



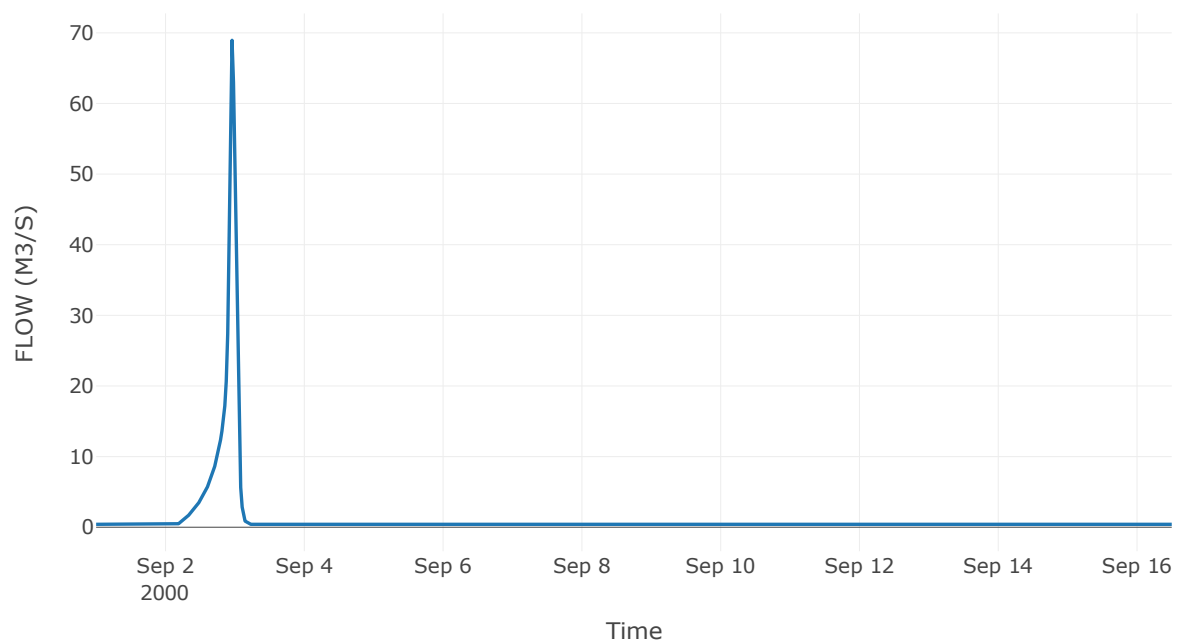
Κόμβος: J11

Κατάντη : R1110

Αποτελέσματα: J11

Παροχή Αιχμής (M3/S)	68.95
Χρονική στιγμή αιχμής	02Sep2000, 23:00
Όγκος(MM)	134.75

Απορροή



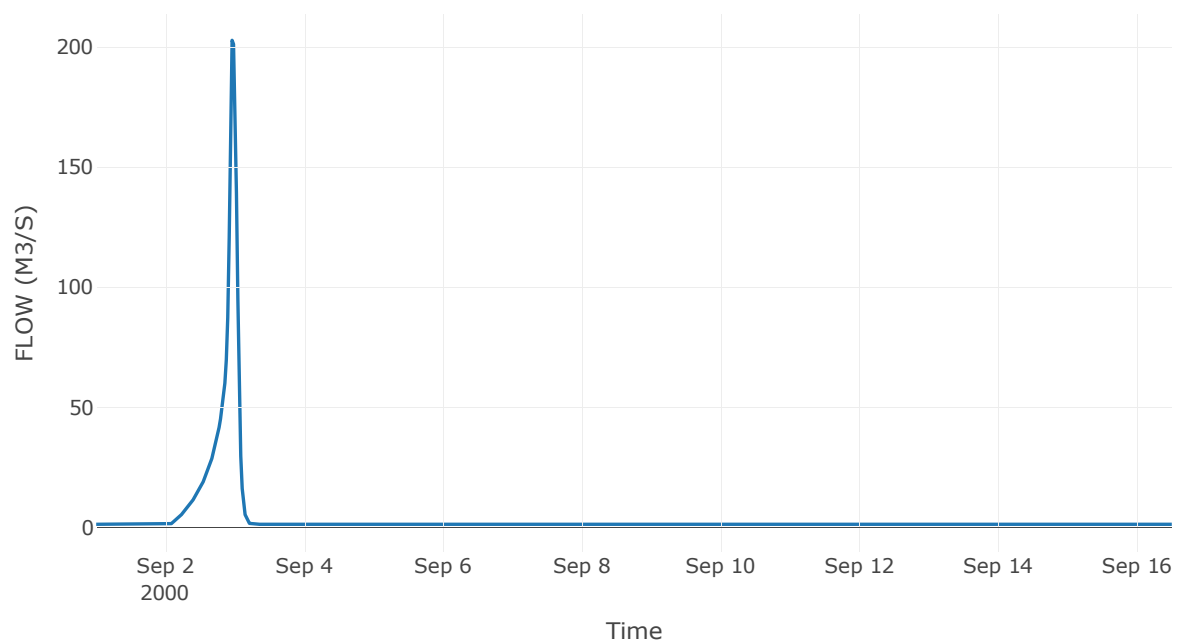
Κόμβος: J12

Κατάντη : R128

Αποτελέσματα: J12

Παροχή Αιχμής (M3/S)	202.66
Χρονική στιγμή αιχμής	02Sep2000, 23:00
Όγκος(MM)	144.76

Απορροή



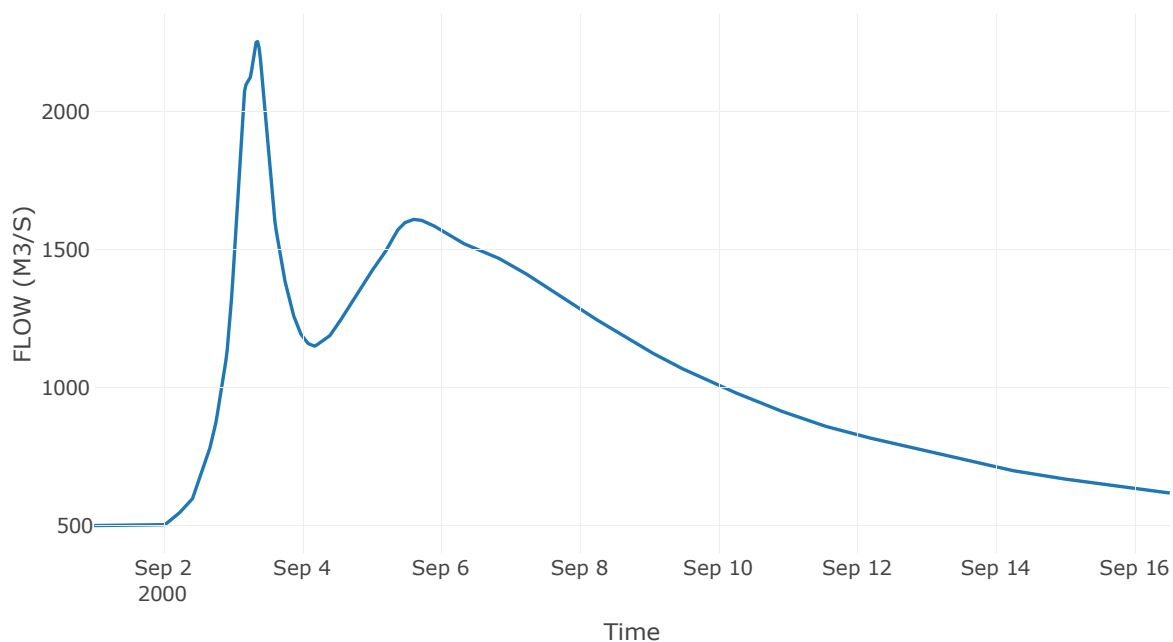
Ταμιευτήρας: J13_RES1

Κατάντη : R138

Αποτελέσματα: J13_RES1

Παροχή Αιχμής (M3/S)	2253.06
Χρονική στιγμή αιχμής	03Sep2000, 08:30
Όγκος(MM)	317.38
Παροχή Αιχμής Εισόδου (M3/S)	2527.39
Time of Peak Inflow	03Sep2000, 02:30
Όγκος Εισροής (M3)	1.38E9
Maximum Storage (M3)	5.28E7
Peak Elevation (M)	65.31
Discharge Όγκος(M3)	1.37E9

Απορροή



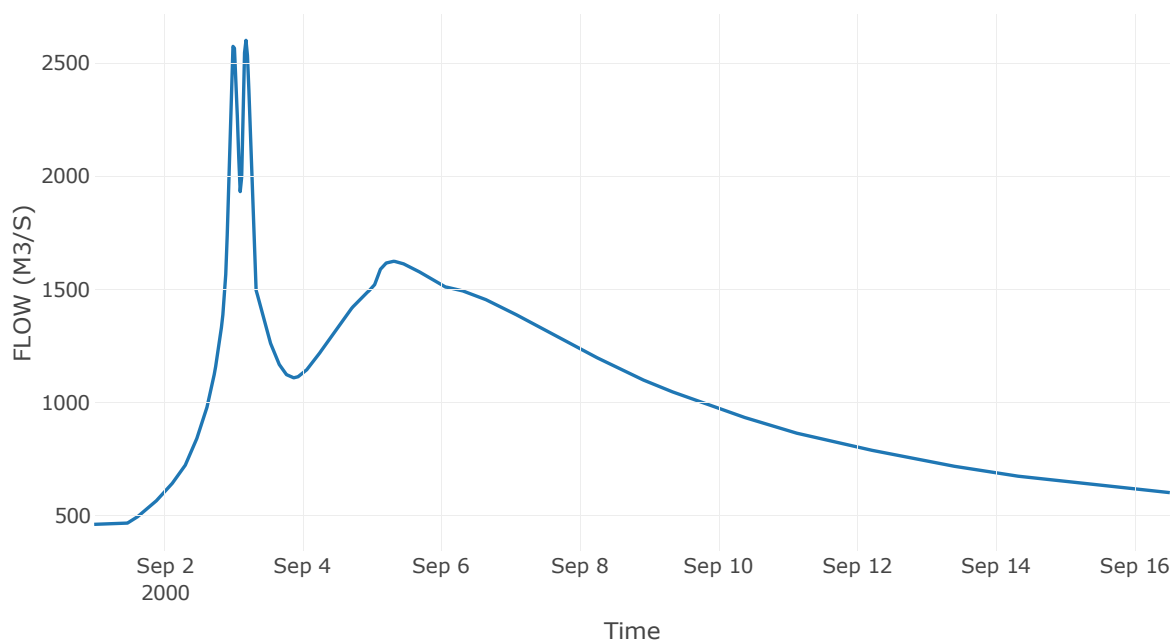
Κόμβος: J14

Κατάντη : R1413

Αποτελέσματα: J14

Παροχή Αιχμής (M3/S)	2599.59
Χρονική στιγμή αιχμής	03Sep2000, 04:30
Όγκος(MM)	318.56

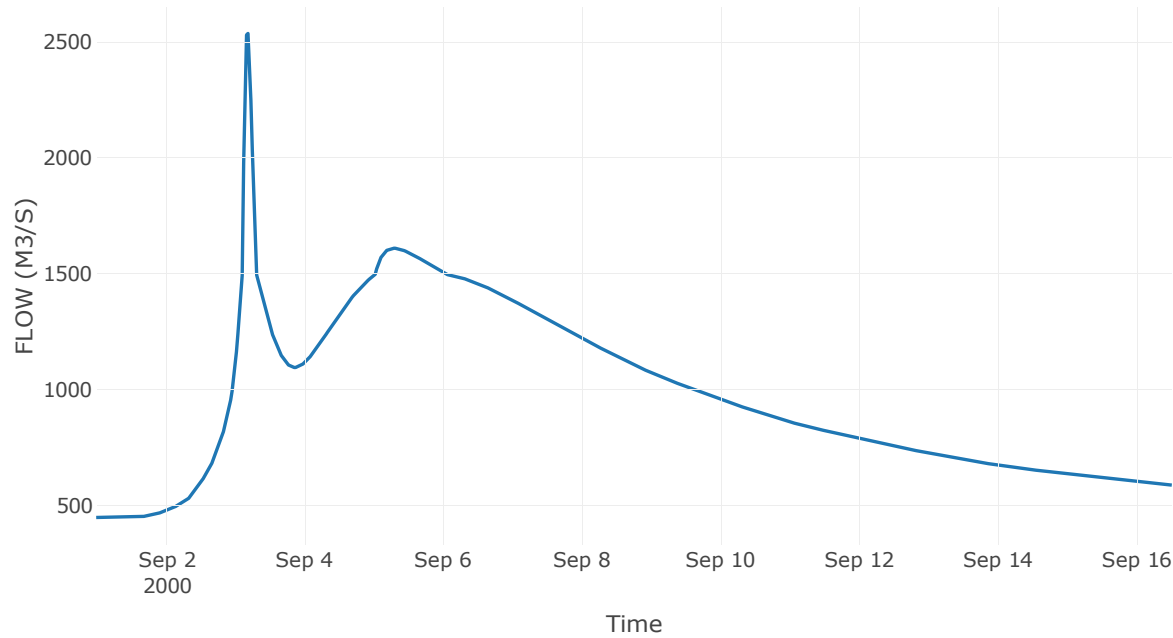
Απορροή



Αποτελέσματα: J15_RES2

Παροχή Αιχμής (M3/S)	2536.92
Χρονική στιγμή αιχμής	03Sep2000, 04:30
Όγκος(MM)	318.22
Παροχή Αιχμής Εισόδου (M3/S)	3989.47
Time of Peak Inflow	03Sep2000, 02:00
Όγκος Εισροής (M3)	1.32E9
Maximum Storage (M3)	9.24E8
Peak Elevation (M)	149.08
Discharge Όγκος(M3)	1.3E9

Απορροή



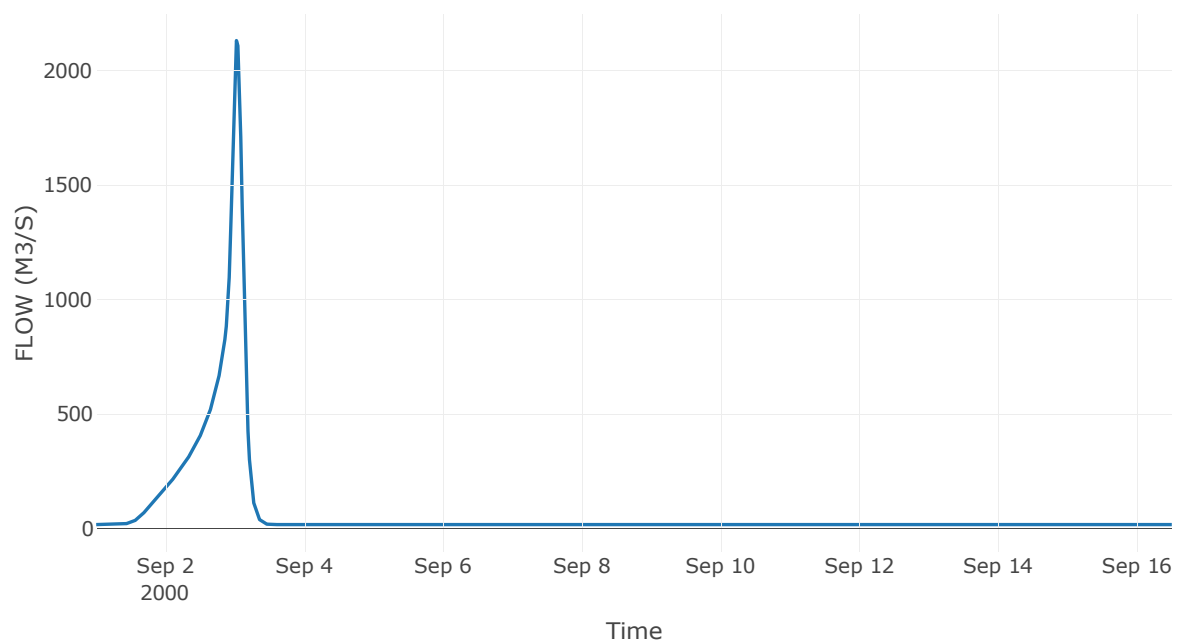
Κόμβος: J16

Κατάντη : R1619

Αποτελέσματα: J16

Παροχή Αιχμής (M3/S)	2131.3
Χρονική στιγμή αιχμής	03Sep2000, 00:30
Όγκος(MM)	356.59

Απορροή



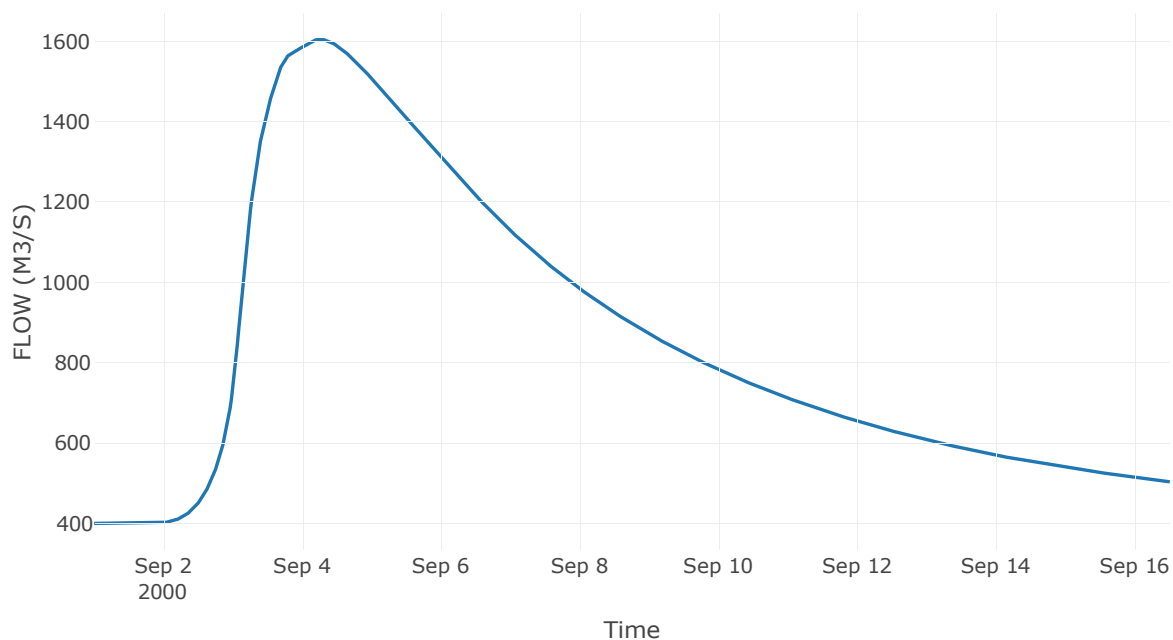
Ταμιευτήρας: J17_RES3

Κατάντη : R1718

Αποτελέσματα: J17_RES3

Παροχή Αιχμής (M3/S)	1604.74
Χρονική στιγμή αιχμής	04Sep2000, 06:00
Όγκος(MM)	320.56
Παροχή Αιχμής Εισόδου (M3/S)	11566.92
Time of Peak Inflow	03Sep2000, 02:00
Όγκος Εισροής (M3)	1.27E9
Maximum Storage (M3)	4.13E9
Peak Elevation (M)	276.57
Discharge Όγκος(M3)	1.14E9

Απορροή



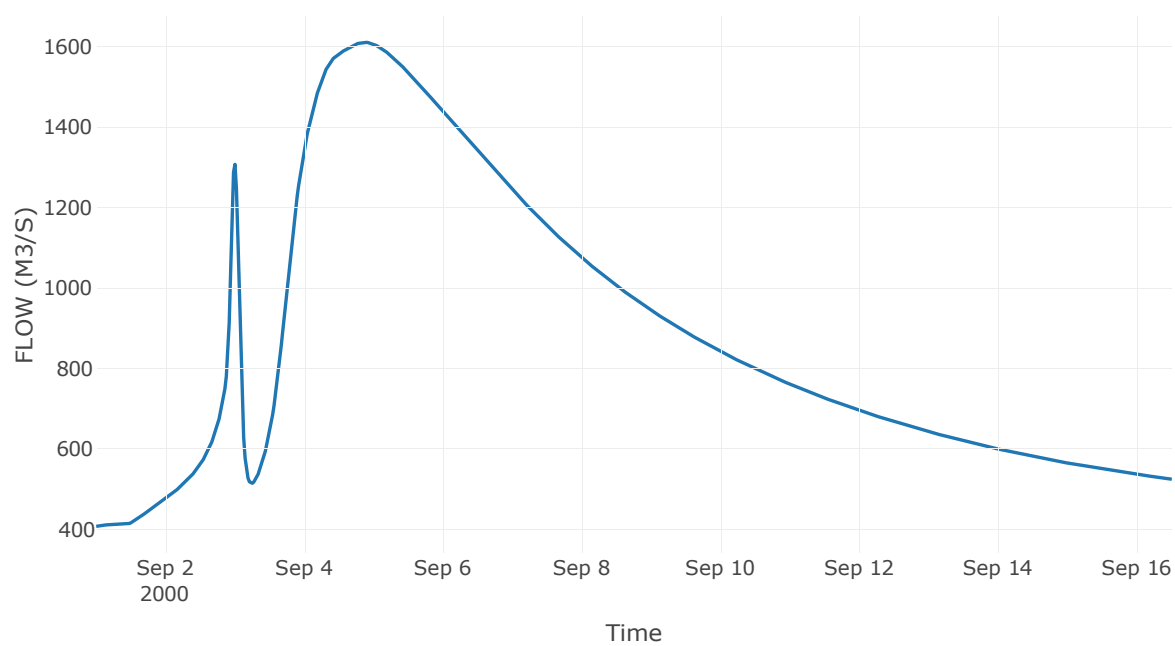
Κόμβος: J18

Κατάντη : R1819

Αποτελέσματα: J18

Παροχή Αιχμής (M3/S)	1610.87
Χρονική στιγμή αιχμής	04Sep2000, 21:00
Όγκος(MM)	319.21

Απορροή



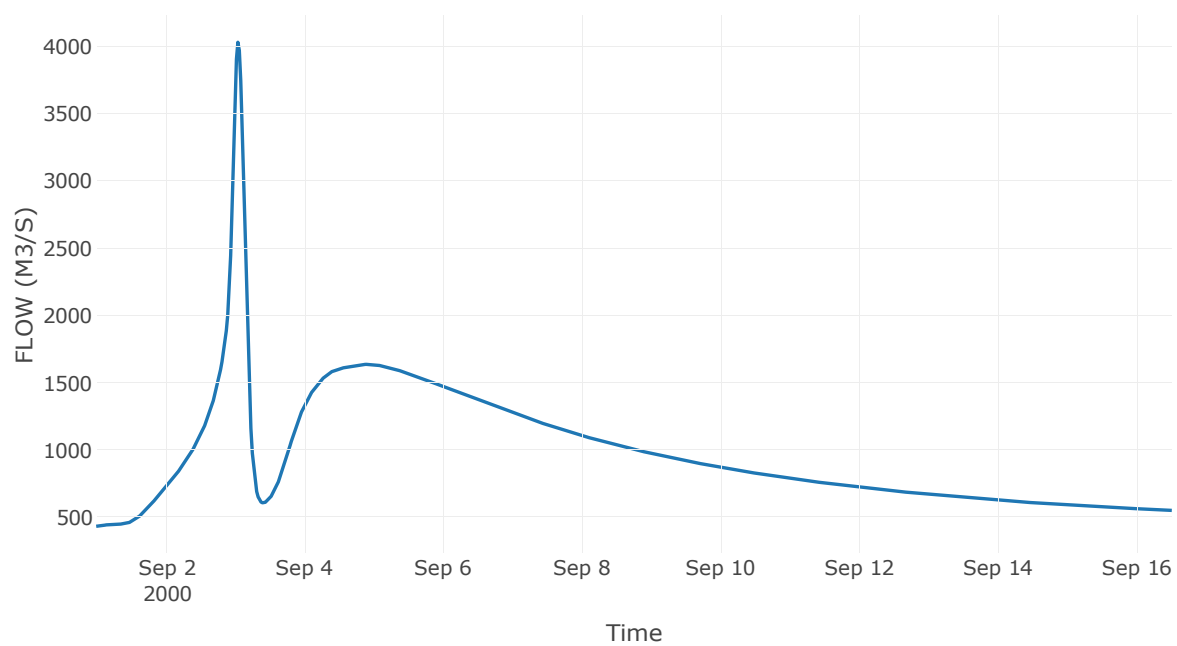
Κόμβος: J19

Κατάντη : R1915

Αποτελέσματα: J19

Παροχή Αιχμής (M3/S)	4031.12
Χρονική στιγμή αιχμής	03Sep2000, 01:00
Όγκος(MM)	323.05

Απορροή



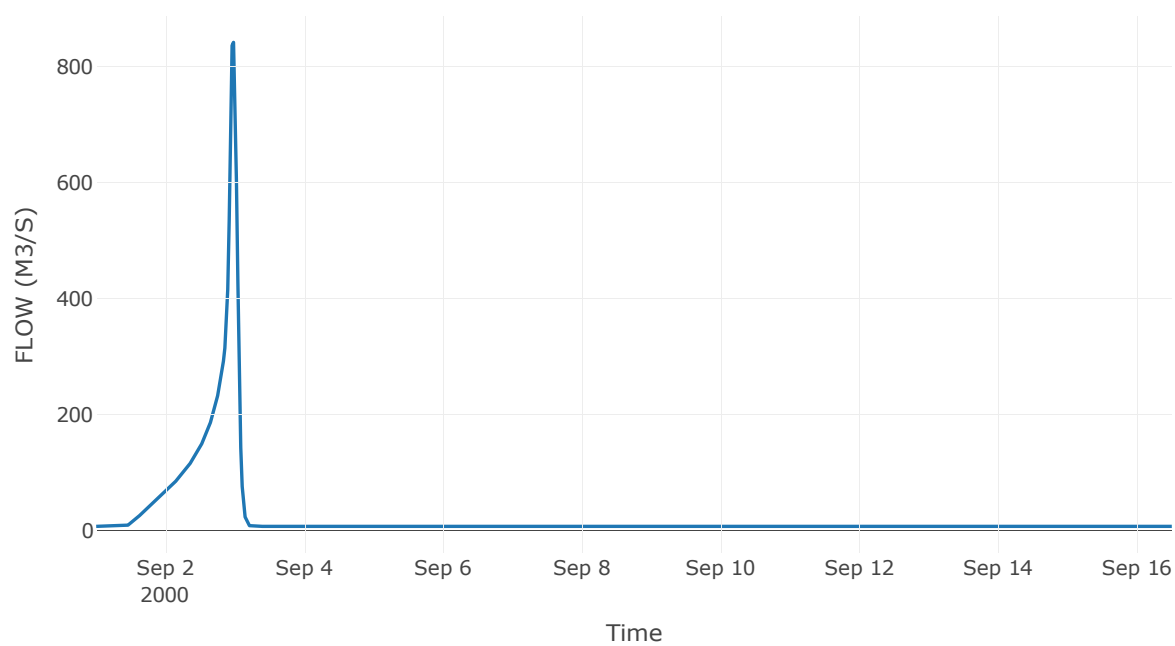
Κόμβος: J20

Κατάντη : R2014

Αποτελέσματα: J20

Παροχή Αιχμής (M3/S)	841.75
Χρονική στιγμή αιχμής	02Sep2000, 23:30
Όγκος(MM)	323.39

Απορροή



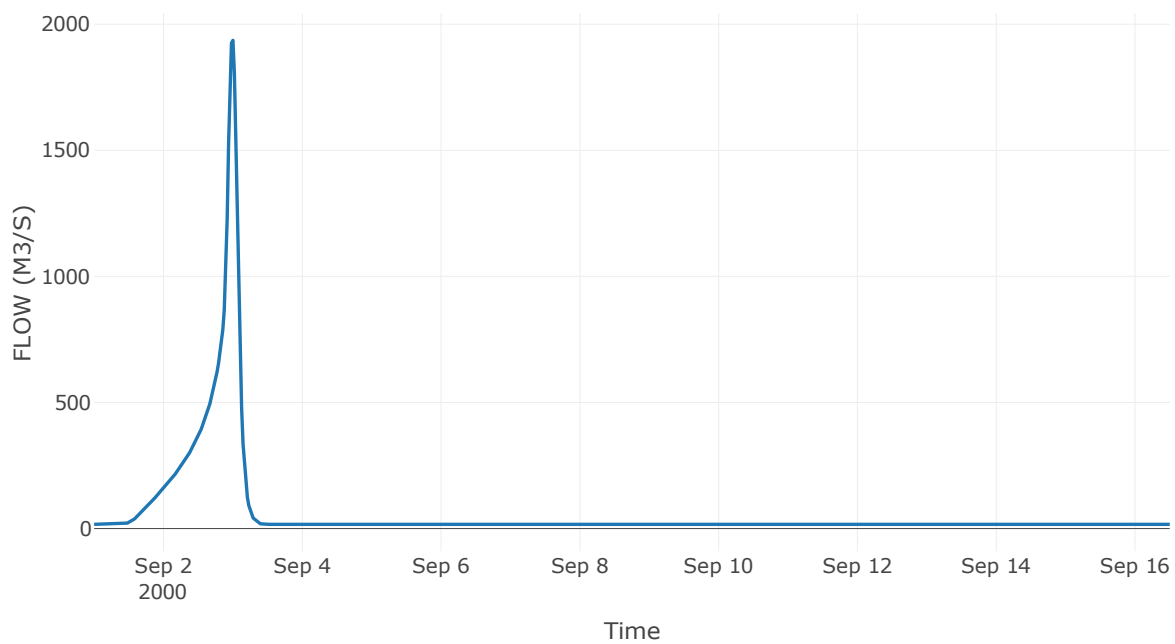
Κόμβος: J21

Κατάντη : R2116

Αποτελέσματα: J21

Παροχή Αιχμής (M3/S)	1936.09
Χρονική στιγμή αιχμής	02Sep2000, 24:00
Όγκος(MM)	352.12

Απορροή



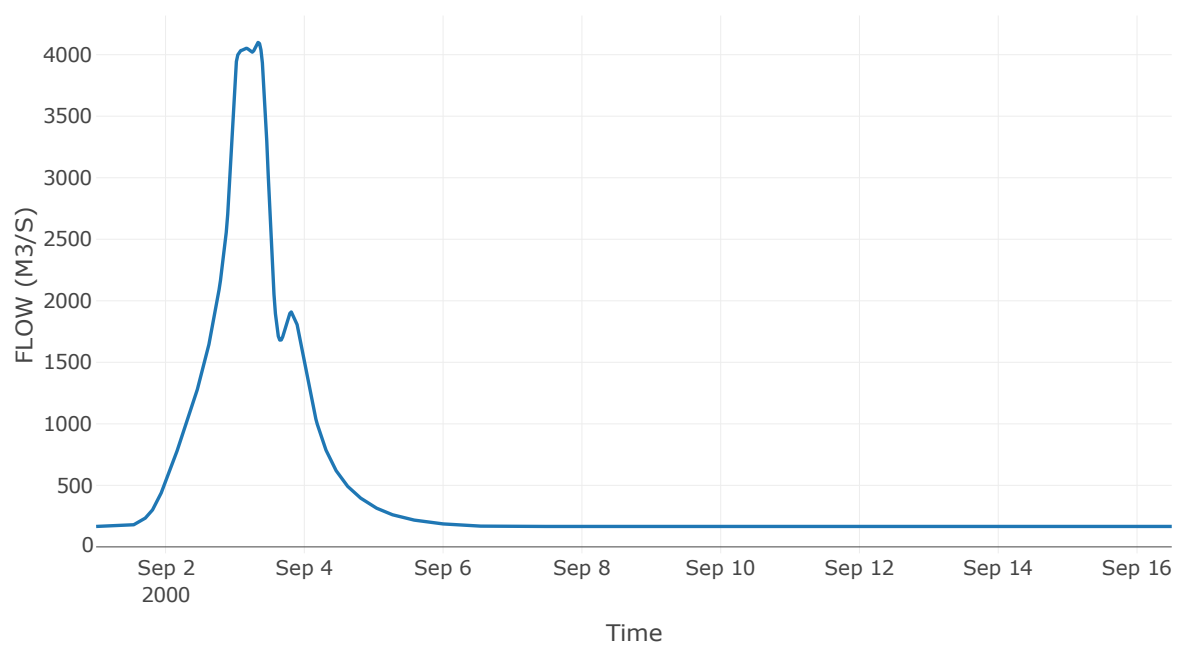
Κόμβος: J22

Κατάντη : R2231

Αποτελέσματα: J22

Παροχή Αιχμής (M3/S)	4099.65
Χρονική στιγμή αιχμής	03Sep2000, 08:00
Όγκος(MM)	368.19

Απορροή



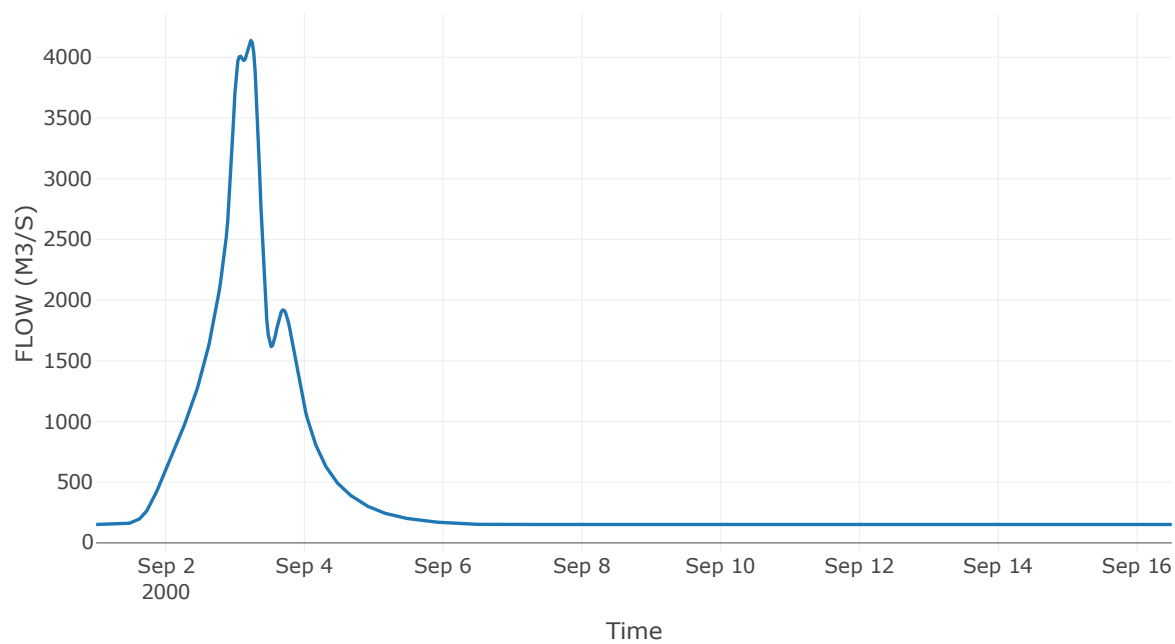
Κόμβος: J23

Κατάντη : R2324

Αποτελέσματα: J23

Παροχή Αιχμής (M3/S)	4138.48
Χρονική στιγμή αιχμής	03Sep2000, 05:30
Όγκος(MM)	379.91

Απορροή



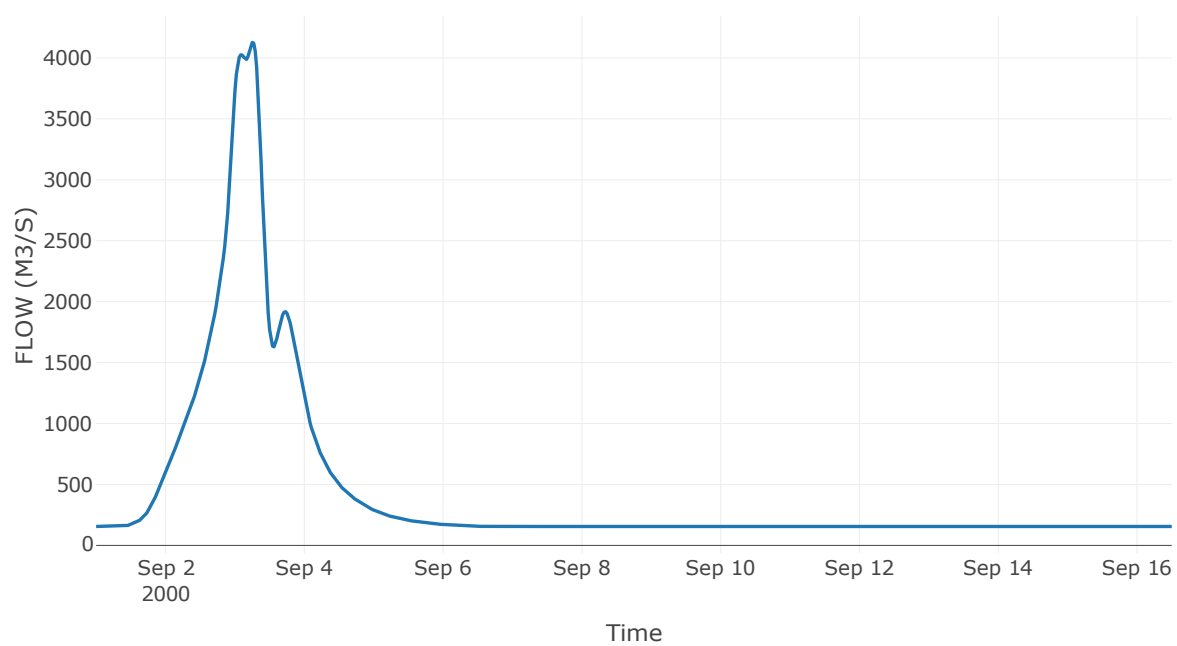
Κόμβος: J24

Κατάντη : R2425

Αποτελέσματα: J24

Παροχή Αιχμής (M3/S)	4126.98
Χρονική στιγμή αιχμής	03Sep2000, 06:00
Όγκος(MM)	378.42

Απορροή



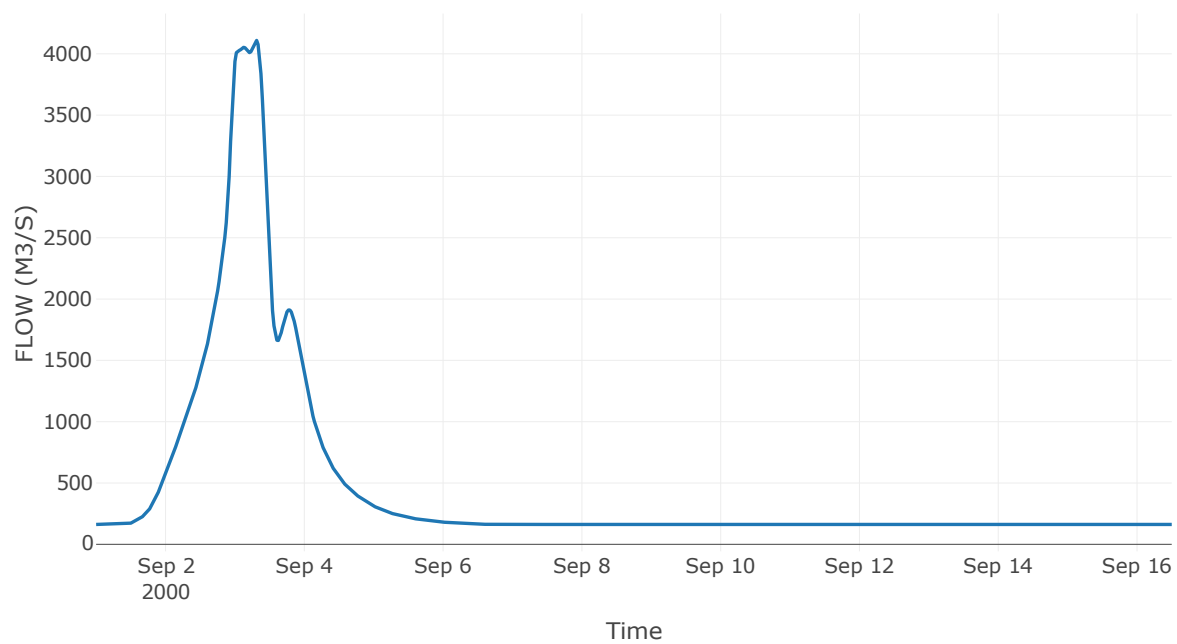
Κόμβος: J25

Κατάντη : R2522

Αποτελέσματα: J25

Παροχή Αιχμής (M3/S)	4109.12
Χρονική στιγμή αιχμής	03Sep2000, 07:30
Όγκος(MM)	374.27

Απορροή



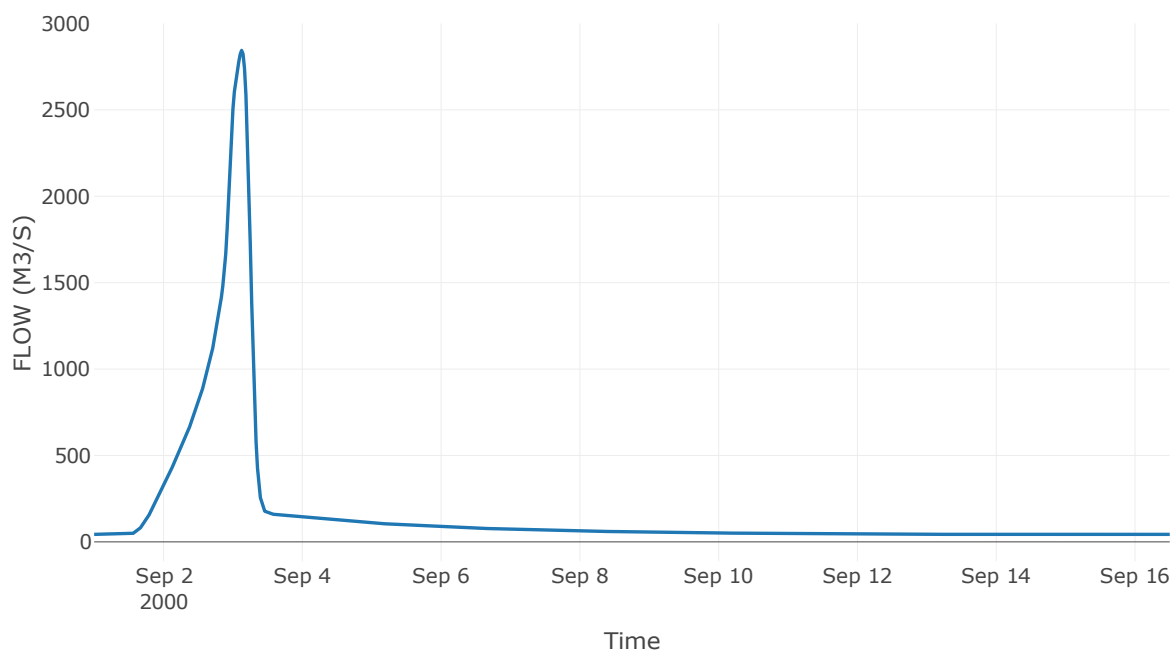
Κόμβος: J26

Κατάντη : R2664

Αποτελέσματα: J26

Παροχή Αιχμής (M3/S)	2844.24
Χρονική στιγμή αιχμής	03Sep2000, 03:00
Όγκος(MM)	373.92

Απορροή



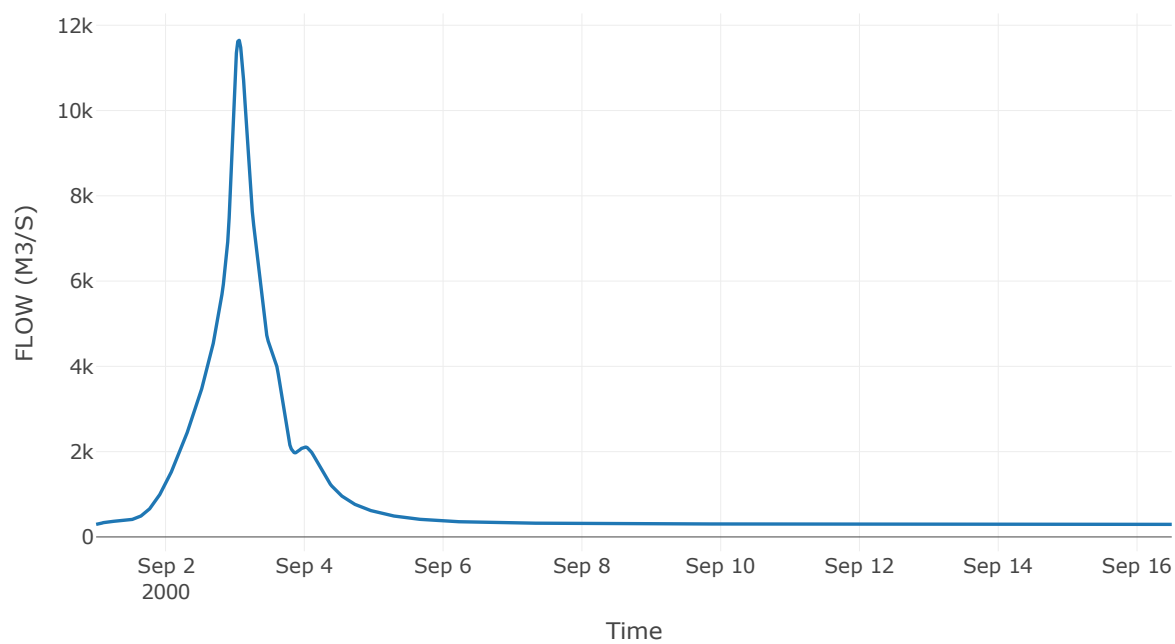
Κόμβος: J27

Κατάντη : R2717

Αποτελέσματα: J27

Παροχή Αιχμής (M3/S)	11645.92
Χρονική στιγμή αιχμής	03Sep2000, 01:30
Όγκος(MM)	357.68

Απορροή



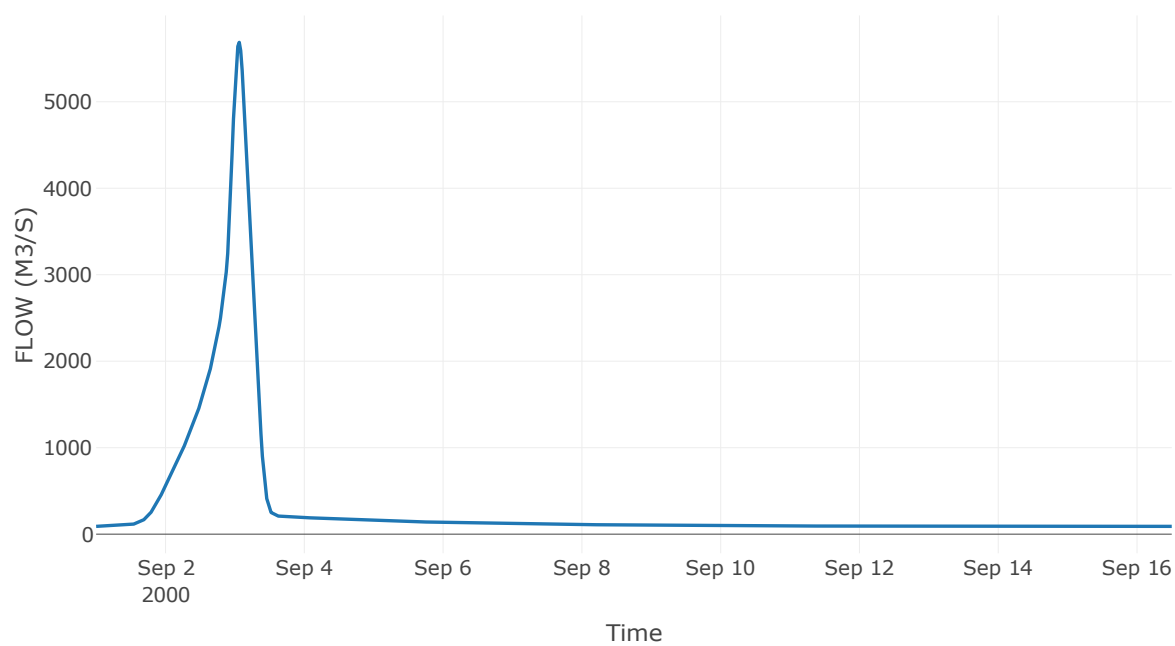
Κόμβος: J28

Κατάντη : R2827

Αποτελέσματα: J28

Παροχή Αιχμής (M3/S)	5686.79
Χρονική στιγμή αιχμής	03Sep2000, 01:30
Όγκος(MM)	332.44

Απορροή



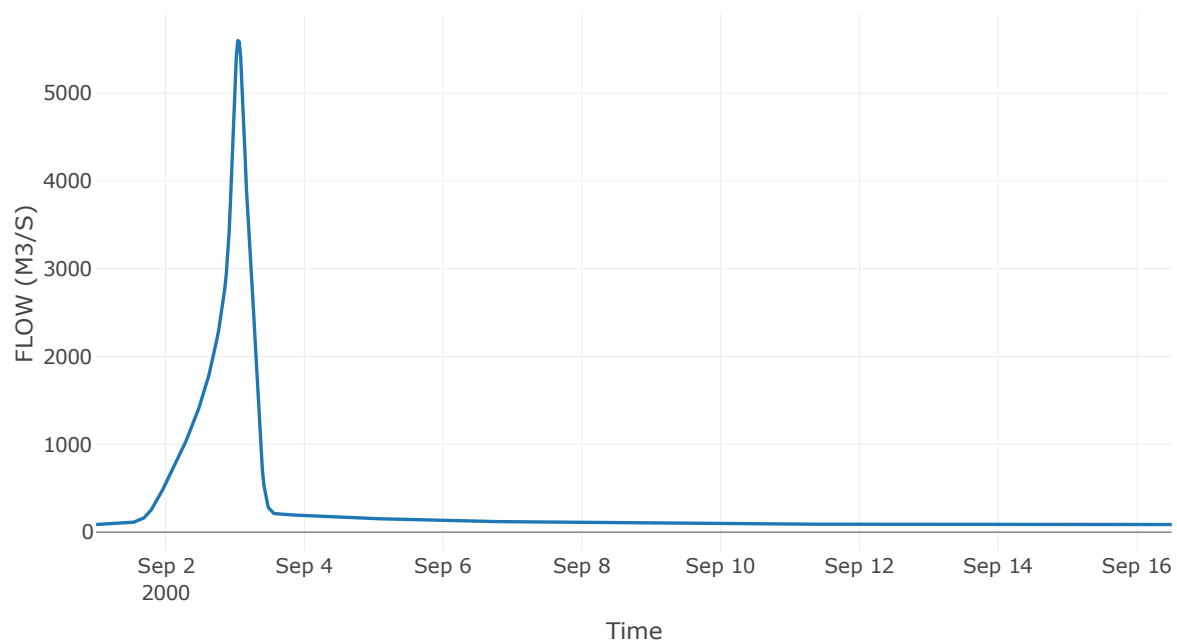
Κόμβος: J29

Κατάντη : R2928

Αποτελέσματα: J29

Παροχή Αιχμής (M3/S)	5597.88
Χρονική στιγμή αιχμής	03Sep2000, 01:00
Όγκος(MM)	332.37

Απορροή



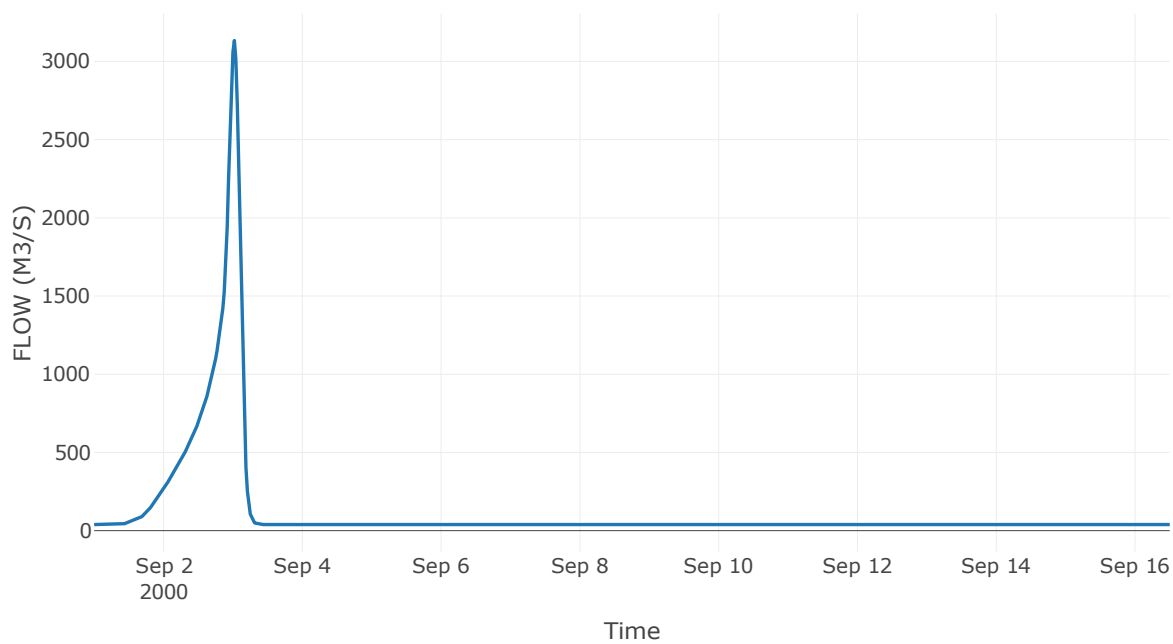
Κόμβος: J30

Κατάντη : R3029

Αποτελέσματα: J30

Παροχή Αιχμής (M3/S)	3133.75
Χρονική στιγμή αιχμής	03Sep2000, 00:30
Όγκος(MM)	291.93

Απορροή



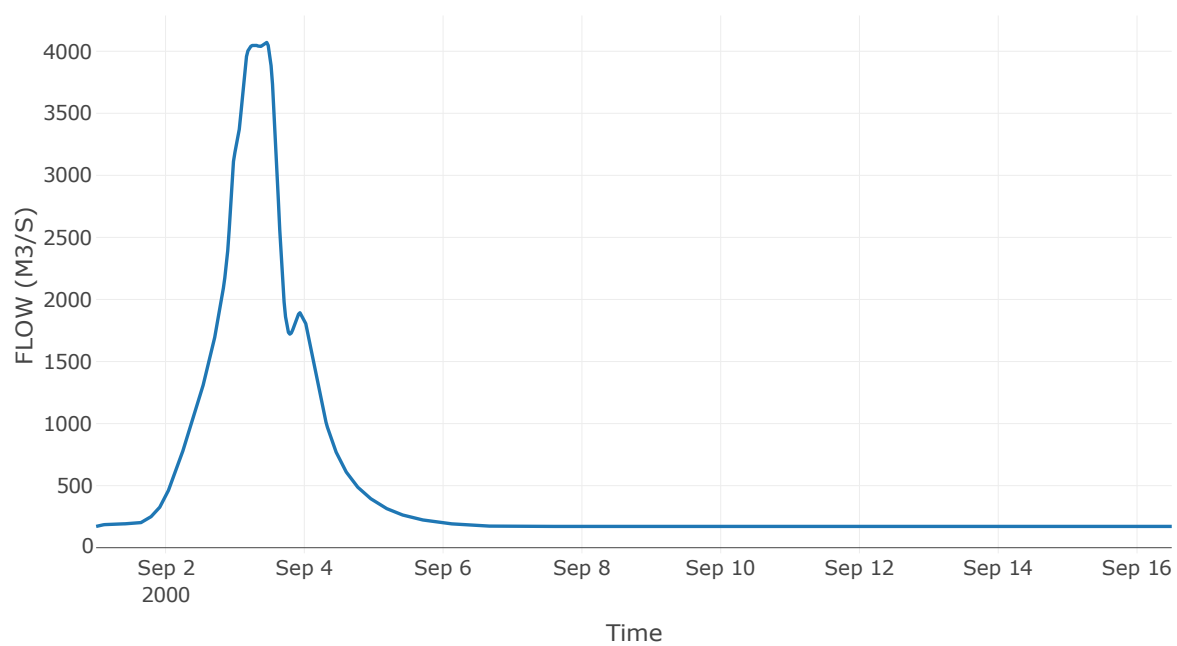
Κόμβος: J31

Κατάντη : R3127

Αποτελέσματα: J31

Παροχή Αιχμής (M3/S)	4071.37
Χρονική στιγμή αιχμής	03Sep2000, 10:30
Όγκος(MM)	366.91

Απορροή



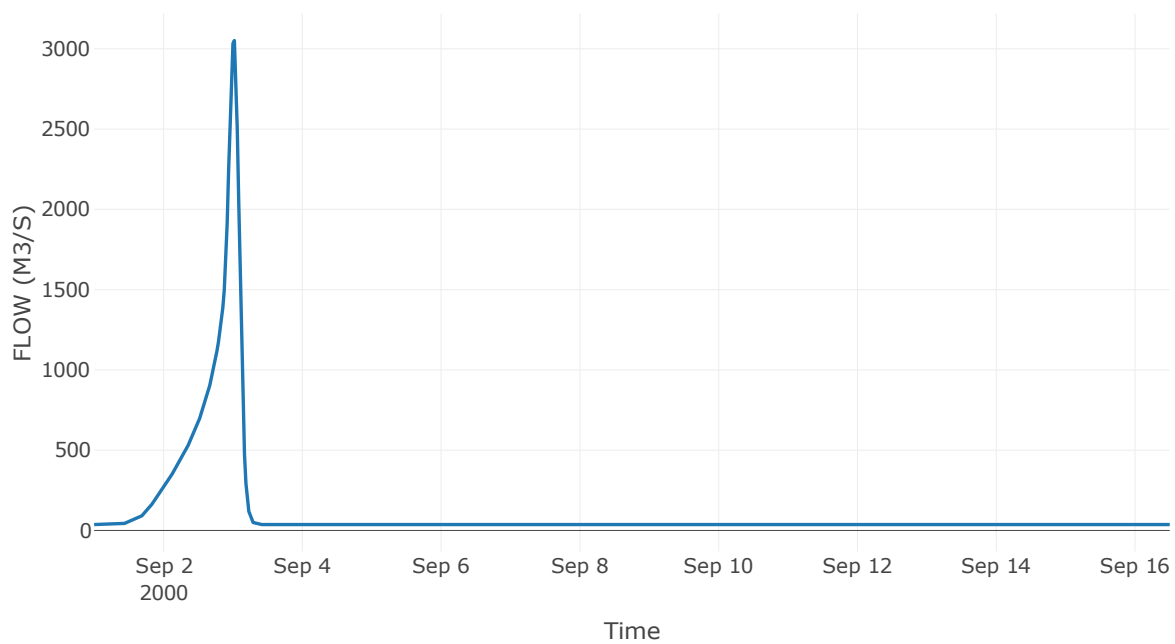
Κόμβος: J32

Κατάντη : R3230

Αποτελέσματα: J32

Παροχή Αιχμής (M3/S)	3051.53
Χρονική στιγμή αιχμής	03Sep2000, 00:30
Όγκος(MM)	295.33

Απορροή



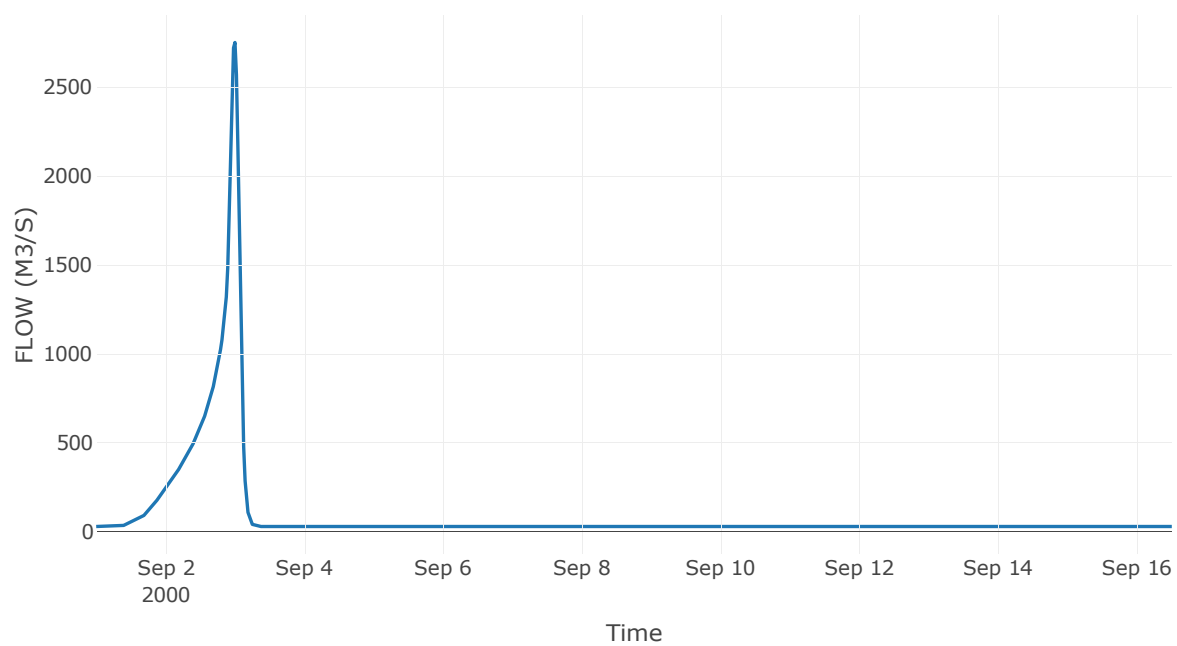
Κόμβος: J33

Κατάντη : R3332

Αποτελέσματα: J33

Παροχή Αιχμής (M3/S)	2750.74
Χρονική στιγμή αιχμής	02Sep2000, 24:00
Όγκος(MM)	298.57

Απορροή



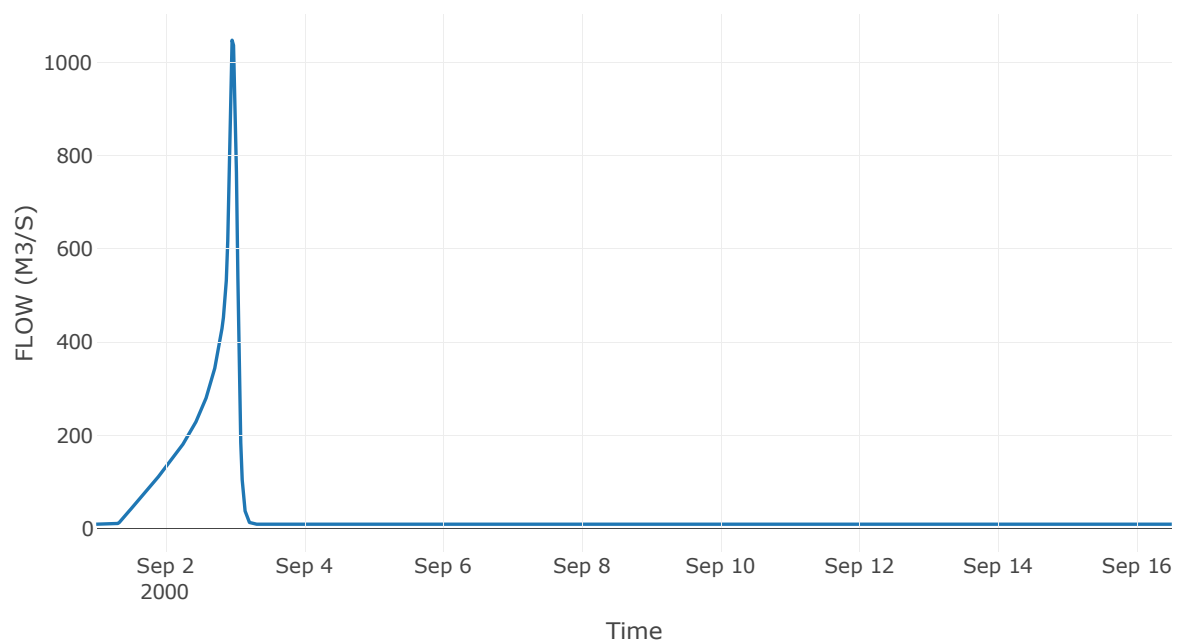
Κόμβος: J34

Κατάντη : R3433

Αποτελέσματα: J34

Παροχή Αιχμής (M3/S)	1047.46
Χρονική στιγμή αιχμής	02Sep2000, 23:00
Όγκος(MM)	364.37

Απορροή



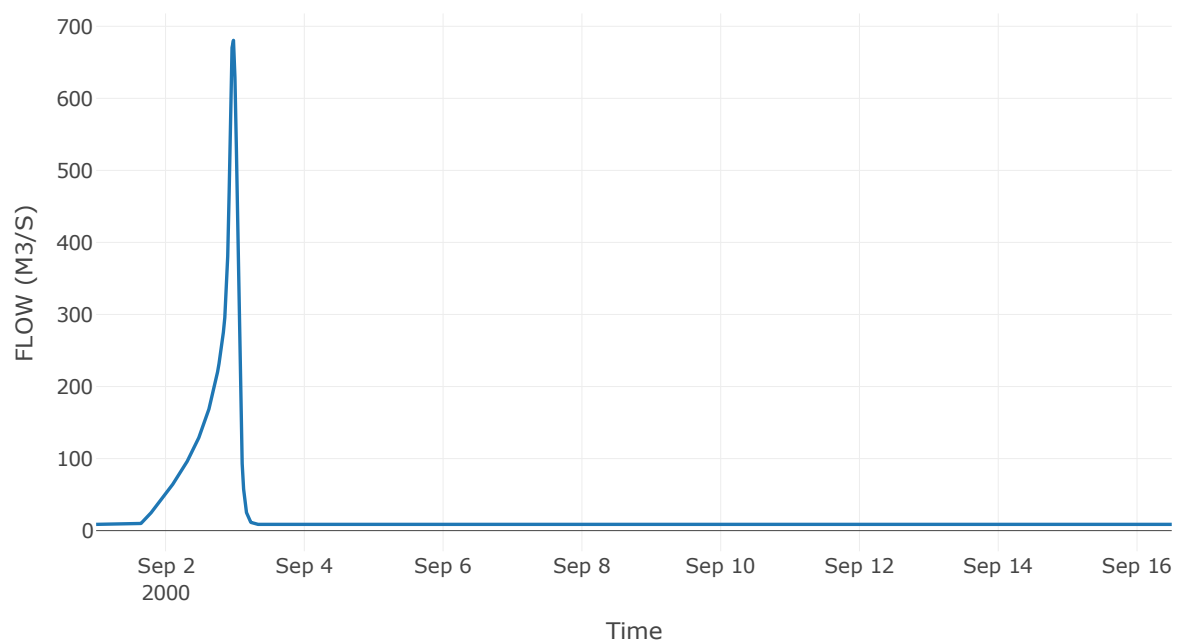
Κόμβος: J35

Κατάντη : R3533

Αποτελέσματα: J35

Παροχή Αιχμής (M3/S)	680.53
Χρονική στιγμή αιχμής	02Sep2000, 23:30
Όγκος(MM)	249.56

Απορροή



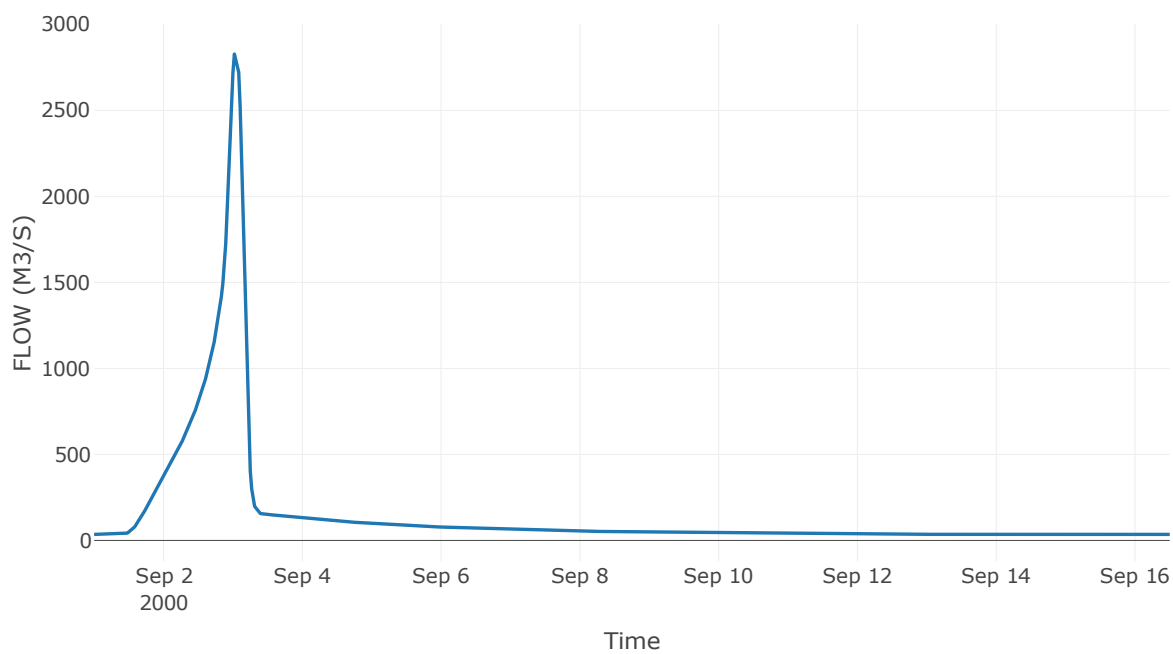
Κόμβος: J37

Κατάντη : R3726

Αποτελέσματα: J37

Παροχή Αιχμής (M3/S)	2848.69
Χρονική στιγμή αιχμής	03Sep2000, 01:00
Όγκος(MM)	404.36

Απορροή



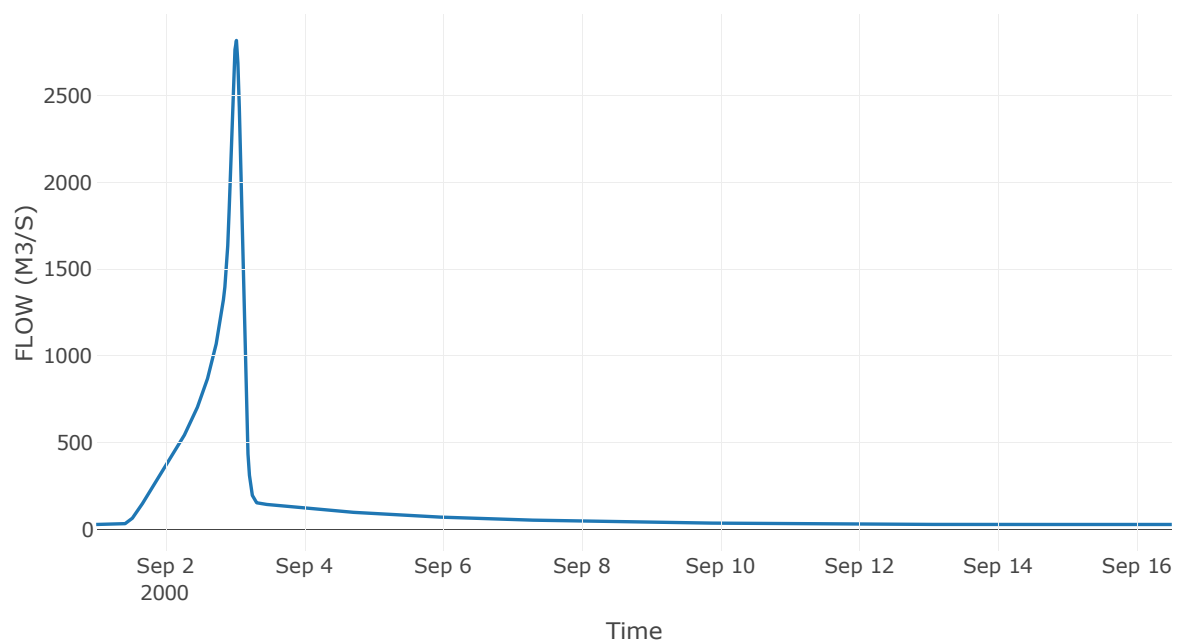
Κόμβος: J38

Κατάντη : R3837

Αποτελέσματα: J38

Παροχή Αιχμής (M3/S)	2818.85
Χρονική στιγμή αιχμής	03Sep2000, 00:30
Όγκος(MM)	420.78

Απορροή



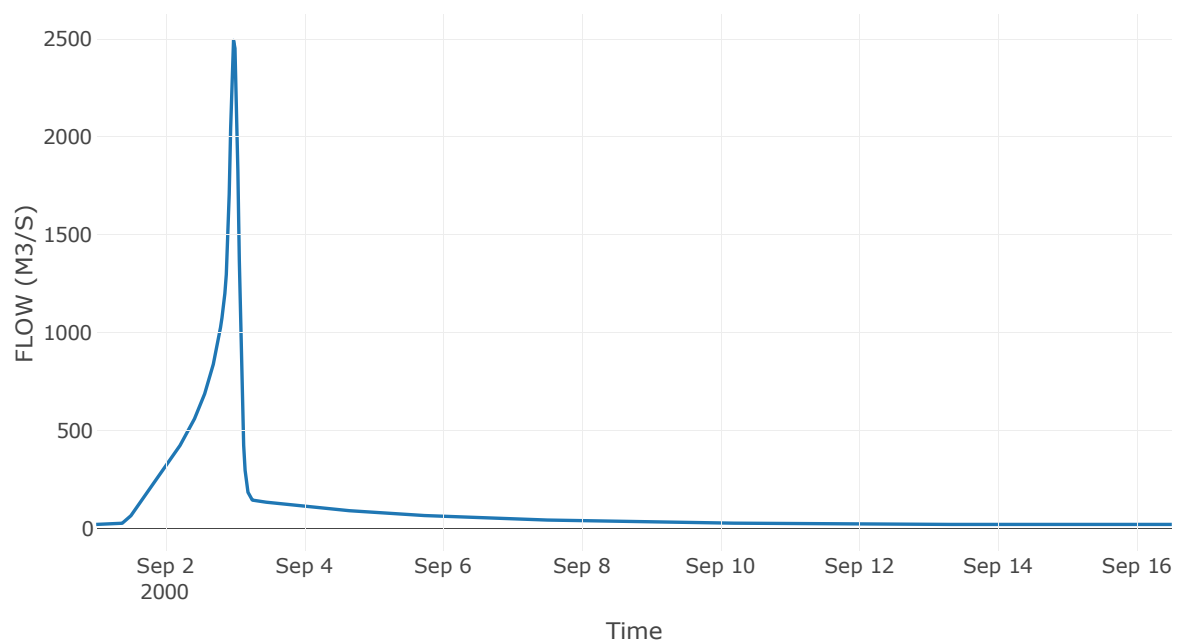
Κόμβος: J39

Κατάντη : R3938

Αποτελέσματα: J39

Παροχή Αιχμής (M3/S)	2493.71
Χρονική στιγμή αιχμής	02Sep2000, 23:30
Όγκος(MM)	458.42

Απορροή



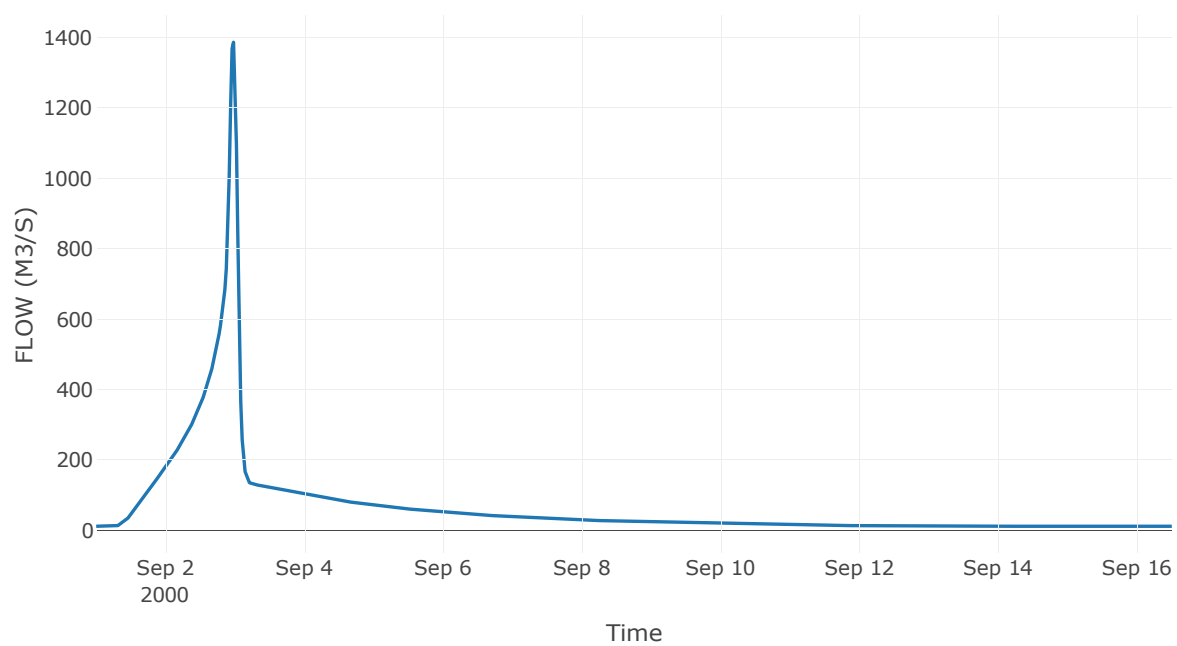
Κόμβος: J40

Κατάντη : R4039

Αποτελέσματα: J40

Παροχή Αιχμής (M3/S)	1386.08
Χρονική στιγμή αιχμής	02Sep2000, 23:30
Όγκος(MM)	560.12

Απορροή



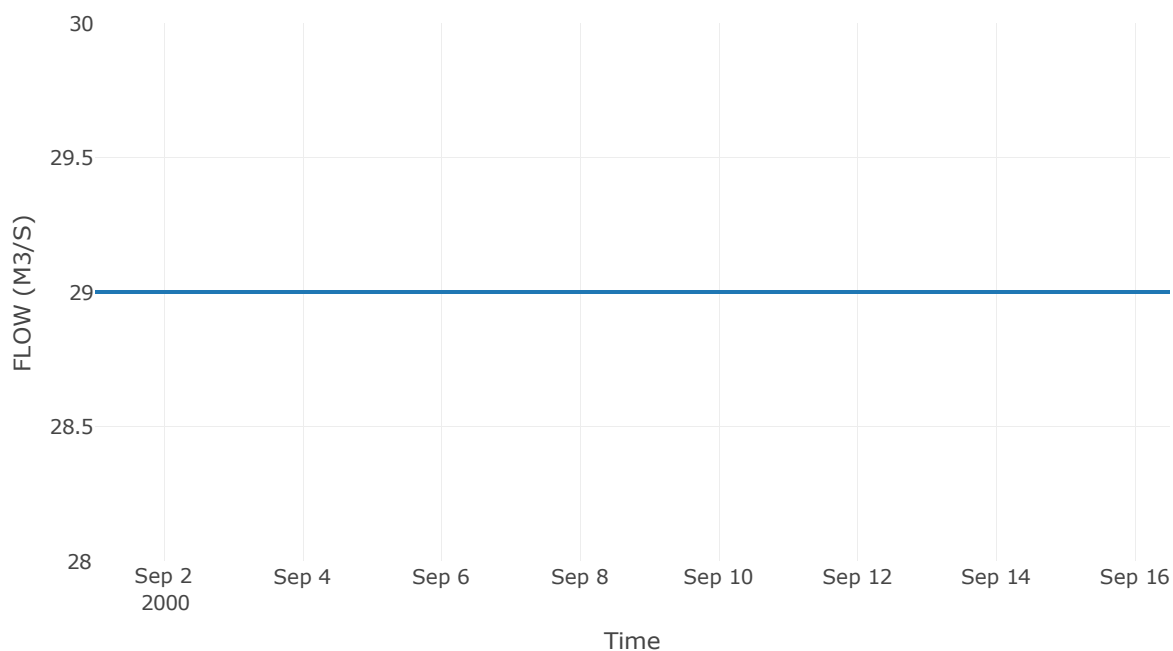
Ταμιευτήρας: J41_RES4

Κατάντη : Κόμβος εξόδου - RES4

Αποτελέσματα: J41_RES4

Παροχή Αιχμής (M3/S)	29
Χρονική στιγμή αιχμής	31Aug2000, 24:00
Όγκος(MM)	234.94
Παροχή Αιχμής Εισόδου (M3/S)	1003.74
Time of Peak Inflow	02Sep2000, 24:00
Όγκος Εισροής (M3)	6.39E7
Maximum Storage (M3)	4.01E8
Peak Elevation (M)	793.52
Discharge Όγκος(M3)	3.88E7

Απορροή



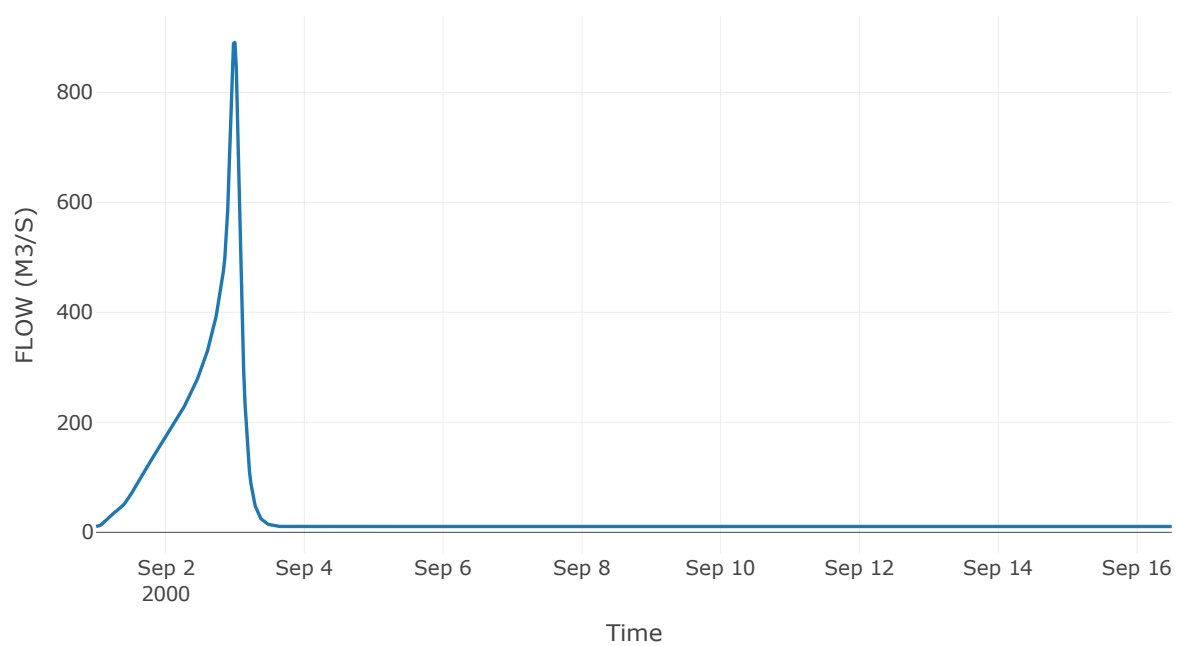
Κόμβος: J42

Κατάντη : R4241

Αποτελέσματα: J42

Παροχή Αιχμής (M3/S)	890.62
Χρονική στιγμή αιχμής	02Sep2000, 24:00
Όγκος(MM)	383.34

Απορροή



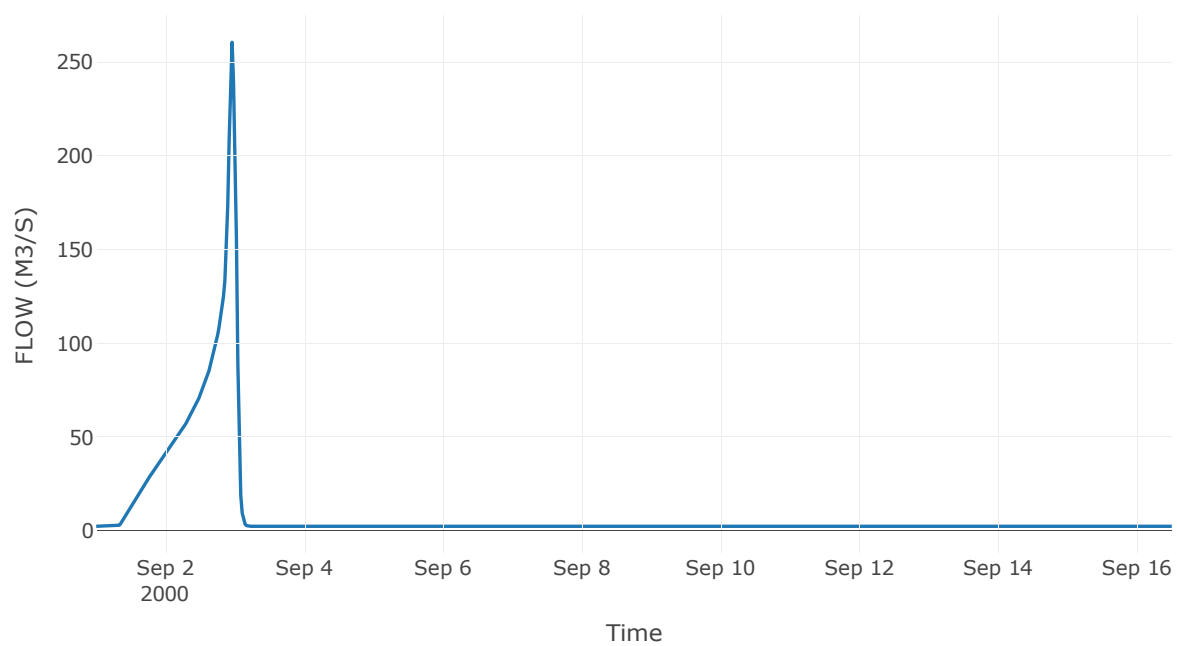
Κόμβος: J43

Κατάντη : R4342

Αποτελέσματα: J43

Παροχή Αιχμής (M3/S)	260.48
Χρονική στιγμή αιχμής	02Sep2000, 23:00
Όγκος(MM)	367.98

Απορροή



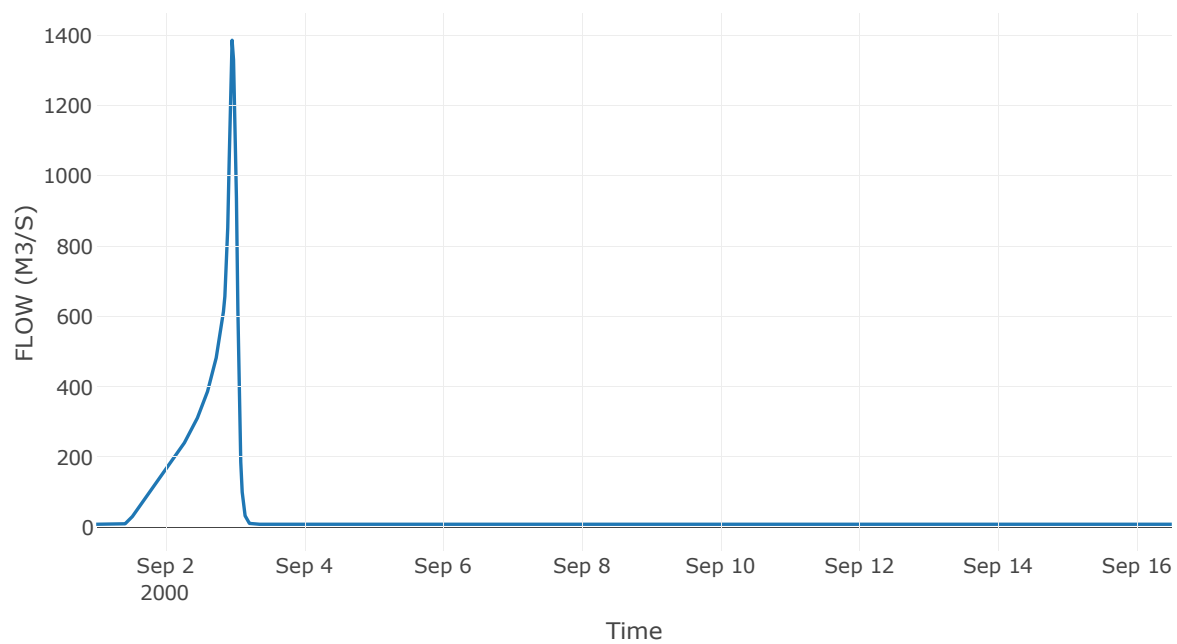
Κόμβος: J44

Κατάντη : R4462

Αποτελέσματα: J44

Παροχή Αιχμής (M3/S)	1386.09
Χρονική στιγμή αιχμής	02Sep2000, 23:00
Όγκος(MM)	425.06

Απορροή



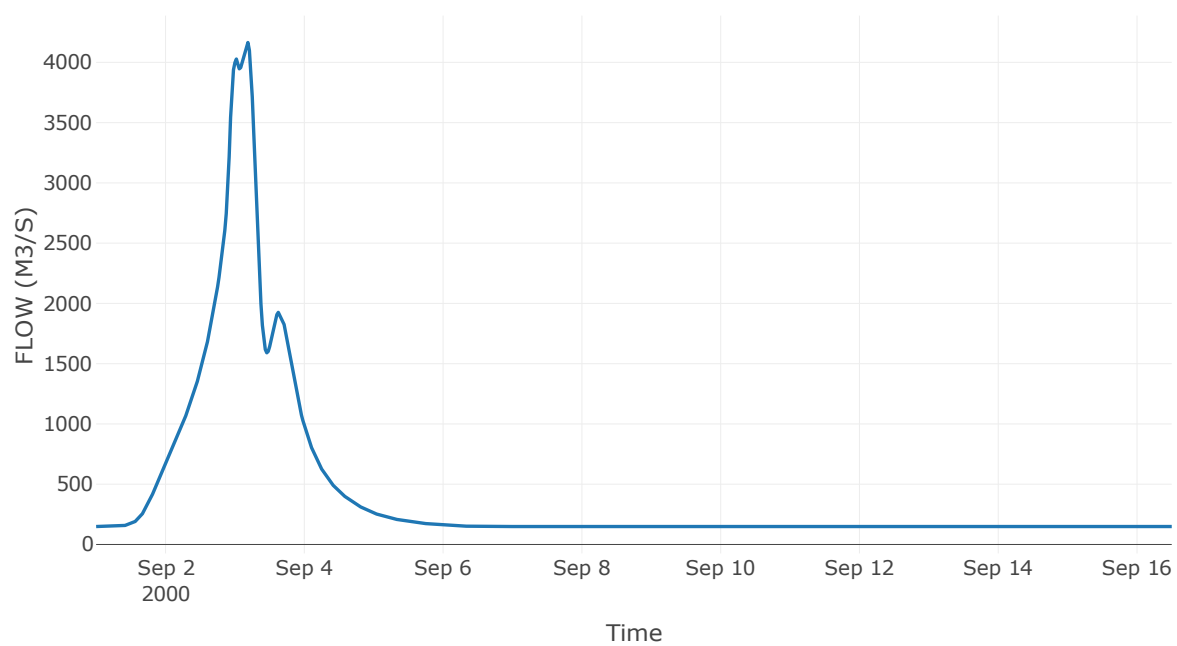
Κόμβος: J45

Κατάντη : R4523

Αποτελέσματα: J45

Παροχή Αιχμής (M3/S)	4164.83
Χρονική στιγμή αιχμής	03Sep2000, 04:30
Όγκος(MM)	384.28

Απορροή



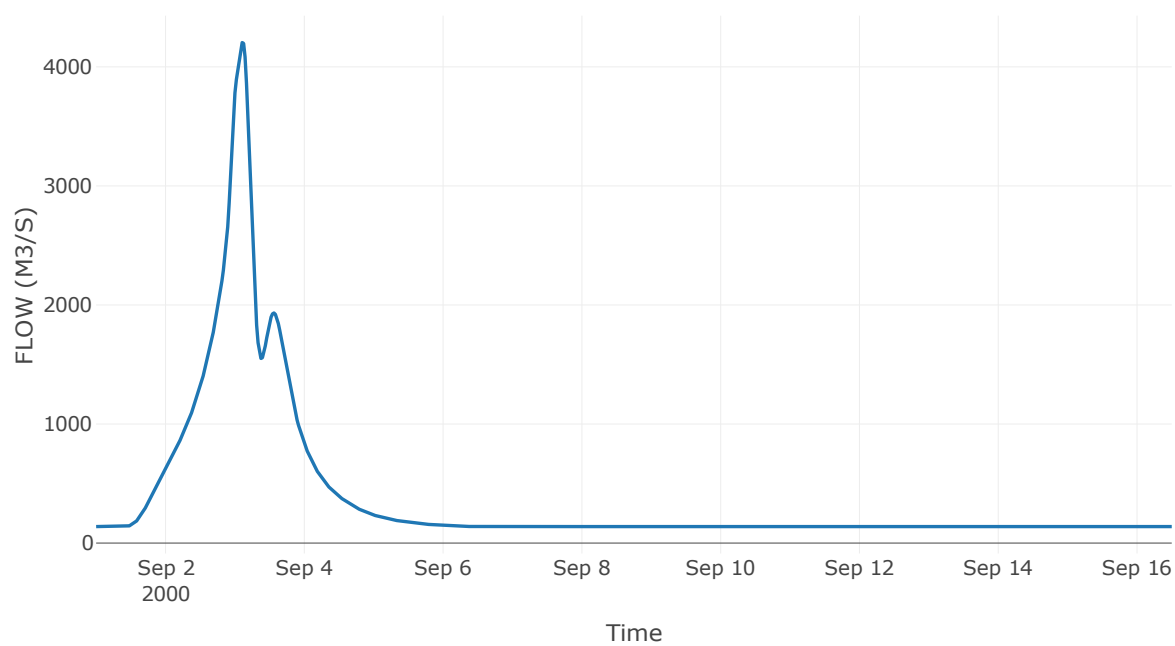
Κόμβος: J46

Κατάντη : R4645

Αποτελέσματα: J46

Παροχή Αιχμής (M3/S)	4204.01
Χρονική στιγμή αιχμής	03Sep2000, 02:30
Όγκος(MM)	388.7

Απορροή



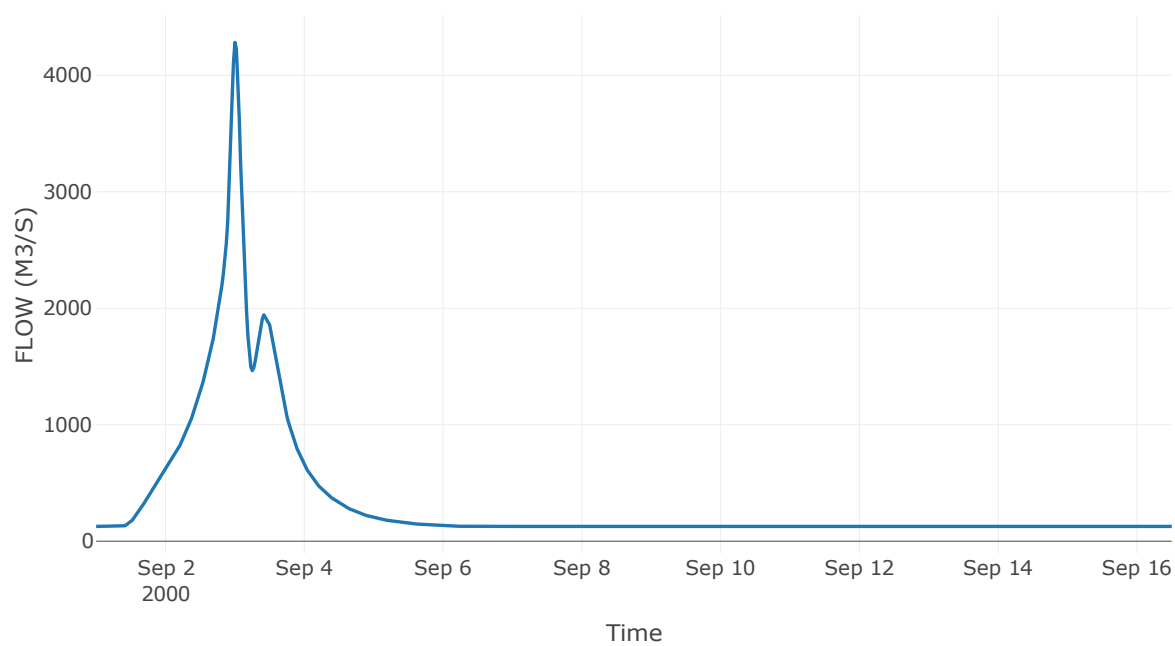
Κόμβος: J47

Κατάντη : R4746

Αποτελέσματα: J47

Παροχή Αιχμής (M3/S)	4281.97
Χρονική στιγμή αιχμής	02Sep2000, 24:00
Όγκος(MM)	398.47

Απορροή



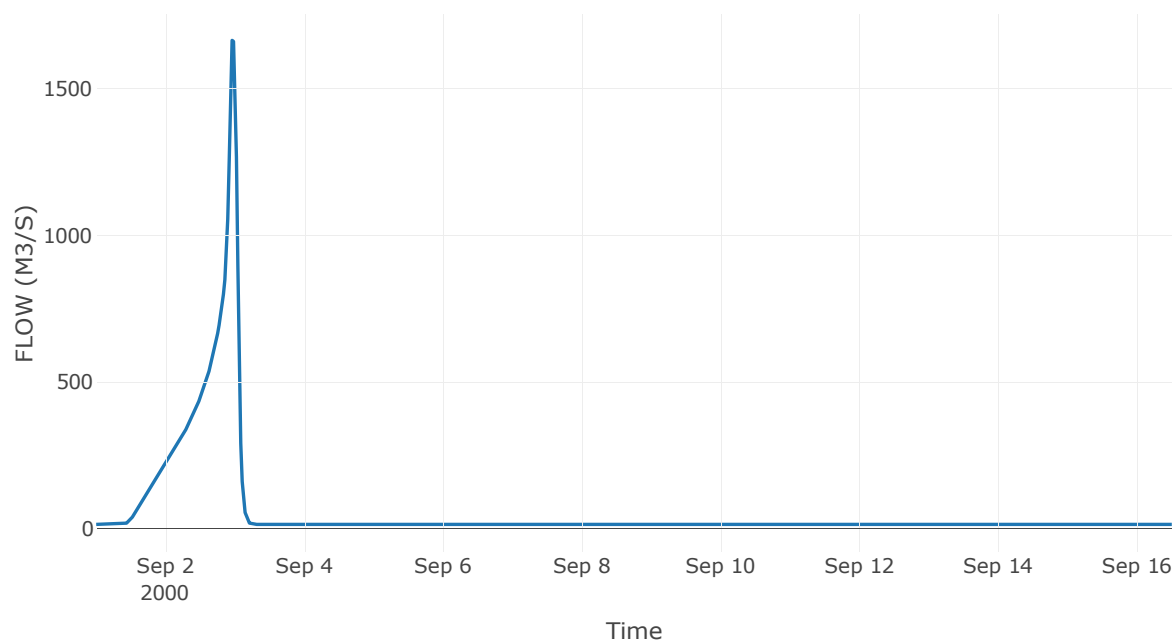
Κόμβος: J48

Κατάντη : R4847

Αποτελέσματα: J48

Παροχή Αιχμής (M3/S)	1664.4
Χρονική στιγμή αιχμής	02Sep2000, 23:00
Όγκος(MM)	370.31

Απορροή



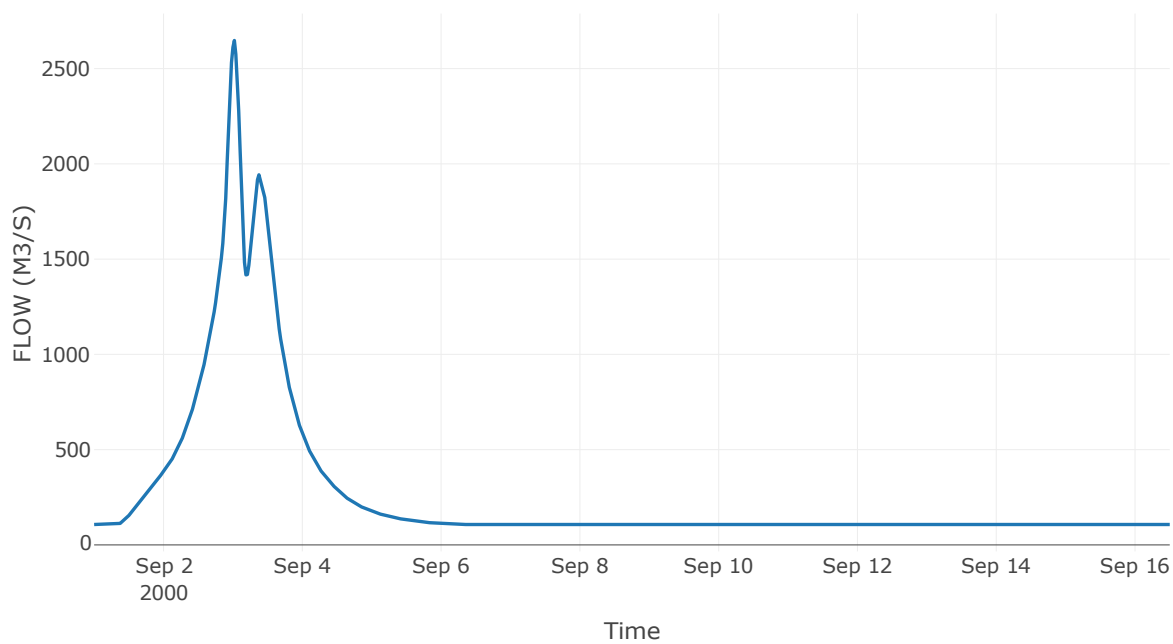
Κόμβος: J49

Κατάντη : R4947

Αποτελέσματα: J49

Παροχή Αιχμής (M3/S)	2647.49
Χρονική στιγμή αιχμής	03Sep2000, 00:30
Όγκος(MM)	413.91

Απορροή



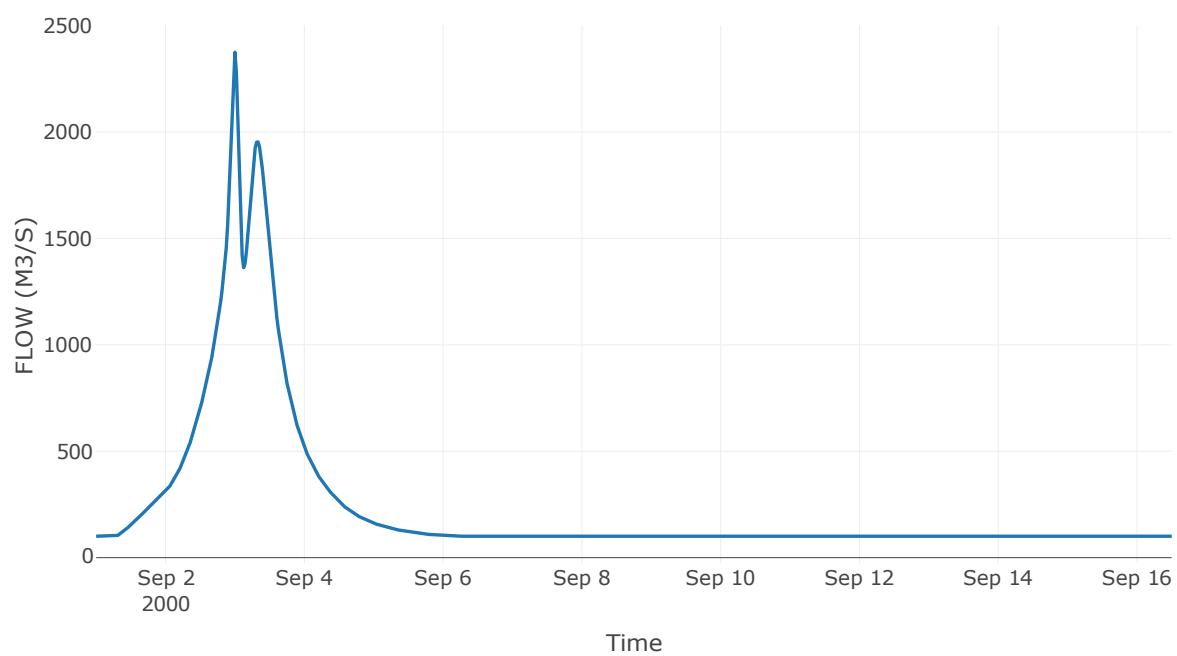
Κόμβος: J50

Κατάντη : R5049

Αποτελέσματα: J50

Παροχή Αιχμής (M3/S)	2375.05
Χρονική στιγμή αιχμής	02Sep2000, 24:00
Όγκος(MM)	418.9

Απορροή



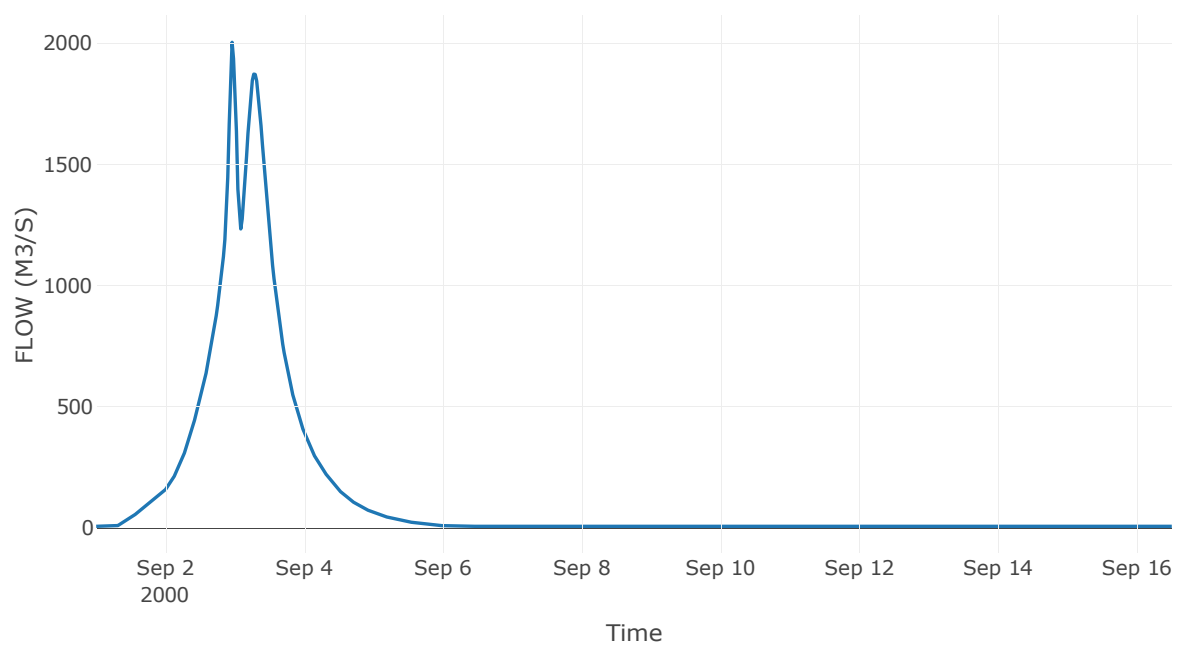
Κόμβος: J51

Κατάντη : R5150

Αποτελέσματα: J51

Παροχή Αιχμής (M3/S)	2003.15
Χρονική στιγμή αιχμής	02Sep2000, 23:00
Όγκος(MM)	1723.42

Απορροή



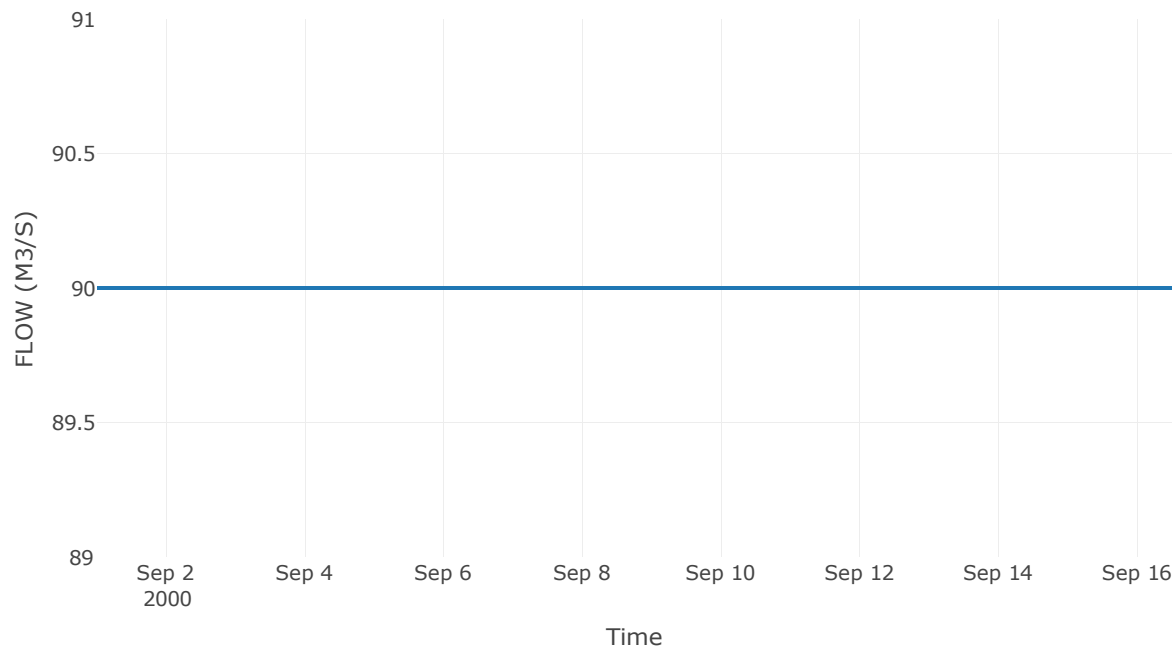
Ταμιευτήρας: J53_RES5

Κατάντη : J50

Αποτελέσματα: J53_RES5

Παροχή Αιχμής (M3/S)	90
Χρονική στιγμή αιχμής	31Aug2000, 24:00
Όγκος(MM)	190.43
Παροχή Αιχμής Εισόδου (M3/S)	3455.55
Time of Peak Inflow	03Sep2000, 03:00
Όγκος Εισροής (M3)	2.17E8
Maximum Storage (M3)	3.49E8
Peak Elevation (M)	768.7
Discharge Όγκος(M3)	1.21E8

Απορροή



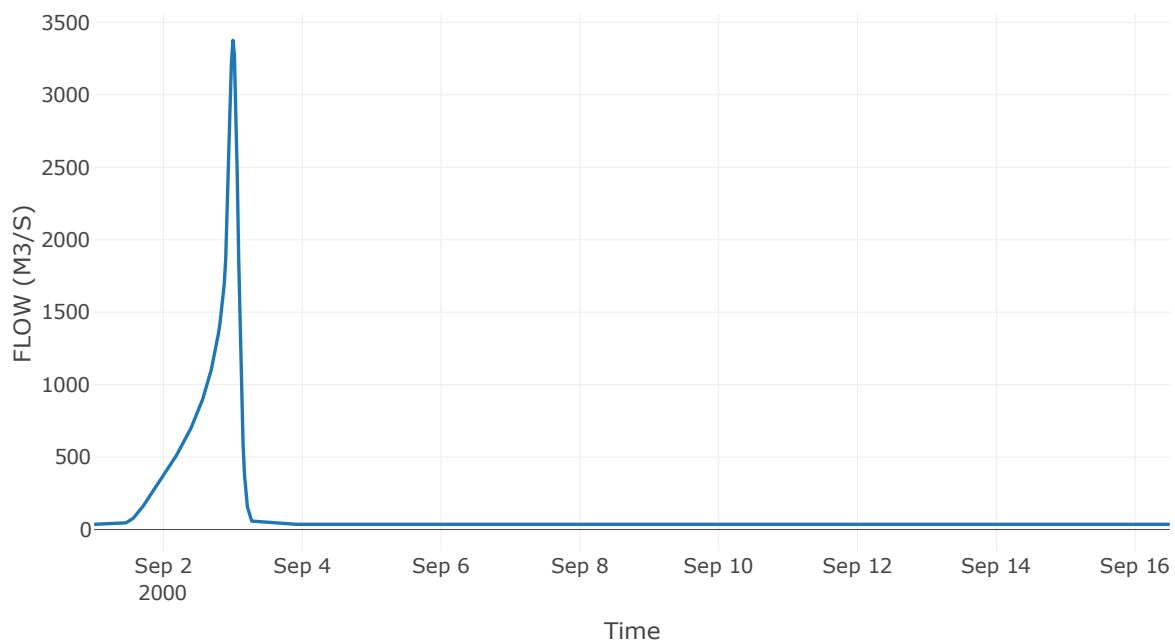
Κόμβος: J54

Κατάντη : R5457

Αποτελέσματα: J54

Παροχή Αιχμής (M3/S)	3376.65
Χρονική στιγμή αιχμής	02Sep2000, 24:00
Όγκος(MM)	330.86

Απορροή



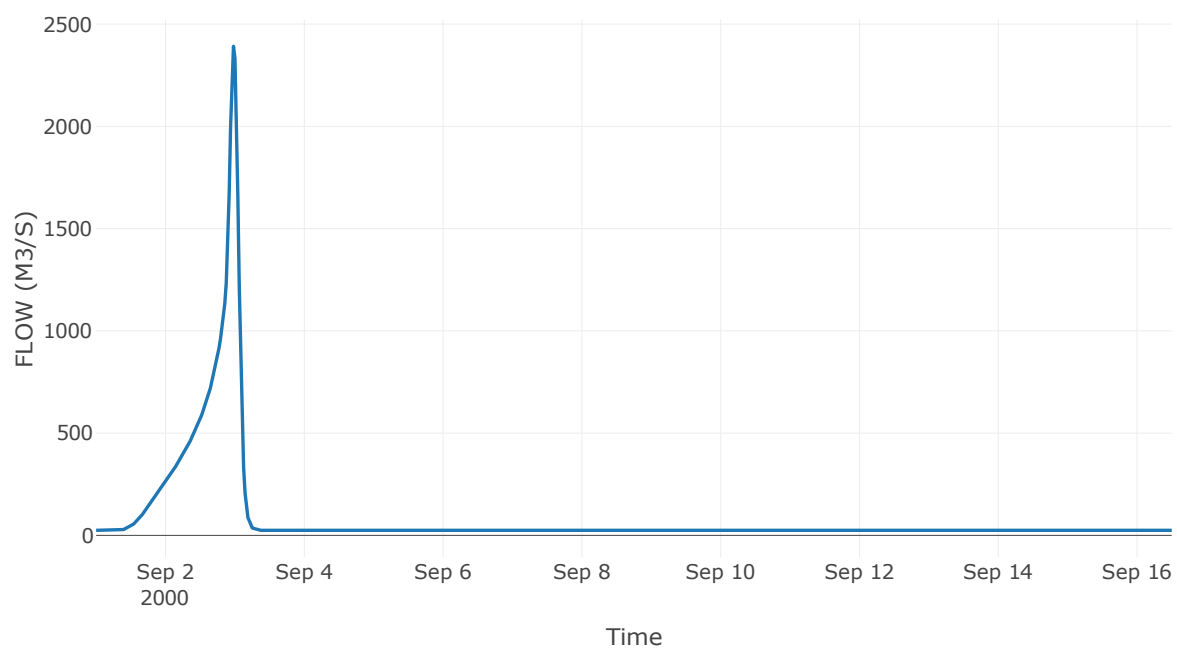
Κόμβος: J55

Κατάντη : R5554

Αποτελέσματα: J55

Παροχή Αιχμής (M3/S)	2391.44
Χρονική στιγμή αιχμής	02Sep2000, 23:30
Όγκος(MM)	325.89

Απορροή



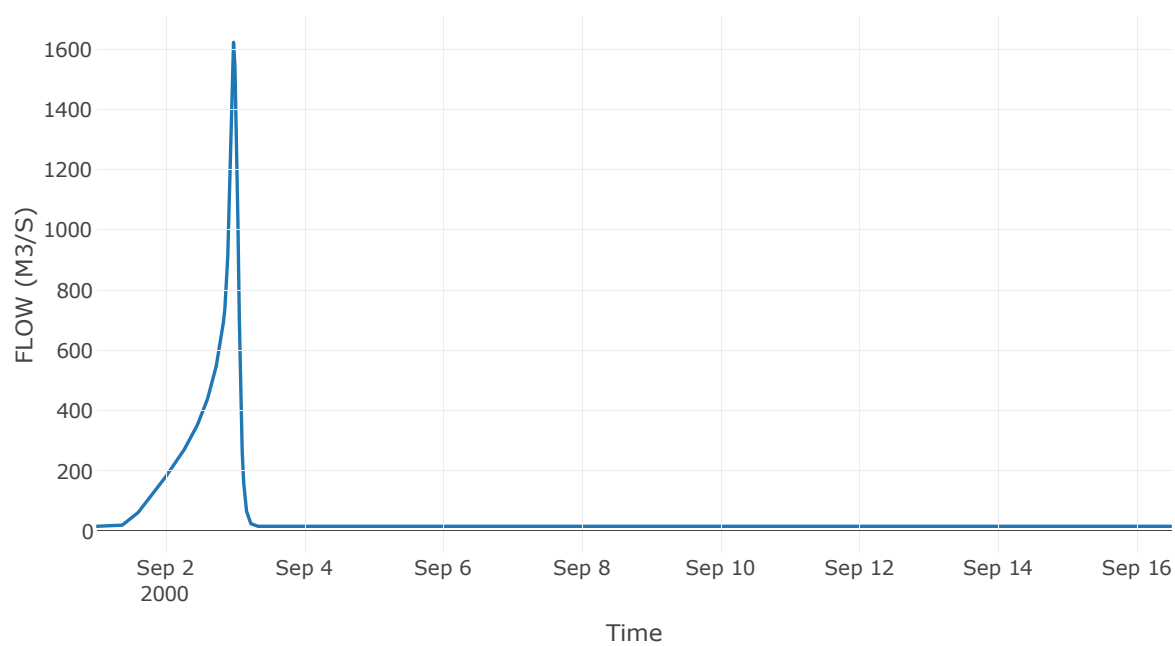
Κόμβος: J56

Κατάντη : R5655

Αποτελέσματα: J56

Παροχή Αιχμής (M3/S)	1623.76
Χρονική στιγμή αιχμής	02Sep2000, 23:30
Όγκος(MM)	315.28

Απορροή



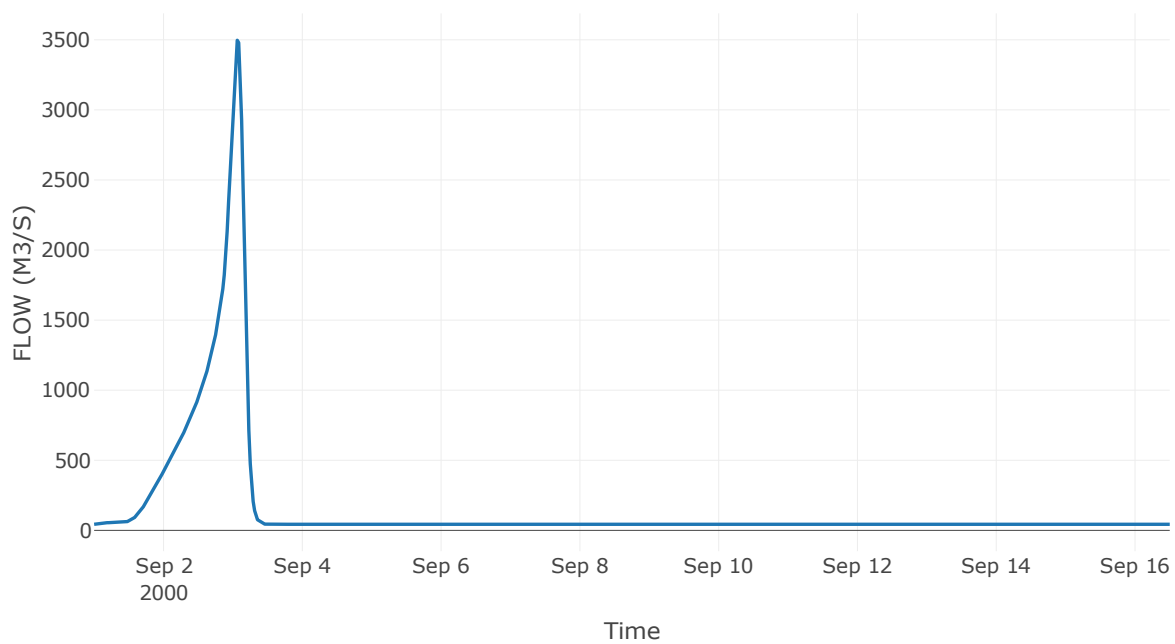
Κόμβος: J57

Κατάντη : R5753

Αποτελέσματα: J57

Παροχή Αιχμής (M3/S)	3496.69
Χρονική στιγμή αιχμής	03Sep2000, 01:30
Όγκος(MM)	339.98

Απορροή



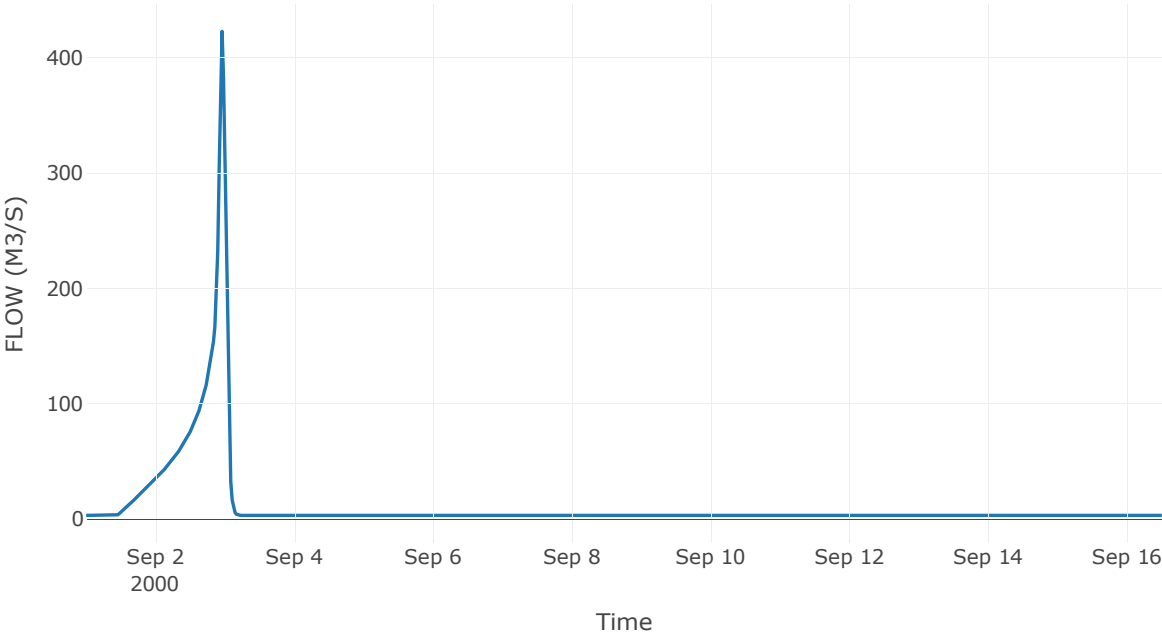
Κόμβος: J61

Κατάντη : R6120

Αποτελέσματα: J61

Παροχή Αιχμής (M3/S)	422.57
Χρονική στιγμή αιχμής	02Sep2000, 23:00
Όγκος(MM)	322.41

Απορροή



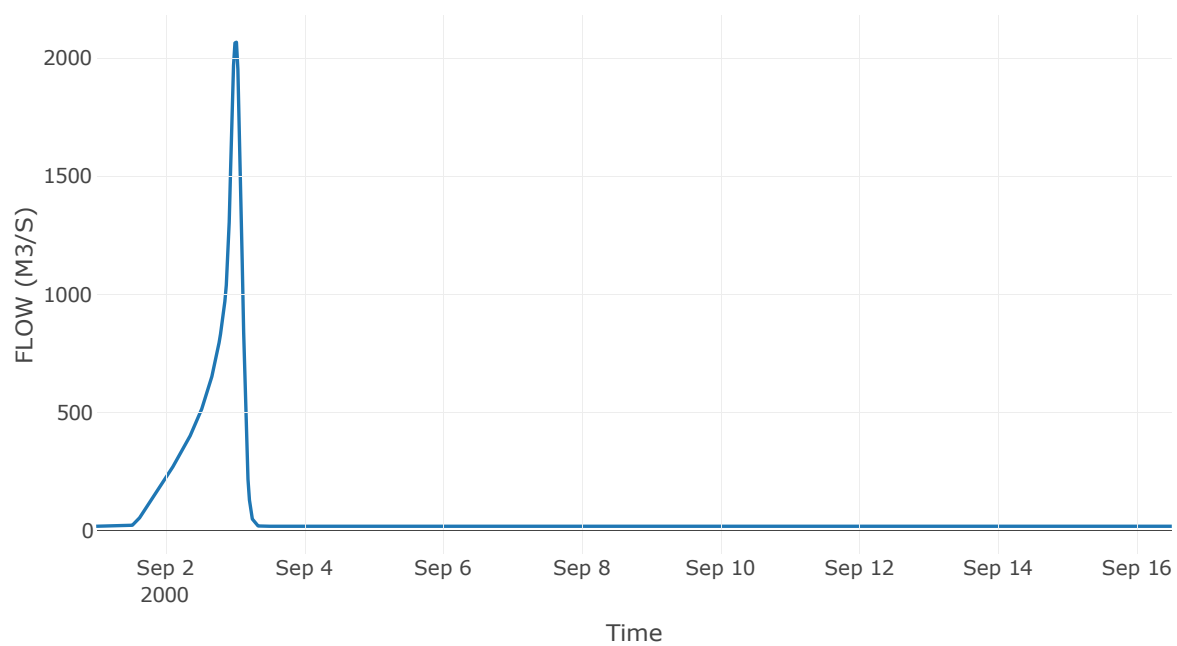
Κόμβος: J62

Κατάντη : R6227

Αποτελέσματα: J62

Παροχή Αιχμής (M3/S)	2066.5
Χρονική στιγμή αιχμής	03Sep2000, 00:30
Όγκος(MM)	387.06

Απορροή



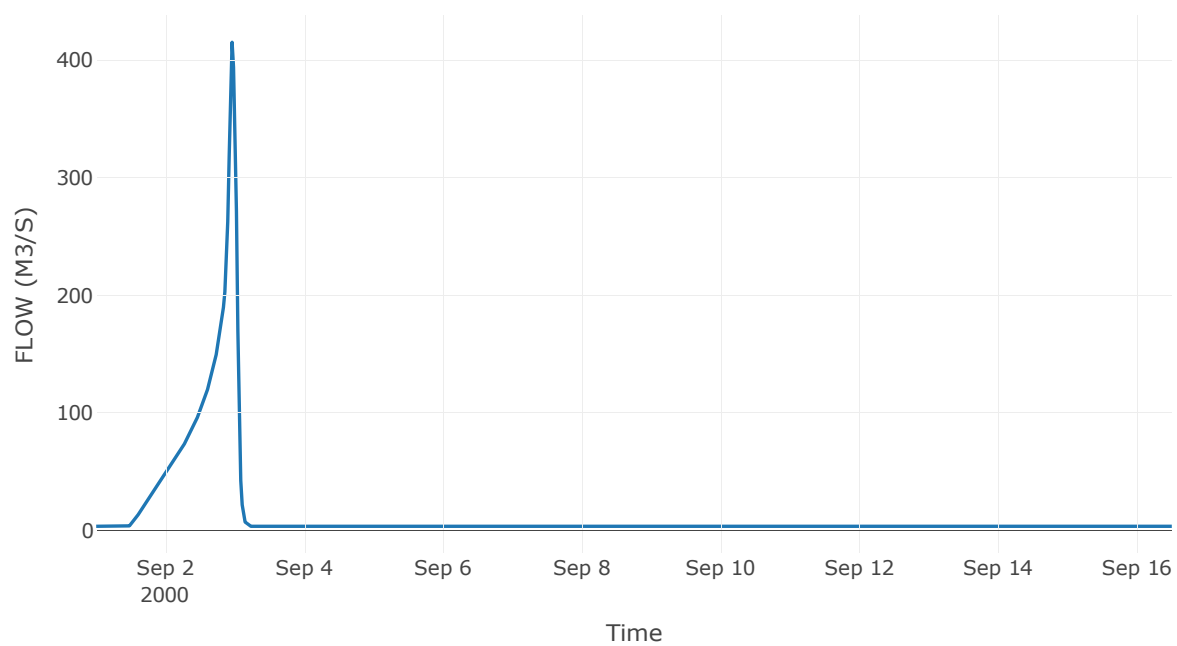
Κόμβος: J63

Κατάντη : R6357

Αποτελέσματα: J63

Παροχή Αιχμής (M3/S)	414.98
Χρονική στιγμή αιχμής	02Sep2000, 23:00
Όγκος(MM)	347.72

Απορροή



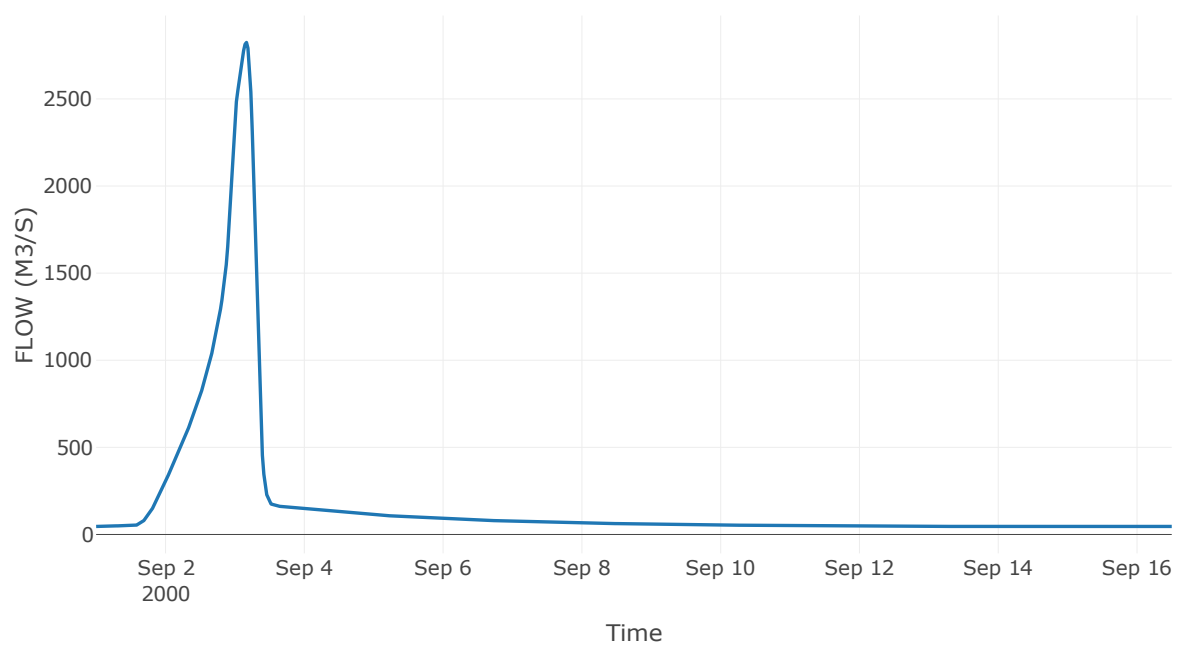
Κόμβος: J64

Κατάντη : R6429

Αποτελέσματα: J64

Παροχή Αιχμής (M3/S)	2824.22
Χρονική στιγμή αιχμής	03Sep2000, 04:00
Όγκος(MM)	366.81

Απορροή



10 Δεδομένα εισόδου και αποτελέσματα υδρολογικού σεναρίου $T=1000U$

10.1 Αποτελέσματα, υετογραφήματα και υδρογραφήματα σχεδιασμού υπολεκανών

Υπολεκάνη: EL0415FR6001

Έκταση (KM2) : 48.19

Κατάντη : J1

Μέθοδος Απωλειών: SCS

Ποσοστό αδιαπέρατης επιφάνειας	0
Αριθμός Καμπύλης Απορροής-CN	90.04
Αρχικές Απώλειες	5.62

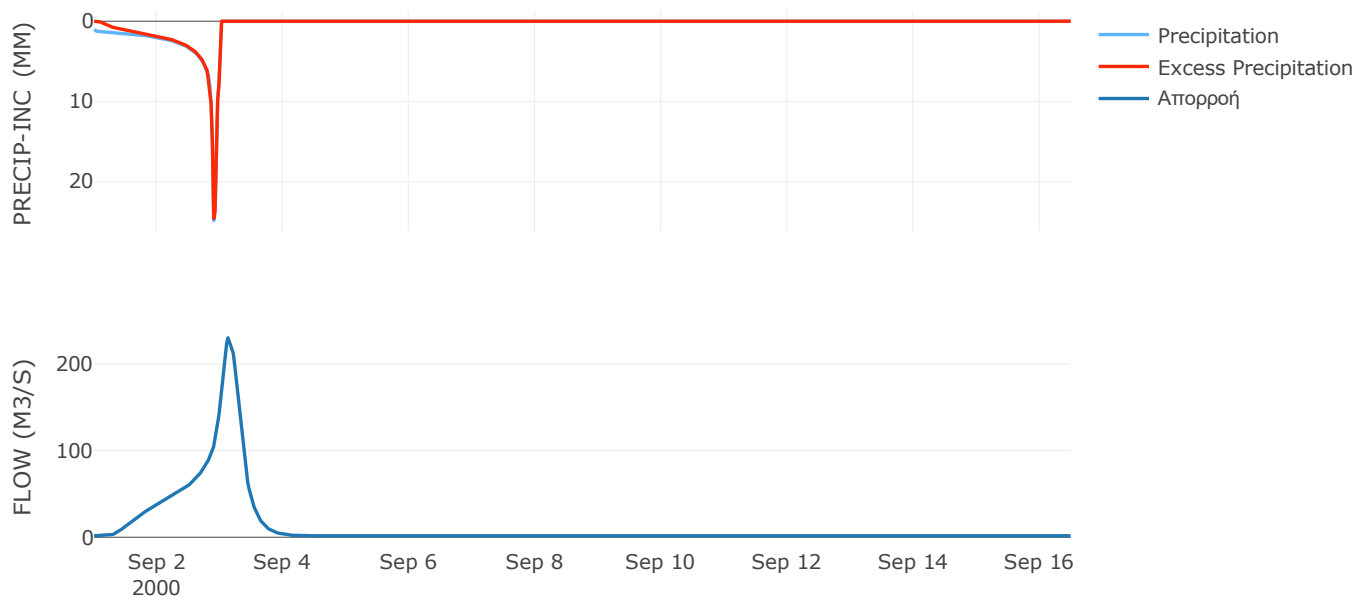
Μέθοδος
Μετασχηματισμού: SCS

Χρόνος Υστέρησης	365.34
------------------	--------

Αποτελέσματα:
EL0415FR6001

Παροχή αιχμής (M3/S)	231.66
Χρονική στιγμή αιχμής	03Sep2000, 03:30
Όγκος (MM)	338.38
Όγκος βροχόπτωσης (M3)	1.56E7
Όγκος απωλειών (M3)	1.51E6
Ενεργός Όγκος (M3)	1.4E7
Όγκος άμεσης απορροής (M3)	1.4E7
Όγκος βασικής απορροής (M3)	2.26E6

Βροχόπτωση και Απορροή



Υπολεκάνη: EL0415FR6002

Έκταση (KM2) : 27.73

Κατάντη : J2

Μέθοδος Απωλειών: SCS

Ποσοστό αδιαπέρατης επιφάνειας	0
Αριθμός Καμπύλης Απορροής-CN	90.22
Αρχικές Απώλειες	5.5

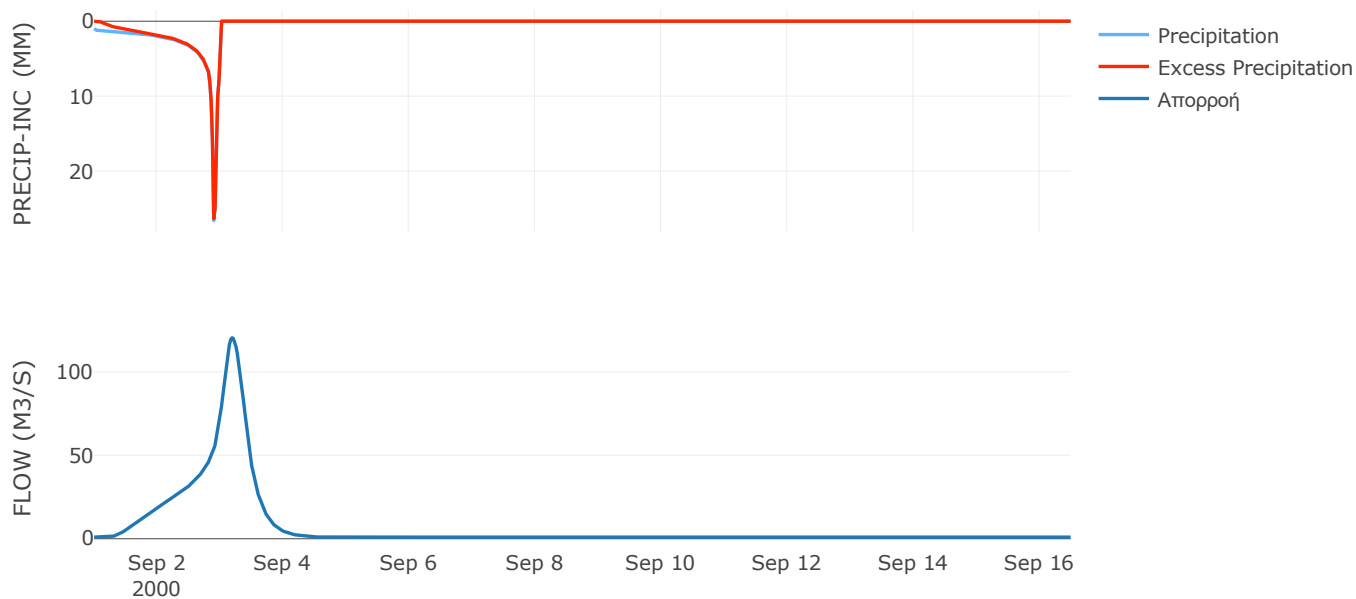
Μέθοδος
Μετασχηματισμού: SCS

Χρόνος Υστέρησης	458.14
------------------	--------

Αποτελέσματα:
EL0415FR6002

Παροχή αιχμής (M3/S)	120.41
Χρονική στιγμή αιχμής	03Sep2000, 04:30
Όγκος (MM)	341.36
Όγκος βροχόπτωσης (M3)	9.02E6
Όγκος απωλειών (M3)	8.55E5
Ενεργός Όγκος (M3)	8.17E6
Όγκος άμεσης απορροής (M3)	8.17E6
Όγκος βασικής απορροής (M3)	1.3E6

Βροχόπτωση και Απορροή



Υπολεκάνη: EL0415FR6003

Έκταση (KM2) : 27.92

Κατάντη : J3

Μέθοδος Απωλειών: SCS

Ποσοστό αδιαπέρατης επιφάνειας	0
Αριθμός Καμπύλης Απορροής-CN	88.64
Αρχικές Απώλειες	6.51

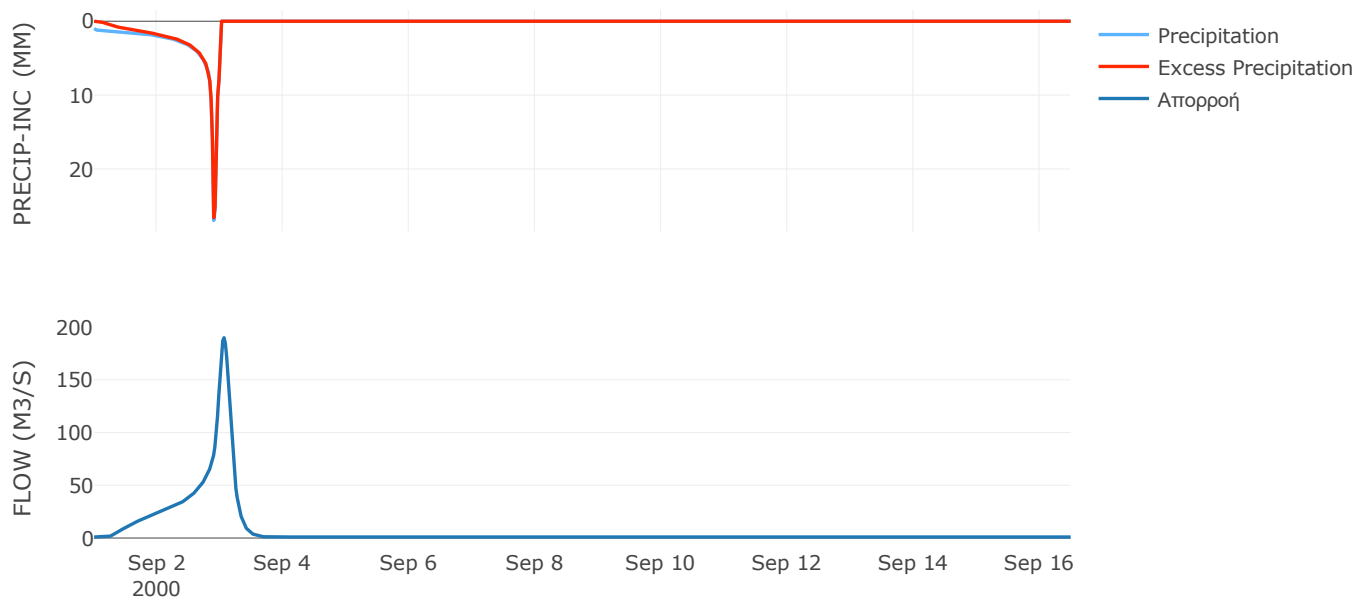
Μέθοδος
Μετασχηματισμού: SCS

Χρόνος Υστέρησης	212.2
------------------	-------

Αποτελέσματα:
EL0415FR6003

Παροχή αιχμής (M3/S)	189.98
Χρονική στιγμή αιχμής	03Sep2000, 01:30
Όγκος (MM)	337.04
Όγκος βροχόπτωσης (M3)	9.11E6
Όγκος απωλειών (M3)	1.01E6
Ενεργός Όγκος (M3)	8.1E6
Όγκος άμεσης απορροής (M3)	8.1E6
Όγκος βασικής απορροής (M3)	1.31E6

Βροχόπτωση και Απορροή



Υπολεκάνη: EL0415FR6004

Έκταση (KM2) : 22.76

Κατάντη : J4

Μέθοδος Απωλειών: SCS

Ποσοστό αδιαπέρατης επιφάνειας	0
Αριθμός Καμπύλης Απορροής-CN	86
Αρχικές Απώλειες	8.27

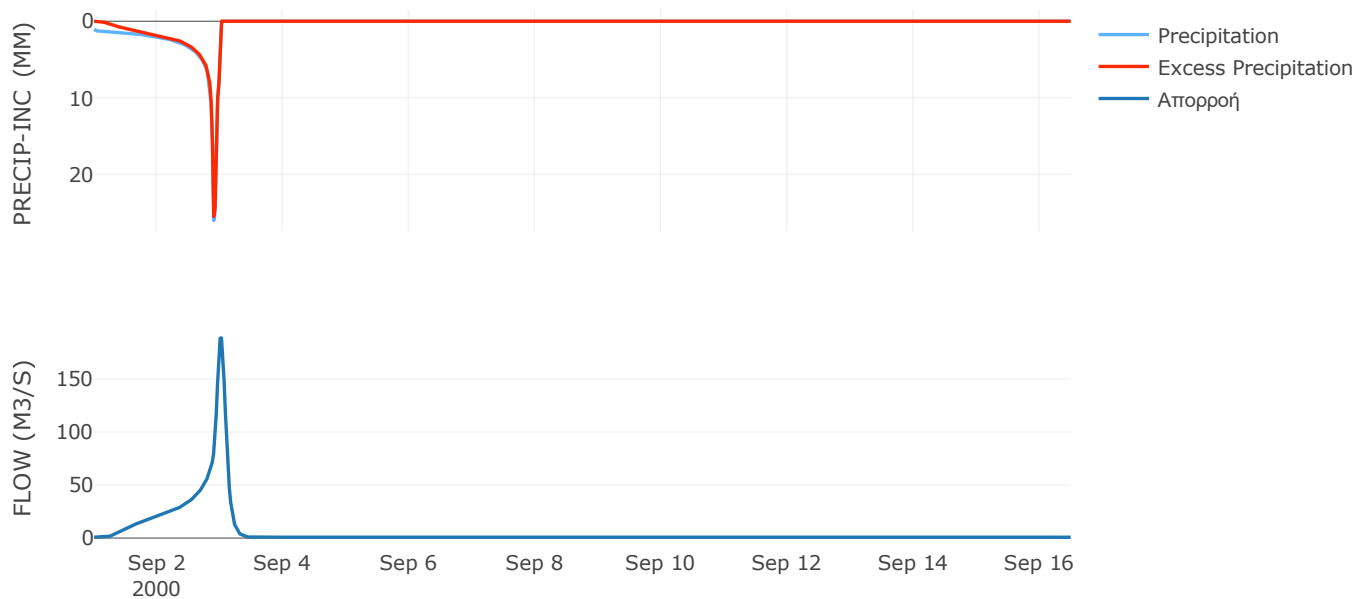
Μέθοδος
Μετασχηματισμού: SCS

Χρόνος Υστέρησης	131.36
------------------	--------

Αποτελέσματα:
EL0415FR6004

Παροχή αιχμής (M3/S)	188.69
Χρονική στιγμή αιχμής	03Sep2000, 00:30
Όγκος (MM)	332.96
Όγκος βροχόπτωσης (M3)	7.53E6
Όγκος απωλειών (M3)	1.02E6
Ενεργός Όγκος (M3)	6.51E6
Όγκος άμεσης απορροής (M3)	6.51E6
Όγκος βασικής απορροής (M3)	1.07E6

Βροχόπτωση και Απορροή



Υπολεκάνη: EL0415FR6005

Έκταση (KM2) : 10.79

Κατάντη : J5

Μέθοδος Απωλειών: SCS

Ποσοστό αδιαπέρατης επιφάνειας	0
Αριθμός Καμπύλης Απορροής-CN	91.03
Αρχικές Απώλειες	5.01

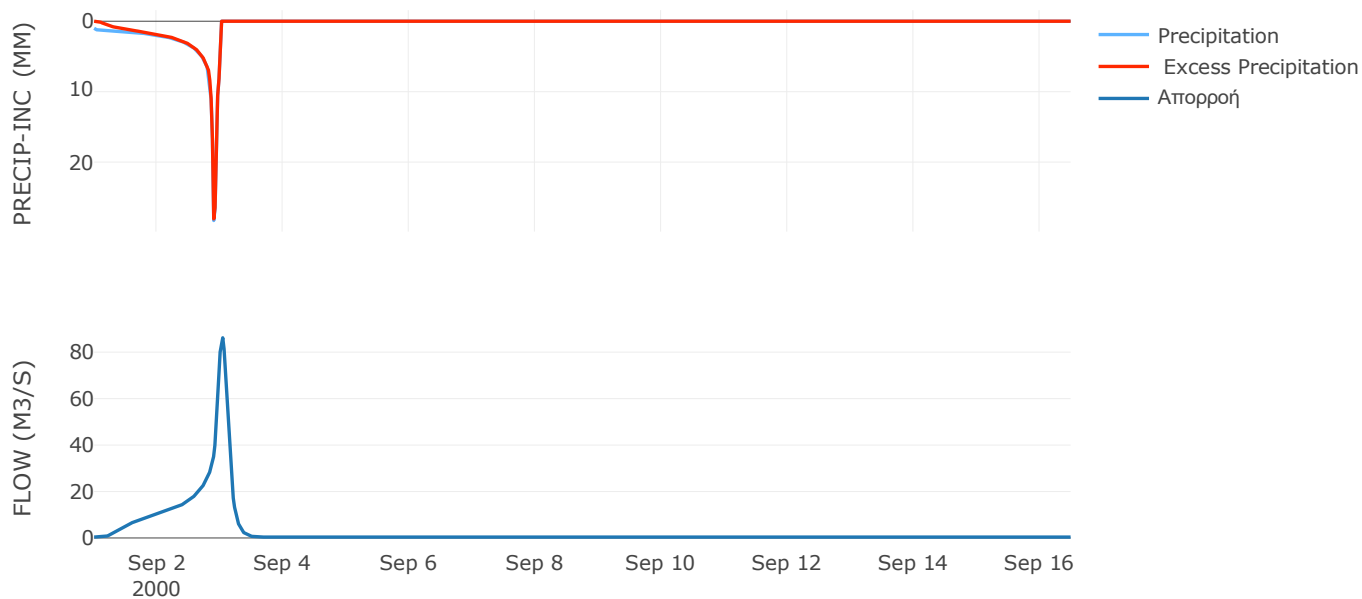
Μέθοδος
Μετασχηματισμού: SCS

Χρόνος Υστέρησης	166.88
------------------	--------

Αποτελέσματα:
EL0415FR6005

Παροχή αιχμής (M3/S)	86.19
Χρονική στιγμή αιχμής	03Sep2000, 01:00
Όγκος (MM)	353.27
Όγκος βροχόπτωσης (M3)	3.61E6
Όγκος απωλειών (M3)	3.05E5
Ενεργός Όγκος (M3)	3.31E6
Όγκος άμεσης απορροής (M3)	3.31E6
Όγκος βασικής απορροής (M3)	5.06E5

Βροχόπτωση και Απορροή



Υπολεκάνη: EL0415FR6006

Έκταση (KM2) : 20.96

Κατάντη : J5

Μέθοδος Απωλειών: SCS

Ποσοστό αδιαπέρατης επιφάνειας	0
Αριθμός Καμπύλης Απορροής-CN	82.92
Αρχικές Απώλειες	10.47

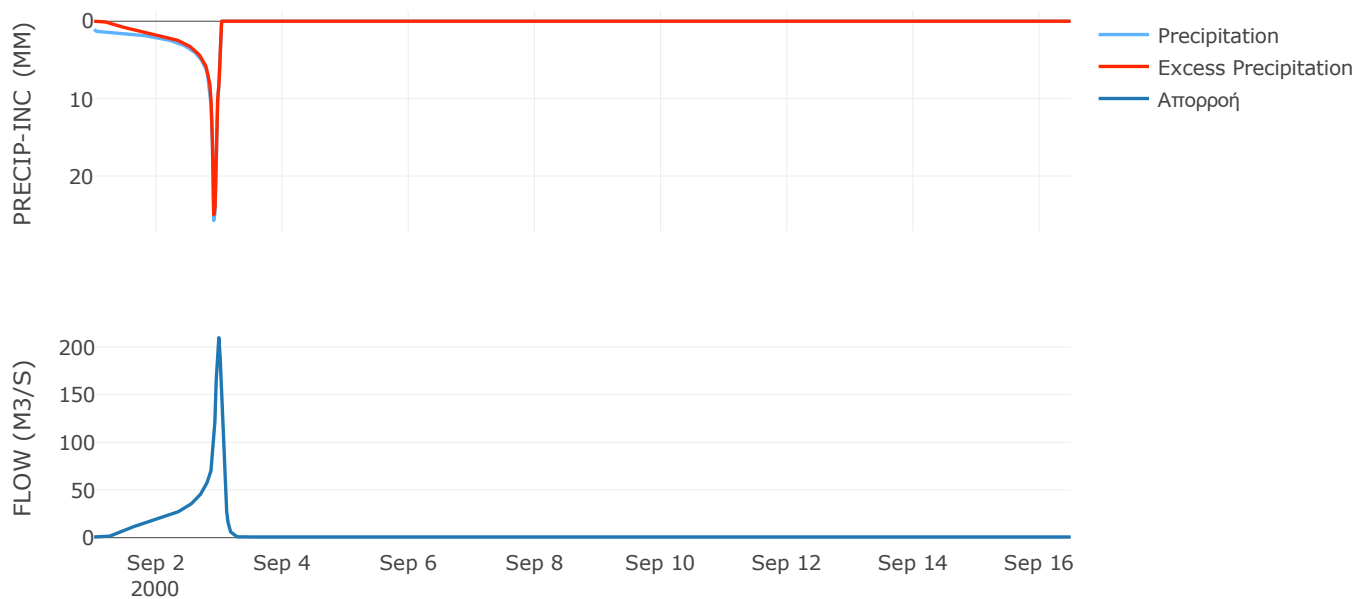
Μέθοδος
Μετασχηματισμού: SCS

Χρόνος Υστέρησης	76.48
------------------	-------

Αποτελέσματα:
EL0415FR6006

Παροχή αιχμής (M3/S)	209.75
Χρονική στιγμή αιχμής	02Sep2000, 23:30
Όγκος (MM)	328.54
Όγκος βροχόπτωσης (M3)	7.07E6
Όγκος απωλειών (M3)	1.16E6
Ενεργός Όγκος (M3)	5.9E6
Όγκος άμεσης απορροής (M3)	5.9E6
Όγκος βασικής απορροής (M3)	9.82E5

Βροχόπτωση και Απορροή



Υπολεκάνη: EL0415FR6007

Έκταση (KM2) : 16.96

Κατάντη : J6

Μέθοδος Απωλειών: SCS

Ποσοστό αδιαπέρατης επιφάνειας	0
Αριθμός Καμπύλης Απορροής-CN	87.41
Αρχικές Απώλειες	7.32

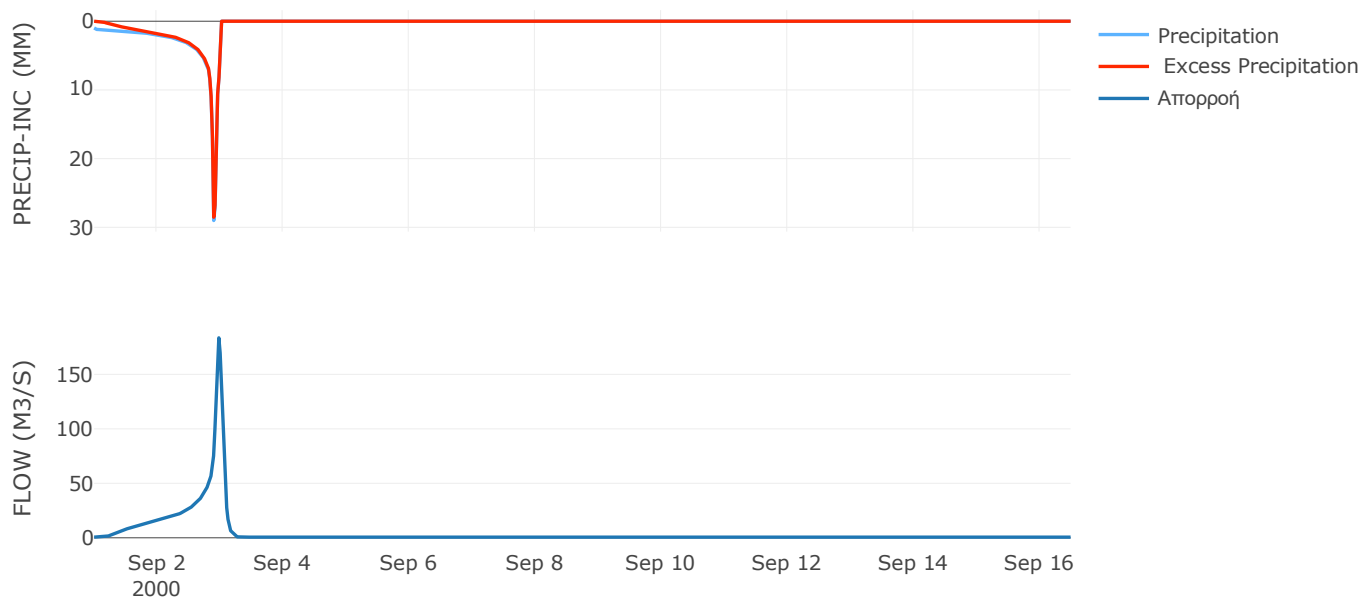
Μέθοδος
Μετασχηματισμού: SCS

Χρόνος Υστέρησης	82.05
------------------	-------

Αποτελέσματα:
EL0415FR6007

Παροχή αιχμής (M3/S)	183.52
Χρονική στιγμή αιχμής	02Sep2000, 23:30
Όγκος (MM)	340.79
Όγκος βροχόπτωσης (M3)	5.67E6
Όγκος απωλειών (M3)	6.82E5
Ενεργός Όγκος (M3)	4.99E6
Όγκος άμεσης απορροής (M3)	4.99E6
Όγκος βασικής απορροής (M3)	7.95E5

Βροχόπτωση και Απορροή



Υπολεκάνη: EL0415FR6008

Έκταση (KM2) : 24.49

Κατάντη : J6

Μέθοδος Απωλειών: SCS

Ποσοστό αδιαπέρατης επιφάνειας	0
Αριθμός Καμπύλης Απορροής-CN	91.36
Αρχικές Απώλειες	4.8

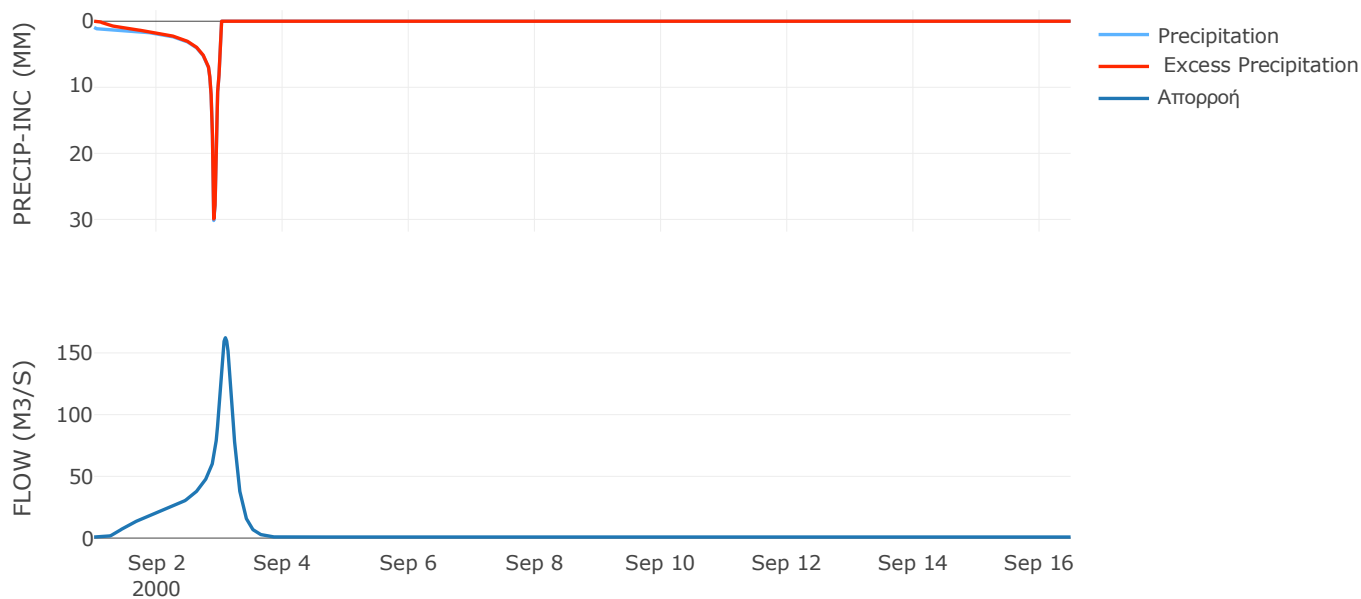
Μέθοδος
Μετασχηματισμού: SCS

Χρόνος Υστέρησης	254.02
------------------	--------

Αποτελέσματα:
EL0415FR6008

Παροχή αιχμής (M3/S)	162.33
Χρονική στιγμή αιχμής	03Sep2000, 02:00
Όγκος (MM)	350.96
Όγκος βροχόπτωσης (M3)	8.11E6
Όγκος απωλειών (M3)	6.65E5
Ενεργός Όγκος (M3)	7.45E6
Όγκος άμεσης απορροής (M3)	7.45E6
Όγκος βασικής απορροής (M3)	1.15E6

Βροχόπτωση και Απορροή



Υπολεκάνη: EL0415FR6009

Έκταση (KM2) : 22.05

Κατάντη : J7

Μέθοδος Απωλειών: SCS

Ποσοστό αδιαπέρατης επιφάνειας	41
Αριθμός Καμπύλης Απορροής-CN	89.91
Αρχικές Απώλειες	5.7

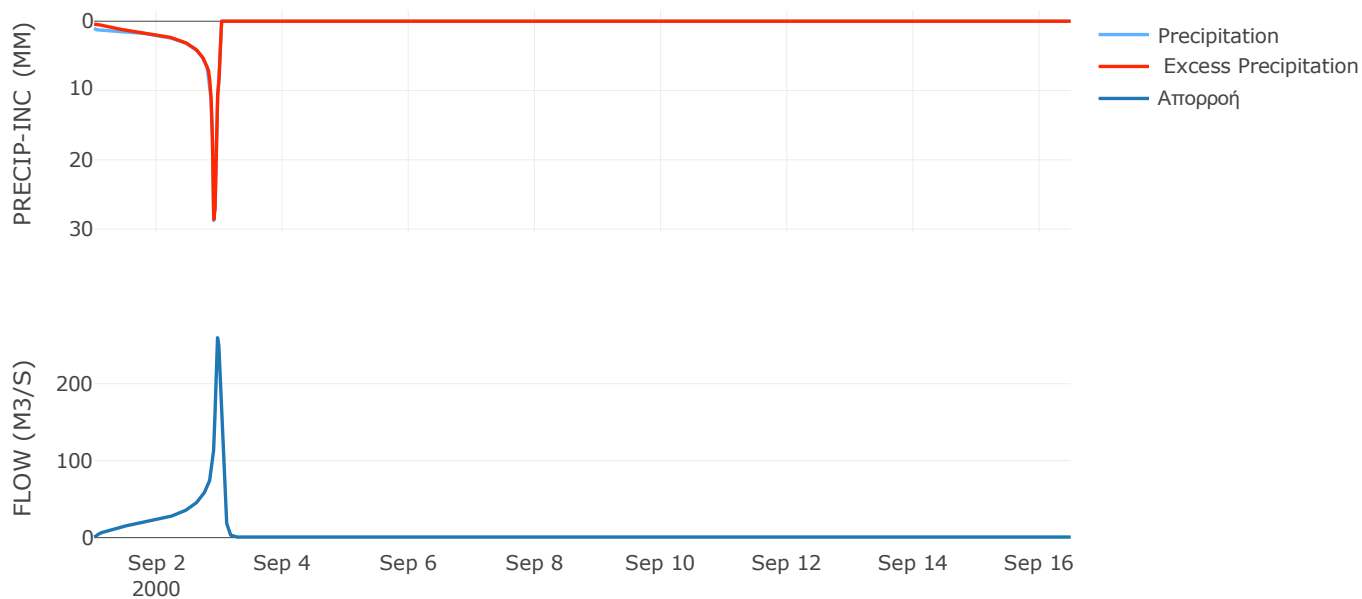
Μέθοδος
Μετασχηματισμού: SCS

Χρόνος Υστέρησης	63.46
------------------	-------

Αποτελέσματα:
EL0415FR6009

Παροχή αιχμής (M3/S)	259.68
Χρονική στιγμή αιχμής	02Sep2000, 23:00
Όγκος (MM)	368.71
Όγκος βροχόπτωσης (M3)	7.51E6
Όγκος απωλειών (M3)	4.16E5
Ενεργός Όγκος (M3)	7.1E6
Όγκος άμεσης απορροής (M3)	7.1E6
Όγκος βασικής απορροής (M3)	1.03E6

Βροχόπτωση και Απορροή



Υπολεκάνη: EL0415FR6010

Έκταση (KM2) : 10.43

Κατάντη : J9

Μέθοδος Απωλειών: SCS

Ποσοστό αδιαπέρατης επιφάνειας	0
Αριθμός Καμπύλης Απορροής-CN	84.53
Αρχικές Απώλειες	9.29

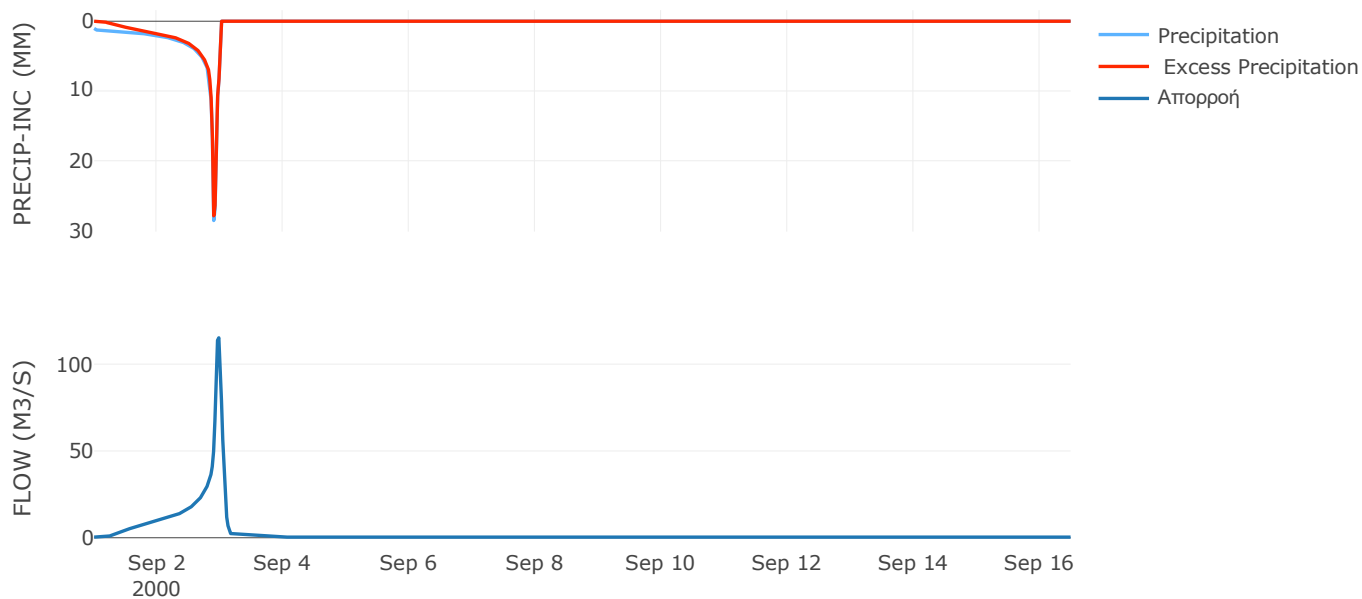
Μέθοδος
Μετασχηματισμού: SCS

Χρόνος Υστέρησης	71.36
------------------	-------

Αποτελέσματα:
EL0415FR6010

Παροχή αιχμής (M3/S)	115.18
Χρονική στιγμή αιχμής	02Sep2000, 23:30
Όγκος (MM)	339.62
Όγκος βροχόπτωσης (M3)	3.57E6
Όγκος απωλειών (M3)	5.22E5
Ενεργός Όγκος (M3)	3.05E6
Όγκος άμεσης απορροής (M3)	3.05E6
Όγκος βασικής απορροής (M3)	4.89E5

Βροχόπτωση και Απορροή



Υπολεκάνη: EL0415FR6011

Έκταση (KM2) : 13.24

Κατάντη : J10

Μέθοδος Απωλειών: SCS

Ποσοστό αδιαπέρατης επιφάνειας	0
Αριθμός Καμπύλης Απορροής-CN	85.1
Αρχικές Απώλειες	8.89

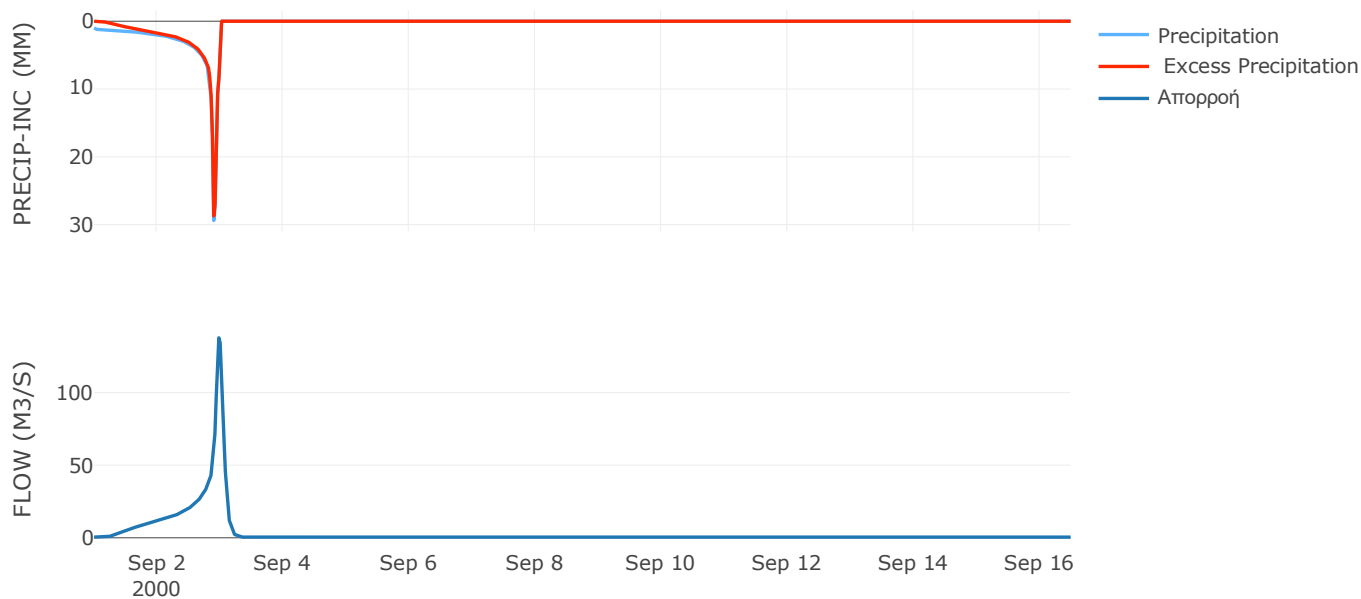
Μέθοδος
Μετασχηματισμού: SCS

Χρόνος Υστέρησης	92.79
------------------	-------

Αποτελέσματα:
EL0415FR6011

Παροχή αιχμής (M3/S)	137.66
Χρονική στιγμή αιχμής	02Sep2000, 23:30
Όγκος (MM)	336.49
Όγκος βροχόπτωσης (M3)	4.47E6
Όγκος απωλειών (M3)	6.36E5
Ενεργός Όγκος (M3)	3.83E6
Όγκος άμεσης απορροής (M3)	3.83E6
Όγκος βασικής απορροής (M3)	6.2E5

Βροχόπτωση και Απορροή



Υπολεκάνη: EL0415FR6012

Έκταση (KM2) : 11.82

Κατάντη : J11

Μέθοδος Απωλειών: SCS

Ποσοστό αδιαπέρατης επιφάνειας	0
Αριθμός Καμπύλης Απορροής-CN	74.26
Αρχικές Απώλειες	17.61

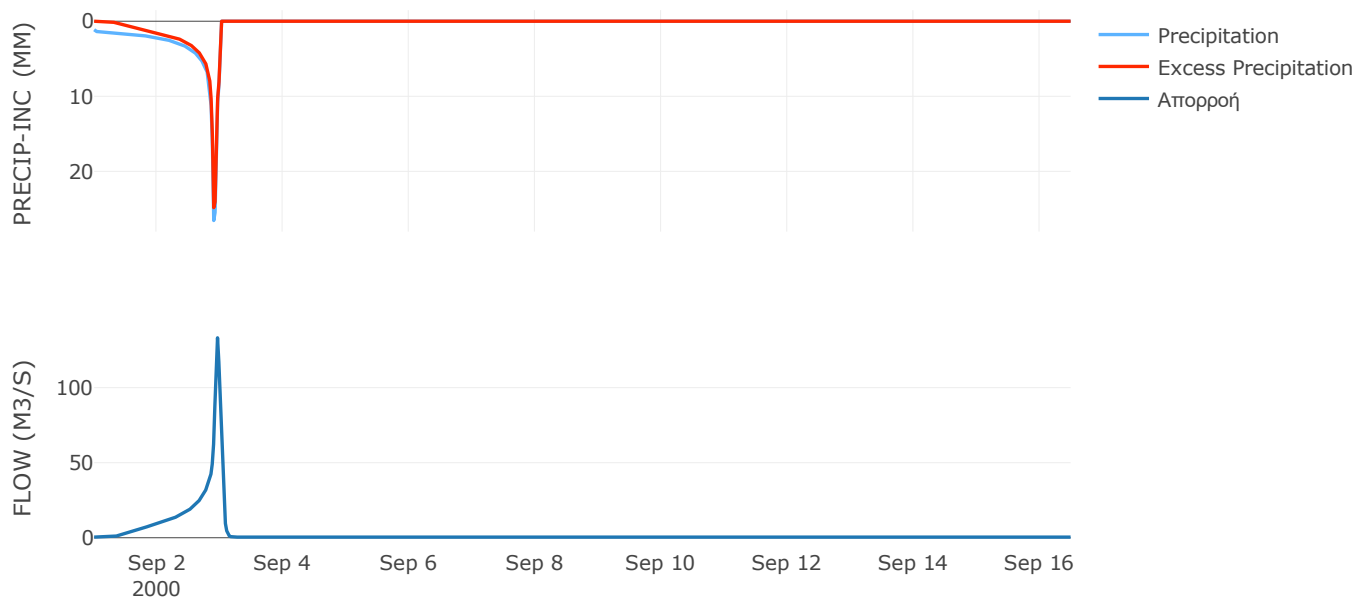
Μέθοδος
Μετασχηματισμού: SCS

Χρόνος Υστέρησης	50.05
------------------	-------

Αποτελέσματα:
EL0415FR6012

Παροχή αιχμής (M3/S)	133.19
Χρονική στιγμή αιχμής	02Sep2000, 23:00
Όγκος (MM)	310.47
Όγκος βροχόπτωσης (M3)	4.15E6
Όγκος απωλειών (M3)	1.03E6
Ενεργός Όγκος (M3)	3.12E6
Όγκος άμεσης απορροής (M3)	3.12E6
Όγκος βασικής απορροής (M3)	5.54E5

Βροχόπτωση και Απορροή



Υπολεκάνη: EL0415FR6013

Έκταση (KM2) : 37.65

Κατάντη : J12

Μέθοδος Απωλειών: SCS

Ποσοστό αδιαπέρατης επιφάνειας	0
Αριθμός Καμπύλης Απορροής-CN	74.85
Αρχικές Απώλειες	17.07

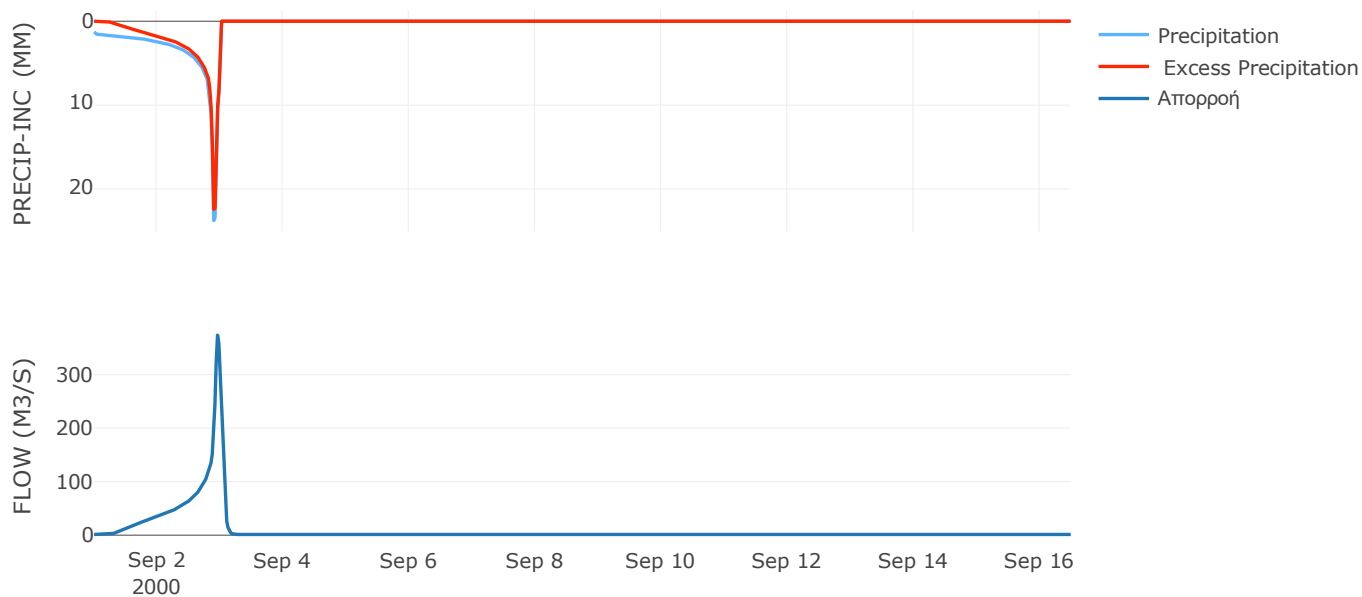
Μέθοδος
Μετασχηματισμού: SCS

Χρόνος Υστέρησης	61.21
------------------	-------

Αποτελέσματα:
EL0415FR6013

Παροχή αιχμής (M3/S)	373.66
Χρονική στιγμή αιχμής	02Sep2000, 23:00
Όγκος (MM)	323.24
Όγκος βροχόπτωσης (M3)	1.36E7
Όγκος απωλειών (M3)	3.22E6
Ενεργός Όγκος (M3)	1.04E7
Όγκος άμεσης απορροής (M3)	1.04E7
Όγκος βασικής απορροής (M3)	1.76E6

Βροχόπτωση και Απορροή



Υπολεκάνη: EL0415FR6014

Έκταση (KM2) : 17.43

Κατάντη : J8

Μέθοδος Απωλειών: SCS

Ποσοστό αδιαπέρατης επιφάνειας	0
Αριθμός Καμπύλης Απορροής-CN	90.98
Αρχικές Απώλειες	5.03

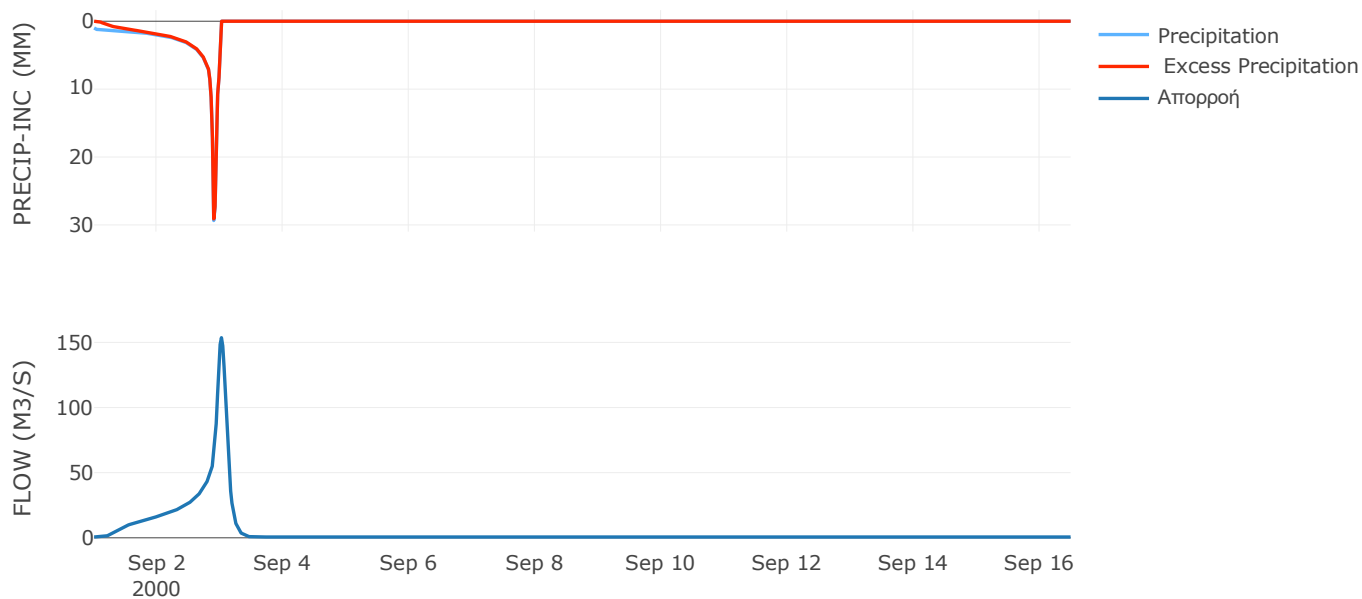
Μέθοδος
Μετασχηματισμού: SCS

Χρόνος Υστέρησης	145.42
------------------	--------

Αποτελέσματα:
EL0415FR6014

Παροχή αιχμής (M3/S)	153.6
Χρονική στιγμή αιχμής	03Sep2000, 00:30
Όγκος (MM)	356.52
Όγκος βροχόπτωσης (M3)	5.89E6
Όγκος απωλειών (M3)	4.96E5
Ενεργός Όγκος (M3)	5.4E6
Όγκος άμεσης απορροής (M3)	5.4E6
Όγκος βασικής απορροής (M3)	8.17E5

Βροχόπτωση και Απορροή



Υπολεκάνη: EL0415FR6015

Έκταση (KM2) : 9.94

Κατάντη : J8

Μέθοδος Απωλειών: SCS

Ποσοστό αδιαπέρατης επιφάνειας	0
Αριθμός Καμπύλης Απορροής-CN	92.63
Αρχικές Απώλειες	4.04

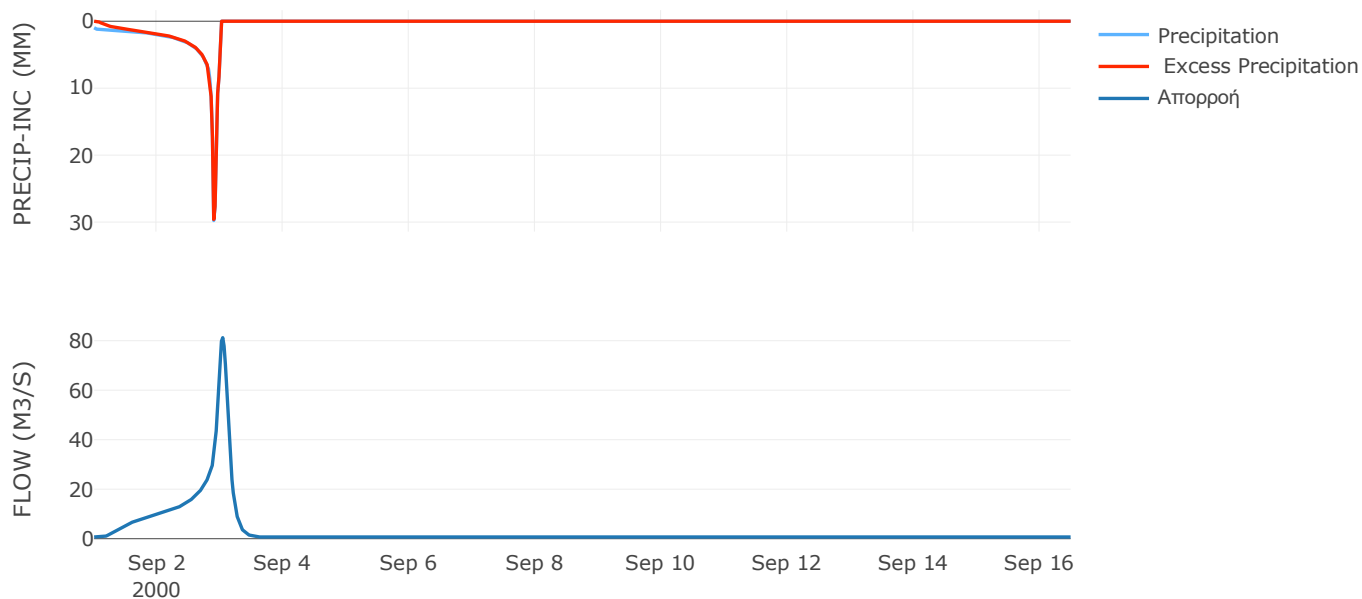
Μέθοδος
Μετασχηματισμού: SCS

Χρόνος Υστέρησης	174.64
------------------	--------

Αποτελέσματα:
EL0415FR6015

Παροχή αιχμής (M3/S)	81.21
Χρονική στιγμή αιχμής	03Sep2000, 01:00
Όγκος (MM)	407.39
Όγκος βροχόπτωσης (M3)	3.35E6
Όγκος απωλειών (M3)	2.3E5
Ενεργός Όγκος (M3)	3.12E6
Όγκος άμεσης απορροής (M3)	3.12E6
Όγκος βασικής απορροής (M3)	9.32E5

Βροχόπτωση και Απορροή



Υπολεκάνη: EL0415FR6016

Έκταση (KM2) : 45.09

Κατάνη : J13 Res1

Μέθοδος Απωλειών: SCS

Ποσοστό αδιαπέρατης επιφάνειας	14
Αριθμός Καμπύλης Απορροής-CN	92.4
Αρχικές Απώλειες	4.18

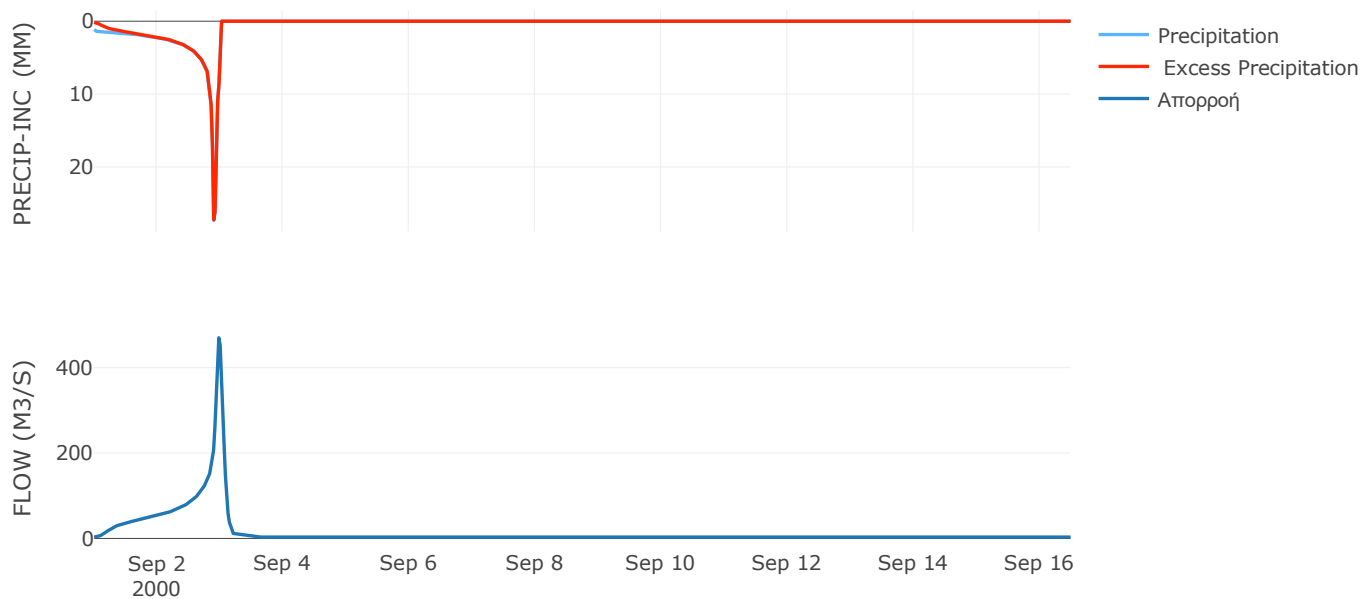
Μέθοδος
Μετασχηματισμού: SCS

Χρόνος Υστέρησης	89.62
------------------	-------

Αποτελέσματα:
EL0415FR6016

Παροχή αιχμής (M3/S)	469.86
Χρονική στιγμή αιχμής	02Sep2000, 23:30
Όγκος (MM)	430.88
Όγκος βροχόπτωσης (M3)	1.61E7
Όγκος απωλειών (M3)	9.27E5
Ενεργός Όγκος (M3)	1.52E7
Όγκος άμεσης απορροής (M3)	1.52E7
Όγκος βασικής απορροής (M3)	4.23E6

Βροχόπτωση και Απορροή



Υπολεκάνη: EL0415FR6017

Έκταση (KM2) : 48.36

Κατάντη : J14

Μέθοδος Απωλειών: SCS

Ποσοστό αδιαπέρατης επιφάνειας	0
Αριθμός Καμπύλης Απορροής-CN	90.45
Αρχικές Απώλειες	5.37

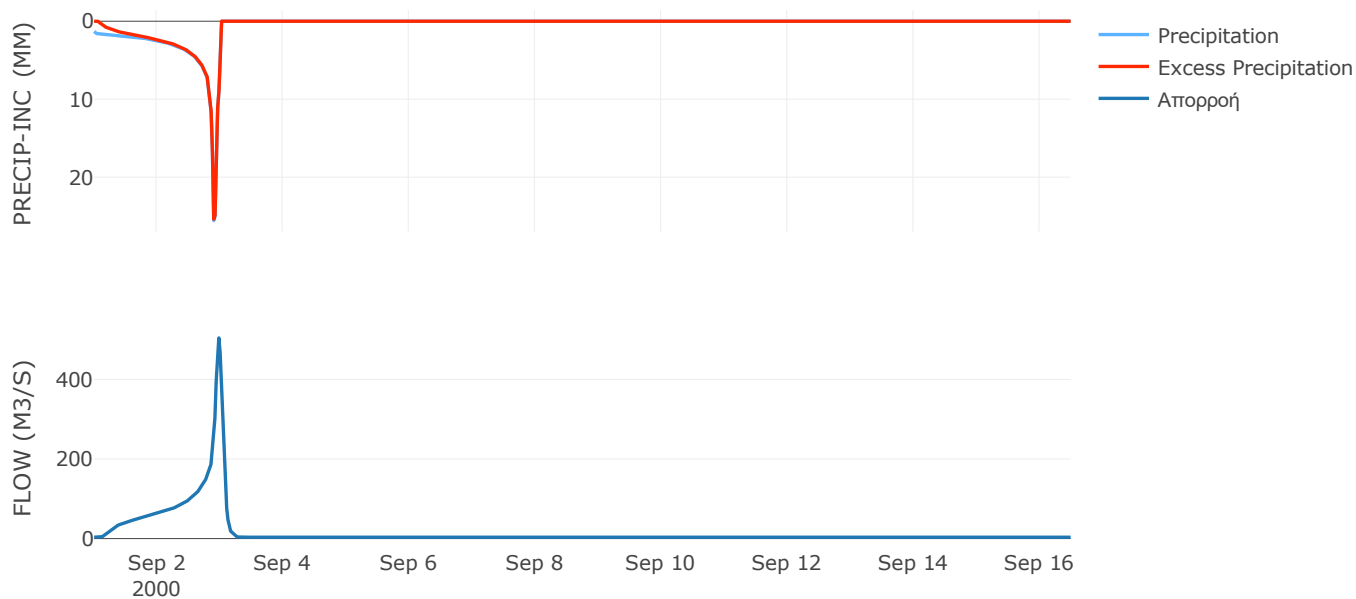
Μέθοδος
Μετασχηματισμού: SCS

Χρόνος Υστέρησης	79.57
------------------	-------

Αποτελέσματα:
EL0415FR6017

Παροχή αιχμής (M3/S)	504.21
Χρονική στιγμή αιχμής	02Sep2000, 23:30
Όγκος (MM)	440.6
Όγκος βροχόπτωσης (M3)	1.82E7
Όγκος απωλειών (M3)	1.47E6
Ενεργός Όγκος (M3)	1.68E7
Όγκος άμεσης απορροής (M3)	1.68E7
Όγκος βασικής απορροής (M3)	4.53E6

Βροχόπτωση και Απορροή



Υπολεκάνη: EL0415FR6018

Έκταση (KM2) : 76.58

Κατάντη : J19

Μέθοδος Απωλειών: SCS

Ποσοστό αδιαπέρατης επιφάνειας	8
Αριθμός Καμπύλης Απορροής-CN	91.74
Αρχικές Απώλειες	4.57

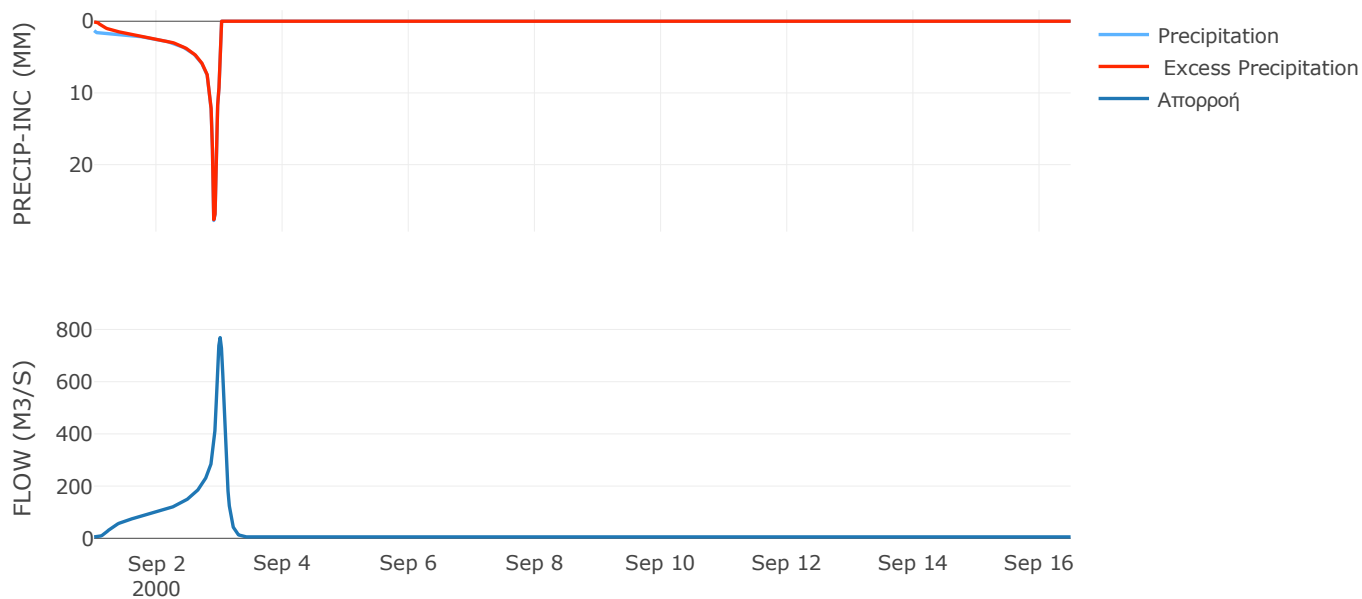
Μέθοδος
Μετασχηματισμού: SCS

Χρόνος Υστέρησης	111.61
------------------	--------

Αποτελέσματα:
EL0415FR6018

Παροχή αιχμής (M3/S)	768.97
Χρονική στιγμή αιχμής	02Sep2000, 24:00
Όγκος (MM)	459.89
Όγκος βροχόπτωσης (M3)	2.99E7
Όγκος απωλειών (M3)	1.84E6
Ενεργός Όγκος (M3)	2.8E7
Όγκος άμεσης απορροής (M3)	2.8E7
Όγκος βασικής απορροής (M3)	7.18E6

Βροχόπτωση και Απορροή



Υπολεκάνη: EL0415FR6019

Έκταση (KM2) : 114.28

Κατάντη : J18

Μέθοδος Απωλειών: SCS

Ποσοστό αδιαπέρατης επιφάνειας	4
Αριθμός Καμπύλης Απορροής-CN	89.6
Αρχικές Απώλειες	5.9

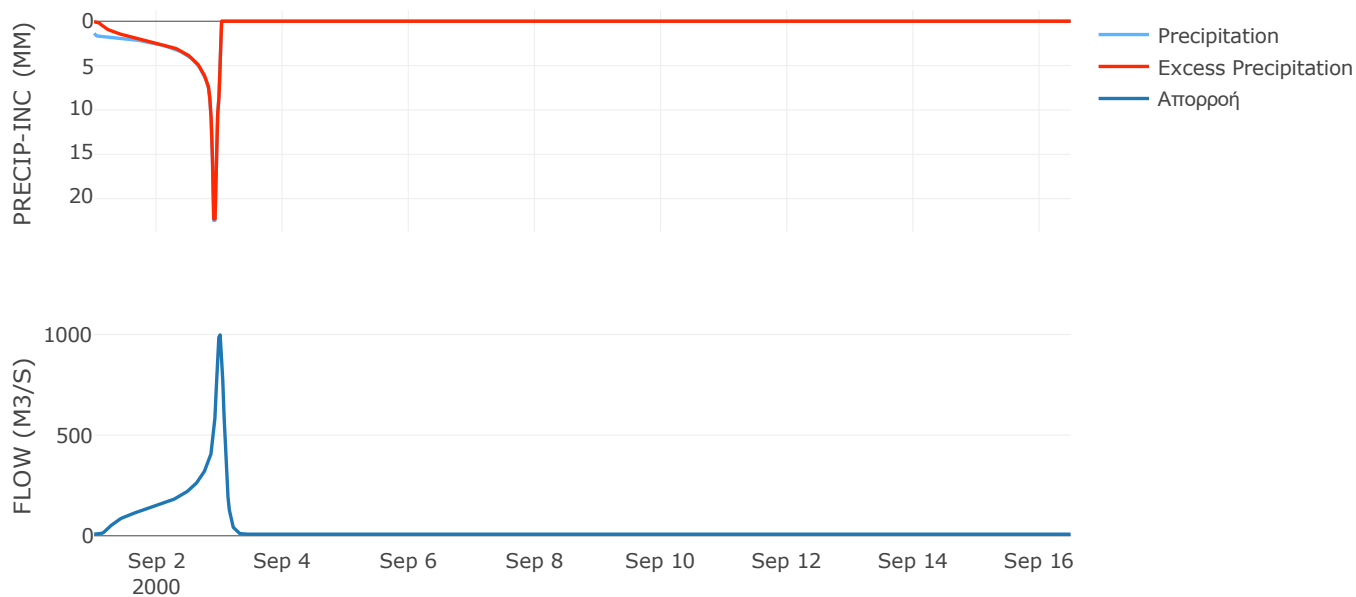
Μέθοδος
Μετασχηματισμού: SCS

Χρόνος Υστέρησης	101.73
------------------	--------

Αποτελέσματα:
EL0415FR6019

Παροχή αιχμής (M3/S)	998.19
Χρονική στιγμή αιχμής	02Sep2000, 24:00
Όγκος (MM)	431.8
Όγκος βροχόπτωσης (M3)	4.23E7
Όγκος απωλειών (M3)	3.64E6
Ενεργός Όγκος (M3)	3.86E7
Όγκος άμεσης απορροής (M3)	3.86E7
Όγκος βασικής απορροής (M3)	1.07E7

Βροχόπτωση και Απορροή



Υπολεκάνη: EL0415FR6020

Έκταση (KM2) : 41.91

Κατάντη : J14

Μέθοδος Απωλειών: SCS

Ποσοστό αδιαπέρατης επιφάνειας	0
Αριθμός Καμπύλης Απορροής-CN	90.65
Αρχικές Απώλειες	5.24

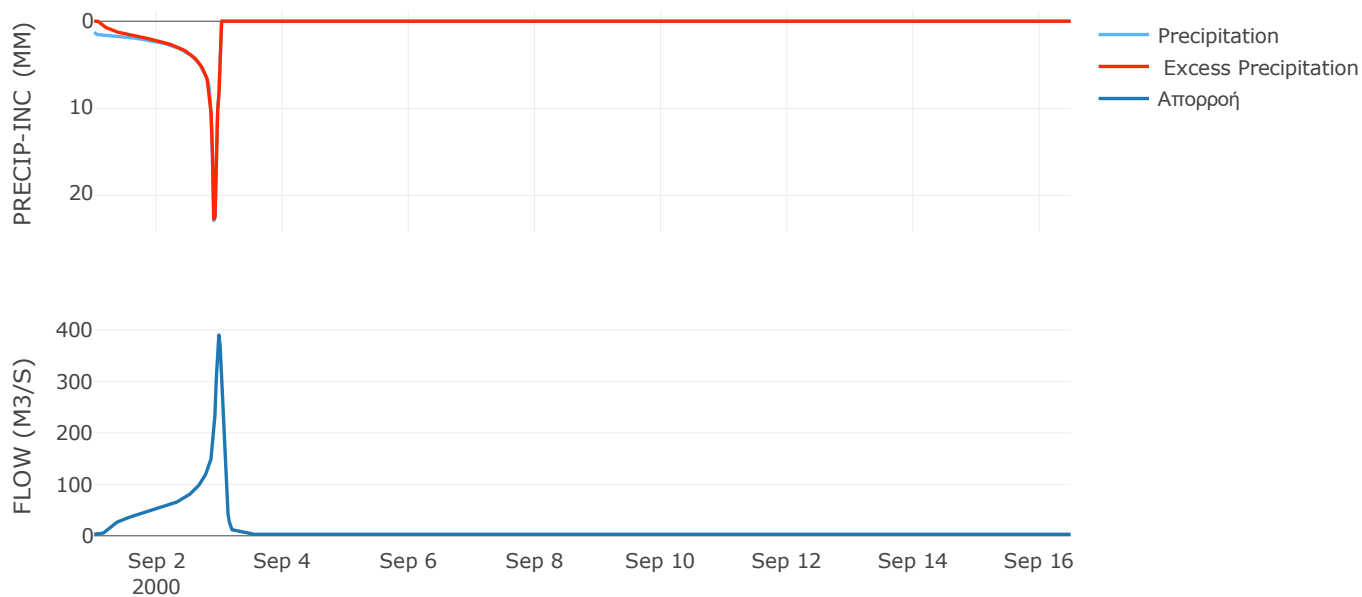
Μέθοδος
Μετασχηματισμού: SCS

Χρόνος Υστέρησης	83.84
------------------	-------

Αποτελέσματα:
EL0415FR6020

Παροχή αιχμής (M3/S)	390.18
Χρονική στιγμή αιχμής	02Sep2000, 23:30
Όγκος (MM)	416.34
Όγκος βροχόπτωσης (M3)	1.48E7
Όγκος απωλειών (M3)	1.24E6
Ενεργός Όγκος (M3)	1.35E7
Όγκος άμεσης απορροής (M3)	1.35E7
Όγκος βασικής απορροής (M3)	3.93E6

Βροχόπτωση και Απορροή



Υπολεκάνη: EL0415FR6021

Έκταση (KM2) : 21.44

Κατάντη : J20

Μέθοδος Απωλειών: SCS

Ποσοστό αδιαπέρατης επιφάνειας	0
Αριθμός Καμπύλης Απορροής-CN	90.61
Αρχικές Απώλειες	5.26

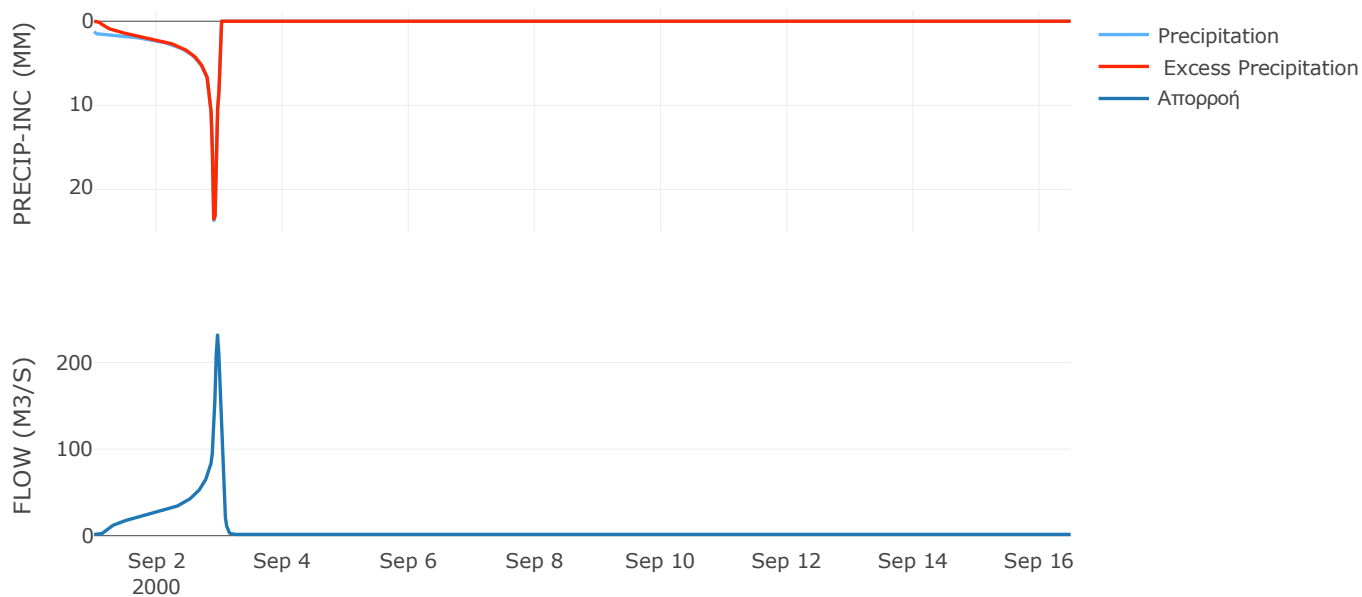
Μέθοδος
Μετασχηματισμού: SCS

Χρόνος Υστέρησης	53.2
------------------	------

Αποτελέσματα:
EL0415FR6021

Παροχή αιχμής (M3/S)	231.71
Χρονική στιγμή αιχμής	02Sep2000, 23:00
Όγκος (MM)	417.53
Όγκος βροχόπτωσης (M3)	7.58E6
Όγκος απωλειών (M3)	6.37E5
Ενεργός Όγκος (M3)	6.94E6
Όγκος άμεσης απορροής (M3)	6.94E6
Όγκος βασικής απορροής (M3)	2.01E6

Βροχόπτωση και Απορροή



Υπολεκάνη: EL0415FR6022

Έκταση (KM2) : 28.16

Κατάντη : J20

Μέθοδος Απωλειών: SCS

Ποσοστό αδιαπέρατης επιφάνειας	0
Αριθμός Καμπύλης Απορροής-CN	90.97
Αρχικές Απώλειες	5.05

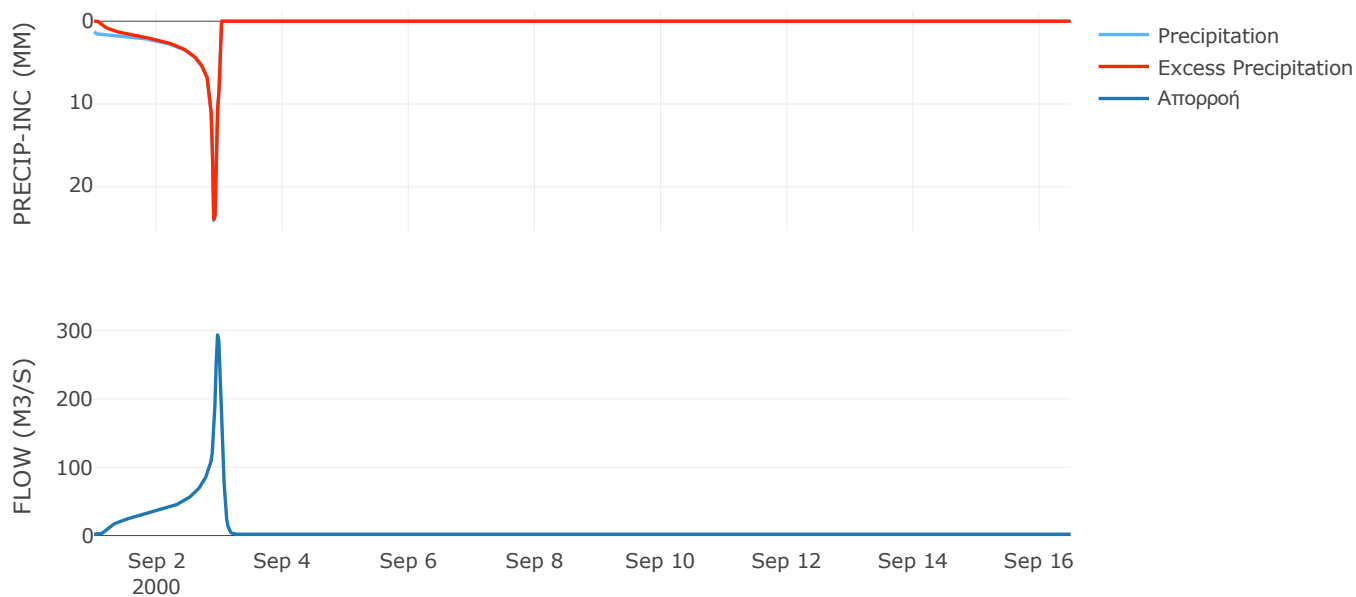
Μέθοδος
Μετασχηματισμού: SCS

Χρόνος Υστέρησης	63.48
------------------	-------

Αποτελέσματα:
EL0415FR6022

Παροχή αιχμής (M3/S)	293.73
Χρονική στιγμή αιχμής	02Sep2000, 23:00
Όγκος (MM)	425.33
Όγκος βροχόπτωσης (M3)	1.01E7
Όγκος απωλειών (M3)	8.05E5
Ενεργός Όγκος (M3)	9.34E6
Όγκος άμεσης απορροής (M3)	9.34E6
Όγκος βασικής απορροής (M3)	2.64E6

Βροχόπτωση και Απορροή



Υπολεκάνη: EL0415FR6023

Έκταση (KM2) : 48.62

Κατάντη : J61

Μέθοδος Απωλειών: SCS

Ποσοστό αδιαπέρατης επιφάνειας	0
Αριθμός Καμπύλης Απορροής-CN	87.38
Αρχικές Απώλειες	7.34

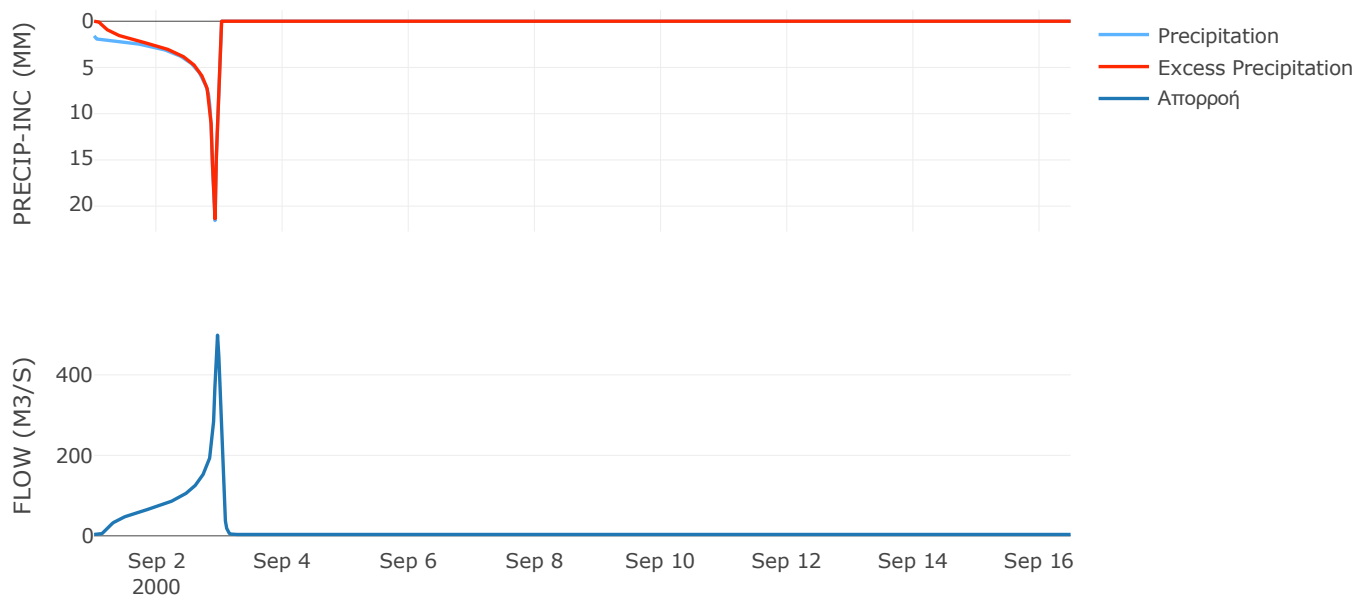
Μέθοδος
Μετασχηματισμού: SCS

Χρόνος Υστέρησης	47.7
------------------	------

Αποτελέσματα:
EL0415FR6023

Παροχή αιχμής (M3/S)	498.7
Χρονική στιγμή αιχμής	02Sep2000, 23:00
Όγκος (MM)	450.34
Όγκος βροχόπτωσης (M3)	1.93E7
Όγκος απωλειών (M3)	1.99E6
Ενεργός Όγκος (M3)	1.73E7
Όγκος άμεσης απορροής (M3)	1.73E7
Όγκος βασικής απορροής (M3)	4.56E6

Βροχόπτωση και Απορροή



Υπολεκάνη: EL0415FR6024

Έκταση (KM2) : 39.41

Κατάντη : J16

Μέθοδος Απωλειών: SCS

Ποσοστό αδιαπέρατης επιφάνειας	0
Αριθμός Καμπύλης Απορροής-CN	90.74
Αρχικές Απώλειες	5.19

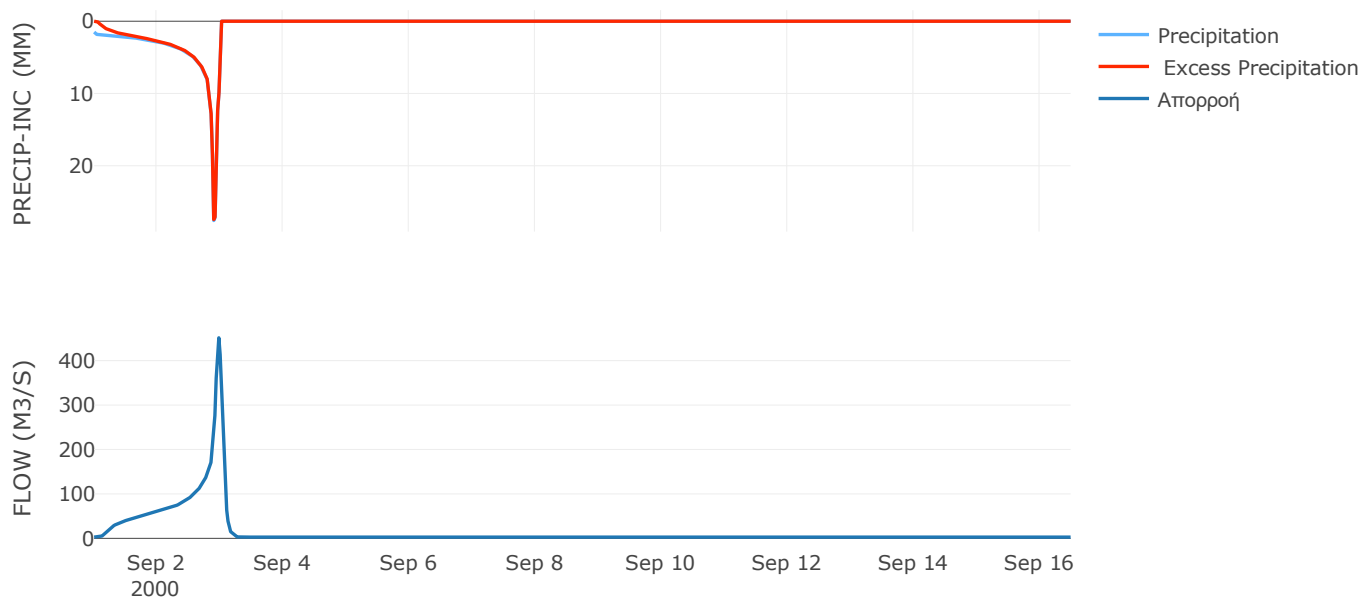
Μέθοδος
Μετασχηματισμού: SCS

Χρόνος Υστέρησης	77.38
------------------	-------

Αποτελέσματα:
EL0415FR6024

Παροχή αιχμής (M3/S)	451.34
Χρονική στιγμή αιχμής	02Sep2000, 23:30
Όγκος (MM)	486.71
Όγκος βροχόπτωσης (M3)	1.67E7
Όγκος απωλειών (M3)	1.17E6
Ενεργός Όγκος (M3)	1.55E7
Όγκος άμεσης απορροής (M3)	1.55E7
Όγκος βασικής απορροής (M3)	3.69E6

Βροχόπτωση και Απορροή



Υπολεκάνη: EL0415FR6025

Έκταση (KM2) : 14.18

Κατάντη : J21

Μέθοδος Απωλειών: SCS

Ποσοστό αδιαπέρατης επιφάνειας	0
Αριθμός Καμπύλης Απορροής-CN	90.21
Αρχικές Απώλειες	5.51

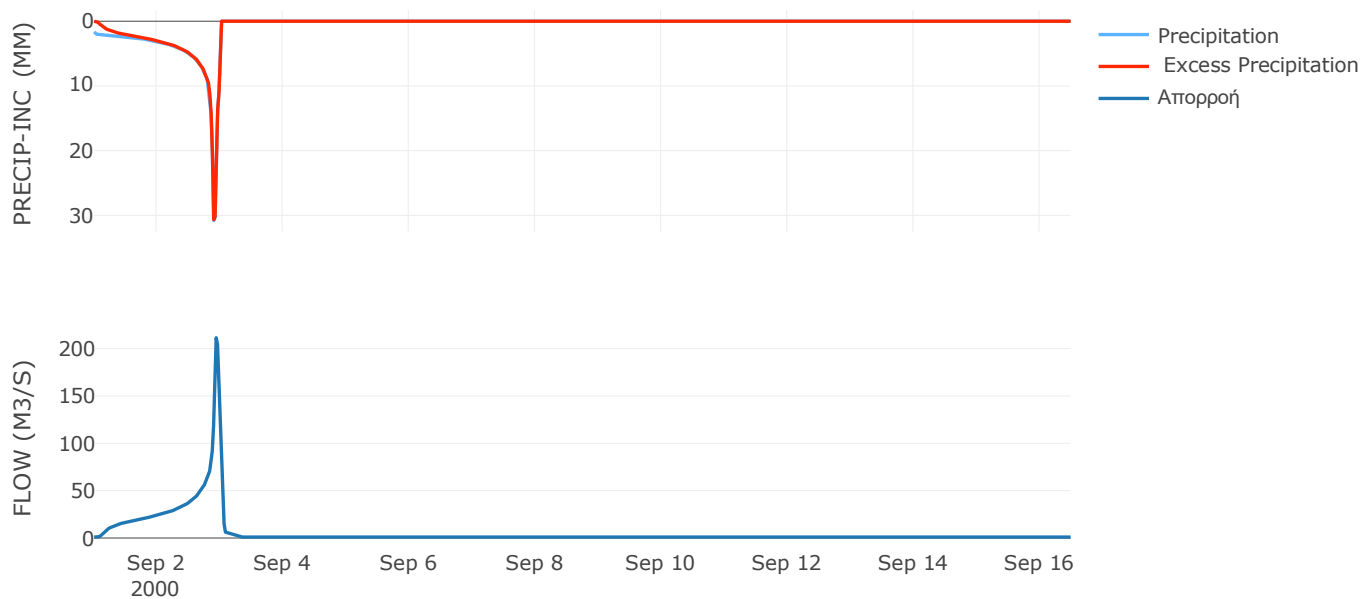
Μέθοδος
Μετασχηματισμού: SCS

Χρόνος Υστέρησης	35.73
------------------	-------

Αποτελέσματα:
EL0415FR6025

Παροχή αιχμής (M3/S)	211.41
Χρονική στιγμή αιχμής	02Sep2000, 22:30
Όγκος (MM)	531.07
Όγκος βροχόπτωσης (M3)	6.65E6
Όγκος απωλειών (M3)	4.47E5
Ενεργός Όγκος (M3)	6.2E6
Όγκος άμεσης απορροής (M3)	6.2E6
Όγκος βασικής απορροής (M3)	1.33E6

Βροχόπτωση και Απορροή



Υπολεκάνη: EL0415FR6026

Έκταση (KM2) : 38.04

Κατάντη : J21

Μέθοδος Απωλειών: SCS

Ποσοστό αδιαπέρατης επιφάνειας	0
Αριθμός Καμπύλης Απορροής-CN	87.69
Αρχικές Απώλειες	7.13

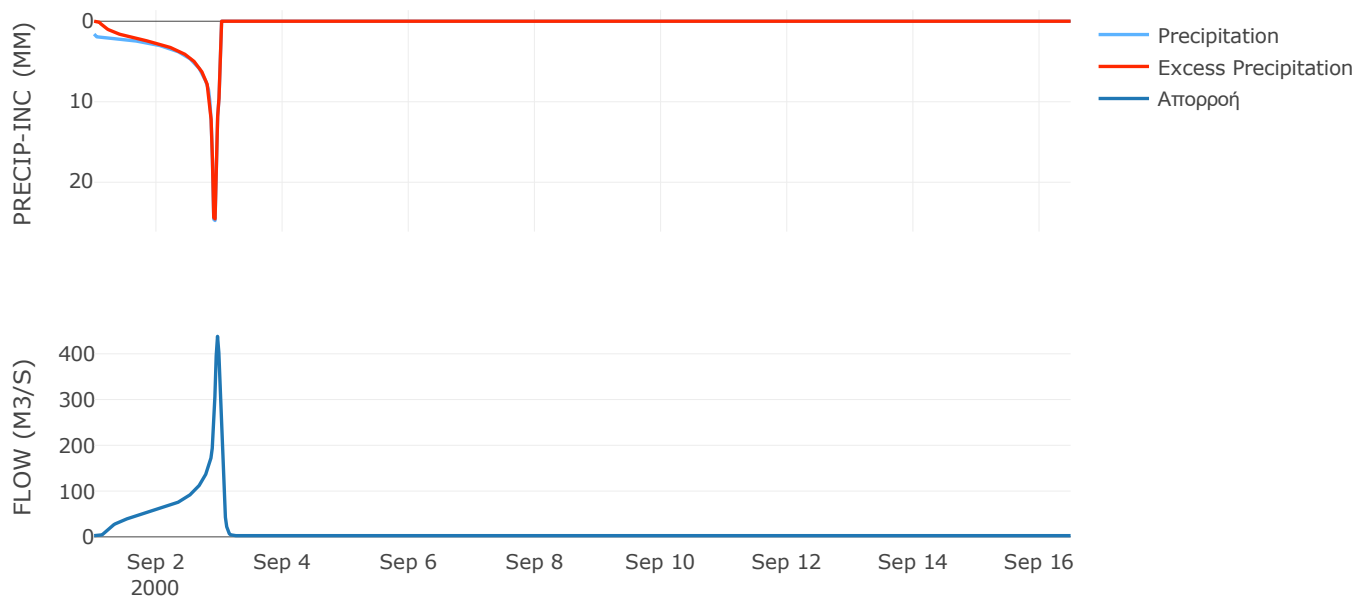
Μέθοδος
Μετασχηματισμού: SCS

Χρόνος Υστέρησης	53.63
------------------	-------

Αποτελέσματα:
EL0415FR6026

Παροχή αιχμής (M3/S)	438.11
Χρονική στιγμή αιχμής	02Sep2000, 23:00
Όγκος (MM)	475.38
Όγκος βροχόπτωσης (M3)	1.6E7
Όγκος απωλειών (M3)	1.52E6
Ενεργός Όγκος (M3)	1.45E7
Όγκος άμεσης απορροής (M3)	1.45E7
Όγκος βασικής απορροής (M3)	3.57E6

Βροχόπτωση και Απορροή



Υπολεκάνη: EL0415FR6027

Έκταση (KM2) : 185.56

Κατάντη : J21

Μέθοδος Απωλειών: SCS

Ποσοστό αδιαπέρατης επιφάνειας	0
Αριθμός Καμπύλης Απορροής-CN	86.3
Αρχικές Απώλειες	8.07

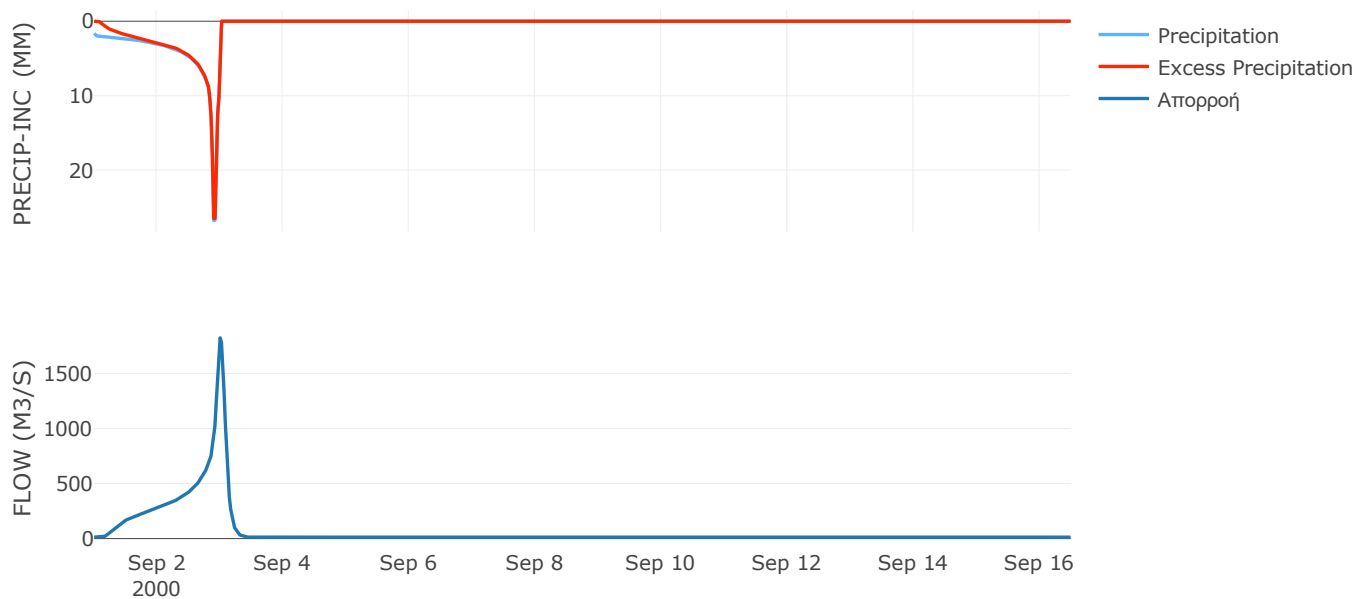
Μέθοδος
Μετασχηματισμού: SCS

Χρόνος Υστέρησης	121.29
------------------	--------

Αποτελέσματα:
EL0415FR6027

Παροχή αιχμής (M3/S)	1823.52
Χρονική στιγμή αιχμής	02Sep2000, 24:00
Όγκος (MM)	488.96
Όγκος βροχόπτωσης (M3)	8.17E7
Όγκος απωλειών (M3)	8.34E6
Ενεργός Όγκος (M3)	7.33E7
Όγκος άμεσης απορροής (M3)	7.33E7
Όγκος βασικής απορροής (M3)	1.74E7

Βροχόπτωση και Απορροή



Υπολεκάνη: EL0415FR6028

Έκταση (KM2) : 39.67

Κατάντη : J22

Μέθοδος Απωλειών: SCS

Ποσοστό αδιαπέρατης επιφάνειας	0
Αριθμός Καμπύλης Απορροής-CN	67.28
Αρχικές Απώλειες	24.7

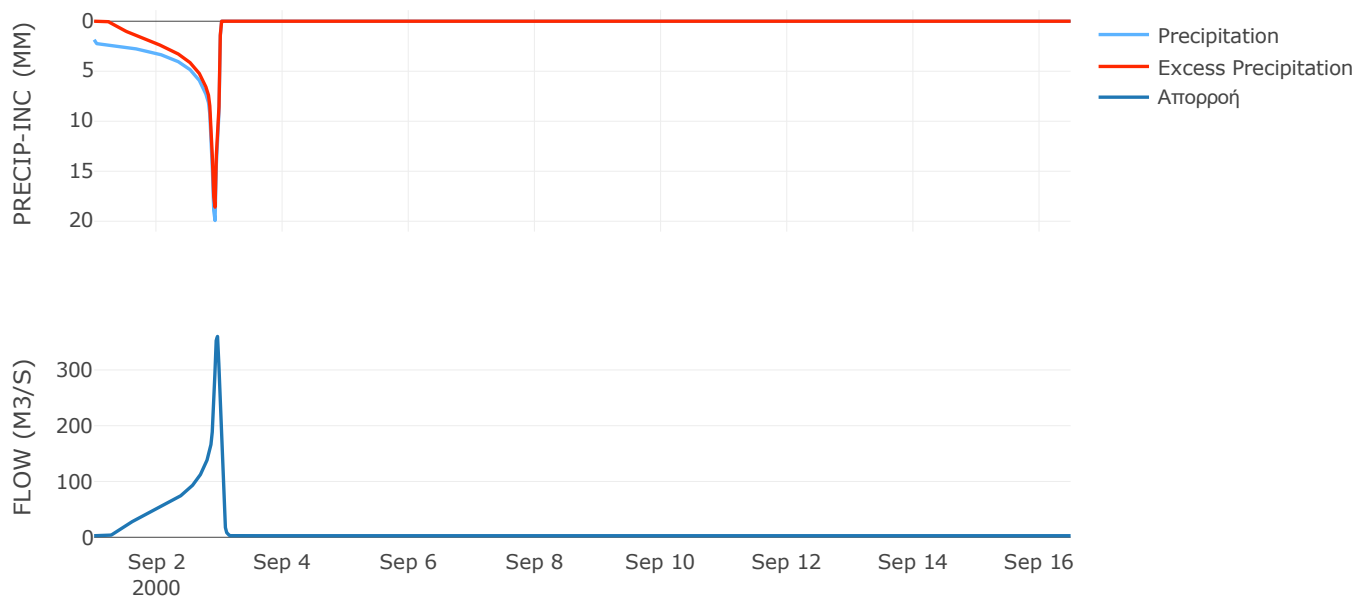
Μέθοδος
Μετασχηματισμού: SCS

Χρόνος Υστέρησης	39.09
------------------	-------

Αποτελέσματα:
EL0415FR6028

Παροχή αιχμής (M3/S)	360.1
Χρονική στιγμή αιχμής	02Sep2000, 23:00
Όγκος (MM)	398.75
Όγκος βροχόπτωσης (M3)	1.68E7
Όγκος απωλειών (M3)	4.72E6
Ενεργός Όγκος (M3)	1.21E7
Όγκος άμεσης απορροής (M3)	1.21E7
Όγκος βασικής απορροής (M3)	3.72E6

Βροχόπτωση και Απορροή



Υπολεκάνη: EL0415FR6029

Έκταση (KM2) : 74.56

Κατάντη : J31

Μέθοδος Απωλειών: SCS

Ποσοστό αδιαπέρατης επιφάνειας	22
Αριθμός Καμπύλης Απορροής-CN	83.49
Αρχικές Απώλειες	10.04

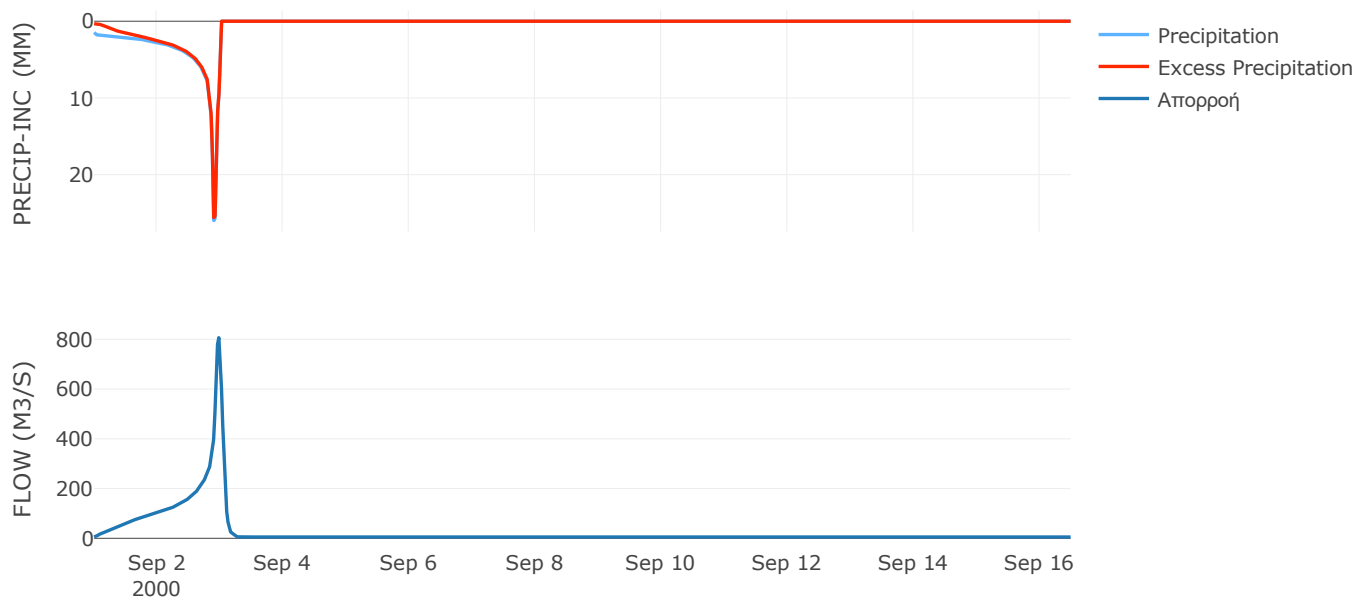
Μέθοδος
Μετασχηματισμού: SCS

Χρόνος Υστέρησης	75.58
------------------	-------

Αποτελέσματα:
EL0415FR6029

Παροχή αιχμής (M3/S)	806.38
Χρονική στιγμή αιχμής	02Sep2000, 23:30
Όγκος (MM)	458.2
Όγκος βροχόπτωσης (M3)	3.03E7
Όγκος απωλειών (M3)	3.18E6
Ενεργός Όγκος (M3)	2.72E7
Όγκος άμεσης απορροής (M3)	2.72E7
Όγκος βασικής απορροής (M3)	6.99E6

Βροχόπτωση και Απορροή



Υπολεκάνη: EL0415FR6030

Έκταση (KM2) : 127.36

Κατάντη : J27

Μέθοδος Απωλειών: SCS

Ποσοστό αδιαπέρατης επιφάνειας	17
Αριθμός Καμπύλης Απορροής-CN	90.82
Αρχικές Απώλειες	5.13

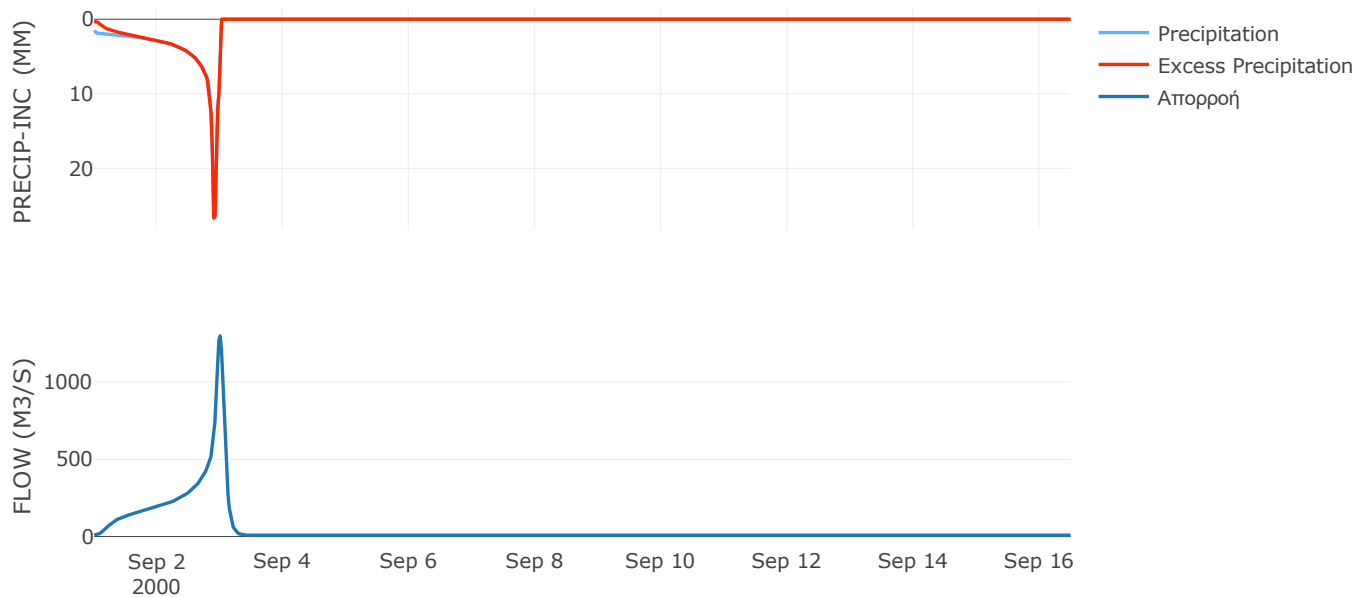
Μέθοδος
Μετασχηματισμού: SCS

Χρόνος Υστέρησης	105.48
------------------	--------

Αποτελέσματα:
EL0415FR6030

Παροχή αιχμής (M3/S)	1299.87
Χρονική στιγμή αιχμής	02Sep2000, 24:00
Όγκος (MM)	492.32
Όγκος βροχόπτωσης (M3)	5.39E7
Όγκος απωλειών (M3)	3.1E6
Ενεργός Όγκος (M3)	5.08E7
Όγκος άμεσης απορροής (M3)	5.08E7
Όγκος βασικής απορροής (M3)	1.19E7

Βροχόπτωση και Απορροή



Υπολεκάνη: EL0415FR6031

Έκταση (KM2) : 92.16

Κατάντη : J34

Μέθοδος Απωλειών: SCS

Ποσοστό αδιαπέρατης επιφάνειας	0
Αριθμός Καμπύλης Απορροής-CN	90.06
Αρχικές Απώλειες	5.61

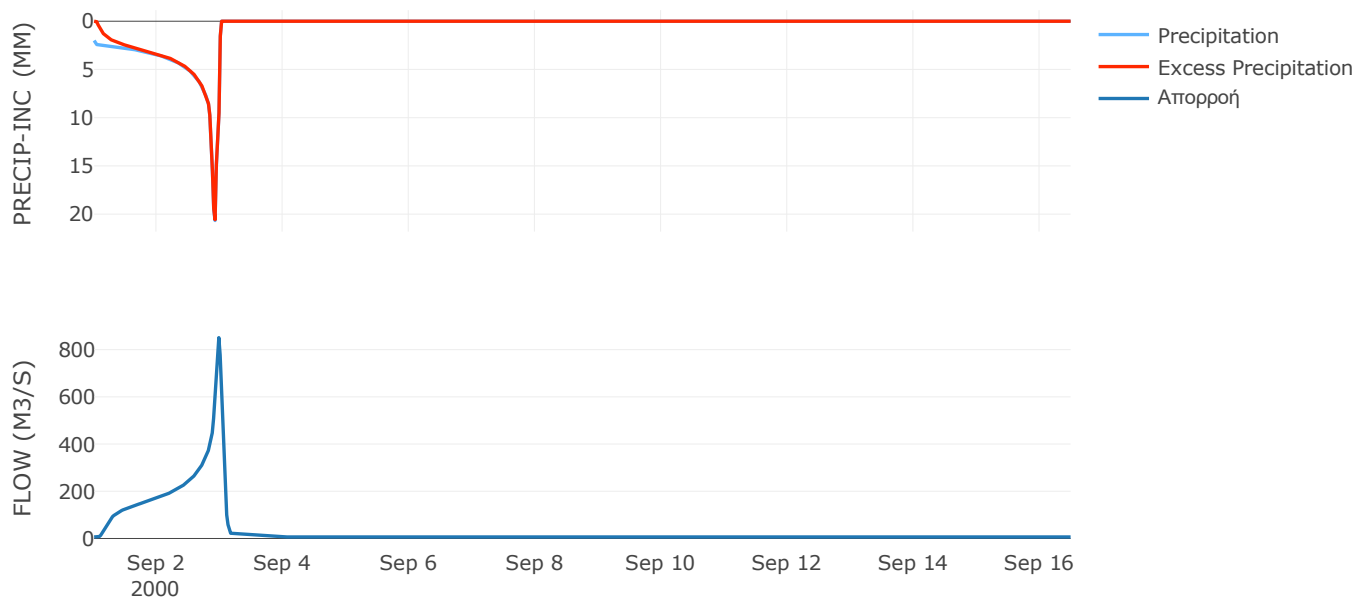
Μέθοδος
Μετασχηματισμού: SCS

Χρόνος Υστέρησης	69.31
------------------	-------

Αποτελέσματα:
EL0415FR6031

Παροχή αιχμής (M3/S)	850.82
Χρονική στιγμή αιχμής	02Sep2000, 23:30
Όγκος (MM)	512.57
Όγκος βροχόπτωσης (M3)	4.15E7
Όγκος απωλειών (M3)	2.95E6
Ενεργός Όγκος (M3)	3.86E7
Όγκος άμεσης απορροής (M3)	3.86E7
Όγκος βασικής απορροής (M3)	8.64E6

Βροχόπτωση και Απορροή



Υπολεκάνη: EL0415FR6032

Έκταση (KM2) : 115.9

Κατάντη : J26

Μέθοδος Απωλειών: SCS

Ποσοστό αδιαπέρατης επιφάνειας	0
Αριθμός Καμπύλης Απορροής-CN	77.87
Αρχικές Απώλειες	14.44

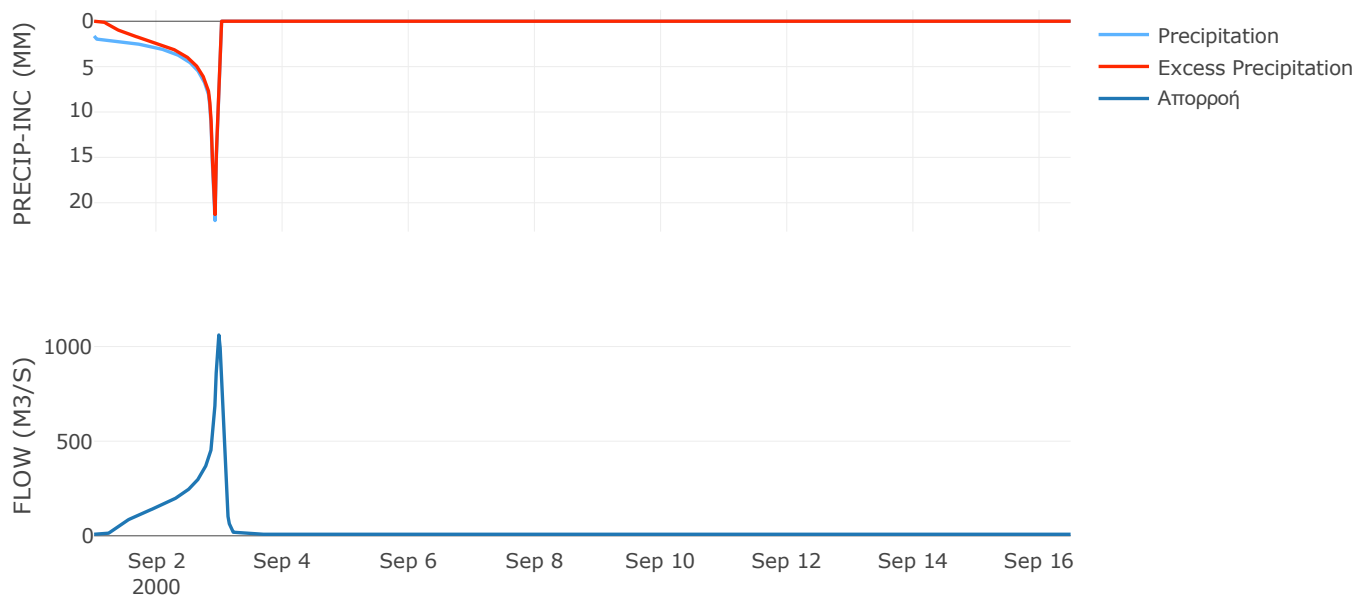
Μέθοδος
Μετασχηματισμού: SCS

Χρόνος Υστέρησης	78.76
------------------	-------

Αποτελέσματα:
EL0415FR6032

Παροχή αιχμής (M3/S)	1061.12
Χρονική στιγμή αιχμής	02Sep2000, 23:30
Όγκος (MM)	424.75
Όγκος βροχόπτωσης (M3)	4.71E7
Όγκος απωλειών (M3)	8.74E6
Ενεργός Όγκος (M3)	3.84E7
Όγκος άμεσης απορροής (M3)	3.84E7
Όγκος βασικής απορροής (M3)	1.09E7

Βροχόπτωση και Απορροή



Υπολεκάνη: EL0415FR6033

Έκταση (KM2) : 126.39

Κατάντη : J62

Μέθοδος Απωλειών: SCS

Ποσοστό αδιαπέρατης επιφάνειας	0
Αριθμός Καμπύλης Απορροής-CN	81.83
Αρχικές Απώλειες	11.28

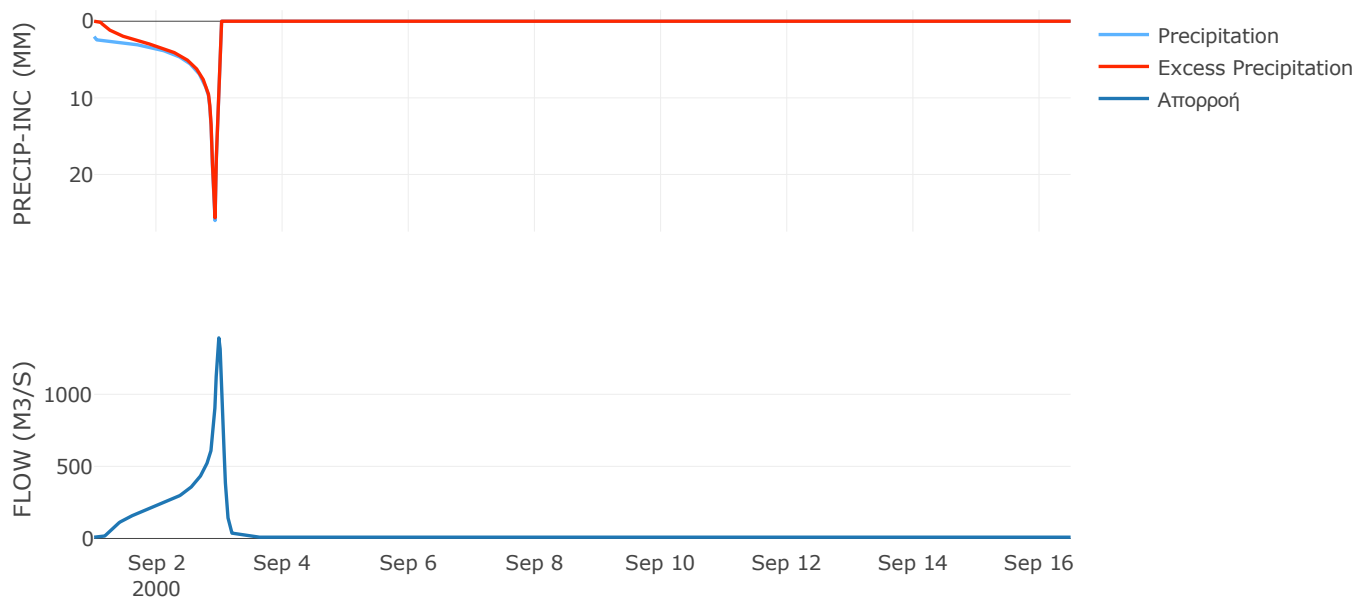
Μέθοδος
Μετασχηματισμού: SCS

Χρόνος Υστέρησης	80.72
------------------	-------

Αποτελέσματα:
EL0415FR6033

Παροχή αιχμής (M3/S)	1391.07
Χρονική στιγμή αιχμής	02Sep2000, 23:30
Όγκος (MM)	525.64
Όγκος βροχόπτωσης (M3)	6.24E7
Όγκος απωλειών (M3)	7.81E6
Ενεργός Όγκος (M3)	5.46E7
Όγκος άμεσης απορροής (M3)	5.46E7
Όγκος βασικής απορροής (M3)	1.18E7

Βροχόπτωση και Απορροή



Υπολεκάνη: EL0415FR6034

Έκταση (KM2) : 105.64

Κατάντη : J44

Μέθοδος Απωλειών: SCS

Ποσοστό αδιαπέρατης επιφάνειας	0
Αριθμός Καμπύλης Απορροής-CN	81.72
Αρχικές Απώλειες	11.36

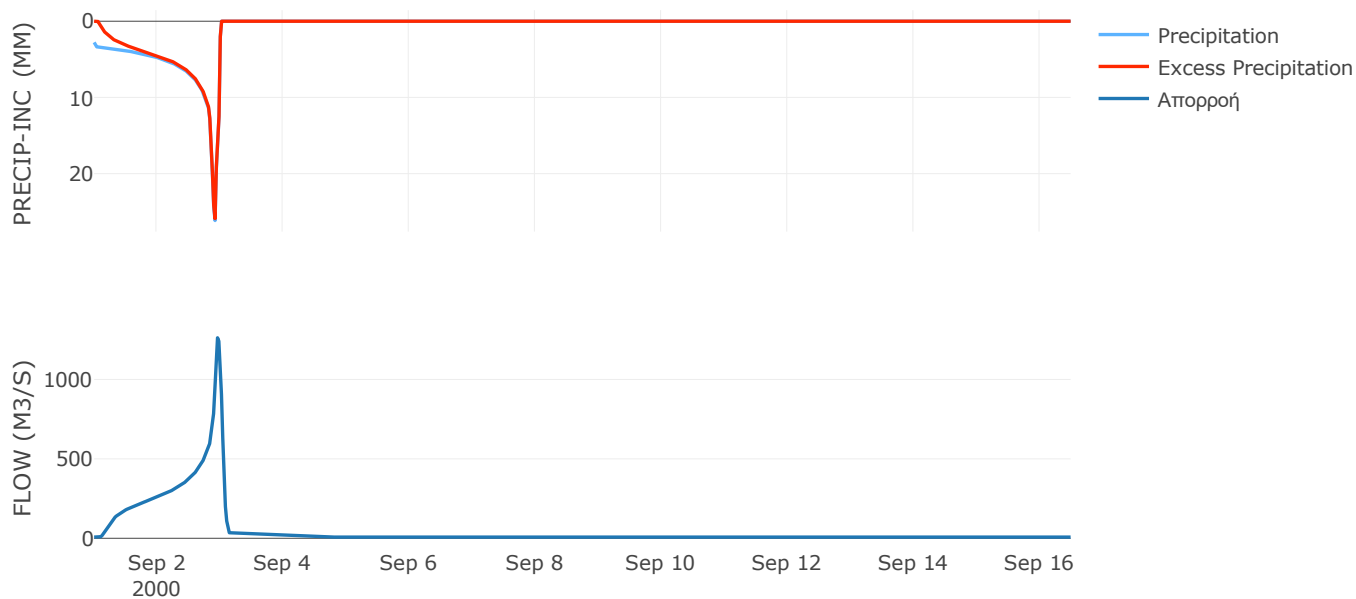
Μέθοδος
Μετασχηματισμού: SCS

Χρόνος Υστέρησης	61.85
------------------	-------

Αποτελέσματα:
EL0415FR6034

Παροχή αιχμής (M3/S)	1262.29
Χρονική στιγμή αιχμής	02Sep2000, 23:00
Όγκος (MM)	635.9
Όγκος βροχόπτωσης (M3)	6.4E7
Όγκος απωλειών (M3)	6.68E6
Ενεργός Όγκος (M3)	5.73E7
Όγκος άμεσης απορροής (M3)	5.73E7
Όγκος βασικής απορροής (M3)	9.9E6

Βροχόπτωση και Απορροή



Υπολεκάνη: EL0415FR6035

Έκταση (KM2) : 82.38

Κατάντη : J25

Μέθοδος Απωλειών: SCS

Ποσοστό αδιαπέρατης επιφάνειας	0
Αριθμός Καμπύλης Απορροής-CN	88.54
Αρχικές Απώλειες	6.57

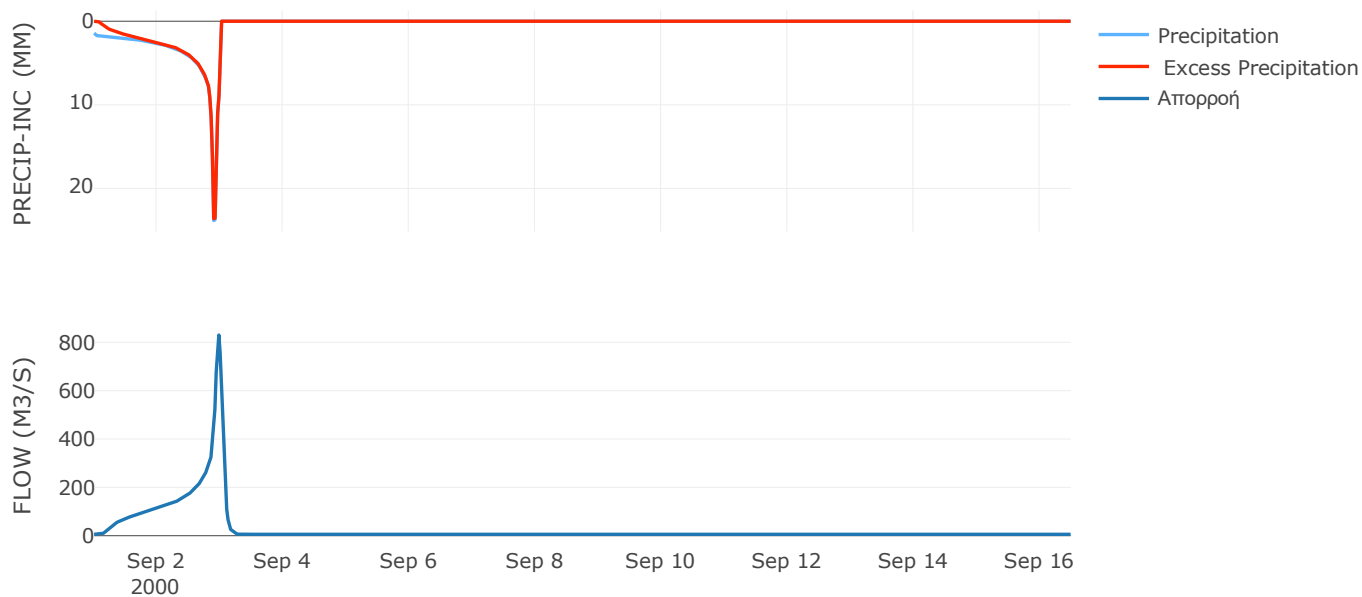
Μέθοδος
Μετασχηματισμού: SCS

Χρόνος Υστέρησης	75.16
------------------	-------

Αποτελέσματα:
EL0415FR6035

Παροχή αιχμής (M3/S)	830.15
Χρονική στιγμή αιχμής	02Sep2000, 23:30
Όγκος (MM)	442.87
Όγκος βροχόπτωσης (M3)	3.18E7
Όγκος απωλειών (M3)	3.03E6
Ενεργός Όγκος (M3)	2.88E7
Όγκος άμεσης απορροής (M3)	2.88E7
Όγκος βασικής απορροής (M3)	7.72E6

Βροχόπτωση και Απορροή



Υπολεκάνη: EL0415FR6036

Έκταση (KM2) : 47.25

Κατάντη : J45

Μέθοδος Απωλειών: SCS

Ποσοστό αδιαπέρατης επιφάνειας	0
Αριθμός Καμπύλης Απορροής-CN	81.7
Αρχικές Απώλειες	11.38

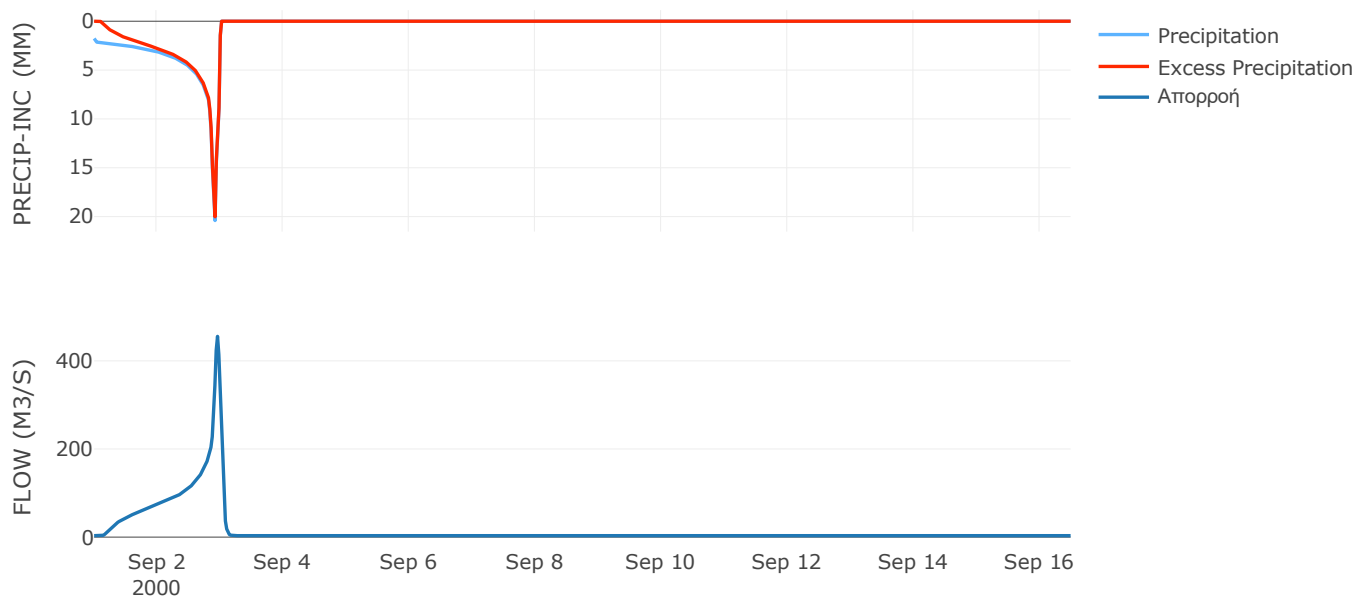
Μέθοδος
Μετασχηματισμού: SCS

Χρόνος Υστέρησης	48.25
------------------	-------

Αποτελέσματα:
EL0415FR6036

Παροχή αιχμής (M3/S)	455.65
Χρονική στιγμή αιχμής	02Sep2000, 23:00
Όγκος (MM)	448
Όγκος βροχόπτωσης (M3)	1.96E7
Όγκος απωλειών (M3)	2.89E6
Ενεργός Όγκος (M3)	1.67E7
Όγκος άμεσης απορροής (M3)	1.67E7
Όγκος βασικής απορροής (M3)	4.43E6

Βροχόπτωση και Απορροή



Υπολεκάνη: EL0415FR6037

Έκταση (KM2) : 88.31

Κατάντη : J40

Μέθοδος Απωλειών: SCS

Ποσοστό αδιαπέρατης επιφάνειας	0
Αριθμός Καμπύλης Απορροής-CN	83.01
Αρχικές Απώλειες	10.39

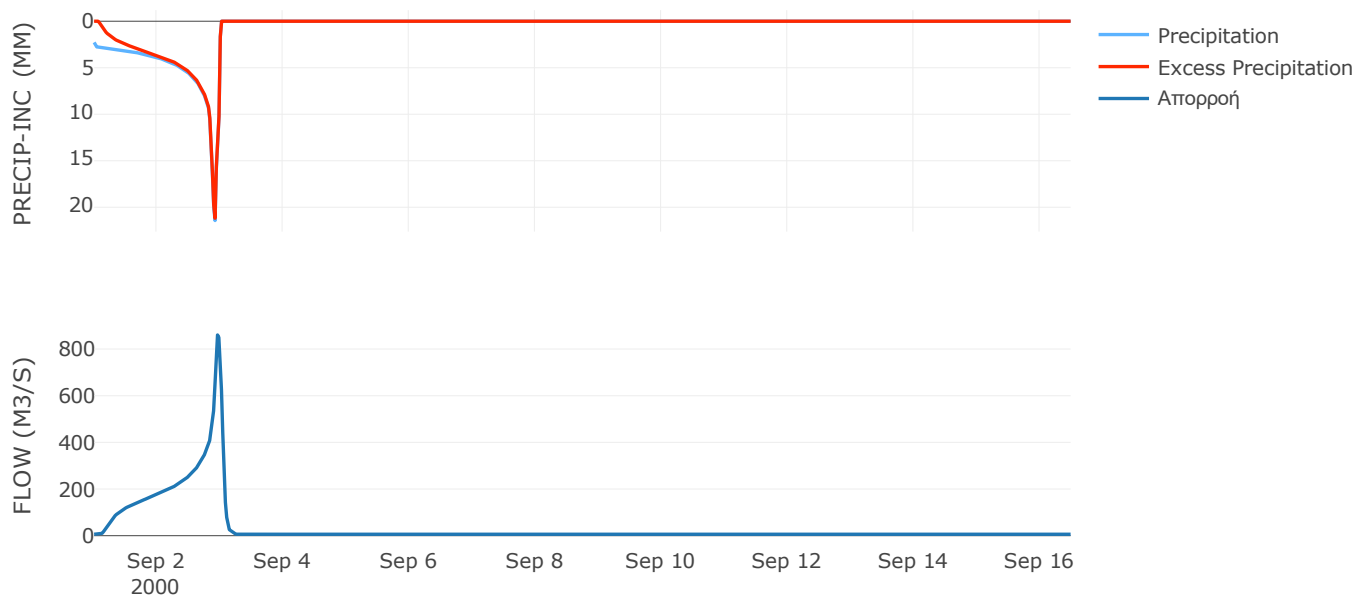
Μέθοδος
Μετασχηματισμού: SCS

Χρόνος Υστέρησης	62.77
------------------	-------

Αποτελέσματα:
EL0415FR6037

Παροχή αιχμής (M3/S)	860.48
Χρονική στιγμή αιχμής	02Sep2000, 23:00
Όγκος (MM)	533.08
Όγκος βροχόπτωσης (M3)	4.39E7
Όγκος απωλειών (M3)	5.07E6
Ενεργός Όγκος (M3)	3.88E7
Όγκος άμεσης απορροής (M3)	3.88E7
Όγκος βασικής απορροής (M3)	8.28E6

Βροχόπτωση και Απορροή



Υπολεκάνη: EL0415FR6038

Έκταση (KM2) : 94.78

Κατάντη : J35

Μέθοδος Απωλειών: SCS

Ποσοστό αδιαπέρατης επιφάνειας	0
Αριθμός Καμπύλης Απορροής-CN	83.47
Αρχικές Απώλειες	10.06

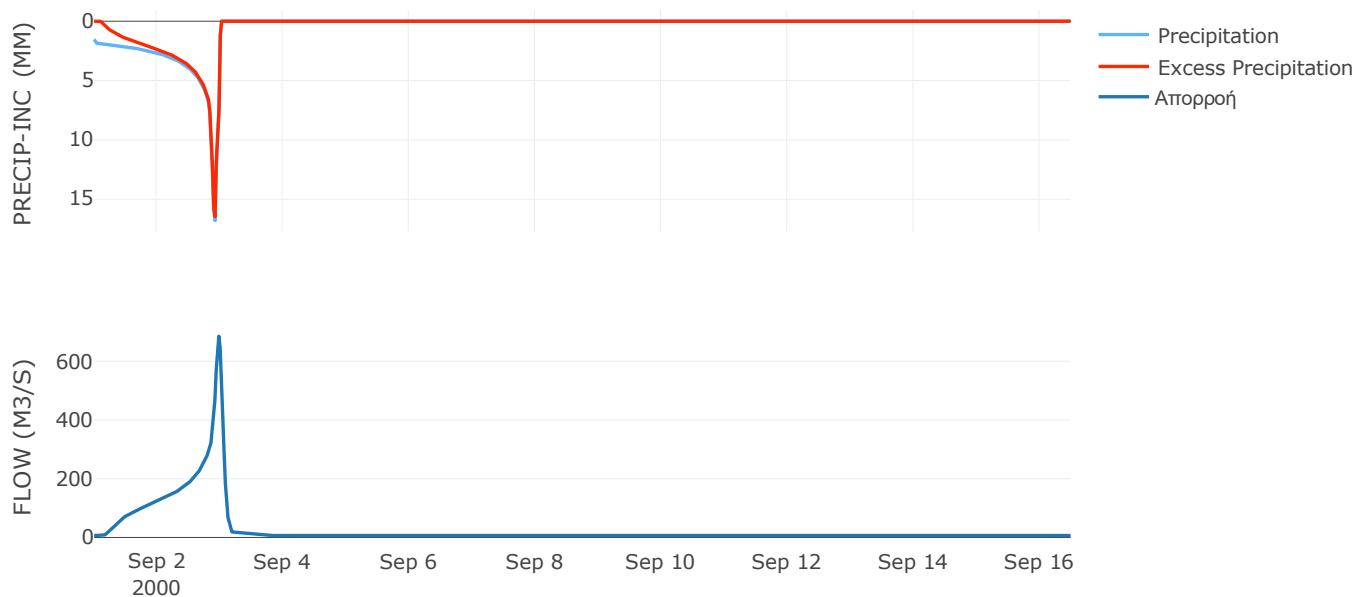
Μέθοδος
Μετασχηματισμού: SCS

Χρόνος Υστέρησης	77.92
------------------	-------

Αποτελέσματα:
EL0415FR6038

Παροχή αιχμής (M3/S)	685.1
Χρονική στιγμή αιχμής	02Sep2000, 23:30
Όγκος (MM)	392.51
Όγκος βροχόπτωσης (M3)	3.34E7
Όγκος απωλειών (M3)	5.11E6
Ενεργός Όγκος (M3)	2.83E7
Όγκος άμεσης απορροής (M3)	2.83E7
Όγκος βασικής απορροής (M3)	8.88E6

Βροχόπτωση και Απορροή



Υπολεκάνη: EL0415FR6039

Έκταση (KM2) : 6.93

Κατάντη : J23

Μέθοδος Απωλειών: SCS

Ποσοστό αδιαπέρατης επιφάνειας	0
Αριθμός Καμπύλης Απορροής-CN	89.46
Αρχικές Απώλειες	5.99

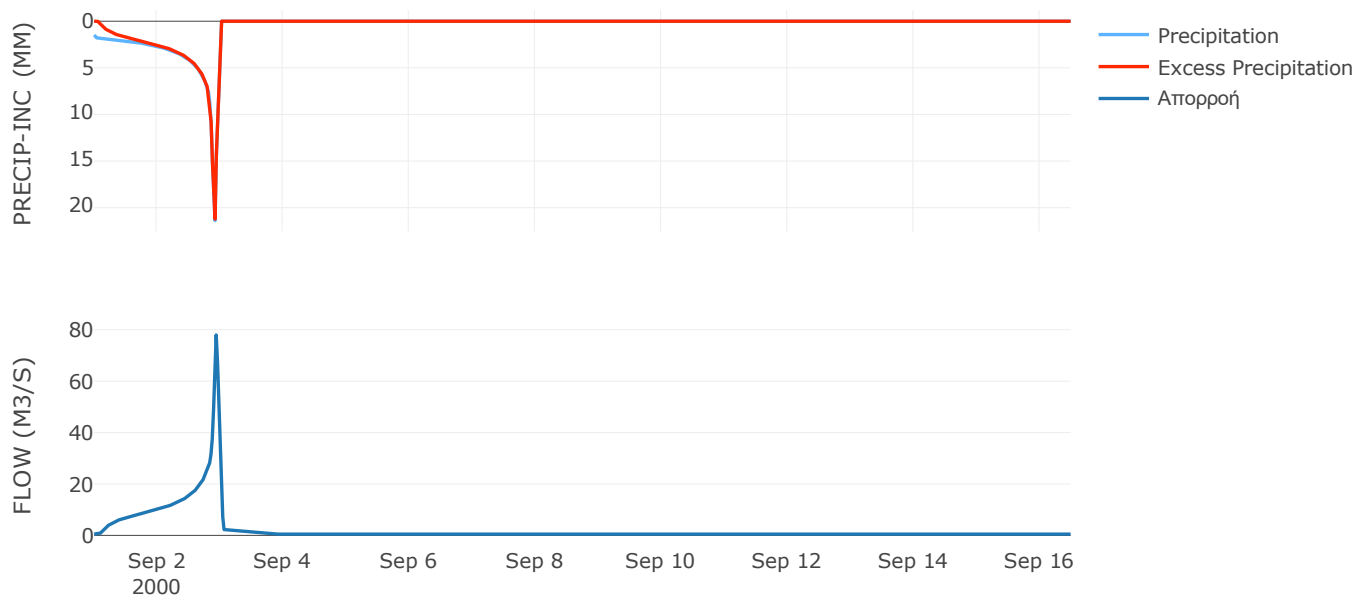
Μέθοδος
Μετασχηματισμού: SCS

Χρόνος Υστέρησης	23.67
------------------	-------

Αποτελέσματα:
EL0415FR6039

Παροχή αιχμής (M3/S)	77.96
Χρονική στιγμή αιχμής	02Sep2000, 22:30
Όγκος (MM)	438.94
Όγκος βροχόπτωσης (M3)	2.63E6
Όγκος απωλειών (M3)	2.33E5
Ενεργός Όγκος (M3)	2.39E6
Όγκος άμεσης απορροής (M3)	2.39E6
Όγκος βασικής απορροής (M3)	6.5E5

Βροχόπτωση και Απορροή



Υπολεκάνη: EL0415FR6040

Έκταση (KM2) : 39.05

Κατάντη : J34

Μέθοδος Απωλειών: SCS

Ποσοστό αδιαπέρατης επιφάνειας	0
Αριθμός Καμπύλης Απορροής-CN	79.47
Αρχικές Απώλειες	13.13

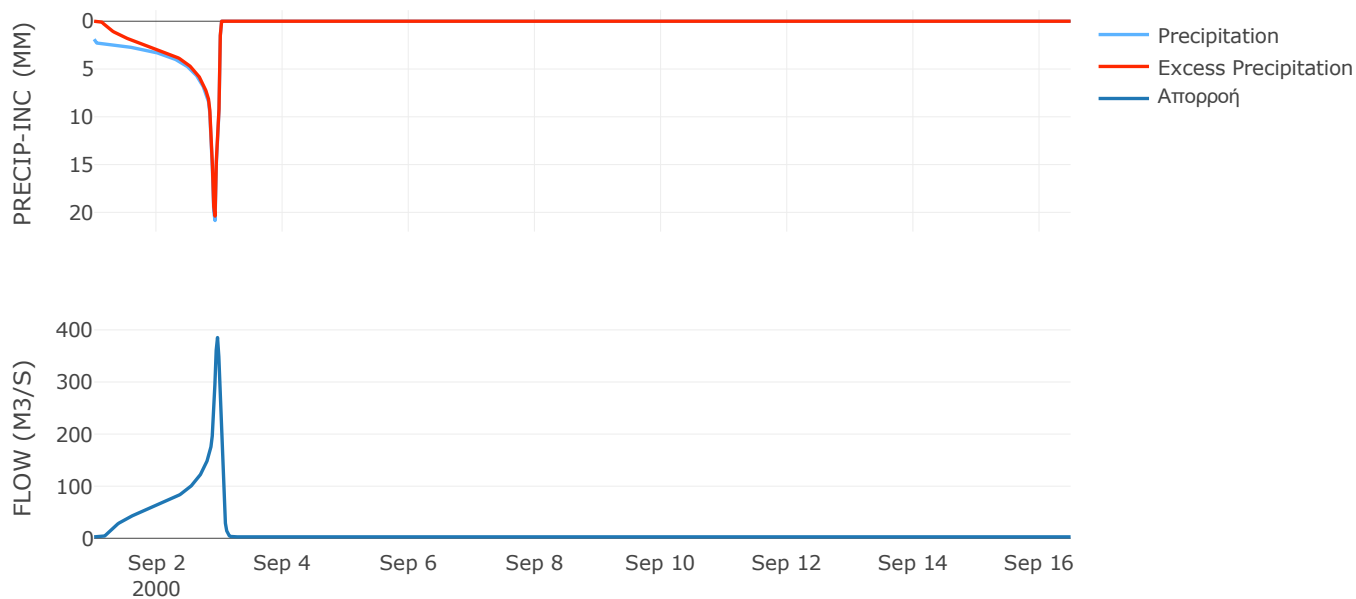
Μέθοδος
Μετασχηματισμού: SCS

Χρόνος Υστέρησης	46.83
------------------	-------

Αποτελέσματα:
EL0415FR6040

Παροχή αιχμής (M3/S)	385.28
Χρονική στιγμή αιχμής	02Sep2000, 23:00
Όγκος (MM)	459.83
Όγκος βροχόπτωσης (M3)	1.7E7
Όγκος απωλειών (M3)	2.73E6
Ενεργός Όγκος (M3)	1.43E7
Όγκος άμεσης απορροής (M3)	1.43E7
Όγκος βασικής απορροής (M3)	3.66E6

Βροχόπτωση και Απορροή



Υπολεκάνη: EL0415FR6041

Έκταση (KM2) : 25.72

Κατάντη : J64

Μέθοδος Απωλειών: SCS

Ποσοστό αδιαπέρατης επιφάνειας	0
Αριθμός Καμπύλης Απορροής-CN	76.94
Αρχικές Απώλειες	15.23

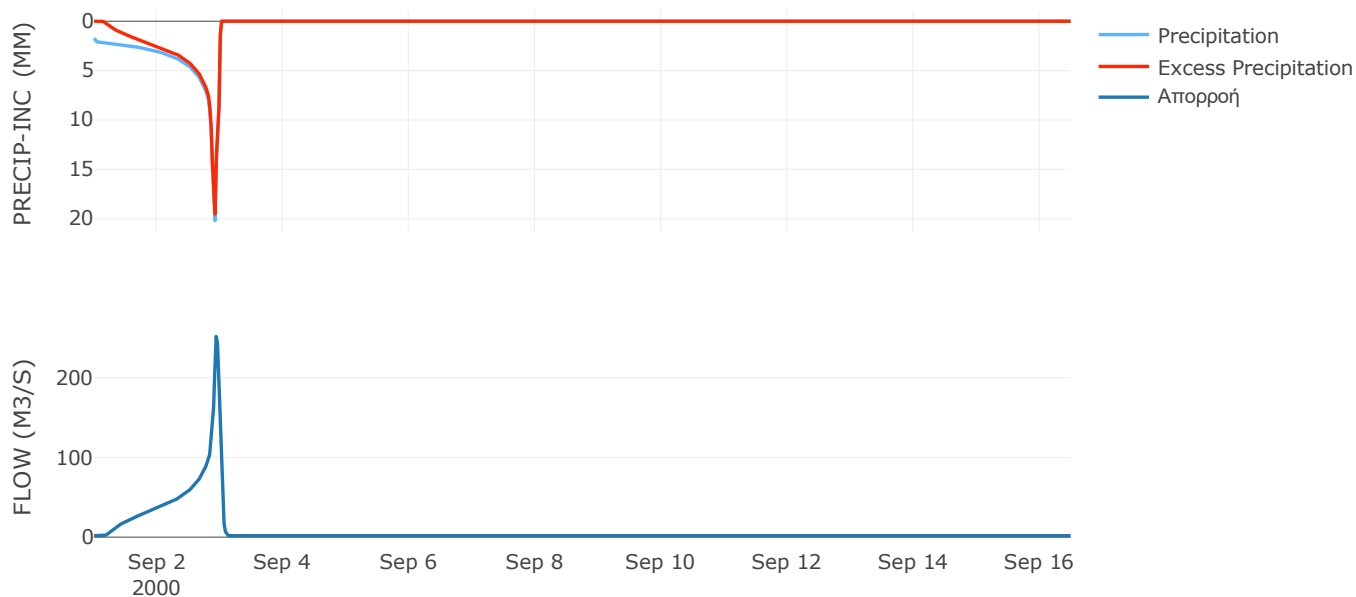
Μέθοδος
Μετασχηματισμού: SCS

Χρόνος Υστέρησης	32.63
------------------	-------

Αποτελέσματα:
EL0415FR6041

Παροχή αιχμής (M3/S)	251.78
Χρονική στιγμή αιχμής	02Sep2000, 22:30
Όγκος (MM)	422.15
Όγκος βροχόπτωσης (M3)	1.05E7
Όγκος απωλειών (M3)	2.03E6
Ενεργός Όγκος (M3)	8.45E6
Όγκος άμεσης απορροής (M3)	8.45E6
Όγκος βασικής απορροής (M3)	2.41E6

Βροχόπτωση και Απορροή



Υπολεκάνη: EL0415FR6042

Έκταση (KM2) : 44.43

Κατάντη : J28

Μέθοδος Απωλειών: SCS

Ποσοστό αδιαπέρατης επιφάνειας	0
Αριθμός Καμπύλης Απορροής-CN	82.1
Αρχικές Απώλειες	11.08

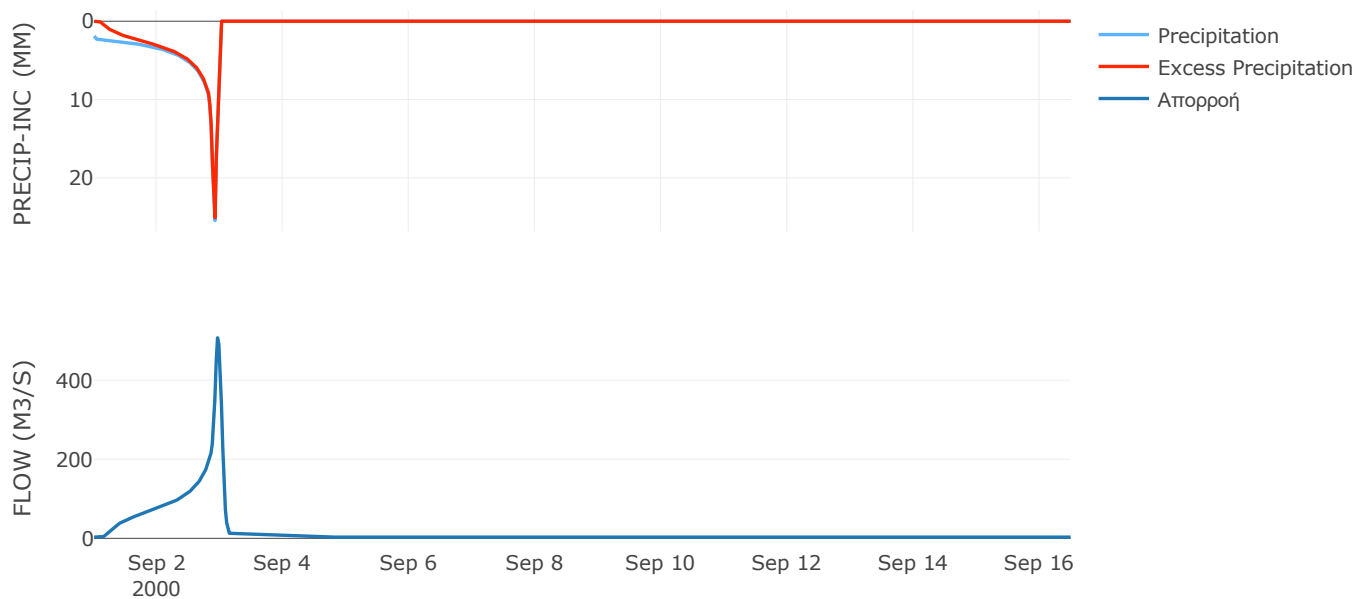
Μέθοδος
Μετασχηματισμού: SCS

Χρόνος Υστέρησης	61.19
------------------	-------

Αποτελέσματα:
EL0415FR6042

Παροχή αιχμής (M3/S)	507.04
Χρονική στιγμή αιχμής	02Sep2000, 23:00
Όγκος (MM)	505.48
Όγκος βροχόπτωσης (M3)	2.1E7
Όγκος απωλειών (M3)	2.69E6
Ενεργός Όγκος (M3)	1.83E7
Όγκος άμεσης απορροής (M3)	1.83E7
Όγκος βασικής απορροής (M3)	4.17E6

Βροχόπτωση και Απορροή



Υπολεκάνη: EL0415FR6043

Έκταση (KM2) : 50.16

Κατάντη : J37

Μέθοδος Απωλειών: SCS

Ποσοστό αδιαπέρατης επιφάνειας	0
Αριθμός Καμπύλης Απορροής-CN	76.81
Αρχικές Απώλειες	15.34

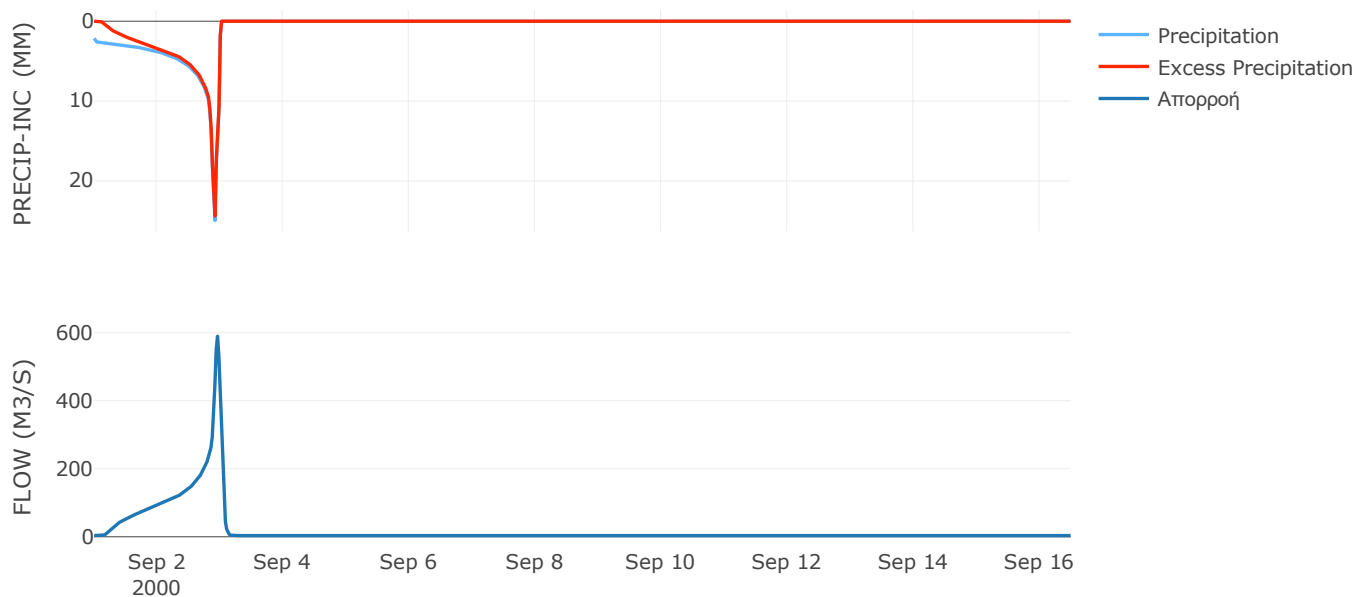
Μέθοδος
Μετασχηματισμού: SCS

Χρόνος Υστέρησης	47.45
------------------	-------

Αποτελέσματα:
EL0415FR6043

Παροχή αιχμής (M3/S)	589.55
Χρονική στιγμή αιχμής	02Sep2000, 23:00
Όγκος (MM)	518.08
Όγκος βροχόπτωσης (M3)	2.54E7
Όγκος απωλειών (M3)	4.1E6
Ενεργός Όγκος (M3)	2.13E7
Όγκος άμεσης απορροής (M3)	2.13E7
Όγκος βασικής απορροής (M3)	4.7E6

Βροχόπτωση και Απορροή



Υπολεκάνη: EL0415FR6044

Έκταση (KM2) : 32.29

Κατάντη : J44

Μέθοδος Απωλειών: SCS

Ποσοστό αδιαπέρατης επιφάνειας	0
Αριθμός Καμπύλης Απορροής-CN	78.59
Αρχικές Απώλειες	13.84

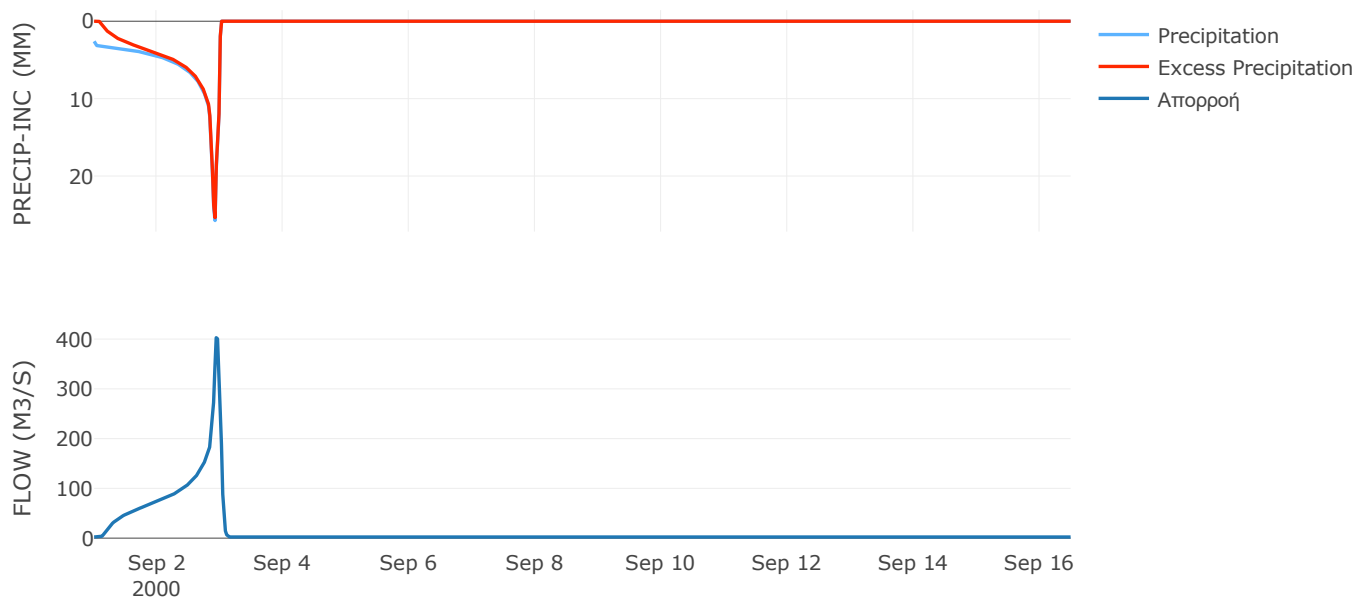
Μέθοδος
Μετασχηματισμού: SCS

Χρόνος Υστέρησης	35.47
------------------	-------

Αποτελέσματα:
EL0415FR6044

Παροχή αιχμής (M3/S)	402.76
Χρονική στιγμή αιχμής	02Sep2000, 22:30
Όγκος (MM)	595.28
Όγκος βροχόπτωσης (M3)	1.86E7
Όγκος απωλειών (M3)	2.44E6
Ενεργός Όγκος (M3)	1.62E7
Όγκος άμεσης απορροής (M3)	1.62E7
Όγκος βασικής απορροής (M3)	3.03E6

Βροχόπτωση και Απορροή



Υπολεκάνη: EL0415FR6045

Έκταση (KM2) : 39.32

Κατάντη : J24

Μέθοδος Απωλειών: SCS

Ποσοστό αδιαπέρατης επιφάνειας	0
Αριθμός Καμπύλης Απορροής-CN	90.34
Αρχικές Απώλειες	5.43

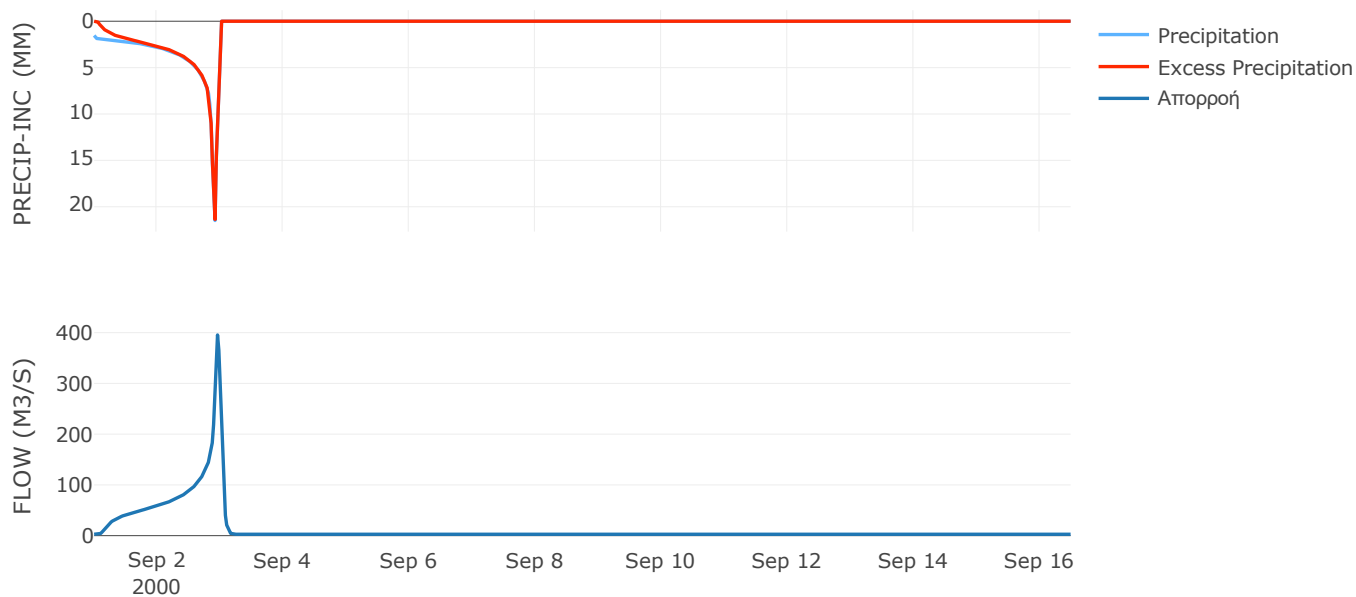
Μέθοδος
Μετασχηματισμού: SCS

Χρόνος Υστέρησης	53.69
------------------	-------

Αποτελέσματα:
EL0415FR6045

Παροχή αιχμής (M3/S)	395.5
Χρονική στιγμή αιχμής	02Sep2000, 23:00
Όγκος (MM)	452.18
Όγκος βροχόπτωσης (M3)	1.53E7
Όγκος απωλειών (M3)	1.21E6
Ενεργός Όγκος (M3)	1.41E7
Όγκος άμεσης απορροής (M3)	1.41E7
Όγκος βασικής απορροής (M3)	3.69E6

Βροχόπτωση και Απορροή



Υπολεκάνη: EL0415FR6046

Έκταση (KM2) : 33.73

Κατάντη : J23

Μέθοδος Απωλειών: SCS

Ποσοστό αδιαπέρατης επιφάνειας	0
Αριθμός Καμπύλης Απορροής-CN	73.34
Αρχικές Απώλειες	18.46

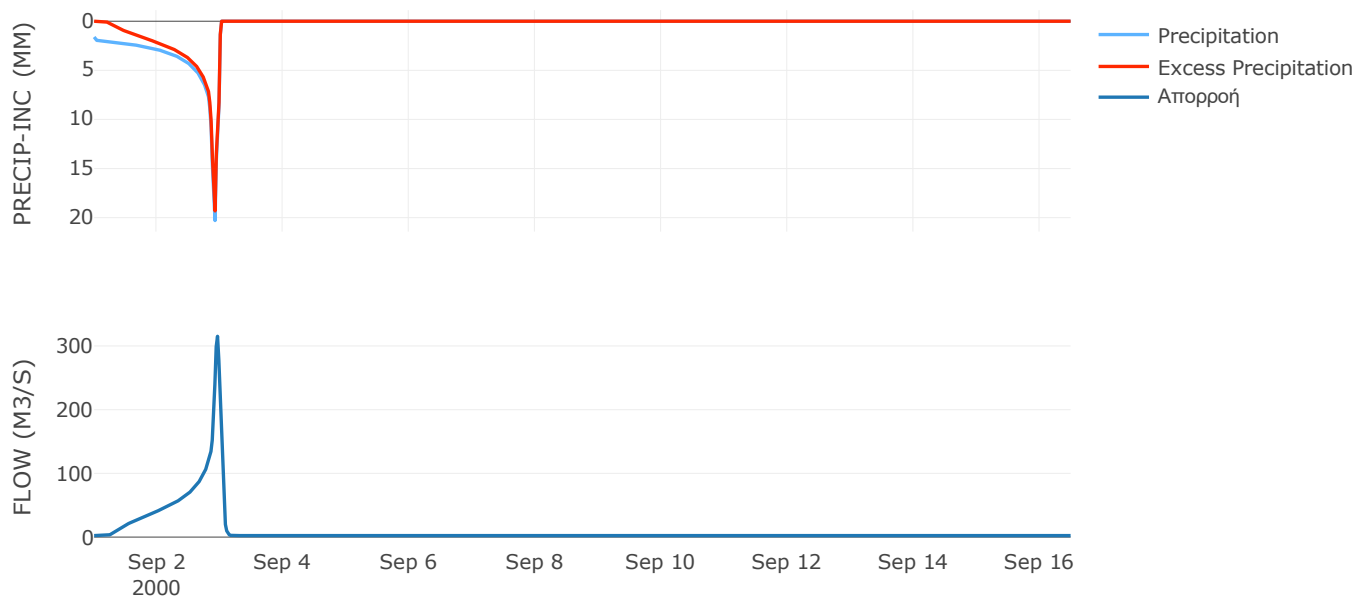
Μέθοδος
Μετασχηματισμού: SCS

Χρόνος Υστέρησης	44.28
------------------	-------

Αποτελέσματα:
EL0415FR6046

Παροχή αιχμής (M3/S)	315.18
Χρονική στιγμή αιχμής	02Sep2000, 23:00
Όγκος (MM)	392.46
Όγκος βροχόπτωσης (M3)	1.32E7
Όγκος απωλειών (M3)	3.12E6
Ενεργός Όγκος (M3)	1.01E7
Όγκος άμεσης απορροής (M3)	1.01E7
Όγκος βασικής απορροής (M3)	3.16E6

Βροχόπτωση και Απορροή



Υπολεκάνη: EL0415FR6047

Έκταση (KM2) : 33.12

Κατάντη : J38

Μέθοδος Απωλειών: SCS

Ποσοστό αδιαπέρατης επιφάνειας	0
Αριθμός Καμπύλης Απορροής-CN	79.68
Αρχικές Απώλειες	12.95

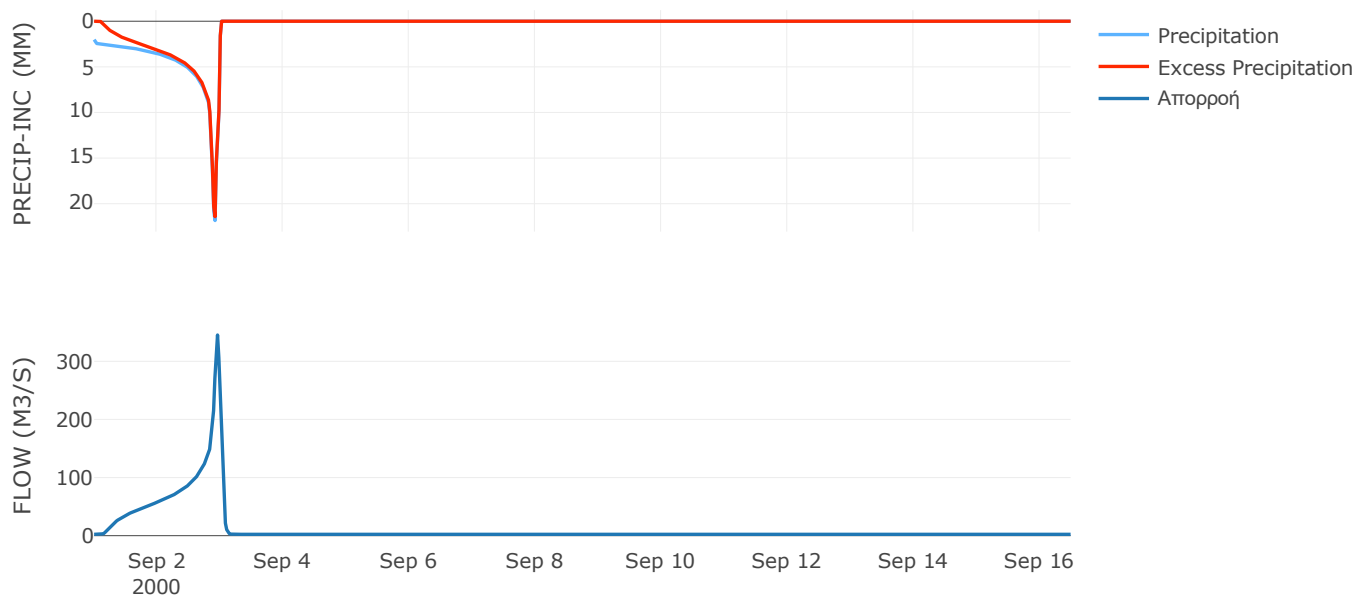
Μέθοδος
Μετασχηματισμού: SCS

Χρόνος Υστέρησης	43.59
------------------	-------

Αποτελέσματα:
EL0415FR6047

Παροχή αιχμής (M3/S)	345.28
Χρονική στιγμή αιχμής	02Sep2000, 23:00
Όγκος (MM)	487.13
Όγκος βροχόπτωσης (M3)	1.53E7
Όγκος απωλειών (M3)	2.3E6
Ενεργός Όγκος (M3)	1.3E7
Όγκος άμεσης απορροής (M3)	1.3E7
Όγκος βασικής απορροής (M3)	3.1E6

Βροχόπτωση και Απορροή



Υπολεκάνη: EL0415FR6048

Έκταση (KM2) : 29.32

Κατάντη : J35

Μέθοδος Απωλειών: SCS

Ποσοστό αδιαπέρατης επιφάνειας	0
Αριθμός Καμπύλης Απορροής-CN	81.27
Αρχικές Απώλειες	11.71

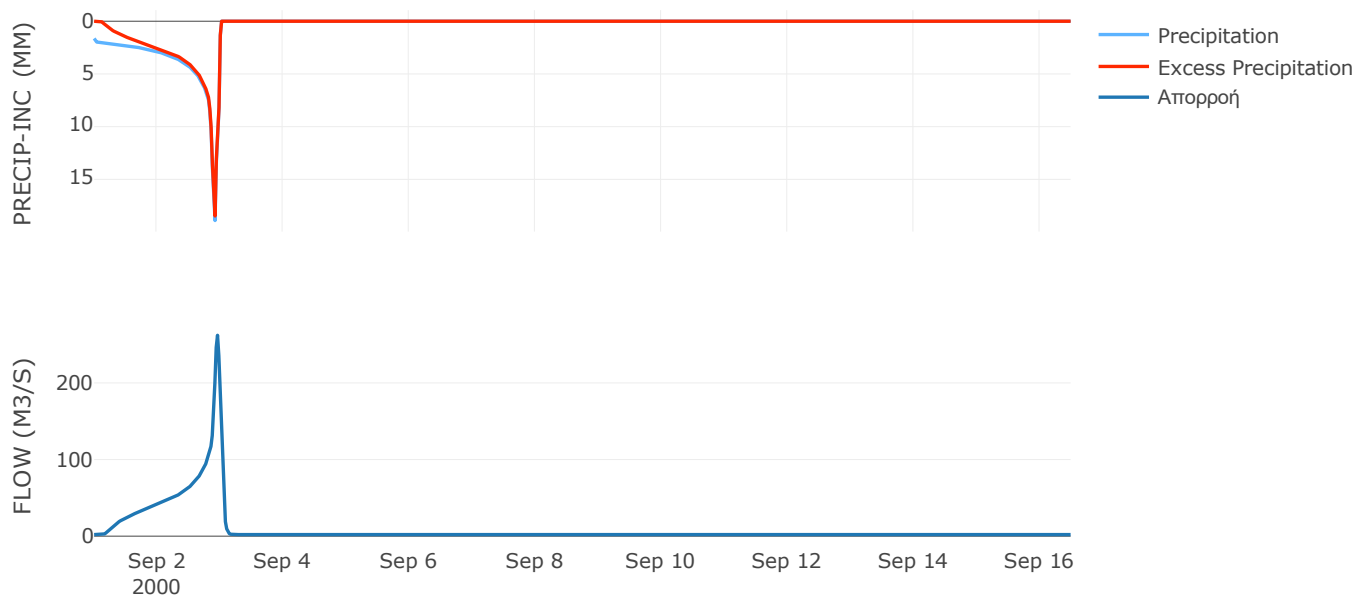
Μέθοδος
Μετασχηματισμού: SCS

Χρόνος Υστέρησης	46.25
------------------	-------

Αποτελέσματα:
EL0415FR6048

Παροχή αιχμής (M3/S)	262.18
Χρονική στιγμή αιχμής	02Sep2000, 23:00
Όγκος (MM)	415.65
Όγκος βροχόπτωσης (M3)	1.13E7
Όγκος απωλειών (M3)	1.83E6
Ενεργός Όγκος (M3)	9.44E6
Όγκος άμεσης απορροής (M3)	9.44E6
Όγκος βασικής απορροής (M3)	2.75E6

Βροχόπτωση και Απορροή



Υπολεκάνη: EL0415FR6049

Έκταση (KM2) : 52.23

Κατάντη : J49

Μέθοδος Απωλειών: SCS

Ποσοστό αδιαπέρατης επιφάνειας	0
Αριθμός Καμπύλης Απορροής-CN	81.6
Αρχικές Απώλειες	11.46

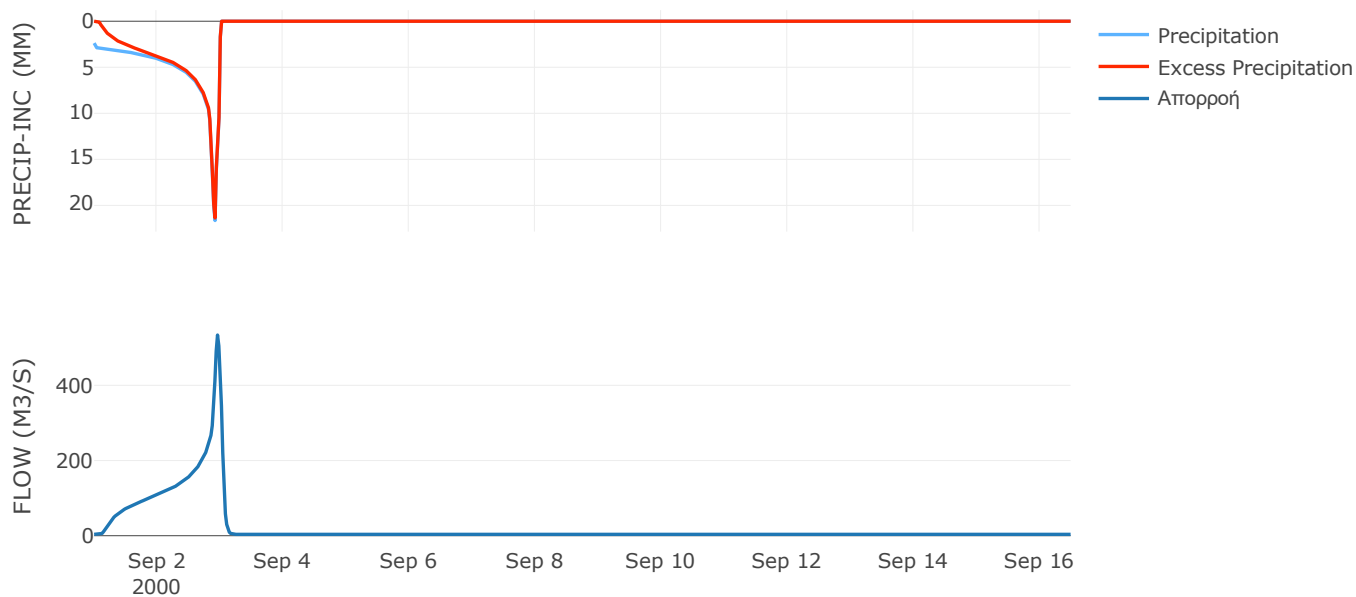
Μέθοδος
Μετασχηματισμού: SCS

Χρόνος Υστέρησης	52.94
------------------	-------

Αποτελέσματα:
EL0415FR6049

Παροχή αιχμής (M3/S)	533.8
Χρονική στιγμή αιχμής	02Sep2000, 23:00
Όγκος (MM)	543.09
Όγκος βροχόπτωσης (M3)	2.67E7
Όγκος απωλειών (M3)	3.28E6
Ενεργός Όγκος (M3)	2.35E7
Όγκος άμεσης απορροής (M3)	2.35E7
Όγκος βασικής απορροής (M3)	4.9E6

Βροχόπτωση και Απορροή



Υπολεκάνη: EL0415FR6050

Έκταση (KM2) : 51.03

Κατάντη : J51

Μέθοδος Απωλειών: SCS

Ποσοστό αδιαπέρατης επιφάνειας	0
Αριθμός Καμπύλης Απορροής-CN	79.47
Αρχικές Απώλειες	13.12

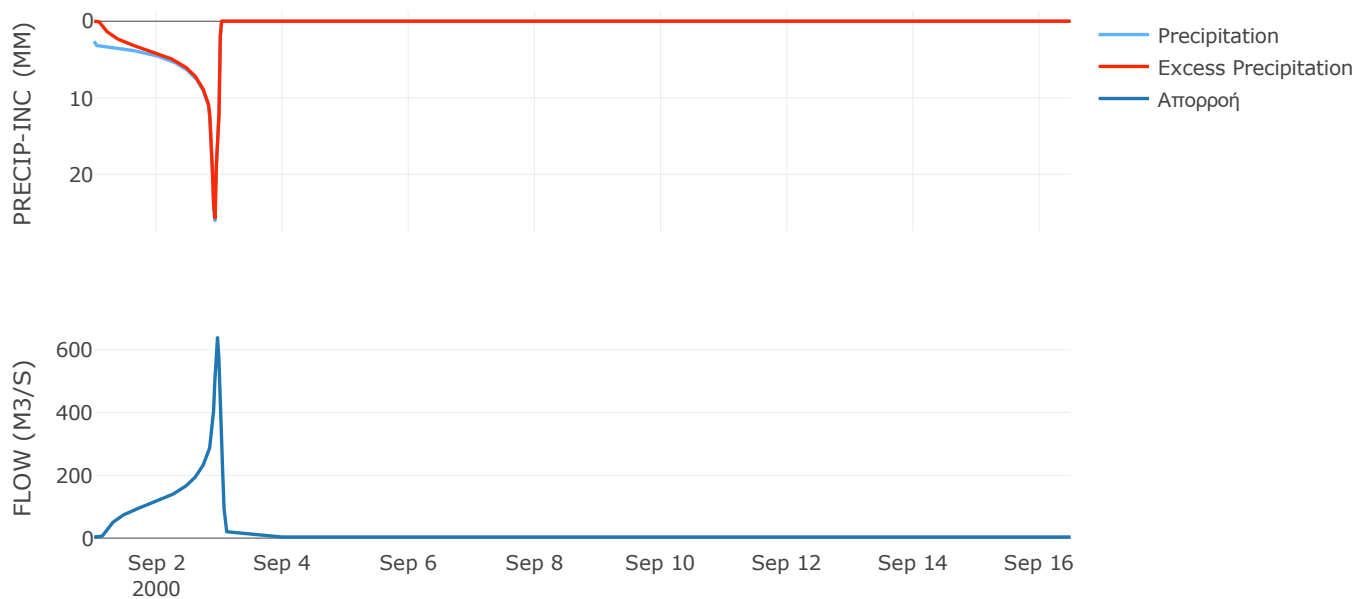
Μέθοδος
Μετασχηματισμού: SCS

Χρόνος Υστέρησης	44.7
------------------	------

Αποτελέσματα:
EL0415FR6050

Παροχή αιχμής (M3/S)	638.47
Χρονική στιγμή αιχμής	02Sep2000, 23:00
Όγκος (MM)	605.09
Όγκος βροχόπτωσης (M3)	2.98E7
Όγκος απωλειών (M3)	3.67E6
Ενεργός Όγκος (M3)	2.61E7
Όγκος άμεσης απορροής (M3)	2.61E7
Όγκος βασικής απορροής (M3)	4.78E6

Βροχόπτωση και Απορροή



Υπολεκάνη: EL0415FR6051

Έκταση (KM2) : 113.82

Κατάντη : J56

Μέθοδος Απωλειών: SCS

Ποσοστό αδιαπέρατης επιφάνειας	0
Αριθμός Καμπύλης Απορροής-CN	89.7
Αρχικές Απώλειες	5.83

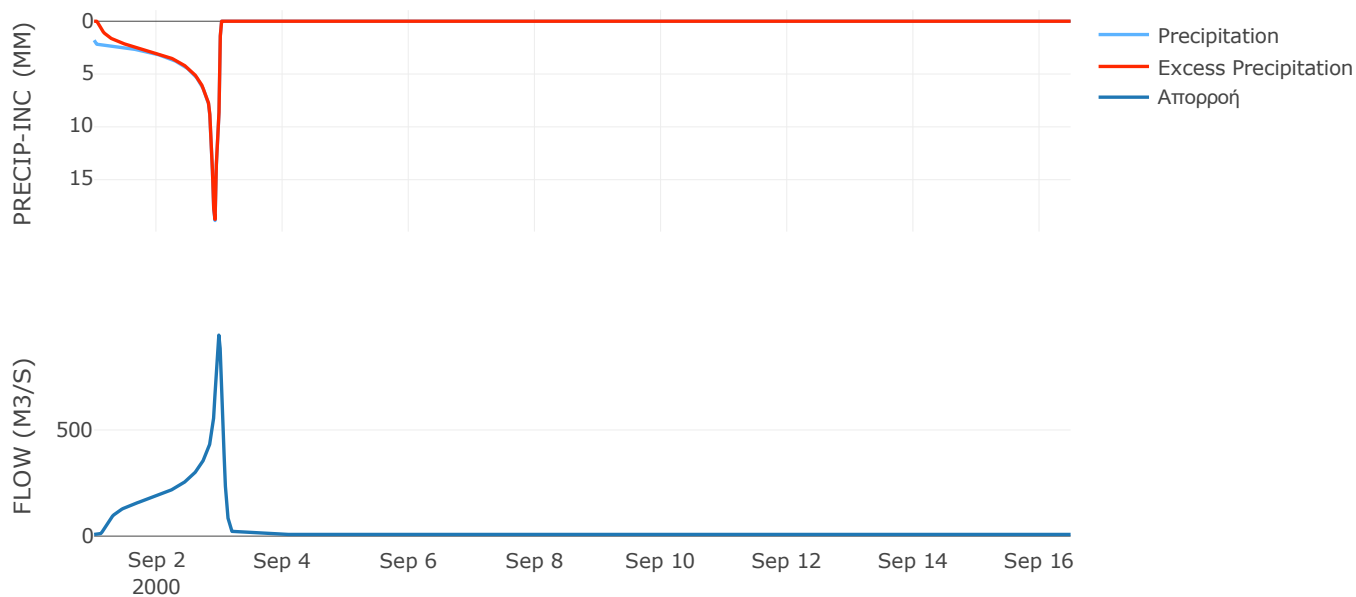
Μέθοδος
Μετασχηματισμού: SCS

Χρόνος Υστέρησης	75.47
------------------	-------

Αποτελέσματα:
EL0415FR6051

Παροχή αιχμής (M3/S)	946.89
Χρονική στιγμή αιχμής	02Sep2000, 23:30
Όγκος (MM)	468.92
Όγκος βροχόπτωσης (M3)	4.65E7
Όγκος απωλειών (M3)	3.76E6
Ενεργός Όγκος (M3)	4.27E7
Όγκος άμεσης απορροής (M3)	4.27E7
Όγκος βασικής απορροής (M3)	1.07E7

Βροχόπτωση και Απορροή



Υπολεκάνη: EL0415FR6052

Έκταση (KM2) : 27.12

Κατάντη : J4

Μέθοδος Απωλειών: SCS

Ποσοστό αδιαπέρατης επιφάνειας	0
Αριθμός Καμπύλης Απορροής-CN	82.22
Αρχικές Απώλειες	10.99

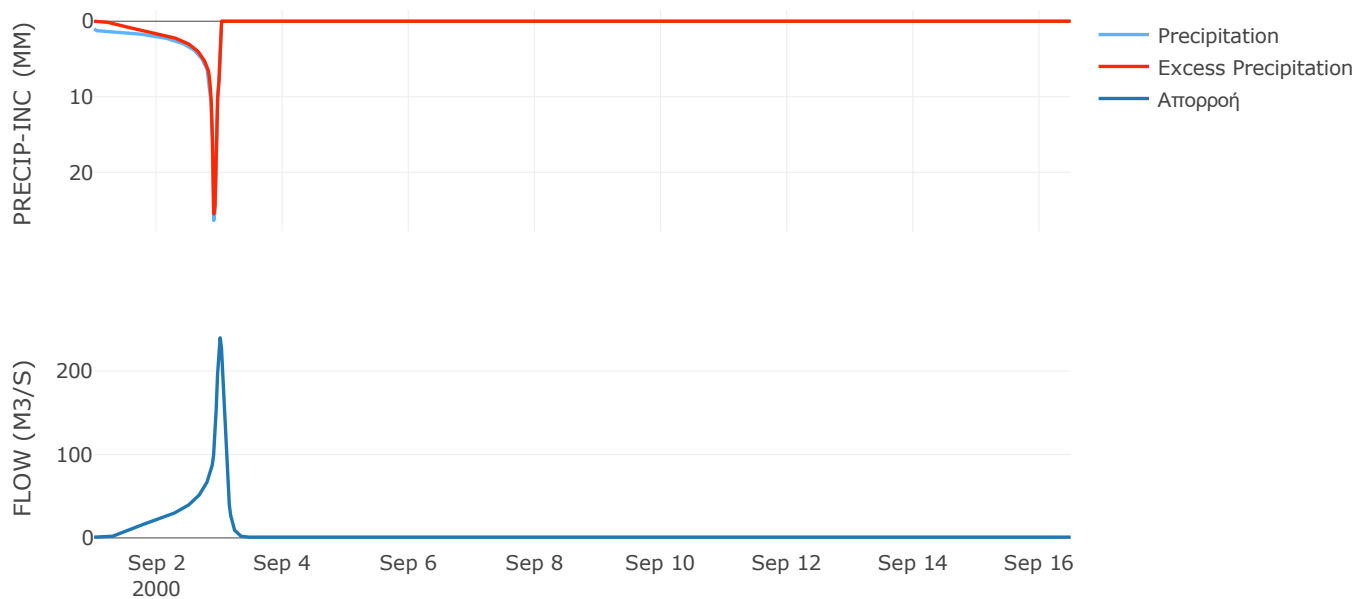
Μέθοδος
Μετασχηματισμού: SCS

Χρόνος Υστέρησης	113.36
------------------	--------

Αποτελέσματα:
EL0415FR6052

Παροχή αιχμής (M3/S)	239.78
Χρονική στιγμή αιχμής	02Sep2000, 24:00
Όγκος (MM)	319.31
Όγκος βροχόπτωσης (M3)	8.96E6
Όγκος απωλειών (M3)	1.57E6
Ενεργός Όγκος (M3)	7.39E6
Όγκος άμεσης απορροής (M3)	7.39E6
Όγκος βασικής απορροής (M3)	1.27E6

Βροχόπτωση και Απορροή



Υπολεκάνη: EL0415FR6053

Έκταση (KM2) : 64.07

Κατάντη : J55

Μέθοδος Απωλειών: SCS

Ποσοστό αδιαπέρατης επιφάνειας	0
Αριθμός Καμπύλης Απορροής-CN	80.45
Αρχικές Απώλειες	12.35

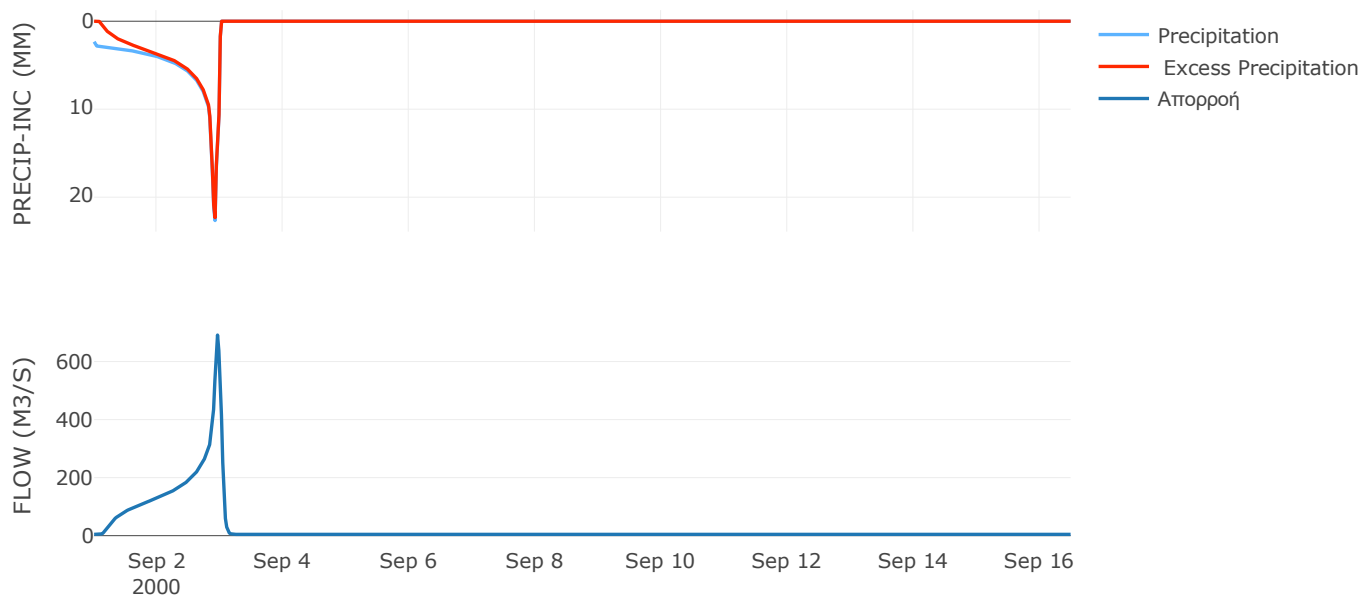
Μέθοδος
Μετασχηματισμού: SCS

Χρόνος Υστέρησης	48.8
------------------	------

Αποτελέσματα:
EL0415FR6053

Παροχή αιχμής (M3/S)	691.13
Χρονική στιγμή αιχμής	02Sep2000, 23:00
Όγκος (MM)	540.35
Όγκος βροχόπτωσης (M3)	3.29E7
Όγκος απωλειών (M3)	4.31E6
Ενεργός Όγκος (M3)	2.86E7
Όγκος άμεσης απορροής (M3)	2.86E7
Όγκος βασικής απορροής (M3)	6.01E6

Βροχόπτωση και Απορροή



Υπολεκάνη: EL0415FR6054

Έκταση (KM2) : 14.21

Κατάντη : J54

Μέθοδος Απωλειών: SCS

Ποσοστό αδιαπέρατης επιφάνειας	6
Αριθμός Καμπύλης Απορροής-CN	84.78
Αρχικές Απώλειες	9.12

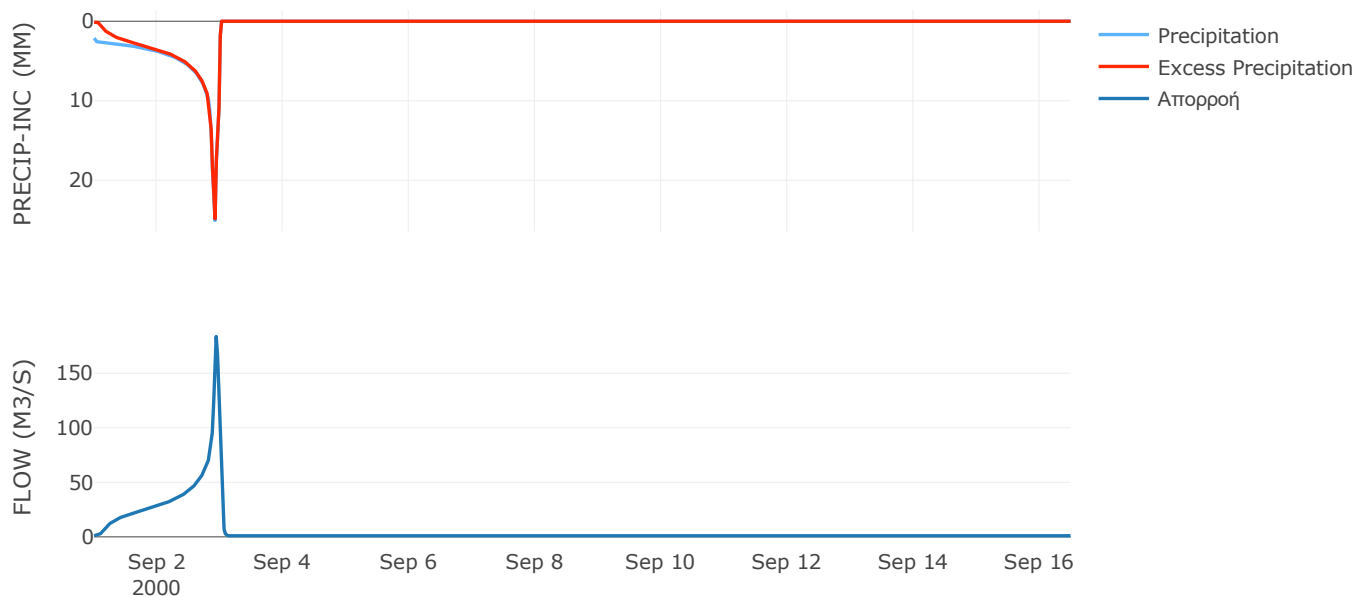
Μέθοδος
Μετασχηματισμού: SCS

Χρόνος Υστέρησης	26.37
------------------	-------

Αποτελέσματα:
EL0415FR6054

Παροχή αιχμής (M3/S)	183.66
Χρονική στιγμή αιχμής	02Sep2000, 22:30
Όγκος (MM)	549.95
Όγκος βροχόπτωσης (M3)	7.16E6
Όγκος απωλειών (M3)	6.8E5
Ενεργός Όγκος (M3)	6.48E6
Όγκος άμεσης απορροής (M3)	6.48E6
Όγκος βασικής απορροής (M3)	1.33E6

Βροχόπτωση και Απορροή



Υπολεκάνη: EL0415FR6055

Έκταση (KM2) : 46.67

Κατάντη : J55

Μέθοδος Απωλειών: SCS

Ποσοστό αδιαπέρατης επιφάνειας	0
Αριθμός Καμπύλης Απορροής-CN	76.82
Αρχικές Απώλειες	15.33

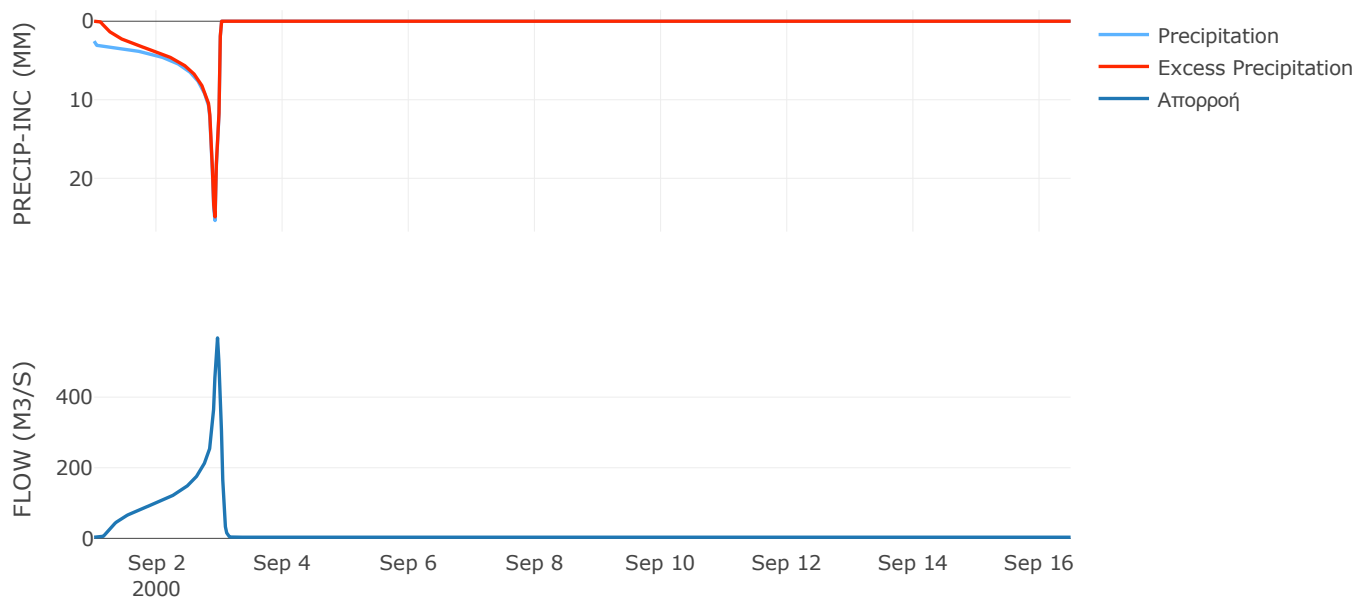
Μέθοδος
Μετασχηματισμού: SCS

Χρόνος Υστέρησης	42.25
------------------	-------

Αποτελέσματα:
EL0415FR6055

Παροχή αιχμής (M3/S)	567.75
Χρονική στιγμή αιχμής	02Sep2000, 23:00
Όγκος (MM)	576.85
Όγκος βροχόπτωσης (M3)	2.64E7
Όγκος απωλειών (M3)	3.86E6
Ενεργός Όγκος (M3)	2.25E7
Όγκος άμεσης απορροής (M3)	2.25E7
Όγκος βασικής απορροής (M3)	4.38E6

Βροχόπτωση και Απορροή



Υπολεκάνη: EL0415FR6056

Έκταση (KM2) : 143.97

Κατάντη : J54

Μέθοδος Απωλειών: SCS

Ποσοστό αδιαπέρατης επιφάνειας	0
Αριθμός Καμπύλης Απορροής-CN	82.83
Αρχικές Απώλειες	10.53

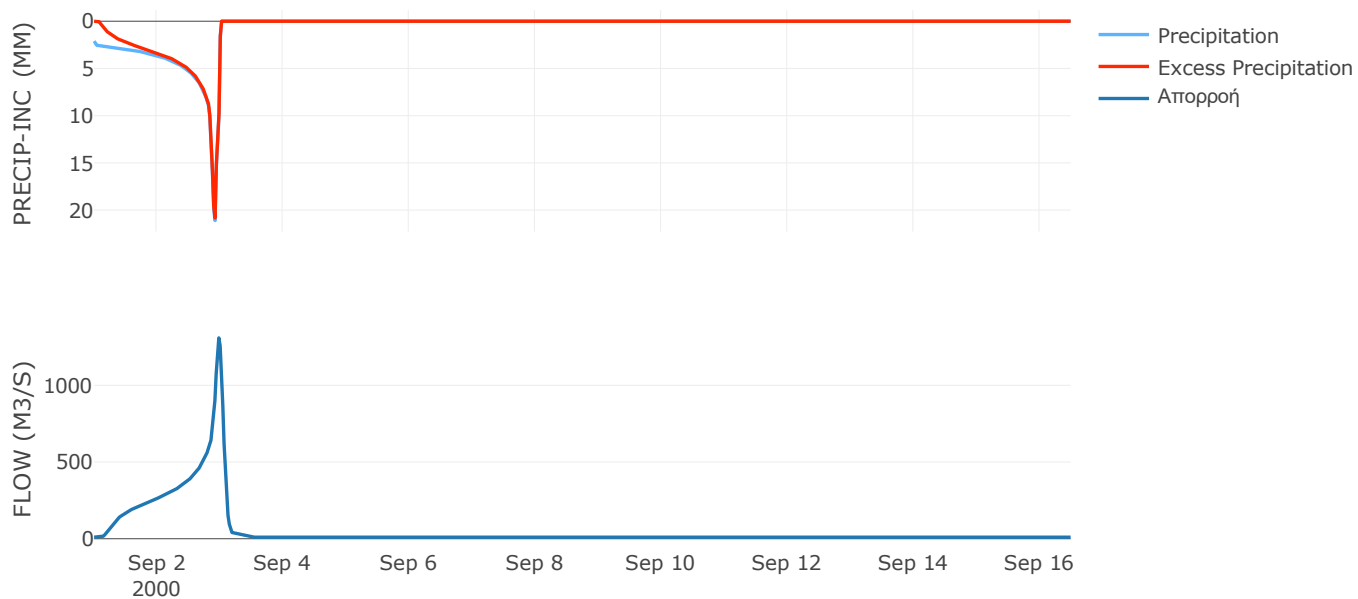
Μέθοδος
Μετασχηματισμού: SCS

Χρόνος Υστέρησης	82.59
------------------	-------

Αποτελέσματα:
EL0415FR6056

Παροχή αιχμής (M3/S)	1309.28
Χρονική στιγμή αιχμής	02Sep2000, 23:30
Όγκος (MM)	505.82
Όγκος βροχόπτωσης (M3)	6.76E7
Όγκος απωλειών (M3)	8.31E6
Ενεργός Όγκος (M3)	5.93E7
Όγκος άμεσης απορροής (M3)	5.93E7
Όγκος βασικής απορροής (M3)	1.35E7

Βροχόπτωση και Απορροή



Υπολεκάνη: EL0415FR6057

Έκταση (KM2) : 27.51

Κατάντη : J57

Μέθοδος Απωλειών: SCS

Ποσοστό αδιαπέρατης επιφάνειας	13
Αριθμός Καμπύλης Απορροής-CN	83.33
Αρχικές Απώλειες	10.16

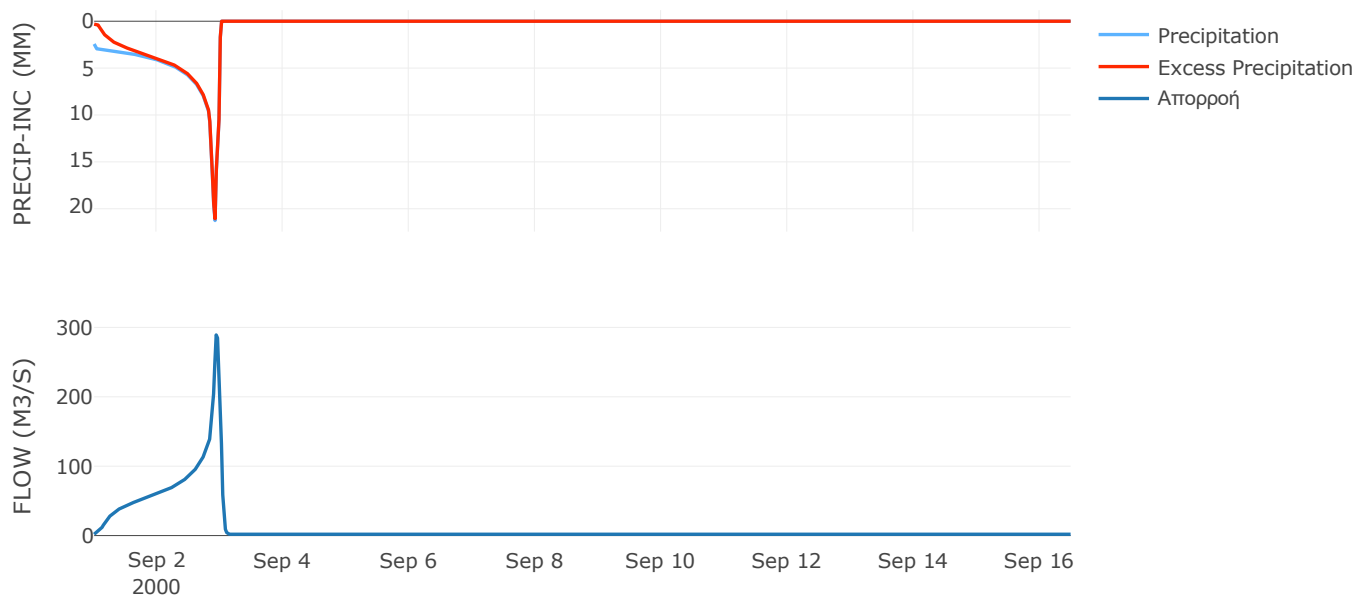
Μέθοδος
Μετασχηματισμού: SCS

Χρόνος Υστέρησης	33.2
------------------	------

Αποτελέσματα:
EL0415FR6057

Παροχή αιχμής (M3/S)	289.16
Χρονική στιγμή αιχμής	02Sep2000, 22:30
Όγκος (MM)	560.75
Όγκος βροχόπτωσης (M3)	1.42E7
Όγκος απωλειών (M3)	1.35E6
Ενεργός Όγκος (M3)	1.28E7
Όγκος άμεσης απορροής (M3)	1.28E7
Όγκος βασικής απορροής (M3)	2.58E6

Βροχόπτωση και Απορροή



Υπολεκάνη: EL0415FR6058

Έκταση (KM2) : 10.79

Κατάνη : J53 Res5

Μέθοδος Απωλειών: SCS

Ποσοστό αδιαπέρατης επιφάνειας	16
Αριθμός Καμπύλης Απορροής-CN	86.81
Αρχικές Απώλειες	7.72

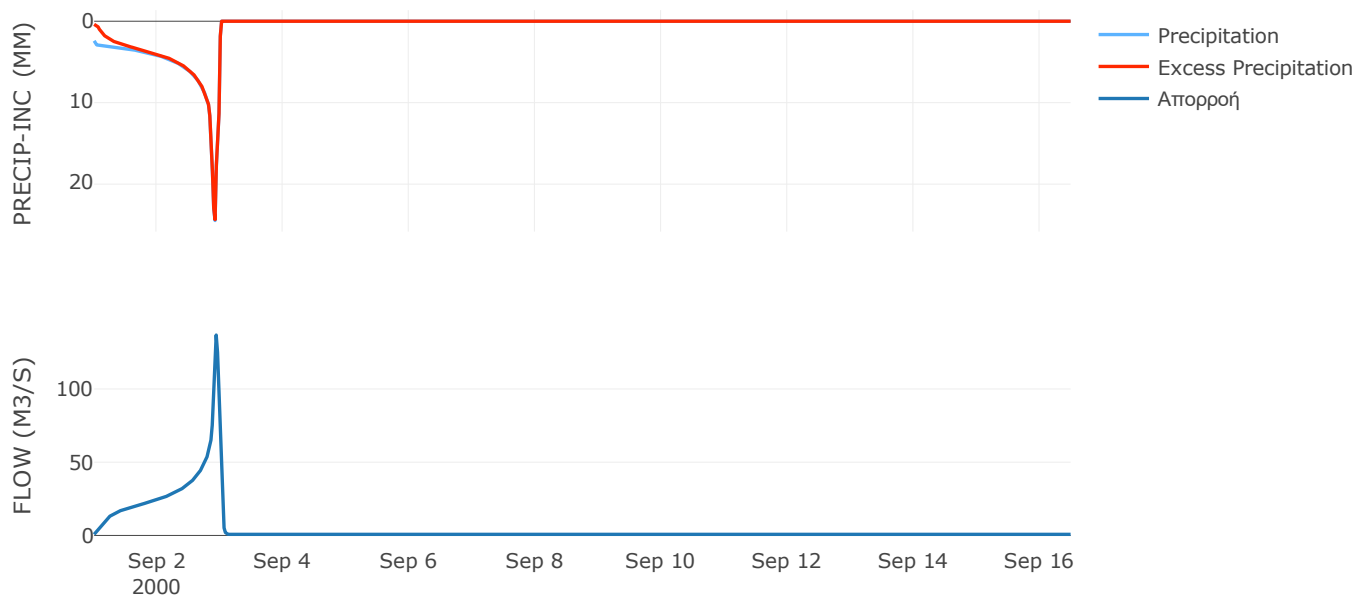
Μέθοδος
Μετασχηματισμού: SCS

Χρόνος Υστέρησης	25.46
------------------	-------

Αποτελέσματα:
EL0415FR6058

Παροχή αιχμής (M3/S)	136.84
Χρονική στιγμή αιχμής	02Sep2000, 22:30
Όγκος (MM)	596.33
Όγκος βροχόπτωσης (M3)	5.82E6
Όγκος απωλειών (M3)	3.96E5
Ενεργός Όγκος (M3)	5.42E6
Όγκος άμεσης απορροής (M3)	5.42E6
Όγκος βασικής απορροής (M3)	1.01E6

Βροχόπτωση και Απορροή



Υπολεκάνη: EL0415FR6059

Έκταση (KM2) : 57.55

Κατάντη : J51

Μέθοδος Απωλειών: SCS

Ποσοστό αδιαπέρατης επιφάνειας	0
Αριθμός Καμπύλης Απορροής-CN	86.12
Αρχικές Απώλειες	8.19

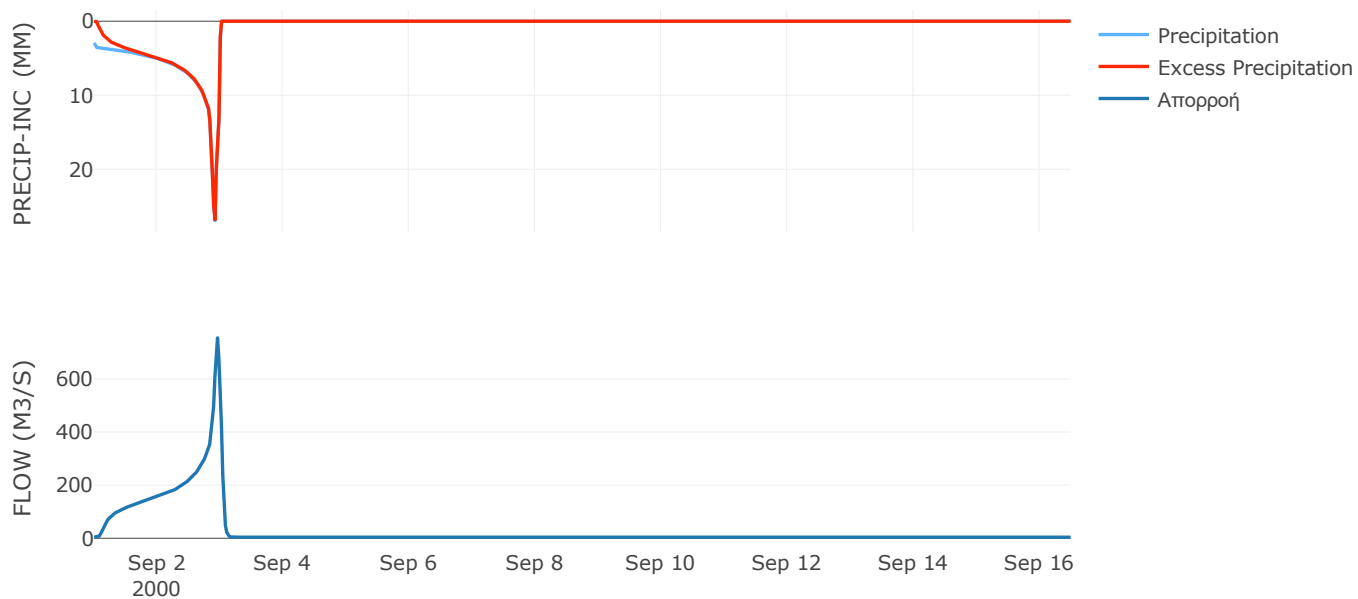
Μέθοδος
Μετασχηματισμού: SCS

Χρόνος Υστέρησης	43.83
------------------	-------

Αποτελέσματα:
EL0415FR6059

Παροχή αιχμής (M3/S)	754.52
Χρονική στιγμή αιχμής	02Sep2000, 23:00
Όγκος (MM)	681.02
Όγκος βροχόπτωσης (M3)	3.65E7
Όγκος απωλειών (M3)	2.68E6
Ενεργός Όγκος (M3)	3.38E7
Όγκος άμεσης απορροής (M3)	3.38E7
Όγκος βασικής απορροής (M3)	5.39E6

Βροχόπτωση και Απορροή



Υπολεκάνη: EL0415FR6060

Έκταση (KM2) : 43.14

Κατάντη : J50

Μέθοδος Απωλειών: SCS

Ποσοστό αδιαπέρατης επιφάνειας	0
Αριθμός Καμπύλης Απορροής-CN	87.25
Αρχικές Απώλειες	7.42

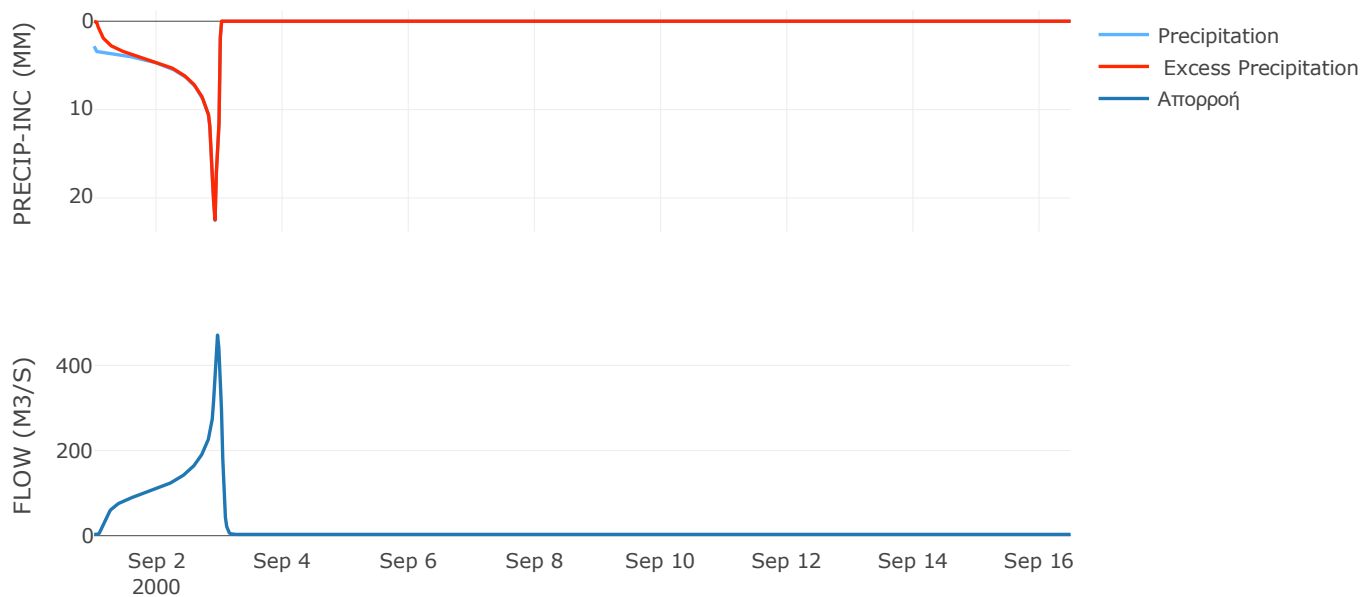
Μέθοδος
Μετασχηματισμού: SCS

Χρόνος Υστέρησης	48.98
------------------	-------

Αποτελέσματα:
EL0415FR6060

Παροχή αιχμής (M3/S)	471.11
Χρονική στιγμή αιχμής	02Sep2000, 23:00
Όγκος (MM)	633.96
Όγκος βροχόπτωσης (M3)	2.51E7
Όγκος απωλειών (M3)	1.82E6
Ενεργός Όγκος (M3)	2.33E7
Όγκος άμεσης απορροής (M3)	2.33E7
Όγκος βασικής απορροής (M3)	4.04E6

Βροχόπτωση και Απορροή



Υπολεκάνη: EL0415FR6061

Έκταση (KM2) : 129.17

Κατάντη : J56

Μέθοδος Απωλειών: SCS

Ποσοστό αδιαπέρατης επιφάνειας	0
Αριθμός Καμπύλης Απορροής-CN	82.74
Αρχικές Απώλειες	10.6

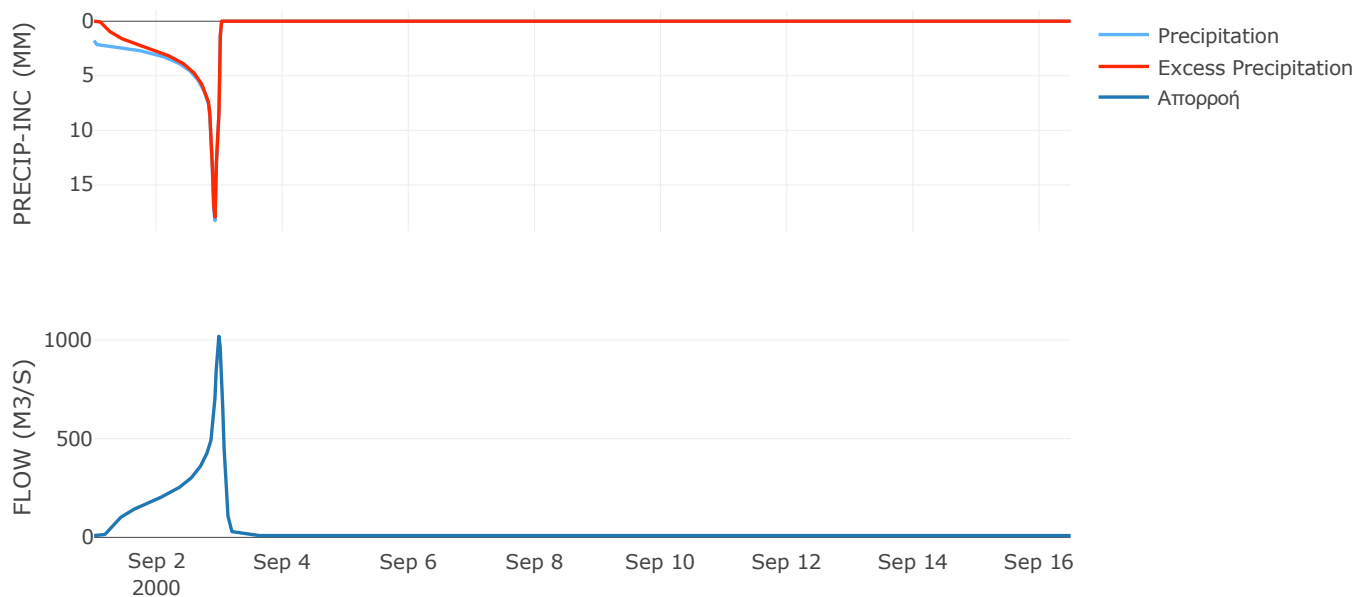
Μέθοδος
Μετασχηματισμού: SCS

Χρόνος Υστέρησης	79.55
------------------	-------

Αποτελέσματα:
EL0415FR6061

Παροχή αιχμής (M3/S)	1017.97
Χρονική στιγμή αιχμής	02Sep2000, 23:30
Όγκος (MM)	435.27
Όγκος βροχόπτωσης (M3)	5.15E7
Όγκος απωλειών (M3)	7.39E6
Ενεργός Όγκος (M3)	4.41E7
Όγκος άμεσης απορροής (M3)	4.41E7
Όγκος βασικής απορροής (M3)	1.21E7

Βροχόπτωση και Απορροή



Υπολεκάνη: EL0415FR6062

Έκταση (KM2) : 41.66

Κατάντη : J49

Μέθοδος Απωλειών: SCS

Ποσοστό αδιαπέρατης επιφάνειας	0
Αριθμός Καμπύλης Απορροής-CN	87.07
Αρχικές Απώλειες	7.54

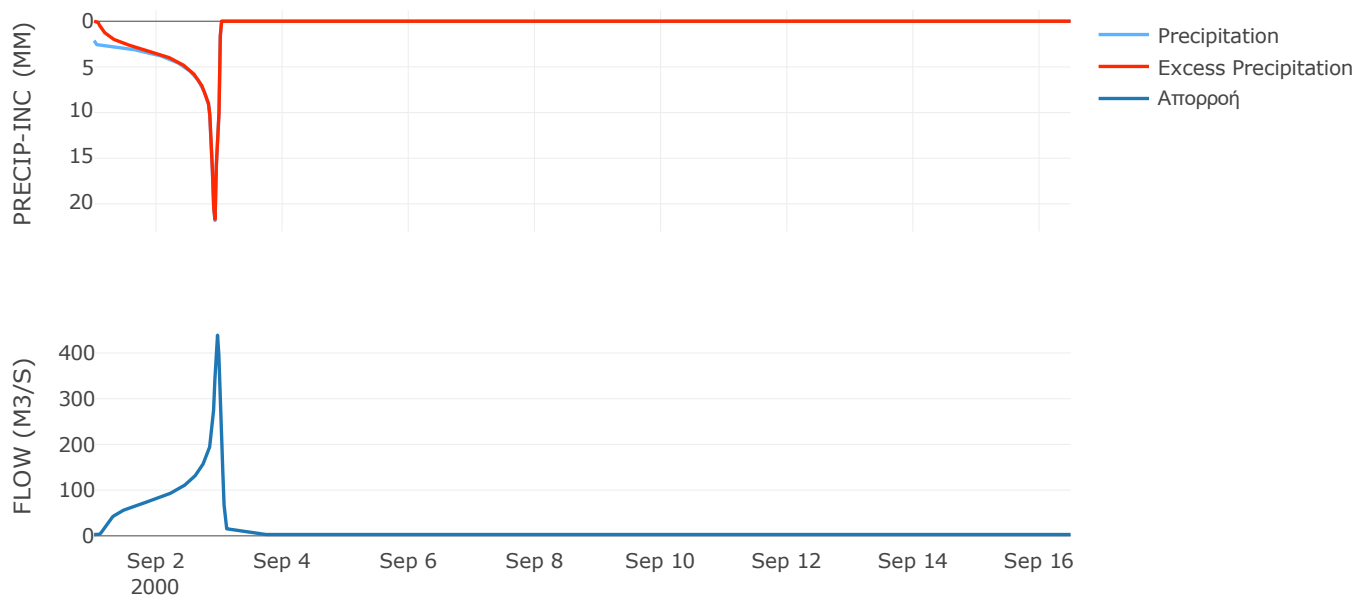
Μέθοδος
Μετασχηματισμού: SCS

Χρόνος Υστέρησης	45.88
------------------	-------

Αποτελέσματα:
EL0415FR6062

Παροχή αιχμής (M3/S)	438.82
Χρονική στιγμή αιχμής	02Sep2000, 23:00
Όγκος (MM)	528.41
Όγκος βροχόπτωσης (M3)	1.99E7
Όγκος απωλειών (M3)	1.77E6
Ενεργός Όγκος (M3)	1.81E7
Όγκος άμεσης απορροής (M3)	1.81E7
Όγκος βασικής απορροής (M3)	3.91E6

Βροχόπτωση και Απορροή



Υπολεκάνη: EL0415FR6063

Έκταση (KM2) : 99.42

Κατάντη : J48

Μέθοδος Απωλειών: SCS

Ποσοστό αδιαπέρατης επιφάνειας	0
Αριθμός Καμπύλης Απορροής-CN	80.04
Αρχικές Απώλειες	12.67

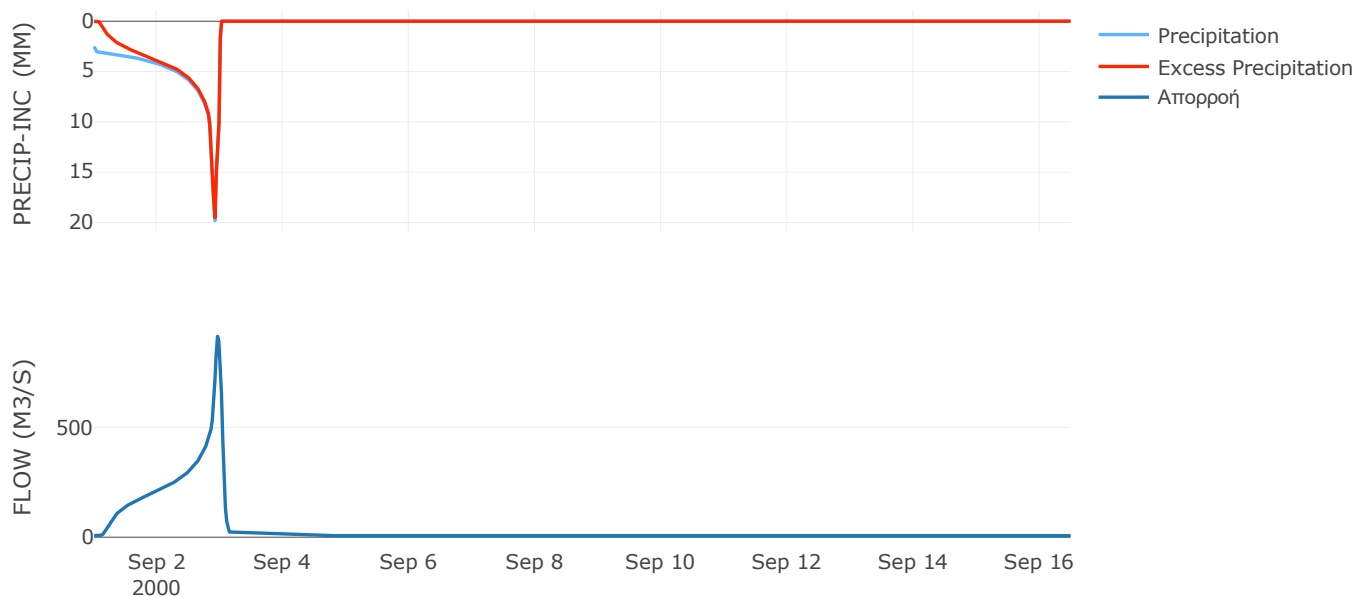
Μέθοδος
Μετασχηματισμού: SCS

Χρόνος Υστέρησης	58.77
------------------	-------

Αποτελέσματα:
EL0415FR6063

Παροχή αιχμής (M3/S)	915.19
Χρονική στιγμή αιχμής	02Sep2000, 23:00
Όγκος (MM)	538.63
Όγκος βροχόπτωσης (M3)	5.11E7
Όγκος απωλειών (M3)	6.85E6
Ενεργός Όγκος (M3)	4.42E7
Όγκος άμεσης απορροής (M3)	4.42E7
Όγκος βασικής απορροής (M3)	9.32E6

Βροχόπτωση και Απορροή



Υπολεκάνη: EL0415FR6064

Έκταση (KM2) : 51.48

Κατάντη : J47

Μέθοδος Απωλειών: SCS

Ποσοστό αδιαπέρατης επιφάνειας	0
Αριθμός Καμπύλης Απορροής-CN	78.23
Αρχικές Απώλειες	14.13

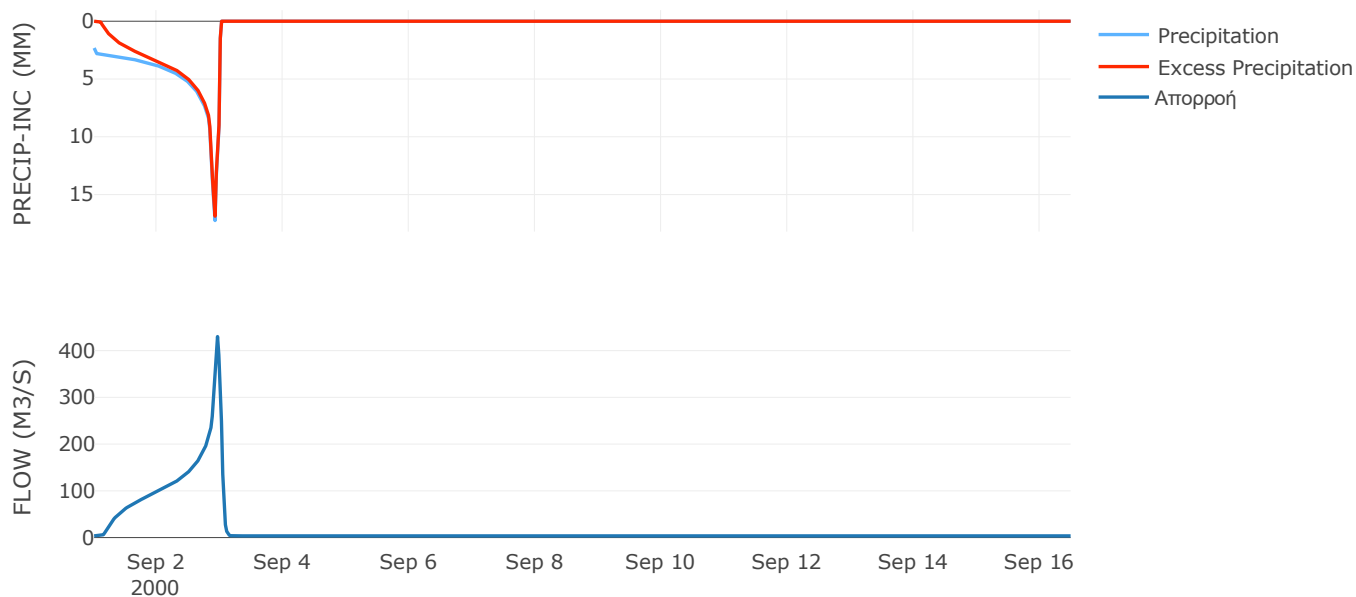
Μέθοδος
Μετασχηματισμού: SCS

Χρόνος Υστέρησης	41.84
------------------	-------

Αποτελέσματα:
EL0415FR6064

Παροχή αιχμής (M3/S)	430.01
Χρονική στιγμή αιχμής	02Sep2000, 23:00
Όγκος (MM)	483.85
Όγκος βροχόπτωσης (M3)	2.4E7
Όγκος απωλειών (M3)	3.87E6
Ενεργός Όγκος (M3)	2.01E7
Όγκος άμεσης απορροής (M3)	2.01E7
Όγκος βασικής απορροής (M3)	4.83E6

Βροχόπτωση και Απορροή



Υπολεκάνη: EL0415FR6065

Έκταση (KM2) : 12.04

Κατάντη : J47

Μέθοδος Απωλειών: SCS

Ποσοστό αδιαπέρατης επιφάνειας	0
Αριθμός Καμπύλης Απορροής-CN	79.86
Αρχικές Απώλειες	12.81

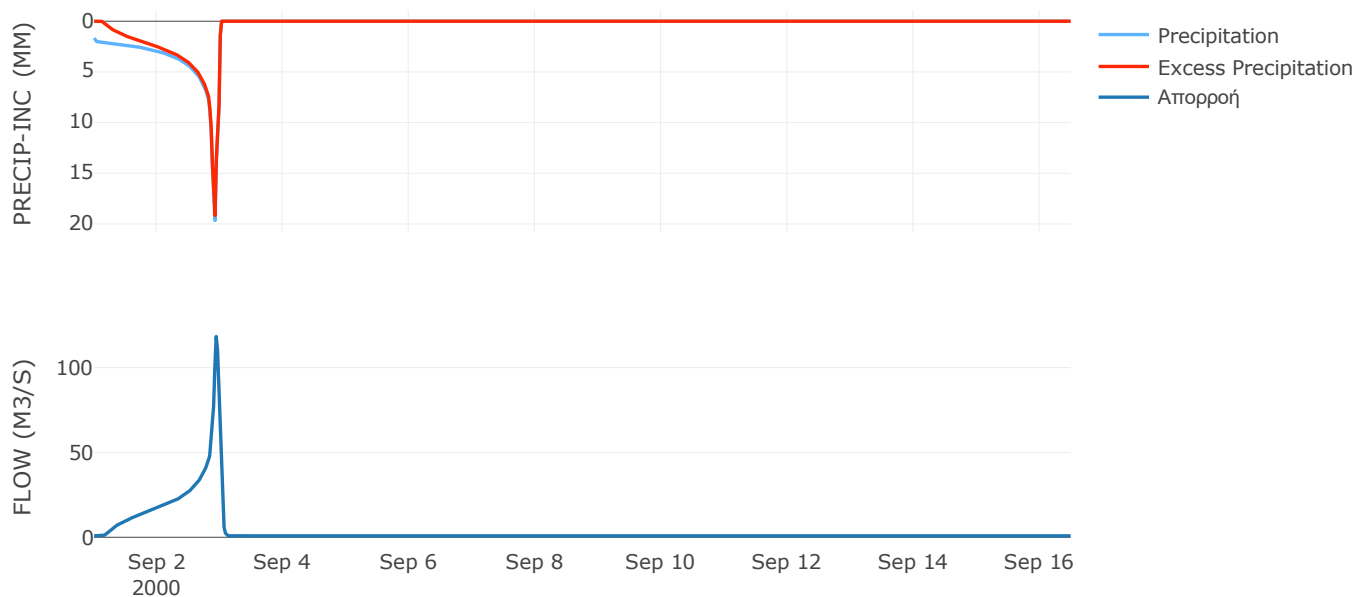
Μέθοδος
Μετασχηματισμού: SCS

Χρόνος Υστέρησης	28.91
------------------	-------

Αποτελέσματα:
EL0415FR6065

Παροχή αιχμής (M3/S)	118.32
Χρονική στιγμή αιχμής	02Sep2000, 22:30
Όγκος (MM)	420.43
Όγκος βροχόπτωσης (M3)	4.75E6
Όγκος απωλειών (M3)	8.14E5
Ενεργός Όγκος (M3)	3.93E6
Όγκος άμεσης απορροής (M3)	3.93E6
Όγκος βασικής απορροής (M3)	1.13E6

Βροχόπτωση και Απορροή



Υπολεκάνη: EL0415FR6066

Έκταση (KM2) : 116.84

Κατάντη : J48

Μέθοδος Απωλειών: SCS

Ποσοστό αδιαπέρατης επιφάνειας	0
Αριθμός Καμπύλης Απορροής-CN	83.04
Αρχικές Απώλειες	10.37

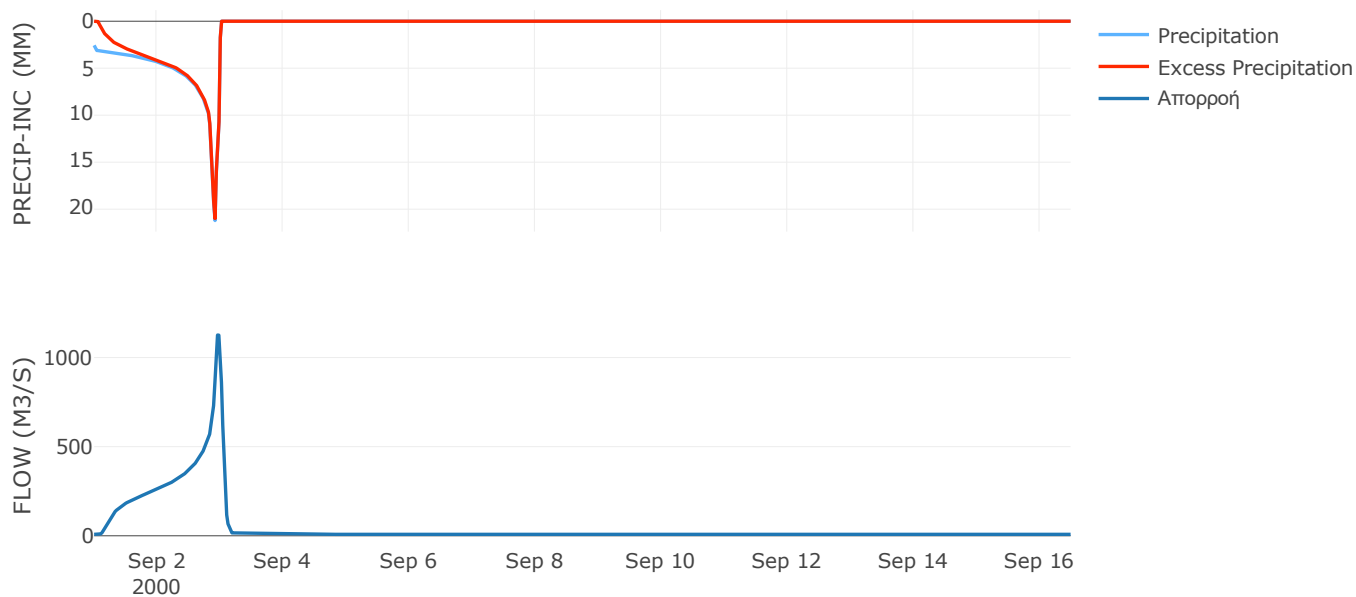
Μέθοδος
Μετασχηματισμού: SCS

Χρόνος Υστέρησης	65.04
------------------	-------

Αποτελέσματα:
EL0415FR6066

Παροχή αιχμής (M3/S)	1126.2
Χρονική στιγμή αιχμής	02Sep2000, 23:00
Όγκος (MM)	570.59
Όγκος βροχόπτωσης (M3)	6.24E7
Όγκος απωλειών (M3)	6.73E6
Ενεργός Όγκος (M3)	5.57E7
Όγκος άμεσης απορροής (M3)	5.57E7
Όγκος βασικής απορροής (M3)	1.1E7

Βροχόπτωση και Απορροή



Υπολεκάνη: EL0415FR6067

Έκταση (KM2) : 29.4

Κατάντη : J57

Μέθοδος Απωλειών: SCS

Ποσοστό αδιαπέρατης επιφάνειας	9
Αριθμός Καμπύλης Απορροής-CN	84.22
Αρχικές Απώλειες	9.52

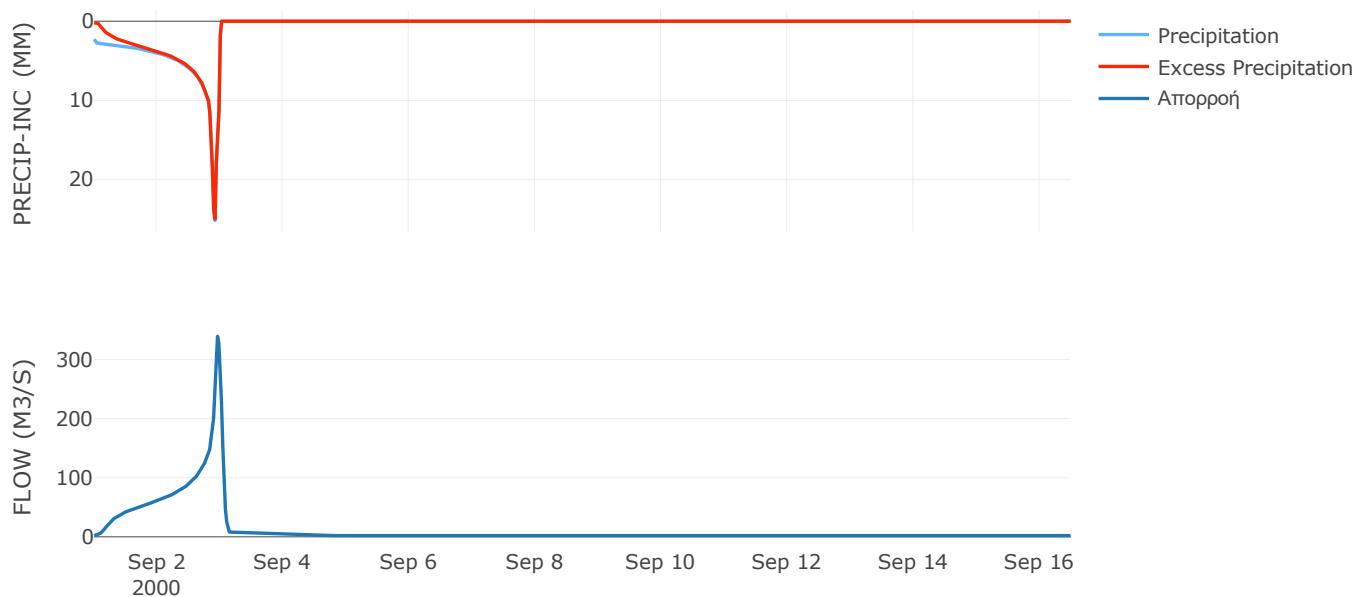
Μέθοδος
Μετασχηματισμού: SCS

Χρόνος Υστέρησης	59.51
------------------	-------

Αποτελέσματα:
EL0415FR6067

Παροχή αιχμής (M3/S)	339.44
Χρονική στιγμή αιχμής	02Sep2000, 23:00
Όγκος (MM)	571
Όγκος βροχόπτωσης (M3)	1.55E7
Όγκος απωλειών (M3)	1.42E6
Ενεργός Όγκος (M3)	1.4E7
Όγκος άμεσης απορροής (M3)	1.4E7
Όγκος βασικής απορροής (M3)	2.76E6

Βροχόπτωση και Απορροή



Υπολεκάνη: EL0415FR6068

Έκταση (KM2) : 101.27

Κατάντη : J45

Μέθοδος Απωλειών: SCS

Ποσοστό αδιαπέρατης επιφάνειας	0
Αριθμός Καμπύλης Απορροής-CN	88.93
Αρχικές Απώλειες	6.32

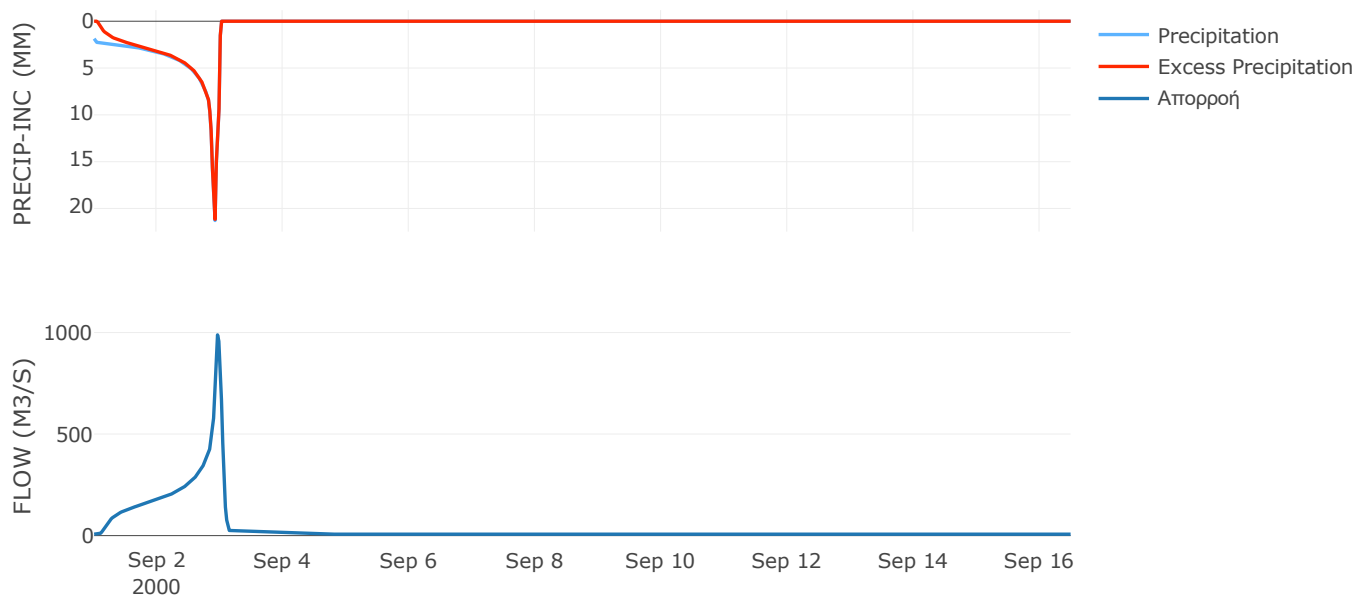
Μέθοδος
Μετασχηματισμού: SCS

Χρόνος Υστέρησης	60.19
------------------	-------

Αποτελέσματα:
EL0415FR6068

Παροχή αιχμής (M3/S)	988.32
Χρονική στιγμή αιχμής	02Sep2000, 23:00
Όγκος (MM)	494.23
Όγκος βροχόπτωσης (M3)	4.42E7
Όγκος απωλειών (M3)	3.62E6
Ενεργός Όγκος (M3)	4.06E7
Όγκος άμεσης απορροής (M3)	4.06E7
Όγκος βασικής απορροής (M3)	9.49E6

Βροχόπτωση και Απορροή



Υπολεκάνη: EL0415FR6069

Έκταση (KM2) : 35

Κατάντη : J43

Μέθοδος Απωλειών: SCS

Ποσοστό αδιαπέρατης επιφάνειας	0
Αριθμός Καμπύλης Απορροής-CN	88.32
Αρχικές Απώλειες	6.72

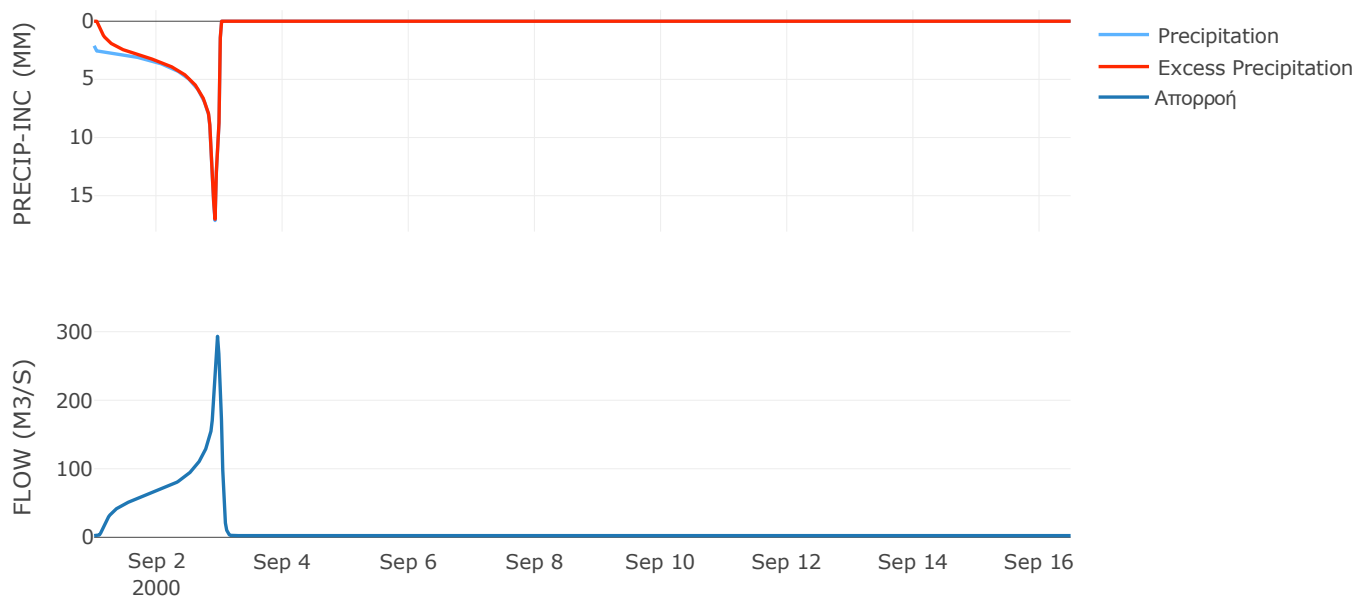
Μέθοδος
Μετασχηματισμού: SCS

Χρόνος Υστέρησης	44.18
------------------	-------

Αποτελέσματα:
EL0415FR6069

Παροχή αιχμής (M3/S)	293.27
Χρονική στιγμή αιχμής	02Sep2000, 23:00
Όγκος (MM)	492.9
Όγκος βροχόπτωσης (M3)	1.53E7
Όγκος απωλειών (M3)	1.33E6
Ενεργός Όγκος (M3)	1.4E7
Όγκος άμεσης απορροής (M3)	1.4E7
Όγκος βασικής απορροής (M3)	3.28E6

Βροχόπτωση και Απορροή



Υπολεκάνη: EL0415FR6070

Έκταση (KM2) : 53.71

Κατάντη : J42

Μέθοδος Απωλειών: SCS

Ποσοστό αδιαπέρατης επιφάνειας	1
Αριθμός Καμπύλης Απορροής-CN	82.8
Αρχικές Απώλειες	10.55

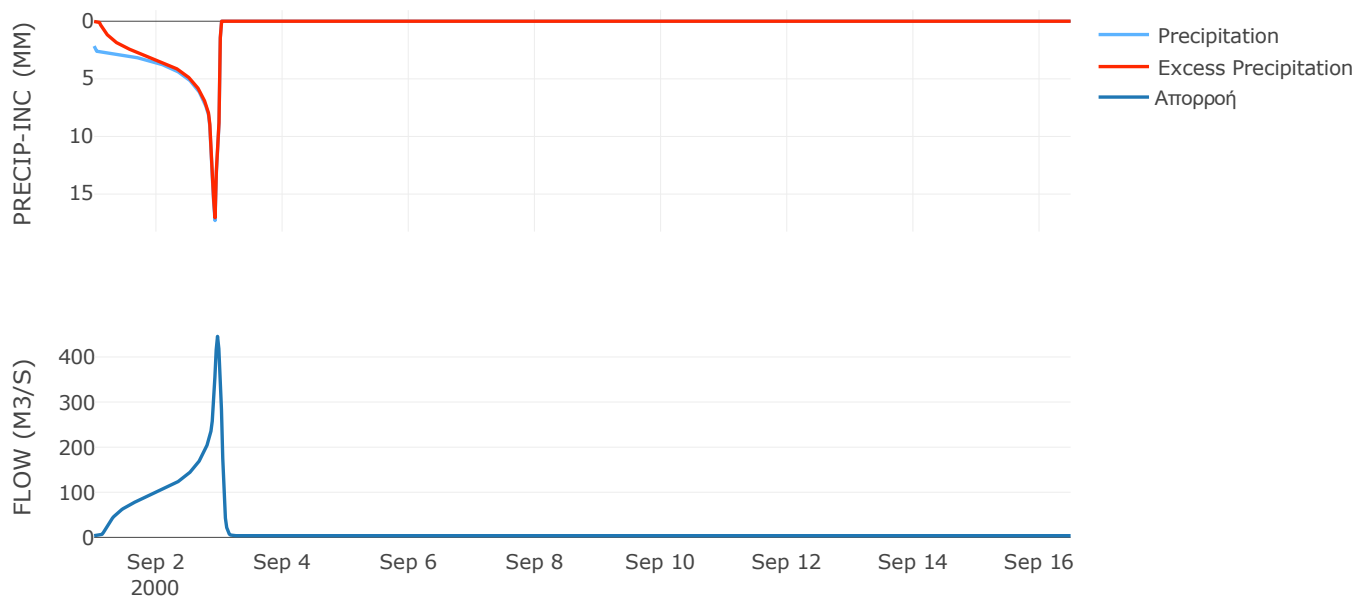
Μέθοδος
Μετασχηματισμού: SCS

Χρόνος Υστέρησης	49.48
------------------	-------

Αποτελέσματα:
EL0415FR6070

Παροχή αιχμής (M3/S)	445.64
Χρονική στιγμή αιχμής	02Sep2000, 23:00
Όγκος (MM)	481.12
Όγκος βροχόπτωσης (M3)	2.39E7
Όγκος απωλειών (M3)	3.06E6
Ενεργός Όγκος (M3)	2.08E7
Όγκος άμεσης απορροής (M3)	2.08E7
Όγκος βασικής απορροής (M3)	5.03E6

Βροχόπτωση και Απορροή



Υπολεκάνη: EL0415FR6071

Έκταση (KM2) : 75.64

Κατάντη : J40

Μέθοδος Απωλειών: SCS

Ποσοστό αδιαπέρατης επιφάνειας	0
Αριθμός Καμπύλης Απορροής-CN	90.35
Αρχικές Απώλειες	5.43

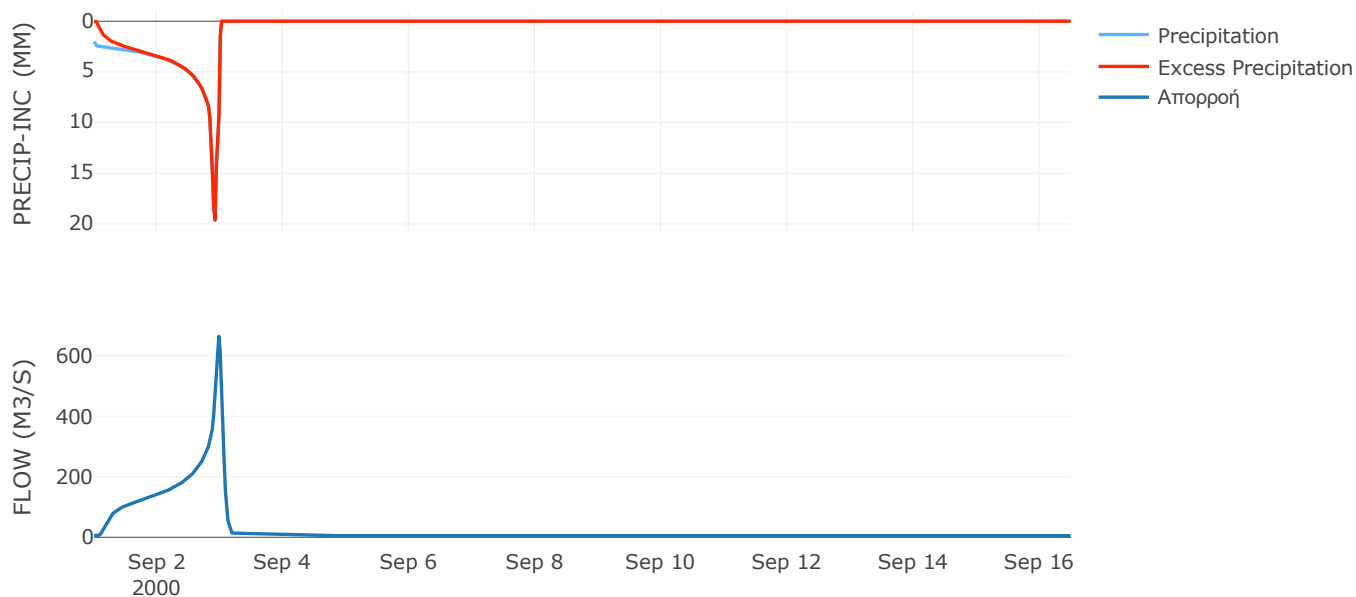
Μέθοδος
Μετασχηματισμού: SCS

Χρόνος Υστέρησης	72.86
------------------	-------

Αποτελέσματα:
EL0415FR6071

Παροχή αιχμής (M3/S)	663.8
Χρονική στιγμή αιχμής	02Sep2000, 23:30
Όγκος (MM)	507.62
Όγκος βροχόπτωσης (M3)	3.36E7
Όγκος απωλειών (M3)	2.34E6
Ενεργός Όγκος (M3)	3.13E7
Όγκος άμεσης απορροής (M3)	3.13E7
Όγκος βασικής απορροής (M3)	7.09E6

Βροχόπτωση και Απορροή



Υπολεκάνη: EL0415FR6072

Έκταση (KM2) : 105.53

Κατάντη : J39

Μέθοδος Απωλειών: SCS

Ποσοστό αδιαπέρατης επιφάνειας	0
Αριθμός Καμπύλης Απορροής-CN	88.93
Αρχικές Απώλειες	6.32

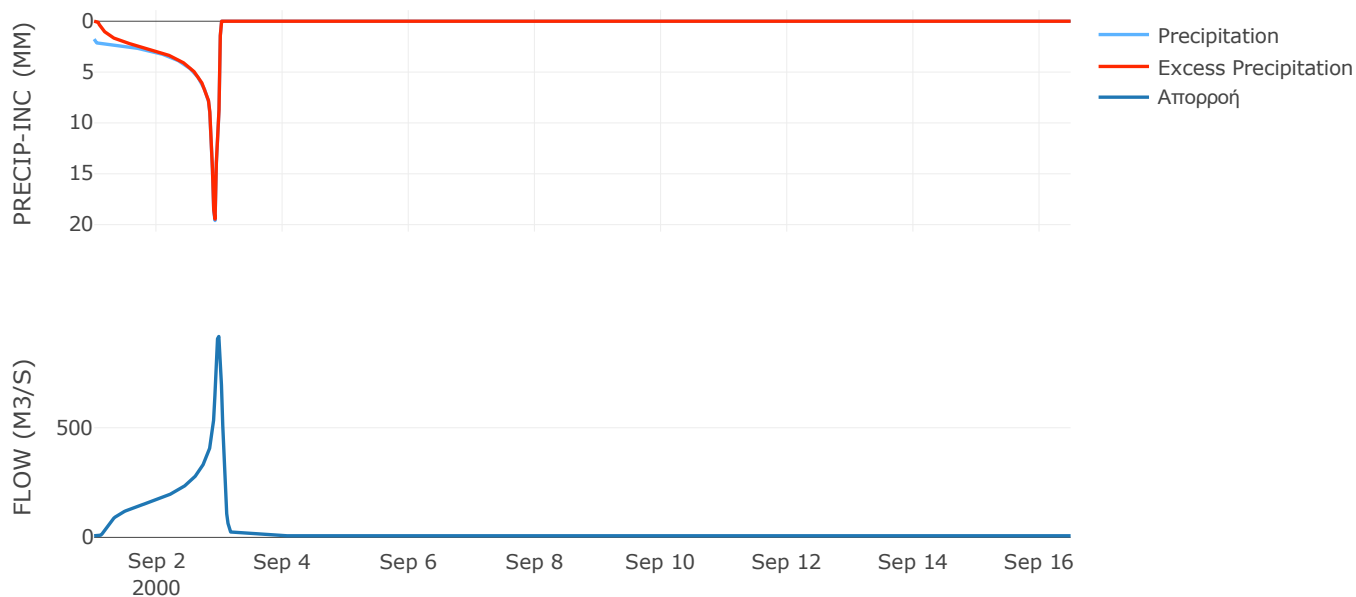
Μέθοδος
Μετασχηματισμού: SCS

Χρόνος Υστέρησης	69.72
------------------	-------

Αποτελέσματα:
EL0415FR6072

Παροχή αιχμής (M3/S)	916.36
Χρονική στιγμή αιχμής	02Sep2000, 23:30
Όγκος (MM)	466.49
Όγκος βροχόπτωσης (M3)	4.31E7
Όγκος απωλειών (M3)	3.76E6
Ενεργός Όγκος (M3)	3.93E7
Όγκος άμεσης απορροής (M3)	3.93E7
Όγκος βασικής απορροής (M3)	9.89E6

Βροχόπτωση και Απορροή



Υπολεκάνη: EL0415FR6073

Έκταση (KM2) : 53.33

Κατάντη : J39

Μέθοδος Απωλειών: SCS

Ποσοστό αδιαπέρατης επιφάνειας	0
Αριθμός Καμπύλης Απορροής-CN	82.36
Αρχικές Απώλειες	10.88

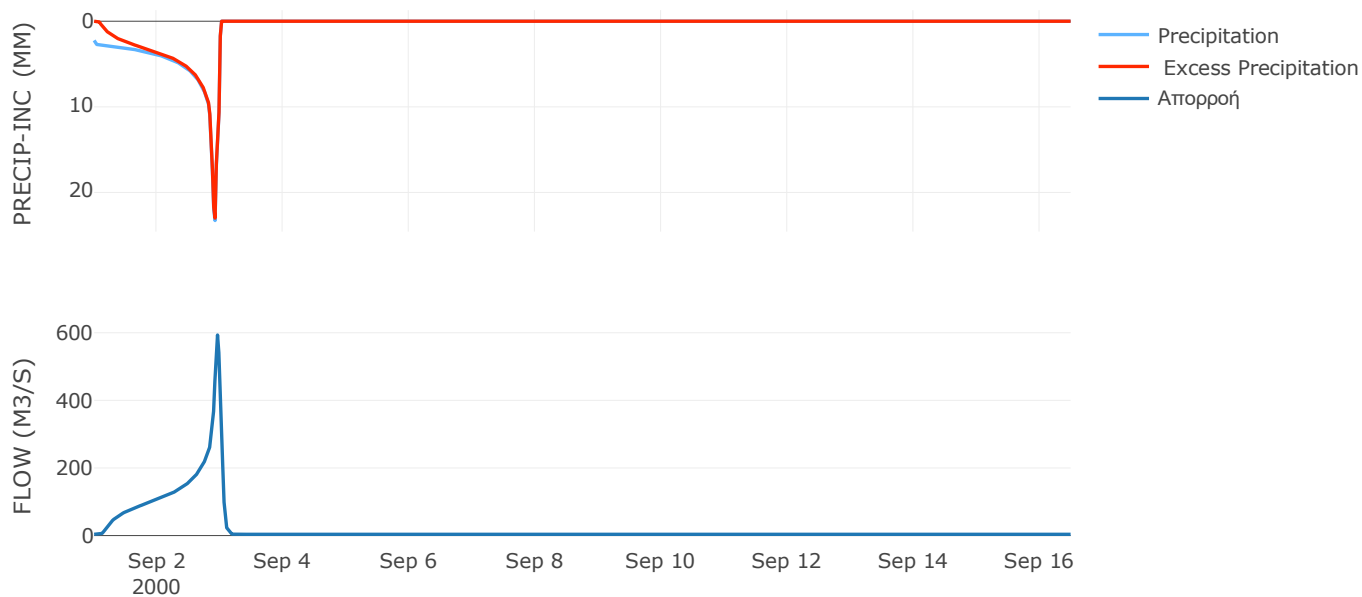
Μέθοδος
Μετασχηματισμού: SCS

Χρόνος Υστέρησης	47.57
------------------	-------

Αποτελέσματα:
EL0415FR6073

Παροχή αιχμής (M3/S)	593.29
Χρονική στιγμή αιχμής	02Sep2000, 23:00
Όγκος (MM)	540.45
Όγκος βροχόπτωσης (M3)	2.7E7
Όγκος απωλειών (M3)	3.2E6
Ενεργός Όγκος (M3)	2.38E7
Όγκος άμεσης απορροής (M3)	2.38E7
Όγκος βασικής απορροής (M3)	5E6

Βροχόπτωση και Απορροή



Υπολεκάνη: EL0415FR6074

Έκταση (KM2) : 21.94

Κατάντη : J37

Μέθοδος Απωλειών: SCS

Ποσοστό αδιαπέρατης επιφάνειας	0
Αριθμός Καμπύλης Απορροής-CN	83.03
Αρχικές Απώλειες	10.38

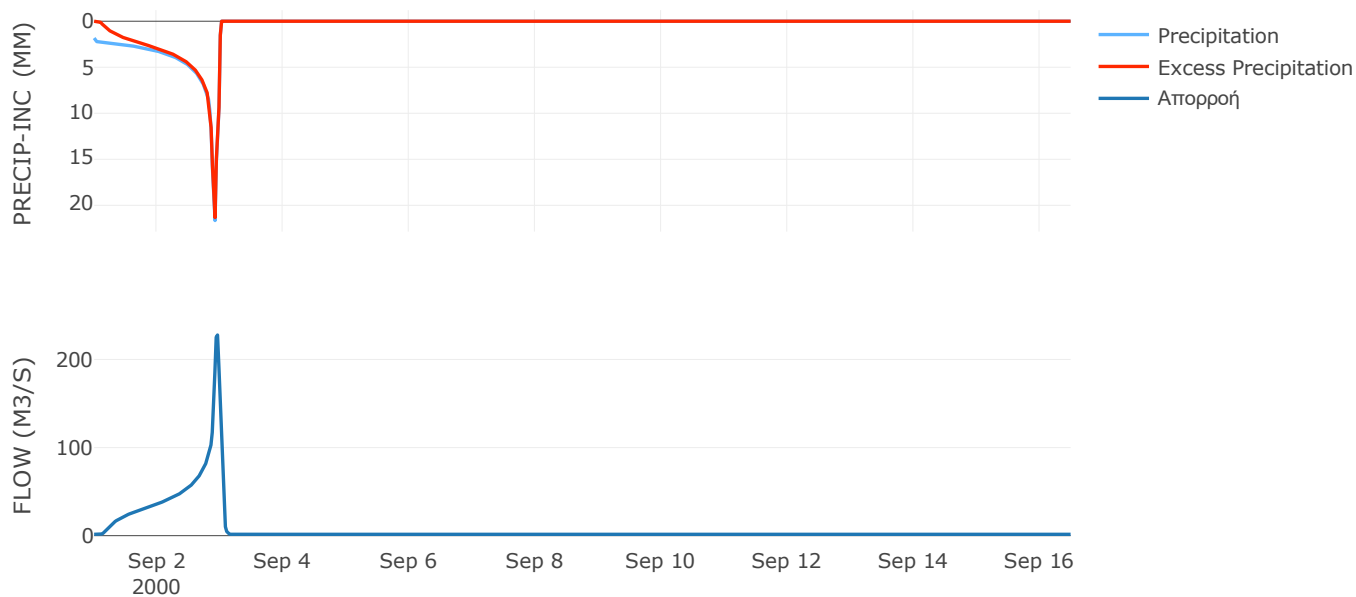
Μέθοδος
Μετασχηματισμού: SCS

Χρόνος Υστέρησης	38.66
------------------	-------

Αποτελέσματα:
EL0415FR6074

Παροχή αιχμής (M3/S)	227.75
Χρονική στιγμή αιχμής	02Sep2000, 23:00
Όγκος (MM)	471.18
Όγκος βροχόπτωσης (M3)	9.52E6
Όγκος απωλειών (M3)	1.24E6
Ενεργός Όγκος (M3)	8.28E6
Όγκος άμεσης απορροής (M3)	8.28E6
Όγκος βασικής απορροής (M3)	2.06E6

Βροχόπτωση και Απορροή



Υπολεκάνη: EL0415FR6075

Έκταση (KM2) : 74.2

Κατάντη : J38

Μέθοδος Απωλειών: SCS

Ποσοστό αδιαπέρατης επιφάνειας	0
Αριθμός Καμπύλης Απορροής-CN	86.36
Αρχικές Απώλειες	8.02

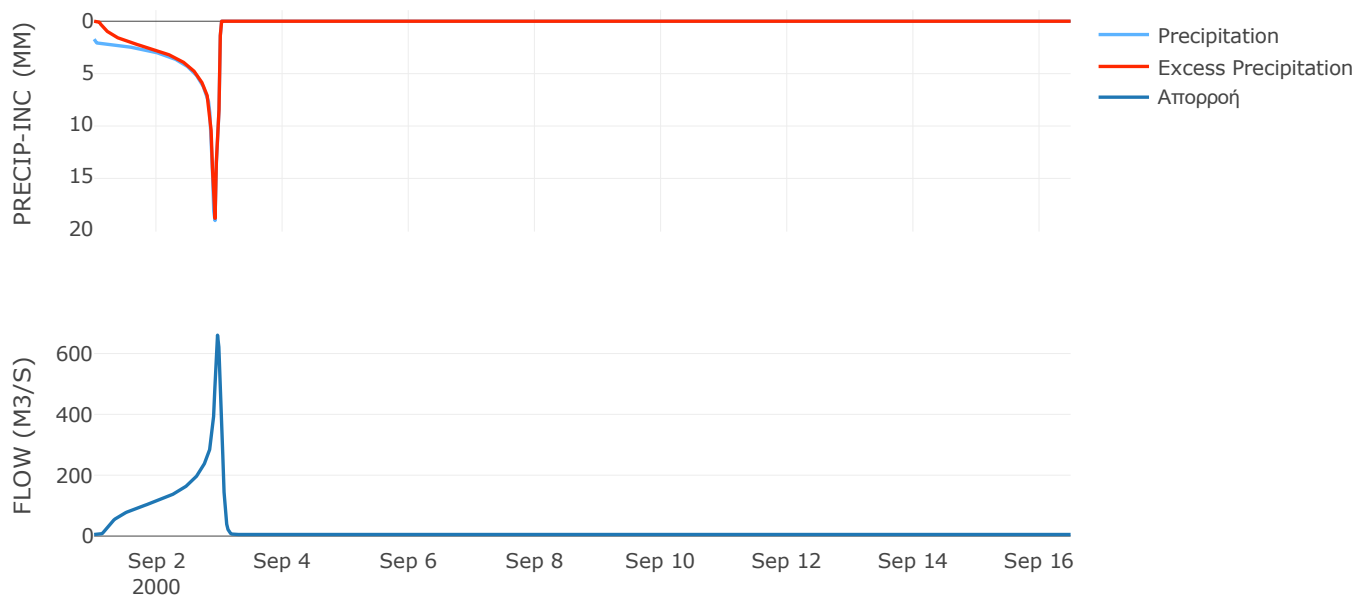
Μέθοδος
Μετασχηματισμού: SCS

Χρόνος Υστέρησης	54.47
------------------	-------

Αποτελέσματα:
EL0415FR6075

Παροχή αιχμής (M3/S)	660.31
Χρονική στιγμή αιχμής	02Sep2000, 23:00
Όγκος (MM)	446.1
Όγκος βροχόπτωσης (M3)	2.94E7
Όγκος απωλειών (M3)	3.29E6
Ενεργός Όγκος (M3)	2.61E7
Όγκος άμεσης απορροής (M3)	2.61E7
Όγκος βασικής απορροής (M3)	6.96E6

Βροχόπτωση και Απορροή



Υπολεκάνη: EL0415FR6076

Έκταση (KM2) : 61.38

Κατάντη : J33

Μέθοδος Απωλειών: SCS

Ποσοστό αδιαπέρατης επιφάνειας	0
Αριθμός Καμπύλης Απορροής-CN	77.47
Αρχικές Απώλειες	14.77

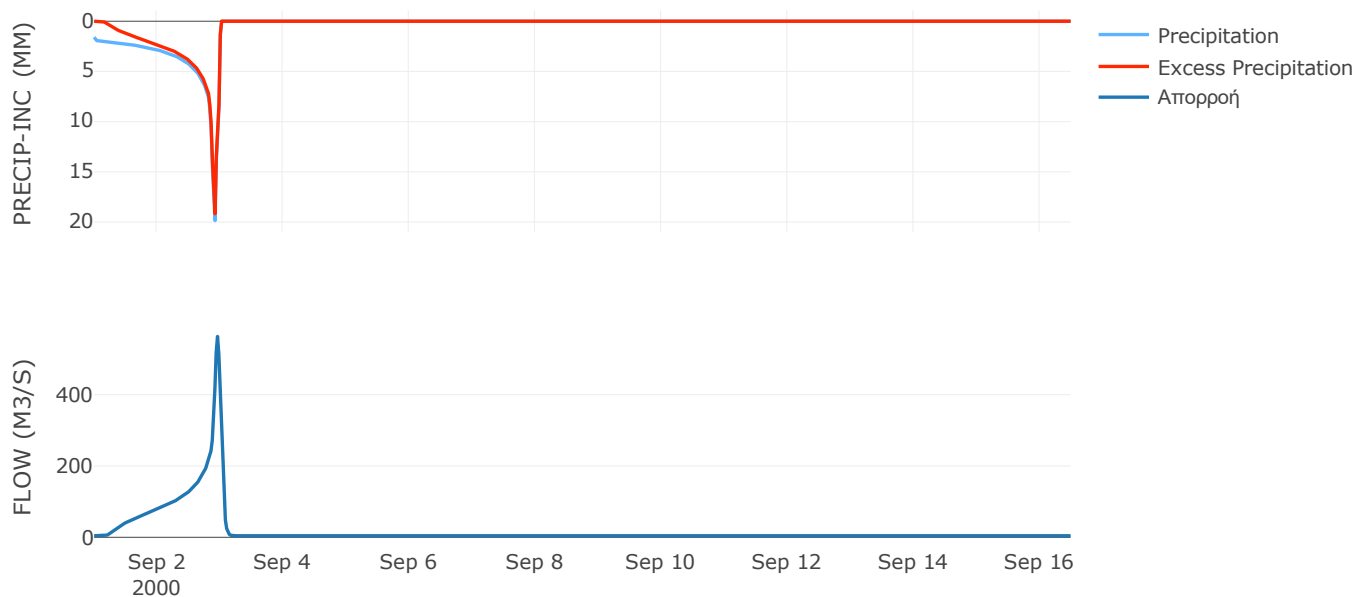
Μέθοδος
Μετασχηματισμού: SCS

Χρόνος Υστέρησης	49.49
------------------	-------

Αποτελέσματα:
EL0415FR6076

Παροχή αιχμής (M3/S)	563.33
Χρονική στιγμή αιχμής	02Sep2000, 23:00
Όγκος (MM)	403.12
Όγκος βροχόπτωσης (M3)	2.37E7
Όγκος απωλειών (M3)	4.69E6
Ενεργός Όγκος (M3)	1.9E7
Όγκος άμεσης απορροής (M3)	1.9E7
Όγκος βασικής απορροής (M3)	5.75E6

Βροχόπτωση και Απορροή



Υπολεκάνη: EL0415FR6077

Έκταση (KM2) : 115.35

Κατάντη : J33

Μέθοδος Απωλειών: SCS

Ποσοστό αδιαπέρατης επιφάνειας	0
Αριθμός Καμπύλης Απορροής-CN	77.06
Αρχικές Απώλειες	15.12

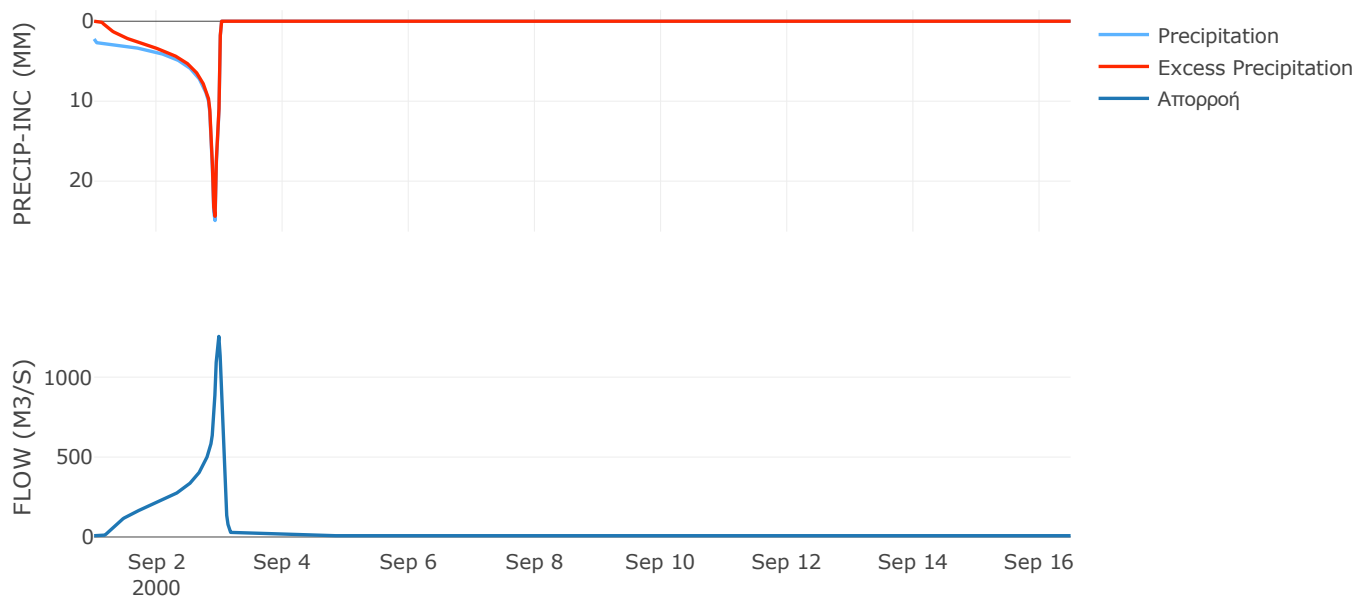
Μέθοδος
Μετασχηματισμού: SCS

Χρόνος Υστέρησης	67.72
------------------	-------

Αποτελέσματα:
EL0415FR6077

Παροχή αιχμής (M3/S)	1254.98
Χρονική στιγμή αιχμής	02Sep2000, 23:30
Όγκος (MM)	529.56
Όγκος βροχόπτωσης (M3)	5.96E7
Όγκος απωλειών (M3)	9.32E6
Ενεργός Όγκος (M3)	5.03E7
Όγκος άμεσης απορροής (M3)	5.03E7
Όγκος βασικής απορροής (M3)	1.08E7

Βροχόπτωση και Απορροή



Υπολεκάνη: EL0415FR6078

Έκταση (KM2) : 32.2

Κατάντη : J32

Μέθοδος Απωλειών: SCS

Ποσοστό αδιαπέρατης επιφάνειας	0
Αριθμός Καμπύλης Απορροής-CN	80.34
Αρχικές Απώλειες	12.43

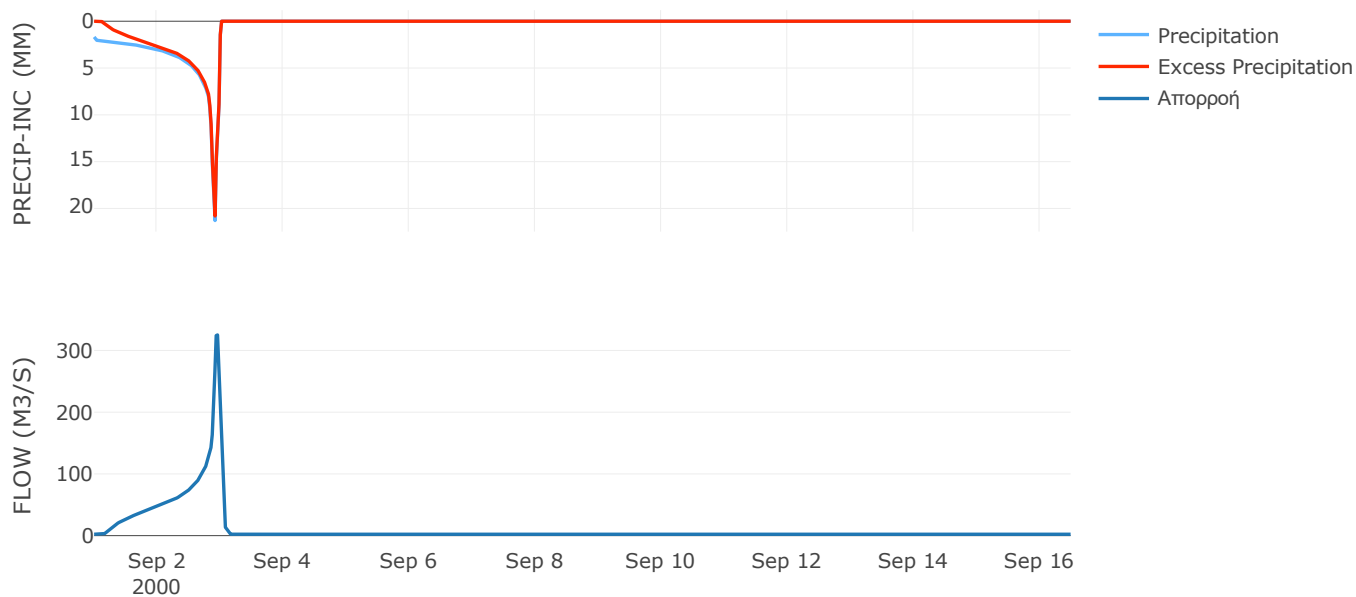
Μέθοδος
Μετασχηματισμού: SCS

Χρόνος Υστέρησης	37.87
------------------	-------

Αποτελέσματα:
EL0415FR6078

Παροχή αιχμής (M3/S)	325.17
Χρονική στιγμή αιχμής	02Sep2000, 23:00
Όγκος (MM)	437.17
Όγκος βροχόπτωσης (M3)	1.32E7
Όγκος απωλειών (M3)	2.13E6
Ενεργός Όγκος (M3)	1.11E7
Όγκος άμεσης απορροής (M3)	1.11E7
Όγκος βασικής απορροής (M3)	3.02E6

Βροχόπτωση και Απορροή



Υπολεκάνη: EL0415FR6079

Έκταση (KM2) : 61

Κατάντη : J32

Μέθοδος Απωλειών: SCS

Ποσοστό αδιαπέρατης επιφάνειας	0
Αριθμός Καμπύλης Απορροής-CN	77.9
Αρχικές Απώλειες	14.41

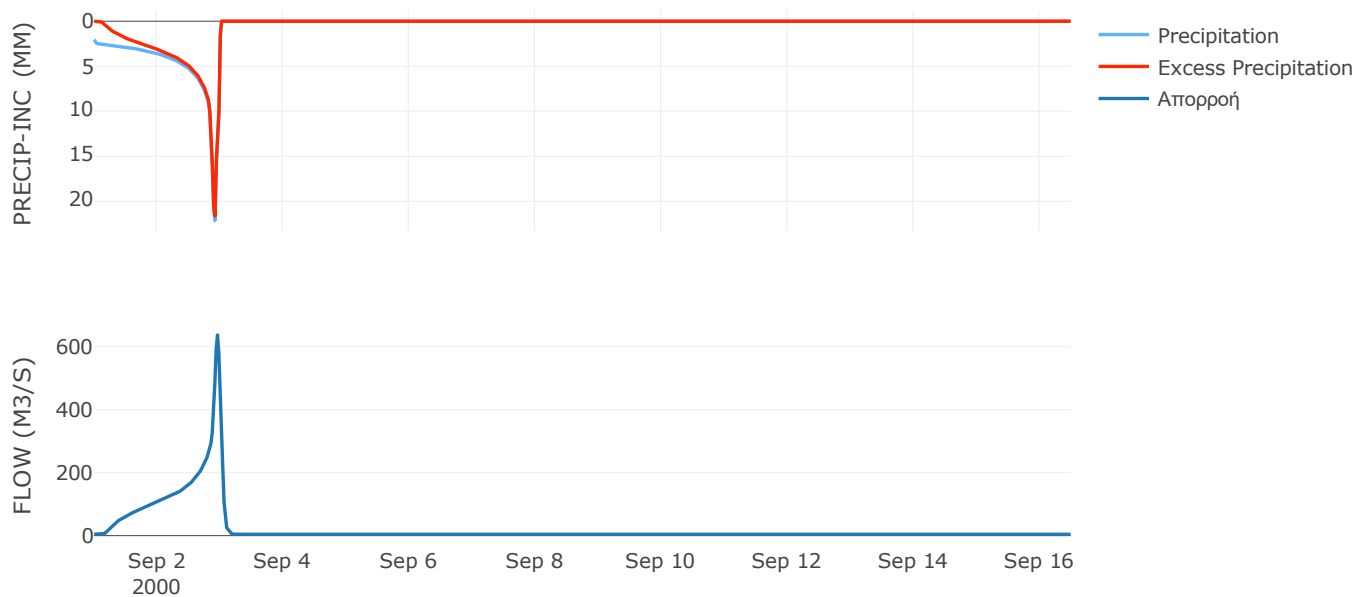
Μέθοδος
Μετασχηματισμού: SCS

Χρόνος Υστέρησης	47.71
------------------	-------

Αποτελέσματα:
EL0415FR6079

Παροχή αιχμής (M3/S)	637.18
Χρονική στιγμή αιχμής	02Sep2000, 23:00
Όγκος (MM)	487.18
Όγκος βροχόπτωσης (M3)	2.87E7
Όγκος απωλειών (M3)	4.67E6
Ενεργός Όγκος (M3)	2.4E7
Όγκος άμεσης απορροής (M3)	2.4E7
Όγκος βασικής απορροής (M3)	5.72E6

Βροχόπτωση και Απορροή



Υπολεκάνη: EL0415FR6080

Έκταση (KM2) : 31.99

Κατάντη : J30

Μέθοδος Απωλειών: SCS

Ποσοστό αδιαπέρατης επιφάνειας	0
Αριθμός Καμπύλης Απορροής-CN	77.44
Αρχικές Απώλειες	14.8

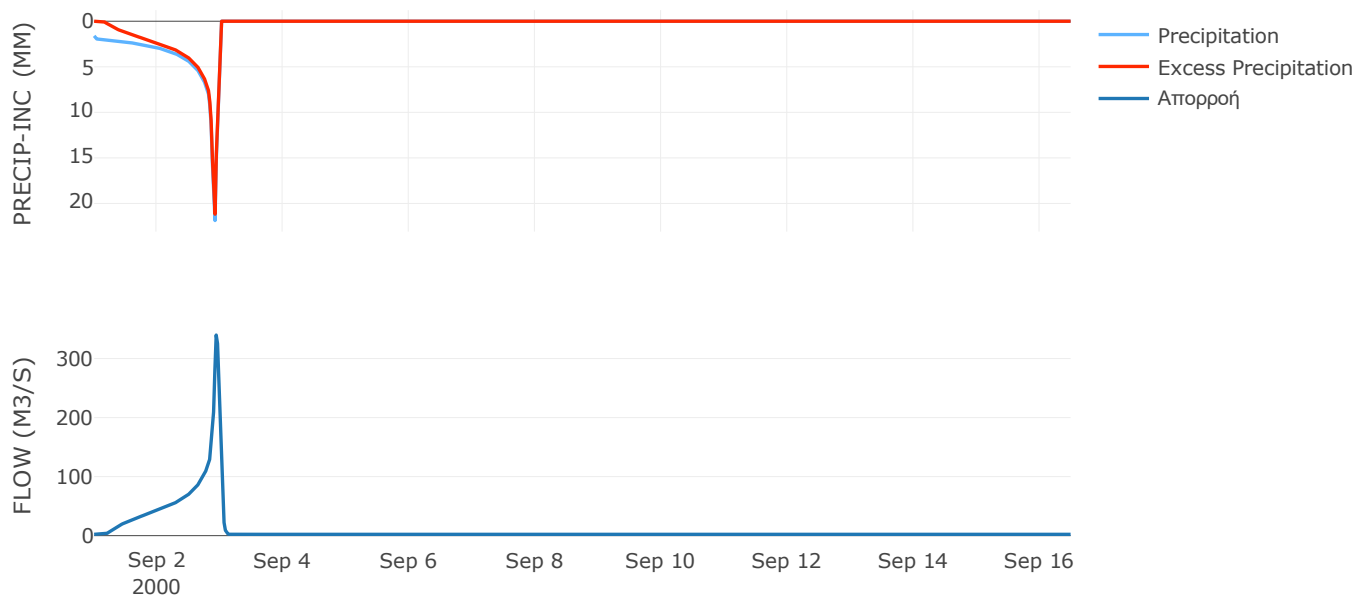
Μέθοδος
Μετασχηματισμού: SCS

Χρόνος Υστέρησης	32.77
------------------	-------

Αποτελέσματα:
EL0415FR6080

Παροχή αιχμής (M3/S)	339.82
Χρονική στιγμή αιχμής	02Sep2000, 22:30
Όγκος (MM)	419.44
Όγκος βροχόπτωσης (M3)	1.29E7
Όγκος απωλειών (M3)	2.46E6
Ενεργός Όγκος (M3)	1.04E7
Όγκος άμεσης απορροής (M3)	1.04E7
Όγκος βασικής απορροής (M3)	3E6

Βροχόπτωση και Απορροή



Υπολεκάνη: EL0415FR6081

Έκταση (KM2) : 61.71

Κατάντη : J42

Μέθοδος Απωλειών: SCS

Ποσοστό αδιαπέρατης επιφάνειας	35
Αριθμός Καμπύλης Απορροής-CN	93.97
Αρχικές Απώλειες	3.26

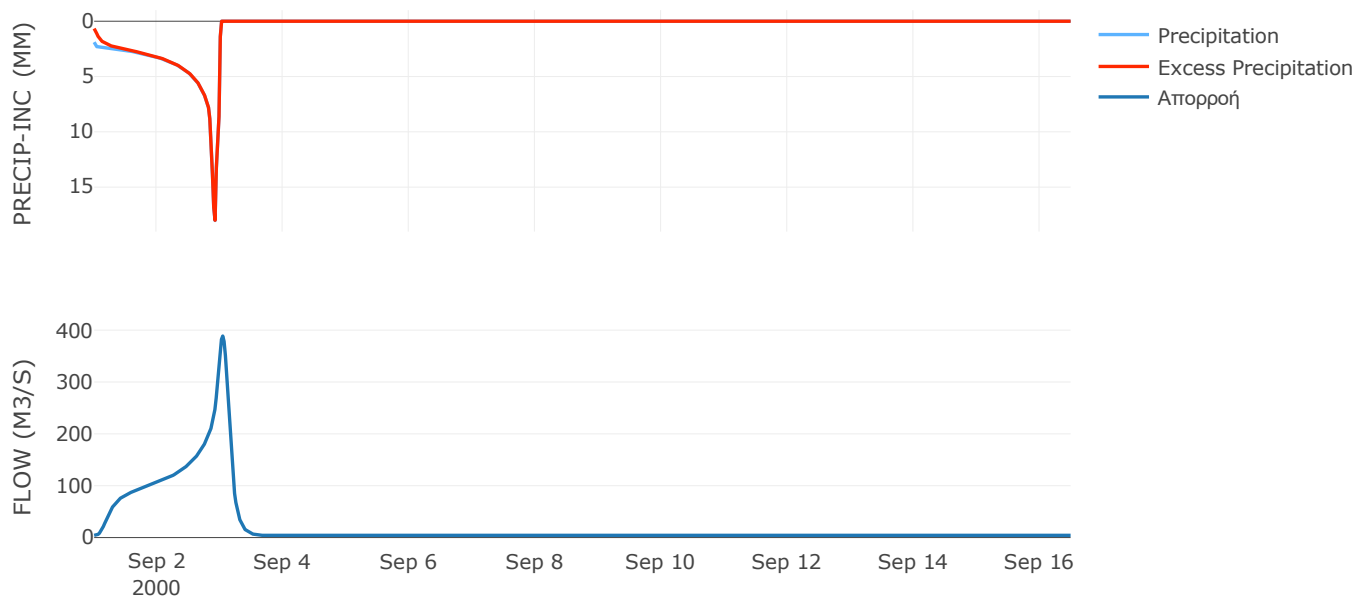
Μέθοδος
Μετασχηματισμού: SCS

Χρόνος Υστέρησης	184.47
------------------	--------

Αποτελέσματα:
EL0415FR6081

Παροχή αιχμής (M3/S)	388.63
Χρονική στιγμή αιχμής	03Sep2000, 01:00
Όγκος (MM)	496.28
Όγκος βροχόπτωσης (M3)	2.56E7
Όγκος απωλειών (M3)	7.6E5
Ενεργός Όγκος (M3)	2.48E7
Όγκος άμεσης απορροής (M3)	2.48E7
Όγκος βασικής απορροής (M3)	5.78E6

Βροχόπτωση και Απορροή



Υπολεκάνη: EL0415FR6082

Έκταση (KM2) : 53.32

Κατάντη : J63

Μέθοδος Απωλειών: SCS

Ποσοστό αδιαπέρατης επιφάνειας	0
Αριθμός Καμπύλης Απορροής-CN	80.93
Αρχικές Απώλειες	11.97

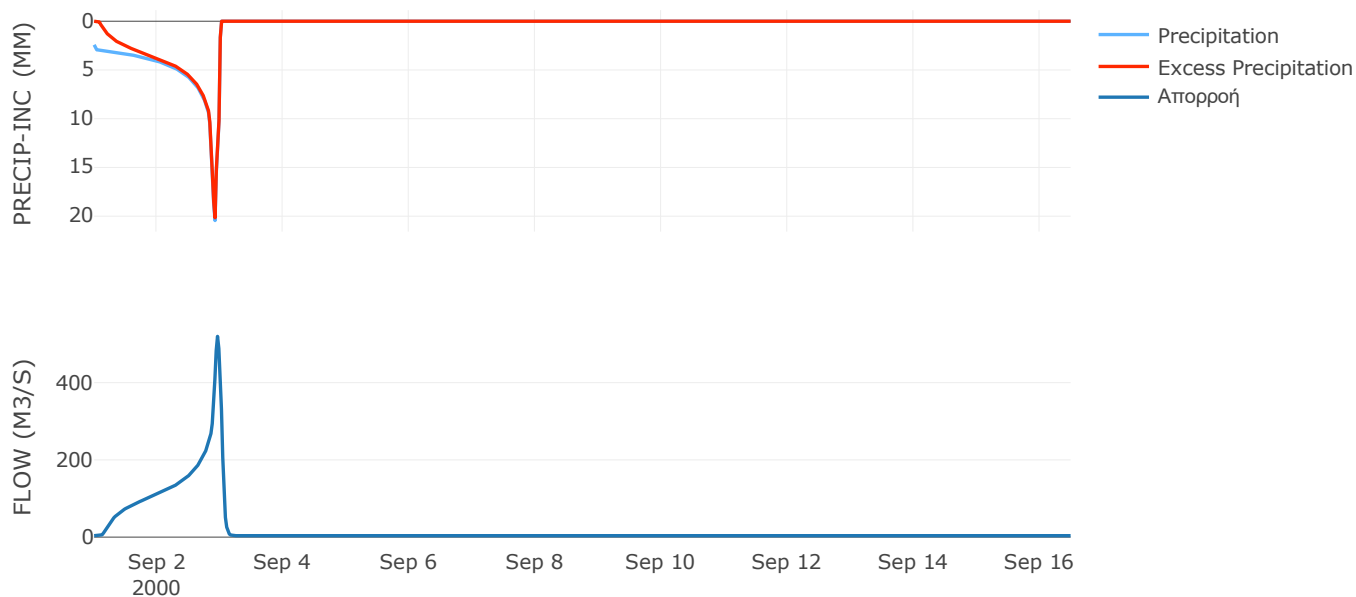
Μέθοδος
Μετασχηματισμού: SCS

Χρόνος Υστέρησης	50.48
------------------	-------

Αποτελέσματα:
EL0415FR6082

Παροχή αιχμής (M3/S)	519.8
Χρονική στιγμή αιχμής	02Sep2000, 23:00
Όγκος (MM)	536.18
Όγκος βροχόπτωσης (M3)	2.71E7
Όγκος απωλειών (M3)	3.49E6
Ενεργός Όγκος (M3)	2.36E7
Όγκος άμεσης απορροής (M3)	2.36E7
Όγκος βασικής απορροής (M3)	5E6

Βροχόπτωση και Απορροή



Υπολεκάνη: EL0415FR6083

Έκταση (KM2) : 14.89

Κατάνη : J41 Res4

Μέθοδος Απωλειών: SCS

Ποσοστό αδιαπέρατης επιφάνειας	9
Αριθμός Καμπύλης Απορροής-CN	91.86
Αρχικές Απώλειες	4.5

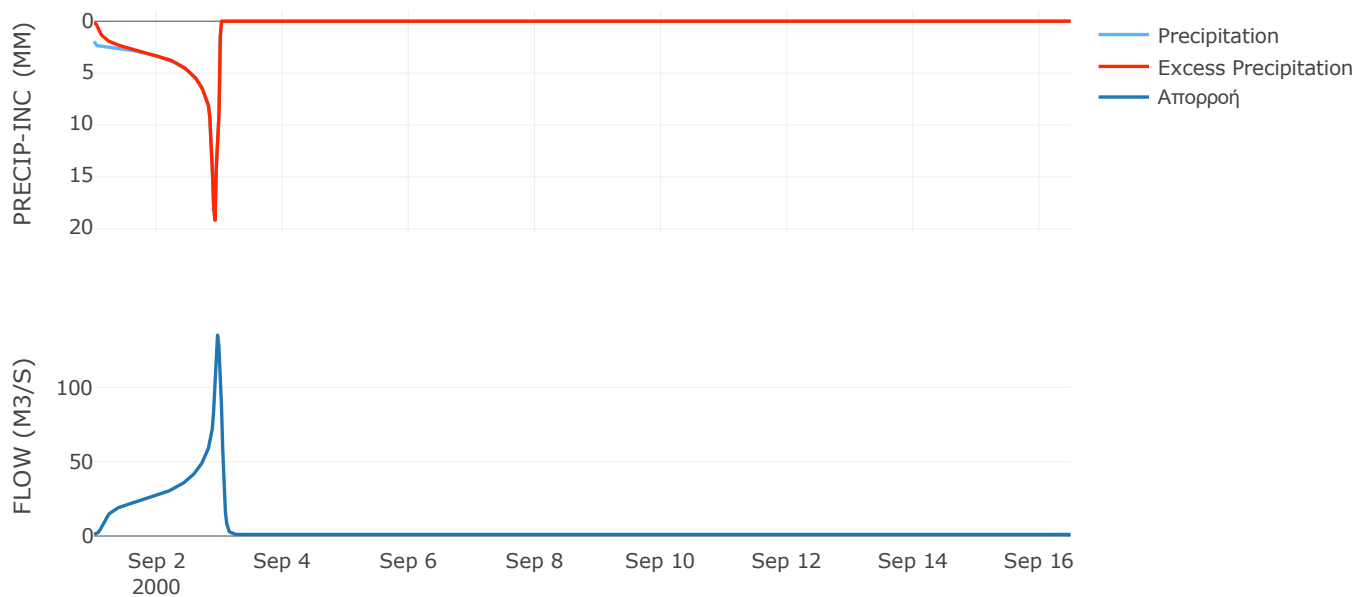
Μέθοδος
Μετασχηματισμού: SCS

Χρόνος Υστέρησης	55.31
------------------	-------

Αποτελέσματα:
EL0415FR6083

Παροχή αιχμής (M3/S)	135.05
Χρονική στιγμή αιχμής	02Sep2000, 23:00
Όγκος (MM)	500.76
Όγκος βροχόπτωσης (M3)	6.41E6
Όγκος απωλειών (M3)	3.51E5
Ενεργός Όγκος (M3)	6.06E6
Όγκος άμεσης απορροής (M3)	6.06E6
Όγκος βασικής απορροής (M3)	1.4E6

Βροχόπτωση και Απορροή



Υπολεκάνη: EL0415FR6084

Έκταση (KM2) : 167.7

Κατάντη : J46

Μέθοδος Απωλειών: SCS

Ποσοστό αδιαπέρατης επιφάνειας	0
Αριθμός Καμπύλης Απορροής-CN	87.73
Αρχικές Απώλειες	7.11

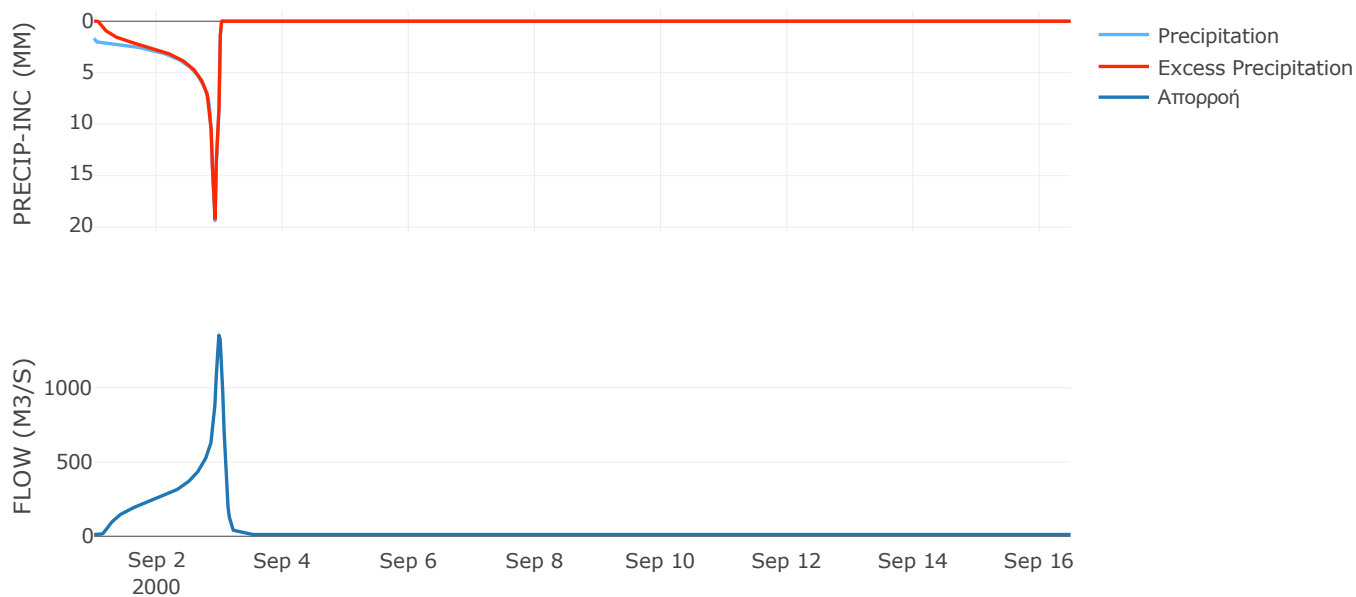
Μέθοδος
Μετασχηματισμού: SCS

Χρόνος Υστέρησης	90.42
------------------	-------

Αποτελέσματα:
EL0415FR6084

Παροχή αιχμής (M3/S)	1353.81
Χρονική στιγμή αιχμής	02Sep2000, 23:30
Όγκος (MM)	445.98
Όγκος βροχόπτωσης (M3)	6.57E7
Όγκος απωλειών (M3)	6.65E6
Ενεργός Όγκος (M3)	5.91E7
Όγκος άμεσης απορροής (M3)	5.91E7
Όγκος βασικής απορροής (M3)	1.57E7

Βροχόπτωση και Απορροή



Υπολεκάνη: EL0415FR6085

Έκταση (KM2) : 5.18

Κατάνη : J17 Res3

Μέθοδος Απωλειών: SCS

Ποσοστό αδιαπέρατης επιφάνειας	20
Αριθμός Καμπύλης Απορροής-CN	97.18
Αρχικές Απώλειες	1.47

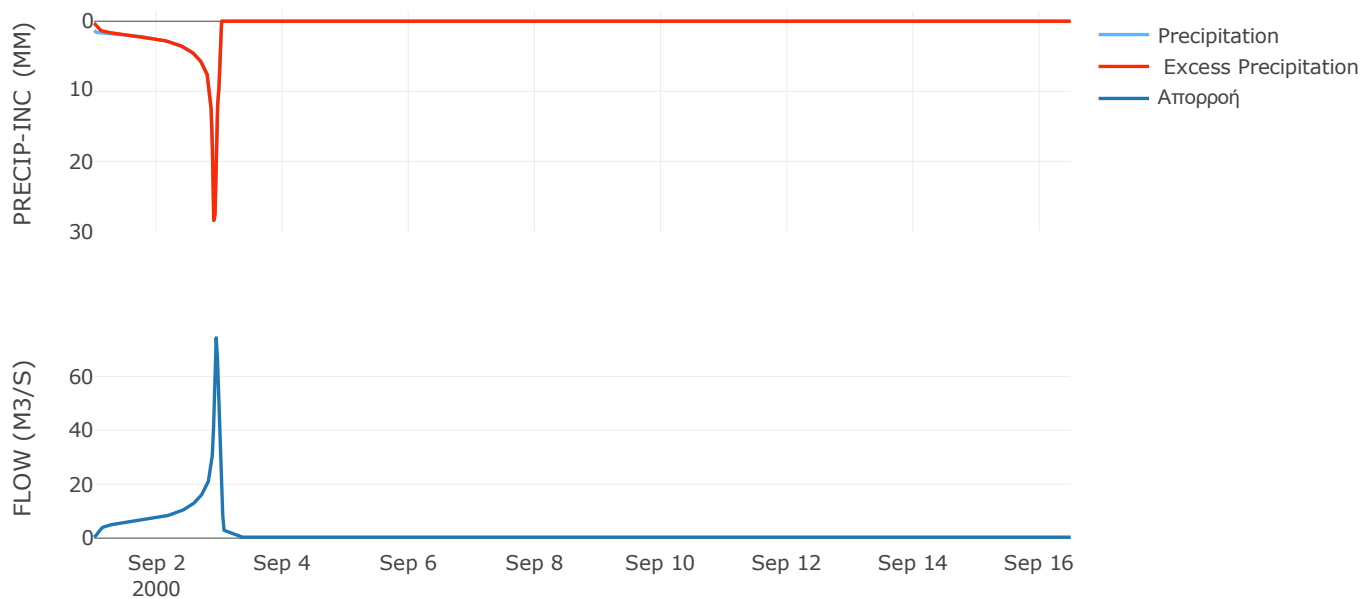
Μέθοδος
Μετασχηματισμού: SCS

Χρόνος Υστέρησης	28.84
------------------	-------

Αποτελέσματα:
EL0415FR6085

Παροχή αιχμής (M3/S)	74.29
Χρονική στιγμή αιχμής	02Sep2000, 22:30
Όγκος (MM)	482.58
Όγκος βροχόπτωσης (M3)	2.05E6
Όγκος απωλειών (M3)	36059.49
Ενεργός Όγκος (M3)	2.01E6
Όγκος άμεσης απορροής (M3)	2.01E6
Όγκος βασικής απορροής (M3)	4.86E5

Βροχόπτωση και Απορροή



Υπολεκάνη: EL0415FR6086

Έκταση (KM2) : 51.06

Κατάντη : J27

Μέθοδος Απωλειών: SCS

Ποσοστό αδιαπέρατης επιφάνειας	17
Αριθμός Καμπύλης Απορροής-CN	84.08
Αρχικές Απώλειες	9.62

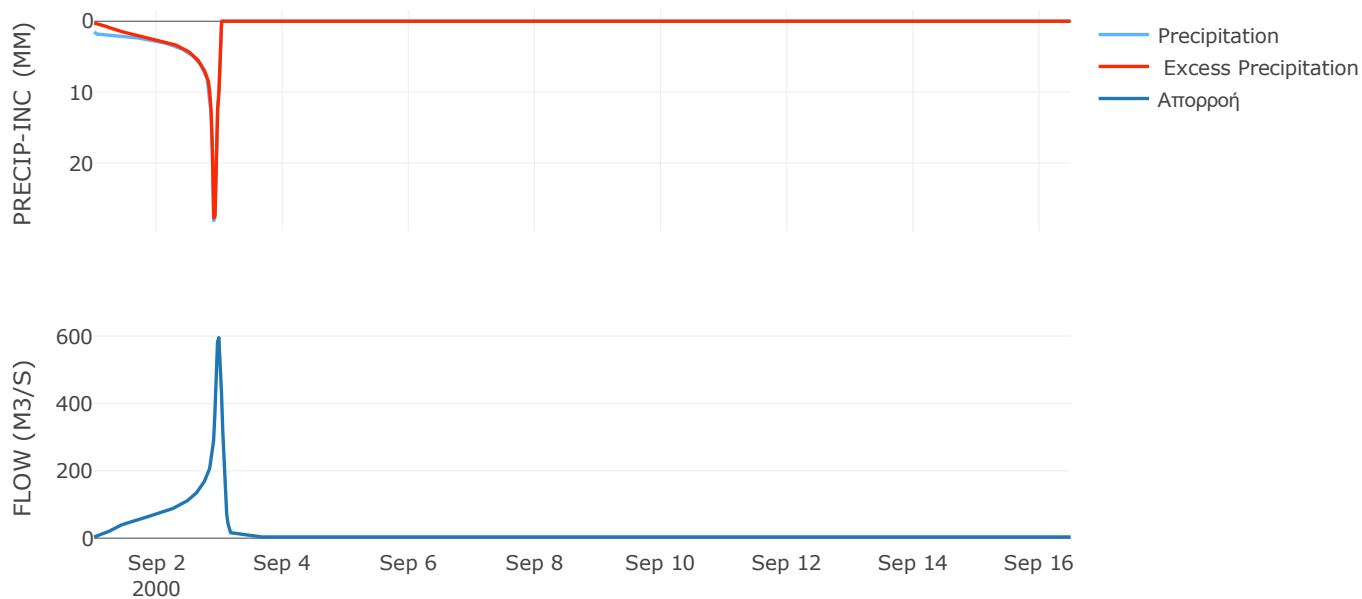
Μέθοδος
Μετασχηματισμού: SCS

Χρόνος Υστέρησης	73.15
------------------	-------

Αποτελέσματα:
EL0415FR6086

Παροχή αιχμής (M3/S)	595.55
Χρονική στιγμή αιχμής	02Sep2000, 23:30
Όγκος (MM)	474.16
Όγκος βροχόπτωσης (M3)	2.17E7
Όγκος απωλειών (M3)	2.23E6
Ενεργός Όγκος (M3)	1.94E7
Όγκος άμεσης απορροής (M3)	1.94E7
Όγκος βασικής απορροής (M3)	4.79E6

Βροχόπτωση και Απορροή



Υπολεκάνη: EL0415FR6087

Έκταση (KM2) : 13.66

Κατάντη : J64

Μέθοδος Απωλειών: SCS

Ποσοστό αδιαπέρατης επιφάνειας	20
Αριθμός Καμπύλης Απορροής-CN	74.89
Αρχικές Απώλειες	17.03

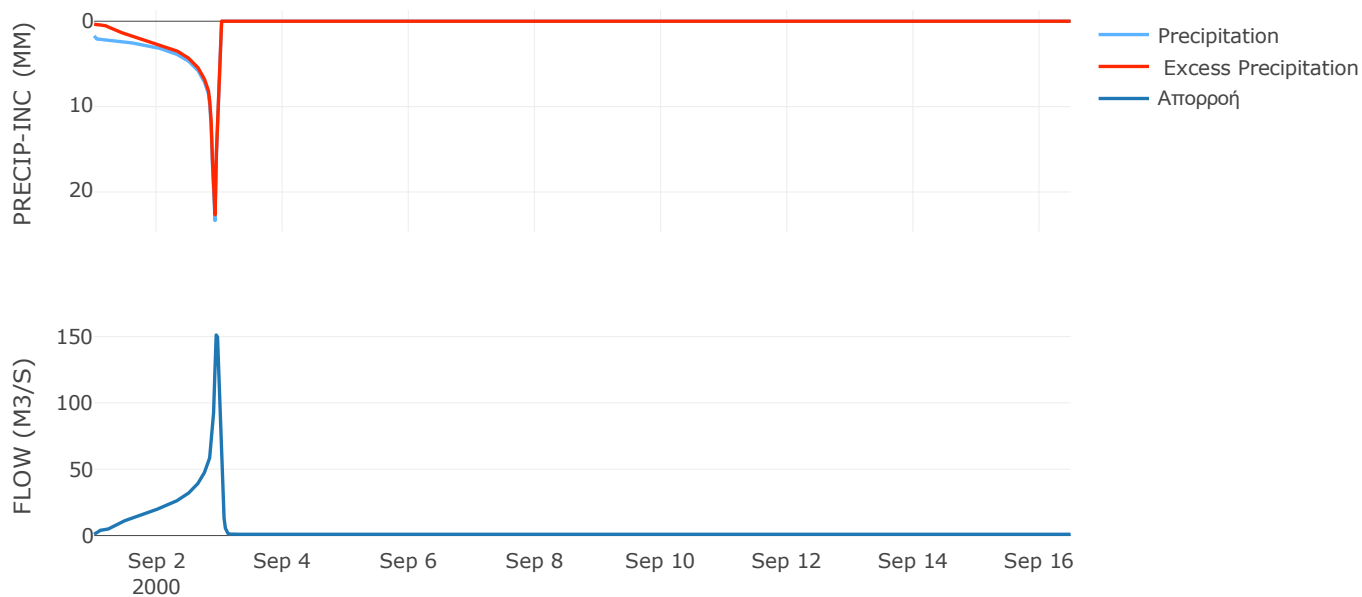
Μέθοδος
Μετασχηματισμού: SCS

Χρόνος Υστέρησης	36.56
------------------	-------

Αποτελέσματα:
EL0415FR6087

Παροχή αιχμής (M3/S)	151.18
Χρονική στιγμή αιχμής	02Sep2000, 22:30
Όγκος (MM)	453.38
Όγκος βροχόπτωσης (M3)	5.87E6
Όγκος απωλειών (M3)	9.58E5
Ενεργός Όγκος (M3)	4.91E6
Όγκος άμεσης απορροής (M3)	4.91E6
Όγκος βασικής απορροής (M3)	1.28E6

Βροχόπτωση και Απορροή



Υπολεκάνη: EL0415FR6088

Έκταση (KM2) : 31.28

Κατάντη : J27

Μέθοδος Απωλειών: SCS

Ποσοστό αδιαπέρατης επιφάνειας	37
Αριθμός Καμπύλης Απορροής-CN	93.03
Αρχικές Απώλειες	3.8

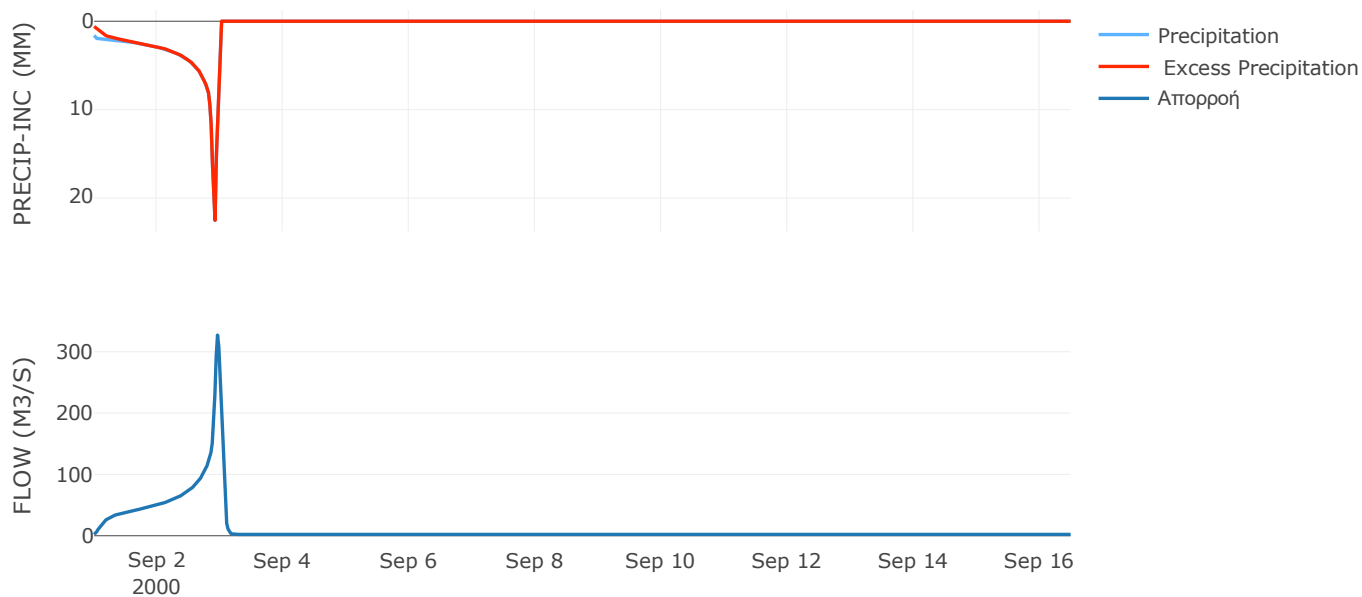
Μέθοδος
Μετασχηματισμού: SCS

Χρόνος Υστέρησης	56.73
------------------	-------

Αποτελέσματα:
EL0415FR6088

Παροχή αιχμής (M3/S)	327.13
Χρονική στιγμή αιχμής	02Sep2000, 23:00
Όγκος (MM)	486.81
Όγκος βροχόπτωσης (M3)	1.27E7
Όγκος απωλειών (M3)	4.33E5
Ενεργός Όγκος (M3)	1.23E7
Όγκος άμεσης απορροής (M3)	1.23E7
Όγκος βασικής απορροής (M3)	2.93E6

Βροχόπτωση και Απορροή



Υπολεκάνη: EL0415FR6089

Έκταση (KM2) : 9.78

Κατάντη : J28

Μέθοδος Απωλειών: SCS

Ποσοστό αδιαπέρατης επιφάνειας	11
Αριθμός Καμπύλης Απορροής-CN	88.08
Αρχικές Απώλειες	6.88

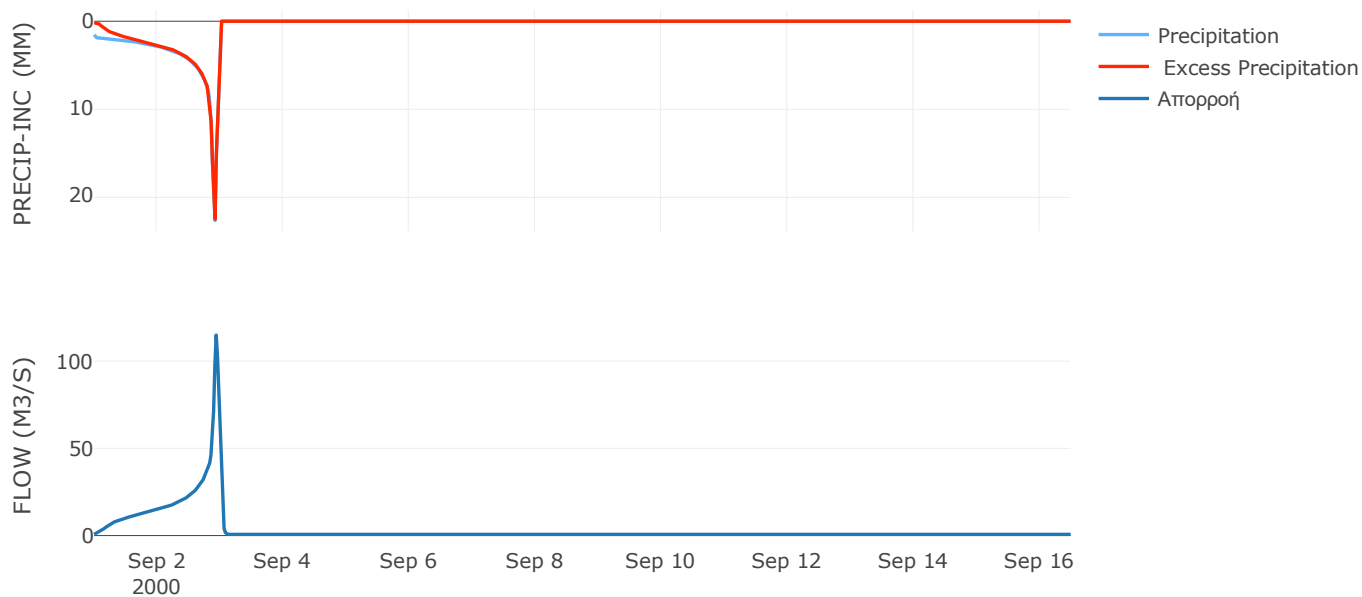
Μέθοδος
Μετασχηματισμού: SCS

Χρόνος Υστέρησης	26.27
------------------	-------

Αποτελέσματα:
EL0415FR6089

Παροχή αιχμής (M3/S)	114.95
Χρονική στιγμή αιχμής	02Sep2000, 22:30
Όγκος (MM)	457.68
Όγκος βροχόπτωσης (M3)	3.89E6
Όγκος απωλειών (M3)	3.35E5
Ενεργός Όγκος (M3)	3.56E6
Όγκος άμεσης απορροής (M3)	3.56E6
Όγκος βασικής απορροής (M3)	9.17E5

Βροχόπτωση και Απορροή



Υπολεκάνη: EL0415FR6090

Έκταση (KM2) : 6.36

Κατάντη : J29

Μέθοδος Απωλειών: SCS

Ποσοστό αδιαπέρατης επιφάνειας	20
Αριθμός Καμπύλης Απορροής-CN	83.68
Αρχικές Απώλειες	9.91

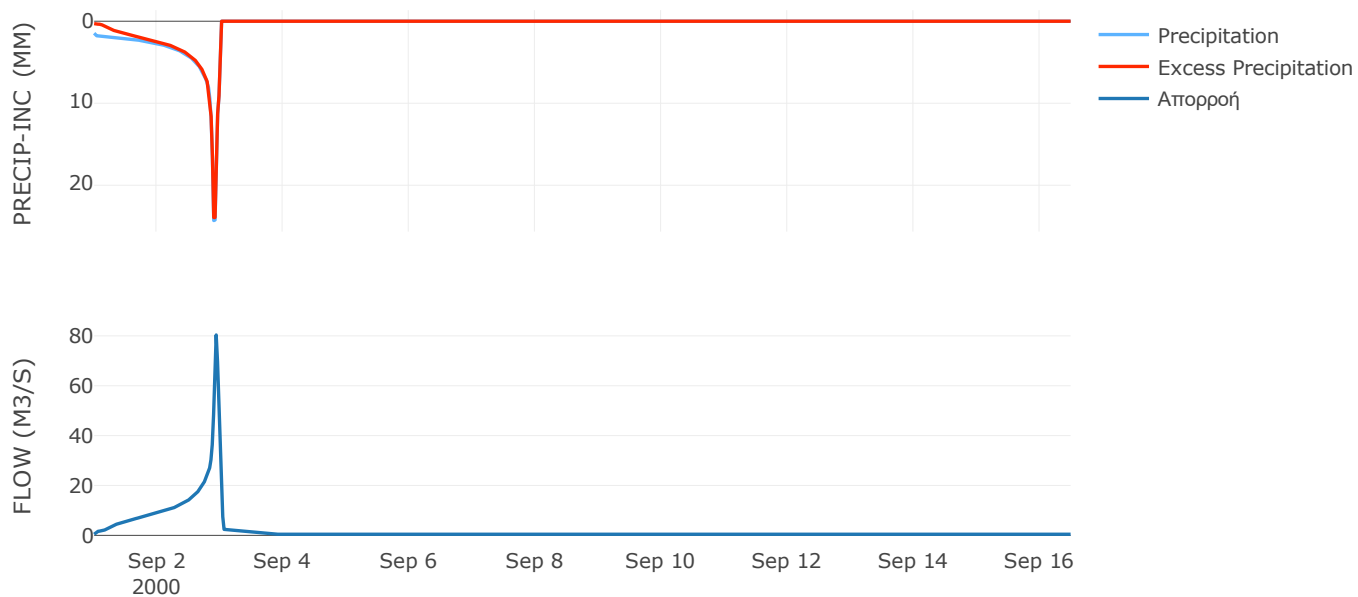
Μέθοδος
Μετασχηματισμού: SCS

Χρόνος Υστέρησης	24.74
------------------	-------

Αποτελέσματα:
EL0415FR6090

Παροχή αιχμής (M3/S)	80.36
Χρονική στιγμή αιχμής	02Sep2000, 22:30
Όγκος (MM)	447.79
Όγκος βροχόπτωσης (M3)	2.52E6
Όγκος απωλειών (M3)	2.74E5
Ενεργός Όγκος (M3)	2.25E6
Όγκος άμεσης απορροής (M3)	2.25E6
Όγκος βασικής απορροής (M3)	5.96E5

Βροχόπτωση και Απορροή



Υπολεκάνη: EL0415FR6091

Έκταση (KM2) : 12.79

Κατάντη : J29

Μέθοδος Απωλειών: SCS

Ποσοστό αδιαπέρατης επιφάνειας	20
Αριθμός Καμπύλης Απορροής-CN	82.51
Αρχικές Απώλειες	10.77

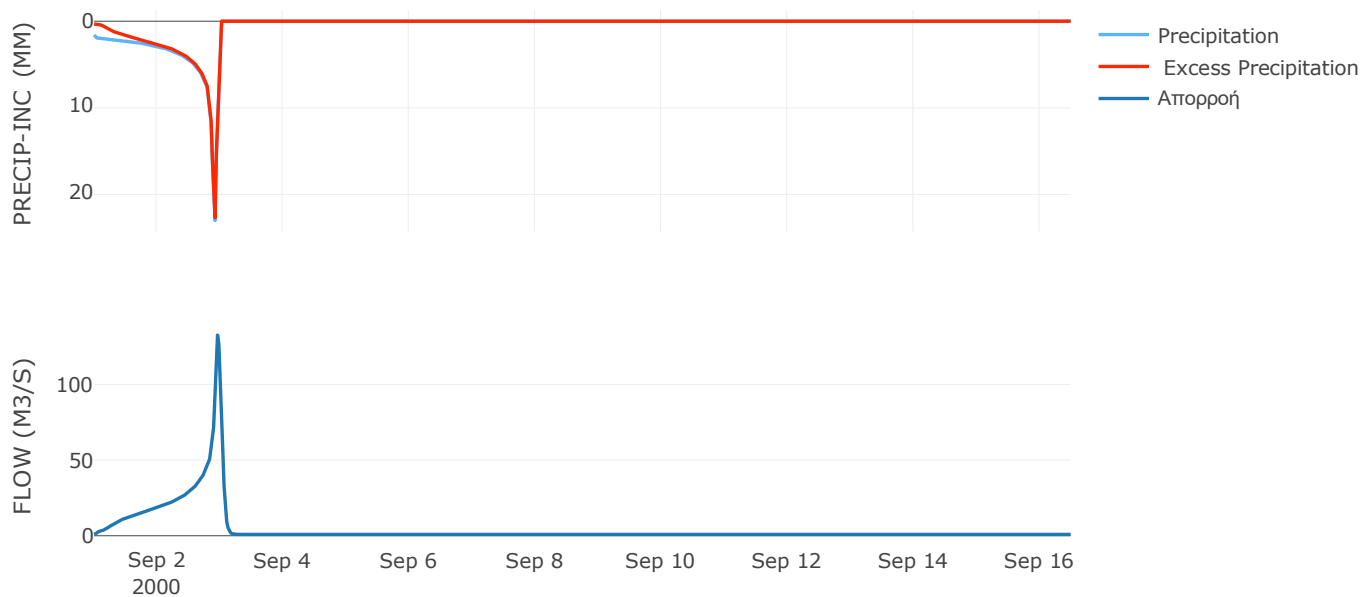
Μέθοδος
Μετασχηματισμού: SCS

Χρόνος Υστέρησης	59.68
------------------	-------

Αποτελέσματα:
EL0415FR6091

Παροχή αιχμής (M3/S)	132.61
Χρονική στιγμή αιχμής	02Sep2000, 23:00
Όγκος (MM)	455.66
Όγκος βροχόπτωσης (M3)	5.22E6
Όγκος απωλειών (M3)	5.95E5
Ενεργός Όγκος (M3)	4.63E6
Όγκος άμεσης απορροής (M3)	4.63E6
Όγκος βασικής απορροής (M3)	1.2E6

Βροχόπτωση και Απορροή



Υπολεκάνη: EL0415FR6092

Έκταση (KM2) : 11.03

Κατάντη : J24

Μέθοδος Απωλειών: SCS

Ποσοστό αδιαπέρατης επιφάνειας	5
Αριθμός Καμπύλης Απορροής-CN	83.6
Αρχικές Απώλειες	9.97

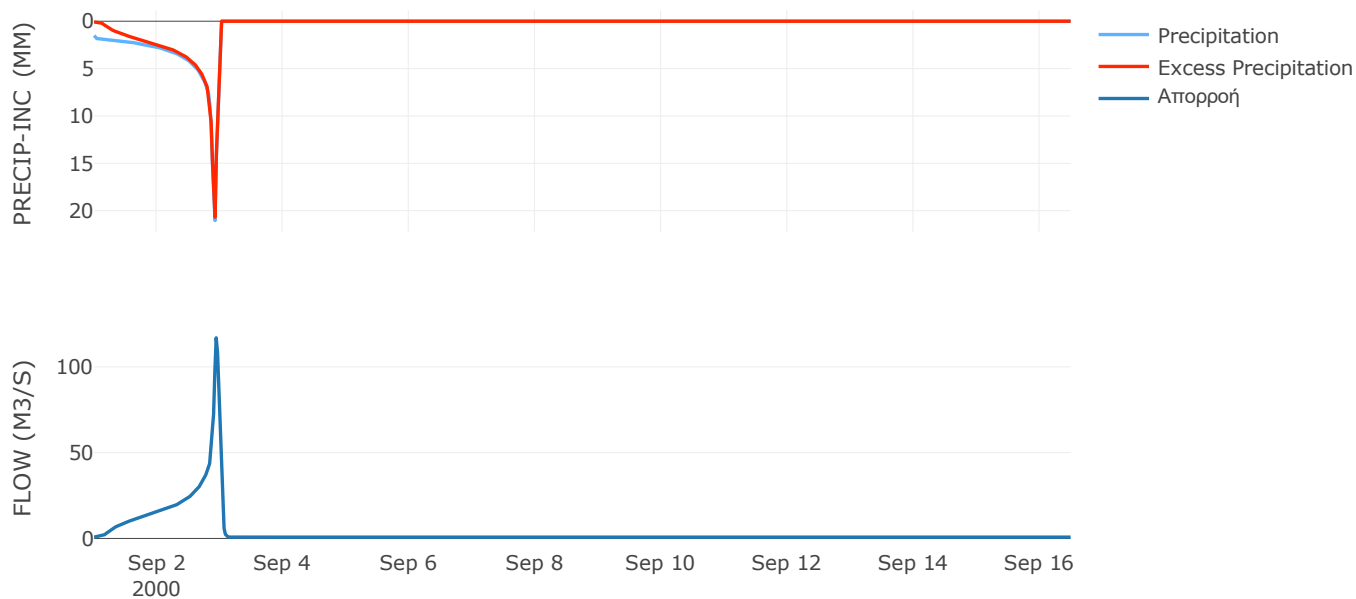
Μέθοδος
Μετασχηματισμού: SCS

Χρόνος Υστέρησης	29.69
------------------	-------

Αποτελέσματα:
EL0415FR6092

Παροχή αιχμής (M3/S)	116.93
Χρονική στιγμή αιχμής	02Sep2000, 22:30
Όγκος (MM)	424.28
Όγκος βροχόπτωσης (M3)	4.21E6
Όγκος απωλειών (M3)	5.65E5
Ενεργός Όγκος (M3)	3.65E6
Όγκος άμεσης απορροής (M3)	3.65E6
Όγκος βασικής απορροής (M3)	1.03E6

Βροχόπτωση και Απορροή



Υπολεκάνη: EL0415FR6093

Έκταση (KM2) : 14.35

Κατάντη : J25

Μέθοδος Απωλειών: SCS

Ποσοστό αδιαπέρατης επιφάνειας	6
Αριθμός Καμπύλης Απορροής-CN	71.47
Αρχικές Απώλειες	20.28

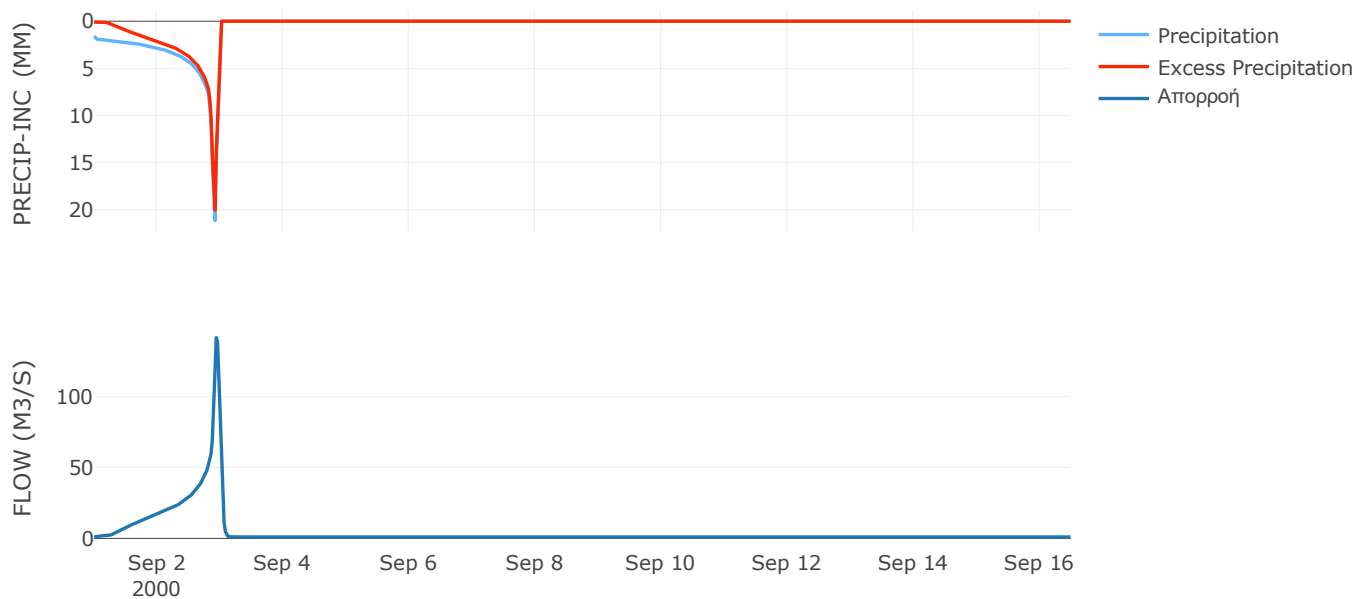
Μέθοδος
Μετασχηματισμού: SCS

Χρόνος Υστέρησης	35.25
------------------	-------

Αποτελέσματα:
EL0415FR6093

Παροχή αιχμής (M3/S)	141.25
Χρονική στιγμή αιχμής	02Sep2000, 22:30
Όγκος (MM)	390.63
Όγκος βροχόπτωσης (M3)	5.61E6
Όγκος απωλειών (M3)	1.35E6
Ενεργός Όγκος (M3)	4.26E6
Όγκος άμεσης απορροής (M3)	4.26E6
Όγκος βασικής απορροής (M3)	1.35E6

Βροχόπτωση και Απορροή



Υπολεκάνη: EL0415FR6094

Έκταση (KM2) : 17.58

Κατάντη : J22

Μέθοδος Απωλειών: SCS

Ποσοστό αδιαπέρατης επιφάνειας	8
Αριθμός Καμπύλης Απορροής-CN	70.65
Αρχικές Απώλειες	21.1

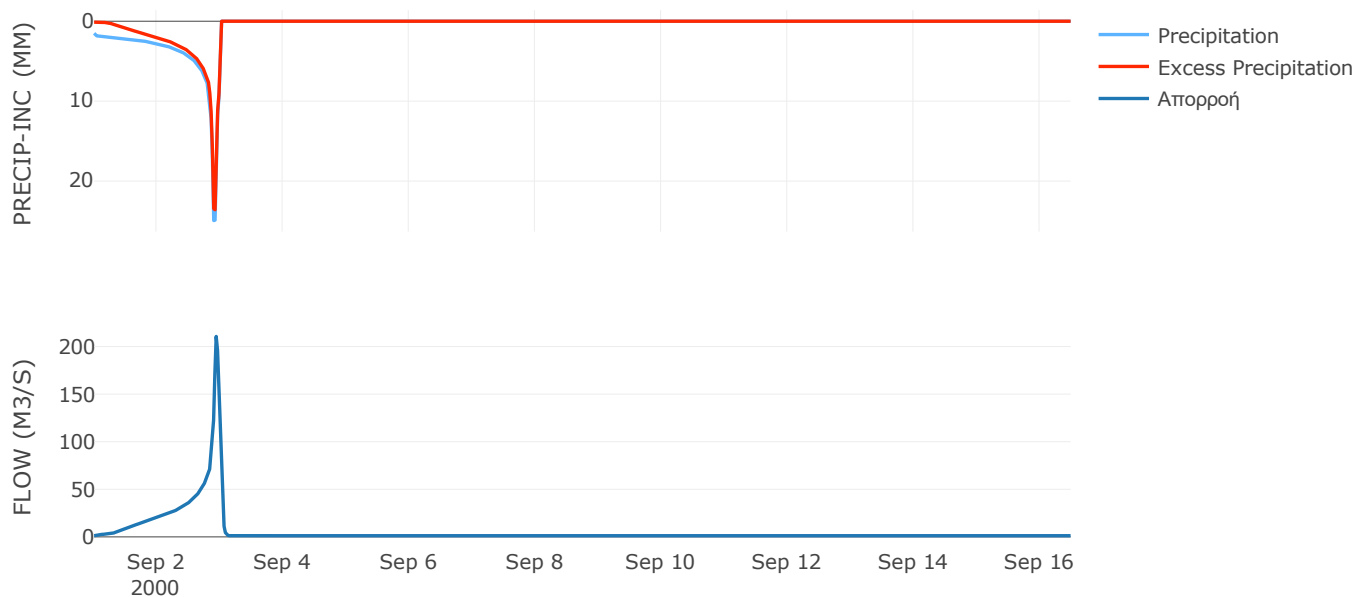
Μέθοδος
Μετασχηματισμού: SCS

Χρόνος Υστέρησης	30.99
------------------	-------

Αποτελέσματα:
EL0415FR6094

Παροχή αιχμής (M3/S)	210.63
Χρονική στιγμή αιχμής	02Sep2000, 22:30
Όγκος (MM)	407.01
Όγκος βροχόπτωσης (M3)	7.19E6
Όγκος απωλειών (M3)	1.68E6
Ενεργός Όγκος (M3)	5.51E6
Όγκος άμεσης απορροής (M3)	5.51E6
Όγκος βασικής απορροής (M3)	1.65E6

Βροχόπτωση και Απορροή



Υπολεκάνη: EL0415FR6095

Έκταση (KM2) : 18.13

Κατάνη : J15 Res2

Μέθοδος Απωλειών: SCS

Ποσοστό αδιαπέρατης επιφάνειας	17
Αριθμός Καμπύλης Απορροής-CN	94.53
Αρχικές Απώλειες	2.94

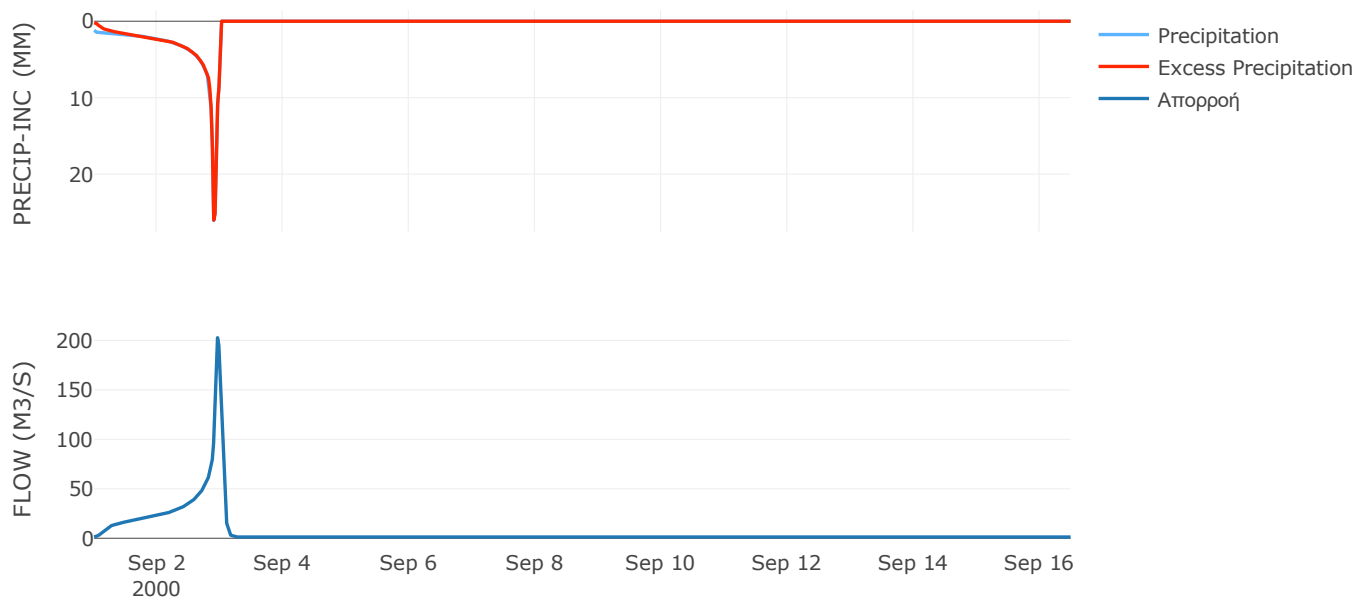
Μέθοδος
Μετασχηματισμού: SCS

Χρόνος Υστέρησης	62.6
------------------	------

Αποτελέσματα:
EL0415FR6095

Παροχή αιχμής (M3/S)	202.71
Χρονική στιγμή αιχμής	02Sep2000, 23:00
Όγκος (MM)	437.69
Όγκος βροχόπτωσης (M3)	6.49E6
Όγκος απωλειών (M3)	2.56E5
Ενεργός Όγκος (M3)	6.23E6
Όγκος άμεσης απορροής (M3)	6.23E6
Όγκος βασικής απορροής (M3)	1.7E6

Βροχόπτωση και Απορροή



Υπολεκάνη: EL0415FR6096

Έκταση (KM2) : 45.1

Κατάντη : J19

Μέθοδος Απωλειών: SCS

Ποσοστό αδιαπέρατης επιφάνειας	16
Αριθμός Καμπύλης Απορροής-CN	92.01
Αρχικές Απώλειες	4.41

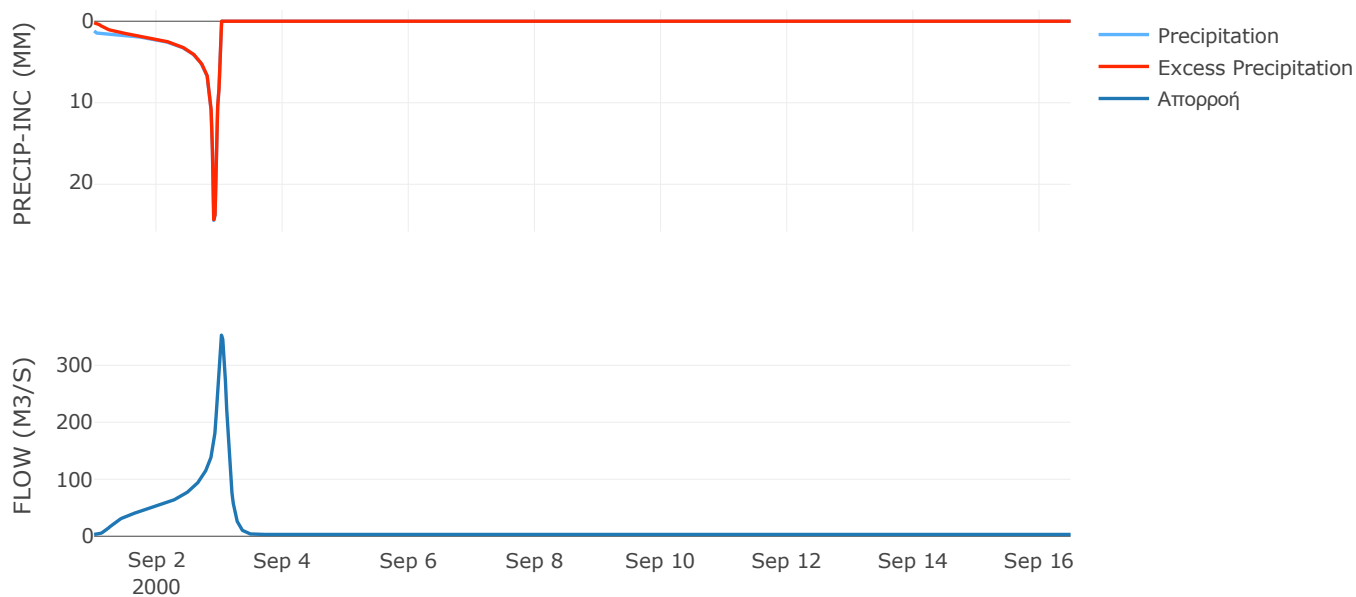
Μέθοδος
Μετασχηματισμού: SCS

Χρόνος Υστέρησης	154.63
------------------	--------

Αποτελέσματα:
EL0415FR6096

Παροχή αιχμής (M3/S)	352.91
Χρονική στιγμή αιχμής	03Sep2000, 00:30
Όγκος (MM)	423.72
Όγκος βροχόπτωσης (M3)	1.58E7
Όγκος απωλειών (M3)	9.53E5
Ενεργός Όγκος (M3)	1.49E7
Όγκος άμεσης απορροής (M3)	1.49E7
Όγκος βασικής απορροής (M3)	4.23E6

Βροχόπτωση και Απορροή



Υπολεκάνη: EL0415FR6097

Έκταση (KM2) : 3.48

Κατάντη : J14

Μέθοδος Απωλειών: SCS

Ποσοστό αδιαπέρατης επιφάνειας	17
Αριθμός Καμπύλης Απορροής-CN	91.92
Αρχικές Απώλειες	4.46

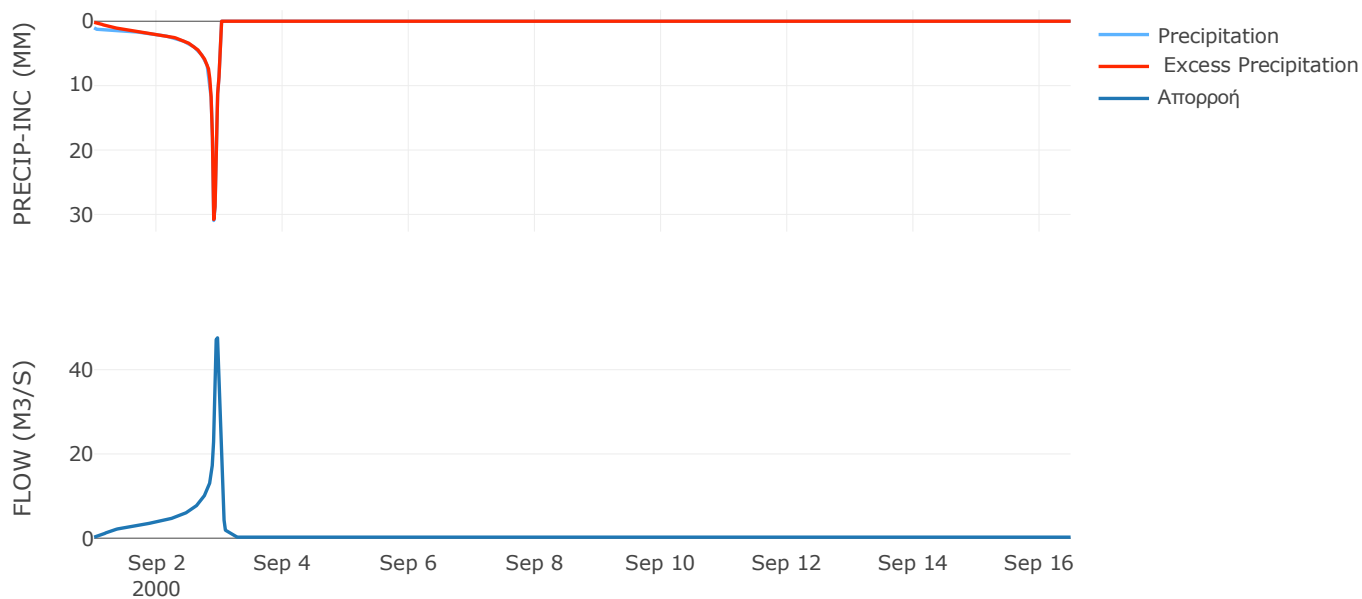
Μέθοδος
Μετασχηματισμού: SCS

Χρόνος Υστέρησης	41.06
------------------	-------

Αποτελέσματα:
EL0415FR6097

Παροχή αιχμής (M3/S)	47.57
Χρονική στιγμή αιχμής	02Sep2000, 23:00
Όγκος (MM)	425.15
Όγκος βροχόπτωσης (M3)	1.22E6
Όγκος απωλειών (M3)	73367.08
Ενεργός Όγκος (M3)	1.15E6
Όγκος άμεσης απορροής (M3)	1.15E6
Όγκος βασικής απορροής (M3)	3.26E5

Βροχόπτωση και Απορροή

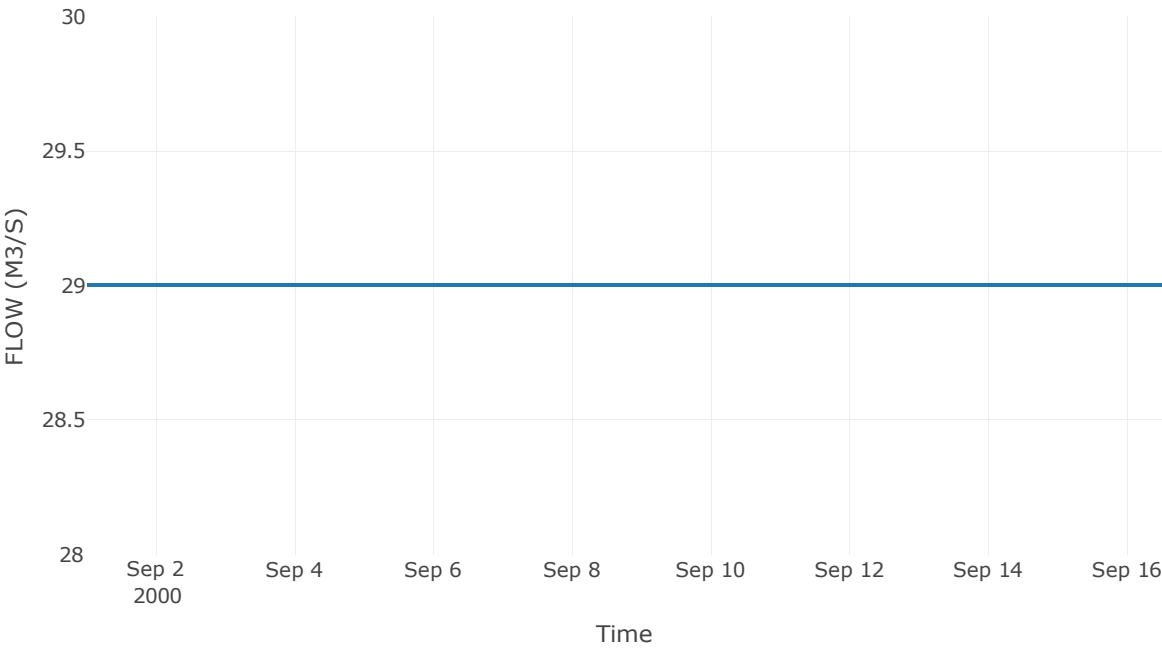


Κόμβος εξόδου: Κόμβος εξόδου-RES4

Αποτελέσματα: Κόμβος εξόδου-RES4

Παροχή Αιχμής (M3/S)	29
Χρονική στιγμή αιχμής	31Aug2000, 24:00
Όγκος(MM)	234.94

Απορροή



10.2 Δεδομένα και Υδρογραφήματα σχεδιασμού Κλάδων υδρογραφικού δικτύου

Κλάδος: R21

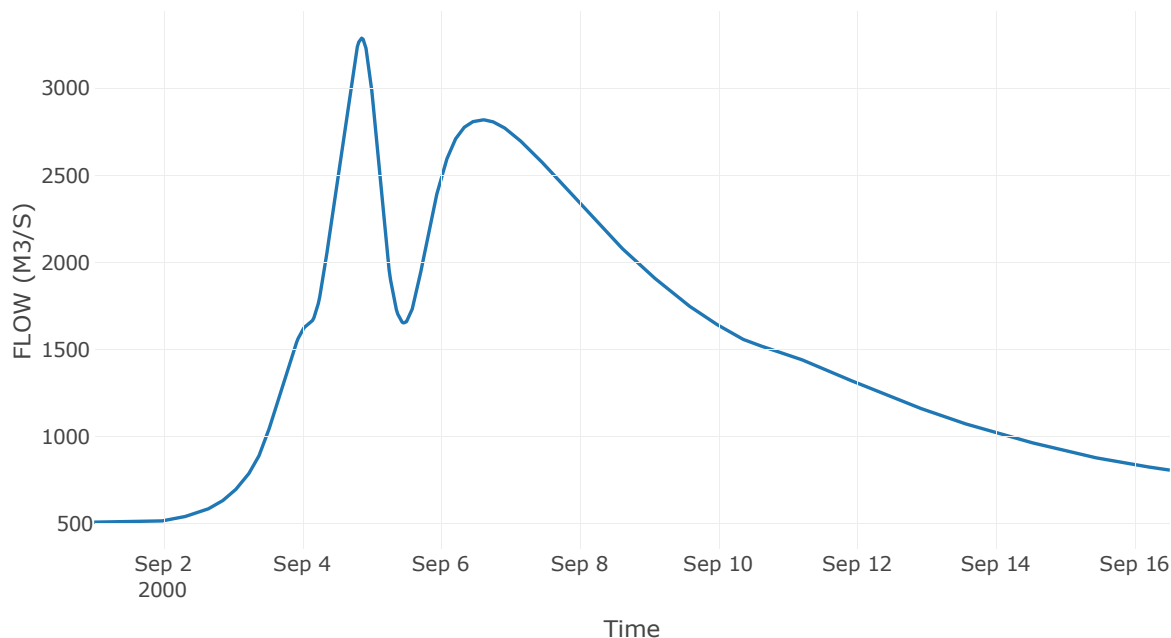
Κατάντη : J1

Μέθοδος Διόδευσης	Muskingum
Αρχική Μεταβλητή	Combined Inflow
Muskingum K	10.33
Συντελεστής βάρους x	0.2
Muskingum Steps	26

Αποτελέσματα: R21

Παροχή Αιχμής (M3/S)	3286.05
Χρονική στιγμή αιχμής	04Sep2000, 20:30
Όγκος(MM)	441.58
Παροχή Αιχμής Εισόδου (M3/S)	3349.48
Όγκος Εισροής(M3)	2.03E9

Απορροή



Κλάδος: R32

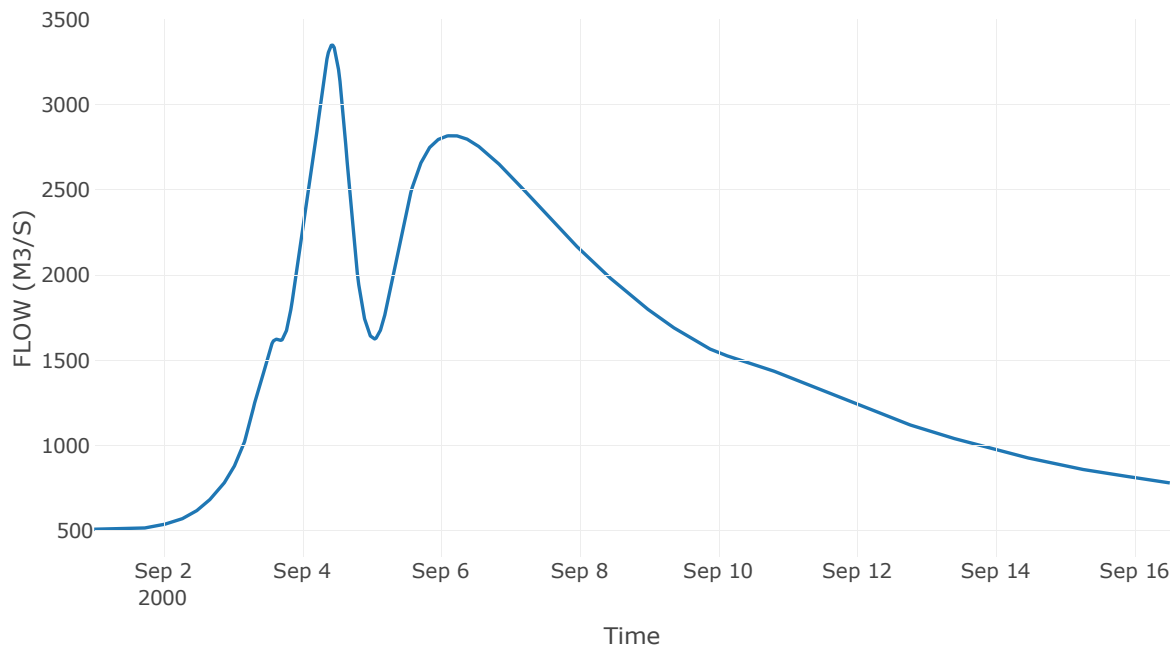
Κατάντη : J2

Μέθοδος Διόδευσης	Muskingum
Αρχική Μεταβλητή	Combined Inflow
Muskingum K	7.06
Συντελεστής βάρους x	0.2
Muskingum Steps	18

Αποτελέσματα: R32

Παροχή Αιχμής (M3/S)	3348.2
Χρονική στιγμή αιχμής	04Sep2000, 10:30
Όγκος(MM)	444.53
Παροχή Αιχμής Εισόδου (M3/S)	3397.73
Όγκος Εισροής(M3)	2.03E9

Απορροή



Κλάδος: R43

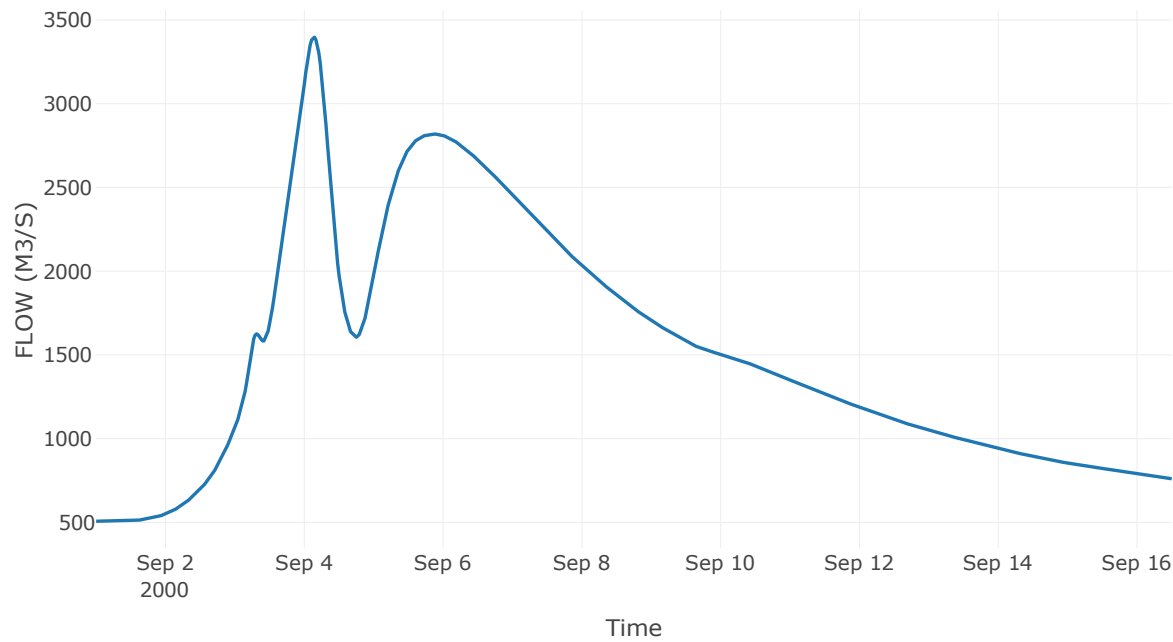
Κατάντη : J3

Μέθοδος Διόδευσης	Muskingum
Αρχική Μεταβλητή	Combined Inflow
Muskingum K	6.59
Συντελεστής βάρους x	0.2
Muskingum Steps	17

Αποτελέσματα: R43

Παροχή Αιχμής (M3/S)	3396.76
Χρονική στιγμή αιχμής	04Sep2000, 03:30
Όγκος(MM)	446.67
Παροχή Αιχμής Εισόδου (M3/S)	3445.63
Όγκος Εισροής(M3)	2.02E9

Απορροή



Κλάδος: R54

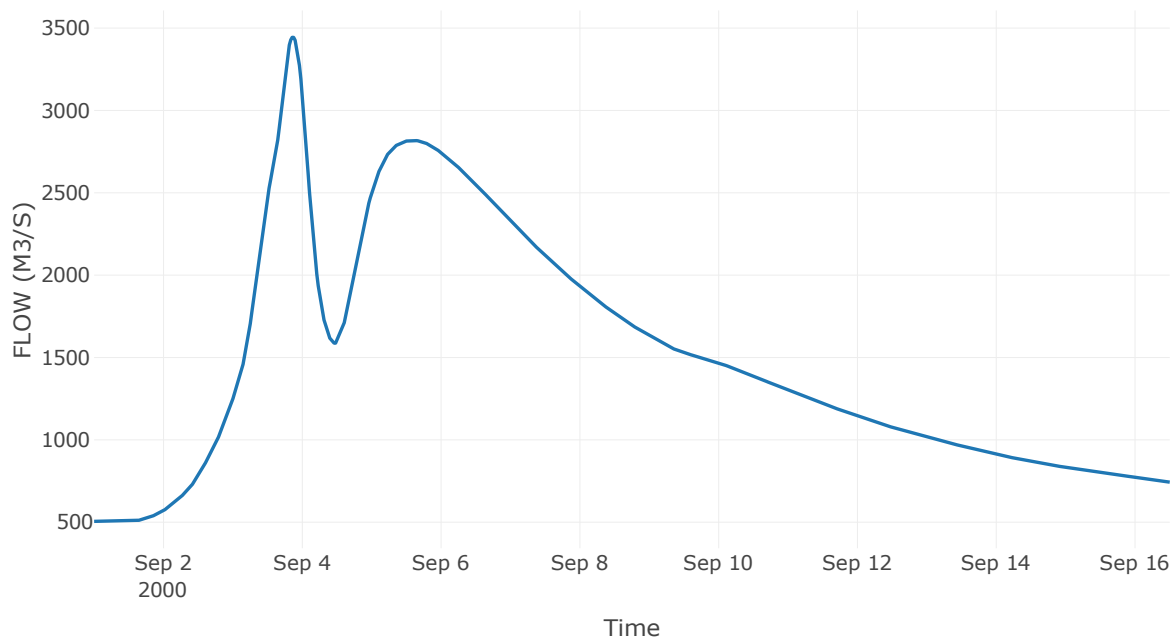
Κατάντη : J4

Μέθοδος Διόδευσης	Muskingum
Αρχική Μεταβλητή	Combined Inflow
Muskingum K	8.2
Συντελεστής βάρους x	0.2
Muskingum Steps	21

Αποτελέσματα: R54

Παροχή Αιχμής (M3/S)	3443.88
Χρονική στιγμή αιχμής	03Sep2000, 20:30
Όγκος(MM)	449.33
Παροχή Αιχμής Εισόδου (M3/S)	3505.59
Όγκος Εισροής(M3)	2.01E9

Απορροή



Κλάδος: R65

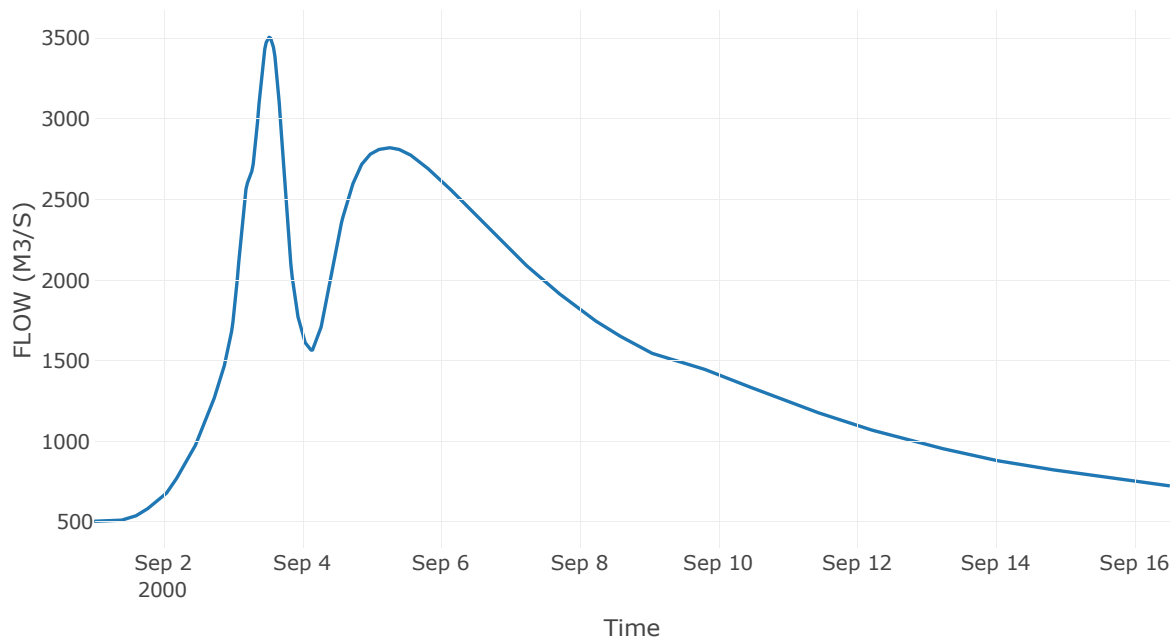
Κατάντη : J5

Μέθοδος Διόδευσης	Muskingum
Αρχική Μεταβλητή	Combined Inflow
Muskingum K	2.55
Συντελεστής βάρους α	0.2
Muskingum Steps	6

Αποτελέσματα: R65

Παροχή Αιχμής (M3/S)	3504.29
Χρονική στιγμή αιχμής	03Sep2000, 12:30
Όγκος(MM)	451.66
Παροχή Αιχμής Εισόδου (M3/S)	3521.37
Όγκος Εισροής(M3)	2.01E9

Απορροή



Κλάδος: R86

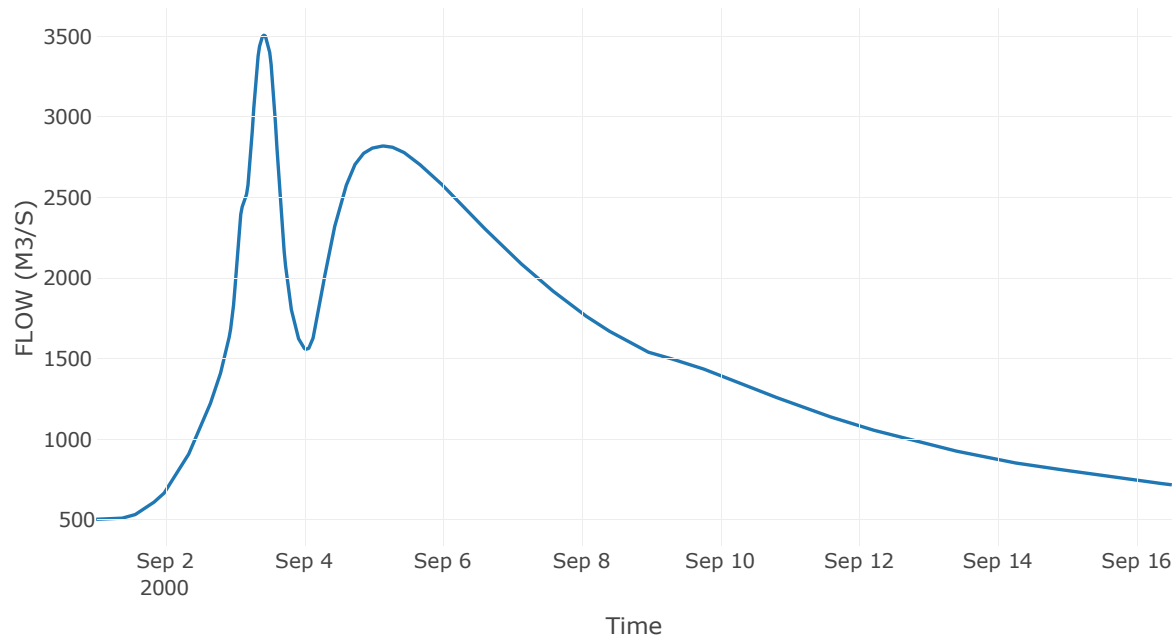
Κατάντη : J6

Μέθοδος Διόδευσης	Muskingum
Αρχική Μεταβλητή	Combined Inflow
Muskingum K	1.62
Συντελεστής βάρους x	0.2
Muskingum Steps	4

Αποτελέσματα: R86

Παροχή Αιχμής (M3/S)	3505.03
Χρονική στιγμή αιχμής	03Sep2000, 10:00
Όγκος(MM)	453.1
Παροχή Αιχμής Εισόδου (M3/S)	3514
Όγκος Εισροής(M3)	1.99E9

Απορροή



Κλάδος: R138

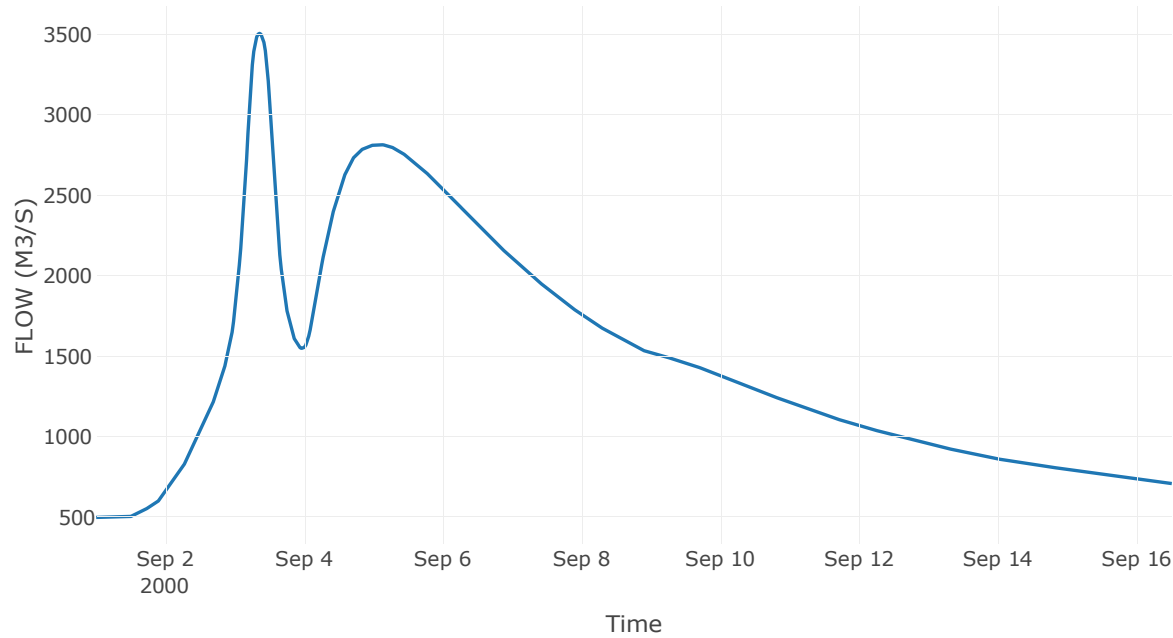
Κατάντη : J8

Μέθοδος Διόδευσης	Muskingum
Αρχική Μεταβλητή	Combined Inflow
Muskingum K	0.94
Συντελεστής βάρους α	0.2
Muskingum Steps	2

Αποτελέσματα: R138

Παροχή Αιχμής (M3/S)	3506.24
Χρονική στιγμή αιχμής	03Sep2000, 08:30
Όγκος(MM)	455.01
Παροχή Αιχμής Εισόδου (M3/S)	3512.04
Όγκος Εισροής(M3)	1.97E9

Απορροή



Κλάδος: R1413

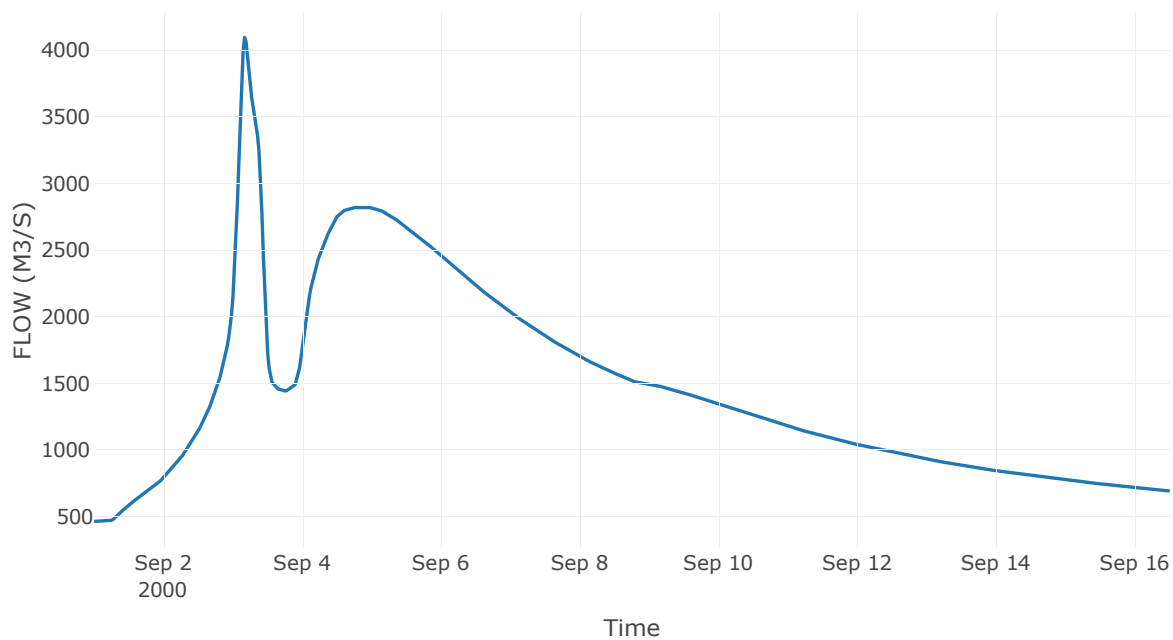
Κατάντη : J13 Res1

Μέθοδος Διόδευσης	Muskingum
Αρχική Μεταβλητή	Combined Inflow
Muskingum K	2.61
Συντελεστής βάρους α	0.2
Muskingum Steps	7

Αποτελέσματα: R1413

Παροχή Αιχμής (M3/S)	4095.69
Χρονική στιγμή αιχμής	03Sep2000, 04:00
Όγκος(MM)	457.21
Παροχή Αιχμής Εισόδου (M3/S)	4335.58
Όγκος Εισροής(M3)	1.96E9

Απορροή



Κλάδος: R1514

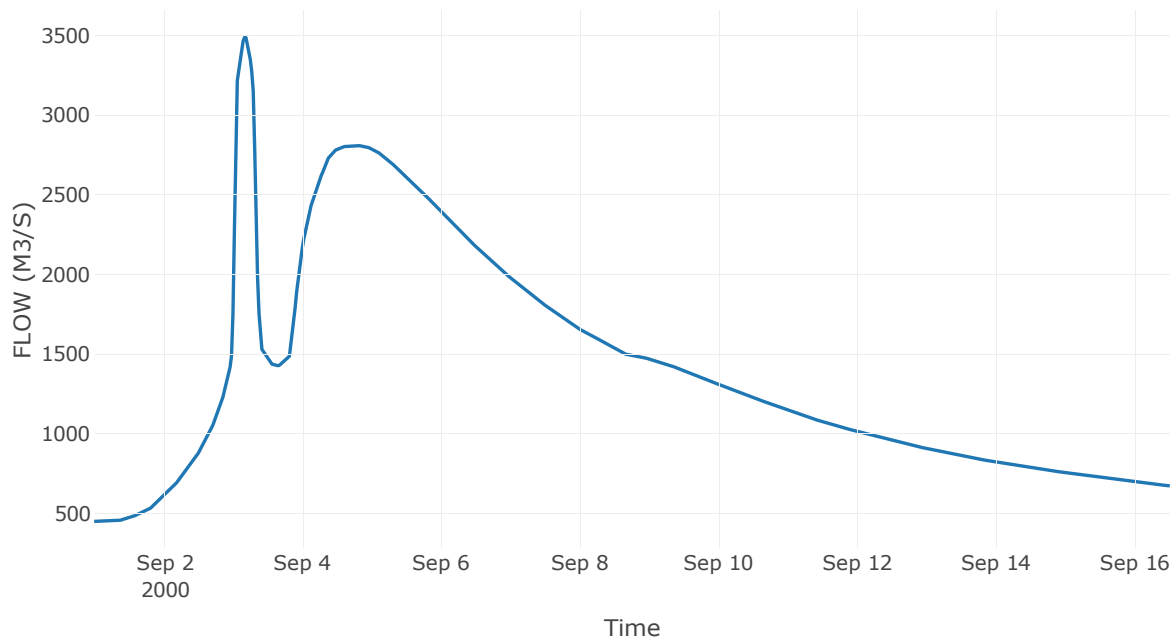
Κατάντη : J14

Μέθοδος Διόδευσης	Muskingum
Αρχική Μεταβλητή	Combined Inflow
Muskingum K	0.29
Συντελεστής βάρους x	0.2
Muskingum Steps	1

Αποτελέσματα: R1514

Παροχή Αιχμής (M3/S)	3487.6
Χρονική στιγμή αιχμής	03Sep2000, 04:00
Όγκος(MM)	458.88
Παροχή Αιχμής Εισόδου (M3/S)	3492.32
Όγκος Εισροής(M3)	1.88E9

Απορροή



Κλάδος: R1915

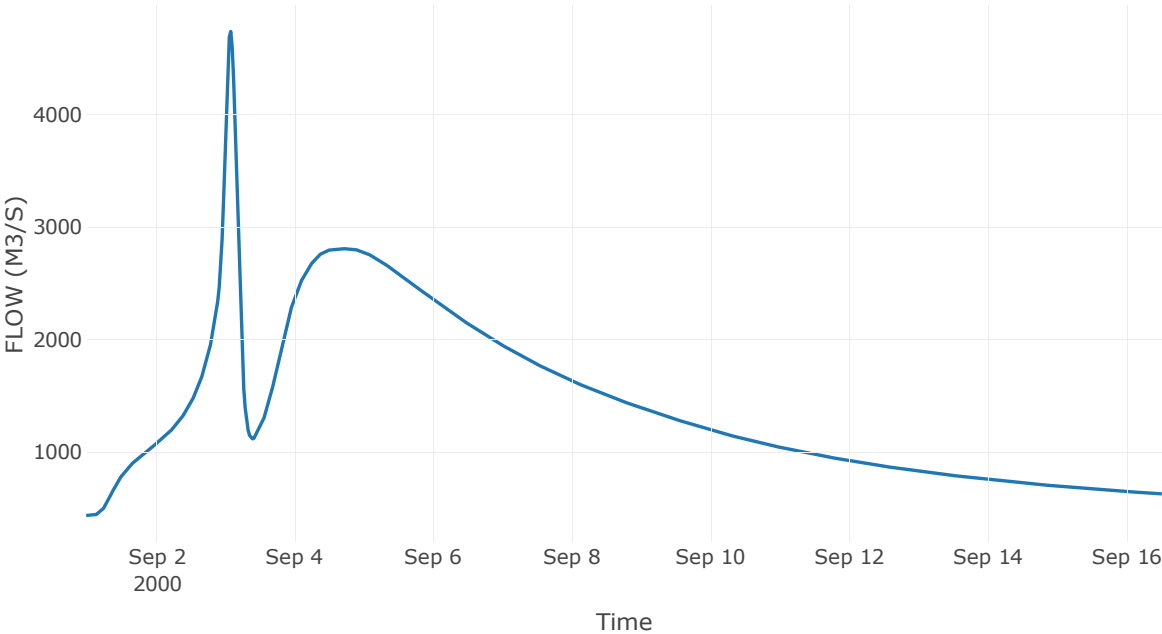
Κατάντη : J15 Res2

Μέθοδος Διόδευσης	Muskingum
Αρχική Μεταβλητή	Combined Inflow
Muskingum K	0.77
Συντελεστής βάρους x	0.2
Muskingum Steps	2

Αποτελέσματα: R1915

Παροχή Αιχμής (M3/S)	4738.48
Χρονική στιγμή αιχμής	03Sep2000, 02:00
Όγκος(MM)	466.09
Παροχή Αιχμής Εισόδου (M3/S)	4810.91
Όγκος Εισροής(M3)	1.9E9

Απορροή



Κλάδος: R1819

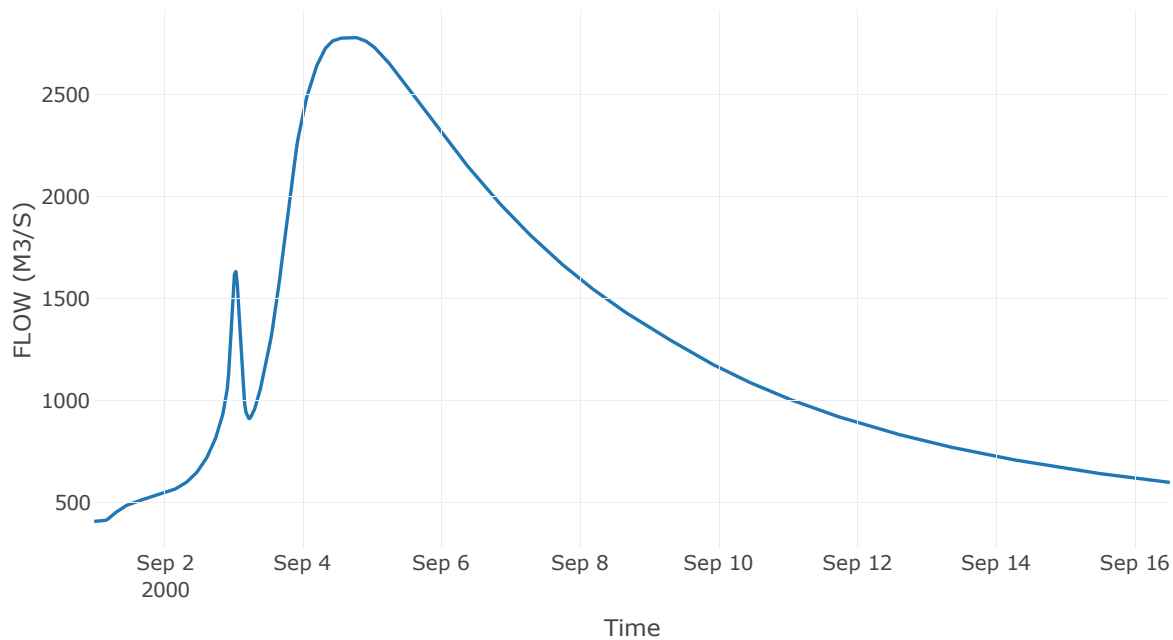
Κατάντη : J19

Μέθοδος Διόδευσης	Muskingum
Αρχική Μεταβλητή	Combined Inflow
Muskingum K	0.94
Συντελεστής βάρους α	0.2
Muskingum Steps	2

Αποτελέσματα: R1819

Παροχή Αιχμής (M3/S)	2779.16
Χρονική στιγμή αιχμής	04Sep2000, 17:00
Όγκος(MM)	465.17
Παροχή Αιχμής Εισόδου (M3/S)	2779.27
Όγκος Εισροής(M3)	1.71E9

Απορροή



Κλάδος: R1718

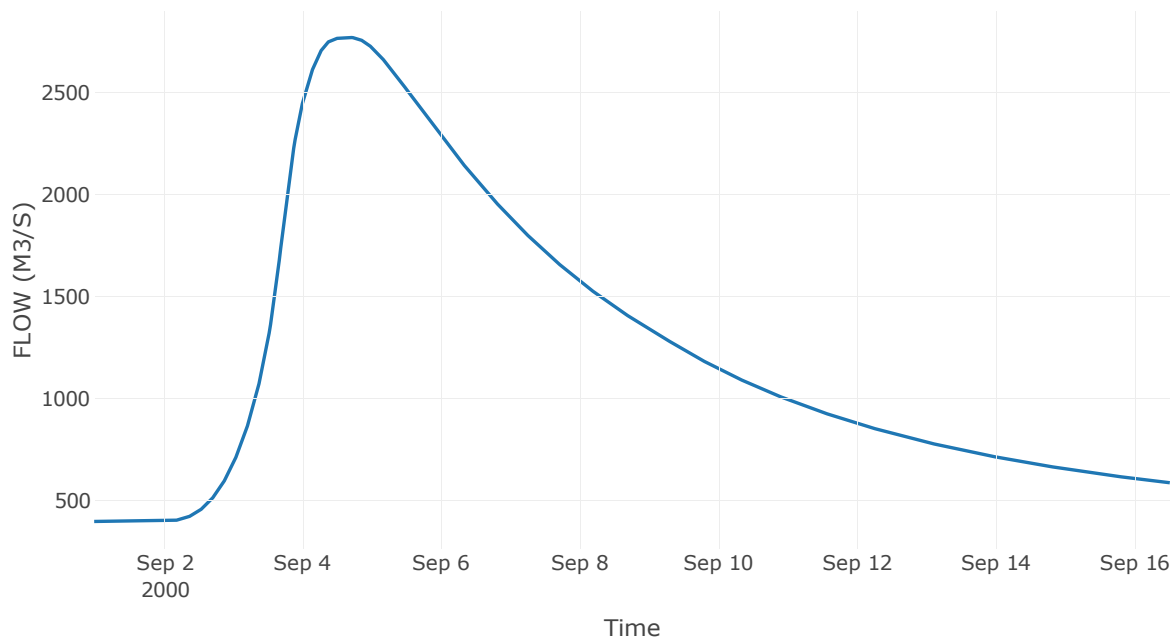
Κατάντη : J18

Μέθοδος Διόδευσης	Muskingum
Αρχική Μεταβλητή	Combined Inflow
Muskingum K	14.58
Συντελεστής βάρους x	0.2
Muskingum Steps	37

Αποτελέσματα: R1718

Παροχή Αιχμής (M3/S)	2771.27
Χρονική στιγμή αιχμής	04Sep2000, 16:00
Όγκος(MM)	466.42
Παροχή Αιχμής Εισόδου (M3/S)	2773.07
Όγκος Εισροής(M3)	1.67E9

Απορροή



Κλάδος: R2717

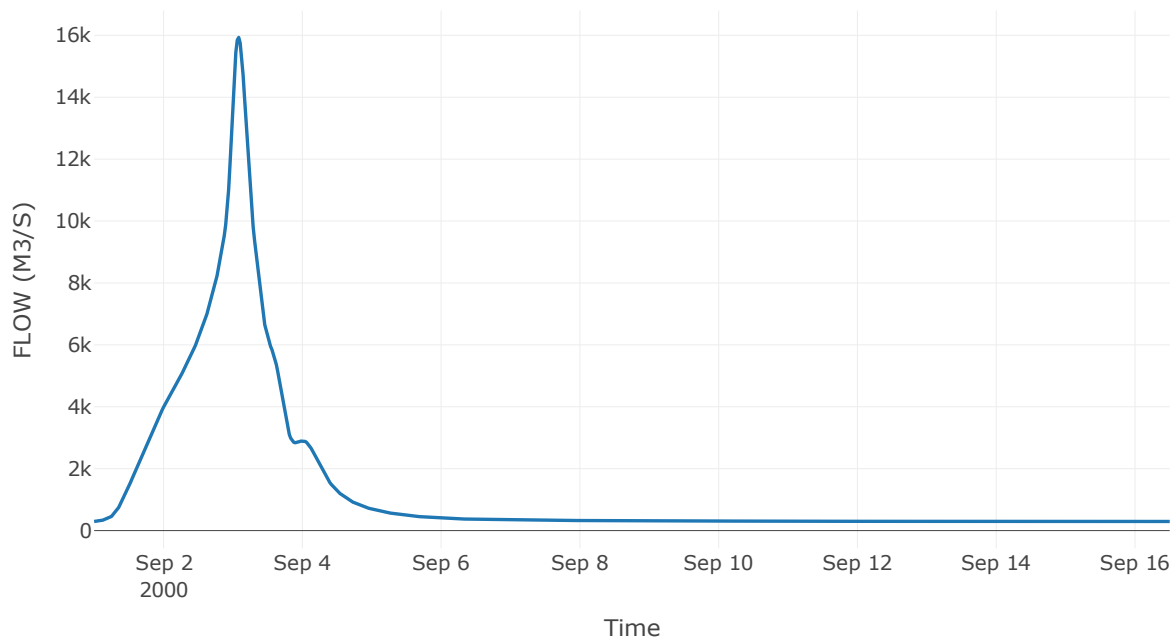
Κατάντη : J17 Res3

Μέθοδος Διόδευσης	Muskingum
Αρχική Μεταβλητή	Combined Inflow
Muskingum K	0.6
Συντελεστής βάρους x	0.2
Muskingum Steps	1

Αποτελέσματα: R2717

Παροχή Αιχμής (M3/S)	15931.56
Χρονική στιγμή αιχμής	03Sep2000, 02:00
Όγκος(MM)	520.46
Παροχή Αιχμής Εισόδου (M3/S)	16035.2
Όγκος Εισροής(M3)	1.85E9

Απορροή



Κλάδος: R3127

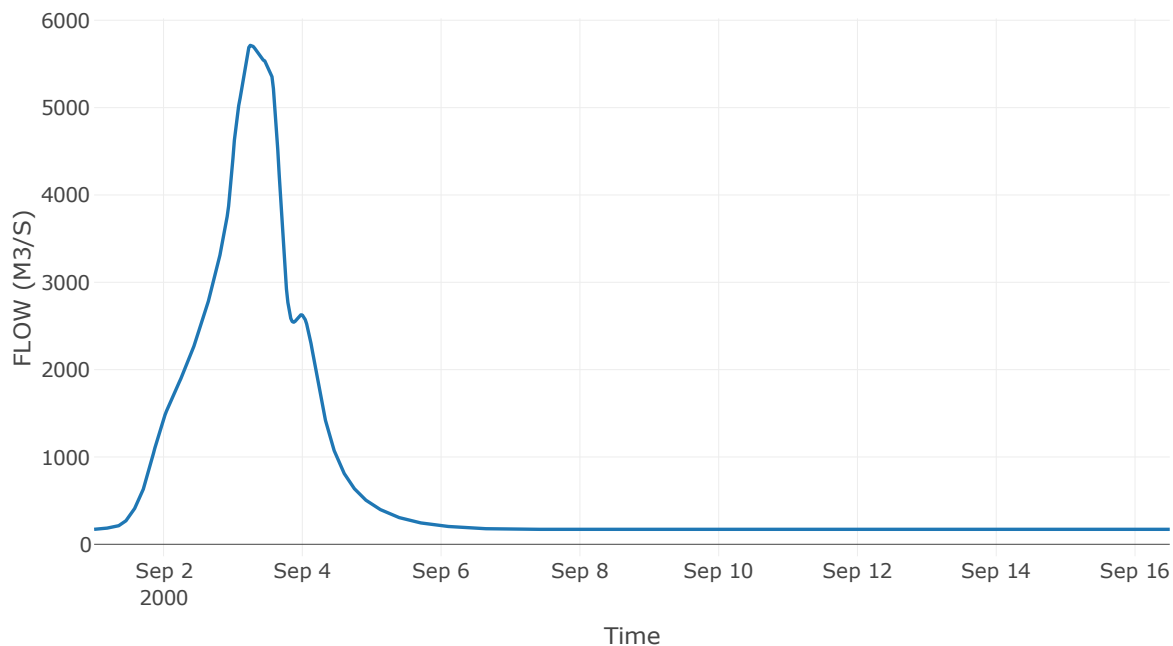
Κατάντη : J27

Μέθοδος Διόδευσης	Muskingum
Αρχική Μεταβλητή	Combined Inflow
Muskingum K	1.63
Συντελεστής βάρους α	0.2
Muskingum Steps	4

Αποτελέσματα: R3127

Παροχή Αιχμής (M3/S)	5713.36
Χρονική στιγμή αιχμής	03Sep2000, 06:30
Όγκος(MM)	524.79
Παροχή Αιχμής Εισόδου (M3/S)	5731.36
Όγκος Εισροής(M3)	9.42E8

Απορροή



Κλάδος: R2231

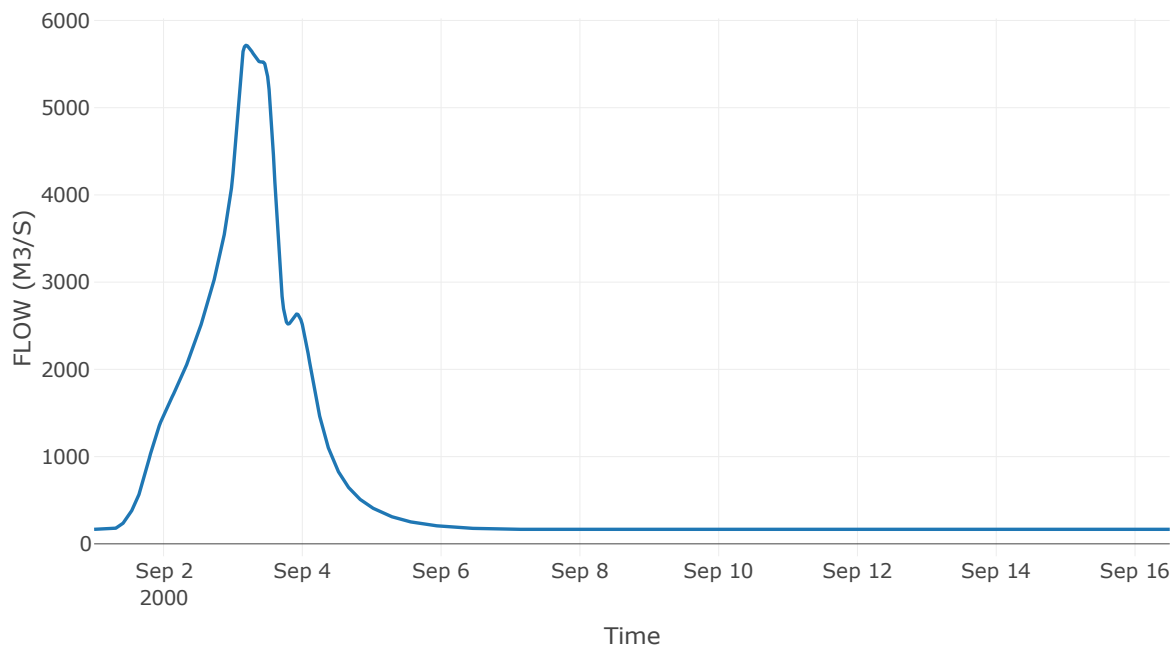
Κατάντη : J31

Μέθοδος Διόδευσης	Muskingum
Αρχική Μεταβλητή	Combined Inflow
Muskingum K	3.08
Συντελεστής βάρους x	0.2
Muskingum Steps	8

Αποτελέσματα: R2231

Παροχή Αιχμής (M3/S)	5714.88
Χρονική στιγμή αιχμής	03Sep2000, 04:30
Όγκος(MM)	527.68
Παροχή Αιχμής Εισόδου (M3/S)	5751.33
Όγκος Εισροής(M3)	9.07E8

Απορροή



Κλάδος: R2522

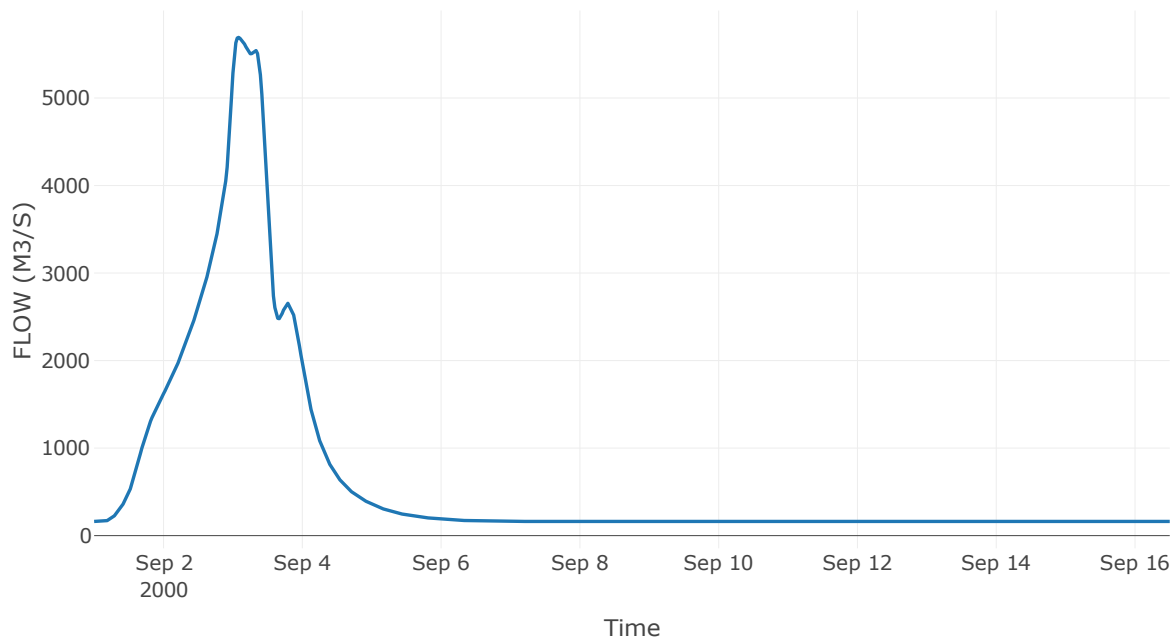
Κατάντη : J22

Μέθοδος Διόδευσης	Muskingum
Αρχική Μεταβλητή	Combined Inflow
Muskingum K	0.88
Συντελεστής βάρους α	0.2
Muskingum Steps	2

Αποτελέσματα: R2522

Παροχή Αιχμής (M3/S)	5692.11
Χρονική στιγμή αιχμής	03Sep2000, 02:00
Όγκος(MM)	532.03
Παροχή Αιχμής Εισόδου (M3/S)	5708.74
Όγκος Εισροής(M3)	8.84E8

Απορροή



Κλάδος: R2425

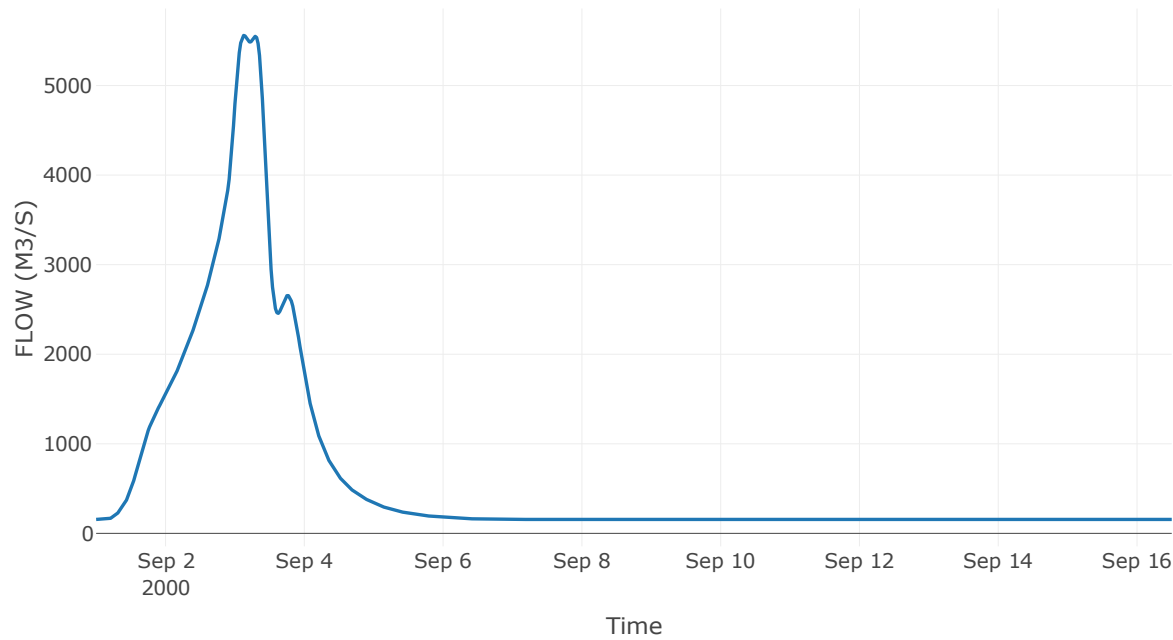
Κατάντη : J25

Μέθοδος Διόδευσης	Muskingum
Αρχική Μεταβλητή	Combined Inflow
Muskingum K	1.36
Συντελεστής βάρους x	0.2
Muskingum Steps	3

Αποτελέσματα: R2425

Παροχή Αιχμής (M3/S)	5559.41
Χρονική στιγμή αιχμής	03Sep2000, 03:00
Όγκος(MM)	538.02
Παροχή Αιχμής Εισόδου (M3/S)	5582.61
Όγκος Εισροής(M3)	8.42E8

Απορροή



Κλάδος: R2324

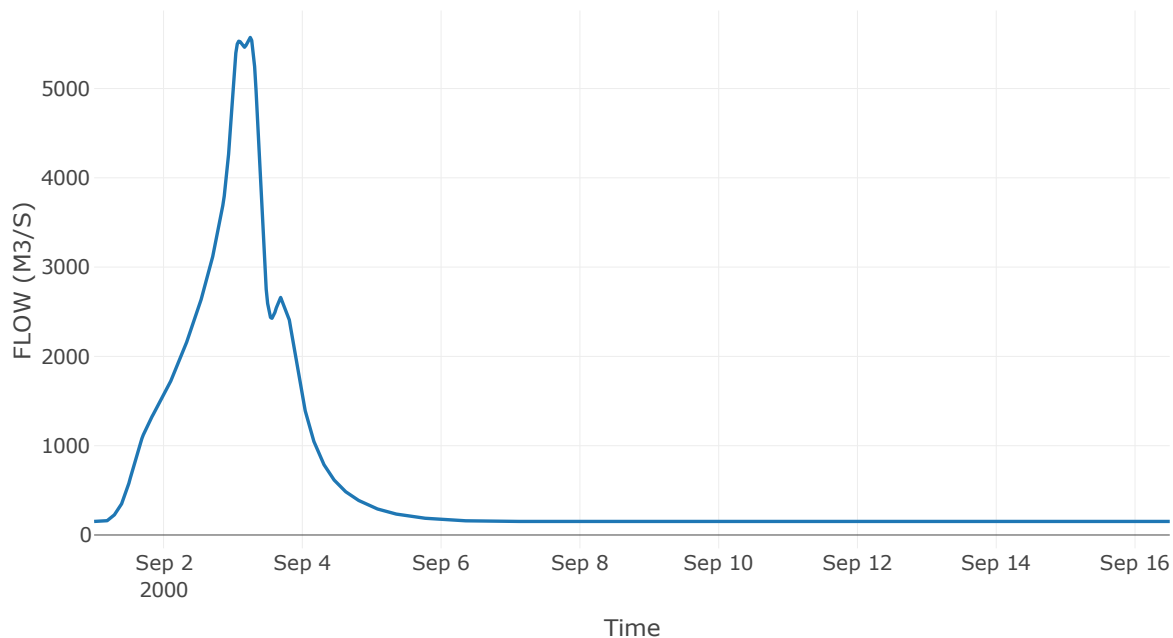
Κατάντη : J24

Μέθοδος Διόδευσης	Muskingum
Αρχική Μεταβλητή	Combined Inflow
Muskingum K	0.67
Συντελεστής βάρους x	0.2
Muskingum Steps	2

Αποτελέσματα: R2324

Παροχή Αιχμής (M3/S)	5572.06
Χρονική στιγμή αιχμής	03Sep2000, 06:00
Όγκος(MM)	541.08
Παροχή Αιχμής Εισόδου (M3/S)	5583.15
Όγκος Εισροής(M3)	8.2E8

Απορροή



Κλάδος: R4523

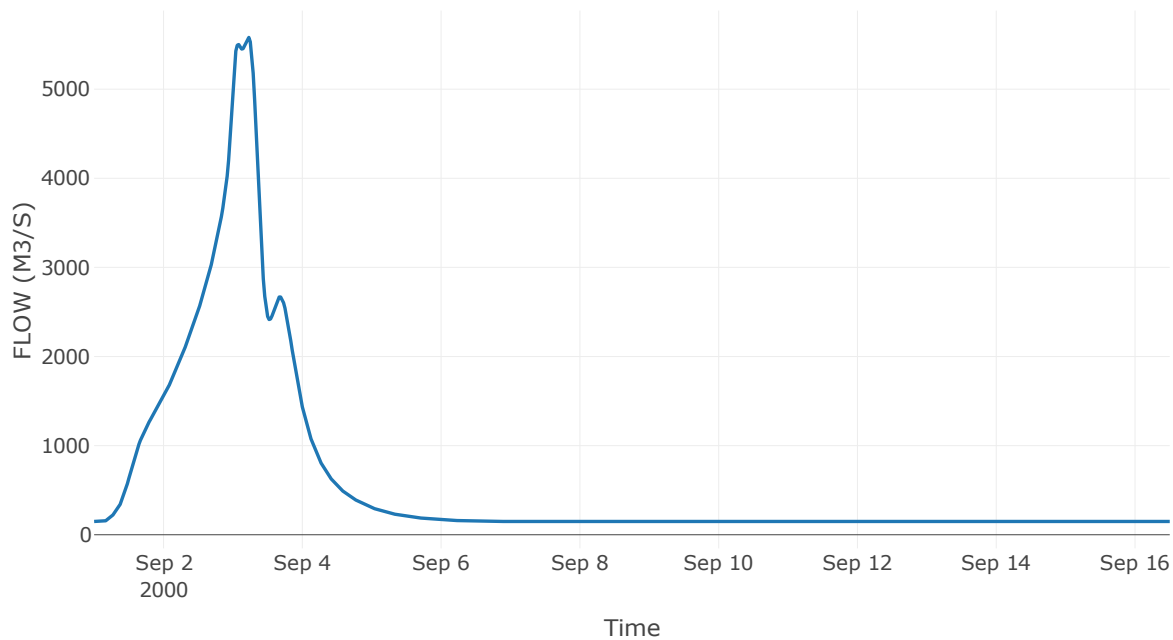
Κατάντη : J23

Μέθοδος Διόδευσης	Muskingum
Αρχική Μεταβλητή	Combined Inflow
Muskingum K	1.45
Συντελεστής βάρους α	0.2
Muskingum Steps	4

Αποτελέσματα: R4523

Παροχή Αιχμής (M3/S)	5580.3
Χρονική στιγμή αιχμής	03Sep2000, 05:30
Όγκος(MM)	544.96
Παροχή Αιχμής Εισόδου (M3/S)	5616.26
Όγκος Εισροής(M3)	8.04E8

Απορροή



Κλάδος: R4645

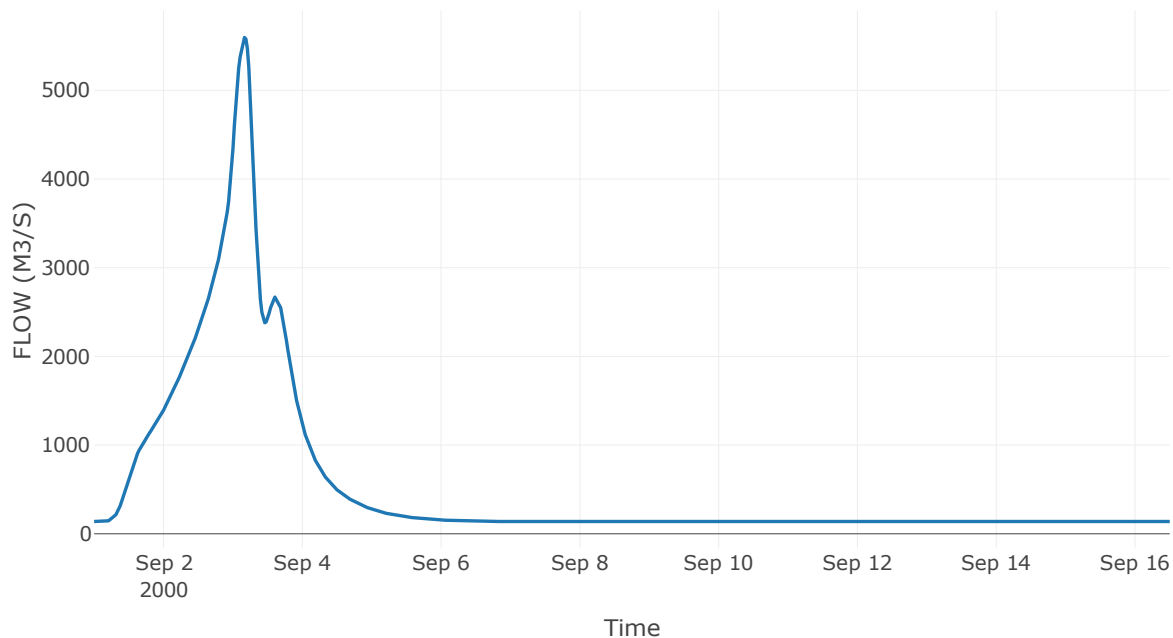
Κατάντη : J45

Μέθοδος Διόδευσης	Muskingum
Αρχική Μεταβλητή	Combined Inflow
Muskingum K	1.8
Συντελεστής βάρους x	0.2
Muskingum Steps	5

Αποτελέσματα: R4645

Παροχή Αιχμής (M3/S)	5595.92
Χρονική στιγμή αιχμής	03Sep2000, 04:00
Όγκος(MM)	552.29
Παροχή Αιχμής Εισόδου (M3/S)	5659.42
Όγκος Εισροής(M3)	7.32E8

Απορροή



Κλάδος: R4746

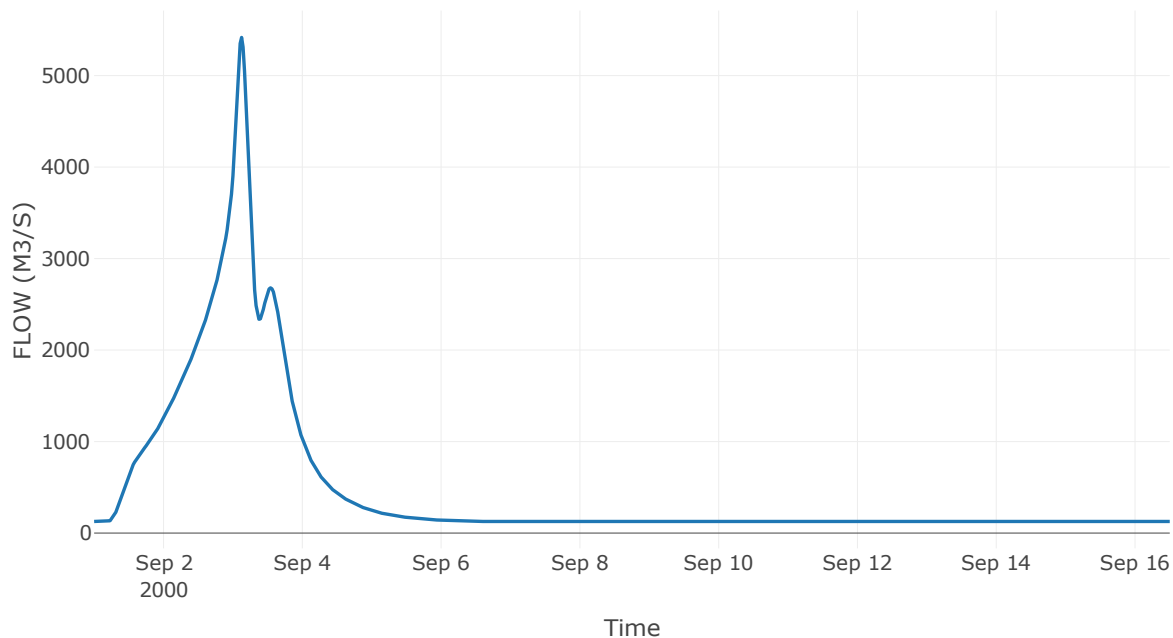
Κατάντη : J46

Μέθοδος Διόδευσης	Muskingum
Αρχική Μεταβλητή	Combined Inflow
Muskingum K	2.95
Συντελεστής βάρους x	0.2
Muskingum Steps	7

Αποτελέσματα: R4746

Παροχή Αιχμής (M3/S)	5416.54
Χρονική στιγμή αιχμής	03Sep2000, 03:00
Όγκος(MM)	567.68
Παροχή Αιχμής Εισόδου (M3/S)	5733.96
Όγκος Εισροής(M3)	6.58E8

Απορροή



Κλάδος: R4947

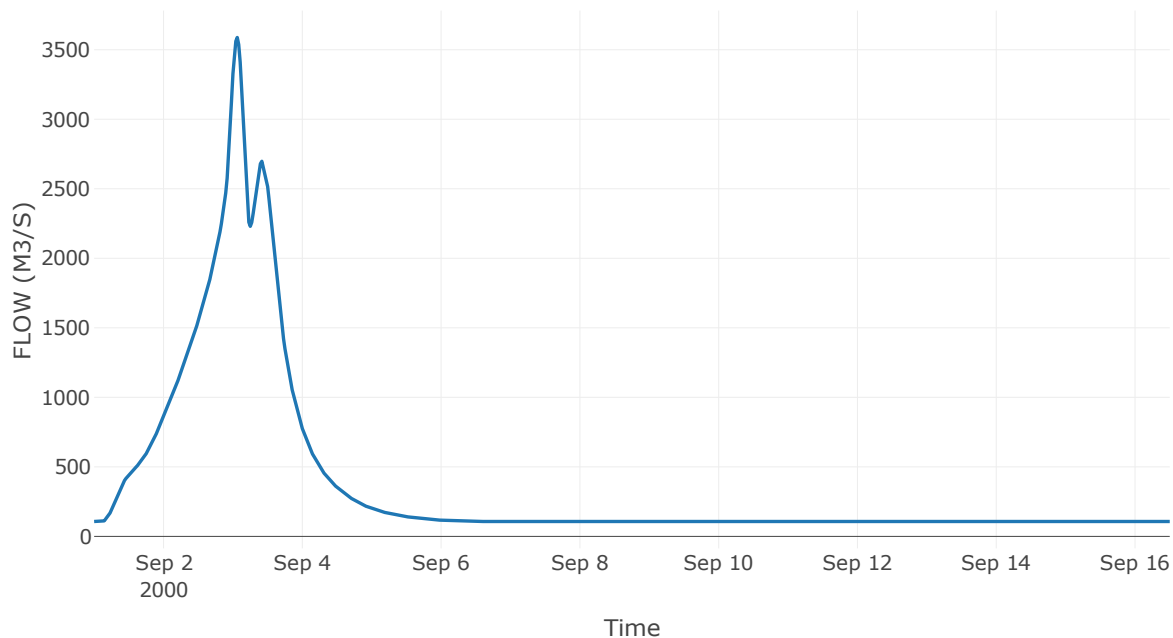
Κατάντη : J47

Μέθοδος Διόδευσης	Muskingum
Αρχική Μεταβλητή	Combined Inflow
Muskingum K	1.17
Συντελεστής βάρους α	0.2
Muskingum Steps	3

Αποτελέσματα: R4947

Παροχή Αιχμής (M3/S)	3588.08
Χρονική στιγμή αιχμής	03Sep2000, 01:30
Όγκος(MM)	577.5
Παροχή Αιχμής Εισόδου (M3/S)	3635.26
Όγκος Εισροής(M3)	5.07E8

Απορροή



Κλάδος: R5049

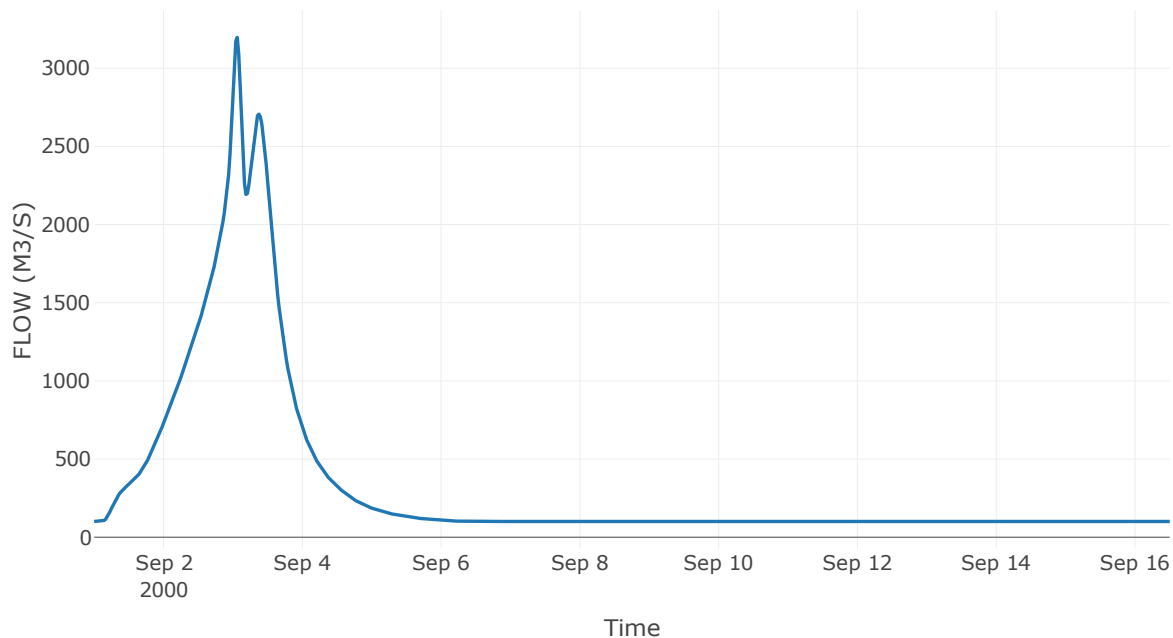
Κατάντη : J49

Μέθοδος Διόδευσης	Muskingum
Αρχική Μεταβλητή	Combined Inflow
Muskingum K	1.48
Συντελεστής βάρους α	0.2
Muskingum Steps	4

Αποτελέσματα: R5049

Παροχή Αιχμής (M3/S)	3197.42
Χρονική στιγμή αιχμής	03Sep2000, 01:30
Όγκος(MM)	582.4
Παροχή Αιχμής Εισόδου (M3/S)	3296.23
Όγκος Εισροής(M3)	4.57E8

Απορροή



Κλάδος: R5150

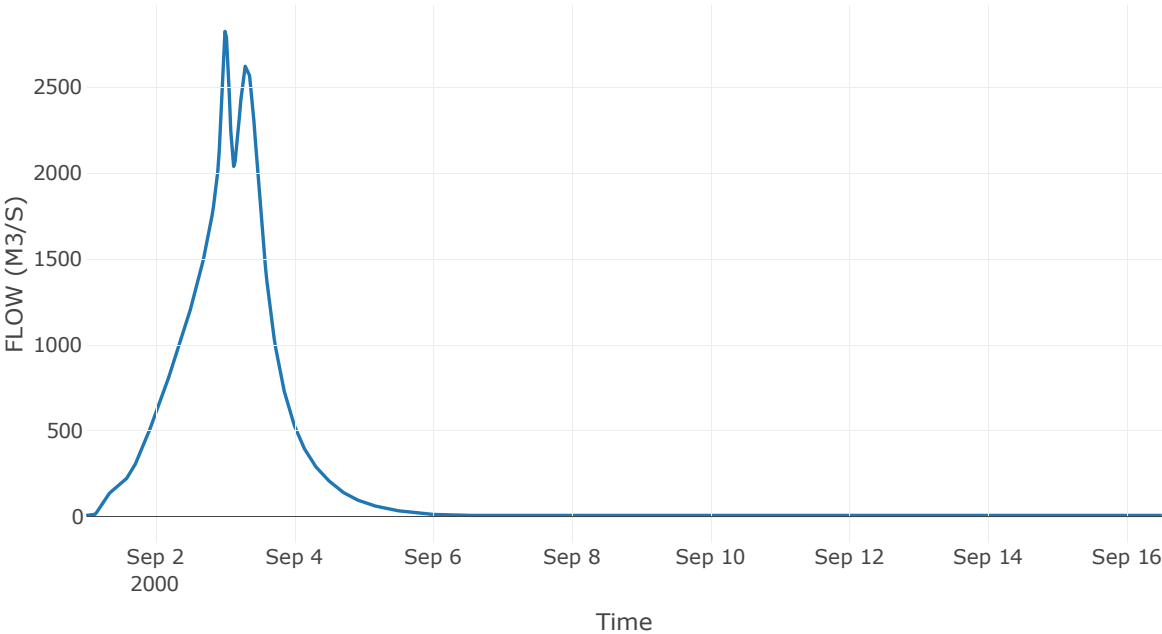
Κατάντη : J50

Μέθοδος Διόδευσης	Muskingum
Αρχική Μεταβλητή	Combined Inflow
Muskingum K	1.04
Συντελεστής βάρους x	0.2
Muskingum Steps	3

Αποτελέσματα: R5150

Παροχή Αιχμής (M3/S)	2824.34
Χρονική στιγμή αιχμής	02Sep2000, 24:00
Όγκος(MM)	2846.89
Παροχή Αιχμής Εισόδου (M3/S)	2903.72
Όγκος Εισροής(M3)	3.09E8

Απορροή



Κλάδος: R5351

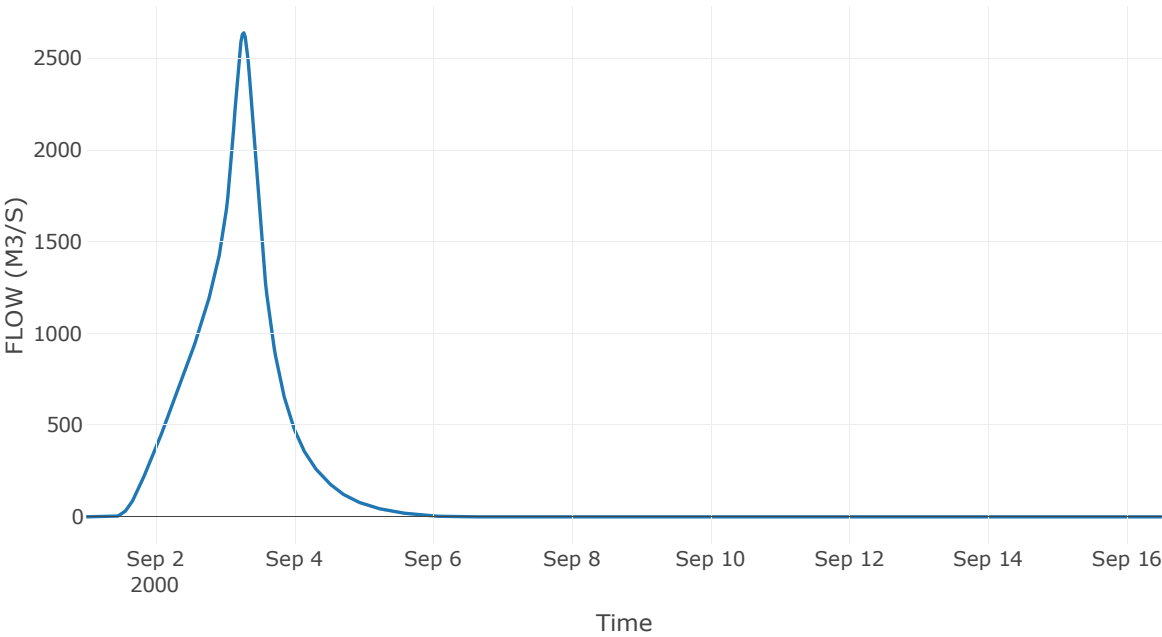
Κατάντη : J51

Μέθοδος Διόδευσης	Muskingum
Αρχική Μεταβλητή	Combined Inflow
Muskingum K	1.92
Συντελεστής βάρους x	0.2
Muskingum Steps	5

Αποτελέσματα: R5351

Παροχή Αιχμής (M3/S)	2639.4
Χρονική στιγμή αιχμής	03Sep2000, 06:30
Peak Inflow (M3/S)	2670.59
Όγκος Εισροής (M3)	2.39E8

Απορροή



Κλάδος: R5753

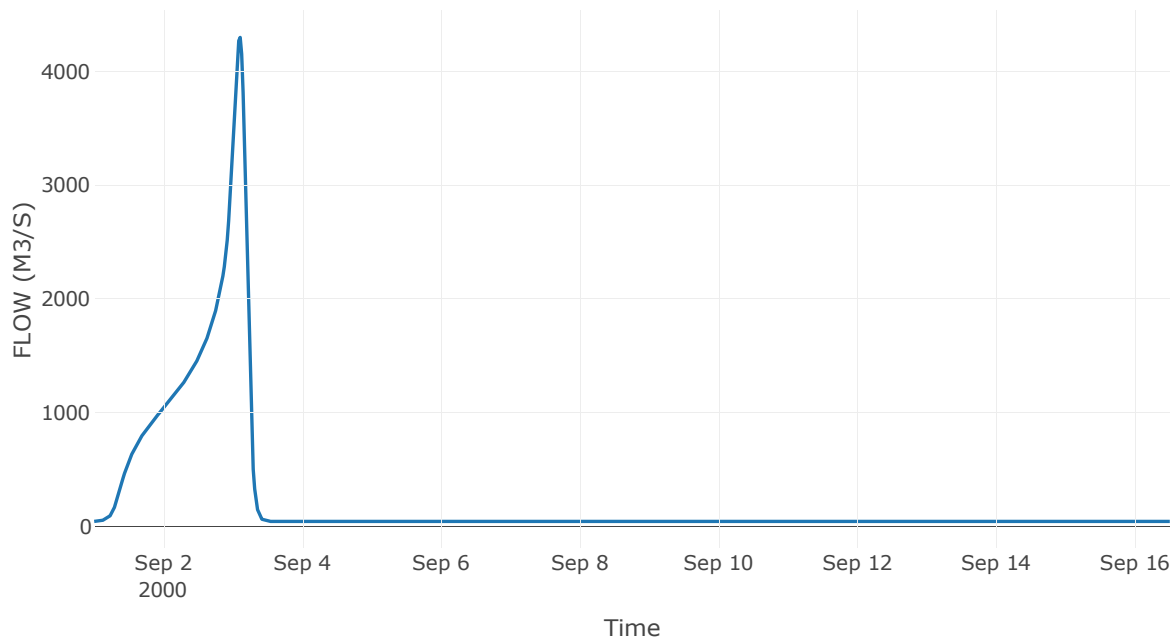
Κατάντη : J53 Res5

Μέθοδος Διόδευσης	Muskingum
Αρχική Μεταβλητή	Combined Inflow
Muskingum K	0.79
Συντελεστής βάρους x	0.2
Muskingum Steps	2

Αποτελέσματα: R5753

Παροχή Αιχμής (M3/S)	4296.88
Χρονική στιγμή αιχμής	03Sep2000, 02:30
Όγκος(MM)	502.43
Παροχή Αιχμής Εισόδου (M3/S)	4361.31
Όγκος Εισροής(M3)	3.13E8

Απορροή



Κλάδος: R5457

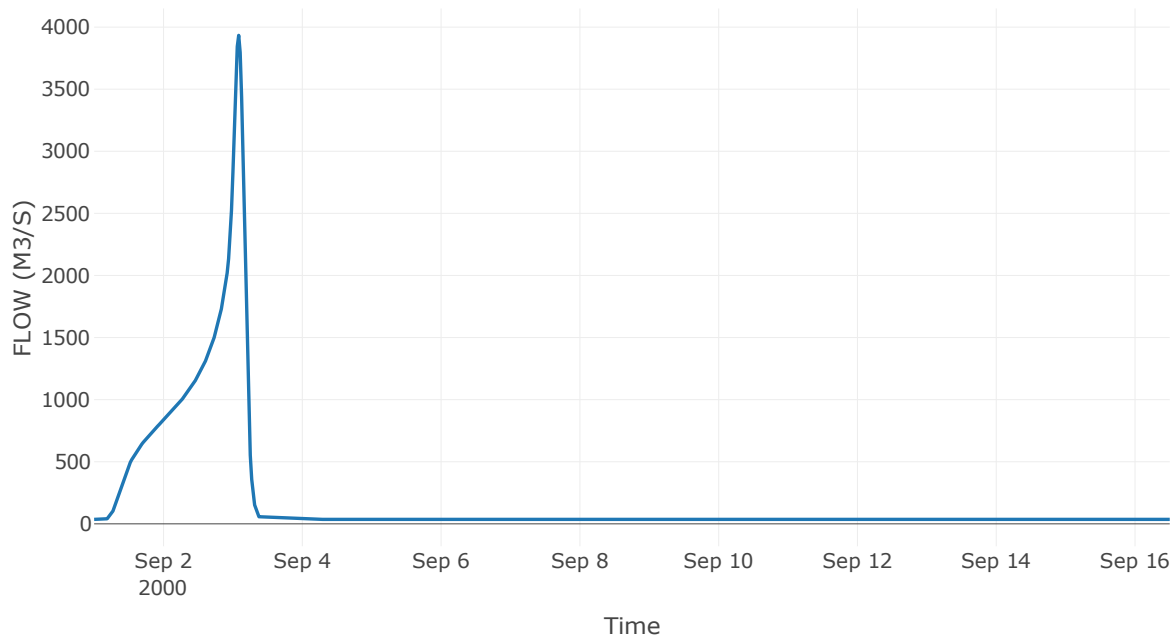
Κατάντη : J57

Μέθοδος Διόδευσης	Muskingum
Αρχική Μεταβλητή	Combined Inflow
Muskingum K	2.03
Συντελεστής βάρους x	0.2
Muskingum Steps	5

Αποτελέσματα: R5457

Παροχή Αιχμής (M3/S)	3933.51
Χρονική στιγμή αιχμής	03Sep2000, 02:00
Όγκος(MM)	491.84
Παροχή Αιχμής Εισόδου (M3/S)	4190.4
Όγκος Εισροής(M3)	2.52E8

Απορροή



Κλάδος: R5554

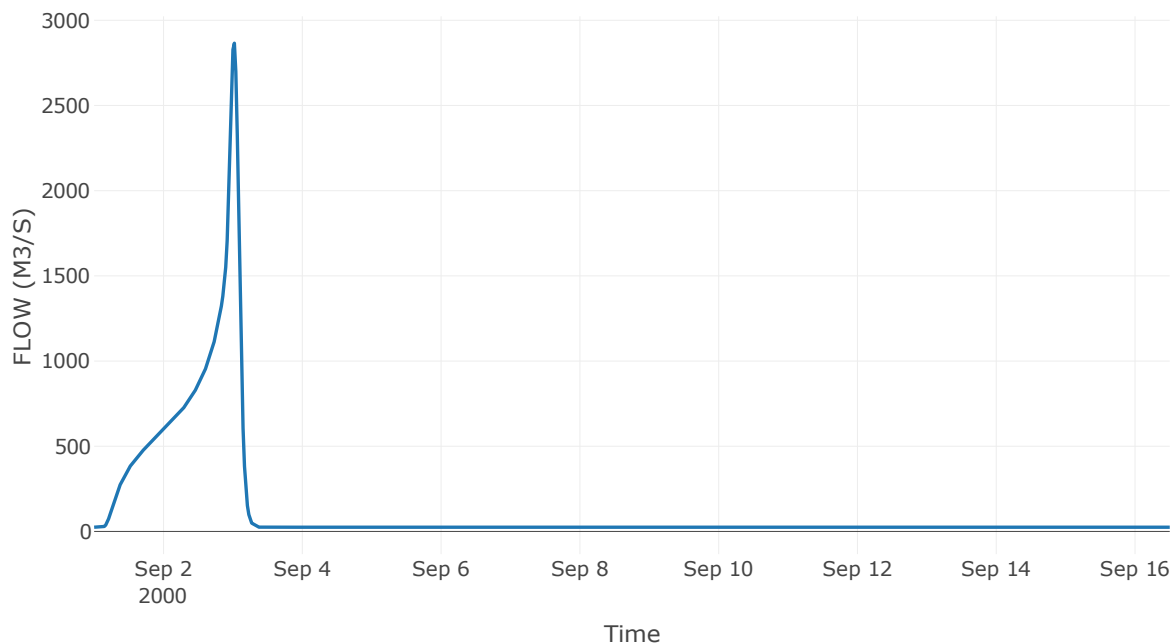
Κατάντη : J54

Μέθοδος Διόδευσης	Muskingum
Αρχική Μεταβλητή	Combined Inflow
Muskingum K	0.86
Συντελεστής βάρους x	0.2
Muskingum Steps	2

Αποτελέσματα: R5554

Παροχή Αιχμής (M3/S)	2865.57
Χρονική στιγμή αιχμής	03Sep2000, 00:30
Όγκος(MM)	483.81
Παροχή Αιχμής Εισόδου (M3/S)	2964.59
Όγκος Εισροής(M3)	1.71E8

Απορροή



Κλάδος: R5655

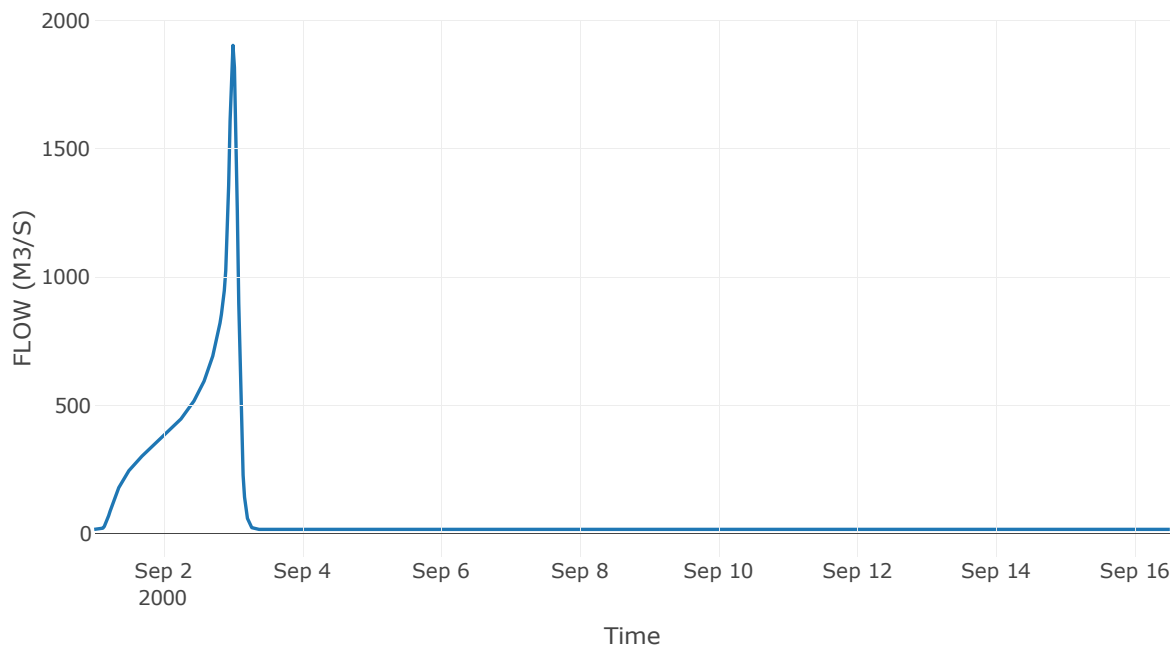
Κατάντη : J55

Μέθοδος Διόδευσης	Muskingum
Αρχική Μεταβλητή	Combined Inflow
Muskingum K	0.57
Συντελεστής βάρους x	0.2
Muskingum Steps	1

Αποτελέσματα: R5655

Παροχή Αιχμής (M3/S)	1902.12
Χρονική στιγμή αιχμής	02Sep2000, 24:00
Όγκος(MM)	451.04
Παροχή Αιχμής Εισόδου (M3/S)	1964.85
Όγκος Εισροής(M3)	1.1E8

Απορροή



Κλάδος: R6357

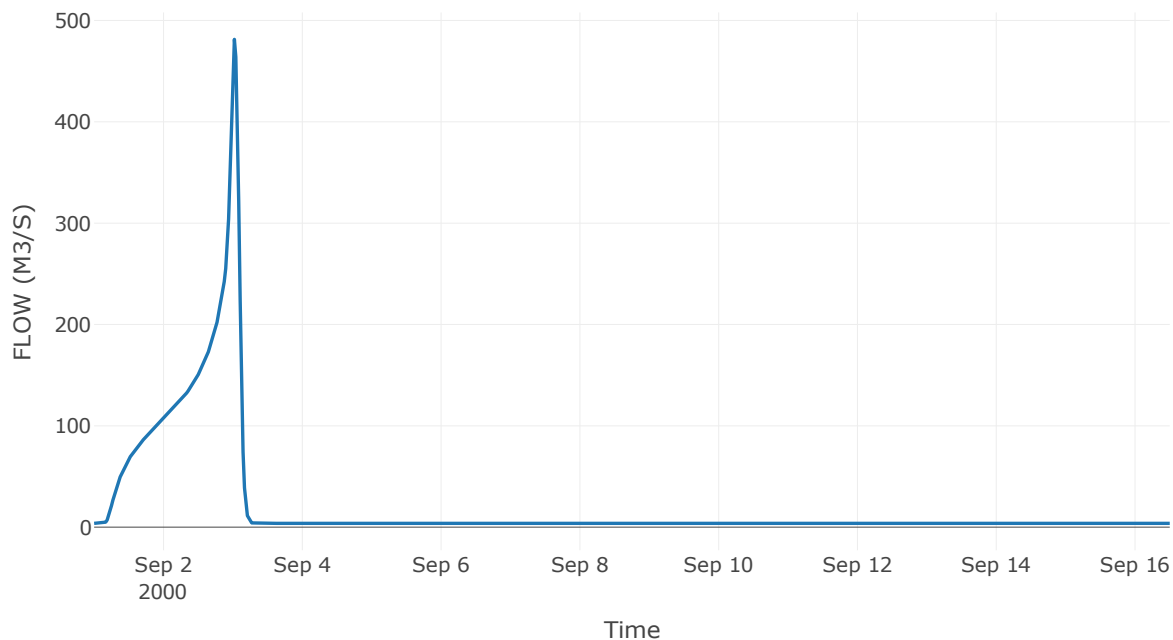
Κατάντη : J57

Μέθοδος Διόδευσης	Muskingum
Αρχική Μεταβλητή	Combined Inflow
Muskingum K	1.53
Συντελεστής βάρους α	0.2
Muskingum Steps	4

Αποτελέσματα: R6357

Παροχή Αιχμής (M3/S)	481.39
Χρονική στιγμή αιχμής	03Sep2000, 00:30
Όγκος(MM)	536.18
Παροχή Αιχμής Εισόδου (M3/S)	519.8
Όγκος Εισροής(M3)	2.86E7

Απορροή



Κλάδος: R4847

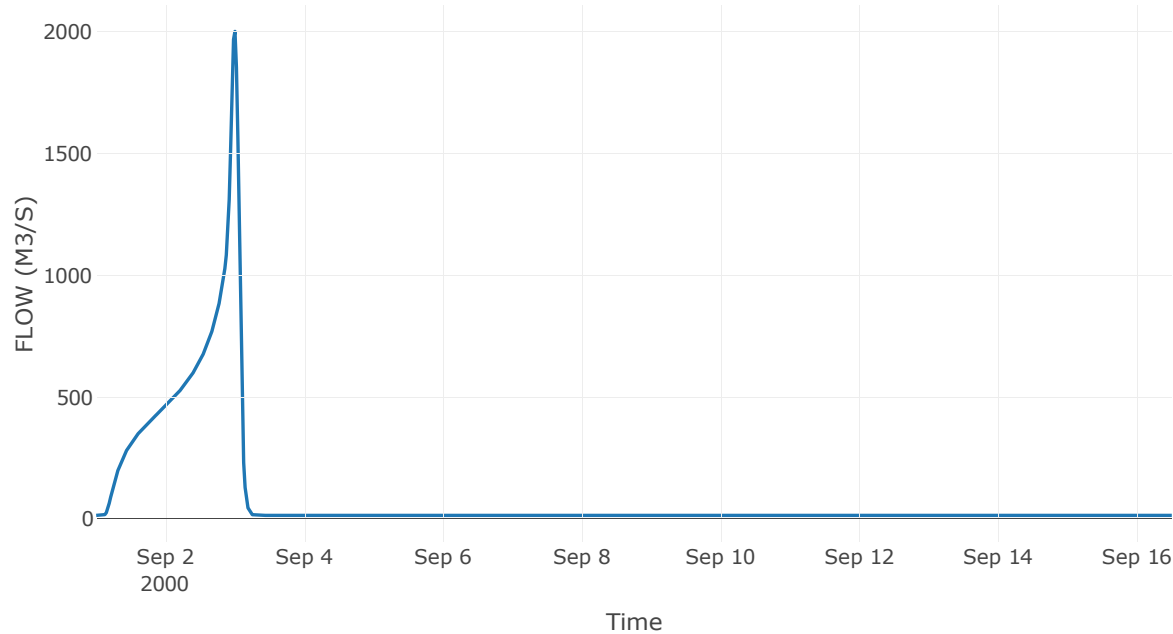
Κατάντη : J47

Μέθοδος Διόδευσης	Muskingum
Αρχική Μεταβλητή	Combined Inflow
Muskingum K	0.61
Συντελεστής βάρους x	0.2
Muskingum Steps	2

Αποτελέσματα: R4847

Παροχή Αιχμής (M3/S)	2001.35
Χρονική στιγμή αιχμής	02Sep2000, 24:00
Όγκος(MM)	555.9
Παροχή Αιχμής Εισόδου (M3/S)	2041.38
Όγκος Εισροής(M3)	1.2E8

Απορροή



Κλάδος: R4462

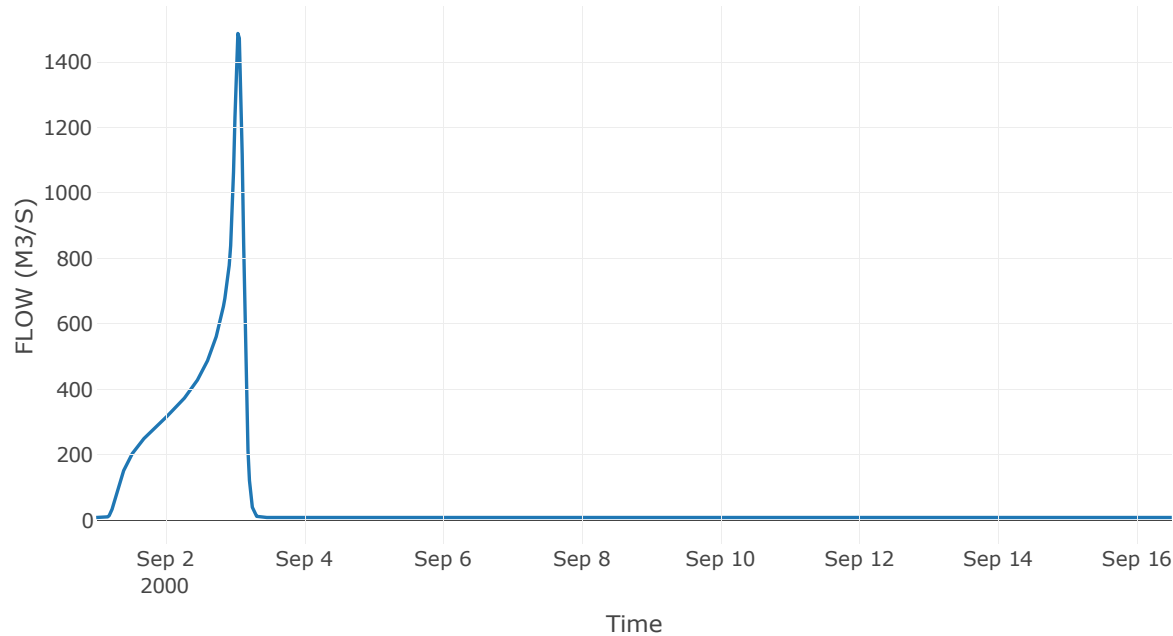
Κατάντη : J62

Μέθοδος Διόδευσης	Muskingum
Αρχική Μεταβλητή	Combined Inflow
Muskingum K	2.17
Συντελεστής βάρους x	0.2
Muskingum Steps	5

Αποτελέσματα: R4462

Παροχή Αιχμής (M3/S)	1486.93
Χρονική στιγμή αιχμής	03Sep2000, 01:00
Όγκος(MM)	626.39
Παροχή Αιχμής Εισόδου (M3/S)	1662.81
Όγκος Εισροής(M3)	8.64E7

Απορροή



Κλάδος: R6227

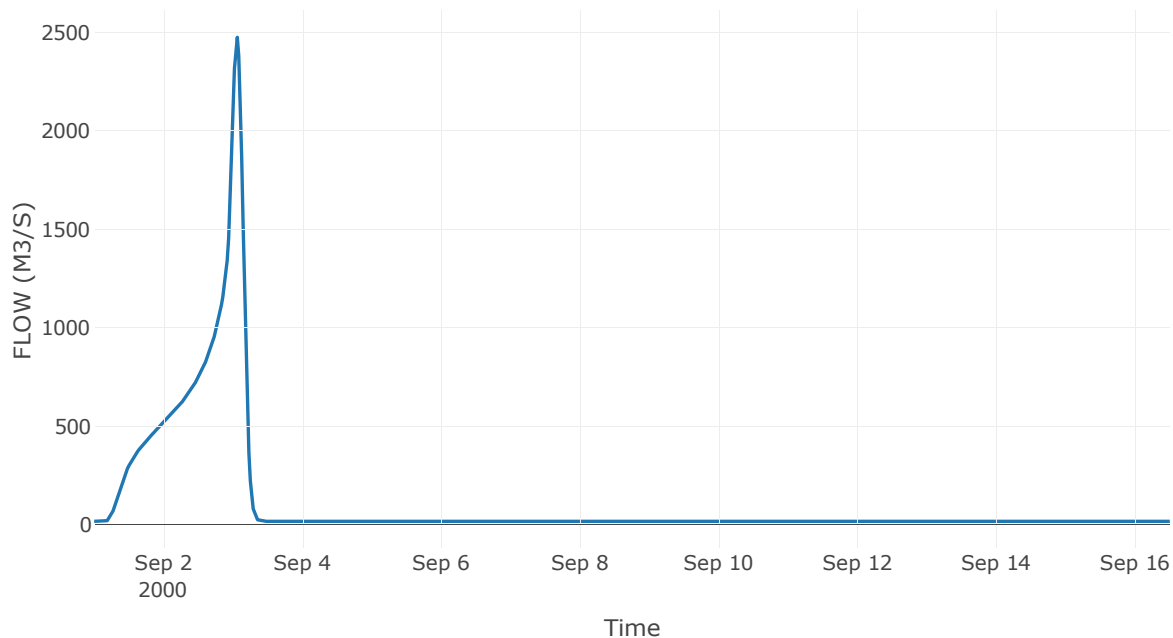
Κατάντη : J27

Μέθοδος Διόδευσης	Muskingum
Αρχική Μεταβλητή	Combined Inflow
Muskingum K	1.24
Συντελεστής βάρους x	0.2
Muskingum Steps	3

Αποτελέσματα: R6227

Παροχή Αιχμής (M3/S)	2475.28
Χρονική στιγμή αιχμής	03Sep2000, 01:30
Όγκος(MM)	578.22
Παροχή Αιχμής Εισόδου (M3/S)	2546.54
Όγκος Εισροής(M3)	1.53E8

Απορροή



Κλάδος: R4342

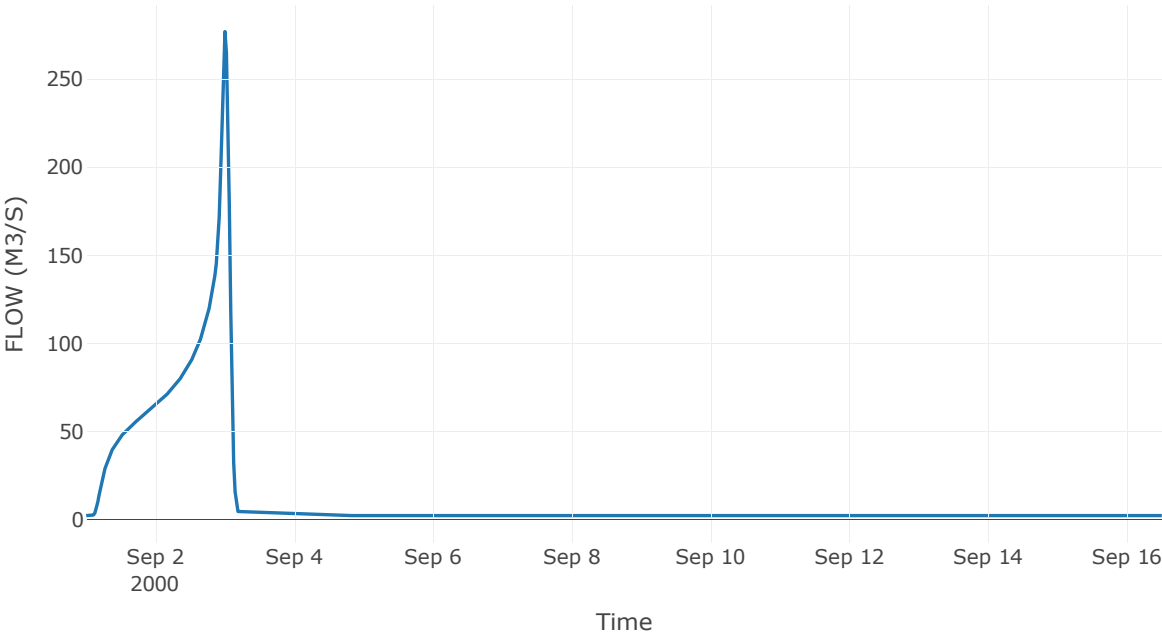
Κατάντη : J42

Μέθοδος Διόδευσης	Muskingum
Αρχική Μεταβλητή	Combined Inflow
Muskingum K	1.11
Συντελεστής βάρους x	0.2
Muskingum Steps	3

Αποτελέσματα: R4342

Παροχή Αιχμής (M3/S)	276.97
Χρονική στιγμή αιχμής	02Sep2000, 24:00
Όγκος(MM)	492.9
Παροχή Αιχμής Εισόδου (M3/S)	293.27
Όγκος Εισροής(M3)	1.73E7

Απορροή



Κλάδος: R4241

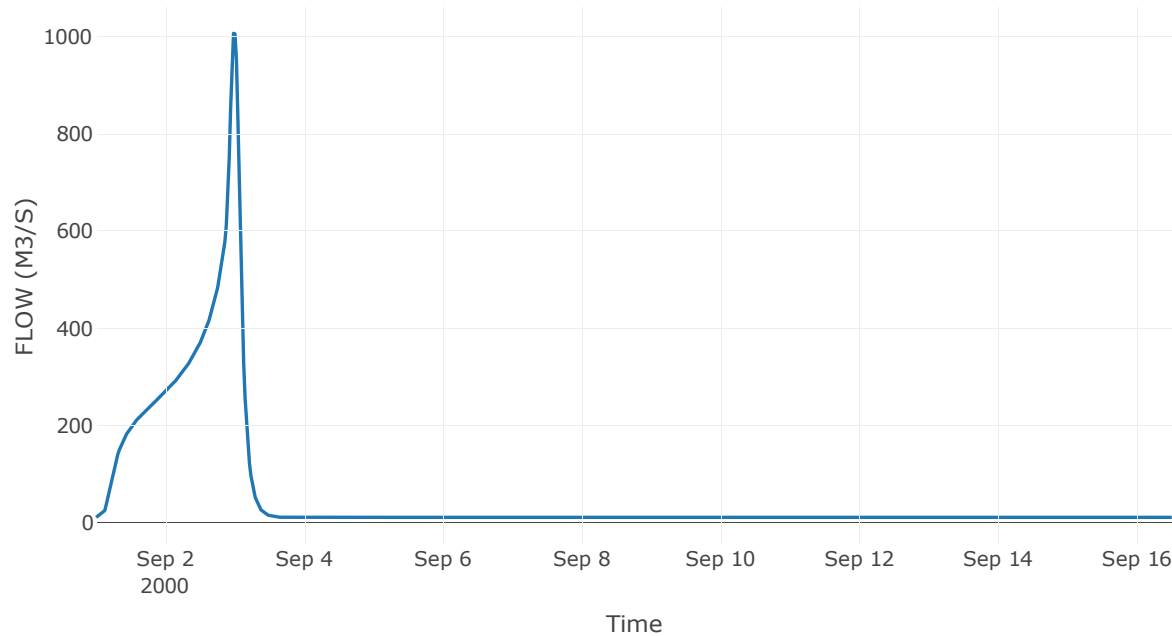
Καπάνη : J41 Res4

Μέθοδος Διόδευσης	Muskingum
Αρχική Μεταβλητή	Combined Inflow
Muskingum K	0.12
Συντελεστής βάρους x	0.2
Muskingum Steps	1

Αποτελέσματα: R4241

Παροχή Αιχμής (M3/S)	1007.07
Χρονική στιγμή αιχμής	02Sep2000, 23:30
Όγκος(MM)	490.08
Παροχή Αιχμής Εισόδου (M3/S)	1011.02
Όγκος Εισροής(M3)	7.37E7

Απορροή



Κλάδος: R4140

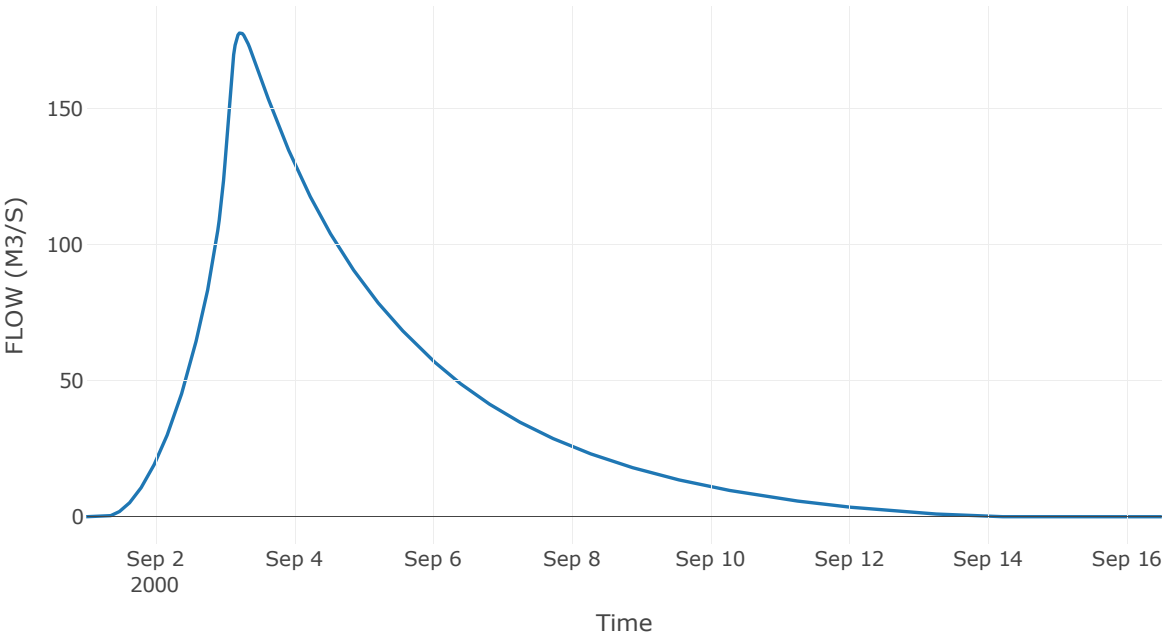
Κατάντη : J40

Μέθοδος Διόδευσης	Muskingum
Αρχική Μεταβλητή	Combined Inflow
Muskingum K	1.32
Συντελεστής βάρους x	0.2
Muskingum Steps	3

Αποτελέσματα: R4140

Παροχή Αιχμής (M3/S)	177.82
Χρονική στιγμή αιχμής	03Sep2000, 05:30
Peak Inflow (M3/S)	178.17
Όγκος Εισροής (M3)	4.58E7

Απορροή



Κλάδος: R4039

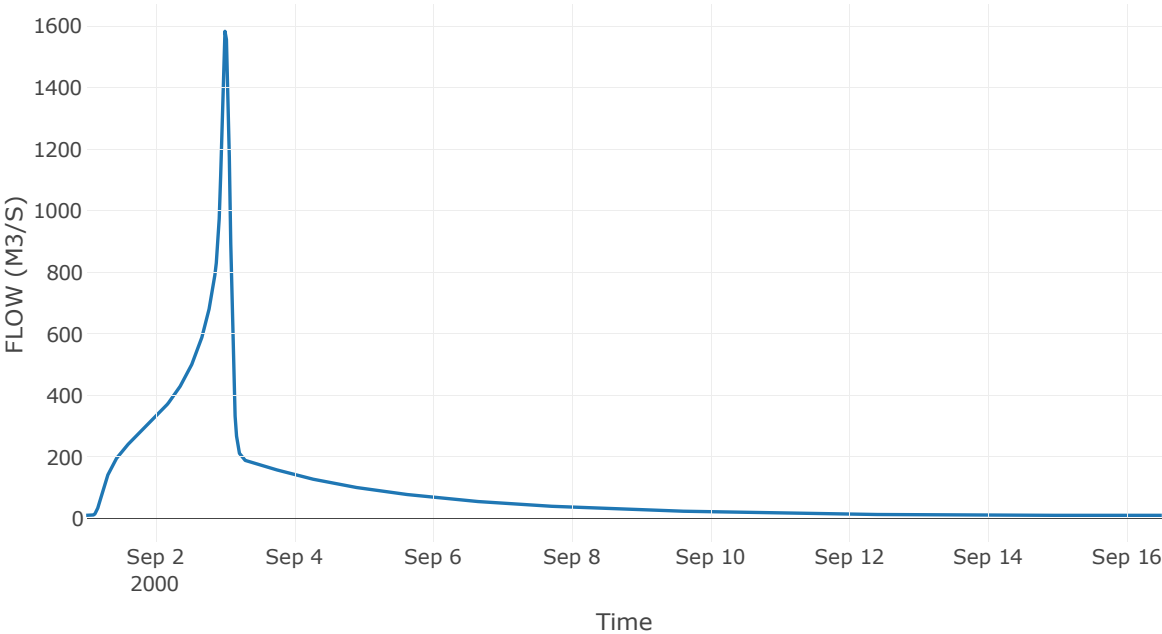
Κατάντη : J39

Μέθοδος Διόδευσης	Muskingum
Αρχική Μεταβλητή	Combined Inflow
Muskingum K	0.86
Συντελεστής βάρους x	0.2
Muskingum Steps	2

Αποτελέσματα: R4039

Παροχή Αιχμής (M3/S)	1583.62
Χρονική στιγμή αιχμής	02Sep2000, 24:00
Όγκος(MM)	800.38
Παροχή Αιχμής Εισόδου (M3/S)	1636.77
Όγκος Εισροής(M3)	1.31E8

Απορροή



Κλάδος: R3938

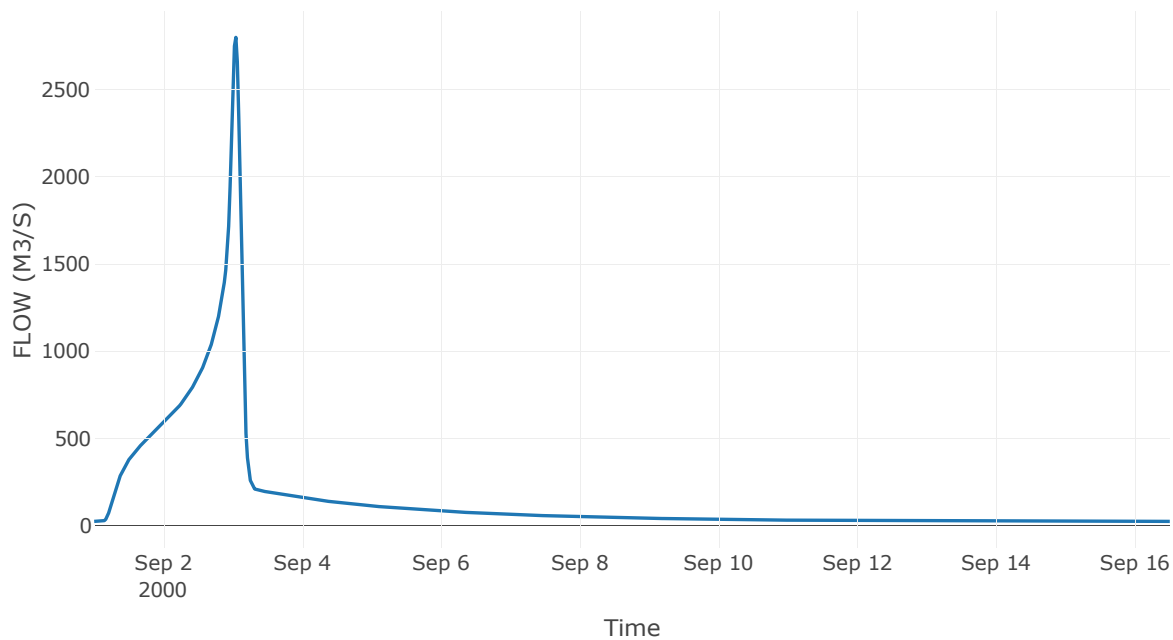
Κατάντη : J38

Μέθοδος Διόδευσης	Muskingum
Αρχική Μεταβλητή	Combined Inflow
Muskingum K	1.33
Συντελεστής βάρους α	0.2
Muskingum Steps	3

Αποτελέσματα: R3938

Παροχή Αιχμής (M3/S)	2799.76
Χρονική στιγμή αιχμής	03Sep2000, 01:00
Όγκος(MM)	648.29
Παροχή Αιχμής Εισόδου (M3/S)	2939.1
Όγκος Εισροής(M3)	2.09E8

Απορροή



Κλάδος: R3837

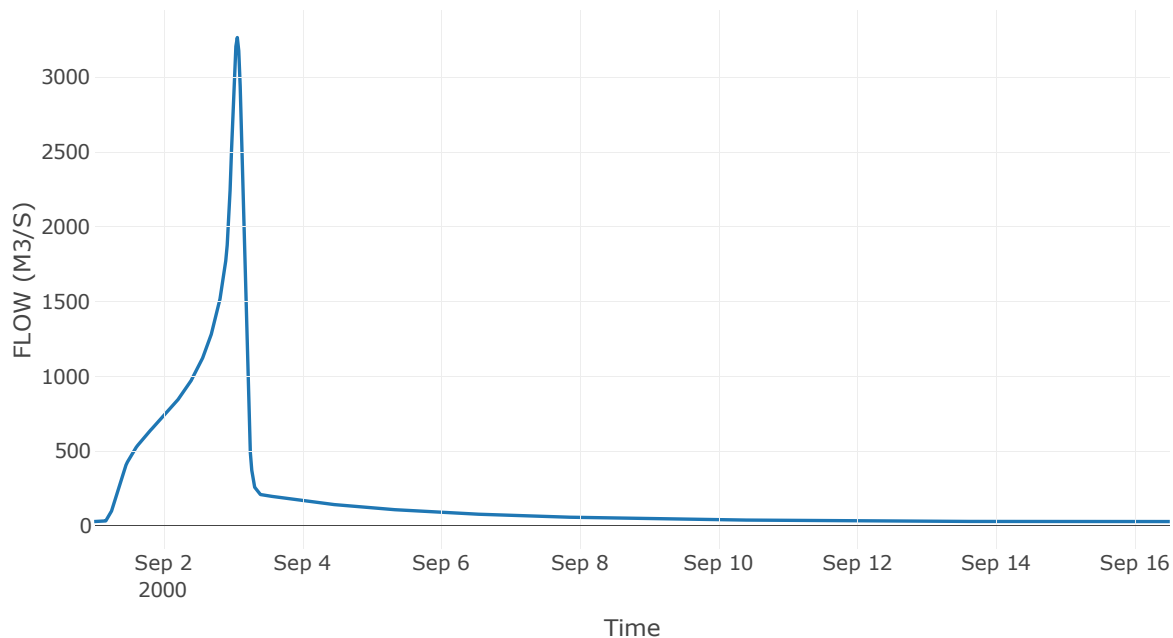
Κατάντη : J37

Μέθοδος Διόδευσης	Muskingum
Αρχική Μεταβλητή	Combined Inflow
Muskingum K	1.22
Συντελεστής βάρους α	0.2
Muskingum Steps	3

Αποτελέσματα: R3837

Παροχή Αιχμής (M3/S)	3265.05
Χρονική στιγμή αιχμής	03Sep2000, 01:30
Όγκος(MM)	601
Παροχή Αιχμής Εισόδου (M3/S)	3353.63
Όγκος Εισροής(M3)	2.59E8

Απορροή



Κλάδος: R3726

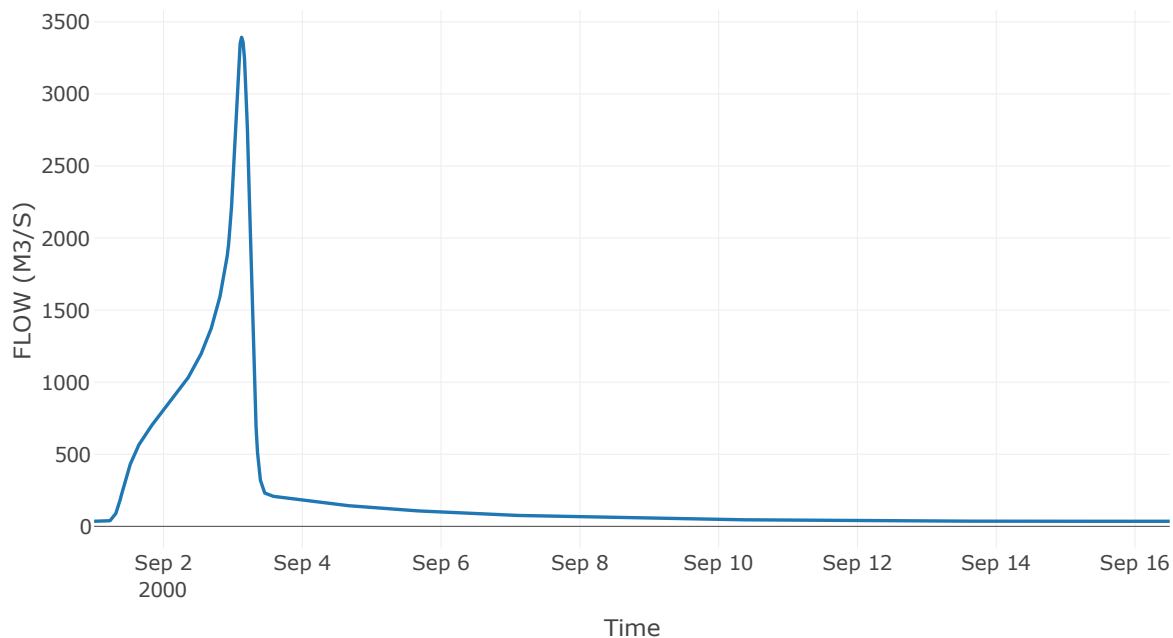
Κατάντη : J26

Μέθοδος Διόδευσης	Muskingum
Αρχική Μεταβλητή	Combined Inflow
Muskingum K	2.33
Συντελεστής βάρους α	0.2
Muskingum Steps	6

Αποτελέσματα: R3726

Παροχή Αιχμής (M3/S)	3393.12
Χρονική στιγμή αιχμής	03Sep2000, 03:00
Όγκος(MM)	587.05
Παροχή Αιχμής Εισόδου (M3/S)	3477.59
Όγκος Εισροής(M3)	2.95E8

Απορροή



Κλάδος: R2664

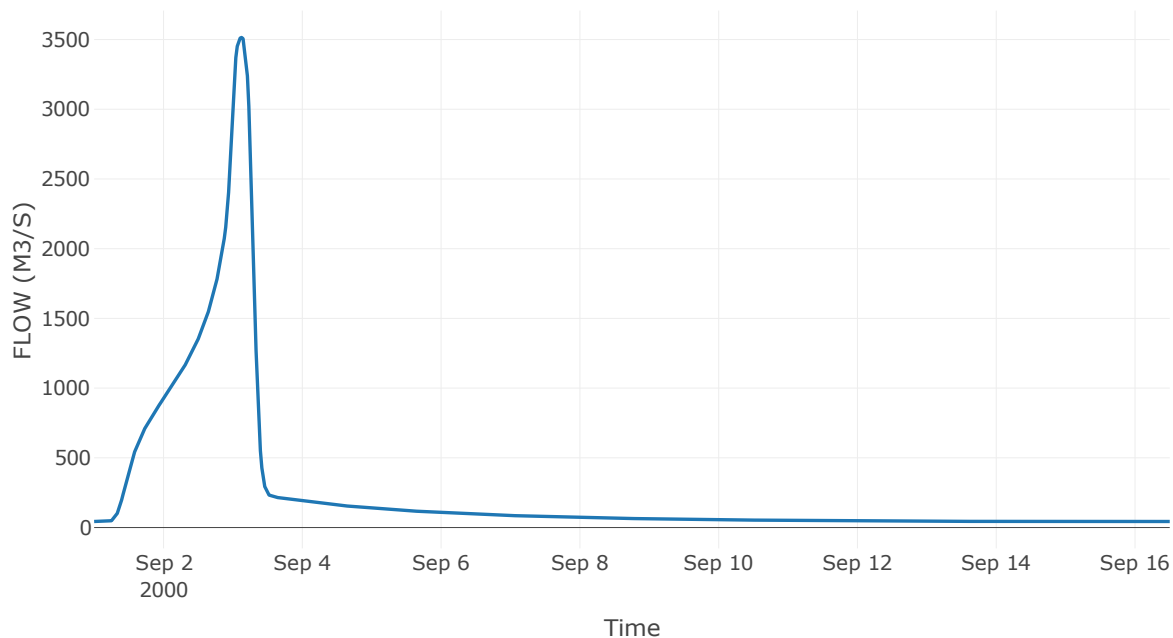
Κατάντη : J64

Μέθοδος Διόδευσης	Muskingum
Αρχική Μεταβλητή	Combined Inflow
Muskingum K	0.98
Συντελεστής βάρους x	0.2
Muskingum Steps	2

Αποτελέσματα: R2664

Παροχή Αιχμής (M3/S)	3514.78
Χρονική στιγμή αιχμής	03Sep2000, 03:00
Όγκος(MM)	556.62
Παροχή Αιχμής Εισόδου (M3/S)	3518.28
Όγκος Εισροής(M3)	3.44E8

Απορροή



Κλάδος: R6429

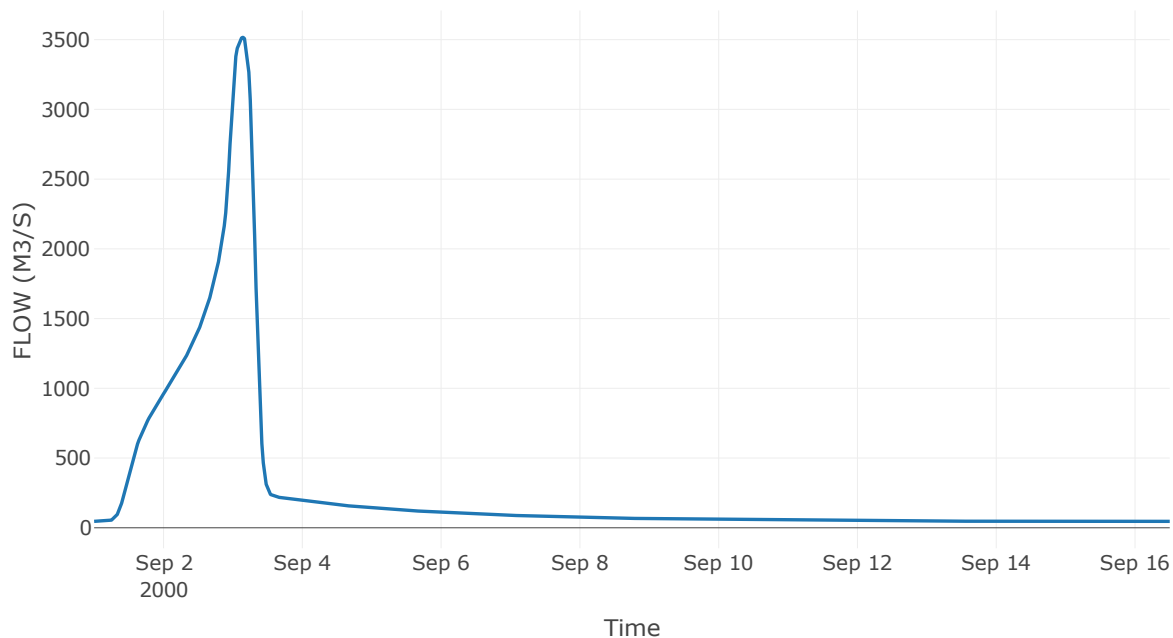
Κατάντη : J29

Μέθοδος Διόδευσης	Muskingum
Αρχική Μεταβλητή	Combined Inflow
Muskingum K	0.62
Συντελεστής βάρους x	0.2
Muskingum Steps	2

Αποτελέσματα: R6429

Παροχή Αιχμής (M3/S)	3516.54
Χρονική στιγμή αιχμής	03Sep2000, 03:30
Όγκος(MM)	549.21
Παροχή Αιχμής Εισόδου (M3/S)	3518.59
Όγκος Εισροής(M3)	3.61E8

Απορροή



Κλάδος: R3533

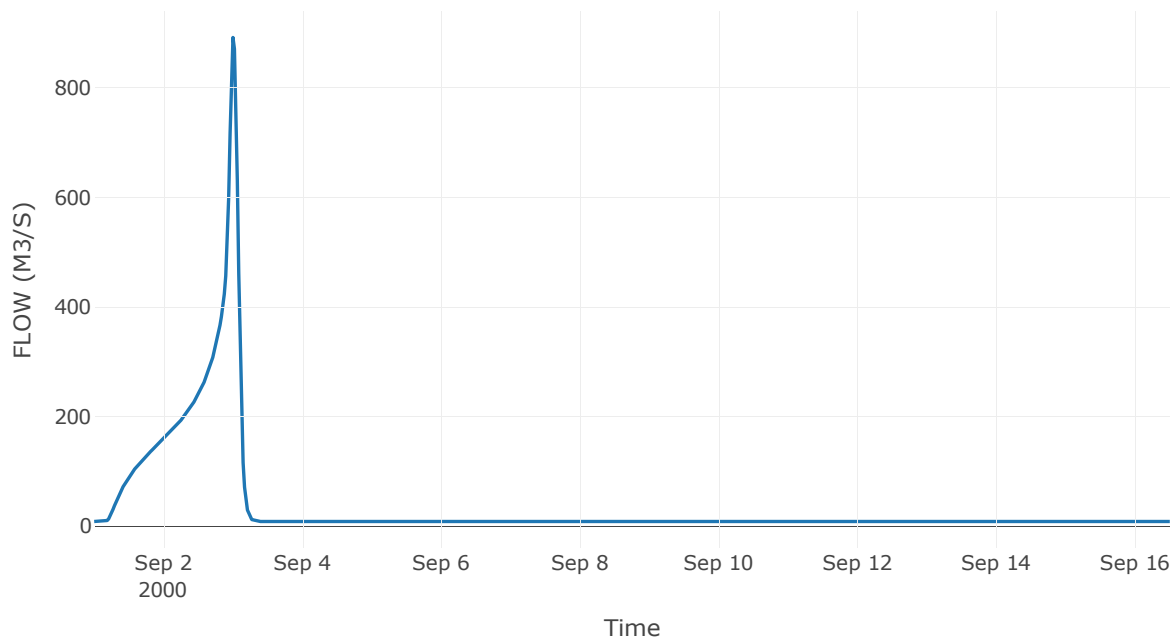
Κατάντη : J33

Μέθοδος Διόδευσης	Muskingum
Αρχική Μεταβλητή	Combined Inflow
Muskingum K	0.85
Συντελεστής βάρους α	0.2
Muskingum Steps	2

Αποτελέσματα: R3533

Παροχή Αιχμής (M3/S)	891.81
Χρονική στιγμή αιχμής	02Sep2000, 24:00
Όγκος(MM)	397.98
Παροχή Αιχμής Εισόδου (M3/S)	920.53
Όγκος Εισροής(M3)	4.94E7

Απορροή



Κλάδος: R3433

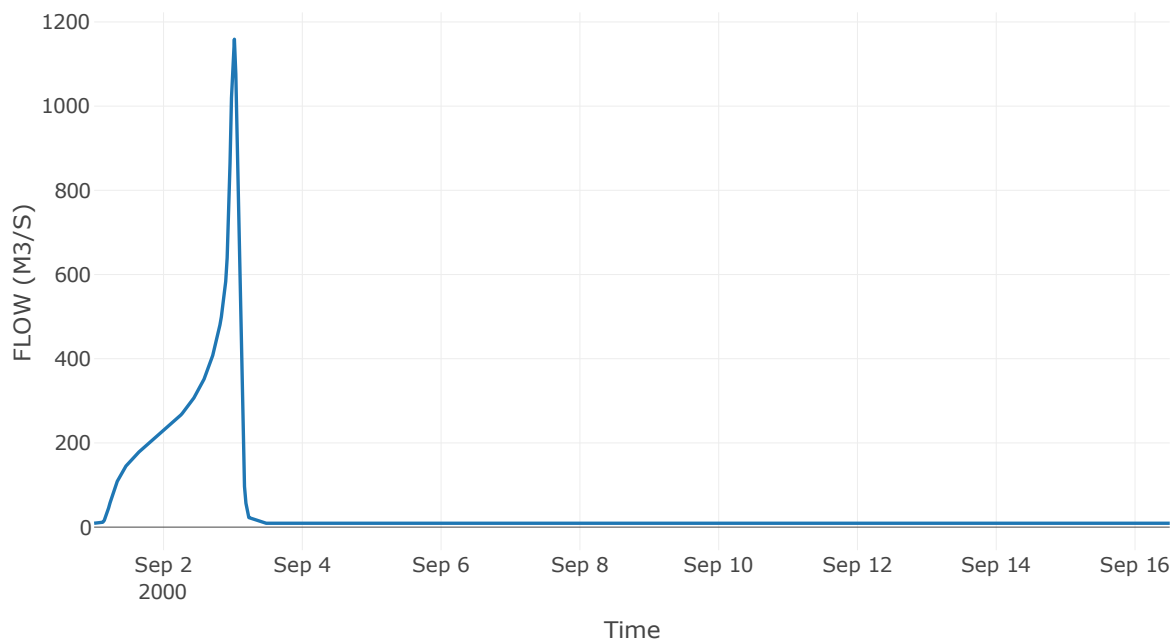
Κατάντη : J33

Μέθοδος Διόδευσης	Muskingum
Αρχική Μεταβλητή	Combined Inflow
Muskingum K	1.17
Συντελεστής βάρους x	0.2
Muskingum Steps	3

Αποτελέσματα: R3433

Παροχή Αιχμής (M3/S)	1158.9
Χρονική στιγμή αιχμής	03Sep2000, 00:30
Όγκος(MM)	496.88
Παροχή Αιχμής Εισόδου (M3/S)	1227.09
Όγκος Εισροής(M3)	6.52E7

Απορροή



Κλάδος: R3332

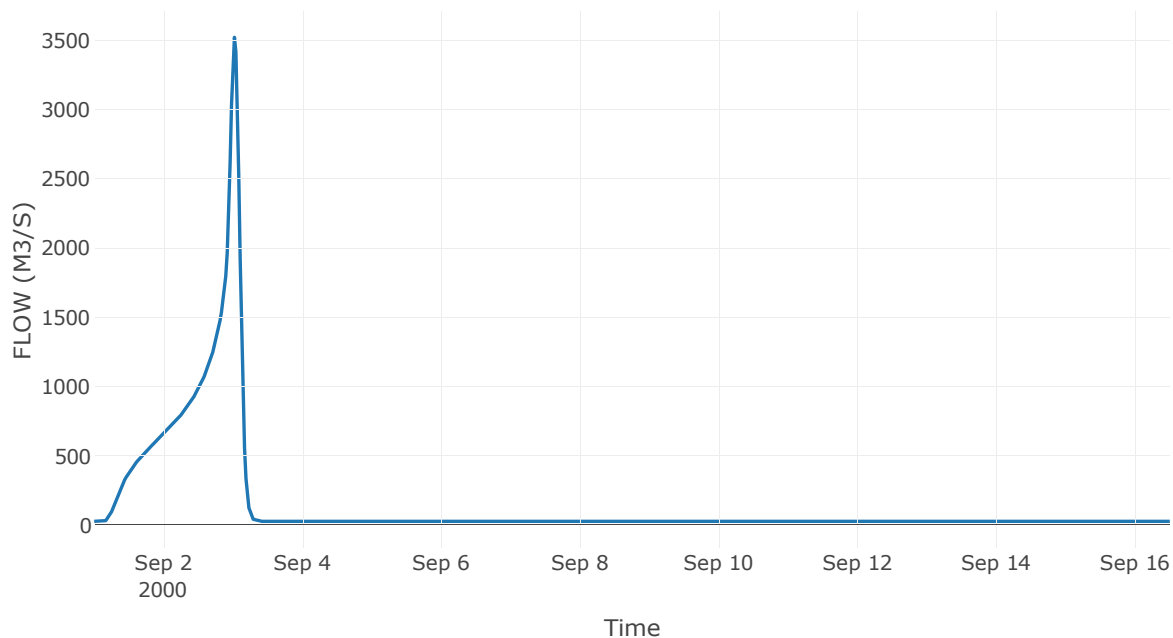
Κατάντη : J32

Μέθοδος Διόδευσης	Muskingum
Αρχική Μεταβλητή	Combined Inflow
Muskingum K	0.87
Συντελεστής βάρους α	0.2
Muskingum Steps	2

Αποτελέσματα: R3332

Παροχή Αιχμής (M3/S)	3522.63
Χρονική στιγμή αιχμής	03Sep2000, 00:30
Όγκος(MM)	463.88
Παροχή Αιχμής Εισόδου (M3/S)	3619.43
Όγκος Εισροής(M3)	2E8

Απορροή



Κλάδος: R3230

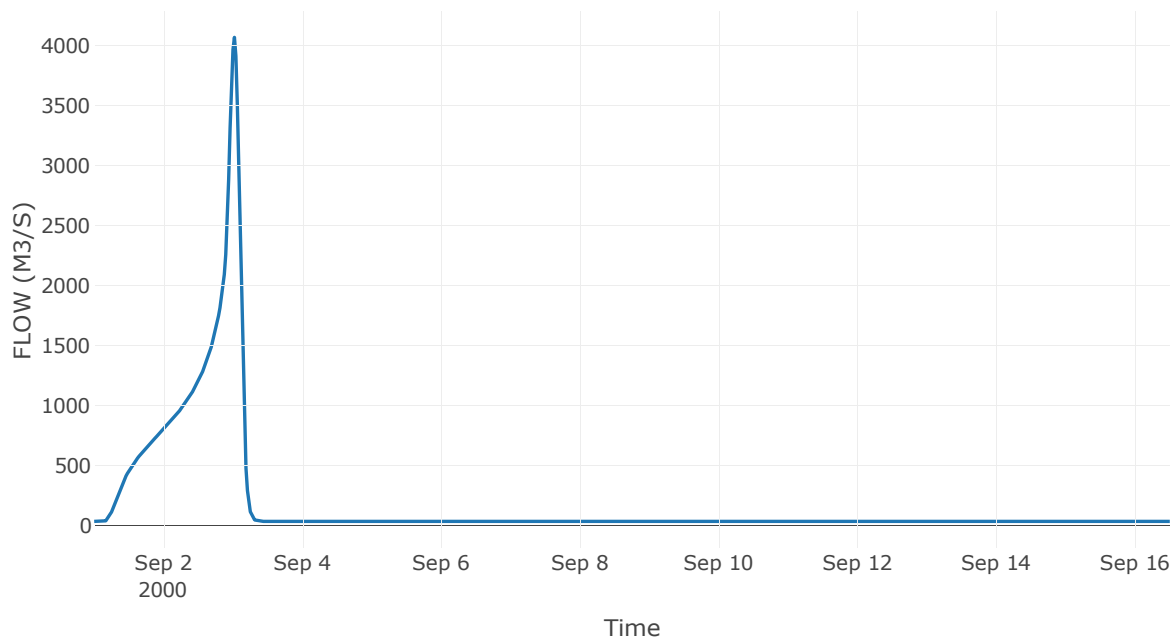
Κατάντη : J30

Μέθοδος Διόδευσης	Muskingum
Αρχική Μεταβλητή	Combined Inflow
Muskingum K	0.31
Συντελεστής βάρους x	0.2
Muskingum Steps	1

Αποτελέσματα: R3230

Παροχή Αιχμής (M3/S)	4069.68
Χρονική στιγμή αιχμής	03Sep2000, 00:30
Όγκος(MM)	464.95
Παροχή Αιχμής Εισόδου (M3/S)	4085.26
Όγκος Εισροής(M3)	2.44E8

Απορροή



Κλάδος: R3029

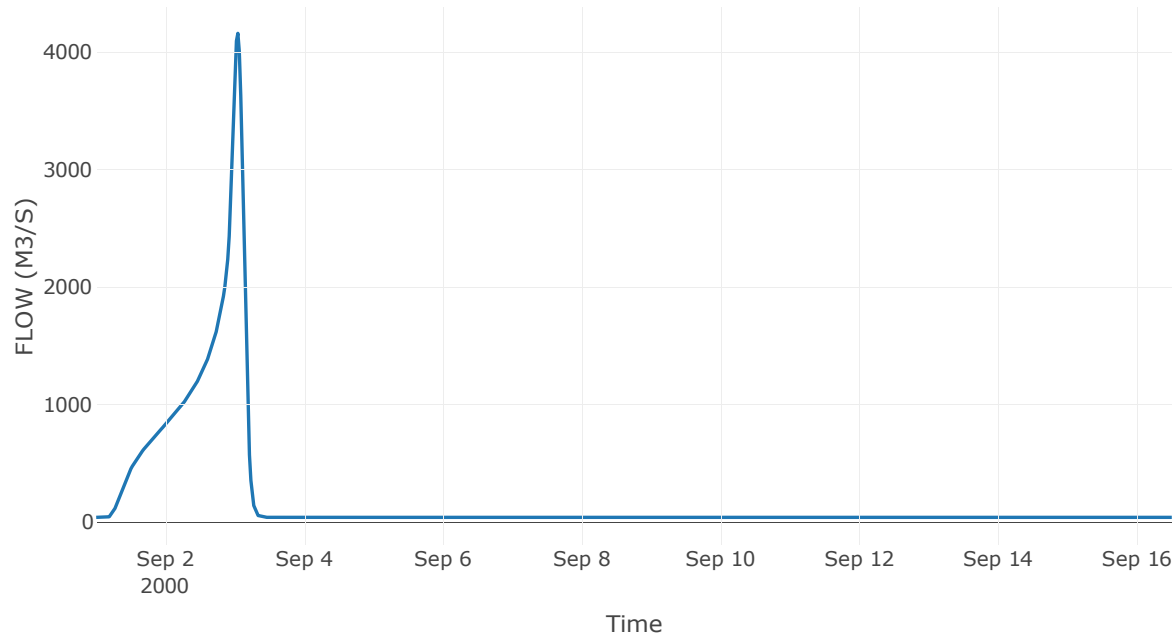
Κατάντη : J29

Μέθοδος Διόδευσης	Muskingum
Αρχική Μεταβλητή	Combined Inflow
Muskingum K	0.63
Συντελεστής βάρους x	0.2
Muskingum Steps	2

Αποτελέσματα: R3029

Παροχή Αιχμής (M3/S)	4158.72
Χρονική στιγμή αιχμής	03Sep2000, 01:00
Όγκος(MM)	462.33
Παροχή Αιχμής Εισόδου (M3/S)	4201.74
Όγκος Εισροής(M3)	2.58E8

Απορροή



Κλάδος: R2928

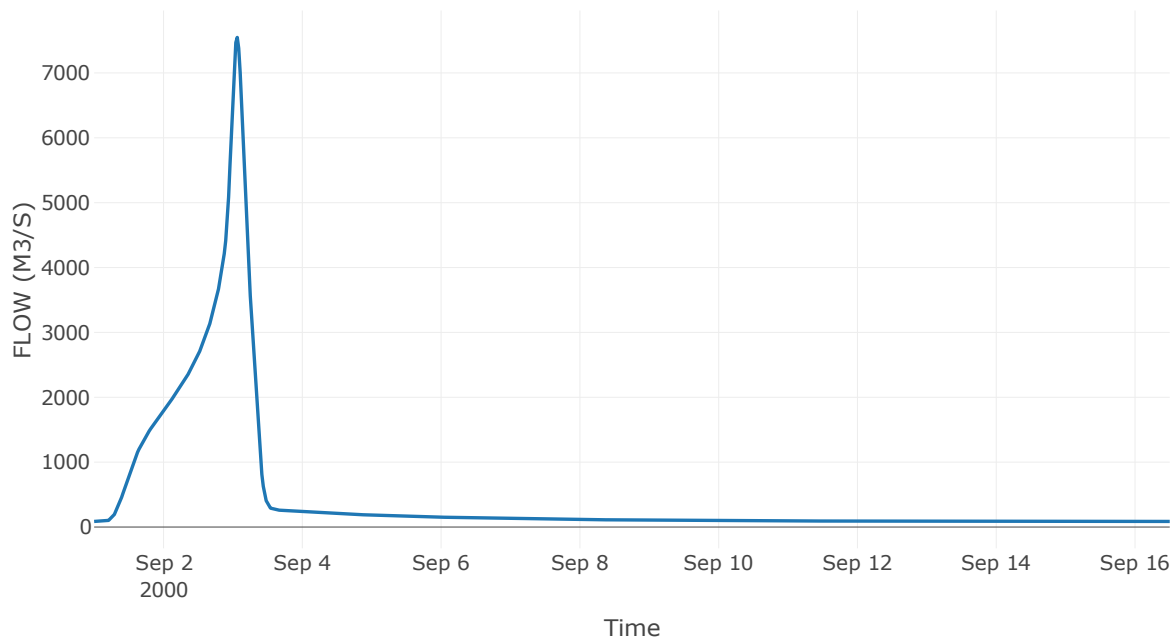
Κατάντη : J28

Μέθοδος Διόδευσης	Muskingum
Αρχική Μεταβλητή	Combined Inflow
Muskingum K	0.41
Συντελεστής βάρους x	0.2
Muskingum Steps	1

Αποτελέσματα: R2928

Παροχή Αιχμής (M3/S)	7547.65
Χρονική στιγμή αιχμής	03Sep2000, 01:30
Όγκος(MM)	508.49
Παροχή Αιχμής Εισόδου (M3/S)	7603.25
Όγκος Εισροής(M3)	6.27E8

Απορροή



Κλάδος: R2827

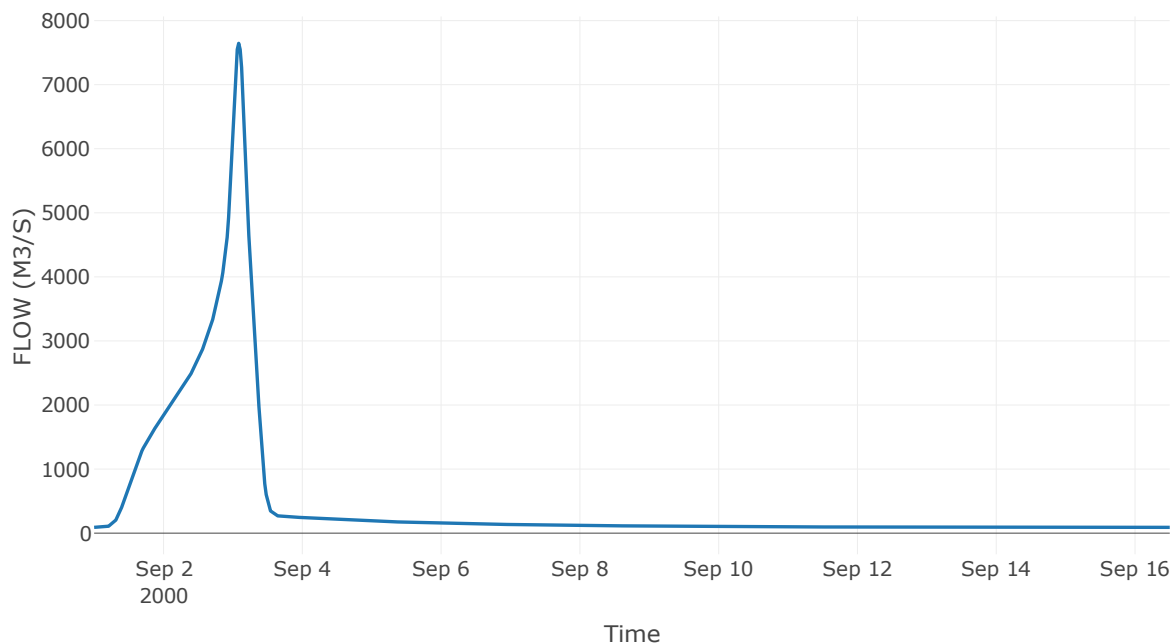
Κατάντη : J27

Μέθοδος Διόδευσης	Muskingum
Αρχική Μεταβλητή	Combined Inflow
Muskingum K	0.83
Συντελεστής βάρους x	0.2
Muskingum Steps	2

Αποτελέσματα: R2827

Παροχή Αιχμής (M3/S)	7645.15
Χρονική στιγμή αιχμής	03Sep2000, 02:00
Όγκος(MM)	508
Παροχή Αιχμής Εισόδου (M3/S)	7711.72
Όγκος Εισροής(M3)	6.54E8

Απορροή



Κλάδος: R2116

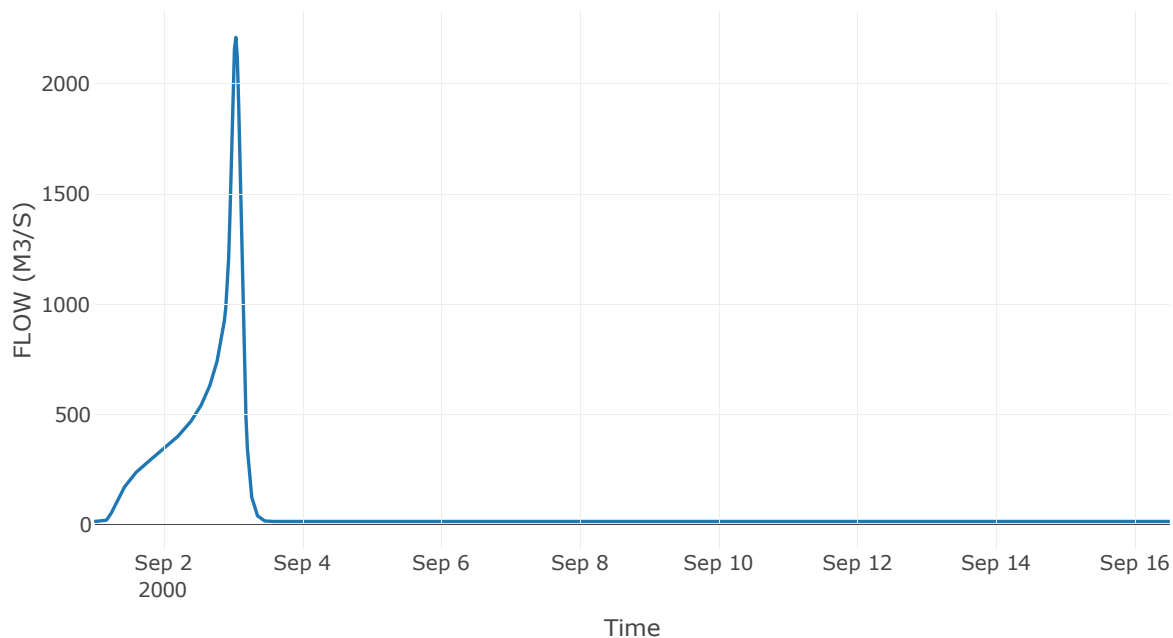
Κατάντη : J16

Μέθοδος Διόδευσης	Muskingum
Αρχική Μεταβλητή	Combined Inflow
Muskingum K	1.21
Συντελεστής βάρους x	0.2
Muskingum Steps	3

Αποτελέσματα: R2116

Παροχή Αιχμής (M3/S)	2209.73
Χρονική στιγμή αιχμής	03Sep2000, 01:00
Όγκος(MM)	489.3
Παροχή Αιχμής Εισόδου (M3/S)	2280.45
Όγκος Εισροής(M3)	1.16E8

Απορροή



Κλάδος: R1619

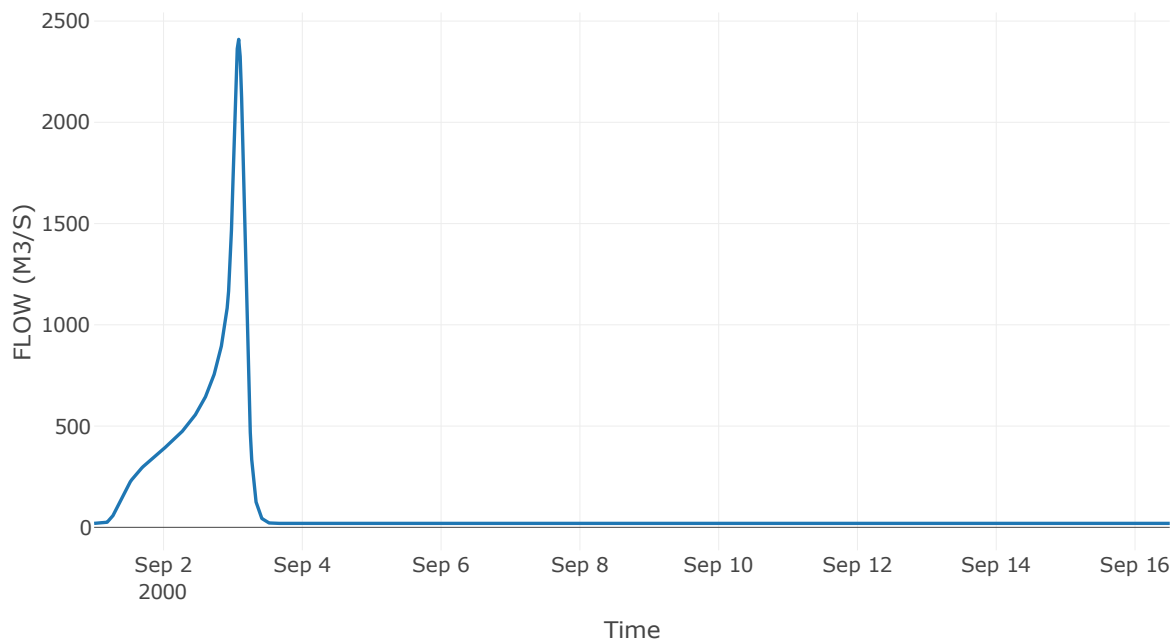
Κατάντη : J19

Μέθοδος Διόδευσης	Muskingum
Αρχική Μεταβλητή	Combined Inflow
Muskingum K	1.31
Συντελεστής βάρους x	0.2
Muskingum Steps	3

Αποτελέσματα: R1619

Παροχή Αιχμής (M3/S)	2409.61
Χρονική στιγμή αιχμής	03Sep2000, 02:00
Όγκος(MM)	488.93
Παροχή Αιχμής Εισόδου (M3/S)	2499.6
Όγκος Εισροής(M3)	1.36E8

Απορροή



Κλάδος: R6120

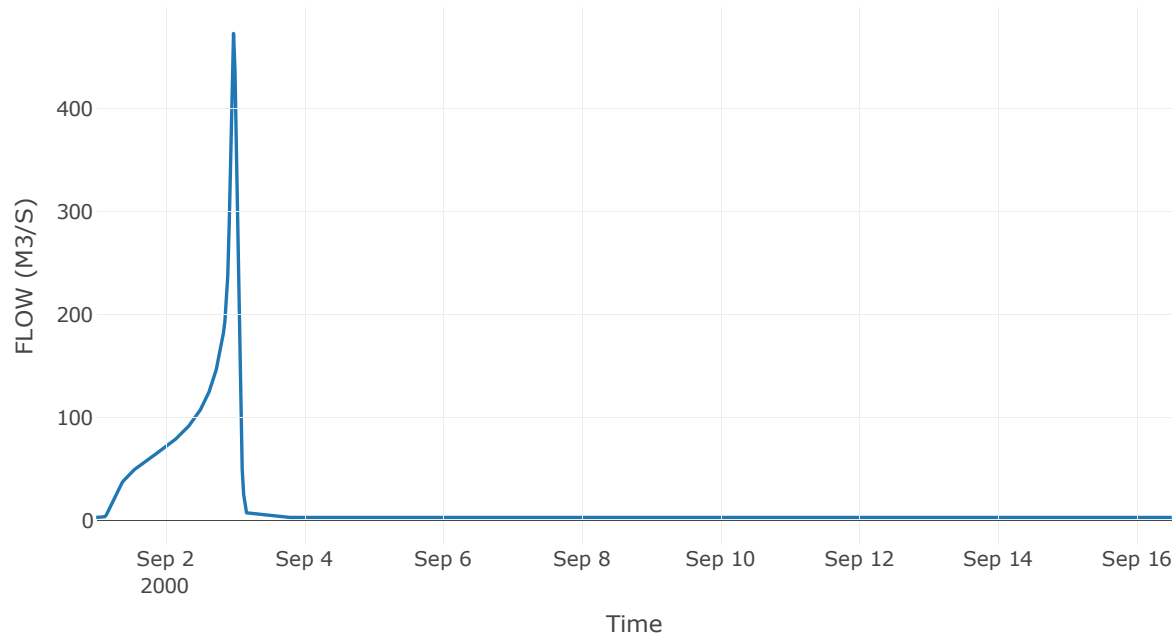
Κατάντη : J20

Μέθοδος Διόδευσης	Muskingum
Αρχική Μεταβλητή	Combined Inflow
Muskingum K	0.56
Συντελεστής βάρους x	0.2
Muskingum Steps	1

Αποτελέσματα: R6120

Παροχή Αιχμής (M3/S)	472.63
Χρονική στιγμή αιχμής	02Sep2000, 23:30
Όγκος(MM)	450.34
Παροχή Αιχμής Εισόδου (M3/S)	498.7
Όγκος Εισροής(M3)	2.19E7

Απορροή



Κλάδος: R2014

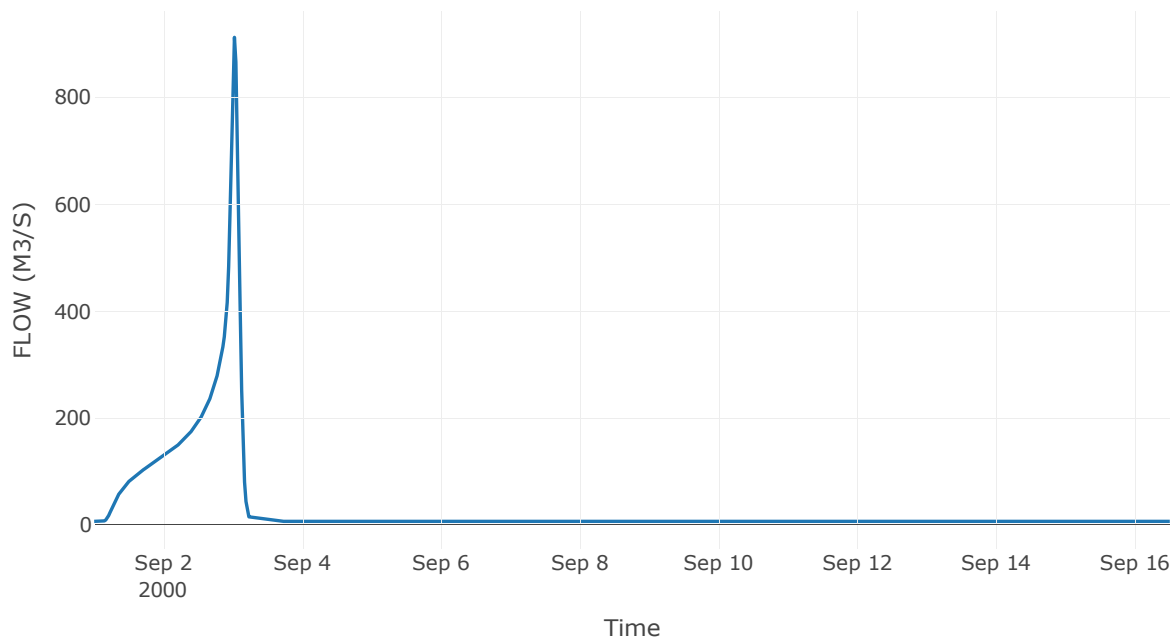
Κατάντη : J14

Μέθοδος Διόδευσης	Muskingum
Αρχική Μεταβλητή	Combined Inflow
Muskingum K	1.25
Συντελεστής βάρους x	0.2
Muskingum Steps	3

Αποτελέσματα: R2014

Παροχή Αιχμής (M3/S)	912.19
Χρονική στιγμή αιχμής	03Sep2000, 00:30
Όγκος(MM)	436.01
Παροχή Αιχμής Εισόδου (M3/S)	968.77
Όγκος Εισροής(M3)	4.28E7

Απορροή



Κλάδος: R128

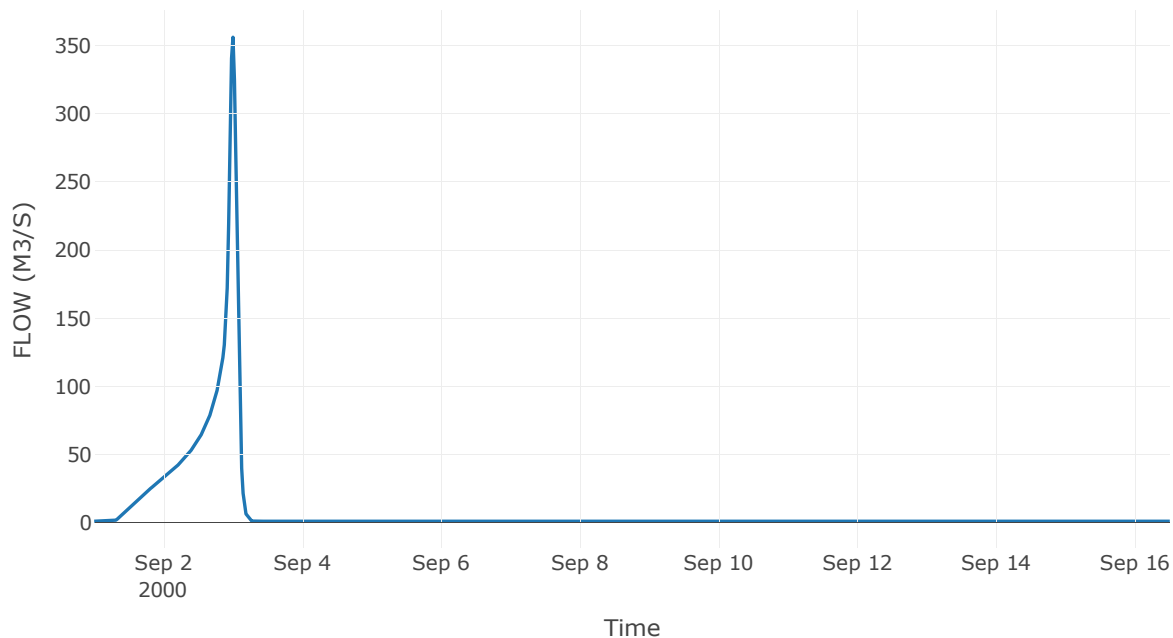
Κατάντη : J8

Μέθοδος Διόδευσης	Muskingum
Αρχική Μεταβλητή	Combined Inflow
Muskingum K	0.74
Συντελεστής βάρους x	0.2
Muskingum Steps	2

Αποτελέσματα: R128

Παροχή Αιχμής (M3/S)	355.95
Χρονική στιγμή αιχμής	02Sep2000, 24:00
Όγκος(MM)	323.24
Παροχή Αιχμής Εισόδου (M3/S)	373.66
Όγκος Εισροής(M3)	1.22E7

Απορροή



Κλάδος: R1110

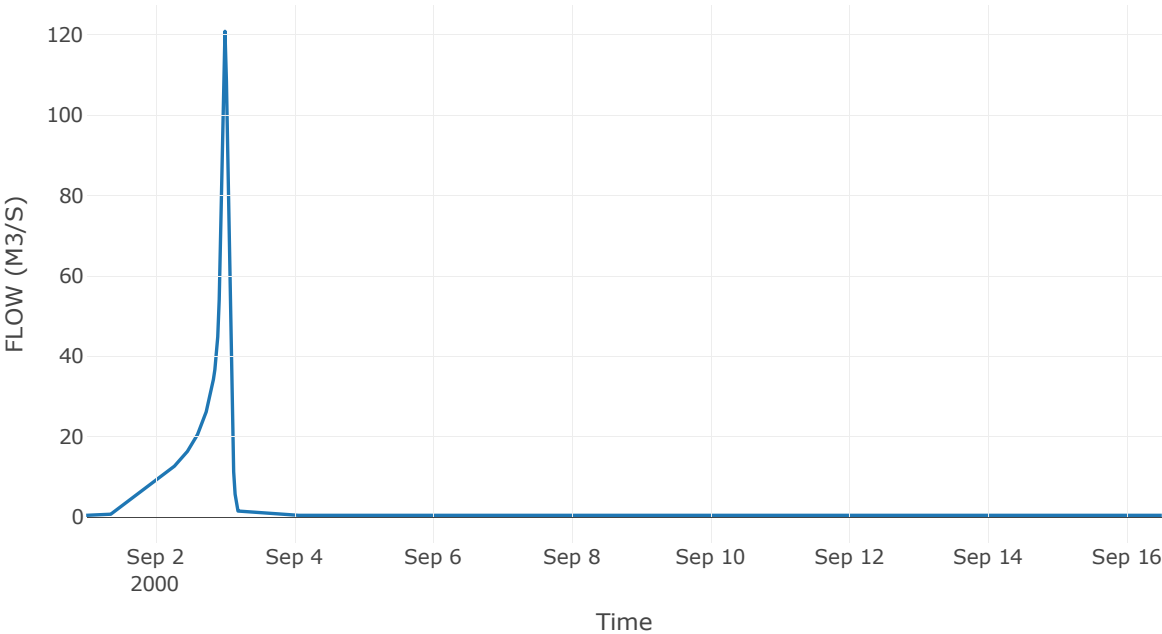
Κατάντη : J10

Μέθοδος Διόδευσης	Muskingum
Αρχική Μεταβλητή	Combined Inflow
Muskingum K	0.92
Συντελεστής βάρους x	0.2
Muskingum Steps	2

Αποτελέσματα: R1110

Παροχή Αιχμής (M3/S)	120.82
Χρονική στιγμή αιχμής	02Sep2000, 24:00
Όγκος(MM)	310.47
Παροχή Αιχμής Εισόδου (M3/S)	133.19
Όγκος Εισροής(M3)	3.67E6

Απορροή



Κλάδος: R107

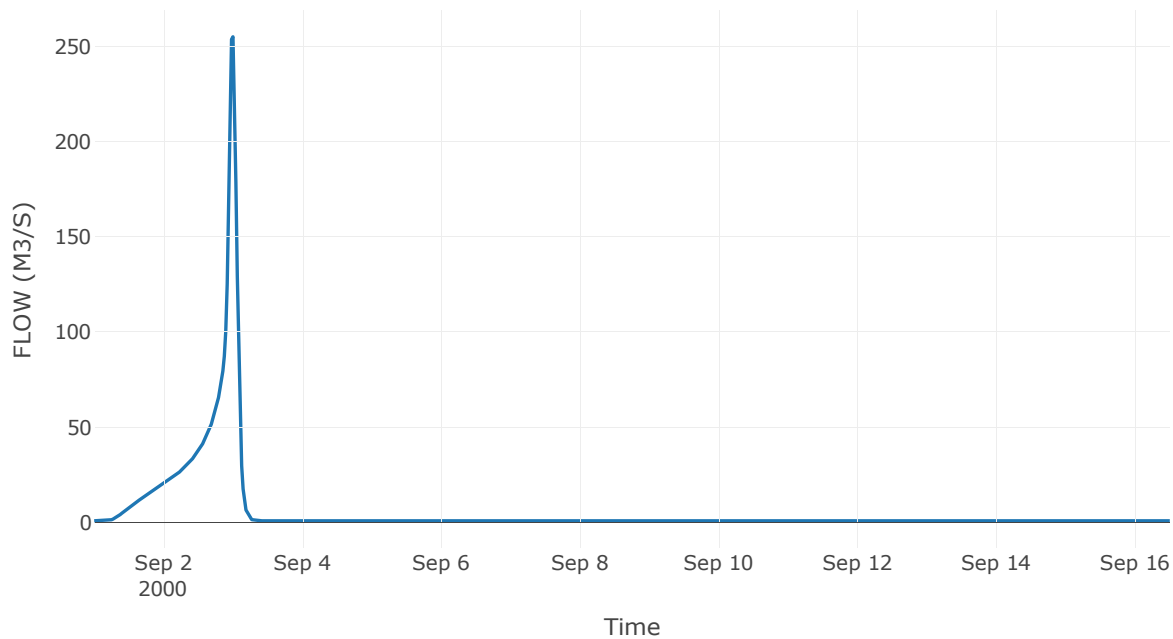
Κατάντη : J7

Μέθοδος Διόδευσης	Χρόνος Υστέρησης
Αρχική Μεταβλητή	Combined Inflow
Χρόνος Υστέρησης	0

Αποτελέσματα: R107

Παροχή Αιχμής (M3/S)	255.01
Χρονική στιγμή αιχμής	02Sep2000, 24:00
Όγκος(MM)	324.21
Παροχή Αιχμής Εισόδου (M3/S)	255.01
Όγκος Εισροής(M3)	8.13E6

Απορροή



Κλάδος: R97

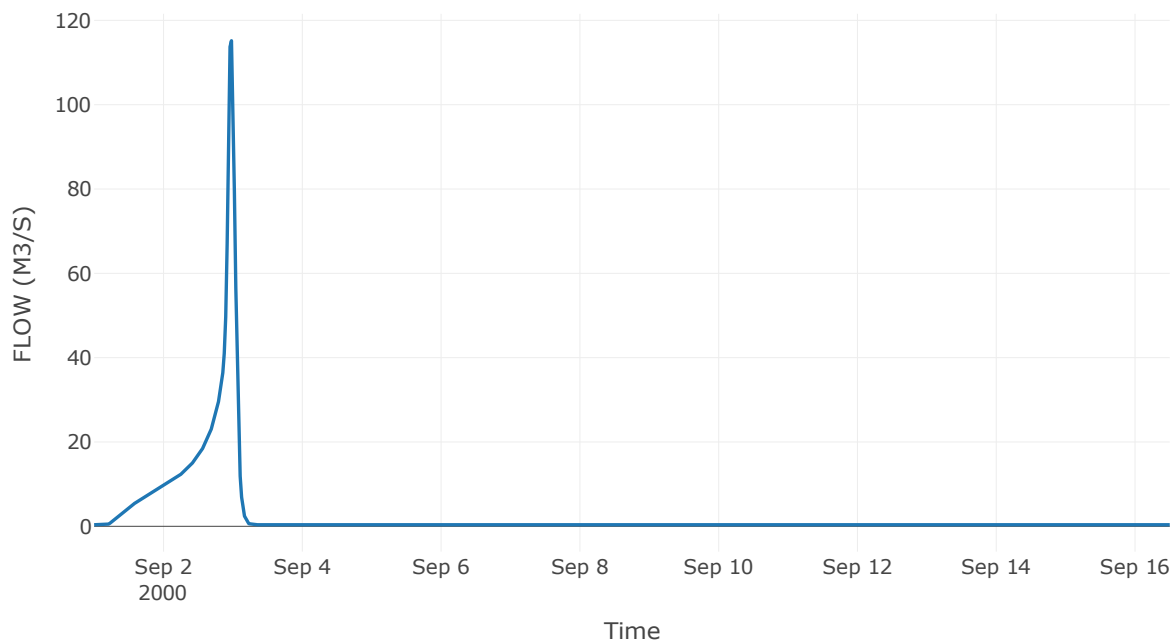
Κατάντη : J7

Μέθοδος Διόδευσης	Χρόνος Υστέρησης
Αρχική Μεταβλητή	Combined Inflow
Χρόνος Υστέρησης	0

Αποτελέσματα: R97

Παροχή Αιχμής (M3/S)	115.18
Χρονική στιγμή αιχμής	02Sep2000, 23:30
Όγκος(MM)	339.62
Παροχή Αιχμής Εισόδου (M3/S)	115.18
Όγκος Εισροής(M3)	3.54E6

Απορροή



Κλάδος: R76

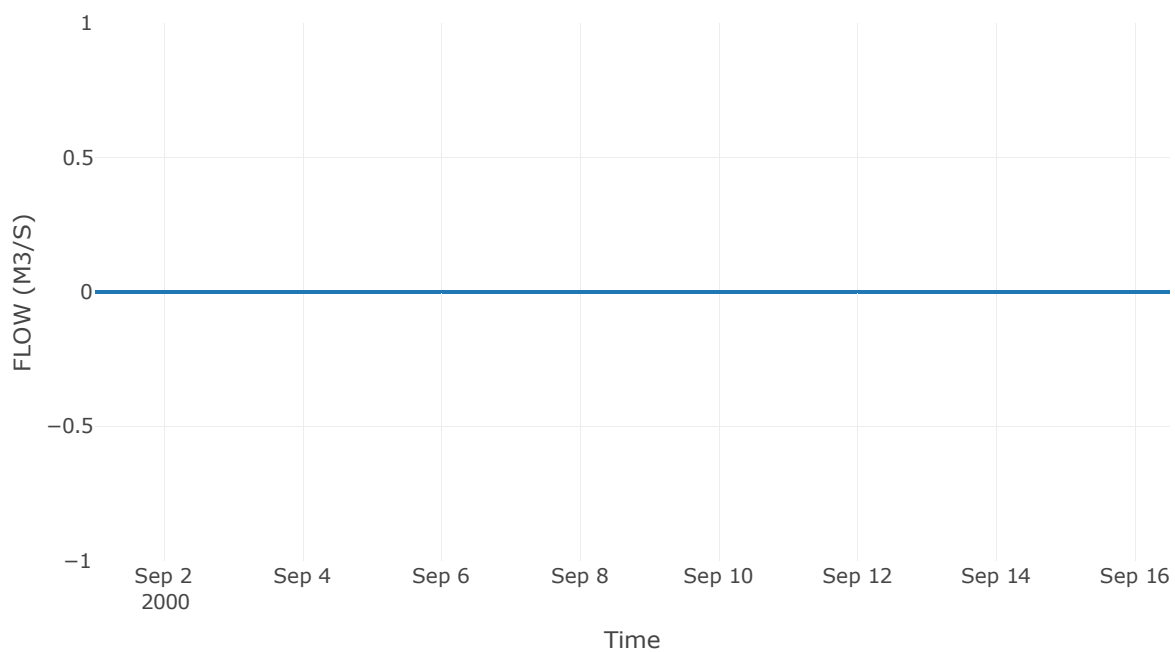
Κατάντη : J6

Μέθοδος Διόδευσης	Muskingum
Αρχική Μεταβλητή	Combined Inflow
Muskingum K	1.89
Συντελεστής βάρους x	0.2
Muskingum Steps	5

Αποτελέσματα: R76

Παροχή Αιχμής (M3/S)	0
Χρονική στιγμή αιχμής	31Aug2000, 24:00
Peak Inflow (M3/S)	0
Όγκος Εισροής (M3)	0

Απορροή



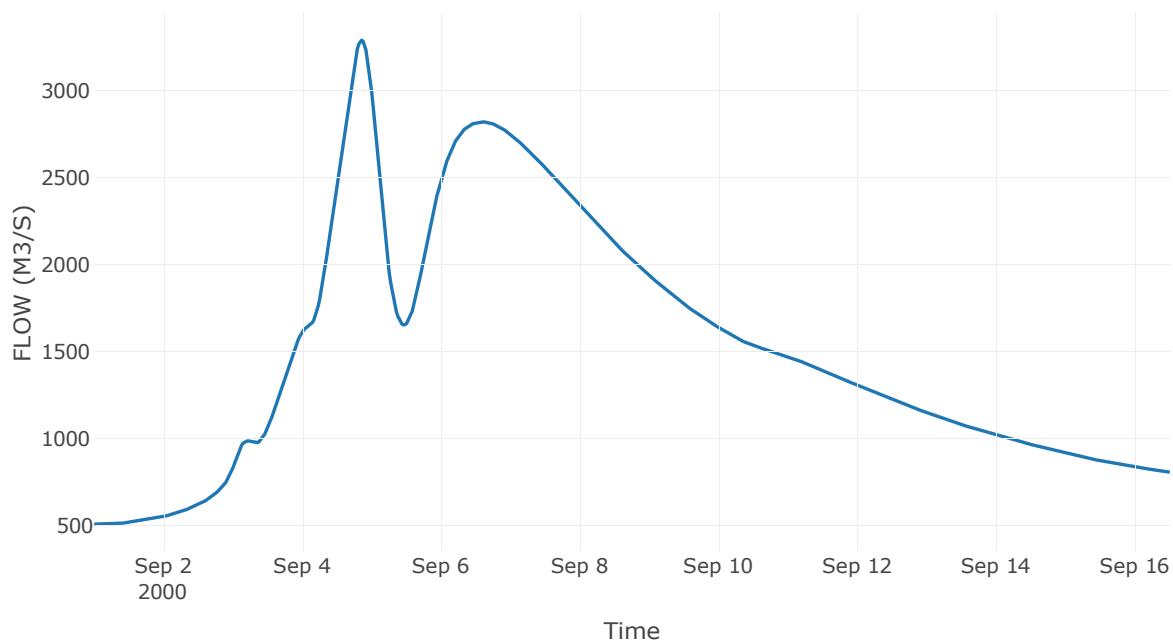
10.3 Δεδομένα και Υδρογραφήματα σχεδιασμού Κλάδων υδρογραφικού δικτύου

Κόμβος εξόδου: J1

Αποτέλεσμα
τα: J1

Παροχή αιχμής (M3/S)	3287.73
Χρονική στιγμή αιχμής	04Sep2000, 20:30
Όγκος (MM)	440.51

Απορροή



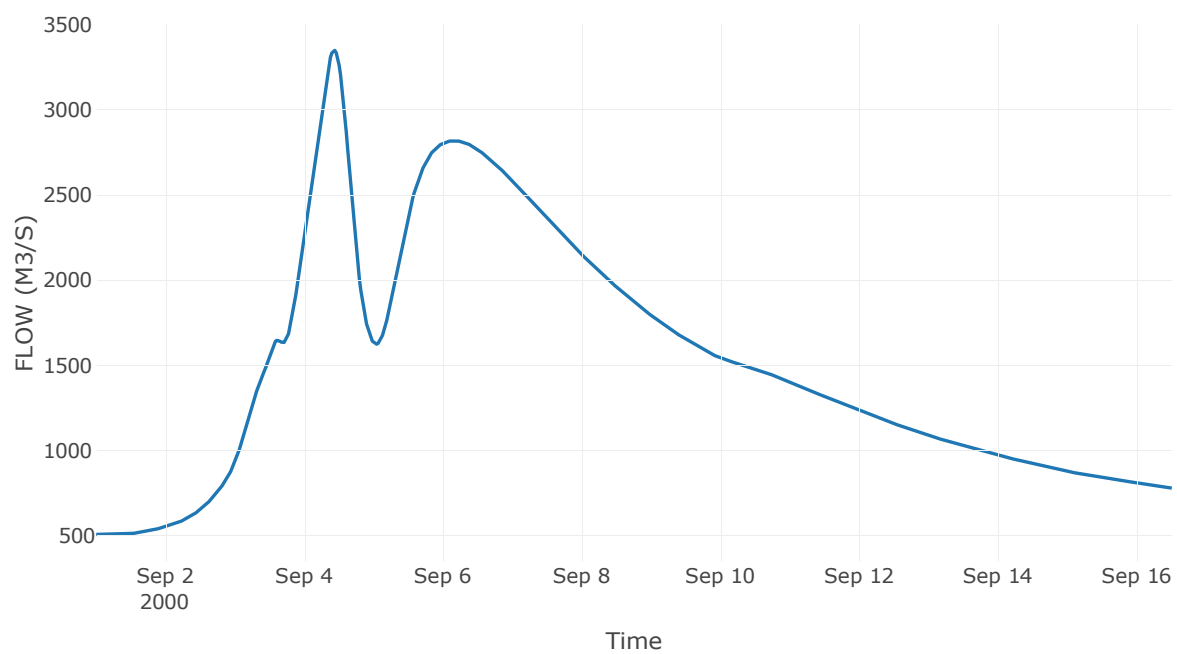
Κόμβος: J2

Κατάντη : R21

Αποτελέσματα: J2

Παροχή Αιχμής (M3/S)	3349.48
Χρονική στιγμή αιχμής	04Sep2000, 10:30
Όγκος(MM)	443.9

Απορροή



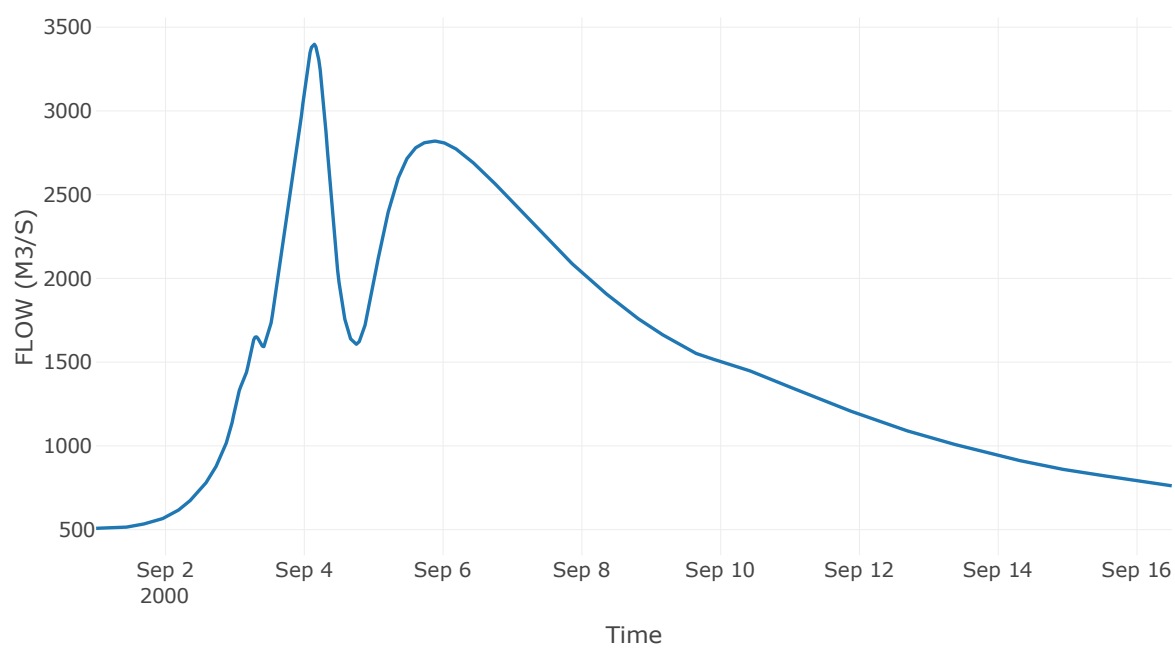
Κόμβος: J3

Κατάντη : R32

Αποτελέσματα: J3

Παροχή Αιχμής (M3/S)	3397.73
Χρονική στιγμή αιχμής	04Sep2000, 03:30
Όγκος(MM)	446

Απορροή



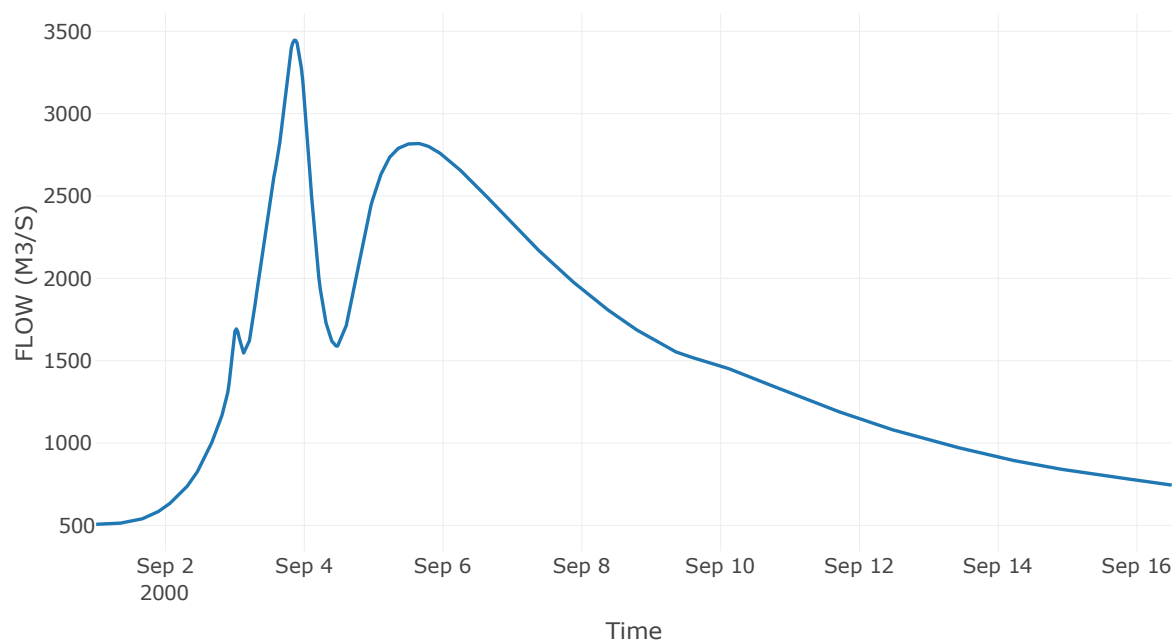
Κόμβος: J4

Κατάντη : R43

Αποτελέσματα: J4

Παροχή Αιχμής (M3/S)	3445.63
Χρονική στιγμή αιχμής	03Sep2000, 20:30
Όγκος(MM)	447.96

Απορροή



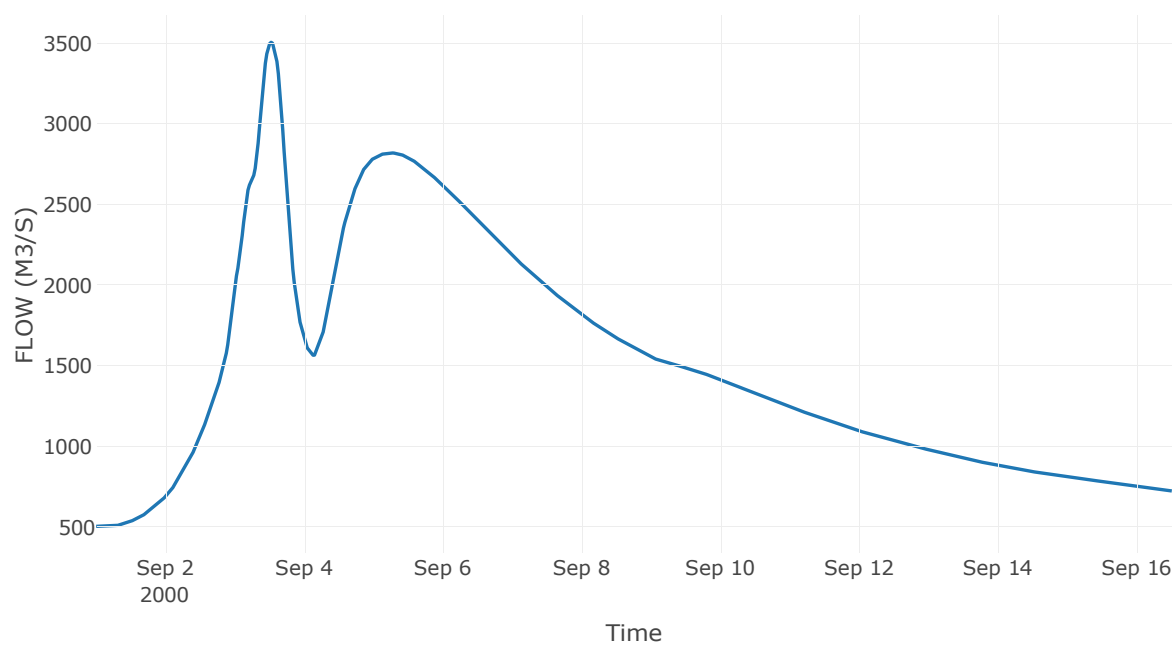
Κόμβος: J5

Κατάντη : R54

Αποτελέσματα: J5

Παροχή Αιχμής (M3/S)	3505.59
Χρονική στιγμή αιχμής	03Sep2000, 12:30
Όγκος(MM)	450.84

Απορροή



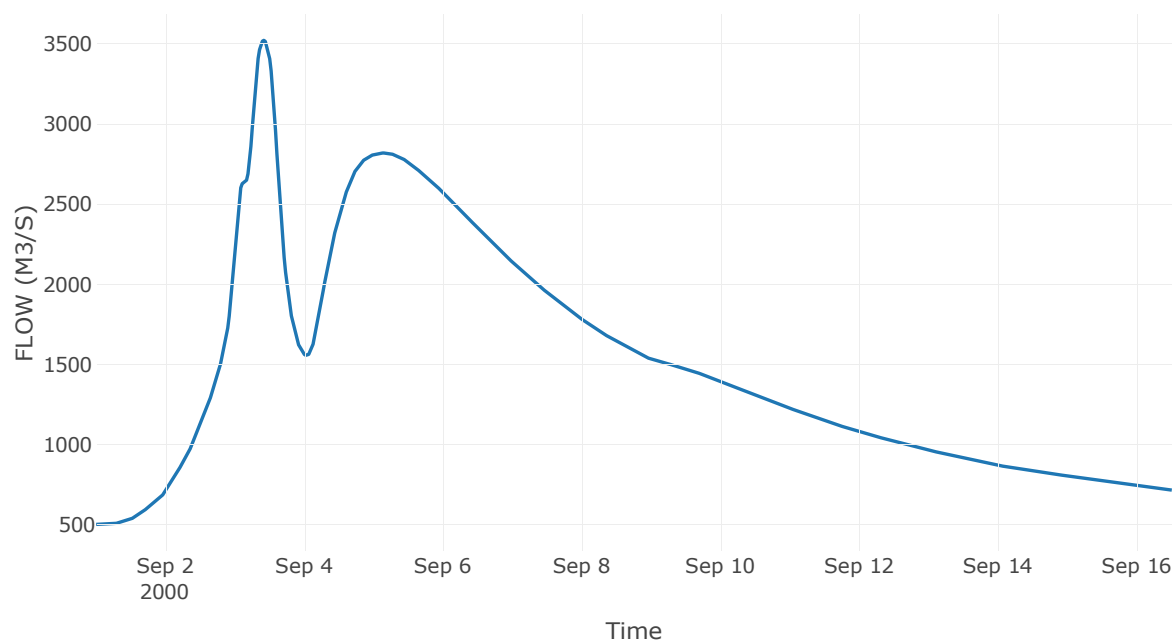
Κόμβος: J6

Κατάντη : R65

Αποτελέσματα: J6

Παροχή Αιχμής (M3/S)	3521.37
Χρονική στιγμή αιχμής	03Sep2000, 10:00
Όγκος(MM)	452.11

Απορροή

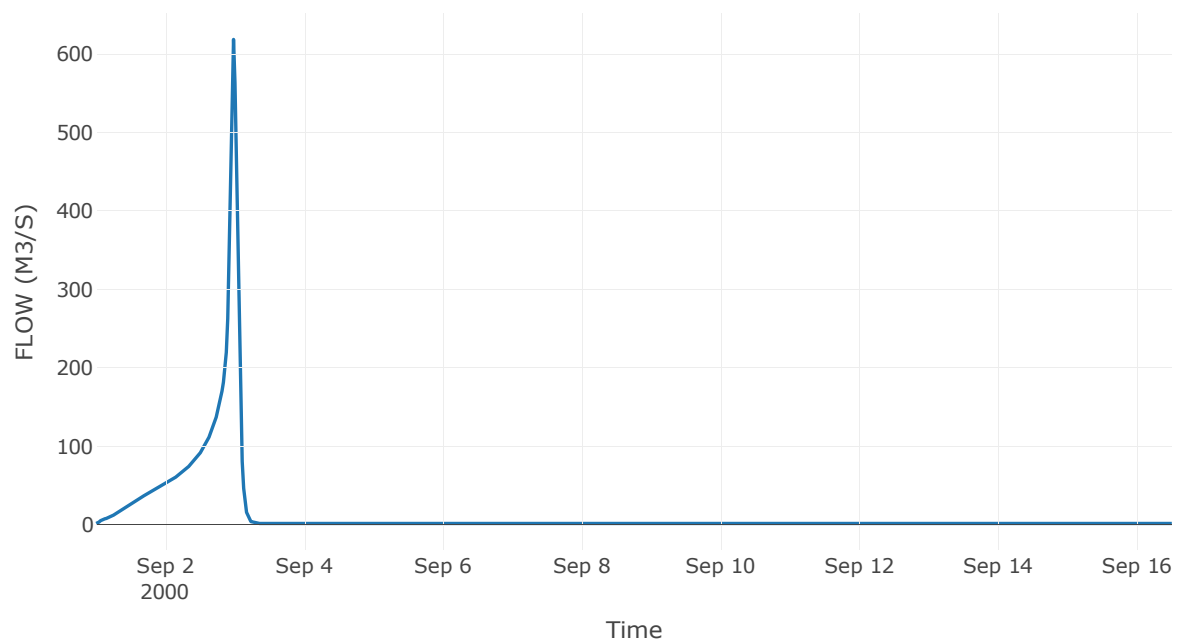


Κόμβος εξόδου: J7

Αποτέλεσμα
τα: J7

Παροχή αιχμής (M3/S)	618.59
Χρονική στιγμή αιχμής	02Sep2000, 23:30
Όγκος (MM)	344.06

Απορροή



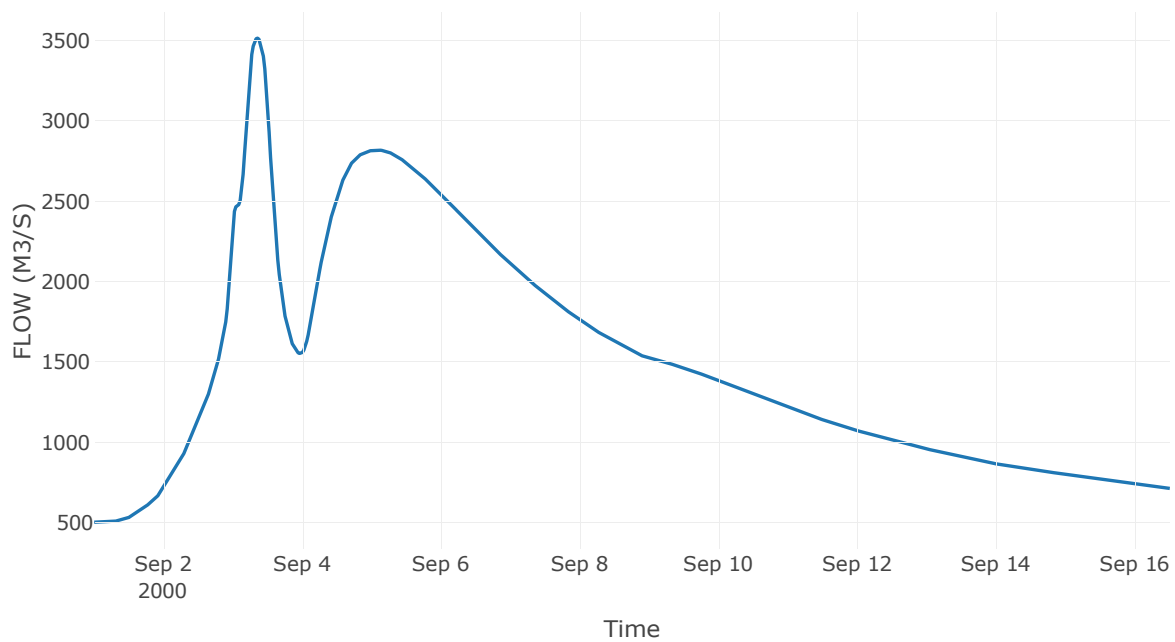
Κόμβος: J8

Κατάντη : R86

Αποτελέσματα: J8

Παροχή Αιχμής (M3/S)	3514
Χρονική στιγμή αιχμής	03Sep2000, 08:30
Όγκος(MM)	453.38

Απορροή



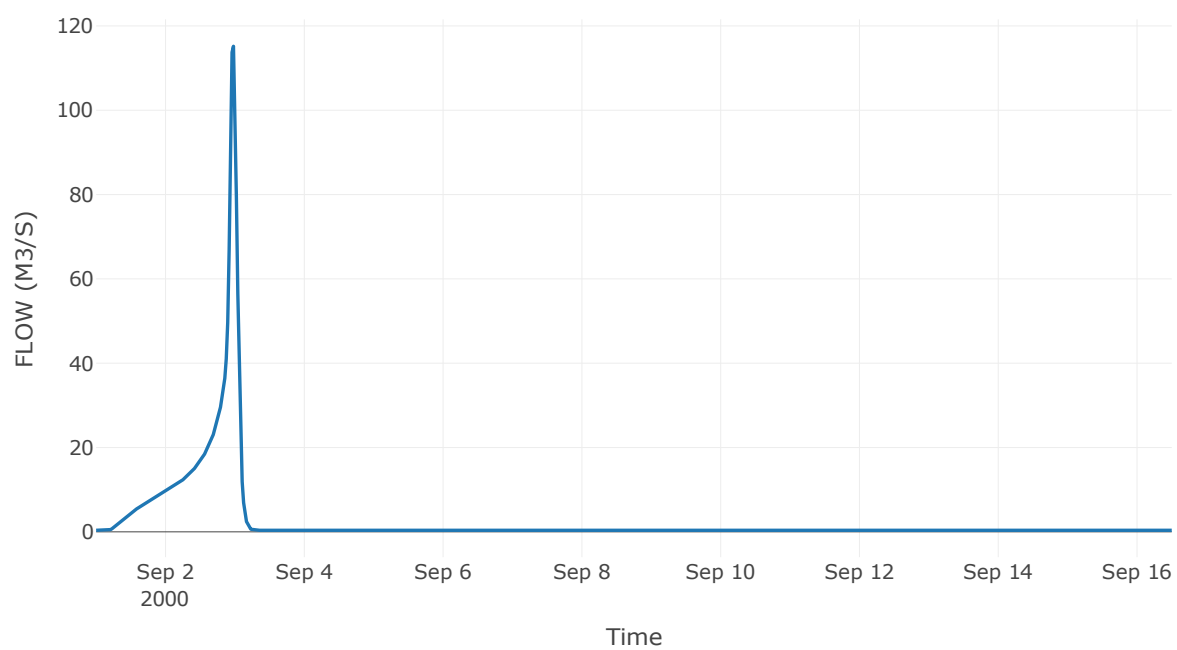
Κόμβος: J9

Κατάντη : R97

Αποτελέσματα: J9

Παροχή Αιχμής (M3/S)	115.18
Χρονική στιγμή αιχμής	02Sep2000, 23:30
Όγκος(MM)	339.62

Απορροή



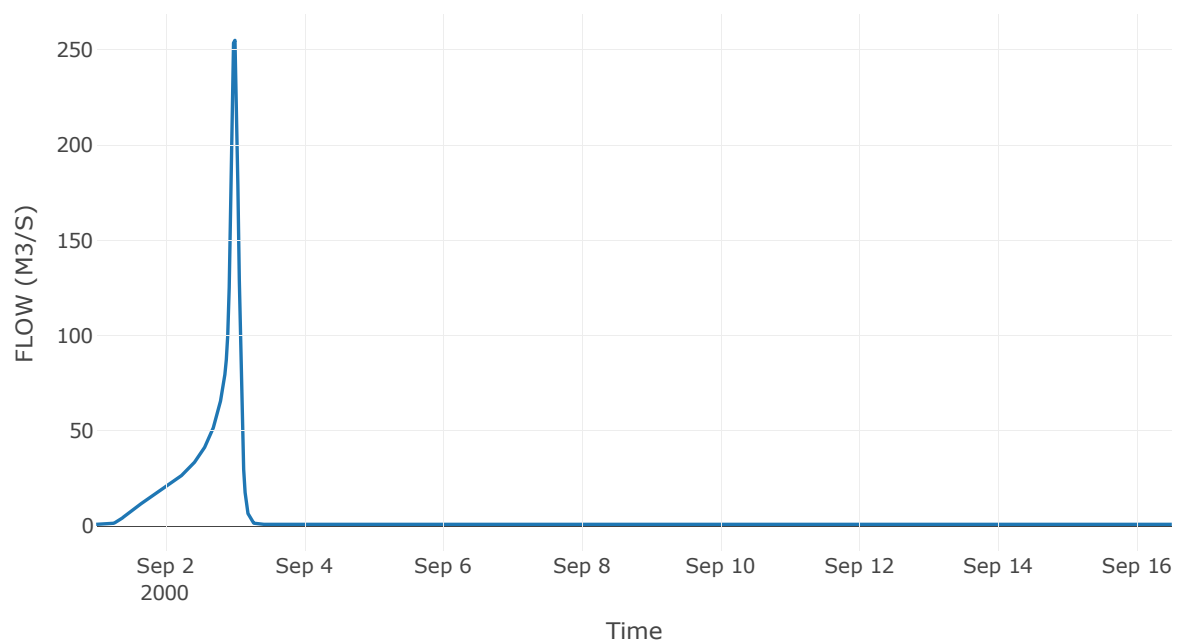
Κόμβος: J10

Κατάντη : R107

Αποτελέσματα: J10

Παροχή Αιχμής (M3/S)	255.01
Χρονική στιγμή αιχμής	02Sep2000, 24:00
Όγκος(MM)	324.21

Απορροή



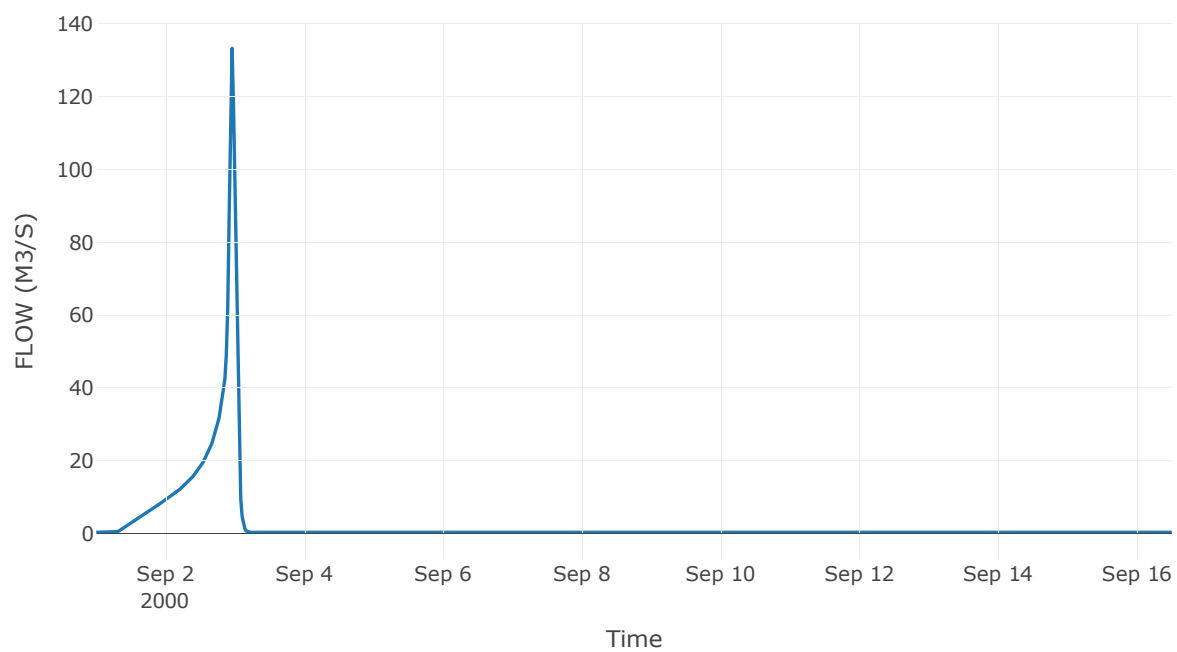
Κόμβος: J11

Κατάντη : R1110

Αποτελέσματα: J11

Παροχή Αιχμής (M3/S)	133.19
Χρονική στιγμή αιχμής	02Sep2000, 23:00
Όγκος(MM)	310.47

Απορροή



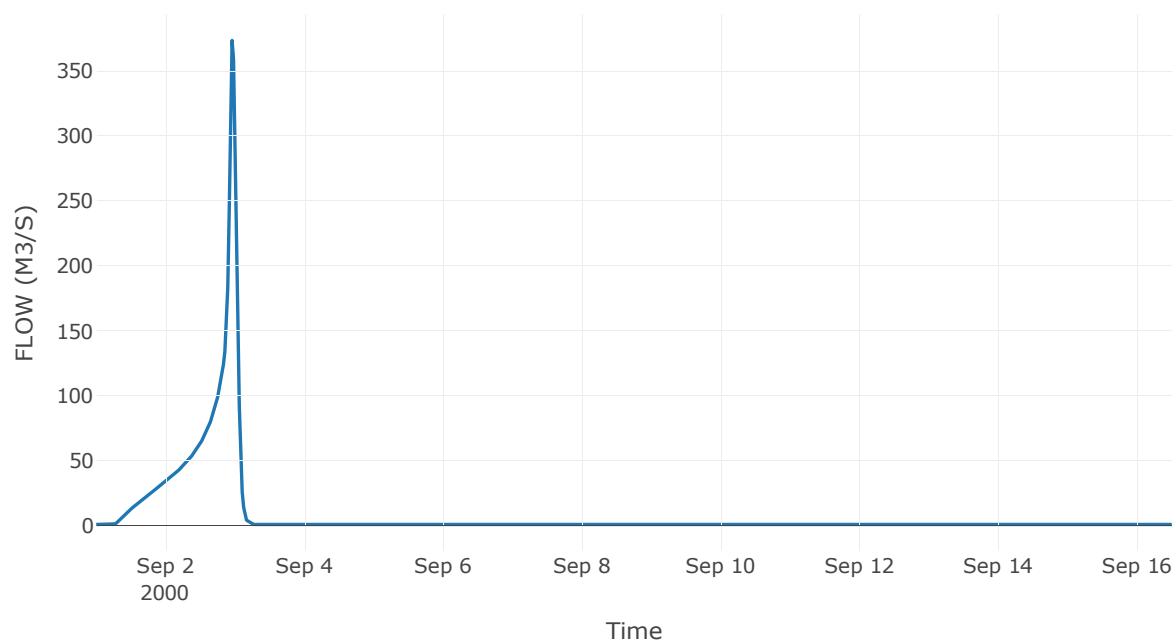
Κόμβος: J12

Κατάντη : R128

Αποτελέσματα: J12

Παροχή Αιχμής (M3/S)	373.66
Χρονική στιγμή αιχμής	02Sep2000, 23:00
Όγκος(MM)	323.24

Απορροή



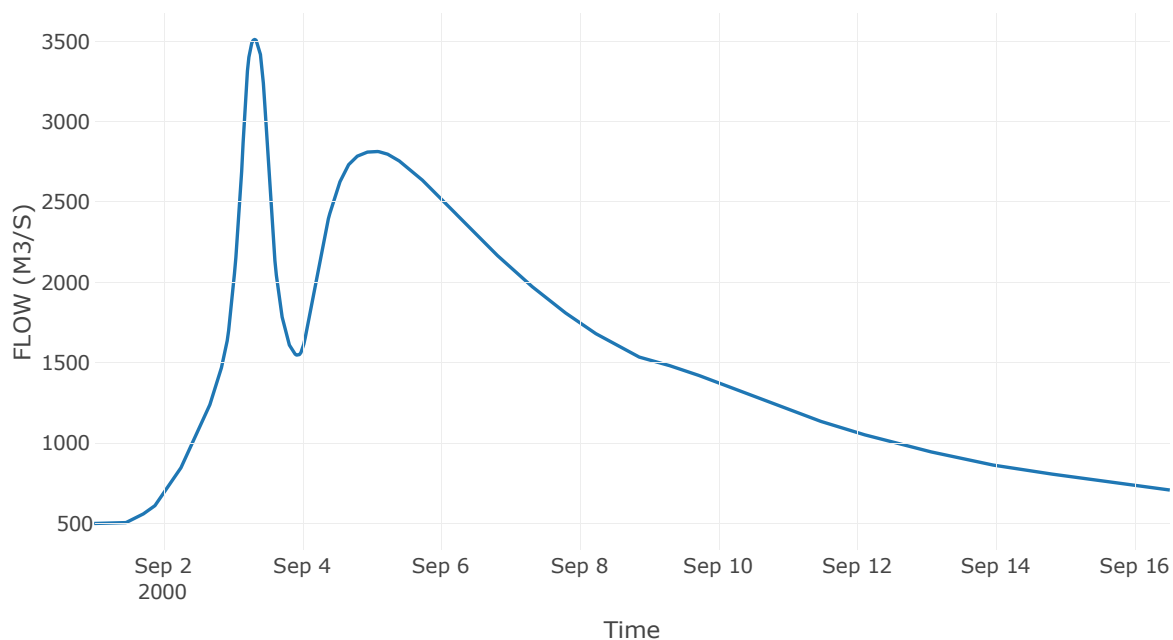
Ταμιευτήρας: J13_RES1

Κατάντη : R138

Αποτελέσματα: J13_RES1

Παροχή Αιχμής (M3/S)	3512.04
Χρονική στιγμή αιχμής	03Sep2000, 07:30
Όγκος(MM)	455.17
Παροχή Αιχμής Εισόδου (M3/S)	4120.96
Time of Peak Inflow	03Sep2000, 04:00
Όγκος Εισροής (M3)	1.98E9
Maximum Storage (M3)	6.76E7
Peak Elevation (M)	67.46
Discharge Όγκος(M3)	1.97E9

Απορροή



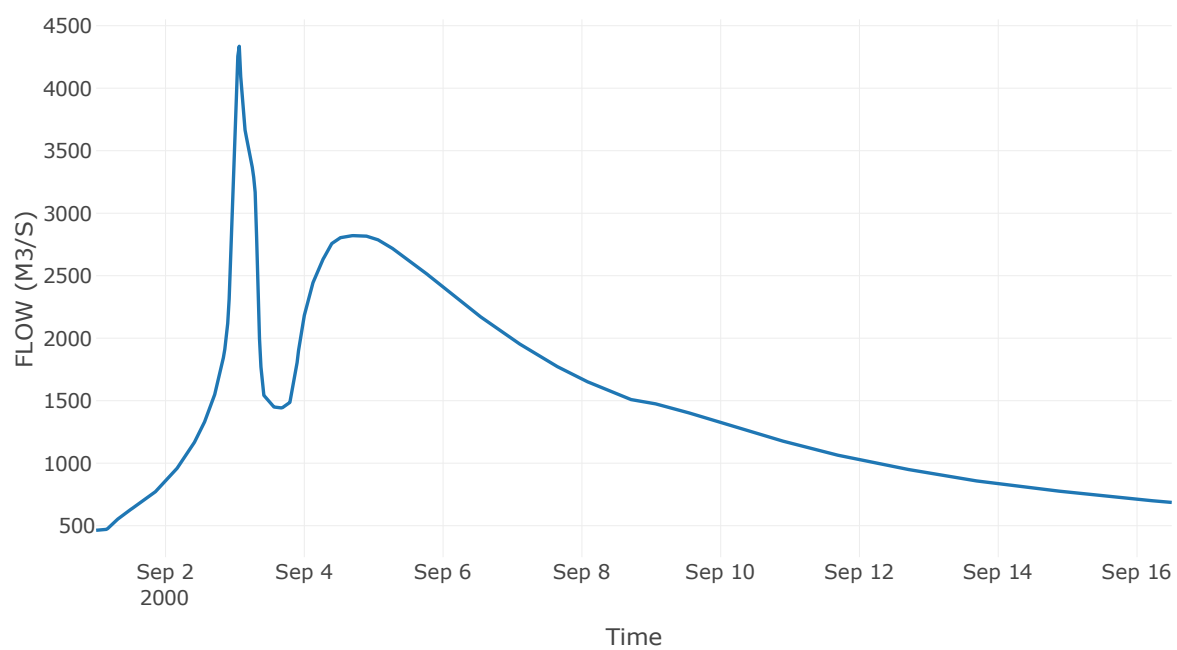
Κόμβος: J14

Κατάντη : R1413

Αποτελέσματα: J14

Παροχή Αιχμής (M3/S)	4335.58
Χρονική στιγμή αιχμής	03Sep2000, 01:30
Όγκος(MM)	457.7

Απορροή



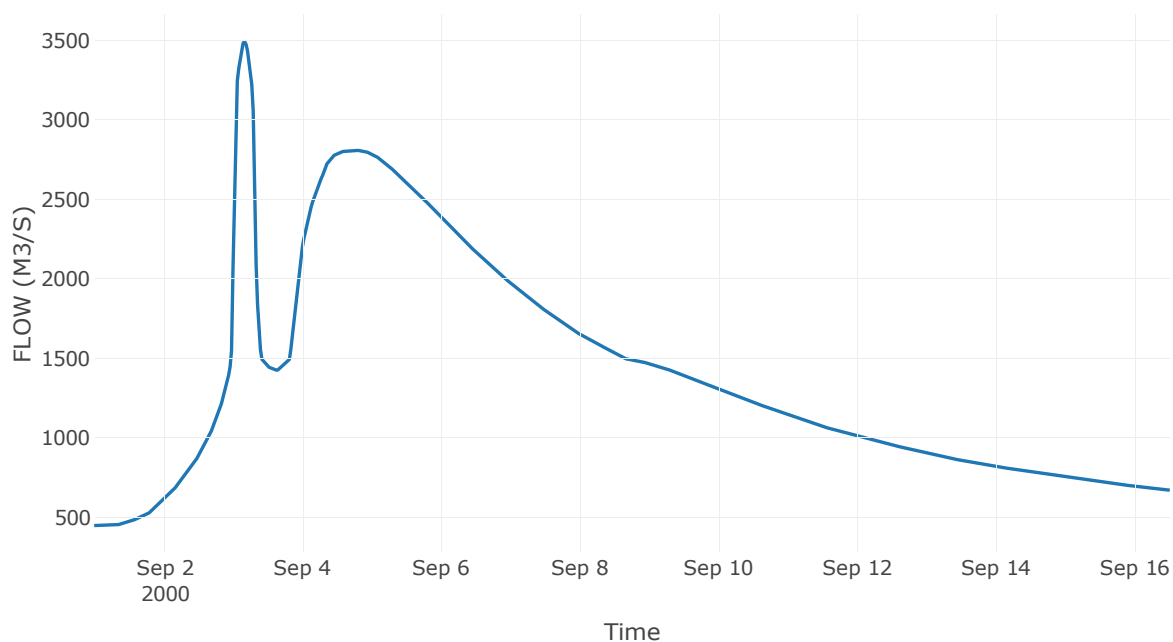
Ταμιευτήρας: J15_RES2

Κατάντη : R1514

Αποτελέσματα: J15_RES2

Παροχή Αιχμής (M3/S)	3492.32
Χρονική στιγμή αιχμής	03Sep2000, 04:00
Όγκος(MM)	458.93
Παροχή Αιχμής Εισόδου (M3/S)	4765.95
Time of Peak Inflow	03Sep2000, 02:00
Όγκος Εισροής (M3)	1.91E9
Maximum Storage (M3)	9.38E8
Peak Elevation (M)	149.57
Discharge Όγκος(M3)	1.88E9

Απορροή



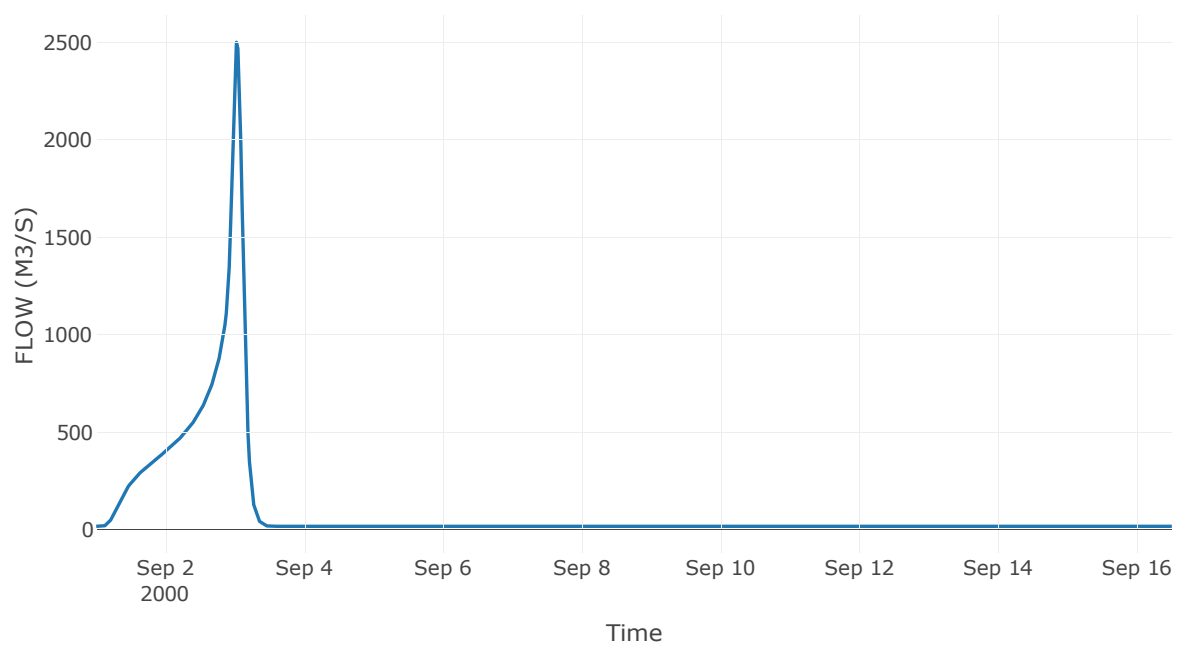
Κόμβος: J16

Κατάντη : R1619

Αποτελέσματα: J16

Παροχή Αιχμής (M3/S)	2499.6
Χρονική στιγμή αιχμής	03Sep2000, 00:30
Όγκος(MM)	488.93

Απορροή



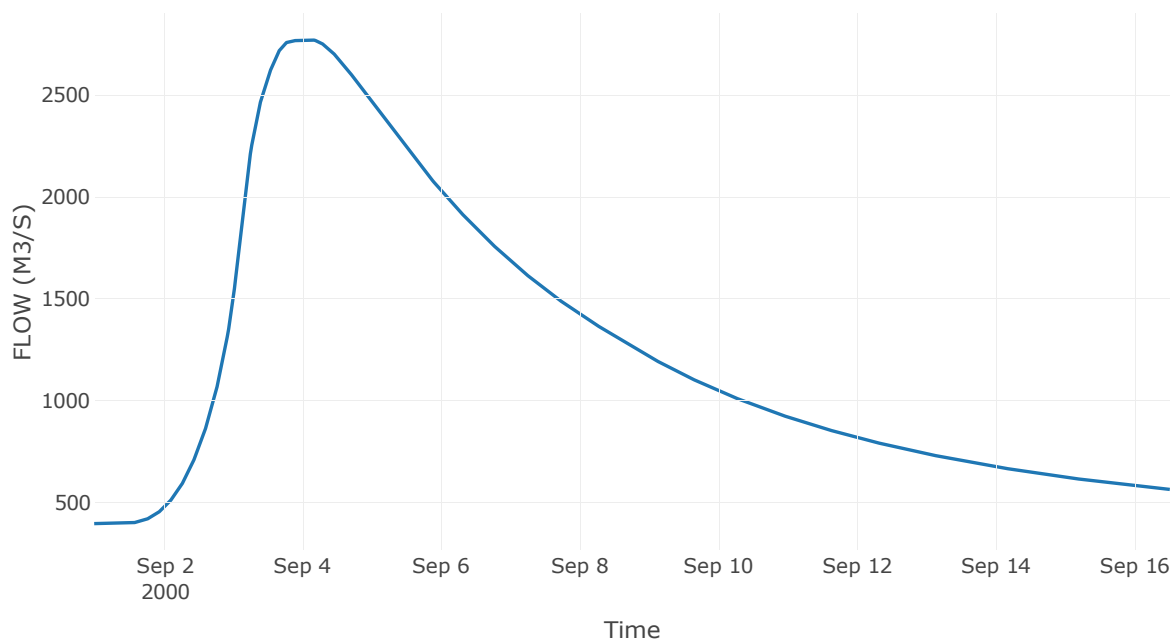
Ταμιευτήρας: J17_RES3

Κατάντη : R1718

Αποτελέσματα: J17_RES3

Παροχή Αιχμής (M3/S)	2773.07
Χρονική στιγμή αιχμής	04Sep2000, 02:00
Όγκος(MM)	469.05
Παροχή Αιχμής Εισόδου (M3/S)	15932.71
Time of Peak Inflow	03Sep2000, 02:00
Όγκος Εισροής (M3)	1.85E9
Maximum Storage (M3)	4.54E9
Peak Elevation (M)	281.69
Discharge Όγκος(M3)	1.67E9

Απορροή



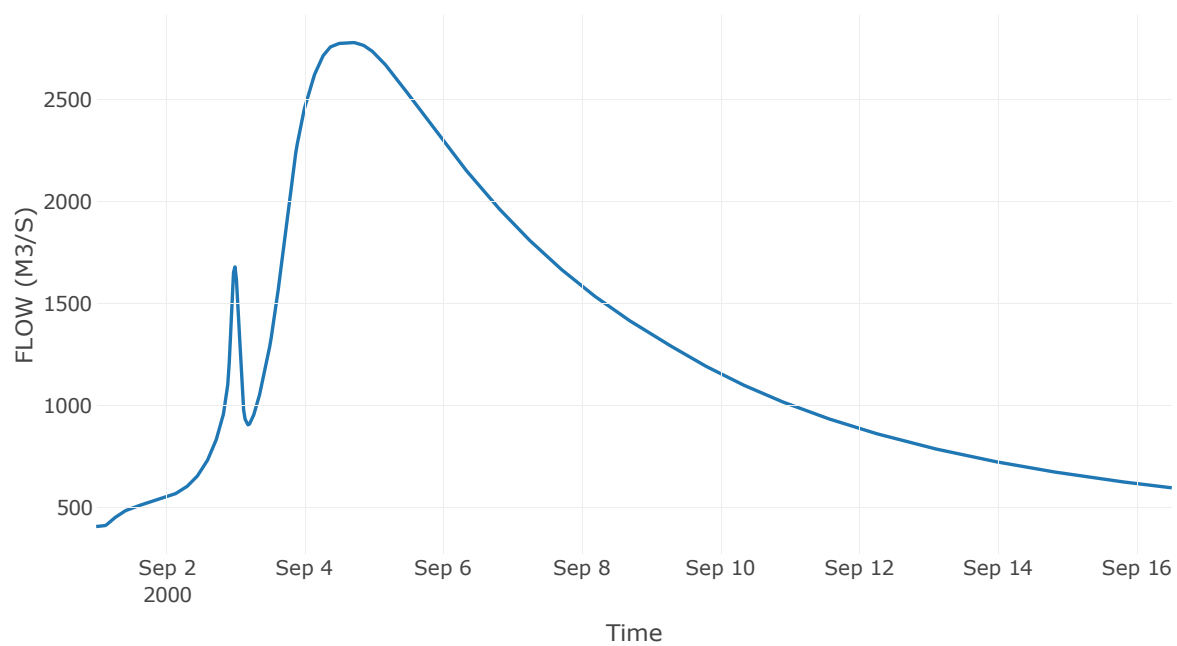
Κόμβος: J18

Κατάντη : R1819

Αποτελέσματα: J18

Παροχή Αιχμής (M3/S)	2779.27
Χρονική στιγμή αιχμής	04Sep2000, 16:00
Όγκος(MM)	465.34

Απορροή



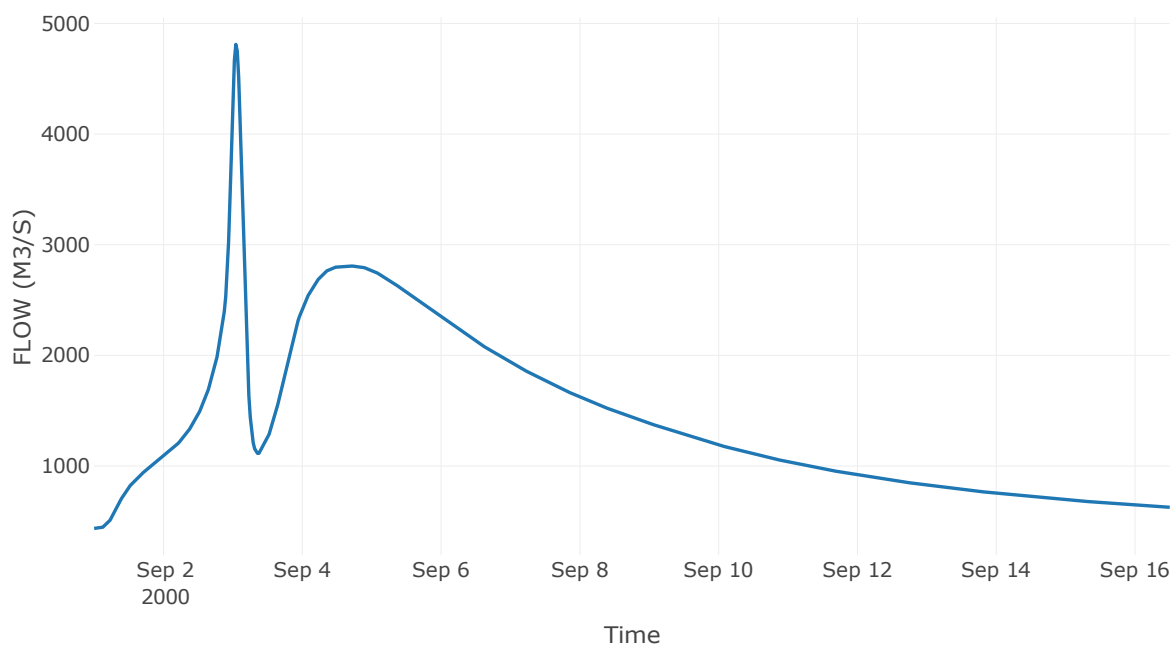
Κόμβος: J19

Κατάντη : R1915

Αποτελέσματα: J19

Παροχή Αιχμής (M3/S)	4810.91
Χρονική στιγμή αιχμής	03Sep2000, 01:00
Όγκος(MM)	466.22

Απορροή



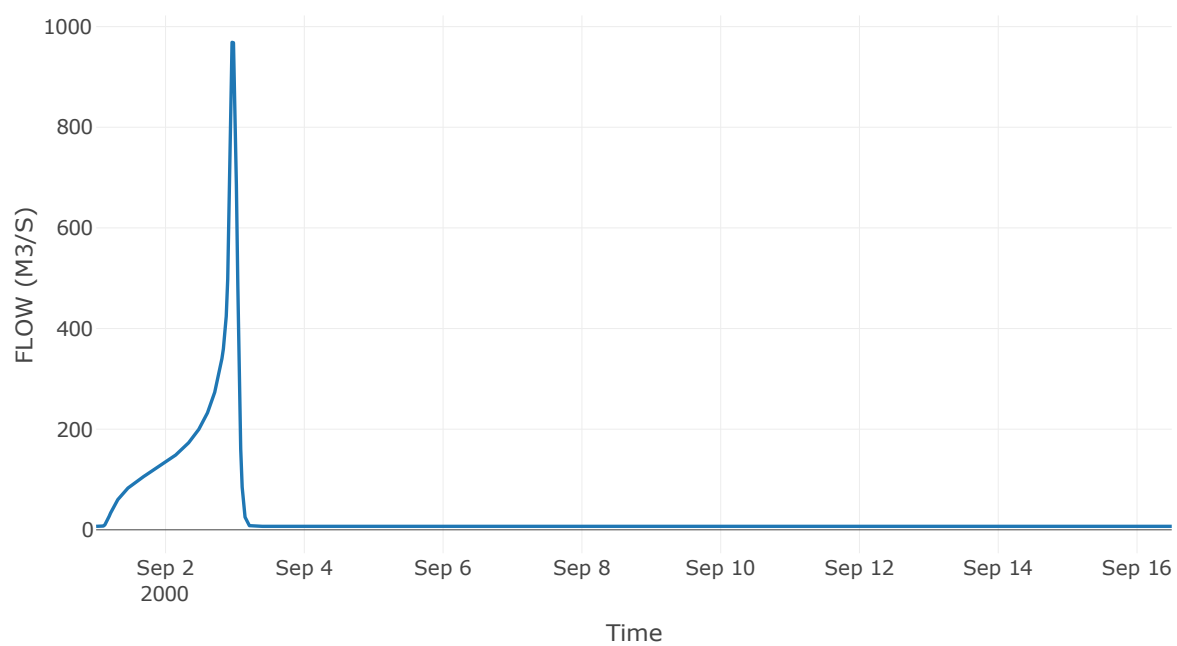
Κόμβος: J20

Κατάντη : R2014

Αποτελέσματα: J20

Παροχή Αιχμής (M3/S)	968.77
Χρονική στιγμή αιχμής	02Sep2000, 23:00
Όγκος(MM)	436.01

Απορροή



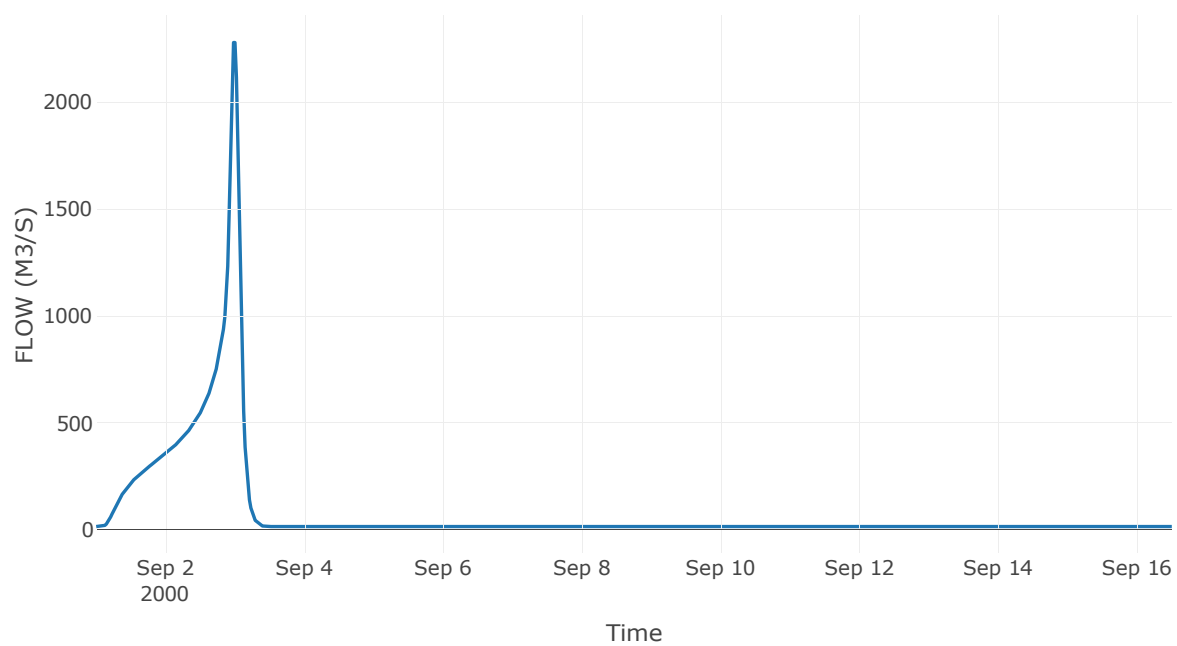
Κόμβος: J21

Κατάντη : R2116

Αποτελέσματα: J21

Παροχή Αιχμής (M3/S)	2280.45
Χρονική στιγμή αιχμής	02Sep2000, 24:00
Όγκος(MM)	489.3

Απορροή



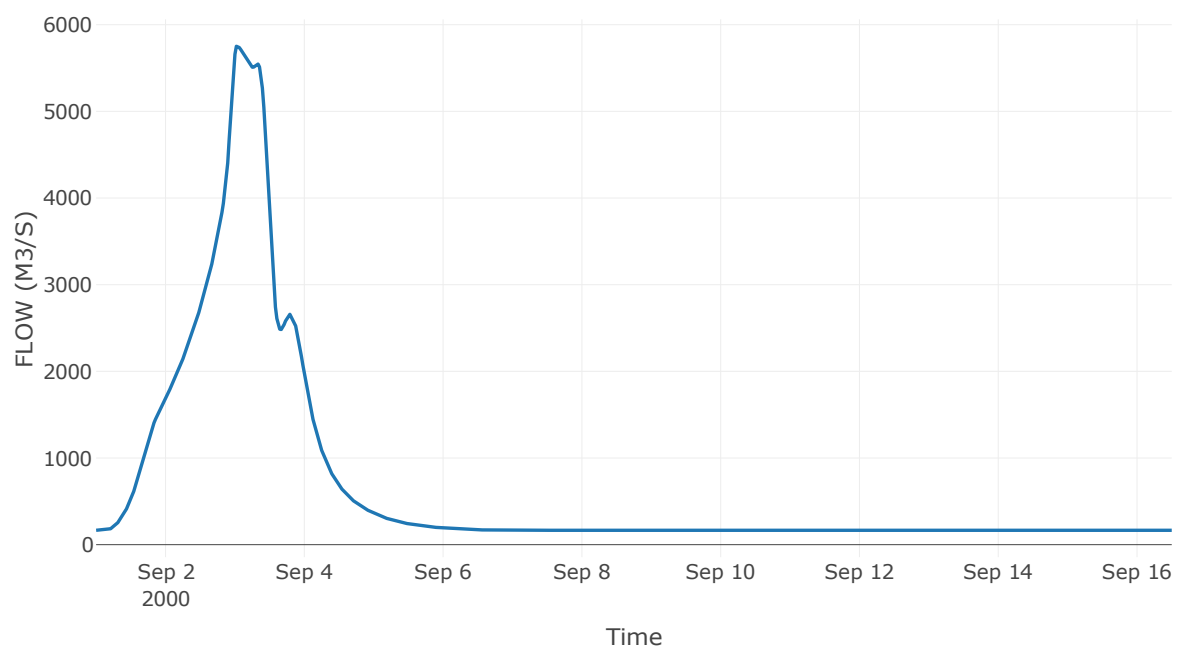
Κόμβος: J22

Κατάντη : R2231

Αποτελέσματα: J22

Παροχή Αιχμής (M3/S)	5751.33
Χρονική στιγμή αιχμής	03Sep2000, 00:30
Όγκος(MM)	527.68

Απορροή



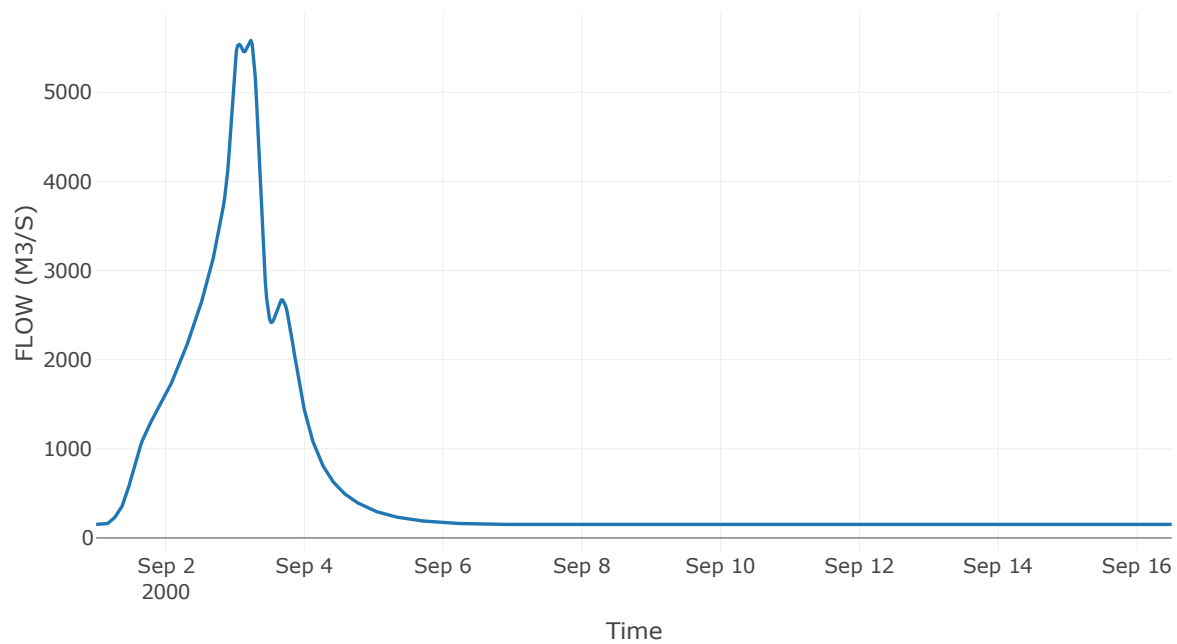
Κόμβος: J23

Κατάντη : R2324

Αποτελέσματα: J23

Παροχή Αιχμής (M3/S)	5583.15
Χρονική στιγμή αιχμής	03Sep2000, 05:30
Όγκος(MM)	541.08

Απορροή



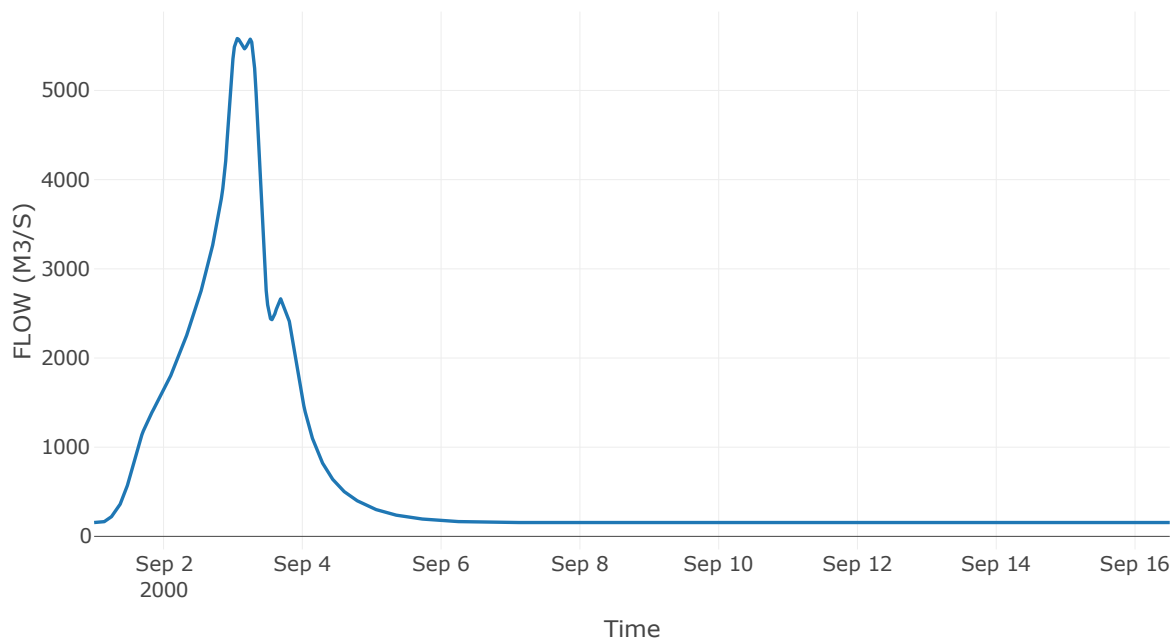
Κόμβος: J24

Κατάντη : R2425

Αποτελέσματα: J24

Παροχή Αιχμής (M3/S)	5582.61
Χρονική στιγμή αιχμής	03Sep2000, 01:30
Όγκος(MM)	538.02

Απορροή



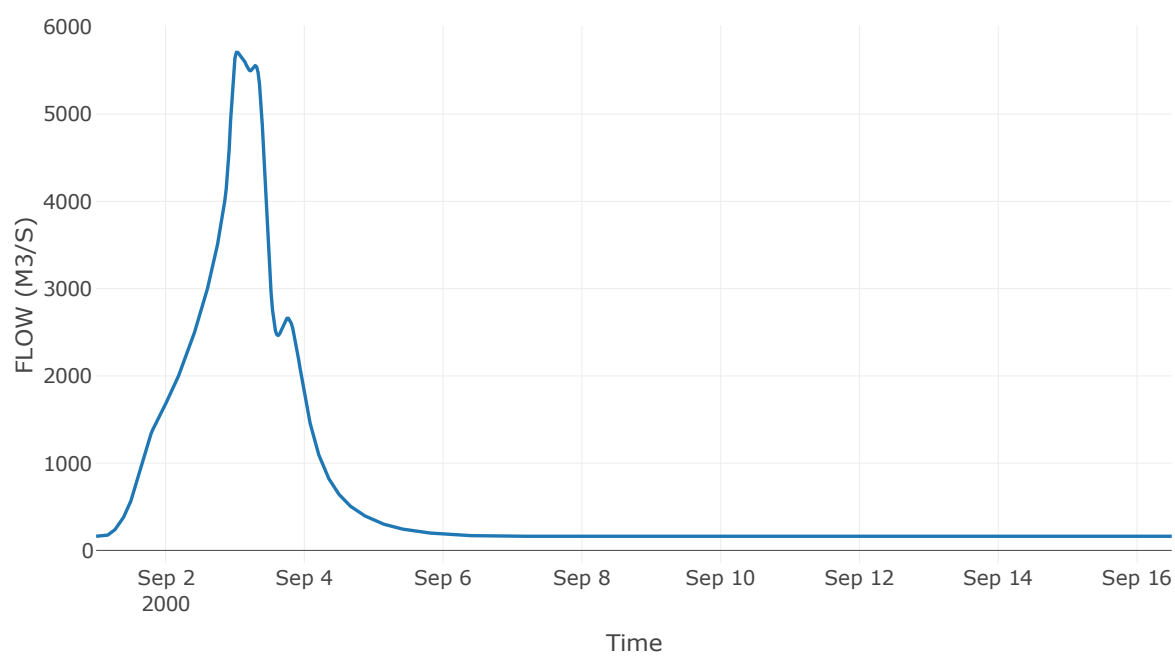
Κόμβος: J25

Κατάντη : R2522

Αποτελέσματα: J25

Παροχή Αιχμής (M3/S)	5708.74
Χρονική στιγμή αιχμής	03Sep2000, 00:30
Όγκος(MM)	532.03

Απορροή



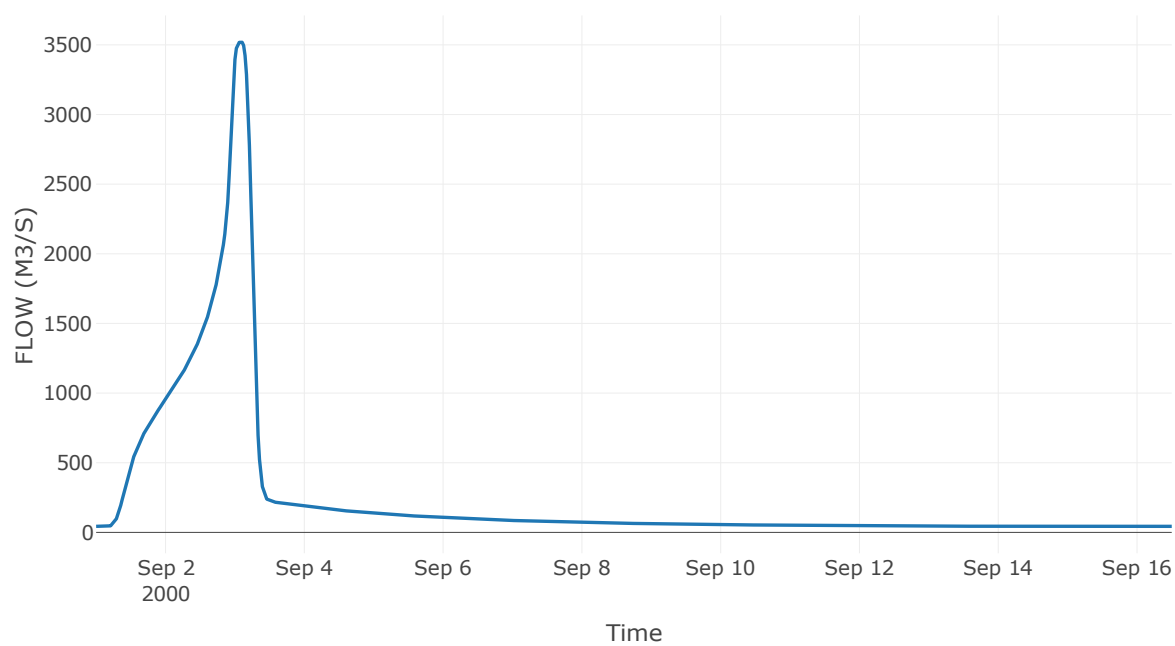
Κόμβος: J26

Κατάντη : R2664

Αποτελέσματα: J26

Παροχή Αιχμής (M3/S)	3518.28
Χρονική στιγμή αιχμής	03Sep2000, 02:30
Όγκος(MM)	556.62

Απορροή



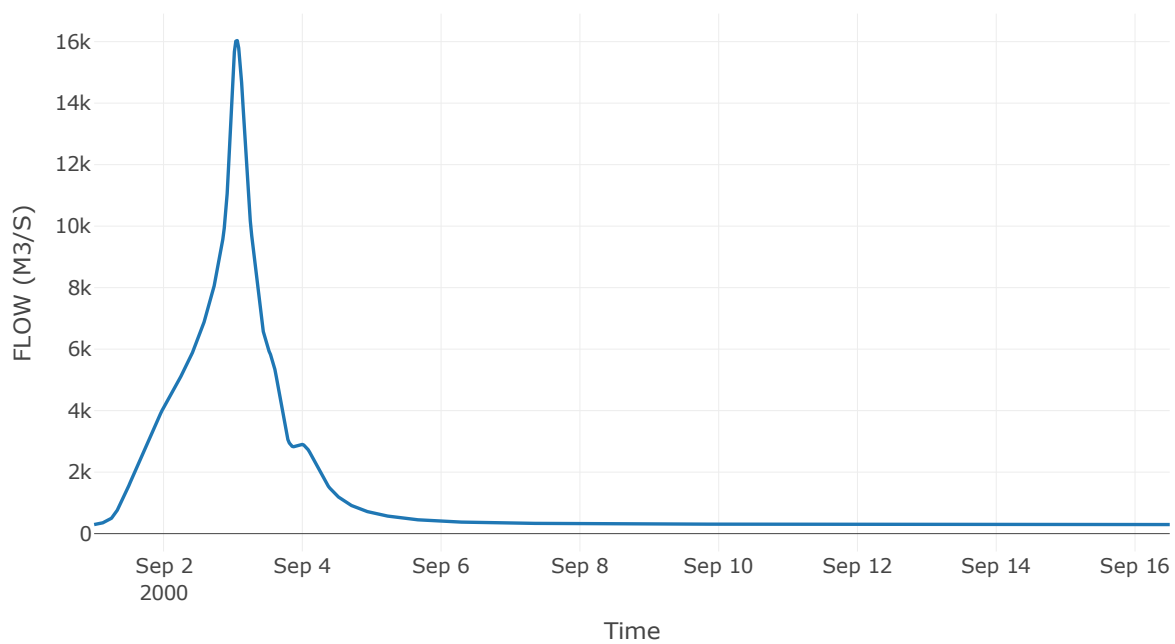
Κόμβος: J27

Κατάντη : R2717

Αποτελέσματα: J27

Παροχή Αιχμής (M3/S)	16035.2
Χρονική στιγμή αιχμής	03Sep2000, 01:30
Όγκος(MM)	520.46

Απορροή



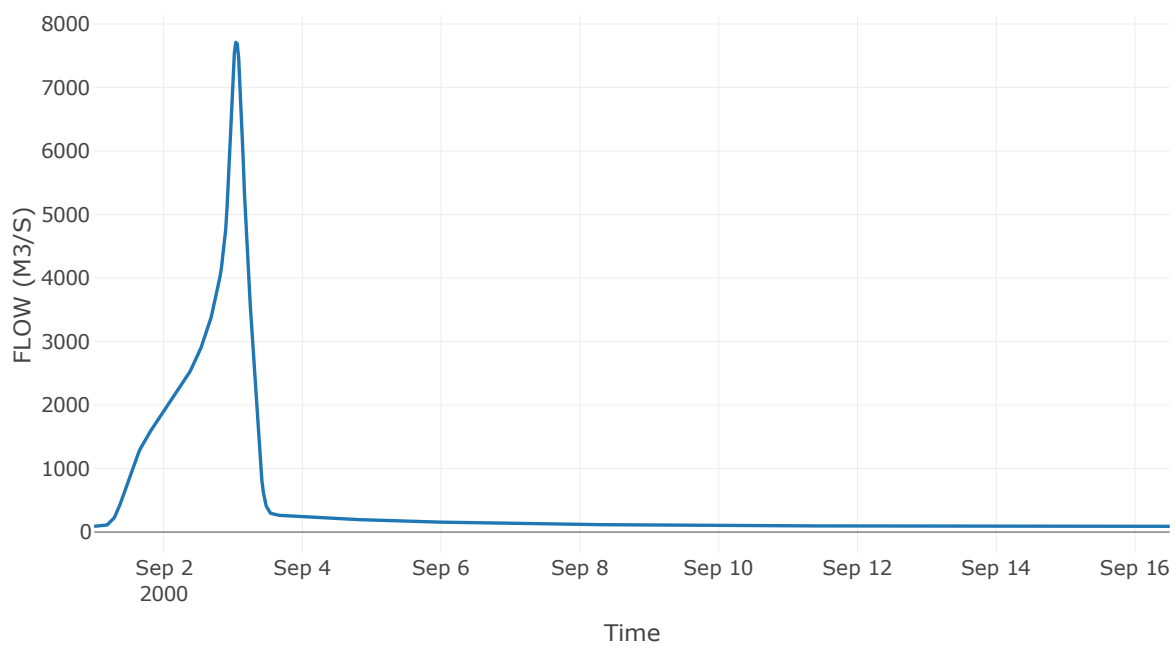
Κόμβος: J28

Κατάντη : R2827

Αποτελέσματα: J28

Παροχή Αιχμής (M3/S)	7711.72
Χρονική στιγμή αιχμής	03Sep2000, 01:00
Όγκος(MM)	508

Απορροή



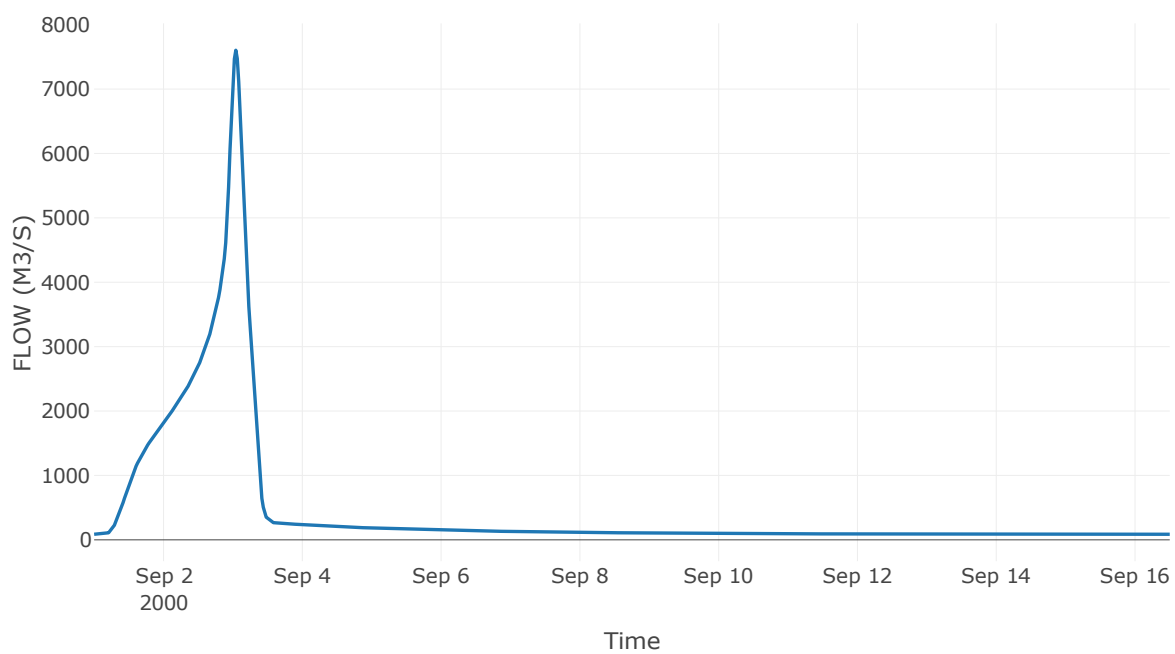
Κόμβος: J29

Κατάντη : R2928

Αποτελέσματα: J29

Παροχή Αιχμής (M3/S)	7603.25
Χρονική στιγμή αιχμής	03Sep2000, 01:00
Όγκος(MM)	508.49

Απορροή



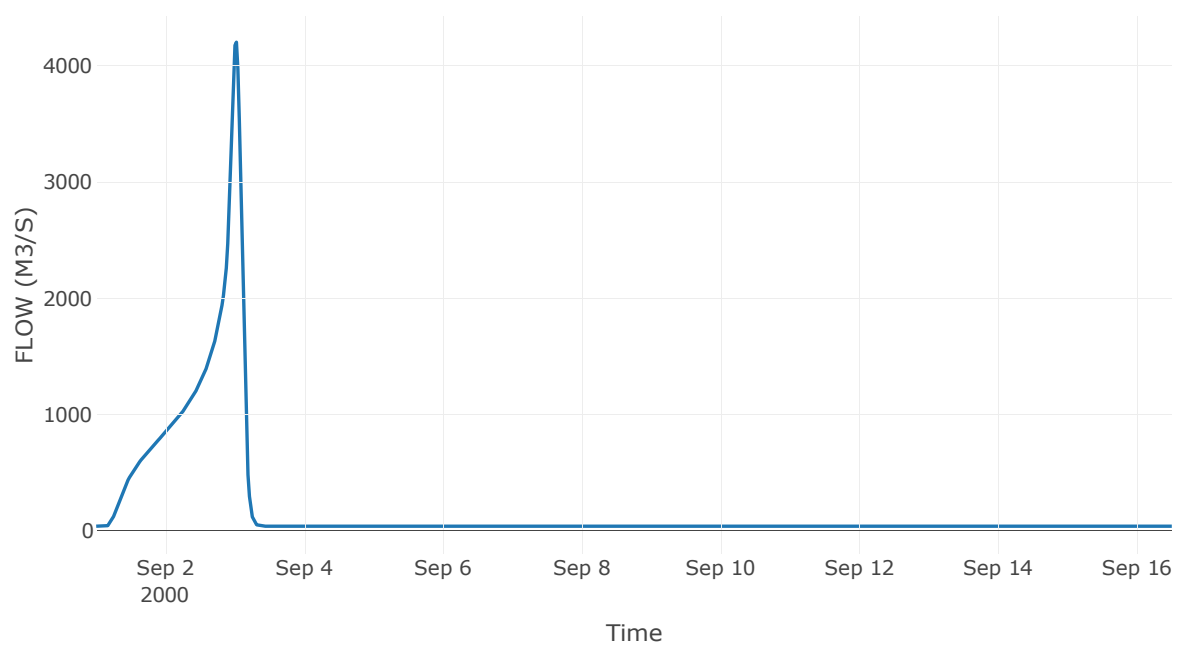
Κόμβος: J30

Κατάντη : R3029

Αποτελέσματα: J30

Παροχή Αιχμής (M3/S)	4201.74
Χρονική στιγμή αιχμής	03Sep2000, 00:30
Όγκος(MM)	462.33

Απορροή



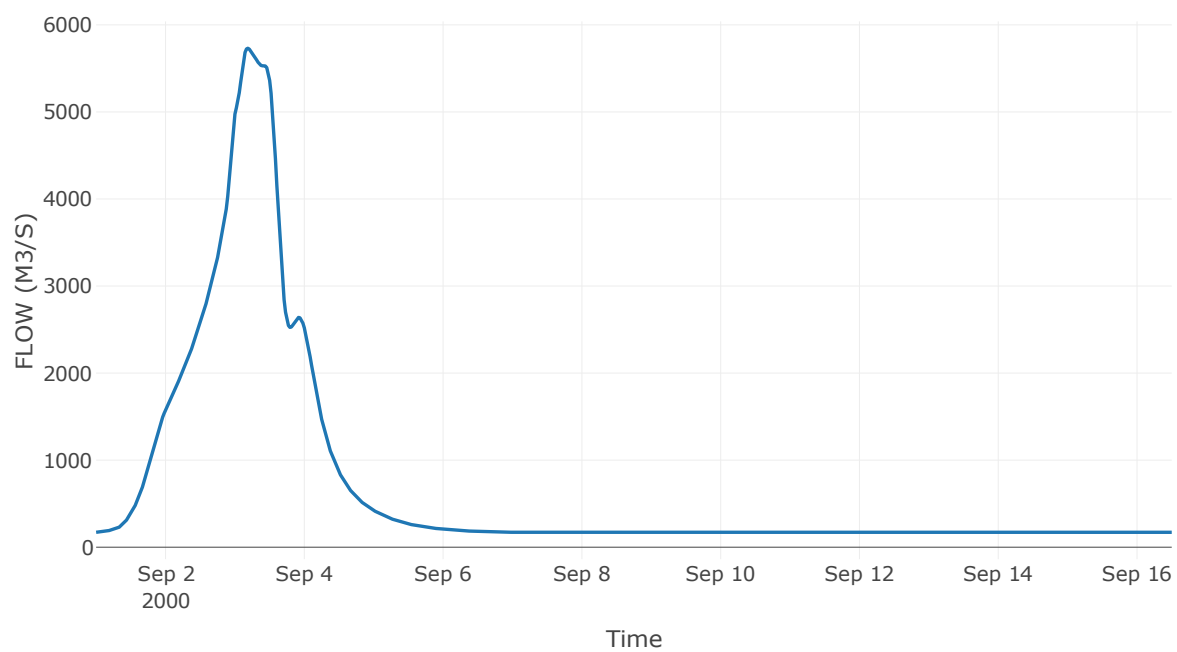
Κόμβος: J31

Κατάντη : R3127

Αποτελέσματα: J31

Παροχή Αιχμής (M3/S)	5731.36
Χρονική στιγμή αιχμής	03Sep2000, 04:30
Όγκος(MM)	524.79

Απορροή



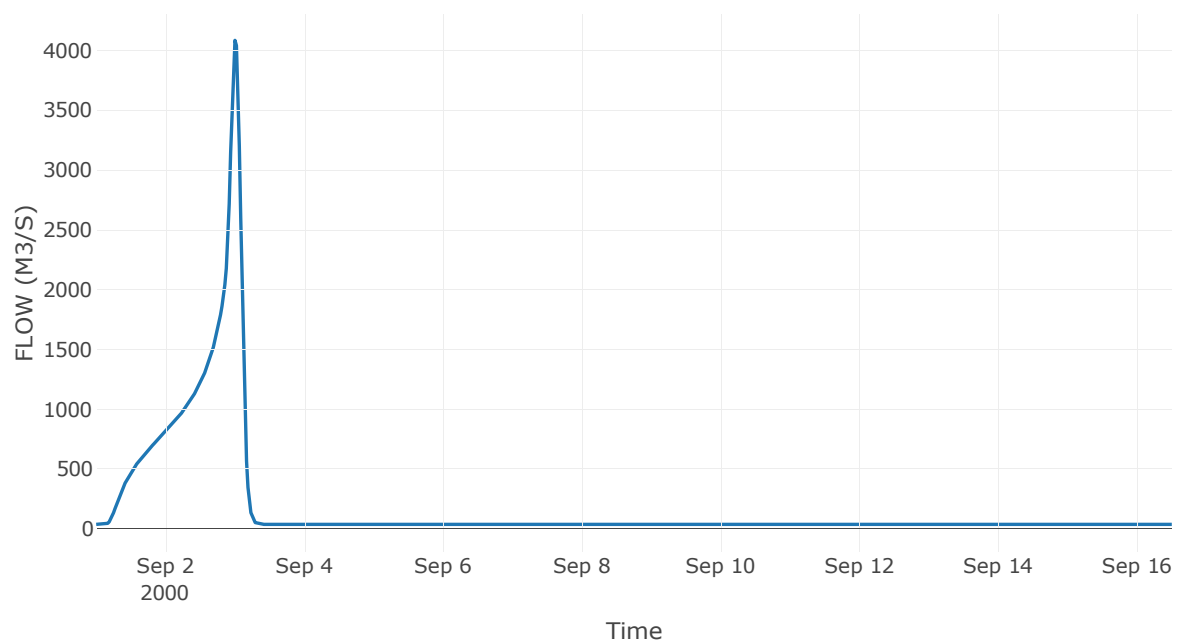
Κόμβος: J32

Κατάντη : R3230

Αποτελέσματα: J32

Παροχή Αιχμής (M3/S)	4085.26
Χρονική στιγμή αιχμής	02Sep2000, 24:00
Όγκος(MM)	464.95

Απορροή



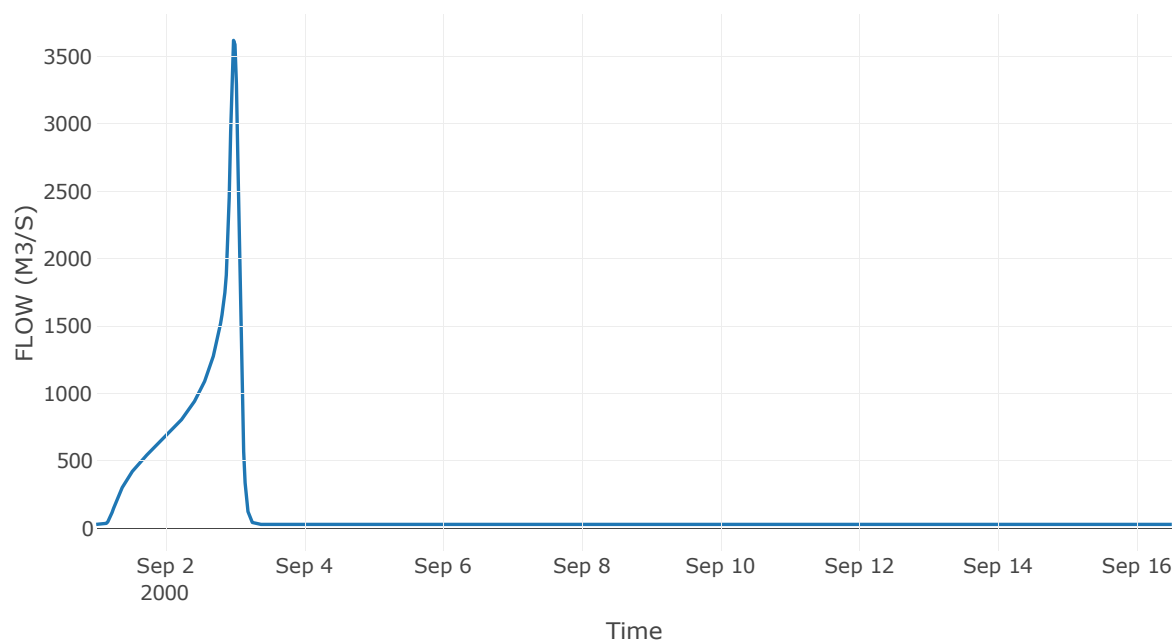
Κόμβος: J33

Κατάντη : R3332

Αποτελέσματα: J33

Παροχή Αιχμής (M3/S)	3619.43
Χρονική στιγμή αιχμής	02Sep2000, 23:30
Όγκος(MM)	463.88

Απορροή



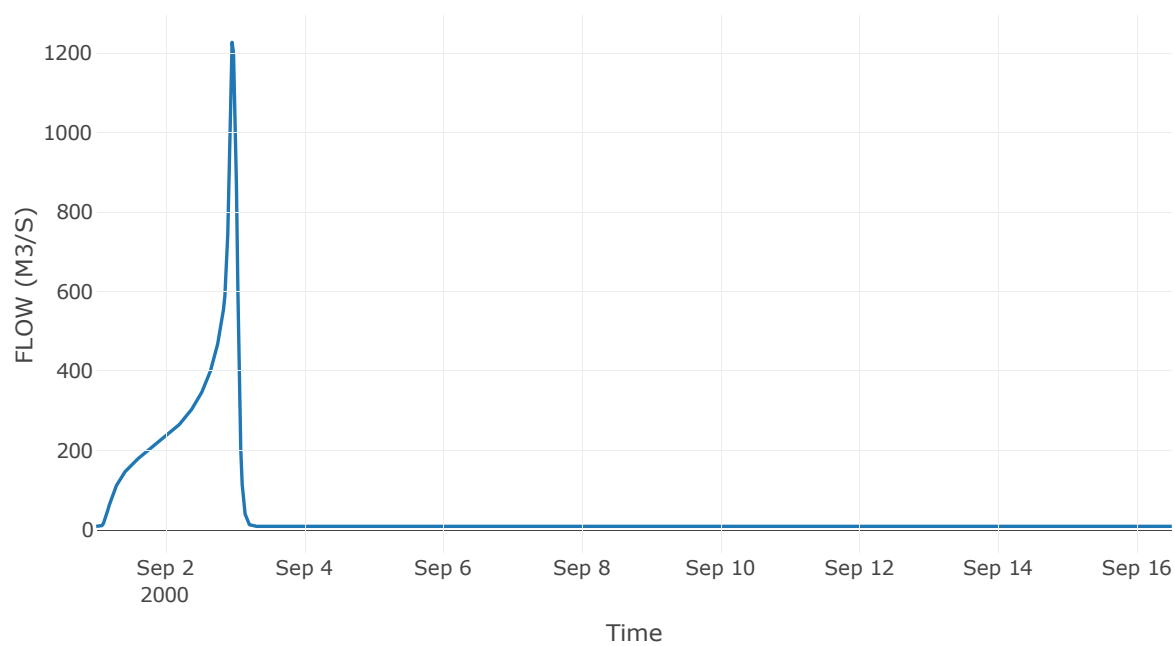
Κόμβος: J34

Κατάντη : R3433

Αποτελέσματα: J34

Παροχή Αιχμής (M3/S)	1227.09
Χρονική στιγμή αιχμής	02Sep2000, 23:00
Όγκος(MM)	496.88

Απορροή



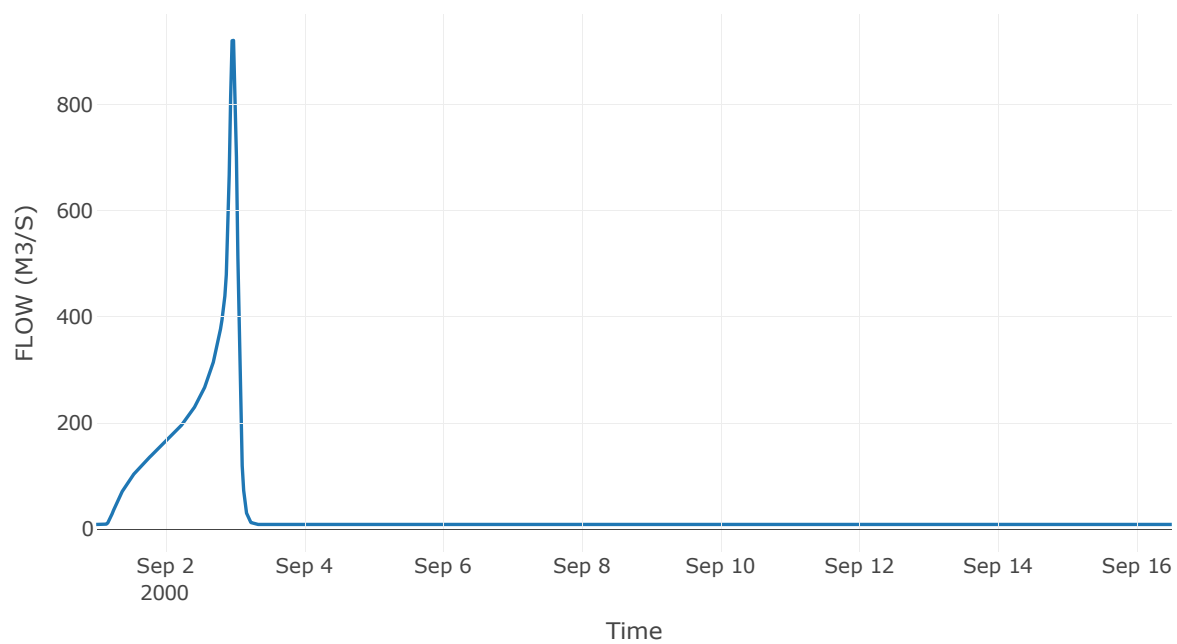
Κόμβος: J35

Κατάντη : R3533

Αποτελέσματα: J35

Παροχή Αιχμής (M3/S)	920.53
Χρονική στιγμή αιχμής	02Sep2000, 23:30
Όγκος(MM)	397.98

Απορροή



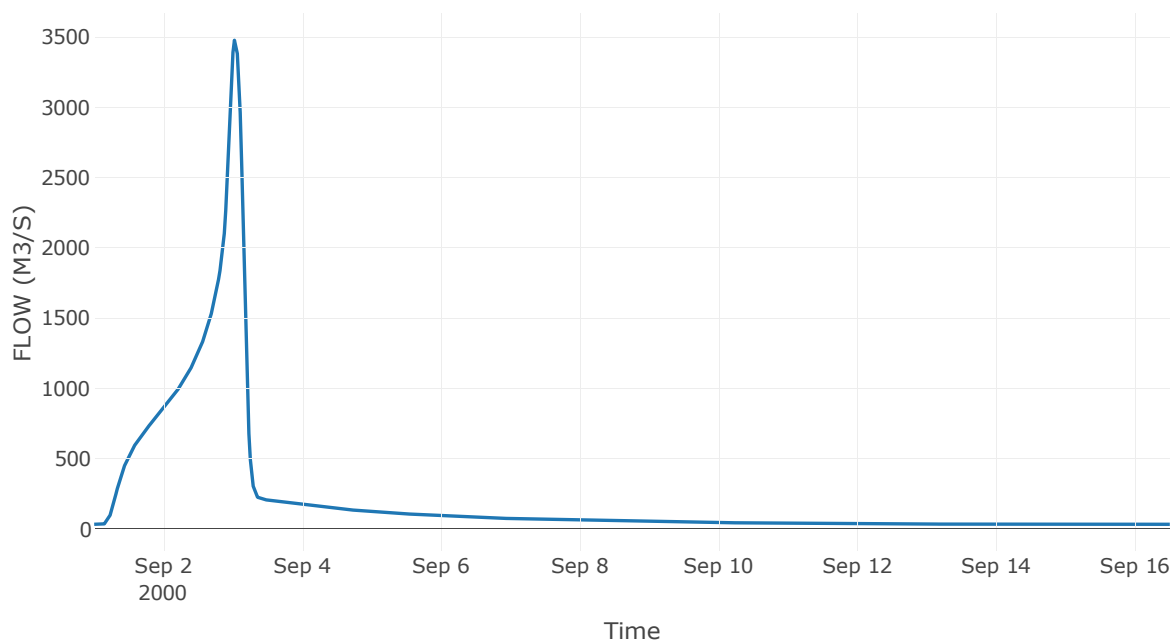
Κόμβος: J37

Κατάντη : R3726

Αποτελέσματα: J37

Παροχή Αιχμής (M3/S)	3477.59
Χρονική στιγμή αιχμής	03Sep2000, 00:30
Όγκος(MM)	587.05

Απορροή



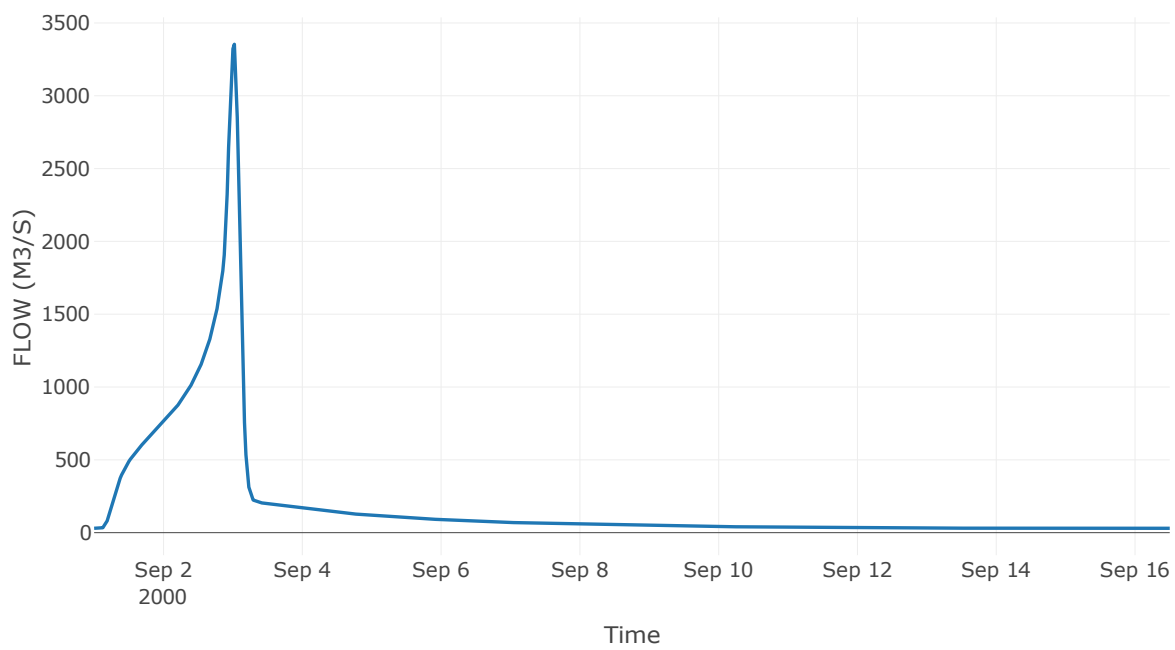
Κόμβος: J38

Κατάντη : R3837

Αποτελέσματα: J38

Παροχή Αιχμής (M3/S)	3353.63
Χρονική στιγμή αιχμής	03Sep2000, 00:30
Όγκος(MM)	601

Απορροή



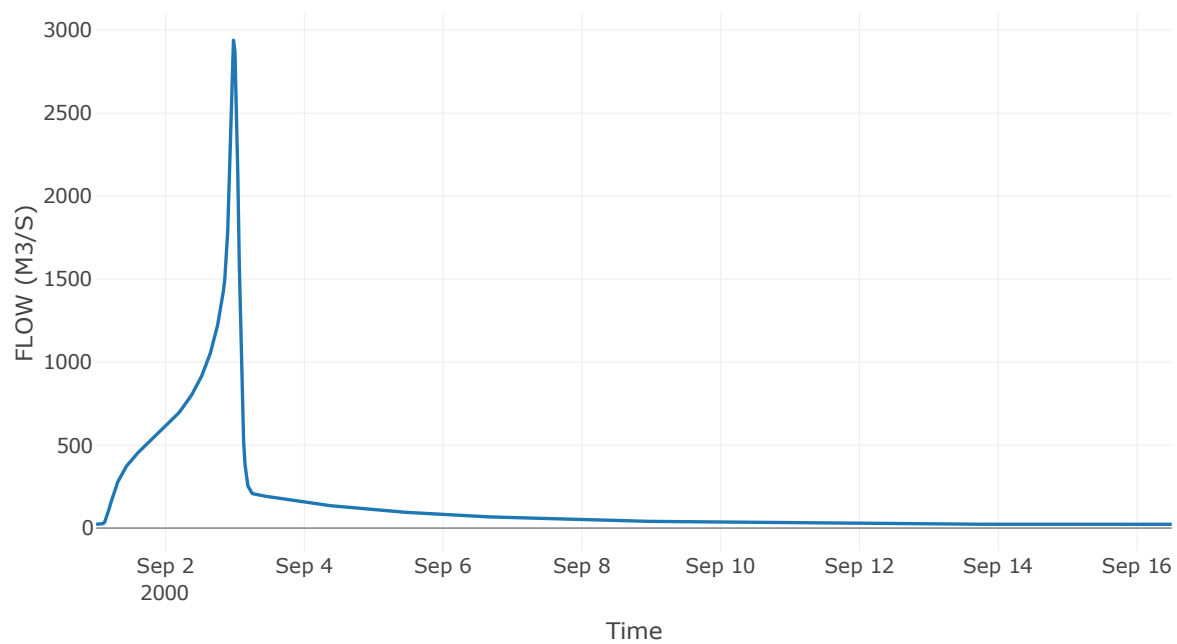
Κόμβος: J39

Κατάντη : R3938

Αποτελέσματα: J39

Παροχή Αιχμής (M3/S)	2939.1
Χρονική στιγμή αιχμής	02Sep2000, 23:30
Όγκος(MM)	648.29

Απορροή



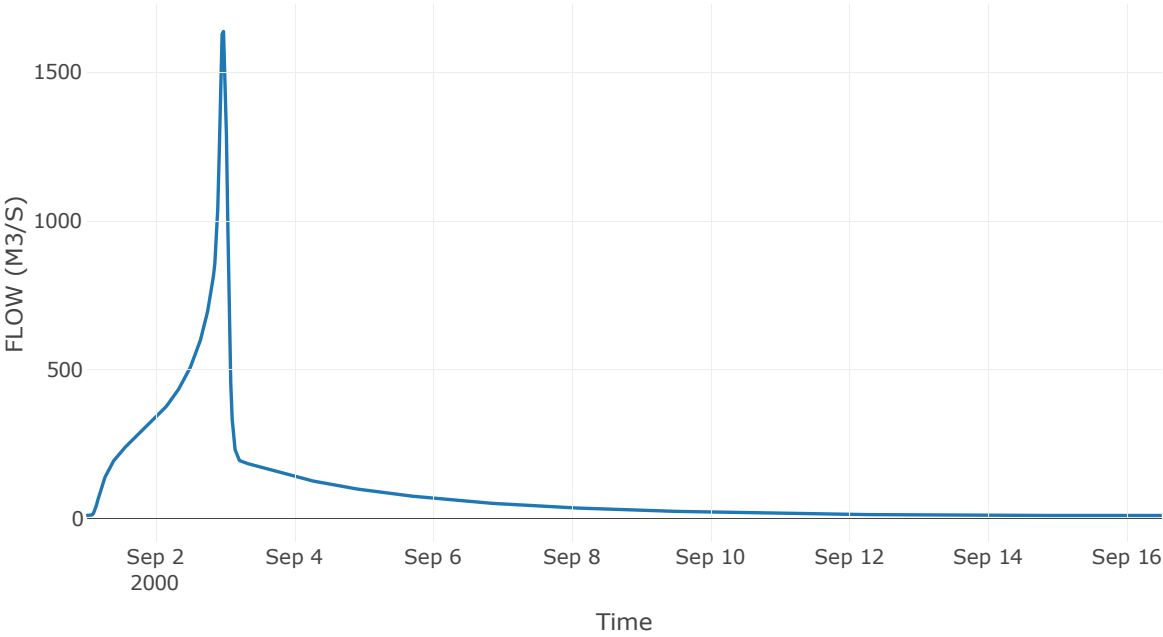
Κόμβος: J40

Κατάντη : R4039

Αποτελέσματα: J40

Παροχή Αιχμής (M3/S)	1636.77
Χρονική στιγμή αιχμής	02Sep2000, 23:30
Όγκος(MM)	800.38

Απορροή



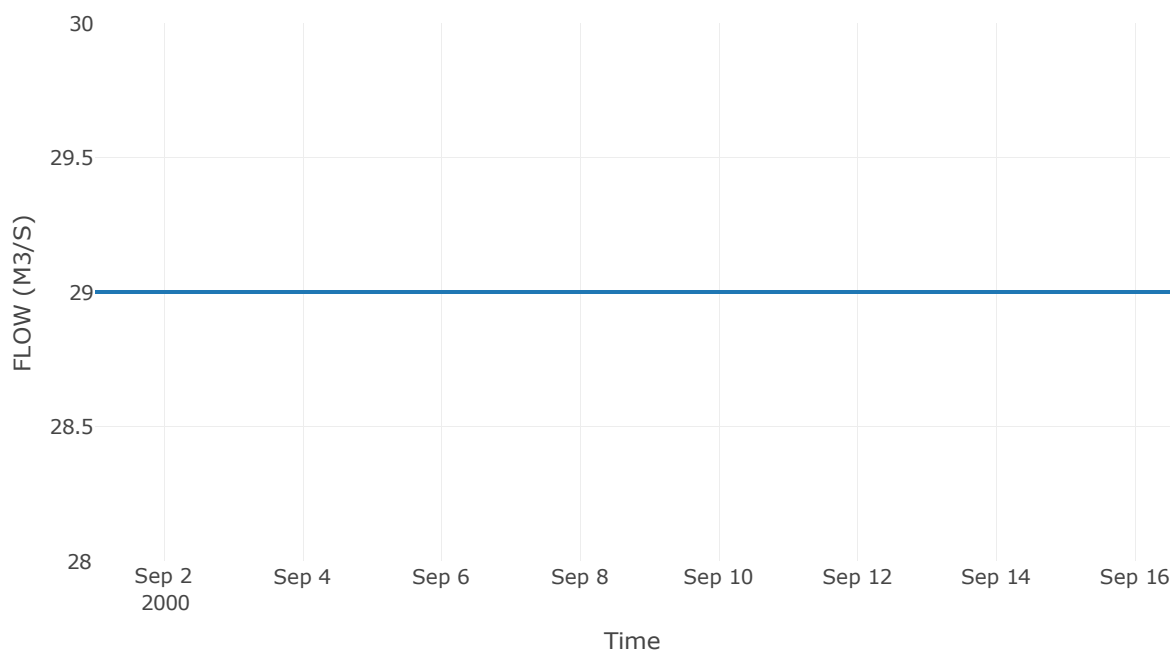
Ταμιευτήρας: J41_RES4

Κατάντη : Κόμβος εξόδου - RES4

Αποτελέσματα: J41_RES4

Παροχή Αιχμής (M3/S)	29
Χρονική στιγμή αιχμής	31Aug2000, 24:00
Όγκος(MM)	234.94
Παροχή Αιχμής Εισόδου (M3/S)	1135.47
Time of Peak Inflow	02Sep2000, 24:00
Όγκος Εισροής (M3)	8.12E7
Maximum Storage (M3)	4.14E8
Peak Elevation (M)	794
Discharge Όγκος(M3)	3.88E7

Απορροή



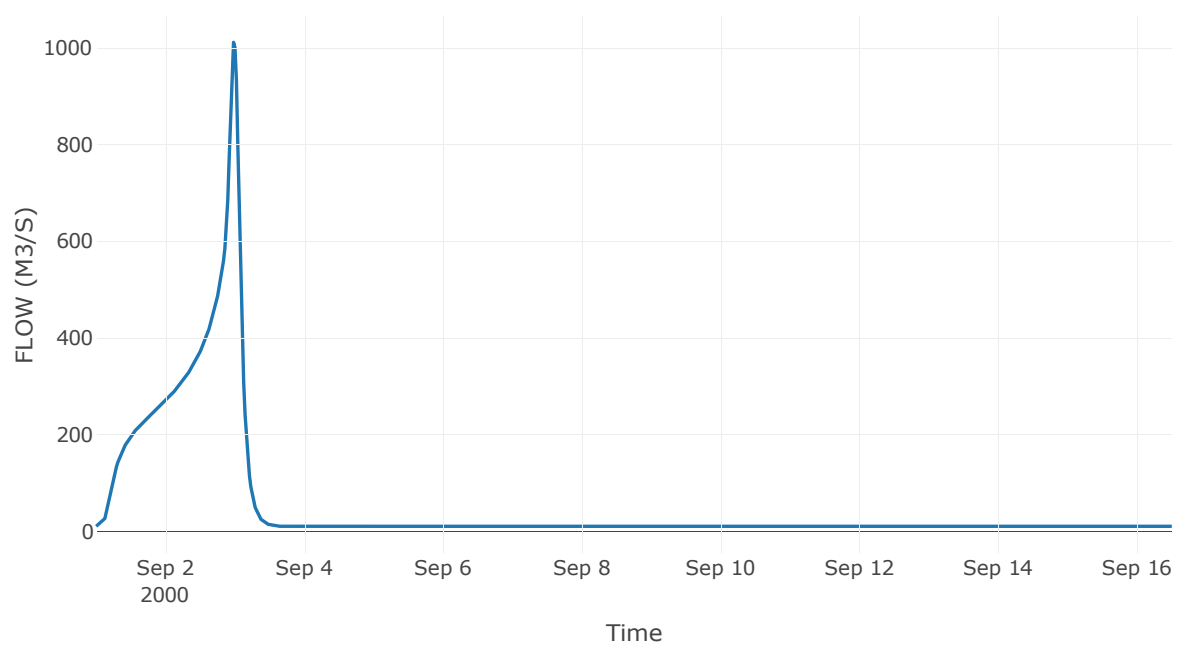
Κόμβος: J42

Κατάντη : R4241

Αποτελέσματα: J42

Παροχή Αιχμής (M3/S)	1011.02
Χρονική στιγμή αιχμής	02Sep2000, 23:30
Όγκος(MM)	490.08

Απορροή



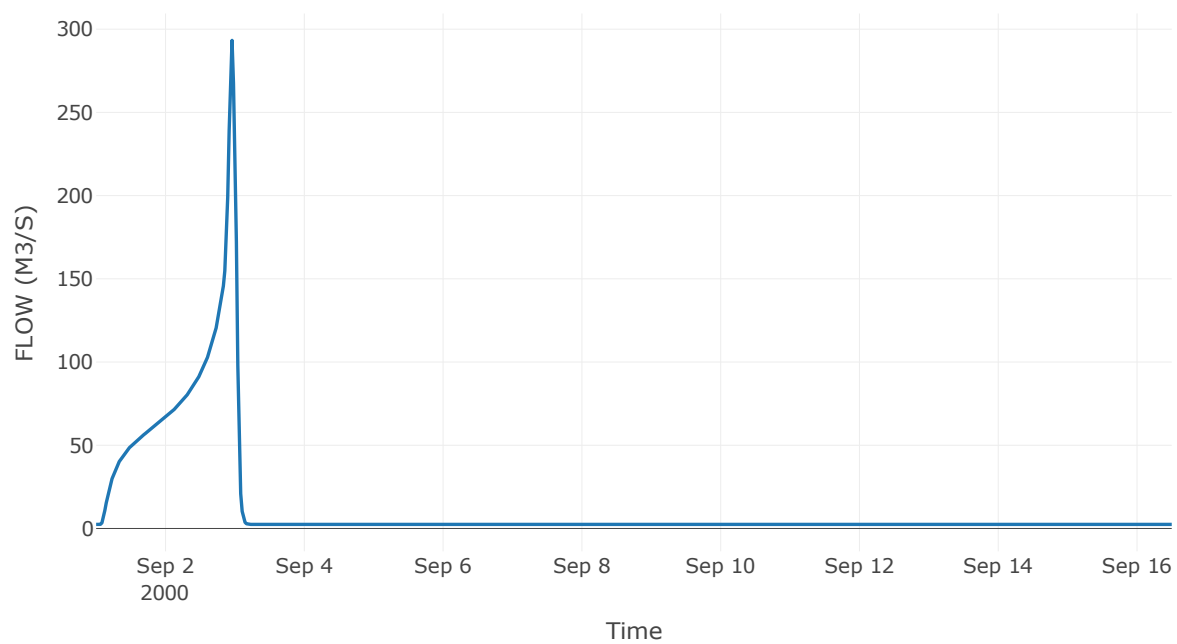
Κόμβος: J43

Κατάντη : R4342

Αποτελέσματα: J43

Παροχή Αιχμής (M3/S)	293.27
Χρονική στιγμή αιχμής	02Sep2000, 23:00
Όγκος(MM)	492.9

Απορροή



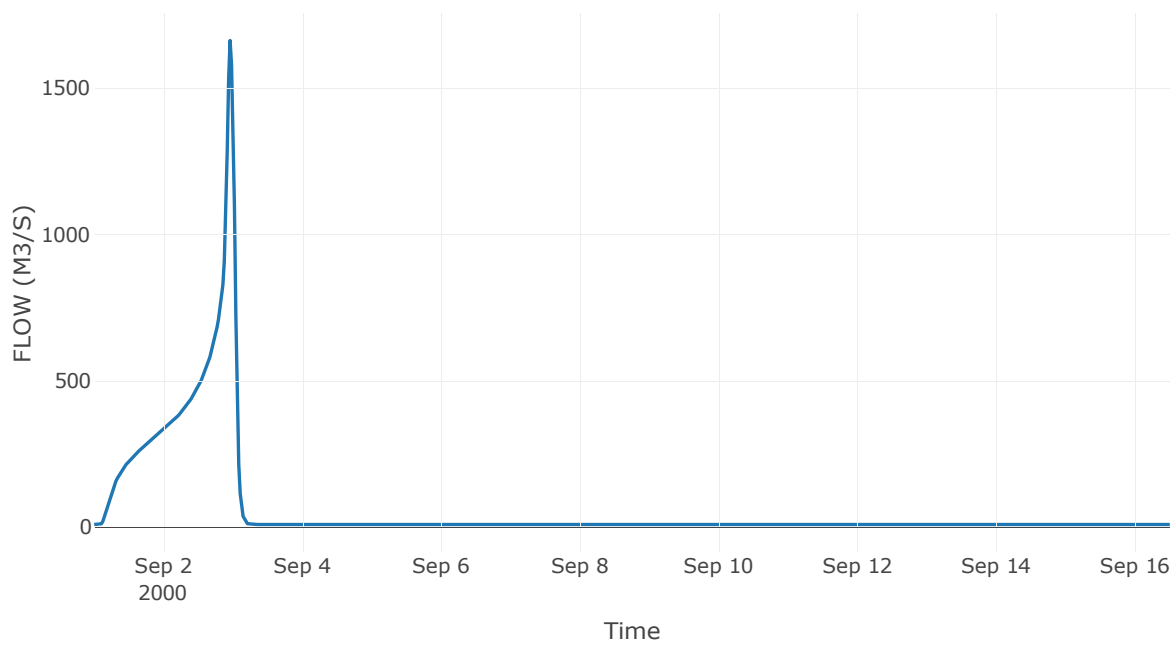
Κόμβος: J44

Κατάντη : R4462

Αποτελέσματα: J44

Παροχή Αιχμής (M3/S)	1662.81
Χρονική στιγμή αιχμής	02Sep2000, 23:00
Όγκος(MM)	626.39

Απορροή



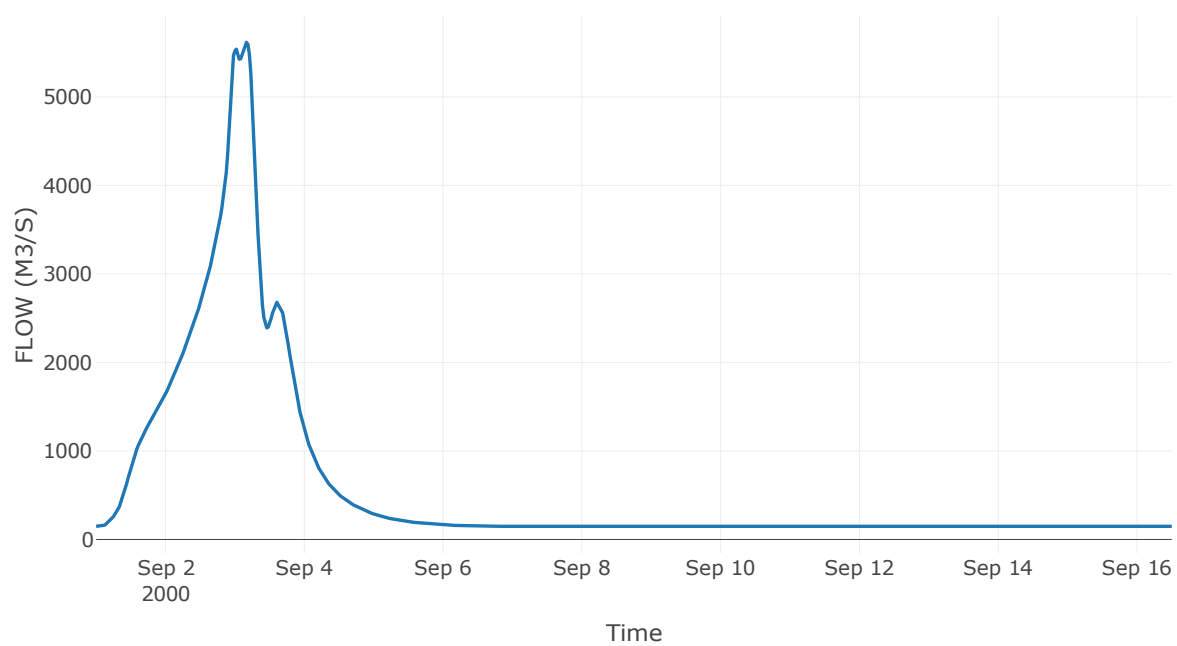
Κόμβος: J45

Κατάντη : R4523

Αποτελέσματα: J45

Παροχή Αιχμής (M3/S)	5616.26
Χρονική στιγμή αιχμής	03Sep2000, 04:00
Όγκος(MM)	544.96

Απορροή



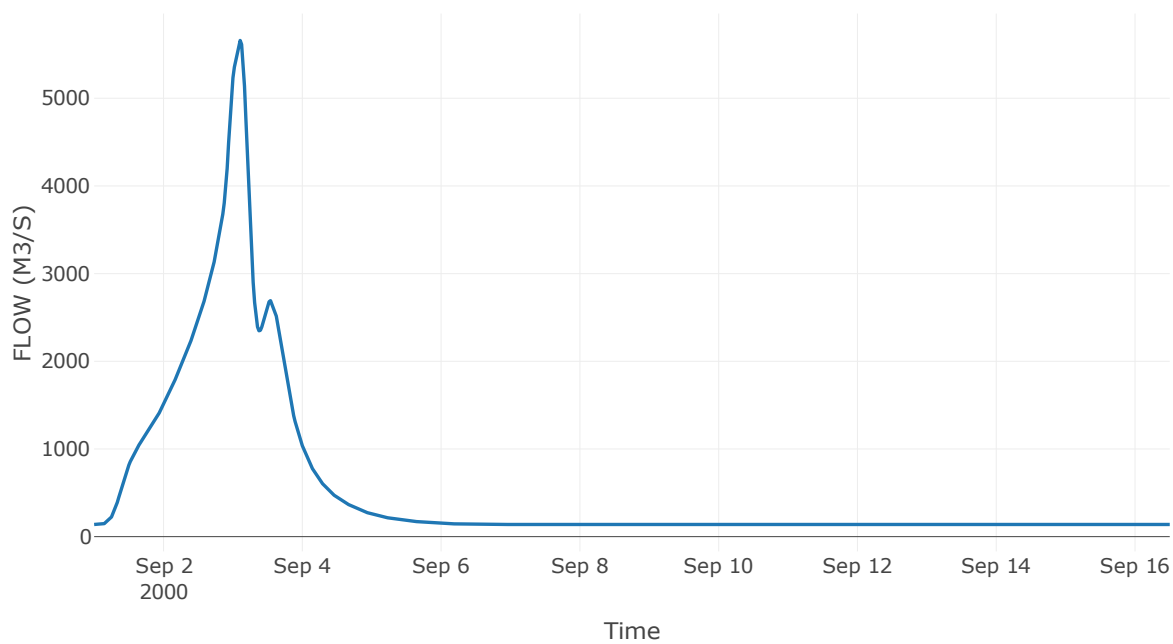
Κόμβος: J46

Κατάντη : R4645

Αποτελέσματα: J46

Παροχή Αιχμής (M3/S)	5659.42
Χρονική στιγμή αιχμής	03Sep2000, 02:30
Όγκος(MM)	552.29

Απορροή



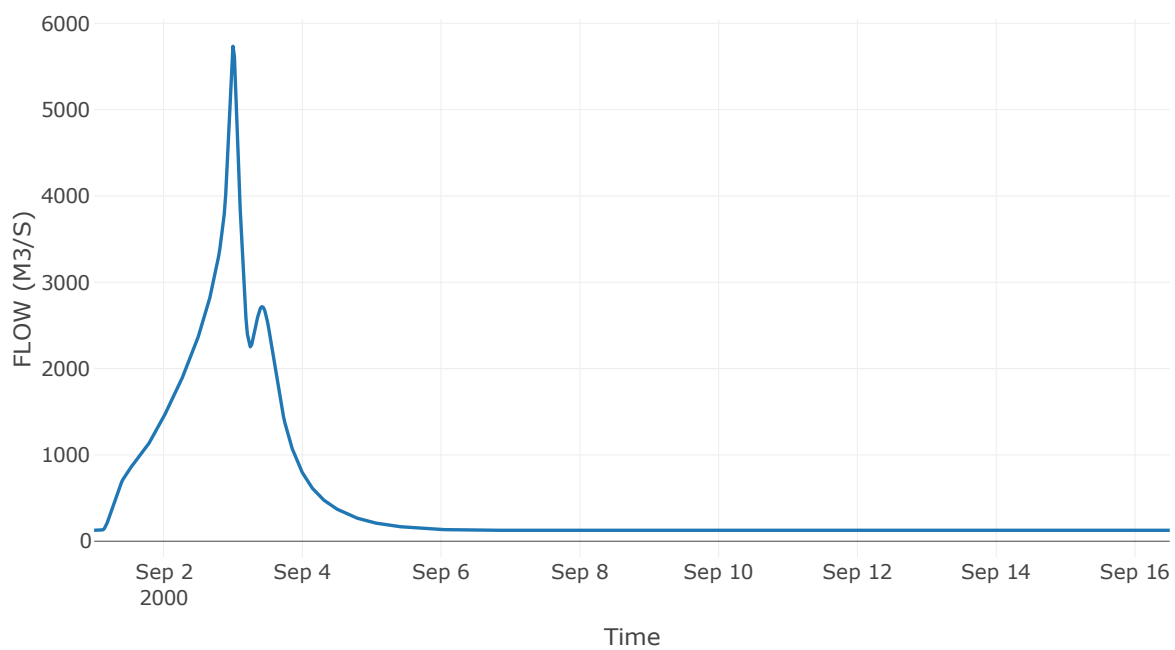
Κόμβος: J47

Κατάντη : R4746

Αποτελέσματα: J47

Παροχή Αιχμής (M3/S)	5733.96
Χρονική στιγμή αιχμής	02Sep2000, 24:00
Όγκος(MM)	567.68

Απορροή



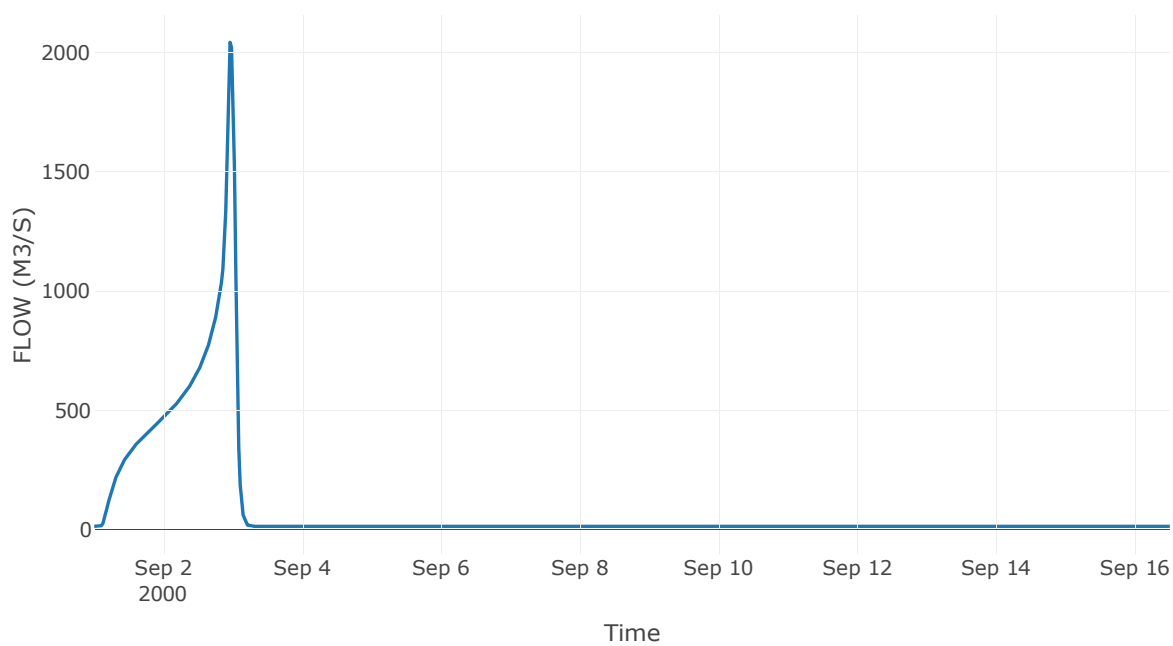
Κόμβος: J48

Κατάντη : R4847

Αποτελέσματα: J48

Παροχή Αιχμής (M3/S)	2041.38
Χρονική στιγμή αιχμής	02Sep2000, 23:00
Όγκος(MM)	555.9

Απορροή



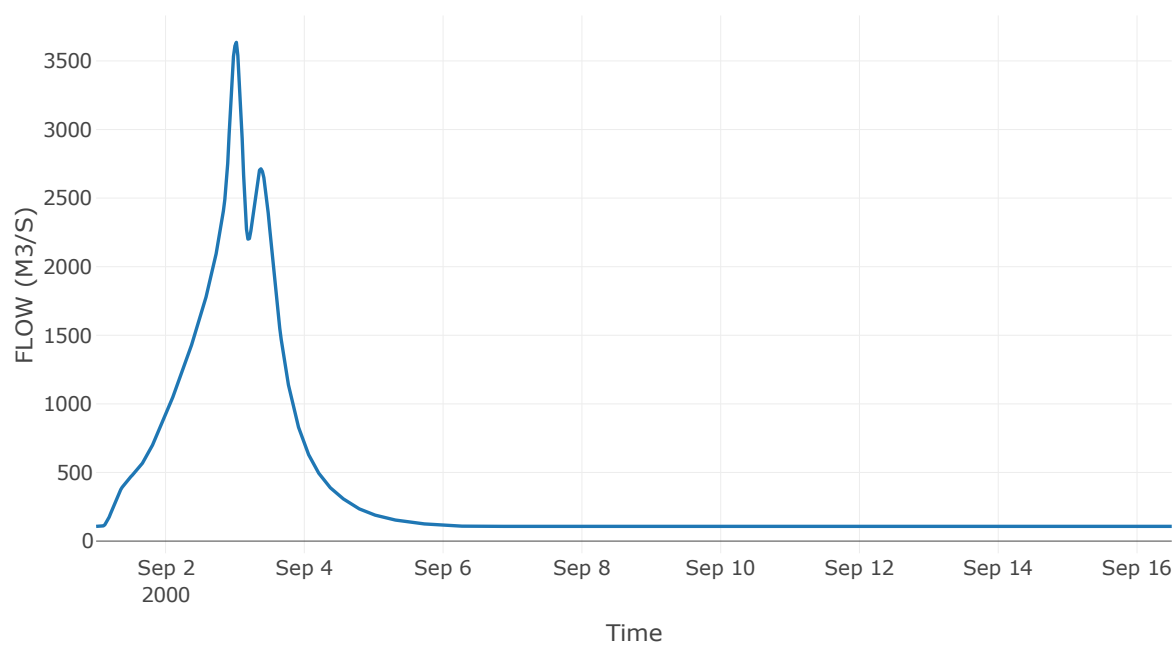
Κόμβος: J49

Κατάντη : R4947

Αποτελέσματα: J49

Παροχή Αιχμής (M3/S)	3635.26
Χρονική στιγμή αιχμής	03Sep2000, 00:30
Όγκος(MM)	577.5

Απορροή



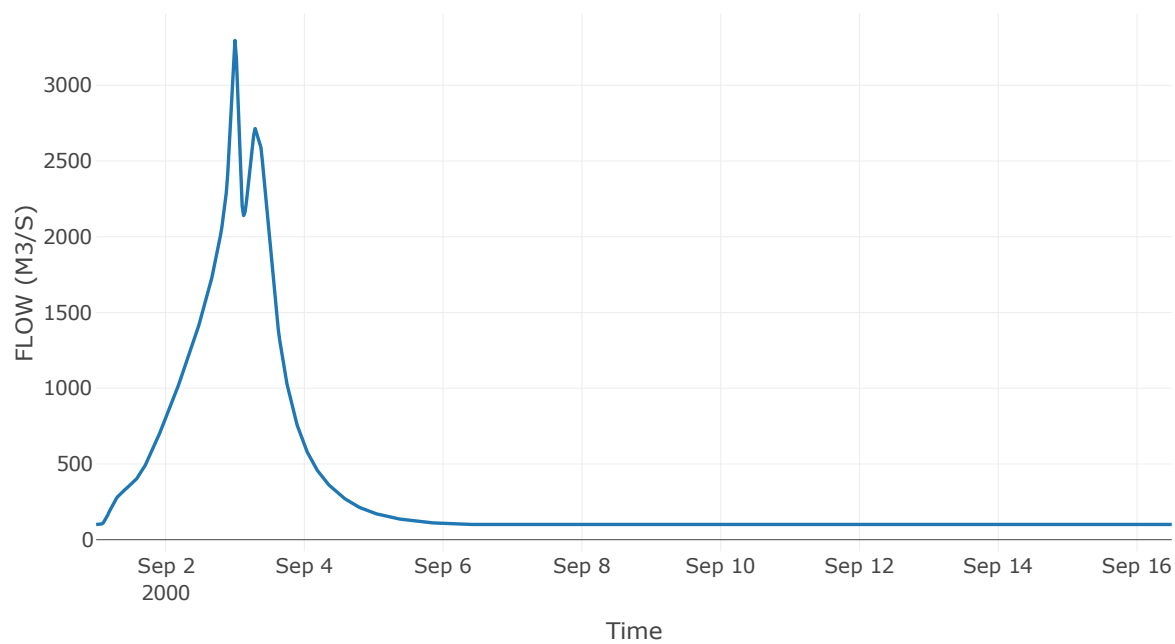
Κόμβος: J50

Κατάντη : R5049

Αποτελέσματα: J50

Παροχή Αιχμής (M3/S)	3296.23
Χρονική στιγμή αιχμής	02Sep2000, 24:00
Όγκος(MM)	582.4

Απορροή



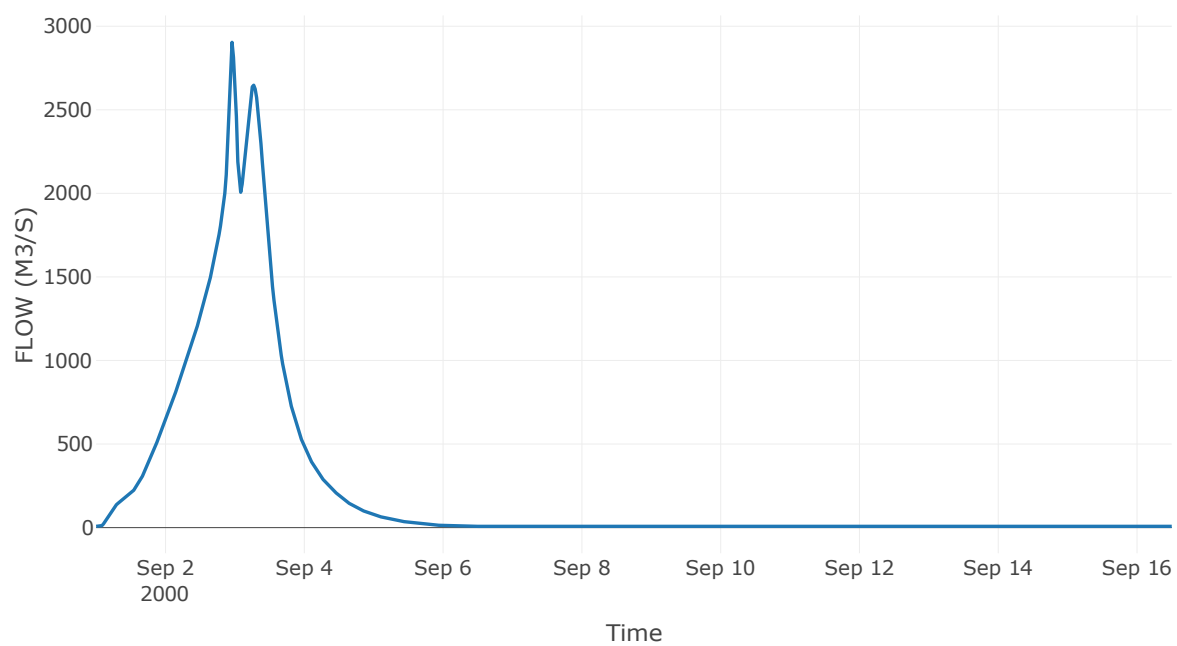
Κόμβος: J51

Κατάντη : R5150

Αποτελέσματα: J51

Παροχή Αιχμής (M3/S)	2903.72
Χρονική στιγμή αιχμής	02Sep2000, 23:00
Όγκος(MM)	2846.89

Απορροή



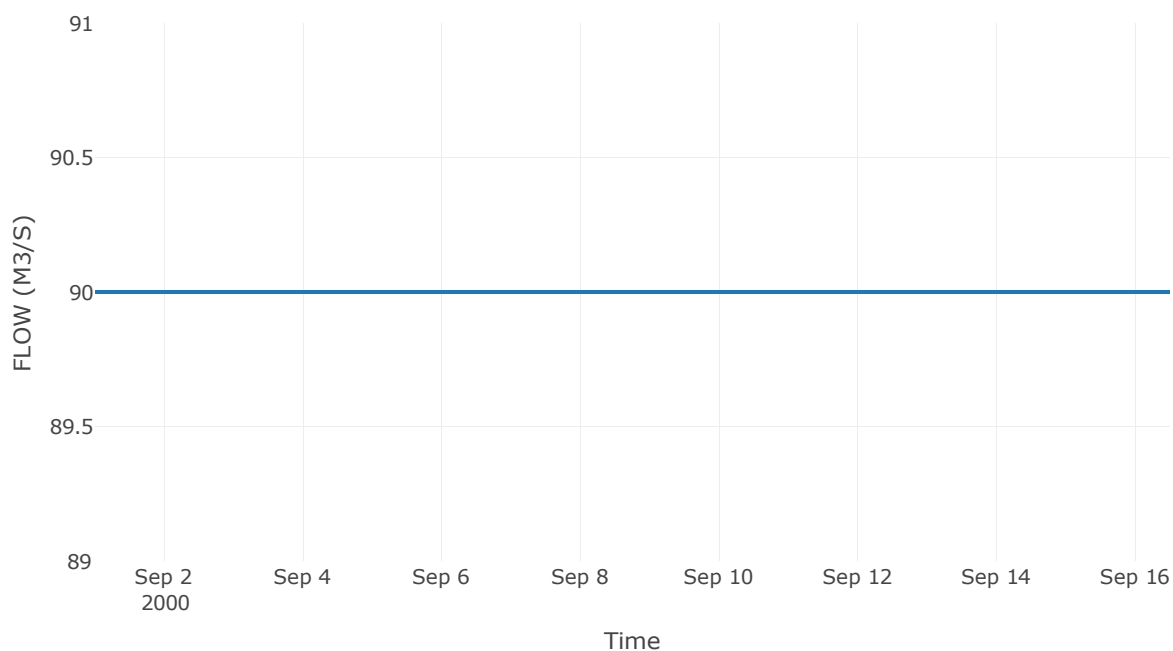
Ταμιευτήρας: J53_RES5

Κατάντη : J50

Αποτελέσματα: J53_RES5

Παροχή Αιχμής (M3/S)	90
Χρονική στιγμή αιχμής	31Aug2000, 24:00
Όγκος(MM)	190.43
Παροχή Αιχμής Εισόδου (M3/S)	4297.94
Time of Peak Inflow	03Sep2000, 03:00
Όγκος Εισροής (M3)	3.19E8
Maximum Storage (M3)	3.72E8
Peak Elevation (M)	771.61
Discharge Όγκος(M3)	1.21E8

Απορροή



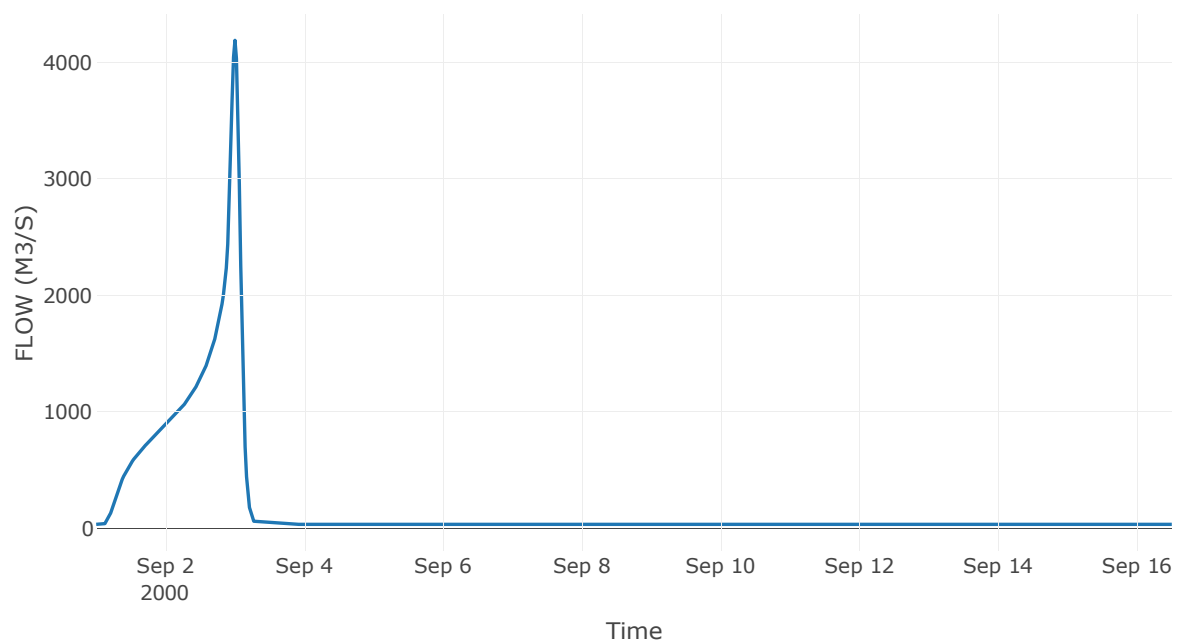
Κόμβος: J54

Κατάντη : R5457

Αποτελέσματα: J54

Παροχή Αιχμής (M3/S)	4190.4
Χρονική στιγμή αιχμής	02Sep2000, 24:00
Όγκος(MM)	491.84

Απορροή



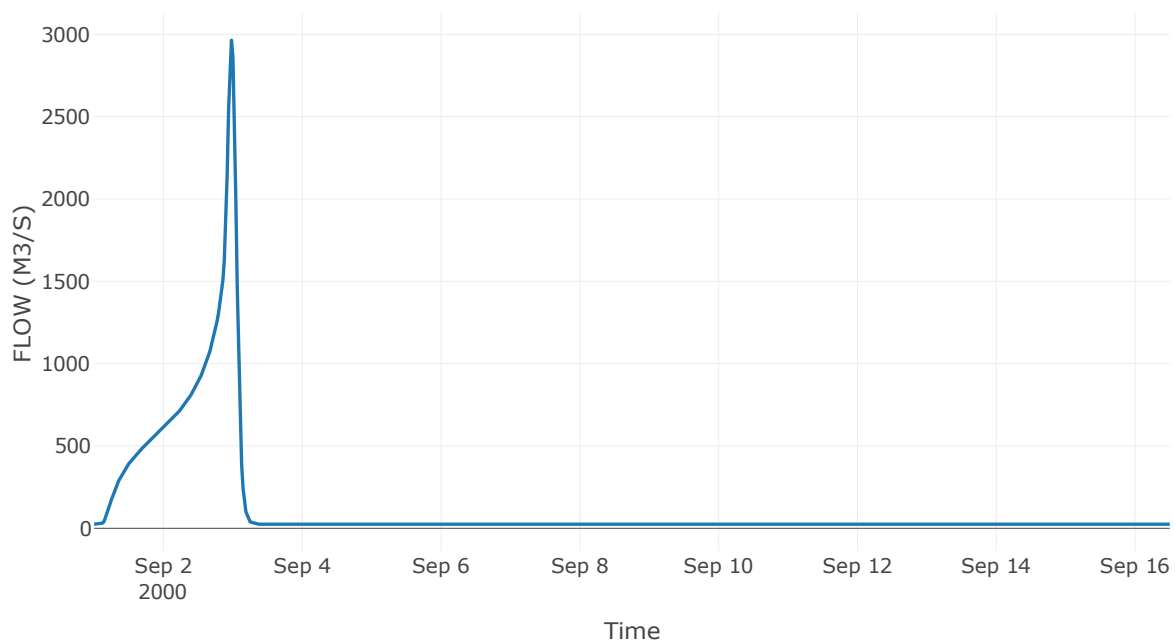
Κόμβος: J55

Κατάντη : R5554

Αποτελέσματα: J55

Παροχή Αιχμής (M3/S)	2964.59
Χρονική στιγμή αιχμής	02Sep2000, 23:30
Όγκος(MM)	483.81

Απορροή



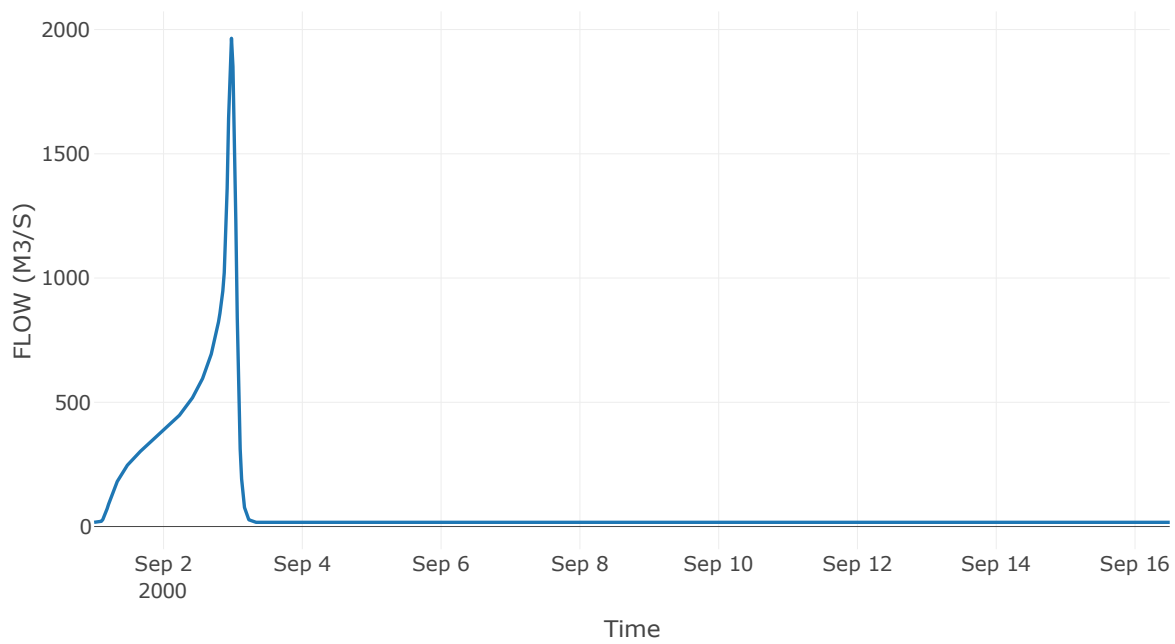
Κόμβος: J56

Κατάντη : R5655

Αποτελέσματα: J56

Παροχή Αιχμής (M3/S)	1964.85
Χρονική στιγμή αιχμής	02Sep2000, 23:30
Όγκος(MM)	451.04

Απορροή



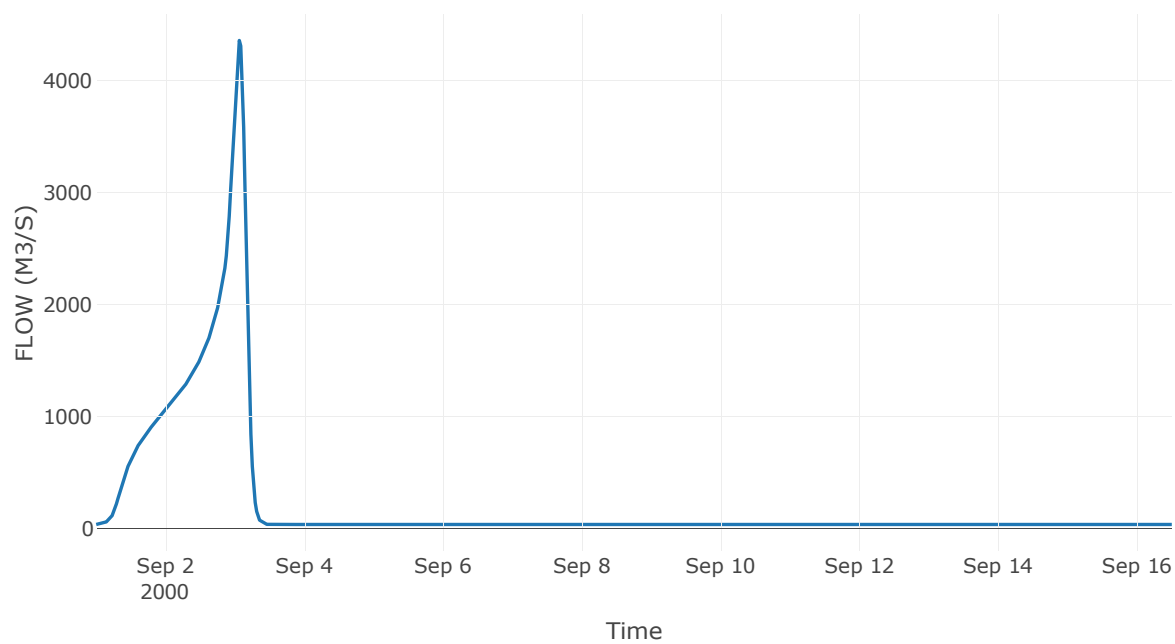
Κόμβος: J57

Κατάντη : R5753

Αποτελέσματα: J57

Παροχή Αιχμής (M3/S)	4361.31
Χρονική στιγμή αιχμής	03Sep2000, 01:30
Όγκος(MM)	502.43

Απορροή



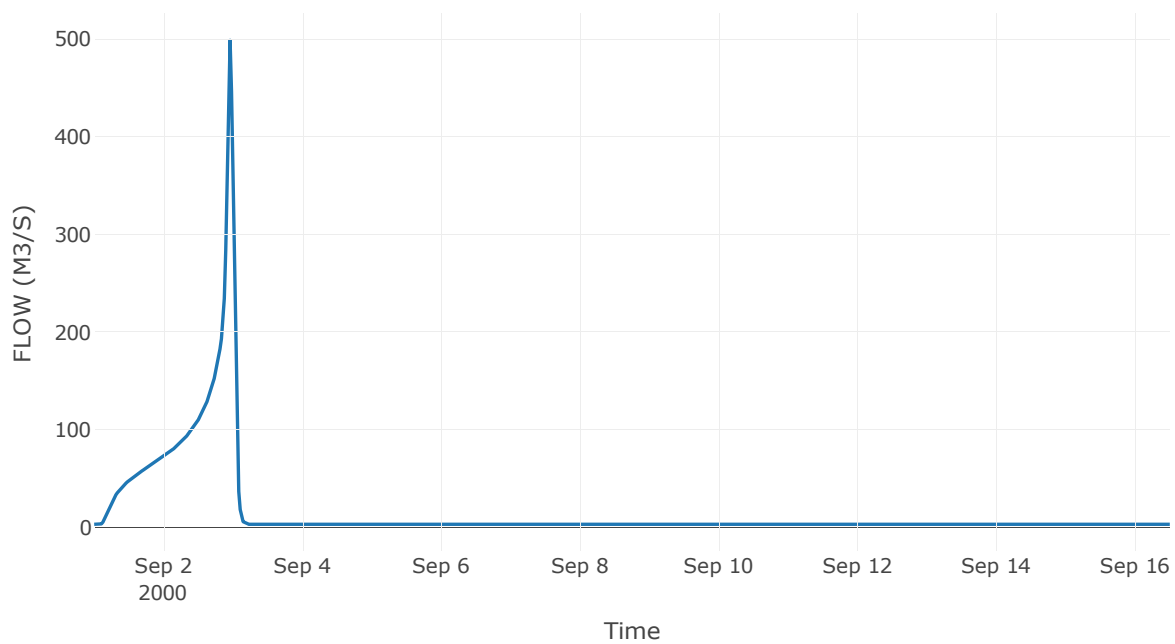
Κόμβος: J61

Κατάντη : R6120

Αποτελέσματα: J61

Παροχή Αιχμής (M3/S)	498.7
Χρονική στιγμή αιχμής	02Sep2000, 23:00
Όγκος(MM)	450.34

Απορροή



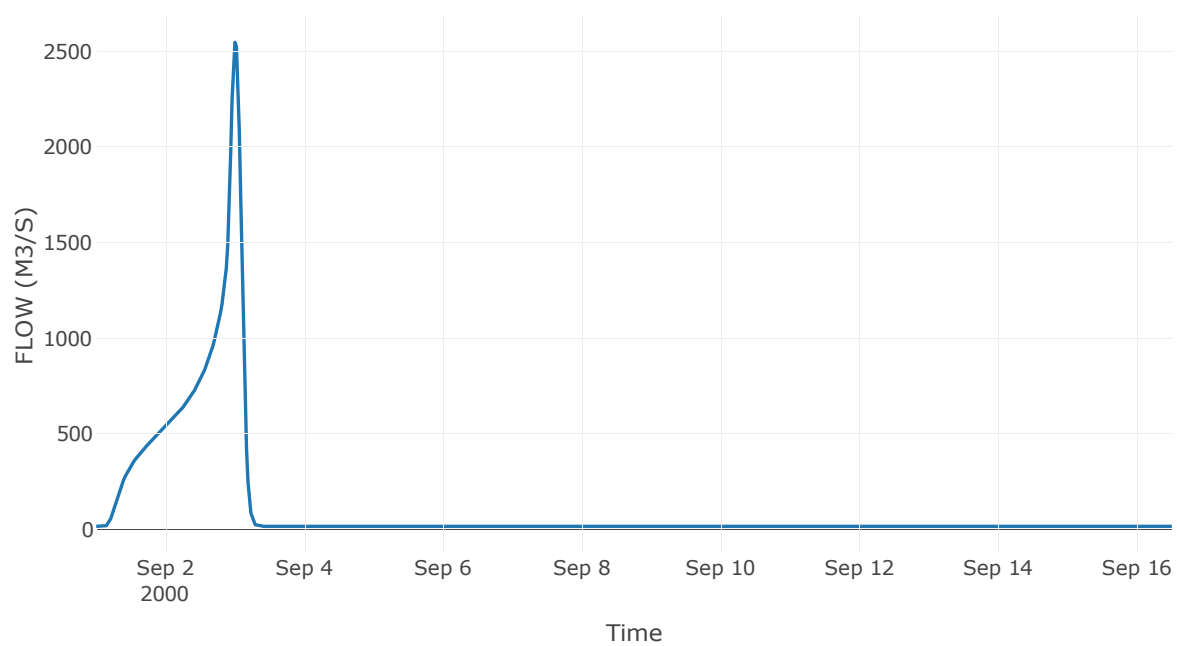
Κόμβος: J62

Κατάντη : R6227

Αποτελέσματα: J62

Παροχή Αιχμής (M3/S)	2546.54
Χρονική στιγμή αιχμής	02Sep2000, 24:00
Όγκος(MM)	578.22

Απορροή



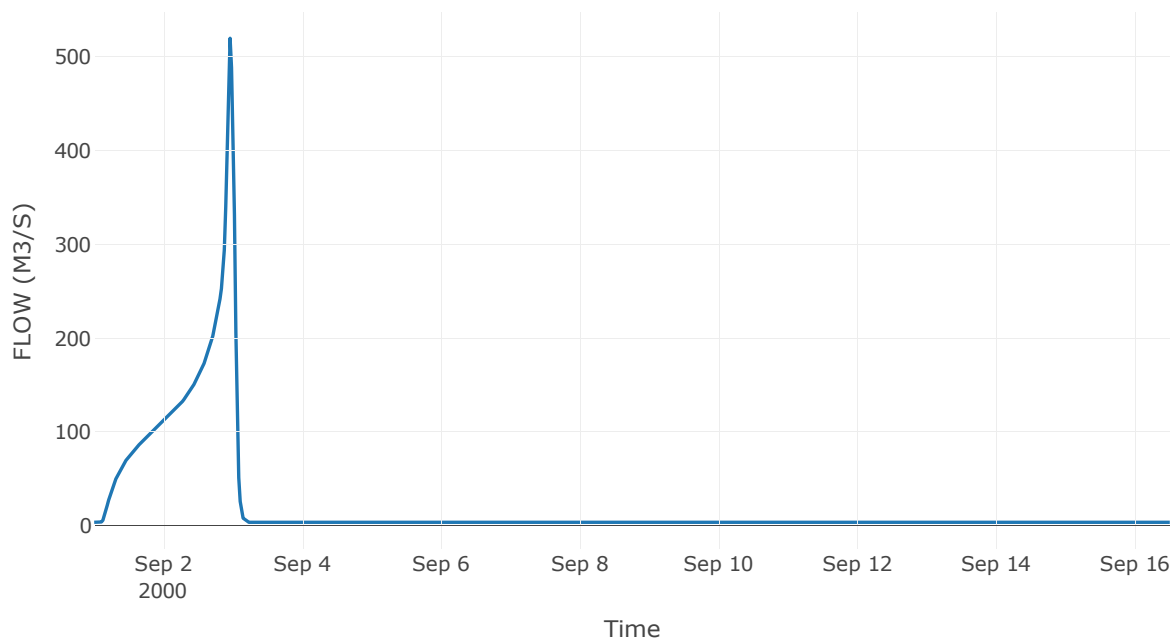
Κόμβος: J63

Κατάντη : R6357

Αποτελέσματα: J63

Παροχή Αιχμής (M3/S)	519.8
Χρονική στιγμή αιχμής	02Sep2000, 23:00
Όγκος(MM)	536.18

Απορροή



Κόμβος: J64

Κατάντη : R6429

Αποτελέσματα: J64

Παροχή Αιχμής (M3/S)	3518.59
Χρονική στιγμή αιχμής	03Sep2000, 03:00
Όγκος(MM)	549.21

Απορροή

